ANAS S.p.A.

Direzione Progettazione e Realizzazione Lavori

S.S. N. 9 "VIA EMILIA"
VARIANTE DI CASALPUSTERLENGO ED ELIMINAZIONE PASSAGGIO A LIVELLO SULLA S.P. EX S.S. N.234

PROGETTO ESECUTIVO

STUDIO CORONA
Ing. Renato Vaira
(Ordine degli Ingg. di Torino e Provincia n° 4663 W)

ING. RENATO DEL PRETE
Ing. Renato Del Prete
Ordine degli Ingg. di Bari e provincia n° 5073

DOTT. GEOL. DANILO GALLO
Dott. Geol. Danilo Gallo
Ordine dei Geologi della Regione Puglia n° 588

Ingegneria del Territorio s.r.l.
Ing. Valerio Bajetti
Ordine degli Ingg. di Roma e provincia n° A-26211

SETAC Srl
Servizi & Engineering
Trasporti Ambiente Costruzioni
Prof. Ing. Luigi Monterisi
Ordine degli Ingg. di Bari e provincia n° 1771

EMG Engineering & Graphics S.r.l.
Ing. Gabriele Incecchi
Ordine degli Ingg. di Roma e provincia n° A-12102

CONSORZIO UNING soc.cons. a r.l.
SOCIETÀ DESIGNATA: GA&M s.r.l.
Prof. Ing. Matteo Ranieri
Ordine degli Ingg. di Bari e provincia n° 1137

ECOPLAN
Società di Ingegneria & Architettura Ambientale
Arch. Nicoletta Frattini
Ordine degli Arch. di Torino e provincia n° A-8433

ARKE' INGEGNERIA s.r.l.
Via Imperatore Traiano n.4 - 70126 Bari
Ing. Gioacchino Angarano
Ordine degli Ingg. di Bari e provincia n° 5970

INTEGRAZIONE PRESTAZIONI	PROGETTISTA
Ing. Renato Del Prete	Ing. Valerio Bajetti (I.T. S.r.l.)
PROGETTAZIONE STRADALE	**PROGETTAZIONE IDRAULICA**
Ing. Gaetano Ranieri (Ga&M S.r.l.)	Ing. Fabrizio Bajetti (I.T. S.r.l.)
PROGETTAZIONE OPERE D'ARTE MAGGIORI	**PROGETTAZIONE OPERE D'ARTE MINORI**
Ing. Renato Vaira (Studio Corona S.r.l.)	Ing. Nicola Ligas (I.T. S.r.l.)
COMPUTI	**CANTIERISTICA**
Ing. Valerio Bajetti (I.T. S.r.l.)	Ing. Gaetano Ranieri (Ga&M S.r.l.)
GEOLOGIA	**GEOTECNICA**
Dott. Danilo Gallo	Ing. Gianfranco Sodero (Studio Corona S.r.l.)
AMBIENTE	**SICUREZZA**
Dott. Emilio Macchi (ECOPLAN S.r.l.)	Ing. Gaetano Ranieri (Ga&M S.r.l.)

VISTO: IL RESPONSABILE DEL PROCEDIMENTO	IL RESPONSABILE DELLA INTEGRAZIONE DELLE PRESTAZIONI SPECIALISTICHE	PROGETTISTA	GEOLOGO	IL COORDINATORE DELLA SICUREZZA IN FASE DI PROGETTAZIONE
Dott. Ing. Fabrizio CARDONE	Ing. Renato DEL PRETE	Ing. Valerio BAJETTI	Dott. Danilo GALLO	Ing. Gaetano RANIERI

HG02

H - PROGETTO STRUTTURALE OPERE PRINCIPALI

PO02 - PONTE SUL BREMBIOLO 03 ALLA PROG. 7+190

RELAZIONE DI CALCOLO IMPALCATO

CODICE PROGETTO			NOME FILE	REVISIONE	SCALA:
PROGETTO	LIV. PROG.	N. PROG.	HG02-P00PO02STRRE02_B.dwg		
COMI	E	1701	CODICE ELAB. P00PO02STRRE02	B	------

REV.	DESCRIZIONE	DATA	REDATTO	VERIFICATO	APPROVATO
D					
C					
B	EMISSIONE A SEGUITO DI ISTRUTTORIA	GIUGNO 2017	ING. NICOLA LIGAS	PROF. ING. LUIGI MONTERISI	ING. VALERIO BAJETTI
A	EMISSIONE	DICEMBRE 2017	ING. NICOLA LIGAS	PROF. ING. LUIGI MONTERISI	ING. VALERIO BAJETTI

SOMMARIO

1 PREMESSA 3
2 DESCRIZIONE DELL'OPERA 4
3 NORMATIVA DI RIFERIMENTO 6
4 UNITA' DI MISURA 6
5 MATERIALI E CARATTERISTICHE DI PROGETTO 7
5.1 Calcestruzzo 7
5.1.1 Calcestruzzo per le opere strutturali 7
5.2 Acciaio 7
5.2.1 Acciaio per armature ordinarie 7
5.3 Acciaio 7
5.3.1 Acciaio per strutture metalliche 7
5.4 Caratteristiche di progetto della struttura 7
6 CARATTERIZZAZIONE SISMICA 8
6.1 Identificazione della località e dei parametri sismici generali 8
7 MODELLAZIONE 17
7.1 Individuazione del codice di calcolo 17
7.1.1 Caratteristiche del codice di calcolo 17
7.1.2 Grado di affidabilità del codice di calcolo 17
7.1.3 Motivazione della scelta del codice 17
7.1.4 Validazione del codice di calcolo 17
7.2 Modello di calcolo 19
7.2.1 Analisi per fasi 19
8 ANALISI DEI CARICHI 21
8.1 Carichi permanenti strutturali 21
8.2 Carichi permanenti non strutturali 21
8.3 Carichi mobili di esercizio 21
8.4 Azione di frenamento 27
8.5 Azione del vento 28
8.6 Azione centrifuga 29
8.7 Dilatazione termica uniforme 29
8.8 Dilatazione termica differenziale 29
8.9 Fenomeni di ritiro nella soletta di calcestruzzo 29
9 COMBINAZIONI DI CARICO 33
9.1 Tabella riassuntiva dei coefficienti di combinazione per impalcati da ponte 33
10 GEOMETRIA E CARATTERISTICHE DEGLI ELEMENTI STRUTTURALI 34
10.1 Travi principali 34
10.2 Calcolo della larghezza efficace di soletta collaborante 37
10.3 Traverso 38
11 VERIFICHE STRUTTURALI 39
11.1 Verifiche a S.L.U. e S.L.E. 39
11.2 Sollecitazioni agenti sulle travi principali 40
11.3 Travi principali 45
11.3.1 Verifica a flessione e taglio in condizione statica 45
11.3.2 Verifica a flessione e taglio in condizione sismica 50
11.3.3 Verifica degli irrigidimenti 51

11.3.4 Verifica del sistema di connessione trave/soletta: pioli 65
11.3.5 Verifica a S.L.E. 69
11.4 Traversi 74
11.4.1 Sollecitazioni agenti sui traversi 74
11.4.2 Verifica del traverso tipo a flessione e taglio 75
11.5 Giunti bullonati 77
11.5.1 Verifiche a Stato Limite Ultimo 78
11.5.2 Verifiche a Stato Limite di Esercizio 81
11.6 Saldature 82
11.6.1 Saldature traversi 82
11.6.2 Saldature flange-anima 83
11.6.3 Saldature longitudinali degli irrigidimenti verticali 84
11.6.4 Saldature testa-testa travi principali 84
11.7 Soletta 85
11.7.1 Verifica del traliccio predalle impalcato larghezza 16 metri 85
11.7.2 Verifica del traliccio predalle impalcato larghezza 19 metri 88
11.7.3 Verifica armatura soletta impalcato larghezza 16 metri 91
11.7.4 Armatura longitudinale della soletta 96
11.7.5 Verifiche a S.L.E. 96
11.7.6 Verifica armatura soletta impalcato larghezza 19 metri 100
11.7.7 Armatura longitudinale della soletta 104
11.7.8 Verifiche a S.L.E. 104
11.8 Appoggi 109
11.9 Giunti di dilatazione 111
11.10 Verifiche a fatica 112
11.10.1 Verifica a danneggiamento per i pioli 112
11.10.2 Verifica a vita illimitata per le saldature tra i conci delle travi principali 117
12 CARATTERISTICHE SISMICHE DELLA STRUTTURA 119
13 ALLEGATO – VERIFICHE INTEGRATIVE 121
13.1 PREMESSA 121
13.1.1 Caratteristiche del codice di calcolo 121
13.1.2 Grado di affidabilità del codice di calcolo 121
13.1.3 Motivazione della scelta del codice 121
13.1.4 Validazione del codice di calcolo 121
13.2 VERIFICA INTEGRATIVA DELLE TRAVI PRINCIPALI 123
13.2.1 IMPALCATO "A" 123
13.2.2 IMPALCATO "B" 222
13.3 VERIFICA INTEGRATIVA PER I TRAVERSI IN ACCIAIO 321
13.3.1 Traversi impalcato "A" 322
13.3.2 Traversi impalcato "B" 329
14 SOTTOSCRIZIONE DELL'ELABORATO DA PARTE DEL R.T.P. 334

1 PREMESSA

La presente relazione di calcolo riporta la descrizione, il dimensionamento e le verifiche strutturali dell'impalcato da ponte **Brembiolo n°3**, realizzato a struttura mista acciaio-calcestruzzo. Tale opera si inserisce nell'ambito del progetto esecutivo "*S.S. n.9 Emilia – Variante di Casalpusterlengo ed eliminazione passaggio a livello sulla S.P. ex S.S. N.234*".

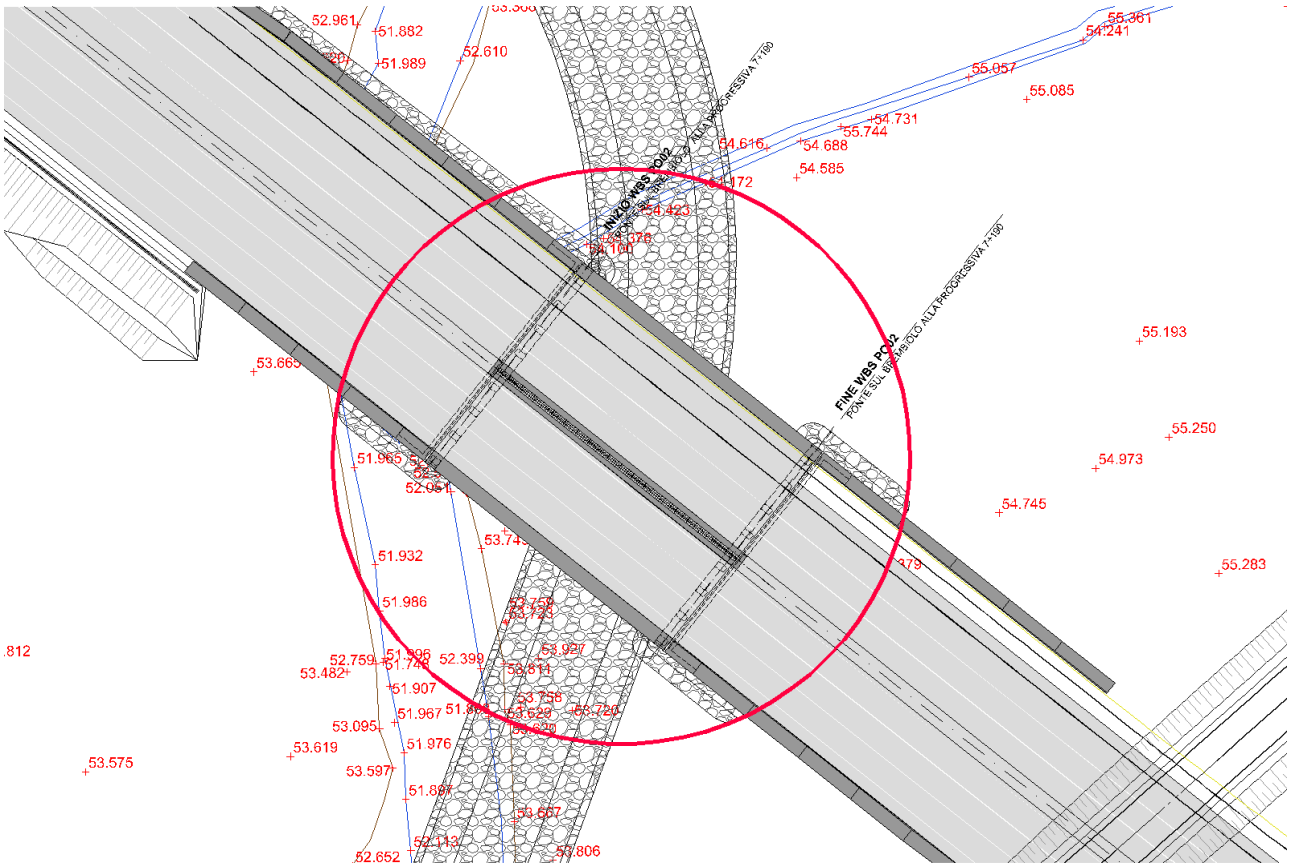


FIGURA 1: INDIVIDUAZIONE DELL'IMPALCATO ALL'INTERNO DELLA PLANIMETRIA GENERALE

Le coordinate che individuano la zona interessata dalla realizzazione dell'opera in esame sono le seguenti, riportate con sistema di riferimento WGS 84:

- LON: 9.658742
- LAT: 45.163936

2 DESCRIZIONE DELL'OPERA

La struttura oggetto della presente relazione è un ponte stradale a struttura mista acciaio-calcestruzzo di lunghezza complessiva pari a 42 m. Il ponte è a doppio impalcato; ciascuno dei due impalcati si sviluppa su un'unica campata e su n°2 spalle.
Si intende per "Impalcato A" quello con larghezza di soletta maggiore e per "Impalcato B" quello con larghezza di soletta minore.

Impalcato A
La sezione trasversale è caratterizzata da una piattaforma in c.a. avente larghezza pari a 19.24 m e spessore di 30 cm (tale spessore comprende 6 cm di lastra predalle più 24 cm di getto di calcestruzzo) sostenuta da n°4 travi principali con interasse di 4.50 m (profili metallici a doppio T saldati).
Le travi principali, di cui sopra, sono suddivise in direzione longitudinale in n°5 conci di tre tipologie differenti di sezione. Lo schema di suddivisione è il seguente (schema valido anche per Impalcato B):

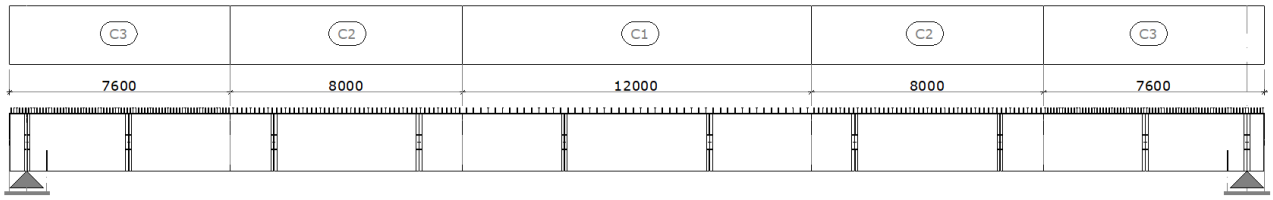


FIGURA 2: SUDDIVISIONE DELLE TRAVI PRINCIPALI IN CONCI – IMPALCATO A E IMPALCATO B

In direzione trasversale sono inoltre presenti n°10 profilati metallici a doppio T, disposti ad un interasse di 5.00 m, aventi sezione IPE 500, i quali hanno funzione di traversi di collegamento tra le travi principali. Ciascun traverso risulta pertanto suddiviso in due parti distinte, le quali saranno bullonate in opera alle travi principali.
La struttura in carpenteria metallica è collegata alla soletta in c.a. mediante pioli NELSON Ø19, opportunamente dimensionati per i carichi previsti.
La sezione risulta così condivisa:

- Carreggiata composta da 3 corsie di marcia di 3.75 m
- N°2 banchine laterali di larghezza 3.54 m e 1.75 m
- N°1 marciapiede laterale di larghezza 1.90 m

Impalcato B
La sezione trasversale è caratterizzata da una piattaforma in c.a. avente larghezza pari a 16.40 m e spessore di 30 cm (tale spessore comprende 6 cm di lastra predalle più 24 cm di getto di calcestruzzo) sostenuta da n°4 travi principali con interasse di 4.50 m(profili metallici a doppio T saldati).
Le travi principali, di cui sopra, sono suddivise in direzione longitudinale in n°5 conci di tre tipologie differenti di sezione.
In direzione trasversale sono inoltre presenti n°10 profilati metallici a doppio T, disposti ad un interasse di 5.00 m, aventi sezione IPE 500, i quali hanno funzione di traversi di collegamento tra le travi principali. Ciascun traverso risulta pertanto suddiviso in due parti distinte, le quali saranno bullonate in opera alle travi principali.

La struttura in carpenteria metallica è collegata alla soletta in c.a. mediante pioli NELSON Ø19, opportunamente dimensionati per i carichi previsti.
La sezione risulta così condivisa:

- Carreggiata composta da 3 corsie di marcia di 3.75 m
- N°2 banchine laterali di larghezza 1.75 m e 0.50 m
- N°1 marciapiede laterale di larghezza 2.10 m

Per il calcolo strutturale sono stati considerati come carichi agenti sulla struttura, oltre al peso proprio degli elementi strutturali, il peso della pavimentazione stradale, l'azione del vento, i carichi dovuti alle variazioni termiche ed al ritiro del cls ed i carichi variabili da traffico.
Il ponte progettato si inserisce all'interno della **Categoria 1**.
Le analisi svolte sono state effettuate agli stati limite, ultimo e di esercizio, in riferimento alle più recenti normative in vigore. Di seguito si riporta le sezioni tipo della struttura in esame.

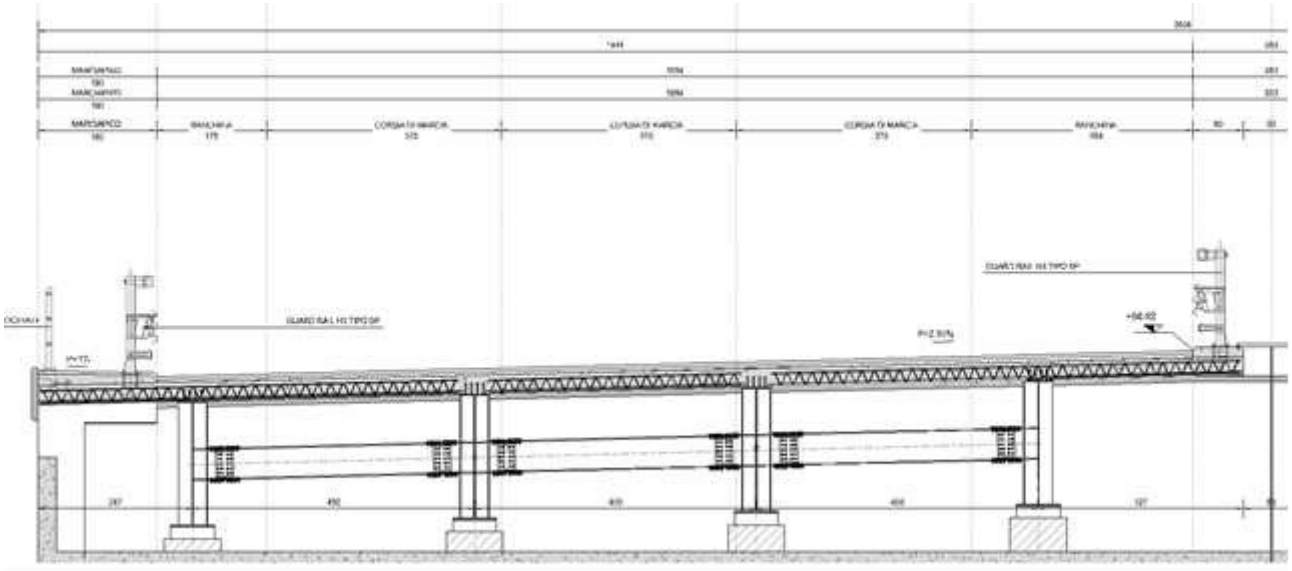


FIGURA 3: SEZIONE TIPO IMPALCATO A

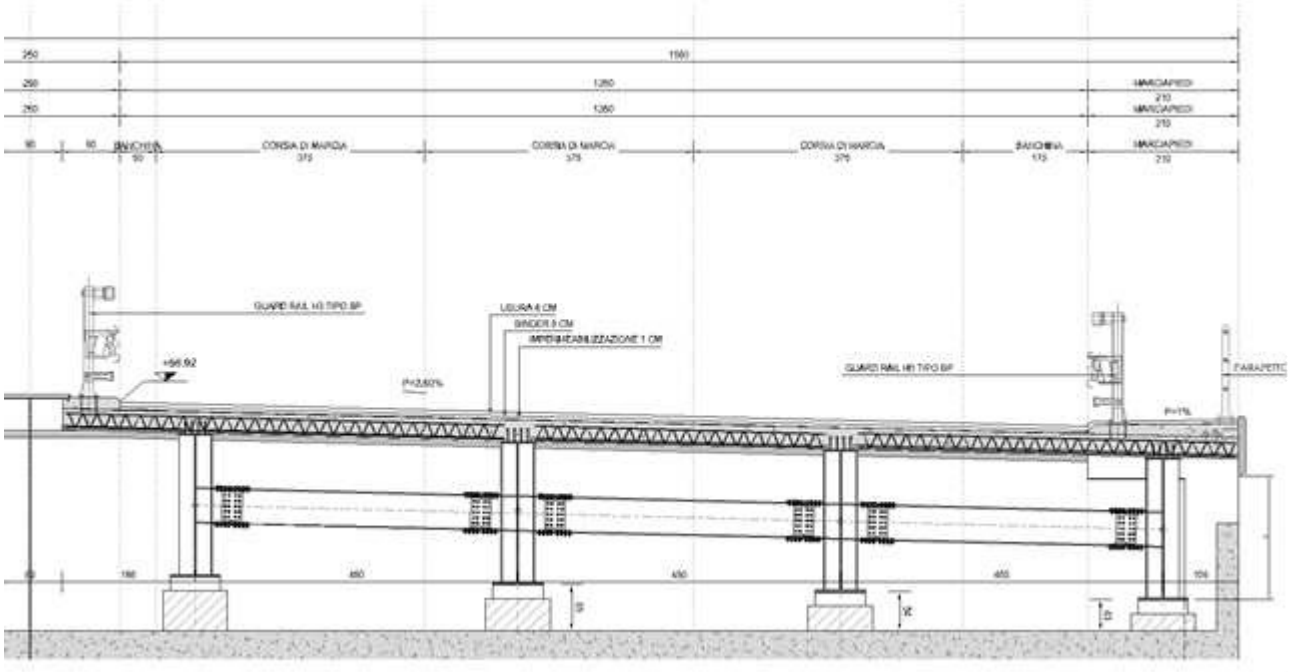


FIGURA 4: SEZIONE TIPO IMPALCATO B

3 NORMATIVA DI RIFERIMENTO

[1] **D. M. 14/01/2008 Testo Unico** – Norme Tecniche per le Costruzioni

[2] **Circolare n.617 – 02/02/2009** – Istruzioni applicative delle nuove norme tecniche per le costruzioni di cui al DM 14/01/2008

[3] **UNI EN 1994-2:2006 Eurocodice 4** – Progettazione delle strutture composte acciaio-calcestruzzo - Parte 2: Regole generali e regole per ponti

[4] **UNI EN 1992-1-1:2005 Eurocodice 2** – Progettazione delle strutture in calcestruzzo

[5] **UNI EN 1993-1-1:2002 Eurocodice 3** – Progettazione delle strutture di acciaio

[6] **UNI EN 1993-1-5:2001 Eurocodice 3** – Progettazione delle strutture in acciaio - Parte 1-5: Regole generali - Regole supplementari per lastre ortotrope in assenza di carichi trasversali

[7] **UNI EN 1993-2:2002 Eurocodice 3** – Progettazione delle strutture in acciaio - Parte 2: Ponti di acciaio

[8] **UNI EN 1994-1-1:2005 Eurocodice 4** – Progettazione delle strutture composte acciaio-calcestruzzo. Parte 1-1: Regole generali e regole per gli edifici.

4 UNITA' DI MISURA

Nei calcoli è stato fatto uso delle seguenti unità di misura:

- per i carichi: kN/m^2, kN/m, kN
- per i momenti: kNm
- per i tagli e sforzi normali: kN
- per le tensioni: N/mm^2 (MPa)
- per le accelerazioni: m/sec^2

5 MATERIALI E CARATTERISTICHE DI PROGETTO

5.1 CALCESTRUZZO

5.1.1 CALCESTRUZZO PER LE OPERE STRUTTURALI

Per la realizzazione della soletta è stato previsto un calcestruzzo con classe di resistenza **C32/40** con le seguenti caratteristiche meccaniche:

R_{ck}	>	40	N/mm^2	Resistenza caratteristica cubica
f_{ck}	=	32	N/mm^2	Resistenza caratteristica cilindrica
f_{cd}	=	18.13	N/mm^2	Resistenza a compressione di calcolo
E_c	=	33346	N/mm^2	Modulo elastico
γ_c	=	1.5		Fattore di sicurezza

5.2 ACCIAIO

5.2.1 ACCIAIO PER ARMATURE ORDINARIE

Per le armature ordinarie è stato previsto un acciaio del tipo **B450C,** con le seguenti caratteristiche meccaniche:

f_{yk}	=	450	N/mm^2	Resistenza caratteristica cilindrica
f_{yd}	=	391.3	N/mm^2	Resistenza a compressione di calcolo
E_s	=	200000	N/mm^2	Modulo elastico
γ_s	=	1.15		Fattore di sicurezza

- Classe di esposizione ambientale per strutture in c.a. : XF4
- Copriferro (con tolleranza di posa):
  - Soletta: 4.5 cm

5.3 ACCIAIO

5.3.1 ACCIAIO PER STRUTTURE METALLICHE

Per la realizzazione delle strutture in acciaio è previsto l'utilizzo di acciaio Corten:

- **S355** J0 W per spessori saldati fino a 20 mm
- **S355** J2 G3 W per spessori da 20 a 40 mm
- **S355** K2 G3 W per spessori superiori a 40 mm

E' previsto l'utilizzo dei seguenti connettori e bulloni:

- Connettori Nelson Ø19 H=175: S235 J2 G3+C450
- Bulloni CLASSE 10.9 (strutture principali: travi, traversi)
- Bulloni CLASSE 8.8 (strutture secondarie: guardrail, mancorrente)

5.4 CARATTERISTICHE DI PROGETTO DELLA STRUTTURA

La struttura in esame è stata così classificata:

- Vita nominale V_N = 50 anni (rif. Tab. 2.4.I di [1] – "*Opere ordinarie, ponti*, […]");

- Classe d'uso IV (rif. Par. 2.4.2 di [1] – "*Costruzioni con funzioni pubbliche o strategiche importanti*, […]"), da cui è possibile ricavare C_U = 2.0 (Tab. 2.4.II di [1])

6 CARATTERIZZAZIONE SISMICA

La struttura in esame è stata modellata mediante l'utilizzo di software agli elementi finiti effettuando una Analisi Lineare Dinamica (Analisi Modale con spettro di risposta).
Tale analisi consiste nella determinazione dei modi di vibrare della struttura e nel calcolo degli effetti dell'azione sismica mediante loro combinazione.
La Normativa richiede di considerare un numero di modi di vibrare tale da ottenere una percentuale di massa partecipante totale pari almeno all' 85%, per ogni direzione considerata.
Sono stati considerati spettri di progetto elastici, con fattore di struttura q = 1, ponendosi a favore di sicurezza.
L'analisi è stata condotta utilizzando gli spettri relativi agli stati limite S.L.V. (Stato Limite di Salvaguardia della Vita) e S.L.C. (Stato Limite di Collasso).
Nei successivi paragrafi si riporta il metodo di determinazione di tali spettri, ottenuti mediante il foglio Excel messo a disposizione dal Consiglio dei LL.PP.

6.1 IDENTIFICAZIONE DELLA LOCALITÀ E DEI PARAMETRI SISMICI GENERALI

L'area oggetto del presente intervento ricade all'interno del territorio del Comune di Casalpusterlengo sito nella provincia di Lodi.
Le coordinate che individuano la zona interessata dalla realizzazione dell'impalcato Brembiolo n°4 sono le seguenti, riportate con sistema di riferimento WGS 84:

- LON: 9.658742
- LAT: 45.163936

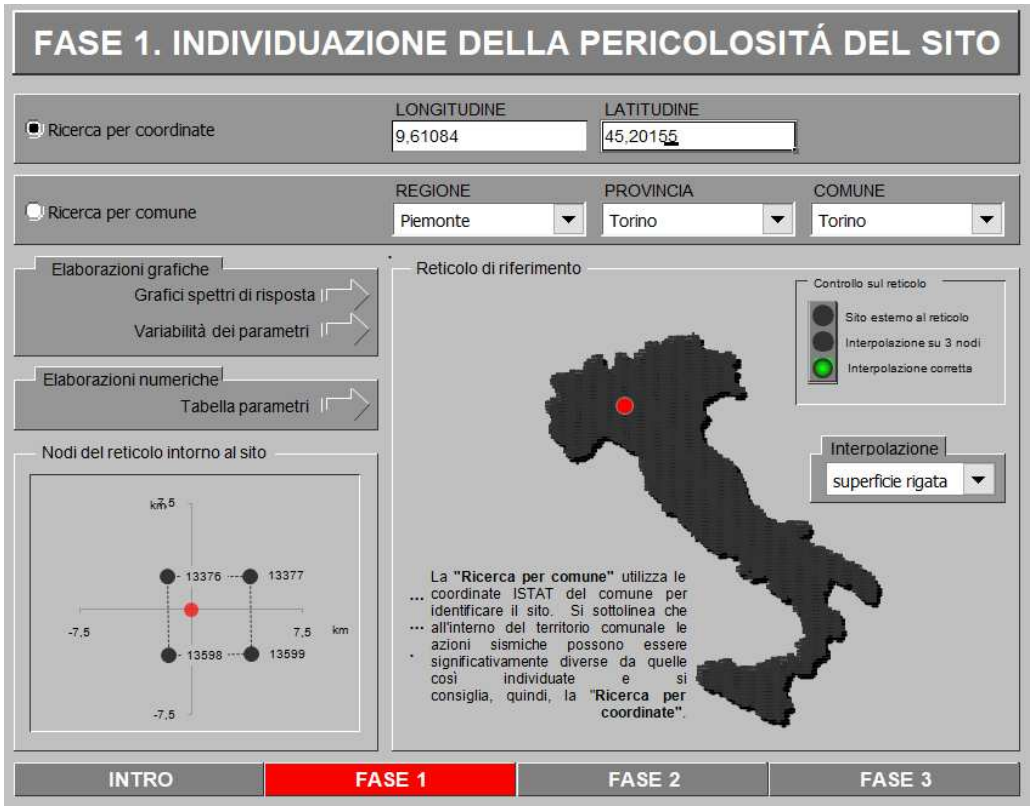


FIGURA 5: INDIVIDUAZIONE DELLA ZONA DI INTERESSE MEDIANTE RICERCA PER COORDINATE

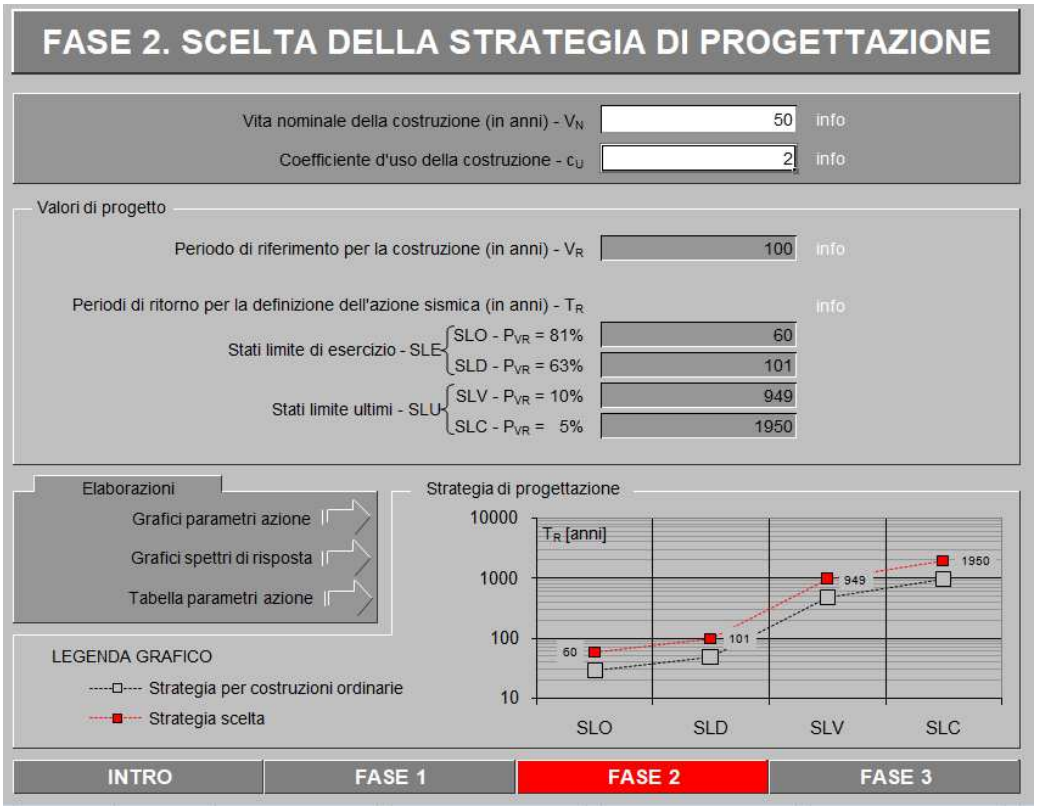


FIGURA 6: IMPOSTAZIONE DEI PARAMETRI DI PROGETTO

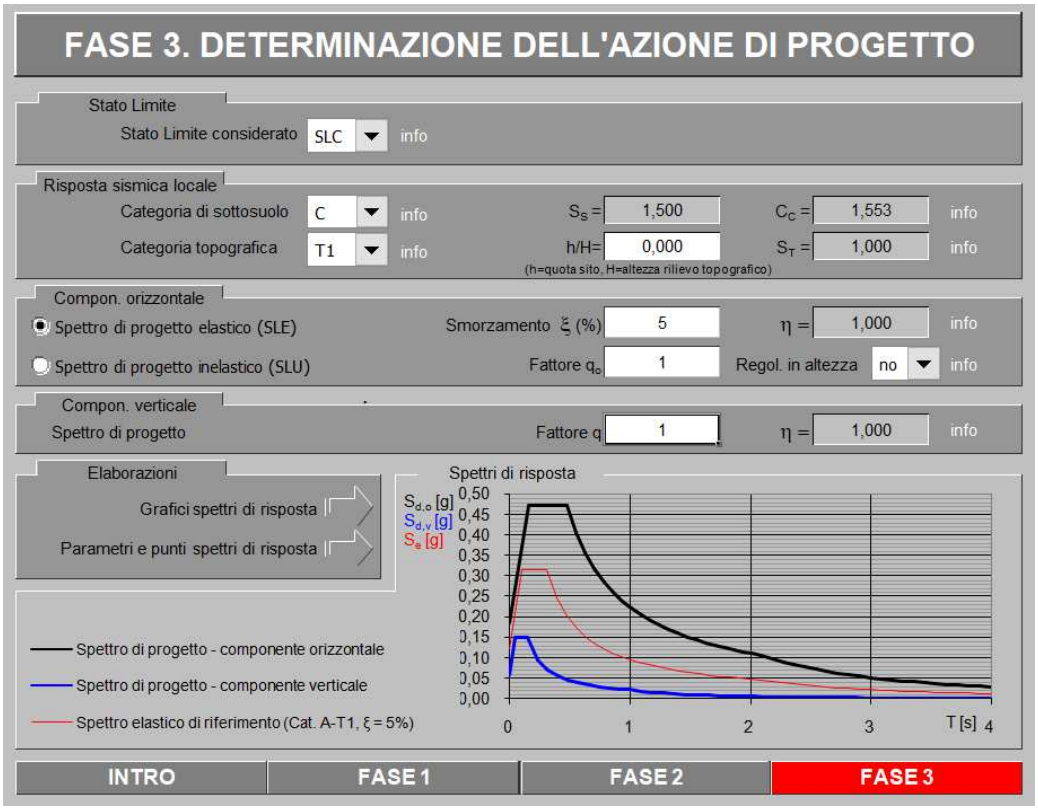


FIGURA 7: DETERMINAZIONE DELLO SPETTRO ELASTICO DI PROGETTO PER LO STATO LIMITE S.L.C.

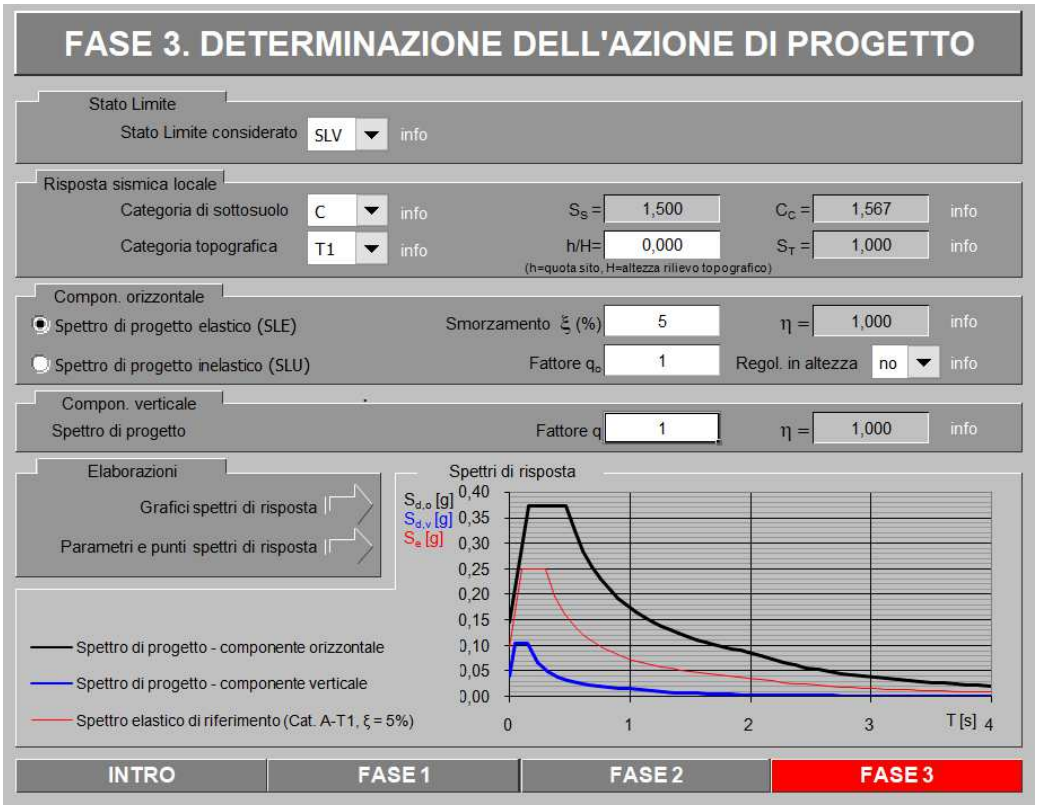


FIGURA 8: DETERMINAZIONE DELLO SPETTRO ELASTICO DI PROGETTO PER LO STATO LIMITE S.L.V.

Come è possibile osservare in Figura 3 e Figura 4, si è supposta una categoria di sottosuolo di tipo C ed una categoria topografica di tipo T1.

Secondo la Tabella 3.2.II di [1], il tipo C indica un suolo caratterizzato da "*Depositi di terreni a grana grossa mediamente addensati o terreni a grana fina mediamente consistenti* […]".
Secondo la Tabella 3.2.IV di [1], la categoria topografica T1 indica "*Superficie pianeggiante* […]".
Sono stati ottenuti gli spettri di progetto riportati nelle successive Figure.

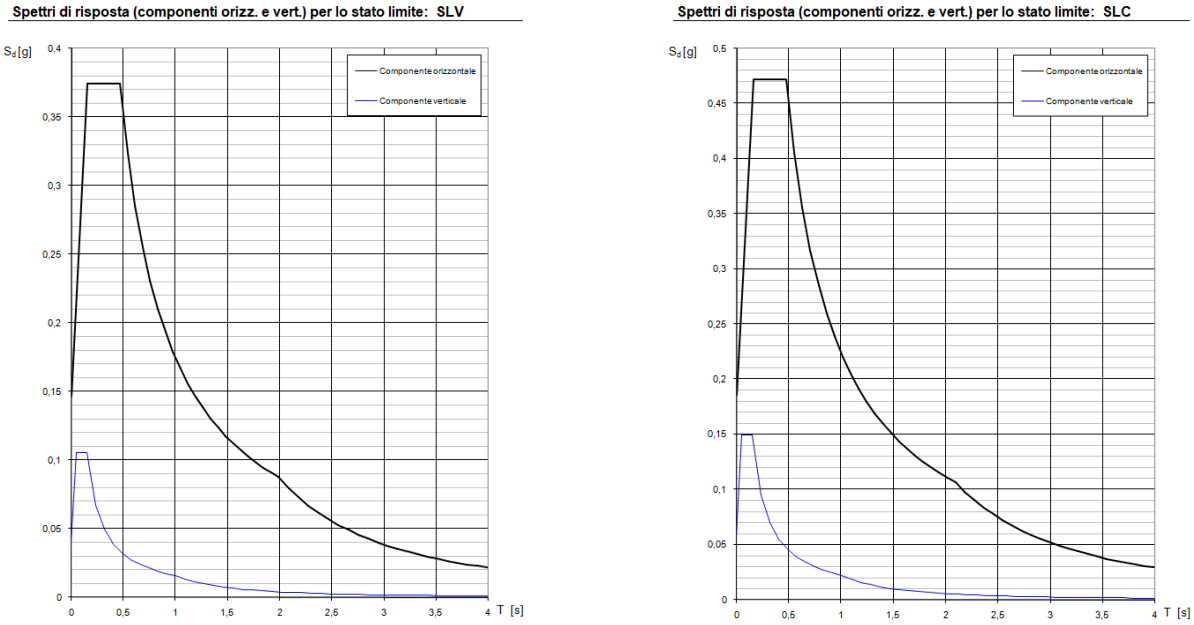


FIGURA 9: SPETTRI DI PROGETTO DELLA ZONA IN ESAME PER S.L.U E S.L.C

Parametri e punti dello spettro di risposta orizzontale per lo stato limite: SLV

Parametri indipendenti

STATO LIMITE	SLV
a_g	0.098 g
F_o	2.552
T_C^*	0.297 s
S_S	1.500
C_C	1.567
S_T	1.000
q	1.000

Parametri dipendenti

S	1.500
η	1.000
T_B	0.155 s
T_C	0.466 s
T_D	1.991 s

Espressioni dei parametri dipendenti

$S = S_S \cdot S_T$ (NTC-08 Eq. 3.2.5)

$\eta = \sqrt{10/(5+\xi)} \geq 0{,}55;\ \eta = 1/q$ (NTC-08 Eq. 3.2.6; §. 3.2.3.5)

$T_B = T_C / 3$ (NTC-07 Eq. 3.2.8)

$T_C = C_C \cdot T_C^*$ (NTC-07 Eq. 3.2.7)

$T_D = 4{,}0 \cdot a_g / g + 1{,}6$ (NTC-07 Eq. 3.2.9)

Espressioni dello spettro di risposta (NTC-08 Eq. 3.2.4)

$0 \leq T < T_B$ $\quad S_e(T) = a_g \cdot S \cdot \eta \cdot F_o \cdot \left[\frac{T}{T_B} + \frac{1}{\eta \cdot F_o} \left(1 - \frac{T}{T_B} \right) \right]$

$T_B \leq T < T_C$ $\quad S_e(T) = a_g \cdot S \cdot \eta \cdot F_o$

$T_C \leq T < T_D$ $\quad S_e(T) = a_g \cdot S \cdot \eta \cdot F_o \cdot \left(\frac{T_C}{T} \right)$

$T_D \leq T$ $\quad S_e(T) = a_g \cdot S \cdot \eta \cdot F_o \cdot \left(\frac{T_C T_D}{T^2} \right)$

Lo spettro di progetto $S_d(T)$ per le verifiche agli Stati Limite Ultimi è ottenuto dalle espressioni dello spettro elastico $S_e(T)$ sostituendo η con 1/q, dove q è il fattore di struttura. (NTC-08 § 3.2.3.5)

Punti dello spettro di risposta

	T [s]	Se [g]
	0.000	0.147
T_B ←	0.155	0.374
T_C ←	0.466	0.374
	0.538	0.324
	0.611	0.285
	0.684	0.255
	0.756	0.231
	0.829	0.210
	0.902	0.193
	0.974	0.179
	1.047	0.167
	1.120	0.156
	1.192	0.146
	1.265	0.138
	1.337	0.130
	1.410	0.124
	1.483	0.118
	1.555	0.112
	1.628	0.107
	1.701	0.103
	1.773	0.098
	1.846	0.094
	1.919	0.091
T_D ←	1.991	0.088
	2.087	0.080
	2.183	0.073
	2.278	0.067
	2.374	0.062
	2.470	0.057
	2.565	0.053
	2.661	0.049
	2.756	0.046
	2.852	0.043
	2.948	0.040
	3.043	0.037
	3.139	0.035
	3.235	0.033
	3.330	0.031
	3.426	0.030
	3.522	0.028
	3.617	0.027
	3.713	0.025
	3.809	0.024
	3.904	0.023
	4.000	0.022

FIGURA 10: SPETTRO DI PROGETTO ORIZZONTALE PER S.L.V

Parametri e punti dello spettro di risposta verticale per lo stato limite: SLV

Parametri indipendenti

STATO LIMITE	SLV
a_{gv}	0.041 g
S_S	1.000
S_T	1.000
q	1.000
T_B	0.050 s
T_C	0.150 s
T_D	1.000 s

Parametri dipendenti

F_v	1.077
S	1.000
η	1.000

Espressioni dei parametri dipendenti

$$S = S_S \cdot S_T \qquad \text{(NTC-08 Eq. 3.2.5)}$$

$$\eta = 1/q \qquad \text{(NTC-08 §. 3.2.3.5)}$$

$$F_v = 1{,}35 \cdot F_o \cdot \left(\frac{a_g}{g}\right)^{0.5} \qquad \text{(NTC-08 Eq. 3.2.11)}$$

Espressioni dello spettro di risposta (NTC-08 Eq. 3.2.10)

$$0 \le T < T_B \quad S_e(T) = a_g \cdot S \cdot \eta \cdot F_v \cdot \left[\frac{T}{T_B} + \frac{1}{\eta \cdot F_o}\left(1 - \frac{T}{T_B}\right)\right]$$

$$T_B \le T < T_C \quad S_e(T) = a_g \cdot S \cdot \eta \cdot F_v$$

$$T_C \le T < T_D \quad S_e(T) = a_g \cdot S \cdot \eta \cdot F_v \cdot \left(\frac{T_C}{T}\right)$$

$$T_D \le T \quad S_e(T) = a_g \cdot S \cdot \eta \cdot F_v \cdot \left(\frac{T_C T_D}{T^2}\right)$$

Punti dello spettro di risposta

	T [s]	Se [g]
	0.000	0.041
T_B ◄	0.050	0.105
T_C ◄	0.150	0.105
	0.235	0.067
	0.320	0.049
	0.405	0.039
	0.490	0.032
	0.575	0.027
	0.660	0.024
	0.745	0.021
	0.830	0.019
	0.915	0.017
T_D ◄	1.000	0.016
	1.094	0.013
	1.188	0.011
	1.281	0.010
	1.375	0.008
	1.469	0.007
	1.563	0.006
	1.656	0.006
	1.750	0.005
	1.844	0.005
	1.938	0.004
	2.031	0.004
	2.125	0.004
	2.219	0.003
	2.313	0.003
	2.406	0.003
	2.500	0.003
	2.594	0.002
	2.688	0.002
	2.781	0.002
	2.875	0.002
	2.969	0.002
	3.063	0.002
	3.156	0.002
	3.250	0.001
	3.344	0.001
	3.438	0.001
	3.531	0.001
	3.625	0.001
	3.719	0.001
	3.813	0.001
	3.906	0.001
	4.000	0.001

FIGURA 11: SPETTRO DI PROGETTO VERTICALE PER S.L.V

Parametri e punti dello spettro di risposta orizzontale per lo stato limite: SLC

Parametri indipendenti

STATO LIMITE	SLC
a_g	0.124 g
F_o	2.542
T_C^*	0.305 s
S_S	1.500
C_C	1.553
S_T	1.000
q	1.000

Parametri dipendenti

S	1.500
η	1.000
T_B	0.158 s
T_C	0.474 s
T_D	2.095 s

Espressioni dei parametri dipendenti

$S = S_S \cdot S_T$ (NTC-08 Eq. 3.2.5)

$\eta = \sqrt{10/(5+\xi)} \geq 0{,}55;\ \eta = 1/q$ (NTC-08 Eq. 3.2.6; §. 3.2.3.5)

$T_B = T_C / 3$ (NTC-07 Eq. 3.2.8)

$T_C = C_C \cdot T_C^*$ (NTC-07 Eq. 3.2.7)

$T_D = 4{,}0 \cdot a_g / g + 1{,}6$ (NTC-07 Eq. 3.2.9)

Espressioni dello spettro di risposta (NTC-08 Eq. 3.2.4)

$$0 \leq T < T_B \quad S_e(T) = a_g \cdot S \cdot \eta \cdot F_o \cdot \left[\frac{T}{T_B} + \frac{1}{\eta \cdot F_o} \left(1 - \frac{T}{T_B} \right) \right]$$

$$T_B \leq T < T_C \quad S_e(T) = a_g \cdot S \cdot \eta \cdot F_o$$

$$T_C \leq T < T_D \quad S_e(T) = a_g \cdot S \cdot \eta \cdot F_o \cdot \left(\frac{T_C}{T} \right)$$

$$T_D \leq T \quad S_e(T) = a_g \cdot S \cdot \eta \cdot F_o \cdot \left(\frac{T_C T_D}{T^2} \right)$$

Lo spettro di progetto $S_d(T)$ per le verifiche agli Stati Limite Ultimi è ottenuto dalle espressioni dello spettro elastico $S_e(T)$ sostituendo η con $1/q$, dove q è il fattore di struttura. (NTC-08 § 3.2.3.5)

Punti dello spettro di risposta

	T [s]	Se [g]
	0.000	0.186
T_B ←	0.158	0.472
T_C ←	0.474	0.472
	0.551	0.406
	0.628	0.356
	0.706	0.317
	0.783	0.286
	0.860	0.260
	0.937	0.239
	1.014	0.220
	1.091	0.205
	1.169	0.191
	1.246	0.179
	1.323	0.169
	1.400	0.160
	1.477	0.151
	1.555	0.144
	1.632	0.137
	1.709	0.131
	1.786	0.125
	1.863	0.120
	1.940	0.115
	2.018	0.111
T_D ←	2.095	0.107
	2.185	0.098
	2.276	0.090
	2.367	0.084
	2.458	0.078
	2.548	0.072
	2.639	0.067
	2.730	0.063
	2.821	0.059
	2.911	0.055
	3.002	0.052
	3.093	0.049
	3.183	0.046
	3.274	0.044
	3.365	0.041
	3.456	0.039
	3.546	0.037
	3.637	0.035
	3.728	0.034
	3.819	0.032
	3.909	0.031
	4.000	0.029

FIGURA 12: SPETTRO DI PROGETTO ORIZZONTALE PER S.L.C.

Parametri e punti dello spettro di risposta verticale per lo stato limite: SLC

Parametri indipendenti

STATO LIMITE	SLC
a_{gv}	0.059 g
S_S	1.000
S_T	1.000
q	1.000
T_B	0.050 s
T_C	0.150 s
T_D	1.000 s

Parametri dipendenti

F_v	1.207
S	1.000
η	1.000

Espressioni dei parametri dipendenti

$$S = S_S \cdot S_T \qquad \text{(NTC-08 Eq. 3.2.5)}$$

$$\eta = 1/q \qquad \text{(NTC-08 §. 3.2.3.5)}$$

$$F_v = 1{,}35 \cdot F_o \cdot \left(\frac{a_g}{g}\right)^{0.5} \qquad \text{(NTC-08 Eq. 3.2.11)}$$

Espressioni dello spettro di risposta (NTC-08 Eq. 3.2.10)

$$0 \le T < T_B \quad S_e(T) = a_g \cdot S \cdot \eta \cdot F_v \cdot \left[\frac{T}{T_B} + \frac{1}{\eta \cdot F_o}\left(1 - \frac{T}{T_B}\right)\right]$$

$$T_B \le T < T_C \quad S_e(T) = a_g \cdot S \cdot \eta \cdot F_v$$

$$T_C \le T < T_D \quad S_e(T) = a_g \cdot S \cdot \eta \cdot F_v \cdot \left(\frac{T_C}{T}\right)$$

$$T_D \le T \quad S_e(T) = a_g \cdot S \cdot \eta \cdot F_v \cdot \left(\frac{T_C \cdot T_D}{T^2}\right)$$

Punti dello spettro di risposta

	T [s]	Se [g]
	0.000	0.059
T_B ◄	0.050	0.149
T_C ◄	0.150	0.149
	0.235	0.095
	0.320	0.070
	0.405	0.055
	0.490	0.046
	0.575	0.039
	0.660	0.034
	0.745	0.030
	0.830	0.027
	0.915	0.024
T_D ◄	1.000	0.022
	1.094	0.019
	1.188	0.016
	1.281	0.014
	1.375	0.012
	1.469	0.010
	1.563	0.009
	1.656	0.008
	1.750	0.007
	1.844	0.007
	1.938	0.006
	2.031	0.005
	2.125	0.005
	2.219	0.005
	2.313	0.004
	2.406	0.004
	2.500	0.004
	2.594	0.003
	2.688	0.003
	2.781	0.003
	2.875	0.003
	2.969	0.003
	3.063	0.002
	3.156	0.002
	3.250	0.002
	3.344	0.002
	3.438	0.002
	3.531	0.002
	3.625	0.002
	3.719	0.002
	3.813	0.002
	3.906	0.001
	4.000	0.001

FIGURA 13: SPETTRO DI PROGETTO VERTICALE PER S.L.C.

Si considerano poi valori ridotti degli spettri di progetto (per quanto riguarda le componenti orizzontali) per valori di periodo $T \ge 0.8\ T_{IS}$, in cui per la struttura oggetto di analisi T_{IS} = 1.55 s.
Si riportano di seguito gli spettri di SLV ed SLC ridotti.

Per ciascun valore di periodo T superiore a $(0.8*T_{IS})$ = 1.24 s, il corrispondente valore di accelerazione spettrale viene diviso per il coefficiente $\eta = \sqrt{(10/5+\xi)} = 0.816$, dove $\xi = 10\%$.
(Rif. Par. 7.10.5.3.2 di [1]).
Si ottengono i seguenti spettri orizzontali di progetto.

SLV - orizzontale (ridotto)

T [s]	Se [g]
0.000	0.147
0.155	0.374
0.466	0.374
0.538	0.324
0.611	0.285
0.684	0.255
0.756	0.231
0.829	0.210
0.902	0.193
0.974	0.179
1.047	0.167
1.120	0.156
1.192	0.146
1.265	0.113
1.337	0.106
1.410	0.101
1.483	0.096
1.555	0.092
1.628	0.087
1.701	0.084
1.773	0.080
1.846	0.077
1.919	0.074
1.991	0.072
2.087	0.065
2.183	0.060
2.278	0.055
2.374	0.050
2.470	0.046
2.565	0.043
2.661	0.040
2.756	0.037
2.852	0.035
2.948	0.033
3.043	0.031
3.139	0.029
3.235	0.027
3.330	0.026
3.426	0.024
3.522	0.023
3.617	0.022
3.713	0.021
3.809	0.020
3.904	0.019
4.000	0.018

SLC - orizzontale (ridotto)

T [s]	Se [g]
0.000	0.186
0.158	0.472
0.474	0.472
0.551	0.406
0.628	0.356
0.706	0.317
0.783	0.286
0.860	0.260
0.937	0.239
1.014	0.220
1.091	0.205
1.169	0.191
1.246	0.147
1.323	0.138
1.400	0.130
1.477	0.124
1.555	0.117
1.632	0.112
1.709	0.107
1.786	0.102
1.863	0.098
1.940	0.094
2.018	0.090
2.095	0.087
2.185	0.080
2.276	0.074
2.367	0.068
2.458	0.063
2.548	0.059
2.639	0.055
2.730	0.051
2.821	0.048
2.911	0.045
3.002	0.042
3.093	0.040
3.183	0.038
3.274	0.036
3.365	0.034
3.456	0.032
3.546	0.030
3.637	0.029
3.728	0.028
3.819	0.026
3.909	0.025
4.000	0.024

FIGURA 14: SPETTRI ORIZZONTALI DI PROGETTO RIDOTTI

7 MODELLAZIONE

7.1 INDIVIDUAZIONE DEL CODICE DI CALCOLO

Si riportano alcune informazioni relative al codice di calcolo utilizzato.
Il modello di calcolo è stato realizzato mediante l'ausilio del programma ad elementi finiti Midas Gen 2017 vers. 1.1 della Midas Information Technology, distribuito da Harpaceas – Milano.

7.1.1 CARATTERISTICHE DEL CODICE DI CALCOLO

Il codice esegue l'analisi elastica lineare di strutture tridimensionali con nodi a sei gradi di libertà, utilizzando un solutore ad elementi finiti. Gli elementi considerati sono di tipo trave, con eventuali svincoli interni o rotazione attorno al proprio asse, e guscio, sia rettangolare sia triangolare, avente comportamento di membrana e di piastra. I carichi possono essere applicati ai nodi, come forze o coppie concentrate, sia sulle travi, come forze distribuite, trapezie, concentrate, coppie e distorsioni termiche, sia sugli elementi guscio come carichi d'area. I vincoli esterni sono definiti da sei costanti di rigidezza elastica.

7.1.2 GRADO DI AFFIDABILITÀ DEL CODICE DI CALCOLO

L'affidabilità del codice di calcolo è garantita dall'esistenza di un'ampia documentazione di supporto, che riporta, per una serie di strutture significative, i confronti tra le analisi effettuate con il codice e quelle effettuate con codici di confronto (SAP2000 prodotto da Computers and Structures, Inc., California). Al termine dell'elaborazione viene valutata la correttezza della soluzione, sulla base dell'uguaglianza numerica tra lavoro esterno ed energia di deformazione.
La presenza di un modulo CAD per l'introduzione dei dati permette la visualizzazione dettagliata degli elementi e dei carichi introdotti. E' possibile ottenere rappresentazioni grafiche di deformate, sollecitazioni e stati di tensione della struttura.

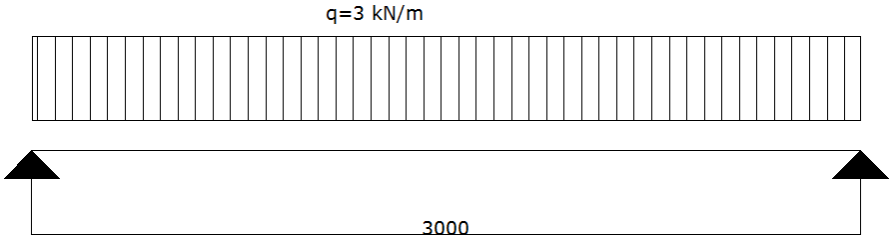
7.1.3 MOTIVAZIONE DELLA SCELTA DEL CODICE

Midas Gen permette, in campo lineare elastico, l'analisi dettagliata del comportamento dell'intera struttura. E' possibile inoltre scegliere il grado di affinamento dell'analisi di elementi complessi utilizzando schematizzazioni via via più dettagliate.

7.1.4 VALIDAZIONE DEL CODICE DI CALCOLO

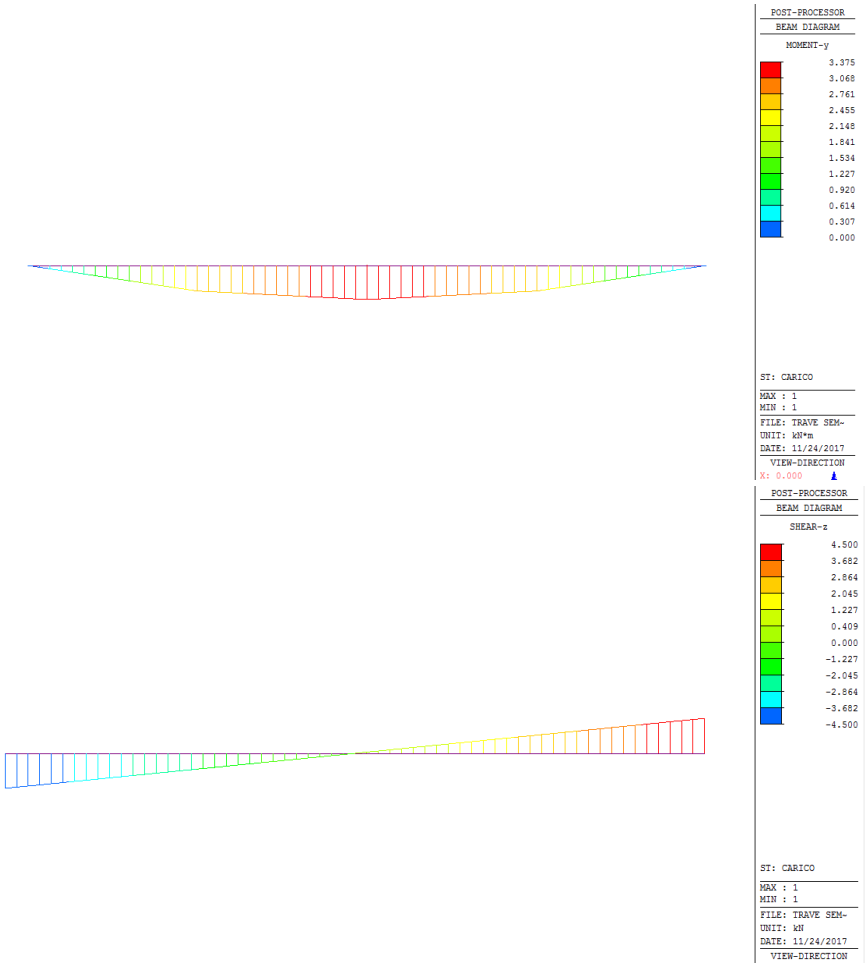
La validazione del codice di calcolo viene eseguito confrontando i risultati delle sollecitazioni ottenute tramite calcolo manuale di una trave semplicemente appoggiata e la risoluzione della stessa struttura con stesse caratteristiche geometriche e carichi da parte del programma di calcolo ad elementi finiti utilizzato per la modellazione strutturale.

SOLUZIONE MANUALE



- L = 3 m
- q = 3 kN/m
- M = $q*L^2/8$ = 3.375 kNm
- V = q*L/2 = 4.5 kN

SOLUZIONE PROGRAMMA ELEMENTI FINITI



I risultanti sono coincidenti, quindi il modello si considera valido.

7.2 MODELLO DI CALCOLO

Il modello di calcolo è stato realizzato con l'ausilio del software di calcolo agli elementi finiti Midas Gen 2017 della Midas Information Technology, distribuito da Harpaceas – Milano.
Le caratteristiche principali del modello sono schematizzate come segue:

- Modello spaziale ad elementi finiti per valutare l'effettivo grado di vincolo tra travi principali e traversi;
- Modellazione degli elementi strutturali con elementi di tipo "beam" aventi sezioni corrispondenti alle sezioni di progetto (sono state utilizzate sezioni in acciaio per i traversi e sezioni miste acciaio - cls per le travi principali e loro soletta collaborante);
- Sezione mista simulata all'interno del software come sezione "composta", la larghezza della soletta collaborante relativa a ciascuna trave in acciaio è stata calcolata come indicato, in seguito, al **Paragrafo 10.2**;
- Travi principali modellate in semplice appoggio sulle due spalle. In corrispondenza degli appoggi sono stati posizionati dei "point spring supports", vincoli esterni con assegnati valori di rigidezza, i quali simulano nel modello la presenza degli isolatori elastomerici scelti;
- Soletta in calcestruzzo armato modellata con elementi di tipo "beam" disposti trasversalmente alle travi principali e connessi ad esse mediante "rigid link";
- Carichi distribuiti ripartiti sui relativi nodi o elementi in funzione della corrispondente area/larghezza di competenza.

7.2.1 ANALISI PER FASI

Mediante l'analisi per fasi è stato possibile considerare, all'interno del modello, l'evoluzione delle caratteristiche della sezione mista in acciaio – cls durante il procedere delle diverse fasi realizzative dell'opera. Le fasi considerate sono le seguenti:

- FASE 1 : Presenza dei soli elementi in acciaio e della soletta in cls subito dopo il getto, pertanto non ancora reagente (durata 1 giorno);
- FASE 2 : Presenza di tutti gli elementi strutturali ed applicazione dei carichi permanenti portati (durata 28 giorni);
- FASE 3 : Presenza di tutti gli elementi strutturali ed applicazione dei carichi variabili (durata 36471 giorni).
- "POST CONSTRUCTION" : Applicazione dei carichi viaggianti e dell'azione del sisma.

È possibile condurre l'analisi per fasi con Midas utilizzando i comandi del pannello "Construction Stage", dopo aver suddiviso elementi strutturali, vincoli e carichi all'interno degli appositi gruppi di lavoro e dopo aver definito, mediante il comando "Compressive Strength", la legge di variazione della resistenza del calcestruzzo considerato.
Sono riportate in seguito alcune immagini che illustrano quanto detto.

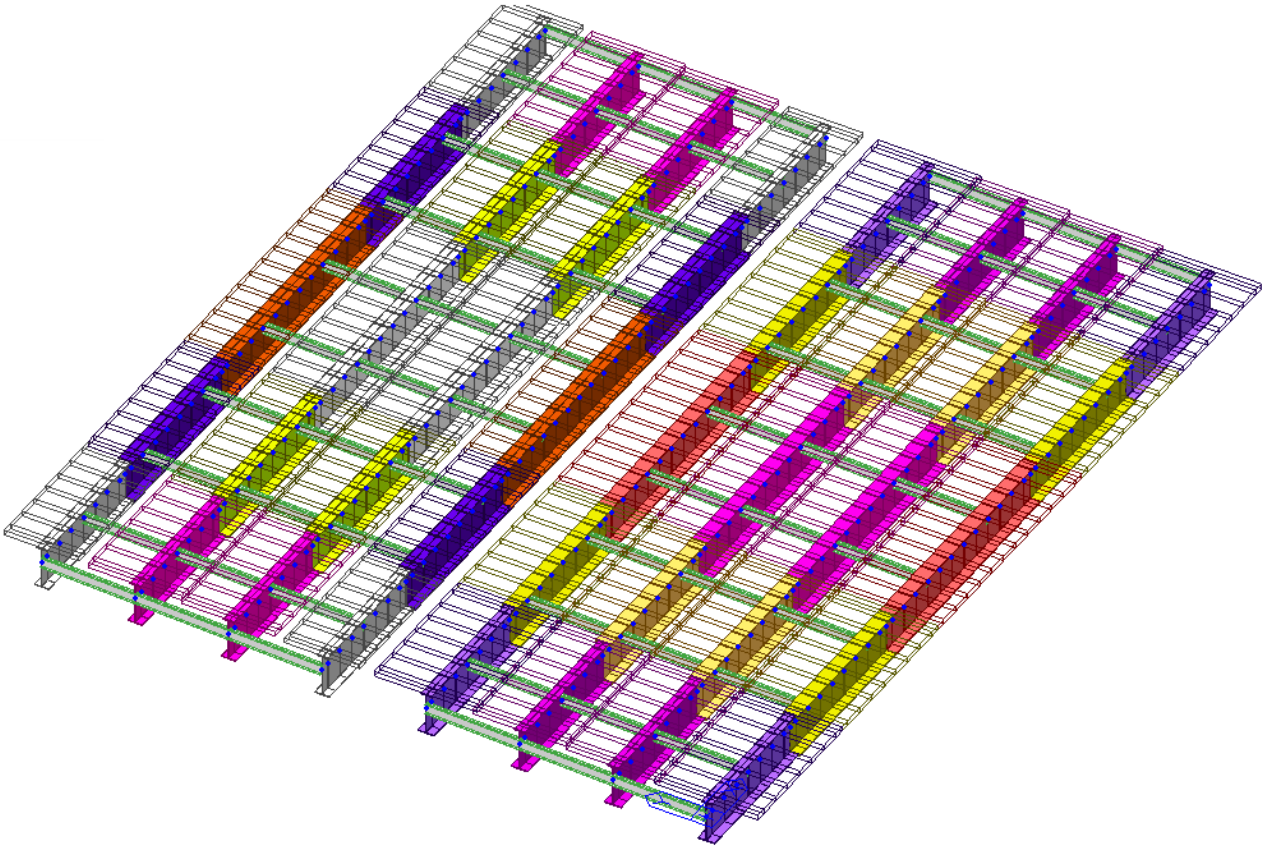


FIGURA 15: MODELLO IN FASE 1

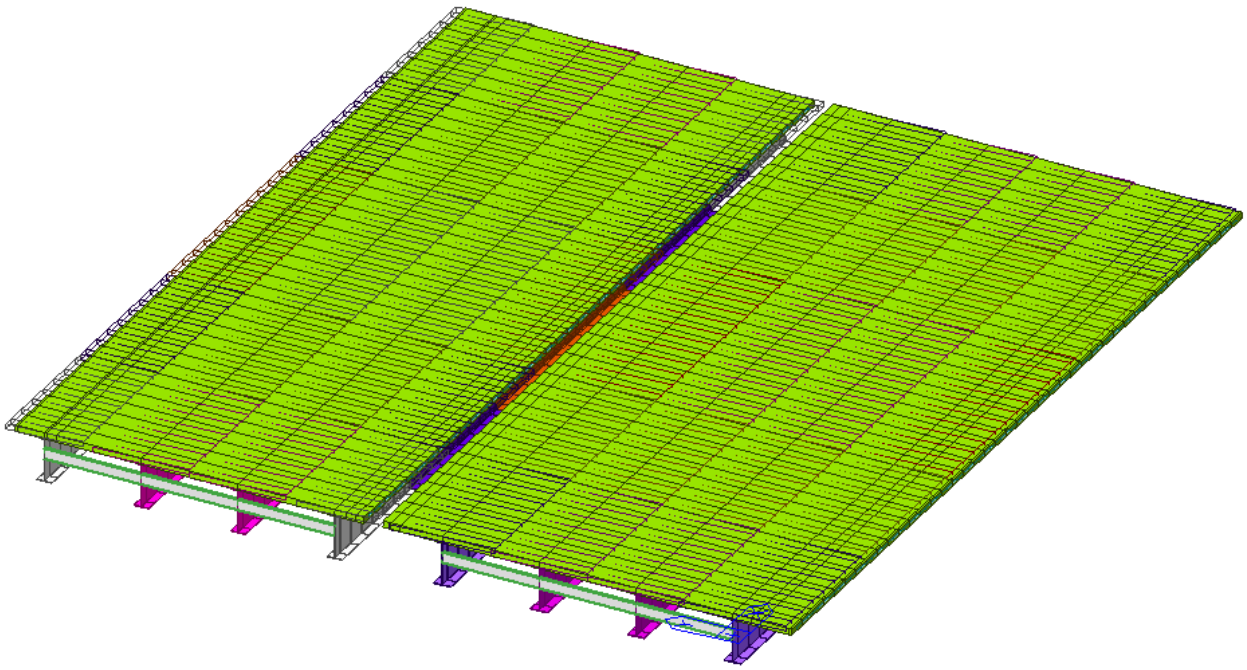


FIGURA 16: MODELLO IN FASE 2 - 3

8 ANALISI DEI CARICHI

8.1 CARICHI PERMANENTI STRUTTURALI

- P.p. elementi strutturali in acciaio: calcolato in maniera automatica dal programma di calcolo mediante il comando "Self Weight". Si considera un aumento del peso proprio dell'acciaio pari al 15% ed un peso specifico dell'acciaio pari a γ_s = 78.5 kN/m^3.
- P.p soletta in C.A. (altezza 24 + 6 cm predalles): 7.5 kN/m^2
  Il carico relativo alla soletta viene applicato in due fasi distinte. In FASE 1 è applicato come carico distribuito "element beam load" sulle travi principali (assegnando a ciascuna la propria larghezza di competenza), mentre in FASE 2 è applicato, sempre come "element beam load", alle aste di soletta.

8.2 CARICHI PERMANENTI NON STRUTTURALI

- P.p. supplemento marciapiedi (si considera uno spessore di 18 cm):
  - Impalcato A = 8.75 kN/m^2
  - Impalcato B = 7.87 kN/m^2

  Carico applicato in FASE 2, come "element beam load", sulle aste di soletta, in corrispondenza della porzione di soletta in cui è presente il marciapiede.
- P.p pavimentazione stradale (si considera uno spessore di 10 cm):
  - Impalcato A = 3.42 kN/m^2
  - Impalcato B = 3.42 kN/m^2

  Carico applicato in FASE 2, come "element beam load", sulle aste di soletta, in corrispondenza della carreggiata stradale.
- P.p. veletta prefabbricata in C.A.: 2.13 kN/m
  Carico applicato in FASE 2, come "element beam load", su aste fittizie posizionate in corrispondenza degli estremi della soletta.
- P.p. barriera parapetto: 0.4 kN/m
  Carico applicato in FASE 2, come "element beam load", su aste fittizie.
- P.p. sicurvia: 1 kN/m
  Carico applicato in FASE 2, come "element beam load", su aste fittizie.

8.3 CARICHI MOBILI DI ESERCIZIO

Impalcato A

L'impalcato in esame presenta una larghezza di carreggiata pari a w = 16.30 m, da cui deriva un numero di corsie convenzionali pari a 3 (con larghezza w_L = 3 m), come si può osservare in Tab. 5.1.I di [1].
L'impalcato si considera caricato secondo lo *Schema di Carico 1* previsto dal D.M. 14/02/2008:

- una prima colonna di carico costituita da
  - Q_{1K} (veicolo convenzionale a due assi dal peso di 600 kN)
  - q_{1K} (carico ripartito pari a 9 kN/m^2)

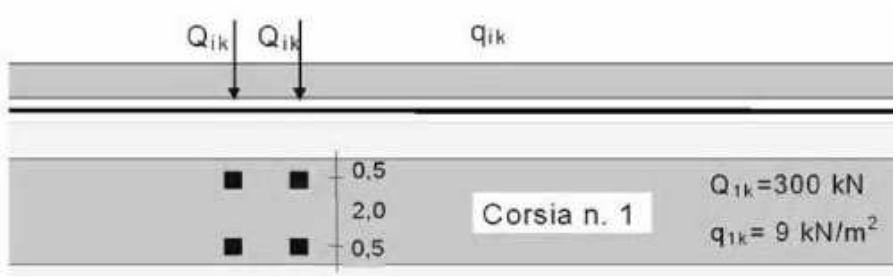


FIGURA 17: SCHEMA DI CARICO 1 PER CORSIA 1

- una seconda colonna di carico costituita da
  - Q_{2K} (veicolo convenzionale a due assi dal peso di 400 kN)
  - q_{2K} (carico ripartito pari a 2.5 kN/m^2)

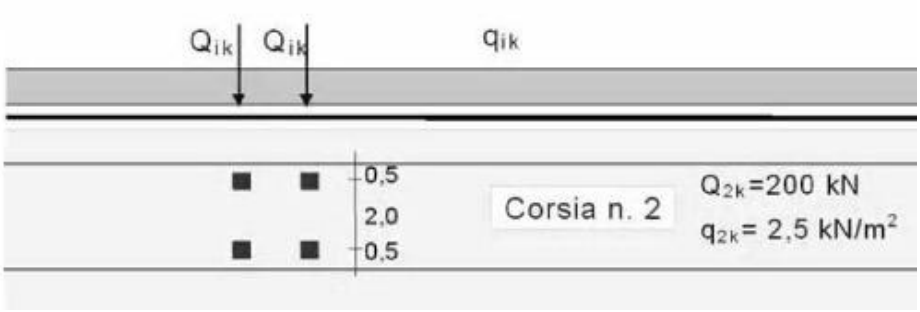


FIGURA 18: SCHEMA DI CARICO 1 PER CORSIA 2

- una terza colonna di carico costituita da
  - Q_{3K} (veicolo convenzionale a due assi dal peso di 200 kN)
  - q_{3K} (carico ripartito pari a 2.5 kN/m^2)

- area rimanente caricata con carico ripartito pari a 2.5 kN/m^2

In combinazione con il carico precedente si considera lo *Schema di Carico 5* (folla compatta) sui marciapiedi. Tale schema prevede l'utilizzo di un carico di folla pari a 5 kN/m^2, valore che sarà da considerarsi al 50% in fase di combinazione.
Il D.M. del 2008, in accordo con quanto previsto dagli eurocodici, considera il coefficiente dinamico già compreso nel valore dei carichi mobili.
La disposizione longitudinale e trasversale più gravosa dei carichi viene determinata automaticamente dal programma di calcolo per ogni sezione e componente di sollecitazione massima e minima.
Per la valutazione degli effetti dei carichi mobili agli stati limite di esercizio si applicano ai carichi i coefficienti di combinazione (NTC2008):

- Carichi tandem: $\psi_0 = 0.75$ $\psi_1 = 0.75$ $\psi_2 = 0$
- Carichi distribuiti: $\psi_0 = 0.4$ $\psi_1 = 0.4$ $\psi_2 = 0$

Sono state considerate quattro possibili configurazioni di carico mobile, due configurazioni massimizzano le sollecitazioni sulle travi esterne e due configurazioni massimizzano le sollecitazioni sulle travi centrali.
Nelle successive figure si possono osservare le configurazioni esaminate.

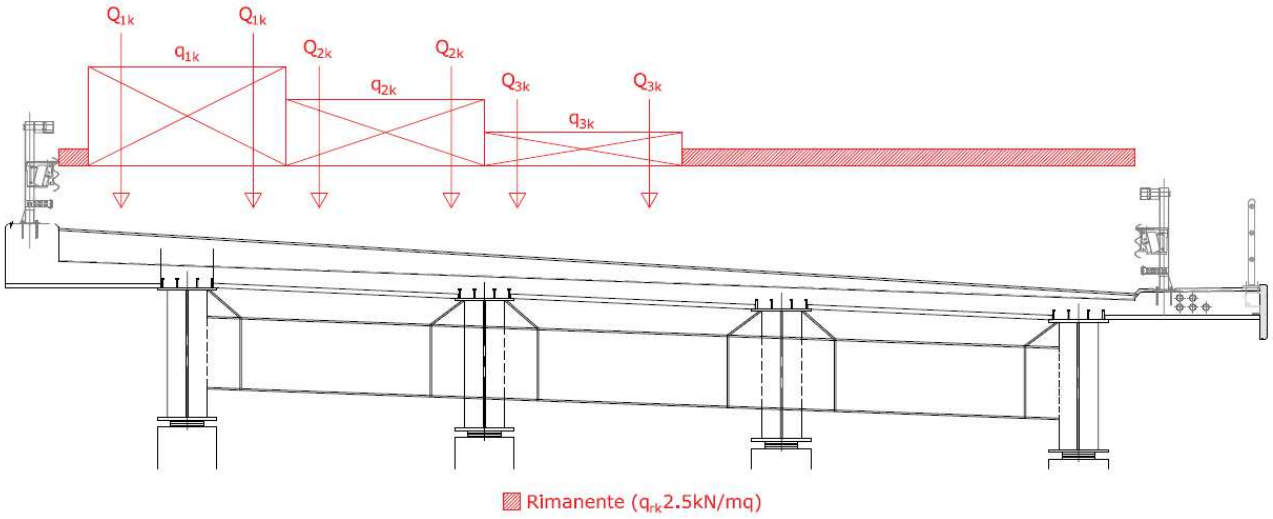


FIGURA 19: CONFIGURAZIONE DI CARICO VARIABILE MOBILE CHE MASSIMIZZA LE SOLLECITAZIONI SULLA TRAVE ESTERNA

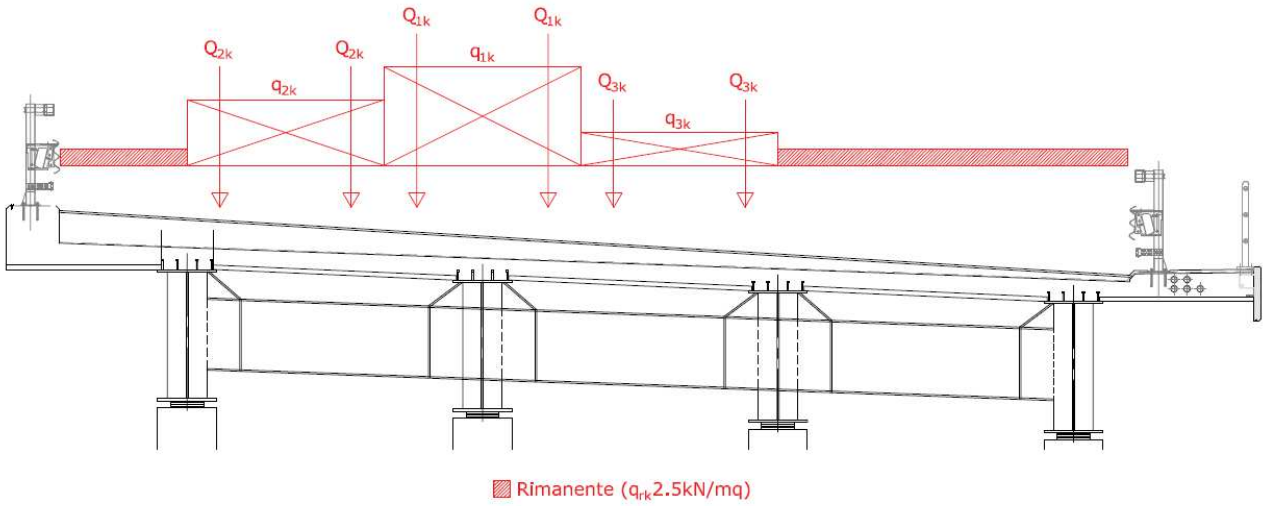


FIGURA 20: CONFIGURAZIONE DI CARICO VARIABILE MOBILE CHE MASSIMIZZA LE SOLLECITAZIONI SULLA TRAVE CENTRALE

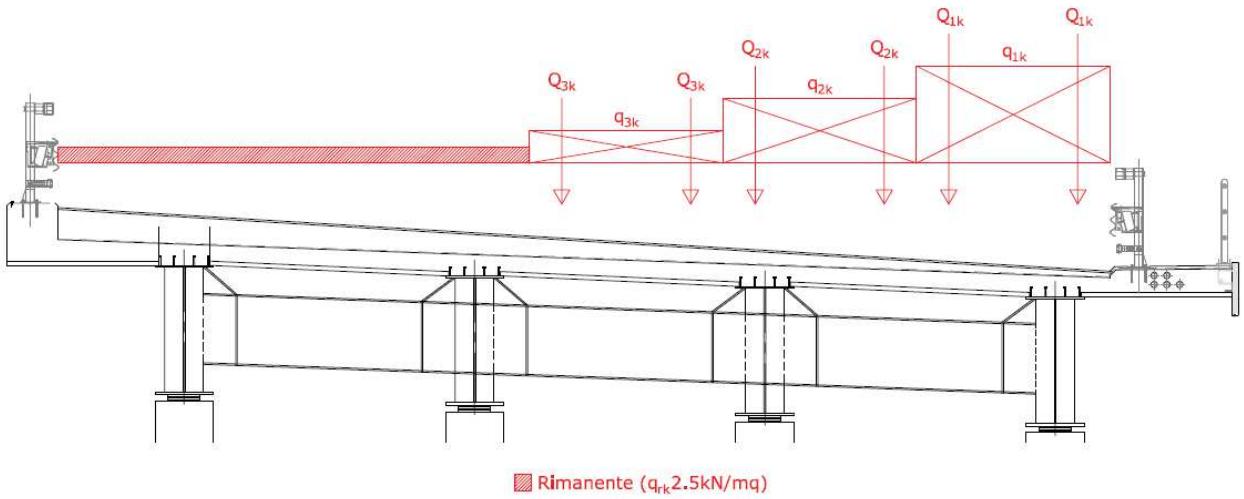


FIGURA 21: CONFIGURAZIONE DI CARICO VARIABILE MOBILE CHE MASSIMIZZA LE SOLLECITAZIONI SULLA TRAVE ESTERNA

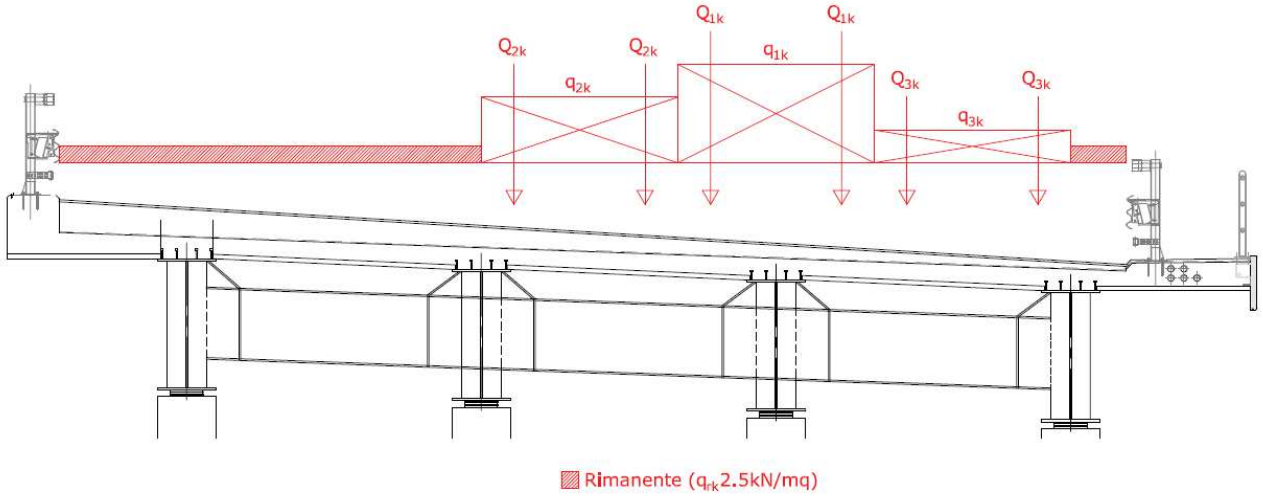


FIGURA 22: CONFIGURAZIONE DI CARICO VARIABILE MOBILE CHE MASSIMIZZA LE SOLLECITAZIONI SULLA TRAVE CENTRALE

Impalcato B

L'impalcato in esame presenta una larghezza di carreggiata pari a w = 13.30 m, da cui deriva un numero di corsie convenzionali pari a 3 (con larghezza w_L = 3 m), come si può osservare in Tab. 5.1.I di [1].

L'impalcato si considera caricato secondo lo *Schema di Carico 1* previsto dal D.M. 14/02/2008:

- una prima colonna di carico costituita da
  - Q_{1K} (veicolo convenzionale a due assi dal peso di 600 kN)
  - q_{1K} (carico ripartito pari a 9 kN/m^2)

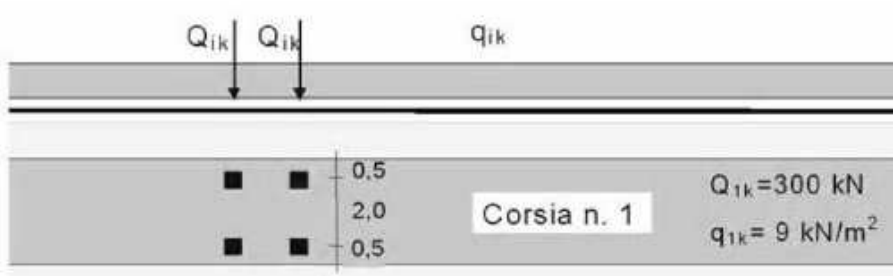


FIGURA 23: SCHEMA DI CARICO 1 PER CORSIA 1

- una seconda colonna di carico costituita da
  - Q_{2K} (veicolo convenzionale a due assi dal peso di 400 kN)
  - q_{2K} (carico ripartito pari a 2.5 kN/m^2)

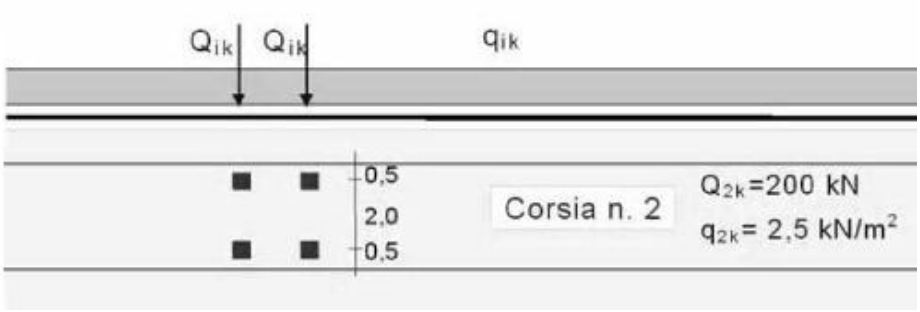


FIGURA 24: SCHEMA DI CARICO 1 PER CORSIA 2

- una terza colonna di carico costituita da
  - Q_{3K} (veicolo convenzionale a due assi dal peso di 200 kN)
  - q_{3K} (carico ripartito pari a 2.5 kN/m^2)

- area rimanente caricata con carico ripartito pari a 2.5 kN/m^2

In combinazione con il carico precedente si considera lo *Schema di Carico 5* (folla compatta) sui marciapiedi. Tale schema prevede l'utilizzo di un carico di folla pari a 5 kN/m^2, valore che sarà da considerarsi al 50% in fase di combinazione.
Il D.M. del 2008, in accordo con quanto previsto dagli Eurocodici, considera il coefficiente dinamico già compreso nel valore dei carichi mobili.
La disposizione longitudinale e trasversale più gravosa dei carichi viene determinata automaticamente dal programma di calcolo per ogni sezione e componente di sollecitazione massima e minima.
Per la valutazione degli effetti dei carichi mobili agli stati limite di esercizio si applicano ai carichi i coefficienti di combinazione (NTC2008):

- Carichi tandem: $\psi_0 = 0.75$ $\psi_1 = 0.75$ $\psi_2 = 0$
- Carichi distribuiti: $\psi_0 = 0.4$ $\psi_1 = 0.4$ $\psi_2 = 0$

Sono state considerate quattro possibili configurazioni di carico mobile, due configurazioni massimizzano le sollecitazioni sulle travi esterne e due configurazioni massimizzano le sollecitazioni sulle travi centrali.
Nelle successive figure si possono osservare le configurazioni esaminate.

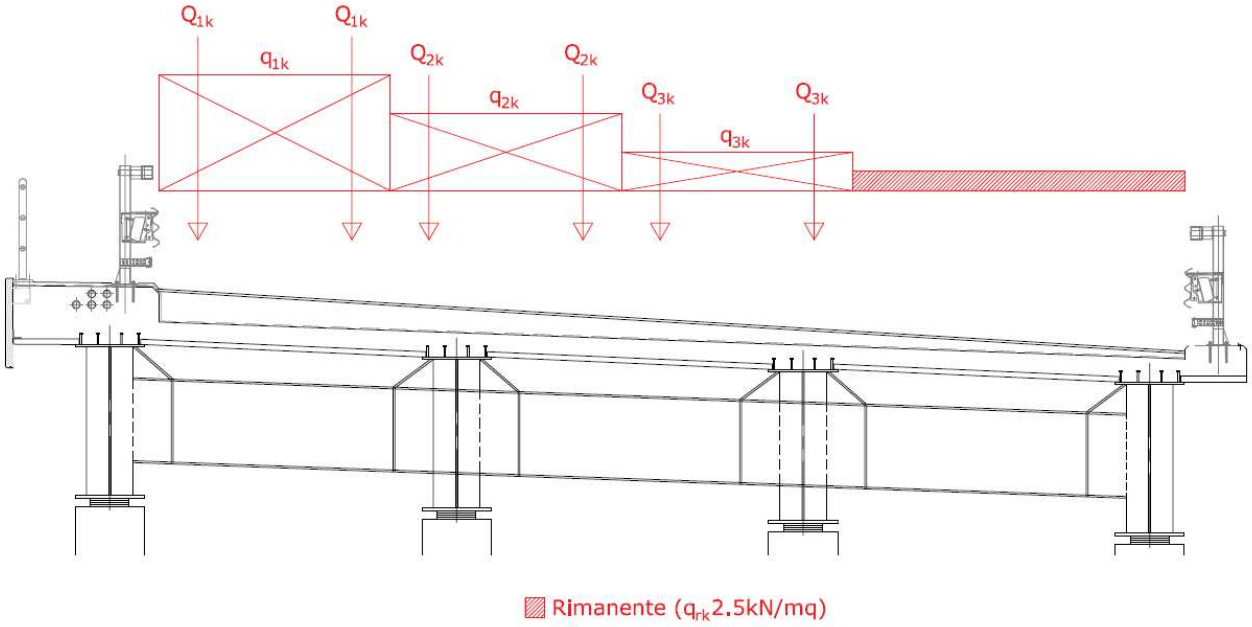


FIGURA 25: CONFIGURAZIONE DI CARICO VARIABILE MOBILE CHE MASSIMIZZA LE SOLLECITAZIONI SULLA TRAVE ESTERNA

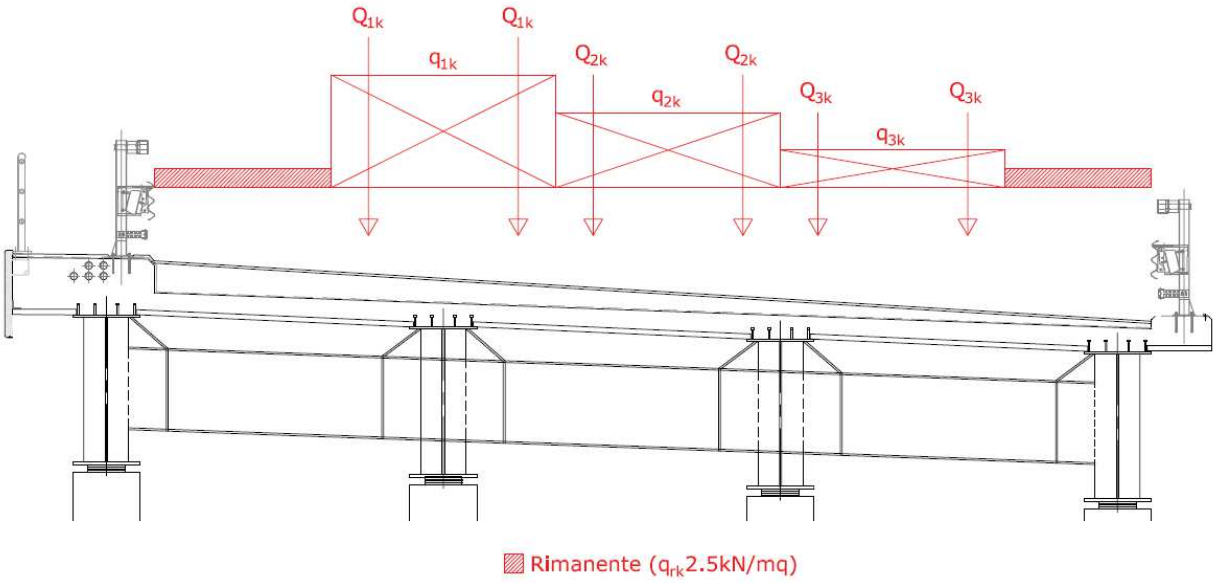


FIGURA 26: CONFIGURAZIONE DI CARICO VARIABILE MOBILE CHE MASSIMIZZA LE SOLLECITAZIONI SULLA TRAVE CENTRALE

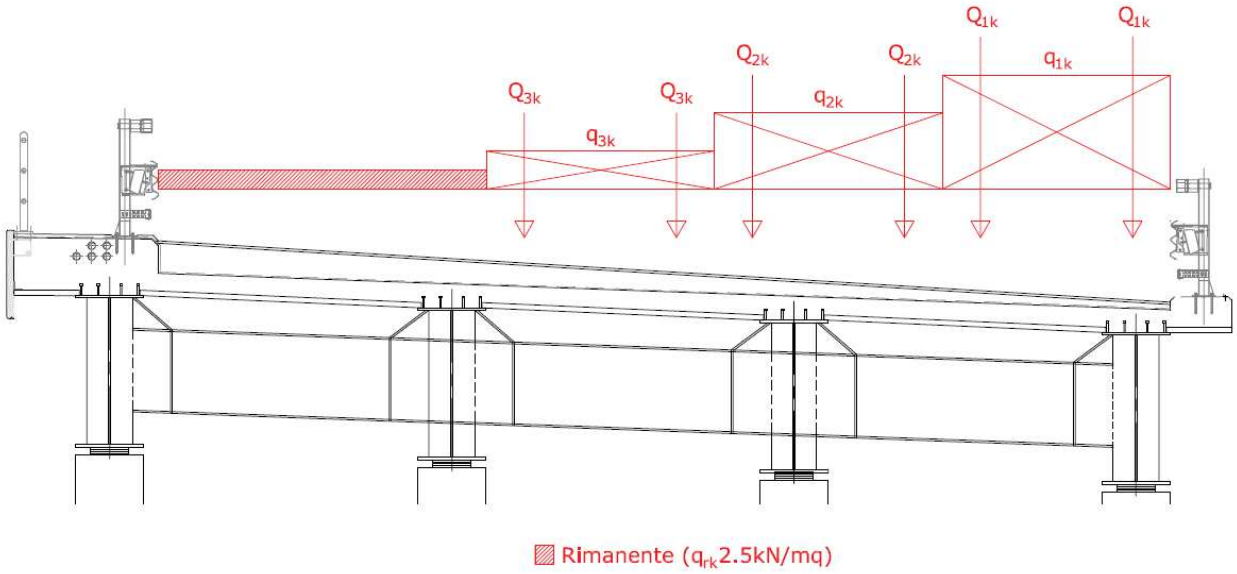


FIGURA 27: CONFIGURAZIONE DI CARICO VARIABILE MOBILE CHE MASSIMIZZA LE SOLLECITAZIONI SULLA TRAVE ESTERNA

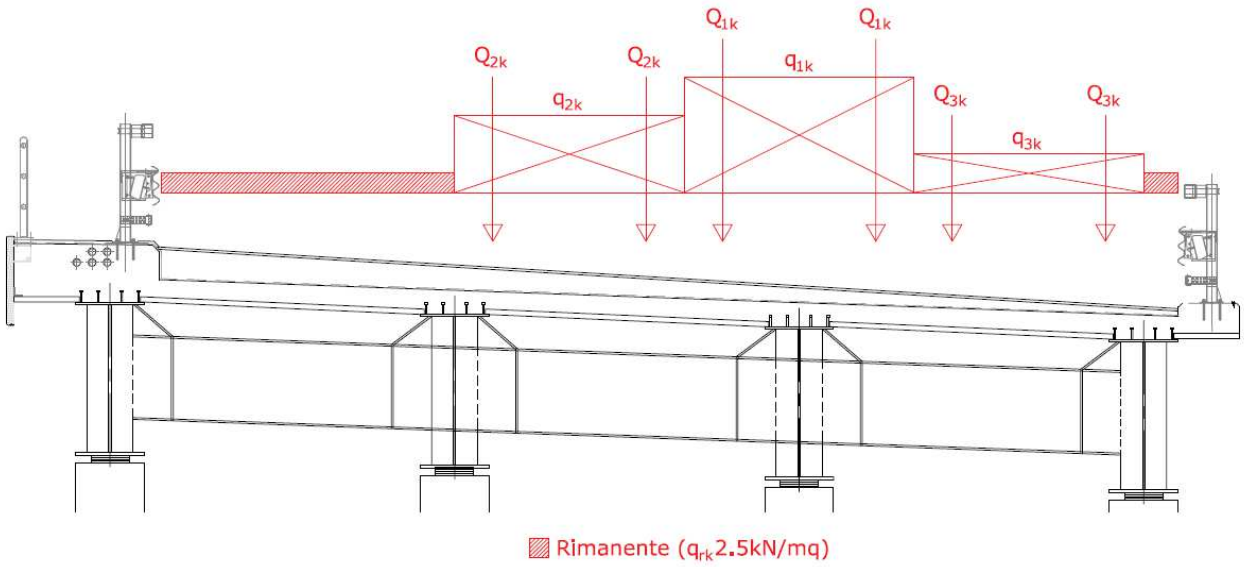


FIGURA 28: CONFIGURAZIONE DI CARICO VARIABILE MOBILE CHE MASSIMIZZA LE SOLLECITAZIONI SULLA TRAVE CENTRALE

8.4 AZIONE DI FRENAMENTO

La forza di frenamento è funzione del carico verticale totale agente sulla corsia convenzionale n.1 e risulta, nel caso in esame (ponte di 1ª categoria), pari a

$180\ kN \leq q_3 = 0.6 \cdot (2Q_{1K}) + 0.1 \cdot q_{1K} \cdot w_L \cdot L \leq 900\ kN$
$q_3 = 473.4\ kN$

8.5 AZIONE DEL VENTO

Nel D.M. 2008 si valuta l'azione del vento in base alla zona considerata (nel caso di studio ZONA 1) e non ad un valore convenzionale.
La pressione esterna è definita da:

$p = q \cdot c_e \cdot c_p \cdot c_d$

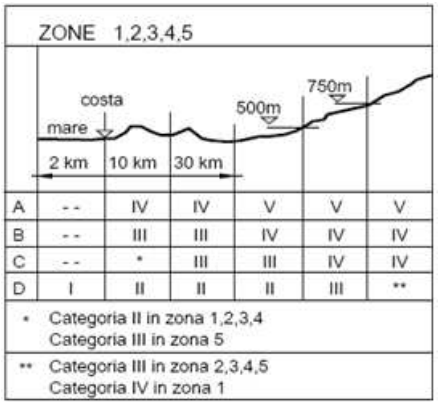
La pressione cinetica di riferimento q (in N/m²) è data dall'espressione:

$$q_b = \frac{1}{2} \cdot \rho \cdot v_b^{\,2} = \frac{1}{2} \cdot 1.25 \cdot 25^2 = 390.63 \text{ N/m}^2 \quad (0.39 \text{ kN/m}^2)$$

dove: $\rho = 1.25$ kg/m^3 densità dell'aria, assunta costante
v_p è la velocità di riferimento del vento (in m/s)
$v_b = v_{b,0} = 25$ m/s ($a_s = 70 \div 100$ m < $a_0 = 1000$ m)

considerando un'altitudine sul livello del mare del sito: $a_s = 70 \div 100$ m

$c_e = 1.83$ è il coefficiente di esposizione che si ottiene ipotizzando una classe di rugosità D e, di conseguenza, una categoria di esposizione II.



A	- -	IV	IV	V	V	V
B	- -	III	III	IV	IV	IV
C	- -	*	III	III	IV	IV
D	I	II	II	II	III	**

* Categoria II in zona 1,2,3,4
Categoria III in zona 5

** Categoria III in zona 2,3,4,5
Categoria IV in zona 1

FIGURA 29: DETERMINAZIONE DELLA CATEGORIA DI ESPOSIZIONE

La pressione del vento, a meno del coefficiente di forma vale pertanto 0.72 kN/m^2.
Il vento si considera agente sulle travi dell'impalcato, sulla veletta e sulla sagoma di altezza 3 m che ne simula l'azione sui veicoli.
Per il lato sopravento è stato considerato un coefficiente di forma pari a 1.4 su tutti gli elementi, a favore di sicurezza.
La prima trave centrale si trova ad una distanza d = 4.5 m dalla trave sopravento. Per tale trave quindi il rapporto d/h è pari a

d/h = 4.5 / 2 = 2,25 < 5

La trave non è pertanto da considerarsi isolata ed il suo coefficiente di forma vale 0.2 x 1.4 = 0.28.
Per la terza trave si può eseguire un ragionamento analogo, ottenendo un coefficiente di forma pari a 0.2 x 0.2 x 1.4 = 0.056. Per la quarta trave il contributo diventa trascurabile.

Nella figura seguente si può osservare lo schema ora descritto.

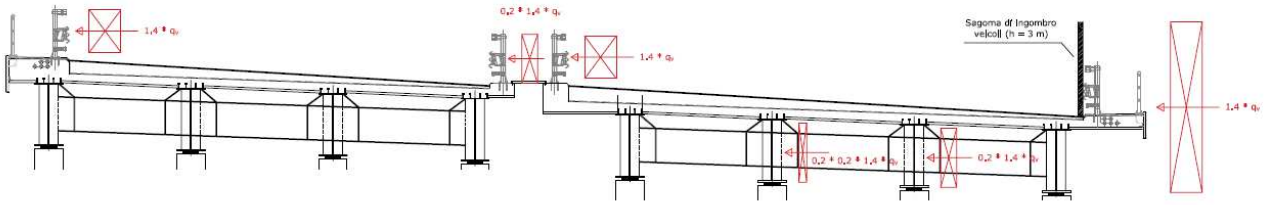


FIGURA 30: SCHEMA DI CARICO ADOTTATO PER L'AZIONE DEL VENTO

8.6 AZIONE CENTRIFUGA

In accordo con la NTC08 è possibile calcolare l'azione centrifuga come segue:

Q_v = 2*300 +2*200 +2*100 = 1200kN
R = 945 m
F_c = (40* 1200) / 945 = 50.80 kN

8.7 DILATAZIONE TERMICA UNIFORME

Si assume che le strutture dell'impalcato siano soggette alla dilatazione: $\Delta T = \pm 15°$.
Il valore di calcolo per giunti e appoggi viene incrementato del 50%: $\Delta T = \pm 22.5°$.

8.8 DILATAZIONE TERMICA DIFFERENZIALE

Si assume che le travi dell'impalcato (sezioni miste acciaio/cls.) siano soggette alla variazione termica differenziale: $\Delta T/H = \pm 5°$.

8.9 FENOMENI DI RITIRO NELLA SOLETTA DI CALCESTRUZZO

L'influenza del ritiro della soletta sulla struttura metallica può essere considerata automaticamente dal programma di calcolo sulla base delle relazioni stabilite dal codice EN 1992-2 con i seguenti dati di input:

- resistenza caratteristica cilindrica a 28 gg: f_{ck} = 32 N/mm^2
- umidità relativa ambiente: 60 %
- perimetro esposto all'atmosfera: h = 2 x Ac / u = 0,30 m
- calcestruzzo a indurimento normale: N
- età del calcestruzzo iniziale: 1 gg

Nonostante questa possibilità, in alcuni casi si è ritenuto più pratico calcolare il ritiro manualmente con appositi fogli Excel (come si può vedere al **Paragrafo 11.2**).

La variazione della resistenza caratteristica del calcestruzzo nel tempo è anch'essa individuata dal programma di calcolo.

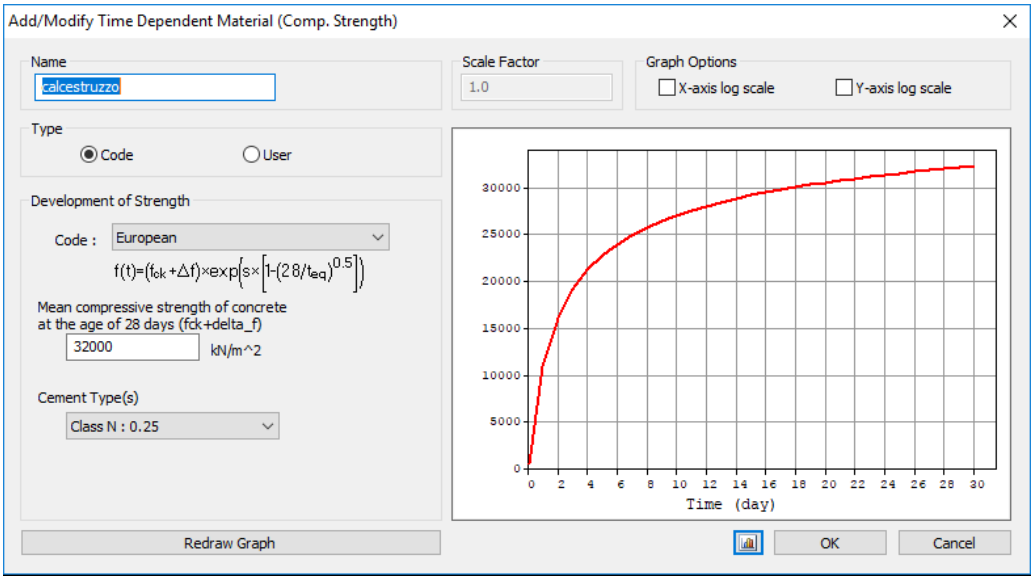


FIGURA 31: LEGGE DI VARIAZIONE DELLA RESISTENZA CARATTERISTICA DEL CALCESTRUZZO

I coefficienti di omogeneizzazione delle travi in acciaio + cls utilizzati nei procedimenti di calcolo e cui si fa rifermento nella suddivisione delle fasi all'interno del modello Midas sono stati calcolati mediante l'utilizzo di un foglio Excel e sono riportate nella seguente figura.

RITIRO EC2 2005, 3.1.4

$$\varepsilon_{cs} = \varepsilon_{cd} + \varepsilon_{ca}$$

εcd(t)	=	deformazione per ritiro da essicamento tempo t	=	0.0003349
εcd(∞)		deformazione per ritiro da essicamento tempo ∞	=	0.0003364
εca(t)	=	deformazione per ritiro autogeno	=	0.0000550
εca(∞)	=	deformazione per ritiro autogeno	=	0.0000550
εcs(t)	=	**deformazione totale per ritiro a 36500 giorni**	=	**0.0003899**
εcs(∞)	=	**deformazione totale per ritiro**	=	**0.0003914**

RITIRO DA ESSICAMENTO, εcd

εcd(t)	=	**sviluppo nel tempo**	=	**0.0003349**	

$$\varepsilon_{cd}(t) = \beta_{ds}(t,t_s)\, k_h\, \varepsilon_{cd,0}$$

$$\beta_{ds}(t,t_s) = \frac{t - t_s}{(t - t_s) + 0.04\sqrt{h_0^3}}$$

t	=	età del calcestruzzo al momento considerato		36500	gg
ts	=	età del calcestruzzo (inizio rit) alla fine della maturazione		1	gg
L	=	larghezza sez trasversale calcestruzzo	=	5000	mm
s	=	altezza sez trasversale calcestruzzo	=	240	mm
Ac	=	area sezione trasversale calcestruzzo	=	**1200000**	mm^2
b	=	larghezza piattabanda superiore	=	500	mm
u	=	perimetro sez esposta ad essicamento	=	**9500**	mm
$h_0 = 2A_c/u$	=	dimensione convenzionale sez trasv		**253**	mm

h0 [mm]	kh
100	1.00
200	0.85
300	0.75
≥500	0.70

prospetto 3.3

interpolazione lineare

	x	y
1	200	0.85
2	300	0.75

kh	=	coefficiente dipendente da h0	=	**0.80**	
βds(t, ts)	=	funzione di sviluppo temporale	=	**0.996**	

$$\varepsilon_{cd,0} = 0.85\left[(220 + 110\alpha_{ds1})\exp\left(-\alpha_{ds2}\frac{f_{cm}}{f_{cmo}}\right)\right]10^{-6}\,\beta_{RH}$$

$$\beta_{RH} = 1.55\left[1 - \left(\frac{RH}{RH_0}\right)^3\right]$$

fck	=	resistenza caratteristica a compressione	=	32	MPa
fcm	=	resistenza media a compressione	=	**40**	MPa
fcmo	=	valore di riferimento da normativa	=	10	MPa
αds1	=	coefficiente dipendente dal tipo cemento	=	4	

αds1	=	3	cemento Classe S
	=	4	cemento Classe N
	=	6	cemento Classe R

αds2	=	coefficiente dipendente dal tipo cemento	=	0.12	

αds2	=	0.13	cemento Classe S
	=	0.12	cemento Classe N
	=	0.11	cemento Classe R

RH	=	umidità relativa ambiente	=	60	%
RH0	=	valore di riferimento da normativa	=	100	%
βRH	=		=	**1.215**	
εcd,0	=	deformazione di base	=	**0.0004218**	
εcd(∞)	=	**valore medio a tempo infinito**	=	**0.0003364**	

$$\varepsilon_{cd}(\infty) = k_h\,\varepsilon_{cd,0}$$

RITIRO AUTOGENO, εca

εca(t)	=	**sviluppo nel tempo**	=	**0.0000550**	
		$\varepsilon_{ca}(t) = \beta_{as}(t)\varepsilon_{ca}(\infty)$			
βas(t)	=		=	**1.000**	
		$\beta_{as}(t) = 1 - \exp\left(-0.2t^{0.5}\right)$			
εca(∞)	=	**valore medio a tempo infinito**	=	**0.0000550**	
		$\varepsilon_{ca}(\infty) = 2.5(f_{ck} - 10)10^{-6}$			
				0.0003914	0.39

VISCOSITA' DM 2008, 11.2.10.7

Valori coefficiente viscosità ϕ(∞, t0), umidità relativa circa 75%

0.75 h0 [mm]

t0 [gg]	75	150	300	600
1	3.80	3.45	3.25	3.05
3	3.5	3.2	3.0	2.8
7	2.9	2.7	2.5	2.3
15	2.6	2.4	2.2	2.1
28	2.34	2.14	1.94	1.84
30	2.3	2.1	1.9	1.8
60	2.0	1.8	1.7	1.6

1 gg

	1	2	h0
x	150	300	**253**
y	3.45	3.25	**3.31**

28 gg

	1	2	h0
x	150	300	**253**
y	2.14	1.94	**2.00**

Valori coefficiente viscosità ϕ(∞, t0), umidità relativa circa 55%

0.55 h0 [mm]

t0 [gg]	75	150	300	600
1	4.90	4.35	3.90	3.55
3	4.5	4.0	3.6	3.3
7	3.7	3.3	3.0	2.8
15	3.3	3.0	2.7	2.5
28	2.95	2.65	2.35	2.24
30	2.9	2.6	2.3	2.2
60	2.5	2.3	2.1	1.9

1 gg

	1	2	h0
x	150	300	**253**
y	4.35	3.90	**4.04**

28 gg

	1	2	h0
x	150	300	**253**
y	2.65	2.35	**2.44**

t	=	età del calcestruzzo al momento considerato	=	∞	gg
t0	=	età del calcestruzzo all'applicazione del carico	=	-	gg
RH	=	umidità relativa ambiente	=	60	%
ϕ(∞, 1g)	=	coefficiente viscosità t0 = 1 gg	=	**3.86**	
ϕ(∞, 28gg)	=	coefficiente viscosità t0 = 28 gg	=	**2.33**	

CALCOLO n EC4 2005, 5.4.2.2

fck	=	resistenza caratteristica a compressione	=	**32**	MPa
fcm	=	resistenza media a compressione	=	**40**	MPa
Ecm	=	modulo elastico secante cls	=	**33346**	MPa
Es	=	modulo elastico acciaio	=	**210000**	MPa
n0	=	azioni breve durata $n_0 = E_s/E_{cm}$	=	**6.30**	
ΨL	=	coefficiente dipendente dal tipo carico	=	-	

ΨL	=	1.1	carichi permanenti
	=	0.55	effetti ritiro
	=	1.5	presollecitazione

n0	=	azioni breve durata $n_0 = E_s/E_{cm}$	=	**6.30**	
nL	=	azioni lunga durata $n_L = n_0(1 + \psi_L\,\phi(t,t_0))$	=	**22.47**	$\psi = 1.1$
nL	=	effetti ritiro $n_L = n_0(1 + \psi_L\,\phi(t,t_0))$	=	**19.67**	$\psi = 0.55$
nL	=	presollecitazione $n_L = n_0(1 + \psi_L\,\phi(t,t_0))$	=	**28.35**	$\psi = 1.5$

9 COMBINAZIONI DI CARICO

9.1 TABELLA RIASSUNTIVA DEI COEFFICIENTI DI COMBINAZIONE PER IMPALCATI DA PONTE

		COMBINAZIONI E COEFFICIENTI MOLTIPLICATIVI (Ψ*,γ) - 1° carico fodamentale: carico viaggiante																		
		g_1 peso proprio	g_2 permanenti strutturali	g_2 permanenti NON strutturali	ε_1 precompress.	ε_2 ritiro	ε_3 ΔT	ε_4 cedimenti vincolari	Q_{1k} stese di carico	q_{4k}	q_{5k} folla su carreggiata	q_{5k} folla su marciapiede	q_3 frenatura	q_4 centrifuga	q_5 vento	q_6 sisma	q_7 attrito vincoli	q_8 svio	q_9 urto natanti, az. idrauliche, spinta sovraccarico
S.L.U.	1	1.35 [1.00]	1.35 [1.00]	1.50 [0.00]	1.00 [1.00]	1.20 [0.00]	0.6*1.2 [0.00]	1.20 [0.00]	1.35 [0.00]		0.00	0.50	0.00	0.00	0.6*1.5 [0.00]		1.5 [0.00]	1.5 [0.00]	1.5 [0.00]
	2a	1.35 [1.00]	1.35 [1.00]	1.50 [0.00]	1.00 [1.00]	1.20 [0.00]	0.6*1.2 [0.00]	1.20 [0.00]	0.75*1.35 [0.00]	0.4*1.35 [0.00]	0.00		1.35 [0.00]	0.00	0.2*1.5 [0.00]		1.5 [0.00]	1.5 [0.00]	1.5 [0.00]
	2b	1.35 [1.00]	1.35 [1.00]	1.50 [0.00]	1.00 [1.00]	1.20 [0.00]	0.6*1.2 [0.00]	1.20 [0.00]	0.75*1.35 [0.00]	0.4*1.35 [0.00]	0.00		0.00	1.35 [0.00]	0.2*1.5 [0.00]		1.5 [0.00]	1.5 [0.00]	1.5 [0.00]
	3*	1.35 [1.00]	1.35 [1.00]	1.50 [0.00]	1.00 [1.00]	1.20 [0.00]	0.6*1.2 [0.00]	1.20 [0.00]	0.00		0.00	1.50	0.00	0.00	1.50 [0.00]		1.5 [0.00]	1.5 [0.00]	1.5 [0.00]
	4**	1.35 [1.00]	1.35 [1.00]	1.50 [0.00]	1.00 [1.00]	1.20 [0.00]	0.6*1.2 [0.00]	1.20 [0.00]	0.00		1.00	1.00	0.00	0.00	1.50 [0.00]		1.5 [0.00]	1.5 [0.00]	1.5 [0.00]
FES.	freq.	1.00	1.00	1.00	1.00	1.00	0.60	1.00	0.75	0.40	0.75		0.00	0.00	0.20	-	0.00	0.00	0.00
	Q. perm.	1.00	1.00	1.00	1.00	1.00	0.50	1.00	0.00	0.00	0.00		0.00	0.00	0.00		0.00	0.00	0.00
TENS (rara)		1.00	1.00	1.00	1.00	1.00	0.60	1.00	1.00	1.00	-		-	-	0.6	-	1.00	1.00	1.00
sisma		1.00	1.00	1.00	1.00	1.00	0.50	1.00	-	-	-		-	-	-	1.0	-	-	-

* Ponti di 3^ categoria
** Solo se richiesto da progetto (es: ponti in zona urbana)

- Combinazione fondamentale SLU:

$$\gamma_{G1}G_1 + \gamma_{G2}G_2 + \gamma_{Q1}Q_{K1} + \gamma_{Q2}\,\psi_{02}Q_{K2} + \gamma_{Q3}\,\psi_{03}Q_{K3} + \ldots$$

- Combinazione RARA:

$$G_1 + G_2 + Q_{K1} + \psi_{02}Q_{K2} + \psi_{03}Q_{K3} + \ldots$$

- Combinazione FREQUENTE:

$$G_1 + G_2 + \psi_{11}Q_{K1} + \psi_{22}Q_{K2} + \psi_{23}Q_{K3} + \ldots$$

- Combinazione QUASI PERMANENTE:

$$G_1 + G_2 + \psi_{21}Q_{K1} + \psi_{22}Q_{K2} + \psi_{23}Q_{K3} + \ldots$$

- Combinazione SISMICA:

$$E + G_1 + G_2 + \psi_{21}Q_{K1} + \psi_{22}Q_{K2} + \ldots$$

10 GEOMETRIA E CARATTERISTICHE DEGLI ELEMENTI STRUTTURALI

10.1 TRAVI PRINCIPALI

Impalcato A

L'impalcato presenta quattro travi principali suddivise in cinque conci ciascuna (tre tipologie di conci). Partendo da una spalla i conci sono così distribuiti: C3 – C2 – C1 – C2 – C3.
Nelle seguenti figure sono riportate in forma tabulare le caratteristiche di tali travi.
Le dimensioni delle travi sono le stesse per i conci laterali e per quelli centrali, cambiano tuttavia le dimensioni della larghezza di soletta collaborante, come indicato al paragrafo successivo.
Si riportano per tale motivo le dimensioni dei conci di una sola delle quattro travi.

TRAVE IN ACCIAIO		
Numero travi	**1**	-
Larghezza ala sup.	**70.00**	cm
Spessore ala sup	**4.00**	cm
Larghezza ala inf.	**95.00**	cm
Spessore ala inf.	**6.00**	cm
Altezza anima	**190.00**	cm
Spessore anima	**2.00**	cm
Modulo elastico	**2'100'000.00**	daN/cm2
Altezza totale	**200.00**	cm
Area anime (per Taglio)	**380.00**	cm2
Area totale sezione	**1'230.00**	cm2
Posizione baricentro	**77.67**	cm
Inerzia baricentrica	**8'584'383.33**	cm4

SOLETTA IN C.A.		
Larghezza collaborante	**497.00**	cm
Spessore	**24.00**	cm
Area totale	**11'928.00**	cm2
Altezza raccordo	**6.00**	cm
Posiz baricentro	**218.00**	cm
Inerzia baricentrica	**572'544.00**	cm4

SEZIONE TIPO 1	n =	6.30
acc+cls+arm (azioni di breve durata)		
Modulo elastico cls	**333'333.33**	daN/cm2
Area	**3'197.22**	cm2
Area per taglio	**380.00**	cm2
Posizione baricentro G	**163.98**	cm
Inerzia baricentrica	**23'575'764.86**	cm4
Modulo c,s	**-2'249'659.53**	cm3
Modulo c,i	**-4'123'223.97**	cm3
Modulo a,s	**-654'480.00**	cm3
Modulo a,i	**143'774.07**	cm3
Inerzia torsionale	**23'850'779.59**	cm4

SEZIONE TIPO 2	n =	22.47
acc+cls+arm (ritiro)		
Modulo elastico cls	**93'457.94**	daN/cm2
Area	**1'834.73**	cm2
Area per taglio	**380.00**	cm2
Posizione baricentro G	**123.86**	cm
Inerzia baricentrica	**16'581'246.71**	cm4
Modulo c,s	**-3'510'289.24**	cm3
Modulo c,i	**-4'893'389.62**	cm3
Modulo a,s	**-217'774.35**	cm3
Modulo a,i	**133'870.42**	cm3

FIGURA 32: CARATTERISTICHE CONCIO C1

TRAVE IN ACCIAIO		
Numero travi	1	-
Larghezza ala sup.	70.00	cm
Spessore ala sup	4.00	cm
Larghezza ala inf.	95.00	cm
Spessore ala inf.	5.50	cm
Altezza anima	190.50	cm
Spessore anima	2.00	cm
Modulo elastico	2'100'000.00	daN/cm2
Altezza totale	200.00	cm
Area anime (per Taglio)	381.00	cm2
Area totale sezione	1'183.50	cm2
Posizione baricentro	80.49	cm
Inerzia baricentrica	8'334'434.80	cm4

SOLETTA IN C.A.		
Larghezza collaborante	497.00	cm
Spessore	24.00	cm
Area totale	11'928.00	cm2
Altezza raccordo	6.00	cm
Posiz baricentro	218.00	cm
Inerzia baricentrica	572'544.00	cm4

SEZIONE TIPO 1	n =	6.30
acc+cls+arm (azioni di breve durata)		
Modulo elastico cls	333'333.33	daN/cm2
Area	3'150.72	cm2
Area per taglio	381.00	cm2
Posizione baricentro G	166.31	cm
Inerzia baricentrica	22'394'405.67	cm4
Modulo c,s	-2'215'286.08	cm3
Modulo c,i	-4'188'116.33	cm3
Modulo a,s	-664'780.37	cm3
Modulo a,i	134'652.10	cm3
Inerzia torsionale	23'900'633.82	cm4

SEZIONE TIPO 2	n =	22.47
acc+cls+arm (ritiro)		
Modulo elastico cls	93'457.94	daN/cm2
Area	1'788.23	cm2
Area per taglio	381.00	cm2
Posizione baricentro G	126.93	cm
Inerzia baricentrica	15'915'699.58	cm4
Modulo c,s	-3'469'793.66	cm3
Modulo c,i	-4'894'403.17	cm3
Modulo a,s	-217'819.46	cm3
Modulo a,i	125'387.91	cm3

FIGURA 33: CARATTERISTICHE CONCIO C2

TRAVE IN ACCIAIO		
Numero travi	1	-
Larghezza ala sup.	50.00	cm
Spessore ala sup	2.50	cm
Larghezza ala inf.	80.00	cm
Spessore ala inf.	4.00	cm
Altezza anima	193.50	cm
Spessore anima	2.00	cm
Modulo elastico	2'100'000.00	daN/cm2
Altezza totale	200.00	cm
Area anime (per Taglio)	387.00	cm2
Area totale sezione	832.00	cm2
Posizione baricentro	77.49	cm
Inerzia baricentrica	5'078'977.29	cm4

SOLETTA IN C.A.		
Larghezza collaborante	497.00	cm
Spessore	24.00	cm
Area totale	11'928.00	cm2
Altezza raccordo	6.00	cm
Posiz baricentro	218.00	cm
Inerzia baricentrica	572'544.00	cm4

SEZIONE TIPO 1	n =	6.30
acc+cls+arm (azioni di breve durata)		
Modulo elastico cls	333'333.33	daN/cm2
Area	2'799.22	cm2
Area per taglio	387.00	cm2
Posizione baricentro G	176.20	cm
Inerzia baricentrica	16'712'386.37	cm4
Modulo c,s	-1'956'957.93	cm3
Modulo c,i	-4'423'515.79	cm3
Modulo a,s	-702'145.36	cm3
Modulo a,i	94'849.97	cm3
Inerzia torsionale	24'025'174.04	cm4

SEZIONE TIPO 2	n =	22.47
acc+cls+arm (ritiro)		
Modulo elastico cls	93'457.94	daN/cm2
Area	1'436.73	cm2
Area per taglio	387.00	cm2
Posizione baricentro G	136.56	cm
Inerzia baricentrica	12'008'376.67	cm4
Modulo c,s	-2'887'599.60	cm3
Modulo c,i	-4'253'028.76	cm3
Modulo a,s	-189'275.87	cm3
Modulo a,i	87'937.24	cm3

FIGURA 34: CARATTERISTICHE CONCIO C3

Impalcato B

L'impalcato presenta quattro travi principali suddivise in cinque conci ciascuna (tre tipologie di conci). Partendo da una spalla i conci sono così distribuiti: C3 – C2 – C1 – C2 – C3.
Nelle seguenti figure sono riportate in forma tabulare le caratteristiche di tali travi.
Le dimensioni delle travi sono le stesse per i conci laterali e per quelli centrali, cambiano tuttavia le dimensioni della larghezza di soletta collaborante, come indicato al paragrafo successivo.
Si riportano per tale motivo le dimensioni dei conci di una sola delle quattro travi.

TRAVE IN ACCIAIO		
Numero travi	1	-
Larghezza ala sup.	70.00	cm
Spessore ala sup	3.50	cm
Larghezza ala inf.	95.00	cm
Spessore ala inf.	5.00	cm
Altezza anima	191.50	cm
Spessore anima	2.00	cm
Modulo elastico	2'100'000.00	daN/cm2
Altezza totale	200.00	cm
Area anime (per Taglio)	383.00	cm2
Area totale sezione	1'103.00	cm2
Posizione baricentro	80.10	cm
Inerzia baricentrica	7'615'409.98	cm4

SOLETTA IN C.A.		
Larghezza collaborante	450.00	cm
Spessore	24.00	cm
Area totale	10'800.00	cm2
Altezza raccordo	6.00	cm
Posiz baricentro	218.00	cm
Inerzia baricentrica	518'400.00	cm4

SEZIONE TIPO 1	n =	6.30
acc+cls+arm (azioni di breve durata)		
Modulo elastico cls	333'333.33	daN/cm2
Area	2'885.02	cm2
Area per taglio	383.00	cm2
Posizione baricentro G	165.24	cm
Inerzia baricentrica	20'651'233.05	cm4
Modulo c,s	-2'009'041.63	cm3
Modulo c,i	-3'743'035.81	cm3
Modulo a,s	-594'132.67	cm3
Modulo a,i	124'976.16	cm3
Inerzia torsionale	23'942'134.46	cm4

SEZIONE TIPO 2	n =	22.47
acc+cls+arm (ritiro)		
Modulo elastico cls	93'457.94	daN/cm2
Area	1'651.37	cm2
Area per taglio	383.00	cm2
Posizione baricentro G	125.83	cm
Inerzia baricentrica	14'592'998.13	cm4
Modulo c,s	-3'147'738.43	cm3
Modulo c,i	-4'420'897.78	cm3
Modulo a,s	-196'746.67	cm3
Modulo a,i	115'975.31	cm3

FIGURA 35: CARATTERISTICHE CONCIO C1

TRAVE IN ACCIAIO		
Numero travi	1	-
Larghezza ala sup.	70.00	cm
Spessore ala sup	3.00	cm
Larghezza ala inf.	95.00	cm
Spessore ala inf.	4.50	cm
Altezza anima	192.50	cm
Spessore anima	2.00	cm
Modulo elastico	2'100'000.00	daN/cm2
Altezza totale	200.00	cm
Area anime (per Taglio)	385.00	cm2
Area totale sezione	1'022.50	cm2
Posizione baricentro	79.64	cm
Inerzia baricentrica	6'888'540.36	cm4

SOLETTA IN C.A.		
Larghezza collaborante	450.00	cm
Spessore	24.00	cm
Area totale	10'800.00	cm2
Altezza raccordo	6.00	cm
Posiz baricentro	218.00	cm
Inerzia baricentrica	518'400.00	cm4

SEZIONE TIPO 1	n =	6.30
acc+cls+arm (azioni di breve durata)		
Modulo elastico cls	333'333.33	daN/cm2
Area	2'804.52	cm2
Area per taglio	385.00	cm2
Posizione baricentro G	167.52	cm
Inerzia baricentrica	19'405'186.99	cm4
Modulo c,s	-1'956'681.46	cm3
Modulo c,i	-3'763'983.30	cm3
Modulo a,s	-597'457.67	cm3
Modulo a,i	115'837.76	cm3
Inerzia torsionale	23'983'647.88	cm4

SEZIONE TIPO 2	n =	22.47
acc+cls+arm (ritiro)		
Modulo elastico cls	93'457.94	daN/cm2
Area	1'570.87	cm2
Area per taglio	385.00	cm2
Posizione baricentro G	127.88	cm
Inerzia baricentrica	13'733'695.61	cm4
Modulo c,s	-3'021'824.73	cm3
Modulo c,i	-4'278'780.71	cm3
Modulo a,s	-190'421.93	cm3
Modulo a,i	107'397.24	cm3

FIGURA 36: CARATTERISTICHE CONCIO C2

TRAVE IN ACCIAIO		
Numero travi	1	-
Larghezza ala sup.	50.00	cm
Spessore ala sup	2.00	cm
Larghezza ala inf.	70.00	cm
Spessore ala inf.	3.50	cm
Altezza anima	194.50	cm
Spessore anima	2.00	cm
Modulo elastico	2'100'000.00	daN/cm2
Altezza totale	200.00	cm
Area anime (per Taglio)	389.00	cm2
Area totale sezione	734.00	cm2
Posizione baricentro	81.09	cm
Inerzia baricentrica	4'309'480.14	cm4

SOLETTA IN C.A.		
Larghezza collaborante	450.00	cm
Spessore	24.00	cm
Area totale	10'800.00	cm2
Altezza raccordo	6.00	cm
Posiz baricentro	218.00	cm
Inerzia baricentrica	518'400.00	cm4

SEZIONE TIPO 1	n =	6.30
acc+cls+arm (azioni di breve durata)		
Modulo elastico cls	333'333.33	daN/cm2
Area	2'516.02	cm2
Area per taglio	389.00	cm2
Posizione baricentro G	178.02	cm
Inerzia baricentrica	14'135'797.51	cm4
Modulo c,s	-1'713'230.06	cm3
Modulo c,i	-4'051'465.26	cm3
Modulo a,s	-643'089.72	cm3
Modulo a,i	79'406.15	cm3
Inerzia torsionale	24'066'712.93	cm4

SEZIONE TIPO 2	n =	22.47
acc+cls+arm (ritiro)		
Modulo elastico cls	93'457.94	daN/cm2
Area	1'282.37	cm2
Area per taglio	389.00	cm2
Posizione baricentro G	139.56	cm
Inerzia baricentrica	10'207'587.79	cm4
Modulo c,s	-2'536'014.50	cm3
Modulo c,i	-3'794'730.41	cm3
Modulo a,s	-168'879.86	cm3
Modulo a,i	73'142.73	cm3

FIGURA 37: CARATTERISTICHE CONCIO C3

10.2 CALCOLO DELLA LARGHEZZA EFFICACE DI SOLETTA COLLABORANTE

Impalcato A

Dal momento che la struttura è schematizzata come trave semplicemente appoggiata, la larghezza efficace si può calcolare nel modo proposto dalla NTC 08 al Par. 4.3.2.3.

$b_{eff} = b_0 + b_{e1} + b_{e2}$

con:

$b_{ei} = \min(L_e / 8; b_i - b_0/2)$

Considerando le seguenti grandezze geometriche:

- b_0 = 30 cm
- b_1 (travi centrali) = 225 cm
- b_2 (travi centrali) = 225 cm
- b_1 (travi laterali) = 275 cm
- b_1 (travi laterali) = 225 cm
- L_e = 42 m

Risulta per le travi centrali b_{eff} = 450 cm, mentre per le travi laterali b_{eff} = 497 cm.

Impalcato B

Dal momento che la struttura è schematizzata come trave semplicemente appoggiata, la larghezza efficace si può calcolare nel modo proposto dalla NTC 08 al Par. 4.3.2.3.

$b_{eff} = b_0 + b_{e1} + b_{e2}$

con:

$b_{ei} = \min(L_e / 8; b_i - b_0/2)$

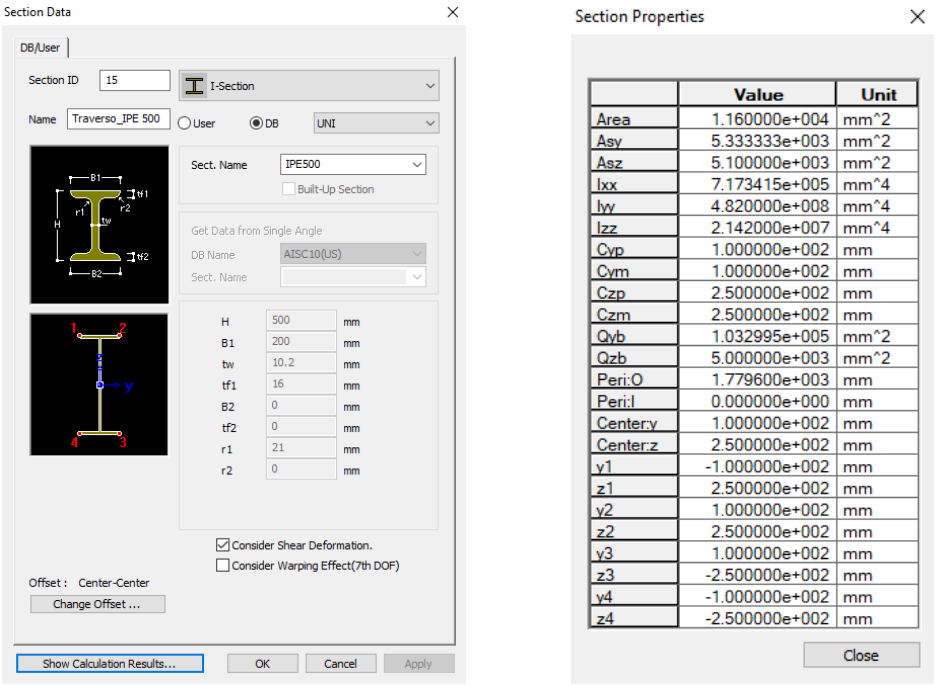
Considerando le seguenti grandezze geometriche:

- b_0 = 30 cm
- b_1 (trave centrale) = 225 cm
- b_2 (trave centrale) = 225 cm
- b_1 (trave laterale) = 125 cm
- b_1 (trave laterale) = 225 cm
- L_e = 42 m

Risulta per la trave centrale b_{eff} = 450 cm, mentre per le travi laterali b_{eff} = 360 cm.

10.3 TRAVERSO

Si riportano in seguito le caratteristiche geometriche della sezione dei traversi (profilo IPE 500).
I traversi presentano tutti la medesima sezione.



	Value	Unit
Area	1.160000e+004	mm^2
Asy	5.333333e+003	mm^2
Asz	5.100000e+003	mm^2
Ixx	7.173415e+005	mm^4
Iyy	4.820000e+008	mm^4
Izz	2.142000e+007	mm^4
Cyp	1.000000e+002	mm
Cym	1.000000e+002	mm
Czp	2.500000e+002	mm
Czm	2.500000e+002	mm
Qyb	1.032995e+005	mm^2
Qzb	5.000000e+003	mm^2
Peri:O	1.779600e+003	mm
Peri:I	0.000000e+000	mm
Center:y	1.000000e+002	mm
Center:z	2.500000e+002	mm
y1	-1.000000e+002	mm
z1	2.500000e+002	mm
y2	1.000000e+002	mm
z2	2.500000e+002	mm
y3	1.000000e+002	mm
z3	-2.500000e+002	mm
y4	-1.000000e+002	mm
z4	-2.500000e+002	mm

FIGURA 38: CARATTERISTICHE PROFILO TRAVERSI IPE500

11 VERIFICHE STRUTTURALI

11.1 VERIFICHE A S.L.U. E S.L.E.

Le verifiche sono state condotte sulla base di una distribuzione elastica delle tensioni sulla sezione.
La resistenza di calcolo f_d dei materiali è definita mediante l'espressione:

$f_d = f_k / \gamma_m$

Nelle verifiche a S.L.U. si è assunto:

- γ_{m0} (acciaio da carpenteria) = 1.05 per sezioni di classe 1, 2, 3, 4
- γ_a (acciaio da carpenteria) = 1.25 per sezioni indebolite dai fori
- γ_c = 1.5 (CLS)
- γ_s = 1.15 (acciaio da c.a.)

Risultano le seguenti tensioni limite:

Calcestruzzo C32/40	$\sigma_c \leq 0.85 \times 32 / 1.5$	=	14.17	MPa
Acciaio B450C	$\sigma_s \leq 450 / 1.15$	=	391.3	MPa

S355 Strutture in carpenteria metallica	$\sigma_a \leq 355 / 1.05 = 338$ N/mm^2	s<40mm	per sezioni di classe 1, 2, 3, 4
	$\sigma_a \leq 335 / 1.05 = 319$ N/mm^2	s>40mm	
	$\sigma_a \leq 355 / 1.25 = 284$ N/mm^2	s<40mm	per sezioni indebolite dai fori
	$\sigma_a \leq 335 / 1.25 = 268$ N/mm^2	s>40mm	

Il calcolo delle sollecitazioni è affidato al software, mentre il post-analisi è sviluppato tramite fogli EXCEL appositamente realizzati per le varie tipologie di verifica.
Nei successivi paragrafi si riportano le seguenti verifiche:

- Verifiche di resistenza travi principali (Par. 11.3)
- Verifica locale dei dettagli costruttivi/irrigidimenti (Par. 11.3.3)
- Verifica della connessione trave-soletta (Par. 11.3.4)
- Verifiche in esercizio delle travi principali (tensioni e deformazioni) (Par. 11.3.5.1, 11.3.5.2)
- Verifica dei traversi (Par. 11.4)
- Verifica dei giunti bullonati (Par. 11.5)
- Verifica dei giunti saldati (Par. 11.6)
- Verifiche della soletta in cemento armato (Par. 11.7)
- Verifica di appoggi e giunti di dilatazione (Par. 11.8 e 11.9)
- Verifiche a fatica dei dettagli strutturali (Par. 11.10)

11.2 SOLLECITAZIONI AGENTI SULLE TRAVI PRINCIPALI

Si riportano di seguito alcune immagini riportati le maggiori sollecitazioni di calcolo, agenti sulla struttura dell'impalcato.

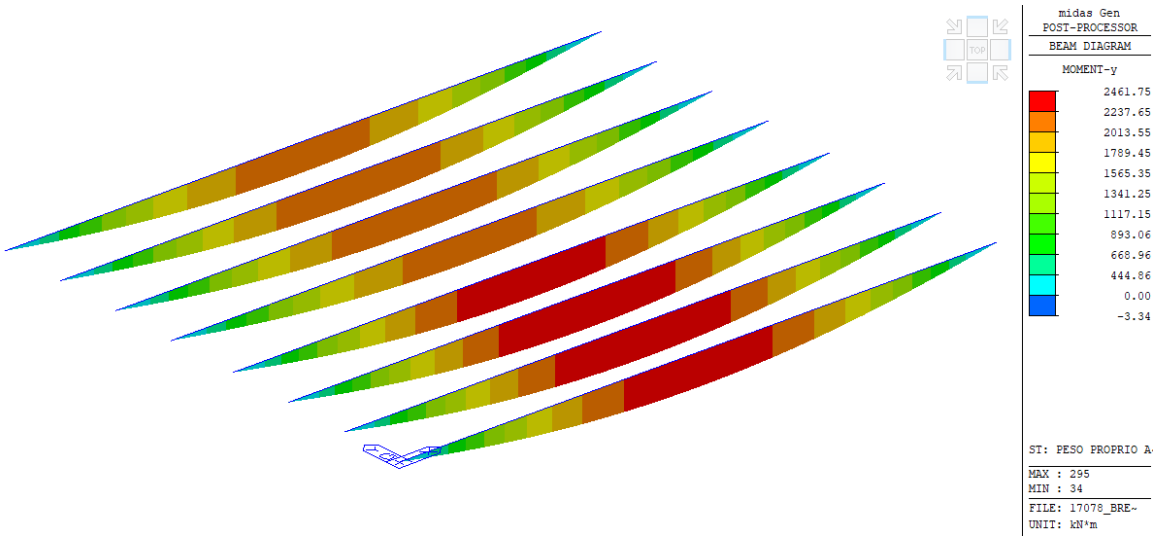


FIGURA 39: MOMENTO MY [KNM] SU TRAVI PRINCIPALI PER AZIONE PESO PROPRIO

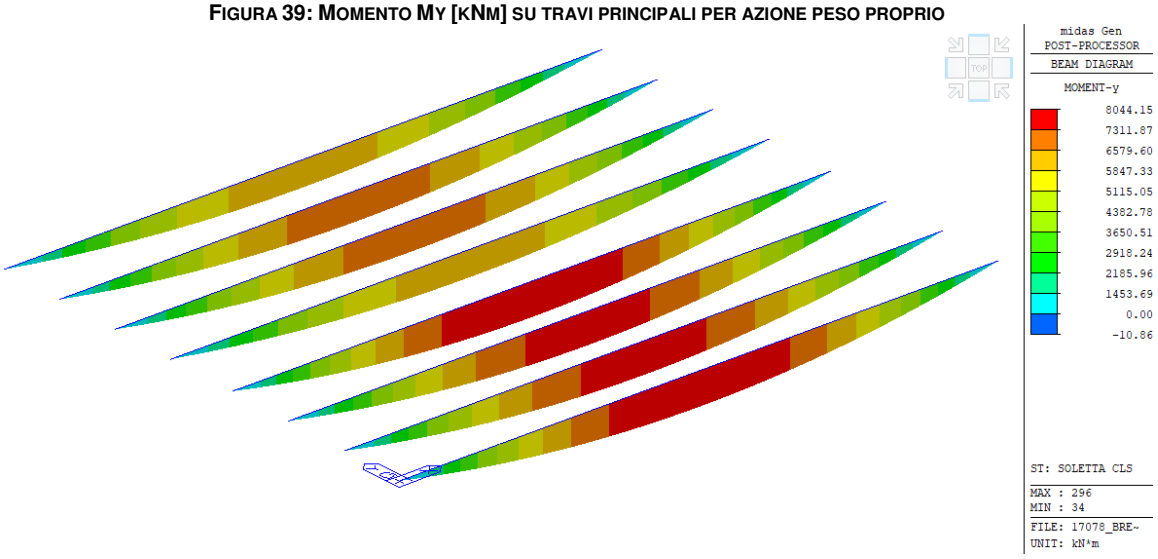


FIGURA 40: MOMENTO MY [KNM] SU TRAVI PRINCIPALI PER AZIONE PESO SOLETTA IN C.A.

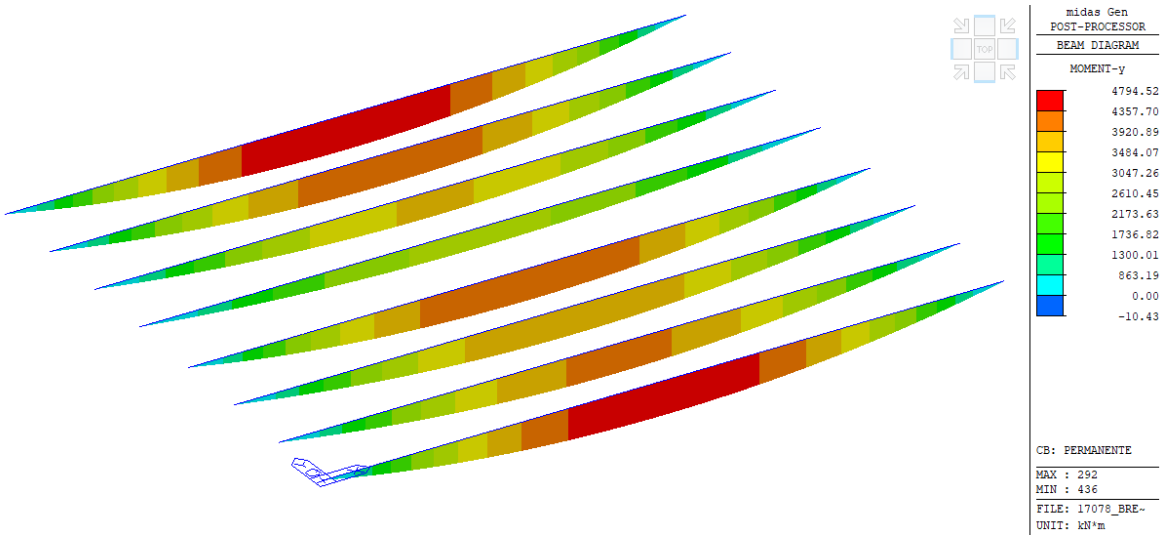


FIGURA 41: MOMENTO MY [KNM] SU TRAVI PRINCIPALI PER AZIONE PERMANENTI PORTATI

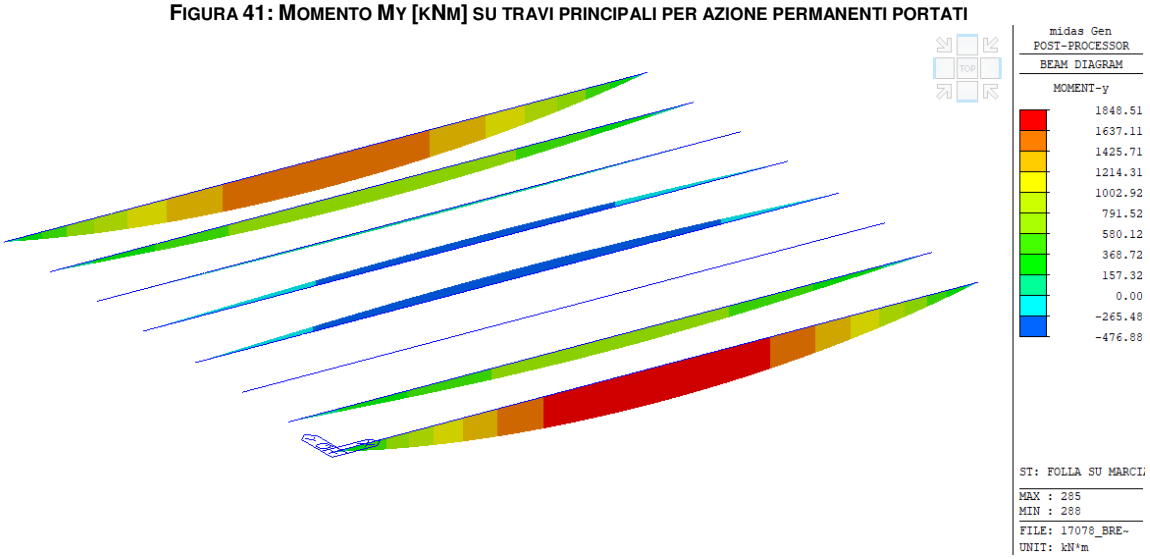


FIGURA 42: MOMENTO MY [KNM] SU TRAVI PRINCIPALI PER AZIONE VARIABILE FOLLA

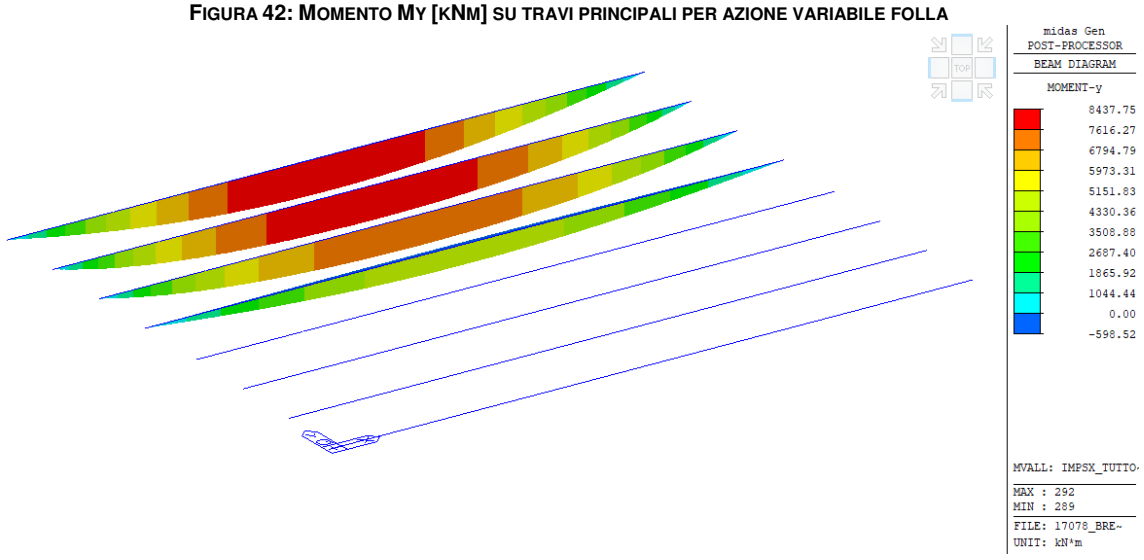


FIGURA 43: MOMENTO MY [KNM] SU TRAVI PRINCIPALI PER AZIONE VARIABILE TRAFFICO SU IMPALCATO SINISTRO

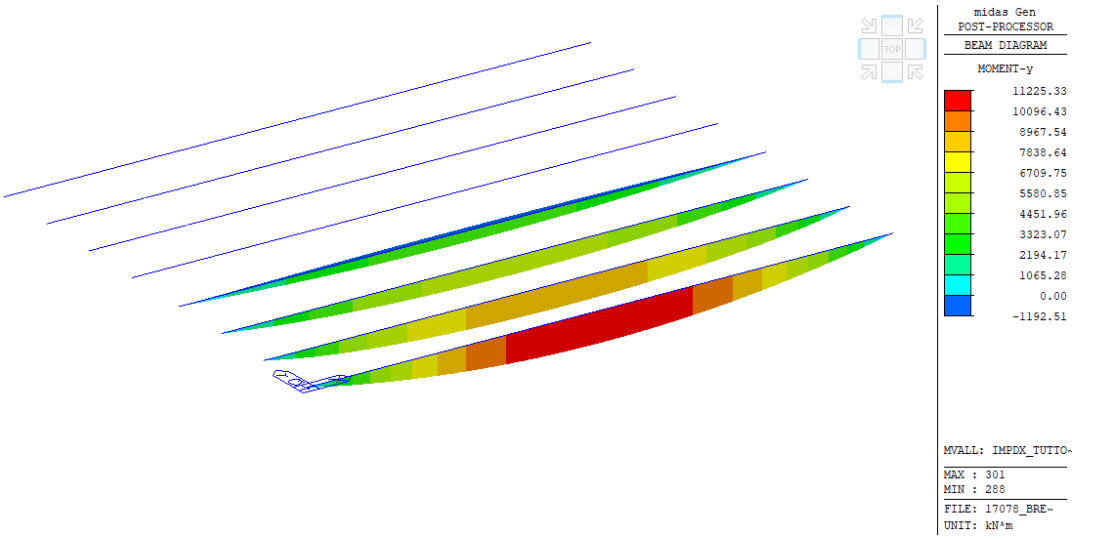


FIGURA 44: MOMENTO MY [KNM] SU TRAVI PRINCIPALI PER AZIONE VARIABILE TRAFFICO SU IMPALCATO DESTRO

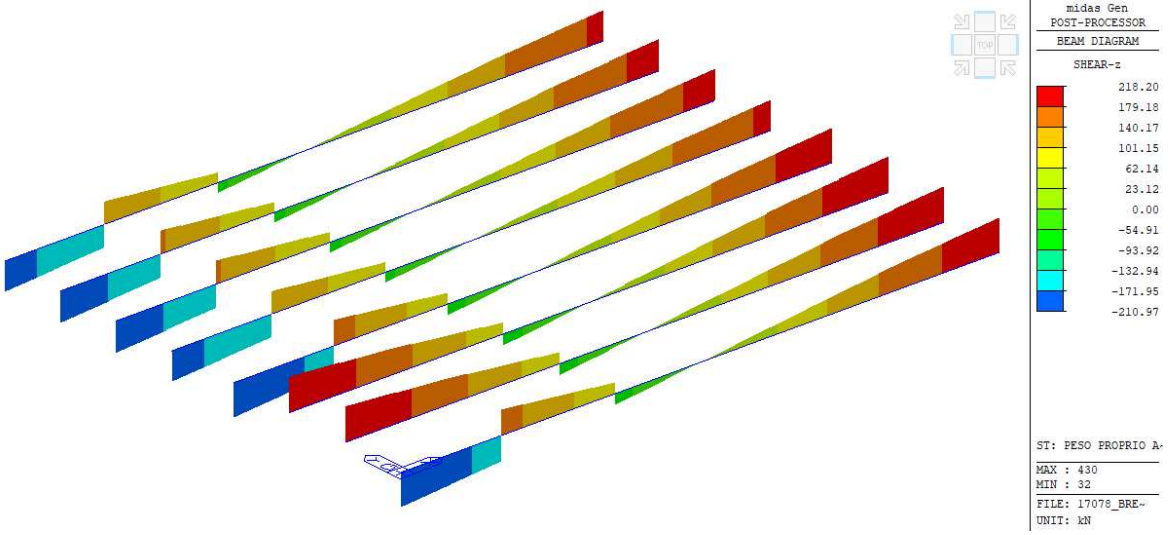


FIGURA 45: TAGLIO VZ [KN] SU TRAVI PRINCIPALI PER AZIONE PESO PROPRIO

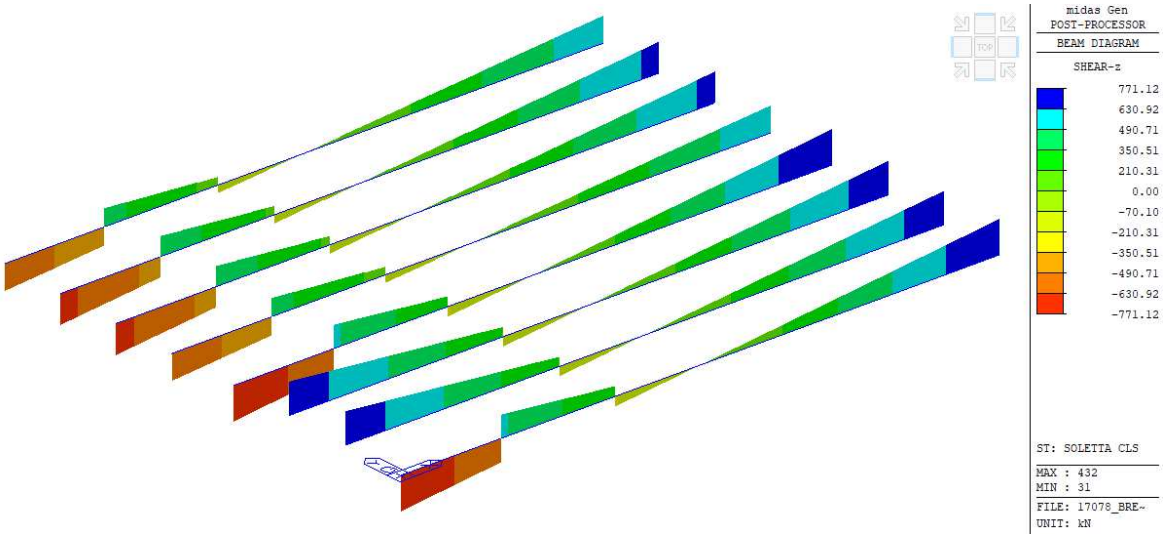


FIGURA 46: TAGLIO VZ [KN] SU TRAVI PRINCIPALI PER AZIONE PESO SOLETTA IN C.A.

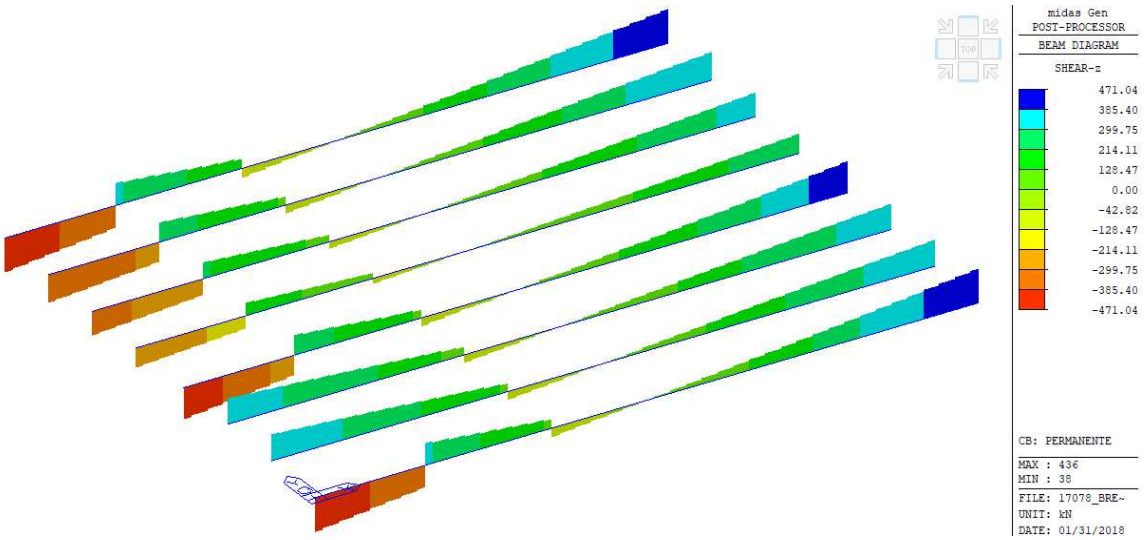


FIGURA 47: TAGLIO VZ [KN] SU TRAVI PRINCIPALI PER AZIONE PERMANENTI PORTATI

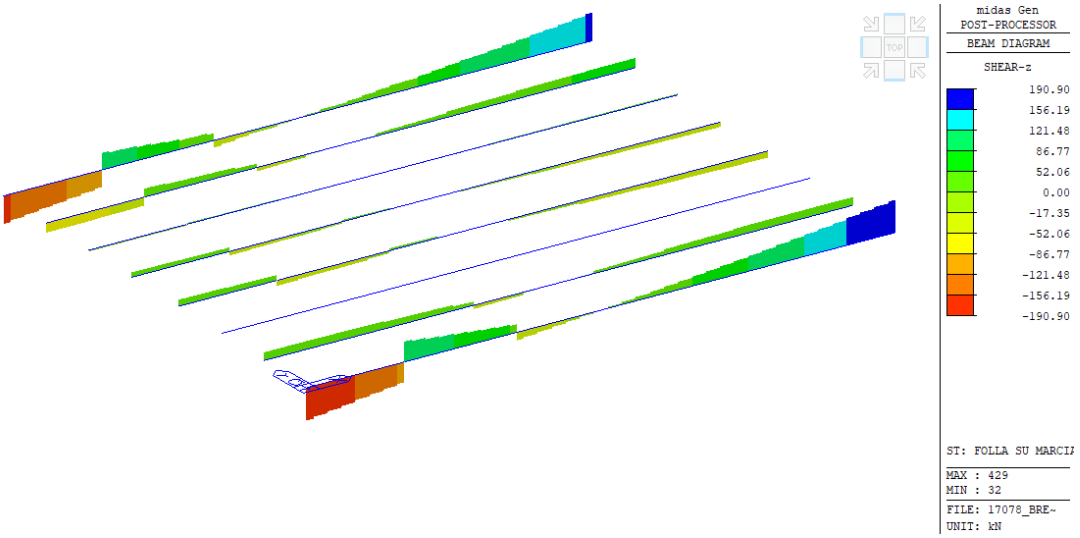


FIGURA 48: TAGLIO VZ [KN] SU TRAVI PRINCIPALI PER AZIONE VARIABILE FOLLA

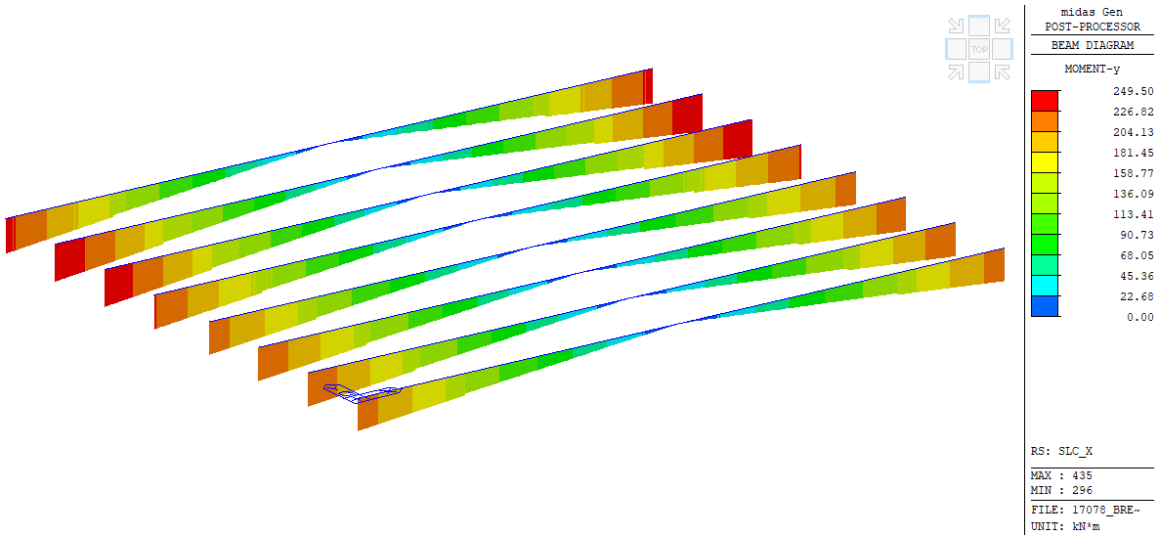


FIGURA 49: MOMENTO MY [KNM] SU TRAVI PRINCIPALI SLC (DIR. X)

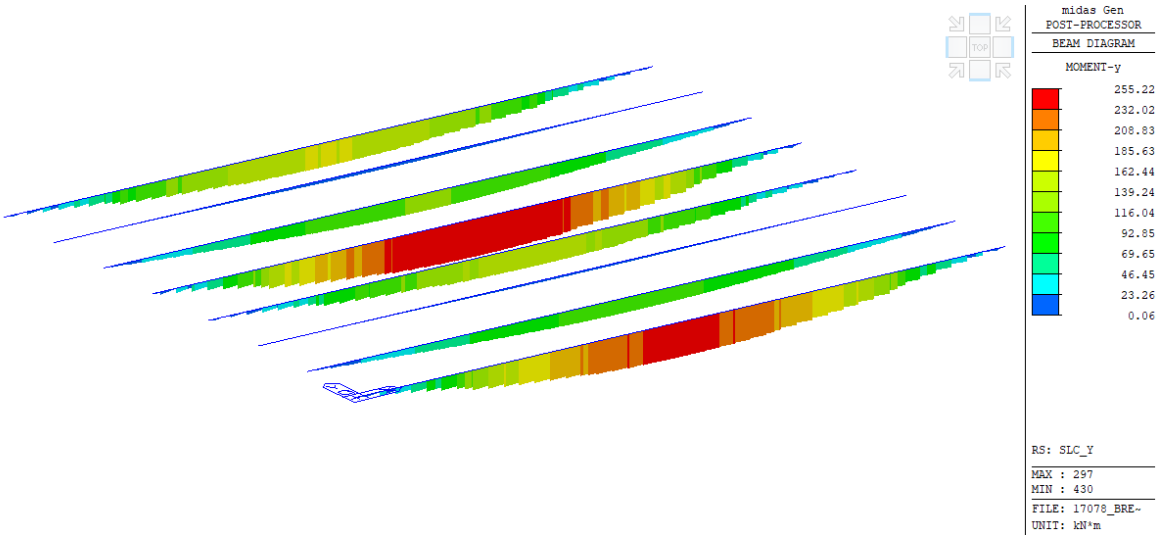


FIGURA 50: MOMENTO MY [KNM] SU TRAVI PRINCIPALI SLC (DIR. Y)

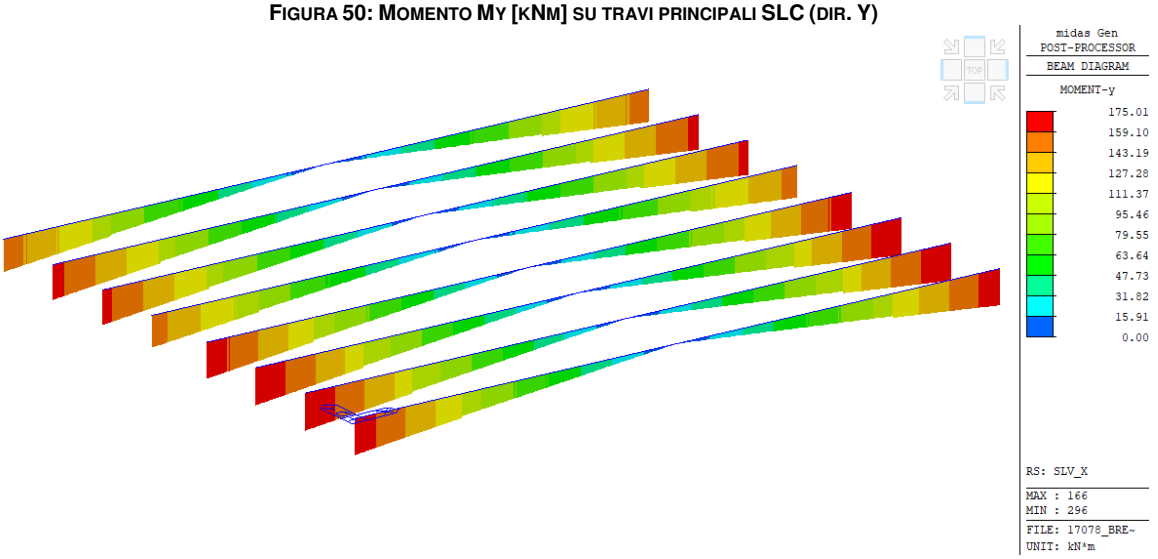


FIGURA 51: MOMENTO MY [KNM] SU TRAVI PRINCIPALI SLV (DIR. X)

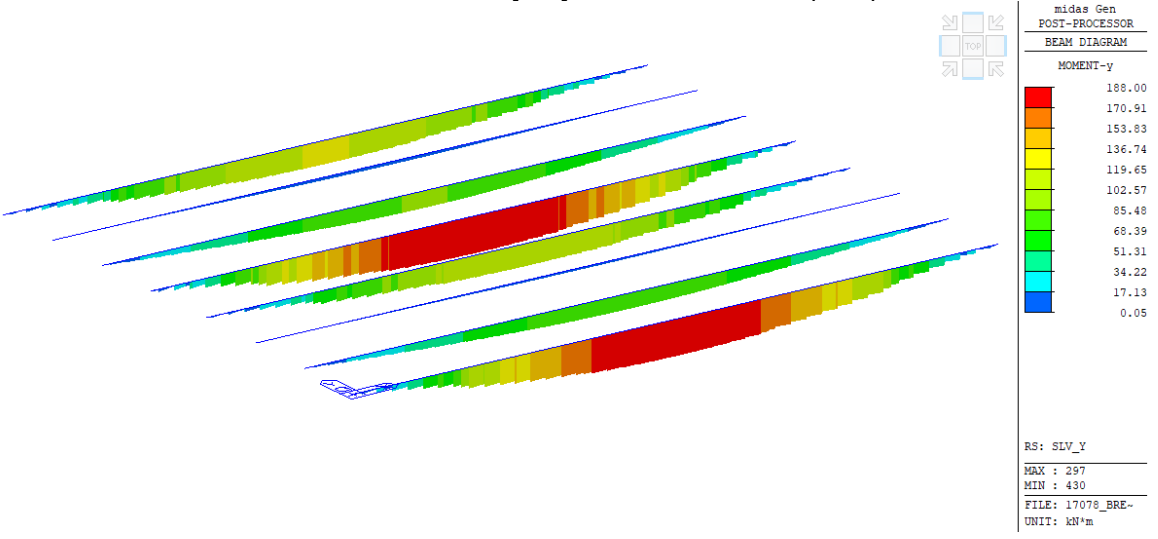


FIGURA 52: MOMENTO MY [KNM] SU TRAVI PRINCIPALI SLV (DIR. Y)

11.3 TRAVI PRINCIPALI

Le verifiche tensionali sono state effettuate calcolando la tensione ideale in Combinazione di Carico 1, come prescritto da normativa.
E' stata considerata la situazione di massimo momento flettente con taglio ad esso associato.
Come già indicato al Paragrafo 9.1, sono stati utilizzati i seguenti coefficienti di combinazione:

CASO DI CARICO	COEFFICIENTE
Peso proprio acciaio	1.35
Peso proprio soletta in c.a.	1.35
Permanenti portati (strutturali)	1.50
Ritiro	1.20
Effetti della temperatura	0.72
Folla su marciapiede	0.5*1.35
Carichi viaggianti	1.35

Il ritiro e la variazione di temperatura non sono stati considerati concomitanti. E' stata eseguita la verifica degli elementi strutturali in presenza dell'uno e dell'altro caso di carico e si è poi fatto riferimento alla condizione peggiore tra le due.
Nonostante sia possibile valutare l'influenza del ritiro direttamente all'interno del programma di calcolo, in questo caso si è scelto di calcolarne manualmente le sollecitazioni, sempre mediante foglio Excel.
Si riportano a titolo di esempio le sollecitazioni indotte da ritiro e termica per uno dei conci C3 laterali dell'impalcato A.

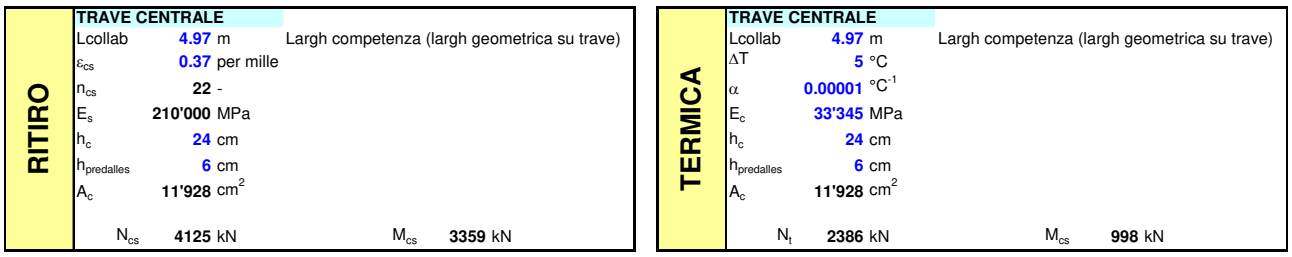


FIGURA 53: SOLLECITAZIONI INDOTTE DA RITIRO E TERMICA

11.3.1 VERIFICA A FLESSIONE E TAGLIO IN CONDIZIONE STATICA

Impalcato A

Lo schema strutturale adottato per l'analisi dell'impalcato in esame è quello di trave in semplice appoggio. Tale schema porta la massimizzazione delle sollecitazioni in corrispondenza della mezzeria dell'impalcato.
Per queste ragioni i conci C1, laterale e centrale, sono stati verificati nella loro sezione di mezzeria, mentre i conci C2 e C3 sono stati verificati nella sezione di estremità che si trova in direzione della mezzeria dell'impalcato. Si riportano di seguito gli estratti dai fogli Excel utilizzati per la verifica. Per ciascun concio si riporta unicamente la verifica in condizioni peggiori; le condizioni meno gravose risultano di conseguenza verificate anch'esse.

Per le stesse ragioni si riporta la verifica della trave più sollecitata tra le quattro dell'impalcato.

concio c1 laterale 296_imp dx								
				TENSIONI NORMALI (N/mm2)				
	SOLLECITAZIONI			Sez. tipo	Fibra cls,s	Fibra cls,i	Fibra acc,s	Fibra acc,i
	N(kN)	M(kN*m)	Coeff.					
CCE1 - Peso acciaio	-3.35	2'365.54	1.35	5			-45.5460	28.8560
CCE2 - Peso soletta in cls	-11.50	8'047.65	1.35	5			-154.9503	98.1681
CCE3 e CCE4 - Carichi permanenti	-18.49	4'356.12	1.35	3	-1.6829	-1.2068	-26.9108	43.8677
Precompressione			1.00	-				
Cedimento appoggi			1.00	-				
Rit.-eff. primari (cls soletta)	4'125	-	1.20	soletta	3.6425	3.6425		
Rit.-eff. secondari isostatici (sez. mista)	-4'125	3'883	1.20	2	-2.5280	-2.1528	-48.3730	13.1342
Rit.-eff. Secondari iperstatici (sez. mista)			1.20	2	0.0000	0.0000	0.0000	0.0000
Temp-effetti primari (soletta)	-2'386	-	0.00	soletta	0.0000	0.0000		
Temp-effetti secondari isostatici (sez. mista)	2'386	-1'289	0.00	1	0.0000	0.0000	0.0000	0.0000
Temp-effetti secondari iperstatici (sez. mista)			0.00	1	0.0000	0.0000	0.0000	0.0000
CCE8 e CCE12 - Carichi accidentali	-103.01	12'772.74	1.35	1	-7.7338	-4.2510	-26.7814	119.4977
					-8.3021	-3.9680	-302.5616	303.5237

				TENS. TANGENZIALI (N/mm2)		
	SOLLECITAZIONI			Taglio	Torcente	Torcente
	T(kN)	Mt(kN*m)	Coeff.	(pareti)	(fondo)	(pareti)
CCE1 - Peso acciaio	0.00	0.00	1.35	0.000	0.000	0.000
CCE2 - Peso soletta in cls	0.00	0.00	1.35	0.000	0.000	0.000
CCE3 e CCE4 - Carichi permanenti	0.00	0.00	1.50	0.000	0.000	0.000
Precompressione	0.00	0.00	1.00	0.000	0.000	0.000
Cedimento appoggi	0.00	0.00	1.00	0.000	0.000	0.000
Ritiro	0.00	0.00	1.00	0.000	0.000	0.000
Temperatura	0.00	0.00	1.00	0.000	0.000	0.000
CCE8 e CCE12 - Carichi accidentali	479.45	-56.33	1.35	17.033	-1.024	-0.206
CCE13 - Vento	0.00	0.00	1.00	0.000	0.000	0.000
				17.03	-1.02	-0.21

TENSIONI IDEALI (N/mm2)			
Fibra cls,s	Fibra cls,i	Fibra acc,s	Fibra acc,i
		-303.96	304.92

FIGURA 54: VERIFICA IN CONDIZIONI STATICHE DEL CONCIO C1

La tensione di trazione massima sulla flangia inferiore è pari a 304.92 MPa.
Per tale elemento σ_d = 319 Mpa (spessore flangia > 40 mm), la verifica risulta quindi soddisfatta.

concio c2 laterale 15_imp dx								
				TENSIONI NORMALI (N/mm2)				
	SOLLECITAZIONI			Sez. tipo	Fibra cls,s	Fibra cls,i	Fibra acc,s	Fibra acc,i
	N(kN)	M(kN*m)	Coeff.					
CCE1 - Peso acciaio	-3.33	2'142.04	1.35	5			-41.5029	27.8900
CCE2 - Peso soletta in cls	-11.43	7'337.10	1.35	5			-142.1597	95.5309
CCE3 e CCE4 - Carichi permanenti	-17.53	3'987.05	1.35	3	-1.5582	-1.1042	-24.6241	42.8703
Precompressione			1.00	-				
Cedimento appoggi			1.00	-				
Rit.-eff. primari (cls soletta)	4'125	-	1.20	soletta	3.6425	3.6425		
Rit.-eff. secondari isostatici (sez. mista)	-4'125	3'756	1.20	2	-2.5309	-2.1527	-48.3722	13.7422
Rit.-eff. Secondari iperstatici (sez. mista)			1.20	2	0.0000	0.0000	0.0000	0.0000
Temp-effetti primari (soletta)	-2'386	-	0.00	soletta	0.0000	0.0000		
Temp-effetti secondari isostatici (sez. mista)	2'386	-1'233	0.00	1	0.0000	0.0000	0.0000	0.0000
Temp-effetti secondari iperstatici (sez. mista)			0.00	1	0.0000	0.0000	0.0000	0.0000
CCE8 e CCE12 - Carichi accidentali	-96.17	11'709.00	1.35	1	-7.2009	-3.8397	-24.1901	116.9805
					-7.6475	-3.4541	-280.8489	297.0139

				TENS. TANGENZIALI (N/mm2)		
	SOLLECITAZIONI			Taglio	Torcente	Torcente
	T(kN)	Mt(kN*m)	Coeff.	(pareti)	(fondo)	(pareti)
CCE1 - Peso acciaio	70.77	0.00	1.35	2.508	0.000	0.000
CCE2 - Peso soletta in cls	228.55	0.00	1.35	8.098	0.000	0.000
CCE3 e CCE4 - Carichi permanenti	115.16	0.00	1.50	4.534	0.000	0.000
Precompressione	0.00	0.00	1.00	0.000	0.000	0.000
Cedimento appoggi	0.00	0.00	1.00	0.000	0.000	0.000
Ritiro	0.00	0.00	1.00	0.000	0.000	0.000
Temperatura	0.00	0.00	1.00	0.000	0.000	0.000
CCE8 e CCE12 - Carichi accidentali	664.36	36.56	1.35	23.540	0.664	0.134
CCE13 - Vento	0.00	0.00	1.00	0.000	0.000	0.000
				38.68	0.66	0.13

TENSIONI IDEALI (N/mm2)			
Fibra cls,s	Fibra cls,i	Fibra acc,s	Fibra acc,i
		-288.78	304.53

FIGURA 55: VERIFICA IN CONDIZIONI STATICHE DEL CONCIO C2

La tensione di trazione massima sulla flangia inferiore è pari a 304.53 MPa.
Per tale elemento σ_d = 319 Mpa (spessore flangia > 40 mm), la verifica risulta quindi soddisfatta.

concio c3 laterale 208_imp dx								
					TENSIONI NORMALI (N/mm2)			
	SOLLECITAZIONI			Sez. tipo	Fibra cls,s	Fibra cls,i	Fibra acc,s	Fibra acc,i
	N(kN)	M(kN*m)	Coeff.					
CCE1 - Peso acciaio	-3.15	1'227.03	1.35	5			-40.0064	25.2229
CCE2 - Peso soletta in cls	-10.86	4'349.15	1.35	5			-141.7959	89.4063
CCE3 e CCE4 - Carichi permanenti	-13.06	2'401.63	1.35	3	-1.1269	-0.7645	-17.0478	36.8293
Precompressione			1.00	-				
Cedimento appoggi			1.00	-				
Rit.-eff. primari (cls soletta)	4'125	-	1.20	soletta	3.6425	3.6425		
Rit.-eff. secondari isostatici (sez. mista)	-4'125	3'359	1.20	2	-2.9292	-2.4810	-55.7477	21.5147
Rit.-eff. Secondari iperstatici (sez. mista)			1.20	2	0.0000	0.0000	0.0000	0.0000
Temp-effetti primari (soletta)	-2'386	-	0.00	soletta	0.0000	0.0000		
Temp-effetti secondari isostatici (sez. mista)	2'386	-998	0.00	1	0.0000	0.0000	0.0000	0.0000
Temp-effetti secondari iperstatici (sez. mista)			0.00	1	0.0000	0.0000	0.0000	0.0000
CCE8 e CCE12 - Carichi accidentali	-60.27	7'041.56	1.35	1	-4.9037	-2.1951	-13.8293	99.9319
					-5.3173	-1.7981	-268.4271	272.9050

				TENS. TANGENZIALI (N/mm2)		
	SOLLECITAZIONI			Taglio	Torcente	Torcente
	T(kN)	Mt(kN*m)	Coeff.	(pareti)	(fondo)	(pareti)
CCE1 - Peso acciaio	-156.73	0.00	1.35	-5.467	0.000	0.000
CCE2 - Peso soletta in cls	-519.76	0.00	1.35	-18.131	0.000	0.000
CCE3 e CCE4 - Carichi permanenti	-273.54	0.00	1.50	-10.602	0.000	0.000
Precompressione	0.00	0.00	1.00	0.000	0.000	0.000
Cedimento appoggi	0.00	0.00	1.00	0.000	0.000	0.000
Ritiro	0.00	0.00	1.00	0.000	0.000	0.000
Temperatura	0.00	0.00	1.00	0.000	0.000	0.000
CCE8 e CCE12 - Carichi accidentali	-955.63	-88.63	1.35	-33.336	-1.604	-0.323
CCE13 - Vento	0.00	0.00	1.00	0.000	0.000	0.000
				-67.54	-1.60	-0.32

TENSIONI IDEALI (N/mm2)			
Fibra cls,s	Fibra cls,i	Fibra acc,s	Fibra acc,i
		-293.03	297.14

FIGURA 56: VERIFICA IN CONDIZIONI STATICHE DEL CONCIO C3

La tensione di trazione massima sulla flangia inferiore è pari a 297.14 MPa.
Per tale elemento σ_d = 338 Mpa (spessore flangia ≤ 40 mm), la verifica risulta quindi soddisfatta.

Si pone l'attenzione sul fatto che il contributo dell'azione del vento è stato trascurato. Tale azione contribuisce infatti in maniera minima all'interno del calcolo delle tensioni nell'acciaio.

Verifiche integrative sono riportate al **Paragrafo 13**.

Impalcato B

Lo schema strutturale adottato per l'analisi dell'impalcato in esame è quello di trave in semplice appoggio. Tale schema porta la massimizzazione delle sollecitazioni in corrispondenza della mezzeria dell'impalcato.
Per queste ragioni i conci C1, laterale e centrale, sono stati verificati nella loro sezione di mezzeria, mentre i conci C2 e C3 sono stati verificati nella sezione di estremità che si trova in direzione della mezzeria dell'impalcato. Si riportano di seguito gli estratti dai fogli Excel utilizzati per la verifica. Per ciascun concio si riporta unicamente la verifica in condizioni peggiori; le condizioni meno gravose risultano di conseguenza verificate anch'esse.
Per le stesse ragioni si riporta la verifica della trave più sollecitata tra le quattro dell'impalcato.

concio c1 centrale 299_imp sx

	SOLLECITAZIONI			TENSIONI NORMALI (N/mm2)				
	N(kN)	M(kN*m)	Coeff.	Sez. tipo	Fibra cls,s	Fibra cls,i	Fibra acc,s	Fibra acc,i
CCE1 - Peso acciaio	-3.12	2'198.67	1.35	5			-46.7723	31.1803
CCE2 - Peso soletta in cls	-10.02	6'981.07	1.35	5			-148.5096	99.0002
CCE3 e CCE4 - Carichi permanenti	-58.58	4'242.77	1.35	3	-1.8425	-1.3156	-29.3382	48.9933
Precompressione			1.00	-				
Cedimento appoggi			1.00	-				
Rit.-eff. primari (cls soletta)	3'735	-	1.20	soletta	3.6370	3.6370		
Rit.-eff. secondari isostatici (sez. mista)	-3'735	3'442	1.20	2	-2.5200	-2.1421	-48.1328	14.1151
Rit.-eff. Secondari iperstatici (sez. mista)			1.20	2	0.0000	0.0000	0.0000	0.0000
Temp-effetti primari (soletta)	-2'161	-	0.00	soletta	0.0000	0.0000		
Temp-effetti secondari isostatici (sez. mista)	2'161	-1'140	0.00	1	0.0000	0.0000	0.0000	0.0000
Temp-effetti secondari iperstatici (sez. mista)			0.00	1	0.0000	0.0000	0.0000	0.0000
CCE8 e CCE12 - Carichi accidentali	41.70	8'601.54	1.35	1	-5.7489	-3.0713	-19.3495	93.1095
					-6.4745	-2.8920	-292.1024	286.3983

	SOLLECITAZIONI			TENS. TANGENZIALI (N/mm2)		
	T(kN)	Mt(kN*m)	Coeff.	Taglio (pareti)	Torcente (fondo)	Torcente (pareti)
CCE1 - Peso acciaio	0.00	0.00	1.35	0.000	0.000	0.000
CCE2 - Peso soletta in cls	0.00	0.00	1.35	0.000	0.000	0.000
CCE3 e CCE4 - Carichi permanenti	0.00	0.00	1.50	0.000	0.000	0.000
Precompressione	0.00	0.00	1.00	0.000	0.000	0.000
Cedimento appoggi	0.00	0.00	1.00	0.000	0.000	0.000
Ritiro	0.00	0.00	1.00	0.000	0.000	0.000
Temperatura	0.00	0.00	1.00	0.000	0.000	0.000
CCE8 e CCE12 - Carichi accidentali	469.07	38.45	1.35	16.534	0.697	0.140
CCE13 - Vento	0.00	0.00	1.00	0.000	0.000	0.000
				16.53	0.70	0.14

TENSIONI IDEALI (N/mm2)			
Fibra cls,s	Fibra cls,i	Fibra acc,s	Fibra acc,i
		-293.53	287.85

FIGURA 57: VERIFICA IN CONDIZIONI STATICHE DEL CONCIO C1

La tensione di trazione massima sulla flangia inferiore è pari a 287.85 MPa.
Per tale elemento σ_d = 319 Mpa (spessore flangia > 40 mm), la verifica risulta quindi soddisfatta.

concio c2 centrale 18_imp sx

	SOLLECITAZIONI			TENSIONI NORMALI (N/mm2)				
	N(kN)	M(kN*m)	Coeff.	Sez. tipo	Fibra cls,s	Fibra cls,i	Fibra acc,s	Fibra acc,i
CCE1 - Peso acciaio	-3.12	1'992.79	1.35	5			-47.0454	31.0630
CCE2 - Peso soletta in cls	-10.02	6'368.05	1.35	5			-150.3365	99.2626
CCE3 e CCE4 - Carichi permanenti	-54.03	3'855.15	1.35	3	-1.7489	-1.2402	-27.6558	47.9707
Precompressione			1.00	-				
Cedimento appoggi			1.00	-				
Rit.-eff. primari (cls soletta)	3'763	-	1.20	soletta	3.6682	3.6682		
Rit.-eff. secondari isostatici (sez. mista)	-3'763	3'383	1.20	2	-2.6342	-2.2374	-49.8930	15.5818
Rit.-eff. Secondari iperstatici (sez. mista)			1.20	2	0.0000	0.0000	0.0000	0.0000
Temp-effetti primari (soletta)	-2'161	-	0.00	soletta	0.0000	0.0000		
Temp-effetti secondari isostatici (sez. mista)	2'161	-1'091	0.00	1	0.0000	0.0000	0.0000	0.0000
Temp-effetti secondari iperstatici (sez. mista)			0.00	1	0.0000	0.0000	0.0000	0.0000
CCE8 e CCE12 - Carichi accidentali	42.33	8'022.20	1.35	1	-5.5025	-2.8449	-17.9230	93.6963
					-6.2174	-2.6543	-292.8537	287.5745

	SOLLECITAZIONI			TENS. TANGENZIALI (N/mm2)		
	T(kN)	Mt(kN*m)	Coeff.	Taglio (pareti)	Torcente (fondo)	Torcente (pareti)
CCE1 - Peso acciaio	64.90	0.00	1.35	2.276	0.000	0.000
CCE2 - Peso soletta in cls	198.64	0.00	1.35	6.965	0.000	0.000
CCE3 e CCE4 - Carichi permanenti	116.09	0.00	1.50	4.523	0.000	0.000
Precompressione	0.00	0.00	1.00	0.000	0.000	0.000
Cedimento appoggi	0.00	0.00	1.00	0.000	0.000	0.000
Ritiro	0.00	0.00	1.00	0.000	0.000	0.000
Temperatura	0.00	0.00	1.00	0.000	0.000	0.000
CCE8 e CCE12 - Carichi accidentali	564.63	-49.08	1.35	19.799	-0.889	-0.179
CCE13 - Vento	0.00	0.00	1.00	0.000	0.000	0.000
				33.56	-0.89	-0.18

TENSIONI IDEALI (N/mm2)			
Fibra cls,s	Fibra cls,i	Fibra acc,s	Fibra acc,i
		-298.51	293.33

FIGURA 58: VERIFICA IN CONDIZIONI STATICHE DEL CONCIO C2

La tensione di trazione massima sulla flangia inferiore è pari a 293.33 MPa.
Per tale elemento σ_d = 319 Mpa (spessore flangia > 40 mm), la verifica risulta quindi soddisfatta.

concio c3 centrale 211_imp sx								
				TENSIONI NORMALI (N/mm2)				
	SOLLECITAZIONI			Sez. tipo	Fibra cls,s	Fibra cls,i	Fibra acc,s	Fibra acc,i
	N(kN)	M(kN*m)	Coeff.					
CCE1 - Peso acciaio	-3.12	1'147.91	1.35	5			-42.8169	29.1026
CCE2 - Peso soletta in cls	-10.05	3'785.32	1.35	5			-141.1876	95.9724
CCE3 e CCE4 - Carichi permanenti	-33.50	2'243.99	1.35	3	-1.2085	-0.8101	-18.0652	41.1577
Precompressione			1.00	-				
Cedimento appoggi			1.00	-				
Rit.-eff. primari (cls soletta)	3'735	-	1.20	soletta	3.6370	3.6370		
Rit.-eff. secondari isostatici (sez. mista)	-3'735	2'930	1.20	2	-2.9415	-2.4817	-55.7629	24.6948
Rit.-eff. Secondari iperstatici (sez. mista)			1.20	2	0.0000	0.0000	0.0000	0.0000
Temp-effetti primari (soletta)	-2'161	-	0.00	soletta	0.0000	0.0000		
Temp-effetti secondari isostatici (sez. mista)	2'161	-864	0.00	1	0.0000	0.0000	0.0000	0.0000
Temp-effetti secondari iperstatici (sez. mista)			0.00	1	0.0000	0.0000	0.0000	0.0000
CCE8 e CCE12 - Carichi accidentali	31.10	5'280.10	1.35	1	-4.1342	-1.7329	-10.9173	89.9349
					-4.6471	-1.3877	-268.7501	280.8624

				TENS. TANGENZIALI (N/mm2)		
	SOLLECITAZIONI			Taglio	Torcente	Torcente
	T(kN)	Mt(kN*m)	Coeff.	(pareti)	(fondo)	(pareti)
CCE1 - Peso acciaio	-145.83	0.00	1.35	-5.061	0.000	0.000
CCE2 - Peso soletta in cls	-450.04	0.00	1.35	-15.618	0.000	0.000
CCE3 e CCE4 - Carichi permanenti	-268.71	0.00	1.50	-10.362	0.000	0.000
Precompressione	0.00	0.00	1.00	0.000	0.000	0.000
Cedimento appoggi	0.00	0.00	1.00	0.000	0.000	0.000
Ritiro	0.00	0.00	1.00	0.000	0.000	0.000
Temperatura	0.00	0.00	1.00	0.000	0.000	0.000
CCE8 e CCE12 - Carichi accidentali	-738.37	64.56	1.35	-25.625	1.167	0.235
CCE13 - Vento	0.00	0.00	1.00	0.000	0.000	0.000
				-56.67	1.17	0.23

TENSIONI IDEALI (N/mm2)			
Fibra cls,s	Fibra cls,i	Fibra acc,s	Fibra acc,i
		-285.97	297.38

FIGURA 59: VERIFICA IN CONDIZIONI STATICHE DEL CONCIO C3

La tensione di trazione massima sulla flangia inferiore è pari a 297.38 MPa.
Per tale elemento σ_d = 338 Mpa (spessore flangia ≤ 40 mm), la verifica risulta quindi soddisfatta.

Si pone l'attenzione sul fatto che il contributo dell'azione del vento è stato trascurato. Tale azione contribuisce infatti in maniera minima all'interno del calcolo delle tensioni sulle travi principali in acciaio.

Verifiche integrative sono riportate al **Paragrafo 13**.

11.3.2 VERIFICA A FLESSIONE E TAGLIO IN CONDIZIONE SISMICA

Vengono verificate le stesse sezioni cui si è fatto riferimento nella verifica statica.
I coefficienti utilizzati, in riferimento a quanto detto al Paragrafo 9.1 sono i seguenti:

CASO DI CARICO	COEFFICIENTE
Peso proprio acciaio	1.00
Peso proprio soletta in c.a.	1.00
Permanenti portati (strutturali)	1.00
Ritiro	1.00
Effetti della temperatura	0.5
Sisma	1.00

Come nella verifica precedente gli effetti del ritiro e della temperatura vengono studiati in verifiche separate.
La verifica è stata eseguita separatamente per lo spettro orizzontale e per lo spettro verticale.
Dal momento che le sollecitazioni dovute all'applicazione dello spettro verticale sono di entità minore e inducono, di conseguenza, tensioni minori, sono di seguito riportati i risultati relativi allo spettro orizzontale.
Per eseguire il calcolo sono stati utilizzati i medesimi fogli di calcolo adottati per le verifiche in condizioni statiche, inserendo gli opportuni coefficienti.

	Sismica orizzontale				
	σ sup [MPa]	σ inf [MPa]		f yk [MPa]	
C1 – impalcato A	-209.15	140.89	<	319.00	ok
C1 – impalcato B	-207.54	146.26	<	319.00	ok
C2 – impalcato A	-200.05	144.94	<	319.00	ok
C2 – impalcato B	-212.24	151.65	<	319.00	ok
C3 – impalcato A	-218.91	167.04	<	338.00	ok
C3 – impalcato B	-208.68	161.92	<	338.00	ok

11.3.3 VERIFICA DEGLI IRRIGIDIMENTI

Impalcato A

La verifica all'imbozzamento d'anima e la verifica degli irrigidimenti trasversali sono state condotte secondo la normativa UNI ENV 1993-1-5.

L'anima si considera suddivisa in campi rettangolari, ogni campo ha lunghezza *a* ed altezza *h*. Con la dicitura a si intende l'interasse degli irrigidimenti trasversali dell'anima e con la dicitura h si intende la distanza netta tra i correnti o irrigidimenti longitudinali contigui, qualora presenti.

Occorre verificare che in nessun punto vengano superate le tensioni limite relative all'acciaio e che le inerzie degli irrigidimenti risultino sempre superiori alle rispettive inerzie minime.

Sono state verificate separatamente le travi laterali e la trave centrale.

Per ciascuna tipologia di trave sono state verificate la sezione di appoggio e la sezione di mezzeria di campata. Si riportano in seguito le verifiche eseguite.

Si sottolinea che il riquadro relativo alla verifica per interazione di M e V si riporta esclusivamente nei casi in cui le verifiche precedenti lo indichino come "obbligatorio". Si omette nei restanti casi.

Le verifiche risultano soddisfatte.

VERIFICA AD INSTABILITA' PER INTERAZIONE M-V
ENV 1993-1-5:2001

tipo di irrigidimento:

1	appoggio: irrigidimento verticale soltanto sull'appoggio
2	appoggio: irrigidimento verticale sull'appoggio e lungo la trave
3	appoggio: irrigidimento verticale sull'appoggio e lungo la trave, presenza di irrigidimenti longitudinali
4	lontano dall'appoggio: irrigidimenti verticali e irrigidimenti longitudinali

rigidezza d'estremità:

1	alto
2	normale

Sollecitazione di taglio	V_{Sd}	3'214'800	**N**	
Sollecitazione di flessione	M_{Sd}	775'300'000	**Nmm**	
scegli tipo di irrigidimento		2		
scegli rigidezza estremità		2		
spessore ala superiore	$h_{sup,1}$	25	mm	
larghezza ala superiore	$b_{sup,1}$	500	mm	
spessore ala superiore integrativa	$h_{sup,3}$	0	mm	
larghezza ala superiore integrativa	$b_{sup,3}$	0	mm	
spessore anima	t_w	20	mm	
altezza anima	h_w	1935	mm	Mettere altezza tra irrigidim. longitud. se presenti
spessore ala inferiore integrativa	$h_{inf,4}$	0	mm	
larghezza ala inferiore integrativa	$b_{inf,4}$	0	mm	
spessore ala inferiore	$h_{inf,2}$	40	mm	
larghezza ala inferiore	$b_{inf,2}$	800	mm	
distanza tra irrigidimenti verticali	a	5000	mm	
resistenza a snervamento dell'acciaio	f_{yk}	355	MPa	
coefficiente parziale di sicurezza	γ_{m0}	1.05	-	
coefficiente parziale di sicurezza	γ_{m1}	1.1	-	
	$\gamma_{m1} / \gamma_{m0}$	1.048	-	
coefficiente η	η	1.257	-	
	ε	0.81	-	
resistenza di calcolo dell'acciaio	f_{yd1}	323	MPa	
rapporto di forma	a / h_w	2.58	> 1	
rapporto di snellezza	h_w / t_w	96.75	-	
FATTIBILITA' DEL CALCOLO DI INSTABILITA'				
estensione di anima reagente	$15\,\varepsilon\,t_w$	244	mm	
inerzia anima non irrigidita	I_{sl}	**1032**	mm4	
	$k_{\tau stlim}$	0.09	-	ENV 1993-1-5 [A.8]
	$k_{\tau st}$	0.00	-	ENV 1993-1-5 [A.8]
	k_τ	4.80	-	se $a / h_w < 1$ ENV 1993-1-5 [A.6]
	k_τ	10.31	-	se $a / h_w >= 1$ ENV 1993-1-5 [A.7]
valore adottato	k_τ	**10.31**	-	
limite snellezza anima non irrigidita	$72\,\varepsilon / \eta$	46.60	**è necessario calcolo di instabilità**	ENV 1993-1-5 4.3.1
limite snellezza anima irrigidita	$31\,\varepsilon\,(k_\tau)^{0.5} / \eta$	64.41	**è necessario calcolo di instabilità**	ENV 1993-1-5 4.3.1
SCELTA DELLA FORMA DELL'IRRIGIDIMENTO INTERMEDIO				
	a / h_w	>	$2^{0.5}$	
inerzia minima	$I_{sl,min}$	11610000	mm4	ENV 1993-1-5 [4.30] [4.31]
inerzia anima irrigidita verticalmente	I_{sl}	**417456070.9**	mm4	allegare forma della sezione irrigidente
inerzia minima soddisfatta, rapporto:		36.0	-	
inerzia anima irrigidita ridotta a 1/3	$I_{sl,red}$	**139152024**	mm4	ENV 1993-1-5 [4.30] [4.3.3]
	$k_{\tau stlim}$	4.37	-	ENV 1993-1-5 [A.8]
	$k_{\tau st}$	4.37	-	ENV 1993-1-5 [A.8]
	k_τ	9.17	-	se $a / h_w < 1$ ENV 1993-1-5 [A.6]
	k_τ	10.31	-	se $a / h_w >= 1$ ENV 1993-1-5 [A.7]
valore adottato	k_τ	**10.31**	-	
RESISTENZA DI PROGETTO A TAGLIO PER INSTABILITA'				
tipo 1	λ_w	1.376	-	
irrigidimento tipo 2 - tipo 3	λ_w	0.990	-	
tipo 4	λ_w	0.944	-	
valore adottato	λ_w	**0.990**	-	
momento plastico della sezione	M_{Rd}	19'547'990'476	Nmm	
momento plastico delle flange	$M_{f,Rd}$	11'611'458'333	Nmm	pari a 59% M_{Rd}
	M_{Sd}	**<**	$M_{f,Rd}$	FATT.SFRUT. 7% M_{Sd}
altezza equiv. dell'ala di superf. minima	$h_{f,eq}$	25	mm	
base equiv. dell'ala di superf. minima	$b_{f,eq}$	500	mm	
fattore c	c	1283	mm	ENV 1993-1-5 [4.28]
contributo delle flange valore calcolato	χ_f	0.011	-	ENV 1993-1-5 [4.27] $\chi_f = \frac{b_f t_f^2 f_{yf}\sqrt{3}}{c t h_w f_{yw}}\left[1-\left(\frac{M_{Sd}}{M_{f,Rd}}\right)^2\right]$
contributo delle flange **valore adottato**	χ_f	**0.011**	-	
contributo dell'anima	χ_w	0.838	-	ENV 1993-1-5 prospetto [4.3]
	χ_u	**0.849**	-	
resistenza di progetto per instabilità	$V_{b,Rd}$	**6'121'043**	**N**	$V_{b,Rd}=\chi_u f_{yd1} b_w t_w / (3)^{0.5}$
RESISTENZA PLASTICA A TAGLIO DI PROGETTO				
resistenza di calcolo dell'acciaio	f_{yd0}	338	MPa	
resistenza di progetto per instabilità	$V_{pl,w,Rd}$	**9'496'729**	**N**	$V_{pl,w,Rd}=\eta f_{yd0} b_w t_w / (3)^{0.5}$
RESISTENZA DI PROGETTO A TAGLIO				
resistenza per instabilità	$V_{b,Rd}$	6'121'043	N	
resistenza plastica	$V_{pl,w,Rd}$	9'496'729	N	
$V_{Rd} = \min(V_{b,Rd}, V_{pl,w,Rd})$		**6'121'043**	**N**	

	V_{Sd}	<	V_{Rd}	FATT.SICUR.	1.90
		VERIFICA SODDISFATTA		FATT. SFRUT.	0.53
verifica di resistenza a taglio	**η_3**	**0.53**	<	**1**	ENV 1993-1-5 [2.3]
	V_{Sd}	>0.5	V_{Rd}	**E' OBBLIGATORIO [M-V]**	

VERIFICA DI RESISTENZA PER INTERAZIONE M-V				
	$M_{f,Rd}$	11 611 458 333	Nmm	
	$M_{pl,Rd}$	19 547 990 476	Nmm	
	$M_{f,Rd} / M_{pl,Rd}$	0.59	-	
1° contributo interazione M-V		0.04		
2° contributo interazione M-V		0.00		ENV 1993-1-5 [2.4]
1° contributo + 2° contributo		**0.04**	< **1**	ENV 1993-1-5 [2.4]
VERIFICA SODDISFATTA				

FIGURA 60: VERIFICA TRAVE CENTRALE - SEZIONE DI APPOGGIO

VERIFICA AD INSTABILITA' PER INTERAZIONE M-V
ENV 1993-1-5:2001

tipo di irrigidimento:	
1	appoggio: irrigidimento verticale soltanto sull'appoggio
2	appoggio: irrigidimento verticale sull'appoggio e lungo la trave
3	appoggio: irrigidimento verticale sull'appoggio e lungo la trave, presenza di irrigidimenti longitudinali
4	lontano dall'appoggio: irrigidimenti verticali e irrigidimenti longitudinali

rigidezza d'estremità:	
1	alto
2	normale

Sollecitazione di taglio	**V_{Sd}**	628'400	**N**	
Sollecitazione di flessione	**M_{Sd}**	30'920'000'000	**Nmm**	
scegli tipo di irrigidimento		2		
scegli rigidezza estremità		2		
spessore ala superiore	$h_{sup,1}$	40	mm	
larghezza ala superiore	$b_{sup,1}$	700	mm	
spessore ala superiore integrativa	$h_{sup,3}$	0	mm	
larghezza ala superiore integrativa	$b_{sup,3}$	0	mm	
spessore anima	t_w	20	mm	
altezza anima	h_w	1900	mm	Mettere altezza tra irrigidim. longitud. se presenti
spessore ala inferiore integrativa	$h_{inf,4}$	0	mm	
larghezza ala inferiore integrativa	$b_{inf,4}$	0	mm	
spessore ala inferiore	$h_{inf,2}$	60	mm	
larghezza ala inferiore	$b_{inf,2}$	950	mm	
distanza tra irrigidimenti verticali	a	5000	mm	
resistenza a snervamento dell'acciaio	f_{yk}	355	MPa	
coefficiente parziale di sicurezza	γ_{m0}	1.05	-	
coefficiente parziale di sicurezza	γ_{m1}	1.1	-	
	$\gamma_{m1} / \gamma_{m0}$	1.048	-	
coefficiente η	η	1.257	-	
	ε	0.81	-	
resistenza di calcolo dell'acciaio	f_{yd1}	323	MPa	
rapporto di forma	a / h_w	2.63	> 1	
rapporto di snellezza	h_w / t_w	95.00	-	
FATTIBILITA' DEL CALCOLO DI INSTABILITA'				
estensione di anima reagente	$15\ \varepsilon\ t_w$	244	mm	
inerzia anima non irrigidita	**I_{sl}**	**1032**	mm4	
	$k_{\tau stlim}$	0.09	-	ENV 1993-1-5 [A.8]
	$k_{\tau st}$	0.00	-	ENV 1993-1-5 [A.8]
	k_τ	4.77	-	se $a / h_w < 1$ ENV 1993-1-5 [A.6]
	k_τ	10.31	-	se $a / h_w >= 1$ ENV 1993-1-5 [A.7]
valore adottato	**k_τ**	**10.31**	-	
limite snellezza anima non irrigidita	$72\ \varepsilon / \eta$	46.60	**è necessario calcolo di instabilità**	ENV 1993-1-5 4.3.1
limite snellezza anima irrigidita	$31\ \varepsilon\ (k_\tau)^{0.5} / \eta$	64.42	**è necessario calcolo di instabilità**	ENV 1993-1-5 4.3.1
SCELTA DELLA FORMA DELL'IRRIGIDIMENTO INTERMEDIO				
	a / h_w	>	2^0.5	
inerzia minima	**$I_{sl,min}$**	11400000	mm4	ENV 1993-1-5 [4.30] [4.31]
inerzia anima irrigidita verticalmente	**I_{sl}**	**417456070.9**	mm4	allegare forma della sezione irrigidente
inerzia minima soddisfatta, rapporto:		36.6	-	
inerzia anima irrigidita ridotta a 1/3	**$I_{sl,red}$**	**139152024**	mm4	ENV 1993-1-5 [4.30] [4.3.3]
	$k_{\tau stlim}$	4.39	-	ENV 1993-1-5 [A.8]
	$k_{\tau st}$	4.39	-	ENV 1993-1-5 [A.8]
	k_τ	9.16	-	se $a / h_w < 1$ ENV 1993-1-5 [A.6]
	k_τ	10.31	-	se $a / h_w >= 1$ ENV 1993-1-5 [A.7]
valore adottato	**k_τ**	**10.31**	-	
RESISTENZA DI PROGETTO A TAGLIO PER INSTABILITA'				
irrigidimento tipo 1	λ_w	1.351	-	
irrigidimento tipo 2 - tipo 3	λ_w	0.972	-	
irrigidimento tipo 4	λ_w	0.927	-	
valore adottato	**λ_w**	**0.972**	-	
momento plastico della sezione	M_{Rd}	19'547'990'476	Nmm	
momento plastico delle flange	$M_{f,Rd}$	11'611'458'333	Nmm	pari a 59% M_{Rd}
	M_{Sd}	**>**	$M_{f,Rd}$	FATT.SFRUT. 266% M_{Sd}
altezza equiv. dell'ala di superf. minima	$h_{f,eq}$	25	mm	
base equiv. dell'ala di superf. minima	$b_{f,eq}$	500	mm	
fattore c	c	1285	mm	ENV 1993-1-5 [4.28]
contributo delle flange valore calcolato	χ_f	-0.068	-	ENV 1993-1-5 [4.27] $\chi_f = \frac{b_f t_f^2 f_{yf}\sqrt{3}}{c t h_w f_{yw}}\left[1-\left(\frac{M_{Sd}}{M_{f,Rd}}\right)^2\right]$
contributo delle flange **valore adottato**	**χ_f**	**0.000**	-	
contributo dell'anima	χ_w	0.854	-	ENV 1993-1-5 prospetto [4.3]
	χ_u	**0.854**	-	
resistenza di progetto per instabilità	**$V_{b,Rd}$**	**6'044'326**	**N**	**$V_{b,Rd}=\chi_u f_{yd1} b_w t_w / (3)^{0.5}$**
RESISTENZA PLASTICA A TAGLIO DI PROGETTO				
resistenza di calcolo dell'acciaio	f_{yd0}	338	MPa	
resistenza di progetto per instabilità	**$V_{pl,w,Rd}$**	**9'324'953**	**N**	**$V_{pl,w,Rd}=\eta f_{yd0} b_w t_w / (3)^{0.5}$**
RESISTENZA DI PROGETTO A TAGLIO				
resistenza per instabilità	$V_{b,Rd}$	6'044'326	N	
resistenza plastica	$V_{pl,w,Rd}$	9'324'953	N	
V_{Rd} = min ($V_{b,Rd}$, $V_{pl,w,Rd}$)		**6'044'326**	**N**	

	V_{Sd}	**<**	**V_{Rd}**	FATT.SICUR.	9.62
		VERIFICA SODDISFATTA		FATT. SFRUT.	0.10
verifica di resistenza a taglio	**$\eta 3$**	**0.10**	**<**	**1**	ENV 1993-1-5 [2.3]
	V_{Sd}	**<0.5**	**V_{Rd}**	**NON E' OBBLIGATORIO [M-V]**	

FIGURA 61: VERIFICA TRAVE CENTRALE - SEZIONE DI MEZZERIA

VERIFICA AD INSTABILITA' PER INTERAZIONE M-V
ENV 1993-1-5:2001

tipo di irrigidimento:

1	appoggio: irrigidimento verticale soltanto sull'appoggio
2	appoggio: irrigidimento verticale sull'appoggio e lungo la trave
3	appoggio: irrigidimento verticale sull'appoggio e lungo la trave, presenza di irrigidimenti longitudinali
4	lontano dall'appoggio: irrigidimenti verticali e irrigidimenti longitudinali

rigidezza d'estremità:

1	alto
2	normale

Sollecitazione di taglio	V_{Sd}	3'583'400	**N**	
Sollecitazione di flessione	M_{Sd}	861'000'000	**Nmm**	
scegli tipo di irrigidimento		2		
scegli rigidezza estremità		2		
spessore ala superiore	$h_{sup,1}$	20	mm	
larghezza ala superiore	$b_{sup,1}$	500	mm	
spessore ala superiore integrativa	$h_{sup,3}$	0	mm	
larghezza ala superiore integrativa	$b_{sup,3}$	0	mm	
spessore anima	t_w	20	mm	
altezza anima	h_w	1940	mm	Mettere altezza tra irrigidim. longitud. se presenti
spessore ala inferiore integrativa	$h_{inf,4}$	0	mm	
larghezza ala inferiore integrativa	$b_{inf,4}$	0	mm	
spessore ala inferiore	$h_{inf,2}$	35	mm	
larghezza ala inferiore	$b_{inf,2}$	700	mm	
distanza tra irrigidimenti verticali	a	5000	mm	
resistenza a snervamento dell'acciaio	f_{yk}	355	MPa	
coefficiente parziale di sicurezza	γ_{m0}	1.05	-	
coefficiente parziale di sicurezza	γ_{m1}	1.1	-	
	$\gamma_{m1} / \gamma_{m0}$	1.048	-	
coefficiente η	η	1.257	-	
	ε	0.81	-	
resistenza di calcolo dell'acciaio	f_{yd1}	323	MPa	
rapporto di forma	a / h_w	2.58	> 1	
rapporto di snellezza	h_w / t_w	97.00	-	
FATTIBILITA' DEL CALCOLO DI INSTABILITA'				
estensione di anima reagente	$15\ \varepsilon\ t_w$	244	mm	
inerzia anima non irrigidita	I_{sl}	**1032**	mm4	
	$k_{\tau stlim}$	0.09	-	ENV 1993-1-5 [A.8]
	$k_{\tau st}$	0.00	-	ENV 1993-1-5 [A.8]
	k_τ	4.80	-	se $a / h_w < 1$ ENV 1993-1-5 [A.6]
	k_τ	10.23	-	se $a / h_w >= 1$ ENV 1993-1-5 [A.7]
valore adottato	k_τ	**10.23**	-	
limite snellezza anima non irrigidita	$72\ \varepsilon / \eta$	46.60	**è necessario calcolo di instabilità**	ENV 1993-1-5 4.3.1
limite snellezza anima irrigidita	$31\ \varepsilon\ (k_\tau)^{0.5} / \eta$	64.15	**è necessario calcolo di instabilità**	ENV 1993-1-5 4.3.1
SCELTA DELLA FORMA DELL'IRRIGIDIMENTO INTERMEDIO				
	a / h_w	>	2^0.5	
inerzia minima	$I_{sl,min}$	11640000	mm4	ENV 1993-1-5 [4.30] [4.31]
inerzia anima irrigidita verticalmente	I_{sl}	**394962487.7**	mm4	allegare forma della sezione irrigidente
inerzia minima soddisfatta, rapporto:		33.9	-	
inerzia anima irrigidita ridotta a 1/3	$I_{sl,red}$	**131654163**	mm4	ENV 1993-1-5 [4.30] [4.3.3]
	$k_{\tau stlim}$	4.28	-	ENV 1993-1-5 [A.8]
	$k_{\tau st}$	4.28	-	ENV 1993-1-5 [A.8]
	k_τ	9.09	-	se $a / h_w < 1$ ENV 1993-1-5 [A.6]
	k_τ	10.23	-	se $a / h_w >= 1$ ENV 1993-1-5 [A.7]
valore adottato	k_τ	**10.23**	-	
RESISTENZA DI PROGETTO A TAGLIO PER INSTABILITA'				
tipo 1	λ_w	1.380	-	
irrigidimento tipo 2 - tipo 3	λ_w	0.997	-	
tipo 4	λ_w	0.951	-	
valore adottato	λ_w	**0.997**	-	
momento plastico della sezione	M_{Rd}	16'966'844'643	Nmm	
momento plastico delle flange	$M_{f,Rd}$	9'716'011'905	Nmm	pari a 57% M_{Rd}
	M_{Sd}	<	$M_{f,Rd}$	FATT.SFRUT. 9% M_{Sd}
altezza equiv. dell'ala di superf. minima	$h_{f,eq}$	20	mm	
base equiv. dell'ala di superf. minima	$b_{f,eq}$	500	mm	
fattore c	c	1271	mm	ENV 1993-1-5 [4.28]
contributo delle flange valore calcolato	χ_f	0.007	-	ENV 1993-1-5 [4.27] $\chi_f = \frac{b_f t_f^2 f_{yf}\sqrt{3}}{c t h_w f_{yw}}\left[1-\left(\frac{M_{Sd}}{M_{f,Rd}}\right)^2\right]$
contributo delle flange **valore adottato**	χ_f	**0.007**	-	
contributo dell'anima	χ_w	0.833	-	ENV 1993-1-5 prospetto [4.3]
	χ_w	**0.840**	-	
resistenza di progetto per instabilità	$V_{b,Rd}$	**6'069'547**	**N**	$V_{b,Rd}=\chi_w f_{yd1} b_w t_w / (3)^{0.5}$
RESISTENZA PLASTICA A TAGLIO DI PROGETTO				
resistenza di calcolo dell'acciaio	f_{yd0}	338	MPa	
resistenza di progetto per instabilità	$V_{pl,w,Rd}$	**9'521'268**	**N**	$V_{pl,w,Rd}=\eta f_{yd0} b_w t_w / (3)^{0.5}$
RESISTENZA DI PROGETTO A TAGLIO				
resistenza per instabilità	$V_{b,Rd}$	6'069'547	N	
resistenza plastica	$V_{pl,w,Rd}$	9'521'268	N	
V_{Rd} = min ($V_{b,Rd}$, $V_{pl,w,Rd}$)		**6'069'547**	**N**	

	V_{Sd}	<	V_{Rd}	FATT.SICUR.	1.69
		VERIFICA SODDISFATTA		FATT. SFRUT.	0.59
verifica di resistenza a taglio	**$\eta 3$**	**0.59**	< **1**	ENV 1993-1-5 [2.3]	
	V_{Sd}	>0.5	V_{Rd}	**E' OBBLIGATORIO [M-V]**	

VERIFICA DI RESISTENZA PER INTERAZIONE M-V				
	$M_{f,Rd}$	9 716 011 905	Nmm	
	$M_{pl,Rd}$	16 966 844 643	Nmm	
	$M_{f,Rd} / M_{pl,Rd}$	0.57	-	
1° contributo interazione M-V		0.05		
2° contributo interazione M-V		0.01		ENV 1993-1-5 [2.4]
1° contributo + 2° contributo		**0.06**	< **1**	ENV 1993-1-5 [2.4]
VERIFICA SODDISFATTA				

FIGURA 62: VERIFICA TRAVE LATERALE - SEZIONE DI APPOGGIO

VERIFICA AD INSTABILITA' PER INTERAZIONE M-V
ENV 1993-1-5:2001

tipo di irrigidimento:	
1	appoggio: irrigidimento verticale soltanto sull'appoggio
2	appoggio: irrigidimento verticale sull'appoggio e lungo la trave
3	appoggio: irrigidimento verticale sull'appoggio e lungo la trave, presenza di irrigidimenti longitudinali
4	lontano dall'appoggio: irrigidimenti verticali e irrigidimenti longitudinali

rigidezza d'estremità:	
1	alto
2	normale

Sollecitazione di taglio	**V_{Sd}**	**647'200**	**N**	
Sollecitazione di flessione	**M_{Sd}**	**36'975'800'000**	**Nmm**	
scegli tipo di irrigidimento		2		
scegli rigidezza estremità		2		
spessore ala superiore	$h_{sup,1}$	40	mm	
larghezza ala superiore	$b_{sup,1}$	500	mm	
spessore ala superiore integrativa	$h_{sup,3}$	0	mm	
larghezza ala superiore integrativa	$b_{sup,3}$	0	mm	
spessore anima	t_w	20	mm	
altezza anima	h_w	1900	mm	Mettere altezza tra irrigidim. longitud. se presenti
spessore ala inferiore integrativa	$h_{inf,4}$	0	mm	
larghezza ala inferiore integrativa	$b_{inf,4}$	0	mm	
spessore ala inferiore	$h_{inf,2}$	60	mm	
larghezza ala inferiore	$b_{inf,2}$	950	mm	
distanza tra irrigidimenti verticali	a	5000	mm	
resistenza a snervamento dell'acciaio	f_{yk}	355	MPa	
coefficiente parziale di sicurezza	γ_{m0}	1.05	-	
coefficiente parziale di sicurezza	γ_{m1}	1.1	-	
	$\gamma_{m1} / \gamma_{m0}$	1.048	-	
coefficiente η	η	1.257	-	
	ε	0.81	-	
resistenza di calcolo dell'acciaio	f_{yd1}	323	MPa	
rapporto di forma	a / h_w	2.63	> 1	
rapporto di snellezza	h_w / t_w	95.00	-	
FATTIBILITA' DEL CALCOLO DI INSTABILITA'				
estensione di anima reagente	$15\,\varepsilon\,t_w$	244	mm	
inerzia anima non irrigidita	**I_{sl}**	**1032**	mm4	
	$k_{\tau stlim}$	0.09	-	ENV 1993-1-5 [A.8]
	$k_{\tau st}$	0.00	-	ENV 1993-1-5 [A.8]
	k_τ	4.77	-	se $a / h_w < 1$ ENV 1993-1-5 [A.6]
	k_τ	10.23	-	se $a / h_w >= 1$ ENV 1993-1-5 [A.7]
valore adottato	**k_τ**	**10.23**	-	
limite snellezza anima non irrigidita	$72\,\varepsilon / \eta$	46.60	**è necessario calcolo di instabilità**	ENV 1993-1-5 4.3.1
limite snellezza anima irrigidita	$31\,\varepsilon\,(k_\tau)^{0.5} / \eta$	64.17	**è necessario calcolo di instabilità**	ENV 1993-1-5 4.3.1
SCELTA DELLA FORMA DELL'IRRIGIDIMENTO INTERMEDIO				
	a / h_w	>	2^0.5	
inerzia minima	**$I_{sl,min}$**	11400000	mm4	ENV 1993-1-5 [4.30] [4.31]
inerzia anima irrigidita verticalmente	**I_{sl}**	**394962487.7**	mm4	allegare forma della sezione irrigidente
inerzia minima soddisfatta, rapporto:		34.6	-	
inerzia anima irrigidita ridotta a 1/3	**$I_{sl,red}$**	**131654163**	mm4	ENV 1993-1-5 [4.30] [4.3.3]
	$k_{\tau stlim}$	4.31	-	ENV 1993-1-5 [A.8]
	$k_{\tau st}$	4.31	-	ENV 1993-1-5 [A.8]
	k_τ	9.08	-	se $a / h_w < 1$ ENV 1993-1-5 [A.6]
	k_τ	10.23	-	se $a / h_w >= 1$ ENV 1993-1-5 [A.7]
valore adottato	**k_τ**	**10.23**	-	
RESISTENZA DI PROGETTO A TAGLIO PER INSTABILITA'				
tipo 1	λ_w	1.351	-	
irrigidimento tipo 2 - tipo 3	λ_w	0.976	-	
tipo 4	λ_w	0.931	-	
valore adottato	**λ_w**	**0.976**	-	
momento plastico della sezione	M_{Rd}	16'966'844'643	Nmm	
momento plastico delle flange	$M_{f,Rd}$	9'716'011'905	Nmm	pari a 57% M_{Rd}
	M_{Sd}	**>**	$M_{f,Rd}$	FATT.SFRUT. 381% M_{Sd}
altezza equiv. dell'ala di superf. minima	$h_{f,eq}$	20	mm	
base equiv. dell'ala di superf. minima	$b_{f,eq}$	500	mm	
fattore c	c	1272	mm	ENV 1993-1-5 [4.28]
contributo delle flange valore calcolato	χ_f	-0.097	-	ENV 1993-1-5 [4.27] $\chi_f = \frac{b_f t_f^2 f_{yf}\sqrt{3}}{c t h_w f_{yw}}\left[1-\left(\frac{M_{Sd}}{M_{f,Rd}}\right)^2\right]$
contributo delle flange **valore adottato**	**χ_f**	**0.000**	-	
contributo dell'anima	χ_w	0.850	-	ENV 1993-1-5 prospetto [4.3]
	χ_u	**0.850**	-	
resistenza di progetto per instabilità	**$V_{b,Rd}$**	**6'020'724**	**N**	**$V_{b,Rd}=\chi_u f_{yd1} b_w t_w / (3)^{0.5}$**
RESISTENZA PLASTICA A TAGLIO DI PROGETTO				
resistenza di calcolo dell'acciaio	f_{yd0}	338	MPa	
resistenza di progetto per instabilità	**$V_{pl,w,Rd}$**	**9'324'953**	**N**	**$V_{pl,w,Rd}=\eta f_{yd0} b_w t_w / (3)^{0.5}$**
RESISTENZA DI PROGETTO A TAGLIO				
resistenza per instabilità	$V_{b,Rd}$	6'020'724	N	
resistenza plastica	$V_{pl,w,Rd}$	9'324'953	N	
V_{Rd} = min ($V_{b,Rd}$, $V_{pl,w,Rd}$)		**6'020'724**	**N**	

	V_{Sd}	**<**	**V_{Rd}**	FATT.SICUR.	9.30
		VERIFICA SODDISFATTA		FATT. SFRUT.	0.11
verifica di resistenza a taglio	**$\eta 3$**	**0.11**	**<**	**1**	ENV 1993-1-5 [2.3]
	V_{Sd}	**<0.5**	**V_{Rd}**	**NON E' OBBLIGATORIO [M-V]**	

FIGURA 63: VERIFICA TRAVE LATERALE - SEZIONE DI MEZZERIA

Si riportano qui le verifiche relative alla capacità portante degli irrigidimenti.

- Trave centrale – sezione di appoggio (largh. = 200 mm, sp. = 15 mm)

CAPACITA' PORTANTE IRRIGIDIMENTO TRASVERSALE LONTANO DAGLI APPOGGI
ENV 1993-1-5:2001

sollecitazione di progetto dell'irrigidimento trasversale	$V_{Sd} = V_{crd}$	**3'214'800**	N
altezza dell'anima	h_w	1935	mm
viene adottata la curva c	α	0.49	-
	f_{yk}	355	MPa
coefficiente parziale di sicurezza	γ_{m1}	1.1	-
Area resistente dell'irrigidimento	A	22326	mm2
Momento d'inerzia dell'irrigidimento	Jyg	417456071	mm4
raggio d'inerzia	i	136.7	mm
lunghezza liber d'inflessione	Lcr	1935	mm
	ε	0.81	-
	λ_1	76.4	-
	λ	0.19	-
	Φ	0.51	-
	χ	1.008	-
Resistenza ad instabilità	$N_{b,Rd}$	**7'259'624**	**N**

V_{Sd} < $N_{b,Rd}$ 2.26
VERIFICA SODDISFATTA

FIGURA 64: VERIFICA CAPACITÀ PORTANTE TRAVE CENTRALE SEZ. APPOGGIO

- Trave centrale – sezione di mezzeria (largh. = 200 mm, sp. = 15 mm)

CAPACITA' PORTANTE IRRIGIDIMENTO TRASVERSALE LONTANO DAGLI APPOGGI
ENV 1993-1-5:2001

sollecitazione di progetto dell'irrigidimento trasversale	$V_{Sd} = V_{crd}$	**628'400**	N
altezza dell'anima	h_w	1900	mm
viene adottata la curva c	α	0.49	-
	f_{yk}	355	MPa
coefficiente parziale di sicurezza	γ_{m1}	1.1	-
Area resistente dell'irrigidimento	A	22326	mm2
Momento d'inerzia dell'irrigidimento	Jyg	417456071	mm4
raggio d'inerzia	i	136.7	mm
lunghezza liber d'inflessione	Lcr	1900	mm
	ε	0.81	-
	λ_1	76.4	-
	λ	0.18	-
	Φ	0.51	-
	χ	1.009	-
Resistenza ad instabilità	$N_{b,Rd}$	**7'272'000**	**N**

V_{Sd} < $N_{b,Rd}$ 11.57
VERIFICA SODDISFATTA

FIGURA 65: VERIFICA CAPACITÀ PORTANTE TRAVE CENTRALE SEZ. MEZZERIA

- Trave laterale – sezione di appoggio (largh. = 200 mm, sp. = 15 mm)

CAPACITA' PORTANTE IRRIGIDIMENTO TRASVERSALE LONTANO DAGLI APPOGGI
ENV 1993-1-5:2001

sollecitazione di progetto dell'irrigidimento trasversale	$V_{Sd} = V_{crd}$	**3'583'400**	N
altezza dell'anima	h_w	1940	mm
viene adottata la curva c	α	0.49	-
	f_{yk}	355	MPa
coefficiente parziale di sicurezza	γ_{m1}	1.1	-
Area resistente dell'irrigidimento	A	20826	mm2
Momento d'inerzia dell'irrigidimento	Jyg	394962488	mm4
raggio d'inerzia	i	137.7	mm
lunghezza liber d'inflessione	Lcr	1940	mm
	ε	0.81	-
	λ_1	76.4	-
	λ	0.18	-
	Φ	0.51	-
	χ	1.008	-
Resistenza ad instabilità	$N_{b,Rd}$	**6'774'739**	**N**

V_{Sd} < $N_{b,Rd}$ — 1.89
VERIFICA SODDISFATTA

FIGURA 66: VERIFICA CAPACITÀ PORTANTE TRAVE LATERALE SEZ. APPOGGIO

- Trave laterale – sezione di mezzeria (largh. = 200 mm, sp. = 15 mm)

CAPACITA' PORTANTE IRRIGIDIMENTO TRASVERSALE LONTANO DAGLI APPOGGI
ENV 1993-1-5:2001

sollecitazione di progetto dell'irrigidimento trasversale	$V_{Sd} = V_{crd}$	**647'200**	N
altezza dell'anima	h_w	1900	mm
viene adottata la curva c	α	0.49	-
	f_{yk}	355	MPa
coefficiente parziale di sicurezza	γ_{m1}	1.1	-
Area resistente dell'irrigidimento	A	20826	mm2
Momento d'inerzia dell'irrigidimento	Jyg	394962488	mm4
raggio d'inerzia	i	137.7	mm
lunghezza liber d'inflessione	Lcr	1900	mm
	ε	0.81	-
	λ_1	76.4	-
	λ	0.18	-
	Φ	0.51	-
	χ	1.010	-
Resistenza ad instabilità	$N_{b,Rd}$	**6'787'845**	**N**

V_{Sd} < $N_{b,Rd}$ — 10.49
VERIFICA SODDISFATTA

FIGURA 67: VERIFICA CAPACITÀ PORTANTE TRAVE LATERALE SEZ. MEZZERIA

Impalcato B

La verifica all'imbozzamento d'anima e la verifica degli irrigidimenti trasversali sono state condotte secondo la normativa UNI ENV 1993-1-5.

L'anima si considera suddivisa in campi rettangolari, ogni campo ha lunghezza *a* ed altezza *h*. Con la dicitura a si intende l'interasse degli irrigidimenti trasversali dell'anima e con la dicitura h si intende la distanza netta tra i correnti o irrigidimenti longitudinali contigui, qualora presenti.

Occorre verificare che in nessun punto vengano superate le tensioni limite relative all'acciaio e che le inerzie degli irrigidimenti risultino sempre superiori alle rispettive inerzie minime.

Sono state verificate separatamente le travi laterali e la trave centrale.

Per ciascuna tipologia di trave sono state verificate la sezione di appoggio e la sezione di mezzeria di campata. Si riportano in seguito le verifiche eseguite.

Le verifiche risultano soddisfatte.

VERIFICA AD INSTABILITA' PER INTERAZIONE M-V
ENV 1993-1-5:2001

tipo di irrigidimento:

1	appoggio: irrigidimento verticale soltanto sull'appoggio
2	appoggio: irrigidimento verticale sull'appoggio e lungo la trave
3	appoggio: irrigidimento verticale sull'appoggio e lungo la trave, presenza di irrigidimenti longitudinali
4	lontano dall'appoggio: irrigidimenti verticali e irrigidimenti longitudinali

rigidezza d'estremità:

1	alto
2	normale

Sollecitazione di taglio	V_{Sd}	3'127'190	**N**	
Sollecitazione di flessione	M_{Sd}	748'400'000	**Nmm**	
scegli tipo di irrigidimento		2		
scegli rigidezza estremità		2		
spessore ala superiore	$h_{sup,1}$	20	mm	
larghezza ala superiore	$b_{sup,1}$	500	mm	
spessore ala superiore integrativa	$h_{sup,3}$	0	mm	
larghezza ala superiore integrativa	$b_{sup,3}$	0	mm	
spessore anima	t_w	20	mm	
altezza anima	h_w	1930	mm	Mettere altezza tra irrigidim. longitud. se presenti
spessore ala inferiore integrativa	$h_{inf,4}$	0	mm	
larghezza ala inferiore integrativa	$b_{inf,4}$	0	mm	
spessore ala inferiore	$h_{inf,2}$	35	mm	
larghezza ala inferiore	$b_{inf,2}$	700	mm	
distanza tra irrigidimenti verticali	a	5000	mm	
resistenza a snervamento dell'acciaio	f_{yk}	355	MPa	
coefficiente parziale di sicurezza	γ_{m0}	1.05	-	
coefficiente parziale di sicurezza	γ_{m1}	1.1	-	
	$\gamma_{m1} / \gamma_{m0}$	1.048	-	
coefficiente η	η	1.257	-	
	ε	0.81	-	
resistenza di calcolo dell'acciaio	f_{yd1}	323	MPa	
rapporto di forma	a / h_w	2.59	> 1	
rapporto di snellezza	h_w / t_w	96.50	-	
FATTIBILITA' DEL CALCOLO DI INSTABILITA'				
estensione di anima reagente	$15\,\varepsilon\,t_w$	244	mm	
inerzia anima non irrigidita	I_{sl}	**1032**	mm4	
	$k_{\tau stlim}$	0.09	-	ENV 1993-1-5 [A.8]
	$k_{\tau st}$	0.00	-	ENV 1993-1-5 [A.8]
	k_τ	4.80	-	se $a / h_w < 1$ ENV 1993-1-5 [A.6]
	k_τ	10.31	-	se $a / h_w >= 1$ ENV 1993-1-5 [A.7]
valore adottato	k_τ	**10.31**	-	
limite snellezza anima non irrigidita	$72\,\varepsilon / \eta$	46.60	**è necessario calcolo di instabilità**	ENV 1993-1-5 4.3.1
limite snellezza anima irrigidita	$31\,\varepsilon\,(k_\tau)^{0.5} / \eta$	64.41	**è necessario calcolo di instabilità**	ENV 1993-1-5 4.3.1
SCELTA DELLA FORMA DELL'IRRIGIDIMENTO INTERMEDIO				
	a / h_w	>	$2^{0.5}$	
inerzia minima	$I_{sl,min}$	11580000	mm4	ENV 1993-1-5 [4.30] [4.31]
inerzia anima irrigidita verticalmente	I_{sl}	**417456070.9**	mm4	allegare forma della sezione irrigidente
inerzia minima soddisfatta, rapporto:		36.0	-	
inerzia anima irrigidita ridotta a 1/3	$I_{sl,red}$	**139152024**	mm4	ENV 1993-1-5 [4.30] [4.3.3]
	$k_{\tau stlim}$	4.37	-	ENV 1993-1-5 [A.8]
	$k_{\tau st}$	4.37	-	ENV 1993-1-5 [A.8]
	k_τ	9.17	-	se $a / h_w < 1$ ENV 1993-1-5 [A.6]
	k_τ	10.31	-	se $a / h_w >= 1$ ENV 1993-1-5 [A.7]
valore adottato	k_τ	**10.31**	-	
RESISTENZA DI PROGETTO A TAGLIO PER INSTABILITA'				
tipo 1	λ_w	1.373	-	
irrigidimento tipo 2 - tipo 3	λ_w	0.988	-	
tipo 4	λ_w	0.942	-	
valore adottato	λ_w	**0.988**	-	
momento plastico della sezione	M_{Rd}	16'843'101'786	Nmm	
momento plastico delle flange	$M_{f,Rd}$	9'657'690'476	Nmm	pari a 57% M_{Rd}
	M_{Sd}	**<**	$M_{f,Rd}$	FATT.SFRUT. 8% M_{Sd}
altezza equiv. dell'ala di superf. minima	$h_{f,eq}$	20	mm	
base equiv. dell'ala di superf. minima	$b_{f,eq}$	500	mm	
fattore c	c	1271	mm	ENV 1993-1-5 [4.28]
contributo delle flange valore calcolato	χ_f	0.007	-	ENV 1993-1-5 [4.27] $\chi_f = \frac{b_f t_f^2 f_{yf}\sqrt{3}}{c t h_w f_{yw}}\left[1-\left(\frac{M_{Sd}}{M_{f,Rd}}\right)^2\right]$
contributo delle flange **valore adottato**	χ_f	**0.007**	-	
contributo dell'anima	χ_w	0.840	-	ENV 1993-1-5 prospetto [4.3]
	χ_u	**0.847**	-	
resistenza di progetto per instabilità	$V_{b,Rd}$	**6'093'467**	**N**	$V_{b,Rd}=\chi_u f_{yd1} b_w t_w / (3)^{0.5}$
RESISTENZA PLASTICA A TAGLIO DI PROGETTO				
resistenza di calcolo dell'acciaio	f_{yd0}	338	MPa	
resistenza di progetto per instabilità	$V_{pl,w,Rd}$	**9'472'189**	**N**	$V_{pl,w,Rd}=\eta f_{yd0} b_w t_w / (3)^{0.5}$
RESISTENZA DI PROGETTO A TAGLIO				
resistenza per instabilità	$V_{b,Rd}$	6'093'467	N	
resistenza plastica	$V_{pl,w,Rd}$	9'472'189	N	
	$V_{Rd} = \min(V_{b,Rd}, V_{pl,w,Rd})$	**6'093'467**	**N**	

	V_{Sd}	**<**	V_{Rd}	FATT.SICUR.	1.95
		VERIFICA SODDISFATTA		FATT. SFRUT.	0.51
verifica di resistenza a taglio	**η3**	**0.51**	**<**	**1**	ENV 1993-1-5 [2.3]
	V_{Sd}	**>0.5**	**V_{Rd}**	**E' OBBLIGATORIO [M-V]**	

VERIFICA DI RESISTENZA PER INTERAZIONE M-V				
	$M_{f,Rd}$	9 657 690 476	Nmm	
	$M_{pl,Rd}$	16 843 101 786	Nmm	
	$M_{f,Rd} / M_{pl,Rd}$	0.57	-	
1° contributo interazione M-V		0.04		
2° contributo interazione M-V		0.00		ENV 1993-1-5 [2.4]
1° contributo + 2° contributo		**0.04**	**<** **1**	ENV 1993-1-5 [2.4]
VERIFICA SODDISFATTA				

FIGURA 68: VERIFICA TRAVE CENTRALE - SEZIONE DI APPOGGIO

VERIFICA AD INSTABILITA' PER INTERAZIONE M-V
ENV 1993-1-5:2001

tipo di irrigidimento:	
1	appoggio: irrigidimento verticale soltanto sull'appoggio
2	appoggio: irrigidimento verticale sull'appoggio e lungo la trave
3	appoggio: irrigidimento verticale sull'appoggio e lungo la trave, presenza di irrigidimenti longitudinali
4	lontano dall'appoggio: irrigidimenti verticali e irrigidimenti longitudinali

rigidezza d'estremità:	
1	alto
2	normale

Sollecitazione di taglio	**V_{Sd}**	633'218	**N**	
Sollecitazione di flessione	**M_{Sd}**	29'710'000'000	**Nmm**	
scegli tipo di irrigidimento		2		
scegli rigidezza estremità		2		
spessore ala superiore	$h_{sup,1}$	35	mm	
larghezza ala superiore	$b_{sup,1}$	700	mm	
spessore ala superiore integrativa	$h_{sup,3}$	0	mm	
larghezza ala superiore integrativa	$b_{sup,3}$	0	mm	
spessore anima	t_w	20	mm	
altezza anima	h_w	1915	mm	Mettere altezza tra irrigidim. longitud. se presenti
spessore ala inferiore integrativa	$h_{inf,4}$	0	mm	
larghezza ala inferiore integrativa	$b_{inf,4}$	0	mm	
spessore ala inferiore	$h_{inf,2}$	50	mm	
larghezza ala inferiore	$b_{inf,2}$	950	mm	
distanza tra irrigidimenti verticali	a	5000	mm	
resistenza a snervamento dell'acciaio	f_{yk}	355	MPa	
coefficiente parziale di sicurezza	γ_{m0}	1.05	-	
coefficiente parziale di sicurezza	γ_{m1}	1.1	-	
	$\gamma_{m1} / \gamma_{m0}$	1.048	-	
coefficiente η	η	1.257	-	
	ε	0.81	-	
resistenza di calcolo dell'acciaio	f_{yd1}	323	MPa	
rapporto di forma	a / h_w	2.61	> 1	
rapporto di snellezza	h_w / t_w	95.75	-	
FATTIBILITA' DEL CALCOLO DI INSTABILITA'				
estensione di anima reagente	$15\ \varepsilon\ t_w$	244	mm	
inerzia anima non irrigidita	**I_{sl}**	**1032**	mm4	
	$k_{\tau stlim}$	0.09	-	ENV 1993-1-5 [A.8]
	$k_{\tau st}$	0.00	-	ENV 1993-1-5 [A.8]
	k_τ	4.78	-	se a / h_w < 1 ENV 1993-1-5 [A.6]
	k_τ	10.31	-	se a / h_w >= 1 ENV 1993-1-5 [A.7]
valore adottato	**k_τ**	**10.31**	-	
limite snellezza anima non irrigidita	$72\ \varepsilon / \eta$	46.60	**è necessario calcolo di instabilità**	ENV 1993-1-5 4.3.1
limite snellezza anima irrigidita	$31\ \varepsilon\ (k_\tau)^{0.5} / \eta$	64.42	**è necessario calcolo di instabilità**	ENV 1993-1-5 4.3.1
SCELTA DELLA FORMA DELL'IRRIGIDIMENTO INTERMEDIO				
	a / h_w	>	2^0.5	
inerzia minima	**$I_{sl,min}$**	11490000	mm4	ENV 1993-1-5 [4.30] [4.31]
inerzia anima irrigidita verticalmente	**I_{sl}**	**417456070.9**	mm4	allegare forma della sezione irrigidente
inerzia minima soddisfatta, rapporto:		36.3	-	
inerzia anima irrigidita ridotta a 1/3	**$I_{sl,red}$**	**139152024**	mm4	ENV 1993-1-5 [4.30] [4.3.3]
	$k_{\tau stlim}$	4.38	-	ENV 1993-1-5 [A.8]
	$k_{\tau st}$	4.38	-	ENV 1993-1-5 [A.8]
	k_τ	9.16	-	se a / h_w < 1 ENV 1993-1-5 [A.6]
	k_τ	10.31	-	se a / h_w >= 1 ENV 1993-1-5 [A.7]
valore adottato	**k_τ**	**10.31**	-	
RESISTENZA DI PROGETTO A TAGLIO PER INSTABILITA'				
tipo 1	λ_w	1.362	-	
irrigidimento tipo 2 - tipo 3	λ_w	0.980	-	
tipo 4	λ_w	0.935	-	
valore adottato	**λ_w**	**0.980**	-	
momento plastico della sezione	M_{Rd}	16'843'101'786	Nmm	
momento plastico delle flange	$M_{f,Rd}$	9'657'690'476	Nmm	pari a 57% M_{Rd}
	M_{Sd}	**>**	$M_{f,Rd}$	FATT.SFRUT. 308% M_{Sd}
altezza equiv. dell'ala di superf. minima	$h_{f,eq}$	20	mm	
base equiv. dell'ala di superf. minima	$b_{f,eq}$	500	mm	
fattore c	c	1272	mm	ENV 1993-1-5 [4.28]
contributo delle flange valore calcolato	χ_f	-0.060	-	ENV 1993-1-5 [4.27] $\chi_f = \frac{b_f t_f^2 f_{yf}\sqrt{3}}{c t h_w f_{yw}}\left[1-\left(\frac{M_{Sd}}{M_{f,Rd}}\right)^2\right]$
contributo delle flange **valore adottato**	**χ_f**	**0.000**	-	
contributo dell'anima	χ_w	0.847	-	ENV 1993-1-5 prospetto [4.3]
	χ_u	**0.847**	-	
resistenza di progetto per instabilità	**$V_{b,Rd}$**	**6'043'639**	**N**	**$V_{b,Rd}=\chi_u f_{yd1} b_w t_w / (3)^{0.5}$**
RESISTENZA PLASTICA A TAGLIO DI PROGETTO				
resistenza di calcolo dell'acciaio	f_{yd0}	338	MPa	
resistenza di progetto per instabilità	**$V_{pl,w,Rd}$**	**9'398'571**	**N**	**$V_{pl,w,Rd}=\eta f_{yd0} b_w t_w / (3)^{0.5}$**
RESISTENZA DI PROGETTO A TAGLIO				
resistenza per instabilità	$V_{b,Rd}$	6'043'639	N	
resistenza plastica	$V_{pl,w,Rd}$	9'398'571	N	
V_{Rd} = min ($V_{b,Rd}$, $V_{pl,w,Rd}$)		**6'043'639**	**N**	

	V_{Sd}	**<**	**V_{Rd}**	FATT.SICUR.	9.54
		VERIFICA SODDISFATTA		FATT. SFRUT.	0.10
verifica di resistenza a taglio	**$\eta 3$**	**0.10**	**<**	**1**	ENV 1993-1-5 [2.3]
	V_{Sd}	**<0.5**	**V_{Rd}**	**NON E' OBBLIGATORIO [M-V]**	

FIGURA 69: VERIFICA TRAVE CENTRALE - SEZIONE DI MEZZERIA

VERIFICA AD INSTABILITA' PER INTERAZIONE M-V
ENV 1993-1-5:2001

tipo di irrigidimento:

1	appoggio: irrigidimento verticale soltanto sull'appoggio
2	appoggio: irrigidimento verticale sull'appoggio e lungo la trave
3	appoggio: irrigidimento verticale sull'appoggio e lungo la trave, presenza di irrigidimenti longitudinali
4	lontano dall'appoggio: irrigidimenti verticali e irrigidimenti longitudinali

rigidezza d'estremità:

1	alto
2	normale

Sollecitazione di taglio	**V_{Sd}**	**2'772'580**	**N**	
Sollecitazione di flessione	**M_{Sd}**	**659'900'000**	**Nmm**	
scegli tipo di irrigidimento		**2**		
scegli rigidezza estremità		**2**		
spessore ala superiore	$h_{sup,1}$	**20**	mm	
larghezza ala superiore	$b_{sup,1}$	**500**	mm	
spessore ala superiore integrativa	$h_{sup,3}$	**0**	mm	
larghezza ala superiore integrativa	$b_{sup,3}$	**0**	mm	
spessore anima	t_w	**20**	mm	
altezza anima	h_w	**1940**	mm	Mettere altezza tra irrigidim. longitud. se presenti
spessore ala inferiore integrativa	$h_{inf,4}$	**0**	mm	
larghezza ala inferiore integrativa	$b_{inf,4}$	**0**	mm	
spessore ala inferiore	$h_{inf,2}$	**35**	mm	
larghezza ala inferiore	$b_{inf,2}$	**700**	mm	
distanza tra irrigidimenti verticali	a	**5000**	mm	
resistenza a snervamento dell'acciaio	f_{yk}	**355**	MPa	
coefficiente parziale di sicurezza	γ_{m0}	**1.05**	-	
coefficiente parziale di sicurezza	γ_{m1}	**1.1**	-	
	$\gamma_{m1} / \gamma_{m0}$	1.048	-	
coefficiente η	η	1.257	-	
	ε	0.81	-	
resistenza di calcolo dell'acciaio	f_{yd1}	323	MPa	
rapporto di forma	a / h_w	2.58	> 1	
rapporto di snellezza	h_w / t_w	97.00	-	
FATTIBILITA' DEL CALCOLO DI INSTABILITA'				
estensione di anima reagente	$15\,\varepsilon\,t_w$	244	mm	
inerzia anima non irrigidita	**I_{sl}**	**1032**	mm4	
	$k_{\tau stlim}$	0.09	-	ENV 1993-1-5 [A.8]
	$k_{\tau st}$	0.00	-	ENV 1993-1-5 [A.8]
	k_τ	4.80	-	se $a / h_w < 1$ ENV 1993-1-5 [A.6]
	k_τ	10.23	-	se $a / h_w >= 1$ ENV 1993-1-5 [A.7]
valore adottato	**k_τ**	**10.23**	-	
limite snellezza anima non irrigidita	$72\,\varepsilon / \eta$	46.60	**è necessario calcolo di instabilità**	ENV 1993-1-5 4.3.1
limite snellezza anima irrigidita	$31\,\varepsilon\,(k_\tau)^{0.5} / \eta$	64.15	**è necessario calcolo di instabilità**	ENV 1993-1-5 4.3.1
SCELTA DELLA FORMA DELL'IRRIGIDIMENTO INTERMEDIO				
	a / h_w	>	2^0.5	
inerzia minima	**$I_{sl,min}$**	11640000	mm4	ENV 1993-1-5 [4.30] [4.31]
inerzia anima irrigidita verticalmente	**I_{sl}**	**394962487.7**	mm4	allegare forma della sezione irrigidente
inerzia minima soddisfatta, rapporto:		33.9	-	
inerzia anima irrigidita ridotta a 1/3	**$I_{sl,red}$**	**131654163**	mm4	ENV 1993-1-5 [4.30] [4.3.3]
	$k_{\tau stlim}$	4.28	-	ENV 1993-1-5 [A.8]
	$k_{\tau st}$	4.28	-	ENV 1993-1-5 [A.8]
	k_τ	9.09	-	se $a / h_w < 1$ ENV 1993-1-5 [A.6]
	k_τ	10.23	-	se $a / h_w >= 1$ ENV 1993-1-5 [A.7]
valore adottato	**k_τ**	**10.23**	-	
RESISTENZA DI PROGETTO A TAGLIO PER INSTABILITA'				
irrigidimento tipo 1	λ_w	1.380	-	
irrigidimento tipo 2 - tipo 3	λ_w	0.997	-	
irrigidimento tipo 4	λ_w	0.951	-	
valore adottato	**λ_w**	**0.997**	-	
momento plastico della sezione	M_{Rd}	16'966'844'643	Nmm	
momento plastico delle flange	$M_{f,Rd}$	9'716'011'905	Nmm	pari a 57% M_{Rd}
	M_{Sd}	**<**	$M_{f,Rd}$	FATT.SFRUT. 7% M_{Sd}
altezza equiv. dell'ala di superf. minima	$h_{f,eq}$	20	mm	
base equiv. dell'ala di superf. minima	$b_{f,eq}$	500	mm	
fattore c	c	1271	mm	ENV 1993-1-5 [4.28]
contributo delle flange valore calcolato	χ_f	0.007	-	ENV 1993-1-5 [4.27] $\chi_f = \frac{b_f t_f^2 f_{yf}\sqrt{3}}{c t h_w f_{yw}}\left[1-\left(\frac{M_{Sd}}{M_{f,Rd}}\right)^2\right]$
contributo delle flange **valore adottato**	**χ_f**	**0.007**	-	
contributo dell'anima	χ_w	0.833	-	ENV 1993-1-5 prospetto [4.3]
	χ_u	**0.840**	-	
resistenza di progetto per instabilità	**$V_{b,Rd}$**	**6'069'712**	**N**	**$V_{b,Rd}=\chi_u\, f_{yd1}\, b_w\, t_w / (3)^{0.5}$**
RESISTENZA PLASTICA A TAGLIO DI PROGETTO				
resistenza di calcolo dell'acciaio	f_{yd0}	338	MPa	
resistenza di progetto per instabilità	**$V_{pl,w,Rd}$**	**9'521'268**	**N**	**$V_{pl,w,Rd}=\eta\, f_{yd0}\, b_w\, t_w / (3)^{0.5}$**
RESISTENZA DI PROGETTO A TAGLIO				
resistenza per instabilità	$V_{b,Rd}$	6'069'712	N	
resistenza plastica	$V_{pl,w,Rd}$	9'521'268	N	
	V_{Rd} = min ($V_{b,Rd}$, $V_{pl,w,Rd}$)	**6'069'712**	**N**	

	V_{Sd}	<	V_{Rd}	FATT.SICUR.	2.19
		VERIFICA SODDISFATTA		FATT. SFRUT.	0.46
verifica di resistenza a taglio	**$\eta 3$**	**0.46**	<	**1**	ENV 1993-1-5 [2.3]
	V_{Sd}	**<0.5**	**V_{Rd}**	**NON E' OBBLIGATORIO [M-V]**	

FIGURA 70: VERIFICA TRAVE LATERALE - SEZIONE DI APPOGGIO

VERIFICA AD INSTABILITA' PER INTERAZIONE M-V
ENV 1993-1-5:2001

tipo di irrigidimento:	
1	appoggio: irrigidimento verticale soltanto sull'appoggio
2	appoggio: irrigidimento verticale sull'appoggio e lungo la trave
3	appoggio: irrigidimento verticale sull'appoggio e lungo la trave, presenza di irrigidimenti longitudinali
4	lontano dall'appoggio: irrigidimenti verticali e irrigidimenti longitudinali

rigidezza d'estremità:	
1	alto
2	normale

Sollecitazione di taglio	**V_{Sd}**	329'981	**N**	
Sollecitazione di flessione	**M_{Sd}**	29'996'800'000	**Nmm**	
scegli tipo di irrigidimento		2		
scegli rigidezza estremità		2		
spessore ala superiore	$h_{sup,1}$	35	mm	
larghezza ala superiore	$b_{sup,1}$	700	mm	
spessore ala superiore integrativa	$h_{sup,3}$	0	mm	
larghezza ala superiore integrativa	$b_{sup,3}$	0	mm	
spessore anima	t_w	20	mm	
altezza anima	h_w	1915	mm	Mettere altezza tra irrigidim. longitud. se presenti
spessore ala inferiore integrativa	$h_{inf,4}$	0	mm	
larghezza ala inferiore integrativa	$b_{inf,4}$	0	mm	
spessore ala inferiore	$h_{inf,2}$	50	mm	
larghezza ala inferiore	$b_{inf,2}$	950	mm	
distanza tra irrigidimenti verticali	a	5000	mm	
resistenza a snervamento dell'acciaio	f_{yk}	355	MPa	
coefficiente parziale di sicurezza	γ_{m0}	1.05	-	
coefficiente parziale di sicurezza	γ_{m1}	1.1	-	
	$\gamma_{m1} / \gamma_{m0}$	1.048	-	
coefficiente η	η	1.257	-	
	ε	0.81	-	
resistenza di calcolo dell'acciaio	f_{yd1}	323	MPa	
rapporto di forma	a / h_w	2.61	> 1	
rapporto di snellezza	h_w / t_w	95.75	-	
FATTIBILITA' DEL CALCOLO DI INSTABILITA'				
estensione di anima reagente	$15\ \varepsilon\ t_w$	244	mm	
inerzia anima non irrigidita	**I_{sl}**	**1032**	mm4	
	$k_{\tau stlim}$	0.09	-	ENV 1993-1-5 [A.8]
	$k_{\tau st}$	0.00	-	ENV 1993-1-5 [A.8]
	k_τ	4.78	-	se $a / h_w < 1$ ENV 1993-1-5 [A.6]
	k_τ	10.23	-	se $a / h_w >= 1$ ENV 1993-1-5 [A.7]
valore adottato	**k_τ**	**10.23**	-	
limite snellezza anima non irrigidita	$72\ \varepsilon / \eta$	46.60	**è necessario calcolo di instabilità**	ENV 1993-1-5 4.3.1
limite snellezza anima irrigidita	$31\ \varepsilon\ (k_\tau)^{0.5} / \eta$	64.16	**è necessario calcolo di instabilità**	ENV 1993-1-5 4.3.1
SCELTA DELLA FORMA DELL'IRRIGIDIMENTO INTERMEDIO				
	a / h_w	>	2^0.5	
inerzia minima	**$I_{sl,min}$**	11490000	mm4	ENV 1993-1-5 [4.30] [4.31]
inerzia anima irrigidita verticalmente	**I_{sl}**	**394962487.7**	mm4	allegare forma della sezione irrigidente
inerzia minima soddisfatta, rapporto:		34.4	-	
inerzia anima irrigidita ridotta a 1/3	**$I_{sl,red}$**	**131654163**	mm4	ENV 1993-1-5 [4.30] [4.3.3]
	$k_{\tau stlim}$	4.30	-	ENV 1993-1-5 [A.8]
	$k_{\tau st}$	4.30	-	ENV 1993-1-5 [A.8]
	k_τ	9.08	-	se $a / h_w < 1$ ENV 1993-1-5 [A.6]
	k_τ	10.23	-	se $a / h_w >= 1$ ENV 1993-1-5 [A.7]
valore adottato	**k_τ**	**10.23**	-	
RESISTENZA DI PROGETTO A TAGLIO PER INSTABILITA'				
tipo 1	λ_w	1.362	-	
irrigidimento tipo 2 - tipo 3	λ_w	0.984	-	
tipo 4	λ_w	0.938	-	
valore adottato	**λ_w**	**0.984**	-	
momento plastico della sezione	M_{Rd}	16'966'844'643	Nmm	
momento plastico delle flange	$M_{f,Rd}$	9'716'011'905	Nmm	pari a 57% M_{Rd}
	M_{Sd}	**>**	$M_{f,Rd}$	FATT.SFRUT. 309% M_{Sd}
altezza equiv. dell'ala di superf. minima	$h_{f,eq}$	20	mm	
base equiv. dell'ala di superf. minima	$b_{f,eq}$	500	mm	
fattore c	c	1272	mm	ENV 1993-1-5 [4.28]
contributo delle flange valore calcolato	χ_f	-0.061	-	ENV 1993-1-5 [4.27] $\chi_f = \frac{b_f t_f^2 f_{yf}\sqrt{3}}{c t h_w f_{yw}}\left[1-\left(\frac{M_{Sd}}{M_{f,Rd}}\right)^2\right]$
contributo delle flange **valore adottato**	**χ_f**	**0.000**	-	
contributo dell'anima	χ_w	0.844	-	ENV 1993-1-5 prospetto [4.3]
	χ_u	**0.844**	-	
resistenza di progetto per instabilità	**$V_{b,Rd}$**	**6'020'096**	**N**	**$V_{b,Rd}=\chi_u\ f_{yd1}\ b_w\ t_w\ /\ (3)^{0.5}$**
RESISTENZA PLASTICA A TAGLIO DI PROGETTO				
resistenza di calcolo dell'acciaio	f_{yd0}	338	MPa	
resistenza di progetto per instabilità	**$V_{pl,w,Rd}$**	**9'398'571**	**N**	**$V_{pl,w,Rd}=\eta\ f_{yd0}\ b_w\ t_w\ /\ (3)^{0.5}$**
RESISTENZA DI PROGETTO A TAGLIO				
resistenza per instabilità	$V_{b,Rd}$	6'020'096	N	
resistenza plastica	$V_{pl,w,Rd}$	9'398'571	N	
V_{Rd} = min ($V_{b,Rd}$, $V_{pl,w,Rd}$)		**6'020'096**	**N**	

	V_{Sd}	**<**	**V_{Rd}**	FATT.SICUR.	18.24
		VERIFICA SODDISFATTA		FATT. SFRUT.	0.05
verifica di resistenza a taglio	**$\eta 3$**	**0.05**	< **1**	ENV 1993-1-5 [2.3]	
	V_{Sd}	**<0.5**	**V_{Rd}**	**NON E' OBBLIGATORIO [M-V]**	

FIGURA 71: VERIFICA TRAVE LATERALE - SEZIONE DI MEZZERIA

Si riportano qui le verifiche relative alla capacità portante degli irrigidimenti.

- Trave centrale – sezione di appoggio (largh. = 200 mm, sp. = 15 mm)

CAPACITA' PORTANTE IRRIGIDIMENTO TRASVERSALE LONTANO DAGLI APPOGGI
ENV 1993-1-5:2001

sollecitazione di progetto dell'irrigidimento trasversale	$V_{Sd} = V_{crd}$	**3'127'190**	N
altezza dell'anima	h_w	1930	mm
viene adottata la curva c	α	0.49	-
	f_{yk}	355	MPa
coefficiente parziale di sicurezza	γ_{m1}	1.1	-
Area resistente dell'irrigidimento	A	22326	mm2
Momento d'inerzia dell'irrigidimento	Jyg	417456071	mm4
raggio d'inerzia	i	136.7	mm
lunghezza liber d'inflessione	Lcr	1930	mm
	ε	0.81	-
	λ_1	76.4	-
	λ	0.18	-
	Φ	0.51	-
	χ	1.008	-
Resistenza ad instabilità	$N_{b,Rd}$	**7'261'391**	**N**

V_{Sd} < $N_{b,Rd}$ 2.32
VERIFICA SODDISFATTA

FIGURA 72: VERIFICA CAPACITÀ PORTANTE TRAVE CENTRALE SEZ. APPOGGIO

- Trave centrale – sezione di mezzeria (largh. = 200 mm, sp. = 15 mm)

CAPACITA' PORTANTE IRRIGIDIMENTO TRASVERSALE LONTANO DAGLI APPOGGI
ENV 1993-1-5:2001

sollecitazione di progetto dell'irrigidimento trasversale	$V_{Sd} = V_{crd}$	**633'218**	N
altezza dell'anima	h_w	1915	mm
viene adottata la curva c	α	0.49	-
	f_{yk}	355	MPa
coefficiente parziale di sicurezza	γ_{m1}	1.1	-
Area resistente dell'irrigidimento	A	22326	mm2
Momento d'inerzia dell'irrigidimento	Jyg	417456071	mm4
raggio d'inerzia	i	136.7	mm
lunghezza liber d'inflessione	Lcr	1915	mm
	ε	0.81	-
	λ_1	76.4	-
	λ	0.18	-
	Φ	0.51	-
	χ	1.009	-
Resistenza ad instabilità	$N_{b,Rd}$	**7'266'694**	**N**

V_{Sd} < $N_{b,Rd}$ 11.48
VERIFICA SODDISFATTA

FIGURA 73: VERIFICA CAPACITÀ PORTANTE TRAVE CENTRALE SEZ. MEZZERIA

- Trave laterale – sezione di appoggio (largh. = 200 mm, sp. = 15 mm)

CAPACITA' PORTANTE IRRIGIDIMENTO TRASVERSALE LONTANO DAGLI APPOGGI
ENV 1993-1-5:2001

sollecitazione di progetto dell'irrigidimento trasversale	$V_{Sd} = V_{crd}$	**2'772'580**	N
altezza dell'anima	h_w	1940	mm
viene adottata la curva c	α	0.49	-
	f_{yk}	355	MPa
coefficiente parziale di sicurezza	γ_{m1}	1.1	-
Area resistente dell'irrigidimento	A	20826	mm2
Momento d'inerzia dell'irrigidimento	Jyg	394962488	mm4
raggio d'inerzia	i	137.7	mm
lunghezza liber d'inflessione	Lcr	1940	mm
	ε	0.81	-
	λ_1	76.4	-
	λ	0.18	-
	Φ	0.51	-
	χ	1.008	-
Resistenza ad instabilità	$N_{b,Rd}$	**6'774'739**	**N**

V_{Sd} < $N_{b,Rd}$ — 2.44
VERIFICA SODDISFATTA

FIGURA 74: VERIFICA CAPACITÀ PORTANTE TRAVE LATERALE SEZ. APPOGGIO

- Trave laterale – sezione di mezzeria (largh. = 200 mm, sp. = 15 mm)

CAPACITA' PORTANTE IRRIGIDIMENTO TRASVERSALE LONTANO DAGLI APPOGGI
ENV 1993-1-5:2001

sollecitazione di progetto dell'irrigidimento trasversale	$V_{Sd} = V_{crd}$	**329'981**	N
altezza dell'anima	h_w	1915	mm
viene adottata la curva c	α	0.49	-
	f_{yk}	355	MPa
coefficiente parziale di sicurezza	γ_{m1}	1.1	-
Area resistente dell'irrigidimento	A	20826	mm2
Momento d'inerzia dell'irrigidimento	Jyg	394962488	mm4
raggio d'inerzia	i	137.7	mm
lunghezza liber d'inflessione	Lcr	1915	mm
	ε	0.81	-
	λ_1	76.4	-
	λ	0.18	-
	Φ	0.51	-
	χ	1.009	-
Resistenza ad instabilità	$N_{b,Rd}$	**6'782'928**	**N**

V_{Sd} < $N_{b,Rd}$ — 20.56
VERIFICA SODDISFATTA

FIGURA 75: VERIFICA CAPACITÀ PORTANTE TRAVE LATERALE SEZ. MEZZERIA

11.3.4 VERIFICA DEL SISTEMA DI CONNESSIONE TRAVE/SOLETTA: PIOLI

Si riportano di seguito le verifiche eseguite per i pioli scelti.
I pioli, come già indicato in precedenza, sono del tipo **Nelson Ø19** e hanno lunghezza **175 mm.**

Impalcato A

Verifiche dimensionali PIOLI
[UNI EN 1994-2:2006 - § 6.6.5]

→ ***Caratteristiche connettori / soletta / piattabanda***

f_{yk}	=	235	N/mm²
d_{piolo}	=	19	mm
Φ_{staffe}	=	14	mm
h_{piolo}	=	175	mm
$h_{soletta}$	=	300	mm
t_f	=	40	mm
$s_{longitudinale}$	=	200	mm
$s_{trasversale}$	=	140	mm
e_D	=	210	mm
e_v	=	-	mm
$D_{(testa\ piolo)}$	=	31.7	mm
$H_{(testa\ piolo)}$	=	10	mm

→ ***Verifiche (SI / NO)***

Se e_v	<	300	mm	-
deve essere e_v	>	6d		
e_v	>	50	mm	SI
e_D	<	$9t_f\,(235/f_y)^{\wedge 0.5}$		SI
e_d	≥	25	mm	SI
Φ_{staffe}	>	0,5d		SI
s	≤	$22t_f\,(235/f_y)^{\wedge 0.5}$		SI
s	<	min ($4h_{soletta}$; 800mm)		SI
$D_{(testa\ piolo)}$	>	1,5d		SI
$H_{(testa\ piolo)}$	>	0,4d		SI
d	≤	$1,5t_f$		SI
$s_{longitudinale}$	≥	5d		SI
$s_{trasversale}$	>	2,5d		SI

Verifiche dimensionali PIOLI
[UNI EN 1994-2:2006 - § 6.6.5]

→ ***Caratteristiche connettori / soletta / piattabanda***

f_{yk}	=	235	N/mm²
d_{piolo}	=	19	mm
Φ_{staffe}	=	14	mm
h_{piolo}	=	175	mm
$h_{soletta}$	=	300	mm
t_f	=	40	mm
$s_{longitudinale}$	=	150	mm
$s_{trasversale}$	=	140	mm
e_D	=	210	mm
e_v	=	-	mm
$D_{(testa\ piolo)}$	=	31.7	mm
$H_{(testa\ piolo)}$	=	10	mm

→ ***Verifiche (SI / NO)***

Se e_v	<	300	mm	-
deve essere e_v	>	6d		
e_v	>	50	mm	SI
e_D	<	$9t_f\,(235/f_y)^{\wedge 0.5}$		SI
e_d	≥	25	mm	SI
Φ_{staffe}	>	0,5d		SI
s	≤	$22t_f\,(235/f_y)^{\wedge 0.5}$		SI
s	<	min ($4h_{soletta}$; 800mm)		SI
$D_{(testa\ piolo)}$	>	1,5d		SI
$H_{(testa\ piolo)}$	>	0,4d		SI
d	≤	$1,5t_f$		SI
$s_{longitudinale}$	≥	5d		SI
$s_{trasversale}$	>	2,5d		SI

Verifiche dimensionali PIOLI
[UNI EN 1994-2:2006 - § 6.6.5]

→ ***Caratteristiche connettori / soletta / piattabanda***

f_{yk}	=	235	N/mm²
d_{piolo}	=	19	mm
Φ_{staffe}	=	14	mm
h_{piolo}	=	175	mm
$h_{soletta}$	=	300	mm
t_f	=	25	mm
$s_{longitudinale}$	=	100	mm
$s_{trasversale}$	=	93	mm
e_D	=	110	mm
e_v	=	-	mm
$D_{(testa\ piolo)}$	=	31.7	mm
$H_{(testa\ piolo)}$	=	10	mm

→ ***Verifiche (SI / NO)***

Se e_v	<	300	mm	-
deve essere e_v	>	6d		
e_v	>	50	mm	SI
e_D	<	$9t_f\,(235/f_y)^{\wedge 0.5}$		SI
e_d	≥	25	mm	SI
Φ_{staffe}	>	0,5d		SI
s	≤	$22t_f\,(235/f_y)^{\wedge 0.5}$		SI
s	<	min ($4h_{soletta}$; 800mm)		SI
$D_{(testa\ piolo)}$	>	1,5d		SI
$H_{(testa\ piolo)}$	>	0,4d		SI
d	≤	$1,5t_f$		SI
$s_{longitudinale}$	≥	5d		SI
$s_{trasversale}$	>	2,5d		SI

FIGURA 76: VERIFICHE DIMENSIONAMENTO PIOLI PER CONCI C1, C2, C3

Verifica PIOLI

Caratteristiche connettori

h = 175 mm
f_u = 360 N/mm^2
γ_v = 1.25 -

Soletta cls
R_{ck} = 32 MPa
f_{ck} = 26.56 MPa
E_{cm} = 33345 MPa
α = 1 per $h/\Phi > 4$
$0,2*((h/\Phi)+1)$ per $3 \le h/\Phi \le 4$

Resistenza a taglio dei connettori

P_{Rd} = min $P_{Rd} = 0,8*f_u*(\pi*\Phi^2/4)/\gamma_v$
$P_{Rd} = 0,29*\alpha*\Phi^2*(f_{ck}*E_{cm})^{1/2}/\gamma_v$

Caratteristiche della sezione posta convenzionalmente ad 1/4 della luce

A = 1.35 m^2 Area soletta
S = 0.1042 m^3 Momento statico della soletta rispetto asse neutro sez.composta resa omogenea
$S = A_c*(y_c-y_n)/n + A_\Phi*(y_\Phi-y)$
J = 0.2186 m^4 Momento d'inerzia della sez. composta rispetto al suo asse baricentrico
$J = J_a + J_c/n + A_a*(y_a-y)^2 + A_\Phi*(y_\alpha-y)^2 + A_c*(y_c-y)^2/n$

Caratteristiche dell'impalcato

l = 42 m luce trave
b = 4.60 m 1/2 distanza netta tra pioli di travi adiacenti
k = 0.0015 mm^2/N cedevolezza del collegamento (per collegamenti a piolo)
l_s = 5.58 m tratto di trave entro quale le azioni di ritiro/temperatura si annullano
N_{cs} = 4156 kN Forza di ritiro
N_t = 0 kN Forza di termica differenziale

$q = V_{Sd}*S/J$ sforzo di scorrimento unitario
$Q = q*i$ sforzo di scorrimento sul singolo piolo

Conci	X		Φ	$P_{Rd,acciaio}$	$P_{Rd,cls}$	**$P_{Rd,piolo}$**	n°	passo,i	V_{Sd}	q (carichi)	q (ritiro, ΔT)	Q	FS
	[m]	[m]	[mm]	[kN]	[kN]	[kN]	[-]	[mm]	[kN]	[kN/m]	[kN/m]	[kN]	[-]
C3	0.00	7.00	19	65.33	78.82	65.33	4	100	3401.10	1620.90	745.32	59.16	1.10
C2	7.00	15.00	19	65.33	78.82	65.33	3	150	2427.20	1156.75	0.00	57.84	1.13
C1	15.00	21.00	19	65.33	78.82	65.33	3	200	1349.50	643.14	0.00	42.88	1.52

FIGURA 77: VERIFICA RESISTENZA PIOLI

Si sottolinea il fatto che non sono presenti ulteriori armature, oltre a quella già prevista per la soletta, per evitare la rottura del calcestruzzo in zona di connessione.

f_{yd} = 391 MPa
f_{ck} = 26.56 MPa piattabanda compressa: $1,0 < \cot\theta_f < 2,0$ $(26,5° < \theta_f < 45°)$
f_{lim} = 2.67 MPa piattabanda tesa: $1,0 < \cot\theta_f < 1,25$ $(38,6° < \theta_f < 45°)$
f_{cd} = 2.31 MPa

Valutazione armatura/staffe su pioli (EC4 Parte 2 - 6.6.6.2 & EC2 - 6.2.4)

sez. a-a [m]	sez. b-b [m]	Δx [m]	v_{Ed} (sez. a-a) [kN/m^2]	v_{Ed} (sez. b-b) [kN/m^2]	$v_{Ed,MAX}$ [N/mm^2]		$0,4*f_{cd}$ [N/mm^2]	Armatura trasversale	cotg [-]	A_{sf}/s_f [mm^2/m]	A_{sb}, disposta [mm^2/m]	A_{sl}, disposta [mm^2/m]	Sezione dimensionante	$(A_{sb} + A_{sl})$ oppure $2A_{sb}$	Staffe ulteriori necessarie???
0.3	0.78	1	7887.4	3033.6	7.9	>	0.93	necessaria	2	3026	18 Φ 20 1272	18 Φ 10 2545	sez. a-a	3817	no
0.3	0.78	1	3855.8	1483.0	3.9	>	0.93	necessaria	2	1479	18 Φ 20 1272	18 Φ 10 2545	sez. a-a	3817	no
0.3	0.78	1	2143.8	824.5	2.1	>	0.93	necessaria	2	822	18 Φ 20 1272	18 Φ 10 2545	sez. a-a	3817	no

Impalcato B

Verifiche dimensionali PIOLI [UNI EN 1994-2:2006 - § 6.6.5]					
→ ***Caratteristiche connettori / soletta / piattabanda***					
f_{yk}	=	235	N/mm²		
d_{piolo}	=	19	mm		
Φ_{staffe}	=	14	mm		
h_{piolo}	=	175	mm		
$h_{soletta}$	=	300	mm		
t_f	=	35	mm		
$s_{longitudinale}$	=	200	mm		
$s_{trasversale}$	=	140	mm		
e_D	=	210	mm		
e_v	=	-	mm		
$D_{(testa\ piolo)}$	=	31.7	mm		
$H_{(testa\ piolo)}$	=	10	mm		
→ ***Verifiche (SI / NO)***					
Se e_v	<	300	mm	-	
deve essere e_v	>	6d			
e_v	>	50	mm	SI	
e_D	<	$9t_f (235/f_y)^{0.5}$		SI	
e_d	≥	25	mm	SI	
Φ_{staffe}	>	0,5d		SI	
s	≤	$22t_f (235/f_y)^{0.5}$		SI	
s	<	min ($4h_{soletta}$; 800mm)		SI	
$D_{(testa\ piolo)}$	>	1,5d		SI	
$H_{(testa\ piolo)}$	>	0,4d		SI	
d	≤	$1,5t_f$		SI	
$s_{longitudinale}$	≥	5d		SI	
$s_{trasversale}$	>	2,5d		SI	

Verifiche dimensionali PIOLI [UNI EN 1994-2:2006 - § 6.6.5]					
→ ***Caratteristiche connettori / soletta / piattabanda***					
f_{yk}	=	235	N/mm²		
d_{piolo}	=	19	mm		
Φ_{staffe}	=	14	mm		
h_{piolo}	=	175	mm		
$h_{soletta}$	=	300	mm		
t_f	=	30	mm		
$s_{longitudinale}$	=	200	mm		
$s_{trasversale}$	=	140	mm		
e_D	=	210	mm		
e_v	=	-	mm		
$D_{(testa\ piolo)}$	=	31.7	mm		
$H_{(testa\ piolo)}$	=	10	mm		
→ ***Verifiche (SI / NO)***					
Se e_v	<	300	mm	-	
deve essere e_v	>	6d			
e_v	>	50	mm	SI	
e_D	<	$9t_f (235/f_y)^{0.5}$		SI	
e_d	≥	25	mm	SI	
Φ_{staffe}	>	0,5d		SI	
s	≤	$22t_f (235/f_y)^{0.5}$		SI	
s	<	min ($4h_{soletta}$; 800mm)		SI	
$D_{(testa\ piolo)}$	>	1,5d		SI	
$H_{(testa\ piolo)}$	>	0,4d		SI	
d	≤	$1,5t_f$		SI	
$s_{longitudinale}$	≥	5d		SI	
$s_{trasversale}$	>	2,5d		SI	

Verifiche dimensionali PIOLI [UNI EN 1994-2:2006 - § 6.6.5]					
→ ***Caratteristiche connettori / soletta / piattabanda***					
f_{yk}	=	235	N/mm²		
d_{piolo}	=	19	mm		
Φ_{staffe}	=	14	mm		
h_{piolo}	=	175	mm		
$h_{soletta}$	=	300	mm		
t_f	=	20	mm		
$s_{longitudinale}$	=	100	mm		
$s_{trasversale}$	=	93	mm		
e_D	=	110	mm		
e_v	=	-	mm		
$D_{(testa\ piolo)}$	=	31.7	mm		
$H_{(testa\ piolo)}$	=	10	mm		
→ ***Verifiche (SI / NO)***					
Se e_v	<	300	mm	-	
deve essere e_v	>	6d			
e_v	>	50	mm	SI	
e_D	<	$9t_f (235/f_y)^{0.5}$		SI	
e_d	≥	25	mm	SI	
Φ_{staffe}	>	0,5d		SI	
s	≤	$22t_f (235/f_y)^{0.5}$		SI	
s	<	min ($4h_{soletta}$; 800mm)		SI	
$D_{(testa\ piolo)}$	>	1,5d		SI	
$H_{(testa\ piolo)}$	>	0,4d		SI	
d	≤	$1,5t_f$		SI	
$s_{longitudinale}$	≥	5d		SI	
$s_{trasversale}$	>	2,5d		SI	

FIGURA 78: VERIFICHE DIMENSIONAMENTO PIOLI PER CONCI C1, C2, C3

Verifica PIOLI

Caratteristiche connettori

h = 175 mm
f_u = 360 N/mm^2
γ_v = 1.25 -

Soletta cls
R_{ck} = 32 MPa
f_{ck} = 26.56 MPa
E_{cm} = 33345 MPa
α = 1 per $h/\Phi > 4$
0,2*((h/Φ)+1) per $3 \le h/\Phi \le 4$

Resistenza a taglio dei connettori

P_{Rd} = min $P_{Rd} = 0{,}8*f_u*(\pi*\Phi^2/4)/\gamma_v$
$P_{Rd} = 0{,}29*\alpha*\Phi^2*(f_{ck}*E_{cm})^{1/2}/\gamma_v$

Caratteristiche della sezione posta convenzionalmente ad 1/4 della luce

A = 1.35 m^2 Area soletta
S = 0.095298 m^3 Momento statico della soletta rispetto asse neutro sez.composta resa omogenea
$S = A_c*(y_c-y_n)/n + A_\Phi*(y_\Phi-y)$
J = 0.194052 m^4 Momento d'inerzia della sez. composta rispetto al suo asse baricentrico
$J = J_a + J_c/n + A_a*(y_a-y)^2 + A_\Phi*(y_\alpha-y)^2 + A_c*(y_c-y)^2/n$

Caratteristiche dell'impalcato

l = 42 m luce trave
b = 4.60 m 1/2 distanza netta tra pioli di travi adiacenti
k = 0.0015 mm^2/N cedevolezza del collegamento (per collegamenti a piolo)
l_s = 5.58 m tratto di trave entro quale le azioni di ritiro/temperatura si annullano
N_{cs} = 3763 kN Forza di ritiro
N_t = 0 kN Forza di termica differenziale

$q = V_{Sd}*S/J$ sforzo di scorrimento unitario
$Q = q*i$ sforzo di scorrimento sul singolo piolo

Conci	X		Φ	$P_{Rd,acciaio}$	$P_{Rd,cls}$	**$P_{Rd,piolo}$**	n°	passo,i	V_{Sd}	q (carichi)	q (ritiro, ΔT)	Q	FS
	[m]	[m]	[mm]	[kN]	[kN]	[kN]	[-]	[mm]	[kN]	[kN/m]	[kN/m]	[kN]	[-]
C3	0.00	7.00	19	65.33	78.82	65.33	4	100	2740.90	1346.05	674.84	50.52	1.29
C2	7.00	15.00	19	65.33	78.82	65.33	3	200	1863.70	915.26	0.00	61.02	1.07
C1	15.00	21.00	19	65.33	78.82	65.33	3	200	1056.00	518.60	0.00	34.57	1.89

FIGURA 79: VERIFICA RESISTENZA PIOLI

Si sottolinea il fatto che non sono presenti ulteriori armature, oltre a quella già prevista per la soletta, per evitare la rottura del calcestruzzo in zona di connessione.

f_{yd} = 391 MPa
f_{ck} = 26.56 MPa piattabanda compressa: $1{,}0 < \cot\theta_f < 2{,}0$ $(26{,}5° < \theta_f < 45°)$
f_{ctm} = 2.67 MPa piattabanda tesa: $1{,}0 < \cot\theta_f < 1{,}25$ $(38{,}6° < \theta_f < 45°)$
f_{ctd} = 2.31 MPa

Valutazione armatura/staffe su pioli (EC4 Parte 2 - 6.6.6.2 & EC2 - 6.2.4)

sez. a-a	sez. b-b	Δx	V_{Ed} (sez. a-a)	V_{Ed} (sez. b-b)	$v_{Ed,MAX}$		$0{,}4*f_{ctd}$	Armatura trasversale	cotg	A_{sf}/s_f	A_{sb}, disposta	A_{st}, disposta	Sezione dimensionante	$(A_b + A_t)$ oppure $2A_b$	Staffe ulteriori necessarie???
[m]	[m]	[m]	[kN/m^2]	[kN/m^2]	[N/mm^2]		[N/mm^2]		[-]	[mm^2/m]	[mm^2/m]	[mm^2/m]			
0.3	0.78	1	6736.3	2590.9	6.7	>	0.93	necessaria	2	2584	18 Φ 20 1272	18 Φ 10 2545	sez. a-a	3817	no
0.3	0.78	1	3050.9	1173.4	3.1	>	0.93	necessaria	2	1170	18 Φ 20 1272	18 Φ 10 2545	sez. a-a	3817	no
0.3	0.78	1	1728.7	664.9	1.7	>	0.93	necessaria	2	663	18 Φ 20 1272	18 Φ 10 2545	sez. a-a	3817	no

11.3.5 VERIFICA A S.L.E.

11.3.5.1 VERIFICA A DEFORMAZIONE

È necessario verificare che la freccia degli elementi strutturali sia inferiore ai valori prescritti da Normativa:

- L/150 nel caso di carichi permanenti
- L/400 nel caso di carichi variabili

Si fa riferimento alla *Combinazione di Carico Rara*.
Si considera per la verifica la trave che presenta la maggiore inflessione. Sono stati individuati due elementi, uno che ha massimo valore dei permanenti e il secondo che ha massimo valore dei variabili.

CASO DI CARICO	dz [mm] CASO 1 max permanenti	dz [mm] CASO 2 max variabili
Peso proprio acciaio	27.7	26.9
Soletta	89.2	79.6
Altri permanenti portati	28.3	34.8
Variabili	41.6	51.1

Impalcato A (L = 42 m)

- Permanenti Δz_{perm} = 27.7 mm + 89.2 mm + 28.3 mm = 145.2 mm → L/289 < L/150
- Variabili Δz_{var} = 41.6 mm → L/1009 < L/400

Impalcato B (L = 42 m)

- Permanenti Δz_{perm} = 26.9 mm + 79.6 mm + 34.8 mm = 141.3 mm → L/297 < L/150
- Variabili Δz_{var} = 51.1 mm → L/822 < L/400

Per le tre travi principali è prevista una contro-monta massima di 145 mm.
La contro-monta necessaria per ciascun concio è rappresentata nella seguente immagine.

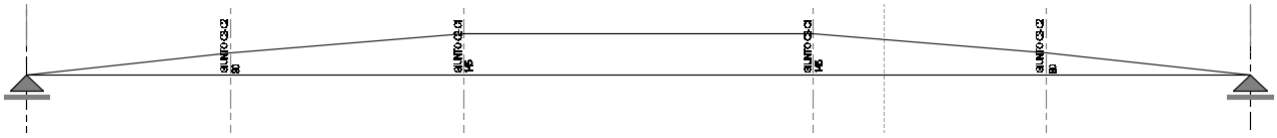


FIGURA 80: SCHEMA VALORI DI CONTRO-MONTA – IMPALCATO A E B

La verifica è soddisfatta.

11.3.5.2 VERIFICA TENSIONALE

Per la verifica tensionale si fa riferimento alla *Combinazione Rara*.
Si verifica che per ogni sezione la tensione nell'acciaio non superi il valore della resistenza caratteristica a trazione.
Anche in questo caso sono stati considerati separatamente gli effetti di temperatura e ritiro.
È stato possibile osservare che la condizione peggiore è rappresentata dalla combinazione in cui viene considerato il ritiro. Di seguito si riportano gli estratti dai fogli Excel di verifica, relativa alla condizione peggiorativa sopra descritta, le altre risultano di conseguenza verificate anch'esse.
Per le stesse ragioni si riporta la verifica della trave più sollecitata tra le quattro dell'impalcato.

Impalcato A

concio c1 laterale 296_imp dx

	SOLLECITAZIONI			TENSIONI NORMALI (N/mm2)				
	N(kN)	M(kN*m)	Coeff.	Sez. tipo	Fibra cls,s	Fibra cls,i	Fibra acc,s	Fibra acc,i
CCE1 - Peso acciaio	-3.35	2'365.54	1.00	5			-33.7378	21.3748
CCE2 - Peso soletta in cls	-11.50	8'047.65	1.00	5			-114.7780	72.7171
CCE3 e CCE4 - Carichi permanenti	-18.49	4'356.12	1.00	3	-1.2466	-0.8939	-19.9339	32.4946
Precompressione			1.00	-				
Cedimento appoggi			1.00	-				
Rit.-eff. primari (cls soletta)	4'125	-	1.00	soletta	3.0354	3.0354		
Rit.-eff. secondari isostatici (sez. mista)	-4'125	3'883	1.00	2	-2.1066	-1.7940	-40.3109	10.9452
Rit.-eff. Secondari iperstatici (sez. mista)			1.00	2	0.0000	0.0000	0.0000	0.0000
Temp-effetti primari (soletta)	-2'386	-	0.00	soletta	0.0000	0.0000		
Temp-effetti secondari isostatici (sez. mista)	2'386	-1'289	0.00	1	0.0000	0.0000	0.0000	0.0000
Temp-effetti secondari iperstatici (sez. mista)			0.00	1	0.0000	0.0000	0.0000	0.0000
CCE8 e CCE12 - Carichi accidentali	-103.01	12'772.74	1.00	1	-5.7288	-3.1489	-19.8380	88.5168
					-6.0465	-2.8014	-228.5987	226.0485

	SOLLECITAZIONI			TENS. TANGENZIALI (N/mm2)		
	T(kN)	Mt(kN*m)	Coeff.	Taglio (pareti)	Torcente (fondo)	Torcente (pareti)
CCE1 - Peso acciaio	0.00	0.00	1.00	0.000	0.000	0.000
CCE2 - Peso soletta in cls	0.00	0.00	1.00	0.000	0.000	0.000
CCE3 e CCE4 - Carichi permanenti	0.00	0.00	1.50	0.000	0.000	0.000
Precompressione	0.00	0.00	1.00	0.000	0.000	0.000
Cedimento appoggi	0.00	0.00	1.00	0.000	0.000	0.000
Ritiro	0.00	0.00	1.00	0.000	0.000	0.000
Temperatura	0.00	0.00	1.00	0.000	0.000	0.000
CCE8 e CCE12 - Carichi accidentali	479.45	-56.33	1.00	12.617	-0.759	-0.153
CCE13 - Vento	0.00	0.00	0.60	0.000	0.000	0.000
				12.62	-0.76	-0.15

TENSIONI IDEALI (N/mm2)			
Fibra cls,s	Fibra cls,i	Fibra acc,s	Fibra acc,i
		-229.62	227.08

FIGURA 81: VERIFICA IN ESERCIZIO DEL CONCIO C1

concio c2 laterale 15_imp dx								
				TENSIONI NORMALI (N/mm2)				
	SOLLECITAZIONI			Sez. tipo	Fibra cls,s	Fibra cls,i	Fibra acc,s	Fibra acc,i
	N(kN)	M(kN*m)	Coeff.					
CCE1 - Peso acciaio	-3.33	2'142.04	1.00	5			-30.7429	20.6593
CCE2 - Peso soletta in cls	-11.43	7'337.10	1.00	5			-105.3035	70.7637
CCE3 e CCE4 - Carichi permanenti	-17.53	3'987.05	1.00	3	-1.1542	-0.8179	-18.2400	31.7558
Precompressione			1.00	-				
Cedimento appoggi			1.00	-				
Rit.-eff. primari (cls soletta)	4'125	-	1.00	soletta	3.0354	3.0354		
Rit.-eff. secondari isostatici (sez. mista)	-4'125	3'756	1.00	2	-2.1091	-1.7940	-40.3102	11.4518
Rit.-eff. Secondari iperstatici (sez. mista)			1.00	2	0.0000	0.0000	0.0000	0.0000
Temp-effetti primari (soletta)	-2'386	-	0.00	soletta	0.0000	0.0000		
Temp-effetti secondari isostatici (sez. mista)	2'386	-1'233	0.00	1	0.0000	0.0000	0.0000	0.0000
Temp-effetti secondari iperstatici (sez. mista)			0.00	1	0.0000	0.0000	0.0000	0.0000
CCE8 e CCE12 - Carichi accidentali	-96.17	11'709.00	1.00	1	-5.3340	-2.8442	-17.9186	86.6522
					-5.5619	-2.4207	-212.5152	221.2827

				TENS. TANGENZIALI (N/mm2)		
	SOLLECITAZIONI			Taglio	Torcente	Torcente
	T(kN)	Mt(kN*m)	Coeff.	(pareti)	(fondo)	(pareti)
CCE1 - Peso acciaio	70.77	0.00	1.00	1.857	0.000	0.000
CCE2 - Peso soletta in cls	228.55	0.00	1.00	5.999	0.000	0.000
CCE3 e CCE4 - Carichi permanenti	115.16	0.00	1.00	3.023	0.000	0.000
Precompressione	0.00	0.00	1.00	0.000	0.000	0.000
Cedimento appoggi	0.00	0.00	1.00	0.000	0.000	0.000
Ritiro	0.00	0.00	1.00	0.000	0.000	0.000
Temperatura	0.00	0.00	0.60	0.000	0.000	0.000
CCE8 e CCE12 - Carichi accidentali	664.36	36.56	1.00	17.437	0.492	0.099
CCE13 - Vento	0.00	0.00	0.60	0.000	0.000	0.000
				28.32	0.49	0.10

TENSIONI IDEALI (N/mm2)			
Fibra cls,s	Fibra cls,i	Fibra acc,s	Fibra acc,i
		-218.14	226.69

FIGURA 82: VERIFICA IN ESERCIZIO DEL CONCIO C2

concio c3 laterale 208_imp dx								
				TENSIONI NORMALI (N/mm2)				
	SOLLECITAZIONI			Sez. tipo	Fibra cls,s	Fibra cls,i	Fibra acc,s	Fibra acc,i
	N(kN)	M(kN*m)	Coeff.					
CCE1 - Peso acciaio	-3.15	1'227.03	1.00	5			-29.6344	18.6836
CCE2 - Peso soletta in cls	-10.86	4'349.15	1.00	5			-105.0340	66.2269
CCE3 e CCE4 - Carichi permanenti	-13.06	2'401.63	1.00	3	-0.8347	-0.5663	-12.6280	27.2809
Precompressione			1.00	-				
Cedimento appoggi			1.00	-				
Rit.-eff. primari (cls soletta)	4'125	-	1.00	soletta	3.0354	3.0354		
Rit.-eff. secondari isostatici (sez. mista)	-4'125	3'359	1.00	2	-2.4410	-2.0675	-46.4564	17.9289
Rit.-eff. Secondari iperstatici (sez. mista)			1.00	2	0.0000	0.0000	0.0000	0.0000
Temp-effetti primari (soletta)	-2'386	-	0.00	soletta	0.0000	0.0000		
Temp-effetti secondari isostatici (sez. mista)	2'386	-998	0.00	1	0.0000	0.0000	0.0000	0.0000
Temp-effetti secondari iperstatici (sez. mista)			0.00	1	0.0000	0.0000	0.0000	0.0000
CCE8 e CCE12 - Carichi accidentali	-60.27	7'041.56	1.00	1	-3.6324	-1.6260	-10.2439	74.0236
					-3.8727	-1.2244	-203.9967	204.1440

				TENS. TANGENZIALI (N/mm2)		
	SOLLECITAZIONI			Taglio	Torcente	Torcente
	T(kN)	Mt(kN*m)	Coeff.	(pareti)	(fondo)	(pareti)
CCE1 - Peso acciaio	-156.73	0.00	1.35	-5.467	0.000	0.000
CCE2 - Peso soletta in cls	-519.76	0.00	1.35	-18.131	0.000	0.000
CCE3 e CCE4 - Carichi permanenti	-273.54	0.00	1.50	-10.602	0.000	0.000
Precompressione	0.00	0.00	1.00	0.000	0.000	0.000
Cedimento appoggi	0.00	0.00	1.00	0.000	0.000	0.000
Ritiro	0.00	0.00	1.00	0.000	0.000	0.000
Temperatura	0.00	0.00	0.60	0.000	0.000	0.000
CCE8 e CCE12 - Carichi accidentali	-955.63	-88.63	1.00	-24.693	-1.188	-0.239
CCE13 - Vento	0.00	0.00	0.60	0.000	0.000	0.000
				-58.89	-1.19	-0.24

TENSIONI IDEALI (N/mm2)			
Fibra cls,s	Fibra cls,i	Fibra acc,s	Fibra acc,i
		-228.26	228.40

FIGURA 83: VERIFICA IN ESERCIZIO DEL CONCIO C3

Impalcato B

concio c1 centrale 299_imp sx								
				TENSIONI NORMALI (N/mm2)				
	SOLLECITAZIONI			Sez. tipo	Fibra cls,s	Fibra cls,i	Fibra acc,s	Fibra acc,i
	N(kN)	M(kN*m)	Coeff.					
CCE1 - Peso acciaio	-3.12	2'198.67	1.00	5			-34.6461	23.0965
CCE2 - Peso soletta in cls	-10.02	6'981.07	1.00	5			-110.0071	73.3335
CCE3 e CCE4 - Carichi permanenti	-58.58	4'242.77	1.00	3	-1.3648	-0.9745	-21.7320	36.2913
Precompressione			1.00	-				
Cedimento appoggi			1.00	-				
Rit.-eff. primari (cls soletta)	3'735	-	1.00	soletta	3.0308	3.0308		
Rit.-eff. secondari isostatici (sez. mista)	-3'735	3'442	1.00	2	-2.1000	-1.7851	-40.1107	11.7625
Rit.-eff. Secondari iperstatici (sez. mista)			1.00	2	0.0000	0.0000	0.0000	0.0000
Temp-effetti primari (soletta)	-2'161	-	0.00	soletta	0.0000	0.0000		
Temp-effetti secondari isostatici (sez. mista)	2'161	-1'140	0.00	1	0.0000	0.0000	0.0000	0.0000
Temp-effetti secondari iperstatici (sez. mista)			0.00	1	0.0000	0.0000	0.0000	0.0000
CCE8 e CCE12 - Carichi accidentali	41.70	8'601.54	1.00	1	-4.2585	-2.2751	-14.3329	68.9700
					-4.6925	-2.0038	-220.8289	213.4539

				TENS. TANGENZIALI (N/mm2)		
	SOLLECITAZIONI			Taglio	Torcente	Torcente
	T(kN)	Mt(kN*m)	Coeff.	(pareti)	(fondo)	(pareti)
CCE1 - Peso acciaio	0.00	0.00	1.00	0.000	0.000	0.000
CCE2 - Peso soletta in cls	0.00	0.00	1.00	0.000	0.000	0.000
CCE3 e CCE4 - Carichi permanenti	0.00	0.00	1.00	0.000	0.000	0.000
Precompressione	0.00	0.00	1.00	0.000	0.000	0.000
Cedimento appoggi	0.00	0.00	1.00	0.000	0.000	0.000
Ritiro	0.00	0.00	1.00	0.000	0.000	0.000
Temperatura	0.00	0.00	0.60	0.000	0.000	0.000
CCE8 e CCE12 - Carichi accidentali	469.07	38.45	1.00	12.247	0.517	0.104
CCE13 - Vento	0.00	0.00	0.60	0.000	0.000	0.000
				12.25	0.52	0.10

TENSIONI IDEALI (N/mm2)			
Fibra cls,s	Fibra cls,i	Fibra acc,s	Fibra acc,i
		-221.86	214.52

FIGURA 84: VERIFICA IN ESERCIZIO DEL CONCIO C1

concio c2 centrale 18_imp sx								
				TENSIONI NORMALI (N/mm2)				
	SOLLECITAZIONI			Sez. tipo	Fibra cls,s	Fibra cls,i	Fibra acc,s	Fibra acc,i
	N(kN)	M(kN*m)	Coeff.					
CCE1 - Peso acciaio	-3.12	1'992.79	1.00	5			-34.8485	23.0096
CCE2 - Peso soletta in cls	-10.02	6'368.05	1.00	5			-111.3604	73.5279
CCE3 e CCE4 - Carichi permanenti	-54.03	3'855.15	1.00	3	-1.2917	-0.9149	-20.4019	35.6172
Precompressione			1.00	-				
Cedimento appoggi			1.00	-				
Rit.-eff. primari (cls soletta)	3'735	-	1.00	soletta	3.0308	3.0308		
Rit.-eff. secondari isostatici (sez. mista)	-3'735	3'366	1.00	2	-2.1718	-1.8446	-41.4488	12.9167
Rit.-eff. Secondari iperstatici (sez. mista)			1.00	2	0.0000	0.0000	0.0000	0.0000
Temp-effetti primari (soletta)	-2'161	-	0.00	soletta	0.0000	0.0000		
Temp-effetti secondari isostatici (sez. mista)	2'161	-1'091	0.00	1	0.0000	0.0000	0.0000	0.0000
Temp-effetti secondari iperstatici (sez. mista)			0.00	1	0.0000	0.0000	0.0000	0.0000
CCE8 e CCE12 - Carichi accidentali	42.33	8'022.20	1.00	1	-4.0759	-2.1073	-13.2763	69.4047
					-4.5086	-1.8360	-221.3359	214.4761

				TENS. TANGENZIALI (N/mm2)		
	SOLLECITAZIONI			Taglio	Torcente	Torcente
	T(kN)	Mt(kN*m)	Coeff.	(pareti)	(fondo)	(pareti)
CCE1 - Peso acciaio	64.90	0.00	1.00	1.686	0.000	0.000
CCE2 - Peso soletta in cls	198.64	0.00	1.00	5.159	0.000	0.000
CCE3 e CCE4 - Carichi permanenti	116.09	0.00	1.00	3.015	0.000	0.000
Precompressione	0.00	0.00	1.00	0.000	0.000	0.000
Cedimento appoggi	0.00	0.00	1.00	0.000	0.000	0.000
Ritiro	0.00	0.00	1.00	0.000	0.000	0.000
Temperatura	0.00	0.00	0.60	0.000	0.000	0.000
CCE8 e CCE12 - Carichi accidentali	564.63	-49.08	1.00	14.666	-0.659	-0.133
CCE13 - Vento	0.00	0.00	0.60	0.000	0.000	0.000
				24.53	-0.66	-0.13

TENSIONI IDEALI (N/mm2)			
Fibra cls,s	Fibra cls,i	Fibra acc,s	Fibra acc,i
		-225.33	218.60

FIGURA 85: VERIFICA IN ESERCIZIO DEL CONCIO C2

concio c3 centrale 211_imp sx								
					TENSIONI NORMALI (N/mm2)			
	SOLLECITAZIONI			Sez. tipo	Fibra cls,s	Fibra cls,i	Fibra acc,s	Fibra acc,i
	N(kN)	M(kN*m)	Coeff.					
CCE1 - Peso acciaio	-3.12	1'147.91	1.00	5			-31.7162	21.5575
CCE2 - Peso soletta in cls	-10.05	3'785.32	1.00	5			-104.5834	71.0907
CCE3 e CCE4 - Carichi permanenti	-33.50	2'243.99	1.00	3	-0.8991	-0.6040	-13.4695	30.4002
Precompressione			1.00	-				
Cedimento appoggi			1.00	-				
Rit.-eff. primari (cls soletta)	3'763	-	1.00	soletta	3.0568	3.0568		
Rit.-eff. secondari isostatici (sez. mista)	-3'763	2'943	1.00	2	-2.4762	-2.0891	-46.5871	20.6768
Rit.-eff. Secondari iperstatici (sez. mista)			1.00	2	0.0000	0.0000	0.0000	0.0000
Temp-effetti primari (soletta)	-2'161	-	0.00	soletta	0.0000	0.0000		
Temp-effetti secondari isostatici (sez. mista)	2'161	-864	0.00	1	0.0000	0.0000	0.0000	0.0000
Temp-effetti secondari iperstatici (sez. mista)			0.00	1	0.0000	0.0000	0.0000	0.0000
CCE8 e CCE12 - Carichi accidentali	31.10	5'280.10	1.00	1	-3.0623	-1.2836	-8.0869	66.6185
					-3.3808	-0.9200	-204.4432	210.3436

				TENS. TANGENZIALI (N/mm2)		
	SOLLECITAZIONI			Taglio	Torcente	Torcente
	T(kN)	Mt(kN*m)	Coeff.	(pareti)	(fondo)	(pareti)
CCE1 - Peso acciaio	-145.83	0.00	1.00	-3.749	0.000	0.000
CCE2 - Peso soletta in cls	-450.04	0.00	1.00	-11.569	0.000	0.000
CCE3 e CCE4 - Carichi permanenti	-268.71	0.00	1.00	-6.908	0.000	0.000
Precompressione	0.00	0.00	1.00	0.000	0.000	0.000
Cedimento appoggi	0.00	0.00	1.00	0.000	0.000	0.000
Ritiro	0.00	0.00	1.00	0.000	0.000	0.000
Temperatura	0.00	0.00	0.60	0.000	0.000	0.000
CCE8 e CCE12 - Carichi accidentali	-738.37	64.56	1.00	-18.981	0.864	0.174
CCE13 - Vento	0.00	0.00	0.60	0.000	0.000	0.000
				-41.21	0.86	0.17

TENSIONI IDEALI (N/mm2)			
Fibra cls,s	Fibra cls,i	Fibra acc,s	Fibra acc,i
		-216.44	222.03

FIGURA 86: VERIFICA IN ESERCIZIO DEL CONCIO C3

Tutte le verifiche risultano soddisfatte, si può infatti osservare che i valori di tensione di trazione calcolati sono inferiori alle tensioni limite.

11.4 TRAVERSI

11.4.1 SOLLECITAZIONI AGENTI SUI TRAVERSI

Si riportano di seguito alcune immagini che riportano i risultati ottenuti, in termini di sollecitazioni, per i traversi.

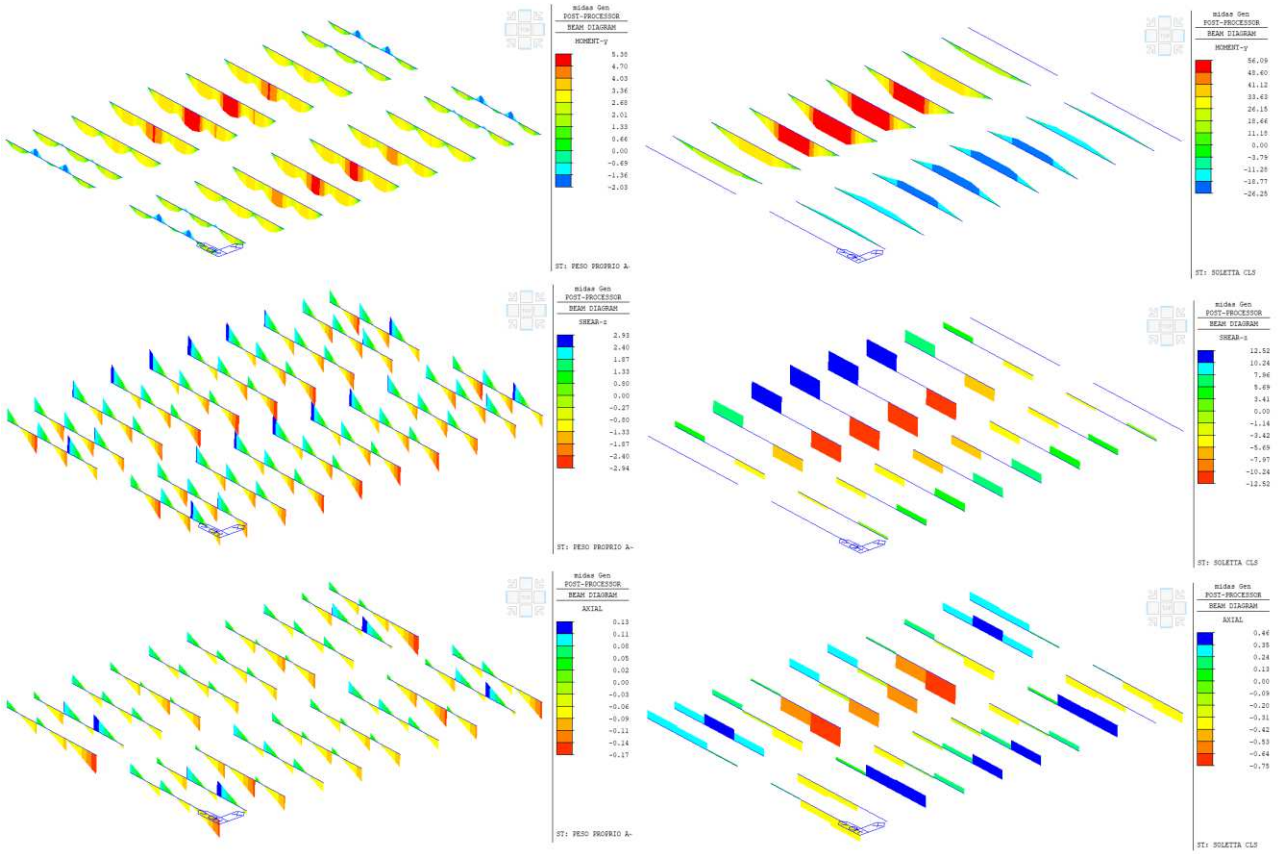


FIGURA 87: MOMENTO, TAGLIO E SFORZO NORMALE AGENTI SUI TRAVERSI PER AZIONE DI PESO PROPRIO ACCIAIO E SOLETTA

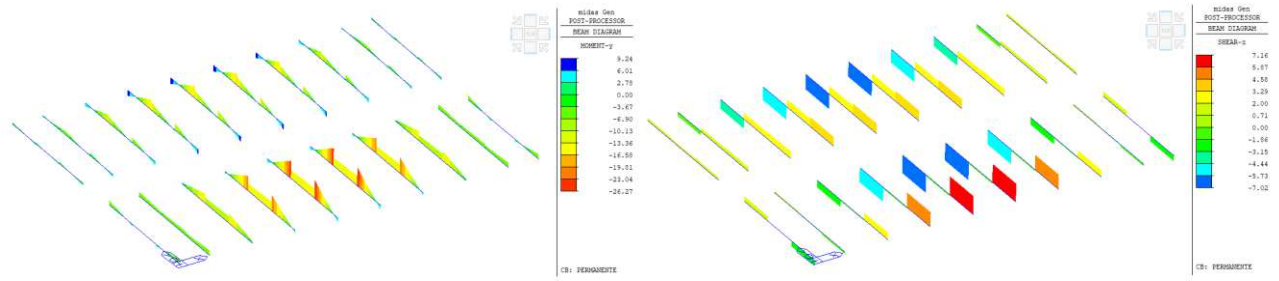


FIGURA 88: MOMENTO E TAGLIO SUI TRAVERSI PER AZIONE DEI CARICHI PERMANENTI

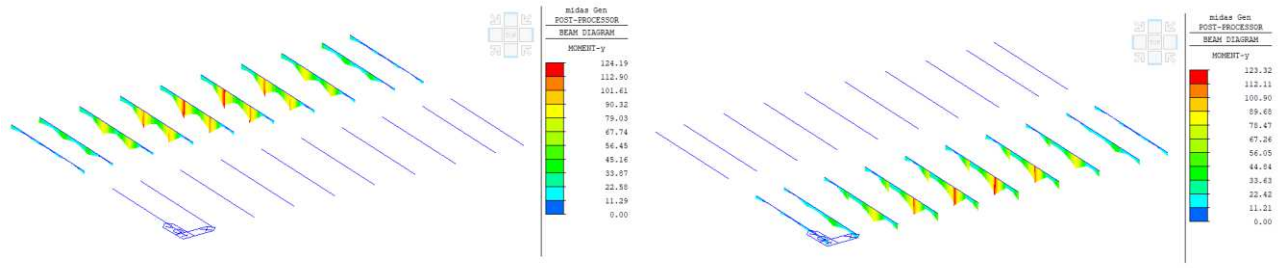


FIGURA 89: MOMENTO SUI TRAVERSI PER AZIONE DEI CARICHI VARIABILI DI TRAFFICO

11.4.2 VERIFICA DEL TRAVERSO TIPO A FLESSIONE E TAGLIO

Nell'immagine seguente è rappresentata la numerazione degli elementi finiti oggetto di verifica:

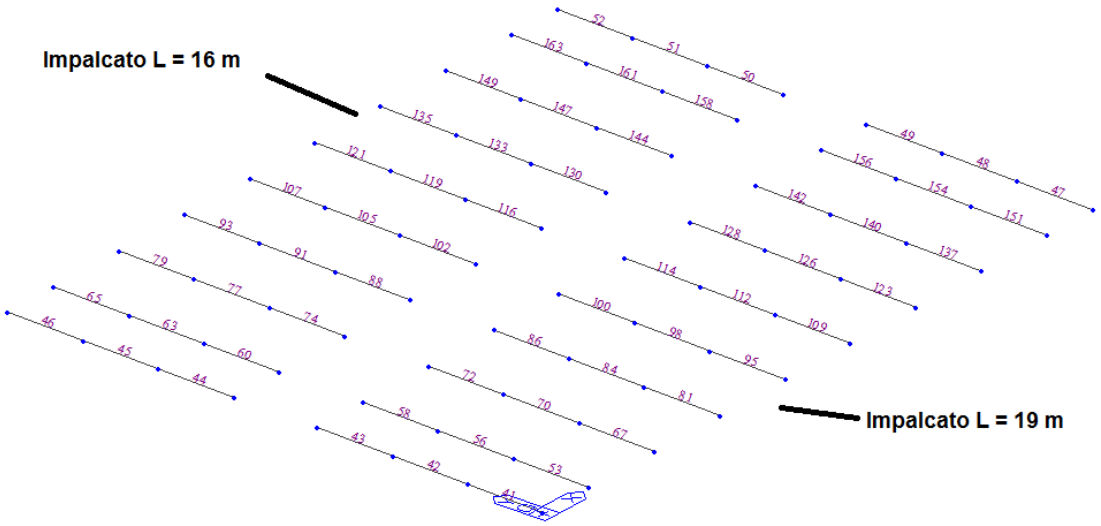


FIGURA 90: NUMERAZIONE DEI TRAVERSI

La sezione del traverso è una IPE 500 che ha la seguente classificazione nei confronti della compressione e della flessione:

Classificazione e compressione:

Acciaio S355 → ε = radq(235/f_y) = radq(235/355) =0.813

Classificazione Ala → c/t = b-t_w-2*r/2*t_f = (200-10.2-2*21)/2*16 = 4.63

9*ε = 7.32 > 4.63 **ALA CLASSE 1**

Classificazione Anima → c/t = h-2*t_f-2*r/t_w = (500-2*16-2*21)/10.2 = 41.8

42*ε = 34.15 < 41.8 **ANIMA CLASSE 4**

Classificazione e flessione secondo asse forte:

Classificazione Ala → c/t = b-t_w-2*r/2*t_f = (200-10.2-2*21)/2*16 = 4.63

9*ε = 7.32 > 4.63 **ALA CLASSE 1**

Classificazione Anima → c/t = h-2*t_f-2*r/t_w = (500-2*16-2*21)/10.2 = 41.8

72*ε = 58.54 > 41.8 **ANIMA CLASSE 1**

Di seguito vengono riportate le caratteristiche dei parametri di calcolo per la verifica ad instabilità, a flessione e taglio del profilo IPE 500:

IPE 500 (a compressione sez. classe 4, flessione sez classe 1)								
A	11552.2	mmq	Av	4773	mmq	Aeff	11207	mmq
$J_{el,y}$	481985030	mm4	iy	204.3	mm	$W_{el,y}$	1927900	mmc
$J_{el,z}$	21416800	mm4	iz	43.06	mm	$W_{el,z}$	214170	mmc
$J_{el,y,eff}$	465217000	mm4	$W_{el,y,eff}$	1860868	mmc	per verifiche a compressione		
$J_{el,z,eff}$	53436750	mm4	$W_{el,z,eff}$	213747	mmc			
Luce	4500	mm	acciaio	355	MPa			
β	1	-						
λ_y	22.03	-						
λ_z	104.51	-						
$N_{cr,y}$	49350.9	kN						
$N_{cr,z}$	2192.3	kN						
curva inst y	a		α	0.21				
curva inst y	b		α	0.34				
			λ_y	0.284				
			λ_z	1.347				
			Φ_y	0.55				
			Φ_z	1.60				
			X_y	0.98				
			X_z	0.40				

FIGURA 91: PARAMETRI PER VERIFICHE A COMPRESSIONE FLESSIONE E TAGLIO

A partire dalle caratteristiche sollecitazione, ottenute mediante il programma di calcolo agli elementi finiti, sono stati calcolati i valori delle tensioni agenti per ciascun nodo i e j degli elementi analizzati.

Le tensioni σ_N (calcolata tenendo conto dell'instabilità come indicato al Par. 4.2.4.1.3.1 di [1]), σ_M e τ (calcolata come $(\sqrt{3}*\gamma_{M0}*V_{Sd})/ A_V$) sono state combinate secondo il criterio di Tresca e confrontate con il massimo valore di tensione ammissibile per l'acciaio in esame (S355).

σ_{max} = 355/1.05 = 338.1 MPa

ELEMENTO	σi [MPa]	σj [MPa]	Verifica	Sfruttamento
41	91.76	81.93	OK	**27.1%**
42	65.63	74.10	OK	**21.9%**
43	77.13	87.02	OK	**25.7%**
44	68.04	60.29	OK	**20.1%**
45	55.21	56.90	OK	**16.8%**
46	59.37	63.94	OK	**18.9%**
47	80.12	64.22	OK	**23.7%**
48	62.42	59.65	OK	**18.5%**
49	67.29	79.72	OK	**23.6%**
50	52.23	51.82	OK	**15.4%**
51	50.70	49.45	OK	**15.0%**
52	52.01	50.98	OK	**15.4%**
53	121.26	121.86	OK	**36.0%**
56	109.48	117.21	OK	**34.7%**
58	109.23	112.34	OK	**33.2%**
60	88.77	84.71	OK	**26.3%**
63	112.29	101.20	OK	**33.2%**
65	98.79	85.73	OK	**29.2%**
67	151.46	191.46	OK	**56.6%**
70	181.55	186.55	OK	**55.2%**
72	178.30	150.10	OK	**52.7%**
74	119.05	156.01	OK	**46.1%**
77	174.18	170.78	OK	**51.5%**
79	175.75	121.75	OK	**52.0%**
81	177.18	235.42	OK	**69.6%**
84	229.98	229.57	OK	**68.0%**
86	221.67	175.13	OK	**65.6%**
88	139.16	194.63	OK	**57.6%**
91	211.77	212.47	OK	**62.8%**
93	214.25	151.10	OK	**63.4%**
95	190.40	251.65	OK	**74.4%**
98	252.90	249.48	OK	**74.8%**
100	240.68	184.60	OK	**71.2%**

ELEMENTO	σi [MPa]	σj [MPa]	Verifica	Sfruttamento
102	144.59	210.83	OK	**62.4%**
105	228.84	233.44	OK	**69.0%**
107	228.02	159.23	OK	**67.4%**
109	193.25	252.79	OK	**74.8%**
112	256.56	251.14	OK	**75.9%**
114	239.00	182.13	OK	**70.7%**
116	147.39	215.42	OK	**63.7%**
119	223.00	238.30	OK	**70.5%**
121	228.81	159.44	OK	**67.7%**
123	182.74	227.72	OK	**67.4%**
126	238.28	231.49	OK	**70.5%**
128	220.09	170.94	OK	**65.1%**
130	140.00	201.10	OK	**59.5%**
133	205.45	222.58	OK	**65.8%**
135	211.00	153.77	OK	**62.4%**
137	152.46	185.09	OK	**54.7%**
140	195.46	187.53	OK	**57.8%**
142	177.94	144.61	OK	**52.6%**
144	116.50	163.09	OK	**48.2%**
147	165.90	181.60	OK	**53.7%**
149	170.93	132.52	OK	**50.6%**
151	109.69	111.46	OK	**33.0%**
154	122.02	113.56	OK	**36.1%**
156	113.05	110.22	OK	**33.4%**
158	74.91	97.22	OK	**28.8%**
161	94.96	105.49	OK	**31.2%**
163	102.67	88.93	OK	**30.4%**

FIGURA 92: VERIFICHE

Le verifiche sono soddisfatte.

Verifiche integrative sono riportate al Paragrafo 13.

11.5 GIUNTI BULLONATI

Per realizzare le giunzioni tra elementi strutturali si utilizzano bulloni **M20** di **Classe 10.9**.
Nell'immagine sottostante è riportata, a titolo di esempio, una delle giunzioni bullonate in esame.

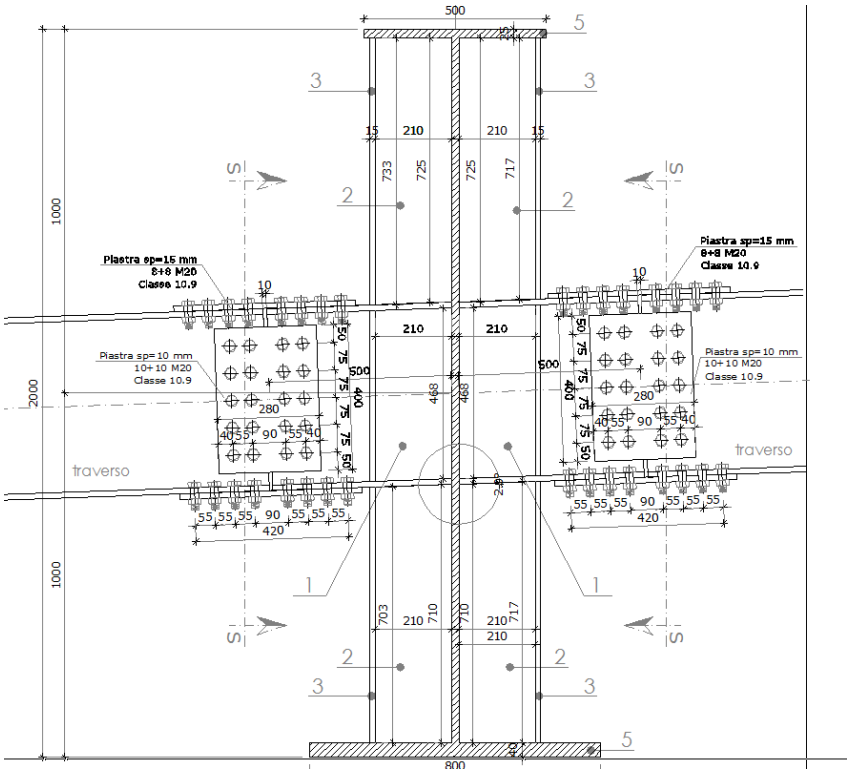


FIGURA 93: ESEMPIO DI GIUNZIONE BULLONATA TRAVERSO

I profili da giuntare sono del tipo IPE 500.
Per quanto riguarda la bullonatura d'ala sono previsti n°8 bulloni con passo longitudinale pari a 55 mm e passo trasversale di 120 mm. Su ogni ala è previsto un coprigiunto dello spessore di 15 mm.
Per la bullonatura d'anima sono invece previste 2 file da n°5 bulloni ciascuna, aventi passo verticale di 75 mm e distanza orizzontale di 55 mm, con piastre coprigiunto di altezza 400 mm e spessore 10 mm.

Ai fini della verifica, i giunti sono stati considerati nell'ambito della *Categoria B* (secondo la normativa UNI EN 1993-1-8).

I bulloni ricadenti all'interno di tale categoria vengono verificati secondo le seguenti procedure:

- S.L.U. → verificati come collegamenti a taglio
- S.L.E. → verificati come collegamenti ad attrito

11.5.1 VERIFICHE A STATO LIMITE ULTIMO

Le sollecitazioni massime sono riportate nella seguente tabella:

element	node	Axial [kN]	Shear-z [kN]	Moment-y [kN*m]
102	J[94]	489.5	-7.0	231.3
105	I[94]	717.9	50.0	217.9

FIGURA 94: SOLLECITAZIONI SU GIUNZIONE TRAVERSO

Verifica su giunto con M_{max}

- Forza assiale su coprigiunto d'ala superiore $N_{fp,c,Ed}$ -325.2 kN
- Forza assiale su coprigiunto d'ala inferiore $N_{fp,t,Ed}$ 630.6 kN
- Forza assiale agente nel coprigiunto d'anima $N_{wp,Ed}$ 184.1 kN
- Forza di taglio agente nel coprigiunto d'anima $V_{wp,Ed}$ 7 kN

Segue il dettaglio delle verifiche eseguite, le quali risultano tutte soddisfatte.

- Verifica della sezione trasversale dei coprigiunti d'ala

  $N_{Rd}^{(sez.\ lorda)}$ = 912.9 kN ≥ **$N_{fp,t,Ed}$ = 630.6 kN**
  $N_{Rd}^{(sez.\ netta)}$ = 749.1 kN ≥ **$N_{fp,t,Ed}$ = 630.6 kN**

- Verifica del gruppo dei bulloni d'ala

  N_{Rd} = 940.5 kN ≥ **$N_{fp,t,Ed}$ = 630.6 kN**

- Verifica a rifollamento dei coprigiunti d'ala

  N_{Rd} = 1209.9 kN ≥ **$N_{fp,t,Ed}$ = 630.6 kN**

- Verifica a rifollamento ali delle travi da giuntare

  N_{Rd} = 1523.2 kN ≥ **$N_{fp,t,Ed}$ = 630.6 kN**

- Verifica delle flange delle travi (block tearing)

  N_{Rd} = 1699.0 kN ≥ **$N_{fp,t,Ed}$ = 630.6 kN**

- Verifica dei coprigiunti d'ala (block tearing)

  N_{Rd}= 1378.6 kN ≥ **$N_{fp,t,Ed}$ = 630.6 kN**

- Verifica della sezione netta coprigiunti anima

  Verifica = 0.01 < 1

- Verifica gruppo bulloni anima

  V_{Ed}= 9.56 kN < V_{Rd}= 117.6 kN

- Verifica rifollamento coprigiunti anima

  $V_{Ed,x}$= 19.10 kN ; $V_{Ed,z}$= 0.87 kN

  $V_{Rd,x}$= 238 kN ; $V_{Rd,z}$= 178.1 kN

- Verifica a rifollamento anima

  $V_{Ed,x}$= 19.10 kN ; $V_{Ed,z}$= 0.87 kN

  $V_{Rd,x}$= 121.4 kN ; $V_{Rd,z}$= 87.4 kN

- Verifica dell'anima delle travi (block tearing)

  $V_{w,Rd}$ = 771.0 kN ≥ **$V_{wp,Ed}$ = 7 kN**
  $N_{w,Rd}$ = 1123.2kN ≥ **$N_{wp,Ed}$ = 184.1 kN**

- Verifica dei coprigiunti d'anima (block tearing)

  $V_{cp,Rd}$ = 1312.7 kN ≥ **$V_{wp,Ed}$ = 7 kN**
  $N_{cp,Rd}$ = 2214 kN ≥ **$N_{wp,Ed}$ = 184.1 kN**

Verifica su giunto con N_{max}

• Forza assiale su coprigiunto d'ala superiore	$N_{fp,c,Ed}$	-226.3	kN
• Forza assiale su coprigiunto d'ala inferiore	$N_{fp,t,Ed}$	674.1	kN
• Forza assiale agente nel coprigiunto d'anima	$N_{wp,Ed}$	270	kN
• Forza di taglio agente nel coprigiunto d'anima	$V_{wp,Ed}$	50	kN

Segue il dettaglio delle verifiche eseguite, le quali risultano tutte soddisfatte.

- Verifica della sezione trasversale dei coprigiunti d'ala

  $N_{Rd}^{(sez.\ lorda)}$ = 912.9 kN ≥ **$N_{fp,t,Ed}$ = 674.1 kN**
  $N_{Rd}^{(sez.\ netta)}$ = 749.1 kN ≥ **$N_{fp,t,Ed}$ = 674.1 kN**

- Verifica del gruppo dei bulloni d'ala

  N_{Rd} = 940.5 kN ≥ **$N_{fp,t,Ed}$ = 674.1 kN**

- Verifica a rifollamento dei coprigiunti d'ala

  N_{Rd} = 1209.9 kN ≥ **$N_{fp,t,Ed}$ = 674.1 kN**

- Verifica a rifollamento ali delle travi da giuntare

  N_{Rd} = 1523.2 kN ≥ **$N_{fp,t,Ed}$ = 674.1 kN**

- Verifica delle flange delle travi (block tearing)

  N_{Rd} = 1699.0 kN ≥ **$N_{fp,t,Ed}$ = 674.1 kN**

- Verifica dei coprigiunti d'ala (block tearing)

  N_{Rd}= 1378.6 kN ≥ **$N_{fp,t,Ed}$ = 674.1 kN**

- Verifica della sezione netta coprigiunti anima

  Verifica = 0.03 < 1

- Verifica gruppo bulloni anima

  V_{Ed}= 16.09 kN < V_{Rd}= 117.6 kN

- Verifica rifollamento coprigiunti anima

  $V_{Ed,x}$= 31.6 kN ; $V_{Ed,z}$= 6.15 kN

  $V_{Rd,x}$= 238 kN ; $V_{Rd,z}$= 178.1 kN

- Verifica a rifollamento anima

  $V_{Ed,x}$= 31.6 kN ; $V_{Ed,z}$= 6.15 kN

  $V_{Rd,x}$= 121.4 kN ; $V_{Rd,z}$= 87.4 kN

- Verifica dell'anima delle travi (block tearing)

  $V_{w,Rd}$ = 760.6 kN ≥ **$V_{wp,Ed}$ = 50 kN**
  $N_{w,Rd}$ = 1103.3 kN ≥ **$N_{wp,Ed}$ = 270 kN**

- Verifica dei coprigiunti d'anima (block tearing)

  $V_{cp,Rd}$ = 1312.7 kN ≥ **$V_{wp,Ed}$ = 50 kN**
  $N_{cp,Rd}$ = 2214.0 kN ≥ **$N_{wp,Ed}$ = 270 kN**

11.5.2 VERIFICHE A STATO LIMITE DI ESERCIZIO

Dal precendente paragrafo si evince che la verifica più gravosa risulta quella con N_{max}. Quindi si verifica in esercizio solo quel nodo. Le sollecitazioni agenti sul nodo in esercizio sono:

N_{Ed} = 556.6 kN
M_{Ed} = 160.5 kN
V_{Ed} = 35.9 kN

Tali sollecitazione vengono così distribuite:

- Forza assiale su coprigiunto d'ala superiore $N_{fp,c,Ed}$ -158 kN
- Forza assiale su coprigiunto d'ala inferiore $N_{fp,t,Ed}$ 505.2 kN
- Forza assiale agente nel coprigiunto d'anima $N_{wp,Ed}$ 209.4 kN
- Forza di taglio agente nel coprigiunto d'anima $V_{wp,Ed}$ 35.9 kN

Seguono le verifiche dei bulloni ad attrito.

Bulloni ad Attrito			*Pag* 1	
Dati Bulloni				
Diametro del bullone	d	20	[mm]	
Diametro del foro	d_0	21	[mm]	
Classe bullone	-	10.9	[-]	
Numero bulloni	n	16	[-] **8 bulloni/2 pian**	
Tensione snervamento bullone	f_{yb}	900	[MPa]	
Tensione rottura bullone	f_{ub}	1000	[MPa]	
Calcolo attrito				
Coefficiente del foro	k_s	1	[-]	
Coefficiente di attrito	μ	0.3	[-]	
Forza di precarico	$F_{p,Cp}$	155.9	[kN]	
Sollecitazione di progetto				
Sollecitazione di taglio	V_{ed}	505.2	[kN]	
Calcolo resistenza				
Taglio resistente n°1 bull.	V_{rd}	42.52	[kN]	
Taglio resistente bulonat.	$V_{rd,tot}$	**680.33**	[kN]	**OK**

Pagina 1

FIGURA 95: VERIFICA A SLE PER IL COPRIGIUNTO D'ALA INFERIORE (TESO)

Bulloni ad Attrito			*Pag* 1	
Dati Bulloni				
Diametro del bullone	d	20	[mm]	
Diametro del foro	d_0	21	[mm]	
Classe bullone	-	10.9	[-]	
Numero bulloni	n	20	[-] **10 bulloni/2 pia**	
Tensione snervamento bullone	f_{yb}	900	[MPa]	
Tensione rottura bullone	f_{ub}	1000	[MPa]	
Calcolo attrito				
Coefficiente del foro	k_s	1	[-]	
Coefficiente di attrito	μ	0.3	[-]	
Forza di precarico	$F_{p,Cp}$	155.9	[kN]	
Sollecitazione di progetto				
Sollecitazione di taglio	V_{ed}	212.5	[kN]	
Calcolo resistenza				
Taglio resistente n°1 bull.	V_{rd}	42.52	[kN]	
Taglio resistente bulonat.	$V_{rd,tot}$	**850.41**	[kN]	**OK**

Pagina 1

FIGURA 96: VERIFICA A SLE PER IL COPRIGIUNTO D'ANIMA

Le verifiche sono soddisfatte

11.6 SALDATURE

11.6.1 SALDATURE TRAVERSI

Si riportano nell'immagine seguente le dimensioni delle saldature risultanti dai calcoli.

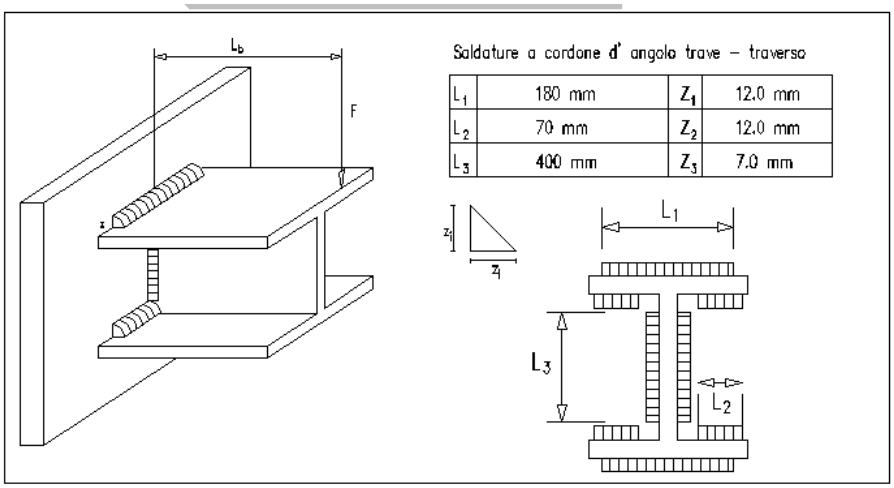


FIGURA 97: DIMENSIONI CORDONI SALDATURA

Le sollecitazioni massime sono riportate nella seguente tabella:

element	node	Axial [kN]	Shear-z [kN]	Moment-y [kN*m]
102	J[94]	489.5	-7.0	231.3
105	I[94]	717.9	50.0	217.9

FIGURA 98: SOLLECITAZIONI SU GIUNZIONE TRAVERSO

Verifica su giunto con M_{max}

Le massime sollecitazioni in corrispondenza della zona di giunzione sono:

- M_b = 231.3 kNm
- T = 489.5 kN
- F = 7 kN

A tali valori di sollecitazione ed alle dimensioni di cordone di saldatura ipotizzate corrispondono le seguenti tensioni:

- $\sigma_\perp$ = 260.1 MPa < **367.2 MPa** = $0.9f_u / \gamma_{M2}$
- τ_{par} = 1.8 MPa
- σ_{comb} = 260.1 MPa < **453.3 MPa** = $f_u / (\beta_W * \gamma_{M2})$

Verifica su giunto con N_{max}

Le massime sollecitazioni in corrispondenza della zona di giunzione sono:

- M_b = 217.9 kNm
- T = 717.9 kN
- F = 50 kN

A tali valori di sollecitazione ed alle dimensioni di cordone di saldatura ipotizzate corrispondono le seguenti tensioni:

- $\sigma_{\perp}$ = 292.2 MPa < **367.2 MPa** = $0.9f_u / \gamma_{M2}$
- τ_{par} = 12.6 MPa
- σ_{comb} = 293 MPa < **453.3 MPa** = $f_u / (\beta_W * \gamma_{M2})$

Le verifiche risultano soddisfatte.
Il materiale con cui si eseguono le saldature deve avere resistenza pari o superiore alla resistenza degli elementi strutturali che collegano.

11.6.2 SALDATURE FLANGE-ANIMA

Per la verifica delle saldature tra flange e anima delle travi principali si fa riferimento alla normativa UNI ENV 1993-1-5:2001.
Si riportano di seguito i risultati.

VERIFICA SALDATURE TRAVE DA PONTE		Pag 1	
Dati di ingresso			
Acciaio anima trave	f_{yk}	**S355**	[MPa]
Tensione di snervamento	f_{yk}	510	[MPa]
Coefficiente di sicurezza per materiale	γ_{m0}	**1.05**	[-]
Coefficiente di sicurezza per materiale	γ_{m1}	**1.10**	[-]
Coefficiente	η	1.257	[-]
Spessore dell'anima	t_w	**20**	[mm]
Classe materiale saldatura	-	**S355**	[-]
Tensione rottura materiale saldatura	f_{uwk}	510	[MPa]
Lunghezza del cordone di saldatura	L_w	1000	[mm]
Coefficiente β	-	0.9	[-]
Calcolo			
Scorrimento per taglio	q	7403	[kN/m]
Tensione limite	$\tau_{''}$	453	[MPa]
Altezza di gola necessaria	a	8.2	[mm]
Altezza della saldatura	z	**11.5**	[mm]
Verifica secondo norma CNR 1011			
Spessore laminati da unire	t_1	**20**	[mm]
	t_2	**20**	[mm]
z calcolata soddisfa criterio $\min(t_1;t_2)/2<z<\min(t_1;t_2)$		**OK**	
**proseguire solamente se la verifica geometrica precedente ha dato esisto negativo*			
Altezza saldatura modificata per rispetto regola	z_{mod}	**12**	[mm]
Verifica		**OK**	

FIGURA 99: VERIFICA DELLE SALDATURE TRA FLANGIA E ANIMA TRAVI PRINCIPALI

Si precisa che per la verifica secondo norma CNR si considerano i valori dei minimi spessori da unire.

11.6.3 SALDATURE LONGITUDINALI DEGLI IRRIGIDIMENTI VERTICALI

Si verificano i cordoni di saldatura in corrispondenza dell'unione degli irrigidimenti e dell'anima delle travi principali.
Tale verifica è stata condotta considerando come forza agente la resistenza ad instabilità del complesso degli irrigidimenti (calcolata in fase di verifica degli stessi, Paragrafo ##).
Le massime sollecitazioni in corrispondenza della zona di giunzione sono:

- T = 7272 kN (resistenza ad instabilità)

Si considerano 4 cordoni di saldatura d'angolo con altezza h = 1880 mm.
La dimensione delle saldature considerate è z_1 = 10 mm.
A tali valori di sollecitazione ed alle dimensioni di cordone di saldatura ipotizzate corrispondono le seguenti tensioni:

- $\sigma_\perp$ = 0 MPa < **367.2 MPa** = $0.9f_u / \gamma_{M2}$
- $\tau_{parallelo}$ = 136.0 MPa
- σ_{comb} = 235.6 MPa < **453.3 MPa** = $f_u / (\beta_W * \gamma_{M2})$

La verifica risulta soddisfatta.

11.6.4 SALDATURE TESTA-TESTA TRAVI PRINCIPALI

Dal momento che il materiale con cui sono realizzate le saldature è della stessa tipologia e resistenza (S355) di quello degli elementi strutturali che collegano, allora la resistenza di calcolo dei collegamenti a piena penetrazione si assume uguale alla resistenza di progetto del più debole tra gli elementi connessi.

11.7 SOLETTA

La soletta presenta uno spessore totale di 300 mm ed è ordita in senso trasversale rispetto all'impalcato.
È realizzata utilizzando lastre prefabbricate in calcestruzzo (*predalles*) collaboranti dello spessore di 60 mm, le quali costituiscono una casseratura autoportante con tralicci metallici elettro-saldati. A completamento della stessa viene predisposto un getto di calcestruzzo avente spessore costante pari a 240 mm.
Si è considerato per la soletta un copriferro di 45 mm.
Si riporta la verifica delle sezioni correnti.
Per eseguire la verifica si è fatto riferimento a tre successive fasi di carico:

- Fase I: Getto della soletta
  Le lastre tipo *predalles* sono posizionate al di sopra delle travi longitudinali con schema di trave continua trasversale (larghezza unitaria) su tre appoggi.
  Durante questa fase ciascuna *predalle* sostiene se stessa ed il getto di completamento.
  La larghezza complessiva della soletta è di 16/19 m.
- Fase II: Inserimento degli elementi di arredo
  Lo schema statico è sempre quello di trave continua di larghezza unitaria su tre appoggi ed i carichi da considerare sono i permanenti portati.
- Fase III: Transito dei carichi mobili
  Medesimo schema statico dei casi precedenti. Si considerano le azioni variabili.

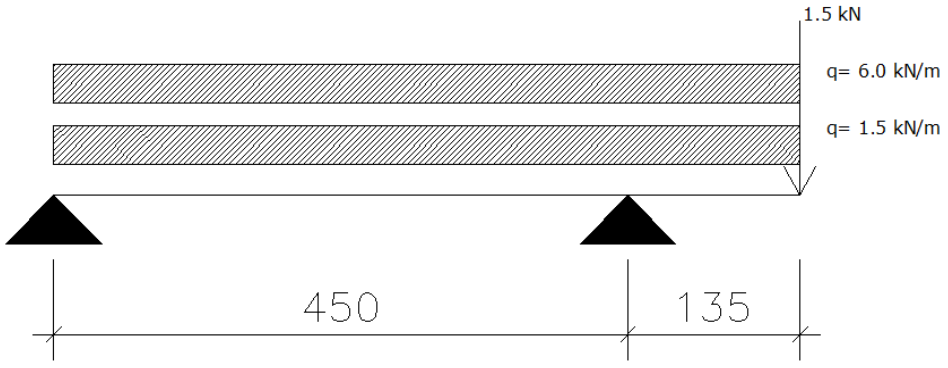
11.7.1 VERIFICA DEL TRALICCIO PREDALLE IMPALCATO LARGHEZZA 16 METRI

In verifica si considerano i carichi seguenti:

- Peso proprio lastra= 1.5 kN/m
- Peso proprio soletta gettata = 6.0 kN/m
- Carico accidentale = 1.5 kN

Gli schemi statici adottati sono di semplice appoggio + sbalzo per massimizzare la sollecitazione di momento flettente su appoggio (predalles laterali) e di semplice appoggio per massimizzare momento flettente positivo.

- CASO 1: Max M^-



- CASO 2: Max M^+

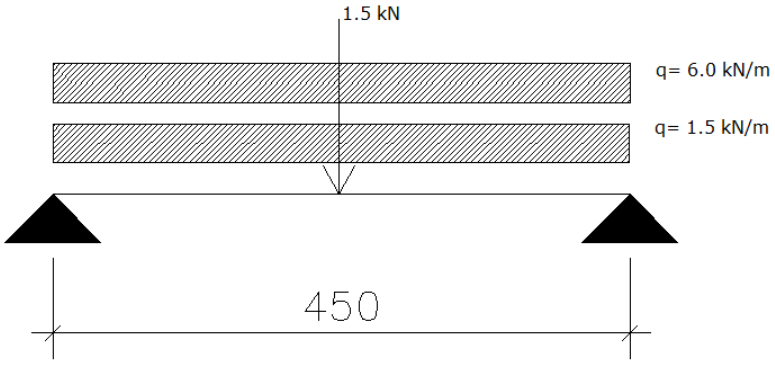


FIGURA 100: SCHEMATIZZAZIONE CASI DI CARICO SU PREDALLE

Entrambe le configurazioni devono essere verificate per il tipo di traliccio scelto.
Il traliccio utilizzato è del tipo 10/14/8 con h = 20.5 cm.
Tale dicitura indica un traliccio con armatura inferiore composta da 2Φ10, armatura superiore composta da 1Φ14 e armatura diagonale composta da Φ8.
La lastra predalle ha larghezza di 120 cm ed i tralicci hanno interasse pari a 25 cm.
Le sollecitazioni agenti per la verifica sono:

Caso 1		
	p.p + getto	accidentale
M	-5.94	-1.89
V	9.44	1.5
Caso 2		
	p.p + getto	accidentale
M	19.06	1.69
V	16.91	0.75

Si riportano di seguito le verifiche eseguite.

CALCOLO PREDALLES AUTOPORTANTI

Pag 1

Dati di ingresso

1. Caratteristiche dei tralicci

Altezza totale del traliccio	h	205	[mm]
Altezza utile del traliccio	h_t	193	[mm]
Ingombro ferri inferiori	L	108	[mm]
Interasse ferri	d_{inf}	98	[mm]
Diametro ferro superiore	Φ_{sup}	14	[mm]
Diametro ferri inferiori	Φ_{inf}	10	[mm]
Diametro ferri inferiori supplementari	$\Phi_{inf,s}$	0	[mm]
Diametro diagonali	Φ_d	8	[mm]
Distanza per calcolo angolo α	$i_{d,netta}$	68	[mm]
Interasse tralicci	i	250	[mm]
Interasse diagonali	i_d	200	[mm]

2. Sollecitazioni di calcolo

Momento negativo soletta + lastra	M_G^-	5.94	
Momento negativo carichi accidentali di getto	M_Q^-	1.89	
Momento positivo su appoggio	$M_{Ed,app}$	2.71	[kNm]
Momento positivo soletta + lastra	M_G^+	19.06	
Momento negativo carichi accidentali di getto	M_Q^+	1.69	
Momento massimo in campata	$M_{Ed,camp}$	7.07	[kNm]
Taglio per soletta + lastra	V_G	16.91	
Taglio per carichi accidentali di getto	V_Q	0.75	
Taglio max su appoggio	$V_{Ed,app}$	5.99	[kN]

Pagina 1

Calcolo

1. Verifica per momento positivo

1.1 Verifica corrente superiore compresso

Sforzo di compressione nel corrente superiore	N_{Sd}	36.6	[kN]	
Modulo di inerzia del tondino supereiore	J	1886	[mm^4]	
Carico critico euleriano	N_{cr}	97.7	[kN]	
Snellezza relativa	λ_{segn}	0.84	[-]	
Coefficiente di imperfezione	α	0.49	[-]	
	Φ	1.01	[-]	
	χ	0.64	[-]	
Sforzo normale resistente	$N_{b,Rd}$	38.3	[kN]	OK

1.2 Verifica correnti inferiori tesi

Sforzo normale resistente nei correnti inferiori	N_{Rd}	61.4	[kN]	OK

2. Verifica per momento negativo

2.1 Verifica corrente superiore compresso

Sforzo di trazione nel corrente superiore	N_{Sd}	14.1	[kN]	
Sforzo di trazione resistente	N_{Rd}	60.21	[kN]	OK

CALCOLO PREDALLES AUTOPORTANTI

Pag 2

2.2 Verifica correnti inferiori compressi

Sforzo di compressione nel corrente superiore	N_{Sd}	14.1	[kN]	
Modulo di inerzia del tondino supereiore	J	490.9	[mm^4]	
Carico critico euleriano	N_{cr}	25.4	[kN]	
Snellezza relativa	λ_{segn}	1.18	[-]	
Coefficiente di imperfezione	α	0.49	[-]	
	Φ	1.43	[-]	
	χ	0.44	[-]	
Sforzo normale resistente	$N_{b,Rd}$	13.6	[kN]	OK

2.3 Verifica diagonali staffe

Angolo di inclinazione	α	70.6	[°]	
Angolo di inclinazione	β	8.5	[°]	
Lunghezza libera di inflessione	L_0	205	[mm]	
Modulo di inerzia del tondino supereiore	J	201	[mm^4]	
Carico critico euleriano	N_{cr}	10.0	[kN]	
Snellezza relativa	λ_{segn}	1.51	[-]	
Coefficiente di imperfezione	α	0.49	[-]	
	Φ	1.96	[-]	
	χ	0.31	[-]	
Sforzo normale resistente compressione	$N_{b,Rd}$	6.1	[kN]	OK
Sforzo normale agente compressione	N_{Sd}	3.2	[kN]	
Sforzo normale di trazione resistente	N_{Rd}	19.7	[kN]	OK

Pagina 2

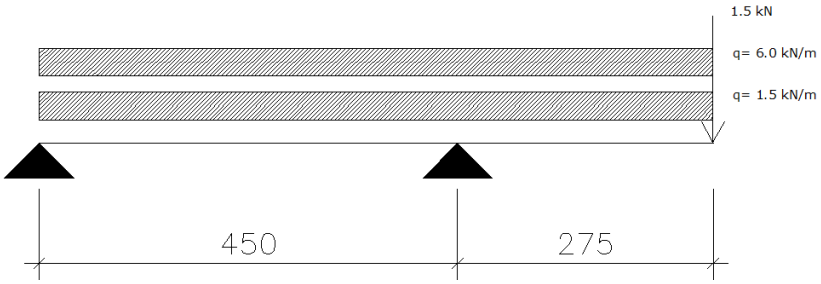
11.7.2 VERIFICA DEL TRALICCIO PREDALLE IMPALCATO LARGHEZZA 19 METRI

In verifica si considerano i carichi seguenti:

- Peso proprio lastra= 1.5 kN/m
- Peso proprio soletta gettata = 6.0 kN/m
- Carico accidentale = 1.5 kN

Gli schemi statici adottati sono di semplice appoggio + sbalzo per massimizzare la sollecitazione di momento flettente su appoggio (predalles laterali) e di semplice appoggio per massimizzare momento flettente positivo.

- CASO 1: Max M^-



- CASO 2: Max M^+

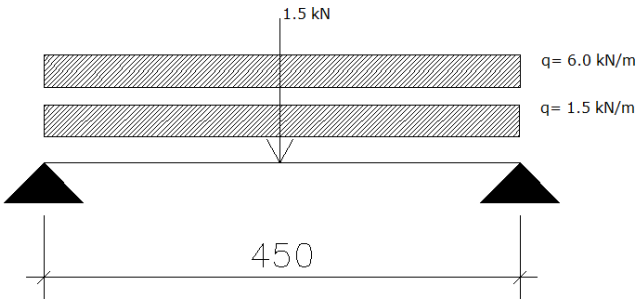


FIGURA 101: SCHEMATIZZAZIONE CASI DI CARICO SU PREDALLE

Entrambe le configurazioni devono essere verificate per il tipo di traliccio scelto.
Il traliccio utilizzato è del tipo 14/16/10con h = 20.5 cm.
Tale dicitura indica un traliccio con armatura inferiore composta da 2Φ14, armatura superiore composta da 1Φ16 e armatura diagonale composta da Φ10.
La lastra predalle ha larghezza di 120 cm ed i tralicci hanno interasse pari a 25 cm.
Le sollecitazioni agenti per la verifica sono:

Caso 1		
	p.p + getto	accidentale
M	-28.36	-4.13
V	20.6	1.5
Caso 2		
	p.p + getto	accidentale
M	19.06	1.69
V	16.91	0.75

Si riportano di seguito le verifiche eseguite.

CALCOLO PREDALLES AUTOPORTANTI

Pag 1

Dati di ingresso

1. Caratteristiche dei tralicci

Altezza totale del traliccio	h	205	[mm]	
Altezza utile del traliccio	h_t	190	[mm]	
Ingombro ferri inferiori	L	108	[mm]	
Interasse ferri	d_{inf}	94	[mm]	
Diametro ferro superiore	Φ_{sup}	16	[mm]	
Diametro ferri inferiori	Φ_{inf}	14	[mm]	
Diametro ferri inferiori supplementari	$\Phi_{inf,s}$	0	[mm]	
Diametro diagonali	Φ_d	10	[mm]	
Distanza per calcolo angolo α	$i_{d,netta}$	60	[mm]	
Interasse tralicci	i	250	[mm]	
Interasse diagonali	i_d	200	[mm]	

2. Sollecitazioni di calcolo

Momento negativo soletta + lastra	M_G^-	28.36		
Momento negativo carichi accidentali di getto	M_Q^-	4.13		
Momento positivo su appoggio	$M_{Ed,app}$	11.12	[kNm]	
Momento positivo soletta + lastra	M_G^+	19.06		
Momento negativo carichi accidentali di getto	M_Q^+	1.69		
Momento massimo in campata	$M_{Ed,camp}$	7.07	[kNm]	
Taglio per soletta + lastra	V_G	20.6		
Taglio per carichi accidentali di getto	V_Q	1.5		
Taglio max su appoggio	$V_{Ed,app}$	7.52	[kN]	

Calcolo

1. Verifica per momento positivo

1.1 Verifica corrente superiore compresso

Sforzo di compressione nel corrente superiore	N_{Sd}	37.2	[kN]	
Modulo di inerzia del tondino supereiore	J	3217	[mm^4]	
Carico critico euleriano	N_{cr}	166.7	[kN]	
Snellezza relativa	λ_{segn}	0.74	[-]	
Coefficiente di imperfezione	α	0.49	[-]	
	Φ	0.90	[-]	
	χ	0.70	[-]	
Sforzo normale resistente	$N_{b,Rd}$	55.2	[kN]	OK

1.2 Verifica correnti inferiori tesi

Sforzo normale resistente nei correnti inferiori	N_{Rd}	120.4	[kN]	OK

2. Verifica per momento negativo

2.1 Verifica corrente superiore compresso

Sforzo di trazione nel corrente superiore	N_{Sd}	58.5	[kN]	
Sforzo di trazione resistente	N_{Rd}	78.64	[kN]	OK

CALCOLO PREDALLES AUTOPORTANTI

Pag 2

2.2 Verifica correnti inferiori compressi

Sforzo di compressione nel corrente inferiore	N_{Sd}	58.5	[kN]	
Modulo di inerzia del tondino supereiore	J	1885.7	[mm^4]	
Carico critico euleriano	N_{cr}	97.7	[kN]	
Snellezza relativa	λ_{segn}	0.84	[-]	
Coefficiente di imperfezione	α	0.49	[-]	
	Φ	1.01	[-]	
	χ	0.64	[-]	
Sforzo normale resistente	$N_{b,Rd}$	38.3	[kN]	OK

2.3 Verifica diagonali staffe

Angolo di inclinazione	α	72.5	[°]	
Angolo di inclinazione	β	6.6	[°]	
Lunghezza libera di inflessione	L_0	199	[mm]	
Modulo di inerzia del tondino supereiore	J	491	[mm^4]	
Carico critico euleriano	N_{cr}	25.6	[kN]	
Snellezza relativa	λ_{segn}	1.17	[-]	
Coefficiente di imperfezione	α	0.49	[-]	
	Φ	1.43	[-]	
	χ	0.45	[-]	
Sforzo normale resistente compressione	$N_{b,Rd}$	13.7	[kN]	OK
Sforzo normale agente compressione	N_{Sd}	4.0	[kN]	
Sforzo normale di trazione resistente	N_{Rd}	30.7	[kN]	OK

Pagina 1
Pagina 2

11.7.3 VERIFICA ARMATURA SOLETTA IMPALCATO LARGHEZZA 16 METRI

Per la verifica delle armature della soletta sono considerati i seguenti carichi distribuiti (per i valori numerici dei carichi fare riferimento ai Paragrafi 8.1 e 8.2):

- Peso proprio soletta
- Permanenti portati :
  - Pavimentazione
  - Cordolo marciapiede
  - Barriera guard-rail
- Variabili da traffico (secondo lo *Schema 1*, già descritto in precedenza, e lo *Schema 2*)
- Variabili da carico isolato (secondo lo *Schema 4* per verifiche locali)
- Svio

Sono state considerate in tutto 8 diverse possibili combinazioni di carico, di seguito elencate:

Massimo momento positivo

- COMB. 1_M : Max M^+ campata centrale – Schema 1
- COMB. 2_M : Max M^+ campata centrale – Schema 2
- COMB. 3_M : Max M^+ campata centrale – Schema 2
-

Massimo momento negativo

- COMB. 4_M : Max M^- appoggio centrale- Schema 1
- COMB. 5_M : Max M^- appoggio centrale- Schema 2
- COMB. 6_M : Max M^- appoggio sbalzo- Schema 4
- COMB. Svio : Urto di veicoli in svio

Taglio massimo

- COMB. 1_V : Max V - Schema 1
- COMB. 5_V : Max V - Schema 2

Schema di Carico 2 (Fig. 5.1.2 di [1]): Singolo asse applicato su specifiche impronte 0.6x0.35 m (il lato di larghezza 0.6 m è da intendersi perpendicolare all'asse longitudinale dell'impalcato). Il carico assegnato a tale asse è pari a 2x200 kN = 400 kN.
Schema di Carico 4 (Fig. 5.1.2 di [1]): Carico isolato da 10 kN con impronta quadrata di lato 0.1 m. Tale schema si utilizza per verifiche locali su marciapiedi protetti da sicurvia e su passerelle pedonali.
Svio (par. 5.1.3.10 di [1]): Carico di 100 kN distribuiti su una larghezza a = 0.5 m ad una altezza di 1 m rispetto al piano viabile.

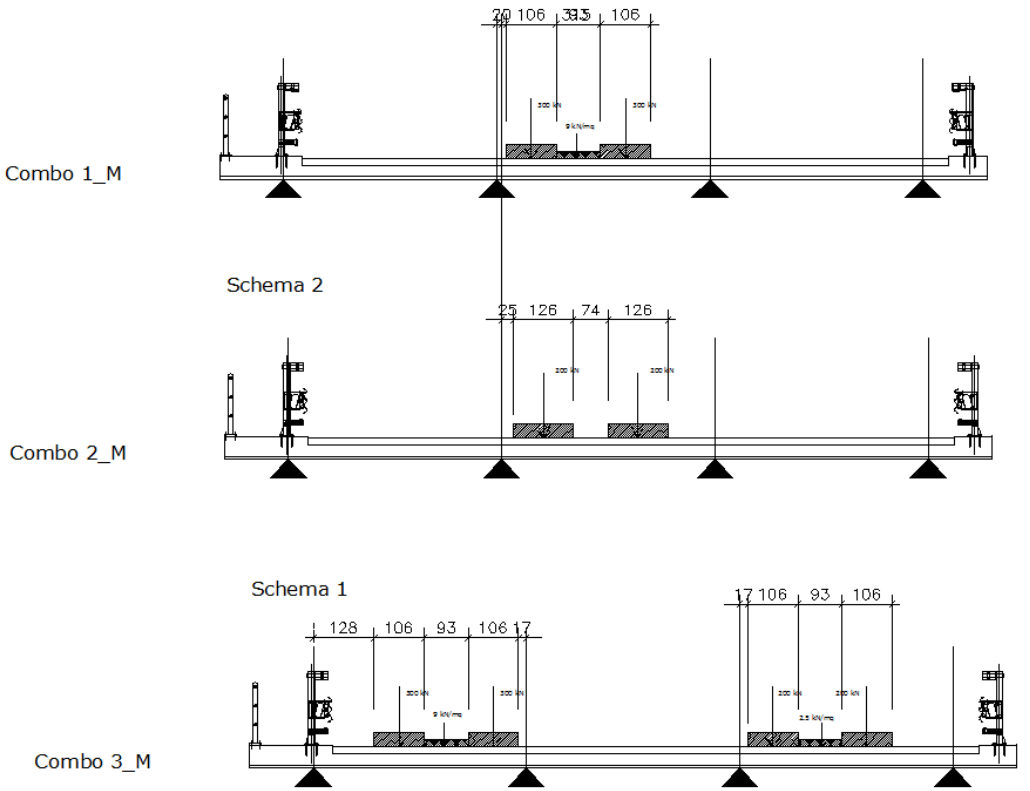


FIGURA 102: CONFIGURAZIONI DI CARICO (MOMENTO POSITIVO)

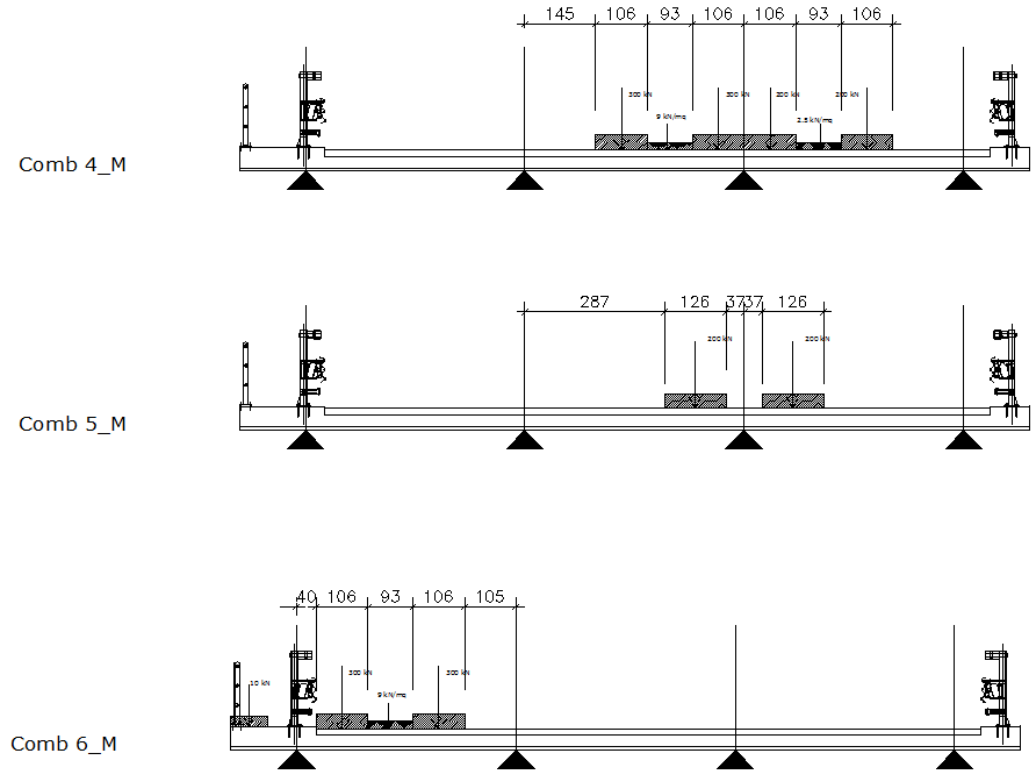


FIGURA 103: CONFIGURAZIONI DI CARICO (MOMENTO NEGATIVO)

Si considera una diffusione dell'impronta a 45° attraverso la pavimentazione fino alla mezzeria della soletta (in accordo con NTC08 Par. 5.1.3.3.6 – Fig. 5.1.3.4).

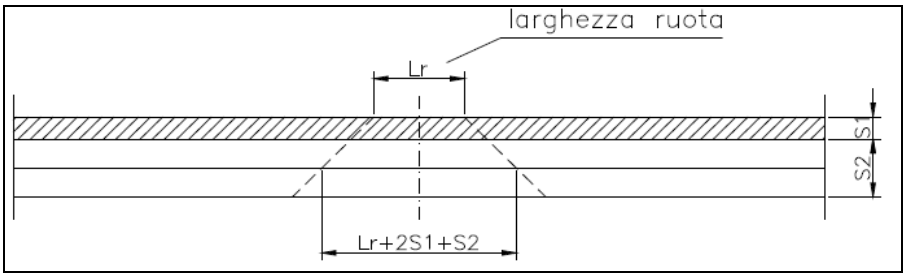


FIGURA 104: SCHEMA DI DIFFUSIONE DEL CARICO IN MEZZERIA SOLETTA

Nel caso in esame la diffusione dell'impronta è pari a **106 cm** per lo Schema di Carico 1, **126 cm** per lo Schema di Carico 2 e **76 cm** per lo Schema di Carico 4, essendo lo spessore di soletta pari a 30 cm e lo spessore della pavimentazione pari a 18 cm.
Per lo Schema 4 al posto dello spessore di pavimentazione è stato considerato lo spessore del cordolo.

Allo stesso modo il carico si diffonde anche in direzione longitudinale. La lunghezza di tale impronta si valuta in funzione della distanza tra l'asse della trave di riferimento e il baricentro dell'impronta dell'asse tipologico considerato.
Anche in questo caso si considera una diffusione a 45°.
A titolo di esempio, si può far riferimento alla figura riportata in seguito, la quale riporta il calcolo della lunghezza di diffusione longitudinale nel caso dello Schema di Carico 2.

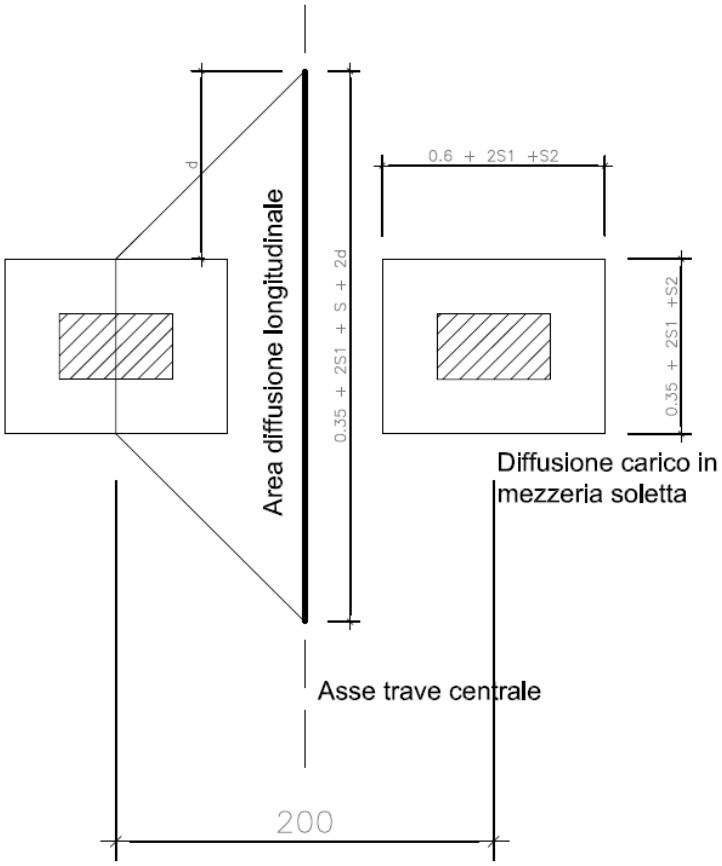


FIGURA 105: SCHEMA DI DIFFUSIONE LONGITUDINALE DEI CARICHI PER LO SCHEMA DI CARICO 2

Di seguito si riportano le sollecitazioni agenti sulla soletta per le combinazioni di carico riportate precedentemente (nella tabella vengono anche riportate le larghezze collaboranti in pianta):

	Combinazione	M(G) [kNm]	Lcoll [m]	M(schema 1) [kNm]	M(schema 2) [kNm]	M(schema 4) [kNm]	distribuiti [kNm]	M(SLU) [kNm]	M(rara) [kNm]	M(freq.) [kNm]	M(q.p) [kNm]
campata	**Comb 1_M**	6.89	3.72	219.1	0	0	11.37	104.2	77.2	55.6	6.9
campata	**Comb 2_M**	6.89	2.77	0	149.74	0	0	82.3	60.9	47.4	6.9
campata lat.	**Comb 3_M**	11.1	3.66	285.57	0	0	13.8	138.9	102.9	75.1	11.1
app. centrale	**Comb 4_M**	-20.89	3.32	-260.6	0	0	-11.52	-149.7	-110.9	-84.4	-20.9
app. centrale	**Comb 5_M**	-20.89	3.01	-127.57	0	0	0	-85.4	-63.3	-52.7	-20.9
app.sbalzo	**Comb 6_M**	-14.67	2.72	0	0	-11.44	0	-25.5	-18.9	-17.8	-14.7
svio	**Comb svio**	-14.67	1.24	-133				-180.7	-121.9	-14.7	-14.7
	Combinazione	V(G) [kNm]	Lcoll [m]	V(schema 1) [kNm]	V(schema 2) [kNm]	V(schema 4) [kNm]	distribuiti [kNm]	V(SLU) [kNm]	V(rara) [kNm]	V(freq.) [kNm]	V(q.p) [kNm]
	Combo 1_V	24.4	3.32	411.5	0	0	19.22	226.2	167.6	125.0	24.4
	Combo 2_V	24.4	3.01	0	182.2	0	0	114.7	84.9	69.8	24.4

Per il taglio le combinazioni comb 1_v e comb 2_V corrispondono alle configurazioni comb4_M e comb5_M.

11.7.3.1 VERIFICA A FLESSIONE

L'armatura della soletta è stata verificata in corrispondenza di 3 differenti sezioni: sezione in corrispondenza dello sbalzo, sezione di mezzeria della campata e sezione di appoggio sulla trave centrale.
Di seguito sono riportati, per ciascuna di queste sezioni, i risultati della verifica.

SBALZO
La configurazione di carico che produce le maggiori sollecitazioni flessionali sulla sezione di sbalzo è la Comb. svio.
Il momento massimo agente sulla sezione è

M_{Ed} = -180.7 kNm

Nella sezione in esame si dispone un'armatura superiore composta da due livelli di ferri Ø18 / 20 + Ø16 / 20 cm ed un'armatura inferiore composta da ferri Ø18 / 20 cm.
Per tale sezione si un momento resistente pari a

M_{Rd} = - 201.4 kNm

La verifica a flessione è soddisfatta.

CAMPATA
La configurazione di carico che produce le maggiori sollecitazioni flessionali sulla sezione di sbalzo è la Comb. 3.
Il momento massimo agente sulla sezione è

M_{Ed} = 138.9 kNm

Nella sezione in esame si dispone un'armatura inferiore composta da Ø18 / 20 + Ø16 / 20 cm ed un'armatura superiore composta da un primo livello di Ø18 / 20 cm.
Per tale sezione si un momento resistente pari a

M_{Rd} = 201.4 kNm

La verifica a flessione è soddisfatta.

APPOGGIO SU TRAVE CENTRALE
La configurazione di carico che produce le maggiori sollecitazioni flessionali sulla sezione di sbalzo è la Comb. 4.
Il momento massimo agente sulla sezione è

M_{Ed} = -149.7 kNm

Nella sezione in esame si dispone un'armatura superiore composta da un livello di Ø18 / 10 cm un'armatura inferiore composta da Ø18 / 20 cm.
Per tale sezione si un momento resistente pari a

M_{Rd} = - 221.7 kNm

La verifica a flessione è soddisfatta.

11.7.3.2 VERIFICA A TAGLIO

La verifica a taglio è stata eseguita per la sezione in corrispondenza dell'appoggio su trave centrale nella disposizione di carico che produce su di essa taglio massimo.
Il valore di tale taglio sollecitante è

V_{Ed} = 226.2 kN

La resistenza a taglio in tale sezione è garantita dalla presenza dei ferri diagonali che compongono i tralicci di predalles. I diagonali delle predalles offrono alla sezione una resistenza che è pari alla resistenza totale dei ferri (391.3 MPa) meno la quota parte di resistenza già sfruttata in fase di getto della soletta (in questo caso 211.68 MPa, valore calcolato durante la verifica delle lastre predalles).

Il taglio resistente risulta essere

V_{Rd} = 302.6 kN

La verifica risulta soddisfatta. Si riporta di seguito il foglio Excel utilizzato per il calcolo.

VERFICA A TAGLIO SOLETTA DA PONTE			Pag 1
Dati di ingresso			
Resistenza cilindrica cls	f_{ck}	32	[MPa]
Resistenza cilindrica cls di calcolo	f_{cd}	18.13	[MPa]
Resistenza di calcolo a trazione	f_{ctm}	1.41	[MPa]
Resistenza di calcolo dell'armatura	f_{yk}	391.3	[MPa]
Tensione agente sui diagonali delle predalle	σ_{diag}	211.68	[MPa]
Larghezza delle nervature	b_w	1000	[mm]
Altezza utile	d	240	[mm]
Angolo inclinazione diagonali	α	70.6	[°]
Passo tralicci trasversale	i	250	[mm]
Numero tralicci	n	4	[-]
Passo longitudinale	s	200	[mm]
Diametro dei diagonali	Φ_{diag}	8	[mm]
Calcolo			
1. Resistenza dei puntoni in calcestruzzo			
Resistenza a taglio del puntone cls	V_{Rcdu}	**1305.6**	[kN]
2. Resistenza dell'armatura a taglio			
Primo contributo resistenza traliccio a taglio	V_{cd}	203.2	[kN]
Tensione residua nei diagonali	σ_{res}	179.6	[MPa]
Numero di braccia	-	8	[-]
Armatura a taglio	A_{sw}	401.92	[mm^2]
Secondo contributo resistenza traliccio a taglio	V_{wd}	99.4	[kN]
Resistenza totale a taglio traliccio	V_{Rdu}	**302.6**	[kN]

Pagina 1

FIGURA 106: CALCOLO DELLA RESISTENZA A TAGLIO IN SEZIONE DI APPOGGIO

11.7.4 ARMATURA LONGITUDINALE DELLA SOLETTA

L'armatura longitudinale della soletta è costituita da barre Φ14/20 cm superiori ed inferiori.
Tale armatura risulta dimensionata e verificata nel corso delle verifiche relative alle sezioni miste acciaio – cls.

11.7.5 VERIFICHE A S.L.E.

Per verifiche a S.L.E. della soletta si intendono la verifica a fessurazione e la verifica tensionale.
La verifica a fessurazione viene eseguita in combinazione frequente ed in combinazione quasi-permanente, la verifica tensionale viene eseguita in combinazione rara.
Per ciascuna delle due combinazioni sono state verificate le sezioni di appoggio, di campata e di sbalzo

11.7.5.1 VERIFICA A FESSURAZIONE

Dal momento che si considera per l'impalcato una classe di esposizione XF4, la quale corrisponde a "condizioni ambientali molto aggressive", le verifiche a fessurazione sono condotte confrontando l'apertura delle fessure con il valore limite w_1 = 0.2 mm (Tab. 4.1.IV di [1])

Tabella 4.1.III – *Descrizione delle condizioni ambientali*

CONDIZIONI AMBIENTALI	CLASSE DI ESPOSIZIONE
Ordinarie	X0, XC1, XC2, XC3, XF1
Aggressive	XC4, XD1, XS1, XA1, XA2, XF2, XF3
Molto aggressive	XD2, XD3, XS2, XS3, XA3, XF4

Tabella 4.1.IV – *Criteri di scelta dello stato limite di fessurazione*

Gruppi di esigenze	Condizioni ambientali	Combinazione di azioni	Armatura			
			Sensibile		Poco sensibile	
			Stato limite	w_d	Stato limite	w_d
a	Ordinarie	frequente	ap. fessure	$\leq w_2$	ap. fessure	$\leq w_3$
		quasi permanente	ap. fessure	$\leq w_1$	ap. fessure	$\leq w_2$
b	Aggressive	frequente	ap. fessure	$\leq w_1$	ap. fessure	$\leq w_2$
		quasi permanente	decompressione	-	ap. fessure	$\leq w_1$
c	Molto aggressive	frequente	formazione fessure	-	ap. fessure	$\leq w_1$
		quasi permanente	decompressione	-	ap. fessure	$\leq w_1$

Si considera l'armatura "poco sensibile" ai fenomeni di corrosione visto l'utilizzo di acciaio ordinario (NTC 2008 par. 4.1.2.2.4.4)
Per la verifica tensionale si fa riferimento alle indicazioni al par. 4.1.2.2.5.1 e 4.1.2.2.5.2 delle NTC 2008:

Comb q.p: $\sigma_c < 0.45*f_{ck}=14.4$ MPa $\sigma_s < 0.8*f_{yk}=360$
Comb freq: $\sigma_c < 0.6*f_{ck}=19.2$ MPa $\sigma_s < 0.8*f_{yk}= 360$ MPa

APPOGGIO
In combinazione frequente il momento risulta:

$M_{SLE,freq}$ = 84.4 kNm

La sezione trasversale è stata considerata con le seguenti caratteristiche:

- h = 300 mm
- B = 1000 mm
- Armatura (trascurata armatura predalles)
  - A_s = 5Φ18 + 5 Φ18 = 2543 mm^2
  - $A_{s'}$ = 5Φ18 = 1271 mm^2

Il momento di fessurazione risulta perciò essere:

M_{fess} = 48.4 kNm < $M_{SLE,freq}$

La sezione, nella combinazione di carico frequente, risulta pertanto fessurata.

ε_{sm} = 0.00065
w = 0.17 mm ≤ 0.2 mm

In combinazione quasi-permanente il momento risulta:

$M_{SLE,quasi-perm}$ = 20.9 kNm

In questa combinazione risulta che M_{fess} = 48.4 kNm > $M_{SLE,quasi-perm}$, la sezione non risulta fessurata.

La verifica è soddisfatta in entrambe le condizioni.

CAMPATA

In combinazione frequente il momento risulta:

$M_{SLE,freq}$ = 75.1 kNm

La sezione trasversale è stata considerata con le seguenti caratteristiche:

- h = 300 mm
- B = 1000 mm
- Armatura (trascurata armatura predalles)
  - A_s = 5Φ18 + 5 Φ16 = 2276 mm^2
  - $A_{s'}$ = 5Φ18 = 1271 mm^2

Il momento di fessurazione risulta perciò essere:

M_{fess} = 48 kNm < $M_{SLE,freq}$

La sezione, nella combinazione di carico frequente, risulta pertanto fessurata.

ε_{sm} = 0.00061
w = 0.18 mm ≤ 0.2 mm

In combinazione quasi-permanente il momento risulta:

$M_{SLE,quasi-perm}$ = 11.1 kNm
In questa combinazione risulta che M_{fess} = 48.0 kNm > $M_{SLE,quasi-perm}$, la sezione non risulta fessurata.

La verifica è soddisfatta in entrambe le condizioni.

SBALZO

In combinazione frequente il momento risulta:

$M_{SLE,freq}$ = 35.2 kNm

La sezione trasversale è stata considerata con le seguenti caratteristiche:

- h = 300 mm
- B = 1000 mm
- Armatura (trascurata armatura predalles)
  - A_s = 5Φ18+5Φ16 = 2277 mm^2
  - $A_{s'}$ = 5Φ18 = 1271 mm^2

Il momento di fessurazione risulta perciò essere:

M_{fess} = 48.0 kNm > $M_{SLE,freq}$

La sezione, nella combinazione di carico frequente, risulta non fessurata.

In combinazione quasi-permanente il momento risulta:

$M_{SLE,quasi-perm}$ = 14.7 kNm
In questa combinazione risulta che M_{fess} = 48.0 kNm > $M_{SLE,quasi-perm}$, la sezione non risulta fessurata.

La verifica è soddisfatta in entrambe le condizioni.

11.7.5.2 VERIFICA TENSIONALE

APPOGGIO
In combinazione rara risulta
$M_{SLE,rara}$ = 110.9 kNm

σ_c = -9.73 MPa < $\sigma_{c,lim}$

σ_s = 213.8 MPa < $\sigma_{s,lim}$

In combinazione q.p risulta
$M_{SLE,q.p}$ = 20.9 kNm

σ_c = -1.83 MPa < $\sigma_{c,lim}$

σ_s = 40.29 MPa < $\sigma_{s,lim}$

CAMPATA
In combinazione rara risulta
$M_{SLE,rara}$ = 102.9 kNm

σ_c = -9.37 MPa < $\sigma_{c,lim}$

σ_s = 220.31 MPa < $\sigma_{s,lim}$

In combinazione q.p risulta
$M_{SLE,q.p}$ = 11.1 kNm

σ_c = -1.01 MPa < $\sigma_{c,lim}$

σ_s = 23.76 MPa < $\sigma_{s,lim}$

SBALZO
In combinazione rara risulta
$M_{SLE,rara}$ = 121.9 kNm

σ_c = -11.09 MPa < $\sigma_{c,lim}$

σ_s = 260.99 MPa < $\sigma_{s,lim}$

In combinazione q.p risulta
$M_{SLE,q.p}$ = 14.7 kNm

σ_c = -1.34 MPa < $\sigma_{c,lim}$

σ_s = 31.47 MPa < $\sigma_{s,lim}$

Le verifiche tensionali sono soddisfatte in tutte le sezioni considerate

11.7.6 VERIFICA ARMATURA SOLETTA IMPALCATO LARGHEZZA 19 METRI

Per la verifica delle armature della soletta sono considerati i seguenti carichi distribuiti (per i valori numerici dei carichi fare riferimento ai Paragrafi 8.1 e 8.2):

- Peso proprio soletta
- Permanenti portati :
  - Pavimentazione
  - Cordolo marciapiede
  - Barriera guard-rail
- Variabili da traffico (secondo lo *Schema 1*, già descritto in precedenza, e lo *Schema 2*)
- Variabili da carico isolato (secondo lo *Schema 4* per verifiche locali)
- Svio

Sono state considerate in tutto 8 diverse possibili combinazioni di carico, di seguito elencate:

Massimo momento positivo

- COMB. 1_M : Max M^+ campata centrale – Schema 1
- COMB. 2_M : Max M^+ campata centrale – Schema 2
- COMB. 3_M : Max M^+ campata centrale – Schema 2
-

Massimo momento negativo

- COMB. 4_M : Max M^- appoggio centrale- Schema 1
- COMB. 5_M : Max M^- appoggio centrale- Schema 2
- COMB. 6_M : Max M^- appoggio sbalzo- Schema 4
- COMB. Svio : Urto di veicoli in svio
-

Taglio massimo

- COMB. 1_V : Max V - Schema 1
- COMB. 5_V : Max V - Schema 2

Schema di Carico 2 (Fig. 5.1.2 di [1]): Singolo asse applicato su specifiche impronte 0.6x0.35 m (il lato di larghezza 0.6 m è da intendersi perpendicolare all'asse longitudinale dell'impalcato). Il carico assegnato a tale asse è pari a 2x200 kN = 400 kN.
Schema di Carico 4 (Fig. 5.1.2 di [1]): Carico isolato da 10 kN con impronta quadrata di lato 0.1 m. Tale schema si utilizza per verifiche locali su marciapiedi protetti da sicurvia e su passerelle pedonali.
Svio (par. 5.1.3.10 di [1]): Carico di 100 kN distribuiti su una larghezza a = 0.5 m ad una altezza di 1 m rispetto al piano viabile.

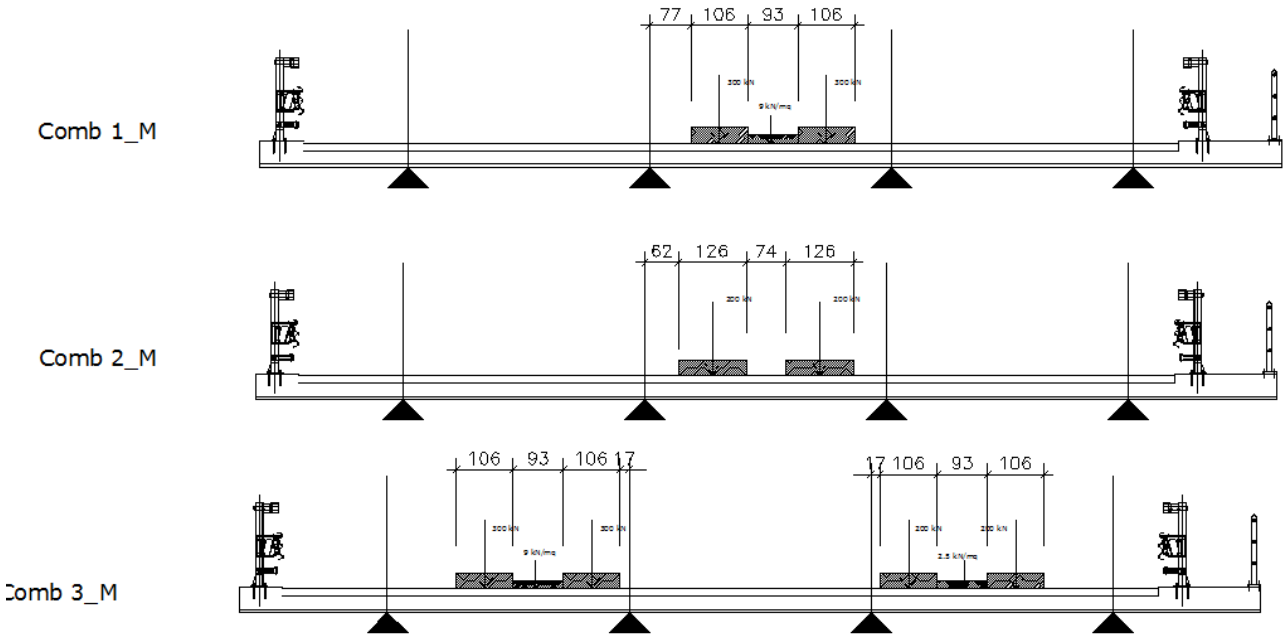


FIGURA 107: CONFIGURAZIONI DI CARICO (MOMENTO POSITIVO)

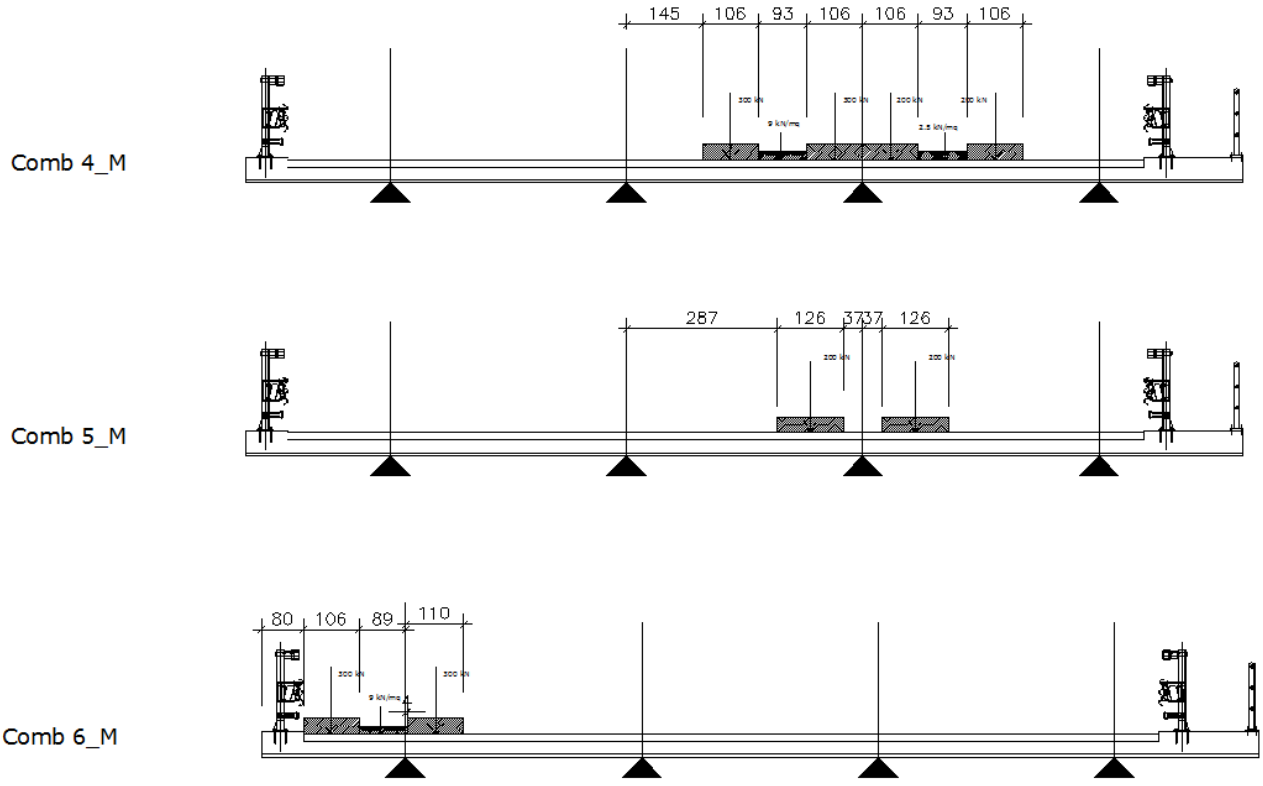


FIGURA 108: CONFIGURAZIONI DI CARICO (MOMENTO NEGATIVO)

Di seguito si riportano le sollecitazioni agenti sulla soletta per le combinazioni di carico riportate precedentemente (nella tabella vengono anche riportate le larghezze collaboranti in pianta):

	Combinazione	M(G) [kNm]	Lcoll [m]	M(schema 1) [kNm]	M(schema 2) [kNm]	M(schema 4) [kNm]	distribuiti [kNm]	M(SLU) [kNm]	M(rara) [kNm]	M(freq.) [kNm]	M(q.p) [kNm]
campata	**Comb 1_M**	14.14	3.72	219.1	0	0	4.3	104.4	77.3	60.0	14.1
campata	**Comb 2_M**	14.14	2.77	0	149.8	0	0	92.1	68.2	54.7	14.1
campata lat.	**Comb 3_M**	0.45	3.66	286.4	0	0	13.8	124.9	92.5	64.7	0.5
app. centrale	**Comb 4_M**	-16.12	3.32	-260.7	0	0	-11.5	-143.3	-106.1	-79.6	-16.1
app. centrale	**Comb 5_M**	-16.12	3.01	0	-127.6	0	0	-79.0	-58.5	-47.9	-16.1
app.sbalzo	**Comb 6_M**	-57.16	5.1	-401.88	0	0	-17.11	-206.6	-153.1	-123.1	-57.2
svio	**Comb svio**	-14.67	1.24		-133			-180.7	-121.9	-14.7	-14.7
	Combinazione	V(G) [kNm]	Lcoll [m]	V(schema 1) [kNm]	V(schema 2) [kNm]	V(schema 4) [kNm]	distribuiti [kNm]	V(SLU) [kNm]	V(rara) [kNm]	V(freq.) [kNm]	V(q.p) [kNm]
	Combo 1_V	25.7	3.32	411.54	0	0	19.22	228.0	168.9	126.4	25.7
	Combo 2_V	19.02	3.01	0	182.2	0	0	107.4	79.6	64.4	19.0

Per il taglio le combinazioni comb 1_v e comb 2_V corrispondono alle configurazioni comb4_M e comb5_M.

11.7.6.1 VERIFICA A FLESSIONE

L'armatura della soletta è stata verificata in corrispondenza di 3 differenti sezioni: sezione in corrispondenza dello sbalzo, sezione di mezzeria della campata e sezione di appoggio sulla trave centrale.
Di seguito sono riportati, per ciascuna di queste sezioni, i risultati della verifica.

SBALZO
La configurazione di carico che produce le maggiori sollecitazioni flessionali sulla sezione di sbalzo è la Comb. svio.
Il momento massimo agente sulla sezione è

M_{Ed} = -206.6 kNm

Nella sezione in esame si dispone un'armatura superiore composta da due livelli di ferri Ø20 / 20 cm ed un'armatura inferiore composta da ferri Ø20 / 20 cm.
Per tale sezione si un momento resistente pari a

M_{Rd} = - 266.5 kNm

La verifica a flessione è soddisfatta.

CAMPATA
La configurazione di carico che produce le maggiori sollecitazioni flessionali sulla sezione di sbalzo è la Comb. 3.
Il momento massimo agente sulla sezione è

M_{Ed} = 124.9 kNm

Nella sezione in esame si dispone un'armatura inferiore composta da Ø20 / 20 + Ø16 / 20 cm ed un'armatura superiore composta da un primo livello di Ø20 / 20 cm.
Per tale sezione si un momento resistente pari a

M_{Rd} = 228 kNm

La verifica a flessione è soddisfatta.

APPOGGIO SU TRAVE CENTRALE

La configurazione di carico che produce le maggiori sollecitazioni flessionali sulla sezione di sbalzo è la Comb. 4.
Il momento massimo agente sulla sezione è

M_{Ed} = -149.7 kNm

Nella sezione in esame si dispone un'armatura superiore composta da Ø20 / 20 cm + Ø16 / 20 cm ed un'armatura inferiore composta da Ø20 / 20 cm.
Per tale sezione si un momento resistente pari a

M_{Rd} = - 224 kNm

La verifica a flessione è soddisfatta.

11.7.6.2 VERIFICA A TAGLIO

La verifica a taglio è stata eseguita per la sezione in corrispondenza dell'appoggio su trave centrale nella disposizione di carico che produce su di essa taglio massimo.
Il valore di tale taglio sollecitante è

V_{Ed} = 228 kN

La resistenza a taglio in tale sezione è garantita dalla presenza dei ferri diagonali che compongono i tralicci di predalles. I diagonali delle predalles offrono alla sezione una resistenza che è pari alla resistenza totale dei ferri (391.3 MPa) meno la quota parte di resistenza già sfruttata in fase di getto della soletta (in questo caso 114.25 MPa, valore calcolato durante la verifica delle lastre predalles).
Il taglio resistente risulta essere

V_{Rd} = 438.9 kN

La verifica risulta soddisfatta. Si riporta di seguito il foglio Excel utilizzato per il calcolo.

VERFICA A TAGLIO SOLETTA DA PONTE			Pag 1
Dati di ingresso			
Resistenza cilindrica cls	f_{ck}	32	[MPa]
Resistenza cilindrica cls di calcolo	f_{cd}	18.13	[MPa]
Resistenza di calcolo a trazione	f_{ctm}	1.41	[MPa]
Resistenza di calcolo dell'armatura	f_{yk}	391.3	[MPa]
Tensione agente sui diagonali delle predalle	σ_{diag}	114.25	[MPa]
Larghezza delle nervature	b_w	1000	[mm]
Altezza utile	d	240	[mm]
Angolo inclinazione diagonali	α	72.5	[°]
Passo tralicci trasversale	i	250	[mm]
Numero tralicci	n	4	[-]
Passo longitudinale	s	200	[mm]
Diametro dei diagonali	Φ_{diag}	10	[mm]
Calcolo			
1. Resistenza dei puntoni in calcestruzzo			
Resistenza a taglio del puntone cls	V_{Rcdu}	**1305.6**	[kN]
2. Resistenza dell'armatura a taglio			
Primo contributo resistenza traliccio a taglio	V_{cd}	203.2	[kN]
Tensione residua nei diagonali	σ_{res}	277.1	[MPa]
Numero di braccia	-	8	[-]
Armatura a taglio	A_{sw}	628	[mm^2]
Secondo contributo resistenza traliccio a taglio	V_{wd}	235.7	[kN]
Resistenza totale a taglio traliccio	V_{Rdu}	**438.9**	[kN]

Pagina 1

FIGURA 109: CALCOLO DELLA RESISTENZA A TAGLIO IN SEZIONE DI APPOGGIO

11.7.7 ARMATURA LONGITUDINALE DELLA SOLETTA

L'armatura longitudinale della soletta è costituita da barre Φ14/20 cm superiori ed inferiori.
Tale armatura risulta dimensionata e verificata nel corso delle verifiche relative alle sezioni miste acciaio – cls.

11.7.8 VERIFICHE A S.L.E.

Per verifiche a S.L.E. della soletta si intendono la verifica a fessurazione e la verifica tensionale.
La verifica a fessurazione viene eseguita in combinazione frequente ed in combinazione quasi-permanente, la verifica tensionale viene eseguita in combinazione rara.
Per ciascuna delle due combinazioni sono state verificate le sezioni di appoggio, di campata e di sbalzo.

Dal momento che si considera per l'impalcato una classe di esposizione XF4, la quale corrisponde a "condizioni ambientali molto aggressive", le verifiche a fessurazione sono condotte confrontando l'apertura delle fessure con il valore limite w_1 = 0.2 mm (Tab. 4.1.IV di [1])

Tabella 4.1.III – *Descrizione delle condizioni ambientali*

CONDIZIONI AMBIENTALI	CLASSE DI ESPOSIZIONE
Ordinarie	X0, XC1, XC2, XC3, XF1
Aggressive	XC4, XD1, XS1, XA1, XA2, XF2, XF3
Molto aggressive	XD2, XD3, XS2, XS3, XA3, XF4

Tabella 4.1.IV – *Criteri di scelta dello stato limite di fessurazione*

Gruppi di esigenze	Condizioni ambientali	Combinazione di azioni	Armatura			
			Sensibile		Poco sensibile	
			Stato limite	w_d	Stato limite	w_d
a	Ordinarie	frequente	ap. fessure	$\leq w_2$	ap. fessure	$\leq w_3$
		quasi permanente	ap. fessure	$\leq w_1$	ap. fessure	$\leq w_2$
b	Aggressive	frequente	ap. fessure	$\leq w_1$	ap. fessure	$\leq w_2$
		quasi permanente	decompressione	-	ap. fessure	$\leq w_1$
c	Molto aggressive	frequente	formazione fessure	-	ap. fessure	$\leq w_1$
		quasi permanente	decompressione	-	ap. fessure	$\leq w_1$

Si considera l'armatura "poco sensibile" ai fenomeni di corrosione visto l'utilizzo di acciaio ordinario (NTC 2008 par. 4.1.2.2.4.4)
Per la verifica tensionale si fa riferimento alle indicazioni al par. 4.1.2.2.5.1 e 4.1.2.2.5.2 delle NTC 2008:
Comb q.p: $\sigma_c < 0.45*f_{ck}=14.4$ MPa $\sigma_s < 0.8*f_{yk}=360$
Comb freq: $\sigma_c < 0.6*f_{ck}=19.2$ MPa $\sigma_s < 0.8*f_{yk}= 360$ MPa

11.7.8.1 VERIFICA A FESSURAZIONE

APPOGGIO
In combinazione frequente il momento risulta:

$M_{SLE,freq}$ = 79.6 kNm

La sezione trasversale è stata considerata con le seguenti caratteristiche:

- h = 300 mm
- B = 1000 mm
- Armatura (trascurata armatura predalles)
  - A_s = 5Φ20+5Φ16 = 2575mm^2
  - $A_{s'}$ = 5Φ20 = 1570 mm^2

Il momento di fessurazione risulta perciò essere:

M_{fess} = 48.4 kNm < $M_{SLE,freq}$

La sezione, nella combinazione di carico frequente, risulta pertanto fessurata.

ε_{sm} = 0.00059
w = 0.17 mm ≤ 0.2 mm

In combinazione quasi-permanente il momento risulta:

$M_{SLE,quasi-perm}$ = 16.1 kNm
In questa combinazione risulta che M_{fess} = 48.4 kNm > $M_{SLE,quasi-perm}$, la sezione non risulta fessurata.

La verifica è soddisfatta in entrambe le condizioni.

CAMPATA

In combinazione frequente il momento risulta:

$M_{SLE,freq}$ = 50.9 kNm

La sezione trasversale è stata considerata con le seguenti caratteristiche:

- h = 300 mm
- B = 1000 mm
- Armatura (trascurata armatura predalles)
  - A_s = 5Φ20 + 5 Φ16 = 2575 mm^2
  - $A_{s'}$ = 5Φ20 = 1570mm^2

Il momento di fessurazione risulta perciò essere:

M_{fess} = 48.6 kNm < $M_{SLE,freq}$

La sezione, nella combinazione di carico frequente, risulta pertanto fessurata.

ε_{sm} = 0.00025
w = 0.07 mm ≤ 0.2 mm

In combinazione quasi-permanente il momento risulta:

$M_{SLE,quasi-perm}$ = 14.1 kNm
In questa combinazione risulta che M_{fess} = 48.0 kNm > $M_{SLE,quasi-perm}$, la sezione non risulta fessurata.

La verifica è soddisfatta in entrambe le condizioni.

SBALZO

In combinazione frequente il momento risulta:

$M_{SLE,freq}$ = 116.3 kNm

La sezione trasversale è stata considerata con le seguenti caratteristiche:

- h = 300 mm
- B = 1000 mm
- Armatura (trascurata armatura predalles)
  - A_s = 10Φ20 = 3140 mm^2
  - $A_{s'}$ = 5Φ20 = 1570 mm^2

Il momento di fessurazione risulta perciò essere:

M_{fess} = 49.6 kNm > $M_{SLE,freq}$

La sezione, nella combinazione di carico frequente, risulta fessurata.

ε_{sm} = 0.0008
w = 0.2 mm = 0.2 mm

In combinazione quasi-permanente il momento risulta:

$M_{SLE,quasi-perm}$ = 57.2 kNm
Il momento di fessurazione risulta perciò essere:

M_{fess} = 49.6 kNm < $M_{SLE,freq}$

La sezione, nella combinazione di carico frequente, risulta fessurata.
ε_{sm} = 0.00027
w = 0.07 mm ≤0.2 mm

11.7.8.2 VERIFICA TENSIONALE

APPOGGIO
In combinazione rara risulta
$M_{SLE,rara}$ = 106.2 kNm

σ_c = -9.12 MPa < $\sigma_{c,lim}$

σ_s = 202.8 MPa < $\sigma_{s,lim}$

In combinazione q.p risulta
$M_{SLE,q.p}$ = 16.1 kNm

σ_c = -1.38 MPa < $\sigma_{c,lim}$

σ_s = 30.8 MPa < $\sigma_{s,lim}$

CAMPATA
In combinazione rara risulta
$M_{SLE,rara}$ = 92.5 kNm

σ_c = -7.94 MPa < $\sigma_{c,lim}$

σ_s = 176.6 MPa < $\sigma_{s,lim}$

In combinazione q.p risulta
$M_{SLE,q.p}$ = 14.1 kNm

σ_c = -1.21 MPa < $\sigma_{c,lim}$

σ_s = 26.92 MPa < $\sigma_{s,lim}$

SBALZO
In combinazione rara risulta
$M_{SLE,rara}$ = 136 kNm

σ_c = -10.93 MPa < $\sigma_{c,lim}$

σ_s = 215.2 MPa < $\sigma_{s,lim}$

In <u>combinazione q.p</u> risulta
$M_{SLE,q.p}$ = 57.2 kNm

σ_c = -4.60 MPa < $\sigma_{c,lim}$

σ_s = 90.5 MPa < $\sigma_{s,lim}$

Le verifiche tensionali sono soddisfatte in tutte le sezioni considerate

11.8 APPOGGI

In corrispondenza degli appoggi strutturali dell'impalcato si inseriscono degli isolatori elastomerici. Tali dispositivi sono realizzati in elastomero armato e sono costituiti da strati alterni di acciaio ed elastomero, uniti tra loro mediante vulcanizzazione a caldo.
Per la struttura in esame si è scelto di utilizzare appoggi di tipo SI-H 400/75 della ditta Fip Industriale; i dispositivi hanno le seguenti caratteristiche:

Spostamento 150 mm

SI-H	V kN	F_{zd} kN	K_e kN/mm	K_v kN/mm	D_g mm	t_e mm	h mm	H mm	Z mm	W kg
SI-H 400/75	2450	4680	2.35	1518	400	75	143	193	400	153

LEGENDA

V	Carico verticale agente sull' isolante in presenza di sisma
F_{zd}	Carico verticale massimo allo SLU in esercizio
K_e	Rigidezza orizzontale equivalente
K_v	Rigidezza verticale
D_g	Diametro elastomero
t_e	Spessore totale gomma
h	Altezza escluse piastre di ancoraggio
H	Altezza totale incluse piastre di ancoraggio
Z	Lato piastre ancoraggio
W	Peso isolatore escluse zanche

FIGURA 110: CARATTERISTICHE DELL'APPOGGIO SI-H 400/75

Per uno spostamento di ± 15 mm il massimo carico applicabile allo stato limite ultimo è pari a 4680 kN, mentre in combinazione sismica il carico massimo verticale è pari a 2450 kN.
Si riportano di seguito i valori delle azioni sugli appoggi e dei relativi spostamenti in combinazione di S.L.U., di S.L.E. e S.L.C.

Brembiolo 1

				Azioni Statiche su Appoggi (kN)										
				SLU Stato Limite Ultimo			SLE Stato Limite In Esercizio				SLC Stato Limite Collasso			
SPALLE	Appoggi			$F_{x,Ed}$ kN	$F_{y,Ed}$ kN	$F_{z,Ed}$ kN	$F_{x,Ed}$ kN	$F_{y,Ed}$ kN	$F_{z,Ed}$ kN	$\Delta_{x-y,max}$ mm	$F_{x,Ed}$ kN	$F_{y,Ed}$ kN	$F_{z,Ed}$ kN	$\Delta_{x-y,max}$ mm
SP1	A	L1		128.4	−9.6	3528.1	94.8	−7.1	2560.8	42	187.3	153.5	1471.2	83
		C1		122.3	−9.3	3280.7	90.4	−6.9	2390.1	40	185.4	156.6	1324.1	82
		C2		122.5	−10.7	3252.9	90.6	−7.9	2814.9	40	185.1	156.8	1316.9	82
		L2		128.4	−7.5	3714.6	94.8	−5.6	2703.3	41	186.3	153.6	1434.2	83
SP1	B	L1		35.6	−10.3	2832.6	26.4	−7.6	2068.4	41	200.3	154.7	1058.1	89
		C1		34.7	−11.3	3141.4	25.9	−8.4	2290.1	41	204.0	157.3	1220.1	90
		C2		33.0	−11.9	3194.2	24.7	−8.9	2323.3	41	206.1	157.3	1273.3	91
		L2		30.2	−13.8	2788.4	22.9	−10.2	2013.0	41	206.8	154.4	1261.6	91
SP2	A	L1		−128.4	−9.6	3528.1	−94.8	−7.1	2560.8	42	−187.3	−154.6	1471.2	83
		C1		−122.3	−9.3	3280.7	−90.4	−6.9	2390.1	40	−185.4	−156.8	1324.1	82
		C2		−122.5	−10.7	3252.9	−90.6	−7.9	2814.9	40	−185.1	−156.5	1316.9	82
		L2		−128.4	−7.5	3714.6	−94.8	−5.6	2703.3	41	−186.3	−153.6	1434.2	83
SP2	B	L1		−35.6	−10.3	2832.6	−26.4	−7.6	2068.4	41	−200.3	−154.3	1058.1	89
		C1		−34.7	−11.3	3141.4	−25.9	−8.4	2290.1	41	−204.0	−157.3	1220.1	90
		C2		−33.0	−11.9	3194.2	−24.8	−8.9	2323.3	41	−206.1	−157.4	1273.3	91
		L2		−30.2	−13.8	2788.4	−25.9	−10.2	2013.0	41	−206.8	−154.7	1261.6	91

FIGURA 111: AZIONI E SPOSTAMENTI SUGLI APPOGGI

Si può osservare che i carichi verticali rientrano nei limiti prescritti nella scheda tecnica del dispositivo di appoggio scelto.
Gli isolatori sismici sono stati inoltre verificati secondo la OPCM 3274, si riportano i risultati.

Per l'appoggio maggiormente sollecitato valgono le seguenti considerazioni:

- Sforzo normale agente sull'isolatore V = 1471.2 kN
- Carico critico V_{cr} = 7641 kN
- Tensione negli inserti in acciaio σ_s = 120.5 MPa < **275 MPa**
- Deformazione di taglio totale di progetto γ_t = 2.56 < **5**
- Rapporto V/V_{cr} = 5.19 > **2.5**

Gli appoggi risultano verificati.

11.9 GIUNTI DI DILATAZIONE

Per l'opera in questione sono stati scelti giunti di dilatazione del tipo "Algaflex TX 330".
Le caratteristiche di tali giunti sono rappresentate nella tabella seguente.

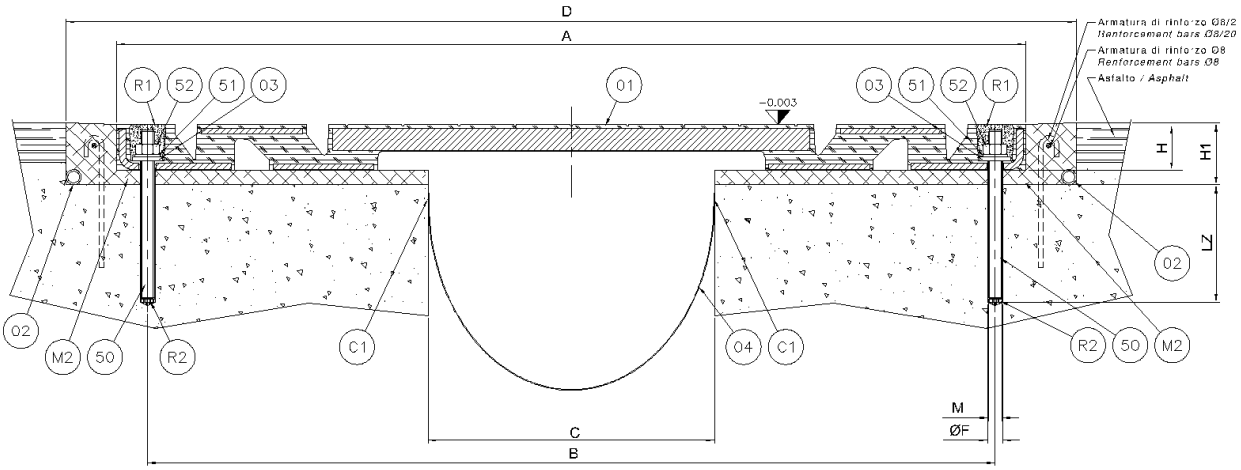


TABELLA DIMENSIONALE / *DIMENSIONAL TABLE*												
Giunto / *Joint*	Escursione longitudinale *Longitudinal movement* (mm)	Escursione trasversale *Transversal movement* (mm)	A (mm)	B (mm)	C (mm)	D (mm)	L (mm)	Lz (mm)	H (mm)	H1 (mm)	M	∅F (mm)
TX330	±165	±165	1105	985	220	1290	1000	200	100	130	M24x300	27

FIGURA 112: CARATTERISTICHE GIUNTO ALGAFLEX TX 330

Tali giunti permettono uno spostamento relativo massimo pari a ± 165 mm.
Per valutare gli spostamenti effettivi si fa riferimento a:

Impalcato A

- Spostamento massimo in condizione sismica (SLC), il quale risulta essere pari a 83 mm
- Spostamento massimo in condizione statica (SLU), il quale risulta essere pari a 42 mm
- Spostamento massimo SLU/SLV della sottostruttura su pali, pari a 50 mm

Impalcato B

- Spostamento massimo in condizione sismica (SLC), il quale risulta essere pari a 91 mm
- Spostamento massimo in condizione statica (SLU), il quale risulta essere pari a 41 mm
- Spostamento massimo SLU/SLV della sottostruttura su pali, pari a 50 mm

Si ricorda che per la verifica dei giunti il valore dello spostamento a SLE prodotto dall'azione della variazione termica viene aumentato del 50% (prescritto nel Par. 5.2.2.5.2 di [1]).

La verifica dei giunti di dilatazione risulta soddisfatta.

11.10 VERIFICHE A FATICA

Si riportano le verifiche a fatica dei seguenti elementi:

- pioli su conci C1, C2 e C3, considerando le massime sollecitazioni (fatica per danneggiamento);
- collegamento completo ripristino del giunto saldato della trave principale: giunti C1-C2, C2-C3 (fatica a vita illimitata).

11.10.1 VERIFICA A DANNEGGIAMENTO PER I PIOLI

I pioli vengono verificati a danneggiamento così come specificato in C4.2.4.1.4.6 di NTC08.
Si utilizza il **Metodo dei Coefficienti λ**.
A tali elementi strutturali corrisponde un intervallo di tensione ammissibile pari a $\Delta\tau_C$ = 90 Mpa (Par. C4.2.4.1.4.5 di NTC08) .
Si utilizza il 'Modello di carico a fatica n.3' (Fig. 5.1.5 di NTC08) per determinare l'oscillogramma di tensione indotto nel dettaglio.
I casi di carico sono combinati in modo tale da avere le maggiori sollecitazioni (ritiro e temperatura inclusi).

Per la verifica dovrà risultare:

$\Delta\tau_{E2} \leq \Delta\tau_C / \gamma_{Mf}$ [Eq. 9.8 in EN 1993-2]

dove:

- $\Delta\tau_{E2}$ è il delta di tensione equivalente corrispondente ad un numero di cicli pari a $N_E = 2*10^6$, è possibile calcolarlo mediante la seguente espressione:

$$\Delta\tau_{E2} = \lambda*\Phi_2*\Delta\tau \quad \text{[eq. 6.54 in EN1994-2 e eq. 9.2 in EN-1993-2]}$$

- $\lambda = \lambda_1*\lambda_2*\lambda_3*\lambda_4 < \lambda_{max}$ è il fattore equivalente di danno; i vari coeff. tengono conto dei possibili fattori che influenzano il fenomeno della fatica [6.8.6.2. in EN1994-2 e 9.5.2 di EN1993-2]
- Φ_2 = 1.0 è il coeff. dinamico equivalente (valore indicato dalla norma per ponti stradali)
- $\Delta\tau = \tau_{max} - \tau_{min}$
- γ_{Mf} = 1.15 (Tab. C4.2.XII di NTC08, struttura sensibile e conseguenza di rottura moderata)

Seguono i valori dei coefficienti utilizzati:

- λ_1 = 1.55 [6.8.6.2 di EN1994-2]

- $\lambda_2 = Q_{m1}/Q_0*(N_{Obs}/N_0)^{1/8}$ con $Q_{m1} = [\sum(n_iQ_i^5)/\sum n_i]^{1/8}$ in riferimento allo *Schema 3*

  - Q_i è il peso lordo dell'i-esimo autocarro
  - n_i è il numero di autocarri di peso Q_i

- Q_0 = 480 kN, N_{Obs} = 2.0*10^6, N_0 = 0.5*10^6

  In questo caso si ottiene: $Q_{m1} = [(1*480^5)/1]^{1/5}$ = 480 kN
  $\lambda_2 = 480/480*(2.0/0.5)^{1/8}$ = 1.19

- λ_3 = 0.871
- λ_4 = 1.00 (non si considerano carichi concomitanti su corsie adiacenti a quella caricata)

Si ottiene dunque:

$\lambda = 1.55 * 1.19 * 0.871 * 1 = 1.61 < \lambda_{max} = 2$ [Fig. 9.3 UNI EN 1993-2:2002]

La variazione delle sollecitazioni taglianti sul singolo piolo sono pari a :

Impalcato A

- Δτ = 17.4 MPa (concio C3)
- Δτ = 27.9 MPa (concio C2)
- Δτ = 38.6 MPa (concio C1)

Modello a fatica n°3 - veicolo 4 assi 120kN

	Vsd (kN)	Coeff.	Vsd (kN)
Peso acciaio	0	1.15	0
Peso soletta in cls	0	1.0	0
Carichi permanenti	0	1.0	0
Carichi accidentali MAX	**33.11**	1.0	33
		somma	**33.11**

	Vsd (kN)	Coeff.	Vsd (kN)
Peso acciaio	0	1.15	0
Peso soletta in cls	0	1.0	0
Carichi permanenti	0	1.0	0
Carichi accidentali MIN	**-380.71**	1.0	-381
		somma	**-380.7**

Fatica DANNEGGIAMENTO — n° pioli — passo [mm]
4 pioli d=19/100 mm — 4 — 100

S [m3] — J [m4]
0.10 — 0.22

	VSd [kN]	q (carichi) [kN/m]	q (ritiro, DT) [kN/m]	Q [kN]
PP + Perm + Carichi Mobili-MAX	33.11	16		**0.39**
PP + Perm + Carichi Mobili-MIN	-380.71	-181		**-4.54**

$q = V_{Sd}*S/J$ sforzo di scorrimento unitario
$Q = q*i$ sforzo di scorrimento sul singolo piolo

ΔV	4.9	kN
Area singolo piolo	283	mm2
Δτ singolo piolo	**17.4**	**MPa**

FIGURA 113: CALCOLO DELLA VARIAZIONE DELLE TENSIONI TAGLIANTI C3

Modello a fatica n°3 - veicolo 4 assi 120kN			
	Vsd (kN)	Coeff.	Vsd (kN)
Peso acciaio	0	1.15	0
Peso soletta in cls	0	1.0	0
Carichi permanenti	0	1.0	0
Carichi accidentali MAX	**286.2**	1.0	286
		somma	**286.20**

	Vsd (kN)	Coeff.	Vsd (kN)
Peso acciaio	0	1.15	0
Peso soletta in cls	0	1.0	0
Carichi permanenti	0	1.0	0
Carichi accidentali MIN	**-45.9**	1.0	-46
		somma	**-45.9**

Fatica DANNEGGIAMENTO	n° pioli	passo [mm]
3 pioli d=19/150 mm	**3**	**150**
	S [m3]	J [m4]
	0.1042	**0.2186**

	VSd [kN]	q (carichi) [kN/m]	q (ritiro, DT) [kN/m]	Q [kN]
PP + Perm + Carichi Mobili-MAX	286.20	136		**6.82**
PP + Perm + Carichi Mobili-MIN	-45.90	-22		**-1.09**

$q = V_{Sd}*S/J$ sforzo di scorrimento unitario
$Q = q*i$ sforzo di scorrimento sul singolo piolo

ΔV	7.9	kN
Area singolo piolo	283	mm2
Δτ singolo piolo	**27.9**	**MPa**

FIGURA 114: CALCOLO DELLA VARIAZIONE DELLE TENSIONI TAGLIANTI C2

Modello a fatica n°3 - veicolo 4 assi 120kN			
	Vsd (kN)	Coeff.	Vsd (kN)
Peso acciaio	0	1.15	0
Peso soletta in cls	0	1.0	0
Carichi permanenti	0	1.0	0
Carichi accidentali MAX	**124.4**	1.0	124
		somma	**124.40**

	Vsd (kN)	Coeff.	Vsd (kN)
Peso acciaio	0	1.15	0
Peso soletta in cls	0	1.0	0
Carichi permanenti	0	1.0	0
Carichi accidentali MIN	**-220.22**	1.0	-220
		somma	**-220.2**

Fatica DANNEGGIAMENTO	n° pioli	passo [mm]
3 pioli d=19/200 mm	**3**	**200**
	S [m3]	J [m4]
	0.1042	**0.2186**

	VSd [kN]	q (carichi) [kN/m]	q (ritiro, DT) [kN/m]	Q [kN]
PP + Perm + Carichi Mobili-MAX	124.40	59		**3.95**
PP + Perm + Carichi Mobili-MIN	-220.22	-105		**-7.00**

$q = V_{Sd}*S/J$ sforzo di scorrimento unitario
$Q = q*i$ sforzo di scorrimento sul singolo piolo

ΔV	11.0	kN
Area singolo piolo	283	mm2
Δτ singolo piolo	**38.6**	**MPa**

FIGURA 115: CALCOLO DELLA VARIAZIONE DELLE TENSIONI TAGLIANTI C1

Si riporta qui di seguito la verifica.

VERIFICHE A FATICA PER DANNEGGIAMENTO - PIOLI

Modello di carico di fatica n°3 (fig. 5.1.5)

Impalcato tipologico

$\Delta\tau c =$ 90 MPa classe del dettaglio (C.4.2.4.1.4.5)

Si verifica che:

$\Delta\tau max < \Delta\tau L/\gamma_{Mf}$

$\gamma_{Mf} =$ 1.15 (tab. C4.2.XII, avendo assunto strutture sensibili e conseguenze moderate)

$\Delta\sigma max =$ 78.26 MPa

Pioli su conci	$\Delta\tau$_piolo [MPa]	λ [-]	$\Delta\tau_{E2}$ [MPa]	
C1	38.60	1.61	62.15	OK
C2	27.90	1.61	44.92	OK
C3	17.40	1.61	28.01	OK

FIGURA 116: VERIFICA A DANNEGGIAMENTO PER I PIOLI DEI CONCI C1, C2, C3

La verifica risulta soddisfatta.

Impalcato B

- $\Delta\tau$ = 14.5 MPa (concio C3)
- $\Delta\tau$ = 32.4 MPa (concio C2)
- $\Delta\tau$ = 33.3 MPa (concio C1)

Modello a fatica n°3 - veicolo 4 assi 120kN

	Vsd (kN)	Coeff.	Vsd (kN)
Peso acciaio	0	1.15	0
Peso soletta in cls	0	1.0	0
Carichi permanenti	0	1.0	0
Carichi accidentali MAX	17.5	1.0	18
		somma	**17.50**

	Vsd (kN)	Coeff.	Vsd (kN)
Peso acciaio	0	1.15	0
Peso soletta in cls	0	1.0	0
Carichi permanenti	0	1.0	0
Carichi accidentali MIN	-316.82	1.0	-317
		somma	**-316.8**

Fatica DANNEGGIAMENTO — n° pioli: **4** — passo [mm]: **100**

4 pioli d=19/100 mm

S [m3]: **0.10** — J [m4]: **0.19**

	VSd [kN]	q (carichi) [kN/m]	q (ritiro, DT) [kN/m]	Q [kN]
PP + Perm + Carichi Mobili-MAX	17.50	9		**0.21**
PP + Perm + Carichi Mobili-MIN	-316.82	-156		**-3.89**

$q = V_{Sd}*S/J$ sforzo di scorrimento unitario

$Q = q*i$ sforzo di scorrimento sul singolo piolo

ΔV	4.1	kN
Area singolo piolo	283	mm2
$\Delta\tau$ singolo piolo	**14.5**	**MPa**

FIGURA 117: CALCOLO DELLA VARIAZIONE DELLE TENSIONI TAGLIANTI C3

Modello a fatica n°3 - veicolo 4 assi 120kN

	Vsd (kN)	Coeff.	Vsd (kN)
Peso acciaio	0	1.15	0
Peso soletta in cls	0	1.0	0
Carichi permanenti	0	1.0	0
Carichi accidentali MAX	**242.18**	1.0	242
		somma	**242.18**

	Vsd (kN)	Coeff.	Vsd (kN)
Peso acciaio	0	1.15	0
Peso soletta in cls	0	1.0	0
Carichi permanenti	0	1.0	0
Carichi accidentali MIN	**-38.55**	1.0	-39
		somma	**-38.6**

Fatica DANNEGGIAMENTO — n° pioli: **3** — passo [mm]: **200**
3 pioli d=19/200 mm
S [m3]: **0.0953** — J [m4]: **0.19405**

	VSd [kN]	q (carichi) [kN/m]	q (ritiro, DT) [kN/m]	Q [kN]
PP + Perm + Carichi Mobili-MAX	242.18	119		**7.93**
PP + Perm + Carichi Mobili-MIN	-38.55	-19		**-1.26**

$q = V_{Sd}*S/J$ sforzo di scorrimento unitario
$Q = q*i$ sforzo di scorrimento sul singolo piolo

ΔV	9.2	kN
Area singolo piolo	283	mm2
Δτ singolo piolo	**32.4**	**MPa**

FIGURA 118: CALCOLO DELLA VARIAZIONE DELLE TENSIONI TAGLIANTI C2

Modello a fatica n°3 - veicolo 4 assi 120kN

	Vsd (kN)	Coeff.	Vsd (kN)
Peso acciaio	0	1.15	0
Peso soletta in cls	0	1.0	0
Carichi permanenti	0	1.0	0
Carichi accidentali MAX	**122.59**	1.0	123
		somma	**122.59**

	Vsd (kN)	Coeff.	Vsd (kN)
Peso acciaio	0	1.15	0
Peso soletta in cls	0	1.0	0
Carichi permanenti	0	1.0	0
Carichi accidentali MIN	**-165.23**	1.0	-165
		somma	**-165.2**

Fatica DANNEGGIAMENTO — n° pioli: **3** — passo [mm]: **200**
3 pioli d=19/200 mm
S [m3]: **0.0953** — J [m4]: **0.19405**

	VSd [kN]	q (carichi) [kN/m]	q (ritiro, DT) [kN/m]	Q [kN]
PP + Perm + Carichi Mobili-MAX	122.59	60		**4.01**
PP + Perm + Carichi Mobili-MIN	-165.23	-81		**-5.41**

$q = V_{Sd}*S/J$ sforzo di scorrimento unitario
$Q = q*i$ sforzo di scorrimento sul singolo piolo

ΔV	9.4	kN
Area singolo piolo	283	mm2
Δτ singolo piolo	**33.3**	**MPa**

FIGURA 119: CALCOLO DELLA VARIAZIONE DELLE TENSIONI TAGLIANTI C1

Si riporta qui di seguito la verifica.

VERIFICHE A FATICA PER DANNEGGIAMENTO - PIOLI

Modello di carico di fatica n°3 (fig. 5.1.5)

Impalcato tipologico

$\Delta\tau c =$ 90 MPa classe del dettaglio (C.4.2.4.1.4.5)

Si verifica che:

$\Delta\tau max < \Delta\tau L/\gamma_{Mf}$

$\gamma_{Mf} =$ 1.15 (tab. C4.2.XII, avendo assunto strutture sensibili e conseguenze moderate)

$\Delta\sigma max =$ 78.26 MPa

Pioli su conci	$\Delta\tau$_piolo [MPa]	λ [-]	$\Delta\tau_{E2}$ [MPa]	
C1	33.30	1.61	53.61	OK
C2	32.40	1.61	52.16	OK
C3	14.50	1.61	23.35	OK

FIGURA 120: VERIFICA A DANNEGGIAMENTO PER I PIOLI DEI CONCI C1, C2, C3

La verifica risulta soddisfatta

11.10.2 VERIFICA A VITA ILLIMITATA PER LE SALDATURE TRA I CONCI DELLE TRAVI PRINCIPALI

La verifica è stata condotta con tutti i veicoli proposti nel 'Modello di carico di fatica n. 2' [Tab. 5.1.VII di NTC08] per determinare l'oscillogramma di tensione indotto nel dettaglio.
Di tutti i modelli di carico si è poi considerato l'inviluppo.
I carichi viaggianti fanno riferimento allo *Schema di Carico 1*, ai sensi del Par. 5.1.4.3 di NTC 08.

A tale collegamento corrisponde una categoria di dettaglio 112, con intervallo di tensione pari a:

$\Delta\sigma_C$ = 112 MPa [Tab. C4.2.XV di NTC08)]

Il limite di fatica illimitata ad ampiezza costante (N=1*10^8 cicli) è pari a:

$\Delta\sigma_D$ =0.737 * 112 = 82.5 MPa [C4.2.98 di NTC08]

Tale limite dovrà essere ridotto, per spessori di piatti >25mm, di $k_s = (25/t)^{0.2}$

Per la verifica dovrà risultare:

$\Delta\sigma_{max} \leq \Delta\sigma_L / \gamma_{Mf}$

dove:

- $\Delta\sigma_{max} = \sigma_{max} - \sigma_{min}$
- γ_{Mf} = 1.15 [Tab. C4.2.XII di NTC08, assumendo danneggiamento accettabile e conseguenze significative]

Si riportano di seguito i risultati della verifica.

Impalcato A

VERIFICHE A FATICA PER VITA ILLIMITATA - GIUNZIONI CONCI PRINCIPALI-saldature

Modello di carico di fatica n°2 (tab. 5.1.VII)

Impalcato tipologico

$\Delta\sigma c_{sp<25mm}$ = 112 MPa — classe del dettaglio (tab. C.4.2.XV) - $N=2*10^6$ cicli - per spess t<25mm

$\Delta\sigma L_{sp<25mm}$ = 82.54 MPa — limite di fatica illimitata ad ampiezza costante $0.549*\Delta\sigma c$ - $N=1*10^8$ cicli - per spess t<25mm

Nota. Per spessori t>25mm la classe si riduce del coefficiente $ks=(25/t)^{0.2}$

Si verifica che:

$\Delta\sigma max < \Delta\sigma L/\gamma_{Mf}$

γ_{Mf} = 1.15 (tab. C4.2.XII, avendo assunto danneggiamento accettabile e conseguenze significative)

Δσmax = 71.78 MPa per s<25mm

giunti	Mom	n°beam	σ_sup [MPa] max	σ_sup [MPa] min	sp. Piatto [mm]	Δσ_max [MPa]	**Δσ_sup [MPa]**		σ_inf [MPa] max	σ_inf [MPa] min	sp. Piatto [mm]	Δσ_max [MPa]	**Δσ_inf [MPa]**	
C1-C2 (vs C1)	+	/	-207.15	-200.58	40	65.34	6.57	OK	172.86	133.52	60	60.25	39.34	OK
C1-C2 (vs C2)	+	/	-207.86	-201.41	40	65.34	6.45	OK	184.28	141.75	55	61.31	42.53	OK
C2-C3 (vs C2)	+	/	-154.23	-139.30	40	65.34	14.93	OK	132.24	94.46	55	61.31	37.78	OK
C2-C3 (vs C3)	+	/	-214.75	-202.22	25	71.78	12.53	OK	185.20	138.62	40	65.34	46.58	OK

FIGURA 121: VERIFICA A VITA ILLIMITATA PER GIUNZIONI SALDATE

Impalcato B

VERIFICHE A FATICA PER VITA ILLIMITATA - GIUNZIONI CONCI PRINCIPALI-saldature

Modello di carico di fatica n°2 (tab. 5.1.VII)

Impalcato tipologico

$\Delta\sigma c_{sp<25mm}$ = 112 MPa — classe del dettaglio (tab. C.4.2.XV) - $N=2*10^6$ cicli - per spess t<25mm

$\Delta\sigma L_{sp<25mm}$ = 82.54 MPa — limite di fatica illimitata ad ampiezza costante $0.549*\Delta\sigma c$ - $N=1*10^8$ cicli - per spess t<25mm

Nota. Per spessori t>25mm la classe si riduce del coefficiente $ks=(25/t)^{0.2}$

Si verifica che:

$\Delta\sigma max < \Delta\sigma L/\gamma_{Mf}$

γ_{Mf} = 1.15 (tab. C4.2.XII, avendo assunto danneggiamento accettabile e conseguenze significative)

Δσmax = 71.78 MPa per s<25mm

giunti	Mom	n°beam	σ_sup [MPa] max	σ_sup [MPa] min	sp. Piatto [mm]	Δσ_max [MPa]	**Δσ_sup [MPa]**		σ_inf [MPa] max	σ_inf [MPa] min	sp. Piatto [mm]	Δσ_max [MPa]	**Δσ_inf [MPa]**	
C1-C2 (vs C1)	+	/	-185.21	-174.61	35	67.11	10.60	OK	156.15	113.61	50	62.49	42.54	OK
C1-C2 (vs C2)	+	/	-200.67	-189.99	30	69.21	10.68	OK	170.39	124.33	45	63.82	46.06	OK
C2-C3 (vs C2)	+	/	-144.45	-131.85	30	69.21	12.60	OK	118.21	84.53	45	63.82	33.68	OK
C2-C3 (vs C3)	+	/	-194.70	-183.88	20	71.78	10.82	OK	173.21	128.70	35	67.11	44.51	OK

FIGURA 122: VERIFICA A VITA ILLIMITATA PER GIUNZIONI SALDATE

12 CARATTERISTICHE SISMICHE DELLA STRUTTURA

Si riporta una tabella relativa ai modi di vibrare della struttura.

Si considera un numero di modi di vibrare tale da interessare una percentuale di massa partecipante pari almeno all'85% della totalità.

Dall'analisi dell'impalcato in esame è emerso che il primo modo di vibrare della struttura sviluppa una percentuale di massa vibrante pari al 53.2 % in direzione Y, mentre il secondo modo di vibrare sviluppa la medesima percentuale in direzione X.

Node	Mode	UX	UY	UZ	RX	RY		RZ	
EIGENVALUE ANALYSIS									
	Mode	Frequency		Period					
	No	(rad/sec)	(cycle/sec)	(sec)	Tolerance				
	1	**4.0524**	**0.645**	**1.5505**	0.00E+00				
	2	**4.171**	**0.6638**	**1.5064**	0.00E+00				
	3	4.3163	0.687	1.4557	0.00E+00				
	4	**4.4463**	**0.7076**	**1.4131**	0.00E+00				
	5	6.6987	1.0661	0.938	0.00E+00				
	6	7.2479	1.1535	0.8669	0.00E+00				
	7	29.587	4.7089	0.2124	0.00E+00				
	8	30.4032	4.8388	0.2067	0.00E+00				
	9	**30.4399**	**4.8447**	**0.2064**	0.00E+00				
	10	30.9443	4.9249	0.203	0.00E+00				
	11	43.9079	6.9882	0.1431	0.00E+00				
	12	45.5409	7.2481	0.138	0.00E+00				
	13	47.9845	7.637	0.1309	0.00E+00				
	14	52.5573	8.3648	0.1195	0.00E+00				
	15	72.5778	11.5511	0.0866	0.00E+00				
	16	73.6155	11.7163	0.0854	0.00E+00				
	17	85.0996	13.544	0.0738	0.00E+00				
	18	98.6719	15.7041	0.0637	0.00E+00				
	19	116.7188	18.5764	0.0538	0.00E+00				
	20	119.0795	18.9521	0.0528	0.00E+00				
MODAL PARTICIPATION MASSES PRINTOUT									
	Mode	TRAN-X		TRAN-Y		TRAN-Z		ROTN-X	
	No	MASS(%)	SUM(%)	MASS(%)	SUM(%)	MASS(%)	SUM(%)	MASS(%)	SUM(%)
	1	0	0	**53.185**	**53.185**	0.0001	0.0001	0.0093	0.0093
	2	**53.2**	**53.2**	0	53.1846	0	0.0001	0	0.0093
	3	0	53.1995	46.7852	99.9697	0.0001	0.0001	0.9326	0.9419
	4	46.7897	99.9892	0	99.9697	0	0.0001	0	0.9419
	5	0.0003	99.9895	0	99.9697	0	0.0001	0	0.9419
	6	0.0104	99.9999	0	99.9697	0	0.0001	0	0.9419
	7	0	99.9999	0.0022	99.9719	0.006	0.0061	9.7447	10.6866
	8	0	99.9999	0.0022	99.9741	0.1022	0.1083	10.8407	21.5273
	9	0	99.9999	0.0002	99.9743	**41.147**	**41.255**	34.207	55.7343
	10	0	99.9999	0.0002	99.9744	41.0127	82.2675	26.0875	81.8218
	11	0	99.9999	0.0127	99.9872	0.1383	82.4058	0.797	82.6188
	12	0	99.9999	0.0123	99.9995	0.1038	82.5095	0.039	82.6577
	13	0	99.9999	0	99.9995	0	82.5095	0	82.6577
	14	0	99.9999	0	99.9995	0	82.5095	0	82.6577
	15	0	99.9999	0	99.9995	0.0006	82.5102	0.0013	82.659
	16	0	99.9999	0	99.9995	0.0024	82.5126	0.0018	82.6608
	17	0	99.9999	0	99.9995	0	82.5126	0	82.6608
	18	0	99.9999	0	99.9995	0	82.5126	0	82.6608
	19	0.0001	100	0	99.9995	0	82.5126	0	82.6608
	20	0	100	0.0003	99.9998	0	82.5127	0.0214	82.6822

RY		RZ	
ROTN-Y		ROTN-Z	
MASS(%)	SUM(%)	MASS(%)	SUM(%)
0	0	0	0
0.0063	0.0063	15.9949	15.9949
0	0.0063	0	15.9949
0.7668	0.7731	18.75	34.7449
0.0171	0.7902	**35.529**	**70.274**
0.0132	0.8034	29.7219	99.9959
0	0.8034	0	99.9959
0	0.8034	0	99.9959
0	0.8034	0	99.9959
0	0.8034	0	99.9959
0	0.8034	0	99.9959
0	0.8034	0	99.9959
0.0911	0.8945	0	99.9959
0.1054	0.9999	0.0002	99.9961
0	0.9999	0	99.9961
0	0.9999	0	99.9961
0.0354	1.0353	0.0023	99.9985
0.4688	1.5041	0.0005	99.9989
59.1212	60.6254	0	99.9989
0	60.6254	0	99.9989

FIGURA 123: PERIODI RELATIVI AI PRINCIPALI MODI DI VIBRARE DELLA STRUTTURA E PERCENTUALE MASSE PARTECIPANTI

Il periodo relativo al primo modo di vibrare della struttura è T_1 = 1.55 s.

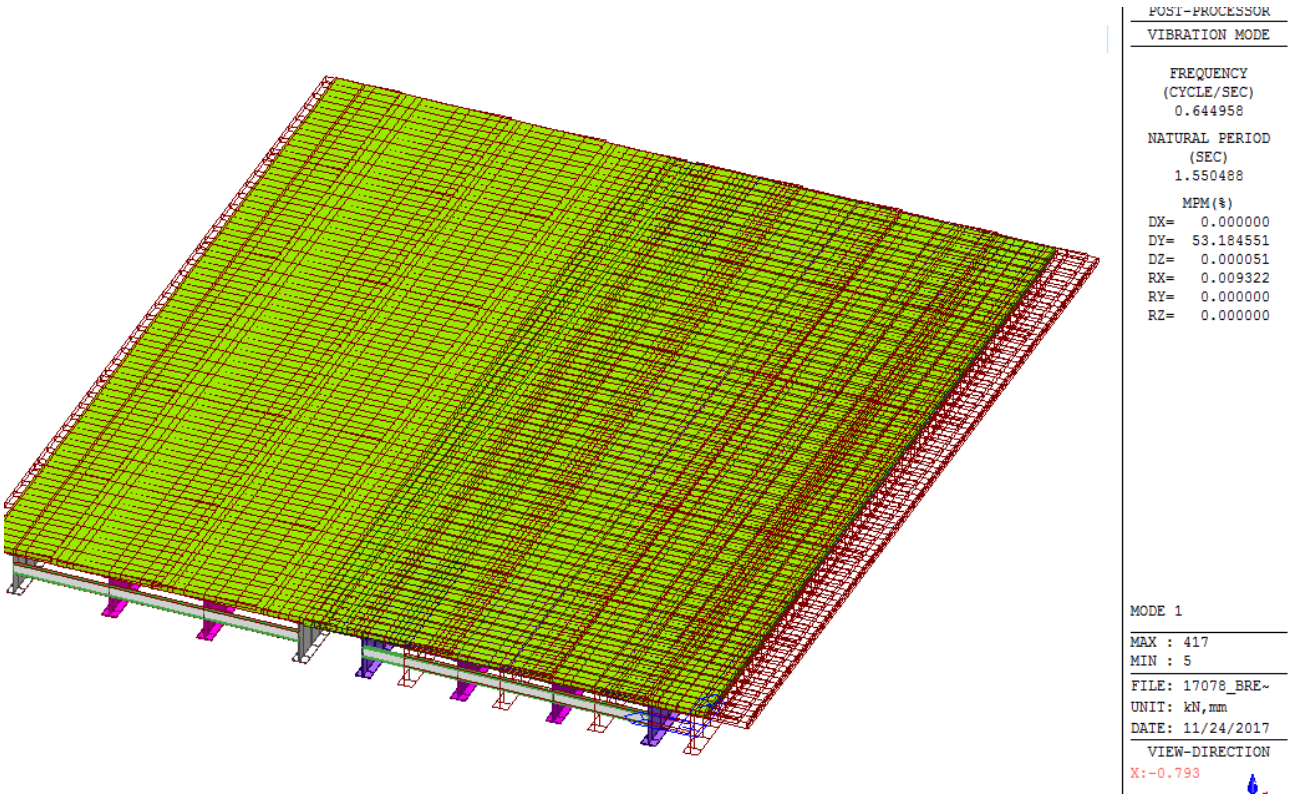


FIGURA 124: PRIMO MODO DI VIBRARE DELLA STRUTTURA

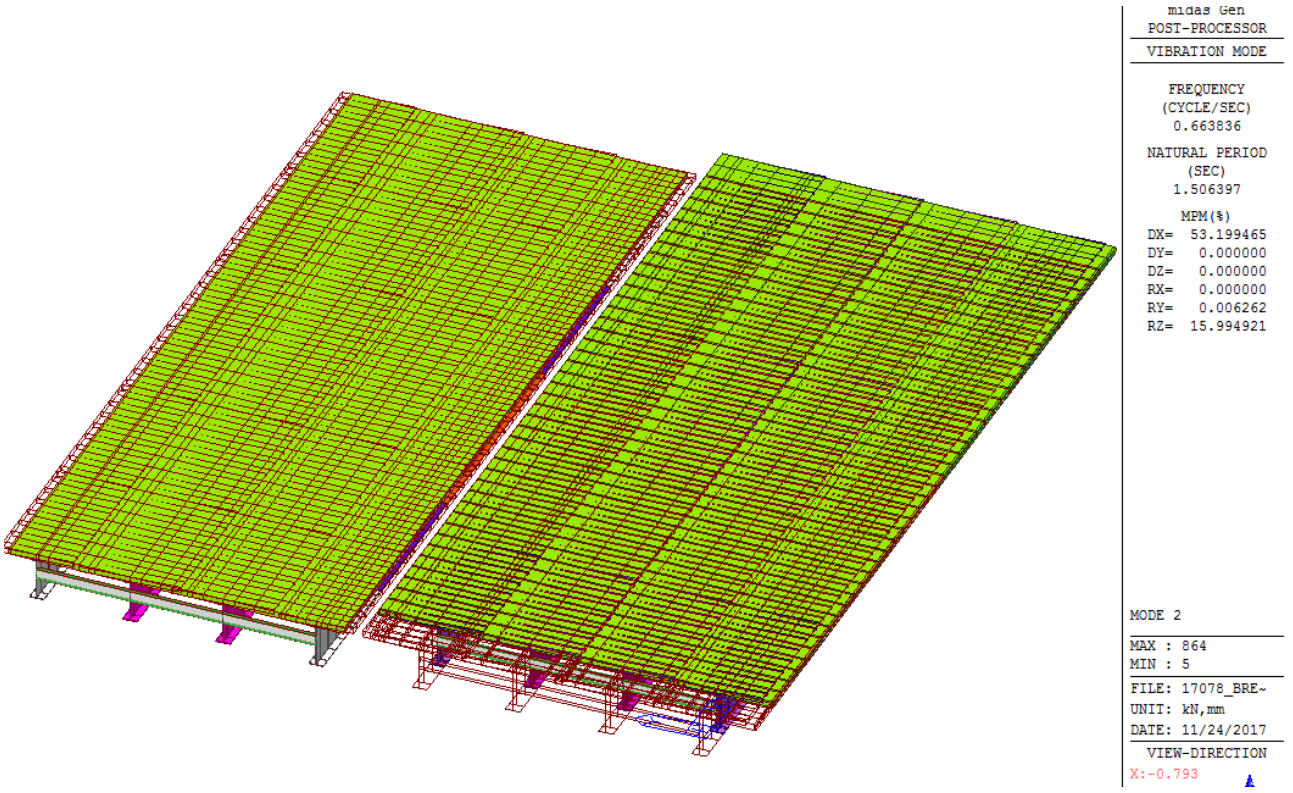


FIGURA 125: SECONDO MODO DI VIBRARE DELLA STRUTTURA

13 ALLEGATO – VERIFICHE INTEGRATIVE

13.1 PREMESSA

Le verifiche integrative di seguito riportate sono state effettuate mediante l'ausilio del programma di calcolo agli elementi finiti Midas Civil.
Si riportano alcune informazioni relative al codice di calcolo utilizzato **Midas Civil 2018 vers.8.6.5** della Midas Information Technology, distribuito da Harpaceas – Milano.

13.1.1 CARATTERISTICHE DEL CODICE DI CALCOLO

Il codice esegue l'analisi elastica lineare di strutture tridimensionali con nodi a sei gradi di libertà, utilizzando un solutore ad elementi finiti. Gli elementi considerati sono di tipo trave, con eventuali svincoli interni o rotazione attorno al proprio asse, e guscio, sia rettangolare sia triangolare, avente comportamento di membrana e di piastra. I carichi possono essere applicati ai nodi, come forze o coppie concentrate, sia sulle travi, come forze distribuite, trapezie, concentrate, coppie e distorsioni termiche, sia sugli elementi guscio come carichi d'area. I vincoli esterni sono definiti da sei costanti di rigidezza elastica.

13.1.2 GRADO DI AFFIDABILITÀ DEL CODICE DI CALCOLO

L'affidabilità del codice di calcolo è garantita dall'esistenza di un'ampia documentazione di supporto, che riporta, per una serie di strutture significative, i confronti tra le analisi effettuate con il codice e quelle effettuate con codici di confronto (SAP2000 prodotto da Computers and Structures, Inc., California). Al termine dell'elaborazione viene valutata la correttezza della soluzione, sulla base dell'uguaglianza numerica tra lavoro esterno ed energia di deformazione.
La presenza di un modulo CAD per l'introduzione dei dati permette la visualizzazione dettagliata degli elementi e dei carichi introdotti. E' possibile ottenere rappresentazioni grafiche di deformate, sollecitazioni e stati di tensione della struttura.

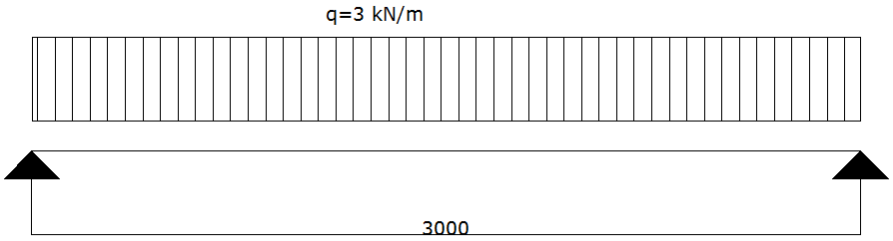
13.1.3 MOTIVAZIONE DELLA SCELTA DEL CODICE

Midas Civil permette, in campo lineare elastico ed in campo plastico, l'analisi dettagliata del comportamento dell'intera struttura. E' possibile inoltre scegliere il grado di affinamento dell'analisi di elementi complessi utilizzando schematizzazioni via via più dettagliate.

13.1.4 VALIDAZIONE DEL CODICE DI CALCOLO

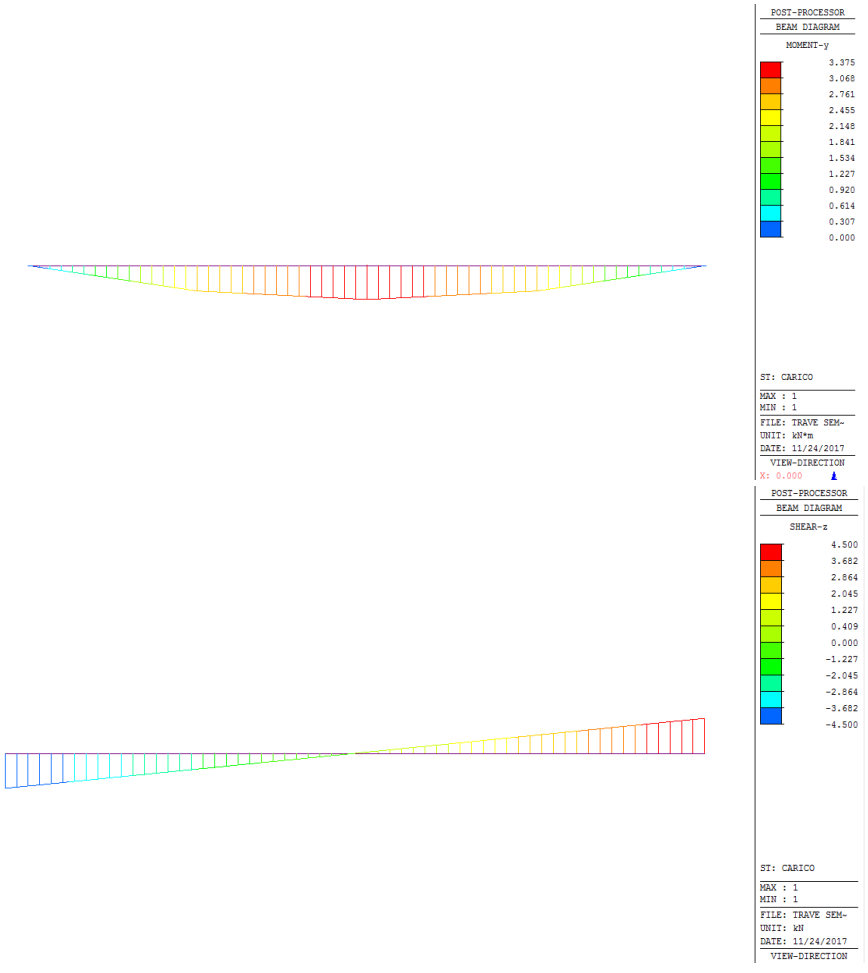
La validazione del codice di calcolo viene eseguito confrontando i risultati delle sollecitazioni ottenute tramite calcolo manuale di una trave semplicemente appoggiata e la risoluzione della stessa struttura con stesse caratteristiche geometriche e carichi da parte del programma di calcolo ad elementi finiti utilizzato per la modellazione strutturale.

SOLUZIONE MANUALE



- L = 3 m
- q = 3 kN/m
- M = $q*L^2/8$ = 3.375 kNm
- V = $q*L/2$ = 4.5 kN

SOLUZIONE PROGRAMMA ELEMENTI FINITI



I risultanti sono coincidenti, quindi il modello si considera valido.

13.2 VERIFICA INTEGRATIVA DELLE TRAVI PRINCIPALI

Si riportano di seguito i risultati delle verifiche condotte mediante il software di calcolo agli elementi finiti **Midas Civil**.
Per ciascun concio dei due impalcati è stata esaminata la sezione maggiormente sollecitata.
Sono state condotte, nell'ordine:

- Verifica di resistenza a flessione
- Verifica di resistenza a taglio
- Verifica di instabilità flesso-torsionale
- Verifica di resistenza dei connettori

Nelle verifiche è considerata sia la combinazione statica che la combinazione sismica, riportando quale delle due sia, caso per caso, la peggiorativa per la sezione.
Si riprendono le sezioni precedentemente riportate.
I carichi applicati e le combinazioni utilizzate per la verifica sono quelle riportate ripettivamente ai **Par. 8 e 9** della presente relazione.

13.2.1 IMPALCATO "A"

Si riporta di seguito il risultato della verifica, in forma tabulare, per tutti gli elementi che compongono i conci dell'**Impalcato A**.
Segue la verifica dettagliata degli elementi maggiormente sollecitati.

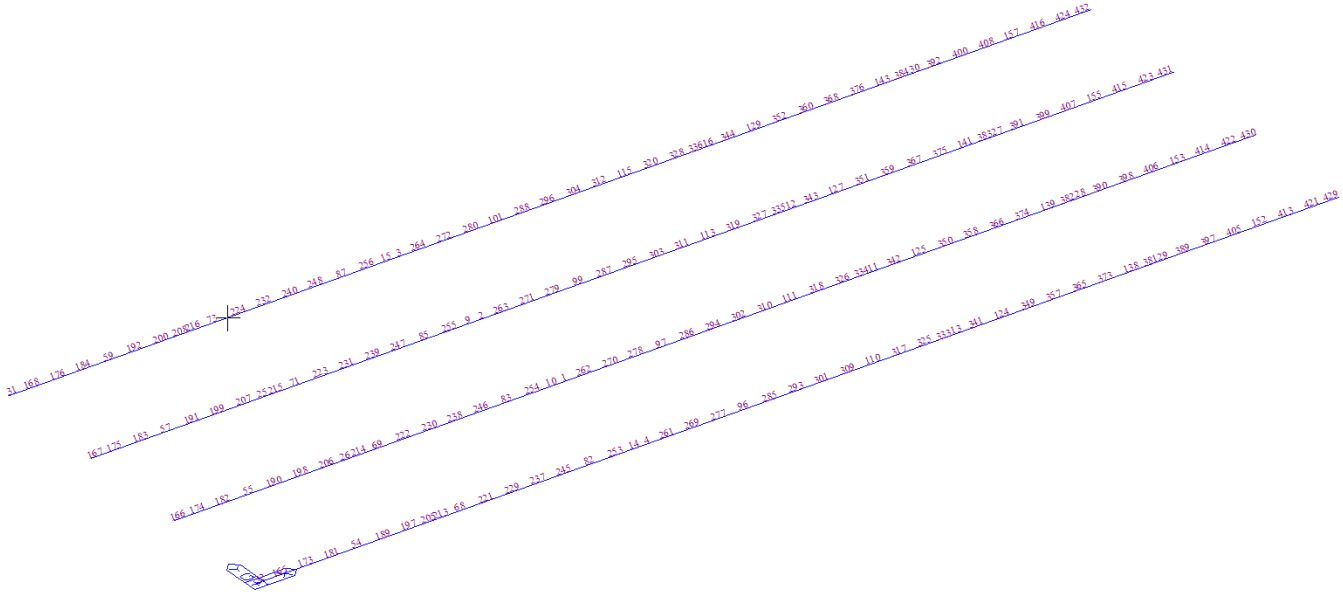


FIGURA 126: NUMERAZIONE ELEMENTI IMPALCATO A

13.2.1.1 VERIFICA DI RESISTENZA A FLESSIONE

Elem	part	Pos/Neg	Lcom	Top Class	Bot Class	Web Class	Sect. Class	Ma,Ed (kN*m)	Mc,Ed (kN*m)	Mpl,Rd (kN*m)	Mel,Rd (kN*m)	M_Rd (kN*m)
1	I[34]	Neg	-	-	-	-	-	-	-	-	-	-
1	I[34]	Pos	SLU-1	1	1	1	1	12525.6972	17076.4474	51656.1449	44639.1563	51656.1449
1	J[346]	Neg	-	-	-	-	-	-	-	-	-	-
1	J[346]	Pos	SLU-1	1	1	1	1	12705.8019	17327.3923	51656.1449	44586.452	51656.1449
2	I[35]	Neg	-	-	-	-	-	-	-	-	-	-
2	I[35]	Pos	SLU-1	1	1	1	1	12526.295	16392.8355	51656.1449	44638.9813	51656.1449
2	J[347]	Neg	-	-	-	-	-	-	-	-	-	-
2	J[347]	Pos	SLU-1	1	1	1	1	12706.4158	16633.1788	51656.1449	44586.2724	51656.1449
3	I[36]	Neg	-	-	-	-	-	-	-	-	-	-
3	I[36]	Pos	SLU-1	1	1	1	1	12934.1254	20307.1502	52251.4726	44667.0799	52251.4726
3	J[348]	Neg	-	-	-	-	-	-	-	-	-	-
3	J[348]	Pos	SLU-1	1	1	1	1	13119.9552	20647.0259	52251.4726	44611.5789	52251.4726
4	I[33]	Neg	-	-	-	-	-	-	-	-	-	-
4	I[33]	Pos	SLU-1	1	1	1	1	12931.3559	21763.3092	52251.4726	44667.907	52251.4726
4	J[345]	Neg	-	-	-	-	-	-	-	-	-	-
4	J[345]	Pos	SLU-1	1	1	1	1	13117.1857	22126.0502	52251.4726	44612.4061	52251.4726
9	I[35]	Neg	-	-	-	-	-	-	-	-	-	-
9	I[35]	Pos	SLU-1	1	1	1	1	12525.6802	16393.6728	48973.3292	41578.4176	48973.3292
9	J[331]	Neg	-	-	-	-	-	-	-	-	-	-
9	J[331]	Pos	SLU-1	1	1	1	1	12330.5463	16228.8424	48973.3292	41635.4509	48973.3292
10	I[34]	Neg	-	-	-	-	-	-	-	-	-	-
10	I[34]	Pos	SLU-1	1	1	1	1	12525.0821	17077.2675	48973.3292	41578.5924	48973.3292
10	J[330]	Neg	-	-	-	-	-	-	-	-	-	-
10	J[330]	Pos	SLU-1	1	1	1	1	12329.9643	16901.0297	48973.3292	41635.621	48973.3292
11	I[42]	Neg	-	-	-	-	-	-	-	-	-	-
11	I[42]	Pos	SLU-1	1	1	1	1	12525.0821	16983.9832	48973.3292	41578.5924	48973.3292
11	J[522]	Neg	-	-	-	-	-	-	-	-	-	-
11	J[522]	Pos	SLU-1	1	1	1	1	12329.9643	16799.6236	48973.3292	41635.621	48973.3292
12	I[43]	Neg	-	-	-	-	-	-	-	-	-	-
12	I[43]	Pos	SLU-1	1	1	1	1	12525.6802	16300.4499	48973.3292	41578.4176	48973.3292
12	J[523]	Neg	-	-	-	-	-	-	-	-	-	-
12	J[523]	Pos	SLU-1	1	1	1	1	12330.5463	16127.4685	48973.3292	41635.4509	48973.3292
13	I[41]	Neg	-	-	-	-	-	-	-	-	-	-
13	I[41]	Pos	SLU-1	1	1	1	1	12930.7895	21670.6643	49430.0863	41593.2189	49430.0863
13	J[521]	Neg	-	-	-	-	-	-	-	-	-	-
13	J[521]	Pos	SLU-1	1	1	1	1	12728.6978	21395.3737	49430.0863	41653.5052	49430.0863
14	I[33]	Neg	-	-	-	-	-	-	-	-	-	-
14	I[33]	Pos	SLU-1	1	1	1	1	12930.7895	21764.8868	49430.0863	41593.2189	49430.0863
14	J[329]	Neg	-	-	-	-	-	-	-	-	-	-
14	J[329]	Pos	SLU-1	1	1	1	1	12728.6978	21497.8068	49430.0863	41653.5052	49430.0863
15	I[36]	Neg	-	-	-	-	-	-	-	-	-	-
15	I[36]	Pos	SLU-1	1	1	1	1	12933.4246	20306.6219	49430.0863	41592.4328	49430.0863
15	J[332]	Neg	-	-	-	-	-	-	-	-	-	-
15	J[332]	Pos	SLU-1	1	1	1	1	12731.3329	20080.0895	49430.0863	41652.7191	49430.0863
16	I[44]	Neg	-	-	-	-	-	-	-	-	-	-
16	I[44]	Pos	SLU-1	1	1	1	1	12933.4246	20213.0517	49430.0863	41592.4328	49430.0863
16	J[524]	Neg	-	-	-	-	-	-	-	-	-	-
16	J[524]	Pos	SLU-1	1	1	1	1	12731.3329	19978.3438	49430.0863	41652.7191	49430.0863
25	I[19]	Neg	-	-	-	-	-	-	-	-	-	-
25	I[19]	Pos	SLU-1	1	1	1	1	7513.4689	10721.2957	37877.5112	28574.8654	37877.5112
25	J[219]	Neg	-	-	-	-	-	-	-	-	-	-
25	J[219]	Pos	SLU-1	1	1	1	1	7068.0455	10277.0356	37877.5112	28769.9863	37877.5112
26	I[18]	Neg	-	-	-	-	-	-	-	-	-	-
26	I[18]	Pos	SLU-1	1	1	1	1	7513.3114	11086.2505	37877.5112	28574.9344	37877.5112
26	J[218]	Neg	-	-	-	-	-	-	-	-	-	-
26	J[218]	Pos	SLU-1	1	1	1	1	7067.9236	10611.7701	37877.5112	28770.0397	37877.5112
27	I[27]	Neg	-	-	-	-	-	-	-	-	-	-
27	I[27]	Pos	SLU-1	1	1	1	1	7513.4689	10500.0245	37877.5112	28574.8654	37877.5112
27	J[635]	Neg	-	-	-	-	-	-	-	-	-	-
27	J[635]	Pos	SLU-1	1	1	1	1	7068.0455	10047.611	37877.5112	28769.9863	37877.5112
28	I[26]	Neg	-	-	-	-	-	-	-	-	-	-
28	I[26]	Pos	SLU-1	1	1	1	1	7513.3114	10864.8661	37877.5112	28574.9344	37877.5112
28	J[634]	Neg	-	-	-	-	-	-	-	-	-	-
28	J[634]	Pos	SLU-1	1	1	1	1	7067.9236	10382.2617	37877.5112	28770.0397	37877.5112
29	I[25]	Neg	-	-	-	-	-	-	-	-	-	-
29	I[25]	Pos	SLU-1	1	1	1	1	7778.0636	13061.8441	38291.5104	28555.3338	38291.5104
29	J[633]	Neg	-	-	-	-	-	-	-	-	-	-
29	J[633]	Pos	SLU-1	1	1	1	1	7319.7634	12390.9615	38291.5104	28759.1669	38291.5104

30	I[28]	Neg	-	-	-	-	-	-	-	-	-	-
30	I[28]	Pos	SLU-1	1	1	1	1	7779.8011	12359.6783	38291.5104	28554.561	38291.5104
30	J[636]	Neg	-	-	-	-	-	-	-	-	-	-
30	J[636]	Pos	SLU-1	1	1	1	1	7321.4955	11758.5598	38291.5104	28758.3965	38291.5104
31	I[4]	Neg	SLV-7	1	3	4	4	-12.6514	-164.5883	24213.9964	18614.8811	18614.8811
31	I[4]	Pos	SLV-1	1	1	1	1	-12.6514	392.6625	38291.5104	32020.3228	38291.5104
31	J[132]	Neg	-	-	-	-	-	-	-	-	-	-
31	J[132]	Pos	SLU-1	1	1	1	1	638.4076	1264.1653	38291.5104	31730.7586	38291.5104
32	I[1]	Neg	SLV-7	1	3	4	4	-13.2523	-167.0404	24213.9964	18614.8811	18614.8811
32	I[1]	Pos	SLV-1	1	1	1	1	-13.2523	389.0662	38291.5104	32020.5901	38291.5104
32	J[129]	Neg	-	-	-	-	-	-	-	-	-	-
32	J[129]	Pos	SLU-1	1	1	1	1	637.5831	1300.2859	38291.5104	31731.1253	38291.5104
54	I[65]	Neg	-	-	-	-	-	-	-	-	-	-
54	I[65]	Pos	SLU-1	1	1	1	1	4251.9766	7492.4286	38291.5104	30123.592	38291.5104
54	J[185]	Neg	-	-	-	-	-	-	-	-	-	-
54	J[185]	Pos	SLU-1	1	1	1	1	5335.1409	9320.3803	38291.5104	29641.8452	38291.5104
55	I[66]	Neg	-	-	-	-	-	-	-	-	-	-
55	I[66]	Pos	SLU-1	1	1	1	1	4103.9378	6585.7706	37877.5112	30068.4351	37877.5112
55	J[162]	Neg	-	-	-	-	-	-	-	-	-	-
55	J[162]	Pos	SLU-1	1	1	1	1	2996.0079	4957.919	37877.5112	30553.7718	37877.5112
57	I[67]	Neg	-	-	-	-	-	-	-	-	-	-
57	I[67]	Pos	SLU-1	1	1	1	1	4103.848	6380.9385	37877.5112	30068.4744	37877.5112
57	J[163]	Neg	-	-	-	-	-	-	-	-	-	-
57	J[163]	Pos	SLU-1	1	1	1	1	2995.9418	4808.2905	37877.5112	30553.8008	37877.5112
59	I[68]	Neg	-	-	-	-	-	-	-	-	-	-
59	I[68]	Pos	SLU-1	1	1	1	1	4253.6762	7163.3498	38291.5104	30122.8361	38291.5104
59	J[188]	Neg	-	-	-	-	-	-	-	-	-	-
59	J[188]	Pos	SLU-1	1	1	1	1	5336.8513	8892.038	38291.5104	29641.0845	38291.5104
68	I[73]	Neg	-	-	-	-	-	-	-	-	-	-
68	I[73]	Pos	SLU-1	1	1	1	1	9056.7546	15476.9654	49430.0863	42748.8881	49430.0863
68	J[233]	Neg	-	-	-	-	-	-	-	-	-	-
68	J[233]	Pos	SLU-1	1	1	1	1	8220.066	14100.8161	49430.0863	42998.4819	49430.0863
69	I[74]	Neg	-	-	-	-	-	-	-	-	-	-
69	I[74]	Pos	SLU-1	1	1	1	1	8760.7357	12719.8055	48973.3292	42678.8271	48973.3292
69	J[234]	Neg	-	-	-	-	-	-	-	-	-	-
69	J[234]	Pos	SLU-1	1	1	1	1	7943.6282	11711.7986	48973.3292	42917.6494	48973.3292
71	I[75]	Neg	-	-	-	-	-	-	-	-	-	-
71	I[75]	Pos	SLU-1	1	1	1	1	8761.0001	12269.4511	48973.3292	42678.7498	48973.3292
71	J[235]	Neg	-	-	-	-	-	-	-	-	-	-
71	J[235]	Pos	SLU-1	1	1	1	1	7943.8215	11319.5958	48973.3292	42917.5929	48973.3292
73	I[76]	Neg	-	-	-	-	-	-	-	-	-	-
73	I[76]	Pos	SLU-1	1	1	1	1	9058.4231	14618.0353	49430.0863	42748.3904	49430.0863
73	J[236]	Neg	-	-	-	-	-	-	-	-	-	-
73	J[236]	Pos	SLU-1	1	1	1	1	8221.7237	13361.0104	49430.0863	42997.9874	49430.0863
82	I[81]	Neg	-	-	-	-	-	-	-	-	-	-
82	I[81]	Pos	SLU-1	1	1	1	1	12276.176	20757.9047	49430.0863	41788.4976	49430.0863
82	J[305]	Neg	-	-	-	-	-	-	-	-	-	-
82	J[305]	Pos	SLU-1	1	1	1	1	11761.758	19918.8687	49430.0863	41941.9544	49430.0863
83	I[82]	Neg	-	-	-	-	-	-	-	-	-	-
83	I[82]	Pos	SLU-1	1	1	1	1	11894.9522	16394.8022	48973.3292	41762.7653	48973.3292
83	J[306]	Neg	-	-	-	-	-	-	-	-	-	-
83	J[306]	Pos	SLU-1	1	1	1	1	11387.6414	15827.2725	48973.3292	41911.041	48973.3292
85	I[83]	Neg	-	-	-	-	-	-	-	-	-	-
85	I[83]	Pos	SLU-1	1	1	1	1	11895.5017	15742.6685	48973.3292	41762.6047	48973.3292
85	J[307]	Neg	-	-	-	-	-	-	-	-	-	-
85	J[307]	Pos	SLU-1	1	1	1	1	11388.134	15216.8538	48973.3292	41910.897	48973.3292
87	I[84]	Neg	-	-	-	-	-	-	-	-	-	-
87	I[84]	Pos	SLU-1	1	1	1	1	12278.4064	19407.8498	49430.0863	41787.8323	49430.0863
87	J[308]	Neg	-	-	-	-	-	-	-	-	-	-
87	J[308]	Pos	SLU-1	1	1	1	1	11764.0001	18667.2612	49430.0863	41941.2856	49430.0863
96	I[89]	Neg	-	-	-	-	-	-	-	-	-	-
96	I[89]	Pos	SLU-1	1	1	1	1	13889.1195	23346.1509	52251.4726	44381.8561	52251.4726
96	J[401]	Neg	-	-	-	-	-	-	-	-	-	-
96	J[401]	Pos	SLU-1	1	1	1	1	14019.7703	23548.3728	52251.4726	44342.8352	52251.4726
97	I[90]	Neg	-	-	-	-	-	-	-	-	-	-
97	I[90]	Pos	SLU-1	1	1	1	1	13469.6763	18126.9452	51656.1449	44362.9183	51656.1449
97	J[402]	Neg	-	-	-	-	-	-	-	-	-	-
97	J[402]	Pos	SLU-1	1	1	1	1	13590.3371	18268.4118	51656.1449	44327.6092	51656.1449
99	I[91]	Neg	-	-	-	-	-	-	-	-	-	-
99	I[91]	Pos	SLU-1	1	1	1	1	13470.3866	17367.5998	51656.1449	44362.7104	51656.1449
99	J[403]	Neg	-	-	-	-	-	-	-	-	-	-
99	J[403]	Pos	SLU-1	1	1	1	1	13591.0475	17509.0325	51656.1449	44327.4013	51656.1449
101	I[92]	Neg	-	-	-	-	-	-	-	-	-	-
101	I[92]	Pos	SLU-1	1	1	1	1	13892.0367	21716.7074	52251.4726	44380.9848	52251.4726
101	J[404]	Neg	-	-	-	-	-	-	-	-	-	-

101	J[404]	Pos	SLU-1	1	1	1	1	14022.6875	21904.4487	52251.4726	44341.9639	52251.4726
110	I[97]	Neg	-	-	-	-	-	-	-	-	-	-
110	I[97]	Pos	SLU-1	1	1	1	1	13889.2057	23307.584	52251.4726	44381.8303	52251.4726
110	J[473]	Neg	-	-	-	-	-	-	-	-	-	-
110	J[473]	Pos	SLU-1	1	1	1	1	13697.1911	22993.4654	52251.4726	44439.1785	52251.4726
111	I[98]	Neg	-	-	-	-	-	-	-	-	-	-
111	I[98]	Pos	SLU-1	1	1	1	1	13469.6952	18088.8445	51656.1449	44362.9128	51656.1449
111	J[474]	Neg	-	-	-	-	-	-	-	-	-	-
111	J[474]	Pos	SLU-1	1	1	1	1	13275.3945	17877.162	51656.1449	44419.7713	51656.1449
113	I[99]	Neg	-	-	-	-	-	-	-	-	-	-
113	I[99]	Pos	SLU-1	1	1	1	1	13470.4055	17329.341	51656.1449	44362.7049	51656.1449
113	J[475]	Neg	-	-	-	-	-	-	-	-	-	-
113	J[475]	Pos	SLU-1	1	1	1	1	13276.0726	17138.0638	51656.1449	44419.5728	51656.1449
115	I[100]	Neg	-	-	-	-	-	-	-	-	-	-
115	I[100]	Pos	SLU-1	1	1	1	1	13891.9755	21677.9176	52251.4726	44381.0031	52251.4726
115	J[476]	Neg	-	-	-	-	-	-	-	-	-	-
115	J[476]	Pos	SLU-1	1	1	1	1	13699.9608	21409.5457	52251.4726	44438.3512	52251.4726
124	I[105]	Neg	-	-	-	-	-	-	-	-	-	-
124	I[105]	Pos	SLU-1	1	1	1	1	12276.176	20640.489	49430.0863	41788.4976	49430.0863
124	J[545]	Neg	-	-	-	-	-	-	-	-	-	-
124	J[545]	Pos	SLU-1	1	1	1	1	11761.758	19785.0311	49430.0863	41941.9544	49430.0863
125	I[106]	Neg	-	-	-	-	-	-	-	-	-	-
125	I[106]	Pos	SLU-1	1	1	1	1	11894.9522	16278.5497	48973.3292	41762.7653	48973.3292
125	J[546]	Neg	-	-	-	-	-	-	-	-	-	-
125	J[546]	Pos	SLU-1	1	1	1	1	11387.6414	15694.7781	48973.3292	41911.041	48973.3292
127	I[107]	Neg	-	-	-	-	-	-	-	-	-	-
127	I[107]	Pos	SLU-1	1	1	1	1	11895.5017	15626.5221	48973.3292	41762.6047	48973.3292
127	J[547]	Neg	-	-	-	-	-	-	-	-	-	-
127	J[547]	Pos	SLU-1	1	1	1	1	11388.134	15084.403	48973.3292	41910.897	48973.3292
129	I[108]	Neg	-	-	-	-	-	-	-	-	-	-
129	I[108]	Pos	SLU-1	1	1	1	1	12278.4064	19291.2753	49430.0863	41787.8323	49430.0863
129	J[548]	Neg	-	-	-	-	-	-	-	-	-	-
129	J[548]	Pos	SLU-1	1	1	1	1	11764.0001	18534.3202	49430.0863	41941.2856	49430.0863
138	I[113]	Neg	-	-	-	-	-	-	-	-	-	-
138	I[113]	Pos	SLU-1	1	1	1	1	9056.7546	15281.0207	49430.0863	42748.8881	49430.0863
138	J[617]	Neg	-	-	-	-	-	-	-	-	-	-
138	J[617]	Pos	SLU-1	1	1	1	1	8220.066	13888.4703	49430.0863	42998.4819	49430.0863
139	I[114]	Neg	-	-	-	-	-	-	-	-	-	-
139	I[114]	Pos	SLU-1	1	1	1	1	8760.7357	12525.8541	48973.3292	42678.8271	48973.3292
139	J[618]	Neg	-	-	-	-	-	-	-	-	-	-
139	J[618]	Pos	SLU-1	1	1	1	1	7943.6281	11501.6	48973.3292	42917.6494	48973.3292
141	I[115]	Neg	-	-	-	-	-	-	-	-	-	-
141	I[115]	Pos	SLU-1	1	1	1	1	8761.0001	12075.6257	48973.3292	42678.7498	48973.3292
141	J[619]	Neg	-	-	-	-	-	-	-	-	-	-
141	J[619]	Pos	SLU-1	1	1	1	1	7943.8215	11109.4646	48973.3292	42917.5929	48973.3292
143	I[116]	Neg	-	-	-	-	-	-	-	-	-	-
143	I[116]	Pos	SLU-1	1	1	1	1	9058.4231	14423.4362	49430.0863	42748.3904	49430.0863
143	J[620]	Neg	-	-	-	-	-	-	-	-	-	-
143	J[620]	Pos	SLU-1	1	1	1	1	8221.7237	13150.0319	49430.0863	42997.9874	49430.0863
152	I[121]	Neg	-	-	-	-	-	-	-	-	-	-
152	I[121]	Pos	SLU-1	1	1	1	1	4252.44	7215.8972	38291.5104	30123.3859	38291.5104
152	J[689]	Neg	-	-	-	-	-	-	-	-	-	-
152	J[689]	Pos	SLU-1	1	1	1	1	3108.0564	5260.4781	38291.5104	30632.3606	38291.5104
153	I[122]	Neg	-	-	-	-	-	-	-	-	-	-
153	I[122]	Pos	SLU-1	1	1	1	1	4103.9378	6309.2037	37877.5112	30068.4351	37877.5112
153	J[690]	Neg	-	-	-	-	-	-	-	-	-	-
153	J[690]	Pos	SLU-1	1	1	1	1	2996.0079	4665.0548	37877.5112	30553.7718	37877.5112
155	I[123]	Neg	-	-	-	-	-	-	-	-	-	-
155	I[123]	Pos	SLU-1	1	1	1	1	4103.848	6104.589	37877.5112	30068.4744	37877.5112
155	J[691]	Neg	-	-	-	-	-	-	-	-	-	-
155	J[691]	Pos	SLU-1	1	1	1	1	2995.9418	4515.62	37877.5112	30553.8008	37877.5112
157	I[124]	Neg	-	-	-	-	-	-	-	-	-	-
157	I[124]	Pos	SLU-1	1	1	1	1	4253.3438	6886.5192	38291.5104	30122.9839	38291.5104
157	J[692]	Neg	-	-	-	-	-	-	-	-	-	-
157	J[692]	Pos	SLU-1	1	1	1	1	3108.9338	5040.3648	38291.5104	30631.9704	38291.5104
165	I[129]	Neg	-	-	-	-	-	-	-	-	-	-
165	I[129]	Pos	SLU-1	1	1	1	1	637.5831	1298.472	38291.5104	31731.1253	38291.5104
165	J[145]	Neg	-	-	-	-	-	-	-	-	-	-
165	J[145]	Pos	SLU-1	1	1	1	1	1903.1041	3495.1529	38291.5104	31168.2737	38291.5104
166	I[130]	Neg	-	-	-	-	-	-	-	-	-	-
166	I[130]	Pos	SLU-1	1	1	1	1	613.427	1208.1893	37877.5112	31597.4786	37877.5112
166	J[2]	Neg	SLV-7	1	3	4	4	-12.5568	-164.8384	23865.4195	18201.6274	18201.6274
166	J[2]	Pos	SLV-1	1	1	1	1	-12.5568	388.723	37877.5112	31871.6953	37877.5112
167	I[131]	Neg	-	-	-	-	-	-	-	-	-	-
167	I[131]	Pos	SLU-1	1	1	1	1	613.4083	1179.7077	37877.5112	31597.4868	37877.5112

167	J[3]	Neg	SLV-7	1	3	4	4	-12.5619	-164.2137	23865.4195	18201.6274	18201.6274
167	J[3]	Pos	SLV-1	1	1	1	1	-12.5619	389.741	37877.5112	31871.6976	37877.5112
168	I[132]	Neg	-	-	-	-	-	-	-	-	-	-
168	I[132]	Pos	SLU-1	1	1	1	1	638.4076	1264.2203	38291.5104	31730.7586	38291.5104
168	J[148]	Neg	-	-	-	-	-	-	-	-	-	-
168	J[148]	Pos	SLU-1	1	1	1	1	1903.9551	3370.2255	38291.5104	31167.8952	38291.5104
173	I[145]	Neg	-	-	-	-	-	-	-	-	-	-
173	I[145]	Pos	SLU-1	1	1	1	1	1903.1041	3493.1976	38291.5104	31168.2737	38291.5104
173	J[161]	Neg	-	-	-	-	-	-	-	-	-	-
173	J[161]	Pos	SLU-1	1	1	1	1	3108.0564	5557.5263	38291.5104	30632.3606	38291.5104
174	I[146]	Neg	-	-	-	-	-	-	-	-	-	-
174	I[146]	Pos	SLU-1	1	1	1	1	1832.5043	3172.4637	37877.5112	31063.453	37877.5112
174	J[130]	Neg	-	-	-	-	-	-	-	-	-	-
174	J[130]	Pos	SLU-1	1	1	1	1	613.427	1207.189	37877.5112	31597.4786	37877.5112
175	I[147]	Neg	-	-	-	-	-	-	-	-	-	-
175	I[147]	Pos	SLU-1	1	1	1	1	1832.4619	3082.2988	37877.5112	31063.4715	37877.5112
175	J[131]	Neg	-	-	-	-	-	-	-	-	-	-
175	J[131]	Pos	SLU-1	1	1	1	1	613.4083	1178.4919	37877.5112	31597.4868	37877.5112
176	I[148]	Neg	-	-	-	-	-	-	-	-	-	-
176	I[148]	Pos	SLU-1	1	1	1	1	1903.9551	3370.3006	38291.5104	31167.8952	38291.5104
176	J[164]	Neg	-	-	-	-	-	-	-	-	-	-
176	J[164]	Pos	SLU-1	1	1	1	1	3108.9338	5333.8891	38291.5104	30631.9704	38291.5104
181	I[161]	Neg	-	-	-	-	-	-	-	-	-	-
181	I[161]	Pos	SLU-1	1	1	1	1	3108.0564	5555.5059	38291.5104	30632.3606	38291.5104
181	J[65]	Neg	-	-	-	-	-	-	-	-	-	-
181	J[65]	Pos	SLU-1	1	1	1	1	4252.44	7494.6538	38291.5104	30123.3859	38291.5104
182	I[162]	Neg	-	-	-	-	-	-	-	-	-	-
182	I[162]	Pos	SLU-1	1	1	1	1	2996.0079	4959.3129	37877.5112	30553.7718	37877.5112
182	J[146]	Neg	-	-	-	-	-	-	-	-	-	-
182	J[146]	Pos	SLU-1	1	1	1	1	1832.5043	3171.2127	37877.5112	31063.453	37877.5112
183	I[163]	Neg	-	-	-	-	-	-	-	-	-	-
183	I[163]	Pos	SLU-1	1	1	1	1	2995.9418	4809.8745	37877.5112	30553.8008	37877.5112
183	J[147]	Neg	-	-	-	-	-	-	-	-	-	-
183	J[147]	Pos	SLU-1	1	1	1	1	1832.4619	3080.8536	37877.5112	31063.4715	37877.5112
184	I[164]	Neg	-	-	-	-	-	-	-	-	-	-
184	I[164]	Pos	SLU-1	1	1	1	1	3108.9338	5333.9652	38291.5104	30631.9704	38291.5104
184	J[68]	Neg	-	-	-	-	-	-	-	-	-	-
184	J[68]	Pos	SLU-1	1	1	1	1	4253.3438	7163.674	38291.5104	30122.9839	38291.5104
189	I[185]	Neg	-	-	-	-	-	-	-	-	-	-
189	I[185]	Pos	SLU-1	1	1	1	1	5335.1409	9318.4342	38291.5104	29641.8452	38291.5104
189	J[201]	Neg	-	-	-	-	-	-	-	-	-	-
189	J[201]	Pos	SLU-1	1	1	1	1	6357.7365	11029.2097	38291.5104	29187.0368	38291.5104
190	I[186]	Neg	-	-	-	-	-	-	-	-	-	-
190	I[186]	Pos	SLU-1	1	1	1	1	5147.4381	8056.3509	37877.5112	29611.3222	37877.5112
190	J[66]	Neg	-	-	-	-	-	-	-	-	-	-
190	J[66]	Pos	SLU-1	1	1	1	1	4103.8349	6584.2177	37877.5112	30068.4802	37877.5112
191	I[187]	Neg	-	-	-	-	-	-	-	-	-	-
191	I[187]	Pos	SLU-1	1	1	1	1	5147.418	7816.1996	37877.5112	29611.3311	37877.5112
191	J[67]	Neg	-	-	-	-	-	-	-	-	-	-
191	J[67]	Pos	SLU-1	1	1	1	1	4103.7437	6379.1464	37877.5112	30068.5201	37877.5112
192	I[188]	Neg	-	-	-	-	-	-	-	-	-	-
192	I[188]	Pos	SLU-1	1	1	1	1	5336.8513	8892.1421	38291.5104	29641.0845	38291.5104
192	J[204]	Neg	-	-	-	-	-	-	-	-	-	-
192	J[204]	Pos	SLU-1	1	1	1	1	6359.4578	10499.6472	38291.5104	29186.2712	38291.5104
197	I[201]	Neg	-	-	-	-	-	-	-	-	-	-
197	I[201]	Pos	SLU-1	1	1	1	1	6357.7365	11027.3756	38291.5104	29187.0368	38291.5104
197	J[217]	Neg	-	-	-	-	-	-	-	-	-	-
197	J[217]	Pos	SLU-1	1	1	1	1	7319.7634	12624.1512	38291.5104	28759.1669	38291.5104
198	I[202]	Neg	-	-	-	-	-	-	-	-	-	-
198	I[202]	Pos	SLU-1	1	1	1	1	6135.4677	9398.4187	37877.5112	29178.5088	37877.5112
198	J[186]	Neg	-	-	-	-	-	-	-	-	-	-
198	J[186]	Pos	SLU-1	1	1	1	1	5147.4381	8055.0016	37877.5112	29611.3222	37877.5112
199	I[203]	Neg	-	-	-	-	-	-	-	-	-	-
199	I[203]	Pos	SLU-1	1	1	1	1	6135.5186	9113.121	37877.5112	29178.4864	37877.5112
199	J[187]	Neg	-	-	-	-	-	-	-	-	-	-
199	J[187]	Pos	SLU-1	1	1	1	1	5147.418	7814.5752	37877.5112	29611.3311	37877.5112
200	I[204]	Neg	-	-	-	-	-	-	-	-	-	-
200	I[204]	Pos	SLU-1	1	1	1	1	6359.4578	10499.771	38291.5104	29186.2712	38291.5104
200	J[220]	Neg	-	-	-	-	-	-	-	-	-	-
200	J[220]	Pos	SLU-1	1	1	1	1	7321.4955	11988.4715	38291.5104	28758.3965	38291.5104
205	I[217]	Neg	-	-	-	-	-	-	-	-	-	-
205	I[217]	Pos	SLU-1	1	1	1	1	7319.7634	12622.4575	38291.5104	28759.1669	38291.5104
205	J[17]	Neg	-	-	-	-	-	-	-	-	-	-
205	J[17]	Pos	SLU-1	1	1	1	1	7778.0636	13285.1443	38291.5104	28555.3338	38291.5104
206	I[218]	Neg	-	-	-	-	-	-	-	-	-	-

206	I[218]	Pos	SLU-1	1	1	1	1	7067.9236	10614.0499	37877.5112	28770.0397	37877.5112
206	J[202]	Neg	-	-	-	-	-	-	-	-	-	-
206	J[202]	Pos	SLU-1	1	1	1	1	6135.4677	9397.0727	37877.5112	29178.5088	37877.5112
207	I[219]	Neg	-	-	-	-	-	-	-	-	-	-
207	I[219]	Pos	SLU-1	1	1	1	1	7068.0455	10278.4631	37877.5112	28769.9863	37877.5112
207	J[203]	Neg	-	-	-	-	-	-	-	-	-	-
207	J[203]	Pos	SLU-1	1	1	1	1	6135.5186	9111.5711	37877.5112	29178.4864	37877.5112
208	I[220]	Neg	-	-	-	-	-	-	-	-	-	-
208	I[220]	Pos	SLU-1	1	1	1	1	7321.4955	11988.6168	38291.5104	28758.3965	38291.5104
208	J[20]	Neg	-	-	-	-	-	-	-	-	-	-
208	J[20]	Pos	SLU-1	1	1	1	1	7779.8011	12581.5436	38291.5104	28554.561	38291.5104
213	I[233]	Neg	-	-	-	-	-	-	-	-	-	-
213	I[233]	Pos	SLU-1	1	1	1	1	8220.066	14102.6645	49430.0863	42998.4819	49430.0863
213	J[17]	Neg	-	-	-	-	-	-	-	-	-	-
213	J[17]	Pos	SLU-1	1	1	1	1	7777.4331	13279.9751	49430.0863	43130.5244	49430.0863
214	I[234]	Neg	-	-	-	-	-	-	-	-	-	-
214	I[234]	Pos	SLU-1	1	1	1	1	7943.6282	11714.0465	48973.3292	42917.6494	48973.3292
214	J[18]	Neg	-	-	-	-	-	-	-	-	-	-
214	J[18]	Pos	SLU-1	1	1	1	1	7512.6589	11082.9337	48973.3292	43043.6121	48973.3292
215	I[235]	Neg	-	-	-	-	-	-	-	-	-	-
215	I[235]	Pos	SLU-1	1	1	1	1	7943.8215	11320.9951	48973.3292	42917.5929	48973.3292
215	J[19]	Neg	-	-	-	-	-	-	-	-	-	-
215	J[19]	Pos	SLU-1	1	1	1	1	7512.8167	10717.7495	48973.3292	43043.566	48973.3292
216	I[236]	Neg	-	-	-	-	-	-	-	-	-	-
216	I[236]	Pos	SLU-1	1	1	1	1	8221.7237	13360.5983	49430.0863	42997.9874	49430.0863
216	J[20]	Neg	-	-	-	-	-	-	-	-	-	-
216	J[20]	Pos	SLU-1	1	1	1	1	7779.0854	12581.7927	49430.0863	43130.0315	49430.0863
221	I[257]	Neg	-	-	-	-	-	-	-	-	-	-
221	I[257]	Pos	SLU-1	1	1	1	1	9829.8861	16750.6878	49430.0863	42518.2541	49430.0863
221	J[73]	Neg	-	-	-	-	-	-	-	-	-	-
221	J[73]	Pos	SLU-1	1	1	1	1	9056.3895	15475.0553	49430.0863	42748.997	49430.0863
222	I[258]	Neg	-	-	-	-	-	-	-	-	-	-
222	I[258]	Pos	SLU-1	1	1	1	1	9507.061	13639.8029	48973.3292	42460.6928	48973.3292
222	J[74]	Neg	-	-	-	-	-	-	-	-	-	-
222	J[74]	Pos	SLU-1	1	1	1	1	8760.6515	12717.6241	48973.3292	42678.8517	48973.3292
223	I[259]	Neg	-	-	-	-	-	-	-	-	-	-
223	I[259]	Pos	SLU-1	1	1	1	1	9507.3828	13152.4881	48973.3292	42460.5987	48973.3292
223	J[75]	Neg	-	-	-	-	-	-	-	-	-	-
223	J[75]	Pos	SLU-1	1	1	1	1	8760.9164	12268.0363	48973.3292	42678.7742	48973.3292
224	I[260]	Neg	-	-	-	-	-	-	-	-	-	-
224	I[260]	Pos	SLU-1	1	1	1	1	9832.163	15795.2075	49430.0863	42517.5748	49430.0863
224	J[76]	Neg	-	-	-	-	-	-	-	-	-	-
224	J[76]	Pos	SLU-1	1	1	1	1	9058.678	14618.1269	49430.0863	42748.3143	49430.0863
229	I[273]	Neg	-	-	-	-	-	-	-	-	-	-
229	I[273]	Pos	SLU-1	1	1	1	1	10538.6131	17916.1048	49430.0863	42306.8327	49430.0863
229	J[257]	Neg	-	-	-	-	-	-	-	-	-	-
229	J[257]	Pos	SLU-1	1	1	1	1	9829.8861	16749.0882	49430.0863	42518.2541	49430.0863
230	I[274]	Neg	-	-	-	-	-	-	-	-	-	-
230	I[274]	Pos	SLU-1	1	1	1	1	10193.6958	14462.7185	48973.3292	42260.0047	48973.3292
230	J[258]	Neg	-	-	-	-	-	-	-	-	-	-
230	J[258]	Pos	SLU-1	1	1	1	1	9507.061	13637.8254	48973.3292	42460.6928	48973.3292
231	I[275]	Neg	-	-	-	-	-	-	-	-	-	-
231	I[275]	Pos	SLU-1	1	1	1	1	10194.0745	13936.0711	48973.3292	42259.894	48973.3292
231	J[259]	Neg	-	-	-	-	-	-	-	-	-	-
231	J[259]	Pos	SLU-1	1	1	1	1	9507.3828	13151.2824	48973.3292	42460.5987	48973.3292
232	I[276]	Neg	-	-	-	-	-	-	-	-	-	-
232	I[276]	Pos	SLU-1	1	1	1	1	10540.8783	16862.2406	49430.0863	42306.1569	49430.0863
232	J[260]	Neg	-	-	-	-	-	-	-	-	-	-
232	J[260]	Pos	SLU-1	1	1	1	1	9832.163	15795.6312	49430.0863	42517.5748	49430.0863
237	I[289]	Neg	-	-	-	-	-	-	-	-	-	-
237	I[289]	Pos	SLU-1	1	1	1	1	11182.5704	18973.2524	49430.0863	42114.7328	49430.0863
237	J[273]	Neg	-	-	-	-	-	-	-	-	-	-
237	J[273]	Pos	SLU-1	1	1	1	1	10538.6131	17914.6491	49430.0863	42306.8327	49430.0863
238	I[290]	Neg	-	-	-	-	-	-	-	-	-	-
238	I[290]	Pos	SLU-1	1	1	1	1	10820.5559	15189.8985	48973.3292	42076.7874	48973.3292
238	J[274]	Neg	-	-	-	-	-	-	-	-	-	-
238	J[274]	Pos	SLU-1	1	1	1	1	10193.6958	14460.8742	48973.3292	42260.0047	48973.3292
239	I[291]	Neg	-	-	-	-	-	-	-	-	-	-
239	I[291]	Pos	SLU-1	1	1	1	1	10820.9916	14621.7108	48973.3292	42076.6601	48973.3292
239	J[275]	Neg	-	-	-	-	-	-	-	-	-	-
239	J[275]	Pos	SLU-1	1	1	1	1	10194.0745	13934.9762	48973.3292	42259.894	48973.3292
240	I[292]	Neg	-	-	-	-	-	-	-	-	-	-
240	I[292]	Pos	SLU-1	1	1	1	1	11184.824	17818.9179	49430.0863	42114.0605	49430.0863
240	J[276]	Neg	-	-	-	-	-	-	-	-	-	-
240	J[276]	Pos	SLU-1	1	1	1	1	10540.8783	16862.6648	49430.0863	42306.1569	49430.0863

245	I[305]	Neg	-	-	-	-	-	-	-	-	-	-
245	I[305]	Pos	SLU-1	1	1	1	1	11761.758	19920.0175	49430.0863	41941.9544	49430.0863
245	J[289]	Neg	-	-	-	-	-	-	-	-	-	-
245	J[289]	Pos	SLU-1	1	1	1	1	11182.5704	18971.9477	49430.0863	42114.7328	49430.0863
246	I[306]	Neg	-	-	-	-	-	-	-	-	-	-
246	I[306]	Pos	SLU-1	1	1	1	1	11387.6414	15828.7942	48973.3292	41911.041	48973.3292
246	J[290]	Neg	-	-	-	-	-	-	-	-	-	-
246	J[290]	Pos	SLU-1	1	1	1	1	10820.5559	15188.1996	48973.3292	42076.7874	48973.3292
247	I[307]	Neg	-	-	-	-	-	-	-	-	-	-
247	I[307]	Pos	SLU-1	1	1	1	1	11388.134	15217.6965	48973.3292	41910.897	48973.3292
247	J[291]	Neg	-	-	-	-	-	-	-	-	-	-
247	J[291]	Pos	SLU-1	1	1	1	1	10820.9916	14620.7371	48973.3292	42076.6601	48973.3292
248	I[308]	Neg	-	-	-	-	-	-	-	-	-	-
248	I[308]	Pos	SLU-1	1	1	1	1	11764.0001	18666.8491	49430.0863	41941.2856	49430.0863
248	J[292]	Neg	-	-	-	-	-	-	-	-	-	-
248	J[292]	Pos	SLU-1	1	1	1	1	11184.824	17819.3332	49430.0863	42114.0605	49430.0863
253	I[329]	Neg	-	-	-	-	-	-	-	-	-	-
253	I[329]	Pos	SLU-1	1	1	1	1	12728.6978	21498.6084	49430.0863	41653.5052	49430.0863
253	J[81]	Neg	-	-	-	-	-	-	-	-	-	-
253	J[81]	Pos	SLU-1	1	1	1	1	12275.9374	20756.8045	49430.0863	41788.5688	49430.0863
254	I[330]	Neg	-	-	-	-	-	-	-	-	-	-
254	I[330]	Pos	SLU-1	1	1	1	1	12329.9643	16902.1132	48973.3292	41635.621	48973.3292
254	J[82]	Neg	-	-	-	-	-	-	-	-	-	-
254	J[82]	Pos	SLU-1	1	1	1	1	11894.8977	16393.4631	48973.3292	41762.7813	48973.3292
255	I[331]	Neg	-	-	-	-	-	-	-	-	-	-
255	I[331]	Pos	SLU-1	1	1	1	1	12330.5463	16229.3854	48973.3292	41635.4509	48973.3292
255	J[83]	Neg	-	-	-	-	-	-	-	-	-	-
255	J[83]	Pos	SLU-1	1	1	1	1	11895.4476	15741.9081	48973.3292	41762.6205	48973.3292
256	I[332]	Neg	-	-	-	-	-	-	-	-	-	-
256	I[332]	Pos	SLU-1	1	1	1	1	12731.3329	20079.678	49430.0863	41652.7191	49430.0863
256	J[84]	Neg	-	-	-	-	-	-	-	-	-	-
256	J[84]	Pos	SLU-1	1	1	1	1	12278.5724	19408.0483	49430.0863	41787.7828	49430.0863
261	I[345]	Neg	-	-	-	-	-	-	-	-	-	-
261	I[345]	Pos	SLU-1	1	1	1	1	13117.1857	22125.4023	52251.4726	44612.4061	52251.4726
261	J[361]	Neg	-	-	-	-	-	-	-	-	-	-
261	J[361]	Pos	SLU-1	1	1	1	1	13439.8511	22643.3317	52251.4726	44516.0371	52251.4726
262	I[346]	Neg	-	-	-	-	-	-	-	-	-	-
262	I[346]	Pos	SLU-1	1	1	1	1	12705.8019	17326.5102	51656.1449	44586.452	51656.1449
262	J[362]	Neg	-	-	-	-	-	-	-	-	-	-
262	J[362]	Pos	SLU-1	1	1	1	1	13020.7634	17669.6585	51656.1449	44494.2843	51656.1449
263	I[347]	Neg	-	-	-	-	-	-	-	-	-	-
263	I[347]	Pos	SLU-1	1	1	1	1	12706.4158	16632.7843	51656.1449	44586.2724	51656.1449
263	J[363]	Neg	-	-	-	-	-	-	-	-	-	-
263	J[363]	Pos	SLU-1	1	1	1	1	13021.4094	16953.0313	51656.1449	44494.0953	51656.1449
264	I[348]	Neg	-	-	-	-	-	-	-	-	-	-
264	I[348]	Pos	SLU-1	1	1	1	1	13119.9552	20647.4713	52251.4726	44611.5789	52251.4726
264	J[364]	Neg	-	-	-	-	-	-	-	-	-	-
264	J[364]	Pos	SLU-1	1	1	1	1	13442.6207	21107.9652	52251.4726	44515.2099	52251.4726
269	I[361]	Neg	-	-	-	-	-	-	-	-	-	-
269	I[361]	Pos	SLU-1	1	1	1	1	13439.8511	22642.8476	52251.4726	44516.0371	52251.4726
269	J[377]	Neg	-	-	-	-	-	-	-	-	-	-
269	J[377]	Pos	SLU-1	1	1	1	1	13697.1911	23048.927	52251.4726	44439.1785	52251.4726
270	I[362]	Neg	-	-	-	-	-	-	-	-	-	-
270	I[362]	Pos	SLU-1	1	1	1	1	13020.7634	17668.9652	51656.1449	44494.2843	51656.1449
270	J[378]	Neg	-	-	-	-	-	-	-	-	-	-
270	J[378]	Pos	SLU-1	1	1	1	1	13275.3945	17932.2417	51656.1449	44419.7713	51656.1449
271	I[363]	Neg	-	-	-	-	-	-	-	-	-	-
271	I[363]	Pos	SLU-1	1	1	1	1	13021.4094	16952.7627	51656.1449	44494.0953	51656.1449
271	J[379]	Neg	-	-	-	-	-	-	-	-	-	-
271	J[379]	Pos	SLU-1	1	1	1	1	13276.0726	17192.7977	51656.1449	44419.5728	51656.1449
272	I[364]	Neg	-	-	-	-	-	-	-	-	-	-
272	I[364]	Pos	SLU-1	1	1	1	1	13442.6207	21108.4008	52251.4726	44515.2099	52251.4726
272	J[380]	Neg	-	-	-	-	-	-	-	-	-	-
272	J[380]	Pos	SLU-1	1	1	1	1	13699.9608	21463.9079	52251.4726	44438.3512	52251.4726
277	I[377]	Neg	-	-	-	-	-	-	-	-	-	-
277	I[377]	Pos	SLU-1	1	1	1	1	13697.1911	23048.616	52251.4726	44439.1785	52251.4726
277	J[89]	Neg	-	-	-	-	-	-	-	-	-	-
277	J[89]	Pos	SLU-1	1	1	1	1	13889.2057	23346.3168	52251.4726	44381.8303	52251.4726
278	I[378]	Neg	-	-	-	-	-	-	-	-	-	-
278	I[378]	Pos	SLU-1	1	1	1	1	13275.3945	17931.7625	51656.1449	44419.7713	51656.1449
278	J[90]	Neg	-	-	-	-	-	-	-	-	-	-
278	J[90]	Pos	SLU-1	1	1	1	1	13469.6952	18127.1953	51656.1449	44362.9128	51656.1449
279	I[379]	Neg	-	-	-	-	-	-	-	-	-	-
279	I[379]	Pos	SLU-1	1	1	1	1	13276.0726	17192.6587	51656.1449	44419.5728	51656.1449
279	J[91]	Neg	-	-	-	-	-	-	-	-	-	-

279	J[91]	Pos	SLU-1	1	1	1	1	13470.4055	17367.6275	51656.1449	44362.7049	51656.1449
280	I[380]	Neg	-	-	-	-	-	-	-	-	-	-
280	I[380]	Pos	SLU-1	1	1	1	1	13699.9608	21464.3383	52251.4726	44438.3512	52251.4726
280	J[92]	Neg	-	-	-	-	-	-	-	-	-	-
280	J[92]	Pos	SLU-1	1	1	1	1	13891.9755	21716.3518	52251.4726	44381.0031	52251.4726
285	I[401]	Neg	-	-	-	-	-	-	-	-	-	-
285	I[401]	Pos	SLU-1	1	1	1	1	14019.7703	23548.4308	52251.4726	44342.8352	52251.4726
285	J[417]	Neg	-	-	-	-	-	-	-	-	-	-
285	J[417]	Pos	SLU-1	1	1	1	1	14085.0957	23639.8545	52251.4726	44323.3247	52251.4726
286	I[402]	Neg	-	-	-	-	-	-	-	-	-	-
286	I[402]	Pos	SLU-1	1	1	1	1	13590.3371	18268.4193	51656.1449	44327.6092	51656.1449
286	J[418]	Neg	-	-	-	-	-	-	-	-	-	-
286	J[418]	Pos	SLU-1	1	1	1	1	13650.6675	18332.0045	51656.1449	44309.9546	51656.1449
287	I[403]	Neg	-	-	-	-	-	-	-	-	-	-
287	I[403]	Pos	SLU-1	1	1	1	1	13591.0475	17509.1795	51656.1449	44327.4013	51656.1449
287	J[419]	Neg	-	-	-	-	-	-	-	-	-	-
287	J[419]	Pos	SLU-1	1	1	1	1	13651.3779	17572.4707	51656.1449	44309.7467	51656.1449
288	I[404]	Neg	-	-	-	-	-	-	-	-	-	-
288	I[404]	Pos	SLU-1	1	1	1	1	14022.6875	21904.8743	52251.4726	44341.9639	52251.4726
288	J[420]	Neg	-	-	-	-	-	-	-	-	-	-
288	J[420]	Pos	SLU-1	1	1	1	1	14088.0129	21989.4389	52251.4726	44322.4534	52251.4726
293	I[417]	Neg	-	-	-	-	-	-	-	-	-	-
293	I[417]	Pos	SLU-1	1	1	1	1	14085.0957	23640.0986	52251.4726	44323.3247	52251.4726
293	J[433]	Neg	-	-	-	-	-	-	-	-	-	-
293	J[433]	Pos	SLU-1	1	1	1	1	14085.0957	23631.8907	52251.4726	44323.3247	52251.4726
294	I[418]	Neg	-	-	-	-	-	-	-	-	-	-
294	I[418]	Pos	SLU-1	1	1	1	1	13650.6675	18332.2235	51656.1449	44309.9546	51656.1449
294	J[434]	Neg	-	-	-	-	-	-	-	-	-	-
294	J[434]	Pos	SLU-1	1	1	1	1	13650.6675	18324.0974	51656.1449	44309.9546	51656.1449
295	I[419]	Neg	-	-	-	-	-	-	-	-	-	-
295	I[419]	Pos	SLU-1	1	1	1	1	13651.3779	17572.7583	51656.1449	44309.7467	51656.1449
295	J[435]	Neg	-	-	-	-	-	-	-	-	-	-
295	J[435]	Pos	SLU-1	1	1	1	1	13651.3779	17564.6044	51656.1449	44309.7467	51656.1449
296	I[420]	Neg	-	-	-	-	-	-	-	-	-	-
296	I[420]	Pos	SLU-1	1	1	1	1	14088.0129	21989.8566	52251.4726	44322.4534	52251.4726
296	J[436]	Neg	-	-	-	-	-	-	-	-	-	-
296	J[436]	Pos	SLU-1	1	1	1	1	14088.0129	21981.6793	52251.4726	44322.4534	52251.4726
301	I[433]	Neg	-	-	-	-	-	-	-	-	-	-
301	I[433]	Pos	SLU-1	1	1	1	1	14085.0957	23632.415	52251.4726	44323.3247	52251.4726
301	J[449]	Neg	-	-	-	-	-	-	-	-	-	-
301	J[449]	Pos	SLU-1	1	1	1	1	14019.7703	23524.5728	52251.4726	44342.8352	52251.4726
302	I[434]	Neg	-	-	-	-	-	-	-	-	-	-
302	I[434]	Pos	SLU-1	1	1	1	1	13650.6675	18324.6389	51656.1449	44309.9546	51656.1449
302	J[450]	Neg	-	-	-	-	-	-	-	-	-	-
302	J[450]	Pos	SLU-1	1	1	1	1	13590.3371	18244.8037	51656.1449	44327.6092	51656.1449
303	I[435]	Neg	-	-	-	-	-	-	-	-	-	-
303	I[435]	Pos	SLU-1	1	1	1	1	13651.3779	17565.1494	51656.1449	44309.7467	51656.1449
303	J[451]	Neg	-	-	-	-	-	-	-	-	-	-
303	J[451]	Pos	SLU-1	1	1	1	1	13591.0475	17485.5491	51656.1449	44327.4013	51656.1449
304	I[436]	Neg	-	-	-	-	-	-	-	-	-	-
304	I[436]	Pos	SLU-1	1	1	1	1	14088.0129	21982.0783	52251.4726	44322.4534	52251.4726
304	J[452]	Neg	-	-	-	-	-	-	-	-	-	-
304	J[452]	Pos	SLU-1	1	1	1	1	14022.6875	21881.1548	52251.4726	44341.9639	52251.4726
309	I[449]	Neg	-	-	-	-	-	-	-	-	-	-
309	I[449]	Pos	SLU-1	1	1	1	1	14019.7703	23525.2815	52251.4726	44342.8352	52251.4726
309	J[97]	Neg	-	-	-	-	-	-	-	-	-	-
309	J[97]	Pos	SLU-1	1	1	1	1	13889.1195	23306.6408	52251.4726	44381.8561	52251.4726
310	I[450]	Neg	-	-	-	-	-	-	-	-	-	-
310	I[450]	Pos	SLU-1	1	1	1	1	13590.3371	18245.5579	51656.1449	44327.6092	51656.1449
310	J[98]	Neg	-	-	-	-	-	-	-	-	-	-
310	J[98]	Pos	SLU-1	1	1	1	1	13469.6763	18087.8392	51656.1449	44362.9183	51656.1449
311	I[451]	Neg	-	-	-	-	-	-	-	-	-	-
311	I[451]	Pos	SLU-1	1	1	1	1	13591.0475	17486.2346	51656.1449	44327.4013	51656.1449
311	J[99]	Neg	-	-	-	-	-	-	-	-	-	-
311	J[99]	Pos	SLU-1	1	1	1	1	13470.3866	17328.4958	51656.1449	44362.7104	51656.1449
312	I[452]	Neg	-	-	-	-	-	-	-	-	-	-
312	I[452]	Pos	SLU-1	1	1	1	1	14022.6875	21881.5458	52251.4726	44341.9639	52251.4726
312	J[100]	Neg	-	-	-	-	-	-	-	-	-	-
312	J[100]	Pos	SLU-1	1	1	1	1	13892.0367	21677.4465	52251.4726	44380.9848	52251.4726
317	I[473]	Neg	-	-	-	-	-	-	-	-	-	-
317	I[473]	Pos	SLU-1	1	1	1	1	13697.1911	22994.5457	52251.4726	44439.1785	52251.4726
317	J[489]	Neg	-	-	-	-	-	-	-	-	-	-
317	J[489]	Pos	SLU-1	1	1	1	1	13439.8511	22572.0451	52251.4726	44516.0371	52251.4726
318	I[474]	Neg	-	-	-	-	-	-	-	-	-	-
318	I[474]	Pos	SLU-1	1	1	1	1	13275.3945	17878.4042	51656.1449	44419.7713	51656.1449

318	J[490]	Neg	-	-	-	-	-	-	-	-	-	-
318	J[490]	Pos	SLU-1	1	1	1	1	13020.7634	17598.8804	51656.1449	44494.2843	51656.1449
319	I[475]	Neg	-	-	-	-	-	-	-	-	-	-
319	I[475]	Pos	SLU-1	1	1	1	1	13276.0726	17139.0351	51656.1449	44419.5728	51656.1449
319	J[491]	Neg	-	-	-	-	-	-	-	-	-	-
319	J[491]	Pos	SLU-1	1	1	1	1	13021.4094	16882.6909	51656.1449	44494.0953	51656.1449
320	I[476]	Neg	-	-	-	-	-	-	-	-	-	-
320	I[476]	Pos	SLU-1	1	1	1	1	13699.9608	21409.9321	52251.4726	44438.3512	52251.4726
320	J[492]	Neg	-	-	-	-	-	-	-	-	-	-
320	J[492]	Pos	SLU-1	1	1	1	1	13442.6207	21038.0642	52251.4726	44515.2099	52251.4726
325	I[489]	Neg	-	-	-	-	-	-	-	-	-	-
325	I[489]	Pos	SLU-1	1	1	1	1	13439.8511	22573.2986	52251.4726	44516.0371	52251.4726
325	J[505]	Neg	-	-	-	-	-	-	-	-	-	-
325	J[505]	Pos	SLU-1	1	1	1	1	13117.1857	22038.9472	52251.4726	44612.4061	52251.4726
326	I[490]	Neg	-	-	-	-	-	-	-	-	-	-
326	I[490]	Pos	SLU-1	1	1	1	1	13020.7634	17600.3332	51656.1449	44494.2843	51656.1449
326	J[506]	Neg	-	-	-	-	-	-	-	-	-	-
326	J[506]	Pos	SLU-1	1	1	1	1	12705.8019	17240.9382	51656.1449	44586.452	51656.1449
327	I[491]	Neg	-	-	-	-	-	-	-	-	-	-
327	I[491]	Pos	SLU-1	1	1	1	1	13021.4094	16883.7917	51656.1449	44494.0953	51656.1449
327	J[507]	Neg	-	-	-	-	-	-	-	-	-	-
327	J[507]	Pos	SLU-1	1	1	1	1	12706.4158	16547.2376	51656.1449	44586.2724	51656.1449
328	I[492]	Neg	-	-	-	-	-	-	-	-	-	-
328	I[492]	Pos	SLU-1	1	1	1	1	13442.6207	21038.448	52251.4726	44515.2099	52251.4726
328	J[508]	Neg	-	-	-	-	-	-	-	-	-	-
328	J[508]	Pos	SLU-1	1	1	1	1	13119.9552	20561.5909	52251.4726	44611.5789	52251.4726
333	I[505]	Neg	-	-	-	-	-	-	-	-	-	-
333	I[505]	Pos	SLU-1	1	1	1	1	13117.1857	22040.3643	52251.4726	44612.4061	52251.4726
333	J[41]	Neg	-	-	-	-	-	-	-	-	-	-
333	J[41]	Pos	SLU-1	1	1	1	1	12931.3559	21669.4126	52251.4726	44667.907	52251.4726
334	I[506]	Neg	-	-	-	-	-	-	-	-	-	-
334	I[506]	Pos	SLU-1	1	1	1	1	12705.8019	17242.5823	51656.1449	44586.452	51656.1449
334	J[42]	Neg	-	-	-	-	-	-	-	-	-	-
334	J[42]	Pos	SLU-1	1	1	1	1	12525.6972	16983.5151	51656.1449	44639.1563	51656.1449
335	I[507]	Neg	-	-	-	-	-	-	-	-	-	-
335	I[507]	Pos	SLU-1	1	1	1	1	12706.4158	16548.462	51656.1449	44586.2724	51656.1449
335	J[43]	Neg	-	-	-	-	-	-	-	-	-	-
335	J[43]	Pos	SLU-1	1	1	1	1	12526.295	16299.9656	51656.1449	44638.9813	51656.1449
336	I[508]	Neg	-	-	-	-	-	-	-	-	-	-
336	I[508]	Pos	SLU-1	1	1	1	1	13119.9552	20561.9638	52251.4726	44611.5789	52251.4726
336	J[44]	Neg	-	-	-	-	-	-	-	-	-	-
336	J[44]	Pos	SLU-1	1	1	1	1	12934.1254	20213.9058	52251.4726	44667.0799	52251.4726
341	I[521]	Neg	-	-	-	-	-	-	-	-	-	-
341	I[521]	Pos	SLU-1	1	1	1	1	12728.6978	21396.8891	49430.0863	41653.5052	49430.0863
341	J[105]	Neg	-	-	-	-	-	-	-	-	-	-
341	J[105]	Pos	SLU-1	1	1	1	1	12275.9374	20638.6641	49430.0863	41788.5688	49430.0863
342	I[522]	Neg	-	-	-	-	-	-	-	-	-	-
342	I[522]	Pos	SLU-1	1	1	1	1	12329.9643	16801.4113	48973.3292	41635.621	48973.3292
342	J[106]	Neg	-	-	-	-	-	-	-	-	-	-
342	J[106]	Pos	SLU-1	1	1	1	1	11894.8977	16276.5136	48973.3292	41762.7813	48973.3292
343	I[523]	Neg	-	-	-	-	-	-	-	-	-	-
343	I[523]	Pos	SLU-1	1	1	1	1	12330.5463	16128.7827	48973.3292	41635.4509	48973.3292
343	J[107]	Neg	-	-	-	-	-	-	-	-	-	-
343	J[107]	Pos	SLU-1	1	1	1	1	11895.4476	15625.0018	48973.3292	41762.6205	48973.3292
344	I[524]	Neg	-	-	-	-	-	-	-	-	-	-
344	I[524]	Pos	SLU-1	1	1	1	1	12731.3329	19978.6927	49430.0863	41652.7191	49430.0863
344	J[108]	Neg	-	-	-	-	-	-	-	-	-	-
344	J[108]	Pos	SLU-1	1	1	1	1	12278.5724	19290.701	49430.0863	41787.7828	49430.0863
349	I[545]	Neg	-	-	-	-	-	-	-	-	-	-
349	I[545]	Pos	SLU-1	1	1	1	1	11761.758	19786.8933	49430.0863	41941.9544	49430.0863
349	J[561]	Neg	-	-	-	-	-	-	-	-	-	-
349	J[561]	Pos	SLU-1	1	1	1	1	11182.5704	18822.4034	49430.0863	42114.7328	49430.0863
350	I[546]	Neg	-	-	-	-	-	-	-	-	-	-
350	I[546]	Pos	SLU-1	1	1	1	1	11387.6414	15697.0051	48973.3292	41911.041	48973.3292
350	J[562]	Neg	-	-	-	-	-	-	-	-	-	-
350	J[562]	Pos	SLU-1	1	1	1	1	10820.5559	15040.1684	48973.3292	42076.7874	48973.3292
351	I[547]	Neg	-	-	-	-	-	-	-	-	-	-
351	I[547]	Pos	SLU-1	1	1	1	1	11388.134	15086.0158	48973.3292	41910.897	48973.3292
351	J[563]	Neg	-	-	-	-	-	-	-	-	-	-
351	J[563]	Pos	SLU-1	1	1	1	1	10820.9916	14472.7497	48973.3292	42076.6601	48973.3292
352	I[548]	Neg	-	-	-	-	-	-	-	-	-	-
352	I[548]	Pos	SLU-1	1	1	1	1	11764.0001	18534.67	49430.0863	41941.2856	49430.0863
352	J[564]	Neg	-	-	-	-	-	-	-	-	-	-
352	J[564]	Pos	SLU-1	1	1	1	1	11184.824	17670.7874	49430.0863	42114.0605	49430.0863
357	I[561]	Neg	-	-	-	-	-	-	-	-	-	-

357	I[561]	Pos	SLU-1	1	1	1	1	11182.5704	18824.4214	49430.0863	42114.7328	49430.0863
357	J[577]	Neg	-	-	-	-	-	-	-	-	-	-
357	J[577]	Pos	SLU-1	1	1	1	1	10538.6131	17749.398	49430.0863	42306.8327	49430.0863
358	I[562]	Neg	-	-	-	-	-	-	-	-	-	-
358	I[562]	Pos	SLU-1	1	1	1	1	10820.5559	15042.5691	48973.3292	42076.7874	48973.3292
358	J[578]	Neg	-	-	-	-	-	-	-	-	-	-
358	J[578]	Pos	SLU-1	1	1	1	1	10193.6958	14297.3045	48973.3292	42260.0047	48973.3292
359	I[563]	Neg	-	-	-	-	-	-	-	-	-	-
359	I[563]	Pos	SLU-1	1	1	1	1	10820.9916	14474.4953	48973.3292	42076.6601	48973.3292
359	J[579]	Neg	-	-	-	-	-	-	-	-	-	-
359	J[579]	Pos	SLU-1	1	1	1	1	10194.0745	13771.456	48973.3292	42259.894	48973.3292
360	I[564]	Neg	-	-	-	-	-	-	-	-	-	-
360	I[564]	Pos	SLU-1	1	1	1	1	11184.824	17671.1352	49430.0863	42114.0605	49430.0863
360	J[580]	Neg	-	-	-	-	-	-	-	-	-	-
360	J[580]	Pos	SLU-1	1	1	1	1	10540.8783	16698.5121	49430.0863	42306.1569	49430.0863
365	I[577]	Neg	-	-	-	-	-	-	-	-	-	-
365	I[577]	Pos	SLU-1	1	1	1	1	10538.6131	17751.5661	49430.0863	42306.8327	49430.0863
365	J[593]	Neg	-	-	-	-	-	-	-	-	-	-
365	J[593]	Pos	SLU-1	1	1	1	1	9829.8861	16568.127	49430.0863	42518.2541	49430.0863
366	I[578]	Neg	-	-	-	-	-	-	-	-	-	-
366	I[578]	Pos	SLU-1	1	1	1	1	10193.6958	14299.8527	48973.3292	42260.0047	48973.3292
366	J[594]	Neg	-	-	-	-	-	-	-	-	-	-
366	J[594]	Pos	SLU-1	1	1	1	1	9507.061	13458.7181	48973.3292	42460.6928	48973.3292
367	I[579]	Neg	-	-	-	-	-	-	-	-	-	-
367	I[579]	Pos	SLU-1	1	1	1	1	10194.0745	13773.3213	48973.3292	42259.894	48973.3292
367	J[595]	Neg	-	-	-	-	-	-	-	-	-	-
367	J[595]	Pos	SLU-1	1	1	1	1	9507.3828	12972.2284	48973.3292	42460.5987	48973.3292
368	I[580]	Neg	-	-	-	-	-	-	-	-	-	-
368	I[580]	Pos	SLU-1	1	1	1	1	10540.8783	16698.8539	49430.0863	42306.1569	49430.0863
368	J[596]	Neg	-	-	-	-	-	-	-	-	-	-
368	J[596]	Pos	SLU-1	1	1	1	1	9832.163	15615.8739	49430.0863	42517.5748	49430.0863
373	I[593]	Neg	-	-	-	-	-	-	-	-	-	-
373	I[593]	Pos	SLU-1	1	1	1	1	9829.8861	16570.4397	49430.0863	42518.2541	49430.0863
373	J[113]	Neg	-	-	-	-	-	-	-	-	-	-
373	J[113]	Pos	SLU-1	1	1	1	1	9056.3895	15278.3887	49430.0863	42748.997	49430.0863
374	I[594]	Neg	-	-	-	-	-	-	-	-	-	-
374	I[594]	Pos	SLU-1	1	1	1	1	9507.061	13461.398	48973.3292	42460.6928	48973.3292
374	J[114]	Neg	-	-	-	-	-	-	-	-	-	-
374	J[114]	Pos	SLU-1	1	1	1	1	8760.6515	12522.9791	48973.3292	42678.8517	48973.3292
375	I[595]	Neg	-	-	-	-	-	-	-	-	-	-
375	I[595]	Pos	SLU-1	1	1	1	1	9507.3828	12974.206	48973.3292	42460.5987	48973.3292
375	J[115]	Neg	-	-	-	-	-	-	-	-	-	-
375	J[115]	Pos	SLU-1	1	1	1	1	8760.9164	12073.451	48973.3292	42678.7742	48973.3292
376	I[596]	Neg	-	-	-	-	-	-	-	-	-	-
376	I[596]	Pos	SLU-1	1	1	1	1	9832.163	15616.2107	49430.0863	42517.5748	49430.0863
376	J[116]	Neg	-	-	-	-	-	-	-	-	-	-
376	J[116]	Pos	SLU-1	1	1	1	1	9058.678	14422.7586	49430.0863	42748.3143	49430.0863
381	I[617]	Neg	-	-	-	-	-	-	-	-	-	-
381	I[617]	Pos	SLU-1	1	1	1	1	8220.066	13891.0302	49430.0863	42998.4819	49430.0863
381	J[25]	Neg	-	-	-	-	-	-	-	-	-	-
381	J[25]	Pos	SLU-1	1	1	1	1	7777.4331	13060.1469	49430.0863	43130.5244	49430.0863
382	I[618]	Neg	-	-	-	-	-	-	-	-	-	-
382	I[618]	Pos	SLU-1	1	1	1	1	7943.6281	11504.5515	48973.3292	42917.6494	48973.3292
382	J[26]	Neg	-	-	-	-	-	-	-	-	-	-
382	J[26]	Pos	SLU-1	1	1	1	1	7512.6589	10865.3107	48973.3292	43043.6121	48973.3292
383	I[619]	Neg	-	-	-	-	-	-	-	-	-	-
383	I[619]	Pos	SLU-1	1	1	1	1	7943.8215	11111.6353	48973.3292	42917.5929	48973.3292
383	J[27]	Neg	-	-	-	-	-	-	-	-	-	-
383	J[27]	Pos	SLU-1	1	1	1	1	7512.8167	10500.2351	48973.3292	43043.566	48973.3292
384	I[620]	Neg	-	-	-	-	-	-	-	-	-	-
384	I[620]	Pos	SLU-1	1	1	1	1	8221.7237	13150.3811	49430.0863	42997.9874	49430.0863
384	J[28]	Neg	-	-	-	-	-	-	-	-	-	-
384	J[28]	Pos	SLU-1	1	1	1	1	7779.0854	12363.3846	49430.0863	43130.0315	49430.0863
389	I[633]	Neg	-	-	-	-	-	-	-	-	-	-
389	I[633]	Pos	SLU-1	1	1	1	1	7319.7634	12393.1204	38291.5104	28759.1669	38291.5104
389	J[649]	Neg	-	-	-	-	-	-	-	-	-	-
389	J[649]	Pos	SLU-1	1	1	1	1	6357.7365	10779.9561	38291.5104	29187.0368	38291.5104
390	I[634]	Neg	-	-	-	-	-	-	-	-	-	-
390	I[634]	Pos	SLU-1	1	1	1	1	7067.9236	10384.9745	37877.5112	28770.0397	37877.5112
390	J[650]	Neg	-	-	-	-	-	-	-	-	-	-
390	J[650]	Pos	SLU-1	1	1	1	1	6135.4677	9151.7419	37877.5112	29178.5088	37877.5112
391	I[635]	Neg	-	-	-	-	-	-	-	-	-	-
391	I[635]	Pos	SLU-1	1	1	1	1	7068.0455	10049.5406	37877.5112	28769.9863	37877.5112
391	J[651]	Neg	-	-	-	-	-	-	-	-	-	-
391	J[651]	Pos	SLU-1	1	1	1	1	6135.5186	8866.3434	37877.5112	29178.4864	37877.5112

392	I[636]	Neg	-	-	-	-	-	-	-	-	-	-
392	I[636]	Pos	SLU-1	1	1	1	1	7321.4955	11758.9313	38291.5104	28758.3965	38291.5104
392	J[652]	Neg	-	-	-	-	-	-	-	-	-	-
392	J[652]	Pos	SLU-1	1	1	1	1	6359.4578	10253.8444	38291.5104	29186.2712	38291.5104
397	I[649]	Neg	-	-	-	-	-	-	-	-	-	-
397	I[649]	Pos	SLU-1	1	1	1	1	6357.7365	10782.2542	38291.5104	29187.0368	38291.5104
397	J[665]	Neg	-	-	-	-	-	-	-	-	-	-
397	J[665]	Pos	SLU-1	1	1	1	1	5335.1409	9055.0998	38291.5104	29641.8452	38291.5104
398	I[650]	Neg	-	-	-	-	-	-	-	-	-	-
398	I[650]	Pos	SLU-1	1	1	1	1	6135.4677	9153.5224	37877.5112	29178.5088	37877.5112
398	J[666]	Neg	-	-	-	-	-	-	-	-	-	-
398	J[666]	Pos	SLU-1	1	1	1	1	5147.4381	7793.8436	37877.5112	29611.3222	37877.5112
399	I[651]	Neg	-	-	-	-	-	-	-	-	-	-
399	I[651]	Pos	SLU-1	1	1	1	1	6135.5186	8868.3953	37877.5112	29178.4864	37877.5112
399	J[667]	Neg	-	-	-	-	-	-	-	-	-	-
399	J[667]	Pos	SLU-1	1	1	1	1	5147.418	7553.5426	37877.5112	29611.3311	37877.5112
400	I[652]	Neg	-	-	-	-	-	-	-	-	-	-
400	I[652]	Pos	SLU-1	1	1	1	1	6359.4578	10254.236	38291.5104	29186.2712	38291.5104
400	J[668]	Neg	-	-	-	-	-	-	-	-	-	-
400	J[668]	Pos	SLU-1	1	1	1	1	5336.8513	8630.3432	38291.5104	29641.0844	38291.5104
405	I[665]	Neg	-	-	-	-	-	-	-	-	-	-
405	I[665]	Pos	SLU-1	1	1	1	1	5335.1409	9057.5115	38291.5104	29641.8452	38291.5104
405	J[121]	Neg	-	-	-	-	-	-	-	-	-	-
405	J[121]	Pos	SLU-1	1	1	1	1	4251.9766	7213.1937	38291.5104	30123.592	38291.5104
406	I[666]	Neg	-	-	-	-	-	-	-	-	-	-
406	I[666]	Pos	SLU-1	1	1	1	1	5147.4381	7795.6282	37877.5112	29611.3222	37877.5112
406	J[122]	Neg	-	-	-	-	-	-	-	-	-	-
406	J[122]	Pos	SLU-1	1	1	1	1	4103.8349	6307.2245	37877.5112	30068.4802	37877.5112
407	I[667]	Neg	-	-	-	-	-	-	-	-	-	-
407	I[667]	Pos	SLU-1	1	1	1	1	5147.418	7555.6689	37877.5112	29611.3311	37877.5112
407	J[123]	Neg	-	-	-	-	-	-	-	-	-	-
407	J[123]	Pos	SLU-1	1	1	1	1	4103.7437	6102.3066	37877.5112	30068.5201	37877.5112
408	I[668]	Neg	-	-	-	-	-	-	-	-	-	-
408	I[668]	Pos	SLU-1	1	1	1	1	5336.8513	8630.7553	38291.5104	29641.0844	38291.5104
408	J[124]	Neg	-	-	-	-	-	-	-	-	-	-
408	J[124]	Pos	SLU-1	1	1	1	1	4253.6762	6885.676	38291.5104	30122.8361	38291.5104
413	I[689]	Neg	-	-	-	-	-	-	-	-	-	-
413	I[689]	Pos	SLU-1	1	1	1	1	3108.0564	5262.9646	38291.5104	30632.3606	38291.5104
413	J[705]	Neg	-	-	-	-	-	-	-	-	-	-
413	J[705]	Pos	SLU-1	1	1	1	1	1903.1041	3182.3829	38291.5104	31168.2737	38291.5104
414	I[690]	Neg	-	-	-	-	-	-	-	-	-	-
414	I[690]	Pos	SLU-1	1	1	1	1	2996.0079	4666.8838	37877.5112	30553.7718	37877.5112
414	J[706]	Neg	-	-	-	-	-	-	-	-	-	-
414	J[706]	Pos	SLU-1	1	1	1	1	1832.5043	2862.4754	37877.5112	31063.453	37877.5112
415	I[691]	Neg	-	-	-	-	-	-	-	-	-	-
415	I[691]	Pos	SLU-1	1	1	1	1	2995.9418	4517.7069	37877.5112	30553.8008	37877.5112
415	J[707]	Neg	-	-	-	-	-	-	-	-	-	-
415	J[707]	Pos	SLU-1	1	1	1	1	1832.4619	2772.3611	37877.5112	31063.4715	37877.5112
416	I[692]	Neg	-	-	-	-	-	-	-	-	-	-
416	I[692]	Pos	SLU-1	1	1	1	1	3108.9338	5040.805	38291.5104	30631.9704	38291.5104
416	J[708]	Neg	-	-	-	-	-	-	-	-	-	-
416	J[708]	Pos	SLU-1	1	1	1	1	1903.9551	3060.7654	38291.5104	31167.8952	38291.5104
421	I[705]	Neg	-	-	-	-	-	-	-	-	-	-
421	I[705]	Pos	SLU-1	1	1	1	1	1903.1041	3184.805	38291.5104	31168.2737	38291.5104
421	J[721]	Neg	SLV-7	1	1	4	4	472.2838	-138.2838	24213.9964	18614.8811	18614.8811
421	J[721]	Pos	SLU-1	1	1	1	1	637.5831	971.8918	38291.5104	31731.1253	38291.5104
422	I[706]	Neg	-	-	-	-	-	-	-	-	-	-
422	I[706]	Pos	SLU-1	1	1	1	1	1832.5043	2864.1626	37877.5112	31063.453	37877.5112
422	J[722]	Neg	SLV-7	1	1	4	4	454.3904	-164.5082	23865.4195	18201.6274	18201.6274
422	J[722]	Pos	SLU-1	1	1	1	1	613.427	882.5689	37877.5112	31597.4786	37877.5112
423	I[707]	Neg	-	-	-	-	-	-	-	-	-	-
423	I[707]	Pos	SLU-1	1	1	1	1	1832.4619	2774.3098	37877.5112	31063.4715	37877.5112
423	J[723]	Neg	SLV-7	1	1	4	4	454.3766	-177.5592	23865.4195	18201.6274	18201.6274
423	J[723]	Pos	SLU-1	1	1	1	1	613.4083	854.1726	37877.5112	31597.4868	37877.5112
424	I[708]	Neg	-	-	-	-	-	-	-	-	-	-
424	I[708]	Pos	SLU-1	1	1	1	1	1903.9551	3061.207	38291.5104	31167.8952	38291.5104
424	J[724]	Neg	SLV-7	1	1	4	4	472.8946	-199.4379	24213.9964	18614.8811	18614.8811
424	J[724]	Pos	SLU-1	1	1	1	1	638.4076	938.7467	38291.5104	31730.7586	38291.5104
429	I[721]	Neg	SLV-7	1	1	4	4	472.2838	-138.547	24213.9964	18614.8811	18614.8811
429	I[721]	Pos	SLU-1	1	1	1	1	637.5831	974.1733	38291.5104	31731.1253	38291.5104
429	J[9]	Neg	SLV-7	1	3	4	4	-13.2523	-414.6327	24213.9964	18614.8811	18614.8811
429	J[9]	Pos	SLV-1	1	1	1	1	-13.2523	141.474	38291.5104	32020.5901	38291.5104
430	I[722]	Neg	SLV-7	1	1	4	4	454.3904	-163.4183	23865.4195	18201.6274	18201.6274
430	I[722]	Pos	SLU-1	1	1	1	1	613.427	884.0059	37877.5112	31597.4786	37877.5112
430	J[10]	Neg	SLV-7	1	3	4	4	-12.5568	-411.0211	23865.4195	18201.6274	18201.6274

430	J[10]	Pos	SLV-1	1	1	1	1	-12.5568	142.5404	37877.5112	31871.6953	37877.5112
431	I[723]	Neg	SLV-7	1	1	4	4	454.3766	-177.3132	23865.4195	18201.6274	18201.6274
431	I[723]	Pos	SLU-1	1	1	1	1	613.4083	855.893	37877.5112	31597.4868	37877.5112
431	J[11]	Neg	SLV-7	1	3	4	4	-12.5619	-410.1122	23865.4195	18201.6274	18201.6274
431	J[11]	Pos	SLV-1	1	1	1	1	-12.5619	143.8426	37877.5112	31871.6976	37877.5112
432	I[724]	Neg	SLV-7	1	1	4	4	472.8946	-199.0494	24213.9964	18614.8811	18614.8811
432	I[724]	Pos	SLU-1	1	1	1	1	638.4076	939.2083	38291.5104	31730.7586	38291.5104
432	J[12]	Neg	SLV-7	1	3	4	4	-12.6513	-411.3901	24213.9964	18614.8811	18614.8811
432	J[12]	Pos	SLV-1	1	1	1	1	-12.6513	145.8608	38291.5104	32020.3228	38291.5104

13.2.1.2 VERIFICA DI RESISTENZA A TAGLIO

Elem	part	Lcom	Top Class	Bot Class	Web Class	Sect. Class	N_Ed (kN)	M_Ed (kN*m)	V_Ed (kN)	Vpl,Rd (kN)	Vb,Rd (kN)
1	I[34]	SLU-1	1	1	1	1	91.0585	116640.2238	-1201.8072	8901.0916	4728.515
1	J[346]	SLU-1	1	1	1	1	91.0585	118495.6319	-1194.457	8901.0916	4728.515
2	I[35]	SLU-1	1	1	1	1	91.0618	115820.3454	-1171.6828	8901.0916	4728.515
2	J[347]	SLU-1	1	1	1	1	91.0618	117661.0021	-1164.3326	8901.0916	4728.515
3	I[36]	SLU-1	1	1	1	1	-247.5795	135990.5202	-1300.3644	8901.0916	4728.515
3	J[348]	SLU-1	1	1	1	1	-247.5795	138110.0465	-1293.0142	8901.0916	4728.515
4	I[33]	SLU-1	1	1	1	1	128.4264	136612.629	-1300.0148	8901.0916	4728.515
4	J[345]	SLU-1	1	1	1	1	128.4264	138732.196	-1292.6645	8901.0916	4728.515
9	I[35]	SLU-1	1	1	1	1	111.0623	117812.7272	1171.6828	8924.5155	4732.7537
9	J[331]	SLU-1	1	1	1	1	111.0623	115832.5138	1178.7551	8924.5155	4732.7537
10	I[34]	SLU-1	1	1	1	1	113.8061	118555.3758	1201.8072	8924.5155	4732.7537
10	J[330]	SLU-1	1	1	1	1	113.8061	116560.1529	1208.8796	8924.5155	4732.7537
11	I[42]	SLU-1	1	1	1	1	68.1479	118551.5044	1218.0534	8924.5155	4732.7537
11	J[522]	SLU-1	1	1	1	1	68.1479	116548.1598	1225.1257	8924.5155	4732.7537
12	I[43]	SLU-1	1	1	1	1	65.4301	117808.8704	1187.9886	8924.5155	4732.7537
12	J[523]	SLU-1	1	1	1	1	65.4301	115820.5039	1195.061	8924.5155	4732.7537
13	I[41]	SLU-1	1	1	1	1	239.8124	139072.8123	1316.4361	8924.5155	4732.7537
13	J[521]	SLU-1	1	1	1	1	239.8124	136771.5631	1323.5084	8924.5155	4732.7537
14	I[33]	SLU-1	1	1	1	1	285.5617	139072.4485	1300.0148	8924.5155	4732.7537
14	J[329]	SLU-1	1	1	1	1	285.5617	136779.4114	1307.0871	8924.5155	4732.7537
15	I[36]	SLU-1	1	1	1	1	-72.4196	138386.3735	1300.3644	8924.5155	4732.7537
15	J[332]	SLU-1	1	1	1	1	-72.4196	136093.1621	1307.4368	8924.5155	4732.7537
16	I[44]	SLU-1	1	1	1	1	-117.9657	138386.9706	1316.7265	8924.5155	4732.7537
16	J[524]	SLU-1	1	1	1	1	-117.9657	136085.581	1323.7988	8924.5155	4732.7537
25	I[19]	SLU-1	1	1	1	1	101.8341	115896.4586	2195.2125	9065.0591	4757.881
25	J[219]	SLU-1	1	1	1	1	101.8341	108999.7415	2200.1843	9065.0591	4757.881
26	I[18]	SLU-1	1	1	1	1	97.1454	116226.9273	2253.9558	9065.0591	4757.881
26	J[218]	SLU-1	1	1	1	1	97.1454	109301.1548	2258.9277	9065.0591	4757.881
27	I[27]	SLU-1	1	1	1	1	-4.6193	115918.1427	2211.5179	9065.0591	4757.881
27	J[635]	SLU-1	1	1	1	1	-4.6193	109013.2723	2216.4897	9065.0591	4757.881
28	I[26]	SLU-1	1	1	1	1	-9.401	116248.7102	2270.2076	9065.0591	4757.881
28	J[634]	SLU-1	1	1	1	1	-9.401	109314.8124	2275.1794	9065.0591	4757.881
29	I[25]	SLU-1	1	1	1	1	90.6596	137962.9586	2550.6981	9065.0591	4757.881
29	J[633]	SLU-1	1	1	1	1	90.6596	129781.9055	2555.67	9065.0591	4757.881
30	I[28]	SLU-1	1	1	1	1	-113.7909	137812.8694	2462.9929	9065.0591	4757.881
30	J[636]	SLU-1	1	1	1	1	-113.7909	129675.587	2467.9647	9065.0591	4757.881
31	I[4]	SLU-1	1	1	1	1	53.8473	107.4937	-3546.3025	9065.0591	4757.881
31	J[132]	SLU-1	1	1	1	1	53.8473	11513.146	-3541.3307	9065.0591	4757.881
32	I[1]	SLU-1	1	1	1	1	51.3203	131.3868	-3630.0397	9065.0591	4757.881
32	J[129]	SLU-1	1	1	1	1	51.3203	11527.5878	-3625.0678	9065.0591	4757.881
54	I[65]	SLU-1	1	1	1	1	78.1511	75501.5377	-3003.6741	9065.0591	4757.881
54	J[185]	SLU-1	1	1	1	1	78.1511	94793.3612	-2993.7304	9065.0591	4757.881
55	I[66]	SLU-1	1	1	1	1	79.727	64080.9745	2868.8475	9065.0591	4757.881
55	J[162]	SLU-1	1	1	1	1	79.727	46785.7062	2878.7912	9065.0591	4757.881
57	I[67]	SLU-1	1	1	1	1	84.3237	63858.9808	2801.8299	9065.0591	4757.881
57	J[163]	SLU-1	1	1	1	1	84.3237	46630.9831	2811.7736	9065.0591	4757.881
59	I[68]	SLU-1	1	1	1	1	-50.592	75549.629	-2916.5569	9065.0591	4757.881
59	J[188]	SLU-1	1	1	1	1	-50.592	94758.3347	-2906.6132	9065.0591	4757.881
68	I[73]	SLU-1	1	1	1	1	212.9071	97755.5723	2370.4353	8924.5155	4732.7537
68	J[233]	SLU-1	1	1	1	1	212.9071	88583.0029	2384.5799	8924.5155	4732.7537
69	I[74]	SLU-1	1	1	1	1	101.1248	83854.5399	2107.5858	8924.5155	4732.7537
69	J[234]	SLU-1	1	1	1	1	101.1248	75908.2746	2121.7305	8924.5155	4732.7537
71	I[75]	SLU-1	1	1	1	1	104.5397	83435.42	2048.6454	8924.5155	4732.7537
71	J[235]	SLU-1	1	1	1	1	104.5397	75547.8461	2062.7901	8924.5155	4732.7537
73	I[76]	SLU-1	1	1	1	1	-17.2821	97406.3837	2283.5879	8924.5155	4732.7537
73	J[236]	SLU-1	1	1	1	1	-17.2821	88320.573	2297.7326	8924.5155	4732.7537

82	I[81]	SLU-1	1	1	1	1	272.6725	132231.862	1594.2955	8924.5155	4732.7537
82	J[305]	SLU-1	1	1	1	1	272.6725	126452.7126	1608.4402	8924.5155	4732.7537
83	I[82]	SLU-1	1	1	1	1	113.2025	112950.9834	1443.6759	8924.5155	4732.7537
83	J[306]	SLU-1	1	1	1	1	113.2025	107879.5831	1457.8206	8924.5155	4732.7537
85	I[83]	SLU-1	1	1	1	1	112.8098	112241.6375	1398.8838	8924.5155	4732.7537
85	J[307]	SLU-1	1	1	1	1	112.8098	107214.8011	1413.0285	8924.5155	4732.7537
87	I[84]	SLU-1	1	1	1	1	-59.7224	131639.6276	1553.3123	8924.5155	4732.7537
87	J[308]	SLU-1	1	1	1	1	-59.7224	125901.5498	1567.457	8924.5155	4732.7537
96	I[89]	SLU-1	1	1	1	1	124.1068	146440.9027	-692.2469	8901.0916	4728.515
96	J[401]	SLU-1	1	1	1	1	124.1068	148161.3152	-677.5465	8901.0916	4728.515
97	I[90]	SLU-1	1	1	1	1	84.5871	124890.6712	-712.6907	8901.0916	4728.515
97	J[402]	SLU-1	1	1	1	1	84.5871	126437.7387	-697.9903	8901.0916	4728.515
99	I[91]	SLU-1	1	1	1	1	81.6584	124301.1307	-699.1568	8901.0916	4728.515
99	J[403]	SLU-1	1	1	1	1	81.6584	125835.5897	-684.4563	8901.0916	4728.515
101	I[92]	SLU-1	1	1	1	1	-313.2094	145671.699	-747.94	8901.0916	4728.515
101	J[404]	SLU-1	1	1	1	1	-313.2094	147446.8693	-733.2396	8901.0916	4728.515
110	I[97]	SLU-1	1	1	1	1	271.3862	146820.0599	836.0792	8901.0916	4728.515
110	J[473]	SLU-1	1	1	1	1	271.3862	144453.3999	850.7797	8901.0916	4728.515
111	I[98]	SLU-1	1	1	1	1	88.2654	125447.5896	834.7636	8901.0916	4728.515
111	J[474]	SLU-1	1	1	1	1	88.2654	123247.8389	849.464	8901.0916	4728.515
113	I[99]	SLU-1	1	1	1	1	82.6916	124805.5657	807.586	8901.0916	4728.515
113	J[475]	SLU-1	1	1	1	1	82.6916	122632.8521	822.2864	8901.0916	4728.515
115	I[100]	SLU-1	1	1	1	1	-109.7103	146027.4596	854.8407	8901.0916	4728.515
115	J[476]	SLU-1	1	1	1	1	-109.7103	143642.0357	869.5411	8901.0916	4728.515
124	I[105]	SLU-1	1	1	1	1	211.6894	132240.5249	1610.7158	8924.5155	4732.7537
124	J[545]	SLU-1	1	1	1	1	211.6894	126444.9548	1624.8605	8924.5155	4732.7537
125	I[106]	SLU-1	1	1	1	1	52.3192	112953.9603	1459.9186	8924.5155	4732.7537
125	J[546]	SLU-1	1	1	1	1	52.3192	107866.3181	1474.0632	8924.5155	4732.7537
127	I[107]	SLU-1	1	1	1	1	51.9598	112244.6561	1415.1906	8924.5155	4732.7537
127	J[547]	SLU-1	1	1	1	1	51.9598	107201.5126	1429.3353	8924.5155	4732.7537
129	I[108]	SLU-1	1	1	1	1	-120.4537	131648.6085	1569.6774	8924.5155	4732.7537
129	J[548]	SLU-1	1	1	1	1	-120.4537	125894.1696	1583.8221	8924.5155	4732.7537
138	I[113]	SLU-1	1	1	1	1	113.8345	97764.4547	2386.8357	8924.5155	4732.7537
138	J[617]	SLU-1	1	1	1	1	113.8345	88575.4863	2400.9804	8924.5155	4732.7537
139	I[114]	SLU-1	1	1	1	1	2.1881	83854.3404	2123.8348	8924.5155	4732.7537
139	J[618]	SLU-1	1	1	1	1	2.1881	75891.826	2137.9795	8924.5155	4732.7537
141	I[115]	SLU-1	1	1	1	1	5.6822	83435.1908	2064.9504	8924.5155	4732.7537
141	J[619]	SLU-1	1	1	1	1	5.6822	75531.3096	2079.095	8924.5155	4732.7537
143	I[116]	SLU-1	1	1	1	1	-116.0169	97415.9146	2299.9693	8924.5155	4732.7537
143	J[620]	SLU-1	1	1	1	1	-116.0169	88313.7239	2314.114	8924.5155	4732.7537
152	I[121]	SLU-1	1	1	1	1	-14.7142	75742.855	3160.3073	9065.0591	4757.881
152	J[689]	SLU-1	1	1	1	1	-14.7142	55337.0159	3170.251	9065.0591	4757.881
153	I[122]	SLU-1	1	1	1	1	-57.2648	64117.0588	2885.1452	9065.0591	4757.881
153	J[690]	SLU-1	1	1	1	1	-57.2648	46805.4928	2895.0889	9065.0591	4757.881
155	I[123]	SLU-1	1	1	1	1	-52.5252	63894.956	2818.1508	9065.0591	4757.881
155	J[691]	SLU-1	1	1	1	1	-52.5252	46650.6378	2828.0945	9065.0591	4757.881
157	I[124]	SLU-1	1	1	1	1	-99.2115	75644.7931	3058.954	9065.0591	4757.881
157	J[692]	SLU-1	1	1	1	1	-99.2115	55339.9078	3068.8977	9065.0591	4757.881
165	I[129]	SLU-1	1	1	1	1	58.7016	11492.9788	-3481.929	9065.0591	4757.881
165	J[145]	SLU-1	1	1	1	1	58.7016	33986.3357	-3471.9853	9065.0591	4757.881
166	I[130]	SLU-1	1	1	1	1	73.3352	9791.138	3369.3288	9065.0591	4757.881
166	J[2]	SLU-1	1	1	1	1	73.3352	130.7693	3374.3006	9065.0591	4757.881
167	I[131]	SLU-1	1	1	1	1	74.4296	9759.8603	3308.5086	9065.0591	4757.881
167	J[3]	SLU-1	1	1	1	1	74.4296	133.4601	3313.4804	9065.0591	4757.881
168	I[132]	SLU-1	1	1	1	1	27.0858	11562.4837	-3392.5547	9065.0591	4757.881
168	J[148]	SLU-1	1	1	1	1	27.0858	33973.9589	-3382.611	9065.0591	4757.881
173	I[145]	SLU-1	1	1	1	1	64.3058	33929.7746	-3315.184	9065.0591	4757.881
173	J[161]	SLU-1	1	1	1	1	64.3058	55352.1079	-3305.2403	9065.0591	4757.881
174	I[146]	SLU-1	1	1	1	1	74.3903	28840.9423	3209.6646	9065.0591	4757.881
174	J[130]	SLU-1	1	1	1	1	74.3903	9757.4838	3219.6083	9065.0591	4757.881
175	I[147]	SLU-1	1	1	1	1	76.4444	28745.441	3145.999	9065.0591	4757.881
175	J[131]	SLU-1	1	1	1	1	76.4444	9726.2743	3155.9427	9065.0591	4757.881
176	I[148]	SLU-1	1	1	1	1	0.8206	33992.6845	-3218.7849	9065.0591	4757.881
176	J[164]	SLU-1	1	1	1	1	0.8206	55326.3561	-3208.8412	9065.0591	4757.881
181	I[161]	SLU-1	1	1	1	1	71.0595	55268.1701	-3153.9796	9065.0591	4757.881
181	J[65]	SLU-1	1	1	1	1	71.0595	75622.3656	-3144.0359	9065.0591	4757.881
182	I[162]	SLU-1	1	1	1	1	76.703	46931.4616	3034.5075	9065.0591	4757.881
182	J[146]	SLU-1	1	1	1	1	76.703	28746.6586	3044.4512	9065.0591	4757.881
183	I[163]	SLU-1	1	1	1	1	79.9309	46773.666	2968.6945	9065.0591	4757.881
183	J[147]	SLU-1	1	1	1	1	79.9309	28655.329	2978.6382	9065.0591	4757.881
184	I[164]	SLU-1	1	1	1	1	-23.9429	55312.1771	-3052.4512	9065.0591	4757.881
184	J[68]	SLU-1	1	1	1	1	-23.9429	75572.7409	-3042.5075	9065.0591	4757.881
189	I[185]	SLU-1	1	1	1	1	85.463	94664.6341	-2847.51	9065.0591	4757.881
189	J[201]	SLU-1	1	1	1	1	85.463	112890.5849	-2837.5663	9065.0591	4757.881
190	I[186]	SLU-1	1	1	1	1	83.0271	80168.208	2690.1957	9065.0591	4757.881

190	J[66]	SLU-1	1	1	1	1	83.0271	63892.411	2700.1394	9065.0591	4757.881
191	I[187]	SLU-1	1	1	1	1	88.4285	79918.0893	2637.468	9065.0591	4757.881
191	J[67]	SLU-1	1	1	1	1	88.4285	63690.6013	2647.4117	9065.0591	4757.881
192	I[188]	SLU-1	1	1	1	1	-74.1675	94691.3138	-2759.4538	9065.0591	4757.881
192	J[204]	SLU-1	1	1	1	1	-74.1675	112833.1878	-2749.5101	9065.0591	4757.881
197	I[201]	SLU-1	1	1	1	1	92.5311	112742.6213	-2692.8672	9065.0591	4757.881
197	J[217]	SLU-1	1	1	1	1	92.5311	129903.6063	-2682.9235	9065.0591	4757.881
198	I[202]	SLU-1	1	1	1	1	87.4602	95338.4838	2538.6209	9065.0591	4757.881
198	J[186]	SLU-1	1	1	1	1	87.4602	79938.5086	2548.5646	9065.0591	4757.881
199	I[203]	SLU-1	1	1	1	1	93.1117	95054.6211	2483.7791	9065.0591	4757.881
199	J[187]	SLU-1	1	1	1	1	93.1117	79704.2305	2493.7228	9065.0591	4757.881
200	I[204]	SLU-1	1	1	1	1	-97.2406	112739.7201	-2604.5526	9065.0591	4757.881
200	J[220]	SLU-1	1	1	1	1	-97.2406	129816.3103	-2594.6089	9065.0591	4757.881
205	I[217]	SLU-1	1	1	1	1	99.2516	129735.7765	-2539.274	9065.0591	4757.881
205	J[17]	SLU-1	1	1	1	1	99.2516	137899.3749	-2534.3021	9065.0591	4757.881
206	I[218]	SLU-1	1	1	1	1	92.4774	109599.1549	2390.9253	9065.0591	4757.881
206	J[202]	SLU-1	1	1	1	1	92.4774	95069.9426	2400.869	9065.0591	4757.881
207	I[219]	SLU-1	1	1	1	1	97.7808	109280.6244	2333.79	9065.0591	4757.881
207	J[203]	SLU-1	1	1	1	1	97.7808	94803.6097	2343.7337	9065.0591	4757.881
208	I[220]	SLU-1	1	1	1	1	-118.761	129695.2606	-2451.5812	9065.0591	4757.881
208	J[20]	SLU-1	1	1	1	1	-118.761	137816.9466	-2446.6094	9065.0591	4757.881
213	I[233]	SLU-1	1	1	1	1	197.3508	88782.9182	2527.2298	8924.5155	4732.7537
213	J[17]	SLU-1	1	1	1	1	197.3508	83922.7464	2534.3021	8924.5155	4732.7537
214	I[234]	SLU-1	1	1	1	1	97.1454	76225.1274	2246.8835	8924.5155	4732.7537
214	J[18]	SLU-1	1	1	1	1	97.1454	72024.1359	2253.9558	8924.5155	4732.7537
215	I[235]	SLU-1	1	1	1	1	101.8341	75865.7666	2188.1401	8924.5155	4732.7537
215	J[19]	SLU-1	1	1	1	1	101.8341	71694.0394	2195.2125	8924.5155	4732.7537
216	I[236]	SLU-1	1	1	1	1	-7.4495	88496.4612	2439.5371	8924.5155	4732.7537
216	J[20]	SLU-1	1	1	1	1	-7.4495	83680.0916	2446.6094	8924.5155	4732.7537
221	I[257]	SLU-1	1	1	1	1	226.3338	106049.5771	2221.7808	8924.5155	4732.7537
221	J[73]	SLU-1	1	1	1	1	226.3338	97538.8682	2235.9254	8924.5155	4732.7537
222	I[258]	SLU-1	1	1	1	1	104.126	90825.5383	1967.7505	8924.5155	4732.7537
222	J[74]	SLU-1	1	1	1	1	104.126	83523.6792	1981.8952	8924.5155	4732.7537
223	I[259]	SLU-1	1	1	1	1	106.5379	90411.0037	1922.8482	8924.5155	4732.7537
223	J[75]	SLU-1	1	1	1	1	106.5379	83153.8496	1936.9928	8924.5155	4732.7537
224	I[260]	SLU-1	1	1	1	1	-27.0135	105657.7844	2164.8191	8924.5155	4732.7537
224	J[76]	SLU-1	1	1	1	1	-27.0135	97204.1291	2178.9637	8924.5155	4732.7537
229	I[273]	SLU-1	1	1	1	1	239.3014	113649.7146	2064.4456	8924.5155	4732.7537
229	J[257]	SLU-1	1	1	1	1	239.3014	105822.3604	2078.5903	8924.5155	4732.7537
230	I[274]	SLU-1	1	1	1	1	106.8835	97216.2053	1833.9648	8924.5155	4732.7537
230	J[258]	SLU-1	1	1	1	1	106.8835	90474.728	1848.1094	8924.5155	4732.7537
231	I[275]	SLU-1	1	1	1	1	108.287	96778.8643	1788.5513	8924.5155	4732.7537
231	J[259]	SLU-1	1	1	1	1	108.287	90082.5916	1802.696	8924.5155	4732.7537
232	I[276]	SLU-1	1	1	1	1	-35.922	113202.151	2011.1231	8924.5155	4732.7537
232	J[260]	SLU-1	1	1	1	1	-35.922	105428.2112	2025.2677	8924.5155	4732.7537
237	I[289]	SLU-1	1	1	1	1	252.8566	120523.6911	1907.1515	8924.5155	4732.7537
237	J[273]	SLU-1	1	1	1	1	252.8566	113379.6479	1921.2962	8924.5155	4732.7537
238	I[290]	SLU-1	1	1	1	1	109.3808	103030.4389	1700.4755	8924.5155	4732.7537
238	J[274]	SLU-1	1	1	1	1	109.3808	96849.0463	1714.6202	8924.5155	4732.7537
239	I[291]	SLU-1	1	1	1	1	109.9953	102562.4668	1654.4421	8924.5155	4732.7537
239	J[275]	SLU-1	1	1	1	1	109.9953	96426.8927	1668.5868	8924.5155	4732.7537
240	I[292]	SLU-1	1	1	1	1	-44.077	120042.2266	1857.7745	8924.5155	4732.7537
240	J[276]	SLU-1	1	1	1	1	-44.077	112947.6574	1871.9191	8924.5155	4732.7537
245	I[305]	SLU-1	1	1	1	1	263.4782	126734.2005	1750.3361	8924.5155	4732.7537
245	J[289]	SLU-1	1	1	1	1	263.4782	120272.9923	1764.4808	8924.5155	4732.7537
246	I[306]	SLU-1	1	1	1	1	111.7876	108266.0611	1569.7844	8924.5155	4732.7537
246	J[290]	SLU-1	1	1	1	1	111.7876	102641.9543	1583.929	8924.5155	4732.7537
247	I[307]	SLU-1	1	1	1	1	112.3449	107602.1387	1523.8126	8924.5155	4732.7537
247	J[291]	SLU-1	1	1	1	1	112.3449	102023.7829	1537.9573	8924.5155	4732.7537
248	I[308]	SLU-1	1	1	1	1	-52.1088	126190.9356	1705.2941	8924.5155	4732.7537
248	J[292]	SLU-1	1	1	1	1	-52.1088	119774.8644	1719.4388	8924.5155	4732.7537
253	I[329]	SLU-1	1	1	1	1	279.6096	137091.1105	1450.2994	8924.5155	4732.7537
253	J[81]	SLU-1	1	1	1	1	279.6096	131956.6998	1464.444	8924.5155	4732.7537
254	I[330]	SLU-1	1	1	1	1	114.0037	116959.2035	1319.8766	8924.5155	4732.7537
254	J[82]	SLU-1	1	1	1	1	114.0037	112527.2039	1334.0212	8924.5155	4732.7537
255	I[331]	SLU-1	1	1	1	1	112.0874	116242.3861	1289.057	8924.5155	4732.7537
255	J[83]	SLU-1	1	1	1	1	112.0874	111841.1125	1303.2017	8924.5155	4732.7537
256	I[332]	SLU-1	1	1	1	1	-97.0246	136486.6379	1444.4222	8924.5155	4732.7537
256	J[84]	SLU-1	1	1	1	1	-97.0246	131358.1054	1458.5668	8924.5155	4732.7537
261	I[345]	SLU-1	1	1	1	1	128.351	138427.1851	-1149.0271	8901.0916	4728.515
261	J[361]	SLU-1	1	1	1	1	128.351	142123.5477	-1134.3267	8901.0916	4728.515
262	I[346]	SLU-1	1	1	1	1	90.2822	118072.7599	-1081.8739	8901.0916	4728.515
262	J[362]	SLU-1	1	1	1	1	90.2822	121344.3104	-1067.1735	8901.0916	4728.515
263	I[347]	SLU-1	1	1	1	1	89.5139	117259.0129	-1052.1067	8901.0916	4728.515
263	J[363]	SLU-1	1	1	1	1	89.5139	120501.0538	-1037.4063	8901.0916	4728.515

264	I[348]	SLU-1	1	1	1	1	-257.342	137751.5427	-1155.8304	8901.0916	4728.515
264	J[364]	SLU-1	1	1	1	1	-257.342	141454.6363	-1141.1299	8901.0916	4728.515
269	I[361]	SLU-1	1	1	1	1	128.7125	141735.4754	-991.1287	8901.0916	4728.515
269	J[377]	SLU-1	1	1	1	1	128.7125	144756.241	-976.4283	8901.0916	4728.515
270	I[362]	SLU-1	1	1	1	1	89.1222	120920.8378	-955.8375	8901.0916	4728.515
270	J[378]	SLU-1	1	1	1	1	89.1222	123645.3391	-941.1371	8901.0916	4728.515
271	I[363]	SLU-1	1	1	1	1	87.3375	120301.7917	-926.7007	8901.0916	4728.515
271	J[379]	SLU-1	1	1	1	1	87.3375	122997.0187	-912.0003	8901.0916	4728.515
272	I[364]	SLU-1	1	1	1	1	-265.8224	141077.0305	-1004.431	8901.0916	4728.515
272	J[380]	SLU-1	1	1	1	1	-265.8224	144111.4318	-989.7306	8901.0916	4728.515
277	I[377]	SLU-1	1	1	1	1	127.0964	144433.3181	-834.3609	8901.0916	4728.515
277	J[89]	SLU-1	1	1	1	1	127.0964	146779.5709	-819.6605	8901.0916	4728.515
278	I[378]	SLU-1	1	1	1	1	87.2599	123207.4263	-833.2139	8901.0916	4728.515
278	J[90]	SLU-1	1	1	1	1	87.2599	125388.4954	-818.5135	8901.0916	4728.515
279	I[379]	SLU-1	1	1	1	1	84.9148	122512.6462	-805.9782	8901.0916	4728.515
279	J[91]	SLU-1	1	1	1	1	84.9148	124665.9129	-791.2778	8901.0916	4728.515
280	I[380]	SLU-1	1	1	1	1	-273.0218	143707.5402	-853.1828	8901.0916	4728.515
280	J[92]	SLU-1	1	1	1	1	-273.0218	146073.3833	-838.4824	8901.0916	4728.515
285	I[401]	SLU-1	1	1	1	1	120.2141	147755.3636	-534.3116	8901.0916	4728.515
285	J[417]	SLU-1	1	1	1	1	120.2141	148800.0755	-519.6112	8901.0916	4728.515
286	I[402]	SLU-1	1	1	1	1	81.0081	126001.8736	-589.2134	8901.0916	4728.515
286	J[418]	SLU-1	1	1	1	1	81.0081	127004.6854	-574.513	8901.0916	4728.515
287	I[403]	SLU-1	1	1	1	1	78.0759	125396.5756	-576.7669	8901.0916	4728.515
287	J[419]	SLU-1	1	1	1	1	78.0759	126387.4039	-562.0665	8901.0916	4728.515
288	I[404]	SLU-1	1	1	1	1	-317.0537	146963.1739	-597.1848	8901.0916	4728.515
288	J[420]	SLU-1	1	1	1	1	-317.0537	148070.2843	-582.4844	8901.0916	4728.515
293	I[417]	SLU-1	1	1	1	1	298.0086	148620.0296	377.641	8901.0916	4728.515
293	J[433]	SLU-1	1	1	1	1	298.0086	148235.0395	392.3414	8901.0916	4728.515
294	I[418]	SLU-1	1	1	1	1	101.5885	127057.2059	465.0044	8901.0916	4728.515
294	J[434]	SLU-1	1	1	1	1	101.5885	126584.8513	479.7048	8901.0916	4728.515
295	I[419]	SLU-1	1	1	1	1	102.846	125459.0211	453.2862	8901.0916	4728.515
295	J[435]	SLU-1	1	1	1	1	102.846	124998.385	467.9866	8901.0916	4728.515
296	I[420]	SLU-1	1	1	1	1	-95.8273	147683.6234	447.6767	8901.0916	4728.515
296	J[436]	SLU-1	1	1	1	1	-95.8273	147228.5974	462.3771	8901.0916	4728.515
301	I[433]	SLU-1	1	1	1	1	282.7261	148836.5276	536.0295	8901.0916	4728.515
301	J[449]	SLU-1	1	1	1	1	282.7261	147774.9276	550.7299	8901.0916	4728.515
302	I[434]	SLU-1	1	1	1	1	97.5811	127066.9856	590.7657	8901.0916	4728.515
302	J[450]	SLU-1	1	1	1	1	97.5811	126047.3285	605.4661	8901.0916	4728.515
303	I[435]	SLU-1	1	1	1	1	91.262	126529.7238	578.3742	8901.0916	4728.515
303	J[451]	SLU-1	1	1	1	1	91.262	125522.4712	593.0746	8901.0916	4728.515
304	I[436]	SLU-1	1	1	1	1	-135.3147	148021.1849	598.8414	8901.0916	4728.515
304	J[452]	SLU-1	1	1	1	1	-135.3147	146896.7788	613.5418	8901.0916	4728.515
309	I[449]	SLU-1	1	1	1	1	277.8749	148199.2502	693.9649	8901.0916	4728.515
309	J[97]	SLU-1	1	1	1	1	277.8749	146461.4969	708.6653	8901.0916	4728.515
310	I[450]	SLU-1	1	1	1	1	93.418	126498.7322	714.2423	8901.0916	4728.515
310	J[98]	SLU-1	1	1	1	1	93.418	124934.0539	728.9427	8901.0916	4728.515
311	I[451]	SLU-1	1	1	1	1	87.1672	125976.7396	700.7637	8901.0916	4728.515
311	J[99]	SLU-1	1	1	1	1	87.1672	124425.5695	715.4641	8901.0916	4728.515
312	I[452]	SLU-1	1	1	1	1	-140.2807	147398.9968	749.5973	8901.0916	4728.515
312	J[100]	SLU-1	1	1	1	1	-140.2807	145605.6119	764.2977	8901.0916	4728.515
317	I[473]	SLU-1	1	1	1	1	262.7734	144797.7489	992.8481	8901.0916	4728.515
317	J[489]	SLU-1	1	1	1	1	262.7734	141756.1008	1007.5485	8901.0916	4728.515
318	I[474]	SLU-1	1	1	1	1	82.2405	123701.6089	957.3857	8901.0916	4728.515
318	J[490]	SLU-1	1	1	1	1	82.2405	120957.6939	972.0861	8901.0916	4728.515
319	I[475]	SLU-1	1	1	1	1	77.3599	123132.3648	928.308	8901.0916	4728.515
319	J[491]	SLU-1	1	1	1	1	77.3599	120417.4025	943.0084	8901.0916	4728.515
320	I[476]	SLU-1	1	1	1	1	-112.9354	144067.7254	1006.09	8901.0916	4728.515
320	J[492]	SLU-1	1	1	1	1	-112.9354	141012.8325	1020.7904	8901.0916	4728.515
325	I[489]	SLU-1	1	1	1	1	251.4434	142167.1152	1150.747	8901.0916	4728.515
325	J[505]	SLU-1	1	1	1	1	251.4434	138449.3455	1165.4474	8901.0916	4728.515
326	I[490]	SLU-1	1	1	1	1	75.4294	121397.2055	1083.4208	8901.0916	4728.515
326	J[506]	SLU-1	1	1	1	1	75.4294	118105.7153	1098.1213	8901.0916	4728.515
327	I[491]	SLU-1	1	1	1	1	71.7346	120631.768	1053.7132	8901.0916	4728.515
327	J[507]	SLU-1	1	1	1	1	71.7346	117369.8733	1068.4137	8901.0916	4728.515
328	I[492]	SLU-1	1	1	1	1	-115.688	141413.8762	1157.4903	8901.0916	4728.515
328	J[508]	SLU-1	1	1	1	1	-115.688	137689.367	1172.1907	8901.0916	4728.515
333	I[505]	SLU-1	1	1	1	1	239.8124	138778.8126	1309.0859	8901.0916	4728.515
333	J[41]	SLU-1	1	1	1	1	239.8124	136648.2655	1316.4361	8901.0916	4728.515
334	I[506]	SLU-1	1	1	1	1	68.1479	118544.8124	1210.7032	8901.0916	4728.515
334	J[42]	SLU-1	1	1	1	1	68.1479	116679.1888	1218.0534	8901.0916	4728.515
335	I[507]	SLU-1	1	1	1	1	65.4301	117786.9322	1180.6384	8901.0916	4728.515
335	J[43]	SLU-1	1	1	1	1	65.4301	115936.2925	1187.9886	8901.0916	4728.515
336	I[508]	SLU-1	1	1	1	1	-117.9657	138072.9456	1309.3763	8901.0916	4728.515
336	J[44]	SLU-1	1	1	1	1	-117.9657	135942.2513	1316.7265	8901.0916	4728.515
341	I[521]	SLU-1	1	1	1	1	226.2353	137099.7402	1466.7215	8924.5155	4732.7537

341	J[105]	SLU-1	1	1	1	1	226.2353	131948.9098	1480.8661	8924.5155	4732.7537
342	I[522]	SLU-1	1	1	1	1	60.7368	116962.8135	1336.1215	8924.5155	4732.7537
342	J[106]	SLU-1	1	1	1	1	60.7368	112514.5691	1350.2661	8924.5155	4732.7537
343	I[523]	SLU-1	1	1	1	1	58.8539	116246.032	1305.3616	8924.5155	4732.7537
343	J[107]	SLU-1	1	1	1	1	58.8539	111828.4561	1319.5062	8924.5155	4732.7537
344	I[524]	SLU-1	1	1	1	1	-150.167	136495.5249	1460.7855	8924.5155	4732.7537
344	J[108]	SLU-1	1	1	1	1	-150.167	131350.6264	1474.9302	8924.5155	4732.7537
349	I[545]	SLU-1	1	1	1	1	194.872	126742.9167	1766.7575	8924.5155	4732.7537
349	J[561]	SLU-1	1	1	1	1	194.872	120265.2883	1780.9022	8924.5155	4732.7537
350	I[546]	SLU-1	1	1	1	1	43.2955	108268.4008	1586.0257	8924.5155	4732.7537
350	J[562]	SLU-1	1	1	1	1	43.2955	102628.051	1600.1703	8924.5155	4732.7537
351	I[547]	SLU-1	1	1	1	1	43.8949	107604.5049	1540.1188	8924.5155	4732.7537
351	J[563]	SLU-1	1	1	1	1	43.8949	102009.845	1554.2635	8924.5155	4732.7537
352	I[548]	SLU-1	1	1	1	1	-120.4391	126200.0279	1721.6604	8924.5155	4732.7537
352	J[564]	SLU-1	1	1	1	1	-120.4391	119767.5872	1735.8051	8924.5155	4732.7537
357	I[561]	SLU-1	1	1	1	1	176.6285	120532.4572	1923.573	8924.5155	4732.7537
357	J[577]	SLU-1	1	1	1	1	176.6285	113371.9944	1937.7176	8924.5155	4732.7537
358	I[562]	SLU-1	1	1	1	1	33.2795	103032.1406	1716.716	8924.5155	4732.7537
358	J[578]	SLU-1	1	1	1	1	33.2795	96834.5072	1730.8607	8924.5155	4732.7537
359	I[563]	SLU-1	1	1	1	1	33.9461	102564.1805	1670.7464	8924.5155	4732.7537
359	J[579]	SLU-1	1	1	1	1	33.9461	96412.3018	1684.891	8924.5155	4732.7537
360	I[564]	SLU-1	1	1	1	1	-120.008	120051.4294	1874.1432	8924.5155	4732.7537
360	J[580]	SLU-1	1	1	1	1	-120.008	112940.4902	1888.2879	8924.5155	4732.7537
365	I[577]	SLU-1	1	1	1	1	155.4521	113658.5294	2080.8668	8924.5155	4732.7537
365	J[593]	SLU-1	1	1	1	1	155.4521	105814.7548	2095.0115	8924.5155	4732.7537
366	I[578]	SLU-1	1	1	1	1	23.1732	97217.2705	1850.2054	8924.5155	4732.7537
366	J[594]	SLU-1	1	1	1	1	23.1732	90459.5531	1864.35	8924.5155	4732.7537
367	I[579]	SLU-1	1	1	1	1	24.6394	96779.9237	1804.8551	8924.5155	4732.7537
367	J[595]	SLU-1	1	1	1	1	24.6394	90067.3475	1818.9997	8924.5155	4732.7537
368	I[580]	SLU-1	1	1	1	1	-119.4551	113211.4655	2027.4936	8924.5155	4732.7537
368	J[596]	SLU-1	1	1	1	1	-119.4551	105421.1551	2041.6383	8924.5155	4732.7537
373	I[593]	SLU-1	1	1	1	1	134.8644	106058.4388	2238.2005	8924.5155	4732.7537
373	J[113]	SLU-1	1	1	1	1	134.8644	97531.3101	2252.3452	8924.5155	4732.7537
374	I[594]	SLU-1	1	1	1	1	12.8063	90825.9679	1983.9918	8924.5155	4732.7537
374	J[114]	SLU-1	1	1	1	1	12.8063	83507.8667	1998.1364	8924.5155	4732.7537
375	I[595]	SLU-1	1	1	1	1	15.2928	90411.4095	1939.1503	8924.5155	4732.7537
375	J[115]	SLU-1	1	1	1	1	15.2928	83137.9529	1953.2949	8924.5155	4732.7537
376	I[596]	SLU-1	1	1	1	1	-118.1505	105667.2096	2181.1914	8924.5155	4732.7537
376	J[116]	SLU-1	1	1	1	1	-118.1505	97197.184	2195.3361	8924.5155	4732.7537
381	I[617]	SLU-1	1	1	1	1	90.6596	88791.8633	2543.6258	8924.5155	4732.7537
381	J[25]	SLU-1	1	1	1	1	90.6596	83923.4977	2550.6981	8924.5155	4732.7537
382	I[618]	SLU-1	1	1	1	1	-9.401	76224.2837	2263.1352	8924.5155	4732.7537
382	J[26]	SLU-1	1	1	1	1	-9.401	72015.1662	2270.2076	8924.5155	4732.7537
383	I[619]	SLU-1	1	1	1	1	-4.6193	75864.8777	2204.4456	8924.5155	4732.7537
383	J[27]	SLU-1	1	1	1	1	-4.6193	71684.9972	2211.5179	8924.5155	4732.7537
384	I[620]	SLU-1	1	1	1	1	-113.7909	88506.101	2455.9205	8924.5155	4732.7537
384	J[28]	SLU-1	1	1	1	1	-113.7909	83681.5411	2462.9929	8924.5155	4732.7537
389	I[633]	SLU-1	1	1	1	1	65.7098	129994.9632	2699.3123	9065.0591	4757.881
389	J[649]	SLU-1	1	1	1	1	65.7098	112797.3897	2709.256	9065.0591	4757.881
390	I[634]	SLU-1	1	1	1	1	-21.6785	109630.613	2407.1811	9065.0591	4757.881
390	J[650]	SLU-1	1	1	1	1	-21.6785	95085.1446	2417.1248	9065.0591	4757.881
391	I[635]	SLU-1	1	1	1	1	-16.268	109311.9909	2350.0959	9065.0591	4757.881
391	J[651]	SLU-1	1	1	1	1	-16.268	94818.6704	2360.0396	9065.0591	4757.881
392	I[636]	SLU-1	1	1	1	1	-111.2648	129843.3621	2610.995	9065.0591	4757.881
392	J[652]	SLU-1	1	1	1	1	-111.2648	112733.9415	2620.9386	9065.0591	4757.881
397	I[649]	SLU-1	1	1	1	1	39.698	112992.3033	2853.9452	9065.0591	4757.881
397	J[665]	SLU-1	1	1	1	1	39.698	94727.6079	2863.8889	9065.0591	4757.881
398	I[650]	SLU-1	1	1	1	1	-34.3053	95371.4875	2554.8829	9065.0591	4757.881
398	J[666]	SLU-1	1	1	1	1	-34.3053	79955.2507	2564.8265	9065.0591	4757.881
399	I[651]	SLU-1	1	1	1	1	-28.5319	95087.5181	2500.0863	9065.0591	4757.881
399	J[667]	SLU-1	1	1	1	1	-28.5319	79720.8205	2510.03	9065.0591	4757.881
400	I[652]	SLU-1	1	1	1	1	-107.8959	112875.8566	2765.8985	9065.0591	4757.881
400	J[668]	SLU-1	1	1	1	1	-107.8959	94699.0432	2775.8422	9065.0591	4757.881
405	I[665]	SLU-1	1	1	1	1	12.7374	94904.9831	3010.0971	9065.0591	4757.881
405	J[121]	SLU-1	1	1	1	1	12.7374	75571.6454	3020.0408	9065.0591	4757.881
406	I[666]	SLU-1	1	1	1	1	-46.3479	80202.7518	2706.4652	9065.0591	4757.881
406	J[122]	SLU-1	1	1	1	1	-46.3479	63910.6846	2716.4089	9065.0591	4757.881
407	I[667]	SLU-1	1	1	1	1	-40.8098	79952.5143	2653.7772	9065.0591	4757.881
407	J[123]	SLU-1	1	1	1	1	-40.8098	63708.7172	2663.7209	9065.0591	4757.881
408	I[668]	SLU-1	1	1	1	1	-104.7223	94816.2049	2923.0048	9065.0591	4757.881
408	J[124]	SLU-1	1	1	1	1	-104.7223	75569.7949	2932.9484	9065.0591	4757.881
413	I[689]	SLU-1	1	1	1	1	-42.4831	55472.8582	3321.4929	9065.0591	4757.881
413	J[705]	SLU-1	1	1	1	1	-42.4831	33993.3422	3331.4366	9065.0591	4757.881
414	I[690]	SLU-1	1	1	1	1	-67.8977	46969.0492	3050.8154	9065.0591	4757.881
414	J[706]	SLU-1	1	1	1	1	-67.8977	28767.9384	3060.7591	9065.0591	4757.881

415	I[691]	SLU-1	1	1	1	1	-64.5131	46811.1573	2985.0201	9065.0591	4757.881
415	J[707]	SLU-1	1	1	1	1	-64.5131	28676.4958	2994.9637	9065.0591	4757.881
416	I[692]	SLU-1	1	1	1	1	-96.2076	55407.5225	3225.2921	9065.0591	4757.881
416	J[708]	SLU-1	1	1	1	1	-96.2076	34023.8096	3235.2358	9065.0591	4757.881
421	I[705]	SLU-1	1	1	1	1	-69.7611	34103.3607	3488.2179	9065.0591	4757.881
421	J[721]	SLU-1	1	1	1	1	-69.7611	11544.6306	3498.1616	9065.0591	4757.881
422	I[706]	SLU-1	1	1	1	1	-77.8191	28880.0228	3225.9836	9065.0591	4757.881
422	J[722]	SLU-1	1	1	1	1	-77.8191	9780.2453	3235.9273	9065.0591	4757.881
423	I[707]	SLU-1	1	1	1	1	-75.5949	28784.4456	3162.3291	9065.0591	4757.881
423	J[723]	SLU-1	1	1	1	1	-75.5949	9748.9487	3172.2728	9065.0591	4757.881
424	I[708]	SLU-1	1	1	1	1	-92.3678	34060.1367	3399.0659	9065.0591	4757.881
424	J[724]	SLU-1	1	1	1	1	-92.3678	11590.1601	3409.0096	9065.0591	4757.881
429	I[721]	SLU-1	1	1	1	1	-91.8079	11615.5277	3641.2825	9065.0591	4757.881
429	J[9]	SLU-1	1	3	4	4	-91.8079	325.1351	3646.2544	9065.0591	4757.881
430	I[722]	SLU-1	1	1	1	1	-86.4828	9831.701	3385.6598	9065.0591	4757.881
430	J[10]	SLU-1	1	3	4	4	-86.4828	307.1056	3390.6317	9065.0591	4757.881
431	I[723]	SLU-1	1	1	1	1	-85.2056	9800.3751	3324.8426	9065.0591	4757.881
431	J[11]	SLU-1	1	3	4	4	-85.2056	303.1932	3329.8144	9065.0591	4757.881
432	I[724]	SLU-1	1	1	1	1	-88.7483	11597.6835	3557.7873	9065.0591	4757.881
432	J[12]	SLU-1	1	3	4	4	-88.7483	316.2416	3562.7591	9065.0591	4757.881

13.2.1.3 VERIFICA DI INSTABILITÀ FLESSO-TORSIONALE

Elem	part	Lcom	Sect. Class	N_Ed (kN)	M_Ed (kN*m)	Nb,Rd (kN)	Mb,Rd (kN*m)	Mcr (kN*m)	Interaction Ratio
1	I[34]	SLU-1	1	91.7719	17076.4474	93918.6944	50187.5073	227.432	0.3412
1	J[346]	SLU-1	1	92.1945	17327.3923	93918.6944	50187.5073	227.432	0.3462
2	I[35]	SLU-1	1	88.2418	16392.8355	93918.6944	50187.5328	227.4415	0.3276
2	J[347]	SLU-1	1	88.4575	16633.1788	93918.6944	50187.5328	227.4415	0.3324
3	I[36]	SLU-1	1	-100.0084	20307.1502	105598.4127	52251.4726	1593.9216	0.3896
3	J[348]	SLU-1	1	-100.6628	20647.0259	105598.4127	52251.4726	1593.9216	0.3961
4	I[33]	SLU-1	1	264.711	21763.3092	105598.4127	52251.4726	1593.9185	0.419
4	J[345]	SLU-1	1	265.8666	22126.0502	105598.4127	52251.4726	1593.9185	0.426
9	I[35]	SLU-1	1	88.2418	16393.6728	97972.7551	48973.3292	1380.9827	0.3356
9	J[331]	SLU-1	1	88.2418	16228.8424	97972.7551	48973.3292	1380.9827	0.3323
10	I[34]	SLU-1	1	91.7719	17077.2675	97972.7551	48973.3292	1381.0604	0.3496
10	J[330]	SLU-1	1	91.7719	16901.0297	97972.7551	48973.3292	1381.0604	0.346
11	I[42]	SLU-1	1	46.1138	16983.9832	97972.7551	48973.3292	1381.3111	0.3473
11	J[522]	SLU-1	1	46.1138	16799.6236	97972.7551	48973.3292	1381.3111	0.3435
12	I[43]	SLU-1	1	42.6097	16300.4499	97972.7551	48973.3292	1381.2399	0.3333
12	J[523]	SLU-1	1	42.6097	16127.4685	97972.7551	48973.3292	1381.2399	0.3297
13	I[41]	SLU-1	1	218.9616	21670.6643	104026.2698	49430.0863	1387.5174	0.4405
13	J[521]	SLU-1	1	218.4509	21395.3737	104026.2698	49430.0863	1387.5174	0.4349
14	I[33]	SLU-1	1	264.711	21764.8868	104026.2698	49430.0863	1387.2983	0.4429
14	J[329]	SLU-1	1	264.2003	21497.8068	104026.2698	49430.0863	1387.2983	0.4375
15	I[36]	SLU-1	1	-100.0084	20306.6219	104026.2698	49430.0863	1386.7967	0.4118
15	J[332]	SLU-1	1	-100.0084	20080.0895	104026.2698	49430.0863	1386.7967	0.4072
16	I[44]	SLU-1	1	-145.5546	20213.0517	104026.2698	49430.0863	1387.0229	0.4103
16	J[524]	SLU-1	1	-145.5546	19978.3438	104026.2698	49430.0863	1387.0229	0.4056
25	I[19]	SLU-1	1	78.6843	10721.2957	86088.7075	37877.5112	561.5662	0.284
25	J[219]	SLU-1	1	78.5932	10277.0356	86088.7075	37877.5112	561.5662	0.2722
26	I[18]	SLU-1	1	74.5042	11086.2505	86088.7075	37877.5112	561.7773	0.2936
26	J[218]	SLU-1	1	74.5211	10611.7701	86088.7075	37877.5112	561.7773	0.281
27	I[27]	SLU-1	1	-27.7692	10500.0245	86088.7075	37877.5112	561.8997	0.2775
27	J[635]	SLU-1	1	-27.8603	10047.611	86088.7075	37877.5112	561.8997	0.2656
28	I[26]	SLU-1	1	-32.0421	10864.8661	86088.7075	37877.5112	562.1064	0.2872
28	J[634]	SLU-1	1	-32.0252	10382.2617	86088.7075	37877.5112	562.1064	0.2745
29	I[25]	SLU-1	1	69.119	13061.8441	92142.2222	38291.5104	565.295	0.3419
29	J[633]	SLU-1	1	66.3581	12390.9615	92142.2222	38291.5104	565.295	0.3243
30	I[28]	SLU-1	1	-137.901	12359.6783	92142.2222	38291.5104	564.7924	0.3243
30	J[636]	SLU-1	1	-135.8754	11758.5598	92142.2222	38291.5104	564.7924	0.3086
31	I[4]	SLV-1	1	170.6037	392.6625	92142.2222	38291.5104	792.306	0.0121
31	J[132]	SLU-1	1	47.8113	1264.1653	92142.2222	38291.5104	934.0878	0.0335
32	I[1]	SLV-7	4	-95.8155	-167.0404	30732.8571	18614.8811	457.5767	0.0121
32	J[129]	SLU-1	1	46.5275	1300.2859	92142.2222	38291.5104	937.0762	0.0345
54	I[65]	SLU-1	1	118.6818	7492.4286	92142.2222	38291.5104	306.3066	0.197
54	J[185]	SLU-1	1	121.054	9320.3803	92142.2222	38291.5104	306.3066	0.2447
55	I[66]	SLU-1	1	57.982	6585.7706	86088.7075	37877.5112	317.0225	0.1745
55	J[162]	SLU-1	1	56.803	4957.919	86088.7075	37877.5112	314.5252	0.1316
57	I[67]	SLU-1	1	62.4044	6380.9385	86088.7075	37877.5112	314.4736	0.1692

57	J[163]	SLU-1	1	61.0719	4808.2905	86088.7075	37877.5112	314.4736	0.1277
59	I[68]	SLU-1	1	1.6673	7163.3498	92142.2222	38291.5104	306.144	0.1871
59	J[188]	SLU-1	1	0.5743	8892.038	92142.2222	38291.5104	306.144	0.2322
68	I[73]	SLU-1	1	191.2936	15476.9654	104026.2698	49430.0863	724.8423	0.3149
68	J[233]	SLU-1	1	188.6874	14100.8161	104026.2698	49430.0863	724.8423	0.2871
69	I[74]	SLU-1	1	79.6116	12719.8055	97972.7551	48973.3292	719.9064	0.2605
69	J[234]	SLU-1	1	78.8673	11711.7986	97972.7551	48973.3292	719.9064	0.24
71	I[75]	SLU-1	1	83.0479	12269.4511	97972.7551	48973.3292	719.5307	0.2514
71	J[235]	SLU-1	1	82.1987	11319.5958	97972.7551	48973.3292	719.5307	0.232
73	I[76]	SLU-1	1	-41.3687	14618.0353	104026.2698	49430.0863	724.1364	0.2961
73	J[236]	SLU-1	1	-39.2828	13361.0104	104026.2698	49430.0863	724.1364	0.2707
82	I[81]	SLU-1	1	251.622	20757.9047	104026.2698	49430.0863	705.156	0.4224
82	J[305]	SLU-1	1	249.1853	19918.8687	104026.2698	49430.0863	705.156	0.4054
83	I[82]	SLU-1	1	91.9182	16394.8022	97972.7551	48973.3292	701.1948	0.3357
83	J[306]	SLU-1	1	91.0314	15827.2725	97972.7551	48973.3292	701.1948	0.3241
85	I[83]	SLU-1	1	90.2731	15742.6685	97972.7551	48973.3292	700.9512	0.3224
85	J[307]	SLU-1	1	89.5828	15216.8538	97972.7551	48973.3292	700.9512	0.3116
87	I[84]	SLU-1	1	-85.877	19407.8498	104026.2698	49430.0863	704.6102	0.3935
87	J[308]	SLU-1	1	-84.7703	18667.2612	104026.2698	49430.0863	704.6102	0.3785
96	I[89]	SLU-1	1	275.4665	23346.1509	105598.4127	52251.4726	794.3832	0.4494
96	J[401]	SLU-1	1	275.3539	23548.3728	105598.4127	52251.4726	794.3832	0.4533
97	I[90]	SLU-1	1	87.5764	18126.9452	93918.6944	50187.5073	227.432	0.3621
97	J[402]	SLU-1	1	87.0811	18268.4118	93918.6944	50187.5073	227.432	0.3649
99	I[91]	SLU-1	1	81.2063	17367.5998	93918.6944	50187.5328	227.4415	0.3469
99	J[403]	SLU-1	1	80.6111	17509.0325	93918.6944	50187.5328	227.4415	0.3497
101	I[92]	SLU-1	1	-122.1595	21716.7074	105598.4127	52251.4726	794.384	0.4168
101	J[404]	SLU-1	1	-122.498	21904.4487	105598.4127	52251.4726	794.384	0.4204
110	I[97]	SLU-1	1	252.8397	23307.584	105598.4127	52251.4726	796.5613	0.4485
110	J[473]	SLU-1	1	252.2159	22993.4654	105598.4127	52251.4726	796.5613	0.4424
111	I[98]	SLU-1	1	67.1467	18088.8445	93918.6944	50187.5073	227.432	0.3611
111	J[474]	SLU-1	1	66.9196	17877.162	93918.6944	50187.5073	227.432	0.3569
113	I[99]	SLU-1	1	61.1142	17329.341	93918.6944	50187.5328	227.4415	0.3459
113	J[475]	SLU-1	1	61.0293	17138.0638	93918.6944	50187.5328	227.4415	0.3421
115	I[100]	SLU-1	1	-139.9415	21677.9176	105598.4127	52251.4726	796.2567	0.4162
115	J[476]	SLU-1	1	-139.7121	21409.5457	105598.4127	52251.4726	796.2567	0.4111
124	I[105]	SLU-1	1	190.639	20640.489	104026.2698	49430.0863	705.4139	0.4194
124	J[545]	SLU-1	1	188.2022	19785.0311	104026.2698	49430.0863	705.4139	0.4021
125	I[106]	SLU-1	1	31.0349	16278.5497	97972.7551	48973.3292	701.4869	0.3327
125	J[546]	SLU-1	1	30.1481	15694.7781	97972.7551	48973.3292	701.4869	0.3208
127	I[107]	SLU-1	1	29.4231	15626.5221	97972.7551	48973.3292	701.25	0.3194
127	J[547]	SLU-1	1	28.7327	15084.403	97972.7551	48973.3292	701.25	0.3083
129	I[108]	SLU-1	1	-146.6083	19291.2753	104026.2698	49430.0863	704.8761	0.3917
129	J[548]	SLU-1	1	-145.5016	18534.3202	104026.2698	49430.0863	704.8761	0.3764
138	I[113]	SLU-1	1	92.221	15281.0207	104026.2698	49430.0863	725.4022	0.31
138	J[617]	SLU-1	1	89.6147	13888.4703	104026.2698	49430.0863	725.4022	0.2818
139	I[114]	SLU-1	1	-19.3251	12525.8541	97972.7551	48973.3292	720.5189	0.256
139	J[618]	SLU-1	1	-20.0695	11501.6	97972.7551	48973.3292	720.5189	0.2351
141	I[115]	SLU-1	1	-15.8097	12075.6257	97972.7551	48973.3292	720.1537	0.2467
141	J[619]	SLU-1	1	-16.6589	11109.4646	97972.7551	48973.3292	720.1537	0.227
143	I[116]	SLU-1	1	-140.1035	14423.4362	104026.2698	49430.0863	724.7084	0.2931
143	J[620]	SLU-1	1	-138.0176	13150.0319	104026.2698	49430.0863	724.7084	0.2674
152	I[121]	SLU-1	1	-36.4483	7215.8972	92142.2222	38291.5104	318.4522	0.1888
152	J[689]	SLU-1	1	-38.5346	5260.4781	92142.2222	38291.5104	318.4522	0.1378
153	I[122]	SLU-1	1	-79.0098	6309.2037	86088.7075	37877.5112	318.7128	0.1675
153	J[690]	SLU-1	1	-80.1888	4665.0548	86088.7075	37877.5112	316.1492	0.1241
155	I[123]	SLU-1	1	-74.4445	6104.589	86088.7075	37877.5112	316.1282	0.162
155	J[691]	SLU-1	1	-75.777	4515.62	86088.7075	37877.5112	316.1282	0.1201
157	I[124]	SLU-1	1	-123.5719	6886.5192	92142.2222	38291.5104	318.0944	0.1812
157	J[692]	SLU-1	1	-122.8549	5040.3648	92142.2222	38291.5104	318.0944	0.133
165	I[129]	SLU-1	1	60.2827	1298.472	92142.2222	38291.5104	395.7815	0.0346
165	J[145]	SLU-1	1	60.9189	3495.1529	92142.2222	38291.5104	395.7815	0.0919
166	I[130]	SLU-1	1	51.6343	1208.1893	86088.7075	37877.5112	931.3608	0.0325
166	J[2]	SLV-1	1	170.4496	388.723	86088.7075	37877.5112	790.7137	0.0122
167	I[131]	SLU-1	1	52.6938	1179.7077	86088.7075	37877.5112	934.315	0.0318
167	J[3]	SLV-1	1	170.9417	389.741	86088.7075	37877.5112	788.3388	0.0123
168	I[132]	SLU-1	1	37.727	1264.2203	92142.2222	38291.5104	395.2979	0.0334
168	J[148]	SLU-1	1	36.4198	3370.2255	92142.2222	38291.5104	395.2979	0.0884
173	I[145]	SLU-1	1	79.0344	3493.1976	92142.2222	38291.5104	339.3025	0.0921
173	J[161]	SLU-1	1	80.566	5557.5263	92142.2222	38291.5104	339.3025	0.146
174	I[146]	SLU-1	1	52.6473	3172.4637	86088.7075	37877.5112	393.1936	0.0844
174	J[130]	SLU-1	1	52.2303	1207.189	86088.7075	37877.5112	393.1936	0.0325
175	I[147]	SLU-1	1	54.7086	3082.2988	86088.7075	37877.5112	393.0023	0.082
175	J[131]	SLU-1	1	54.2103	1178.4919	86088.7075	37877.5112	393.0023	0.0317
176	I[148]	SLU-1	1	25.7839	3370.3006	92142.2222	38291.5104	338.9177	0.0883
176	J[164]	SLU-1	1	24.6153	5333.8891	92142.2222	38291.5104	338.9177	0.1396

181	I[161]	SLU-1	1	98.6225	5555.5059	92142.2222	38291.5104	316.9322	0.1462
181	J[65]	SLU-1	1	100.7088	7494.6538	92142.2222	38291.5104	316.9322	0.1968
182	I[162]	SLU-1	1	54.9581	4959.3129	86088.7075	37877.5112	339.0197	0.1316
182	J[146]	SLU-1	1	53.984	3171.2127	86088.7075	37877.5112	336.8772	0.0843
183	I[163]	SLU-1	1	58.1951	4809.8745	86088.7075	37877.5112	338.7948	0.1277
183	J[147]	SLU-1	1	57.1172	3080.8536	86088.7075	37877.5112	336.7868	0.082
184	I[164]	SLU-1	1	13.9023	5333.9652	92142.2222	38291.5104	316.5435	0.1394
184	J[68]	SLU-1	1	13.1854	7163.674	92142.2222	38291.5104	316.5435	0.1872
189	I[185]	SLU-1	1	137.6877	9318.4342	92142.2222	38291.5104	299.7004	0.2448
189	J[201]	SLU-1	1	140.3151	11029.2097	92142.2222	38291.5104	299.7004	0.2896
190	I[186]	SLU-1	1	61.8654	8056.3509	86088.7075	37877.5112	303.925	0.2134
190	J[66]	SLU-1	1	59.8496	6584.2177	86088.7075	37877.5112	303.925	0.1745
191	I[187]	SLU-1	1	66.6857	7816.1996	86088.7075	37877.5112	306.032	0.2071
191	J[67]	SLU-1	1	65.1645	6379.1464	86088.7075	37877.5112	304.0568	0.1692
192	I[188]	SLU-1	1	-9.1975	8892.1421	92142.2222	38291.5104	299.5086	0.2323
192	J[204]	SLU-1	1	-10.2326	10499.6472	92142.2222	38291.5104	299.5086	0.2743
197	I[201]	SLU-1	1	155.7858	11027.3756	92142.2222	38291.5104	295.0906	0.2897
197	J[217]	SLU-1	1	158.9049	12624.1512	92142.2222	38291.5104	295.0906	0.3314
198	I[202]	SLU-1	1	66.2873	9398.4187	86088.7075	37877.5112	297.4987	0.2489
198	J[186]	SLU-1	1	64.906	8055.0016	86088.7075	37877.5112	297.4987	0.2134
199	I[203]	SLU-1	1	71.3688	9113.121	86088.7075	37877.5112	299.5782	0.2414
199	J[187]	SLU-1	1	69.5581	7814.5752	86088.7075	37877.5112	297.478	0.2071
200	I[204]	SLU-1	1	-19.1615	10499.771	92142.2222	38291.5104	294.8698	0.2744
200	J[220]	SLU-1	1	-21.3627	11988.4715	92142.2222	38291.5104	294.8698	0.3133
205	I[217]	SLU-1	1	173.0493	12622.4575	92142.2222	38291.5104	564.9883	0.3315
205	J[17]	SLU-1	1	175.8101	13285.1443	92142.2222	38291.5104	564.9883	0.3489
206	I[218]	SLU-1	1	71.191	10614.0499	86088.7075	37877.5112	292.966	0.281
206	J[202]	SLU-1	1	69.6068	9397.0727	86088.7075	37877.5112	292.966	0.2489
207	I[219]	SLU-1	1	76.0379	10278.4631	86088.7075	37877.5112	295.0688	0.2722
207	J[203]	SLU-1	1	74.1418	9111.5711	86088.7075	37877.5112	292.8814	0.2414
208	I[220]	SLU-1	1	-29.5341	11988.6168	92142.2222	38291.5104	564.4819	0.3134
208	J[20]	SLU-1	1	-31.5596	12581.5436	92142.2222	38291.5104	564.4819	0.3289
213	I[233]	SLU-1	1	175.8187	14102.6645	104026.2698	49430.0863	1421.7946	0.287
213	J[17]	SLU-1	1	175.8101	13279.9751	104026.2698	49430.0863	1421.7946	0.2704
214	I[234]	SLU-1	1	75.824	11714.0465	97972.7551	48973.3292	1414.0862	0.24
214	J[18]	SLU-1	1	74.5042	11082.9337	97972.7551	48973.3292	1414.0862	0.2271
215	I[235]	SLU-1	1	80.0913	11320.9951	97972.7551	48973.3292	1416.348	0.232
215	J[19]	SLU-1	1	78.6843	10717.7495	97972.7551	48973.3292	1413.8132	0.2197
216	I[236]	SLU-1	1	-31.5596	13360.5983	104026.2698	49430.0863	1421.7239	0.2706
216	J[20]	SLU-1	1	-31.5596	12581.7927	104026.2698	49430.0863	1421.7239	0.2548
221	I[257]	SLU-1	1	205.7969	16750.6878	104026.2698	49430.0863	719.6014	0.3409
221	J[73]	SLU-1	1	203.4429	15475.0553	104026.2698	49430.0863	719.6014	0.315
222	I[258]	SLU-1	1	82.3488	13639.8029	97972.7551	48973.3292	714.776	0.2794
222	J[74]	SLU-1	1	81.9651	12717.6241	97972.7551	48973.3292	714.776	0.2605
223	I[259]	SLU-1	1	84.785	13152.4881	97972.7551	48973.3292	719.9804	0.2694
223	J[75]	SLU-1	1	84.3778	12268.0363	97972.7551	48973.3292	714.7309	0.2514
224	I[260]	SLU-1	1	-52.2479	15795.2075	104026.2698	49430.0863	719.21	0.32
224	J[76]	SLU-1	1	-50.0302	14618.1269	104026.2698	49430.0863	719.21	0.2962
229	I[273]	SLU-1	1	218.7704	17916.1048	104026.2698	49430.0863	715.1338	0.3646
229	J[257]	SLU-1	1	216.4838	16749.0882	104026.2698	49430.0863	715.1338	0.3409
230	I[274]	SLU-1	1	85.0643	14462.7185	97972.7551	48973.3292	710.4804	0.2962
230	J[258]	SLU-1	1	84.2784	13637.8254	97972.7551	48973.3292	710.4804	0.2793
231	I[275]	SLU-1	1	86.5341	13936.0711	97972.7551	48973.3292	715.6971	0.2854
231	J[259]	SLU-1	1	85.8048	13151.2824	97972.7551	48973.3292	710.3519	0.2694
232	I[276]	SLU-1	1	-61.4389	16862.2406	104026.2698	49430.0863	714.6799	0.3417
232	J[260]	SLU-1	1	-59.7977	15795.6312	104026.2698	49430.0863	714.6799	0.3201
237	I[289]	SLU-1	1	230.6815	18973.2524	104026.2698	49430.0863	711.3498	0.3861
237	J[273]	SLU-1	1	228.3316	17914.6491	104026.2698	49430.0863	711.3498	0.3646
238	I[290]	SLU-1	1	87.7561	15189.8985	97972.7551	48973.3292	706.8254	0.3111
238	J[274]	SLU-1	1	86.6105	14460.8742	97972.7551	48973.3292	706.8254	0.2962
239	I[291]	SLU-1	1	88.2424	14621.7108	97972.7551	48973.3292	712.0688	0.2995
239	J[275]	SLU-1	1	87.2191	13934.9762	97972.7551	48973.3292	706.6275	0.2854
240	I[292]	SLU-1	1	-70.0981	17818.9179	104026.2698	49430.0863	710.8353	0.3612
240	J[276]	SLU-1	1	-68.7287	16862.6648	104026.2698	49430.0863	710.8353	0.3418
245	I[305]	SLU-1	1	241.9652	19920.0175	104026.2698	49430.0863	708.0494	0.4053
245	J[289]	SLU-1	1	239.0948	18971.9477	104026.2698	49430.0863	708.0494	0.3861
246	I[306]	SLU-1	1	90.2739	15828.7942	97972.7551	48973.3292	703.736	0.3241
246	J[290]	SLU-1	1	88.9526	15188.1996	97972.7551	48973.3292	703.736	0.311
247	I[307]	SLU-1	1	89.7057	15217.6965	97972.7551	48973.3292	703.4892	0.3116
247	J[291]	SLU-1	1	88.5549	14620.7371	97972.7551	48973.3292	703.4892	0.2994
248	I[308]	SLU-1	1	-78.1573	18666.8491	104026.2698	49430.0863	707.5202	0.3784
248	J[292]	SLU-1	1	-77.0544	17819.3332	104026.2698	49430.0863	707.5202	0.3612
253	I[329]	SLU-1	1	259.6079	21498.6084	104026.2698	49430.0863	702.7282	0.4374
253	J[81]	SLU-1	1	257.7657	20756.8045	104026.2698	49430.0863	702.7282	0.4224
254	I[330]	SLU-1	1	92.1852	16902.1132	97972.7551	48973.3292	698.92	0.3461

254	J[82]	SLU-1	1	92.0045	16393.4631	97972.7551	48973.3292	698.92	0.3357
255	I[331]	SLU-1	1	89.4643	16229.3854	97972.7551	48973.3292	698.9278	0.3323
255	J[83]	SLU-1	1	89.488	15741.9081	97972.7551	48973.3292	698.9278	0.3224
256	I[332]	SLU-1	1	-94.0748	20079.678	104026.2698	49430.0863	702.4753	0.4071
256	J[84]	SLU-1	1	-92.8197	19408.0483	104026.2698	49430.0863	702.4753	0.3935
261	I[345]	SLU-1	1	269.2315	22125.4023	105598.4127	52251.4726	801.0076	0.426
261	J[361]	SLU-1	1	270.6887	22643.3317	105598.4127	52251.4726	801.0076	0.4359
262	I[346]	SLU-1	1	91.3609	17326.5102	93918.6944	50187.5073	227.432	0.3462
262	J[362]	SLU-1	1	91.9872	17669.6585	93918.6944	50187.5073	227.432	0.3531
263	I[347]	SLU-1	1	86.9003	16632.7843	93918.6944	50187.5328	227.4415	0.3323
263	J[363]	SLU-1	1	87.3297	16953.0313	93918.6944	50187.5328	227.4415	0.3387
264	I[348]	SLU-1	1	-106.2351	20647.4713	105598.4127	52251.4726	800.719	0.3962
264	J[364]	SLU-1	1	-106.6904	21107.9652	105598.4127	52251.4726	800.719	0.405
269	I[361]	SLU-1	1	272.8996	22642.8476	105598.4127	52251.4726	798.6021	0.4359
269	J[377]	SLU-1	1	274.0948	23048.927	105598.4127	52251.4726	798.6021	0.4437
270	I[362]	SLU-1	1	90.7577	17668.9652	93918.6944	50187.5073	227.432	0.353
270	J[378]	SLU-1	1	91.4613	17932.2417	93918.6944	50187.5073	227.432	0.3583
271	I[363]	SLU-1	1	85.5006	16952.7627	93918.6944	50187.5328	227.4415	0.3387
271	J[379]	SLU-1	1	86.0277	17192.7977	93918.6944	50187.5328	227.4415	0.3435
272	I[364]	SLU-1	1	-111.9461	21108.4008	105598.4127	52251.4726	798.315	0.405
272	J[380]	SLU-1	1	-111.9541	21463.9079	105598.4127	52251.4726	798.315	0.4118
277	I[377]	SLU-1	1	275.0855	23048.616	105598.4127	52251.4726	796.3525	0.4437
277	J[89]	SLU-1	1	275.7093	23346.3168	105598.4127	52251.4726	796.3525	0.4494
278	I[378]	SLU-1	1	89.7524	17931.7625	93918.6944	50187.5073	227.432	0.3583
278	J[90]	SLU-1	1	89.9795	18127.1953	93918.6944	50187.5073	227.432	0.3621
279	I[379]	SLU-1	1	83.8547	17192.6587	93918.6944	50187.5328	227.4415	0.3435
279	J[91]	SLU-1	1	83.9395	17367.6275	93918.6944	50187.5328	227.4415	0.3469
280	I[380]	SLU-1	1	-116.947	21464.3383	105598.4127	52251.4726	796.0395	0.4119
280	J[92]	SLU-1	1	-117.1765	21716.3518	105598.4127	52251.4726	796.0395	0.4167
285	I[401]	SLU-1	1	273.6927	23548.4308	105598.4127	52251.4726	792.2239	0.4533
285	J[417]	SLU-1	1	273.5476	23639.8545	105598.4127	52251.4726	792.2239	0.455
286	I[402]	SLU-1	1	84.0974	18268.4193	93918.6944	50187.5073	227.432	0.3649
286	J[418]	SLU-1	1	83.8123	18332.0045	93918.6944	50187.5073	227.432	0.3662
287	I[403]	SLU-1	1	77.4534	17509.1795	93918.6944	50187.5328	227.4415	0.3497
287	J[419]	SLU-1	1	77.1121	17572.4707	93918.6944	50187.5328	227.4415	0.351
288	I[404]	SLU-1	1	-127.0107	21904.8743	105598.4127	52251.4726	792.2238	0.4204
288	J[420]	SLU-1	1	-127.0228	21989.4389	105598.4127	52251.4726	792.2238	0.422
293	I[417]	SLU-1	1	270.6219	23640.0986	105598.4127	52251.4726	790.4171	0.455
293	J[433]	SLU-1	1	270.6219	23631.8907	105598.4127	52251.4726	790.4171	0.4548
294	I[418]	SLU-1	1	80.4013	18332.2235	93918.6944	50187.5073	227.432	0.3661
294	J[434]	SLU-1	1	80.4013	18324.0974	93918.6944	50187.5073	227.432	0.366
295	I[419]	SLU-1	1	73.6694	17572.7583	93918.6944	50187.5328	227.4415	0.3509
295	J[435]	SLU-1	1	73.6694	17564.6044	93918.6944	50187.5328	227.4415	0.3508
296	I[420]	SLU-1	1	-131.1575	21989.8566	105598.4127	52251.4726	790.4212	0.4221
296	J[436]	SLU-1	1	-131.1575	21981.6793	105598.4127	52251.4726	790.4212	0.4219
301	I[433]	SLU-1	1	265.9194	23632.415	105598.4127	52251.4726	792.4241	0.4548
301	J[449]	SLU-1	1	266.0646	23524.5728	105598.4127	52251.4726	792.4241	0.4527
302	I[434]	SLU-1	1	76.2039	18324.6389	93918.6944	50187.5073	227.432	0.3659
302	J[450]	SLU-1	1	76.489	18244.8037	93918.6944	50187.5073	227.432	0.3643
303	I[435]	SLU-1	1	69.5088	17565.1494	93918.6944	50187.5328	227.4415	0.3507
303	J[451]	SLU-1	1	69.85	17485.5491	93918.6944	50187.5328	227.4415	0.3491
304	I[436]	SLU-1	1	-134.6138	21982.0783	105598.4127	52251.4726	792.4323	0.422
304	J[452]	SLU-1	1	-134.6017	21881.1548	105598.4127	52251.4726	792.4323	0.42
309	I[449]	SLU-1	1	260.0974	23525.2815	105598.4127	52251.4726	794.5864	0.4527
309	J[97]	SLU-1	1	260.2101	23306.6408	105598.4127	52251.4726	794.5864	0.4485
310	I[450]	SLU-1	1	71.8643	18245.5579	93918.6944	50187.5073	227.432	0.3643
310	J[98]	SLU-1	1	72.3597	18087.8392	93918.6944	50187.5073	227.432	0.3612
311	I[451]	SLU-1	1	65.4046	17486.2346	93918.6944	50187.5328	227.4415	0.3491
311	J[99]	SLU-1	1	65.9998	17328.4958	93918.6944	50187.5328	227.4415	0.346
312	I[452]	SLU-1	1	-137.6806	21881.5458	105598.4127	52251.4726	794.5957	0.4201
312	J[100]	SLU-1	1	-137.3421	21677.4465	105598.4127	52251.4726	794.5957	0.4162
317	I[473]	SLU-1	1	243.5977	22994.5457	105598.4127	52251.4726	798.8198	0.4424
317	J[489]	SLU-1	1	242.4025	22572.0451	105598.4127	52251.4726	798.8198	0.4343
318	I[474]	SLU-1	1	61.0201	17878.4042	93918.6944	50187.5073	227.432	0.3569
318	J[490]	SLU-1	1	60.3165	17598.8804	93918.6944	50187.5073	227.432	0.3513
319	I[475]	SLU-1	1	55.5997	17139.0351	93918.6944	50187.5328	227.4415	0.3421
319	J[491]	SLU-1	1	55.0726	16882.6909	93918.6944	50187.5328	227.4415	0.337
320	I[476]	SLU-1	1	-142.3119	21409.9321	105598.4127	52251.4726	798.5411	0.4111
320	J[492]	SLU-1	1	-142.3039	21038.0642	105598.4127	52251.4726	798.5411	0.404
325	I[489]	SLU-1	1	232.5651	22573.2986	105598.4127	52251.4726	801.2377	0.4342
325	J[505]	SLU-1	1	231.1079	22038.9472	105598.4127	52251.4726	801.2377	0.424
326	I[490]	SLU-1	1	53.9375	17600.3332	93918.6944	50187.5073	227.432	0.3513
326	J[506]	SLU-1	1	53.3112	17240.9382	93918.6944	50187.5073	227.432	0.3441
327	I[491]	SLU-1	1	49.2993	16883.7917	93918.6944	50187.5328	227.4415	0.3369
327	J[507]	SLU-1	1	48.87	16547.2376	93918.6944	50187.5328	227.4415	0.3302

328	I[492]	SLU-1	1	-144.6418	21038.448	105598.4127	52251.4726	800.9577	0.404
328	J[508]	SLU-1	1	-144.1866	20561.5909	105598.4127	52251.4726	800.9577	0.3949
333	I[505]	SLU-1	1	220.1172	22040.3643	105598.4127	52251.4726	1594.1675	0.4239
333	J[41]	SLU-1	1	218.9616	21669.4126	105598.4127	52251.4726	1594.1675	0.4168
334	I[506]	SLU-1	1	46.5363	17242.5823	93918.6944	50187.5073	227.432	0.3441
334	J[42]	SLU-1	1	46.1138	16983.5151	93918.6944	50187.5073	227.432	0.3389
335	I[507]	SLU-1	1	42.8253	16548.462	93918.6944	50187.5328	227.4415	0.3302
335	J[43]	SLU-1	1	42.6097	16299.9656	93918.6944	50187.5328	227.4415	0.3252
336	I[508]	SLU-1	1	-146.2089	20561.9638	105598.4127	52251.4726	1594.1805	0.3949
336	J[44]	SLU-1	1	-145.5546	20213.9058	105598.4127	52251.4726	1594.1805	0.3882
341	I[521]	SLU-1	1	206.2336	21396.8891	104026.2698	49430.0863	702.9622	0.4349
341	J[105]	SLU-1	1	204.3915	20638.6641	104026.2698	49430.0863	702.9622	0.4195
342	I[522]	SLU-1	1	38.9184	16801.4113	97972.7551	48973.3292	699.1867	0.3435
342	J[106]	SLU-1	1	38.7376	16276.5136	97972.7551	48973.3292	699.1867	0.3328
343	I[523]	SLU-1	1	36.2308	16128.7827	97972.7551	48973.3292	699.2015	0.3297
343	J[107]	SLU-1	1	36.2545	15625.0018	97972.7551	48973.3292	699.2015	0.3194
344	I[524]	SLU-1	1	-147.2172	19978.6927	104026.2698	49430.0863	702.7177	0.4056
344	J[108]	SLU-1	1	-145.9621	19290.701	104026.2698	49430.0863	702.7177	0.3917
349	I[545]	SLU-1	1	173.359	19786.8933	104026.2698	49430.0863	708.3389	0.402
349	J[561]	SLU-1	1	170.4887	18822.4034	104026.2698	49430.0863	708.3389	0.3824
350	I[546]	SLU-1	1	21.7817	15697.0051	97972.7551	48973.3292	704.0609	0.3207
350	J[562]	SLU-1	1	20.4605	15040.1684	97972.7551	48973.3292	704.0609	0.3073
351	I[547]	SLU-1	1	21.2558	15086.0158	97972.7551	48973.3292	703.8213	0.3083
351	J[563]	SLU-1	1	20.1049	14472.7497	97972.7551	48973.3292	703.8213	0.2957
352	I[548]	SLU-1	1	-146.4876	18534.67	104026.2698	49430.0863	707.818	0.3764
352	J[564]	SLU-1	1	-145.3847	17670.7874	104026.2698	49430.0863	707.818	0.3589
357	I[561]	SLU-1	1	154.4533	18824.4214	104026.2698	49430.0863	711.6807	0.3823
357	J[577]	SLU-1	1	152.1035	17749.398	104026.2698	49430.0863	711.6807	0.3605
358	I[562]	SLU-1	1	11.6549	15042.5691	97972.7551	48973.3292	707.1938	0.3073
358	J[578]	SLU-1	1	10.5092	14297.3045	97972.7551	48973.3292	707.1938	0.292
359	I[563]	SLU-1	1	12.1932	14474.4953	97972.7551	48973.3292	712.477	0.2957
359	J[579]	SLU-1	1	11.17	13771.456	97972.7551	48973.3292	707.004	0.2813
360	I[564]	SLU-1	1	-146.0291	17671.1352	104026.2698	49430.0863	711.1752	0.3589
360	J[580]	SLU-1	1	-144.6597	16698.5121	104026.2698	49430.0863	711.1752	0.3392
365	I[577]	SLU-1	1	134.9211	17751.5661	104026.2698	49430.0863	715.5193	0.3604
365	J[593]	SLU-1	1	132.6345	16568.127	104026.2698	49430.0863	715.5193	0.3365
366	I[578]	SLU-1	1	1.3539	14299.8527	97972.7551	48973.3292	710.9069	0.292
366	J[594]	SLU-1	1	0.568	13458.7181	97972.7551	48973.3292	710.9069	0.2748
367	I[579]	SLU-1	1	2.8865	13773.3213	97972.7551	48973.3292	716.1693	0.2813
367	J[595]	SLU-1	1	2.1573	12972.2284	97972.7551	48973.3292	710.7878	0.2649
368	I[580]	SLU-1	1	-144.9721	16698.8539	104026.2698	49430.0863	715.0757	0.3392
368	J[596]	SLU-1	1	-143.3309	15615.8739	104026.2698	49430.0863	715.0757	0.3173
373	I[593]	SLU-1	1	114.3275	16570.4397	104026.2698	49430.0863	720.0606	0.3363
373	J[113]	SLU-1	1	111.9735	15278.3887	104026.2698	49430.0863	720.0606	0.3102
374	I[594]	SLU-1	1	-8.9709	13461.398	97972.7551	48973.3292	715.2807	0.275
374	J[114]	SLU-1	1	-9.3545	12522.9791	97972.7551	48973.3292	715.2807	0.2558
375	I[595]	SLU-1	1	-6.4601	12974.206	97972.7551	48973.3292	720.5382	0.265
375	J[115]	SLU-1	1	-6.8673	12073.451	97972.7551	48973.3292	715.2472	0.2466
376	I[596]	SLU-1	1	-143.3849	15616.2107	104026.2698	49430.0863	719.6814	0.3173
376	J[116]	SLU-1	1	-141.1672	14422.7586	104026.2698	49430.0863	719.6814	0.2931
381	I[617]	SLU-1	1	69.1275	13891.0302	104026.2698	49430.0863	1422.5244	0.2817
381	J[25]	SLU-1	1	69.119	13060.1469	104026.2698	49430.0863	1422.5244	0.2649
382	I[618]	SLU-1	1	-30.7223	11504.5515	97972.7551	48973.3292	1414.8823	0.2352
382	J[26]	SLU-1	1	-32.0421	10865.3107	97972.7551	48973.3292	1414.8823	0.2222
383	I[619]	SLU-1	1	-26.3622	11111.6353	97972.7551	48973.3292	1417.186	0.2272
383	J[27]	SLU-1	1	-27.7692	10500.2351	97972.7551	48973.3292	1414.6235	0.2147
384	I[620]	SLU-1	1	-137.901	13150.3811	104026.2698	49430.0863	1422.4751	0.2674
384	J[28]	SLU-1	1	-137.901	12363.3846	104026.2698	49430.0863	1422.4751	0.2514
389	I[633]	SLU-1	1	44.5948	12393.1204	92142.2222	38291.5104	295.4629	0.3241
389	J[649]	SLU-1	1	41.4757	10779.9561	92142.2222	38291.5104	295.4629	0.282
390	I[634]	SLU-1	1	-42.9648	10384.9745	86088.7075	37877.5112	293.3675	0.2747
390	J[650]	SLU-1	1	-44.549	9151.7419	86088.7075	37877.5112	293.3675	0.2421
391	I[635]	SLU-1	1	-38.0108	10049.5406	86088.7075	37877.5112	295.5066	0.2658
391	J[651]	SLU-1	1	-39.9069	8866.3434	86088.7075	37877.5112	293.2899	0.2345
392	I[636]	SLU-1	1	-135.3109	11758.9313	92142.2222	38291.5104	295.2503	0.3086
392	J[652]	SLU-1	1	-133.1097	10253.8444	92142.2222	38291.5104	295.2503	0.2692
397	I[649]	SLU-1	1	18.3851	10782.2542	92142.2222	38291.5104	300.214	0.2818
397	J[665]	SLU-1	1	15.7576	9055.0998	92142.2222	38291.5104	300.214	0.2366
398	I[650]	SLU-1	1	-55.4781	9153.5224	86088.7075	37877.5112	298.0497	0.2423
398	J[666]	SLU-1	1	-56.8595	7793.8436	86088.7075	37877.5112	298.0497	0.2064
399	I[651]	SLU-1	1	-50.2748	8868.3953	86088.7075	37877.5112	300.1738	0.2347
399	J[667]	SLU-1	1	-52.0855	7553.5426	86088.7075	37877.5112	298.0394	0.2
400	I[652]	SLU-1	1	-131.7869	10254.236	92142.2222	38291.5104	300.0334	0.2692
400	J[668]	SLU-1	1	-130.7519	8630.3432	92142.2222	38291.5104	300.0334	0.2268
405	I[665]	SLU-1	1	-8.4978	9057.5115	92142.2222	38291.5104	307.0665	0.2366

405	J[121]	SLU-1	1	-10.87	7213.1937	92142.2222	38291.5104	307.0665	0.1885
406	I[666]	SLU-1	1	-67.5096	7795.6282	86088.7075	37877.5112	304.7346	0.2066
406	J[122]	SLU-1	1	-69.5253	6307.2245	86088.7075	37877.5112	304.7346	0.1673
407	I[667]	SLU-1	1	-62.5527	7555.6689	86088.7075	37877.5112	306.9001	0.2002
407	J[123]	SLU-1	1	-64.0738	6102.3066	86088.7075	37877.5112	304.8844	0.1619
408	I[668]	SLU-1	1	-128.5851	8630.7553	92142.2222	38291.5104	308.0591	0.2268
408	J[124]	SLU-1	1	-127.4921	6885.676	92142.2222	38291.5104	306.9206	0.1812
413	I[689]	SLU-1	1	-64.218	5262.9646	92142.2222	38291.5104	343.2213	0.1381
413	J[705]	SLU-1	1	-65.7495	3182.3829	92142.2222	38291.5104	342.2683	0.0838
414	I[690]	SLU-1	1	-89.6427	4666.8838	86088.7075	37877.5112	340.0402	0.1243
414	J[706]	SLU-1	1	-90.6167	2862.4754	86088.7075	37877.5112	340.0402	0.0766
415	I[691]	SLU-1	1	-86.2489	4517.7069	86088.7075	37877.5112	342.0932	0.1203
415	J[707]	SLU-1	1	-87.3267	2772.3611	86088.7075	37877.5112	340.0071	0.0742
416	I[692]	SLU-1	1	-119.742	5040.805	92142.2222	38291.5104	341.9416	0.1329
416	J[708]	SLU-1	1	-118.5733	3060.7654	92142.2222	38291.5104	341.9416	0.0812
421	I[705]	SLU-1	1	-91.496	3184.805	92142.2222	38291.5104	406.1953	0.0842
421	J[721]	SLU-1	1	-92.1321	971.8918	92142.2222	38291.5104	405.5273	0.0264
422	I[706]	SLU-1	1	-99.5621	2864.1626	86088.7075	37877.5112	403.5766	0.0768
422	J[722]	SLU-1	1	-99.9791	882.5689	86088.7075	37877.5112	403.5766	0.0245
423	I[707]	SLU-1	1	-97.3307	2774.3098	86088.7075	37877.5112	404.9493	0.0744
423	J[723]	SLU-1	1	-97.829	854.1726	86088.7075	37877.5112	403.5657	0.0237
424	I[708]	SLU-1	1	-115.5335	3061.207	92142.2222	38291.5104	405.969	0.0812
424	J[724]	SLU-1	1	-114.2263	938.7467	92142.2222	38291.5104	405.2253	0.0258
429	I[721]	SLU-1	1	-113.5241	974.1733	92142.2222	38291.5104	1049.4796	0.0267
429	J[9]	SLV-7	4	-214.3865	-414.6327	30732.8571	18614.8811	570.0845	0.0293
430	I[722]	SLU-1	1	-108.1837	884.0059	86088.7075	37877.5112	1050.7423	0.0246
430	J[10]	SLV-7	4	-213.3488	-411.0211	30524.5905	18201.6274	549.1639	0.0296
431	I[723]	SLU-1	1	-106.9414	855.893	86088.7075	37877.5112	1056.7767	0.0238
431	J[11]	SLV-7	4	-212.9073	-410.1122	30524.5905	18201.6274	541.767	0.0295
432	I[724]	SLU-1	1	-111.7325	939.2083	92142.2222	38291.5104	1047.7827	0.0257
432	J[12]	SLV-7	4	-213.9186	-411.3901	30732.8571	18614.8811	538.1783	0.0291

13.2.1.4 VERIFICA DI RESISTENZA DEI CONNETTORI

Elem	part	Lcom	V_L,Ed (kN)	v_L,Ed (kN/m)	P_Rd (kN)	v_L,Rd (kN/m)
1	I[34]	SLU-1	-826.5153	371.6008	81.6563	1224.8441
1	J[346]	SLU-1	-849.3303	381.8584	81.6563	1224.8441
2	I[35]	SLU-1	-796.3587	358.0424	81.6563	1224.8441
2	J[347]	SLU-1	-819.1737	368.3	81.6563	1224.8441
3	I[36]	SLU-1	-912.3735	414.9826	81.6563	1224.8441
3	J[348]	SLU-1	-937.686	426.4957	81.6563	1224.8441
4	I[33]	SLU-1	-912.0239	414.8236	81.6563	1224.8441
4	J[345]	SLU-1	-937.3364	426.3367	81.6563	1224.8441
9	I[35]	SLU-1	796.3587	360.4943	81.6563	1633.1255
9	J[331]	SLU-1	773.5437	350.1664	81.6563	1633.1255
10	I[34]	SLU-1	826.5153	374.1455	81.6563	1633.1255
10	J[330]	SLU-1	803.7003	363.8177	81.6563	1633.1255
11	I[42]	SLU-1	842.7615	381.4998	81.6563	1633.1255
11	J[522]	SLU-1	819.9465	371.1719	81.6563	1633.1255
12	I[43]	SLU-1	812.6646	367.8756	81.6563	1633.1255
12	J[523]	SLU-1	789.8496	357.5477	81.6563	1633.1255
13	I[41]	SLU-1	928.4453	425.1683	81.6563	1633.1255
13	J[521]	SLU-1	903.1328	413.5768	81.6563	1633.1255
14	I[33]	SLU-1	912.0239	417.6484	81.6563	1633.1255
14	J[329]	SLU-1	886.7114	406.0569	81.6563	1633.1255
15	I[36]	SLU-1	912.3735	417.8085	81.6563	1633.1255
15	J[332]	SLU-1	887.061	406.217	81.6563	1633.1255
16	I[44]	SLU-1	928.7356	425.3012	81.6563	1633.1255
16	J[524]	SLU-1	903.4231	413.7097	81.6563	1633.1255
25	I[19]	SLU-1	1318.2592	645.114	81.6563	3266.2511
25	J[219]	SLU-1	1295.4442	633.9491	81.6563	3266.2511
26	I[18]	SLU-1	1377.0737	673.8959	81.6563	3266.2511
26	J[218]	SLU-1	1354.2587	662.731	81.6563	3266.2511
27	I[27]	SLU-1	1334.5647	653.0934	81.6563	3266.2511
27	J[635]	SLU-1	1311.7497	641.9285	81.6563	3266.2511
28	I[26]	SLU-1	1393.3254	681.849	81.6563	3266.2511
28	J[634]	SLU-1	1370.5104	670.6841	81.6563	3266.2511
29	I[25]	SLU-1	1649.2399	812.801	81.6563	3266.2511
29	J[633]	SLU-1	1623.9274	800.3262	81.6563	3266.2511

30	I[28]	SLU-1	1561.5238	769.5716	81.6563	3266.2511
30	J[636]	SLU-1	1536.2113	757.0967	81.6563	3266.2511
31	I[4]	SLU-1	-2220.1864	1094.1827	81.6563	3266.2511
31	J[132]	SLU-1	-2245.4989	1106.6575	81.6563	3266.2511
32	I[1]	SLU-1	-2303.95	1135.4642	81.6563	3266.2511
32	J[129]	SLU-1	-2329.2625	1147.9391	81.6563	3266.2511
54	I[65]	SLU-1	-1890.2255	931.5668	81.6563	3266.2511
54	J[185]	SLU-1	-1940.8505	956.5165	81.6563	3266.2511
55	I[66]	SLU-1	1788.7044	875.3349	81.6563	3266.2511
55	J[162]	SLU-1	1743.0744	853.0051	81.6563	3266.2511
57	I[67]	SLU-1	1721.7105	842.5502	81.6563	3266.2511
57	J[163]	SLU-1	1676.0805	820.2204	81.6563	3266.2511
59	I[68]	SLU-1	-1803.0974	888.6272	81.6563	3266.2511
59	J[188]	SLU-1	-1853.7224	913.5769	81.6563	3266.2511
68	I[73]	SLU-1	1566.1315	717.1876	81.6563	1633.1255
68	J[233]	SLU-1	1515.5065	694.0046	81.6563	1633.1255
69	I[74]	SLU-1	1320.3657	597.7008	81.6563	1633.1255
69	J[234]	SLU-1	1274.7357	577.0451	81.6563	1633.1255
71	I[75]	SLU-1	1261.3542	570.9876	81.6563	1633.1255
71	J[235]	SLU-1	1215.7242	550.3319	81.6563	1633.1255
73	I[76]	SLU-1	1479.2734	677.4122	81.6563	1633.1255
73	J[236]	SLU-1	1428.6484	654.2292	81.6563	1633.1255
82	I[81]	SLU-1	1112.2624	509.3447	81.6563	1633.1255
82	J[305]	SLU-1	1061.6374	486.1617	81.6563	1633.1255
83	I[82]	SLU-1	966.2524	437.4015	81.6563	1633.1255
83	J[306]	SLU-1	920.6224	416.7458	81.6563	1633.1255
85	I[83]	SLU-1	921.4034	417.0993	81.6563	1633.1255
85	J[307]	SLU-1	875.7734	396.4436	81.6563	1633.1255
87	I[84]	SLU-1	1071.2908	490.5824	81.6563	1633.1255
87	J[308]	SLU-1	1020.6658	467.3994	81.6563	1633.1255
96	I[89]	SLU-1	-528.9334	240.5793	81.6563	1224.8441
96	J[401]	SLU-1	-579.5584	263.6055	81.6563	1224.8441
97	I[90]	SLU-1	-561.8647	252.614	81.6563	1224.8441
97	J[402]	SLU-1	-607.4947	273.1292	81.6563	1224.8441
99	I[91]	SLU-1	-548.3307	246.5292	81.6563	1224.8441
99	J[403]	SLU-1	-593.9607	267.0444	81.6563	1224.8441
101	I[92]	SLU-1	-584.6265	265.9106	81.6563	1224.8441
101	J[404]	SLU-1	-635.2515	288.9369	81.6563	1224.8441
110	I[97]	SLU-1	676.7273	307.8017	81.6563	1224.8441
110	J[473]	SLU-1	626.1023	284.7755	81.6563	1224.8441
111	I[98]	SLU-1	670.6281	301.514	81.6563	1224.8441
111	J[474]	SLU-1	624.9981	280.9988	81.6563	1224.8441
113	I[99]	SLU-1	643.4184	289.2805	81.6563	1224.8441
113	J[475]	SLU-1	597.7884	268.7653	81.6563	1224.8441
115	I[100]	SLU-1	695.4887	316.3351	81.6563	1224.8441
115	J[476]	SLU-1	644.8637	293.3089	81.6563	1224.8441
124	I[105]	SLU-1	1128.6827	516.8641	81.6563	1633.1255
124	J[545]	SLU-1	1078.0577	493.6811	81.6563	1633.1255
125	I[106]	SLU-1	982.4951	444.7542	81.6563	1633.1255
125	J[546]	SLU-1	936.8651	424.0984	81.6563	1633.1255
127	I[107]	SLU-1	937.7102	424.481	81.6563	1633.1255
127	J[547]	SLU-1	892.0802	403.8253	81.6563	1633.1255
129	I[108]	SLU-1	1087.6559	498.0765	81.6563	1633.1255
129	J[548]	SLU-1	1037.0309	474.8935	81.6563	1633.1255
138	I[113]	SLU-1	1582.532	724.698	81.6563	1633.1255
138	J[617]	SLU-1	1531.907	701.515	81.6563	1633.1255
139	I[114]	SLU-1	1336.6146	605.0564	81.6563	1633.1255
139	J[618]	SLU-1	1290.9846	584.4007	81.6563	1633.1255
141	I[115]	SLU-1	1277.6591	578.3685	81.6563	1633.1255
141	J[619]	SLU-1	1232.0291	557.7128	81.6563	1633.1255
143	I[116]	SLU-1	1495.6548	684.9138	81.6563	1633.1255
143	J[620]	SLU-1	1445.0298	661.7308	81.6563	1633.1255
152	I[121]	SLU-1	2046.208	1008.4403	81.6563	3266.2511
152	J[689]	SLU-1	1995.583	983.4906	81.6563	3266.2511
153	I[122]	SLU-1	1805.0022	883.3105	81.6563	3266.2511
153	J[690]	SLU-1	1759.3722	860.9807	81.6563	3266.2511
155	I[123]	SLU-1	1738.0314	850.5372	81.6563	3266.2511
155	J[691]	SLU-1	1692.4014	828.2073	81.6563	3266.2511
157	I[124]	SLU-1	1944.8283	958.4769	81.6563	3266.2511
157	J[692]	SLU-1	1894.2033	933.5272	81.6563	3266.2511
165	I[129]	SLU-1	-2186.1237	1077.3955	81.6563	3266.2511
165	J[145]	SLU-1	-2236.7487	1102.3452	81.6563	3266.2511
166	I[130]	SLU-1	2122.4647	1038.6665	81.6563	3266.2511
166	J[2]	SLU-1	2099.6497	1027.5016	81.6563	3266.2511
167	I[131]	SLU-1	2061.6682	1008.9147	81.6563	3266.2511

167	J[3]	SLU-1	2038.8532	997.7497	81.6563	3266.2511
168	I[132]	SLU-1	-2096.723	1033.3358	81.6563	3266.2511
168	J[148]	SLU-1	-2147.348	1058.2855	81.6563	3266.2511
173	I[145]	SLU-1	-2079.9473	1025.0682	81.6563	3266.2511
173	J[161]	SLU-1	-2130.5723	1050.0179	81.6563	3266.2511
174	I[146]	SLU-1	2018.3741	987.728	81.6563	3266.2511
174	J[130]	SLU-1	1972.7441	965.3981	81.6563	3266.2511
175	I[147]	SLU-1	1954.7323	956.5837	81.6563	3266.2511
175	J[131]	SLU-1	1909.1023	934.2538	81.6563	3266.2511
176	I[148]	SLU-1	-1983.5218	977.5464	81.6563	3266.2511
176	J[164]	SLU-1	-2034.1468	1002.4961	81.6563	3266.2511
181	I[161]	SLU-1	-1979.3116	975.4715	81.6563	3266.2511
181	J[65]	SLU-1	-2029.9366	1000.4212	81.6563	3266.2511
182	I[162]	SLU-1	1898.7908	929.2077	81.6563	3266.2511
182	J[146]	SLU-1	1853.1608	906.8778	81.6563	3266.2511
183	I[163]	SLU-1	1833.0015	897.0125	81.6563	3266.2511
183	J[147]	SLU-1	1787.3715	874.6826	81.6563	3266.2511
184	I[164]	SLU-1	-1877.7568	925.4219	81.6563	3266.2511
184	J[68]	SLU-1	-1928.3818	950.3716	81.6563	3266.2511
189	I[185]	SLU-1	-1794.6301	884.4542	81.6563	3266.2511
189	J[201]	SLU-1	-1845.2551	909.4039	81.6563	3266.2511
190	I[186]	SLU-1	1674.3793	819.3879	81.6563	3266.2511
190	J[66]	SLU-1	1628.7493	797.058	81.6563	3266.2511
191	I[187]	SLU-1	1621.5806	793.5498	81.6563	3266.2511
191	J[67]	SLU-1	1575.9506	771.22	81.6563	3266.2511
192	I[188]	SLU-1	-1706.563	841.0518	81.6563	3266.2511
192	J[204]	SLU-1	-1757.188	866.0015	81.6563	3266.2511
197	I[201]	SLU-1	-1700.5559	838.0913	81.6563	3266.2511
197	J[217]	SLU-1	-1751.1809	863.041	81.6563	3266.2511
198	I[202]	SLU-1	1578.3782	772.408	81.6563	3266.2511
198	J[186]	SLU-1	1532.7482	750.0781	81.6563	3266.2511
199	I[203]	SLU-1	1523.4653	745.5354	81.6563	3266.2511
199	J[187]	SLU-1	1477.8353	723.2055	81.6563	3266.2511
200	I[204]	SLU-1	-1612.2305	794.5615	81.6563	3266.2511
200	J[220]	SLU-1	-1662.8555	819.5112	81.6563	3266.2511
205	I[217]	SLU-1	-1607.5314	792.2457	81.6563	3266.2511
205	J[17]	SLU-1	-1632.8439	804.7205	81.6563	3266.2511
206	I[218]	SLU-1	1486.2562	727.3264	81.6563	3266.2511
206	J[202]	SLU-1	1440.6262	704.9966	81.6563	3266.2511
207	I[219]	SLU-1	1429.0499	699.3315	81.6563	3266.2511
207	J[203]	SLU-1	1383.4199	677.0016	81.6563	3266.2511
208	I[220]	SLU-1	-1519.8278	749.0224	81.6563	3266.2511
208	J[20]	SLU-1	-1545.1403	761.4972	81.6563	3266.2511
213	I[233]	SLU-1	1658.1564	759.3291	81.6563	1633.1255
213	J[17]	SLU-1	1632.8439	747.7376	81.6563	1633.1255
214	I[234]	SLU-1	1399.8887	633.6992	81.6563	1633.1255
214	J[18]	SLU-1	1377.0737	623.3713	81.6563	1633.1255
215	I[235]	SLU-1	1341.0742	607.0751	81.6563	1633.1255
215	J[19]	SLU-1	1318.2592	596.7473	81.6563	1633.1255
216	I[236]	SLU-1	1570.4528	719.1665	81.6563	1633.1255
216	J[20]	SLU-1	1545.1403	707.575	81.6563	1633.1255
221	I[257]	SLU-1	1480.669	678.0513	81.6563	1633.1255
221	J[73]	SLU-1	1430.044	654.8683	81.6563	1633.1255
222	I[258]	SLU-1	1251.2284	566.4039	81.6563	1633.1255
222	J[74]	SLU-1	1205.5984	545.7482	81.6563	1633.1255
223	I[259]	SLU-1	1206.2691	546.0518	81.6563	1633.1255
223	J[75]	SLU-1	1160.6391	525.3961	81.6563	1633.1255
224	I[260]	SLU-1	1423.7189	651.9718	81.6563	1633.1255
224	J[76]	SLU-1	1373.0939	628.7888	81.6563	1633.1255
229	I[273]	SLU-1	1388.1035	635.6622	81.6563	1633.1255
229	J[257]	SLU-1	1337.4785	612.4792	81.6563	1633.1255
230	I[274]	SLU-1	1177.2173	532.9007	81.6563	1633.1255
230	J[258]	SLU-1	1131.5873	512.245	81.6563	1633.1255
231	I[275]	SLU-1	1131.7469	512.3172	81.6563	1633.1255
231	J[259]	SLU-1	1086.1169	491.6615	81.6563	1633.1255
232	I[276]	SLU-1	1334.7925	611.2492	81.6563	1633.1255
232	J[260]	SLU-1	1284.1675	588.0662	81.6563	1633.1255
237	I[289]	SLU-1	1295.5791	593.292	81.6563	1633.1255
237	J[273]	SLU-1	1244.9541	570.109	81.6563	1633.1255
238	I[290]	SLU-1	1103.5027	499.5317	81.6563	1633.1255
238	J[274]	SLU-1	1057.8727	478.876	81.6563	1633.1255
239	I[291]	SLU-1	1057.4124	478.6676	81.6563	1633.1255
239	J[275]	SLU-1	1011.7824	458.0119	81.6563	1633.1255
240	I[292]	SLU-1	1246.2136	570.6858	81.6563	1633.1255
240	J[276]	SLU-1	1195.5886	547.5028	81.6563	1633.1255

245	I[305]	SLU-1	1203.5333	551.1409	81.6563	1633.1255
245	J[289]	SLU-1	1152.9083	527.9579	81.6563	1633.1255
246	I[306]	SLU-1	1032.5862	467.4293	81.6563	1633.1255
246	J[290]	SLU-1	986.9562	446.7736	81.6563	1633.1255
247	I[307]	SLU-1	986.5575	446.5931	81.6563	1633.1255
247	J[291]	SLU-1	940.9275	425.9374	81.6563	1633.1255
248	I[308]	SLU-1	1158.5029	530.5199	81.6563	1633.1255
248	J[292]	SLU-1	1107.8779	507.3369	81.6563	1633.1255
253	I[329]	SLU-1	1029.9237	471.6389	81.6563	1633.1255
253	J[81]	SLU-1	979.2987	448.4559	81.6563	1633.1255
254	I[330]	SLU-1	914.6973	414.0636	81.6563	1633.1255
254	J[82]	SLU-1	869.0673	393.4079	81.6563	1633.1255
255	I[331]	SLU-1	883.8456	400.0977	81.6563	1633.1255
255	J[83]	SLU-1	838.2156	379.442	81.6563	1633.1255
256	I[332]	SLU-1	1024.0464	468.9475	81.6563	1633.1255
256	J[84]	SLU-1	973.4214	445.7645	81.6563	1633.1255
261	I[345]	SLU-1	-793.699	361.0049	81.6563	1224.8441
261	J[361]	SLU-1	-844.324	384.0311	81.6563	1224.8441
262	I[346]	SLU-1	-736.7472	331.2411	81.6563	1224.8441
262	J[362]	SLU-1	-782.3772	351.7563	81.6563	1224.8441
263	I[347]	SLU-1	-706.9478	317.8433	81.6563	1224.8441
263	J[363]	SLU-1	-752.5778	338.3585	81.6563	1224.8441
264	I[348]	SLU-1	-800.5021	364.0992	81.6563	1224.8441
264	J[364]	SLU-1	-851.1271	387.1254	81.6563	1224.8441
269	I[361]	SLU-1	-701.126	318.8991	81.6563	1224.8441
269	J[377]	SLU-1	-751.751	341.9253	81.6563	1224.8441
270	I[362]	SLU-1	-671.0412	301.6997	81.6563	1224.8441
270	J[378]	SLU-1	-716.6712	322.2149	81.6563	1224.8441
271	I[363]	SLU-1	-641.8722	288.5854	81.6563	1224.8441
271	J[379]	SLU-1	-687.5022	309.1006	81.6563	1224.8441
272	I[364]	SLU-1	-714.4282	324.9495	81.6563	1224.8441
272	J[380]	SLU-1	-765.0532	347.9757	81.6563	1224.8441
277	I[377]	SLU-1	-609.6836	277.3076	81.6563	1224.8441
277	J[89]	SLU-1	-660.3086	300.3338	81.6563	1224.8441
278	I[378]	SLU-1	-608.748	273.6927	81.6563	1224.8441
278	J[90]	SLU-1	-654.378	294.2079	81.6563	1224.8441
279	I[379]	SLU-1	-581.4801	261.4331	81.6563	1224.8441
279	J[91]	SLU-1	-627.1101	281.9483	81.6563	1224.8441
280	I[380]	SLU-1	-628.5054	285.8685	81.6563	1224.8441
280	J[92]	SLU-1	-679.1304	308.8947	81.6563	1224.8441
285	I[401]	SLU-1	-436.3235	198.4567	81.6563	1224.8441
285	J[417]	SLU-1	-486.9485	221.4829	81.6563	1224.8441
286	I[402]	SLU-1	-498.7178	224.2232	81.6563	1224.8441
286	J[418]	SLU-1	-544.3478	244.7384	81.6563	1224.8441
287	I[403]	SLU-1	-486.2712	218.6273	81.6563	1224.8441
287	J[419]	SLU-1	-531.9012	239.1425	81.6563	1224.8441
288	I[404]	SLU-1	-499.1967	227.0539	81.6563	1224.8441
288	J[420]	SLU-1	-549.8217	250.0801	81.6563	1224.8441
293	I[417]	SLU-1	410.3037	186.6219	81.6563	1224.8441
293	J[433]	SLU-1	-393.8856	179.1544	81.6563	1224.8441
294	I[418]	SLU-1	495.1696	222.628	81.6563	1224.8441
294	J[434]	SLU-1	-478.917	215.3208	81.6563	1224.8441
295	I[419]	SLU-1	483.4514	217.3595	81.6563	1224.8441
295	J[435]	SLU-1	-467.1443	210.0278	81.6563	1224.8441
296	I[420]	SLU-1	480.3394	218.4769	81.6563	1224.8441
296	J[436]	SLU-1	-463.9826	211.0372	81.6563	1224.8441
301	I[433]	SLU-1	503.3668	228.9506	81.6563	1224.8441
301	J[449]	SLU-1	452.7418	205.9244	81.6563	1224.8441
302	I[434]	SLU-1	560.6005	252.0456	81.6563	1224.8441
302	J[450]	SLU-1	514.9705	231.5304	81.6563	1224.8441
303	I[435]	SLU-1	548.209	246.4744	81.6563	1224.8441
303	J[451]	SLU-1	502.579	225.9592	81.6563	1224.8441
304	I[436]	SLU-1	566.1787	257.5199	81.6563	1224.8441
304	J[452]	SLU-1	515.5537	234.4937	81.6563	1224.8441
309	I[449]	SLU-1	595.9768	271.0732	81.6563	1224.8441
309	J[97]	SLU-1	545.3518	248.047	81.6563	1224.8441
310	I[450]	SLU-1	623.7467	280.4361	81.6563	1224.8441
310	J[98]	SLU-1	578.1167	259.9209	81.6563	1224.8441
311	I[451]	SLU-1	610.2681	274.3762	81.6563	1224.8441
311	J[99]	SLU-1	564.6381	253.8609	81.6563	1224.8441
312	I[452]	SLU-1	651.6092	296.377	81.6563	1224.8441
312	J[100]	SLU-1	600.9842	273.3508	81.6563	1224.8441
317	I[473]	SLU-1	768.1708	349.3937	81.6563	1224.8441
317	J[489]	SLU-1	717.5458	326.3675	81.6563	1224.8441
318	I[474]	SLU-1	732.9198	329.5203	81.6563	1224.8441

318	J[490]	SLU-1	687.2898	309.0051	81.6563	1224.8441
319	I[475]	SLU-1	703.8099	316.4325	81.6563	1224.8441
319	J[491]	SLU-1	658.1799	295.9173	81.6563	1224.8441
320	I[476]	SLU-1	781.4126	355.4166	81.6563	1224.8441
320	J[492]	SLU-1	730.7876	332.3904	81.6563	1224.8441
325	I[489]	SLU-1	860.7443	391.4997	81.6563	1224.8441
325	J[505]	SLU-1	810.1193	368.4735	81.6563	1224.8441
326	I[490]	SLU-1	798.6245	359.0611	81.6563	1224.8441
326	J[506]	SLU-1	752.9945	338.5459	81.6563	1224.8441
327	I[491]	SLU-1	768.8848	345.6901	81.6563	1224.8441
327	J[507]	SLU-1	723.2548	325.1749	81.6563	1224.8441
328	I[492]	SLU-1	867.4875	394.5668	81.6563	1224.8441
328	J[508]	SLU-1	816.8625	371.5406	81.6563	1224.8441
333	I[505]	SLU-1	953.7578	433.8058	81.6563	1224.8441
333	J[41]	SLU-1	928.4453	422.2927	81.6563	1224.8441
334	I[506]	SLU-1	865.5765	389.1627	81.6563	1224.8441
334	J[42]	SLU-1	842.7615	378.905	81.6563	1224.8441
335	I[507]	SLU-1	835.4796	375.6311	81.6563	1224.8441
335	J[43]	SLU-1	812.6646	365.3735	81.6563	1224.8441
336	I[508]	SLU-1	954.0481	433.9378	81.6563	1224.8441
336	J[44]	SLU-1	928.7356	422.4247	81.6563	1224.8441
341	I[521]	SLU-1	1046.3458	479.1592	81.6563	1633.1255
341	J[105]	SLU-1	995.7208	455.9762	81.6563	1633.1255
342	I[522]	SLU-1	930.9422	421.4173	81.6563	1633.1255
342	J[106]	SLU-1	885.3122	400.7616	81.6563	1633.1255
343	I[523]	SLU-1	900.1502	407.4784	81.6563	1633.1255
343	J[107]	SLU-1	854.5202	386.8227	81.6563	1633.1255
344	I[524]	SLU-1	1040.4098	476.4408	81.6563	1633.1255
344	J[108]	SLU-1	989.7848	453.2578	81.6563	1633.1255
349	I[545]	SLU-1	1219.9547	558.6609	81.6563	1633.1255
349	J[561]	SLU-1	1169.3297	535.4779	81.6563	1633.1255
350	I[546]	SLU-1	1048.8275	474.7814	81.6563	1633.1255
350	J[562]	SLU-1	1003.1975	454.1257	81.6563	1633.1255
351	I[547]	SLU-1	1002.8637	453.9746	81.6563	1633.1255
351	J[563]	SLU-1	957.2337	433.3189	81.6563	1633.1255
352	I[548]	SLU-1	1174.8692	538.0146	81.6563	1633.1255
352	J[564]	SLU-1	1124.2442	514.8316	81.6563	1633.1255
357	I[561]	SLU-1	1312.0005	600.8119	81.6563	1633.1255
357	J[577]	SLU-1	1261.3755	577.6289	81.6563	1633.1255
358	I[562]	SLU-1	1119.7432	506.8834	81.6563	1633.1255
358	J[578]	SLU-1	1074.1132	486.2277	81.6563	1633.1255
359	I[563]	SLU-1	1073.7166	486.0482	81.6563	1633.1255
359	J[579]	SLU-1	1028.0866	465.3925	81.6563	1633.1255
360	I[564]	SLU-1	1262.5823	578.1816	81.6563	1633.1255
360	J[580]	SLU-1	1211.9573	554.9986	81.6563	1633.1255
365	I[577]	SLU-1	1404.5247	643.1821	81.6563	1633.1255
365	J[593]	SLU-1	1353.8997	619.9991	81.6563	1633.1255
366	I[578]	SLU-1	1193.4579	540.2524	81.6563	1633.1255
366	J[594]	SLU-1	1147.8279	519.5967	81.6563	1633.1255
367	I[579]	SLU-1	1148.0507	519.6976	81.6563	1633.1255
367	J[595]	SLU-1	1102.4206	499.0419	81.6563	1633.1255
368	I[580]	SLU-1	1351.1631	618.7459	81.6563	1633.1255
368	J[596]	SLU-1	1300.5381	595.5629	81.6563	1633.1255
373	I[593]	SLU-1	1497.0887	685.5705	81.6563	1633.1255
373	J[113]	SLU-1	1446.4637	662.3875	81.6563	1633.1255
374	I[594]	SLU-1	1267.4696	573.7559	81.6563	1633.1255
374	J[114]	SLU-1	1221.8396	553.1002	81.6563	1633.1255
375	I[595]	SLU-1	1222.5712	553.4314	81.6563	1633.1255
375	J[115]	SLU-1	1176.9412	532.7757	81.6563	1633.1255
376	I[596]	SLU-1	1440.0913	659.4693	81.6563	1633.1255
376	J[116]	SLU-1	1389.4663	636.2863	81.6563	1633.1255
381	I[617]	SLU-1	1674.5524	766.8374	81.6563	1633.1255
381	J[25]	SLU-1	1649.2399	755.2459	81.6563	1633.1255
382	I[618]	SLU-1	1416.1404	641.056	81.6563	1633.1255
382	J[26]	SLU-1	1393.3254	630.7281	81.6563	1633.1255
383	I[619]	SLU-1	1357.3797	614.4563	81.6563	1633.1255
383	J[27]	SLU-1	1334.5647	604.1284	81.6563	1633.1255
384	I[620]	SLU-1	1586.8363	726.6691	81.6563	1633.1255
384	J[28]	SLU-1	1561.5238	715.0776	81.6563	1633.1255
389	I[633]	SLU-1	1767.5697	871.1179	81.6563	3266.2511
389	J[649]	SLU-1	1716.9447	846.1682	81.6563	3266.2511
390	I[634]	SLU-1	1502.5121	735.2815	81.6563	3266.2511
390	J[650]	SLU-1	1456.8821	712.9517	81.6563	3266.2511
391	I[635]	SLU-1	1445.3558	707.3111	81.6563	3266.2511
391	J[651]	SLU-1	1399.7258	684.9812	81.6563	3266.2511

392	I[636]	SLU-1	1679.2416	827.5868	81.6563	3266.2511
392	J[652]	SLU-1	1628.6166	802.6371	81.6563	3266.2511
397	I[649]	SLU-1	1861.634	917.476	81.6563	3266.2511
397	J[665]	SLU-1	1811.009	892.5263	81.6563	3266.2511
398	I[650]	SLU-1	1594.6401	780.366	81.6563	3266.2511
398	J[666]	SLU-1	1549.0101	758.0362	81.6563	3266.2511
399	I[651]	SLU-1	1539.7725	753.5156	81.6563	3266.2511
399	J[667]	SLU-1	1494.1425	731.1857	81.6563	3266.2511
400	I[652]	SLU-1	1773.5765	874.0783	81.6563	3266.2511
400	J[668]	SLU-1	1722.9515	849.1285	81.6563	3266.2511
405	I[665]	SLU-1	1957.2171	964.5826	81.6563	3266.2511
405	J[121]	SLU-1	1906.5921	939.6329	81.6563	3266.2511
406	I[666]	SLU-1	1690.6488	827.3496	81.6563	3266.2511
406	J[122]	SLU-1	1645.0188	805.0197	81.6563	3266.2511
407	I[667]	SLU-1	1637.8898	801.531	81.6563	3266.2511
407	J[123]	SLU-1	1592.2598	779.2012	81.6563	3266.2511
408	I[668]	SLU-1	1870.114	921.6552	81.6563	3266.2511
408	J[124]	SLU-1	1819.4889	896.7055	81.6563	3266.2511
413	I[689]	SLU-1	2146.825	1058.0277	81.6563	3266.2511
413	J[705]	SLU-1	2096.2	1033.078	81.6563	3266.2511
414	I[690]	SLU-1	1915.0987	937.1882	81.6563	3266.2511
414	J[706]	SLU-1	1869.4687	914.8584	81.6563	3266.2511
415	I[691]	SLU-1	1849.327	905.0017	81.6563	3266.2511
415	J[707]	SLU-1	1803.697	882.6718	81.6563	3266.2511
416	I[692]	SLU-1	2050.5977	1010.6037	81.6563	3266.2511
416	J[708]	SLU-1	1999.9727	985.654	81.6563	3266.2511
421	I[705]	SLU-1	2252.9813	1110.3451	81.6563	3266.2511
421	J[721]	SLU-1	2202.3563	1085.3954	81.6563	3266.2511
422	I[706]	SLU-1	2034.6932	995.714	81.6563	3266.2511
422	J[722]	SLU-1	1989.0632	973.3841	81.6563	3266.2511
423	I[707]	SLU-1	1971.0624	964.5751	81.6563	3266.2511
423	J[723]	SLU-1	1925.4324	942.2452	81.6563	3266.2511
424	I[708]	SLU-1	2163.8028	1066.395	81.6563	3266.2511
424	J[724]	SLU-1	2113.1778	1041.4452	81.6563	3266.2511
429	I[721]	SLU-1	2345.4772	1155.9302	81.6563	3266.2511
429	J[9]	SLU-1	2320.1647	1143.4554	81.6563	3266.2511
430	I[722]	SLU-1	2138.7957	1046.6584	81.6563	3266.2511
430	J[10]	SLU-1	2115.9807	1035.4935	81.6563	3266.2511
431	I[723]	SLU-1	2078.0021	1016.908	81.6563	3266.2511
431	J[11]	SLU-1	2055.1871	1005.7431	81.6563	3266.2511
432	I[724]	SLU-1	2261.9555	1114.7679	81.6563	3266.2511
432	J[12]	SLU-1	2236.643	1102.2931	81.6563	3266.2511

13.2.1.5 CONCIO C1 LATERALE – ELEMENTI 296 E 293

Element Number	296
Position Information	J

1 **Design Condition**

1.1 Design Parameters

■ Partial factors

γ_C for concrete	1.50	γ_V for headed sutd	1.25
γ_S for reinforcing steel	1.15	γ_{Ff} for equivalent constant Amplitude stress range	1.00
γ_{M0} for structural steel	1.05	γ_{Mf} for fatigue strength	1.15
γ_{M1} for structural steel	1.10	$\gamma_{Mf,s}$ for fatigue strength of studs in shear	1.00

1.2 Material Information

■ Structural steel

f_{sk} = 355.000 MPa E_s = 210000.000 MPa

■ Concrete

f_{ck} = 32.000 MPa E_{cm} = 33000.000 MPa

■ Reinforcement

f_{yk} = 450.000 MPa E_r = 210000.000 MPa

■ Section Dimensions

Slab

B_c	4970.000	mm	t_c	240.000	mm	H_h	60.000	mm

Girder

H_w	1900.000	mm	B_1	700.000	mm	B_2	950.000	mm
t_w	20.000	mm	t_{f1}	40.000	mm	t_{f2}	60.000	mm

■ Section Stiffness

Before

$A_{,a}$	123000.000	mm^2
$I_{y,a}$	85843833333.333	mm^4
$I_{z,a}$	5431475000.000	mm^4
$C_{y,a}$	475.000	mm
$C_{z,a}$	776.667	mm

After

$A_{,c}$	312333.333	mm^2
$I_{y,c}$	233589645357.524	mm^4
$I_{z,c}$	395156786111.111	mm^4
$C_{y,c}$	2485.000	mm
$C_{z,c}$	1627.353	mm

Crack

$A_{,c}$	130700.000	mm^2
$I_{y,c}$	100157830199.444	mm^4
$I_{z,c}$	21447569287.050	mm^4
$C_{y,c}$	2485.000	mm
$C_{z,c}$	859.342	mm

2 Bending Resistance

2.1 Positive Moment

■ Design load

Load combination name : SLU-1

$N_{a,Ed}$	-24.931	kN
$N_{c,Ed}$	-106.226	kN
$M_{a,Ed}$	14088.013	kN · m
$M_{c,Ed}$	21981.679	kN · m

- Stress

Top Flange

Left	y_1	-350.000	mm	z_1	372.647	mm	σ_1	-239.461	MPa
	y_2	-10.000	mm	z_2	372.647	mm	σ_2	-236.462	MPa
Right	y_1	350.000	mm	z_1	372.647	mm	σ_1	-233.287	MPa
	y_2	10.000	mm	z_2	372.647	mm	σ_2	-236.286	MPa

Bottom Flange

Left	y_1	-475.000	mm	z_1	-1627.353	mm	σ_1	275.868	MPa
	y_2	-10.000	mm	z_2	-1627.353	mm	σ_2	279.970	MPa
Right	y_1	475.000	mm	z_1	-1627.353	mm	σ_1	284.248	MPa
	y_2	10.000	mm	z_2	-1627.353	mm	σ_2	280.146	MPa

Web

Right	y_1	0.000	mm	z_1	332.647	mm	σ_1	-226.045	MPa
	y_2	0.000	mm	z_2	-1567.353	mm	σ_2	264.565	MPa

■ Classification of sections

Part	Class
Top flange	1
Web	1
Bottom flange	1
Section	1

- Plastic resistance moment, $M_{pl,Rd}$

Plastic NA = 1960.133 mm

N_{slab} = 21629.440 kN

$N_{g,top}$ = 9435.280 kN (Upper side of PNA)

$N_{g,bot}$ = 31064.720 kN (Lower side of PNA)

$M_{pl,Rd}$ = 52251.473 kN · m

x_{pl} = 339.867 mm

M_{Rd} = $\beta M_{pl,Rd}$ = 52251.473 kN · m

here, β = 1.000

M_{Rd} = 52251.473 kN · m > M_{Ed} = 36069.692 kN · m **...OK**

3 Resistance to Vertical Shear

■ Design load

Load combination name : SLU-1

N_{Ed} = -95.827 kN

$M_{a,Ed}$ = 14088.013 kN · m

$M_{c,Ed}$ = 21062.556 kN · m

$V_{Ed,a}$ = 32.663 kN

$V_{Ed,c}$ = 429.714 kN

V_{Ed} = 462.377 kN

- Stress

Top Flange

Left	y_1	-350.000	mm	z_1	372.647	mm	σ_1	-237.889	MPa
	y_2	-10.000	mm	z_2	372.647	mm	σ_2	-234.961	MPa
Right	y_1	350.000	mm	z_1	372.647	mm	σ_1	-231.860	MPa
	y_2	10.000	mm	z_2	372.647	mm	σ_2	-234.788	MPa

Bottom Flange

Left	y_1	-475.000	mm	z_1	-1627.353	mm	σ_1	269.596	MPa
	y_2	-10.000	mm	z_2	-1627.353	mm	σ_2	273.602	MPa
Right	y_1	475.000	mm	z_1	-1627.353	mm	σ_1	277.779	MPa
	y_2	10.000	mm	z_2	-1627.353	mm	σ_2	273.774	MPa

Web

Right	y_1	0.000	mm	z_1	332.647	mm	σ_1	-224.703	MPa
	y_2	0.000	mm	z_2	-1567.353	mm	σ_2	258.431	MPa

■ Classification of sections

Part	Class
Top flange	1
Web	1
Bottom flange	1
Section	1

■ Plastic resistance moment, $M_{pl,Rd}$

Plastic NA = 1960.133 mm

N_{slab} = 21629.440 kN

$N_{g,top}$ = 9435.280 kN

$N_{g,bot}$ = 31064.720 kN

$M_{pl,Rd}$ = 52251.473 kN · m

■ Calculation. $V_{bw,Rd}$

Web

■ Contribution from the web

$\lambda_w = h_w / (86.4 \cdot t \cdot \varepsilon) = 1.351$

$X_w = 1.37 / (0.7+\lambda_w) = 0.668$ $\lambda_w \geq 1.08$

$$V_{bw,Rd} = \frac{X_w \cdot f_{yw} \cdot h_w \cdot t}{\sqrt{3} \cdot \gamma_{M1}} = 4728.515 \text{ kN}$$

$V_{Rd} = 4728.515$ kN

$V_{Edi} = V_{Ed} / \text{Num. of Web} = 462.377$ kN

$\eta'_3 = V_{Edi} / V_{bw,Rd} = 0.098 \leq 1.0$

■ Contribution from the flange

$M_{f,Rd0} = 39870.170$ kN · m

$M_{f,Rd0}$ is calculated as $M_{pl,Rd}$ but neglecting the web contribution.

$$\text{Reduction factor for } N_{Ed} = 1 - \frac{N_{Ed}}{(A_{f1}+A_{f2}) \cdot f_{yf}/\gamma_{M0}} = 0.997$$

$M_{f,Rd}$ = Reduction factor for N_{Ed} · $M_{f,Rd0} = 39732.003$ kN · m

$$V_{bf,Rd} = \frac{b_f \cdot t_f^2 \cdot f_{yf}}{c \cdot \gamma_{M1}} \left(1 - \left(\frac{M_{Ed}}{M_{f,Rd}} \right)^2 \right) = 0.000 \text{ kN}$$

where, $M_{f,Rd} = 39732.003$ kN · m

$M_{Ed} = 147228.597$ kN · m (Taken as the greatest value of $(\sum \sigma_i)W$)

$$c = a \cdot \left(0.25 + \frac{1.6 \cdot b_f \cdot t_f^2 \cdot f_{yf}}{t \cdot h_w^2 \cdot f_{yw}}\right) = 0.000$$

■ Check Shear Resistance

$V_{Edi} / (V_{bw,Rd}+V_{bf,Rd}) = 0.098 < 1.0$ … **OK**

4 Resistance to Lateral Torsional Buckling

- Design load

Load combination name : SLU-1

$N_{Ed} = -131.157$ kN

$M_{Ed} = 21981.679$ kN · m

$V_1 = 2.867$ kN

$V_2 = 13.490$ kN

$M_1 = 36077.870$ kN · m

$M_2 = 36069.692$ kN · m

$M_{pl,Rd} = 52251.473$ kN · m

$M_{el,Rd} = 44322.453$ kN · m

- $M_{b,Rd}$ Buckling resistance moment

$L = 1.000$ m

$c = C_d / l = 0.000$

$\gamma = c \cdot L^4 / (E \cdot I) = 0.000$

$\mu = V_2 / V_1 = 0.213$

$\Phi = 2 \cdot (1-M_2/M_1) / (1+\mu) = 0.000$

$m_1 = 1+0.44 \cdot (1+\mu) \cdot \Phi^{1.5}+(3+2 \cdot \Phi) \cdot \gamma/(350-50 \cdot \mu) = 1.000$

$m_2 = 1+0.44 \cdot (1+\mu) \cdot \Phi^{1.5}+(0.195+(0.05+\mu/100) \cdot \Phi) \cdot \gamma^{0.5} = 1.000$

$m = \text{Min}(m_1, m_2) = 1.000$

$\alpha_{LT} = 0.760$

$\lambda_{LT} = 1.103 \cdot L/b \cdot \sqrt{(f_y/Em)} \cdot \sqrt{(1+A_{wc}/(3 \cdot A_f))} = 0.067$

$\Phi_{LT} = 0.5 \cdot (1+\alpha_{LT} \cdot (\lambda_{LT} - 0.2)+\lambda_{LT}^2) = 0.452$

$$X_{LT} = \frac{1}{\Phi_{LT} + \sqrt{(\Phi_{LT}^2 - \lambda_{LT}^2)}} = 1$$

$M_{Rd} = 52251.473$ kN · m

$M_{b,Rd} = X_{LT} \cdot M_{Rd} = 52251.473$ kN · m

- $N_{b,Rd}$ Axial buckling resistance

$X_{LT,N} = 1.000$

$N_{b,Rd} = X_{LT} \cdot \text{Area} \cdot f_{yd} = 105598.413$ kN

$$\text{Combined Ratio} = \frac{N_{Ed}}{N_{b,Rd}} + \frac{M_{Ed}}{M_{b,Rd}} = 0.42193218$$

6 Resistance to Longitudinal Shear

- Design load

Load combination name : SLU-1

$N_{c,el} = 13407.822$ kN

$N_{c,f} = 21629.440$ kN

$M_{Ed} = 35535.545$ kN · m

$V_{Ed} = -463.983$ kN

$M_{pl,Rd} = 52251.473$ kN · m

$M_{el,Rd} = 44322.453$ kN · m

- Shear resistance of a single connector

$P_{Rd,1} = 0.8 \cdot f_u \cdot \pi \cdot d^2 / 4 / \gamma_V = 81.656$ kN

$P_{Rd,2} = 0.29 \cdot \alpha \cdot d^2 \cdot \sqrt{(f_{ck} \cdot E_{cm})} / \gamma_V = 86.065$ kN

$P_{Rd} = \text{Min}(P_{Rd,1}, P_{Rd,2}) = 81.656$ kN

where, $f_u = 450.000$ MPa

$\alpha = 1$ for $h_{sc}/d > 4$

Num. = 3

$d = 19.000$ mm

h_{sc} = 175.000 mm
Space = 200.000 mm

- Verification

$v_{L,Ed}$ = V_{Ed} · (A · z / I) = 211.037 kN/m
$v_{L,Rd}$ = P_{Rd} · Num./Space = 1224.844 kN/m
$v_{L,Ed}$ < $v_{L,Rd}$ … **OK**

0 **Longitudinal Shear for SLS(Serviceability limit state)**

- Shear resistance of a single connector

Load combination name : SLE RARA

$P_{Rd,1}$ = $0.8 \cdot f_u \cdot \pi \cdot d^2 / 4 / \gamma_V$ = 81.656 kN
$P_{Rd,2}$ = $0.29 \cdot \alpha \cdot d^2 \cdot \sqrt{(f_{ck} \cdot E_{cm})} / \gamma_V$ = 86.065 kN
P_{Rd} = Min($P_{Rd,1}$, $P_{Rd,2}$) = 81.656 kN
$P_{Rd,ser}$ = $k_s \cdot P_{Rd}$ = 61.242 kN

where, f_u = 450.000 MPa
α = 1 for $h_{sc}/d > 4$
Num. = 3
d = 19.000 mm
h_{sc} = 175.000 mm
Space = 200.000 mm
k_s = 0.750

- Verification

$v_{L,Ed}$ = V_{Ed} · (A · z / I) = 156.324 kN/m
$v_{L,Rd}$ = $P_{Rd,ser}$ · Num./Space = 918.633 kN/m
$v_{L,Ed}$ < $v_{L,Rd}$ … **OK**

Element Number	293
Position Information	I

1 Design Condition

1.1 Design Parameters

■ Partial factors

γ_C for concrete	1.50	γ_V for headed sutd	1.25
γ_S for reinforcing steel	1.15	γ_{Ff} for equivalent constant Amplitude stress range	1.00
γ_{M0} for structural steel	1.05	γ_{Mf} for fatigue strength	1.15
γ_{M1} for structural steel	1.10	$\gamma_{Mf,s}$ for fatigue strength of studs in shear	1.00

1.2 Material Information

■ Structural steel

f_{sk} = 355.000 MPa E_s = 210000.000 MPa

■ Concrete

f_{ck} = 32.000 MPa E_{cm} = 33000.000 MPa

■ Reinforcement

f_{yk} = 450.000 MPa E_r = 210000.000 MPa

■ Section Dimensions

Slab

B_c	4970.000	mm	t_c	240.000	mm	H_h	60.000	mm

Girder

H_w	1900.000	mm	B_1	700.000	mm	B_2	950.000	mm
t_w	20.000	mm	t_{f1}	40.000	mm	t_{f2}	60.000	mm

■ Section Stiffness

Before

$A_{,a}$	123000.000	mm^2
$I_{y,a}$	85843833333.333	mm^4
$I_{z,a}$	5431475000.000	mm^4
$C_{y,a}$	475.000	mm
$C_{z,a}$	776.667	mm

After

$A_{,c}$	312333.333	mm^2
$I_{y,c}$	233589645357.524	mm^4
$I_{z,c}$	395156786111.111	mm^4
$C_{y,c}$	2485.000	mm
$C_{z,c}$	1627.353	mm

Crack

$A_{,c}$	130700.000	mm^2
$I_{y,c}$	100157830199.444	mm^4
$I_{z,c}$	21447569287.050	mm^4
$C_{y,c}$	2485.000	mm
$C_{z,c}$	859.342	mm

2 Bending Resistance

2.1 Positive Moment

■ Design load

Load combination name : SLU-1

$N_{a,Ed}$	-19.915	kN
$N_{c,Ed}$	290.537	kN
$M_{a,Ed}$	14085.096	kN・m
$M_{c,Ed}$	23640.099	kN・m

- Stress

Top Flange

Left	y_1	-350.000	mm	z_1	372.647	mm	σ_1	-241.209	MPa
	y_2	-10.000	mm	z_2	372.647	mm	σ_2	-237.768	MPa
Right	y_1	350.000	mm	z_1	372.647	mm	σ_1	-234.126	MPa
	y_2	10.000	mm	z_2	372.647	mm	σ_2	-237.566	MPa

Bottom Flange

Left	y_1	-475.000	mm	z_1	-1627.353	mm	σ_1	288.090	MPa
	y_2	-10.000	mm	z_2	-1627.353	mm	σ_2	292.795	MPa
Right	y_1	475.000	mm	z_1	-1627.353	mm	σ_1	297.703	MPa
	y_2	10.000	mm	z_2	-1627.353	mm	σ_2	292.997	MPa

Web

Right	y_1	0.000	mm	z_1	332.647	mm	σ_1	-227.056	MPa
	y_2	0.000	mm	z_2	-1567.353	mm	σ_2	276.979	MPa

■ Classification of sections

Part	Class
Top flange	1
Web	1
Bottom flange	1
Section	1

- Plastic resistance moment, $M_{pl,Rd}$

Plastic NA = 1960.133 mm

N_{slab} = 21629.440 kN

$N_{g,top}$ = 9435.280 kN (Upper side of PNA)

$N_{g,bot}$ = 31064.720 kN (Lower side of PNA)

$M_{pl,Rd}$ = 52251.473 kN・m

x_{pl} = 339.867 mm

M_{Rd} = $\beta M_{pl,Rd}$ = 52251.473 kN・m

here, β = 1.000

M_{Rd} = 52251.473 kN・m > M_{Ed} = 37725.194 kN・m …OK

3 Resistance to Vertical Shear

■ Design load

Load combination name : SLU-1

N_{Ed}	=	298.009	kN
$M_{a,Ed}$	=	14085.096	kN · m
$M_{c,Ed}$	=	23296.023	kN · m
$V_{Ed,a}$	=	-32.663	kN
$V_{Ed,c}$	=	410.304	kN
V_{Ed}	=	377.641	kN

- Stress

Top Flange

Left	y_1	-350.000	mm	z_1	372.647	mm	σ_1	-240.454	MPa
	y_2	-10.000	mm	z_2	372.647	mm	σ_2	-237.190	MPa
Right	y_1	350.000	mm	z_1	372.647	mm	σ_1	-233.735	MPa
	y_2	10.000	mm	z_2	372.647	mm	σ_2	-236.998	MPa

Bottom Flange

Left	y_1	-475.000	mm	z_1	-1627.353	mm	σ_1	285.964	MPa
	y_2	-10.000	mm	z_2	-1627.353	mm	σ_2	290.427	MPa
Right	y_1	475.000	mm	z_1	-1627.353	mm	σ_1	295.082	MPa
	y_2	10.000	mm	z_2	-1627.353	mm	σ_2	290.619	MPa

Web

Right	y_1	0.000	mm	z_1	332.647	mm	σ_1	-226.542	MPa
	y_2	0.000	mm	z_2	-1567.353	mm	σ_2	274.695	MPa

■ Classification of sections

Part	Class
Top flange	1
Web	1
Bottom flange	1
Section	1

■ Plastic resistance moment, $M_{pl,Rd}$

Plastic NA = 1960.133 mm

N_{slab}	=	21629.440	kN
$N_{g,top}$	=	9435.280	kN
$N_{g,bot}$	=	31064.720	kN

$M_{pl,Rd}$	=	52251.473	kN · m

■ Calculation. $V_{bw,Rd}$

Web

■ Contribution from the web

λ_w = $h_w / (86.4 \cdot t \cdot \varepsilon)$ = 1.351

X_w = $1.37 / (0.7+\lambda_w)$ = 0.668 $\lambda_w \geq 1.08$

$$V_{bw,Rd} = \frac{X_w \cdot f_{yw} \cdot h_w \cdot t}{\sqrt{3} \cdot \gamma_{M1}} = 4728.515 \text{ kN}$$

V_{Rd} = 4728.515 kN

V_{Edi} = V_{Ed} / Num. of Web = 377.641 kN

η'_3 = $V_{Edi} / V_{bw,Rd}$ = 0.080 ≤ 1.0

■ Contribution from the flange

$M_{f,Rd}$ = 39870.170 kN · m

$M_{f,Rd}$ is calculated as $M_{pl,Rd}$ but neglecting the web contribution.

$$V_{bf,Rd} = \frac{b_f \cdot t_f^2 \cdot f_{yf}}{c \cdot \gamma_{M1}} \left(1 - \left(\frac{M_{Ed}}{M_{f,Rd}}\right)^2\right) = 0.000 \text{ kN}$$

where, $M_{f,Rd}$ = 39870.170 kN · m

M_{Ed} = 148620.030 kN · m (Taken as the greatest value of $(\sum \sigma_i)W$)

$$c = a \cdot \left(0.25 + \frac{1.6 \cdot b_f \cdot t_f^2 \cdot f_{yf}}{t \cdot h_w^2 \cdot f_{yw}}\right) = 0.000$$

■ Check Shear Resistance

$V_{Edi} / (V_{bw,Rd}+V_{bf,Rd})$ = 0.080 < 1.0 … OK

4 Resistance to Lateral Torsional Buckling

- Design load

Load combination name : SLU-1

N_{Ed} = 270.622 kN

M_{Ed} = 23640.099 kN · m

V_1 = 4.065 kN

V_2 = 12.354 kN

M_1 = 37725.194 kN · m

M_2 = 37716.986 kN · m

$M_{pl,Rd}$ = 52251.473 kN · m

$M_{el,Rd}$ = 44323.325 kN · m

- $M_{b,Rd}$ Buckling resistance moment

L = 1.000 m

c = C_d / l = 0.000

γ = $c \cdot L^4 / (E \cdot I)$ = 0.000

μ = V_2 / V_1 = 0.329

Φ = $2 \cdot (1-M_2/M_1) / (1+\mu)$ = 0.000

m_1 = $1+0.44 \cdot (1+\mu) \cdot \Phi^{1.5}+(3+2 \cdot \Phi) \cdot \gamma/(350-50 \cdot \mu)$ = 1.000

m_2 = $1+0.44 \cdot (1+\mu) \cdot \Phi^{1.5}+(0.195+(0.05+\mu/100) \cdot \Phi) \cdot \gamma^{0.5}$ = 1.000

m = $\text{Min}(m_1, m_2)$ = 1.000

α_{LT} = 0.760

λ_{LT} = $1.103 \cdot L/b \cdot \sqrt{(f_y/Em)} \cdot \sqrt{(1+A_{wc}/(3 \cdot A_f))}$ = 0.067

Φ_{LT} = $0.5 \cdot (1+\alpha_{LT} \cdot (\lambda_{LT} - 0.2)+\lambda_{LT}^2)$ = 0.452

$$X_{LT} = \frac{1}{\Phi_{LT} + \sqrt{(\Phi_{LT}^2 - \lambda_{LT}^2)}} = 1$$

M_{Rd} = 52251.473 kN · m

$M_{b,Rd}$ = $X_{LT} \cdot M_{Rd}$ = 52251.473 kN · m

- $N_{b,Rd}$ Axial buckling resistance

$X_{LT,N}$ = 1.000

$N_{b,Rd}$ = $X_{LT} \cdot \text{Area} \cdot f_{yd}$ = 105598.413 kN

$$\text{Combined Ratio} = \frac{N_{Ed}}{N_{b,Rd}} + \frac{M_{Ed}}{M_{b,Rd}} = 0.454992073$$

6 Resistance to Longitudinal Shear

- Design load

Load combination name : SLU-1

$N_{c,el}$ = 13409.502 kN

$N_{c,f}$ = 21629.440 kN

M_{Ed} = 37381.118 kN · m

V_{Ed} = 410.304 kN

$M_{pl,Rd}$ = 52251.473 kN · m

$M_{el,Rd}$ = 44323.325 kN · m

- Shear resistance of a single connector

$P_{Rd,1}$ = $0.8 \cdot f_u \cdot \pi \cdot d^2 / 4 / \gamma_V$ = 81.656 kN

$P_{Rd,2}$ = $0.29 \cdot \alpha \cdot d^2 \cdot \sqrt{(f_{ck} \cdot E_{cm})} / \gamma_V$ = 86.065 kN

P_{Rd} = $\text{Min}(P_{Rd,1}, P_{Rd,2})$ = 81.656 kN

where, f_u = 450.000 MPa

α = 1 for $h_{sc}/d > 4$

Num. = 3

d = 19.000 mm

h_{sc} = 175.000 mm

Space = 200.000 mm

- Verification

$v_{L,Ed}$ = $V_{Ed} \cdot (A \cdot z / I)$ = 186.622 kN/m

$v_{L,Rd}$ = $P_{Rd} \cdot \text{Num.}/\text{Space}$ = 1224.844 kN/m

$v_{L,Ed}$ < $v_{L,Rd}$ … OK

0 **Longitudinal Shear for SLS(Serviceability limit state)**

- Shear resistance of a single connector

Load combination name : SLE RARA

$P_{Rd,1} = 0.8 \cdot f_u \cdot \pi \cdot d^2 / 4 / \gamma_V = 81.656$ kN

$P_{Rd,2} = 0.29 \cdot \alpha \cdot d^2 \cdot \sqrt{(f_{ck} \cdot E_{cm})} / \gamma_V = 86.065$ kN

$P_{Rd} = \text{Min}(P_{Rd,1}, P_{Rd,2}) = 81.656$ kN

$P_{Rd,ser} = k_s \cdot P_{Rd} = 61.242$ kN

where, $f_u = 450.000$ MPa

$\alpha = 1$ for $h_{sc}/d > 4$

Num. = 3

d = 19.000 mm

h_{sc} = 175.000 mm

Space = 200.000 mm

k_s = 0.750

- Verification

$v_{L,Ed} = V_{Ed} \cdot (A \cdot z / I) = 138.240$ kN/m

$v_{L,Rd} = P_{Rd,ser} \cdot \text{Num.}/\text{Space} = 918.633$ kN/m

$v_{L,Ed} < v_{L,Rd}$ … OK

13.2.1.6 CONCIO C1 CENTRALE – ELEMENTI 294 E 295

Element Number	**294**
Position Information	I

1 Design Condition

1.1 Design Parameters

■ Partial factors

γ_C for concrete	1.50	γ_V for headed sutd	1.25
γ_S for reinforcing steel	1.15	γ_{Ff} for equivalent constant Amplitude stress range	1.00
γ_{M0} for structural steel	1.05	γ_{Mf} for fatigue strength	1.15
γ_{M1} for structural steel	1.10	$\gamma_{Mf,s}$ for fatigue strength of studs in shear	1.00

1.2 Material Information

■ Structural steel

f_{sk} = 355.000 MPa E_s = 210000.000 MPa

■ Concrete

f_{ck} = 32.000 MPa E_{cm} = 33000.000 MPa

■ Reinforcement

f_{yk} = 450.000 MPa E_r = 210000.000 MPa

■ Section Dimensions

Slab

B_c	4500.000	mm	t_c	240.000	mm	H_h	60.000	mm

Girder

H_w	1900.000	mm	B_1	700.000	mm	B_2	950.000	mm
t_w	20.000	mm	t_{f1}	40.000	mm	t_{f2}	60.000	mm

■ Section Stiffness

Before

$A_{,a}$	123000.000	mm^2
$I_{y,a}$	85843833333.333	mm^4
$I_{z,a}$	5431475000.000	mm^4
$C_{y,a}$	475.000	mm
$C_{z,a}$	776.667	mm

After

$A_{,c}$	294428.571	mm^2
$I_{y,c}$	227702711825.050	mm^4
$I_{z,c}$	294717189285.714	mm^4
$C_{y,c}$	2250.000	mm
$C_{z,c}$	1593.746	mm

Crack

$A_{,c}$	130084.000	mm^2
$I_{y,c}$	99074881269.085	mm^4
$I_{z,c}$	17899401744.086	mm^4
$C_{y,c}$	2250.000	mm
$C_{z,c}$	853.088	mm

2 Bending Resistance

2.1 Positive Moment

■ Design load

Load combination name : SLU-1

$N_{a,Ed}$	-21.772	kN
$N_{c,Ed}$	102.173	kN
$M_{a,Ed}$	13650.668	kN · m
$M_{c,Ed}$	18332.223	kN · m

- Stress

Top Flange

Left	y_1	-350.000	mm	z_1	406.254	mm	σ_1	-229.362	MPa
	y_2	-10.000	mm	z_2	406.254	mm	σ_2	-227.134	MPa
Right	y_1	350.000	mm	z_1	406.254	mm	σ_1	-224.775	MPa
	y_2	10.000	mm	z_2	406.254	mm	σ_2	-227.003	MPa

Bottom Flange

Left	y_1	-475.000	mm	z_1	-1593.746	mm	σ_1	248.872	MPa
	y_2	-10.000	mm	z_2	-1593.746	mm	σ_2	251.920	MPa
Right	y_1	475.000	mm	z_1	-1593.746	mm	σ_1	255.098	MPa
	y_2	10.000	mm	z_2	-1593.746	mm	σ_2	252.051	MPa

Web

Right	y_1	0.000	mm	z_1	366.254	mm	σ_1	-217.488	MPa
	y_2	0.000	mm	z_2	-1533.746	mm	σ_2	237.614	MPa

■ Classification of sections

Part	Class
Top flange	1
Web	1
Bottom flange	1
Section	1

- Plastic resistance moment, $M_{pl,Rd}$

Plastic NA = 1813.394 mm

N_{slab} = 19584.000 kN

$N_{g,top}$ = 10458.000 kN (Upper side of PNA)

$N_{g,bot}$ = 30042.000 kN (Lower side of PNA)

$M_{pl,Rd}$ = 51656.145 kN · m

x_{pl} = 486.606 mm

M_{Rd} = $\beta M_{pl,Rd}$ = 51656.145 kN · m

here, β = 1.000

M_{Rd} = 51656.145 kN · m > M_{Ed} = 31982.891 kN · m …OK

3 Resistance to Vertical Shear

■ Design load

Load combination name : SLU-1

N_{Ed} = 101.589 kN

$M_{a,Ed}$ = 13650.668 kN · m

$M_{c,Ed}$ = 18117.902 kN · m

$V_{Ed,a}$ = -30.165 kN

$V_{Ed,c}$ = 495.170 kN

V_{Ed} = 465.004 kN

- Stress

Top Flange

Left	y_1	-350.000	mm	z_1	406.254	mm	σ_1	-228.845	MPa
	y_2	-10.000	mm	z_2	406.254	mm	σ_2	-226.750	MPa
Right	y_1	350.000	mm	z_1	406.254	mm	σ_1	-224.532	MPa
	y_2	10.000	mm	z_2	406.254	mm	σ_2	-226.627	MPa

Bottom Flange

Left	y_1	-475.000	mm	z_1	-1593.746	mm	σ_1	247.556	MPa
	y_2	-10.000	mm	z_2	-1593.746	mm	σ_2	250.421	MPa
Right	y_1	475.000	mm	z_1	-1593.746	mm	σ_1	253.410	MPa
	y_2	10.000	mm	z_2	-1593.746	mm	σ_2	250.545	MPa

Web

Right	y_1	0.000	mm	z_1	366.254	mm	σ_1	-217.145	MPa
	y_2	0.000	mm	z_2	-1533.746	mm	σ_2	236.168	MPa

■ Classification of sections

Part	Class
Top flange	1
Web	1
Bottom flange	1
Section	1

■ Plastic resistance moment, $M_{pl,Rd}$

Plastic NA = 1813.394 mm

N_{slab} = 19584.000 kN

$N_{g,top}$ = 10458.000 kN

$N_{g,bot}$ = 30042.000 kN

$M_{pl,Rd}$ = 51656.145 kN · m

■ Calculation. $V_{bw,Rd}$

Web

■ Contribution from the web

$\lambda_w = h_w / (86.4 \cdot t \cdot \varepsilon) = 1.351$

$X_w = 1.37 / (0.7+\lambda_w) = 0.668$ $\lambda_w \geq 1.08$

$$V_{bw,Rd} = \frac{X_w \cdot f_{yw} \cdot h_w \cdot t}{\sqrt{3} \cdot \gamma_{M1}} = 4728.515 \text{ kN}$$

$V_{Rd} = 4728.515$ kN

$V_{Edi} = V_{Ed}$ / Num. of Web $= 465.004$ kN

$\eta'_3 = V_{Edi} / V_{bw,Rd} = 0.098 \leq 1.0$

■ Contribution from the flange

$M_{f,Rd} = 39471.544$ kN · m

$M_{f,Rd}$ is calculated as $M_{pl,Rd}$ but neglecting the web contribution.

$$V_{bf,Rd} = \frac{b_f \cdot t_f^2 \cdot f_{yf}}{c \cdot \gamma_{M1}} \left(1 - \left(\frac{M_{Ed}}{M_{f,Rd}}\right)^2\right) = 0.000 \text{ kN}$$

where, $M_{f,Rd} = 39471.544$ kN · m

$M_{Ed} = 127057.206$ kN · m (Taken as the greatest value of $(\sum \sigma_i)W$)

$$c = a \cdot \left(0.25 + \frac{1.6 \cdot b_f \cdot t_f^2 \cdot f_{yf}}{t \cdot h_w^2 \cdot f_{yw}}\right) = 0.000$$

■ Check Shear Resistance

$V_{Edi} / (V_{bw,Rd}+V_{bf,Rd}) = 0.098 < 1.0$ … OK

4 Resistance to Lateral Torsional Buckling

- Design load

Load combination name : SLU-1

$N_{Ed} = 80.401$ kN

$M_{Ed} = 18332.223$ kN · m

$V_1 = -734.929$ kN

$V_2 = 755.482$ kN

$M_1 = 29602.145$ kN · m

$M_2 = 29509.212$ kN · m

$M_{pl,Rd} = 51656.145$ kN · m

$M_{el,Rd} = 44309.955$ kN · m

- $M_{b,Rd}$ Buckling resistance moment

$L = 3.500$ m

$c = C_d / l = 0.000$

$\gamma = c \cdot L^4 / (E \cdot I) = 0.000$

$\mu = V_2 / V_1 = 0.973$

$\Phi = 2 \cdot (1-M_2/M_1) / (1+\mu) = 0.003$

$m_1 = 1+0.44 \cdot (1+\mu) \cdot \Phi^{1.5}+(3+2 \cdot \Phi) \cdot \gamma/(350-50 \cdot \mu) = 1.000$

$m_2 = 1+0.44 \cdot (1+\mu) \cdot \Phi^{1.5}+(0.195+(0.05+\mu/100) \cdot \Phi) \cdot \gamma^{0.5} = 1.001$

$m = \text{Min}(m_1, m_2) = 1.000$

$\alpha_{LT} = 0.760$

$\lambda_{LT} = 1.103 \cdot L/b \cdot \sqrt{(f_y/Em)} \cdot \sqrt{(1+A_{wc}/(3 \cdot A_f))} = 0.236$

$\Phi_{LT} = 0.5 \cdot (1+\alpha_{LT} \cdot (\lambda_{LT} - 0.2)+\lambda_{LT}^2) = 0.542$

$$X_{LT} = \frac{1}{\Phi_{LT} + \sqrt{(\Phi_{LT}^2 - \lambda_{LT}^2)}} = 0.971568966$$

$M_{Rd} = 51656.145 \text{ kN} \cdot \text{m}$

$M_{b,Rd} = X_{LT} \cdot M_{Rd} = 50187.507 \text{ kN} \cdot \text{m}$

- $N_{b,Rd}$ Axial buckling resistance

$X_{LT,N} = 0.943$

$N_{b,Rd} = X_{LT} \cdot \text{Area} \cdot f_{yd} = 93918.694 \text{ kN}$

$$\text{Combined Ratio} = \frac{N_{Ed}}{N_{b,Rd}} + \frac{M_{Ed}}{M_{b,Rd}} = 0.36613071$$

6 Resistance to Longitudinal Shear

- Design load

Load combination name : SLU-1

$N_{c,el} = 13396.713 \text{ kN}$

$N_{c,f} = 19584.000 \text{ kN}$

$M_{Ed} = 31768.569 \text{ kN} \cdot \text{m}$

$V_{Ed} = 495.170 \text{ kN}$

$M_{pl,Rd} = 51656.145 \text{ kN} \cdot \text{m}$

$M_{el,Rd} = 44309.955 \text{ kN} \cdot \text{m}$

- Shear resistance of a single connector

$P_{Rd,1} = 0.8 \cdot f_u \cdot \pi \cdot d^2 / 4 / \gamma_V = 81.656 \text{ kN}$

$P_{Rd,2} = 0.29 \cdot \alpha \cdot d^2 \cdot \sqrt{(f_{ck} \cdot E_{cm})} / \gamma_V = 86.065 \text{ kN}$

$P_{Rd} = \text{Min}(P_{Rd,1}, P_{Rd,2}) = 81.656 \text{ kN}$

where, $f_u = 450.000 \text{ MPa}$

$\alpha = 1$ for $h_{sc}/d > 4$

Num. = 3

$d = 19.000 \text{ mm}$

$h_{sc} = 175.000 \text{ mm}$

Space = 200.000 mm

- Verification

$v_{L,Ed} = V_{Ed} \cdot (A \cdot z / I) = 222.628 \text{ kN/m}$

$v_{L,Rd}$ = P_{Rd} · Num./Space = 1224.844 kN/m

$v_{L,Ed}$ < $v_{L,Rd}$ … OK

0 **Longitudinal Shear for SLS(Serviceability limit state)**

- Shear resistance of a single connector

Load combination name : SLE RARA

$P_{Rd,1}$ = $0.8 \cdot f_u \cdot \pi \cdot d^2 / 4 / \gamma_V$ = 81.656 kN

$P_{Rd,2}$ = $0.29 \cdot \alpha \cdot d^2 \cdot \sqrt{(f_{ck} \cdot E_{cm})} / \gamma_V$ = 86.065 kN

P_{Rd} = $Min(P_{Rd,1}, P_{Rd,2})$ = 81.656 kN

$P_{Rd,ser}$ = $k_s \cdot P_{Rd}$ = 61.242 kN

where, f_u = 450.000 MPa

α = 1 for $h_{sc}/d > 4$

Num. = 3

d = 19.000 mm

h_{sc} = 175.000 mm

Space = 200.000 mm

k_s = 0.750

- Verification

$v_{L,Ed}$ = $V_{Ed} \cdot (A \cdot z / I)$ = 164.908 kN/m

$v_{L,Rd}$ = $P_{Rd,ser}$ · Num./Space = 918.633 kN/m

$v_{L,Ed}$ < $v_{L,Rd}$ … OK

Element Number	295
Position Information	I

1 Design Condition

1.1 Design Parameters

■ Partial factors

γ_C for concrete	1.50	γ_V for headed sutd	1.25
γ_S for reinforcing steel	1.15	γ_{Ff} for equivalent constant Amplitude stress range	1.00
γ_{M0} for structural steel	1.05	γ_{Mf} for fatigue strength	1.15
γ_{M1} for structural steel	1.10	$\gamma_{Mf,s}$ for fatigue strength of studs in shear	1.00

1.2 Material Information

■ Structural steel

f_{sk} = 355.000 MPa E_s = 210000.000 MPa

■ Concrete

f_{ck} = 32.000 MPa E_{cm} = 33000.000 MPa

■ Reinforcement

f_{yk} = 450.000 MPa E_r = 210000.000 MPa

■ Section Dimensions

Slab

B_c	4500.000	mm	t_c	240.000	mm	H_h	60.000	mm

Girder

H_w	1900.000	mm	B_1	700.000	mm	B_2	950.000	mm
t_w	20.000	mm	t_{f1}	40.000	mm	t_{f2}	60.000	mm

■ Section Stiffness

Before

$A_{,a}$	123000.000	mm^2
$I_{y,a}$	85843833333.333	mm^4
$I_{z,a}$	5431475000.000	mm^4
$C_{y,a}$	475.000	mm
$C_{z,a}$	776.667	mm

After

$A_{,c}$	294428.571	mm^2
$I_{y,c}$	227702711825.050	mm^4
$I_{z,c}$	294717189285.714	mm^4
$C_{y,c}$	2250.000	mm
$C_{z,c}$	1593.746	mm

Crack

$A_{,c}$	130084.000	mm^2
$I_{y,c}$	99074881269.085	mm^4
$I_{z,c}$	17899401744.086	mm^4
$C_{y,c}$	2250.000	mm
$C_{z,c}$	853.088	mm

2 Bending Resistance

2.1 Positive Moment

■ Design load

Load combination name : SLU-1

$N_{a,Ed}$	-21.763	kN
$N_{c,Ed}$	95.432	kN
$M_{a,Ed}$	13651.378	kN・m
$M_{c,Ed}$	17572.758	kN・m

- Stress

Top Flange

Left	y_1	-350.000	mm	z_1	406.254	mm	σ_1	-227.932	MPa
	y_2	-10.000	mm	z_2	406.254	mm	σ_2	-225.809	MPa
Right	y_1	350.000	mm	z_1	406.254	mm	σ_1	-223.562	MPa
	y_2	10.000	mm	z_2	406.254	mm	σ_2	-225.684	MPa

Bottom Flange

Left	y_1	-475.000	mm	z_1	-1593.746	mm	σ_1	243.688	MPa
	y_2	-10.000	mm	z_2	-1593.746	mm	σ_2	246.591	MPa
Right	y_1	475.000	mm	z_1	-1593.746	mm	σ_1	249.619	MPa
	y_2	10.000	mm	z_2	-1593.746	mm	σ_2	246.716	MPa

Web

Right	y_1	0.000	mm	z_1	366.254	mm	σ_1	-216.299	MPa
	y_2	0.000	mm	z_2	-1533.746	mm	σ_2	232.481	MPa

■ Classification of sections

Part	Class
Top flange	1
Web	1
Bottom flange	1
Section	1

- Plastic resistance moment, $M_{pl,Rd}$

Plastic NA = 1813.394 mm

N_{slab} = 19584.000 kN

$N_{g,top}$ = 10458.000 kN (Upper side of PNA)

$N_{g,bot}$ = 30042.000 kN (Lower side of PNA)

$M_{pl,Rd}$ = 51656.145 kN・m

x_{pl} = 486.606 mm

M_{Rd} = $\beta M_{pl,Rd}$ = 51656.145 kN・m

here, β = 1.000

M_{Rd} = 51656.145 kN · m > M_{Ed} = 31224.136 kN · m …OK

3 Resistance to Vertical Shear

■ Design load

Load combination name : SLU-1

N_{Ed} = 102.846 kN

$M_{a,Ed}$ = 13651.378 kN · m

$M_{c,Ed}$ = 16516.480 kN · m

$V_{Ed,a}$ = -30.165 kN

$V_{Ed,c}$ = 483.451 kN

V_{Ed} = 453.286 kN

- Stress

Top Flange

Left	y_1	-350.000	mm	z_1	406.254	mm	σ_1	-225.963	MPa
	y_2	-10.000	mm	z_2	406.254	mm	σ_2	-223.898	MPa
Right	y_1	350.000	mm	z_1	406.254	mm	σ_1	-221.711	MPa
	y_2	10.000	mm	z_2	406.254	mm	σ_2	-223.776	MPa

Bottom Flange

Left	y_1	-475.000	mm	z_1	-1593.746	mm	σ_1	236.400	MPa
	y_2	-10.000	mm	z_2	-1593.746	mm	σ_2	239.224	MPa
Right	y_1	475.000	mm	z_1	-1593.746	mm	σ_1	242.170	MPa
	y_2	10.000	mm	z_2	-1593.746	mm	σ_2	239.346	MPa

Web

Right	y_1	0.000	mm	z_1	366.254	mm	σ_1	-214.574	MPa
	y_2	0.000	mm	z_2	-1533.746	mm	σ_2	225.391	MPa

■ Classification of sections

Part	Class
Top flange	1
Web	1
Bottom flange	1
Section	1

■ Plastic resistance moment, $M_{pl,Rd}$

Plastic NA = 1813.394 mm

N_{slab} = 19584.000 kN

$N_{g,top}$ = 10458.000 kN

$N_{g,bot}$ = 30042.000 kN

$M_{pl,Rd}$ = 51656.145 kN · m

■ Calculation. $V_{bw,Rd}$

Web

■ Contribution from the web

$\lambda_w = h_w / (86.4 \cdot t \cdot \varepsilon) = 1.351$

$X_w = 1.37 / (0.7+\lambda_w) = 0.668 \quad \lambda_w \geq 1.08$

$$V_{bw,Rd} = \frac{X_w \cdot f_{yw} \cdot h_w \cdot t}{\sqrt{3} \cdot \gamma_{M1}} = 4728.515 \text{ kN}$$

$V_{Rd} = 4728.515$ kN

$V_{Edi} = V_{Ed}$ / Num. of Web $= 453.286$ kN

$\eta'_3 = V_{Edi} / V_{bw,Rd} = 0.096 \leq 1.0$

■ Contribution from the flange

$M_{f,Rd} = 39471.544$ kN · m

$M_{f,Rd}$ is calculated as $M_{pl,Rd}$ but neglecting the web contribution.

$$V_{bf,Rd} = \frac{b_f \cdot t_f^2 \cdot f_{yf}}{c \cdot \gamma_{M1}} \left(1 - \left(\frac{M_{Ed}}{M_{f,Rd}} \right)^2 \right) = 0.000 \text{ kN}$$

where, $M_{f,Rd} = 39471.544$ kN · m

$M_{Ed} = 125459.021$ kN · m (Taken as the greatest value of $(\sum \sigma_i)W$)

$$c = a \cdot \left(0.25 + \frac{1.6 \cdot b_f \cdot t_f^2 \cdot f_{yf}}{t \cdot h_w^2 \cdot f_{yw}}\right) = 0.000$$

■ Check Shear Resistance

$V_{Edi} / (V_{bw,Rd}+V_{bf,Rd}) = 0.096 < 1.0$ … OK

4 Resistance to Lateral Torsional Buckling

- Design load

Load combination name : SLU-1

$N_{Ed} = 73.669$ kN

$M_{Ed} = 17572.758$ kN · m

$V_1 = -712.544$ kN

$V_2 = 732.884$ kN

$M_1 = 28919.130$ kN · m

$M_2 = 28826.261$ kN · m

$M_{pl,Rd} = 51656.145$ kN · m

$M_{el,Rd} = 44309.747$ kN · m

- $M_{b,Rd}$ Buckling resistance moment

$L = 3.500$ m

$c = C_d / l = 0.000$

$\gamma = c \cdot L^4 / (E \cdot I) = 0.000$

$\mu = V_2 / V_1 = 0.972$

$\Phi = 2 \cdot (1-M_2/M_1) / (1+\mu) = 0.003$

$m_1 = 1+0.44 \cdot (1+\mu) \cdot \Phi^{1.5}+(3+2 \cdot \Phi) \cdot \gamma/(350-50 \cdot \mu) = 1.000$

$m_2 = 1+0.44 \cdot (1+\mu) \cdot \Phi^{1.5}+(0.195+(0.05+\mu/100) \cdot \Phi) \cdot \gamma^{0.5} = 1.001$

$m = \text{Min}(m_1, m_2) = 1.000$

$\alpha_{LT} = 0.760$

$\lambda_{LT} = 1.103 \cdot L/b \cdot \sqrt{(f_y/Em)} \cdot \sqrt{(1+A_{wc}/(3 \cdot A_f))} = 0.236$

$\Phi_{LT} = 0.5 \cdot (1+\alpha_{LT} \cdot (\lambda_{LT} - 0.2)+\lambda_{LT}^2) = 0.542$

$$X_{LT} = \frac{1}{\Phi_{LT} + \sqrt{(\Phi_{LT}^2 - \lambda_{LT}^2)}} = 0.971569459$$

$M_{Rd} = 51656.145 \text{ kN} \cdot \text{m}$

$M_{b,Rd} = X_{LT} \cdot M_{Rd} = 50187.533 \text{ kN} \cdot \text{m}$

- $N_{b,Rd}$ Axial buckling resistance

$X_{LT,N} = 0.943$

$N_{b,Rd} = X_{LT} \cdot \text{Area} \cdot f_{yd} = 93918.694 \text{ kN}$

$$\text{Combined Ratio} = \frac{N_{Ed}}{N_{b,Rd}} + \frac{M_{Ed}}{M_{b,Rd}} = 0.350926299$$

6 Resistance to Longitudinal Shear

- Design load

Load combination name : SLU-1

$N_{c,el} = 13396.312 \text{ kN}$

$N_{c,f} = 19584.000 \text{ kN}$

$M_{Ed} = 30167.858 \text{ kN} \cdot \text{m}$

$V_{Ed} = 483.451 \text{ kN}$

$M_{pl,Rd} = 51656.145 \text{ kN} \cdot \text{m}$

$M_{el,Rd} = 44309.747 \text{ kN} \cdot \text{m}$

- Shear resistance of a single connector

$P_{Rd,1} = 0.8 \cdot f_u \cdot \pi \cdot d^2 / 4 / \gamma_V = 81.656 \text{ kN}$

$P_{Rd,2} = 0.29 \cdot \alpha \cdot d^2 \cdot \sqrt{(f_{ck} \cdot E_{cm})} / \gamma_V = 86.065 \text{ kN}$

$P_{Rd} = \text{Min}(P_{Rd,1}, P_{Rd,2}) = 81.656 \text{ kN}$

where, $f_u = 450.000 \text{ MPa}$

$\alpha = 1$ for $h_{sc}/d > 4$

Num. = 3

d = 19.000 mm

h_{sc} = 175.000 mm

Space = 200.000 mm

- Verification

$v_{L,Ed} = V_{Ed} \cdot (A \cdot z / I) = 217.359 \text{ kN/m}$

$v_{L,Rd}$ = P_{Rd} · Num./Space = 1224.844 kN/m

$v_{L,Ed}$ < $v_{L,Rd}$ … OK

0 **Longitudinal Shear for SLS(Serviceability limit state)**

- Shear resistance of a single connector

Load combination name : SLE RARA

$P_{Rd,1}$ = $0.8 \cdot f_u \cdot \pi \cdot d^2 / 4 / \gamma_V$ = 81.656 kN

$P_{Rd,2}$ = $0.29 \cdot \alpha \cdot d^2 \cdot \sqrt{(f_{ck} \cdot E_{cm})} / \gamma_V$ = 86.065 kN

P_{Rd} = $Min(P_{Rd,1}, P_{Rd,2})$ = 81.656 kN

$P_{Rd,ser}$ = $k_s \cdot P_{Rd}$ = 61.242 kN

where, f_u = 450.000 MPa

α = 1 for $h_{sc}/d > 4$

Num. = 3

d = 19.000 mm

h_{sc} = 175.000 mm

Space = 200.000 mm

k_s = 0.750

- Verification

$v_{L,Ed}$ = $V_{Ed} \cdot (A \cdot z / I)$ = 161.007 kN/m

$v_{L,Rd}$ = $P_{Rd,ser}$ · Num./Space = 918.633 kN/m

$v_{L,Ed}$ < $v_{L,Rd}$ … OK

13.2.1.7 CONCIO C2 LATERALE – ELEMENTI 14 E 15

Element Number	**14**
Position Information	J

1 Design Condition

1.1 Design Parameters

■ Partial factors

γ_C for concrete	1.50	γ_V for headed sutd	1.25
γ_S for reinforcing steel	1.15	γ_{Ff} for equivalent constant Amplitude stress range	1.00
γ_{M0} for structural steel	1.05	γ_{Mf} for fatigue strength	1.15
γ_{M1} for structural steel	1.10	$\gamma_{Mf,s}$ for fatigue strength of studs in shear	1.00

1.2 Material Information

■ Structural steel

f_{sk} = 355.000 MPa E_s = 210000.000 MPa

■ Concrete

f_{ck} = 32.000 MPa E_{cm} = 33000.000 MPa

■ Reinforcement

f_{yk} = 450.000 MPa E_r = 210000.000 MPa

■ Section Dimensions

Slab

B_c	4970.000	mm	t_c	240.000	mm	H_h	60.000	mm

Girder

H_w	1905.000	mm	B_1	700.000	mm	B_2	950.000	mm
t_w	20.000	mm	t_{f1}	40.000	mm	t_{f2}	55.000	mm

■ Section Stiffness

Before

$A_{,a}$	118350.000	mm^2
$I_{y,a}$	83344348046.446	mm^4
$I_{z,a}$	5074238750.000	mm^4
$C_{y,a}$	475.000	mm
$C_{z,a}$	804.923	mm

After

$A_{,c}$	307683.333	mm^2
$I_{y,c}$	221956804294.340	mm^4
$I_{z,c}$	394799549861.111	mm^4
$C_{y,c}$	2485.000	mm
$C_{z,c}$	1651.078	mm

Crack

$A_{,c}$	126050.000	mm^2
$I_{y,c}$	97057809071.237	mm^4
$I_{z,c}$	21090333037.050	mm^4
$C_{y,c}$	2485.000	mm

$C_{z,c}$	888.922	mm

2 Bending Resistance

2.1 Positive Moment

■ Design load

Load combination name : SLU-1

$N_{a,Ed}$	-20.048	kN
$N_{c,Ed}$	284.249	kN
$M_{a,Ed}$	12728.698	kN · m
$M_{c,Ed}$	21497.807	kN · m

- Stress

Top Flange

Left	y_1	-350.000	mm	z_1	348.922	mm	σ_1	-211.573	MPa
	y_2	-10.000	mm	z_2	348.922	mm	σ_2	-215.444	MPa
Right	y_1	350.000	mm	z_1	348.922	mm	σ_1	-219.543	MPa
	y_2	10.000	mm	z_2	348.922	mm	σ_2	-215.672	MPa

Bottom Flange

Left	y_1	-475.000	mm	z_1	-1651.078	mm	σ_1	289.010	MPa
	y_2	-10.000	mm	z_2	-1651.078	mm	σ_2	283.716	MPa
Right	y_1	475.000	mm	z_1	-1651.078	mm	σ_1	278.194	MPa
	y_2	10.000	mm	z_2	-1651.078	mm	σ_2	283.488	MPa

Web

Right	y_1	0.000	mm	z_1	308.922	mm	σ_1	-205.575	MPa
	y_2	0.000	mm	z_2	-1596.078	mm	σ_2	269.875	MPa

■ Classification of sections

Part	Class
Top flange	1
Web	1
Bottom flange	1
Section	1

- Plastic resistance moment, $M_{pl,Rd}$

Plastic NA = 1963.263 mm

N_{slab} = 21629.440 kN

$N_{g,top}$ = 8694.447 kN (Upper side of PNA)

$N_{g,bot}$ = 30323.887 kN (Lower side of PNA)

$M_{pl,Rd}$ = 49430.086 kN · m

x_{pl} = 336.737 mm

M_{Rd} = $\beta M_{pl,Rd}$ = 49430.086 kN · m

here, β = 1.000

M_{Rd} = 49430.086 kN · m > M_{Ed} = 34226.505 kN · m …OK

3 Resistance to Vertical Shear

■ Design load

Load combination name : SLU-1

N_{Ed} = 285.562 kN

$M_{a,Ed}$ = 12728.698 kN · m

$M_{c,Ed}$ = 21158.810 kN · m

$V_{Ed,a}$ = 420.376 kN

$V_{Ed,c}$ = 886.711 kN

V_{Ed} = 1307.087 kN

- Stress

Top Flange

Left	y_1	-350.000	mm	z_1	348.922	mm	σ_1	-210.942	MPa
	y_2	-10.000	mm	z_2	348.922	mm	σ_2	-214.904	MPa
Right	y_1	350.000	mm	z_1	348.922	mm	σ_1	-219.099	MPa
	y_2	10.000	mm	z_2	348.922	mm	σ_2	-215.137	MPa

Bottom Flange

Left	y_1	-475.000	mm	z_1	-1651.078	mm	σ_1	286.620	MPa
	y_2	-10.000	mm	z_2	-1651.078	mm	σ_2	281.201	MPa
Right	y_1	475.000	mm	z_1	-1651.078	mm	σ_1	275.549	MPa
	y_2	10.000	mm	z_2	-1651.078	mm	σ_2	280.968	MPa

Web

Right	y_1	0.000	mm	z_1	308.922	mm	σ_1	-205.099	MPa
	y_2	0.000	mm	z_2	-1596.078	mm	σ_2	267.442	MPa

■ Classification of sections

Part	Class
Top flange	1
Web	1
Bottom flange	1
Section	1

■ Plastic resistance moment, $M_{pl,Rd}$

Plastic NA = 1963.263 mm

N_{slab} = 21629.440 kN

$N_{g,top}$ = 8694.447 kN

$N_{g,bot}$ = 30323.887 kN

$M_{pl,Rd}$ = 49430.086 kN · m

■ Calculation. $V_{bw,Rd}$

Web

■ Contribution from the web

$\lambda_w = h_w / (86.4 \cdot t \cdot \varepsilon) = 1.355$

$X_w = 1.37 / (0.7+\lambda_w) = 0.667$ $\lambda_w \geq 1.08$

$$V_{bw,Rd} = \frac{X_w \cdot f_{yw} \cdot h_w \cdot t}{\sqrt{3} \cdot \gamma_{M1}} = 4732.754 \text{ kN}$$

V_{Rd} = 4732.754 kN

V_{Edi} = V_{Ed} / Num. of Web = 1307.087 kN

$\eta'_3 = V_{Edi} / V_{bw,Rd} = 0.276 \leq 1.0$

■ Contribution from the flange

$M_{f,Rd}$ = 36943.215 kN · m

$M_{f,Rd}$ is calculated as $M_{pl,Rd}$ but neglecting the web contribution.

$$V_{bf,Rd} = \frac{b_f \cdot t_f^2 \cdot f_{yf}}{c \cdot \gamma_{M1}} \left(1 - \left(\frac{M_{Ed}}{M_{f,Rd}} \right)^2 \right) = 0.000 \text{ kN}$$

where, $M_{f,Rd}$ = 36943.215 kN · m

M_{Ed} = 136779.411 kN · m (Taken as the greatest value of $(\sum \sigma_i)W$)

$$c = a \cdot \left(0.25 + \frac{1.6 \cdot b_f \cdot t_f^2 \cdot f_{yf}}{t \cdot h_w^2 \cdot f_{yw}}\right) = 0.000$$

■ Check Shear Resistance

$V_{Edi} / (V_{bw,Rd}+V_{bf,Rd}) = 0.276 < 1.0$ … OK

4 Resistance to Lateral Torsional Buckling

- Design load

Load combination name : SLU-1

N_{Ed} = 264.200 kN

M_{Ed} = 21497.807 kN · m

V_1 = 973.389 kN

V_2 = 929.640 kN

M_1 = 34695.676 kN · m

M_2 = 34226.505 kN · m

$M_{pl,Rd}$ = 49430.086 kN · m

$M_{el,Rd}$ = 41653.505 kN · m

- $M_{b,Rd}$ Buckling resistance moment

L = 0.500 m

c = C_d / I = 0.000

γ = $c \cdot L^4 / (E \cdot I)$ = 0.000

μ = V_2 / V_1 = 0.955

Φ = $2 \cdot (1-M_2/M_1) / (1+\mu)$ = 0.014

m_1 = $1+0.44 \cdot (1+\mu) \cdot \Phi^{1.5}+(3+2 \cdot \Phi) \cdot \gamma/(350-50 \cdot \mu)$ = 1.001

m_2 = $1+0.44 \cdot (1+\mu) \cdot \Phi^{1.5}+(0.195+(0.05+\mu/100) \cdot \Phi) \cdot \gamma^{0.5}$ = 1.001

m = $Min(m_1, m_2)$ = 1.001

α_{LT} = 0.760

λ_{LT} = $1.103 \cdot L/b \cdot \sqrt{(f_y/Em)} \cdot \sqrt{(1+A_{wc}/(3 \cdot A_f))}$ = 0.034

Φ_{LT} = $0.5 \cdot (1+\alpha_{LT} \cdot (\lambda_{LT} - 0.2)+\lambda_{LT}^2)$ = 0.437

$$X_{LT} = \frac{1}{\Phi_{LT} + \sqrt{(\Phi_{LT}^2 - \lambda_{LT}^2)}} = 1$$

M_{Rd} = 49430.086 kN · m

$M_{b,Rd}$ = $X_{LT} \cdot M_{Rd}$ = 49430.086 kN · m

- $N_{b,Rd}$ Axial buckling resistance

$X_{LT,N}$ = 1.000

$N_{b,Rd}$ = $X_{LT} \cdot Area \cdot f_{yd}$ = 104026.270 kN

$$\text{Combined Ratio} = \frac{N_{Ed}}{N_{b,Rd}} + \frac{M_{Ed}}{M_{b,Rd}} = 0.437453145$$

6 Resistance to Longitudinal Shear

- Design load

Load combination name : SLU-1

$N_{c,el}$ = 12919.795 kN

$N_{c,f}$ = 21629.440 kN

M_{Ed} = 33887.508 kN · m

V_{Ed} = 886.711 kN

$M_{pl,Rd}$ = 49430.086 kN · m

$M_{el,Rd}$ = 41653.505 kN · m

- Shear resistance of a single connector

$P_{Rd,1}$ = $0.8 \cdot f_u \cdot \pi \cdot d^2 / 4 / \gamma_V$ = 81.656 kN

$P_{Rd,2}$ = $0.29 \cdot \alpha \cdot d^2 \cdot \sqrt{(f_{ck} \cdot E_{cm})} / \gamma_V$ = 86.065 kN

P_{Rd} = $Min(P_{Rd,1}, P_{Rd,2})$ = 81.656 kN

where, f_u = 450.000 MPa

α = 1 for $h_{sc}/d > 4$

Num. = 3

d = 19.000 mm

h_{sc} = 175.000 mm

Space = 150.000 mm

- Verification

$v_{L,Ed}$ = $V_{Ed} \cdot (A \cdot z / I)$ = 406.057 kN/m

$v_{L,Rd}$ = $P_{Rd} \cdot$ Num./Space = 1633.126 kN/m

$v_{L,Ed}$ < $v_{L,Rd}$ … OK

0 **Longitudinal Shear for SLS(Serviceability limit state)**

- Shear resistance of a single connector

Load combination name : SLE RARA

$P_{Rd,1}$ = $0.8 \cdot f_u \cdot \pi \cdot d^2 / 4 / \gamma_V$ = 81.656 kN

$P_{Rd,2}$ = $0.29 \cdot \alpha \cdot d^2 \cdot \sqrt{(f_{ck} \cdot E_{cm})} / \gamma_V$ = 86.065 kN

P_{Rd} = $Min(P_{Rd,1}, P_{Rd,2})$ = 81.656 kN

$P_{Rd,ser}$ = $k_s \cdot P_{Rd}$ = 61.242 kN

where, f_u = 450.000 MPa

α = 1 for $h_{sc}/d > 4$

Num. = 3

d = 19.000 mm

h_{sc} = 175.000 mm

Space = 150.000 mm

k_s = 0.750

- Verification

$v_{L,Ed}$ = $V_{Ed} \cdot (A \cdot z / I)$ = 289.536 kN/m

$v_{L,Rd}$ = $P_{Rd,ser} \cdot$ Num./Space = 1224.844 kN/m

$v_{L,Ed}$ < $v_{L,Rd}$ … OK

Element Number	15
Position Information	J

1 Design Condition

1.1 Design Parameters

■ Partial factors

γ_C for concrete	1.50	γ_V for headed sutd	1.25
γ_S for reinforcing steel	1.15	γ_{Ff} for equivalent constant Amplitude stress range	1.00
γ_{M0} for structural steel	1.05	γ_{Mf} for fatigue strength	1.15
γ_{M1} for structural steel	1.10	$\gamma_{Mf,s}$ for fatigue strength of studs in shear	1.00

1.2 Material Information

■ Structural steel

f_{sk} = 355.000 MPa E_s = 210000.000 MPa

■ Concrete

f_{ck} = 32.000 MPa E_{cm} = 33000.000 MPa

■ Reinforcement

f_{yk} = 450.000 MPa E_r = 210000.000 MPa

■ Section Dimensions

Slab

B_c	4970.000	mm	t_c	240.000	mm	H_h	60.000	mm

Girder

H_w	1905.000	mm	B_1	700.000	mm	B_2	950.000	mm
t_w	20.000	mm	t_{f1}	40.000	mm	t_{f2}	55.000	mm

■ Section Stiffness

Before

$A_{,a}$	118350.000	mm^2
$I_{y,a}$	83344348046.446	mm^4
$I_{z,a}$	5074238750.000	mm^4
$C_{y,a}$	475.000	mm
$C_{z,a}$	804.923	mm

After

$A_{,c}$	307683.333	mm^2
$I_{y,c}$	221956804294.340	mm^4
$I_{z,c}$	394799549861.111	mm^4
$C_{y,c}$	2485.000	mm
$C_{z,c}$	1651.078	mm

Crack

$A_{,c}$	126050.000	mm^2
$I_{y,c}$	97057809071.237	mm^4
$I_{z,c}$	21090333037.050	mm^4
$C_{y,c}$	2485.000	mm
$C_{z,c}$	888.922	mm

2 Bending Resistance

2.1 Positive Moment

■ Design load

Load combination name : SLU-1

$N_{a,Ed}$	-24.803	kN
$N_{c,Ed}$	-75.206	kN
$M_{a,Ed}$	12731.333	kN・m
$M_{c,Ed}$	20080.090	kN・m

- Stress

Top Flange

Left	y_1	-350.000	mm	z_1	348.922	mm	σ_1	-211.163	MPa
	y_2	-10.000	mm	z_2	348.922	mm	σ_2	-214.478	MPa
Right	y_1	350.000	mm	z_1	348.922	mm	σ_1	-217.987	MPa
	y_2	10.000	mm	z_2	348.922	mm	σ_2	-214.673	MPa

Bottom Flange

Left	y_1	-475.000	mm	z_1	-1651.078	mm	σ_1	276.504	MPa
	y_2	-10.000	mm	z_2	-1651.078	mm	σ_2	271.971	MPa
Right	y_1	475.000	mm	z_1	-1651.078	mm	σ_1	267.243	MPa
	y_2	10.000	mm	z_2	-1651.078	mm	σ_2	271.776	MPa

Web

Right	y_1	0.000	mm	z_1	308.922	mm	σ_1	-204.846	MPa
	y_2	0.000	mm	z_2	-1596.078	mm	σ_2	258.496	MPa

■ Classification of sections

Part	Class
Top flange	1
Web	1
Bottom flange	1
Section	1

- Plastic resistance moment, $M_{pl,Rd}$

Plastic NA = 1963.263 mm

N_{slab} = 21629.440 kN

$N_{g,top}$ = 8694.447 kN (Upper side of PNA)

$N_{g,bot}$ = 30323.887 kN (Lower side of PNA)

$M_{pl,Rd}$ = 49430.086 kN・m

x_{pl} = 336.737 mm

M_{Rd} = $\beta M_{pl,Rd}$ = 49430.086 kN・m

here, β = 1.000

M_{Rd} = 49430.086 kN · m > M_{Ed} = 32811.422 kN · m …OK

3 Resistance to Vertical Shear

■ Design load

Load combination name : SLU-1

N_{Ed} = -72.420 kN

$M_{a,Ed}$ = 12731.333 kN · m

$M_{c,Ed}$ = 19682.859 kN · m

$V_{Ed,a}$ = 420.376 kN

$V_{Ed,c}$ = 887.061 kN

V_{Ed} = 1307.437 kN

- Stress

Top Flange

Left	y_1	-350.000	mm	z_1	348.922	mm	σ_1	-210.538	MPa
	y_2	-10.000	mm	z_2	348.922	mm	σ_2	-213.845	MPa
Right	y_1	350.000	mm	z_1	348.922	mm	σ_1	-217.345	MPa
	y_2	10.000	mm	z_2	348.922	mm	σ_2	-214.039	MPa

Bottom Flange

Left	y_1	-475.000	mm	z_1	-1651.078	mm	σ_1	273.546	MPa
	y_2	-10.000	mm	z_2	-1651.078	mm	σ_2	269.025	MPa
Right	y_1	475.000	mm	z_1	-1651.078	mm	σ_1	264.308	MPa
	y_2	10.000	mm	z_2	-1651.078	mm	σ_2	268.830	MPa

Web

Right	y_1	0.000	mm	z_1	308.922	mm	σ_1	-204.284	MPa
	y_2	0.000	mm	z_2	-1596.078	mm	σ_2	255.648	MPa

■ Classification of sections

Part	Class
Top flange	1
Web	1
Bottom flange	1
Section	1

■ Plastic resistance moment, $M_{pl,Rd}$

Plastic NA = 1963.263 mm

N_{slab} = 21629.440 kN

$N_{g,top}$ = 8694.447 kN

$N_{g,bot}$ = 30323.887 kN

$M_{pl,Rd}$ = 49430.086 kN · m

■ Calculation. $V_{bw,Rd}$

Web

■ Contribution from the web

$\lambda_w = h_w / (86.4 \cdot t \cdot \varepsilon) = 1.355$

$X_w = 1.37 / (0.7+\lambda_w) = 0.667$ $\lambda_w \geq 1.08$

$$V_{bw,Rd} = \frac{X_w \cdot f_{yw} \cdot h_w \cdot t}{\sqrt{3} \cdot \gamma_{M1}} = 4732.754 \text{ kN}$$

$V_{Rd} = 4732.754$ kN

$V_{Edi} = V_{Ed}$ / Num. of Web $= 1307.437$ kN

$\eta'_3 = V_{Edi} / V_{bw,Rd} = 0.276 \leq 1.0$

■ Contribution from the flange

$M_{f,Rd0} = 36943.215$ kN · m

$M_{f,Rd0}$ is calculated as $M_{pl,Rd}$ but neglecting the web contribution.

$$\text{Reduction factor for } N_{Ed} = 1 - \frac{N_{Ed}}{(A_{f1}+A_{f2}) \cdot f_{yf}/\gamma_{M0}} = 0.997$$

$M_{f,Rd}$ = Reduction factor for N_{Ed} · $M_{f,Rd0} = 36840.854$ kN · m

$$V_{bf,Rd} = \frac{b_f \cdot t_f^2 \cdot f_{yf}}{c \cdot \gamma_{M1}} \left(1 - \left(\frac{M_{Ed}}{M_{f,Rd}} \right)^2 \right) = 0.000 \text{ kN}$$

where, $M_{f,Rd} = 36840.854$ kN · m

$M_{Ed} = 136093.162$ kN · m (Taken as the greatest value of $(\sum \sigma_i)W$)

$$c = a \cdot \left(0.25 + \frac{1.6 \cdot b_f \cdot t_f^2 \cdot f_{yf}}{t \cdot h_w^2 \cdot f_{yw}}\right) = 0.000$$

■ Check Shear Resistance

$V_{Edi} / (V_{bw,Rd}+V_{bf,Rd}) = 0.276 < 1.0$ … OK

4 Resistance to Lateral Torsional Buckling

- Design load

Load combination name : SLU-1

$N_{Ed} = -100.008$ kN

$M_{Ed} = 20080.090$ kN · m

$V_1 = 853.712$ kN

$V_2 = 860.784$ kN

$M_1 = 33240.047$ kN · m

$M_2 = 32811.422$ kN · m

$M_{pl,Rd} = 49430.086$ kN · m

$M_{el,Rd} = 41652.719$ kN · m

- $M_{b,Rd}$ Buckling resistance moment

$L = 0.500$ m

$c = C_d / I = 0.000$

$\gamma = c \cdot L^4 / (E \cdot I) = 0.000$

$\mu = V_2 / V_1 = 0.992$

$\Phi = 2 \cdot (1-M_2/M_1) / (1+\mu) = 0.013$

$m_1 = 1+0.44 \cdot (1+\mu) \cdot \Phi^{1.5}+(3+2 \cdot \Phi) \cdot \gamma/(350-50 \cdot \mu) = 1.001$

$m_2 = 1+0.44 \cdot (1+\mu) \cdot \Phi^{1.5}+(0.195+(0.05+\mu/100) \cdot \Phi) \cdot \gamma^{0.5} = 1.001$

$m = \text{Min}(m_1, m_2) = 1.001$

$\alpha_{LT} = 0.760$

$\lambda_{LT} = 1.103 \cdot L/b \cdot \sqrt{(f_y/Em)} \cdot \sqrt{(1+A_{wc}/(3 \cdot A_f))} = 0.034$

$\Phi_{LT} = 0.5 \cdot (1+\alpha_{LT} \cdot (\lambda_{LT} - 0.2)+\lambda_{LT}^2) = 0.437$

$$X_{LT} = \frac{1}{\Phi_{LT} + \sqrt{(\Phi_{LT}^2 - \lambda_{LT}^2)}} = 1$$

$M_{Rd} = 49430.086$ kN · m

$M_{b,Rd} = X_{LT} \cdot M_{Rd} = 49430.086$ kN · m

- $N_{b,Rd}$ Axial buckling resistance

$X_{LT,N} = 1.000$

$N_{b,Rd} = X_{LT} \cdot \text{Area} \cdot f_{yd} = 104026.270$ kN

$$\text{Combined Ratio} = \frac{N_{Ed}}{N_{b,Rd}} + \frac{M_{Ed}}{M_{b,Rd}} = 0.407193513$$

6 Resistance to Longitudinal Shear

- Design load

Load combination name : SLU-1

$N_{c,el} = 12918.267$ kN

$N_{c,f} = 21629.440$ kN

$M_{Ed} = 32414.192$ kN · m

$V_{Ed} = 887.061$ kN

$M_{pl,Rd} = 49430.086$ kN · m

$M_{el,Rd} = 41652.719$ kN · m

- Shear resistance of a single connector

$P_{Rd,1} = 0.8 \cdot f_u \cdot \pi \cdot d^2 / 4 / \gamma_V = 81.656$ kN

$P_{Rd,2} = 0.29 \cdot \alpha \cdot d^2 \cdot \sqrt{(f_{ck} \cdot E_{cm})} / \gamma_V = 86.065$ kN

$P_{Rd} = \text{Min}(P_{Rd,1}, P_{Rd,2}) = 81.656$ kN

where, $f_u = 450.000$ MPa

$\alpha = 1$ for $h_{sc}/d > 4$

Num. = 3

$d = 19.000$ mm

$h_{sc} = 175.000$ mm

Space = 150.000 mm

- Verification

$v_{L,Ed}$ = V_{Ed} · (A · z / I) = 406.217 kN/m
$v_{L,Rd}$ = P_{Rd} · Num./Space = 1633.126 kN/m
$v_{L,Ed}$ < $v_{L,Rd}$ … OK

0 **Longitudinal Shear for SLS(Serviceability limit state)**

- Shear resistance of a single connector

Load combination name : SLE RARA

$P_{Rd,1}$ = $0.8 \cdot f_u \cdot \pi \cdot d^2 / 4 / \gamma_V$ = 81.656 kN
$P_{Rd,2}$ = $0.29 \cdot \alpha \cdot d^2 \cdot \sqrt{(f_{ck} \cdot E_{cm})} / \gamma_V$ = 86.065 kN
P_{Rd} = $Min(P_{Rd,1}, P_{Rd,2})$ = 81.656 kN
$P_{Rd,ser}$ = $k_s \cdot P_{Rd}$ = 61.242 kN

where, f_u = 450.000 MPa
α = 1 for $h_{sc}/d > 4$
Num. = 3
d = 19.000 mm
h_{sc} = 175.000 mm
Space = 150.000 mm
k_s = 0.750

- Verification

$v_{L,Ed}$ = V_{Ed} · (A · z / I) = 302.070 kN/m
$v_{L,Rd}$ = $P_{Rd,ser}$ · Num./Space = 1224.844 kN/m
$v_{L,Ed}$ < $v_{L,Rd}$ … OK

13.2.1.8 CONCIO C2 CENTRALE – ELEMENTI 9 E 10

Element Number	9
Position Information	J

1 Design Condition

1.1 Design Parameters

■ Partial factors

γ_C for concrete	1.50	γ_V for headed sutd	1.25
γ_S for reinforcing steel	1.15	γ_{Ff} for equivalent constant Amplitude stress range	1.00
γ_{M0} for structural steel	1.05	γ_{Mf} for fatigue strength	1.15
γ_{M1} for structural steel	1.10	$\gamma_{Mf,s}$ for fatigue strength of studs in shear	1.00

1.2 Material Information

■ Structural steel

f_{sk} = 355.000 MPa E_s = 210000.000 MPa

■ Concrete

f_{ck} = 32.000 MPa E_{cm} = 33000.000 MPa

■ Reinforcement

f_{yk} = 450.000 MPa E_r = 210000.000 MPa

■ Section Dimensions

Slab

B_c	4500.000	mm	t_c	240.000	mm	H_h	60.000	mm

Girder

H_w	1905.000	mm	B_1	700.000	mm	B_2	950.000	mm
t_w	20.000	mm	t_{f1}	40.000	mm	t_{f2}	55.000	mm

■ Section Stiffness

Before

$A_{,a}$	118350.000	mm^2
$I_{y,a}$	83344348046.446	mm^4
$I_{z,a}$	5074238750.000	mm^4
$C_{y,a}$	475.000	mm
$C_{z,a}$	804.923	mm

After

$A_{,c}$	289778.571	mm^2
$I_{y,c}$	216552364224.165	mm^4
$I_{z,c}$	294359953035.714	mm^4
$C_{y,c}$	2250.000	mm
$C_{z,c}$	1618.397	mm

Crack

$A_{,c}$	125434.000	mm^2
$I_{y,c}$	96022494495.627	mm^4
$I_{z,c}$	17542165494.086	mm^4
$C_{y,c}$	2250.000	mm
$C_{z,c}$	882.582	mm

2 Bending Resistance

2.1 Positive Moment

■ Design load

Load combination name : SLU-1

$N_{a,Ed}$	-21.760	kN
$N_{c,Ed}$	110.002	kN
$M_{a,Ed}$	12330.546	kN · m
$M_{c,Ed}$	16228.842	kN · m

- Stress

Top Flange

Left	y_1	-350.000	mm	z_1	381.603	mm	σ_1	-202.423	MPa
	y_2	-10.000	mm	z_2	381.603	mm	σ_2	-205.131	MPa
Right	y_1	350.000	mm	z_1	381.603	mm	σ_1	-207.998	MPa
	y_2	10.000	mm	z_2	381.603	mm	σ_2	-205.290	MPa

Bottom Flange

Left	y_1	-475.000	mm	z_1	-1618.397	mm	σ_1	244.351	MPa
	y_2	-10.000	mm	z_2	-1618.397	mm	σ_2	240.647	MPa
Right	y_1	475.000	mm	z_1	-1618.397	mm	σ_1	236.784	MPa
	y_2	10.000	mm	z_2	-1618.397	mm	σ_2	240.488	MPa

Web

Right	y_1	0.000	mm	z_1	341.603	mm	σ_1	-196.295	MPa
	y_2	0.000	mm	z_2	-1563.397	mm	σ_2	228.309	MPa

■ Classification of sections

Part	Class
Top flange	1
Web	1
Bottom flange	1
Section	1

- Plastic resistance moment, $M_{pl,Rd}$

Plastic NA = 1922.954 mm

N_{slab} = 19584.000 kN

$N_{g,top}$ = 9717.167 kN (Upper side of PNA)

$N_{g,bot}$ = 29301.167 kN (Lower side of PNA)

$M_{pl,Rd}$ = 48973.329 kN · m

x_{pl} = 377.046 mm

M_{Rd} = $\beta M_{pl,Rd}$ = 48973.329 kN · m

here, β = 1.000

M_{Rd} = 48973.329 kN · m > M_{Ed} = 28559.389 kN · m …OK

3 Resistance to Vertical Shear

■ Design load

Load combination name : SLU-1

N_{Ed} = 111.062 kN

$M_{a,Ed}$ = 12330.546 kN · m

$M_{c,Ed}$ = 15610.363 kN · m

$V_{Ed,a}$ = 405.211 kN

$V_{Ed,c}$ = 773.544 kN

V_{Ed} = 1178.755 kN

- Stress

Top Flange

Left	y_1	-350.000	mm	z_1	381.603	mm	σ_1	-201.374	MPa
	y_2	-10.000	mm	z_2	381.603	mm	σ_2	-204.038	MPa
Right	y_1	350.000	mm	z_1	381.603	mm	σ_1	-206.860	MPa
	y_2	10.000	mm	z_2	381.603	mm	σ_2	-204.195	MPa

Bottom Flange

Left	y_1	-475.000	mm	z_1	-1618.397	mm	σ_1	239.672	MPa
	y_2	-10.000	mm	z_2	-1618.397	mm	σ_2	236.027	MPa
Right	y_1	475.000	mm	z_1	-1618.397	mm	σ_1	232.226	MPa
	y_2	10.000	mm	z_2	-1618.397	mm	σ_2	235.871	MPa

Web

Right	y_1	0.000	mm	z_1	341.603	mm	σ_1	-195.316	MPa
	y_2	0.000	mm	z_2	-1563.397	mm	σ_2	223.847	MPa

■ Classification of sections

Part	Class
Top flange	1
Web	1
Bottom flange	1
Section	1

■ Plastic resistance moment, $M_{pl,Rd}$

Plastic NA = 1922.954 mm

N_{slab} = 19584.000 kN

$N_{g,top}$ = 9717.167 kN

$N_{g,bot}$ = 29301.167 kN

$M_{pl,Rd}$ = 48973.329 kN · m

■ Calculation. $V_{bw,Rd}$

Web

■ Contribution from the web

$\lambda_w = h_w / (86.4 \cdot t \cdot \varepsilon) = 1.355$

$X_w = 1.37 / (0.7+\lambda_w) = 0.667$ $\lambda_w \geq 1.08$

$$V_{bw,Rd} = \frac{X_w \cdot f_{yw} \cdot h_w \cdot t}{\sqrt{3} \cdot \gamma_{M1}} = 4732.754 \text{ kN}$$

$V_{Rd} = 4732.754$ kN

$V_{Edi} = V_{Ed}$ / Num. of Web $= 1178.755$ kN

$\eta'_3 = V_{Edi} / V_{bw,Rd} = 0.249 \leq 1.0$

■ Contribution from the flange

$M_{f,Rd} = 36551.138$ kN · m

$M_{f,Rd}$ is calculated as $M_{pl,Rd}$ but neglecting the web contribution.

$$V_{bf,Rd} = \frac{b_f \cdot t_f^2 \cdot f_{yf}}{c \cdot \gamma_{M1}} \left(1 - \left(\frac{M_{Ed}}{M_{f,Rd}}\right)^2\right) = 0.000 \text{ kN}$$

where, $M_{f,Rd} = 36551.138$ kN · m

$M_{Ed} = 115832.514$ kN · m (Taken as the greatest value of $(\sum \sigma_i)W$)

$$c = a \cdot \left(0.25 + \frac{1.6 \cdot b_f \cdot t_f^2 \cdot f_{yf}}{t \cdot h_w^2 \cdot f_{yw}}\right) = 0.000$$

■ Check Shear Resistance

$V_{Edi} / (V_{bw,Rd}+V_{bf,Rd}) = 0.249 < 1.0$ … OK

4 Resistance to Lateral Torsional Buckling

- Design load

Load combination name : SLU-1

$N_{Ed} = 88.242$ kN

$M_{Ed} = 16228.842$ kN · m

$V_1 = 716.578$ kN

$V_2 = 723.651$ kN

$M_1 = 28919.353$ kN · m

$M_2 = 28559.389$ kN · m

$M_{pl,Rd} = 48973.329$ kN · m

$M_{el,Rd} = 41635.451$ kN · m

- $M_{b,Rd}$ Buckling resistance moment

$L = 0.500$ m

$c = C_d / l = 0.000$

$\gamma = c \cdot L^4 / (E \cdot I) = 0.000$

μ = V_2 / V_1 = 0.990

Φ = $2 \cdot (1-M_2/M_1) / (1+\mu)$ = 0.013

m_1 = $1+0.44 \cdot (1+\mu) \cdot \Phi^{1.5}+(3+2 \cdot \Phi) \cdot \gamma/(350-50 \cdot \mu)$ = 1.001

m_2 = $1+0.44 \cdot (1+\mu) \cdot \Phi^{1.5}+(0.195+(0.05+\mu/100) \cdot \Phi) \cdot \gamma^{0.5}$ = 1.001

m = $Min(m_1, m_2)$ = 1.001

α_{LT} = 0.760

λ_{LT} = $1.103 \cdot L/b \cdot \sqrt{(f_y/Em)} \cdot \sqrt{(1+A_{wc}/(3 \cdot A_f))}$ = 0.034

Φ_{LT} = $0.5 \cdot (1+\alpha_{LT} \cdot (\lambda_{LT} - 0.2)+\lambda_{LT}^2)$ = 0.437

$$X_{LT} = \frac{1}{\Phi_{LT} + \sqrt{(\Phi_{LT}^2 - \lambda_{LT}^2)}} = 1$$

M_{Rd} = 48973.329 kN · m

$M_{b,Rd}$ = $X_{LT} \cdot M_{Rd}$ = 48973.329 kN · m

- $N_{b,Rd}$ Axial buckling resistance

$X_{LT,N}$ = 1.000

$N_{b,Rd}$ = $X_{LT} \cdot Area \cdot f_{yd}$ = 97972.755 kN

$$\text{Combined Ratio} = \frac{N_{Ed}}{N_{b,Rd}} + \frac{M_{Ed}}{M_{b,Rd}} = 0.332281915$$

6 Resistance to Longitudinal Shear

- Design load

Load combination name : SLU-1

$N_{c,el}$ = 12898.073 kN

$N_{c,f}$ = 19584.000 kN

M_{Ed} = 27940.909 kN · m

V_{Ed} = 773.544 kN

$M_{pl,Rd}$ = 48973.329 kN · m

$M_{el,Rd}$ = 41635.451 kN · m

- Shear resistance of a single connector

$P_{Rd,1}$ = $0.8 \cdot f_u \cdot \pi \cdot d^2 / 4 / \gamma_V$ = 81.656 kN

$P_{Rd,2}$ = $0.29 \cdot \alpha \cdot d^2 \cdot \sqrt{(f_{ck} \cdot E_{cm})} / \gamma_V$ = 86.065 kN

P_{Rd} = $Min(P_{Rd,1}, P_{Rd,2})$ = 81.656 kN

where, f_u = 450.000 MPa

α = 1 for $h_{sc}/d > 4$

Num. = 3

d = 19.000 mm

h_{sc} = 175.000 mm

Space = 150.000 mm

- Verification

$v_{L,Ed}$ = $V_{Ed} \cdot (A \cdot z / I)$ = 350.166 kN/m

$v_{L,Rd}$ = P_{Rd} · Num./Space = 1633.126 kN/m

$v_{L,Ed}$ < $v_{L,Rd}$ … OK

0 **Longitudinal Shear for SLS(Serviceability limit state)**

- Shear resistance of a single connector

Load combination name : SLE RARA

$P_{Rd,1}$ = $0.8 \cdot f_u \cdot \pi \cdot d^2 / 4 / \gamma_V$ = 81.656 kN

$P_{Rd,2}$ = $0.29 \cdot \alpha \cdot d^2 \cdot \sqrt{(f_{ck} \cdot E_{cm})} / \gamma_V$ = 86.065 kN

P_{Rd} = $Min(P_{Rd,1}, P_{Rd,2})$ = 81.656 kN

$P_{Rd,ser}$ = $k_s \cdot P_{Rd}$ = 61.242 kN

where, f_u = 450.000 MPa

α = 1 for $h_{sc}/d > 4$

Num. = 3

d = 19.000 mm

h_{sc} = 175.000 mm

Space = 150.000 mm

k_s = 0.750

- Verification

$v_{L,Ed}$ = $V_{Ed} \cdot (A \cdot z / I)$ = 260.401 kN/m

$v_{L,Rd}$ = $P_{Rd,ser}$ · Num./Space = 1224.844 kN/m

$v_{L,Ed}$ < $v_{L,Rd}$ … OK

Element Number	10
Position Information	J

1 Design Condition

1.1 Design Parameters

■ Partial factors

γ_C for concrete	1.50	γ_V for headed sutd	1.25
γ_S for reinforcing steel	1.15	γ_{Ff} for equivalent constant Amplitude stress range	1.00
γ_{M0} for structural steel	1.05	γ_{Mf} for fatigue strength	1.15
γ_{M1} for structural steel	1.10	$\gamma_{Mf,s}$ for fatigue strength of studs in shear	1.00

1.2 Material Information

■ Structural steel

f_{sk} = 355.000 MPa E_s = 210000.000 MPa

■ Concrete

f_{ck} = 32.000 MPa E_{cm} = 33000.000 MPa

■ Reinforcement

f_{yk} = 450.000 MPa E_r = 210000.000 MPa

■ Section Dimensions

Slab

B_c	4500.000	mm	t_c	240.000	mm	H_h	60.000	mm

Girder

H_w	1905.000	mm	B_1	700.000	mm	B_2	950.000	mm
t_w	20.000	mm	t_{f1}	40.000	mm	t_{f2}	55.000	mm

■ Section Stiffness

Before

$A_{,a}$	118350.000	mm^2
$I_{y,a}$	83344348046.446	mm^4
$I_{z,a}$	5074238750.000	mm^4
$C_{y,a}$	475.000	mm
$C_{z,a}$	804.923	mm

After

$A_{,c}$	289778.571	mm^2
$I_{y,c}$	216552364224.165	mm^4
$I_{z,c}$	294359953035.714	mm^4
$C_{y,c}$	2250.000	mm
$C_{z,c}$	1618.397	mm

Crack

$A_{,c}$	125434.000	mm^2
$I_{y,c}$	96022494495.627	mm^4
$I_{z,c}$	17542165494.086	mm^4
$C_{y,c}$	2250.000	mm
$C_{z,c}$	882.582	mm

2 Bending Resistance

2.1 Positive Moment

■ Design load

Load combination name : SLU-1

$N_{a,Ed}$	-21.770	kN
$N_{c,Ed}$	113.542	kN
$M_{a,Ed}$	12329.964	kN・m
$M_{c,Ed}$	16901.030	kN・m

- Stress

Top Flange

Left	y_1	-350.000	mm	z_1	381.603	mm	σ_1	-203.422	MPa
	y_2	-10.000	mm	z_2	381.603	mm	σ_2	-206.290	MPa
Right	y_1	350.000	mm	z_1	381.603	mm	σ_1	-209.327	MPa
	y_2	10.000	mm	z_2	381.603	mm	σ_2	-206.459	MPa

Bottom Flange

Left	y_1	-475.000	mm	z_1	-1618.397	mm	σ_1	249.605	MPa
	y_2	-10.000	mm	z_2	-1618.397	mm	σ_2	245.682	MPa
Right	y_1	475.000	mm	z_1	-1618.397	mm	σ_1	241.590	MPa
	y_2	10.000	mm	z_2	-1618.397	mm	σ_2	245.513	MPa

Web

Right	y_1	0.000	mm	z_1	341.603	mm	σ_1	-197.335	MPa
	y_2	0.000	mm	z_2	-1563.397	mm	σ_2	233.168	MPa

■ Classification of sections

Part	Class
Top flange	1
Web	1
Bottom flange	1
Section	1

- Plastic resistance moment, $M_{pl,Rd}$

Plastic NA = 1922.954 mm

N_{slab} = 19584.000 kN

$N_{g,top}$ = 9717.167 kN (Upper side of PNA)

$N_{g,bot}$ = 29301.167 kN (Lower side of PNA)

$M_{pl,Rd}$ = 48973.329 kN・m

x_{pl} = 377.046 mm

M_{Rd} = $\beta M_{pl,Rd}$ = 48973.329 kN・m

here, β = 1.000

M_{Rd} = 48973.329 kN · m > M_{Ed} = 29230.994 kN · m …OK

3 Resistance to Vertical Shear

■ Design load

Load combination name : SLU-1

N_{Ed} = 113.806 kN

$M_{a,Ed}$ = 12329.964 kN · m

$M_{c,Ed}$ = 16348.066 kN · m

$V_{Ed,a}$ = 405.179 kN

$V_{Ed,c}$ = 803.700 kN

V_{Ed} = 1208.880 kN

- Stress

Top Flange

Left	y_1	-350.000	mm	z_1	381.603	mm	σ_1	-202.537	MPa
	y_2	-10.000	mm	z_2	381.603	mm	σ_2	-205.317	MPa
Right	y_1	350.000	mm	z_1	381.603	mm	σ_1	-208.261	MPa
	y_2	10.000	mm	z_2	381.603	mm	σ_2	-205.481	MPa

Bottom Flange

Left	y_1	-475.000	mm	z_1	-1618.397	mm	σ_1	245.350	MPa
	y_2	-10.000	mm	z_2	-1618.397	mm	σ_2	241.548	MPa
Right	y_1	475.000	mm	z_1	-1618.397	mm	σ_1	237.581	MPa
	y_2	10.000	mm	z_2	-1618.397	mm	σ_2	241.384	MPa

Web

Right	y_1	0.000	mm	z_1	341.603	mm	σ_1	-196.462	MPa
	y_2	0.000	mm	z_2	-1563.397	mm	σ_2	229.177	MPa

■ Classification of sections

Part	Class
Top flange	1
Web	1
Bottom flange	1
Section	1

■ Plastic resistance moment, $M_{pl,Rd}$

Plastic NA = 1922.954 mm

N_{slab} = 19584.000 kN

$N_{g,top}$ = 9717.167 kN

$N_{g,bot}$ = 29301.167 kN

$M_{pl,Rd}$ = 48973.329 kN · m

■ Calculation. $V_{bw,Rd}$

Web

■ Contribution from the web

$\lambda_w = h_w / (86.4 \cdot t \cdot \varepsilon) = 1.355$

$X_w = 1.37 / (0.7+\lambda_w) = 0.667$ $\lambda_w \geq 1.08$

$$V_{bw,Rd} = \frac{X_w \cdot f_{yw} \cdot h_w \cdot t}{\sqrt{3} \cdot \gamma_{M1}} = 4732.754 \text{ kN}$$

$V_{Rd} = 4732.754$ kN

$V_{Edi} = V_{Ed}$ / Num. of Web $= 1208.880$ kN

$\eta'_3 = V_{Edi} / V_{bw,Rd} = 0.255 \leq 1.0$

■ Contribution from the flange

$M_{f,Rd} = 36551.138$ kN · m

$M_{f,Rd}$ is calculated as $M_{pl,Rd}$ but neglecting the web contribution.

$$V_{bf,Rd} = \frac{b_f \cdot t_f^2 \cdot f_{yf}}{c \cdot \gamma_{M1}} \left(1 - \left(\frac{M_{Ed}}{M_{f,Rd}} \right)^2 \right) = 0.000 \text{ kN}$$

where, $M_{f,Rd} = 36551.138$ kN · m

$M_{Ed} = 116560.153$ kN · m (Taken as the greatest value of $(\sum \sigma_i)W$)

$$c = a \cdot \left(0.25 + \frac{1.6 \cdot b_f \cdot t_f^2 \cdot f_{yf}}{t \cdot h_w^2 \cdot f_{yw}}\right) = 0.000$$

■ Check Shear Resistance

$V_{Edi} / (V_{bw,Rd}+V_{bf,Rd}) = 0.255 < 1.0$ … OK

4 Resistance to Lateral Torsional Buckling

- Design load

Load combination name : SLU-1

$N_{Ed} = 91.772$ kN

$M_{Ed} = 16901.030$ kN · m

$V_1 = 739.236$ kN

$V_2 = 746.308$ kN

$M_1 = 29602.350$ kN · m

$M_2 = 29230.994$ kN · m

$M_{pl,Rd} = 48973.329$ kN · m

$M_{el,Rd} = 41635.621$ kN · m

- $M_{b,Rd}$ Buckling resistance moment

$L = 0.500$ m

$c = C_d / l = 0.000$

$\gamma = c \cdot L^4 / (E \cdot I) = 0.000$

$\mu = V_2 / V_1 = 0.991$

$\Phi = 2 \cdot (1-M_2/M_1) / (1+\mu) = 0.013$

$m_1 = 1+0.44 \cdot (1+\mu) \cdot \Phi^{1.5}+(3+2 \cdot \Phi) \cdot \gamma/(350-50 \cdot \mu) = 1.001$

$m_2 = 1+0.44 \cdot (1+\mu) \cdot \Phi^{1.5}+(0.195+(0.05+\mu/100) \cdot \Phi) \cdot \gamma^{0.5} = 1.001$

$m = \text{Min}(m_1, m_2) = 1.001$

$\alpha_{LT} = 0.760$

$\lambda_{LT} = 1.103 \cdot L/b \cdot \sqrt{(f_y/Em)} \cdot \sqrt{(1+A_{wc}/(3 \cdot A_f))} = 0.034$

$\Phi_{LT} = 0.5 \cdot (1+\alpha_{LT} \cdot (\lambda_{LT} - 0.2)+\lambda_{LT}^2) = 0.437$

$$X_{LT} = \frac{1}{\Phi_{LT} + \sqrt{(\Phi_{LT}^2 - \lambda_{LT}^2)}} = 1$$

$M_{Rd} = 48973.329 \text{ kN} \cdot \text{m}$

$M_{b,Rd} = X_{LT} \cdot M_{Rd} = 48973.329 \text{ kN} \cdot \text{m}$

- $N_{b,Rd}$ Axial buckling resistance

$X_{LT,N} = 1.000$

$N_{b,Rd} = X_{LT} \cdot \text{Area} \cdot f_{yd} = 97972.755 \text{ kN}$

$$\text{Combined Ratio} = \frac{N_{Ed}}{N_{b,Rd}} + \frac{M_{Ed}}{M_{b,Rd}} = 0.346043524$$

6 Resistance to Longitudinal Shear

- Design load

Load combination name : SLU-1

$N_{c,el} = 12898.404 \text{ kN}$

$N_{c,f} = 19584.000 \text{ kN}$

$M_{Ed} = 28678.030 \text{ kN} \cdot \text{m}$

$V_{Ed} = 803.700 \text{ kN}$

$M_{pl,Rd} = 48973.329 \text{ kN} \cdot \text{m}$

$M_{el,Rd} = 41635.621 \text{ kN} \cdot \text{m}$

- Shear resistance of a single connector

$P_{Rd,1} = 0.8 \cdot f_u \cdot \pi \cdot d^2 / 4 / \gamma_V = 81.656 \text{ kN}$

$P_{Rd,2} = 0.29 \cdot \alpha \cdot d^2 \cdot \sqrt{(f_{ck} \cdot E_{cm})} / \gamma_V = 86.065 \text{ kN}$

$P_{Rd} = \text{Min}(P_{Rd,1}, P_{Rd,2}) = 81.656 \text{ kN}$

where, $f_u = 450.000$ MPa

$\alpha = 1$ for $h_{sc}/d > 4$

Num. = 3

d = 19.000 mm

h_{sc} = 175.000 mm

Space = 150.000 mm

- Verification

$v_{L,Ed}$ = $V_{Ed} \cdot (A \cdot z / I)$ = 363.818 kN/m

$v_{L,Rd}$ = $P_{Rd} \cdot$ Num./Space = 1633.126 kN/m

$v_{L,Ed}$ < $v_{L,Rd}$ … OK

0 **Longitudinal Shear for SLS(Serviceability limit state)**

- Shear resistance of a single connector

Load combination name : SLE RARA

$P_{Rd,1}$ = $0.8 \cdot f_u \cdot \pi \cdot d^2 / 4 / \gamma_V$ = 81.656 kN

$P_{Rd,2}$ = $0.29 \cdot \alpha \cdot d^2 \cdot \sqrt{(f_{ck} \cdot E_{cm})} / \gamma_V$ = 86.065 kN

P_{Rd} = $\text{Min}(P_{Rd,1}, P_{Rd,2})$ = 81.656 kN

$P_{Rd,ser}$ = $k_s \cdot P_{Rd}$ = 61.242 kN

where, f_u = 450.000 MPa

α = 1 for $h_{sc}/d > 4$

Num. = 3

d = 19.000 mm

h_{sc} = 175.000 mm

Space = 150.000 mm

k_s = 0.750

- Verification

$v_{L,Ed}$ = $V_{Ed} \cdot (A \cdot z / I)$ = 265.224 kN/m

$v_{L,Rd}$ = $P_{Rd,ser} \cdot$ Num./Space = 1224.844 kN/m

$v_{L,Ed}$ < $v_{L,Rd}$ … OK

13.2.1.9 CONCIO C3 LATERALE – ELEMENTI 205 E 208

Element Number	205
Position Information	J

1 Design Condition

1.1 Design Parameters

■ Partial factors

γ_C for concrete	1.50	γ_V for headed sutd	1.25
γ_S for reinforcing steel	1.15	γ_{Ff} for equivalent constant Amplitude stress range	1.00
γ_{M0} for structural steel	1.05	γ_{Mf} for fatigue strength	1.15
γ_{M1} for structural steel	1.10	$\gamma_{Mf,s}$ for fatigue strength of studs in shear	1.00

1.2 Material Information

■ Structural steel

f_{sk} = 355.000 MPa E_s = 210000.000 MPa

■ Concrete

f_{ck} = 32.000 MPa E_{cm} = 33000.000 MPa

■ Reinforcement

f_{yk} = 450.000 MPa E_r = 210000.000 MPa

■ Section Dimensions

Slab

B_c	4970.000	mm	t_c	240.000	mm	H_h	60.000	mm

Girder

H_w	1935.000	mm	B_1	500.000	mm	B_2	800.000	mm
t_w	20.000	mm	t_{f1}	25.000	mm	t_{f2}	40.000	mm

■ Section Stiffness

Before

$A_{,a}$	83200.000	mm^2
$I_{y,a}$	50789772900.641	mm^4
$I_{z,a}$	1968373333.333	mm^4
$C_{y,a}$	400.000	mm
$C_{z,a}$	774.928	mm

After

$A_{,c}$	272533.333	mm^2
$I_{y,c}$	165809703729.615	mm^4
$I_{z,c}$	391693684444.444	mm^4
$C_{y,c}$	2485.000	mm
$C_{z,c}$	1751.054	mm

Crack

$A_{,c}$	90900.000	mm^2
$I_{y,c}$	64747032287.600	mm^4
$I_{z,c}$	17984467620.383	mm^4
$C_{y,c}$	2485.000	mm
$C_{z,c}$	893.949	mm

2 Bending Resistance

2.1 Positive Moment

■ Design load

Load combination name : SLU-1

$N_{a,Ed}$	-21.022	kN
$N_{c,Ed}$	196.833	kN
$M_{a,Ed}$	7778.064	kN · m
$M_{c,Ed}$	13285.144	kN · m

- Stress

Top Flange

Left	y_1	-250.000	mm	z_1	248.946	mm	σ_1	-209.455	MPa
	y_2	-10.000	mm	z_2	248.946	mm	σ_2	-207.182	MPa
Right	y_1	250.000	mm	z_1	248.946	mm	σ_1	-204.719	MPa
	y_2	10.000	mm	z_2	248.946	mm	σ_2	-206.992	MPa

Bottom Flange

Left	y_1	-400.000	mm	z_1	-1751.054	mm	σ_1	255.654	MPa
	y_2	-10.000	mm	z_2	-1751.054	mm	σ_2	259.349	MPa
Right	y_1	400.000	mm	z_1	-1751.054	mm	σ_1	263.233	MPa
	y_2	10.000	mm	z_2	-1751.054	mm	σ_2	259.538	MPa

Web

Right	y_1	0.000	mm	z_1	223.946	mm	σ_1	-201.255	MPa
	y_2	0.000	mm	z_2	-1711.054	mm	σ_2	250.113	MPa

■ Classification of sections

Part	Class
Top flange	1
Web	1
Bottom flange	1
Section	1

- Plastic resistance moment, $M_{pl,Rd}$

Plastic NA = 1980.774 mm

N_{slab} = 21629.440 kN

$N_{g,top}$ = 3250.042 kN (Upper side of PNA)

$N_{g,bot}$ = 24879.482 kN (Lower side of PNA)

$M_{pl,Rd}$ = 38291.510 kN · m

x_{pl} = 319.226 mm

M_{Rd} = $\beta M_{pl,Rd}$ = 38291.510 kN · m

here, β = 1.000

M_{Rd} = 38291.510 kN · m > M_{Ed} = 21063.208 kN · m …OK

3 Resistance to Vertical Shear

■ Design load

Load combination name : SLU-1

N_{Ed} = 99.252 kN

$M_{a,Ed}$ = 7778.064 kN · m

$M_{c,Ed}$ = 13016.182 kN · m

$V_{Ed,a}$ = -901.458 kN

$V_{Ed,c}$ = -1632.844 kN

V_{Ed} = -2534.302 kN

- Stress

Top Flange

Left	y_1	-250.000	mm	z_1	248.946	mm	σ_1	-209.670	MPa
	y_2	-10.000	mm	z_2	248.946	mm	σ_2	-207.146	MPa
Right	y_1	250.000	mm	z_1	248.946	mm	σ_1	-204.413	MPa
	y_2	10.000	mm	z_2	248.946	mm	σ_2	-206.936	MPa

Bottom Flange

Left	y_1	-400.000	mm	z_1	-1751.054	mm	σ_1	252.040	MPa
	y_2	-10.000	mm	z_2	-1751.054	mm	σ_2	256.140	MPa
Right	y_1	400.000	mm	z_1	-1751.054	mm	σ_1	260.450	MPa
	y_2	10.000	mm	z_2	-1751.054	mm	σ_2	256.350	MPa

Web

Right	y_1	0.000	mm	z_1	223.946	mm	σ_1	-201.250	MPa
	y_2	0.000	mm	z_2	-1711.054	mm	σ_2	246.979	MPa

■ Classification of sections

Part	Class
Top flange	1
Web	1
Bottom flange	1
Section	1

■ Plastic resistance moment, $M_{pl,Rd}$

Plastic NA = 1980.774 mm

N_{slab} = 21629.440 kN

$N_{g,top}$ = 3250.042 kN

$N_{g,bot}$ = 24879.482 kN

$M_{pl,Rd}$ = 38291.510 kN · m

■ Calculation. $V_{bw,Rd}$

Web

■ Contribution from the web

$\lambda_w = h_w / (86.4 \cdot t \cdot \varepsilon) = 1.376$

$X_w = 1.37 / (0.7+\lambda_w) = 0.660 \quad \lambda_w \geq 1.08$

$$V_{bw,Rd} = \frac{X_w \cdot f_{yw} \cdot h_w \cdot t}{\sqrt{3} \cdot \gamma_{M1}} = 4757.881 \text{ kN}$$

$V_{Rd} = 4757.881$ kN

$V_{Edi} = V_{Ed} / \text{Num. of Web} = -2534.302$ kN

$\eta'_3 = V_{Edi} / V_{bw,Rd} = 0.533 \leq 1.0$

■ Contribution from the flange

$M_{f,Rd} = 24732.274$ kN · m

$M_{f,Rd}$ is calculated as $M_{pl,Rd}$ but neglecting the web contribution.

$$V_{bf,Rd} = \frac{b_f \cdot t_f^2 \cdot f_{yf}}{c \cdot \gamma_{M1}} \left(1 - \left(\frac{M_{Ed}}{M_{f,Rd}}\right)^2\right) = 0.000 \text{ kN}$$

where, $M_{f,Rd} = 24732.274$ kN · m

$M_{Ed} = 137899.375$ kN · m (Taken as the greatest value of $(\sum\sigma_i)W$)

$$c = a \cdot \left(0.25 + \frac{1.6 \cdot b_f \cdot t_f^2 \cdot f_{yf}}{t \cdot h_w^2 \cdot f_{yw}}\right) = 0.000$$

■ Check Shear Resistance

$V_{Edi} / (V_{bw,Rd}+V_{bf,Rd}) = 0.533 < 1.0$ … OK

4 Resistance to Lateral Torsional Buckling

- Design load

Load combination name : SLU-1

$N_{Ed} = 175.810$ kN

$M_{Ed} = 13285.144$ kN · m

$V_1 = -2199.621$ kN

$V_2 = -2515.509$ kN

$M_1 = 19942.221$ kN · m

$M_2 = 21063.208$ kN · m

$M_{pl,Rd} = 38291.510$ kN · m

$M_{el,Rd} = 28555.334$ kN · m

- $M_{b,Rd}$ Buckling resistance moment

$L = 0.500$ m

$c = C_d / l = 0.000$

$\gamma = c \cdot L^4 / (E \cdot I) = 0.000$

$\mu = V_2 / V_1 = 0.874$

$\Phi = 2 \cdot (1-M_2/M_1) / (1+\mu) = 0.057$

$m_1 = 1+0.44 \cdot (1+\mu) \cdot \Phi^{1.5}+(3+2 \cdot \Phi) \cdot \gamma/(350-50 \cdot \mu) = 1.011$

$m_2 = 1+0.44 \cdot (1+\mu) \cdot \Phi^{1.5}+(0.195+(0.05+\mu/100) \cdot \Phi) \cdot \gamma^{0.5} = 1.011$

$m = \text{Min}(m_1, m_2) = 1.011$

$\alpha_{LT} = 0.760$

$\lambda_{LT} = 1.103 \cdot L/b \cdot \sqrt{(f_y/Em)} \cdot \sqrt{(1+A_{wc}/(3 \cdot A_f))} = 0.048$

$\Phi_{LT} = 0.5 \cdot (1+\alpha_{LT} \cdot (\lambda_{LT} - 0.2)+\lambda_{LT}^2) = 0.443$

$$X_{LT} = \frac{1}{\Phi_{LT} + \sqrt{(\Phi_{LT}^2 - \lambda_{LT}^2)}} = 1$$

$M_{Rd} = 38291.510 \text{ kN} \cdot \text{m}$

$M_{b,Rd} = X_{LT} \cdot M_{Rd} = 38291.510 \text{ kN} \cdot \text{m}$

- $N_{b,Rd}$ Axial buckling resistance

$X_{LT,N} = 1.000$

$N_{b,Rd} = X_{LT} \cdot \text{Area} \cdot f_{yd} = 92142.222 \text{ kN}$

$$\text{Combined Ratio} = \frac{N_{Ed}}{N_{b,Rd}} + \frac{M_{Ed}}{M_{b,Rd}} = 0.348855543$$

6 Resistance to Longitudinal Shear

- Design load

Load combination name : SLU-1

$N_{c,el} = 10074.955 \text{ kN}$

$N_{c,f} = 21629.440 \text{ kN}$

$M_{Ed} = 20794.245 \text{ kN} \cdot \text{m}$

$V_{Ed} = -1632.844 \text{ kN}$

$M_{pl,Rd} = 38291.510 \text{ kN} \cdot \text{m}$

$M_{el,Rd} = 28555.334 \text{ kN} \cdot \text{m}$

- Shear resistance of a single connector

$P_{Rd,1} = 0.8 \cdot f_u \cdot \pi \cdot d^2 / 4 / \gamma_V = 81.656 \text{ kN}$

$P_{Rd,2} = 0.29 \cdot \alpha \cdot d^2 \cdot \sqrt{(f_{ck} \cdot E_{cm})} / \gamma_V = 86.065 \text{ kN}$

$P_{Rd} = \text{Min}(P_{Rd,1}, P_{Rd,2}) = 81.656 \text{ kN}$

where, $f_u = 450.000$ MPa

$\alpha = 1$ for $h_{sc}/d > 4$

Num. = 4

d = 19.000 mm

h_{sc} = 175.000 mm

Space = 100.000 mm

- Verification

$v_{L,Ed} = V_{Ed} \cdot (A \cdot z / I) = 804.721 \text{ kN/m}$

$v_{L,Rd}$ = P_{Rd} · Num./Space = 3266.251 kN/m

$v_{L,Ed}$ < $v_{L,Rd}$ … OK

0 **Longitudinal Shear for SLS(Serviceability limit state)**

- Shear resistance of a single connector

Load combination name : SLE RARA

$P_{Rd,1}$ = $0.8 \cdot f_u \cdot \pi \cdot d^2 / 4 / \gamma_V$ = 81.656 kN

$P_{Rd,2}$ = $0.29 \cdot \alpha \cdot d^2 \cdot \sqrt{(f_{ck} \cdot E_{cm})} / \gamma_V$ = 86.065 kN

P_{Rd} = $Min(P_{Rd,1}, P_{Rd,2})$ = 81.656 kN

$P_{Rd,ser}$ = $k_s \cdot P_{Rd}$ = 61.242 kN

where, f_u = 450.000 MPa

α = 1 for $h_{sc}/d > 4$

Num. = 4

d = 19.000 mm

h_{sc} = 175.000 mm

Space = 100.000 mm

k_s = 0.750

- Verification

$v_{L,Ed}$ = $V_{Ed} \cdot (A \cdot z / I)$ = 566.635 kN/m

$v_{L,Rd}$ = $P_{Rd,ser}$ · Num./Space = 2449.688 kN/m

$v_{L,Ed}$ < $v_{L,Rd}$ … OK

Element Number	208
Position Information	J

1 Design Condition

1.1 Design Parameters

■ Partial factors

γ_C for concrete	1.50	γ_V for headed sutd	1.25
γ_S for reinforcing steel	1.15	γ_{Ff} for equivalent constant Amplitude stress range	1.00
γ_{M0} for structural steel	1.05	γ_{Mf} for fatigue strength	1.15
γ_{M1} for structural steel	1.10	$\gamma_{Mf,s}$ for fatigue strength of studs in shear	1.00

1.2 Material Information

■ Structural steel

f_{sk} = 355.000 MPa E_s = 210000.000 MPa

■ Concrete

f_{ck} = 32.000 MPa E_{cm} = 33000.000 MPa

■ Reinforcement

f_{yk} = 450.000 MPa E_r = 210000.000 MPa

■ Section Dimensions

Slab

B_c	4970.000	mm	t_c	240.000	mm	H_h	60.000	mm

Girder

H_w	1935.000	mm	B_1	500.000	mm	B_2	800.000	mm
t_w	20.000	mm	t_{f1}	25.000	mm	t_{f2}	40.000	mm

■ Section Stiffness

Before

$A_{,a}$	83200.000	mm^2
$I_{y,a}$	50789772900.641	mm^4
$I_{z,a}$	1968373333.333	mm^4
$C_{y,a}$	400.000	mm
$C_{z,a}$	774.928	mm

After

$A_{,c}$	272533.333	mm^2
$I_{y,c}$	165809703729.615	mm^4
$I_{z,c}$	391693684444.444	mm^4
$C_{y,c}$	2485.000	mm
$C_{z,c}$	1751.054	mm

Crack

$A_{,c}$	90900.000	mm^2
$I_{y,c}$	64747032287.600	mm^4
$I_{z,c}$	17984467620.383	mm^4
$C_{y,c}$	2485.000	mm
$C_{z,c}$	893.949	mm

2 Bending Resistance

2.1 Positive Moment

■ Design load

Load combination name : SLU-1

$N_{a,Ed}$	-23.863	kN
$N_{c,Ed}$	-7.697	kN
$M_{a,Ed}$	7779.801	kN・m
$M_{c,Ed}$	12581.544	kN・m

- Stress

Top Flange

Left	y_1	-250.000	mm	z_1	248.946	mm	σ_1	-207.632	MPa
	y_2	-10.000	mm	z_2	248.946	mm	σ_2	-206.888	MPa
Right	y_1	250.000	mm	z_1	248.946	mm	σ_1	-206.082	MPa
	y_2	10.000	mm	z_2	248.946	mm	σ_2	-206.826	MPa

Bottom Flange

Left	y_1	-400.000	mm	z_1	-1751.054	mm	σ_1	250.015	MPa
	y_2	-10.000	mm	z_2	-1751.054	mm	σ_2	251.224	MPa
Right	y_1	400.000	mm	z_1	-1751.054	mm	σ_1	252.495	MPa
	y_2	10.000	mm	z_2	-1751.054	mm	σ_2	251.286	MPa

Web

Right	y_1	0.000	mm	z_1	223.946	mm	σ_1	-201.131	MPa
	y_2	0.000	mm	z_2	-1711.054	mm	σ_2	242.092	MPa

■ Classification of sections

Part	Class
Top flange	1
Web	1
Bottom flange	1
Section	1

- Plastic resistance moment, $M_{pl,Rd}$

Plastic NA = 1980.774 mm

N_{slab} = 21629.440 kN

$N_{g,top}$ = 3250.042 kN (Upper side of PNA)

$N_{g,bot}$ = 24879.482 kN (Lower side of PNA)

$M_{pl,Rd}$ = 38291.510 kN・m

x_{pl} = 319.226 mm

M_{Rd} = $\beta M_{pl,Rd}$ = 38291.510 kN・m

here, β = 1.000

M_{Rd} = 38291.510 kN · m > M_{Ed} = 20361.345 kN · m …OK

3 Resistance to Vertical Shear

■ Design load

Load combination name : SLU-1

N_{Ed} = -118.761 kN

$M_{a,Ed}$ = 7779.801 kN · m

$M_{c,Ed}$ = 12350.297 kN · m

$V_{Ed,a}$ = -901.469 kN

$V_{Ed,c}$ = -1545.140 kN

V_{Ed} = -2446.609 kN

- Stress

Top Flange

Left	y_1	-250.000	mm	z_1	248.946	mm	σ_1	-208.011	MPa
	y_2	-10.000	mm	z_2	248.946	mm	σ_2	-206.961	MPa
Right	y_1	250.000	mm	z_1	248.946	mm	σ_1	-205.824	MPa
	y_2	10.000	mm	z_2	248.946	mm	σ_2	-206.874	MPa

Bottom Flange

Left	y_1	-400.000	mm	z_1	-1751.054	mm	σ_1	246.656	MPa
	y_2	-10.000	mm	z_2	-1751.054	mm	σ_2	248.361	MPa
Right	y_1	400.000	mm	z_1	-1751.054	mm	σ_1	250.155	MPa
	y_2	10.000	mm	z_2	-1751.054	mm	σ_2	248.449	MPa

Web

Right	y_1	0.000	mm	z_1	223.946	mm	σ_1	-201.226	MPa
	y_2	0.000	mm	z_2	-1711.054	mm	σ_2	239.299	MPa

■ Classification of sections

Part	Class
Top flange	1
Web	1
Bottom flange	1
Section	1

■ Plastic resistance moment, $M_{pl,Rd}$

Plastic NA = 1980.774 mm

N_{slab} = 21629.440 kN

$N_{g,top}$ = 3250.042 kN

$N_{g,bot}$ = 24879.482 kN

$M_{pl,Rd}$ = 38291.510 kN · m

■ Calculation. $V_{bw,Rd}$

Web

■ Contribution from the web

$\lambda_w = h_w / (86.4 \cdot t \cdot \varepsilon) = 1.376$

$X_w = 1.37 / (0.7+\lambda_w) = 0.660$ $\lambda_w \geq 1.08$

$$V_{bw,Rd} = \frac{X_w \cdot f_{yw} \cdot h_w \cdot t}{\sqrt{3} \cdot \gamma_{M1}} = 4757.881 \text{ kN}$$

$V_{Rd} = 4757.881$ kN

$V_{Edi} = V_{Ed}$ / Num. of Web $= -2446.609$ kN

$\eta'_3 = V_{Edi} / V_{bw,Rd} = 0.514 \leq 1.0$

■ Contribution from the flange

$M_{f,Rd0} = 24732.274$ kN · m

$M_{f,Rd0}$ is calculated as $M_{pl,Rd}$ but neglecting the web contribution.

$$\text{Reduction factor for } N_{Ed} = 1 - \frac{N_{Ed}}{(A_{f1}+A_{f2}) \cdot f_{yf}/\gamma_{M0}} = 0.992$$

$M_{f,Rd}$ = Reduction factor for N_{Ed} · $M_{f,Rd0} = 24537.047$ kN · m

$$V_{bf,Rd} = \frac{b_f \cdot t_f^2 \cdot f_{yf}}{c \cdot \gamma_{M1}} \left(1 - \left(\frac{M_{Ed}}{M_{f,Rd}} \right)^2 \right) = 0.000 \text{ kN}$$

where, $M_{f,Rd} = 24537.047$ kN · m

$M_{Ed} = 137816.947$ kN · m (Taken as the greatest value of $(\sum \sigma_i)W$)

$$c = a \cdot \left(0.25 + \frac{1.6 \cdot b_f \cdot t_f^2 \cdot f_{yf}}{t \cdot h_w^2 \cdot f_{yw}}\right) = 0.000$$

■ Check Shear Resistance

$V_{Edi} / (V_{bw,Rd}+V_{bf,Rd}) = 0.514 < 1.0$ … OK

4 Resistance to Lateral Torsional Buckling

- Design load

Load combination name : SLU-1

$N_{Ed} = -31.560$ kN

$M_{Ed} = 12581.544$ kN · m

$V_1 = -1996.881$ kN

$V_2 = -2431.611$ kN

$M_1 = 19310.112$ kN · m

$M_2 = 20361.345$ kN · m

$M_{pl,Rd} = 38291.510$ kN · m

$M_{el,Rd} = 28554.561$ kN · m

- $M_{b,Rd}$ Buckling resistance moment

$L = 0.500$ m

$c = C_d / I = 0.000$

$\gamma = c \cdot L^4 / (E \cdot I) = 0.000$

$\mu = V_2 / V_1 = 0.821$

$\Phi = 2 \cdot (1-M_2/M_1) / (1+\mu) = 0.057$

$m_1 = 1+0.44 \cdot (1+\mu) \cdot \Phi^{1.5}+(3+2 \cdot \Phi) \cdot \gamma/(350-50 \cdot \mu) = 1.011$

$m_2 = 1+0.44 \cdot (1+\mu) \cdot \Phi^{1.5}+(0.195+(0.05+\mu/100) \cdot \Phi) \cdot \gamma^{0.5} = 1.011$

$m = \text{Min}(m_1, m_2) = 1.011$

$\alpha_{LT} = 0.760$

$\lambda_{LT} = 1.103 \cdot L/b \cdot \sqrt{(f_y/Em)} \cdot \sqrt{(1+A_{wc}/(3 \cdot A_f))} = 0.048$

$\Phi_{LT} = 0.5 \cdot (1+\alpha_{LT} \cdot (\lambda_{LT} - 0.2)+\lambda_{LT}^2) = 0.443$

$$X_{LT} = \frac{1}{\Phi_{LT} + \sqrt{(\Phi_{LT}^2 - \lambda_{LT}^2)}} = 1$$

$M_{Rd} = 38291.510$ kN · m

$M_{b,Rd} = X_{LT} \cdot M_{Rd} = 38291.510$ kN · m

- $N_{b,Rd}$ Axial buckling resistance

$X_{LT,N} = 1.000$

$N_{b,Rd} = X_{LT} \cdot \text{Area} \cdot f_{yd} = 92142.222$ kN

$$\text{Combined Ratio} = \frac{N_{Ed}}{N_{b,Rd}} + \frac{M_{Ed}}{M_{b,Rd}} = 0.328915175$$

6 Resistance to Longitudinal Shear

- Design load

Load combination name : SLU-1

$N_{c,el} = 10073.738$ kN

$N_{c,f} = 21629.440$ kN

$M_{Ed} = 20130.099$ kN · m

$V_{Ed} = -1545.140$ kN

$M_{pl,Rd} = 38291.510$ kN · m

$M_{el,Rd} = 28554.561$ kN · m

- Shear resistance of a single connector

$P_{Rd,1} = 0.8 \cdot f_u \cdot \pi \cdot d^2 / 4 / \gamma_V = 81.656$ kN

$P_{Rd,2} = 0.29 \cdot \alpha \cdot d^2 \cdot \sqrt{(f_{ck} \cdot E_{cm})} / \gamma_V = 86.065$ kN

$P_{Rd} = \text{Min}(P_{Rd,1}, P_{Rd,2}) = 81.656$ kN

where, $f_u = 450.000$ MPa

$\alpha = 1$ for $h_{sc}/d > 4$

Num. = 4

$d = 19.000$ mm

$h_{sc} = 175.000$ mm

Space = 100.000 mm

- Verification

$v_{L,Ed}$ = V_{Ed} · (A · z / I) = 761.497 kN/m
$v_{L,Rd}$ = P_{Rd} · Num./Space = 3266.251 kN/m
$v_{L,Ed}$ < $v_{L,Rd}$ … OK

0 **Longitudinal Shear for SLS(Serviceability limit state)**

- Shear resistance of a single connector

Load combination name : SLE RARA

$P_{Rd,1}$ = $0.8 \cdot f_u \cdot \pi \cdot d^2 / 4 / \gamma_V$ = 81.656 kN
$P_{Rd,2}$ = $0.29 \cdot \alpha \cdot d^2 \cdot \sqrt{(f_{ck} \cdot E_{cm})} / \gamma_V$ = 86.065 kN
P_{Rd} = $Min(P_{Rd,1}, P_{Rd,2})$ = 81.656 kN
$P_{Rd,ser}$ = $k_s \cdot P_{Rd}$ = 61.242 kN

where, f_u = 450.000 MPa
α = 1 for $h_{sc}/d > 4$
Num. = 4
d = 19.000 mm
h_{sc} = 175.000 mm
Space = 100.000 mm
k_s = 0.750

- Verification

$v_{L,Ed}$ = V_{Ed} · (A · z / I) = 569.441 kN/m
$v_{L,Rd}$ = $P_{Rd,ser}$ · Num./Space = 2449.688 kN/m
$v_{L,Ed}$ < $v_{L,Rd}$ … OK

13.2.1.10 CONCIO C3 CENTRALE – ELEMENTI 25 E 26

Element Number	**25**
Position Information	J

1 Design Condition

1.1 Design Parameters

■ Partial factors

γ_C for concrete	1.50	γ_V for headed sutd	1.25
γ_S for reinforcing steel	1.15	γ_{Ff} for equivalent constant Amplitude stress range	1.00
γ_{M0} for structural steel	1.05	γ_{Mf} for fatigue strength	1.15
γ_{M1} for structural steel	1.10	$\gamma_{Mf,s}$ for fatigue strength of studs in shear	1.00

1.2 Material Information

■ Structural steel

f_{sk} = 355.000 MPa E_s = 210000.000 MPa

■ Concrete

f_{ck} = 32.000 MPa E_{cm} = 33000.000 MPa

■ Reinforcement

f_{yk} = 450.000 MPa E_r = 210000.000 MPa

■ Section Dimensions

Slab

B_c	4500.000	mm	t_c	240.000	mm	H_h	60.000	mm

Girder

H_w	1935.000	mm	B_1	500.000	mm	B_2	800.000	mm
t_w	20.000	mm	t_{f1}	25.000	mm	t_{f2}	40.000	mm

■ Section Stiffness

Before

$A_{,a}$	83200.000	mm^2
$I_{y,a}$	50789772900.641	mm^4
$I_{z,a}$	1968373333.333	mm^4
$C_{y,a}$	400.000	mm
$C_{z,a}$	774.928	mm

After

$A_{,c}$	254628.571	mm^2
$I_{y,c}$	162197733566.406	mm^4
$I_{z,c}$	291254087619.048	mm^4
$C_{y,c}$	2250.000	mm
$C_{z,c}$	1720.892	mm

Crack

$A_{,c}$	90284.000	mm^2
$I_{y,c}$	63717789919.362	mm^4
$I_{z,c}$	14436300077.419	mm^4
$C_{y,c}$	2250.000	mm
$C_{z,c}$	885.175	mm

2 Bending Resistance

2.1 Positive Moment

■ Design load

Load combination name : SLU-1

$N_{a,Ed}$	-21.743	kN
$N_{c,Ed}$	100.336	kN
$M_{a,Ed}$	7068.046	kN・m
$M_{c,Ed}$	10277.036	kN・m

- Stress

Top Flange

Left	y_1	-250.000	mm	z_1	279.108	mm	σ_1	-186.761	MPa
	y_2	-10.000	mm	z_2	279.108	mm	σ_2	-187.985	MPa
Right	y_1	250.000	mm	z_1	279.108	mm	σ_1	-189.312	MPa
	y_2	10.000	mm	z_2	279.108	mm	σ_2	-188.087	MPa

Bottom Flange

Left	y_1	-400.000	mm	z_1	-1720.892	mm	σ_1	219.052	MPa
	y_2	-10.000	mm	z_2	-1720.892	mm	σ_2	217.063	MPa
Right	y_1	400.000	mm	z_1	-1720.892	mm	σ_1	214.971	MPa
	y_2	10.000	mm	z_2	-1720.892	mm	σ_2	216.961	MPa

Web

Right	y_1	0.000	mm	z_1	254.108	mm	σ_1	-182.973	MPa
	y_2	0.000	mm	z_2	-1680.892	mm	σ_2	208.911	MPa

■ Classification of sections

Part	Class
Top flange	1
Web	1
Bottom flange	1
Section	1

- Plastic resistance moment, $M_{pl,Rd}$

Plastic NA = 1968.113 mm

N_{slab} = 19584.000 kN

$N_{g,top}$ = 4272.762 kN (Upper side of PNA)

$N_{g,bot}$ = 23856.762 kN (Lower side of PNA)

$M_{pl,Rd}$ = 37877.511 kN・m

x_{pl} = 331.887 mm

M_{Rd} = $\beta M_{pl,Rd}$ = 37877.511 kN・m

here, β = 1.000

M_{Rd} = 37877.511 kN · m > M_{Ed} = 17345.081 kN · m …OK

3 Resistance to Vertical Shear

■ Design load

Load combination name : SLU-1

N_{Ed} = 101.834 kN

$M_{a,Ed}$ = 7068.046 kN · m

$M_{c,Ed}$ = 10006.831 kN · m

$V_{Ed,a}$ = 904.740 kN

$V_{Ed,c}$ = 1295.444 kN

V_{Ed} = 2200.184 kN

- Stress

Top Flange

Left	y_1	-250.000	mm	z_1	279.108	mm	σ_1	-186.249	MPa
	y_2	-10.000	mm	z_2	279.108	mm	σ_2	-187.513	MPa
Right	y_1	250.000	mm	z_1	279.108	mm	σ_1	-188.882	MPa
	y_2	10.000	mm	z_2	279.108	mm	σ_2	-187.618	MPa

Bottom Flange

Left	y_1	-400.000	mm	z_1	-1720.892	mm	σ_1	216.257	MPa
	y_2	-10.000	mm	z_2	-1720.892	mm	σ_2	214.203	MPa
Right	y_1	400.000	mm	z_1	-1720.892	mm	σ_1	212.044	MPa
	y_2	10.000	mm	z_2	-1720.892	mm	σ_2	214.098	MPa

Web

Right	y_1	0.000	mm	z_1	254.108	mm	σ_1	-182.544	MPa
	y_2	0.000	mm	z_2	-1680.892	mm	σ_2	206.116	MPa

■ Classification of sections

Part	Class
Top flange	1
Web	1
Bottom flange	1
Section	1

■ Plastic resistance moment, $M_{pl,Rd}$

Plastic NA = 1968.113 mm

N_{slab} = 19584.000 kN

$N_{g,top}$ = 4272.762 kN

$N_{g,bot}$ = 23856.762 kN

$M_{pl,Rd}$ = 37877.511 kN · m

■ Calculation. $V_{bw,Rd}$

Web

■ Contribution from the web

$\lambda_w = h_w / (86.4 \cdot t \cdot \varepsilon) = 1.376$

$X_w = 1.37 / (0.7+\lambda_w) = 0.660$ $\lambda_w \geq 1.08$

$$V_{bw,Rd} = \frac{X_w \cdot f_{yw} \cdot h_w \cdot t}{\sqrt{3} \cdot \gamma_{M1}} = 4757.881 \text{ kN}$$

$V_{Rd} = 4757.881$ kN

$V_{Edi} = V_{Ed} / \text{Num. of Web} = 2200.184$ kN

$\eta'_3 = V_{Edi} / V_{bw,Rd} = 0.462 \leq 1.0$

■ Contribution from the flange

$M_{f,Rd} = 24601.108$ kN · m

$M_{f,Rd}$ is calculated as $M_{pl,Rd}$ but neglecting the web contribution.

$$V_{bf,Rd} = \frac{b_f \cdot t_f^2 \cdot f_{yf}}{c \cdot \gamma_{M1}} \left(1 - \left(\frac{M_{Ed}}{M_{f,Rd}} \right)^2 \right) = 0.000 \text{ kN}$$

where, $M_{f,Rd} = 24601.108$ kN · m

$M_{Ed} = 108999.741$ kN · m (Taken as the greatest value of $(\sum \sigma_i)W$)

$$c = a \cdot \left(0.25 + \frac{1.6 \cdot b_f \cdot t_f^2 \cdot f_{yf}}{t \cdot h_w^2 \cdot f_{yw}}\right) = 0.000$$

■ Check Shear Resistance

$V_{Edi} / (V_{bw,Rd}+V_{bf,Rd}) = 0.462 < 1.0$ … OK

4 Resistance to Lateral Torsional Buckling

- Design load

Load combination name : SLU-1

$N_{Ed} = 78.593$ kN

$M_{Ed} = 10277.036$ kN · m

$V_1 = 1874.073$ kN

$V_2 = 1752.519$ kN

$M_1 = 18234.765$ kN · m

$M_2 = 17345.081$ kN · m

$M_{pl,Rd} = 37877.511$ kN · m

$M_{el,Rd} = 28769.986$ kN · m

- $M_{b,Rd}$ Buckling resistance moment

$L = 0.500$ m

$c = C_d / l = 0.000$

$\gamma = c \cdot L^4 / (E \cdot I) = 0.000$

$\mu = V_2 / V_1 = 0.935$

$\Phi = 2 \cdot (1-M_2/M_1) / (1+\mu) = 0.050$

$m_1 = 1+0.44 \cdot (1+\mu) \cdot \Phi^{1.5}+(3+2 \cdot \Phi) \cdot \gamma/(350-50 \cdot \mu) = 1.010$

$m_2 = 1+0.44 \cdot (1+\mu) \cdot \Phi^{1.5}+(0.195+(0.05+\mu/100) \cdot \Phi) \cdot \gamma^{0.5} = 1.010$

$m = \text{Min}(m_1, m_2) = 1.010$

$\alpha_{LT} = 0.760$

$\lambda_{LT} = 1.103 \cdot L/b \cdot \sqrt{(f_y/Em)} \cdot \sqrt{(1+A_{wc}/(3 \cdot A_f))} = 0.048$

$\Phi_{LT} = 0.5 \cdot (1+\alpha_{LT} \cdot (\lambda_{LT} - 0.2)+\lambda_{LT}^2) = 0.443$

$$X_{LT} = \frac{1}{\Phi_{LT} + \sqrt{(\Phi_{LT}^2 - \lambda_{LT}^2)}} = 1$$

$M_{Rd} = 37877.511 \text{ kN} \cdot \text{m}$

$M_{b,Rd} = X_{LT} \cdot M_{Rd} = 37877.511 \text{ kN} \cdot \text{m}$

- $N_{b,Rd}$ Axial buckling resistance

$X_{LT,N} = 1.000$

$N_{b,Rd} = X_{LT} \cdot \text{Area} \cdot f_{yd} = 86088.707 \text{ kN}$

$$\text{Combined Ratio} = \frac{N_{Ed}}{N_{b,Rd}} + \frac{M_{Ed}}{M_{b,Rd}} = 0.272235816$$

6 Resistance to Longitudinal Shear

- Design load

Load combination name : SLU-1

$N_{c,el} = 10425.263 \text{ kN}$

$N_{c,f} = 19584.000 \text{ kN}$

$M_{Ed} = 17074.877 \text{ kN} \cdot \text{m}$

$V_{Ed} = 1295.444 \text{ kN}$

$M_{pl,Rd} = 37877.511 \text{ kN} \cdot \text{m}$

$M_{el,Rd} = 28769.986 \text{ kN} \cdot \text{m}$

- Shear resistance of a single connector

$P_{Rd,1} = 0.8 \cdot f_u \cdot \pi \cdot d^2 / 4 / \gamma_V = 81.656 \text{ kN}$

$P_{Rd,2} = 0.29 \cdot \alpha \cdot d^2 \cdot \sqrt{(f_{ck} \cdot E_{cm})} / \gamma_V = 86.065 \text{ kN}$

$P_{Rd} = \text{Min}(P_{Rd,1}, P_{Rd,2}) = 81.656 \text{ kN}$

where, $f_u = 450.000 \text{ MPa}$

$\alpha = 1$ for $h_{sc}/d > 4$

Num. = 4

d = 19.000 mm

h_{sc} = 175.000 mm

Space = 100.000 mm

- Verification

$v_{L,Ed} = V_{Ed} \cdot (A \cdot z / I) = 633.949 \text{ kN/m}$

$v_{L,Rd}$ = P_{Rd} · Num./Space = 3266.251 kN/m

$v_{L,Ed}$ < $v_{L,Rd}$ … OK

0 **Longitudinal Shear for SLS(Serviceability limit state)**

- Shear resistance of a single connector

Load combination name : SLE RARA

$P_{Rd,1}$ = $0.8 \cdot f_u \cdot \pi \cdot d^2 / 4 / \gamma_V$ = 81.656 kN

$P_{Rd,2}$ = $0.29 \cdot \alpha \cdot d^2 \cdot \sqrt{(f_{ck} \cdot E_{cm})} / \gamma_V$ = 86.065 kN

P_{Rd} = $Min(P_{Rd,1}, P_{Rd,2})$ = 81.656 kN

$P_{Rd,ser}$ = $k_s \cdot P_{Rd}$ = 61.242 kN

where, f_u = 450.000 MPa

α = 1 for $h_{sc}/d > 4$

Num. = 4

d = 19.000 mm

h_{sc} = 175.000 mm

Space = 100.000 mm

k_s = 0.750

- Verification

$v_{L,Ed}$ = $V_{Ed} \cdot (A \cdot z / I)$ = 470.723 kN/m

$v_{L,Rd}$ = $P_{Rd,ser}$ · Num./Space = 2449.688 kN/m

$v_{L,Ed}$ < $v_{L,Rd}$ … OK

Element Number	26
Position Information	J

1 Design Condition

1.1 Design Parameters

■ Partial factors

γ_C for concrete	1.50	γ_V for headed sutd	1.25
γ_S for reinforcing steel	1.15	γ_{Ff} for equivalent constant Amplitude stress range	1.00
γ_{M0} for structural steel	1.05	γ_{Mf} for fatigue strength	1.15
γ_{M1} for structural steel	1.10	$\gamma_{Mf,s}$ for fatigue strength of studs in shear	1.00

1.2 Material Information

■ Structural steel

f_{sk} = 355.000 MPa E_s = 210000.000 MPa

■ Concrete

f_{ck} = 32.000 MPa E_{cm} = 33000.000 MPa

■ Reinforcement

f_{yk} = 450.000 MPa E_r = 210000.000 MPa

■ Section Dimensions

Slab

B_c	4500.000	mm	t_c	240.000	mm	H_h	60.000	mm

Girder

H_w	1935.000	mm	B_1	500.000	mm	B_2	800.000	mm
t_w	20.000	mm	t_{f1}	25.000	mm	t_{f2}	40.000	mm

■ Section Stiffness

Before

$A_{,a}$	83200.000	mm^2
$I_{y,a}$	50789772900.641	mm^4
$I_{z,a}$	1968373333.333	mm^4
$C_{y,a}$	400.000	mm
$C_{z,a}$	774.928	mm

After

$A_{,c}$	254628.571	mm^2
$I_{y,c}$	162197733566.406	mm^4
$I_{z,c}$	291254087619.048	mm^4
$C_{y,c}$	2250.000	mm
$C_{z,c}$	1720.892	mm

Crack

$A_{,c}$	90284.000	mm^2
$I_{y,c}$	63717789919.362	mm^4
$I_{z,c}$	14436300077.419	mm^4
$C_{y,c}$	2250.000	mm
$C_{z,c}$	885.175	mm

2 Bending Resistance

2.1 Positive Moment

■ Design load

Load combination name : SLU-1

$N_{a,Ed}$	-21.753	kN
$N_{c,Ed}$	96.274	kN
$M_{a,Ed}$	7067.924	kN・m
$M_{c,Ed}$	10611.770	kN・m

- Stress

Top Flange

Left	y_1	-250.000	mm	z_1	279.108	mm	σ_1	-186.562	MPa
	y_2	-10.000	mm	z_2	279.108	mm	σ_2	-188.543	MPa
Right	y_1	250.000	mm	z_1	279.108	mm	σ_1	-190.689	MPa
	y_2	10.000	mm	z_2	279.108	mm	σ_2	-188.708	MPa

Bottom Flange

Left	y_1	-400.000	mm	z_1	-1720.892	mm	σ_1	223.846	MPa
	y_2	-10.000	mm	z_2	-1720.892	mm	σ_2	220.628	MPa
Right	y_1	400.000	mm	z_1	-1720.892	mm	σ_1	217.244	MPa
	y_2	10.000	mm	z_2	-1720.892	mm	σ_2	220.463	MPa

Web

Right	y_1	0.000	mm	z_1	254.108	mm	σ_1	-183.511	MPa
	y_2	0.000	mm	z_2	-1680.892	mm	σ_2	212.362	MPa

■ Classification of sections

Part	Class
Top flange	1
Web	1
Bottom flange	1
Section	1

- Plastic resistance moment, $M_{pl,Rd}$

Plastic NA = 1968.113 mm

N_{slab} = 19584.000 kN

$N_{g,top}$ = 4272.762 kN (Upper side of PNA)

$N_{g,bot}$ = 23856.762 kN (Lower side of PNA)

$M_{pl,Rd}$ = 37877.511 kN・m

x_{pl} = 331.887 mm

M_{Rd} = $\beta M_{pl,Rd}$ = 37877.511 kN・m

here, β = 1.000

M_{Rd} = 37877.511 kN · m > M_{Ed} = 17679.694 kN · m …OK

3 Resistance to Vertical Shear

■ Design load

Load combination name : SLU-1

N_{Ed} = 97.145 kN

$M_{a,Ed}$ = 7067.924 kN · m

$M_{c,Ed}$ = 10299.181 kN · m

$V_{Ed,a}$ = 904.669 kN

$V_{Ed,c}$ = 1354.259 kN

V_{Ed} = 2258.928 kN

- Stress

Top Flange

Left	y_1	-250.000	mm	z_1	279.108	mm	σ_1	-186.077	MPa
	y_2	-10.000	mm	z_2	279.108	mm	σ_2	-188.004	MPa
Right	y_1	250.000	mm	z_1	279.108	mm	σ_1	-190.091	MPa
	y_2	10.000	mm	z_2	279.108	mm	σ_2	-188.164	MPa

Bottom Flange

Left	y_1	-400.000	mm	z_1	-1720.892	mm	σ_1	220.443	MPa
	y_2	-10.000	mm	z_2	-1720.892	mm	σ_2	217.312	MPa
Right	y_1	400.000	mm	z_1	-1720.892	mm	σ_1	214.021	MPa
	y_2	10.000	mm	z_2	-1720.892	mm	σ_2	217.152	MPa

Web

Right	y_1	0.000	mm	z_1	254.108	mm	σ_1	-183.018	MPa
	y_2	0.000	mm	z_2	-1680.892	mm	σ_2	209.126	MPa

■ Classification of sections

Part	Class
Top flange	1
Web	1
Bottom flange	1
Section	1

■ Plastic resistance moment, $M_{pl,Rd}$

Plastic NA = 1968.113 mm

N_{slab} = 19584.000 kN

$N_{g,top}$ = 4272.762 kN

$N_{g,bot}$ = 23856.762 kN

$M_{pl,Rd}$ = 37877.511 kN · m

■ Calculation. $V_{bw,Rd}$

Web

■ Contribution from the web

$\lambda_w = h_w / (86.4 \cdot t \cdot \varepsilon) = 1.376$

$X_w = 1.37 / (0.7+\lambda_w) = 0.660$ $\lambda_w \geq 1.08$

$$V_{bw,Rd} = \frac{X_w \cdot f_{yw} \cdot h_w \cdot t}{\sqrt{3} \cdot \gamma_{M1}} = 4757.881 \text{ kN}$$

$V_{Rd} = 4757.881$ kN

$V_{Edi} = V_{Ed} / \text{Num. of Web} = 2258.928$ kN

$\eta'_3 = V_{Edi} / V_{bw,Rd} = 0.475 \leq 1.0$

■ Contribution from the flange

$M_{f,Rd} = 24601.108$ kN · m

$M_{f,Rd}$ is calculated as $M_{pl,Rd}$ but neglecting the web contribution.

$$V_{bf,Rd} = \frac{b_f \cdot t_f^2 \cdot f_{yf}}{c \cdot \gamma_{M1}} \left(1 - \left(\frac{M_{Ed}}{M_{f,Rd}}\right)^2\right) = 0.000 \text{ kN}$$

where, $M_{f,Rd} = 24601.108$ kN · m

$M_{Ed} = 109301.155$ kN · m (Taken as the greatest value of $(\sum \sigma_i)W$)

$$c = a \cdot \left(0.25 + \frac{1.6 \cdot b_f \cdot t_f^2 \cdot f_{yf}}{t \cdot h_w^2 \cdot f_{yw}}\right) = 0.000$$

■ Check Shear Resistance

$V_{Edi} / (V_{bw,Rd}+V_{bf,Rd}) = 0.475 < 1.0$ … OK

4 Resistance to Lateral Torsional Buckling

- Design load

Load combination name : SLU-1

$N_{Ed} = 74.521$ kN

$M_{Ed} = 10611.770$ kN · m

$V_1 = 1929.337$ kN

$V_2 = 1809.126$ kN

$M_1 = 18599.562$ kN · m

$M_2 = 17679.694$ kN · m

$M_{pl,Rd} = 37877.511$ kN · m

$M_{el,Rd} = 28770.040$ kN · m

- $M_{b,Rd}$ Buckling resistance moment

$L = 0.500$ m

$c = C_d / l = 0.000$

$\gamma = c \cdot L^4 / (E \cdot I) = 0.000$

μ = V_2 / V_1 = 0.938

Φ = $2 \cdot (1-M_2/M_1) / (1+\mu)$ = 0.051

m_1 = $1+0.44 \cdot (1+\mu) \cdot \Phi^{1.5}+(3+2 \cdot \Phi) \cdot \gamma/(350-50 \cdot \mu)$ = 1.010

m_2 = $1+0.44 \cdot (1+\mu) \cdot \Phi^{1.5}+(0.195+(0.05+\mu/100) \cdot \Phi) \cdot \gamma^{0.5}$ = 1.010

m = $Min(m_1, m_2)$ = 1.010

α_{LT} = 0.760

λ_{LT} = $1.103 \cdot L/b \cdot \sqrt{(f_y/Em)} \cdot \sqrt{(1+A_{wc}/(3 \cdot A_f))}$ = 0.048

Φ_{LT} = $0.5 \cdot (1+\alpha_{LT} \cdot (\lambda_{LT} - 0.2)+\lambda_{LT}^2)$ = 0.443

$$X_{LT} = \frac{1}{\Phi_{LT} + \sqrt{(\Phi_{LT}^2 - \lambda_{LT}^2)}} = 1$$

M_{Rd} = 37877.511 kN · m

$M_{b,Rd}$ = $X_{LT} \cdot M_{Rd}$ = 37877.511 kN · m

- $N_{b,Rd}$ Axial buckling resistance

$X_{LT,N}$ = 1.000

$N_{b,Rd}$ = $X_{LT} \cdot Area \cdot f_{yd}$ = 86088.707 kN

$$\text{Combined Ratio} = \frac{N_{Ed}}{N_{b,Rd}} + \frac{M_{Ed}}{M_{b,Rd}} = 0.281025805$$

6 Resistance to Longitudinal Shear

- Design load

Load combination name : SLU-1

$N_{c,el}$ = 10425.347 kN

$N_{c,f}$ = 19584.000 kN

M_{Ed} = 17367.105 kN · m

V_{Ed} = 1354.259 kN

$M_{pl,Rd}$ = 37877.511 kN · m

$M_{el,Rd}$ = 28770.040 kN · m

- Shear resistance of a single connector

$P_{Rd,1}$ = $0.8 \cdot f_u \cdot \pi \cdot d^2 / 4 / \gamma_V$ = 81.656 kN

$P_{Rd,2}$ = $0.29 \cdot \alpha \cdot d^2 \cdot \sqrt{(f_{ck} \cdot E_{cm})} / \gamma_V$ = 86.065 kN

P_{Rd} = $Min(P_{Rd,1}, P_{Rd,2})$ = 81.656 kN

where, f_u = 450.000 MPa

α = 1 for $h_{sc}/d > 4$

Num. = 4

d = 19.000 mm

h_{sc} = 175.000 mm

Space = 100.000 mm

- Verification

$v_{L,Ed}$ = $V_{Ed} \cdot (A \cdot z / I)$ = 662.731 kN/m

$v_{L,Rd}$ = P_{Rd} · Num./Space = 3266.251 kN/m

$v_{L,Ed}$ < $v_{L,Rd}$ … OK

0 **Longitudinal Shear for SLS(Serviceability limit state)**

- Shear resistance of a single connector

Load combination name : SLE RARA

$P_{Rd,1}$ = $0.8 \cdot f_u \cdot \pi \cdot d^2 / 4 / \gamma_V$ = 81.656 kN

$P_{Rd,2}$ = $0.29 \cdot \alpha \cdot d^2 \cdot \sqrt{(f_{ck} \cdot E_{cm})} / \gamma_V$ = 86.065 kN

P_{Rd} = $Min(P_{Rd,1}, P_{Rd,2})$ = 81.656 kN

$P_{Rd,ser}$ = $k_s \cdot P_{Rd}$ = 61.242 kN

where, f_u = 450.000 MPa

α = 1 for $h_{sc}/d > 4$

Num. = 4

d = 19.000 mm

h_{sc} = 175.000 mm

Space = 100.000 mm

k_s = 0.750

- Verification

$v_{L,Ed}$ = $V_{Ed} \cdot (A \cdot z / I)$ = 480.309 kN/m

$v_{L,Rd}$ = $P_{Rd,ser}$ · Num./Space = 2449.688 kN/m

$v_{L,Ed}$ < $v_{L,Rd}$ … OK

13.2.2 IMPALCATO "B"

Si riporta di seguito il risultato della verifica, in forma tabulare, per tutti gli elementi che compongono i conci dell'**Impalcato B**.

Segue la verifica dettagliata degli elementi maggiormente sollecitati.

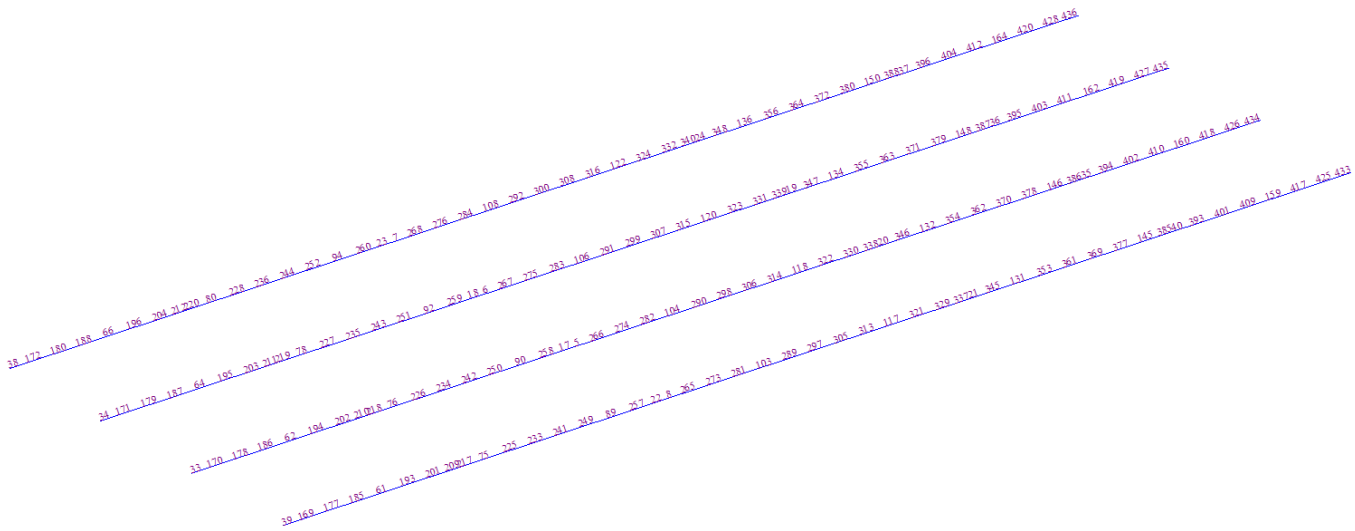


FIGURA 127: NUMERAZIONE ELEMENTI IMPALCATO B

13.2.2.1 VERIFICA DI RESISTENZA A FLESSIONE

Elem	part	Pos/Neg	Lcom	Top Class	Bot Class	Web Class	Sect. Class	Ma,Ed (kN*m)	Mc,Ed (kN*m)	Mpl,Rd (kN*m)	Mel,Rd (kN*m)	M_Rd (kN*m)
5	I[38]	Neg	-	-	-	-	-	-	-	-	-	-
5	I[38]	Pos	SLU-1	1	1	1	1	11362.6209	16330.3112	46152.402	38633.2533	46152.402
5	J[350]	Neg	-	-	-	-	-	-	-	-	-	-
5	J[350]	Pos	SLU-1	1	1	1	1	11525.9482	16570.0104	46152.402	38582.2683	46152.402
6	I[39]	Neg	-	-	-	-	-	-	-	-	-	-
6	I[39]	Pos	SLU-1	1	1	1	1	11363.0045	17685.4934	46152.402	38633.1335	46152.402
6	J[351]	Neg	-	-	-	-	-	-	-	-	-	-
6	J[351]	Pos	SLU-1	1	1	1	1	11526.3387	17938.9581	46152.402	38582.1464	46152.402
7	I[40]	Neg	-	-	-	-	-	-	-	-	-	-
7	I[40]	Pos	SLU-1	1	1	1	1	10363.3777	18387.8061	44674.6044	38621.6366	44674.6044
7	J[352]	Neg	-	-	-	-	-	-	-	-	-	-
7	J[352]	Pos	SLU-1	1	1	1	1	10513.7874	18696.1584	44674.6044	38576.9181	44674.6044
8	I[37]	Neg	-	-	-	-	-	-	-	-	-	-
8	I[37]	Pos	SLU-1	1	1	1	1	10361.9004	15262.0015	44674.6044	38622.0758	44674.6044
8	J[349]	Neg	-	-	-	-	-	-	-	-	-	-
8	J[349]	Pos	SLU-1	1	1	1	1	10512.3189	15532.56	44674.6044	38577.3548	44674.6044
17	I[38]	Neg	-	-	-	-	-	-	-	-	-	-
17	I[38]	Pos	SLU-1	1	1	1	1	11362.727	16330.5695	43310.1898	35267.2368	43310.1898
17	J[334]	Neg	-	-	-	-	-	-	-	-	-	-
17	J[334]	Pos	SLU-1	1	1	1	1	11184.8168	16170.3152	43310.1898	35327.1845	43310.1898
18	I[39]	Neg	-	-	-	-	-	-	-	-	-	-
18	I[39]	Pos	SLU-1	1	1	1	1	11363.1106	17685.6488	43310.1898	35267.1075	43310.1898
18	J[335]	Neg	-	-	-	-	-	-	-	-	-	-
18	J[335]	Pos	SLU-1	1	1	1	1	11185.1936	17507.0201	43310.1898	35327.0576	43310.1898
19	I[47]	Neg	-	-	-	-	-	-	-	-	-	-
19	I[47]	Pos	SLU-1	1	1	1	1	11363.1106	17592.3235	43310.1898	35267.1075	43310.1898
19	J[527]	Neg	-	-	-	-	-	-	-	-	-	-
19	J[527]	Pos	SLU-1	1	1	1	1	11185.1936	17405.795	43310.1898	35327.0576	43310.1898
20	I[46]	Neg	-	-	-	-	-	-	-	-	-	-
20	I[46]	Pos	SLU-1	1	1	1	1	11362.727	16235.6918	43310.1898	35267.2368	43310.1898
20	J[526]	Neg	-	-	-	-	-	-	-	-	-	-
20	J[526]	Pos	SLU-1	1	1	1	1	11184.8168	16067.2627	43310.1898	35327.1845	43310.1898
21	I[45]	Neg	-	-	-	-	-	-	-	-	-	-

21	I[45]	Pos	SLU-1	1	1	1	1	10361.988	15168.0937	41928.56	35319.1048	41928.56
21	J[525]	Neg	-	-	-	-	-	-	-	-	-	-
21	J[525]	Pos	SLU-1	1	1	1	1	10199.5179	14968.3579	41928.56	35371.3945	41928.56
22	I[37]	Neg	-	-	-	-	-	-	-	-	-	-
22	I[37]	Pos	SLU-1	1	1	1	1	10361.988	15264.3928	41928.56	35319.1048	41928.56
22	J[333]	Neg	-	-	-	-	-	-	-	-	-	-
22	J[333]	Pos	SLU-1	1	1	1	1	10199.5179	15073.1846	41928.56	35371.3945	41928.56
23	I[40]	Neg	-	-	-	-	-	-	-	-	-	-
23	I[40]	Pos	SLU-1	1	1	1	1	10363.4848	18387.1079	41928.56	35318.623	41928.56
23	J[336]	Neg	-	-	-	-	-	-	-	-	-	-
23	J[336]	Pos	SLU-1	1	1	1	1	10201.0234	18143.293	41928.56	35370.91	41928.56
24	I[48]	Neg	-	-	-	-	-	-	-	-	-	-
24	I[48]	Pos	SLU-1	1	1	1	1	10363.4848	18297.9254	41928.56	35318.623	41928.56
24	J[528]	Neg	-	-	-	-	-	-	-	-	-	-
24	J[528]	Pos	SLU-1	1	1	1	1	10201.0234	18046.4492	41928.56	35370.91	41928.56
33	I[6]	Neg	SLV-7	1	3	4	4	-14.2158	-181.3808	20930.8437	16274.9864	16274.9864
33	I[6]	Pos	SLV-1	1	1	1	1	-14.2158	403.8314	32886.1716	26722.1	32886.1716
33	J[134]	Neg	-	-	-	-	-	-	-	-	-	-
33	J[134]	Pos	SLU-1	1	1	1	1	560.1497	1197.0381	32886.1716	26439.8199	32886.1716
34	I[7]	Neg	SLV-7	1	3	4	4	-14.2228	-186.2029	20930.8437	16274.9864	16274.9864
34	I[7]	Pos	SLV-1	1	1	1	1	-14.2228	401.1936	32886.1716	26722.1034	32886.1716
34	J[135]	Neg	-	-	-	-	-	-	-	-	-	-
34	J[135]	Pos	SLU-1	1	1	1	1	560.1176	1254.7652	32886.1716	26439.8357	32886.1716
35	I[30]	Neg	-	-	-	-	-	-	-	-	-	-
35	I[30]	Pos	SLU-1	1	1	1	1	6848.5984	10579.4563	32886.1716	23349.2726	32886.1716
35	J[638]	Neg	-	-	-	-	-	-	-	-	-	-
35	J[638]	Pos	SLU-1	1	1	1	1	6446.8081	10129.2799	32886.1716	23546.7381	32886.1716
36	I[31]	Neg	-	-	-	-	-	-	-	-	-	-
36	I[31]	Pos	SLU-1	1	1	1	1	6848.6625	11334.9989	32886.1716	23349.2411	32886.1716
36	J[639]	Neg	-	-	-	-	-	-	-	-	-	-
36	J[639]	Pos	SLU-1	1	1	1	1	6446.8385	10843.4966	32886.1716	23546.7232	32886.1716
37	I[32]	Neg	-	-	-	-	-	-	-	-	-	-
37	I[32]	Pos	SLU-1	1	1	1	1	6188.9264	10839.4065	31901.6803	23468.4935	31901.6803
37	J[640]	Neg	-	-	-	-	-	-	-	-	-	-
37	J[640]	Pos	SLU-1	1	1	1	1	5819.5731	10232.8365	31901.6803	23643.5591	31901.6803
38	I[8]	Neg	SLV-7	1	3	4	4	-12.5922	-186.5888	20117.4378	15269.0829	15269.0829
38	I[8]	Pos	SLV-1	1	1	1	1	-12.5922	397.7563	31901.6803	26407.881	31901.6803
38	J[136]	Neg	-	-	-	-	-	-	-	-	-	-
38	J[136]	Pos	SLU-1	1	1	1	1	500.1628	1063.6848	31901.6803	26164.846	31901.6803
39	I[5]	Neg	SLV-7	1	3	4	4	-13.0853	-169.7704	20117.4378	15269.0829	15269.0829
39	I[5]	Pos	SLV-1	1	1	1	1	-13.0853	408.1552	31901.6803	26408.1147	31901.6803
39	J[133]	Neg	SLV-7	1	1	4	4	370.0036	-80.2079	20117.4378	15269.0829	15269.0829
39	J[133]	Pos	SLU-1	1	1	1	1	499.5049	941.995	31901.6803	26165.1579	31901.6803
40	I[29]	Neg	-	-	-	-	-	-	-	-	-	-
40	I[29]	Pos	SLU-1	1	1	1	1	6187.943	8975.8758	31901.6803	23468.9596	31901.6803
40	J[637]	Neg	-	-	-	-	-	-	-	-	-	-
40	J[637]	Pos	SLU-1	1	1	1	1	5818.5466	8519.3982	31901.6803	23644.0456	31901.6803
61	I[69]	Neg	-	-	-	-	-	-	-	-	-	-
61	I[69]	Pos	SLU-1	1	1	1	1	3369.7745	5150.9259	31901.6803	24804.7114	31901.6803
61	J[189]	Neg	-	-	-	-	-	-	-	-	-	-
61	J[189]	Pos	SLU-1	1	1	1	1	4230.2973	6437.5604	31901.6803	24396.8419	31901.6803
62	I[70]	Neg	-	-	-	-	-	-	-	-	-	-
62	I[70]	Pos	SLU-1	1	1	1	1	3750.516	6503.3743	32886.1716	24871.8691	32886.1716
62	J[190]	Neg	-	-	-	-	-	-	-	-	-	-
62	J[190]	Pos	SLU-1	1	1	1	1	4703.6705	7923.9684	32886.1716	24403.4278	32886.1716
64	I[71]	Neg	-	-	-	-	-	-	-	-	-	-
64	I[71]	Pos	SLU-1	1	1	1	1	3750.3443	6894.9006	32886.1716	24871.9535	32886.1716
64	J[191]	Neg	-	-	-	-	-	-	-	-	-	-
64	J[191]	Pos	SLU-1	1	1	1	1	4703.5662	8428.4779	32886.1716	24403.4791	32886.1716
66	I[72]	Neg	-	-	-	-	-	-	-	-	-	-
66	I[72]	Pos	SLU-1	1	1	1	1	3371.0598	6105.1822	31901.6803	24804.1022	31901.6803
66	J[192]	Neg	-	-	-	-	-	-	-	-	-	-
66	J[192]	Pos	SLU-1	1	1	1	1	4231.4964	7642.5613	31901.6803	24396.2736	31901.6803
75	I[77]	Neg	-	-	-	-	-	-	-	-	-	-
75	I[77]	Pos	SLU-1	1	1	1	1	7226.0881	10748.1151	41928.56	36328.37	41928.56
75	J[237]	Neg	-	-	-	-	-	-	-	-	-	-
75	J[237]	Pos	SLU-1	1	1	1	1	6546.0871	9788.4711	41928.56	36547.2231	41928.56
76	I[78]	Neg	-	-	-	-	-	-	-	-	-	-
76	I[78]	Pos	SLU-1	1	1	1	1	7968.7778	12350.8999	43310.1898	36410.8449	43310.1898
76	J[238]	Neg	-	-	-	-	-	-	-	-	-	-
76	J[238]	Pos	SLU-1	1	1	1	1	7236.6452	11401.6673	43310.1898	36657.5406	43310.1898
78	I[79]	Neg	-	-	-	-	-	-	-	-	-	-
78	I[79]	Pos	SLU-1	1	1	1	1	7968.9426	13245.3661	43310.1898	36410.7894	43310.1898
78	J[239]	Neg	-	-	-	-	-	-	-	-	-	-
78	J[239]	Pos	SLU-1	1	1	1	1	7236.7427	12206.5599	43310.1898	36657.5078	43310.1898

80	I[80]	Neg	-	-	-	-	-	-	-	-	-	-
80	I[80]	Pos	SLU-1	1	1	1	1	7226.9726	12898.1256	41928.56	36328.0853	41928.56
80	J[240]	Neg	-	-	-	-	-	-	-	-	-	-
80	J[240]	Pos	SLU-1	1	1	1	1	6547.0579	11724.9183	41928.56	36546.9106	41928.56
89	I[85]	Neg	-	-	-	-	-	-	-	-	-	-
89	I[85]	Pos	SLU-1	1	1	1	1	9838.9896	14528.1648	41928.56	35487.4278	41928.56
89	J[309]	Neg	-	-	-	-	-	-	-	-	-	-
89	J[309]	Pos	SLU-1	1	1	1	1	9411.7968	13930.7431	41928.56	35624.9165	41928.56
90	I[86]	Neg	-	-	-	-	-	-	-	-	-	-
90	I[86]	Pos	SLU-1	1	1	1	1	10785.6785	15726.0005	43310.1898	35461.6762	43310.1898
90	J[310]	Neg	-	-	-	-	-	-	-	-	-	-
90	J[310]	Pos	SLU-1	1	1	1	1	10337.9763	15219.8797	43310.1898	35612.5316	43310.1898
92	I[87]	Neg	-	-	-	-	-	-	-	-	-	-
92	I[87]	Pos	SLU-1	1	1	1	1	10786.0422	16993.6635	43310.1898	35461.5536	43310.1898
92	J[311]	Neg	-	-	-	-	-	-	-	-	-	-
92	J[311]	Pos	SLU-1	1	1	1	1	10338.3	16413.2164	43310.1898	35612.4226	43310.1898
94	I[88]	Neg	-	-	-	-	-	-	-	-	-	-
94	I[88]	Pos	SLU-1	1	1	1	1	9840.1292	17496.7282	41928.56	35487.061	41928.56
94	J[312]	Neg	-	-	-	-	-	-	-	-	-	-
94	J[312]	Pos	SLU-1	1	1	1	1	9413.0053	16768.2008	41928.56	35624.5275	41928.56
103	I[93]	Neg	-	-	-	-	-	-	-	-	-	-
103	I[93]	Pos	SLU-1	1	1	1	1	11159.1502	16406.8742	44674.6044	38385.0448	44674.6044
103	J[405]	Neg	-	-	-	-	-	-	-	-	-	-
103	J[405]	Pos	SLU-1	1	1	1	1	11256.5253	16557.6401	44674.6044	38356.0941	44674.6044
104	I[94]	Neg	-	-	-	-	-	-	-	-	-	-
104	I[94]	Pos	SLU-1	1	1	1	1	12197.1223	17313.6572	46152.402	38372.7515	46152.402
104	J[406]	Neg	-	-	-	-	-	-	-	-	-	-
104	J[406]	Pos	SLU-1	1	1	1	1	12314.7474	17446.4204	46152.402	38336.0331	46152.402
106	I[95]	Neg	-	-	-	-	-	-	-	-	-	-
106	I[95]	Pos	SLU-1	1	1	1	1	12197.5534	18751.52	46152.402	38372.6169	46152.402
106	J[407]	Neg	-	-	-	-	-	-	-	-	-	-
106	J[407]	Pos	SLU-1	1	1	1	1	12315.1785	18893.6821	46152.402	38335.8986	46152.402
108	I[96]	Neg	-	-	-	-	-	-	-	-	-	-
108	I[96]	Pos	SLU-1	1	1	1	1	11160.6963	19785.322	44674.6044	38384.5851	44674.6044
108	J[408]	Neg	-	-	-	-	-	-	-	-	-	-
108	J[408]	Pos	SLU-1	1	1	1	1	11258.0715	19962.1152	44674.6044	38355.6344	44674.6044
117	I[101]	Neg	-	-	-	-	-	-	-	-	-	-
117	I[101]	Pos	SLU-1	1	1	1	1	11159.2199	16367.6163	44674.6044	38385.0241	44674.6044
117	J[477]	Neg	-	-	-	-	-	-	-	-	-	-
117	J[477]	Pos	SLU-1	1	1	1	1	10992.2738	16143.3737	44674.6044	38434.659	44674.6044
118	I[102]	Neg	-	-	-	-	-	-	-	-	-	-
118	I[102]	Pos	SLU-1	1	1	1	1	12197.1462	17274.8036	46152.402	38372.744	46152.402
118	J[478]	Neg	-	-	-	-	-	-	-	-	-	-
118	J[478]	Pos	SLU-1	1	1	1	1	12032.2261	17077.6893	46152.402	38424.2262	46152.402
120	I[103]	Neg	-	-	-	-	-	-	-	-	-	-
120	I[103]	Pos	SLU-1	1	1	1	1	12197.5774	18713.0898	46152.402	38372.6094	46152.402
120	J[479]	Neg	-	-	-	-	-	-	-	-	-	-
120	J[479]	Pos	SLU-1	1	1	1	1	12032.6437	18495.7796	46152.402	38424.0959	46152.402
122	I[104]	Neg	-	-	-	-	-	-	-	-	-	-
122	I[104]	Pos	SLU-1	1	1	1	1	11160.6364	19748.3182	44674.6044	38384.6029	44674.6044
122	J[480]	Neg	-	-	-	-	-	-	-	-	-	-
122	J[480]	Pos	SLU-1	1	1	1	1	10993.7076	19469.986	44674.6044	38434.2327	44674.6044
131	I[109]	Neg	-	-	-	-	-	-	-	-	-	-
131	I[109]	Pos	SLU-1	1	1	1	1	9838.9896	14408.2826	41928.56	35487.4278	41928.56
131	J[549]	Neg	-	-	-	-	-	-	-	-	-	-
131	J[549]	Pos	SLU-1	1	1	1	1	9411.7968	13793.8123	41928.56	35624.9165	41928.56
132	I[110]	Neg	-	-	-	-	-	-	-	-	-	-
132	I[110]	Pos	SLU-1	1	1	1	1	10785.6785	15607.6875	43310.1898	35461.6762	43310.1898
132	J[550]	Neg	-	-	-	-	-	-	-	-	-	-
132	J[550]	Pos	SLU-1	1	1	1	1	10337.9763	15085.2376	43310.1898	35612.5316	43310.1898
134	I[111]	Neg	-	-	-	-	-	-	-	-	-	-
134	I[111]	Pos	SLU-1	1	1	1	1	10786.0422	16877.119	43310.1898	35461.5536	43310.1898
134	J[551]	Neg	-	-	-	-	-	-	-	-	-	-
134	J[551]	Pos	SLU-1	1	1	1	1	10338.3	16280.8264	43310.1898	35612.4226	43310.1898
136	I[112]	Neg	-	-	-	-	-	-	-	-	-	-
136	I[112]	Pos	SLU-1	1	1	1	1	9840.1292	17385.4695	41928.56	35487.061	41928.56
136	J[552]	Neg	-	-	-	-	-	-	-	-	-	-
136	J[552]	Pos	SLU-1	1	1	1	1	9413.0053	16641.6283	41928.56	35624.5275	41928.56
145	I[117]	Neg	-	-	-	-	-	-	-	-	-	-
145	I[117]	Pos	SLU-1	1	1	1	1	7226.0881	10548.1118	41928.56	36328.37	41928.56
145	J[621]	Neg	-	-	-	-	-	-	-	-	-	-
145	J[621]	Pos	SLU-1	1	1	1	1	6546.0871	9571.6517	41928.56	36547.2231	41928.56
146	I[118]	Neg	-	-	-	-	-	-	-	-	-	-
146	I[118]	Pos	SLU-1	1	1	1	1	7968.7778	12153.6425	43310.1898	36410.8449	43310.1898
146	J[622]	Neg	-	-	-	-	-	-	-	-	-	-

146	J[622]	Pos	SLU-1	1	1	1	1	7236.6452	11188.1048	43310.1898	36657.5406	43310.1898
148	I[119]	Neg	-	-	-	-	-	-	-	-	-	-
148	I[119]	Pos	SLU-1	1	1	1	1	7968.9426	13050.7654	43310.1898	36410.7894	43310.1898
148	J[623]	Neg	-	-	-	-	-	-	-	-	-	-
148	J[623]	Pos	SLU-1	1	1	1	1	7236.7427	11996.0514	43310.1898	36657.5078	43310.1898
150	I[120]	Neg	-	-	-	-	-	-	-	-	-	-
150	I[120]	Pos	SLU-1	1	1	1	1	7226.9726	12712.5316	41928.56	36328.0853	41928.56
150	J[624]	Neg	-	-	-	-	-	-	-	-	-	-
150	J[624]	Pos	SLU-1	1	1	1	1	6547.0579	11523.818	41928.56	36546.9106	41928.56
159	I[125]	Neg	-	-	-	-	-	-	-	-	-	-
159	I[125]	Pos	SLU-1	1	1	1	1	3370.1313	4869.7135	31901.6803	24804.5422	31901.6803
159	J[693]	Neg	-	-	-	-	-	-	-	-	-	-
159	J[693]	Pos	SLU-1	1	1	1	1	2457.5213	3538.877	31901.6803	25237.0999	31901.6803
160	I[126]	Neg	-	-	-	-	-	-	-	-	-	-
160	I[126]	Pos	SLU-1	1	1	1	1	3750.646	6226.1458	32886.1716	24871.8052	32886.1716
160	J[694]	Neg	-	-	-	-	-	-	-	-	-	-
160	J[694]	Pos	SLU-1	1	1	1	1	2741.5377	4604.8186	32886.1716	25367.7458	32886.1716
162	I[127]	Neg	-	-	-	-	-	-	-	-	-	-
162	I[127]	Pos	SLU-1	1	1	1	1	3750.4776	6620.6099	32886.1716	24871.888	32886.1716
162	J[695]	Neg	-	-	-	-	-	-	-	-	-	-
162	J[695]	Pos	SLU-1	1	1	1	1	2741.4148	4893.9031	32886.1716	25367.8062	32886.1716
164	I[128]	Neg	-	-	-	-	-	-	-	-	-	-
164	I[128]	Pos	SLU-1	1	1	1	1	3370.7431	5839.0364	31901.6803	24804.2523	31901.6803
164	J[696]	Neg	-	-	-	-	-	-	-	-	-	-
164	J[696]	Pos	SLU-1	1	1	1	1	2458.1485	4234.5928	31901.6803	25236.8026	31901.6803
169	I[133]	Neg	SLV-7	1	1	4	4	370.0036	-79.5346	20117.4378	15269.0829	15269.0829
169	I[133]	Pos	SLU-1	1	1	1	1	499.5049	940.1	31901.6803	26165.1579	31901.6803
169	J[149]	Neg	-	-	-	-	-	-	-	-	-	-
169	J[149]	Pos	SLU-1	1	1	1	1	1500.6459	2437.7802	31901.6803	25690.6384	31901.6803
170	I[134]	Neg	-	-	-	-	-	-	-	-	-	-
170	I[134]	Pos	SLU-1	1	1	1	1	560.1497	1195.3003	32886.1716	26439.8199	32886.1716
170	J[150]	Neg	-	-	-	-	-	-	-	-	-	-
170	J[150]	Pos	SLU-1	1	1	1	1	1678.039	3139.7197	32886.1716	25890.4174	32886.1716
171	I[135]	Neg	-	-	-	-	-	-	-	-	-	-
171	I[135]	Pos	SLU-1	1	1	1	1	560.1176	1252.9164	32886.1716	26439.8357	32886.1716
171	J[151]	Neg	-	-	-	-	-	-	-	-	-	-
171	J[151]	Pos	SLU-1	1	1	1	1	1677.9614	3314.9905	32886.1716	25890.4555	32886.1716
172	I[136]	Neg	-	-	-	-	-	-	-	-	-	-
172	I[136]	Pos	SLU-1	1	1	1	1	500.1628	1063.7894	31901.6803	26164.846	31901.6803
172	J[152]	Neg	-	-	-	-	-	-	-	-	-	-
172	J[152]	Pos	SLU-1	1	1	1	1	1501.2884	2836.0278	31901.6803	25690.3339	31901.6803
177	I[149]	Neg	-	-	-	-	-	-	-	-	-	-
177	I[149]	Pos	SLU-1	1	1	1	1	1500.6459	2435.7291	31901.6803	25690.6384	31901.6803
177	J[165]	Neg	-	-	-	-	-	-	-	-	-	-
177	J[165]	Pos	SLU-1	1	1	1	1	2457.5213	3839.8587	31901.6803	25237.0999	31901.6803
178	I[150]	Neg	-	-	-	-	-	-	-	-	-	-
178	I[150]	Pos	SLU-1	1	1	1	1	1678.039	3137.7459	32886.1716	25890.4174	32886.1716
178	J[166]	Neg	-	-	-	-	-	-	-	-	-	-
178	J[166]	Pos	SLU-1	1	1	1	1	2741.5378	4902.9189	32886.1716	25367.7458	32886.1716
179	I[151]	Neg	-	-	-	-	-	-	-	-	-	-
179	I[151]	Pos	SLU-1	1	1	1	1	1677.9614	3312.9571	32886.1716	25890.4555	32886.1716
179	J[167]	Neg	-	-	-	-	-	-	-	-	-	-
179	J[167]	Pos	SLU-1	1	1	1	1	2741.4148	5188.5879	32886.1716	25367.8062	32886.1716
180	I[152]	Neg	-	-	-	-	-	-	-	-	-	-
180	I[152]	Pos	SLU-1	1	1	1	1	1501.2884	2836.1324	31901.6803	25690.3339	31901.6803
180	J[168]	Neg	-	-	-	-	-	-	-	-	-	-
180	J[168]	Pos	SLU-1	1	1	1	1	2458.1485	4517.6335	31901.6803	25236.8026	31901.6803
185	I[165]	Neg	-	-	-	-	-	-	-	-	-	-
185	I[165]	Pos	SLU-1	1	1	1	1	2457.5213	3837.7136	31901.6803	25237.0999	31901.6803
185	J[69]	Neg	-	-	-	-	-	-	-	-	-	-
185	J[69]	Pos	SLU-1	1	1	1	1	3370.1313	5152.896	31901.6803	24804.5422	31901.6803
186	I[166]	Neg	-	-	-	-	-	-	-	-	-	-
186	I[166]	Pos	SLU-1	1	1	1	1	2741.5378	4900.8222	32886.1716	25367.7458	32886.1716
186	J[70]	Neg	-	-	-	-	-	-	-	-	-	-
186	J[70]	Pos	SLU-1	1	1	1	1	3750.646	6505.9152	32886.1716	24871.8052	32886.1716
187	I[167]	Neg	-	-	-	-	-	-	-	-	-	-
187	I[167]	Pos	SLU-1	1	1	1	1	2741.4148	5186.4914	32886.1716	25367.8062	32886.1716
187	J[71]	Neg	-	-	-	-	-	-	-	-	-	-
187	J[71]	Pos	SLU-1	1	1	1	1	3750.4777	6897.3296	32886.1716	24871.888	32886.1716
188	I[168]	Neg	-	-	-	-	-	-	-	-	-	-
188	I[168]	Pos	SLU-1	1	1	1	1	2458.1485	4517.7333	31901.6803	25236.8026	31901.6803
188	J[72]	Neg	-	-	-	-	-	-	-	-	-	-
188	J[72]	Pos	SLU-1	1	1	1	1	3370.7431	6105.3977	31901.6803	24804.2523	31901.6803
193	I[189]	Neg	-	-	-	-	-	-	-	-	-	-
193	I[189]	Pos	SLU-1	1	1	1	1	4230.2973	6435.4313	31901.6803	24396.8419	31901.6803

193	J[205]	Neg	-	-	-	-	-	-	-	-	-	-
193	J[205]	Pos	SLU-1	1	1	1	1	5046.5547	7638.1417	31901.6803	24009.9533	31901.6803
194	I[190]	Neg	-	-	-	-	-	-	-	-	-	-
194	I[190]	Pos	SLU-1	1	1	1	1	4703.6705	7921.8684	32886.1716	24403.4278	32886.1716
194	J[206]	Neg	-	-	-	-	-	-	-	-	-	-
194	J[206]	Pos	SLU-1	1	1	1	1	5602.4346	9207.221	32886.1716	23961.7175	32886.1716
195	I[191]	Neg	-	-	-	-	-	-	-	-	-	-
195	I[191]	Pos	SLU-1	1	1	1	1	4703.5662	8426.5053	32886.1716	24403.4791	32886.1716
195	J[207]	Neg	-	-	-	-	-	-	-	-	-	-
195	J[207]	Pos	SLU-1	1	1	1	1	5602.3976	9818.2727	32886.1716	23961.7357	32886.1716
196	I[192]	Neg	-	-	-	-	-	-	-	-	-	-
196	I[192]	Pos	SLU-1	1	1	1	1	4231.4964	7642.6712	31901.6803	24396.2736	31901.6803
196	J[208]	Neg	-	-	-	-	-	-	-	-	-	-
196	J[208]	Pos	SLU-1	1	1	1	1	5047.6675	9091.2663	31901.6803	24009.4259	31901.6803
201	I[205]	Neg	-	-	-	-	-	-	-	-	-	-
201	I[205]	Pos	SLU-1	1	1	1	1	5046.5547	7636.1445	31901.6803	24009.9533	31901.6803
201	J[221]	Neg	-	-	-	-	-	-	-	-	-	-
201	J[221]	Pos	SLU-1	1	1	1	1	5818.5466	8757.5444	31901.6803	23644.0456	31901.6803
202	I[206]	Neg	-	-	-	-	-	-	-	-	-	-
202	I[206]	Pos	SLU-1	1	1	1	1	5602.4346	9205.2146	32886.1716	23961.7175	32886.1716
202	J[222]	Neg	-	-	-	-	-	-	-	-	-	-
202	J[222]	Pos	SLU-1	1	1	1	1	6446.8081	10363.4453	32886.1716	23546.7381	32886.1716
203	I[207]	Neg	-	-	-	-	-	-	-	-	-	-
203	I[207]	Pos	SLU-1	1	1	1	1	5602.3976	9816.4192	32886.1716	23961.7357	32886.1716
203	J[223]	Neg	-	-	-	-	-	-	-	-	-	-
203	J[223]	Pos	SLU-1	1	1	1	1	6446.8385	11074.0038	32886.1716	23546.7232	32886.1716
204	I[208]	Neg	-	-	-	-	-	-	-	-	-	-
204	I[208]	Pos	SLU-1	1	1	1	1	5047.6675	9091.3614	31901.6803	24009.4259	31901.6803
204	J[224]	Neg	-	-	-	-	-	-	-	-	-	-
204	J[224]	Pos	SLU-1	1	1	1	1	5819.5731	10452.5731	31901.6803	23643.5591	31901.6803
209	I[221]	Neg	-	-	-	-	-	-	-	-	-	-
209	I[221]	Pos	SLU-1	1	1	1	1	5818.5466	8755.7298	31901.6803	23644.0456	31901.6803
209	J[21]	Neg	-	-	-	-	-	-	-	-	-	-
209	J[21]	Pos	SLU-1	1	1	1	1	6187.943	9203.8262	31901.6803	23468.9596	31901.6803
210	I[222]	Neg	-	-	-	-	-	-	-	-	-	-
210	I[222]	Pos	SLU-1	1	1	1	1	6446.8081	10361.5767	32886.1716	23546.7381	32886.1716
210	J[22]	Neg	-	-	-	-	-	-	-	-	-	-
210	J[22]	Pos	SLU-1	1	1	1	1	6848.5984	10803.6077	32886.1716	23349.2726	32886.1716
211	I[223]	Neg	-	-	-	-	-	-	-	-	-	-
211	I[223]	Pos	SLU-1	1	1	1	1	6446.8385	11072.622	32886.1716	23546.7232	32886.1716
211	J[23]	Neg	-	-	-	-	-	-	-	-	-	-
211	J[23]	Pos	SLU-1	1	1	1	1	6848.6625	11556.1702	32886.1716	23349.2411	32886.1716
212	I[224]	Neg	-	-	-	-	-	-	-	-	-	-
212	I[224]	Pos	SLU-1	1	1	1	1	5819.5731	10452.6565	31901.6803	23643.5591	31901.6803
212	J[24]	Neg	-	-	-	-	-	-	-	-	-	-
212	J[24]	Pos	SLU-1	1	1	1	1	6188.9264	11051.4409	31901.6803	23468.4935	31901.6803
217	I[237]	Neg	-	-	-	-	-	-	-	-	-	-
217	I[237]	Pos	SLU-1	1	1	1	1	6546.0871	9790.4766	41928.56	36547.2231	41928.56
217	J[21]	Neg	-	-	-	-	-	-	-	-	-	-
217	J[21]	Pos	SLU-1	1	1	1	1	6188.1896	9197.9335	41928.56	36662.4096	41928.56
218	I[238]	Neg	-	-	-	-	-	-	-	-	-	-
218	I[238]	Pos	SLU-1	1	1	1	1	7236.6452	11403.4043	43310.1898	36657.5406	43310.1898
218	J[22]	Neg	-	-	-	-	-	-	-	-	-	-
218	J[22]	Pos	SLU-1	1	1	1	1	6848.885	10801.7352	43310.1898	36788.1984	43310.1898
219	I[239]	Neg	-	-	-	-	-	-	-	-	-	-
219	I[239]	Pos	SLU-1	1	1	1	1	7236.7427	12207.7419	43310.1898	36657.5078	43310.1898
219	J[23]	Neg	-	-	-	-	-	-	-	-	-	-
219	J[23]	Pos	SLU-1	1	1	1	1	6848.9488	11554.5864	43310.1898	36788.1769	43310.1898
220	I[240]	Neg	-	-	-	-	-	-	-	-	-	-
220	I[240]	Pos	SLU-1	1	1	1	1	6547.0579	11724.5347	41928.56	36546.9106	41928.56
220	J[24]	Neg	-	-	-	-	-	-	-	-	-	-
220	J[24]	Pos	SLU-1	1	1	1	1	6189.2035	11051.9715	41928.56	36662.0833	41928.56
225	I[261]	Neg	-	-	-	-	-	-	-	-	-	-
225	I[261]	Pos	SLU-1	1	1	1	1	7843.8657	11664.6734	41928.56	36129.543	41928.56
225	J[77]	Neg	-	-	-	-	-	-	-	-	-	-
225	J[77]	Pos	SLU-1	1	1	1	1	7225.7711	10746.2988	41928.56	36328.472	41928.56
226	I[262]	Neg	-	-	-	-	-	-	-	-	-	-
226	I[262]	Pos	SLU-1	1	1	1	1	8647.767	13208.8331	43310.1898	36182.0561	43310.1898
226	J[78]	Neg	-	-	-	-	-	-	-	-	-	-
226	J[78]	Pos	SLU-1	1	1	1	1	7968.663	12348.9748	43310.1898	36410.8836	43310.1898
227	I[263]	Neg	-	-	-	-	-	-	-	-	-	-
227	I[263]	Pos	SLU-1	1	1	1	1	8647.9708	14184.84	43310.1898	36181.9874	43310.1898
227	J[79]	Neg	-	-	-	-	-	-	-	-	-	-
227	J[79]	Pos	SLU-1	1	1	1	1	7968.8269	13244.0517	43310.1898	36410.8284	43310.1898
228	I[264]	Neg	-	-	-	-	-	-	-	-	-	-

228	I[264]	Pos	SLU-1	1	1	1	1	7845.2808	14002.6885	41928.56	36129.0876	41928.56
228	J[80]	Neg	-	-	-	-	-	-	-	-	-	-
228	J[80]	Pos	SLU-1	1	1	1	1	7227.2551	12898.2572	41928.56	36327.9944	41928.56
233	I[277]	Neg	-	-	-	-	-	-	-	-	-	-
233	I[277]	Pos	SLU-1	1	1	1	1	8414.2349	12500.2514	41928.56	35945.9741	41928.56
233	J[261]	Neg	-	-	-	-	-	-	-	-	-	-
233	J[261]	Pos	SLU-1	1	1	1	1	7843.8657	11662.8264	41928.56	36129.543	41928.56
234	I[278]	Neg	-	-	-	-	-	-	-	-	-	-
234	I[278]	Pos	SLU-1	1	1	1	1	9269.0206	13971.2527	43310.1898	35972.7216	43310.1898
234	J[262]	Neg	-	-	-	-	-	-	-	-	-	-
234	J[262]	Pos	SLU-1	1	1	1	1	8647.767	13207.3	43310.1898	36182.0561	43310.1898
235	I[279]	Neg	-	-	-	-	-	-	-	-	-	-
235	I[279]	Pos	SLU-1	1	1	1	1	9269.2644	15024.1257	43310.1898	35972.6395	43310.1898
235	J[263]	Neg	-	-	-	-	-	-	-	-	-	-
235	J[263]	Pos	SLU-1	1	1	1	1	8647.9708	14183.8949	43310.1898	36181.9874	43310.1898
236	I[280]	Neg	-	-	-	-	-	-	-	-	-	-
236	I[280]	Pos	SLU-1	1	1	1	1	8415.5811	15015.8793	41928.56	35945.5408	41928.56
236	J[264]	Neg	-	-	-	-	-	-	-	-	-	-
236	J[264]	Pos	SLU-1	1	1	1	1	7845.2808	14003.0716	41928.56	36129.0876	41928.56
241	I[293]	Neg	-	-	-	-	-	-	-	-	-	-
241	I[293]	Pos	SLU-1	1	1	1	1	8936.8786	13256.3793	41928.56	35777.7653	41928.56
241	J[277]	Neg	-	-	-	-	-	-	-	-	-	-
241	J[277]	Pos	SLU-1	1	1	1	1	8414.2349	12498.5586	41928.56	35945.9741	41928.56
242	I[294]	Neg	-	-	-	-	-	-	-	-	-	-
242	I[294]	Pos	SLU-1	1	1	1	1	9832.4237	14639.2518	43310.1898	35782.8801	43310.1898
242	J[278]	Neg	-	-	-	-	-	-	-	-	-	-
242	J[278]	Pos	SLU-1	1	1	1	1	9269.0206	13969.8288	43310.1898	35972.7216	43310.1898
243	I[295]	Neg	-	-	-	-	-	-	-	-	-	-
243	I[295]	Pos	SLU-1	1	1	1	1	9832.7074	15764.1874	43310.1898	35782.7845	43310.1898
243	J[279]	Neg	-	-	-	-	-	-	-	-	-	-
243	J[279]	Pos	SLU-1	1	1	1	1	9269.2644	15023.2745	43310.1898	35972.6395	43310.1898
244	I[296]	Neg	-	-	-	-	-	-	-	-	-	-
244	I[296]	Pos	SLU-1	1	1	1	1	8938.1559	15937.963	41928.56	35777.3542	41928.56
244	J[280]	Neg	-	-	-	-	-	-	-	-	-	-
244	J[280]	Pos	SLU-1	1	1	1	1	8415.5811	15016.2451	41928.56	35945.5408	41928.56
249	I[309]	Neg	-	-	-	-	-	-	-	-	-	-
249	I[309]	Pos	SLU-1	1	1	1	1	9411.7968	13932.0738	41928.56	35624.9165	41928.56
249	J[293]	Neg	-	-	-	-	-	-	-	-	-	-
249	J[293]	Pos	SLU-1	1	1	1	1	8936.8786	13254.8534	41928.56	35777.7653	41928.56
250	I[310]	Neg	-	-	-	-	-	-	-	-	-	-
250	I[310]	Pos	SLU-1	1	1	1	1	10337.9763	15221.0494	43310.1898	35612.5316	43310.1898
250	J[294]	Neg	-	-	-	-	-	-	-	-	-	-
250	J[294]	Pos	SLU-1	1	1	1	1	9832.4237	14637.9422	43310.1898	35782.8801	43310.1898
251	I[311]	Neg	-	-	-	-	-	-	-	-	-	-
251	I[311]	Pos	SLU-1	1	1	1	1	10338.3	16413.8721	43310.1898	35612.4226	43310.1898
251	J[295]	Neg	-	-	-	-	-	-	-	-	-	-
251	J[295]	Pos	SLU-1	1	1	1	1	9832.7074	15763.4265	43310.1898	35782.7845	43310.1898
252	I[312]	Neg	-	-	-	-	-	-	-	-	-	-
252	I[312]	Pos	SLU-1	1	1	1	1	9413.0053	16767.8701	41928.56	35624.5275	41928.56
252	J[296]	Neg	-	-	-	-	-	-	-	-	-	-
252	J[296]	Pos	SLU-1	1	1	1	1	8938.1559	15938.3078	41928.56	35777.3542	41928.56
257	I[333]	Neg	-	-	-	-	-	-	-	-	-	-
257	I[333]	Pos	SLU-1	1	1	1	1	10199.5179	15074.1495	41928.56	35371.3945	41928.56
257	J[85]	Neg	-	-	-	-	-	-	-	-	-	-
257	J[85]	Pos	SLU-1	1	1	1	1	9838.7837	14527.0863	41928.56	35487.494	41928.56
258	I[334]	Neg	-	-	-	-	-	-	-	-	-	-
258	I[334]	Pos	SLU-1	1	1	1	1	11184.8168	16171.159	43310.1898	35327.1845	43310.1898
258	J[86]	Neg	-	-	-	-	-	-	-	-	-	-
258	J[86]	Pos	SLU-1	1	1	1	1	10785.6085	15699.5327	43310.1898	35461.6997	43310.1898
259	I[335]	Neg	-	-	-	-	-	-	-	-	-	-
259	I[335]	Pos	SLU-1	1	1	1	1	11185.1936	17507.4171	43310.1898	35327.0576	43310.1898
259	J[87]	Neg	-	-	-	-	-	-	-	-	-	-
259	J[87]	Pos	SLU-1	1	1	1	1	10785.9717	16992.9855	43310.1898	35461.5774	43310.1898
260	I[336]	Neg	-	-	-	-	-	-	-	-	-	-
260	I[336]	Pos	SLU-1	1	1	1	1	10201.0234	18142.98	41928.56	35370.91	41928.56
260	J[88]	Neg	-	-	-	-	-	-	-	-	-	-
260	J[88]	Pos	SLU-1	1	1	1	1	9840.3065	17496.879	41928.56	35487.0039	41928.56
265	I[349]	Neg	-	-	-	-	-	-	-	-	-	-
265	I[349]	Pos	SLU-1	1	1	1	1	10512.3189	15531.7843	44674.6044	38577.3548	44674.6044
265	J[365]	Neg	-	-	-	-	-	-	-	-	-	-
265	J[365]	Pos	SLU-1	1	1	1	1	10776.6401	15909.0572	44674.6044	38498.7692	44674.6044
266	I[350]	Neg	-	-	-	-	-	-	-	-	-	-
266	I[350]	Pos	SLU-1	1	1	1	1	11525.9482	16569.346	46152.402	38582.2683	46152.402
266	J[366]	Neg	-	-	-	-	-	-	-	-	-	-
266	J[366]	Pos	SLU-1	1	1	1	1	11808.4934	16889.5072	46152.402	38494.0677	46152.402

267	I[351]	Neg	-	-	-	-	-	-	-	-	-	-
267	I[351]	Pos	SLU-1	1	1	1	1	11526.3387	17938.6764	46152.402	38582.1464	46152.402
267	J[367]	Neg	-	-	-	-	-	-	-	-	-	-
267	J[367]	Pos	SLU-1	1	1	1	1	11808.8975	18284.982	46152.402	38493.9415	46152.402
268	I[352]	Neg	-	-	-	-	-	-	-	-	-	-
268	I[352]	Pos	SLU-1	1	1	1	1	10513.7874	18696.5124	44674.6044	38576.9181	44674.6044
268	J[368]	Neg	-	-	-	-	-	-	-	-	-	-
268	J[368]	Pos	SLU-1	1	1	1	1	10778.0913	19156.3358	44674.6044	38498.3377	44674.6044
273	I[365]	Neg	-	-	-	-	-	-	-	-	-	-
273	I[365]	Pos	SLU-1	1	1	1	1	10776.6401	15908.5012	44674.6044	38498.7692	44674.6044
273	J[381]	Neg	-	-	-	-	-	-	-	-	-	-
273	J[381]	Pos	SLU-1	1	1	1	1	10992.2738	16200.1469	44674.6044	38434.659	44674.6044
274	I[366]	Neg	-	-	-	-	-	-	-	-	-	-
274	I[366]	Pos	SLU-1	1	1	1	1	11808.4934	16888.9749	46152.402	38494.0677	46152.402
274	J[382]	Neg	-	-	-	-	-	-	-	-	-	-
274	J[382]	Pos	SLU-1	1	1	1	1	12032.2261	17133.4865	46152.402	38424.2262	46152.402
275	I[367]	Neg	-	-	-	-	-	-	-	-	-	-
275	I[367]	Pos	SLU-1	1	1	1	1	11808.8975	18284.7515	46152.402	38493.9415	46152.402
275	J[383]	Neg	-	-	-	-	-	-	-	-	-	-
275	J[383]	Pos	SLU-1	1	1	1	1	12032.6437	18550.302	46152.402	38424.0959	46152.402
276	I[368]	Neg	-	-	-	-	-	-	-	-	-	-
276	I[368]	Pos	SLU-1	1	1	1	1	10778.0913	19156.6732	44674.6044	38498.3377	44674.6044
276	J[384]	Neg	-	-	-	-	-	-	-	-	-	-
276	J[384]	Pos	SLU-1	1	1	1	1	10993.7076	19521.7535	44674.6044	38434.2327	44674.6044
281	I[381]	Neg	-	-	-	-	-	-	-	-	-	-
281	I[381]	Pos	SLU-1	1	1	1	1	10992.2738	16199.8068	44674.6044	38434.659	44674.6044
281	J[93]	Neg	-	-	-	-	-	-	-	-	-	-
281	J[93]	Pos	SLU-1	1	1	1	1	11159.2199	16406.9947	44674.6044	38385.0241	44674.6044
282	I[382]	Neg	-	-	-	-	-	-	-	-	-	-
282	I[382]	Pos	SLU-1	1	1	1	1	12032.2261	17133.1134	46152.402	38424.2262	46152.402
282	J[94]	Neg	-	-	-	-	-	-	-	-	-	-
282	J[94]	Pos	SLU-1	1	1	1	1	12197.1462	17313.8778	46152.402	38372.744	46152.402
283	I[383]	Neg	-	-	-	-	-	-	-	-	-	-
283	I[383]	Pos	SLU-1	1	1	1	1	12032.6437	18550.1352	46152.402	38424.0959	46152.402
283	J[95]	Neg	-	-	-	-	-	-	-	-	-	-
283	J[95]	Pos	SLU-1	1	1	1	1	12197.5774	18751.6466	46152.402	38372.6094	46152.402
284	I[384]	Neg	-	-	-	-	-	-	-	-	-	-
284	I[384]	Pos	SLU-1	1	1	1	1	10993.7076	19522.0722	44674.6044	38434.2327	44674.6044
284	J[96]	Neg	-	-	-	-	-	-	-	-	-	-
284	J[96]	Pos	SLU-1	1	1	1	1	11160.6364	19785.0721	44674.6044	38384.6029	44674.6044
289	I[405]	Neg	-	-	-	-	-	-	-	-	-	-
289	I[405]	Pos	SLU-1	1	1	1	1	11256.5253	16557.6967	44674.6044	38356.0941	44674.6044
289	J[421]	Neg	-	-	-	-	-	-	-	-	-	-
289	J[421]	Pos	SLU-1	1	1	1	1	11305.2129	16623.3524	44674.6044	38341.6188	44674.6044
290	I[406]	Neg	-	-	-	-	-	-	-	-	-	-
290	I[406]	Pos	SLU-1	1	1	1	1	12314.7474	17446.4392	46152.402	38336.0331	46152.402
290	J[422]	Neg	-	-	-	-	-	-	-	-	-	-
290	J[422]	Pos	SLU-1	1	1	1	1	12373.56	17505.553	46152.402	38317.6739	46152.402
291	I[407]	Neg	-	-	-	-	-	-	-	-	-	-
291	I[407]	Pos	SLU-1	1	1	1	1	12315.1785	18893.7016	46152.402	38335.8986	46152.402
291	J[423]	Neg	-	-	-	-	-	-	-	-	-	-
291	J[423]	Pos	SLU-1	1	1	1	1	12373.9911	18957.8257	46152.402	38317.5394	46152.402
292	I[408]	Neg	-	-	-	-	-	-	-	-	-	-
292	I[408]	Pos	SLU-1	1	1	1	1	11258.0715	19962.4251	44674.6044	38355.6344	44674.6044
292	J[424]	Neg	-	-	-	-	-	-	-	-	-	-
292	J[424]	Pos	SLU-1	1	1	1	1	11306.759	20042.2372	44674.6044	38341.1591	44674.6044
297	I[421]	Neg	-	-	-	-	-	-	-	-	-	-
297	I[421]	Pos	SLU-1	1	1	1	1	11305.2129	16623.6669	44674.6044	38341.6188	44674.6044
297	J[437]	Neg	-	-	-	-	-	-	-	-	-	-
297	J[437]	Pos	SLU-1	1	1	1	1	11305.2129	16615.1435	44674.6044	38341.6188	44674.6044
298	I[422]	Neg	-	-	-	-	-	-	-	-	-	-
298	I[422]	Pos	SLU-1	1	1	1	1	12373.56	17505.7276	46152.402	38317.6739	46152.402
298	J[438]	Neg	-	-	-	-	-	-	-	-	-	-
298	J[438]	Pos	SLU-1	1	1	1	1	12373.56	17497.5492	46152.402	38317.6739	46152.402
299	I[423]	Neg	-	-	-	-	-	-	-	-	-	-
299	I[423]	Pos	SLU-1	1	1	1	1	12373.9911	18957.8997	46152.402	38317.5394	46152.402
299	J[439]	Neg	-	-	-	-	-	-	-	-	-	-
299	J[439]	Pos	SLU-1	1	1	1	1	12373.9911	18950.0069	46152.402	38317.5394	46152.402
300	I[424]	Neg	-	-	-	-	-	-	-	-	-	-
300	I[424]	Pos	SLU-1	1	1	1	1	11306.759	20042.5344	44674.6044	38341.1591	44674.6044
300	J[440]	Neg	-	-	-	-	-	-	-	-	-	-
300	J[440]	Pos	SLU-1	1	1	1	1	11306.759	20034.8627	44674.6044	38341.1591	44674.6044
305	I[437]	Neg	-	-	-	-	-	-	-	-	-	-
305	I[437]	Pos	SLU-1	1	1	1	1	11305.2129	16615.9096	44674.6044	38341.6188	44674.6044
305	J[453]	Neg	-	-	-	-	-	-	-	-	-	-

305	J[453]	Pos	SLU-1	1	1	1	1	11256.5253	16533.2044	44674.6044	38356.0941	44674.6044
306	I[438]	Neg	-	-	-	-	-	-	-	-	-	-
306	I[438]	Pos	SLU-1	1	1	1	1	12373.56	17497.9726	46152.402	38317.6739	46152.402
306	J[454]	Neg	-	-	-	-	-	-	-	-	-	-
306	J[454]	Pos	SLU-1	1	1	1	1	12314.7474	17422.5034	46152.402	38336.0331	46152.402
307	I[439]	Neg	-	-	-	-	-	-	-	-	-	-
307	I[439]	Pos	SLU-1	1	1	1	1	12373.9911	18950.2295	46152.402	38317.5394	46152.402
307	J[455]	Neg	-	-	-	-	-	-	-	-	-	-
307	J[455]	Pos	SLU-1	1	1	1	1	12315.1785	18870.3226	46152.402	38335.8986	46152.402
308	I[440]	Neg	-	-	-	-	-	-	-	-	-	-
308	I[440]	Pos	SLU-1	1	1	1	1	11306.759	20035.1167	44674.6044	38341.1591	44674.6044
308	J[456]	Neg	-	-	-	-	-	-	-	-	-	-
308	J[456]	Pos	SLU-1	1	1	1	1	11258.0715	19939.9624	44674.6044	38355.6344	44674.6044
313	I[453]	Neg	-	-	-	-	-	-	-	-	-	-
313	I[453]	Pos	SLU-1	1	1	1	1	11256.5253	16534.2281	44674.6044	38356.0941	44674.6044
313	J[101]	Neg	-	-	-	-	-	-	-	-	-	-
313	J[101]	Pos	SLU-1	1	1	1	1	11159.1502	16366.4115	44674.6044	38385.0448	44674.6044
314	I[454]	Neg	-	-	-	-	-	-	-	-	-	-
314	I[454]	Pos	SLU-1	1	1	1	1	12314.7474	17423.0839	46152.402	38336.0331	46152.402
314	J[102]	Neg	-	-	-	-	-	-	-	-	-	-
314	J[102]	Pos	SLU-1	1	1	1	1	12197.1223	17273.9614	46152.402	38372.7515	46152.402
315	I[455]	Neg	-	-	-	-	-	-	-	-	-	-
315	I[455]	Pos	SLU-1	1	1	1	1	12315.1785	18870.6009	46152.402	38335.8986	46152.402
315	J[103]	Neg	-	-	-	-	-	-	-	-	-	-
315	J[103]	Pos	SLU-1	1	1	1	1	12197.5534	18712.6543	46152.402	38372.6169	46152.402
316	I[456]	Neg	-	-	-	-	-	-	-	-	-	-
316	I[456]	Pos	SLU-1	1	1	1	1	11258.0715	19940.2031	44674.6044	38355.6344	44674.6044
316	J[104]	Neg	-	-	-	-	-	-	-	-	-	-
316	J[104]	Pos	SLU-1	1	1	1	1	11160.6963	19748.0679	44674.6044	38384.5851	44674.6044
321	I[477]	Neg	-	-	-	-	-	-	-	-	-	-
321	I[477]	Pos	SLU-1	1	1	1	1	10992.2738	16144.7918	44674.6044	38434.659	44674.6044
321	J[493]	Neg	-	-	-	-	-	-	-	-	-	-
321	J[493]	Pos	SLU-1	1	1	1	1	10776.6401	15836.0883	44674.6044	38498.7692	44674.6044
322	I[478]	Neg	-	-	-	-	-	-	-	-	-	-
322	I[478]	Pos	SLU-1	1	1	1	1	12032.2261	17078.6615	46152.402	38424.2262	46152.402
322	J[494]	Neg	-	-	-	-	-	-	-	-	-	-
322	J[494]	Pos	SLU-1	1	1	1	1	11808.4934	16817.8012	46152.402	38494.0677	46152.402
323	I[479]	Neg	-	-	-	-	-	-	-	-	-	-
323	I[479]	Pos	SLU-1	1	1	1	1	12032.6437	18496.245	46152.402	38424.0959	46152.402
323	J[495]	Neg	-	-	-	-	-	-	-	-	-	-
323	J[495]	Pos	SLU-1	1	1	1	1	11808.8975	18214.897	46152.402	38493.9415	46152.402
324	I[480]	Neg	-	-	-	-	-	-	-	-	-	-
324	I[480]	Pos	SLU-1	1	1	1	1	10993.7076	19470.2193	44674.6044	38434.2327	44674.6044
324	J[496]	Neg	-	-	-	-	-	-	-	-	-	-
324	J[496]	Pos	SLU-1	1	1	1	1	10778.0913	19089.8081	44674.6044	38498.3377	44674.6044
329	I[493]	Neg	-	-	-	-	-	-	-	-	-	-
329	I[493]	Pos	SLU-1	1	1	1	1	10776.6401	15837.7243	44674.6044	38498.7692	44674.6044
329	J[509]	Neg	-	-	-	-	-	-	-	-	-	-
329	J[509]	Pos	SLU-1	1	1	1	1	10512.3189	15443.3919	44674.6044	38577.3548	44674.6044
330	I[494]	Neg	-	-	-	-	-	-	-	-	-	-
330	I[494]	Pos	SLU-1	1	1	1	1	11808.4934	16818.9297	46152.402	38494.0677	46152.402
330	J[510]	Neg	-	-	-	-	-	-	-	-	-	-
330	J[510]	Pos	SLU-1	1	1	1	1	11525.9482	16482.4191	46152.402	38582.2683	46152.402
331	I[495]	Neg	-	-	-	-	-	-	-	-	-	-
331	I[495]	Pos	SLU-1	1	1	1	1	11808.8975	18215.4261	46152.402	38493.9415	46152.402
331	J[511]	Neg	-	-	-	-	-	-	-	-	-	-
331	J[511]	Pos	SLU-1	1	1	1	1	11526.3387	17853.322	46152.402	38582.1464	46152.402
332	I[496]	Neg	-	-	-	-	-	-	-	-	-	-
332	I[496]	Pos	SLU-1	1	1	1	1	10778.0913	19090.0254	44674.6044	38498.3377	44674.6044
332	J[512]	Neg	-	-	-	-	-	-	-	-	-	-
332	J[512]	Pos	SLU-1	1	1	1	1	10513.7874	18614.8732	44674.6044	38576.9181	44674.6044
337	I[509]	Neg	-	-	-	-	-	-	-	-	-	-
337	I[509]	Pos	SLU-1	1	1	1	1	10512.3189	15445.2428	44674.6044	38577.3548	44674.6044
337	J[45]	Neg	-	-	-	-	-	-	-	-	-	-
337	J[45]	Pos	SLU-1	1	1	1	1	10361.9004	15166.1553	44674.6044	38622.0758	44674.6044
338	I[510]	Neg	-	-	-	-	-	-	-	-	-	-
338	I[510]	Pos	SLU-1	1	1	1	1	11525.9482	16483.6787	46152.402	38582.2683	46152.402
338	J[46]	Neg	-	-	-	-	-	-	-	-	-	-
338	J[46]	Pos	SLU-1	1	1	1	1	11362.6209	16235.8062	46152.402	38633.2533	46152.402
339	I[511]	Neg	-	-	-	-	-	-	-	-	-	-
339	I[511]	Pos	SLU-1	1	1	1	1	11526.3387	17853.9016	46152.402	38582.1464	46152.402
339	J[47]	Neg	-	-	-	-	-	-	-	-	-	-
339	J[47]	Pos	SLU-1	1	1	1	1	11363.0045	17592.5365	46152.402	38633.1335	46152.402
340	I[512]	Neg	-	-	-	-	-	-	-	-	-	-
340	I[512]	Pos	SLU-1	1	1	1	1	10513.7874	18615.0726	44674.6044	38576.9181	44674.6044

340	J[48]	Neg	-	-	-	-	-	-	-	-	-	-
340	J[48]	Pos	SLU-1	1	1	1	1	10363.3777	18299.0603	44674.6044	38621.6366	44674.6044
345	I[525]	Neg	-	-	-	-	-	-	-	-	-	-
345	I[525]	Pos	SLU-1	1	1	1	1	10199.5179	14970.3231	41928.56	35371.3945	41928.56
345	J[109]	Neg	-	-	-	-	-	-	-	-	-	-
345	J[109]	Pos	SLU-1	1	1	1	1	9838.7837	14406.1988	41928.56	35487.494	41928.56
346	I[526]	Neg	-	-	-	-	-	-	-	-	-	-
346	I[526]	Pos	SLU-1	1	1	1	1	11184.8168	16068.6415	43310.1898	35327.1845	43310.1898
346	J[110]	Neg	-	-	-	-	-	-	-	-	-	-
346	J[110]	Pos	SLU-1	1	1	1	1	10785.6085	15580.6534	43310.1898	35461.6997	43310.1898
347	I[527]	Neg	-	-	-	-	-	-	-	-	-	-
347	I[527]	Pos	SLU-1	1	1	1	1	11185.1936	17406.4273	43310.1898	35327.0576	43310.1898
347	J[111]	Neg	-	-	-	-	-	-	-	-	-	-
347	J[111]	Pos	SLU-1	1	1	1	1	10785.9717	16876.1934	43310.1898	35461.5774	43310.1898
348	I[528]	Neg	-	-	-	-	-	-	-	-	-	-
348	I[528]	Pos	SLU-1	1	1	1	1	10201.0234	18046.6143	41928.56	35370.91	41928.56
348	J[112]	Neg	-	-	-	-	-	-	-	-	-	-
348	J[112]	Pos	SLU-1	1	1	1	1	9840.3065	17385.1942	41928.56	35487.0039	41928.56
353	I[549]	Neg	-	-	-	-	-	-	-	-	-	-
353	I[549]	Pos	SLU-1	1	1	1	1	9411.7968	13796.1436	41928.56	35624.9165	41928.56
353	J[565]	Neg	-	-	-	-	-	-	-	-	-	-
353	J[565]	Pos	SLU-1	1	1	1	1	8936.8786	13101.8808	41928.56	35777.7653	41928.56
354	I[550]	Neg	-	-	-	-	-	-	-	-	-	-
354	I[550]	Pos	SLU-1	1	1	1	1	10337.9763	15086.9402	43310.1898	35612.5316	43310.1898
354	J[566]	Neg	-	-	-	-	-	-	-	-	-	-
354	J[566]	Pos	SLU-1	1	1	1	1	9832.4237	14487.5051	43310.1898	35782.8801	43310.1898
355	I[551]	Neg	-	-	-	-	-	-	-	-	-	-
355	I[551]	Pos	SLU-1	1	1	1	1	10338.3	16281.7209	43310.1898	35612.4226	43310.1898
355	J[567]	Neg	-	-	-	-	-	-	-	-	-	-
355	J[567]	Pos	SLU-1	1	1	1	1	9832.7074	15615.429	43310.1898	35782.7845	43310.1898
356	I[552]	Neg	-	-	-	-	-	-	-	-	-	-
356	I[552]	Pos	SLU-1	1	1	1	1	9413.0053	16641.7764	41928.56	35624.5275	41928.56
356	J[568]	Neg	-	-	-	-	-	-	-	-	-	-
356	J[568]	Pos	SLU-1	1	1	1	1	8938.1559	15796.8951	41928.56	35777.3542	41928.56
361	I[565]	Neg	-	-	-	-	-	-	-	-	-	-
361	I[565]	Pos	SLU-1	1	1	1	1	8936.8786	13104.4052	41928.56	35777.7653	41928.56
361	J[581]	Neg	-	-	-	-	-	-	-	-	-	-
361	J[581]	Pos	SLU-1	1	1	1	1	8414.2349	12329.5576	41928.56	35945.9741	41928.56
362	I[566]	Neg	-	-	-	-	-	-	-	-	-	-
362	I[566]	Pos	SLU-1	1	1	1	1	9832.4237	14489.3484	43310.1898	35782.8801	43310.1898
362	J[582]	Neg	-	-	-	-	-	-	-	-	-	-
362	J[582]	Pos	SLU-1	1	1	1	1	9269.0206	13803.5983	43310.1898	35972.7216	43310.1898
363	I[567]	Neg	-	-	-	-	-	-	-	-	-	-
363	I[567]	Pos	SLU-1	1	1	1	1	9832.7074	15616.4269	43310.1898	35782.7845	43310.1898
363	J[583]	Neg	-	-	-	-	-	-	-	-	-	-
363	J[583]	Pos	SLU-1	1	1	1	1	9269.2644	14859.6641	43310.1898	35972.6395	43310.1898
364	I[568]	Neg	-	-	-	-	-	-	-	-	-	-
364	I[568]	Pos	SLU-1	1	1	1	1	8938.1559	15797.0305	41928.56	35777.3542	41928.56
364	J[584]	Neg	-	-	-	-	-	-	-	-	-	-
364	J[584]	Pos	SLU-1	1	1	1	1	8415.5811	14859.9854	41928.56	35945.5408	41928.56
369	I[581]	Neg	-	-	-	-	-	-	-	-	-	-
369	I[581]	Pos	SLU-1	1	1	1	1	8414.2349	12332.2434	41928.56	35945.9741	41928.56
369	J[597]	Neg	-	-	-	-	-	-	-	-	-	-
369	J[597]	Pos	SLU-1	1	1	1	1	7843.8657	11477.8118	41928.56	36129.543	41928.56
370	I[582]	Neg	-	-	-	-	-	-	-	-	-	-
370	I[582]	Pos	SLU-1	1	1	1	1	9269.0206	13805.555	43310.1898	35972.7216	43310.1898
370	J[598]	Neg	-	-	-	-	-	-	-	-	-	-
370	J[598]	Pos	SLU-1	1	1	1	1	8647.767	13025.2772	43310.1898	36182.0561	43310.1898
371	I[583]	Neg	-	-	-	-	-	-	-	-	-	-
371	I[583]	Pos	SLU-1	1	1	1	1	9269.2644	14860.7525	43310.1898	35972.6395	43310.1898
371	J[599]	Neg	-	-	-	-	-	-	-	-	-	-
371	J[599]	Pos	SLU-1	1	1	1	1	8647.9708	14004.6672	43310.1898	36181.9874	43310.1898
372	I[584]	Neg	-	-	-	-	-	-	-	-	-	-
372	I[584]	Pos	SLU-1	1	1	1	1	8415.5811	14860.0985	41928.56	35945.5408	41928.56
372	J[600]	Neg	-	-	-	-	-	-	-	-	-	-
372	J[600]	Pos	SLU-1	1	1	1	1	7845.2808	13831.9457	41928.56	36129.0876	41928.56
377	I[597]	Neg	-	-	-	-	-	-	-	-	-	-
377	I[597]	Pos	SLU-1	1	1	1	1	7843.8657	11480.6536	41928.56	36129.543	41928.56
377	J[117]	Neg	-	-	-	-	-	-	-	-	-	-
377	J[117]	Pos	SLU-1	1	1	1	1	7225.7711	10545.2985	41928.56	36328.472	41928.56
378	I[598]	Neg	-	-	-	-	-	-	-	-	-	-
378	I[598]	Pos	SLU-1	1	1	1	1	8647.767	13027.3419	43310.1898	36182.0561	43310.1898
378	J[118]	Neg	-	-	-	-	-	-	-	-	-	-
378	J[118]	Pos	SLU-1	1	1	1	1	7968.663	12151.1616	43310.1898	36410.8836	43310.1898
379	I[599]	Neg	-	-	-	-	-	-	-	-	-	-

379	I[599]	Pos	SLU-1	1	1	1	1	8647.9708	14005.8504	43310.1898	36181.9874	43310.1898
379	J[119]	Neg	-	-	-	-	-	-	-	-	-	-
379	J[119]	Pos	SLU-1	1	1	1	1	7968.8269	13049.2038	43310.1898	36410.8284	43310.1898
380	I[600]	Neg	-	-	-	-	-	-	-	-	-	-
380	I[600]	Pos	SLU-1	1	1	1	1	7845.2808	13832.0428	41928.56	36129.0876	41928.56
380	J[120]	Neg	-	-	-	-	-	-	-	-	-	-
380	J[120]	Pos	SLU-1	1	1	1	1	7227.2551	12712.2363	41928.56	36327.9944	41928.56
385	I[621]	Neg	-	-	-	-	-	-	-	-	-	-
385	I[621]	Pos	SLU-1	1	1	1	1	6546.0871	9574.6491	41928.56	36547.2231	41928.56
385	J[29]	Neg	-	-	-	-	-	-	-	-	-	-
385	J[29]	Pos	SLU-1	1	1	1	1	6188.1896	8973.7248	41928.56	36662.4096	41928.56
386	I[622]	Neg	-	-	-	-	-	-	-	-	-	-
386	I[622]	Pos	SLU-1	1	1	1	1	7236.6452	11190.3751	43310.1898	36657.5406	43310.1898
386	J[30]	Neg	-	-	-	-	-	-	-	-	-	-
386	J[30]	Pos	SLU-1	1	1	1	1	6848.885	10580.5578	43310.1898	36788.1984	43310.1898
387	I[623]	Neg	-	-	-	-	-	-	-	-	-	-
387	I[623]	Pos	SLU-1	1	1	1	1	7236.7427	11997.4717	43310.1898	36657.5078	43310.1898
387	J[31]	Neg	-	-	-	-	-	-	-	-	-	-
387	J[31]	Pos	SLU-1	1	1	1	1	6848.9488	11336.3602	43310.1898	36788.1769	43310.1898
388	I[624]	Neg	-	-	-	-	-	-	-	-	-	-
388	I[624]	Pos	SLU-1	1	1	1	1	6547.0579	11523.9127	41928.56	36546.9106	41928.56
388	J[32]	Neg	-	-	-	-	-	-	-	-	-	-
388	J[32]	Pos	SLU-1	1	1	1	1	6189.2035	10843.5646	41928.56	36662.0833	41928.56
393	I[637]	Neg	-	-	-	-	-	-	-	-	-	-
393	I[637]	Pos	SLU-1	1	1	1	1	5818.5466	8521.9394	31901.6803	23644.0456	31901.6803
393	J[653]	Neg	-	-	-	-	-	-	-	-	-	-
393	J[653]	Pos	SLU-1	1	1	1	1	5046.5547	7383.8524	31901.6803	24009.9533	31901.6803
394	I[638]	Neg	-	-	-	-	-	-	-	-	-	-
394	I[638]	Pos	SLU-1	1	1	1	1	6446.8081	10131.4672	32886.1716	23546.7381	32886.1716
394	J[654]	Neg	-	-	-	-	-	-	-	-	-	-
394	J[654]	Pos	SLU-1	1	1	1	1	5602.4346	8956.9576	32886.1716	23961.7175	32886.1716
395	I[639]	Neg	-	-	-	-	-	-	-	-	-	-
395	I[639]	Pos	SLU-1	1	1	1	1	6446.8385	10844.9053	32886.1716	23546.7232	32886.1716
395	J[655]	Neg	-	-	-	-	-	-	-	-	-	-
395	J[655]	Pos	SLU-1	1	1	1	1	5602.3976	9571.412	32886.1716	23961.7357	32886.1716
396	I[640]	Neg	-	-	-	-	-	-	-	-	-	-
396	I[640]	Pos	SLU-1	1	1	1	1	5819.5731	10232.9744	31901.6803	23643.5591	31901.6803
396	J[656]	Neg	-	-	-	-	-	-	-	-	-	-
396	J[656]	Pos	SLU-1	1	1	1	1	5047.6675	8856.1004	31901.6803	24009.4259	31901.6803
401	I[653]	Neg	-	-	-	-	-	-	-	-	-	-
401	I[653]	Pos	SLU-1	1	1	1	1	5046.5547	7386.575	31901.6803	24009.9533	31901.6803
401	J[669]	Neg	-	-	-	-	-	-	-	-	-	-
401	J[669]	Pos	SLU-1	1	1	1	1	4230.2973	6167.2718	31901.6803	24396.8419	31901.6803
402	I[654]	Neg	-	-	-	-	-	-	-	-	-	-
402	I[654]	Pos	SLU-1	1	1	1	1	5602.4346	8959.2814	32886.1716	23961.7175	32886.1716
402	J[670]	Neg	-	-	-	-	-	-	-	-	-	-
402	J[670]	Pos	SLU-1	1	1	1	1	4703.6705	7657.6713	32886.1716	24403.4278	32886.1716
403	I[655]	Neg	-	-	-	-	-	-	-	-	-	-
403	I[655]	Pos	SLU-1	1	1	1	1	5602.3976	9573.292	32886.1716	23961.7357	32886.1716
403	J[671]	Neg	-	-	-	-	-	-	-	-	-	-
403	J[671]	Pos	SLU-1	1	1	1	1	4703.5662	8165.6199	32886.1716	24403.4791	32886.1716
404	I[656]	Neg	-	-	-	-	-	-	-	-	-	-
404	I[656]	Pos	SLU-1	1	1	1	1	5047.6675	8856.226	31901.6803	24009.4259	31901.6803
404	J[672]	Neg	-	-	-	-	-	-	-	-	-	-
404	J[672]	Pos	SLU-1	1	1	1	1	4231.4964	7391.8506	31901.6803	24396.2736	31901.6803
409	I[669]	Neg	-	-	-	-	-	-	-	-	-	-
409	I[669]	Pos	SLU-1	1	1	1	1	4230.2973	6170.124	31901.6803	24396.8419	31901.6803
409	J[125]	Neg	-	-	-	-	-	-	-	-	-	-
409	J[125]	Pos	SLU-1	1	1	1	1	3369.7745	4867.0109	31901.6803	24804.7114	31901.6803
410	I[670]	Neg	-	-	-	-	-	-	-	-	-	-
410	I[670]	Pos	SLU-1	1	1	1	1	4703.6705	7660.0889	32886.1716	24403.4278	32886.1716
410	J[126]	Neg	-	-	-	-	-	-	-	-	-	-
410	J[126]	Pos	SLU-1	1	1	1	1	3750.516	6223.2649	32886.1716	24871.8691	32886.1716
411	I[671]	Neg	-	-	-	-	-	-	-	-	-	-
411	I[671]	Pos	SLU-1	1	1	1	1	4703.5662	8167.6201	32886.1716	24403.4791	32886.1716
411	J[127]	Neg	-	-	-	-	-	-	-	-	-	-
411	J[127]	Pos	SLU-1	1	1	1	1	3750.3443	6618.1442	32886.1716	24871.9535	32886.1716
412	I[672]	Neg	-	-	-	-	-	-	-	-	-	-
412	I[672]	Pos	SLU-1	1	1	1	1	4231.4964	7391.9621	31901.6803	24396.2736	31901.6803
412	J[128]	Neg	-	-	-	-	-	-	-	-	-	-
412	J[128]	Pos	SLU-1	1	1	1	1	3371.0598	5838.656	31901.6803	24804.1022	31901.6803
417	I[693]	Neg	-	-	-	-	-	-	-	-	-	-
417	I[693]	Pos	SLU-1	1	1	1	1	2457.5213	3541.7469	31901.6803	25237.0999	31901.6803
417	J[709]	Neg	SLV-7	1	1	4	4	1111.5895	-146.0859	20117.4378	15269.0829	15269.0829
417	J[709]	Pos	SLU-1	1	1	1	1	1500.6459	2122.1239	31901.6803	25690.6384	31901.6803

418	I[694]	Neg	-	-	-	-	-	-	-	-	-	-
418	I[694]	Pos	SLU-1	1	1	1	1	2741.5377	4607.2339	32886.1716	25367.7458	32886.1716
418	J[710]	Neg	-	-	-	-	-	-	-	-	-	-
418	J[710]	Pos	SLU-1	1	1	1	1	1678.039	2825.8752	32886.1716	25890.4174	32886.1716
419	I[695]	Neg	-	-	-	-	-	-	-	-	-	-
419	I[695]	Pos	SLU-1	1	1	1	1	2741.4148	4896.0281	32886.1716	25367.8062	32886.1716
419	J[711]	Neg	-	-	-	-	-	-	-	-	-	-
419	J[711]	Pos	SLU-1	1	1	1	1	1677.9614	3004.5397	32886.1716	25890.4555	32886.1716
420	I[696]	Neg	-	-	-	-	-	-	-	-	-	-
420	I[696]	Pos	SLU-1	1	1	1	1	2458.1485	4234.7135	31901.6803	25236.8026	31901.6803
420	J[712]	Neg	-	-	-	-	-	-	-	-	-	-
420	J[712]	Pos	SLU-1	1	1	1	1	1501.2884	2536.2153	31901.6803	25690.3339	31901.6803
425	I[709]	Neg	SLV-7	1	1	4	4	1111.5895	-146.3367	20117.4378	15269.0829	15269.0829
425	I[709]	Pos	SLU-1	1	1	1	1	1500.6459	2124.8997	31901.6803	25690.6384	31901.6803
425	J[725]	Neg	SLV-7	1	3	4	4	370.0036	-322.653	20117.4378	15269.0829	15269.0829
425	J[725]	Pos	SLU-1	1	1	1	1	499.5049	611.8966	31901.6803	26165.1579	31901.6803
426	I[710]	Neg	-	-	-	-	-	-	-	-	-	-
426	I[710]	Pos	SLU-1	1	1	1	1	1678.039	2828.1679	32886.1716	25890.4174	32886.1716
426	J[726]	Neg	SLV-7	1	1	4	4	414.9257	-181.5148	20930.8437	16274.9864	16274.9864
426	J[726]	Pos	SLU-1	1	1	1	1	560.1497	867.6228	32886.1716	26439.8199	32886.1716
427	I[711]	Neg	-	-	-	-	-	-	-	-	-	-
427	I[711]	Pos	SLU-1	1	1	1	1	1677.9614	3006.6018	32886.1716	25890.4555	32886.1716
427	J[727]	Neg	SLV-7	1	1	4	4	414.9019	-138.6048	20930.8437	16274.9864	16274.9864
427	J[727]	Pos	SLU-1	1	1	1	1	560.1176	928.6806	32886.1716	26439.8357	32886.1716
428	I[712]	Neg	-	-	-	-	-	-	-	-	-	-
428	I[712]	Pos	SLU-1	1	1	1	1	1501.2884	2536.3313	31901.6803	25690.3339	31901.6803
428	J[728]	Neg	SLV-7	1	1	4	4	370.491	-144.5613	20117.4378	15269.0829	15269.0829
428	J[728]	Pos	SLU-1	1	1	1	1	500.1628	746.8548	31901.6803	26164.846	31901.6803
433	I[725]	Neg	SLV-7	1	3	4	4	370.0036	-322.758	20117.4378	15269.0829	15269.0829
433	I[725]	Pos	SLU-1	1	1	1	1	499.5049	614.5178	31901.6803	26165.1579	31901.6803
433	J[13]	Neg	SLV-7	1	3	4	4	-13.0853	-418.0322	20117.4378	15269.0829	15269.0829
433	J[13]	Pos	SLV-1	1	1	1	1	-13.0853	159.8933	31901.6803	26408.1147	31901.6803
434	I[726]	Neg	SLV-7	1	1	4	4	414.9257	-180.3755	20930.8437	16274.9864	16274.9864
434	I[726]	Pos	SLU-1	1	1	1	1	560.1497	869.6803	32886.1716	26439.8199	32886.1716
434	J[14]	Neg	SLV-7	1	3	4	4	-14.2158	-429.8721	20930.8437	16274.9864	16274.9864
434	J[14]	Pos	SLV-1	1	1	1	1	-14.2158	155.3402	32886.1716	26722.1	32886.1716
435	I[727]	Neg	SLV-7	1	1	4	4	414.9019	-138.7524	20930.8437	16274.9864	16274.9864
435	I[727]	Pos	SLU-1	1	1	1	1	560.1176	930.5593	32886.1716	26439.8357	32886.1716
435	J[15]	Neg	SLV-7	1	3	4	4	-14.2228	-432.2127	20930.8437	16274.9864	16274.9864
435	J[15]	Pos	SLV-1	1	1	1	1	-14.2228	155.1834	32886.1716	26722.1034	32886.1716
436	I[728]	Neg	SLV-7	1	1	4	4	370.491	-144.4527	20117.4378	15269.0829	15269.0829
436	I[728]	Pos	SLU-1	1	1	1	1	500.1628	746.9709	31901.6803	26164.846	31901.6803
436	J[16]	Neg	SLV-7	1	3	4	4	-12.5922	-427.5482	20117.4378	15269.0829	15269.0829
436	J[16]	Pos	SLV-1	1	1	1	1	-12.5922	156.7964	31901.6803	26407.881	31901.6803

13.2.2.2 VERIFICA DI RESISTENZA A TAGLIO

Elem	part	Lcom	Top Class	Bot Class	Web Class	Sect. Class	N_Ed (kN)	M_Ed (kN*m)	V_Ed (kN)	Vpl,Rd (kN)	Vb,Rd (kN)
5	I[38]	SLU-1	1	1	1	1	12.4116	117871.9867	-1134.5414	8971.3634	4741.1873
5	J[350]	SLU-1	1	1	1	1	12.4116	119735.5148	-1127.9502	8971.3634	4741.1873
6	I[39]	SLU-1	1	1	1	1	-20.5839	119285.302	-1177.207	8971.3634	4741.1873
6	J[351]	SLU-1	1	1	1	1	-20.5839	121170.4268	-1170.6157	8971.3634	4741.1873
7	I[40]	SLU-1	1	1	1	1	-148.9175	90836.3127	-1028.4849	8971.3634	4741.1873
7	J[352]	SLU-1	1	1	1	1	-148.9175	92248.9099	-1021.8936	8971.3634	4741.1873
8	I[37]	SLU-1	1	1	1	1	220.6581	87013.387	-1030.8766	8971.3634	4741.1873
8	J[349]	SLU-1	1	1	1	1	220.6581	88427.4865	-1024.2853	8971.3634	4741.1873
17	I[38]	SLU-1	1	1	1	1	43.2086	129512.6555	1134.5414	9018.2112	4749.5628
17	J[334]	SLU-1	1	1	1	1	43.2086	127347.476	1140.6517	9018.2112	4749.5628
18	I[39]	SLU-1	1	1	1	1	18.5658	130883.8997	1177.207	9018.2112	4749.5628
18	J[335]	SLU-1	1	1	1	1	18.5658	128697.3304	1183.3172	9018.2112	4749.5628
19	I[47]	SLU-1	1	1	1	1	-26.7653	130885.1185	1193.0075	9018.2112	4749.5628
19	J[527]	SLU-1	1	1	1	1	-26.7653	128690.6495	1199.1177	9018.2112	4749.5628
20	I[46]	SLU-1	1	1	1	1	-2.5528	129513.22	1150.8921	9018.2112	4749.5628
20	J[526]	SLU-1	1	1	1	1	-2.5528	127339.8652	1157.0023	9018.2112	4749.5628
21	I[45]	SLU-1	1	1	1	1	286.5446	94500.0584	1047.9368	9018.2112	4749.5628
21	J[525]	SLU-1	1	1	1	1	286.5446	92882.1492	1054.047	9018.2112	4749.5628
22	I[37]	SLU-1	1	1	1	1	333.0606	94510.4572	1030.8766	9018.2112	4749.5628
22	J[333]	SLU-1	1	1	1	1	333.0606	92901.0769	1036.9868	9018.2112	4749.5628
23	I[40]	SLU-1	1	1	1	1	-64.824	98427.205	1028.4849	9018.2112	4749.5628

23	J[336]	SLU-1	1	1	1	1	-64.824	96819.0387	1034.5951	9018.2112	4749.5628
24	I[48]	SLU-1	1	1	1	1	-109.801	98421.0801	1043.8067	9018.2112	4749.5628
24	J[528]	SLU-1	1	1	1	1	-109.801	96805.2518	1049.9169	9018.2112	4749.5628
33	I[6]	SLU-1	1	1	1	1	55.3559	149.7384	-3253.7944	9088.483	4762.0187
33	J[134]	SLU-1	1	1	1	1	55.3559	10659.3488	-3249.4141	9088.483	4762.0187
34	I[7]	SLU-1	1	1	1	1	52.9077	149.1215	-3379.6424	9088.483	4762.0187
34	J[135]	SLU-1	1	1	1	1	52.9077	10722.6814	-3375.2621	9088.483	4762.0187
35	I[30]	SLU-1	1	1	1	1	-40.0975	126231.0625	2133.2831	9088.483	4762.0187
35	J[638]	SLU-1	1	1	1	1	-40.0975	118793.3399	2137.6633	9088.483	4762.0187
36	I[31]	SLU-1	1	1	1	1	-49.1744	127016.8652	2227.116	9088.483	4762.0187
36	J[639]	SLU-1	1	1	1	1	-49.1744	119531.6857	2231.4963	9088.483	4762.0187
37	I[32]	SLU-1	1	1	1	1	-119.1088	88068.5872	2080.1362	9088.483	4762.0187
37	J[640]	SLU-1	1	1	1	1	-119.1088	82810.7788	2084.5164	9088.483	4762.0187
38	I[8]	SLU-1	1	1	1	1	49.1731	78.6838	-2891.1741	9088.483	4762.0187
38	J[136]	SLU-1	1	1	1	1	49.1731	7259.719	-2886.7938	9088.483	4762.0187
39	I[5]	SLU-1	1	1	1	1	58.5566	96.2805	-2611.4035	9088.483	4762.0187
39	J[133]	SLU-1	1	1	1	1	58.5566	7105.4374	-2607.0233	9088.483	4762.0187
40	I[29]	SLU-1	1	1	1	1	115.3871	85671.0425	1921.7142	9088.483	4762.0187
40	J[637]	SLU-1	1	1	1	1	115.3871	80492.0319	1926.0944	9088.483	4762.0187
61	I[69]	SLU-1	1	1	1	1	106.2036	46731.3657	-2234.0014	9088.483	4762.0187
61	J[189]	SLU-1	1	1	1	1	106.2036	58778.3566	-2225.2409	9088.483	4762.0187
62	I[70]	SLU-1	1	1	1	1	46.9496	69561.0905	-2556.0997	9088.483	4762.0187
62	J[190]	SLU-1	1	1	1	1	46.9496	87220.3492	-2547.3392	9088.483	4762.0187
64	I[71]	SLU-1	1	1	1	1	37.9292	69990.0037	-2665.1438	9088.483	4762.0187
64	J[191]	SLU-1	1	1	1	1	37.9292	87763.1945	-2656.3833	9088.483	4762.0187
66	I[72]	SLU-1	1	1	1	1	-27.3416	48027.6151	-2444.5111	9088.483	4762.0187
66	J[192]	SLU-1	1	1	1	1	-27.3416	60280.4202	-2435.7506	9088.483	4762.0187
75	I[77]	SLU-1	1	1	1	1	242.2579	66182.4743	1787.0657	9018.2112	4749.5628
75	J[237]	SLU-1	1	1	1	1	242.2579	59817.1086	1799.2862	9018.2112	4749.5628
76	I[78]	SLU-1	1	1	1	1	65.0346	91813.9576	1975.9564	9018.2112	4749.5628
76	J[238]	SLU-1	1	1	1	1	65.0346	83262.5271	1988.1768	9018.2112	4749.5628
78	I[79]	SLU-1	1	1	1	1	53.0699	92739.6935	2066.9558	9018.2112	4749.5628
78	J[239]	SLU-1	1	1	1	1	53.0699	84096.6494	2079.1763	9018.2112	4749.5628
80	I[80]	SLU-1	1	1	1	1	-22.6193	68853.8076	1926.0405	9018.2112	4749.5628
80	J[240]	SLU-1	1	1	1	1	-22.6193	62349.8821	1938.261	9018.2112	4749.5628
89	I[85]	SLU-1	1	1	1	1	315.5849	89951.4905	1243.8979	9018.2112	4749.5628
89	J[309]	SLU-1	1	1	1	1	315.5849	85829.1388	1256.1184	9018.2112	4749.5628
90	I[86]	SLU-1	1	1	1	1	51.0511	123315.6924	1340.7661	9018.2112	4749.5628
90	J[310]	SLU-1	1	1	1	1	51.0511	117951.6033	1352.9865	9018.2112	4749.5628
92	I[87]	SLU-1	1	1	1	1	29.7312	124631.323	1407.7198	9018.2112	4749.5628
92	J[311]	SLU-1	1	1	1	1	29.7312	119199.939	1419.9402	9018.2112	4749.5628
94	I[88]	SLU-1	1	1	1	1	-55.8457	93641.698	1284.3233	9018.2112	4749.5628
94	J[312]	SLU-1	1	1	1	1	-55.8457	89479.2659	1296.5438	9018.2112	4749.5628
103	I[93]	SLU-1	1	1	1	1	207.1932	93358.7313	-577.4077	8971.3634	4741.1873
103	J[405]	SLU-1	1	1	1	1	207.1932	94512.4975	-564.2251	8971.3634	4741.1873
104	I[94]	SLU-1	1	1	1	1	-3.3236	126019.7676	-701.0125	8971.3634	4741.1873
104	J[406]	SLU-1	1	1	1	1	-3.3236	127648.9334	-687.83	8971.3634	4741.1873
106	I[95]	SLU-1	1	1	1	1	-40.1982	127542.9365	-708.5147	8971.3634	4741.1873
106	J[407]	SLU-1	1	1	1	1	-40.1982	129180.1249	-695.3322	8971.3634	4741.1873
108	I[96]	SLU-1	1	1	1	1	-170.2043	97551.5036	-496.4485	8971.3634	4741.1873
108	J[408]	SLU-1	1	1	1	1	-170.2043	98623.7664	-483.2659	8971.3634	4741.1873
117	I[101]	SLU-1	1	1	1	1	320.5131	93670.0017	693.2866	8971.3634	4741.1873
117	J[477]	SLU-1	1	1	1	1	320.5131	91969.7021	706.4691	8971.3634	4741.1873
118	I[102]	SLU-1	1	1	1	1	9.9522	126523.293	783.1695	8971.3634	4741.1873
118	J[478]	SLU-1	1	1	1	1	9.9522	124422.208	796.3521	8971.3634	4741.1873
120	I[103]	SLU-1	1	1	1	1	-17.0621	128026.1266	816.8675	8971.3634	4741.1873
120	J[479]	SLU-1	1	1	1	1	-17.0621	125891.2478	830.05	8971.3634	4741.1873
122	I[104]	SLU-1	1	1	1	1	-100.7766	97808.5257	634.6574	8971.3634	4741.1873
122	J[480]	SLU-1	1	1	1	1	-100.7766	96166.9156	647.8399	8971.3634	4741.1873
131	I[109]	SLU-1	1	1	1	1	253.5995	89946.0769	1260.9462	9018.2112	4749.5628
131	J[549]	SLU-1	1	1	1	1	253.5995	85806.6753	1273.1667	9018.2112	4749.5628
132	I[110]	SLU-1	1	1	1	1	-9.9592	123324.6255	1357.0949	9018.2112	4749.5628
132	J[550]	SLU-1	1	1	1	1	-9.9592	117944.208	1369.3154	9018.2112	4749.5628
134	I[111]	SLU-1	1	1	1	1	-30.7062	124640.8297	1423.5624	9018.2112	4749.5628
134	J[551]	SLU-1	1	1	1	1	-30.7062	119193.6015	1435.7828	9018.2112	4749.5628
136	I[112]	SLU-1	1	1	1	1	-115.8596	93641.266	1299.6371	9018.2112	4749.5628
136	J[552]	SLU-1	1	1	1	1	-115.8596	89463.5194	1311.8576	9018.2112	4749.5628
145	I[117]	SLU-1	1	1	1	1	141.7105	66168.1495	1803.8824	9018.2112	4749.5628
145	J[621]	SLU-1	1	1	1	1	141.7105	59785.9683	1816.1028	9018.2112	4749.5628
146	I[118]	SLU-1	1	1	1	1	-34.2245	91823.7187	1992.2599	9018.2112	4749.5628
146	J[622]	SLU-1	1	1	1	1	-34.2245	83255.9852	2004.4803	9018.2112	4749.5628
148	I[119]	SLU-1	1	1	1	1	-45.2296	92750.1113	2082.8639	9018.2112	4749.5628
148	J[623]	SLU-1	1	1	1	1	-45.2296	84091.1593	2095.0844	9018.2112	4749.5628
150	I[120]	SLU-1	1	1	1	1	-120.114	68848.254	1941.5473	9018.2112	4749.5628
150	J[624]	SLU-1	1	1	1	1	-120.114	62328.8235	1953.7678	9018.2112	4749.5628

159	I[125]	SLU-1	1	1	1	1	-5.2497	46852.8331	2301.8036	9088.483	4762.0187
159	J[693]	SLU-1	1	1	1	1	-5.2497	34128.1376	2310.564	9088.483	4762.0187
160	I[126]	SLU-1	1	1	1	1	-67.476	69802.2913	2764.3265	9088.483	4762.0187
160	J[694]	SLU-1	1	1	1	1	-67.476	51035.1702	2773.087	9088.483	4762.0187
162	I[127]	SLU-1	1	1	1	1	-71.0781	70203.3618	2868.2183	9088.483	4762.0187
162	J[695]	SLU-1	1	1	1	1	-71.0781	51333.2225	2876.9788	9088.483	4762.0187
164	I[128]	SLU-1	1	1	1	1	-106.2531	48052.5505	2539.8312	9088.483	4762.0187
164	J[696]	SLU-1	1	1	1	1	-106.2531	35089.8882	2548.5917	9088.483	4762.0187
169	I[133]	SLU-1	1	1	1	1	70.3142	7062.8301	-2517.9716	9088.483	4762.0187
169	J[149]	SLU-1	1	1	1	1	70.3142	20994.052	-2509.2111	9088.483	4762.0187
170	I[134]	SLU-1	1	1	1	1	52.4882	10633.1253	-3097.5005	9088.483	4762.0187
170	J[150]	SLU-1	1	1	1	1	52.4882	31445.7533	-3088.74	9088.483	4762.0187
171	I[135]	SLU-1	1	1	1	1	48.4822	10700.6984	-3215.0657	9088.483	4762.0187
171	J[151]	SLU-1	1	1	1	1	48.4822	31631.99	-3206.3053	9088.483	4762.0187
172	I[136]	SLU-1	1	1	1	1	29.5746	7296.166	-2783.2472	9088.483	4762.0187
172	J[152]	SLU-1	1	1	1	1	29.5746	21486.9904	-2774.4867	9088.483	4762.0187
177	I[149]	SLU-1	1	1	1	1	80.9537	20928.6717	-2405.0717	9088.483	4762.0187
177	J[165]	SLU-1	1	1	1	1	80.9537	34243.5778	-2396.3112	9088.483	4762.0187
178	I[150]	SLU-1	1	1	1	1	50.9042	31358.1472	-2921.9244	9088.483	4762.0187
178	J[166]	SLU-1	1	1	1	1	50.9042	51132.7562	-2913.1639	9088.483	4762.0187
179	I[151]	SLU-1	1	1	1	1	45.2623	31549.0403	-3032.0076	9088.483	4762.0187
179	J[167]	SLU-1	1	1	1	1	45.2623	51436.0365	-3023.2472	9088.483	4762.0187
180	I[152]	SLU-1	1	1	1	1	9.9372	21513.7084	-2657.9918	9088.483	4762.0187
180	J[168]	SLU-1	1	1	1	1	9.9372	35076.7598	-2649.2313	9088.483	4762.0187
185	I[165]	SLU-1	1	1	1	1	93.0922	34152.2649	-2294.9108	9088.483	4762.0187
185	J[69]	SLU-1	1	1	1	1	93.0922	46852.9234	-2286.1503	9088.483	4762.0187
186	I[166]	SLU-1	1	1	1	1	49.3305	50995.0715	-2756.8531	9088.483	4762.0187
186	J[70]	SLU-1	1	1	1	1	49.3305	69742.2693	-2748.0926	9088.483	4762.0187
187	I[167]	SLU-1	1	1	1	1	42.0752	51304.8814	-2861.1102	9088.483	4762.0187
187	J[71]	SLU-1	1	1	1	1	42.0752	70159.3451	-2852.3497	9088.483	4762.0187
188	I[168]	SLU-1	1	1	1	1	-9.1319	35090.3375	-2531.8129	9088.483	4762.0187
188	J[72]	SLU-1	1	1	1	1	-9.1319	48023.8677	-2523.0524	9088.483	4762.0187
193	I[189]	SLU-1	1	1	1	1	118.9197	58646.7112	-2125.2619	9088.483	4762.0187
193	J[205]	SLU-1	1	1	1	1	118.9197	70080.1886	-2116.5015	9088.483	4762.0187
194	I[190]	SLU-1	1	1	1	1	45.1427	87003.3635	-2406.3211	9088.483	4762.0187
194	J[206]	SLU-1	1	1	1	1	45.1427	103650.6288	-2397.5607	9088.483	4762.0187
195	I[191]	SLU-1	1	1	1	1	34.2356	87553.3712	-2510.218	9088.483	4762.0187
195	J[207]	SLU-1	1	1	1	1	34.2356	104309.3267	-2501.4575	9088.483	4762.0187
196	I[192]	SLU-1	1	1	1	1	-44.0367	60264.3477	-2319.0774	9088.483	4762.0187
196	J[208]	SLU-1	1	1	1	1	-44.0367	71887.5797	-2310.317	9088.483	4762.0187
201	I[205]	SLU-1	1	1	1	1	137.9808	69904.576	-2017.3807	9088.483	4762.0187
201	J[221]	SLU-1	1	1	1	1	137.9808	80725.2478	-2008.6202	9088.483	4762.0187
202	I[206]	SLU-1	1	1	1	1	43.6088	103399.998	-2260.7158	9088.483	4762.0187
202	J[222]	SLU-1	1	1	1	1	43.6088	119039.442	-2251.9553	9088.483	4762.0187
203	I[207]	SLU-1	1	1	1	1	30.6633	104062.3422	-2359.379	9088.483	4762.0187
203	J[223]	SLU-1	1	1	1	1	30.6633	119804.1213	-2350.6185	9088.483	4762.0187
204	I[208]	SLU-1	1	1	1	1	-59.571	71862.9639	-2194.6473	9088.483	4762.0187
204	J[224]	SLU-1	1	1	1	1	-59.571	82857.5139	-2185.8868	9088.483	4762.0187
209	I[221]	SLU-1	1	1	1	1	150.3118	80559.9589	-1909.3331	9088.483	4762.0187
209	J[21]	SLU-1	1	1	1	1	150.3118	85728.0294	-1904.9528	9088.483	4762.0187
210	I[222]	SLU-1	1	1	1	1	41.7903	118759.6376	-2121.3704	9088.483	4762.0187
210	J[22]	SLU-1	1	1	1	1	41.7903	126187.4821	-2116.9902	9088.483	4762.0187
211	I[223]	SLU-1	1	1	1	1	26.736	119531.9432	-2215.5869	9088.483	4762.0187
211	J[23]	SLU-1	1	1	1	1	26.736	127008.1971	-2211.2066	9088.483	4762.0187
212	I[224]	SLU-1	1	1	1	1	-73.4346	82817.7302	-2068.9453	9088.483	4762.0187
212	J[24]	SLU-1	1	1	1	1	-73.4346	88064.2241	-2064.5651	9088.483	4762.0187
217	I[237]	SLU-1	1	1	1	1	223.6269	60013.3151	1898.8426	9018.2112	4749.5628
217	J[21]	SLU-1	1	1	1	1	223.6269	56655.9302	1904.9528	9018.2112	4749.5628
218	I[238]	SLU-1	1	1	1	1	66.8314	83563.6017	2110.88	9018.2112	4749.5628
218	J[22]	SLU-1	1	1	1	1	66.8314	79027.2978	2116.9902	9018.2112	4749.5628
219	I[239]	SLU-1	1	1	1	1	56.7147	84392.2651	2205.0964	9018.2112	4749.5628
219	J[23]	SLU-1	1	1	1	1	56.7147	79808.5459	2211.2066	9018.2112	4749.5628
220	I[240]	SLU-1	1	1	1	1	-14.1349	62411.7875	2058.4549	9018.2112	4749.5628
220	J[24]	SLU-1	1	1	1	1	-14.1349	58974.8062	2064.5651	9018.2112	4749.5628
225	I[261]	SLU-1	1	1	1	1	260.3257	71822.0287	1698.6906	9018.2112	4749.5628
225	J[77]	SLU-1	1	1	1	1	260.3257	65961.2948	1710.911	9018.2112	4749.5628
226	I[262]	SLU-1	1	1	1	1	62.0429	99432.5436	1845.7734	9018.2112	4749.5628
226	J[78]	SLU-1	1	1	1	1	62.0429	91487.1054	1857.9938	9018.2112	4749.5628
227	I[263]	SLU-1	1	1	1	1	47.6697	100450.9615	1925.9246	9018.2112	4749.5628
227	J[79]	SLU-1	1	1	1	1	47.6697	92425.0056	1938.1451	9018.2112	4749.5628
228	I[264]	SLU-1	1	1	1	1	-29.3168	74736.9091	1813.0977	9018.2112	4749.5628
228	J[80]	SLU-1	1	1	1	1	-29.3168	68762.0701	1825.3181	9018.2112	4749.5628
233	I[277]	SLU-1	1	1	1	1	276.5252	77028.9394	1585.3673	9018.2112	4749.5628
233	J[261]	SLU-1	1	1	1	1	276.5252	71602.4287	1597.5878	9018.2112	4749.5628
234	I[278]	SLU-1	1	1	1	1	59.2638	106392.6174	1716.5323	9018.2112	4749.5628

234	J[262]	SLU-1	1	1	1	1	59.2638	99095.5032	1728.7528	9018.2112	4749.5628
235	I[279]	SLU-1	1	1	1	1	42.825	107493.8087	1793.064	9018.2112	4749.5628
235	J[263]	SLU-1	1	1	1	1	42.825	100119.8053	1805.2844	9018.2112	4749.5628
236	I[280]	SLU-1	1	1	1	1	-36.1973	80155.9581	1681.2404	9018.2112	4749.5628
236	J[264]	SLU-1	1	1	1	1	-36.1973	74633.8842	1693.4609	9018.2112	4749.5628
241	I[293]	SLU-1	1	1	1	1	291.215	81776.8705	1471.806	9018.2112	4749.5628
241	J[277]	SLU-1	1	1	1	1	291.215	76784.8165	1484.0264	9018.2112	4749.5628
242	I[294]	SLU-1	1	1	1	1	56.6325	112690.1525	1587.4252	9018.2112	4749.5628
242	J[278]	SLU-1	1	1	1	1	56.6325	106041.2324	1599.6456	9018.2112	4749.5628
243	I[295]	SLU-1	1	1	1	1	38.4343	113859.9319	1660.0937	9018.2112	4749.5628
243	J[279]	SLU-1	1	1	1	1	38.4343	107137.9888	1672.3142	9018.2112	4749.5628
244	I[296]	SLU-1	1	1	1	1	-43.1375	85116.0539	1550.5547	9018.2112	4749.5628
244	J[280]	SLU-1	1	1	1	1	-43.1375	80045.574	1562.7752	9018.2112	4749.5628
249	I[309]	SLU-1	1	1	1	1	304.3315	86084.3906	1357.7815	9018.2112	4749.5628
249	J[293]	SLU-1	1	1	1	1	304.3315	81527.2589	1370.002	9018.2112	4749.5628
250	I[310]	SLU-1	1	1	1	1	54.166	118328.8651	1461.3361	9018.2112	4749.5628
250	J[294]	SLU-1	1	1	1	1	54.166	112325.1193	1473.5566	9018.2112	4749.5628
251	I[311]	SLU-1	1	1	1	1	34.3621	119559.1614	1530.7081	9018.2112	4749.5628
251	J[295]	SLU-1	1	1	1	1	34.3621	113485.6971	1542.9285	9018.2112	4749.5628
252	I[312]	SLU-1	1	1	1	1	-49.6186	89605.9255	1418.9632	9018.2112	4749.5628
252	J[296]	SLU-1	1	1	1	1	-49.6186	84987.9448	1431.1837	9018.2112	4749.5628
257	I[333]	SLU-1	1	1	1	1	325.5361	93208.8913	1139.7011	9018.2112	4749.5628
257	J[85]	SLU-1	1	1	1	1	325.5361	89637.586	1151.9215	9018.2112	4749.5628
258	I[334]	SLU-1	1	1	1	1	46.9318	127748.9782	1248.2909	9018.2112	4749.5628
258	J[86]	SLU-1	1	1	1	1	46.9318	122912.497	1260.5113	9018.2112	4749.5628
259	I[335]	SLU-1	1	1	1	1	23.8498	129094.0876	1293.6955	9018.2112	4749.5628
259	J[87]	SLU-1	1	1	1	1	23.8498	124212.0899	1305.916	9018.2112	4749.5628
260	I[336]	SLU-1	1	1	1	1	-59.8656	97031.5613	1156.0867	9018.2112	4749.5628
260	J[88]	SLU-1	1	1	1	1	-59.8656	93443.8884	1168.3072	9018.2112	4749.5628
265	I[349]	SLU-1	1	1	1	1	223.0389	88101.4061	-921.5051	8971.3634	4741.1873
265	J[365]	SLU-1	1	1	1	1	223.0389	90598.3775	-908.3225	8971.3634	4741.1873
266	I[350]	SLU-1	1	1	1	1	8.5956	119317.7788	-1018.3905	8971.3634	4741.1873
266	J[366]	SLU-1	1	1	1	1	8.5956	122574.9128	-1005.2079	8971.3634	4741.1873
267	I[351]	SLU-1	1	1	1	1	-25.8561	120755.9142	-1057.8745	8971.3634	4741.1873
267	J[367]	SLU-1	1	1	1	1	-25.8561	124052.6926	-1044.692	8971.3634	4741.1873
268	I[352]	SLU-1	1	1	1	1	-155.2324	92065.8002	-902.2183	8971.3634	4741.1873
268	J[368]	SLU-1	1	1	1	1	-155.2324	94543.2479	-889.0357	8971.3634	4741.1873
273	I[365]	SLU-1	1	1	1	1	224.7144	90281.3041	-805.2543	8971.3634	4741.1873
273	J[381]	SLU-1	1	1	1	1	224.7144	92370.523	-792.0718	8971.3634	4741.1873
274	I[366]	SLU-1	1	1	1	1	4.9103	122167.4725	-897.1063	8971.3634	4741.1873
274	J[382]	SLU-1	1	1	1	1	4.9103	124835.9379	-883.9237	8971.3634	4741.1873
275	I[367]	SLU-1	1	1	1	1	-30.44	123628.0232	-933.5254	8971.3634	4741.1873
275	J[383]	SLU-1	1	1	1	1	-30.44	126332.717	-920.3428	8971.3634	4741.1873
276	I[368]	SLU-1	1	1	1	1	-161.1696	94344.5655	-768.8879	8971.3634	4741.1873
276	J[384]	SLU-1	1	1	1	1	-161.1696	96397.5463	-755.7054	8971.3634	4741.1873
281	I[381]	SLU-1	1	1	1	1	224.9762	92062.9706	-689.4132	8971.3634	4741.1873
281	J[93]	SLU-1	1	1	1	1	224.9762	93744.881	-676.2307	8971.3634	4741.1873
282	I[382]	SLU-1	1	1	1	1	0.9961	124407.3524	-780.0037	8971.3634	4741.1873
282	J[94]	SLU-1	1	1	1	1	0.9961	126491.3531	-766.8212	8971.3634	4741.1873
283	I[383]	SLU-1	1	1	1	1	-35.1686	125920.4514	-814.2535	8971.3634	4741.1873
283	J[95]	SLU-1	1	1	1	1	-35.1686	128038.3036	-801.0709	8971.3634	4741.1873
284	I[384]	SLU-1	1	1	1	1	-166.3184	96179.3149	-632.5078	8971.3634	4741.1873
284	J[96]	SLU-1	1	1	1	1	-166.3184	97804.673	-619.3252	8971.3634	4741.1873
289	I[405]	SLU-1	1	1	1	1	202.848	94112.3344	-461.0046	8971.3634	4741.1873
289	J[421]	SLU-1	1	1	1	1	202.848	94858.2336	-447.8221	8971.3634	4741.1873
290	I[406]	SLU-1	1	1	1	1	-7.4273	127194.4569	-582.6903	8971.3634	4741.1873
290	J[422]	SLU-1	1	1	1	1	-7.4273	128237.9414	-569.5078	8971.3634	4741.1873
291	I[407]	SLU-1	1	1	1	1	-44.8678	128734.395	-587.6861	8971.3634	4741.1873
291	J[423]	SLU-1	1	1	1	1	-44.8678	129783.1228	-574.5036	8971.3634	4741.1873
292	I[408]	SLU-1	1	1	1	1	-173.6301	98363.4064	-361.3287	8971.3634	4741.1873
292	J[424]	SLU-1	1	1	1	1	-173.6301	99009.2967	-348.1461	8971.3634	4741.1873
297	I[421]	SLU-1	1	1	1	1	318.1255	94716.3038	348.5046	8971.3634	4741.1873
297	J[437]	SLU-1	1	1	1	1	318.1255	94361.2072	361.6872	8971.3634	4741.1873
298	I[422]	SLU-1	1	1	1	1	22.5907	127680.8229	464.86	8971.3634	4741.1873
298	J[438]	SLU-1	1	1	1	1	22.5907	127209.3718	478.0426	8971.3634	4741.1873
299	I[423]	SLU-1	1	1	1	1	-7.3592	129783.4853	466.0277	8971.3634	4741.1873
299	J[439]	SLU-1	1	1	1	1	-7.3592	129310.8665	479.2103	8971.3634	4741.1873
300	I[424]	SLU-1	1	1	1	1	-115.7323	98844.2084	230.1716	8971.3634	4741.1873
300	J[440]	SLU-1	1	1	1	1	-115.7323	98607.4457	243.3542	8971.3634	4741.1873
305	I[437]	SLU-1	1	1	1	1	315.7865	94785.0387	464.8707	8971.3634	4741.1873
305	J[453]	SLU-1	1	1	1	1	315.7865	94021.8174	478.0533	8971.3634	4741.1873
306	I[438]	SLU-1	1	1	1	1	17.0578	128270.87	585.8639	8971.3634	4741.1873
306	J[454]	SLU-1	1	1	1	1	17.0578	127210.7809	599.0464	8971.3634	4741.1873
307	I[439]	SLU-1	1	1	1	1	-11.1808	129770.5771	590.2878	8971.3634	4741.1873
307	J[455]	SLU-1	1	1	1	1	-11.1808	128706.1381	603.4704	8971.3634	4741.1873

308	I[440]	SLU-1	1	1	1	1	-91.8888	99015.4136	363.4891	8971.3634	4741.1873
308	J[456]	SLU-1	1	1	1	1	-91.8888	98353.561	376.6717	8971.3634	4741.1873
313	I[453]	SLU-1	1	1	1	1	311.6664	94438.1993	581.275	8971.3634	4741.1873
313	J[101]	SLU-1	1	1	1	1	311.6664	93266.8157	594.4576	8971.3634	4741.1873
314	I[454]	SLU-1	1	1	1	1	13.4162	127681.4638	704.1871	8971.3634	4741.1873
314	J[102]	SLU-1	1	1	1	1	13.4162	126035.4159	717.3696	8971.3634	4741.1873
315	I[455]	SLU-1	1	1	1	1	-14.2561	129167.7303	711.1166	8971.3634	4741.1873
315	J[103]	SLU-1	1	1	1	1	-14.2561	127514.7544	724.2992	8971.3634	4741.1873
316	I[456]	SLU-1	1	1	1	1	-96.3802	98628.7029	498.6078	8971.3634	4741.1873
316	J[104]	SLU-1	1	1	1	1	-96.3802	97539.9591	511.7903	8971.3634	4741.1873
321	I[477]	SLU-1	1	1	1	1	310.8448	92295.0884	809.1291	8971.3634	4741.1873
321	J[493]	SLU-1	1	1	1	1	310.8448	90187.1907	822.3117	8971.3634	4741.1873
322	I[478]	SLU-1	1	1	1	1	5.9717	124867.2695	900.273	8971.3634	4741.1873
322	J[494]	SLU-1	1	1	1	1	5.9717	122181.4477	913.4556	8971.3634	4741.1873
323	I[479]	SLU-1	1	1	1	1	-20.3056	126319.7419	936.1401	8971.3634	4741.1873
323	J[495]	SLU-1	1	1	1	1	-20.3056	123597.9587	949.3227	8971.3634	4741.1873
324	I[480]	SLU-1	1	1	1	1	-104.1398	96401.0234	771.0342	8971.3634	4741.1873
324	J[496]	SLU-1	1	1	1	1	-104.1398	94331.2626	784.2168	8971.3634	4741.1873
329	I[493]	SLU-1	1	1	1	1	299.2873	90522.91	925.3821	8971.3634	4741.1873
329	J[509]	SLU-1	1	1	1	1	299.2873	88006.9993	938.5646	8971.3634	4741.1873
330	I[494]	SLU-1	1	1	1	1	1.6839	122605.504	1021.5576	8971.3634	4741.1873
330	J[510]	SLU-1	1	1	1	1	1.6839	119330.7631	1034.7402	8971.3634	4741.1873
331	I[495]	SLU-1	1	1	1	1	-23.8167	124039.0574	1060.4906	8971.3634	4741.1873
331	J[511]	SLU-1	1	1	1	1	-23.8167	120725.2864	1073.6732	8971.3634	4741.1873
332	I[496]	SLU-1	1	1	1	1	-107.0104	94546.3691	904.3609	8971.3634	4741.1873
332	J[512]	SLU-1	1	1	1	1	-107.0104	92051.5088	917.5435	8971.3634	4741.1873
337	I[509]	SLU-1	1	1	1	1	286.5446	88352.5465	1041.3455	8971.3634	4741.1873
337	J[45]	SLU-1	1	1	1	1	286.5446	86928.8494	1047.9368	8971.3634	4741.1873
338	I[510]	SLU-1	1	1	1	1	-2.5528	119765.2566	1144.3008	8971.3634	4741.1873
338	J[46]	SLU-1	1	1	1	1	-2.5528	117892.7999	1150.8921	8971.3634	4741.1873
339	I[511]	SLU-1	1	1	1	1	-26.7653	121156.4371	1186.4162	8971.3634	4741.1873
339	J[47]	SLU-1	1	1	1	1	-26.7653	119262.874	1193.0075	8971.3634	4741.1873
340	I[512]	SLU-1	1	1	1	1	-109.801	92251.5874	1037.2154	8971.3634	4741.1873
340	J[48]	SLU-1	1	1	1	1	-109.801	90829.9648	1043.8067	8971.3634	4741.1873
345	I[525]	SLU-1	1	1	1	1	271.2798	93205.259	1156.7606	9018.2112	4749.5628
345	J[109]	SLU-1	1	1	1	1	271.2798	89616.8941	1168.981	9018.2112	4749.5628
346	I[526]	SLU-1	1	1	1	1	-6.4704	127757.8397	1264.6426	9018.2112	4749.5628
346	J[110]	SLU-1	1	1	1	1	-6.4704	122905.0054	1276.8631	9018.2112	4749.5628
347	I[527]	SLU-1	1	1	1	1	-29.0459	129103.4205	1309.4984	9018.2112	4749.5628
347	J[111]	SLU-1	1	1	1	1	-29.0459	124205.6197	1321.7189	9018.2112	4749.5628
348	I[528]	SLU-1	1	1	1	1	-112.3276	97032.0768	1171.4057	9018.2112	4749.5628
348	J[112]	SLU-1	1	1	1	1	-112.3276	93429.0857	1183.6262	9018.2112	4749.5628
353	I[549]	SLU-1	1	1	1	1	234.6179	86077.1979	1374.8221	9018.2112	4749.5628
353	J[565]	SLU-1	1	1	1	1	234.6179	81503.0245	1387.0426	9018.2112	4749.5628
354	I[550]	SLU-1	1	1	1	1	-14.4926	118337.9543	1477.6649	9018.2112	4749.5628
354	J[566]	SLU-1	1	1	1	1	-14.4926	112317.88	1489.8854	9018.2112	4749.5628
355	I[551]	SLU-1	1	1	1	1	-33.6453	119568.848	1546.5538	9018.2112	4749.5628
355	J[567]	SLU-1	1	1	1	1	-33.6453	113479.538	1558.7743	9018.2112	4749.5628
356	I[552]	SLU-1	1	1	1	1	-117.1167	89604.4787	1434.2808	9018.2112	4749.5628
356	J[568]	SLU-1	1	1	1	1	-117.1167	84971.1804	1446.5012	9018.2112	4749.5628
361	I[565]	SLU-1	1	1	1	1	213.7803	81767.8944	1488.8341	9018.2112	4749.5628
361	J[581]	SLU-1	1	1	1	1	213.7803	76758.8129	1501.0545	9018.2112	4749.5628
362	I[566]	SLU-1	1	1	1	1	-19.6786	112699.4087	1603.7534	9018.2112	4749.5628
362	J[582]	SLU-1	1	1	1	1	-19.6786	106034.1595	1615.9739	9018.2112	4749.5628
363	I[567]	SLU-1	1	1	1	1	-37.1467	113869.8075	1675.9433	9018.2112	4749.5628
363	J[583]	SLU-1	1	1	1	1	-37.1467	107132.0145	1688.1637	9018.2112	4749.5628
364	I[568]	SLU-1	1	1	1	1	-118.1193	85113.5889	1565.8825	9018.2112	4749.5628
364	J[584]	SLU-1	1	1	1	1	-118.1193	80027.7811	1578.1029	9018.2112	4749.5628
369	I[581]	SLU-1	1	1	1	1	191.3765	77018.1767	1602.3759	9018.2112	4749.5628
369	J[597]	SLU-1	1	1	1	1	191.3765	71574.6573	1614.5964	9018.2112	4749.5628
370	I[582]	SLU-1	1	1	1	1	-24.7041	106402.0474	1732.8585	9018.2112	4749.5628
370	J[598]	SLU-1	1	1	1	1	-24.7041	99088.6068	1745.079	9018.2112	4749.5628
371	I[583]	SLU-1	1	1	1	1	-40.3331	107503.8741	1808.9177	9018.2112	4749.5628
371	J[599]	SLU-1	1	1	1	1	-40.3331	100114.0169	1821.1382	9018.2112	4749.5628
372	I[584]	SLU-1	1	1	1	1	-118.6619	80152.4631	1696.5858	9018.2112	4749.5628
372	J[600]	SLU-1	1	1	1	1	-118.6619	74615.0448	1708.8063	9018.2112	4749.5628
377	I[597]	SLU-1	1	1	1	1	167.4704	71809.4832	1715.6719	9018.2112	4749.5628
377	J[117]	SLU-1	1	1	1	1	167.4704	65931.768	1727.8924	9018.2112	4749.5628
378	I[598]	SLU-1	1	1	1	1	-29.5864	99442.1585	1862.0953	9018.2112	4749.5628
378	J[118]	SLU-1	1	1	1	1	-29.5864	91480.399	1874.3158	9018.2112	4749.5628
379	I[599]	SLU-1	1	1	1	1	-43.0696	100461.2229	1941.7819	9018.2112	4749.5628
379	J[119]	SLU-1	1	1	1	1	-43.0696	92419.4093	1954.0024	9018.2112	4749.5628
380	I[600]	SLU-1	1	1	1	1	-119.263	74732.3641	1828.4711	9018.2112	4749.5628
380	J[120]	SLU-1	1	1	1	1	-119.263	68742.1526	1840.6915	9018.2112	4749.5628
385	I[621]	SLU-1	1	1	1	1	115.3871	59997.3714	1915.6039	9018.2112	4749.5628

385	J[29]	SLU-1	1	1	1	1	115.3871	56631.6054	1921.7142	9018.2112	4749.5628
386	I[622]	SLU-1	1	1	1	1	-40.0975	83573.589	2127.1729	9018.2112	4749.5628
386	J[30]	SLU-1	1	1	1	1	-40.0975	79029.1375	2133.2831	9018.2112	4749.5628
387	I[623]	SLU-1	1	1	1	1	-49.1744	84402.8425	2221.0058	9018.2112	4749.5628
387	J[31]	SLU-1	1	1	1	1	-49.1744	79811.1686	2227.116	9018.2112	4749.5628
388	I[624]	SLU-1	1	1	1	1	-119.1088	62405.0197	2074.026	9018.2112	4749.5628
388	J[32]	SLU-1	1	1	1	1	-119.1088	58960.2513	2080.1362	9018.2112	4749.5628
393	I[637]	SLU-1	1	1	1	1	88.0762	80689.4024	2025.3072	9088.483	4762.0187
393	J[653]	SLU-1	1	1	1	1	88.0762	69846.5857	2034.0677	9088.483	4762.0187
394	I[638]	SLU-1	1	1	1	1	-46.9508	119094.6152	2268.2332	9088.483	4762.0187
394	J[654]	SLU-1	1	1	1	1	-46.9508	103435.3045	2276.9937	9088.483	4762.0187
395	I[639]	SLU-1	1	1	1	1	-54.4304	119825.9428	2366.5269	9088.483	4762.0187
395	J[655]	SLU-1	1	1	1	1	-54.4304	104067.7174	2375.2874	9088.483	4762.0187
396	I[640]	SLU-1	1	1	1	1	-117.4488	82876.7929	2201.5481	9088.483	4762.0187
396	J[656]	SLU-1	1	1	1	1	-117.4488	71858.5607	2210.3086	9088.483	4762.0187
401	I[653]	SLU-1	1	1	1	1	53.4724	70055.4183	2133.0935	9088.483	4762.0187
401	J[669]	SLU-1	1	1	1	1	53.4724	58599.4584	2141.854	9088.483	4762.0187
402	I[654]	SLU-1	1	1	1	1	-54.1329	103707.4627	2413.8183	9088.483	4762.0187
402	J[670]	SLU-1	1	1	1	1	-54.1329	87040.2616	2422.5788	9088.483	4762.0187
403	I[655]	SLU-1	1	1	1	1	-60.1314	104337.5756	2517.363	9088.483	4762.0187
403	J[671]	SLU-1	1	1	1	1	-60.1314	87566.6697	2526.1235	9088.483	4762.0187
404	I[656]	SLU-1	1	1	1	1	-114.5308	71910.287	2326.0963	9088.483	4762.0187
404	J[672]	SLU-1	1	1	1	1	-114.5308	60262.1592	2334.8568	9088.483	4762.0187
409	I[669]	SLU-1	1	1	1	1	24.6296	58765.4996	2241.7196	9088.483	4762.0187
409	J[125]	SLU-1	1	1	1	1	24.6296	46695.5563	2250.4801	9088.483	4762.0187
410	I[670]	SLU-1	1	1	1	1	-61.0854	87278.8223	2563.5697	9088.483	4762.0187
410	J[126]	SLU-1	1	1	1	1	-61.0854	69599.5597	2572.3302	9088.483	4762.0187
411	I[671]	SLU-1	1	1	1	1	-65.796	87799.5282	2672.2815	9088.483	4762.0187
411	J[127]	SLU-1	1	1	1	1	-65.796	70010.864	2681.042	9088.483	4762.0187
412	I[672]	SLU-1	1	1	1	1	-110.8802	60306.2552	2451.6775	9088.483	4762.0187
412	J[128]	SLU-1	1	1	1	1	-110.8802	48027.1981	2460.438	9088.483	4762.0187
417	I[693]	SLU-1	1	1	1	1	-34.7504	34256.3272	2411.805	9088.483	4762.0187
417	J[709]	SLU-1	1	1	1	1	-34.7504	20916.2568	2420.5655	9088.483	4762.0187
418	I[694]	SLU-1	1	1	1	1	-74.751	51194.514	2929.3495	9088.483	4762.0187
418	J[710]	SLU-1	1	1	1	1	-74.751	31400.0432	2938.11	9088.483	4762.0187
419	I[695]	SLU-1	1	1	1	1	-77.4002	51487.6709	3039.1052	9088.483	4762.0187
419	J[711]	SLU-1	1	1	1	1	-77.4002	31584.2295	3047.8657	9088.483	4762.0187
420	I[696]	SLU-1	1	1	1	1	-101.1436	35106.2859	2666.2284	9088.483	4762.0187
420	J[712]	SLU-1	1	1	1	1	-101.1436	21511.8786	2674.9889	9088.483	4762.0187
425	I[709]	SLU-1	1	1	1	1	-63.4078	21019.8219	2524.5343	9088.483	4762.0187
425	J[725]	SLU-1	1	1	1	1	-63.4078	7061.6383	2533.2948	9088.483	4762.0187
426	I[710]	SLU-1	1	1	1	1	-82.0295	31509.2631	3104.8659	9088.483	4762.0187
426	J[726]	SLU-1	1	1	1	1	-82.0295	10676.9347	3113.6264	9088.483	4762.0187
427	I[711]	SLU-1	1	1	1	1	-83.7718	31690.6075	3222.1526	9088.483	4762.0187
427	J[727]	SLU-1	1	1	1	1	-83.7718	10741.8327	3230.9131	9088.483	4762.0187
428	I[712]	SLU-1	1	1	1	1	-95.9474	21516.1637	2791.725	9088.483	4762.0187
428	J[728]	SLU-1	1	1	1	1	-95.9474	7290.9112	2800.4855	9088.483	4762.0187
433	I[725]	SLU-1	1	1	1	1	-86.8936	7128.9885	2622.2041	9088.483	4762.0187
433	J[13]	SLU-1	1	3	4	4	-86.8936	304.2849	2626.5844	9088.483	4762.0187
434	I[726]	SLU-1	1	1	1	1	-88.6847	10726.3651	3265.4732	9088.483	4762.0187
434	J[14]	SLU-1	1	3	4	4	-88.6847	315.5839	3269.8534	9088.483	4762.0187
435	I[727]	SLU-1	1	1	1	1	-89.6056	10788.8652	3391.0955	9088.483	4762.0187
435	J[15]	SLU-1	1	3	4	4	-89.6056	318.457	3395.4758	9088.483	4762.0187
436	I[728]	SLU-1	1	1	1	1	-91.4244	7286.8636	2904.2549	9088.483	4762.0187
436	J[16]	SLU-1	1	3	4	4	-91.4244	317.6436	2908.6351	9088.483	4762.0187

13.2.2.3 VERIFICA DI INSTABILITA' FLESSO-TORSIONALE

Elem	part	Lcom	Sect. Class	N_Ed (kN)	M_Ed (kN*m)	Nb,Rd (kN)	Mb,Rd (kN*m)	Mcr (kN*m)	Interaction Ratio
5	I[38]	SLU-1	1	8.2438	16330.3112	95251.0884	46152.402	1149.1213	0.3539
5	J[350]	SLU-1	1	7.591	16570.0104	95251.0884	46152.402	1149.1213	0.3591
6	I[39]	SLU-1	1	-4.1831	17685.4934	95251.0884	46152.402	1148.9895	0.3832
6	J[351]	SLU-1	1	-5.0685	17938.9581	95251.0884	46152.402	1148.9895	0.3887
7	I[40]	SLU-1	1	-95.5668	18387.8061	83659.2517	44674.6044	1139.3062	0.4127
7	J[352]	SLU-1	1	-95.1799	18696.1584	83659.2517	44674.6044	1139.3062	0.4196
8	I[37]	SLU-1	1	299.8457	15262.0015	83659.2517	44674.6044	1139.6063	0.3452
8	J[349]	SLU-1	1	301.511	15532.56	83659.2517	44674.6044	1139.6063	0.3513
17	I[38]	SLU-1	1	8.2438	16330.5695	92529.4218	43310.1898	940.3281	0.3771
17	J[334]	SLU-1	1	8.2438	16170.3152	92529.4218	43310.1898	940.3281	0.3734

18	I[39]	SLU-1	1	-4.1831	17685.6488	92529.4218	43310.1898	940.3623	0.4084
18	J[335]	SLU-1	1	-4.1831	17507.0201	92529.4218	43310.1898	940.3623	0.4043
19	I[47]	SLU-1	1	-49.5141	17592.3235	92529.4218	43310.1898	940.5316	0.4067
19	J[527]	SLU-1	1	-49.5141	17405.795	92529.4218	43310.1898	940.5316	0.4024
20	I[46]	SLU-1	1	-37.5175	16235.6918	92529.4218	43310.1898	940.5115	0.3753
20	J[526]	SLU-1	1	-37.5175	16067.2627	92529.4218	43310.1898	940.5115	0.3714
21	I[45]	SLU-1	1	253.3297	15168.0937	80937.585	41928.56	932.9029	0.3649
21	J[525]	SLU-1	1	252.5827	14968.3579	80937.585	41928.56	932.9029	0.3601
22	I[37]	SLU-1	1	299.8457	15264.3928	80937.585	41928.56	932.6955	0.3678
22	J[333]	SLU-1	1	299.0987	15073.1846	80937.585	41928.56	932.6955	0.3632
23	I[40]	SLU-1	1	-95.5668	18387.1079	80937.585	41928.56	932.8727	0.4397
23	J[336]	SLU-1	1	-95.9508	18143.293	80937.585	41928.56	932.8727	0.4339
24	I[48]	SLU-1	1	-140.5438	18297.9254	80937.585	41928.56	933.0399	0.4381
24	J[528]	SLU-1	1	-140.9278	18046.4492	80937.585	41928.56	933.0399	0.4322
33	I[6]	SLV-7	4	-103.9021	-181.3808	27177.4476	16274.9864	310.6013	0.015
33	J[134]	SLU-1	1	48.4828	1197.0381	82741.5646	32886.1716	597.1734	0.037
34	I[7]	SLV-7	4	-106.1711	-186.2029	27177.4476	16274.9864	307.1138	0.0153
34	J[135]	SLU-1	1	45.954	1254.7652	82741.5646	32886.1716	599.3983	0.0387
35	I[30]	SLU-1	1	-63.1223	10579.4563	82741.5646	32886.1716	360.4781	0.3225
35	J[638]	SLU-1	1	-62.7112	10129.2799	82741.5646	32886.1716	360.4781	0.3088
36	I[31]	SLU-1	1	-72.4346	11334.9989	82741.5646	32886.1716	360.5276	0.3455
36	J[639]	SLU-1	1	-72.2816	10843.4966	82741.5646	32886.1716	360.5276	0.3306
37	I[32]	SLU-1	1	-143.0603	10839.4065	71149.7279	31901.6803	359.1097	0.3418
37	J[640]	SLU-1	1	-142.7545	10232.8365	71149.7279	31901.6803	359.1097	0.3228
38	I[8]	SLV-7	4	-106.3511	-186.5888	26656.781	15269.0829	313.0078	0.0162
38	J[136]	SLU-1	1	43.8452	1063.6848	71149.7279	31901.6803	589.3884	0.034
39	I[5]	SLV-1	1	181.8895	408.1552	71149.7279	31901.6803	472.824	0.0154
39	J[133]	SLU-1	1	54.333	941.995	71149.7279	31901.6803	581.7353	0.0303
40	I[29]	SLU-1	1	87.0313	8975.8758	71149.7279	31901.6803	358.5349	0.2826
40	J[637]	SLU-1	1	83.7502	8519.3982	71149.7279	31901.6803	358.5349	0.2682
61	I[69]	SLU-1	1	132.5999	5150.9259	71149.7279	31901.6803	194.7238	0.1633
61	J[189]	SLU-1	1	135.7296	6437.5604	71149.7279	31901.6803	194.7238	0.2037
62	I[70]	SLU-1	1	45.7399	6503.3743	82741.5646	32886.1716	195.0386	0.1983
62	J[190]	SLU-1	1	45.6254	7923.9684	82741.5646	32886.1716	195.0386	0.2415
64	I[71]	SLU-1	1	39.8186	6894.9006	82741.5646	32886.1716	195.1803	0.2101
64	J[191]	SLU-1	1	39.5415	8428.4779	82741.5646	32886.1716	195.1803	0.2568
66	I[72]	SLU-1	1	-5.7712	6105.1822	71149.7279	31901.6803	194.791	0.1915
66	J[192]	SLU-1	1	-6.5175	7642.5613	71149.7279	31901.6803	194.791	0.2397
75	I[77]	SLU-1	1	212.8	10748.1151	80937.585	41928.56	487.8114	0.259
75	J[237]	SLU-1	1	209.2724	9788.4711	80937.585	41928.56	487.8114	0.236
76	I[78]	SLU-1	1	42.1474	12350.8999	92529.4218	43310.1898	489.9534	0.2856
76	J[238]	SLU-1	1	43.0442	11401.6673	92529.4218	43310.1898	489.9534	0.2637
78	I[79]	SLU-1	1	29.5946	13245.3661	92529.4218	43310.1898	494.0179	0.3061
78	J[239]	SLU-1	1	30.7948	12206.5599	92529.4218	43310.1898	490.1532	0.2822
80	I[80]	SLU-1	1	-46.6159	12898.1256	80937.585	41928.56	488.0422	0.3082
80	J[240]	SLU-1	1	-46.6814	11724.9183	80937.585	41928.56	488.0422	0.2802
89	I[85]	SLU-1	1	282.5631	14528.1648	80937.585	41928.56	474.584	0.35
89	J[309]	SLU-1	1	280.3074	13930.7431	80937.585	41928.56	474.584	0.3357
90	I[86]	SLU-1	1	27.5842	15726.0005	92529.4218	43310.1898	481.2826	0.3634
90	J[310]	SLU-1	1	28.0594	15219.8797	92529.4218	43310.1898	477.0082	0.3517
92	I[87]	SLU-1	1	6.2867	16993.6635	92529.4218	43310.1898	481.3072	0.3924
92	J[311]	SLU-1	1	6.9441	16413.2164	92529.4218	43310.1898	477.5392	0.379
94	I[88]	SLU-1	1	-83.9373	17496.7282	80937.585	41928.56	474.6446	0.4183
94	J[312]	SLU-1	1	-83.917	16768.2008	80937.585	41928.56	474.6446	0.401
103	I[93]	SLU-1	1	314.3457	16406.8742	83659.2517	44674.6044	568.0028	0.371
103	J[405]	SLU-1	1	314.7536	16557.6401	83659.2517	44674.6044	568.0028	0.3744
104	I[94]	SLU-1	1	-6.7256	17313.6572	95251.0884	46152.402	573.1769	0.3752
104	J[406]	SLU-1	1	-7.6231	17446.4204	95251.0884	46152.402	573.1769	0.3781
106	I[95]	SLU-1	1	-22.0168	18751.52	95251.0884	46152.402	573.1474	0.4065
106	J[407]	SLU-1	1	-23.0589	18893.6821	95251.0884	46152.402	573.1474	0.4096
108	I[96]	SLU-1	1	-115.4283	19785.322	83659.2517	44674.6044	567.957	0.4443
108	J[408]	SLU-1	1	-115.0191	19962.1152	83659.2517	44674.6044	567.957	0.4482
117	I[101]	SLU-1	1	290.6119	16367.6163	83659.2517	44674.6044	569.7385	0.3698
117	J[477]	SLU-1	1	289.9444	16143.3737	83659.2517	44674.6044	569.7385	0.3648
118	I[102]	SLU-1	1	-25.7002	17274.8036	95251.0884	46152.402	574.4589	0.3746
118	J[478]	SLU-1	1	-25.6053	17077.6893	95251.0884	46152.402	574.4589	0.3703
120	I[103]	SLU-1	1	-40.5134	18713.0898	95251.0884	46152.402	574.4861	0.4059
120	J[479]	SLU-1	1	-40.2421	18495.7796	95251.0884	46152.402	574.4861	0.4012
122	I[104]	SLU-1	1	-133.1173	19748.3182	83659.2517	44674.6044	569.8022	0.4436
122	J[480]	SLU-1	1	-133.5884	19469.986	83659.2517	44674.6044	569.8022	0.4374
131	I[109]	SLU-1	1	220.5777	14408.2826	80937.585	41928.56	474.829	0.3464
131	J[549]	SLU-1	1	218.322	13793.8123	80937.585	41928.56	474.829	0.3317
132	I[110]	SLU-1	1	-33.4261	15607.6875	92529.4218	43310.1898	481.5124	0.3607
132	J[550]	SLU-1	1	-32.9508	15085.2376	92529.4218	43310.1898	477.2189	0.3487
134	I[111]	SLU-1	1	-54.1507	16877.119	92529.4218	43310.1898	481.5209	0.3903

134	J[551]	SLU-1	1	-53.4932	16280.8264	92529.4218	43310.1898	477.737	0.3765
136	I[112]	SLU-1	1	-143.9513	17385.4695	80937.585	41928.56	474.8424	0.4164
136	J[552]	SLU-1	1	-143.9309	16641.6283	80937.585	41928.56	474.8424	0.3987
145	I[117]	SLU-1	1	112.2525	10548.1118	80937.585	41928.56	488.342	0.253
145	J[621]	SLU-1	1	108.725	9571.6517	80937.585	41928.56	488.342	0.2296
146	I[118]	SLU-1	1	-57.1117	12153.6425	92529.4218	43310.1898	490.3935	0.2812
146	J[622]	SLU-1	1	-56.2149	11188.1048	92529.4218	43310.1898	490.3935	0.2589
148	I[119]	SLU-1	1	-68.705	13050.7654	92529.4218	43310.1898	494.4689	0.3021
148	J[623]	SLU-1	1	-67.5048	11996.0514	92529.4218	43310.1898	490.5684	0.2777
150	I[120]	SLU-1	1	-144.1106	12712.5316	80937.585	41928.56	488.4819	0.305
150	J[624]	SLU-1	1	-144.176	11523.818	80937.585	41928.56	488.4819	0.2766
159	I[125]	SLU-1	1	-26.0688	4869.7135	71149.7279	31901.6803	203.352	0.153
159	J[693]	SLU-1	1	-28.816	3538.877	71149.7279	31901.6803	202.4118	0.1113
160	I[126]	SLU-1	1	-90.8596	6226.1458	82741.5646	32886.1716	203.0751	0.1904
160	J[694]	SLU-1	1	-91.0484	4604.8186	82741.5646	32886.1716	203.0751	0.1411
162	I[127]	SLU-1	1	-94.5888	6620.6099	82741.5646	32886.1716	204.7356	0.2025
162	J[695]	SLU-1	1	-94.537	4893.9031	82741.5646	32886.1716	203.0916	0.15
164	I[128]	SLU-1	1	-128.3154	5839.0364	71149.7279	31901.6803	202.9045	0.1848
164	J[696]	SLU-1	1	-127.4045	4234.5928	71149.7279	31901.6803	202.5396	0.1345
169	I[133]	SLU-1	1	69.3657	940.1	71149.7279	31901.6803	250.2528	0.0304
169	J[149]	SLU-1	1	70.1026	2437.7802	71149.7279	31901.6803	250.2528	0.0774
170	I[134]	SLU-1	1	47.4434	1195.3003	82741.5646	32886.1716	252.5723	0.0369
170	J[150]	SLU-1	1	47.4292	3139.7197	82741.5646	32886.1716	252.5723	0.096
171	I[135]	SLU-1	1	44.1931	1252.9164	82741.5646	32886.1716	252.757	0.0386
171	J[151]	SLU-1	1	44.1837	3314.9905	82741.5646	32886.1716	252.757	0.1013
172	I[136]	SLU-1	1	32.8696	1063.7894	71149.7279	31901.6803	250.9762	0.0338
172	J[152]	SLU-1	1	31.8514	2836.0278	71149.7279	31901.6803	250.9762	0.0893
177	I[149]	SLU-1	1	89.1807	2435.7291	71149.7279	31901.6803	215.1129	0.0776
177	J[165]	SLU-1	1	91.0537	3839.8587	71149.7279	31901.6803	215.1129	0.1216
178	I[150]	SLU-1	1	46.7462	3137.7459	82741.5646	32886.1716	216.3498	0.096
178	J[166]	SLU-1	1	47.0033	4902.9189	82741.5646	32886.1716	216.3498	0.1497
179	I[151]	SLU-1	1	42.7574	3312.9571	82741.5646	32886.1716	216.4246	0.1013
179	J[167]	SLU-1	1	42.9733	5188.5879	82741.5646	32886.1716	216.4246	0.1583
180	I[152]	SLU-1	1	20.2635	2836.1324	71149.7279	31901.6803	215.521	0.0892
180	J[168]	SLU-1	1	19.1943	4517.6335	71149.7279	31901.6803	215.521	0.1419
185	I[165]	SLU-1	1	110.1448	3837.7136	71149.7279	31901.6803	201.0653	0.1218
185	J[69]	SLU-1	1	112.892	5152.896	71149.7279	31901.6803	201.0653	0.1631
186	I[166]	SLU-1	1	46.5524	4900.8222	82741.5646	32886.1716	201.9801	0.1496
186	J[70]	SLU-1	1	46.7412	6505.9152	82741.5646	32886.1716	201.9801	0.1984
187	I[167]	SLU-1	1	41.7213	5186.4914	82741.5646	32886.1716	202.0501	0.1582
187	J[71]	SLU-1	1	41.6695	6897.3296	82741.5646	32886.1716	202.0501	0.2102
188	I[168]	SLU-1	1	7.5308	4517.7333	71149.7279	31901.6803	201.37	0.1417
188	J[72]	SLU-1	1	6.6199	6105.3977	71149.7279	31901.6803	201.37	0.1915
193	I[189]	SLU-1	1	153.6582	6435.4313	71149.7279	31901.6803	190.461	0.2039
193	J[205]	SLU-1	1	156.9036	7638.1417	71149.7279	31901.6803	190.461	0.2416
194	I[190]	SLU-1	1	44.8775	7921.8684	82741.5646	32886.1716	190.9032	0.2414
194	J[206]	SLU-1	1	45.1778	9207.221	82741.5646	32886.1716	190.9032	0.2805
195	I[191]	SLU-1	1	37.8001	8426.5053	82741.5646	32886.1716	191.0116	0.2567
195	J[207]	SLU-1	1	37.5583	9818.2727	82741.5646	32886.1716	191.0116	0.299
196	I[192]	SLU-1	1	-17.3273	7642.6712	71149.7279	31901.6803	190.5637	0.2398
196	J[208]	SLU-1	1	-17.746	9091.2663	71149.7279	31901.6803	190.5637	0.2852
201	I[205]	SLU-1	1	173.6159	7636.1445	71149.7279	31901.6803	187.4981	0.2418
201	J[221]	SLU-1	1	176.7773	8757.5444	71149.7279	31901.6803	187.4981	0.277
202	I[206]	SLU-1	1	44.4792	9205.2146	82741.5646	32886.1716	188.0087	0.2804
202	J[222]	SLU-1	1	44.8682	10363.4453	82741.5646	32886.1716	188.0087	0.3157
203	I[207]	SLU-1	1	35.6819	9816.4192	82741.5646	32886.1716	188.0947	0.2989
203	J[223]	SLU-1	1	35.6365	11074.0038	82741.5646	32886.1716	188.0947	0.3372
204	I[208]	SLU-1	1	-27.8924	9091.3614	71149.7279	31901.6803	187.6188	0.2854
204	J[224]	SLU-1	1	-28.4309	10452.5731	71149.7279	31901.6803	187.6188	0.328
209	I[221]	SLU-1	1	191.99	8755.7298	71149.7279	31901.6803	358.2623	0.2772
209	J[21]	SLU-1	1	195.2711	9203.8262	71149.7279	31901.6803	358.2623	0.2913
210	I[222]	SLU-1	1	44.2177	10361.5767	82741.5646	32886.1716	360.2578	0.3156
210	J[22]	SLU-1	1	43.8066	10803.6077	82741.5646	32886.1716	360.2578	0.329
211	I[223]	SLU-1	1	33.6075	11072.622	82741.5646	32886.1716	360.3195	0.3371
211	J[23]	SLU-1	1	33.4545	11556.1702	82741.5646	32886.1716	360.3195	0.3518
212	I[224]	SLU-1	1	-37.7806	10452.6565	71149.7279	31901.6803	358.8763	0.3282
212	J[24]	SLU-1	1	-38.0864	11051.4409	71149.7279	31901.6803	358.8763	0.347
217	I[237]	SLU-1	1	195.2711	9790.4766	80937.585	41928.56	956.5377	0.2359
217	J[21]	SLU-1	1	195.2711	9197.9335	80937.585	41928.56	956.5377	0.2218
218	I[238]	SLU-1	1	44.0233	11403.4043	92529.4218	43310.1898	962.4858	0.2638
218	J[22]	SLU-1	1	43.8066	10801.7352	92529.4218	43310.1898	962.4858	0.2499
219	I[239]	SLU-1	1	33.2394	12207.7419	92529.4218	43310.1898	962.7317	0.2822
219	J[23]	SLU-1	1	33.4545	11554.5864	92529.4218	43310.1898	962.7317	0.2671
220	I[240]	SLU-1	1	-37.995	11724.5347	80937.585	41928.56	955.5791	0.2801
220	J[24]	SLU-1	1	-38.0864	11051.9715	80937.585	41928.56	955.5791	0.2641

225	I[261]	SLU-1	1	230.2045	11664.6734	80937.585	41928.56	484.4588	0.281
225	J[77]	SLU-1	1	226.768	10746.2988	80937.585	41928.56	484.4588	0.2591
226	I[262]	SLU-1	1	38.721	13208.8331	92529.4218	43310.1898	486.6054	0.3054
226	J[78]	SLU-1	1	40.199	12348.9748	92529.4218	43310.1898	486.6054	0.2856
227	I[263]	SLU-1	1	24.2885	14184.84	92529.4218	43310.1898	486.7508	0.3278
227	J[79]	SLU-1	1	26.1869	13244.0517	92529.4218	43310.1898	486.7508	0.3061
228	I[264]	SLU-1	1	-54.979	14002.6885	80937.585	41928.56	484.4802	0.3346
228	J[80]	SLU-1	1	-55.7373	12898.2572	80937.585	41928.56	484.4802	0.3083
233	I[277]	SLU-1	1	245.4826	12500.2514	80937.585	41928.56	481.3796	0.3012
233	J[261]	SLU-1	1	242.4298	11662.8264	80937.585	41928.56	481.3796	0.2812
234	I[278]	SLU-1	1	35.6978	13971.2527	92529.4218	43310.1898	483.6716	0.323
234	J[262]	SLU-1	1	36.5264	13207.3	92529.4218	43310.1898	483.6716	0.3053
235	I[279]	SLU-1	1	19.3696	15024.1257	92529.4218	43310.1898	483.8229	0.3471
235	J[263]	SLU-1	1	20.599	14183.8949	92529.4218	43310.1898	483.8229	0.3277
236	I[280]	SLU-1	1	-62.3642	15015.8793	80937.585	41928.56	481.4473	0.3589
236	J[264]	SLU-1	1	-62.7565	14003.0716	80937.585	41928.56	481.4473	0.3347
241	I[293]	SLU-1	1	259.7284	13256.3793	80937.585	41928.56	478.793	0.3194
241	J[277]	SLU-1	1	256.5295	12498.5586	80937.585	41928.56	478.793	0.3013
242	I[294]	SLU-1	1	33.0675	14639.2518	92529.4218	43310.1898	481.1672	0.3384
242	J[278]	SLU-1	1	33.2917	13969.8288	92529.4218	43310.1898	481.1672	0.3229
243	I[295]	SLU-1	1	14.9302	15764.1874	92529.4218	43310.1898	481.3246	0.3641
243	J[279]	SLU-1	1	15.5175	15023.2745	92529.4218	43310.1898	481.3246	0.347
244	I[296]	SLU-1	1	-70.0434	15937.963	80937.585	41928.56	478.8907	0.381
244	J[280]	SLU-1	1	-69.8215	15016.2451	80937.585	41928.56	478.8907	0.359
249	I[309]	SLU-1	1	271.8273	13932.0738	80937.585	41928.56	476.5493	0.3356
249	J[293]	SLU-1	1	269.5682	13254.8534	80937.585	41928.56	476.5493	0.3195
250	I[310]	SLU-1	1	30.7306	15221.0494	92529.4218	43310.1898	479.0543	0.3518
250	J[294]	SLU-1	1	30.577	14637.9422	92529.4218	43310.1898	479.0543	0.3383
251	I[311]	SLU-1	1	10.8938	16413.8721	92529.4218	43310.1898	479.2223	0.3791
251	J[295]	SLU-1	1	11.0714	15763.4265	92529.4218	43310.1898	479.2223	0.3641
252	I[312]	SLU-1	1	-77.1195	16767.8701	80937.585	41928.56	476.6752	0.4009
252	J[296]	SLU-1	1	-77.1941	15938.3078	80937.585	41928.56	476.6752	0.3811
257	I[333]	SLU-1	1	293.2859	15074.1495	80937.585	41928.56	472.9349	0.3631
257	J[85]	SLU-1	1	290.1983	14527.0863	80937.585	41928.56	472.9349	0.3501
258	I[334]	SLU-1	1	23.4782	16170.1783	92529.4218	43310.1898	479.9399	0.3736
258	J[86]	SLU-1	1	21.9461	15699.5327	92529.4218	43310.1898	476.1334	0.3627
259	I[335]	SLU-1	1	0.3194	17507.4171	92529.4218	43310.1898	476.1359	0.4042
259	J[87]	SLU-1	1	1.8326	16992.9855	92529.4218	43310.1898	476.1359	0.3924
260	I[336]	SLU-1	1	-90.2844	18142.98	80937.585	41928.56	472.8281	0.4338
260	J[88]	SLU-1	1	-90.7421	17496.879	80937.585	41928.56	472.8281	0.4184
265	I[349]	SLU-1	1	305.9041	15531.7843	83659.2517	44674.6044	572.9642	0.3513
265	J[365]	SLU-1	1	307.5265	15909.0572	83659.2517	44674.6044	572.9642	0.3598
266	I[350]	SLU-1	1	3.9821	16569.346	95251.0884	46152.402	577.3461	0.3591
266	J[366]	SLU-1	1	3.9136	16889.5072	95251.0884	46152.402	577.3461	0.366
267	I[351]	SLU-1	1	-9.4236	17938.6764	95251.0884	46152.402	577.3114	0.3888
267	J[367]	SLU-1	1	-9.7162	18284.982	95251.0884	46152.402	577.3114	0.3963
268	I[352]	SLU-1	1	-100.6234	18696.5124	83659.2517	44674.6044	573.0127	0.4197
268	J[368]	SLU-1	1	-100.6547	19156.3358	83659.2517	44674.6044	573.0127	0.43
273	I[365]	SLU-1	1	310.5418	15908.5012	83659.2517	44674.6044	571.1966	0.3598
273	J[381]	SLU-1	1	311.5946	16200.1469	83659.2517	44674.6044	571.1966	0.3663
274	I[366]	SLU-1	1	0.4168	16888.9749	95251.0884	46152.402	575.7077	0.3659
274	J[382]	SLU-1	1	0.7545	17133.4865	95251.0884	46152.402	575.7077	0.3712
275	I[367]	SLU-1	1	-13.7984	18284.7515	95251.0884	46152.402	575.6893	0.3963
275	J[383]	SLU-1	1	-13.6663	18550.302	95251.0884	46152.402	575.6893	0.4021
276	I[368]	SLU-1	1	-105.9163	19156.6732	83659.2517	44674.6044	571.3194	0.4301
276	J[384]	SLU-1	1	-106.1252	19521.7535	83659.2517	44674.6044	571.3194	0.4382
281	I[381]	SLU-1	1	313.2118	16199.8068	83659.2517	44674.6044	569.5288	0.3664
281	J[93]	SLU-1	1	313.8793	16406.9947	83659.2517	44674.6044	569.5288	0.371
282	I[382]	SLU-1	1	-2.7499	17133.1134	95251.0884	46152.402	574.27	0.3713
282	J[94]	SLU-1	1	-2.8448	17313.8778	95251.0884	46152.402	574.27	0.3752
283	I[383]	SLU-1	1	-17.5938	18550.1352	95251.0884	46152.402	574.3119	0.4021
283	J[95]	SLU-1	1	-17.865	18751.6466	95251.0884	46152.402	574.3119	0.4065
284	I[384]	SLU-1	1	-111.0667	19522.0722	83659.2517	44674.6044	569.6341	0.4383
284	J[96]	SLU-1	1	-110.5956	19785.0721	83659.2517	44674.6044	569.6341	0.4442
289	I[405]	SLU-1	1	313.6573	16557.6967	83659.2517	44674.6044	566.419	0.3744
289	J[421]	SLU-1	1	313.5983	16623.3524	83659.2517	44674.6044	566.419	0.3758
290	I[406]	SLU-1	1	-11.6637	17446.4392	95251.0884	46152.402	571.6976	0.3781
290	J[422]	SLU-1	1	-11.9767	17505.553	95251.0884	46152.402	571.6976	0.3794
291	I[407]	SLU-1	1	-27.2148	18893.7016	95251.0884	46152.402	571.69	0.4097
291	J[423]	SLU-1	1	-27.6105	18957.8257	95251.0884	46152.402	571.69	0.4111
292	I[408]	SLU-1	1	-119.1748	19962.4251	83659.2517	44674.6044	566.4206	0.4483
292	J[424]	SLU-1	1	-118.9571	20042.2372	83659.2517	44674.6044	566.4206	0.45
297	I[421]	SLU-1	1	310.943	16623.6669	83659.2517	44674.6044	565.1758	0.3758
297	J[437]	SLU-1	1	310.943	16615.1435	83659.2517	44674.6044	565.1758	0.3756
298	I[422]	SLU-1	1	-15.8404	17505.7276	95251.0884	46152.402	570.4811	0.3795

298	J[438]	SLU-1	1	-15.8404	17497.5492	95251.0884	46152.402	570.4811	0.3793
299	I[423]	SLU-1	1	-31.4534	18957.8997	95251.0884	46152.402	570.4739	0.4111
299	J[439]	SLU-1	1	-31.4534	18950.0069	95251.0884	46152.402	570.4739	0.4109
300	I[424]	SLU-1	1	-122.9727	20042.5344	83659.2517	44674.6044	565.156	0.4501
300	J[440]	SLU-1	1	-122.9727	20034.8627	83659.2517	44674.6044	565.156	0.4499
305	I[437]	SLU-1	1	305.8397	16615.9096	83659.2517	44674.6044	566.6197	0.3756
305	J[453]	SLU-1	1	305.8988	16533.2044	83659.2517	44674.6044	566.6197	0.3737
306	I[438]	SLU-1	1	-19.6067	17497.9726	95251.0884	46152.402	571.8793	0.3793
306	J[454]	SLU-1	1	-19.2937	17422.5034	95251.0884	46152.402	571.8793	0.3777
307	I[439]	SLU-1	1	-35.168	18950.2295	95251.0884	46152.402	571.8572	0.411
307	J[455]	SLU-1	1	-34.7723	18870.3226	95251.0884	46152.402	571.8572	0.4092
308	I[440]	SLU-1	1	-126.442	20035.1167	83659.2517	44674.6044	566.5815	0.45
308	J[456]	SLU-1	1	-126.6597	19939.9624	83659.2517	44674.6044	566.5815	0.4479
313	I[453]	SLU-1	1	299.2374	16534.2281	83659.2517	44674.6044	568.2066	0.3737
313	J[101]	SLU-1	1	298.8295	16366.4115	83659.2517	44674.6044	568.2066	0.3699
314	I[454]	SLU-1	1	-22.8835	17423.0839	95251.0884	46152.402	573.3613	0.3778
314	J[102]	SLU-1	1	-21.986	17273.9614	95251.0884	46152.402	573.3613	0.3745
315	I[455]	SLU-1	1	-38.1743	18870.6009	95251.0884	46152.402	573.3171	0.4093
315	J[103]	SLU-1	1	-37.1322	18712.6543	95251.0884	46152.402	573.3171	0.4058
316	I[456]	SLU-1	1	-129.9889	19940.2031	83659.2517	44674.6044	568.1204	0.4479
316	J[104]	SLU-1	1	-130.3981	19748.0679	83659.2517	44674.6044	568.1204	0.4436
321	I[477]	SLU-1	1	280.5738	16144.7918	83659.2517	44674.6044	571.4153	0.3647
321	J[493]	SLU-1	1	279.521	15836.0883	83659.2517	44674.6044	571.4153	0.3578
322	I[478]	SLU-1	1	-29.7339	17078.6615	95251.0884	46152.402	575.9037	0.3704
322	J[494]	SLU-1	1	-30.0716	16817.8012	95251.0884	46152.402	575.9037	0.3647
323	I[479]	SLU-1	1	-43.8742	18496.245	95251.0884	46152.402	575.87	0.4012
323	J[495]	SLU-1	1	-44.0063	18214.897	95251.0884	46152.402	575.87	0.3951
324	I[480]	SLU-1	1	-136.1321	19470.2193	83659.2517	44674.6044	571.4951	0.4375
324	J[496]	SLU-1	1	-135.9231	19089.8081	83659.2517	44674.6044	571.4951	0.4289
329	I[493]	SLU-1	1	268.7559	15837.7243	83659.2517	44674.6044	573.1957	0.3577
329	J[509]	SLU-1	1	267.1336	15443.3919	83659.2517	44674.6044	573.1957	0.3489
330	I[494]	SLU-1	1	-34.2101	16818.9297	95251.0884	46152.402	577.5524	0.3648
330	J[510]	SLU-1	1	-34.1416	16482.4191	95251.0884	46152.402	577.5524	0.3575
331	I[495]	SLU-1	1	-47.4847	18215.4261	95251.0884	46152.402	577.5017	0.3952
331	J[511]	SLU-1	1	-47.1922	17853.322	95251.0884	46152.402	577.5017	0.3873
332	I[496]	SLU-1	1	-138.1466	19090.0254	83659.2517	44674.6044	573.1988	0.429
332	J[512]	SLU-1	1	-138.1153	18614.8732	83659.2517	44674.6044	573.1988	0.4183
337	I[509]	SLU-1	1	254.995	15445.2428	83659.2517	44674.6044	1139.8574	0.3488
337	J[45]	SLU-1	1	253.3297	15166.1553	83659.2517	44674.6044	1139.8574	0.3425
338	I[510]	SLU-1	1	-38.1704	16483.6787	95251.0884	46152.402	1149.3437	0.3576
338	J[46]	SLU-1	1	-37.5175	16235.8062	95251.0884	46152.402	1149.3437	0.3522
339	I[511]	SLU-1	1	-50.3996	17853.9016	95251.0884	46152.402	1149.1945	0.3874
339	J[47]	SLU-1	1	-49.5141	17592.5365	95251.0884	46152.402	1149.1945	0.3817
340	I[512]	SLU-1	1	-140.1569	18615.0726	83659.2517	44674.6044	1139.5072	0.4184
340	J[48]	SLU-1	1	-140.5438	18299.0603	83659.2517	44674.6044	1139.5072	0.4113
345	I[525]	SLU-1	1	239.0296	14970.3231	80937.585	41928.56	473.1571	0.36
345	J[109]	SLU-1	1	235.942	14406.1988	80937.585	41928.56	473.1571	0.3465
346	I[526]	SLU-1	1	-41.5247	16068.6415	92529.4218	43310.1898	476.3289	0.3715
346	J[110]	SLU-1	1	-31.4562	15580.6534	92529.4218	43310.1898	476.3289	0.3601
347	I[527]	SLU-1	1	-52.5763	17406.4273	92529.4218	43310.1898	476.3165	0.4025
347	J[111]	SLU-1	1	-51.0631	16876.1934	92529.4218	43310.1898	476.3165	0.3902
348	I[528]	SLU-1	1	-142.7464	18046.6143	80937.585	41928.56	473.0065	0.4322
348	J[112]	SLU-1	1	-143.2041	17385.1942	80937.585	41928.56	473.0065	0.4164
353	I[549]	SLU-1	1	202.1137	13796.1436	80937.585	41928.56	476.8246	0.3315
353	J[565]	SLU-1	1	199.8546	13101.8808	80937.585	41928.56	476.8246	0.315
354	I[550]	SLU-1	1	-37.928	15086.9402	92529.4218	43310.1898	479.2896	0.3488
354	J[566]	SLU-1	1	-38.0816	14487.5051	92529.4218	43310.1898	479.2896	0.3349
355	I[551]	SLU-1	1	-57.1137	16281.7209	92529.4218	43310.1898	479.4421	0.3766
355	J[567]	SLU-1	1	-56.9361	15615.429	92529.4218	43310.1898	479.4421	0.3612
356	I[552]	SLU-1	1	-144.6176	16641.7764	80937.585	41928.56	476.8982	0.3987
356	J[568]	SLU-1	1	-144.6922	15796.8951	80937.585	41928.56	476.8982	0.3785
361	I[565]	SLU-1	1	182.2937	13104.4052	80937.585	41928.56	479.1078	0.3148
361	J[581]	SLU-1	1	179.0948	12329.5576	80937.585	41928.56	479.1078	0.2963
362	I[566]	SLU-1	1	-43.2436	14489.3484	92529.4218	43310.1898	481.4337	0.335
362	J[582]	SLU-1	1	-43.0194	13803.5983	92529.4218	43310.1898	481.4337	0.3192
363	I[567]	SLU-1	1	-60.6507	15616.4269	92529.4218	43310.1898	481.574	0.3612
363	J[583]	SLU-1	1	-60.0634	14859.6641	92529.4218	43310.1898	481.574	0.3437
364	I[568]	SLU-1	1	-145.0252	15797.0305	80937.585	41928.56	479.1464	0.3786
364	J[584]	SLU-1	1	-144.8033	14859.9854	80937.585	41928.56	479.1464	0.3562
369	I[581]	SLU-1	1	160.3339	12332.2434	80937.585	41928.56	481.7468	0.2961
369	J[597]	SLU-1	1	157.2811	11477.8118	80937.585	41928.56	481.7468	0.2757
370	I[582]	SLU-1	1	-48.2702	13805.555	92529.4218	43310.1898	483.9798	0.3193
370	J[598]	SLU-1	1	-47.4415	13025.2772	92529.4218	43310.1898	483.9798	0.3013
371	I[583]	SLU-1	1	-63.7885	14860.7525	92529.4218	43310.1898	484.1119	0.3438
371	J[599]	SLU-1	1	-62.5591	14004.6672	92529.4218	43310.1898	484.1119	0.324

372	I[584]	SLU-1	1	-144.8287	14860.0985	80937.585	41928.56	481.7462	0.3562
372	J[600]	SLU-1	1	-145.221	13831.9457	80937.585	41928.56	481.7462	0.3317
377	I[597]	SLU-1	1	137.3492	11480.6536	80937.585	41928.56	484.8969	0.2755
377	J[117]	SLU-1	1	133.9127	10545.2985	80937.585	41928.56	484.8969	0.2532
378	I[598]	SLU-1	1	-52.9083	13027.3419	92529.4218	43310.1898	486.9698	0.3014
378	J[118]	SLU-1	1	-51.4304	12151.1616	92529.4218	43310.1898	486.9698	0.2811
379	I[599]	SLU-1	1	-66.4507	14005.8504	92529.4218	43310.1898	487.093	0.3241
379	J[119]	SLU-1	1	-64.5523	13049.2038	92529.4218	43310.1898	487.093	0.302
380	I[600]	SLU-1	1	-144.9252	13832.0428	80937.585	41928.56	484.8379	0.3317
380	J[120]	SLU-1	1	-145.6835	12712.2363	80937.585	41928.56	484.8379	0.305
385	I[621]	SLU-1	1	87.0313	9574.6491	80937.585	41928.56	957.2355	0.2294
385	J[29]	SLU-1	1	87.0313	8973.7248	80937.585	41928.56	957.2355	0.2151
386	I[622]	SLU-1	1	-62.9056	11190.3751	92529.4218	43310.1898	963.0582	0.2591
386	J[30]	SLU-1	1	-63.1223	10580.5578	92529.4218	43310.1898	963.0582	0.245
387	I[623]	SLU-1	1	-72.6497	11997.4717	92529.4218	43310.1898	965.0521	0.2778
387	J[31]	SLU-1	1	-72.4346	11336.3602	92529.4218	43310.1898	963.2732	0.2625
388	I[624]	SLU-1	1	-142.9689	11523.9127	80937.585	41928.56	956.1469	0.2766
388	J[32]	SLU-1	1	-143.0603	10843.5646	80937.585	41928.56	956.1469	0.2604
393	I[637]	SLU-1	1	60.851	8521.9394	71149.7279	31901.6803	187.8319	0.268
393	J[653]	SLU-1	1	57.6895	7383.8524	71149.7279	31901.6803	187.8319	0.2323
394	I[638]	SLU-1	1	-69.7343	10131.4672	82741.5646	32886.1716	188.2791	0.3089
394	J[654]	SLU-1	1	-70.1232	8956.9576	82741.5646	32886.1716	188.2791	0.2732
395	I[639]	SLU-1	1	-77.8461	10844.9053	82741.5646	32886.1716	188.351	0.3307
395	J[655]	SLU-1	1	-77.8007	9571.412	82741.5646	32886.1716	188.351	0.292
396	I[640]	SLU-1	1	-140.8821	10232.9744	71149.7279	31901.6803	187.8991	0.3227
396	J[656]	SLU-1	1	-140.3435	8856.1004	71149.7279	31901.6803	187.8991	0.2796
401	I[653]	SLU-1	1	33.2941	7386.575	71149.7279	31901.6803	190.9222	0.232
401	J[669]	SLU-1	1	30.0487	6167.2718	71149.7279	31901.6803	190.9222	0.1937
402	I[654]	SLU-1	1	-77.1009	8959.2814	82741.5646	32886.1716	191.2736	0.2734
402	J[670]	SLU-1	1	-77.4011	7657.6713	82741.5646	32886.1716	191.2736	0.2338
403	I[655]	SLU-1	1	-83.5214	9573.292	82741.5646	32886.1716	191.3635	0.2921
403	J[671]	SLU-1	1	-83.2796	8165.6199	82741.5646	32886.1716	191.3635	0.2493
404	I[656]	SLU-1	1	-137.6716	8856.226	71149.7279	31901.6803	190.9527	0.2795
404	J[672]	SLU-1	1	-137.2529	7391.8506	71149.7279	31901.6803	190.9527	0.2336
409	I[669]	SLU-1	1	4.439	6170.124	71149.7279	31901.6803	195.4081	0.1935
409	J[125]	SLU-1	1	1.3094	4867.0109	71149.7279	31901.6803	195.4081	0.1526
410	I[670]	SLU-1	1	-84.3316	7660.0889	82741.5646	32886.1716	195.5822	0.2339
410	J[126]	SLU-1	1	-84.217	6223.2649	82741.5646	32886.1716	195.5822	0.1903
411	I[671]	SLU-1	1	-89.1384	8167.6201	82741.5646	32886.1716	195.6983	0.2494
411	J[127]	SLU-1	1	-88.8613	6618.1442	82741.5646	32886.1716	195.6983	0.2023
412	I[672]	SLU-1	1	-133.9145	7391.9621	71149.7279	31901.6803	195.3705	0.2336
412	J[128]	SLU-1	1	-133.1683	5838.656	71149.7279	31901.6803	195.3705	0.1849
417	I[693]	SLU-1	1	-55.5895	3541.7469	71149.7279	31901.6803	217.7375	0.1118
417	J[709]	SLU-1	1	-57.4625	2122.1239	71149.7279	31901.6803	217.7375	0.0673
418	I[694]	SLU-1	1	-98.2771	4607.2339	82741.5646	32886.1716	219.9913	0.1413
418	J[710]	SLU-1	1	-98.5342	2825.8752	82741.5646	32886.1716	218.4826	0.0871
419	I[695]	SLU-1	1	-100.8888	4896.0281	82741.5646	32886.1716	218.4554	0.1501
419	J[711]	SLU-1	1	-101.1047	3004.5397	82741.5646	32886.1716	218.4554	0.0926
420	I[696]	SLU-1	1	-123.2058	4234.7135	71149.7279	31901.6803	218.0952	0.1345
420	J[712]	SLU-1	1	-122.1367	2536.2153	71149.7279	31901.6803	217.8134	0.0812
425	I[709]	SLU-1	1	-84.2269	2124.8997	71149.7279	31901.6803	258.8774	0.0678
425	J[725]	SLV-7	4	-214.9165	-322.653	26656.781	15269.0829	120.0031	0.0292
426	I[710]	SLU-1	1	-105.5308	2828.1679	82741.5646	32886.1716	259.5814	0.0873
426	J[726]	SLU-1	1	-105.5166	867.6228	82741.5646	32886.1716	259.5814	0.0277
427	I[711]	SLU-1	1	-107.2825	3006.6018	82741.5646	32886.1716	260.4041	0.0927
427	J[727]	SLU-1	1	-107.2731	928.6806	82741.5646	32886.1716	259.4393	0.0295
428	I[712]	SLU-1	1	-118.0097	2536.3313	71149.7279	31901.6803	258.7396	0.0812
428	J[728]	SLU-1	1	-116.9915	746.8548	71149.7279	31901.6803	258.5407	0.0251
433	I[725]	SLV-7	4	-216.9837	-322.758	26656.781	15269.0829	262.7035	0.0293
433	J[13]	SLV-7	4	-216.9837	-418.0322	26656.781	15269.0829	262.7035	0.0355
434	I[726]	SLU-1	1	-112.2109	869.68	82741.5646	32886.1716	682.378	0.0278
434	J[14]	SLV-7	4	-222.9311	-429.8721	27177.4476	16274.9864	329.2985	0.0346
435	I[727]	SLU-1	1	-113.1163	930.5593	82741.5646	32886.1716	680.6591	0.0297
435	J[15]	SLV-7	4	-224.006	-432.2127	27177.4476	16274.9864	342.9844	0.0348
436	I[728]	SLU-1	1	-113.4714	746.9709	71149.7279	31901.6803	677.9487	0.025
436	J[16]	SLV-7	4	-222.8236	-427.5482	26656.781	15269.0829	325.8444	0.0364

13.2.2.4 VERIFICA DI RESISTENZA DEI CONNETTORI

Elem	part	Lcom	V_L,Ed (kN)	v_L,Ed (kN/m)	P_Rd (kN)	v_L,Rd (kN/m)
5	I[38]	SLU-1	-793.1836	365.1777	81.6563	1224.8441
5	J[350]	SLU-1	-815.9986	375.6816	81.6563	1224.8441
6	I[39]	SLU-1	-835.8356	384.8144	81.6563	1224.8441
6	J[351]	SLU-1	-858.6506	395.3183	81.6563	1224.8441
7	I[40]	SLU-1	-715.4934	320.6615	81.6563	1224.8441
7	J[352]	SLU-1	-733.2459	328.6176	81.6563	1224.8441
8	I[37]	SLU-1	-717.8678	321.7257	81.6563	1224.8441
8	J[349]	SLU-1	-735.6203	329.6818	81.6563	1224.8441
17	I[38]	SLU-1	793.1836	371.8203	81.6563	1224.8441
17	J[334]	SLU-1	770.3686	361.1253	81.6563	1224.8441
18	I[39]	SLU-1	835.8356	391.8142	81.6563	1224.8441
18	J[335]	SLU-1	813.0206	381.1192	81.6563	1224.8441
19	I[47]	SLU-1	851.6361	399.221	81.6563	1224.8441
19	J[527]	SLU-1	828.8211	388.526	81.6563	1224.8441
20	I[46]	SLU-1	809.5343	379.4849	81.6563	1224.8441
20	J[526]	SLU-1	786.7193	368.79	81.6563	1224.8441
21	I[45]	SLU-1	734.928	336.3452	81.6563	1224.8441
21	J[525]	SLU-1	717.1755	328.2206	81.6563	1224.8441
22	I[37]	SLU-1	717.8678	328.5374	81.6563	1224.8441
22	J[333]	SLU-1	700.1153	320.4129	81.6563	1224.8441
23	I[40]	SLU-1	715.4934	327.4508	81.6563	1224.8441
23	J[336]	SLU-1	697.7409	319.3262	81.6563	1224.8441
24	I[48]	SLU-1	730.8153	334.4629	81.6563	1224.8441
24	J[528]	SLU-1	713.0628	326.3384	81.6563	1224.8441
33	I[6]	SLU-1	-2081.5146	1054.4179	81.6563	3266.2511
33	J[134]	SLU-1	-2104.3296	1065.9751	81.6563	3266.2511
34	I[7]	SLU-1	-2207.4081	1118.1908	81.6563	3266.2511
34	J[135]	SLU-1	-2230.2231	1129.748	81.6563	3266.2511
35	I[30]	SLU-1	1343.3001	680.4658	81.6563	3266.2511
35	J[638]	SLU-1	1320.4851	668.9086	81.6563	3266.2511
36	I[31]	SLU-1	1437.0656	727.964	81.6563	3266.2511
36	J[639]	SLU-1	1414.2506	716.4067	81.6563	3266.2511
37	I[32]	SLU-1	1352.4961	674.3395	81.6563	3266.2511
37	J[640]	SLU-1	1334.7436	665.4883	81.6563	3266.2511
38	I[8]	SLU-1	-1845.783	920.2869	81.6563	3266.2511
38	J[136]	SLU-1	-1863.5355	929.1381	81.6563	3266.2511
39	I[5]	SLU-1	-1565.9971	780.7887	81.6563	3266.2511
39	J[133]	SLU-1	-1583.7496	789.6399	81.6563	3266.2511
40	I[29]	SLU-1	1193.9877	595.309	81.6563	3266.2511
40	J[637]	SLU-1	1176.2352	586.4578	81.6563	3266.2511
61	I[69]	SLU-1	-1351.3457	673.7659	81.6563	3266.2511
61	J[189]	SLU-1	-1386.8507	691.4683	81.6563	3266.2511
62	I[70]	SLU-1	-1575.75	798.2163	81.6563	3266.2511
62	J[190]	SLU-1	-1621.38	821.3308	81.6563	3266.2511
64	I[71]	SLU-1	-1684.7266	853.4198	81.6563	3266.2511
64	J[191]	SLU-1	-1730.3566	876.5343	81.6563	3266.2511
66	I[72]	SLU-1	-1561.9418	778.7668	81.6563	3266.2511
66	J[192]	SLU-1	-1597.4468	796.4692	81.6563	3266.2511
75	I[77]	SLU-1	1130.9275	517.5772	81.6563	1224.8441
75	J[237]	SLU-1	1095.4225	501.3281	81.6563	1224.8441
76	I[78]	SLU-1	1272.749	596.6259	81.6563	1224.8441
76	J[238]	SLU-1	1227.119	575.2359	81.6563	1224.8441
78	I[79]	SLU-1	1363.6811	639.2521	81.6563	1224.8441
78	J[239]	SLU-1	1318.0511	617.8621	81.6563	1224.8441
80	I[80]	SLU-1	1269.9886	581.2195	81.6563	1224.8441
80	J[240]	SLU-1	1234.4836	564.9704	81.6563	1224.8441
89	I[85]	SLU-1	840.5679	384.692	81.6563	1224.8441
89	J[309]	SLU-1	805.0629	368.4429	81.6563	1224.8441
90	I[86]	SLU-1	921.9891	432.2003	81.6563	1224.8441
90	J[310]	SLU-1	876.3591	410.8104	81.6563	1224.8441
92	I[87]	SLU-1	988.9029	463.5675	81.6563	1224.8441
92	J[311]	SLU-1	943.2728	442.1775	81.6563	1224.8441
94	I[88]	SLU-1	881.0621	403.2245	81.6563	1224.8441
94	J[312]	SLU-1	845.5571	386.9754	81.6563	1224.8441
103	I[93]	SLU-1	-455.6888	204.2253	81.6563	1224.8441
103	J[405]	SLU-1	-491.1938	220.1375	81.6563	1224.8441
104	I[94]	SLU-1	-553.9811	255.0501	81.6563	1224.8441
104	J[406]	SLU-1	-599.6111	276.0579	81.6563	1224.8441
106	I[95]	SLU-1	-561.4833	258.504	81.6563	1224.8441

106	J[407]	SLU-1	-607.1133	279.5119	81.6563	1224.8441
108	I[96]	SLU-1	-374.7296	167.9419	81.6563	1224.8441
108	J[408]	SLU-1	-410.2346	183.8542	81.6563	1224.8441
117	I[101]	SLU-1	550.6843	246.7993	81.6563	1224.8441
117	J[477]	SLU-1	515.1793	230.887	81.6563	1224.8441
118	I[102]	SLU-1	647.6557	298.1774	81.6563	1224.8441
118	J[478]	SLU-1	602.0257	277.1695	81.6563	1224.8441
120	I[103]	SLU-1	681.34	313.6855	81.6563	1224.8441
120	J[479]	SLU-1	635.71	292.6776	81.6563	1224.8441
122	I[104]	SLU-1	492.0724	220.5313	81.6563	1224.8441
122	J[480]	SLU-1	456.5674	204.6191	81.6563	1224.8441
131	I[109]	SLU-1	857.6162	392.4943	81.6563	1224.8441
131	J[549]	SLU-1	822.1112	376.2452	81.6563	1224.8441
132	I[110]	SLU-1	938.318	439.8548	81.6563	1224.8441
132	J[550]	SLU-1	892.688	418.4649	81.6563	1224.8441
134	I[111]	SLU-1	1004.7455	470.994	81.6563	1224.8441
134	J[551]	SLU-1	959.1155	449.604	81.6563	1224.8441
136	I[112]	SLU-1	896.376	410.233	81.6563	1224.8441
136	J[552]	SLU-1	860.871	393.9839	81.6563	1224.8441
145	I[117]	SLU-1	1147.7441	525.2735	81.6563	1224.8441
145	J[621]	SLU-1	1112.2391	509.0244	81.6563	1224.8441
146	I[118]	SLU-1	1289.0525	604.2684	81.6563	1224.8441
146	J[622]	SLU-1	1243.4225	582.8785	81.6563	1224.8441
148	I[119]	SLU-1	1379.5892	646.7093	81.6563	1224.8441
148	J[623]	SLU-1	1333.9592	625.3193	81.6563	1224.8441
150	I[120]	SLU-1	1285.4954	588.3163	81.6563	1224.8441
150	J[624]	SLU-1	1249.9904	572.0672	81.6563	1224.8441
159	I[125]	SLU-1	1411.3263	703.6716	81.6563	3266.2511
159	J[693]	SLU-1	1375.8213	685.9692	81.6563	3266.2511
160	I[126]	SLU-1	1782.4134	902.9043	81.6563	3266.2511
160	J[694]	SLU-1	1736.7834	879.7898	81.6563	3266.2511
162	I[127]	SLU-1	1886.3507	955.5551	81.6563	3266.2511
162	J[695]	SLU-1	1840.7207	932.4406	81.6563	3266.2511
164	I[128]	SLU-1	1649.3693	822.3572	81.6563	3266.2511
164	J[696]	SLU-1	1613.8643	804.6548	81.6563	3266.2511
169	I[133]	SLU-1	-1494.6979	745.2397	81.6563	3266.2511
169	J[149]	SLU-1	-1530.2029	762.9421	81.6563	3266.2511
170	I[134]	SLU-1	-1952.416	989.0213	81.6563	3266.2511
170	J[150]	SLU-1	-1998.046	1012.1358	81.6563	3266.2511
171	I[135]	SLU-1	-2070.0267	1048.5985	81.6563	3266.2511
171	J[151]	SLU-1	-2115.6567	1071.7129	81.6563	3266.2511
172	I[136]	SLU-1	-1759.9888	877.5109	81.6563	3266.2511
172	J[152]	SLU-1	-1795.4938	895.2133	81.6563	3266.2511
177	I[149]	SLU-1	-1426.0634	711.0194	81.6563	3266.2511
177	J[165]	SLU-1	-1461.5684	728.7218	81.6563	3266.2511
178	I[150]	SLU-1	-1831.2303	927.6331	81.6563	3266.2511
178	J[166]	SLU-1	-1876.8603	950.7476	81.6563	3266.2511
179	I[151]	SLU-1	-1941.3591	983.4203	81.6563	3266.2511
179	J[167]	SLU-1	-1986.9891	1006.5347	81.6563	3266.2511
180	I[152]	SLU-1	-1678.999	837.1302	81.6563	3266.2511
180	J[168]	SLU-1	-1714.504	854.8326	81.6563	3266.2511
185	I[165]	SLU-1	-1360.1681	678.1647	81.6563	3266.2511
185	J[69]	SLU-1	-1395.6731	695.8671	81.6563	3266.2511
186	I[166]	SLU-1	-1720.5495	871.5664	81.6563	3266.2511
186	J[70]	SLU-1	-1766.1795	894.6808	81.6563	3266.2511
187	I[167]	SLU-1	-1824.8521	924.4022	81.6563	3266.2511
187	J[71]	SLU-1	-1870.4821	947.5166	81.6563	3266.2511
188	I[168]	SLU-1	-1597.0856	796.2891	81.6563	3266.2511
188	J[72]	SLU-1	-1632.5906	813.9915	81.6563	3266.2511
193	I[189]	SLU-1	-1286.8718	641.62	81.6563	3266.2511
193	J[205]	SLU-1	-1322.3768	659.3224	81.6563	3266.2511
194	I[190]	SLU-1	-1480.3619	749.8962	81.6563	3266.2511
194	J[206]	SLU-1	-1525.9919	773.0107	81.6563	3266.2511
195	I[191]	SLU-1	-1584.1914	802.4924	81.6563	3266.2511
195	J[207]	SLU-1	-1629.8214	825.6068	81.6563	3266.2511
196	I[192]	SLU-1	-1480.7736	738.2972	81.6563	3266.2511
196	J[208]	SLU-1	-1516.2786	755.9996	81.6563	3266.2511
201	I[205]	SLU-1	-1223.2561	609.9019	81.6563	3266.2511
201	J[221]	SLU-1	-1258.7611	627.6043	81.6563	3266.2511
202	I[206]	SLU-1	-1389.147	703.6902	81.6563	3266.2511
202	J[222]	SLU-1	-1434.777	726.8046	81.6563	3266.2511
203	I[207]	SLU-1	-1487.7428	753.6352	81.6563	3266.2511
203	J[223]	SLU-1	-1533.3728	776.7496	81.6563	3266.2511
204	I[208]	SLU-1	-1400.6089	698.328	81.6563	3266.2511
204	J[224]	SLU-1	-1436.1139	716.0304	81.6563	3266.2511

209	I[221]	SLU-1	-1159.4739	578.1008	81.6563	3266.2511
209	J[21]	SLU-1	-1177.2264	586.952	81.6563	3266.2511
210	I[222]	SLU-1	-1304.1922	660.6552	81.6563	3266.2511
210	J[22]	SLU-1	-1327.0072	672.2124	81.6563	3266.2511
211	I[223]	SLU-1	-1398.3412	708.3476	81.6563	3266.2511
211	J[23]	SLU-1	-1421.1562	719.9049	81.6563	3266.2511
212	I[224]	SLU-1	-1319.1725	657.7247	81.6563	3266.2511
212	J[24]	SLU-1	-1336.925	666.5759	81.6563	3266.2511
217	I[237]	SLU-1	1194.9789	546.8908	81.6563	1224.8441
217	J[21]	SLU-1	1177.2264	538.7663	81.6563	1224.8441
218	I[238]	SLU-1	1349.8222	632.7554	81.6563	1224.8441
218	J[22]	SLU-1	1327.0072	622.0604	81.6563	1224.8441
219	I[239]	SLU-1	1443.9712	676.8896	81.6563	1224.8441
219	J[23]	SLU-1	1421.1562	666.1946	81.6563	1224.8441
220	I[240]	SLU-1	1354.6775	619.978	81.6563	1224.8441
220	J[24]	SLU-1	1336.925	611.8535	81.6563	1224.8441
225	I[261]	SLU-1	1104.4587	505.4636	81.6563	1224.8441
225	J[77]	SLU-1	1068.9537	489.2144	81.6563	1224.8441
226	I[262]	SLU-1	1195.5946	560.4582	81.6563	1224.8441
226	J[78]	SLU-1	1149.9646	539.0683	81.6563	1224.8441
227	I[263]	SLU-1	1275.7059	598.0119	81.6563	1224.8441
227	J[79]	SLU-1	1230.0759	576.622	81.6563	1224.8441
228	I[264]	SLU-1	1218.9347	557.8543	81.6563	1224.8441
228	J[80]	SLU-1	1183.4297	541.6052	81.6563	1224.8441
233	I[277]	SLU-1	1038.8609	475.4423	81.6563	1224.8441
233	J[261]	SLU-1	1003.3559	459.1932	81.6563	1224.8441
234	I[278]	SLU-1	1124.204	526.9925	81.6563	1224.8441
234	J[262]	SLU-1	1078.574	505.6025	81.6563	1224.8441
235	I[279]	SLU-1	1200.6957	562.8495	81.6563	1224.8441
235	J[263]	SLU-1	1155.0657	541.4595	81.6563	1224.8441
236	I[280]	SLU-1	1134.8029	519.3508	81.6563	1224.8441
236	J[264]	SLU-1	1099.2979	503.1017	81.6563	1224.8441
241	I[293]	SLU-1	973.025	445.312	81.6563	1224.8441
241	J[277]	SLU-1	937.52	429.0629	81.6563	1224.8441
242	I[294]	SLU-1	1052.9473	493.5895	81.6563	1224.8441
242	J[278]	SLU-1	1007.3173	472.1996	81.6563	1224.8441
243	I[295]	SLU-1	1125.5759	527.6356	81.6563	1224.8441
243	J[279]	SLU-1	1079.9459	506.2456	81.6563	1224.8441
244	I[296]	SLU-1	1051.8426	481.3835	81.6563	1224.8441
244	J[280]	SLU-1	1016.3376	465.1343	81.6563	1224.8441
249	I[309]	SLU-1	906.726	414.9698	81.6563	1224.8441
249	J[293]	SLU-1	871.221	398.7206	81.6563	1224.8441
250	I[310]	SLU-1	984.7087	461.6014	81.6563	1224.8441
250	J[294]	SLU-1	939.0787	440.2114	81.6563	1224.8441
251	I[311]	SLU-1	1054.0407	494.1021	81.6563	1224.8441
251	J[295]	SLU-1	1008.4107	472.7121	81.6563	1224.8441
252	I[312]	SLU-1	967.9766	443.0015	81.6563	1224.8441
252	J[296]	SLU-1	932.4716	426.7524	81.6563	1224.8441
257	I[333]	SLU-1	802.8295	367.4208	81.6563	1224.8441
257	J[85]	SLU-1	767.3245	351.1717	81.6563	1224.8441
258	I[334]	SLU-1	878.0078	411.5833	81.6563	1224.8441
258	J[86]	SLU-1	832.3778	390.1933	81.6563	1224.8441
259	I[335]	SLU-1	923.3989	432.8612	81.6563	1224.8441
259	J[87]	SLU-1	877.7689	411.4713	81.6563	1224.8441
260	I[336]	SLU-1	819.2326	374.9278	81.6563	1224.8441
260	J[88]	SLU-1	783.7276	358.6786	81.6563	1224.8441
265	I[349]	SLU-1	-632.8401	283.6189	81.6563	1224.8441
265	J[365]	SLU-1	-668.3451	299.5311	81.6563	1224.8441
266	I[350]	SLU-1	-706.4389	325.2409	81.6563	1224.8441
266	J[366]	SLU-1	-752.0689	346.2487	81.6563	1224.8441
267	I[351]	SLU-1	-745.9094	343.4129	81.6563	1224.8441
267	J[367]	SLU-1	-791.5394	364.4207	81.6563	1224.8441
268	I[352]	SLU-1	-613.5706	274.9829	81.6563	1224.8441
268	J[368]	SLU-1	-649.0756	290.8952	81.6563	1224.8441
273	I[365]	SLU-1	-565.2769	253.3392	81.6563	1224.8441
273	J[381]	SLU-1	-600.7819	269.2514	81.6563	1224.8441
274	I[366]	SLU-1	-643.9673	296.4793	81.6563	1224.8441
274	J[382]	SLU-1	-689.5973	317.4871	81.6563	1224.8441
275	I[367]	SLU-1	-680.3728	313.2402	81.6563	1224.8441
275	J[383]	SLU-1	-726.0028	334.248	81.6563	1224.8441
276	I[368]	SLU-1	-528.9279	237.0487	81.6563	1224.8441
276	J[384]	SLU-1	-564.4329	252.961	81.6563	1224.8441
281	I[381]	SLU-1	-498.1233	223.2431	81.6563	1224.8441
281	J[93]	SLU-1	-533.6283	239.1553	81.6563	1224.8441
282	I[382]	SLU-1	-585.6773	269.6428	81.6563	1224.8441

282	J[94]	SLU-1	-631.3073	290.6507	81.6563	1224.8441
283	I[383]	SLU-1	-619.9135	285.405	81.6563	1224.8441
283	J[95]	SLU-1	-665.5435	306.4128	81.6563	1224.8441
284	I[384]	SLU-1	-441.2352	197.7477	81.6563	1224.8441
284	J[96]	SLU-1	-476.7402	213.6599	81.6563	1224.8441
289	I[405]	SLU-1	-387.9733	173.8774	81.6563	1224.8441
289	J[421]	SLU-1	-423.4783	189.7896	81.6563	1224.8441
290	I[406]	SLU-1	-494.4715	227.6521	81.6563	1224.8441
290	J[422]	SLU-1	-540.1015	248.66	81.6563	1224.8441
291	I[407]	SLU-1	-499.4673	229.9522	81.6563	1224.8441
291	J[423]	SLU-1	-545.0973	250.96	81.6563	1224.8441
292	I[408]	SLU-1	-288.2973	129.2057	81.6563	1224.8441
292	J[424]	SLU-1	-323.8023	145.118	81.6563	1224.8441
297	I[421]	SLU-1	372.8484	167.0989	81.6563	1224.8441
297	J[437]	SLU-1	-355.7998	159.4582	81.6563	1224.8441
298	I[422]	SLU-1	494.2663	227.5577	81.6563	1224.8441
298	J[438]	SLU-1	-477.9099	220.0273	81.6563	1224.8441
299	I[423]	SLU-1	495.434	228.0953	81.6563	1224.8441
299	J[439]	SLU-1	-479.6493	220.8281	81.6563	1224.8441
300	I[424]	SLU-1	254.5154	114.0658	81.6563	1224.8441
300	J[440]	SLU-1	-239.1719	107.1893	81.6563	1224.8441
305	I[437]	SLU-1	440.527	197.4303	81.6563	1224.8441
305	J[453]	SLU-1	405.022	181.518	81.6563	1224.8441
306	I[438]	SLU-1	556.4576	256.1902	81.6563	1224.8441
306	J[454]	SLU-1	510.8276	235.1824	81.6563	1224.8441
307	I[439]	SLU-1	560.8815	258.227	81.6563	1224.8441
307	J[455]	SLU-1	515.2515	237.2192	81.6563	1224.8441
308	I[440]	SLU-1	339.1453	151.9942	81.6563	1224.8441
308	J[456]	SLU-1	303.6403	136.082	81.6563	1224.8441
313	I[453]	SLU-1	508.2437	227.7787	81.6563	1224.8441
313	J[101]	SLU-1	472.7387	211.8665	81.6563	1224.8441
314	I[454]	SLU-1	615.9682	283.5886	81.6563	1224.8441
314	J[102]	SLU-1	570.3382	262.5808	81.6563	1224.8441
315	I[455]	SLU-1	622.8978	286.779	81.6563	1224.8441
315	J[103]	SLU-1	577.2678	265.7711	81.6563	1224.8441
316	I[456]	SLU-1	425.5764	190.7299	81.6563	1224.8441
316	J[104]	SLU-1	390.0714	174.8177	81.6563	1224.8441
321	I[477]	SLU-1	617.8392	276.896	81.6563	1224.8441
321	J[493]	SLU-1	582.3342	260.9838	81.6563	1224.8441
322	I[478]	SLU-1	705.9466	325.0142	81.6563	1224.8441
322	J[494]	SLU-1	660.3166	304.0064	81.6563	1224.8441
323	I[479]	SLU-1	741.8002	341.521	81.6563	1224.8441
323	J[495]	SLU-1	696.1702	320.5132	81.6563	1224.8441
324	I[480]	SLU-1	579.7617	259.8308	81.6563	1224.8441
324	J[496]	SLU-1	544.2567	243.9186	81.6563	1224.8441
329	I[493]	SLU-1	685.4046	307.1767	81.6563	1224.8441
329	J[509]	SLU-1	649.8996	291.2644	81.6563	1224.8441
330	I[494]	SLU-1	768.4187	353.776	81.6563	1224.8441
330	J[510]	SLU-1	722.7887	332.7682	81.6563	1224.8441
331	I[495]	SLU-1	807.3381	371.6943	81.6563	1224.8441
331	J[511]	SLU-1	761.7081	350.6865	81.6563	1224.8441
332	I[496]	SLU-1	664.4008	297.7634	81.6563	1224.8441
332	J[512]	SLU-1	628.8958	281.8512	81.6563	1224.8441
337	I[509]	SLU-1	752.6805	337.3276	81.6563	1224.8441
337	J[45]	SLU-1	734.928	329.3715	81.6563	1224.8441
338	I[510]	SLU-1	832.3493	383.2093	81.6563	1224.8441
338	J[46]	SLU-1	809.5343	372.7054	81.6563	1224.8441
339	I[511]	SLU-1	874.4511	402.5928	81.6563	1224.8441
339	J[47]	SLU-1	851.6361	392.0889	81.6563	1224.8441
340	I[512]	SLU-1	748.5678	335.4844	81.6563	1224.8441
340	J[48]	SLU-1	730.8153	327.5283	81.6563	1224.8441
345	I[525]	SLU-1	819.8891	375.2282	81.6563	1224.8441
345	J[109]	SLU-1	784.3841	358.9791	81.6563	1224.8441
346	I[526]	SLU-1	894.3596	419.2484	81.6563	1224.8441
346	J[110]	SLU-1	848.7296	397.8585	81.6563	1224.8441
347	I[527]	SLU-1	939.2018	440.2691	81.6563	1224.8441
347	J[111]	SLU-1	893.5718	418.8792	81.6563	1224.8441
348	I[528]	SLU-1	834.5516	381.9386	81.6563	1224.8441
348	J[112]	SLU-1	799.0466	365.6895	81.6563	1224.8441
353	I[549]	SLU-1	923.7666	422.7685	81.6563	1224.8441
353	J[565]	SLU-1	888.2616	406.5194	81.6563	1224.8441
354	I[550]	SLU-1	1001.0375	469.2558	81.6563	1224.8441
354	J[566]	SLU-1	955.4075	447.8659	81.6563	1224.8441
355	I[551]	SLU-1	1069.8865	501.5301	81.6563	1224.8441
355	J[567]	SLU-1	1024.2565	480.1402	81.6563	1224.8441

356	I[552]	SLU-1	983.2941	450.0117	81.6563	1224.8441
356	J[568]	SLU-1	947.7891	433.7626	81.6563	1224.8441
361	I[565]	SLU-1	990.0531	453.105	81.6563	1224.8441
361	J[581]	SLU-1	954.5481	436.8559	81.6563	1224.8441
362	I[566]	SLU-1	1069.2755	501.2437	81.6563	1224.8441
362	J[582]	SLU-1	1023.6455	479.8538	81.6563	1224.8441
363	I[567]	SLU-1	1141.4255	535.0654	81.6563	1224.8441
363	J[583]	SLU-1	1095.7955	513.6754	81.6563	1224.8441
364	I[568]	SLU-1	1067.1704	488.3983	81.6563	1224.8441
364	J[584]	SLU-1	1031.6654	472.1492	81.6563	1224.8441
369	I[581]	SLU-1	1055.8695	483.2264	81.6563	1224.8441
369	J[597]	SLU-1	1020.3645	466.9773	81.6563	1224.8441
370	I[582]	SLU-1	1140.5302	534.6457	81.6563	1224.8441
370	J[598]	SLU-1	1094.9002	513.2558	81.6563	1224.8441
371	I[583]	SLU-1	1216.5494	570.2812	81.6563	1224.8441
371	J[599]	SLU-1	1170.9194	548.8913	81.6563	1224.8441
372	I[584]	SLU-1	1150.1483	526.3737	81.6563	1224.8441
372	J[600]	SLU-1	1114.6433	510.1246	81.6563	1224.8441
377	I[597]	SLU-1	1121.44	513.2352	81.6563	1224.8441
377	J[117]	SLU-1	1085.935	496.9861	81.6563	1224.8441
378	I[598]	SLU-1	1211.9165	568.1095	81.6563	1224.8441
378	J[118]	SLU-1	1166.2865	546.7195	81.6563	1224.8441
379	I[599]	SLU-1	1291.5632	605.4454	81.6563	1224.8441
379	J[119]	SLU-1	1245.9332	584.0554	81.6563	1224.8441
380	I[600]	SLU-1	1234.3081	564.8901	81.6563	1224.8441
380	J[120]	SLU-1	1198.8031	548.641	81.6563	1224.8441
385	I[621]	SLU-1	1211.7402	554.5618	81.6563	1224.8441
385	J[29]	SLU-1	1193.9877	546.4372	81.6563	1224.8441
386	I[622]	SLU-1	1366.1151	640.393	81.6563	1224.8441
386	J[30]	SLU-1	1343.3001	629.698	81.6563	1224.8441
387	I[623]	SLU-1	1459.8806	684.3474	81.6563	1224.8441
387	J[31]	SLU-1	1437.0656	673.6525	81.6563	1224.8441
388	I[624]	SLU-1	1370.2486	627.1042	81.6563	1224.8441
388	J[32]	SLU-1	1352.4961	618.9797	81.6563	1224.8441
393	I[637]	SLU-1	1275.448	635.9242	81.6563	3266.2511
393	J[653]	SLU-1	1239.943	618.2218	81.6563	3266.2511
394	I[638]	SLU-1	1451.055	735.0504	81.6563	3266.2511
394	J[654]	SLU-1	1405.425	711.936	81.6563	3266.2511
395	I[639]	SLU-1	1549.2813	784.8082	81.6563	3266.2511
395	J[655]	SLU-1	1503.6513	761.6938	81.6563	3266.2511
396	I[640]	SLU-1	1451.7752	723.839	81.6563	3266.2511
396	J[656]	SLU-1	1416.2702	706.1366	81.6563	3266.2511
401	I[653]	SLU-1	1338.9689	667.595	81.6563	3266.2511
401	J[669]	SLU-1	1303.4639	649.8926	81.6563	3266.2511
402	I[654]	SLU-1	1542.2495	781.2462	81.6563	3266.2511
402	J[670]	SLU-1	1496.6195	758.1318	81.6563	3266.2511
403	I[655]	SLU-1	1645.7268	833.664	81.6563	3266.2511
403	J[671]	SLU-1	1600.0968	810.5495	81.6563	3266.2511
404	I[656]	SLU-1	1532.0579	763.867	81.6563	3266.2511
404	J[672]	SLU-1	1496.5529	746.1646	81.6563	3266.2511
409	I[669]	SLU-1	1403.3295	699.6845	81.6563	3266.2511
409	J[125]	SLU-1	1367.8245	681.9821	81.6563	3266.2511
410	I[670]	SLU-1	1637.6105	829.5525	81.6563	3266.2511
410	J[126]	SLU-1	1591.9805	806.4381	81.6563	3266.2511
411	I[671]	SLU-1	1746.2549	884.5877	81.6563	3266.2511
411	J[127]	SLU-1	1700.6249	861.4733	81.6563	3266.2511
412	I[672]	SLU-1	1613.3737	804.4102	81.6563	3266.2511
412	J[128]	SLU-1	1577.8687	786.7078	81.6563	3266.2511
417	I[693]	SLU-1	1477.0622	736.4468	81.6563	3266.2511
417	J[709]	SLU-1	1441.5572	718.7444	81.6563	3266.2511
418	I[694]	SLU-1	1893.0459	958.9466	81.6563	3266.2511
418	J[710]	SLU-1	1847.4159	935.8322	81.6563	3266.2511
419	I[695]	SLU-1	2002.8471	1014.5678	81.6563	3266.2511
419	J[711]	SLU-1	1957.2171	991.4533	81.6563	3266.2511
420	I[696]	SLU-1	1731.5011	863.3072	81.6563	3266.2511
420	J[712]	SLU-1	1695.9961	845.6048	81.6563	3266.2511
425	I[709]	SLU-1	1545.5261	770.5821	81.6563	3266.2511
425	J[725]	SLU-1	1510.0211	752.8797	81.6563	3266.2511
426	I[710]	SLU-1	2014.1719	1020.3045	81.6563	3266.2511
426	J[726]	SLU-1	1968.5419	997.1901	81.6563	3266.2511
427	I[711]	SLU-1	2131.504	1079.7406	81.6563	3266.2511
427	J[727]	SLU-1	2085.874	1056.6261	81.6563	3266.2511
428	I[712]	SLU-1	1812.7321	903.8081	81.6563	3266.2511
428	J[728]	SLU-1	1777.2271	886.1057	81.6563	3266.2511
433	I[725]	SLU-1	1598.9304	797.2089	81.6563	3266.2511

433	J[13]	SLU-1	1581.1779	788.3577	81.6563	3266.2511
434	I[726]	SLU-1	2120.3887	1074.11	81.6563	3266.2511
434	J[14]	SLU-1	2097.5737	1062.5528	81.6563	3266.2511
435	I[727]	SLU-1	2246.0564	1137.7686	81.6563	3266.2511
435	J[15]	SLU-1	2223.2414	1126.2114	81.6563	3266.2511
436	I[728]	SLU-1	1880.9966	937.844	81.6563	3266.2511
436	J[16]	SLU-1	1863.2441	928.9928	81.6563	3266.2511

13.2.2.5 CONCIO C1 LATERALE – ELEMENTI 297 E 300

Element Number	297
Position Information	I

1 Design Condition

1.1 Design Parameters

■ Partial factors

γ_C for concrete	1.50	γ_V for headed sutd	1.25
γ_S for reinforcing steel	1.15	γ_{Ff} for equivalent constant Amplitude stress range	1.00
γ_{M0} for structural steel	1.05	γ_{Mf} for fatigue strength	1.15
γ_{M1} for structural steel	1.10	$\gamma_{Mf,s}$ for fatigue strength of studs in shear	1.00

1.2 Material Information

■ Structural steel

f_{sk} = 355.000 MPa E_s = 210000.000 MPa

■ Concrete

f_{ck} = 32.000 MPa E_{cm} = 33000.000 MPa

■ Reinforcement

f_{yk} = 450.000 MPa E_r = 210000.000 MPa

■ Section Dimensions

Slab

B_c	3600.000	mm	t_c	240.000	mm	H_h	60.000	mm

Girder

H_w	1915.000	mm	B_1	700.000	mm	B_2	950.000	mm
t_w	20.000	mm	t_{f1}	35.000	mm	t_{f2}	50.000	mm

■ Section Stiffness

Before

$A_{,a}$	110300.000	mm^2
$I_{y,a}$	76154099799.033	mm^4
$I_{z,a}$	4574089166.667	mm^4
$C_{y,a}$	475.000	mm
$C_{z,a}$	800.961	mm

After

$A_{,c}$	247442.857	mm^2
$I_{y,c}$	193071462583.308	mm^4
$I_{z,c}$	152688374880.952	mm^4
$C_{y,c}$	1800.000	mm
$C_{z,c}$	1565.280	mm

Crack

$A_{,c}$	115844.000	mm^2
$I_{y,c}$	86224071188.127	mm^4
$I_{z,c}$	10543197053.342	mm^4
$C_{y,c}$	1800.000	mm
$C_{z,c}$	866.958	mm

2 Bending Resistance

2.1 Positive Moment

■ Design load

Load combination name : SLU-1

$N_{a,Ed}$	-19.242	kN
$N_{c,Ed}$	330.185	kN
$M_{a,Ed}$	11305.213	kN · m
$M_{c,Ed}$	16623.667	kN · m

- Stress

Top Flange

Left	y_1	-350.000	mm	z_1	434.720	mm	σ_1	-215.440	MPa
	y_2	-10.000	mm	z_2	434.720	mm	σ_2	-214.303	MPa
Right	y_1	350.000	mm	z_1	434.720	mm	σ_1	-213.099	MPa
	y_2	10.000	mm	z_2	434.720	mm	σ_2	-214.236	MPa

Bottom Flange

Left	y_1	-475.000	mm	z_1	-1565.280	mm	σ_1	253.247	MPa
	y_2	-10.000	mm	z_2	-1565.280	mm	σ_2	254.803	MPa
Right	y_1	475.000	mm	z_1	-1565.280	mm	σ_1	256.425	MPa
	y_2	10.000	mm	z_2	-1565.280	mm	σ_2	254.870	MPa

Web

Right	y_1	0.000	mm	z_1	399.720	mm	σ_1	-206.060	MPa
	y_2	0.000	mm	z_2	-1515.280	mm	σ_2	243.109	MPa

■ Classification of sections

Part	Class
Top flange	1
Web	1
Bottom flange	1
Section	1

- Plastic resistance moment, $M_{pl,Rd}$

Plastic NA = 1657.892 mm

N_{slab} = 15667.200 kN

$N_{g,top}$ = 10359.971 kN (Upper side of PNA)

$N_{g,bot}$ = 26027.171 kN (Lower side of PNA)

$M_{pl,Rd}$ = 44674.604 kN · m

x_{pl} = 642.108 mm

M_{Rd} = $\beta M_{pl,Rd}$ = 44674.604 kN · m

here, β = 1.000

M_{Rd} = 44674.604 kN · m > M_{Ed} = 27928.880 kN · m …OK

3 Resistance to Vertical Shear

■ Design load

Load combination name : SLU-1

N_{Ed} = 318.126 kN

$M_{a,Ed}$ = 11305.213 kN · m

$M_{c,Ed}$ = 16155.151 kN · m

$V_{Ed,a}$ = -24.344 kN

$V_{Ed,c}$ = 372.848 kN

V_{Ed} = 348.505 kN

- Stress

Top Flange

Left	y_1	-350.000	mm	z_1	434.720	mm	σ_1	-214.773	MPa
	y_2	-10.000	mm	z_2	434.720	mm	σ_2	-213.306	MPa
Right	y_1	350.000	mm	z_1	434.720	mm	σ_1	-211.753	MPa
	y_2	10.000	mm	z_2	434.720	mm	σ_2	-213.220	MPa

Bottom Flange

Left	y_1	-475.000	mm	z_1	-1565.280	mm	σ_1	248.940	MPa
	y_2	-10.000	mm	z_2	-1565.280	mm	σ_2	250.946	MPa
Right	y_1	475.000	mm	z_1	-1565.280	mm	σ_1	253.039	MPa
	y_2	10.000	mm	z_2	-1565.280	mm	σ_2	251.032	MPa

Web

Right	y_1	0.000	mm	z_1	399.720	mm	σ_1	-205.139	MPa
	y_2	0.000	mm	z_2	-1515.280	mm	σ_2	239.383	MPa

■ Classification of sections

Part	Class
Top flange	1
Web	1
Bottom flange	1
Section	1

■ Plastic resistance moment, $M_{pl,Rd}$

Plastic NA = 1657.892 mm

N_{slab} = 15667.200 kN

$N_{g,top}$ = 10359.971 kN

$N_{g,bot}$ = 26027.171 kN

$M_{pl,Rd}$ = 44674.604 kN · m

■ Calculation. $V_{bw,Rd}$

Web

■ Contribution from the web

$\lambda_w = h_w / (86.4 \cdot t \cdot \varepsilon) = 1.362$

$X_w = 1.37 / (0.7+\lambda_w) = 0.664 \quad \lambda_w \geq 1.08$

$$V_{bw,Rd} = \frac{X_w \cdot f_{yw} \cdot h_w \cdot t}{\sqrt{3} \cdot \gamma_{M1}} = 4741.187 \text{ kN}$$

$V_{Rd} = 4741.187$ kN

$V_{Edi} = V_{Ed}$ / Num. of Web $= 348.505$ kN

$\eta'_3 = V_{Edi} / V_{bw,Rd} = 0.074 \leq 1.0$

■ Contribution from the flange

$M_{f,Rd} = 32831.920$ kN · m

$M_{f,Rd}$ is calculated as $M_{pl,Rd}$ but neglecting the web contribution.

$$V_{bf,Rd} = \frac{b_f \cdot t_f^2 \cdot f_{yf}}{c \cdot \gamma_{M1}} \left(1 - \left(\frac{M_{Ed}}{M_{f,Rd}} \right)^2 \right) = 0.000 \text{ kN}$$

where, $M_{f,Rd} = 32831.920$ kN · m

$M_{Ed} = 94716.304$ kN · m (Taken as the greatest value of $(\sum \sigma_i)W$)

$$c = a \cdot \left(0.25 + \frac{1.6 \cdot b_f \cdot t_f^2 \cdot f_{yf}}{t \cdot h_w^2 \cdot f_{yw}}\right) = 0.000$$

■ Check Shear Resistance

$V_{Edi} / (V_{bw,Rd}+V_{bf,Rd}) = 0.074 < 1.0$ … OK

4 Resistance to Lateral Torsional Buckling

- Design load

Load combination name : SLU-1

$N_{Ed} = 310.943$ kN

$M_{Ed} = 16623.667$ kN · m

$V_1 = 5.202$ kN

$V_2 = 11.847$ kN

$M_1 = 27928.880$ kN · m

$M_2 = 27920.356$ kN · m

$M_{pl,Rd} = 44674.604$ kN · m

$M_{el,Rd} = 38341.619$ kN · m

- $M_{b,Rd}$ Buckling resistance moment

$L = 1.000$ m

$c = C_d / l = 0.000$

$\gamma = c \cdot L^4 / (E \cdot I) = 0.000$

$\mu = V_2 / V_1 = 0.439$

$\Phi = 2 \cdot (1-M_2/M_1) / (1+\mu) = 0.000$

$m_1 = 1+0.44 \cdot (1+\mu) \cdot \Phi^{1.5}+(3+2 \cdot \Phi) \cdot \gamma/(350-50 \cdot \mu) = 1.000$

$m_2 = 1+0.44 \cdot (1+\mu) \cdot \Phi^{1.5}+(0.195+(0.05+\mu/100) \cdot \Phi) \cdot \gamma^{0.5} = 1.000$

$m = \text{Min}(m_1, m_2) = 1.000$

$\alpha_{LT} = 0.760$

$\lambda_{LT} = 1.103 \cdot L/b \cdot \sqrt{(f_y/Em)} \cdot \sqrt{(1+A_{wc}/(3 \cdot A_f))} = 0.068$

$\Phi_{LT} = 0.5 \cdot (1+\alpha_{LT} \cdot (\lambda_{LT} - 0.2)+\lambda_{LT}^2) = 0.452$

$$X_{LT} = \frac{1}{\Phi_{LT} + \sqrt{(\Phi_{LT}^2 - \lambda_{LT}^2)}} = 1$$

$M_{Rd} = 44674.604 \text{ kN} \cdot \text{m}$

$M_{b,Rd} = X_{LT} \cdot M_{Rd} = 44674.604 \text{ kN} \cdot \text{m}$

- $N_{b,Rd}$ Axial buckling resistance

$X_{LT,N} = 1.000$

$N_{b,Rd} = X_{LT} \cdot \text{Area} \cdot f_{yd} = 83659.252 \text{ kN}$

$$\text{Combined Ratio} = \frac{N_{Ed}}{N_{b,Rd}} + \frac{M_{Ed}}{M_{b,Rd}} = 0.375822298$$

6 Resistance to Longitudinal Shear

- Design load

Load combination name : SLU-1

$N_{c,el} = 11687.359 \text{ kN}$

$N_{c,f} = 15667.200 \text{ kN}$

$M_{Ed} = 27460.364 \text{ kN} \cdot \text{m}$

$V_{Ed} = 372.848 \text{ kN}$

$M_{pl,Rd} = 44674.604 \text{ kN} \cdot \text{m}$

$M_{el,Rd} = 38341.619 \text{ kN} \cdot \text{m}$

- Shear resistance of a single connector

$P_{Rd,1} = 0.8 \cdot f_u \cdot \pi \cdot d^2 / 4 / \gamma_V = 81.656 \text{ kN}$

$P_{Rd,2} = 0.29 \cdot \alpha \cdot d^2 \cdot \sqrt{(f_{ck} \cdot E_{cm})} / \gamma_V = 86.065 \text{ kN}$

$P_{Rd} = \text{Min}(P_{Rd,1}, P_{Rd,2}) = 81.656 \text{ kN}$

where, $f_u = 450.000$ MPa

$\alpha = 1$ for $h_{sc}/d > 4$

Num. = 3

d = 19.000 mm

h_{sc} = 175.000 mm

Space = 200.000 mm

- Verification

$v_{L,Ed} = V_{Ed} \cdot (A \cdot z / I) = 167.099 \text{ kN/m}$

$v_{L,Rd}$ = P_{Rd} · Num./Space = 1224.844 kN/m

$v_{L,Ed}$ < $v_{L,Rd}$ … OK

0 **Longitudinal Shear for SLS(Serviceability limit state)**

- Shear resistance of a single connector

Load combination name : SLE RARA

$P_{Rd,1}$ = $0.8 \cdot f_u \cdot \pi \cdot d^2 / 4 / \gamma_V$ = 81.656 kN

$P_{Rd,2}$ = $0.29 \cdot \alpha \cdot d^2 \cdot \sqrt{(f_{ck} \cdot E_{cm})} / \gamma_V$ = 86.065 kN

P_{Rd} = $Min(P_{Rd,1}, P_{Rd,2})$ = 81.656 kN

$P_{Rd,ser}$ = $k_s \cdot P_{Rd}$ = 61.242 kN

where, f_u = 450.000 MPa

α = 1 for $h_{sc}/d > 4$

Num. = 3

d = 19.000 mm

h_{sc} = 175.000 mm

Space = 200.000 mm

k_s = 0.750

- Verification

$v_{L,Ed}$ = $V_{Ed} \cdot (A \cdot z / I)$ = 123.786 kN/m

$v_{L,Rd}$ = $P_{Rd,ser}$ · Num./Space = 918.633 kN/m

$v_{L,Ed}$ < $v_{L,Rd}$ … OK

Element Number	300
Position Information	I

1 Design Condition

1.1 Design Parameters

■ Partial factors

γ_C for concrete	1.50	γ_V for headed sutd	1.25
γ_S for reinforcing steel	1.15	γ_{Ff} for equivalent constant Amplitude stress range	1.00
γ_{M0} for structural steel	1.05	γ_{Mf} for fatigue strength	1.15
γ_{M1} for structural steel	1.10	$\gamma_{Mf,s}$ for fatigue strength of studs in shear	1.00

1.2 Material Information

■ Structural steel

f_{sk} = 355.000 MPa E_s = 210000.000 MPa

■ Concrete

f_{ck} = 32.000 MPa E_{cm} = 33000.000 MPa

■ Reinforcement

f_{yk} = 450.000 MPa E_r = 210000.000 MPa

■ Section Dimensions

Slab

B_c	3600.000	mm	t_c	240.000	mm	H_h	60.000	mm

Girder

H_w	1915.000	mm	B_1	700.000	mm	B_2	950.000	mm
t_w	20.000	mm	t_{f1}	35.000	mm	t_{f2}	50.000	mm

■ Section Stiffness

Before

$A_{,a}$	110300.000	mm^2
$I_{y,a}$	76154099799.033	mm^4
$I_{z,a}$	4574089166.667	mm^4
$C_{y,a}$	475.000	mm
$C_{z,a}$	800.961	mm

After

$A_{,c}$	247442.857	mm^2
$I_{y,c}$	193071462583.308	mm^4
$I_{z,c}$	152688374880.952	mm^4
$C_{y,c}$	1800.000	mm
$C_{z,c}$	1565.280	mm

Crack

$A_{,c}$	115844.000	mm^2
$I_{y,c}$	86224071188.127	mm^4
$I_{z,c}$	10543197053.342	mm^4
$C_{y,c}$	1800.000	mm
$C_{z,c}$	866.958	mm

2 Bending Resistance

2.1 Positive Moment

■ Design load

Load combination name : SLU-1

$N_{a,Ed}$	-23.802	kN
$N_{c,Ed}$	-99.170	kN
$M_{a,Ed}$	11306.759	kN・m
$M_{c,Ed}$	20042.534	kN・m

- Stress

Top Flange

Left	y_1	-350.000	mm	z_1	434.720	mm	σ_1	-228.419	MPa
	y_2	-10.000	mm	z_2	434.720	mm	σ_2	-223.901	MPa
Right	y_1	350.000	mm	z_1	434.720	mm	σ_1	-219.117	MPa
	y_2	10.000	mm	z_2	434.720	mm	σ_2	-223.635	MPa

Bottom Flange

Left	y_1	-475.000	mm	z_1	-1565.280	mm	σ_1	274.482	MPa
	y_2	-10.000	mm	z_2	-1565.280	mm	σ_2	280.661	MPa
Right	y_1	475.000	mm	z_1	-1565.280	mm	σ_1	287.105	MPa
	y_2	10.000	mm	z_2	-1565.280	mm	σ_2	280.927	MPa

Web

Right	y_1	0.000	mm	z_1	399.720	mm	σ_1	-214.938	MPa
	y_2	0.000	mm	z_2	-1515.280	mm	σ_2	268.180	MPa

■ Classification of sections

Part	Class
Top flange	1
Web	1
Bottom flange	1
Section	1

- Plastic resistance moment, $M_{pl,Rd}$

Plastic NA = 1657.892 mm

N_{slab} = 15667.200 kN

$N_{g,top}$ = 10359.971 kN (Upper side of PNA)

$N_{g,bot}$ = 26027.171 kN (Lower side of PNA)

$M_{pl,Rd}$ = 44674.604 kN・m

x_{pl} = 642.108 mm

M_{Rd} = $\beta M_{pl,Rd}$ = 44674.604 kN・m

here, β = 1.000

M_{Rd} = 44674.604 kN · m > M_{Ed} = 31349.293 kN · m …OK

3 Resistance to Vertical Shear

■ Design load

Load combination name : SLU-1

N_{Ed} = -115.732 kN
$M_{a,Ed}$ = 11306.759 kN · m
$M_{c,Ed}$ = 19475.162 kN · m
$V_{Ed,a}$ = -24.344 kN
$V_{Ed,c}$ = 254.515 kN
V_{Ed} = 230.172 kN

- Stress

Top Flange

Left	y_1	-350.000	mm	z_1	434.720	mm	σ_1	-227.014	MPa
	y_2	-10.000	mm	z_2	434.720	mm	σ_2	-222.685	MPa
Right	y_1	350.000	mm	z_1	434.720	mm	σ_1	-218.102	MPa
	y_2	10.000	mm	z_2	434.720	mm	σ_2	-222.430	MPa

Bottom Flange

Left	y_1	-475.000	mm	z_1	-1565.280	mm	σ_1	270.080	MPa
	y_2	-10.000	mm	z_2	-1565.280	mm	σ_2	276.000	MPa
Right	y_1	475.000	mm	z_1	-1565.280	mm	σ_1	282.175	MPa
	y_2	10.000	mm	z_2	-1565.280	mm	σ_2	276.254	MPa

Web

Right	y_1	0.000	mm	z_1	399.720	mm	σ_1	-213.831	MPa
	y_2	0.000	mm	z_2	-1515.280	mm	σ_2	263.660	MPa

■ Classification of sections

Part	Class
Top flange	1
Web	1
Bottom flange	1
Section	1

■ Plastic resistance moment, $M_{pl,Rd}$

Plastic NA = 1657.892 mm

N_{slab} = 15667.200 kN
$N_{g,top}$ = 10359.971 kN
$N_{g,bot}$ = 26027.171 kN

$M_{pl,Rd}$ = 44674.604 kN · m

■ Calculation. $V_{bw,Rd}$

Web

■ Contribution from the web

$\lambda_w = h_w / (86.4 \cdot t \cdot \varepsilon) = 1.362$

$X_w = 1.37 / (0.7+\lambda_w) = 0.664$ $\lambda_w \geq 1.08$

$$V_{bw,Rd} = \frac{X_w \cdot f_{yw} \cdot h_w \cdot t}{\sqrt{3} \cdot \gamma_{M1}} = 4741.187 \text{ kN}$$

$V_{Rd} = 4741.187$ kN

$V_{Edi} = V_{Ed}$ / Num. of Web $= 230.172$ kN

$\eta'_3 = V_{Edi} / V_{bw,Rd} = 0.049 \leq 1.0$

■ Contribution from the flange

$M_{f,Rd0} = 32831.920$ kN · m

$M_{f,Rd0}$ is calculated as $M_{pl,Rd}$ but neglecting the web contribution.

$$\text{Reduction factor for } N_{Ed} = 1 - \frac{N_{Ed}}{(A_{f1}+A_{f2}) \cdot f_{yf}/\gamma_{M0}} = 0.995$$

$M_{f,Rd}$ = Reduction factor for N_{Ed} · $M_{f,Rd0} = 32669.803$ kN · m

$$V_{bf,Rd} = \frac{b_f \cdot t_f^2 \cdot f_{yf}}{c \cdot \gamma_{M1}} \left(1 - \left(\frac{M_{Ed}}{M_{f,Rd}}\right)^2\right) = 0.000 \text{ kN}$$

where, $M_{f,Rd} = 32669.803$ kN · m

$M_{Ed} = 98844.208$ kN · m (Taken as the greatest value of $(\sum \sigma_i)W$)

$$c = a \cdot \left(0.25 + \frac{1.6 \cdot b_f \cdot t_f^2 \cdot f_{yf}}{t \cdot h_w^2 \cdot f_{yw}}\right) = 0.000$$

■ Check Shear Resistance

$V_{Edi} / (V_{bw,Rd}+V_{bf,Rd}) = 0.049 < 1.0$ … OK

4 **Resistance to Lateral Torsional Buckling**

- Design load

Load combination name : SLU-1

$N_{Ed} = -122.973$ kN

$M_{Ed} = 20042.534$ kN · m

$V_1 = 3.743$ kN

$V_2 = 11.600$ kN

$M_1 = 31349.293$ kN · m

$M_2 = 31341.622$ kN · m

$M_{pl,Rd} = 44674.604$ kN · m

$M_{el,Rd} = 38341.159$ kN · m

- $M_{b,Rd}$ Buckling resistance moment

L	=	1.000	m				
c	=	C_d / l	=	0.000			
γ	=	$c \cdot L^4 / (E \cdot I)$	=	0.000			
μ	=	V_2 / V_1	=	0.323			
Φ	=	$2 \cdot (1-M_2/M_1) / (1+\mu)$	=	0.000			
m_1	=	$1+0.44 \cdot (1+\mu) \cdot \Phi^{1.5}+(3+2 \cdot \Phi) \cdot \gamma/(350-50 \cdot \mu)$			=	1.000	
m_2	=	$1+0.44 \cdot (1+\mu) \cdot \Phi^{1.5}+(0.195+(0.05+\mu/100) \cdot \Phi) \cdot \gamma^{0.5}$			=	1.000	
m	=	$Min(m_1, m_2)$	=	1.000			
α_{LT}	=	0.760					
λ_{LT}	=	$1.103 \cdot L/b \cdot \sqrt{(f_y/Em)} \cdot \sqrt{(1+A_{wc}/(3 \cdot A_f))}$			=	0.068	
Φ_{LT}	=	$0.5 \cdot (1+\alpha_{LT} \cdot (\lambda_{LT} - 0.2)+\lambda_{LT}^2)$			=	0.452	
X_{LT}	=	$\frac{1}{\Phi_{LT} + \sqrt{(\Phi_{LT}^2 - \lambda_{LT}^2)}}$	=	1			

M_{Rd}	=	44674.604	kN · m	
$M_{b,Rd}$	=	$X_{LT} \cdot M_{Rd}$ =	44674.604	kN · m

- $N_{b,Rd}$ Axial buckling resistance

$X_{LT,N}$	=	1.000		
$N_{b,Rd}$	=	$X_{LT} \cdot Area \cdot f_{yd}$ =	83659.252	kN

Combined Ratio $= \frac{N_{Ed}}{N_{b,Rd}} + \frac{M_{Ed}}{M_{b,Rd}} =$ 0.450103654

6 Resistance to Longitudinal Shear

- Design load

Load combination name : SLU-1

$N_{c,el}$	=	11686.492	kN
$N_{c,f}$	=	15667.200	kN
M_{Ed}	=	30781.922	kN · m
V_{Ed}	=	254.515	kN
$M_{pl,Rd}$	=	44674.604	kN · m
$M_{el,Rd}$	=	38341.159	kN · m

- Shear resistance of a single connector

$P_{Rd,1}$	=	$0.8 \cdot f_u \cdot \pi \cdot d^2 / 4 / \gamma_V$	=	81.656	kN	
$P_{Rd,2}$	=	$0.29 \cdot \alpha \cdot d^2 \cdot \sqrt{(f_{ck} \cdot E_{cm})} / \gamma_V$	=	86.065	kN	
P_{Rd}	=	$Min(P_{Rd,1}, P_{Rd,2})$	=	81.656	kN	

where, f_u = 450.000 MPa

α = 1 for $h_{sc}/d > 4$

Num. = 3

d = 19.000 mm

h_{sc} = 175.000 mm

Space = 200.000 mm

- Verification

$v_{L,Ed}$ = V_{Ed} · (A · z / I) = 114.066 kN/m
$v_{L,Rd}$ = P_{Rd} · Num./Space = 1224.844 kN/m
$v_{L,Ed}$ < $v_{L,Rd}$ … OK

0 **Longitudinal Shear for SLS(Serviceability limit state)**

- Shear resistance of a single connector

Load combination name : SLE RARA

$P_{Rd,1}$ = $0.8 \cdot f_u \cdot \pi \cdot d^2 / 4 / \gamma_V$ = 81.656 kN
$P_{Rd,2}$ = $0.29 \cdot \alpha \cdot d^2 \cdot \sqrt{(f_{ck} \cdot E_{cm})} / \gamma_V$ = 86.065 kN
P_{Rd} = Min($P_{Rd,1}$, $P_{Rd,2}$) = 81.656 kN
$P_{Rd,ser}$ = $k_s \cdot P_{Rd}$ = 61.242 kN

where, f_u = 450.000 MPa
α = 1 for $h_{sc}/d > 4$
Num. = 3
d = 19.000 mm
h_{sc} = 175.000 mm
Space = 200.000 mm
k_s = 0.750

- Verification

$v_{L,Ed}$ = V_{Ed} · (A · z / I) = 84.484 kN/m
$v_{L,Rd}$ = $P_{Rd,ser}$ · Num./Space = 918.633 kN/m
$v_{L,Ed}$ < $v_{L,Rd}$ … OK

13.2.2.6 CONCIO C1 CENTRALE – ELEMENTI 298 E 299

Element Number	298
Position Information	I

1 Design Condition

1.1 Design Parameters

■ Partial factors

γ_C for concrete	1.50	γ_V for headed sutd	1.25
γ_S for reinforcing steel	1.15	γ_{Ff} for equivalent constant Amplitude stress range	1.00
γ_{M0} for structural steel	1.05	γ_{Mf} for fatigue strength	1.15
γ_{M1} for structural steel	1.10	$\gamma_{Mf,s}$ for fatigue strength of studs in shear	1.00

1.2 Material Information

■ Structural steel

f_{sk} = 355.000 MPa E_s = 210000.000 MPa

■ Concrete

f_{ck} = 32.000 MPa E_{cm} = 33000.000 MPa

■ Reinforcement

f_{yk} = 450.000 MPa E_r = 210000.000 MPa

■ Section Dimensions

Slab

B_c	4500.000	mm	t_c	240.000	mm	H_h	60.000	mm

Girder

H_w	1915.000	mm	B_1	700.000	mm	B_2	950.000	mm
t_w	20.000	mm	t_{f1}	35.000	mm	t_{f2}	50.000	mm

■ Section Stiffness

Before

$A_{,a}$	110300.000	mm^2
$I_{y,a}$	76154099799.033	mm^4
$I_{z,a}$	4574089166.667	mm^4
$C_{y,a}$	475.000	mm
$C_{z,a}$	800.961	mm

After

$A_{,c}$	281728.571	mm^2
$I_{y,c}$	204615227942.935	mm^4
$I_{z,c}$	293859803452.381	mm^4
$C_{y,c}$	2250.000	mm
$C_{z,c}$	1640.090	mm

Crack

$A_{,c}$	117384.000	mm^2
$I_{y,c}$	88853000456.517	mm^4
$I_{z,c}$	17042015910.752	mm^4
$C_{y,c}$	2250.000	mm
$C_{z,c}$	884.185	mm

2 Bending Resistance

2.1 Positive Moment

■ Design load

Load combination name : SLU-1

$N_{a,Ed}$	-23.449	kN
$N_{c,Ed}$	7.608	kN
$M_{a,Ed}$	12373.560	kN・m
$M_{c,Ed}$	17505.728	kN・m

- Stress

Top Flange

Left	y_1	-350.000	mm	z_1	359.910	mm	σ_1	-228.336	MPa
	y_2	-10.000	mm	z_2	359.910	mm	σ_2	-225.870	MPa
Right	y_1	350.000	mm	z_1	359.910	mm	σ_1	-223.259	MPa
	y_2	10.000	mm	z_2	359.910	mm	σ_2	-225.725	MPa

Bottom Flange

Left	y_1	-475.000	mm	z_1	-1640.090	mm	σ_1	266.827	MPa
	y_2	-10.000	mm	z_2	-1640.090	mm	σ_2	270.199	MPa
Right	y_1	475.000	mm	z_1	-1640.090	mm	σ_1	273.717	MPa
	y_2	10.000	mm	z_2	-1640.090	mm	σ_2	270.344	MPa

Web

Right	y_1	0.000	mm	z_1	324.910	mm	σ_1	-217.117	MPa
	y_2	0.000	mm	z_2	-1590.090	mm	σ_2	257.870	MPa

■ Classification of sections

Part	Class
Top flange	1
Web	1
Bottom flange	1
Section	1

- Plastic resistance moment, $M_{pl,Rd}$

Plastic NA = 1947.514 mm

N_{slab} = 19584.000 kN

$N_{g,top}$ = 8401.571 kN (Upper side of PNA)

$N_{g,bot}$ = 27985.571 kN (Lower side of PNA)

$M_{pl,Rd}$ = 46152.402 kN・m

x_{pl} = 352.486 mm

M_{Rd} = $\beta M_{pl,Rd}$ = 46152.402 kN・m

here, β = 1.000

M_{Rd} = 46152.402 kN · m > M_{Ed} = 29879.288 kN · m …OK

3 Resistance to Vertical Shear

■ Design load

Load combination name : SLU-1

N_{Ed} = 22.591 kN

$M_{a,Ed}$ = 12373.560 kN · m

$M_{c,Ed}$ = 16846.546 kN · m

$V_{Ed,a}$ = -29.406 kN

$V_{Ed,c}$ = 494.266 kN

V_{Ed} = 464.860 kN

- Stress

Top Flange

Left	y_1	-350.000	mm	z_1	359.910	mm	σ_1	-226.719	MPa
	y_2	-10.000	mm	z_2	359.910	mm	σ_2	-224.646	MPa
Right	y_1	350.000	mm	z_1	359.910	mm	σ_1	-222.451	MPa
	y_2	10.000	mm	z_2	359.910	mm	σ_2	-224.524	MPa

Bottom Flange

Left	y_1	-475.000	mm	z_1	-1640.090	mm	σ_1	262.145	MPa
	y_2	-10.000	mm	z_2	-1640.090	mm	σ_2	264.980	MPa
Right	y_1	475.000	mm	z_1	-1640.090	mm	σ_1	267.938	MPa
	y_2	10.000	mm	z_2	-1640.090	mm	σ_2	265.102	MPa

Web

Right	y_1	0.000	mm	z_1	324.910	mm	σ_1	-216.017	MPa
	y_2	0.000	mm	z_2	-1590.090	mm	σ_2	252.801	MPa

■ Classification of sections

Part	Class
Top flange	1
Web	1
Bottom flange	1
Section	1

■ Plastic resistance moment, $M_{pl,Rd}$

Plastic NA = 1947.514 mm

N_{slab} = 19584.000 kN

$N_{g,top}$ = 8401.571 kN

$N_{g,bot}$ = 27985.571 kN

$M_{pl,Rd}$ = 46152.402 kN · m

■ Calculation. $V_{bw,Rd}$

Web

■ Contribution from the web

$\lambda_w = h_w / (86.4 \cdot t \cdot \varepsilon) = 1.362$

$X_w = 1.37 / (0.7+\lambda_w) = 0.664 \quad \lambda_w \geq 1.08$

$$V_{bw,Rd} = \frac{X_w \cdot f_{yw} \cdot h_w \cdot t}{\sqrt{3} \cdot \gamma_{M1}} = 4741.187 \text{ kN}$$

$V_{Rd} = 4741.187$ kN

$V_{Edi} = V_{Ed}$ / Num. of Web $= 464.860$ kN

$\eta'_3 = V_{Edi} / V_{bw,Rd} = 0.098 \leq 1.0$

■ Contribution from the flange

$M_{f,Rd0} = 33585.042$ kN · m

$M_{f,Rd0}$ is calculated as $M_{pl,Rd}$ but neglecting the web contribution.

$$\text{Reduction factor for } N_{Ed} = 1 - \frac{N_{Ed}}{(A_{f1}+A_{f2}) \cdot f_{yf}/\gamma_{M0}} = 1.000$$

$M_{f,Rd}$ = Reduction factor for N_{Ed} · $M_{f,Rd0} = 33585.042$ kN · m

$$V_{bf,Rd} = \frac{b_f \cdot t_f^2 \cdot f_{yf}}{c \cdot \gamma_{M1}} \left(1 - \left(\frac{M_{Ed}}{M_{f,Rd}}\right)^2\right) = 0.000 \text{ kN}$$

where, $M_{f,Rd} = 33585.042$ kN · m

$M_{Ed} = 127680.823$ kN · m (Taken as the greatest value of $(\sum \sigma_i)W$)

$$c = a \cdot \left(0.25 + \frac{1.6 \cdot b_f \cdot t_f^2 \cdot f_{yf}}{t \cdot h_w^2 \cdot f_{yw}}\right) = 0.000$$

■ Check Shear Resistance

$V_{Edi} / (V_{bw,Rd}+V_{bf,Rd}) = 0.098 < 1.0$ … OK

4 **Resistance to Lateral Torsional Buckling**

- Design load

Load combination name : SLU-1

$N_{Ed} = -15.840$ kN

$M_{Ed} = 17505.728$ kN · m

$V_1 = 4.467$ kN

$V_2 = 11.889$ kN

$M_1 = 29879.288$ kN · m

$M_2 = 29871.109$ kN · m

$M_{pl,Rd} = 46152.402$ kN · m

$M_{el,Rd} = 38317.674$ kN · m

- $M_{b,Rd}$ Buckling resistance moment

$L = 1.000$ m

$c = C_d / I = 0.000$

$\gamma = c \cdot L^4 / (E \cdot I) = 0.000$

$\mu = V_2 / V_1 = 0.376$

$\Phi = 2 \cdot (1-M_2/M_1) / (1+\mu) = 0.000$

$m_1 = 1+0.44 \cdot (1+\mu) \cdot \Phi^{1.5}+(3+2 \cdot \Phi) \cdot \gamma/(350-50 \cdot \mu) = 1.000$

$m_2 = 1+0.44 \cdot (1+\mu) \cdot \Phi^{1.5}+(0.195+(0.05+\mu/100) \cdot \Phi) \cdot \gamma^{0.5} = 1.000$

$m = \text{Min}(m_1, m_2) = 1.000$

$\alpha_{LT} = 0.760$

$\lambda_{LT} = 1.103 \cdot L/b \cdot \sqrt{(f_y/Em)} \cdot \sqrt{(1+A_{wc}/(3 \cdot A_f))} = 0.068$

$\Phi_{LT} = 0.5 \cdot (1+\alpha_{LT} \cdot (\lambda_{LT} - 0.2)+\lambda_{LT}^2) = 0.452$

$$X_{LT} = \frac{1}{\Phi_{LT} + \sqrt{(\Phi_{LT}^2 - \lambda_{LT}^2)}} = 1$$

$M_{Rd} = 46152.402$ kN · m

$M_{b,Rd} = X_{LT} \cdot M_{Rd} = 46152.402$ kN · m

- $N_{b,Rd}$ Axial buckling resistance

$X_{LT,N} = 1.000$

$N_{b,Rd} = X_{LT} \cdot \text{Area} \cdot f_{yd} = 95251.088$ kN

$$\text{Combined Ratio} = \frac{N_{Ed}}{N_{b,Rd}} + \frac{M_{Ed}}{M_{b,Rd}} = 0.379468935$$

6 Resistance to Longitudinal Shear

- Design load

Load combination name : SLU-1

$N_{c,el} = 11618.243$ kN

$N_{c,f} = 19584.000$ kN

$M_{Ed} = 29220.106$ kN · m

$V_{Ed} = 494.266$ kN

$M_{pl,Rd} = 46152.402$ kN · m

$M_{el,Rd} = 38317.674$ kN · m

- Shear resistance of a single connector

$P_{Rd,1} = 0.8 \cdot f_u \cdot \pi \cdot d^2 / 4 / \gamma_V = 81.656$ kN

$P_{Rd,2} = 0.29 \cdot \alpha \cdot d^2 \cdot \sqrt{(f_{ck} \cdot E_{cm})} / \gamma_V = 86.065$ kN

$P_{Rd} = \text{Min}(P_{Rd,1}, P_{Rd,2}) = 81.656$ kN

where, $f_u = 450.000$ MPa

$\alpha = 1$ for $h_{sc}/d > 4$

Num. = 3

$d = 19.000$ mm

$h_{sc} = 175.000$ mm

Space = 200.000 mm

- Verification

$v_{L,Ed}$ = V_{Ed} · (A · z / I) = 227.558 kN/m
$v_{L,Rd}$ = P_{Rd} · Num./Space = 1224.844 kN/m
$v_{L,Ed}$ < $v_{L,Rd}$ … OK

0 **Longitudinal Shear for SLS(Serviceability limit state)**

- Shear resistance of a single connector

Load combination name : SLE RARA

$P_{Rd,1}$ = $0.8 \cdot f_u \cdot \pi \cdot d^2 / 4 / \gamma_V$ = 81.656 kN
$P_{Rd,2}$ = $0.29 \cdot \alpha \cdot d^2 \cdot \sqrt{(f_{ck} \cdot E_{cm})} / \gamma_V$ = 86.065 kN
P_{Rd} = $Min(P_{Rd,1}, P_{Rd,2})$ = 81.656 kN
$P_{Rd,ser}$ = $k_s \cdot P_{Rd}$ = 61.242 kN

where, f_u = 450.000 MPa
α = 1 for $h_{sc}/d > 4$
Num. = 3
d = 19.000 mm
h_{sc} = 175.000 mm
Space = 200.000 mm
k_s = 0.750

- Verification

$v_{L,Ed}$ = V_{Ed} · (A · z / I) = 168.560 kN/m
$v_{L,Rd}$ = $P_{Rd,ser}$ · Num./Space = 918.633 kN/m
$v_{L,Ed}$ < $v_{L,Rd}$ … OK

Element Number	299
Position Information	I

1 Design Condition

1.1 Design Parameters

■ Partial factors

γ_C for concrete	1.50	γ_V for headed sutd	1.25
γ_S for reinforcing steel	1.15	γ_{Ff} for equivalent constant Amplitude stress range	1.00
γ_{M0} for structural steel	1.05	γ_{Mf} for fatigue strength	1.15
γ_{M1} for structural steel	1.10	$\gamma_{Mf,s}$ for fatigue strength of studs in shear	1.00

1.2 Material Information

■ Structural steel

f_{sk} = 355.000 MPa E_s = 210000.000 MPa

■ Concrete

f_{ck} = 32.000 MPa E_{cm} = 33000.000 MPa

■ Reinforcement

f_{yk} = 450.000 MPa E_r = 210000.000 MPa

■ Section Dimensions

Slab

B_c	4500.000	mm	t_c	240.000	mm	H_h	60.000	mm

Girder

H_w	1915.000	mm	B_1	700.000	mm	B_2	950.000	mm
t_w	20.000	mm	t_{f1}	35.000	mm	t_{f2}	50.000	mm

■ Section Stiffness

Before

$A_{,a}$	110300.000	mm^2
$I_{y,a}$	76154099799.033	mm^4
$I_{z,a}$	4574089166.667	mm^4
$C_{y,a}$	475.000	mm
$C_{z,a}$	800.961	mm

After

$A_{,c}$	281728.571	mm^2
$I_{y,c}$	204615227942.935	mm^4
$I_{z,c}$	293859803452.381	mm^4
$C_{y,c}$	2250.000	mm
$C_{z,c}$	1640.090	mm

Crack

$A_{,c}$	117384.000	mm^2
$I_{y,c}$	88853000456.517	mm^4
$I_{z,c}$	17042015910.752	mm^4
$C_{y,c}$	2250.000	mm
$C_{z,c}$	884.185	mm

2 Bending Resistance

2.1 Positive Moment

■ Design load

Load combination name : SLU-1

$N_{a,Ed}$	-23.425	kN
$N_{c,Ed}$	-8.029	kN
$M_{a,Ed}$	12373.991	kN · m
$M_{c,Ed}$	18957.900	kN · m

- Stress

Top Flange

Left	y_1	-350.000	mm	z_1	359.910	mm	σ_1	-231.512	MPa
	y_2	-10.000	mm	z_2	359.910	mm	σ_2	-228.503	MPa
Right	y_1	350.000	mm	z_1	359.910	mm	σ_1	-225.317	MPa
	y_2	10.000	mm	z_2	359.910	mm	σ_2	-228.326	MPa

Bottom Flange

Left	y_1	-475.000	mm	z_1	-1640.090	mm	σ_1	277.657	MPa
	y_2	-10.000	mm	z_2	-1640.090	mm	σ_2	281.772	MPa
Right	y_1	475.000	mm	z_1	-1640.090	mm	σ_1	286.065	MPa
	y_2	10.000	mm	z_2	-1640.090	mm	σ_2	281.950	MPa

Web

Right	y_1	0.000	mm	z_1	324.910	mm	σ_1	-219.485	MPa
	y_2	0.000	mm	z_2	-1590.090	mm	σ_2	269.104	MPa

■ Classification of sections

Part	Class
Top flange	1
Web	1
Bottom flange	1
Section	1

- Plastic resistance moment, $M_{pl,Rd}$

Plastic NA = 1947.514 mm

N_{slab} = 19584.000 kN

$N_{g,top}$ = 8401.571 kN (Upper side of PNA)

$N_{g,bot}$ = 27985.571 kN (Lower side of PNA)

$M_{pl,Rd}$ = 46152.402 kN · m

x_{pl} = 352.486 mm

M_{Rd} = $\beta M_{pl,Rd}$ = 46152.402 kN · m

here, β = 1.000

M_{Rd} = 46152.402 kN · m > M_{Ed} = 31331.891 kN · m …OK

3 Resistance to Vertical Shear

■ Design load

Load combination name : SLU-1

N_{Ed} = -7.359 kN

$M_{a,Ed}$ = 12373.991 kN · m

$M_{c,Ed}$ = 18885.036 kN · m

$V_{Ed,a}$ = -29.406 kN

$V_{Ed,c}$ = 495.434 kN

V_{Ed} = 466.028 kN

- Stress

Top Flange

Left	y_1	-350.000	mm	z_1	359.910	mm	σ_1	-231.324	MPa
	y_2	-10.000	mm	z_2	359.910	mm	σ_2	-228.371	MPa
Right	y_1	350.000	mm	z_1	359.910	mm	σ_1	-225.243	MPa
	y_2	10.000	mm	z_2	359.910	mm	σ_2	-228.197	MPa

Bottom Flange

Left	y_1	-475.000	mm	z_1	-1640.090	mm	σ_1	277.153	MPa
	y_2	-10.000	mm	z_2	-1640.090	mm	σ_2	281.192	MPa
Right	y_1	475.000	mm	z_1	-1640.090	mm	σ_1	285.406	MPa
	y_2	10.000	mm	z_2	-1640.090	mm	σ_2	281.366	MPa

Web

Right	y_1	0.000	mm	z_1	324.910	mm	σ_1	-219.366	MPa
	y_2	0.000	mm	z_2	-1590.090	mm	σ_2	268.540	MPa

■ Classification of sections

Part	Class
Top flange	1
Web	1
Bottom flange	1
Section	1

■ Plastic resistance moment, $M_{pl,Rd}$

Plastic NA = 1947.514 mm

N_{slab} = 19584.000 kN

$N_{g,top}$ = 8401.571 kN

$N_{g,bot}$ = 27985.571 kN

$M_{pl,Rd}$ = 46152.402 kN · m

■ Calculation. $V_{bw,Rd}$

Web

■ Contribution from the web

$\lambda_w = h_w / (86.4 \cdot t \cdot \varepsilon) = 1.362$

$X_w = 1.37 / (0.7+\lambda_w) = 0.664$ $\lambda_w \geq 1.08$

$$V_{bw,Rd} = \frac{X_w \cdot f_{yw} \cdot h_w \cdot t}{\sqrt{3} \cdot \gamma_{M1}} = 4741.187 \text{ kN}$$

$V_{Rd} = 4741.187$ kN

$V_{Edi} = V_{Ed}$ / Num. of Web $= 466.028$ kN

$\eta'_3 = V_{Edi} / V_{bw,Rd} = 0.098 \leq 1.0$

■ Contribution from the flange

$M_{f,Rd0} = 33585.042$ kN · m

$M_{f,Rd0}$ is calculated as $M_{pl,Rd}$ but neglecting the web contribution.

$$\text{Reduction factor for } N_{Ed} = 1 - \frac{N_{Ed}}{(A_{f1}+A_{f2}) \cdot f_{yf}/\gamma_{M0}} = 1.000$$

$M_{f,Rd}$ = Reduction factor for N_{Ed} · $M_{f,Rd0} = 33574.497$ kN · m

$$V_{bf,Rd} = \frac{b_f \cdot t_f^2 \cdot f_{yf}}{c \cdot \gamma_{M1}} \left(1 - \left(\frac{M_{Ed}}{M_{f,Rd}}\right)^2\right) = 0.000 \text{ kN}$$

where, $M_{f,Rd} = 33574.497$ kN · m

$M_{Ed} = 129783.485$ kN · m (Taken as the greatest value of $(\sum \sigma_i)W$)

$$c = a \cdot \left(0.25 + \frac{1.6 \cdot b_f \cdot t_f^2 \cdot f_{yf}}{t \cdot h_w^2 \cdot f_{yw}}\right) = 0.000$$

■ Check Shear Resistance

$V_{Edi} / (V_{bw,Rd}+V_{bf,Rd}) = 0.098 < 1.0$ … OK

4 **Resistance to Lateral Torsional Buckling**

- Design load

Load combination name : SLU-1

$N_{Ed} = -31.453$ kN

$M_{Ed} = 18957.900$ kN · m

$V_1 = 4.242$ kN

$V_2 = 11.543$ kN

$M_1 = 31331.891$ kN · m

$M_2 = 31323.998$ kN · m

$M_{pl,Rd} = 46152.402$ kN · m

$M_{el,Rd} = 38317.539$ kN · m

- $M_{b,Rd}$ Buckling resistance moment

$L = 1.000$ m

$c = C_d / l = 0.000$

$\gamma = c \cdot L^4 / (E \cdot I) = 0.000$

$\mu = V_2 / V_1 = 0.367$

$\Phi = 2 \cdot (1-M_2/M_1) / (1+\mu) = 0.000$

$m_1 = 1+0.44 \cdot (1+\mu) \cdot \Phi^{1.5}+(3+2 \cdot \Phi) \cdot \gamma/(350-50 \cdot \mu) = 1.000$

$m_2 = 1+0.44 \cdot (1+\mu) \cdot \Phi^{1.5}+(0.195+(0.05+\mu/100) \cdot \Phi) \cdot \gamma^{0.5} = 1.000$

$m = \text{Min}(m_1, m_2) = 1.000$

$\alpha_{LT} = 0.760$

$\lambda_{LT} = 1.103 \cdot L/b \cdot \sqrt{(f_y/Em)} \cdot \sqrt{(1+A_{wc}/(3 \cdot A_f))} = 0.068$

$\Phi_{LT} = 0.5 \cdot (1+\alpha_{LT} \cdot (\lambda_{LT} - 0.2)+\lambda_{LT}^2) = 0.452$

$$X_{LT} = \frac{1}{\Phi_{LT} + \sqrt{(\Phi_{LT}^2 - \lambda_{LT}^2)}} = 1$$

$M_{Rd} = 46152.402$ kN · m

$M_{b,Rd} = X_{LT} \cdot M_{Rd} = 46152.402$ kN · m

- $N_{b,Rd}$ Axial buckling resistance

$X_{LT,N} = 1.000$

$N_{b,Rd} = X_{LT} \cdot \text{Area} \cdot f_{yd} = 95251.088$ kN

$$\text{Combined Ratio} = \frac{N_{Ed}}{N_{b,Rd}} + \frac{M_{Ed}}{M_{b,Rd}} = 0.411097562$$

6 Resistance to Longitudinal Shear

- Design load

Load combination name : SLU-1

$N_{c,el} = 11617.990$ kN

$N_{c,f} = 19584.000$ kN

$M_{Ed} = 31259.027$ kN · m

$V_{Ed} = 495.434$ kN

$M_{pl,Rd} = 46152.402$ kN · m

$M_{el,Rd} = 38317.539$ kN · m

- Shear resistance of a single connector

$P_{Rd,1} = 0.8 \cdot f_u \cdot \pi \cdot d^2 / 4 / \gamma_V = 81.656$ kN

$P_{Rd,2} = 0.29 \cdot \alpha \cdot d^2 \cdot \sqrt{(f_{ck} \cdot E_{cm})} / \gamma_V = 86.065$ kN

$P_{Rd} = \text{Min}(P_{Rd,1}, P_{Rd,2}) = 81.656$ kN

where, $f_u = 450.000$ MPa

$\alpha = 1$ for $h_{sc}/d > 4$

Num. = 3

$d = 19.000$ mm

$h_{sc} = 175.000$ mm

Space = 200.000 mm

- Verification

$v_{L,Ed}$ = V_{Ed} · (A · z / I) = 228.095 kN/m
$v_{L,Rd}$ = P_{Rd} · Num./Space = 1224.844 kN/m
$v_{L,Ed}$ < $v_{L,Rd}$ … OK

0 **Longitudinal Shear for SLS(Serviceability limit state)**

- Shear resistance of a single connector

Load combination name : SLE RARA

$P_{Rd,1}$ = $0.8 \cdot f_u \cdot \pi \cdot d^2 / 4 / \gamma_V$ = 81.656 kN
$P_{Rd,2}$ = $0.29 \cdot \alpha \cdot d^2 \cdot \sqrt{(f_{ck} \cdot E_{cm})} / \gamma_V$ = 86.065 kN
P_{Rd} = Min($P_{Rd,1}$, $P_{Rd,2}$) = 81.656 kN
$P_{Rd,ser}$ = $k_s \cdot P_{Rd}$ = 61.242 kN

where, f_u = 450.000 MPa
α = 1 for $h_{sc}/d > 4$
Num. = 3
d = 19.000 mm
h_{sc} = 175.000 mm
Space = 200.000 mm
k_s = 0.750

- Verification

$v_{L,Ed}$ = V_{Ed} · (A · z / I) = 168.961 kN/m
$v_{L,Rd}$ = $P_{Rd,ser}$ · Num./Space = 918.633 kN/m
$v_{L,Ed}$ < $v_{L,Rd}$ … OK

13.2.2.7 CONCIO C2 LATERALE – ELEMENTI 22 E 23

Element Number	22
Position Information	J

1 Design Condition

1.1 Design Parameters

■ Partial factors

γ_C for concrete	1.50	γ_V for headed sutd	1.25
γ_S for reinforcing steel	1.15	γ_{Ff} for equivalent constant Amplitude stress range	1.00
γ_{M0} for structural steel	1.05	γ_{Mf} for fatigue strength	1.15
γ_{M1} for structural steel	1.10	$\gamma_{Mf,s}$ for fatigue strength of studs in shear	1.00

1.2 Material Information

■ Structural steel

f_{sk} = 355.000 MPa E_s = 210000.000 MPa

■ Concrete

f_{ck} = 32.000 MPa E_{cm} = 33000.000 MPa

■ Reinforcement

f_{yk} = 450.000 MPa E_r = 210000.000 MPa

■ Section Dimensions

Slab

B_c	3600.000	mm	t_c	240.000	mm	H_h	60.000	mm

Girder

H_w	1925.000	mm	B_1	700.000	mm	B_2	950.000	mm
t_w	20.000	mm	t_{f1}	30.000	mm	t_{f2}	45.000	mm

■ Section Stiffness

Before

$A_{,a}$	102250.000	mm^2
$I_{y,a}$	68885403607.630	mm^4
$I_{z,a}$	4073939583.333	mm^4
$C_{y,a}$	475.000	mm
$C_{z,a}$	796.436	mm

After

$A_{,c}$	239392.857	mm^2
$I_{y,c}$	181674137501.343	mm^4
$I_{z,c}$	152188225297.619	mm^4
$C_{y,c}$	1800.000	mm
$C_{z,c}$	1589.049	mm

Crack

$A_{,c}$	107794.000	mm^2
$I_{y,c}$	78983427432.849	mm^4
$I_{z,c}$	10043047470.009	mm^4
$C_{y,c}$	1800.000	mm
$C_{z,c}$	867.595	mm

2 Bending Resistance

2.1 Positive Moment

■ Design load

Load combination name : SLU-1

$N_{a,Ed}$	-19.358	kN
$N_{c,Ed}$	318.456	kN
$M_{a,Ed}$	10199.518	kN · m
$M_{c,Ed}$	15073.185	kN · m

- Stress

Top Flange

Left	y_1	-350.000	mm	z_1	410.951	mm	σ_1	-209.286	MPa
	y_2	-10.000	mm	z_2	410.951	mm	σ_2	-211.107	MPa
Right	y_1	350.000	mm	z_1	410.951	mm	σ_1	-213.035	MPa
	y_2	10.000	mm	z_2	410.951	mm	σ_2	-211.214	MPa

Bottom Flange

Left	y_1	-475.000	mm	z_1	-1589.049	mm	σ_1	253.450	MPa
	y_2	-10.000	mm	z_2	-1589.049	mm	σ_2	250.960	MPa
Right	y_1	475.000	mm	z_1	-1589.049	mm	σ_1	248.362	MPa
	y_2	10.000	mm	z_2	-1589.049	mm	σ_2	250.852	MPa

Web

Right	y_1	0.000	mm	z_1	380.951	mm	σ_1	-204.230	MPa
	y_2	0.000	mm	z_2	-1544.049	mm	σ_2	240.509	MPa

■ Classification of sections

Part	Class
Top flange	1
Web	1
Bottom flange	1
Section	1

- Plastic resistance moment, $M_{pl,Rd}$

Plastic NA = 1682.451 mm

N_{slab} = 15667.200 kN

$N_{g,top}$ = 9044.376 kN (Upper side of PNA)

$N_{g,bot}$ = 24711.576 kN (Lower side of PNA)

$M_{pl,Rd}$ = 41928.560 kN · m

x_{pl} = 617.549 mm

M_{Rd} = $\beta M_{pl,Rd}$ = 41928.560 kN · m

here, β = 1.000

M_{Rd} = 41928.560 kN · m > M_{Ed} = 25272.702 kN · m …OK

3 Resistance to Vertical Shear

■ Design load

Load combination name : SLU-1

N_{Ed} = 333.061 kN

$M_{a,Ed}$ = 10199.518 kN · m

$M_{c,Ed}$ = 14650.829 kN · m

$V_{Ed,a}$ = 336.872 kN

$V_{Ed,c}$ = 700.115 kN

V_{Ed} = 1036.987 kN

- Stress

Top Flange

Left	y_1	-350.000	mm	z_1	410.951	mm	σ_1	-208.043	MPa
	y_2	-10.000	mm	z_2	410.951	mm	σ_2	-210.084	MPa
Right	y_1	350.000	mm	z_1	410.951	mm	σ_1	-212.245	MPa
	y_2	10.000	mm	z_2	410.951	mm	σ_2	-210.204	MPa

Bottom Flange

Left	y_1	-475.000	mm	z_1	-1589.049	mm	σ_1	250.124	MPa
	y_2	-10.000	mm	z_2	-1589.049	mm	σ_2	247.333	MPa
Right	y_1	475.000	mm	z_1	-1589.049	mm	σ_1	244.421	MPa
	y_2	10.000	mm	z_2	-1589.049	mm	σ_2	247.213	MPa

Web

Right	y_1	0.000	mm	z_1	380.951	mm	σ_1	-203.283	MPa
	y_2	0.000	mm	z_2	-1544.049	mm	σ_2	236.981	MPa

■ Classification of sections

Part	Class
Top flange	1
Web	1
Bottom flange	1
Section	1

■ Plastic resistance moment, $M_{pl,Rd}$

Plastic NA = 1682.451 mm

N_{slab} = 15667.200 kN

$N_{g,top}$ = 9044.376 kN

$N_{g,bot}$ = 24711.576 kN

$M_{pl,Rd}$ = 41928.560 kN · m

■ Calculation. $V_{bw,Rd}$

Web

■ Contribution from the web

$\lambda_w = h_w / (86.4 \cdot t \cdot \varepsilon) = 1.369$

$X_w = 1.37 / (0.7+\lambda_w) = 0.662$ $\lambda_w \geq 1.08$

$$V_{bw,Rd} = \frac{X_w \cdot f_{yw} \cdot h_w \cdot t}{\sqrt{3} \cdot \gamma_{M1}} = 4749.563 \text{ kN}$$

$V_{Rd} = 4749.563$ kN

$V_{Edi} = V_{Ed}$ / Num. of Web $= 1036.987$ kN

$\eta'_3 = V_{Edi} / V_{bw,Rd} = 0.218 \leq 1.0$

■ Contribution from the flange

$M_{f,Rd} = 29871.108$ kN · m

$M_{f,Rd}$ is calculated as $M_{pl,Rd}$ but neglecting the web contribution.

$$V_{bf,Rd} = \frac{b_f \cdot t_f^2 \cdot f_{yf}}{c \cdot \gamma_{M1}} \left(1 - \left(\frac{M_{Ed}}{M_{f,Rd}}\right)^2\right) = 0.000 \text{ kN}$$

where, $M_{f,Rd} = 29871.108$ kN · m

$M_{Ed} = 92901.077$ kN · m (Taken as the greatest value of $(\sum \sigma_i)W$)

$$c = a \cdot \left(0.25 + \frac{1.6 \cdot b_f \cdot t_f^2 \cdot f_{yf}}{t \cdot h_w^2 \cdot f_{yw}}\right) = 0.000$$

■ Check Shear Resistance

$V_{Edi} / (V_{bw,Rd}+V_{bf,Rd}) = 0.218 < 1.0$ … OK

4 Resistance to Lateral Torsional Buckling

- Design load

Load combination name : SLU-1

$N_{Ed} = 299.099$ kN

$M_{Ed} = 15073.185$ kN · m

$V_1 = 722.028$ kN

$V_2 = 689.743$ kN

$M_1 = 25626.381$ kN · m

$M_2 = 25272.702$ kN · m

$M_{pl,Rd} = 41928.560$ kN · m

$M_{el,Rd} = 35371.395$ kN · m

- $M_{b,Rd}$ Buckling resistance moment

$L = 0.500$ m

$c = C_d / l = 0.000$

$\gamma = c \cdot L^4 / (E \cdot I) = 0.000$

μ = V_2 / V_1 = 0.955

Φ = $2 \cdot (1-M_2/M_1) / (1+\mu)$ = 0.014

m_1 = $1+0.44 \cdot (1+\mu) \cdot \Phi^{1.5}+(3+2 \cdot \Phi) \cdot \gamma/(350-50 \cdot \mu)$ = 1.001

m_2 = $1+0.44 \cdot (1+\mu) \cdot \Phi^{1.5}+(0.195+(0.05+\mu/100) \cdot \Phi) \cdot \gamma^{0.5}$ = 1.001

m = $\text{Min}(m_1, m_2)$ = 1.001

α_{LT} = 0.760

λ_{LT} = $1.103 \cdot L/b \cdot \sqrt{(f_y/Em)} \cdot \sqrt{(1+A_{wc}/(3 \cdot A_f))}$ = 0.034

Φ_{LT} = $0.5 \cdot (1+\alpha_{LT} \cdot (\lambda_{LT} - 0.2)+\lambda_{LT}^2)$ = 0.438

$$X_{LT} = \frac{1}{\Phi_{LT} + \sqrt{(\Phi_{LT}^2 - \lambda_{LT}^2)}} = 1$$

M_{Rd} = 41928.560 kN · m

$M_{b,Rd}$ = $X_{LT} \cdot M_{Rd}$ = 41928.560 kN · m

- $N_{b,Rd}$ Axial buckling resistance

$X_{LT,N}$ = 1.000

$N_{b,Rd}$ = $X_{LT} \cdot \text{Area} \cdot f_{yd}$ = 80937.585 kN

$$\text{Combined Ratio} = \frac{N_{Ed}}{N_{b,Rd}} + \frac{M_{Ed}}{M_{b,Rd}} = 0.363192258$$

6 Resistance to Longitudinal Shear

- Design load

Load combination name : SLU-1

$N_{c,el}$ = 11116.860 kN

$N_{c,f}$ = 15667.200 kN

M_{Ed} = 24850.347 kN · m

V_{Ed} = 700.115 kN

$M_{pl,Rd}$ = 41928.560 kN · m

$M_{el,Rd}$ = 35371.395 kN · m

- Shear resistance of a single connector

$P_{Rd,1}$ = $0.8 \cdot f_u \cdot \pi \cdot d^2 / 4 / \gamma_V$ = 81.656 kN

$P_{Rd,2}$ = $0.29 \cdot \alpha \cdot d^2 \cdot \sqrt{(f_{ck} \cdot E_{cm})} / \gamma_V$ = 86.065 kN

P_{Rd} = $\text{Min}(P_{Rd,1}, P_{Rd,2})$ = 81.656 kN

where, f_u = 450.000 MPa

α = 1 for $h_{sc}/d > 4$

Num. = 3

d = 19.000 mm

h_{sc} = 175.000 mm

Space = 200.000 mm

- Verification

$v_{L,Ed}$ = $V_{Ed} \cdot (A \cdot z / I)$ = 320.413 kN/m

$v_{L,Rd}$ = P_{Rd} · Num./Space = 1224.844 kN/m

$v_{L,Ed}$ < $v_{L,Rd}$ … OK

0 **Longitudinal Shear for SLS(Serviceability limit state)**

- Shear resistance of a single connector

Load combination name : SLE RARA

$P_{Rd,1}$ = $0.8 \cdot f_u \cdot \pi \cdot d^2 / 4 / \gamma_V$ = 81.656 kN

$P_{Rd,2}$ = $0.29 \cdot \alpha \cdot d^2 \cdot \sqrt{(f_{ck} \cdot E_{cm})} / \gamma_V$ = 86.065 kN

P_{Rd} = $Min(P_{Rd,1}, P_{Rd,2})$ = 81.656 kN

$P_{Rd,ser}$ = $k_s \cdot P_{Rd}$ = 61.242 kN

where, f_u = 450.000 MPa

α = 1 for $h_{sc}/d > 4$

Num. = 3

d = 19.000 mm

h_{sc} = 175.000 mm

Space = 200.000 mm

k_s = 0.750

- Verification

$v_{L,Ed}$ = $V_{Ed} \cdot (A \cdot z / I)$ = 238.025 kN/m

$v_{L,Rd}$ = $P_{Rd,ser}$ · Num./Space = 918.633 kN/m

$v_{L,Ed}$ < $v_{L,Rd}$ … OK

Element Number	23
Position Information	J

1 Design Condition

1.1 Design Parameters

■ Partial factors

γ_C for concrete	1.50	γ_V for headed sutd	1.25
γ_S for reinforcing steel	1.15	γ_{Ff} for equivalent constant Amplitude stress range	1.00
γ_{M0} for structural steel	1.05	γ_{Mf} for fatigue strength	1.15
γ_{M1} for structural steel	1.10	$\gamma_{Mf,s}$ for fatigue strength of studs in shear	1.00

1.2 Material Information

■ Structural steel

f_{sk} = 355.000 MPa E_s = 210000.000 MPa

■ Concrete

f_{ck} = 32.000 MPa E_{cm} = 33000.000 MPa

■ Reinforcement

f_{yk} = 450.000 MPa E_r = 210000.000 MPa

■ Section Dimensions

Slab

B_c	3600.000	mm	t_c	240.000	mm	H_h	60.000	mm

Girder

H_w	1925.000	mm	B_1	700.000	mm	B_2	950.000	mm
t_w	20.000	mm	t_{f1}	30.000	mm	t_{f2}	45.000	mm

■ Section Stiffness

Before

$A_{,a}$	102250.000	mm^2
$I_{y,a}$	68885403607.630	mm^4
$I_{z,a}$	4073939583.333	mm^4
$C_{y,a}$	475.000	mm
$C_{z,a}$	796.436	mm

After

$A_{,c}$	239392.857	mm^2
$I_{y,c}$	181674137501.343	mm^4
$I_{z,c}$	152188225297.619	mm^4
$C_{y,c}$	1800.000	mm
$C_{z,c}$	1589.049	mm

Crack

$A_{,c}$	107794.000	mm^2
$I_{y,c}$	78983427432.849	mm^4
$I_{z,c}$	10043047470.009	mm^4
$C_{y,c}$	1800.000	mm
$C_{z,c}$	867.595	mm

2 Bending Resistance

2.1 Positive Moment

■ Design load

Load combination name : SLU-1

$N_{a,Ed}$	-23.677	kN
$N_{c,Ed}$	-72.274	kN
$M_{a,Ed}$	10201.023	kN・m
$M_{c,Ed}$	18143.293	kN・m

- Stress

Top Flange

Left	y_1	-350.000	mm	z_1	410.951	mm	σ_1	-215.395	MPa
	y_2	-10.000	mm	z_2	410.951	mm	σ_2	-219.680	MPa
Right	y_1	350.000	mm	z_1	410.951	mm	σ_1	-224.217	MPa
	y_2	10.000	mm	z_2	410.951	mm	σ_2	-219.932	MPa

Bottom Flange

Left	y_1	-475.000	mm	z_1	-1589.049	mm	σ_1	282.088	MPa
	y_2	-10.000	mm	z_2	-1589.049	mm	σ_2	276.228	MPa
Right	y_1	475.000	mm	z_1	-1589.049	mm	σ_1	270.116	MPa
	y_2	10.000	mm	z_2	-1589.049	mm	σ_2	275.976	MPa

Web

Right	y_1	0.000	mm	z_1	380.951	mm	σ_1	-212.367	MPa
	y_2	0.000	mm	z_2	-1544.049	mm	σ_2	264.944	MPa

■ Classification of sections

Part	Class
Top flange	1
Web	1
Bottom flange	1
Section	1

- Plastic resistance moment, $M_{pl,Rd}$

Plastic NA = 1682.451 mm

N_{slab} = 15667.200 kN

$N_{g,top}$ = 9044.376 kN (Upper side of PNA)

$N_{g,bot}$ = 24711.576 kN (Lower side of PNA)

$M_{pl,Rd}$ = 41928.560 kN・m

x_{pl} = 617.549 mm

M_{Rd} = $\beta M_{pl,Rd}$ = 41928.560 kN・m

here, β = 1.000

M_{Rd} = 41928.560 kN · m > M_{Ed} = 28344.316 kN · m …OK

3 Resistance to Vertical Shear

■ Design load

Load combination name : SLU-1

N_{Ed} = -64.824 kN
$M_{a,Ed}$ = 10201.023 kN · m
$M_{c,Ed}$ = 17803.720 kN · m
$V_{Ed,a}$ = 336.854 kN
$V_{Ed,c}$ = 697.741 kN
V_{Ed} = 1034.595 kN

- Stress

Top Flange

Left	y_1	-350.000	mm	z_1	410.951	mm	σ_1	-214.741	MPa
	y_2	-10.000	mm	z_2	410.951	mm	σ_2	-218.885	MPa
Right	y_1	350.000	mm	z_1	410.951	mm	σ_1	-223.273	MPa
	y_2	10.000	mm	z_2	410.951	mm	σ_2	-219.129	MPa

Bottom Flange

Left	y_1	-475.000	mm	z_1	-1589.049	mm	σ_1	278.953	MPa
	y_2	-10.000	mm	z_2	-1589.049	mm	σ_2	273.285	MPa
Right	y_1	475.000	mm	z_1	-1589.049	mm	σ_1	267.374	MPa
	y_2	10.000	mm	z_2	-1589.049	mm	σ_2	273.041	MPa

Web

Right	y_1	0.000	mm	z_1	380.951	mm	σ_1	-211.624	MPa
	y_2	0.000	mm	z_2	-1544.049	mm	σ_2	262.089	MPa

■ Classification of sections

Part	Class
Top flange	1
Web	1
Bottom flange	1
Section	1

■ Plastic resistance moment, $M_{pl,Rd}$

Plastic NA = 1682.451 mm

N_{slab} = 15667.200 kN
$N_{g,top}$ = 9044.376 kN
$N_{g,bot}$ = 24711.576 kN

$M_{pl,Rd}$ = 41928.560 kN · m

■ Calculation. $V_{bw,Rd}$

Web

■ Contribution from the web

$\lambda_w = h_w / (86.4 \cdot t \cdot \varepsilon) = 1.369$

$X_w = 1.37 / (0.7+\lambda_w) = 0.662$ $\lambda_w \geq 1.08$

$$V_{bw,Rd} = \frac{X_w \cdot f_{yw} \cdot h_w \cdot t}{\sqrt{3} \cdot \gamma_{M1}} = 4749.563 \text{ kN}$$

$V_{Rd} = 4749.563$ kN

$V_{Edi} = V_{Ed}$ / Num. of Web $= 1034.595$ kN

$\eta'_3 = V_{Edi} / V_{bw,Rd} = 0.218 \leq 1.0$

■ Contribution from the flange

$M_{f,Rd0} = 29871.108$ kN · m

$M_{f,Rd0}$ is calculated as $M_{pl,Rd}$ but neglecting the web contribution.

$$\text{Reduction factor for } N_{Ed} = 1 - \frac{N_{Ed}}{(A_{f1}+A_{f2}) \cdot f_{yf}/\gamma_{M0}} = 0.997$$

$M_{f,Rd}$ = Reduction factor for N_{Ed} · $M_{f,Rd0} = 29777.741$ kN · m

$$V_{bf,Rd} = \frac{b_f \cdot t_f^2 \cdot f_{yf}}{c \cdot \gamma_{M1}} \left(1 - \left(\frac{M_{Ed}}{M_{f,Rd}} \right)^2 \right) = 0.000 \text{ kN}$$

where, $M_{f,Rd} = 29777.741$ kN · m

$M_{Ed} = 96819.039$ kN · m (Taken as the greatest value of $(\sum \sigma_i)W$)

$$c = a \cdot \left(0.25 + \frac{1.6 \cdot b_f \cdot t_f^2 \cdot f_{yf}}{t \cdot h_w^2 \cdot f_{yw}}\right) = 0.000$$

■ Check Shear Resistance

$V_{Edi} / (V_{bw,Rd}+V_{bf,Rd}) = 0.218 < 1.0$ … OK

4 Resistance to Lateral Torsional Buckling

- Design load

Load combination name : SLU-1

$N_{Ed} = -95.951$ kN

$M_{Ed} = 18143.293$ kN · m

$V_1 = 811.550$ kN

$V_2 = 815.508$ kN

$M_1 = 28750.593$ kN · m

$M_2 = 28344.316$ kN · m

$M_{pl,Rd} = 41928.560$ kN · m

$M_{el,Rd} = 35370.910$ kN · m

- $M_{b,Rd}$ Buckling resistance moment

$L = 0.500$ m

$c = C_d / I = 0.000$

$\gamma = c \cdot L^4 / (E \cdot I) = 0.000$

$\mu = V_2 / V_1 = 0.995$

$\Phi = 2 \cdot (1-M_2/M_1) / (1+\mu) = 0.014$

$m_1 = 1+0.44 \cdot (1+\mu) \cdot \Phi^{1.5}+(3+2 \cdot \Phi) \cdot \gamma/(350-50 \cdot \mu) = 1.001$

$m_2 = 1+0.44 \cdot (1+\mu) \cdot \Phi^{1.5}+(0.195+(0.05+\mu/100) \cdot \Phi) \cdot \gamma^{0.5} = 1.001$

$m = \text{Min}(m_1, m_2) = 1.001$

$\alpha_{LT} = 0.760$

$\lambda_{LT} = 1.103 \cdot L/b \cdot \sqrt{(f_y/Em)} \cdot \sqrt{(1+A_{wc}/(3 \cdot A_f))} = 0.034$

$\Phi_{LT} = 0.5 \cdot (1+\alpha_{LT} \cdot (\lambda_{LT} - 0.2)+\lambda_{LT}^2) = 0.438$

$$X_{LT} = \frac{1}{\Phi_{LT} + \sqrt{(\Phi_{LT}^2 - \lambda_{LT}^2)}} = 1$$

$M_{Rd} = 41928.560$ kN · m

$M_{b,Rd} = X_{LT} \cdot M_{Rd} = 41928.560$ kN · m

- $N_{b,Rd}$ Axial buckling resistance

$X_{LT,N} = 1.000$

$N_{b,Rd} = X_{LT} \cdot \text{Area} \cdot f_{yd} = 80937.585$ kN

$$\text{Combined Ratio} = \frac{N_{Ed}}{N_{b,Rd}} + \frac{M_{Ed}}{M_{b,Rd}} = 0.433904694$$

6 Resistance to Longitudinal Shear

- Design load

Load combination name : SLU-1

$N_{c,el} = 11115.981$ kN

$N_{c,f} = 15667.200$ kN

$M_{Ed} = 28004.744$ kN · m

$V_{Ed} = 697.741$ kN

$M_{pl,Rd} = 41928.560$ kN · m

$M_{el,Rd} = 35370.910$ kN · m

- Shear resistance of a single connector

$P_{Rd,1} = 0.8 \cdot f_u \cdot \pi \cdot d^2 / 4 / \gamma_V = 81.656$ kN

$P_{Rd,2} = 0.29 \cdot \alpha \cdot d^2 \cdot \sqrt{(f_{ck} \cdot E_{cm})} / \gamma_V = 86.065$ kN

$P_{Rd} = \text{Min}(P_{Rd,1}, P_{Rd,2}) = 81.656$ kN

where, $f_u = 450.000$ MPa

$\alpha = 1$ for $h_{sc}/d > 4$

Num. = 3

$d = 19.000$ mm

$h_{sc} = 175.000$ mm

Space = 200.000 mm

- Verification

$v_{L,Ed}$ = V_{Ed} · (A · z / I) = 319.326 kN/m
$v_{L,Rd}$ = P_{Rd} · Num./Space = 1224.844 kN/m
$v_{L,Ed}$ < $v_{L,Rd}$ … OK

0 **Longitudinal Shear for SLS(Serviceability limit state)**

- Shear resistance of a single connector

Load combination name : SLE RARA

$P_{Rd,1}$ = $0.8 \cdot f_u \cdot \pi \cdot d^2 / 4 / \gamma_V$ = 81.656 kN
$P_{Rd,2}$ = $0.29 \cdot \alpha \cdot d^2 \cdot \sqrt{(f_{ck} \cdot E_{cm})} / \gamma_V$ = 86.065 kN
P_{Rd} = $Min(P_{Rd,1}, P_{Rd,2})$ = 81.656 kN
$P_{Rd,ser}$ = $k_s \cdot P_{Rd}$ = 61.242 kN

where, f_u = 450.000 MPa
α = 1 for $h_{sc}/d > 4$
Num. = 3
d = 19.000 mm
h_{sc} = 175.000 mm
Space = 200.000 mm
k_s = 0.750

- Verification

$v_{L,Ed}$ = V_{Ed} · (A · z / I) = 225.917 kN/m
$v_{L,Rd}$ = $P_{Rd,ser}$ · Num./Space = 918.633 kN/m
$v_{L,Ed}$ < $v_{L,Rd}$ … OK

13.2.2.8 CONCIO C2 CENTRALE – ELEMENTI 17 E 18

Element Number	17
Position Information	J

1 Design Condition

1.1 Design Parameters

■ Partial factors

γ_C for concrete	1.50	γ_V for headed sutd	1.25
γ_S for reinforcing steel	1.15	γ_{Ff} for equivalent constant Amplitude stress range	1.00
γ_{M0} for structural steel	1.05	γ_{Mf} for fatigue strength	1.15
γ_{M1} for structural steel	1.10	$\gamma_{Mf,s}$ for fatigue strength of studs in shear	1.00

1.2 Material Information

■ Structural steel

f_{sk} = 355.000 MPa E_s = 210000.000 MPa

■ Concrete

f_{ck} = 32.000 MPa E_{cm} = 33000.000 MPa

■ Reinforcement

f_{yk} = 450.000 MPa E_r = 210000.000 MPa

■ Section Dimensions

Slab

B_c	4500.000	mm	t_c	240.000	mm	H_h	60.000	mm

Girder

H_w	1925.000	mm	B_1	700.000	mm	B_2	950.000	mm
t_w	20.000	mm	t_{f1}	30.000	mm	t_{f2}	45.000	mm

■ Section Stiffness

Before

$A_{,a}$	102250.000	mm^2
$I_{y,a}$	68885403607.630	mm^4
$I_{z,a}$	4073939583.333	mm^4
$C_{y,a}$	475.000	mm
$C_{z,a}$	796.436	mm

After

$A_{,c}$	273678.571	mm^2
$I_{y,c}$	192312070313.762	mm^4
$I_{z,c}$	293359653869.048	mm^4
$C_{y,c}$	2250.000	mm
$C_{z,c}$	1663.082	mm

Crack

$A_{,c}$	109334.000	mm^2
$I_{y,c}$	81607253739.746	mm^4
$I_{z,c}$	16541866327.419	mm^4
$C_{y,c}$	2250.000	mm
$C_{z,c}$	886.081	mm

2 Bending Resistance

2.1 Positive Moment

■ Design load

Load combination name : SLU-1

$N_{a,Ed}$	-23.454	kN
$N_{c,Ed}$	31.697	kN
$M_{a,Ed}$	11184.817	kN・m
$M_{c,Ed}$	16170.315	kN・m

- Stress

Top Flange

Left	y_1	-350.000	mm	z_1	336.918	mm	σ_1	-220.908	MPa
	y_2	-10.000	mm	z_2	336.918	mm	σ_2	-223.779	MPa
Right	y_1	350.000	mm	z_1	336.918	mm	σ_1	-226.819	MPa
	y_2	10.000	mm	z_2	336.918	mm	σ_2	-223.948	MPa

Bottom Flange

Left	y_1	-475.000	mm	z_1	-1663.082	mm	σ_1	273.052	MPa
	y_2	-10.000	mm	z_2	-1663.082	mm	σ_2	269.125	MPa
Right	y_1	475.000	mm	z_1	-1663.082	mm	σ_1	265.029	MPa
	y_2	10.000	mm	z_2	-1663.082	mm	σ_2	268.956	MPa

Web

Right	y_1	0.000	mm	z_1	306.918	mm	σ_1	-216.470	MPa
	y_2	0.000	mm	z_2	-1618.082	mm	σ_2	257.950	MPa

■ Classification of sections

Part	Class
Top flange	1
Web	1
Bottom flange	1
Section	1

- Plastic resistance moment, $M_{pl,Rd}$

Plastic NA = 1970.059 mm

N_{slab} = 19584.000 kN

$N_{g,top}$ = 7085.976 kN (Upper side of PNA)

$N_{g,bot}$ = 26669.976 kN (Lower side of PNA)

$M_{pl,Rd}$ = 43310.190 kN・m

x_{pl} = 329.941 mm

M_{Rd} = $\beta M_{pl,Rd}$ = 43310.190 kN・m

here, β = 1.000

M_{Rd} = 43310.190 kN · m > M_{Ed} = 27355.132 kN · m …OK

3 Resistance to Vertical Shear

■ Design load

Load combination name : SLU-1

N_{Ed} = 43.209 kN

$M_{a,Ed}$ = 11184.817 kN · m

$M_{c,Ed}$ = 15760.911 kN · m

$V_{Ed,a}$ = 370.283 kN

$V_{Ed,c}$ = 770.369 kN

V_{Ed} = 1140.652 kN

- Stress

Top Flange

Left	y_1	-350.000	mm	z_1	336.918	mm	σ_1	-220.446	MPa
	y_2	-10.000	mm	z_2	336.918	mm	σ_2	-223.028	MPa
Right	y_1	350.000	mm	z_1	336.918	mm	σ_1	-225.762	MPa
	y_2	10.000	mm	z_2	336.918	mm	σ_2	-223.180	MPa

Bottom Flange

Left	y_1	-475.000	mm	z_1	-1663.082	mm	σ_1	269.149	MPa
	y_2	-10.000	mm	z_2	-1663.082	mm	σ_2	265.618	MPa
Right	y_1	475.000	mm	z_1	-1663.082	mm	σ_1	261.935	MPa
	y_2	10.000	mm	z_2	-1663.082	mm	σ_2	265.466	MPa

Web

Right	y_1	0.000	mm	z_1	306.918	mm	σ_1	-215.775	MPa
	y_2	0.000	mm	z_2	-1618.082	mm	σ_2	254.548	MPa

■ Classification of sections

Part	Class
Top flange	1
Web	1
Bottom flange	1
Section	1

■ Plastic resistance moment, $M_{pl,Rd}$

Plastic NA = 1970.059 mm

N_{slab} = 19584.000 kN

$N_{g,top}$ = 7085.976 kN

$N_{g,bot}$ = 26669.976 kN

$M_{pl,Rd}$ = 43310.190 kN · m

■ Calculation. $V_{bw,Rd}$

Web

■ Contribution from the web

$\lambda_w = h_w / (86.4 \cdot t \cdot \varepsilon) = 1.369$

$X_w = 1.37 / (0.7+\lambda_w) = 0.662$ $\lambda_w \geq 1.08$

$$V_{bw,Rd} = \frac{X_w \cdot f_{yw} \cdot h_w \cdot t}{\sqrt{3} \cdot \gamma_{M1}} = 4749.563 \text{ kN}$$

$V_{Rd} = 4749.563$ kN

$V_{Edi} = V_{Ed}$ / Num. of Web $= 1140.652$ kN

$\eta'_3 = V_{Edi} / V_{bw,Rd} = 0.240 \leq 1.0$

■ Contribution from the flange

$M_{f,Rd} = 30601.898$ kN · m

$M_{f,Rd}$ is calculated as $M_{pl,Rd}$ but neglecting the web contribution.

$$V_{bf,Rd} = \frac{b_f \cdot t_f^2 \cdot f_{yf}}{c \cdot \gamma_{M1}} \left(1 - \left(\frac{M_{Ed}}{M_{f,Rd}} \right)^2 \right) = 0.000 \text{ kN}$$

where, $M_{f,Rd} = 30601.898$ kN · m

$M_{Ed} = 127347.476$ kN · m (Taken as the greatest value of $(\sum \sigma_i)W$)

$$c = a \cdot \left(0.25 + \frac{1.6 \cdot b_f \cdot t_f^2 \cdot f_{yf}}{t \cdot h_w^2 \cdot f_{yw}}\right) = 0.000$$

■ Check Shear Resistance

$V_{Edi} / (V_{bw,Rd}+V_{bf,Rd}) = 0.240 < 1.0$ … OK

4 Resistance to Lateral Torsional Buckling

- Design load

Load combination name : SLU-1

$N_{Ed} = 8.244$ kN

$M_{Ed} = 16170.315$ kN · m

$V_1 = 673.273$ kN

$V_2 = 679.383$ kN

$M_1 = 27693.297$ kN · m

$M_2 = 27355.132$ kN · m

$M_{pl,Rd} = 43310.190$ kN · m

$M_{el,Rd} = 35327.185$ kN · m

- $M_{b,Rd}$ Buckling resistance moment

$L = 0.500$ m

$c = C_d / l = 0.000$

$\gamma = c \cdot L^4 / (E \cdot I) = 0.000$

μ = V_2 / V_1 = 0.991

Φ = $2 \cdot (1-M_2/M_1) / (1+\mu)$ = 0.012

m_1 = $1+0.44 \cdot (1+\mu) \cdot \Phi^{1.5}+(3+2 \cdot \Phi) \cdot \gamma/(350-50 \cdot \mu)$ = 1.001

m_2 = $1+0.44 \cdot (1+\mu) \cdot \Phi^{1.5}+(0.195+(0.05+\mu/100) \cdot \Phi) \cdot \gamma^{0.5}$ = 1.001

m = $\text{Min}(m_1, m_2)$ = 1.001

α_{LT} = 0.760

λ_{LT} = $1.103 \cdot L/b \cdot \sqrt{(f_y/Em)} \cdot \sqrt{(1+A_{wc}/(3 \cdot A_f))}$ = 0.034

Φ_{LT} = $0.5 \cdot (1+\alpha_{LT} \cdot (\lambda_{LT} - 0.2)+\lambda_{LT}^2)$ = 0.437

$$X_{LT} = \frac{1}{\Phi_{LT} + \sqrt{(\Phi_{LT}^2 - \lambda_{LT}^2)}} = 1$$

M_{Rd} = 43310.190 kN · m

$M_{b,Rd}$ = $X_{LT} \cdot M_{Rd}$ = 43310.190 kN · m

- $N_{b,Rd}$ Axial buckling resistance

$X_{LT,N}$ = 1.000

$N_{b,Rd}$ = $X_{LT} \cdot \text{Area} \cdot f_{yd}$ = 92529.422 kN

$$\text{Combined Ratio} = \frac{N_{Ed}}{N_{b,Rd}} + \frac{M_{Ed}}{M_{b,Rd}} = 0.373449619$$

6 Resistance to Longitudinal Shear

- Design load

Load combination name : SLU-1

$N_{c,el}$ = 11013.196 kN

$N_{c,f}$ = 19584.000 kN

M_{Ed} = 26945.728 kN · m

V_{Ed} = 770.369 kN

$M_{pl,Rd}$ = 43310.190 kN · m

$M_{el,Rd}$ = 35327.185 kN · m

- Shear resistance of a single connector

$P_{Rd,1}$ = $0.8 \cdot f_u \cdot \pi \cdot d^2 / 4 / \gamma_V$ = 81.656 kN

$P_{Rd,2}$ = $0.29 \cdot \alpha \cdot d^2 \cdot \sqrt{(f_{ck} \cdot E_{cm})} / \gamma_V$ = 86.065 kN

P_{Rd} = $\text{Min}(P_{Rd,1}, P_{Rd,2})$ = 81.656 kN

where, f_u = 450.000 MPa

α = 1 for $h_{sc}/d > 4$

Num. = 3

d = 19.000 mm

h_{sc} = 175.000 mm

Space = 200.000 mm

- Verification

$v_{L,Ed}$ = $V_{Ed} \cdot (A \cdot z / I)$ = 361.125 kN/m

$v_{L,Rd}$ = P_{Rd} · Num./Space = 1224.844 kN/m

$v_{L,Ed}$ < $v_{L,Rd}$ … OK

0 **Longitudinal Shear for SLS(Serviceability limit state)**

- Shear resistance of a single connector

Load combination name : SLE RARA

$P_{Rd,1}$ = $0.8 \cdot f_u \cdot \pi \cdot d^2 / 4 / \gamma_V$ = 81.656 kN

$P_{Rd,2}$ = $0.29 \cdot \alpha \cdot d^2 \cdot \sqrt{(f_{ck} \cdot E_{cm})} / \gamma_V$ = 86.065 kN

P_{Rd} = $Min(P_{Rd,1}, P_{Rd,2})$ = 81.656 kN

$P_{Rd,ser}$ = $k_s \cdot P_{Rd}$ = 61.242 kN

where, f_u = 450.000 MPa

α = 1 for $h_{sc}/d > 4$

Num. = 3

d = 19.000 mm

h_{sc} = 175.000 mm

Space = 200.000 mm

k_s = 0.750

- Verification

$v_{L,Ed}$ = $V_{Ed} \cdot (A \cdot z / I)$ = 268.098 kN/m

$v_{L,Rd}$ = $P_{Rd,ser}$ · Num./Space = 918.633 kN/m

$v_{L,Ed}$ < $v_{L,Rd}$ … OK

Element Number	18
Position Information	J

1 Design Condition

1.1 Design Parameters

■ Partial factors

γ_C for concrete	1.50	γ_V for headed sutd	1.25
γ_S for reinforcing steel	1.15	γ_{Ff} for equivalent constant Amplitude stress range	1.00
γ_{M0} for structural steel	1.05	γ_{Mf} for fatigue strength	1.15
γ_{M1} for structural steel	1.10	$\gamma_{Mf,s}$ for fatigue strength of studs in shear	1.00

1.2 Material Information

■ Structural steel

f_{sk} = 355.000 MPa E_s = 210000.000 MPa

■ Concrete

f_{ck} = 32.000 MPa E_{cm} = 33000.000 MPa

■ Reinforcement

f_{yk} = 450.000 MPa E_r = 210000.000 MPa

■ Section Dimensions

Slab

B_c	4500.000	mm	t_c	240.000	mm	H_h	60.000	mm

Girder

H_w	1925.000	mm	B_1	700.000	mm	B_2	950.000	mm
t_w	20.000	mm	t_{f1}	30.000	mm	t_{f2}	45.000	mm

■ Section Stiffness

Before

$A_{,a}$	102250.000	mm^2
$I_{y,a}$	68885403607.630	mm^4
$I_{z,a}$	4073939583.333	mm^4
$C_{y,a}$	475.000	mm
$C_{z,a}$	796.436	mm

After

$A_{,c}$	273678.571	mm^2
$I_{y,c}$	192312070313.762	mm^4
$I_{z,c}$	293359653869.048	mm^4
$C_{y,c}$	2250.000	mm
$C_{z,c}$	1663.082	mm

Crack

$A_{,c}$	109334.000	mm^2
$I_{y,c}$	81607253739.746	mm^4
$I_{z,c}$	16541866327.419	mm^4
$C_{y,c}$	2250.000	mm
$C_{z,c}$	886.081	mm

2 Bending Resistance

2.1 Positive Moment

■ Design load

Load combination name : SLU-1

$N_{a,Ed}$	-23.430	kN
$N_{c,Ed}$	19.247	kN
$M_{a,Ed}$	11185.194	kN・m
$M_{c,Ed}$	17507.020	kN・m

- Stress

Top Flange

Left	y_1	-350.000	mm	z_1	336.918	mm	σ_1	-222.900	MPa
	y_2	-10.000	mm	z_2	336.918	mm	σ_2	-226.161	MPa
Right	y_1	350.000	mm	z_1	336.918	mm	σ_1	-229.615	MPa
	y_2	10.000	mm	z_2	336.918	mm	σ_2	-226.353	MPa

Bottom Flange

Left	y_1	-475.000	mm	z_1	-1663.082	mm	σ_1	285.116	MPa
	y_2	-10.000	mm	z_2	-1663.082	mm	σ_2	280.655	MPa
Right	y_1	475.000	mm	z_1	-1663.082	mm	σ_1	276.003	MPa
	y_2	10.000	mm	z_2	-1663.082	mm	σ_2	280.463	MPa

Web

Right	y_1	0.000	mm	z_1	306.918	mm	σ_1	-218.655	MPa
	y_2	0.000	mm	z_2	-1618.082	mm	σ_2	269.156	MPa

■ Classification of sections

Part	Class
Top flange	1
Web	1
Bottom flange	1
Section	1

- Plastic resistance moment, $M_{pl,Rd}$

Plastic NA = 1970.059 mm

N_{slab} = 19584.000 kN

$N_{g,top}$ = 7085.976 kN (Upper side of PNA)

$N_{g,bot}$ = 26669.976 kN (Lower side of PNA)

$M_{pl,Rd}$ = 43310.190 kN・m

x_{pl} = 329.941 mm

$M_{Rd} = \beta M_{pl,Rd}$ = 43310.190 kN・m

here, β = 1.000

M_{Rd} = 43310.190 kN · m > M_{Ed} = 28692.214 kN · m …OK

3 Resistance to Vertical Shear

■ Design load

Load combination name : SLU-1

N_{Ed} = 18.566 kN

$M_{a,Ed}$ = 11185.194 kN · m

$M_{c,Ed}$ = 17055.744 kN · m

$V_{Ed,a}$ = 370.297 kN

$V_{Ed,c}$ = 813.021 kN

V_{Ed} = 1183.317 kN

- Stress

Top Flange

Left	y_1	-350.000	mm	z_1	336.918	mm	σ_1	-222.137	MPa
	y_2	-10.000	mm	z_2	336.918	mm	σ_2	-225.374	MPa
Right	y_1	350.000	mm	z_1	336.918	mm	σ_1	-228.801	MPa
	y_2	10.000	mm	z_2	336.918	mm	σ_2	-225.564	MPa

Bottom Flange

Left	y_1	-475.000	mm	z_1	-1663.082	mm	σ_1	281.176	MPa
	y_2	-10.000	mm	z_2	-1663.082	mm	σ_2	276.750	MPa
Right	y_1	475.000	mm	z_1	-1663.082	mm	σ_1	272.133	MPa
	y_2	10.000	mm	z_2	-1663.082	mm	σ_2	276.559	MPa

Web

Right	y_1	0.000	mm	z_1	306.918	mm	σ_1	-217.937	MPa
	y_2	0.000	mm	z_2	-1618.082	mm	σ_2	265.357	MPa

■ Classification of sections

Part	Class
Top flange	1
Web	1
Bottom flange	1
Section	1

■ Plastic resistance moment, $M_{pl,Rd}$

Plastic NA = 1970.059 mm

N_{slab} = 19584.000 kN

$N_{g,top}$ = 7085.976 kN

$N_{g,bot}$ = 26669.976 kN

$M_{pl,Rd}$ = 43310.190 kN · m

■ Calculation. $V_{bw,Rd}$

Web

■ Contribution from the web

$\lambda_w = h_w / (86.4 \cdot t \cdot \varepsilon) = 1.369$

$X_w = 1.37 / (0.7+\lambda_w) = 0.662$ $\lambda_w \geq 1.08$

$$V_{bw,Rd} = \frac{X_w \cdot f_{yw} \cdot h_w \cdot t}{\sqrt{3} \cdot \gamma_{M1}} = 4749.563 \text{ kN}$$

$V_{Rd} = 4749.563$ kN

$V_{Edi} = V_{Ed}$ / Num. of Web $= 1183.317$ kN

$\eta'_3 = V_{Edi} / V_{bw,Rd} = 0.249 \leq 1.0$

■ Contribution from the flange

$M_{f,Rd0} = 30601.898$ kN · m

$M_{f,Rd0}$ is calculated as $M_{pl,Rd}$ but neglecting the web contribution.

$$\text{Reduction factor for } N_{Ed} = 1 - \frac{N_{Ed}}{(A_{f1}+A_{f2}) \cdot f_{yf}/\gamma_{M0}} = 1.000$$

$M_{f,Rd}$ = Reduction factor for N_{Ed} · $M_{f,Rd0} = 30601.898$ kN · m

$$V_{bf,Rd} = \frac{b_f \cdot t_f^2 \cdot f_{yf}}{c \cdot \gamma_{M1}} \left(1 - \left(\frac{M_{Ed}}{M_{f,Rd}} \right)^2 \right) = 0.000 \text{ kN}$$

where, $M_{f,Rd} = 30601.898$ kN · m

$M_{Ed} = 128697.330$ kN · m (Taken as the greatest value of $(\sum \sigma_i)W$)

$$c = a \cdot \left(0.25 + \frac{1.6 \cdot b_f \cdot t_f^2 \cdot f_{yf}}{t \cdot h_w^2 \cdot f_{yw}}\right) = 0.000$$

■ Check Shear Resistance

$V_{Edi} / (V_{bw,Rd}+V_{bf,Rd}) = 0.249 < 1.0$ … OK

4 Resistance to Lateral Torsional Buckling

- Design load

Load combination name : SLU-1

$N_{Ed} = -4.183$ kN

$M_{Ed} = 17507.020$ kN · m

$V_1 = 710.048$ kN

$V_2 = 716.159$ kN

$M_1 = 29048.759$ kN · m

$M_2 = 28692.214$ kN · m

$M_{pl,Rd} = 43310.190$ kN · m

$M_{el,Rd} = 35327.058$ kN · m

- $M_{b,Rd}$ Buckling resistance moment

$L = 0.500$ m

$c = C_d / l = 0.000$

$\gamma = c \cdot L^4 / (E \cdot I) = 0.000$

$\mu = V_2 / V_1 = 0.991$

$\Phi = 2 \cdot (1-M_2/M_1) / (1+\mu) = 0.012$

$m_1 = 1+0.44 \cdot (1+\mu) \cdot \Phi^{1.5}+(3+2 \cdot \Phi) \cdot \gamma/(350-50 \cdot \mu) = 1.001$

$m_2 = 1+0.44 \cdot (1+\mu) \cdot \Phi^{1.5}+(0.195+(0.05+\mu/100) \cdot \Phi) \cdot \gamma^{0.5} = 1.001$

$m = \text{Min}(m_1, m_2) = 1.001$

$\alpha_{LT} = 0.760$

$\lambda_{LT} = 1.103 \cdot L/b \cdot \sqrt{(f_y/Em)} \cdot \sqrt{(1+A_{wc}/(3 \cdot A_f))} = 0.034$

$\Phi_{LT} = 0.5 \cdot (1+\alpha_{LT} \cdot (\lambda_{LT} - 0.2)+\lambda_{LT}^2) = 0.437$

$$X_{LT} = \frac{1}{\Phi_{LT} + \sqrt{(\Phi_{LT}^2 - \lambda_{LT}^2)}} = 1$$

$M_{Rd} = 43310.190$ kN · m

$M_{b,Rd} = X_{LT} \cdot M_{Rd} = 43310.190$ kN · m

- $N_{b,Rd}$ Axial buckling resistance

$X_{LT,N} = 1.000$

$N_{b,Rd} = X_{LT} \cdot \text{Area} \cdot f_{yd} = 92529.422$ kN

$$\text{Combined Ratio} = \frac{N_{Ed}}{N_{b,Rd}} + \frac{M_{Ed}}{M_{b,Rd}} = 0.404269252$$

6 Resistance to Longitudinal Shear

- Design load

Load combination name : SLU-1

$N_{c,el} = 11012.966$ kN

$N_{c,f} = 19584.000$ kN

$M_{Ed} = 28240.938$ kN · m

$V_{Ed} = 813.021$ kN

$M_{pl,Rd} = 43310.190$ kN · m

$M_{el,Rd} = 35327.058$ kN · m

- Shear resistance of a single connector

$P_{Rd,1} = 0.8 \cdot f_u \cdot \pi \cdot d^2 / 4 / \gamma_V = 81.656$ kN

$P_{Rd,2} = 0.29 \cdot \alpha \cdot d^2 \cdot \sqrt{(f_{ck} \cdot E_{cm})} / \gamma_V = 86.065$ kN

$P_{Rd} = \text{Min}(P_{Rd,1}, P_{Rd,2}) = 81.656$ kN

where, $f_u = 450.000$ MPa

$\alpha = 1$ for $h_{sc}/d > 4$

Num. = 3

$d = 19.000$ mm

$h_{sc} = 175.000$ mm

Space = 200.000 mm

- Verification

$v_{L,Ed}$ = V_{Ed} · (A · z / I) = 381.119 kN/m
$v_{L,Rd}$ = P_{Rd} · Num./Space = 1224.844 kN/m
$v_{L,Ed}$ < $v_{L,Rd}$ … OK

0 **Longitudinal Shear for SLS(Serviceability limit state)**

- Shear resistance of a single connector

Load combination name : SLE RARA

$P_{Rd,1}$ = $0.8 \cdot f_u \cdot \pi \cdot d^2 / 4 / \gamma_V$ = 81.656 kN
$P_{Rd,2}$ = $0.29 \cdot \alpha \cdot d^2 \cdot \sqrt{(f_{ck} \cdot E_{cm})} / \gamma_V$ = 86.065 kN
P_{Rd} = $Min(P_{Rd,1}, P_{Rd,2})$ = 81.656 kN
$P_{Rd,ser}$ = $k_s \cdot P_{Rd}$ = 61.242 kN

where, f_u = 450.000 MPa
α = 1 for $h_{sc}/d > 4$
Num. = 3
d = 19.000 mm
h_{sc} = 175.000 mm
Space = 200.000 mm
k_s = 0.750

- Verification

$v_{L,Ed}$ = V_{Ed} · (A · z / I) = 278.408 kN/m
$v_{L,Rd}$ = $P_{Rd,ser}$ · Num./Space = 918.633 kN/m
$v_{L,Ed}$ < $v_{L,Rd}$ … OK

13.2.2.9 CONCIO C3 LATERALE – ELEMENTI 209 E 212

Element Number	209
Position Information	J

1 Design Condition

1.1 Design Parameters

■ Partial factors

γ_C for concrete	1.50	γ_V for headed sutd	1.25
γ_S for reinforcing steel	1.15	γ_{Ff} for equivalent constant Amplitude stress range	1.00
γ_{M0} for structural steel	1.05	γ_{Mf} for fatigue strength	1.15
γ_{M1} for structural steel	1.10	$\gamma_{Mf,s}$ for fatigue strength of studs in shear	1.00

1.2 Material Information

■ Structural steel

f_{sk} = 355.000 MPa E_s = 210000.000 MPa

■ Concrete

f_{ck} = 32.000 MPa E_{cm} = 33000.000 MPa

■ Reinforcement

f_{yk} = 450.000 MPa E_r = 210000.000 MPa

■ Section Dimensions

Slab

B_c	3600.000	mm	t_c	240.000	mm	H_h	60.000	mm

Girder

H_w	1940.000	mm	B_1	500.000	mm	B_2	700.000	mm
t_w	20.000	mm	t_{f1}	20.000	mm	t_{f2}	35.000	mm

■ Section Stiffness

Before

$A_{,a}$	73300.000	mm^2
$I_{y,a}$	42840668724.704	mm^4
$I_{z,a}$	1210043333.333	mm^4
$C_{y,a}$	350.000	mm
$C_{z,a}$	808.632	mm

After

$A_{,c}$	210442.857	mm^2
$I_{y,c}$	132681144123.522	mm^4
$I_{z,c}$	149324329047.619	mm^4
$C_{y,c}$	1800.000	mm
$C_{z,c}$	1699.076	mm

Crack

$A_{,c}$	78844.000	mm^2
$I_{y,c}$	52494549686.189	mm^4
$I_{z,c}$	7179151220.009	mm^4
$C_{y,c}$	1800.000	mm
$C_{z,c}$	904.710	mm

2 Bending Resistance

2.1 Positive Moment

■ Design load

Load combination name : SLU-1

$N_{a,Ed}$	-20.217	kN
$N_{c,Ed}$	215.489	kN
$M_{a,Ed}$	6187.943	kN・m
$M_{c,Ed}$	9203.826	kN・m

- Stress

Top Flange

Left	y_1	-250.000	mm	z_1	295.924	mm	σ_1	-192.632	MPa
	y_2	-10.000	mm	z_2	295.924	mm	σ_2	-191.199	MPa
Right	y_1	250.000	mm	z_1	295.924	mm	σ_1	-189.647	MPa
	y_2	10.000	mm	z_2	295.924	mm	σ_2	-191.080	MPa

Bottom Flange

Left	y_1	-350.000	mm	z_1	-1699.076	mm	σ_1	233.319	MPa
	y_2	-10.000	mm	z_2	-1699.076	mm	σ_2	235.350	MPa
Right	y_1	350.000	mm	z_1	-1699.076	mm	σ_1	237.499	MPa
	y_2	10.000	mm	z_2	-1699.076	mm	σ_2	235.469	MPa

Web

Right	y_1	0.000	mm	z_1	275.924	mm	σ_1	-186.863	MPa
	y_2	0.000	mm	z_2	-1664.076	mm	σ_2	227.926	MPa

■ Classification of sections

Part	Class
Top flange	1
Web	1
Bottom flange	1
Section	1

- Plastic resistance moment, $M_{pl,Rd}$

Plastic NA = 1800.990 mm

N_{slab} = 15667.200 kN

$N_{g,top}$ = 4557.590 kN (Upper side of PNA)

$N_{g,bot}$ = 20224.790 kN (Lower side of PNA)

$M_{pl,Rd}$ = 31901.680 kN・m

x_{pl} = 494.010 mm

$M_{Rd} = \beta M_{pl,Rd}$ = 31901.680 kN・m

here, β = 1.000

M_{Rd} = 31901.680 kN · m > M_{Ed} = 15391.769 kN · m …OK

3 Resistance to Vertical Shear

■ Design load

Load combination name : SLU-1

N_{Ed} = 150.312 kN

$M_{a,Ed}$ = 6187.943 kN · m

$M_{c,Ed}$ = 9093.207 kN · m

$V_{Ed,a}$ = -727.726 kN

$V_{Ed,c}$ = -1177.226 kN

V_{Ed} = -1904.953 kN

- Stress

Top Flange

Left	y_1	-250.000	mm	z_1	295.924	mm	σ_1	-192.869	MPa
	y_2	-10.000	mm	z_2	295.924	mm	σ_2	-191.269	MPa
Right	y_1	250.000	mm	z_1	295.924	mm	σ_1	-189.536	MPa
	y_2	10.000	mm	z_2	295.924	mm	σ_2	-191.136	MPa

Bottom Flange

Left	y_1	-350.000	mm	z_1	-1699.076	mm	σ_1	231.350	MPa
	y_2	-10.000	mm	z_2	-1699.076	mm	σ_2	233.616	MPa
Right	y_1	350.000	mm	z_1	-1699.076	mm	σ_1	236.016	MPa
	y_2	10.000	mm	z_2	-1699.076	mm	σ_2	233.750	MPa

Web

Right	y_1	0.000	mm	z_1	275.924	mm	σ_1	-186.943	MPa
	y_2	0.000	mm	z_2	-1664.076	mm	σ_2	226.229	MPa

■ Classification of sections

Part	Class
Top flange	1
Web	1
Bottom flange	1
Section	1

■ Plastic resistance moment, $M_{pl,Rd}$

Plastic NA = 1800.990 mm

N_{slab} = 15667.200 kN

$N_{g,top}$ = 4557.590 kN

$N_{g,bot}$ = 20224.790 kN

$M_{pl,Rd}$ = 31901.680 kN · m

■ Calculation. $V_{bw,Rd}$

Web

■ Contribution from the web

$\lambda_w = h_w / (86.4 \cdot t \cdot \varepsilon) = 1.380$

$X_w = 1.37 / (0.7+\lambda_w) = 0.659$ $\lambda_w \geq 1.08$

$$V_{bw,Rd} = \frac{X_w \cdot f_{yw} \cdot h_w \cdot t}{\sqrt{3} \cdot \gamma_{M1}} = 4762.019 \text{ kN}$$

$V_{Rd} = 4762.019$ kN

$V_{Edi} = V_{Ed}$ / Num. of Web $= -1904.953$ kN

$\eta'_3 = V_{Edi} / V_{bw,Rd} = 0.400 \leq 1.0$

■ Contribution from the flange

$M_{f,Rd} = 18871.295$ kN · m

$M_{f,Rd}$ is calculated as $M_{pl,Rd}$ but neglecting the web contribution.

$$V_{bf,Rd} = \frac{b_f \cdot t_f^2 \cdot f_{yf}}{c \cdot \gamma_{M1}} \left(1 - \left(\frac{M_{Ed}}{M_{f,Rd}}\right)^2\right) = 0.000 \text{ kN}$$

where, $M_{f,Rd} = 18871.295$ kN · m

$M_{Ed} = 85728.029$ kN · m (Taken as the greatest value of $(\sum \sigma_i)W$)

$$c = a \cdot \left(0.25 + \frac{1.6 \cdot b_f \cdot t_f^2 \cdot f_{yf}}{t \cdot h_w^2 \cdot f_{yw}}\right) = 0.000$$

■ Check Shear Resistance

$V_{Edi} / (V_{bw,Rd}+V_{bf,Rd}) = 0.400 < 1.0$ … OK

4 Resistance to Lateral Torsional Buckling

- Design load

Load combination name : SLU-1

$N_{Ed} = 195.271$ kN

$M_{Ed} = 9203.826$ kN · m

$V_1 = -1601.773$ kN

$V_2 = -1898.649$ kN

$M_1 = 14574.276$ kN · m

$M_2 = 15391.769$ kN · m

$M_{pl,Rd} = 31901.680$ kN · m

$M_{el,Rd} = 23468.960$ kN · m

- $M_{b,Rd}$ Buckling resistance moment

$L = 0.500$ m

$c = C_d / l = 0.000$

$\gamma = c \cdot L^4 / (E \cdot I) = 0.000$

μ = V_2 / V_1 = 0.844

Φ = $2 \cdot (1-M_2/M_1) / (1+\mu)$ = 0.058

m_1 = $1+0.44 \cdot (1+\mu) \cdot \Phi^{1.5}+(3+2 \cdot \Phi) \cdot \gamma/(350-50 \cdot \mu)$ = 1.011

m_2 = $1+0.44 \cdot (1+\mu) \cdot \Phi^{1.5}+(0.195+(0.05+\mu/100) \cdot \Phi) \cdot \gamma^{0.5}$ = 1.011

m = $\text{Min}(m_1, m_2)$ = 1.011

α_{LT} = 0.760

λ_{LT} = $1.103 \cdot L/b \cdot \sqrt{(f_y/Em)} \cdot \sqrt{(1+A_{wc}/(3 \cdot A_f))}$ = 0.049

Φ_{LT} = $0.5 \cdot (1+\alpha_{LT} \cdot (\lambda_{LT} - 0.2)+\lambda_{LT}^2)$ = 0.444

$$X_{LT} = \frac{1}{\Phi_{LT} + \sqrt{(\Phi_{LT}^2 - \lambda_{LT}^2)}} = 1$$

M_{Rd} = 31901.680 kN · m

$M_{b,Rd}$ = $X_{LT} \cdot M_{Rd}$ = 31901.680 kN · m

- $N_{b,Rd}$ Axial buckling resistance

$X_{LT,N}$ = 1.000

$N_{b,Rd}$ = $X_{LT} \cdot \text{Area} \cdot f_{yd}$ = 71149.728 kN

$$\text{Combined Ratio} = \frac{N_{Ed}}{N_{b,Rd}} + \frac{M_{Ed}}{M_{b,Rd}} = 0.29125051$$

6 Resistance to Longitudinal Shear

- Design load

Load combination name : SLU-1

$N_{c,el}$ = 8416.002 kN

$N_{c,f}$ = 15667.200 kN

M_{Ed} = 15281.150 kN · m

V_{Ed} = -1177.226 kN

$M_{pl,Rd}$ = 31901.680 kN · m

$M_{el,Rd}$ = 23468.960 kN · m

- Shear resistance of a single connector

$P_{Rd,1}$ = $0.8 \cdot f_u \cdot \pi \cdot d^2 / 4 / \gamma_V$ = 81.656 kN

$P_{Rd,2}$ = $0.29 \cdot \alpha \cdot d^2 \cdot \sqrt{(f_{ck} \cdot E_{cm})} / \gamma_V$ = 86.065 kN

P_{Rd} = $\text{Min}(P_{Rd,1}, P_{Rd,2})$ = 81.656 kN

where, f_u = 450.000 MPa

α = 1 for $h_{sc}/d > 4$

Num. = 4

d = 19.000 mm

h_{sc} = 175.000 mm

Space = 100.000 mm

- Verification

$v_{L,Ed}$ = $V_{Ed} \cdot (A \cdot z / I)$ = 586.952 kN/m

$v_{L,Rd}$ = P_{Rd} · Num./Space = 3266.251 kN/m

$v_{L,Ed}$ < $v_{L,Rd}$ … OK

0 **Longitudinal Shear for SLS(Serviceability limit state)**

- Shear resistance of a single connector

Load combination name : SLE RARA

$P_{Rd,1}$ = $0.8 \cdot f_u \cdot \pi \cdot d^2 / 4 / \gamma_V$ = 81.656 kN

$P_{Rd,2}$ = $0.29 \cdot \alpha \cdot d^2 \cdot \sqrt{(f_{ck} \cdot E_{cm})} / \gamma_V$ = 86.065 kN

P_{Rd} = $Min(P_{Rd,1}, P_{Rd,2})$ = 81.656 kN

$P_{Rd,ser}$ = $k_s \cdot P_{Rd}$ = 61.242 kN

where, f_u = 450.000 MPa

α = 1 for $h_{sc}/d > 4$

Num. = 4

d = 19.000 mm

h_{sc} = 175.000 mm

Space = 100.000 mm

k_s = 0.750

- Verification

$v_{L,Ed}$ = $V_{Ed} \cdot (A \cdot z / I)$ = 436.905 kN/m

$v_{L,Rd}$ = $P_{Rd,ser}$ · Num./Space = 2449.688 kN/m

$v_{L,Ed}$ < $v_{L,Rd}$ … OK

Element Number	212
Position Information	J

1 Design Condition

1.1 Design Parameters

■ Partial factors

γ_C for concrete	1.50	γ_V for headed sutd	1.25
γ_S for reinforcing steel	1.15	γ_{Ff} for equivalent constant Amplitude stress range	1.00
γ_{M0} for structural steel	1.05	γ_{Mf} for fatigue strength	1.15
γ_{M1} for structural steel	1.10	$\gamma_{Mf,s}$ for fatigue strength of studs in shear	1.00

1.2 Material Information

■ Structural steel

f_{sk} = 355.000 MPa E_s = 210000.000 MPa

■ Concrete

f_{ck} = 32.000 MPa E_{cm} = 33000.000 MPa

■ Reinforcement

f_{yk} = 450.000 MPa E_r = 210000.000 MPa

■ Section Dimensions

Slab

B_c	3600.000	mm	t_c	240.000	mm	H_h	60.000	mm

Girder

H_w	1940.000	mm	B_1	500.000	mm	B_2	700.000	mm
t_w	20.000	mm	t_{f1}	20.000	mm	t_{f2}	35.000	mm

■ Section Stiffness

Before

$A_{,a}$	73300.000	mm^2
$I_{y,a}$	42840668724.704	mm^4
$I_{z,a}$	1210043333.333	mm^4
$C_{y,a}$	350.000	mm
$C_{z,a}$	808.632	mm

After

$A_{,c}$	210442.857	mm^2
$I_{y,c}$	132681144123.522	mm^4
$I_{z,c}$	149324329047.619	mm^4
$C_{y,c}$	1800.000	mm
$C_{z,c}$	1699.076	mm

Crack

$A_{,c}$	78844.000	mm^2
$I_{y,c}$	52494549686.189	mm^4
$I_{z,c}$	7179151220.009	mm^4
$C_{y,c}$	1800.000	mm
$C_{z,c}$	904.710	mm

2 Bending Resistance

2.1 Positive Moment

■ Design load

Load combination name : SLU-1

$N_{a,Ed}$	-22.728	kN
$N_{c,Ed}$	-15.359	kN
$M_{a,Ed}$	6188.926	kN・m
$M_{c,Ed}$	11051.441	kN・m

- Stress

Top Flange

Left	y_1	-250.000	mm	z_1	295.924	mm	σ_1	-198.337	MPa
	y_2	-10.000	mm	z_2	295.924	mm	σ_2	-196.495	MPa
Right	y_1	250.000	mm	z_1	295.924	mm	σ_1	-194.500	MPa
	y_2	10.000	mm	z_2	295.924	mm	σ_2	-196.342	MPa

Bottom Flange

Left	y_1	-350.000	mm	z_1	-1699.076	mm	σ_1	255.271	MPa
	y_2	-10.000	mm	z_2	-1699.076	mm	σ_2	257.880	MPa
Right	y_1	350.000	mm	z_1	-1699.076	mm	σ_1	260.643	MPa
	y_2	10.000	mm	z_2	-1699.076	mm	σ_2	258.033	MPa

Web

Right	y_1	0.000	mm	z_1	275.924	mm	σ_1	-191.864	MPa
	y_2	0.000	mm	z_2	-1664.076	mm	σ_2	249.985	MPa

■ Classification of sections

Part	Class
Top flange	1
Web	1
Bottom flange	1
Section	1

- Plastic resistance moment, $M_{pl,Rd}$

Plastic NA = 1800.990 mm

N_{slab} = 15667.200 kN

$N_{g,top}$ = 4557.590 kN (Upper side of PNA)

$N_{g,bot}$ = 20224.790 kN (Lower side of PNA)

$M_{pl,Rd}$ = 31901.680 kN・m

x_{pl} = 494.010 mm

$M_{Rd} = \beta M_{pl,Rd}$ = 31901.680 kN・m

here, β = 1.000

M_{Rd} = 31901.680 kN · m > M_{Ed} = 17240.367 kN · m …OK

3 Resistance to Vertical Shear

■ Design load

Load combination name : SLU-1

N_{Ed} = -73.435 kN

$M_{a,Ed}$ = 6188.926 kN · m

$M_{c,Ed}$ = 10925.131 kN · m

$V_{Ed,a}$ = -727.640 kN

$V_{Ed,c}$ = -1336.925 kN

V_{Ed} = -2064.565 kN

- Stress

Top Flange

Left	y_1	-250.000	mm	z_1	295.924	mm	σ_1	-198.546	MPa
	y_2	-10.000	mm	z_2	295.924	mm	σ_2	-196.498	MPa
Right	y_1	250.000	mm	z_1	295.924	mm	σ_1	-194.280	MPa
	y_2	10.000	mm	z_2	295.924	mm	σ_2	-196.328	MPa

Bottom Flange

Left	y_1	-350.000	mm	z_1	-1699.076	mm	σ_1	253.077	MPa
	y_2	-10.000	mm	z_2	-1699.076	mm	σ_2	255.978	MPa
Right	y_1	350.000	mm	z_1	-1699.076	mm	σ_1	259.049	MPa
	y_2	10.000	mm	z_2	-1699.076	mm	σ_2	256.148	MPa

Web

Right	y_1	0.000	mm	z_1	275.924	mm	σ_1	-191.877	MPa
	y_2	0.000	mm	z_2	-1664.076	mm	σ_2	248.125	MPa

■ Classification of sections

Part	Class
Top flange	1
Web	1
Bottom flange	1
Section	1

■ Plastic resistance moment, $M_{pl,Rd}$

Plastic NA = 1800.990 mm

N_{slab} = 15667.200 kN

$N_{g,top}$ = 4557.590 kN

$N_{g,bot}$ = 20224.790 kN

$M_{pl,Rd}$ = 31901.680 kN · m

■ Calculation. $V_{bw,Rd}$

Web

■ Contribution from the web

$\lambda_w = h_w / (86.4 \cdot t \cdot \varepsilon) = 1.380$

$X_w = 1.37 / (0.7+\lambda_w) = 0.659$ $\lambda_w \geq 1.08$

$$V_{bw,Rd} = \frac{X_w \cdot f_{yw} \cdot h_w \cdot t}{\sqrt{3} \cdot \gamma_{M1}} = 4762.019 \text{ kN}$$

$V_{Rd} = 4762.019$ kN

$V_{Edi} = V_{Ed}$ / Num. of Web $= -2064.565$ kN

$\eta'_3 = V_{Edi} / V_{bw,Rd} = 0.434 \leq 1.0$

■ Contribution from the flange

$M_{f,Rd0} = 18871.295$ kN · m

$M_{f,Rd0}$ is calculated as $M_{pl,Rd}$ but neglecting the web contribution.

$$\text{Reduction factor for } N_{Ed} = 1 - \frac{N_{Ed}}{(A_{f1}+A_{f2}) \cdot f_{yf}/\gamma_{M0}} = 0.994$$

$M_{f,Rd}$ = Reduction factor for N_{Ed} · $M_{f,Rd0} = 18752.487$ kN · m

$$V_{bf,Rd} = \frac{b_f \cdot t_f^2 \cdot f_{yf}}{c \cdot \gamma_{M1}} \left(1 - \left(\frac{M_{Ed}}{M_{f,Rd}}\right)^2\right) = 0.000 \text{ kN}$$

where, $M_{f,Rd} = 18752.487$ kN · m

$M_{Ed} = 88064.224$ kN · m (Taken as the greatest value of $(\sum \sigma_i)W$)

$$c = a \cdot \left(0.25 + \frac{1.6 \cdot b_f \cdot t_f^2 \cdot f_{yf}}{t \cdot h_w^2 \cdot f_{yw}}\right) = 0.000$$

■ Check Shear Resistance

$V_{Edi} / (V_{bw,Rd}+V_{bf,Rd}) = 0.434 < 1.0$ … OK

4 **Resistance to Lateral Torsional Buckling**

- Design load

Load combination name : SLU-1

$N_{Ed} = -38.086$ kN

$M_{Ed} = 11051.441$ kN · m

$V_1 = -1853.512$ kN

$V_2 = -2056.676$ kN

$M_1 = 16272.230$ kN · m

$M_2 = 17240.367$ kN · m

$M_{pl,Rd} = 31901.680$ kN · m

$M_{el,Rd} = 23468.494$ kN · m

- $M_{b,Rd}$ Buckling resistance moment

$L = 0.500$ m

$c = C_d / I = 0.000$

$\gamma = c \cdot L^4 / (E \cdot I) = 0.000$

$\mu = V_2 / V_1 = 0.901$

$\Phi = 2 \cdot (1-M_2/M_1) / (1+\mu) = 0.059$

$m_1 = 1+0.44 \cdot (1+\mu) \cdot \Phi^{1.5}+(3+2 \cdot \Phi) \cdot \gamma/(350-50 \cdot \mu) = 1.012$

$m_2 = 1+0.44 \cdot (1+\mu) \cdot \Phi^{1.5}+(0.195+(0.05+\mu/100) \cdot \Phi) \cdot \gamma^{0.5} = 1.012$

$m = \text{Min}(m_1, m_2) = 1.012$

$\alpha_{LT} = 0.760$

$\lambda_{LT} = 1.103 \cdot L/b \cdot \sqrt{(f_y/Em)} \cdot \sqrt{(1+A_{wc}/(3 \cdot A_f))} = 0.049$

$\Phi_{LT} = 0.5 \cdot (1+\alpha_{LT} \cdot (\lambda_{LT} - 0.2)+\lambda_{LT}^2) = 0.444$

$$X_{LT} = \frac{1}{\Phi_{LT} + \sqrt{(\Phi_{LT}^2 - \lambda_{LT}^2)}} = 1$$

$M_{Rd} = 31901.680$ kN · m

$M_{b,Rd} = X_{LT} \cdot M_{Rd} = 31901.680$ kN · m

- $N_{b,Rd}$ Axial buckling resistance

$X_{LT,N} = 1.000$

$N_{b,Rd} = X_{LT} \cdot \text{Area} \cdot f_{yd} = 71149.728$ kN

$$\text{Combined Ratio} = \frac{N_{Ed}}{N_{b,Rd}} + \frac{M_{Ed}}{M_{b,Rd}} = 0.346957205$$

6 Resistance to Longitudinal Shear

- Design load

Load combination name : SLU-1

$N_{c,el} = 8415.296$ kN

$N_{c,f} = 15667.200$ kN

$M_{Ed} = 17114.057$ kN · m

$V_{Ed} = -1336.925$ kN

$M_{pl,Rd} = 31901.680$ kN · m

$M_{el,Rd} = 23468.494$ kN · m

- Shear resistance of a single connector

$P_{Rd,1} = 0.8 \cdot f_u \cdot \pi \cdot d^2 / 4 / \gamma_V = 81.656$ kN

$P_{Rd,2} = 0.29 \cdot \alpha \cdot d^2 \cdot \sqrt{(f_{ck} \cdot E_{cm})} / \gamma_V = 86.065$ kN

$P_{Rd} = \text{Min}(P_{Rd,1}, P_{Rd,2}) = 81.656$ kN

where, $f_u = 450.000$ MPa

$\alpha = 1$ for $h_{sc}/d > 4$

Num. = 4

$d = 19.000$ mm

$h_{sc} = 175.000$ mm

Space = 100.000 mm

- Verification

$v_{L,Ed}$ = V_{Ed} · (A · z / I) = 666.576 kN/m
$v_{L,Rd}$ = P_{Rd} · Num./Space = 3266.251 kN/m
$v_{L,Ed}$ < $v_{L,Rd}$ … OK

0 **Longitudinal Shear for SLS(Serviceability limit state)**

- Shear resistance of a single connector

Load combination name : SLE RARA

$P_{Rd,1}$ = $0.8 \cdot f_u \cdot \pi \cdot d^2 / 4 / \gamma_V$ = 81.656 kN
$P_{Rd,2}$ = $0.29 \cdot \alpha \cdot d^2 \cdot \sqrt{(f_{ck} \cdot E_{cm})} / \gamma_V$ = 86.065 kN
P_{Rd} = Min($P_{Rd,1}$, $P_{Rd,2}$) = 81.656 kN
$P_{Rd,ser}$ = $k_s \cdot P_{Rd}$ = 61.242 kN

where, f_u = 450.000 MPa
α = 1 for $h_{sc}/d > 4$
Num. = 4
d = 19.000 mm
h_{sc} = 175.000 mm
Space = 100.000 mm
k_s = 0.750

- Verification

$v_{L,Ed}$ = V_{Ed} · (A · z / I) = 468.892 kN/m
$v_{L,Rd}$ = $P_{Rd,ser}$ · Num./Space = 2449.688 kN/m
$v_{L,Ed}$ < $v_{L,Rd}$ … OK

13.2.2.10 CONCIO CENTRALE C3 – ELEMENTI 210 E 211

Element Number	**210**
Position Information	J

1 Design Condition

1.1 Design Parameters

■ Partial factors

γ_C for concrete	1.50	γ_V for headed sutd	1.25
γ_S for reinforcing steel	1.15	γ_{Ff} for equivalent constant Amplitude stress range	1.00
γ_{M0} for structural steel	1.05	γ_{Mf} for fatigue strength	1.15
γ_{M1} for structural steel	1.10	$\gamma_{Mf,s}$ for fatigue strength of studs in shear	1.00

1.2 Material Information

■ Structural steel

f_{sk} = 355.000 MPa E_s = 210000.000 MPa

■ Concrete

f_{ck} = 32.000 MPa E_{cm} = 33000.000 MPa

■ Reinforcement

f_{yk} = 450.000 MPa E_r = 210000.000 MPa

■ Section Dimensions

Slab

B_c	4500.000	mm	t_c	240.000	mm	H_h	60.000	mm

Girder

H_w	1940.000	mm	B_1	500.000	mm	B_2	700.000	mm
t_w	20.000	mm	t_{f1}	20.000	mm	t_{f2}	35.000	mm

■ Section Stiffness

Before

$A_{,a}$	73300.000	mm^2
$I_{y,a}$	42840668724.704	mm^4
$I_{z,a}$	1210043333.333	mm^4
$C_{y,a}$	350.000	mm
$C_{z,a}$	808.632	mm

After

$A_{,c}$	244728.571	mm^2
$I_{y,c}$	139523577546.013	mm^4
$I_{z,c}$	290495757619.048	mm^4
$C_{y,c}$	2250.000	mm
$C_{z,c}$	1765.752	mm

Crack

$A_{,c}$	80384.000	mm^2
$I_{y,c}$	54940624049.820	mm^4
$I_{z,c}$	13677970077.419	mm^4
$C_{y,c}$	2250.000	mm
$C_{z,c}$	929.046	mm

2 Bending Resistance

2.1 Positive Moment

■ Design load

Load combination name : SLU-1

$N_{a,Ed}$	-23.498	kN
$N_{c,Ed}$	67.304	kN
$M_{a,Ed}$	6848.598	kN・m
$M_{c,Ed}$	10803.608	kN・m

- Stress

Top Flange

Left	y_1	-250.000	mm	z_1	229.248	mm	σ_1	-209.187	MPa
	y_2	-10.000	mm	z_2	229.248	mm	σ_2	-207.521	MPa
Right	y_1	250.000	mm	z_1	229.248	mm	σ_1	-205.717	MPa
	y_2	10.000	mm	z_2	229.248	mm	σ_2	-207.383	MPa

Bottom Flange

Left	y_1	-350.000	mm	z_1	-1765.752	mm	σ_1	263.521	MPa
	y_2	-10.000	mm	z_2	-1765.752	mm	σ_2	265.881	MPa
Right	y_1	350.000	mm	z_1	-1765.752	mm	σ_1	268.379	MPa
	y_2	10.000	mm	z_2	-1765.752	mm	σ_2	266.019	MPa

Web

Right	y_1	0.000	mm	z_1	209.248	mm	σ_1	-202.706	MPa
	y_2	0.000	mm	z_2	-1730.752	mm	σ_2	257.645	MPa

■ Classification of sections

Part	Class
Top flange	1
Web	1
Bottom flange	1
Section	1

- Plastic resistance moment, $M_{pl,Rd}$

Plastic NA = 1979.625 mm

N_{slab} = 19584.000 kN

$N_{g,top}$ = 2599.190 kN (Upper side of PNA)

$N_{g,bot}$ = 22183.190 kN (Lower side of PNA)

$M_{pl,Rd}$ = 32886.172 kN・m

x_{pl} = 315.375 mm

$M_{Rd} = \beta M_{pl,Rd}$ = 32886.172 kN・m

here, β = 1.000

M_{Rd} = 32886.172 kN · m > M_{Ed} = 17652.206 kN · m …OK

3 Resistance to Vertical Shear

■ Design load

Load combination name : SLU-1

N_{Ed} = 41.790 kN

$M_{a,Ed}$ = 6848.598 kN · m

$M_{c,Ed}$ = 10669.613 kN · m

$V_{Ed,a}$ = -789.983 kN

$V_{Ed,c}$ = -1327.007 kN

V_{Ed} = -2116.990 kN

- Stress

Top Flange

Left	y_1	-250.000	mm	z_1	229.248	mm	σ_1	-209.296	MPa
	y_2	-10.000	mm	z_2	229.248	mm	σ_2	-207.414	MPa
Right	y_1	250.000	mm	z_1	229.248	mm	σ_1	-205.376	MPa
	y_2	10.000	mm	z_2	229.248	mm	σ_2	-207.258	MPa

Bottom Flange

Left	y_1	-350.000	mm	z_1	-1765.752	mm	σ_1	261.406	MPa
	y_2	-10.000	mm	z_2	-1765.752	mm	σ_2	264.072	MPa
Right	y_1	350.000	mm	z_1	-1765.752	mm	σ_1	266.894	MPa
	y_2	10.000	mm	z_2	-1765.752	mm	σ_2	264.228	MPa

Web

Right	y_1	0.000	mm	z_1	209.248	mm	σ_1	-202.609	MPa
	y_2	0.000	mm	z_2	-1730.752	mm	σ_2	255.878	MPa

■ Classification of sections

Part	Class
Top flange	1
Web	1
Bottom flange	1
Section	1

■ Plastic resistance moment, $M_{pl,Rd}$

Plastic NA = 1979.625 mm

N_{slab} = 19584.000 kN

$N_{g,top}$ = 2599.190 kN

$N_{g,bot}$ = 22183.190 kN

$M_{pl,Rd}$ = 32886.172 kN · m

■ Calculation. $V_{bw,Rd}$

Web

■ Contribution from the web

$\lambda_w = h_w / (86.4 \cdot t \cdot \varepsilon) = 1.380$

$X_w = 1.37 / (0.7+\lambda_w) = 0.659$ $\lambda_w \geq 1.08$

$$V_{bw,Rd} = \frac{X_w \cdot f_{yw} \cdot h_w \cdot t}{\sqrt{3} \cdot \gamma_{M1}} = 4762.019 \text{ kN}$$

$V_{Rd} = 4762.019$ kN

$V_{Edi} = V_{Ed}$ / Num. of Web $= -2116.990$ kN

$\eta'_3 = V_{Edi} / V_{bw,Rd} = 0.445 \leq 1.0$

■ Contribution from the flange

$M_{f,Rd} = 19079.713$ kN · m

$M_{f,Rd}$ is calculated as $M_{pl,Rd}$ but neglecting the web contribution.

$$V_{bf,Rd} = \frac{b_f \cdot t_f^2 \cdot f_{yf}}{c \cdot \gamma_{M1}} \left(1 - \left(\frac{M_{Ed}}{M_{f,Rd}}\right)^2\right) = 0.000 \text{ kN}$$

where, $M_{f,Rd} = 19079.713$ kN · m

$M_{Ed} = 126187.482$ kN · m (Taken as the greatest value of $(\sum \sigma_i)W$)

$$c = a \cdot \left(0.25 + \frac{1.6 \cdot b_f \cdot t_f^2 \cdot f_{yf}}{t \cdot h_w^2 \cdot f_{yw}}\right) = 0.000$$

■ Check Shear Resistance

$V_{Edi} / (V_{bw,Rd}+V_{bf,Rd}) = 0.445 < 1.0$ … OK

4 Resistance to Lateral Torsional Buckling

- Design load

Load combination name : SLU-1

$N_{Ed} = 43.807$ kN

$M_{Ed} = 10803.608$ kN · m

$V_1 = -1658.979$ kN

$V_2 = -1683.239$ kN

$M_1 = 16808.385$ kN · m

$M_2 = 17652.206$ kN · m

$M_{pl,Rd} = 32886.172$ kN · m

$M_{el,Rd} = 23349.273$ kN · m

- $M_{b,Rd}$ Buckling resistance moment

$L = 0.500$ m

$c = C_d / l = 0.000$

$\gamma = c \cdot L^4 / (E \cdot I) = 0.000$

μ = V_2 / V_1 = 0.986

Φ = $2 \cdot (1-M_2/M_1) / (1+\mu)$ = 0.048

m_1 = $1+0.44 \cdot (1+\mu) \cdot \Phi^{1.5}+(3+2 \cdot \Phi) \cdot \gamma/(350-50 \cdot \mu)$ = 1.009

m_2 = $1+0.44 \cdot (1+\mu) \cdot \Phi^{1.5}+(0.195+(0.05+\mu/100) \cdot \Phi) \cdot \gamma^{0.5}$ = 1.009

m = $Min(m_1, m_2)$ = 1.009

α_{LT} = 0.760

λ_{LT} = $1.103 \cdot L/b \cdot \sqrt{(f_y/Em)} \cdot \sqrt{(1+A_{wc}/(3 \cdot A_f))}$ = 0.048

Φ_{LT} = $0.5 \cdot (1+\alpha_{LT} \cdot (\lambda_{LT} - 0.2)+\lambda_{LT}^2)$ = 0.443

$$X_{LT} = \frac{1}{\Phi_{LT} + \sqrt{(\Phi_{LT}^2 - \lambda_{LT}^2)}} = 1$$

M_{Rd} = 32886.172 kN · m

$M_{b,Rd}$ = $X_{LT} \cdot M_{Rd}$ = 32886.172 kN · m

- $N_{b,Rd}$ Axial buckling resistance

$X_{LT,N}$ = 1.000

$N_{b,Rd}$ = $X_{LT} \cdot Area \cdot f_{yd}$ = 82741.565 kN

$$\text{Combined Ratio} = \frac{N_{Ed}}{N_{b,Rd}} + \frac{M_{Ed}}{M_{b,Rd}} = 0.329044651$$

6 Resistance to Longitudinal Shear

- Design load

Load combination name : SLU-1

$N_{c,el}$ = 8214.088 kN

$N_{c,f}$ = 19584.000 kN

M_{Ed} = 17518.212 kN · m

V_{Ed} = -1327.007 kN

$M_{pl,Rd}$ = 32886.172 kN · m

$M_{el,Rd}$ = 23349.273 kN · m

- Shear resistance of a single connector

$P_{Rd,1}$ = $0.8 \cdot f_u \cdot \pi \cdot d^2 / 4 / \gamma_V$ = 81.656 kN

$P_{Rd,2}$ = $0.29 \cdot \alpha \cdot d^2 \cdot \sqrt{(f_{ck} \cdot E_{cm})} / \gamma_V$ = 86.065 kN

P_{Rd} = $Min(P_{Rd,1}, P_{Rd,2})$ = 81.656 kN

where, f_u = 450.000 MPa

α = 1 for $h_{sc}/d > 4$

Num. = 4

d = 19.000 mm

h_{sc} = 175.000 mm

Space = 100.000 mm

- Verification

$v_{L,Ed}$ = $V_{Ed} \cdot (A \cdot z / I)$ = 672.212 kN/m

$v_{L,Rd}$ = P_{Rd} · Num./Space = 3266.251 kN/m

$v_{L,Ed}$ < $v_{L,Rd}$ … OK

0 **Longitudinal Shear for SLS(Serviceability limit state)**

- Shear resistance of a single connector

Load combination name : SLE RARA

$P_{Rd,1}$ = $0.8 \cdot f_u \cdot \pi \cdot d^2 / 4 / \gamma_V$ = 81.656 kN

$P_{Rd,2}$ = $0.29 \cdot \alpha \cdot d^2 \cdot \sqrt{(f_{ck} \cdot E_{cm})} / \gamma_V$ = 86.065 kN

P_{Rd} = $Min(P_{Rd,1}, P_{Rd,2})$ = 81.656 kN

$P_{Rd,ser}$ = $k_s \cdot P_{Rd}$ = 61.242 kN

where, f_u = 450.000 MPa

α = 1 for $h_{sc}/d > 4$

Num. = 4

d = 19.000 mm

h_{sc} = 175.000 mm

Space = 100.000 mm

k_s = 0.750

- Verification

$v_{L,Ed}$ = $V_{Ed} \cdot (A \cdot z / I)$ = 497.722 kN/m

$v_{L,Rd}$ = $P_{Rd,ser}$ · Num./Space = 2449.688 kN/m

$v_{L,Ed}$ < $v_{L,Rd}$ … OK

Element Number	211
Position Information	J

1 Design Condition

1.1 Design Parameters

■ Partial factors

γ_C for concrete	1.50	γ_V for headed sutd	1.25
γ_S for reinforcing steel	1.15	γ_{Ff} for equivalent constant Amplitude stress range	1.00
γ_{M0} for structural steel	1.05	γ_{Mf} for fatigue strength	1.15
γ_{M1} for structural steel	1.10	$\gamma_{Mf,s}$ for fatigue strength of studs in shear	1.00

1.2 Material Information

■ Structural steel

f_{sk} = 355.000 MPa E_s = 210000.000 MPa

■ Concrete

f_{ck} = 32.000 MPa E_{cm} = 33000.000 MPa

■ Reinforcement

f_{yk} = 450.000 MPa E_r = 210000.000 MPa

■ Section Dimensions

Slab

B_c	4500.000	mm	t_c	240.000	mm	H_h	60.000	mm

Girder

H_w	1940.000	mm	B_1	500.000	mm	B_2	700.000	mm
t_w	20.000	mm	t_{f1}	20.000	mm	t_{f2}	35.000	mm

■ Section Stiffness

Before

$A_{,a}$	73300.000	mm^2
$I_{y,a}$	42840668724.704	mm^4
$I_{z,a}$	1210043333.333	mm^4
$C_{y,a}$	350.000	mm
$C_{z,a}$	808.632	mm

After

$A_{,c}$	244728.571	mm^2
$I_{y,c}$	139523577546.013	mm^4
$I_{z,c}$	290495757619.048	mm^4
$C_{y,c}$	2250.000	mm
$C_{z,c}$	1765.752	mm

Crack

$A_{,c}$	80384.000	mm^2
$I_{y,c}$	54940624049.820	mm^4
$I_{z,c}$	13677970077.419	mm^4
$C_{y,c}$	2250.000	mm
$C_{z,c}$	929.046	mm

2 Bending Resistance

2.1 Positive Moment

■ Design load

Load combination name : SLU-1

$N_{a,Ed}$	-23.475	kN
$N_{c,Ed}$	56.930	kN
$M_{a,Ed}$	6848.662	kN・m
$M_{c,Ed}$	11556.170	kN・m

- Stress

Top Flange

Left	y_1	-250.000	mm	z_1	229.248	mm	σ_1	-210.576	MPa
	y_2	-10.000	mm	z_2	229.248	mm	σ_2	-208.806	MPa
Right	y_1	250.000	mm	z_1	229.248	mm	σ_1	-206.889	MPa
	y_2	10.000	mm	z_2	229.248	mm	σ_2	-208.659	MPa

Bottom Flange

Left	y_1	-350.000	mm	z_1	-1765.752	mm	σ_1	272.852	MPa
	y_2	-10.000	mm	z_2	-1765.752	mm	σ_2	275.360	MPa
Right	y_1	350.000	mm	z_1	-1765.752	mm	σ_1	278.014	MPa
	y_2	10.000	mm	z_2	-1765.752	mm	σ_2	275.507	MPa

Web

Right	y_1	0.000	mm	z_1	209.248	mm	σ_1	-203.879	MPa
	y_2	0.000	mm	z_2	-1730.752	mm	σ_2	266.939	MPa

■ Classification of sections

Part	Class
Top flange	1
Web	1
Bottom flange	1
Section	1

- Plastic resistance moment, $M_{pl,Rd}$

Plastic NA = 1979.625 mm

N_{slab} = 19584.000 kN

$N_{g,top}$ = 2599.190 kN (Upper side of PNA)

$N_{g,bot}$ = 22183.190 kN (Lower side of PNA)

$M_{pl,Rd}$ = 32886.172 kN・m

x_{pl} = 315.375 mm

M_{Rd} = $\beta M_{pl,Rd}$ = 32886.172 kN・m

here, β = 1.000

M_{Rd} = 32886.172 kN · m > M_{Ed} = 18404.833 kN · m …OK

3 Resistance to Vertical Shear

■ Design load

Load combination name : SLU-1

N_{Ed} = 26.736 kN

$M_{a,Ed}$ = 6848.662 kN · m

$M_{c,Ed}$ = 11451.996 kN · m

$V_{Ed,a}$ = -790.050 kN

$V_{Ed,c}$ = -1421.156 kN

V_{Ed} = -2211.207 kN

- Stress

Top Flange

Left	y_1	-250.000	mm	z_1	229.248	mm	σ_1	-210.784	MPa
	y_2	-10.000	mm	z_2	229.248	mm	σ_2	-208.768	MPa
Right	y_1	250.000	mm	z_1	229.248	mm	σ_1	-206.585	MPa
	y_2	10.000	mm	z_2	229.248	mm	σ_2	-208.601	MPa

Bottom Flange

Left	y_1	-350.000	mm	z_1	-1765.752	mm	σ_1	271.053	MPa
	y_2	-10.000	mm	z_2	-1765.752	mm	σ_2	273.908	MPa
Right	y_1	350.000	mm	z_1	-1765.752	mm	σ_1	276.930	MPa
	y_2	10.000	mm	z_2	-1765.752	mm	σ_2	274.075	MPa

Web

Right	y_1	0.000	mm	z_1	209.248	mm	σ_1	-203.846	MPa
	y_2	0.000	mm	z_2	-1730.752	mm	σ_2	265.523	MPa

■ Classification of sections

Part	Class
Top flange	1
Web	1
Bottom flange	1
Section	1

■ Plastic resistance moment, $M_{pl,Rd}$

Plastic NA = 1979.625 mm

N_{slab} = 19584.000 kN

$N_{g,top}$ = 2599.190 kN

$N_{g,bot}$ = 22183.190 kN

$M_{pl,Rd}$ = 32886.172 kN · m

■ Calculation. $V_{bw,Rd}$

Web

■ Contribution from the web

$\lambda_w = h_w / (86.4 \cdot t \cdot \varepsilon) = 1.380$

$X_w = 1.37 / (0.7+\lambda_w) = 0.659$ $\lambda_w \geq 1.08$

$$V_{bw,Rd} = \frac{X_w \cdot f_{yw} \cdot h_w \cdot t}{\sqrt{3} \cdot \gamma_{M1}} = 4762.019 \text{ kN}$$

$V_{Rd} = 4762.019$ kN

$V_{Edi} = V_{Ed} / \text{Num. of Web} = -2211.207$ kN

$\eta'_3 = V_{Edi} / V_{bw,Rd} = 0.464 \leq 1.0$

■ Contribution from the flange

$M_{f,Rd} = 19079.713$ kN · m

$M_{f,Rd}$ is calculated as $M_{pl,Rd}$ but neglecting the web contribution.

$$V_{bf,Rd} = \frac{b_f \cdot t_f^2 \cdot f_{yf}}{c \cdot \gamma_{M1}} \left(1 - \left(\frac{M_{Ed}}{M_{f,Rd}}\right)^2\right) = 0.000 \text{ kN}$$

where, $M_{f,Rd} = 19079.713$ kN · m

$M_{Ed} = 127008.197$ kN · m (Taken as the greatest value of $(\sum \sigma_i)W$)

$$c = a \cdot \left(0.25 + \frac{1.6 \cdot b_f \cdot t_f^2 \cdot f_{yf}}{t \cdot h_w^2 \cdot f_{yw}}\right) = 0.000$$

■ Check Shear Resistance

$V_{Edi} / (V_{bw,Rd}+V_{bf,Rd}) = 0.464 < 1.0$ … OK

4 Resistance to Lateral Torsional Buckling

- Design load

Load combination name : SLU-1

$N_{Ed} = 33.454$ kN

$M_{Ed} = 11556.170$ kN · m

$V_1 = -1754.835$ kN

$V_2 = -1778.029$ kN

$M_1 = 17519.460$ kN · m

$M_2 = 18404.833$ kN · m

$M_{pl,Rd} = 32886.172$ kN · m

$M_{el,Rd} = 23349.241$ kN · m

- $M_{b,Rd}$ Buckling resistance moment

$L = 0.500$ m

$c = C_d / l = 0.000$

$\gamma = c \cdot L^4 / (E \cdot I) = 0.000$

μ = V_2 / V_1 = 0.987

Φ = $2 \cdot (1-M_2/M_1) / (1+\mu)$ = 0.048

m_1 = $1+0.44 \cdot (1+\mu) \cdot \Phi^{1.5}+(3+2 \cdot \Phi) \cdot \gamma/(350-50 \cdot \mu)$ = 1.009

m_2 = $1+0.44 \cdot (1+\mu) \cdot \Phi^{1.5}+(0.195+(0.05+\mu/100) \cdot \Phi) \cdot \gamma^{0.5}$ = 1.009

m = $Min(m_1, m_2)$ = 1.009

α_{LT} = 0.760

λ_{LT} = $1.103 \cdot L/b \cdot \sqrt{(f_y/Em)} \cdot \sqrt{(1+A_{wc}/(3 \cdot A_f))}$ = 0.048

Φ_{LT} = $0.5 \cdot (1+\alpha_{LT} \cdot (\lambda_{LT} - 0.2)+\lambda_{LT}^2)$ = 0.443

$$X_{LT} = \frac{1}{\Phi_{LT} + \sqrt{(\Phi_{LT}^2 - \lambda_{LT}^2)}} = 1$$

M_{Rd} = 32886.172 kN · m

$M_{b,Rd}$ = $X_{LT} \cdot M_{Rd}$ = 32886.172 kN · m

- $N_{b,Rd}$ Axial buckling resistance

$X_{LT,N}$ = 1.000

$N_{b,Rd}$ = $X_{LT} \cdot Area \cdot f_{yd}$ = 82741.565 kN

$$\text{Combined Ratio} = \frac{N_{Ed}}{N_{b,Rd}} + \frac{M_{Ed}}{M_{b,Rd}} = 0.351803397$$

6 Resistance to Longitudinal Shear

- Design load

Load combination name : SLU-1

$N_{c,el}$ = 8214.041 kN

$N_{c,f}$ = 19584.000 kN

M_{Ed} = 18300.659 kN · m

V_{Ed} = -1421.156 kN

$M_{pl,Rd}$ = 32886.172 kN · m

$M_{el,Rd}$ = 23349.241 kN · m

- Shear resistance of a single connector

$P_{Rd,1}$ = $0.8 \cdot f_u \cdot \pi \cdot d^2 / 4 / \gamma_V$ = 81.656 kN

$P_{Rd,2}$ = $0.29 \cdot \alpha \cdot d^2 \cdot \sqrt{(f_{ck} \cdot E_{cm})} / \gamma_V$ = 86.065 kN

P_{Rd} = $Min(P_{Rd,1}, P_{Rd,2})$ = 81.656 kN

where, f_u = 450.000 MPa

α = 1 for $h_{sc}/d > 4$

Num. = 4

d = 19.000 mm

h_{sc} = 175.000 mm

Space = 100.000 mm

- Verification

$v_{L,Ed}$ = $V_{Ed} \cdot (A \cdot z / I)$ = 719.905 kN/m

$v_{L,Rd}$ = P_{Rd} · Num./Space = 3266.251 kN/m

$v_{L,Ed}$ < $v_{L,Rd}$ … OK

0 **Longitudinal Shear for SLS(Serviceability limit state)**

- Shear resistance of a single connector

Load combination name : SLE RARA

$P_{Rd,1}$ = $0.8 \cdot f_u \cdot \pi \cdot d^2 / 4 / \gamma_V$ = 81.656 kN

$P_{Rd,2}$ = $0.29 \cdot \alpha \cdot d^2 \cdot \sqrt{(f_{ck} \cdot E_{cm})} / \gamma_V$ = 86.065 kN

P_{Rd} = $Min(P_{Rd,1}, P_{Rd,2})$ = 81.656 kN

$P_{Rd,ser}$ = $k_s \cdot P_{Rd}$ = 61.242 kN

where, f_u = 450.000 MPa

α = 1 for $h_{sc}/d > 4$

Num. = 4

d = 19.000 mm

h_{sc} = 175.000 mm

Space = 100.000 mm

k_s = 0.750

- Verification

$v_{L,Ed}$ = $V_{Ed} \cdot (A \cdot z / I)$ = 522.577 kN/m

$v_{L,Rd}$ = $P_{Rd,ser}$ · Num./Space = 2449.688 kN/m

$v_{L,Ed}$ < $v_{L,Rd}$ … OK

13.3 VERIFICA INTEGRATIVA PER I TRAVERSI IN ACCIAIO

In aggiunta al calcolo dei traversi, riportato in Relazione di Calcolo, seguono ulteriori verifiche degli stessi, eseguite mediante l'utilizzo del post-processing del programma agli elementi finiti.
Si riporta nuovamente, per maggiore chiarezza, la numerazione degli elementi.

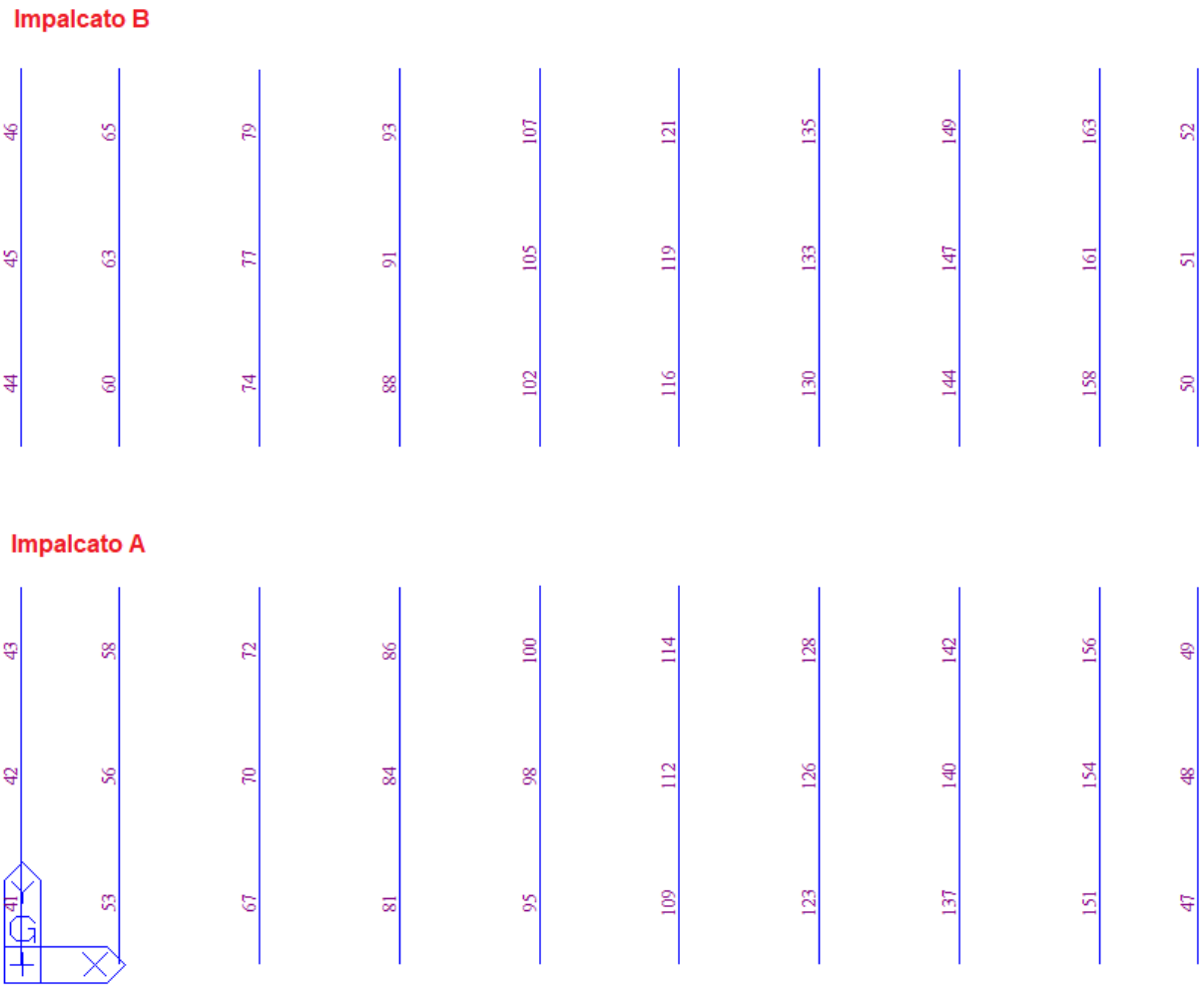


FIGURA 128: NUMERAZIONE ELEMENTI TRAVERSO (IPE 500)

Si riporta la verifica, relativa a ciascuno dei due impalcati, di tutti gli elementi in modalità sommario, seguita dalla verifica di dettaglio dell'elemento maggiormente sollecitato.

13.3.1 TRAVERSI IMPALCATO "A"

Sommario risultati verifica

```
-------------------------------------------------------------------------------------------
 MIDAS/Civil - Steel Code Checking[ Eurocode3-2:05 ]                        Version 8.6.5
===========================================================================================
       +============================================================+
       |  MIDAS(Modeling, Integrated Design & Analysis Software)    |
       |  MIDAS/Civil - Design & checking system for windows        |
       +============================================================+
       |  Steel Member Applicable Code Checking                     |
       |  Based On  AASHTO-LRFD12, AASHTO-LRFD02, AASHTO-LFD96,     |
       |            AASHTO-ASD96, AISC-LRFD2K, AISC-LRFD93,         |
       |            AISC-ASD89, Eurocode3-2:05, BS5950-90,          |
       |            IS:800-2007, IS:800-1984                        |
       |                                                            |
       |                                                            |
       |                                                            |
       |                                                            |
       |                                                            |
       |                                          (c)SINCE 1989     |
       +============================================================+
       |  MIDAS Information Technology Co.,Ltd.          (MIDAS IT) |
       |  MIDAS IT Design Development Team                          |
       +============================================================+
       |            HomePage : www.MidasUser.com                    |
       +============================================================+
       |  MIDAS/Civil  Version 8.6.5                                |
       +============================================================+

    *. DEFINITION OF LOAD COMBINATIONS WITH SCALING UP FACTORS.
-------------------------------------------------------------------------------------------
     LCB  C    Loadcase Name(Factor) + Loadcase Name(Factor) + Loadcase Name(Factor)
-------------------------------------------------------------------------------------------
      6+  1       Summation( 1.350) +INVIL MOBILI SLU( 1.350) +   INVIL VENTO( 0.900)
               +INVIL DT UNIF 15°( 0.720) +INVIL DT DIFF 5°/H( 0.720) +folla su marciapiede( 0.675)
               + Creep Primary( 0.720) +Creep Secondary( 0.720)
      6-  1       Summation( 1.350) +INVIL MOBILI SLU( 1.350) +   INVIL VENTO( 0.900)
               +INVIL DT UNIF 15°( 0.720) +INVIL DT DIFF 5°/H( 0.720) +folla su marciapiede( 0.675)
               + Creep Primary( 0.720) +Creep Secondary( 0.720)
      7+  2       Summation( 1.000) +INVIL MOBILI SLU( 1.000) +   INVIL VENTO( 0.600)
               +INVIL DT UNIF 15°( 0.600) +INVIL DT DIFF 5°/H( 0.600) + Creep Primary( 1.000)
               +Creep Secondary( 1.000)
      7-  2       Summation( 1.000) +INVIL MOBILI SLU( 1.000) +   INVIL VENTO( 0.600)
               +INVIL DT UNIF 15°( 0.600) +INVIL DT DIFF 5°/H( 0.600) + Creep Primary( 1.000)
               +Creep Secondary( 1.000)
      8+  2       Summation( 1.000) +INVIL DT UNIF 15°( 0.500) +INVIL DT DIFF 5°/H( 0.500)
               + Creep Primary( 1.000) +Creep Secondary( 1.000)
      8-  2       Summation( 1.000) +INVIL DT UNIF 15°( 0.500) +INVIL DT DIFF 5°/H( 0.500)
               + Creep Primary( 1.000) +Creep Secondary( 1.000)
      9+  1       Summation( 1.000) +    SLV(X)(RS)( 1.000) +    SLV(Y)(RS)( 0.300)
               + SLV(vert)(RS)( 0.300) +INVIL DT UNIF 15°( 0.500) +INVIL DT DIFF 5°/H( 0.500)
               + Creep Primary( 1.000) +Creep Secondary( 1.000)
      9-  1       Summation( 1.000) +    SLV(X)(RS)( 1.000) +    SLV(Y)(RS)( 0.300)
               + SLV(vert)(RS)( 0.300) +INVIL DT UNIF 15°( 0.500) +INVIL DT DIFF 5°/H( 0.500)
               + Creep Primary( 1.000) +Creep Secondary( 1.000)
     10+  1       Summation( 1.000) +    SLV(X)(RS)( 0.300) +    SLV(Y)(RS)( 1.000)
               + SLV(vert)(RS)( 0.300) +INVIL DT UNIF 15°( 0.500) +INVIL DT DIFF 5°/H( 0.500)
               + Creep Primary( 1.000) +Creep Secondary( 1.000)
     10-  1       Summation( 1.000) +    SLV(X)(RS)( 0.300) +    SLV(Y)(RS)( 1.000)
               + SLV(vert)(RS)( 0.300) +INVIL DT UNIF 15°( 0.500) +INVIL DT DIFF 5°/H( 0.500)
               + Creep Primary( 1.000) +Creep Secondary( 1.000)
     11+  1       Summation( 1.000) + Creep Primary( 1.000) +Creep Secondary( 1.000)
               +INVIL DT UNIF 15°( 0.500) +INVIL DT DIFF 5°/H( 0.500) +    SLV(X)(RS)(-1.000)
               +    SLV(Y)(RS)( 0.300) + SLV(vert)(RS)( 0.300)
     11-  1       Summation( 1.000) + Creep Primary( 1.000) +Creep Secondary( 1.000)
               +INVIL DT UNIF 15°( 0.500) +INVIL DT DIFF 5°/H( 0.500) +    SLV(X)(RS)(-1.000)
               +    SLV(Y)(RS)( 0.300) + SLV(vert)(RS)( 0.300)
     12+  1       Summation( 1.000) + Creep Primary( 1.000) +Creep Secondary( 1.000)
               +INVIL DT UNIF 15°( 0.500) +INVIL DT DIFF 5°/H( 0.500) +    SLV(X)(RS)(-0.300)
               +    SLV(Y)(RS)( 1.000) + SLV(vert)(RS)( 0.300)
     12-  1       Summation( 1.000) + Creep Primary( 1.000) +Creep Secondary( 1.000)
               +INVIL DT UNIF 15°( 0.500) +INVIL DT DIFF 5°/H( 0.500) +    SLV(X)(RS)(-0.300)
               +    SLV(Y)(RS)( 1.000) + SLV(vert)(RS)( 0.300)
     13+  1       Summation( 1.000) + Creep Primary( 1.000) +Creep Secondary( 1.000)
               +INVIL DT UNIF 15°( 0.500) +INVIL DT DIFF 5°/H( 0.500) +    SLV(X)(RS)( 1.000)
               +    SLV(Y)(RS)(-0.300) + SLV(vert)(RS)( 0.300)
     13-  1       Summation( 1.000) + Creep Primary( 1.000) +Creep Secondary( 1.000)
               +INVIL DT UNIF 15°( 0.500) +INVIL DT DIFF 5°/H( 0.500) +    SLV(X)(RS)( 1.000)
               +    SLV(Y)(RS)(-0.300) + SLV(vert)(RS)( 0.300)
     14+  1       Summation( 1.000) + Creep Primary( 1.000) +Creep Secondary( 1.000)
               +INVIL DT UNIF 15°( 0.500) +INVIL DT DIFF 5°/H( 0.500) +    SLV(X)(RS)( 0.300)
               +    SLV(Y)(RS)(-1.000) + SLV(vert)(RS)( 0.300)
     14-  1       Summation( 1.000) + Creep Primary( 1.000) +Creep Secondary( 1.000)
               +INVIL DT UNIF 15°( 0.500) +INVIL DT DIFF 5°/H( 0.500) +    SLV(X)(RS)( 0.300)
               +    SLV(Y)(RS)(-1.000) + SLV(vert)(RS)( 0.300)
     15+  1       Summation( 1.000) + Creep Primary( 1.000) +Creep Secondary( 1.000)
               +INVIL DT UNIF 15°( 0.500) +INVIL DT DIFF 5°/H( 0.500) +    SLV(X)(RS)(-1.000)
               +    SLV(Y)(RS)(-0.300) + SLV(vert)(RS)( 0.300)
     15-  1       Summation( 1.000) + Creep Primary( 1.000) +Creep Secondary( 1.000)
               +INVIL DT UNIF 15°( 0.500) +INVIL DT DIFF 5°/H( 0.500) +    SLV(X)(RS)(-1.000)
               +    SLV(Y)(RS)(-0.300) + SLV(vert)(RS)( 0.300)
     16+  1       Summation( 1.000) + Creep Primary( 1.000) +Creep Secondary( 1.000)
               +INVIL DT UNIF 15°( 0.500) +INVIL DT DIFF 5°/H( 0.500) +    SLV(X)(RS)(-0.300)
               +    SLV(Y)(RS)(-1.000) + SLV(vert)(RS)( 0.300)
     16-  1       Summation( 1.000) + Creep Primary( 1.000) +Creep Secondary( 1.000)
               +INVIL DT UNIF 15°( 0.500) +INVIL DT DIFF 5°/H( 0.500) +    SLV(X)(RS)(-0.300)
               +    SLV(Y)(RS)(-1.000) + SLV(vert)(RS)( 0.300)
-------------------------------------------------------------------------------------------
 *.PROJECT     :
 *.UNIT SYSTEM : kN, m
===========================================================================================
   [ Eurocode3-2:05 ]  CODE CHECKING SUMMARY SHEET --- SELECTED MEMBERS IN ANALYSIS MODEL.
```

CHK	MEMB COM	SECT SHR	Section Material	Fy	LCB	Len Lu	Ly Lz	Bmy Bmz	N,Ed N,Rd	My,Ed Mb,Rd	My,Ed My,Rd	Mz,Ed Mz,Rd	Vy,Ed Vy,Rd	Vz,Ed Vz,Rd	T,Ed T,Rd	Def Defa
	41	13	traverso_IPE 500, IPE~			4.50284	4.50284	1.00	-489.28	-147.25	-147.25	-2.8040	0.19905	15.9082	-	-
OK	0.63	0.08	S275	275000	6-	4.50284	4.50284	1.00	1408.96	377.347	574.619	86.9976	1032.23	912.587	-	-
	42	13	traverso_IPE 500, IPE~			4.50284	4.50284	1.00	-628.72	-78.254	-78.254	-3.1888	0.24053	-18.365	-	-
OK	0.72	0.05	S275	275000	6-	4.50284	4.50284	1.00	1392.83	339.797	487.370	55.9814	1032.23	912.587	-	-
	43	13	traverso_IPE 500, IPE~			4.50284	4.50284	1.00	-507.85	-92.527	-92.527	0.62179	0.29619	-48.065	-	-
OK	0.62	0.05	S275	275000	6-	4.50284	4.50284	1.00	1392.83	339.797	487.370	55.9814	1032.23	912.587	-	-
	47	13	traverso_IPE 500, IPE~			4.50284	4.50284	1.00	-489.00	-147.70	-147.70	0.41426	-1.2109	16.1114	-	-
OK	0.59	0.08	S275	275000	6-	4.50284	4.50284	1.00	1408.96	377.347	574.619	86.9976	1032.23	912.587	-	-
	48	13	traverso_IPE 500, IPE~			4.50284	4.50284	1.00	-628.94	-78.682	-78.682	0.55685	-1.3769	-18.172	-	-
OK	0.67	0.05	S275	275000	6-	4.50284	4.50284	1.00	1392.83	339.797	487.370	55.9814	1032.23	912.587	-	-
	49	13	traverso_IPE 500, IPE~			4.50284	4.50284	1.00	-508.29	-92.115	-92.115	-3.3529	-1.5145	-47.881	-	-
OK	0.68	0.05	S275	275000	6-	4.50284	4.50284	1.00	1392.83	339.797	487.370	55.9814	1032.23	912.587	-	-
	53	13	traverso_IPE 500, IPE~			4.50284	4.50284	1.00	-566.22	-87.654	-87.654	-2.7149	0.21703	18.3304	-	-
OK	0.70	0.05	S275	275000	6-	4.50284	4.50284	1.00	1392.83	339.797	487.370	55.9814	1032.23	912.587	-	-
	56	13	traverso_IPE 500, IPE~			4.50284	4.50284	1.00	-765.70	-36.300	-36.300	-3.0706	0.26031	-12.550	-	-
OK	0.72	0.02	S275	275000	6-	4.50284	4.50284	1.00	1392.83	339.797	487.370	55.9814	1032.23	912.587	-	-
	58	13	traverso_IPE 500, IPE~			4.50284	4.50284	1.00	-612.62	-60.938	-60.938	0.65985	0.31103	-30.959	-	-
OK	0.62	0.03	S275	275000	6-	4.50284	4.50284	1.00	1392.83	339.797	487.370	55.9814	1032.23	912.587	-	-
	67	13	traverso_IPE 500, IPE~			4.50284	4.50284	1.00	-692.38	-91.889	-91.889	-2.2134	0.20189	5.04156	-	-
OK	0.78	0.05	S275	275000	6-	4.50284	4.50284	1.00	1392.83	339.797	487.370	55.9814	1032.23	912.587	-	-
	70	13	traverso_IPE 500, IPE~			4.50284	4.50284	1.00	-911.59	-49.701	-49.701	-2.4519	0.22920	-24.203	-	-
OK	0.84	0.03	S275	275000	6-	4.50284	4.50284	1.00	1392.83	339.797	487.370	55.9814	1032.23	912.587	-	-
	72	13	traverso_IPE 500, IPE~			4.50284	4.50284	1.00	-714.39	-89.327	-89.327	0.57055	0.26664	-36.763	-	-
OK	0.75	0.04	S275	275000	6-	4.50284	4.50284	1.00	1392.83	339.797	487.370	55.9814	1032.23	912.587	-	-
	81	13	traverso_IPE 500, IPE~			4.50284	4.50284	1.00	-744.48	-109.19	-109.19	-1.4636	0.11694	-4.3811	-	-
OK	0.84	0.05	S275	275000	6-	4.50284	4.50284	1.00	1392.83	339.797	487.370	55.9814	1032.23	912.587	-	-
	84	13	traverso_IPE 500, IPE~			4.50284	4.50284	1.00	-978.60	-62.237	-62.237	-1.6147	0.14352	-28.477	-	-
OK	0.89	0.03	S275	275000	6-	4.50284	4.50284	1.00	1392.83	339.797	487.370	55.9814	1032.23	912.587	-	-
	86	13	traverso_IPE 500, IPE~			4.50284	4.50284	1.00	-757.54	-109.97	-109.97	0.36044	0.16800	-43.642	-	-
OK	0.82	0.05	S275	275000	6-	4.50284	4.50284	1.00	1392.83	339.797	487.370	55.9814	1032.23	912.587	-	-
	95	13	traverso_IPE 500, IPE~			4.50284	4.50284	1.00	-762.90	-118.55	-118.55	-0.5713	-0.0011	-4.5620	-	-
OK	0.85	0.05	S275	275000	6-	4.50284	4.50284	1.00	1392.83	339.797	487.370	55.9814	1032.23	912.587	-	-
	98	13	traverso_IPE 500, IPE~			4.50284	4.50284	1.00	-1003.6	-77.490	-77.490	0.05821	0.02791	-29.648	-	-
OK	0.90	0.03	S275	275000	6-	4.50284	4.50284	1.00	1392.83	339.797	487.370	55.9814	1032.23	912.587	-	-
	100	13	traverso_IPE 500, IPE~			4.50284	4.50284	1.00	-771.92	-119.48	-119.48	0.08164	0.03867	-46.797	-	-
OK	0.85	0.05	S275	275000	6-	4.50284	4.50284	1.00	1392.83	339.797	487.370	55.9814	1032.23	912.587	-	-
	109	13	traverso_IPE 500, IPE~			4.50284	4.50284	1.00	-762.90	-118.55	-118.55	-0.0332	-0.2373	-4.5617	-	-
OK	0.84	0.05	S275	275000	6-	4.50284	4.50284	1.00	1392.83	339.797	487.370	55.9814	1032.23	912.587	-	-
	112	13	traverso_IPE 500, IPE~			4.50284	4.50284	1.00	-1003.6	-77.488	-77.488	-0.5958	-0.2669	-29.647	-	-
OK	0.91	0.03	S275	275000	6-	4.50284	4.50284	1.00	1392.83	339.797	487.370	55.9814	1032.23	912.587	-	-
	114	13	traverso_IPE 500, IPE~			4.50284	4.50284	1.00	-771.92	-119.48	-119.48	-0.7212	-0.3234	-46.797	-	-
OK	0.86	0.05	S275	275000	6-	4.50284	4.50284	1.00	1392.83	339.797	487.370	55.9814	1032.23	912.587	-	-
	123	13	traverso_IPE 500, IPE~			4.50284	4.50284	1.00	-744.48	-109.19	-109.19	0.23667	-0.6295	-4.3784	-	-
OK	0.81	0.05	S275	275000	6-	4.50284	4.50284	1.00	1392.83	339.797	487.370	55.9814	1032.23	912.587	-	-
	126	13	traverso_IPE 500, IPE~			4.50284	4.50284	1.00	-978.84	-71.553	-71.553	-1.5679	-0.7031	-28.474	-	-
OK	0.91	0.03	S275	275000	6-	4.50284	4.50284	1.00	1392.83	339.797	487.370	55.9814	1032.23	912.587	-	-
	128	13	traverso_IPE 500, IPE~			4.50284	4.50284	1.00	-757.56	-109.97	-109.97	-1.6741	-0.7517	-43.641	-	-
OK	0.85	0.05	S275	275000	6-	4.50284	4.50284	1.00	1392.83	339.797	487.370	55.9814	1032.23	912.587	-	-
	137	13	traverso_IPE 500, IPE~			4.50284	4.50284	1.00	-692.33	-91.917	-91.917	0.43082	-0.9575	5.05658	-	-
OK	0.74	0.05	S275	275000	6-	4.50284	4.50284	1.00	1392.83	339.797	487.370	55.9814	1032.23	912.587	-	-
	140	13	traverso_IPE 500, IPE~			4.50284	4.50284	1.00	-911.87	-55.681	-55.681	-2.3760	-1.0679	-24.190	-	-
OK	0.85	0.03	S275	275000	6-	4.50284	4.50284	1.00	1392.83	339.797	487.370	55.9814	1032.23	912.587	-	-
	142	13	traverso_IPE 500, IPE~			4.50284	4.50284	1.00	-714.51	-89.306	-89.306	-2.5364	-1.1396	-36.751	-	-
OK	0.80	0.04	S275	275000	6-	4.50284	4.50284	1.00	1392.83	339.797	487.370	55.9814	1032.23	912.587	-	-
	151	13	traverso_IPE 500, IPE~			4.50284	4.50284	1.00	-566.05	-87.815	-87.815	0.46302	-1.1733	18.4048	-	-
OK	0.65	0.05	S275	275000	6-	4.50284	4.50284	1.00	1392.83	339.797	487.370	55.9814	1032.23	912.587	-	-
	154	13	traverso_IPE 500, IPE~			4.50284	4.50284	1.00	-766.06	-19.760	-19.760	-2.9426	-1.3300	-12.484	-	-
OK	0.66	0.02	S275	275000	6-	4.50284	4.50284	1.00	1392.83	0.00000	487.370	55.9814	1032.23	912.587	-	-
	156	13	traverso_IPE 500, IPE~			4.50284	4.50284	1.00	-612.91	-60.803	-60.803	-3.2165	-1.4499	-30.896	-	-
OK	0.67	0.03	S275	275000	6-	4.50284	4.50284	1.00	1392.83	339.797	487.370	55.9814	1032.23	912.587	-	-

Dettaglio elemento maggiormente sollecitato

```
--------------------------------------------------------------------------------
 MIDAS/Civil - Steel Code Checking[ Eurocode3-2:05 ]                  Version 8.6.5
================================================================================
      *. PROJECT     :
      *. MEMBER NO    =      112,  ELEMENT TYPE = Beam
      *. LOADCOMB NO =      6-,  MATERIAL NO  =      3,  SECTION NO =     13
      *. UNIT SYSTEM : kN, m

      *. SECTION PROPERTIES : Designation = traverso_IPE 500, IPE500
         Shape     = I - Section. (Rolled)
         Depth     =      0.500,  Top F Width =      0.200,  Bot.F Width =      0.200
         Web Thick =      0.010,  Top F Thick =      0.016,  Bot.F Thick =      0.016

         Area = 1.16000e-002,  Avy  = 6.82640e-003,  Avz  = 6.03520e-003
         Ybar = 1.00000e-001,  Zbar = 2.50000e-001,  Qyb  = 1.03300e-001,  Qzb  = 5.00000e-003
         Wely = 1.93000e-003,  Welz = 2.14000e-004,  Wply = 2.19400e-003,  Wplz = 3.32173e-004
         Iyy  = 4.82000e-004,  Izz  = 2.14200e-005,  Iyz  = 0.00000e+000
         iy   = 2.03357e-001,  iz   = 4.37375e-002
         J    = 7.17341e-007,  Cwp  = 1.24936e-006

      *. DESIGN PARAMETERS FOR STRENGTH EVALUATION :
         Ly   = 4.50284e+000,  Lz   = 4.50284e+000,  Lb   = 4.50284e+000
         Ky   = 1.00000e+000,  Kz   = 1.00000e+000

      *. MATERIAL PROPERTIES :
         Fy   = 2.75000e+005,  Es   = 2.10000e+008,  MATERIAL NAME  = S275


      *. FORCES AND MOMENTS AT (I) POINT :
         Axial Force      Fxx =-1.00357e+003
         Shear Forces     Fyy =-2.66923e-001,  Fzz =-2.96473e+001
         Bending Moments  My  =-7.74880e+001,  Mz  =-5.95844e-001
         End Moments      Myi =-7.74880e+001,  Myj =-6.75095e+001  (for Lb)
                          Myi =-7.74880e+001,  Myj =-6.75095e+001  (for Ly)
                          Mzi =-5.95844e-001,  Mzj = 5.21001e-002  (for Lz)

      *. Sign conventions for stress and axial force.
         - Stress : Compression positive.
         - Axial force: Tension positive.


================================================================================
   [[[*]]]   CLASSIFY LEFT-TOP FLANGE OF SECTION (BTR).
================================================================================

      ( ). Determine classification of compression outstand flanges.
           [ Eurocode3:05 Table 5.2 (Sheet 2 of 3), EN 1993-1-5 ]
           -. e      = SQRT( 235/fy )  =    0.92
           -. b/t    = BTR =    4.62
           -. sigma1 =   52990.319 KPa.
           -. sigma2 =   51664.717 KPa.
           -. BTR < 9*e  ( Class 1 : Plastic ).

================================================================================
   [[[*]]]   CLASSIFY RIGHT-TOP FLANGE OF SECTION (BTR).
================================================================================

      ( ). Determine classification of compression outstand flanges.
           [ Eurocode3:05 Table 5.2 (Sheet 2 of 3), EN 1993-1-5 ]
           -. e      = SQRT( 235/fy )  =    0.92
           -. b/t    = BTR =    4.62
           -. sigma1 =   50728.364 KPa.
           -. sigma2 =   49402.763 KPa.
           -. BTR < 9*e  ( Class 1 : Plastic ).

================================================================================
   [[[*]]]   CLASSIFY LEFT-BOTTOM FLANGE OF SECTION (BTR).
================================================================================

      ( ). Determine classification of compression outstand flanges.
           [ Eurocode3:05 Table 5.2 (Sheet 2 of 3), EN 1993-1-5 ]
           -. e      = SQRT( 235/fy )  =    0.92
           -. b/t    = BTR =    4.62
           -. sigma1 =  123626.623 KPa.
           -. sigma2 =  122301.021 KPa.
           -. BTR < 9*e  ( Class 1 : Plastic ).

================================================================================
   [[[*]]]   CLASSIFY RIGHT-BOTTOM FLANGE OF SECTION (BTR).
================================================================================

      ( ). Determine classification of compression outstand flanges.
           [ Eurocode3:05 Table 5.2 (Sheet 2 of 3), EN 1993-1-5 ]
           -. e      = SQRT( 235/fy )  =    0.92
           -. b/t    = BTR =    4.62
           -. sigma1 =  121364.669 KPa.
           -. sigma2 =  120039.067 KPa.
           -. BTR < 9*e  ( Class 1 : Plastic ).

================================================================================
   [[[*]]]   CLASSIFY WEB OF SECTION (HTR).
================================================================================

      ( ). Determine classification of compression Internal Parts.
           [ Eurocode3:05 Table 5.2 (Sheet 1 of 3), EN 1993-1-5 ]
           -. e      = SQRT( 235/fy )  =    0.92
           -. d/t    = HTR =   41.76
           -. sigma1 =  120757.326 KPa.
           -. sigma2 =   52272.059 KPa.
           -. HTR > 42*e  ( Class 4 : Slender ).
```

```
================================================================================
   [[[*]]]   CALCULATE EFFECTIVE AREA.
================================================================================

      ( ). Calculate cross-section properties of left-top flange.
           [ Eurocode3 Part 1-5 4.4, Table 4.1, 4.2 ]
           -. r    =       0.026 m.
           -. bc   =       0.074 m.
           -. beff = bc + r     =       0.100 m.
           -. Aeff = beff * tf  =       0.002 m^2.

      ( ). Calculate cross-section properties of right-top flange.
           [ Eurocode3 Part 1-5 4.4, Table 4.1, 4.2 ]
           -. r    =       0.026 m.
           -. bc   =       0.074 m.
           -. beff = bc + r     =       0.100 m.
           -. Aeff = beff * tf  =       0.002 m^2.

      ( ). Calculate cross-section properties of left-bottom flange.
           [ Eurocode3 Part 1-5 4.4, Table 4.1, 4.2 ]
           -. r    =       0.026 m.
           -. bc   =       0.074 m.
           -. beff = bc + r     =       0.100 m.
           -. Aeff = beff * tf  =       0.002 m^2.

      ( ). Calculate cross-section properties of right-bottom flange.
           [ Eurocode3 Part 1-5 4.4, Table 4.1, 4.2 ]
           -. r    =       0.026 m.
           -. bc   =       0.074 m.
           -. beff = bc + r     =       0.100 m.
           -. Aeff = beff * tf  =       0.002 m^2.

      ( ). Calculate buckling factor of internal compression element.
           [ Eurocode3 Part 1-5 4.4, Table 4.1 ]
           -. In case of Psi  =  1.0
           -. k_sigma =  4.0000

      ( ). Calculate effective cross-section properties of web of Class 4 (Internal element).
           [ Eurocode3 Part 1-5 4.4, Table 4.1, 4.2 ]
           -. RatT     = 41.7647
           -. Lambda_p = RatT / [ 28.4*Eps*SQRT(k_sigma) ] =  0.7954
           -. Rho      = MIN[ (Lambda_p-0.055*(3+psi)) / Lambda_p^2, 1.0 ] =  0.9095
           -. sigma_max = MAX( sigma1, sigma2 ) =   86514.693 KPa.
           -. sigma_min = MIN( sigma1, sigma2 ) =   86514.693 KPa.
           -. r     =       0.021 m.
           -. Ar    =  1.066e-004 m^2.
           -. dc    =       0.426 m.
           -. deff1 = 2*(Rho*dc) / [ 5 - sigma_min/sigma_max ] + r =       0.215 m.
           -. Aeff1 = deff1 * tw + 2*Ar      =       0.002 m^2.
           -. zeff1 = deff1/2 + tf           =       0.123 m.
           -. deff2 = (Rho*dc) - deff1 + r   =       0.215 m.
           -. Aeff2 = deff2 * tw + 2*Ar      =       0.002 m^2.
           -. zeff2 = (h+2*r) - deff2/2 + tf =       0.377 m.

================================================================================
   [[[*]]]   CALCULATE EFFECTIVE SECTION MODULUS ABOUT MAJOR AXIS.
================================================================================

      ( ). Calculate cross-section properties of left-top flange.
           [ Eurocode3 Part 1-5 4.4, Table 4.1, 4.2 ]
           -. r    =       0.026 m.
           -. bc   =       0.074 m.
           -. beff = bc + r     =       0.100 m.
           -. Aeff = beff * tf  =       0.002 m^2.
           -. yeff = beff/2     =       0.050 m.

      ( ). Calculate cross-section properties of right-top flange.
           [ Eurocode3 Part 1-5 4.4, Table 4.1, 4.2 ]
           -. r    =       0.026 m.
           -. bc   =       0.074 m.
           -. beff = bc + r     =       0.100 m.
           -. Aeff = beff * tf  =       0.002 m^2.
           -. yeff = beff/2     =       0.050 m.

      ( ). Calculate cross-section properties of left-bottom flange.
           [ Eurocode3 Part 1-5 4.4, Table 4.1, 4.2 ]
           -. r    =       0.026 m.
           -. bc   =       0.074 m.
           -. beff = bc + r     =       0.100 m.
           -. Aeff = beff * tf  =       0.002 m^2.
           -. yeff = beff/2     =       0.050 m.

      ( ). Calculate cross-section properties of right-bottom flange.
           [ Eurocode3 Part 1-5 4.4, Table 4.1, 4.2 ]
           -. r    =       0.026 m.
           -. bc   =       0.074 m.
           -. beff = bc + r     =       0.100 m.
           -. Aeff = beff * tf  =       0.002 m^2.
           -. yeff = beff/2     =       0.050 m.

      ( ). Calculate buckling factor of internal compression element.
           [ Eurocode3 Part 1-5 4.4, Table 4.1 ]
           -. In case of Psi  =  -1.0
           -. k_sigma = 23.9000

      ( ). Calculate effective cross-section properties of web of Class 4 (Internal element).
           [ Eurocode3 Part 1-5 4.4, Table 4.1, 4.2 ]
           -. RatT     = 41.7647
           -. Lambda_p = RatT / [ 28.4*Eps*SQRT(k_sigma) ] =  0.3254
           -. Rho      = 1.0
           -. sigma_max = MAX( sigma1, sigma2 ) =   34242.634 KPa.
           -. sigma_min = MIN( sigma1, sigma2 ) =  -34242.634 KPa.
           -. r     =       0.021 m.
           -. Ar    =  1.066e-004 m^2.
           -. dc    = (h*sigma_max) / (sigma_max-sigma_min)  =       0.213 m.
           -. deff1 = 0.4*Rho*dc + r          =       0.106 m.
```

```
          -. Aeff1 = deff1 * tw + 2*Ar       =       0.001 m^2.
          -. zeff1 = deff1/2 + tf            =       0.069 m.
          -. deff2 = 0.6*Rho*dc + (h-dc) + r =       0.362 m.
          -. Aeff2 = deff2 * tw + 2*Ar       =       0.004 m^2.
          -. zeff2 = (h+2*r) - deff2/2 + tf  =       0.303 m.

================================================================================
   [[[*]]]   CALCULATE EFFECTIVE SECTION MODULUS ABOUT MINOR AXIS.
================================================================================

      ( ). Calculate cross-section properties of left-top flange.
           [ Eurocode3 Part 1-5 4.4, Table 4.1, 4.2 ]
           -. r    =       0.026 m.
           -. bc   =       0.074 m.
           -. beff = bc + r     =       0.100 m.
           -. Aeff = beff * tf  =       0.002 m^2.
           -. yeff = beff/2     =       0.050 m.

      ( ). Calculate cross-section properties of right-top flange.
           [ Eurocode3 Part 1-5 4.4, Table 4.1, 4.2 ]
           -. r    =       0.026 m.
           -. bc   =       0.074 m.
           -. beff = bc + r     =       0.100 m.
           -. Aeff = beff * tf  =       0.002 m^2.
           -. yeff = beff/2     =       0.050 m.

      ( ). Calculate cross-section properties of left-bottom flange.
           [ Eurocode3 Part 1-5 4.4, Table 4.1, 4.2 ]
           -. r    =       0.026 m.
           -. bc   =       0.074 m.
           -. beff = bc + r     =       0.100 m.
           -. Aeff = beff * tf  =       0.002 m^2.
           -. yeff = beff/2     =       0.050 m.

      ( ). Calculate cross-section properties of right-bottom flange.
           [ Eurocode3 Part 1-5 4.4, Table 4.1, 4.2 ]
           -. r    =       0.026 m.
           -. bc   =       0.074 m.
           -. beff = bc + r     =       0.100 m.
           -. Aeff = beff * tf  =       0.002 m^2.
           -. yeff = beff/2     =       0.050 m.

      ( ). Calculate effective cross-section properties of web of Class 4 (Internal element).
           [ Eurocode3 Part 1-5 4.4, Table 4.1, 4.2 ]
           -. Rho      = 1.0  (Only tensile stresses).
           -. sigma_max = MAX( sigma1, sigma2 ) =       0.000 KPa.
           -. sigma_min = MIN( sigma1, sigma2 ) =       0.000 KPa.
           -. r    =       0.021 m.
           -. Ar   =  1.066e-004 m^2.
           -. dc   =       0.426 m.
           -. deff = dc + r           =       0.468 m.
           -. Aeff = deff * tw + 4*Ar =       0.005 m^2.
           -. zeff = (h+2*r) - deff/2 =       0.250 m.

================================================================================
   [[[*]]]   EFFECTIVE SECTION PPOPERTIES.
================================================================================

      ( ). Calculated effective cross-section properties of Class4 cross-section.
           -. Aeff  =        0.0112 m^2. (for calculating axial resistance)
           -. Aeffy =        0.0116 m^2.
           -. Weffy =        0.0019 m^3.
           -. Aeffz =        0.0116 m^2.
           -. Weffz =        0.0002 m^3.
           -. eNy   =    0.0000 m.
           -. eNz   =    0.0000 m.

================================================================================
   [[[*]]]   APPLIED FACTORS.
================================================================================

      ( ). Calculate equivalent uniform moment factors (Cmy,Cmz,CmLT).
           [ Eurocode3:05 Annex A. Table A.1, A.2 ]
           -. Cmy,0    = 0.980
           -. Cmz,0    = 0.542
           -. Cmy (Default or User Defined Value) = 1.000
           -. Cmz (Default or User Defined Value) = 1.000
           -. CmLT (Default or User Defined Value) = 1.000

      ( ). Partial Factors (Gamma_Mi).
           [ Eurocode3:05 6.1 ]
           -. Gamma_M0 =  1.05
           -. Gamma_M1 =  1.10
           -. Gamma_M2 =  1.25

================================================================================
   [[[*]]]   CHECK AXIAL RESISTANCE.
================================================================================

      ( ). Check slenderness ratio of axial compression member (Kl/i).
           [ Eurocode3:05  6.3.1 ]
           -. Kl/i  =   103.0  <   200.0  --->  O.K.

      ( ). Calculate axial compressive resistance (Nc_Rd).
           [ Eurocode3:05  6.1, 6.2.4 ]
           -. Nc_Rd    = fy * Aeff / Gamma_M0 =       2935.08 kN.

      ( ). Check ratio of axial resistance (N_Ed/Nc_Rd).
                N_Ed           1003.57
           -. -----  =  ---------------  =  0.342  <  1.000  --->  O.K.
              Nc_Rd            2935.08

      ( ). Calculate buckling resistance of compression member (Nb_Rdy, Nb_Rdz).
           [ Eurocode3:05  6.3.1.1, 6.3.1.2 ]
           -. Beta_A    = Aeff / Area      =   0.966
           -. Lambda1   = Pi * SQRT(Es/fy) =  86.815
           -. Lambda_by = {(Ky*Ly/iy)/Lambda1} * SQRT(Beta_A) =   0.251
```

```
          -. Ncry      = Pi^2*Es*Iyy / (Ky*Ly)^2             =      49271.11 kN.
          -. Lambda_by < 0.2 or N_Ed/Ncry < 0.04 --> No need to check.

          -. Lambda_bz = {(Kz*Lz/iz)/Lambda1} * SQRT(Beta_A) =   1.166
          -. Ncrz      = Pi^2*Es*Izz / (Kz*Lz)^2             =       2189.60 kN.
          -. Lambda_bz > 0.2 and N_Ed/Ncrz > 0.04 --> Need to check.
          -. Alphaz    =   0.340
          -. Phiz      = 0.5 * [ 1 + Alphaz*(Lambda_bz-0.2) + Lambda_bz^2 ]   =   1.343
          -. Xiz       = MIN [ 1 / [Phiz + SQRT(Phiz^2 - Lambda_bz^2)], 1.0 ] =   0.497
          -. Nb_Rdz    = Xiz*Beta_A*Area*fy / Gamma_M1 =       1392.83 kN.

     ( ). Check ratio of buckling resistance (N_Ed/Nb_Rd).
          -. Nb_Rd  = MIN[ Nb_Rdy, Nb_Rdz ] =       1392.83 kN.
              N_Ed           1003.57
          -. -----  =  ---------------  =  0.721  <  1.000  --->  O.K.
             Nb_Rd           1392.83

================================================================================
   [[[*]]]   CHECK SHEAR RESISTANCE.
================================================================================

     ( ). Calculate shear area.
          [ Eurocode3:05  6.2.6, EN1993-1-5:04 5.1 NOTE 2 ]
          -. eta   = 1.2 (Fy < 460 MPa.)
          -. r     =    0.0210 m.
          -. Avy   = Area - hw*tw                  =        0.0068 m^2.
          -. Avz1  = eta*hw*tw                     =        0.0057 m^2.
          -. Avz2  = Area - 2*B*tf + (tw + 2*r)*tf =        0.0060 m^2.
          -. Avz   = MAX[ Avz1, Avz2 ]             =        0.0060 m^2.

     ( ). Calculate plastic shear resistance in local-y direction (Vpl_Rdy).
          [ Eurocode3:05  6.1, 6.2.6 ]
          -. Vpl_Rdy = [ Avy*fy/SQRT(3) ] / Gamma_M0 =       1032.23 kN.

     ( ). Check ratio of shear resistance (V_Edy/Vpl_Rdy).
          ( LCB =   6-, POS =    I )
          -. Applied shear force : V_Edy   =          0.27 kN.
              V_Edy              0.27
          -. -------  =  ---------------  =2.586e-004  <  1.000  --->  O.K.
             Vpl_Rdy          1032.23

     ( ). Calculate plastic shear resistance in local-z direction (Vpl_Rdz).
          [ Eurocode3:05  6.1, 6.2.6 ]
          -. Vpl_Rdz = [ Avz*fy/SQRT(3) ] / Gamma_M0 =        912.59 kN.

     ( ). Shear Buckling Check.
          [ Eurocode3:05 6.2.6 ]
          -. HTR < 72*e/Eta   --->  No need to check!

     ( ). Check ratio of shear resistance (V_Edz/Vpl_Rdz).
          ( LCB =   6-, POS =    I )
          -. Applied shear force : V_Edz   =         29.65 kN.
              V_Edz             29.65
          -. -------  =  ---------------  =  0.032  <  1.000  --->  O.K.
             Vpl_Rdz           912.59

================================================================================
   [[[*]]]   CHECK BENDING MOMENT RESISTANCE ABOUT MAJOR AXIS.
================================================================================

     ( ). Calculate local buckling resistance moment about major axis.
          [ Eurocode3:05  6.1, 6.2.5 ]
          -. Weffy    =        0.0019 m^3.
          -. Mc_Rdy   = Weffy * fy / Gamma_M0 =        487.37 kN-m.

     ( ). Check ratio of moment resistance (M_Edy/Mc_Rdy).
              M_Edy             77.49
          -. ------  =  ---------------  =  0.159  <  1.000  --->  O.K.
             Mc_Rdy           487.37

================================================================================
   [[[*]]]   CHECK BENDING MOMENT RESISTANCE ABOUT MINOR AXIS.
================================================================================

     ( ). Calculate local buckling resistance moment about minor axis.
          [ Eurocode3:05  6.1, 6.2.5 ]
          -. Weffz    =        0.0002 m^3.
          -. Mc_Rdz   = Weffz * fy / Gamma_M0 =         55.98 kN-m.

     ( ). Check ratio of moment resistance (M_Edz/Mc_Rdz).
             M_Edz              0.60
          -. ------  =  ---------------  =  0.011  <  1.000  --->  O.K.
             Mc_Rdz            55.98

================================================================================
   [[[*]]]   CHECK LATERAL-TORSIONAL BUCKLING RESISTANCE.
================================================================================

     ( ). Calculate lateral-torsional buckling resistance (Mb_Rd).
          [ Eurocode3:05  6.1, 6.3.2 ]
          -. Por       =   0.300
          -. Gs        = Es / [ 2*(1+Por) ]  =80769230.769 KPa.
          -. Ncr       = Pi^2*Es*Izz / Lu^2  =       2189.60 kN.
          -. psi       =   0.000
          -. C1        =   1.285
          -. Mcr       = C1 * Ncr * SQRT [ (Cwp/Izz) + (Gs*Ixx)/Ncr ] =        819.29 kN-m.

          -. Lambda_LT_bar  = SQRT [ Weffy*fy / Mcr ] =   0.790
          -. Lambda_LT_bar0 =    0.200

          -. Lambda_LT_bar =    0.790 > Lambda_LT_bar0   =    0.200
          -. M_Ed/Mcr      =    0.095 > Lambda_LT_bar0^2 =    0.040
          If Lambda_LT_bar > Lambda_LT_bar0 and M_Ed/Mcr > Lambda_LT_bar0^2,
          Allowance for lateral-torsional buckling necessary.

          -. Alpha_LT  =   0.340
          -. Phi_LT    = 0.5 * { 1+Alpha_LT*(Lambda_LT_bar-0.2) + Lambda_LT_bar^2 }   =   0.913
```

```
          -. Xi_LT     = MIN [ 1 / {Phi_LT + SQRT(Phi_LT^2 - Lambda_LT_bar^2)}, 1.0 ] =   0.730
          -. Mb_Rd     = Xi_LT*Weffy*fy / Gamma_M1 =        339.80 kN-m.

      ( ). Check ratio of lateral-torsional buckling resistance (M_Edy/Mb_Rdy).
               M_Edy               77.49
          -. -------  =  ---------------  =  0.228  <  1.000  --->  O.K.
               Mb_Rdy             339.80

================================================================================
   [[[*]]]   CHECK INTERACTION OF COMBINED RESISTANCE.
================================================================================

      ( ). Calculate Major reduced design resistance of bending and shear.
           [ Eurocode3:05  6.2.8 (6.30) ]
           -. In case of V_Edz / Vpl_Rdz < 0.5
           -. My_Rd = Mc_Rdy =        487.37 kN-m.

      ( ). Calculate Minor reduced design resistance of bending and shear.
           [ Eurocode3:05  6.2.8 (6.30) ]
           -. In case of V_Edy / Vpl_Rdy < 0.5
           -. Mz_Rd = Mc_Rdz =         55.98 kN-m.

      ( ). Check interaction ratio of bending and axial force.
           [ Eurocode3:05  6.2.9.3 (6.44) ] - Class4
                            N_Ed          M_Edy + N_Ed*eNz     M_Edz + N_Ed*eNy
          -. Rmax1  = ---------------- + ------------------ + ------------------
                      Aeff*fy/Gamma_M0         My_Rd                Mz_Rd
                    =  0.512  <  1.000  --->  O.K.

      ( ). Check interaction ratio of bending and axial compression member.
           [ Eurocode3:05  6.3.1, 6.2.9.3 (6.61, 6.62), Annex A ]
           -. N_Ed     =      -1003.57 kN.
           -. M_Edy    =        -77.49 kN-m.
           -. M_Edz    =         -0.60 kN-m.
           -. kyy      =   1.021
           -. kyz      =   1.846
           -. kzy      =   0.711
           -. kzz      =   1.286
           -. Xiy      =   1.000
           -. Xiz      =   0.486
           -. XiLT     =   0.730
           -. Aeff     =        0.0112 m^2.
           -. Weffy    =        0.0019 m^3.
           -. Weffz    =        0.0002 m^3.
           -. eNy      =    0.0000 m.
           -. eNz      =    0.0000 m.
           -. N_Rk     = Aeff*fy  =       3081.84 kN.
           -. My_Rk    = Weffy*fy =        511.74 kN-m.
           -. Mz_Rk    = Weffz*fy =         58.78 kN-m.
           -. N_Ed*eNy =          0.00 kN-m.
           -. N_Ed*eNZ =          0.00 kN-m.
                           N_Ed                M_Edy + N_Ed*eNy           M_Edz + N_Ed*eNz
          -. Rmax_LT1 = ------------------ + kyy * ------------------ + kyz * ----------------
                        Xiy*N_Rk/Gamma_M1         XiLT*My_Rk/Gamma_M1          Mz_Rk/Gamma_M1
                      =  0.612  <  1.000  --->  O.K.
                           N_Ed                M_Edy + N_Ed*eNy           M_Edz + N_Ed*eNz
          -. Rmax_LT2 = ------------------ + kzy * ------------------ + kzz * ----------------
                        Xiz*N_Rk/Gamma_M1         XiLT*My_Rk/Gamma_M1          Mz_Rk/Gamma_M1
                      =  0.914  <  1.000  --->  O.K.

          -. Rmax   = MAX[ Rmax1, MAX(Rmax_LT1, Rmax_LT2) ] =  0.914  <  1.000  --->  O.K.
```

13.3.2 TRAVERSI IMPALCATO "B"

Sommario risultati verifica

```
------------------------------------------------------------------------------------------
 MIDAS/Civil - Steel Code Checking[ Eurocode3-2:05 ]                        Version 8.6.5
==========================================================================================
       +============================================================+
       |  MIDAS(Modeling, Integrated Design & Analysis Software)    |
       |  MIDAS/Civil - Design & checking system for windows        |
       +============================================================+
       |  Steel Member Applicable Code Checking                     |
       |  Based On  AASHTO-LRFD12, AASHTO-LRFD02, AASHTO-LFD96,     |
       |            AASHTO-ASD96, AISC-LRFD2K, AISC-LRFD93,         |
       |            AISC-ASD89, Eurocode3-2:05, BS5950-90,          |
       |            IS:800-2007, IS:800-1984                        |
       |                                                            |
       |                                                            |
       |                                                            |
       |                                                            |
       |                                                            |
       |                                                            |
       |                                          (c)SINCE 1989     |
       +============================================================+
       |  MIDAS Information Technology Co.,Ltd.          (MIDAS IT) |
       |  MIDAS IT Design Development Team                          |
       +============================================================+
       |            HomePage : www.MidasUser.com                    |
       +============================================================+
       |  MIDAS/Civil  Version 8.6.5                                |
       +============================================================+

    *. DEFINITION OF LOAD COMBINATIONS WITH SCALING UP FACTORS.
------------------------------------------------------------------------------------------
     LCB  C    Loadcase Name(Factor) + Loadcase Name(Factor) + Loadcase Name(Factor)
------------------------------------------------------------------------------------------
      6+  1        Summation( 1.350) +INVIL MOBILI SLU( 1.350) +   INVIL VENTO( 0.900)
               +INVIL DT UNIF 15°( 0.720) +INVIL DT DIFF 5°/H( 0.720) +folla su marciapiede( 0.675)
               + Creep Primary( 0.720) +Creep Secondary( 0.720)
      6-  1        Summation( 1.350) +INVIL MOBILI SLU( 1.350) +   INVIL VENTO( 0.900)
               +INVIL DT UNIF 15°( 0.720) +INVIL DT DIFF 5°/H( 0.720) +folla su marciapiede( 0.675)
               + Creep Primary( 0.720) +Creep Secondary( 0.720)
      7+  2        Summation( 1.000) +INVIL MOBILI SLU( 1.000) +   INVIL VENTO( 0.600)
               +INVIL DT UNIF 15°( 0.600) +INVIL DT DIFF 5°/H( 0.600) + Creep Primary( 1.000)
               +Creep Secondary( 1.000)
      7-  2        Summation( 1.000) +INVIL MOBILI SLU( 1.000) +   INVIL VENTO( 0.600)
               +INVIL DT UNIF 15°( 0.600) +INVIL DT DIFF 5°/H( 0.600) + Creep Primary( 1.000)
               +Creep Secondary( 1.000)
      8+  2        Summation( 1.000) +INVIL DT UNIF 15°( 0.500) +INVIL DT DIFF 5°/H( 0.500)
               + Creep Primary( 1.000) +Creep Secondary( 1.000)
      8-  2        Summation( 1.000) +INVIL DT UNIF 15°( 0.500) +INVIL DT DIFF 5°/H( 0.500)
               + Creep Primary( 1.000) +Creep Secondary( 1.000)
      9+  1        Summation( 1.000) +    SLV(X)(RS)( 1.000) +    SLV(Y)(RS)( 0.300)
               + SLV(vert)(RS)( 0.300) +INVIL DT UNIF 15°( 0.500) +INVIL DT DIFF 5°/H( 0.500)
               + Creep Primary( 1.000) +Creep Secondary( 1.000)
      9-  1        Summation( 1.000) +    SLV(X)(RS)( 1.000) +    SLV(Y)(RS)( 0.300)
               + SLV(vert)(RS)( 0.300) +INVIL DT UNIF 15°( 0.500) +INVIL DT DIFF 5°/H( 0.500)
               + Creep Primary( 1.000) +Creep Secondary( 1.000)
     10+  1        Summation( 1.000) +    SLV(X)(RS)( 0.300) +    SLV(Y)(RS)( 1.000)
               + SLV(vert)(RS)( 0.300) +INVIL DT UNIF 15°( 0.500) +INVIL DT DIFF 5°/H( 0.500)
               + Creep Primary( 1.000) +Creep Secondary( 1.000)
     10-  1        Summation( 1.000) +    SLV(X)(RS)( 0.300) +    SLV(Y)(RS)( 1.000)
               + SLV(vert)(RS)( 0.300) +INVIL DT UNIF 15°( 0.500) +INVIL DT DIFF 5°/H( 0.500)
               + Creep Primary( 1.000) +Creep Secondary( 1.000)
     11+  1        Summation( 1.000) + Creep Primary( 1.000) +Creep Secondary( 1.000)
               +INVIL DT UNIF 15°( 0.500) +INVIL DT DIFF 5°/H( 0.500) +    SLV(X)(RS)(-1.000)
               +    SLV(Y)(RS)( 0.300) + SLV(vert)(RS)( 0.300)
     11-  1        Summation( 1.000) + Creep Primary( 1.000) +Creep Secondary( 1.000)
               +INVIL DT UNIF 15°( 0.500) +INVIL DT DIFF 5°/H( 0.500) +    SLV(X)(RS)(-1.000)
               +    SLV(Y)(RS)( 0.300) + SLV(vert)(RS)( 0.300)
     12+  1        Summation( 1.000) + Creep Primary( 1.000) +Creep Secondary( 1.000)
               +INVIL DT UNIF 15°( 0.500) +INVIL DT DIFF 5°/H( 0.500) +    SLV(X)(RS)(-0.300)
               +    SLV(Y)(RS)( 1.000) + SLV(vert)(RS)( 0.300)
     12-  1        Summation( 1.000) + Creep Primary( 1.000) +Creep Secondary( 1.000)
               +INVIL DT UNIF 15°( 0.500) +INVIL DT DIFF 5°/H( 0.500) +    SLV(X)(RS)(-0.300)
               +    SLV(Y)(RS)( 1.000) + SLV(vert)(RS)( 0.300)
     13+  1        Summation( 1.000) + Creep Primary( 1.000) +Creep Secondary( 1.000)
               +INVIL DT UNIF 15°( 0.500) +INVIL DT DIFF 5°/H( 0.500) +    SLV(X)(RS)( 1.000)
               +    SLV(Y)(RS)(-0.300) + SLV(vert)(RS)( 0.300)
     13-  1        Summation( 1.000) + Creep Primary( 1.000) +Creep Secondary( 1.000)
               +INVIL DT UNIF 15°( 0.500) +INVIL DT DIFF 5°/H( 0.500) +    SLV(X)(RS)( 1.000)
               +    SLV(Y)(RS)(-0.300) + SLV(vert)(RS)( 0.300)
     14+  1        Summation( 1.000) + Creep Primary( 1.000) +Creep Secondary( 1.000)
               +INVIL DT UNIF 15°( 0.500) +INVIL DT DIFF 5°/H( 0.500) +    SLV(X)(RS)( 0.300)
               +    SLV(Y)(RS)(-1.000) + SLV(vert)(RS)( 0.300)
     14-  1        Summation( 1.000) + Creep Primary( 1.000) +Creep Secondary( 1.000)
               +INVIL DT UNIF 15°( 0.500) +INVIL DT DIFF 5°/H( 0.500) +    SLV(X)(RS)( 0.300)
               +    SLV(Y)(RS)(-1.000) + SLV(vert)(RS)( 0.300)
     15+  1        Summation( 1.000) + Creep Primary( 1.000) +Creep Secondary( 1.000)
               +INVIL DT UNIF 15°( 0.500) +INVIL DT DIFF 5°/H( 0.500) +    SLV(X)(RS)(-1.000)
               +    SLV(Y)(RS)(-0.300) + SLV(vert)(RS)( 0.300)
     15-  1        Summation( 1.000) + Creep Primary( 1.000) +Creep Secondary( 1.000)
               +INVIL DT UNIF 15°( 0.500) +INVIL DT DIFF 5°/H( 0.500) +    SLV(X)(RS)(-1.000)
               +    SLV(Y)(RS)(-0.300) + SLV(vert)(RS)( 0.300)
     16+  1        Summation( 1.000) + Creep Primary( 1.000) +Creep Secondary( 1.000)
               +INVIL DT UNIF 15°( 0.500) +INVIL DT DIFF 5°/H( 0.500) +    SLV(X)(RS)(-0.300)
               +    SLV(Y)(RS)(-1.000) + SLV(vert)(RS)( 0.300)
     16-  1        Summation( 1.000) + Creep Primary( 1.000) +Creep Secondary( 1.000)
               +INVIL DT UNIF 15°( 0.500) +INVIL DT DIFF 5°/H( 0.500) +    SLV(X)(RS)(-0.300)
               +    SLV(Y)(RS)(-1.000) + SLV(vert)(RS)( 0.300)
------------------------------------------------------------------------------------------
```

*.PROJECT :
*.UNIT SYSTEM : kN, m

[Eurocode3-2:05] CODE CHECKING SUMMARY SHEET --- SELECTED MEMBERS IN ANALYSIS MODEL.

CHK	MEMB COM	SECT SHR	Section Material	Fy	LCB	Len Lu	Ly Lz	Bmy Bmz	N,Ed N,Rd	My,Ed Mb,Rd	My,Ed My,Rd	Mz,Ed Mz,Rd	Vy,Ed Vy,Rd	Vz,Ed Vz,Rd	T,Ed T,Rd	Def Defa
	44	13	traverso_IPE 500, IPE~			4.50284	4.50284	1.00	-43.227	294.065	294.065	4.04010	1.76191	114.412	-	-
OK	0.85	0.13	S275	275000	6+	4.50284	4.50284	1.00	3038.10	377.347	574.619	86.9976	1032.23	912.587	-	-
	45	13	traverso_IPE 500, IPE~			4.50284	4.50284	1.00	-571.99	-57.373	-57.373	-3.3836	0.46151	-4.7953	-	-
OK	0.64	0.04	S275	275000	6-	4.50284	4.50284	1.00	1392.83	339.797	487.370	55.9814	1032.23	912.587	-	-
	46	13	traverso_IPE 500, IPE~			4.50284	4.50284	1.00	-90.279	201.767	201.767	-0.9025	1.30777	-37.680	-	-
OK	0.58	0.08	S275	275000	6+	4.50284	4.50284	1.00	1408.96	377.347	574.619	86.9976	1032.23	912.587	-	-
	50	13	traverso_IPE 500, IPE~			4.50284	4.50284	1.00	-39.176	298.648	298.648	-1.5877	-0.6726	116.380	-	-
OK	0.83	0.13	S275	275000	6+	4.50284	4.50284	1.00	3038.10	377.347	574.619	86.9976	1032.23	912.587	-	-
	51	13	traverso_IPE 500, IPE~			4.50284	4.50284	1.00	-570.25	-61.618	-61.618	0.78429	-1.5151	3.31132	-	-
OK	0.59	0.05	S275	275000	6-	4.50284	4.50284	1.00	1392.83	339.797	487.370	55.9814	1032.23	912.587	-	-
	52	13	traverso_IPE 500, IPE~			4.50284	4.50284	1.00	-92.083	196.744	196.744	2.72991	-0.3574	-35.545	-	-
OK	0.59	0.08	S275	275000	6+	4.50284	4.50284	1.00	1408.96	377.347	574.619	86.9976	1032.23	912.587	-	-
	60	13	traverso_IPE 500, IPE~			4.50284	4.50284	1.00	-322.10	159.634	159.634	1.64650	0.70067	46.3147	-	-
OK	0.57	0.07	S275	275000	6-	4.50284	4.50284	1.00	1408.96	377.347	574.619	86.9976	1032.23	912.587	-	-
	63	13	traverso_IPE 500, IPE~			4.50284	4.50284	1.00	-633.12	48.0529	48.0529	1.24028	0.48846	-5.3316	-	-
OK	0.61	0.02	S275	275000	6-	4.50284	4.50284	1.00	1392.83	339.797	487.370	55.9814	1032.23	912.587	-	-
	65	13	traverso_IPE 500, IPE~			4.50284	4.50284	1.00	-408.88	126.254	126.254	-2.7879	0.44641	-53.905	-	-
OK	0.53	0.06	S275	275000	6-	4.50284	4.50284	1.00	1408.96	377.347	574.619	86.9976	1032.23	912.587	-	-
	74	13	traverso_IPE 500, IPE~			4.50284	4.50284	1.00	145.848	170.386	170.386	3.15985	1.37786	43.8903	-	-
OK	0.45	0.05	S275	275000	6+	4.50284	4.50284	1.00	3038.10	377.347	574.619	86.9976	1032.23	912.587	-	-
	77	13	traverso_IPE 500, IPE~			4.50284	4.50284	1.00	-653.94	77.0374	77.0374	0.60383	0.44286	-15.987	-	-
OK	0.68	0.03	S275	275000	6-	4.50284	4.50284	1.00	1392.83	339.797	487.370	55.9814	1032.23	912.587	-	-
	79	13	traverso_IPE 500, IPE~			4.50284	4.50284	1.00	-429.87	89.8692	89.8692	-1.1207	0.41139	-41.332	-	-
OK	0.58	0.05	S275	275000	6-	4.50284	4.50284	1.00	1392.83	339.797	487.370	55.9814	1032.23	912.587	-	-
	88	13	traverso_IPE 500, IPE~			4.50284	4.50284	1.00	-303.66	61.7072	61.7072	0.83923	0.35701	-19.980	-	-
OK	0.41	0.03	S275	275000	6-	4.50284	4.50284	1.00	1392.83	339.797	487.370	55.9814	1032.23	912.587	-	-
	91	13	traverso_IPE 500, IPE~			4.50284	4.50284	1.00	-630.77	99.6446	99.6446	0.38215	0.27614	-18.534	-	-
OK	0.72	0.04	S275	275000	6-	4.50284	4.50284	1.00	1392.83	339.797	487.370	55.9814	1032.23	912.587	-	-
	93	13	traverso_IPE 500, IPE~			4.50284	4.50284	1.00	-422.49	88.2186	88.2186	-0.7343	0.25571	-33.701	-	-
OK	0.56	0.04	S275	275000	6-	4.50284	4.50284	1.00	1392.83	339.797	487.370	55.9814	1032.23	912.587	-	-
	102	13	traverso_IPE 500, IPE~			4.50284	4.50284	1.00	265.177	168.369	168.369	-0.1510	0.34700	24.6230	-	-
OK	0.45	0.03	S275	275000	6+	4.50284	4.50284	1.00	3038.10	377.347	574.619	86.9976	1032.23	912.587	-	-
	105	13	traverso_IPE 500, IPE~			4.50284	4.50284	1.00	-609.46	112.452	112.452	0.11068	0.07729	-18.674	-	-
OK	0.73	0.04	S275	275000	6-	4.50284	4.50284	1.00	1392.83	339.797	487.370	55.9814	1032.23	912.587	-	-
	107	13	traverso_IPE 500, IPE~			4.50284	4.50284	1.00	-414.98	87.8579	87.8579	-0.3081	0.08711	-29.621	-	-
OK	0.54	0.03	S275	275000	6-	4.50284	4.50284	1.00	1392.83	339.797	487.370	55.9814	1032.23	912.587	-	-
	116	13	traverso_IPE 500, IPE~			4.50284	4.50284	1.00	265.175	168.380	168.380	0.75575	-0.0675	24.6191	-	-
OK	0.45	0.03	S275	275000	6+	4.50284	4.50284	1.00	3038.10	377.347	574.619	86.9976	1032.23	912.587	-	-
	119	13	traverso_IPE 500, IPE~			4.50284	4.50284	1.00	-609.51	112.462	112.462	-0.3575	-0.2968	-18.667	-	-
OK	0.74	0.04	S275	275000	6-	4.50284	4.50284	1.00	1392.83	339.797	487.370	55.9814	1032.23	912.587	-	-
	121	13	traverso_IPE 500, IPE~			4.50284	4.50284	1.00	-415.04	87.8622	87.8622	0.00922	-0.2171	-29.626	-	-
OK	0.54	0.03	S275	275000	6-	4.50284	4.50284	1.00	1392.83	339.797	487.370	55.9814	1032.23	912.587	-	-
	130	13	traverso_IPE 500, IPE~			4.50284	4.50284	1.00	-303.57	61.7284	61.7284	-2.0548	-0.8944	-19.975	-	-
OK	0.43	0.03	S275	275000	6-	4.50284	4.50284	1.00	1392.83	339.797	487.370	55.9814	1032.23	912.587	-	-
	133	13	traverso_IPE 500, IPE~			4.50284	4.50284	1.00	-630.82	99.6870	99.6870	-0.9416	-0.7732	-18.501	-	-
OK	0.73	0.04	S275	275000	6-	4.50284	4.50284	1.00	1392.83	339.797	487.370	55.9814	1032.23	912.587	-	-
	135	13	traverso_IPE 500, IPE~			4.50284	4.50284	1.00	-422.66	88.2127	88.2127	0.17577	-0.6137	-33.699	-	-
OK	0.55	0.04	S275	275000	6-	4.50284	4.50284	1.00	1392.83	339.797	487.370	55.9814	1032.23	912.587	-	-
	144	13	traverso_IPE 500, IPE~			4.50284	4.50284	1.00	146.453	170.654	170.654	-1.3635	-0.5833	43.9971	-	-
OK	0.45	0.05	S275	275000	6+	4.50284	4.50284	1.00	3038.10	377.347	574.619	86.9976	1032.23	912.587	-	-
	147	13	traverso_IPE 500, IPE~			4.50284	4.50284	1.00	-653.67	77.1894	77.1894	-1.4521	-1.1976	-15.857	-	-
OK	0.70	0.03	S275	275000	6-	4.50284	4.50284	1.00	1392.83	339.797	487.370	55.9814	1032.23	912.587	-	-
	149	13	traverso_IPE 500, IPE~			4.50284	4.50284	1.00	-430.15	89.7343	89.7343	0.33470	-0.9688	-41.230	-	-
OK	0.56	0.05	S275	275000	6-	4.50284	4.50284	1.00	1392.83	339.797	487.370	55.9814	1032.23	912.587	-	-
	158	13	traverso_IPE 500, IPE~			4.50284	4.50284	1.00	-320.18	161.124	161.124	-3.8950	-1.6988	46.9459	-	-
OK	0.60	0.08	S275	275000	6-	4.50284	4.50284	1.00	1408.96	377.347	574.619	86.9976	1032.23	912.587	-	-
	161	13	traverso_IPE 500, IPE~			4.50284	4.50284	1.00	-632.15	49.4474	49.4474	-3.4496	-1.4731	-4.7056	-	-
OK	0.66	0.03	S275	275000	6-	4.50284	4.50284	1.00	1392.83	339.797	487.370	55.9814	1032.23	912.587	-	-
	163	13	traverso_IPE 500, IPE~			4.50284	4.50284	1.00	-409.82	-66.933	-66.933	-2.7424	-1.1934	-53.202	-	-
OK	0.54	0.06	S275	275000	6-	4.50284	4.50284	1.00	1392.83	339.797	487.370	55.9814	1032.23	912.587	-	-

Dettaglio elemento maggiormente sollecitato

```
------------------------------------------------------------------------------------------
 MIDAS/Civil - Steel Code Checking[ Eurocode3-2:05 ]                        Version 8.6.5
==========================================================================================
      *. PROJECT     :
           *. MEMBER NO     =       44,  ELEMENT TYPE = Beam
      *. LOADCOMB NO =      6+,  MATERIAL NO  =      3,  SECTION NO =     13
      *. UNIT SYSTEM : kN, m

      *. SECTION PROPERTIES : Designation = traverso_IPE 500, IPE500
         Shape     = I - Section. (Rolled)
         Depth     =      0.500,  Top F Width =      0.200,  Bot.F Width =      0.200
         Web Thick =      0.010,  Top F Thick =      0.016,  Bot.F Thick =      0.016

         Area = 1.16000e-002,  Avy  = 6.82640e-003,  Avz  = 6.03520e-003
         Ybar = 1.00000e-001,  Zbar = 2.50000e-001,  Qyb  = 1.03300e-001,  Qzb  = 5.00000e-003
         Wely = 1.93000e-003,  Welz = 2.14000e-004,  Wply = 2.19400e-003,  Wplz = 3.32173e-004
         Iyy  = 4.82000e-004,  Izz  = 2.14200e-005,  Iyz  = 0.00000e+000
         iy   = 2.03357e-001,  iz   = 4.37375e-002
         J    = 7.17341e-007,  Cwp  = 1.24936e-006

      *. DESIGN PARAMETERS FOR STRENGTH EVALUATION :
         Ly   = 4.50284e+000,  Lz   = 4.50284e+000,  Lb   = 4.50284e+000
         Ky   = 1.00000e+000,  Kz   = 1.00000e+000

      *. MATERIAL PROPERTIES :
         Fy   = 2.75000e+005,  Es   = 2.10000e+008,  MATERIAL NAME  = S275


      *. FORCES AND MOMENTS AT (I) POINT :
         Axial Force      Fxx =-4.32266e+001
         Shear Forces     Fyy = 1.76191e+000,  Fzz = 1.08173e+002
         Bending Moments  My  = 2.94065e+002,  Mz  = 4.04010e+000
         End Moments      Myi = 2.94065e+002,  Myj =-1.19250e+002  (for Lb)
                          Myi = 2.94065e+002,  Myj =-1.19250e+002  (for Ly)
                          Mzi = 4.04010e+000,  Mzj =-1.46971e+000  (for Lz)

      *. Sign conventions for stress and axial force.
         - Stress : Compression positive.
         - Axial force: Tension positive.


==========================================================================================
   [[[*]]]   CLASSIFY LEFT-TOP FLANGE OF SECTION (BTR).
==========================================================================================

      ( ). Determine classification of compression outstand flanges.
           [ Eurocode3:05 Table 5.2 (Sheet 2 of 3), EN 1993-1-5 ]
           -. e      = SQRT( 235/fy )  =    0.92
           -. b/t    = BTR =    4.62
           -. sigma1 =  134583.508 KPa.
           -. sigma2 =  125595.301 KPa.
           -. BTR < 9*e  ( Class 1 : Plastic ).

==========================================================================================
   [[[*]]]   CLASSIFY RIGHT-TOP FLANGE OF SECTION (BTR).
==========================================================================================

      ( ). Determine classification of compression outstand flanges.
           [ Eurocode3:05 Table 5.2 (Sheet 2 of 3), EN 1993-1-5 ]
           -. e      = SQRT( 235/fy )  =    0.92
           -. b/t    = BTR =    4.62
           -. sigma1 =  149920.626 KPa.
           -. sigma2 =  140932.418 KPa.
           -. BTR < 9*e  ( Class 1 : Plastic ).

==========================================================================================
   [[[*]]]   CLASSIFY LEFT-BOTTOM FLANGE OF SECTION (BTR).
==========================================================================================

      ( ). Determine classification of tension outstand flanges.
           -. Not Checking the Section Classification.

==========================================================================================
   [[[*]]]   CLASSIFY RIGHT-BOTTOM FLANGE OF SECTION (BTR).
==========================================================================================

      ( ). Determine classification of tension outstand flanges.
           -. Not Checking the Section Classification.

==========================================================================================
   [[[*]]]   CLASSIFY WEB OF SECTION (HTR).
==========================================================================================

      ( ). Determine classification of bending and compression Internal Parts.
           [ Eurocode3:05 Table 5.2 (Sheet 1 of 3), EN 1993-1-5 ]
           -. e      = SQRT( 235/fy )  =    0.92
           -. d/t    = HTR =   41.76
           -. sigma1 =  117921.296 KPa.
           -. sigma2 = -110468.436 KPa.
           -. Psi    = [2*(Nsd/A)*(1/fy)]-1 =  -0.973
           -. Alpha   =   0.518  >  0.5
           -. HTR < 396*e/(13*Alpha-1)  ( Class 1 : Plastic ).

==========================================================================================
   [[[*]]]   APPLIED FACTORS.
==========================================================================================

      ( ). Calculate equivalent uniform moment factors (Cmy,Cmz,CmLT).
           [ Eurocode3:05 Annex A. Table A.1, A.2 ]
           -. Cmy,0    = 0.705
           -. Cmz,0    = 0.980
```

```
          -. Cmy (Default or User Defined Value) = 1.000
          -. Cmz (Default or User Defined Value) = 1.000
          -. CmLT (Default or User Defined Value) = 1.000

     ( ). Partial Factors (Gamma_Mi).
          [ Eurocode3:05 6.1 ]
          -. Gamma_M0 =  1.05
          -. Gamma_M1 =  1.10
          -. Gamma_M2 =  1.25

================================================================================
   [[[*]]]   CHECK AXIAL RESISTANCE.
================================================================================

     ( ). Check slenderness ratio of axial compression member (Kl/i).
          [ Eurocode3:05  6.3.1 ]
          -. Kl/i  =   103.0  <   200.0  --->  O.K.

     ( ). Calculate axial compressive resistance (Nc_Rd).
          [ Eurocode3:05  6.1, 6.2.4 ]
          -. Nc_Rd    = fy * Area / Gamma_M0 =       3038.10 kN.

     ( ). Check ratio of axial resistance (N_Ed/Nc_Rd).
               N_Ed              43.23
          -. -----  =  ---------------  =  0.014  <  1.000  --->  O.K.
             Nc_Rd           3038.10

     ( ). Calculate buckling resistance of compression member (Nb_Rdy, Nb_Rdz).
          [ Eurocode3:05  6.3.1.1, 6.3.1.2 ]
          -. Beta_A    = Aeff / Area      =   1.000
          -. Lambda1   = Pi * SQRT(Es/fy) =  86.815
          -. Lambda_by = {(Ky*Ly/iy)/Lambda1} * SQRT(Beta_A) =   0.255
          -. Ncry      = Pi^2*Es*Iyy / (Ky*Ly)^2             =      49271.11 kN.
          -. Lambda_by < 0.2 or N_Ed/Ncry < 0.04 --> No need to check.

          -. Lambda_bz = {(Kz*Lz/iz)/Lambda1} * SQRT(Beta_A) =   1.186
          -. Ncrz      = Pi^2*Es*Izz / (Kz*Lz)^2             =       2189.60 kN.
          -. Lambda_bz < 0.2 or N_Ed/Ncrz < 0.04 --> No need to check.

================================================================================
   [[[*]]]   CHECK SHEAR RESISTANCE.
================================================================================

     ( ). Calculate shear area.
          [ Eurocode3:05  6.2.6, EN1993-1-5:04 5.1 NOTE 2 ]
          -. eta   = 1.2 (Fy < 460 MPa.)
          -. r     =    0.0210 m.
          -. Avy   = Area - hw*tw                  =        0.0068 m^2.
          -. Avz1  = eta*hw*tw                     =        0.0057 m^2.
          -. Avz2  = Area - 2*B*tf + (tw + 2*r)*tf =        0.0060 m^2.
          -. Avz   = MAX[ Avz1, Avz2 ]             =        0.0060 m^2.

     ( ). Calculate plastic shear resistance in local-y direction (Vpl_Rdy).
          [ Eurocode3:05  6.1, 6.2.6 ]
          -. Vpl_Rdy = [ Avy*fy/SQRT(3) ] / Gamma_M0 =       1032.23 kN.

     ( ). Check ratio of shear resistance (V_Edy/Vpl_Rdy).
          ( LCB =   6+, POS =    I )
          -. Applied shear force : V_Edy   =          1.76 kN.
               V_Edy              1.76
          -. -------  =  ---------------  =  0.002  <  1.000  --->  O.K.
             Vpl_Rdy          1032.23

     ( ). Calculate plastic shear resistance in local-z direction (Vpl_Rdz).
          [ Eurocode3:05  6.1, 6.2.6 ]
          -. Vpl_Rdz = [ Avz*fy/SQRT(3) ] / Gamma_M0 =        912.59 kN.

     ( ). Shear Buckling Check.
          [ Eurocode3:05 6.2.6 ]
          -. HTR < 72*e/Eta   --->  No need to check!

     ( ). Check ratio of shear resistance (V_Edz/Vpl_Rdz).
          ( LCB =   6+, POS =    J )
          -. Applied shear force : V_Edz   =        114.41 kN.
               V_Edz            114.41
          -. -------  =  ---------------  =  0.125  <  1.000  --->  O.K.
             Vpl_Rdz           912.59

================================================================================
   [[[*]]]   CHECK BENDING MOMENT RESISTANCE ABOUT MAJOR AXIS.
================================================================================

     ( ). Calculate plastic resistance moment about major axis.
          [ Eurocode3:05  6.1, 6.2.5 ]
          -. Wply     =        0.0022 m^3.
          -. Mc_Rdy   = Wply * fy / Gamma_M0 =        574.62 kN-m.

     ( ). Check ratio of moment resistance (M_Edy/Mc_Rdy).
               M_Edy            294.07
          -. ------  =  ---------------  =  0.512  <  1.000  --->  O.K.
             Mc_Rdy            574.62

================================================================================
   [[[*]]]   CHECK BENDING MOMENT RESISTANCE ABOUT MINOR AXIS.
================================================================================

     ( ). Calculate plastic resistance moment about minor axis.
          [ Eurocode3:05  6.1, 6.2.5 ]
          -. Wplz     =        0.0003 m^3.
          -. Mc_Rdz   = Wplz * fy / Gamma_M0 =         87.00 kN-m.

     ( ). Check ratio of moment resistance (M_Edz/Mc_Rdz).
             M_Edz               4.04
          -. ------  =  ---------------  =  0.046  <  1.000  --->  O.K.
             Mc_Rdz            87.00
```

```
================================================================================
   [[[*]]]   CHECK LATERAL-TORSIONAL BUCKLING RESISTANCE.
================================================================================

      ( ). Calculate lateral-torsional buckling resistance (Mb_Rd).
           [ Eurocode3:05  6.1, 6.3.2 ]
           -. Por       =   0.300
           -. Gs        = Es / [ 2*(1+Por) ]  =80769230.769 KPa.
           -. Ncr       = Pi^2*Es*Izz / Lu^2  =       2189.60 kN.
           -. psi       =  -0.406
           -. C1        =   1.285
           -. Mcr       = C1 * Ncr * SQRT [ (Cwp/Izz) + (Gs*Ixx)/Ncr ] =        819.29 kN-m.

           -. Lambda_LT_bar  = SQRT [ Wply*fy / Mcr ] =   0.858
           -. Lambda_LT_bar0 =    0.200

           -. Lambda_LT_bar =    0.858 > Lambda_LT_bar0   =    0.200
           -. M_Ed/Mcr      =    0.359 > Lambda_LT_bar0^2 =    0.040
           If Lambda_LT_bar > Lambda_LT_bar0 and M_Ed/Mcr > Lambda_LT_bar0^2,
           Allowance for lateral-torsional buckling necessary.

           -. Alpha_LT  =   0.340
           -. Phi_LT    = 0.5 * { 1+Alpha_LT*(Lambda_LT_bar-0.2) + Lambda_LT_bar^2 }   =   0.980
           -. Xi_LT     = MIN [ 1 / {Phi_LT + SQRT(Phi_LT^2 - Lambda_LT_bar^2)}, 1.0 ] =   0.688
           -. Mb_Rd     = Xi_LT*Wply*fy / Gamma_M1 =        377.35 kN-m.

      ( ). Check ratio of lateral-torsional buckling resistance (M_Edy/Mb_Rdy).
               M_Edy              294.07
           -. --------  =  ---------------  =  0.779  <  1.000  --->  O.K.
               Mb_Rdy             377.35

================================================================================
   [[[*]]]   CHECK INTERACTION OF COMBINED RESISTANCE.
================================================================================

      ( ). Calculate Major reduced design resistance of bending and shear.
           [ Eurocode3:05  6.2.8 (6.30) ]
           -. In case of V_Edz / Vpl_Rdz < 0.5
           -. My_Rd = Mc_Rdy =        574.62 kN-m.

      ( ). Calculate Minor reduced design resistance of bending and shear.
           [ Eurocode3:05  6.2.8 (6.30) ]
           -. In case of V_Edy / Vpl_Rdy < 0.5
           -. Mz_Rd = Mc_Rdz =         87.00 kN-m.

      ( ). Check general interaction ratio.
           [ Eurocode3:05  6.2.1 (6.2) ] - Class1 or Class2
                       N_Ed     M_Edy     M_Edz
           -. Rmax1  = ------ + ------- + -------
                       N_Rd     My_Rd     Mz_Rd
                     =  0.572  <  1.000  --->  O.K.

      ( ). Check interaction ratio of bending and axial force member.
           [ Eurocode3:05  6.2.9 (6.31 ~ 6.41) ] - Class1 or Class2
           -. n       = N_Ed / Npl_Rd   =  0.014
           -. a       = MIN[ (Area-2b*tf)/Area, 0.5 ] =  0.448
           -. Alpha   =  2.000
           -. Beta    = MAX[ 5*n, 1.0 ] =  1.000

           -. N_Ed < 0.25*Npl_Rd           =        759.52 kN.
           -. N_Ed < 0.5*hw*tw*fy/Gamma_M0 =        625.11 kN.
              Therefore, No allowance for the effect of axial force.
           -. Mny_Rd = Mply_Rd         =        574.62 kN-m.
           -. Rmaxy  = M_Edy / Mny_Rd =  0.512  <  1.000  --->  O.K.

           -. N_Ed < hw*tw*fy/Gamma_M0 =       1961.14 kN.
              Therefore, No allowance for the effect of axial force.
           -. Mnz_Rd = Mplz_Rd         =         87.00 kN-m.
           -. Rmaxz  = M_Edz / Mnz_Rd =  0.046  <  1.000  --->  O.K.

                       [ | M_Edy  |^(Alpha)  | M_Edz  |^(Beta) ]
           -. Rmax2  =  [ |--------|      +   |--------|        ]
                       [ | Mny_Rd |         | Mnz_Rd |        ]
                     =  0.308  <  1.000  --->  O.K.

      ( ). Check interaction ratio of bending and axial compression member.
           [ Eurocode3:05  6.3.1, 6.2.9.3 (6.61, 6.62), Annex A ]
           -. N_Ed     =        -43.23 kN.
           -. M_Edy    =        294.07 kN-m.
           -. M_Edz    =          4.04 kN-m.
           -. kyy      =   1.006
           -. kyz      =   1.073
           -. kzy      =   0.534
           -. kzz      =   1.269
           -. Xiy      =   1.000
           -. Xiz      =   1.000
           -. XiLT     =   0.688
           -. N_Rk     = A*fy    =       3190.00 kN.
           -. My_Rk    = Wply*fy =        603.35 kN-m.
           -. Mz_Rk    = Wplz*fy =         91.35 kN-m.
           -. N_Ed*eNy = 0.0 (Not Slender)
           -. N_Ed*eNZ = 0.0 (Not Slender)
                              N_Ed                M_Edy + N_Ed*eNy           M_Edz + N_Ed*eNz
           -. Rmax_LT1 = ------------------ + kyy * ------------------- + kyz * ----------------
                         Xiy*N_Rk/Gamma_M1         XiLT*My_Rk/Gamma_M1          Mz_Rk/Gamma_M1
                       =  0.851  <  1.000  --->  O.K.
                              N_Ed                M_Edy + N_Ed*eNy           M_Edz + N_Ed*eNz
           -. Rmax_LT2 = ------------------ + kzy * ------------------- + kzz * ----------------
                         Xiz*N_Rk/Gamma_M1         XiLT*My_Rk/Gamma_M1          Mz_Rk/Gamma_M1
                       =  0.493  <  1.000  --->  O.K.

           -. Rmax   = MAX[ MAX(Rmax1, Rmax2), MAX(Rmax_LT1, Rmax_LT2) ] =  0.851  <  1.000  --->  O.K.
```

14 SOTTOSCRIZIONE DELL'ELABORATO DA PARTE DEL R.T.P.

STUDIO CORONA S.r.l.

_____

ECOPLAN S.r.l.

_____

I.T. S.r.l.

_____

E&G S.r.l.

_____

CONSORZIO UNING

_____

ARKE' INGEGNERIA S.r.l.

_____

SETAC S.r.l.

_____

ING. RENATO DEL PRETE

_____

DOTT. DANILO GALLO

_____

PROJECT TITLE :

	Company		Client	
	Author		File Name	Brembiolo1_08_completo(fasi)DEFINITIVO.mgt

```
;----------------------------------------------------------------------------
;  midas Gen Text(MGT) File.
;  Date : 2017/11/8
;----------------------------------------------------------------------------

*VERSION
   8.6.0

*UNIT    ; Unit System
; FORCE, LENGTH, HEAT, TEMPER
   KN   , MM, BTU, C

*PROJINFO    ; Project Information
   USER=utente
   ADDRESS=dfsag

*STRUCTYPE    ; Structure Type
; iSTYP, iMASS, iSMAS, bMASSOFFSET, bSELFWEIGHT, GRAV, TEMPER, bALIGNBEAM, bALIGNSLAB, bROTRIGID
     0, 1, 1, NO, YES, 9806, 0, NO, NO, NO

*REBAR-MATL-CODE    ; Rebar Material Code
; CONC_CODE, CONC_MDB, SRC_CODE, SRC_MDB
 NTC12(RC), B450C, ASTM(RC), Grade 60

*NODE    ; Nodes
; iNO, X, Y, Z
     1, 0, 0, 0
     2, 0, 4500, 160
     3, 0, 9000, 320
     4, 0, 13500, 480
     5, 0, 18500, 580
     6, 0, 23000, 740
     7, 0, 27500, 900
     8, 0, 32000, 1060
     9, 42000, 0, 0
    10, 42000, 4500, 160
    11, 42000, 9000, 320
    12, 42000, 13500, 480
    13, 42000, 18500, 580
    14, 42000, 23000, 740
    15, 42000, 27500, 900
    16, 42000, 32000, 1060
    17, 7000, 0, 0
    18, 7000, 4500, 160
    19, 7000, 9000, 320
    20, 7000, 13500, 480
    21, 7000, 18500, 580
    22, 7000, 23000, 740
    23, 7000, 27500, 900
    24, 7000, 32000, 1060
    25, 35000, 0, 0
    26, 35000, 4500, 160
    27, 35000, 9000, 320
    28, 35000, 13500, 480
    29, 35000, 18500, 580
    30, 35000, 23000, 740
    31, 35000, 27500, 900
    32, 35000, 32000, 1060
    33, 15000, 0, 0
    34, 15000, 4500, 160
    35, 15000, 9000, 320
    36, 15000, 13500, 480
    37, 15000, 18500, 580
    38, 15000, 23000, 740
    39, 15000, 27500, 900
    40, 15000, 32000, 1060
    41, 27000, 0, 0
    42, 27000, 4500, 160
    43, 27000, 9000, 320
    44, 27000, 13500, 480
    45, 27000, 18500, 580
    46, 27000, 23000, 740
    47, 27000, 27500, 900
    48, 27000, 32000, 1060
    49, 0, 0, -1340
    50, 0, 4500, -1180
    51, 0, 9000, -1020
    52, 0, 13500, -860
```

```
  53, 0, 18500, -760
  54, 0, 23000, -600
  55, 0, 27500, -440
  56, 0, 32000, -280
  57, 42000, 0, -1340
  58, 42000, 4500, -1180
  59, 42000, 9000, -1020
  60, 42000, 13500, -860
  61, 42000, 18500, -760
  62, 42000, 23000, -600
  63, 42000, 27500, -440
  64, 42000, 32000, -280
  65, 3500, 0, 0
  66, 3500, 4500, 160
  67, 3500, 9000, 320
  68, 3500, 13500, 480
  69, 3500, 18500, 580
  70, 3500, 23000, 740
  71, 3500, 27500, 900
  72, 3500, 32000, 1060
  73, 8500, 0, 0
  74, 8500, 4500, 160
  75, 8500, 9000, 320
  76, 8500, 13500, 480
  77, 8500, 18500, 580
  78, 8500, 23000, 740
  79, 8500, 27500, 900
  80, 8500, 32000, 1060
  81, 13500, 0, 0
  82, 13500, 4500, 160
  83, 13500, 9000, 320
  84, 13500, 13500, 480
  85, 13500, 18500, 580
  86, 13500, 23000, 740
  87, 13500, 27500, 900
  88, 13500, 32000, 1060
  89, 18500, 0, 0
  90, 18500, 4500, 160
  91, 18500, 9000, 320
  92, 18500, 13500, 480
  93, 18500, 18500, 580
  94, 18500, 23000, 740
  95, 18500, 27500, 900
  96, 18500, 32000, 1060
  97, 23500, 0, 0
  98, 23500, 4500, 160
  99, 23500, 9000, 320
 100, 23500, 13500, 480
 101, 23500, 18500, 580
 102, 23500, 23000, 740
 103, 23500, 27500, 900
 104, 23500, 32000, 1060
 105, 28500, 0, 0
 106, 28500, 4500, 160
 107, 28500, 9000, 320
 108, 28500, 13500, 480
 109, 28500, 18500, 580
 110, 28500, 23000, 740
 111, 28500, 27500, 900
 112, 28500, 32000, 1060
 113, 33500, 0, 0
 114, 33500, 4500, 160
 115, 33500, 9000, 320
 116, 33500, 13500, 480
 117, 33500, 18500, 580
 118, 33500, 23000, 740
 119, 33500, 27500, 900
 120, 33500, 32000, 1060
 121, 38500, 0, 0
 122, 38500, 4500, 160
 123, 38500, 9000, 320
 124, 38500, 13500, 480
 125, 38500, 18500, 580
 126, 38500, 23000, 740
 127, 38500, 27500, 900
 128, 38500, 32000, 1060
 129, 500, 0, 0
 130, 500, 4500, 160
```

131, 500, 9000, 320
132, 500, 13500, 480
133, 500, 18500, 580
134, 500, 23000, 740
135, 500, 27500, 900
136, 500, 32000, 1060
137, 500, 0, 810
138, 500, 4500, 970
139, 500, 9000, 1130
140, 500, 13500, 1290
141, 500, 18500, 1390
142, 500, 23000, 1550
143, 500, 27500, 1710
144, 500, 32000, 1870
145, 1500, 0, 0
146, 1500, 4500, 160
147, 1500, 9000, 320
148, 1500, 13500, 480
149, 1500, 18500, 580
150, 1500, 23000, 740
151, 1500, 27500, 900
152, 1500, 32000, 1060
153, 1500, 0, 810
154, 1500, 4500, 970
155, 1500, 9000, 1130
156, 1500, 13500, 1290
157, 1500, 18500, 1390
158, 1500, 23000, 1550
159, 1500, 27500, 1710
160, 1500, 32000, 1870
161, 2500, 0, 0
162, 2500, 4500, 160
163, 2500, 9000, 320
164, 2500, 13500, 480
165, 2500, 18500, 580
166, 2500, 23000, 740
167, 2500, 27500, 900
168, 2500, 32000, 1060
169, 2500, 0, 810
170, 2500, 4500, 970
171, 2500, 9000, 1130
172, 2500, 13500, 1290
173, 2500, 18500, 1390
174, 2500, 23000, 1550
175, 2500, 27500, 1710
176, 2500, 32000, 1870
177, 3500, 0, 810
178, 3500, 4500, 970
179, 3500, 9000, 1130
180, 3500, 13500, 1290
181, 3500, 18500, 1390
182, 3500, 23000, 1550
183, 3500, 27500, 1710
184, 3500, 32000, 1870
185, 4500, 0, 0
186, 4500, 4500, 160
187, 4500, 9000, 320
188, 4500, 13500, 480
189, 4500, 18500, 580
190, 4500, 23000, 740
191, 4500, 27500, 900
192, 4500, 32000, 1060
193, 4500, 0, 810
194, 4500, 4500, 970
195, 4500, 9000, 1130
196, 4500, 13500, 1290
197, 4500, 18500, 1390
198, 4500, 23000, 1550
199, 4500, 27500, 1710
200, 4500, 32000, 1870
201, 5500, 0, 0
202, 5500, 4500, 160
203, 5500, 9000, 320
204, 5500, 13500, 480
205, 5500, 18500, 580
206, 5500, 23000, 740
207, 5500, 27500, 900
208, 5500, 32000, 1060

209, 5500, 0, 810
210, 5500, 4500, 970
211, 5500, 9000, 1130
212, 5500, 13500, 1290
213, 5500, 18500, 1390
214, 5500, 23000, 1550
215, 5500, 27500, 1710
216, 5500, 32000, 1870
217, 6500, 0, 0
218, 6500, 4500, 160
219, 6500, 9000, 320
220, 6500, 13500, 480
221, 6500, 18500, 580
222, 6500, 23000, 740
223, 6500, 27500, 900
224, 6500, 32000, 1060
225, 6500, 0, 810
226, 6500, 4500, 970
227, 6500, 9000, 1130
228, 6500, 13500, 1290
229, 6500, 18500, 1390
230, 6500, 23000, 1550
231, 6500, 27500, 1710
232, 6500, 32000, 1870
233, 7500, 0, 0
234, 7500, 4500, 160
235, 7500, 9000, 320
236, 7500, 13500, 480
237, 7500, 18500, 580
238, 7500, 23000, 740
239, 7500, 27500, 900
240, 7500, 32000, 1060
241, 7500, 0, 810
242, 7500, 4500, 970
243, 7500, 9000, 1130
244, 7500, 13500, 1290
245, 7500, 18500, 1390
246, 7500, 23000, 1550
247, 7500, 27500, 1710
248, 7500, 32000, 1870
249, 8500, 0, 810
250, 8500, 4500, 970
251, 8500, 9000, 1130
252, 8500, 13500, 1290
253, 8500, 18500, 1390
254, 8500, 23000, 1550
255, 8500, 27500, 1710
256, 8500, 32000, 1870
257, 9500, 0, 0
258, 9500, 4500, 160
259, 9500, 9000, 320
260, 9500, 13500, 480
261, 9500, 18500, 580
262, 9500, 23000, 740
263, 9500, 27500, 900
264, 9500, 32000, 1060
265, 9500, 0, 810
266, 9500, 4500, 970
267, 9500, 9000, 1130
268, 9500, 13500, 1290
269, 9500, 18500, 1390
270, 9500, 23000, 1550
271, 9500, 27500, 1710
272, 9500, 32000, 1870
273, 10500, 0, 0
274, 10500, 4500, 160
275, 10500, 9000, 320
276, 10500, 13500, 480
277, 10500, 18500, 580
278, 10500, 23000, 740
279, 10500, 27500, 900
280, 10500, 32000, 1060
281, 10500, 0, 810
282, 10500, 4500, 970
283, 10500, 9000, 1130
284, 10500, 13500, 1290
285, 10500, 18500, 1390
286, 10500, 23000, 1550

287, 10500, 27500, 1710
288, 10500, 32000, 1870
289, 11500, 0, 0
290, 11500, 4500, 160
291, 11500, 9000, 320
292, 11500, 13500, 480
293, 11500, 18500, 580
294, 11500, 23000, 740
295, 11500, 27500, 900
296, 11500, 32000, 1060
297, 11500, 0, 810
298, 11500, 4500, 970
299, 11500, 9000, 1130
300, 11500, 13500, 1290
301, 11500, 18500, 1390
302, 11500, 23000, 1550
303, 11500, 27500, 1710
304, 11500, 32000, 1870
305, 12500, 0, 0
306, 12500, 4500, 160
307, 12500, 9000, 320
308, 12500, 13500, 480
309, 12500, 18500, 580
310, 12500, 23000, 740
311, 12500, 27500, 900
312, 12500, 32000, 1060
313, 12500, 0, 810
314, 12500, 4500, 970
315, 12500, 9000, 1130
316, 12500, 13500, 1290
317, 12500, 18500, 1390
318, 12500, 23000, 1550
319, 12500, 27500, 1710
320, 12500, 32000, 1870
321, 13500, 0, 810
322, 13500, 4500, 970
323, 13500, 9000, 1130
324, 13500, 13500, 1290
325, 13500, 18500, 1390
326, 13500, 23000, 1550
327, 13500, 27500, 1710
328, 13500, 32000, 1870
329, 14500, 0, 0
330, 14500, 4500, 160
331, 14500, 9000, 320
332, 14500, 13500, 480
333, 14500, 18500, 580
334, 14500, 23000, 740
335, 14500, 27500, 900
336, 14500, 32000, 1060
337, 14500, 0, 810
338, 14500, 4500, 970
339, 14500, 9000, 1130
340, 14500, 13500, 1290
341, 14500, 18500, 1390
342, 14500, 23000, 1550
343, 14500, 27500, 1710
344, 14500, 32000, 1870
345, 15500, 0, 0
346, 15500, 4500, 160
347, 15500, 9000, 320
348, 15500, 13500, 480
349, 15500, 18500, 580
350, 15500, 23000, 740
351, 15500, 27500, 900
352, 15500, 32000, 1060
353, 15500, 0, 810
354, 15500, 4500, 970
355, 15500, 9000, 1130
356, 15500, 13500, 1290
357, 15500, 18500, 1390
358, 15500, 23000, 1550
359, 15500, 27500, 1710
360, 15500, 32000, 1870
361, 16500, 0, 0
362, 16500, 4500, 160
363, 16500, 9000, 320
364, 16500, 13500, 480

365, 16500, 18500, 580
366, 16500, 23000, 740
367, 16500, 27500, 900
368, 16500, 32000, 1060
369, 16500, 0, 810
370, 16500, 4500, 970
371, 16500, 9000, 1130
372, 16500, 13500, 1290
373, 16500, 18500, 1390
374, 16500, 23000, 1550
375, 16500, 27500, 1710
376, 16500, 32000, 1870
377, 17500, 0, 0
378, 17500, 4500, 160
379, 17500, 9000, 320
380, 17500, 13500, 480
381, 17500, 18500, 580
382, 17500, 23000, 740
383, 17500, 27500, 900
384, 17500, 32000, 1060
385, 17500, 0, 810
386, 17500, 4500, 970
387, 17500, 9000, 1130
388, 17500, 13500, 1290
389, 17500, 18500, 1390
390, 17500, 23000, 1550
391, 17500, 27500, 1710
392, 17500, 32000, 1870
393, 18500, 0, 810
394, 18500, 4500, 970
395, 18500, 9000, 1130
396, 18500, 13500, 1290
397, 18500, 18500, 1390
398, 18500, 23000, 1550
399, 18500, 27500, 1710
400, 18500, 32000, 1870
401, 19500, 0, 0
402, 19500, 4500, 160
403, 19500, 9000, 320
404, 19500, 13500, 480
405, 19500, 18500, 580
406, 19500, 23000, 740
407, 19500, 27500, 900
408, 19500, 32000, 1060
409, 19500, 0, 810
410, 19500, 4500, 970
411, 19500, 9000, 1130
412, 19500, 13500, 1290
413, 19500, 18500, 1390
414, 19500, 23000, 1550
415, 19500, 27500, 1710
416, 19500, 32000, 1870
417, 20500, 0, 0
418, 20500, 4500, 160
419, 20500, 9000, 320
420, 20500, 13500, 480
421, 20500, 18500, 580
422, 20500, 23000, 740
423, 20500, 27500, 900
424, 20500, 32000, 1060
425, 20500, 0, 810
426, 20500, 4500, 970
427, 20500, 9000, 1130
428, 20500, 13500, 1290
429, 20500, 18500, 1390
430, 20500, 23000, 1550
431, 20500, 27500, 1710
432, 20500, 32000, 1870
433, 21500, 0, 0
434, 21500, 4500, 160
435, 21500, 9000, 320
436, 21500, 13500, 480
437, 21500, 18500, 580
438, 21500, 23000, 740
439, 21500, 27500, 900
440, 21500, 32000, 1060
441, 21500, 0, 810
442, 21500, 4500, 970

443, 21500, 9000, 1130
444, 21500, 13500, 1290
445, 21500, 18500, 1390
446, 21500, 23000, 1550
447, 21500, 27500, 1710
448, 21500, 32000, 1870
449, 22500, 0, 0
450, 22500, 4500, 160
451, 22500, 9000, 320
452, 22500, 13500, 480
453, 22500, 18500, 580
454, 22500, 23000, 740
455, 22500, 27500, 900
456, 22500, 32000, 1060
457, 22500, 0, 810
458, 22500, 4500, 970
459, 22500, 9000, 1130
460, 22500, 13500, 1290
461, 22500, 18500, 1390
462, 22500, 23000, 1550
463, 22500, 27500, 1710
464, 22500, 32000, 1870
465, 23500, 0, 810
466, 23500, 4500, 970
467, 23500, 9000, 1130
468, 23500, 13500, 1290
469, 23500, 18500, 1390
470, 23500, 23000, 1550
471, 23500, 27500, 1710
472, 23500, 32000, 1870
473, 24500, 0, 0
474, 24500, 4500, 160
475, 24500, 9000, 320
476, 24500, 13500, 480
477, 24500, 18500, 580
478, 24500, 23000, 740
479, 24500, 27500, 900
480, 24500, 32000, 1060
481, 24500, 0, 810
482, 24500, 4500, 970
483, 24500, 9000, 1130
484, 24500, 13500, 1290
485, 24500, 18500, 1390
486, 24500, 23000, 1550
487, 24500, 27500, 1710
488, 24500, 32000, 1870
489, 25500, 0, 0
490, 25500, 4500, 160
491, 25500, 9000, 320
492, 25500, 13500, 480
493, 25500, 18500, 580
494, 25500, 23000, 740
495, 25500, 27500, 900
496, 25500, 32000, 1060
497, 25500, 0, 810
498, 25500, 4500, 970
499, 25500, 9000, 1130
500, 25500, 13500, 1290
501, 25500, 18500, 1390
502, 25500, 23000, 1550
503, 25500, 27500, 1710
504, 25500, 32000, 1870
505, 26500, 0, 0
506, 26500, 4500, 160
507, 26500, 9000, 320
508, 26500, 13500, 480
509, 26500, 18500, 580
510, 26500, 23000, 740
511, 26500, 27500, 900
512, 26500, 32000, 1060
513, 26500, 0, 810
514, 26500, 4500, 970
515, 26500, 9000, 1130
516, 26500, 13500, 1290
517, 26500, 18500, 1390
518, 26500, 23000, 1550
519, 26500, 27500, 1710
520, 26500, 32000, 1870

```
521, 27500, 0, 0
522, 27500, 4500, 160
523, 27500, 9000, 320
524, 27500, 13500, 480
525, 27500, 18500, 580
526, 27500, 23000, 740
527, 27500, 27500, 900
528, 27500, 32000, 1060
529, 27500, 0, 810
530, 27500, 4500, 970
531, 27500, 9000, 1130
532, 27500, 13500, 1290
533, 27500, 18500, 1390
534, 27500, 23000, 1550
535, 27500, 27500, 1710
536, 27500, 32000, 1870
537, 28500, 0, 810
538, 28500, 4500, 970
539, 28500, 9000, 1130
540, 28500, 13500, 1290
541, 28500, 18500, 1390
542, 28500, 23000, 1550
543, 28500, 27500, 1710
544, 28500, 32000, 1870
545, 29500, 0, 0
546, 29500, 4500, 160
547, 29500, 9000, 320
548, 29500, 13500, 480
549, 29500, 18500, 580
550, 29500, 23000, 740
551, 29500, 27500, 900
552, 29500, 32000, 1060
553, 29500, 0, 810
554, 29500, 4500, 970
555, 29500, 9000, 1130
556, 29500, 13500, 1290
557, 29500, 18500, 1390
558, 29500, 23000, 1550
559, 29500, 27500, 1710
560, 29500, 32000, 1870
561, 30500, 0, 0
562, 30500, 4500, 160
563, 30500, 9000, 320
564, 30500, 13500, 480
565, 30500, 18500, 580
566, 30500, 23000, 740
567, 30500, 27500, 900
568, 30500, 32000, 1060
569, 30500, 0, 810
570, 30500, 4500, 970
571, 30500, 9000, 1130
572, 30500, 13500, 1290
573, 30500, 18500, 1390
574, 30500, 23000, 1550
575, 30500, 27500, 1710
576, 30500, 32000, 1870
577, 31500, 0, 0
578, 31500, 4500, 160
579, 31500, 9000, 320
580, 31500, 13500, 480
581, 31500, 18500, 580
582, 31500, 23000, 740
583, 31500, 27500, 900
584, 31500, 32000, 1060
585, 31500, 0, 810
586, 31500, 4500, 970
587, 31500, 9000, 1130
588, 31500, 13500, 1290
589, 31500, 18500, 1390
590, 31500, 23000, 1550
591, 31500, 27500, 1710
592, 31500, 32000, 1870
593, 32500, 0, 0
594, 32500, 4500, 160
595, 32500, 9000, 320
596, 32500, 13500, 480
597, 32500, 18500, 580
598, 32500, 23000, 740
```

599, 32500, 27500, 900
600, 32500, 32000, 1060
601, 32500, 0, 810
602, 32500, 4500, 970
603, 32500, 9000, 1130
604, 32500, 13500, 1290
605, 32500, 18500, 1390
606, 32500, 23000, 1550
607, 32500, 27500, 1710
608, 32500, 32000, 1870
609, 33500, 0, 810
610, 33500, 4500, 970
611, 33500, 9000, 1130
612, 33500, 13500, 1290
613, 33500, 18500, 1390
614, 33500, 23000, 1550
615, 33500, 27500, 1710
616, 33500, 32000, 1870
617, 34500, 0, 0
618, 34500, 4500, 160
619, 34500, 9000, 320
620, 34500, 13500, 480
621, 34500, 18500, 580
622, 34500, 23000, 740
623, 34500, 27500, 900
624, 34500, 32000, 1060
625, 34500, 0, 810
626, 34500, 4500, 970
627, 34500, 9000, 1130
628, 34500, 13500, 1290
629, 34500, 18500, 1390
630, 34500, 23000, 1550
631, 34500, 27500, 1710
632, 34500, 32000, 1870
633, 35500, 0, 0
634, 35500, 4500, 160
635, 35500, 9000, 320
636, 35500, 13500, 480
637, 35500, 18500, 580
638, 35500, 23000, 740
639, 35500, 27500, 900
640, 35500, 32000, 1060
641, 35500, 0, 810
642, 35500, 4500, 970
643, 35500, 9000, 1130
644, 35500, 13500, 1290
645, 35500, 18500, 1390
646, 35500, 23000, 1550
647, 35500, 27500, 1710
648, 35500, 32000, 1870
649, 36500, 0, 0
650, 36500, 4500, 160
651, 36500, 9000, 320
652, 36500, 13500, 480
653, 36500, 18500, 580
654, 36500, 23000, 740
655, 36500, 27500, 900
656, 36500, 32000, 1060
657, 36500, 0, 810
658, 36500, 4500, 970
659, 36500, 9000, 1130
660, 36500, 13500, 1290
661, 36500, 18500, 1390
662, 36500, 23000, 1550
663, 36500, 27500, 1710
664, 36500, 32000, 1870
665, 37500, 0, 0
666, 37500, 4500, 160
667, 37500, 9000, 320
668, 37500, 13500, 480
669, 37500, 18500, 580
670, 37500, 23000, 740
671, 37500, 27500, 900
672, 37500, 32000, 1060
673, 37500, 0, 810
674, 37500, 4500, 970
675, 37500, 9000, 1130
676, 37500, 13500, 1290

677, 37500, 18500, 1390
678, 37500, 23000, 1550
679, 37500, 27500, 1710
680, 37500, 32000, 1870
681, 38500, 0, 810
682, 38500, 4500, 970
683, 38500, 9000, 1130
684, 38500, 13500, 1290
685, 38500, 18500, 1390
686, 38500, 23000, 1550
687, 38500, 27500, 1710
688, 38500, 32000, 1870
689, 39500, 0, 0
690, 39500, 4500, 160
691, 39500, 9000, 320
692, 39500, 13500, 480
693, 39500, 18500, 580
694, 39500, 23000, 740
695, 39500, 27500, 900
696, 39500, 32000, 1060
697, 39500, 0, 810
698, 39500, 4500, 970
699, 39500, 9000, 1130
700, 39500, 13500, 1290
701, 39500, 18500, 1390
702, 39500, 23000, 1550
703, 39500, 27500, 1710
704, 39500, 32000, 1870
705, 40500, 0, 0
706, 40500, 4500, 160
707, 40500, 9000, 320
708, 40500, 13500, 480
709, 40500, 18500, 580
710, 40500, 23000, 740
711, 40500, 27500, 900
712, 40500, 32000, 1060
713, 40500, 0, 810
714, 40500, 4500, 970
715, 40500, 9000, 1130
716, 40500, 13500, 1290
717, 40500, 18500, 1390
718, 40500, 23000, 1550
719, 40500, 27500, 1710
720, 40500, 32000, 1870
721, 41500, 0, 0
722, 41500, 4500, 160
723, 41500, 9000, 320
724, 41500, 13500, 480
725, 41500, 18500, 580
726, 41500, 23000, 740
727, 41500, 27500, 900
728, 41500, 32000, 1060
729, 41500, 0, 810
730, 41500, 4500, 970
731, 41500, 9000, 1130
732, 41500, 13500, 1290
733, 41500, 18500, 1390
734, 41500, 23000, 1550
735, 41500, 27500, 1710
736, 41500, 32000, 1870
737, 500, 33349.1474749017, 1917.9696879965
738, 1500, 33349.1474749017, 1917.9696879965
739, 2500, 33349.1474749017, 1917.9696879965
740, 3500, 33349.1474749017, 1917.9696879965
741, 4500, 33349.1474749017, 1917.9696879965
742, 5500, 33349.1474749017, 1917.9696879965
743, 6500, 33349.1474749017, 1917.9696879965
744, 7500, 33349.1474749017, 1917.9696879965
745, 8500, 33349.1474749017, 1917.9696879965
746, 9500, 33349.1474749017, 1917.9696879965
747, 10500, 33349.1474749017, 1917.9696879965
748, 11500, 33349.1474749017, 1917.9696879965
749, 12500, 33349.1474749017, 1917.9696879965
750, 13500, 33349.1474749017, 1917.9696879965
751, 14500, 33349.1474749017, 1917.9696879965
752, 15500, 33349.1474749017, 1917.9696879965
753, 16500, 33349.1474749017, 1917.9696879965
754, 17500, 33349.1474749017, 1917.9696879965

755, 18500, 33349.1474749017, 1917.9696879965
756, 19500, 33349.1474749017, 1917.9696879965
757, 20500, 33349.1474749017, 1917.9696879965
758, 21500, 33349.1474749017, 1917.9696879965
759, 22500, 33349.1474749017, 1917.9696879965
760, 23500, 33349.1474749017, 1917.9696879965
761, 24500, 33349.1474749017, 1917.9696879965
762, 25500, 33349.1474749017, 1917.9696879965
763, 26500, 33349.1474749017, 1917.9696879965
764, 27500, 33349.1474749017, 1917.9696879965
765, 28500, 33349.1474749017, 1917.9696879965
766, 29500, 33349.1474749017, 1917.9696879965
767, 30500, 33349.1474749017, 1917.9696879965
768, 31500, 33349.1474749017, 1917.9696879965
769, 32500, 33349.1474749017, 1917.9696879965
770, 33500, 33349.1474749017, 1917.9696879965
771, 34500, 33349.1474749017, 1917.9696879965
772, 35500, 33349.1474749017, 1917.9696879965
773, 36500, 33349.1474749017, 1917.9696879965
774, 37500, 33349.1474749017, 1917.9696879965
775, 38500, 33349.1474749017, 1917.9696879965
776, 39500, 33349.1474749017, 1917.9696879965
777, 40500, 33349.1474749017, 1917.9696879965
778, 41500, 33349.1474749017, 1917.9696879965
779, 500, 17150.8525250983, 1342.0303120035
780, 1500, 17150.8525250983, 1342.0303120035
781, 2500, 17150.8525250983, 1342.0303120035
782, 3500, 17150.8525250983, 1342.0303120035
783, 4500, 17150.8525250983, 1342.0303120035
784, 5500, 17150.8525250983, 1342.0303120035
785, 6500, 17150.8525250983, 1342.0303120035
786, 7500, 17150.8525250983, 1342.0303120035
787, 8500, 17150.8525250983, 1342.0303120035
788, 9500, 17150.8525250983, 1342.0303120035
789, 10500, 17150.8525250983, 1342.0303120035
790, 11500, 17150.8525250983, 1342.0303120035
791, 12500, 17150.8525250983, 1342.0303120035
792, 13500, 17150.8525250983, 1342.0303120035
793, 14500, 17150.8525250983, 1342.0303120035
794, 15500, 17150.8525250983, 1342.0303120035
795, 16500, 17150.8525250983, 1342.0303120035
796, 17500, 17150.8525250983, 1342.0303120035
797, 18500, 17150.8525250983, 1342.0303120035
798, 19500, 17150.8525250983, 1342.0303120035
799, 20500, 17150.8525250983, 1342.0303120035
800, 21500, 17150.8525250983, 1342.0303120035
801, 22500, 17150.8525250983, 1342.0303120035
802, 23500, 17150.8525250983, 1342.0303120035
803, 24500, 17150.8525250983, 1342.0303120035
804, 25500, 17150.8525250983, 1342.0303120035
805, 26500, 17150.8525250983, 1342.0303120035
806, 27500, 17150.8525250983, 1342.0303120035
807, 28500, 17150.8525250983, 1342.0303120035
808, 29500, 17150.8525250983, 1342.0303120035
809, 30500, 17150.8525250983, 1342.0303120035
810, 31500, 17150.8525250983, 1342.0303120035
811, 32500, 17150.8525250983, 1342.0303120035
812, 33500, 17150.8525250983, 1342.0303120035
813, 34500, 17150.8525250983, 1342.0303120035
814, 35500, 17150.8525250983, 1342.0303120035
815, 36500, 17150.8525250983, 1342.0303120035
816, 37500, 17150.8525250983, 1342.0303120035
817, 38500, 17150.8525250983, 1342.0303120035
818, 39500, 17150.8525250983, 1342.0303120035
819, 40500, 17150.8525250983, 1342.0303120035
820, 41500, 17150.8525250983, 1342.0303120035
821, 500, 16248.2633747997, 1387.71603110399
822, 1500, 16248.2633747997, 1387.71603110399
823, 2500, 16248.2633747997, 1387.71603110399
824, 3500, 16248.2633747997, 1387.71603110399
825, 4500, 16248.2633747997, 1387.71603110399
826, 5500, 16248.2633747997, 1387.71603110399
827, 6500, 16248.2633747997, 1387.71603110399
828, 7500, 16248.2633747997, 1387.71603110399
829, 8500, 16248.2633747997, 1387.71603110399
830, 9500, 16248.2633747997, 1387.71603110399
831, 10500, 16248.2633747997, 1387.71603110399
832, 11500, 16248.2633747997, 1387.71603110399

833, 12500, 16248.2633747997, 1387.71603110399
834, 13500, 16248.2633747997, 1387.71603110399
835, 14500, 16248.2633747997, 1387.71603110399
836, 15500, 16248.2633747997, 1387.71603110399
837, 16500, 16248.2633747997, 1387.71603110399
838, 17500, 16248.2633747997, 1387.71603110399
839, 18500, 16248.2633747997, 1387.71603110399
840, 19500, 16248.2633747997, 1387.71603110399
841, 20500, 16248.2633747997, 1387.71603110399
842, 21500, 16248.2633747997, 1387.71603110399
843, 22500, 16248.2633747997, 1387.71603110399
844, 23500, 16248.2633747997, 1387.71603110399
845, 24500, 16248.2633747997, 1387.71603110399
846, 25500, 16248.2633747997, 1387.71603110399
847, 26500, 16248.2633747997, 1387.71603110399
848, 27500, 16248.2633747997, 1387.71603110399
849, 28500, 16248.2633747997, 1387.71603110399
850, 29500, 16248.2633747997, 1387.71603110399
851, 30500, 16248.2633747997, 1387.71603110399
852, 31500, 16248.2633747997, 1387.71603110399
853, 32500, 16248.2633747997, 1387.71603110399
854, 33500, 16248.2633747997, 1387.71603110399
855, 34500, 16248.2633747997, 1387.71603110399
856, 35500, 16248.2633747997, 1387.71603110399
857, 36500, 16248.2633747997, 1387.71603110399
858, 37500, 16248.2633747997, 1387.71603110399
859, 38500, 16248.2633747997, 1387.71603110399
860, 39500, 16248.2633747997, 1387.71603110399
861, 40500, 16248.2633747997, 1387.71603110399
862, 41500, 16248.2633747997, 1387.71603110399
863, 500, -2748.26337479967, 712.283968896012
864, 1500, -2748.26337479967, 712.283968896012
865, 2500, -2748.26337479967, 712.283968896012
866, 3500, -2748.26337479967, 712.283968896012
867, 4500, -2748.26337479967, 712.283968896012
868, 5500, -2748.26337479967, 712.283968896012
869, 6500, -2748.26337479967, 712.283968896012
870, 7500, -2748.26337479967, 712.283968896012
871, 8500, -2748.26337479967, 712.283968896012
872, 9500, -2748.26337479967, 712.283968896012
873, 10500, -2748.26337479967, 712.283968896012
874, 11500, -2748.26337479967, 712.283968896012
875, 12500, -2748.26337479967, 712.283968896012
876, 13500, -2748.26337479967, 712.283968896012
877, 14500, -2748.26337479967, 712.283968896012
878, 15500, -2748.26337479967, 712.283968896012
879, 16500, -2748.26337479967, 712.283968896012
880, 17500, -2748.26337479967, 712.283968896012
881, 18500, -2748.26337479967, 712.283968896012
882, 19500, -2748.26337479967, 712.283968896012
883, 20500, -2748.26337479967, 712.283968896012
884, 21500, -2748.26337479967, 712.283968896012
885, 22500, -2748.26337479967, 712.283968896012
886, 23500, -2748.26337479967, 712.283968896012
887, 24500, -2748.26337479967, 712.283968896012
888, 25500, -2748.26337479967, 712.283968896012
889, 26500, -2748.26337479967, 712.283968896012
890, 27500, -2748.26337479967, 712.283968896012
891, 28500, -2748.26337479967, 712.283968896012
892, 29500, -2748.26337479967, 712.283968896012
893, 30500, -2748.26337479967, 712.283968896012
894, 31500, -2748.26337479967, 712.283968896012
895, 32500, -2748.26337479967, 712.283968896012
896, 33500, -2748.26337479967, 712.283968896012
897, 34500, -2748.26337479967, 712.283968896012
898, 35500, -2748.26337479967, 712.283968896012
899, 36500, -2748.26337479967, 712.283968896012
900, 37500, -2748.26337479967, 712.283968896012
901, 38500, -2748.26337479967, 712.283968896012
902, 39500, -2748.26337479967, 712.283968896012
903, 40500, -2748.26337479967, 712.283968896012
904, 41500, -2748.26337479967, 712.283968896012
905, 500, 33249.2106249586, 1914.41637637713
906, 1500, 33249.2106249586, 1914.41637637713
907, 2500, 33249.2106249586, 1914.41637637713
908, 3500, 33249.2106249586, 1914.41637637713
909, 4500, 33249.2106249586, 1914.41637637713
910, 5500, 33249.2106249586, 1914.41637637713

PROJECT TITLE :

	Company		Client	
	Author		File Name	Brembiolo1_08_completo(fasi)DEFINITIVO.mgt

```
911, 6500, 33249.2106249586, 1914.41637637713
912, 7500, 33249.2106249586, 1914.41637637713
913, 8500, 33249.2106249586, 1914.41637637713
914, 9500, 33249.2106249586, 1914.41637637713
915, 10500, 33249.2106249586, 1914.41637637713
916, 11500, 33249.2106249586, 1914.41637637713
917, 12500, 33249.2106249586, 1914.41637637713
918, 13500, 33249.2106249586, 1914.41637637713
919, 14500, 33249.2106249586, 1914.41637637713
920, 15500, 33249.2106249586, 1914.41637637713
921, 16500, 33249.2106249586, 1914.41637637713
922, 17500, 33249.2106249586, 1914.41637637713
923, 18500, 33249.2106249586, 1914.41637637713
924, 19500, 33249.2106249586, 1914.41637637713
925, 20500, 33249.2106249586, 1914.41637637713
926, 21500, 33249.2106249586, 1914.41637637713
927, 22500, 33249.2106249586, 1914.41637637713
928, 23500, 33249.2106249586, 1914.41637637713
929, 24500, 33249.2106249586, 1914.41637637713
930, 25500, 33249.2106249586, 1914.41637637713
931, 26500, 33249.2106249586, 1914.41637637713
932, 27500, 33249.2106249586, 1914.41637637713
933, 28500, 33249.2106249586, 1914.41637637713
934, 29500, 33249.2106249586, 1914.41637637713
935, 30500, 33249.2106249586, 1914.41637637713
936, 31500, 33249.2106249586, 1914.41637637713
937, 32500, 33249.2106249586, 1914.41637637713
938, 33500, 33249.2106249586, 1914.41637637713
939, 34500, 33249.2106249586, 1914.41637637713
940, 35500, 33249.2106249586, 1914.41637637713
941, 36500, 33249.2106249586, 1914.41637637713
942, 37500, 33249.2106249586, 1914.41637637713
943, 38500, 33249.2106249586, 1914.41637637713
944, 39500, 33249.2106249586, 1914.41637637713
945, 40500, 33249.2106249586, 1914.41637637713
946, 41500, 33249.2106249586, 1914.41637637713
947, 500, -2648.32652482274, 715.837279561858
948, 1500, -2648.32652482274, 715.837279561858
949, 2500, -2648.32652482274, 715.837279561858
950, 3500, -2648.32652482274, 715.837279561858
951, 4500, -2648.32652482274, 715.837279561858
952, 5500, -2648.32652482274, 715.837279561858
953, 6500, -2648.32652482274, 715.837279561858
954, 7500, -2648.32652482274, 715.837279561858
955, 8500, -2648.32652482274, 715.837279561858
956, 9500, -2648.32652482274, 715.837279561858
957, 10500, -2648.32652482274, 715.837279561858
958, 11500, -2648.32652482274, 715.837279561858
959, 12500, -2648.32652482274, 715.837279561858
960, 13500, -2648.32652482274, 715.837279561858
961, 14500, -2648.32652482274, 715.837279561858
962, 15500, -2648.32652482274, 715.837279561858
963, 16500, -2648.32652482274, 715.837279561858
964, 17500, -2648.32652482274, 715.837279561858
965, 18500, -2648.32652482274, 715.837279561858
966, 19500, -2648.32652482274, 715.837279561858
967, 20500, -2648.32652482274, 715.837279561858
968, 21500, -2648.32652482274, 715.837279561858
969, 22500, -2648.32652482274, 715.837279561858
970, 23500, -2648.32652482274, 715.837279561858
971, 24500, -2648.32652482274, 715.837279561858
972, 25500, -2648.32652482274, 715.837279561858
973, 26500, -2648.32652482274, 715.837279561858
974, 27500, -2648.32652482274, 715.837279561858
975, 28500, -2648.32652482274, 715.837279561858
976, 29500, -2648.32652482274, 715.837279561858
977, 30500, -2648.32652482274, 715.837279561858
978, 31500, -2648.32652482274, 715.837279561858
979, 32500, -2648.32652482274, 715.837279561858
980, 33500, -2648.32652482274, 715.837279561858
981, 34500, -2648.32652482274, 715.837279561858
982, 35500, -2648.32652482274, 715.837279561858
983, 36500, -2648.32652482274, 715.837279561858
984, 37500, -2648.32652482274, 715.837279561858
985, 38500, -2648.32652482274, 715.837279561858
986, 39500, -2648.32652482274, 715.837279561858
987, 40500, -2648.32652482274, 715.837279561858
988, 41500, -2648.32652482274, 715.837279561858
```

PROJECT TITLE :

	Company		Client	
	Author		File Name	Brembiolo1_08_completo(fasi)DEFINITIVO.mgt

```
  989,  500, 31900.0631507277, 1866.44666951558
  990, 1500, 31900.0631507277, 1866.44666951558
  991, 2500, 31900.0631507277, 1866.44666951558
  992, 3500, 31900.0631507277, 1866.44666951558
  993, 4500, 31900.0631507277, 1866.44666951558
  994, 5500, 31900.0631507277, 1866.44666951558
  995, 6500, 31900.0631507277, 1866.44666951558
  996, 7500, 31900.0631507277, 1866.44666951558
  997, 8500, 31900.0631507277, 1866.44666951558
  998, 9500, 31900.0631507277, 1866.44666951558
  999, 10500, 31900.0631507277, 1866.44666951558
 1000, 11500, 31900.0631507277, 1866.44666951558
 1001, 12500, 31900.0631507277, 1866.44666951558
 1002, 13500, 31900.0631507277, 1866.44666951558
 1003, 14500, 31900.0631507277, 1866.44666951558
 1004, 15500, 31900.0631507277, 1866.44666951558
 1005, 16500, 31900.0631507277, 1866.44666951558
 1006, 17500, 31900.0631507277, 1866.44666951558
 1007, 18500, 31900.0631507277, 1866.44666951558
 1008, 19500, 31900.0631507277, 1866.44666951558
 1009, 20500, 31900.0631507277, 1866.44666951558
 1010, 21500, 31900.0631507277, 1866.44666951558
 1011, 22500, 31900.0631507277, 1866.44666951558
 1012, 23500, 31900.0631507277, 1866.44666951558
 1013, 24500, 31900.0631507277, 1866.44666951558
 1014, 25500, 31900.0631507277, 1866.44666951558
 1015, 26500, 31900.0631507277, 1866.44666951558
 1016, 27500, 31900.0631507277, 1866.44666951558
 1017, 28500, 31900.0631507277, 1866.44666951558
 1018, 29500, 31900.0631507277, 1866.44666951558
 1019, 30500, 31900.0631507277, 1866.44666951558
 1020, 31500, 31900.0631507277, 1866.44666951558
 1021, 32500, 31900.0631507277, 1866.44666951558
 1022, 33500, 31900.0631507277, 1866.44666951558
 1023, 34500, 31900.0631507277, 1866.44666951558
 1024, 35500, 31900.0631507277, 1866.44666951558
 1025, 36500, 31900.0631507277, 1866.44666951558
 1026, 37500, 31900.0631507277, 1866.44666951558
 1027, 38500, 31900.0631507277, 1866.44666951558
 1028, 39500, 31900.0631507277, 1866.44666951558
 1029, 40500, 31900.0631507277, 1866.44666951558
 1030, 41500, 31900.0631507277, 1866.44666951558
 1031,  500, 17510.6251848933, 1354.82223383324
 1032, 1500, 17510.6251848933, 1354.82223383324
 1033, 2500, 17510.6251848933, 1354.82223383324
 1034, 3500, 17510.6251848933, 1354.82223383324
 1035, 4500, 17510.6251848933, 1354.82223383324
 1036, 5500, 17510.6251848933, 1354.82223383324
 1037, 6500, 17510.6251848933, 1354.82223383324
 1038, 7500, 17510.6251848933, 1354.82223383324
 1039, 8500, 17510.6251848933, 1354.82223383324
 1040, 9500, 17510.6251848933, 1354.82223383324
 1041, 10500, 17510.6251848933, 1354.82223383324
 1042, 11500, 17510.6251848933, 1354.82223383324
 1043, 12500, 17510.6251848933, 1354.82223383324
 1044, 13500, 17510.6251848933, 1354.82223383324
 1045, 14500, 17510.6251848933, 1354.82223383324
 1046, 15500, 17510.6251848933, 1354.82223383324
 1047, 16500, 17510.6251848933, 1354.82223383324
 1048, 17500, 17510.6251848933, 1354.82223383324
 1049, 18500, 17510.6251848933, 1354.82223383324
 1050, 19500, 17510.6251848933, 1354.82223383324
 1051, 20500, 17510.6251848933, 1354.82223383324
 1052, 21500, 17510.6251848933, 1354.82223383324
 1053, 22500, 17510.6251848933, 1354.82223383324
 1054, 23500, 17510.6251848933, 1354.82223383324
 1055, 24500, 17510.6251848933, 1354.82223383324
 1056, 25500, 17510.6251848933, 1354.82223383324
 1057, 26500, 17510.6251848933, 1354.82223383324
 1058, 27500, 17510.6251848933, 1354.82223383324
 1059, 28500, 17510.6251848933, 1354.82223383324
 1060, 29500, 17510.6251848933, 1354.82223383324
 1061, 30500, 17510.6251848933, 1354.82223383324
 1062, 31500, 17510.6251848933, 1354.82223383324
 1063, 32500, 17510.6251848933, 1354.82223383324
 1064, 33500, 17510.6251848933, 1354.82223383324
 1065, 34500, 17510.6251848933, 1354.82223383324
 1066, 35500, 17510.6251848933, 1354.82223383324
```

```
1067, 36500, 17510.6251848933, 1354.82223383324
1068, 37500, 17510.6251848933, 1354.82223383324
1069, 38500, 17510.6251848933, 1354.82223383324
1070, 39500, 17510.6251848933, 1354.82223383324
1071, 40500, 17510.6251848933, 1354.82223383324
1072, 41500, 17510.6251848933, 1354.82223383324
1073, 500, 15888.4907148827, 1374.92411270694
1074, 1500, 15888.4907148827, 1374.92411270694
1075, 2500, 15888.4907148827, 1374.92411270694
1076, 3500, 15888.4907148827, 1374.92411270694
1077, 4500, 15888.4907148827, 1374.92411270694
1078, 5500, 15888.4907148827, 1374.92411270694
1079, 6500, 15888.4907148827, 1374.92411270694
1080, 7500, 15888.4907148827, 1374.92411270694
1081, 8500, 15888.4907148827, 1374.92411270694
1082, 9500, 15888.4907148827, 1374.92411270694
1083, 10500, 15888.4907148827, 1374.92411270694
1084, 11500, 15888.4907148827, 1374.92411270694
1085, 12500, 15888.4907148827, 1374.92411270694
1086, 13500, 15888.4907148827, 1374.92411270694
1087, 14500, 15888.4907148827, 1374.92411270694
1088, 15500, 15888.4907148827, 1374.92411270694
1089, 16500, 15888.4907148827, 1374.92411270694
1090, 17500, 15888.4907148827, 1374.92411270694
1091, 18500, 15888.4907148827, 1374.92411270694
1092, 19500, 15888.4907148827, 1374.92411270694
1093, 20500, 15888.4907148827, 1374.92411270694
1094, 21500, 15888.4907148827, 1374.92411270694
1095, 22500, 15888.4907148827, 1374.92411270694
1096, 23500, 15888.4907148827, 1374.92411270694
1097, 24500, 15888.4907148827, 1374.92411270694
1098, 25500, 15888.4907148827, 1374.92411270694
1099, 26500, 15888.4907148827, 1374.92411270694
1100, 27500, 15888.4907148827, 1374.92411270694
1101, 28500, 15888.4907148827, 1374.92411270694
1102, 29500, 15888.4907148827, 1374.92411270694
1103, 30500, 15888.4907148827, 1374.92411270694
1104, 31500, 15888.4907148827, 1374.92411270694
1105, 32500, 15888.4907148827, 1374.92411270694
1106, 33500, 15888.4907148827, 1374.92411270694
1107, 34500, 15888.4907148827, 1374.92411270694
1108, 35500, 15888.4907148827, 1374.92411270694
1109, 36500, 15888.4907148827, 1374.92411270694
1110, 37500, 15888.4907148827, 1374.92411270694
1111, 38500, 15888.4907148827, 1374.92411270694
1112, 39500, 15888.4907148827, 1374.92411270694
1113, 40500, 15888.4907148827, 1374.92411270694
1114, 41500, 15888.4907148827, 1374.92411270694
1115, 500, -1299.17905013415, 763.806973550787
1116, 1500, -1299.17905013415, 763.806973550787
1117, 2500, -1299.17905013415, 763.806973550787
1118, 3500, -1299.17905013415, 763.806973550787
1119, 4500, -1299.17905013415, 763.806973550787
1120, 5500, -1299.17905013415, 763.806973550787
1121, 6500, -1299.17905013415, 763.806973550787
1122, 7500, -1299.17905013415, 763.806973550787
1123, 8500, -1299.17905013415, 763.806973550787
1124, 9500, -1299.17905013415, 763.806973550787
1125, 10500, -1299.17905013415, 763.806973550787
1126, 11500, -1299.17905013415, 763.806973550787
1127, 12500, -1299.17905013415, 763.806973550787
1128, 13500, -1299.17905013415, 763.806973550787
1129, 14500, -1299.17905013415, 763.806973550787
1130, 15500, -1299.17905013415, 763.806973550787
1131, 16500, -1299.17905013415, 763.806973550787
1132, 17500, -1299.17905013415, 763.806973550787
1133, 18500, -1299.17905013415, 763.806973550787
1134, 19500, -1299.17905013415, 763.806973550787
1135, 20500, -1299.17905013415, 763.806973550787
1136, 21500, -1299.17905013415, 763.806973550787
1137, 22500, -1299.17905013415, 763.806973550787
1138, 23500, -1299.17905013415, 763.806973550787
1139, 24500, -1299.17905013415, 763.806973550787
1140, 25500, -1299.17905013415, 763.806973550787
1141, 26500, -1299.17905013415, 763.806973550787
1142, 27500, -1299.17905013415, 763.806973550787
1143, 28500, -1299.17905013415, 763.806973550787
1144, 29500, -1299.17905013415, 763.806973550787
```

```
1145, 30500, -1299.17905013415, 763.806973550787
1146, 31500, -1299.17905013415, 763.806973550787
1147, 32500, -1299.17905013415, 763.806973550787
1148, 33500, -1299.17905013415, 763.806973550787
1149, 34500, -1299.17905013415, 763.806973550787
1150, 35500, -1299.17905013415, 763.806973550787
1151, 36500, -1299.17905013415, 763.806973550787
1152, 37500, -1299.17905013415, 763.806973550787
1153, 38500, -1299.17905013415, 763.806973550787
1154, 39500, -1299.17905013415, 763.806973550787
1155, 40500, -1299.17905013415, 763.806973550787
1156, 41500, -1299.17905013415, 763.806973550787
1157, 500, 31450.3473265911, 1850.45675015618
1158, 1500, 31450.3473265911, 1850.45675015618
1159, 2500, 31450.3473265911, 1850.45675015618
1160, 3500, 31450.3473265911, 1850.45675015618
1161, 4500, 31450.3473265911, 1850.45675015618
1162, 5500, 31450.3473265911, 1850.45675015618
1163, 6500, 31450.3473265911, 1850.45675015618
1164, 7500, 31450.3473265911, 1850.45675015618
1165, 8500, 31450.3473265911, 1850.45675015618
1166, 9500, 31450.3473265911, 1850.45675015618
1167, 10500, 31450.3473265911, 1850.45675015618
1168, 11500, 31450.3473265911, 1850.45675015618
1169, 12500, 31450.3473265911, 1850.45675015618
1170, 13500, 31450.3473265911, 1850.45675015618
1171, 14500, 31450.3473265911, 1850.45675015618
1172, 15500, 31450.3473265911, 1850.45675015618
1173, 16500, 31450.3473265911, 1850.45675015618
1174, 17500, 31450.3473265911, 1850.45675015618
1175, 18500, 31450.3473265911, 1850.45675015618
1176, 19500, 31450.3473265911, 1850.45675015618
1177, 20500, 31450.3473265911, 1850.45675015618
1178, 21500, 31450.3473265911, 1850.45675015618
1179, 22500, 31450.3473265911, 1850.45675015618
1180, 23500, 31450.3473265911, 1850.45675015618
1181, 24500, 31450.3473265911, 1850.45675015618
1182, 25500, 31450.3473265911, 1850.45675015618
1183, 26500, 31450.3473265911, 1850.45675015618
1184, 27500, 31450.3473265911, 1850.45675015618
1185, 28500, 31450.3473265911, 1850.45675015618
1186, 29500, 31450.3473265911, 1850.45675015618
1187, 30500, 31450.3473265911, 1850.45675015618
1188, 31500, 31450.3473265911, 1850.45675015618
1189, 32500, 31450.3473265911, 1850.45675015618
1190, 33500, 31450.3473265911, 1850.45675015618
1191, 34500, 31450.3473265911, 1850.45675015618
1192, 35500, 31450.3473265911, 1850.45675015618
1193, 36500, 31450.3473265911, 1850.45675015618
1194, 37500, 31450.3473265911, 1850.45675015618
1195, 38500, 31450.3473265911, 1850.45675015618
1196, 39500, 31450.3473265911, 1850.45675015618
1197, 40500, 31450.3473265911, 1850.45675015618
1198, 41500, 31450.3473265911, 1850.45675015618
1199, 500, 17950.3473246426, 1370.45680495849
1200, 1500, 17950.3473246426, 1370.45680495849
1201, 2500, 17950.3473246426, 1370.45680495849
1202, 3500, 17950.3473246426, 1370.45680495849
1203, 4500, 17950.3473246426, 1370.45680495849
1204, 5500, 17950.3473246426, 1370.45680495849
1205, 6500, 17950.3473246426, 1370.45680495849
1206, 7500, 17950.3473246426, 1370.45680495849
1207, 8500, 17950.3473246426, 1370.45680495849
1208, 9500, 17950.3473246426, 1370.45680495849
1209, 10500, 17950.3473246426, 1370.45680495849
1210, 11500, 17950.3473246426, 1370.45680495849
1211, 12500, 17950.3473246426, 1370.45680495849
1212, 13500, 17950.3473246426, 1370.45680495849
1213, 14500, 17950.3473246426, 1370.45680495849
1214, 15500, 17950.3473246426, 1370.45680495849
1215, 16500, 17950.3473246426, 1370.45680495849
1216, 17500, 17950.3473246426, 1370.45680495849
1217, 18500, 17950.3473246426, 1370.45680495849
1218, 19500, 17950.3473246426, 1370.45680495849
1219, 20500, 17950.3473246426, 1370.45680495849
1220, 21500, 17950.3473246426, 1370.45680495849
1221, 22500, 17950.3473246426, 1370.45680495849
1222, 23500, 17950.3473246426, 1370.45680495849
```

1223, 24500, 17950.3473246426, 1370.45680495849
1224, 25500, 17950.3473246426, 1370.45680495849
1225, 26500, 17950.3473246426, 1370.45680495849
1226, 27500, 17950.3473246426, 1370.45680495849
1227, 28500, 17950.3473246426, 1370.45680495849
1228, 29500, 17950.3473246426, 1370.45680495849
1229, 30500, 17950.3473246426, 1370.45680495849
1230, 31500, 17950.3473246426, 1370.45680495849
1231, 32500, 17950.3473246426, 1370.45680495849
1232, 33500, 17950.3473246426, 1370.45680495849
1233, 34500, 17950.3473246426, 1370.45680495849
1234, 35500, 17950.3473246426, 1370.45680495849
1235, 36500, 17950.3473246426, 1370.45680495849
1236, 37500, 17950.3473246426, 1370.45680495849
1237, 38500, 17950.3473246426, 1370.45680495849
1238, 39500, 17950.3473246426, 1370.45680495849
1239, 40500, 17950.3473246426, 1370.45680495849
1240, 41500, 17950.3473246426, 1370.45680495849
1241, 500, 15448.7685749842, 1359.28954577722
1242, 1500, 15448.7685749842, 1359.28954577722
1243, 2500, 15448.7685749842, 1359.28954577722
1244, 3500, 15448.7685749842, 1359.28954577722
1245, 4500, 15448.7685749842, 1359.28954577722
1246, 5500, 15448.7685749842, 1359.28954577722
1247, 6500, 15448.7685749842, 1359.28954577722
1248, 7500, 15448.7685749842, 1359.28954577722
1249, 8500, 15448.7685749842, 1359.28954577722
1250, 9500, 15448.7685749842, 1359.28954577722
1251, 10500, 15448.7685749842, 1359.28954577722
1252, 11500, 15448.7685749842, 1359.28954577722
1253, 12500, 15448.7685749842, 1359.28954577722
1254, 13500, 15448.7685749842, 1359.28954577722
1255, 14500, 15448.7685749842, 1359.28954577722
1256, 15500, 15448.7685749842, 1359.28954577722
1257, 16500, 15448.7685749842, 1359.28954577722
1258, 17500, 15448.7685749842, 1359.28954577722
1259, 18500, 15448.7685749842, 1359.28954577722
1260, 19500, 15448.7685749842, 1359.28954577722
1261, 20500, 15448.7685749842, 1359.28954577722
1262, 21500, 15448.7685749842, 1359.28954577722
1263, 22500, 15448.7685749842, 1359.28954577722
1264, 23500, 15448.7685749842, 1359.28954577722
1265, 24500, 15448.7685749842, 1359.28954577722
1266, 25500, 15448.7685749842, 1359.28954577722
1267, 26500, 15448.7685749842, 1359.28954577722
1268, 27500, 15448.7685749842, 1359.28954577722
1269, 28500, 15448.7685749842, 1359.28954577722
1270, 29500, 15448.7685749842, 1359.28954577722
1271, 30500, 15448.7685749842, 1359.28954577722
1272, 31500, 15448.7685749842, 1359.28954577722
1273, 32500, 15448.7685749842, 1359.28954577722
1274, 33500, 15448.7685749842, 1359.28954577722
1275, 34500, 15448.7685749842, 1359.28954577722
1276, 35500, 15448.7685749842, 1359.28954577722
1277, 36500, 15448.7685749842, 1359.28954577722
1278, 37500, 15448.7685749842, 1359.28954577722
1279, 38500, 15448.7685749842, 1359.28954577722
1280, 39500, 15448.7685749842, 1359.28954577722
1281, 40500, 15448.7685749842, 1359.28954577722
1282, 41500, 15448.7685749842, 1359.28954577722
1283, 500, -849.463225237948, 779.796871547096
1284, 1500, -849.463225237948, 779.796871547096
1285, 2500, -849.463225237948, 779.796871547096
1286, 3500, -849.463225237948, 779.796871547096
1287, 4500, -849.463225237948, 779.796871547096
1288, 5500, -849.463225237948, 779.796871547096
1289, 6500, -849.463225237948, 779.796871547096
1290, 7500, -849.463225237948, 779.796871547096
1291, 8500, -849.463225237948, 779.796871547096
1292, 9500, -849.463225237948, 779.796871547096
1293, 10500, -849.463225237948, 779.796871547096
1294, 11500, -849.463225237948, 779.796871547096
1295, 12500, -849.463225237948, 779.796871547096
1296, 13500, -849.463225237948, 779.796871547096
1297, 14500, -849.463225237948, 779.796871547096
1298, 15500, -849.463225237948, 779.796871547096
1299, 16500, -849.463225237948, 779.796871547096
1300, 17500, -849.463225237948, 779.796871547096

1301, 18500, -849.463225237948, 779.796871547096
1302, 19500, -849.463225237948, 779.796871547096
1303, 20500, -849.463225237948, 779.796871547096
1304, 21500, -849.463225237948, 779.796871547096
1305, 22500, -849.463225237948, 779.796871547096
1306, 23500, -849.463225237948, 779.796871547096
1307, 24500, -849.463225237948, 779.796871547096
1308, 25500, -849.463225237948, 779.796871547096
1309, 26500, -849.463225237948, 779.796871547096
1310, 27500, -849.463225237948, 779.796871547096
1311, 28500, -849.463225237948, 779.796871547096
1312, 29500, -849.463225237948, 779.796871547096
1313, 30500, -849.463225237948, 779.796871547096
1314, 31500, -849.463225237948, 779.796871547096
1315, 32500, -849.463225237948, 779.796871547096
1316, 33500, -849.463225237948, 779.796871547096
1317, 34500, -849.463225237948, 779.796871547096
1318, 35500, -849.463225237948, 779.796871547096
1319, 36500, -849.463225237948, 779.796871547096
1320, 37500, -849.463225237948, 779.796871547096
1321, 38500, -849.463225237948, 779.796871547096
1322, 39500, -849.463225237948, 779.796871547096
1323, 40500, -849.463225237948, 779.796871547096
1324, 41500, -849.463225237948, 779.796871547096
1325, 500, 29951.2945769399, 1797.15709008905
1326, 1500, 29951.2945769399, 1797.15709008905
1327, 2500, 29951.2945769399, 1797.15709008905
1328, 3500, 29951.2945769399, 1797.15709008905
1329, 4500, 29951.2945769399, 1797.15709008905
1330, 5500, 29951.2945769399, 1797.15709008905
1331, 6500, 29951.2945769399, 1797.15709008905
1332, 7500, 29951.2945769399, 1797.15709008905
1333, 8500, 29951.2945769399, 1797.15709008905
1334, 9500, 29951.2945769399, 1797.15709008905
1335, 10500, 29951.2945769399, 1797.15709008905
1336, 11500, 29951.2945769399, 1797.15709008905
1337, 12500, 29951.2945769399, 1797.15709008905
1338, 13500, 29951.2945769399, 1797.15709008905
1339, 14500, 29951.2945769399, 1797.15709008905
1340, 15500, 29951.2945769399, 1797.15709008905
1341, 16500, 29951.2945769399, 1797.15709008905
1342, 17500, 29951.2945769399, 1797.15709008905
1343, 18500, 29951.2945769399, 1797.15709008905
1344, 19500, 29951.2945769399, 1797.15709008905
1345, 20500, 29951.2945769399, 1797.15709008905
1346, 21500, 29951.2945769399, 1797.15709008905
1347, 22500, 29951.2945769399, 1797.15709008905
1348, 23500, 29951.2945769399, 1797.15709008905
1349, 24500, 29951.2945769399, 1797.15709008905
1350, 25500, 29951.2945769399, 1797.15709008905
1351, 26500, 29951.2945769399, 1797.15709008905
1352, 27500, 29951.2945769399, 1797.15709008905
1353, 28500, 29951.2945769399, 1797.15709008905
1354, 29500, 29951.2945769399, 1797.15709008905
1355, 30500, 29951.2945769399, 1797.15709008905
1356, 31500, 29951.2945769399, 1797.15709008905
1357, 32500, 29951.2945769399, 1797.15709008905
1358, 33500, 29951.2945769399, 1797.15709008905
1359, 34500, 29951.2945769399, 1797.15709008905
1360, 35500, 29951.2945769399, 1797.15709008905
1361, 36500, 29951.2945769399, 1797.15709008905
1362, 37500, 29951.2945769399, 1797.15709008905
1363, 38500, 29951.2945769399, 1797.15709008905
1364, 39500, 29951.2945769399, 1797.15709008905
1365, 40500, 29951.2945769399, 1797.15709008905
1366, 41500, 29951.2945769399, 1797.15709008905
1367, 500, 26953.1890776376, 1690.55776995479
1368, 1500, 26953.1890776376, 1690.55776995479
1369, 2500, 26953.1890776376, 1690.55776995479
1370, 3500, 26953.1890776376, 1690.55776995479
1371, 4500, 26953.1890776376, 1690.55776995479
1372, 5500, 26953.1890776376, 1690.55776995479
1373, 6500, 26953.1890776376, 1690.55776995479
1374, 7500, 26953.1890776376, 1690.55776995479
1375, 8500, 26953.1890776376, 1690.55776995479
1376, 9500, 26953.1890776376, 1690.55776995479
1377, 10500, 26953.1890776376, 1690.55776995479
1378, 11500, 26953.1890776376, 1690.55776995479

1379, 12500, 26953.1890776376, 1690.55776995479
1380, 13500, 26953.1890776376, 1690.55776995479
1381, 14500, 26953.1890776376, 1690.55776995479
1382, 15500, 26953.1890776376, 1690.55776995479
1383, 16500, 26953.1890776376, 1690.55776995479
1384, 17500, 26953.1890776376, 1690.55776995479
1385, 18500, 26953.1890776376, 1690.55776995479
1386, 19500, 26953.1890776376, 1690.55776995479
1387, 20500, 26953.1890776376, 1690.55776995479
1388, 21500, 26953.1890776376, 1690.55776995479
1389, 22500, 26953.1890776376, 1690.55776995479
1390, 23500, 26953.1890776376, 1690.55776995479
1391, 24500, 26953.1890776376, 1690.55776995479
1392, 25500, 26953.1890776376, 1690.55776995479
1393, 26500, 26953.1890776376, 1690.55776995479
1394, 27500, 26953.1890776376, 1690.55776995479
1395, 28500, 26953.1890776376, 1690.55776995479
1396, 29500, 26953.1890776376, 1690.55776995479
1397, 30500, 26953.1890776376, 1690.55776995479
1398, 31500, 26953.1890776376, 1690.55776995479
1399, 32500, 26953.1890776376, 1690.55776995479
1400, 33500, 26953.1890776376, 1690.55776995479
1401, 34500, 26953.1890776376, 1690.55776995479
1402, 35500, 26953.1890776376, 1690.55776995479
1403, 36500, 26953.1890776376, 1690.55776995479
1404, 37500, 26953.1890776376, 1690.55776995479
1405, 38500, 26953.1890776376, 1690.55776995479
1406, 39500, 26953.1890776376, 1690.55776995479
1407, 40500, 26953.1890776376, 1690.55776995479
1408, 41500, 26953.1890776376, 1690.55776995479
1409, 500, 23955.0835783353, 1583.95844982053
1410, 1500, 23955.0835783353, 1583.95844982053
1411, 2500, 23955.0835783353, 1583.95844982053
1412, 3500, 23955.0835783353, 1583.95844982053
1413, 4500, 23955.0835783353, 1583.95844982053
1414, 5500, 23955.0835783353, 1583.95844982053
1415, 6500, 23955.0835783353, 1583.95844982053
1416, 7500, 23955.0835783353, 1583.95844982053
1417, 8500, 23955.0835783353, 1583.95844982053
1418, 9500, 23955.0835783353, 1583.95844982053
1419, 10500, 23955.0835783353, 1583.95844982053
1420, 11500, 23955.0835783353, 1583.95844982053
1421, 12500, 23955.0835783353, 1583.95844982053
1422, 13500, 23955.0835783353, 1583.95844982053
1423, 14500, 23955.0835783353, 1583.95844982053
1424, 15500, 23955.0835783353, 1583.95844982053
1425, 16500, 23955.0835783353, 1583.95844982053
1426, 17500, 23955.0835783353, 1583.95844982053
1427, 18500, 23955.0835783353, 1583.95844982053
1428, 19500, 23955.0835783353, 1583.95844982053
1429, 20500, 23955.0835783353, 1583.95844982053
1430, 21500, 23955.0835783353, 1583.95844982053
1431, 22500, 23955.0835783353, 1583.95844982053
1432, 23500, 23955.0835783353, 1583.95844982053
1433, 24500, 23955.0835783353, 1583.95844982053
1434, 25500, 23955.0835783353, 1583.95844982053
1435, 26500, 23955.0835783353, 1583.95844982053
1436, 27500, 23955.0835783353, 1583.95844982053
1437, 28500, 23955.0835783353, 1583.95844982053
1438, 29500, 23955.0835783353, 1583.95844982053
1439, 30500, 23955.0835783353, 1583.95844982053
1440, 31500, 23955.0835783353, 1583.95844982053
1441, 32500, 23955.0835783353, 1583.95844982053
1442, 33500, 23955.0835783353, 1583.95844982053
1443, 34500, 23955.0835783353, 1583.95844982053
1444, 35500, 23955.0835783353, 1583.95844982053
1445, 36500, 23955.0835783353, 1583.95844982053
1446, 37500, 23955.0835783353, 1583.95844982053
1447, 38500, 23955.0835783353, 1583.95844982053
1448, 39500, 23955.0835783353, 1583.95844982053
1449, 40500, 23955.0835783353, 1583.95844982053
1450, 41500, 23955.0835783353, 1583.95844982053
1451, 500, 20207.4517042073, 1450.70929965271
1452, 1500, 20207.4517042073, 1450.70929965271
1453, 2500, 20207.4517042073, 1450.70929965271
1454, 3500, 20207.4517042073, 1450.70929965271
1455, 4500, 20207.4517042073, 1450.70929965271
1456, 5500, 20207.4517042073, 1450.70929965271

1457, 6500, 20207.4517042073, 1450.70929965271
1458, 7500, 20207.4517042073, 1450.70929965271
1459, 8500, 20207.4517042073, 1450.70929965271
1460, 9500, 20207.4517042073, 1450.70929965271
1461, 10500, 20207.4517042073, 1450.70929965271
1462, 11500, 20207.4517042073, 1450.70929965271
1463, 12500, 20207.4517042073, 1450.70929965271
1464, 13500, 20207.4517042073, 1450.70929965271
1465, 14500, 20207.4517042073, 1450.70929965271
1466, 15500, 20207.4517042073, 1450.70929965271
1467, 16500, 20207.4517042073, 1450.70929965271
1468, 17500, 20207.4517042073, 1450.70929965271
1469, 18500, 20207.4517042073, 1450.70929965271
1470, 19500, 20207.4517042073, 1450.70929965271
1471, 20500, 20207.4517042073, 1450.70929965271
1472, 21500, 20207.4517042073, 1450.70929965271
1473, 22500, 20207.4517042073, 1450.70929965271
1474, 23500, 20207.4517042073, 1450.70929965271
1475, 24500, 20207.4517042073, 1450.70929965271
1476, 25500, 20207.4517042073, 1450.70929965271
1477, 26500, 20207.4517042073, 1450.70929965271
1478, 27500, 20207.4517042073, 1450.70929965271
1479, 28500, 20207.4517042073, 1450.70929965271
1480, 29500, 20207.4517042073, 1450.70929965271
1481, 30500, 20207.4517042073, 1450.70929965271
1482, 31500, 20207.4517042073, 1450.70929965271
1483, 32500, 20207.4517042073, 1450.70929965271
1484, 33500, 20207.4517042073, 1450.70929965271
1485, 34500, 20207.4517042073, 1450.70929965271
1486, 35500, 20207.4517042073, 1450.70929965271
1487, 36500, 20207.4517042073, 1450.70929965271
1488, 37500, 20207.4517042073, 1450.70929965271
1489, 38500, 20207.4517042073, 1450.70929965271
1490, 39500, 20207.4517042073, 1450.70929965271
1491, 40500, 20207.4517042073, 1450.70929965271
1492, 41500, 20207.4517042073, 1450.70929965271
1493, 500, 19449.400075222, 1423.75643891849
1494, 1500, 19449.400075222, 1423.75643891849
1495, 2500, 19449.400075222, 1423.75643891849
1496, 3500, 19449.400075222, 1423.75643891849
1497, 4500, 19449.400075222, 1423.75643891849
1498, 5500, 19449.400075222, 1423.75643891849
1499, 6500, 19449.400075222, 1423.75643891849
1500, 7500, 19449.400075222, 1423.75643891849
1501, 8500, 19449.400075222, 1423.75643891849
1502, 9500, 19449.400075222, 1423.75643891849
1503, 10500, 19449.400075222, 1423.75643891849
1504, 11500, 19449.400075222, 1423.75643891849
1505, 12500, 19449.400075222, 1423.75643891849
1506, 13500, 19449.400075222, 1423.75643891849
1507, 14500, 19449.400075222, 1423.75643891849
1508, 15500, 19449.400075222, 1423.75643891849
1509, 16500, 19449.400075222, 1423.75643891849
1510, 17500, 19449.400075222, 1423.75643891849
1511, 18500, 19449.400075222, 1423.75643891849
1512, 19500, 19449.400075222, 1423.75643891849
1513, 20500, 19449.400075222, 1423.75643891849
1514, 21500, 19449.400075222, 1423.75643891849
1515, 22500, 19449.400075222, 1423.75643891849
1516, 23500, 19449.400075222, 1423.75643891849
1517, 24500, 19449.400075222, 1423.75643891849
1518, 25500, 19449.400075222, 1423.75643891849
1519, 26500, 19449.400075222, 1423.75643891849
1520, 27500, 19449.400075222, 1423.75643891849
1521, 28500, 19449.400075222, 1423.75643891849
1522, 29500, 19449.400075222, 1423.75643891849
1523, 30500, 19449.400075222, 1423.75643891849
1524, 31500, 19449.400075222, 1423.75643891849
1525, 32500, 19449.400075222, 1423.75643891849
1526, 33500, 19449.400075222, 1423.75643891849
1527, 34500, 19449.400075222, 1423.75643891849
1528, 35500, 19449.400075222, 1423.75643891849
1529, 36500, 19449.400075222, 1423.75643891849
1530, 37500, 19449.400075222, 1423.75643891849
1531, 38500, 19449.400075222, 1423.75643891849
1532, 39500, 19449.400075222, 1423.75643891849
1533, 40500, 19449.400075222, 1423.75643891849
1534, 41500, 19449.400075222, 1423.75643891849

```
1535, 500, 22447.5055763808, 1530.35570683848
1536, 1500, 22447.5055763808, 1530.35570683848
1537, 2500, 22447.5055763808, 1530.35570683848
1538, 3500, 22447.5055763808, 1530.35570683848
1539, 4500, 22447.5055763808, 1530.35570683848
1540, 5500, 22447.5055763808, 1530.35570683848
1541, 6500, 22447.5055763808, 1530.35570683848
1542, 7500, 22447.5055763808, 1530.35570683848
1543, 8500, 22447.5055763808, 1530.35570683848
1544, 9500, 22447.5055763808, 1530.35570683848
1545, 10500, 22447.5055763808, 1530.35570683848
1546, 11500, 22447.5055763808, 1530.35570683848
1547, 12500, 22447.5055763808, 1530.35570683848
1548, 13500, 22447.5055763808, 1530.35570683848
1549, 14500, 22447.5055763808, 1530.35570683848
1550, 15500, 22447.5055763808, 1530.35570683848
1551, 16500, 22447.5055763808, 1530.35570683848
1552, 17500, 22447.5055763808, 1530.35570683848
1553, 18500, 22447.5055763808, 1530.35570683848
1554, 19500, 22447.5055763808, 1530.35570683848
1555, 20500, 22447.5055763808, 1530.35570683848
1556, 21500, 22447.5055763808, 1530.35570683848
1557, 22500, 22447.5055763808, 1530.35570683848
1558, 23500, 22447.5055763808, 1530.35570683848
1559, 24500, 22447.5055763808, 1530.35570683848
1560, 25500, 22447.5055763808, 1530.35570683848
1561, 26500, 22447.5055763808, 1530.35570683848
1562, 27500, 22447.5055763808, 1530.35570683848
1563, 28500, 22447.5055763808, 1530.35570683848
1564, 29500, 22447.5055763808, 1530.35570683848
1565, 30500, 22447.5055763808, 1530.35570683848
1566, 31500, 22447.5055763808, 1530.35570683848
1567, 32500, 22447.5055763808, 1530.35570683848
1568, 33500, 22447.5055763808, 1530.35570683848
1569, 34500, 22447.5055763808, 1530.35570683848
1570, 35500, 22447.5055763808, 1530.35570683848
1571, 36500, 22447.5055763808, 1530.35570683848
1572, 37500, 22447.5055763808, 1530.35570683848
1573, 38500, 22447.5055763808, 1530.35570683848
1574, 39500, 22447.5055763808, 1530.35570683848
1575, 40500, 22447.5055763808, 1530.35570683848
1576, 41500, 22447.5055763808, 1530.35570683848
1577, 500, 25445.6110775397, 1636.95497475847
1578, 1500, 25445.6110775397, 1636.95497475847
1579, 2500, 25445.6110775397, 1636.95497475847
1580, 3500, 25445.6110775397, 1636.95497475847
1581, 4500, 25445.6110775397, 1636.95497475847
1582, 5500, 25445.6110775397, 1636.95497475847
1583, 6500, 25445.6110775397, 1636.95497475847
1584, 7500, 25445.6110775397, 1636.95497475847
1585, 8500, 25445.6110775397, 1636.95497475847
1586, 9500, 25445.6110775397, 1636.95497475847
1587, 10500, 25445.6110775397, 1636.95497475847
1588, 11500, 25445.6110775397, 1636.95497475847
1589, 12500, 25445.6110775397, 1636.95497475847
1590, 13500, 25445.6110775397, 1636.95497475847
1591, 14500, 25445.6110775397, 1636.95497475847
1592, 15500, 25445.6110775397, 1636.95497475847
1593, 16500, 25445.6110775397, 1636.95497475847
1594, 17500, 25445.6110775397, 1636.95497475847
1595, 18500, 25445.6110775397, 1636.95497475847
1596, 19500, 25445.6110775397, 1636.95497475847
1597, 20500, 25445.6110775397, 1636.95497475847
1598, 21500, 25445.6110775397, 1636.95497475847
1599, 22500, 25445.6110775397, 1636.95497475847
1600, 23500, 25445.6110775397, 1636.95497475847
1601, 24500, 25445.6110775397, 1636.95497475847
1602, 25500, 25445.6110775397, 1636.95497475847
1603, 26500, 25445.6110775397, 1636.95497475847
1604, 27500, 25445.6110775397, 1636.95497475847
1605, 28500, 25445.6110775397, 1636.95497475847
1606, 29500, 25445.6110775397, 1636.95497475847
1607, 30500, 25445.6110775397, 1636.95497475847
1608, 31500, 25445.6110775397, 1636.95497475847
1609, 32500, 25445.6110775397, 1636.95497475847
1610, 33500, 25445.6110775397, 1636.95497475847
1611, 34500, 25445.6110775397, 1636.95497475847
1612, 35500, 25445.6110775397, 1636.95497475847
```

```
1613, 36500, 25445.6110775397, 1636.95497475847
1614, 37500, 25445.6110775397, 1636.95497475847
1615, 38500, 25445.6110775397, 1636.95497475847
1616, 39500, 25445.6110775397, 1636.95497475847
1617, 40500, 25445.6110775397, 1636.95497475847
1618, 41500, 25445.6110775397, 1636.95497475847
1619, 500, 29193.2429539882, 1770.20405965846
1620, 1500, 29193.2429539882, 1770.20405965846
1621, 2500, 29193.2429539882, 1770.20405965846
1622, 3500, 29193.2429539882, 1770.20405965846
1623, 4500, 29193.2429539882, 1770.20405965846
1624, 5500, 29193.2429539882, 1770.20405965846
1625, 6500, 29193.2429539882, 1770.20405965846
1626, 7500, 29193.2429539882, 1770.20405965846
1627, 8500, 29193.2429539882, 1770.20405965846
1628, 9500, 29193.2429539882, 1770.20405965846
1629, 10500, 29193.2429539882, 1770.20405965846
1630, 11500, 29193.2429539882, 1770.20405965846
1631, 12500, 29193.2429539882, 1770.20405965846
1632, 13500, 29193.2429539882, 1770.20405965846
1633, 14500, 29193.2429539882, 1770.20405965846
1634, 15500, 29193.2429539882, 1770.20405965846
1635, 16500, 29193.2429539882, 1770.20405965846
1636, 17500, 29193.2429539882, 1770.20405965846
1637, 18500, 29193.2429539882, 1770.20405965846
1638, 19500, 29193.2429539882, 1770.20405965846
1639, 20500, 29193.2429539882, 1770.20405965846
1640, 21500, 29193.2429539882, 1770.20405965846
1641, 22500, 29193.2429539882, 1770.20405965846
1642, 23500, 29193.2429539882, 1770.20405965846
1643, 24500, 29193.2429539882, 1770.20405965846
1644, 25500, 29193.2429539882, 1770.20405965846
1645, 26500, 29193.2429539882, 1770.20405965846
1646, 27500, 29193.2429539882, 1770.20405965846
1647, 28500, 29193.2429539882, 1770.20405965846
1648, 29500, 29193.2429539882, 1770.20405965846
1649, 30500, 29193.2429539882, 1770.20405965846
1650, 31500, 29193.2429539882, 1770.20405965846
1651, 32500, 29193.2429539882, 1770.20405965846
1652, 33500, 29193.2429539882, 1770.20405965846
1653, 34500, 29193.2429539882, 1770.20405965846
1654, 35500, 29193.2429539882, 1770.20405965846
1655, 36500, 29193.2429539882, 1770.20405965846
1656, 37500, 29193.2429539882, 1770.20405965846
1657, 38500, 29193.2429539882, 1770.20405965846
1658, 39500, 29193.2429539882, 1770.20405965846
1659, 40500, 29193.2429539882, 1770.20405965846
1660, 41500, 29193.2429539882, 1770.20405965846
1661, 500, 30248.2633826126, 1807.71581136471
1662, 1500, 30248.2633826126, 1807.71581136471
1663, 2500, 30248.2633826126, 1807.71581136471
1664, 3500, 30248.2633826126, 1807.71581136471
1665, 4500, 30248.2633826126, 1807.71581136471
1666, 5500, 30248.2633826126, 1807.71581136471
1667, 6500, 30248.2633826126, 1807.71581136471
1668, 7500, 30248.2633826126, 1807.71581136471
1669, 8500, 30248.2633826126, 1807.71581136471
1670, 9500, 30248.2633826126, 1807.71581136471
1671, 10500, 30248.2633826126, 1807.71581136471
1672, 11500, 30248.2633826126, 1807.71581136471
1673, 12500, 30248.2633826126, 1807.71581136471
1674, 13500, 30248.2633826126, 1807.71581136471
1675, 14500, 30248.2633826126, 1807.71581136471
1676, 15500, 30248.2633826126, 1807.71581136471
1677, 16500, 30248.2633826126, 1807.71581136471
1678, 17500, 30248.2633826126, 1807.71581136471
1679, 18500, 30248.2633826126, 1807.71581136471
1680, 19500, 30248.2633826126, 1807.71581136471
1681, 20500, 30248.2633826126, 1807.71581136471
1682, 21500, 30248.2633826126, 1807.71581136471
1683, 22500, 30248.2633826126, 1807.71581136471
1684, 23500, 30248.2633826126, 1807.71581136471
1685, 24500, 30248.2633826126, 1807.71581136471
1686, 25500, 30248.2633826126, 1807.71581136471
1687, 26500, 30248.2633826126, 1807.71581136471
1688, 27500, 30248.2633826126, 1807.71581136471
1689, 28500, 30248.2633826126, 1807.71581136471
1690, 29500, 30248.2633826126, 1807.71581136471
```

1691, 30500, 30248.2633826126, 1807.71581136471
1692, 31500, 30248.2633826126, 1807.71581136471
1693, 32500, 30248.2633826126, 1807.71581136471
1694, 33500, 30248.2633826126, 1807.71581136471
1695, 34500, 30248.2633826126, 1807.71581136471
1696, 35500, 30248.2633826126, 1807.71581136471
1697, 36500, 30248.2633826126, 1807.71581136471
1698, 37500, 30248.2633826126, 1807.71581136471
1699, 38500, 30248.2633826126, 1807.71581136471
1700, 39500, 30248.2633826126, 1807.71581136471
1701, 40500, 30248.2633826126, 1807.71581136471
1702, 41500, 30248.2633826126, 1807.71581136471
1703, 500, 24501.8945047675, 1603.40056540294
1704, 1500, 24501.8945047675, 1603.40056540294
1705, 2500, 24501.8945047675, 1603.40056540294
1706, 3500, 24501.8945047675, 1603.40056540294
1707, 4500, 24501.8945047675, 1603.40056540294
1708, 5500, 24501.8945047675, 1603.40056540294
1709, 6500, 24501.8945047675, 1603.40056540294
1710, 7500, 24501.8945047675, 1603.40056540294
1711, 8500, 24501.8945047675, 1603.40056540294
1712, 9500, 24501.8945047675, 1603.40056540294
1713, 10500, 24501.8945047675, 1603.40056540294
1714, 11500, 24501.8945047675, 1603.40056540294
1715, 12500, 24501.8945047675, 1603.40056540294
1716, 13500, 24501.8945047675, 1603.40056540294
1717, 14500, 24501.8945047675, 1603.40056540294
1718, 15500, 24501.8945047675, 1603.40056540294
1719, 16500, 24501.8945047675, 1603.40056540294
1720, 17500, 24501.8945047675, 1603.40056540294
1721, 18500, 24501.8945047675, 1603.40056540294
1722, 19500, 24501.8945047675, 1603.40056540294
1723, 20500, 24501.8945047675, 1603.40056540294
1724, 21500, 24501.8945047675, 1603.40056540294
1725, 22500, 24501.8945047675, 1603.40056540294
1726, 23500, 24501.8945047675, 1603.40056540294
1727, 24500, 24501.8945047675, 1603.40056540294
1728, 25500, 24501.8945047675, 1603.40056540294
1729, 26500, 24501.8945047675, 1603.40056540294
1730, 27500, 24501.8945047675, 1603.40056540294
1731, 28500, 24501.8945047675, 1603.40056540294
1732, 29500, 24501.8945047675, 1603.40056540294
1733, 30500, 24501.8945047675, 1603.40056540294
1734, 31500, 24501.8945047675, 1603.40056540294
1735, 32500, 24501.8945047675, 1603.40056540294
1736, 33500, 24501.8945047675, 1603.40056540294
1737, 34500, 24501.8945047675, 1603.40056540294
1738, 35500, 24501.8945047675, 1603.40056540294
1739, 36500, 24501.8945047675, 1603.40056540294
1740, 37500, 24501.8945047675, 1603.40056540294
1741, 38500, 24501.8945047675, 1603.40056540294
1742, 39500, 24501.8945047675, 1603.40056540294
1743, 40500, 24501.8945047675, 1603.40056540294
1744, 41500, 24501.8945047675, 1603.40056540294
1745, 500, 21503.7890089798, 1496.80114641764
1746, 1500, 21503.7890089798, 1496.80114641764
1747, 2500, 21503.7890089798, 1496.80114641764
1748, 3500, 21503.7890089798, 1496.80114641764
1749, 4500, 21503.7890089798, 1496.80114641764
1750, 5500, 21503.7890089798, 1496.80114641764
1751, 6500, 21503.7890089798, 1496.80114641764
1752, 7500, 21503.7890089798, 1496.80114641764
1753, 8500, 21503.7890089798, 1496.80114641764
1754, 9500, 21503.7890089798, 1496.80114641764
1755, 10500, 21503.7890089798, 1496.80114641764
1756, 11500, 21503.7890089798, 1496.80114641764
1757, 12500, 21503.7890089798, 1496.80114641764
1758, 13500, 21503.7890089798, 1496.80114641764
1759, 14500, 21503.7890089798, 1496.80114641764
1760, 15500, 21503.7890089798, 1496.80114641764
1761, 16500, 21503.7890089798, 1496.80114641764
1762, 17500, 21503.7890089798, 1496.80114641764
1763, 18500, 21503.7890089798, 1496.80114641764
1764, 19500, 21503.7890089798, 1496.80114641764
1765, 20500, 21503.7890089798, 1496.80114641764
1766, 21500, 21503.7890089798, 1496.80114641764
1767, 22500, 21503.7890089798, 1496.80114641764
1768, 23500, 21503.7890089798, 1496.80114641764

PROJECT TITLE :

	Company		Client	
	Author		File Name	Brembiolo1_08_completo(fasi)DEFINITIVO.mgt

1769, 24500, 21503.7890089798, 1496.80114641764
1770, 25500, 21503.7890089798, 1496.80114641764
1771, 26500, 21503.7890089798, 1496.80114641764
1772, 27500, 21503.7890089798, 1496.80114641764
1773, 28500, 21503.7890089798, 1496.80114641764
1774, 29500, 21503.7890089798, 1496.80114641764
1775, 30500, 21503.7890089798, 1496.80114641764
1776, 31500, 21503.7890089798, 1496.80114641764
1777, 32500, 21503.7890089798, 1496.80114641764
1778, 33500, 21503.7890089798, 1496.80114641764
1779, 34500, 21503.7890089798, 1496.80114641764
1780, 35500, 21503.7890089798, 1496.80114641764
1781, 36500, 21503.7890089798, 1496.80114641764
1782, 37500, 21503.7890089798, 1496.80114641764
1783, 38500, 21503.7890089798, 1496.80114641764
1784, 39500, 21503.7890089798, 1496.80114641764
1785, 40500, 21503.7890089798, 1496.80114641764
1786, 41500, 21503.7890089798, 1496.80114641764
1787, 500, 19005.3677617985, 1407.96831671575
1788, 1500, 19005.3677617985, 1407.96831671575
1789, 2500, 19005.3677617985, 1407.96831671575
1790, 3500, 19005.3677617985, 1407.96831671575
1791, 4500, 19005.3677617985, 1407.96831671575
1792, 5500, 19005.3677617985, 1407.96831671575
1793, 6500, 19005.3677617985, 1407.96831671575
1794, 7500, 19005.3677617985, 1407.96831671575
1795, 8500, 19005.3677617985, 1407.96831671575
1796, 9500, 19005.3677617985, 1407.96831671575
1797, 10500, 19005.3677617985, 1407.96831671575
1798, 11500, 19005.3677617985, 1407.96831671575
1799, 12500, 19005.3677617985, 1407.96831671575
1800, 13500, 19005.3677617985, 1407.96831671575
1801, 14500, 19005.3677617985, 1407.96831671575
1802, 15500, 19005.3677617985, 1407.96831671575
1803, 16500, 19005.3677617985, 1407.96831671575
1804, 17500, 19005.3677617985, 1407.96831671575
1805, 18500, 19005.3677617985, 1407.96831671575
1806, 19500, 19005.3677617985, 1407.96831671575
1807, 20500, 19005.3677617985, 1407.96831671575
1808, 21500, 19005.3677617985, 1407.96831671575
1809, 22500, 19005.3677617985, 1407.96831671575
1810, 23500, 19005.3677617985, 1407.96831671575
1811, 24500, 19005.3677617985, 1407.96831671575
1812, 25500, 19005.3677617985, 1407.96831671575
1813, 26500, 19005.3677617985, 1407.96831671575
1814, 27500, 19005.3677617985, 1407.96831671575
1815, 28500, 19005.3677617985, 1407.96831671575
1816, 29500, 19005.3677617985, 1407.96831671575
1817, 30500, 19005.3677617985, 1407.96831671575
1818, 31500, 19005.3677617985, 1407.96831671575
1819, 32500, 19005.3677617985, 1407.96831671575
1820, 33500, 19005.3677617985, 1407.96831671575
1821, 34500, 19005.3677617985, 1407.96831671575
1822, 35500, 19005.3677617985, 1407.96831671575
1823, 36500, 19005.3677617985, 1407.96831671575
1824, 37500, 19005.3677617985, 1407.96831671575
1825, 38500, 19005.3677617985, 1407.96831671575
1826, 39500, 19005.3677617985, 1407.96831671575
1827, 40500, 19005.3677617985, 1407.96831671575
1828, 41500, 19005.3677617985, 1407.96831671575
1829, 500, 25998.1055097844, 1656.59902532642
1830, 1500, 25998.1055097844, 1656.59902532642
1831, 2500, 25998.1055097844, 1656.59902532642
1832, 3500, 25998.1055097844, 1656.59902532642
1833, 4500, 25998.1055097844, 1656.59902532642
1834, 5500, 25998.1055097844, 1656.59902532642
1835, 6500, 25998.1055097844, 1656.59902532642
1836, 7500, 25998.1055097844, 1656.59902532642
1837, 8500, 25998.1055097844, 1656.59902532642
1838, 9500, 25998.1055097844, 1656.59902532642
1839, 10500, 25998.1055097844, 1656.59902532642
1840, 11500, 25998.1055097844, 1656.59902532642
1841, 12500, 25998.1055097844, 1656.59902532642
1842, 13500, 25998.1055097844, 1656.59902532642
1843, 14500, 25998.1055097844, 1656.59902532642
1844, 15500, 25998.1055097844, 1656.59902532642
1845, 16500, 25998.1055097844, 1656.59902532642
1846, 17500, 25998.1055097844, 1656.59902532642

1847, 18500, 25998.1055097844, 1656.59902532642
1848, 19500, 25998.1055097844, 1656.59902532642
1849, 20500, 25998.1055097844, 1656.59902532642
1850, 21500, 25998.1055097844, 1656.59902532642
1851, 22500, 25998.1055097844, 1656.59902532642
1852, 23500, 25998.1055097844, 1656.59902532642
1853, 24500, 25998.1055097844, 1656.59902532642
1854, 25500, 25998.1055097844, 1656.59902532642
1855, 26500, 25998.1055097844, 1656.59902532642
1856, 27500, 25998.1055097844, 1656.59902532642
1857, 28500, 25998.1055097844, 1656.59902532642
1858, 29500, 25998.1055097844, 1656.59902532642
1859, 30500, 25998.1055097844, 1656.59902532642
1860, 31500, 25998.1055097844, 1656.59902532642
1861, 32500, 25998.1055097844, 1656.59902532642
1862, 33500, 25998.1055097844, 1656.59902532642
1863, 34500, 25998.1055097844, 1656.59902532642
1864, 35500, 25998.1055097844, 1656.59902532642
1865, 36500, 25998.1055097844, 1656.59902532642
1866, 37500, 25998.1055097844, 1656.59902532642
1867, 38500, 25998.1055097844, 1656.59902532642
1868, 39500, 25998.1055097844, 1656.59902532642
1869, 40500, 25998.1055097844, 1656.59902532642
1870, 41500, 25998.1055097844, 1656.59902532642
1871, 500, 29495.8952744891, 1780.96446235232
1872, 1500, 29495.8952744891, 1780.96446235232
1873, 2500, 29495.8952744891, 1780.96446235232
1874, 3500, 29495.8952744891, 1780.96446235232
1875, 4500, 29495.8952744891, 1780.96446235232
1876, 5500, 29495.8952744891, 1780.96446235232
1877, 6500, 29495.8952744891, 1780.96446235232
1878, 7500, 29495.8952744891, 1780.96446235232
1879, 8500, 29495.8952744891, 1780.96446235232
1880, 9500, 29495.8952744891, 1780.96446235232
1881, 10500, 29495.8952744891, 1780.96446235232
1882, 11500, 29495.8952744891, 1780.96446235232
1883, 12500, 29495.8952744891, 1780.96446235232
1884, 13500, 29495.8952744891, 1780.96446235232
1885, 14500, 29495.8952744891, 1780.96446235232
1886, 15500, 29495.8952744891, 1780.96446235232
1887, 16500, 29495.8952744891, 1780.96446235232
1888, 17500, 29495.8952744891, 1780.96446235232
1889, 18500, 29495.8952744891, 1780.96446235232
1890, 19500, 29495.8952744891, 1780.96446235232
1891, 20500, 29495.8952744891, 1780.96446235232
1892, 21500, 29495.8952744891, 1780.96446235232
1893, 22500, 29495.8952744891, 1780.96446235232
1894, 23500, 29495.8952744891, 1780.96446235232
1895, 24500, 29495.8952744891, 1780.96446235232
1896, 25500, 29495.8952744891, 1780.96446235232
1897, 26500, 29495.8952744891, 1780.96446235232
1898, 27500, 29495.8952744891, 1780.96446235232
1899, 28500, 29495.8952744891, 1780.96446235232
1900, 29500, 29495.8952744891, 1780.96446235232
1901, 30500, 29495.8952744891, 1780.96446235232
1902, 31500, 29495.8952744891, 1780.96446235232
1903, 32500, 29495.8952744891, 1780.96446235232
1904, 33500, 29495.8952744891, 1780.96446235232
1905, 34500, 29495.8952744891, 1780.96446235232
1906, 35500, 29495.8952744891, 1780.96446235232
1907, 36500, 29495.8952744891, 1780.96446235232
1908, 37500, 29495.8952744891, 1780.96446235232
1909, 38500, 29495.8952744891, 1780.96446235232
1910, 39500, 29495.8952744891, 1780.96446235232
1911, 40500, 29495.8952744891, 1780.96446235232
1912, 41500, 29495.8952744891, 1780.96446235232
1913, 500, 20001.8945170589, 1443.40021970754
1914, 1500, 20001.8945170589, 1443.40021970754
1915, 2500, 20001.8945170589, 1443.40021970754
1916, 3500, 20001.8945170589, 1443.40021970754
1917, 4500, 20001.8945170589, 1443.40021970754
1918, 5500, 20001.8945170589, 1443.40021970754
1919, 6500, 20001.8945170589, 1443.40021970754
1920, 7500, 20001.8945170589, 1443.40021970754
1921, 8500, 20001.8945170589, 1443.40021970754
1922, 9500, 20001.8945170589, 1443.40021970754
1923, 10500, 20001.8945170589, 1443.40021970754
1924, 11500, 20001.8945170589, 1443.40021970754

PROJECT TITLE :

	Company		Client	
	Author		File Name	Brembiolo1_08_completo(fasi)DEFINITIVO.mgt

```
1925, 12500, 20001.8945170589, 1443.40021970754
1926, 13500, 20001.8945170589, 1443.40021970754
1927, 14500, 20001.8945170589, 1443.40021970754
1928, 15500, 20001.8945170589, 1443.40021970754
1929, 16500, 20001.8945170589, 1443.40021970754
1930, 17500, 20001.8945170589, 1443.40021970754
1931, 18500, 20001.8945170589, 1443.40021970754
1932, 19500, 20001.8945170589, 1443.40021970754
1933, 20500, 20001.8945170589, 1443.40021970754
1934, 21500, 20001.8945170589, 1443.40021970754
1935, 22500, 20001.8945170589, 1443.40021970754
1936, 23500, 20001.8945170589, 1443.40021970754
1937, 24500, 20001.8945170589, 1443.40021970754
1938, 25500, 20001.8945170589, 1443.40021970754
1939, 26500, 20001.8945170589, 1443.40021970754
1940, 27500, 20001.8945170589, 1443.40021970754
1941, 28500, 20001.8945170589, 1443.40021970754
1942, 29500, 20001.8945170589, 1443.40021970754
1943, 30500, 20001.8945170589, 1443.40021970754
1944, 31500, 20001.8945170589, 1443.40021970754
1945, 32500, 20001.8945170589, 1443.40021970754
1946, 33500, 20001.8945170589, 1443.40021970754
1947, 34500, 20001.8945170589, 1443.40021970754
1948, 35500, 20001.8945170589, 1443.40021970754
1949, 36500, 20001.8945170589, 1443.40021970754
1950, 37500, 20001.8945170589, 1443.40021970754
1951, 38500, 20001.8945170589, 1443.40021970754
1952, 39500, 20001.8945170589, 1443.40021970754
1953, 40500, 20001.8945170589, 1443.40021970754
1954, 41500, 20001.8945170589, 1443.40021970754
1955, 500, 18252.9996520099, 1381.21701453694
1956, 1500, 18252.9996520099, 1381.21701453694
1957, 2500, 18252.9996520099, 1381.21701453694
1958, 3500, 18252.9996520099, 1381.21701453694
1959, 4500, 18252.9996520099, 1381.21701453694
1960, 5500, 18252.9996520099, 1381.21701453694
1961, 6500, 18252.9996520099, 1381.21701453694
1962, 7500, 18252.9996520099, 1381.21701453694
1963, 8500, 18252.9996520099, 1381.21701453694
1964, 9500, 18252.9996520099, 1381.21701453694
1965, 10500, 18252.9996520099, 1381.21701453694
1966, 11500, 18252.9996520099, 1381.21701453694
1967, 12500, 18252.9996520099, 1381.21701453694
1968, 13500, 18252.9996520099, 1381.21701453694
1969, 14500, 18252.9996520099, 1381.21701453694
1970, 15500, 18252.9996520099, 1381.21701453694
1971, 16500, 18252.9996520099, 1381.21701453694
1972, 17500, 18252.9996520099, 1381.21701453694
1973, 18500, 18252.9996520099, 1381.21701453694
1974, 19500, 18252.9996520099, 1381.21701453694
1975, 20500, 18252.9996520099, 1381.21701453694
1976, 21500, 18252.9996520099, 1381.21701453694
1977, 22500, 18252.9996520099, 1381.21701453694
1978, 23500, 18252.9996520099, 1381.21701453694
1979, 24500, 18252.9996520099, 1381.21701453694
1980, 25500, 18252.9996520099, 1381.21701453694
1981, 26500, 18252.9996520099, 1381.21701453694
1982, 27500, 18252.9996520099, 1381.21701453694
1983, 28500, 18252.9996520099, 1381.21701453694
1984, 29500, 18252.9996520099, 1381.21701453694
1985, 30500, 18252.9996520099, 1381.21701453694
1986, 31500, 18252.9996520099, 1381.21701453694
1987, 32500, 18252.9996520099, 1381.21701453694
1988, 33500, 18252.9996520099, 1381.21701453694
1989, 34500, 18252.9996520099, 1381.21701453694
1990, 35500, 18252.9996520099, 1381.21701453694
1991, 36500, 18252.9996520099, 1381.21701453694
1992, 37500, 18252.9996520099, 1381.21701453694
1993, 38500, 18252.9996520099, 1381.21701453694
1994, 39500, 18252.9996520099, 1381.21701453694
1995, 40500, 18252.9996520099, 1381.21701453694
1996, 41500, 18252.9996520099, 1381.21701453694
1997, 500, 15223.9106628281, 1351.29458856722
1998, 500, 24723.9106628281, 1611.29458856722
1999, 1500, 15223.9106628281, 1351.29458856722
2000, 1500, 24723.9106628281, 1611.29458856722
2001, 2500, 15223.9106628281, 1351.29458856722
2002, 2500, 24723.9106628281, 1611.29458856722
```

PROJECT TITLE :

	Company		Client	
	Author		File Name	Brembiolo1_08_completo(fasi)DEFINITIVO.mgt

```
2003, 3500, 15223.9106628281, 1351.29458856722
2004, 3500, 24723.9106628281, 1611.29458856722
2005, 4500, 15223.9106628281, 1351.29458856722
2006, 4500, 24723.9106628281, 1611.29458856722
2007, 5500, 15223.9106628281, 1351.29458856722
2008, 5500, 24723.9106628281, 1611.29458856722
2009, 6500, 15223.9106628281, 1351.29458856722
2010, 6500, 24723.9106628281, 1611.29458856722
2011, 7500, 15223.9106628281, 1351.29458856722
2012, 7500, 24723.9106628281, 1611.29458856722
2013, 8500, 15223.9106628281, 1351.29458856722
2014, 8500, 24723.9106628281, 1611.29458856722
2015, 9500, 15223.9106628281, 1351.29458856722
2016, 9500, 24723.9106628281, 1611.29458856722
2017, 10500, 15223.9106628281, 1351.29458856722
2018, 10500, 24723.9106628281, 1611.29458856722
2019, 11500, 15223.9106628281, 1351.29458856722
2020, 11500, 24723.9106628281, 1611.29458856722
2021, 12500, 15223.9106628281, 1351.29458856722
2022, 12500, 24723.9106628281, 1611.29458856722
2023, 13500, 15223.9106628281, 1351.29458856722
2024, 13500, 24723.9106628281, 1611.29458856722
2025, 14500, 15223.9106628281, 1351.29458856722
2026, 14500, 24723.9106628281, 1611.29458856722
2027, 15500, 15223.9106628281, 1351.29458856722
2028, 15500, 24723.9106628281, 1611.29458856722
2029, 16500, 15223.9106628281, 1351.29458856722
2030, 16500, 24723.9106628281, 1611.29458856722
2031, 17500, 15223.9106628281, 1351.29458856722
2032, 17500, 24723.9106628281, 1611.29458856722
2033, 18500, 15223.9106628281, 1351.29458856722
2034, 18500, 24723.9106628281, 1611.29458856722
2035, 19500, 15223.9106628281, 1351.29458856722
2036, 19500, 24723.9106628281, 1611.29458856722
2037, 20500, 15223.9106628281, 1351.29458856722
2038, 20500, 24723.9106628281, 1611.29458856722
2039, 21500, 15223.9106628281, 1351.29458856722
2040, 21500, 24723.9106628281, 1611.29458856722
2041, 22500, 15223.9106628281, 1351.29458856722
2042, 22500, 24723.9106628281, 1611.29458856722
2043, 23500, 15223.9106628281, 1351.29458856722
2044, 23500, 24723.9106628281, 1611.29458856722
2045, 24500, 15223.9106628281, 1351.29458856722
2046, 24500, 24723.9106628281, 1611.29458856722
2047, 25500, 15223.9106628281, 1351.29458856722
2048, 25500, 24723.9106628281, 1611.29458856722
2049, 26500, 15223.9106628281, 1351.29458856722
2050, 26500, 24723.9106628281, 1611.29458856722
2051, 27500, 15223.9106628281, 1351.29458856722
2052, 27500, 24723.9106628281, 1611.29458856722
2053, 28500, 15223.9106628281, 1351.29458856722
2054, 28500, 24723.9106628281, 1611.29458856722
2055, 29500, 15223.9106628281, 1351.29458856722
2056, 29500, 24723.9106628281, 1611.29458856722
2057, 30500, 15223.9106628281, 1351.29458856722
2058, 30500, 24723.9106628281, 1611.29458856722
2059, 31500, 15223.9106628281, 1351.29458856722
2060, 31500, 24723.9106628281, 1611.29458856722
2061, 32500, 15223.9106628281, 1351.29458856722
2062, 32500, 24723.9106628281, 1611.29458856722
2063, 33500, 15223.9106628281, 1351.29458856722
2064, 33500, 24723.9106628281, 1611.29458856722
2065, 34500, 15223.9106628281, 1351.29458856722
2066, 34500, 24723.9106628281, 1611.29458856722
2067, 35500, 15223.9106628281, 1351.29458856722
2068, 35500, 24723.9106628281, 1611.29458856722
2069, 36500, 15223.9106628281, 1351.29458856722
2070, 36500, 24723.9106628281, 1611.29458856722
2071, 37500, 15223.9106628281, 1351.29458856722
2072, 37500, 24723.9106628281, 1611.29458856722
2073, 38500, 15223.9106628281, 1351.29458856722
2074, 38500, 24723.9106628281, 1611.29458856722
2075, 39500, 15223.9106628281, 1351.29458856722
2076, 39500, 24723.9106628281, 1611.29458856722
2077, 40500, 15223.9106628281, 1351.29458856722
2078, 40500, 24723.9106628281, 1611.29458856722
2079, 41500, 15223.9106628281, 1351.29458856722
2080, 41500, 24723.9106628281, 1611.29458856722
```

2081, 500, 10501.8945002185, 1183.4006933411
2082, 1500, 10501.8945002185, 1183.4006933411
2083, 2500, 10501.8945002185, 1183.4006933411
2084, 3500, 10501.8945002185, 1183.4006933411
2085, 4500, 10501.8945002185, 1183.4006933411
2086, 5500, 10501.8945002185, 1183.4006933411
2087, 6500, 10501.8945002185, 1183.4006933411
2088, 7500, 10501.8945002185, 1183.4006933411
2089, 8500, 10501.8945002185, 1183.4006933411
2090, 9500, 10501.8945002185, 1183.4006933411
2091, 10500, 10501.8945002185, 1183.4006933411
2092, 11500, 10501.8945002185, 1183.4006933411
2093, 12500, 10501.8945002185, 1183.4006933411
2094, 13500, 10501.8945002185, 1183.4006933411
2095, 14500, 10501.8945002185, 1183.4006933411
2096, 15500, 10501.8945002185, 1183.4006933411
2097, 16500, 10501.8945002185, 1183.4006933411
2098, 17500, 10501.8945002185, 1183.4006933411
2099, 18500, 10501.8945002185, 1183.4006933411
2100, 19500, 10501.8945002185, 1183.4006933411
2101, 20500, 10501.8945002185, 1183.4006933411
2102, 21500, 10501.8945002185, 1183.4006933411
2103, 22500, 10501.8945002185, 1183.4006933411
2104, 23500, 10501.8945002185, 1183.4006933411
2105, 24500, 10501.8945002185, 1183.4006933411
2106, 25500, 10501.8945002185, 1183.4006933411
2107, 26500, 10501.8945002185, 1183.4006933411
2108, 27500, 10501.8945002185, 1183.4006933411
2109, 28500, 10501.8945002185, 1183.4006933411
2110, 29500, 10501.8945002185, 1183.4006933411
2111, 30500, 10501.8945002185, 1183.4006933411
2112, 31500, 10501.8945002185, 1183.4006933411
2113, 32500, 10501.8945002185, 1183.4006933411
2114, 33500, 10501.8945002185, 1183.4006933411
2115, 34500, 10501.8945002185, 1183.4006933411
2116, 35500, 10501.8945002185, 1183.4006933411
2117, 36500, 10501.8945002185, 1183.4006933411
2118, 37500, 10501.8945002185, 1183.4006933411
2119, 38500, 10501.8945002185, 1183.4006933411
2120, 39500, 10501.8945002185, 1183.4006933411
2121, 40500, 10501.8945002185, 1183.4006933411
2122, 41500, 10501.8945002185, 1183.4006933411
2123, 500, 7503.78900043708, 1076.80138668221
2124, 500, 17003.7890004371, 1336.80138668221
2125, 1500, 7503.78900043708, 1076.80138668221
2126, 1500, 17003.7890004371, 1336.80138668221
2127, 2500, 7503.78900043708, 1076.80138668221
2128, 2500, 17003.7890004371, 1336.80138668221
2129, 3500, 7503.78900043708, 1076.80138668221
2130, 3500, 17003.7890004371, 1336.80138668221
2131, 4500, 7503.78900043708, 1076.80138668221
2132, 4500, 17003.7890004371, 1336.80138668221
2133, 5500, 7503.78900043708, 1076.80138668221
2134, 5500, 17003.7890004371, 1336.80138668221
2135, 6500, 7503.78900043708, 1076.80138668221
2136, 6500, 17003.7890004371, 1336.80138668221
2137, 7500, 7503.78900043708, 1076.80138668221
2138, 7500, 17003.7890004371, 1336.80138668221
2139, 8500, 7503.78900043708, 1076.80138668221
2140, 8500, 17003.7890004371, 1336.80138668221
2141, 9500, 7503.78900043708, 1076.80138668221
2142, 9500, 17003.7890004371, 1336.80138668221
2143, 10500, 7503.78900043708, 1076.80138668221
2144, 10500, 17003.7890004371, 1336.80138668221
2145, 11500, 7503.78900043708, 1076.80138668221
2146, 11500, 17003.7890004371, 1336.80138668221
2147, 12500, 7503.78900043708, 1076.80138668221
2148, 12500, 17003.7890004371, 1336.80138668221
2149, 13500, 7503.78900043708, 1076.80138668221
2150, 13500, 17003.7890004371, 1336.80138668221
2151, 14500, 7503.78900043708, 1076.80138668221
2152, 14500, 17003.7890004371, 1336.80138668221
2153, 15500, 7503.78900043708, 1076.80138668221
2154, 15500, 17003.7890004371, 1336.80138668221
2155, 16500, 7503.78900043708, 1076.80138668221
2156, 16500, 17003.7890004371, 1336.80138668221
2157, 17500, 7503.78900043708, 1076.80138668221
2158, 17500, 17003.7890004371, 1336.80138668221

2159, 18500, 7503.78900043708, 1076.80138668221
2160, 18500, 17003.7890004371, 1336.80138668221
2161, 19500, 7503.78900043708, 1076.80138668221
2162, 19500, 17003.7890004371, 1336.80138668221
2163, 20500, 7503.78900043708, 1076.80138668221
2164, 20500, 17003.7890004371, 1336.80138668221
2165, 21500, 7503.78900043708, 1076.80138668221
2166, 21500, 17003.7890004371, 1336.80138668221
2167, 22500, 7503.78900043708, 1076.80138668221
2168, 22500, 17003.7890004371, 1336.80138668221
2169, 23500, 7503.78900043708, 1076.80138668221
2170, 23500, 17003.7890004371, 1336.80138668221
2171, 24500, 7503.78900043708, 1076.80138668221
2172, 24500, 17003.7890004371, 1336.80138668221
2173, 25500, 7503.78900043708, 1076.80138668221
2174, 25500, 17003.7890004371, 1336.80138668221
2175, 26500, 7503.78900043708, 1076.80138668221
2176, 26500, 17003.7890004371, 1336.80138668221
2177, 27500, 7503.78900043708, 1076.80138668221
2178, 27500, 17003.7890004371, 1336.80138668221
2179, 28500, 7503.78900043708, 1076.80138668221
2180, 28500, 17003.7890004371, 1336.80138668221
2181, 29500, 7503.78900043708, 1076.80138668221
2182, 29500, 17003.7890004371, 1336.80138668221
2183, 30500, 7503.78900043708, 1076.80138668221
2184, 30500, 17003.7890004371, 1336.80138668221
2185, 31500, 7503.78900043708, 1076.80138668221
2186, 31500, 17003.7890004371, 1336.80138668221
2187, 32500, 7503.78900043708, 1076.80138668221
2188, 32500, 17003.7890004371, 1336.80138668221
2189, 33500, 7503.78900043708, 1076.80138668221
2190, 33500, 17003.7890004371, 1336.80138668221
2191, 34500, 7503.78900043708, 1076.80138668221
2192, 34500, 17003.7890004371, 1336.80138668221
2193, 35500, 7503.78900043708, 1076.80138668221
2194, 35500, 17003.7890004371, 1336.80138668221
2195, 36500, 7503.78900043708, 1076.80138668221
2196, 36500, 17003.7890004371, 1336.80138668221
2197, 37500, 7503.78900043708, 1076.80138668221
2198, 37500, 17003.7890004371, 1336.80138668221
2199, 38500, 7503.78900043708, 1076.80138668221
2200, 38500, 17003.7890004371, 1336.80138668221
2201, 39500, 7503.78900043708, 1076.80138668221
2202, 39500, 17003.7890004371, 1336.80138668221
2203, 40500, 7503.78900043708, 1076.80138668221
2204, 40500, 17003.7890004371, 1336.80138668221
2205, 41500, 7503.78900043708, 1076.80138668221
2206, 41500, 17003.7890004371, 1336.80138668221
2207, 500, 2606.88335222761, 902.689145486605
2209, 1500, 2606.88335222761, 902.689145486605
2211, 2500, 2606.88335222761, 902.689145486605
2213, 3500, 2606.88335222761, 902.689145486605
2215, 4500, 2606.88335222761, 902.689145486605
2217, 5500, 2606.88335222761, 902.689145486605
2219, 6500, 2606.88335222761, 902.689145486605
2221, 7500, 2606.88335222761, 902.689145486605
2223, 8500, 2606.88335222761, 902.689145486605
2225, 9500, 2606.88335222761, 902.689145486605
2227, 10500, 2606.88335222761, 902.689145486605
2229, 11500, 2606.88335222761, 902.689145486605
2231, 12500, 2606.88335222761, 902.689145486605
2233, 13500, 2606.88335222761, 902.689145486605
2235, 14500, 2606.88335222761, 902.689145486605
2237, 15500, 2606.88335222761, 902.689145486605
2239, 16500, 2606.88335222761, 902.689145486605
2241, 17500, 2606.88335222761, 902.689145486605
2243, 18500, 2606.88335222761, 902.689145486605
2245, 19500, 2606.88335222761, 902.689145486605
2247, 20500, 2606.88335222761, 902.689145486605
2249, 21500, 2606.88335222761, 902.689145486605
2251, 22500, 2606.88335222761, 902.689145486605
2253, 23500, 2606.88335222761, 902.689145486605
2255, 24500, 2606.88335222761, 902.689145486605
2257, 25500, 2606.88335222761, 902.689145486605
2259, 26500, 2606.88335222761, 902.689145486605
2261, 27500, 2606.88335222761, 902.689145486605
2263, 28500, 2606.88335222761, 902.689145486605
2265, 29500, 2606.88335222761, 902.689145486605

2267, 30500, 2606.88335222761, 902.689145486605
2269, 31500, 2606.88335222761, 902.689145486605
2271, 32500, 2606.88335222761, 902.689145486605
2273, 33500, 2606.88335222761, 902.689145486605
2275, 34500, 2606.88335222761, 902.689145486605
2277, 35500, 2606.88335222761, 902.689145486605
2279, 36500, 2606.88335222761, 902.689145486605
2281, 37500, 2606.88335222761, 902.689145486605
2283, 38500, 2606.88335222761, 902.689145486605
2285, 39500, 2606.88335222761, 902.689145486605
2287, 40500, 2606.88335222761, 902.689145486605
2289, 41500, 2606.88335222761, 902.689145486605
2291, 500, 649.589525028777, 833.096514301678
2292, 1500, 649.589525028777, 833.096514301678
2293, 2500, 649.589525028777, 833.096514301678
2294, 3500, 649.589525028777, 833.096514301678
2295, 4500, 649.589525028777, 833.096514301678
2296, 5500, 649.589525028777, 833.096514301678
2297, 6500, 649.589525028777, 833.096514301678
2298, 7500, 649.589525028777, 833.096514301678
2299, 8500, 649.589525028777, 833.096514301678
2300, 9500, 649.589525028777, 833.096514301678
2301, 10500, 649.589525028777, 833.096514301678
2302, 11500, 649.589525028777, 833.096514301678
2303, 12500, 649.589525028777, 833.096514301678
2304, 13500, 649.589525028777, 833.096514301678
2305, 14500, 649.589525028777, 833.096514301678
2306, 15500, 649.589525028777, 833.096514301678
2307, 16500, 649.589525028777, 833.096514301678
2308, 17500, 649.589525028777, 833.096514301678
2309, 18500, 649.589525028777, 833.096514301678
2310, 19500, 649.589525028777, 833.096514301678
2311, 20500, 649.589525028777, 833.096514301678
2312, 21500, 649.589525028777, 833.096514301678
2313, 22500, 649.589525028777, 833.096514301678
2314, 23500, 649.589525028777, 833.096514301678
2315, 24500, 649.589525028777, 833.096514301678
2316, 25500, 649.589525028777, 833.096514301678
2317, 26500, 649.589525028777, 833.096514301678
2318, 27500, 649.589525028777, 833.096514301678
2319, 28500, 649.589525028777, 833.096514301678
2320, 29500, 649.589525028777, 833.096514301678
2321, 30500, 649.589525028777, 833.096514301678
2322, 31500, 649.589525028777, 833.096514301678
2323, 32500, 649.589525028777, 833.096514301678
2324, 33500, 649.589525028777, 833.096514301678
2325, 34500, 649.589525028777, 833.096514301678
2326, 35500, 649.589525028777, 833.096514301678
2327, 36500, 649.589525028777, 833.096514301678
2328, 37500, 649.589525028777, 833.096514301678
2329, 38500, 649.589525028777, 833.096514301678
2330, 39500, 649.589525028777, 833.096514301678
2331, 40500, 649.589525028777, 833.096514301678
2332, 41500, 649.589525028777, 833.096514301678
2333, 500, 3647.69502556223, 939.69579981084
2334, 1500, 3647.69502556223, 939.69579981084
2335, 2500, 3647.69502556223, 939.69579981084
2336, 3500, 3647.69502556223, 939.69579981084
2337, 4500, 3647.69502556223, 939.69579981084
2338, 5500, 3647.69502556223, 939.69579981084
2339, 6500, 3647.69502556223, 939.69579981084
2340, 7500, 3647.69502556223, 939.69579981084
2341, 8500, 3647.69502556223, 939.69579981084
2342, 9500, 3647.69502556223, 939.69579981084
2343, 10500, 3647.69502556223, 939.69579981084
2344, 11500, 3647.69502556223, 939.69579981084
2345, 12500, 3647.69502556223, 939.69579981084
2346, 13500, 3647.69502556223, 939.69579981084
2347, 14500, 3647.69502556223, 939.69579981084
2348, 15500, 3647.69502556223, 939.69579981084
2349, 16500, 3647.69502556223, 939.69579981084
2350, 17500, 3647.69502556223, 939.69579981084
2351, 18500, 3647.69502556223, 939.69579981084
2352, 19500, 3647.69502556223, 939.69579981084
2353, 20500, 3647.69502556223, 939.69579981084
2354, 21500, 3647.69502556223, 939.69579981084
2355, 22500, 3647.69502556223, 939.69579981084
2356, 23500, 3647.69502556223, 939.69579981084

2357, 24500, 3647.69502556223, 939.69579981084
2358, 25500, 3647.69502556223, 939.69579981084
2359, 26500, 3647.69502556223, 939.69579981084
2360, 27500, 3647.69502556223, 939.69579981084
2361, 28500, 3647.69502556223, 939.69579981084
2362, 29500, 3647.69502556223, 939.69579981084
2363, 30500, 3647.69502556223, 939.69579981084
2364, 31500, 3647.69502556223, 939.69579981084
2365, 32500, 3647.69502556223, 939.69579981084
2366, 33500, 3647.69502556223, 939.69579981084
2367, 34500, 3647.69502556223, 939.69579981084
2368, 35500, 3647.69502556223, 939.69579981084
2369, 36500, 3647.69502556223, 939.69579981084
2370, 37500, 3647.69502556223, 939.69579981084
2371, 38500, 3647.69502556223, 939.69579981084
2372, 39500, 3647.69502556223, 939.69579981084
2373, 40500, 3647.69502556223, 939.69579981084
2374, 41500, 3647.69502556223, 939.69579981084
2375, 500, 6645.80052609568, 1046.29508532
2376, 1500, 6645.80052609568, 1046.29508532
2377, 2500, 6645.80052609568, 1046.29508532
2378, 3500, 6645.80052609568, 1046.29508532
2379, 4500, 6645.80052609568, 1046.29508532
2380, 5500, 6645.80052609568, 1046.29508532
2381, 6500, 6645.80052609568, 1046.29508532
2382, 7500, 6645.80052609568, 1046.29508532
2383, 8500, 6645.80052609568, 1046.29508532
2384, 9500, 6645.80052609568, 1046.29508532
2385, 10500, 6645.80052609568, 1046.29508532
2386, 11500, 6645.80052609568, 1046.29508532
2387, 12500, 6645.80052609568, 1046.29508532
2388, 13500, 6645.80052609568, 1046.29508532
2389, 14500, 6645.80052609568, 1046.29508532
2390, 15500, 6645.80052609568, 1046.29508532
2391, 16500, 6645.80052609568, 1046.29508532
2392, 17500, 6645.80052609568, 1046.29508532
2393, 18500, 6645.80052609568, 1046.29508532
2394, 19500, 6645.80052609568, 1046.29508532
2395, 20500, 6645.80052609568, 1046.29508532
2396, 21500, 6645.80052609568, 1046.29508532
2397, 22500, 6645.80052609568, 1046.29508532
2398, 23500, 6645.80052609568, 1046.29508532
2399, 24500, 6645.80052609568, 1046.29508532
2400, 25500, 6645.80052609568, 1046.29508532
2401, 26500, 6645.80052609568, 1046.29508532
2402, 27500, 6645.80052609568, 1046.29508532
2403, 28500, 6645.80052609568, 1046.29508532
2404, 29500, 6645.80052609568, 1046.29508532
2405, 30500, 6645.80052609568, 1046.29508532
2406, 31500, 6645.80052609568, 1046.29508532
2407, 32500, 6645.80052609568, 1046.29508532
2408, 33500, 6645.80052609568, 1046.29508532
2409, 34500, 6645.80052609568, 1046.29508532
2410, 35500, 6645.80052609568, 1046.29508532
2411, 36500, 6645.80052609568, 1046.29508532
2412, 37500, 6645.80052609568, 1046.29508532
2413, 38500, 6645.80052609568, 1046.29508532
2414, 39500, 6645.80052609568, 1046.29508532
2415, 40500, 6645.80052609568, 1046.29508532
2416, 41500, 6645.80052609568, 1046.29508532
2417, 500, 11792.5483020114, 1229.29052544407
2418, 1500, 11792.5483020114, 1229.29052544407
2419, 2500, 11792.5483020114, 1229.29052544407
2420, 3500, 11792.5483020114, 1229.29052544407
2421, 4500, 11792.5483020114, 1229.29052544407
2422, 5500, 11792.5483020114, 1229.29052544407
2423, 6500, 11792.5483020114, 1229.29052544407
2424, 7500, 11792.5483020114, 1229.29052544407
2425, 8500, 11792.5483020114, 1229.29052544407
2426, 9500, 11792.5483020114, 1229.29052544407
2427, 10500, 11792.5483020114, 1229.29052544407
2428, 11500, 11792.5483020114, 1229.29052544407
2429, 12500, 11792.5483020114, 1229.29052544407
2430, 13500, 11792.5483020114, 1229.29052544407
2431, 14500, 11792.5483020114, 1229.29052544407
2432, 15500, 11792.5483020114, 1229.29052544407
2433, 16500, 11792.5483020114, 1229.29052544407
2434, 17500, 11792.5483020114, 1229.29052544407

2435, 18500, 11792.5483020114, 1229.29052544407
2436, 19500, 11792.5483020114, 1229.29052544407
2437, 20500, 11792.5483020114, 1229.29052544407
2438, 21500, 11792.5483020114, 1229.29052544407
2439, 22500, 11792.5483020114, 1229.29052544407
2440, 23500, 11792.5483020114, 1229.29052544407
2441, 24500, 11792.5483020114, 1229.29052544407
2442, 25500, 11792.5483020114, 1229.29052544407
2443, 26500, 11792.5483020114, 1229.29052544407
2444, 27500, 11792.5483020114, 1229.29052544407
2445, 28500, 11792.5483020114, 1229.29052544407
2446, 29500, 11792.5483020114, 1229.29052544407
2447, 30500, 11792.5483020114, 1229.29052544407
2448, 31500, 11792.5483020114, 1229.29052544407
2449, 32500, 11792.5483020114, 1229.29052544407
2450, 33500, 11792.5483020114, 1229.29052544407
2451, 34500, 11792.5483020114, 1229.29052544407
2452, 35500, 11792.5483020114, 1229.29052544407
2453, 36500, 11792.5483020114, 1229.29052544407
2454, 37500, 11792.5483020114, 1229.29052544407
2455, 38500, 11792.5483020114, 1229.29052544407
2456, 39500, 11792.5483020114, 1229.29052544407
2457, 40500, 11792.5483020114, 1229.29052544407
2458, 41500, 11792.5483020114, 1229.29052544407
2459, 500, 11998.1055022807, 1236.59923636671
2460, 1500, 11998.1055022807, 1236.59923636671
2461, 2500, 11998.1055022807, 1236.59923636671
2462, 3500, 11998.1055022807, 1236.59923636671
2463, 4500, 11998.1055022807, 1236.59923636671
2464, 5500, 11998.1055022807, 1236.59923636671
2465, 6500, 11998.1055022807, 1236.59923636671
2466, 7500, 11998.1055022807, 1236.59923636671
2467, 8500, 11998.1055022807, 1236.59923636671
2468, 9500, 11998.1055022807, 1236.59923636671
2469, 10500, 11998.1055022807, 1236.59923636671
2470, 11500, 11998.1055022807, 1236.59923636671
2471, 12500, 11998.1055022807, 1236.59923636671
2472, 13500, 11998.1055022807, 1236.59923636671
2473, 14500, 11998.1055022807, 1236.59923636671
2474, 15500, 11998.1055022807, 1236.59923636671
2475, 16500, 11998.1055022807, 1236.59923636671
2476, 17500, 11998.1055022807, 1236.59923636671
2477, 18500, 11998.1055022807, 1236.59923636671
2478, 19500, 11998.1055022807, 1236.59923636671
2479, 20500, 11998.1055022807, 1236.59923636671
2480, 21500, 11998.1055022807, 1236.59923636671
2481, 22500, 11998.1055022807, 1236.59923636671
2482, 23500, 11998.1055022807, 1236.59923636671
2483, 24500, 11998.1055022807, 1236.59923636671
2484, 25500, 11998.1055022807, 1236.59923636671
2485, 26500, 11998.1055022807, 1236.59923636671
2486, 27500, 11998.1055022807, 1236.59923636671
2487, 28500, 11998.1055022807, 1236.59923636671
2488, 29500, 11998.1055022807, 1236.59923636671
2489, 30500, 11998.1055022807, 1236.59923636671
2490, 31500, 11998.1055022807, 1236.59923636671
2491, 32500, 11998.1055022807, 1236.59923636671
2492, 33500, 11998.1055022807, 1236.59923636671
2493, 34500, 11998.1055022807, 1236.59923636671
2494, 35500, 11998.1055022807, 1236.59923636671
2495, 36500, 11998.1055022807, 1236.59923636671
2496, 37500, 11998.1055022807, 1236.59923636671
2497, 38500, 11998.1055022807, 1236.59923636671
2498, 39500, 11998.1055022807, 1236.59923636671
2499, 40500, 11998.1055022807, 1236.59923636671
2500, 41500, 11998.1055022807, 1236.59923636671
2501, 500, 14471.5425398323, 1324.54365783986
2502, 1500, 14471.5425398323, 1324.54365783986
2503, 2500, 14471.5425398323, 1324.54365783986
2504, 3500, 14471.5425398323, 1324.54365783986
2505, 4500, 14471.5425398323, 1324.54365783986
2506, 5500, 14471.5425398323, 1324.54365783986
2507, 6500, 14471.5425398323, 1324.54365783986
2508, 7500, 14471.5425398323, 1324.54365783986
2509, 8500, 14471.5425398323, 1324.54365783986
2510, 9500, 14471.5425398323, 1324.54365783986
2511, 10500, 14471.5425398323, 1324.54365783986
2512, 11500, 14471.5425398323, 1324.54365783986

PROJECT TITLE :

	Company		Client	
	Author		File Name	Brembiolo1_08_completo(fasi)DEFINITIVO.mgt

2513, 12500, 14471.5425398323, 1324.54365783986
2514, 13500, 14471.5425398323, 1324.54365783986
2515, 14500, 14471.5425398323, 1324.54365783986
2516, 15500, 14471.5425398323, 1324.54365783986
2517, 16500, 14471.5425398323, 1324.54365783986
2518, 17500, 14471.5425398323, 1324.54365783986
2519, 18500, 14471.5425398323, 1324.54365783986
2520, 19500, 14471.5425398323, 1324.54365783986
2521, 20500, 14471.5425398323, 1324.54365783986
2522, 21500, 14471.5425398323, 1324.54365783986
2523, 22500, 14471.5425398323, 1324.54365783986
2524, 23500, 14471.5425398323, 1324.54365783986
2525, 24500, 14471.5425398323, 1324.54365783986
2526, 25500, 14471.5425398323, 1324.54365783986
2527, 26500, 14471.5425398323, 1324.54365783986
2528, 27500, 14471.5425398323, 1324.54365783986
2529, 28500, 14471.5425398323, 1324.54365783986
2530, 29500, 14471.5425398323, 1324.54365783986
2531, 30500, 14471.5425398323, 1324.54365783986
2532, 31500, 14471.5425398323, 1324.54365783986
2533, 32500, 14471.5425398323, 1324.54365783986
2534, 33500, 14471.5425398323, 1324.54365783986
2535, 34500, 14471.5425398323, 1324.54365783986
2536, 35500, 14471.5425398323, 1324.54365783986
2537, 36500, 14471.5425398323, 1324.54365783986
2538, 37500, 14471.5425398323, 1324.54365783986
2539, 38500, 14471.5425398323, 1324.54365783986
2540, 39500, 14471.5425398323, 1324.54365783986
2541, 40500, 14471.5425398323, 1324.54365783986
2542, 41500, 14471.5425398323, 1324.54365783986
2543, 500, 6001.8945027812, 1023.40062126642
2544, 1500, 6001.8945027812, 1023.40062126642
2545, 2500, 6001.8945027812, 1023.40062126642
2546, 3500, 6001.8945027812, 1023.40062126642
2547, 4500, 6001.8945027812, 1023.40062126642
2548, 5500, 6001.8945027812, 1023.40062126642
2549, 6500, 6001.8945027812, 1023.40062126642
2550, 7500, 6001.8945027812, 1023.40062126642
2551, 8500, 6001.8945027812, 1023.40062126642
2552, 9500, 6001.8945027812, 1023.40062126642
2553, 10500, 6001.8945027812, 1023.40062126642
2554, 11500, 6001.8945027812, 1023.40062126642
2555, 12500, 6001.8945027812, 1023.40062126642
2556, 13500, 6001.8945027812, 1023.40062126642
2557, 14500, 6001.8945027812, 1023.40062126642
2558, 15500, 6001.8945027812, 1023.40062126642
2559, 16500, 6001.8945027812, 1023.40062126642
2560, 17500, 6001.8945027812, 1023.40062126642
2561, 18500, 6001.8945027812, 1023.40062126642
2562, 19500, 6001.8945027812, 1023.40062126642
2563, 20500, 6001.8945027812, 1023.40062126642
2564, 21500, 6001.8945027812, 1023.40062126642
2565, 22500, 6001.8945027812, 1023.40062126642
2566, 23500, 6001.8945027812, 1023.40062126642
2567, 24500, 6001.8945027812, 1023.40062126642
2568, 25500, 6001.8945027812, 1023.40062126642
2569, 26500, 6001.8945027812, 1023.40062126642
2570, 27500, 6001.8945027812, 1023.40062126642
2571, 28500, 6001.8945027812, 1023.40062126642
2572, 29500, 6001.8945027812, 1023.40062126642
2573, 30500, 6001.8945027812, 1023.40062126642
2574, 31500, 6001.8945027812, 1023.40062126642
2575, 32500, 6001.8945027812, 1023.40062126642
2576, 33500, 6001.8945027812, 1023.40062126642
2577, 34500, 6001.8945027812, 1023.40062126642
2578, 35500, 6001.8945027812, 1023.40062126642
2579, 36500, 6001.8945027812, 1023.40062126642
2580, 37500, 6001.8945027812, 1023.40062126642
2581, 38500, 6001.8945027812, 1023.40062126642
2582, 39500, 6001.8945027812, 1023.40062126642
2583, 40500, 6001.8945027812, 1023.40062126642
2584, 41500, 6001.8945027812, 1023.40062126642
2585, 500, 1829.53101915169, 875.049819195531
2586, 1500, 1829.53101915169, 875.049819195531
2587, 2500, 1829.53101915169, 875.049819195531
2588, 3500, 1829.53101915169, 875.049819195531
2589, 4500, 1829.53101915169, 875.049819195531
2590, 5500, 1829.53101915169, 875.049819195531

PROJECT TITLE :

	Company		Client	
	Author		File Name	Brembiolo1_08_completo(fasi)DEFINITIVO.mgt

```
2591, 6500, 1829.53101915169, 875.049819195531
2592, 7500, 1829.53101915169, 875.049819195531
2593, 8500, 1829.53101915169, 875.049819195531
2594, 9500, 1829.53101915169, 875.049819195531
2595, 10500, 1829.53101915169, 875.049819195531
2596, 11500, 1829.53101915169, 875.049819195531
2597, 12500, 1829.53101915169, 875.049819195531
2598, 13500, 1829.53101915169, 875.049819195531
2599, 14500, 1829.53101915169, 875.049819195531
2600, 15500, 1829.53101915169, 875.049819195531
2601, 16500, 1829.53101915169, 875.049819195531
2602, 17500, 1829.53101915169, 875.049819195531
2603, 18500, 1829.53101915169, 875.049819195531
2604, 19500, 1829.53101915169, 875.049819195531
2605, 20500, 1829.53101915169, 875.049819195531
2606, 21500, 1829.53101915169, 875.049819195531
2607, 22500, 1829.53101915169, 875.049819195531
2608, 23500, 1829.53101915169, 875.049819195531
2609, 24500, 1829.53101915169, 875.049819195531
2610, 25500, 1829.53101915169, 875.049819195531
2611, 26500, 1829.53101915169, 875.049819195531
2612, 27500, 1829.53101915169, 875.049819195531
2613, 28500, 1829.53101915169, 875.049819195531
2614, 29500, 1829.53101915169, 875.049819195531
2615, 30500, 1829.53101915169, 875.049819195531
2616, 31500, 1829.53101915169, 875.049819195531
2617, 32500, 1829.53101915169, 875.049819195531
2618, 33500, 1829.53101915169, 875.049819195531
2619, 34500, 1829.53101915169, 875.049819195531
2620, 35500, 1829.53101915169, 875.049819195531
2621, 36500, 1829.53101915169, 875.049819195531
2622, 37500, 1829.53101915169, 875.049819195531
2623, 38500, 1829.53101915169, 875.049819195531
2624, 39500, 1829.53101915169, 875.049819195531
2625, 40500, 1829.53101915169, 875.049819195531
2626, 41500, 1829.53101915169, 875.049819195531
2627, 500, 7498.10550624004, 1076.59912501116
2628, 1500, 7498.10550624004, 1076.59912501116
2629, 2500, 7498.10550624004, 1076.59912501116
2630, 3500, 7498.10550624004, 1076.59912501116
2631, 4500, 7498.10550624004, 1076.59912501116
2632, 5500, 7498.10550624004, 1076.59912501116
2633, 6500, 7498.10550624004, 1076.59912501116
2634, 7500, 7498.10550624004, 1076.59912501116
2635, 8500, 7498.10550624004, 1076.59912501116
2636, 9500, 7498.10550624004, 1076.59912501116
2637, 10500, 7498.10550624004, 1076.59912501116
2638, 11500, 7498.10550624004, 1076.59912501116
2639, 12500, 7498.10550624004, 1076.59912501116
2640, 13500, 7498.10550624004, 1076.59912501116
2641, 14500, 7498.10550624004, 1076.59912501116
2642, 15500, 7498.10550624004, 1076.59912501116
2643, 16500, 7498.10550624004, 1076.59912501116
2644, 17500, 7498.10550624004, 1076.59912501116
2645, 18500, 7498.10550624004, 1076.59912501116
2646, 19500, 7498.10550624004, 1076.59912501116
2647, 20500, 7498.10550624004, 1076.59912501116
2648, 21500, 7498.10550624004, 1076.59912501116
2649, 22500, 7498.10550624004, 1076.59912501116
2650, 23500, 7498.10550624004, 1076.59912501116
2651, 24500, 7498.10550624004, 1076.59912501116
2652, 25500, 7498.10550624004, 1076.59912501116
2653, 26500, 7498.10550624004, 1076.59912501116
2654, 27500, 7498.10550624004, 1076.59912501116
2655, 28500, 7498.10550624004, 1076.59912501116
2656, 29500, 7498.10550624004, 1076.59912501116
2657, 30500, 7498.10550624004, 1076.59912501116
2658, 31500, 7498.10550624004, 1076.59912501116
2659, 32500, 7498.10550624004, 1076.59912501116
2660, 33500, 7498.10550624004, 1076.59912501116
2661, 34500, 7498.10550624004, 1076.59912501116
2662, 35500, 7498.10550624004, 1076.59912501116
2663, 36500, 7498.10550624004, 1076.59912501116
2664, 37500, 7498.10550624004, 1076.59912501116
2665, 38500, 7498.10550624004, 1076.59912501116
2666, 39500, 7498.10550624004, 1076.59912501116
2667, 40500, 7498.10550624004, 1076.59912501116
2668, 41500, 7498.10550624004, 1076.59912501116
```

```
2669, 500, 12245.1058911201, 1245.38107294549
2670, 1500, 12245.1058911201, 1245.38107294549
2671, 2500, 12245.1058911201, 1245.38107294549
2672, 3500, 12245.1058911201, 1245.38107294549
2673, 4500, 12245.1058911201, 1245.38107294549
2674, 5500, 12245.1058911201, 1245.38107294549
2675, 6500, 12245.1058911201, 1245.38107294549
2676, 7500, 12245.1058911201, 1245.38107294549
2677, 8500, 12245.1058911201, 1245.38107294549
2678, 9500, 12245.1058911201, 1245.38107294549
2679, 10500, 12245.1058911201, 1245.38107294549
2680, 11500, 12245.1058911201, 1245.38107294549
2681, 12500, 12245.1058911201, 1245.38107294549
2682, 13500, 12245.1058911201, 1245.38107294549
2683, 14500, 12245.1058911201, 1245.38107294549
2684, 15500, 12245.1058911201, 1245.38107294549
2685, 16500, 12245.1058911201, 1245.38107294549
2686, 17500, 12245.1058911201, 1245.38107294549
2687, 18500, 12245.1058911201, 1245.38107294549
2688, 19500, 12245.1058911201, 1245.38107294549
2689, 20500, 12245.1058911201, 1245.38107294549
2690, 21500, 12245.1058911201, 1245.38107294549
2691, 22500, 12245.1058911201, 1245.38107294549
2692, 23500, 12245.1058911201, 1245.38107294549
2693, 24500, 12245.1058911201, 1245.38107294549
2694, 25500, 12245.1058911201, 1245.38107294549
2695, 26500, 12245.1058911201, 1245.38107294549
2696, 27500, 12245.1058911201, 1245.38107294549
2697, 28500, 12245.1058911201, 1245.38107294549
2698, 29500, 12245.1058911201, 1245.38107294549
2699, 30500, 12245.1058911201, 1245.38107294549
2700, 31500, 12245.1058911201, 1245.38107294549
2701, 32500, 12245.1058911201, 1245.38107294549
2702, 33500, 12245.1058911201, 1245.38107294549
2703, 34500, 12245.1058911201, 1245.38107294549
2704, 35500, 12245.1058911201, 1245.38107294549
2705, 36500, 12245.1058911201, 1245.38107294549
2706, 37500, 12245.1058911201, 1245.38107294549
2707, 38500, 12245.1058911201, 1245.38107294549
2708, 39500, 12245.1058911201, 1245.38107294549
2709, 40500, 12245.1058911201, 1245.38107294549
2710, 41500, 12245.1058911201, 1245.38107294549
2711, 500, 1501.89450153075, 863.400656435055
2712, 1500, 1501.89450153075, 863.400656435055
2713, 2500, 1501.89450153075, 863.400656435055
2714, 3500, 1501.89450153075, 863.400656435055
2715, 4500, 1501.89450153075, 863.400656435055
2716, 5500, 1501.89450153075, 863.400656435055
2717, 6500, 1501.89450153075, 863.400656435055
2718, 7500, 1501.89450153075, 863.400656435055
2719, 8500, 1501.89450153075, 863.400656435055
2720, 9500, 1501.89450153075, 863.400656435055
2721, 10500, 1501.89450153075, 863.400656435055
2722, 11500, 1501.89450153075, 863.400656435055
2723, 12500, 1501.89450153075, 863.400656435055
2724, 13500, 1501.89450153075, 863.400656435055
2725, 14500, 1501.89450153075, 863.400656435055
2726, 15500, 1501.89450153075, 863.400656435055
2727, 16500, 1501.89450153075, 863.400656435055
2728, 17500, 1501.89450153075, 863.400656435055
2729, 18500, 1501.89450153075, 863.400656435055
2730, 19500, 1501.89450153075, 863.400656435055
2731, 20500, 1501.89450153075, 863.400656435055
2732, 21500, 1501.89450153075, 863.400656435055
2733, 22500, 1501.89450153075, 863.400656435055
2734, 23500, 1501.89450153075, 863.400656435055
2735, 24500, 1501.89450153075, 863.400656435055
2736, 25500, 1501.89450153075, 863.400656435055
2737, 26500, 1501.89450153075, 863.400656435055
2738, 27500, 1501.89450153075, 863.400656435055
2739, 28500, 1501.89450153075, 863.400656435055
2740, 29500, 1501.89450153075, 863.400656435055
2741, 30500, 1501.89450153075, 863.400656435055
2742, 31500, 1501.89450153075, 863.400656435055
2743, 32500, 1501.89450153075, 863.400656435055
2744, 33500, 1501.89450153075, 863.400656435055
2745, 34500, 1501.89450153075, 863.400656435055
2746, 35500, 1501.89450153075, 863.400656435055
```

```
  2747, 36500, 1501.89450153075, 863.400656435055
  2748, 37500, 1501.89450153075, 863.400656435055
  2749, 38500, 1501.89450153075, 863.400656435055
  2750, 39500, 1501.89450153075, 863.400656435055
  2751, 40500, 1501.89450153075, 863.400656435055
  2752, 41500, 1501.89450153075, 863.400656435055
  2753, 500, -396.905647499768, 795.887738843923
  2754, 1500, -396.905647499768, 795.887738843923
  2755, 2500, -396.905647499768, 795.887738843923
  2756, 3500, -396.905647499768, 795.887738843923
  2757, 4500, -396.905647499768, 795.887738843923
  2758, 5500, -396.905647499768, 795.887738843923
  2759, 6500, -396.905647499768, 795.887738843923
  2760, 7500, -396.905647499768, 795.887738843923
  2761, 8500, -396.905647499768, 795.887738843923
  2762, 9500, -396.905647499768, 795.887738843923
  2763, 10500, -396.905647499768, 795.887738843923
  2764, 11500, -396.905647499768, 795.887738843923
  2765, 12500, -396.905647499768, 795.887738843923
  2766, 13500, -396.905647499768, 795.887738843923
  2767, 14500, -396.905647499768, 795.887738843923
  2768, 15500, -396.905647499768, 795.887738843923
  2769, 16500, -396.905647499768, 795.887738843923
  2770, 17500, -396.905647499768, 795.887738843923
  2771, 18500, -396.905647499768, 795.887738843923
  2772, 19500, -396.905647499768, 795.887738843923
  2773, 20500, -396.905647499768, 795.887738843923
  2774, 21500, -396.905647499768, 795.887738843923
  2775, 22500, -396.905647499768, 795.887738843923
  2776, 23500, -396.905647499768, 795.887738843923
  2777, 24500, -396.905647499768, 795.887738843923
  2778, 25500, -396.905647499768, 795.887738843923
  2779, 26500, -396.905647499768, 795.887738843923
  2780, 27500, -396.905647499768, 795.887738843923
  2781, 28500, -396.905647499768, 795.887738843923
  2782, 29500, -396.905647499768, 795.887738843923
  2783, 30500, -396.905647499768, 795.887738843923
  2784, 31500, -396.905647499768, 795.887738843923
  2785, 32500, -396.905647499768, 795.887738843923
  2786, 33500, -396.905647499768, 795.887738843923
  2787, 34500, -396.905647499768, 795.887738843923
  2788, 35500, -396.905647499768, 795.887738843923
  2789, 36500, -396.905647499768, 795.887738843923
  2790, 37500, -396.905647499768, 795.887738843923
  2791, 38500, -396.905647499768, 795.887738843923
  2792, 39500, -396.905647499768, 795.887738843923
  2793, 40500, -396.905647499768, 795.887738843923
  2794, 41500, -396.905647499768, 795.887738843923

*ELEMENT    ; Elements
; iEL, TYPE, iMAT, iPRO, iN1, iN2, ANGLE, iSUB, EXVAL, iOPT(EXVAL2) ; Frame  Element
; iEL, TYPE, iMAT, iPRO, iN1, iN2, ANGLE, iSUB, EXVAL, EXVAL2, bLMT ; Comp/Tens Truss
; iEL, TYPE, iMAT, iPRO, iN1, iN2, iN3, iN4, iSUB, iWID , LCAXIS    ; Planar Element
; iEL, TYPE, iMAT, iPRO, iN1, iN2, iN3, iN4, iN5, iN6, iN7, iN8     ; Solid  Element
     1, BEAM  ,     1,      1,     34,    346,      0,      0
     2, BEAM  ,     1,      1,     35,    347,      0,      0
     3, BEAM  ,     1,      2,     36,    348,      0,      0
     4, BEAM  ,     1,      2,     33,    345,      0,      0
     5, BEAM  ,     1,      7,     38,    350,      0,      0
     6, BEAM  ,     1,      7,     39,    351,      0,      0
     7, BEAM  ,     1,      8,     40,    352,      0,      0
     8, BEAM  ,     1,      8,     37,    349,      0,      0
     9, BEAM  ,     1,      3,     35,    331,      0,      0
    10, BEAM  ,     1,      3,     34,    330,      0,      0
    11, BEAM  ,     1,      3,     42,    522,      0,      0
    12, BEAM  ,     1,      3,     43,    523,      0,      0
    13, BEAM  ,     1,      4,     41,    521,      0,      0
    14, BEAM  ,     1,      4,     33,    329,      0,      0
    15, BEAM  ,     1,      4,     36,    332,      0,      0
    16, BEAM  ,     1,      4,     44,    524,      0,      0
    17, BEAM  ,     1,      9,     38,    334,      0,      0
    18, BEAM  ,     1,      9,     39,    335,      0,      0
    19, BEAM  ,     1,      9,     47,    527,      0,      0
    20, BEAM  ,     1,      9,     46,    526,      0,      0
    21, BEAM  ,     1,     10,     45,    525,      0,      0
    22, BEAM  ,     1,     10,     37,    333,      0,      0
    23, BEAM  ,     1,     10,     40,    336,      0,      0
    24, BEAM  ,     1,     10,     48,    528,      0,      0
```

PROJECT TITLE :

	Company		Client	
	Author		File Name	Brembiolo1_08_completo(fasi)DEFINITIVO.mgt

```
  25, BEAM  ,     1,      5,     19,    219,      0,      0
  26, BEAM  ,     1,      5,     18,    218,      0,      0
  27, BEAM  ,     1,      5,     27,    635,      0,      0
  28, BEAM  ,     1,      5,     26,    634,      0,      0
  29, BEAM  ,     1,      6,     25,    633,      0,      0
  30, BEAM  ,     1,      6,     28,    636,      0,      0
  31, BEAM  ,     1,      6,      4,    132,      0,      0
  32, BEAM  ,     1,      6,      1,    129,      0,      0
  33, BEAM  ,     1,     11,      6,    134,      0,      0
  34, BEAM  ,     1,     11,      7,    135,      0,      0
  35, BEAM  ,     1,     11,     30,    638,      0,      0
  36, BEAM  ,     1,     11,     31,    639,      0,      0
  37, BEAM  ,     1,     12,     32,    640,      0,      0
  38, BEAM  ,     1,     12,      8,    136,      0,      0
  39, BEAM  ,     1,     12,      5,    133,      0,      0
  40, BEAM  ,     1,     12,     29,    637,      0,      0
  41, BEAM  ,     3,     13,      1,      2,      0,      0
  42, BEAM  ,     3,     13,      2,      3,      0,      0
  43, BEAM  ,     3,     13,      3,      4,      0,      0
  44, BEAM  ,     3,     13,      5,      6,      0,      0
  45, BEAM  ,     3,     13,      6,      7,      0,      0
  46, BEAM  ,     3,     13,      7,      8,      0,      0
  47, BEAM  ,     3,     13,      9,     10,      0,      0
  48, BEAM  ,     3,     13,     10,     11,      0,      0
  49, BEAM  ,     3,     13,     11,     12,      0,      0
  50, BEAM  ,     3,     13,     13,     14,      0,      0
  51, BEAM  ,     3,     13,     14,     15,      0,      0
  52, BEAM  ,     3,     13,     15,     16,      0,      0
  53, BEAM  ,     3,     13,     65,     66,      0,      0
  54, BEAM  ,     1,      6,     65,    185,      0,      0
  55, BEAM  ,     1,      5,     66,    162,      0,      0
  56, BEAM  ,     3,     13,     66,     67,      0,      0
  57, BEAM  ,     1,      5,     67,    163,      0,      0
  58, BEAM  ,     3,     13,     67,     68,      0,      0
  59, BEAM  ,     1,      6,     68,    188,      0,      0
  60, BEAM  ,     3,     13,     69,     70,      0,      0
  61, BEAM  ,     1,     12,     69,    189,      0,      0
  62, BEAM  ,     1,     11,     70,    190,      0,      0
  63, BEAM  ,     3,     13,     70,     71,      0,      0
  64, BEAM  ,     1,     11,     71,    191,      0,      0
  65, BEAM  ,     3,     13,     71,     72,      0,      0
  66, BEAM  ,     1,     12,     72,    192,      0,      0
  67, BEAM  ,     3,     13,     73,     74,      0,      0
  68, BEAM  ,     1,      4,     73,    233,      0,      0
  69, BEAM  ,     1,      3,     74,    234,      0,      0
  70, BEAM  ,     3,     13,     74,     75,      0,      0
  71, BEAM  ,     1,      3,     75,    235,      0,      0
  72, BEAM  ,     3,     13,     75,     76,      0,      0
  73, BEAM  ,     1,      4,     76,    236,      0,      0
  74, BEAM  ,     3,     13,     77,     78,      0,      0
  75, BEAM  ,     1,     10,     77,    237,      0,      0
  76, BEAM  ,     1,      9,     78,    238,      0,      0
  77, BEAM  ,     3,     13,     78,     79,      0,      0
  78, BEAM  ,     1,      9,     79,    239,      0,      0
  79, BEAM  ,     3,     13,     79,     80,      0,      0
  80, BEAM  ,     1,     10,     80,    240,      0,      0
  81, BEAM  ,     3,     13,     81,     82,      0,      0
  82, BEAM  ,     1,      4,     81,    305,      0,      0
  83, BEAM  ,     1,      3,     82,    306,      0,      0
  84, BEAM  ,     3,     13,     82,     83,      0,      0
  85, BEAM  ,     1,      3,     83,    307,      0,      0
  86, BEAM  ,     3,     13,     83,     84,      0,      0
  87, BEAM  ,     1,      4,     84,    308,      0,      0
  88, BEAM  ,     3,     13,     85,     86,      0,      0
  89, BEAM  ,     1,     10,     85,    309,      0,      0
  90, BEAM  ,     1,      9,     86,    310,      0,      0
  91, BEAM  ,     3,     13,     86,     87,      0,      0
  92, BEAM  ,     1,      9,     87,    311,      0,      0
  93, BEAM  ,     3,     13,     87,     88,      0,      0
  94, BEAM  ,     1,     10,     88,    312,      0,      0
  95, BEAM  ,     3,     13,     89,     90,      0,      0
  96, BEAM  ,     1,      2,     89,    401,      0,      0
  97, BEAM  ,     1,      1,     90,    402,      0,      0
  98, BEAM  ,     3,     13,     90,     91,      0,      0
  99, BEAM  ,     1,      1,     91,    403,      0,      0
 100, BEAM  ,     3,     13,     91,     92,      0,      0
 101, BEAM  ,     1,      2,     92,    404,      0,      0
 102, BEAM  ,     3,     13,     93,     94,      0,      0
```

```
103, BEAM  ,     1,      8,     93,    405,      0,      0
104, BEAM  ,     1,      7,     94,    406,      0,      0
105, BEAM  ,     3,     13,     94,     95,      0,      0
106, BEAM  ,     1,      7,     95,    407,      0,      0
107, BEAM  ,     3,     13,     95,     96,      0,      0
108, BEAM  ,     1,      8,     96,    408,      0,      0
109, BEAM  ,     3,     13,     97,     98,      0,      0
110, BEAM  ,     1,      2,     97,    473,      0,      0
111, BEAM  ,     1,      1,     98,    474,      0,      0
112, BEAM  ,     3,     13,     98,     99,      0,      0
113, BEAM  ,     1,      1,     99,    475,      0,      0
114, BEAM  ,     3,     13,     99,    100,      0,      0
115, BEAM  ,     1,      2,    100,    476,      0,      0
116, BEAM  ,     3,     13,    101,    102,      0,      0
117, BEAM  ,     1,      8,    101,    477,      0,      0
118, BEAM  ,     1,      7,    102,    478,      0,      0
119, BEAM  ,     3,     13,    102,    103,      0,      0
120, BEAM  ,     1,      7,    103,    479,      0,      0
121, BEAM  ,     3,     13,    103,    104,      0,      0
122, BEAM  ,     1,      8,    104,    480,      0,      0
123, BEAM  ,     3,     13,    105,    106,      0,      0
124, BEAM  ,     1,      4,    105,    545,      0,      0
125, BEAM  ,     1,      3,    106,    546,      0,      0
126, BEAM  ,     3,     13,    106,    107,      0,      0
127, BEAM  ,     1,      3,    107,    547,      0,      0
128, BEAM  ,     3,     13,    107,    108,      0,      0
129, BEAM  ,     1,      4,    108,    548,      0,      0
130, BEAM  ,     3,     13,    109,    110,      0,      0
131, BEAM  ,     1,     10,    109,    549,      0,      0
132, BEAM  ,     1,      9,    110,    550,      0,      0
133, BEAM  ,     3,     13,    110,    111,      0,      0
134, BEAM  ,     1,      9,    111,    551,      0,      0
135, BEAM  ,     3,     13,    111,    112,      0,      0
136, BEAM  ,     1,     10,    112,    552,      0,      0
137, BEAM  ,     3,     13,    113,    114,      0,      0
138, BEAM  ,     1,      4,    113,    617,      0,      0
139, BEAM  ,     1,      3,    114,    618,      0,      0
140, BEAM  ,     3,     13,    114,    115,      0,      0
141, BEAM  ,     1,      3,    115,    619,      0,      0
142, BEAM  ,     3,     13,    115,    116,      0,      0
143, BEAM  ,     1,      4,    116,    620,      0,      0
144, BEAM  ,     3,     13,    117,    118,      0,      0
145, BEAM  ,     1,     10,    117,    621,      0,      0
146, BEAM  ,     1,      9,    118,    622,      0,      0
147, BEAM  ,     3,     13,    118,    119,      0,      0
148, BEAM  ,     1,      9,    119,    623,      0,      0
149, BEAM  ,     3,     13,    119,    120,      0,      0
150, BEAM  ,     1,     10,    120,    624,      0,      0
151, BEAM  ,     3,     13,    121,    122,      0,      0
152, BEAM  ,     1,      6,    121,    689,      0,      0
153, BEAM  ,     1,      5,    122,    690,      0,      0
154, BEAM  ,     3,     13,    122,    123,      0,      0
155, BEAM  ,     1,      5,    123,    691,      0,      0
156, BEAM  ,     3,     13,    123,    124,      0,      0
157, BEAM  ,     1,      6,    124,    692,      0,      0
158, BEAM  ,     3,     13,    125,    126,      0,      0
159, BEAM  ,     1,     12,    125,    693,      0,      0
160, BEAM  ,     1,     11,    126,    694,      0,      0
161, BEAM  ,     3,     13,    126,    127,      0,      0
162, BEAM  ,     1,     11,    127,    695,      0,      0
163, BEAM  ,     3,     13,    127,    128,      0,      0
164, BEAM  ,     1,     12,    128,    696,      0,      0
165, BEAM  ,     1,      6,    129,    145,      0,      0
166, BEAM  ,     1,      5,    130,      2,      0,      0
167, BEAM  ,     1,      5,    131,      3,      0,      0
168, BEAM  ,     1,      6,    132,    148,      0,      0
169, BEAM  ,     1,     12,    133,    149,      0,      0
170, BEAM  ,     1,     11,    134,    150,      0,      0
171, BEAM  ,     1,     11,    135,    151,      0,      0
172, BEAM  ,     1,     12,    136,    152,      0,      0
173, BEAM  ,     1,      6,    145,    161,      0,      0
174, BEAM  ,     1,      5,    146,    130,      0,      0
175, BEAM  ,     1,      5,    147,    131,      0,      0
176, BEAM  ,     1,      6,    148,    164,      0,      0
177, BEAM  ,     1,     12,    149,    165,      0,      0
178, BEAM  ,     1,     11,    150,    166,      0,      0
179, BEAM  ,     1,     11,    151,    167,      0,      0
180, BEAM  ,     1,     12,    152,    168,      0,      0
```

```
181, BEAM  ,     1,      6,    161,     65,      0,      0
182, BEAM  ,     1,      5,    162,    146,      0,      0
183, BEAM  ,     1,      5,    163,    147,      0,      0
184, BEAM  ,     1,      6,    164,     68,      0,      0
185, BEAM  ,     1,     12,    165,     69,      0,      0
186, BEAM  ,     1,     11,    166,     70,      0,      0
187, BEAM  ,     1,     11,    167,     71,      0,      0
188, BEAM  ,     1,     12,    168,     72,      0,      0
189, BEAM  ,     1,      6,    185,    201,      0,      0
190, BEAM  ,     1,      5,    186,     66,      0,      0
191, BEAM  ,     1,      5,    187,     67,      0,      0
192, BEAM  ,     1,      6,    188,    204,      0,      0
193, BEAM  ,     1,     12,    189,    205,      0,      0
194, BEAM  ,     1,     11,    190,    206,      0,      0
195, BEAM  ,     1,     11,    191,    207,      0,      0
196, BEAM  ,     1,     12,    192,    208,      0,      0
197, BEAM  ,     1,      6,    201,    217,      0,      0
198, BEAM  ,     1,      5,    202,    186,      0,      0
199, BEAM  ,     1,      5,    203,    187,      0,      0
200, BEAM  ,     1,      6,    204,    220,      0,      0
201, BEAM  ,     1,     12,    205,    221,      0,      0
202, BEAM  ,     1,     11,    206,    222,      0,      0
203, BEAM  ,     1,     11,    207,    223,      0,      0
204, BEAM  ,     1,     12,    208,    224,      0,      0
205, BEAM  ,     1,      6,    217,     17,      0,      0
206, BEAM  ,     1,      5,    218,    202,      0,      0
207, BEAM  ,     1,      5,    219,    203,      0,      0
208, BEAM  ,     1,      6,    220,     20,      0,      0
209, BEAM  ,     1,     12,    221,     21,      0,      0
210, BEAM  ,     1,     11,    222,     22,      0,      0
211, BEAM  ,     1,     11,    223,     23,      0,      0
212, BEAM  ,     1,     12,    224,     24,      0,      0
213, BEAM  ,     1,      4,    233,     17,      0,      0
214, BEAM  ,     1,      3,    234,     18,      0,      0
215, BEAM  ,     1,      3,    235,     19,      0,      0
216, BEAM  ,     1,      4,    236,     20,      0,      0
217, BEAM  ,     1,     10,    237,     21,      0,      0
218, BEAM  ,     1,      9,    238,     22,      0,      0
219, BEAM  ,     1,      9,    239,     23,      0,      0
220, BEAM  ,     1,     10,    240,     24,      0,      0
221, BEAM  ,     1,      4,    257,     73,      0,      0
222, BEAM  ,     1,      3,    258,     74,      0,      0
223, BEAM  ,     1,      3,    259,     75,      0,      0
224, BEAM  ,     1,      4,    260,     76,      0,      0
225, BEAM  ,     1,     10,    261,     77,      0,      0
226, BEAM  ,     1,      9,    262,     78,      0,      0
227, BEAM  ,     1,      9,    263,     79,      0,      0
228, BEAM  ,     1,     10,    264,     80,      0,      0
229, BEAM  ,     1,      4,    273,    257,      0,      0
230, BEAM  ,     1,      3,    274,    258,      0,      0
231, BEAM  ,     1,      3,    275,    259,      0,      0
232, BEAM  ,     1,      4,    276,    260,      0,      0
233, BEAM  ,     1,     10,    277,    261,      0,      0
234, BEAM  ,     1,      9,    278,    262,      0,      0
235, BEAM  ,     1,      9,    279,    263,      0,      0
236, BEAM  ,     1,     10,    280,    264,      0,      0
237, BEAM  ,     1,      4,    289,    273,      0,      0
238, BEAM  ,     1,      3,    290,    274,      0,      0
239, BEAM  ,     1,      3,    291,    275,      0,      0
240, BEAM  ,     1,      4,    292,    276,      0,      0
241, BEAM  ,     1,     10,    293,    277,      0,      0
242, BEAM  ,     1,      9,    294,    278,      0,      0
243, BEAM  ,     1,      9,    295,    279,      0,      0
244, BEAM  ,     1,     10,    296,    280,      0,      0
245, BEAM  ,     1,      4,    305,    289,      0,      0
246, BEAM  ,     1,      3,    306,    290,      0,      0
247, BEAM  ,     1,      3,    307,    291,      0,      0
248, BEAM  ,     1,      4,    308,    292,      0,      0
249, BEAM  ,     1,     10,    309,    293,      0,      0
250, BEAM  ,     1,      9,    310,    294,      0,      0
251, BEAM  ,     1,      9,    311,    295,      0,      0
252, BEAM  ,     1,     10,    312,    296,      0,      0
253, BEAM  ,     1,      4,    329,     81,      0,      0
254, BEAM  ,     1,      3,    330,     82,      0,      0
255, BEAM  ,     1,      3,    331,     83,      0,      0
256, BEAM  ,     1,      4,    332,     84,      0,      0
257, BEAM  ,     1,     10,    333,     85,      0,      0
258, BEAM  ,     1,      9,    334,     86,      0,      0
```

```
259, BEAM  ,     1,      9,    335,     87,      0,      0
260, BEAM  ,     1,     10,    336,     88,      0,      0
261, BEAM  ,     1,      2,    345,    361,      0,      0
262, BEAM  ,     1,      1,    346,    362,      0,      0
263, BEAM  ,     1,      1,    347,    363,      0,      0
264, BEAM  ,     1,      2,    348,    364,      0,      0
265, BEAM  ,     1,      8,    349,    365,      0,      0
266, BEAM  ,     1,      7,    350,    366,      0,      0
267, BEAM  ,     1,      7,    351,    367,      0,      0
268, BEAM  ,     1,      8,    352,    368,      0,      0
269, BEAM  ,     1,      2,    361,    377,      0,      0
270, BEAM  ,     1,      1,    362,    378,      0,      0
271, BEAM  ,     1,      1,    363,    379,      0,      0
272, BEAM  ,     1,      2,    364,    380,      0,      0
273, BEAM  ,     1,      8,    365,    381,      0,      0
274, BEAM  ,     1,      7,    366,    382,      0,      0
275, BEAM  ,     1,      7,    367,    383,      0,      0
276, BEAM  ,     1,      8,    368,    384,      0,      0
277, BEAM  ,     1,      2,    377,     89,      0,      0
278, BEAM  ,     1,      1,    378,     90,      0,      0
279, BEAM  ,     1,      1,    379,     91,      0,      0
280, BEAM  ,     1,      2,    380,     92,      0,      0
281, BEAM  ,     1,      8,    381,     93,      0,      0
282, BEAM  ,     1,      7,    382,     94,      0,      0
283, BEAM  ,     1,      7,    383,     95,      0,      0
284, BEAM  ,     1,      8,    384,     96,      0,      0
285, BEAM  ,     1,      2,    401,    417,      0,      0
286, BEAM  ,     1,      1,    402,    418,      0,      0
287, BEAM  ,     1,      1,    403,    419,      0,      0
288, BEAM  ,     1,      2,    404,    420,      0,      0
289, BEAM  ,     1,      8,    405,    421,      0,      0
290, BEAM  ,     1,      7,    406,    422,      0,      0
291, BEAM  ,     1,      7,    407,    423,      0,      0
292, BEAM  ,     1,      8,    408,    424,      0,      0
293, BEAM  ,     1,      2,    417,    433,      0,      0
294, BEAM  ,     1,      1,    418,    434,      0,      0
295, BEAM  ,     1,      1,    419,    435,      0,      0
296, BEAM  ,     1,      2,    420,    436,      0,      0
297, BEAM  ,     1,      8,    421,    437,      0,      0
298, BEAM  ,     1,      7,    422,    438,      0,      0
299, BEAM  ,     1,      7,    423,    439,      0,      0
300, BEAM  ,     1,      8,    424,    440,      0,      0
301, BEAM  ,     1,      2,    433,    449,      0,      0
302, BEAM  ,     1,      1,    434,    450,      0,      0
303, BEAM  ,     1,      1,    435,    451,      0,      0
304, BEAM  ,     1,      2,    436,    452,      0,      0
305, BEAM  ,     1,      8,    437,    453,      0,      0
306, BEAM  ,     1,      7,    438,    454,      0,      0
307, BEAM  ,     1,      7,    439,    455,      0,      0
308, BEAM  ,     1,      8,    440,    456,      0,      0
309, BEAM  ,     1,      2,    449,     97,      0,      0
310, BEAM  ,     1,      1,    450,     98,      0,      0
311, BEAM  ,     1,      1,    451,     99,      0,      0
312, BEAM  ,     1,      2,    452,    100,      0,      0
313, BEAM  ,     1,      8,    453,    101,      0,      0
314, BEAM  ,     1,      7,    454,    102,      0,      0
315, BEAM  ,     1,      7,    455,    103,      0,      0
316, BEAM  ,     1,      8,    456,    104,      0,      0
317, BEAM  ,     1,      2,    473,    489,      0,      0
318, BEAM  ,     1,      1,    474,    490,      0,      0
319, BEAM  ,     1,      1,    475,    491,      0,      0
320, BEAM  ,     1,      2,    476,    492,      0,      0
321, BEAM  ,     1,      8,    477,    493,      0,      0
322, BEAM  ,     1,      7,    478,    494,      0,      0
323, BEAM  ,     1,      7,    479,    495,      0,      0
324, BEAM  ,     1,      8,    480,    496,      0,      0
325, BEAM  ,     1,      2,    489,    505,      0,      0
326, BEAM  ,     1,      1,    490,    506,      0,      0
327, BEAM  ,     1,      1,    491,    507,      0,      0
328, BEAM  ,     1,      2,    492,    508,      0,      0
329, BEAM  ,     1,      8,    493,    509,      0,      0
330, BEAM  ,     1,      7,    494,    510,      0,      0
331, BEAM  ,     1,      7,    495,    511,      0,      0
332, BEAM  ,     1,      8,    496,    512,      0,      0
333, BEAM  ,     1,      2,    505,     41,      0,      0
334, BEAM  ,     1,      1,    506,     42,      0,      0
335, BEAM  ,     1,      1,    507,     43,      0,      0
336, BEAM  ,     1,      2,    508,     44,      0,      0
```

```
337, BEAM  ,     1,      8,    509,     45,      0,      0
338, BEAM  ,     1,      7,    510,     46,      0,      0
339, BEAM  ,     1,      7,    511,     47,      0,      0
340, BEAM  ,     1,      8,    512,     48,      0,      0
341, BEAM  ,     1,      4,    521,    105,      0,      0
342, BEAM  ,     1,      3,    522,    106,      0,      0
343, BEAM  ,     1,      3,    523,    107,      0,      0
344, BEAM  ,     1,      4,    524,    108,      0,      0
345, BEAM  ,     1,     10,    525,    109,      0,      0
346, BEAM  ,     1,      9,    526,    110,      0,      0
347, BEAM  ,     1,      9,    527,    111,      0,      0
348, BEAM  ,     1,     10,    528,    112,      0,      0
349, BEAM  ,     1,      4,    545,    561,      0,      0
350, BEAM  ,     1,      3,    546,    562,      0,      0
351, BEAM  ,     1,      3,    547,    563,      0,      0
352, BEAM  ,     1,      4,    548,    564,      0,      0
353, BEAM  ,     1,     10,    549,    565,      0,      0
354, BEAM  ,     1,      9,    550,    566,      0,      0
355, BEAM  ,     1,      9,    551,    567,      0,      0
356, BEAM  ,     1,     10,    552,    568,      0,      0
357, BEAM  ,     1,      4,    561,    577,      0,      0
358, BEAM  ,     1,      3,    562,    578,      0,      0
359, BEAM  ,     1,      3,    563,    579,      0,      0
360, BEAM  ,     1,      4,    564,    580,      0,      0
361, BEAM  ,     1,     10,    565,    581,      0,      0
362, BEAM  ,     1,      9,    566,    582,      0,      0
363, BEAM  ,     1,      9,    567,    583,      0,      0
364, BEAM  ,     1,     10,    568,    584,      0,      0
365, BEAM  ,     1,      4,    577,    593,      0,      0
366, BEAM  ,     1,      3,    578,    594,      0,      0
367, BEAM  ,     1,      3,    579,    595,      0,      0
368, BEAM  ,     1,      4,    580,    596,      0,      0
369, BEAM  ,     1,     10,    581,    597,      0,      0
370, BEAM  ,     1,      9,    582,    598,      0,      0
371, BEAM  ,     1,      9,    583,    599,      0,      0
372, BEAM  ,     1,     10,    584,    600,      0,      0
373, BEAM  ,     1,      4,    593,    113,      0,      0
374, BEAM  ,     1,      3,    594,    114,      0,      0
375, BEAM  ,     1,      3,    595,    115,      0,      0
376, BEAM  ,     1,      4,    596,    116,      0,      0
377, BEAM  ,     1,     10,    597,    117,      0,      0
378, BEAM  ,     1,      9,    598,    118,      0,      0
379, BEAM  ,     1,      9,    599,    119,      0,      0
380, BEAM  ,     1,     10,    600,    120,      0,      0
381, BEAM  ,     1,      4,    617,     25,      0,      0
382, BEAM  ,     1,      3,    618,     26,      0,      0
383, BEAM  ,     1,      3,    619,     27,      0,      0
384, BEAM  ,     1,      4,    620,     28,      0,      0
385, BEAM  ,     1,     10,    621,     29,      0,      0
386, BEAM  ,     1,      9,    622,     30,      0,      0
387, BEAM  ,     1,      9,    623,     31,      0,      0
388, BEAM  ,     1,     10,    624,     32,      0,      0
389, BEAM  ,     1,      6,    633,    649,      0,      0
390, BEAM  ,     1,      5,    634,    650,      0,      0
391, BEAM  ,     1,      5,    635,    651,      0,      0
392, BEAM  ,     1,      6,    636,    652,      0,      0
393, BEAM  ,     1,     12,    637,    653,      0,      0
394, BEAM  ,     1,     11,    638,    654,      0,      0
395, BEAM  ,     1,     11,    639,    655,      0,      0
396, BEAM  ,     1,     12,    640,    656,      0,      0
397, BEAM  ,     1,      6,    649,    665,      0,      0
398, BEAM  ,     1,      5,    650,    666,      0,      0
399, BEAM  ,     1,      5,    651,    667,      0,      0
400, BEAM  ,     1,      6,    652,    668,      0,      0
401, BEAM  ,     1,     12,    653,    669,      0,      0
402, BEAM  ,     1,     11,    654,    670,      0,      0
403, BEAM  ,     1,     11,    655,    671,      0,      0
404, BEAM  ,     1,     12,    656,    672,      0,      0
405, BEAM  ,     1,      6,    665,    121,      0,      0
406, BEAM  ,     1,      5,    666,    122,      0,      0
407, BEAM  ,     1,      5,    667,    123,      0,      0
408, BEAM  ,     1,      6,    668,    124,      0,      0
409, BEAM  ,     1,     12,    669,    125,      0,      0
410, BEAM  ,     1,     11,    670,    126,      0,      0
411, BEAM  ,     1,     11,    671,    127,      0,      0
412, BEAM  ,     1,     12,    672,    128,      0,      0
413, BEAM  ,     1,      6,    689,    705,      0,      0
414, BEAM  ,     1,      5,    690,    706,      0,      0
```

```
415, BEAM  ,     1,      5,    691,    707,      0,      0
416, BEAM  ,     1,      6,    692,    708,      0,      0
417, BEAM  ,     1,     12,    693,    709,      0,      0
418, BEAM  ,     1,     11,    694,    710,      0,      0
419, BEAM  ,     1,     11,    695,    711,      0,      0
420, BEAM  ,     1,     12,    696,    712,      0,      0
421, BEAM  ,     1,      6,    705,    721,      0,      0
422, BEAM  ,     1,      5,    706,    722,      0,      0
423, BEAM  ,     1,      5,    707,    723,      0,      0
424, BEAM  ,     1,      6,    708,    724,      0,      0
425, BEAM  ,     1,     12,    709,    725,      0,      0
426, BEAM  ,     1,     11,    710,    726,      0,      0
427, BEAM  ,     1,     11,    711,    727,      0,      0
428, BEAM  ,     1,     12,    712,    728,      0,      0
429, BEAM  ,     1,      6,    721,      9,      0,      0
430, BEAM  ,     1,      5,    722,     10,      0,      0
431, BEAM  ,     1,      5,    723,     11,      0,      0
432, BEAM  ,     1,      6,    724,     12,      0,      0
433, BEAM  ,     1,     12,    725,     13,      0,      0
434, BEAM  ,     1,     11,    726,     14,      0,      0
435, BEAM  ,     1,     11,    727,     15,      0,      0
436, BEAM  ,     1,     12,    728,     16,      0,      0
437, BEAM  ,     2,     18,    737,    905,      0,      0
438, BEAM  ,     2,     18,    144,    989,      0,      0
439, BEAM  ,     2,     18,    143,   1367,      0,      0
440, BEAM  ,     2,     18,    142,   1535,      0,      0
441, BEAM  ,     2,     18,    141,   1955,      0,      0
442, BEAM  ,     2,     18,    738,    906,      0,      0
443, BEAM  ,     2,     18,    160,    990,      0,      0
444, BEAM  ,     2,     18,    159,   1368,      0,      0
445, BEAM  ,     2,     18,    158,   1536,      0,      0
446, BEAM  ,     2,     18,    157,   1956,      0,      0
447, BEAM  ,     2,     18,    739,    907,      0,      0
448, BEAM  ,     2,     18,    176,    991,      0,      0
449, BEAM  ,     2,     18,    175,   1369,      0,      0
450, BEAM  ,     2,     18,    174,   1537,      0,      0
451, BEAM  ,     2,     18,    173,   1957,      0,      0
452, BEAM  ,     2,     18,    740,    908,      0,      0
453, BEAM  ,     2,     18,    184,    992,      0,      0
454, BEAM  ,     2,     18,    183,   1370,      0,      0
455, BEAM  ,     2,     18,    182,   1538,      0,      0
456, BEAM  ,     2,     18,    181,   1958,      0,      0
457, BEAM  ,     2,     18,    741,    909,      0,      0
458, BEAM  ,     2,     18,    200,    993,      0,      0
459, BEAM  ,     2,     18,    199,   1371,      0,      0
460, BEAM  ,     2,     18,    198,   1539,      0,      0
461, BEAM  ,     2,     18,    197,   1959,      0,      0
462, BEAM  ,     2,     18,    742,    910,      0,      0
463, BEAM  ,     2,     18,    216,    994,      0,      0
464, BEAM  ,     2,     18,    215,   1372,      0,      0
465, BEAM  ,     2,     18,    214,   1540,      0,      0
466, BEAM  ,     2,     18,    213,   1960,      0,      0
467, BEAM  ,     2,     18,    743,    911,      0,      0
468, BEAM  ,     2,     18,    232,    995,      0,      0
469, BEAM  ,     2,     18,    231,   1373,      0,      0
470, BEAM  ,     2,     18,    230,   1541,      0,      0
471, BEAM  ,     2,     18,    229,   1961,      0,      0
472, BEAM  ,     2,     18,    744,    912,      0,      0
473, BEAM  ,     2,     18,    248,    996,      0,      0
474, BEAM  ,     2,     18,    247,   1374,      0,      0
475, BEAM  ,     2,     18,    246,   1542,      0,      0
476, BEAM  ,     2,     18,    245,   1962,      0,      0
477, BEAM  ,     2,     18,    745,    913,      0,      0
478, BEAM  ,     2,     18,    256,    997,      0,      0
479, BEAM  ,     2,     18,    255,   1375,      0,      0
480, BEAM  ,     2,     18,    254,   1543,      0,      0
481, BEAM  ,     2,     18,    253,   1963,      0,      0
482, BEAM  ,     2,     18,    746,    914,      0,      0
483, BEAM  ,     2,     18,    272,    998,      0,      0
484, BEAM  ,     2,     18,    271,   1376,      0,      0
485, BEAM  ,     2,     18,    270,   1544,      0,      0
486, BEAM  ,     2,     18,    269,   1964,      0,      0
487, BEAM  ,     2,     18,    747,    915,      0,      0
488, BEAM  ,     2,     18,    288,    999,      0,      0
489, BEAM  ,     2,     18,    287,   1377,      0,      0
490, BEAM  ,     2,     18,    286,   1545,      0,      0
491, BEAM  ,     2,     18,    285,   1965,      0,      0
492, BEAM  ,     2,     18,    748,    916,      0,      0
```

```
493, BEAM  ,    2,    18,   304,  1000,     0,     0
494, BEAM  ,    2,    18,   303,  1378,     0,     0
495, BEAM  ,    2,    18,   302,  1546,     0,     0
496, BEAM  ,    2,    18,   301,  1966,     0,     0
497, BEAM  ,    2,    18,   749,   917,     0,     0
498, BEAM  ,    2,    18,   320,  1001,     0,     0
499, BEAM  ,    2,    18,   319,  1379,     0,     0
500, BEAM  ,    2,    18,   318,  1547,     0,     0
501, BEAM  ,    2,    18,   317,  1967,     0,     0
502, BEAM  ,    2,    18,   750,   918,     0,     0
503, BEAM  ,    2,    18,   328,  1002,     0,     0
504, BEAM  ,    2,    18,   327,  1380,     0,     0
505, BEAM  ,    2,    18,   326,  1548,     0,     0
506, BEAM  ,    2,    18,   325,  1968,     0,     0
507, BEAM  ,    2,    18,   751,   919,     0,     0
508, BEAM  ,    2,    18,   344,  1003,     0,     0
509, BEAM  ,    2,    18,   343,  1381,     0,     0
510, BEAM  ,    2,    18,   342,  1549,     0,     0
511, BEAM  ,    2,    18,   341,  1969,     0,     0
512, BEAM  ,    2,    18,   752,   920,     0,     0
513, BEAM  ,    2,    18,   360,  1004,     0,     0
514, BEAM  ,    2,    18,   359,  1382,     0,     0
515, BEAM  ,    2,    18,   358,  1550,     0,     0
516, BEAM  ,    2,    18,   357,  1970,     0,     0
517, BEAM  ,    2,    18,   753,   921,     0,     0
518, BEAM  ,    2,    18,   376,  1005,     0,     0
519, BEAM  ,    2,    18,   375,  1383,     0,     0
520, BEAM  ,    2,    18,   374,  1551,     0,     0
521, BEAM  ,    2,    18,   373,  1971,     0,     0
522, BEAM  ,    2,    18,   754,   922,     0,     0
523, BEAM  ,    2,    18,   392,  1006,     0,     0
524, BEAM  ,    2,    18,   391,  1384,     0,     0
525, BEAM  ,    2,    18,   390,  1552,     0,     0
526, BEAM  ,    2,    18,   389,  1972,     0,     0
527, BEAM  ,    2,    18,   755,   923,     0,     0
528, BEAM  ,    2,    18,   400,  1007,     0,     0
529, BEAM  ,    2,    18,   399,  1385,     0,     0
530, BEAM  ,    2,    18,   398,  1553,     0,     0
531, BEAM  ,    2,    18,   397,  1973,     0,     0
532, BEAM  ,    2,    18,   756,   924,     0,     0
533, BEAM  ,    2,    18,   416,  1008,     0,     0
534, BEAM  ,    2,    18,   415,  1386,     0,     0
535, BEAM  ,    2,    18,   414,  1554,     0,     0
536, BEAM  ,    2,    18,   413,  1974,     0,     0
537, BEAM  ,    2,    18,   757,   925,     0,     0
538, BEAM  ,    2,    18,   432,  1009,     0,     0
539, BEAM  ,    2,    18,   431,  1387,     0,     0
540, BEAM  ,    2,    18,   430,  1555,     0,     0
541, BEAM  ,    2,    18,   429,  1975,     0,     0
542, BEAM  ,    2,    18,   758,   926,     0,     0
543, BEAM  ,    2,    18,   448,  1010,     0,     0
544, BEAM  ,    2,    18,   447,  1388,     0,     0
545, BEAM  ,    2,    18,   446,  1556,     0,     0
546, BEAM  ,    2,    18,   445,  1976,     0,     0
547, BEAM  ,    2,    18,   759,   927,     0,     0
548, BEAM  ,    2,    18,   464,  1011,     0,     0
549, BEAM  ,    2,    18,   463,  1389,     0,     0
550, BEAM  ,    2,    18,   462,  1557,     0,     0
551, BEAM  ,    2,    18,   461,  1977,     0,     0
552, BEAM  ,    2,    18,   760,   928,     0,     0
553, BEAM  ,    2,    18,   472,  1012,     0,     0
554, BEAM  ,    2,    18,   471,  1390,     0,     0
555, BEAM  ,    2,    18,   470,  1558,     0,     0
556, BEAM  ,    2,    18,   469,  1978,     0,     0
557, BEAM  ,    2,    18,   761,   929,     0,     0
558, BEAM  ,    2,    18,   488,  1013,     0,     0
559, BEAM  ,    2,    18,   487,  1391,     0,     0
560, BEAM  ,    2,    18,   486,  1559,     0,     0
561, BEAM  ,    2,    18,   485,  1979,     0,     0
562, BEAM  ,    2,    18,   762,   930,     0,     0
563, BEAM  ,    2,    18,   504,  1014,     0,     0
564, BEAM  ,    2,    18,   503,  1392,     0,     0
565, BEAM  ,    2,    18,   502,  1560,     0,     0
566, BEAM  ,    2,    18,   501,  1980,     0,     0
567, BEAM  ,    2,    18,   763,   931,     0,     0
568, BEAM  ,    2,    18,   520,  1015,     0,     0
569, BEAM  ,    2,    18,   519,  1393,     0,     0
570, BEAM  ,    2,    18,   518,  1561,     0,     0
```

```
571, BEAM  ,     2,     18,    517,   1981,      0,      0
572, BEAM  ,     2,     18,    764,    932,      0,      0
573, BEAM  ,     2,     18,    536,   1016,      0,      0
574, BEAM  ,     2,     18,    535,   1394,      0,      0
575, BEAM  ,     2,     18,    534,   1562,      0,      0
576, BEAM  ,     2,     18,    533,   1982,      0,      0
577, BEAM  ,     2,     18,    765,    933,      0,      0
578, BEAM  ,     2,     18,    544,   1017,      0,      0
579, BEAM  ,     2,     18,    543,   1395,      0,      0
580, BEAM  ,     2,     18,    542,   1563,      0,      0
581, BEAM  ,     2,     18,    541,   1983,      0,      0
582, BEAM  ,     2,     18,    766,    934,      0,      0
583, BEAM  ,     2,     18,    560,   1018,      0,      0
584, BEAM  ,     2,     18,    559,   1396,      0,      0
585, BEAM  ,     2,     18,    558,   1564,      0,      0
586, BEAM  ,     2,     18,    557,   1984,      0,      0
587, BEAM  ,     2,     18,    767,    935,      0,      0
588, BEAM  ,     2,     18,    576,   1019,      0,      0
589, BEAM  ,     2,     18,    575,   1397,      0,      0
590, BEAM  ,     2,     18,    574,   1565,      0,      0
591, BEAM  ,     2,     18,    573,   1985,      0,      0
592, BEAM  ,     2,     18,    768,    936,      0,      0
593, BEAM  ,     2,     18,    592,   1020,      0,      0
594, BEAM  ,     2,     18,    591,   1398,      0,      0
595, BEAM  ,     2,     18,    590,   1566,      0,      0
596, BEAM  ,     2,     18,    589,   1986,      0,      0
597, BEAM  ,     2,     18,    769,    937,      0,      0
598, BEAM  ,     2,     18,    608,   1021,      0,      0
599, BEAM  ,     2,     18,    607,   1399,      0,      0
600, BEAM  ,     2,     18,    606,   1567,      0,      0
601, BEAM  ,     2,     18,    605,   1987,      0,      0
602, BEAM  ,     2,     18,    770,    938,      0,      0
603, BEAM  ,     2,     18,    616,   1022,      0,      0
604, BEAM  ,     2,     18,    615,   1400,      0,      0
605, BEAM  ,     2,     18,    614,   1568,      0,      0
606, BEAM  ,     2,     18,    613,   1988,      0,      0
607, BEAM  ,     2,     18,    771,    939,      0,      0
608, BEAM  ,     2,     18,    632,   1023,      0,      0
609, BEAM  ,     2,     18,    631,   1401,      0,      0
610, BEAM  ,     2,     18,    630,   1569,      0,      0
611, BEAM  ,     2,     18,    629,   1989,      0,      0
612, BEAM  ,     2,     18,    772,    940,      0,      0
613, BEAM  ,     2,     18,    648,   1024,      0,      0
614, BEAM  ,     2,     18,    647,   1402,      0,      0
615, BEAM  ,     2,     18,    646,   1570,      0,      0
616, BEAM  ,     2,     18,    645,   1990,      0,      0
617, BEAM  ,     2,     18,    773,    941,      0,      0
618, BEAM  ,     2,     18,    664,   1025,      0,      0
619, BEAM  ,     2,     18,    663,   1403,      0,      0
620, BEAM  ,     2,     18,    662,   1571,      0,      0
621, BEAM  ,     2,     18,    661,   1991,      0,      0
622, BEAM  ,     2,     18,    774,    942,      0,      0
623, BEAM  ,     2,     18,    680,   1026,      0,      0
624, BEAM  ,     2,     18,    679,   1404,      0,      0
625, BEAM  ,     2,     18,    678,   1572,      0,      0
626, BEAM  ,     2,     18,    677,   1992,      0,      0
627, BEAM  ,     2,     18,    775,    943,      0,      0
628, BEAM  ,     2,     18,    688,   1027,      0,      0
629, BEAM  ,     2,     18,    687,   1405,      0,      0
630, BEAM  ,     2,     18,    686,   1573,      0,      0
631, BEAM  ,     2,     18,    685,   1993,      0,      0
632, BEAM  ,     2,     18,    776,    944,      0,      0
633, BEAM  ,     2,     18,    704,   1028,      0,      0
634, BEAM  ,     2,     18,    703,   1406,      0,      0
635, BEAM  ,     2,     18,    702,   1574,      0,      0
636, BEAM  ,     2,     18,    701,   1994,      0,      0
637, BEAM  ,     2,     18,    777,    945,      0,      0
638, BEAM  ,     2,     18,    720,   1029,      0,      0
639, BEAM  ,     2,     18,    719,   1407,      0,      0
640, BEAM  ,     2,     18,    718,   1575,      0,      0
641, BEAM  ,     2,     18,    717,   1995,      0,      0
642, BEAM  ,     2,     18,    778,    946,      0,      0
643, BEAM  ,     2,     18,    736,   1030,      0,      0
644, BEAM  ,     2,     18,    735,   1408,      0,      0
645, BEAM  ,     2,     18,    734,   1576,      0,      0
646, BEAM  ,     2,     18,    733,   1996,      0,      0
647, BEAM  ,     2,     18,    821,   1073,      0,      0
648, BEAM  ,     2,     18,    140,   2669,      0,      0
```

```
649, BEAM  ,    2,    18,   139,  2123,     0,     0
650, BEAM  ,    2,    18,   138,  2333,     0,     0
651, BEAM  ,    2,    18,   137,  2753,     0,     0
652, BEAM  ,    2,    18,   822,  1074,     0,     0
653, BEAM  ,    2,    18,   156,  2670,     0,     0
654, BEAM  ,    2,    18,   155,  2125,     0,     0
655, BEAM  ,    2,    18,   154,  2334,     0,     0
656, BEAM  ,    2,    18,   153,  2754,     0,     0
657, BEAM  ,    2,    18,   823,  1075,     0,     0
658, BEAM  ,    2,    18,   172,  2671,     0,     0
659, BEAM  ,    2,    18,   171,  2127,     0,     0
660, BEAM  ,    2,    18,   170,  2335,     0,     0
661, BEAM  ,    2,    18,   169,  2755,     0,     0
662, BEAM  ,    2,    18,   824,  1076,     0,     0
663, BEAM  ,    2,    18,   180,  2672,     0,     0
664, BEAM  ,    2,    18,   179,  2129,     0,     0
665, BEAM  ,    2,    18,   178,  2336,     0,     0
666, BEAM  ,    2,    18,   177,  2756,     0,     0
667, BEAM  ,    2,    18,   825,  1077,     0,     0
668, BEAM  ,    2,    18,   196,  2673,     0,     0
669, BEAM  ,    2,    18,   195,  2131,     0,     0
670, BEAM  ,    2,    18,   194,  2337,     0,     0
671, BEAM  ,    2,    18,   193,  2757,     0,     0
672, BEAM  ,    2,    18,   826,  1078,     0,     0
673, BEAM  ,    2,    18,   212,  2674,     0,     0
674, BEAM  ,    2,    18,   211,  2133,     0,     0
675, BEAM  ,    2,    18,   210,  2338,     0,     0
676, BEAM  ,    2,    18,   209,  2758,     0,     0
677, BEAM  ,    2,    18,   827,  1079,     0,     0
678, BEAM  ,    2,    18,   228,  2675,     0,     0
679, BEAM  ,    2,    18,   227,  2135,     0,     0
680, BEAM  ,    2,    18,   226,  2339,     0,     0
681, BEAM  ,    2,    18,   225,  2759,     0,     0
682, BEAM  ,    2,    18,   828,  1080,     0,     0
683, BEAM  ,    2,    18,   244,  2676,     0,     0
684, BEAM  ,    2,    18,   243,  2137,     0,     0
685, BEAM  ,    2,    18,   242,  2340,     0,     0
686, BEAM  ,    2,    18,   241,  2760,     0,     0
687, BEAM  ,    2,    18,   829,  1081,     0,     0
688, BEAM  ,    2,    18,   252,  2677,     0,     0
689, BEAM  ,    2,    18,   251,  2139,     0,     0
690, BEAM  ,    2,    18,   250,  2341,     0,     0
691, BEAM  ,    2,    18,   249,  2761,     0,     0
692, BEAM  ,    2,    18,   830,  1082,     0,     0
693, BEAM  ,    2,    18,   268,  2678,     0,     0
694, BEAM  ,    2,    18,   267,  2141,     0,     0
695, BEAM  ,    2,    18,   266,  2342,     0,     0
696, BEAM  ,    2,    18,   265,  2762,     0,     0
697, BEAM  ,    2,    18,   831,  1083,     0,     0
698, BEAM  ,    2,    18,   284,  2679,     0,     0
699, BEAM  ,    2,    18,   283,  2143,     0,     0
700, BEAM  ,    2,    18,   282,  2343,     0,     0
701, BEAM  ,    2,    18,   281,  2763,     0,     0
702, BEAM  ,    2,    18,   832,  1084,     0,     0
703, BEAM  ,    2,    18,   300,  2680,     0,     0
704, BEAM  ,    2,    18,   299,  2145,     0,     0
705, BEAM  ,    2,    18,   298,  2344,     0,     0
706, BEAM  ,    2,    18,   297,  2764,     0,     0
707, BEAM  ,    2,    18,   833,  1085,     0,     0
708, BEAM  ,    2,    18,   316,  2681,     0,     0
709, BEAM  ,    2,    18,   315,  2147,     0,     0
710, BEAM  ,    2,    18,   314,  2345,     0,     0
711, BEAM  ,    2,    18,   313,  2765,     0,     0
712, BEAM  ,    2,    18,   834,  1086,     0,     0
713, BEAM  ,    2,    18,   324,  2682,     0,     0
714, BEAM  ,    2,    18,   323,  2149,     0,     0
715, BEAM  ,    2,    18,   322,  2346,     0,     0
716, BEAM  ,    2,    18,   321,  2766,     0,     0
717, BEAM  ,    2,    18,   835,  1087,     0,     0
718, BEAM  ,    2,    18,   340,  2683,     0,     0
719, BEAM  ,    2,    18,   339,  2151,     0,     0
720, BEAM  ,    2,    18,   338,  2347,     0,     0
721, BEAM  ,    2,    18,   337,  2767,     0,     0
722, BEAM  ,    2,    18,   836,  1088,     0,     0
723, BEAM  ,    2,    18,   356,  2684,     0,     0
724, BEAM  ,    2,    18,   355,  2153,     0,     0
725, BEAM  ,    2,    18,   354,  2348,     0,     0
726, BEAM  ,    2,    18,   353,  2768,     0,     0
```

```
727, BEAM  ,    2,    18,   837,  1089,     0,     0
728, BEAM  ,    2,    18,   372,  2685,     0,     0
729, BEAM  ,    2,    18,   371,  2155,     0,     0
730, BEAM  ,    2,    18,   370,  2349,     0,     0
731, BEAM  ,    2,    18,   369,  2769,     0,     0
732, BEAM  ,    2,    18,   838,  1090,     0,     0
733, BEAM  ,    2,    18,   388,  2686,     0,     0
734, BEAM  ,    2,    18,   387,  2157,     0,     0
735, BEAM  ,    2,    18,   386,  2350,     0,     0
736, BEAM  ,    2,    18,   385,  2770,     0,     0
737, BEAM  ,    2,    18,   839,  1091,     0,     0
738, BEAM  ,    2,    18,   396,  2687,     0,     0
739, BEAM  ,    2,    18,   395,  2159,     0,     0
740, BEAM  ,    2,    18,   394,  2351,     0,     0
741, BEAM  ,    2,    18,   393,  2771,     0,     0
742, BEAM  ,    2,    18,   840,  1092,     0,     0
743, BEAM  ,    2,    18,   412,  2688,     0,     0
744, BEAM  ,    2,    18,   411,  2161,     0,     0
745, BEAM  ,    2,    18,   410,  2352,     0,     0
746, BEAM  ,    2,    18,   409,  2772,     0,     0
747, BEAM  ,    2,    18,   841,  1093,     0,     0
748, BEAM  ,    2,    18,   428,  2689,     0,     0
749, BEAM  ,    2,    18,   427,  2163,     0,     0
750, BEAM  ,    2,    18,   426,  2353,     0,     0
751, BEAM  ,    2,    18,   425,  2773,     0,     0
752, BEAM  ,    2,    18,   842,  1094,     0,     0
753, BEAM  ,    2,    18,   444,  2690,     0,     0
754, BEAM  ,    2,    18,   443,  2165,     0,     0
755, BEAM  ,    2,    18,   442,  2354,     0,     0
756, BEAM  ,    2,    18,   441,  2774,     0,     0
757, BEAM  ,    2,    18,   843,  1095,     0,     0
758, BEAM  ,    2,    18,   460,  2691,     0,     0
759, BEAM  ,    2,    18,   459,  2167,     0,     0
760, BEAM  ,    2,    18,   458,  2355,     0,     0
761, BEAM  ,    2,    18,   457,  2775,     0,     0
762, BEAM  ,    2,    18,   844,  1096,     0,     0
763, BEAM  ,    2,    18,   468,  2692,     0,     0
764, BEAM  ,    2,    18,   467,  2169,     0,     0
765, BEAM  ,    2,    18,   466,  2356,     0,     0
766, BEAM  ,    2,    18,   465,  2776,     0,     0
767, BEAM  ,    2,    18,   845,  1097,     0,     0
768, BEAM  ,    2,    18,   484,  2693,     0,     0
769, BEAM  ,    2,    18,   483,  2171,     0,     0
770, BEAM  ,    2,    18,   482,  2357,     0,     0
771, BEAM  ,    2,    18,   481,  2777,     0,     0
772, BEAM  ,    2,    18,   846,  1098,     0,     0
773, BEAM  ,    2,    18,   500,  2694,     0,     0
774, BEAM  ,    2,    18,   499,  2173,     0,     0
775, BEAM  ,    2,    18,   498,  2358,     0,     0
776, BEAM  ,    2,    18,   497,  2778,     0,     0
777, BEAM  ,    2,    18,   847,  1099,     0,     0
778, BEAM  ,    2,    18,   516,  2695,     0,     0
779, BEAM  ,    2,    18,   515,  2175,     0,     0
780, BEAM  ,    2,    18,   514,  2359,     0,     0
781, BEAM  ,    2,    18,   513,  2779,     0,     0
782, BEAM  ,    2,    18,   848,  1100,     0,     0
783, BEAM  ,    2,    18,   532,  2696,     0,     0
784, BEAM  ,    2,    18,   531,  2177,     0,     0
785, BEAM  ,    2,    18,   530,  2360,     0,     0
786, BEAM  ,    2,    18,   529,  2780,     0,     0
787, BEAM  ,    2,    18,   849,  1101,     0,     0
788, BEAM  ,    2,    18,   540,  2697,     0,     0
789, BEAM  ,    2,    18,   539,  2179,     0,     0
790, BEAM  ,    2,    18,   538,  2361,     0,     0
791, BEAM  ,    2,    18,   537,  2781,     0,     0
792, BEAM  ,    2,    18,   850,  1102,     0,     0
793, BEAM  ,    2,    18,   556,  2698,     0,     0
794, BEAM  ,    2,    18,   555,  2181,     0,     0
795, BEAM  ,    2,    18,   554,  2362,     0,     0
796, BEAM  ,    2,    18,   553,  2782,     0,     0
797, BEAM  ,    2,    18,   851,  1103,     0,     0
798, BEAM  ,    2,    18,   572,  2699,     0,     0
799, BEAM  ,    2,    18,   571,  2183,     0,     0
800, BEAM  ,    2,    18,   570,  2363,     0,     0
801, BEAM  ,    2,    18,   569,  2783,     0,     0
802, BEAM  ,    2,    18,   852,  1104,     0,     0
803, BEAM  ,    2,    18,   588,  2700,     0,     0
804, BEAM  ,    2,    18,   587,  2185,     0,     0
```

```
805, BEAM  ,    2,    18,   586,  2364,     0,     0
806, BEAM  ,    2,    18,   585,  2784,     0,     0
807, BEAM  ,    2,    18,   853,  1105,     0,     0
808, BEAM  ,    2,    18,   604,  2701,     0,     0
809, BEAM  ,    2,    18,   603,  2187,     0,     0
810, BEAM  ,    2,    18,   602,  2365,     0,     0
811, BEAM  ,    2,    18,   601,  2785,     0,     0
812, BEAM  ,    2,    18,   854,  1106,     0,     0
813, BEAM  ,    2,    18,   612,  2702,     0,     0
814, BEAM  ,    2,    18,   611,  2189,     0,     0
815, BEAM  ,    2,    18,   610,  2366,     0,     0
816, BEAM  ,    2,    18,   609,  2786,     0,     0
817, BEAM  ,    2,    18,   855,  1107,     0,     0
818, BEAM  ,    2,    18,   628,  2703,     0,     0
819, BEAM  ,    2,    18,   627,  2191,     0,     0
820, BEAM  ,    2,    18,   626,  2367,     0,     0
821, BEAM  ,    2,    18,   625,  2787,     0,     0
822, BEAM  ,    2,    18,   856,  1108,     0,     0
823, BEAM  ,    2,    18,   644,  2704,     0,     0
824, BEAM  ,    2,    18,   643,  2193,     0,     0
825, BEAM  ,    2,    18,   642,  2368,     0,     0
826, BEAM  ,    2,    18,   641,  2788,     0,     0
827, BEAM  ,    2,    18,   857,  1109,     0,     0
828, BEAM  ,    2,    18,   660,  2705,     0,     0
829, BEAM  ,    2,    18,   659,  2195,     0,     0
830, BEAM  ,    2,    18,   658,  2369,     0,     0
831, BEAM  ,    2,    18,   657,  2789,     0,     0
832, BEAM  ,    2,    18,   858,  1110,     0,     0
833, BEAM  ,    2,    18,   676,  2706,     0,     0
834, BEAM  ,    2,    18,   675,  2197,     0,     0
835, BEAM  ,    2,    18,   674,  2370,     0,     0
836, BEAM  ,    2,    18,   673,  2790,     0,     0
837, BEAM  ,    2,    18,   859,  1111,     0,     0
838, BEAM  ,    2,    18,   684,  2707,     0,     0
839, BEAM  ,    2,    18,   683,  2199,     0,     0
840, BEAM  ,    2,    18,   682,  2371,     0,     0
841, BEAM  ,    2,    18,   681,  2791,     0,     0
842, BEAM  ,    2,    18,   860,  1112,     0,     0
843, BEAM  ,    2,    18,   700,  2708,     0,     0
844, BEAM  ,    2,    18,   699,  2201,     0,     0
845, BEAM  ,    2,    18,   698,  2372,     0,     0
846, BEAM  ,    2,    18,   697,  2792,     0,     0
847, BEAM  ,    2,    18,   861,  1113,     0,     0
848, BEAM  ,    2,    18,   716,  2709,     0,     0
849, BEAM  ,    2,    18,   715,  2203,     0,     0
850, BEAM  ,    2,    18,   714,  2373,     0,     0
851, BEAM  ,    2,    18,   713,  2793,     0,     0
852, BEAM  ,    2,    18,   862,  1114,     0,     0
853, BEAM  ,    2,    18,   732,  2710,     0,     0
854, BEAM  ,    2,    18,   731,  2205,     0,     0
855, BEAM  ,    2,    18,   730,  2374,     0,     0
856, BEAM  ,    2,    18,   729,  2794,     0,     0
857, BEAM  ,    4,    16,   737,   738,     0,     0
858, BEAM  ,    4,    16,   738,   739,     0,     0
859, BEAM  ,    4,    16,   739,   740,     0,     0
860, BEAM  ,    4,    16,   740,   741,     0,     0
861, BEAM  ,    4,    16,   741,   742,     0,     0
862, BEAM  ,    4,    16,   742,   743,     0,     0
863, BEAM  ,    4,    16,   743,   744,     0,     0
864, BEAM  ,    4,    16,   744,   745,     0,     0
865, BEAM  ,    4,    16,   745,   746,     0,     0
866, BEAM  ,    4,    16,   746,   747,     0,     0
867, BEAM  ,    4,    16,   747,   748,     0,     0
868, BEAM  ,    4,    16,   748,   749,     0,     0
869, BEAM  ,    4,    16,   749,   750,     0,     0
870, BEAM  ,    4,    16,   750,   751,     0,     0
871, BEAM  ,    4,    16,   751,   752,     0,     0
872, BEAM  ,    4,    16,   752,   753,     0,     0
873, BEAM  ,    4,    16,   753,   754,     0,     0
874, BEAM  ,    4,    16,   754,   755,     0,     0
875, BEAM  ,    4,    16,   755,   756,     0,     0
876, BEAM  ,    4,    16,   756,   757,     0,     0
877, BEAM  ,    4,    16,   757,   758,     0,     0
878, BEAM  ,    4,    16,   758,   759,     0,     0
879, BEAM  ,    4,    16,   759,   760,     0,     0
880, BEAM  ,    4,    16,   760,   761,     0,     0
881, BEAM  ,    4,    16,   761,   762,     0,     0
882, BEAM  ,    4,    16,   762,   763,     0,     0
```

```
883, BEAM  ,    4,    16,   763,   764,     0,     0
884, BEAM  ,    4,    16,   764,   765,     0,     0
885, BEAM  ,    4,    16,   765,   766,     0,     0
886, BEAM  ,    4,    16,   766,   767,     0,     0
887, BEAM  ,    4,    16,   767,   768,     0,     0
888, BEAM  ,    4,    16,   768,   769,     0,     0
889, BEAM  ,    4,    16,   769,   770,     0,     0
890, BEAM  ,    4,    16,   770,   771,     0,     0
891, BEAM  ,    4,    16,   771,   772,     0,     0
892, BEAM  ,    4,    16,   772,   773,     0,     0
893, BEAM  ,    4,    16,   773,   774,     0,     0
894, BEAM  ,    4,    16,   774,   775,     0,     0
895, BEAM  ,    4,    16,   775,   776,     0,     0
896, BEAM  ,    4,    16,   776,   777,     0,     0
897, BEAM  ,    4,    16,   777,   778,     0,     0
898, BEAM  ,    4,    16,   779,   780,     0,     0
899, BEAM  ,    4,    16,   780,   781,     0,     0
900, BEAM  ,    4,    16,   781,   782,     0,     0
901, BEAM  ,    4,    16,   782,   783,     0,     0
902, BEAM  ,    4,    16,   783,   784,     0,     0
903, BEAM  ,    4,    16,   784,   785,     0,     0
904, BEAM  ,    4,    16,   785,   786,     0,     0
905, BEAM  ,    4,    16,   786,   787,     0,     0
906, BEAM  ,    4,    16,   787,   788,     0,     0
907, BEAM  ,    4,    16,   788,   789,     0,     0
908, BEAM  ,    4,    16,   789,   790,     0,     0
909, BEAM  ,    4,    16,   790,   791,     0,     0
910, BEAM  ,    4,    16,   791,   792,     0,     0
911, BEAM  ,    4,    16,   792,   793,     0,     0
912, BEAM  ,    4,    16,   793,   794,     0,     0
913, BEAM  ,    4,    16,   794,   795,     0,     0
914, BEAM  ,    4,    16,   795,   796,     0,     0
915, BEAM  ,    4,    16,   796,   797,     0,     0
916, BEAM  ,    4,    16,   797,   798,     0,     0
917, BEAM  ,    4,    16,   798,   799,     0,     0
918, BEAM  ,    4,    16,   799,   800,     0,     0
919, BEAM  ,    4,    16,   800,   801,     0,     0
920, BEAM  ,    4,    16,   801,   802,     0,     0
921, BEAM  ,    4,    16,   802,   803,     0,     0
922, BEAM  ,    4,    16,   803,   804,     0,     0
923, BEAM  ,    4,    16,   804,   805,     0,     0
924, BEAM  ,    4,    16,   805,   806,     0,     0
925, BEAM  ,    4,    16,   806,   807,     0,     0
926, BEAM  ,    4,    16,   807,   808,     0,     0
927, BEAM  ,    4,    16,   808,   809,     0,     0
928, BEAM  ,    4,    16,   809,   810,     0,     0
929, BEAM  ,    4,    16,   810,   811,     0,     0
930, BEAM  ,    4,    16,   811,   812,     0,     0
931, BEAM  ,    4,    16,   812,   813,     0,     0
932, BEAM  ,    4,    16,   813,   814,     0,     0
933, BEAM  ,    4,    16,   814,   815,     0,     0
934, BEAM  ,    4,    16,   815,   816,     0,     0
935, BEAM  ,    4,    16,   816,   817,     0,     0
936, BEAM  ,    4,    16,   817,   818,     0,     0
937, BEAM  ,    4,    16,   818,   819,     0,     0
938, BEAM  ,    4,    16,   819,   820,     0,     0
939, BEAM  ,    4,    16,   821,   822,     0,     0
940, BEAM  ,    4,    16,   822,   823,     0,     0
941, BEAM  ,    4,    16,   823,   824,     0,     0
942, BEAM  ,    4,    16,   824,   825,     0,     0
943, BEAM  ,    4,    16,   825,   826,     0,     0
944, BEAM  ,    4,    16,   826,   827,     0,     0
945, BEAM  ,    4,    16,   827,   828,     0,     0
946, BEAM  ,    4,    16,   828,   829,     0,     0
947, BEAM  ,    4,    16,   829,   830,     0,     0
948, BEAM  ,    4,    16,   830,   831,     0,     0
949, BEAM  ,    4,    16,   831,   832,     0,     0
950, BEAM  ,    4,    16,   832,   833,     0,     0
951, BEAM  ,    4,    16,   833,   834,     0,     0
952, BEAM  ,    4,    16,   834,   835,     0,     0
953, BEAM  ,    4,    16,   835,   836,     0,     0
954, BEAM  ,    4,    16,   836,   837,     0,     0
955, BEAM  ,    4,    16,   837,   838,     0,     0
956, BEAM  ,    4,    16,   838,   839,     0,     0
957, BEAM  ,    4,    16,   839,   840,     0,     0
958, BEAM  ,    4,    16,   840,   841,     0,     0
959, BEAM  ,    4,    16,   841,   842,     0,     0
960, BEAM  ,    4,    16,   842,   843,     0,     0
```

```
  961, BEAM  ,     4,     16,    843,    844,      0,      0
  962, BEAM  ,     4,     16,    844,    845,      0,      0
  963, BEAM  ,     4,     16,    845,    846,      0,      0
  964, BEAM  ,     4,     16,    846,    847,      0,      0
  965, BEAM  ,     4,     16,    847,    848,      0,      0
  966, BEAM  ,     4,     16,    848,    849,      0,      0
  967, BEAM  ,     4,     16,    849,    850,      0,      0
  968, BEAM  ,     4,     16,    850,    851,      0,      0
  969, BEAM  ,     4,     16,    851,    852,      0,      0
  970, BEAM  ,     4,     16,    852,    853,      0,      0
  971, BEAM  ,     4,     16,    853,    854,      0,      0
  972, BEAM  ,     4,     16,    854,    855,      0,      0
  973, BEAM  ,     4,     16,    855,    856,      0,      0
  974, BEAM  ,     4,     16,    856,    857,      0,      0
  975, BEAM  ,     4,     16,    857,    858,      0,      0
  976, BEAM  ,     4,     16,    858,    859,      0,      0
  977, BEAM  ,     4,     16,    859,    860,      0,      0
  978, BEAM  ,     4,     16,    860,    861,      0,      0
  979, BEAM  ,     4,     16,    861,    862,      0,      0
  980, BEAM  ,     4,     16,    863,    864,      0,      0
  981, BEAM  ,     4,     16,    864,    865,      0,      0
  982, BEAM  ,     4,     16,    865,    866,      0,      0
  983, BEAM  ,     4,     16,    866,    867,      0,      0
  984, BEAM  ,     4,     16,    867,    868,      0,      0
  985, BEAM  ,     4,     16,    868,    869,      0,      0
  986, BEAM  ,     4,     16,    869,    870,      0,      0
  987, BEAM  ,     4,     16,    870,    871,      0,      0
  988, BEAM  ,     4,     16,    871,    872,      0,      0
  989, BEAM  ,     4,     16,    872,    873,      0,      0
  990, BEAM  ,     4,     16,    873,    874,      0,      0
  991, BEAM  ,     4,     16,    874,    875,      0,      0
  992, BEAM  ,     4,     16,    875,    876,      0,      0
  993, BEAM  ,     4,     16,    876,    877,      0,      0
  994, BEAM  ,     4,     16,    877,    878,      0,      0
  995, BEAM  ,     4,     16,    878,    879,      0,      0
  996, BEAM  ,     4,     16,    879,    880,      0,      0
  997, BEAM  ,     4,     16,    880,    881,      0,      0
  998, BEAM  ,     4,     16,    881,    882,      0,      0
  999, BEAM  ,     4,     16,    882,    883,      0,      0
 1000, BEAM  ,     4,     16,    883,    884,      0,      0
 1001, BEAM  ,     4,     16,    884,    885,      0,      0
 1002, BEAM  ,     4,     16,    885,    886,      0,      0
 1003, BEAM  ,     4,     16,    886,    887,      0,      0
 1004, BEAM  ,     4,     16,    887,    888,      0,      0
 1005, BEAM  ,     4,     16,    888,    889,      0,      0
 1006, BEAM  ,     4,     16,    889,    890,      0,      0
 1007, BEAM  ,     4,     16,    890,    891,      0,      0
 1008, BEAM  ,     4,     16,    891,    892,      0,      0
 1009, BEAM  ,     4,     16,    892,    893,      0,      0
 1010, BEAM  ,     4,     16,    893,    894,      0,      0
 1011, BEAM  ,     4,     16,    894,    895,      0,      0
 1012, BEAM  ,     4,     16,    895,    896,      0,      0
 1013, BEAM  ,     4,     16,    896,    897,      0,      0
 1014, BEAM  ,     4,     16,    897,    898,      0,      0
 1015, BEAM  ,     4,     16,    898,    899,      0,      0
 1016, BEAM  ,     4,     16,    899,    900,      0,      0
 1017, BEAM  ,     4,     16,    900,    901,      0,      0
 1018, BEAM  ,     4,     16,    901,    902,      0,      0
 1019, BEAM  ,     4,     16,    902,    903,      0,      0
 1020, BEAM  ,     4,     16,    903,    904,      0,      0
 1021, BEAM  ,     2,     18,    905,    144,      0,      0
 1022, BEAM  ,     2,     18,    906,    160,      0,      0
 1023, BEAM  ,     2,     18,    907,    176,      0,      0
 1024, BEAM  ,     2,     18,    908,    184,      0,      0
 1025, BEAM  ,     2,     18,    909,    200,      0,      0
 1026, BEAM  ,     2,     18,    910,    216,      0,      0
 1027, BEAM  ,     2,     18,    911,    232,      0,      0
 1028, BEAM  ,     2,     18,    912,    248,      0,      0
 1029, BEAM  ,     2,     18,    913,    256,      0,      0
 1030, BEAM  ,     2,     18,    914,    272,      0,      0
 1031, BEAM  ,     2,     18,    915,    288,      0,      0
 1032, BEAM  ,     2,     18,    916,    304,      0,      0
 1033, BEAM  ,     2,     18,    917,    320,      0,      0
 1034, BEAM  ,     2,     18,    918,    328,      0,      0
 1035, BEAM  ,     2,     18,    919,    344,      0,      0
 1036, BEAM  ,     2,     18,    920,    360,      0,      0
 1037, BEAM  ,     2,     18,    921,    376,      0,      0
 1038, BEAM  ,     2,     18,    922,    392,      0,      0
```

```
1039, BEAM  ,    2,    18,   923,   400,     0,     0
1040, BEAM  ,    2,    18,   924,   416,     0,     0
1041, BEAM  ,    2,    18,   925,   432,     0,     0
1042, BEAM  ,    2,    18,   926,   448,     0,     0
1043, BEAM  ,    2,    18,   927,   464,     0,     0
1044, BEAM  ,    2,    18,   928,   472,     0,     0
1045, BEAM  ,    2,    18,   929,   488,     0,     0
1046, BEAM  ,    2,    18,   930,   504,     0,     0
1047, BEAM  ,    2,    18,   931,   520,     0,     0
1048, BEAM  ,    2,    18,   932,   536,     0,     0
1049, BEAM  ,    2,    18,   933,   544,     0,     0
1050, BEAM  ,    2,    18,   934,   560,     0,     0
1051, BEAM  ,    2,    18,   935,   576,     0,     0
1052, BEAM  ,    2,    18,   936,   592,     0,     0
1053, BEAM  ,    2,    18,   937,   608,     0,     0
1054, BEAM  ,    2,    18,   938,   616,     0,     0
1055, BEAM  ,    2,    18,   939,   632,     0,     0
1056, BEAM  ,    2,    18,   940,   648,     0,     0
1057, BEAM  ,    2,    18,   941,   664,     0,     0
1058, BEAM  ,    2,    18,   942,   680,     0,     0
1059, BEAM  ,    2,    18,   943,   688,     0,     0
1060, BEAM  ,    2,    18,   944,   704,     0,     0
1061, BEAM  ,    2,    18,   945,   720,     0,     0
1062, BEAM  ,    2,    18,   946,   736,     0,     0
1063, BEAM  ,    2,    18,   947,   863,     0,     0
1064, BEAM  ,    2,    18,   948,   864,     0,     0
1065, BEAM  ,    2,    18,   949,   865,     0,     0
1066, BEAM  ,    2,    18,   950,   866,     0,     0
1067, BEAM  ,    2,    18,   951,   867,     0,     0
1068, BEAM  ,    2,    18,   952,   868,     0,     0
1069, BEAM  ,    2,    18,   953,   869,     0,     0
1070, BEAM  ,    2,    18,   954,   870,     0,     0
1071, BEAM  ,    2,    18,   955,   871,     0,     0
1072, BEAM  ,    2,    18,   956,   872,     0,     0
1073, BEAM  ,    2,    18,   957,   873,     0,     0
1074, BEAM  ,    2,    18,   958,   874,     0,     0
1075, BEAM  ,    2,    18,   959,   875,     0,     0
1076, BEAM  ,    2,    18,   960,   876,     0,     0
1077, BEAM  ,    2,    18,   961,   877,     0,     0
1078, BEAM  ,    2,    18,   962,   878,     0,     0
1079, BEAM  ,    2,    18,   963,   879,     0,     0
1080, BEAM  ,    2,    18,   964,   880,     0,     0
1081, BEAM  ,    2,    18,   965,   881,     0,     0
1082, BEAM  ,    2,    18,   966,   882,     0,     0
1083, BEAM  ,    2,    18,   967,   883,     0,     0
1084, BEAM  ,    2,    18,   968,   884,     0,     0
1085, BEAM  ,    2,    18,   969,   885,     0,     0
1086, BEAM  ,    2,    18,   970,   886,     0,     0
1087, BEAM  ,    2,    18,   971,   887,     0,     0
1088, BEAM  ,    2,    18,   972,   888,     0,     0
1089, BEAM  ,    2,    18,   973,   889,     0,     0
1090, BEAM  ,    2,    18,   974,   890,     0,     0
1091, BEAM  ,    2,    18,   975,   891,     0,     0
1092, BEAM  ,    2,    18,   976,   892,     0,     0
1093, BEAM  ,    2,    18,   977,   893,     0,     0
1094, BEAM  ,    2,    18,   978,   894,     0,     0
1095, BEAM  ,    2,    18,   979,   895,     0,     0
1096, BEAM  ,    2,    18,   980,   896,     0,     0
1097, BEAM  ,    2,    18,   981,   897,     0,     0
1098, BEAM  ,    2,    18,   982,   898,     0,     0
1099, BEAM  ,    2,    18,   983,   899,     0,     0
1100, BEAM  ,    2,    18,   984,   900,     0,     0
1101, BEAM  ,    2,    18,   985,   901,     0,     0
1102, BEAM  ,    2,    18,   986,   902,     0,     0
1103, BEAM  ,    2,    18,   987,   903,     0,     0
1104, BEAM  ,    2,    18,   988,   904,     0,     0
1105, BEAM  ,    4,    17,   947,   948,     0,     0
1106, BEAM  ,    4,    17,   948,   949,     0,     0
1107, BEAM  ,    4,    17,   949,   950,     0,     0
1108, BEAM  ,    4,    17,   950,   951,     0,     0
1109, BEAM  ,    4,    17,   951,   952,     0,     0
1110, BEAM  ,    4,    17,   952,   953,     0,     0
1111, BEAM  ,    4,    17,   953,   954,     0,     0
1112, BEAM  ,    4,    17,   954,   955,     0,     0
1113, BEAM  ,    4,    17,   955,   956,     0,     0
1114, BEAM  ,    4,    17,   956,   957,     0,     0
1115, BEAM  ,    4,    17,   957,   958,     0,     0
1116, BEAM  ,    4,    17,   958,   959,     0,     0
```

```
1117, BEAM  ,    4,    17,   959,   960,     0,     0
1118, BEAM  ,    4,    17,   960,   961,     0,     0
1119, BEAM  ,    4,    17,   961,   962,     0,     0
1120, BEAM  ,    4,    17,   962,   963,     0,     0
1121, BEAM  ,    4,    17,   963,   964,     0,     0
1122, BEAM  ,    4,    17,   964,   965,     0,     0
1123, BEAM  ,    4,    17,   965,   966,     0,     0
1124, BEAM  ,    4,    17,   966,   967,     0,     0
1125, BEAM  ,    4,    17,   967,   968,     0,     0
1126, BEAM  ,    4,    17,   968,   969,     0,     0
1127, BEAM  ,    4,    17,   969,   970,     0,     0
1128, BEAM  ,    4,    17,   970,   971,     0,     0
1129, BEAM  ,    4,    17,   971,   972,     0,     0
1130, BEAM  ,    4,    17,   972,   973,     0,     0
1131, BEAM  ,    4,    17,   973,   974,     0,     0
1132, BEAM  ,    4,    17,   974,   975,     0,     0
1133, BEAM  ,    4,    17,   975,   976,     0,     0
1134, BEAM  ,    4,    17,   976,   977,     0,     0
1135, BEAM  ,    4,    17,   977,   978,     0,     0
1136, BEAM  ,    4,    17,   978,   979,     0,     0
1137, BEAM  ,    4,    17,   979,   980,     0,     0
1138, BEAM  ,    4,    17,   980,   981,     0,     0
1139, BEAM  ,    4,    17,   981,   982,     0,     0
1140, BEAM  ,    4,    17,   982,   983,     0,     0
1141, BEAM  ,    4,    17,   983,   984,     0,     0
1142, BEAM  ,    4,    17,   984,   985,     0,     0
1143, BEAM  ,    4,    17,   985,   986,     0,     0
1144, BEAM  ,    4,    17,   986,   987,     0,     0
1145, BEAM  ,    4,    17,   987,   988,     0,     0
1146, BEAM  ,    4,    17,   905,   906,     0,     0
1147, BEAM  ,    4,    17,   906,   907,     0,     0
1148, BEAM  ,    4,    17,   907,   908,     0,     0
1149, BEAM  ,    4,    17,   908,   909,     0,     0
1150, BEAM  ,    4,    17,   909,   910,     0,     0
1151, BEAM  ,    4,    17,   910,   911,     0,     0
1152, BEAM  ,    4,    17,   911,   912,     0,     0
1153, BEAM  ,    4,    17,   912,   913,     0,     0
1154, BEAM  ,    4,    17,   913,   914,     0,     0
1155, BEAM  ,    4,    17,   914,   915,     0,     0
1156, BEAM  ,    4,    17,   915,   916,     0,     0
1157, BEAM  ,    4,    17,   916,   917,     0,     0
1158, BEAM  ,    4,    17,   917,   918,     0,     0
1159, BEAM  ,    4,    17,   918,   919,     0,     0
1160, BEAM  ,    4,    17,   919,   920,     0,     0
1161, BEAM  ,    4,    17,   920,   921,     0,     0
1162, BEAM  ,    4,    17,   921,   922,     0,     0
1163, BEAM  ,    4,    17,   922,   923,     0,     0
1164, BEAM  ,    4,    17,   923,   924,     0,     0
1165, BEAM  ,    4,    17,   924,   925,     0,     0
1166, BEAM  ,    4,    17,   925,   926,     0,     0
1167, BEAM  ,    4,    17,   926,   927,     0,     0
1168, BEAM  ,    4,    17,   927,   928,     0,     0
1169, BEAM  ,    4,    17,   928,   929,     0,     0
1170, BEAM  ,    4,    17,   929,   930,     0,     0
1171, BEAM  ,    4,    17,   930,   931,     0,     0
1172, BEAM  ,    4,    17,   931,   932,     0,     0
1173, BEAM  ,    4,    17,   932,   933,     0,     0
1174, BEAM  ,    4,    17,   933,   934,     0,     0
1175, BEAM  ,    4,    17,   934,   935,     0,     0
1176, BEAM  ,    4,    17,   935,   936,     0,     0
1177, BEAM  ,    4,    17,   936,   937,     0,     0
1178, BEAM  ,    4,    17,   937,   938,     0,     0
1179, BEAM  ,    4,    17,   938,   939,     0,     0
1180, BEAM  ,    4,    17,   939,   940,     0,     0
1181, BEAM  ,    4,    17,   940,   941,     0,     0
1182, BEAM  ,    4,    17,   941,   942,     0,     0
1183, BEAM  ,    4,    17,   942,   943,     0,     0
1184, BEAM  ,    4,    17,   943,   944,     0,     0
1185, BEAM  ,    4,    17,   944,   945,     0,     0
1186, BEAM  ,    4,    17,   945,   946,     0,     0
1187, BEAM  ,    2,    18,   989,  1157,     0,     0
1188, BEAM  ,    2,    18,   990,  1158,     0,     0
1189, BEAM  ,    2,    18,   991,  1159,     0,     0
1190, BEAM  ,    2,    18,   992,  1160,     0,     0
1191, BEAM  ,    2,    18,   993,  1161,     0,     0
1192, BEAM  ,    2,    18,   994,  1162,     0,     0
1193, BEAM  ,    2,    18,   995,  1163,     0,     0
1194, BEAM  ,    2,    18,   996,  1164,     0,     0
```

```
1195, BEAM  ,    2,    18,   997,  1165,     0,     0
1196, BEAM  ,    2,    18,   998,  1166,     0,     0
1197, BEAM  ,    2,    18,   999,  1167,     0,     0
1198, BEAM  ,    2,    18,  1000,  1168,     0,     0
1199, BEAM  ,    2,    18,  1001,  1169,     0,     0
1200, BEAM  ,    2,    18,  1002,  1170,     0,     0
1201, BEAM  ,    2,    18,  1003,  1171,     0,     0
1202, BEAM  ,    2,    18,  1004,  1172,     0,     0
1203, BEAM  ,    2,    18,  1005,  1173,     0,     0
1204, BEAM  ,    2,    18,  1006,  1174,     0,     0
1205, BEAM  ,    2,    18,  1007,  1175,     0,     0
1206, BEAM  ,    2,    18,  1008,  1176,     0,     0
1207, BEAM  ,    2,    18,  1009,  1177,     0,     0
1208, BEAM  ,    2,    18,  1010,  1178,     0,     0
1209, BEAM  ,    2,    18,  1011,  1179,     0,     0
1210, BEAM  ,    2,    18,  1012,  1180,     0,     0
1211, BEAM  ,    2,    18,  1013,  1181,     0,     0
1212, BEAM  ,    2,    18,  1014,  1182,     0,     0
1213, BEAM  ,    2,    18,  1015,  1183,     0,     0
1214, BEAM  ,    2,    18,  1016,  1184,     0,     0
1215, BEAM  ,    2,    18,  1017,  1185,     0,     0
1216, BEAM  ,    2,    18,  1018,  1186,     0,     0
1217, BEAM  ,    2,    18,  1019,  1187,     0,     0
1218, BEAM  ,    2,    18,  1020,  1188,     0,     0
1219, BEAM  ,    2,    18,  1021,  1189,     0,     0
1220, BEAM  ,    2,    18,  1022,  1190,     0,     0
1221, BEAM  ,    2,    18,  1023,  1191,     0,     0
1222, BEAM  ,    2,    18,  1024,  1192,     0,     0
1223, BEAM  ,    2,    18,  1025,  1193,     0,     0
1224, BEAM  ,    2,    18,  1026,  1194,     0,     0
1225, BEAM  ,    2,    18,  1027,  1195,     0,     0
1226, BEAM  ,    2,    18,  1028,  1196,     0,     0
1227, BEAM  ,    2,    18,  1029,  1197,     0,     0
1228, BEAM  ,    2,    18,  1030,  1198,     0,     0
1229, BEAM  ,    2,    18,  1031,   779,     0,     0
1230, BEAM  ,    2,    18,  1032,   780,     0,     0
1231, BEAM  ,    2,    18,  1033,   781,     0,     0
1232, BEAM  ,    2,    18,  1034,   782,     0,     0
1233, BEAM  ,    2,    18,  1035,   783,     0,     0
1234, BEAM  ,    2,    18,  1036,   784,     0,     0
1235, BEAM  ,    2,    18,  1037,   785,     0,     0
1236, BEAM  ,    2,    18,  1038,   786,     0,     0
1237, BEAM  ,    2,    18,  1039,   787,     0,     0
1238, BEAM  ,    2,    18,  1040,   788,     0,     0
1239, BEAM  ,    2,    18,  1041,   789,     0,     0
1240, BEAM  ,    2,    18,  1042,   790,     0,     0
1241, BEAM  ,    2,    18,  1043,   791,     0,     0
1242, BEAM  ,    2,    18,  1044,   792,     0,     0
1243, BEAM  ,    2,    18,  1045,   793,     0,     0
1244, BEAM  ,    2,    18,  1046,   794,     0,     0
1245, BEAM  ,    2,    18,  1047,   795,     0,     0
1246, BEAM  ,    2,    18,  1048,   796,     0,     0
1247, BEAM  ,    2,    18,  1049,   797,     0,     0
1248, BEAM  ,    2,    18,  1050,   798,     0,     0
1249, BEAM  ,    2,    18,  1051,   799,     0,     0
1250, BEAM  ,    2,    18,  1052,   800,     0,     0
1251, BEAM  ,    2,    18,  1053,   801,     0,     0
1252, BEAM  ,    2,    18,  1054,   802,     0,     0
1253, BEAM  ,    2,    18,  1055,   803,     0,     0
1254, BEAM  ,    2,    18,  1056,   804,     0,     0
1255, BEAM  ,    2,    18,  1057,   805,     0,     0
1256, BEAM  ,    2,    18,  1058,   806,     0,     0
1257, BEAM  ,    2,    18,  1059,   807,     0,     0
1258, BEAM  ,    2,    18,  1060,   808,     0,     0
1259, BEAM  ,    2,    18,  1061,   809,     0,     0
1260, BEAM  ,    2,    18,  1062,   810,     0,     0
1261, BEAM  ,    2,    18,  1063,   811,     0,     0
1262, BEAM  ,    2,    18,  1064,   812,     0,     0
1263, BEAM  ,    2,    18,  1065,   813,     0,     0
1264, BEAM  ,    2,    18,  1066,   814,     0,     0
1265, BEAM  ,    2,    18,  1067,   815,     0,     0
1266, BEAM  ,    2,    18,  1068,   816,     0,     0
1267, BEAM  ,    2,    18,  1069,   817,     0,     0
1268, BEAM  ,    2,    18,  1070,   818,     0,     0
1269, BEAM  ,    2,    18,  1071,   819,     0,     0
1270, BEAM  ,    2,    18,  1072,   820,     0,     0
1271, BEAM  ,    2,    18,  1073,  1241,     0,     0
1272, BEAM  ,    2,    18,  1074,  1242,     0,     0
```

```
1273, BEAM  ,    2,    18,  1075,  1243,     0,     0
1274, BEAM  ,    2,    18,  1076,  1244,     0,     0
1275, BEAM  ,    2,    18,  1077,  1245,     0,     0
1276, BEAM  ,    2,    18,  1078,  1246,     0,     0
1277, BEAM  ,    2,    18,  1079,  1247,     0,     0
1278, BEAM  ,    2,    18,  1080,  1248,     0,     0
1279, BEAM  ,    2,    18,  1081,  1249,     0,     0
1280, BEAM  ,    2,    18,  1082,  1250,     0,     0
1281, BEAM  ,    2,    18,  1083,  1251,     0,     0
1282, BEAM  ,    2,    18,  1084,  1252,     0,     0
1283, BEAM  ,    2,    18,  1085,  1253,     0,     0
1284, BEAM  ,    2,    18,  1086,  1254,     0,     0
1285, BEAM  ,    2,    18,  1087,  1255,     0,     0
1286, BEAM  ,    2,    18,  1088,  1256,     0,     0
1287, BEAM  ,    2,    18,  1089,  1257,     0,     0
1288, BEAM  ,    2,    18,  1090,  1258,     0,     0
1289, BEAM  ,    2,    18,  1091,  1259,     0,     0
1290, BEAM  ,    2,    18,  1092,  1260,     0,     0
1291, BEAM  ,    2,    18,  1093,  1261,     0,     0
1292, BEAM  ,    2,    18,  1094,  1262,     0,     0
1293, BEAM  ,    2,    18,  1095,  1263,     0,     0
1294, BEAM  ,    2,    18,  1096,  1264,     0,     0
1295, BEAM  ,    2,    18,  1097,  1265,     0,     0
1296, BEAM  ,    2,    18,  1098,  1266,     0,     0
1297, BEAM  ,    2,    18,  1099,  1267,     0,     0
1298, BEAM  ,    2,    18,  1100,  1268,     0,     0
1299, BEAM  ,    2,    18,  1101,  1269,     0,     0
1300, BEAM  ,    2,    18,  1102,  1270,     0,     0
1301, BEAM  ,    2,    18,  1103,  1271,     0,     0
1302, BEAM  ,    2,    18,  1104,  1272,     0,     0
1303, BEAM  ,    2,    18,  1105,  1273,     0,     0
1304, BEAM  ,    2,    18,  1106,  1274,     0,     0
1305, BEAM  ,    2,    18,  1107,  1275,     0,     0
1306, BEAM  ,    2,    18,  1108,  1276,     0,     0
1307, BEAM  ,    2,    18,  1109,  1277,     0,     0
1308, BEAM  ,    2,    18,  1110,  1278,     0,     0
1309, BEAM  ,    2,    18,  1111,  1279,     0,     0
1310, BEAM  ,    2,    18,  1112,  1280,     0,     0
1311, BEAM  ,    2,    18,  1113,  1281,     0,     0
1312, BEAM  ,    2,    18,  1114,  1282,     0,     0
1313, BEAM  ,    2,    18,  1115,   947,     0,     0
1314, BEAM  ,    2,    18,  1116,   948,     0,     0
1315, BEAM  ,    2,    18,  1117,   949,     0,     0
1316, BEAM  ,    2,    18,  1118,   950,     0,     0
1317, BEAM  ,    2,    18,  1119,   951,     0,     0
1318, BEAM  ,    2,    18,  1120,   952,     0,     0
1319, BEAM  ,    2,    18,  1121,   953,     0,     0
1320, BEAM  ,    2,    18,  1122,   954,     0,     0
1321, BEAM  ,    2,    18,  1123,   955,     0,     0
1322, BEAM  ,    2,    18,  1124,   956,     0,     0
1323, BEAM  ,    2,    18,  1125,   957,     0,     0
1324, BEAM  ,    2,    18,  1126,   958,     0,     0
1325, BEAM  ,    2,    18,  1127,   959,     0,     0
1326, BEAM  ,    2,    18,  1128,   960,     0,     0
1327, BEAM  ,    2,    18,  1129,   961,     0,     0
1328, BEAM  ,    2,    18,  1130,   962,     0,     0
1329, BEAM  ,    2,    18,  1131,   963,     0,     0
1330, BEAM  ,    2,    18,  1132,   964,     0,     0
1331, BEAM  ,    2,    18,  1133,   965,     0,     0
1332, BEAM  ,    2,    18,  1134,   966,     0,     0
1333, BEAM  ,    2,    18,  1135,   967,     0,     0
1334, BEAM  ,    2,    18,  1136,   968,     0,     0
1335, BEAM  ,    2,    18,  1137,   969,     0,     0
1336, BEAM  ,    2,    18,  1138,   970,     0,     0
1337, BEAM  ,    2,    18,  1139,   971,     0,     0
1338, BEAM  ,    2,    18,  1140,   972,     0,     0
1339, BEAM  ,    2,    18,  1141,   973,     0,     0
1340, BEAM  ,    2,    18,  1142,   974,     0,     0
1341, BEAM  ,    2,    18,  1143,   975,     0,     0
1342, BEAM  ,    2,    18,  1144,   976,     0,     0
1343, BEAM  ,    2,    18,  1145,   977,     0,     0
1344, BEAM  ,    2,    18,  1146,   978,     0,     0
1345, BEAM  ,    2,    18,  1147,   979,     0,     0
1346, BEAM  ,    2,    18,  1148,   980,     0,     0
1347, BEAM  ,    2,    18,  1149,   981,     0,     0
1348, BEAM  ,    2,    18,  1150,   982,     0,     0
1349, BEAM  ,    2,    18,  1151,   983,     0,     0
1350, BEAM  ,    2,    18,  1152,   984,     0,     0
```

```
1351, BEAM  ,    2,    18,  1153,   985,     0,     0
1352, BEAM  ,    2,    18,  1154,   986,     0,     0
1353, BEAM  ,    2,    18,  1155,   987,     0,     0
1354, BEAM  ,    2,    18,  1156,   988,     0,     0
1355, BEAM  ,    4,    15,   989,   990,     0,     0
1356, BEAM  ,    4,    15,   990,   991,     0,     0
1357, BEAM  ,    4,    15,   991,   992,     0,     0
1358, BEAM  ,    4,    15,   992,   993,     0,     0
1359, BEAM  ,    4,    15,   993,   994,     0,     0
1360, BEAM  ,    4,    15,   994,   995,     0,     0
1361, BEAM  ,    4,    15,   995,   996,     0,     0
1362, BEAM  ,    4,    15,   996,   997,     0,     0
1363, BEAM  ,    4,    15,   997,   998,     0,     0
1364, BEAM  ,    4,    15,   998,   999,     0,     0
1365, BEAM  ,    4,    15,   999,  1000,     0,     0
1366, BEAM  ,    4,    15,  1000,  1001,     0,     0
1367, BEAM  ,    4,    15,  1001,  1002,     0,     0
1368, BEAM  ,    4,    15,  1002,  1003,     0,     0
1369, BEAM  ,    4,    15,  1003,  1004,     0,     0
1370, BEAM  ,    4,    15,  1004,  1005,     0,     0
1371, BEAM  ,    4,    15,  1005,  1006,     0,     0
1372, BEAM  ,    4,    15,  1006,  1007,     0,     0
1373, BEAM  ,    4,    15,  1007,  1008,     0,     0
1374, BEAM  ,    4,    15,  1008,  1009,     0,     0
1375, BEAM  ,    4,    15,  1009,  1010,     0,     0
1376, BEAM  ,    4,    15,  1010,  1011,     0,     0
1377, BEAM  ,    4,    15,  1011,  1012,     0,     0
1378, BEAM  ,    4,    15,  1012,  1013,     0,     0
1379, BEAM  ,    4,    15,  1013,  1014,     0,     0
1380, BEAM  ,    4,    15,  1014,  1015,     0,     0
1381, BEAM  ,    4,    15,  1015,  1016,     0,     0
1382, BEAM  ,    4,    15,  1016,  1017,     0,     0
1383, BEAM  ,    4,    15,  1017,  1018,     0,     0
1384, BEAM  ,    4,    15,  1018,  1019,     0,     0
1385, BEAM  ,    4,    15,  1019,  1020,     0,     0
1386, BEAM  ,    4,    15,  1020,  1021,     0,     0
1387, BEAM  ,    4,    15,  1021,  1022,     0,     0
1388, BEAM  ,    4,    15,  1022,  1023,     0,     0
1389, BEAM  ,    4,    15,  1023,  1024,     0,     0
1390, BEAM  ,    4,    15,  1024,  1025,     0,     0
1391, BEAM  ,    4,    15,  1025,  1026,     0,     0
1392, BEAM  ,    4,    15,  1026,  1027,     0,     0
1393, BEAM  ,    4,    15,  1027,  1028,     0,     0
1394, BEAM  ,    4,    15,  1028,  1029,     0,     0
1395, BEAM  ,    4,    15,  1029,  1030,     0,     0
1396, BEAM  ,    4,    15,  1031,  1032,     0,     0
1397, BEAM  ,    4,    15,  1032,  1033,     0,     0
1398, BEAM  ,    4,    15,  1033,  1034,     0,     0
1399, BEAM  ,    4,    15,  1034,  1035,     0,     0
1400, BEAM  ,    4,    15,  1035,  1036,     0,     0
1401, BEAM  ,    4,    15,  1036,  1037,     0,     0
1402, BEAM  ,    4,    15,  1037,  1038,     0,     0
1403, BEAM  ,    4,    15,  1038,  1039,     0,     0
1404, BEAM  ,    4,    15,  1039,  1040,     0,     0
1405, BEAM  ,    4,    15,  1040,  1041,     0,     0
1406, BEAM  ,    4,    15,  1041,  1042,     0,     0
1407, BEAM  ,    4,    15,  1042,  1043,     0,     0
1408, BEAM  ,    4,    15,  1043,  1044,     0,     0
1409, BEAM  ,    4,    15,  1044,  1045,     0,     0
1410, BEAM  ,    4,    15,  1045,  1046,     0,     0
1411, BEAM  ,    4,    15,  1046,  1047,     0,     0
1412, BEAM  ,    4,    15,  1047,  1048,     0,     0
1413, BEAM  ,    4,    15,  1048,  1049,     0,     0
1414, BEAM  ,    4,    15,  1049,  1050,     0,     0
1415, BEAM  ,    4,    15,  1050,  1051,     0,     0
1416, BEAM  ,    4,    15,  1051,  1052,     0,     0
1417, BEAM  ,    4,    15,  1052,  1053,     0,     0
1418, BEAM  ,    4,    15,  1053,  1054,     0,     0
1419, BEAM  ,    4,    15,  1054,  1055,     0,     0
1420, BEAM  ,    4,    15,  1055,  1056,     0,     0
1421, BEAM  ,    4,    15,  1056,  1057,     0,     0
1422, BEAM  ,    4,    15,  1057,  1058,     0,     0
1423, BEAM  ,    4,    15,  1058,  1059,     0,     0
1424, BEAM  ,    4,    15,  1059,  1060,     0,     0
1425, BEAM  ,    4,    15,  1060,  1061,     0,     0
1426, BEAM  ,    4,    15,  1061,  1062,     0,     0
1427, BEAM  ,    4,    15,  1062,  1063,     0,     0
1428, BEAM  ,    4,    15,  1063,  1064,     0,     0
```

```
1429, BEAM  ,    4,    15,  1064,  1065,     0,     0
1430, BEAM  ,    4,    15,  1065,  1066,     0,     0
1431, BEAM  ,    4,    15,  1066,  1067,     0,     0
1432, BEAM  ,    4,    15,  1067,  1068,     0,     0
1433, BEAM  ,    4,    15,  1068,  1069,     0,     0
1434, BEAM  ,    4,    15,  1069,  1070,     0,     0
1435, BEAM  ,    4,    15,  1070,  1071,     0,     0
1436, BEAM  ,    4,    15,  1071,  1072,     0,     0
1437, BEAM  ,    4,    15,  1073,  1074,     0,     0
1438, BEAM  ,    4,    15,  1074,  1075,     0,     0
1439, BEAM  ,    4,    15,  1075,  1076,     0,     0
1440, BEAM  ,    4,    15,  1076,  1077,     0,     0
1441, BEAM  ,    4,    15,  1077,  1078,     0,     0
1442, BEAM  ,    4,    15,  1078,  1079,     0,     0
1443, BEAM  ,    4,    15,  1079,  1080,     0,     0
1444, BEAM  ,    4,    15,  1080,  1081,     0,     0
1445, BEAM  ,    4,    15,  1081,  1082,     0,     0
1446, BEAM  ,    4,    15,  1082,  1083,     0,     0
1447, BEAM  ,    4,    15,  1083,  1084,     0,     0
1448, BEAM  ,    4,    15,  1084,  1085,     0,     0
1449, BEAM  ,    4,    15,  1085,  1086,     0,     0
1450, BEAM  ,    4,    15,  1086,  1087,     0,     0
1451, BEAM  ,    4,    15,  1087,  1088,     0,     0
1452, BEAM  ,    4,    15,  1088,  1089,     0,     0
1453, BEAM  ,    4,    15,  1089,  1090,     0,     0
1454, BEAM  ,    4,    15,  1090,  1091,     0,     0
1455, BEAM  ,    4,    15,  1091,  1092,     0,     0
1456, BEAM  ,    4,    15,  1092,  1093,     0,     0
1457, BEAM  ,    4,    15,  1093,  1094,     0,     0
1458, BEAM  ,    4,    15,  1094,  1095,     0,     0
1459, BEAM  ,    4,    15,  1095,  1096,     0,     0
1460, BEAM  ,    4,    15,  1096,  1097,     0,     0
1461, BEAM  ,    4,    15,  1097,  1098,     0,     0
1462, BEAM  ,    4,    15,  1098,  1099,     0,     0
1463, BEAM  ,    4,    15,  1099,  1100,     0,     0
1464, BEAM  ,    4,    15,  1100,  1101,     0,     0
1465, BEAM  ,    4,    15,  1101,  1102,     0,     0
1466, BEAM  ,    4,    15,  1102,  1103,     0,     0
1467, BEAM  ,    4,    15,  1103,  1104,     0,     0
1468, BEAM  ,    4,    15,  1104,  1105,     0,     0
1469, BEAM  ,    4,    15,  1105,  1106,     0,     0
1470, BEAM  ,    4,    15,  1106,  1107,     0,     0
1471, BEAM  ,    4,    15,  1107,  1108,     0,     0
1472, BEAM  ,    4,    15,  1108,  1109,     0,     0
1473, BEAM  ,    4,    15,  1109,  1110,     0,     0
1474, BEAM  ,    4,    15,  1110,  1111,     0,     0
1475, BEAM  ,    4,    15,  1111,  1112,     0,     0
1476, BEAM  ,    4,    15,  1112,  1113,     0,     0
1477, BEAM  ,    4,    15,  1113,  1114,     0,     0
1478, BEAM  ,    4,    15,  1115,  1116,     0,     0
1479, BEAM  ,    4,    15,  1116,  1117,     0,     0
1480, BEAM  ,    4,    15,  1117,  1118,     0,     0
1481, BEAM  ,    4,    15,  1118,  1119,     0,     0
1482, BEAM  ,    4,    15,  1119,  1120,     0,     0
1483, BEAM  ,    4,    15,  1120,  1121,     0,     0
1484, BEAM  ,    4,    15,  1121,  1122,     0,     0
1485, BEAM  ,    4,    15,  1122,  1123,     0,     0
1486, BEAM  ,    4,    15,  1123,  1124,     0,     0
1487, BEAM  ,    4,    15,  1124,  1125,     0,     0
1488, BEAM  ,    4,    15,  1125,  1126,     0,     0
1489, BEAM  ,    4,    15,  1126,  1127,     0,     0
1490, BEAM  ,    4,    15,  1127,  1128,     0,     0
1491, BEAM  ,    4,    15,  1128,  1129,     0,     0
1492, BEAM  ,    4,    15,  1129,  1130,     0,     0
1493, BEAM  ,    4,    15,  1130,  1131,     0,     0
1494, BEAM  ,    4,    15,  1131,  1132,     0,     0
1495, BEAM  ,    4,    15,  1132,  1133,     0,     0
1496, BEAM  ,    4,    15,  1133,  1134,     0,     0
1497, BEAM  ,    4,    15,  1134,  1135,     0,     0
1498, BEAM  ,    4,    15,  1135,  1136,     0,     0
1499, BEAM  ,    4,    15,  1136,  1137,     0,     0
1500, BEAM  ,    4,    15,  1137,  1138,     0,     0
1501, BEAM  ,    4,    15,  1138,  1139,     0,     0
1502, BEAM  ,    4,    15,  1139,  1140,     0,     0
1503, BEAM  ,    4,    15,  1140,  1141,     0,     0
1504, BEAM  ,    4,    15,  1141,  1142,     0,     0
1505, BEAM  ,    4,    15,  1142,  1143,     0,     0
1506, BEAM  ,    4,    15,  1143,  1144,     0,     0
```

```
1507, BEAM  ,    4,    15,   1144,   1145,      0,      0
1508, BEAM  ,    4,    15,   1145,   1146,      0,      0
1509, BEAM  ,    4,    15,   1146,   1147,      0,      0
1510, BEAM  ,    4,    15,   1147,   1148,      0,      0
1511, BEAM  ,    4,    15,   1148,   1149,      0,      0
1512, BEAM  ,    4,    15,   1149,   1150,      0,      0
1513, BEAM  ,    4,    15,   1150,   1151,      0,      0
1514, BEAM  ,    4,    15,   1151,   1152,      0,      0
1515, BEAM  ,    4,    15,   1152,   1153,      0,      0
1516, BEAM  ,    4,    15,   1153,   1154,      0,      0
1517, BEAM  ,    4,    15,   1154,   1155,      0,      0
1518, BEAM  ,    4,    15,   1155,   1156,      0,      0
1519, BEAM  ,    2,    18,   1157,   1661,      0,      0
1520, BEAM  ,    2,    18,   1158,   1662,      0,      0
1521, BEAM  ,    2,    18,   1159,   1663,      0,      0
1522, BEAM  ,    2,    18,   1160,   1664,      0,      0
1523, BEAM  ,    2,    18,   1161,   1665,      0,      0
1524, BEAM  ,    2,    18,   1162,   1666,      0,      0
1525, BEAM  ,    2,    18,   1163,   1667,      0,      0
1526, BEAM  ,    2,    18,   1164,   1668,      0,      0
1527, BEAM  ,    2,    18,   1165,   1669,      0,      0
1528, BEAM  ,    2,    18,   1166,   1670,      0,      0
1529, BEAM  ,    2,    18,   1167,   1671,      0,      0
1530, BEAM  ,    2,    18,   1168,   1672,      0,      0
1531, BEAM  ,    2,    18,   1169,   1673,      0,      0
1532, BEAM  ,    2,    18,   1170,   1674,      0,      0
1533, BEAM  ,    2,    18,   1171,   1675,      0,      0
1534, BEAM  ,    2,    18,   1172,   1676,      0,      0
1535, BEAM  ,    2,    18,   1173,   1677,      0,      0
1536, BEAM  ,    2,    18,   1174,   1678,      0,      0
1537, BEAM  ,    2,    18,   1175,   1679,      0,      0
1538, BEAM  ,    2,    18,   1176,   1680,      0,      0
1539, BEAM  ,    2,    18,   1177,   1681,      0,      0
1540, BEAM  ,    2,    18,   1178,   1682,      0,      0
1541, BEAM  ,    2,    18,   1179,   1683,      0,      0
1542, BEAM  ,    2,    18,   1180,   1684,      0,      0
1543, BEAM  ,    2,    18,   1181,   1685,      0,      0
1544, BEAM  ,    2,    18,   1182,   1686,      0,      0
1545, BEAM  ,    2,    18,   1183,   1687,      0,      0
1546, BEAM  ,    2,    18,   1184,   1688,      0,      0
1547, BEAM  ,    2,    18,   1185,   1689,      0,      0
1548, BEAM  ,    2,    18,   1186,   1690,      0,      0
1549, BEAM  ,    2,    18,   1187,   1691,      0,      0
1550, BEAM  ,    2,    18,   1188,   1692,      0,      0
1551, BEAM  ,    2,    18,   1189,   1693,      0,      0
1552, BEAM  ,    2,    18,   1190,   1694,      0,      0
1553, BEAM  ,    2,    18,   1191,   1695,      0,      0
1554, BEAM  ,    2,    18,   1192,   1696,      0,      0
1555, BEAM  ,    2,    18,   1193,   1697,      0,      0
1556, BEAM  ,    2,    18,   1194,   1698,      0,      0
1557, BEAM  ,    2,    18,   1195,   1699,      0,      0
1558, BEAM  ,    2,    18,   1196,   1700,      0,      0
1559, BEAM  ,    2,    18,   1197,   1701,      0,      0
1560, BEAM  ,    2,    18,   1198,   1702,      0,      0
1561, BEAM  ,    2,    18,   1199,   1031,      0,      0
1562, BEAM  ,    2,    18,   1200,   1032,      0,      0
1563, BEAM  ,    2,    18,   1201,   1033,      0,      0
1564, BEAM  ,    2,    18,   1202,   1034,      0,      0
1565, BEAM  ,    2,    18,   1203,   1035,      0,      0
1566, BEAM  ,    2,    18,   1204,   1036,      0,      0
1567, BEAM  ,    2,    18,   1205,   1037,      0,      0
1568, BEAM  ,    2,    18,   1206,   1038,      0,      0
1569, BEAM  ,    2,    18,   1207,   1039,      0,      0
1570, BEAM  ,    2,    18,   1208,   1040,      0,      0
1571, BEAM  ,    2,    18,   1209,   1041,      0,      0
1572, BEAM  ,    2,    18,   1210,   1042,      0,      0
1573, BEAM  ,    2,    18,   1211,   1043,      0,      0
1574, BEAM  ,    2,    18,   1212,   1044,      0,      0
1575, BEAM  ,    2,    18,   1213,   1045,      0,      0
1576, BEAM  ,    2,    18,   1214,   1046,      0,      0
1577, BEAM  ,    2,    18,   1215,   1047,      0,      0
1578, BEAM  ,    2,    18,   1216,   1048,      0,      0
1579, BEAM  ,    2,    18,   1217,   1049,      0,      0
1580, BEAM  ,    2,    18,   1218,   1050,      0,      0
1581, BEAM  ,    2,    18,   1219,   1051,      0,      0
1582, BEAM  ,    2,    18,   1220,   1052,      0,      0
1583, BEAM  ,    2,    18,   1221,   1053,      0,      0
1584, BEAM  ,    2,    18,   1222,   1054,      0,      0
```

```
1585, BEAM  ,    2,    18,  1223,  1055,     0,     0
1586, BEAM  ,    2,    18,  1224,  1056,     0,     0
1587, BEAM  ,    2,    18,  1225,  1057,     0,     0
1588, BEAM  ,    2,    18,  1226,  1058,     0,     0
1589, BEAM  ,    2,    18,  1227,  1059,     0,     0
1590, BEAM  ,    2,    18,  1228,  1060,     0,     0
1591, BEAM  ,    2,    18,  1229,  1061,     0,     0
1592, BEAM  ,    2,    18,  1230,  1062,     0,     0
1593, BEAM  ,    2,    18,  1231,  1063,     0,     0
1594, BEAM  ,    2,    18,  1232,  1064,     0,     0
1595, BEAM  ,    2,    18,  1233,  1065,     0,     0
1596, BEAM  ,    2,    18,  1234,  1066,     0,     0
1597, BEAM  ,    2,    18,  1235,  1067,     0,     0
1598, BEAM  ,    2,    18,  1236,  1068,     0,     0
1599, BEAM  ,    2,    18,  1237,  1069,     0,     0
1600, BEAM  ,    2,    18,  1238,  1070,     0,     0
1601, BEAM  ,    2,    18,  1239,  1071,     0,     0
1602, BEAM  ,    2,    18,  1240,  1072,     0,     0
1603, BEAM  ,    2,    18,  1241,  1997,     0,     0
1604, BEAM  ,    2,    18,  1242,  1999,     0,     0
1605, BEAM  ,    2,    18,  1243,  2001,     0,     0
1606, BEAM  ,    2,    18,  1244,  2003,     0,     0
1607, BEAM  ,    2,    18,  1245,  2005,     0,     0
1608, BEAM  ,    2,    18,  1246,  2007,     0,     0
1609, BEAM  ,    2,    18,  1247,  2009,     0,     0
1610, BEAM  ,    2,    18,  1248,  2011,     0,     0
1611, BEAM  ,    2,    18,  1249,  2013,     0,     0
1612, BEAM  ,    2,    18,  1250,  2015,     0,     0
1613, BEAM  ,    2,    18,  1251,  2017,     0,     0
1614, BEAM  ,    2,    18,  1252,  2019,     0,     0
1615, BEAM  ,    2,    18,  1253,  2021,     0,     0
1616, BEAM  ,    2,    18,  1254,  2023,     0,     0
1617, BEAM  ,    2,    18,  1255,  2025,     0,     0
1618, BEAM  ,    2,    18,  1256,  2027,     0,     0
1619, BEAM  ,    2,    18,  1257,  2029,     0,     0
1620, BEAM  ,    2,    18,  1258,  2031,     0,     0
1621, BEAM  ,    2,    18,  1259,  2033,     0,     0
1622, BEAM  ,    2,    18,  1260,  2035,     0,     0
1623, BEAM  ,    2,    18,  1261,  2037,     0,     0
1624, BEAM  ,    2,    18,  1262,  2039,     0,     0
1625, BEAM  ,    2,    18,  1263,  2041,     0,     0
1626, BEAM  ,    2,    18,  1264,  2043,     0,     0
1627, BEAM  ,    2,    18,  1265,  2045,     0,     0
1628, BEAM  ,    2,    18,  1266,  2047,     0,     0
1629, BEAM  ,    2,    18,  1267,  2049,     0,     0
1630, BEAM  ,    2,    18,  1268,  2051,     0,     0
1631, BEAM  ,    2,    18,  1269,  2053,     0,     0
1632, BEAM  ,    2,    18,  1270,  2055,     0,     0
1633, BEAM  ,    2,    18,  1271,  2057,     0,     0
1634, BEAM  ,    2,    18,  1272,  2059,     0,     0
1635, BEAM  ,    2,    18,  1273,  2061,     0,     0
1636, BEAM  ,    2,    18,  1274,  2063,     0,     0
1637, BEAM  ,    2,    18,  1275,  2065,     0,     0
1638, BEAM  ,    2,    18,  1276,  2067,     0,     0
1639, BEAM  ,    2,    18,  1277,  2069,     0,     0
1640, BEAM  ,    2,    18,  1278,  2071,     0,     0
1641, BEAM  ,    2,    18,  1279,  2073,     0,     0
1642, BEAM  ,    2,    18,  1280,  2075,     0,     0
1643, BEAM  ,    2,    18,  1281,  2077,     0,     0
1644, BEAM  ,    2,    18,  1282,  2079,     0,     0
1645, BEAM  ,    2,    18,  1283,  1115,     0,     0
1646, BEAM  ,    2,    18,  1284,  1116,     0,     0
1647, BEAM  ,    2,    18,  1285,  1117,     0,     0
1648, BEAM  ,    2,    18,  1286,  1118,     0,     0
1649, BEAM  ,    2,    18,  1287,  1119,     0,     0
1650, BEAM  ,    2,    18,  1288,  1120,     0,     0
1651, BEAM  ,    2,    18,  1289,  1121,     0,     0
1652, BEAM  ,    2,    18,  1290,  1122,     0,     0
1653, BEAM  ,    2,    18,  1291,  1123,     0,     0
1654, BEAM  ,    2,    18,  1292,  1124,     0,     0
1655, BEAM  ,    2,    18,  1293,  1125,     0,     0
1656, BEAM  ,    2,    18,  1294,  1126,     0,     0
1657, BEAM  ,    2,    18,  1295,  1127,     0,     0
1658, BEAM  ,    2,    18,  1296,  1128,     0,     0
1659, BEAM  ,    2,    18,  1297,  1129,     0,     0
1660, BEAM  ,    2,    18,  1298,  1130,     0,     0
1661, BEAM  ,    2,    18,  1299,  1131,     0,     0
1662, BEAM  ,    2,    18,  1300,  1132,     0,     0
```

```
1663, BEAM  ,    2,    18,  1301,  1133,     0,     0
1664, BEAM  ,    2,    18,  1302,  1134,     0,     0
1665, BEAM  ,    2,    18,  1303,  1135,     0,     0
1666, BEAM  ,    2,    18,  1304,  1136,     0,     0
1667, BEAM  ,    2,    18,  1305,  1137,     0,     0
1668, BEAM  ,    2,    18,  1306,  1138,     0,     0
1669, BEAM  ,    2,    18,  1307,  1139,     0,     0
1670, BEAM  ,    2,    18,  1308,  1140,     0,     0
1671, BEAM  ,    2,    18,  1309,  1141,     0,     0
1672, BEAM  ,    2,    18,  1310,  1142,     0,     0
1673, BEAM  ,    2,    18,  1311,  1143,     0,     0
1674, BEAM  ,    2,    18,  1312,  1144,     0,     0
1675, BEAM  ,    2,    18,  1313,  1145,     0,     0
1676, BEAM  ,    2,    18,  1314,  1146,     0,     0
1677, BEAM  ,    2,    18,  1315,  1147,     0,     0
1678, BEAM  ,    2,    18,  1316,  1148,     0,     0
1679, BEAM  ,    2,    18,  1317,  1149,     0,     0
1680, BEAM  ,    2,    18,  1318,  1150,     0,     0
1681, BEAM  ,    2,    18,  1319,  1151,     0,     0
1682, BEAM  ,    2,    18,  1320,  1152,     0,     0
1683, BEAM  ,    2,    18,  1321,  1153,     0,     0
1684, BEAM  ,    2,    18,  1322,  1154,     0,     0
1685, BEAM  ,    2,    18,  1323,  1155,     0,     0
1686, BEAM  ,    2,    18,  1324,  1156,     0,     0
1687, BEAM  ,    2,    18,  1325,  1871,     0,     0
1688, BEAM  ,    2,    18,  1326,  1872,     0,     0
1689, BEAM  ,    2,    18,  1327,  1873,     0,     0
1690, BEAM  ,    2,    18,  1328,  1874,     0,     0
1691, BEAM  ,    2,    18,  1329,  1875,     0,     0
1692, BEAM  ,    2,    18,  1330,  1876,     0,     0
1693, BEAM  ,    2,    18,  1331,  1877,     0,     0
1694, BEAM  ,    2,    18,  1332,  1878,     0,     0
1695, BEAM  ,    2,    18,  1333,  1879,     0,     0
1696, BEAM  ,    2,    18,  1334,  1880,     0,     0
1697, BEAM  ,    2,    18,  1335,  1881,     0,     0
1698, BEAM  ,    2,    18,  1336,  1882,     0,     0
1699, BEAM  ,    2,    18,  1337,  1883,     0,     0
1700, BEAM  ,    2,    18,  1338,  1884,     0,     0
1701, BEAM  ,    2,    18,  1339,  1885,     0,     0
1702, BEAM  ,    2,    18,  1340,  1886,     0,     0
1703, BEAM  ,    2,    18,  1341,  1887,     0,     0
1704, BEAM  ,    2,    18,  1342,  1888,     0,     0
1705, BEAM  ,    2,    18,  1343,  1889,     0,     0
1706, BEAM  ,    2,    18,  1344,  1890,     0,     0
1707, BEAM  ,    2,    18,  1345,  1891,     0,     0
1708, BEAM  ,    2,    18,  1346,  1892,     0,     0
1709, BEAM  ,    2,    18,  1347,  1893,     0,     0
1710, BEAM  ,    2,    18,  1348,  1894,     0,     0
1711, BEAM  ,    2,    18,  1349,  1895,     0,     0
1712, BEAM  ,    2,    18,  1350,  1896,     0,     0
1713, BEAM  ,    2,    18,  1351,  1897,     0,     0
1714, BEAM  ,    2,    18,  1352,  1898,     0,     0
1715, BEAM  ,    2,    18,  1353,  1899,     0,     0
1716, BEAM  ,    2,    18,  1354,  1900,     0,     0
1717, BEAM  ,    2,    18,  1355,  1901,     0,     0
1718, BEAM  ,    2,    18,  1356,  1902,     0,     0
1719, BEAM  ,    2,    18,  1357,  1903,     0,     0
1720, BEAM  ,    2,    18,  1358,  1904,     0,     0
1721, BEAM  ,    2,    18,  1359,  1905,     0,     0
1722, BEAM  ,    2,    18,  1360,  1906,     0,     0
1723, BEAM  ,    2,    18,  1361,  1907,     0,     0
1724, BEAM  ,    2,    18,  1362,  1908,     0,     0
1725, BEAM  ,    2,    18,  1363,  1909,     0,     0
1726, BEAM  ,    2,    18,  1364,  1910,     0,     0
1727, BEAM  ,    2,    18,  1365,  1911,     0,     0
1728, BEAM  ,    2,    18,  1366,  1912,     0,     0
1729, BEAM  ,    2,    18,  1367,  1829,     0,     0
1730, BEAM  ,    2,    18,  1368,  1830,     0,     0
1731, BEAM  ,    2,    18,  1369,  1831,     0,     0
1732, BEAM  ,    2,    18,  1370,  1832,     0,     0
1733, BEAM  ,    2,    18,  1371,  1833,     0,     0
1734, BEAM  ,    2,    18,  1372,  1834,     0,     0
1735, BEAM  ,    2,    18,  1373,  1835,     0,     0
1736, BEAM  ,    2,    18,  1374,  1836,     0,     0
1737, BEAM  ,    2,    18,  1375,  1837,     0,     0
1738, BEAM  ,    2,    18,  1376,  1838,     0,     0
1739, BEAM  ,    2,    18,  1377,  1839,     0,     0
1740, BEAM  ,    2,    18,  1378,  1840,     0,     0
```

```
1741, BEAM  ,    2,    18,  1379,  1841,     0,     0
1742, BEAM  ,    2,    18,  1380,  1842,     0,     0
1743, BEAM  ,    2,    18,  1381,  1843,     0,     0
1744, BEAM  ,    2,    18,  1382,  1844,     0,     0
1745, BEAM  ,    2,    18,  1383,  1845,     0,     0
1746, BEAM  ,    2,    18,  1384,  1846,     0,     0
1747, BEAM  ,    2,    18,  1385,  1847,     0,     0
1748, BEAM  ,    2,    18,  1386,  1848,     0,     0
1749, BEAM  ,    2,    18,  1387,  1849,     0,     0
1750, BEAM  ,    2,    18,  1388,  1850,     0,     0
1751, BEAM  ,    2,    18,  1389,  1851,     0,     0
1752, BEAM  ,    2,    18,  1390,  1852,     0,     0
1753, BEAM  ,    2,    18,  1391,  1853,     0,     0
1754, BEAM  ,    2,    18,  1392,  1854,     0,     0
1755, BEAM  ,    2,    18,  1393,  1855,     0,     0
1756, BEAM  ,    2,    18,  1394,  1856,     0,     0
1757, BEAM  ,    2,    18,  1395,  1857,     0,     0
1758, BEAM  ,    2,    18,  1396,  1858,     0,     0
1759, BEAM  ,    2,    18,  1397,  1859,     0,     0
1760, BEAM  ,    2,    18,  1398,  1860,     0,     0
1761, BEAM  ,    2,    18,  1399,  1861,     0,     0
1762, BEAM  ,    2,    18,  1400,  1862,     0,     0
1763, BEAM  ,    2,    18,  1401,  1863,     0,     0
1764, BEAM  ,    2,    18,  1402,  1864,     0,     0
1765, BEAM  ,    2,    18,  1403,  1865,     0,     0
1766, BEAM  ,    2,    18,  1404,  1866,     0,     0
1767, BEAM  ,    2,    18,  1405,  1867,     0,     0
1768, BEAM  ,    2,    18,  1406,  1868,     0,     0
1769, BEAM  ,    2,    18,  1407,  1869,     0,     0
1770, BEAM  ,    2,    18,  1408,  1870,     0,     0
1771, BEAM  ,    2,    18,  1409,   142,     0,     0
1772, BEAM  ,    2,    18,  1410,   158,     0,     0
1773, BEAM  ,    2,    18,  1411,   174,     0,     0
1774, BEAM  ,    2,    18,  1412,   182,     0,     0
1775, BEAM  ,    2,    18,  1413,   198,     0,     0
1776, BEAM  ,    2,    18,  1414,   214,     0,     0
1777, BEAM  ,    2,    18,  1415,   230,     0,     0
1778, BEAM  ,    2,    18,  1416,   246,     0,     0
1779, BEAM  ,    2,    18,  1417,   254,     0,     0
1780, BEAM  ,    2,    18,  1418,   270,     0,     0
1781, BEAM  ,    2,    18,  1419,   286,     0,     0
1782, BEAM  ,    2,    18,  1420,   302,     0,     0
1783, BEAM  ,    2,    18,  1421,   318,     0,     0
1784, BEAM  ,    2,    18,  1422,   326,     0,     0
1785, BEAM  ,    2,    18,  1423,   342,     0,     0
1786, BEAM  ,    2,    18,  1424,   358,     0,     0
1787, BEAM  ,    2,    18,  1425,   374,     0,     0
1788, BEAM  ,    2,    18,  1426,   390,     0,     0
1789, BEAM  ,    2,    18,  1427,   398,     0,     0
1790, BEAM  ,    2,    18,  1428,   414,     0,     0
1791, BEAM  ,    2,    18,  1429,   430,     0,     0
1792, BEAM  ,    2,    18,  1430,   446,     0,     0
1793, BEAM  ,    2,    18,  1431,   462,     0,     0
1794, BEAM  ,    2,    18,  1432,   470,     0,     0
1795, BEAM  ,    2,    18,  1433,   486,     0,     0
1796, BEAM  ,    2,    18,  1434,   502,     0,     0
1797, BEAM  ,    2,    18,  1435,   518,     0,     0
1798, BEAM  ,    2,    18,  1436,   534,     0,     0
1799, BEAM  ,    2,    18,  1437,   542,     0,     0
1800, BEAM  ,    2,    18,  1438,   558,     0,     0
1801, BEAM  ,    2,    18,  1439,   574,     0,     0
1802, BEAM  ,    2,    18,  1440,   590,     0,     0
1803, BEAM  ,    2,    18,  1441,   606,     0,     0
1804, BEAM  ,    2,    18,  1442,   614,     0,     0
1805, BEAM  ,    2,    18,  1443,   630,     0,     0
1806, BEAM  ,    2,    18,  1444,   646,     0,     0
1807, BEAM  ,    2,    18,  1445,   662,     0,     0
1808, BEAM  ,    2,    18,  1446,   678,     0,     0
1809, BEAM  ,    2,    18,  1447,   686,     0,     0
1810, BEAM  ,    2,    18,  1448,   702,     0,     0
1811, BEAM  ,    2,    18,  1449,   718,     0,     0
1812, BEAM  ,    2,    18,  1450,   734,     0,     0
1813, BEAM  ,    2,    18,  1451,  1913,     0,     0
1814, BEAM  ,    2,    18,  1452,  1914,     0,     0
1815, BEAM  ,    2,    18,  1453,  1915,     0,     0
1816, BEAM  ,    2,    18,  1454,  1916,     0,     0
1817, BEAM  ,    2,    18,  1455,  1917,     0,     0
1818, BEAM  ,    2,    18,  1456,  1918,     0,     0
```

```
1819, BEAM  ,    2,    18,  1457,  1919,     0,     0
1820, BEAM  ,    2,    18,  1458,  1920,     0,     0
1821, BEAM  ,    2,    18,  1459,  1921,     0,     0
1822, BEAM  ,    2,    18,  1460,  1922,     0,     0
1823, BEAM  ,    2,    18,  1461,  1923,     0,     0
1824, BEAM  ,    2,    18,  1462,  1924,     0,     0
1825, BEAM  ,    2,    18,  1463,  1925,     0,     0
1826, BEAM  ,    2,    18,  1464,  1926,     0,     0
1827, BEAM  ,    2,    18,  1465,  1927,     0,     0
1828, BEAM  ,    2,    18,  1466,  1928,     0,     0
1829, BEAM  ,    2,    18,  1467,  1929,     0,     0
1830, BEAM  ,    2,    18,  1468,  1930,     0,     0
1831, BEAM  ,    2,    18,  1469,  1931,     0,     0
1832, BEAM  ,    2,    18,  1470,  1932,     0,     0
1833, BEAM  ,    2,    18,  1471,  1933,     0,     0
1834, BEAM  ,    2,    18,  1472,  1934,     0,     0
1835, BEAM  ,    2,    18,  1473,  1935,     0,     0
1836, BEAM  ,    2,    18,  1474,  1936,     0,     0
1837, BEAM  ,    2,    18,  1475,  1937,     0,     0
1838, BEAM  ,    2,    18,  1476,  1938,     0,     0
1839, BEAM  ,    2,    18,  1477,  1939,     0,     0
1840, BEAM  ,    2,    18,  1478,  1940,     0,     0
1841, BEAM  ,    2,    18,  1479,  1941,     0,     0
1842, BEAM  ,    2,    18,  1480,  1942,     0,     0
1843, BEAM  ,    2,    18,  1481,  1943,     0,     0
1844, BEAM  ,    2,    18,  1482,  1944,     0,     0
1845, BEAM  ,    2,    18,  1483,  1945,     0,     0
1846, BEAM  ,    2,    18,  1484,  1946,     0,     0
1847, BEAM  ,    2,    18,  1485,  1947,     0,     0
1848, BEAM  ,    2,    18,  1486,  1948,     0,     0
1849, BEAM  ,    2,    18,  1487,  1949,     0,     0
1850, BEAM  ,    2,    18,  1488,  1950,     0,     0
1851, BEAM  ,    2,    18,  1489,  1951,     0,     0
1852, BEAM  ,    2,    18,  1490,  1952,     0,     0
1853, BEAM  ,    2,    18,  1491,  1953,     0,     0
1854, BEAM  ,    2,    18,  1492,  1954,     0,     0
1855, BEAM  ,    4,    25,  1325,  1326,     0,     0
1856, BEAM  ,    4,    25,  1326,  1327,     0,     0
1857, BEAM  ,    4,    25,  1327,  1328,     0,     0
1858, BEAM  ,    4,    25,  1328,  1329,     0,     0
1859, BEAM  ,    4,    25,  1329,  1330,     0,     0
1860, BEAM  ,    4,    25,  1330,  1331,     0,     0
1861, BEAM  ,    4,    25,  1331,  1332,     0,     0
1862, BEAM  ,    4,    25,  1332,  1333,     0,     0
1863, BEAM  ,    4,    25,  1333,  1334,     0,     0
1864, BEAM  ,    4,    25,  1334,  1335,     0,     0
1865, BEAM  ,    4,    25,  1335,  1336,     0,     0
1866, BEAM  ,    4,    25,  1336,  1337,     0,     0
1867, BEAM  ,    4,    25,  1337,  1338,     0,     0
1868, BEAM  ,    4,    25,  1338,  1339,     0,     0
1869, BEAM  ,    4,    25,  1339,  1340,     0,     0
1870, BEAM  ,    4,    25,  1340,  1341,     0,     0
1871, BEAM  ,    4,    25,  1341,  1342,     0,     0
1872, BEAM  ,    4,    25,  1342,  1343,     0,     0
1873, BEAM  ,    4,    25,  1343,  1344,     0,     0
1874, BEAM  ,    4,    25,  1344,  1345,     0,     0
1875, BEAM  ,    4,    25,  1345,  1346,     0,     0
1876, BEAM  ,    4,    25,  1346,  1347,     0,     0
1877, BEAM  ,    4,    25,  1347,  1348,     0,     0
1878, BEAM  ,    4,    25,  1348,  1349,     0,     0
1879, BEAM  ,    4,    25,  1349,  1350,     0,     0
1880, BEAM  ,    4,    25,  1350,  1351,     0,     0
1881, BEAM  ,    4,    25,  1351,  1352,     0,     0
1882, BEAM  ,    4,    25,  1352,  1353,     0,     0
1883, BEAM  ,    4,    25,  1353,  1354,     0,     0
1884, BEAM  ,    4,    25,  1354,  1355,     0,     0
1885, BEAM  ,    4,    25,  1355,  1356,     0,     0
1886, BEAM  ,    4,    25,  1356,  1357,     0,     0
1887, BEAM  ,    4,    25,  1357,  1358,     0,     0
1888, BEAM  ,    4,    25,  1358,  1359,     0,     0
1889, BEAM  ,    4,    25,  1359,  1360,     0,     0
1890, BEAM  ,    4,    25,  1360,  1361,     0,     0
1891, BEAM  ,    4,    25,  1361,  1362,     0,     0
1892, BEAM  ,    4,    25,  1362,  1363,     0,     0
1893, BEAM  ,    4,    25,  1363,  1364,     0,     0
1894, BEAM  ,    4,    25,  1364,  1365,     0,     0
1895, BEAM  ,    4,    25,  1365,  1366,     0,     0
1896, BEAM  ,    4,    25,  1367,  1368,     0,     0
```

```
1897, BEAM  ,    4,    25,  1368,  1369,     0,     0
1898, BEAM  ,    4,    25,  1369,  1370,     0,     0
1899, BEAM  ,    4,    25,  1370,  1371,     0,     0
1900, BEAM  ,    4,    25,  1371,  1372,     0,     0
1901, BEAM  ,    4,    25,  1372,  1373,     0,     0
1902, BEAM  ,    4,    25,  1373,  1374,     0,     0
1903, BEAM  ,    4,    25,  1374,  1375,     0,     0
1904, BEAM  ,    4,    25,  1375,  1376,     0,     0
1905, BEAM  ,    4,    25,  1376,  1377,     0,     0
1906, BEAM  ,    4,    25,  1377,  1378,     0,     0
1907, BEAM  ,    4,    25,  1378,  1379,     0,     0
1908, BEAM  ,    4,    25,  1379,  1380,     0,     0
1909, BEAM  ,    4,    25,  1380,  1381,     0,     0
1910, BEAM  ,    4,    25,  1381,  1382,     0,     0
1911, BEAM  ,    4,    25,  1382,  1383,     0,     0
1912, BEAM  ,    4,    25,  1383,  1384,     0,     0
1913, BEAM  ,    4,    25,  1384,  1385,     0,     0
1914, BEAM  ,    4,    25,  1385,  1386,     0,     0
1915, BEAM  ,    4,    25,  1386,  1387,     0,     0
1916, BEAM  ,    4,    25,  1387,  1388,     0,     0
1917, BEAM  ,    4,    25,  1388,  1389,     0,     0
1918, BEAM  ,    4,    25,  1389,  1390,     0,     0
1919, BEAM  ,    4,    25,  1390,  1391,     0,     0
1920, BEAM  ,    4,    25,  1391,  1392,     0,     0
1921, BEAM  ,    4,    25,  1392,  1393,     0,     0
1922, BEAM  ,    4,    25,  1393,  1394,     0,     0
1923, BEAM  ,    4,    25,  1394,  1395,     0,     0
1924, BEAM  ,    4,    25,  1395,  1396,     0,     0
1925, BEAM  ,    4,    25,  1396,  1397,     0,     0
1926, BEAM  ,    4,    25,  1397,  1398,     0,     0
1927, BEAM  ,    4,    25,  1398,  1399,     0,     0
1928, BEAM  ,    4,    25,  1399,  1400,     0,     0
1929, BEAM  ,    4,    25,  1400,  1401,     0,     0
1930, BEAM  ,    4,    25,  1401,  1402,     0,     0
1931, BEAM  ,    4,    25,  1402,  1403,     0,     0
1932, BEAM  ,    4,    25,  1403,  1404,     0,     0
1933, BEAM  ,    4,    25,  1404,  1405,     0,     0
1934, BEAM  ,    4,    25,  1405,  1406,     0,     0
1935, BEAM  ,    4,    25,  1406,  1407,     0,     0
1936, BEAM  ,    4,    25,  1407,  1408,     0,     0
1937, BEAM  ,    4,    25,  1409,  1410,     0,     0
1938, BEAM  ,    4,    25,  1410,  1411,     0,     0
1939, BEAM  ,    4,    25,  1411,  1412,     0,     0
1940, BEAM  ,    4,    25,  1412,  1413,     0,     0
1941, BEAM  ,    4,    25,  1413,  1414,     0,     0
1942, BEAM  ,    4,    25,  1414,  1415,     0,     0
1943, BEAM  ,    4,    25,  1415,  1416,     0,     0
1944, BEAM  ,    4,    25,  1416,  1417,     0,     0
1945, BEAM  ,    4,    25,  1417,  1418,     0,     0
1946, BEAM  ,    4,    25,  1418,  1419,     0,     0
1947, BEAM  ,    4,    25,  1419,  1420,     0,     0
1948, BEAM  ,    4,    25,  1420,  1421,     0,     0
1949, BEAM  ,    4,    25,  1421,  1422,     0,     0
1950, BEAM  ,    4,    25,  1422,  1423,     0,     0
1951, BEAM  ,    4,    25,  1423,  1424,     0,     0
1952, BEAM  ,    4,    25,  1424,  1425,     0,     0
1953, BEAM  ,    4,    25,  1425,  1426,     0,     0
1954, BEAM  ,    4,    25,  1426,  1427,     0,     0
1955, BEAM  ,    4,    25,  1427,  1428,     0,     0
1956, BEAM  ,    4,    25,  1428,  1429,     0,     0
1957, BEAM  ,    4,    25,  1429,  1430,     0,     0
1958, BEAM  ,    4,    25,  1430,  1431,     0,     0
1959, BEAM  ,    4,    25,  1431,  1432,     0,     0
1960, BEAM  ,    4,    25,  1432,  1433,     0,     0
1961, BEAM  ,    4,    25,  1433,  1434,     0,     0
1962, BEAM  ,    4,    25,  1434,  1435,     0,     0
1963, BEAM  ,    4,    25,  1435,  1436,     0,     0
1964, BEAM  ,    4,    25,  1436,  1437,     0,     0
1965, BEAM  ,    4,    25,  1437,  1438,     0,     0
1966, BEAM  ,    4,    25,  1438,  1439,     0,     0
1967, BEAM  ,    4,    25,  1439,  1440,     0,     0
1968, BEAM  ,    4,    25,  1440,  1441,     0,     0
1969, BEAM  ,    4,    25,  1441,  1442,     0,     0
1970, BEAM  ,    4,    25,  1442,  1443,     0,     0
1971, BEAM  ,    4,    25,  1443,  1444,     0,     0
1972, BEAM  ,    4,    25,  1444,  1445,     0,     0
1973, BEAM  ,    4,    25,  1445,  1446,     0,     0
1974, BEAM  ,    4,    25,  1446,  1447,     0,     0
```

```
1975, BEAM  ,    4,    25,  1447,  1448,     0,     0
1976, BEAM  ,    4,    25,  1448,  1449,     0,     0
1977, BEAM  ,    4,    25,  1449,  1450,     0,     0
1978, BEAM  ,    4,    25,  1451,  1452,     0,     0
1979, BEAM  ,    4,    25,  1452,  1453,     0,     0
1980, BEAM  ,    4,    25,  1453,  1454,     0,     0
1981, BEAM  ,    4,    25,  1454,  1455,     0,     0
1982, BEAM  ,    4,    25,  1455,  1456,     0,     0
1983, BEAM  ,    4,    25,  1456,  1457,     0,     0
1984, BEAM  ,    4,    25,  1457,  1458,     0,     0
1985, BEAM  ,    4,    25,  1458,  1459,     0,     0
1986, BEAM  ,    4,    25,  1459,  1460,     0,     0
1987, BEAM  ,    4,    25,  1460,  1461,     0,     0
1988, BEAM  ,    4,    25,  1461,  1462,     0,     0
1989, BEAM  ,    4,    25,  1462,  1463,     0,     0
1990, BEAM  ,    4,    25,  1463,  1464,     0,     0
1991, BEAM  ,    4,    25,  1464,  1465,     0,     0
1992, BEAM  ,    4,    25,  1465,  1466,     0,     0
1993, BEAM  ,    4,    25,  1466,  1467,     0,     0
1994, BEAM  ,    4,    25,  1467,  1468,     0,     0
1995, BEAM  ,    4,    25,  1468,  1469,     0,     0
1996, BEAM  ,    4,    25,  1469,  1470,     0,     0
1997, BEAM  ,    4,    25,  1470,  1471,     0,     0
1998, BEAM  ,    4,    25,  1471,  1472,     0,     0
1999, BEAM  ,    4,    25,  1472,  1473,     0,     0
2000, BEAM  ,    4,    25,  1473,  1474,     0,     0
2001, BEAM  ,    4,    25,  1474,  1475,     0,     0
2002, BEAM  ,    4,    25,  1475,  1476,     0,     0
2003, BEAM  ,    4,    25,  1476,  1477,     0,     0
2004, BEAM  ,    4,    25,  1477,  1478,     0,     0
2005, BEAM  ,    4,    25,  1478,  1479,     0,     0
2006, BEAM  ,    4,    25,  1479,  1480,     0,     0
2007, BEAM  ,    4,    25,  1480,  1481,     0,     0
2008, BEAM  ,    4,    25,  1481,  1482,     0,     0
2009, BEAM  ,    4,    25,  1482,  1483,     0,     0
2010, BEAM  ,    4,    25,  1483,  1484,     0,     0
2011, BEAM  ,    4,    25,  1484,  1485,     0,     0
2012, BEAM  ,    4,    25,  1485,  1486,     0,     0
2013, BEAM  ,    4,    25,  1486,  1487,     0,     0
2014, BEAM  ,    4,    25,  1487,  1488,     0,     0
2015, BEAM  ,    4,    25,  1488,  1489,     0,     0
2016, BEAM  ,    4,    25,  1489,  1490,     0,     0
2017, BEAM  ,    4,    25,  1490,  1491,     0,     0
2018, BEAM  ,    4,    25,  1491,  1492,     0,     0
2019, BEAM  ,    2,    18,  1493,  1787,     0,     0
2020, BEAM  ,    2,    18,  1494,  1788,     0,     0
2021, BEAM  ,    2,    18,  1495,  1789,     0,     0
2022, BEAM  ,    2,    18,  1496,  1790,     0,     0
2023, BEAM  ,    2,    18,  1497,  1791,     0,     0
2024, BEAM  ,    2,    18,  1498,  1792,     0,     0
2025, BEAM  ,    2,    18,  1499,  1793,     0,     0
2026, BEAM  ,    2,    18,  1500,  1794,     0,     0
2027, BEAM  ,    2,    18,  1501,  1795,     0,     0
2028, BEAM  ,    2,    18,  1502,  1796,     0,     0
2029, BEAM  ,    2,    18,  1503,  1797,     0,     0
2030, BEAM  ,    2,    18,  1504,  1798,     0,     0
2031, BEAM  ,    2,    18,  1505,  1799,     0,     0
2032, BEAM  ,    2,    18,  1506,  1800,     0,     0
2033, BEAM  ,    2,    18,  1507,  1801,     0,     0
2034, BEAM  ,    2,    18,  1508,  1802,     0,     0
2035, BEAM  ,    2,    18,  1509,  1803,     0,     0
2036, BEAM  ,    2,    18,  1510,  1804,     0,     0
2037, BEAM  ,    2,    18,  1511,  1805,     0,     0
2038, BEAM  ,    2,    18,  1512,  1806,     0,     0
2039, BEAM  ,    2,    18,  1513,  1807,     0,     0
2040, BEAM  ,    2,    18,  1514,  1808,     0,     0
2041, BEAM  ,    2,    18,  1515,  1809,     0,     0
2042, BEAM  ,    2,    18,  1516,  1810,     0,     0
2043, BEAM  ,    2,    18,  1517,  1811,     0,     0
2044, BEAM  ,    2,    18,  1518,  1812,     0,     0
2045, BEAM  ,    2,    18,  1519,  1813,     0,     0
2046, BEAM  ,    2,    18,  1520,  1814,     0,     0
2047, BEAM  ,    2,    18,  1521,  1815,     0,     0
2048, BEAM  ,    2,    18,  1522,  1816,     0,     0
2049, BEAM  ,    2,    18,  1523,  1817,     0,     0
2050, BEAM  ,    2,    18,  1524,  1818,     0,     0
2051, BEAM  ,    2,    18,  1525,  1819,     0,     0
2052, BEAM  ,    2,    18,  1526,  1820,     0,     0
```

```
2053, BEAM  ,    2,    18,  1527,  1821,     0,     0
2054, BEAM  ,    2,    18,  1528,  1822,     0,     0
2055, BEAM  ,    2,    18,  1529,  1823,     0,     0
2056, BEAM  ,    2,    18,  1530,  1824,     0,     0
2057, BEAM  ,    2,    18,  1531,  1825,     0,     0
2058, BEAM  ,    2,    18,  1532,  1826,     0,     0
2059, BEAM  ,    2,    18,  1533,  1827,     0,     0
2060, BEAM  ,    2,    18,  1534,  1828,     0,     0
2061, BEAM  ,    2,    18,  1535,  1745,     0,     0
2062, BEAM  ,    2,    18,  1536,  1746,     0,     0
2063, BEAM  ,    2,    18,  1537,  1747,     0,     0
2064, BEAM  ,    2,    18,  1538,  1748,     0,     0
2065, BEAM  ,    2,    18,  1539,  1749,     0,     0
2066, BEAM  ,    2,    18,  1540,  1750,     0,     0
2067, BEAM  ,    2,    18,  1541,  1751,     0,     0
2068, BEAM  ,    2,    18,  1542,  1752,     0,     0
2069, BEAM  ,    2,    18,  1543,  1753,     0,     0
2070, BEAM  ,    2,    18,  1544,  1754,     0,     0
2071, BEAM  ,    2,    18,  1545,  1755,     0,     0
2072, BEAM  ,    2,    18,  1546,  1756,     0,     0
2073, BEAM  ,    2,    18,  1547,  1757,     0,     0
2074, BEAM  ,    2,    18,  1548,  1758,     0,     0
2075, BEAM  ,    2,    18,  1549,  1759,     0,     0
2076, BEAM  ,    2,    18,  1550,  1760,     0,     0
2077, BEAM  ,    2,    18,  1551,  1761,     0,     0
2078, BEAM  ,    2,    18,  1552,  1762,     0,     0
2079, BEAM  ,    2,    18,  1553,  1763,     0,     0
2080, BEAM  ,    2,    18,  1554,  1764,     0,     0
2081, BEAM  ,    2,    18,  1555,  1765,     0,     0
2082, BEAM  ,    2,    18,  1556,  1766,     0,     0
2083, BEAM  ,    2,    18,  1557,  1767,     0,     0
2084, BEAM  ,    2,    18,  1558,  1768,     0,     0
2085, BEAM  ,    2,    18,  1559,  1769,     0,     0
2086, BEAM  ,    2,    18,  1560,  1770,     0,     0
2087, BEAM  ,    2,    18,  1561,  1771,     0,     0
2088, BEAM  ,    2,    18,  1562,  1772,     0,     0
2089, BEAM  ,    2,    18,  1563,  1773,     0,     0
2090, BEAM  ,    2,    18,  1564,  1774,     0,     0
2091, BEAM  ,    2,    18,  1565,  1775,     0,     0
2092, BEAM  ,    2,    18,  1566,  1776,     0,     0
2093, BEAM  ,    2,    18,  1567,  1777,     0,     0
2094, BEAM  ,    2,    18,  1568,  1778,     0,     0
2095, BEAM  ,    2,    18,  1569,  1779,     0,     0
2096, BEAM  ,    2,    18,  1570,  1780,     0,     0
2097, BEAM  ,    2,    18,  1571,  1781,     0,     0
2098, BEAM  ,    2,    18,  1572,  1782,     0,     0
2099, BEAM  ,    2,    18,  1573,  1783,     0,     0
2100, BEAM  ,    2,    18,  1574,  1784,     0,     0
2101, BEAM  ,    2,    18,  1575,  1785,     0,     0
2102, BEAM  ,    2,    18,  1576,  1786,     0,     0
2103, BEAM  ,    2,    18,  1577,  1998,     0,     0
2104, BEAM  ,    2,    18,  1578,  2000,     0,     0
2105, BEAM  ,    2,    18,  1579,  2002,     0,     0
2106, BEAM  ,    2,    18,  1580,  2004,     0,     0
2107, BEAM  ,    2,    18,  1581,  2006,     0,     0
2108, BEAM  ,    2,    18,  1582,  2008,     0,     0
2109, BEAM  ,    2,    18,  1583,  2010,     0,     0
2110, BEAM  ,    2,    18,  1584,  2012,     0,     0
2111, BEAM  ,    2,    18,  1585,  2014,     0,     0
2112, BEAM  ,    2,    18,  1586,  2016,     0,     0
2113, BEAM  ,    2,    18,  1587,  2018,     0,     0
2114, BEAM  ,    2,    18,  1588,  2020,     0,     0
2115, BEAM  ,    2,    18,  1589,  2022,     0,     0
2116, BEAM  ,    2,    18,  1590,  2024,     0,     0
2117, BEAM  ,    2,    18,  1591,  2026,     0,     0
2118, BEAM  ,    2,    18,  1592,  2028,     0,     0
2119, BEAM  ,    2,    18,  1593,  2030,     0,     0
2120, BEAM  ,    2,    18,  1594,  2032,     0,     0
2121, BEAM  ,    2,    18,  1595,  2034,     0,     0
2122, BEAM  ,    2,    18,  1596,  2036,     0,     0
2123, BEAM  ,    2,    18,  1597,  2038,     0,     0
2124, BEAM  ,    2,    18,  1598,  2040,     0,     0
2125, BEAM  ,    2,    18,  1599,  2042,     0,     0
2126, BEAM  ,    2,    18,  1600,  2044,     0,     0
2127, BEAM  ,    2,    18,  1601,  2046,     0,     0
2128, BEAM  ,    2,    18,  1602,  2048,     0,     0
2129, BEAM  ,    2,    18,  1603,  2050,     0,     0
2130, BEAM  ,    2,    18,  1604,  2052,     0,     0
```

```
2131, BEAM  ,    2,    18,  1605,  2054,     0,     0
2132, BEAM  ,    2,    18,  1606,  2056,     0,     0
2133, BEAM  ,    2,    18,  1607,  2058,     0,     0
2134, BEAM  ,    2,    18,  1608,  2060,     0,     0
2135, BEAM  ,    2,    18,  1609,  2062,     0,     0
2136, BEAM  ,    2,    18,  1610,  2064,     0,     0
2137, BEAM  ,    2,    18,  1611,  2066,     0,     0
2138, BEAM  ,    2,    18,  1612,  2068,     0,     0
2139, BEAM  ,    2,    18,  1613,  2070,     0,     0
2140, BEAM  ,    2,    18,  1614,  2072,     0,     0
2141, BEAM  ,    2,    18,  1615,  2074,     0,     0
2142, BEAM  ,    2,    18,  1616,  2076,     0,     0
2143, BEAM  ,    2,    18,  1617,  2078,     0,     0
2144, BEAM  ,    2,    18,  1618,  2080,     0,     0
2145, BEAM  ,    2,    18,  1619,   143,     0,     0
2146, BEAM  ,    2,    18,  1620,   159,     0,     0
2147, BEAM  ,    2,    18,  1621,   175,     0,     0
2148, BEAM  ,    2,    18,  1622,   183,     0,     0
2149, BEAM  ,    2,    18,  1623,   199,     0,     0
2150, BEAM  ,    2,    18,  1624,   215,     0,     0
2151, BEAM  ,    2,    18,  1625,   231,     0,     0
2152, BEAM  ,    2,    18,  1626,   247,     0,     0
2153, BEAM  ,    2,    18,  1627,   255,     0,     0
2154, BEAM  ,    2,    18,  1628,   271,     0,     0
2155, BEAM  ,    2,    18,  1629,   287,     0,     0
2156, BEAM  ,    2,    18,  1630,   303,     0,     0
2157, BEAM  ,    2,    18,  1631,   319,     0,     0
2158, BEAM  ,    2,    18,  1632,   327,     0,     0
2159, BEAM  ,    2,    18,  1633,   343,     0,     0
2160, BEAM  ,    2,    18,  1634,   359,     0,     0
2161, BEAM  ,    2,    18,  1635,   375,     0,     0
2162, BEAM  ,    2,    18,  1636,   391,     0,     0
2163, BEAM  ,    2,    18,  1637,   399,     0,     0
2164, BEAM  ,    2,    18,  1638,   415,     0,     0
2165, BEAM  ,    2,    18,  1639,   431,     0,     0
2166, BEAM  ,    2,    18,  1640,   447,     0,     0
2167, BEAM  ,    2,    18,  1641,   463,     0,     0
2168, BEAM  ,    2,    18,  1642,   471,     0,     0
2169, BEAM  ,    2,    18,  1643,   487,     0,     0
2170, BEAM  ,    2,    18,  1644,   503,     0,     0
2171, BEAM  ,    2,    18,  1645,   519,     0,     0
2172, BEAM  ,    2,    18,  1646,   535,     0,     0
2173, BEAM  ,    2,    18,  1647,   543,     0,     0
2174, BEAM  ,    2,    18,  1648,   559,     0,     0
2175, BEAM  ,    2,    18,  1649,   575,     0,     0
2176, BEAM  ,    2,    18,  1650,   591,     0,     0
2177, BEAM  ,    2,    18,  1651,   607,     0,     0
2178, BEAM  ,    2,    18,  1652,   615,     0,     0
2179, BEAM  ,    2,    18,  1653,   631,     0,     0
2180, BEAM  ,    2,    18,  1654,   647,     0,     0
2181, BEAM  ,    2,    18,  1655,   663,     0,     0
2182, BEAM  ,    2,    18,  1656,   679,     0,     0
2183, BEAM  ,    2,    18,  1657,   687,     0,     0
2184, BEAM  ,    2,    18,  1658,   703,     0,     0
2185, BEAM  ,    2,    18,  1659,   719,     0,     0
2186, BEAM  ,    2,    18,  1660,   735,     0,     0
2187, BEAM  ,    4,    19,  1493,  1494,     0,     0
2188, BEAM  ,    4,    19,  1494,  1495,     0,     0
2189, BEAM  ,    4,    19,  1495,  1496,     0,     0
2190, BEAM  ,    4,    19,  1496,  1497,     0,     0
2191, BEAM  ,    4,    19,  1497,  1498,     0,     0
2192, BEAM  ,    4,    19,  1498,  1499,     0,     0
2193, BEAM  ,    4,    19,  1499,  1500,     0,     0
2194, BEAM  ,    4,    19,  1500,  1501,     0,     0
2195, BEAM  ,    4,    19,  1501,  1502,     0,     0
2196, BEAM  ,    4,    19,  1502,  1503,     0,     0
2197, BEAM  ,    4,    19,  1503,  1504,     0,     0
2198, BEAM  ,    4,    19,  1504,  1505,     0,     0
2199, BEAM  ,    4,    19,  1505,  1506,     0,     0
2200, BEAM  ,    4,    19,  1506,  1507,     0,     0
2201, BEAM  ,    4,    19,  1507,  1508,     0,     0
2202, BEAM  ,    4,    19,  1508,  1509,     0,     0
2203, BEAM  ,    4,    19,  1509,  1510,     0,     0
2204, BEAM  ,    4,    19,  1510,  1511,     0,     0
2205, BEAM  ,    4,    19,  1511,  1512,     0,     0
2206, BEAM  ,    4,    19,  1512,  1513,     0,     0
2207, BEAM  ,    4,    19,  1513,  1514,     0,     0
2208, BEAM  ,    4,    19,  1514,  1515,     0,     0
```

```
2209, BEAM  ,    4,    19,  1515,  1516,     0,     0
2210, BEAM  ,    4,    19,  1516,  1517,     0,     0
2211, BEAM  ,    4,    19,  1517,  1518,     0,     0
2212, BEAM  ,    4,    19,  1518,  1519,     0,     0
2213, BEAM  ,    4,    19,  1519,  1520,     0,     0
2214, BEAM  ,    4,    19,  1520,  1521,     0,     0
2215, BEAM  ,    4,    19,  1521,  1522,     0,     0
2216, BEAM  ,    4,    19,  1522,  1523,     0,     0
2217, BEAM  ,    4,    19,  1523,  1524,     0,     0
2218, BEAM  ,    4,    19,  1524,  1525,     0,     0
2219, BEAM  ,    4,    19,  1525,  1526,     0,     0
2220, BEAM  ,    4,    19,  1526,  1527,     0,     0
2221, BEAM  ,    4,    19,  1527,  1528,     0,     0
2222, BEAM  ,    4,    19,  1528,  1529,     0,     0
2223, BEAM  ,    4,    19,  1529,  1530,     0,     0
2224, BEAM  ,    4,    19,  1530,  1531,     0,     0
2225, BEAM  ,    4,    19,  1531,  1532,     0,     0
2226, BEAM  ,    4,    19,  1532,  1533,     0,     0
2227, BEAM  ,    4,    19,  1533,  1534,     0,     0
2228, BEAM  ,    4,    19,  1535,  1536,     0,     0
2229, BEAM  ,    4,    19,  1536,  1537,     0,     0
2230, BEAM  ,    4,    19,  1537,  1538,     0,     0
2231, BEAM  ,    4,    19,  1538,  1539,     0,     0
2232, BEAM  ,    4,    19,  1539,  1540,     0,     0
2233, BEAM  ,    4,    19,  1540,  1541,     0,     0
2234, BEAM  ,    4,    19,  1541,  1542,     0,     0
2235, BEAM  ,    4,    19,  1542,  1543,     0,     0
2236, BEAM  ,    4,    19,  1543,  1544,     0,     0
2237, BEAM  ,    4,    19,  1544,  1545,     0,     0
2238, BEAM  ,    4,    19,  1545,  1546,     0,     0
2239, BEAM  ,    4,    19,  1546,  1547,     0,     0
2240, BEAM  ,    4,    19,  1547,  1548,     0,     0
2241, BEAM  ,    4,    19,  1548,  1549,     0,     0
2242, BEAM  ,    4,    19,  1549,  1550,     0,     0
2243, BEAM  ,    4,    19,  1550,  1551,     0,     0
2244, BEAM  ,    4,    19,  1551,  1552,     0,     0
2245, BEAM  ,    4,    19,  1552,  1553,     0,     0
2246, BEAM  ,    4,    19,  1553,  1554,     0,     0
2247, BEAM  ,    4,    19,  1554,  1555,     0,     0
2248, BEAM  ,    4,    19,  1555,  1556,     0,     0
2249, BEAM  ,    4,    19,  1556,  1557,     0,     0
2250, BEAM  ,    4,    19,  1557,  1558,     0,     0
2251, BEAM  ,    4,    19,  1558,  1559,     0,     0
2252, BEAM  ,    4,    19,  1559,  1560,     0,     0
2253, BEAM  ,    4,    19,  1560,  1561,     0,     0
2254, BEAM  ,    4,    19,  1561,  1562,     0,     0
2255, BEAM  ,    4,    19,  1562,  1563,     0,     0
2256, BEAM  ,    4,    19,  1563,  1564,     0,     0
2257, BEAM  ,    4,    19,  1564,  1565,     0,     0
2258, BEAM  ,    4,    19,  1565,  1566,     0,     0
2259, BEAM  ,    4,    19,  1566,  1567,     0,     0
2260, BEAM  ,    4,    19,  1567,  1568,     0,     0
2261, BEAM  ,    4,    19,  1568,  1569,     0,     0
2262, BEAM  ,    4,    19,  1569,  1570,     0,     0
2263, BEAM  ,    4,    19,  1570,  1571,     0,     0
2264, BEAM  ,    4,    19,  1571,  1572,     0,     0
2265, BEAM  ,    4,    19,  1572,  1573,     0,     0
2266, BEAM  ,    4,    19,  1573,  1574,     0,     0
2267, BEAM  ,    4,    19,  1574,  1575,     0,     0
2268, BEAM  ,    4,    19,  1575,  1576,     0,     0
2269, BEAM  ,    4,    19,  1577,  1578,     0,     0
2270, BEAM  ,    4,    19,  1578,  1579,     0,     0
2271, BEAM  ,    4,    19,  1579,  1580,     0,     0
2272, BEAM  ,    4,    19,  1580,  1581,     0,     0
2273, BEAM  ,    4,    19,  1581,  1582,     0,     0
2274, BEAM  ,    4,    19,  1582,  1583,     0,     0
2275, BEAM  ,    4,    19,  1583,  1584,     0,     0
2276, BEAM  ,    4,    19,  1584,  1585,     0,     0
2277, BEAM  ,    4,    19,  1585,  1586,     0,     0
2278, BEAM  ,    4,    19,  1586,  1587,     0,     0
2279, BEAM  ,    4,    19,  1587,  1588,     0,     0
2280, BEAM  ,    4,    19,  1588,  1589,     0,     0
2281, BEAM  ,    4,    19,  1589,  1590,     0,     0
2282, BEAM  ,    4,    19,  1590,  1591,     0,     0
2283, BEAM  ,    4,    19,  1591,  1592,     0,     0
2284, BEAM  ,    4,    19,  1592,  1593,     0,     0
2285, BEAM  ,    4,    19,  1593,  1594,     0,     0
2286, BEAM  ,    4,    19,  1594,  1595,     0,     0
```

```
2287, BEAM  ,    4,    19,  1595,  1596,     0,     0
2288, BEAM  ,    4,    19,  1596,  1597,     0,     0
2289, BEAM  ,    4,    19,  1597,  1598,     0,     0
2290, BEAM  ,    4,    19,  1598,  1599,     0,     0
2291, BEAM  ,    4,    19,  1599,  1600,     0,     0
2292, BEAM  ,    4,    19,  1600,  1601,     0,     0
2293, BEAM  ,    4,    19,  1601,  1602,     0,     0
2294, BEAM  ,    4,    19,  1602,  1603,     0,     0
2295, BEAM  ,    4,    19,  1603,  1604,     0,     0
2296, BEAM  ,    4,    19,  1604,  1605,     0,     0
2297, BEAM  ,    4,    19,  1605,  1606,     0,     0
2298, BEAM  ,    4,    19,  1606,  1607,     0,     0
2299, BEAM  ,    4,    19,  1607,  1608,     0,     0
2300, BEAM  ,    4,    19,  1608,  1609,     0,     0
2301, BEAM  ,    4,    19,  1609,  1610,     0,     0
2302, BEAM  ,    4,    19,  1610,  1611,     0,     0
2303, BEAM  ,    4,    19,  1611,  1612,     0,     0
2304, BEAM  ,    4,    19,  1612,  1613,     0,     0
2305, BEAM  ,    4,    19,  1613,  1614,     0,     0
2306, BEAM  ,    4,    19,  1614,  1615,     0,     0
2307, BEAM  ,    4,    19,  1615,  1616,     0,     0
2308, BEAM  ,    4,    19,  1616,  1617,     0,     0
2309, BEAM  ,    4,    19,  1617,  1618,     0,     0
2310, BEAM  ,    4,    19,  1619,  1620,     0,     0
2311, BEAM  ,    4,    19,  1620,  1621,     0,     0
2312, BEAM  ,    4,    19,  1621,  1622,     0,     0
2313, BEAM  ,    4,    19,  1622,  1623,     0,     0
2314, BEAM  ,    4,    19,  1623,  1624,     0,     0
2315, BEAM  ,    4,    19,  1624,  1625,     0,     0
2316, BEAM  ,    4,    19,  1625,  1626,     0,     0
2317, BEAM  ,    4,    19,  1626,  1627,     0,     0
2318, BEAM  ,    4,    19,  1627,  1628,     0,     0
2319, BEAM  ,    4,    19,  1628,  1629,     0,     0
2320, BEAM  ,    4,    19,  1629,  1630,     0,     0
2321, BEAM  ,    4,    19,  1630,  1631,     0,     0
2322, BEAM  ,    4,    19,  1631,  1632,     0,     0
2323, BEAM  ,    4,    19,  1632,  1633,     0,     0
2324, BEAM  ,    4,    19,  1633,  1634,     0,     0
2325, BEAM  ,    4,    19,  1634,  1635,     0,     0
2326, BEAM  ,    4,    19,  1635,  1636,     0,     0
2327, BEAM  ,    4,    19,  1636,  1637,     0,     0
2328, BEAM  ,    4,    19,  1637,  1638,     0,     0
2329, BEAM  ,    4,    19,  1638,  1639,     0,     0
2330, BEAM  ,    4,    19,  1639,  1640,     0,     0
2331, BEAM  ,    4,    19,  1640,  1641,     0,     0
2332, BEAM  ,    4,    19,  1641,  1642,     0,     0
2333, BEAM  ,    4,    19,  1642,  1643,     0,     0
2334, BEAM  ,    4,    19,  1643,  1644,     0,     0
2335, BEAM  ,    4,    19,  1644,  1645,     0,     0
2336, BEAM  ,    4,    19,  1645,  1646,     0,     0
2337, BEAM  ,    4,    19,  1646,  1647,     0,     0
2338, BEAM  ,    4,    19,  1647,  1648,     0,     0
2339, BEAM  ,    4,    19,  1648,  1649,     0,     0
2340, BEAM  ,    4,    19,  1649,  1650,     0,     0
2341, BEAM  ,    4,    19,  1650,  1651,     0,     0
2342, BEAM  ,    4,    19,  1651,  1652,     0,     0
2343, BEAM  ,    4,    19,  1652,  1653,     0,     0
2344, BEAM  ,    4,    19,  1653,  1654,     0,     0
2345, BEAM  ,    4,    19,  1654,  1655,     0,     0
2346, BEAM  ,    4,    19,  1655,  1656,     0,     0
2347, BEAM  ,    4,    19,  1656,  1657,     0,     0
2348, BEAM  ,    4,    19,  1657,  1658,     0,     0
2349, BEAM  ,    4,    19,  1658,  1659,     0,     0
2350, BEAM  ,    4,    19,  1659,  1660,     0,     0
2351, BEAM  ,    2,    18,  1661,  1325,     0,     0
2352, BEAM  ,    2,    18,  1662,  1326,     0,     0
2353, BEAM  ,    2,    18,  1663,  1327,     0,     0
2354, BEAM  ,    2,    18,  1664,  1328,     0,     0
2355, BEAM  ,    2,    18,  1665,  1329,     0,     0
2356, BEAM  ,    2,    18,  1666,  1330,     0,     0
2357, BEAM  ,    2,    18,  1667,  1331,     0,     0
2358, BEAM  ,    2,    18,  1668,  1332,     0,     0
2359, BEAM  ,    2,    18,  1669,  1333,     0,     0
2360, BEAM  ,    2,    18,  1670,  1334,     0,     0
2361, BEAM  ,    2,    18,  1671,  1335,     0,     0
2362, BEAM  ,    2,    18,  1672,  1336,     0,     0
2363, BEAM  ,    2,    18,  1673,  1337,     0,     0
2364, BEAM  ,    2,    18,  1674,  1338,     0,     0
```

```
2365, BEAM  ,    2,    18,  1675,  1339,     0,     0
2366, BEAM  ,    2,    18,  1676,  1340,     0,     0
2367, BEAM  ,    2,    18,  1677,  1341,     0,     0
2368, BEAM  ,    2,    18,  1678,  1342,     0,     0
2369, BEAM  ,    2,    18,  1679,  1343,     0,     0
2370, BEAM  ,    2,    18,  1680,  1344,     0,     0
2371, BEAM  ,    2,    18,  1681,  1345,     0,     0
2372, BEAM  ,    2,    18,  1682,  1346,     0,     0
2373, BEAM  ,    2,    18,  1683,  1347,     0,     0
2374, BEAM  ,    2,    18,  1684,  1348,     0,     0
2375, BEAM  ,    2,    18,  1685,  1349,     0,     0
2376, BEAM  ,    2,    18,  1686,  1350,     0,     0
2377, BEAM  ,    2,    18,  1687,  1351,     0,     0
2378, BEAM  ,    2,    18,  1688,  1352,     0,     0
2379, BEAM  ,    2,    18,  1689,  1353,     0,     0
2380, BEAM  ,    2,    18,  1690,  1354,     0,     0
2381, BEAM  ,    2,    18,  1691,  1355,     0,     0
2382, BEAM  ,    2,    18,  1692,  1356,     0,     0
2383, BEAM  ,    2,    18,  1693,  1357,     0,     0
2384, BEAM  ,    2,    18,  1694,  1358,     0,     0
2385, BEAM  ,    2,    18,  1695,  1359,     0,     0
2386, BEAM  ,    2,    18,  1696,  1360,     0,     0
2387, BEAM  ,    2,    18,  1697,  1361,     0,     0
2388, BEAM  ,    2,    18,  1698,  1362,     0,     0
2389, BEAM  ,    2,    18,  1699,  1363,     0,     0
2390, BEAM  ,    2,    18,  1700,  1364,     0,     0
2391, BEAM  ,    2,    18,  1701,  1365,     0,     0
2392, BEAM  ,    2,    18,  1702,  1366,     0,     0
2393, BEAM  ,    2,    18,  1703,  1409,     0,     0
2394, BEAM  ,    2,    18,  1704,  1410,     0,     0
2395, BEAM  ,    2,    18,  1705,  1411,     0,     0
2396, BEAM  ,    2,    18,  1706,  1412,     0,     0
2397, BEAM  ,    2,    18,  1707,  1413,     0,     0
2398, BEAM  ,    2,    18,  1708,  1414,     0,     0
2399, BEAM  ,    2,    18,  1709,  1415,     0,     0
2400, BEAM  ,    2,    18,  1710,  1416,     0,     0
2401, BEAM  ,    2,    18,  1711,  1417,     0,     0
2402, BEAM  ,    2,    18,  1712,  1418,     0,     0
2403, BEAM  ,    2,    18,  1713,  1419,     0,     0
2404, BEAM  ,    2,    18,  1714,  1420,     0,     0
2405, BEAM  ,    2,    18,  1715,  1421,     0,     0
2406, BEAM  ,    2,    18,  1716,  1422,     0,     0
2407, BEAM  ,    2,    18,  1717,  1423,     0,     0
2408, BEAM  ,    2,    18,  1718,  1424,     0,     0
2409, BEAM  ,    2,    18,  1719,  1425,     0,     0
2410, BEAM  ,    2,    18,  1720,  1426,     0,     0
2411, BEAM  ,    2,    18,  1721,  1427,     0,     0
2412, BEAM  ,    2,    18,  1722,  1428,     0,     0
2413, BEAM  ,    2,    18,  1723,  1429,     0,     0
2414, BEAM  ,    2,    18,  1724,  1430,     0,     0
2415, BEAM  ,    2,    18,  1725,  1431,     0,     0
2416, BEAM  ,    2,    18,  1726,  1432,     0,     0
2417, BEAM  ,    2,    18,  1727,  1433,     0,     0
2418, BEAM  ,    2,    18,  1728,  1434,     0,     0
2419, BEAM  ,    2,    18,  1729,  1435,     0,     0
2420, BEAM  ,    2,    18,  1730,  1436,     0,     0
2421, BEAM  ,    2,    18,  1731,  1437,     0,     0
2422, BEAM  ,    2,    18,  1732,  1438,     0,     0
2423, BEAM  ,    2,    18,  1733,  1439,     0,     0
2424, BEAM  ,    2,    18,  1734,  1440,     0,     0
2425, BEAM  ,    2,    18,  1735,  1441,     0,     0
2426, BEAM  ,    2,    18,  1736,  1442,     0,     0
2427, BEAM  ,    2,    18,  1737,  1443,     0,     0
2428, BEAM  ,    2,    18,  1738,  1444,     0,     0
2429, BEAM  ,    2,    18,  1739,  1445,     0,     0
2430, BEAM  ,    2,    18,  1740,  1446,     0,     0
2431, BEAM  ,    2,    18,  1741,  1447,     0,     0
2432, BEAM  ,    2,    18,  1742,  1448,     0,     0
2433, BEAM  ,    2,    18,  1743,  1449,     0,     0
2434, BEAM  ,    2,    18,  1744,  1450,     0,     0
2435, BEAM  ,    2,    18,  1745,  1451,     0,     0
2436, BEAM  ,    2,    18,  1746,  1452,     0,     0
2437, BEAM  ,    2,    18,  1747,  1453,     0,     0
2438, BEAM  ,    2,    18,  1748,  1454,     0,     0
2439, BEAM  ,    2,    18,  1749,  1455,     0,     0
2440, BEAM  ,    2,    18,  1750,  1456,     0,     0
2441, BEAM  ,    2,    18,  1751,  1457,     0,     0
2442, BEAM  ,    2,    18,  1752,  1458,     0,     0
```

```
2443, BEAM  ,    2,    18,  1753,  1459,     0,     0
2444, BEAM  ,    2,    18,  1754,  1460,     0,     0
2445, BEAM  ,    2,    18,  1755,  1461,     0,     0
2446, BEAM  ,    2,    18,  1756,  1462,     0,     0
2447, BEAM  ,    2,    18,  1757,  1463,     0,     0
2448, BEAM  ,    2,    18,  1758,  1464,     0,     0
2449, BEAM  ,    2,    18,  1759,  1465,     0,     0
2450, BEAM  ,    2,    18,  1760,  1466,     0,     0
2451, BEAM  ,    2,    18,  1761,  1467,     0,     0
2452, BEAM  ,    2,    18,  1762,  1468,     0,     0
2453, BEAM  ,    2,    18,  1763,  1469,     0,     0
2454, BEAM  ,    2,    18,  1764,  1470,     0,     0
2455, BEAM  ,    2,    18,  1765,  1471,     0,     0
2456, BEAM  ,    2,    18,  1766,  1472,     0,     0
2457, BEAM  ,    2,    18,  1767,  1473,     0,     0
2458, BEAM  ,    2,    18,  1768,  1474,     0,     0
2459, BEAM  ,    2,    18,  1769,  1475,     0,     0
2460, BEAM  ,    2,    18,  1770,  1476,     0,     0
2461, BEAM  ,    2,    18,  1771,  1477,     0,     0
2462, BEAM  ,    2,    18,  1772,  1478,     0,     0
2463, BEAM  ,    2,    18,  1773,  1479,     0,     0
2464, BEAM  ,    2,    18,  1774,  1480,     0,     0
2465, BEAM  ,    2,    18,  1775,  1481,     0,     0
2466, BEAM  ,    2,    18,  1776,  1482,     0,     0
2467, BEAM  ,    2,    18,  1777,  1483,     0,     0
2468, BEAM  ,    2,    18,  1778,  1484,     0,     0
2469, BEAM  ,    2,    18,  1779,  1485,     0,     0
2470, BEAM  ,    2,    18,  1780,  1486,     0,     0
2471, BEAM  ,    2,    18,  1781,  1487,     0,     0
2472, BEAM  ,    2,    18,  1782,  1488,     0,     0
2473, BEAM  ,    2,    18,  1783,  1489,     0,     0
2474, BEAM  ,    2,    18,  1784,  1490,     0,     0
2475, BEAM  ,    2,    18,  1785,  1491,     0,     0
2476, BEAM  ,    2,    18,  1786,  1492,     0,     0
2477, BEAM  ,    2,    18,  1787,   141,     0,     0
2478, BEAM  ,    2,    18,  1788,   157,     0,     0
2479, BEAM  ,    2,    18,  1789,   173,     0,     0
2480, BEAM  ,    2,    18,  1790,   181,     0,     0
2481, BEAM  ,    2,    18,  1791,   197,     0,     0
2482, BEAM  ,    2,    18,  1792,   213,     0,     0
2483, BEAM  ,    2,    18,  1793,   229,     0,     0
2484, BEAM  ,    2,    18,  1794,   245,     0,     0
2485, BEAM  ,    2,    18,  1795,   253,     0,     0
2486, BEAM  ,    2,    18,  1796,   269,     0,     0
2487, BEAM  ,    2,    18,  1797,   285,     0,     0
2488, BEAM  ,    2,    18,  1798,   301,     0,     0
2489, BEAM  ,    2,    18,  1799,   317,     0,     0
2490, BEAM  ,    2,    18,  1800,   325,     0,     0
2491, BEAM  ,    2,    18,  1801,   341,     0,     0
2492, BEAM  ,    2,    18,  1802,   357,     0,     0
2493, BEAM  ,    2,    18,  1803,   373,     0,     0
2494, BEAM  ,    2,    18,  1804,   389,     0,     0
2495, BEAM  ,    2,    18,  1805,   397,     0,     0
2496, BEAM  ,    2,    18,  1806,   413,     0,     0
2497, BEAM  ,    2,    18,  1807,   429,     0,     0
2498, BEAM  ,    2,    18,  1808,   445,     0,     0
2499, BEAM  ,    2,    18,  1809,   461,     0,     0
2500, BEAM  ,    2,    18,  1810,   469,     0,     0
2501, BEAM  ,    2,    18,  1811,   485,     0,     0
2502, BEAM  ,    2,    18,  1812,   501,     0,     0
2503, BEAM  ,    2,    18,  1813,   517,     0,     0
2504, BEAM  ,    2,    18,  1814,   533,     0,     0
2505, BEAM  ,    2,    18,  1815,   541,     0,     0
2506, BEAM  ,    2,    18,  1816,   557,     0,     0
2507, BEAM  ,    2,    18,  1817,   573,     0,     0
2508, BEAM  ,    2,    18,  1818,   589,     0,     0
2509, BEAM  ,    2,    18,  1819,   605,     0,     0
2510, BEAM  ,    2,    18,  1820,   613,     0,     0
2511, BEAM  ,    2,    18,  1821,   629,     0,     0
2512, BEAM  ,    2,    18,  1822,   645,     0,     0
2513, BEAM  ,    2,    18,  1823,   661,     0,     0
2514, BEAM  ,    2,    18,  1824,   677,     0,     0
2515, BEAM  ,    2,    18,  1825,   685,     0,     0
2516, BEAM  ,    2,    18,  1826,   701,     0,     0
2517, BEAM  ,    2,    18,  1827,   717,     0,     0
2518, BEAM  ,    2,    18,  1828,   733,     0,     0
2519, BEAM  ,    4,    20,   143,   159,     0,     0
2520, BEAM  ,    4,    20,   159,   175,     0,     0
```

```
2521, BEAM  ,    4,    20,   175,   183,     0,     0
2522, BEAM  ,    4,    20,   183,   199,     0,     0
2523, BEAM  ,    4,    20,   199,   215,     0,     0
2524, BEAM  ,    4,    20,   215,   231,     0,     0
2525, BEAM  ,    4,    20,   231,   247,     0,     0
2526, BEAM  ,    4,    20,   247,   255,     0,     0
2527, BEAM  ,    4,    20,   255,   271,     0,     0
2528, BEAM  ,    4,    20,   271,   287,     0,     0
2529, BEAM  ,    4,    20,   287,   303,     0,     0
2530, BEAM  ,    4,    20,   303,   319,     0,     0
2531, BEAM  ,    4,    20,   319,   327,     0,     0
2532, BEAM  ,    4,    20,   327,   343,     0,     0
2533, BEAM  ,    4,    20,   343,   359,     0,     0
2534, BEAM  ,    4,    20,   359,   375,     0,     0
2535, BEAM  ,    4,    20,   375,   391,     0,     0
2536, BEAM  ,    4,    20,   391,   399,     0,     0
2537, BEAM  ,    4,    20,   399,   415,     0,     0
2538, BEAM  ,    4,    20,   415,   431,     0,     0
2539, BEAM  ,    4,    20,   431,   447,     0,     0
2540, BEAM  ,    4,    20,   447,   463,     0,     0
2541, BEAM  ,    4,    20,   463,   471,     0,     0
2542, BEAM  ,    4,    20,   471,   487,     0,     0
2543, BEAM  ,    4,    20,   487,   503,     0,     0
2544, BEAM  ,    4,    20,   503,   519,     0,     0
2545, BEAM  ,    4,    20,   519,   535,     0,     0
2546, BEAM  ,    4,    20,   535,   543,     0,     0
2547, BEAM  ,    4,    20,   543,   559,     0,     0
2548, BEAM  ,    4,    20,   559,   575,     0,     0
2549, BEAM  ,    4,    20,   575,   591,     0,     0
2550, BEAM  ,    4,    20,   591,   607,     0,     0
2551, BEAM  ,    4,    20,   607,   615,     0,     0
2552, BEAM  ,    4,    20,   615,   631,     0,     0
2553, BEAM  ,    4,    20,   631,   647,     0,     0
2554, BEAM  ,    4,    20,   647,   663,     0,     0
2555, BEAM  ,    4,    20,   663,   679,     0,     0
2556, BEAM  ,    4,    20,   679,   687,     0,     0
2557, BEAM  ,    4,    20,   687,   703,     0,     0
2558, BEAM  ,    4,    20,   703,   719,     0,     0
2559, BEAM  ,    4,    20,   719,   735,     0,     0
2560, BEAM  ,    4,    20,  1661,  1662,     0,     0
2561, BEAM  ,    4,    20,  1662,  1663,     0,     0
2562, BEAM  ,    4,    20,  1663,  1664,     0,     0
2563, BEAM  ,    4,    20,  1664,  1665,     0,     0
2564, BEAM  ,    4,    20,  1665,  1666,     0,     0
2565, BEAM  ,    4,    20,  1666,  1667,     0,     0
2566, BEAM  ,    4,    20,  1667,  1668,     0,     0
2567, BEAM  ,    4,    20,  1668,  1669,     0,     0
2568, BEAM  ,    4,    20,  1669,  1670,     0,     0
2569, BEAM  ,    4,    20,  1670,  1671,     0,     0
2570, BEAM  ,    4,    20,  1671,  1672,     0,     0
2571, BEAM  ,    4,    20,  1672,  1673,     0,     0
2572, BEAM  ,    4,    20,  1673,  1674,     0,     0
2573, BEAM  ,    4,    20,  1674,  1675,     0,     0
2574, BEAM  ,    4,    20,  1675,  1676,     0,     0
2575, BEAM  ,    4,    20,  1676,  1677,     0,     0
2576, BEAM  ,    4,    20,  1677,  1678,     0,     0
2577, BEAM  ,    4,    20,  1678,  1679,     0,     0
2578, BEAM  ,    4,    20,  1679,  1680,     0,     0
2579, BEAM  ,    4,    20,  1680,  1681,     0,     0
2580, BEAM  ,    4,    20,  1681,  1682,     0,     0
2581, BEAM  ,    4,    20,  1682,  1683,     0,     0
2582, BEAM  ,    4,    20,  1683,  1684,     0,     0
2583, BEAM  ,    4,    20,  1684,  1685,     0,     0
2584, BEAM  ,    4,    20,  1685,  1686,     0,     0
2585, BEAM  ,    4,    20,  1686,  1687,     0,     0
2586, BEAM  ,    4,    20,  1687,  1688,     0,     0
2587, BEAM  ,    4,    20,  1688,  1689,     0,     0
2588, BEAM  ,    4,    20,  1689,  1690,     0,     0
2589, BEAM  ,    4,    20,  1690,  1691,     0,     0
2590, BEAM  ,    4,    20,  1691,  1692,     0,     0
2591, BEAM  ,    4,    20,  1692,  1693,     0,     0
2592, BEAM  ,    4,    20,  1693,  1694,     0,     0
2593, BEAM  ,    4,    20,  1694,  1695,     0,     0
2594, BEAM  ,    4,    20,  1695,  1696,     0,     0
2595, BEAM  ,    4,    20,  1696,  1697,     0,     0
2596, BEAM  ,    4,    20,  1697,  1698,     0,     0
2597, BEAM  ,    4,    20,  1698,  1699,     0,     0
2598, BEAM  ,    4,    20,  1699,  1700,     0,     0
```

```
2599, BEAM  ,    4,    20,  1700,  1701,     0,     0
2600, BEAM  ,    4,    20,  1701,  1702,     0,     0
2601, BEAM  ,    4,    20,  1703,  1704,     0,     0
2602, BEAM  ,    4,    20,  1704,  1705,     0,     0
2603, BEAM  ,    4,    20,  1705,  1706,     0,     0
2604, BEAM  ,    4,    20,  1706,  1707,     0,     0
2605, BEAM  ,    4,    20,  1707,  1708,     0,     0
2606, BEAM  ,    4,    20,  1708,  1709,     0,     0
2607, BEAM  ,    4,    20,  1709,  1710,     0,     0
2608, BEAM  ,    4,    20,  1710,  1711,     0,     0
2609, BEAM  ,    4,    20,  1711,  1712,     0,     0
2610, BEAM  ,    4,    20,  1712,  1713,     0,     0
2611, BEAM  ,    4,    20,  1713,  1714,     0,     0
2612, BEAM  ,    4,    20,  1714,  1715,     0,     0
2613, BEAM  ,    4,    20,  1715,  1716,     0,     0
2614, BEAM  ,    4,    20,  1716,  1717,     0,     0
2615, BEAM  ,    4,    20,  1717,  1718,     0,     0
2616, BEAM  ,    4,    20,  1718,  1719,     0,     0
2617, BEAM  ,    4,    20,  1719,  1720,     0,     0
2618, BEAM  ,    4,    20,  1720,  1721,     0,     0
2619, BEAM  ,    4,    20,  1721,  1722,     0,     0
2620, BEAM  ,    4,    20,  1722,  1723,     0,     0
2621, BEAM  ,    4,    20,  1723,  1724,     0,     0
2622, BEAM  ,    4,    20,  1724,  1725,     0,     0
2623, BEAM  ,    4,    20,  1725,  1726,     0,     0
2624, BEAM  ,    4,    20,  1726,  1727,     0,     0
2625, BEAM  ,    4,    20,  1727,  1728,     0,     0
2626, BEAM  ,    4,    20,  1728,  1729,     0,     0
2627, BEAM  ,    4,    20,  1729,  1730,     0,     0
2628, BEAM  ,    4,    20,  1730,  1731,     0,     0
2629, BEAM  ,    4,    20,  1731,  1732,     0,     0
2630, BEAM  ,    4,    20,  1732,  1733,     0,     0
2631, BEAM  ,    4,    20,  1733,  1734,     0,     0
2632, BEAM  ,    4,    20,  1734,  1735,     0,     0
2633, BEAM  ,    4,    20,  1735,  1736,     0,     0
2634, BEAM  ,    4,    20,  1736,  1737,     0,     0
2635, BEAM  ,    4,    20,  1737,  1738,     0,     0
2636, BEAM  ,    4,    20,  1738,  1739,     0,     0
2637, BEAM  ,    4,    20,  1739,  1740,     0,     0
2638, BEAM  ,    4,    20,  1740,  1741,     0,     0
2639, BEAM  ,    4,    20,  1741,  1742,     0,     0
2640, BEAM  ,    4,    20,  1742,  1743,     0,     0
2641, BEAM  ,    4,    20,  1743,  1744,     0,     0
2642, BEAM  ,    4,    20,  1745,  1746,     0,     0
2643, BEAM  ,    4,    20,  1746,  1747,     0,     0
2644, BEAM  ,    4,    20,  1747,  1748,     0,     0
2645, BEAM  ,    4,    20,  1748,  1749,     0,     0
2646, BEAM  ,    4,    20,  1749,  1750,     0,     0
2647, BEAM  ,    4,    20,  1750,  1751,     0,     0
2648, BEAM  ,    4,    20,  1751,  1752,     0,     0
2649, BEAM  ,    4,    20,  1752,  1753,     0,     0
2650, BEAM  ,    4,    20,  1753,  1754,     0,     0
2651, BEAM  ,    4,    20,  1754,  1755,     0,     0
2652, BEAM  ,    4,    20,  1755,  1756,     0,     0
2653, BEAM  ,    4,    20,  1756,  1757,     0,     0
2654, BEAM  ,    4,    20,  1757,  1758,     0,     0
2655, BEAM  ,    4,    20,  1758,  1759,     0,     0
2656, BEAM  ,    4,    20,  1759,  1760,     0,     0
2657, BEAM  ,    4,    20,  1760,  1761,     0,     0
2658, BEAM  ,    4,    20,  1761,  1762,     0,     0
2659, BEAM  ,    4,    20,  1762,  1763,     0,     0
2660, BEAM  ,    4,    20,  1763,  1764,     0,     0
2661, BEAM  ,    4,    20,  1764,  1765,     0,     0
2662, BEAM  ,    4,    20,  1765,  1766,     0,     0
2663, BEAM  ,    4,    20,  1766,  1767,     0,     0
2664, BEAM  ,    4,    20,  1767,  1768,     0,     0
2665, BEAM  ,    4,    20,  1768,  1769,     0,     0
2666, BEAM  ,    4,    20,  1769,  1770,     0,     0
2667, BEAM  ,    4,    20,  1770,  1771,     0,     0
2668, BEAM  ,    4,    20,  1771,  1772,     0,     0
2669, BEAM  ,    4,    20,  1772,  1773,     0,     0
2670, BEAM  ,    4,    20,  1773,  1774,     0,     0
2671, BEAM  ,    4,    20,  1774,  1775,     0,     0
2672, BEAM  ,    4,    20,  1775,  1776,     0,     0
2673, BEAM  ,    4,    20,  1776,  1777,     0,     0
2674, BEAM  ,    4,    20,  1777,  1778,     0,     0
2675, BEAM  ,    4,    20,  1778,  1779,     0,     0
2676, BEAM  ,    4,    20,  1779,  1780,     0,     0
```

```
2677, BEAM  ,    4,    20,  1780,  1781,     0,     0
2678, BEAM  ,    4,    20,  1781,  1782,     0,     0
2679, BEAM  ,    4,    20,  1782,  1783,     0,     0
2680, BEAM  ,    4,    20,  1783,  1784,     0,     0
2681, BEAM  ,    4,    20,  1784,  1785,     0,     0
2682, BEAM  ,    4,    20,  1785,  1786,     0,     0
2683, BEAM  ,    4,    20,  1787,  1788,     0,     0
2684, BEAM  ,    4,    20,  1788,  1789,     0,     0
2685, BEAM  ,    4,    20,  1789,  1790,     0,     0
2686, BEAM  ,    4,    20,  1790,  1791,     0,     0
2687, BEAM  ,    4,    20,  1791,  1792,     0,     0
2688, BEAM  ,    4,    20,  1792,  1793,     0,     0
2689, BEAM  ,    4,    20,  1793,  1794,     0,     0
2690, BEAM  ,    4,    20,  1794,  1795,     0,     0
2691, BEAM  ,    4,    20,  1795,  1796,     0,     0
2692, BEAM  ,    4,    20,  1796,  1797,     0,     0
2693, BEAM  ,    4,    20,  1797,  1798,     0,     0
2694, BEAM  ,    4,    20,  1798,  1799,     0,     0
2695, BEAM  ,    4,    20,  1799,  1800,     0,     0
2696, BEAM  ,    4,    20,  1800,  1801,     0,     0
2697, BEAM  ,    4,    20,  1801,  1802,     0,     0
2698, BEAM  ,    4,    20,  1802,  1803,     0,     0
2699, BEAM  ,    4,    20,  1803,  1804,     0,     0
2700, BEAM  ,    4,    20,  1804,  1805,     0,     0
2701, BEAM  ,    4,    20,  1805,  1806,     0,     0
2702, BEAM  ,    4,    20,  1806,  1807,     0,     0
2703, BEAM  ,    4,    20,  1807,  1808,     0,     0
2704, BEAM  ,    4,    20,  1808,  1809,     0,     0
2705, BEAM  ,    4,    20,  1809,  1810,     0,     0
2706, BEAM  ,    4,    20,  1810,  1811,     0,     0
2707, BEAM  ,    4,    20,  1811,  1812,     0,     0
2708, BEAM  ,    4,    20,  1812,  1813,     0,     0
2709, BEAM  ,    4,    20,  1813,  1814,     0,     0
2710, BEAM  ,    4,    20,  1814,  1815,     0,     0
2711, BEAM  ,    4,    20,  1815,  1816,     0,     0
2712, BEAM  ,    4,    20,  1816,  1817,     0,     0
2713, BEAM  ,    4,    20,  1817,  1818,     0,     0
2714, BEAM  ,    4,    20,  1818,  1819,     0,     0
2715, BEAM  ,    4,    20,  1819,  1820,     0,     0
2716, BEAM  ,    4,    20,  1820,  1821,     0,     0
2717, BEAM  ,    4,    20,  1821,  1822,     0,     0
2718, BEAM  ,    4,    20,  1822,  1823,     0,     0
2719, BEAM  ,    4,    20,  1823,  1824,     0,     0
2720, BEAM  ,    4,    20,  1824,  1825,     0,     0
2721, BEAM  ,    4,    20,  1825,  1826,     0,     0
2722, BEAM  ,    4,    20,  1826,  1827,     0,     0
2723, BEAM  ,    4,    20,  1827,  1828,     0,     0
2724, BEAM  ,    2,    18,  1829,  1577,     0,     0
2725, BEAM  ,    2,    18,  1830,  1578,     0,     0
2726, BEAM  ,    2,    18,  1831,  1579,     0,     0
2727, BEAM  ,    2,    18,  1832,  1580,     0,     0
2728, BEAM  ,    2,    18,  1833,  1581,     0,     0
2729, BEAM  ,    2,    18,  1834,  1582,     0,     0
2730, BEAM  ,    2,    18,  1835,  1583,     0,     0
2731, BEAM  ,    2,    18,  1836,  1584,     0,     0
2732, BEAM  ,    2,    18,  1837,  1585,     0,     0
2733, BEAM  ,    2,    18,  1838,  1586,     0,     0
2734, BEAM  ,    2,    18,  1839,  1587,     0,     0
2735, BEAM  ,    2,    18,  1840,  1588,     0,     0
2736, BEAM  ,    2,    18,  1841,  1589,     0,     0
2737, BEAM  ,    2,    18,  1842,  1590,     0,     0
2738, BEAM  ,    2,    18,  1843,  1591,     0,     0
2739, BEAM  ,    2,    18,  1844,  1592,     0,     0
2740, BEAM  ,    2,    18,  1845,  1593,     0,     0
2741, BEAM  ,    2,    18,  1846,  1594,     0,     0
2742, BEAM  ,    2,    18,  1847,  1595,     0,     0
2743, BEAM  ,    2,    18,  1848,  1596,     0,     0
2744, BEAM  ,    2,    18,  1849,  1597,     0,     0
2745, BEAM  ,    2,    18,  1850,  1598,     0,     0
2746, BEAM  ,    2,    18,  1851,  1599,     0,     0
2747, BEAM  ,    2,    18,  1852,  1600,     0,     0
2748, BEAM  ,    2,    18,  1853,  1601,     0,     0
2749, BEAM  ,    2,    18,  1854,  1602,     0,     0
2750, BEAM  ,    2,    18,  1855,  1603,     0,     0
2751, BEAM  ,    2,    18,  1856,  1604,     0,     0
2752, BEAM  ,    2,    18,  1857,  1605,     0,     0
2753, BEAM  ,    2,    18,  1858,  1606,     0,     0
2754, BEAM  ,    2,    18,  1859,  1607,     0,     0
```

```
2755, BEAM  ,    2,    18,  1860,  1608,     0,     0
2756, BEAM  ,    2,    18,  1861,  1609,     0,     0
2757, BEAM  ,    2,    18,  1862,  1610,     0,     0
2758, BEAM  ,    2,    18,  1863,  1611,     0,     0
2759, BEAM  ,    2,    18,  1864,  1612,     0,     0
2760, BEAM  ,    2,    18,  1865,  1613,     0,     0
2761, BEAM  ,    2,    18,  1866,  1614,     0,     0
2762, BEAM  ,    2,    18,  1867,  1615,     0,     0
2763, BEAM  ,    2,    18,  1868,  1616,     0,     0
2764, BEAM  ,    2,    18,  1869,  1617,     0,     0
2765, BEAM  ,    2,    18,  1870,  1618,     0,     0
2766, BEAM  ,    2,    18,  1871,  1619,     0,     0
2767, BEAM  ,    2,    18,  1872,  1620,     0,     0
2768, BEAM  ,    2,    18,  1873,  1621,     0,     0
2769, BEAM  ,    2,    18,  1874,  1622,     0,     0
2770, BEAM  ,    2,    18,  1875,  1623,     0,     0
2771, BEAM  ,    2,    18,  1876,  1624,     0,     0
2772, BEAM  ,    2,    18,  1877,  1625,     0,     0
2773, BEAM  ,    2,    18,  1878,  1626,     0,     0
2774, BEAM  ,    2,    18,  1879,  1627,     0,     0
2775, BEAM  ,    2,    18,  1880,  1628,     0,     0
2776, BEAM  ,    2,    18,  1881,  1629,     0,     0
2777, BEAM  ,    2,    18,  1882,  1630,     0,     0
2778, BEAM  ,    2,    18,  1883,  1631,     0,     0
2779, BEAM  ,    2,    18,  1884,  1632,     0,     0
2780, BEAM  ,    2,    18,  1885,  1633,     0,     0
2781, BEAM  ,    2,    18,  1886,  1634,     0,     0
2782, BEAM  ,    2,    18,  1887,  1635,     0,     0
2783, BEAM  ,    2,    18,  1888,  1636,     0,     0
2784, BEAM  ,    2,    18,  1889,  1637,     0,     0
2785, BEAM  ,    2,    18,  1890,  1638,     0,     0
2786, BEAM  ,    2,    18,  1891,  1639,     0,     0
2787, BEAM  ,    2,    18,  1892,  1640,     0,     0
2788, BEAM  ,    2,    18,  1893,  1641,     0,     0
2789, BEAM  ,    2,    18,  1894,  1642,     0,     0
2790, BEAM  ,    2,    18,  1895,  1643,     0,     0
2791, BEAM  ,    2,    18,  1896,  1644,     0,     0
2792, BEAM  ,    2,    18,  1897,  1645,     0,     0
2793, BEAM  ,    2,    18,  1898,  1646,     0,     0
2794, BEAM  ,    2,    18,  1899,  1647,     0,     0
2795, BEAM  ,    2,    18,  1900,  1648,     0,     0
2796, BEAM  ,    2,    18,  1901,  1649,     0,     0
2797, BEAM  ,    2,    18,  1902,  1650,     0,     0
2798, BEAM  ,    2,    18,  1903,  1651,     0,     0
2799, BEAM  ,    2,    18,  1904,  1652,     0,     0
2800, BEAM  ,    2,    18,  1905,  1653,     0,     0
2801, BEAM  ,    2,    18,  1906,  1654,     0,     0
2802, BEAM  ,    2,    18,  1907,  1655,     0,     0
2803, BEAM  ,    2,    18,  1908,  1656,     0,     0
2804, BEAM  ,    2,    18,  1909,  1657,     0,     0
2805, BEAM  ,    2,    18,  1910,  1658,     0,     0
2806, BEAM  ,    2,    18,  1911,  1659,     0,     0
2807, BEAM  ,    2,    18,  1912,  1660,     0,     0
2808, BEAM  ,    2,    18,  1913,  1493,     0,     0
2809, BEAM  ,    2,    18,  1914,  1494,     0,     0
2810, BEAM  ,    2,    18,  1915,  1495,     0,     0
2811, BEAM  ,    2,    18,  1916,  1496,     0,     0
2812, BEAM  ,    2,    18,  1917,  1497,     0,     0
2813, BEAM  ,    2,    18,  1918,  1498,     0,     0
2814, BEAM  ,    2,    18,  1919,  1499,     0,     0
2815, BEAM  ,    2,    18,  1920,  1500,     0,     0
2816, BEAM  ,    2,    18,  1921,  1501,     0,     0
2817, BEAM  ,    2,    18,  1922,  1502,     0,     0
2818, BEAM  ,    2,    18,  1923,  1503,     0,     0
2819, BEAM  ,    2,    18,  1924,  1504,     0,     0
2820, BEAM  ,    2,    18,  1925,  1505,     0,     0
2821, BEAM  ,    2,    18,  1926,  1506,     0,     0
2822, BEAM  ,    2,    18,  1927,  1507,     0,     0
2823, BEAM  ,    2,    18,  1928,  1508,     0,     0
2824, BEAM  ,    2,    18,  1929,  1509,     0,     0
2825, BEAM  ,    2,    18,  1930,  1510,     0,     0
2826, BEAM  ,    2,    18,  1931,  1511,     0,     0
2827, BEAM  ,    2,    18,  1932,  1512,     0,     0
2828, BEAM  ,    2,    18,  1933,  1513,     0,     0
2829, BEAM  ,    2,    18,  1934,  1514,     0,     0
2830, BEAM  ,    2,    18,  1935,  1515,     0,     0
2831, BEAM  ,    2,    18,  1936,  1516,     0,     0
2832, BEAM  ,    2,    18,  1937,  1517,     0,     0
```

```
2833, BEAM  ,    2,    18,  1938,  1518,     0,     0
2834, BEAM  ,    2,    18,  1939,  1519,     0,     0
2835, BEAM  ,    2,    18,  1940,  1520,     0,     0
2836, BEAM  ,    2,    18,  1941,  1521,     0,     0
2837, BEAM  ,    2,    18,  1942,  1522,     0,     0
2838, BEAM  ,    2,    18,  1943,  1523,     0,     0
2839, BEAM  ,    2,    18,  1944,  1524,     0,     0
2840, BEAM  ,    2,    18,  1945,  1525,     0,     0
2841, BEAM  ,    2,    18,  1946,  1526,     0,     0
2842, BEAM  ,    2,    18,  1947,  1527,     0,     0
2843, BEAM  ,    2,    18,  1948,  1528,     0,     0
2844, BEAM  ,    2,    18,  1949,  1529,     0,     0
2845, BEAM  ,    2,    18,  1950,  1530,     0,     0
2846, BEAM  ,    2,    18,  1951,  1531,     0,     0
2847, BEAM  ,    2,    18,  1952,  1532,     0,     0
2848, BEAM  ,    2,    18,  1953,  1533,     0,     0
2849, BEAM  ,    2,    18,  1954,  1534,     0,     0
2850, BEAM  ,    2,    18,  1955,  1199,     0,     0
2851, BEAM  ,    2,    18,  1956,  1200,     0,     0
2852, BEAM  ,    2,    18,  1957,  1201,     0,     0
2853, BEAM  ,    2,    18,  1958,  1202,     0,     0
2854, BEAM  ,    2,    18,  1959,  1203,     0,     0
2855, BEAM  ,    2,    18,  1960,  1204,     0,     0
2856, BEAM  ,    2,    18,  1961,  1205,     0,     0
2857, BEAM  ,    2,    18,  1962,  1206,     0,     0
2858, BEAM  ,    2,    18,  1963,  1207,     0,     0
2859, BEAM  ,    2,    18,  1964,  1208,     0,     0
2860, BEAM  ,    2,    18,  1965,  1209,     0,     0
2861, BEAM  ,    2,    18,  1966,  1210,     0,     0
2862, BEAM  ,    2,    18,  1967,  1211,     0,     0
2863, BEAM  ,    2,    18,  1968,  1212,     0,     0
2864, BEAM  ,    2,    18,  1969,  1213,     0,     0
2865, BEAM  ,    2,    18,  1970,  1214,     0,     0
2866, BEAM  ,    2,    18,  1971,  1215,     0,     0
2867, BEAM  ,    2,    18,  1972,  1216,     0,     0
2868, BEAM  ,    2,    18,  1973,  1217,     0,     0
2869, BEAM  ,    2,    18,  1974,  1218,     0,     0
2870, BEAM  ,    2,    18,  1975,  1219,     0,     0
2871, BEAM  ,    2,    18,  1976,  1220,     0,     0
2872, BEAM  ,    2,    18,  1977,  1221,     0,     0
2873, BEAM  ,    2,    18,  1978,  1222,     0,     0
2874, BEAM  ,    2,    18,  1979,  1223,     0,     0
2875, BEAM  ,    2,    18,  1980,  1224,     0,     0
2876, BEAM  ,    2,    18,  1981,  1225,     0,     0
2877, BEAM  ,    2,    18,  1982,  1226,     0,     0
2878, BEAM  ,    2,    18,  1983,  1227,     0,     0
2879, BEAM  ,    2,    18,  1984,  1228,     0,     0
2880, BEAM  ,    2,    18,  1985,  1229,     0,     0
2881, BEAM  ,    2,    18,  1986,  1230,     0,     0
2882, BEAM  ,    2,    18,  1987,  1231,     0,     0
2883, BEAM  ,    2,    18,  1988,  1232,     0,     0
2884, BEAM  ,    2,    18,  1989,  1233,     0,     0
2885, BEAM  ,    2,    18,  1990,  1234,     0,     0
2886, BEAM  ,    2,    18,  1991,  1235,     0,     0
2887, BEAM  ,    2,    18,  1992,  1236,     0,     0
2888, BEAM  ,    2,    18,  1993,  1237,     0,     0
2889, BEAM  ,    2,    18,  1994,  1238,     0,     0
2890, BEAM  ,    2,    18,  1995,  1239,     0,     0
2891, BEAM  ,    2,    18,  1996,  1240,     0,     0
2892, BEAM  ,    4,    21,   142,   158,     0,     0
2893, BEAM  ,    4,    21,   158,   174,     0,     0
2894, BEAM  ,    4,    21,   174,   182,     0,     0
2895, BEAM  ,    4,    21,   182,   198,     0,     0
2896, BEAM  ,    4,    21,   198,   214,     0,     0
2897, BEAM  ,    4,    21,   214,   230,     0,     0
2898, BEAM  ,    4,    21,   230,   246,     0,     0
2899, BEAM  ,    4,    21,   246,   254,     0,     0
2900, BEAM  ,    4,    21,   254,   270,     0,     0
2901, BEAM  ,    4,    21,   270,   286,     0,     0
2902, BEAM  ,    4,    21,   286,   302,     0,     0
2903, BEAM  ,    4,    21,   302,   318,     0,     0
2904, BEAM  ,    4,    21,   318,   326,     0,     0
2905, BEAM  ,    4,    21,   326,   342,     0,     0
2906, BEAM  ,    4,    21,   342,   358,     0,     0
2907, BEAM  ,    4,    21,   358,   374,     0,     0
2908, BEAM  ,    4,    21,   374,   390,     0,     0
2909, BEAM  ,    4,    21,   390,   398,     0,     0
2910, BEAM  ,    4,    21,   398,   414,     0,     0
```

```
2911, BEAM  ,    4,    21,   414,   430,     0,     0
2912, BEAM  ,    4,    21,   430,   446,     0,     0
2913, BEAM  ,    4,    21,   446,   462,     0,     0
2914, BEAM  ,    4,    21,   462,   470,     0,     0
2915, BEAM  ,    4,    21,   470,   486,     0,     0
2916, BEAM  ,    4,    21,   486,   502,     0,     0
2917, BEAM  ,    4,    21,   502,   518,     0,     0
2918, BEAM  ,    4,    21,   518,   534,     0,     0
2919, BEAM  ,    4,    21,   534,   542,     0,     0
2920, BEAM  ,    4,    21,   542,   558,     0,     0
2921, BEAM  ,    4,    21,   558,   574,     0,     0
2922, BEAM  ,    4,    21,   574,   590,     0,     0
2923, BEAM  ,    4,    21,   590,   606,     0,     0
2924, BEAM  ,    4,    21,   606,   614,     0,     0
2925, BEAM  ,    4,    21,   614,   630,     0,     0
2926, BEAM  ,    4,    21,   630,   646,     0,     0
2927, BEAM  ,    4,    21,   646,   662,     0,     0
2928, BEAM  ,    4,    21,   662,   678,     0,     0
2929, BEAM  ,    4,    21,   678,   686,     0,     0
2930, BEAM  ,    4,    21,   686,   702,     0,     0
2931, BEAM  ,    4,    21,   702,   718,     0,     0
2932, BEAM  ,    4,    21,   718,   734,     0,     0
2933, BEAM  ,    4,    21,  1913,  1914,     0,     0
2934, BEAM  ,    4,    21,  1914,  1915,     0,     0
2935, BEAM  ,    4,    21,  1915,  1916,     0,     0
2936, BEAM  ,    4,    21,  1916,  1917,     0,     0
2937, BEAM  ,    4,    21,  1917,  1918,     0,     0
2938, BEAM  ,    4,    21,  1918,  1919,     0,     0
2939, BEAM  ,    4,    21,  1919,  1920,     0,     0
2940, BEAM  ,    4,    21,  1920,  1921,     0,     0
2941, BEAM  ,    4,    21,  1921,  1922,     0,     0
2942, BEAM  ,    4,    21,  1922,  1923,     0,     0
2943, BEAM  ,    4,    21,  1923,  1924,     0,     0
2944, BEAM  ,    4,    21,  1924,  1925,     0,     0
2945, BEAM  ,    4,    21,  1925,  1926,     0,     0
2946, BEAM  ,    4,    21,  1926,  1927,     0,     0
2947, BEAM  ,    4,    21,  1927,  1928,     0,     0
2948, BEAM  ,    4,    21,  1928,  1929,     0,     0
2949, BEAM  ,    4,    21,  1929,  1930,     0,     0
2950, BEAM  ,    4,    21,  1930,  1931,     0,     0
2951, BEAM  ,    4,    21,  1931,  1932,     0,     0
2952, BEAM  ,    4,    21,  1932,  1933,     0,     0
2953, BEAM  ,    4,    21,  1933,  1934,     0,     0
2954, BEAM  ,    4,    21,  1934,  1935,     0,     0
2955, BEAM  ,    4,    21,  1935,  1936,     0,     0
2956, BEAM  ,    4,    21,  1936,  1937,     0,     0
2957, BEAM  ,    4,    21,  1937,  1938,     0,     0
2958, BEAM  ,    4,    21,  1938,  1939,     0,     0
2959, BEAM  ,    4,    21,  1939,  1940,     0,     0
2960, BEAM  ,    4,    21,  1940,  1941,     0,     0
2961, BEAM  ,    4,    21,  1941,  1942,     0,     0
2962, BEAM  ,    4,    21,  1942,  1943,     0,     0
2963, BEAM  ,    4,    21,  1943,  1944,     0,     0
2964, BEAM  ,    4,    21,  1944,  1945,     0,     0
2965, BEAM  ,    4,    21,  1945,  1946,     0,     0
2966, BEAM  ,    4,    21,  1946,  1947,     0,     0
2967, BEAM  ,    4,    21,  1947,  1948,     0,     0
2968, BEAM  ,    4,    21,  1948,  1949,     0,     0
2969, BEAM  ,    4,    21,  1949,  1950,     0,     0
2970, BEAM  ,    4,    21,  1950,  1951,     0,     0
2971, BEAM  ,    4,    21,  1951,  1952,     0,     0
2972, BEAM  ,    4,    21,  1952,  1953,     0,     0
2973, BEAM  ,    4,    21,  1953,  1954,     0,     0
2974, BEAM  ,    4,    21,  1955,  1956,     0,     0
2975, BEAM  ,    4,    21,  1956,  1957,     0,     0
2976, BEAM  ,    4,    21,  1957,  1958,     0,     0
2977, BEAM  ,    4,    21,  1958,  1959,     0,     0
2978, BEAM  ,    4,    21,  1959,  1960,     0,     0
2979, BEAM  ,    4,    21,  1960,  1961,     0,     0
2980, BEAM  ,    4,    21,  1961,  1962,     0,     0
2981, BEAM  ,    4,    21,  1962,  1963,     0,     0
2982, BEAM  ,    4,    21,  1963,  1964,     0,     0
2983, BEAM  ,    4,    21,  1964,  1965,     0,     0
2984, BEAM  ,    4,    21,  1965,  1966,     0,     0
2985, BEAM  ,    4,    21,  1966,  1967,     0,     0
2986, BEAM  ,    4,    21,  1967,  1968,     0,     0
2987, BEAM  ,    4,    21,  1968,  1969,     0,     0
2988, BEAM  ,    4,    21,  1969,  1970,     0,     0
```

```
2989, BEAM  ,    4,    21,  1970,  1971,     0,     0
2990, BEAM  ,    4,    21,  1971,  1972,     0,     0
2991, BEAM  ,    4,    21,  1972,  1973,     0,     0
2992, BEAM  ,    4,    21,  1973,  1974,     0,     0
2993, BEAM  ,    4,    21,  1974,  1975,     0,     0
2994, BEAM  ,    4,    21,  1975,  1976,     0,     0
2995, BEAM  ,    4,    21,  1976,  1977,     0,     0
2996, BEAM  ,    4,    21,  1977,  1978,     0,     0
2997, BEAM  ,    4,    21,  1978,  1979,     0,     0
2998, BEAM  ,    4,    21,  1979,  1980,     0,     0
2999, BEAM  ,    4,    21,  1980,  1981,     0,     0
3000, BEAM  ,    4,    21,  1981,  1982,     0,     0
3001, BEAM  ,    4,    21,  1982,  1983,     0,     0
3002, BEAM  ,    4,    21,  1983,  1984,     0,     0
3003, BEAM  ,    4,    21,  1984,  1985,     0,     0
3004, BEAM  ,    4,    21,  1985,  1986,     0,     0
3005, BEAM  ,    4,    21,  1986,  1987,     0,     0
3006, BEAM  ,    4,    21,  1987,  1988,     0,     0
3007, BEAM  ,    4,    21,  1988,  1989,     0,     0
3008, BEAM  ,    4,    21,  1989,  1990,     0,     0
3009, BEAM  ,    4,    21,  1990,  1991,     0,     0
3010, BEAM  ,    4,    21,  1991,  1992,     0,     0
3011, BEAM  ,    4,    21,  1992,  1993,     0,     0
3012, BEAM  ,    4,    21,  1993,  1994,     0,     0
3013, BEAM  ,    4,    21,  1994,  1995,     0,     0
3014, BEAM  ,    4,    21,  1995,  1996,     0,     0
3015, BEAM  ,    4,    21,  1829,  1830,     0,     0
3016, BEAM  ,    4,    21,  1830,  1831,     0,     0
3017, BEAM  ,    4,    21,  1831,  1832,     0,     0
3018, BEAM  ,    4,    21,  1832,  1833,     0,     0
3019, BEAM  ,    4,    21,  1833,  1834,     0,     0
3020, BEAM  ,    4,    21,  1834,  1835,     0,     0
3021, BEAM  ,    4,    21,  1835,  1836,     0,     0
3022, BEAM  ,    4,    21,  1836,  1837,     0,     0
3023, BEAM  ,    4,    21,  1837,  1838,     0,     0
3024, BEAM  ,    4,    21,  1838,  1839,     0,     0
3025, BEAM  ,    4,    21,  1839,  1840,     0,     0
3026, BEAM  ,    4,    21,  1840,  1841,     0,     0
3027, BEAM  ,    4,    21,  1841,  1842,     0,     0
3028, BEAM  ,    4,    21,  1842,  1843,     0,     0
3029, BEAM  ,    4,    21,  1843,  1844,     0,     0
3030, BEAM  ,    4,    21,  1844,  1845,     0,     0
3031, BEAM  ,    4,    21,  1845,  1846,     0,     0
3032, BEAM  ,    4,    21,  1846,  1847,     0,     0
3033, BEAM  ,    4,    21,  1847,  1848,     0,     0
3034, BEAM  ,    4,    21,  1848,  1849,     0,     0
3035, BEAM  ,    4,    21,  1849,  1850,     0,     0
3036, BEAM  ,    4,    21,  1850,  1851,     0,     0
3037, BEAM  ,    4,    21,  1851,  1852,     0,     0
3038, BEAM  ,    4,    21,  1852,  1853,     0,     0
3039, BEAM  ,    4,    21,  1853,  1854,     0,     0
3040, BEAM  ,    4,    21,  1854,  1855,     0,     0
3041, BEAM  ,    4,    21,  1855,  1856,     0,     0
3042, BEAM  ,    4,    21,  1856,  1857,     0,     0
3043, BEAM  ,    4,    21,  1857,  1858,     0,     0
3044, BEAM  ,    4,    21,  1858,  1859,     0,     0
3045, BEAM  ,    4,    21,  1859,  1860,     0,     0
3046, BEAM  ,    4,    21,  1860,  1861,     0,     0
3047, BEAM  ,    4,    21,  1861,  1862,     0,     0
3048, BEAM  ,    4,    21,  1862,  1863,     0,     0
3049, BEAM  ,    4,    21,  1863,  1864,     0,     0
3050, BEAM  ,    4,    21,  1864,  1865,     0,     0
3051, BEAM  ,    4,    21,  1865,  1866,     0,     0
3052, BEAM  ,    4,    21,  1866,  1867,     0,     0
3053, BEAM  ,    4,    21,  1867,  1868,     0,     0
3054, BEAM  ,    4,    21,  1868,  1869,     0,     0
3055, BEAM  ,    4,    21,  1869,  1870,     0,     0
3056, BEAM  ,    4,    21,  1871,  1872,     0,     0
3057, BEAM  ,    4,    21,  1872,  1873,     0,     0
3058, BEAM  ,    4,    21,  1873,  1874,     0,     0
3059, BEAM  ,    4,    21,  1874,  1875,     0,     0
3060, BEAM  ,    4,    21,  1875,  1876,     0,     0
3061, BEAM  ,    4,    21,  1876,  1877,     0,     0
3062, BEAM  ,    4,    21,  1877,  1878,     0,     0
3063, BEAM  ,    4,    21,  1878,  1879,     0,     0
3064, BEAM  ,    4,    21,  1879,  1880,     0,     0
3065, BEAM  ,    4,    21,  1880,  1881,     0,     0
3066, BEAM  ,    4,    21,  1881,  1882,     0,     0
```

```
3067, BEAM  ,    4,    21,  1882,  1883,     0,     0
3068, BEAM  ,    4,    21,  1883,  1884,     0,     0
3069, BEAM  ,    4,    21,  1884,  1885,     0,     0
3070, BEAM  ,    4,    21,  1885,  1886,     0,     0
3071, BEAM  ,    4,    21,  1886,  1887,     0,     0
3072, BEAM  ,    4,    21,  1887,  1888,     0,     0
3073, BEAM  ,    4,    21,  1888,  1889,     0,     0
3074, BEAM  ,    4,    21,  1889,  1890,     0,     0
3075, BEAM  ,    4,    21,  1890,  1891,     0,     0
3076, BEAM  ,    4,    21,  1891,  1892,     0,     0
3077, BEAM  ,    4,    21,  1892,  1893,     0,     0
3078, BEAM  ,    4,    21,  1893,  1894,     0,     0
3079, BEAM  ,    4,    21,  1894,  1895,     0,     0
3080, BEAM  ,    4,    21,  1895,  1896,     0,     0
3081, BEAM  ,    4,    21,  1896,  1897,     0,     0
3082, BEAM  ,    4,    21,  1897,  1898,     0,     0
3083, BEAM  ,    4,    21,  1898,  1899,     0,     0
3084, BEAM  ,    4,    21,  1899,  1900,     0,     0
3085, BEAM  ,    4,    21,  1900,  1901,     0,     0
3086, BEAM  ,    4,    21,  1901,  1902,     0,     0
3087, BEAM  ,    4,    21,  1902,  1903,     0,     0
3088, BEAM  ,    4,    21,  1903,  1904,     0,     0
3089, BEAM  ,    4,    21,  1904,  1905,     0,     0
3090, BEAM  ,    4,    21,  1905,  1906,     0,     0
3091, BEAM  ,    4,    21,  1906,  1907,     0,     0
3092, BEAM  ,    4,    21,  1907,  1908,     0,     0
3093, BEAM  ,    4,    21,  1908,  1909,     0,     0
3094, BEAM  ,    4,    21,  1909,  1910,     0,     0
3095, BEAM  ,    4,    21,  1910,  1911,     0,     0
3096, BEAM  ,    4,    21,  1911,  1912,     0,     0
3097, BEAM  ,    2,    18,  1997,  2501,     0,     0
3098, BEAM  ,    2,    18,  1998,  1703,     0,     0
3099, BEAM  ,    2,    18,  1999,  2502,     0,     0
3100, BEAM  ,    2,    18,  2000,  1704,     0,     0
3101, BEAM  ,    2,    18,  2001,  2503,     0,     0
3102, BEAM  ,    2,    18,  2002,  1705,     0,     0
3103, BEAM  ,    2,    18,  2003,  2504,     0,     0
3104, BEAM  ,    2,    18,  2004,  1706,     0,     0
3105, BEAM  ,    2,    18,  2005,  2505,     0,     0
3106, BEAM  ,    2,    18,  2006,  1707,     0,     0
3107, BEAM  ,    2,    18,  2007,  2506,     0,     0
3108, BEAM  ,    2,    18,  2008,  1708,     0,     0
3109, BEAM  ,    2,    18,  2009,  2507,     0,     0
3110, BEAM  ,    2,    18,  2010,  1709,     0,     0
3111, BEAM  ,    2,    18,  2011,  2508,     0,     0
3112, BEAM  ,    2,    18,  2012,  1710,     0,     0
3113, BEAM  ,    2,    18,  2013,  2509,     0,     0
3114, BEAM  ,    2,    18,  2014,  1711,     0,     0
3115, BEAM  ,    2,    18,  2015,  2510,     0,     0
3116, BEAM  ,    2,    18,  2016,  1712,     0,     0
3117, BEAM  ,    2,    18,  2017,  2511,     0,     0
3118, BEAM  ,    2,    18,  2018,  1713,     0,     0
3119, BEAM  ,    2,    18,  2019,  2512,     0,     0
3120, BEAM  ,    2,    18,  2020,  1714,     0,     0
3121, BEAM  ,    2,    18,  2021,  2513,     0,     0
3122, BEAM  ,    2,    18,  2022,  1715,     0,     0
3123, BEAM  ,    2,    18,  2023,  2514,     0,     0
3124, BEAM  ,    2,    18,  2024,  1716,     0,     0
3125, BEAM  ,    2,    18,  2025,  2515,     0,     0
3126, BEAM  ,    2,    18,  2026,  1717,     0,     0
3127, BEAM  ,    2,    18,  2027,  2516,     0,     0
3128, BEAM  ,    2,    18,  2028,  1718,     0,     0
3129, BEAM  ,    2,    18,  2029,  2517,     0,     0
3130, BEAM  ,    2,    18,  2030,  1719,     0,     0
3131, BEAM  ,    2,    18,  2031,  2518,     0,     0
3132, BEAM  ,    2,    18,  2032,  1720,     0,     0
3133, BEAM  ,    2,    18,  2033,  2519,     0,     0
3134, BEAM  ,    2,    18,  2034,  1721,     0,     0
3135, BEAM  ,    2,    18,  2035,  2520,     0,     0
3136, BEAM  ,    2,    18,  2036,  1722,     0,     0
3137, BEAM  ,    2,    18,  2037,  2521,     0,     0
3138, BEAM  ,    2,    18,  2038,  1723,     0,     0
3139, BEAM  ,    2,    18,  2039,  2522,     0,     0
3140, BEAM  ,    2,    18,  2040,  1724,     0,     0
3141, BEAM  ,    2,    18,  2041,  2523,     0,     0
3142, BEAM  ,    2,    18,  2042,  1725,     0,     0
3143, BEAM  ,    2,    18,  2043,  2524,     0,     0
3144, BEAM  ,    2,    18,  2044,  1726,     0,     0
```

```
3145, BEAM  ,    2,    18,  2045,  2525,     0,     0
3146, BEAM  ,    2,    18,  2046,  1727,     0,     0
3147, BEAM  ,    2,    18,  2047,  2526,     0,     0
3148, BEAM  ,    2,    18,  2048,  1728,     0,     0
3149, BEAM  ,    2,    18,  2049,  2527,     0,     0
3150, BEAM  ,    2,    18,  2050,  1729,     0,     0
3151, BEAM  ,    2,    18,  2051,  2528,     0,     0
3152, BEAM  ,    2,    18,  2052,  1730,     0,     0
3153, BEAM  ,    2,    18,  2053,  2529,     0,     0
3154, BEAM  ,    2,    18,  2054,  1731,     0,     0
3155, BEAM  ,    2,    18,  2055,  2530,     0,     0
3156, BEAM  ,    2,    18,  2056,  1732,     0,     0
3157, BEAM  ,    2,    18,  2057,  2531,     0,     0
3158, BEAM  ,    2,    18,  2058,  1733,     0,     0
3159, BEAM  ,    2,    18,  2059,  2532,     0,     0
3160, BEAM  ,    2,    18,  2060,  1734,     0,     0
3161, BEAM  ,    2,    18,  2061,  2533,     0,     0
3162, BEAM  ,    2,    18,  2062,  1735,     0,     0
3163, BEAM  ,    2,    18,  2063,  2534,     0,     0
3164, BEAM  ,    2,    18,  2064,  1736,     0,     0
3165, BEAM  ,    2,    18,  2065,  2535,     0,     0
3166, BEAM  ,    2,    18,  2066,  1737,     0,     0
3167, BEAM  ,    2,    18,  2067,  2536,     0,     0
3168, BEAM  ,    2,    18,  2068,  1738,     0,     0
3169, BEAM  ,    2,    18,  2069,  2537,     0,     0
3170, BEAM  ,    2,    18,  2070,  1739,     0,     0
3171, BEAM  ,    2,    18,  2071,  2538,     0,     0
3172, BEAM  ,    2,    18,  2072,  1740,     0,     0
3173, BEAM  ,    2,    18,  2073,  2539,     0,     0
3174, BEAM  ,    2,    18,  2074,  1741,     0,     0
3175, BEAM  ,    2,    18,  2075,  2540,     0,     0
3176, BEAM  ,    2,    18,  2076,  1742,     0,     0
3177, BEAM  ,    2,    18,  2077,  2541,     0,     0
3178, BEAM  ,    2,    18,  2078,  1743,     0,     0
3179, BEAM  ,    2,    18,  2079,  2542,     0,     0
3180, BEAM  ,    2,    18,  2080,  1744,     0,     0
3181, BEAM  ,    2,    18,  2081,   139,     0,     0
3182, BEAM  ,    2,    18,  2082,   155,     0,     0
3183, BEAM  ,    2,    18,  2083,   171,     0,     0
3184, BEAM  ,    2,    18,  2084,   179,     0,     0
3185, BEAM  ,    2,    18,  2085,   195,     0,     0
3186, BEAM  ,    2,    18,  2086,   211,     0,     0
3187, BEAM  ,    2,    18,  2087,   227,     0,     0
3188, BEAM  ,    2,    18,  2088,   243,     0,     0
3189, BEAM  ,    2,    18,  2089,   251,     0,     0
3190, BEAM  ,    2,    18,  2090,   267,     0,     0
3191, BEAM  ,    2,    18,  2091,   283,     0,     0
3192, BEAM  ,    2,    18,  2092,   299,     0,     0
3193, BEAM  ,    2,    18,  2093,   315,     0,     0
3194, BEAM  ,    2,    18,  2094,   323,     0,     0
3195, BEAM  ,    2,    18,  2095,   339,     0,     0
3196, BEAM  ,    2,    18,  2096,   355,     0,     0
3197, BEAM  ,    2,    18,  2097,   371,     0,     0
3198, BEAM  ,    2,    18,  2098,   387,     0,     0
3199, BEAM  ,    2,    18,  2099,   395,     0,     0
3200, BEAM  ,    2,    18,  2100,   411,     0,     0
3201, BEAM  ,    2,    18,  2101,   427,     0,     0
3202, BEAM  ,    2,    18,  2102,   443,     0,     0
3203, BEAM  ,    2,    18,  2103,   459,     0,     0
3204, BEAM  ,    2,    18,  2104,   467,     0,     0
3205, BEAM  ,    2,    18,  2105,   483,     0,     0
3206, BEAM  ,    2,    18,  2106,   499,     0,     0
3207, BEAM  ,    2,    18,  2107,   515,     0,     0
3208, BEAM  ,    2,    18,  2108,   531,     0,     0
3209, BEAM  ,    2,    18,  2109,   539,     0,     0
3210, BEAM  ,    2,    18,  2110,   555,     0,     0
3211, BEAM  ,    2,    18,  2111,   571,     0,     0
3212, BEAM  ,    2,    18,  2112,   587,     0,     0
3213, BEAM  ,    2,    18,  2113,   603,     0,     0
3214, BEAM  ,    2,    18,  2114,   611,     0,     0
3215, BEAM  ,    2,    18,  2115,   627,     0,     0
3216, BEAM  ,    2,    18,  2116,   643,     0,     0
3217, BEAM  ,    2,    18,  2117,   659,     0,     0
3218, BEAM  ,    2,    18,  2118,   675,     0,     0
3219, BEAM  ,    2,    18,  2119,   683,     0,     0
3220, BEAM  ,    2,    18,  2120,   699,     0,     0
3221, BEAM  ,    2,    18,  2121,   715,     0,     0
3222, BEAM  ,    2,    18,  2122,   731,     0,     0
```

```
3223, BEAM  ,    2,    18,  2123,  2627,     0,     0
3224, BEAM  ,    2,    18,  2125,  2628,     0,     0
3225, BEAM  ,    2,    18,  2127,  2629,     0,     0
3226, BEAM  ,    2,    18,  2129,  2630,     0,     0
3227, BEAM  ,    2,    18,  2131,  2631,     0,     0
3228, BEAM  ,    2,    18,  2133,  2632,     0,     0
3229, BEAM  ,    2,    18,  2135,  2633,     0,     0
3230, BEAM  ,    2,    18,  2137,  2634,     0,     0
3231, BEAM  ,    2,    18,  2139,  2635,     0,     0
3232, BEAM  ,    2,    18,  2141,  2636,     0,     0
3233, BEAM  ,    2,    18,  2143,  2637,     0,     0
3234, BEAM  ,    2,    18,  2145,  2638,     0,     0
3235, BEAM  ,    2,    18,  2147,  2639,     0,     0
3236, BEAM  ,    2,    18,  2149,  2640,     0,     0
3237, BEAM  ,    2,    18,  2151,  2641,     0,     0
3238, BEAM  ,    2,    18,  2153,  2642,     0,     0
3239, BEAM  ,    2,    18,  2155,  2643,     0,     0
3240, BEAM  ,    2,    18,  2157,  2644,     0,     0
3241, BEAM  ,    2,    18,  2159,  2645,     0,     0
3242, BEAM  ,    2,    18,  2161,  2646,     0,     0
3243, BEAM  ,    2,    18,  2163,  2647,     0,     0
3244, BEAM  ,    2,    18,  2165,  2648,     0,     0
3245, BEAM  ,    2,    18,  2167,  2649,     0,     0
3246, BEAM  ,    2,    18,  2169,  2650,     0,     0
3247, BEAM  ,    2,    18,  2171,  2651,     0,     0
3248, BEAM  ,    2,    18,  2173,  2652,     0,     0
3249, BEAM  ,    2,    18,  2175,  2653,     0,     0
3250, BEAM  ,    2,    18,  2177,  2654,     0,     0
3251, BEAM  ,    2,    18,  2179,  2655,     0,     0
3252, BEAM  ,    2,    18,  2181,  2656,     0,     0
3253, BEAM  ,    2,    18,  2183,  2657,     0,     0
3254, BEAM  ,    2,    18,  2185,  2658,     0,     0
3255, BEAM  ,    2,    18,  2187,  2659,     0,     0
3256, BEAM  ,    2,    18,  2189,  2660,     0,     0
3257, BEAM  ,    2,    18,  2191,  2661,     0,     0
3258, BEAM  ,    2,    18,  2193,  2662,     0,     0
3259, BEAM  ,    2,    18,  2195,  2663,     0,     0
3260, BEAM  ,    2,    18,  2197,  2664,     0,     0
3261, BEAM  ,    2,    18,  2199,  2665,     0,     0
3262, BEAM  ,    2,    18,  2201,  2666,     0,     0
3263, BEAM  ,    2,    18,  2203,  2667,     0,     0
3264, BEAM  ,    2,    18,  2205,  2668,     0,     0
3265, BEAM  ,    2,    18,  2207,  2585,     0,     0
3266, BEAM  ,    2,    18,  2209,  2586,     0,     0
3267, BEAM  ,    2,    18,  2211,  2587,     0,     0
3268, BEAM  ,    2,    18,  2213,  2588,     0,     0
3269, BEAM  ,    2,    18,  2215,  2589,     0,     0
3270, BEAM  ,    2,    18,  2217,  2590,     0,     0
3271, BEAM  ,    2,    18,  2219,  2591,     0,     0
3272, BEAM  ,    2,    18,  2221,  2592,     0,     0
3273, BEAM  ,    2,    18,  2223,  2593,     0,     0
3274, BEAM  ,    2,    18,  2225,  2594,     0,     0
3275, BEAM  ,    2,    18,  2227,  2595,     0,     0
3276, BEAM  ,    2,    18,  2229,  2596,     0,     0
3277, BEAM  ,    2,    18,  2231,  2597,     0,     0
3278, BEAM  ,    2,    18,  2233,  2598,     0,     0
3279, BEAM  ,    2,    18,  2235,  2599,     0,     0
3280, BEAM  ,    2,    18,  2237,  2600,     0,     0
3281, BEAM  ,    2,    18,  2239,  2601,     0,     0
3282, BEAM  ,    2,    18,  2241,  2602,     0,     0
3283, BEAM  ,    2,    18,  2243,  2603,     0,     0
3284, BEAM  ,    2,    18,  2245,  2604,     0,     0
3285, BEAM  ,    2,    18,  2247,  2605,     0,     0
3286, BEAM  ,    2,    18,  2249,  2606,     0,     0
3287, BEAM  ,    2,    18,  2251,  2607,     0,     0
3288, BEAM  ,    2,    18,  2253,  2608,     0,     0
3289, BEAM  ,    2,    18,  2255,  2609,     0,     0
3290, BEAM  ,    2,    18,  2257,  2610,     0,     0
3291, BEAM  ,    2,    18,  2259,  2611,     0,     0
3292, BEAM  ,    2,    18,  2261,  2612,     0,     0
3293, BEAM  ,    2,    18,  2263,  2613,     0,     0
3294, BEAM  ,    2,    18,  2265,  2614,     0,     0
3295, BEAM  ,    2,    18,  2267,  2615,     0,     0
3296, BEAM  ,    2,    18,  2269,  2616,     0,     0
3297, BEAM  ,    2,    18,  2271,  2617,     0,     0
3298, BEAM  ,    2,    18,  2273,  2618,     0,     0
3299, BEAM  ,    2,    18,  2275,  2619,     0,     0
3300, BEAM  ,    2,    18,  2277,  2620,     0,     0
```

```
3301, BEAM  ,    2,    18,  2279,  2621,     0,     0
3302, BEAM  ,    2,    18,  2281,  2622,     0,     0
3303, BEAM  ,    2,    18,  2283,  2623,     0,     0
3304, BEAM  ,    2,    18,  2285,  2624,     0,     0
3305, BEAM  ,    2,    18,  2287,  2625,     0,     0
3306, BEAM  ,    2,    18,  2289,  2626,     0,     0
3307, BEAM  ,    4,    22,   140,   156,     0,     0
3308, BEAM  ,    4,    22,   156,   172,     0,     0
3309, BEAM  ,    4,    22,   172,   180,     0,     0
3310, BEAM  ,    4,    22,   180,   196,     0,     0
3311, BEAM  ,    4,    22,   196,   212,     0,     0
3312, BEAM  ,    4,    22,   212,   228,     0,     0
3313, BEAM  ,    4,    22,   228,   244,     0,     0
3314, BEAM  ,    4,    22,   244,   252,     0,     0
3315, BEAM  ,    4,    22,   252,   268,     0,     0
3316, BEAM  ,    4,    22,   268,   284,     0,     0
3317, BEAM  ,    4,    22,   284,   300,     0,     0
3318, BEAM  ,    4,    22,   300,   316,     0,     0
3319, BEAM  ,    4,    22,   316,   324,     0,     0
3320, BEAM  ,    4,    22,   324,   340,     0,     0
3321, BEAM  ,    4,    22,   340,   356,     0,     0
3322, BEAM  ,    4,    22,   356,   372,     0,     0
3323, BEAM  ,    4,    22,   372,   388,     0,     0
3324, BEAM  ,    4,    22,   388,   396,     0,     0
3325, BEAM  ,    4,    22,   396,   412,     0,     0
3326, BEAM  ,    4,    22,   412,   428,     0,     0
3327, BEAM  ,    4,    22,   428,   444,     0,     0
3328, BEAM  ,    4,    22,   444,   460,     0,     0
3329, BEAM  ,    4,    22,   460,   468,     0,     0
3330, BEAM  ,    4,    22,   468,   484,     0,     0
3331, BEAM  ,    4,    22,   484,   500,     0,     0
3332, BEAM  ,    4,    22,   500,   516,     0,     0
3333, BEAM  ,    4,    22,   516,   532,     0,     0
3334, BEAM  ,    4,    22,   532,   540,     0,     0
3335, BEAM  ,    4,    22,   540,   556,     0,     0
3336, BEAM  ,    4,    22,   556,   572,     0,     0
3337, BEAM  ,    4,    22,   572,   588,     0,     0
3338, BEAM  ,    4,    22,   588,   604,     0,     0
3339, BEAM  ,    4,    22,   604,   612,     0,     0
3340, BEAM  ,    4,    22,   612,   628,     0,     0
3341, BEAM  ,    4,    22,   628,   644,     0,     0
3342, BEAM  ,    4,    22,   644,   660,     0,     0
3343, BEAM  ,    4,    22,   660,   676,     0,     0
3344, BEAM  ,    4,    22,   676,   684,     0,     0
3345, BEAM  ,    4,    22,   684,   700,     0,     0
3346, BEAM  ,    4,    22,   700,   716,     0,     0
3347, BEAM  ,    4,    22,   716,   732,     0,     0
3348, BEAM  ,    4,    22,  1997,  1999,     0,     0
3349, BEAM  ,    4,    22,  1999,  2001,     0,     0
3350, BEAM  ,    4,    22,  2001,  2003,     0,     0
3351, BEAM  ,    4,    22,  2003,  2005,     0,     0
3352, BEAM  ,    4,    22,  2005,  2007,     0,     0
3353, BEAM  ,    4,    22,  2007,  2009,     0,     0
3354, BEAM  ,    4,    22,  2009,  2011,     0,     0
3355, BEAM  ,    4,    22,  2011,  2013,     0,     0
3356, BEAM  ,    4,    22,  2013,  2015,     0,     0
3357, BEAM  ,    4,    22,  2015,  2017,     0,     0
3358, BEAM  ,    4,    22,  2017,  2019,     0,     0
3359, BEAM  ,    4,    22,  2019,  2021,     0,     0
3360, BEAM  ,    4,    22,  2021,  2023,     0,     0
3361, BEAM  ,    4,    22,  2023,  2025,     0,     0
3362, BEAM  ,    4,    22,  2025,  2027,     0,     0
3363, BEAM  ,    4,    22,  2027,  2029,     0,     0
3364, BEAM  ,    4,    22,  2029,  2031,     0,     0
3365, BEAM  ,    4,    22,  2031,  2033,     0,     0
3366, BEAM  ,    4,    22,  2033,  2035,     0,     0
3367, BEAM  ,    4,    22,  2035,  2037,     0,     0
3368, BEAM  ,    4,    22,  2037,  2039,     0,     0
3369, BEAM  ,    4,    22,  2039,  2041,     0,     0
3370, BEAM  ,    4,    22,  2041,  2043,     0,     0
3371, BEAM  ,    4,    22,  2043,  2045,     0,     0
3372, BEAM  ,    4,    22,  2045,  2047,     0,     0
3373, BEAM  ,    4,    22,  2047,  2049,     0,     0
3374, BEAM  ,    4,    22,  2049,  2051,     0,     0
3375, BEAM  ,    4,    22,  2051,  2053,     0,     0
3376, BEAM  ,    4,    22,  2053,  2055,     0,     0
3377, BEAM  ,    4,    22,  2055,  2057,     0,     0
3378, BEAM  ,    4,    22,  2057,  2059,     0,     0
```

```
3379, BEAM  ,    4,    22,  2059,  2061,     0,     0
3380, BEAM  ,    4,    22,  2061,  2063,     0,     0
3381, BEAM  ,    4,    22,  2063,  2065,     0,     0
3382, BEAM  ,    4,    22,  2065,  2067,     0,     0
3383, BEAM  ,    4,    22,  2067,  2069,     0,     0
3384, BEAM  ,    4,    22,  2069,  2071,     0,     0
3385, BEAM  ,    4,    22,  2071,  2073,     0,     0
3386, BEAM  ,    4,    22,  2073,  2075,     0,     0
3387, BEAM  ,    4,    22,  2075,  2077,     0,     0
3388, BEAM  ,    4,    22,  2077,  2079,     0,     0
3389, BEAM  ,    4,    22,  2081,  2082,     0,     0
3390, BEAM  ,    4,    22,  2082,  2083,     0,     0
3391, BEAM  ,    4,    22,  2083,  2084,     0,     0
3392, BEAM  ,    4,    22,  2084,  2085,     0,     0
3393, BEAM  ,    4,    22,  2085,  2086,     0,     0
3394, BEAM  ,    4,    22,  2086,  2087,     0,     0
3395, BEAM  ,    4,    22,  2087,  2088,     0,     0
3396, BEAM  ,    4,    22,  2088,  2089,     0,     0
3397, BEAM  ,    4,    22,  2089,  2090,     0,     0
3398, BEAM  ,    4,    22,  2090,  2091,     0,     0
3399, BEAM  ,    4,    22,  2091,  2092,     0,     0
3400, BEAM  ,    4,    22,  2092,  2093,     0,     0
3401, BEAM  ,    4,    22,  2093,  2094,     0,     0
3402, BEAM  ,    4,    22,  2094,  2095,     0,     0
3403, BEAM  ,    4,    22,  2095,  2096,     0,     0
3404, BEAM  ,    4,    22,  2096,  2097,     0,     0
3405, BEAM  ,    4,    22,  2097,  2098,     0,     0
3406, BEAM  ,    4,    22,  2098,  2099,     0,     0
3407, BEAM  ,    4,    22,  2099,  2100,     0,     0
3408, BEAM  ,    4,    22,  2100,  2101,     0,     0
3409, BEAM  ,    4,    22,  2101,  2102,     0,     0
3410, BEAM  ,    4,    22,  2102,  2103,     0,     0
3411, BEAM  ,    4,    22,  2103,  2104,     0,     0
3412, BEAM  ,    4,    22,  2104,  2105,     0,     0
3413, BEAM  ,    4,    22,  2105,  2106,     0,     0
3414, BEAM  ,    4,    22,  2106,  2107,     0,     0
3415, BEAM  ,    4,    22,  2107,  2108,     0,     0
3416, BEAM  ,    4,    22,  2108,  2109,     0,     0
3417, BEAM  ,    4,    22,  2109,  2110,     0,     0
3418, BEAM  ,    4,    22,  2110,  2111,     0,     0
3419, BEAM  ,    4,    22,  2111,  2112,     0,     0
3420, BEAM  ,    4,    22,  2112,  2113,     0,     0
3421, BEAM  ,    4,    22,  2113,  2114,     0,     0
3422, BEAM  ,    4,    22,  2114,  2115,     0,     0
3423, BEAM  ,    4,    22,  2115,  2116,     0,     0
3424, BEAM  ,    4,    22,  2116,  2117,     0,     0
3425, BEAM  ,    4,    22,  2117,  2118,     0,     0
3426, BEAM  ,    4,    22,  2118,  2119,     0,     0
3427, BEAM  ,    4,    22,  2119,  2120,     0,     0
3428, BEAM  ,    4,    22,  2120,  2121,     0,     0
3429, BEAM  ,    4,    22,  2121,  2122,     0,     0
3430, BEAM  ,    4,    22,  2123,  2125,     0,     0
3431, BEAM  ,    4,    22,  2125,  2127,     0,     0
3432, BEAM  ,    4,    22,  2127,  2129,     0,     0
3433, BEAM  ,    4,    22,  2129,  2131,     0,     0
3434, BEAM  ,    4,    22,  2131,  2133,     0,     0
3435, BEAM  ,    4,    22,  2133,  2135,     0,     0
3436, BEAM  ,    4,    22,  2135,  2137,     0,     0
3437, BEAM  ,    4,    22,  2137,  2139,     0,     0
3438, BEAM  ,    4,    22,  2139,  2141,     0,     0
3439, BEAM  ,    4,    22,  2141,  2143,     0,     0
3440, BEAM  ,    4,    22,  2143,  2145,     0,     0
3441, BEAM  ,    4,    22,  2145,  2147,     0,     0
3442, BEAM  ,    4,    22,  2147,  2149,     0,     0
3443, BEAM  ,    4,    22,  2149,  2151,     0,     0
3444, BEAM  ,    4,    22,  2151,  2153,     0,     0
3445, BEAM  ,    4,    22,  2153,  2155,     0,     0
3446, BEAM  ,    4,    22,  2155,  2157,     0,     0
3447, BEAM  ,    4,    22,  2157,  2159,     0,     0
3448, BEAM  ,    4,    22,  2159,  2161,     0,     0
3449, BEAM  ,    4,    22,  2161,  2163,     0,     0
3450, BEAM  ,    4,    22,  2163,  2165,     0,     0
3451, BEAM  ,    4,    22,  2165,  2167,     0,     0
3452, BEAM  ,    4,    22,  2167,  2169,     0,     0
3453, BEAM  ,    4,    22,  2169,  2171,     0,     0
3454, BEAM  ,    4,    22,  2171,  2173,     0,     0
3455, BEAM  ,    4,    22,  2173,  2175,     0,     0
3456, BEAM  ,    4,    22,  2175,  2177,     0,     0
```

```
3457, BEAM  ,    4,    22,  2177,  2179,     0,     0
3458, BEAM  ,    4,    22,  2179,  2181,     0,     0
3459, BEAM  ,    4,    22,  2181,  2183,     0,     0
3460, BEAM  ,    4,    22,  2183,  2185,     0,     0
3461, BEAM  ,    4,    22,  2185,  2187,     0,     0
3462, BEAM  ,    4,    22,  2187,  2189,     0,     0
3463, BEAM  ,    4,    22,  2189,  2191,     0,     0
3464, BEAM  ,    4,    22,  2191,  2193,     0,     0
3465, BEAM  ,    4,    22,  2193,  2195,     0,     0
3466, BEAM  ,    4,    22,  2195,  2197,     0,     0
3467, BEAM  ,    4,    22,  2197,  2199,     0,     0
3468, BEAM  ,    4,    22,  2199,  2201,     0,     0
3469, BEAM  ,    4,    22,  2201,  2203,     0,     0
3470, BEAM  ,    4,    22,  2203,  2205,     0,     0
3471, BEAM  ,    4,    22,  2207,  2209,     0,     0
3472, BEAM  ,    4,    22,  2209,  2211,     0,     0
3473, BEAM  ,    4,    22,  2211,  2213,     0,     0
3474, BEAM  ,    4,    22,  2213,  2215,     0,     0
3475, BEAM  ,    4,    22,  2215,  2217,     0,     0
3476, BEAM  ,    4,    22,  2217,  2219,     0,     0
3477, BEAM  ,    4,    22,  2219,  2221,     0,     0
3478, BEAM  ,    4,    22,  2221,  2223,     0,     0
3479, BEAM  ,    4,    22,  2223,  2225,     0,     0
3480, BEAM  ,    4,    22,  2225,  2227,     0,     0
3481, BEAM  ,    4,    22,  2227,  2229,     0,     0
3482, BEAM  ,    4,    22,  2229,  2231,     0,     0
3483, BEAM  ,    4,    22,  2231,  2233,     0,     0
3484, BEAM  ,    4,    22,  2233,  2235,     0,     0
3485, BEAM  ,    4,    22,  2235,  2237,     0,     0
3486, BEAM  ,    4,    22,  2237,  2239,     0,     0
3487, BEAM  ,    4,    22,  2239,  2241,     0,     0
3488, BEAM  ,    4,    22,  2241,  2243,     0,     0
3489, BEAM  ,    4,    22,  2243,  2245,     0,     0
3490, BEAM  ,    4,    22,  2245,  2247,     0,     0
3491, BEAM  ,    4,    22,  2247,  2249,     0,     0
3492, BEAM  ,    4,    22,  2249,  2251,     0,     0
3493, BEAM  ,    4,    22,  2251,  2253,     0,     0
3494, BEAM  ,    4,    22,  2253,  2255,     0,     0
3495, BEAM  ,    4,    22,  2255,  2257,     0,     0
3496, BEAM  ,    4,    22,  2257,  2259,     0,     0
3497, BEAM  ,    4,    22,  2259,  2261,     0,     0
3498, BEAM  ,    4,    22,  2261,  2263,     0,     0
3499, BEAM  ,    4,    22,  2263,  2265,     0,     0
3500, BEAM  ,    4,    22,  2265,  2267,     0,     0
3501, BEAM  ,    4,    22,  2267,  2269,     0,     0
3502, BEAM  ,    4,    22,  2269,  2271,     0,     0
3503, BEAM  ,    4,    22,  2271,  2273,     0,     0
3504, BEAM  ,    4,    22,  2273,  2275,     0,     0
3505, BEAM  ,    4,    22,  2275,  2277,     0,     0
3506, BEAM  ,    4,    22,  2277,  2279,     0,     0
3507, BEAM  ,    4,    22,  2279,  2281,     0,     0
3508, BEAM  ,    4,    22,  2281,  2283,     0,     0
3509, BEAM  ,    4,    22,  2283,  2285,     0,     0
3510, BEAM  ,    4,    22,  2285,  2287,     0,     0
3511, BEAM  ,    4,    22,  2287,  2289,     0,     0
3512, BEAM  ,    2,    18,  2291,   137,     0,     0
3513, BEAM  ,    2,    18,  2292,   153,     0,     0
3514, BEAM  ,    2,    18,  2293,   169,     0,     0
3515, BEAM  ,    2,    18,  2294,   177,     0,     0
3516, BEAM  ,    2,    18,  2295,   193,     0,     0
3517, BEAM  ,    2,    18,  2296,   209,     0,     0
3518, BEAM  ,    2,    18,  2297,   225,     0,     0
3519, BEAM  ,    2,    18,  2298,   241,     0,     0
3520, BEAM  ,    2,    18,  2299,   249,     0,     0
3521, BEAM  ,    2,    18,  2300,   265,     0,     0
3522, BEAM  ,    2,    18,  2301,   281,     0,     0
3523, BEAM  ,    2,    18,  2302,   297,     0,     0
3524, BEAM  ,    2,    18,  2303,   313,     0,     0
3525, BEAM  ,    2,    18,  2304,   321,     0,     0
3526, BEAM  ,    2,    18,  2305,   337,     0,     0
3527, BEAM  ,    2,    18,  2306,   353,     0,     0
3528, BEAM  ,    2,    18,  2307,   369,     0,     0
3529, BEAM  ,    2,    18,  2308,   385,     0,     0
3530, BEAM  ,    2,    18,  2309,   393,     0,     0
3531, BEAM  ,    2,    18,  2310,   409,     0,     0
3532, BEAM  ,    2,    18,  2311,   425,     0,     0
3533, BEAM  ,    2,    18,  2312,   441,     0,     0
3534, BEAM  ,    2,    18,  2313,   457,     0,     0
```

```
3535, BEAM  ,    2,    18,  2314,   465,     0,     0
3536, BEAM  ,    2,    18,  2315,   481,     0,     0
3537, BEAM  ,    2,    18,  2316,   497,     0,     0
3538, BEAM  ,    2,    18,  2317,   513,     0,     0
3539, BEAM  ,    2,    18,  2318,   529,     0,     0
3540, BEAM  ,    2,    18,  2319,   537,     0,     0
3541, BEAM  ,    2,    18,  2320,   553,     0,     0
3542, BEAM  ,    2,    18,  2321,   569,     0,     0
3543, BEAM  ,    2,    18,  2322,   585,     0,     0
3544, BEAM  ,    2,    18,  2323,   601,     0,     0
3545, BEAM  ,    2,    18,  2324,   609,     0,     0
3546, BEAM  ,    2,    18,  2325,   625,     0,     0
3547, BEAM  ,    2,    18,  2326,   641,     0,     0
3548, BEAM  ,    2,    18,  2327,   657,     0,     0
3549, BEAM  ,    2,    18,  2328,   673,     0,     0
3550, BEAM  ,    2,    18,  2329,   681,     0,     0
3551, BEAM  ,    2,    18,  2330,   697,     0,     0
3552, BEAM  ,    2,    18,  2331,   713,     0,     0
3553, BEAM  ,    2,    18,  2332,   729,     0,     0
3554, BEAM  ,    2,    18,  2333,  2207,     0,     0
3555, BEAM  ,    2,    18,  2334,  2209,     0,     0
3556, BEAM  ,    2,    18,  2335,  2211,     0,     0
3557, BEAM  ,    2,    18,  2336,  2213,     0,     0
3558, BEAM  ,    2,    18,  2337,  2215,     0,     0
3559, BEAM  ,    2,    18,  2338,  2217,     0,     0
3560, BEAM  ,    2,    18,  2339,  2219,     0,     0
3561, BEAM  ,    2,    18,  2340,  2221,     0,     0
3562, BEAM  ,    2,    18,  2341,  2223,     0,     0
3563, BEAM  ,    2,    18,  2342,  2225,     0,     0
3564, BEAM  ,    2,    18,  2343,  2227,     0,     0
3565, BEAM  ,    2,    18,  2344,  2229,     0,     0
3566, BEAM  ,    2,    18,  2345,  2231,     0,     0
3567, BEAM  ,    2,    18,  2346,  2233,     0,     0
3568, BEAM  ,    2,    18,  2347,  2235,     0,     0
3569, BEAM  ,    2,    18,  2348,  2237,     0,     0
3570, BEAM  ,    2,    18,  2349,  2239,     0,     0
3571, BEAM  ,    2,    18,  2350,  2241,     0,     0
3572, BEAM  ,    2,    18,  2351,  2243,     0,     0
3573, BEAM  ,    2,    18,  2352,  2245,     0,     0
3574, BEAM  ,    2,    18,  2353,  2247,     0,     0
3575, BEAM  ,    2,    18,  2354,  2249,     0,     0
3576, BEAM  ,    2,    18,  2355,  2251,     0,     0
3577, BEAM  ,    2,    18,  2356,  2253,     0,     0
3578, BEAM  ,    2,    18,  2357,  2255,     0,     0
3579, BEAM  ,    2,    18,  2358,  2257,     0,     0
3580, BEAM  ,    2,    18,  2359,  2259,     0,     0
3581, BEAM  ,    2,    18,  2360,  2261,     0,     0
3582, BEAM  ,    2,    18,  2361,  2263,     0,     0
3583, BEAM  ,    2,    18,  2362,  2265,     0,     0
3584, BEAM  ,    2,    18,  2363,  2267,     0,     0
3585, BEAM  ,    2,    18,  2364,  2269,     0,     0
3586, BEAM  ,    2,    18,  2365,  2271,     0,     0
3587, BEAM  ,    2,    18,  2366,  2273,     0,     0
3588, BEAM  ,    2,    18,  2367,  2275,     0,     0
3589, BEAM  ,    2,    18,  2368,  2277,     0,     0
3590, BEAM  ,    2,    18,  2369,  2279,     0,     0
3591, BEAM  ,    2,    18,  2370,  2281,     0,     0
3592, BEAM  ,    2,    18,  2371,  2283,     0,     0
3593, BEAM  ,    2,    18,  2372,  2285,     0,     0
3594, BEAM  ,    2,    18,  2373,  2287,     0,     0
3595, BEAM  ,    2,    18,  2374,  2289,     0,     0
3596, BEAM  ,    2,    18,  2375,  2543,     0,     0
3597, BEAM  ,    2,    18,  2376,  2544,     0,     0
3598, BEAM  ,    2,    18,  2377,  2545,     0,     0
3599, BEAM  ,    2,    18,  2378,  2546,     0,     0
3600, BEAM  ,    2,    18,  2379,  2547,     0,     0
3601, BEAM  ,    2,    18,  2380,  2548,     0,     0
3602, BEAM  ,    2,    18,  2381,  2549,     0,     0
3603, BEAM  ,    2,    18,  2382,  2550,     0,     0
3604, BEAM  ,    2,    18,  2383,  2551,     0,     0
3605, BEAM  ,    2,    18,  2384,  2552,     0,     0
3606, BEAM  ,    2,    18,  2385,  2553,     0,     0
3607, BEAM  ,    2,    18,  2386,  2554,     0,     0
3608, BEAM  ,    2,    18,  2387,  2555,     0,     0
3609, BEAM  ,    2,    18,  2388,  2556,     0,     0
3610, BEAM  ,    2,    18,  2389,  2557,     0,     0
3611, BEAM  ,    2,    18,  2390,  2558,     0,     0
3612, BEAM  ,    2,    18,  2391,  2559,     0,     0
```

```
3613, BEAM  ,    2,    18,  2392,  2560,     0,     0
3614, BEAM  ,    2,    18,  2393,  2561,     0,     0
3615, BEAM  ,    2,    18,  2394,  2562,     0,     0
3616, BEAM  ,    2,    18,  2395,  2563,     0,     0
3617, BEAM  ,    2,    18,  2396,  2564,     0,     0
3618, BEAM  ,    2,    18,  2397,  2565,     0,     0
3619, BEAM  ,    2,    18,  2398,  2566,     0,     0
3620, BEAM  ,    2,    18,  2399,  2567,     0,     0
3621, BEAM  ,    2,    18,  2400,  2568,     0,     0
3622, BEAM  ,    2,    18,  2401,  2569,     0,     0
3623, BEAM  ,    2,    18,  2402,  2570,     0,     0
3624, BEAM  ,    2,    18,  2403,  2571,     0,     0
3625, BEAM  ,    2,    18,  2404,  2572,     0,     0
3626, BEAM  ,    2,    18,  2405,  2573,     0,     0
3627, BEAM  ,    2,    18,  2406,  2574,     0,     0
3628, BEAM  ,    2,    18,  2407,  2575,     0,     0
3629, BEAM  ,    2,    18,  2408,  2576,     0,     0
3630, BEAM  ,    2,    18,  2409,  2577,     0,     0
3631, BEAM  ,    2,    18,  2410,  2578,     0,     0
3632, BEAM  ,    2,    18,  2411,  2579,     0,     0
3633, BEAM  ,    2,    18,  2412,  2580,     0,     0
3634, BEAM  ,    2,    18,  2413,  2581,     0,     0
3635, BEAM  ,    2,    18,  2414,  2582,     0,     0
3636, BEAM  ,    2,    18,  2415,  2583,     0,     0
3637, BEAM  ,    2,    18,  2416,  2584,     0,     0
3638, BEAM  ,    2,    18,  2417,  2081,     0,     0
3639, BEAM  ,    2,    18,  2418,  2082,     0,     0
3640, BEAM  ,    2,    18,  2419,  2083,     0,     0
3641, BEAM  ,    2,    18,  2420,  2084,     0,     0
3642, BEAM  ,    2,    18,  2421,  2085,     0,     0
3643, BEAM  ,    2,    18,  2422,  2086,     0,     0
3644, BEAM  ,    2,    18,  2423,  2087,     0,     0
3645, BEAM  ,    2,    18,  2424,  2088,     0,     0
3646, BEAM  ,    2,    18,  2425,  2089,     0,     0
3647, BEAM  ,    2,    18,  2426,  2090,     0,     0
3648, BEAM  ,    2,    18,  2427,  2091,     0,     0
3649, BEAM  ,    2,    18,  2428,  2092,     0,     0
3650, BEAM  ,    2,    18,  2429,  2093,     0,     0
3651, BEAM  ,    2,    18,  2430,  2094,     0,     0
3652, BEAM  ,    2,    18,  2431,  2095,     0,     0
3653, BEAM  ,    2,    18,  2432,  2096,     0,     0
3654, BEAM  ,    2,    18,  2433,  2097,     0,     0
3655, BEAM  ,    2,    18,  2434,  2098,     0,     0
3656, BEAM  ,    2,    18,  2435,  2099,     0,     0
3657, BEAM  ,    2,    18,  2436,  2100,     0,     0
3658, BEAM  ,    2,    18,  2437,  2101,     0,     0
3659, BEAM  ,    2,    18,  2438,  2102,     0,     0
3660, BEAM  ,    2,    18,  2439,  2103,     0,     0
3661, BEAM  ,    2,    18,  2440,  2104,     0,     0
3662, BEAM  ,    2,    18,  2441,  2105,     0,     0
3663, BEAM  ,    2,    18,  2442,  2106,     0,     0
3664, BEAM  ,    2,    18,  2443,  2107,     0,     0
3665, BEAM  ,    2,    18,  2444,  2108,     0,     0
3666, BEAM  ,    2,    18,  2445,  2109,     0,     0
3667, BEAM  ,    2,    18,  2446,  2110,     0,     0
3668, BEAM  ,    2,    18,  2447,  2111,     0,     0
3669, BEAM  ,    2,    18,  2448,  2112,     0,     0
3670, BEAM  ,    2,    18,  2449,  2113,     0,     0
3671, BEAM  ,    2,    18,  2450,  2114,     0,     0
3672, BEAM  ,    2,    18,  2451,  2115,     0,     0
3673, BEAM  ,    2,    18,  2452,  2116,     0,     0
3674, BEAM  ,    2,    18,  2453,  2117,     0,     0
3675, BEAM  ,    2,    18,  2454,  2118,     0,     0
3676, BEAM  ,    2,    18,  2455,  2119,     0,     0
3677, BEAM  ,    2,    18,  2456,  2120,     0,     0
3678, BEAM  ,    2,    18,  2457,  2121,     0,     0
3679, BEAM  ,    2,    18,  2458,  2122,     0,     0
3680, BEAM  ,    4,    23,  2291,  2292,     0,     0
3681, BEAM  ,    4,    23,  2292,  2293,     0,     0
3682, BEAM  ,    4,    23,  2293,  2294,     0,     0
3683, BEAM  ,    4,    23,  2294,  2295,     0,     0
3684, BEAM  ,    4,    23,  2295,  2296,     0,     0
3685, BEAM  ,    4,    23,  2296,  2297,     0,     0
3686, BEAM  ,    4,    23,  2297,  2298,     0,     0
3687, BEAM  ,    4,    23,  2298,  2299,     0,     0
3688, BEAM  ,    4,    23,  2299,  2300,     0,     0
3689, BEAM  ,    4,    23,  2300,  2301,     0,     0
3690, BEAM  ,    4,    23,  2301,  2302,     0,     0
```

```
3691, BEAM  ,    4,    23,  2302,  2303,     0,     0
3692, BEAM  ,    4,    23,  2303,  2304,     0,     0
3693, BEAM  ,    4,    23,  2304,  2305,     0,     0
3694, BEAM  ,    4,    23,  2305,  2306,     0,     0
3695, BEAM  ,    4,    23,  2306,  2307,     0,     0
3696, BEAM  ,    4,    23,  2307,  2308,     0,     0
3697, BEAM  ,    4,    23,  2308,  2309,     0,     0
3698, BEAM  ,    4,    23,  2309,  2310,     0,     0
3699, BEAM  ,    4,    23,  2310,  2311,     0,     0
3700, BEAM  ,    4,    23,  2311,  2312,     0,     0
3701, BEAM  ,    4,    23,  2312,  2313,     0,     0
3702, BEAM  ,    4,    23,  2313,  2314,     0,     0
3703, BEAM  ,    4,    23,  2314,  2315,     0,     0
3704, BEAM  ,    4,    23,  2315,  2316,     0,     0
3705, BEAM  ,    4,    23,  2316,  2317,     0,     0
3706, BEAM  ,    4,    23,  2317,  2318,     0,     0
3707, BEAM  ,    4,    23,  2318,  2319,     0,     0
3708, BEAM  ,    4,    23,  2319,  2320,     0,     0
3709, BEAM  ,    4,    23,  2320,  2321,     0,     0
3710, BEAM  ,    4,    23,  2321,  2322,     0,     0
3711, BEAM  ,    4,    23,  2322,  2323,     0,     0
3712, BEAM  ,    4,    23,  2323,  2324,     0,     0
3713, BEAM  ,    4,    23,  2324,  2325,     0,     0
3714, BEAM  ,    4,    23,  2325,  2326,     0,     0
3715, BEAM  ,    4,    23,  2326,  2327,     0,     0
3716, BEAM  ,    4,    23,  2327,  2328,     0,     0
3717, BEAM  ,    4,    23,  2328,  2329,     0,     0
3718, BEAM  ,    4,    23,  2329,  2330,     0,     0
3719, BEAM  ,    4,    23,  2330,  2331,     0,     0
3720, BEAM  ,    4,    23,  2331,  2332,     0,     0
3721, BEAM  ,    4,    23,  2333,  2334,     0,     0
3722, BEAM  ,    4,    23,  2334,  2335,     0,     0
3723, BEAM  ,    4,    23,  2335,  2336,     0,     0
3724, BEAM  ,    4,    23,  2336,  2337,     0,     0
3725, BEAM  ,    4,    23,  2337,  2338,     0,     0
3726, BEAM  ,    4,    23,  2338,  2339,     0,     0
3727, BEAM  ,    4,    23,  2339,  2340,     0,     0
3728, BEAM  ,    4,    23,  2340,  2341,     0,     0
3729, BEAM  ,    4,    23,  2341,  2342,     0,     0
3730, BEAM  ,    4,    23,  2342,  2343,     0,     0
3731, BEAM  ,    4,    23,  2343,  2344,     0,     0
3732, BEAM  ,    4,    23,  2344,  2345,     0,     0
3733, BEAM  ,    4,    23,  2345,  2346,     0,     0
3734, BEAM  ,    4,    23,  2346,  2347,     0,     0
3735, BEAM  ,    4,    23,  2347,  2348,     0,     0
3736, BEAM  ,    4,    23,  2348,  2349,     0,     0
3737, BEAM  ,    4,    23,  2349,  2350,     0,     0
3738, BEAM  ,    4,    23,  2350,  2351,     0,     0
3739, BEAM  ,    4,    23,  2351,  2352,     0,     0
3740, BEAM  ,    4,    23,  2352,  2353,     0,     0
3741, BEAM  ,    4,    23,  2353,  2354,     0,     0
3742, BEAM  ,    4,    23,  2354,  2355,     0,     0
3743, BEAM  ,    4,    23,  2355,  2356,     0,     0
3744, BEAM  ,    4,    23,  2356,  2357,     0,     0
3745, BEAM  ,    4,    23,  2357,  2358,     0,     0
3746, BEAM  ,    4,    23,  2358,  2359,     0,     0
3747, BEAM  ,    4,    23,  2359,  2360,     0,     0
3748, BEAM  ,    4,    23,  2360,  2361,     0,     0
3749, BEAM  ,    4,    23,  2361,  2362,     0,     0
3750, BEAM  ,    4,    23,  2362,  2363,     0,     0
3751, BEAM  ,    4,    23,  2363,  2364,     0,     0
3752, BEAM  ,    4,    23,  2364,  2365,     0,     0
3753, BEAM  ,    4,    23,  2365,  2366,     0,     0
3754, BEAM  ,    4,    23,  2366,  2367,     0,     0
3755, BEAM  ,    4,    23,  2367,  2368,     0,     0
3756, BEAM  ,    4,    23,  2368,  2369,     0,     0
3757, BEAM  ,    4,    23,  2369,  2370,     0,     0
3758, BEAM  ,    4,    23,  2370,  2371,     0,     0
3759, BEAM  ,    4,    23,  2371,  2372,     0,     0
3760, BEAM  ,    4,    23,  2372,  2373,     0,     0
3761, BEAM  ,    4,    23,  2373,  2374,     0,     0
3762, BEAM  ,    4,    23,  2375,  2376,     0,     0
3763, BEAM  ,    4,    23,  2376,  2377,     0,     0
3764, BEAM  ,    4,    23,  2377,  2378,     0,     0
3765, BEAM  ,    4,    23,  2378,  2379,     0,     0
3766, BEAM  ,    4,    23,  2379,  2380,     0,     0
3767, BEAM  ,    4,    23,  2380,  2381,     0,     0
3768, BEAM  ,    4,    23,  2381,  2382,     0,     0
```

```
3769, BEAM  ,    4,    23,  2382,  2383,     0,     0
3770, BEAM  ,    4,    23,  2383,  2384,     0,     0
3771, BEAM  ,    4,    23,  2384,  2385,     0,     0
3772, BEAM  ,    4,    23,  2385,  2386,     0,     0
3773, BEAM  ,    4,    23,  2386,  2387,     0,     0
3774, BEAM  ,    4,    23,  2387,  2388,     0,     0
3775, BEAM  ,    4,    23,  2388,  2389,     0,     0
3776, BEAM  ,    4,    23,  2389,  2390,     0,     0
3777, BEAM  ,    4,    23,  2390,  2391,     0,     0
3778, BEAM  ,    4,    23,  2391,  2392,     0,     0
3779, BEAM  ,    4,    23,  2392,  2393,     0,     0
3780, BEAM  ,    4,    23,  2393,  2394,     0,     0
3781, BEAM  ,    4,    23,  2394,  2395,     0,     0
3782, BEAM  ,    4,    23,  2395,  2396,     0,     0
3783, BEAM  ,    4,    23,  2396,  2397,     0,     0
3784, BEAM  ,    4,    23,  2397,  2398,     0,     0
3785, BEAM  ,    4,    23,  2398,  2399,     0,     0
3786, BEAM  ,    4,    23,  2399,  2400,     0,     0
3787, BEAM  ,    4,    23,  2400,  2401,     0,     0
3788, BEAM  ,    4,    23,  2401,  2402,     0,     0
3789, BEAM  ,    4,    23,  2402,  2403,     0,     0
3790, BEAM  ,    4,    23,  2403,  2404,     0,     0
3791, BEAM  ,    4,    23,  2404,  2405,     0,     0
3792, BEAM  ,    4,    23,  2405,  2406,     0,     0
3793, BEAM  ,    4,    23,  2406,  2407,     0,     0
3794, BEAM  ,    4,    23,  2407,  2408,     0,     0
3795, BEAM  ,    4,    23,  2408,  2409,     0,     0
3796, BEAM  ,    4,    23,  2409,  2410,     0,     0
3797, BEAM  ,    4,    23,  2410,  2411,     0,     0
3798, BEAM  ,    4,    23,  2411,  2412,     0,     0
3799, BEAM  ,    4,    23,  2412,  2413,     0,     0
3800, BEAM  ,    4,    23,  2413,  2414,     0,     0
3801, BEAM  ,    4,    23,  2414,  2415,     0,     0
3802, BEAM  ,    4,    23,  2415,  2416,     0,     0
3803, BEAM  ,    4,    23,  2417,  2418,     0,     0
3804, BEAM  ,    4,    23,  2418,  2419,     0,     0
3805, BEAM  ,    4,    23,  2419,  2420,     0,     0
3806, BEAM  ,    4,    23,  2420,  2421,     0,     0
3807, BEAM  ,    4,    23,  2421,  2422,     0,     0
3808, BEAM  ,    4,    23,  2422,  2423,     0,     0
3809, BEAM  ,    4,    23,  2423,  2424,     0,     0
3810, BEAM  ,    4,    23,  2424,  2425,     0,     0
3811, BEAM  ,    4,    23,  2425,  2426,     0,     0
3812, BEAM  ,    4,    23,  2426,  2427,     0,     0
3813, BEAM  ,    4,    23,  2427,  2428,     0,     0
3814, BEAM  ,    4,    23,  2428,  2429,     0,     0
3815, BEAM  ,    4,    23,  2429,  2430,     0,     0
3816, BEAM  ,    4,    23,  2430,  2431,     0,     0
3817, BEAM  ,    4,    23,  2431,  2432,     0,     0
3818, BEAM  ,    4,    23,  2432,  2433,     0,     0
3819, BEAM  ,    4,    23,  2433,  2434,     0,     0
3820, BEAM  ,    4,    23,  2434,  2435,     0,     0
3821, BEAM  ,    4,    23,  2435,  2436,     0,     0
3822, BEAM  ,    4,    23,  2436,  2437,     0,     0
3823, BEAM  ,    4,    23,  2437,  2438,     0,     0
3824, BEAM  ,    4,    23,  2438,  2439,     0,     0
3825, BEAM  ,    4,    23,  2439,  2440,     0,     0
3826, BEAM  ,    4,    23,  2440,  2441,     0,     0
3827, BEAM  ,    4,    23,  2441,  2442,     0,     0
3828, BEAM  ,    4,    23,  2442,  2443,     0,     0
3829, BEAM  ,    4,    23,  2443,  2444,     0,     0
3830, BEAM  ,    4,    23,  2444,  2445,     0,     0
3831, BEAM  ,    4,    23,  2445,  2446,     0,     0
3832, BEAM  ,    4,    23,  2446,  2447,     0,     0
3833, BEAM  ,    4,    23,  2447,  2448,     0,     0
3834, BEAM  ,    4,    23,  2448,  2449,     0,     0
3835, BEAM  ,    4,    23,  2449,  2450,     0,     0
3836, BEAM  ,    4,    23,  2450,  2451,     0,     0
3837, BEAM  ,    4,    23,  2451,  2452,     0,     0
3838, BEAM  ,    4,    23,  2452,  2453,     0,     0
3839, BEAM  ,    4,    23,  2453,  2454,     0,     0
3840, BEAM  ,    4,    23,  2454,  2455,     0,     0
3841, BEAM  ,    4,    23,  2455,  2456,     0,     0
3842, BEAM  ,    4,    23,  2456,  2457,     0,     0
3843, BEAM  ,    4,    23,  2457,  2458,     0,     0
3844, BEAM  ,    2,    18,  2459,  2417,     0,     0
3845, BEAM  ,    2,    18,  2460,  2418,     0,     0
3846, BEAM  ,    2,    18,  2461,  2419,     0,     0
```

```
3847, BEAM  ,    2,    18,  2462,  2420,     0,     0
3848, BEAM  ,    2,    18,  2463,  2421,     0,     0
3849, BEAM  ,    2,    18,  2464,  2422,     0,     0
3850, BEAM  ,    2,    18,  2465,  2423,     0,     0
3851, BEAM  ,    2,    18,  2466,  2424,     0,     0
3852, BEAM  ,    2,    18,  2467,  2425,     0,     0
3853, BEAM  ,    2,    18,  2468,  2426,     0,     0
3854, BEAM  ,    2,    18,  2469,  2427,     0,     0
3855, BEAM  ,    2,    18,  2470,  2428,     0,     0
3856, BEAM  ,    2,    18,  2471,  2429,     0,     0
3857, BEAM  ,    2,    18,  2472,  2430,     0,     0
3858, BEAM  ,    2,    18,  2473,  2431,     0,     0
3859, BEAM  ,    2,    18,  2474,  2432,     0,     0
3860, BEAM  ,    2,    18,  2475,  2433,     0,     0
3861, BEAM  ,    2,    18,  2476,  2434,     0,     0
3862, BEAM  ,    2,    18,  2477,  2435,     0,     0
3863, BEAM  ,    2,    18,  2478,  2436,     0,     0
3864, BEAM  ,    2,    18,  2479,  2437,     0,     0
3865, BEAM  ,    2,    18,  2480,  2438,     0,     0
3866, BEAM  ,    2,    18,  2481,  2439,     0,     0
3867, BEAM  ,    2,    18,  2482,  2440,     0,     0
3868, BEAM  ,    2,    18,  2483,  2441,     0,     0
3869, BEAM  ,    2,    18,  2484,  2442,     0,     0
3870, BEAM  ,    2,    18,  2485,  2443,     0,     0
3871, BEAM  ,    2,    18,  2486,  2444,     0,     0
3872, BEAM  ,    2,    18,  2487,  2445,     0,     0
3873, BEAM  ,    2,    18,  2488,  2446,     0,     0
3874, BEAM  ,    2,    18,  2489,  2447,     0,     0
3875, BEAM  ,    2,    18,  2490,  2448,     0,     0
3876, BEAM  ,    2,    18,  2491,  2449,     0,     0
3877, BEAM  ,    2,    18,  2492,  2450,     0,     0
3878, BEAM  ,    2,    18,  2493,  2451,     0,     0
3879, BEAM  ,    2,    18,  2494,  2452,     0,     0
3880, BEAM  ,    2,    18,  2495,  2453,     0,     0
3881, BEAM  ,    2,    18,  2496,  2454,     0,     0
3882, BEAM  ,    2,    18,  2497,  2455,     0,     0
3883, BEAM  ,    2,    18,  2498,  2456,     0,     0
3884, BEAM  ,    2,    18,  2499,  2457,     0,     0
3885, BEAM  ,    2,    18,  2500,  2458,     0,     0
3886, BEAM  ,    2,    18,  2501,   140,     0,     0
3887, BEAM  ,    2,    18,  2502,   156,     0,     0
3888, BEAM  ,    2,    18,  2503,   172,     0,     0
3889, BEAM  ,    2,    18,  2504,   180,     0,     0
3890, BEAM  ,    2,    18,  2505,   196,     0,     0
3891, BEAM  ,    2,    18,  2506,   212,     0,     0
3892, BEAM  ,    2,    18,  2507,   228,     0,     0
3893, BEAM  ,    2,    18,  2508,   244,     0,     0
3894, BEAM  ,    2,    18,  2509,   252,     0,     0
3895, BEAM  ,    2,    18,  2510,   268,     0,     0
3896, BEAM  ,    2,    18,  2511,   284,     0,     0
3897, BEAM  ,    2,    18,  2512,   300,     0,     0
3898, BEAM  ,    2,    18,  2513,   316,     0,     0
3899, BEAM  ,    2,    18,  2514,   324,     0,     0
3900, BEAM  ,    2,    18,  2515,   340,     0,     0
3901, BEAM  ,    2,    18,  2516,   356,     0,     0
3902, BEAM  ,    2,    18,  2517,   372,     0,     0
3903, BEAM  ,    2,    18,  2518,   388,     0,     0
3904, BEAM  ,    2,    18,  2519,   396,     0,     0
3905, BEAM  ,    2,    18,  2520,   412,     0,     0
3906, BEAM  ,    2,    18,  2521,   428,     0,     0
3907, BEAM  ,    2,    18,  2522,   444,     0,     0
3908, BEAM  ,    2,    18,  2523,   460,     0,     0
3909, BEAM  ,    2,    18,  2524,   468,     0,     0
3910, BEAM  ,    2,    18,  2525,   484,     0,     0
3911, BEAM  ,    2,    18,  2526,   500,     0,     0
3912, BEAM  ,    2,    18,  2527,   516,     0,     0
3913, BEAM  ,    2,    18,  2528,   532,     0,     0
3914, BEAM  ,    2,    18,  2529,   540,     0,     0
3915, BEAM  ,    2,    18,  2530,   556,     0,     0
3916, BEAM  ,    2,    18,  2531,   572,     0,     0
3917, BEAM  ,    2,    18,  2532,   588,     0,     0
3918, BEAM  ,    2,    18,  2533,   604,     0,     0
3919, BEAM  ,    2,    18,  2534,   612,     0,     0
3920, BEAM  ,    2,    18,  2535,   628,     0,     0
3921, BEAM  ,    2,    18,  2536,   644,     0,     0
3922, BEAM  ,    2,    18,  2537,   660,     0,     0
3923, BEAM  ,    2,    18,  2538,   676,     0,     0
3924, BEAM  ,    2,    18,  2539,   684,     0,     0
```

```
3925, BEAM  ,    2,    18,  2540,   700,     0,     0
3926, BEAM  ,    2,    18,  2541,   716,     0,     0
3927, BEAM  ,    2,    18,  2542,   732,     0,     0
3928, BEAM  ,    2,    18,  2543,   138,     0,     0
3929, BEAM  ,    2,    18,  2544,   154,     0,     0
3930, BEAM  ,    2,    18,  2545,   170,     0,     0
3931, BEAM  ,    2,    18,  2546,   178,     0,     0
3932, BEAM  ,    2,    18,  2547,   194,     0,     0
3933, BEAM  ,    2,    18,  2548,   210,     0,     0
3934, BEAM  ,    2,    18,  2549,   226,     0,     0
3935, BEAM  ,    2,    18,  2550,   242,     0,     0
3936, BEAM  ,    2,    18,  2551,   250,     0,     0
3937, BEAM  ,    2,    18,  2552,   266,     0,     0
3938, BEAM  ,    2,    18,  2553,   282,     0,     0
3939, BEAM  ,    2,    18,  2554,   298,     0,     0
3940, BEAM  ,    2,    18,  2555,   314,     0,     0
3941, BEAM  ,    2,    18,  2556,   322,     0,     0
3942, BEAM  ,    2,    18,  2557,   338,     0,     0
3943, BEAM  ,    2,    18,  2558,   354,     0,     0
3944, BEAM  ,    2,    18,  2559,   370,     0,     0
3945, BEAM  ,    2,    18,  2560,   386,     0,     0
3946, BEAM  ,    2,    18,  2561,   394,     0,     0
3947, BEAM  ,    2,    18,  2562,   410,     0,     0
3948, BEAM  ,    2,    18,  2563,   426,     0,     0
3949, BEAM  ,    2,    18,  2564,   442,     0,     0
3950, BEAM  ,    2,    18,  2565,   458,     0,     0
3951, BEAM  ,    2,    18,  2566,   466,     0,     0
3952, BEAM  ,    2,    18,  2567,   482,     0,     0
3953, BEAM  ,    2,    18,  2568,   498,     0,     0
3954, BEAM  ,    2,    18,  2569,   514,     0,     0
3955, BEAM  ,    2,    18,  2570,   530,     0,     0
3956, BEAM  ,    2,    18,  2571,   538,     0,     0
3957, BEAM  ,    2,    18,  2572,   554,     0,     0
3958, BEAM  ,    2,    18,  2573,   570,     0,     0
3959, BEAM  ,    2,    18,  2574,   586,     0,     0
3960, BEAM  ,    2,    18,  2575,   602,     0,     0
3961, BEAM  ,    2,    18,  2576,   610,     0,     0
3962, BEAM  ,    2,    18,  2577,   626,     0,     0
3963, BEAM  ,    2,    18,  2578,   642,     0,     0
3964, BEAM  ,    2,    18,  2579,   658,     0,     0
3965, BEAM  ,    2,    18,  2580,   674,     0,     0
3966, BEAM  ,    2,    18,  2581,   682,     0,     0
3967, BEAM  ,    2,    18,  2582,   698,     0,     0
3968, BEAM  ,    2,    18,  2583,   714,     0,     0
3969, BEAM  ,    2,    18,  2584,   730,     0,     0
3970, BEAM  ,    2,    18,  2585,  2711,     0,     0
3971, BEAM  ,    2,    18,  2586,  2712,     0,     0
3972, BEAM  ,    2,    18,  2587,  2713,     0,     0
3973, BEAM  ,    2,    18,  2588,  2714,     0,     0
3974, BEAM  ,    2,    18,  2589,  2715,     0,     0
3975, BEAM  ,    2,    18,  2590,  2716,     0,     0
3976, BEAM  ,    2,    18,  2591,  2717,     0,     0
3977, BEAM  ,    2,    18,  2592,  2718,     0,     0
3978, BEAM  ,    2,    18,  2593,  2719,     0,     0
3979, BEAM  ,    2,    18,  2594,  2720,     0,     0
3980, BEAM  ,    2,    18,  2595,  2721,     0,     0
3981, BEAM  ,    2,    18,  2596,  2722,     0,     0
3982, BEAM  ,    2,    18,  2597,  2723,     0,     0
3983, BEAM  ,    2,    18,  2598,  2724,     0,     0
3984, BEAM  ,    2,    18,  2599,  2725,     0,     0
3985, BEAM  ,    2,    18,  2600,  2726,     0,     0
3986, BEAM  ,    2,    18,  2601,  2727,     0,     0
3987, BEAM  ,    2,    18,  2602,  2728,     0,     0
3988, BEAM  ,    2,    18,  2603,  2729,     0,     0
3989, BEAM  ,    2,    18,  2604,  2730,     0,     0
3990, BEAM  ,    2,    18,  2605,  2731,     0,     0
3991, BEAM  ,    2,    18,  2606,  2732,     0,     0
3992, BEAM  ,    2,    18,  2607,  2733,     0,     0
3993, BEAM  ,    2,    18,  2608,  2734,     0,     0
3994, BEAM  ,    2,    18,  2609,  2735,     0,     0
3995, BEAM  ,    2,    18,  2610,  2736,     0,     0
3996, BEAM  ,    2,    18,  2611,  2737,     0,     0
3997, BEAM  ,    2,    18,  2612,  2738,     0,     0
3998, BEAM  ,    2,    18,  2613,  2739,     0,     0
3999, BEAM  ,    2,    18,  2614,  2740,     0,     0
4000, BEAM  ,    2,    18,  2615,  2741,     0,     0
4001, BEAM  ,    2,    18,  2616,  2742,     0,     0
4002, BEAM  ,    2,    18,  2617,  2743,     0,     0
```

```
4003, BEAM  ,    2,    18,  2618,  2744,     0,     0
4004, BEAM  ,    2,    18,  2619,  2745,     0,     0
4005, BEAM  ,    2,    18,  2620,  2746,     0,     0
4006, BEAM  ,    2,    18,  2621,  2747,     0,     0
4007, BEAM  ,    2,    18,  2622,  2748,     0,     0
4008, BEAM  ,    2,    18,  2623,  2749,     0,     0
4009, BEAM  ,    2,    18,  2624,  2750,     0,     0
4010, BEAM  ,    2,    18,  2625,  2751,     0,     0
4011, BEAM  ,    2,    18,  2626,  2752,     0,     0
4012, BEAM  ,    4,    24,   139,   155,     0,     0
4013, BEAM  ,    4,    24,   155,   171,     0,     0
4014, BEAM  ,    4,    24,   171,   179,     0,     0
4015, BEAM  ,    4,    24,   179,   195,     0,     0
4016, BEAM  ,    4,    24,   195,   211,     0,     0
4017, BEAM  ,    4,    24,   211,   227,     0,     0
4018, BEAM  ,    4,    24,   227,   243,     0,     0
4019, BEAM  ,    4,    24,   243,   251,     0,     0
4020, BEAM  ,    4,    24,   251,   267,     0,     0
4021, BEAM  ,    4,    24,   267,   283,     0,     0
4022, BEAM  ,    4,    24,   283,   299,     0,     0
4023, BEAM  ,    4,    24,   299,   315,     0,     0
4024, BEAM  ,    4,    24,   315,   323,     0,     0
4025, BEAM  ,    4,    24,   323,   339,     0,     0
4026, BEAM  ,    4,    24,   339,   355,     0,     0
4027, BEAM  ,    4,    24,   355,   371,     0,     0
4028, BEAM  ,    4,    24,   371,   387,     0,     0
4029, BEAM  ,    4,    24,   387,   395,     0,     0
4030, BEAM  ,    4,    24,   395,   411,     0,     0
4031, BEAM  ,    4,    24,   411,   427,     0,     0
4032, BEAM  ,    4,    24,   427,   443,     0,     0
4033, BEAM  ,    4,    24,   443,   459,     0,     0
4034, BEAM  ,    4,    24,   459,   467,     0,     0
4035, BEAM  ,    4,    24,   467,   483,     0,     0
4036, BEAM  ,    4,    24,   483,   499,     0,     0
4037, BEAM  ,    4,    24,   499,   515,     0,     0
4038, BEAM  ,    4,    24,   515,   531,     0,     0
4039, BEAM  ,    4,    24,   531,   539,     0,     0
4040, BEAM  ,    4,    24,   539,   555,     0,     0
4041, BEAM  ,    4,    24,   555,   571,     0,     0
4042, BEAM  ,    4,    24,   571,   587,     0,     0
4043, BEAM  ,    4,    24,   587,   603,     0,     0
4044, BEAM  ,    4,    24,   603,   611,     0,     0
4045, BEAM  ,    4,    24,   611,   627,     0,     0
4046, BEAM  ,    4,    24,   627,   643,     0,     0
4047, BEAM  ,    4,    24,   643,   659,     0,     0
4048, BEAM  ,    4,    24,   659,   675,     0,     0
4049, BEAM  ,    4,    24,   675,   683,     0,     0
4050, BEAM  ,    4,    24,   683,   699,     0,     0
4051, BEAM  ,    4,    24,   699,   715,     0,     0
4052, BEAM  ,    4,    24,   715,   731,     0,     0
4053, BEAM  ,    4,    24,  2459,  2460,     0,     0
4054, BEAM  ,    4,    24,  2460,  2461,     0,     0
4055, BEAM  ,    4,    24,  2461,  2462,     0,     0
4056, BEAM  ,    4,    24,  2462,  2463,     0,     0
4057, BEAM  ,    4,    24,  2463,  2464,     0,     0
4058, BEAM  ,    4,    24,  2464,  2465,     0,     0
4059, BEAM  ,    4,    24,  2465,  2466,     0,     0
4060, BEAM  ,    4,    24,  2466,  2467,     0,     0
4061, BEAM  ,    4,    24,  2467,  2468,     0,     0
4062, BEAM  ,    4,    24,  2468,  2469,     0,     0
4063, BEAM  ,    4,    24,  2469,  2470,     0,     0
4064, BEAM  ,    4,    24,  2470,  2471,     0,     0
4065, BEAM  ,    4,    24,  2471,  2472,     0,     0
4066, BEAM  ,    4,    24,  2472,  2473,     0,     0
4067, BEAM  ,    4,    24,  2473,  2474,     0,     0
4068, BEAM  ,    4,    24,  2474,  2475,     0,     0
4069, BEAM  ,    4,    24,  2475,  2476,     0,     0
4070, BEAM  ,    4,    24,  2476,  2477,     0,     0
4071, BEAM  ,    4,    24,  2477,  2478,     0,     0
4072, BEAM  ,    4,    24,  2478,  2479,     0,     0
4073, BEAM  ,    4,    24,  2479,  2480,     0,     0
4074, BEAM  ,    4,    24,  2480,  2481,     0,     0
4075, BEAM  ,    4,    24,  2481,  2482,     0,     0
4076, BEAM  ,    4,    24,  2482,  2483,     0,     0
4077, BEAM  ,    4,    24,  2483,  2484,     0,     0
4078, BEAM  ,    4,    24,  2484,  2485,     0,     0
4079, BEAM  ,    4,    24,  2485,  2486,     0,     0
4080, BEAM  ,    4,    24,  2486,  2487,     0,     0
```

```
4081, BEAM  ,    4,    24,  2487,  2488,     0,     0
4082, BEAM  ,    4,    24,  2488,  2489,     0,     0
4083, BEAM  ,    4,    24,  2489,  2490,     0,     0
4084, BEAM  ,    4,    24,  2490,  2491,     0,     0
4085, BEAM  ,    4,    24,  2491,  2492,     0,     0
4086, BEAM  ,    4,    24,  2492,  2493,     0,     0
4087, BEAM  ,    4,    24,  2493,  2494,     0,     0
4088, BEAM  ,    4,    24,  2494,  2495,     0,     0
4089, BEAM  ,    4,    24,  2495,  2496,     0,     0
4090, BEAM  ,    4,    24,  2496,  2497,     0,     0
4091, BEAM  ,    4,    24,  2497,  2498,     0,     0
4092, BEAM  ,    4,    24,  2498,  2499,     0,     0
4093, BEAM  ,    4,    24,  2499,  2500,     0,     0
4094, BEAM  ,    4,    24,  2501,  2502,     0,     0
4095, BEAM  ,    4,    24,  2502,  2503,     0,     0
4096, BEAM  ,    4,    24,  2503,  2504,     0,     0
4097, BEAM  ,    4,    24,  2504,  2505,     0,     0
4098, BEAM  ,    4,    24,  2505,  2506,     0,     0
4099, BEAM  ,    4,    24,  2506,  2507,     0,     0
4100, BEAM  ,    4,    24,  2507,  2508,     0,     0
4101, BEAM  ,    4,    24,  2508,  2509,     0,     0
4102, BEAM  ,    4,    24,  2509,  2510,     0,     0
4103, BEAM  ,    4,    24,  2510,  2511,     0,     0
4104, BEAM  ,    4,    24,  2511,  2512,     0,     0
4105, BEAM  ,    4,    24,  2512,  2513,     0,     0
4106, BEAM  ,    4,    24,  2513,  2514,     0,     0
4107, BEAM  ,    4,    24,  2514,  2515,     0,     0
4108, BEAM  ,    4,    24,  2515,  2516,     0,     0
4109, BEAM  ,    4,    24,  2516,  2517,     0,     0
4110, BEAM  ,    4,    24,  2517,  2518,     0,     0
4111, BEAM  ,    4,    24,  2518,  2519,     0,     0
4112, BEAM  ,    4,    24,  2519,  2520,     0,     0
4113, BEAM  ,    4,    24,  2520,  2521,     0,     0
4114, BEAM  ,    4,    24,  2521,  2522,     0,     0
4115, BEAM  ,    4,    24,  2522,  2523,     0,     0
4116, BEAM  ,    4,    24,  2523,  2524,     0,     0
4117, BEAM  ,    4,    24,  2524,  2525,     0,     0
4118, BEAM  ,    4,    24,  2525,  2526,     0,     0
4119, BEAM  ,    4,    24,  2526,  2527,     0,     0
4120, BEAM  ,    4,    24,  2527,  2528,     0,     0
4121, BEAM  ,    4,    24,  2528,  2529,     0,     0
4122, BEAM  ,    4,    24,  2529,  2530,     0,     0
4123, BEAM  ,    4,    24,  2530,  2531,     0,     0
4124, BEAM  ,    4,    24,  2531,  2532,     0,     0
4125, BEAM  ,    4,    24,  2532,  2533,     0,     0
4126, BEAM  ,    4,    24,  2533,  2534,     0,     0
4127, BEAM  ,    4,    24,  2534,  2535,     0,     0
4128, BEAM  ,    4,    24,  2535,  2536,     0,     0
4129, BEAM  ,    4,    24,  2536,  2537,     0,     0
4130, BEAM  ,    4,    24,  2537,  2538,     0,     0
4131, BEAM  ,    4,    24,  2538,  2539,     0,     0
4132, BEAM  ,    4,    24,  2539,  2540,     0,     0
4133, BEAM  ,    4,    24,  2540,  2541,     0,     0
4134, BEAM  ,    4,    24,  2541,  2542,     0,     0
4135, BEAM  ,    4,    24,  2543,  2544,     0,     0
4136, BEAM  ,    4,    24,  2544,  2545,     0,     0
4137, BEAM  ,    4,    24,  2545,  2546,     0,     0
4138, BEAM  ,    4,    24,  2546,  2547,     0,     0
4139, BEAM  ,    4,    24,  2547,  2548,     0,     0
4140, BEAM  ,    4,    24,  2548,  2549,     0,     0
4141, BEAM  ,    4,    24,  2549,  2550,     0,     0
4142, BEAM  ,    4,    24,  2550,  2551,     0,     0
4143, BEAM  ,    4,    24,  2551,  2552,     0,     0
4144, BEAM  ,    4,    24,  2552,  2553,     0,     0
4145, BEAM  ,    4,    24,  2553,  2554,     0,     0
4146, BEAM  ,    4,    24,  2554,  2555,     0,     0
4147, BEAM  ,    4,    24,  2555,  2556,     0,     0
4148, BEAM  ,    4,    24,  2556,  2557,     0,     0
4149, BEAM  ,    4,    24,  2557,  2558,     0,     0
4150, BEAM  ,    4,    24,  2558,  2559,     0,     0
4151, BEAM  ,    4,    24,  2559,  2560,     0,     0
4152, BEAM  ,    4,    24,  2560,  2561,     0,     0
4153, BEAM  ,    4,    24,  2561,  2562,     0,     0
4154, BEAM  ,    4,    24,  2562,  2563,     0,     0
4155, BEAM  ,    4,    24,  2563,  2564,     0,     0
4156, BEAM  ,    4,    24,  2564,  2565,     0,     0
4157, BEAM  ,    4,    24,  2565,  2566,     0,     0
4158, BEAM  ,    4,    24,  2566,  2567,     0,     0
```

```
4159, BEAM  ,    4,    24,  2567,  2568,     0,     0
4160, BEAM  ,    4,    24,  2568,  2569,     0,     0
4161, BEAM  ,    4,    24,  2569,  2570,     0,     0
4162, BEAM  ,    4,    24,  2570,  2571,     0,     0
4163, BEAM  ,    4,    24,  2571,  2572,     0,     0
4164, BEAM  ,    4,    24,  2572,  2573,     0,     0
4165, BEAM  ,    4,    24,  2573,  2574,     0,     0
4166, BEAM  ,    4,    24,  2574,  2575,     0,     0
4167, BEAM  ,    4,    24,  2575,  2576,     0,     0
4168, BEAM  ,    4,    24,  2576,  2577,     0,     0
4169, BEAM  ,    4,    24,  2577,  2578,     0,     0
4170, BEAM  ,    4,    24,  2578,  2579,     0,     0
4171, BEAM  ,    4,    24,  2579,  2580,     0,     0
4172, BEAM  ,    4,    24,  2580,  2581,     0,     0
4173, BEAM  ,    4,    24,  2581,  2582,     0,     0
4174, BEAM  ,    4,    24,  2582,  2583,     0,     0
4175, BEAM  ,    4,    24,  2583,  2584,     0,     0
4176, BEAM  ,    4,    24,  2585,  2586,     0,     0
4177, BEAM  ,    4,    24,  2586,  2587,     0,     0
4178, BEAM  ,    4,    24,  2587,  2588,     0,     0
4179, BEAM  ,    4,    24,  2588,  2589,     0,     0
4180, BEAM  ,    4,    24,  2589,  2590,     0,     0
4181, BEAM  ,    4,    24,  2590,  2591,     0,     0
4182, BEAM  ,    4,    24,  2591,  2592,     0,     0
4183, BEAM  ,    4,    24,  2592,  2593,     0,     0
4184, BEAM  ,    4,    24,  2593,  2594,     0,     0
4185, BEAM  ,    4,    24,  2594,  2595,     0,     0
4186, BEAM  ,    4,    24,  2595,  2596,     0,     0
4187, BEAM  ,    4,    24,  2596,  2597,     0,     0
4188, BEAM  ,    4,    24,  2597,  2598,     0,     0
4189, BEAM  ,    4,    24,  2598,  2599,     0,     0
4190, BEAM  ,    4,    24,  2599,  2600,     0,     0
4191, BEAM  ,    4,    24,  2600,  2601,     0,     0
4192, BEAM  ,    4,    24,  2601,  2602,     0,     0
4193, BEAM  ,    4,    24,  2602,  2603,     0,     0
4194, BEAM  ,    4,    24,  2603,  2604,     0,     0
4195, BEAM  ,    4,    24,  2604,  2605,     0,     0
4196, BEAM  ,    4,    24,  2605,  2606,     0,     0
4197, BEAM  ,    4,    24,  2606,  2607,     0,     0
4198, BEAM  ,    4,    24,  2607,  2608,     0,     0
4199, BEAM  ,    4,    24,  2608,  2609,     0,     0
4200, BEAM  ,    4,    24,  2609,  2610,     0,     0
4201, BEAM  ,    4,    24,  2610,  2611,     0,     0
4202, BEAM  ,    4,    24,  2611,  2612,     0,     0
4203, BEAM  ,    4,    24,  2612,  2613,     0,     0
4204, BEAM  ,    4,    24,  2613,  2614,     0,     0
4205, BEAM  ,    4,    24,  2614,  2615,     0,     0
4206, BEAM  ,    4,    24,  2615,  2616,     0,     0
4207, BEAM  ,    4,    24,  2616,  2617,     0,     0
4208, BEAM  ,    4,    24,  2617,  2618,     0,     0
4209, BEAM  ,    4,    24,  2618,  2619,     0,     0
4210, BEAM  ,    4,    24,  2619,  2620,     0,     0
4211, BEAM  ,    4,    24,  2620,  2621,     0,     0
4212, BEAM  ,    4,    24,  2621,  2622,     0,     0
4213, BEAM  ,    4,    24,  2622,  2623,     0,     0
4214, BEAM  ,    4,    24,  2623,  2624,     0,     0
4215, BEAM  ,    4,    24,  2624,  2625,     0,     0
4216, BEAM  ,    4,    24,  2625,  2626,     0,     0
4217, BEAM  ,    2,    18,  2627,  2375,     0,     0
4218, BEAM  ,    2,    18,  2628,  2376,     0,     0
4219, BEAM  ,    2,    18,  2629,  2377,     0,     0
4220, BEAM  ,    2,    18,  2630,  2378,     0,     0
4221, BEAM  ,    2,    18,  2631,  2379,     0,     0
4222, BEAM  ,    2,    18,  2632,  2380,     0,     0
4223, BEAM  ,    2,    18,  2633,  2381,     0,     0
4224, BEAM  ,    2,    18,  2634,  2382,     0,     0
4225, BEAM  ,    2,    18,  2635,  2383,     0,     0
4226, BEAM  ,    2,    18,  2636,  2384,     0,     0
4227, BEAM  ,    2,    18,  2637,  2385,     0,     0
4228, BEAM  ,    2,    18,  2638,  2386,     0,     0
4229, BEAM  ,    2,    18,  2639,  2387,     0,     0
4230, BEAM  ,    2,    18,  2640,  2388,     0,     0
4231, BEAM  ,    2,    18,  2641,  2389,     0,     0
4232, BEAM  ,    2,    18,  2642,  2390,     0,     0
4233, BEAM  ,    2,    18,  2643,  2391,     0,     0
4234, BEAM  ,    2,    18,  2644,  2392,     0,     0
4235, BEAM  ,    2,    18,  2645,  2393,     0,     0
4236, BEAM  ,    2,    18,  2646,  2394,     0,     0
```

```
4237, BEAM  ,    2,    18,  2647,  2395,     0,     0
4238, BEAM  ,    2,    18,  2648,  2396,     0,     0
4239, BEAM  ,    2,    18,  2649,  2397,     0,     0
4240, BEAM  ,    2,    18,  2650,  2398,     0,     0
4241, BEAM  ,    2,    18,  2651,  2399,     0,     0
4242, BEAM  ,    2,    18,  2652,  2400,     0,     0
4243, BEAM  ,    2,    18,  2653,  2401,     0,     0
4244, BEAM  ,    2,    18,  2654,  2402,     0,     0
4245, BEAM  ,    2,    18,  2655,  2403,     0,     0
4246, BEAM  ,    2,    18,  2656,  2404,     0,     0
4247, BEAM  ,    2,    18,  2657,  2405,     0,     0
4248, BEAM  ,    2,    18,  2658,  2406,     0,     0
4249, BEAM  ,    2,    18,  2659,  2407,     0,     0
4250, BEAM  ,    2,    18,  2660,  2408,     0,     0
4251, BEAM  ,    2,    18,  2661,  2409,     0,     0
4252, BEAM  ,    2,    18,  2662,  2410,     0,     0
4253, BEAM  ,    2,    18,  2663,  2411,     0,     0
4254, BEAM  ,    2,    18,  2664,  2412,     0,     0
4255, BEAM  ,    2,    18,  2665,  2413,     0,     0
4256, BEAM  ,    2,    18,  2666,  2414,     0,     0
4257, BEAM  ,    2,    18,  2667,  2415,     0,     0
4258, BEAM  ,    2,    18,  2668,  2416,     0,     0
4259, BEAM  ,    2,    18,  2669,  2459,     0,     0
4260, BEAM  ,    2,    18,  2670,  2460,     0,     0
4261, BEAM  ,    2,    18,  2671,  2461,     0,     0
4262, BEAM  ,    2,    18,  2672,  2462,     0,     0
4263, BEAM  ,    2,    18,  2673,  2463,     0,     0
4264, BEAM  ,    2,    18,  2674,  2464,     0,     0
4265, BEAM  ,    2,    18,  2675,  2465,     0,     0
4266, BEAM  ,    2,    18,  2676,  2466,     0,     0
4267, BEAM  ,    2,    18,  2677,  2467,     0,     0
4268, BEAM  ,    2,    18,  2678,  2468,     0,     0
4269, BEAM  ,    2,    18,  2679,  2469,     0,     0
4270, BEAM  ,    2,    18,  2680,  2470,     0,     0
4271, BEAM  ,    2,    18,  2681,  2471,     0,     0
4272, BEAM  ,    2,    18,  2682,  2472,     0,     0
4273, BEAM  ,    2,    18,  2683,  2473,     0,     0
4274, BEAM  ,    2,    18,  2684,  2474,     0,     0
4275, BEAM  ,    2,    18,  2685,  2475,     0,     0
4276, BEAM  ,    2,    18,  2686,  2476,     0,     0
4277, BEAM  ,    2,    18,  2687,  2477,     0,     0
4278, BEAM  ,    2,    18,  2688,  2478,     0,     0
4279, BEAM  ,    2,    18,  2689,  2479,     0,     0
4280, BEAM  ,    2,    18,  2690,  2480,     0,     0
4281, BEAM  ,    2,    18,  2691,  2481,     0,     0
4282, BEAM  ,    2,    18,  2692,  2482,     0,     0
4283, BEAM  ,    2,    18,  2693,  2483,     0,     0
4284, BEAM  ,    2,    18,  2694,  2484,     0,     0
4285, BEAM  ,    2,    18,  2695,  2485,     0,     0
4286, BEAM  ,    2,    18,  2696,  2486,     0,     0
4287, BEAM  ,    2,    18,  2697,  2487,     0,     0
4288, BEAM  ,    2,    18,  2698,  2488,     0,     0
4289, BEAM  ,    2,    18,  2699,  2489,     0,     0
4290, BEAM  ,    2,    18,  2700,  2490,     0,     0
4291, BEAM  ,    2,    18,  2701,  2491,     0,     0
4292, BEAM  ,    2,    18,  2702,  2492,     0,     0
4293, BEAM  ,    2,    18,  2703,  2493,     0,     0
4294, BEAM  ,    2,    18,  2704,  2494,     0,     0
4295, BEAM  ,    2,    18,  2705,  2495,     0,     0
4296, BEAM  ,    2,    18,  2706,  2496,     0,     0
4297, BEAM  ,    2,    18,  2707,  2497,     0,     0
4298, BEAM  ,    2,    18,  2708,  2498,     0,     0
4299, BEAM  ,    2,    18,  2709,  2499,     0,     0
4300, BEAM  ,    2,    18,  2710,  2500,     0,     0
4301, BEAM  ,    2,    18,  2711,  2291,     0,     0
4302, BEAM  ,    2,    18,  2712,  2292,     0,     0
4303, BEAM  ,    2,    18,  2713,  2293,     0,     0
4304, BEAM  ,    2,    18,  2714,  2294,     0,     0
4305, BEAM  ,    2,    18,  2715,  2295,     0,     0
4306, BEAM  ,    2,    18,  2716,  2296,     0,     0
4307, BEAM  ,    2,    18,  2717,  2297,     0,     0
4308, BEAM  ,    2,    18,  2718,  2298,     0,     0
4309, BEAM  ,    2,    18,  2719,  2299,     0,     0
4310, BEAM  ,    2,    18,  2720,  2300,     0,     0
4311, BEAM  ,    2,    18,  2721,  2301,     0,     0
4312, BEAM  ,    2,    18,  2722,  2302,     0,     0
4313, BEAM  ,    2,    18,  2723,  2303,     0,     0
4314, BEAM  ,    2,    18,  2724,  2304,     0,     0
```

```
4315, BEAM  ,    2,    18,  2725,  2305,     0,     0
4316, BEAM  ,    2,    18,  2726,  2306,     0,     0
4317, BEAM  ,    2,    18,  2727,  2307,     0,     0
4318, BEAM  ,    2,    18,  2728,  2308,     0,     0
4319, BEAM  ,    2,    18,  2729,  2309,     0,     0
4320, BEAM  ,    2,    18,  2730,  2310,     0,     0
4321, BEAM  ,    2,    18,  2731,  2311,     0,     0
4322, BEAM  ,    2,    18,  2732,  2312,     0,     0
4323, BEAM  ,    2,    18,  2733,  2313,     0,     0
4324, BEAM  ,    2,    18,  2734,  2314,     0,     0
4325, BEAM  ,    2,    18,  2735,  2315,     0,     0
4326, BEAM  ,    2,    18,  2736,  2316,     0,     0
4327, BEAM  ,    2,    18,  2737,  2317,     0,     0
4328, BEAM  ,    2,    18,  2738,  2318,     0,     0
4329, BEAM  ,    2,    18,  2739,  2319,     0,     0
4330, BEAM  ,    2,    18,  2740,  2320,     0,     0
4331, BEAM  ,    2,    18,  2741,  2321,     0,     0
4332, BEAM  ,    2,    18,  2742,  2322,     0,     0
4333, BEAM  ,    2,    18,  2743,  2323,     0,     0
4334, BEAM  ,    2,    18,  2744,  2324,     0,     0
4335, BEAM  ,    2,    18,  2745,  2325,     0,     0
4336, BEAM  ,    2,    18,  2746,  2326,     0,     0
4337, BEAM  ,    2,    18,  2747,  2327,     0,     0
4338, BEAM  ,    2,    18,  2748,  2328,     0,     0
4339, BEAM  ,    2,    18,  2749,  2329,     0,     0
4340, BEAM  ,    2,    18,  2750,  2330,     0,     0
4341, BEAM  ,    2,    18,  2751,  2331,     0,     0
4342, BEAM  ,    2,    18,  2752,  2332,     0,     0
4343, BEAM  ,    2,    18,  2753,  1283,     0,     0
4344, BEAM  ,    2,    18,  2754,  1284,     0,     0
4345, BEAM  ,    2,    18,  2755,  1285,     0,     0
4346, BEAM  ,    2,    18,  2756,  1286,     0,     0
4347, BEAM  ,    2,    18,  2757,  1287,     0,     0
4348, BEAM  ,    2,    18,  2758,  1288,     0,     0
4349, BEAM  ,    2,    18,  2759,  1289,     0,     0
4350, BEAM  ,    2,    18,  2760,  1290,     0,     0
4351, BEAM  ,    2,    18,  2761,  1291,     0,     0
4352, BEAM  ,    2,    18,  2762,  1292,     0,     0
4353, BEAM  ,    2,    18,  2763,  1293,     0,     0
4354, BEAM  ,    2,    18,  2764,  1294,     0,     0
4355, BEAM  ,    2,    18,  2765,  1295,     0,     0
4356, BEAM  ,    2,    18,  2766,  1296,     0,     0
4357, BEAM  ,    2,    18,  2767,  1297,     0,     0
4358, BEAM  ,    2,    18,  2768,  1298,     0,     0
4359, BEAM  ,    2,    18,  2769,  1299,     0,     0
4360, BEAM  ,    2,    18,  2770,  1300,     0,     0
4361, BEAM  ,    2,    18,  2771,  1301,     0,     0
4362, BEAM  ,    2,    18,  2772,  1302,     0,     0
4363, BEAM  ,    2,    18,  2773,  1303,     0,     0
4364, BEAM  ,    2,    18,  2774,  1304,     0,     0
4365, BEAM  ,    2,    18,  2775,  1305,     0,     0
4366, BEAM  ,    2,    18,  2776,  1306,     0,     0
4367, BEAM  ,    2,    18,  2777,  1307,     0,     0
4368, BEAM  ,    2,    18,  2778,  1308,     0,     0
4369, BEAM  ,    2,    18,  2779,  1309,     0,     0
4370, BEAM  ,    2,    18,  2780,  1310,     0,     0
4371, BEAM  ,    2,    18,  2781,  1311,     0,     0
4372, BEAM  ,    2,    18,  2782,  1312,     0,     0
4373, BEAM  ,    2,    18,  2783,  1313,     0,     0
4374, BEAM  ,    2,    18,  2784,  1314,     0,     0
4375, BEAM  ,    2,    18,  2785,  1315,     0,     0
4376, BEAM  ,    2,    18,  2786,  1316,     0,     0
4377, BEAM  ,    2,    18,  2787,  1317,     0,     0
4378, BEAM  ,    2,    18,  2788,  1318,     0,     0
4379, BEAM  ,    2,    18,  2789,  1319,     0,     0
4380, BEAM  ,    2,    18,  2790,  1320,     0,     0
4381, BEAM  ,    2,    18,  2791,  1321,     0,     0
4382, BEAM  ,    2,    18,  2792,  1322,     0,     0
4383, BEAM  ,    2,    18,  2793,  1323,     0,     0
4384, BEAM  ,    2,    18,  2794,  1324,     0,     0
4385, BEAM  ,    4,    26,   138,   154,     0,     0
4386, BEAM  ,    4,    26,   154,   170,     0,     0
4387, BEAM  ,    4,    26,   170,   178,     0,     0
4388, BEAM  ,    4,    26,   178,   194,     0,     0
4389, BEAM  ,    4,    26,   194,   210,     0,     0
4390, BEAM  ,    4,    26,   210,   226,     0,     0
4391, BEAM  ,    4,    26,   226,   242,     0,     0
4392, BEAM  ,    4,    26,   242,   250,     0,     0
```

```
4393, BEAM  ,    4,    26,   250,   266,     0,     0
4394, BEAM  ,    4,    26,   266,   282,     0,     0
4395, BEAM  ,    4,    26,   282,   298,     0,     0
4396, BEAM  ,    4,    26,   298,   314,     0,     0
4397, BEAM  ,    4,    26,   314,   322,     0,     0
4398, BEAM  ,    4,    26,   322,   338,     0,     0
4399, BEAM  ,    4,    26,   338,   354,     0,     0
4400, BEAM  ,    4,    26,   354,   370,     0,     0
4401, BEAM  ,    4,    26,   370,   386,     0,     0
4402, BEAM  ,    4,    26,   386,   394,     0,     0
4403, BEAM  ,    4,    26,   394,   410,     0,     0
4404, BEAM  ,    4,    26,   410,   426,     0,     0
4405, BEAM  ,    4,    26,   426,   442,     0,     0
4406, BEAM  ,    4,    26,   442,   458,     0,     0
4407, BEAM  ,    4,    26,   458,   466,     0,     0
4408, BEAM  ,    4,    26,   466,   482,     0,     0
4409, BEAM  ,    4,    26,   482,   498,     0,     0
4410, BEAM  ,    4,    26,   498,   514,     0,     0
4411, BEAM  ,    4,    26,   514,   530,     0,     0
4412, BEAM  ,    4,    26,   530,   538,     0,     0
4413, BEAM  ,    4,    26,   538,   554,     0,     0
4414, BEAM  ,    4,    26,   554,   570,     0,     0
4415, BEAM  ,    4,    26,   570,   586,     0,     0
4416, BEAM  ,    4,    26,   586,   602,     0,     0
4417, BEAM  ,    4,    26,   602,   610,     0,     0
4418, BEAM  ,    4,    26,   610,   626,     0,     0
4419, BEAM  ,    4,    26,   626,   642,     0,     0
4420, BEAM  ,    4,    26,   642,   658,     0,     0
4421, BEAM  ,    4,    26,   658,   674,     0,     0
4422, BEAM  ,    4,    26,   674,   682,     0,     0
4423, BEAM  ,    4,    26,   682,   698,     0,     0
4424, BEAM  ,    4,    26,   698,   714,     0,     0
4425, BEAM  ,    4,    26,   714,   730,     0,     0
4426, BEAM  ,    4,    26,  2711,  2712,     0,     0
4427, BEAM  ,    4,    26,  2712,  2713,     0,     0
4428, BEAM  ,    4,    26,  2713,  2714,     0,     0
4429, BEAM  ,    4,    26,  2714,  2715,     0,     0
4430, BEAM  ,    4,    26,  2715,  2716,     0,     0
4431, BEAM  ,    4,    26,  2716,  2717,     0,     0
4432, BEAM  ,    4,    26,  2717,  2718,     0,     0
4433, BEAM  ,    4,    26,  2718,  2719,     0,     0
4434, BEAM  ,    4,    26,  2719,  2720,     0,     0
4435, BEAM  ,    4,    26,  2720,  2721,     0,     0
4436, BEAM  ,    4,    26,  2721,  2722,     0,     0
4437, BEAM  ,    4,    26,  2722,  2723,     0,     0
4438, BEAM  ,    4,    26,  2723,  2724,     0,     0
4439, BEAM  ,    4,    26,  2724,  2725,     0,     0
4440, BEAM  ,    4,    26,  2725,  2726,     0,     0
4441, BEAM  ,    4,    26,  2726,  2727,     0,     0
4442, BEAM  ,    4,    26,  2727,  2728,     0,     0
4443, BEAM  ,    4,    26,  2728,  2729,     0,     0
4444, BEAM  ,    4,    26,  2729,  2730,     0,     0
4445, BEAM  ,    4,    26,  2730,  2731,     0,     0
4446, BEAM  ,    4,    26,  2731,  2732,     0,     0
4447, BEAM  ,    4,    26,  2732,  2733,     0,     0
4448, BEAM  ,    4,    26,  2733,  2734,     0,     0
4449, BEAM  ,    4,    26,  2734,  2735,     0,     0
4450, BEAM  ,    4,    26,  2735,  2736,     0,     0
4451, BEAM  ,    4,    26,  2736,  2737,     0,     0
4452, BEAM  ,    4,    26,  2737,  2738,     0,     0
4453, BEAM  ,    4,    26,  2738,  2739,     0,     0
4454, BEAM  ,    4,    26,  2739,  2740,     0,     0
4455, BEAM  ,    4,    26,  2740,  2741,     0,     0
4456, BEAM  ,    4,    26,  2741,  2742,     0,     0
4457, BEAM  ,    4,    26,  2742,  2743,     0,     0
4458, BEAM  ,    4,    26,  2743,  2744,     0,     0
4459, BEAM  ,    4,    26,  2744,  2745,     0,     0
4460, BEAM  ,    4,    26,  2745,  2746,     0,     0
4461, BEAM  ,    4,    26,  2746,  2747,     0,     0
4462, BEAM  ,    4,    26,  2747,  2748,     0,     0
4463, BEAM  ,    4,    26,  2748,  2749,     0,     0
4464, BEAM  ,    4,    26,  2749,  2750,     0,     0
4465, BEAM  ,    4,    26,  2750,  2751,     0,     0
4466, BEAM  ,    4,    26,  2751,  2752,     0,     0
4467, BEAM  ,    4,    26,  2753,  2754,     0,     0
4468, BEAM  ,    4,    26,  2754,  2755,     0,     0
4469, BEAM  ,    4,    26,  2755,  2756,     0,     0
4470, BEAM  ,    4,    26,  2756,  2757,     0,     0
```

```
4471, BEAM  ,    4,    26,  2757,  2758,     0,     0
4472, BEAM  ,    4,    26,  2758,  2759,     0,     0
4473, BEAM  ,    4,    26,  2759,  2760,     0,     0
4474, BEAM  ,    4,    26,  2760,  2761,     0,     0
4475, BEAM  ,    4,    26,  2761,  2762,     0,     0
4476, BEAM  ,    4,    26,  2762,  2763,     0,     0
4477, BEAM  ,    4,    26,  2763,  2764,     0,     0
4478, BEAM  ,    4,    26,  2764,  2765,     0,     0
4479, BEAM  ,    4,    26,  2765,  2766,     0,     0
4480, BEAM  ,    4,    26,  2766,  2767,     0,     0
4481, BEAM  ,    4,    26,  2767,  2768,     0,     0
4482, BEAM  ,    4,    26,  2768,  2769,     0,     0
4483, BEAM  ,    4,    26,  2769,  2770,     0,     0
4484, BEAM  ,    4,    26,  2770,  2771,     0,     0
4485, BEAM  ,    4,    26,  2771,  2772,     0,     0
4486, BEAM  ,    4,    26,  2772,  2773,     0,     0
4487, BEAM  ,    4,    26,  2773,  2774,     0,     0
4488, BEAM  ,    4,    26,  2774,  2775,     0,     0
4489, BEAM  ,    4,    26,  2775,  2776,     0,     0
4490, BEAM  ,    4,    26,  2776,  2777,     0,     0
4491, BEAM  ,    4,    26,  2777,  2778,     0,     0
4492, BEAM  ,    4,    26,  2778,  2779,     0,     0
4493, BEAM  ,    4,    26,  2779,  2780,     0,     0
4494, BEAM  ,    4,    26,  2780,  2781,     0,     0
4495, BEAM  ,    4,    26,  2781,  2782,     0,     0
4496, BEAM  ,    4,    26,  2782,  2783,     0,     0
4497, BEAM  ,    4,    26,  2783,  2784,     0,     0
4498, BEAM  ,    4,    26,  2784,  2785,     0,     0
4499, BEAM  ,    4,    26,  2785,  2786,     0,     0
4500, BEAM  ,    4,    26,  2786,  2787,     0,     0
4501, BEAM  ,    4,    26,  2787,  2788,     0,     0
4502, BEAM  ,    4,    26,  2788,  2789,     0,     0
4503, BEAM  ,    4,    26,  2789,  2790,     0,     0
4504, BEAM  ,    4,    26,  2790,  2791,     0,     0
4505, BEAM  ,    4,    26,  2791,  2792,     0,     0
4506, BEAM  ,    4,    26,  2792,  2793,     0,     0
4507, BEAM  ,    4,    26,  2793,  2794,     0,     0
4508, BEAM  ,    4,    26,  2627,  2628,     0,     0
4509, BEAM  ,    4,    26,  2628,  2629,     0,     0
4510, BEAM  ,    4,    26,  2629,  2630,     0,     0
4511, BEAM  ,    4,    26,  2630,  2631,     0,     0
4512, BEAM  ,    4,    26,  2631,  2632,     0,     0
4513, BEAM  ,    4,    26,  2632,  2633,     0,     0
4514, BEAM  ,    4,    26,  2633,  2634,     0,     0
4515, BEAM  ,    4,    26,  2634,  2635,     0,     0
4516, BEAM  ,    4,    26,  2635,  2636,     0,     0
4517, BEAM  ,    4,    26,  2636,  2637,     0,     0
4518, BEAM  ,    4,    26,  2637,  2638,     0,     0
4519, BEAM  ,    4,    26,  2638,  2639,     0,     0
4520, BEAM  ,    4,    26,  2639,  2640,     0,     0
4521, BEAM  ,    4,    26,  2640,  2641,     0,     0
4522, BEAM  ,    4,    26,  2641,  2642,     0,     0
4523, BEAM  ,    4,    26,  2642,  2643,     0,     0
4524, BEAM  ,    4,    26,  2643,  2644,     0,     0
4525, BEAM  ,    4,    26,  2644,  2645,     0,     0
4526, BEAM  ,    4,    26,  2645,  2646,     0,     0
4527, BEAM  ,    4,    26,  2646,  2647,     0,     0
4528, BEAM  ,    4,    26,  2647,  2648,     0,     0
4529, BEAM  ,    4,    26,  2648,  2649,     0,     0
4530, BEAM  ,    4,    26,  2649,  2650,     0,     0
4531, BEAM  ,    4,    26,  2650,  2651,     0,     0
4532, BEAM  ,    4,    26,  2651,  2652,     0,     0
4533, BEAM  ,    4,    26,  2652,  2653,     0,     0
4534, BEAM  ,    4,    26,  2653,  2654,     0,     0
4535, BEAM  ,    4,    26,  2654,  2655,     0,     0
4536, BEAM  ,    4,    26,  2655,  2656,     0,     0
4537, BEAM  ,    4,    26,  2656,  2657,     0,     0
4538, BEAM  ,    4,    26,  2657,  2658,     0,     0
4539, BEAM  ,    4,    26,  2658,  2659,     0,     0
4540, BEAM  ,    4,    26,  2659,  2660,     0,     0
4541, BEAM  ,    4,    26,  2660,  2661,     0,     0
4542, BEAM  ,    4,    26,  2661,  2662,     0,     0
4543, BEAM  ,    4,    26,  2662,  2663,     0,     0
4544, BEAM  ,    4,    26,  2663,  2664,     0,     0
4545, BEAM  ,    4,    26,  2664,  2665,     0,     0
4546, BEAM  ,    4,    26,  2665,  2666,     0,     0
4547, BEAM  ,    4,    26,  2666,  2667,     0,     0
4548, BEAM  ,    4,    26,  2667,  2668,     0,     0
```

```
  4549, BEAM  ,     4,     26,   2669,   2670,      0,      0
  4550, BEAM  ,     4,     26,   2670,   2671,      0,      0
  4551, BEAM  ,     4,     26,   2671,   2672,      0,      0
  4552, BEAM  ,     4,     26,   2672,   2673,      0,      0
  4553, BEAM  ,     4,     26,   2673,   2674,      0,      0
  4554, BEAM  ,     4,     26,   2674,   2675,      0,      0
  4555, BEAM  ,     4,     26,   2675,   2676,      0,      0
  4556, BEAM  ,     4,     26,   2676,   2677,      0,      0
  4557, BEAM  ,     4,     26,   2677,   2678,      0,      0
  4558, BEAM  ,     4,     26,   2678,   2679,      0,      0
  4559, BEAM  ,     4,     26,   2679,   2680,      0,      0
  4560, BEAM  ,     4,     26,   2680,   2681,      0,      0
  4561, BEAM  ,     4,     26,   2681,   2682,      0,      0
  4562, BEAM  ,     4,     26,   2682,   2683,      0,      0
  4563, BEAM  ,     4,     26,   2683,   2684,      0,      0
  4564, BEAM  ,     4,     26,   2684,   2685,      0,      0
  4565, BEAM  ,     4,     26,   2685,   2686,      0,      0
  4566, BEAM  ,     4,     26,   2686,   2687,      0,      0
  4567, BEAM  ,     4,     26,   2687,   2688,      0,      0
  4568, BEAM  ,     4,     26,   2688,   2689,      0,      0
  4569, BEAM  ,     4,     26,   2689,   2690,      0,      0
  4570, BEAM  ,     4,     26,   2690,   2691,      0,      0
  4571, BEAM  ,     4,     26,   2691,   2692,      0,      0
  4572, BEAM  ,     4,     26,   2692,   2693,      0,      0
  4573, BEAM  ,     4,     26,   2693,   2694,      0,      0
  4574, BEAM  ,     4,     26,   2694,   2695,      0,      0
  4575, BEAM  ,     4,     26,   2695,   2696,      0,      0
  4576, BEAM  ,     4,     26,   2696,   2697,      0,      0
  4577, BEAM  ,     4,     26,   2697,   2698,      0,      0
  4578, BEAM  ,     4,     26,   2698,   2699,      0,      0
  4579, BEAM  ,     4,     26,   2699,   2700,      0,      0
  4580, BEAM  ,     4,     26,   2700,   2701,      0,      0
  4581, BEAM  ,     4,     26,   2701,   2702,      0,      0
  4582, BEAM  ,     4,     26,   2702,   2703,      0,      0
  4583, BEAM  ,     4,     26,   2703,   2704,      0,      0
  4584, BEAM  ,     4,     26,   2704,   2705,      0,      0
  4585, BEAM  ,     4,     26,   2705,   2706,      0,      0
  4586, BEAM  ,     4,     26,   2706,   2707,      0,      0
  4587, BEAM  ,     4,     26,   2707,   2708,      0,      0
  4588, BEAM  ,     4,     26,   2708,   2709,      0,      0
  4589, BEAM  ,     4,     26,   2709,   2710,      0,      0

*GROUP    ; Group
; NAME, NODE_LIST, ELEM_LIST, PLANE_TYPE
   cross-beam, 137to144 153to160 169to184 193to200 209to216 225to232 241to256 \
        265to272 281to288 297to304 313to328 337to344 353to360 369to376 385to400 \
        409to416 425to432 441to448 457to472 481to488 497to504 513to520 529to544 \
        553to560 569to576 585to592 601to616 625to632 641to648 657to664 673to688 \
        697to704 713to720 729to2123 2125to2291by2 2292to2794, 437to856 \
        1021to1104 1187to1354 1519to1854 2019to2186 2351to2518 2724to2891 \
        3097to3306 3512to3679 3844to4011 4217to4384, 0
   ACCIAIO   , 1to136 145to152 161to168 185to192 201to208 217to224 233to240 \
        257to264 273to280 289to296 305to312 329to336 345to352 361to368 377to384 \
        401to408 417to424 433to440 449to456 473to480 489to496 505to512 521to528 \
        545to552 561to568 577to584 593to600 617to624 633to640 649to656 665to672 \
        689to696 705to712 721to728, 1to436, 0
   SOLETTA   , 137to144 153to160 169to184 193to200 209to216 225to232 241to256 \
        265to272 281to288 297to304 313to328 337to344 353to360 369to376 385to400 \
        409to416 425to432 441to448 457to472 481to488 497to504 513to520 529to544 \
        553to560 569to576 585to592 601to616 625to632 641to648 657to664 673to688 \
        697to704 713to720 729to2207 2209to2291by2 2292to2794, 437to4589, 0

*BNDR-GROUP    ; Boundary Group
; NAME, AUTOTYPE
 APPOGGI, 0
 PIOLI, 0

*LOAD-GROUP    ; Load Group
; NAME
 FASE1-ACCIAIO
 FASE1-CLS
 FASE2-PERM
 FASE3-VAR

*MATERIAL    ; Material
; iMAT, TYPE, MNAME, SPHEAT, HEATCO, PLAST, TUNIT, bMASS, DAMPRATIO, [DATA1]           ; STEEL, CONC, USER
; iMAT, TYPE, MNAME, SPHEAT, HEATCO, PLAST, TUNIT, bMASS, DAMPRATIO, [DATA2], [DATA2]  ; SRC
; [DATA1] : 1, DB, NAME, CODE, USEELAST, ELAST
```

PROJECT TITLE :

	Company		Client	
	Author		File Name	Brembiolo1_08_completo(fasi)DEFINITIVO.mgt

```
; [DATA1] : 2, ELAST, POISN, THERMAL, DEN, MASS
; [DATA1] : 3, Ex, Ey, Ez, Tx, Ty, Tz, Sxy, Sxz, Syz, Pxy, Pxz, Pyz, DEN, MASS         ; Orthotropic
; [DATA2] : 1, DB, NAME, CODE, USEELAST, ELAST or 2, ELAST, POISN, THERMAL, DEN, MASS
    1, STEEL, S355              , 0, 0, , C, NO, 0.02, 1, EN05(S)    ,             , S355          , NO, 210
    2, CONC , C32/40_no peso    , 0, 0, , C, YES, 0.05, 2, 9.4170e+000,    0.2, 5.5556e-006,     0,     0
    3, STEEL, S275              , 0, 0, , C, NO, 0.02, 1, EN05(S)    ,             , S275          , NO, 210
    4, STEEL, fittizio          , 0, 0, , C, YES, 0.02, 2, 2.1000e-001,    0.3, 6.6667e-006,     0,     0

*MATL-COLOR
; iMAT, W_R, W_G, W_B, HF_R, HF_G, HF_B, HE_R, HE_G, HE_B, bBLEND, FACT
    1, 128,   0, 128,  255,   0,   0,    0, 255,   0,  NO, 0.5
    2, 128,   0, 128,  255,   0,   0,    0, 255,   0,  NO, 0.5
    3, 128,   0, 128,  255,   0,   0,    0, 255,   0,  NO, 0.5
    4, 128,   0, 128,  255,   0,   0,    0, 255,   0,  NO, 0.5

*TDM-TYPE    ; Time Dependent Material
; NAME=NAME, CODE, STR, HU, VOL, AGE, CFACTA, CFACTB, TYPE, [ACI1 or ACI2]     ; CODE=ACI
; NAME=NAME, CODE, STR, HU, MSIZE, CTYPE, AGE                                  ; CODE=CEB1990,KS,CEB1978,KSC
E 2010,KCI-USD12
; NAME=NAME, CODE, N1, PHI1, N2, PHI2                                          ; CODE=MEM
; NAME=NAME, CODE, STR, HU, USS, UCS, VOL, RR, MOD                             ; CODE=PCA
; NAME=NAME, CODE, STR, HU, VOL, UCS, VSR1, LAF, US, VSR, PST, bRCE, RR, MOD   ; CODE=COMBINED
; NAME=NAME, CODE, STR, HTYPE, HU, MSIZE, CTYPE, AGE, CM                       ; CODE=JAPAN
; NAME=NAME, CODE, ELAST, HU, VOL, CC, WC, AGE                                 ; CODE=JSCE
; NAME=NAME, CODE, STR, HTYPE, HU, MSIZE, AGE                                  ; CODE=CHINA
; NAME=NAME, CODE, STR, HU, MSIZE, BSC, AGE                                    ; CODE=JTG
; NAME=NAME, CODE, STR, HU, VSR, AGE, bEXPOSE                                  ; CODE=AASHTO
; NAME=NAME, CODE, STR, HU, MSIZE, AGE                                         ; CODE=INDIA(IRC:18-2000)
; NAME=NAME, CODE, STR, HU, MSIZE, CTYPE, AGE                                  ; CODE=INDIA(IRC:112-2011)
; NAME=NAME, CODE, STR, HU, MSIZE, CTYPE, AGE, TCode, bSILICA                  ; CODE=European
; NAME=NAME, CODE, STR, EE, FS, HT, DSE, DSC, AGE                              ; CODE=NZ Bridge(SP/M/022)
; NAME=NAME, CODE, STR, HU, AGE, M, CMETH, CTYPE, CREEP, CONCT, W, MAXS, A, PZ ; CODE=Russian
; NAME=NAME, CODE, STR, HU, MSIZE, BSC, AGE, FLYASH                            ; CODE=China(JTG D62-2016)
; NAME=NAME, CODE, bSSF, SSFNAME                                               ; CODE=USER(line1)
;       CREEPFUNC1, AGE1, CREEPFUNC2, AGE2, ...                                ; USER(from line 2)
; [ACI1] : CURE, SLUMP, FAP, AIR, CC
; [ACI2] : UCC, USS
   NAME=cls ritiro, European, 0.032, 60, 295, Class N, 3, 1, NO

*TDM-ELAST    ; Time Dependent Material(Comp. Strength)
; NAME=NAME, TYPE, CODE, STRENGTH, A, B                          ; TYPE=CODE(Korean Standard, ACI)
; NAME=NAME, TYPE, CODE, STRENGTH, iCTYPE                        ; TYPE=CODE(CEB-FIP, Ohzagi)
; NAME=NAME, TYPE, CODE, STRENGTH                                ; TYPE=CODE(Chinese Standard)
; NAME=NAME, TYPE, CODE, STRENGTH, bUSE, [DATA]                  ; TYPE=CODE(Japan(Hydration))
; NAME=NAME, TYPE, CODE, STRENGTH, iTYPE                         ; TYPE=CODE(Japan(Elastic))
; NAME=NAME, TYPE, CODE, STRENGTH                                ; TYPE=CODE(INDIA(IRC:18-2000))
; NAME=NAME, TYPE, CODE, STRENGTH, iCTYPE                        ; TYPE=CODE(INDIA(IRC:112-2011))
; NAME=NAME, TYPE, CODE, STRENGTH, iCTYPE                        ; TYPE=CODE(European)
; NAME=NAME, TYPE, CODE, STRENGTH,                               ; TYPE=CODE(CEB-FIP(1978))
; NAME=NAME, TYPE, CODE, STRENGTH, TYPE, CMETH, CTYPE, MAXS, PZ  ; TYPE=CODE(Russian))
; NAME=NAME, TYPE, SCALE                                         ; TYPE=USER(line 1)
;       DAY1, COMP1, TENS1, ELAST1, DAY2, COMP2, ...             ;      USER(from line 2)
; [DATA] : A, B, D, TSF or iCTYPE, TSF
   NAME=calcestruzzo, CODE, EUROPEAN, 0.032, 2

*TDM-LINK    ; Time Dependent Material Link
; iMAT, TDM-TYPE1(CREEP/SHRINKAGE), TDM-TYPE2(ELASTICITY)
    2, cls ritiro, calcestruzzo


*SECTION    ; Section
; iSEC, TYPE, SNAME, [OFFSET], bSD, bWE, SHAPE, [DATA1], [DATA2]                    ; 1st line - DB/USER
; iSEC, TYPE, SNAME, [OFFSET], bSD, bWE, SHAPE, BLT, D1, ..., D8, iCEL              ; 1st line - VALUE
;       AREA, ASy, ASz, Ixx, Iyy, Izz                                               ; 2nd line
;       CyP, CyM, CzP, CzM, QyB, QzB, PERI_OUT, PERI_IN, Cy, Cz                     ; 3rd line
;       Y1, Y2, Y3, Y4, Z1, Z2, Z3, Z4, Zyy, Zzz                                    ; 4th line
; iSEC, TYPE, SNAME, [OFFSET], bSD, bWE, SHAPE, ELAST, DEN, POIS, POIC, SF, THERMAL ; 1st line - SRC
;       D1, D2, [SRC]                                                               ; 2nd line
; iSEC, TYPE, SNAME, [OFFSET], bSD, bWE, SHAPE, 1, DB, NAME1, NAME2, D1, D2         ; 1st line - COMBINED
; iSEC, TYPE, SNAME, [OFFSET], bSD, bWE, SHAPE, 2, D11, D12, D13, D14, D15, D21, D22, D23, D24
; iSEC, TYPE, SNAME, [OFFSET2], bSD, bWE, SHAPE, iyVAR, izVAR, STYPE              ; 1st line - TAPERED
;       DB, NAME1, NAME2                                                          ; 2nd line(STYPE=DB)
;       [DIM1], [DIM2]                                                            ; 2nd line(STYPE=USER)
;       D11, D12, D13, D14, D15, D16, D17, D18                                    ; 2nd line(STYPE=VALUE)
;       AREA1, ASy1, ASz1, Ixx1, Iyy1, Izz1                                       ; 3rd line(STYPE=VALUE)
;       CyP1, CyM1, CzP1, CzM1, QyB1, QzB1, PERI_OUT1, PERI_IN1, Cy1, Cz1         ; 4th line(STYPE=VALUE)
;       Y11, Y12, Y13, Y14, Z11, Z12, Z13, Z14, Zyy1, Zyy2                        ; 5th line(STYPE=VALUE)
;       D21, D22, D23, D24, D25, D26, D27, D28                                    ; 6th line(STYPE=VALUE)
```

PROJECT TITLE :

	Company		Client	
	Author		File Name	Brembiolo1_08_completo(fasi)DEFINITIVO.mgt

```
;       AREA2, ASy2, ASz2, Ixx2, Iyy2, Izz2                                          ; 7th line(STYPE=VALUE)
;       CyP2, CyM2, CzP2, CzM2, QyB2, QzB2, PERI_OUT2, PERI_IN2, Cy2, Cz2            ; 8th line(STYPE=VALUE)
;       Y21, Y22, Y23, Y24, Z21, Z22, Z23, Z24, Zyy2, Zzz2                           ; 9th line(STYPE=VALUE)
; [DATA1] : 1, DB, NAME or 2, D1, D2, D3, D4, D5, D6, D7, D8, D9, D10
; [DATA2] : CCSHAPE or iCEL or iN1, iN2
; [SRC]  : 1, DB, NAME1, NAME2 or 2, D1, D2, D3, D4, D5, D6, D7, D8, D9, D10, iN1, iN2
; [DIM1], [DIM2] : D1, D2, D3, D4, D5, D6, D7, D8
; [OFFSET] : OFFSET, iCENT, iREF, iHORZ, HUSER, iVERT, VUSER
; [OFFSET2]: OFFSET, iCENT, iREF, iHORZ, HUSERI, HUSERJ, iVERT, VUSERI, VUSERJ
    1, COMPOSITE , concio C1 centr_imp dx, CB, 0, 1, 0, 0, 1, 1340, YES, NO, I
       1900, 20, 700, 40, 950, 60
       0, 0, 0, 0, 0, 0
       0
       0
       0
       4500, 1, 4500,   4500, 240, 60,   6.3, 0, 0, 0, 1.2, NO, ,
    2, COMPOSITE , concio C1 laterale_imp dx, CB, 0, 1, 0, 0, 1, 1340, YES, NO, I
       1900, 20, 700, 40, 950, 60
       0, 0, 0, 0, 0, 0
       0
       0
       0
       4970, 1, 4970,   4970, 240, 60,   6.3, 0, 0, 0, 1.2, NO, ,
    3, COMPOSITE , concio C2 centr_imp dx, CB, 0, 1, 0, 0, 1, 1340, YES, NO, I
       1905, 20, 700, 40, 950, 55
       0, 0, 0, 0, 0, 0
       0
       0
       0
       4500, 1, 4500,   4500, 240, 60,   6.3, 0, 0, 0, 1.2, NO, ,
    4, COMPOSITE , concio C2 laterale_imp dx, CB, 0, 1, 0, 0, 1, 1340, YES, NO, I
       1905, 20, 700, 40, 950, 55
       0, 0, 0, 0, 0, 0
       0
       0
       0
       4970, 1, 4970,   4970, 240, 60,   6.3, 0, 0, 0, 1.2, NO, ,
    5, COMPOSITE , concio C3 centr_imp dx, CB, 0, 1, 0, 0, 1, 1340, YES, NO, I
       1935, 20, 500, 25, 800, 40
       0, 0, 0, 0, 0, 0
       0
       0
       0
       4500, 1, 4500,   4500, 240, 60,   6.3, 0, 0, 0, 1.2, NO, ,
    6, COMPOSITE , concio C3 laterale_imp dx, CB, 0, 1, 0, 0, 1, 1340, YES, NO, I
       1935, 20, 500, 25, 800, 40
       0, 0, 0, 0, 0, 0
       0
       0
       0
       4970, 1, 4970,   4970, 240, 60,   6.3, 0, 0, 0, 1.2, NO, ,
    7, COMPOSITE , concio C1 centr_imp sx, CB, 0, 1, 0, 0, 1, 1340, YES, NO, I
       1915, 20, 700, 35, 950, 50
       0, 0, 0, 0, 0, 0
       0
       0
       0
       4500, 1, 4500,   4500, 240, 60,   6.3, 0, 0, 0, 1.2, NO, ,
    8, COMPOSITE , concio C1 laterale_imp sx, CB, 0, 1, 0, 0, 1, 1340, YES, NO, I
       1915, 20, 700, 35, 950, 50
       0, 0, 0, 0, 0, 0
       0
       0
       0
       3600, 1, 3600,   3600, 240, 60,   6.3, 0, 0, 0, 1.2, NO, ,
    9, COMPOSITE , concio C2 centr_imp sx, CB, 0, 1, 0, 0, 1, 1340, YES, NO, I
       1925, 20, 700, 30, 950, 45
       0, 0, 0, 0, 0, 0
       0
       0
       0
       4500, 1, 4500,   4500, 240, 60,   6.3, 0, 0, 0, 1.2, NO, ,
   10, COMPOSITE , concio C2 laterale_imp sx, CB, 0, 1, 0, 0, 1, 1340, YES, NO, I
       1925, 20, 700, 30, 950, 45
       0, 0, 0, 0, 0, 0
       0
       0
       0
```

```
       3600, 1, 3600,   3600, 240, 60,   6.3, 0, 0, 0, 1.2, NO, ,
   11, COMPOSITE , concio C3 centr_imp sx, CB, 0, 1, 0, 0, 1, 1340, YES, NO, I
       1940, 20, 500, 20, 700, 35
       0, 0, 0, 0, 0, 0
       0
       0
       0
       4500, 1, 4500,   4500, 240, 60,   6.3, 0, 0, 0, 1.2, NO, ,
   12, COMPOSITE , concio C3 laterale_imp sx, CB, 0, 1, 0, 0, 1, 1340, YES, NO, I
       1940, 20, 500, 20, 700, 35
       0, 0, 0, 0, 0, 0
       0
       0
       0
       3600, 1, 3600,   3600, 240, 60,   6.3, 0, 0, 0, 1.2, NO, ,
   13, DBUSER    , traverso_IPE 500  , CC, 0, 0, 0, 0, 0, 0, YES, NO, H  , 1, UNI, IPE500
   14, DBUSER    , corsia tutto sx_imp sx, CC, 0, 0, 0, 0, 0, 0, YES, NO, SR , 2, 50, 0, 0, 0, 0, 0, 0, 0, 0
, 0
   15, DBUSER    , sicurvia          , CC, 0, 0, 0, 0, 0, 0, YES, NO, SR , 2, 50, 0, 0, 0, 0, 0, 0, 0, 0, 0
   16, DBUSER    , veletta           , CC, 0, 0, 0, 0, 0, 0, YES, NO, SR , 2, 50, 0, 0, 0, 0, 0, 0, 0, 0, 0
   17, DBUSER    , parapetto         , CC, 0, 0, 0, 0, 0, 0, YES, NO, SR , 2, 50, 0, 0, 0, 0, 0, 0, 0, 0, 0
   18, VALUE     , soletta It=0_sp.30 cm, CC, 0, 0, 0, 0, 0, 0, YES, NO, SB , BUILT, 300, 1000, 0, 0, 0, 0,
0, 0, 0
       300000, 250000, 250000, 1, 2.25e+009, 2.5e+010
       500, 500, 150, 150, 11250, 125000, 2600, 0, 500, 150
       -500, 500, 500, -500, 150, 150, -150, -150, 2.25e+007, 7.5e+007
   19, DBUSER    , corsia tutto dx_imp sx, CC, 0, 0, 0, 0, 0, 0, YES, NO, SR , 2, 50, 0, 0, 0, 0, 0, 0, 0, 0
, 0
   20, DBUSER    , corsia centrale sx_imp sx, CC, 0, 0, 0, 0, 0, 0, YES, NO, SR , 2, 50, 0, 0, 0, 0, 0, 0, 0
, 0, 0
   21, DBUSER    , corsia centrale dx_imp sx, CC, 0, 0, 0, 0, 0, 0, YES, NO, SR , 2, 50, 0, 0, 0, 0, 0, 0, 0
, 0, 0
   22, DBUSER    , corsia tutto sx_imp dx, CC, 0, 0, 0, 0, 0, 0, YES, NO, SR , 2, 50, 0, 0, 0, 0, 0, 0, 0, 0
, 0
   23, DBUSER    , corisa tutto dx_imp dx, CC, 0, 0, 0, 0, 0, 0, YES, NO, SR , 2, 50, 0, 0, 0, 0, 0, 0, 0, 0
, 0
   24, DBUSER    , corsia centrale sx_imp dx, CC, 0, 0, 0, 0, 0, 0, YES, NO, SR , 2, 50, 0, 0, 0, 0, 0, 0, 0
, 0, 0
   25, DBUSER    , corsia tutto sx_imp sx, CC, 0, 0, 0, 0, 0, 0, YES, NO, SR , 2, 50, 0, 0, 0, 0, 0, 0, 0, 0
, 0
   26, DBUSER    , corsia centrale dx_imp dx, CC, 0, 0, 0, 0, 0, 0, YES, NO, SR , 2, 50, 0, 0, 0, 0, 0, 0, 0
, 0, 0

*SECT-COLOR
; iSEC, W_R, W_G, W_B, HF_R, HF_G, HF_B, HE_R, HE_G, HE_B, bBLEND, FACT
    1, 121,   0,  91,  255,   0, 192,  121,   0,  91,  NO, 0.5
    2, 115,   0,   0,  255,  87,  87,  115,   0,   0,  NO, 0.5
    3, 106,  67,   0,  255, 192,  87,  106,  67,   0,  NO, 0.5
    4,  87,  87,   0,  192, 192,   0,   87,  87,   0,  NO, 0.5
    5, 100,   0, 100,  192,   0, 192,  100,   0, 100,  NO, 0.5
    6,  31,   0,  81,  148,  87, 255,   31,   0,  81,  NO, 0.5
    7,  65,  65,  65,  255, 255, 255,   65,  65,  65,  NO, 0.5
    8,  85,  32,   0,  192,  72,   0,   85,  32,   0,  NO, 0.5
    9,  70,  70,   0,  192, 255,   0,   70,  70,   0,  NO, 0.5
   10,  29,   0,  64,   85,   0, 192,   29,   0,  64,  NO, 0.5
   11, 121,   0,  91,  255,   0, 192,  121,   0,  91,  NO, 0.5
   12,  70,  70,  70,  210, 210, 210,   70,  70,  70,  NO, 0.5
   13,  65, 165,  65,  192, 192, 192,   65, 165,  65,  NO, 0.5
   14, 128,   0, 128,  255,   0,   0,    0, 255,   0,  NO, 0.5
   15,   3, 111,  66,  163, 255, 160,    3, 111,  66,  NO, 0.5
   16,   0, 100, 100,  160, 255, 255,    0, 100, 100,  NO, 0.5
   17,  89,   0, 162,  212, 160, 255,   89,   0, 162,  NO, 0.5
   18,  38,  57,   0,  128, 192,   0,   38,  57,   0,  NO, 0.5
   19, 128,   0, 128,  255,   0,   0,    0, 255,   0,  NO, 0.5
   20, 128,   0, 128,  255,   0,   0,    0, 255,   0,  NO, 0.5
   21, 128,   0, 128,  255,   0,   0,    0, 255,   0,  NO, 0.5
   22, 128,   0, 128,  255,   0,   0,    0, 255,   0,  NO, 0.5
   23, 128,   0, 128,  255,   0,   0,    0, 255,   0,  NO, 0.5
   24, 128,   0, 128,  255,   0,   0,    0, 255,   0,  NO, 0.5
   25, 128,   0, 128,  255,   0,   0,    0, 255,   0,  NO, 0.5
   26, 128,   0, 128,  255,   0,   0,    0, 255,   0,  NO, 0.5

*DGN-SECT
; iSEC, TYPE, SNAME, [OFFSET], bSD, bWE, SHAPE, [DATA1], [DATA2]                    ; 1st line - DB/USER
; iSEC, TYPE, SNAME, [OFFSET], bSD, bWE, SHAPE, BLT, D1, ..., D8, iCEL              ; 1st line - VALUE
;       AREA, ASy, ASz, Ixx, Iyy, Izz                                               ; 2nd line
;       CyP, CyM, CzP, CzM, QyB, QzB, PERI_OUT, PERI_IN, Cy, Cz                     ; 3rd line
;       Y1, Y2, Y3, Y4, Z1, Z2, Z3, Z4, Zyy, Zzz                                    ; 4th line
```

PROJECT TITLE :

	Company		Client	
	Author		File Name	Brembiolo1_08_completo(fasi)DEFINITIVO.mgt

```
; iSEC, TYPE, SNAME, [OFFSET], bSD, bWE, SHAPE, ELAST, DEN, POIS, POIC, SF, THERMAL ; 1st line - SRC
;       D1, D2, [SRC]                                                                ; 2nd line
; iSEC, TYPE, SNAME, [OFFSET], bSD, bWE, SHAPE, 1, DB, NAME1, NAME2, D1, D2         ; 1st line - COMBINED
; iSEC, TYPE, SNAME, [OFFSET], bSD, bWE, SHAPE, 2, D11, D12, D13, D14, D15, D21, D22, D23, D24
; iSEC, TYPE, SNAME, [OFFSET2], bSD, bWE, SHAPE, iyVAR, izVAR, STYPE               ; 1st line - TAPERED
;       DB, NAME1, NAME2                                                           ; 2nd line(STYPE=DB)
;       [DIM1], [DIM2]                                                             ; 2nd line(STYPE=USER)
;       D11, D12, D13, D14, D15, D16, D17, D18                                     ; 2nd line(STYPE=VALUE)
;       AREA1, ASy1, ASz1, Ixx1, Iyy1, Izz1                                        ; 3rd line(STYPE=VALUE)
;       CyP1, CyM1, CzP1, CzM1, QyB1, QzB1, PERI_OUT1, PERI_IN1, Cy1, Cz1          ; 4th line(STYPE=VALUE)
;       Y11, Y12, Y13, Y14, Z11, Z12, Z13, Z14, Zyy1, Zyy2                         ; 5th line(STYPE=VALUE)
;       D21, D22, D23, D24, D25, D26, D27, D28                                     ; 6th line(STYPE=VALUE)
;       AREA2, ASy2, ASz2, Ixx2, Iyy2, Izz2                                        ; 7th line(STYPE=VALUE)
;       CyP2, CyM2, CzP2, CzM2, QyB2, QzB2, PERI_OUT2, PERI_IN2, Cy2, Cz2          ; 8th line(STYPE=VALUE)
;       Y21, Y22, Y23, Y24, Z21, Z22, Z23, Z24, Zyy2, Zzz2                         ; 9th line(STYPE=VALUE)
; [DATA1] : 1, DB, NAME or 2, D1, D2, D3, D4, D5, D6, D7, D8, D9, D10
; [DATA2] : CCSHAPE or iCEL or iN1, iN2
; [SRC]  : 1, DB, NAME1, NAME2 or 2, D1, D2, D3, D4, D5, D6, D7, D8, D9, D10, iN1, iN2
; [DIM1], [DIM2] : D1, D2, D3, D4, D5, D6, D7, D8
; [OFFSET] : OFFSET, iCENT, iREF, iHORZ, HUSER, iVERT, VUSER
; [OFFSET2]: OFFSET, iCENT, iREF, iHORZ, HUSERI, HUSERJ, iVERT, VUSERI, VUSERJ
    1, COMPOSITE , concio C1 centr_imp dx, CB, 0, 1, 0, 0, 1, 1340, YES, NO, I
       1900, 20, 700, 40, 950, 60
       0, 0, 0, 0, 0, 0
       0
       0
       0
       4500, 1, 4500,   4500, 240, 60,   6.3, 0, 0, 0, 1.2, NO, ,
    2, COMPOSITE , concio C1 laterale_imp dx, CB, 0, 1, 0, 0, 1, 1340, YES, NO, I
       1900, 20, 700, 40, 950, 60
       0, 0, 0, 0, 0, 0
       0
       0
       0
       4970, 1, 4970,   4970, 240, 60,   6.3, 0, 0, 0, 1.2, NO, ,
    3, COMPOSITE , concio C2 centr_imp dx, CB, 0, 1, 0, 0, 1, 1340, YES, NO, I
       1905, 20, 700, 40, 950, 55
       0, 0, 0, 0, 0, 0
       0
       0
       0
       4500, 1, 4500,   4500, 240, 60,   6.3, 0, 0, 0, 1.2, NO, ,
    4, COMPOSITE , concio C2 laterale_imp dx, CB, 0, 1, 0, 0, 1, 1340, YES, NO, I
       1905, 20, 700, 40, 950, 55
       0, 0, 0, 0, 0, 0
       0
       0
       0
       4970, 1, 4970,   4970, 240, 60,   6.3, 0, 0, 0, 1.2, NO, ,
    5, COMPOSITE , concio C3 centr_imp dx, CB, 0, 1, 0, 0, 1, 1340, YES, NO, I
       1935, 20, 500, 25, 800, 40
       0, 0, 0, 0, 0, 0
       0
       0
       0
       4500, 1, 4500,   4500, 240, 60,   6.3, 0, 0, 0, 1.2, NO, ,
    6, COMPOSITE , concio C3 laterale_imp dx, CB, 0, 1, 0, 0, 1, 1340, YES, NO, I
       1935, 20, 500, 25, 800, 40
       0, 0, 0, 0, 0, 0
       0
       0
       0
       4970, 1, 4970,   4970, 240, 60,   6.3, 0, 0, 0, 1.2, NO, ,
    7, COMPOSITE , concio C1 centr_imp sx, CB, 0, 1, 0, 0, 1, 1340, YES, NO, I
       1915, 20, 700, 35, 950, 50
       0, 0, 0, 0, 0, 0
       0
       0
       0
       4500, 1, 4500,   4500, 240, 60,   6.3, 0, 0, 0, 1.2, NO, ,
    8, COMPOSITE , concio C1 laterale_imp sx, CB, 0, 1, 0, 0, 1, 1340, YES, NO, I
       1915, 20, 700, 35, 950, 50
       0, 0, 0, 0, 0, 0
       0
       0
       0
       3600, 1, 3600,   3600, 240, 60,   6.3, 0, 0, 0, 1.2, NO, ,
    9, COMPOSITE , concio C2 centr_imp sx, CB, 0, 1, 0, 0, 1, 1340, YES, NO, I
```

```
        1925, 20, 700, 30, 950, 45
        0, 0, 0, 0, 0, 0
        0
        0
        0
        4500, 1, 4500,   4500, 240, 60,   6.3, 0, 0, 0, 1.2, NO, ,
   10, COMPOSITE , concio C2 laterale_imp sx, CB, 0, 1, 0, 0, 1, 1340, YES, NO, I
        1925, 20, 700, 30, 950, 45
        0, 0, 0, 0, 0, 0
        0
        0
        0
        3600, 1, 3600,   3600, 240, 60,   6.3, 0, 0, 0, 1.2, NO, ,
   11, COMPOSITE , concio C3 centr_imp sx, CB, 0, 1, 0, 0, 1, 1340, YES, NO, I
        1940, 20, 500, 20, 700, 35
        0, 0, 0, 0, 0, 0
        0
        0
        0
        4500, 1, 4500,   4500, 240, 60,   6.3, 0, 0, 0, 1.2, NO, ,
   12, COMPOSITE , concio C3 laterale_imp sx, CB, 0, 1, 0, 0, 1, 1340, YES, NO, I
        1940, 20, 500, 20, 700, 35
        0, 0, 0, 0, 0, 0
        0
        0
        0
        3600, 1, 3600,   3600, 240, 60,   6.3, 0, 0, 0, 1.2, NO, ,
   13, DBUSER    , traverso_IPE 500  , CC, 0, 0, 0, 0, 0, 0, YES, NO, H  , 1, UNI, IPE500
   14, DBUSER    , corsia tutto sx_imp sx, CC, 0, 0, 0, 0, 0, 0, YES, NO, SR , 2, 50, 0, 0, 0, 0, 0, 0, 0, 0
, 0
   15, DBUSER    , sicurvia          , CC, 0, 0, 0, 0, 0, 0, YES, NO, SR , 2, 50, 0, 0, 0, 0, 0, 0, 0, 0, 0
   16, DBUSER    , veletta           , CC, 0, 0, 0, 0, 0, 0, YES, NO, SR , 2, 50, 0, 0, 0, 0, 0, 0, 0, 0, 0
   17, DBUSER    , parapetto         , CC, 0, 0, 0, 0, 0, 0, YES, NO, SR , 2, 50, 0, 0, 0, 0, 0, 0, 0, 0, 0
   18, VALUE     , soletta It=0_sp.30 cm, CC, 0, 0, 0, 0, 0, 0, YES, NO, SB , BUILT, 300, 1000, 0, 0, 0, 0,
0, 0, 0
        300000, 250000, 250000, 1, 2.25e+009, 2.5e+010
        500, 500, 150, 150, 11250, 125000, 2600, 0, 500, 150
        -500, 500, 500, -500, 150, 150, -150, -150, 2.25e+007, 7.5e+007
   19, DBUSER    , corsia tutto dx_imp sx, CC, 0, 0, 0, 0, 0, 0, YES, NO, SR , 2, 50, 0, 0, 0, 0, 0, 0, 0, 0
, 0
   20, DBUSER    , corsia centrale sx_imp sx, CC, 0, 0, 0, 0, 0, 0, YES, NO, SR , 2, 50, 0, 0, 0, 0, 0, 0, 0
, 0, 0
   21, DBUSER    , corsia centrale dx_imp sx, CC, 0, 0, 0, 0, 0, 0, YES, NO, SR , 2, 50, 0, 0, 0, 0, 0, 0, 0
, 0, 0
   22, DBUSER    , corsia tutto sx_imp dx, CC, 0, 0, 0, 0, 0, 0, YES, NO, SR , 2, 50, 0, 0, 0, 0, 0, 0, 0, 0
, 0
   23, DBUSER    , corisa tutto dx_imp dx, CC, 0, 0, 0, 0, 0, 0, YES, NO, SR , 2, 50, 0, 0, 0, 0, 0, 0, 0, 0
, 0
   24, DBUSER    , corsia centrale sx_imp dx, CC, 0, 0, 0, 0, 0, 0, YES, NO, SR , 2, 50, 0, 0, 0, 0, 0, 0, 0
, 0, 0
   25, DBUSER    , corsia tutto sx_imp sx, CC, 0, 0, 0, 0, 0, 0, YES, NO, SR , 2, 50, 0, 0, 0, 0, 0, 0, 0, 0
, 0
   26, DBUSER    , corsia centrale dx_imp dx, CC, 0, 0, 0, 0, 0, 0, YES, NO, SR , 2, 50, 0, 0, 0, 0, 0, 0, 0
, 0, 0

*STLDCASE    ; Static Load Cases
; LCNAME, LCTYPE, DESC
   peso proprio acciaio, D , +15%%
   soletta cls, D , 7.5 kN/mq
   marciapiede, D , 7.875/4.75/8.75/5.25 kN/mq
   pavimentazione, D , 3.42 kN/mq
   vento y+, W ,
   parapetto, D , 0.4 kN/ml
   sicurvia, D , 1.0 kN/ml
   veletta, D , 2.13 kN/ml
   centrifuga, CF, 50.8 kN
   frenatura, L , 473.4 kN
   Termica uniforme +15, T , +15°
   Termica uniforme -15, T , -15°
   Termica non uniforme, T , +5°
   Termica non uniforme, T , -5°
   folla su marciapiede, L , 5 kN/mq
   node 56_max Fz, USER,
   node 55_max Fz, USER,
   node 54_max Fz, USER,
   node 53_max Fz, USER,
   node 52_max Fz, USER,
   node 51_max Fz, USER,
```

```
   node 50_max Fz, USER,
   node 49_max Fz, USER,
   soletta non reagente, D , 7.5 kN/mq (distr su travi)


*SPRING    ; Point Spring Supports
; NODE_LIST, Type, SDx, SDy, SDz, SRx, SRy, SRz, GROUP, FROMTYPE, EFFAREA, Kx, Ky, Kz
                           ; LINEAR
; NODE_LIST, Type, Direction, Vx, Vy, Vz, Stiffness, GROUP, FROMTYPE, EFFAREA
                           ; COMP, TENS
; NODE_LIST, Type, Multi-Linear Type, Direction, Vx, Vy, Vz, ax, ay, bx, by, cx, cy, dx, dy, ex, ey, fx, fy,
 GROUP, FROMTYPE, EFFAREA  ; MULTI
   49to64, LINEAR, 2.35, 2.35, 1518, 0, 0, 0, NO, 0, 0, 0, 0, 0, 0, APPOGGI, 0, 0, 0, 0, 0

*ELASTICLINK
; iNO, iNODE1, iNODE2, LINK, ANGLE, SDx, SDy, SDz, SRx, SRy, SRz, bSHEAR, DRy, DRz, GROUP
    ; GEN
; iNO, iNODE1, iNODE2, LINK, ANGLE, bSHEAR, DRy, DRz, GROUP
    ; RIGID
; iNO, iNODE1, iNODE2, LINK, ANGLE, SDx, bSHEAR, DRy, DRz, GROUP
    ; TENS,COMP
; iNO, iNODE1, iNODE2, LINK, ANGLE, (UN)SYM, NUM, DIST1, FORCE1 ... DIST10, FORCE10, DIR, bSHEAR, DRENDI, GR
OUP ; MULTI LINEAR
     1,     49,      1, RIGID,      0, NO, 0.5, 0.5, APPOGGI
     2,     50,      2, RIGID,      0, NO, 0.5, 0.5, APPOGGI
     3,     51,      3, RIGID,      0, NO, 0.5, 0.5, APPOGGI
     4,     52,      4, RIGID,      0, NO, 0.5, 0.5, APPOGGI
     5,     53,      5, RIGID,      0, NO, 0.5, 0.5, APPOGGI
     6,     54,      6, RIGID,      0, NO, 0.5, 0.5, APPOGGI
     7,     55,      7, RIGID,      0, NO, 0.5, 0.5, APPOGGI
     8,     56,      8, RIGID,      0, NO, 0.5, 0.5, APPOGGI
     9,     57,      9, RIGID,      0, NO, 0.5, 0.5, APPOGGI
    10,     58,     10, RIGID,      0, NO, 0.5, 0.5, APPOGGI
    11,     59,     11, RIGID,      0, NO, 0.5, 0.5, APPOGGI
    12,     60,     12, RIGID,      0, NO, 0.5, 0.5, APPOGGI
    13,     61,     13, RIGID,      0, NO, 0.5, 0.5, APPOGGI
    14,     62,     14, RIGID,      0, NO, 0.5, 0.5, APPOGGI
    15,     63,     15, RIGID,      0, NO, 0.5, 0.5, APPOGGI
    16,     64,     16, RIGID,      0, NO, 0.5, 0.5, APPOGGI
    17,    136,    144, RIGID,      0, NO, 0.5, 0.5, PIOLI
    18,    135,    143, RIGID,      0, NO, 0.5, 0.5, PIOLI
    19,    134,    142, RIGID,      0, NO, 0.5, 0.5, PIOLI
    20,    133,    141, RIGID,      0, NO, 0.5, 0.5, PIOLI
    21,    152,    160, RIGID,      0, NO, 0.5, 0.5, PIOLI
    22,    168,    176, RIGID,      0, NO, 0.5, 0.5, PIOLI
    23,    192,    200, RIGID,      0, NO, 0.5, 0.5, PIOLI
    24,     72,    184, RIGID,      0, NO, 0.5, 0.5, PIOLI
    25,    151,    159, RIGID,      0, NO, 0.5, 0.5, PIOLI
    26,    167,    175, RIGID,      0, NO, 0.5, 0.5, PIOLI
    27,     71,    183, RIGID,      0, NO, 0.5, 0.5, PIOLI
    28,    191,    199, RIGID,      0, NO, 0.5, 0.5, PIOLI
    29,    207,    215, RIGID,      0, NO, 0.5, 0.5, PIOLI
    30,    223,    231, RIGID,      0, NO, 0.5, 0.5, PIOLI
    31,    239,    247, RIGID,      0, NO, 0.5, 0.5, PIOLI
    32,     79,    255, RIGID,      0, NO, 0.5, 0.5, PIOLI
    33,    263,    271, RIGID,      0, NO, 0.5, 0.5, PIOLI
    34,    279,    287, RIGID,      0, NO, 0.5, 0.5, PIOLI
    35,    295,    303, RIGID,      0, NO, 0.5, 0.5, PIOLI
    36,    208,    216, RIGID,      0, NO, 0.5, 0.5, PIOLI
    37,    224,    232, RIGID,      0, NO, 0.5, 0.5, PIOLI
    38,    240,    248, RIGID,      0, NO, 0.5, 0.5, PIOLI
    39,     80,    256, RIGID,      0, NO, 0.5, 0.5, PIOLI
    40,    264,    272, RIGID,      0, NO, 0.5, 0.5, PIOLI
    41,    280,    288, RIGID,      0, NO, 0.5, 0.5, PIOLI
    42,    296,    304, RIGID,      0, NO, 0.5, 0.5, PIOLI
    43,    312,    320, RIGID,      0, NO, 0.5, 0.5, PIOLI
    44,     88,    328, RIGID,      0, NO, 0.5, 0.5, PIOLI
    45,    336,    344, RIGID,      0, NO, 0.5, 0.5, PIOLI
    46,    311,    319, RIGID,      0, NO, 0.5, 0.5, PIOLI
    47,     87,    327, RIGID,      0, NO, 0.5, 0.5, PIOLI
    48,    335,    343, RIGID,      0, NO, 0.5, 0.5, PIOLI
    49,    351,    359, RIGID,      0, NO, 0.5, 0.5, PIOLI
    50,    367,    375, RIGID,      0, NO, 0.5, 0.5, PIOLI
    51,    383,    391, RIGID,      0, NO, 0.5, 0.5, PIOLI
    52,     95,    399, RIGID,      0, NO, 0.5, 0.5, PIOLI
    53,    407,    415, RIGID,      0, NO, 0.5, 0.5, PIOLI
    54,    352,    360, RIGID,      0, NO, 0.5, 0.5, PIOLI
    55,    368,    376, RIGID,      0, NO, 0.5, 0.5, PIOLI
```

PROJECT TITLE :

	Company		Client	
	Author		File Name	Brembiolo1_08_completo(fasi)DEFINITIVO.mgt

```
  56,   384,   392, RIGID,      0, NO, 0.5, 0.5, PIOLI
  57,    96,   400, RIGID,      0, NO, 0.5, 0.5, PIOLI
  58,   408,   416, RIGID,      0, NO, 0.5, 0.5, PIOLI
  59,   424,   432, RIGID,      0, NO, 0.5, 0.5, PIOLI
  60,   423,   431, RIGID,      0, NO, 0.5, 0.5, PIOLI
  61,   439,   447, RIGID,      0, NO, 0.5, 0.5, PIOLI
  62,   455,   463, RIGID,      0, NO, 0.5, 0.5, PIOLI
  63,   103,   471, RIGID,      0, NO, 0.5, 0.5, PIOLI
  64,   479,   487, RIGID,      0, NO, 0.5, 0.5, PIOLI
  65,   495,   503, RIGID,      0, NO, 0.5, 0.5, PIOLI
  66,   440,   448, RIGID,      0, NO, 0.5, 0.5, PIOLI
  67,   456,   464, RIGID,      0, NO, 0.5, 0.5, PIOLI
  68,   104,   472, RIGID,      0, NO, 0.5, 0.5, PIOLI
  69,   480,   488, RIGID,      0, NO, 0.5, 0.5, PIOLI
  70,   496,   504, RIGID,      0, NO, 0.5, 0.5, PIOLI
  71,   512,   520, RIGID,      0, NO, 0.5, 0.5, PIOLI
  72,   528,   536, RIGID,      0, NO, 0.5, 0.5, PIOLI
  73,   511,   519, RIGID,      0, NO, 0.5, 0.5, PIOLI
  74,   527,   535, RIGID,      0, NO, 0.5, 0.5, PIOLI
  75,   111,   543, RIGID,      0, NO, 0.5, 0.5, PIOLI
  76,   551,   559, RIGID,      0, NO, 0.5, 0.5, PIOLI
  77,   567,   575, RIGID,      0, NO, 0.5, 0.5, PIOLI
  78,   583,   591, RIGID,      0, NO, 0.5, 0.5, PIOLI
  79,   119,   615, RIGID,      0, NO, 0.5, 0.5, PIOLI
  80,   599,   607, RIGID,      0, NO, 0.5, 0.5, PIOLI
  81,   623,   631, RIGID,      0, NO, 0.5, 0.5, PIOLI
  82,   639,   647, RIGID,      0, NO, 0.5, 0.5, PIOLI
  83,   655,   663, RIGID,      0, NO, 0.5, 0.5, PIOLI
  84,   112,   544, RIGID,      0, NO, 0.5, 0.5, PIOLI
  85,   552,   560, RIGID,      0, NO, 0.5, 0.5, PIOLI
  86,   568,   576, RIGID,      0, NO, 0.5, 0.5, PIOLI
  87,   584,   592, RIGID,      0, NO, 0.5, 0.5, PIOLI
  88,   600,   608, RIGID,      0, NO, 0.5, 0.5, PIOLI
  89,   120,   616, RIGID,      0, NO, 0.5, 0.5, PIOLI
  90,   624,   632, RIGID,      0, NO, 0.5, 0.5, PIOLI
  91,   640,   648, RIGID,      0, NO, 0.5, 0.5, PIOLI
  92,   656,   664, RIGID,      0, NO, 0.5, 0.5, PIOLI
  93,   672,   680, RIGID,      0, NO, 0.5, 0.5, PIOLI
  94,   128,   688, RIGID,      0, NO, 0.5, 0.5, PIOLI
  95,   696,   704, RIGID,      0, NO, 0.5, 0.5, PIOLI
  96,   712,   720, RIGID,      0, NO, 0.5, 0.5, PIOLI
  97,   728,   736, RIGID,      0, NO, 0.5, 0.5, PIOLI
  98,   727,   735, RIGID,      0, NO, 0.5, 0.5, PIOLI
  99,   711,   719, RIGID,      0, NO, 0.5, 0.5, PIOLI
 100,   695,   703, RIGID,      0, NO, 0.5, 0.5, PIOLI
 101,   127,   687, RIGID,      0, NO, 0.5, 0.5, PIOLI
 102,   671,   679, RIGID,      0, NO, 0.5, 0.5, PIOLI
 103,   726,   734, RIGID,      0, NO, 0.5, 0.5, PIOLI
 104,   710,   718, RIGID,      0, NO, 0.5, 0.5, PIOLI
 105,   694,   702, RIGID,      0, NO, 0.5, 0.5, PIOLI
 106,   686,   126, RIGID,      0, NO, 0.5, 0.5, PIOLI
 107,   670,   678, RIGID,      0, NO, 0.5, 0.5, PIOLI
 108,   654,   662, RIGID,      0, NO, 0.5, 0.5, PIOLI
 109,   638,   646, RIGID,      0, NO, 0.5, 0.5, PIOLI
 110,   622,   630, RIGID,      0, NO, 0.5, 0.5, PIOLI
 111,   118,   614, RIGID,      0, NO, 0.5, 0.5, PIOLI
 112,   598,   606, RIGID,      0, NO, 0.5, 0.5, PIOLI
 113,   582,   590, RIGID,      0, NO, 0.5, 0.5, PIOLI
 114,   566,   574, RIGID,      0, NO, 0.5, 0.5, PIOLI
 115,   550,   558, RIGID,      0, NO, 0.5, 0.5, PIOLI
 116,   110,   542, RIGID,      0, NO, 0.5, 0.5, PIOLI
 117,   526,   534, RIGID,      0, NO, 0.5, 0.5, PIOLI
 118,   510,   518, RIGID,      0, NO, 0.5, 0.5, PIOLI
 119,   494,   502, RIGID,      0, NO, 0.5, 0.5, PIOLI
 120,   478,   486, RIGID,      0, NO, 0.5, 0.5, PIOLI
 121,   102,   470, RIGID,      0, NO, 0.5, 0.5, PIOLI
 122,   454,   462, RIGID,      0, NO, 0.5, 0.5, PIOLI
 123,   438,   446, RIGID,      0, NO, 0.5, 0.5, PIOLI
 124,   422,   430, RIGID,      0, NO, 0.5, 0.5, PIOLI
 125,   406,   414, RIGID,      0, NO, 0.5, 0.5, PIOLI
 126,    94,   398, RIGID,      0, NO, 0.5, 0.5, PIOLI
 127,   382,   390, RIGID,      0, NO, 0.5, 0.5, PIOLI
 128,   366,   374, RIGID,      0, NO, 0.5, 0.5, PIOLI
 129,   350,   358, RIGID,      0, NO, 0.5, 0.5, PIOLI
 130,   334,   342, RIGID,      0, NO, 0.5, 0.5, PIOLI
 131,    86,   326, RIGID,      0, NO, 0.5, 0.5, PIOLI
 132,   310,   318, RIGID,      0, NO, 0.5, 0.5, PIOLI
 133,   294,   302, RIGID,      0, NO, 0.5, 0.5, PIOLI
```

PROJECT TITLE :

	Company		Client	
	Author		File Name	Brembiolo1_08_completo(fasi)DEFINITIVO.mgt

```
134,   278,   286, RIGID,     0, NO, 0.5, 0.5, PIOLI
135,   262,   270, RIGID,     0, NO, 0.5, 0.5, PIOLI
136,    78,   254, RIGID,     0, NO, 0.5, 0.5, PIOLI
137,   238,   246, RIGID,     0, NO, 0.5, 0.5, PIOLI
138,   222,   230, RIGID,     0, NO, 0.5, 0.5, PIOLI
139,   206,   214, RIGID,     0, NO, 0.5, 0.5, PIOLI
140,   190,   198, RIGID,     0, NO, 0.5, 0.5, PIOLI
141,    70,   182, RIGID,     0, NO, 0.5, 0.5, PIOLI
142,   166,   174, RIGID,     0, NO, 0.5, 0.5, PIOLI
143,   150,   158, RIGID,     0, NO, 0.5, 0.5, PIOLI
144,   149,   157, RIGID,     0, NO, 0.5, 0.5, PIOLI
145,   165,   173, RIGID,     0, NO, 0.5, 0.5, PIOLI
146,    69,   181, RIGID,     0, NO, 0.5, 0.5, PIOLI
147,   189,   197, RIGID,     0, NO, 0.5, 0.5, PIOLI
148,   205,   213, RIGID,     0, NO, 0.5, 0.5, PIOLI
149,   221,   229, RIGID,     0, NO, 0.5, 0.5, PIOLI
150,   237,   245, RIGID,     0, NO, 0.5, 0.5, PIOLI
151,    77,   253, RIGID,     0, NO, 0.5, 0.5, PIOLI
152,   261,   269, RIGID,     0, NO, 0.5, 0.5, PIOLI
153,   277,   285, RIGID,     0, NO, 0.5, 0.5, PIOLI
154,   293,   301, RIGID,     0, NO, 0.5, 0.5, PIOLI
155,   309,   317, RIGID,     0, NO, 0.5, 0.5, PIOLI
156,    85,   325, RIGID,     0, NO, 0.5, 0.5, PIOLI
157,   333,   341, RIGID,     0, NO, 0.5, 0.5, PIOLI
158,   349,   357, RIGID,     0, NO, 0.5, 0.5, PIOLI
159,   365,   373, RIGID,     0, NO, 0.5, 0.5, PIOLI
160,   381,   389, RIGID,     0, NO, 0.5, 0.5, PIOLI
161,    93,   397, RIGID,     0, NO, 0.5, 0.5, PIOLI
162,   405,   413, RIGID,     0, NO, 0.5, 0.5, PIOLI
163,   421,   429, RIGID,     0, NO, 0.5, 0.5, PIOLI
164,   437,   445, RIGID,     0, NO, 0.5, 0.5, PIOLI
165,   453,   461, RIGID,     0, NO, 0.5, 0.5, PIOLI
166,   101,   469, RIGID,     0, NO, 0.5, 0.5, PIOLI
167,   477,   485, RIGID,     0, NO, 0.5, 0.5, PIOLI
168,   493,   501, RIGID,     0, NO, 0.5, 0.5, PIOLI
169,   509,   517, RIGID,     0, NO, 0.5, 0.5, PIOLI
170,   525,   533, RIGID,     0, NO, 0.5, 0.5, PIOLI
171,   109,   541, RIGID,     0, NO, 0.5, 0.5, PIOLI
172,   549,   557, RIGID,     0, NO, 0.5, 0.5, PIOLI
173,   565,   573, RIGID,     0, NO, 0.5, 0.5, PIOLI
174,   581,   589, RIGID,     0, NO, 0.5, 0.5, PIOLI
175,   597,   605, RIGID,     0, NO, 0.5, 0.5, PIOLI
176,   117,   613, RIGID,     0, NO, 0.5, 0.5, PIOLI
177,   621,   629, RIGID,     0, NO, 0.5, 0.5, PIOLI
178,   637,   645, RIGID,     0, NO, 0.5, 0.5, PIOLI
179,   653,   661, RIGID,     0, NO, 0.5, 0.5, PIOLI
180,   669,   677, RIGID,     0, NO, 0.5, 0.5, PIOLI
181,   125,   685, RIGID,     0, NO, 0.5, 0.5, PIOLI
182,   693,   701, RIGID,     0, NO, 0.5, 0.5, PIOLI
183,   709,   717, RIGID,     0, NO, 0.5, 0.5, PIOLI
184,   725,   733, RIGID,     0, NO, 0.5, 0.5, PIOLI
185,   724,   732, RIGID,     0, NO, 0.5, 0.5, PIOLI
186,   708,   716, RIGID,     0, NO, 0.5, 0.5, PIOLI
187,   692,   700, RIGID,     0, NO, 0.5, 0.5, PIOLI
188,   124,   684, RIGID,     0, NO, 0.5, 0.5, PIOLI
189,   668,   676, RIGID,     0, NO, 0.5, 0.5, PIOLI
190,   652,   660, RIGID,     0, NO, 0.5, 0.5, PIOLI
191,   636,   644, RIGID,     0, NO, 0.5, 0.5, PIOLI
192,   620,   628, RIGID,     0, NO, 0.5, 0.5, PIOLI
193,   116,   612, RIGID,     0, NO, 0.5, 0.5, PIOLI
194,   596,   604, RIGID,     0, NO, 0.5, 0.5, PIOLI
195,   580,   588, RIGID,     0, NO, 0.5, 0.5, PIOLI
196,   564,   572, RIGID,     0, NO, 0.5, 0.5, PIOLI
197,   548,   556, RIGID,     0, NO, 0.5, 0.5, PIOLI
198,   108,   540, RIGID,     0, NO, 0.5, 0.5, PIOLI
199,   524,   532, RIGID,     0, NO, 0.5, 0.5, PIOLI
200,   508,   516, RIGID,     0, NO, 0.5, 0.5, PIOLI
201,   492,   500, RIGID,     0, NO, 0.5, 0.5, PIOLI
202,   476,   484, RIGID,     0, NO, 0.5, 0.5, PIOLI
203,   100,   468, RIGID,     0, NO, 0.5, 0.5, PIOLI
204,   452,   460, RIGID,     0, NO, 0.5, 0.5, PIOLI
205,   436,   444, RIGID,     0, NO, 0.5, 0.5, PIOLI
206,   420,   428, RIGID,     0, NO, 0.5, 0.5, PIOLI
207,   404,   412, RIGID,     0, NO, 0.5, 0.5, PIOLI
208,    92,   396, RIGID,     0, NO, 0.5, 0.5, PIOLI
209,   380,   388, RIGID,     0, NO, 0.5, 0.5, PIOLI
210,   364,   372, RIGID,     0, NO, 0.5, 0.5, PIOLI
211,   348,   356, RIGID,     0, NO, 0.5, 0.5, PIOLI
```

PROJECT TITLE :

	Company		Client	
	Author		File Name	Brembiolo1_08_completo(fasi)DEFINITIVO.mgt

```
212,    332,    340, RIGID,      0, NO, 0.5, 0.5, PIOLI
213,     84,    324, RIGID,      0, NO, 0.5, 0.5, PIOLI
214,    308,    316, RIGID,      0, NO, 0.5, 0.5, PIOLI
215,    292,    300, RIGID,      0, NO, 0.5, 0.5, PIOLI
216,    276,    284, RIGID,      0, NO, 0.5, 0.5, PIOLI
217,    260,    268, RIGID,      0, NO, 0.5, 0.5, PIOLI
218,     76,    252, RIGID,      0, NO, 0.5, 0.5, PIOLI
219,    236,    244, RIGID,      0, NO, 0.5, 0.5, PIOLI
220,    220,    228, RIGID,      0, NO, 0.5, 0.5, PIOLI
221,    204,    212, RIGID,      0, NO, 0.5, 0.5, PIOLI
222,    188,    196, RIGID,      0, NO, 0.5, 0.5, PIOLI
223,     68,    180, RIGID,      0, NO, 0.5, 0.5, PIOLI
224,    164,    172, RIGID,      0, NO, 0.5, 0.5, PIOLI
225,    148,    156, RIGID,      0, NO, 0.5, 0.5, PIOLI
226,    132,    140, RIGID,      0, NO, 0.5, 0.5, PIOLI
227,    131,    139, RIGID,      0, NO, 0.5, 0.5, PIOLI
228,    147,    155, RIGID,      0, NO, 0.5, 0.5, PIOLI
229,    163,    171, RIGID,      0, NO, 0.5, 0.5, PIOLI
230,     67,    179, RIGID,      0, NO, 0.5, 0.5, PIOLI
231,    187,    195, RIGID,      0, NO, 0.5, 0.5, PIOLI
232,    203,    211, RIGID,      0, NO, 0.5, 0.5, PIOLI
233,    219,    227, RIGID,      0, NO, 0.5, 0.5, PIOLI
234,    235,    243, RIGID,      0, NO, 0.5, 0.5, PIOLI
235,     75,    251, RIGID,      0, NO, 0.5, 0.5, PIOLI
236,    259,    267, RIGID,      0, NO, 0.5, 0.5, PIOLI
237,    275,    283, RIGID,      0, NO, 0.5, 0.5, PIOLI
238,    291,    299, RIGID,      0, NO, 0.5, 0.5, PIOLI
239,    307,    315, RIGID,      0, NO, 0.5, 0.5, PIOLI
240,     83,    323, RIGID,      0, NO, 0.5, 0.5, PIOLI
241,    331,    339, RIGID,      0, NO, 0.5, 0.5, PIOLI
242,    347,    355, RIGID,      0, NO, 0.5, 0.5, PIOLI
243,    363,    371, RIGID,      0, NO, 0.5, 0.5, PIOLI
244,    379,    387, RIGID,      0, NO, 0.5, 0.5, PIOLI
245,     91,    395, RIGID,      0, NO, 0.5, 0.5, PIOLI
246,    403,    411, RIGID,      0, NO, 0.5, 0.5, PIOLI
247,    419,    427, RIGID,      0, NO, 0.5, 0.5, PIOLI
248,    435,    443, RIGID,      0, NO, 0.5, 0.5, PIOLI
249,    451,    459, RIGID,      0, NO, 0.5, 0.5, PIOLI
250,     99,    467, RIGID,      0, NO, 0.5, 0.5, PIOLI
251,    475,    483, RIGID,      0, NO, 0.5, 0.5, PIOLI
252,    491,    499, RIGID,      0, NO, 0.5, 0.5, PIOLI
253,    507,    515, RIGID,      0, NO, 0.5, 0.5, PIOLI
254,    523,    531, RIGID,      0, NO, 0.5, 0.5, PIOLI
255,    107,    539, RIGID,      0, NO, 0.5, 0.5, PIOLI
256,    547,    555, RIGID,      0, NO, 0.5, 0.5, PIOLI
257,    563,    571, RIGID,      0, NO, 0.5, 0.5, PIOLI
258,    579,    587, RIGID,      0, NO, 0.5, 0.5, PIOLI
259,    603,    595, RIGID,      0, NO, 0.5, 0.5, PIOLI
260,    115,    611, RIGID,      0, NO, 0.5, 0.5, PIOLI
261,    619,    627, RIGID,      0, NO, 0.5, 0.5, PIOLI
262,    635,    643, RIGID,      0, NO, 0.5, 0.5, PIOLI
263,    651,    659, RIGID,      0, NO, 0.5, 0.5, PIOLI
264,    667,    675, RIGID,      0, NO, 0.5, 0.5, PIOLI
265,    123,    683, RIGID,      0, NO, 0.5, 0.5, PIOLI
266,    691,    699, RIGID,      0, NO, 0.5, 0.5, PIOLI
267,    707,    715, RIGID,      0, NO, 0.5, 0.5, PIOLI
268,    723,    731, RIGID,      0, NO, 0.5, 0.5, PIOLI
269,    730,    722, RIGID,      0, NO, 0.5, 0.5, PIOLI
270,    706,    714, RIGID,      0, NO, 0.5, 0.5, PIOLI
271,    690,    698, RIGID,      0, NO, 0.5, 0.5, PIOLI
272,    122,    682, RIGID,      0, NO, 0.5, 0.5, PIOLI
273,    666,    674, RIGID,      0, NO, 0.5, 0.5, PIOLI
274,    650,    658, RIGID,      0, NO, 0.5, 0.5, PIOLI
275,    634,    642, RIGID,      0, NO, 0.5, 0.5, PIOLI
276,    618,    626, RIGID,      0, NO, 0.5, 0.5, PIOLI
277,    114,    610, RIGID,      0, NO, 0.5, 0.5, PIOLI
278,    594,    602, RIGID,      0, NO, 0.5, 0.5, PIOLI
279,    578,    586, RIGID,      0, NO, 0.5, 0.5, PIOLI
280,    562,    570, RIGID,      0, NO, 0.5, 0.5, PIOLI
281,    546,    554, RIGID,      0, NO, 0.5, 0.5, PIOLI
282,    106,    538, RIGID,      0, NO, 0.5, 0.5, PIOLI
283,    522,    530, RIGID,      0, NO, 0.5, 0.5, PIOLI
284,    506,    514, RIGID,      0, NO, 0.5, 0.5, PIOLI
285,    490,    498, RIGID,      0, NO, 0.5, 0.5, PIOLI
286,    474,    482, RIGID,      0, NO, 0.5, 0.5, PIOLI
287,     98,    466, RIGID,      0, NO, 0.5, 0.5, PIOLI
288,    450,    458, RIGID,      0, NO, 0.5, 0.5, PIOLI
289,    434,    442, RIGID,      0, NO, 0.5, 0.5, PIOLI
```

```
   290,    418,    426, RIGID,      0, NO, 0.5, 0.5, PIOLI
   291,    402,    410, RIGID,      0, NO, 0.5, 0.5, PIOLI
   292,     90,    394, RIGID,      0, NO, 0.5, 0.5, PIOLI
   293,    378,    386, RIGID,      0, NO, 0.5, 0.5, PIOLI
   294,    362,    370, RIGID,      0, NO, 0.5, 0.5, PIOLI
   295,    346,    354, RIGID,      0, NO, 0.5, 0.5, PIOLI
   296,    330,    338, RIGID,      0, NO, 0.5, 0.5, PIOLI
   297,     82,    322, RIGID,      0, NO, 0.5, 0.5, PIOLI
   298,    306,    314, RIGID,      0, NO, 0.5, 0.5, PIOLI
   299,    290,    298, RIGID,      0, NO, 0.5, 0.5, PIOLI
   300,    274,    282, RIGID,      0, NO, 0.5, 0.5, PIOLI
   301,    258,    266, RIGID,      0, NO, 0.5, 0.5, PIOLI
   302,     74,    250, RIGID,      0, NO, 0.5, 0.5, PIOLI
   303,    234,    242, RIGID,      0, NO, 0.5, 0.5, PIOLI
   304,    218,    226, RIGID,      0, NO, 0.5, 0.5, PIOLI
   305,    202,    210, RIGID,      0, NO, 0.5, 0.5, PIOLI
   306,    186,    194, RIGID,      0, NO, 0.5, 0.5, PIOLI
   307,     66,    178, RIGID,      0, NO, 0.5, 0.5, PIOLI
   308,    162,    170, RIGID,      0, NO, 0.5, 0.5, PIOLI
   309,    146,    154, RIGID,      0, NO, 0.5, 0.5, PIOLI
   310,    130,    138, RIGID,      0, NO, 0.5, 0.5, PIOLI
   311,    129,    137, RIGID,      0, NO, 0.5, 0.5, PIOLI
   312,    145,    153, RIGID,      0, NO, 0.5, 0.5, PIOLI
   313,    161,    169, RIGID,      0, NO, 0.5, 0.5, PIOLI
   314,     65,    177, RIGID,      0, NO, 0.5, 0.5, PIOLI
   315,    185,    193, RIGID,      0, NO, 0.5, 0.5, PIOLI
   316,    201,    209, RIGID,      0, NO, 0.5, 0.5, PIOLI
   317,    217,    225, RIGID,      0, NO, 0.5, 0.5, PIOLI
   318,    233,    241, RIGID,      0, NO, 0.5, 0.5, PIOLI
   319,     73,    249, RIGID,      0, NO, 0.5, 0.5, PIOLI
   320,    257,    265, RIGID,      0, NO, 0.5, 0.5, PIOLI
   321,    273,    281, RIGID,      0, NO, 0.5, 0.5, PIOLI
   322,    289,    297, RIGID,      0, NO, 0.5, 0.5, PIOLI
   323,    305,    313, RIGID,      0, NO, 0.5, 0.5, PIOLI
   324,     81,    321, RIGID,      0, NO, 0.5, 0.5, PIOLI
   325,    329,    337, RIGID,      0, NO, 0.5, 0.5, PIOLI
   326,    345,    353, RIGID,      0, NO, 0.5, 0.5, PIOLI
   327,    361,    369, RIGID,      0, NO, 0.5, 0.5, PIOLI
   328,    377,    385, RIGID,      0, NO, 0.5, 0.5, PIOLI
   329,     89,    393, RIGID,      0, NO, 0.5, 0.5, PIOLI
   330,    401,    409, RIGID,      0, NO, 0.5, 0.5, PIOLI
   331,    417,    425, RIGID,      0, NO, 0.5, 0.5, PIOLI
   332,    433,    441, RIGID,      0, NO, 0.5, 0.5, PIOLI
   333,    449,    457, RIGID,      0, NO, 0.5, 0.5, PIOLI
   334,     97,    465, RIGID,      0, NO, 0.5, 0.5, PIOLI
   335,    473,    481, RIGID,      0, NO, 0.5, 0.5, PIOLI
   336,    489,    497, RIGID,      0, NO, 0.5, 0.5, PIOLI
   337,    505,    513, RIGID,      0, NO, 0.5, 0.5, PIOLI
   338,    521,    529, RIGID,      0, NO, 0.5, 0.5, PIOLI
   339,    537,    105, RIGID,      0, NO, 0.5, 0.5, PIOLI
   340,    545,    553, RIGID,      0, NO, 0.5, 0.5, PIOLI
   341,    561,    569, RIGID,      0, NO, 0.5, 0.5, PIOLI
   342,    577,    585, RIGID,      0, NO, 0.5, 0.5, PIOLI
   343,    593,    601, RIGID,      0, NO, 0.5, 0.5, PIOLI
   344,    113,    609, RIGID,      0, NO, 0.5, 0.5, PIOLI
   345,    617,    625, RIGID,      0, NO, 0.5, 0.5, PIOLI
   346,    633,    641, RIGID,      0, NO, 0.5, 0.5, PIOLI
   347,    649,    657, RIGID,      0, NO, 0.5, 0.5, PIOLI
   348,    665,    673, RIGID,      0, NO, 0.5, 0.5, PIOLI
   349,    121,    681, RIGID,      0, NO, 0.5, 0.5, PIOLI
   350,    689,    697, RIGID,      0, NO, 0.5, 0.5, PIOLI
   351,    705,    713, RIGID,      0, NO, 0.5, 0.5, PIOLI
   352,    721,    729, RIGID,      0, NO, 0.5, 0.5, PIOLI

; *LOADTOMASS, DIR, bNODAL, bBEAM, bFLOOR, bPRES, GRAV
;     LCNAME1, FACTOR1, LCNAME2, FACTOR2, ...    ; from line 1
*LOADTOMASS, XYZ, YES, YES, YES, YES, 9806
   peso proprio acciaio, 1, soletta cls, 1, marciapiede, 1, pavimentazione, 1
   parapetto, 1, sicurvia, 1, veletta, 1

*USE-STLD, peso proprio acciaio

; *SELFWEIGHT, X, Y, Z, GROUP
*SELFWEIGHT, 0, 0, -1.15, FASE1-ACCIAIO

; End of data for load case [peso proprio acciaio] -------------------------

*USE-STLD, soletta cls
```

PROJECT TITLE :

	Company		Client	
	Author		File Name	Brembiolo1_08_completo(fasi)DEFINITIVO.mgt

```
*BEAMLOAD    ; Element Beam Loads
; ELEM_LIST, CMD, TYPE, DIR, bPROJ, [ECCEN], [VALUE], GROUP
; ELEM_LIST, CMD, TYPE, TYPE, DIR, VX, VY, VZ, bPROJ, [ECCEN], [VALUE], GROUP
; [VALUE]       : D1, P1, D2, P2, D3, P3, D4, P4
; [ECCEN]       : bECCEN, ECCDIR, I-END, J-END, bJ-END
; [ADDITIONAL]  : bADDITIONAL, ADDITIONAL_I-END, ADDITIONAL_J-END, bADDITIONAL_J-END
   437, BEAM   , UNILOAD, GZ, NO , NO, aDir[1], , , , 0, -0.0075, 1, -0.0075, 0, 0, 0, 0, FASE2-PERM, NO, 0,
 0, NO,
   438, BEAM   , UNILOAD, GZ, NO , NO, aDir[1], , , , 0, -0.0075, 1, -0.0075, 0, 0, 0, 0, FASE2-PERM, NO, 0,
 0, NO,
   439, BEAM   , UNILOAD, GZ, NO , NO, aDir[1], , , , 0, -0.0075, 1, -0.0075, 0, 0, 0, 0, FASE2-PERM, NO, 0,
 0, NO,
   440, BEAM   , UNILOAD, GZ, NO , NO, aDir[1], , , , 0, -0.0075, 1, -0.0075, 0, 0, 0, 0, FASE2-PERM, NO, 0,
 0, NO,
   441, BEAM   , UNILOAD, GZ, NO , NO, aDir[1], , , , 0, -0.0075, 1, -0.0075, 0, 0, 0, 0, FASE2-PERM, NO, 0,
 0, NO,
   442, BEAM   , UNILOAD, GZ, NO , NO, aDir[1], , , , 0, -0.0075, 1, -0.0075, 0, 0, 0, 0, FASE2-PERM, NO, 0,
 0, NO,
   443, BEAM   , UNILOAD, GZ, NO , NO, aDir[1], , , , 0, -0.0075, 1, -0.0075, 0, 0, 0, 0, FASE2-PERM, NO, 0,
 0, NO,
   444, BEAM   , UNILOAD, GZ, NO , NO, aDir[1], , , , 0, -0.0075, 1, -0.0075, 0, 0, 0, 0, FASE2-PERM, NO, 0,
 0, NO,
   445, BEAM   , UNILOAD, GZ, NO , NO, aDir[1], , , , 0, -0.0075, 1, -0.0075, 0, 0, 0, 0, FASE2-PERM, NO, 0,
 0, NO,
   446, BEAM   , UNILOAD, GZ, NO , NO, aDir[1], , , , 0, -0.0075, 1, -0.0075, 0, 0, 0, 0, FASE2-PERM, NO, 0,
 0, NO,
   447, BEAM   , UNILOAD, GZ, NO , NO, aDir[1], , , , 0, -0.0075, 1, -0.0075, 0, 0, 0, 0, FASE2-PERM, NO, 0,
 0, NO,
   448, BEAM   , UNILOAD, GZ, NO , NO, aDir[1], , , , 0, -0.0075, 1, -0.0075, 0, 0, 0, 0, FASE2-PERM, NO, 0,
 0, NO,
   449, BEAM   , UNILOAD, GZ, NO , NO, aDir[1], , , , 0, -0.0075, 1, -0.0075, 0, 0, 0, 0, FASE2-PERM, NO, 0,
 0, NO,
   450, BEAM   , UNILOAD, GZ, NO , NO, aDir[1], , , , 0, -0.0075, 1, -0.0075, 0, 0, 0, 0, FASE2-PERM, NO, 0,
 0, NO,
   451, BEAM   , UNILOAD, GZ, NO , NO, aDir[1], , , , 0, -0.0075, 1, -0.0075, 0, 0, 0, 0, FASE2-PERM, NO, 0,
 0, NO,
   452, BEAM   , UNILOAD, GZ, NO , NO, aDir[1], , , , 0, -0.0075, 1, -0.0075, 0, 0, 0, 0, FASE2-PERM, NO, 0,
 0, NO,
   453, BEAM   , UNILOAD, GZ, NO , NO, aDir[1], , , , 0, -0.0075, 1, -0.0075, 0, 0, 0, 0, FASE2-PERM, NO, 0,
 0, NO,
   454, BEAM   , UNILOAD, GZ, NO , NO, aDir[1], , , , 0, -0.0075, 1, -0.0075, 0, 0, 0, 0, FASE2-PERM, NO, 0,
 0, NO,
   455, BEAM   , UNILOAD, GZ, NO , NO, aDir[1], , , , 0, -0.0075, 1, -0.0075, 0, 0, 0, 0, FASE2-PERM, NO, 0,
 0, NO,
   456, BEAM   , UNILOAD, GZ, NO , NO, aDir[1], , , , 0, -0.0075, 1, -0.0075, 0, 0, 0, 0, FASE2-PERM, NO, 0,
 0, NO,
   457, BEAM   , UNILOAD, GZ, NO , NO, aDir[1], , , , 0, -0.0075, 1, -0.0075, 0, 0, 0, 0, FASE2-PERM, NO, 0,
 0, NO,
   458, BEAM   , UNILOAD, GZ, NO , NO, aDir[1], , , , 0, -0.0075, 1, -0.0075, 0, 0, 0, 0, FASE2-PERM, NO, 0,
 0, NO,
   459, BEAM   , UNILOAD, GZ, NO , NO, aDir[1], , , , 0, -0.0075, 1, -0.0075, 0, 0, 0, 0, FASE2-PERM, NO, 0,
 0, NO,
   460, BEAM   , UNILOAD, GZ, NO , NO, aDir[1], , , , 0, -0.0075, 1, -0.0075, 0, 0, 0, 0, FASE2-PERM, NO, 0,
 0, NO,
   461, BEAM   , UNILOAD, GZ, NO , NO, aDir[1], , , , 0, -0.0075, 1, -0.0075, 0, 0, 0, 0, FASE2-PERM, NO, 0,
 0, NO,
   462, BEAM   , UNILOAD, GZ, NO , NO, aDir[1], , , , 0, -0.0075, 1, -0.0075, 0, 0, 0, 0, FASE2-PERM, NO, 0,
 0, NO,
   463, BEAM   , UNILOAD, GZ, NO , NO, aDir[1], , , , 0, -0.0075, 1, -0.0075, 0, 0, 0, 0, FASE2-PERM, NO, 0,
 0, NO,
   464, BEAM   , UNILOAD, GZ, NO , NO, aDir[1], , , , 0, -0.0075, 1, -0.0075, 0, 0, 0, 0, FASE2-PERM, NO, 0,
 0, NO,
   465, BEAM   , UNILOAD, GZ, NO , NO, aDir[1], , , , 0, -0.0075, 1, -0.0075, 0, 0, 0, 0, FASE2-PERM, NO, 0,
 0, NO,
   466, BEAM   , UNILOAD, GZ, NO , NO, aDir[1], , , , 0, -0.0075, 1, -0.0075, 0, 0, 0, 0, FASE2-PERM, NO, 0,
 0, NO,
   467, BEAM   , UNILOAD, GZ, NO , NO, aDir[1], , , , 0, -0.0075, 1, -0.0075, 0, 0, 0, 0, FASE2-PERM, NO, 0,
 0, NO,
   468, BEAM   , UNILOAD, GZ, NO , NO, aDir[1], , , , 0, -0.0075, 1, -0.0075, 0, 0, 0, 0, FASE2-PERM, NO, 0,
 0, NO,
   469, BEAM   , UNILOAD, GZ, NO , NO, aDir[1], , , , 0, -0.0075, 1, -0.0075, 0, 0, 0, 0, FASE2-PERM, NO, 0,
 0, NO,
   470, BEAM   , UNILOAD, GZ, NO , NO, aDir[1], , , , 0, -0.0075, 1, -0.0075, 0, 0, 0, 0, FASE2-PERM, NO, 0,
 0, NO,
   471, BEAM   , UNILOAD, GZ, NO , NO, aDir[1], , , , 0, -0.0075, 1, -0.0075, 0, 0, 0, 0, FASE2-PERM, NO, 0,
 0, NO,
   472, BEAM   , UNILOAD, GZ, NO , NO, aDir[1], , , , 0, -0.0075, 1, -0.0075, 0, 0, 0, 0, FASE2-PERM, NO, 0,
```

```
0, NO,
  473, BEAM    , UNILOAD, GZ, NO , NO, aDir[1], , , , 0, -0.0075, 1, -0.0075, 0, 0, 0, 0, FASE2-PERM, NO, 0,
0, NO,
  474, BEAM    , UNILOAD, GZ, NO , NO, aDir[1], , , , 0, -0.0075, 1, -0.0075, 0, 0, 0, 0, FASE2-PERM, NO, 0,
0, NO,
  475, BEAM    , UNILOAD, GZ, NO , NO, aDir[1], , , , 0, -0.0075, 1, -0.0075, 0, 0, 0, 0, FASE2-PERM, NO, 0,
0, NO,
  476, BEAM    , UNILOAD, GZ, NO , NO, aDir[1], , , , 0, -0.0075, 1, -0.0075, 0, 0, 0, 0, FASE2-PERM, NO, 0,
0, NO,
  477, BEAM    , UNILOAD, GZ, NO , NO, aDir[1], , , , 0, -0.0075, 1, -0.0075, 0, 0, 0, 0, FASE2-PERM, NO, 0,
0, NO,
  478, BEAM    , UNILOAD, GZ, NO , NO, aDir[1], , , , 0, -0.0075, 1, -0.0075, 0, 0, 0, 0, FASE2-PERM, NO, 0,
0, NO,
  479, BEAM    , UNILOAD, GZ, NO , NO, aDir[1], , , , 0, -0.0075, 1, -0.0075, 0, 0, 0, 0, FASE2-PERM, NO, 0,
0, NO,
  480, BEAM    , UNILOAD, GZ, NO , NO, aDir[1], , , , 0, -0.0075, 1, -0.0075, 0, 0, 0, 0, FASE2-PERM, NO, 0,
0, NO,
  481, BEAM    , UNILOAD, GZ, NO , NO, aDir[1], , , , 0, -0.0075, 1, -0.0075, 0, 0, 0, 0, FASE2-PERM, NO, 0,
0, NO,
  482, BEAM    , UNILOAD, GZ, NO , NO, aDir[1], , , , 0, -0.0075, 1, -0.0075, 0, 0, 0, 0, FASE2-PERM, NO, 0,
0, NO,
  483, BEAM    , UNILOAD, GZ, NO , NO, aDir[1], , , , 0, -0.0075, 1, -0.0075, 0, 0, 0, 0, FASE2-PERM, NO, 0,
0, NO,
  484, BEAM    , UNILOAD, GZ, NO , NO, aDir[1], , , , 0, -0.0075, 1, -0.0075, 0, 0, 0, 0, FASE2-PERM, NO, 0,
0, NO,
  485, BEAM    , UNILOAD, GZ, NO , NO, aDir[1], , , , 0, -0.0075, 1, -0.0075, 0, 0, 0, 0, FASE2-PERM, NO, 0,
0, NO,
  486, BEAM    , UNILOAD, GZ, NO , NO, aDir[1], , , , 0, -0.0075, 1, -0.0075, 0, 0, 0, 0, FASE2-PERM, NO, 0,
0, NO,
  487, BEAM    , UNILOAD, GZ, NO , NO, aDir[1], , , , 0, -0.0075, 1, -0.0075, 0, 0, 0, 0, FASE2-PERM, NO, 0,
0, NO,
  488, BEAM    , UNILOAD, GZ, NO , NO, aDir[1], , , , 0, -0.0075, 1, -0.0075, 0, 0, 0, 0, FASE2-PERM, NO, 0,
0, NO,
  489, BEAM    , UNILOAD, GZ, NO , NO, aDir[1], , , , 0, -0.0075, 1, -0.0075, 0, 0, 0, 0, FASE2-PERM, NO, 0,
0, NO,
  490, BEAM    , UNILOAD, GZ, NO , NO, aDir[1], , , , 0, -0.0075, 1, -0.0075, 0, 0, 0, 0, FASE2-PERM, NO, 0,
0, NO,
  491, BEAM    , UNILOAD, GZ, NO , NO, aDir[1], , , , 0, -0.0075, 1, -0.0075, 0, 0, 0, 0, FASE2-PERM, NO, 0,
0, NO,
  492, BEAM    , UNILOAD, GZ, NO , NO, aDir[1], , , , 0, -0.0075, 1, -0.0075, 0, 0, 0, 0, FASE2-PERM, NO, 0,
0, NO,
  493, BEAM    , UNILOAD, GZ, NO , NO, aDir[1], , , , 0, -0.0075, 1, -0.0075, 0, 0, 0, 0, FASE2-PERM, NO, 0,
0, NO,
  494, BEAM    , UNILOAD, GZ, NO , NO, aDir[1], , , , 0, -0.0075, 1, -0.0075, 0, 0, 0, 0, FASE2-PERM, NO, 0,
0, NO,
  495, BEAM    , UNILOAD, GZ, NO , NO, aDir[1], , , , 0, -0.0075, 1, -0.0075, 0, 0, 0, 0, FASE2-PERM, NO, 0,
0, NO,
  496, BEAM    , UNILOAD, GZ, NO , NO, aDir[1], , , , 0, -0.0075, 1, -0.0075, 0, 0, 0, 0, FASE2-PERM, NO, 0,
0, NO,
  497, BEAM    , UNILOAD, GZ, NO , NO, aDir[1], , , , 0, -0.0075, 1, -0.0075, 0, 0, 0, 0, FASE2-PERM, NO, 0,
0, NO,
  498, BEAM    , UNILOAD, GZ, NO , NO, aDir[1], , , , 0, -0.0075, 1, -0.0075, 0, 0, 0, 0, FASE2-PERM, NO, 0,
0, NO,
  499, BEAM    , UNILOAD, GZ, NO , NO, aDir[1], , , , 0, -0.0075, 1, -0.0075, 0, 0, 0, 0, FASE2-PERM, NO, 0,
0, NO,
  500, BEAM    , UNILOAD, GZ, NO , NO, aDir[1], , , , 0, -0.0075, 1, -0.0075, 0, 0, 0, 0, FASE2-PERM, NO, 0,
0, NO,
  501, BEAM    , UNILOAD, GZ, NO , NO, aDir[1], , , , 0, -0.0075, 1, -0.0075, 0, 0, 0, 0, FASE2-PERM, NO, 0,
0, NO,
  502, BEAM    , UNILOAD, GZ, NO , NO, aDir[1], , , , 0, -0.0075, 1, -0.0075, 0, 0, 0, 0, FASE2-PERM, NO, 0,
0, NO,
  503, BEAM    , UNILOAD, GZ, NO , NO, aDir[1], , , , 0, -0.0075, 1, -0.0075, 0, 0, 0, 0, FASE2-PERM, NO, 0,
0, NO,
  504, BEAM    , UNILOAD, GZ, NO , NO, aDir[1], , , , 0, -0.0075, 1, -0.0075, 0, 0, 0, 0, FASE2-PERM, NO, 0,
0, NO,
  505, BEAM    , UNILOAD, GZ, NO , NO, aDir[1], , , , 0, -0.0075, 1, -0.0075, 0, 0, 0, 0, FASE2-PERM, NO, 0,
0, NO,
  506, BEAM    , UNILOAD, GZ, NO , NO, aDir[1], , , , 0, -0.0075, 1, -0.0075, 0, 0, 0, 0, FASE2-PERM, NO, 0,
0, NO,
  507, BEAM    , UNILOAD, GZ, NO , NO, aDir[1], , , , 0, -0.0075, 1, -0.0075, 0, 0, 0, 0, FASE2-PERM, NO, 0,
0, NO,
  508, BEAM    , UNILOAD, GZ, NO , NO, aDir[1], , , , 0, -0.0075, 1, -0.0075, 0, 0, 0, 0, FASE2-PERM, NO, 0,
0, NO,
  509, BEAM    , UNILOAD, GZ, NO , NO, aDir[1], , , , 0, -0.0075, 1, -0.0075, 0, 0, 0, 0, FASE2-PERM, NO, 0,
0, NO,
  510, BEAM    , UNILOAD, GZ, NO , NO, aDir[1], , , , 0, -0.0075, 1, -0.0075, 0, 0, 0, 0, FASE2-PERM, NO, 0,
0, NO,
  511, BEAM    , UNILOAD, GZ, NO , NO, aDir[1], , , , 0, -0.0075, 1, -0.0075, 0, 0, 0, 0, FASE2-PERM, NO, 0,
```

```
0, NO,
  512, BEAM    , UNILOAD, GZ, NO , NO, aDir[1], , , , 0, -0.0075, 1, -0.0075, 0, 0, 0, 0, FASE2-PERM, NO, 0,
0, NO,
  513, BEAM    , UNILOAD, GZ, NO , NO, aDir[1], , , , 0, -0.0075, 1, -0.0075, 0, 0, 0, 0, FASE2-PERM, NO, 0,
0, NO,
  514, BEAM    , UNILOAD, GZ, NO , NO, aDir[1], , , , 0, -0.0075, 1, -0.0075, 0, 0, 0, 0, FASE2-PERM, NO, 0,
0, NO,
  515, BEAM    , UNILOAD, GZ, NO , NO, aDir[1], , , , 0, -0.0075, 1, -0.0075, 0, 0, 0, 0, FASE2-PERM, NO, 0,
0, NO,
  516, BEAM    , UNILOAD, GZ, NO , NO, aDir[1], , , , 0, -0.0075, 1, -0.0075, 0, 0, 0, 0, FASE2-PERM, NO, 0,
0, NO,
  517, BEAM    , UNILOAD, GZ, NO , NO, aDir[1], , , , 0, -0.0075, 1, -0.0075, 0, 0, 0, 0, FASE2-PERM, NO, 0,
0, NO,
  518, BEAM    , UNILOAD, GZ, NO , NO, aDir[1], , , , 0, -0.0075, 1, -0.0075, 0, 0, 0, 0, FASE2-PERM, NO, 0,
0, NO,
  519, BEAM    , UNILOAD, GZ, NO , NO, aDir[1], , , , 0, -0.0075, 1, -0.0075, 0, 0, 0, 0, FASE2-PERM, NO, 0,
0, NO,
  520, BEAM    , UNILOAD, GZ, NO , NO, aDir[1], , , , 0, -0.0075, 1, -0.0075, 0, 0, 0, 0, FASE2-PERM, NO, 0,
0, NO,
  521, BEAM    , UNILOAD, GZ, NO , NO, aDir[1], , , , 0, -0.0075, 1, -0.0075, 0, 0, 0, 0, FASE2-PERM, NO, 0,
0, NO,
  522, BEAM    , UNILOAD, GZ, NO , NO, aDir[1], , , , 0, -0.0075, 1, -0.0075, 0, 0, 0, 0, FASE2-PERM, NO, 0,
0, NO,
  523, BEAM    , UNILOAD, GZ, NO , NO, aDir[1], , , , 0, -0.0075, 1, -0.0075, 0, 0, 0, 0, FASE2-PERM, NO, 0,
0, NO,
  524, BEAM    , UNILOAD, GZ, NO , NO, aDir[1], , , , 0, -0.0075, 1, -0.0075, 0, 0, 0, 0, FASE2-PERM, NO, 0,
0, NO,
  525, BEAM    , UNILOAD, GZ, NO , NO, aDir[1], , , , 0, -0.0075, 1, -0.0075, 0, 0, 0, 0, FASE2-PERM, NO, 0,
0, NO,
  526, BEAM    , UNILOAD, GZ, NO , NO, aDir[1], , , , 0, -0.0075, 1, -0.0075, 0, 0, 0, 0, FASE2-PERM, NO, 0,
0, NO,
  527, BEAM    , UNILOAD, GZ, NO , NO, aDir[1], , , , 0, -0.0075, 1, -0.0075, 0, 0, 0, 0, FASE2-PERM, NO, 0,
0, NO,
  528, BEAM    , UNILOAD, GZ, NO , NO, aDir[1], , , , 0, -0.0075, 1, -0.0075, 0, 0, 0, 0, FASE2-PERM, NO, 0,
0, NO,
  529, BEAM    , UNILOAD, GZ, NO , NO, aDir[1], , , , 0, -0.0075, 1, -0.0075, 0, 0, 0, 0, FASE2-PERM, NO, 0,
0, NO,
  530, BEAM    , UNILOAD, GZ, NO , NO, aDir[1], , , , 0, -0.0075, 1, -0.0075, 0, 0, 0, 0, FASE2-PERM, NO, 0,
0, NO,
  531, BEAM    , UNILOAD, GZ, NO , NO, aDir[1], , , , 0, -0.0075, 1, -0.0075, 0, 0, 0, 0, FASE2-PERM, NO, 0,
0, NO,
  532, BEAM    , UNILOAD, GZ, NO , NO, aDir[1], , , , 0, -0.0075, 1, -0.0075, 0, 0, 0, 0, FASE2-PERM, NO, 0,
0, NO,
  533, BEAM    , UNILOAD, GZ, NO , NO, aDir[1], , , , 0, -0.0075, 1, -0.0075, 0, 0, 0, 0, FASE2-PERM, NO, 0,
0, NO,
  534, BEAM    , UNILOAD, GZ, NO , NO, aDir[1], , , , 0, -0.0075, 1, -0.0075, 0, 0, 0, 0, FASE2-PERM, NO, 0,
0, NO,
  535, BEAM    , UNILOAD, GZ, NO , NO, aDir[1], , , , 0, -0.0075, 1, -0.0075, 0, 0, 0, 0, FASE2-PERM, NO, 0,
0, NO,
  536, BEAM    , UNILOAD, GZ, NO , NO, aDir[1], , , , 0, -0.0075, 1, -0.0075, 0, 0, 0, 0, FASE2-PERM, NO, 0,
0, NO,
  537, BEAM    , UNILOAD, GZ, NO , NO, aDir[1], , , , 0, -0.0075, 1, -0.0075, 0, 0, 0, 0, FASE2-PERM, NO, 0,
0, NO,
  538, BEAM    , UNILOAD, GZ, NO , NO, aDir[1], , , , 0, -0.0075, 1, -0.0075, 0, 0, 0, 0, FASE2-PERM, NO, 0,
0, NO,
  539, BEAM    , UNILOAD, GZ, NO , NO, aDir[1], , , , 0, -0.0075, 1, -0.0075, 0, 0, 0, 0, FASE2-PERM, NO, 0,
0, NO,
  540, BEAM    , UNILOAD, GZ, NO , NO, aDir[1], , , , 0, -0.0075, 1, -0.0075, 0, 0, 0, 0, FASE2-PERM, NO, 0,
0, NO,
  541, BEAM    , UNILOAD, GZ, NO , NO, aDir[1], , , , 0, -0.0075, 1, -0.0075, 0, 0, 0, 0, FASE2-PERM, NO, 0,
0, NO,
  542, BEAM    , UNILOAD, GZ, NO , NO, aDir[1], , , , 0, -0.0075, 1, -0.0075, 0, 0, 0, 0, FASE2-PERM, NO, 0,
0, NO,
  543, BEAM    , UNILOAD, GZ, NO , NO, aDir[1], , , , 0, -0.0075, 1, -0.0075, 0, 0, 0, 0, FASE2-PERM, NO, 0,
0, NO,
  544, BEAM    , UNILOAD, GZ, NO , NO, aDir[1], , , , 0, -0.0075, 1, -0.0075, 0, 0, 0, 0, FASE2-PERM, NO, 0,
0, NO,
  545, BEAM    , UNILOAD, GZ, NO , NO, aDir[1], , , , 0, -0.0075, 1, -0.0075, 0, 0, 0, 0, FASE2-PERM, NO, 0,
0, NO,
  546, BEAM    , UNILOAD, GZ, NO , NO, aDir[1], , , , 0, -0.0075, 1, -0.0075, 0, 0, 0, 0, FASE2-PERM, NO, 0,
0, NO,
  547, BEAM    , UNILOAD, GZ, NO , NO, aDir[1], , , , 0, -0.0075, 1, -0.0075, 0, 0, 0, 0, FASE2-PERM, NO, 0,
0, NO,
  548, BEAM    , UNILOAD, GZ, NO , NO, aDir[1], , , , 0, -0.0075, 1, -0.0075, 0, 0, 0, 0, FASE2-PERM, NO, 0,
0, NO,
  549, BEAM    , UNILOAD, GZ, NO , NO, aDir[1], , , , 0, -0.0075, 1, -0.0075, 0, 0, 0, 0, FASE2-PERM, NO, 0,
0, NO,
  550, BEAM    , UNILOAD, GZ, NO , NO, aDir[1], , , , 0, -0.0075, 1, -0.0075, 0, 0, 0, 0, FASE2-PERM, NO, 0,
```

```
0, NO,
  551, BEAM    , UNILOAD, GZ, NO , NO, aDir[1], , , , 0, -0.0075, 1, -0.0075, 0, 0, 0, 0, FASE2-PERM, NO, 0,
0, NO,
  552, BEAM    , UNILOAD, GZ, NO , NO, aDir[1], , , , 0, -0.0075, 1, -0.0075, 0, 0, 0, 0, FASE2-PERM, NO, 0,
0, NO,
  553, BEAM    , UNILOAD, GZ, NO , NO, aDir[1], , , , 0, -0.0075, 1, -0.0075, 0, 0, 0, 0, FASE2-PERM, NO, 0,
0, NO,
  554, BEAM    , UNILOAD, GZ, NO , NO, aDir[1], , , , 0, -0.0075, 1, -0.0075, 0, 0, 0, 0, FASE2-PERM, NO, 0,
0, NO,
  555, BEAM    , UNILOAD, GZ, NO , NO, aDir[1], , , , 0, -0.0075, 1, -0.0075, 0, 0, 0, 0, FASE2-PERM, NO, 0,
0, NO,
  556, BEAM    , UNILOAD, GZ, NO , NO, aDir[1], , , , 0, -0.0075, 1, -0.0075, 0, 0, 0, 0, FASE2-PERM, NO, 0,
0, NO,
  557, BEAM    , UNILOAD, GZ, NO , NO, aDir[1], , , , 0, -0.0075, 1, -0.0075, 0, 0, 0, 0, FASE2-PERM, NO, 0,
0, NO,
  558, BEAM    , UNILOAD, GZ, NO , NO, aDir[1], , , , 0, -0.0075, 1, -0.0075, 0, 0, 0, 0, FASE2-PERM, NO, 0,
0, NO,
  559, BEAM    , UNILOAD, GZ, NO , NO, aDir[1], , , , 0, -0.0075, 1, -0.0075, 0, 0, 0, 0, FASE2-PERM, NO, 0,
0, NO,
  560, BEAM    , UNILOAD, GZ, NO , NO, aDir[1], , , , 0, -0.0075, 1, -0.0075, 0, 0, 0, 0, FASE2-PERM, NO, 0,
0, NO,
  561, BEAM    , UNILOAD, GZ, NO , NO, aDir[1], , , , 0, -0.0075, 1, -0.0075, 0, 0, 0, 0, FASE2-PERM, NO, 0,
0, NO,
  562, BEAM    , UNILOAD, GZ, NO , NO, aDir[1], , , , 0, -0.0075, 1, -0.0075, 0, 0, 0, 0, FASE2-PERM, NO, 0,
0, NO,
  563, BEAM    , UNILOAD, GZ, NO , NO, aDir[1], , , , 0, -0.0075, 1, -0.0075, 0, 0, 0, 0, FASE2-PERM, NO, 0,
0, NO,
  564, BEAM    , UNILOAD, GZ, NO , NO, aDir[1], , , , 0, -0.0075, 1, -0.0075, 0, 0, 0, 0, FASE2-PERM, NO, 0,
0, NO,
  565, BEAM    , UNILOAD, GZ, NO , NO, aDir[1], , , , 0, -0.0075, 1, -0.0075, 0, 0, 0, 0, FASE2-PERM, NO, 0,
0, NO,
  566, BEAM    , UNILOAD, GZ, NO , NO, aDir[1], , , , 0, -0.0075, 1, -0.0075, 0, 0, 0, 0, FASE2-PERM, NO, 0,
0, NO,
  567, BEAM    , UNILOAD, GZ, NO , NO, aDir[1], , , , 0, -0.0075, 1, -0.0075, 0, 0, 0, 0, FASE2-PERM, NO, 0,
0, NO,
  568, BEAM    , UNILOAD, GZ, NO , NO, aDir[1], , , , 0, -0.0075, 1, -0.0075, 0, 0, 0, 0, FASE2-PERM, NO, 0,
0, NO,
  569, BEAM    , UNILOAD, GZ, NO , NO, aDir[1], , , , 0, -0.0075, 1, -0.0075, 0, 0, 0, 0, FASE2-PERM, NO, 0,
0, NO,
  570, BEAM    , UNILOAD, GZ, NO , NO, aDir[1], , , , 0, -0.0075, 1, -0.0075, 0, 0, 0, 0, FASE2-PERM, NO, 0,
0, NO,
  571, BEAM    , UNILOAD, GZ, NO , NO, aDir[1], , , , 0, -0.0075, 1, -0.0075, 0, 0, 0, 0, FASE2-PERM, NO, 0,
0, NO,
  572, BEAM    , UNILOAD, GZ, NO , NO, aDir[1], , , , 0, -0.0075, 1, -0.0075, 0, 0, 0, 0, FASE2-PERM, NO, 0,
0, NO,
  573, BEAM    , UNILOAD, GZ, NO , NO, aDir[1], , , , 0, -0.0075, 1, -0.0075, 0, 0, 0, 0, FASE2-PERM, NO, 0,
0, NO,
  574, BEAM    , UNILOAD, GZ, NO , NO, aDir[1], , , , 0, -0.0075, 1, -0.0075, 0, 0, 0, 0, FASE2-PERM, NO, 0,
0, NO,
  575, BEAM    , UNILOAD, GZ, NO , NO, aDir[1], , , , 0, -0.0075, 1, -0.0075, 0, 0, 0, 0, FASE2-PERM, NO, 0,
0, NO,
  576, BEAM    , UNILOAD, GZ, NO , NO, aDir[1], , , , 0, -0.0075, 1, -0.0075, 0, 0, 0, 0, FASE2-PERM, NO, 0,
0, NO,
  577, BEAM    , UNILOAD, GZ, NO , NO, aDir[1], , , , 0, -0.0075, 1, -0.0075, 0, 0, 0, 0, FASE2-PERM, NO, 0,
0, NO,
  578, BEAM    , UNILOAD, GZ, NO , NO, aDir[1], , , , 0, -0.0075, 1, -0.0075, 0, 0, 0, 0, FASE2-PERM, NO, 0,
0, NO,
  579, BEAM    , UNILOAD, GZ, NO , NO, aDir[1], , , , 0, -0.0075, 1, -0.0075, 0, 0, 0, 0, FASE2-PERM, NO, 0,
0, NO,
  580, BEAM    , UNILOAD, GZ, NO , NO, aDir[1], , , , 0, -0.0075, 1, -0.0075, 0, 0, 0, 0, FASE2-PERM, NO, 0,
0, NO,
  581, BEAM    , UNILOAD, GZ, NO , NO, aDir[1], , , , 0, -0.0075, 1, -0.0075, 0, 0, 0, 0, FASE2-PERM, NO, 0,
0, NO,
  582, BEAM    , UNILOAD, GZ, NO , NO, aDir[1], , , , 0, -0.0075, 1, -0.0075, 0, 0, 0, 0, FASE2-PERM, NO, 0,
0, NO,
  583, BEAM    , UNILOAD, GZ, NO , NO, aDir[1], , , , 0, -0.0075, 1, -0.0075, 0, 0, 0, 0, FASE2-PERM, NO, 0,
0, NO,
  584, BEAM    , UNILOAD, GZ, NO , NO, aDir[1], , , , 0, -0.0075, 1, -0.0075, 0, 0, 0, 0, FASE2-PERM, NO, 0,
0, NO,
  585, BEAM    , UNILOAD, GZ, NO , NO, aDir[1], , , , 0, -0.0075, 1, -0.0075, 0, 0, 0, 0, FASE2-PERM, NO, 0,
0, NO,
  586, BEAM    , UNILOAD, GZ, NO , NO, aDir[1], , , , 0, -0.0075, 1, -0.0075, 0, 0, 0, 0, FASE2-PERM, NO, 0,
0, NO,
  587, BEAM    , UNILOAD, GZ, NO , NO, aDir[1], , , , 0, -0.0075, 1, -0.0075, 0, 0, 0, 0, FASE2-PERM, NO, 0,
0, NO,
  588, BEAM    , UNILOAD, GZ, NO , NO, aDir[1], , , , 0, -0.0075, 1, -0.0075, 0, 0, 0, 0, FASE2-PERM, NO, 0,
0, NO,
  589, BEAM    , UNILOAD, GZ, NO , NO, aDir[1], , , , 0, -0.0075, 1, -0.0075, 0, 0, 0, 0, FASE2-PERM, NO, 0,
```

```
0, NO,
  590, BEAM    , UNILOAD, GZ, NO , NO, aDir[1], , , , 0, -0.0075, 1, -0.0075, 0, 0, 0, 0, FASE2-PERM, NO, 0,
0, NO,
  591, BEAM    , UNILOAD, GZ, NO , NO, aDir[1], , , , 0, -0.0075, 1, -0.0075, 0, 0, 0, 0, FASE2-PERM, NO, 0,
0, NO,
  592, BEAM    , UNILOAD, GZ, NO , NO, aDir[1], , , , 0, -0.0075, 1, -0.0075, 0, 0, 0, 0, FASE2-PERM, NO, 0,
0, NO,
  593, BEAM    , UNILOAD, GZ, NO , NO, aDir[1], , , , 0, -0.0075, 1, -0.0075, 0, 0, 0, 0, FASE2-PERM, NO, 0,
0, NO,
  594, BEAM    , UNILOAD, GZ, NO , NO, aDir[1], , , , 0, -0.0075, 1, -0.0075, 0, 0, 0, 0, FASE2-PERM, NO, 0,
0, NO,
  595, BEAM    , UNILOAD, GZ, NO , NO, aDir[1], , , , 0, -0.0075, 1, -0.0075, 0, 0, 0, 0, FASE2-PERM, NO, 0,
0, NO,
  596, BEAM    , UNILOAD, GZ, NO , NO, aDir[1], , , , 0, -0.0075, 1, -0.0075, 0, 0, 0, 0, FASE2-PERM, NO, 0,
0, NO,
  597, BEAM    , UNILOAD, GZ, NO , NO, aDir[1], , , , 0, -0.0075, 1, -0.0075, 0, 0, 0, 0, FASE2-PERM, NO, 0,
0, NO,
  598, BEAM    , UNILOAD, GZ, NO , NO, aDir[1], , , , 0, -0.0075, 1, -0.0075, 0, 0, 0, 0, FASE2-PERM, NO, 0,
0, NO,
  599, BEAM    , UNILOAD, GZ, NO , NO, aDir[1], , , , 0, -0.0075, 1, -0.0075, 0, 0, 0, 0, FASE2-PERM, NO, 0,
0, NO,
  600, BEAM    , UNILOAD, GZ, NO , NO, aDir[1], , , , 0, -0.0075, 1, -0.0075, 0, 0, 0, 0, FASE2-PERM, NO, 0,
0, NO,
  601, BEAM    , UNILOAD, GZ, NO , NO, aDir[1], , , , 0, -0.0075, 1, -0.0075, 0, 0, 0, 0, FASE2-PERM, NO, 0,
0, NO,
  602, BEAM    , UNILOAD, GZ, NO , NO, aDir[1], , , , 0, -0.0075, 1, -0.0075, 0, 0, 0, 0, FASE2-PERM, NO, 0,
0, NO,
  603, BEAM    , UNILOAD, GZ, NO , NO, aDir[1], , , , 0, -0.0075, 1, -0.0075, 0, 0, 0, 0, FASE2-PERM, NO, 0,
0, NO,
  604, BEAM    , UNILOAD, GZ, NO , NO, aDir[1], , , , 0, -0.0075, 1, -0.0075, 0, 0, 0, 0, FASE2-PERM, NO, 0,
0, NO,
  605, BEAM    , UNILOAD, GZ, NO , NO, aDir[1], , , , 0, -0.0075, 1, -0.0075, 0, 0, 0, 0, FASE2-PERM, NO, 0,
0, NO,
  606, BEAM    , UNILOAD, GZ, NO , NO, aDir[1], , , , 0, -0.0075, 1, -0.0075, 0, 0, 0, 0, FASE2-PERM, NO, 0,
0, NO,
  607, BEAM    , UNILOAD, GZ, NO , NO, aDir[1], , , , 0, -0.0075, 1, -0.0075, 0, 0, 0, 0, FASE2-PERM, NO, 0,
0, NO,
  608, BEAM    , UNILOAD, GZ, NO , NO, aDir[1], , , , 0, -0.0075, 1, -0.0075, 0, 0, 0, 0, FASE2-PERM, NO, 0,
0, NO,
  609, BEAM    , UNILOAD, GZ, NO , NO, aDir[1], , , , 0, -0.0075, 1, -0.0075, 0, 0, 0, 0, FASE2-PERM, NO, 0,
0, NO,
  610, BEAM    , UNILOAD, GZ, NO , NO, aDir[1], , , , 0, -0.0075, 1, -0.0075, 0, 0, 0, 0, FASE2-PERM, NO, 0,
0, NO,
  611, BEAM    , UNILOAD, GZ, NO , NO, aDir[1], , , , 0, -0.0075, 1, -0.0075, 0, 0, 0, 0, FASE2-PERM, NO, 0,
0, NO,
  612, BEAM    , UNILOAD, GZ, NO , NO, aDir[1], , , , 0, -0.0075, 1, -0.0075, 0, 0, 0, 0, FASE2-PERM, NO, 0,
0, NO,
  613, BEAM    , UNILOAD, GZ, NO , NO, aDir[1], , , , 0, -0.0075, 1, -0.0075, 0, 0, 0, 0, FASE2-PERM, NO, 0,
0, NO,
  614, BEAM    , UNILOAD, GZ, NO , NO, aDir[1], , , , 0, -0.0075, 1, -0.0075, 0, 0, 0, 0, FASE2-PERM, NO, 0,
0, NO,
  615, BEAM    , UNILOAD, GZ, NO , NO, aDir[1], , , , 0, -0.0075, 1, -0.0075, 0, 0, 0, 0, FASE2-PERM, NO, 0,
0, NO,
  616, BEAM    , UNILOAD, GZ, NO , NO, aDir[1], , , , 0, -0.0075, 1, -0.0075, 0, 0, 0, 0, FASE2-PERM, NO, 0,
0, NO,
  617, BEAM    , UNILOAD, GZ, NO , NO, aDir[1], , , , 0, -0.0075, 1, -0.0075, 0, 0, 0, 0, FASE2-PERM, NO, 0,
0, NO,
  618, BEAM    , UNILOAD, GZ, NO , NO, aDir[1], , , , 0, -0.0075, 1, -0.0075, 0, 0, 0, 0, FASE2-PERM, NO, 0,
0, NO,
  619, BEAM    , UNILOAD, GZ, NO , NO, aDir[1], , , , 0, -0.0075, 1, -0.0075, 0, 0, 0, 0, FASE2-PERM, NO, 0,
0, NO,
  620, BEAM    , UNILOAD, GZ, NO , NO, aDir[1], , , , 0, -0.0075, 1, -0.0075, 0, 0, 0, 0, FASE2-PERM, NO, 0,
0, NO,
  621, BEAM    , UNILOAD, GZ, NO , NO, aDir[1], , , , 0, -0.0075, 1, -0.0075, 0, 0, 0, 0, FASE2-PERM, NO, 0,
0, NO,
  622, BEAM    , UNILOAD, GZ, NO , NO, aDir[1], , , , 0, -0.0075, 1, -0.0075, 0, 0, 0, 0, FASE2-PERM, NO, 0,
0, NO,
  623, BEAM    , UNILOAD, GZ, NO , NO, aDir[1], , , , 0, -0.0075, 1, -0.0075, 0, 0, 0, 0, FASE2-PERM, NO, 0,
0, NO,
  624, BEAM    , UNILOAD, GZ, NO , NO, aDir[1], , , , 0, -0.0075, 1, -0.0075, 0, 0, 0, 0, FASE2-PERM, NO, 0,
0, NO,
  625, BEAM    , UNILOAD, GZ, NO , NO, aDir[1], , , , 0, -0.0075, 1, -0.0075, 0, 0, 0, 0, FASE2-PERM, NO, 0,
0, NO,
  626, BEAM    , UNILOAD, GZ, NO , NO, aDir[1], , , , 0, -0.0075, 1, -0.0075, 0, 0, 0, 0, FASE2-PERM, NO, 0,
0, NO,
  627, BEAM    , UNILOAD, GZ, NO , NO, aDir[1], , , , 0, -0.0075, 1, -0.0075, 0, 0, 0, 0, FASE2-PERM, NO, 0,
0, NO,
  628, BEAM    , UNILOAD, GZ, NO , NO, aDir[1], , , , 0, -0.0075, 1, -0.0075, 0, 0, 0, 0, FASE2-PERM, NO, 0,
```

```
0, NO,
  629, BEAM    , UNILOAD, GZ, NO , NO, aDir[1], , , , 0, -0.0075, 1, -0.0075, 0, 0, 0, 0, FASE2-PERM, NO, 0,
0, NO,
  630, BEAM    , UNILOAD, GZ, NO , NO, aDir[1], , , , 0, -0.0075, 1, -0.0075, 0, 0, 0, 0, FASE2-PERM, NO, 0,
0, NO,
  631, BEAM    , UNILOAD, GZ, NO , NO, aDir[1], , , , 0, -0.0075, 1, -0.0075, 0, 0, 0, 0, FASE2-PERM, NO, 0,
0, NO,
  632, BEAM    , UNILOAD, GZ, NO , NO, aDir[1], , , , 0, -0.0075, 1, -0.0075, 0, 0, 0, 0, FASE2-PERM, NO, 0,
0, NO,
  633, BEAM    , UNILOAD, GZ, NO , NO, aDir[1], , , , 0, -0.0075, 1, -0.0075, 0, 0, 0, 0, FASE2-PERM, NO, 0,
0, NO,
  634, BEAM    , UNILOAD, GZ, NO , NO, aDir[1], , , , 0, -0.0075, 1, -0.0075, 0, 0, 0, 0, FASE2-PERM, NO, 0,
0, NO,
  635, BEAM    , UNILOAD, GZ, NO , NO, aDir[1], , , , 0, -0.0075, 1, -0.0075, 0, 0, 0, 0, FASE2-PERM, NO, 0,
0, NO,
  636, BEAM    , UNILOAD, GZ, NO , NO, aDir[1], , , , 0, -0.0075, 1, -0.0075, 0, 0, 0, 0, FASE2-PERM, NO, 0,
0, NO,
  637, BEAM    , UNILOAD, GZ, NO , NO, aDir[1], , , , 0, -0.0075, 1, -0.0075, 0, 0, 0, 0, FASE2-PERM, NO, 0,
0, NO,
  638, BEAM    , UNILOAD, GZ, NO , NO, aDir[1], , , , 0, -0.0075, 1, -0.0075, 0, 0, 0, 0, FASE2-PERM, NO, 0,
0, NO,
  639, BEAM    , UNILOAD, GZ, NO , NO, aDir[1], , , , 0, -0.0075, 1, -0.0075, 0, 0, 0, 0, FASE2-PERM, NO, 0,
0, NO,
  640, BEAM    , UNILOAD, GZ, NO , NO, aDir[1], , , , 0, -0.0075, 1, -0.0075, 0, 0, 0, 0, FASE2-PERM, NO, 0,
0, NO,
  641, BEAM    , UNILOAD, GZ, NO , NO, aDir[1], , , , 0, -0.0075, 1, -0.0075, 0, 0, 0, 0, FASE2-PERM, NO, 0,
0, NO,
  642, BEAM    , UNILOAD, GZ, NO , NO, aDir[1], , , , 0, -0.0075, 1, -0.0075, 0, 0, 0, 0, FASE2-PERM, NO, 0,
0, NO,
  643, BEAM    , UNILOAD, GZ, NO , NO, aDir[1], , , , 0, -0.0075, 1, -0.0075, 0, 0, 0, 0, FASE2-PERM, NO, 0,
0, NO,
  644, BEAM    , UNILOAD, GZ, NO , NO, aDir[1], , , , 0, -0.0075, 1, -0.0075, 0, 0, 0, 0, FASE2-PERM, NO, 0,
0, NO,
  645, BEAM    , UNILOAD, GZ, NO , NO, aDir[1], , , , 0, -0.0075, 1, -0.0075, 0, 0, 0, 0, FASE2-PERM, NO, 0,
0, NO,
  646, BEAM    , UNILOAD, GZ, NO , NO, aDir[1], , , , 0, -0.0075, 1, -0.0075, 0, 0, 0, 0, FASE2-PERM, NO, 0,
0, NO,
  647, BEAM    , UNILOAD, GZ, NO , NO, aDir[1], , , , 0, -0.0075, 1, -0.0075, 0, 0, 0, 0, FASE2-PERM, NO, 0,
0, NO,
  648, BEAM    , UNILOAD, GZ, NO , NO, aDir[1], , , , 0, -0.0075, 1, -0.0075, 0, 0, 0, 0, FASE2-PERM, NO, 0,
0, NO,
  649, BEAM    , UNILOAD, GZ, NO , NO, aDir[1], , , , 0, -0.0075, 1, -0.0075, 0, 0, 0, 0, FASE2-PERM, NO, 0,
0, NO,
  650, BEAM    , UNILOAD, GZ, NO , NO, aDir[1], , , , 0, -0.0075, 1, -0.0075, 0, 0, 0, 0, FASE2-PERM, NO, 0,
0, NO,
  651, BEAM    , UNILOAD, GZ, NO , NO, aDir[1], , , , 0, -0.0075, 1, -0.0075, 0, 0, 0, 0, FASE2-PERM, NO, 0,
0, NO,
  652, BEAM    , UNILOAD, GZ, NO , NO, aDir[1], , , , 0, -0.0075, 1, -0.0075, 0, 0, 0, 0, FASE2-PERM, NO, 0,
0, NO,
  653, BEAM    , UNILOAD, GZ, NO , NO, aDir[1], , , , 0, -0.0075, 1, -0.0075, 0, 0, 0, 0, FASE2-PERM, NO, 0,
0, NO,
  654, BEAM    , UNILOAD, GZ, NO , NO, aDir[1], , , , 0, -0.0075, 1, -0.0075, 0, 0, 0, 0, FASE2-PERM, NO, 0,
0, NO,
  655, BEAM    , UNILOAD, GZ, NO , NO, aDir[1], , , , 0, -0.0075, 1, -0.0075, 0, 0, 0, 0, FASE2-PERM, NO, 0,
0, NO,
  656, BEAM    , UNILOAD, GZ, NO , NO, aDir[1], , , , 0, -0.0075, 1, -0.0075, 0, 0, 0, 0, FASE2-PERM, NO, 0,
0, NO,
  657, BEAM    , UNILOAD, GZ, NO , NO, aDir[1], , , , 0, -0.0075, 1, -0.0075, 0, 0, 0, 0, FASE2-PERM, NO, 0,
0, NO,
  658, BEAM    , UNILOAD, GZ, NO , NO, aDir[1], , , , 0, -0.0075, 1, -0.0075, 0, 0, 0, 0, FASE2-PERM, NO, 0,
0, NO,
  659, BEAM    , UNILOAD, GZ, NO , NO, aDir[1], , , , 0, -0.0075, 1, -0.0075, 0, 0, 0, 0, FASE2-PERM, NO, 0,
0, NO,
  660, BEAM    , UNILOAD, GZ, NO , NO, aDir[1], , , , 0, -0.0075, 1, -0.0075, 0, 0, 0, 0, FASE2-PERM, NO, 0,
0, NO,
  661, BEAM    , UNILOAD, GZ, NO , NO, aDir[1], , , , 0, -0.0075, 1, -0.0075, 0, 0, 0, 0, FASE2-PERM, NO, 0,
0, NO,
  662, BEAM    , UNILOAD, GZ, NO , NO, aDir[1], , , , 0, -0.0075, 1, -0.0075, 0, 0, 0, 0, FASE2-PERM, NO, 0,
0, NO,
  663, BEAM    , UNILOAD, GZ, NO , NO, aDir[1], , , , 0, -0.0075, 1, -0.0075, 0, 0, 0, 0, FASE2-PERM, NO, 0,
0, NO,
  664, BEAM    , UNILOAD, GZ, NO , NO, aDir[1], , , , 0, -0.0075, 1, -0.0075, 0, 0, 0, 0, FASE2-PERM, NO, 0,
0, NO,
  665, BEAM    , UNILOAD, GZ, NO , NO, aDir[1], , , , 0, -0.0075, 1, -0.0075, 0, 0, 0, 0, FASE2-PERM, NO, 0,
0, NO,
  666, BEAM    , UNILOAD, GZ, NO , NO, aDir[1], , , , 0, -0.0075, 1, -0.0075, 0, 0, 0, 0, FASE2-PERM, NO, 0,
0, NO,
  667, BEAM    , UNILOAD, GZ, NO , NO, aDir[1], , , , 0, -0.0075, 1, -0.0075, 0, 0, 0, 0, FASE2-PERM, NO, 0,
```

```
0, NO,
  668, BEAM    , UNILOAD, GZ, NO , NO, aDir[1], , , , 0, -0.0075, 1, -0.0075, 0, 0, 0, 0, FASE2-PERM, NO, 0,
0, NO,
  669, BEAM    , UNILOAD, GZ, NO , NO, aDir[1], , , , 0, -0.0075, 1, -0.0075, 0, 0, 0, 0, FASE2-PERM, NO, 0,
0, NO,
  670, BEAM    , UNILOAD, GZ, NO , NO, aDir[1], , , , 0, -0.0075, 1, -0.0075, 0, 0, 0, 0, FASE2-PERM, NO, 0,
0, NO,
  671, BEAM    , UNILOAD, GZ, NO , NO, aDir[1], , , , 0, -0.0075, 1, -0.0075, 0, 0, 0, 0, FASE2-PERM, NO, 0,
0, NO,
  672, BEAM    , UNILOAD, GZ, NO , NO, aDir[1], , , , 0, -0.0075, 1, -0.0075, 0, 0, 0, 0, FASE2-PERM, NO, 0,
0, NO,
  673, BEAM    , UNILOAD, GZ, NO , NO, aDir[1], , , , 0, -0.0075, 1, -0.0075, 0, 0, 0, 0, FASE2-PERM, NO, 0,
0, NO,
  674, BEAM    , UNILOAD, GZ, NO , NO, aDir[1], , , , 0, -0.0075, 1, -0.0075, 0, 0, 0, 0, FASE2-PERM, NO, 0,
0, NO,
  675, BEAM    , UNILOAD, GZ, NO , NO, aDir[1], , , , 0, -0.0075, 1, -0.0075, 0, 0, 0, 0, FASE2-PERM, NO, 0,
0, NO,
  676, BEAM    , UNILOAD, GZ, NO , NO, aDir[1], , , , 0, -0.0075, 1, -0.0075, 0, 0, 0, 0, FASE2-PERM, NO, 0,
0, NO,
  677, BEAM    , UNILOAD, GZ, NO , NO, aDir[1], , , , 0, -0.0075, 1, -0.0075, 0, 0, 0, 0, FASE2-PERM, NO, 0,
0, NO,
  678, BEAM    , UNILOAD, GZ, NO , NO, aDir[1], , , , 0, -0.0075, 1, -0.0075, 0, 0, 0, 0, FASE2-PERM, NO, 0,
0, NO,
  679, BEAM    , UNILOAD, GZ, NO , NO, aDir[1], , , , 0, -0.0075, 1, -0.0075, 0, 0, 0, 0, FASE2-PERM, NO, 0,
0, NO,
  680, BEAM    , UNILOAD, GZ, NO , NO, aDir[1], , , , 0, -0.0075, 1, -0.0075, 0, 0, 0, 0, FASE2-PERM, NO, 0,
0, NO,
  681, BEAM    , UNILOAD, GZ, NO , NO, aDir[1], , , , 0, -0.0075, 1, -0.0075, 0, 0, 0, 0, FASE2-PERM, NO, 0,
0, NO,
  682, BEAM    , UNILOAD, GZ, NO , NO, aDir[1], , , , 0, -0.0075, 1, -0.0075, 0, 0, 0, 0, FASE2-PERM, NO, 0,
0, NO,
  683, BEAM    , UNILOAD, GZ, NO , NO, aDir[1], , , , 0, -0.0075, 1, -0.0075, 0, 0, 0, 0, FASE2-PERM, NO, 0,
0, NO,
  684, BEAM    , UNILOAD, GZ, NO , NO, aDir[1], , , , 0, -0.0075, 1, -0.0075, 0, 0, 0, 0, FASE2-PERM, NO, 0,
0, NO,
  685, BEAM    , UNILOAD, GZ, NO , NO, aDir[1], , , , 0, -0.0075, 1, -0.0075, 0, 0, 0, 0, FASE2-PERM, NO, 0,
0, NO,
  686, BEAM    , UNILOAD, GZ, NO , NO, aDir[1], , , , 0, -0.0075, 1, -0.0075, 0, 0, 0, 0, FASE2-PERM, NO, 0,
0, NO,
  687, BEAM    , UNILOAD, GZ, NO , NO, aDir[1], , , , 0, -0.0075, 1, -0.0075, 0, 0, 0, 0, FASE2-PERM, NO, 0,
0, NO,
  688, BEAM    , UNILOAD, GZ, NO , NO, aDir[1], , , , 0, -0.0075, 1, -0.0075, 0, 0, 0, 0, FASE2-PERM, NO, 0,
0, NO,
  689, BEAM    , UNILOAD, GZ, NO , NO, aDir[1], , , , 0, -0.0075, 1, -0.0075, 0, 0, 0, 0, FASE2-PERM, NO, 0,
0, NO,
  690, BEAM    , UNILOAD, GZ, NO , NO, aDir[1], , , , 0, -0.0075, 1, -0.0075, 0, 0, 0, 0, FASE2-PERM, NO, 0,
0, NO,
  691, BEAM    , UNILOAD, GZ, NO , NO, aDir[1], , , , 0, -0.0075, 1, -0.0075, 0, 0, 0, 0, FASE2-PERM, NO, 0,
0, NO,
  692, BEAM    , UNILOAD, GZ, NO , NO, aDir[1], , , , 0, -0.0075, 1, -0.0075, 0, 0, 0, 0, FASE2-PERM, NO, 0,
0, NO,
  693, BEAM    , UNILOAD, GZ, NO , NO, aDir[1], , , , 0, -0.0075, 1, -0.0075, 0, 0, 0, 0, FASE2-PERM, NO, 0,
0, NO,
  694, BEAM    , UNILOAD, GZ, NO , NO, aDir[1], , , , 0, -0.0075, 1, -0.0075, 0, 0, 0, 0, FASE2-PERM, NO, 0,
0, NO,
  695, BEAM    , UNILOAD, GZ, NO , NO, aDir[1], , , , 0, -0.0075, 1, -0.0075, 0, 0, 0, 0, FASE2-PERM, NO, 0,
0, NO,
  696, BEAM    , UNILOAD, GZ, NO , NO, aDir[1], , , , 0, -0.0075, 1, -0.0075, 0, 0, 0, 0, FASE2-PERM, NO, 0,
0, NO,
  697, BEAM    , UNILOAD, GZ, NO , NO, aDir[1], , , , 0, -0.0075, 1, -0.0075, 0, 0, 0, 0, FASE2-PERM, NO, 0,
0, NO,
  698, BEAM    , UNILOAD, GZ, NO , NO, aDir[1], , , , 0, -0.0075, 1, -0.0075, 0, 0, 0, 0, FASE2-PERM, NO, 0,
0, NO,
  699, BEAM    , UNILOAD, GZ, NO , NO, aDir[1], , , , 0, -0.0075, 1, -0.0075, 0, 0, 0, 0, FASE2-PERM, NO, 0,
0, NO,
  700, BEAM    , UNILOAD, GZ, NO , NO, aDir[1], , , , 0, -0.0075, 1, -0.0075, 0, 0, 0, 0, FASE2-PERM, NO, 0,
0, NO,
  701, BEAM    , UNILOAD, GZ, NO , NO, aDir[1], , , , 0, -0.0075, 1, -0.0075, 0, 0, 0, 0, FASE2-PERM, NO, 0,
0, NO,
  702, BEAM    , UNILOAD, GZ, NO , NO, aDir[1], , , , 0, -0.0075, 1, -0.0075, 0, 0, 0, 0, FASE2-PERM, NO, 0,
0, NO,
  703, BEAM    , UNILOAD, GZ, NO , NO, aDir[1], , , , 0, -0.0075, 1, -0.0075, 0, 0, 0, 0, FASE2-PERM, NO, 0,
0, NO,
  704, BEAM    , UNILOAD, GZ, NO , NO, aDir[1], , , , 0, -0.0075, 1, -0.0075, 0, 0, 0, 0, FASE2-PERM, NO, 0,
0, NO,
  705, BEAM    , UNILOAD, GZ, NO , NO, aDir[1], , , , 0, -0.0075, 1, -0.0075, 0, 0, 0, 0, FASE2-PERM, NO, 0,
0, NO,
  706, BEAM    , UNILOAD, GZ, NO , NO, aDir[1], , , , 0, -0.0075, 1, -0.0075, 0, 0, 0, 0, FASE2-PERM, NO, 0,
```

```
0, NO,
  707, BEAM    , UNILOAD, GZ, NO , NO, aDir[1], , , , 0, -0.0075, 1, -0.0075, 0, 0, 0, 0, FASE2-PERM, NO, 0,
0, NO,
  708, BEAM    , UNILOAD, GZ, NO , NO, aDir[1], , , , 0, -0.0075, 1, -0.0075, 0, 0, 0, 0, FASE2-PERM, NO, 0,
0, NO,
  709, BEAM    , UNILOAD, GZ, NO , NO, aDir[1], , , , 0, -0.0075, 1, -0.0075, 0, 0, 0, 0, FASE2-PERM, NO, 0,
0, NO,
  710, BEAM    , UNILOAD, GZ, NO , NO, aDir[1], , , , 0, -0.0075, 1, -0.0075, 0, 0, 0, 0, FASE2-PERM, NO, 0,
0, NO,
  711, BEAM    , UNILOAD, GZ, NO , NO, aDir[1], , , , 0, -0.0075, 1, -0.0075, 0, 0, 0, 0, FASE2-PERM, NO, 0,
0, NO,
  712, BEAM    , UNILOAD, GZ, NO , NO, aDir[1], , , , 0, -0.0075, 1, -0.0075, 0, 0, 0, 0, FASE2-PERM, NO, 0,
0, NO,
  713, BEAM    , UNILOAD, GZ, NO , NO, aDir[1], , , , 0, -0.0075, 1, -0.0075, 0, 0, 0, 0, FASE2-PERM, NO, 0,
0, NO,
  714, BEAM    , UNILOAD, GZ, NO , NO, aDir[1], , , , 0, -0.0075, 1, -0.0075, 0, 0, 0, 0, FASE2-PERM, NO, 0,
0, NO,
  715, BEAM    , UNILOAD, GZ, NO , NO, aDir[1], , , , 0, -0.0075, 1, -0.0075, 0, 0, 0, 0, FASE2-PERM, NO, 0,
0, NO,
  716, BEAM    , UNILOAD, GZ, NO , NO, aDir[1], , , , 0, -0.0075, 1, -0.0075, 0, 0, 0, 0, FASE2-PERM, NO, 0,
0, NO,
  717, BEAM    , UNILOAD, GZ, NO , NO, aDir[1], , , , 0, -0.0075, 1, -0.0075, 0, 0, 0, 0, FASE2-PERM, NO, 0,
0, NO,
  718, BEAM    , UNILOAD, GZ, NO , NO, aDir[1], , , , 0, -0.0075, 1, -0.0075, 0, 0, 0, 0, FASE2-PERM, NO, 0,
0, NO,
  719, BEAM    , UNILOAD, GZ, NO , NO, aDir[1], , , , 0, -0.0075, 1, -0.0075, 0, 0, 0, 0, FASE2-PERM, NO, 0,
0, NO,
  720, BEAM    , UNILOAD, GZ, NO , NO, aDir[1], , , , 0, -0.0075, 1, -0.0075, 0, 0, 0, 0, FASE2-PERM, NO, 0,
0, NO,
  721, BEAM    , UNILOAD, GZ, NO , NO, aDir[1], , , , 0, -0.0075, 1, -0.0075, 0, 0, 0, 0, FASE2-PERM, NO, 0,
0, NO,
  722, BEAM    , UNILOAD, GZ, NO , NO, aDir[1], , , , 0, -0.0075, 1, -0.0075, 0, 0, 0, 0, FASE2-PERM, NO, 0,
0, NO,
  723, BEAM    , UNILOAD, GZ, NO , NO, aDir[1], , , , 0, -0.0075, 1, -0.0075, 0, 0, 0, 0, FASE2-PERM, NO, 0,
0, NO,
  724, BEAM    , UNILOAD, GZ, NO , NO, aDir[1], , , , 0, -0.0075, 1, -0.0075, 0, 0, 0, 0, FASE2-PERM, NO, 0,
0, NO,
  725, BEAM    , UNILOAD, GZ, NO , NO, aDir[1], , , , 0, -0.0075, 1, -0.0075, 0, 0, 0, 0, FASE2-PERM, NO, 0,
0, NO,
  726, BEAM    , UNILOAD, GZ, NO , NO, aDir[1], , , , 0, -0.0075, 1, -0.0075, 0, 0, 0, 0, FASE2-PERM, NO, 0,
0, NO,
  727, BEAM    , UNILOAD, GZ, NO , NO, aDir[1], , , , 0, -0.0075, 1, -0.0075, 0, 0, 0, 0, FASE2-PERM, NO, 0,
0, NO,
  728, BEAM    , UNILOAD, GZ, NO , NO, aDir[1], , , , 0, -0.0075, 1, -0.0075, 0, 0, 0, 0, FASE2-PERM, NO, 0,
0, NO,
  729, BEAM    , UNILOAD, GZ, NO , NO, aDir[1], , , , 0, -0.0075, 1, -0.0075, 0, 0, 0, 0, FASE2-PERM, NO, 0,
0, NO,
  730, BEAM    , UNILOAD, GZ, NO , NO, aDir[1], , , , 0, -0.0075, 1, -0.0075, 0, 0, 0, 0, FASE2-PERM, NO, 0,
0, NO,
  731, BEAM    , UNILOAD, GZ, NO , NO, aDir[1], , , , 0, -0.0075, 1, -0.0075, 0, 0, 0, 0, FASE2-PERM, NO, 0,
0, NO,
  732, BEAM    , UNILOAD, GZ, NO , NO, aDir[1], , , , 0, -0.0075, 1, -0.0075, 0, 0, 0, 0, FASE2-PERM, NO, 0,
0, NO,
  733, BEAM    , UNILOAD, GZ, NO , NO, aDir[1], , , , 0, -0.0075, 1, -0.0075, 0, 0, 0, 0, FASE2-PERM, NO, 0,
0, NO,
  734, BEAM    , UNILOAD, GZ, NO , NO, aDir[1], , , , 0, -0.0075, 1, -0.0075, 0, 0, 0, 0, FASE2-PERM, NO, 0,
0, NO,
  735, BEAM    , UNILOAD, GZ, NO , NO, aDir[1], , , , 0, -0.0075, 1, -0.0075, 0, 0, 0, 0, FASE2-PERM, NO, 0,
0, NO,
  736, BEAM    , UNILOAD, GZ, NO , NO, aDir[1], , , , 0, -0.0075, 1, -0.0075, 0, 0, 0, 0, FASE2-PERM, NO, 0,
0, NO,
  737, BEAM    , UNILOAD, GZ, NO , NO, aDir[1], , , , 0, -0.0075, 1, -0.0075, 0, 0, 0, 0, FASE2-PERM, NO, 0,
0, NO,
  738, BEAM    , UNILOAD, GZ, NO , NO, aDir[1], , , , 0, -0.0075, 1, -0.0075, 0, 0, 0, 0, FASE2-PERM, NO, 0,
0, NO,
  739, BEAM    , UNILOAD, GZ, NO , NO, aDir[1], , , , 0, -0.0075, 1, -0.0075, 0, 0, 0, 0, FASE2-PERM, NO, 0,
0, NO,
  740, BEAM    , UNILOAD, GZ, NO , NO, aDir[1], , , , 0, -0.0075, 1, -0.0075, 0, 0, 0, 0, FASE2-PERM, NO, 0,
0, NO,
  741, BEAM    , UNILOAD, GZ, NO , NO, aDir[1], , , , 0, -0.0075, 1, -0.0075, 0, 0, 0, 0, FASE2-PERM, NO, 0,
0, NO,
  742, BEAM    , UNILOAD, GZ, NO , NO, aDir[1], , , , 0, -0.0075, 1, -0.0075, 0, 0, 0, 0, FASE2-PERM, NO, 0,
0, NO,
  743, BEAM    , UNILOAD, GZ, NO , NO, aDir[1], , , , 0, -0.0075, 1, -0.0075, 0, 0, 0, 0, FASE2-PERM, NO, 0,
0, NO,
  744, BEAM    , UNILOAD, GZ, NO , NO, aDir[1], , , , 0, -0.0075, 1, -0.0075, 0, 0, 0, 0, FASE2-PERM, NO, 0,
0, NO,
  745, BEAM    , UNILOAD, GZ, NO , NO, aDir[1], , , , 0, -0.0075, 1, -0.0075, 0, 0, 0, 0, FASE2-PERM, NO, 0,
```

```
0, NO,
  746, BEAM    , UNILOAD, GZ, NO , NO, aDir[1], , , , 0, -0.0075, 1, -0.0075, 0, 0, 0, 0, FASE2-PERM, NO, 0,
0, NO,
  747, BEAM    , UNILOAD, GZ, NO , NO, aDir[1], , , , 0, -0.0075, 1, -0.0075, 0, 0, 0, 0, FASE2-PERM, NO, 0,
0, NO,
  748, BEAM    , UNILOAD, GZ, NO , NO, aDir[1], , , , 0, -0.0075, 1, -0.0075, 0, 0, 0, 0, FASE2-PERM, NO, 0,
0, NO,
  749, BEAM    , UNILOAD, GZ, NO , NO, aDir[1], , , , 0, -0.0075, 1, -0.0075, 0, 0, 0, 0, FASE2-PERM, NO, 0,
0, NO,
  750, BEAM    , UNILOAD, GZ, NO , NO, aDir[1], , , , 0, -0.0075, 1, -0.0075, 0, 0, 0, 0, FASE2-PERM, NO, 0,
0, NO,
  751, BEAM    , UNILOAD, GZ, NO , NO, aDir[1], , , , 0, -0.0075, 1, -0.0075, 0, 0, 0, 0, FASE2-PERM, NO, 0,
0, NO,
  752, BEAM    , UNILOAD, GZ, NO , NO, aDir[1], , , , 0, -0.0075, 1, -0.0075, 0, 0, 0, 0, FASE2-PERM, NO, 0,
0, NO,
  753, BEAM    , UNILOAD, GZ, NO , NO, aDir[1], , , , 0, -0.0075, 1, -0.0075, 0, 0, 0, 0, FASE2-PERM, NO, 0,
0, NO,
  754, BEAM    , UNILOAD, GZ, NO , NO, aDir[1], , , , 0, -0.0075, 1, -0.0075, 0, 0, 0, 0, FASE2-PERM, NO, 0,
0, NO,
  755, BEAM    , UNILOAD, GZ, NO , NO, aDir[1], , , , 0, -0.0075, 1, -0.0075, 0, 0, 0, 0, FASE2-PERM, NO, 0,
0, NO,
  756, BEAM    , UNILOAD, GZ, NO , NO, aDir[1], , , , 0, -0.0075, 1, -0.0075, 0, 0, 0, 0, FASE2-PERM, NO, 0,
0, NO,
  757, BEAM    , UNILOAD, GZ, NO , NO, aDir[1], , , , 0, -0.0075, 1, -0.0075, 0, 0, 0, 0, FASE2-PERM, NO, 0,
0, NO,
  758, BEAM    , UNILOAD, GZ, NO , NO, aDir[1], , , , 0, -0.0075, 1, -0.0075, 0, 0, 0, 0, FASE2-PERM, NO, 0,
0, NO,
  759, BEAM    , UNILOAD, GZ, NO , NO, aDir[1], , , , 0, -0.0075, 1, -0.0075, 0, 0, 0, 0, FASE2-PERM, NO, 0,
0, NO,
  760, BEAM    , UNILOAD, GZ, NO , NO, aDir[1], , , , 0, -0.0075, 1, -0.0075, 0, 0, 0, 0, FASE2-PERM, NO, 0,
0, NO,
  761, BEAM    , UNILOAD, GZ, NO , NO, aDir[1], , , , 0, -0.0075, 1, -0.0075, 0, 0, 0, 0, FASE2-PERM, NO, 0,
0, NO,
  762, BEAM    , UNILOAD, GZ, NO , NO, aDir[1], , , , 0, -0.0075, 1, -0.0075, 0, 0, 0, 0, FASE2-PERM, NO, 0,
0, NO,
  763, BEAM    , UNILOAD, GZ, NO , NO, aDir[1], , , , 0, -0.0075, 1, -0.0075, 0, 0, 0, 0, FASE2-PERM, NO, 0,
0, NO,
  764, BEAM    , UNILOAD, GZ, NO , NO, aDir[1], , , , 0, -0.0075, 1, -0.0075, 0, 0, 0, 0, FASE2-PERM, NO, 0,
0, NO,
  765, BEAM    , UNILOAD, GZ, NO , NO, aDir[1], , , , 0, -0.0075, 1, -0.0075, 0, 0, 0, 0, FASE2-PERM, NO, 0,
0, NO,
  766, BEAM    , UNILOAD, GZ, NO , NO, aDir[1], , , , 0, -0.0075, 1, -0.0075, 0, 0, 0, 0, FASE2-PERM, NO, 0,
0, NO,
  767, BEAM    , UNILOAD, GZ, NO , NO, aDir[1], , , , 0, -0.0075, 1, -0.0075, 0, 0, 0, 0, FASE2-PERM, NO, 0,
0, NO,
  768, BEAM    , UNILOAD, GZ, NO , NO, aDir[1], , , , 0, -0.0075, 1, -0.0075, 0, 0, 0, 0, FASE2-PERM, NO, 0,
0, NO,
  769, BEAM    , UNILOAD, GZ, NO , NO, aDir[1], , , , 0, -0.0075, 1, -0.0075, 0, 0, 0, 0, FASE2-PERM, NO, 0,
0, NO,
  770, BEAM    , UNILOAD, GZ, NO , NO, aDir[1], , , , 0, -0.0075, 1, -0.0075, 0, 0, 0, 0, FASE2-PERM, NO, 0,
0, NO,
  771, BEAM    , UNILOAD, GZ, NO , NO, aDir[1], , , , 0, -0.0075, 1, -0.0075, 0, 0, 0, 0, FASE2-PERM, NO, 0,
0, NO,
  772, BEAM    , UNILOAD, GZ, NO , NO, aDir[1], , , , 0, -0.0075, 1, -0.0075, 0, 0, 0, 0, FASE2-PERM, NO, 0,
0, NO,
  773, BEAM    , UNILOAD, GZ, NO , NO, aDir[1], , , , 0, -0.0075, 1, -0.0075, 0, 0, 0, 0, FASE2-PERM, NO, 0,
0, NO,
  774, BEAM    , UNILOAD, GZ, NO , NO, aDir[1], , , , 0, -0.0075, 1, -0.0075, 0, 0, 0, 0, FASE2-PERM, NO, 0,
0, NO,
  775, BEAM    , UNILOAD, GZ, NO , NO, aDir[1], , , , 0, -0.0075, 1, -0.0075, 0, 0, 0, 0, FASE2-PERM, NO, 0,
0, NO,
  776, BEAM    , UNILOAD, GZ, NO , NO, aDir[1], , , , 0, -0.0075, 1, -0.0075, 0, 0, 0, 0, FASE2-PERM, NO, 0,
0, NO,
  777, BEAM    , UNILOAD, GZ, NO , NO, aDir[1], , , , 0, -0.0075, 1, -0.0075, 0, 0, 0, 0, FASE2-PERM, NO, 0,
0, NO,
  778, BEAM    , UNILOAD, GZ, NO , NO, aDir[1], , , , 0, -0.0075, 1, -0.0075, 0, 0, 0, 0, FASE2-PERM, NO, 0,
0, NO,
  779, BEAM    , UNILOAD, GZ, NO , NO, aDir[1], , , , 0, -0.0075, 1, -0.0075, 0, 0, 0, 0, FASE2-PERM, NO, 0,
0, NO,
  780, BEAM    , UNILOAD, GZ, NO , NO, aDir[1], , , , 0, -0.0075, 1, -0.0075, 0, 0, 0, 0, FASE2-PERM, NO, 0,
0, NO,
  781, BEAM    , UNILOAD, GZ, NO , NO, aDir[1], , , , 0, -0.0075, 1, -0.0075, 0, 0, 0, 0, FASE2-PERM, NO, 0,
0, NO,
  782, BEAM    , UNILOAD, GZ, NO , NO, aDir[1], , , , 0, -0.0075, 1, -0.0075, 0, 0, 0, 0, FASE2-PERM, NO, 0,
0, NO,
  783, BEAM    , UNILOAD, GZ, NO , NO, aDir[1], , , , 0, -0.0075, 1, -0.0075, 0, 0, 0, 0, FASE2-PERM, NO, 0,
0, NO,
  784, BEAM    , UNILOAD, GZ, NO , NO, aDir[1], , , , 0, -0.0075, 1, -0.0075, 0, 0, 0, 0, FASE2-PERM, NO, 0,
```

```
0, NO,
  785, BEAM    , UNILOAD, GZ, NO , NO, aDir[1], , , , 0, -0.0075, 1, -0.0075, 0, 0, 0, 0, FASE2-PERM, NO, 0,
0, NO,
  786, BEAM    , UNILOAD, GZ, NO , NO, aDir[1], , , , 0, -0.0075, 1, -0.0075, 0, 0, 0, 0, FASE2-PERM, NO, 0,
0, NO,
  787, BEAM    , UNILOAD, GZ, NO , NO, aDir[1], , , , 0, -0.0075, 1, -0.0075, 0, 0, 0, 0, FASE2-PERM, NO, 0,
0, NO,
  788, BEAM    , UNILOAD, GZ, NO , NO, aDir[1], , , , 0, -0.0075, 1, -0.0075, 0, 0, 0, 0, FASE2-PERM, NO, 0,
0, NO,
  789, BEAM    , UNILOAD, GZ, NO , NO, aDir[1], , , , 0, -0.0075, 1, -0.0075, 0, 0, 0, 0, FASE2-PERM, NO, 0,
0, NO,
  790, BEAM    , UNILOAD, GZ, NO , NO, aDir[1], , , , 0, -0.0075, 1, -0.0075, 0, 0, 0, 0, FASE2-PERM, NO, 0,
0, NO,
  791, BEAM    , UNILOAD, GZ, NO , NO, aDir[1], , , , 0, -0.0075, 1, -0.0075, 0, 0, 0, 0, FASE2-PERM, NO, 0,
0, NO,
  792, BEAM    , UNILOAD, GZ, NO , NO, aDir[1], , , , 0, -0.0075, 1, -0.0075, 0, 0, 0, 0, FASE2-PERM, NO, 0,
0, NO,
  793, BEAM    , UNILOAD, GZ, NO , NO, aDir[1], , , , 0, -0.0075, 1, -0.0075, 0, 0, 0, 0, FASE2-PERM, NO, 0,
0, NO,
  794, BEAM    , UNILOAD, GZ, NO , NO, aDir[1], , , , 0, -0.0075, 1, -0.0075, 0, 0, 0, 0, FASE2-PERM, NO, 0,
0, NO,
  795, BEAM    , UNILOAD, GZ, NO , NO, aDir[1], , , , 0, -0.0075, 1, -0.0075, 0, 0, 0, 0, FASE2-PERM, NO, 0,
0, NO,
  796, BEAM    , UNILOAD, GZ, NO , NO, aDir[1], , , , 0, -0.0075, 1, -0.0075, 0, 0, 0, 0, FASE2-PERM, NO, 0,
0, NO,
  797, BEAM    , UNILOAD, GZ, NO , NO, aDir[1], , , , 0, -0.0075, 1, -0.0075, 0, 0, 0, 0, FASE2-PERM, NO, 0,
0, NO,
  798, BEAM    , UNILOAD, GZ, NO , NO, aDir[1], , , , 0, -0.0075, 1, -0.0075, 0, 0, 0, 0, FASE2-PERM, NO, 0,
0, NO,
  799, BEAM    , UNILOAD, GZ, NO , NO, aDir[1], , , , 0, -0.0075, 1, -0.0075, 0, 0, 0, 0, FASE2-PERM, NO, 0,
0, NO,
  800, BEAM    , UNILOAD, GZ, NO , NO, aDir[1], , , , 0, -0.0075, 1, -0.0075, 0, 0, 0, 0, FASE2-PERM, NO, 0,
0, NO,
  801, BEAM    , UNILOAD, GZ, NO , NO, aDir[1], , , , 0, -0.0075, 1, -0.0075, 0, 0, 0, 0, FASE2-PERM, NO, 0,
0, NO,
  802, BEAM    , UNILOAD, GZ, NO , NO, aDir[1], , , , 0, -0.0075, 1, -0.0075, 0, 0, 0, 0, FASE2-PERM, NO, 0,
0, NO,
  803, BEAM    , UNILOAD, GZ, NO , NO, aDir[1], , , , 0, -0.0075, 1, -0.0075, 0, 0, 0, 0, FASE2-PERM, NO, 0,
0, NO,
  804, BEAM    , UNILOAD, GZ, NO , NO, aDir[1], , , , 0, -0.0075, 1, -0.0075, 0, 0, 0, 0, FASE2-PERM, NO, 0,
0, NO,
  805, BEAM    , UNILOAD, GZ, NO , NO, aDir[1], , , , 0, -0.0075, 1, -0.0075, 0, 0, 0, 0, FASE2-PERM, NO, 0,
0, NO,
  806, BEAM    , UNILOAD, GZ, NO , NO, aDir[1], , , , 0, -0.0075, 1, -0.0075, 0, 0, 0, 0, FASE2-PERM, NO, 0,
0, NO,
  807, BEAM    , UNILOAD, GZ, NO , NO, aDir[1], , , , 0, -0.0075, 1, -0.0075, 0, 0, 0, 0, FASE2-PERM, NO, 0,
0, NO,
  808, BEAM    , UNILOAD, GZ, NO , NO, aDir[1], , , , 0, -0.0075, 1, -0.0075, 0, 0, 0, 0, FASE2-PERM, NO, 0,
0, NO,
  809, BEAM    , UNILOAD, GZ, NO , NO, aDir[1], , , , 0, -0.0075, 1, -0.0075, 0, 0, 0, 0, FASE2-PERM, NO, 0,
0, NO,
  810, BEAM    , UNILOAD, GZ, NO , NO, aDir[1], , , , 0, -0.0075, 1, -0.0075, 0, 0, 0, 0, FASE2-PERM, NO, 0,
0, NO,
  811, BEAM    , UNILOAD, GZ, NO , NO, aDir[1], , , , 0, -0.0075, 1, -0.0075, 0, 0, 0, 0, FASE2-PERM, NO, 0,
0, NO,
  812, BEAM    , UNILOAD, GZ, NO , NO, aDir[1], , , , 0, -0.0075, 1, -0.0075, 0, 0, 0, 0, FASE2-PERM, NO, 0,
0, NO,
  813, BEAM    , UNILOAD, GZ, NO , NO, aDir[1], , , , 0, -0.0075, 1, -0.0075, 0, 0, 0, 0, FASE2-PERM, NO, 0,
0, NO,
  814, BEAM    , UNILOAD, GZ, NO , NO, aDir[1], , , , 0, -0.0075, 1, -0.0075, 0, 0, 0, 0, FASE2-PERM, NO, 0,
0, NO,
  815, BEAM    , UNILOAD, GZ, NO , NO, aDir[1], , , , 0, -0.0075, 1, -0.0075, 0, 0, 0, 0, FASE2-PERM, NO, 0,
0, NO,
  816, BEAM    , UNILOAD, GZ, NO , NO, aDir[1], , , , 0, -0.0075, 1, -0.0075, 0, 0, 0, 0, FASE2-PERM, NO, 0,
0, NO,
  817, BEAM    , UNILOAD, GZ, NO , NO, aDir[1], , , , 0, -0.0075, 1, -0.0075, 0, 0, 0, 0, FASE2-PERM, NO, 0,
0, NO,
  818, BEAM    , UNILOAD, GZ, NO , NO, aDir[1], , , , 0, -0.0075, 1, -0.0075, 0, 0, 0, 0, FASE2-PERM, NO, 0,
0, NO,
  819, BEAM    , UNILOAD, GZ, NO , NO, aDir[1], , , , 0, -0.0075, 1, -0.0075, 0, 0, 0, 0, FASE2-PERM, NO, 0,
0, NO,
  820, BEAM    , UNILOAD, GZ, NO , NO, aDir[1], , , , 0, -0.0075, 1, -0.0075, 0, 0, 0, 0, FASE2-PERM, NO, 0,
0, NO,
  821, BEAM    , UNILOAD, GZ, NO , NO, aDir[1], , , , 0, -0.0075, 1, -0.0075, 0, 0, 0, 0, FASE2-PERM, NO, 0,
0, NO,
  822, BEAM    , UNILOAD, GZ, NO , NO, aDir[1], , , , 0, -0.0075, 1, -0.0075, 0, 0, 0, 0, FASE2-PERM, NO, 0,
0, NO,
  823, BEAM    , UNILOAD, GZ, NO , NO, aDir[1], , , , 0, -0.0075, 1, -0.0075, 0, 0, 0, 0, FASE2-PERM, NO, 0,
```

```
0, NO,
  824, BEAM    , UNILOAD, GZ, NO , NO, aDir[1], , , , 0, -0.0075, 1, -0.0075, 0, 0, 0, 0, FASE2-PERM, NO, 0,
0, NO,
  825, BEAM    , UNILOAD, GZ, NO , NO, aDir[1], , , , 0, -0.0075, 1, -0.0075, 0, 0, 0, 0, FASE2-PERM, NO, 0,
0, NO,
  826, BEAM    , UNILOAD, GZ, NO , NO, aDir[1], , , , 0, -0.0075, 1, -0.0075, 0, 0, 0, 0, FASE2-PERM, NO, 0,
0, NO,
  827, BEAM    , UNILOAD, GZ, NO , NO, aDir[1], , , , 0, -0.0075, 1, -0.0075, 0, 0, 0, 0, FASE2-PERM, NO, 0,
0, NO,
  828, BEAM    , UNILOAD, GZ, NO , NO, aDir[1], , , , 0, -0.0075, 1, -0.0075, 0, 0, 0, 0, FASE2-PERM, NO, 0,
0, NO,
  829, BEAM    , UNILOAD, GZ, NO , NO, aDir[1], , , , 0, -0.0075, 1, -0.0075, 0, 0, 0, 0, FASE2-PERM, NO, 0,
0, NO,
  830, BEAM    , UNILOAD, GZ, NO , NO, aDir[1], , , , 0, -0.0075, 1, -0.0075, 0, 0, 0, 0, FASE2-PERM, NO, 0,
0, NO,
  831, BEAM    , UNILOAD, GZ, NO , NO, aDir[1], , , , 0, -0.0075, 1, -0.0075, 0, 0, 0, 0, FASE2-PERM, NO, 0,
0, NO,
  832, BEAM    , UNILOAD, GZ, NO , NO, aDir[1], , , , 0, -0.0075, 1, -0.0075, 0, 0, 0, 0, FASE2-PERM, NO, 0,
0, NO,
  833, BEAM    , UNILOAD, GZ, NO , NO, aDir[1], , , , 0, -0.0075, 1, -0.0075, 0, 0, 0, 0, FASE2-PERM, NO, 0,
0, NO,
  834, BEAM    , UNILOAD, GZ, NO , NO, aDir[1], , , , 0, -0.0075, 1, -0.0075, 0, 0, 0, 0, FASE2-PERM, NO, 0,
0, NO,
  835, BEAM    , UNILOAD, GZ, NO , NO, aDir[1], , , , 0, -0.0075, 1, -0.0075, 0, 0, 0, 0, FASE2-PERM, NO, 0,
0, NO,
  836, BEAM    , UNILOAD, GZ, NO , NO, aDir[1], , , , 0, -0.0075, 1, -0.0075, 0, 0, 0, 0, FASE2-PERM, NO, 0,
0, NO,
  837, BEAM    , UNILOAD, GZ, NO , NO, aDir[1], , , , 0, -0.0075, 1, -0.0075, 0, 0, 0, 0, FASE2-PERM, NO, 0,
0, NO,
  838, BEAM    , UNILOAD, GZ, NO , NO, aDir[1], , , , 0, -0.0075, 1, -0.0075, 0, 0, 0, 0, FASE2-PERM, NO, 0,
0, NO,
  839, BEAM    , UNILOAD, GZ, NO , NO, aDir[1], , , , 0, -0.0075, 1, -0.0075, 0, 0, 0, 0, FASE2-PERM, NO, 0,
0, NO,
  840, BEAM    , UNILOAD, GZ, NO , NO, aDir[1], , , , 0, -0.0075, 1, -0.0075, 0, 0, 0, 0, FASE2-PERM, NO, 0,
0, NO,
  841, BEAM    , UNILOAD, GZ, NO , NO, aDir[1], , , , 0, -0.0075, 1, -0.0075, 0, 0, 0, 0, FASE2-PERM, NO, 0,
0, NO,
  842, BEAM    , UNILOAD, GZ, NO , NO, aDir[1], , , , 0, -0.0075, 1, -0.0075, 0, 0, 0, 0, FASE2-PERM, NO, 0,
0, NO,
  843, BEAM    , UNILOAD, GZ, NO , NO, aDir[1], , , , 0, -0.0075, 1, -0.0075, 0, 0, 0, 0, FASE2-PERM, NO, 0,
0, NO,
  844, BEAM    , UNILOAD, GZ, NO , NO, aDir[1], , , , 0, -0.0075, 1, -0.0075, 0, 0, 0, 0, FASE2-PERM, NO, 0,
0, NO,
  845, BEAM    , UNILOAD, GZ, NO , NO, aDir[1], , , , 0, -0.0075, 1, -0.0075, 0, 0, 0, 0, FASE2-PERM, NO, 0,
0, NO,
  846, BEAM    , UNILOAD, GZ, NO , NO, aDir[1], , , , 0, -0.0075, 1, -0.0075, 0, 0, 0, 0, FASE2-PERM, NO, 0,
0, NO,
  847, BEAM    , UNILOAD, GZ, NO , NO, aDir[1], , , , 0, -0.0075, 1, -0.0075, 0, 0, 0, 0, FASE2-PERM, NO, 0,
0, NO,
  848, BEAM    , UNILOAD, GZ, NO , NO, aDir[1], , , , 0, -0.0075, 1, -0.0075, 0, 0, 0, 0, FASE2-PERM, NO, 0,
0, NO,
  849, BEAM    , UNILOAD, GZ, NO , NO, aDir[1], , , , 0, -0.0075, 1, -0.0075, 0, 0, 0, 0, FASE2-PERM, NO, 0,
0, NO,
  850, BEAM    , UNILOAD, GZ, NO , NO, aDir[1], , , , 0, -0.0075, 1, -0.0075, 0, 0, 0, 0, FASE2-PERM, NO, 0,
0, NO,
  851, BEAM    , UNILOAD, GZ, NO , NO, aDir[1], , , , 0, -0.0075, 1, -0.0075, 0, 0, 0, 0, FASE2-PERM, NO, 0,
0, NO,
  852, BEAM    , UNILOAD, GZ, NO , NO, aDir[1], , , , 0, -0.0075, 1, -0.0075, 0, 0, 0, 0, FASE2-PERM, NO, 0,
0, NO,
  853, BEAM    , UNILOAD, GZ, NO , NO, aDir[1], , , , 0, -0.0075, 1, -0.0075, 0, 0, 0, 0, FASE2-PERM, NO, 0,
0, NO,
  854, BEAM    , UNILOAD, GZ, NO , NO, aDir[1], , , , 0, -0.0075, 1, -0.0075, 0, 0, 0, 0, FASE2-PERM, NO, 0,
0, NO,
  855, BEAM    , UNILOAD, GZ, NO , NO, aDir[1], , , , 0, -0.0075, 1, -0.0075, 0, 0, 0, 0, FASE2-PERM, NO, 0,
0, NO,
  856, BEAM    , UNILOAD, GZ, NO , NO, aDir[1], , , , 0, -0.0075, 1, -0.0075, 0, 0, 0, 0, FASE2-PERM, NO, 0,
0, NO,
 1021, BEAM    , UNILOAD, GZ, NO , NO, aDir[1], , , , 0, -0.0075, 1, -0.0075, 0, 0, 0, 0, FASE2-PERM, NO, 0,
0, NO,
 1022, BEAM    , UNILOAD, GZ, NO , NO, aDir[1], , , , 0, -0.0075, 1, -0.0075, 0, 0, 0, 0, FASE2-PERM, NO, 0,
0, NO,
 1023, BEAM    , UNILOAD, GZ, NO , NO, aDir[1], , , , 0, -0.0075, 1, -0.0075, 0, 0, 0, 0, FASE2-PERM, NO, 0,
0, NO,
 1024, BEAM    , UNILOAD, GZ, NO , NO, aDir[1], , , , 0, -0.0075, 1, -0.0075, 0, 0, 0, 0, FASE2-PERM, NO, 0,
0, NO,
 1025, BEAM    , UNILOAD, GZ, NO , NO, aDir[1], , , , 0, -0.0075, 1, -0.0075, 0, 0, 0, 0, FASE2-PERM, NO, 0,
0, NO,
 1026, BEAM    , UNILOAD, GZ, NO , NO, aDir[1], , , , 0, -0.0075, 1, -0.0075, 0, 0, 0, 0, FASE2-PERM, NO, 0,
```

```
0, NO,
 1027, BEAM    , UNILOAD, GZ, NO , NO, aDir[1], , , , 0, -0.0075, 1, -0.0075, 0, 0, 0, 0, FASE2-PERM, NO, 0,
0, NO,
 1028, BEAM    , UNILOAD, GZ, NO , NO, aDir[1], , , , 0, -0.0075, 1, -0.0075, 0, 0, 0, 0, FASE2-PERM, NO, 0,
0, NO,
 1029, BEAM    , UNILOAD, GZ, NO , NO, aDir[1], , , , 0, -0.0075, 1, -0.0075, 0, 0, 0, 0, FASE2-PERM, NO, 0,
0, NO,
 1030, BEAM    , UNILOAD, GZ, NO , NO, aDir[1], , , , 0, -0.0075, 1, -0.0075, 0, 0, 0, 0, FASE2-PERM, NO, 0,
0, NO,
 1031, BEAM    , UNILOAD, GZ, NO , NO, aDir[1], , , , 0, -0.0075, 1, -0.0075, 0, 0, 0, 0, FASE2-PERM, NO, 0,
0, NO,
 1032, BEAM    , UNILOAD, GZ, NO , NO, aDir[1], , , , 0, -0.0075, 1, -0.0075, 0, 0, 0, 0, FASE2-PERM, NO, 0,
0, NO,
 1033, BEAM    , UNILOAD, GZ, NO , NO, aDir[1], , , , 0, -0.0075, 1, -0.0075, 0, 0, 0, 0, FASE2-PERM, NO, 0,
0, NO,
 1034, BEAM    , UNILOAD, GZ, NO , NO, aDir[1], , , , 0, -0.0075, 1, -0.0075, 0, 0, 0, 0, FASE2-PERM, NO, 0,
0, NO,
 1035, BEAM    , UNILOAD, GZ, NO , NO, aDir[1], , , , 0, -0.0075, 1, -0.0075, 0, 0, 0, 0, FASE2-PERM, NO, 0,
0, NO,
 1036, BEAM    , UNILOAD, GZ, NO , NO, aDir[1], , , , 0, -0.0075, 1, -0.0075, 0, 0, 0, 0, FASE2-PERM, NO, 0,
0, NO,
 1037, BEAM    , UNILOAD, GZ, NO , NO, aDir[1], , , , 0, -0.0075, 1, -0.0075, 0, 0, 0, 0, FASE2-PERM, NO, 0,
0, NO,
 1038, BEAM    , UNILOAD, GZ, NO , NO, aDir[1], , , , 0, -0.0075, 1, -0.0075, 0, 0, 0, 0, FASE2-PERM, NO, 0,
0, NO,
 1039, BEAM    , UNILOAD, GZ, NO , NO, aDir[1], , , , 0, -0.0075, 1, -0.0075, 0, 0, 0, 0, FASE2-PERM, NO, 0,
0, NO,
 1040, BEAM    , UNILOAD, GZ, NO , NO, aDir[1], , , , 0, -0.0075, 1, -0.0075, 0, 0, 0, 0, FASE2-PERM, NO, 0,
0, NO,
 1041, BEAM    , UNILOAD, GZ, NO , NO, aDir[1], , , , 0, -0.0075, 1, -0.0075, 0, 0, 0, 0, FASE2-PERM, NO, 0,
0, NO,
 1042, BEAM    , UNILOAD, GZ, NO , NO, aDir[1], , , , 0, -0.0075, 1, -0.0075, 0, 0, 0, 0, FASE2-PERM, NO, 0,
0, NO,
 1043, BEAM    , UNILOAD, GZ, NO , NO, aDir[1], , , , 0, -0.0075, 1, -0.0075, 0, 0, 0, 0, FASE2-PERM, NO, 0,
0, NO,
 1044, BEAM    , UNILOAD, GZ, NO , NO, aDir[1], , , , 0, -0.0075, 1, -0.0075, 0, 0, 0, 0, FASE2-PERM, NO, 0,
0, NO,
 1045, BEAM    , UNILOAD, GZ, NO , NO, aDir[1], , , , 0, -0.0075, 1, -0.0075, 0, 0, 0, 0, FASE2-PERM, NO, 0,
0, NO,
 1046, BEAM    , UNILOAD, GZ, NO , NO, aDir[1], , , , 0, -0.0075, 1, -0.0075, 0, 0, 0, 0, FASE2-PERM, NO, 0,
0, NO,
 1047, BEAM    , UNILOAD, GZ, NO , NO, aDir[1], , , , 0, -0.0075, 1, -0.0075, 0, 0, 0, 0, FASE2-PERM, NO, 0,
0, NO,
 1048, BEAM    , UNILOAD, GZ, NO , NO, aDir[1], , , , 0, -0.0075, 1, -0.0075, 0, 0, 0, 0, FASE2-PERM, NO, 0,
0, NO,
 1049, BEAM    , UNILOAD, GZ, NO , NO, aDir[1], , , , 0, -0.0075, 1, -0.0075, 0, 0, 0, 0, FASE2-PERM, NO, 0,
0, NO,
 1050, BEAM    , UNILOAD, GZ, NO , NO, aDir[1], , , , 0, -0.0075, 1, -0.0075, 0, 0, 0, 0, FASE2-PERM, NO, 0,
0, NO,
 1051, BEAM    , UNILOAD, GZ, NO , NO, aDir[1], , , , 0, -0.0075, 1, -0.0075, 0, 0, 0, 0, FASE2-PERM, NO, 0,
0, NO,
 1052, BEAM    , UNILOAD, GZ, NO , NO, aDir[1], , , , 0, -0.0075, 1, -0.0075, 0, 0, 0, 0, FASE2-PERM, NO, 0,
0, NO,
 1053, BEAM    , UNILOAD, GZ, NO , NO, aDir[1], , , , 0, -0.0075, 1, -0.0075, 0, 0, 0, 0, FASE2-PERM, NO, 0,
0, NO,
 1054, BEAM    , UNILOAD, GZ, NO , NO, aDir[1], , , , 0, -0.0075, 1, -0.0075, 0, 0, 0, 0, FASE2-PERM, NO, 0,
0, NO,
 1055, BEAM    , UNILOAD, GZ, NO , NO, aDir[1], , , , 0, -0.0075, 1, -0.0075, 0, 0, 0, 0, FASE2-PERM, NO, 0,
0, NO,
 1056, BEAM    , UNILOAD, GZ, NO , NO, aDir[1], , , , 0, -0.0075, 1, -0.0075, 0, 0, 0, 0, FASE2-PERM, NO, 0,
0, NO,
 1057, BEAM    , UNILOAD, GZ, NO , NO, aDir[1], , , , 0, -0.0075, 1, -0.0075, 0, 0, 0, 0, FASE2-PERM, NO, 0,
0, NO,
 1058, BEAM    , UNILOAD, GZ, NO , NO, aDir[1], , , , 0, -0.0075, 1, -0.0075, 0, 0, 0, 0, FASE2-PERM, NO, 0,
0, NO,
 1059, BEAM    , UNILOAD, GZ, NO , NO, aDir[1], , , , 0, -0.0075, 1, -0.0075, 0, 0, 0, 0, FASE2-PERM, NO, 0,
0, NO,
 1060, BEAM    , UNILOAD, GZ, NO , NO, aDir[1], , , , 0, -0.0075, 1, -0.0075, 0, 0, 0, 0, FASE2-PERM, NO, 0,
0, NO,
 1061, BEAM    , UNILOAD, GZ, NO , NO, aDir[1], , , , 0, -0.0075, 1, -0.0075, 0, 0, 0, 0, FASE2-PERM, NO, 0,
0, NO,
 1062, BEAM    , UNILOAD, GZ, NO , NO, aDir[1], , , , 0, -0.0075, 1, -0.0075, 0, 0, 0, 0, FASE2-PERM, NO, 0,
0, NO,
 1063, BEAM    , UNILOAD, GZ, NO , NO, aDir[1], , , , 0, -0.0075, 1, -0.0075, 0, 0, 0, 0, FASE2-PERM, NO, 0,
0, NO,
 1064, BEAM    , UNILOAD, GZ, NO , NO, aDir[1], , , , 0, -0.0075, 1, -0.0075, 0, 0, 0, 0, FASE2-PERM, NO, 0,
0, NO,
 1065, BEAM    , UNILOAD, GZ, NO , NO, aDir[1], , , , 0, -0.0075, 1, -0.0075, 0, 0, 0, 0, FASE2-PERM, NO, 0,
```

```
0, NO,
 1066, BEAM    , UNILOAD, GZ, NO , NO, aDir[1], , , , 0, -0.0075, 1, -0.0075, 0, 0, 0, 0, FASE2-PERM, NO, 0,
0, NO,
 1067, BEAM    , UNILOAD, GZ, NO , NO, aDir[1], , , , 0, -0.0075, 1, -0.0075, 0, 0, 0, 0, FASE2-PERM, NO, 0,
0, NO,
 1068, BEAM    , UNILOAD, GZ, NO , NO, aDir[1], , , , 0, -0.0075, 1, -0.0075, 0, 0, 0, 0, FASE2-PERM, NO, 0,
0, NO,
 1069, BEAM    , UNILOAD, GZ, NO , NO, aDir[1], , , , 0, -0.0075, 1, -0.0075, 0, 0, 0, 0, FASE2-PERM, NO, 0,
0, NO,
 1070, BEAM    , UNILOAD, GZ, NO , NO, aDir[1], , , , 0, -0.0075, 1, -0.0075, 0, 0, 0, 0, FASE2-PERM, NO, 0,
0, NO,
 1071, BEAM    , UNILOAD, GZ, NO , NO, aDir[1], , , , 0, -0.0075, 1, -0.0075, 0, 0, 0, 0, FASE2-PERM, NO, 0,
0, NO,
 1072, BEAM    , UNILOAD, GZ, NO , NO, aDir[1], , , , 0, -0.0075, 1, -0.0075, 0, 0, 0, 0, FASE2-PERM, NO, 0,
0, NO,
 1073, BEAM    , UNILOAD, GZ, NO , NO, aDir[1], , , , 0, -0.0075, 1, -0.0075, 0, 0, 0, 0, FASE2-PERM, NO, 0,
0, NO,
 1074, BEAM    , UNILOAD, GZ, NO , NO, aDir[1], , , , 0, -0.0075, 1, -0.0075, 0, 0, 0, 0, FASE2-PERM, NO, 0,
0, NO,
 1075, BEAM    , UNILOAD, GZ, NO , NO, aDir[1], , , , 0, -0.0075, 1, -0.0075, 0, 0, 0, 0, FASE2-PERM, NO, 0,
0, NO,
 1076, BEAM    , UNILOAD, GZ, NO , NO, aDir[1], , , , 0, -0.0075, 1, -0.0075, 0, 0, 0, 0, FASE2-PERM, NO, 0,
0, NO,
 1077, BEAM    , UNILOAD, GZ, NO , NO, aDir[1], , , , 0, -0.0075, 1, -0.0075, 0, 0, 0, 0, FASE2-PERM, NO, 0,
0, NO,
 1078, BEAM    , UNILOAD, GZ, NO , NO, aDir[1], , , , 0, -0.0075, 1, -0.0075, 0, 0, 0, 0, FASE2-PERM, NO, 0,
0, NO,
 1079, BEAM    , UNILOAD, GZ, NO , NO, aDir[1], , , , 0, -0.0075, 1, -0.0075, 0, 0, 0, 0, FASE2-PERM, NO, 0,
0, NO,
 1080, BEAM    , UNILOAD, GZ, NO , NO, aDir[1], , , , 0, -0.0075, 1, -0.0075, 0, 0, 0, 0, FASE2-PERM, NO, 0,
0, NO,
 1081, BEAM    , UNILOAD, GZ, NO , NO, aDir[1], , , , 0, -0.0075, 1, -0.0075, 0, 0, 0, 0, FASE2-PERM, NO, 0,
0, NO,
 1082, BEAM    , UNILOAD, GZ, NO , NO, aDir[1], , , , 0, -0.0075, 1, -0.0075, 0, 0, 0, 0, FASE2-PERM, NO, 0,
0, NO,
 1083, BEAM    , UNILOAD, GZ, NO , NO, aDir[1], , , , 0, -0.0075, 1, -0.0075, 0, 0, 0, 0, FASE2-PERM, NO, 0,
0, NO,
 1084, BEAM    , UNILOAD, GZ, NO , NO, aDir[1], , , , 0, -0.0075, 1, -0.0075, 0, 0, 0, 0, FASE2-PERM, NO, 0,
0, NO,
 1085, BEAM    , UNILOAD, GZ, NO , NO, aDir[1], , , , 0, -0.0075, 1, -0.0075, 0, 0, 0, 0, FASE2-PERM, NO, 0,
0, NO,
 1086, BEAM    , UNILOAD, GZ, NO , NO, aDir[1], , , , 0, -0.0075, 1, -0.0075, 0, 0, 0, 0, FASE2-PERM, NO, 0,
0, NO,
 1087, BEAM    , UNILOAD, GZ, NO , NO, aDir[1], , , , 0, -0.0075, 1, -0.0075, 0, 0, 0, 0, FASE2-PERM, NO, 0,
0, NO,
 1088, BEAM    , UNILOAD, GZ, NO , NO, aDir[1], , , , 0, -0.0075, 1, -0.0075, 0, 0, 0, 0, FASE2-PERM, NO, 0,
0, NO,
 1089, BEAM    , UNILOAD, GZ, NO , NO, aDir[1], , , , 0, -0.0075, 1, -0.0075, 0, 0, 0, 0, FASE2-PERM, NO, 0,
0, NO,
 1090, BEAM    , UNILOAD, GZ, NO , NO, aDir[1], , , , 0, -0.0075, 1, -0.0075, 0, 0, 0, 0, FASE2-PERM, NO, 0,
0, NO,
 1091, BEAM    , UNILOAD, GZ, NO , NO, aDir[1], , , , 0, -0.0075, 1, -0.0075, 0, 0, 0, 0, FASE2-PERM, NO, 0,
0, NO,
 1092, BEAM    , UNILOAD, GZ, NO , NO, aDir[1], , , , 0, -0.0075, 1, -0.0075, 0, 0, 0, 0, FASE2-PERM, NO, 0,
0, NO,
 1093, BEAM    , UNILOAD, GZ, NO , NO, aDir[1], , , , 0, -0.0075, 1, -0.0075, 0, 0, 0, 0, FASE2-PERM, NO, 0,
0, NO,
 1094, BEAM    , UNILOAD, GZ, NO , NO, aDir[1], , , , 0, -0.0075, 1, -0.0075, 0, 0, 0, 0, FASE2-PERM, NO, 0,
0, NO,
 1095, BEAM    , UNILOAD, GZ, NO , NO, aDir[1], , , , 0, -0.0075, 1, -0.0075, 0, 0, 0, 0, FASE2-PERM, NO, 0,
0, NO,
 1096, BEAM    , UNILOAD, GZ, NO , NO, aDir[1], , , , 0, -0.0075, 1, -0.0075, 0, 0, 0, 0, FASE2-PERM, NO, 0,
0, NO,
 1097, BEAM    , UNILOAD, GZ, NO , NO, aDir[1], , , , 0, -0.0075, 1, -0.0075, 0, 0, 0, 0, FASE2-PERM, NO, 0,
0, NO,
 1098, BEAM    , UNILOAD, GZ, NO , NO, aDir[1], , , , 0, -0.0075, 1, -0.0075, 0, 0, 0, 0, FASE2-PERM, NO, 0,
0, NO,
 1099, BEAM    , UNILOAD, GZ, NO , NO, aDir[1], , , , 0, -0.0075, 1, -0.0075, 0, 0, 0, 0, FASE2-PERM, NO, 0,
0, NO,
 1100, BEAM    , UNILOAD, GZ, NO , NO, aDir[1], , , , 0, -0.0075, 1, -0.0075, 0, 0, 0, 0, FASE2-PERM, NO, 0,
0, NO,
 1101, BEAM    , UNILOAD, GZ, NO , NO, aDir[1], , , , 0, -0.0075, 1, -0.0075, 0, 0, 0, 0, FASE2-PERM, NO, 0,
0, NO,
 1102, BEAM    , UNILOAD, GZ, NO , NO, aDir[1], , , , 0, -0.0075, 1, -0.0075, 0, 0, 0, 0, FASE2-PERM, NO, 0,
0, NO,
 1103, BEAM    , UNILOAD, GZ, NO , NO, aDir[1], , , , 0, -0.0075, 1, -0.0075, 0, 0, 0, 0, FASE2-PERM, NO, 0,
0, NO,
 1104, BEAM    , UNILOAD, GZ, NO , NO, aDir[1], , , , 0, -0.0075, 1, -0.0075, 0, 0, 0, 0, FASE2-PERM, NO, 0,
```

```
0, NO,
 1187, BEAM    , UNILOAD, GZ, NO , NO, aDir[1], , , , 0, -0.0075, 1, -0.0075, 0, 0, 0, 0, FASE2-PERM, NO, 0,
0, NO,
 1188, BEAM    , UNILOAD, GZ, NO , NO, aDir[1], , , , 0, -0.0075, 1, -0.0075, 0, 0, 0, 0, FASE2-PERM, NO, 0,
0, NO,
 1189, BEAM    , UNILOAD, GZ, NO , NO, aDir[1], , , , 0, -0.0075, 1, -0.0075, 0, 0, 0, 0, FASE2-PERM, NO, 0,
0, NO,
 1190, BEAM    , UNILOAD, GZ, NO , NO, aDir[1], , , , 0, -0.0075, 1, -0.0075, 0, 0, 0, 0, FASE2-PERM, NO, 0,
0, NO,
 1191, BEAM    , UNILOAD, GZ, NO , NO, aDir[1], , , , 0, -0.0075, 1, -0.0075, 0, 0, 0, 0, FASE2-PERM, NO, 0,
0, NO,
 1192, BEAM    , UNILOAD, GZ, NO , NO, aDir[1], , , , 0, -0.0075, 1, -0.0075, 0, 0, 0, 0, FASE2-PERM, NO, 0,
0, NO,
 1193, BEAM    , UNILOAD, GZ, NO , NO, aDir[1], , , , 0, -0.0075, 1, -0.0075, 0, 0, 0, 0, FASE2-PERM, NO, 0,
0, NO,
 1194, BEAM    , UNILOAD, GZ, NO , NO, aDir[1], , , , 0, -0.0075, 1, -0.0075, 0, 0, 0, 0, FASE2-PERM, NO, 0,
0, NO,
 1195, BEAM    , UNILOAD, GZ, NO , NO, aDir[1], , , , 0, -0.0075, 1, -0.0075, 0, 0, 0, 0, FASE2-PERM, NO, 0,
0, NO,
 1196, BEAM    , UNILOAD, GZ, NO , NO, aDir[1], , , , 0, -0.0075, 1, -0.0075, 0, 0, 0, 0, FASE2-PERM, NO, 0,
0, NO,
 1197, BEAM    , UNILOAD, GZ, NO , NO, aDir[1], , , , 0, -0.0075, 1, -0.0075, 0, 0, 0, 0, FASE2-PERM, NO, 0,
0, NO,
 1198, BEAM    , UNILOAD, GZ, NO , NO, aDir[1], , , , 0, -0.0075, 1, -0.0075, 0, 0, 0, 0, FASE2-PERM, NO, 0,
0, NO,
 1199, BEAM    , UNILOAD, GZ, NO , NO, aDir[1], , , , 0, -0.0075, 1, -0.0075, 0, 0, 0, 0, FASE2-PERM, NO, 0,
0, NO,
 1200, BEAM    , UNILOAD, GZ, NO , NO, aDir[1], , , , 0, -0.0075, 1, -0.0075, 0, 0, 0, 0, FASE2-PERM, NO, 0,
0, NO,
 1201, BEAM    , UNILOAD, GZ, NO , NO, aDir[1], , , , 0, -0.0075, 1, -0.0075, 0, 0, 0, 0, FASE2-PERM, NO, 0,
0, NO,
 1202, BEAM    , UNILOAD, GZ, NO , NO, aDir[1], , , , 0, -0.0075, 1, -0.0075, 0, 0, 0, 0, FASE2-PERM, NO, 0,
0, NO,
 1203, BEAM    , UNILOAD, GZ, NO , NO, aDir[1], , , , 0, -0.0075, 1, -0.0075, 0, 0, 0, 0, FASE2-PERM, NO, 0,
0, NO,
 1204, BEAM    , UNILOAD, GZ, NO , NO, aDir[1], , , , 0, -0.0075, 1, -0.0075, 0, 0, 0, 0, FASE2-PERM, NO, 0,
0, NO,
 1205, BEAM    , UNILOAD, GZ, NO , NO, aDir[1], , , , 0, -0.0075, 1, -0.0075, 0, 0, 0, 0, FASE2-PERM, NO, 0,
0, NO,
 1206, BEAM    , UNILOAD, GZ, NO , NO, aDir[1], , , , 0, -0.0075, 1, -0.0075, 0, 0, 0, 0, FASE2-PERM, NO, 0,
0, NO,
 1207, BEAM    , UNILOAD, GZ, NO , NO, aDir[1], , , , 0, -0.0075, 1, -0.0075, 0, 0, 0, 0, FASE2-PERM, NO, 0,
0, NO,
 1208, BEAM    , UNILOAD, GZ, NO , NO, aDir[1], , , , 0, -0.0075, 1, -0.0075, 0, 0, 0, 0, FASE2-PERM, NO, 0,
0, NO,
 1209, BEAM    , UNILOAD, GZ, NO , NO, aDir[1], , , , 0, -0.0075, 1, -0.0075, 0, 0, 0, 0, FASE2-PERM, NO, 0,
0, NO,
 1210, BEAM    , UNILOAD, GZ, NO , NO, aDir[1], , , , 0, -0.0075, 1, -0.0075, 0, 0, 0, 0, FASE2-PERM, NO, 0,
0, NO,
 1211, BEAM    , UNILOAD, GZ, NO , NO, aDir[1], , , , 0, -0.0075, 1, -0.0075, 0, 0, 0, 0, FASE2-PERM, NO, 0,
0, NO,
 1212, BEAM    , UNILOAD, GZ, NO , NO, aDir[1], , , , 0, -0.0075, 1, -0.0075, 0, 0, 0, 0, FASE2-PERM, NO, 0,
0, NO,
 1213, BEAM    , UNILOAD, GZ, NO , NO, aDir[1], , , , 0, -0.0075, 1, -0.0075, 0, 0, 0, 0, FASE2-PERM, NO, 0,
0, NO,
 1214, BEAM    , UNILOAD, GZ, NO , NO, aDir[1], , , , 0, -0.0075, 1, -0.0075, 0, 0, 0, 0, FASE2-PERM, NO, 0,
0, NO,
 1215, BEAM    , UNILOAD, GZ, NO , NO, aDir[1], , , , 0, -0.0075, 1, -0.0075, 0, 0, 0, 0, FASE2-PERM, NO, 0,
0, NO,
 1216, BEAM    , UNILOAD, GZ, NO , NO, aDir[1], , , , 0, -0.0075, 1, -0.0075, 0, 0, 0, 0, FASE2-PERM, NO, 0,
0, NO,
 1217, BEAM    , UNILOAD, GZ, NO , NO, aDir[1], , , , 0, -0.0075, 1, -0.0075, 0, 0, 0, 0, FASE2-PERM, NO, 0,
0, NO,
 1218, BEAM    , UNILOAD, GZ, NO , NO, aDir[1], , , , 0, -0.0075, 1, -0.0075, 0, 0, 0, 0, FASE2-PERM, NO, 0,
0, NO,
 1219, BEAM    , UNILOAD, GZ, NO , NO, aDir[1], , , , 0, -0.0075, 1, -0.0075, 0, 0, 0, 0, FASE2-PERM, NO, 0,
0, NO,
 1220, BEAM    , UNILOAD, GZ, NO , NO, aDir[1], , , , 0, -0.0075, 1, -0.0075, 0, 0, 0, 0, FASE2-PERM, NO, 0,
0, NO,
 1221, BEAM    , UNILOAD, GZ, NO , NO, aDir[1], , , , 0, -0.0075, 1, -0.0075, 0, 0, 0, 0, FASE2-PERM, NO, 0,
0, NO,
 1222, BEAM    , UNILOAD, GZ, NO , NO, aDir[1], , , , 0, -0.0075, 1, -0.0075, 0, 0, 0, 0, FASE2-PERM, NO, 0,
0, NO,
 1223, BEAM    , UNILOAD, GZ, NO , NO, aDir[1], , , , 0, -0.0075, 1, -0.0075, 0, 0, 0, 0, FASE2-PERM, NO, 0,
0, NO,
 1224, BEAM    , UNILOAD, GZ, NO , NO, aDir[1], , , , 0, -0.0075, 1, -0.0075, 0, 0, 0, 0, FASE2-PERM, NO, 0,
0, NO,
 1225, BEAM    , UNILOAD, GZ, NO , NO, aDir[1], , , , 0, -0.0075, 1, -0.0075, 0, 0, 0, 0, FASE2-PERM, NO, 0,
```

```
0, NO,
 1226, BEAM    , UNILOAD, GZ, NO , NO, aDir[1], , , , 0, -0.0075, 1, -0.0075, 0, 0, 0, 0, FASE2-PERM, NO, 0,
0, NO,
 1227, BEAM    , UNILOAD, GZ, NO , NO, aDir[1], , , , 0, -0.0075, 1, -0.0075, 0, 0, 0, 0, FASE2-PERM, NO, 0,
0, NO,
 1228, BEAM    , UNILOAD, GZ, NO , NO, aDir[1], , , , 0, -0.0075, 1, -0.0075, 0, 0, 0, 0, FASE2-PERM, NO, 0,
0, NO,
 1229, BEAM    , UNILOAD, GZ, NO , NO, aDir[1], , , , 0, -0.0075, 1, -0.0075, 0, 0, 0, 0, FASE2-PERM, NO, 0,
0, NO,
 1230, BEAM    , UNILOAD, GZ, NO , NO, aDir[1], , , , 0, -0.0075, 1, -0.0075, 0, 0, 0, 0, FASE2-PERM, NO, 0,
0, NO,
 1231, BEAM    , UNILOAD, GZ, NO , NO, aDir[1], , , , 0, -0.0075, 1, -0.0075, 0, 0, 0, 0, FASE2-PERM, NO, 0,
0, NO,
 1232, BEAM    , UNILOAD, GZ, NO , NO, aDir[1], , , , 0, -0.0075, 1, -0.0075, 0, 0, 0, 0, FASE2-PERM, NO, 0,
0, NO,
 1233, BEAM    , UNILOAD, GZ, NO , NO, aDir[1], , , , 0, -0.0075, 1, -0.0075, 0, 0, 0, 0, FASE2-PERM, NO, 0,
0, NO,
 1234, BEAM    , UNILOAD, GZ, NO , NO, aDir[1], , , , 0, -0.0075, 1, -0.0075, 0, 0, 0, 0, FASE2-PERM, NO, 0,
0, NO,
 1235, BEAM    , UNILOAD, GZ, NO , NO, aDir[1], , , , 0, -0.0075, 1, -0.0075, 0, 0, 0, 0, FASE2-PERM, NO, 0,
0, NO,
 1236, BEAM    , UNILOAD, GZ, NO , NO, aDir[1], , , , 0, -0.0075, 1, -0.0075, 0, 0, 0, 0, FASE2-PERM, NO, 0,
0, NO,
 1237, BEAM    , UNILOAD, GZ, NO , NO, aDir[1], , , , 0, -0.0075, 1, -0.0075, 0, 0, 0, 0, FASE2-PERM, NO, 0,
0, NO,
 1238, BEAM    , UNILOAD, GZ, NO , NO, aDir[1], , , , 0, -0.0075, 1, -0.0075, 0, 0, 0, 0, FASE2-PERM, NO, 0,
0, NO,
 1239, BEAM    , UNILOAD, GZ, NO , NO, aDir[1], , , , 0, -0.0075, 1, -0.0075, 0, 0, 0, 0, FASE2-PERM, NO, 0,
0, NO,
 1240, BEAM    , UNILOAD, GZ, NO , NO, aDir[1], , , , 0, -0.0075, 1, -0.0075, 0, 0, 0, 0, FASE2-PERM, NO, 0,
0, NO,
 1241, BEAM    , UNILOAD, GZ, NO , NO, aDir[1], , , , 0, -0.0075, 1, -0.0075, 0, 0, 0, 0, FASE2-PERM, NO, 0,
0, NO,
 1242, BEAM    , UNILOAD, GZ, NO , NO, aDir[1], , , , 0, -0.0075, 1, -0.0075, 0, 0, 0, 0, FASE2-PERM, NO, 0,
0, NO,
 1243, BEAM    , UNILOAD, GZ, NO , NO, aDir[1], , , , 0, -0.0075, 1, -0.0075, 0, 0, 0, 0, FASE2-PERM, NO, 0,
0, NO,
 1244, BEAM    , UNILOAD, GZ, NO , NO, aDir[1], , , , 0, -0.0075, 1, -0.0075, 0, 0, 0, 0, FASE2-PERM, NO, 0,
0, NO,
 1245, BEAM    , UNILOAD, GZ, NO , NO, aDir[1], , , , 0, -0.0075, 1, -0.0075, 0, 0, 0, 0, FASE2-PERM, NO, 0,
0, NO,
 1246, BEAM    , UNILOAD, GZ, NO , NO, aDir[1], , , , 0, -0.0075, 1, -0.0075, 0, 0, 0, 0, FASE2-PERM, NO, 0,
0, NO,
 1247, BEAM    , UNILOAD, GZ, NO , NO, aDir[1], , , , 0, -0.0075, 1, -0.0075, 0, 0, 0, 0, FASE2-PERM, NO, 0,
0, NO,
 1248, BEAM    , UNILOAD, GZ, NO , NO, aDir[1], , , , 0, -0.0075, 1, -0.0075, 0, 0, 0, 0, FASE2-PERM, NO, 0,
0, NO,
 1249, BEAM    , UNILOAD, GZ, NO , NO, aDir[1], , , , 0, -0.0075, 1, -0.0075, 0, 0, 0, 0, FASE2-PERM, NO, 0,
0, NO,
 1250, BEAM    , UNILOAD, GZ, NO , NO, aDir[1], , , , 0, -0.0075, 1, -0.0075, 0, 0, 0, 0, FASE2-PERM, NO, 0,
0, NO,
 1251, BEAM    , UNILOAD, GZ, NO , NO, aDir[1], , , , 0, -0.0075, 1, -0.0075, 0, 0, 0, 0, FASE2-PERM, NO, 0,
0, NO,
 1252, BEAM    , UNILOAD, GZ, NO , NO, aDir[1], , , , 0, -0.0075, 1, -0.0075, 0, 0, 0, 0, FASE2-PERM, NO, 0,
0, NO,
 1253, BEAM    , UNILOAD, GZ, NO , NO, aDir[1], , , , 0, -0.0075, 1, -0.0075, 0, 0, 0, 0, FASE2-PERM, NO, 0,
0, NO,
 1254, BEAM    , UNILOAD, GZ, NO , NO, aDir[1], , , , 0, -0.0075, 1, -0.0075, 0, 0, 0, 0, FASE2-PERM, NO, 0,
0, NO,
 1255, BEAM    , UNILOAD, GZ, NO , NO, aDir[1], , , , 0, -0.0075, 1, -0.0075, 0, 0, 0, 0, FASE2-PERM, NO, 0,
0, NO,
 1256, BEAM    , UNILOAD, GZ, NO , NO, aDir[1], , , , 0, -0.0075, 1, -0.0075, 0, 0, 0, 0, FASE2-PERM, NO, 0,
0, NO,
 1257, BEAM    , UNILOAD, GZ, NO , NO, aDir[1], , , , 0, -0.0075, 1, -0.0075, 0, 0, 0, 0, FASE2-PERM, NO, 0,
0, NO,
 1258, BEAM    , UNILOAD, GZ, NO , NO, aDir[1], , , , 0, -0.0075, 1, -0.0075, 0, 0, 0, 0, FASE2-PERM, NO, 0,
0, NO,
 1259, BEAM    , UNILOAD, GZ, NO , NO, aDir[1], , , , 0, -0.0075, 1, -0.0075, 0, 0, 0, 0, FASE2-PERM, NO, 0,
0, NO,
 1260, BEAM    , UNILOAD, GZ, NO , NO, aDir[1], , , , 0, -0.0075, 1, -0.0075, 0, 0, 0, 0, FASE2-PERM, NO, 0,
0, NO,
 1261, BEAM    , UNILOAD, GZ, NO , NO, aDir[1], , , , 0, -0.0075, 1, -0.0075, 0, 0, 0, 0, FASE2-PERM, NO, 0,
0, NO,
 1262, BEAM    , UNILOAD, GZ, NO , NO, aDir[1], , , , 0, -0.0075, 1, -0.0075, 0, 0, 0, 0, FASE2-PERM, NO, 0,
0, NO,
 1263, BEAM    , UNILOAD, GZ, NO , NO, aDir[1], , , , 0, -0.0075, 1, -0.0075, 0, 0, 0, 0, FASE2-PERM, NO, 0,
0, NO,
 1264, BEAM    , UNILOAD, GZ, NO , NO, aDir[1], , , , 0, -0.0075, 1, -0.0075, 0, 0, 0, 0, FASE2-PERM, NO, 0,
```

```
0, NO,
 1265, BEAM    , UNILOAD, GZ, NO , NO, aDir[1], , , , 0, -0.0075, 1, -0.0075, 0, 0, 0, 0, FASE2-PERM, NO, 0,
0, NO,
 1266, BEAM    , UNILOAD, GZ, NO , NO, aDir[1], , , , 0, -0.0075, 1, -0.0075, 0, 0, 0, 0, FASE2-PERM, NO, 0,
0, NO,
 1267, BEAM    , UNILOAD, GZ, NO , NO, aDir[1], , , , 0, -0.0075, 1, -0.0075, 0, 0, 0, 0, FASE2-PERM, NO, 0,
0, NO,
 1268, BEAM    , UNILOAD, GZ, NO , NO, aDir[1], , , , 0, -0.0075, 1, -0.0075, 0, 0, 0, 0, FASE2-PERM, NO, 0,
0, NO,
 1269, BEAM    , UNILOAD, GZ, NO , NO, aDir[1], , , , 0, -0.0075, 1, -0.0075, 0, 0, 0, 0, FASE2-PERM, NO, 0,
0, NO,
 1270, BEAM    , UNILOAD, GZ, NO , NO, aDir[1], , , , 0, -0.0075, 1, -0.0075, 0, 0, 0, 0, FASE2-PERM, NO, 0,
0, NO,
 1271, BEAM    , UNILOAD, GZ, NO , NO, aDir[1], , , , 0, -0.0075, 1, -0.0075, 0, 0, 0, 0, FASE2-PERM, NO, 0,
0, NO,
 1272, BEAM    , UNILOAD, GZ, NO , NO, aDir[1], , , , 0, -0.0075, 1, -0.0075, 0, 0, 0, 0, FASE2-PERM, NO, 0,
0, NO,
 1273, BEAM    , UNILOAD, GZ, NO , NO, aDir[1], , , , 0, -0.0075, 1, -0.0075, 0, 0, 0, 0, FASE2-PERM, NO, 0,
0, NO,
 1274, BEAM    , UNILOAD, GZ, NO , NO, aDir[1], , , , 0, -0.0075, 1, -0.0075, 0, 0, 0, 0, FASE2-PERM, NO, 0,
0, NO,
 1275, BEAM    , UNILOAD, GZ, NO , NO, aDir[1], , , , 0, -0.0075, 1, -0.0075, 0, 0, 0, 0, FASE2-PERM, NO, 0,
0, NO,
 1276, BEAM    , UNILOAD, GZ, NO , NO, aDir[1], , , , 0, -0.0075, 1, -0.0075, 0, 0, 0, 0, FASE2-PERM, NO, 0,
0, NO,
 1277, BEAM    , UNILOAD, GZ, NO , NO, aDir[1], , , , 0, -0.0075, 1, -0.0075, 0, 0, 0, 0, FASE2-PERM, NO, 0,
0, NO,
 1278, BEAM    , UNILOAD, GZ, NO , NO, aDir[1], , , , 0, -0.0075, 1, -0.0075, 0, 0, 0, 0, FASE2-PERM, NO, 0,
0, NO,
 1279, BEAM    , UNILOAD, GZ, NO , NO, aDir[1], , , , 0, -0.0075, 1, -0.0075, 0, 0, 0, 0, FASE2-PERM, NO, 0,
0, NO,
 1280, BEAM    , UNILOAD, GZ, NO , NO, aDir[1], , , , 0, -0.0075, 1, -0.0075, 0, 0, 0, 0, FASE2-PERM, NO, 0,
0, NO,
 1281, BEAM    , UNILOAD, GZ, NO , NO, aDir[1], , , , 0, -0.0075, 1, -0.0075, 0, 0, 0, 0, FASE2-PERM, NO, 0,
0, NO,
 1282, BEAM    , UNILOAD, GZ, NO , NO, aDir[1], , , , 0, -0.0075, 1, -0.0075, 0, 0, 0, 0, FASE2-PERM, NO, 0,
0, NO,
 1283, BEAM    , UNILOAD, GZ, NO , NO, aDir[1], , , , 0, -0.0075, 1, -0.0075, 0, 0, 0, 0, FASE2-PERM, NO, 0,
0, NO,
 1284, BEAM    , UNILOAD, GZ, NO , NO, aDir[1], , , , 0, -0.0075, 1, -0.0075, 0, 0, 0, 0, FASE2-PERM, NO, 0,
0, NO,
 1285, BEAM    , UNILOAD, GZ, NO , NO, aDir[1], , , , 0, -0.0075, 1, -0.0075, 0, 0, 0, 0, FASE2-PERM, NO, 0,
0, NO,
 1286, BEAM    , UNILOAD, GZ, NO , NO, aDir[1], , , , 0, -0.0075, 1, -0.0075, 0, 0, 0, 0, FASE2-PERM, NO, 0,
0, NO,
 1287, BEAM    , UNILOAD, GZ, NO , NO, aDir[1], , , , 0, -0.0075, 1, -0.0075, 0, 0, 0, 0, FASE2-PERM, NO, 0,
0, NO,
 1288, BEAM    , UNILOAD, GZ, NO , NO, aDir[1], , , , 0, -0.0075, 1, -0.0075, 0, 0, 0, 0, FASE2-PERM, NO, 0,
0, NO,
 1289, BEAM    , UNILOAD, GZ, NO , NO, aDir[1], , , , 0, -0.0075, 1, -0.0075, 0, 0, 0, 0, FASE2-PERM, NO, 0,
0, NO,
 1290, BEAM    , UNILOAD, GZ, NO , NO, aDir[1], , , , 0, -0.0075, 1, -0.0075, 0, 0, 0, 0, FASE2-PERM, NO, 0,
0, NO,
 1291, BEAM    , UNILOAD, GZ, NO , NO, aDir[1], , , , 0, -0.0075, 1, -0.0075, 0, 0, 0, 0, FASE2-PERM, NO, 0,
0, NO,
 1292, BEAM    , UNILOAD, GZ, NO , NO, aDir[1], , , , 0, -0.0075, 1, -0.0075, 0, 0, 0, 0, FASE2-PERM, NO, 0,
0, NO,
 1293, BEAM    , UNILOAD, GZ, NO , NO, aDir[1], , , , 0, -0.0075, 1, -0.0075, 0, 0, 0, 0, FASE2-PERM, NO, 0,
0, NO,
 1294, BEAM    , UNILOAD, GZ, NO , NO, aDir[1], , , , 0, -0.0075, 1, -0.0075, 0, 0, 0, 0, FASE2-PERM, NO, 0,
0, NO,
 1295, BEAM    , UNILOAD, GZ, NO , NO, aDir[1], , , , 0, -0.0075, 1, -0.0075, 0, 0, 0, 0, FASE2-PERM, NO, 0,
0, NO,
 1296, BEAM    , UNILOAD, GZ, NO , NO, aDir[1], , , , 0, -0.0075, 1, -0.0075, 0, 0, 0, 0, FASE2-PERM, NO, 0,
0, NO,
 1297, BEAM    , UNILOAD, GZ, NO , NO, aDir[1], , , , 0, -0.0075, 1, -0.0075, 0, 0, 0, 0, FASE2-PERM, NO, 0,
0, NO,
 1298, BEAM    , UNILOAD, GZ, NO , NO, aDir[1], , , , 0, -0.0075, 1, -0.0075, 0, 0, 0, 0, FASE2-PERM, NO, 0,
0, NO,
 1299, BEAM    , UNILOAD, GZ, NO , NO, aDir[1], , , , 0, -0.0075, 1, -0.0075, 0, 0, 0, 0, FASE2-PERM, NO, 0,
0, NO,
 1300, BEAM    , UNILOAD, GZ, NO , NO, aDir[1], , , , 0, -0.0075, 1, -0.0075, 0, 0, 0, 0, FASE2-PERM, NO, 0,
0, NO,
 1301, BEAM    , UNILOAD, GZ, NO , NO, aDir[1], , , , 0, -0.0075, 1, -0.0075, 0, 0, 0, 0, FASE2-PERM, NO, 0,
0, NO,
 1302, BEAM    , UNILOAD, GZ, NO , NO, aDir[1], , , , 0, -0.0075, 1, -0.0075, 0, 0, 0, 0, FASE2-PERM, NO, 0,
0, NO,
 1303, BEAM    , UNILOAD, GZ, NO , NO, aDir[1], , , , 0, -0.0075, 1, -0.0075, 0, 0, 0, 0, FASE2-PERM, NO, 0,
```

```
0, NO,
 1304, BEAM    , UNILOAD, GZ, NO , NO, aDir[1], , , , 0, -0.0075, 1, -0.0075, 0, 0, 0, 0, FASE2-PERM, NO, 0,
0, NO,
 1305, BEAM    , UNILOAD, GZ, NO , NO, aDir[1], , , , 0, -0.0075, 1, -0.0075, 0, 0, 0, 0, FASE2-PERM, NO, 0,
0, NO,
 1306, BEAM    , UNILOAD, GZ, NO , NO, aDir[1], , , , 0, -0.0075, 1, -0.0075, 0, 0, 0, 0, FASE2-PERM, NO, 0,
0, NO,
 1307, BEAM    , UNILOAD, GZ, NO , NO, aDir[1], , , , 0, -0.0075, 1, -0.0075, 0, 0, 0, 0, FASE2-PERM, NO, 0,
0, NO,
 1308, BEAM    , UNILOAD, GZ, NO , NO, aDir[1], , , , 0, -0.0075, 1, -0.0075, 0, 0, 0, 0, FASE2-PERM, NO, 0,
0, NO,
 1309, BEAM    , UNILOAD, GZ, NO , NO, aDir[1], , , , 0, -0.0075, 1, -0.0075, 0, 0, 0, 0, FASE2-PERM, NO, 0,
0, NO,
 1310, BEAM    , UNILOAD, GZ, NO , NO, aDir[1], , , , 0, -0.0075, 1, -0.0075, 0, 0, 0, 0, FASE2-PERM, NO, 0,
0, NO,
 1311, BEAM    , UNILOAD, GZ, NO , NO, aDir[1], , , , 0, -0.0075, 1, -0.0075, 0, 0, 0, 0, FASE2-PERM, NO, 0,
0, NO,
 1312, BEAM    , UNILOAD, GZ, NO , NO, aDir[1], , , , 0, -0.0075, 1, -0.0075, 0, 0, 0, 0, FASE2-PERM, NO, 0,
0, NO,
 1313, BEAM    , UNILOAD, GZ, NO , NO, aDir[1], , , , 0, -0.0075, 1, -0.0075, 0, 0, 0, 0, FASE2-PERM, NO, 0,
0, NO,
 1314, BEAM    , UNILOAD, GZ, NO , NO, aDir[1], , , , 0, -0.0075, 1, -0.0075, 0, 0, 0, 0, FASE2-PERM, NO, 0,
0, NO,
 1315, BEAM    , UNILOAD, GZ, NO , NO, aDir[1], , , , 0, -0.0075, 1, -0.0075, 0, 0, 0, 0, FASE2-PERM, NO, 0,
0, NO,
 1316, BEAM    , UNILOAD, GZ, NO , NO, aDir[1], , , , 0, -0.0075, 1, -0.0075, 0, 0, 0, 0, FASE2-PERM, NO, 0,
0, NO,
 1317, BEAM    , UNILOAD, GZ, NO , NO, aDir[1], , , , 0, -0.0075, 1, -0.0075, 0, 0, 0, 0, FASE2-PERM, NO, 0,
0, NO,
 1318, BEAM    , UNILOAD, GZ, NO , NO, aDir[1], , , , 0, -0.0075, 1, -0.0075, 0, 0, 0, 0, FASE2-PERM, NO, 0,
0, NO,
 1319, BEAM    , UNILOAD, GZ, NO , NO, aDir[1], , , , 0, -0.0075, 1, -0.0075, 0, 0, 0, 0, FASE2-PERM, NO, 0,
0, NO,
 1320, BEAM    , UNILOAD, GZ, NO , NO, aDir[1], , , , 0, -0.0075, 1, -0.0075, 0, 0, 0, 0, FASE2-PERM, NO, 0,
0, NO,
 1321, BEAM    , UNILOAD, GZ, NO , NO, aDir[1], , , , 0, -0.0075, 1, -0.0075, 0, 0, 0, 0, FASE2-PERM, NO, 0,
0, NO,
 1322, BEAM    , UNILOAD, GZ, NO , NO, aDir[1], , , , 0, -0.0075, 1, -0.0075, 0, 0, 0, 0, FASE2-PERM, NO, 0,
0, NO,
 1323, BEAM    , UNILOAD, GZ, NO , NO, aDir[1], , , , 0, -0.0075, 1, -0.0075, 0, 0, 0, 0, FASE2-PERM, NO, 0,
0, NO,
 1324, BEAM    , UNILOAD, GZ, NO , NO, aDir[1], , , , 0, -0.0075, 1, -0.0075, 0, 0, 0, 0, FASE2-PERM, NO, 0,
0, NO,
 1325, BEAM    , UNILOAD, GZ, NO , NO, aDir[1], , , , 0, -0.0075, 1, -0.0075, 0, 0, 0, 0, FASE2-PERM, NO, 0,
0, NO,
 1326, BEAM    , UNILOAD, GZ, NO , NO, aDir[1], , , , 0, -0.0075, 1, -0.0075, 0, 0, 0, 0, FASE2-PERM, NO, 0,
0, NO,
 1327, BEAM    , UNILOAD, GZ, NO , NO, aDir[1], , , , 0, -0.0075, 1, -0.0075, 0, 0, 0, 0, FASE2-PERM, NO, 0,
0, NO,
 1328, BEAM    , UNILOAD, GZ, NO , NO, aDir[1], , , , 0, -0.0075, 1, -0.0075, 0, 0, 0, 0, FASE2-PERM, NO, 0,
0, NO,
 1329, BEAM    , UNILOAD, GZ, NO , NO, aDir[1], , , , 0, -0.0075, 1, -0.0075, 0, 0, 0, 0, FASE2-PERM, NO, 0,
0, NO,
 1330, BEAM    , UNILOAD, GZ, NO , NO, aDir[1], , , , 0, -0.0075, 1, -0.0075, 0, 0, 0, 0, FASE2-PERM, NO, 0,
0, NO,
 1331, BEAM    , UNILOAD, GZ, NO , NO, aDir[1], , , , 0, -0.0075, 1, -0.0075, 0, 0, 0, 0, FASE2-PERM, NO, 0,
0, NO,
 1332, BEAM    , UNILOAD, GZ, NO , NO, aDir[1], , , , 0, -0.0075, 1, -0.0075, 0, 0, 0, 0, FASE2-PERM, NO, 0,
0, NO,
 1333, BEAM    , UNILOAD, GZ, NO , NO, aDir[1], , , , 0, -0.0075, 1, -0.0075, 0, 0, 0, 0, FASE2-PERM, NO, 0,
0, NO,
 1334, BEAM    , UNILOAD, GZ, NO , NO, aDir[1], , , , 0, -0.0075, 1, -0.0075, 0, 0, 0, 0, FASE2-PERM, NO, 0,
0, NO,
 1335, BEAM    , UNILOAD, GZ, NO , NO, aDir[1], , , , 0, -0.0075, 1, -0.0075, 0, 0, 0, 0, FASE2-PERM, NO, 0,
0, NO,
 1336, BEAM    , UNILOAD, GZ, NO , NO, aDir[1], , , , 0, -0.0075, 1, -0.0075, 0, 0, 0, 0, FASE2-PERM, NO, 0,
0, NO,
 1337, BEAM    , UNILOAD, GZ, NO , NO, aDir[1], , , , 0, -0.0075, 1, -0.0075, 0, 0, 0, 0, FASE2-PERM, NO, 0,
0, NO,
 1338, BEAM    , UNILOAD, GZ, NO , NO, aDir[1], , , , 0, -0.0075, 1, -0.0075, 0, 0, 0, 0, FASE2-PERM, NO, 0,
0, NO,
 1339, BEAM    , UNILOAD, GZ, NO , NO, aDir[1], , , , 0, -0.0075, 1, -0.0075, 0, 0, 0, 0, FASE2-PERM, NO, 0,
0, NO,
 1340, BEAM    , UNILOAD, GZ, NO , NO, aDir[1], , , , 0, -0.0075, 1, -0.0075, 0, 0, 0, 0, FASE2-PERM, NO, 0,
0, NO,
 1341, BEAM    , UNILOAD, GZ, NO , NO, aDir[1], , , , 0, -0.0075, 1, -0.0075, 0, 0, 0, 0, FASE2-PERM, NO, 0,
0, NO,
 1342, BEAM    , UNILOAD, GZ, NO , NO, aDir[1], , , , 0, -0.0075, 1, -0.0075, 0, 0, 0, 0, FASE2-PERM, NO, 0,
```

```
0, NO,
 1343, BEAM    , UNILOAD, GZ, NO , NO, aDir[1], , , , 0, -0.0075, 1, -0.0075, 0, 0, 0, 0, FASE2-PERM, NO, 0,
0, NO,
 1344, BEAM    , UNILOAD, GZ, NO , NO, aDir[1], , , , 0, -0.0075, 1, -0.0075, 0, 0, 0, 0, FASE2-PERM, NO, 0,
0, NO,
 1345, BEAM    , UNILOAD, GZ, NO , NO, aDir[1], , , , 0, -0.0075, 1, -0.0075, 0, 0, 0, 0, FASE2-PERM, NO, 0,
0, NO,
 1346, BEAM    , UNILOAD, GZ, NO , NO, aDir[1], , , , 0, -0.0075, 1, -0.0075, 0, 0, 0, 0, FASE2-PERM, NO, 0,
0, NO,
 1347, BEAM    , UNILOAD, GZ, NO , NO, aDir[1], , , , 0, -0.0075, 1, -0.0075, 0, 0, 0, 0, FASE2-PERM, NO, 0,
0, NO,
 1348, BEAM    , UNILOAD, GZ, NO , NO, aDir[1], , , , 0, -0.0075, 1, -0.0075, 0, 0, 0, 0, FASE2-PERM, NO, 0,
0, NO,
 1349, BEAM    , UNILOAD, GZ, NO , NO, aDir[1], , , , 0, -0.0075, 1, -0.0075, 0, 0, 0, 0, FASE2-PERM, NO, 0,
0, NO,
 1350, BEAM    , UNILOAD, GZ, NO , NO, aDir[1], , , , 0, -0.0075, 1, -0.0075, 0, 0, 0, 0, FASE2-PERM, NO, 0,
0, NO,
 1351, BEAM    , UNILOAD, GZ, NO , NO, aDir[1], , , , 0, -0.0075, 1, -0.0075, 0, 0, 0, 0, FASE2-PERM, NO, 0,
0, NO,
 1352, BEAM    , UNILOAD, GZ, NO , NO, aDir[1], , , , 0, -0.0075, 1, -0.0075, 0, 0, 0, 0, FASE2-PERM, NO, 0,
0, NO,
 1353, BEAM    , UNILOAD, GZ, NO , NO, aDir[1], , , , 0, -0.0075, 1, -0.0075, 0, 0, 0, 0, FASE2-PERM, NO, 0,
0, NO,
 1354, BEAM    , UNILOAD, GZ, NO , NO, aDir[1], , , , 0, -0.0075, 1, -0.0075, 0, 0, 0, 0, FASE2-PERM, NO, 0,
0, NO,
 1519, BEAM    , UNILOAD, GZ, NO , NO, aDir[1], , , , 0, -0.0075, 1, -0.0075, 0, 0, 0, 0, FASE2-PERM, NO, 0,
0, NO,
 1520, BEAM    , UNILOAD, GZ, NO , NO, aDir[1], , , , 0, -0.0075, 1, -0.0075, 0, 0, 0, 0, FASE2-PERM, NO, 0,
0, NO,
 1521, BEAM    , UNILOAD, GZ, NO , NO, aDir[1], , , , 0, -0.0075, 1, -0.0075, 0, 0, 0, 0, FASE2-PERM, NO, 0,
0, NO,
 1522, BEAM    , UNILOAD, GZ, NO , NO, aDir[1], , , , 0, -0.0075, 1, -0.0075, 0, 0, 0, 0, FASE2-PERM, NO, 0,
0, NO,
 1523, BEAM    , UNILOAD, GZ, NO , NO, aDir[1], , , , 0, -0.0075, 1, -0.0075, 0, 0, 0, 0, FASE2-PERM, NO, 0,
0, NO,
 1524, BEAM    , UNILOAD, GZ, NO , NO, aDir[1], , , , 0, -0.0075, 1, -0.0075, 0, 0, 0, 0, FASE2-PERM, NO, 0,
0, NO,
 1525, BEAM    , UNILOAD, GZ, NO , NO, aDir[1], , , , 0, -0.0075, 1, -0.0075, 0, 0, 0, 0, FASE2-PERM, NO, 0,
0, NO,
 1526, BEAM    , UNILOAD, GZ, NO , NO, aDir[1], , , , 0, -0.0075, 1, -0.0075, 0, 0, 0, 0, FASE2-PERM, NO, 0,
0, NO,
 1527, BEAM    , UNILOAD, GZ, NO , NO, aDir[1], , , , 0, -0.0075, 1, -0.0075, 0, 0, 0, 0, FASE2-PERM, NO, 0,
0, NO,
 1528, BEAM    , UNILOAD, GZ, NO , NO, aDir[1], , , , 0, -0.0075, 1, -0.0075, 0, 0, 0, 0, FASE2-PERM, NO, 0,
0, NO,
 1529, BEAM    , UNILOAD, GZ, NO , NO, aDir[1], , , , 0, -0.0075, 1, -0.0075, 0, 0, 0, 0, FASE2-PERM, NO, 0,
0, NO,
 1530, BEAM    , UNILOAD, GZ, NO , NO, aDir[1], , , , 0, -0.0075, 1, -0.0075, 0, 0, 0, 0, FASE2-PERM, NO, 0,
0, NO,
 1531, BEAM    , UNILOAD, GZ, NO , NO, aDir[1], , , , 0, -0.0075, 1, -0.0075, 0, 0, 0, 0, FASE2-PERM, NO, 0,
0, NO,
 1532, BEAM    , UNILOAD, GZ, NO , NO, aDir[1], , , , 0, -0.0075, 1, -0.0075, 0, 0, 0, 0, FASE2-PERM, NO, 0,
0, NO,
 1533, BEAM    , UNILOAD, GZ, NO , NO, aDir[1], , , , 0, -0.0075, 1, -0.0075, 0, 0, 0, 0, FASE2-PERM, NO, 0,
0, NO,
 1534, BEAM    , UNILOAD, GZ, NO , NO, aDir[1], , , , 0, -0.0075, 1, -0.0075, 0, 0, 0, 0, FASE2-PERM, NO, 0,
0, NO,
 1535, BEAM    , UNILOAD, GZ, NO , NO, aDir[1], , , , 0, -0.0075, 1, -0.0075, 0, 0, 0, 0, FASE2-PERM, NO, 0,
0, NO,
 1536, BEAM    , UNILOAD, GZ, NO , NO, aDir[1], , , , 0, -0.0075, 1, -0.0075, 0, 0, 0, 0, FASE2-PERM, NO, 0,
0, NO,
 1537, BEAM    , UNILOAD, GZ, NO , NO, aDir[1], , , , 0, -0.0075, 1, -0.0075, 0, 0, 0, 0, FASE2-PERM, NO, 0,
0, NO,
 1538, BEAM    , UNILOAD, GZ, NO , NO, aDir[1], , , , 0, -0.0075, 1, -0.0075, 0, 0, 0, 0, FASE2-PERM, NO, 0,
0, NO,
 1539, BEAM    , UNILOAD, GZ, NO , NO, aDir[1], , , , 0, -0.0075, 1, -0.0075, 0, 0, 0, 0, FASE2-PERM, NO, 0,
0, NO,
 1540, BEAM    , UNILOAD, GZ, NO , NO, aDir[1], , , , 0, -0.0075, 1, -0.0075, 0, 0, 0, 0, FASE2-PERM, NO, 0,
0, NO,
 1541, BEAM    , UNILOAD, GZ, NO , NO, aDir[1], , , , 0, -0.0075, 1, -0.0075, 0, 0, 0, 0, FASE2-PERM, NO, 0,
0, NO,
 1542, BEAM    , UNILOAD, GZ, NO , NO, aDir[1], , , , 0, -0.0075, 1, -0.0075, 0, 0, 0, 0, FASE2-PERM, NO, 0,
0, NO,
 1543, BEAM    , UNILOAD, GZ, NO , NO, aDir[1], , , , 0, -0.0075, 1, -0.0075, 0, 0, 0, 0, FASE2-PERM, NO, 0,
0, NO,
 1544, BEAM    , UNILOAD, GZ, NO , NO, aDir[1], , , , 0, -0.0075, 1, -0.0075, 0, 0, 0, 0, FASE2-PERM, NO, 0,
0, NO,
 1545, BEAM    , UNILOAD, GZ, NO , NO, aDir[1], , , , 0, -0.0075, 1, -0.0075, 0, 0, 0, 0, FASE2-PERM, NO, 0,
```

```
0, NO,
 1546, BEAM    , UNILOAD, GZ, NO , NO, aDir[1], , , , 0, -0.0075, 1, -0.0075, 0, 0, 0, 0, FASE2-PERM, NO, 0,
0, NO,
 1547, BEAM    , UNILOAD, GZ, NO , NO, aDir[1], , , , 0, -0.0075, 1, -0.0075, 0, 0, 0, 0, FASE2-PERM, NO, 0,
0, NO,
 1548, BEAM    , UNILOAD, GZ, NO , NO, aDir[1], , , , 0, -0.0075, 1, -0.0075, 0, 0, 0, 0, FASE2-PERM, NO, 0,
0, NO,
 1549, BEAM    , UNILOAD, GZ, NO , NO, aDir[1], , , , 0, -0.0075, 1, -0.0075, 0, 0, 0, 0, FASE2-PERM, NO, 0,
0, NO,
 1550, BEAM    , UNILOAD, GZ, NO , NO, aDir[1], , , , 0, -0.0075, 1, -0.0075, 0, 0, 0, 0, FASE2-PERM, NO, 0,
0, NO,
 1551, BEAM    , UNILOAD, GZ, NO , NO, aDir[1], , , , 0, -0.0075, 1, -0.0075, 0, 0, 0, 0, FASE2-PERM, NO, 0,
0, NO,
 1552, BEAM    , UNILOAD, GZ, NO , NO, aDir[1], , , , 0, -0.0075, 1, -0.0075, 0, 0, 0, 0, FASE2-PERM, NO, 0,
0, NO,
 1553, BEAM    , UNILOAD, GZ, NO , NO, aDir[1], , , , 0, -0.0075, 1, -0.0075, 0, 0, 0, 0, FASE2-PERM, NO, 0,
0, NO,
 1554, BEAM    , UNILOAD, GZ, NO , NO, aDir[1], , , , 0, -0.0075, 1, -0.0075, 0, 0, 0, 0, FASE2-PERM, NO, 0,
0, NO,
 1555, BEAM    , UNILOAD, GZ, NO , NO, aDir[1], , , , 0, -0.0075, 1, -0.0075, 0, 0, 0, 0, FASE2-PERM, NO, 0,
0, NO,
 1556, BEAM    , UNILOAD, GZ, NO , NO, aDir[1], , , , 0, -0.0075, 1, -0.0075, 0, 0, 0, 0, FASE2-PERM, NO, 0,
0, NO,
 1557, BEAM    , UNILOAD, GZ, NO , NO, aDir[1], , , , 0, -0.0075, 1, -0.0075, 0, 0, 0, 0, FASE2-PERM, NO, 0,
0, NO,
 1558, BEAM    , UNILOAD, GZ, NO , NO, aDir[1], , , , 0, -0.0075, 1, -0.0075, 0, 0, 0, 0, FASE2-PERM, NO, 0,
0, NO,
 1559, BEAM    , UNILOAD, GZ, NO , NO, aDir[1], , , , 0, -0.0075, 1, -0.0075, 0, 0, 0, 0, FASE2-PERM, NO, 0,
0, NO,
 1560, BEAM    , UNILOAD, GZ, NO , NO, aDir[1], , , , 0, -0.0075, 1, -0.0075, 0, 0, 0, 0, FASE2-PERM, NO, 0,
0, NO,
 1561, BEAM    , UNILOAD, GZ, NO , NO, aDir[1], , , , 0, -0.0075, 1, -0.0075, 0, 0, 0, 0, FASE2-PERM, NO, 0,
0, NO,
 1562, BEAM    , UNILOAD, GZ, NO , NO, aDir[1], , , , 0, -0.0075, 1, -0.0075, 0, 0, 0, 0, FASE2-PERM, NO, 0,
0, NO,
 1563, BEAM    , UNILOAD, GZ, NO , NO, aDir[1], , , , 0, -0.0075, 1, -0.0075, 0, 0, 0, 0, FASE2-PERM, NO, 0,
0, NO,
 1564, BEAM    , UNILOAD, GZ, NO , NO, aDir[1], , , , 0, -0.0075, 1, -0.0075, 0, 0, 0, 0, FASE2-PERM, NO, 0,
0, NO,
 1565, BEAM    , UNILOAD, GZ, NO , NO, aDir[1], , , , 0, -0.0075, 1, -0.0075, 0, 0, 0, 0, FASE2-PERM, NO, 0,
0, NO,
 1566, BEAM    , UNILOAD, GZ, NO , NO, aDir[1], , , , 0, -0.0075, 1, -0.0075, 0, 0, 0, 0, FASE2-PERM, NO, 0,
0, NO,
 1567, BEAM    , UNILOAD, GZ, NO , NO, aDir[1], , , , 0, -0.0075, 1, -0.0075, 0, 0, 0, 0, FASE2-PERM, NO, 0,
0, NO,
 1568, BEAM    , UNILOAD, GZ, NO , NO, aDir[1], , , , 0, -0.0075, 1, -0.0075, 0, 0, 0, 0, FASE2-PERM, NO, 0,
0, NO,
 1569, BEAM    , UNILOAD, GZ, NO , NO, aDir[1], , , , 0, -0.0075, 1, -0.0075, 0, 0, 0, 0, FASE2-PERM, NO, 0,
0, NO,
 1570, BEAM    , UNILOAD, GZ, NO , NO, aDir[1], , , , 0, -0.0075, 1, -0.0075, 0, 0, 0, 0, FASE2-PERM, NO, 0,
0, NO,
 1571, BEAM    , UNILOAD, GZ, NO , NO, aDir[1], , , , 0, -0.0075, 1, -0.0075, 0, 0, 0, 0, FASE2-PERM, NO, 0,
0, NO,
 1572, BEAM    , UNILOAD, GZ, NO , NO, aDir[1], , , , 0, -0.0075, 1, -0.0075, 0, 0, 0, 0, FASE2-PERM, NO, 0,
0, NO,
 1573, BEAM    , UNILOAD, GZ, NO , NO, aDir[1], , , , 0, -0.0075, 1, -0.0075, 0, 0, 0, 0, FASE2-PERM, NO, 0,
0, NO,
 1574, BEAM    , UNILOAD, GZ, NO , NO, aDir[1], , , , 0, -0.0075, 1, -0.0075, 0, 0, 0, 0, FASE2-PERM, NO, 0,
0, NO,
 1575, BEAM    , UNILOAD, GZ, NO , NO, aDir[1], , , , 0, -0.0075, 1, -0.0075, 0, 0, 0, 0, FASE2-PERM, NO, 0,
0, NO,
 1576, BEAM    , UNILOAD, GZ, NO , NO, aDir[1], , , , 0, -0.0075, 1, -0.0075, 0, 0, 0, 0, FASE2-PERM, NO, 0,
0, NO,
 1577, BEAM    , UNILOAD, GZ, NO , NO, aDir[1], , , , 0, -0.0075, 1, -0.0075, 0, 0, 0, 0, FASE2-PERM, NO, 0,
0, NO,
 1578, BEAM    , UNILOAD, GZ, NO , NO, aDir[1], , , , 0, -0.0075, 1, -0.0075, 0, 0, 0, 0, FASE2-PERM, NO, 0,
0, NO,
 1579, BEAM    , UNILOAD, GZ, NO , NO, aDir[1], , , , 0, -0.0075, 1, -0.0075, 0, 0, 0, 0, FASE2-PERM, NO, 0,
0, NO,
 1580, BEAM    , UNILOAD, GZ, NO , NO, aDir[1], , , , 0, -0.0075, 1, -0.0075, 0, 0, 0, 0, FASE2-PERM, NO, 0,
0, NO,
 1581, BEAM    , UNILOAD, GZ, NO , NO, aDir[1], , , , 0, -0.0075, 1, -0.0075, 0, 0, 0, 0, FASE2-PERM, NO, 0,
0, NO,
 1582, BEAM    , UNILOAD, GZ, NO , NO, aDir[1], , , , 0, -0.0075, 1, -0.0075, 0, 0, 0, 0, FASE2-PERM, NO, 0,
0, NO,
 1583, BEAM    , UNILOAD, GZ, NO , NO, aDir[1], , , , 0, -0.0075, 1, -0.0075, 0, 0, 0, 0, FASE2-PERM, NO, 0,
0, NO,
 1584, BEAM    , UNILOAD, GZ, NO , NO, aDir[1], , , , 0, -0.0075, 1, -0.0075, 0, 0, 0, 0, FASE2-PERM, NO, 0,
```

```
0, NO,
 1585, BEAM    , UNILOAD, GZ, NO , NO, aDir[1], , , , 0, -0.0075, 1, -0.0075, 0, 0, 0, 0, FASE2-PERM, NO, 0,
0, NO,
 1586, BEAM    , UNILOAD, GZ, NO , NO, aDir[1], , , , 0, -0.0075, 1, -0.0075, 0, 0, 0, 0, FASE2-PERM, NO, 0,
0, NO,
 1587, BEAM    , UNILOAD, GZ, NO , NO, aDir[1], , , , 0, -0.0075, 1, -0.0075, 0, 0, 0, 0, FASE2-PERM, NO, 0,
0, NO,
 1588, BEAM    , UNILOAD, GZ, NO , NO, aDir[1], , , , 0, -0.0075, 1, -0.0075, 0, 0, 0, 0, FASE2-PERM, NO, 0,
0, NO,
 1589, BEAM    , UNILOAD, GZ, NO , NO, aDir[1], , , , 0, -0.0075, 1, -0.0075, 0, 0, 0, 0, FASE2-PERM, NO, 0,
0, NO,
 1590, BEAM    , UNILOAD, GZ, NO , NO, aDir[1], , , , 0, -0.0075, 1, -0.0075, 0, 0, 0, 0, FASE2-PERM, NO, 0,
0, NO,
 1591, BEAM    , UNILOAD, GZ, NO , NO, aDir[1], , , , 0, -0.0075, 1, -0.0075, 0, 0, 0, 0, FASE2-PERM, NO, 0,
0, NO,
 1592, BEAM    , UNILOAD, GZ, NO , NO, aDir[1], , , , 0, -0.0075, 1, -0.0075, 0, 0, 0, 0, FASE2-PERM, NO, 0,
0, NO,
 1593, BEAM    , UNILOAD, GZ, NO , NO, aDir[1], , , , 0, -0.0075, 1, -0.0075, 0, 0, 0, 0, FASE2-PERM, NO, 0,
0, NO,
 1594, BEAM    , UNILOAD, GZ, NO , NO, aDir[1], , , , 0, -0.0075, 1, -0.0075, 0, 0, 0, 0, FASE2-PERM, NO, 0,
0, NO,
 1595, BEAM    , UNILOAD, GZ, NO , NO, aDir[1], , , , 0, -0.0075, 1, -0.0075, 0, 0, 0, 0, FASE2-PERM, NO, 0,
0, NO,
 1596, BEAM    , UNILOAD, GZ, NO , NO, aDir[1], , , , 0, -0.0075, 1, -0.0075, 0, 0, 0, 0, FASE2-PERM, NO, 0,
0, NO,
 1597, BEAM    , UNILOAD, GZ, NO , NO, aDir[1], , , , 0, -0.0075, 1, -0.0075, 0, 0, 0, 0, FASE2-PERM, NO, 0,
0, NO,
 1598, BEAM    , UNILOAD, GZ, NO , NO, aDir[1], , , , 0, -0.0075, 1, -0.0075, 0, 0, 0, 0, FASE2-PERM, NO, 0,
0, NO,
 1599, BEAM    , UNILOAD, GZ, NO , NO, aDir[1], , , , 0, -0.0075, 1, -0.0075, 0, 0, 0, 0, FASE2-PERM, NO, 0,
0, NO,
 1600, BEAM    , UNILOAD, GZ, NO , NO, aDir[1], , , , 0, -0.0075, 1, -0.0075, 0, 0, 0, 0, FASE2-PERM, NO, 0,
0, NO,
 1601, BEAM    , UNILOAD, GZ, NO , NO, aDir[1], , , , 0, -0.0075, 1, -0.0075, 0, 0, 0, 0, FASE2-PERM, NO, 0,
0, NO,
 1602, BEAM    , UNILOAD, GZ, NO , NO, aDir[1], , , , 0, -0.0075, 1, -0.0075, 0, 0, 0, 0, FASE2-PERM, NO, 0,
0, NO,
 1603, BEAM    , UNILOAD, GZ, NO , NO, aDir[1], , , , 0, -0.0075, 1, -0.0075, 0, 0, 0, 0, FASE2-PERM, NO, 0,
0, NO,
 1604, BEAM    , UNILOAD, GZ, NO , NO, aDir[1], , , , 0, -0.0075, 1, -0.0075, 0, 0, 0, 0, FASE2-PERM, NO, 0,
0, NO,
 1605, BEAM    , UNILOAD, GZ, NO , NO, aDir[1], , , , 0, -0.0075, 1, -0.0075, 0, 0, 0, 0, FASE2-PERM, NO, 0,
0, NO,
 1606, BEAM    , UNILOAD, GZ, NO , NO, aDir[1], , , , 0, -0.0075, 1, -0.0075, 0, 0, 0, 0, FASE2-PERM, NO, 0,
0, NO,
 1607, BEAM    , UNILOAD, GZ, NO , NO, aDir[1], , , , 0, -0.0075, 1, -0.0075, 0, 0, 0, 0, FASE2-PERM, NO, 0,
0, NO,
 1608, BEAM    , UNILOAD, GZ, NO , NO, aDir[1], , , , 0, -0.0075, 1, -0.0075, 0, 0, 0, 0, FASE2-PERM, NO, 0,
0, NO,
 1609, BEAM    , UNILOAD, GZ, NO , NO, aDir[1], , , , 0, -0.0075, 1, -0.0075, 0, 0, 0, 0, FASE2-PERM, NO, 0,
0, NO,
 1610, BEAM    , UNILOAD, GZ, NO , NO, aDir[1], , , , 0, -0.0075, 1, -0.0075, 0, 0, 0, 0, FASE2-PERM, NO, 0,
0, NO,
 1611, BEAM    , UNILOAD, GZ, NO , NO, aDir[1], , , , 0, -0.0075, 1, -0.0075, 0, 0, 0, 0, FASE2-PERM, NO, 0,
0, NO,
 1612, BEAM    , UNILOAD, GZ, NO , NO, aDir[1], , , , 0, -0.0075, 1, -0.0075, 0, 0, 0, 0, FASE2-PERM, NO, 0,
0, NO,
 1613, BEAM    , UNILOAD, GZ, NO , NO, aDir[1], , , , 0, -0.0075, 1, -0.0075, 0, 0, 0, 0, FASE2-PERM, NO, 0,
0, NO,
 1614, BEAM    , UNILOAD, GZ, NO , NO, aDir[1], , , , 0, -0.0075, 1, -0.0075, 0, 0, 0, 0, FASE2-PERM, NO, 0,
0, NO,
 1615, BEAM    , UNILOAD, GZ, NO , NO, aDir[1], , , , 0, -0.0075, 1, -0.0075, 0, 0, 0, 0, FASE2-PERM, NO, 0,
0, NO,
 1616, BEAM    , UNILOAD, GZ, NO , NO, aDir[1], , , , 0, -0.0075, 1, -0.0075, 0, 0, 0, 0, FASE2-PERM, NO, 0,
0, NO,
 1617, BEAM    , UNILOAD, GZ, NO , NO, aDir[1], , , , 0, -0.0075, 1, -0.0075, 0, 0, 0, 0, FASE2-PERM, NO, 0,
0, NO,
 1618, BEAM    , UNILOAD, GZ, NO , NO, aDir[1], , , , 0, -0.0075, 1, -0.0075, 0, 0, 0, 0, FASE2-PERM, NO, 0,
0, NO,
 1619, BEAM    , UNILOAD, GZ, NO , NO, aDir[1], , , , 0, -0.0075, 1, -0.0075, 0, 0, 0, 0, FASE2-PERM, NO, 0,
0, NO,
 1620, BEAM    , UNILOAD, GZ, NO , NO, aDir[1], , , , 0, -0.0075, 1, -0.0075, 0, 0, 0, 0, FASE2-PERM, NO, 0,
0, NO,
 1621, BEAM    , UNILOAD, GZ, NO , NO, aDir[1], , , , 0, -0.0075, 1, -0.0075, 0, 0, 0, 0, FASE2-PERM, NO, 0,
0, NO,
 1622, BEAM    , UNILOAD, GZ, NO , NO, aDir[1], , , , 0, -0.0075, 1, -0.0075, 0, 0, 0, 0, FASE2-PERM, NO, 0,
0, NO,
 1623, BEAM    , UNILOAD, GZ, NO , NO, aDir[1], , , , 0, -0.0075, 1, -0.0075, 0, 0, 0, 0, FASE2-PERM, NO, 0,
```

```
0, NO,
 1624, BEAM    , UNILOAD, GZ, NO , NO, aDir[1], , , , 0, -0.0075, 1, -0.0075, 0, 0, 0, 0, FASE2-PERM, NO, 0,
0, NO,
 1625, BEAM    , UNILOAD, GZ, NO , NO, aDir[1], , , , 0, -0.0075, 1, -0.0075, 0, 0, 0, 0, FASE2-PERM, NO, 0,
0, NO,
 1626, BEAM    , UNILOAD, GZ, NO , NO, aDir[1], , , , 0, -0.0075, 1, -0.0075, 0, 0, 0, 0, FASE2-PERM, NO, 0,
0, NO,
 1627, BEAM    , UNILOAD, GZ, NO , NO, aDir[1], , , , 0, -0.0075, 1, -0.0075, 0, 0, 0, 0, FASE2-PERM, NO, 0,
0, NO,
 1628, BEAM    , UNILOAD, GZ, NO , NO, aDir[1], , , , 0, -0.0075, 1, -0.0075, 0, 0, 0, 0, FASE2-PERM, NO, 0,
0, NO,
 1629, BEAM    , UNILOAD, GZ, NO , NO, aDir[1], , , , 0, -0.0075, 1, -0.0075, 0, 0, 0, 0, FASE2-PERM, NO, 0,
0, NO,
 1630, BEAM    , UNILOAD, GZ, NO , NO, aDir[1], , , , 0, -0.0075, 1, -0.0075, 0, 0, 0, 0, FASE2-PERM, NO, 0,
0, NO,
 1631, BEAM    , UNILOAD, GZ, NO , NO, aDir[1], , , , 0, -0.0075, 1, -0.0075, 0, 0, 0, 0, FASE2-PERM, NO, 0,
0, NO,
 1632, BEAM    , UNILOAD, GZ, NO , NO, aDir[1], , , , 0, -0.0075, 1, -0.0075, 0, 0, 0, 0, FASE2-PERM, NO, 0,
0, NO,
 1633, BEAM    , UNILOAD, GZ, NO , NO, aDir[1], , , , 0, -0.0075, 1, -0.0075, 0, 0, 0, 0, FASE2-PERM, NO, 0,
0, NO,
 1634, BEAM    , UNILOAD, GZ, NO , NO, aDir[1], , , , 0, -0.0075, 1, -0.0075, 0, 0, 0, 0, FASE2-PERM, NO, 0,
0, NO,
 1635, BEAM    , UNILOAD, GZ, NO , NO, aDir[1], , , , 0, -0.0075, 1, -0.0075, 0, 0, 0, 0, FASE2-PERM, NO, 0,
0, NO,
 1636, BEAM    , UNILOAD, GZ, NO , NO, aDir[1], , , , 0, -0.0075, 1, -0.0075, 0, 0, 0, 0, FASE2-PERM, NO, 0,
0, NO,
 1637, BEAM    , UNILOAD, GZ, NO , NO, aDir[1], , , , 0, -0.0075, 1, -0.0075, 0, 0, 0, 0, FASE2-PERM, NO, 0,
0, NO,
 1638, BEAM    , UNILOAD, GZ, NO , NO, aDir[1], , , , 0, -0.0075, 1, -0.0075, 0, 0, 0, 0, FASE2-PERM, NO, 0,
0, NO,
 1639, BEAM    , UNILOAD, GZ, NO , NO, aDir[1], , , , 0, -0.0075, 1, -0.0075, 0, 0, 0, 0, FASE2-PERM, NO, 0,
0, NO,
 1640, BEAM    , UNILOAD, GZ, NO , NO, aDir[1], , , , 0, -0.0075, 1, -0.0075, 0, 0, 0, 0, FASE2-PERM, NO, 0,
0, NO,
 1641, BEAM    , UNILOAD, GZ, NO , NO, aDir[1], , , , 0, -0.0075, 1, -0.0075, 0, 0, 0, 0, FASE2-PERM, NO, 0,
0, NO,
 1642, BEAM    , UNILOAD, GZ, NO , NO, aDir[1], , , , 0, -0.0075, 1, -0.0075, 0, 0, 0, 0, FASE2-PERM, NO, 0,
0, NO,
 1643, BEAM    , UNILOAD, GZ, NO , NO, aDir[1], , , , 0, -0.0075, 1, -0.0075, 0, 0, 0, 0, FASE2-PERM, NO, 0,
0, NO,
 1644, BEAM    , UNILOAD, GZ, NO , NO, aDir[1], , , , 0, -0.0075, 1, -0.0075, 0, 0, 0, 0, FASE2-PERM, NO, 0,
0, NO,
 1645, BEAM    , UNILOAD, GZ, NO , NO, aDir[1], , , , 0, -0.0075, 1, -0.0075, 0, 0, 0, 0, FASE2-PERM, NO, 0,
0, NO,
 1646, BEAM    , UNILOAD, GZ, NO , NO, aDir[1], , , , 0, -0.0075, 1, -0.0075, 0, 0, 0, 0, FASE2-PERM, NO, 0,
0, NO,
 1647, BEAM    , UNILOAD, GZ, NO , NO, aDir[1], , , , 0, -0.0075, 1, -0.0075, 0, 0, 0, 0, FASE2-PERM, NO, 0,
0, NO,
 1648, BEAM    , UNILOAD, GZ, NO , NO, aDir[1], , , , 0, -0.0075, 1, -0.0075, 0, 0, 0, 0, FASE2-PERM, NO, 0,
0, NO,
 1649, BEAM    , UNILOAD, GZ, NO , NO, aDir[1], , , , 0, -0.0075, 1, -0.0075, 0, 0, 0, 0, FASE2-PERM, NO, 0,
0, NO,
 1650, BEAM    , UNILOAD, GZ, NO , NO, aDir[1], , , , 0, -0.0075, 1, -0.0075, 0, 0, 0, 0, FASE2-PERM, NO, 0,
0, NO,
 1651, BEAM    , UNILOAD, GZ, NO , NO, aDir[1], , , , 0, -0.0075, 1, -0.0075, 0, 0, 0, 0, FASE2-PERM, NO, 0,
0, NO,
 1652, BEAM    , UNILOAD, GZ, NO , NO, aDir[1], , , , 0, -0.0075, 1, -0.0075, 0, 0, 0, 0, FASE2-PERM, NO, 0,
0, NO,
 1653, BEAM    , UNILOAD, GZ, NO , NO, aDir[1], , , , 0, -0.0075, 1, -0.0075, 0, 0, 0, 0, FASE2-PERM, NO, 0,
0, NO,
 1654, BEAM    , UNILOAD, GZ, NO , NO, aDir[1], , , , 0, -0.0075, 1, -0.0075, 0, 0, 0, 0, FASE2-PERM, NO, 0,
0, NO,
 1655, BEAM    , UNILOAD, GZ, NO , NO, aDir[1], , , , 0, -0.0075, 1, -0.0075, 0, 0, 0, 0, FASE2-PERM, NO, 0,
0, NO,
 1656, BEAM    , UNILOAD, GZ, NO , NO, aDir[1], , , , 0, -0.0075, 1, -0.0075, 0, 0, 0, 0, FASE2-PERM, NO, 0,
0, NO,
 1657, BEAM    , UNILOAD, GZ, NO , NO, aDir[1], , , , 0, -0.0075, 1, -0.0075, 0, 0, 0, 0, FASE2-PERM, NO, 0,
0, NO,
 1658, BEAM    , UNILOAD, GZ, NO , NO, aDir[1], , , , 0, -0.0075, 1, -0.0075, 0, 0, 0, 0, FASE2-PERM, NO, 0,
0, NO,
 1659, BEAM    , UNILOAD, GZ, NO , NO, aDir[1], , , , 0, -0.0075, 1, -0.0075, 0, 0, 0, 0, FASE2-PERM, NO, 0,
0, NO,
 1660, BEAM    , UNILOAD, GZ, NO , NO, aDir[1], , , , 0, -0.0075, 1, -0.0075, 0, 0, 0, 0, FASE2-PERM, NO, 0,
0, NO,
 1661, BEAM    , UNILOAD, GZ, NO , NO, aDir[1], , , , 0, -0.0075, 1, -0.0075, 0, 0, 0, 0, FASE2-PERM, NO, 0,
0, NO,
 1662, BEAM    , UNILOAD, GZ, NO , NO, aDir[1], , , , 0, -0.0075, 1, -0.0075, 0, 0, 0, 0, FASE2-PERM, NO, 0,
```

```
0, NO,
 1663, BEAM    , UNILOAD, GZ, NO , NO, aDir[1], , , , 0, -0.0075, 1, -0.0075, 0, 0, 0, 0, FASE2-PERM, NO, 0,
0, NO,
 1664, BEAM    , UNILOAD, GZ, NO , NO, aDir[1], , , , 0, -0.0075, 1, -0.0075, 0, 0, 0, 0, FASE2-PERM, NO, 0,
0, NO,
 1665, BEAM    , UNILOAD, GZ, NO , NO, aDir[1], , , , 0, -0.0075, 1, -0.0075, 0, 0, 0, 0, FASE2-PERM, NO, 0,
0, NO,
 1666, BEAM    , UNILOAD, GZ, NO , NO, aDir[1], , , , 0, -0.0075, 1, -0.0075, 0, 0, 0, 0, FASE2-PERM, NO, 0,
0, NO,
 1667, BEAM    , UNILOAD, GZ, NO , NO, aDir[1], , , , 0, -0.0075, 1, -0.0075, 0, 0, 0, 0, FASE2-PERM, NO, 0,
0, NO,
 1668, BEAM    , UNILOAD, GZ, NO , NO, aDir[1], , , , 0, -0.0075, 1, -0.0075, 0, 0, 0, 0, FASE2-PERM, NO, 0,
0, NO,
 1669, BEAM    , UNILOAD, GZ, NO , NO, aDir[1], , , , 0, -0.0075, 1, -0.0075, 0, 0, 0, 0, FASE2-PERM, NO, 0,
0, NO,
 1670, BEAM    , UNILOAD, GZ, NO , NO, aDir[1], , , , 0, -0.0075, 1, -0.0075, 0, 0, 0, 0, FASE2-PERM, NO, 0,
0, NO,
 1671, BEAM    , UNILOAD, GZ, NO , NO, aDir[1], , , , 0, -0.0075, 1, -0.0075, 0, 0, 0, 0, FASE2-PERM, NO, 0,
0, NO,
 1672, BEAM    , UNILOAD, GZ, NO , NO, aDir[1], , , , 0, -0.0075, 1, -0.0075, 0, 0, 0, 0, FASE2-PERM, NO, 0,
0, NO,
 1673, BEAM    , UNILOAD, GZ, NO , NO, aDir[1], , , , 0, -0.0075, 1, -0.0075, 0, 0, 0, 0, FASE2-PERM, NO, 0,
0, NO,
 1674, BEAM    , UNILOAD, GZ, NO , NO, aDir[1], , , , 0, -0.0075, 1, -0.0075, 0, 0, 0, 0, FASE2-PERM, NO, 0,
0, NO,
 1675, BEAM    , UNILOAD, GZ, NO , NO, aDir[1], , , , 0, -0.0075, 1, -0.0075, 0, 0, 0, 0, FASE2-PERM, NO, 0,
0, NO,
 1676, BEAM    , UNILOAD, GZ, NO , NO, aDir[1], , , , 0, -0.0075, 1, -0.0075, 0, 0, 0, 0, FASE2-PERM, NO, 0,
0, NO,
 1677, BEAM    , UNILOAD, GZ, NO , NO, aDir[1], , , , 0, -0.0075, 1, -0.0075, 0, 0, 0, 0, FASE2-PERM, NO, 0,
0, NO,
 1678, BEAM    , UNILOAD, GZ, NO , NO, aDir[1], , , , 0, -0.0075, 1, -0.0075, 0, 0, 0, 0, FASE2-PERM, NO, 0,
0, NO,
 1679, BEAM    , UNILOAD, GZ, NO , NO, aDir[1], , , , 0, -0.0075, 1, -0.0075, 0, 0, 0, 0, FASE2-PERM, NO, 0,
0, NO,
 1680, BEAM    , UNILOAD, GZ, NO , NO, aDir[1], , , , 0, -0.0075, 1, -0.0075, 0, 0, 0, 0, FASE2-PERM, NO, 0,
0, NO,
 1681, BEAM    , UNILOAD, GZ, NO , NO, aDir[1], , , , 0, -0.0075, 1, -0.0075, 0, 0, 0, 0, FASE2-PERM, NO, 0,
0, NO,
 1682, BEAM    , UNILOAD, GZ, NO , NO, aDir[1], , , , 0, -0.0075, 1, -0.0075, 0, 0, 0, 0, FASE2-PERM, NO, 0,
0, NO,
 1683, BEAM    , UNILOAD, GZ, NO , NO, aDir[1], , , , 0, -0.0075, 1, -0.0075, 0, 0, 0, 0, FASE2-PERM, NO, 0,
0, NO,
 1684, BEAM    , UNILOAD, GZ, NO , NO, aDir[1], , , , 0, -0.0075, 1, -0.0075, 0, 0, 0, 0, FASE2-PERM, NO, 0,
0, NO,
 1685, BEAM    , UNILOAD, GZ, NO , NO, aDir[1], , , , 0, -0.0075, 1, -0.0075, 0, 0, 0, 0, FASE2-PERM, NO, 0,
0, NO,
 1686, BEAM    , UNILOAD, GZ, NO , NO, aDir[1], , , , 0, -0.0075, 1, -0.0075, 0, 0, 0, 0, FASE2-PERM, NO, 0,
0, NO,
 1687, BEAM    , UNILOAD, GZ, NO , NO, aDir[1], , , , 0, -0.0075, 1, -0.0075, 0, 0, 0, 0, FASE2-PERM, NO, 0,
0, NO,
 1688, BEAM    , UNILOAD, GZ, NO , NO, aDir[1], , , , 0, -0.0075, 1, -0.0075, 0, 0, 0, 0, FASE2-PERM, NO, 0,
0, NO,
 1689, BEAM    , UNILOAD, GZ, NO , NO, aDir[1], , , , 0, -0.0075, 1, -0.0075, 0, 0, 0, 0, FASE2-PERM, NO, 0,
0, NO,
 1690, BEAM    , UNILOAD, GZ, NO , NO, aDir[1], , , , 0, -0.0075, 1, -0.0075, 0, 0, 0, 0, FASE2-PERM, NO, 0,
0, NO,
 1691, BEAM    , UNILOAD, GZ, NO , NO, aDir[1], , , , 0, -0.0075, 1, -0.0075, 0, 0, 0, 0, FASE2-PERM, NO, 0,
0, NO,
 1692, BEAM    , UNILOAD, GZ, NO , NO, aDir[1], , , , 0, -0.0075, 1, -0.0075, 0, 0, 0, 0, FASE2-PERM, NO, 0,
0, NO,
 1693, BEAM    , UNILOAD, GZ, NO , NO, aDir[1], , , , 0, -0.0075, 1, -0.0075, 0, 0, 0, 0, FASE2-PERM, NO, 0,
0, NO,
 1694, BEAM    , UNILOAD, GZ, NO , NO, aDir[1], , , , 0, -0.0075, 1, -0.0075, 0, 0, 0, 0, FASE2-PERM, NO, 0,
0, NO,
 1695, BEAM    , UNILOAD, GZ, NO , NO, aDir[1], , , , 0, -0.0075, 1, -0.0075, 0, 0, 0, 0, FASE2-PERM, NO, 0,
0, NO,
 1696, BEAM    , UNILOAD, GZ, NO , NO, aDir[1], , , , 0, -0.0075, 1, -0.0075, 0, 0, 0, 0, FASE2-PERM, NO, 0,
0, NO,
 1697, BEAM    , UNILOAD, GZ, NO , NO, aDir[1], , , , 0, -0.0075, 1, -0.0075, 0, 0, 0, 0, FASE2-PERM, NO, 0,
0, NO,
 1698, BEAM    , UNILOAD, GZ, NO , NO, aDir[1], , , , 0, -0.0075, 1, -0.0075, 0, 0, 0, 0, FASE2-PERM, NO, 0,
0, NO,
 1699, BEAM    , UNILOAD, GZ, NO , NO, aDir[1], , , , 0, -0.0075, 1, -0.0075, 0, 0, 0, 0, FASE2-PERM, NO, 0,
0, NO,
 1700, BEAM    , UNILOAD, GZ, NO , NO, aDir[1], , , , 0, -0.0075, 1, -0.0075, 0, 0, 0, 0, FASE2-PERM, NO, 0,
0, NO,
 1701, BEAM    , UNILOAD, GZ, NO , NO, aDir[1], , , , 0, -0.0075, 1, -0.0075, 0, 0, 0, 0, FASE2-PERM, NO, 0,
```

```
0, NO,
 1702, BEAM    , UNILOAD, GZ, NO , NO, aDir[1], , , , 0, -0.0075, 1, -0.0075, 0, 0, 0, 0, FASE2-PERM, NO, 0,
0, NO,
 1703, BEAM    , UNILOAD, GZ, NO , NO, aDir[1], , , , 0, -0.0075, 1, -0.0075, 0, 0, 0, 0, FASE2-PERM, NO, 0,
0, NO,
 1704, BEAM    , UNILOAD, GZ, NO , NO, aDir[1], , , , 0, -0.0075, 1, -0.0075, 0, 0, 0, 0, FASE2-PERM, NO, 0,
0, NO,
 1705, BEAM    , UNILOAD, GZ, NO , NO, aDir[1], , , , 0, -0.0075, 1, -0.0075, 0, 0, 0, 0, FASE2-PERM, NO, 0,
0, NO,
 1706, BEAM    , UNILOAD, GZ, NO , NO, aDir[1], , , , 0, -0.0075, 1, -0.0075, 0, 0, 0, 0, FASE2-PERM, NO, 0,
0, NO,
 1707, BEAM    , UNILOAD, GZ, NO , NO, aDir[1], , , , 0, -0.0075, 1, -0.0075, 0, 0, 0, 0, FASE2-PERM, NO, 0,
0, NO,
 1708, BEAM    , UNILOAD, GZ, NO , NO, aDir[1], , , , 0, -0.0075, 1, -0.0075, 0, 0, 0, 0, FASE2-PERM, NO, 0,
0, NO,
 1709, BEAM    , UNILOAD, GZ, NO , NO, aDir[1], , , , 0, -0.0075, 1, -0.0075, 0, 0, 0, 0, FASE2-PERM, NO, 0,
0, NO,
 1710, BEAM    , UNILOAD, GZ, NO , NO, aDir[1], , , , 0, -0.0075, 1, -0.0075, 0, 0, 0, 0, FASE2-PERM, NO, 0,
0, NO,
 1711, BEAM    , UNILOAD, GZ, NO , NO, aDir[1], , , , 0, -0.0075, 1, -0.0075, 0, 0, 0, 0, FASE2-PERM, NO, 0,
0, NO,
 1712, BEAM    , UNILOAD, GZ, NO , NO, aDir[1], , , , 0, -0.0075, 1, -0.0075, 0, 0, 0, 0, FASE2-PERM, NO, 0,
0, NO,
 1713, BEAM    , UNILOAD, GZ, NO , NO, aDir[1], , , , 0, -0.0075, 1, -0.0075, 0, 0, 0, 0, FASE2-PERM, NO, 0,
0, NO,
 1714, BEAM    , UNILOAD, GZ, NO , NO, aDir[1], , , , 0, -0.0075, 1, -0.0075, 0, 0, 0, 0, FASE2-PERM, NO, 0,
0, NO,
 1715, BEAM    , UNILOAD, GZ, NO , NO, aDir[1], , , , 0, -0.0075, 1, -0.0075, 0, 0, 0, 0, FASE2-PERM, NO, 0,
0, NO,
 1716, BEAM    , UNILOAD, GZ, NO , NO, aDir[1], , , , 0, -0.0075, 1, -0.0075, 0, 0, 0, 0, FASE2-PERM, NO, 0,
0, NO,
 1717, BEAM    , UNILOAD, GZ, NO , NO, aDir[1], , , , 0, -0.0075, 1, -0.0075, 0, 0, 0, 0, FASE2-PERM, NO, 0,
0, NO,
 1718, BEAM    , UNILOAD, GZ, NO , NO, aDir[1], , , , 0, -0.0075, 1, -0.0075, 0, 0, 0, 0, FASE2-PERM, NO, 0,
0, NO,
 1719, BEAM    , UNILOAD, GZ, NO , NO, aDir[1], , , , 0, -0.0075, 1, -0.0075, 0, 0, 0, 0, FASE2-PERM, NO, 0,
0, NO,
 1720, BEAM    , UNILOAD, GZ, NO , NO, aDir[1], , , , 0, -0.0075, 1, -0.0075, 0, 0, 0, 0, FASE2-PERM, NO, 0,
0, NO,
 1721, BEAM    , UNILOAD, GZ, NO , NO, aDir[1], , , , 0, -0.0075, 1, -0.0075, 0, 0, 0, 0, FASE2-PERM, NO, 0,
0, NO,
 1722, BEAM    , UNILOAD, GZ, NO , NO, aDir[1], , , , 0, -0.0075, 1, -0.0075, 0, 0, 0, 0, FASE2-PERM, NO, 0,
0, NO,
 1723, BEAM    , UNILOAD, GZ, NO , NO, aDir[1], , , , 0, -0.0075, 1, -0.0075, 0, 0, 0, 0, FASE2-PERM, NO, 0,
0, NO,
 1724, BEAM    , UNILOAD, GZ, NO , NO, aDir[1], , , , 0, -0.0075, 1, -0.0075, 0, 0, 0, 0, FASE2-PERM, NO, 0,
0, NO,
 1725, BEAM    , UNILOAD, GZ, NO , NO, aDir[1], , , , 0, -0.0075, 1, -0.0075, 0, 0, 0, 0, FASE2-PERM, NO, 0,
0, NO,
 1726, BEAM    , UNILOAD, GZ, NO , NO, aDir[1], , , , 0, -0.0075, 1, -0.0075, 0, 0, 0, 0, FASE2-PERM, NO, 0,
0, NO,
 1727, BEAM    , UNILOAD, GZ, NO , NO, aDir[1], , , , 0, -0.0075, 1, -0.0075, 0, 0, 0, 0, FASE2-PERM, NO, 0,
0, NO,
 1728, BEAM    , UNILOAD, GZ, NO , NO, aDir[1], , , , 0, -0.0075, 1, -0.0075, 0, 0, 0, 0, FASE2-PERM, NO, 0,
0, NO,
 1729, BEAM    , UNILOAD, GZ, NO , NO, aDir[1], , , , 0, -0.0075, 1, -0.0075, 0, 0, 0, 0, FASE2-PERM, NO, 0,
0, NO,
 1730, BEAM    , UNILOAD, GZ, NO , NO, aDir[1], , , , 0, -0.0075, 1, -0.0075, 0, 0, 0, 0, FASE2-PERM, NO, 0,
0, NO,
 1731, BEAM    , UNILOAD, GZ, NO , NO, aDir[1], , , , 0, -0.0075, 1, -0.0075, 0, 0, 0, 0, FASE2-PERM, NO, 0,
0, NO,
 1732, BEAM    , UNILOAD, GZ, NO , NO, aDir[1], , , , 0, -0.0075, 1, -0.0075, 0, 0, 0, 0, FASE2-PERM, NO, 0,
0, NO,
 1733, BEAM    , UNILOAD, GZ, NO , NO, aDir[1], , , , 0, -0.0075, 1, -0.0075, 0, 0, 0, 0, FASE2-PERM, NO, 0,
0, NO,
 1734, BEAM    , UNILOAD, GZ, NO , NO, aDir[1], , , , 0, -0.0075, 1, -0.0075, 0, 0, 0, 0, FASE2-PERM, NO, 0,
0, NO,
 1735, BEAM    , UNILOAD, GZ, NO , NO, aDir[1], , , , 0, -0.0075, 1, -0.0075, 0, 0, 0, 0, FASE2-PERM, NO, 0,
0, NO,
 1736, BEAM    , UNILOAD, GZ, NO , NO, aDir[1], , , , 0, -0.0075, 1, -0.0075, 0, 0, 0, 0, FASE2-PERM, NO, 0,
0, NO,
 1737, BEAM    , UNILOAD, GZ, NO , NO, aDir[1], , , , 0, -0.0075, 1, -0.0075, 0, 0, 0, 0, FASE2-PERM, NO, 0,
0, NO,
 1738, BEAM    , UNILOAD, GZ, NO , NO, aDir[1], , , , 0, -0.0075, 1, -0.0075, 0, 0, 0, 0, FASE2-PERM, NO, 0,
0, NO,
 1739, BEAM    , UNILOAD, GZ, NO , NO, aDir[1], , , , 0, -0.0075, 1, -0.0075, 0, 0, 0, 0, FASE2-PERM, NO, 0,
0, NO,
 1740, BEAM    , UNILOAD, GZ, NO , NO, aDir[1], , , , 0, -0.0075, 1, -0.0075, 0, 0, 0, 0, FASE2-PERM, NO, 0,
```

```
0, NO,
 1741, BEAM    , UNILOAD, GZ, NO , NO, aDir[1], , , , 0, -0.0075, 1, -0.0075, 0, 0, 0, 0, FASE2-PERM, NO, 0,
0, NO,
 1742, BEAM    , UNILOAD, GZ, NO , NO, aDir[1], , , , 0, -0.0075, 1, -0.0075, 0, 0, 0, 0, FASE2-PERM, NO, 0,
0, NO,
 1743, BEAM    , UNILOAD, GZ, NO , NO, aDir[1], , , , 0, -0.0075, 1, -0.0075, 0, 0, 0, 0, FASE2-PERM, NO, 0,
0, NO,
 1744, BEAM    , UNILOAD, GZ, NO , NO, aDir[1], , , , 0, -0.0075, 1, -0.0075, 0, 0, 0, 0, FASE2-PERM, NO, 0,
0, NO,
 1745, BEAM    , UNILOAD, GZ, NO , NO, aDir[1], , , , 0, -0.0075, 1, -0.0075, 0, 0, 0, 0, FASE2-PERM, NO, 0,
0, NO,
 1746, BEAM    , UNILOAD, GZ, NO , NO, aDir[1], , , , 0, -0.0075, 1, -0.0075, 0, 0, 0, 0, FASE2-PERM, NO, 0,
0, NO,
 1747, BEAM    , UNILOAD, GZ, NO , NO, aDir[1], , , , 0, -0.0075, 1, -0.0075, 0, 0, 0, 0, FASE2-PERM, NO, 0,
0, NO,
 1748, BEAM    , UNILOAD, GZ, NO , NO, aDir[1], , , , 0, -0.0075, 1, -0.0075, 0, 0, 0, 0, FASE2-PERM, NO, 0,
0, NO,
 1749, BEAM    , UNILOAD, GZ, NO , NO, aDir[1], , , , 0, -0.0075, 1, -0.0075, 0, 0, 0, 0, FASE2-PERM, NO, 0,
0, NO,
 1750, BEAM    , UNILOAD, GZ, NO , NO, aDir[1], , , , 0, -0.0075, 1, -0.0075, 0, 0, 0, 0, FASE2-PERM, NO, 0,
0, NO,
 1751, BEAM    , UNILOAD, GZ, NO , NO, aDir[1], , , , 0, -0.0075, 1, -0.0075, 0, 0, 0, 0, FASE2-PERM, NO, 0,
0, NO,
 1752, BEAM    , UNILOAD, GZ, NO , NO, aDir[1], , , , 0, -0.0075, 1, -0.0075, 0, 0, 0, 0, FASE2-PERM, NO, 0,
0, NO,
 1753, BEAM    , UNILOAD, GZ, NO , NO, aDir[1], , , , 0, -0.0075, 1, -0.0075, 0, 0, 0, 0, FASE2-PERM, NO, 0,
0, NO,
 1754, BEAM    , UNILOAD, GZ, NO , NO, aDir[1], , , , 0, -0.0075, 1, -0.0075, 0, 0, 0, 0, FASE2-PERM, NO, 0,
0, NO,
 1755, BEAM    , UNILOAD, GZ, NO , NO, aDir[1], , , , 0, -0.0075, 1, -0.0075, 0, 0, 0, 0, FASE2-PERM, NO, 0,
0, NO,
 1756, BEAM    , UNILOAD, GZ, NO , NO, aDir[1], , , , 0, -0.0075, 1, -0.0075, 0, 0, 0, 0, FASE2-PERM, NO, 0,
0, NO,
 1757, BEAM    , UNILOAD, GZ, NO , NO, aDir[1], , , , 0, -0.0075, 1, -0.0075, 0, 0, 0, 0, FASE2-PERM, NO, 0,
0, NO,
 1758, BEAM    , UNILOAD, GZ, NO , NO, aDir[1], , , , 0, -0.0075, 1, -0.0075, 0, 0, 0, 0, FASE2-PERM, NO, 0,
0, NO,
 1759, BEAM    , UNILOAD, GZ, NO , NO, aDir[1], , , , 0, -0.0075, 1, -0.0075, 0, 0, 0, 0, FASE2-PERM, NO, 0,
0, NO,
 1760, BEAM    , UNILOAD, GZ, NO , NO, aDir[1], , , , 0, -0.0075, 1, -0.0075, 0, 0, 0, 0, FASE2-PERM, NO, 0,
0, NO,
 1761, BEAM    , UNILOAD, GZ, NO , NO, aDir[1], , , , 0, -0.0075, 1, -0.0075, 0, 0, 0, 0, FASE2-PERM, NO, 0,
0, NO,
 1762, BEAM    , UNILOAD, GZ, NO , NO, aDir[1], , , , 0, -0.0075, 1, -0.0075, 0, 0, 0, 0, FASE2-PERM, NO, 0,
0, NO,
 1763, BEAM    , UNILOAD, GZ, NO , NO, aDir[1], , , , 0, -0.0075, 1, -0.0075, 0, 0, 0, 0, FASE2-PERM, NO, 0,
0, NO,
 1764, BEAM    , UNILOAD, GZ, NO , NO, aDir[1], , , , 0, -0.0075, 1, -0.0075, 0, 0, 0, 0, FASE2-PERM, NO, 0,
0, NO,
 1765, BEAM    , UNILOAD, GZ, NO , NO, aDir[1], , , , 0, -0.0075, 1, -0.0075, 0, 0, 0, 0, FASE2-PERM, NO, 0,
0, NO,
 1766, BEAM    , UNILOAD, GZ, NO , NO, aDir[1], , , , 0, -0.0075, 1, -0.0075, 0, 0, 0, 0, FASE2-PERM, NO, 0,
0, NO,
 1767, BEAM    , UNILOAD, GZ, NO , NO, aDir[1], , , , 0, -0.0075, 1, -0.0075, 0, 0, 0, 0, FASE2-PERM, NO, 0,
0, NO,
 1768, BEAM    , UNILOAD, GZ, NO , NO, aDir[1], , , , 0, -0.0075, 1, -0.0075, 0, 0, 0, 0, FASE2-PERM, NO, 0,
0, NO,
 1769, BEAM    , UNILOAD, GZ, NO , NO, aDir[1], , , , 0, -0.0075, 1, -0.0075, 0, 0, 0, 0, FASE2-PERM, NO, 0,
0, NO,
 1770, BEAM    , UNILOAD, GZ, NO , NO, aDir[1], , , , 0, -0.0075, 1, -0.0075, 0, 0, 0, 0, FASE2-PERM, NO, 0,
0, NO,
 1771, BEAM    , UNILOAD, GZ, NO , NO, aDir[1], , , , 0, -0.0075, 1, -0.0075, 0, 0, 0, 0, FASE2-PERM, NO, 0,
0, NO,
 1772, BEAM    , UNILOAD, GZ, NO , NO, aDir[1], , , , 0, -0.0075, 1, -0.0075, 0, 0, 0, 0, FASE2-PERM, NO, 0,
0, NO,
 1773, BEAM    , UNILOAD, GZ, NO , NO, aDir[1], , , , 0, -0.0075, 1, -0.0075, 0, 0, 0, 0, FASE2-PERM, NO, 0,
0, NO,
 1774, BEAM    , UNILOAD, GZ, NO , NO, aDir[1], , , , 0, -0.0075, 1, -0.0075, 0, 0, 0, 0, FASE2-PERM, NO, 0,
0, NO,
 1775, BEAM    , UNILOAD, GZ, NO , NO, aDir[1], , , , 0, -0.0075, 1, -0.0075, 0, 0, 0, 0, FASE2-PERM, NO, 0,
0, NO,
 1776, BEAM    , UNILOAD, GZ, NO , NO, aDir[1], , , , 0, -0.0075, 1, -0.0075, 0, 0, 0, 0, FASE2-PERM, NO, 0,
0, NO,
 1777, BEAM    , UNILOAD, GZ, NO , NO, aDir[1], , , , 0, -0.0075, 1, -0.0075, 0, 0, 0, 0, FASE2-PERM, NO, 0,
0, NO,
 1778, BEAM    , UNILOAD, GZ, NO , NO, aDir[1], , , , 0, -0.0075, 1, -0.0075, 0, 0, 0, 0, FASE2-PERM, NO, 0,
0, NO,
 1779, BEAM    , UNILOAD, GZ, NO , NO, aDir[1], , , , 0, -0.0075, 1, -0.0075, 0, 0, 0, 0, FASE2-PERM, NO, 0,
```

```
0, NO,
 1780, BEAM    , UNILOAD, GZ, NO , NO, aDir[1], , , , 0, -0.0075, 1, -0.0075, 0, 0, 0, 0, FASE2-PERM, NO, 0,
0, NO,
 1781, BEAM    , UNILOAD, GZ, NO , NO, aDir[1], , , , 0, -0.0075, 1, -0.0075, 0, 0, 0, 0, FASE2-PERM, NO, 0,
0, NO,
 1782, BEAM    , UNILOAD, GZ, NO , NO, aDir[1], , , , 0, -0.0075, 1, -0.0075, 0, 0, 0, 0, FASE2-PERM, NO, 0,
0, NO,
 1783, BEAM    , UNILOAD, GZ, NO , NO, aDir[1], , , , 0, -0.0075, 1, -0.0075, 0, 0, 0, 0, FASE2-PERM, NO, 0,
0, NO,
 1784, BEAM    , UNILOAD, GZ, NO , NO, aDir[1], , , , 0, -0.0075, 1, -0.0075, 0, 0, 0, 0, FASE2-PERM, NO, 0,
0, NO,
 1785, BEAM    , UNILOAD, GZ, NO , NO, aDir[1], , , , 0, -0.0075, 1, -0.0075, 0, 0, 0, 0, FASE2-PERM, NO, 0,
0, NO,
 1786, BEAM    , UNILOAD, GZ, NO , NO, aDir[1], , , , 0, -0.0075, 1, -0.0075, 0, 0, 0, 0, FASE2-PERM, NO, 0,
0, NO,
 1787, BEAM    , UNILOAD, GZ, NO , NO, aDir[1], , , , 0, -0.0075, 1, -0.0075, 0, 0, 0, 0, FASE2-PERM, NO, 0,
0, NO,
 1788, BEAM    , UNILOAD, GZ, NO , NO, aDir[1], , , , 0, -0.0075, 1, -0.0075, 0, 0, 0, 0, FASE2-PERM, NO, 0,
0, NO,
 1789, BEAM    , UNILOAD, GZ, NO , NO, aDir[1], , , , 0, -0.0075, 1, -0.0075, 0, 0, 0, 0, FASE2-PERM, NO, 0,
0, NO,
 1790, BEAM    , UNILOAD, GZ, NO , NO, aDir[1], , , , 0, -0.0075, 1, -0.0075, 0, 0, 0, 0, FASE2-PERM, NO, 0,
0, NO,
 1791, BEAM    , UNILOAD, GZ, NO , NO, aDir[1], , , , 0, -0.0075, 1, -0.0075, 0, 0, 0, 0, FASE2-PERM, NO, 0,
0, NO,
 1792, BEAM    , UNILOAD, GZ, NO , NO, aDir[1], , , , 0, -0.0075, 1, -0.0075, 0, 0, 0, 0, FASE2-PERM, NO, 0,
0, NO,
 1793, BEAM    , UNILOAD, GZ, NO , NO, aDir[1], , , , 0, -0.0075, 1, -0.0075, 0, 0, 0, 0, FASE2-PERM, NO, 0,
0, NO,
 1794, BEAM    , UNILOAD, GZ, NO , NO, aDir[1], , , , 0, -0.0075, 1, -0.0075, 0, 0, 0, 0, FASE2-PERM, NO, 0,
0, NO,
 1795, BEAM    , UNILOAD, GZ, NO , NO, aDir[1], , , , 0, -0.0075, 1, -0.0075, 0, 0, 0, 0, FASE2-PERM, NO, 0,
0, NO,
 1796, BEAM    , UNILOAD, GZ, NO , NO, aDir[1], , , , 0, -0.0075, 1, -0.0075, 0, 0, 0, 0, FASE2-PERM, NO, 0,
0, NO,
 1797, BEAM    , UNILOAD, GZ, NO , NO, aDir[1], , , , 0, -0.0075, 1, -0.0075, 0, 0, 0, 0, FASE2-PERM, NO, 0,
0, NO,
 1798, BEAM    , UNILOAD, GZ, NO , NO, aDir[1], , , , 0, -0.0075, 1, -0.0075, 0, 0, 0, 0, FASE2-PERM, NO, 0,
0, NO,
 1799, BEAM    , UNILOAD, GZ, NO , NO, aDir[1], , , , 0, -0.0075, 1, -0.0075, 0, 0, 0, 0, FASE2-PERM, NO, 0,
0, NO,
 1800, BEAM    , UNILOAD, GZ, NO , NO, aDir[1], , , , 0, -0.0075, 1, -0.0075, 0, 0, 0, 0, FASE2-PERM, NO, 0,
0, NO,
 1801, BEAM    , UNILOAD, GZ, NO , NO, aDir[1], , , , 0, -0.0075, 1, -0.0075, 0, 0, 0, 0, FASE2-PERM, NO, 0,
0, NO,
 1802, BEAM    , UNILOAD, GZ, NO , NO, aDir[1], , , , 0, -0.0075, 1, -0.0075, 0, 0, 0, 0, FASE2-PERM, NO, 0,
0, NO,
 1803, BEAM    , UNILOAD, GZ, NO , NO, aDir[1], , , , 0, -0.0075, 1, -0.0075, 0, 0, 0, 0, FASE2-PERM, NO, 0,
0, NO,
 1804, BEAM    , UNILOAD, GZ, NO , NO, aDir[1], , , , 0, -0.0075, 1, -0.0075, 0, 0, 0, 0, FASE2-PERM, NO, 0,
0, NO,
 1805, BEAM    , UNILOAD, GZ, NO , NO, aDir[1], , , , 0, -0.0075, 1, -0.0075, 0, 0, 0, 0, FASE2-PERM, NO, 0,
0, NO,
 1806, BEAM    , UNILOAD, GZ, NO , NO, aDir[1], , , , 0, -0.0075, 1, -0.0075, 0, 0, 0, 0, FASE2-PERM, NO, 0,
0, NO,
 1807, BEAM    , UNILOAD, GZ, NO , NO, aDir[1], , , , 0, -0.0075, 1, -0.0075, 0, 0, 0, 0, FASE2-PERM, NO, 0,
0, NO,
 1808, BEAM    , UNILOAD, GZ, NO , NO, aDir[1], , , , 0, -0.0075, 1, -0.0075, 0, 0, 0, 0, FASE2-PERM, NO, 0,
0, NO,
 1809, BEAM    , UNILOAD, GZ, NO , NO, aDir[1], , , , 0, -0.0075, 1, -0.0075, 0, 0, 0, 0, FASE2-PERM, NO, 0,
0, NO,
 1810, BEAM    , UNILOAD, GZ, NO , NO, aDir[1], , , , 0, -0.0075, 1, -0.0075, 0, 0, 0, 0, FASE2-PERM, NO, 0,
0, NO,
 1811, BEAM    , UNILOAD, GZ, NO , NO, aDir[1], , , , 0, -0.0075, 1, -0.0075, 0, 0, 0, 0, FASE2-PERM, NO, 0,
0, NO,
 1812, BEAM    , UNILOAD, GZ, NO , NO, aDir[1], , , , 0, -0.0075, 1, -0.0075, 0, 0, 0, 0, FASE2-PERM, NO, 0,
0, NO,
 1813, BEAM    , UNILOAD, GZ, NO , NO, aDir[1], , , , 0, -0.0075, 1, -0.0075, 0, 0, 0, 0, FASE2-PERM, NO, 0,
0, NO,
 1814, BEAM    , UNILOAD, GZ, NO , NO, aDir[1], , , , 0, -0.0075, 1, -0.0075, 0, 0, 0, 0, FASE2-PERM, NO, 0,
0, NO,
 1815, BEAM    , UNILOAD, GZ, NO , NO, aDir[1], , , , 0, -0.0075, 1, -0.0075, 0, 0, 0, 0, FASE2-PERM, NO, 0,
0, NO,
 1816, BEAM    , UNILOAD, GZ, NO , NO, aDir[1], , , , 0, -0.0075, 1, -0.0075, 0, 0, 0, 0, FASE2-PERM, NO, 0,
0, NO,
 1817, BEAM    , UNILOAD, GZ, NO , NO, aDir[1], , , , 0, -0.0075, 1, -0.0075, 0, 0, 0, 0, FASE2-PERM, NO, 0,
0, NO,
 1818, BEAM    , UNILOAD, GZ, NO , NO, aDir[1], , , , 0, -0.0075, 1, -0.0075, 0, 0, 0, 0, FASE2-PERM, NO, 0,
```

```
0, NO,
 1819, BEAM    , UNILOAD, GZ, NO , NO, aDir[1], , , , 0, -0.0075, 1, -0.0075, 0, 0, 0, 0, FASE2-PERM, NO, 0,
0, NO,
 1820, BEAM    , UNILOAD, GZ, NO , NO, aDir[1], , , , 0, -0.0075, 1, -0.0075, 0, 0, 0, 0, FASE2-PERM, NO, 0,
0, NO,
 1821, BEAM    , UNILOAD, GZ, NO , NO, aDir[1], , , , 0, -0.0075, 1, -0.0075, 0, 0, 0, 0, FASE2-PERM, NO, 0,
0, NO,
 1822, BEAM    , UNILOAD, GZ, NO , NO, aDir[1], , , , 0, -0.0075, 1, -0.0075, 0, 0, 0, 0, FASE2-PERM, NO, 0,
0, NO,
 1823, BEAM    , UNILOAD, GZ, NO , NO, aDir[1], , , , 0, -0.0075, 1, -0.0075, 0, 0, 0, 0, FASE2-PERM, NO, 0,
0, NO,
 1824, BEAM    , UNILOAD, GZ, NO , NO, aDir[1], , , , 0, -0.0075, 1, -0.0075, 0, 0, 0, 0, FASE2-PERM, NO, 0,
0, NO,
 1825, BEAM    , UNILOAD, GZ, NO , NO, aDir[1], , , , 0, -0.0075, 1, -0.0075, 0, 0, 0, 0, FASE2-PERM, NO, 0,
0, NO,
 1826, BEAM    , UNILOAD, GZ, NO , NO, aDir[1], , , , 0, -0.0075, 1, -0.0075, 0, 0, 0, 0, FASE2-PERM, NO, 0,
0, NO,
 1827, BEAM    , UNILOAD, GZ, NO , NO, aDir[1], , , , 0, -0.0075, 1, -0.0075, 0, 0, 0, 0, FASE2-PERM, NO, 0,
0, NO,
 1828, BEAM    , UNILOAD, GZ, NO , NO, aDir[1], , , , 0, -0.0075, 1, -0.0075, 0, 0, 0, 0, FASE2-PERM, NO, 0,
0, NO,
 1829, BEAM    , UNILOAD, GZ, NO , NO, aDir[1], , , , 0, -0.0075, 1, -0.0075, 0, 0, 0, 0, FASE2-PERM, NO, 0,
0, NO,
 1830, BEAM    , UNILOAD, GZ, NO , NO, aDir[1], , , , 0, -0.0075, 1, -0.0075, 0, 0, 0, 0, FASE2-PERM, NO, 0,
0, NO,
 1831, BEAM    , UNILOAD, GZ, NO , NO, aDir[1], , , , 0, -0.0075, 1, -0.0075, 0, 0, 0, 0, FASE2-PERM, NO, 0,
0, NO,
 1832, BEAM    , UNILOAD, GZ, NO , NO, aDir[1], , , , 0, -0.0075, 1, -0.0075, 0, 0, 0, 0, FASE2-PERM, NO, 0,
0, NO,
 1833, BEAM    , UNILOAD, GZ, NO , NO, aDir[1], , , , 0, -0.0075, 1, -0.0075, 0, 0, 0, 0, FASE2-PERM, NO, 0,
0, NO,
 1834, BEAM    , UNILOAD, GZ, NO , NO, aDir[1], , , , 0, -0.0075, 1, -0.0075, 0, 0, 0, 0, FASE2-PERM, NO, 0,
0, NO,
 1835, BEAM    , UNILOAD, GZ, NO , NO, aDir[1], , , , 0, -0.0075, 1, -0.0075, 0, 0, 0, 0, FASE2-PERM, NO, 0,
0, NO,
 1836, BEAM    , UNILOAD, GZ, NO , NO, aDir[1], , , , 0, -0.0075, 1, -0.0075, 0, 0, 0, 0, FASE2-PERM, NO, 0,
0, NO,
 1837, BEAM    , UNILOAD, GZ, NO , NO, aDir[1], , , , 0, -0.0075, 1, -0.0075, 0, 0, 0, 0, FASE2-PERM, NO, 0,
0, NO,
 1838, BEAM    , UNILOAD, GZ, NO , NO, aDir[1], , , , 0, -0.0075, 1, -0.0075, 0, 0, 0, 0, FASE2-PERM, NO, 0,
0, NO,
 1839, BEAM    , UNILOAD, GZ, NO , NO, aDir[1], , , , 0, -0.0075, 1, -0.0075, 0, 0, 0, 0, FASE2-PERM, NO, 0,
0, NO,
 1840, BEAM    , UNILOAD, GZ, NO , NO, aDir[1], , , , 0, -0.0075, 1, -0.0075, 0, 0, 0, 0, FASE2-PERM, NO, 0,
0, NO,
 1841, BEAM    , UNILOAD, GZ, NO , NO, aDir[1], , , , 0, -0.0075, 1, -0.0075, 0, 0, 0, 0, FASE2-PERM, NO, 0,
0, NO,
 1842, BEAM    , UNILOAD, GZ, NO , NO, aDir[1], , , , 0, -0.0075, 1, -0.0075, 0, 0, 0, 0, FASE2-PERM, NO, 0,
0, NO,
 1843, BEAM    , UNILOAD, GZ, NO , NO, aDir[1], , , , 0, -0.0075, 1, -0.0075, 0, 0, 0, 0, FASE2-PERM, NO, 0,
0, NO,
 1844, BEAM    , UNILOAD, GZ, NO , NO, aDir[1], , , , 0, -0.0075, 1, -0.0075, 0, 0, 0, 0, FASE2-PERM, NO, 0,
0, NO,
 1845, BEAM    , UNILOAD, GZ, NO , NO, aDir[1], , , , 0, -0.0075, 1, -0.0075, 0, 0, 0, 0, FASE2-PERM, NO, 0,
0, NO,
 1846, BEAM    , UNILOAD, GZ, NO , NO, aDir[1], , , , 0, -0.0075, 1, -0.0075, 0, 0, 0, 0, FASE2-PERM, NO, 0,
0, NO,
 1847, BEAM    , UNILOAD, GZ, NO , NO, aDir[1], , , , 0, -0.0075, 1, -0.0075, 0, 0, 0, 0, FASE2-PERM, NO, 0,
0, NO,
 1848, BEAM    , UNILOAD, GZ, NO , NO, aDir[1], , , , 0, -0.0075, 1, -0.0075, 0, 0, 0, 0, FASE2-PERM, NO, 0,
0, NO,
 1849, BEAM    , UNILOAD, GZ, NO , NO, aDir[1], , , , 0, -0.0075, 1, -0.0075, 0, 0, 0, 0, FASE2-PERM, NO, 0,
0, NO,
 1850, BEAM    , UNILOAD, GZ, NO , NO, aDir[1], , , , 0, -0.0075, 1, -0.0075, 0, 0, 0, 0, FASE2-PERM, NO, 0,
0, NO,
 1851, BEAM    , UNILOAD, GZ, NO , NO, aDir[1], , , , 0, -0.0075, 1, -0.0075, 0, 0, 0, 0, FASE2-PERM, NO, 0,
0, NO,
 1852, BEAM    , UNILOAD, GZ, NO , NO, aDir[1], , , , 0, -0.0075, 1, -0.0075, 0, 0, 0, 0, FASE2-PERM, NO, 0,
0, NO,
 1853, BEAM    , UNILOAD, GZ, NO , NO, aDir[1], , , , 0, -0.0075, 1, -0.0075, 0, 0, 0, 0, FASE2-PERM, NO, 0,
0, NO,
 1854, BEAM    , UNILOAD, GZ, NO , NO, aDir[1], , , , 0, -0.0075, 1, -0.0075, 0, 0, 0, 0, FASE2-PERM, NO, 0,
0, NO,
 2019, BEAM    , UNILOAD, GZ, NO , NO, aDir[1], , , , 0, -0.0075, 1, -0.0075, 0, 0, 0, 0, FASE2-PERM, NO, 0,
0, NO,
 2020, BEAM    , UNILOAD, GZ, NO , NO, aDir[1], , , , 0, -0.0075, 1, -0.0075, 0, 0, 0, 0, FASE2-PERM, NO, 0,
0, NO,
 2021, BEAM    , UNILOAD, GZ, NO , NO, aDir[1], , , , 0, -0.0075, 1, -0.0075, 0, 0, 0, 0, FASE2-PERM, NO, 0,
```

```
0, NO,
 2022, BEAM    , UNILOAD, GZ, NO , NO, aDir[1], , , , 0, -0.0075, 1, -0.0075, 0, 0, 0, 0, FASE2-PERM, NO, 0,
0, NO,
 2023, BEAM    , UNILOAD, GZ, NO , NO, aDir[1], , , , 0, -0.0075, 1, -0.0075, 0, 0, 0, 0, FASE2-PERM, NO, 0,
0, NO,
 2024, BEAM    , UNILOAD, GZ, NO , NO, aDir[1], , , , 0, -0.0075, 1, -0.0075, 0, 0, 0, 0, FASE2-PERM, NO, 0,
0, NO,
 2025, BEAM    , UNILOAD, GZ, NO , NO, aDir[1], , , , 0, -0.0075, 1, -0.0075, 0, 0, 0, 0, FASE2-PERM, NO, 0,
0, NO,
 2026, BEAM    , UNILOAD, GZ, NO , NO, aDir[1], , , , 0, -0.0075, 1, -0.0075, 0, 0, 0, 0, FASE2-PERM, NO, 0,
0, NO,
 2027, BEAM    , UNILOAD, GZ, NO , NO, aDir[1], , , , 0, -0.0075, 1, -0.0075, 0, 0, 0, 0, FASE2-PERM, NO, 0,
0, NO,
 2028, BEAM    , UNILOAD, GZ, NO , NO, aDir[1], , , , 0, -0.0075, 1, -0.0075, 0, 0, 0, 0, FASE2-PERM, NO, 0,
0, NO,
 2029, BEAM    , UNILOAD, GZ, NO , NO, aDir[1], , , , 0, -0.0075, 1, -0.0075, 0, 0, 0, 0, FASE2-PERM, NO, 0,
0, NO,
 2030, BEAM    , UNILOAD, GZ, NO , NO, aDir[1], , , , 0, -0.0075, 1, -0.0075, 0, 0, 0, 0, FASE2-PERM, NO, 0,
0, NO,
 2031, BEAM    , UNILOAD, GZ, NO , NO, aDir[1], , , , 0, -0.0075, 1, -0.0075, 0, 0, 0, 0, FASE2-PERM, NO, 0,
0, NO,
 2032, BEAM    , UNILOAD, GZ, NO , NO, aDir[1], , , , 0, -0.0075, 1, -0.0075, 0, 0, 0, 0, FASE2-PERM, NO, 0,
0, NO,
 2033, BEAM    , UNILOAD, GZ, NO , NO, aDir[1], , , , 0, -0.0075, 1, -0.0075, 0, 0, 0, 0, FASE2-PERM, NO, 0,
0, NO,
 2034, BEAM    , UNILOAD, GZ, NO , NO, aDir[1], , , , 0, -0.0075, 1, -0.0075, 0, 0, 0, 0, FASE2-PERM, NO, 0,
0, NO,
 2035, BEAM    , UNILOAD, GZ, NO , NO, aDir[1], , , , 0, -0.0075, 1, -0.0075, 0, 0, 0, 0, FASE2-PERM, NO, 0,
0, NO,
 2036, BEAM    , UNILOAD, GZ, NO , NO, aDir[1], , , , 0, -0.0075, 1, -0.0075, 0, 0, 0, 0, FASE2-PERM, NO, 0,
0, NO,
 2037, BEAM    , UNILOAD, GZ, NO , NO, aDir[1], , , , 0, -0.0075, 1, -0.0075, 0, 0, 0, 0, FASE2-PERM, NO, 0,
0, NO,
 2038, BEAM    , UNILOAD, GZ, NO , NO, aDir[1], , , , 0, -0.0075, 1, -0.0075, 0, 0, 0, 0, FASE2-PERM, NO, 0,
0, NO,
 2039, BEAM    , UNILOAD, GZ, NO , NO, aDir[1], , , , 0, -0.0075, 1, -0.0075, 0, 0, 0, 0, FASE2-PERM, NO, 0,
0, NO,
 2040, BEAM    , UNILOAD, GZ, NO , NO, aDir[1], , , , 0, -0.0075, 1, -0.0075, 0, 0, 0, 0, FASE2-PERM, NO, 0,
0, NO,
 2041, BEAM    , UNILOAD, GZ, NO , NO, aDir[1], , , , 0, -0.0075, 1, -0.0075, 0, 0, 0, 0, FASE2-PERM, NO, 0,
0, NO,
 2042, BEAM    , UNILOAD, GZ, NO , NO, aDir[1], , , , 0, -0.0075, 1, -0.0075, 0, 0, 0, 0, FASE2-PERM, NO, 0,
0, NO,
 2043, BEAM    , UNILOAD, GZ, NO , NO, aDir[1], , , , 0, -0.0075, 1, -0.0075, 0, 0, 0, 0, FASE2-PERM, NO, 0,
0, NO,
 2044, BEAM    , UNILOAD, GZ, NO , NO, aDir[1], , , , 0, -0.0075, 1, -0.0075, 0, 0, 0, 0, FASE2-PERM, NO, 0,
0, NO,
 2045, BEAM    , UNILOAD, GZ, NO , NO, aDir[1], , , , 0, -0.0075, 1, -0.0075, 0, 0, 0, 0, FASE2-PERM, NO, 0,
0, NO,
 2046, BEAM    , UNILOAD, GZ, NO , NO, aDir[1], , , , 0, -0.0075, 1, -0.0075, 0, 0, 0, 0, FASE2-PERM, NO, 0,
0, NO,
 2047, BEAM    , UNILOAD, GZ, NO , NO, aDir[1], , , , 0, -0.0075, 1, -0.0075, 0, 0, 0, 0, FASE2-PERM, NO, 0,
0, NO,
 2048, BEAM    , UNILOAD, GZ, NO , NO, aDir[1], , , , 0, -0.0075, 1, -0.0075, 0, 0, 0, 0, FASE2-PERM, NO, 0,
0, NO,
 2049, BEAM    , UNILOAD, GZ, NO , NO, aDir[1], , , , 0, -0.0075, 1, -0.0075, 0, 0, 0, 0, FASE2-PERM, NO, 0,
0, NO,
 2050, BEAM    , UNILOAD, GZ, NO , NO, aDir[1], , , , 0, -0.0075, 1, -0.0075, 0, 0, 0, 0, FASE2-PERM, NO, 0,
0, NO,
 2051, BEAM    , UNILOAD, GZ, NO , NO, aDir[1], , , , 0, -0.0075, 1, -0.0075, 0, 0, 0, 0, FASE2-PERM, NO, 0,
0, NO,
 2052, BEAM    , UNILOAD, GZ, NO , NO, aDir[1], , , , 0, -0.0075, 1, -0.0075, 0, 0, 0, 0, FASE2-PERM, NO, 0,
0, NO,
 2053, BEAM    , UNILOAD, GZ, NO , NO, aDir[1], , , , 0, -0.0075, 1, -0.0075, 0, 0, 0, 0, FASE2-PERM, NO, 0,
0, NO,
 2054, BEAM    , UNILOAD, GZ, NO , NO, aDir[1], , , , 0, -0.0075, 1, -0.0075, 0, 0, 0, 0, FASE2-PERM, NO, 0,
0, NO,
 2055, BEAM    , UNILOAD, GZ, NO , NO, aDir[1], , , , 0, -0.0075, 1, -0.0075, 0, 0, 0, 0, FASE2-PERM, NO, 0,
0, NO,
 2056, BEAM    , UNILOAD, GZ, NO , NO, aDir[1], , , , 0, -0.0075, 1, -0.0075, 0, 0, 0, 0, FASE2-PERM, NO, 0,
0, NO,
 2057, BEAM    , UNILOAD, GZ, NO , NO, aDir[1], , , , 0, -0.0075, 1, -0.0075, 0, 0, 0, 0, FASE2-PERM, NO, 0,
0, NO,
 2058, BEAM    , UNILOAD, GZ, NO , NO, aDir[1], , , , 0, -0.0075, 1, -0.0075, 0, 0, 0, 0, FASE2-PERM, NO, 0,
0, NO,
 2059, BEAM    , UNILOAD, GZ, NO , NO, aDir[1], , , , 0, -0.0075, 1, -0.0075, 0, 0, 0, 0, FASE2-PERM, NO, 0,
0, NO,
 2060, BEAM    , UNILOAD, GZ, NO , NO, aDir[1], , , , 0, -0.0075, 1, -0.0075, 0, 0, 0, 0, FASE2-PERM, NO, 0,
```

```
0, NO,
 2061, BEAM    , UNILOAD, GZ, NO , NO, aDir[1], , , , 0, -0.0075, 1, -0.0075, 0, 0, 0, 0, FASE2-PERM, NO, 0,
0, NO,
 2062, BEAM    , UNILOAD, GZ, NO , NO, aDir[1], , , , 0, -0.0075, 1, -0.0075, 0, 0, 0, 0, FASE2-PERM, NO, 0,
0, NO,
 2063, BEAM    , UNILOAD, GZ, NO , NO, aDir[1], , , , 0, -0.0075, 1, -0.0075, 0, 0, 0, 0, FASE2-PERM, NO, 0,
0, NO,
 2064, BEAM    , UNILOAD, GZ, NO , NO, aDir[1], , , , 0, -0.0075, 1, -0.0075, 0, 0, 0, 0, FASE2-PERM, NO, 0,
0, NO,
 2065, BEAM    , UNILOAD, GZ, NO , NO, aDir[1], , , , 0, -0.0075, 1, -0.0075, 0, 0, 0, 0, FASE2-PERM, NO, 0,
0, NO,
 2066, BEAM    , UNILOAD, GZ, NO , NO, aDir[1], , , , 0, -0.0075, 1, -0.0075, 0, 0, 0, 0, FASE2-PERM, NO, 0,
0, NO,
 2067, BEAM    , UNILOAD, GZ, NO , NO, aDir[1], , , , 0, -0.0075, 1, -0.0075, 0, 0, 0, 0, FASE2-PERM, NO, 0,
0, NO,
 2068, BEAM    , UNILOAD, GZ, NO , NO, aDir[1], , , , 0, -0.0075, 1, -0.0075, 0, 0, 0, 0, FASE2-PERM, NO, 0,
0, NO,
 2069, BEAM    , UNILOAD, GZ, NO , NO, aDir[1], , , , 0, -0.0075, 1, -0.0075, 0, 0, 0, 0, FASE2-PERM, NO, 0,
0, NO,
 2070, BEAM    , UNILOAD, GZ, NO , NO, aDir[1], , , , 0, -0.0075, 1, -0.0075, 0, 0, 0, 0, FASE2-PERM, NO, 0,
0, NO,
 2071, BEAM    , UNILOAD, GZ, NO , NO, aDir[1], , , , 0, -0.0075, 1, -0.0075, 0, 0, 0, 0, FASE2-PERM, NO, 0,
0, NO,
 2072, BEAM    , UNILOAD, GZ, NO , NO, aDir[1], , , , 0, -0.0075, 1, -0.0075, 0, 0, 0, 0, FASE2-PERM, NO, 0,
0, NO,
 2073, BEAM    , UNILOAD, GZ, NO , NO, aDir[1], , , , 0, -0.0075, 1, -0.0075, 0, 0, 0, 0, FASE2-PERM, NO, 0,
0, NO,
 2074, BEAM    , UNILOAD, GZ, NO , NO, aDir[1], , , , 0, -0.0075, 1, -0.0075, 0, 0, 0, 0, FASE2-PERM, NO, 0,
0, NO,
 2075, BEAM    , UNILOAD, GZ, NO , NO, aDir[1], , , , 0, -0.0075, 1, -0.0075, 0, 0, 0, 0, FASE2-PERM, NO, 0,
0, NO,
 2076, BEAM    , UNILOAD, GZ, NO , NO, aDir[1], , , , 0, -0.0075, 1, -0.0075, 0, 0, 0, 0, FASE2-PERM, NO, 0,
0, NO,
 2077, BEAM    , UNILOAD, GZ, NO , NO, aDir[1], , , , 0, -0.0075, 1, -0.0075, 0, 0, 0, 0, FASE2-PERM, NO, 0,
0, NO,
 2078, BEAM    , UNILOAD, GZ, NO , NO, aDir[1], , , , 0, -0.0075, 1, -0.0075, 0, 0, 0, 0, FASE2-PERM, NO, 0,
0, NO,
 2079, BEAM    , UNILOAD, GZ, NO , NO, aDir[1], , , , 0, -0.0075, 1, -0.0075, 0, 0, 0, 0, FASE2-PERM, NO, 0,
0, NO,
 2080, BEAM    , UNILOAD, GZ, NO , NO, aDir[1], , , , 0, -0.0075, 1, -0.0075, 0, 0, 0, 0, FASE2-PERM, NO, 0,
0, NO,
 2081, BEAM    , UNILOAD, GZ, NO , NO, aDir[1], , , , 0, -0.0075, 1, -0.0075, 0, 0, 0, 0, FASE2-PERM, NO, 0,
0, NO,
 2082, BEAM    , UNILOAD, GZ, NO , NO, aDir[1], , , , 0, -0.0075, 1, -0.0075, 0, 0, 0, 0, FASE2-PERM, NO, 0,
0, NO,
 2083, BEAM    , UNILOAD, GZ, NO , NO, aDir[1], , , , 0, -0.0075, 1, -0.0075, 0, 0, 0, 0, FASE2-PERM, NO, 0,
0, NO,
 2084, BEAM    , UNILOAD, GZ, NO , NO, aDir[1], , , , 0, -0.0075, 1, -0.0075, 0, 0, 0, 0, FASE2-PERM, NO, 0,
0, NO,
 2085, BEAM    , UNILOAD, GZ, NO , NO, aDir[1], , , , 0, -0.0075, 1, -0.0075, 0, 0, 0, 0, FASE2-PERM, NO, 0,
0, NO,
 2086, BEAM    , UNILOAD, GZ, NO , NO, aDir[1], , , , 0, -0.0075, 1, -0.0075, 0, 0, 0, 0, FASE2-PERM, NO, 0,
0, NO,
 2087, BEAM    , UNILOAD, GZ, NO , NO, aDir[1], , , , 0, -0.0075, 1, -0.0075, 0, 0, 0, 0, FASE2-PERM, NO, 0,
0, NO,
 2088, BEAM    , UNILOAD, GZ, NO , NO, aDir[1], , , , 0, -0.0075, 1, -0.0075, 0, 0, 0, 0, FASE2-PERM, NO, 0,
0, NO,
 2089, BEAM    , UNILOAD, GZ, NO , NO, aDir[1], , , , 0, -0.0075, 1, -0.0075, 0, 0, 0, 0, FASE2-PERM, NO, 0,
0, NO,
 2090, BEAM    , UNILOAD, GZ, NO , NO, aDir[1], , , , 0, -0.0075, 1, -0.0075, 0, 0, 0, 0, FASE2-PERM, NO, 0,
0, NO,
 2091, BEAM    , UNILOAD, GZ, NO , NO, aDir[1], , , , 0, -0.0075, 1, -0.0075, 0, 0, 0, 0, FASE2-PERM, NO, 0,
0, NO,
 2092, BEAM    , UNILOAD, GZ, NO , NO, aDir[1], , , , 0, -0.0075, 1, -0.0075, 0, 0, 0, 0, FASE2-PERM, NO, 0,
0, NO,
 2093, BEAM    , UNILOAD, GZ, NO , NO, aDir[1], , , , 0, -0.0075, 1, -0.0075, 0, 0, 0, 0, FASE2-PERM, NO, 0,
0, NO,
 2094, BEAM    , UNILOAD, GZ, NO , NO, aDir[1], , , , 0, -0.0075, 1, -0.0075, 0, 0, 0, 0, FASE2-PERM, NO, 0,
0, NO,
 2095, BEAM    , UNILOAD, GZ, NO , NO, aDir[1], , , , 0, -0.0075, 1, -0.0075, 0, 0, 0, 0, FASE2-PERM, NO, 0,
0, NO,
 2096, BEAM    , UNILOAD, GZ, NO , NO, aDir[1], , , , 0, -0.0075, 1, -0.0075, 0, 0, 0, 0, FASE2-PERM, NO, 0,
0, NO,
 2097, BEAM    , UNILOAD, GZ, NO , NO, aDir[1], , , , 0, -0.0075, 1, -0.0075, 0, 0, 0, 0, FASE2-PERM, NO, 0,
0, NO,
 2098, BEAM    , UNILOAD, GZ, NO , NO, aDir[1], , , , 0, -0.0075, 1, -0.0075, 0, 0, 0, 0, FASE2-PERM, NO, 0,
0, NO,
 2099, BEAM    , UNILOAD, GZ, NO , NO, aDir[1], , , , 0, -0.0075, 1, -0.0075, 0, 0, 0, 0, FASE2-PERM, NO, 0,
```

0, NO,
2100, BEAM , UNILOAD, GZ, NO , NO, aDir[1], , , , 0, -0.0075, 1, -0.0075, 0, 0, 0, 0, FASE2-PERM, NO, 0,
0, NO,
2101, BEAM , UNILOAD, GZ, NO , NO, aDir[1], , , , 0, -0.0075, 1, -0.0075, 0, 0, 0, 0, FASE2-PERM, NO, 0,
0, NO,
2102, BEAM , UNILOAD, GZ, NO , NO, aDir[1], , , , 0, -0.0075, 1, -0.0075, 0, 0, 0, 0, FASE2-PERM, NO, 0,
0, NO,
2103, BEAM , UNILOAD, GZ, NO , NO, aDir[1], , , , 0, -0.0075, 1, -0.0075, 0, 0, 0, 0, FASE2-PERM, NO, 0,
0, NO,
2104, BEAM , UNILOAD, GZ, NO , NO, aDir[1], , , , 0, -0.0075, 1, -0.0075, 0, 0, 0, 0, FASE2-PERM, NO, 0,
0, NO,
2105, BEAM , UNILOAD, GZ, NO , NO, aDir[1], , , , 0, -0.0075, 1, -0.0075, 0, 0, 0, 0, FASE2-PERM, NO, 0,
0, NO,
2106, BEAM , UNILOAD, GZ, NO , NO, aDir[1], , , , 0, -0.0075, 1, -0.0075, 0, 0, 0, 0, FASE2-PERM, NO, 0,
0, NO,
2107, BEAM , UNILOAD, GZ, NO , NO, aDir[1], , , , 0, -0.0075, 1, -0.0075, 0, 0, 0, 0, FASE2-PERM, NO, 0,
0, NO,
2108, BEAM , UNILOAD, GZ, NO , NO, aDir[1], , , , 0, -0.0075, 1, -0.0075, 0, 0, 0, 0, FASE2-PERM, NO, 0,
0, NO,
2109, BEAM , UNILOAD, GZ, NO , NO, aDir[1], , , , 0, -0.0075, 1, -0.0075, 0, 0, 0, 0, FASE2-PERM, NO, 0,
0, NO,
2110, BEAM , UNILOAD, GZ, NO , NO, aDir[1], , , , 0, -0.0075, 1, -0.0075, 0, 0, 0, 0, FASE2-PERM, NO, 0,
0, NO,
2111, BEAM , UNILOAD, GZ, NO , NO, aDir[1], , , , 0, -0.0075, 1, -0.0075, 0, 0, 0, 0, FASE2-PERM, NO, 0,
0, NO,
2112, BEAM , UNILOAD, GZ, NO , NO, aDir[1], , , , 0, -0.0075, 1, -0.0075, 0, 0, 0, 0, FASE2-PERM, NO, 0,
0, NO,
2113, BEAM , UNILOAD, GZ, NO , NO, aDir[1], , , , 0, -0.0075, 1, -0.0075, 0, 0, 0, 0, FASE2-PERM, NO, 0,
0, NO,
2114, BEAM , UNILOAD, GZ, NO , NO, aDir[1], , , , 0, -0.0075, 1, -0.0075, 0, 0, 0, 0, FASE2-PERM, NO, 0,
0, NO,
2115, BEAM , UNILOAD, GZ, NO , NO, aDir[1], , , , 0, -0.0075, 1, -0.0075, 0, 0, 0, 0, FASE2-PERM, NO, 0,
0, NO,
2116, BEAM , UNILOAD, GZ, NO , NO, aDir[1], , , , 0, -0.0075, 1, -0.0075, 0, 0, 0, 0, FASE2-PERM, NO, 0,
0, NO,
2117, BEAM , UNILOAD, GZ, NO , NO, aDir[1], , , , 0, -0.0075, 1, -0.0075, 0, 0, 0, 0, FASE2-PERM, NO, 0,
0, NO,
2118, BEAM , UNILOAD, GZ, NO , NO, aDir[1], , , , 0, -0.0075, 1, -0.0075, 0, 0, 0, 0, FASE2-PERM, NO, 0,
0, NO,
2119, BEAM , UNILOAD, GZ, NO , NO, aDir[1], , , , 0, -0.0075, 1, -0.0075, 0, 0, 0, 0, FASE2-PERM, NO, 0,
0, NO,
2120, BEAM , UNILOAD, GZ, NO , NO, aDir[1], , , , 0, -0.0075, 1, -0.0075, 0, 0, 0, 0, FASE2-PERM, NO, 0,
0, NO,
2121, BEAM , UNILOAD, GZ, NO , NO, aDir[1], , , , 0, -0.0075, 1, -0.0075, 0, 0, 0, 0, FASE2-PERM, NO, 0,
0, NO,
2122, BEAM , UNILOAD, GZ, NO , NO, aDir[1], , , , 0, -0.0075, 1, -0.0075, 0, 0, 0, 0, FASE2-PERM, NO, 0,
0, NO,
2123, BEAM , UNILOAD, GZ, NO , NO, aDir[1], , , , 0, -0.0075, 1, -0.0075, 0, 0, 0, 0, FASE2-PERM, NO, 0,
0, NO,
2124, BEAM , UNILOAD, GZ, NO , NO, aDir[1], , , , 0, -0.0075, 1, -0.0075, 0, 0, 0, 0, FASE2-PERM, NO, 0,
0, NO,
2125, BEAM , UNILOAD, GZ, NO , NO, aDir[1], , , , 0, -0.0075, 1, -0.0075, 0, 0, 0, 0, FASE2-PERM, NO, 0,
0, NO,
2126, BEAM , UNILOAD, GZ, NO , NO, aDir[1], , , , 0, -0.0075, 1, -0.0075, 0, 0, 0, 0, FASE2-PERM, NO, 0,
0, NO,
2127, BEAM , UNILOAD, GZ, NO , NO, aDir[1], , , , 0, -0.0075, 1, -0.0075, 0, 0, 0, 0, FASE2-PERM, NO, 0,
0, NO,
2128, BEAM , UNILOAD, GZ, NO , NO, aDir[1], , , , 0, -0.0075, 1, -0.0075, 0, 0, 0, 0, FASE2-PERM, NO, 0,
0, NO,
2129, BEAM , UNILOAD, GZ, NO , NO, aDir[1], , , , 0, -0.0075, 1, -0.0075, 0, 0, 0, 0, FASE2-PERM, NO, 0,
0, NO,
2130, BEAM , UNILOAD, GZ, NO , NO, aDir[1], , , , 0, -0.0075, 1, -0.0075, 0, 0, 0, 0, FASE2-PERM, NO, 0,
0, NO,
2131, BEAM , UNILOAD, GZ, NO , NO, aDir[1], , , , 0, -0.0075, 1, -0.0075, 0, 0, 0, 0, FASE2-PERM, NO, 0,
0, NO,
2132, BEAM , UNILOAD, GZ, NO , NO, aDir[1], , , , 0, -0.0075, 1, -0.0075, 0, 0, 0, 0, FASE2-PERM, NO, 0,
0, NO,
2133, BEAM , UNILOAD, GZ, NO , NO, aDir[1], , , , 0, -0.0075, 1, -0.0075, 0, 0, 0, 0, FASE2-PERM, NO, 0,
0, NO,
2134, BEAM , UNILOAD, GZ, NO , NO, aDir[1], , , , 0, -0.0075, 1, -0.0075, 0, 0, 0, 0, FASE2-PERM, NO, 0,
0, NO,
2135, BEAM , UNILOAD, GZ, NO , NO, aDir[1], , , , 0, -0.0075, 1, -0.0075, 0, 0, 0, 0, FASE2-PERM, NO, 0,
0, NO,
2136, BEAM , UNILOAD, GZ, NO , NO, aDir[1], , , , 0, -0.0075, 1, -0.0075, 0, 0, 0, 0, FASE2-PERM, NO, 0,
0, NO,
2137, BEAM , UNILOAD, GZ, NO , NO, aDir[1], , , , 0, -0.0075, 1, -0.0075, 0, 0, 0, 0, FASE2-PERM, NO, 0,
0, NO,
2138, BEAM , UNILOAD, GZ, NO , NO, aDir[1], , , , 0, -0.0075, 1, -0.0075, 0, 0, 0, 0, FASE2-PERM, NO, 0,

0, NO,
2139, BEAM , UNILOAD, GZ, NO , NO, aDir[1], , , , 0, -0.0075, 1, -0.0075, 0, 0, 0, 0, FASE2-PERM, NO, 0,
0, NO,
2140, BEAM , UNILOAD, GZ, NO , NO, aDir[1], , , , 0, -0.0075, 1, -0.0075, 0, 0, 0, 0, FASE2-PERM, NO, 0,
0, NO,
2141, BEAM , UNILOAD, GZ, NO , NO, aDir[1], , , , 0, -0.0075, 1, -0.0075, 0, 0, 0, 0, FASE2-PERM, NO, 0,
0, NO,
2142, BEAM , UNILOAD, GZ, NO , NO, aDir[1], , , , 0, -0.0075, 1, -0.0075, 0, 0, 0, 0, FASE2-PERM, NO, 0,
0, NO,
2143, BEAM , UNILOAD, GZ, NO , NO, aDir[1], , , , 0, -0.0075, 1, -0.0075, 0, 0, 0, 0, FASE2-PERM, NO, 0,
0, NO,
2144, BEAM , UNILOAD, GZ, NO , NO, aDir[1], , , , 0, -0.0075, 1, -0.0075, 0, 0, 0, 0, FASE2-PERM, NO, 0,
0, NO,
2145, BEAM , UNILOAD, GZ, NO , NO, aDir[1], , , , 0, -0.0075, 1, -0.0075, 0, 0, 0, 0, FASE2-PERM, NO, 0,
0, NO,
2146, BEAM , UNILOAD, GZ, NO , NO, aDir[1], , , , 0, -0.0075, 1, -0.0075, 0, 0, 0, 0, FASE2-PERM, NO, 0,
0, NO,
2147, BEAM , UNILOAD, GZ, NO , NO, aDir[1], , , , 0, -0.0075, 1, -0.0075, 0, 0, 0, 0, FASE2-PERM, NO, 0,
0, NO,
2148, BEAM , UNILOAD, GZ, NO , NO, aDir[1], , , , 0, -0.0075, 1, -0.0075, 0, 0, 0, 0, FASE2-PERM, NO, 0,
0, NO,
2149, BEAM , UNILOAD, GZ, NO , NO, aDir[1], , , , 0, -0.0075, 1, -0.0075, 0, 0, 0, 0, FASE2-PERM, NO, 0,
0, NO,
2150, BEAM , UNILOAD, GZ, NO , NO, aDir[1], , , , 0, -0.0075, 1, -0.0075, 0, 0, 0, 0, FASE2-PERM, NO, 0,
0, NO,
2151, BEAM , UNILOAD, GZ, NO , NO, aDir[1], , , , 0, -0.0075, 1, -0.0075, 0, 0, 0, 0, FASE2-PERM, NO, 0,
0, NO,
2152, BEAM , UNILOAD, GZ, NO , NO, aDir[1], , , , 0, -0.0075, 1, -0.0075, 0, 0, 0, 0, FASE2-PERM, NO, 0,
0, NO,
2153, BEAM , UNILOAD, GZ, NO , NO, aDir[1], , , , 0, -0.0075, 1, -0.0075, 0, 0, 0, 0, FASE2-PERM, NO, 0,
0, NO,
2154, BEAM , UNILOAD, GZ, NO , NO, aDir[1], , , , 0, -0.0075, 1, -0.0075, 0, 0, 0, 0, FASE2-PERM, NO, 0,
0, NO,
2155, BEAM , UNILOAD, GZ, NO , NO, aDir[1], , , , 0, -0.0075, 1, -0.0075, 0, 0, 0, 0, FASE2-PERM, NO, 0,
0, NO,
2156, BEAM , UNILOAD, GZ, NO , NO, aDir[1], , , , 0, -0.0075, 1, -0.0075, 0, 0, 0, 0, FASE2-PERM, NO, 0,
0, NO,
2157, BEAM , UNILOAD, GZ, NO , NO, aDir[1], , , , 0, -0.0075, 1, -0.0075, 0, 0, 0, 0, FASE2-PERM, NO, 0,
0, NO,
2158, BEAM , UNILOAD, GZ, NO , NO, aDir[1], , , , 0, -0.0075, 1, -0.0075, 0, 0, 0, 0, FASE2-PERM, NO, 0,
0, NO,
2159, BEAM , UNILOAD, GZ, NO , NO, aDir[1], , , , 0, -0.0075, 1, -0.0075, 0, 0, 0, 0, FASE2-PERM, NO, 0,
0, NO,
2160, BEAM , UNILOAD, GZ, NO , NO, aDir[1], , , , 0, -0.0075, 1, -0.0075, 0, 0, 0, 0, FASE2-PERM, NO, 0,
0, NO,
2161, BEAM , UNILOAD, GZ, NO , NO, aDir[1], , , , 0, -0.0075, 1, -0.0075, 0, 0, 0, 0, FASE2-PERM, NO, 0,
0, NO,
2162, BEAM , UNILOAD, GZ, NO , NO, aDir[1], , , , 0, -0.0075, 1, -0.0075, 0, 0, 0, 0, FASE2-PERM, NO, 0,
0, NO,
2163, BEAM , UNILOAD, GZ, NO , NO, aDir[1], , , , 0, -0.0075, 1, -0.0075, 0, 0, 0, 0, FASE2-PERM, NO, 0,
0, NO,
2164, BEAM , UNILOAD, GZ, NO , NO, aDir[1], , , , 0, -0.0075, 1, -0.0075, 0, 0, 0, 0, FASE2-PERM, NO, 0,
0, NO,
2165, BEAM , UNILOAD, GZ, NO , NO, aDir[1], , , , 0, -0.0075, 1, -0.0075, 0, 0, 0, 0, FASE2-PERM, NO, 0,
0, NO,
2166, BEAM , UNILOAD, GZ, NO , NO, aDir[1], , , , 0, -0.0075, 1, -0.0075, 0, 0, 0, 0, FASE2-PERM, NO, 0,
0, NO,
2167, BEAM , UNILOAD, GZ, NO , NO, aDir[1], , , , 0, -0.0075, 1, -0.0075, 0, 0, 0, 0, FASE2-PERM, NO, 0,
0, NO,
2168, BEAM , UNILOAD, GZ, NO , NO, aDir[1], , , , 0, -0.0075, 1, -0.0075, 0, 0, 0, 0, FASE2-PERM, NO, 0,
0, NO,
2169, BEAM , UNILOAD, GZ, NO , NO, aDir[1], , , , 0, -0.0075, 1, -0.0075, 0, 0, 0, 0, FASE2-PERM, NO, 0,
0, NO,
2170, BEAM , UNILOAD, GZ, NO , NO, aDir[1], , , , 0, -0.0075, 1, -0.0075, 0, 0, 0, 0, FASE2-PERM, NO, 0,
0, NO,
2171, BEAM , UNILOAD, GZ, NO , NO, aDir[1], , , , 0, -0.0075, 1, -0.0075, 0, 0, 0, 0, FASE2-PERM, NO, 0,
0, NO,
2172, BEAM , UNILOAD, GZ, NO , NO, aDir[1], , , , 0, -0.0075, 1, -0.0075, 0, 0, 0, 0, FASE2-PERM, NO, 0,
0, NO,
2173, BEAM , UNILOAD, GZ, NO , NO, aDir[1], , , , 0, -0.0075, 1, -0.0075, 0, 0, 0, 0, FASE2-PERM, NO, 0,
0, NO,
2174, BEAM , UNILOAD, GZ, NO , NO, aDir[1], , , , 0, -0.0075, 1, -0.0075, 0, 0, 0, 0, FASE2-PERM, NO, 0,
0, NO,
2175, BEAM , UNILOAD, GZ, NO , NO, aDir[1], , , , 0, -0.0075, 1, -0.0075, 0, 0, 0, 0, FASE2-PERM, NO, 0,
0, NO,
2176, BEAM , UNILOAD, GZ, NO , NO, aDir[1], , , , 0, -0.0075, 1, -0.0075, 0, 0, 0, 0, FASE2-PERM, NO, 0,
0, NO,
2177, BEAM , UNILOAD, GZ, NO , NO, aDir[1], , , , 0, -0.0075, 1, -0.0075, 0, 0, 0, 0, FASE2-PERM, NO, 0,

```
0, NO,
 2178, BEAM    , UNILOAD, GZ, NO , NO, aDir[1], , , , 0, -0.0075, 1, -0.0075, 0, 0, 0, 0, FASE2-PERM, NO, 0,
0, NO,
 2179, BEAM    , UNILOAD, GZ, NO , NO, aDir[1], , , , 0, -0.0075, 1, -0.0075, 0, 0, 0, 0, FASE2-PERM, NO, 0,
0, NO,
 2180, BEAM    , UNILOAD, GZ, NO , NO, aDir[1], , , , 0, -0.0075, 1, -0.0075, 0, 0, 0, 0, FASE2-PERM, NO, 0,
0, NO,
 2181, BEAM    , UNILOAD, GZ, NO , NO, aDir[1], , , , 0, -0.0075, 1, -0.0075, 0, 0, 0, 0, FASE2-PERM, NO, 0,
0, NO,
 2182, BEAM    , UNILOAD, GZ, NO , NO, aDir[1], , , , 0, -0.0075, 1, -0.0075, 0, 0, 0, 0, FASE2-PERM, NO, 0,
0, NO,
 2183, BEAM    , UNILOAD, GZ, NO , NO, aDir[1], , , , 0, -0.0075, 1, -0.0075, 0, 0, 0, 0, FASE2-PERM, NO, 0,
0, NO,
 2184, BEAM    , UNILOAD, GZ, NO , NO, aDir[1], , , , 0, -0.0075, 1, -0.0075, 0, 0, 0, 0, FASE2-PERM, NO, 0,
0, NO,
 2185, BEAM    , UNILOAD, GZ, NO , NO, aDir[1], , , , 0, -0.0075, 1, -0.0075, 0, 0, 0, 0, FASE2-PERM, NO, 0,
0, NO,
 2186, BEAM    , UNILOAD, GZ, NO , NO, aDir[1], , , , 0, -0.0075, 1, -0.0075, 0, 0, 0, 0, FASE2-PERM, NO, 0,
0, NO,
 2351, BEAM    , UNILOAD, GZ, NO , NO, aDir[1], , , , 0, -0.0075, 1, -0.0075, 0, 0, 0, 0, FASE2-PERM, NO, 0,
0, NO,
 2352, BEAM    , UNILOAD, GZ, NO , NO, aDir[1], , , , 0, -0.0075, 1, -0.0075, 0, 0, 0, 0, FASE2-PERM, NO, 0,
0, NO,
 2353, BEAM    , UNILOAD, GZ, NO , NO, aDir[1], , , , 0, -0.0075, 1, -0.0075, 0, 0, 0, 0, FASE2-PERM, NO, 0,
0, NO,
 2354, BEAM    , UNILOAD, GZ, NO , NO, aDir[1], , , , 0, -0.0075, 1, -0.0075, 0, 0, 0, 0, FASE2-PERM, NO, 0,
0, NO,
 2355, BEAM    , UNILOAD, GZ, NO , NO, aDir[1], , , , 0, -0.0075, 1, -0.0075, 0, 0, 0, 0, FASE2-PERM, NO, 0,
0, NO,
 2356, BEAM    , UNILOAD, GZ, NO , NO, aDir[1], , , , 0, -0.0075, 1, -0.0075, 0, 0, 0, 0, FASE2-PERM, NO, 0,
0, NO,
 2357, BEAM    , UNILOAD, GZ, NO , NO, aDir[1], , , , 0, -0.0075, 1, -0.0075, 0, 0, 0, 0, FASE2-PERM, NO, 0,
0, NO,
 2358, BEAM    , UNILOAD, GZ, NO , NO, aDir[1], , , , 0, -0.0075, 1, -0.0075, 0, 0, 0, 0, FASE2-PERM, NO, 0,
0, NO,
 2359, BEAM    , UNILOAD, GZ, NO , NO, aDir[1], , , , 0, -0.0075, 1, -0.0075, 0, 0, 0, 0, FASE2-PERM, NO, 0,
0, NO,
 2360, BEAM    , UNILOAD, GZ, NO , NO, aDir[1], , , , 0, -0.0075, 1, -0.0075, 0, 0, 0, 0, FASE2-PERM, NO, 0,
0, NO,
 2361, BEAM    , UNILOAD, GZ, NO , NO, aDir[1], , , , 0, -0.0075, 1, -0.0075, 0, 0, 0, 0, FASE2-PERM, NO, 0,
0, NO,
 2362, BEAM    , UNILOAD, GZ, NO , NO, aDir[1], , , , 0, -0.0075, 1, -0.0075, 0, 0, 0, 0, FASE2-PERM, NO, 0,
0, NO,
 2363, BEAM    , UNILOAD, GZ, NO , NO, aDir[1], , , , 0, -0.0075, 1, -0.0075, 0, 0, 0, 0, FASE2-PERM, NO, 0,
0, NO,
 2364, BEAM    , UNILOAD, GZ, NO , NO, aDir[1], , , , 0, -0.0075, 1, -0.0075, 0, 0, 0, 0, FASE2-PERM, NO, 0,
0, NO,
 2365, BEAM    , UNILOAD, GZ, NO , NO, aDir[1], , , , 0, -0.0075, 1, -0.0075, 0, 0, 0, 0, FASE2-PERM, NO, 0,
0, NO,
 2366, BEAM    , UNILOAD, GZ, NO , NO, aDir[1], , , , 0, -0.0075, 1, -0.0075, 0, 0, 0, 0, FASE2-PERM, NO, 0,
0, NO,
 2367, BEAM    , UNILOAD, GZ, NO , NO, aDir[1], , , , 0, -0.0075, 1, -0.0075, 0, 0, 0, 0, FASE2-PERM, NO, 0,
0, NO,
 2368, BEAM    , UNILOAD, GZ, NO , NO, aDir[1], , , , 0, -0.0075, 1, -0.0075, 0, 0, 0, 0, FASE2-PERM, NO, 0,
0, NO,
 2369, BEAM    , UNILOAD, GZ, NO , NO, aDir[1], , , , 0, -0.0075, 1, -0.0075, 0, 0, 0, 0, FASE2-PERM, NO, 0,
0, NO,
 2370, BEAM    , UNILOAD, GZ, NO , NO, aDir[1], , , , 0, -0.0075, 1, -0.0075, 0, 0, 0, 0, FASE2-PERM, NO, 0,
0, NO,
 2371, BEAM    , UNILOAD, GZ, NO , NO, aDir[1], , , , 0, -0.0075, 1, -0.0075, 0, 0, 0, 0, FASE2-PERM, NO, 0,
0, NO,
 2372, BEAM    , UNILOAD, GZ, NO , NO, aDir[1], , , , 0, -0.0075, 1, -0.0075, 0, 0, 0, 0, FASE2-PERM, NO, 0,
0, NO,
 2373, BEAM    , UNILOAD, GZ, NO , NO, aDir[1], , , , 0, -0.0075, 1, -0.0075, 0, 0, 0, 0, FASE2-PERM, NO, 0,
0, NO,
 2374, BEAM    , UNILOAD, GZ, NO , NO, aDir[1], , , , 0, -0.0075, 1, -0.0075, 0, 0, 0, 0, FASE2-PERM, NO, 0,
0, NO,
 2375, BEAM    , UNILOAD, GZ, NO , NO, aDir[1], , , , 0, -0.0075, 1, -0.0075, 0, 0, 0, 0, FASE2-PERM, NO, 0,
0, NO,
 2376, BEAM    , UNILOAD, GZ, NO , NO, aDir[1], , , , 0, -0.0075, 1, -0.0075, 0, 0, 0, 0, FASE2-PERM, NO, 0,
0, NO,
 2377, BEAM    , UNILOAD, GZ, NO , NO, aDir[1], , , , 0, -0.0075, 1, -0.0075, 0, 0, 0, 0, FASE2-PERM, NO, 0,
0, NO,
 2378, BEAM    , UNILOAD, GZ, NO , NO, aDir[1], , , , 0, -0.0075, 1, -0.0075, 0, 0, 0, 0, FASE2-PERM, NO, 0,
0, NO,
 2379, BEAM    , UNILOAD, GZ, NO , NO, aDir[1], , , , 0, -0.0075, 1, -0.0075, 0, 0, 0, 0, FASE2-PERM, NO, 0,
0, NO,
 2380, BEAM    , UNILOAD, GZ, NO , NO, aDir[1], , , , 0, -0.0075, 1, -0.0075, 0, 0, 0, 0, FASE2-PERM, NO, 0,
```

```
0, NO,
 2381, BEAM    , UNILOAD, GZ, NO , NO, aDir[1], , , , 0, -0.0075, 1, -0.0075, 0, 0, 0, 0, FASE2-PERM, NO, 0,
0, NO,
 2382, BEAM    , UNILOAD, GZ, NO , NO, aDir[1], , , , 0, -0.0075, 1, -0.0075, 0, 0, 0, 0, FASE2-PERM, NO, 0,
0, NO,
 2383, BEAM    , UNILOAD, GZ, NO , NO, aDir[1], , , , 0, -0.0075, 1, -0.0075, 0, 0, 0, 0, FASE2-PERM, NO, 0,
0, NO,
 2384, BEAM    , UNILOAD, GZ, NO , NO, aDir[1], , , , 0, -0.0075, 1, -0.0075, 0, 0, 0, 0, FASE2-PERM, NO, 0,
0, NO,
 2385, BEAM    , UNILOAD, GZ, NO , NO, aDir[1], , , , 0, -0.0075, 1, -0.0075, 0, 0, 0, 0, FASE2-PERM, NO, 0,
0, NO,
 2386, BEAM    , UNILOAD, GZ, NO , NO, aDir[1], , , , 0, -0.0075, 1, -0.0075, 0, 0, 0, 0, FASE2-PERM, NO, 0,
0, NO,
 2387, BEAM    , UNILOAD, GZ, NO , NO, aDir[1], , , , 0, -0.0075, 1, -0.0075, 0, 0, 0, 0, FASE2-PERM, NO, 0,
0, NO,
 2388, BEAM    , UNILOAD, GZ, NO , NO, aDir[1], , , , 0, -0.0075, 1, -0.0075, 0, 0, 0, 0, FASE2-PERM, NO, 0,
0, NO,
 2389, BEAM    , UNILOAD, GZ, NO , NO, aDir[1], , , , 0, -0.0075, 1, -0.0075, 0, 0, 0, 0, FASE2-PERM, NO, 0,
0, NO,
 2390, BEAM    , UNILOAD, GZ, NO , NO, aDir[1], , , , 0, -0.0075, 1, -0.0075, 0, 0, 0, 0, FASE2-PERM, NO, 0,
0, NO,
 2391, BEAM    , UNILOAD, GZ, NO , NO, aDir[1], , , , 0, -0.0075, 1, -0.0075, 0, 0, 0, 0, FASE2-PERM, NO, 0,
0, NO,
 2392, BEAM    , UNILOAD, GZ, NO , NO, aDir[1], , , , 0, -0.0075, 1, -0.0075, 0, 0, 0, 0, FASE2-PERM, NO, 0,
0, NO,
 2393, BEAM    , UNILOAD, GZ, NO , NO, aDir[1], , , , 0, -0.0075, 1, -0.0075, 0, 0, 0, 0, FASE2-PERM, NO, 0,
0, NO,
 2394, BEAM    , UNILOAD, GZ, NO , NO, aDir[1], , , , 0, -0.0075, 1, -0.0075, 0, 0, 0, 0, FASE2-PERM, NO, 0,
0, NO,
 2395, BEAM    , UNILOAD, GZ, NO , NO, aDir[1], , , , 0, -0.0075, 1, -0.0075, 0, 0, 0, 0, FASE2-PERM, NO, 0,
0, NO,
 2396, BEAM    , UNILOAD, GZ, NO , NO, aDir[1], , , , 0, -0.0075, 1, -0.0075, 0, 0, 0, 0, FASE2-PERM, NO, 0,
0, NO,
 2397, BEAM    , UNILOAD, GZ, NO , NO, aDir[1], , , , 0, -0.0075, 1, -0.0075, 0, 0, 0, 0, FASE2-PERM, NO, 0,
0, NO,
 2398, BEAM    , UNILOAD, GZ, NO , NO, aDir[1], , , , 0, -0.0075, 1, -0.0075, 0, 0, 0, 0, FASE2-PERM, NO, 0,
0, NO,
 2399, BEAM    , UNILOAD, GZ, NO , NO, aDir[1], , , , 0, -0.0075, 1, -0.0075, 0, 0, 0, 0, FASE2-PERM, NO, 0,
0, NO,
 2400, BEAM    , UNILOAD, GZ, NO , NO, aDir[1], , , , 0, -0.0075, 1, -0.0075, 0, 0, 0, 0, FASE2-PERM, NO, 0,
0, NO,
 2401, BEAM    , UNILOAD, GZ, NO , NO, aDir[1], , , , 0, -0.0075, 1, -0.0075, 0, 0, 0, 0, FASE2-PERM, NO, 0,
0, NO,
 2402, BEAM    , UNILOAD, GZ, NO , NO, aDir[1], , , , 0, -0.0075, 1, -0.0075, 0, 0, 0, 0, FASE2-PERM, NO, 0,
0, NO,
 2403, BEAM    , UNILOAD, GZ, NO , NO, aDir[1], , , , 0, -0.0075, 1, -0.0075, 0, 0, 0, 0, FASE2-PERM, NO, 0,
0, NO,
 2404, BEAM    , UNILOAD, GZ, NO , NO, aDir[1], , , , 0, -0.0075, 1, -0.0075, 0, 0, 0, 0, FASE2-PERM, NO, 0,
0, NO,
 2405, BEAM    , UNILOAD, GZ, NO , NO, aDir[1], , , , 0, -0.0075, 1, -0.0075, 0, 0, 0, 0, FASE2-PERM, NO, 0,
0, NO,
 2406, BEAM    , UNILOAD, GZ, NO , NO, aDir[1], , , , 0, -0.0075, 1, -0.0075, 0, 0, 0, 0, FASE2-PERM, NO, 0,
0, NO,
 2407, BEAM    , UNILOAD, GZ, NO , NO, aDir[1], , , , 0, -0.0075, 1, -0.0075, 0, 0, 0, 0, FASE2-PERM, NO, 0,
0, NO,
 2408, BEAM    , UNILOAD, GZ, NO , NO, aDir[1], , , , 0, -0.0075, 1, -0.0075, 0, 0, 0, 0, FASE2-PERM, NO, 0,
0, NO,
 2409, BEAM    , UNILOAD, GZ, NO , NO, aDir[1], , , , 0, -0.0075, 1, -0.0075, 0, 0, 0, 0, FASE2-PERM, NO, 0,
0, NO,
 2410, BEAM    , UNILOAD, GZ, NO , NO, aDir[1], , , , 0, -0.0075, 1, -0.0075, 0, 0, 0, 0, FASE2-PERM, NO, 0,
0, NO,
 2411, BEAM    , UNILOAD, GZ, NO , NO, aDir[1], , , , 0, -0.0075, 1, -0.0075, 0, 0, 0, 0, FASE2-PERM, NO, 0,
0, NO,
 2412, BEAM    , UNILOAD, GZ, NO , NO, aDir[1], , , , 0, -0.0075, 1, -0.0075, 0, 0, 0, 0, FASE2-PERM, NO, 0,
0, NO,
 2413, BEAM    , UNILOAD, GZ, NO , NO, aDir[1], , , , 0, -0.0075, 1, -0.0075, 0, 0, 0, 0, FASE2-PERM, NO, 0,
0, NO,
 2414, BEAM    , UNILOAD, GZ, NO , NO, aDir[1], , , , 0, -0.0075, 1, -0.0075, 0, 0, 0, 0, FASE2-PERM, NO, 0,
0, NO,
 2415, BEAM    , UNILOAD, GZ, NO , NO, aDir[1], , , , 0, -0.0075, 1, -0.0075, 0, 0, 0, 0, FASE2-PERM, NO, 0,
0, NO,
 2416, BEAM    , UNILOAD, GZ, NO , NO, aDir[1], , , , 0, -0.0075, 1, -0.0075, 0, 0, 0, 0, FASE2-PERM, NO, 0,
0, NO,
 2417, BEAM    , UNILOAD, GZ, NO , NO, aDir[1], , , , 0, -0.0075, 1, -0.0075, 0, 0, 0, 0, FASE2-PERM, NO, 0,
0, NO,
 2418, BEAM    , UNILOAD, GZ, NO , NO, aDir[1], , , , 0, -0.0075, 1, -0.0075, 0, 0, 0, 0, FASE2-PERM, NO, 0,
0, NO,
 2419, BEAM    , UNILOAD, GZ, NO , NO, aDir[1], , , , 0, -0.0075, 1, -0.0075, 0, 0, 0, 0, FASE2-PERM, NO, 0,
```

```
0, NO,
 2420, BEAM    , UNILOAD, GZ, NO , NO, aDir[1], , , , 0, -0.0075, 1, -0.0075, 0, 0, 0, 0, FASE2-PERM, NO, 0,
0, NO,
 2421, BEAM    , UNILOAD, GZ, NO , NO, aDir[1], , , , 0, -0.0075, 1, -0.0075, 0, 0, 0, 0, FASE2-PERM, NO, 0,
0, NO,
 2422, BEAM    , UNILOAD, GZ, NO , NO, aDir[1], , , , 0, -0.0075, 1, -0.0075, 0, 0, 0, 0, FASE2-PERM, NO, 0,
0, NO,
 2423, BEAM    , UNILOAD, GZ, NO , NO, aDir[1], , , , 0, -0.0075, 1, -0.0075, 0, 0, 0, 0, FASE2-PERM, NO, 0,
0, NO,
 2424, BEAM    , UNILOAD, GZ, NO , NO, aDir[1], , , , 0, -0.0075, 1, -0.0075, 0, 0, 0, 0, FASE2-PERM, NO, 0,
0, NO,
 2425, BEAM    , UNILOAD, GZ, NO , NO, aDir[1], , , , 0, -0.0075, 1, -0.0075, 0, 0, 0, 0, FASE2-PERM, NO, 0,
0, NO,
 2426, BEAM    , UNILOAD, GZ, NO , NO, aDir[1], , , , 0, -0.0075, 1, -0.0075, 0, 0, 0, 0, FASE2-PERM, NO, 0,
0, NO,
 2427, BEAM    , UNILOAD, GZ, NO , NO, aDir[1], , , , 0, -0.0075, 1, -0.0075, 0, 0, 0, 0, FASE2-PERM, NO, 0,
0, NO,
 2428, BEAM    , UNILOAD, GZ, NO , NO, aDir[1], , , , 0, -0.0075, 1, -0.0075, 0, 0, 0, 0, FASE2-PERM, NO, 0,
0, NO,
 2429, BEAM    , UNILOAD, GZ, NO , NO, aDir[1], , , , 0, -0.0075, 1, -0.0075, 0, 0, 0, 0, FASE2-PERM, NO, 0,
0, NO,
 2430, BEAM    , UNILOAD, GZ, NO , NO, aDir[1], , , , 0, -0.0075, 1, -0.0075, 0, 0, 0, 0, FASE2-PERM, NO, 0,
0, NO,
 2431, BEAM    , UNILOAD, GZ, NO , NO, aDir[1], , , , 0, -0.0075, 1, -0.0075, 0, 0, 0, 0, FASE2-PERM, NO, 0,
0, NO,
 2432, BEAM    , UNILOAD, GZ, NO , NO, aDir[1], , , , 0, -0.0075, 1, -0.0075, 0, 0, 0, 0, FASE2-PERM, NO, 0,
0, NO,
 2433, BEAM    , UNILOAD, GZ, NO , NO, aDir[1], , , , 0, -0.0075, 1, -0.0075, 0, 0, 0, 0, FASE2-PERM, NO, 0,
0, NO,
 2434, BEAM    , UNILOAD, GZ, NO , NO, aDir[1], , , , 0, -0.0075, 1, -0.0075, 0, 0, 0, 0, FASE2-PERM, NO, 0,
0, NO,
 2435, BEAM    , UNILOAD, GZ, NO , NO, aDir[1], , , , 0, -0.0075, 1, -0.0075, 0, 0, 0, 0, FASE2-PERM, NO, 0,
0, NO,
 2436, BEAM    , UNILOAD, GZ, NO , NO, aDir[1], , , , 0, -0.0075, 1, -0.0075, 0, 0, 0, 0, FASE2-PERM, NO, 0,
0, NO,
 2437, BEAM    , UNILOAD, GZ, NO , NO, aDir[1], , , , 0, -0.0075, 1, -0.0075, 0, 0, 0, 0, FASE2-PERM, NO, 0,
0, NO,
 2438, BEAM    , UNILOAD, GZ, NO , NO, aDir[1], , , , 0, -0.0075, 1, -0.0075, 0, 0, 0, 0, FASE2-PERM, NO, 0,
0, NO,
 2439, BEAM    , UNILOAD, GZ, NO , NO, aDir[1], , , , 0, -0.0075, 1, -0.0075, 0, 0, 0, 0, FASE2-PERM, NO, 0,
0, NO,
 2440, BEAM    , UNILOAD, GZ, NO , NO, aDir[1], , , , 0, -0.0075, 1, -0.0075, 0, 0, 0, 0, FASE2-PERM, NO, 0,
0, NO,
 2441, BEAM    , UNILOAD, GZ, NO , NO, aDir[1], , , , 0, -0.0075, 1, -0.0075, 0, 0, 0, 0, FASE2-PERM, NO, 0,
0, NO,
 2442, BEAM    , UNILOAD, GZ, NO , NO, aDir[1], , , , 0, -0.0075, 1, -0.0075, 0, 0, 0, 0, FASE2-PERM, NO, 0,
0, NO,
 2443, BEAM    , UNILOAD, GZ, NO , NO, aDir[1], , , , 0, -0.0075, 1, -0.0075, 0, 0, 0, 0, FASE2-PERM, NO, 0,
0, NO,
 2444, BEAM    , UNILOAD, GZ, NO , NO, aDir[1], , , , 0, -0.0075, 1, -0.0075, 0, 0, 0, 0, FASE2-PERM, NO, 0,
0, NO,
 2445, BEAM    , UNILOAD, GZ, NO , NO, aDir[1], , , , 0, -0.0075, 1, -0.0075, 0, 0, 0, 0, FASE2-PERM, NO, 0,
0, NO,
 2446, BEAM    , UNILOAD, GZ, NO , NO, aDir[1], , , , 0, -0.0075, 1, -0.0075, 0, 0, 0, 0, FASE2-PERM, NO, 0,
0, NO,
 2447, BEAM    , UNILOAD, GZ, NO , NO, aDir[1], , , , 0, -0.0075, 1, -0.0075, 0, 0, 0, 0, FASE2-PERM, NO, 0,
0, NO,
 2448, BEAM    , UNILOAD, GZ, NO , NO, aDir[1], , , , 0, -0.0075, 1, -0.0075, 0, 0, 0, 0, FASE2-PERM, NO, 0,
0, NO,
 2449, BEAM    , UNILOAD, GZ, NO , NO, aDir[1], , , , 0, -0.0075, 1, -0.0075, 0, 0, 0, 0, FASE2-PERM, NO, 0,
0, NO,
 2450, BEAM    , UNILOAD, GZ, NO , NO, aDir[1], , , , 0, -0.0075, 1, -0.0075, 0, 0, 0, 0, FASE2-PERM, NO, 0,
0, NO,
 2451, BEAM    , UNILOAD, GZ, NO , NO, aDir[1], , , , 0, -0.0075, 1, -0.0075, 0, 0, 0, 0, FASE2-PERM, NO, 0,
0, NO,
 2452, BEAM    , UNILOAD, GZ, NO , NO, aDir[1], , , , 0, -0.0075, 1, -0.0075, 0, 0, 0, 0, FASE2-PERM, NO, 0,
0, NO,
 2453, BEAM    , UNILOAD, GZ, NO , NO, aDir[1], , , , 0, -0.0075, 1, -0.0075, 0, 0, 0, 0, FASE2-PERM, NO, 0,
0, NO,
 2454, BEAM    , UNILOAD, GZ, NO , NO, aDir[1], , , , 0, -0.0075, 1, -0.0075, 0, 0, 0, 0, FASE2-PERM, NO, 0,
0, NO,
 2455, BEAM    , UNILOAD, GZ, NO , NO, aDir[1], , , , 0, -0.0075, 1, -0.0075, 0, 0, 0, 0, FASE2-PERM, NO, 0,
0, NO,
 2456, BEAM    , UNILOAD, GZ, NO , NO, aDir[1], , , , 0, -0.0075, 1, -0.0075, 0, 0, 0, 0, FASE2-PERM, NO, 0,
0, NO,
 2457, BEAM    , UNILOAD, GZ, NO , NO, aDir[1], , , , 0, -0.0075, 1, -0.0075, 0, 0, 0, 0, FASE2-PERM, NO, 0,
0, NO,
 2458, BEAM    , UNILOAD, GZ, NO , NO, aDir[1], , , , 0, -0.0075, 1, -0.0075, 0, 0, 0, 0, FASE2-PERM, NO, 0,
```

```
0, NO,
 2459, BEAM    , UNILOAD, GZ, NO , NO, aDir[1], , , , 0, -0.0075, 1, -0.0075, 0, 0, 0, 0, FASE2-PERM, NO, 0,
0, NO,
 2460, BEAM    , UNILOAD, GZ, NO , NO, aDir[1], , , , 0, -0.0075, 1, -0.0075, 0, 0, 0, 0, FASE2-PERM, NO, 0,
0, NO,
 2461, BEAM    , UNILOAD, GZ, NO , NO, aDir[1], , , , 0, -0.0075, 1, -0.0075, 0, 0, 0, 0, FASE2-PERM, NO, 0,
0, NO,
 2462, BEAM    , UNILOAD, GZ, NO , NO, aDir[1], , , , 0, -0.0075, 1, -0.0075, 0, 0, 0, 0, FASE2-PERM, NO, 0,
0, NO,
 2463, BEAM    , UNILOAD, GZ, NO , NO, aDir[1], , , , 0, -0.0075, 1, -0.0075, 0, 0, 0, 0, FASE2-PERM, NO, 0,
0, NO,
 2464, BEAM    , UNILOAD, GZ, NO , NO, aDir[1], , , , 0, -0.0075, 1, -0.0075, 0, 0, 0, 0, FASE2-PERM, NO, 0,
0, NO,
 2465, BEAM    , UNILOAD, GZ, NO , NO, aDir[1], , , , 0, -0.0075, 1, -0.0075, 0, 0, 0, 0, FASE2-PERM, NO, 0,
0, NO,
 2466, BEAM    , UNILOAD, GZ, NO , NO, aDir[1], , , , 0, -0.0075, 1, -0.0075, 0, 0, 0, 0, FASE2-PERM, NO, 0,
0, NO,
 2467, BEAM    , UNILOAD, GZ, NO , NO, aDir[1], , , , 0, -0.0075, 1, -0.0075, 0, 0, 0, 0, FASE2-PERM, NO, 0,
0, NO,
 2468, BEAM    , UNILOAD, GZ, NO , NO, aDir[1], , , , 0, -0.0075, 1, -0.0075, 0, 0, 0, 0, FASE2-PERM, NO, 0,
0, NO,
 2469, BEAM    , UNILOAD, GZ, NO , NO, aDir[1], , , , 0, -0.0075, 1, -0.0075, 0, 0, 0, 0, FASE2-PERM, NO, 0,
0, NO,
 2470, BEAM    , UNILOAD, GZ, NO , NO, aDir[1], , , , 0, -0.0075, 1, -0.0075, 0, 0, 0, 0, FASE2-PERM, NO, 0,
0, NO,
 2471, BEAM    , UNILOAD, GZ, NO , NO, aDir[1], , , , 0, -0.0075, 1, -0.0075, 0, 0, 0, 0, FASE2-PERM, NO, 0,
0, NO,
 2472, BEAM    , UNILOAD, GZ, NO , NO, aDir[1], , , , 0, -0.0075, 1, -0.0075, 0, 0, 0, 0, FASE2-PERM, NO, 0,
0, NO,
 2473, BEAM    , UNILOAD, GZ, NO , NO, aDir[1], , , , 0, -0.0075, 1, -0.0075, 0, 0, 0, 0, FASE2-PERM, NO, 0,
0, NO,
 2474, BEAM    , UNILOAD, GZ, NO , NO, aDir[1], , , , 0, -0.0075, 1, -0.0075, 0, 0, 0, 0, FASE2-PERM, NO, 0,
0, NO,
 2475, BEAM    , UNILOAD, GZ, NO , NO, aDir[1], , , , 0, -0.0075, 1, -0.0075, 0, 0, 0, 0, FASE2-PERM, NO, 0,
0, NO,
 2476, BEAM    , UNILOAD, GZ, NO , NO, aDir[1], , , , 0, -0.0075, 1, -0.0075, 0, 0, 0, 0, FASE2-PERM, NO, 0,
0, NO,
 2477, BEAM    , UNILOAD, GZ, NO , NO, aDir[1], , , , 0, -0.0075, 1, -0.0075, 0, 0, 0, 0, FASE2-PERM, NO, 0,
0, NO,
 2478, BEAM    , UNILOAD, GZ, NO , NO, aDir[1], , , , 0, -0.0075, 1, -0.0075, 0, 0, 0, 0, FASE2-PERM, NO, 0,
0, NO,
 2479, BEAM    , UNILOAD, GZ, NO , NO, aDir[1], , , , 0, -0.0075, 1, -0.0075, 0, 0, 0, 0, FASE2-PERM, NO, 0,
0, NO,
 2480, BEAM    , UNILOAD, GZ, NO , NO, aDir[1], , , , 0, -0.0075, 1, -0.0075, 0, 0, 0, 0, FASE2-PERM, NO, 0,
0, NO,
 2481, BEAM    , UNILOAD, GZ, NO , NO, aDir[1], , , , 0, -0.0075, 1, -0.0075, 0, 0, 0, 0, FASE2-PERM, NO, 0,
0, NO,
 2482, BEAM    , UNILOAD, GZ, NO , NO, aDir[1], , , , 0, -0.0075, 1, -0.0075, 0, 0, 0, 0, FASE2-PERM, NO, 0,
0, NO,
 2483, BEAM    , UNILOAD, GZ, NO , NO, aDir[1], , , , 0, -0.0075, 1, -0.0075, 0, 0, 0, 0, FASE2-PERM, NO, 0,
0, NO,
 2484, BEAM    , UNILOAD, GZ, NO , NO, aDir[1], , , , 0, -0.0075, 1, -0.0075, 0, 0, 0, 0, FASE2-PERM, NO, 0,
0, NO,
 2485, BEAM    , UNILOAD, GZ, NO , NO, aDir[1], , , , 0, -0.0075, 1, -0.0075, 0, 0, 0, 0, FASE2-PERM, NO, 0,
0, NO,
 2486, BEAM    , UNILOAD, GZ, NO , NO, aDir[1], , , , 0, -0.0075, 1, -0.0075, 0, 0, 0, 0, FASE2-PERM, NO, 0,
0, NO,
 2487, BEAM    , UNILOAD, GZ, NO , NO, aDir[1], , , , 0, -0.0075, 1, -0.0075, 0, 0, 0, 0, FASE2-PERM, NO, 0,
0, NO,
 2488, BEAM    , UNILOAD, GZ, NO , NO, aDir[1], , , , 0, -0.0075, 1, -0.0075, 0, 0, 0, 0, FASE2-PERM, NO, 0,
0, NO,
 2489, BEAM    , UNILOAD, GZ, NO , NO, aDir[1], , , , 0, -0.0075, 1, -0.0075, 0, 0, 0, 0, FASE2-PERM, NO, 0,
0, NO,
 2490, BEAM    , UNILOAD, GZ, NO , NO, aDir[1], , , , 0, -0.0075, 1, -0.0075, 0, 0, 0, 0, FASE2-PERM, NO, 0,
0, NO,
 2491, BEAM    , UNILOAD, GZ, NO , NO, aDir[1], , , , 0, -0.0075, 1, -0.0075, 0, 0, 0, 0, FASE2-PERM, NO, 0,
0, NO,
 2492, BEAM    , UNILOAD, GZ, NO , NO, aDir[1], , , , 0, -0.0075, 1, -0.0075, 0, 0, 0, 0, FASE2-PERM, NO, 0,
0, NO,
 2493, BEAM    , UNILOAD, GZ, NO , NO, aDir[1], , , , 0, -0.0075, 1, -0.0075, 0, 0, 0, 0, FASE2-PERM, NO, 0,
0, NO,
 2494, BEAM    , UNILOAD, GZ, NO , NO, aDir[1], , , , 0, -0.0075, 1, -0.0075, 0, 0, 0, 0, FASE2-PERM, NO, 0,
0, NO,
 2495, BEAM    , UNILOAD, GZ, NO , NO, aDir[1], , , , 0, -0.0075, 1, -0.0075, 0, 0, 0, 0, FASE2-PERM, NO, 0,
0, NO,
 2496, BEAM    , UNILOAD, GZ, NO , NO, aDir[1], , , , 0, -0.0075, 1, -0.0075, 0, 0, 0, 0, FASE2-PERM, NO, 0,
0, NO,
 2497, BEAM    , UNILOAD, GZ, NO , NO, aDir[1], , , , 0, -0.0075, 1, -0.0075, 0, 0, 0, 0, FASE2-PERM, NO, 0,
```

```
0, NO,
 2498, BEAM    , UNILOAD, GZ, NO , NO, aDir[1], , , , 0, -0.0075, 1, -0.0075, 0, 0, 0, 0, FASE2-PERM, NO, 0,
0, NO,
 2499, BEAM    , UNILOAD, GZ, NO , NO, aDir[1], , , , 0, -0.0075, 1, -0.0075, 0, 0, 0, 0, FASE2-PERM, NO, 0,
0, NO,
 2500, BEAM    , UNILOAD, GZ, NO , NO, aDir[1], , , , 0, -0.0075, 1, -0.0075, 0, 0, 0, 0, FASE2-PERM, NO, 0,
0, NO,
 2501, BEAM    , UNILOAD, GZ, NO , NO, aDir[1], , , , 0, -0.0075, 1, -0.0075, 0, 0, 0, 0, FASE2-PERM, NO, 0,
0, NO,
 2502, BEAM    , UNILOAD, GZ, NO , NO, aDir[1], , , , 0, -0.0075, 1, -0.0075, 0, 0, 0, 0, FASE2-PERM, NO, 0,
0, NO,
 2503, BEAM    , UNILOAD, GZ, NO , NO, aDir[1], , , , 0, -0.0075, 1, -0.0075, 0, 0, 0, 0, FASE2-PERM, NO, 0,
0, NO,
 2504, BEAM    , UNILOAD, GZ, NO , NO, aDir[1], , , , 0, -0.0075, 1, -0.0075, 0, 0, 0, 0, FASE2-PERM, NO, 0,
0, NO,
 2505, BEAM    , UNILOAD, GZ, NO , NO, aDir[1], , , , 0, -0.0075, 1, -0.0075, 0, 0, 0, 0, FASE2-PERM, NO, 0,
0, NO,
 2506, BEAM    , UNILOAD, GZ, NO , NO, aDir[1], , , , 0, -0.0075, 1, -0.0075, 0, 0, 0, 0, FASE2-PERM, NO, 0,
0, NO,
 2507, BEAM    , UNILOAD, GZ, NO , NO, aDir[1], , , , 0, -0.0075, 1, -0.0075, 0, 0, 0, 0, FASE2-PERM, NO, 0,
0, NO,
 2508, BEAM    , UNILOAD, GZ, NO , NO, aDir[1], , , , 0, -0.0075, 1, -0.0075, 0, 0, 0, 0, FASE2-PERM, NO, 0,
0, NO,
 2509, BEAM    , UNILOAD, GZ, NO , NO, aDir[1], , , , 0, -0.0075, 1, -0.0075, 0, 0, 0, 0, FASE2-PERM, NO, 0,
0, NO,
 2510, BEAM    , UNILOAD, GZ, NO , NO, aDir[1], , , , 0, -0.0075, 1, -0.0075, 0, 0, 0, 0, FASE2-PERM, NO, 0,
0, NO,
 2511, BEAM    , UNILOAD, GZ, NO , NO, aDir[1], , , , 0, -0.0075, 1, -0.0075, 0, 0, 0, 0, FASE2-PERM, NO, 0,
0, NO,
 2512, BEAM    , UNILOAD, GZ, NO , NO, aDir[1], , , , 0, -0.0075, 1, -0.0075, 0, 0, 0, 0, FASE2-PERM, NO, 0,
0, NO,
 2513, BEAM    , UNILOAD, GZ, NO , NO, aDir[1], , , , 0, -0.0075, 1, -0.0075, 0, 0, 0, 0, FASE2-PERM, NO, 0,
0, NO,
 2514, BEAM    , UNILOAD, GZ, NO , NO, aDir[1], , , , 0, -0.0075, 1, -0.0075, 0, 0, 0, 0, FASE2-PERM, NO, 0,
0, NO,
 2515, BEAM    , UNILOAD, GZ, NO , NO, aDir[1], , , , 0, -0.0075, 1, -0.0075, 0, 0, 0, 0, FASE2-PERM, NO, 0,
0, NO,
 2516, BEAM    , UNILOAD, GZ, NO , NO, aDir[1], , , , 0, -0.0075, 1, -0.0075, 0, 0, 0, 0, FASE2-PERM, NO, 0,
0, NO,
 2517, BEAM    , UNILOAD, GZ, NO , NO, aDir[1], , , , 0, -0.0075, 1, -0.0075, 0, 0, 0, 0, FASE2-PERM, NO, 0,
0, NO,
 2518, BEAM    , UNILOAD, GZ, NO , NO, aDir[1], , , , 0, -0.0075, 1, -0.0075, 0, 0, 0, 0, FASE2-PERM, NO, 0,
0, NO,
 2724, BEAM    , UNILOAD, GZ, NO , NO, aDir[1], , , , 0, -0.0075, 1, -0.0075, 0, 0, 0, 0, FASE2-PERM, NO, 0,
0, NO,
 2725, BEAM    , UNILOAD, GZ, NO , NO, aDir[1], , , , 0, -0.0075, 1, -0.0075, 0, 0, 0, 0, FASE2-PERM, NO, 0,
0, NO,
 2726, BEAM    , UNILOAD, GZ, NO , NO, aDir[1], , , , 0, -0.0075, 1, -0.0075, 0, 0, 0, 0, FASE2-PERM, NO, 0,
0, NO,
 2727, BEAM    , UNILOAD, GZ, NO , NO, aDir[1], , , , 0, -0.0075, 1, -0.0075, 0, 0, 0, 0, FASE2-PERM, NO, 0,
0, NO,
 2728, BEAM    , UNILOAD, GZ, NO , NO, aDir[1], , , , 0, -0.0075, 1, -0.0075, 0, 0, 0, 0, FASE2-PERM, NO, 0,
0, NO,
 2729, BEAM    , UNILOAD, GZ, NO , NO, aDir[1], , , , 0, -0.0075, 1, -0.0075, 0, 0, 0, 0, FASE2-PERM, NO, 0,
0, NO,
 2730, BEAM    , UNILOAD, GZ, NO , NO, aDir[1], , , , 0, -0.0075, 1, -0.0075, 0, 0, 0, 0, FASE2-PERM, NO, 0,
0, NO,
 2731, BEAM    , UNILOAD, GZ, NO , NO, aDir[1], , , , 0, -0.0075, 1, -0.0075, 0, 0, 0, 0, FASE2-PERM, NO, 0,
0, NO,
 2732, BEAM    , UNILOAD, GZ, NO , NO, aDir[1], , , , 0, -0.0075, 1, -0.0075, 0, 0, 0, 0, FASE2-PERM, NO, 0,
0, NO,
 2733, BEAM    , UNILOAD, GZ, NO , NO, aDir[1], , , , 0, -0.0075, 1, -0.0075, 0, 0, 0, 0, FASE2-PERM, NO, 0,
0, NO,
 2734, BEAM    , UNILOAD, GZ, NO , NO, aDir[1], , , , 0, -0.0075, 1, -0.0075, 0, 0, 0, 0, FASE2-PERM, NO, 0,
0, NO,
 2735, BEAM    , UNILOAD, GZ, NO , NO, aDir[1], , , , 0, -0.0075, 1, -0.0075, 0, 0, 0, 0, FASE2-PERM, NO, 0,
0, NO,
 2736, BEAM    , UNILOAD, GZ, NO , NO, aDir[1], , , , 0, -0.0075, 1, -0.0075, 0, 0, 0, 0, FASE2-PERM, NO, 0,
0, NO,
 2737, BEAM    , UNILOAD, GZ, NO , NO, aDir[1], , , , 0, -0.0075, 1, -0.0075, 0, 0, 0, 0, FASE2-PERM, NO, 0,
0, NO,
 2738, BEAM    , UNILOAD, GZ, NO , NO, aDir[1], , , , 0, -0.0075, 1, -0.0075, 0, 0, 0, 0, FASE2-PERM, NO, 0,
0, NO,
 2739, BEAM    , UNILOAD, GZ, NO , NO, aDir[1], , , , 0, -0.0075, 1, -0.0075, 0, 0, 0, 0, FASE2-PERM, NO, 0,
0, NO,
 2740, BEAM    , UNILOAD, GZ, NO , NO, aDir[1], , , , 0, -0.0075, 1, -0.0075, 0, 0, 0, 0, FASE2-PERM, NO, 0,
0, NO,
 2741, BEAM    , UNILOAD, GZ, NO , NO, aDir[1], , , , 0, -0.0075, 1, -0.0075, 0, 0, 0, 0, FASE2-PERM, NO, 0,
```

```
0, NO,
 2742, BEAM    , UNILOAD, GZ, NO , NO, aDir[1], , , , 0, -0.0075, 1, -0.0075, 0, 0, 0, 0, FASE2-PERM, NO, 0,
0, NO,
 2743, BEAM    , UNILOAD, GZ, NO , NO, aDir[1], , , , 0, -0.0075, 1, -0.0075, 0, 0, 0, 0, FASE2-PERM, NO, 0,
0, NO,
 2744, BEAM    , UNILOAD, GZ, NO , NO, aDir[1], , , , 0, -0.0075, 1, -0.0075, 0, 0, 0, 0, FASE2-PERM, NO, 0,
0, NO,
 2745, BEAM    , UNILOAD, GZ, NO , NO, aDir[1], , , , 0, -0.0075, 1, -0.0075, 0, 0, 0, 0, FASE2-PERM, NO, 0,
0, NO,
 2746, BEAM    , UNILOAD, GZ, NO , NO, aDir[1], , , , 0, -0.0075, 1, -0.0075, 0, 0, 0, 0, FASE2-PERM, NO, 0,
0, NO,
 2747, BEAM    , UNILOAD, GZ, NO , NO, aDir[1], , , , 0, -0.0075, 1, -0.0075, 0, 0, 0, 0, FASE2-PERM, NO, 0,
0, NO,
 2748, BEAM    , UNILOAD, GZ, NO , NO, aDir[1], , , , 0, -0.0075, 1, -0.0075, 0, 0, 0, 0, FASE2-PERM, NO, 0,
0, NO,
 2749, BEAM    , UNILOAD, GZ, NO , NO, aDir[1], , , , 0, -0.0075, 1, -0.0075, 0, 0, 0, 0, FASE2-PERM, NO, 0,
0, NO,
 2750, BEAM    , UNILOAD, GZ, NO , NO, aDir[1], , , , 0, -0.0075, 1, -0.0075, 0, 0, 0, 0, FASE2-PERM, NO, 0,
0, NO,
 2751, BEAM    , UNILOAD, GZ, NO , NO, aDir[1], , , , 0, -0.0075, 1, -0.0075, 0, 0, 0, 0, FASE2-PERM, NO, 0,
0, NO,
 2752, BEAM    , UNILOAD, GZ, NO , NO, aDir[1], , , , 0, -0.0075, 1, -0.0075, 0, 0, 0, 0, FASE2-PERM, NO, 0,
0, NO,
 2753, BEAM    , UNILOAD, GZ, NO , NO, aDir[1], , , , 0, -0.0075, 1, -0.0075, 0, 0, 0, 0, FASE2-PERM, NO, 0,
0, NO,
 2754, BEAM    , UNILOAD, GZ, NO , NO, aDir[1], , , , 0, -0.0075, 1, -0.0075, 0, 0, 0, 0, FASE2-PERM, NO, 0,
0, NO,
 2755, BEAM    , UNILOAD, GZ, NO , NO, aDir[1], , , , 0, -0.0075, 1, -0.0075, 0, 0, 0, 0, FASE2-PERM, NO, 0,
0, NO,
 2756, BEAM    , UNILOAD, GZ, NO , NO, aDir[1], , , , 0, -0.0075, 1, -0.0075, 0, 0, 0, 0, FASE2-PERM, NO, 0,
0, NO,
 2757, BEAM    , UNILOAD, GZ, NO , NO, aDir[1], , , , 0, -0.0075, 1, -0.0075, 0, 0, 0, 0, FASE2-PERM, NO, 0,
0, NO,
 2758, BEAM    , UNILOAD, GZ, NO , NO, aDir[1], , , , 0, -0.0075, 1, -0.0075, 0, 0, 0, 0, FASE2-PERM, NO, 0,
0, NO,
 2759, BEAM    , UNILOAD, GZ, NO , NO, aDir[1], , , , 0, -0.0075, 1, -0.0075, 0, 0, 0, 0, FASE2-PERM, NO, 0,
0, NO,
 2760, BEAM    , UNILOAD, GZ, NO , NO, aDir[1], , , , 0, -0.0075, 1, -0.0075, 0, 0, 0, 0, FASE2-PERM, NO, 0,
0, NO,
 2761, BEAM    , UNILOAD, GZ, NO , NO, aDir[1], , , , 0, -0.0075, 1, -0.0075, 0, 0, 0, 0, FASE2-PERM, NO, 0,
0, NO,
 2762, BEAM    , UNILOAD, GZ, NO , NO, aDir[1], , , , 0, -0.0075, 1, -0.0075, 0, 0, 0, 0, FASE2-PERM, NO, 0,
0, NO,
 2763, BEAM    , UNILOAD, GZ, NO , NO, aDir[1], , , , 0, -0.0075, 1, -0.0075, 0, 0, 0, 0, FASE2-PERM, NO, 0,
0, NO,
 2764, BEAM    , UNILOAD, GZ, NO , NO, aDir[1], , , , 0, -0.0075, 1, -0.0075, 0, 0, 0, 0, FASE2-PERM, NO, 0,
0, NO,
 2765, BEAM    , UNILOAD, GZ, NO , NO, aDir[1], , , , 0, -0.0075, 1, -0.0075, 0, 0, 0, 0, FASE2-PERM, NO, 0,
0, NO,
 2766, BEAM    , UNILOAD, GZ, NO , NO, aDir[1], , , , 0, -0.0075, 1, -0.0075, 0, 0, 0, 0, FASE2-PERM, NO, 0,
0, NO,
 2767, BEAM    , UNILOAD, GZ, NO , NO, aDir[1], , , , 0, -0.0075, 1, -0.0075, 0, 0, 0, 0, FASE2-PERM, NO, 0,
0, NO,
 2768, BEAM    , UNILOAD, GZ, NO , NO, aDir[1], , , , 0, -0.0075, 1, -0.0075, 0, 0, 0, 0, FASE2-PERM, NO, 0,
0, NO,
 2769, BEAM    , UNILOAD, GZ, NO , NO, aDir[1], , , , 0, -0.0075, 1, -0.0075, 0, 0, 0, 0, FASE2-PERM, NO, 0,
0, NO,
 2770, BEAM    , UNILOAD, GZ, NO , NO, aDir[1], , , , 0, -0.0075, 1, -0.0075, 0, 0, 0, 0, FASE2-PERM, NO, 0,
0, NO,
 2771, BEAM    , UNILOAD, GZ, NO , NO, aDir[1], , , , 0, -0.0075, 1, -0.0075, 0, 0, 0, 0, FASE2-PERM, NO, 0,
0, NO,
 2772, BEAM    , UNILOAD, GZ, NO , NO, aDir[1], , , , 0, -0.0075, 1, -0.0075, 0, 0, 0, 0, FASE2-PERM, NO, 0,
0, NO,
 2773, BEAM    , UNILOAD, GZ, NO , NO, aDir[1], , , , 0, -0.0075, 1, -0.0075, 0, 0, 0, 0, FASE2-PERM, NO, 0,
0, NO,
 2774, BEAM    , UNILOAD, GZ, NO , NO, aDir[1], , , , 0, -0.0075, 1, -0.0075, 0, 0, 0, 0, FASE2-PERM, NO, 0,
0, NO,
 2775, BEAM    , UNILOAD, GZ, NO , NO, aDir[1], , , , 0, -0.0075, 1, -0.0075, 0, 0, 0, 0, FASE2-PERM, NO, 0,
0, NO,
 2776, BEAM    , UNILOAD, GZ, NO , NO, aDir[1], , , , 0, -0.0075, 1, -0.0075, 0, 0, 0, 0, FASE2-PERM, NO, 0,
0, NO,
 2777, BEAM    , UNILOAD, GZ, NO , NO, aDir[1], , , , 0, -0.0075, 1, -0.0075, 0, 0, 0, 0, FASE2-PERM, NO, 0,
0, NO,
 2778, BEAM    , UNILOAD, GZ, NO , NO, aDir[1], , , , 0, -0.0075, 1, -0.0075, 0, 0, 0, 0, FASE2-PERM, NO, 0,
0, NO,
 2779, BEAM    , UNILOAD, GZ, NO , NO, aDir[1], , , , 0, -0.0075, 1, -0.0075, 0, 0, 0, 0, FASE2-PERM, NO, 0,
0, NO,
 2780, BEAM    , UNILOAD, GZ, NO , NO, aDir[1], , , , 0, -0.0075, 1, -0.0075, 0, 0, 0, 0, FASE2-PERM, NO, 0,
```

```
0, NO,
 2781, BEAM    , UNILOAD, GZ, NO , NO, aDir[1], , , , 0, -0.0075, 1, -0.0075, 0, 0, 0, 0, FASE2-PERM, NO, 0,
0, NO,
 2782, BEAM    , UNILOAD, GZ, NO , NO, aDir[1], , , , 0, -0.0075, 1, -0.0075, 0, 0, 0, 0, FASE2-PERM, NO, 0,
0, NO,
 2783, BEAM    , UNILOAD, GZ, NO , NO, aDir[1], , , , 0, -0.0075, 1, -0.0075, 0, 0, 0, 0, FASE2-PERM, NO, 0,
0, NO,
 2784, BEAM    , UNILOAD, GZ, NO , NO, aDir[1], , , , 0, -0.0075, 1, -0.0075, 0, 0, 0, 0, FASE2-PERM, NO, 0,
0, NO,
 2785, BEAM    , UNILOAD, GZ, NO , NO, aDir[1], , , , 0, -0.0075, 1, -0.0075, 0, 0, 0, 0, FASE2-PERM, NO, 0,
0, NO,
 2786, BEAM    , UNILOAD, GZ, NO , NO, aDir[1], , , , 0, -0.0075, 1, -0.0075, 0, 0, 0, 0, FASE2-PERM, NO, 0,
0, NO,
 2787, BEAM    , UNILOAD, GZ, NO , NO, aDir[1], , , , 0, -0.0075, 1, -0.0075, 0, 0, 0, 0, FASE2-PERM, NO, 0,
0, NO,
 2788, BEAM    , UNILOAD, GZ, NO , NO, aDir[1], , , , 0, -0.0075, 1, -0.0075, 0, 0, 0, 0, FASE2-PERM, NO, 0,
0, NO,
 2789, BEAM    , UNILOAD, GZ, NO , NO, aDir[1], , , , 0, -0.0075, 1, -0.0075, 0, 0, 0, 0, FASE2-PERM, NO, 0,
0, NO,
 2790, BEAM    , UNILOAD, GZ, NO , NO, aDir[1], , , , 0, -0.0075, 1, -0.0075, 0, 0, 0, 0, FASE2-PERM, NO, 0,
0, NO,
 2791, BEAM    , UNILOAD, GZ, NO , NO, aDir[1], , , , 0, -0.0075, 1, -0.0075, 0, 0, 0, 0, FASE2-PERM, NO, 0,
0, NO,
 2792, BEAM    , UNILOAD, GZ, NO , NO, aDir[1], , , , 0, -0.0075, 1, -0.0075, 0, 0, 0, 0, FASE2-PERM, NO, 0,
0, NO,
 2793, BEAM    , UNILOAD, GZ, NO , NO, aDir[1], , , , 0, -0.0075, 1, -0.0075, 0, 0, 0, 0, FASE2-PERM, NO, 0,
0, NO,
 2794, BEAM    , UNILOAD, GZ, NO , NO, aDir[1], , , , 0, -0.0075, 1, -0.0075, 0, 0, 0, 0, FASE2-PERM, NO, 0,
0, NO,
 2795, BEAM    , UNILOAD, GZ, NO , NO, aDir[1], , , , 0, -0.0075, 1, -0.0075, 0, 0, 0, 0, FASE2-PERM, NO, 0,
0, NO,
 2796, BEAM    , UNILOAD, GZ, NO , NO, aDir[1], , , , 0, -0.0075, 1, -0.0075, 0, 0, 0, 0, FASE2-PERM, NO, 0,
0, NO,
 2797, BEAM    , UNILOAD, GZ, NO , NO, aDir[1], , , , 0, -0.0075, 1, -0.0075, 0, 0, 0, 0, FASE2-PERM, NO, 0,
0, NO,
 2798, BEAM    , UNILOAD, GZ, NO , NO, aDir[1], , , , 0, -0.0075, 1, -0.0075, 0, 0, 0, 0, FASE2-PERM, NO, 0,
0, NO,
 2799, BEAM    , UNILOAD, GZ, NO , NO, aDir[1], , , , 0, -0.0075, 1, -0.0075, 0, 0, 0, 0, FASE2-PERM, NO, 0,
0, NO,
 2800, BEAM    , UNILOAD, GZ, NO , NO, aDir[1], , , , 0, -0.0075, 1, -0.0075, 0, 0, 0, 0, FASE2-PERM, NO, 0,
0, NO,
 2801, BEAM    , UNILOAD, GZ, NO , NO, aDir[1], , , , 0, -0.0075, 1, -0.0075, 0, 0, 0, 0, FASE2-PERM, NO, 0,
0, NO,
 2802, BEAM    , UNILOAD, GZ, NO , NO, aDir[1], , , , 0, -0.0075, 1, -0.0075, 0, 0, 0, 0, FASE2-PERM, NO, 0,
0, NO,
 2803, BEAM    , UNILOAD, GZ, NO , NO, aDir[1], , , , 0, -0.0075, 1, -0.0075, 0, 0, 0, 0, FASE2-PERM, NO, 0,
0, NO,
 2804, BEAM    , UNILOAD, GZ, NO , NO, aDir[1], , , , 0, -0.0075, 1, -0.0075, 0, 0, 0, 0, FASE2-PERM, NO, 0,
0, NO,
 2805, BEAM    , UNILOAD, GZ, NO , NO, aDir[1], , , , 0, -0.0075, 1, -0.0075, 0, 0, 0, 0, FASE2-PERM, NO, 0,
0, NO,
 2806, BEAM    , UNILOAD, GZ, NO , NO, aDir[1], , , , 0, -0.0075, 1, -0.0075, 0, 0, 0, 0, FASE2-PERM, NO, 0,
0, NO,
 2807, BEAM    , UNILOAD, GZ, NO , NO, aDir[1], , , , 0, -0.0075, 1, -0.0075, 0, 0, 0, 0, FASE2-PERM, NO, 0,
0, NO,
 2808, BEAM    , UNILOAD, GZ, NO , NO, aDir[1], , , , 0, -0.0075, 1, -0.0075, 0, 0, 0, 0, FASE2-PERM, NO, 0,
0, NO,
 2809, BEAM    , UNILOAD, GZ, NO , NO, aDir[1], , , , 0, -0.0075, 1, -0.0075, 0, 0, 0, 0, FASE2-PERM, NO, 0,
0, NO,
 2810, BEAM    , UNILOAD, GZ, NO , NO, aDir[1], , , , 0, -0.0075, 1, -0.0075, 0, 0, 0, 0, FASE2-PERM, NO, 0,
0, NO,
 2811, BEAM    , UNILOAD, GZ, NO , NO, aDir[1], , , , 0, -0.0075, 1, -0.0075, 0, 0, 0, 0, FASE2-PERM, NO, 0,
0, NO,
 2812, BEAM    , UNILOAD, GZ, NO , NO, aDir[1], , , , 0, -0.0075, 1, -0.0075, 0, 0, 0, 0, FASE2-PERM, NO, 0,
0, NO,
 2813, BEAM    , UNILOAD, GZ, NO , NO, aDir[1], , , , 0, -0.0075, 1, -0.0075, 0, 0, 0, 0, FASE2-PERM, NO, 0,
0, NO,
 2814, BEAM    , UNILOAD, GZ, NO , NO, aDir[1], , , , 0, -0.0075, 1, -0.0075, 0, 0, 0, 0, FASE2-PERM, NO, 0,
0, NO,
 2815, BEAM    , UNILOAD, GZ, NO , NO, aDir[1], , , , 0, -0.0075, 1, -0.0075, 0, 0, 0, 0, FASE2-PERM, NO, 0,
0, NO,
 2816, BEAM    , UNILOAD, GZ, NO , NO, aDir[1], , , , 0, -0.0075, 1, -0.0075, 0, 0, 0, 0, FASE2-PERM, NO, 0,
0, NO,
 2817, BEAM    , UNILOAD, GZ, NO , NO, aDir[1], , , , 0, -0.0075, 1, -0.0075, 0, 0, 0, 0, FASE2-PERM, NO, 0,
0, NO,
 2818, BEAM    , UNILOAD, GZ, NO , NO, aDir[1], , , , 0, -0.0075, 1, -0.0075, 0, 0, 0, 0, FASE2-PERM, NO, 0,
0, NO,
 2819, BEAM    , UNILOAD, GZ, NO , NO, aDir[1], , , , 0, -0.0075, 1, -0.0075, 0, 0, 0, 0, FASE2-PERM, NO, 0,
```

```
0, NO,
 2820, BEAM    , UNILOAD, GZ, NO , NO, aDir[1], , , , 0, -0.0075, 1, -0.0075, 0, 0, 0, 0, FASE2-PERM, NO, 0,
0, NO,
 2821, BEAM    , UNILOAD, GZ, NO , NO, aDir[1], , , , 0, -0.0075, 1, -0.0075, 0, 0, 0, 0, FASE2-PERM, NO, 0,
0, NO,
 2822, BEAM    , UNILOAD, GZ, NO , NO, aDir[1], , , , 0, -0.0075, 1, -0.0075, 0, 0, 0, 0, FASE2-PERM, NO, 0,
0, NO,
 2823, BEAM    , UNILOAD, GZ, NO , NO, aDir[1], , , , 0, -0.0075, 1, -0.0075, 0, 0, 0, 0, FASE2-PERM, NO, 0,
0, NO,
 2824, BEAM    , UNILOAD, GZ, NO , NO, aDir[1], , , , 0, -0.0075, 1, -0.0075, 0, 0, 0, 0, FASE2-PERM, NO, 0,
0, NO,
 2825, BEAM    , UNILOAD, GZ, NO , NO, aDir[1], , , , 0, -0.0075, 1, -0.0075, 0, 0, 0, 0, FASE2-PERM, NO, 0,
0, NO,
 2826, BEAM    , UNILOAD, GZ, NO , NO, aDir[1], , , , 0, -0.0075, 1, -0.0075, 0, 0, 0, 0, FASE2-PERM, NO, 0,
0, NO,
 2827, BEAM    , UNILOAD, GZ, NO , NO, aDir[1], , , , 0, -0.0075, 1, -0.0075, 0, 0, 0, 0, FASE2-PERM, NO, 0,
0, NO,
 2828, BEAM    , UNILOAD, GZ, NO , NO, aDir[1], , , , 0, -0.0075, 1, -0.0075, 0, 0, 0, 0, FASE2-PERM, NO, 0,
0, NO,
 2829, BEAM    , UNILOAD, GZ, NO , NO, aDir[1], , , , 0, -0.0075, 1, -0.0075, 0, 0, 0, 0, FASE2-PERM, NO, 0,
0, NO,
 2830, BEAM    , UNILOAD, GZ, NO , NO, aDir[1], , , , 0, -0.0075, 1, -0.0075, 0, 0, 0, 0, FASE2-PERM, NO, 0,
0, NO,
 2831, BEAM    , UNILOAD, GZ, NO , NO, aDir[1], , , , 0, -0.0075, 1, -0.0075, 0, 0, 0, 0, FASE2-PERM, NO, 0,
0, NO,
 2832, BEAM    , UNILOAD, GZ, NO , NO, aDir[1], , , , 0, -0.0075, 1, -0.0075, 0, 0, 0, 0, FASE2-PERM, NO, 0,
0, NO,
 2833, BEAM    , UNILOAD, GZ, NO , NO, aDir[1], , , , 0, -0.0075, 1, -0.0075, 0, 0, 0, 0, FASE2-PERM, NO, 0,
0, NO,
 2834, BEAM    , UNILOAD, GZ, NO , NO, aDir[1], , , , 0, -0.0075, 1, -0.0075, 0, 0, 0, 0, FASE2-PERM, NO, 0,
0, NO,
 2835, BEAM    , UNILOAD, GZ, NO , NO, aDir[1], , , , 0, -0.0075, 1, -0.0075, 0, 0, 0, 0, FASE2-PERM, NO, 0,
0, NO,
 2836, BEAM    , UNILOAD, GZ, NO , NO, aDir[1], , , , 0, -0.0075, 1, -0.0075, 0, 0, 0, 0, FASE2-PERM, NO, 0,
0, NO,
 2837, BEAM    , UNILOAD, GZ, NO , NO, aDir[1], , , , 0, -0.0075, 1, -0.0075, 0, 0, 0, 0, FASE2-PERM, NO, 0,
0, NO,
 2838, BEAM    , UNILOAD, GZ, NO , NO, aDir[1], , , , 0, -0.0075, 1, -0.0075, 0, 0, 0, 0, FASE2-PERM, NO, 0,
0, NO,
 2839, BEAM    , UNILOAD, GZ, NO , NO, aDir[1], , , , 0, -0.0075, 1, -0.0075, 0, 0, 0, 0, FASE2-PERM, NO, 0,
0, NO,
 2840, BEAM    , UNILOAD, GZ, NO , NO, aDir[1], , , , 0, -0.0075, 1, -0.0075, 0, 0, 0, 0, FASE2-PERM, NO, 0,
0, NO,
 2841, BEAM    , UNILOAD, GZ, NO , NO, aDir[1], , , , 0, -0.0075, 1, -0.0075, 0, 0, 0, 0, FASE2-PERM, NO, 0,
0, NO,
 2842, BEAM    , UNILOAD, GZ, NO , NO, aDir[1], , , , 0, -0.0075, 1, -0.0075, 0, 0, 0, 0, FASE2-PERM, NO, 0,
0, NO,
 2843, BEAM    , UNILOAD, GZ, NO , NO, aDir[1], , , , 0, -0.0075, 1, -0.0075, 0, 0, 0, 0, FASE2-PERM, NO, 0,
0, NO,
 2844, BEAM    , UNILOAD, GZ, NO , NO, aDir[1], , , , 0, -0.0075, 1, -0.0075, 0, 0, 0, 0, FASE2-PERM, NO, 0,
0, NO,
 2845, BEAM    , UNILOAD, GZ, NO , NO, aDir[1], , , , 0, -0.0075, 1, -0.0075, 0, 0, 0, 0, FASE2-PERM, NO, 0,
0, NO,
 2846, BEAM    , UNILOAD, GZ, NO , NO, aDir[1], , , , 0, -0.0075, 1, -0.0075, 0, 0, 0, 0, FASE2-PERM, NO, 0,
0, NO,
 2847, BEAM    , UNILOAD, GZ, NO , NO, aDir[1], , , , 0, -0.0075, 1, -0.0075, 0, 0, 0, 0, FASE2-PERM, NO, 0,
0, NO,
 2848, BEAM    , UNILOAD, GZ, NO , NO, aDir[1], , , , 0, -0.0075, 1, -0.0075, 0, 0, 0, 0, FASE2-PERM, NO, 0,
0, NO,
 2849, BEAM    , UNILOAD, GZ, NO , NO, aDir[1], , , , 0, -0.0075, 1, -0.0075, 0, 0, 0, 0, FASE2-PERM, NO, 0,
0, NO,
 2850, BEAM    , UNILOAD, GZ, NO , NO, aDir[1], , , , 0, -0.0075, 1, -0.0075, 0, 0, 0, 0, FASE2-PERM, NO, 0,
0, NO,
 2851, BEAM    , UNILOAD, GZ, NO , NO, aDir[1], , , , 0, -0.0075, 1, -0.0075, 0, 0, 0, 0, FASE2-PERM, NO, 0,
0, NO,
 2852, BEAM    , UNILOAD, GZ, NO , NO, aDir[1], , , , 0, -0.0075, 1, -0.0075, 0, 0, 0, 0, FASE2-PERM, NO, 0,
0, NO,
 2853, BEAM    , UNILOAD, GZ, NO , NO, aDir[1], , , , 0, -0.0075, 1, -0.0075, 0, 0, 0, 0, FASE2-PERM, NO, 0,
0, NO,
 2854, BEAM    , UNILOAD, GZ, NO , NO, aDir[1], , , , 0, -0.0075, 1, -0.0075, 0, 0, 0, 0, FASE2-PERM, NO, 0,
0, NO,
 2855, BEAM    , UNILOAD, GZ, NO , NO, aDir[1], , , , 0, -0.0075, 1, -0.0075, 0, 0, 0, 0, FASE2-PERM, NO, 0,
0, NO,
 2856, BEAM    , UNILOAD, GZ, NO , NO, aDir[1], , , , 0, -0.0075, 1, -0.0075, 0, 0, 0, 0, FASE2-PERM, NO, 0,
0, NO,
 2857, BEAM    , UNILOAD, GZ, NO , NO, aDir[1], , , , 0, -0.0075, 1, -0.0075, 0, 0, 0, 0, FASE2-PERM, NO, 0,
0, NO,
 2858, BEAM    , UNILOAD, GZ, NO , NO, aDir[1], , , , 0, -0.0075, 1, -0.0075, 0, 0, 0, 0, FASE2-PERM, NO, 0,
```

0, NO,
2859, BEAM , UNILOAD, GZ, NO , NO, aDir[1], , , , 0, -0.0075, 1, -0.0075, 0, 0, 0, 0, FASE2-PERM, NO, 0,
0, NO,
2860, BEAM , UNILOAD, GZ, NO , NO, aDir[1], , , , 0, -0.0075, 1, -0.0075, 0, 0, 0, 0, FASE2-PERM, NO, 0,
0, NO,
2861, BEAM , UNILOAD, GZ, NO , NO, aDir[1], , , , 0, -0.0075, 1, -0.0075, 0, 0, 0, 0, FASE2-PERM, NO, 0,
0, NO,
2862, BEAM , UNILOAD, GZ, NO , NO, aDir[1], , , , 0, -0.0075, 1, -0.0075, 0, 0, 0, 0, FASE2-PERM, NO, 0,
0, NO,
2863, BEAM , UNILOAD, GZ, NO , NO, aDir[1], , , , 0, -0.0075, 1, -0.0075, 0, 0, 0, 0, FASE2-PERM, NO, 0,
0, NO,
2864, BEAM , UNILOAD, GZ, NO , NO, aDir[1], , , , 0, -0.0075, 1, -0.0075, 0, 0, 0, 0, FASE2-PERM, NO, 0,
0, NO,
2865, BEAM , UNILOAD, GZ, NO , NO, aDir[1], , , , 0, -0.0075, 1, -0.0075, 0, 0, 0, 0, FASE2-PERM, NO, 0,
0, NO,
2866, BEAM , UNILOAD, GZ, NO , NO, aDir[1], , , , 0, -0.0075, 1, -0.0075, 0, 0, 0, 0, FASE2-PERM, NO, 0,
0, NO,
2867, BEAM , UNILOAD, GZ, NO , NO, aDir[1], , , , 0, -0.0075, 1, -0.0075, 0, 0, 0, 0, FASE2-PERM, NO, 0,
0, NO,
2868, BEAM , UNILOAD, GZ, NO , NO, aDir[1], , , , 0, -0.0075, 1, -0.0075, 0, 0, 0, 0, FASE2-PERM, NO, 0,
0, NO,
2869, BEAM , UNILOAD, GZ, NO , NO, aDir[1], , , , 0, -0.0075, 1, -0.0075, 0, 0, 0, 0, FASE2-PERM, NO, 0,
0, NO,
2870, BEAM , UNILOAD, GZ, NO , NO, aDir[1], , , , 0, -0.0075, 1, -0.0075, 0, 0, 0, 0, FASE2-PERM, NO, 0,
0, NO,
2871, BEAM , UNILOAD, GZ, NO , NO, aDir[1], , , , 0, -0.0075, 1, -0.0075, 0, 0, 0, 0, FASE2-PERM, NO, 0,
0, NO,
2872, BEAM , UNILOAD, GZ, NO , NO, aDir[1], , , , 0, -0.0075, 1, -0.0075, 0, 0, 0, 0, FASE2-PERM, NO, 0,
0, NO,
2873, BEAM , UNILOAD, GZ, NO , NO, aDir[1], , , , 0, -0.0075, 1, -0.0075, 0, 0, 0, 0, FASE2-PERM, NO, 0,
0, NO,
2874, BEAM , UNILOAD, GZ, NO , NO, aDir[1], , , , 0, -0.0075, 1, -0.0075, 0, 0, 0, 0, FASE2-PERM, NO, 0,
0, NO,
2875, BEAM , UNILOAD, GZ, NO , NO, aDir[1], , , , 0, -0.0075, 1, -0.0075, 0, 0, 0, 0, FASE2-PERM, NO, 0,
0, NO,
2876, BEAM , UNILOAD, GZ, NO , NO, aDir[1], , , , 0, -0.0075, 1, -0.0075, 0, 0, 0, 0, FASE2-PERM, NO, 0,
0, NO,
2877, BEAM , UNILOAD, GZ, NO , NO, aDir[1], , , , 0, -0.0075, 1, -0.0075, 0, 0, 0, 0, FASE2-PERM, NO, 0,
0, NO,
2878, BEAM , UNILOAD, GZ, NO , NO, aDir[1], , , , 0, -0.0075, 1, -0.0075, 0, 0, 0, 0, FASE2-PERM, NO, 0,
0, NO,
2879, BEAM , UNILOAD, GZ, NO , NO, aDir[1], , , , 0, -0.0075, 1, -0.0075, 0, 0, 0, 0, FASE2-PERM, NO, 0,
0, NO,
2880, BEAM , UNILOAD, GZ, NO , NO, aDir[1], , , , 0, -0.0075, 1, -0.0075, 0, 0, 0, 0, FASE2-PERM, NO, 0,
0, NO,
2881, BEAM , UNILOAD, GZ, NO , NO, aDir[1], , , , 0, -0.0075, 1, -0.0075, 0, 0, 0, 0, FASE2-PERM, NO, 0,
0, NO,
2882, BEAM , UNILOAD, GZ, NO , NO, aDir[1], , , , 0, -0.0075, 1, -0.0075, 0, 0, 0, 0, FASE2-PERM, NO, 0,
0, NO,
2883, BEAM , UNILOAD, GZ, NO , NO, aDir[1], , , , 0, -0.0075, 1, -0.0075, 0, 0, 0, 0, FASE2-PERM, NO, 0,
0, NO,
2884, BEAM , UNILOAD, GZ, NO , NO, aDir[1], , , , 0, -0.0075, 1, -0.0075, 0, 0, 0, 0, FASE2-PERM, NO, 0,
0, NO,
2885, BEAM , UNILOAD, GZ, NO , NO, aDir[1], , , , 0, -0.0075, 1, -0.0075, 0, 0, 0, 0, FASE2-PERM, NO, 0,
0, NO,
2886, BEAM , UNILOAD, GZ, NO , NO, aDir[1], , , , 0, -0.0075, 1, -0.0075, 0, 0, 0, 0, FASE2-PERM, NO, 0,
0, NO,
2887, BEAM , UNILOAD, GZ, NO , NO, aDir[1], , , , 0, -0.0075, 1, -0.0075, 0, 0, 0, 0, FASE2-PERM, NO, 0,
0, NO,
2888, BEAM , UNILOAD, GZ, NO , NO, aDir[1], , , , 0, -0.0075, 1, -0.0075, 0, 0, 0, 0, FASE2-PERM, NO, 0,
0, NO,
2889, BEAM , UNILOAD, GZ, NO , NO, aDir[1], , , , 0, -0.0075, 1, -0.0075, 0, 0, 0, 0, FASE2-PERM, NO, 0,
0, NO,
2890, BEAM , UNILOAD, GZ, NO , NO, aDir[1], , , , 0, -0.0075, 1, -0.0075, 0, 0, 0, 0, FASE2-PERM, NO, 0,
0, NO,
2891, BEAM , UNILOAD, GZ, NO , NO, aDir[1], , , , 0, -0.0075, 1, -0.0075, 0, 0, 0, 0, FASE2-PERM, NO, 0,
0, NO,
3097, BEAM , UNILOAD, GZ, NO , NO, aDir[1], , , , 0, -0.0075, 1, -0.0075, 0, 0, 0, 0, FASE2-PERM, NO, 0,
0, NO,
3098, BEAM , UNILOAD, GZ, NO , NO, aDir[1], , , , 0, -0.0075, 1, -0.0075, 0, 0, 0, 0, FASE2-PERM, NO, 0,
0, NO,
3099, BEAM , UNILOAD, GZ, NO , NO, aDir[1], , , , 0, -0.0075, 1, -0.0075, 0, 0, 0, 0, FASE2-PERM, NO, 0,
0, NO,
3100, BEAM , UNILOAD, GZ, NO , NO, aDir[1], , , , 0, -0.0075, 1, -0.0075, 0, 0, 0, 0, FASE2-PERM, NO, 0,
0, NO,
3101, BEAM , UNILOAD, GZ, NO , NO, aDir[1], , , , 0, -0.0075, 1, -0.0075, 0, 0, 0, 0, FASE2-PERM, NO, 0,
0, NO,
3102, BEAM , UNILOAD, GZ, NO , NO, aDir[1], , , , 0, -0.0075, 1, -0.0075, 0, 0, 0, 0, FASE2-PERM, NO, 0,

```
0, NO,
 3103, BEAM    , UNILOAD, GZ, NO , NO, aDir[1], , , , 0, -0.0075, 1, -0.0075, 0, 0, 0, 0, FASE2-PERM, NO, 0,
0, NO,
 3104, BEAM    , UNILOAD, GZ, NO , NO, aDir[1], , , , 0, -0.0075, 1, -0.0075, 0, 0, 0, 0, FASE2-PERM, NO, 0,
0, NO,
 3105, BEAM    , UNILOAD, GZ, NO , NO, aDir[1], , , , 0, -0.0075, 1, -0.0075, 0, 0, 0, 0, FASE2-PERM, NO, 0,
0, NO,
 3106, BEAM    , UNILOAD, GZ, NO , NO, aDir[1], , , , 0, -0.0075, 1, -0.0075, 0, 0, 0, 0, FASE2-PERM, NO, 0,
0, NO,
 3107, BEAM    , UNILOAD, GZ, NO , NO, aDir[1], , , , 0, -0.0075, 1, -0.0075, 0, 0, 0, 0, FASE2-PERM, NO, 0,
0, NO,
 3108, BEAM    , UNILOAD, GZ, NO , NO, aDir[1], , , , 0, -0.0075, 1, -0.0075, 0, 0, 0, 0, FASE2-PERM, NO, 0,
0, NO,
 3109, BEAM    , UNILOAD, GZ, NO , NO, aDir[1], , , , 0, -0.0075, 1, -0.0075, 0, 0, 0, 0, FASE2-PERM, NO, 0,
0, NO,
 3110, BEAM    , UNILOAD, GZ, NO , NO, aDir[1], , , , 0, -0.0075, 1, -0.0075, 0, 0, 0, 0, FASE2-PERM, NO, 0,
0, NO,
 3111, BEAM    , UNILOAD, GZ, NO , NO, aDir[1], , , , 0, -0.0075, 1, -0.0075, 0, 0, 0, 0, FASE2-PERM, NO, 0,
0, NO,
 3112, BEAM    , UNILOAD, GZ, NO , NO, aDir[1], , , , 0, -0.0075, 1, -0.0075, 0, 0, 0, 0, FASE2-PERM, NO, 0,
0, NO,
 3113, BEAM    , UNILOAD, GZ, NO , NO, aDir[1], , , , 0, -0.0075, 1, -0.0075, 0, 0, 0, 0, FASE2-PERM, NO, 0,
0, NO,
 3114, BEAM    , UNILOAD, GZ, NO , NO, aDir[1], , , , 0, -0.0075, 1, -0.0075, 0, 0, 0, 0, FASE2-PERM, NO, 0,
0, NO,
 3115, BEAM    , UNILOAD, GZ, NO , NO, aDir[1], , , , 0, -0.0075, 1, -0.0075, 0, 0, 0, 0, FASE2-PERM, NO, 0,
0, NO,
 3116, BEAM    , UNILOAD, GZ, NO , NO, aDir[1], , , , 0, -0.0075, 1, -0.0075, 0, 0, 0, 0, FASE2-PERM, NO, 0,
0, NO,
 3117, BEAM    , UNILOAD, GZ, NO , NO, aDir[1], , , , 0, -0.0075, 1, -0.0075, 0, 0, 0, 0, FASE2-PERM, NO, 0,
0, NO,
 3118, BEAM    , UNILOAD, GZ, NO , NO, aDir[1], , , , 0, -0.0075, 1, -0.0075, 0, 0, 0, 0, FASE2-PERM, NO, 0,
0, NO,
 3119, BEAM    , UNILOAD, GZ, NO , NO, aDir[1], , , , 0, -0.0075, 1, -0.0075, 0, 0, 0, 0, FASE2-PERM, NO, 0,
0, NO,
 3120, BEAM    , UNILOAD, GZ, NO , NO, aDir[1], , , , 0, -0.0075, 1, -0.0075, 0, 0, 0, 0, FASE2-PERM, NO, 0,
0, NO,
 3121, BEAM    , UNILOAD, GZ, NO , NO, aDir[1], , , , 0, -0.0075, 1, -0.0075, 0, 0, 0, 0, FASE2-PERM, NO, 0,
0, NO,
 3122, BEAM    , UNILOAD, GZ, NO , NO, aDir[1], , , , 0, -0.0075, 1, -0.0075, 0, 0, 0, 0, FASE2-PERM, NO, 0,
0, NO,
 3123, BEAM    , UNILOAD, GZ, NO , NO, aDir[1], , , , 0, -0.0075, 1, -0.0075, 0, 0, 0, 0, FASE2-PERM, NO, 0,
0, NO,
 3124, BEAM    , UNILOAD, GZ, NO , NO, aDir[1], , , , 0, -0.0075, 1, -0.0075, 0, 0, 0, 0, FASE2-PERM, NO, 0,
0, NO,
 3125, BEAM    , UNILOAD, GZ, NO , NO, aDir[1], , , , 0, -0.0075, 1, -0.0075, 0, 0, 0, 0, FASE2-PERM, NO, 0,
0, NO,
 3126, BEAM    , UNILOAD, GZ, NO , NO, aDir[1], , , , 0, -0.0075, 1, -0.0075, 0, 0, 0, 0, FASE2-PERM, NO, 0,
0, NO,
 3127, BEAM    , UNILOAD, GZ, NO , NO, aDir[1], , , , 0, -0.0075, 1, -0.0075, 0, 0, 0, 0, FASE2-PERM, NO, 0,
0, NO,
 3128, BEAM    , UNILOAD, GZ, NO , NO, aDir[1], , , , 0, -0.0075, 1, -0.0075, 0, 0, 0, 0, FASE2-PERM, NO, 0,
0, NO,
 3129, BEAM    , UNILOAD, GZ, NO , NO, aDir[1], , , , 0, -0.0075, 1, -0.0075, 0, 0, 0, 0, FASE2-PERM, NO, 0,
0, NO,
 3130, BEAM    , UNILOAD, GZ, NO , NO, aDir[1], , , , 0, -0.0075, 1, -0.0075, 0, 0, 0, 0, FASE2-PERM, NO, 0,
0, NO,
 3131, BEAM    , UNILOAD, GZ, NO , NO, aDir[1], , , , 0, -0.0075, 1, -0.0075, 0, 0, 0, 0, FASE2-PERM, NO, 0,
0, NO,
 3132, BEAM    , UNILOAD, GZ, NO , NO, aDir[1], , , , 0, -0.0075, 1, -0.0075, 0, 0, 0, 0, FASE2-PERM, NO, 0,
0, NO,
 3133, BEAM    , UNILOAD, GZ, NO , NO, aDir[1], , , , 0, -0.0075, 1, -0.0075, 0, 0, 0, 0, FASE2-PERM, NO, 0,
0, NO,
 3134, BEAM    , UNILOAD, GZ, NO , NO, aDir[1], , , , 0, -0.0075, 1, -0.0075, 0, 0, 0, 0, FASE2-PERM, NO, 0,
0, NO,
 3135, BEAM    , UNILOAD, GZ, NO , NO, aDir[1], , , , 0, -0.0075, 1, -0.0075, 0, 0, 0, 0, FASE2-PERM, NO, 0,
0, NO,
 3136, BEAM    , UNILOAD, GZ, NO , NO, aDir[1], , , , 0, -0.0075, 1, -0.0075, 0, 0, 0, 0, FASE2-PERM, NO, 0,
0, NO,
 3137, BEAM    , UNILOAD, GZ, NO , NO, aDir[1], , , , 0, -0.0075, 1, -0.0075, 0, 0, 0, 0, FASE2-PERM, NO, 0,
0, NO,
 3138, BEAM    , UNILOAD, GZ, NO , NO, aDir[1], , , , 0, -0.0075, 1, -0.0075, 0, 0, 0, 0, FASE2-PERM, NO, 0,
0, NO,
 3139, BEAM    , UNILOAD, GZ, NO , NO, aDir[1], , , , 0, -0.0075, 1, -0.0075, 0, 0, 0, 0, FASE2-PERM, NO, 0,
0, NO,
 3140, BEAM    , UNILOAD, GZ, NO , NO, aDir[1], , , , 0, -0.0075, 1, -0.0075, 0, 0, 0, 0, FASE2-PERM, NO, 0,
0, NO,
 3141, BEAM    , UNILOAD, GZ, NO , NO, aDir[1], , , , 0, -0.0075, 1, -0.0075, 0, 0, 0, 0, FASE2-PERM, NO, 0,
```

```
0, NO,
 3142, BEAM    , UNILOAD, GZ, NO , NO, aDir[1], , , , 0, -0.0075, 1, -0.0075, 0, 0, 0, 0, FASE2-PERM, NO, 0,
0, NO,
 3143, BEAM    , UNILOAD, GZ, NO , NO, aDir[1], , , , 0, -0.0075, 1, -0.0075, 0, 0, 0, 0, FASE2-PERM, NO, 0,
0, NO,
 3144, BEAM    , UNILOAD, GZ, NO , NO, aDir[1], , , , 0, -0.0075, 1, -0.0075, 0, 0, 0, 0, FASE2-PERM, NO, 0,
0, NO,
 3145, BEAM    , UNILOAD, GZ, NO , NO, aDir[1], , , , 0, -0.0075, 1, -0.0075, 0, 0, 0, 0, FASE2-PERM, NO, 0,
0, NO,
 3146, BEAM    , UNILOAD, GZ, NO , NO, aDir[1], , , , 0, -0.0075, 1, -0.0075, 0, 0, 0, 0, FASE2-PERM, NO, 0,
0, NO,
 3147, BEAM    , UNILOAD, GZ, NO , NO, aDir[1], , , , 0, -0.0075, 1, -0.0075, 0, 0, 0, 0, FASE2-PERM, NO, 0,
0, NO,
 3148, BEAM    , UNILOAD, GZ, NO , NO, aDir[1], , , , 0, -0.0075, 1, -0.0075, 0, 0, 0, 0, FASE2-PERM, NO, 0,
0, NO,
 3149, BEAM    , UNILOAD, GZ, NO , NO, aDir[1], , , , 0, -0.0075, 1, -0.0075, 0, 0, 0, 0, FASE2-PERM, NO, 0,
0, NO,
 3150, BEAM    , UNILOAD, GZ, NO , NO, aDir[1], , , , 0, -0.0075, 1, -0.0075, 0, 0, 0, 0, FASE2-PERM, NO, 0,
0, NO,
 3151, BEAM    , UNILOAD, GZ, NO , NO, aDir[1], , , , 0, -0.0075, 1, -0.0075, 0, 0, 0, 0, FASE2-PERM, NO, 0,
0, NO,
 3152, BEAM    , UNILOAD, GZ, NO , NO, aDir[1], , , , 0, -0.0075, 1, -0.0075, 0, 0, 0, 0, FASE2-PERM, NO, 0,
0, NO,
 3153, BEAM    , UNILOAD, GZ, NO , NO, aDir[1], , , , 0, -0.0075, 1, -0.0075, 0, 0, 0, 0, FASE2-PERM, NO, 0,
0, NO,
 3154, BEAM    , UNILOAD, GZ, NO , NO, aDir[1], , , , 0, -0.0075, 1, -0.0075, 0, 0, 0, 0, FASE2-PERM, NO, 0,
0, NO,
 3155, BEAM    , UNILOAD, GZ, NO , NO, aDir[1], , , , 0, -0.0075, 1, -0.0075, 0, 0, 0, 0, FASE2-PERM, NO, 0,
0, NO,
 3156, BEAM    , UNILOAD, GZ, NO , NO, aDir[1], , , , 0, -0.0075, 1, -0.0075, 0, 0, 0, 0, FASE2-PERM, NO, 0,
0, NO,
 3157, BEAM    , UNILOAD, GZ, NO , NO, aDir[1], , , , 0, -0.0075, 1, -0.0075, 0, 0, 0, 0, FASE2-PERM, NO, 0,
0, NO,
 3158, BEAM    , UNILOAD, GZ, NO , NO, aDir[1], , , , 0, -0.0075, 1, -0.0075, 0, 0, 0, 0, FASE2-PERM, NO, 0,
0, NO,
 3159, BEAM    , UNILOAD, GZ, NO , NO, aDir[1], , , , 0, -0.0075, 1, -0.0075, 0, 0, 0, 0, FASE2-PERM, NO, 0,
0, NO,
 3160, BEAM    , UNILOAD, GZ, NO , NO, aDir[1], , , , 0, -0.0075, 1, -0.0075, 0, 0, 0, 0, FASE2-PERM, NO, 0,
0, NO,
 3161, BEAM    , UNILOAD, GZ, NO , NO, aDir[1], , , , 0, -0.0075, 1, -0.0075, 0, 0, 0, 0, FASE2-PERM, NO, 0,
0, NO,
 3162, BEAM    , UNILOAD, GZ, NO , NO, aDir[1], , , , 0, -0.0075, 1, -0.0075, 0, 0, 0, 0, FASE2-PERM, NO, 0,
0, NO,
 3163, BEAM    , UNILOAD, GZ, NO , NO, aDir[1], , , , 0, -0.0075, 1, -0.0075, 0, 0, 0, 0, FASE2-PERM, NO, 0,
0, NO,
 3164, BEAM    , UNILOAD, GZ, NO , NO, aDir[1], , , , 0, -0.0075, 1, -0.0075, 0, 0, 0, 0, FASE2-PERM, NO, 0,
0, NO,
 3165, BEAM    , UNILOAD, GZ, NO , NO, aDir[1], , , , 0, -0.0075, 1, -0.0075, 0, 0, 0, 0, FASE2-PERM, NO, 0,
0, NO,
 3166, BEAM    , UNILOAD, GZ, NO , NO, aDir[1], , , , 0, -0.0075, 1, -0.0075, 0, 0, 0, 0, FASE2-PERM, NO, 0,
0, NO,
 3167, BEAM    , UNILOAD, GZ, NO , NO, aDir[1], , , , 0, -0.0075, 1, -0.0075, 0, 0, 0, 0, FASE2-PERM, NO, 0,
0, NO,
 3168, BEAM    , UNILOAD, GZ, NO , NO, aDir[1], , , , 0, -0.0075, 1, -0.0075, 0, 0, 0, 0, FASE2-PERM, NO, 0,
0, NO,
 3169, BEAM    , UNILOAD, GZ, NO , NO, aDir[1], , , , 0, -0.0075, 1, -0.0075, 0, 0, 0, 0, FASE2-PERM, NO, 0,
0, NO,
 3170, BEAM    , UNILOAD, GZ, NO , NO, aDir[1], , , , 0, -0.0075, 1, -0.0075, 0, 0, 0, 0, FASE2-PERM, NO, 0,
0, NO,
 3171, BEAM    , UNILOAD, GZ, NO , NO, aDir[1], , , , 0, -0.0075, 1, -0.0075, 0, 0, 0, 0, FASE2-PERM, NO, 0,
0, NO,
 3172, BEAM    , UNILOAD, GZ, NO , NO, aDir[1], , , , 0, -0.0075, 1, -0.0075, 0, 0, 0, 0, FASE2-PERM, NO, 0,
0, NO,
 3173, BEAM    , UNILOAD, GZ, NO , NO, aDir[1], , , , 0, -0.0075, 1, -0.0075, 0, 0, 0, 0, FASE2-PERM, NO, 0,
0, NO,
 3174, BEAM    , UNILOAD, GZ, NO , NO, aDir[1], , , , 0, -0.0075, 1, -0.0075, 0, 0, 0, 0, FASE2-PERM, NO, 0,
0, NO,
 3175, BEAM    , UNILOAD, GZ, NO , NO, aDir[1], , , , 0, -0.0075, 1, -0.0075, 0, 0, 0, 0, FASE2-PERM, NO, 0,
0, NO,
 3176, BEAM    , UNILOAD, GZ, NO , NO, aDir[1], , , , 0, -0.0075, 1, -0.0075, 0, 0, 0, 0, FASE2-PERM, NO, 0,
0, NO,
 3177, BEAM    , UNILOAD, GZ, NO , NO, aDir[1], , , , 0, -0.0075, 1, -0.0075, 0, 0, 0, 0, FASE2-PERM, NO, 0,
0, NO,
 3178, BEAM    , UNILOAD, GZ, NO , NO, aDir[1], , , , 0, -0.0075, 1, -0.0075, 0, 0, 0, 0, FASE2-PERM, NO, 0,
0, NO,
 3179, BEAM    , UNILOAD, GZ, NO , NO, aDir[1], , , , 0, -0.0075, 1, -0.0075, 0, 0, 0, 0, FASE2-PERM, NO, 0,
0, NO,
 3180, BEAM    , UNILOAD, GZ, NO , NO, aDir[1], , , , 0, -0.0075, 1, -0.0075, 0, 0, 0, 0, FASE2-PERM, NO, 0,
```

	Company		Client	
	Author		File Name	Brembiolo1_08_completo(fasi)DEFINITIVO.mgt

```
0, NO,
 3181, BEAM    , UNILOAD, GZ, NO , NO, aDir[1], , , , 0, -0.0075, 1, -0.0075, 0, 0, 0, 0, FASE2-PERM, NO, 0,
0, NO,
 3182, BEAM    , UNILOAD, GZ, NO , NO, aDir[1], , , , 0, -0.0075, 1, -0.0075, 0, 0, 0, 0, FASE2-PERM, NO, 0,
0, NO,
 3183, BEAM    , UNILOAD, GZ, NO , NO, aDir[1], , , , 0, -0.0075, 1, -0.0075, 0, 0, 0, 0, FASE2-PERM, NO, 0,
0, NO,
 3184, BEAM    , UNILOAD, GZ, NO , NO, aDir[1], , , , 0, -0.0075, 1, -0.0075, 0, 0, 0, 0, FASE2-PERM, NO, 0,
0, NO,
 3185, BEAM    , UNILOAD, GZ, NO , NO, aDir[1], , , , 0, -0.0075, 1, -0.0075, 0, 0, 0, 0, FASE2-PERM, NO, 0,
0, NO,
 3186, BEAM    , UNILOAD, GZ, NO , NO, aDir[1], , , , 0, -0.0075, 1, -0.0075, 0, 0, 0, 0, FASE2-PERM, NO, 0,
0, NO,
 3187, BEAM    , UNILOAD, GZ, NO , NO, aDir[1], , , , 0, -0.0075, 1, -0.0075, 0, 0, 0, 0, FASE2-PERM, NO, 0,
0, NO,
 3188, BEAM    , UNILOAD, GZ, NO , NO, aDir[1], , , , 0, -0.0075, 1, -0.0075, 0, 0, 0, 0, FASE2-PERM, NO, 0,
0, NO,
 3189, BEAM    , UNILOAD, GZ, NO , NO, aDir[1], , , , 0, -0.0075, 1, -0.0075, 0, 0, 0, 0, FASE2-PERM, NO, 0,
0, NO,
 3190, BEAM    , UNILOAD, GZ, NO , NO, aDir[1], , , , 0, -0.0075, 1, -0.0075, 0, 0, 0, 0, FASE2-PERM, NO, 0,
0, NO,
 3191, BEAM    , UNILOAD, GZ, NO , NO, aDir[1], , , , 0, -0.0075, 1, -0.0075, 0, 0, 0, 0, FASE2-PERM, NO, 0,
0, NO,
 3192, BEAM    , UNILOAD, GZ, NO , NO, aDir[1], , , , 0, -0.0075, 1, -0.0075, 0, 0, 0, 0, FASE2-PERM, NO, 0,
0, NO,
 3193, BEAM    , UNILOAD, GZ, NO , NO, aDir[1], , , , 0, -0.0075, 1, -0.0075, 0, 0, 0, 0, FASE2-PERM, NO, 0,
0, NO,
 3194, BEAM    , UNILOAD, GZ, NO , NO, aDir[1], , , , 0, -0.0075, 1, -0.0075, 0, 0, 0, 0, FASE2-PERM, NO, 0,
0, NO,
 3195, BEAM    , UNILOAD, GZ, NO , NO, aDir[1], , , , 0, -0.0075, 1, -0.0075, 0, 0, 0, 0, FASE2-PERM, NO, 0,
0, NO,
 3196, BEAM    , UNILOAD, GZ, NO , NO, aDir[1], , , , 0, -0.0075, 1, -0.0075, 0, 0, 0, 0, FASE2-PERM, NO, 0,
0, NO,
 3197, BEAM    , UNILOAD, GZ, NO , NO, aDir[1], , , , 0, -0.0075, 1, -0.0075, 0, 0, 0, 0, FASE2-PERM, NO, 0,
0, NO,
 3198, BEAM    , UNILOAD, GZ, NO , NO, aDir[1], , , , 0, -0.0075, 1, -0.0075, 0, 0, 0, 0, FASE2-PERM, NO, 0,
0, NO,
 3199, BEAM    , UNILOAD, GZ, NO , NO, aDir[1], , , , 0, -0.0075, 1, -0.0075, 0, 0, 0, 0, FASE2-PERM, NO, 0,
0, NO,
 3200, BEAM    , UNILOAD, GZ, NO , NO, aDir[1], , , , 0, -0.0075, 1, -0.0075, 0, 0, 0, 0, FASE2-PERM, NO, 0,
0, NO,
 3201, BEAM    , UNILOAD, GZ, NO , NO, aDir[1], , , , 0, -0.0075, 1, -0.0075, 0, 0, 0, 0, FASE2-PERM, NO, 0,
0, NO,
 3202, BEAM    , UNILOAD, GZ, NO , NO, aDir[1], , , , 0, -0.0075, 1, -0.0075, 0, 0, 0, 0, FASE2-PERM, NO, 0,
0, NO,
 3203, BEAM    , UNILOAD, GZ, NO , NO, aDir[1], , , , 0, -0.0075, 1, -0.0075, 0, 0, 0, 0, FASE2-PERM, NO, 0,
0, NO,
 3204, BEAM    , UNILOAD, GZ, NO , NO, aDir[1], , , , 0, -0.0075, 1, -0.0075, 0, 0, 0, 0, FASE2-PERM, NO, 0,
0, NO,
 3205, BEAM    , UNILOAD, GZ, NO , NO, aDir[1], , , , 0, -0.0075, 1, -0.0075, 0, 0, 0, 0, FASE2-PERM, NO, 0,
0, NO,
 3206, BEAM    , UNILOAD, GZ, NO , NO, aDir[1], , , , 0, -0.0075, 1, -0.0075, 0, 0, 0, 0, FASE2-PERM, NO, 0,
0, NO,
 3207, BEAM    , UNILOAD, GZ, NO , NO, aDir[1], , , , 0, -0.0075, 1, -0.0075, 0, 0, 0, 0, FASE2-PERM, NO, 0,
0, NO,
 3208, BEAM    , UNILOAD, GZ, NO , NO, aDir[1], , , , 0, -0.0075, 1, -0.0075, 0, 0, 0, 0, FASE2-PERM, NO, 0,
0, NO,
 3209, BEAM    , UNILOAD, GZ, NO , NO, aDir[1], , , , 0, -0.0075, 1, -0.0075, 0, 0, 0, 0, FASE2-PERM, NO, 0,
0, NO,
 3210, BEAM    , UNILOAD, GZ, NO , NO, aDir[1], , , , 0, -0.0075, 1, -0.0075, 0, 0, 0, 0, FASE2-PERM, NO, 0,
0, NO,
 3211, BEAM    , UNILOAD, GZ, NO , NO, aDir[1], , , , 0, -0.0075, 1, -0.0075, 0, 0, 0, 0, FASE2-PERM, NO, 0,
0, NO,
 3212, BEAM    , UNILOAD, GZ, NO , NO, aDir[1], , , , 0, -0.0075, 1, -0.0075, 0, 0, 0, 0, FASE2-PERM, NO, 0,
0, NO,
 3213, BEAM    , UNILOAD, GZ, NO , NO, aDir[1], , , , 0, -0.0075, 1, -0.0075, 0, 0, 0, 0, FASE2-PERM, NO, 0,
0, NO,
 3214, BEAM    , UNILOAD, GZ, NO , NO, aDir[1], , , , 0, -0.0075, 1, -0.0075, 0, 0, 0, 0, FASE2-PERM, NO, 0,
0, NO,
 3215, BEAM    , UNILOAD, GZ, NO , NO, aDir[1], , , , 0, -0.0075, 1, -0.0075, 0, 0, 0, 0, FASE2-PERM, NO, 0,
0, NO,
 3216, BEAM    , UNILOAD, GZ, NO , NO, aDir[1], , , , 0, -0.0075, 1, -0.0075, 0, 0, 0, 0, FASE2-PERM, NO, 0,
0, NO,
 3217, BEAM    , UNILOAD, GZ, NO , NO, aDir[1], , , , 0, -0.0075, 1, -0.0075, 0, 0, 0, 0, FASE2-PERM, NO, 0,
0, NO,
 3218, BEAM    , UNILOAD, GZ, NO , NO, aDir[1], , , , 0, -0.0075, 1, -0.0075, 0, 0, 0, 0, FASE2-PERM, NO, 0,
0, NO,
 3219, BEAM    , UNILOAD, GZ, NO , NO, aDir[1], , , , 0, -0.0075, 1, -0.0075, 0, 0, 0, 0, FASE2-PERM, NO, 0,
```

```
0, NO,
 3220, BEAM    , UNILOAD, GZ, NO , NO, aDir[1], , , , 0, -0.0075, 1, -0.0075, 0, 0, 0, 0, FASE2-PERM, NO, 0,
0, NO,
 3221, BEAM    , UNILOAD, GZ, NO , NO, aDir[1], , , , 0, -0.0075, 1, -0.0075, 0, 0, 0, 0, FASE2-PERM, NO, 0,
0, NO,
 3222, BEAM    , UNILOAD, GZ, NO , NO, aDir[1], , , , 0, -0.0075, 1, -0.0075, 0, 0, 0, 0, FASE2-PERM, NO, 0,
0, NO,
 3223, BEAM    , UNILOAD, GZ, NO , NO, aDir[1], , , , 0, -0.0075, 1, -0.0075, 0, 0, 0, 0, FASE2-PERM, NO, 0,
0, NO,
 3224, BEAM    , UNILOAD, GZ, NO , NO, aDir[1], , , , 0, -0.0075, 1, -0.0075, 0, 0, 0, 0, FASE2-PERM, NO, 0,
0, NO,
 3225, BEAM    , UNILOAD, GZ, NO , NO, aDir[1], , , , 0, -0.0075, 1, -0.0075, 0, 0, 0, 0, FASE2-PERM, NO, 0,
0, NO,
 3226, BEAM    , UNILOAD, GZ, NO , NO, aDir[1], , , , 0, -0.0075, 1, -0.0075, 0, 0, 0, 0, FASE2-PERM, NO, 0,
0, NO,
 3227, BEAM    , UNILOAD, GZ, NO , NO, aDir[1], , , , 0, -0.0075, 1, -0.0075, 0, 0, 0, 0, FASE2-PERM, NO, 0,
0, NO,
 3228, BEAM    , UNILOAD, GZ, NO , NO, aDir[1], , , , 0, -0.0075, 1, -0.0075, 0, 0, 0, 0, FASE2-PERM, NO, 0,
0, NO,
 3229, BEAM    , UNILOAD, GZ, NO , NO, aDir[1], , , , 0, -0.0075, 1, -0.0075, 0, 0, 0, 0, FASE2-PERM, NO, 0,
0, NO,
 3230, BEAM    , UNILOAD, GZ, NO , NO, aDir[1], , , , 0, -0.0075, 1, -0.0075, 0, 0, 0, 0, FASE2-PERM, NO, 0,
0, NO,
 3231, BEAM    , UNILOAD, GZ, NO , NO, aDir[1], , , , 0, -0.0075, 1, -0.0075, 0, 0, 0, 0, FASE2-PERM, NO, 0,
0, NO,
 3232, BEAM    , UNILOAD, GZ, NO , NO, aDir[1], , , , 0, -0.0075, 1, -0.0075, 0, 0, 0, 0, FASE2-PERM, NO, 0,
0, NO,
 3233, BEAM    , UNILOAD, GZ, NO , NO, aDir[1], , , , 0, -0.0075, 1, -0.0075, 0, 0, 0, 0, FASE2-PERM, NO, 0,
0, NO,
 3234, BEAM    , UNILOAD, GZ, NO , NO, aDir[1], , , , 0, -0.0075, 1, -0.0075, 0, 0, 0, 0, FASE2-PERM, NO, 0,
0, NO,
 3235, BEAM    , UNILOAD, GZ, NO , NO, aDir[1], , , , 0, -0.0075, 1, -0.0075, 0, 0, 0, 0, FASE2-PERM, NO, 0,
0, NO,
 3236, BEAM    , UNILOAD, GZ, NO , NO, aDir[1], , , , 0, -0.0075, 1, -0.0075, 0, 0, 0, 0, FASE2-PERM, NO, 0,
0, NO,
 3237, BEAM    , UNILOAD, GZ, NO , NO, aDir[1], , , , 0, -0.0075, 1, -0.0075, 0, 0, 0, 0, FASE2-PERM, NO, 0,
0, NO,
 3238, BEAM    , UNILOAD, GZ, NO , NO, aDir[1], , , , 0, -0.0075, 1, -0.0075, 0, 0, 0, 0, FASE2-PERM, NO, 0,
0, NO,
 3239, BEAM    , UNILOAD, GZ, NO , NO, aDir[1], , , , 0, -0.0075, 1, -0.0075, 0, 0, 0, 0, FASE2-PERM, NO, 0,
0, NO,
 3240, BEAM    , UNILOAD, GZ, NO , NO, aDir[1], , , , 0, -0.0075, 1, -0.0075, 0, 0, 0, 0, FASE2-PERM, NO, 0,
0, NO,
 3241, BEAM    , UNILOAD, GZ, NO , NO, aDir[1], , , , 0, -0.0075, 1, -0.0075, 0, 0, 0, 0, FASE2-PERM, NO, 0,
0, NO,
 3242, BEAM    , UNILOAD, GZ, NO , NO, aDir[1], , , , 0, -0.0075, 1, -0.0075, 0, 0, 0, 0, FASE2-PERM, NO, 0,
0, NO,
 3243, BEAM    , UNILOAD, GZ, NO , NO, aDir[1], , , , 0, -0.0075, 1, -0.0075, 0, 0, 0, 0, FASE2-PERM, NO, 0,
0, NO,
 3244, BEAM    , UNILOAD, GZ, NO , NO, aDir[1], , , , 0, -0.0075, 1, -0.0075, 0, 0, 0, 0, FASE2-PERM, NO, 0,
0, NO,
 3245, BEAM    , UNILOAD, GZ, NO , NO, aDir[1], , , , 0, -0.0075, 1, -0.0075, 0, 0, 0, 0, FASE2-PERM, NO, 0,
0, NO,
 3246, BEAM    , UNILOAD, GZ, NO , NO, aDir[1], , , , 0, -0.0075, 1, -0.0075, 0, 0, 0, 0, FASE2-PERM, NO, 0,
0, NO,
 3247, BEAM    , UNILOAD, GZ, NO , NO, aDir[1], , , , 0, -0.0075, 1, -0.0075, 0, 0, 0, 0, FASE2-PERM, NO, 0,
0, NO,
 3248, BEAM    , UNILOAD, GZ, NO , NO, aDir[1], , , , 0, -0.0075, 1, -0.0075, 0, 0, 0, 0, FASE2-PERM, NO, 0,
0, NO,
 3249, BEAM    , UNILOAD, GZ, NO , NO, aDir[1], , , , 0, -0.0075, 1, -0.0075, 0, 0, 0, 0, FASE2-PERM, NO, 0,
0, NO,
 3250, BEAM    , UNILOAD, GZ, NO , NO, aDir[1], , , , 0, -0.0075, 1, -0.0075, 0, 0, 0, 0, FASE2-PERM, NO, 0,
0, NO,
 3251, BEAM    , UNILOAD, GZ, NO , NO, aDir[1], , , , 0, -0.0075, 1, -0.0075, 0, 0, 0, 0, FASE2-PERM, NO, 0,
0, NO,
 3252, BEAM    , UNILOAD, GZ, NO , NO, aDir[1], , , , 0, -0.0075, 1, -0.0075, 0, 0, 0, 0, FASE2-PERM, NO, 0,
0, NO,
 3253, BEAM    , UNILOAD, GZ, NO , NO, aDir[1], , , , 0, -0.0075, 1, -0.0075, 0, 0, 0, 0, FASE2-PERM, NO, 0,
0, NO,
 3254, BEAM    , UNILOAD, GZ, NO , NO, aDir[1], , , , 0, -0.0075, 1, -0.0075, 0, 0, 0, 0, FASE2-PERM, NO, 0,
0, NO,
 3255, BEAM    , UNILOAD, GZ, NO , NO, aDir[1], , , , 0, -0.0075, 1, -0.0075, 0, 0, 0, 0, FASE2-PERM, NO, 0,
0, NO,
 3256, BEAM    , UNILOAD, GZ, NO , NO, aDir[1], , , , 0, -0.0075, 1, -0.0075, 0, 0, 0, 0, FASE2-PERM, NO, 0,
0, NO,
 3257, BEAM    , UNILOAD, GZ, NO , NO, aDir[1], , , , 0, -0.0075, 1, -0.0075, 0, 0, 0, 0, FASE2-PERM, NO, 0,
0, NO,
 3258, BEAM    , UNILOAD, GZ, NO , NO, aDir[1], , , , 0, -0.0075, 1, -0.0075, 0, 0, 0, 0, FASE2-PERM, NO, 0,
```

```
0, NO,
 3259, BEAM    , UNILOAD, GZ, NO , NO, aDir[1], , , , 0, -0.0075, 1, -0.0075, 0, 0, 0, 0, FASE2-PERM, NO, 0,
0, NO,
 3260, BEAM    , UNILOAD, GZ, NO , NO, aDir[1], , , , 0, -0.0075, 1, -0.0075, 0, 0, 0, 0, FASE2-PERM, NO, 0,
0, NO,
 3261, BEAM    , UNILOAD, GZ, NO , NO, aDir[1], , , , 0, -0.0075, 1, -0.0075, 0, 0, 0, 0, FASE2-PERM, NO, 0,
0, NO,
 3262, BEAM    , UNILOAD, GZ, NO , NO, aDir[1], , , , 0, -0.0075, 1, -0.0075, 0, 0, 0, 0, FASE2-PERM, NO, 0,
0, NO,
 3263, BEAM    , UNILOAD, GZ, NO , NO, aDir[1], , , , 0, -0.0075, 1, -0.0075, 0, 0, 0, 0, FASE2-PERM, NO, 0,
0, NO,
 3264, BEAM    , UNILOAD, GZ, NO , NO, aDir[1], , , , 0, -0.0075, 1, -0.0075, 0, 0, 0, 0, FASE2-PERM, NO, 0,
0, NO,
 3265, BEAM    , UNILOAD, GZ, NO , NO, aDir[1], , , , 0, -0.0075, 1, -0.0075, 0, 0, 0, 0, FASE2-PERM, NO, 0,
0, NO,
 3266, BEAM    , UNILOAD, GZ, NO , NO, aDir[1], , , , 0, -0.0075, 1, -0.0075, 0, 0, 0, 0, FASE2-PERM, NO, 0,
0, NO,
 3267, BEAM    , UNILOAD, GZ, NO , NO, aDir[1], , , , 0, -0.0075, 1, -0.0075, 0, 0, 0, 0, FASE2-PERM, NO, 0,
0, NO,
 3268, BEAM    , UNILOAD, GZ, NO , NO, aDir[1], , , , 0, -0.0075, 1, -0.0075, 0, 0, 0, 0, FASE2-PERM, NO, 0,
0, NO,
 3269, BEAM    , UNILOAD, GZ, NO , NO, aDir[1], , , , 0, -0.0075, 1, -0.0075, 0, 0, 0, 0, FASE2-PERM, NO, 0,
0, NO,
 3270, BEAM    , UNILOAD, GZ, NO , NO, aDir[1], , , , 0, -0.0075, 1, -0.0075, 0, 0, 0, 0, FASE2-PERM, NO, 0,
0, NO,
 3271, BEAM    , UNILOAD, GZ, NO , NO, aDir[1], , , , 0, -0.0075, 1, -0.0075, 0, 0, 0, 0, FASE2-PERM, NO, 0,
0, NO,
 3272, BEAM    , UNILOAD, GZ, NO , NO, aDir[1], , , , 0, -0.0075, 1, -0.0075, 0, 0, 0, 0, FASE2-PERM, NO, 0,
0, NO,
 3273, BEAM    , UNILOAD, GZ, NO , NO, aDir[1], , , , 0, -0.0075, 1, -0.0075, 0, 0, 0, 0, FASE2-PERM, NO, 0,
0, NO,
 3274, BEAM    , UNILOAD, GZ, NO , NO, aDir[1], , , , 0, -0.0075, 1, -0.0075, 0, 0, 0, 0, FASE2-PERM, NO, 0,
0, NO,
 3275, BEAM    , UNILOAD, GZ, NO , NO, aDir[1], , , , 0, -0.0075, 1, -0.0075, 0, 0, 0, 0, FASE2-PERM, NO, 0,
0, NO,
 3276, BEAM    , UNILOAD, GZ, NO , NO, aDir[1], , , , 0, -0.0075, 1, -0.0075, 0, 0, 0, 0, FASE2-PERM, NO, 0,
0, NO,
 3277, BEAM    , UNILOAD, GZ, NO , NO, aDir[1], , , , 0, -0.0075, 1, -0.0075, 0, 0, 0, 0, FASE2-PERM, NO, 0,
0, NO,
 3278, BEAM    , UNILOAD, GZ, NO , NO, aDir[1], , , , 0, -0.0075, 1, -0.0075, 0, 0, 0, 0, FASE2-PERM, NO, 0,
0, NO,
 3279, BEAM    , UNILOAD, GZ, NO , NO, aDir[1], , , , 0, -0.0075, 1, -0.0075, 0, 0, 0, 0, FASE2-PERM, NO, 0,
0, NO,
 3280, BEAM    , UNILOAD, GZ, NO , NO, aDir[1], , , , 0, -0.0075, 1, -0.0075, 0, 0, 0, 0, FASE2-PERM, NO, 0,
0, NO,
 3281, BEAM    , UNILOAD, GZ, NO , NO, aDir[1], , , , 0, -0.0075, 1, -0.0075, 0, 0, 0, 0, FASE2-PERM, NO, 0,
0, NO,
 3282, BEAM    , UNILOAD, GZ, NO , NO, aDir[1], , , , 0, -0.0075, 1, -0.0075, 0, 0, 0, 0, FASE2-PERM, NO, 0,
0, NO,
 3283, BEAM    , UNILOAD, GZ, NO , NO, aDir[1], , , , 0, -0.0075, 1, -0.0075, 0, 0, 0, 0, FASE2-PERM, NO, 0,
0, NO,
 3284, BEAM    , UNILOAD, GZ, NO , NO, aDir[1], , , , 0, -0.0075, 1, -0.0075, 0, 0, 0, 0, FASE2-PERM, NO, 0,
0, NO,
 3285, BEAM    , UNILOAD, GZ, NO , NO, aDir[1], , , , 0, -0.0075, 1, -0.0075, 0, 0, 0, 0, FASE2-PERM, NO, 0,
0, NO,
 3286, BEAM    , UNILOAD, GZ, NO , NO, aDir[1], , , , 0, -0.0075, 1, -0.0075, 0, 0, 0, 0, FASE2-PERM, NO, 0,
0, NO,
 3287, BEAM    , UNILOAD, GZ, NO , NO, aDir[1], , , , 0, -0.0075, 1, -0.0075, 0, 0, 0, 0, FASE2-PERM, NO, 0,
0, NO,
 3288, BEAM    , UNILOAD, GZ, NO , NO, aDir[1], , , , 0, -0.0075, 1, -0.0075, 0, 0, 0, 0, FASE2-PERM, NO, 0,
0, NO,
 3289, BEAM    , UNILOAD, GZ, NO , NO, aDir[1], , , , 0, -0.0075, 1, -0.0075, 0, 0, 0, 0, FASE2-PERM, NO, 0,
0, NO,
 3290, BEAM    , UNILOAD, GZ, NO , NO, aDir[1], , , , 0, -0.0075, 1, -0.0075, 0, 0, 0, 0, FASE2-PERM, NO, 0,
0, NO,
 3291, BEAM    , UNILOAD, GZ, NO , NO, aDir[1], , , , 0, -0.0075, 1, -0.0075, 0, 0, 0, 0, FASE2-PERM, NO, 0,
0, NO,
 3292, BEAM    , UNILOAD, GZ, NO , NO, aDir[1], , , , 0, -0.0075, 1, -0.0075, 0, 0, 0, 0, FASE2-PERM, NO, 0,
0, NO,
 3293, BEAM    , UNILOAD, GZ, NO , NO, aDir[1], , , , 0, -0.0075, 1, -0.0075, 0, 0, 0, 0, FASE2-PERM, NO, 0,
0, NO,
 3294, BEAM    , UNILOAD, GZ, NO , NO, aDir[1], , , , 0, -0.0075, 1, -0.0075, 0, 0, 0, 0, FASE2-PERM, NO, 0,
0, NO,
 3295, BEAM    , UNILOAD, GZ, NO , NO, aDir[1], , , , 0, -0.0075, 1, -0.0075, 0, 0, 0, 0, FASE2-PERM, NO, 0,
0, NO,
 3296, BEAM    , UNILOAD, GZ, NO , NO, aDir[1], , , , 0, -0.0075, 1, -0.0075, 0, 0, 0, 0, FASE2-PERM, NO, 0,
0, NO,
 3297, BEAM    , UNILOAD, GZ, NO , NO, aDir[1], , , , 0, -0.0075, 1, -0.0075, 0, 0, 0, 0, FASE2-PERM, NO, 0,
```

```
0, NO,
 3298, BEAM    , UNILOAD, GZ, NO , NO, aDir[1], , , , 0, -0.0075, 1, -0.0075, 0, 0, 0, 0, FASE2-PERM, NO, 0,
0, NO,
 3299, BEAM    , UNILOAD, GZ, NO , NO, aDir[1], , , , 0, -0.0075, 1, -0.0075, 0, 0, 0, 0, FASE2-PERM, NO, 0,
0, NO,
 3300, BEAM    , UNILOAD, GZ, NO , NO, aDir[1], , , , 0, -0.0075, 1, -0.0075, 0, 0, 0, 0, FASE2-PERM, NO, 0,
0, NO,
 3301, BEAM    , UNILOAD, GZ, NO , NO, aDir[1], , , , 0, -0.0075, 1, -0.0075, 0, 0, 0, 0, FASE2-PERM, NO, 0,
0, NO,
 3302, BEAM    , UNILOAD, GZ, NO , NO, aDir[1], , , , 0, -0.0075, 1, -0.0075, 0, 0, 0, 0, FASE2-PERM, NO, 0,
0, NO,
 3303, BEAM    , UNILOAD, GZ, NO , NO, aDir[1], , , , 0, -0.0075, 1, -0.0075, 0, 0, 0, 0, FASE2-PERM, NO, 0,
0, NO,
 3304, BEAM    , UNILOAD, GZ, NO , NO, aDir[1], , , , 0, -0.0075, 1, -0.0075, 0, 0, 0, 0, FASE2-PERM, NO, 0,
0, NO,
 3305, BEAM    , UNILOAD, GZ, NO , NO, aDir[1], , , , 0, -0.0075, 1, -0.0075, 0, 0, 0, 0, FASE2-PERM, NO, 0,
0, NO,
 3306, BEAM    , UNILOAD, GZ, NO , NO, aDir[1], , , , 0, -0.0075, 1, -0.0075, 0, 0, 0, 0, FASE2-PERM, NO, 0,
0, NO,
 3512, BEAM    , UNILOAD, GZ, NO , NO, aDir[1], , , , 0, -0.0075, 1, -0.0075, 0, 0, 0, 0, FASE2-PERM, NO, 0,
0, NO,
 3513, BEAM    , UNILOAD, GZ, NO , NO, aDir[1], , , , 0, -0.0075, 1, -0.0075, 0, 0, 0, 0, FASE2-PERM, NO, 0,
0, NO,
 3514, BEAM    , UNILOAD, GZ, NO , NO, aDir[1], , , , 0, -0.0075, 1, -0.0075, 0, 0, 0, 0, FASE2-PERM, NO, 0,
0, NO,
 3515, BEAM    , UNILOAD, GZ, NO , NO, aDir[1], , , , 0, -0.0075, 1, -0.0075, 0, 0, 0, 0, FASE2-PERM, NO, 0,
0, NO,
 3516, BEAM    , UNILOAD, GZ, NO , NO, aDir[1], , , , 0, -0.0075, 1, -0.0075, 0, 0, 0, 0, FASE2-PERM, NO, 0,
0, NO,
 3517, BEAM    , UNILOAD, GZ, NO , NO, aDir[1], , , , 0, -0.0075, 1, -0.0075, 0, 0, 0, 0, FASE2-PERM, NO, 0,
0, NO,
 3518, BEAM    , UNILOAD, GZ, NO , NO, aDir[1], , , , 0, -0.0075, 1, -0.0075, 0, 0, 0, 0, FASE2-PERM, NO, 0,
0, NO,
 3519, BEAM    , UNILOAD, GZ, NO , NO, aDir[1], , , , 0, -0.0075, 1, -0.0075, 0, 0, 0, 0, FASE2-PERM, NO, 0,
0, NO,
 3520, BEAM    , UNILOAD, GZ, NO , NO, aDir[1], , , , 0, -0.0075, 1, -0.0075, 0, 0, 0, 0, FASE2-PERM, NO, 0,
0, NO,
 3521, BEAM    , UNILOAD, GZ, NO , NO, aDir[1], , , , 0, -0.0075, 1, -0.0075, 0, 0, 0, 0, FASE2-PERM, NO, 0,
0, NO,
 3522, BEAM    , UNILOAD, GZ, NO , NO, aDir[1], , , , 0, -0.0075, 1, -0.0075, 0, 0, 0, 0, FASE2-PERM, NO, 0,
0, NO,
 3523, BEAM    , UNILOAD, GZ, NO , NO, aDir[1], , , , 0, -0.0075, 1, -0.0075, 0, 0, 0, 0, FASE2-PERM, NO, 0,
0, NO,
 3524, BEAM    , UNILOAD, GZ, NO , NO, aDir[1], , , , 0, -0.0075, 1, -0.0075, 0, 0, 0, 0, FASE2-PERM, NO, 0,
0, NO,
 3525, BEAM    , UNILOAD, GZ, NO , NO, aDir[1], , , , 0, -0.0075, 1, -0.0075, 0, 0, 0, 0, FASE2-PERM, NO, 0,
0, NO,
 3526, BEAM    , UNILOAD, GZ, NO , NO, aDir[1], , , , 0, -0.0075, 1, -0.0075, 0, 0, 0, 0, FASE2-PERM, NO, 0,
0, NO,
 3527, BEAM    , UNILOAD, GZ, NO , NO, aDir[1], , , , 0, -0.0075, 1, -0.0075, 0, 0, 0, 0, FASE2-PERM, NO, 0,
0, NO,
 3528, BEAM    , UNILOAD, GZ, NO , NO, aDir[1], , , , 0, -0.0075, 1, -0.0075, 0, 0, 0, 0, FASE2-PERM, NO, 0,
0, NO,
 3529, BEAM    , UNILOAD, GZ, NO , NO, aDir[1], , , , 0, -0.0075, 1, -0.0075, 0, 0, 0, 0, FASE2-PERM, NO, 0,
0, NO,
 3530, BEAM    , UNILOAD, GZ, NO , NO, aDir[1], , , , 0, -0.0075, 1, -0.0075, 0, 0, 0, 0, FASE2-PERM, NO, 0,
0, NO,
 3531, BEAM    , UNILOAD, GZ, NO , NO, aDir[1], , , , 0, -0.0075, 1, -0.0075, 0, 0, 0, 0, FASE2-PERM, NO, 0,
0, NO,
 3532, BEAM    , UNILOAD, GZ, NO , NO, aDir[1], , , , 0, -0.0075, 1, -0.0075, 0, 0, 0, 0, FASE2-PERM, NO, 0,
0, NO,
 3533, BEAM    , UNILOAD, GZ, NO , NO, aDir[1], , , , 0, -0.0075, 1, -0.0075, 0, 0, 0, 0, FASE2-PERM, NO, 0,
0, NO,
 3534, BEAM    , UNILOAD, GZ, NO , NO, aDir[1], , , , 0, -0.0075, 1, -0.0075, 0, 0, 0, 0, FASE2-PERM, NO, 0,
0, NO,
 3535, BEAM    , UNILOAD, GZ, NO , NO, aDir[1], , , , 0, -0.0075, 1, -0.0075, 0, 0, 0, 0, FASE2-PERM, NO, 0,
0, NO,
 3536, BEAM    , UNILOAD, GZ, NO , NO, aDir[1], , , , 0, -0.0075, 1, -0.0075, 0, 0, 0, 0, FASE2-PERM, NO, 0,
0, NO,
 3537, BEAM    , UNILOAD, GZ, NO , NO, aDir[1], , , , 0, -0.0075, 1, -0.0075, 0, 0, 0, 0, FASE2-PERM, NO, 0,
0, NO,
 3538, BEAM    , UNILOAD, GZ, NO , NO, aDir[1], , , , 0, -0.0075, 1, -0.0075, 0, 0, 0, 0, FASE2-PERM, NO, 0,
0, NO,
 3539, BEAM    , UNILOAD, GZ, NO , NO, aDir[1], , , , 0, -0.0075, 1, -0.0075, 0, 0, 0, 0, FASE2-PERM, NO, 0,
0, NO,
 3540, BEAM    , UNILOAD, GZ, NO , NO, aDir[1], , , , 0, -0.0075, 1, -0.0075, 0, 0, 0, 0, FASE2-PERM, NO, 0,
0, NO,
 3541, BEAM    , UNILOAD, GZ, NO , NO, aDir[1], , , , 0, -0.0075, 1, -0.0075, 0, 0, 0, 0, FASE2-PERM, NO, 0,
```

```
0, NO,
 3542, BEAM    , UNILOAD, GZ, NO , NO, aDir[1], , , , 0, -0.0075, 1, -0.0075, 0, 0, 0, 0, FASE2-PERM, NO, 0,
0, NO,
 3543, BEAM    , UNILOAD, GZ, NO , NO, aDir[1], , , , 0, -0.0075, 1, -0.0075, 0, 0, 0, 0, FASE2-PERM, NO, 0,
0, NO,
 3544, BEAM    , UNILOAD, GZ, NO , NO, aDir[1], , , , 0, -0.0075, 1, -0.0075, 0, 0, 0, 0, FASE2-PERM, NO, 0,
0, NO,
 3545, BEAM    , UNILOAD, GZ, NO , NO, aDir[1], , , , 0, -0.0075, 1, -0.0075, 0, 0, 0, 0, FASE2-PERM, NO, 0,
0, NO,
 3546, BEAM    , UNILOAD, GZ, NO , NO, aDir[1], , , , 0, -0.0075, 1, -0.0075, 0, 0, 0, 0, FASE2-PERM, NO, 0,
0, NO,
 3547, BEAM    , UNILOAD, GZ, NO , NO, aDir[1], , , , 0, -0.0075, 1, -0.0075, 0, 0, 0, 0, FASE2-PERM, NO, 0,
0, NO,
 3548, BEAM    , UNILOAD, GZ, NO , NO, aDir[1], , , , 0, -0.0075, 1, -0.0075, 0, 0, 0, 0, FASE2-PERM, NO, 0,
0, NO,
 3549, BEAM    , UNILOAD, GZ, NO , NO, aDir[1], , , , 0, -0.0075, 1, -0.0075, 0, 0, 0, 0, FASE2-PERM, NO, 0,
0, NO,
 3550, BEAM    , UNILOAD, GZ, NO , NO, aDir[1], , , , 0, -0.0075, 1, -0.0075, 0, 0, 0, 0, FASE2-PERM, NO, 0,
0, NO,
 3551, BEAM    , UNILOAD, GZ, NO , NO, aDir[1], , , , 0, -0.0075, 1, -0.0075, 0, 0, 0, 0, FASE2-PERM, NO, 0,
0, NO,
 3552, BEAM    , UNILOAD, GZ, NO , NO, aDir[1], , , , 0, -0.0075, 1, -0.0075, 0, 0, 0, 0, FASE2-PERM, NO, 0,
0, NO,
 3553, BEAM    , UNILOAD, GZ, NO , NO, aDir[1], , , , 0, -0.0075, 1, -0.0075, 0, 0, 0, 0, FASE2-PERM, NO, 0,
0, NO,
 3554, BEAM    , UNILOAD, GZ, NO , NO, aDir[1], , , , 0, -0.0075, 1, -0.0075, 0, 0, 0, 0, FASE2-PERM, NO, 0,
0, NO,
 3555, BEAM    , UNILOAD, GZ, NO , NO, aDir[1], , , , 0, -0.0075, 1, -0.0075, 0, 0, 0, 0, FASE2-PERM, NO, 0,
0, NO,
 3556, BEAM    , UNILOAD, GZ, NO , NO, aDir[1], , , , 0, -0.0075, 1, -0.0075, 0, 0, 0, 0, FASE2-PERM, NO, 0,
0, NO,
 3557, BEAM    , UNILOAD, GZ, NO , NO, aDir[1], , , , 0, -0.0075, 1, -0.0075, 0, 0, 0, 0, FASE2-PERM, NO, 0,
0, NO,
 3558, BEAM    , UNILOAD, GZ, NO , NO, aDir[1], , , , 0, -0.0075, 1, -0.0075, 0, 0, 0, 0, FASE2-PERM, NO, 0,
0, NO,
 3559, BEAM    , UNILOAD, GZ, NO , NO, aDir[1], , , , 0, -0.0075, 1, -0.0075, 0, 0, 0, 0, FASE2-PERM, NO, 0,
0, NO,
 3560, BEAM    , UNILOAD, GZ, NO , NO, aDir[1], , , , 0, -0.0075, 1, -0.0075, 0, 0, 0, 0, FASE2-PERM, NO, 0,
0, NO,
 3561, BEAM    , UNILOAD, GZ, NO , NO, aDir[1], , , , 0, -0.0075, 1, -0.0075, 0, 0, 0, 0, FASE2-PERM, NO, 0,
0, NO,
 3562, BEAM    , UNILOAD, GZ, NO , NO, aDir[1], , , , 0, -0.0075, 1, -0.0075, 0, 0, 0, 0, FASE2-PERM, NO, 0,
0, NO,
 3563, BEAM    , UNILOAD, GZ, NO , NO, aDir[1], , , , 0, -0.0075, 1, -0.0075, 0, 0, 0, 0, FASE2-PERM, NO, 0,
0, NO,
 3564, BEAM    , UNILOAD, GZ, NO , NO, aDir[1], , , , 0, -0.0075, 1, -0.0075, 0, 0, 0, 0, FASE2-PERM, NO, 0,
0, NO,
 3565, BEAM    , UNILOAD, GZ, NO , NO, aDir[1], , , , 0, -0.0075, 1, -0.0075, 0, 0, 0, 0, FASE2-PERM, NO, 0,
0, NO,
 3566, BEAM    , UNILOAD, GZ, NO , NO, aDir[1], , , , 0, -0.0075, 1, -0.0075, 0, 0, 0, 0, FASE2-PERM, NO, 0,
0, NO,
 3567, BEAM    , UNILOAD, GZ, NO , NO, aDir[1], , , , 0, -0.0075, 1, -0.0075, 0, 0, 0, 0, FASE2-PERM, NO, 0,
0, NO,
 3568, BEAM    , UNILOAD, GZ, NO , NO, aDir[1], , , , 0, -0.0075, 1, -0.0075, 0, 0, 0, 0, FASE2-PERM, NO, 0,
0, NO,
 3569, BEAM    , UNILOAD, GZ, NO , NO, aDir[1], , , , 0, -0.0075, 1, -0.0075, 0, 0, 0, 0, FASE2-PERM, NO, 0,
0, NO,
 3570, BEAM    , UNILOAD, GZ, NO , NO, aDir[1], , , , 0, -0.0075, 1, -0.0075, 0, 0, 0, 0, FASE2-PERM, NO, 0,
0, NO,
 3571, BEAM    , UNILOAD, GZ, NO , NO, aDir[1], , , , 0, -0.0075, 1, -0.0075, 0, 0, 0, 0, FASE2-PERM, NO, 0,
0, NO,
 3572, BEAM    , UNILOAD, GZ, NO , NO, aDir[1], , , , 0, -0.0075, 1, -0.0075, 0, 0, 0, 0, FASE2-PERM, NO, 0,
0, NO,
 3573, BEAM    , UNILOAD, GZ, NO , NO, aDir[1], , , , 0, -0.0075, 1, -0.0075, 0, 0, 0, 0, FASE2-PERM, NO, 0,
0, NO,
 3574, BEAM    , UNILOAD, GZ, NO , NO, aDir[1], , , , 0, -0.0075, 1, -0.0075, 0, 0, 0, 0, FASE2-PERM, NO, 0,
0, NO,
 3575, BEAM    , UNILOAD, GZ, NO , NO, aDir[1], , , , 0, -0.0075, 1, -0.0075, 0, 0, 0, 0, FASE2-PERM, NO, 0,
0, NO,
 3576, BEAM    , UNILOAD, GZ, NO , NO, aDir[1], , , , 0, -0.0075, 1, -0.0075, 0, 0, 0, 0, FASE2-PERM, NO, 0,
0, NO,
 3577, BEAM    , UNILOAD, GZ, NO , NO, aDir[1], , , , 0, -0.0075, 1, -0.0075, 0, 0, 0, 0, FASE2-PERM, NO, 0,
0, NO,
 3578, BEAM    , UNILOAD, GZ, NO , NO, aDir[1], , , , 0, -0.0075, 1, -0.0075, 0, 0, 0, 0, FASE2-PERM, NO, 0,
0, NO,
 3579, BEAM    , UNILOAD, GZ, NO , NO, aDir[1], , , , 0, -0.0075, 1, -0.0075, 0, 0, 0, 0, FASE2-PERM, NO, 0,
0, NO,
 3580, BEAM    , UNILOAD, GZ, NO , NO, aDir[1], , , , 0, -0.0075, 1, -0.0075, 0, 0, 0, 0, FASE2-PERM, NO, 0,
```

```
0, NO,
 3581, BEAM    , UNILOAD, GZ, NO , NO, aDir[1], , , , 0, -0.0075, 1, -0.0075, 0, 0, 0, 0, FASE2-PERM, NO, 0,
0, NO,
 3582, BEAM    , UNILOAD, GZ, NO , NO, aDir[1], , , , 0, -0.0075, 1, -0.0075, 0, 0, 0, 0, FASE2-PERM, NO, 0,
0, NO,
 3583, BEAM    , UNILOAD, GZ, NO , NO, aDir[1], , , , 0, -0.0075, 1, -0.0075, 0, 0, 0, 0, FASE2-PERM, NO, 0,
0, NO,
 3584, BEAM    , UNILOAD, GZ, NO , NO, aDir[1], , , , 0, -0.0075, 1, -0.0075, 0, 0, 0, 0, FASE2-PERM, NO, 0,
0, NO,
 3585, BEAM    , UNILOAD, GZ, NO , NO, aDir[1], , , , 0, -0.0075, 1, -0.0075, 0, 0, 0, 0, FASE2-PERM, NO, 0,
0, NO,
 3586, BEAM    , UNILOAD, GZ, NO , NO, aDir[1], , , , 0, -0.0075, 1, -0.0075, 0, 0, 0, 0, FASE2-PERM, NO, 0,
0, NO,
 3587, BEAM    , UNILOAD, GZ, NO , NO, aDir[1], , , , 0, -0.0075, 1, -0.0075, 0, 0, 0, 0, FASE2-PERM, NO, 0,
0, NO,
 3588, BEAM    , UNILOAD, GZ, NO , NO, aDir[1], , , , 0, -0.0075, 1, -0.0075, 0, 0, 0, 0, FASE2-PERM, NO, 0,
0, NO,
 3589, BEAM    , UNILOAD, GZ, NO , NO, aDir[1], , , , 0, -0.0075, 1, -0.0075, 0, 0, 0, 0, FASE2-PERM, NO, 0,
0, NO,
 3590, BEAM    , UNILOAD, GZ, NO , NO, aDir[1], , , , 0, -0.0075, 1, -0.0075, 0, 0, 0, 0, FASE2-PERM, NO, 0,
0, NO,
 3591, BEAM    , UNILOAD, GZ, NO , NO, aDir[1], , , , 0, -0.0075, 1, -0.0075, 0, 0, 0, 0, FASE2-PERM, NO, 0,
0, NO,
 3592, BEAM    , UNILOAD, GZ, NO , NO, aDir[1], , , , 0, -0.0075, 1, -0.0075, 0, 0, 0, 0, FASE2-PERM, NO, 0,
0, NO,
 3593, BEAM    , UNILOAD, GZ, NO , NO, aDir[1], , , , 0, -0.0075, 1, -0.0075, 0, 0, 0, 0, FASE2-PERM, NO, 0,
0, NO,
 3594, BEAM    , UNILOAD, GZ, NO , NO, aDir[1], , , , 0, -0.0075, 1, -0.0075, 0, 0, 0, 0, FASE2-PERM, NO, 0,
0, NO,
 3595, BEAM    , UNILOAD, GZ, NO , NO, aDir[1], , , , 0, -0.0075, 1, -0.0075, 0, 0, 0, 0, FASE2-PERM, NO, 0,
0, NO,
 3596, BEAM    , UNILOAD, GZ, NO , NO, aDir[1], , , , 0, -0.0075, 1, -0.0075, 0, 0, 0, 0, FASE2-PERM, NO, 0,
0, NO,
 3597, BEAM    , UNILOAD, GZ, NO , NO, aDir[1], , , , 0, -0.0075, 1, -0.0075, 0, 0, 0, 0, FASE2-PERM, NO, 0,
0, NO,
 3598, BEAM    , UNILOAD, GZ, NO , NO, aDir[1], , , , 0, -0.0075, 1, -0.0075, 0, 0, 0, 0, FASE2-PERM, NO, 0,
0, NO,
 3599, BEAM    , UNILOAD, GZ, NO , NO, aDir[1], , , , 0, -0.0075, 1, -0.0075, 0, 0, 0, 0, FASE2-PERM, NO, 0,
0, NO,
 3600, BEAM    , UNILOAD, GZ, NO , NO, aDir[1], , , , 0, -0.0075, 1, -0.0075, 0, 0, 0, 0, FASE2-PERM, NO, 0,
0, NO,
 3601, BEAM    , UNILOAD, GZ, NO , NO, aDir[1], , , , 0, -0.0075, 1, -0.0075, 0, 0, 0, 0, FASE2-PERM, NO, 0,
0, NO,
 3602, BEAM    , UNILOAD, GZ, NO , NO, aDir[1], , , , 0, -0.0075, 1, -0.0075, 0, 0, 0, 0, FASE2-PERM, NO, 0,
0, NO,
 3603, BEAM    , UNILOAD, GZ, NO , NO, aDir[1], , , , 0, -0.0075, 1, -0.0075, 0, 0, 0, 0, FASE2-PERM, NO, 0,
0, NO,
 3604, BEAM    , UNILOAD, GZ, NO , NO, aDir[1], , , , 0, -0.0075, 1, -0.0075, 0, 0, 0, 0, FASE2-PERM, NO, 0,
0, NO,
 3605, BEAM    , UNILOAD, GZ, NO , NO, aDir[1], , , , 0, -0.0075, 1, -0.0075, 0, 0, 0, 0, FASE2-PERM, NO, 0,
0, NO,
 3606, BEAM    , UNILOAD, GZ, NO , NO, aDir[1], , , , 0, -0.0075, 1, -0.0075, 0, 0, 0, 0, FASE2-PERM, NO, 0,
0, NO,
 3607, BEAM    , UNILOAD, GZ, NO , NO, aDir[1], , , , 0, -0.0075, 1, -0.0075, 0, 0, 0, 0, FASE2-PERM, NO, 0,
0, NO,
 3608, BEAM    , UNILOAD, GZ, NO , NO, aDir[1], , , , 0, -0.0075, 1, -0.0075, 0, 0, 0, 0, FASE2-PERM, NO, 0,
0, NO,
 3609, BEAM    , UNILOAD, GZ, NO , NO, aDir[1], , , , 0, -0.0075, 1, -0.0075, 0, 0, 0, 0, FASE2-PERM, NO, 0,
0, NO,
 3610, BEAM    , UNILOAD, GZ, NO , NO, aDir[1], , , , 0, -0.0075, 1, -0.0075, 0, 0, 0, 0, FASE2-PERM, NO, 0,
0, NO,
 3611, BEAM    , UNILOAD, GZ, NO , NO, aDir[1], , , , 0, -0.0075, 1, -0.0075, 0, 0, 0, 0, FASE2-PERM, NO, 0,
0, NO,
 3612, BEAM    , UNILOAD, GZ, NO , NO, aDir[1], , , , 0, -0.0075, 1, -0.0075, 0, 0, 0, 0, FASE2-PERM, NO, 0,
0, NO,
 3613, BEAM    , UNILOAD, GZ, NO , NO, aDir[1], , , , 0, -0.0075, 1, -0.0075, 0, 0, 0, 0, FASE2-PERM, NO, 0,
0, NO,
 3614, BEAM    , UNILOAD, GZ, NO , NO, aDir[1], , , , 0, -0.0075, 1, -0.0075, 0, 0, 0, 0, FASE2-PERM, NO, 0,
0, NO,
 3615, BEAM    , UNILOAD, GZ, NO , NO, aDir[1], , , , 0, -0.0075, 1, -0.0075, 0, 0, 0, 0, FASE2-PERM, NO, 0,
0, NO,
 3616, BEAM    , UNILOAD, GZ, NO , NO, aDir[1], , , , 0, -0.0075, 1, -0.0075, 0, 0, 0, 0, FASE2-PERM, NO, 0,
0, NO,
 3617, BEAM    , UNILOAD, GZ, NO , NO, aDir[1], , , , 0, -0.0075, 1, -0.0075, 0, 0, 0, 0, FASE2-PERM, NO, 0,
0, NO,
 3618, BEAM    , UNILOAD, GZ, NO , NO, aDir[1], , , , 0, -0.0075, 1, -0.0075, 0, 0, 0, 0, FASE2-PERM, NO, 0,
0, NO,
 3619, BEAM    , UNILOAD, GZ, NO , NO, aDir[1], , , , 0, -0.0075, 1, -0.0075, 0, 0, 0, 0, FASE2-PERM, NO, 0,
```

```
0, NO,
 3620, BEAM    , UNILOAD, GZ, NO , NO, aDir[1], , , , 0, -0.0075, 1, -0.0075, 0, 0, 0, 0, FASE2-PERM, NO, 0,
0, NO,
 3621, BEAM    , UNILOAD, GZ, NO , NO, aDir[1], , , , 0, -0.0075, 1, -0.0075, 0, 0, 0, 0, FASE2-PERM, NO, 0,
0, NO,
 3622, BEAM    , UNILOAD, GZ, NO , NO, aDir[1], , , , 0, -0.0075, 1, -0.0075, 0, 0, 0, 0, FASE2-PERM, NO, 0,
0, NO,
 3623, BEAM    , UNILOAD, GZ, NO , NO, aDir[1], , , , 0, -0.0075, 1, -0.0075, 0, 0, 0, 0, FASE2-PERM, NO, 0,
0, NO,
 3624, BEAM    , UNILOAD, GZ, NO , NO, aDir[1], , , , 0, -0.0075, 1, -0.0075, 0, 0, 0, 0, FASE2-PERM, NO, 0,
0, NO,
 3625, BEAM    , UNILOAD, GZ, NO , NO, aDir[1], , , , 0, -0.0075, 1, -0.0075, 0, 0, 0, 0, FASE2-PERM, NO, 0,
0, NO,
 3626, BEAM    , UNILOAD, GZ, NO , NO, aDir[1], , , , 0, -0.0075, 1, -0.0075, 0, 0, 0, 0, FASE2-PERM, NO, 0,
0, NO,
 3627, BEAM    , UNILOAD, GZ, NO , NO, aDir[1], , , , 0, -0.0075, 1, -0.0075, 0, 0, 0, 0, FASE2-PERM, NO, 0,
0, NO,
 3628, BEAM    , UNILOAD, GZ, NO , NO, aDir[1], , , , 0, -0.0075, 1, -0.0075, 0, 0, 0, 0, FASE2-PERM, NO, 0,
0, NO,
 3629, BEAM    , UNILOAD, GZ, NO , NO, aDir[1], , , , 0, -0.0075, 1, -0.0075, 0, 0, 0, 0, FASE2-PERM, NO, 0,
0, NO,
 3630, BEAM    , UNILOAD, GZ, NO , NO, aDir[1], , , , 0, -0.0075, 1, -0.0075, 0, 0, 0, 0, FASE2-PERM, NO, 0,
0, NO,
 3631, BEAM    , UNILOAD, GZ, NO , NO, aDir[1], , , , 0, -0.0075, 1, -0.0075, 0, 0, 0, 0, FASE2-PERM, NO, 0,
0, NO,
 3632, BEAM    , UNILOAD, GZ, NO , NO, aDir[1], , , , 0, -0.0075, 1, -0.0075, 0, 0, 0, 0, FASE2-PERM, NO, 0,
0, NO,
 3633, BEAM    , UNILOAD, GZ, NO , NO, aDir[1], , , , 0, -0.0075, 1, -0.0075, 0, 0, 0, 0, FASE2-PERM, NO, 0,
0, NO,
 3634, BEAM    , UNILOAD, GZ, NO , NO, aDir[1], , , , 0, -0.0075, 1, -0.0075, 0, 0, 0, 0, FASE2-PERM, NO, 0,
0, NO,
 3635, BEAM    , UNILOAD, GZ, NO , NO, aDir[1], , , , 0, -0.0075, 1, -0.0075, 0, 0, 0, 0, FASE2-PERM, NO, 0,
0, NO,
 3636, BEAM    , UNILOAD, GZ, NO , NO, aDir[1], , , , 0, -0.0075, 1, -0.0075, 0, 0, 0, 0, FASE2-PERM, NO, 0,
0, NO,
 3637, BEAM    , UNILOAD, GZ, NO , NO, aDir[1], , , , 0, -0.0075, 1, -0.0075, 0, 0, 0, 0, FASE2-PERM, NO, 0,
0, NO,
 3638, BEAM    , UNILOAD, GZ, NO , NO, aDir[1], , , , 0, -0.0075, 1, -0.0075, 0, 0, 0, 0, FASE2-PERM, NO, 0,
0, NO,
 3639, BEAM    , UNILOAD, GZ, NO , NO, aDir[1], , , , 0, -0.0075, 1, -0.0075, 0, 0, 0, 0, FASE2-PERM, NO, 0,
0, NO,
 3640, BEAM    , UNILOAD, GZ, NO , NO, aDir[1], , , , 0, -0.0075, 1, -0.0075, 0, 0, 0, 0, FASE2-PERM, NO, 0,
0, NO,
 3641, BEAM    , UNILOAD, GZ, NO , NO, aDir[1], , , , 0, -0.0075, 1, -0.0075, 0, 0, 0, 0, FASE2-PERM, NO, 0,
0, NO,
 3642, BEAM    , UNILOAD, GZ, NO , NO, aDir[1], , , , 0, -0.0075, 1, -0.0075, 0, 0, 0, 0, FASE2-PERM, NO, 0,
0, NO,
 3643, BEAM    , UNILOAD, GZ, NO , NO, aDir[1], , , , 0, -0.0075, 1, -0.0075, 0, 0, 0, 0, FASE2-PERM, NO, 0,
0, NO,
 3644, BEAM    , UNILOAD, GZ, NO , NO, aDir[1], , , , 0, -0.0075, 1, -0.0075, 0, 0, 0, 0, FASE2-PERM, NO, 0,
0, NO,
 3645, BEAM    , UNILOAD, GZ, NO , NO, aDir[1], , , , 0, -0.0075, 1, -0.0075, 0, 0, 0, 0, FASE2-PERM, NO, 0,
0, NO,
 3646, BEAM    , UNILOAD, GZ, NO , NO, aDir[1], , , , 0, -0.0075, 1, -0.0075, 0, 0, 0, 0, FASE2-PERM, NO, 0,
0, NO,
 3647, BEAM    , UNILOAD, GZ, NO , NO, aDir[1], , , , 0, -0.0075, 1, -0.0075, 0, 0, 0, 0, FASE2-PERM, NO, 0,
0, NO,
 3648, BEAM    , UNILOAD, GZ, NO , NO, aDir[1], , , , 0, -0.0075, 1, -0.0075, 0, 0, 0, 0, FASE2-PERM, NO, 0,
0, NO,
 3649, BEAM    , UNILOAD, GZ, NO , NO, aDir[1], , , , 0, -0.0075, 1, -0.0075, 0, 0, 0, 0, FASE2-PERM, NO, 0,
0, NO,
 3650, BEAM    , UNILOAD, GZ, NO , NO, aDir[1], , , , 0, -0.0075, 1, -0.0075, 0, 0, 0, 0, FASE2-PERM, NO, 0,
0, NO,
 3651, BEAM    , UNILOAD, GZ, NO , NO, aDir[1], , , , 0, -0.0075, 1, -0.0075, 0, 0, 0, 0, FASE2-PERM, NO, 0,
0, NO,
 3652, BEAM    , UNILOAD, GZ, NO , NO, aDir[1], , , , 0, -0.0075, 1, -0.0075, 0, 0, 0, 0, FASE2-PERM, NO, 0,
0, NO,
 3653, BEAM    , UNILOAD, GZ, NO , NO, aDir[1], , , , 0, -0.0075, 1, -0.0075, 0, 0, 0, 0, FASE2-PERM, NO, 0,
0, NO,
 3654, BEAM    , UNILOAD, GZ, NO , NO, aDir[1], , , , 0, -0.0075, 1, -0.0075, 0, 0, 0, 0, FASE2-PERM, NO, 0,
0, NO,
 3655, BEAM    , UNILOAD, GZ, NO , NO, aDir[1], , , , 0, -0.0075, 1, -0.0075, 0, 0, 0, 0, FASE2-PERM, NO, 0,
0, NO,
 3656, BEAM    , UNILOAD, GZ, NO , NO, aDir[1], , , , 0, -0.0075, 1, -0.0075, 0, 0, 0, 0, FASE2-PERM, NO, 0,
0, NO,
 3657, BEAM    , UNILOAD, GZ, NO , NO, aDir[1], , , , 0, -0.0075, 1, -0.0075, 0, 0, 0, 0, FASE2-PERM, NO, 0,
0, NO,
 3658, BEAM    , UNILOAD, GZ, NO , NO, aDir[1], , , , 0, -0.0075, 1, -0.0075, 0, 0, 0, 0, FASE2-PERM, NO, 0,
```

```
0, NO,
 3659, BEAM    , UNILOAD, GZ, NO , NO, aDir[1], , , , 0, -0.0075, 1, -0.0075, 0, 0, 0, 0, FASE2-PERM, NO, 0,
0, NO,
 3660, BEAM    , UNILOAD, GZ, NO , NO, aDir[1], , , , 0, -0.0075, 1, -0.0075, 0, 0, 0, 0, FASE2-PERM, NO, 0,
0, NO,
 3661, BEAM    , UNILOAD, GZ, NO , NO, aDir[1], , , , 0, -0.0075, 1, -0.0075, 0, 0, 0, 0, FASE2-PERM, NO, 0,
0, NO,
 3662, BEAM    , UNILOAD, GZ, NO , NO, aDir[1], , , , 0, -0.0075, 1, -0.0075, 0, 0, 0, 0, FASE2-PERM, NO, 0,
0, NO,
 3663, BEAM    , UNILOAD, GZ, NO , NO, aDir[1], , , , 0, -0.0075, 1, -0.0075, 0, 0, 0, 0, FASE2-PERM, NO, 0,
0, NO,
 3664, BEAM    , UNILOAD, GZ, NO , NO, aDir[1], , , , 0, -0.0075, 1, -0.0075, 0, 0, 0, 0, FASE2-PERM, NO, 0,
0, NO,
 3665, BEAM    , UNILOAD, GZ, NO , NO, aDir[1], , , , 0, -0.0075, 1, -0.0075, 0, 0, 0, 0, FASE2-PERM, NO, 0,
0, NO,
 3666, BEAM    , UNILOAD, GZ, NO , NO, aDir[1], , , , 0, -0.0075, 1, -0.0075, 0, 0, 0, 0, FASE2-PERM, NO, 0,
0, NO,
 3667, BEAM    , UNILOAD, GZ, NO , NO, aDir[1], , , , 0, -0.0075, 1, -0.0075, 0, 0, 0, 0, FASE2-PERM, NO, 0,
0, NO,
 3668, BEAM    , UNILOAD, GZ, NO , NO, aDir[1], , , , 0, -0.0075, 1, -0.0075, 0, 0, 0, 0, FASE2-PERM, NO, 0,
0, NO,
 3669, BEAM    , UNILOAD, GZ, NO , NO, aDir[1], , , , 0, -0.0075, 1, -0.0075, 0, 0, 0, 0, FASE2-PERM, NO, 0,
0, NO,
 3670, BEAM    , UNILOAD, GZ, NO , NO, aDir[1], , , , 0, -0.0075, 1, -0.0075, 0, 0, 0, 0, FASE2-PERM, NO, 0,
0, NO,
 3671, BEAM    , UNILOAD, GZ, NO , NO, aDir[1], , , , 0, -0.0075, 1, -0.0075, 0, 0, 0, 0, FASE2-PERM, NO, 0,
0, NO,
 3672, BEAM    , UNILOAD, GZ, NO , NO, aDir[1], , , , 0, -0.0075, 1, -0.0075, 0, 0, 0, 0, FASE2-PERM, NO, 0,
0, NO,
 3673, BEAM    , UNILOAD, GZ, NO , NO, aDir[1], , , , 0, -0.0075, 1, -0.0075, 0, 0, 0, 0, FASE2-PERM, NO, 0,
0, NO,
 3674, BEAM    , UNILOAD, GZ, NO , NO, aDir[1], , , , 0, -0.0075, 1, -0.0075, 0, 0, 0, 0, FASE2-PERM, NO, 0,
0, NO,
 3675, BEAM    , UNILOAD, GZ, NO , NO, aDir[1], , , , 0, -0.0075, 1, -0.0075, 0, 0, 0, 0, FASE2-PERM, NO, 0,
0, NO,
 3676, BEAM    , UNILOAD, GZ, NO , NO, aDir[1], , , , 0, -0.0075, 1, -0.0075, 0, 0, 0, 0, FASE2-PERM, NO, 0,
0, NO,
 3677, BEAM    , UNILOAD, GZ, NO , NO, aDir[1], , , , 0, -0.0075, 1, -0.0075, 0, 0, 0, 0, FASE2-PERM, NO, 0,
0, NO,
 3678, BEAM    , UNILOAD, GZ, NO , NO, aDir[1], , , , 0, -0.0075, 1, -0.0075, 0, 0, 0, 0, FASE2-PERM, NO, 0,
0, NO,
 3679, BEAM    , UNILOAD, GZ, NO , NO, aDir[1], , , , 0, -0.0075, 1, -0.0075, 0, 0, 0, 0, FASE2-PERM, NO, 0,
0, NO,
 3844, BEAM    , UNILOAD, GZ, NO , NO, aDir[1], , , , 0, -0.0075, 1, -0.0075, 0, 0, 0, 0, FASE2-PERM, NO, 0,
0, NO,
 3845, BEAM    , UNILOAD, GZ, NO , NO, aDir[1], , , , 0, -0.0075, 1, -0.0075, 0, 0, 0, 0, FASE2-PERM, NO, 0,
0, NO,
 3846, BEAM    , UNILOAD, GZ, NO , NO, aDir[1], , , , 0, -0.0075, 1, -0.0075, 0, 0, 0, 0, FASE2-PERM, NO, 0,
0, NO,
 3847, BEAM    , UNILOAD, GZ, NO , NO, aDir[1], , , , 0, -0.0075, 1, -0.0075, 0, 0, 0, 0, FASE2-PERM, NO, 0,
0, NO,
 3848, BEAM    , UNILOAD, GZ, NO , NO, aDir[1], , , , 0, -0.0075, 1, -0.0075, 0, 0, 0, 0, FASE2-PERM, NO, 0,
0, NO,
 3849, BEAM    , UNILOAD, GZ, NO , NO, aDir[1], , , , 0, -0.0075, 1, -0.0075, 0, 0, 0, 0, FASE2-PERM, NO, 0,
0, NO,
 3850, BEAM    , UNILOAD, GZ, NO , NO, aDir[1], , , , 0, -0.0075, 1, -0.0075, 0, 0, 0, 0, FASE2-PERM, NO, 0,
0, NO,
 3851, BEAM    , UNILOAD, GZ, NO , NO, aDir[1], , , , 0, -0.0075, 1, -0.0075, 0, 0, 0, 0, FASE2-PERM, NO, 0,
0, NO,
 3852, BEAM    , UNILOAD, GZ, NO , NO, aDir[1], , , , 0, -0.0075, 1, -0.0075, 0, 0, 0, 0, FASE2-PERM, NO, 0,
0, NO,
 3853, BEAM    , UNILOAD, GZ, NO , NO, aDir[1], , , , 0, -0.0075, 1, -0.0075, 0, 0, 0, 0, FASE2-PERM, NO, 0,
0, NO,
 3854, BEAM    , UNILOAD, GZ, NO , NO, aDir[1], , , , 0, -0.0075, 1, -0.0075, 0, 0, 0, 0, FASE2-PERM, NO, 0,
0, NO,
 3855, BEAM    , UNILOAD, GZ, NO , NO, aDir[1], , , , 0, -0.0075, 1, -0.0075, 0, 0, 0, 0, FASE2-PERM, NO, 0,
0, NO,
 3856, BEAM    , UNILOAD, GZ, NO , NO, aDir[1], , , , 0, -0.0075, 1, -0.0075, 0, 0, 0, 0, FASE2-PERM, NO, 0,
0, NO,
 3857, BEAM    , UNILOAD, GZ, NO , NO, aDir[1], , , , 0, -0.0075, 1, -0.0075, 0, 0, 0, 0, FASE2-PERM, NO, 0,
0, NO,
 3858, BEAM    , UNILOAD, GZ, NO , NO, aDir[1], , , , 0, -0.0075, 1, -0.0075, 0, 0, 0, 0, FASE2-PERM, NO, 0,
0, NO,
 3859, BEAM    , UNILOAD, GZ, NO , NO, aDir[1], , , , 0, -0.0075, 1, -0.0075, 0, 0, 0, 0, FASE2-PERM, NO, 0,
0, NO,
 3860, BEAM    , UNILOAD, GZ, NO , NO, aDir[1], , , , 0, -0.0075, 1, -0.0075, 0, 0, 0, 0, FASE2-PERM, NO, 0,
0, NO,
 3861, BEAM    , UNILOAD, GZ, NO , NO, aDir[1], , , , 0, -0.0075, 1, -0.0075, 0, 0, 0, 0, FASE2-PERM, NO, 0,
```

```
0, NO,
 3862, BEAM    , UNILOAD, GZ, NO , NO, aDir[1], , , , 0, -0.0075, 1, -0.0075, 0, 0, 0, 0, FASE2-PERM, NO, 0,
0, NO,
 3863, BEAM    , UNILOAD, GZ, NO , NO, aDir[1], , , , 0, -0.0075, 1, -0.0075, 0, 0, 0, 0, FASE2-PERM, NO, 0,
0, NO,
 3864, BEAM    , UNILOAD, GZ, NO , NO, aDir[1], , , , 0, -0.0075, 1, -0.0075, 0, 0, 0, 0, FASE2-PERM, NO, 0,
0, NO,
 3865, BEAM    , UNILOAD, GZ, NO , NO, aDir[1], , , , 0, -0.0075, 1, -0.0075, 0, 0, 0, 0, FASE2-PERM, NO, 0,
0, NO,
 3866, BEAM    , UNILOAD, GZ, NO , NO, aDir[1], , , , 0, -0.0075, 1, -0.0075, 0, 0, 0, 0, FASE2-PERM, NO, 0,
0, NO,
 3867, BEAM    , UNILOAD, GZ, NO , NO, aDir[1], , , , 0, -0.0075, 1, -0.0075, 0, 0, 0, 0, FASE2-PERM, NO, 0,
0, NO,
 3868, BEAM    , UNILOAD, GZ, NO , NO, aDir[1], , , , 0, -0.0075, 1, -0.0075, 0, 0, 0, 0, FASE2-PERM, NO, 0,
0, NO,
 3869, BEAM    , UNILOAD, GZ, NO , NO, aDir[1], , , , 0, -0.0075, 1, -0.0075, 0, 0, 0, 0, FASE2-PERM, NO, 0,
0, NO,
 3870, BEAM    , UNILOAD, GZ, NO , NO, aDir[1], , , , 0, -0.0075, 1, -0.0075, 0, 0, 0, 0, FASE2-PERM, NO, 0,
0, NO,
 3871, BEAM    , UNILOAD, GZ, NO , NO, aDir[1], , , , 0, -0.0075, 1, -0.0075, 0, 0, 0, 0, FASE2-PERM, NO, 0,
0, NO,
 3872, BEAM    , UNILOAD, GZ, NO , NO, aDir[1], , , , 0, -0.0075, 1, -0.0075, 0, 0, 0, 0, FASE2-PERM, NO, 0,
0, NO,
 3873, BEAM    , UNILOAD, GZ, NO , NO, aDir[1], , , , 0, -0.0075, 1, -0.0075, 0, 0, 0, 0, FASE2-PERM, NO, 0,
0, NO,
 3874, BEAM    , UNILOAD, GZ, NO , NO, aDir[1], , , , 0, -0.0075, 1, -0.0075, 0, 0, 0, 0, FASE2-PERM, NO, 0,
0, NO,
 3875, BEAM    , UNILOAD, GZ, NO , NO, aDir[1], , , , 0, -0.0075, 1, -0.0075, 0, 0, 0, 0, FASE2-PERM, NO, 0,
0, NO,
 3876, BEAM    , UNILOAD, GZ, NO , NO, aDir[1], , , , 0, -0.0075, 1, -0.0075, 0, 0, 0, 0, FASE2-PERM, NO, 0,
0, NO,
 3877, BEAM    , UNILOAD, GZ, NO , NO, aDir[1], , , , 0, -0.0075, 1, -0.0075, 0, 0, 0, 0, FASE2-PERM, NO, 0,
0, NO,
 3878, BEAM    , UNILOAD, GZ, NO , NO, aDir[1], , , , 0, -0.0075, 1, -0.0075, 0, 0, 0, 0, FASE2-PERM, NO, 0,
0, NO,
 3879, BEAM    , UNILOAD, GZ, NO , NO, aDir[1], , , , 0, -0.0075, 1, -0.0075, 0, 0, 0, 0, FASE2-PERM, NO, 0,
0, NO,
 3880, BEAM    , UNILOAD, GZ, NO , NO, aDir[1], , , , 0, -0.0075, 1, -0.0075, 0, 0, 0, 0, FASE2-PERM, NO, 0,
0, NO,
 3881, BEAM    , UNILOAD, GZ, NO , NO, aDir[1], , , , 0, -0.0075, 1, -0.0075, 0, 0, 0, 0, FASE2-PERM, NO, 0,
0, NO,
 3882, BEAM    , UNILOAD, GZ, NO , NO, aDir[1], , , , 0, -0.0075, 1, -0.0075, 0, 0, 0, 0, FASE2-PERM, NO, 0,
0, NO,
 3883, BEAM    , UNILOAD, GZ, NO , NO, aDir[1], , , , 0, -0.0075, 1, -0.0075, 0, 0, 0, 0, FASE2-PERM, NO, 0,
0, NO,
 3884, BEAM    , UNILOAD, GZ, NO , NO, aDir[1], , , , 0, -0.0075, 1, -0.0075, 0, 0, 0, 0, FASE2-PERM, NO, 0,
0, NO,
 3885, BEAM    , UNILOAD, GZ, NO , NO, aDir[1], , , , 0, -0.0075, 1, -0.0075, 0, 0, 0, 0, FASE2-PERM, NO, 0,
0, NO,
 3886, BEAM    , UNILOAD, GZ, NO , NO, aDir[1], , , , 0, -0.0075, 1, -0.0075, 0, 0, 0, 0, FASE2-PERM, NO, 0,
0, NO,
 3887, BEAM    , UNILOAD, GZ, NO , NO, aDir[1], , , , 0, -0.0075, 1, -0.0075, 0, 0, 0, 0, FASE2-PERM, NO, 0,
0, NO,
 3888, BEAM    , UNILOAD, GZ, NO , NO, aDir[1], , , , 0, -0.0075, 1, -0.0075, 0, 0, 0, 0, FASE2-PERM, NO, 0,
0, NO,
 3889, BEAM    , UNILOAD, GZ, NO , NO, aDir[1], , , , 0, -0.0075, 1, -0.0075, 0, 0, 0, 0, FASE2-PERM, NO, 0,
0, NO,
 3890, BEAM    , UNILOAD, GZ, NO , NO, aDir[1], , , , 0, -0.0075, 1, -0.0075, 0, 0, 0, 0, FASE2-PERM, NO, 0,
0, NO,
 3891, BEAM    , UNILOAD, GZ, NO , NO, aDir[1], , , , 0, -0.0075, 1, -0.0075, 0, 0, 0, 0, FASE2-PERM, NO, 0,
0, NO,
 3892, BEAM    , UNILOAD, GZ, NO , NO, aDir[1], , , , 0, -0.0075, 1, -0.0075, 0, 0, 0, 0, FASE2-PERM, NO, 0,
0, NO,
 3893, BEAM    , UNILOAD, GZ, NO , NO, aDir[1], , , , 0, -0.0075, 1, -0.0075, 0, 0, 0, 0, FASE2-PERM, NO, 0,
0, NO,
 3894, BEAM    , UNILOAD, GZ, NO , NO, aDir[1], , , , 0, -0.0075, 1, -0.0075, 0, 0, 0, 0, FASE2-PERM, NO, 0,
0, NO,
 3895, BEAM    , UNILOAD, GZ, NO , NO, aDir[1], , , , 0, -0.0075, 1, -0.0075, 0, 0, 0, 0, FASE2-PERM, NO, 0,
0, NO,
 3896, BEAM    , UNILOAD, GZ, NO , NO, aDir[1], , , , 0, -0.0075, 1, -0.0075, 0, 0, 0, 0, FASE2-PERM, NO, 0,
0, NO,
 3897, BEAM    , UNILOAD, GZ, NO , NO, aDir[1], , , , 0, -0.0075, 1, -0.0075, 0, 0, 0, 0, FASE2-PERM, NO, 0,
0, NO,
 3898, BEAM    , UNILOAD, GZ, NO , NO, aDir[1], , , , 0, -0.0075, 1, -0.0075, 0, 0, 0, 0, FASE2-PERM, NO, 0,
0, NO,
 3899, BEAM    , UNILOAD, GZ, NO , NO, aDir[1], , , , 0, -0.0075, 1, -0.0075, 0, 0, 0, 0, FASE2-PERM, NO, 0,
0, NO,
 3900, BEAM    , UNILOAD, GZ, NO , NO, aDir[1], , , , 0, -0.0075, 1, -0.0075, 0, 0, 0, 0, FASE2-PERM, NO, 0,
```

```
0, NO,
 3901, BEAM    , UNILOAD, GZ, NO , NO, aDir[1], , , , 0, -0.0075, 1, -0.0075, 0, 0, 0, 0, FASE2-PERM, NO, 0,
0, NO,
 3902, BEAM    , UNILOAD, GZ, NO , NO, aDir[1], , , , 0, -0.0075, 1, -0.0075, 0, 0, 0, 0, FASE2-PERM, NO, 0,
0, NO,
 3903, BEAM    , UNILOAD, GZ, NO , NO, aDir[1], , , , 0, -0.0075, 1, -0.0075, 0, 0, 0, 0, FASE2-PERM, NO, 0,
0, NO,
 3904, BEAM    , UNILOAD, GZ, NO , NO, aDir[1], , , , 0, -0.0075, 1, -0.0075, 0, 0, 0, 0, FASE2-PERM, NO, 0,
0, NO,
 3905, BEAM    , UNILOAD, GZ, NO , NO, aDir[1], , , , 0, -0.0075, 1, -0.0075, 0, 0, 0, 0, FASE2-PERM, NO, 0,
0, NO,
 3906, BEAM    , UNILOAD, GZ, NO , NO, aDir[1], , , , 0, -0.0075, 1, -0.0075, 0, 0, 0, 0, FASE2-PERM, NO, 0,
0, NO,
 3907, BEAM    , UNILOAD, GZ, NO , NO, aDir[1], , , , 0, -0.0075, 1, -0.0075, 0, 0, 0, 0, FASE2-PERM, NO, 0,
0, NO,
 3908, BEAM    , UNILOAD, GZ, NO , NO, aDir[1], , , , 0, -0.0075, 1, -0.0075, 0, 0, 0, 0, FASE2-PERM, NO, 0,
0, NO,
 3909, BEAM    , UNILOAD, GZ, NO , NO, aDir[1], , , , 0, -0.0075, 1, -0.0075, 0, 0, 0, 0, FASE2-PERM, NO, 0,
0, NO,
 3910, BEAM    , UNILOAD, GZ, NO , NO, aDir[1], , , , 0, -0.0075, 1, -0.0075, 0, 0, 0, 0, FASE2-PERM, NO, 0,
0, NO,
 3911, BEAM    , UNILOAD, GZ, NO , NO, aDir[1], , , , 0, -0.0075, 1, -0.0075, 0, 0, 0, 0, FASE2-PERM, NO, 0,
0, NO,
 3912, BEAM    , UNILOAD, GZ, NO , NO, aDir[1], , , , 0, -0.0075, 1, -0.0075, 0, 0, 0, 0, FASE2-PERM, NO, 0,
0, NO,
 3913, BEAM    , UNILOAD, GZ, NO , NO, aDir[1], , , , 0, -0.0075, 1, -0.0075, 0, 0, 0, 0, FASE2-PERM, NO, 0,
0, NO,
 3914, BEAM    , UNILOAD, GZ, NO , NO, aDir[1], , , , 0, -0.0075, 1, -0.0075, 0, 0, 0, 0, FASE2-PERM, NO, 0,
0, NO,
 3915, BEAM    , UNILOAD, GZ, NO , NO, aDir[1], , , , 0, -0.0075, 1, -0.0075, 0, 0, 0, 0, FASE2-PERM, NO, 0,
0, NO,
 3916, BEAM    , UNILOAD, GZ, NO , NO, aDir[1], , , , 0, -0.0075, 1, -0.0075, 0, 0, 0, 0, FASE2-PERM, NO, 0,
0, NO,
 3917, BEAM    , UNILOAD, GZ, NO , NO, aDir[1], , , , 0, -0.0075, 1, -0.0075, 0, 0, 0, 0, FASE2-PERM, NO, 0,
0, NO,
 3918, BEAM    , UNILOAD, GZ, NO , NO, aDir[1], , , , 0, -0.0075, 1, -0.0075, 0, 0, 0, 0, FASE2-PERM, NO, 0,
0, NO,
 3919, BEAM    , UNILOAD, GZ, NO , NO, aDir[1], , , , 0, -0.0075, 1, -0.0075, 0, 0, 0, 0, FASE2-PERM, NO, 0,
0, NO,
 3920, BEAM    , UNILOAD, GZ, NO , NO, aDir[1], , , , 0, -0.0075, 1, -0.0075, 0, 0, 0, 0, FASE2-PERM, NO, 0,
0, NO,
 3921, BEAM    , UNILOAD, GZ, NO , NO, aDir[1], , , , 0, -0.0075, 1, -0.0075, 0, 0, 0, 0, FASE2-PERM, NO, 0,
0, NO,
 3922, BEAM    , UNILOAD, GZ, NO , NO, aDir[1], , , , 0, -0.0075, 1, -0.0075, 0, 0, 0, 0, FASE2-PERM, NO, 0,
0, NO,
 3923, BEAM    , UNILOAD, GZ, NO , NO, aDir[1], , , , 0, -0.0075, 1, -0.0075, 0, 0, 0, 0, FASE2-PERM, NO, 0,
0, NO,
 3924, BEAM    , UNILOAD, GZ, NO , NO, aDir[1], , , , 0, -0.0075, 1, -0.0075, 0, 0, 0, 0, FASE2-PERM, NO, 0,
0, NO,
 3925, BEAM    , UNILOAD, GZ, NO , NO, aDir[1], , , , 0, -0.0075, 1, -0.0075, 0, 0, 0, 0, FASE2-PERM, NO, 0,
0, NO,
 3926, BEAM    , UNILOAD, GZ, NO , NO, aDir[1], , , , 0, -0.0075, 1, -0.0075, 0, 0, 0, 0, FASE2-PERM, NO, 0,
0, NO,
 3927, BEAM    , UNILOAD, GZ, NO , NO, aDir[1], , , , 0, -0.0075, 1, -0.0075, 0, 0, 0, 0, FASE2-PERM, NO, 0,
0, NO,
 3928, BEAM    , UNILOAD, GZ, NO , NO, aDir[1], , , , 0, -0.0075, 1, -0.0075, 0, 0, 0, 0, FASE2-PERM, NO, 0,
0, NO,
 3929, BEAM    , UNILOAD, GZ, NO , NO, aDir[1], , , , 0, -0.0075, 1, -0.0075, 0, 0, 0, 0, FASE2-PERM, NO, 0,
0, NO,
 3930, BEAM    , UNILOAD, GZ, NO , NO, aDir[1], , , , 0, -0.0075, 1, -0.0075, 0, 0, 0, 0, FASE2-PERM, NO, 0,
0, NO,
 3931, BEAM    , UNILOAD, GZ, NO , NO, aDir[1], , , , 0, -0.0075, 1, -0.0075, 0, 0, 0, 0, FASE2-PERM, NO, 0,
0, NO,
 3932, BEAM    , UNILOAD, GZ, NO , NO, aDir[1], , , , 0, -0.0075, 1, -0.0075, 0, 0, 0, 0, FASE2-PERM, NO, 0,
0, NO,
 3933, BEAM    , UNILOAD, GZ, NO , NO, aDir[1], , , , 0, -0.0075, 1, -0.0075, 0, 0, 0, 0, FASE2-PERM, NO, 0,
0, NO,
 3934, BEAM    , UNILOAD, GZ, NO , NO, aDir[1], , , , 0, -0.0075, 1, -0.0075, 0, 0, 0, 0, FASE2-PERM, NO, 0,
0, NO,
 3935, BEAM    , UNILOAD, GZ, NO , NO, aDir[1], , , , 0, -0.0075, 1, -0.0075, 0, 0, 0, 0, FASE2-PERM, NO, 0,
0, NO,
 3936, BEAM    , UNILOAD, GZ, NO , NO, aDir[1], , , , 0, -0.0075, 1, -0.0075, 0, 0, 0, 0, FASE2-PERM, NO, 0,
0, NO,
 3937, BEAM    , UNILOAD, GZ, NO , NO, aDir[1], , , , 0, -0.0075, 1, -0.0075, 0, 0, 0, 0, FASE2-PERM, NO, 0,
0, NO,
 3938, BEAM    , UNILOAD, GZ, NO , NO, aDir[1], , , , 0, -0.0075, 1, -0.0075, 0, 0, 0, 0, FASE2-PERM, NO, 0,
0, NO,
 3939, BEAM    , UNILOAD, GZ, NO , NO, aDir[1], , , , 0, -0.0075, 1, -0.0075, 0, 0, 0, 0, FASE2-PERM, NO, 0,
```

```
0, NO,
 3940, BEAM    , UNILOAD, GZ, NO , NO, aDir[1], , , , 0, -0.0075, 1, -0.0075, 0, 0, 0, 0, FASE2-PERM, NO, 0,
0, NO,
 3941, BEAM    , UNILOAD, GZ, NO , NO, aDir[1], , , , 0, -0.0075, 1, -0.0075, 0, 0, 0, 0, FASE2-PERM, NO, 0,
0, NO,
 3942, BEAM    , UNILOAD, GZ, NO , NO, aDir[1], , , , 0, -0.0075, 1, -0.0075, 0, 0, 0, 0, FASE2-PERM, NO, 0,
0, NO,
 3943, BEAM    , UNILOAD, GZ, NO , NO, aDir[1], , , , 0, -0.0075, 1, -0.0075, 0, 0, 0, 0, FASE2-PERM, NO, 0,
0, NO,
 3944, BEAM    , UNILOAD, GZ, NO , NO, aDir[1], , , , 0, -0.0075, 1, -0.0075, 0, 0, 0, 0, FASE2-PERM, NO, 0,
0, NO,
 3945, BEAM    , UNILOAD, GZ, NO , NO, aDir[1], , , , 0, -0.0075, 1, -0.0075, 0, 0, 0, 0, FASE2-PERM, NO, 0,
0, NO,
 3946, BEAM    , UNILOAD, GZ, NO , NO, aDir[1], , , , 0, -0.0075, 1, -0.0075, 0, 0, 0, 0, FASE2-PERM, NO, 0,
0, NO,
 3947, BEAM    , UNILOAD, GZ, NO , NO, aDir[1], , , , 0, -0.0075, 1, -0.0075, 0, 0, 0, 0, FASE2-PERM, NO, 0,
0, NO,
 3948, BEAM    , UNILOAD, GZ, NO , NO, aDir[1], , , , 0, -0.0075, 1, -0.0075, 0, 0, 0, 0, FASE2-PERM, NO, 0,
0, NO,
 3949, BEAM    , UNILOAD, GZ, NO , NO, aDir[1], , , , 0, -0.0075, 1, -0.0075, 0, 0, 0, 0, FASE2-PERM, NO, 0,
0, NO,
 3950, BEAM    , UNILOAD, GZ, NO , NO, aDir[1], , , , 0, -0.0075, 1, -0.0075, 0, 0, 0, 0, FASE2-PERM, NO, 0,
0, NO,
 3951, BEAM    , UNILOAD, GZ, NO , NO, aDir[1], , , , 0, -0.0075, 1, -0.0075, 0, 0, 0, 0, FASE2-PERM, NO, 0,
0, NO,
 3952, BEAM    , UNILOAD, GZ, NO , NO, aDir[1], , , , 0, -0.0075, 1, -0.0075, 0, 0, 0, 0, FASE2-PERM, NO, 0,
0, NO,
 3953, BEAM    , UNILOAD, GZ, NO , NO, aDir[1], , , , 0, -0.0075, 1, -0.0075, 0, 0, 0, 0, FASE2-PERM, NO, 0,
0, NO,
 3954, BEAM    , UNILOAD, GZ, NO , NO, aDir[1], , , , 0, -0.0075, 1, -0.0075, 0, 0, 0, 0, FASE2-PERM, NO, 0,
0, NO,
 3955, BEAM    , UNILOAD, GZ, NO , NO, aDir[1], , , , 0, -0.0075, 1, -0.0075, 0, 0, 0, 0, FASE2-PERM, NO, 0,
0, NO,
 3956, BEAM    , UNILOAD, GZ, NO , NO, aDir[1], , , , 0, -0.0075, 1, -0.0075, 0, 0, 0, 0, FASE2-PERM, NO, 0,
0, NO,
 3957, BEAM    , UNILOAD, GZ, NO , NO, aDir[1], , , , 0, -0.0075, 1, -0.0075, 0, 0, 0, 0, FASE2-PERM, NO, 0,
0, NO,
 3958, BEAM    , UNILOAD, GZ, NO , NO, aDir[1], , , , 0, -0.0075, 1, -0.0075, 0, 0, 0, 0, FASE2-PERM, NO, 0,
0, NO,
 3959, BEAM    , UNILOAD, GZ, NO , NO, aDir[1], , , , 0, -0.0075, 1, -0.0075, 0, 0, 0, 0, FASE2-PERM, NO, 0,
0, NO,
 3960, BEAM    , UNILOAD, GZ, NO , NO, aDir[1], , , , 0, -0.0075, 1, -0.0075, 0, 0, 0, 0, FASE2-PERM, NO, 0,
0, NO,
 3961, BEAM    , UNILOAD, GZ, NO , NO, aDir[1], , , , 0, -0.0075, 1, -0.0075, 0, 0, 0, 0, FASE2-PERM, NO, 0,
0, NO,
 3962, BEAM    , UNILOAD, GZ, NO , NO, aDir[1], , , , 0, -0.0075, 1, -0.0075, 0, 0, 0, 0, FASE2-PERM, NO, 0,
0, NO,
 3963, BEAM    , UNILOAD, GZ, NO , NO, aDir[1], , , , 0, -0.0075, 1, -0.0075, 0, 0, 0, 0, FASE2-PERM, NO, 0,
0, NO,
 3964, BEAM    , UNILOAD, GZ, NO , NO, aDir[1], , , , 0, -0.0075, 1, -0.0075, 0, 0, 0, 0, FASE2-PERM, NO, 0,
0, NO,
 3965, BEAM    , UNILOAD, GZ, NO , NO, aDir[1], , , , 0, -0.0075, 1, -0.0075, 0, 0, 0, 0, FASE2-PERM, NO, 0,
0, NO,
 3966, BEAM    , UNILOAD, GZ, NO , NO, aDir[1], , , , 0, -0.0075, 1, -0.0075, 0, 0, 0, 0, FASE2-PERM, NO, 0,
0, NO,
 3967, BEAM    , UNILOAD, GZ, NO , NO, aDir[1], , , , 0, -0.0075, 1, -0.0075, 0, 0, 0, 0, FASE2-PERM, NO, 0,
0, NO,
 3968, BEAM    , UNILOAD, GZ, NO , NO, aDir[1], , , , 0, -0.0075, 1, -0.0075, 0, 0, 0, 0, FASE2-PERM, NO, 0,
0, NO,
 3969, BEAM    , UNILOAD, GZ, NO , NO, aDir[1], , , , 0, -0.0075, 1, -0.0075, 0, 0, 0, 0, FASE2-PERM, NO, 0,
0, NO,
 3970, BEAM    , UNILOAD, GZ, NO , NO, aDir[1], , , , 0, -0.0075, 1, -0.0075, 0, 0, 0, 0, FASE2-PERM, NO, 0,
0, NO,
 3971, BEAM    , UNILOAD, GZ, NO , NO, aDir[1], , , , 0, -0.0075, 1, -0.0075, 0, 0, 0, 0, FASE2-PERM, NO, 0,
0, NO,
 3972, BEAM    , UNILOAD, GZ, NO , NO, aDir[1], , , , 0, -0.0075, 1, -0.0075, 0, 0, 0, 0, FASE2-PERM, NO, 0,
0, NO,
 3973, BEAM    , UNILOAD, GZ, NO , NO, aDir[1], , , , 0, -0.0075, 1, -0.0075, 0, 0, 0, 0, FASE2-PERM, NO, 0,
0, NO,
 3974, BEAM    , UNILOAD, GZ, NO , NO, aDir[1], , , , 0, -0.0075, 1, -0.0075, 0, 0, 0, 0, FASE2-PERM, NO, 0,
0, NO,
 3975, BEAM    , UNILOAD, GZ, NO , NO, aDir[1], , , , 0, -0.0075, 1, -0.0075, 0, 0, 0, 0, FASE2-PERM, NO, 0,
0, NO,
 3976, BEAM    , UNILOAD, GZ, NO , NO, aDir[1], , , , 0, -0.0075, 1, -0.0075, 0, 0, 0, 0, FASE2-PERM, NO, 0,
0, NO,
 3977, BEAM    , UNILOAD, GZ, NO , NO, aDir[1], , , , 0, -0.0075, 1, -0.0075, 0, 0, 0, 0, FASE2-PERM, NO, 0,
0, NO,
 3978, BEAM    , UNILOAD, GZ, NO , NO, aDir[1], , , , 0, -0.0075, 1, -0.0075, 0, 0, 0, 0, FASE2-PERM, NO, 0,
```

```
0, NO,
 3979, BEAM    , UNILOAD, GZ, NO , NO, aDir[1], , , , 0, -0.0075, 1, -0.0075, 0, 0, 0, 0, FASE2-PERM, NO, 0,
0, NO,
 3980, BEAM    , UNILOAD, GZ, NO , NO, aDir[1], , , , 0, -0.0075, 1, -0.0075, 0, 0, 0, 0, FASE2-PERM, NO, 0,
0, NO,
 3981, BEAM    , UNILOAD, GZ, NO , NO, aDir[1], , , , 0, -0.0075, 1, -0.0075, 0, 0, 0, 0, FASE2-PERM, NO, 0,
0, NO,
 3982, BEAM    , UNILOAD, GZ, NO , NO, aDir[1], , , , 0, -0.0075, 1, -0.0075, 0, 0, 0, 0, FASE2-PERM, NO, 0,
0, NO,
 3983, BEAM    , UNILOAD, GZ, NO , NO, aDir[1], , , , 0, -0.0075, 1, -0.0075, 0, 0, 0, 0, FASE2-PERM, NO, 0,
0, NO,
 3984, BEAM    , UNILOAD, GZ, NO , NO, aDir[1], , , , 0, -0.0075, 1, -0.0075, 0, 0, 0, 0, FASE2-PERM, NO, 0,
0, NO,
 3985, BEAM    , UNILOAD, GZ, NO , NO, aDir[1], , , , 0, -0.0075, 1, -0.0075, 0, 0, 0, 0, FASE2-PERM, NO, 0,
0, NO,
 3986, BEAM    , UNILOAD, GZ, NO , NO, aDir[1], , , , 0, -0.0075, 1, -0.0075, 0, 0, 0, 0, FASE2-PERM, NO, 0,
0, NO,
 3987, BEAM    , UNILOAD, GZ, NO , NO, aDir[1], , , , 0, -0.0075, 1, -0.0075, 0, 0, 0, 0, FASE2-PERM, NO, 0,
0, NO,
 3988, BEAM    , UNILOAD, GZ, NO , NO, aDir[1], , , , 0, -0.0075, 1, -0.0075, 0, 0, 0, 0, FASE2-PERM, NO, 0,
0, NO,
 3989, BEAM    , UNILOAD, GZ, NO , NO, aDir[1], , , , 0, -0.0075, 1, -0.0075, 0, 0, 0, 0, FASE2-PERM, NO, 0,
0, NO,
 3990, BEAM    , UNILOAD, GZ, NO , NO, aDir[1], , , , 0, -0.0075, 1, -0.0075, 0, 0, 0, 0, FASE2-PERM, NO, 0,
0, NO,
 3991, BEAM    , UNILOAD, GZ, NO , NO, aDir[1], , , , 0, -0.0075, 1, -0.0075, 0, 0, 0, 0, FASE2-PERM, NO, 0,
0, NO,
 3992, BEAM    , UNILOAD, GZ, NO , NO, aDir[1], , , , 0, -0.0075, 1, -0.0075, 0, 0, 0, 0, FASE2-PERM, NO, 0,
0, NO,
 3993, BEAM    , UNILOAD, GZ, NO , NO, aDir[1], , , , 0, -0.0075, 1, -0.0075, 0, 0, 0, 0, FASE2-PERM, NO, 0,
0, NO,
 3994, BEAM    , UNILOAD, GZ, NO , NO, aDir[1], , , , 0, -0.0075, 1, -0.0075, 0, 0, 0, 0, FASE2-PERM, NO, 0,
0, NO,
 3995, BEAM    , UNILOAD, GZ, NO , NO, aDir[1], , , , 0, -0.0075, 1, -0.0075, 0, 0, 0, 0, FASE2-PERM, NO, 0,
0, NO,
 3996, BEAM    , UNILOAD, GZ, NO , NO, aDir[1], , , , 0, -0.0075, 1, -0.0075, 0, 0, 0, 0, FASE2-PERM, NO, 0,
0, NO,
 3997, BEAM    , UNILOAD, GZ, NO , NO, aDir[1], , , , 0, -0.0075, 1, -0.0075, 0, 0, 0, 0, FASE2-PERM, NO, 0,
0, NO,
 3998, BEAM    , UNILOAD, GZ, NO , NO, aDir[1], , , , 0, -0.0075, 1, -0.0075, 0, 0, 0, 0, FASE2-PERM, NO, 0,
0, NO,
 3999, BEAM    , UNILOAD, GZ, NO , NO, aDir[1], , , , 0, -0.0075, 1, -0.0075, 0, 0, 0, 0, FASE2-PERM, NO, 0,
0, NO,
 4000, BEAM    , UNILOAD, GZ, NO , NO, aDir[1], , , , 0, -0.0075, 1, -0.0075, 0, 0, 0, 0, FASE2-PERM, NO, 0,
0, NO,
 4001, BEAM    , UNILOAD, GZ, NO , NO, aDir[1], , , , 0, -0.0075, 1, -0.0075, 0, 0, 0, 0, FASE2-PERM, NO, 0,
0, NO,
 4002, BEAM    , UNILOAD, GZ, NO , NO, aDir[1], , , , 0, -0.0075, 1, -0.0075, 0, 0, 0, 0, FASE2-PERM, NO, 0,
0, NO,
 4003, BEAM    , UNILOAD, GZ, NO , NO, aDir[1], , , , 0, -0.0075, 1, -0.0075, 0, 0, 0, 0, FASE2-PERM, NO, 0,
0, NO,
 4004, BEAM    , UNILOAD, GZ, NO , NO, aDir[1], , , , 0, -0.0075, 1, -0.0075, 0, 0, 0, 0, FASE2-PERM, NO, 0,
0, NO,
 4005, BEAM    , UNILOAD, GZ, NO , NO, aDir[1], , , , 0, -0.0075, 1, -0.0075, 0, 0, 0, 0, FASE2-PERM, NO, 0,
0, NO,
 4006, BEAM    , UNILOAD, GZ, NO , NO, aDir[1], , , , 0, -0.0075, 1, -0.0075, 0, 0, 0, 0, FASE2-PERM, NO, 0,
0, NO,
 4007, BEAM    , UNILOAD, GZ, NO , NO, aDir[1], , , , 0, -0.0075, 1, -0.0075, 0, 0, 0, 0, FASE2-PERM, NO, 0,
0, NO,
 4008, BEAM    , UNILOAD, GZ, NO , NO, aDir[1], , , , 0, -0.0075, 1, -0.0075, 0, 0, 0, 0, FASE2-PERM, NO, 0,
0, NO,
 4009, BEAM    , UNILOAD, GZ, NO , NO, aDir[1], , , , 0, -0.0075, 1, -0.0075, 0, 0, 0, 0, FASE2-PERM, NO, 0,
0, NO,
 4010, BEAM    , UNILOAD, GZ, NO , NO, aDir[1], , , , 0, -0.0075, 1, -0.0075, 0, 0, 0, 0, FASE2-PERM, NO, 0,
0, NO,
 4011, BEAM    , UNILOAD, GZ, NO , NO, aDir[1], , , , 0, -0.0075, 1, -0.0075, 0, 0, 0, 0, FASE2-PERM, NO, 0,
0, NO,
 4217, BEAM    , UNILOAD, GZ, NO , NO, aDir[1], , , , 0, -0.0075, 1, -0.0075, 0, 0, 0, 0, FASE2-PERM, NO, 0,
0, NO,
 4218, BEAM    , UNILOAD, GZ, NO , NO, aDir[1], , , , 0, -0.0075, 1, -0.0075, 0, 0, 0, 0, FASE2-PERM, NO, 0,
0, NO,
 4219, BEAM    , UNILOAD, GZ, NO , NO, aDir[1], , , , 0, -0.0075, 1, -0.0075, 0, 0, 0, 0, FASE2-PERM, NO, 0,
0, NO,
 4220, BEAM    , UNILOAD, GZ, NO , NO, aDir[1], , , , 0, -0.0075, 1, -0.0075, 0, 0, 0, 0, FASE2-PERM, NO, 0,
0, NO,
 4221, BEAM    , UNILOAD, GZ, NO , NO, aDir[1], , , , 0, -0.0075, 1, -0.0075, 0, 0, 0, 0, FASE2-PERM, NO, 0,
0, NO,
 4222, BEAM    , UNILOAD, GZ, NO , NO, aDir[1], , , , 0, -0.0075, 1, -0.0075, 0, 0, 0, 0, FASE2-PERM, NO, 0,
```

0, NO,
4223, BEAM , UNILOAD, GZ, NO , NO, aDir[1], , , , 0, -0.0075, 1, -0.0075, 0, 0, 0, 0, FASE2-PERM, NO, 0,
0, NO,
4224, BEAM , UNILOAD, GZ, NO , NO, aDir[1], , , , 0, -0.0075, 1, -0.0075, 0, 0, 0, 0, FASE2-PERM, NO, 0,
0, NO,
4225, BEAM , UNILOAD, GZ, NO , NO, aDir[1], , , , 0, -0.0075, 1, -0.0075, 0, 0, 0, 0, FASE2-PERM, NO, 0,
0, NO,
4226, BEAM , UNILOAD, GZ, NO , NO, aDir[1], , , , 0, -0.0075, 1, -0.0075, 0, 0, 0, 0, FASE2-PERM, NO, 0,
0, NO,
4227, BEAM , UNILOAD, GZ, NO , NO, aDir[1], , , , 0, -0.0075, 1, -0.0075, 0, 0, 0, 0, FASE2-PERM, NO, 0,
0, NO,
4228, BEAM , UNILOAD, GZ, NO , NO, aDir[1], , , , 0, -0.0075, 1, -0.0075, 0, 0, 0, 0, FASE2-PERM, NO, 0,
0, NO,
4229, BEAM , UNILOAD, GZ, NO , NO, aDir[1], , , , 0, -0.0075, 1, -0.0075, 0, 0, 0, 0, FASE2-PERM, NO, 0,
0, NO,
4230, BEAM , UNILOAD, GZ, NO , NO, aDir[1], , , , 0, -0.0075, 1, -0.0075, 0, 0, 0, 0, FASE2-PERM, NO, 0,
0, NO,
4231, BEAM , UNILOAD, GZ, NO , NO, aDir[1], , , , 0, -0.0075, 1, -0.0075, 0, 0, 0, 0, FASE2-PERM, NO, 0,
0, NO,
4232, BEAM , UNILOAD, GZ, NO , NO, aDir[1], , , , 0, -0.0075, 1, -0.0075, 0, 0, 0, 0, FASE2-PERM, NO, 0,
0, NO,
4233, BEAM , UNILOAD, GZ, NO , NO, aDir[1], , , , 0, -0.0075, 1, -0.0075, 0, 0, 0, 0, FASE2-PERM, NO, 0,
0, NO,
4234, BEAM , UNILOAD, GZ, NO , NO, aDir[1], , , , 0, -0.0075, 1, -0.0075, 0, 0, 0, 0, FASE2-PERM, NO, 0,
0, NO,
4235, BEAM , UNILOAD, GZ, NO , NO, aDir[1], , , , 0, -0.0075, 1, -0.0075, 0, 0, 0, 0, FASE2-PERM, NO, 0,
0, NO,
4236, BEAM , UNILOAD, GZ, NO , NO, aDir[1], , , , 0, -0.0075, 1, -0.0075, 0, 0, 0, 0, FASE2-PERM, NO, 0,
0, NO,
4237, BEAM , UNILOAD, GZ, NO , NO, aDir[1], , , , 0, -0.0075, 1, -0.0075, 0, 0, 0, 0, FASE2-PERM, NO, 0,
0, NO,
4238, BEAM , UNILOAD, GZ, NO , NO, aDir[1], , , , 0, -0.0075, 1, -0.0075, 0, 0, 0, 0, FASE2-PERM, NO, 0,
0, NO,
4239, BEAM , UNILOAD, GZ, NO , NO, aDir[1], , , , 0, -0.0075, 1, -0.0075, 0, 0, 0, 0, FASE2-PERM, NO, 0,
0, NO,
4240, BEAM , UNILOAD, GZ, NO , NO, aDir[1], , , , 0, -0.0075, 1, -0.0075, 0, 0, 0, 0, FASE2-PERM, NO, 0,
0, NO,
4241, BEAM , UNILOAD, GZ, NO , NO, aDir[1], , , , 0, -0.0075, 1, -0.0075, 0, 0, 0, 0, FASE2-PERM, NO, 0,
0, NO,
4242, BEAM , UNILOAD, GZ, NO , NO, aDir[1], , , , 0, -0.0075, 1, -0.0075, 0, 0, 0, 0, FASE2-PERM, NO, 0,
0, NO,
4243, BEAM , UNILOAD, GZ, NO , NO, aDir[1], , , , 0, -0.0075, 1, -0.0075, 0, 0, 0, 0, FASE2-PERM, NO, 0,
0, NO,
4244, BEAM , UNILOAD, GZ, NO , NO, aDir[1], , , , 0, -0.0075, 1, -0.0075, 0, 0, 0, 0, FASE2-PERM, NO, 0,
0, NO,
4245, BEAM , UNILOAD, GZ, NO , NO, aDir[1], , , , 0, -0.0075, 1, -0.0075, 0, 0, 0, 0, FASE2-PERM, NO, 0,
0, NO,
4246, BEAM , UNILOAD, GZ, NO , NO, aDir[1], , , , 0, -0.0075, 1, -0.0075, 0, 0, 0, 0, FASE2-PERM, NO, 0,
0, NO,
4247, BEAM , UNILOAD, GZ, NO , NO, aDir[1], , , , 0, -0.0075, 1, -0.0075, 0, 0, 0, 0, FASE2-PERM, NO, 0,
0, NO,
4248, BEAM , UNILOAD, GZ, NO , NO, aDir[1], , , , 0, -0.0075, 1, -0.0075, 0, 0, 0, 0, FASE2-PERM, NO, 0,
0, NO,
4249, BEAM , UNILOAD, GZ, NO , NO, aDir[1], , , , 0, -0.0075, 1, -0.0075, 0, 0, 0, 0, FASE2-PERM, NO, 0,
0, NO,
4250, BEAM , UNILOAD, GZ, NO , NO, aDir[1], , , , 0, -0.0075, 1, -0.0075, 0, 0, 0, 0, FASE2-PERM, NO, 0,
0, NO,
4251, BEAM , UNILOAD, GZ, NO , NO, aDir[1], , , , 0, -0.0075, 1, -0.0075, 0, 0, 0, 0, FASE2-PERM, NO, 0,
0, NO,
4252, BEAM , UNILOAD, GZ, NO , NO, aDir[1], , , , 0, -0.0075, 1, -0.0075, 0, 0, 0, 0, FASE2-PERM, NO, 0,
0, NO,
4253, BEAM , UNILOAD, GZ, NO , NO, aDir[1], , , , 0, -0.0075, 1, -0.0075, 0, 0, 0, 0, FASE2-PERM, NO, 0,
0, NO,
4254, BEAM , UNILOAD, GZ, NO , NO, aDir[1], , , , 0, -0.0075, 1, -0.0075, 0, 0, 0, 0, FASE2-PERM, NO, 0,
0, NO,
4255, BEAM , UNILOAD, GZ, NO , NO, aDir[1], , , , 0, -0.0075, 1, -0.0075, 0, 0, 0, 0, FASE2-PERM, NO, 0,
0, NO,
4256, BEAM , UNILOAD, GZ, NO , NO, aDir[1], , , , 0, -0.0075, 1, -0.0075, 0, 0, 0, 0, FASE2-PERM, NO, 0,
0, NO,
4257, BEAM , UNILOAD, GZ, NO , NO, aDir[1], , , , 0, -0.0075, 1, -0.0075, 0, 0, 0, 0, FASE2-PERM, NO, 0,
0, NO,
4258, BEAM , UNILOAD, GZ, NO , NO, aDir[1], , , , 0, -0.0075, 1, -0.0075, 0, 0, 0, 0, FASE2-PERM, NO, 0,
0, NO,
4259, BEAM , UNILOAD, GZ, NO , NO, aDir[1], , , , 0, -0.0075, 1, -0.0075, 0, 0, 0, 0, FASE2-PERM, NO, 0,
0, NO,
4260, BEAM , UNILOAD, GZ, NO , NO, aDir[1], , , , 0, -0.0075, 1, -0.0075, 0, 0, 0, 0, FASE2-PERM, NO, 0,
0, NO,
4261, BEAM , UNILOAD, GZ, NO , NO, aDir[1], , , , 0, -0.0075, 1, -0.0075, 0, 0, 0, 0, FASE2-PERM, NO, 0,

```
0, NO,
 4262, BEAM    , UNILOAD, GZ, NO , NO, aDir[1], , , , 0, -0.0075, 1, -0.0075, 0, 0, 0, 0, FASE2-PERM, NO, 0,
0, NO,
 4263, BEAM    , UNILOAD, GZ, NO , NO, aDir[1], , , , 0, -0.0075, 1, -0.0075, 0, 0, 0, 0, FASE2-PERM, NO, 0,
0, NO,
 4264, BEAM    , UNILOAD, GZ, NO , NO, aDir[1], , , , 0, -0.0075, 1, -0.0075, 0, 0, 0, 0, FASE2-PERM, NO, 0,
0, NO,
 4265, BEAM    , UNILOAD, GZ, NO , NO, aDir[1], , , , 0, -0.0075, 1, -0.0075, 0, 0, 0, 0, FASE2-PERM, NO, 0,
0, NO,
 4266, BEAM    , UNILOAD, GZ, NO , NO, aDir[1], , , , 0, -0.0075, 1, -0.0075, 0, 0, 0, 0, FASE2-PERM, NO, 0,
0, NO,
 4267, BEAM    , UNILOAD, GZ, NO , NO, aDir[1], , , , 0, -0.0075, 1, -0.0075, 0, 0, 0, 0, FASE2-PERM, NO, 0,
0, NO,
 4268, BEAM    , UNILOAD, GZ, NO , NO, aDir[1], , , , 0, -0.0075, 1, -0.0075, 0, 0, 0, 0, FASE2-PERM, NO, 0,
0, NO,
 4269, BEAM    , UNILOAD, GZ, NO , NO, aDir[1], , , , 0, -0.0075, 1, -0.0075, 0, 0, 0, 0, FASE2-PERM, NO, 0,
0, NO,
 4270, BEAM    , UNILOAD, GZ, NO , NO, aDir[1], , , , 0, -0.0075, 1, -0.0075, 0, 0, 0, 0, FASE2-PERM, NO, 0,
0, NO,
 4271, BEAM    , UNILOAD, GZ, NO , NO, aDir[1], , , , 0, -0.0075, 1, -0.0075, 0, 0, 0, 0, FASE2-PERM, NO, 0,
0, NO,
 4272, BEAM    , UNILOAD, GZ, NO , NO, aDir[1], , , , 0, -0.0075, 1, -0.0075, 0, 0, 0, 0, FASE2-PERM, NO, 0,
0, NO,
 4273, BEAM    , UNILOAD, GZ, NO , NO, aDir[1], , , , 0, -0.0075, 1, -0.0075, 0, 0, 0, 0, FASE2-PERM, NO, 0,
0, NO,
 4274, BEAM    , UNILOAD, GZ, NO , NO, aDir[1], , , , 0, -0.0075, 1, -0.0075, 0, 0, 0, 0, FASE2-PERM, NO, 0,
0, NO,
 4275, BEAM    , UNILOAD, GZ, NO , NO, aDir[1], , , , 0, -0.0075, 1, -0.0075, 0, 0, 0, 0, FASE2-PERM, NO, 0,
0, NO,
 4276, BEAM    , UNILOAD, GZ, NO , NO, aDir[1], , , , 0, -0.0075, 1, -0.0075, 0, 0, 0, 0, FASE2-PERM, NO, 0,
0, NO,
 4277, BEAM    , UNILOAD, GZ, NO , NO, aDir[1], , , , 0, -0.0075, 1, -0.0075, 0, 0, 0, 0, FASE2-PERM, NO, 0,
0, NO,
 4278, BEAM    , UNILOAD, GZ, NO , NO, aDir[1], , , , 0, -0.0075, 1, -0.0075, 0, 0, 0, 0, FASE2-PERM, NO, 0,
0, NO,
 4279, BEAM    , UNILOAD, GZ, NO , NO, aDir[1], , , , 0, -0.0075, 1, -0.0075, 0, 0, 0, 0, FASE2-PERM, NO, 0,
0, NO,
 4280, BEAM    , UNILOAD, GZ, NO , NO, aDir[1], , , , 0, -0.0075, 1, -0.0075, 0, 0, 0, 0, FASE2-PERM, NO, 0,
0, NO,
 4281, BEAM    , UNILOAD, GZ, NO , NO, aDir[1], , , , 0, -0.0075, 1, -0.0075, 0, 0, 0, 0, FASE2-PERM, NO, 0,
0, NO,
 4282, BEAM    , UNILOAD, GZ, NO , NO, aDir[1], , , , 0, -0.0075, 1, -0.0075, 0, 0, 0, 0, FASE2-PERM, NO, 0,
0, NO,
 4283, BEAM    , UNILOAD, GZ, NO , NO, aDir[1], , , , 0, -0.0075, 1, -0.0075, 0, 0, 0, 0, FASE2-PERM, NO, 0,
0, NO,
 4284, BEAM    , UNILOAD, GZ, NO , NO, aDir[1], , , , 0, -0.0075, 1, -0.0075, 0, 0, 0, 0, FASE2-PERM, NO, 0,
0, NO,
 4285, BEAM    , UNILOAD, GZ, NO , NO, aDir[1], , , , 0, -0.0075, 1, -0.0075, 0, 0, 0, 0, FASE2-PERM, NO, 0,
0, NO,
 4286, BEAM    , UNILOAD, GZ, NO , NO, aDir[1], , , , 0, -0.0075, 1, -0.0075, 0, 0, 0, 0, FASE2-PERM, NO, 0,
0, NO,
 4287, BEAM    , UNILOAD, GZ, NO , NO, aDir[1], , , , 0, -0.0075, 1, -0.0075, 0, 0, 0, 0, FASE2-PERM, NO, 0,
0, NO,
 4288, BEAM    , UNILOAD, GZ, NO , NO, aDir[1], , , , 0, -0.0075, 1, -0.0075, 0, 0, 0, 0, FASE2-PERM, NO, 0,
0, NO,
 4289, BEAM    , UNILOAD, GZ, NO , NO, aDir[1], , , , 0, -0.0075, 1, -0.0075, 0, 0, 0, 0, FASE2-PERM, NO, 0,
0, NO,
 4290, BEAM    , UNILOAD, GZ, NO , NO, aDir[1], , , , 0, -0.0075, 1, -0.0075, 0, 0, 0, 0, FASE2-PERM, NO, 0,
0, NO,
 4291, BEAM    , UNILOAD, GZ, NO , NO, aDir[1], , , , 0, -0.0075, 1, -0.0075, 0, 0, 0, 0, FASE2-PERM, NO, 0,
0, NO,
 4292, BEAM    , UNILOAD, GZ, NO , NO, aDir[1], , , , 0, -0.0075, 1, -0.0075, 0, 0, 0, 0, FASE2-PERM, NO, 0,
0, NO,
 4293, BEAM    , UNILOAD, GZ, NO , NO, aDir[1], , , , 0, -0.0075, 1, -0.0075, 0, 0, 0, 0, FASE2-PERM, NO, 0,
0, NO,
 4294, BEAM    , UNILOAD, GZ, NO , NO, aDir[1], , , , 0, -0.0075, 1, -0.0075, 0, 0, 0, 0, FASE2-PERM, NO, 0,
0, NO,
 4295, BEAM    , UNILOAD, GZ, NO , NO, aDir[1], , , , 0, -0.0075, 1, -0.0075, 0, 0, 0, 0, FASE2-PERM, NO, 0,
0, NO,
 4296, BEAM    , UNILOAD, GZ, NO , NO, aDir[1], , , , 0, -0.0075, 1, -0.0075, 0, 0, 0, 0, FASE2-PERM, NO, 0,
0, NO,
 4297, BEAM    , UNILOAD, GZ, NO , NO, aDir[1], , , , 0, -0.0075, 1, -0.0075, 0, 0, 0, 0, FASE2-PERM, NO, 0,
0, NO,
 4298, BEAM    , UNILOAD, GZ, NO , NO, aDir[1], , , , 0, -0.0075, 1, -0.0075, 0, 0, 0, 0, FASE2-PERM, NO, 0,
0, NO,
 4299, BEAM    , UNILOAD, GZ, NO , NO, aDir[1], , , , 0, -0.0075, 1, -0.0075, 0, 0, 0, 0, FASE2-PERM, NO, 0,
0, NO,
 4300, BEAM    , UNILOAD, GZ, NO , NO, aDir[1], , , , 0, -0.0075, 1, -0.0075, 0, 0, 0, 0, FASE2-PERM, NO, 0,
```

```
0, NO,
 4301, BEAM    , UNILOAD, GZ, NO , NO, aDir[1], , , , 0, -0.0075, 1, -0.0075, 0, 0, 0, 0, FASE2-PERM, NO, 0,
0, NO,
 4302, BEAM    , UNILOAD, GZ, NO , NO, aDir[1], , , , 0, -0.0075, 1, -0.0075, 0, 0, 0, 0, FASE2-PERM, NO, 0,
0, NO,
 4303, BEAM    , UNILOAD, GZ, NO , NO, aDir[1], , , , 0, -0.0075, 1, -0.0075, 0, 0, 0, 0, FASE2-PERM, NO, 0,
0, NO,
 4304, BEAM    , UNILOAD, GZ, NO , NO, aDir[1], , , , 0, -0.0075, 1, -0.0075, 0, 0, 0, 0, FASE2-PERM, NO, 0,
0, NO,
 4305, BEAM    , UNILOAD, GZ, NO , NO, aDir[1], , , , 0, -0.0075, 1, -0.0075, 0, 0, 0, 0, FASE2-PERM, NO, 0,
0, NO,
 4306, BEAM    , UNILOAD, GZ, NO , NO, aDir[1], , , , 0, -0.0075, 1, -0.0075, 0, 0, 0, 0, FASE2-PERM, NO, 0,
0, NO,
 4307, BEAM    , UNILOAD, GZ, NO , NO, aDir[1], , , , 0, -0.0075, 1, -0.0075, 0, 0, 0, 0, FASE2-PERM, NO, 0,
0, NO,
 4308, BEAM    , UNILOAD, GZ, NO , NO, aDir[1], , , , 0, -0.0075, 1, -0.0075, 0, 0, 0, 0, FASE2-PERM, NO, 0,
0, NO,
 4309, BEAM    , UNILOAD, GZ, NO , NO, aDir[1], , , , 0, -0.0075, 1, -0.0075, 0, 0, 0, 0, FASE2-PERM, NO, 0,
0, NO,
 4310, BEAM    , UNILOAD, GZ, NO , NO, aDir[1], , , , 0, -0.0075, 1, -0.0075, 0, 0, 0, 0, FASE2-PERM, NO, 0,
0, NO,
 4311, BEAM    , UNILOAD, GZ, NO , NO, aDir[1], , , , 0, -0.0075, 1, -0.0075, 0, 0, 0, 0, FASE2-PERM, NO, 0,
0, NO,
 4312, BEAM    , UNILOAD, GZ, NO , NO, aDir[1], , , , 0, -0.0075, 1, -0.0075, 0, 0, 0, 0, FASE2-PERM, NO, 0,
0, NO,
 4313, BEAM    , UNILOAD, GZ, NO , NO, aDir[1], , , , 0, -0.0075, 1, -0.0075, 0, 0, 0, 0, FASE2-PERM, NO, 0,
0, NO,
 4314, BEAM    , UNILOAD, GZ, NO , NO, aDir[1], , , , 0, -0.0075, 1, -0.0075, 0, 0, 0, 0, FASE2-PERM, NO, 0,
0, NO,
 4315, BEAM    , UNILOAD, GZ, NO , NO, aDir[1], , , , 0, -0.0075, 1, -0.0075, 0, 0, 0, 0, FASE2-PERM, NO, 0,
0, NO,
 4316, BEAM    , UNILOAD, GZ, NO , NO, aDir[1], , , , 0, -0.0075, 1, -0.0075, 0, 0, 0, 0, FASE2-PERM, NO, 0,
0, NO,
 4317, BEAM    , UNILOAD, GZ, NO , NO, aDir[1], , , , 0, -0.0075, 1, -0.0075, 0, 0, 0, 0, FASE2-PERM, NO, 0,
0, NO,
 4318, BEAM    , UNILOAD, GZ, NO , NO, aDir[1], , , , 0, -0.0075, 1, -0.0075, 0, 0, 0, 0, FASE2-PERM, NO, 0,
0, NO,
 4319, BEAM    , UNILOAD, GZ, NO , NO, aDir[1], , , , 0, -0.0075, 1, -0.0075, 0, 0, 0, 0, FASE2-PERM, NO, 0,
0, NO,
 4320, BEAM    , UNILOAD, GZ, NO , NO, aDir[1], , , , 0, -0.0075, 1, -0.0075, 0, 0, 0, 0, FASE2-PERM, NO, 0,
0, NO,
 4321, BEAM    , UNILOAD, GZ, NO , NO, aDir[1], , , , 0, -0.0075, 1, -0.0075, 0, 0, 0, 0, FASE2-PERM, NO, 0,
0, NO,
 4322, BEAM    , UNILOAD, GZ, NO , NO, aDir[1], , , , 0, -0.0075, 1, -0.0075, 0, 0, 0, 0, FASE2-PERM, NO, 0,
0, NO,
 4323, BEAM    , UNILOAD, GZ, NO , NO, aDir[1], , , , 0, -0.0075, 1, -0.0075, 0, 0, 0, 0, FASE2-PERM, NO, 0,
0, NO,
 4324, BEAM    , UNILOAD, GZ, NO , NO, aDir[1], , , , 0, -0.0075, 1, -0.0075, 0, 0, 0, 0, FASE2-PERM, NO, 0,
0, NO,
 4325, BEAM    , UNILOAD, GZ, NO , NO, aDir[1], , , , 0, -0.0075, 1, -0.0075, 0, 0, 0, 0, FASE2-PERM, NO, 0,
0, NO,
 4326, BEAM    , UNILOAD, GZ, NO , NO, aDir[1], , , , 0, -0.0075, 1, -0.0075, 0, 0, 0, 0, FASE2-PERM, NO, 0,
0, NO,
 4327, BEAM    , UNILOAD, GZ, NO , NO, aDir[1], , , , 0, -0.0075, 1, -0.0075, 0, 0, 0, 0, FASE2-PERM, NO, 0,
0, NO,
 4328, BEAM    , UNILOAD, GZ, NO , NO, aDir[1], , , , 0, -0.0075, 1, -0.0075, 0, 0, 0, 0, FASE2-PERM, NO, 0,
0, NO,
 4329, BEAM    , UNILOAD, GZ, NO , NO, aDir[1], , , , 0, -0.0075, 1, -0.0075, 0, 0, 0, 0, FASE2-PERM, NO, 0,
0, NO,
 4330, BEAM    , UNILOAD, GZ, NO , NO, aDir[1], , , , 0, -0.0075, 1, -0.0075, 0, 0, 0, 0, FASE2-PERM, NO, 0,
0, NO,
 4331, BEAM    , UNILOAD, GZ, NO , NO, aDir[1], , , , 0, -0.0075, 1, -0.0075, 0, 0, 0, 0, FASE2-PERM, NO, 0,
0, NO,
 4332, BEAM    , UNILOAD, GZ, NO , NO, aDir[1], , , , 0, -0.0075, 1, -0.0075, 0, 0, 0, 0, FASE2-PERM, NO, 0,
0, NO,
 4333, BEAM    , UNILOAD, GZ, NO , NO, aDir[1], , , , 0, -0.0075, 1, -0.0075, 0, 0, 0, 0, FASE2-PERM, NO, 0,
0, NO,
 4334, BEAM    , UNILOAD, GZ, NO , NO, aDir[1], , , , 0, -0.0075, 1, -0.0075, 0, 0, 0, 0, FASE2-PERM, NO, 0,
0, NO,
 4335, BEAM    , UNILOAD, GZ, NO , NO, aDir[1], , , , 0, -0.0075, 1, -0.0075, 0, 0, 0, 0, FASE2-PERM, NO, 0,
0, NO,
 4336, BEAM    , UNILOAD, GZ, NO , NO, aDir[1], , , , 0, -0.0075, 1, -0.0075, 0, 0, 0, 0, FASE2-PERM, NO, 0,
0, NO,
 4337, BEAM    , UNILOAD, GZ, NO , NO, aDir[1], , , , 0, -0.0075, 1, -0.0075, 0, 0, 0, 0, FASE2-PERM, NO, 0,
0, NO,
 4338, BEAM    , UNILOAD, GZ, NO , NO, aDir[1], , , , 0, -0.0075, 1, -0.0075, 0, 0, 0, 0, FASE2-PERM, NO, 0,
0, NO,
 4339, BEAM    , UNILOAD, GZ, NO , NO, aDir[1], , , , 0, -0.0075, 1, -0.0075, 0, 0, 0, 0, FASE2-PERM, NO, 0,
```

```
0, NO,
 4340, BEAM    , UNILOAD, GZ, NO , NO, aDir[1], , , , 0, -0.0075, 1, -0.0075, 0, 0, 0, 0, FASE2-PERM, NO, 0,
0, NO,
 4341, BEAM    , UNILOAD, GZ, NO , NO, aDir[1], , , , 0, -0.0075, 1, -0.0075, 0, 0, 0, 0, FASE2-PERM, NO, 0,
0, NO,
 4342, BEAM    , UNILOAD, GZ, NO , NO, aDir[1], , , , 0, -0.0075, 1, -0.0075, 0, 0, 0, 0, FASE2-PERM, NO, 0,
0, NO,
 4343, BEAM    , UNILOAD, GZ, NO , NO, aDir[1], , , , 0, -0.0075, 1, -0.0075, 0, 0, 0, 0, FASE2-PERM, NO, 0,
0, NO,
 4344, BEAM    , UNILOAD, GZ, NO , NO, aDir[1], , , , 0, -0.0075, 1, -0.0075, 0, 0, 0, 0, FASE2-PERM, NO, 0,
0, NO,
 4345, BEAM    , UNILOAD, GZ, NO , NO, aDir[1], , , , 0, -0.0075, 1, -0.0075, 0, 0, 0, 0, FASE2-PERM, NO, 0,
0, NO,
 4346, BEAM    , UNILOAD, GZ, NO , NO, aDir[1], , , , 0, -0.0075, 1, -0.0075, 0, 0, 0, 0, FASE2-PERM, NO, 0,
0, NO,
 4347, BEAM    , UNILOAD, GZ, NO , NO, aDir[1], , , , 0, -0.0075, 1, -0.0075, 0, 0, 0, 0, FASE2-PERM, NO, 0,
0, NO,
 4348, BEAM    , UNILOAD, GZ, NO , NO, aDir[1], , , , 0, -0.0075, 1, -0.0075, 0, 0, 0, 0, FASE2-PERM, NO, 0,
0, NO,
 4349, BEAM    , UNILOAD, GZ, NO , NO, aDir[1], , , , 0, -0.0075, 1, -0.0075, 0, 0, 0, 0, FASE2-PERM, NO, 0,
0, NO,
 4350, BEAM    , UNILOAD, GZ, NO , NO, aDir[1], , , , 0, -0.0075, 1, -0.0075, 0, 0, 0, 0, FASE2-PERM, NO, 0,
0, NO,
 4351, BEAM    , UNILOAD, GZ, NO , NO, aDir[1], , , , 0, -0.0075, 1, -0.0075, 0, 0, 0, 0, FASE2-PERM, NO, 0,
0, NO,
 4352, BEAM    , UNILOAD, GZ, NO , NO, aDir[1], , , , 0, -0.0075, 1, -0.0075, 0, 0, 0, 0, FASE2-PERM, NO, 0,
0, NO,
 4353, BEAM    , UNILOAD, GZ, NO , NO, aDir[1], , , , 0, -0.0075, 1, -0.0075, 0, 0, 0, 0, FASE2-PERM, NO, 0,
0, NO,
 4354, BEAM    , UNILOAD, GZ, NO , NO, aDir[1], , , , 0, -0.0075, 1, -0.0075, 0, 0, 0, 0, FASE2-PERM, NO, 0,
0, NO,
 4355, BEAM    , UNILOAD, GZ, NO , NO, aDir[1], , , , 0, -0.0075, 1, -0.0075, 0, 0, 0, 0, FASE2-PERM, NO, 0,
0, NO,
 4356, BEAM    , UNILOAD, GZ, NO , NO, aDir[1], , , , 0, -0.0075, 1, -0.0075, 0, 0, 0, 0, FASE2-PERM, NO, 0,
0, NO,
 4357, BEAM    , UNILOAD, GZ, NO , NO, aDir[1], , , , 0, -0.0075, 1, -0.0075, 0, 0, 0, 0, FASE2-PERM, NO, 0,
0, NO,
 4358, BEAM    , UNILOAD, GZ, NO , NO, aDir[1], , , , 0, -0.0075, 1, -0.0075, 0, 0, 0, 0, FASE2-PERM, NO, 0,
0, NO,
 4359, BEAM    , UNILOAD, GZ, NO , NO, aDir[1], , , , 0, -0.0075, 1, -0.0075, 0, 0, 0, 0, FASE2-PERM, NO, 0,
0, NO,
 4360, BEAM    , UNILOAD, GZ, NO , NO, aDir[1], , , , 0, -0.0075, 1, -0.0075, 0, 0, 0, 0, FASE2-PERM, NO, 0,
0, NO,
 4361, BEAM    , UNILOAD, GZ, NO , NO, aDir[1], , , , 0, -0.0075, 1, -0.0075, 0, 0, 0, 0, FASE2-PERM, NO, 0,
0, NO,
 4362, BEAM    , UNILOAD, GZ, NO , NO, aDir[1], , , , 0, -0.0075, 1, -0.0075, 0, 0, 0, 0, FASE2-PERM, NO, 0,
0, NO,
 4363, BEAM    , UNILOAD, GZ, NO , NO, aDir[1], , , , 0, -0.0075, 1, -0.0075, 0, 0, 0, 0, FASE2-PERM, NO, 0,
0, NO,
 4364, BEAM    , UNILOAD, GZ, NO , NO, aDir[1], , , , 0, -0.0075, 1, -0.0075, 0, 0, 0, 0, FASE2-PERM, NO, 0,
0, NO,
 4365, BEAM    , UNILOAD, GZ, NO , NO, aDir[1], , , , 0, -0.0075, 1, -0.0075, 0, 0, 0, 0, FASE2-PERM, NO, 0,
0, NO,
 4366, BEAM    , UNILOAD, GZ, NO , NO, aDir[1], , , , 0, -0.0075, 1, -0.0075, 0, 0, 0, 0, FASE2-PERM, NO, 0,
0, NO,
 4367, BEAM    , UNILOAD, GZ, NO , NO, aDir[1], , , , 0, -0.0075, 1, -0.0075, 0, 0, 0, 0, FASE2-PERM, NO, 0,
0, NO,
 4368, BEAM    , UNILOAD, GZ, NO , NO, aDir[1], , , , 0, -0.0075, 1, -0.0075, 0, 0, 0, 0, FASE2-PERM, NO, 0,
0, NO,
 4369, BEAM    , UNILOAD, GZ, NO , NO, aDir[1], , , , 0, -0.0075, 1, -0.0075, 0, 0, 0, 0, FASE2-PERM, NO, 0,
0, NO,
 4370, BEAM    , UNILOAD, GZ, NO , NO, aDir[1], , , , 0, -0.0075, 1, -0.0075, 0, 0, 0, 0, FASE2-PERM, NO, 0,
0, NO,
 4371, BEAM    , UNILOAD, GZ, NO , NO, aDir[1], , , , 0, -0.0075, 1, -0.0075, 0, 0, 0, 0, FASE2-PERM, NO, 0,
0, NO,
 4372, BEAM    , UNILOAD, GZ, NO , NO, aDir[1], , , , 0, -0.0075, 1, -0.0075, 0, 0, 0, 0, FASE2-PERM, NO, 0,
0, NO,
 4373, BEAM    , UNILOAD, GZ, NO , NO, aDir[1], , , , 0, -0.0075, 1, -0.0075, 0, 0, 0, 0, FASE2-PERM, NO, 0,
0, NO,
 4374, BEAM    , UNILOAD, GZ, NO , NO, aDir[1], , , , 0, -0.0075, 1, -0.0075, 0, 0, 0, 0, FASE2-PERM, NO, 0,
0, NO,
 4375, BEAM    , UNILOAD, GZ, NO , NO, aDir[1], , , , 0, -0.0075, 1, -0.0075, 0, 0, 0, 0, FASE2-PERM, NO, 0,
0, NO,
 4376, BEAM    , UNILOAD, GZ, NO , NO, aDir[1], , , , 0, -0.0075, 1, -0.0075, 0, 0, 0, 0, FASE2-PERM, NO, 0,
0, NO,
 4377, BEAM    , UNILOAD, GZ, NO , NO, aDir[1], , , , 0, -0.0075, 1, -0.0075, 0, 0, 0, 0, FASE2-PERM, NO, 0,
0, NO,
 4378, BEAM    , UNILOAD, GZ, NO , NO, aDir[1], , , , 0, -0.0075, 1, -0.0075, 0, 0, 0, 0, FASE2-PERM, NO, 0,
```

```
 0, NO,
  4379, BEAM   , UNILOAD, GZ, NO , NO, aDir[1], , , , 0, -0.0075, 1, -0.0075, 0, 0, 0, 0, FASE2-PERM, NO, 0,
 0, NO,
  4380, BEAM   , UNILOAD, GZ, NO , NO, aDir[1], , , , 0, -0.0075, 1, -0.0075, 0, 0, 0, 0, FASE2-PERM, NO, 0,
 0, NO,
  4381, BEAM   , UNILOAD, GZ, NO , NO, aDir[1], , , , 0, -0.0075, 1, -0.0075, 0, 0, 0, 0, FASE2-PERM, NO, 0,
 0, NO,
  4382, BEAM   , UNILOAD, GZ, NO , NO, aDir[1], , , , 0, -0.0075, 1, -0.0075, 0, 0, 0, 0, FASE2-PERM, NO, 0,
 0, NO,
  4383, BEAM   , UNILOAD, GZ, NO , NO, aDir[1], , , , 0, -0.0075, 1, -0.0075, 0, 0, 0, 0, FASE2-PERM, NO, 0,
 0, NO,
  4384, BEAM   , UNILOAD, GZ, NO , NO, aDir[1], , , , 0, -0.0075, 1, -0.0075, 0, 0, 0, 0, FASE2-PERM, NO, 0,
 0, NO,

; End of data for load case [soletta cls] -------------------------

*USE-STLD, marciapiede

*BEAMLOAD    ; Element Beam Loads
; ELEM_LIST, CMD, TYPE, DIR, bPROJ, [ECCEN], [VALUE], GROUP
; ELEM_LIST, CMD, TYPE, TYPE, DIR, VX, VY, VZ, bPROJ, [ECCEN], [VALUE], GROUP
; [VALUE]       : D1, P1, D2, P2, D3, P3, D4, P4
; [ECCEN]       : bECCEN, ECCDIR, I-END, J-END, bJ-END
; [ADDITIONAL]  : bADDITIONAL, ADDITIONAL_I-END, ADDITIONAL_J-END, bADDITIONAL_J-END
   437, BEAM   , UNILOAD, GZ, NO , NO, aDir[1], , , , 0, -0.0079, 1, -0.0079, 0, 0, 0, 0, FASE2-PERM, NO, 0,
 0, NO,
   438, BEAM   , UNILOAD, GZ, NO , NO, aDir[1], , , , 0, -0.0079, 1, -0.0079, 0, 0, 0, 0, FASE2-PERM, NO, 0,
 0, NO,
   442, BEAM   , UNILOAD, GZ, NO , NO, aDir[1], , , , 0, -0.0079, 1, -0.0079, 0, 0, 0, 0, FASE2-PERM, NO, 0,
 0, NO,
   443, BEAM   , UNILOAD, GZ, NO , NO, aDir[1], , , , 0, -0.0079, 1, -0.0079, 0, 0, 0, 0, FASE2-PERM, NO, 0,
 0, NO,
   447, BEAM   , UNILOAD, GZ, NO , NO, aDir[1], , , , 0, -0.0079, 1, -0.0079, 0, 0, 0, 0, FASE2-PERM, NO, 0,
 0, NO,
   448, BEAM   , UNILOAD, GZ, NO , NO, aDir[1], , , , 0, -0.0079, 1, -0.0079, 0, 0, 0, 0, FASE2-PERM, NO, 0,
 0, NO,
   452, BEAM   , UNILOAD, GZ, NO , NO, aDir[1], , , , 0, -0.0079, 1, -0.0079, 0, 0, 0, 0, FASE2-PERM, NO, 0,
 0, NO,
   453, BEAM   , UNILOAD, GZ, NO , NO, aDir[1], , , , 0, -0.0079, 1, -0.0079, 0, 0, 0, 0, FASE2-PERM, NO, 0,
 0, NO,
   457, BEAM   , UNILOAD, GZ, NO , NO, aDir[1], , , , 0, -0.0079, 1, -0.0079, 0, 0, 0, 0, FASE2-PERM, NO, 0,
 0, NO,
   458, BEAM   , UNILOAD, GZ, NO , NO, aDir[1], , , , 0, -0.0079, 1, -0.0079, 0, 0, 0, 0, FASE2-PERM, NO, 0,
 0, NO,
   462, BEAM   , UNILOAD, GZ, NO , NO, aDir[1], , , , 0, -0.0079, 1, -0.0079, 0, 0, 0, 0, FASE2-PERM, NO, 0,
 0, NO,
   463, BEAM   , UNILOAD, GZ, NO , NO, aDir[1], , , , 0, -0.0079, 1, -0.0079, 0, 0, 0, 0, FASE2-PERM, NO, 0,
 0, NO,
   467, BEAM   , UNILOAD, GZ, NO , NO, aDir[1], , , , 0, -0.0079, 1, -0.0079, 0, 0, 0, 0, FASE2-PERM, NO, 0,
 0, NO,
   468, BEAM   , UNILOAD, GZ, NO , NO, aDir[1], , , , 0, -0.0079, 1, -0.0079, 0, 0, 0, 0, FASE2-PERM, NO, 0,
 0, NO,
   472, BEAM   , UNILOAD, GZ, NO , NO, aDir[1], , , , 0, -0.0079, 1, -0.0079, 0, 0, 0, 0, FASE2-PERM, NO, 0,
 0, NO,
   473, BEAM   , UNILOAD, GZ, NO , NO, aDir[1], , , , 0, -0.0079, 1, -0.0079, 0, 0, 0, 0, FASE2-PERM, NO, 0,
 0, NO,
   477, BEAM   , UNILOAD, GZ, NO , NO, aDir[1], , , , 0, -0.0079, 1, -0.0079, 0, 0, 0, 0, FASE2-PERM, NO, 0,
 0, NO,
   478, BEAM   , UNILOAD, GZ, NO , NO, aDir[1], , , , 0, -0.0079, 1, -0.0079, 0, 0, 0, 0, FASE2-PERM, NO, 0,
 0, NO,
   482, BEAM   , UNILOAD, GZ, NO , NO, aDir[1], , , , 0, -0.0079, 1, -0.0079, 0, 0, 0, 0, FASE2-PERM, NO, 0,
 0, NO,
   483, BEAM   , UNILOAD, GZ, NO , NO, aDir[1], , , , 0, -0.0079, 1, -0.0079, 0, 0, 0, 0, FASE2-PERM, NO, 0,
 0, NO,
   487, BEAM   , UNILOAD, GZ, NO , NO, aDir[1], , , , 0, -0.0079, 1, -0.0079, 0, 0, 0, 0, FASE2-PERM, NO, 0,
 0, NO,
   488, BEAM   , UNILOAD, GZ, NO , NO, aDir[1], , , , 0, -0.0079, 1, -0.0079, 0, 0, 0, 0, FASE2-PERM, NO, 0,
 0, NO,
   492, BEAM   , UNILOAD, GZ, NO , NO, aDir[1], , , , 0, -0.0079, 1, -0.0079, 0, 0, 0, 0, FASE2-PERM, NO, 0,
 0, NO,
   493, BEAM   , UNILOAD, GZ, NO , NO, aDir[1], , , , 0, -0.0079, 1, -0.0079, 0, 0, 0, 0, FASE2-PERM, NO, 0,
 0, NO,
   497, BEAM   , UNILOAD, GZ, NO , NO, aDir[1], , , , 0, -0.0079, 1, -0.0079, 0, 0, 0, 0, FASE2-PERM, NO, 0,
 0, NO,
   498, BEAM   , UNILOAD, GZ, NO , NO, aDir[1], , , , 0, -0.0079, 1, -0.0079, 0, 0, 0, 0, FASE2-PERM, NO, 0,
 0, NO,
   502, BEAM   , UNILOAD, GZ, NO , NO, aDir[1], , , , 0, -0.0079, 1, -0.0079, 0, 0, 0, 0, FASE2-PERM, NO, 0,
 0, NO,
```

503, BEAM , UNILOAD, GZ, NO , NO, aDir[1], , , , 0, -0.0079, 1, -0.0079, 0, 0, 0, 0, FASE2-PERM, NO, 0, 0, NO,
507, BEAM , UNILOAD, GZ, NO , NO, aDir[1], , , , 0, -0.0079, 1, -0.0079, 0, 0, 0, 0, FASE2-PERM, NO, 0, 0, NO,
508, BEAM , UNILOAD, GZ, NO , NO, aDir[1], , , , 0, -0.0079, 1, -0.0079, 0, 0, 0, 0, FASE2-PERM, NO, 0, 0, NO,
512, BEAM , UNILOAD, GZ, NO , NO, aDir[1], , , , 0, -0.0079, 1, -0.0079, 0, 0, 0, 0, FASE2-PERM, NO, 0, 0, NO,
513, BEAM , UNILOAD, GZ, NO , NO, aDir[1], , , , 0, -0.0079, 1, -0.0079, 0, 0, 0, 0, FASE2-PERM, NO, 0, 0, NO,
517, BEAM , UNILOAD, GZ, NO , NO, aDir[1], , , , 0, -0.0079, 1, -0.0079, 0, 0, 0, 0, FASE2-PERM, NO, 0, 0, NO,
518, BEAM , UNILOAD, GZ, NO , NO, aDir[1], , , , 0, -0.0079, 1, -0.0079, 0, 0, 0, 0, FASE2-PERM, NO, 0, 0, NO,
522, BEAM , UNILOAD, GZ, NO , NO, aDir[1], , , , 0, -0.0079, 1, -0.0079, 0, 0, 0, 0, FASE2-PERM, NO, 0, 0, NO,
523, BEAM , UNILOAD, GZ, NO , NO, aDir[1], , , , 0, -0.0079, 1, -0.0079, 0, 0, 0, 0, FASE2-PERM, NO, 0, 0, NO,
527, BEAM , UNILOAD, GZ, NO , NO, aDir[1], , , , 0, -0.0079, 1, -0.0079, 0, 0, 0, 0, FASE2-PERM, NO, 0, 0, NO,
528, BEAM , UNILOAD, GZ, NO , NO, aDir[1], , , , 0, -0.0079, 1, -0.0079, 0, 0, 0, 0, FASE2-PERM, NO, 0, 0, NO,
532, BEAM , UNILOAD, GZ, NO , NO, aDir[1], , , , 0, -0.0079, 1, -0.0079, 0, 0, 0, 0, FASE2-PERM, NO, 0, 0, NO,
533, BEAM , UNILOAD, GZ, NO , NO, aDir[1], , , , 0, -0.0079, 1, -0.0079, 0, 0, 0, 0, FASE2-PERM, NO, 0, 0, NO,
537, BEAM , UNILOAD, GZ, NO , NO, aDir[1], , , , 0, -0.0079, 1, -0.0079, 0, 0, 0, 0, FASE2-PERM, NO, 0, 0, NO,
538, BEAM , UNILOAD, GZ, NO , NO, aDir[1], , , , 0, -0.0079, 1, -0.0079, 0, 0, 0, 0, FASE2-PERM, NO, 0, 0, NO,
542, BEAM , UNILOAD, GZ, NO , NO, aDir[1], , , , 0, -0.0079, 1, -0.0079, 0, 0, 0, 0, FASE2-PERM, NO, 0, 0, NO,
543, BEAM , UNILOAD, GZ, NO , NO, aDir[1], , , , 0, -0.0079, 1, -0.0079, 0, 0, 0, 0, FASE2-PERM, NO, 0, 0, NO,
547, BEAM , UNILOAD, GZ, NO , NO, aDir[1], , , , 0, -0.0079, 1, -0.0079, 0, 0, 0, 0, FASE2-PERM, NO, 0, 0, NO,
548, BEAM , UNILOAD, GZ, NO , NO, aDir[1], , , , 0, -0.0079, 1, -0.0079, 0, 0, 0, 0, FASE2-PERM, NO, 0, 0, NO,
552, BEAM , UNILOAD, GZ, NO , NO, aDir[1], , , , 0, -0.0079, 1, -0.0079, 0, 0, 0, 0, FASE2-PERM, NO, 0, 0, NO,
553, BEAM , UNILOAD, GZ, NO , NO, aDir[1], , , , 0, -0.0079, 1, -0.0079, 0, 0, 0, 0, FASE2-PERM, NO, 0, 0, NO,
557, BEAM , UNILOAD, GZ, NO , NO, aDir[1], , , , 0, -0.0079, 1, -0.0079, 0, 0, 0, 0, FASE2-PERM, NO, 0, 0, NO,
558, BEAM , UNILOAD, GZ, NO , NO, aDir[1], , , , 0, -0.0079, 1, -0.0079, 0, 0, 0, 0, FASE2-PERM, NO, 0, 0, NO,
562, BEAM , UNILOAD, GZ, NO , NO, aDir[1], , , , 0, -0.0079, 1, -0.0079, 0, 0, 0, 0, FASE2-PERM, NO, 0, 0, NO,
563, BEAM , UNILOAD, GZ, NO , NO, aDir[1], , , , 0, -0.0079, 1, -0.0079, 0, 0, 0, 0, FASE2-PERM, NO, 0, 0, NO,
567, BEAM , UNILOAD, GZ, NO , NO, aDir[1], , , , 0, -0.0079, 1, -0.0079, 0, 0, 0, 0, FASE2-PERM, NO, 0, 0, NO,
568, BEAM , UNILOAD, GZ, NO , NO, aDir[1], , , , 0, -0.0079, 1, -0.0079, 0, 0, 0, 0, FASE2-PERM, NO, 0, 0, NO,
572, BEAM , UNILOAD, GZ, NO , NO, aDir[1], , , , 0, -0.0079, 1, -0.0079, 0, 0, 0, 0, FASE2-PERM, NO, 0, 0, NO,
573, BEAM , UNILOAD, GZ, NO , NO, aDir[1], , , , 0, -0.0079, 1, -0.0079, 0, 0, 0, 0, FASE2-PERM, NO, 0, 0, NO,
577, BEAM , UNILOAD, GZ, NO , NO, aDir[1], , , , 0, -0.0079, 1, -0.0079, 0, 0, 0, 0, FASE2-PERM, NO, 0, 0, NO,
578, BEAM , UNILOAD, GZ, NO , NO, aDir[1], , , , 0, -0.0079, 1, -0.0079, 0, 0, 0, 0, FASE2-PERM, NO, 0, 0, NO,
582, BEAM , UNILOAD, GZ, NO , NO, aDir[1], , , , 0, -0.0079, 1, -0.0079, 0, 0, 0, 0, FASE2-PERM, NO, 0, 0, NO,
583, BEAM , UNILOAD, GZ, NO , NO, aDir[1], , , , 0, -0.0079, 1, -0.0079, 0, 0, 0, 0, FASE2-PERM, NO, 0, 0, NO,
587, BEAM , UNILOAD, GZ, NO , NO, aDir[1], , , , 0, -0.0079, 1, -0.0079, 0, 0, 0, 0, FASE2-PERM, NO, 0, 0, NO,
588, BEAM , UNILOAD, GZ, NO , NO, aDir[1], , , , 0, -0.0079, 1, -0.0079, 0, 0, 0, 0, FASE2-PERM, NO, 0, 0, NO,
592, BEAM , UNILOAD, GZ, NO , NO, aDir[1], , , , 0, -0.0079, 1, -0.0079, 0, 0, 0, 0, FASE2-PERM, NO, 0, 0, NO,
593, BEAM , UNILOAD, GZ, NO , NO, aDir[1], , , , 0, -0.0079, 1, -0.0079, 0, 0, 0, 0, FASE2-PERM, NO, 0, 0, NO,
597, BEAM , UNILOAD, GZ, NO , NO, aDir[1], , , , 0, -0.0079, 1, -0.0079, 0, 0, 0, 0, FASE2-PERM, NO, 0, 0, NO,
598, BEAM , UNILOAD, GZ, NO , NO, aDir[1], , , , 0, -0.0079, 1, -0.0079, 0, 0, 0, 0, FASE2-PERM, NO, 0, 0, NO,

PROJECT TITLE :

	Company		Client	
	Author		File Name	Brembiolo1_08_completo(fasi)DEFINITIVO.mgt

602, BEAM , UNILOAD, GZ, NO , NO, aDir[1], , , , 0, -0.0079, 1, -0.0079, 0, 0, 0, 0, FASE2-PERM, NO, 0, 0, NO,
603, BEAM , UNILOAD, GZ, NO , NO, aDir[1], , , , 0, -0.0079, 1, -0.0079, 0, 0, 0, 0, FASE2-PERM, NO, 0, 0, NO,
607, BEAM , UNILOAD, GZ, NO , NO, aDir[1], , , , 0, -0.0079, 1, -0.0079, 0, 0, 0, 0, FASE2-PERM, NO, 0, 0, NO,
608, BEAM , UNILOAD, GZ, NO , NO, aDir[1], , , , 0, -0.0079, 1, -0.0079, 0, 0, 0, 0, FASE2-PERM, NO, 0, 0, NO,
612, BEAM , UNILOAD, GZ, NO , NO, aDir[1], , , , 0, -0.0079, 1, -0.0079, 0, 0, 0, 0, FASE2-PERM, NO, 0, 0, NO,
613, BEAM , UNILOAD, GZ, NO , NO, aDir[1], , , , 0, -0.0079, 1, -0.0079, 0, 0, 0, 0, FASE2-PERM, NO, 0, 0, NO,
617, BEAM , UNILOAD, GZ, NO , NO, aDir[1], , , , 0, -0.0079, 1, -0.0079, 0, 0, 0, 0, FASE2-PERM, NO, 0, 0, NO,
618, BEAM , UNILOAD, GZ, NO , NO, aDir[1], , , , 0, -0.0079, 1, -0.0079, 0, 0, 0, 0, FASE2-PERM, NO, 0, 0, NO,
622, BEAM , UNILOAD, GZ, NO , NO, aDir[1], , , , 0, -0.0079, 1, -0.0079, 0, 0, 0, 0, FASE2-PERM, NO, 0, 0, NO,
623, BEAM , UNILOAD, GZ, NO , NO, aDir[1], , , , 0, -0.0079, 1, -0.0079, 0, 0, 0, 0, FASE2-PERM, NO, 0, 0, NO,
627, BEAM , UNILOAD, GZ, NO , NO, aDir[1], , , , 0, -0.0079, 1, -0.0079, 0, 0, 0, 0, FASE2-PERM, NO, 0, 0, NO,
628, BEAM , UNILOAD, GZ, NO , NO, aDir[1], , , , 0, -0.0079, 1, -0.0079, 0, 0, 0, 0, FASE2-PERM, NO, 0, 0, NO,
632, BEAM , UNILOAD, GZ, NO , NO, aDir[1], , , , 0, -0.0079, 1, -0.0079, 0, 0, 0, 0, FASE2-PERM, NO, 0, 0, NO,
633, BEAM , UNILOAD, GZ, NO , NO, aDir[1], , , , 0, -0.0079, 1, -0.0079, 0, 0, 0, 0, FASE2-PERM, NO, 0, 0, NO,
637, BEAM , UNILOAD, GZ, NO , NO, aDir[1], , , , 0, -0.0079, 1, -0.0079, 0, 0, 0, 0, FASE2-PERM, NO, 0, 0, NO,
638, BEAM , UNILOAD, GZ, NO , NO, aDir[1], , , , 0, -0.0079, 1, -0.0079, 0, 0, 0, 0, FASE2-PERM, NO, 0, 0, NO,
642, BEAM , UNILOAD, GZ, NO , NO, aDir[1], , , , 0, -0.0079, 1, -0.0079, 0, 0, 0, 0, FASE2-PERM, NO, 0, 0, NO,
643, BEAM , UNILOAD, GZ, NO , NO, aDir[1], , , , 0, -0.0079, 1, -0.0079, 0, 0, 0, 0, FASE2-PERM, NO, 0, 0, NO,
647, BEAM , UNILOAD, GZ, NO , NO, aDir[1], , , , 0, -0.0088, 1, -0.0088, 0, 0, 0, 0, FASE2-PERM, NO, 0, 0, NO,
652, BEAM , UNILOAD, GZ, NO , NO, aDir[1], , , , 0, -0.0088, 1, -0.0088, 0, 0, 0, 0, FASE2-PERM, NO, 0, 0, NO,
657, BEAM , UNILOAD, GZ, NO , NO, aDir[1], , , , 0, -0.0088, 1, -0.0088, 0, 0, 0, 0, FASE2-PERM, NO, 0, 0, NO,
662, BEAM , UNILOAD, GZ, NO , NO, aDir[1], , , , 0, -0.0088, 1, -0.0088, 0, 0, 0, 0, FASE2-PERM, NO, 0, 0, NO,
667, BEAM , UNILOAD, GZ, NO , NO, aDir[1], , , , 0, -0.0088, 1, -0.0088, 0, 0, 0, 0, FASE2-PERM, NO, 0, 0, NO,
672, BEAM , UNILOAD, GZ, NO , NO, aDir[1], , , , 0, -0.0088, 1, -0.0088, 0, 0, 0, 0, FASE2-PERM, NO, 0, 0, NO,
677, BEAM , UNILOAD, GZ, NO , NO, aDir[1], , , , 0, -0.0088, 1, -0.0088, 0, 0, 0, 0, FASE2-PERM, NO, 0, 0, NO,
682, BEAM , UNILOAD, GZ, NO , NO, aDir[1], , , , 0, -0.0088, 1, -0.0088, 0, 0, 0, 0, FASE2-PERM, NO, 0, 0, NO,
687, BEAM , UNILOAD, GZ, NO , NO, aDir[1], , , , 0, -0.0088, 1, -0.0088, 0, 0, 0, 0, FASE2-PERM, NO, 0, 0, NO,
692, BEAM , UNILOAD, GZ, NO , NO, aDir[1], , , , 0, -0.0088, 1, -0.0088, 0, 0, 0, 0, FASE2-PERM, NO, 0, 0, NO,
697, BEAM , UNILOAD, GZ, NO , NO, aDir[1], , , , 0, -0.0088, 1, -0.0088, 0, 0, 0, 0, FASE2-PERM, NO, 0, 0, NO,
702, BEAM , UNILOAD, GZ, NO , NO, aDir[1], , , , 0, -0.0088, 1, -0.0088, 0, 0, 0, 0, FASE2-PERM, NO, 0, 0, NO,
707, BEAM , UNILOAD, GZ, NO , NO, aDir[1], , , , 0, -0.0088, 1, -0.0088, 0, 0, 0, 0, FASE2-PERM, NO, 0, 0, NO,
712, BEAM , UNILOAD, GZ, NO , NO, aDir[1], , , , 0, -0.0088, 1, -0.0088, 0, 0, 0, 0, FASE2-PERM, NO, 0, 0, NO,
717, BEAM , UNILOAD, GZ, NO , NO, aDir[1], , , , 0, -0.0088, 1, -0.0088, 0, 0, 0, 0, FASE2-PERM, NO, 0, 0, NO,
722, BEAM , UNILOAD, GZ, NO , NO, aDir[1], , , , 0, -0.0088, 1, -0.0088, 0, 0, 0, 0, FASE2-PERM, NO, 0, 0, NO,
727, BEAM , UNILOAD, GZ, NO , NO, aDir[1], , , , 0, -0.0088, 1, -0.0088, 0, 0, 0, 0, FASE2-PERM, NO, 0, 0, NO,
732, BEAM , UNILOAD, GZ, NO , NO, aDir[1], , , , 0, -0.0088, 1, -0.0088, 0, 0, 0, 0, FASE2-PERM, NO, 0, 0, NO,
737, BEAM , UNILOAD, GZ, NO , NO, aDir[1], , , , 0, -0.0088, 1, -0.0088, 0, 0, 0, 0, FASE2-PERM, NO, 0, 0, NO,
742, BEAM , UNILOAD, GZ, NO , NO, aDir[1], , , , 0, -0.0088, 1, -0.0088, 0, 0, 0, 0, FASE2-PERM, NO, 0, 0, NO,
747, BEAM , UNILOAD, GZ, NO , NO, aDir[1], , , , 0, -0.0088, 1, -0.0088, 0, 0, 0, 0, FASE2-PERM, NO, 0, 0, NO,

```
  752, BEAM    , UNILOAD, GZ, NO , NO, aDir[1], , , , 0, -0.0088, 1, -0.0088, 0, 0, 0, 0, FASE2-PERM, NO, 0,
0, NO,
  757, BEAM    , UNILOAD, GZ, NO , NO, aDir[1], , , , 0, -0.0088, 1, -0.0088, 0, 0, 0, 0, FASE2-PERM, NO, 0,
0, NO,
  762, BEAM    , UNILOAD, GZ, NO , NO, aDir[1], , , , 0, -0.0088, 1, -0.0088, 0, 0, 0, 0, FASE2-PERM, NO, 0,
0, NO,
  767, BEAM    , UNILOAD, GZ, NO , NO, aDir[1], , , , 0, -0.0088, 1, -0.0088, 0, 0, 0, 0, FASE2-PERM, NO, 0,
0, NO,
  772, BEAM    , UNILOAD, GZ, NO , NO, aDir[1], , , , 0, -0.0088, 1, -0.0088, 0, 0, 0, 0, FASE2-PERM, NO, 0,
0, NO,
  777, BEAM    , UNILOAD, GZ, NO , NO, aDir[1], , , , 0, -0.0088, 1, -0.0088, 0, 0, 0, 0, FASE2-PERM, NO, 0,
0, NO,
  782, BEAM    , UNILOAD, GZ, NO , NO, aDir[1], , , , 0, -0.0088, 1, -0.0088, 0, 0, 0, 0, FASE2-PERM, NO, 0,
0, NO,
  787, BEAM    , UNILOAD, GZ, NO , NO, aDir[1], , , , 0, -0.0088, 1, -0.0088, 0, 0, 0, 0, FASE2-PERM, NO, 0,
0, NO,
  792, BEAM    , UNILOAD, GZ, NO , NO, aDir[1], , , , 0, -0.0088, 1, -0.0088, 0, 0, 0, 0, FASE2-PERM, NO, 0,
0, NO,
  797, BEAM    , UNILOAD, GZ, NO , NO, aDir[1], , , , 0, -0.0088, 1, -0.0088, 0, 0, 0, 0, FASE2-PERM, NO, 0,
0, NO,
  802, BEAM    , UNILOAD, GZ, NO , NO, aDir[1], , , , 0, -0.0088, 1, -0.0088, 0, 0, 0, 0, FASE2-PERM, NO, 0,
0, NO,
  807, BEAM    , UNILOAD, GZ, NO , NO, aDir[1], , , , 0, -0.0088, 1, -0.0088, 0, 0, 0, 0, FASE2-PERM, NO, 0,
0, NO,
  812, BEAM    , UNILOAD, GZ, NO , NO, aDir[1], , , , 0, -0.0088, 1, -0.0088, 0, 0, 0, 0, FASE2-PERM, NO, 0,
0, NO,
  817, BEAM    , UNILOAD, GZ, NO , NO, aDir[1], , , , 0, -0.0088, 1, -0.0088, 0, 0, 0, 0, FASE2-PERM, NO, 0,
0, NO,
  822, BEAM    , UNILOAD, GZ, NO , NO, aDir[1], , , , 0, -0.0088, 1, -0.0088, 0, 0, 0, 0, FASE2-PERM, NO, 0,
0, NO,
  827, BEAM    , UNILOAD, GZ, NO , NO, aDir[1], , , , 0, -0.0088, 1, -0.0088, 0, 0, 0, 0, FASE2-PERM, NO, 0,
0, NO,
  832, BEAM    , UNILOAD, GZ, NO , NO, aDir[1], , , , 0, -0.0088, 1, -0.0088, 0, 0, 0, 0, FASE2-PERM, NO, 0,
0, NO,
  837, BEAM    , UNILOAD, GZ, NO , NO, aDir[1], , , , 0, -0.0088, 1, -0.0088, 0, 0, 0, 0, FASE2-PERM, NO, 0,
0, NO,
  842, BEAM    , UNILOAD, GZ, NO , NO, aDir[1], , , , 0, -0.0088, 1, -0.0088, 0, 0, 0, 0, FASE2-PERM, NO, 0,
0, NO,
  847, BEAM    , UNILOAD, GZ, NO , NO, aDir[1], , , , 0, -0.0088, 1, -0.0088, 0, 0, 0, 0, FASE2-PERM, NO, 0,
0, NO,
  852, BEAM    , UNILOAD, GZ, NO , NO, aDir[1], , , , 0, -0.0088, 1, -0.0088, 0, 0, 0, 0, FASE2-PERM, NO, 0,
0, NO,
 1021, BEAM    , UNILOAD, GZ, NO , NO, aDir[1], , , , 0, -0.0079, 1, -0.0079, 0, 0, 0, 0, FASE2-PERM, NO, 0,
0, NO,
 1022, BEAM    , UNILOAD, GZ, NO , NO, aDir[1], , , , 0, -0.0079, 1, -0.0079, 0, 0, 0, 0, FASE2-PERM, NO, 0,
0, NO,
 1023, BEAM    , UNILOAD, GZ, NO , NO, aDir[1], , , , 0, -0.0079, 1, -0.0079, 0, 0, 0, 0, FASE2-PERM, NO, 0,
0, NO,
 1024, BEAM    , UNILOAD, GZ, NO , NO, aDir[1], , , , 0, -0.0079, 1, -0.0079, 0, 0, 0, 0, FASE2-PERM, NO, 0,
0, NO,
 1025, BEAM    , UNILOAD, GZ, NO , NO, aDir[1], , , , 0, -0.0079, 1, -0.0079, 0, 0, 0, 0, FASE2-PERM, NO, 0,
0, NO,
 1026, BEAM    , UNILOAD, GZ, NO , NO, aDir[1], , , , 0, -0.0079, 1, -0.0079, 0, 0, 0, 0, FASE2-PERM, NO, 0,
0, NO,
 1027, BEAM    , UNILOAD, GZ, NO , NO, aDir[1], , , , 0, -0.0079, 1, -0.0079, 0, 0, 0, 0, FASE2-PERM, NO, 0,
0, NO,
 1028, BEAM    , UNILOAD, GZ, NO , NO, aDir[1], , , , 0, -0.0079, 1, -0.0079, 0, 0, 0, 0, FASE2-PERM, NO, 0,
0, NO,
 1029, BEAM    , UNILOAD, GZ, NO , NO, aDir[1], , , , 0, -0.0079, 1, -0.0079, 0, 0, 0, 0, FASE2-PERM, NO, 0,
0, NO,
 1030, BEAM    , UNILOAD, GZ, NO , NO, aDir[1], , , , 0, -0.0079, 1, -0.0079, 0, 0, 0, 0, FASE2-PERM, NO, 0,
0, NO,
 1031, BEAM    , UNILOAD, GZ, NO , NO, aDir[1], , , , 0, -0.0079, 1, -0.0079, 0, 0, 0, 0, FASE2-PERM, NO, 0,
0, NO,
 1032, BEAM    , UNILOAD, GZ, NO , NO, aDir[1], , , , 0, -0.0079, 1, -0.0079, 0, 0, 0, 0, FASE2-PERM, NO, 0,
0, NO,
 1033, BEAM    , UNILOAD, GZ, NO , NO, aDir[1], , , , 0, -0.0079, 1, -0.0079, 0, 0, 0, 0, FASE2-PERM, NO, 0,
0, NO,
 1034, BEAM    , UNILOAD, GZ, NO , NO, aDir[1], , , , 0, -0.0079, 1, -0.0079, 0, 0, 0, 0, FASE2-PERM, NO, 0,
0, NO,
 1035, BEAM    , UNILOAD, GZ, NO , NO, aDir[1], , , , 0, -0.0079, 1, -0.0079, 0, 0, 0, 0, FASE2-PERM, NO, 0,
0, NO,
 1036, BEAM    , UNILOAD, GZ, NO , NO, aDir[1], , , , 0, -0.0079, 1, -0.0079, 0, 0, 0, 0, FASE2-PERM, NO, 0,
0, NO,
 1037, BEAM    , UNILOAD, GZ, NO , NO, aDir[1], , , , 0, -0.0079, 1, -0.0079, 0, 0, 0, 0, FASE2-PERM, NO, 0,
0, NO,
 1038, BEAM    , UNILOAD, GZ, NO , NO, aDir[1], , , , 0, -0.0079, 1, -0.0079, 0, 0, 0, 0, FASE2-PERM, NO, 0,
0, NO,
```

1039, BEAM , UNILOAD, GZ, NO , NO, aDir[1], , , , 0, -0.0079, 1, -0.0079, 0, 0, 0, 0, FASE2-PERM, NO, 0, 0, NO,
1040, BEAM , UNILOAD, GZ, NO , NO, aDir[1], , , , 0, -0.0079, 1, -0.0079, 0, 0, 0, 0, FASE2-PERM, NO, 0, 0, NO,
1041, BEAM , UNILOAD, GZ, NO , NO, aDir[1], , , , 0, -0.0079, 1, -0.0079, 0, 0, 0, 0, FASE2-PERM, NO, 0, 0, NO,
1042, BEAM , UNILOAD, GZ, NO , NO, aDir[1], , , , 0, -0.0079, 1, -0.0079, 0, 0, 0, 0, FASE2-PERM, NO, 0, 0, NO,
1043, BEAM , UNILOAD, GZ, NO , NO, aDir[1], , , , 0, -0.0079, 1, -0.0079, 0, 0, 0, 0, FASE2-PERM, NO, 0, 0, NO,
1044, BEAM , UNILOAD, GZ, NO , NO, aDir[1], , , , 0, -0.0079, 1, -0.0079, 0, 0, 0, 0, FASE2-PERM, NO, 0, 0, NO,
1045, BEAM , UNILOAD, GZ, NO , NO, aDir[1], , , , 0, -0.0079, 1, -0.0079, 0, 0, 0, 0, FASE2-PERM, NO, 0, 0, NO,
1046, BEAM , UNILOAD, GZ, NO , NO, aDir[1], , , , 0, -0.0079, 1, -0.0079, 0, 0, 0, 0, FASE2-PERM, NO, 0, 0, NO,
1047, BEAM , UNILOAD, GZ, NO , NO, aDir[1], , , , 0, -0.0079, 1, -0.0079, 0, 0, 0, 0, FASE2-PERM, NO, 0, 0, NO,
1048, BEAM , UNILOAD, GZ, NO , NO, aDir[1], , , , 0, -0.0079, 1, -0.0079, 0, 0, 0, 0, FASE2-PERM, NO, 0, 0, NO,
1049, BEAM , UNILOAD, GZ, NO , NO, aDir[1], , , , 0, -0.0079, 1, -0.0079, 0, 0, 0, 0, FASE2-PERM, NO, 0, 0, NO,
1050, BEAM , UNILOAD, GZ, NO , NO, aDir[1], , , , 0, -0.0079, 1, -0.0079, 0, 0, 0, 0, FASE2-PERM, NO, 0, 0, NO,
1051, BEAM , UNILOAD, GZ, NO , NO, aDir[1], , , , 0, -0.0079, 1, -0.0079, 0, 0, 0, 0, FASE2-PERM, NO, 0, 0, NO,
1052, BEAM , UNILOAD, GZ, NO , NO, aDir[1], , , , 0, -0.0079, 1, -0.0079, 0, 0, 0, 0, FASE2-PERM, NO, 0, 0, NO,
1053, BEAM , UNILOAD, GZ, NO , NO, aDir[1], , , , 0, -0.0079, 1, -0.0079, 0, 0, 0, 0, FASE2-PERM, NO, 0, 0, NO,
1054, BEAM , UNILOAD, GZ, NO , NO, aDir[1], , , , 0, -0.0079, 1, -0.0079, 0, 0, 0, 0, FASE2-PERM, NO, 0, 0, NO,
1055, BEAM , UNILOAD, GZ, NO , NO, aDir[1], , , , 0, -0.0079, 1, -0.0079, 0, 0, 0, 0, FASE2-PERM, NO, 0, 0, NO,
1056, BEAM , UNILOAD, GZ, NO , NO, aDir[1], , , , 0, -0.0079, 1, -0.0079, 0, 0, 0, 0, FASE2-PERM, NO, 0, 0, NO,
1057, BEAM , UNILOAD, GZ, NO , NO, aDir[1], , , , 0, -0.0079, 1, -0.0079, 0, 0, 0, 0, FASE2-PERM, NO, 0, 0, NO,
1058, BEAM , UNILOAD, GZ, NO , NO, aDir[1], , , , 0, -0.0079, 1, -0.0079, 0, 0, 0, 0, FASE2-PERM, NO, 0, 0, NO,
1059, BEAM , UNILOAD, GZ, NO , NO, aDir[1], , , , 0, -0.0079, 1, -0.0079, 0, 0, 0, 0, FASE2-PERM, NO, 0, 0, NO,
1060, BEAM , UNILOAD, GZ, NO , NO, aDir[1], , , , 0, -0.0079, 1, -0.0079, 0, 0, 0, 0, FASE2-PERM, NO, 0, 0, NO,
1061, BEAM , UNILOAD, GZ, NO , NO, aDir[1], , , , 0, -0.0079, 1, -0.0079, 0, 0, 0, 0, FASE2-PERM, NO, 0, 0, NO,
1062, BEAM , UNILOAD, GZ, NO , NO, aDir[1], , , , 0, -0.0079, 1, -0.0079, 0, 0, 0, 0, FASE2-PERM, NO, 0, 0, NO,
1063, BEAM , UNILOAD, GZ, NO , NO, aDir[1], , , , 0, -0.0053, 1, -0.0053, 0, 0, 0, 0, FASE2-PERM, NO, 0, 0, NO,
1064, BEAM , UNILOAD, GZ, NO , NO, aDir[1], , , , 0, -0.0053, 1, -0.0053, 0, 0, 0, 0, FASE2-PERM, NO, 0, 0, NO,
1065, BEAM , UNILOAD, GZ, NO , NO, aDir[1], , , , 0, -0.0053, 1, -0.0053, 0, 0, 0, 0, FASE2-PERM, NO, 0, 0, NO,
1066, BEAM , UNILOAD, GZ, NO , NO, aDir[1], , , , 0, -0.0053, 1, -0.0053, 0, 0, 0, 0, FASE2-PERM, NO, 0, 0, NO,
1067, BEAM , UNILOAD, GZ, NO , NO, aDir[1], , , , 0, -0.0053, 1, -0.0053, 0, 0, 0, 0, FASE2-PERM, NO, 0, 0, NO,
1068, BEAM , UNILOAD, GZ, NO , NO, aDir[1], , , , 0, -0.0053, 1, -0.0053, 0, 0, 0, 0, FASE2-PERM, NO, 0, 0, NO,
1069, BEAM , UNILOAD, GZ, NO , NO, aDir[1], , , , 0, -0.0053, 1, -0.0053, 0, 0, 0, 0, FASE2-PERM, NO, 0, 0, NO,
1070, BEAM , UNILOAD, GZ, NO , NO, aDir[1], , , , 0, -0.0053, 1, -0.0053, 0, 0, 0, 0, FASE2-PERM, NO, 0, 0, NO,
1071, BEAM , UNILOAD, GZ, NO , NO, aDir[1], , , , 0, -0.0053, 1, -0.0053, 0, 0, 0, 0, FASE2-PERM, NO, 0, 0, NO,
1072, BEAM , UNILOAD, GZ, NO , NO, aDir[1], , , , 0, -0.0053, 1, -0.0053, 0, 0, 0, 0, FASE2-PERM, NO, 0, 0, NO,
1073, BEAM , UNILOAD, GZ, NO , NO, aDir[1], , , , 0, -0.0053, 1, -0.0053, 0, 0, 0, 0, FASE2-PERM, NO, 0, 0, NO,
1074, BEAM , UNILOAD, GZ, NO , NO, aDir[1], , , , 0, -0.0053, 1, -0.0053, 0, 0, 0, 0, FASE2-PERM, NO, 0, 0, NO,
1075, BEAM , UNILOAD, GZ, NO , NO, aDir[1], , , , 0, -0.0053, 1, -0.0053, 0, 0, 0, 0, FASE2-PERM, NO, 0, 0, NO,
1076, BEAM , UNILOAD, GZ, NO , NO, aDir[1], , , , 0, -0.0053, 1, -0.0053, 0, 0, 0, 0, FASE2-PERM, NO, 0, 0, NO,
1077, BEAM , UNILOAD, GZ, NO , NO, aDir[1], , , , 0, -0.0053, 1, -0.0053, 0, 0, 0, 0, FASE2-PERM, NO, 0, 0, NO,

1078, BEAM , UNILOAD, GZ, NO , NO, aDir[1], , , , 0, -0.0053, 1, -0.0053, 0, 0, 0, 0, FASE2-PERM, NO, 0, 0, NO,
1079, BEAM , UNILOAD, GZ, NO , NO, aDir[1], , , , 0, -0.0053, 1, -0.0053, 0, 0, 0, 0, FASE2-PERM, NO, 0, 0, NO,
1080, BEAM , UNILOAD, GZ, NO , NO, aDir[1], , , , 0, -0.0053, 1, -0.0053, 0, 0, 0, 0, FASE2-PERM, NO, 0, 0, NO,
1081, BEAM , UNILOAD, GZ, NO , NO, aDir[1], , , , 0, -0.0053, 1, -0.0053, 0, 0, 0, 0, FASE2-PERM, NO, 0, 0, NO,
1082, BEAM , UNILOAD, GZ, NO , NO, aDir[1], , , , 0, -0.0053, 1, -0.0053, 0, 0, 0, 0, FASE2-PERM, NO, 0, 0, NO,
1083, BEAM , UNILOAD, GZ, NO , NO, aDir[1], , , , 0, -0.0053, 1, -0.0053, 0, 0, 0, 0, FASE2-PERM, NO, 0, 0, NO,
1084, BEAM , UNILOAD, GZ, NO , NO, aDir[1], , , , 0, -0.0053, 1, -0.0053, 0, 0, 0, 0, FASE2-PERM, NO, 0, 0, NO,
1085, BEAM , UNILOAD, GZ, NO , NO, aDir[1], , , , 0, -0.0053, 1, -0.0053, 0, 0, 0, 0, FASE2-PERM, NO, 0, 0, NO,
1086, BEAM , UNILOAD, GZ, NO , NO, aDir[1], , , , 0, -0.0053, 1, -0.0053, 0, 0, 0, 0, FASE2-PERM, NO, 0, 0, NO,
1087, BEAM , UNILOAD, GZ, NO , NO, aDir[1], , , , 0, -0.0053, 1, -0.0053, 0, 0, 0, 0, FASE2-PERM, NO, 0, 0, NO,
1088, BEAM , UNILOAD, GZ, NO , NO, aDir[1], , , , 0, -0.0053, 1, -0.0053, 0, 0, 0, 0, FASE2-PERM, NO, 0, 0, NO,
1089, BEAM , UNILOAD, GZ, NO , NO, aDir[1], , , , 0, -0.0053, 1, -0.0053, 0, 0, 0, 0, FASE2-PERM, NO, 0, 0, NO,
1090, BEAM , UNILOAD, GZ, NO , NO, aDir[1], , , , 0, -0.0053, 1, -0.0053, 0, 0, 0, 0, FASE2-PERM, NO, 0, 0, NO,
1091, BEAM , UNILOAD, GZ, NO , NO, aDir[1], , , , 0, -0.0053, 1, -0.0053, 0, 0, 0, 0, FASE2-PERM, NO, 0, 0, NO,
1092, BEAM , UNILOAD, GZ, NO , NO, aDir[1], , , , 0, -0.0053, 1, -0.0053, 0, 0, 0, 0, FASE2-PERM, NO, 0, 0, NO,
1093, BEAM , UNILOAD, GZ, NO , NO, aDir[1], , , , 0, -0.0053, 1, -0.0053, 0, 0, 0, 0, FASE2-PERM, NO, 0, 0, NO,
1094, BEAM , UNILOAD, GZ, NO , NO, aDir[1], , , , 0, -0.0053, 1, -0.0053, 0, 0, 0, 0, FASE2-PERM, NO, 0, 0, NO,
1095, BEAM , UNILOAD, GZ, NO , NO, aDir[1], , , , 0, -0.0053, 1, -0.0053, 0, 0, 0, 0, FASE2-PERM, NO, 0, 0, NO,
1096, BEAM , UNILOAD, GZ, NO , NO, aDir[1], , , , 0, -0.0053, 1, -0.0053, 0, 0, 0, 0, FASE2-PERM, NO, 0, 0, NO,
1097, BEAM , UNILOAD, GZ, NO , NO, aDir[1], , , , 0, -0.0053, 1, -0.0053, 0, 0, 0, 0, FASE2-PERM, NO, 0, 0, NO,
1098, BEAM , UNILOAD, GZ, NO , NO, aDir[1], , , , 0, -0.0053, 1, -0.0053, 0, 0, 0, 0, FASE2-PERM, NO, 0, 0, NO,
1099, BEAM , UNILOAD, GZ, NO , NO, aDir[1], , , , 0, -0.0053, 1, -0.0053, 0, 0, 0, 0, FASE2-PERM, NO, 0, 0, NO,
1100, BEAM , UNILOAD, GZ, NO , NO, aDir[1], , , , 0, -0.0053, 1, -0.0053, 0, 0, 0, 0, FASE2-PERM, NO, 0, 0, NO,
1101, BEAM , UNILOAD, GZ, NO , NO, aDir[1], , , , 0, -0.0053, 1, -0.0053, 0, 0, 0, 0, FASE2-PERM, NO, 0, 0, NO,
1102, BEAM , UNILOAD, GZ, NO , NO, aDir[1], , , , 0, -0.0053, 1, -0.0053, 0, 0, 0, 0, FASE2-PERM, NO, 0, 0, NO,
1103, BEAM , UNILOAD, GZ, NO , NO, aDir[1], , , , 0, -0.0053, 1, -0.0053, 0, 0, 0, 0, FASE2-PERM, NO, 0, 0, NO,
1104, BEAM , UNILOAD, GZ, NO , NO, aDir[1], , , , 0, -0.0053, 1, -0.0053, 0, 0, 0, 0, FASE2-PERM, NO, 0, 0, NO,
1187, BEAM , UNILOAD, GZ, NO , NO, aDir[1], , , , 0, -0.0079, 1, -0.0079, 0, 0, 0, 0, FASE2-PERM, NO, 0, 0, NO,
1188, BEAM , UNILOAD, GZ, NO , NO, aDir[1], , , , 0, -0.0079, 1, -0.0079, 0, 0, 0, 0, FASE2-PERM, NO, 0, 0, NO,
1189, BEAM , UNILOAD, GZ, NO , NO, aDir[1], , , , 0, -0.0079, 1, -0.0079, 0, 0, 0, 0, FASE2-PERM, NO, 0, 0, NO,
1190, BEAM , UNILOAD, GZ, NO , NO, aDir[1], , , , 0, -0.0079, 1, -0.0079, 0, 0, 0, 0, FASE2-PERM, NO, 0, 0, NO,
1191, BEAM , UNILOAD, GZ, NO , NO, aDir[1], , , , 0, -0.0079, 1, -0.0079, 0, 0, 0, 0, FASE2-PERM, NO, 0, 0, NO,
1192, BEAM , UNILOAD, GZ, NO , NO, aDir[1], , , , 0, -0.0079, 1, -0.0079, 0, 0, 0, 0, FASE2-PERM, NO, 0, 0, NO,
1193, BEAM , UNILOAD, GZ, NO , NO, aDir[1], , , , 0, -0.0079, 1, -0.0079, 0, 0, 0, 0, FASE2-PERM, NO, 0, 0, NO,
1194, BEAM , UNILOAD, GZ, NO , NO, aDir[1], , , , 0, -0.0079, 1, -0.0079, 0, 0, 0, 0, FASE2-PERM, NO, 0, 0, NO,
1195, BEAM , UNILOAD, GZ, NO , NO, aDir[1], , , , 0, -0.0079, 1, -0.0079, 0, 0, 0, 0, FASE2-PERM, NO, 0, 0, NO,
1196, BEAM , UNILOAD, GZ, NO , NO, aDir[1], , , , 0, -0.0079, 1, -0.0079, 0, 0, 0, 0, FASE2-PERM, NO, 0, 0, NO,
1197, BEAM , UNILOAD, GZ, NO , NO, aDir[1], , , , 0, -0.0079, 1, -0.0079, 0, 0, 0, 0, FASE2-PERM, NO, 0, 0, NO,
1198, BEAM , UNILOAD, GZ, NO , NO, aDir[1], , , , 0, -0.0079, 1, -0.0079, 0, 0, 0, 0, FASE2-PERM, NO, 0, 0, NO,

1199, BEAM , UNILOAD, GZ, NO , NO, aDir[1], , , , 0, -0.0079, 1, -0.0079, 0, 0, 0, 0, FASE2-PERM, NO, 0, 0, NO,
1200, BEAM , UNILOAD, GZ, NO , NO, aDir[1], , , , 0, -0.0079, 1, -0.0079, 0, 0, 0, 0, FASE2-PERM, NO, 0, 0, NO,
1201, BEAM , UNILOAD, GZ, NO , NO, aDir[1], , , , 0, -0.0079, 1, -0.0079, 0, 0, 0, 0, FASE2-PERM, NO, 0, 0, NO,
1202, BEAM , UNILOAD, GZ, NO , NO, aDir[1], , , , 0, -0.0079, 1, -0.0079, 0, 0, 0, 0, FASE2-PERM, NO, 0, 0, NO,
1203, BEAM , UNILOAD, GZ, NO , NO, aDir[1], , , , 0, -0.0079, 1, -0.0079, 0, 0, 0, 0, FASE2-PERM, NO, 0, 0, NO,
1204, BEAM , UNILOAD, GZ, NO , NO, aDir[1], , , , 0, -0.0079, 1, -0.0079, 0, 0, 0, 0, FASE2-PERM, NO, 0, 0, NO,
1205, BEAM , UNILOAD, GZ, NO , NO, aDir[1], , , , 0, -0.0079, 1, -0.0079, 0, 0, 0, 0, FASE2-PERM, NO, 0, 0, NO,
1206, BEAM , UNILOAD, GZ, NO , NO, aDir[1], , , , 0, -0.0079, 1, -0.0079, 0, 0, 0, 0, FASE2-PERM, NO, 0, 0, NO,
1207, BEAM , UNILOAD, GZ, NO , NO, aDir[1], , , , 0, -0.0079, 1, -0.0079, 0, 0, 0, 0, FASE2-PERM, NO, 0, 0, NO,
1208, BEAM , UNILOAD, GZ, NO , NO, aDir[1], , , , 0, -0.0079, 1, -0.0079, 0, 0, 0, 0, FASE2-PERM, NO, 0, 0, NO,
1209, BEAM , UNILOAD, GZ, NO , NO, aDir[1], , , , 0, -0.0079, 1, -0.0079, 0, 0, 0, 0, FASE2-PERM, NO, 0, 0, NO,
1210, BEAM , UNILOAD, GZ, NO , NO, aDir[1], , , , 0, -0.0079, 1, -0.0079, 0, 0, 0, 0, FASE2-PERM, NO, 0, 0, NO,
1211, BEAM , UNILOAD, GZ, NO , NO, aDir[1], , , , 0, -0.0079, 1, -0.0079, 0, 0, 0, 0, FASE2-PERM, NO, 0, 0, NO,
1212, BEAM , UNILOAD, GZ, NO , NO, aDir[1], , , , 0, -0.0079, 1, -0.0079, 0, 0, 0, 0, FASE2-PERM, NO, 0, 0, NO,
1213, BEAM , UNILOAD, GZ, NO , NO, aDir[1], , , , 0, -0.0079, 1, -0.0079, 0, 0, 0, 0, FASE2-PERM, NO, 0, 0, NO,
1214, BEAM , UNILOAD, GZ, NO , NO, aDir[1], , , , 0, -0.0079, 1, -0.0079, 0, 0, 0, 0, FASE2-PERM, NO, 0, 0, NO,
1215, BEAM , UNILOAD, GZ, NO , NO, aDir[1], , , , 0, -0.0079, 1, -0.0079, 0, 0, 0, 0, FASE2-PERM, NO, 0, 0, NO,
1216, BEAM , UNILOAD, GZ, NO , NO, aDir[1], , , , 0, -0.0079, 1, -0.0079, 0, 0, 0, 0, FASE2-PERM, NO, 0, 0, NO,
1217, BEAM , UNILOAD, GZ, NO , NO, aDir[1], , , , 0, -0.0079, 1, -0.0079, 0, 0, 0, 0, FASE2-PERM, NO, 0, 0, NO,
1218, BEAM , UNILOAD, GZ, NO , NO, aDir[1], , , , 0, -0.0079, 1, -0.0079, 0, 0, 0, 0, FASE2-PERM, NO, 0, 0, NO,
1219, BEAM , UNILOAD, GZ, NO , NO, aDir[1], , , , 0, -0.0079, 1, -0.0079, 0, 0, 0, 0, FASE2-PERM, NO, 0, 0, NO,
1220, BEAM , UNILOAD, GZ, NO , NO, aDir[1], , , , 0, -0.0079, 1, -0.0079, 0, 0, 0, 0, FASE2-PERM, NO, 0, 0, NO,
1221, BEAM , UNILOAD, GZ, NO , NO, aDir[1], , , , 0, -0.0079, 1, -0.0079, 0, 0, 0, 0, FASE2-PERM, NO, 0, 0, NO,
1222, BEAM , UNILOAD, GZ, NO , NO, aDir[1], , , , 0, -0.0079, 1, -0.0079, 0, 0, 0, 0, FASE2-PERM, NO, 0, 0, NO,
1223, BEAM , UNILOAD, GZ, NO , NO, aDir[1], , , , 0, -0.0079, 1, -0.0079, 0, 0, 0, 0, FASE2-PERM, NO, 0, 0, NO,
1224, BEAM , UNILOAD, GZ, NO , NO, aDir[1], , , , 0, -0.0079, 1, -0.0079, 0, 0, 0, 0, FASE2-PERM, NO, 0, 0, NO,
1225, BEAM , UNILOAD, GZ, NO , NO, aDir[1], , , , 0, -0.0079, 1, -0.0079, 0, 0, 0, 0, FASE2-PERM, NO, 0, 0, NO,
1226, BEAM , UNILOAD, GZ, NO , NO, aDir[1], , , , 0, -0.0079, 1, -0.0079, 0, 0, 0, 0, FASE2-PERM, NO, 0, 0, NO,
1227, BEAM , UNILOAD, GZ, NO , NO, aDir[1], , , , 0, -0.0079, 1, -0.0079, 0, 0, 0, 0, FASE2-PERM, NO, 0, 0, NO,
1228, BEAM , UNILOAD, GZ, NO , NO, aDir[1], , , , 0, -0.0079, 1, -0.0079, 0, 0, 0, 0, FASE2-PERM, NO, 0, 0, NO,
1229, BEAM , UNILOAD, GZ, NO , NO, aDir[1], , , , 0, -0.0048, 1, -0.0048, 0, 0, 0, 0, FASE2-PERM, NO, 0, 0, NO,
1230, BEAM , UNILOAD, GZ, NO , NO, aDir[1], , , , 0, -0.0048, 1, -0.0048, 0, 0, 0, 0, FASE2-PERM, NO, 0, 0, NO,
1231, BEAM , UNILOAD, GZ, NO , NO, aDir[1], , , , 0, -0.0048, 1, -0.0048, 0, 0, 0, 0, FASE2-PERM, NO, 0, 0, NO,
1232, BEAM , UNILOAD, GZ, NO , NO, aDir[1], , , , 0, -0.0048, 1, -0.0048, 0, 0, 0, 0, FASE2-PERM, NO, 0, 0, NO,
1233, BEAM , UNILOAD, GZ, NO , NO, aDir[1], , , , 0, -0.0048, 1, -0.0048, 0, 0, 0, 0, FASE2-PERM, NO, 0, 0, NO,
1234, BEAM , UNILOAD, GZ, NO , NO, aDir[1], , , , 0, -0.0048, 1, -0.0048, 0, 0, 0, 0, FASE2-PERM, NO, 0, 0, NO,
1235, BEAM , UNILOAD, GZ, NO , NO, aDir[1], , , , 0, -0.0048, 1, -0.0048, 0, 0, 0, 0, FASE2-PERM, NO, 0, 0, NO,
1236, BEAM , UNILOAD, GZ, NO , NO, aDir[1], , , , 0, -0.0048, 1, -0.0048, 0, 0, 0, 0, FASE2-PERM, NO, 0, 0, NO,
1237, BEAM , UNILOAD, GZ, NO , NO, aDir[1], , , , 0, -0.0048, 1, -0.0048, 0, 0, 0, 0, FASE2-PERM, NO, 0, 0, NO,

1238, BEAM , UNILOAD, GZ, NO , NO, aDir[1], , , , 0, -0.0048, 1, -0.0048, 0, 0, 0, 0, FASE2-PERM, NO, 0, 0, NO,
1239, BEAM , UNILOAD, GZ, NO , NO, aDir[1], , , , 0, -0.0048, 1, -0.0048, 0, 0, 0, 0, FASE2-PERM, NO, 0, 0, NO,
1240, BEAM , UNILOAD, GZ, NO , NO, aDir[1], , , , 0, -0.0048, 1, -0.0048, 0, 0, 0, 0, FASE2-PERM, NO, 0, 0, NO,
1241, BEAM , UNILOAD, GZ, NO , NO, aDir[1], , , , 0, -0.0048, 1, -0.0048, 0, 0, 0, 0, FASE2-PERM, NO, 0, 0, NO,
1242, BEAM , UNILOAD, GZ, NO , NO, aDir[1], , , , 0, -0.0048, 1, -0.0048, 0, 0, 0, 0, FASE2-PERM, NO, 0, 0, NO,
1243, BEAM , UNILOAD, GZ, NO , NO, aDir[1], , , , 0, -0.0048, 1, -0.0048, 0, 0, 0, 0, FASE2-PERM, NO, 0, 0, NO,
1244, BEAM , UNILOAD, GZ, NO , NO, aDir[1], , , , 0, -0.0048, 1, -0.0048, 0, 0, 0, 0, FASE2-PERM, NO, 0, 0, NO,
1245, BEAM , UNILOAD, GZ, NO , NO, aDir[1], , , , 0, -0.0048, 1, -0.0048, 0, 0, 0, 0, FASE2-PERM, NO, 0, 0, NO,
1246, BEAM , UNILOAD, GZ, NO , NO, aDir[1], , , , 0, -0.0048, 1, -0.0048, 0, 0, 0, 0, FASE2-PERM, NO, 0, 0, NO,
1247, BEAM , UNILOAD, GZ, NO , NO, aDir[1], , , , 0, -0.0048, 1, -0.0048, 0, 0, 0, 0, FASE2-PERM, NO, 0, 0, NO,
1248, BEAM , UNILOAD, GZ, NO , NO, aDir[1], , , , 0, -0.0048, 1, -0.0048, 0, 0, 0, 0, FASE2-PERM, NO, 0, 0, NO,
1249, BEAM , UNILOAD, GZ, NO , NO, aDir[1], , , , 0, -0.0048, 1, -0.0048, 0, 0, 0, 0, FASE2-PERM, NO, 0, 0, NO,
1250, BEAM , UNILOAD, GZ, NO , NO, aDir[1], , , , 0, -0.0048, 1, -0.0048, 0, 0, 0, 0, FASE2-PERM, NO, 0, 0, NO,
1251, BEAM , UNILOAD, GZ, NO , NO, aDir[1], , , , 0, -0.0048, 1, -0.0048, 0, 0, 0, 0, FASE2-PERM, NO, 0, 0, NO,
1252, BEAM , UNILOAD, GZ, NO , NO, aDir[1], , , , 0, -0.0048, 1, -0.0048, 0, 0, 0, 0, FASE2-PERM, NO, 0, 0, NO,
1253, BEAM , UNILOAD, GZ, NO , NO, aDir[1], , , , 0, -0.0048, 1, -0.0048, 0, 0, 0, 0, FASE2-PERM, NO, 0, 0, NO,
1254, BEAM , UNILOAD, GZ, NO , NO, aDir[1], , , , 0, -0.0048, 1, -0.0048, 0, 0, 0, 0, FASE2-PERM, NO, 0, 0, NO,
1255, BEAM , UNILOAD, GZ, NO , NO, aDir[1], , , , 0, -0.0048, 1, -0.0048, 0, 0, 0, 0, FASE2-PERM, NO, 0, 0, NO,
1256, BEAM , UNILOAD, GZ, NO , NO, aDir[1], , , , 0, -0.0048, 1, -0.0048, 0, 0, 0, 0, FASE2-PERM, NO, 0, 0, NO,
1257, BEAM , UNILOAD, GZ, NO , NO, aDir[1], , , , 0, -0.0048, 1, -0.0048, 0, 0, 0, 0, FASE2-PERM, NO, 0, 0, NO,
1258, BEAM , UNILOAD, GZ, NO , NO, aDir[1], , , , 0, -0.0048, 1, -0.0048, 0, 0, 0, 0, FASE2-PERM, NO, 0, 0, NO,
1259, BEAM , UNILOAD, GZ, NO , NO, aDir[1], , , , 0, -0.0048, 1, -0.0048, 0, 0, 0, 0, FASE2-PERM, NO, 0, 0, NO,
1260, BEAM , UNILOAD, GZ, NO , NO, aDir[1], , , , 0, -0.0048, 1, -0.0048, 0, 0, 0, 0, FASE2-PERM, NO, 0, 0, NO,
1261, BEAM , UNILOAD, GZ, NO , NO, aDir[1], , , , 0, -0.0048, 1, -0.0048, 0, 0, 0, 0, FASE2-PERM, NO, 0, 0, NO,
1262, BEAM , UNILOAD, GZ, NO , NO, aDir[1], , , , 0, -0.0048, 1, -0.0048, 0, 0, 0, 0, FASE2-PERM, NO, 0, 0, NO,
1263, BEAM , UNILOAD, GZ, NO , NO, aDir[1], , , , 0, -0.0048, 1, -0.0048, 0, 0, 0, 0, FASE2-PERM, NO, 0, 0, NO,
1264, BEAM , UNILOAD, GZ, NO , NO, aDir[1], , , , 0, -0.0048, 1, -0.0048, 0, 0, 0, 0, FASE2-PERM, NO, 0, 0, NO,
1265, BEAM , UNILOAD, GZ, NO , NO, aDir[1], , , , 0, -0.0048, 1, -0.0048, 0, 0, 0, 0, FASE2-PERM, NO, 0, 0, NO,
1266, BEAM , UNILOAD, GZ, NO , NO, aDir[1], , , , 0, -0.0048, 1, -0.0048, 0, 0, 0, 0, FASE2-PERM, NO, 0, 0, NO,
1267, BEAM , UNILOAD, GZ, NO , NO, aDir[1], , , , 0, -0.0048, 1, -0.0048, 0, 0, 0, 0, FASE2-PERM, NO, 0, 0, NO,
1268, BEAM , UNILOAD, GZ, NO , NO, aDir[1], , , , 0, -0.0048, 1, -0.0048, 0, 0, 0, 0, FASE2-PERM, NO, 0, 0, NO,
1269, BEAM , UNILOAD, GZ, NO , NO, aDir[1], , , , 0, -0.0048, 1, -0.0048, 0, 0, 0, 0, FASE2-PERM, NO, 0, 0, NO,
1270, BEAM , UNILOAD, GZ, NO , NO, aDir[1], , , , 0, -0.0048, 1, -0.0048, 0, 0, 0, 0, FASE2-PERM, NO, 0, 0, NO,
1271, BEAM , UNILOAD, GZ, NO , NO, aDir[1], , , , 0, -0.0088, 1, -0.0088, 0, 0, 0, 0, FASE2-PERM, NO, 0, 0, NO,
1272, BEAM , UNILOAD, GZ, NO , NO, aDir[1], , , , 0, -0.0088, 1, -0.0088, 0, 0, 0, 0, FASE2-PERM, NO, 0, 0, NO,
1273, BEAM , UNILOAD, GZ, NO , NO, aDir[1], , , , 0, -0.0088, 1, -0.0088, 0, 0, 0, 0, FASE2-PERM, NO, 0, 0, NO,
1274, BEAM , UNILOAD, GZ, NO , NO, aDir[1], , , , 0, -0.0088, 1, -0.0088, 0, 0, 0, 0, FASE2-PERM, NO, 0, 0, NO,
1275, BEAM , UNILOAD, GZ, NO , NO, aDir[1], , , , 0, -0.0088, 1, -0.0088, 0, 0, 0, 0, FASE2-PERM, NO, 0, 0, NO,
1276, BEAM , UNILOAD, GZ, NO , NO, aDir[1], , , , 0, -0.0088, 1, -0.0088, 0, 0, 0, 0, FASE2-PERM, NO, 0, 0, NO,

1277, BEAM , UNILOAD, GZ, NO , NO, aDir[1], , , , 0, -0.0088, 1, -0.0088, 0, 0, 0, 0, FASE2-PERM, NO, 0, 0, NO,
1278, BEAM , UNILOAD, GZ, NO , NO, aDir[1], , , , 0, -0.0088, 1, -0.0088, 0, 0, 0, 0, FASE2-PERM, NO, 0, 0, NO,
1279, BEAM , UNILOAD, GZ, NO , NO, aDir[1], , , , 0, -0.0088, 1, -0.0088, 0, 0, 0, 0, FASE2-PERM, NO, 0, 0, NO,
1280, BEAM , UNILOAD, GZ, NO , NO, aDir[1], , , , 0, -0.0088, 1, -0.0088, 0, 0, 0, 0, FASE2-PERM, NO, 0, 0, NO,
1281, BEAM , UNILOAD, GZ, NO , NO, aDir[1], , , , 0, -0.0088, 1, -0.0088, 0, 0, 0, 0, FASE2-PERM, NO, 0, 0, NO,
1282, BEAM , UNILOAD, GZ, NO , NO, aDir[1], , , , 0, -0.0088, 1, -0.0088, 0, 0, 0, 0, FASE2-PERM, NO, 0, 0, NO,
1283, BEAM , UNILOAD, GZ, NO , NO, aDir[1], , , , 0, -0.0088, 1, -0.0088, 0, 0, 0, 0, FASE2-PERM, NO, 0, 0, NO,
1284, BEAM , UNILOAD, GZ, NO , NO, aDir[1], , , , 0, -0.0088, 1, -0.0088, 0, 0, 0, 0, FASE2-PERM, NO, 0, 0, NO,
1285, BEAM , UNILOAD, GZ, NO , NO, aDir[1], , , , 0, -0.0088, 1, -0.0088, 0, 0, 0, 0, FASE2-PERM, NO, 0, 0, NO,
1286, BEAM , UNILOAD, GZ, NO , NO, aDir[1], , , , 0, -0.0088, 1, -0.0088, 0, 0, 0, 0, FASE2-PERM, NO, 0, 0, NO,
1287, BEAM , UNILOAD, GZ, NO , NO, aDir[1], , , , 0, -0.0088, 1, -0.0088, 0, 0, 0, 0, FASE2-PERM, NO, 0, 0, NO,
1288, BEAM , UNILOAD, GZ, NO , NO, aDir[1], , , , 0, -0.0088, 1, -0.0088, 0, 0, 0, 0, FASE2-PERM, NO, 0, 0, NO,
1289, BEAM , UNILOAD, GZ, NO , NO, aDir[1], , , , 0, -0.0088, 1, -0.0088, 0, 0, 0, 0, FASE2-PERM, NO, 0, 0, NO,
1290, BEAM , UNILOAD, GZ, NO , NO, aDir[1], , , , 0, -0.0088, 1, -0.0088, 0, 0, 0, 0, FASE2-PERM, NO, 0, 0, NO,
1291, BEAM , UNILOAD, GZ, NO , NO, aDir[1], , , , 0, -0.0088, 1, -0.0088, 0, 0, 0, 0, FASE2-PERM, NO, 0, 0, NO,
1292, BEAM , UNILOAD, GZ, NO , NO, aDir[1], , , , 0, -0.0088, 1, -0.0088, 0, 0, 0, 0, FASE2-PERM, NO, 0, 0, NO,
1293, BEAM , UNILOAD, GZ, NO , NO, aDir[1], , , , 0, -0.0088, 1, -0.0088, 0, 0, 0, 0, FASE2-PERM, NO, 0, 0, NO,
1294, BEAM , UNILOAD, GZ, NO , NO, aDir[1], , , , 0, -0.0088, 1, -0.0088, 0, 0, 0, 0, FASE2-PERM, NO, 0, 0, NO,
1295, BEAM , UNILOAD, GZ, NO , NO, aDir[1], , , , 0, -0.0088, 1, -0.0088, 0, 0, 0, 0, FASE2-PERM, NO, 0, 0, NO,
1296, BEAM , UNILOAD, GZ, NO , NO, aDir[1], , , , 0, -0.0088, 1, -0.0088, 0, 0, 0, 0, FASE2-PERM, NO, 0, 0, NO,
1297, BEAM , UNILOAD, GZ, NO , NO, aDir[1], , , , 0, -0.0088, 1, -0.0088, 0, 0, 0, 0, FASE2-PERM, NO, 0, 0, NO,
1298, BEAM , UNILOAD, GZ, NO , NO, aDir[1], , , , 0, -0.0088, 1, -0.0088, 0, 0, 0, 0, FASE2-PERM, NO, 0, 0, NO,
1299, BEAM , UNILOAD, GZ, NO , NO, aDir[1], , , , 0, -0.0088, 1, -0.0088, 0, 0, 0, 0, FASE2-PERM, NO, 0, 0, NO,
1300, BEAM , UNILOAD, GZ, NO , NO, aDir[1], , , , 0, -0.0088, 1, -0.0088, 0, 0, 0, 0, FASE2-PERM, NO, 0, 0, NO,
1301, BEAM , UNILOAD, GZ, NO , NO, aDir[1], , , , 0, -0.0088, 1, -0.0088, 0, 0, 0, 0, FASE2-PERM, NO, 0, 0, NO,
1302, BEAM , UNILOAD, GZ, NO , NO, aDir[1], , , , 0, -0.0088, 1, -0.0088, 0, 0, 0, 0, FASE2-PERM, NO, 0, 0, NO,
1303, BEAM , UNILOAD, GZ, NO , NO, aDir[1], , , , 0, -0.0088, 1, -0.0088, 0, 0, 0, 0, FASE2-PERM, NO, 0, 0, NO,
1304, BEAM , UNILOAD, GZ, NO , NO, aDir[1], , , , 0, -0.0088, 1, -0.0088, 0, 0, 0, 0, FASE2-PERM, NO, 0, 0, NO,
1305, BEAM , UNILOAD, GZ, NO , NO, aDir[1], , , , 0, -0.0088, 1, -0.0088, 0, 0, 0, 0, FASE2-PERM, NO, 0, 0, NO,
1306, BEAM , UNILOAD, GZ, NO , NO, aDir[1], , , , 0, -0.0088, 1, -0.0088, 0, 0, 0, 0, FASE2-PERM, NO, 0, 0, NO,
1307, BEAM , UNILOAD, GZ, NO , NO, aDir[1], , , , 0, -0.0088, 1, -0.0088, 0, 0, 0, 0, FASE2-PERM, NO, 0, 0, NO,
1308, BEAM , UNILOAD, GZ, NO , NO, aDir[1], , , , 0, -0.0088, 1, -0.0088, 0, 0, 0, 0, FASE2-PERM, NO, 0, 0, NO,
1309, BEAM , UNILOAD, GZ, NO , NO, aDir[1], , , , 0, -0.0088, 1, -0.0088, 0, 0, 0, 0, FASE2-PERM, NO, 0, 0, NO,
1310, BEAM , UNILOAD, GZ, NO , NO, aDir[1], , , , 0, -0.0088, 1, -0.0088, 0, 0, 0, 0, FASE2-PERM, NO, 0, 0, NO,
1311, BEAM , UNILOAD, GZ, NO , NO, aDir[1], , , , 0, -0.0088, 1, -0.0088, 0, 0, 0, 0, FASE2-PERM, NO, 0, 0, NO,
1312, BEAM , UNILOAD, GZ, NO , NO, aDir[1], , , , 0, -0.0088, 1, -0.0088, 0, 0, 0, 0, FASE2-PERM, NO, 0, 0, NO,
1313, BEAM , UNILOAD, GZ, NO , NO, aDir[1], , , , 0, -0.0053, 1, -0.0053, 0, 0, 0, 0, FASE2-PERM, NO, 0, 0, NO,
1314, BEAM , UNILOAD, GZ, NO , NO, aDir[1], , , , 0, -0.0053, 1, -0.0053, 0, 0, 0, 0, FASE2-PERM, NO, 0, 0, NO,
1315, BEAM , UNILOAD, GZ, NO , NO, aDir[1], , , , 0, -0.0053, 1, -0.0053, 0, 0, 0, 0, FASE2-PERM, NO, 0, 0, NO,

PROJECT TITLE :

	Company		Client	
	Author		File Name	Brembiolo1_08_completo(fasi)DEFINITIVO.mgt

1316, BEAM , UNILOAD, GZ, NO , NO, aDir[1], , , , 0, -0.0053, 1, -0.0053, 0, 0, 0, 0, FASE2-PERM, NO, 0, 0, NO,
1317, BEAM , UNILOAD, GZ, NO , NO, aDir[1], , , , 0, -0.0053, 1, -0.0053, 0, 0, 0, 0, FASE2-PERM, NO, 0, 0, NO,
1318, BEAM , UNILOAD, GZ, NO , NO, aDir[1], , , , 0, -0.0053, 1, -0.0053, 0, 0, 0, 0, FASE2-PERM, NO, 0, 0, NO,
1319, BEAM , UNILOAD, GZ, NO , NO, aDir[1], , , , 0, -0.0053, 1, -0.0053, 0, 0, 0, 0, FASE2-PERM, NO, 0, 0, NO,
1320, BEAM , UNILOAD, GZ, NO , NO, aDir[1], , , , 0, -0.0053, 1, -0.0053, 0, 0, 0, 0, FASE2-PERM, NO, 0, 0, NO,
1321, BEAM , UNILOAD, GZ, NO , NO, aDir[1], , , , 0, -0.0053, 1, -0.0053, 0, 0, 0, 0, FASE2-PERM, NO, 0, 0, NO,
1322, BEAM , UNILOAD, GZ, NO , NO, aDir[1], , , , 0, -0.0053, 1, -0.0053, 0, 0, 0, 0, FASE2-PERM, NO, 0, 0, NO,
1323, BEAM , UNILOAD, GZ, NO , NO, aDir[1], , , , 0, -0.0053, 1, -0.0053, 0, 0, 0, 0, FASE2-PERM, NO, 0, 0, NO,
1324, BEAM , UNILOAD, GZ, NO , NO, aDir[1], , , , 0, -0.0053, 1, -0.0053, 0, 0, 0, 0, FASE2-PERM, NO, 0, 0, NO,
1325, BEAM , UNILOAD, GZ, NO , NO, aDir[1], , , , 0, -0.0053, 1, -0.0053, 0, 0, 0, 0, FASE2-PERM, NO, 0, 0, NO,
1326, BEAM , UNILOAD, GZ, NO , NO, aDir[1], , , , 0, -0.0053, 1, -0.0053, 0, 0, 0, 0, FASE2-PERM, NO, 0, 0, NO,
1327, BEAM , UNILOAD, GZ, NO , NO, aDir[1], , , , 0, -0.0053, 1, -0.0053, 0, 0, 0, 0, FASE2-PERM, NO, 0, 0, NO,
1328, BEAM , UNILOAD, GZ, NO , NO, aDir[1], , , , 0, -0.0053, 1, -0.0053, 0, 0, 0, 0, FASE2-PERM, NO, 0, 0, NO,
1329, BEAM , UNILOAD, GZ, NO , NO, aDir[1], , , , 0, -0.0053, 1, -0.0053, 0, 0, 0, 0, FASE2-PERM, NO, 0, 0, NO,
1330, BEAM , UNILOAD, GZ, NO , NO, aDir[1], , , , 0, -0.0053, 1, -0.0053, 0, 0, 0, 0, FASE2-PERM, NO, 0, 0, NO,
1331, BEAM , UNILOAD, GZ, NO , NO, aDir[1], , , , 0, -0.0053, 1, -0.0053, 0, 0, 0, 0, FASE2-PERM, NO, 0, 0, NO,
1332, BEAM , UNILOAD, GZ, NO , NO, aDir[1], , , , 0, -0.0053, 1, -0.0053, 0, 0, 0, 0, FASE2-PERM, NO, 0, 0, NO,
1333, BEAM , UNILOAD, GZ, NO , NO, aDir[1], , , , 0, -0.0053, 1, -0.0053, 0, 0, 0, 0, FASE2-PERM, NO, 0, 0, NO,
1334, BEAM , UNILOAD, GZ, NO , NO, aDir[1], , , , 0, -0.0053, 1, -0.0053, 0, 0, 0, 0, FASE2-PERM, NO, 0, 0, NO,
1335, BEAM , UNILOAD, GZ, NO , NO, aDir[1], , , , 0, -0.0053, 1, -0.0053, 0, 0, 0, 0, FASE2-PERM, NO, 0, 0, NO,
1336, BEAM , UNILOAD, GZ, NO , NO, aDir[1], , , , 0, -0.0053, 1, -0.0053, 0, 0, 0, 0, FASE2-PERM, NO, 0, 0, NO,
1337, BEAM , UNILOAD, GZ, NO , NO, aDir[1], , , , 0, -0.0053, 1, -0.0053, 0, 0, 0, 0, FASE2-PERM, NO, 0, 0, NO,
1338, BEAM , UNILOAD, GZ, NO , NO, aDir[1], , , , 0, -0.0053, 1, -0.0053, 0, 0, 0, 0, FASE2-PERM, NO, 0, 0, NO,
1339, BEAM , UNILOAD, GZ, NO , NO, aDir[1], , , , 0, -0.0053, 1, -0.0053, 0, 0, 0, 0, FASE2-PERM, NO, 0, 0, NO,
1340, BEAM , UNILOAD, GZ, NO , NO, aDir[1], , , , 0, -0.0053, 1, -0.0053, 0, 0, 0, 0, FASE2-PERM, NO, 0, 0, NO,
1341, BEAM , UNILOAD, GZ, NO , NO, aDir[1], , , , 0, -0.0053, 1, -0.0053, 0, 0, 0, 0, FASE2-PERM, NO, 0, 0, NO,
1342, BEAM , UNILOAD, GZ, NO , NO, aDir[1], , , , 0, -0.0053, 1, -0.0053, 0, 0, 0, 0, FASE2-PERM, NO, 0, 0, NO,
1343, BEAM , UNILOAD, GZ, NO , NO, aDir[1], , , , 0, -0.0053, 1, -0.0053, 0, 0, 0, 0, FASE2-PERM, NO, 0, 0, NO,
1344, BEAM , UNILOAD, GZ, NO , NO, aDir[1], , , , 0, -0.0053, 1, -0.0053, 0, 0, 0, 0, FASE2-PERM, NO, 0, 0, NO,
1345, BEAM , UNILOAD, GZ, NO , NO, aDir[1], , , , 0, -0.0053, 1, -0.0053, 0, 0, 0, 0, FASE2-PERM, NO, 0, 0, NO,
1346, BEAM , UNILOAD, GZ, NO , NO, aDir[1], , , , 0, -0.0053, 1, -0.0053, 0, 0, 0, 0, FASE2-PERM, NO, 0, 0, NO,
1347, BEAM , UNILOAD, GZ, NO , NO, aDir[1], , , , 0, -0.0053, 1, -0.0053, 0, 0, 0, 0, FASE2-PERM, NO, 0, 0, NO,
1348, BEAM , UNILOAD, GZ, NO , NO, aDir[1], , , , 0, -0.0053, 1, -0.0053, 0, 0, 0, 0, FASE2-PERM, NO, 0, 0, NO,
1349, BEAM , UNILOAD, GZ, NO , NO, aDir[1], , , , 0, -0.0053, 1, -0.0053, 0, 0, 0, 0, FASE2-PERM, NO, 0, 0, NO,
1350, BEAM , UNILOAD, GZ, NO , NO, aDir[1], , , , 0, -0.0053, 1, -0.0053, 0, 0, 0, 0, FASE2-PERM, NO, 0, 0, NO,
1351, BEAM , UNILOAD, GZ, NO , NO, aDir[1], , , , 0, -0.0053, 1, -0.0053, 0, 0, 0, 0, FASE2-PERM, NO, 0, 0, NO,
1352, BEAM , UNILOAD, GZ, NO , NO, aDir[1], , , , 0, -0.0053, 1, -0.0053, 0, 0, 0, 0, FASE2-PERM, NO, 0, 0, NO,
1353, BEAM , UNILOAD, GZ, NO , NO, aDir[1], , , , 0, -0.0053, 1, -0.0053, 0, 0, 0, 0, FASE2-PERM, NO, 0, 0, NO,
1354, BEAM , UNILOAD, GZ, NO , NO, aDir[1], , , , 0, -0.0053, 1, -0.0053, 0, 0, 0, 0, FASE2-PERM, NO, 0, 0, NO,

PROJECT TITLE :

	Company		Client	
	Author		File Name	Brembiolo1_08_completo(fasi)DEFINITIVO.mgt

1561, BEAM , UNILOAD, GZ, NO , NO, aDir[1], , , , 0, -0.0048, 1, -0.0048, 0, 0, 0, 0, FASE2-PERM, NO, 0, 0, NO,
1562, BEAM , UNILOAD, GZ, NO , NO, aDir[1], , , , 0, -0.0048, 1, -0.0048, 0, 0, 0, 0, FASE2-PERM, NO, 0, 0, NO,
1563, BEAM , UNILOAD, GZ, NO , NO, aDir[1], , , , 0, -0.0048, 1, -0.0048, 0, 0, 0, 0, FASE2-PERM, NO, 0, 0, NO,
1564, BEAM , UNILOAD, GZ, NO , NO, aDir[1], , , , 0, -0.0048, 1, -0.0048, 0, 0, 0, 0, FASE2-PERM, NO, 0, 0, NO,
1565, BEAM , UNILOAD, GZ, NO , NO, aDir[1], , , , 0, -0.0048, 1, -0.0048, 0, 0, 0, 0, FASE2-PERM, NO, 0, 0, NO,
1566, BEAM , UNILOAD, GZ, NO , NO, aDir[1], , , , 0, -0.0048, 1, -0.0048, 0, 0, 0, 0, FASE2-PERM, NO, 0, 0, NO,
1567, BEAM , UNILOAD, GZ, NO , NO, aDir[1], , , , 0, -0.0048, 1, -0.0048, 0, 0, 0, 0, FASE2-PERM, NO, 0, 0, NO,
1568, BEAM , UNILOAD, GZ, NO , NO, aDir[1], , , , 0, -0.0048, 1, -0.0048, 0, 0, 0, 0, FASE2-PERM, NO, 0, 0, NO,
1569, BEAM , UNILOAD, GZ, NO , NO, aDir[1], , , , 0, -0.0048, 1, -0.0048, 0, 0, 0, 0, FASE2-PERM, NO, 0, 0, NO,
1570, BEAM , UNILOAD, GZ, NO , NO, aDir[1], , , , 0, -0.0048, 1, -0.0048, 0, 0, 0, 0, FASE2-PERM, NO, 0, 0, NO,
1571, BEAM , UNILOAD, GZ, NO , NO, aDir[1], , , , 0, -0.0048, 1, -0.0048, 0, 0, 0, 0, FASE2-PERM, NO, 0, 0, NO,
1572, BEAM , UNILOAD, GZ, NO , NO, aDir[1], , , , 0, -0.0048, 1, -0.0048, 0, 0, 0, 0, FASE2-PERM, NO, 0, 0, NO,
1573, BEAM , UNILOAD, GZ, NO , NO, aDir[1], , , , 0, -0.0048, 1, -0.0048, 0, 0, 0, 0, FASE2-PERM, NO, 0, 0, NO,
1574, BEAM , UNILOAD, GZ, NO , NO, aDir[1], , , , 0, -0.0048, 1, -0.0048, 0, 0, 0, 0, FASE2-PERM, NO, 0, 0, NO,
1575, BEAM , UNILOAD, GZ, NO , NO, aDir[1], , , , 0, -0.0048, 1, -0.0048, 0, 0, 0, 0, FASE2-PERM, NO, 0, 0, NO,
1576, BEAM , UNILOAD, GZ, NO , NO, aDir[1], , , , 0, -0.0048, 1, -0.0048, 0, 0, 0, 0, FASE2-PERM, NO, 0, 0, NO,
1577, BEAM , UNILOAD, GZ, NO , NO, aDir[1], , , , 0, -0.0048, 1, -0.0048, 0, 0, 0, 0, FASE2-PERM, NO, 0, 0, NO,
1578, BEAM , UNILOAD, GZ, NO , NO, aDir[1], , , , 0, -0.0048, 1, -0.0048, 0, 0, 0, 0, FASE2-PERM, NO, 0, 0, NO,
1579, BEAM , UNILOAD, GZ, NO , NO, aDir[1], , , , 0, -0.0048, 1, -0.0048, 0, 0, 0, 0, FASE2-PERM, NO, 0, 0, NO,
1580, BEAM , UNILOAD, GZ, NO , NO, aDir[1], , , , 0, -0.0048, 1, -0.0048, 0, 0, 0, 0, FASE2-PERM, NO, 0, 0, NO,
1581, BEAM , UNILOAD, GZ, NO , NO, aDir[1], , , , 0, -0.0048, 1, -0.0048, 0, 0, 0, 0, FASE2-PERM, NO, 0, 0, NO,
1582, BEAM , UNILOAD, GZ, NO , NO, aDir[1], , , , 0, -0.0048, 1, -0.0048, 0, 0, 0, 0, FASE2-PERM, NO, 0, 0, NO,
1583, BEAM , UNILOAD, GZ, NO , NO, aDir[1], , , , 0, -0.0048, 1, -0.0048, 0, 0, 0, 0, FASE2-PERM, NO, 0, 0, NO,
1584, BEAM , UNILOAD, GZ, NO , NO, aDir[1], , , , 0, -0.0048, 1, -0.0048, 0, 0, 0, 0, FASE2-PERM, NO, 0, 0, NO,
1585, BEAM , UNILOAD, GZ, NO , NO, aDir[1], , , , 0, -0.0048, 1, -0.0048, 0, 0, 0, 0, FASE2-PERM, NO, 0, 0, NO,
1586, BEAM , UNILOAD, GZ, NO , NO, aDir[1], , , , 0, -0.0048, 1, -0.0048, 0, 0, 0, 0, FASE2-PERM, NO, 0, 0, NO,
1587, BEAM , UNILOAD, GZ, NO , NO, aDir[1], , , , 0, -0.0048, 1, -0.0048, 0, 0, 0, 0, FASE2-PERM, NO, 0, 0, NO,
1588, BEAM , UNILOAD, GZ, NO , NO, aDir[1], , , , 0, -0.0048, 1, -0.0048, 0, 0, 0, 0, FASE2-PERM, NO, 0, 0, NO,
1589, BEAM , UNILOAD, GZ, NO , NO, aDir[1], , , , 0, -0.0048, 1, -0.0048, 0, 0, 0, 0, FASE2-PERM, NO, 0, 0, NO,
1590, BEAM , UNILOAD, GZ, NO , NO, aDir[1], , , , 0, -0.0048, 1, -0.0048, 0, 0, 0, 0, FASE2-PERM, NO, 0, 0, NO,
1591, BEAM , UNILOAD, GZ, NO , NO, aDir[1], , , , 0, -0.0048, 1, -0.0048, 0, 0, 0, 0, FASE2-PERM, NO, 0, 0, NO,
1592, BEAM , UNILOAD, GZ, NO , NO, aDir[1], , , , 0, -0.0048, 1, -0.0048, 0, 0, 0, 0, FASE2-PERM, NO, 0, 0, NO,
1593, BEAM , UNILOAD, GZ, NO , NO, aDir[1], , , , 0, -0.0048, 1, -0.0048, 0, 0, 0, 0, FASE2-PERM, NO, 0, 0, NO,
1594, BEAM , UNILOAD, GZ, NO , NO, aDir[1], , , , 0, -0.0048, 1, -0.0048, 0, 0, 0, 0, FASE2-PERM, NO, 0, 0, NO,
1595, BEAM , UNILOAD, GZ, NO , NO, aDir[1], , , , 0, -0.0048, 1, -0.0048, 0, 0, 0, 0, FASE2-PERM, NO, 0, 0, NO,
1596, BEAM , UNILOAD, GZ, NO , NO, aDir[1], , , , 0, -0.0048, 1, -0.0048, 0, 0, 0, 0, FASE2-PERM, NO, 0, 0, NO,
1597, BEAM , UNILOAD, GZ, NO , NO, aDir[1], , , , 0, -0.0048, 1, -0.0048, 0, 0, 0, 0, FASE2-PERM, NO, 0, 0, NO,
1598, BEAM , UNILOAD, GZ, NO , NO, aDir[1], , , , 0, -0.0048, 1, -0.0048, 0, 0, 0, 0, FASE2-PERM, NO, 0, 0, NO,
1599, BEAM , UNILOAD, GZ, NO , NO, aDir[1], , , , 0, -0.0048, 1, -0.0048, 0, 0, 0, 0, FASE2-PERM, NO, 0, 0, NO,

PROJECT TITLE :

	Company		Client	
	Author		File Name	Brembiolo1_08_completo(fasi)DEFINITIVO.mgt

1600, BEAM , UNILOAD, GZ, NO , NO, aDir[1], , , , 0, -0.0048, 1, -0.0048, 0, 0, 0, 0, FASE2-PERM, NO, 0, 0, NO,
1601, BEAM , UNILOAD, GZ, NO , NO, aDir[1], , , , 0, -0.0048, 1, -0.0048, 0, 0, 0, 0, FASE2-PERM, NO, 0, 0, NO,
1602, BEAM , UNILOAD, GZ, NO , NO, aDir[1], , , , 0, -0.0048, 1, -0.0048, 0, 0, 0, 0, FASE2-PERM, NO, 0, 0, NO,
1645, BEAM , UNILOAD, GZ, NO , NO, aDir[1], , , , 0, -0.0053, 1, -0.0053, 0, 0, 0, 0, FASE2-PERM, NO, 0, 0, NO,
1646, BEAM , UNILOAD, GZ, NO , NO, aDir[1], , , , 0, -0.0053, 1, -0.0053, 0, 0, 0, 0, FASE2-PERM, NO, 0, 0, NO,
1647, BEAM , UNILOAD, GZ, NO , NO, aDir[1], , , , 0, -0.0053, 1, -0.0053, 0, 0, 0, 0, FASE2-PERM, NO, 0, 0, NO,
1648, BEAM , UNILOAD, GZ, NO , NO, aDir[1], , , , 0, -0.0053, 1, -0.0053, 0, 0, 0, 0, FASE2-PERM, NO, 0, 0, NO,
1649, BEAM , UNILOAD, GZ, NO , NO, aDir[1], , , , 0, -0.0053, 1, -0.0053, 0, 0, 0, 0, FASE2-PERM, NO, 0, 0, NO,
1650, BEAM , UNILOAD, GZ, NO , NO, aDir[1], , , , 0, -0.0053, 1, -0.0053, 0, 0, 0, 0, FASE2-PERM, NO, 0, 0, NO,
1651, BEAM , UNILOAD, GZ, NO , NO, aDir[1], , , , 0, -0.0053, 1, -0.0053, 0, 0, 0, 0, FASE2-PERM, NO, 0, 0, NO,
1652, BEAM , UNILOAD, GZ, NO , NO, aDir[1], , , , 0, -0.0053, 1, -0.0053, 0, 0, 0, 0, FASE2-PERM, NO, 0, 0, NO,
1653, BEAM , UNILOAD, GZ, NO , NO, aDir[1], , , , 0, -0.0053, 1, -0.0053, 0, 0, 0, 0, FASE2-PERM, NO, 0, 0, NO,
1654, BEAM , UNILOAD, GZ, NO , NO, aDir[1], , , , 0, -0.0053, 1, -0.0053, 0, 0, 0, 0, FASE2-PERM, NO, 0, 0, NO,
1655, BEAM , UNILOAD, GZ, NO , NO, aDir[1], , , , 0, -0.0053, 1, -0.0053, 0, 0, 0, 0, FASE2-PERM, NO, 0, 0, NO,
1656, BEAM , UNILOAD, GZ, NO , NO, aDir[1], , , , 0, -0.0053, 1, -0.0053, 0, 0, 0, 0, FASE2-PERM, NO, 0, 0, NO,
1657, BEAM , UNILOAD, GZ, NO , NO, aDir[1], , , , 0, -0.0053, 1, -0.0053, 0, 0, 0, 0, FASE2-PERM, NO, 0, 0, NO,
1658, BEAM , UNILOAD, GZ, NO , NO, aDir[1], , , , 0, -0.0053, 1, -0.0053, 0, 0, 0, 0, FASE2-PERM, NO, 0, 0, NO,
1659, BEAM , UNILOAD, GZ, NO , NO, aDir[1], , , , 0, -0.0053, 1, -0.0053, 0, 0, 0, 0, FASE2-PERM, NO, 0, 0, NO,
1660, BEAM , UNILOAD, GZ, NO , NO, aDir[1], , , , 0, -0.0053, 1, -0.0053, 0, 0, 0, 0, FASE2-PERM, NO, 0, 0, NO,
1661, BEAM , UNILOAD, GZ, NO , NO, aDir[1], , , , 0, -0.0053, 1, -0.0053, 0, 0, 0, 0, FASE2-PERM, NO, 0, 0, NO,
1662, BEAM , UNILOAD, GZ, NO , NO, aDir[1], , , , 0, -0.0053, 1, -0.0053, 0, 0, 0, 0, FASE2-PERM, NO, 0, 0, NO,
1663, BEAM , UNILOAD, GZ, NO , NO, aDir[1], , , , 0, -0.0053, 1, -0.0053, 0, 0, 0, 0, FASE2-PERM, NO, 0, 0, NO,
1664, BEAM , UNILOAD, GZ, NO , NO, aDir[1], , , , 0, -0.0053, 1, -0.0053, 0, 0, 0, 0, FASE2-PERM, NO, 0, 0, NO,
1665, BEAM , UNILOAD, GZ, NO , NO, aDir[1], , , , 0, -0.0053, 1, -0.0053, 0, 0, 0, 0, FASE2-PERM, NO, 0, 0, NO,
1666, BEAM , UNILOAD, GZ, NO , NO, aDir[1], , , , 0, -0.0053, 1, -0.0053, 0, 0, 0, 0, FASE2-PERM, NO, 0, 0, NO,
1667, BEAM , UNILOAD, GZ, NO , NO, aDir[1], , , , 0, -0.0053, 1, -0.0053, 0, 0, 0, 0, FASE2-PERM, NO, 0, 0, NO,
1668, BEAM , UNILOAD, GZ, NO , NO, aDir[1], , , , 0, -0.0053, 1, -0.0053, 0, 0, 0, 0, FASE2-PERM, NO, 0, 0, NO,
1669, BEAM , UNILOAD, GZ, NO , NO, aDir[1], , , , 0, -0.0053, 1, -0.0053, 0, 0, 0, 0, FASE2-PERM, NO, 0, 0, NO,
1670, BEAM , UNILOAD, GZ, NO , NO, aDir[1], , , , 0, -0.0053, 1, -0.0053, 0, 0, 0, 0, FASE2-PERM, NO, 0, 0, NO,
1671, BEAM , UNILOAD, GZ, NO , NO, aDir[1], , , , 0, -0.0053, 1, -0.0053, 0, 0, 0, 0, FASE2-PERM, NO, 0, 0, NO,
1672, BEAM , UNILOAD, GZ, NO , NO, aDir[1], , , , 0, -0.0053, 1, -0.0053, 0, 0, 0, 0, FASE2-PERM, NO, 0, 0, NO,
1673, BEAM , UNILOAD, GZ, NO , NO, aDir[1], , , , 0, -0.0053, 1, -0.0053, 0, 0, 0, 0, FASE2-PERM, NO, 0, 0, NO,
1674, BEAM , UNILOAD, GZ, NO , NO, aDir[1], , , , 0, -0.0053, 1, -0.0053, 0, 0, 0, 0, FASE2-PERM, NO, 0, 0, NO,
1675, BEAM , UNILOAD, GZ, NO , NO, aDir[1], , , , 0, -0.0053, 1, -0.0053, 0, 0, 0, 0, FASE2-PERM, NO, 0, 0, NO,
1676, BEAM , UNILOAD, GZ, NO , NO, aDir[1], , , , 0, -0.0053, 1, -0.0053, 0, 0, 0, 0, FASE2-PERM, NO, 0, 0, NO,
1677, BEAM , UNILOAD, GZ, NO , NO, aDir[1], , , , 0, -0.0053, 1, -0.0053, 0, 0, 0, 0, FASE2-PERM, NO, 0, 0, NO,
1678, BEAM , UNILOAD, GZ, NO , NO, aDir[1], , , , 0, -0.0053, 1, -0.0053, 0, 0, 0, 0, FASE2-PERM, NO, 0, 0, NO,
1679, BEAM , UNILOAD, GZ, NO , NO, aDir[1], , , , 0, -0.0053, 1, -0.0053, 0, 0, 0, 0, FASE2-PERM, NO, 0, 0, NO,
1680, BEAM , UNILOAD, GZ, NO , NO, aDir[1], , , , 0, -0.0053, 1, -0.0053, 0, 0, 0, 0, FASE2-PERM, NO, 0, 0, NO,

```
  1681, BEAM   , UNILOAD, GZ, NO , NO, aDir[1], , , , 0, -0.0053, 1, -0.0053, 0, 0, 0, 0, FASE2-PERM, NO, 0,
0, NO,
  1682, BEAM   , UNILOAD, GZ, NO , NO, aDir[1], , , , 0, -0.0053, 1, -0.0053, 0, 0, 0, 0, FASE2-PERM, NO, 0,
0, NO,
  1683, BEAM   , UNILOAD, GZ, NO , NO, aDir[1], , , , 0, -0.0053, 1, -0.0053, 0, 0, 0, 0, FASE2-PERM, NO, 0,
0, NO,
  1684, BEAM   , UNILOAD, GZ, NO , NO, aDir[1], , , , 0, -0.0053, 1, -0.0053, 0, 0, 0, 0, FASE2-PERM, NO, 0,
0, NO,
  1685, BEAM   , UNILOAD, GZ, NO , NO, aDir[1], , , , 0, -0.0053, 1, -0.0053, 0, 0, 0, 0, FASE2-PERM, NO, 0,
0, NO,
  1686, BEAM   , UNILOAD, GZ, NO , NO, aDir[1], , , , 0, -0.0053, 1, -0.0053, 0, 0, 0, 0, FASE2-PERM, NO, 0,
0, NO,

; End of data for load case [marciapiede] -------------------------

*USE-STLD, pavimentazione

*BEAMLOAD    ; Element Beam Loads
; ELEM_LIST, CMD, TYPE, DIR, bPROJ, [ECCEN], [VALUE], GROUP
; ELEM_LIST, CMD, TYPE, TYPE, DIR, VX, VY, VZ, bPROJ, [ECCEN], [VALUE], GROUP
; [VALUE]       : D1, P1, D2, P2, D3, P3, D4, P4
; [ECCEN]       : bECCEN, ECCDIR, I-END, J-END, bJ-END
; [ADDITIONAL]  : bADDITIONAL, ADDITIONAL_I-END, ADDITIONAL_J-END, bADDITIONAL_J-END
   439, BEAM   , UNILOAD, GZ, NO , NO, aDir[1], , , , 0, -0.0034, 1, -0.0034, 0, 0, 0, 0, FASE2-PERM, NO, 0,
0, NO,
   440, BEAM   , UNILOAD, GZ, NO , NO, aDir[1], , , , 0, -0.0034, 1, -0.0034, 0, 0, 0, 0, FASE2-PERM, NO, 0,
0, NO,
   441, BEAM   , UNILOAD, GZ, NO , NO, aDir[1], , , , 0, -0.0034, 1, -0.0034, 0, 0, 0, 0, FASE2-PERM, NO, 0,
0, NO,
   444, BEAM   , UNILOAD, GZ, NO , NO, aDir[1], , , , 0, -0.0034, 1, -0.0034, 0, 0, 0, 0, FASE2-PERM, NO, 0,
0, NO,
   445, BEAM   , UNILOAD, GZ, NO , NO, aDir[1], , , , 0, -0.0034, 1, -0.0034, 0, 0, 0, 0, FASE2-PERM, NO, 0,
0, NO,
   446, BEAM   , UNILOAD, GZ, NO , NO, aDir[1], , , , 0, -0.0034, 1, -0.0034, 0, 0, 0, 0, FASE2-PERM, NO, 0,
0, NO,
   449, BEAM   , UNILOAD, GZ, NO , NO, aDir[1], , , , 0, -0.0034, 1, -0.0034, 0, 0, 0, 0, FASE2-PERM, NO, 0,
0, NO,
   450, BEAM   , UNILOAD, GZ, NO , NO, aDir[1], , , , 0, -0.0034, 1, -0.0034, 0, 0, 0, 0, FASE2-PERM, NO, 0,
0, NO,
   451, BEAM   , UNILOAD, GZ, NO , NO, aDir[1], , , , 0, -0.0034, 1, -0.0034, 0, 0, 0, 0, FASE2-PERM, NO, 0,
0, NO,
   454, BEAM   , UNILOAD, GZ, NO , NO, aDir[1], , , , 0, -0.0034, 1, -0.0034, 0, 0, 0, 0, FASE2-PERM, NO, 0,
0, NO,
   455, BEAM   , UNILOAD, GZ, NO , NO, aDir[1], , , , 0, -0.0034, 1, -0.0034, 0, 0, 0, 0, FASE2-PERM, NO, 0,
0, NO,
   456, BEAM   , UNILOAD, GZ, NO , NO, aDir[1], , , , 0, -0.0034, 1, -0.0034, 0, 0, 0, 0, FASE2-PERM, NO, 0,
0, NO,
   459, BEAM   , UNILOAD, GZ, NO , NO, aDir[1], , , , 0, -0.0034, 1, -0.0034, 0, 0, 0, 0, FASE2-PERM, NO, 0,
0, NO,
   460, BEAM   , UNILOAD, GZ, NO , NO, aDir[1], , , , 0, -0.0034, 1, -0.0034, 0, 0, 0, 0, FASE2-PERM, NO, 0,
0, NO,
   461, BEAM   , UNILOAD, GZ, NO , NO, aDir[1], , , , 0, -0.0034, 1, -0.0034, 0, 0, 0, 0, FASE2-PERM, NO, 0,
0, NO,
   464, BEAM   , UNILOAD, GZ, NO , NO, aDir[1], , , , 0, -0.0034, 1, -0.0034, 0, 0, 0, 0, FASE2-PERM, NO, 0,
0, NO,
   465, BEAM   , UNILOAD, GZ, NO , NO, aDir[1], , , , 0, -0.0034, 1, -0.0034, 0, 0, 0, 0, FASE2-PERM, NO, 0,
0, NO,
   466, BEAM   , UNILOAD, GZ, NO , NO, aDir[1], , , , 0, -0.0034, 1, -0.0034, 0, 0, 0, 0, FASE2-PERM, NO, 0,
0, NO,
   469, BEAM   , UNILOAD, GZ, NO , NO, aDir[1], , , , 0, -0.0034, 1, -0.0034, 0, 0, 0, 0, FASE2-PERM, NO, 0,
0, NO,
   470, BEAM   , UNILOAD, GZ, NO , NO, aDir[1], , , , 0, -0.0034, 1, -0.0034, 0, 0, 0, 0, FASE2-PERM, NO, 0,
0, NO,
   471, BEAM   , UNILOAD, GZ, NO , NO, aDir[1], , , , 0, -0.0034, 1, -0.0034, 0, 0, 0, 0, FASE2-PERM, NO, 0,
0, NO,
   474, BEAM   , UNILOAD, GZ, NO , NO, aDir[1], , , , 0, -0.0034, 1, -0.0034, 0, 0, 0, 0, FASE2-PERM, NO, 0,
0, NO,
   475, BEAM   , UNILOAD, GZ, NO , NO, aDir[1], , , , 0, -0.0034, 1, -0.0034, 0, 0, 0, 0, FASE2-PERM, NO, 0,
0, NO,
   476, BEAM   , UNILOAD, GZ, NO , NO, aDir[1], , , , 0, -0.0034, 1, -0.0034, 0, 0, 0, 0, FASE2-PERM, NO, 0,
0, NO,
   479, BEAM   , UNILOAD, GZ, NO , NO, aDir[1], , , , 0, -0.0034, 1, -0.0034, 0, 0, 0, 0, FASE2-PERM, NO, 0,
0, NO,
   480, BEAM   , UNILOAD, GZ, NO , NO, aDir[1], , , , 0, -0.0034, 1, -0.0034, 0, 0, 0, 0, FASE2-PERM, NO, 0,
0, NO,
   481, BEAM   , UNILOAD, GZ, NO , NO, aDir[1], , , , 0, -0.0034, 1, -0.0034, 0, 0, 0, 0, FASE2-PERM, NO, 0,
0, NO,
   484, BEAM   , UNILOAD, GZ, NO , NO, aDir[1], , , , 0, -0.0034, 1, -0.0034, 0, 0, 0, 0, FASE2-PERM, NO, 0,
```

```
0, NO,
  485, BEAM    , UNILOAD, GZ, NO , NO, aDir[1], , , , 0, -0.0034, 1, -0.0034, 0, 0, 0, 0, FASE2-PERM, NO, 0,
0, NO,
  486, BEAM    , UNILOAD, GZ, NO , NO, aDir[1], , , , 0, -0.0034, 1, -0.0034, 0, 0, 0, 0, FASE2-PERM, NO, 0,
0, NO,
  489, BEAM    , UNILOAD, GZ, NO , NO, aDir[1], , , , 0, -0.0034, 1, -0.0034, 0, 0, 0, 0, FASE2-PERM, NO, 0,
0, NO,
  490, BEAM    , UNILOAD, GZ, NO , NO, aDir[1], , , , 0, -0.0034, 1, -0.0034, 0, 0, 0, 0, FASE2-PERM, NO, 0,
0, NO,
  491, BEAM    , UNILOAD, GZ, NO , NO, aDir[1], , , , 0, -0.0034, 1, -0.0034, 0, 0, 0, 0, FASE2-PERM, NO, 0,
0, NO,
  494, BEAM    , UNILOAD, GZ, NO , NO, aDir[1], , , , 0, -0.0034, 1, -0.0034, 0, 0, 0, 0, FASE2-PERM, NO, 0,
0, NO,
  495, BEAM    , UNILOAD, GZ, NO , NO, aDir[1], , , , 0, -0.0034, 1, -0.0034, 0, 0, 0, 0, FASE2-PERM, NO, 0,
0, NO,
  496, BEAM    , UNILOAD, GZ, NO , NO, aDir[1], , , , 0, -0.0034, 1, -0.0034, 0, 0, 0, 0, FASE2-PERM, NO, 0,
0, NO,
  499, BEAM    , UNILOAD, GZ, NO , NO, aDir[1], , , , 0, -0.0034, 1, -0.0034, 0, 0, 0, 0, FASE2-PERM, NO, 0,
0, NO,
  500, BEAM    , UNILOAD, GZ, NO , NO, aDir[1], , , , 0, -0.0034, 1, -0.0034, 0, 0, 0, 0, FASE2-PERM, NO, 0,
0, NO,
  501, BEAM    , UNILOAD, GZ, NO , NO, aDir[1], , , , 0, -0.0034, 1, -0.0034, 0, 0, 0, 0, FASE2-PERM, NO, 0,
0, NO,
  504, BEAM    , UNILOAD, GZ, NO , NO, aDir[1], , , , 0, -0.0034, 1, -0.0034, 0, 0, 0, 0, FASE2-PERM, NO, 0,
0, NO,
  505, BEAM    , UNILOAD, GZ, NO , NO, aDir[1], , , , 0, -0.0034, 1, -0.0034, 0, 0, 0, 0, FASE2-PERM, NO, 0,
0, NO,
  506, BEAM    , UNILOAD, GZ, NO , NO, aDir[1], , , , 0, -0.0034, 1, -0.0034, 0, 0, 0, 0, FASE2-PERM, NO, 0,
0, NO,
  509, BEAM    , UNILOAD, GZ, NO , NO, aDir[1], , , , 0, -0.0034, 1, -0.0034, 0, 0, 0, 0, FASE2-PERM, NO, 0,
0, NO,
  510, BEAM    , UNILOAD, GZ, NO , NO, aDir[1], , , , 0, -0.0034, 1, -0.0034, 0, 0, 0, 0, FASE2-PERM, NO, 0,
0, NO,
  511, BEAM    , UNILOAD, GZ, NO , NO, aDir[1], , , , 0, -0.0034, 1, -0.0034, 0, 0, 0, 0, FASE2-PERM, NO, 0,
0, NO,
  514, BEAM    , UNILOAD, GZ, NO , NO, aDir[1], , , , 0, -0.0034, 1, -0.0034, 0, 0, 0, 0, FASE2-PERM, NO, 0,
0, NO,
  515, BEAM    , UNILOAD, GZ, NO , NO, aDir[1], , , , 0, -0.0034, 1, -0.0034, 0, 0, 0, 0, FASE2-PERM, NO, 0,
0, NO,
  516, BEAM    , UNILOAD, GZ, NO , NO, aDir[1], , , , 0, -0.0034, 1, -0.0034, 0, 0, 0, 0, FASE2-PERM, NO, 0,
0, NO,
  519, BEAM    , UNILOAD, GZ, NO , NO, aDir[1], , , , 0, -0.0034, 1, -0.0034, 0, 0, 0, 0, FASE2-PERM, NO, 0,
0, NO,
  520, BEAM    , UNILOAD, GZ, NO , NO, aDir[1], , , , 0, -0.0034, 1, -0.0034, 0, 0, 0, 0, FASE2-PERM, NO, 0,
0, NO,
  521, BEAM    , UNILOAD, GZ, NO , NO, aDir[1], , , , 0, -0.0034, 1, -0.0034, 0, 0, 0, 0, FASE2-PERM, NO, 0,
0, NO,
  524, BEAM    , UNILOAD, GZ, NO , NO, aDir[1], , , , 0, -0.0034, 1, -0.0034, 0, 0, 0, 0, FASE2-PERM, NO, 0,
0, NO,
  525, BEAM    , UNILOAD, GZ, NO , NO, aDir[1], , , , 0, -0.0034, 1, -0.0034, 0, 0, 0, 0, FASE2-PERM, NO, 0,
0, NO,
  526, BEAM    , UNILOAD, GZ, NO , NO, aDir[1], , , , 0, -0.0034, 1, -0.0034, 0, 0, 0, 0, FASE2-PERM, NO, 0,
0, NO,
  529, BEAM    , UNILOAD, GZ, NO , NO, aDir[1], , , , 0, -0.0034, 1, -0.0034, 0, 0, 0, 0, FASE2-PERM, NO, 0,
0, NO,
  530, BEAM    , UNILOAD, GZ, NO , NO, aDir[1], , , , 0, -0.0034, 1, -0.0034, 0, 0, 0, 0, FASE2-PERM, NO, 0,
0, NO,
  531, BEAM    , UNILOAD, GZ, NO , NO, aDir[1], , , , 0, -0.0034, 1, -0.0034, 0, 0, 0, 0, FASE2-PERM, NO, 0,
0, NO,
  534, BEAM    , UNILOAD, GZ, NO , NO, aDir[1], , , , 0, -0.0034, 1, -0.0034, 0, 0, 0, 0, FASE2-PERM, NO, 0,
0, NO,
  535, BEAM    , UNILOAD, GZ, NO , NO, aDir[1], , , , 0, -0.0034, 1, -0.0034, 0, 0, 0, 0, FASE2-PERM, NO, 0,
0, NO,
  536, BEAM    , UNILOAD, GZ, NO , NO, aDir[1], , , , 0, -0.0034, 1, -0.0034, 0, 0, 0, 0, FASE2-PERM, NO, 0,
0, NO,
  539, BEAM    , UNILOAD, GZ, NO , NO, aDir[1], , , , 0, -0.0034, 1, -0.0034, 0, 0, 0, 0, FASE2-PERM, NO, 0,
0, NO,
  540, BEAM    , UNILOAD, GZ, NO , NO, aDir[1], , , , 0, -0.0034, 1, -0.0034, 0, 0, 0, 0, FASE2-PERM, NO, 0,
0, NO,
  541, BEAM    , UNILOAD, GZ, NO , NO, aDir[1], , , , 0, -0.0034, 1, -0.0034, 0, 0, 0, 0, FASE2-PERM, NO, 0,
0, NO,
  544, BEAM    , UNILOAD, GZ, NO , NO, aDir[1], , , , 0, -0.0034, 1, -0.0034, 0, 0, 0, 0, FASE2-PERM, NO, 0,
0, NO,
  545, BEAM    , UNILOAD, GZ, NO , NO, aDir[1], , , , 0, -0.0034, 1, -0.0034, 0, 0, 0, 0, FASE2-PERM, NO, 0,
0, NO,
  546, BEAM    , UNILOAD, GZ, NO , NO, aDir[1], , , , 0, -0.0034, 1, -0.0034, 0, 0, 0, 0, FASE2-PERM, NO, 0,
0, NO,
  549, BEAM    , UNILOAD, GZ, NO , NO, aDir[1], , , , 0, -0.0034, 1, -0.0034, 0, 0, 0, 0, FASE2-PERM, NO, 0,
```

```
0, NO,
  550, BEAM    , UNILOAD, GZ, NO , NO, aDir[1], , , , 0, -0.0034, 1, -0.0034, 0, 0, 0, 0, FASE2-PERM, NO, 0,
0, NO,
  551, BEAM    , UNILOAD, GZ, NO , NO, aDir[1], , , , 0, -0.0034, 1, -0.0034, 0, 0, 0, 0, FASE2-PERM, NO, 0,
0, NO,
  554, BEAM    , UNILOAD, GZ, NO , NO, aDir[1], , , , 0, -0.0034, 1, -0.0034, 0, 0, 0, 0, FASE2-PERM, NO, 0,
0, NO,
  555, BEAM    , UNILOAD, GZ, NO , NO, aDir[1], , , , 0, -0.0034, 1, -0.0034, 0, 0, 0, 0, FASE2-PERM, NO, 0,
0, NO,
  556, BEAM    , UNILOAD, GZ, NO , NO, aDir[1], , , , 0, -0.0034, 1, -0.0034, 0, 0, 0, 0, FASE2-PERM, NO, 0,
0, NO,
  559, BEAM    , UNILOAD, GZ, NO , NO, aDir[1], , , , 0, -0.0034, 1, -0.0034, 0, 0, 0, 0, FASE2-PERM, NO, 0,
0, NO,
  560, BEAM    , UNILOAD, GZ, NO , NO, aDir[1], , , , 0, -0.0034, 1, -0.0034, 0, 0, 0, 0, FASE2-PERM, NO, 0,
0, NO,
  561, BEAM    , UNILOAD, GZ, NO , NO, aDir[1], , , , 0, -0.0034, 1, -0.0034, 0, 0, 0, 0, FASE2-PERM, NO, 0,
0, NO,
  564, BEAM    , UNILOAD, GZ, NO , NO, aDir[1], , , , 0, -0.0034, 1, -0.0034, 0, 0, 0, 0, FASE2-PERM, NO, 0,
0, NO,
  565, BEAM    , UNILOAD, GZ, NO , NO, aDir[1], , , , 0, -0.0034, 1, -0.0034, 0, 0, 0, 0, FASE2-PERM, NO, 0,
0, NO,
  566, BEAM    , UNILOAD, GZ, NO , NO, aDir[1], , , , 0, -0.0034, 1, -0.0034, 0, 0, 0, 0, FASE2-PERM, NO, 0,
0, NO,
  569, BEAM    , UNILOAD, GZ, NO , NO, aDir[1], , , , 0, -0.0034, 1, -0.0034, 0, 0, 0, 0, FASE2-PERM, NO, 0,
0, NO,
  570, BEAM    , UNILOAD, GZ, NO , NO, aDir[1], , , , 0, -0.0034, 1, -0.0034, 0, 0, 0, 0, FASE2-PERM, NO, 0,
0, NO,
  571, BEAM    , UNILOAD, GZ, NO , NO, aDir[1], , , , 0, -0.0034, 1, -0.0034, 0, 0, 0, 0, FASE2-PERM, NO, 0,
0, NO,
  574, BEAM    , UNILOAD, GZ, NO , NO, aDir[1], , , , 0, -0.0034, 1, -0.0034, 0, 0, 0, 0, FASE2-PERM, NO, 0,
0, NO,
  575, BEAM    , UNILOAD, GZ, NO , NO, aDir[1], , , , 0, -0.0034, 1, -0.0034, 0, 0, 0, 0, FASE2-PERM, NO, 0,
0, NO,
  576, BEAM    , UNILOAD, GZ, NO , NO, aDir[1], , , , 0, -0.0034, 1, -0.0034, 0, 0, 0, 0, FASE2-PERM, NO, 0,
0, NO,
  579, BEAM    , UNILOAD, GZ, NO , NO, aDir[1], , , , 0, -0.0034, 1, -0.0034, 0, 0, 0, 0, FASE2-PERM, NO, 0,
0, NO,
  580, BEAM    , UNILOAD, GZ, NO , NO, aDir[1], , , , 0, -0.0034, 1, -0.0034, 0, 0, 0, 0, FASE2-PERM, NO, 0,
0, NO,
  581, BEAM    , UNILOAD, GZ, NO , NO, aDir[1], , , , 0, -0.0034, 1, -0.0034, 0, 0, 0, 0, FASE2-PERM, NO, 0,
0, NO,
  584, BEAM    , UNILOAD, GZ, NO , NO, aDir[1], , , , 0, -0.0034, 1, -0.0034, 0, 0, 0, 0, FASE2-PERM, NO, 0,
0, NO,
  585, BEAM    , UNILOAD, GZ, NO , NO, aDir[1], , , , 0, -0.0034, 1, -0.0034, 0, 0, 0, 0, FASE2-PERM, NO, 0,
0, NO,
  586, BEAM    , UNILOAD, GZ, NO , NO, aDir[1], , , , 0, -0.0034, 1, -0.0034, 0, 0, 0, 0, FASE2-PERM, NO, 0,
0, NO,
  589, BEAM    , UNILOAD, GZ, NO , NO, aDir[1], , , , 0, -0.0034, 1, -0.0034, 0, 0, 0, 0, FASE2-PERM, NO, 0,
0, NO,
  590, BEAM    , UNILOAD, GZ, NO , NO, aDir[1], , , , 0, -0.0034, 1, -0.0034, 0, 0, 0, 0, FASE2-PERM, NO, 0,
0, NO,
  591, BEAM    , UNILOAD, GZ, NO , NO, aDir[1], , , , 0, -0.0034, 1, -0.0034, 0, 0, 0, 0, FASE2-PERM, NO, 0,
0, NO,
  594, BEAM    , UNILOAD, GZ, NO , NO, aDir[1], , , , 0, -0.0034, 1, -0.0034, 0, 0, 0, 0, FASE2-PERM, NO, 0,
0, NO,
  595, BEAM    , UNILOAD, GZ, NO , NO, aDir[1], , , , 0, -0.0034, 1, -0.0034, 0, 0, 0, 0, FASE2-PERM, NO, 0,
0, NO,
  596, BEAM    , UNILOAD, GZ, NO , NO, aDir[1], , , , 0, -0.0034, 1, -0.0034, 0, 0, 0, 0, FASE2-PERM, NO, 0,
0, NO,
  599, BEAM    , UNILOAD, GZ, NO , NO, aDir[1], , , , 0, -0.0034, 1, -0.0034, 0, 0, 0, 0, FASE2-PERM, NO, 0,
0, NO,
  600, BEAM    , UNILOAD, GZ, NO , NO, aDir[1], , , , 0, -0.0034, 1, -0.0034, 0, 0, 0, 0, FASE2-PERM, NO, 0,
0, NO,
  601, BEAM    , UNILOAD, GZ, NO , NO, aDir[1], , , , 0, -0.0034, 1, -0.0034, 0, 0, 0, 0, FASE2-PERM, NO, 0,
0, NO,
  604, BEAM    , UNILOAD, GZ, NO , NO, aDir[1], , , , 0, -0.0034, 1, -0.0034, 0, 0, 0, 0, FASE2-PERM, NO, 0,
0, NO,
  605, BEAM    , UNILOAD, GZ, NO , NO, aDir[1], , , , 0, -0.0034, 1, -0.0034, 0, 0, 0, 0, FASE2-PERM, NO, 0,
0, NO,
  606, BEAM    , UNILOAD, GZ, NO , NO, aDir[1], , , , 0, -0.0034, 1, -0.0034, 0, 0, 0, 0, FASE2-PERM, NO, 0,
0, NO,
  609, BEAM    , UNILOAD, GZ, NO , NO, aDir[1], , , , 0, -0.0034, 1, -0.0034, 0, 0, 0, 0, FASE2-PERM, NO, 0,
0, NO,
  610, BEAM    , UNILOAD, GZ, NO , NO, aDir[1], , , , 0, -0.0034, 1, -0.0034, 0, 0, 0, 0, FASE2-PERM, NO, 0,
0, NO,
  611, BEAM    , UNILOAD, GZ, NO , NO, aDir[1], , , , 0, -0.0034, 1, -0.0034, 0, 0, 0, 0, FASE2-PERM, NO, 0,
0, NO,
  614, BEAM    , UNILOAD, GZ, NO , NO, aDir[1], , , , 0, -0.0034, 1, -0.0034, 0, 0, 0, 0, FASE2-PERM, NO, 0,
```

```
0, NO,
   615, BEAM    , UNILOAD, GZ, NO , NO, aDir[1], , , , 0, -0.0034, 1, -0.0034, 0, 0, 0, 0, FASE2-PERM, NO, 0,
0, NO,
   616, BEAM    , UNILOAD, GZ, NO , NO, aDir[1], , , , 0, -0.0034, 1, -0.0034, 0, 0, 0, 0, FASE2-PERM, NO, 0,
0, NO,
   619, BEAM    , UNILOAD, GZ, NO , NO, aDir[1], , , , 0, -0.0034, 1, -0.0034, 0, 0, 0, 0, FASE2-PERM, NO, 0,
0, NO,
   620, BEAM    , UNILOAD, GZ, NO , NO, aDir[1], , , , 0, -0.0034, 1, -0.0034, 0, 0, 0, 0, FASE2-PERM, NO, 0,
0, NO,
   621, BEAM    , UNILOAD, GZ, NO , NO, aDir[1], , , , 0, -0.0034, 1, -0.0034, 0, 0, 0, 0, FASE2-PERM, NO, 0,
0, NO,
   624, BEAM    , UNILOAD, GZ, NO , NO, aDir[1], , , , 0, -0.0034, 1, -0.0034, 0, 0, 0, 0, FASE2-PERM, NO, 0,
0, NO,
   625, BEAM    , UNILOAD, GZ, NO , NO, aDir[1], , , , 0, -0.0034, 1, -0.0034, 0, 0, 0, 0, FASE2-PERM, NO, 0,
0, NO,
   626, BEAM    , UNILOAD, GZ, NO , NO, aDir[1], , , , 0, -0.0034, 1, -0.0034, 0, 0, 0, 0, FASE2-PERM, NO, 0,
0, NO,
   629, BEAM    , UNILOAD, GZ, NO , NO, aDir[1], , , , 0, -0.0034, 1, -0.0034, 0, 0, 0, 0, FASE2-PERM, NO, 0,
0, NO,
   630, BEAM    , UNILOAD, GZ, NO , NO, aDir[1], , , , 0, -0.0034, 1, -0.0034, 0, 0, 0, 0, FASE2-PERM, NO, 0,
0, NO,
   631, BEAM    , UNILOAD, GZ, NO , NO, aDir[1], , , , 0, -0.0034, 1, -0.0034, 0, 0, 0, 0, FASE2-PERM, NO, 0,
0, NO,
   634, BEAM    , UNILOAD, GZ, NO , NO, aDir[1], , , , 0, -0.0034, 1, -0.0034, 0, 0, 0, 0, FASE2-PERM, NO, 0,
0, NO,
   635, BEAM    , UNILOAD, GZ, NO , NO, aDir[1], , , , 0, -0.0034, 1, -0.0034, 0, 0, 0, 0, FASE2-PERM, NO, 0,
0, NO,
   636, BEAM    , UNILOAD, GZ, NO , NO, aDir[1], , , , 0, -0.0034, 1, -0.0034, 0, 0, 0, 0, FASE2-PERM, NO, 0,
0, NO,
   639, BEAM    , UNILOAD, GZ, NO , NO, aDir[1], , , , 0, -0.0034, 1, -0.0034, 0, 0, 0, 0, FASE2-PERM, NO, 0,
0, NO,
   640, BEAM    , UNILOAD, GZ, NO , NO, aDir[1], , , , 0, -0.0034, 1, -0.0034, 0, 0, 0, 0, FASE2-PERM, NO, 0,
0, NO,
   641, BEAM    , UNILOAD, GZ, NO , NO, aDir[1], , , , 0, -0.0034, 1, -0.0034, 0, 0, 0, 0, FASE2-PERM, NO, 0,
0, NO,
   644, BEAM    , UNILOAD, GZ, NO , NO, aDir[1], , , , 0, -0.0034, 1, -0.0034, 0, 0, 0, 0, FASE2-PERM, NO, 0,
0, NO,
   645, BEAM    , UNILOAD, GZ, NO , NO, aDir[1], , , , 0, -0.0034, 1, -0.0034, 0, 0, 0, 0, FASE2-PERM, NO, 0,
0, NO,
   646, BEAM    , UNILOAD, GZ, NO , NO, aDir[1], , , , 0, -0.0034, 1, -0.0034, 0, 0, 0, 0, FASE2-PERM, NO, 0,
0, NO,
   648, BEAM    , UNILOAD, GZ, NO , NO, aDir[1], , , , 0, -0.0034, 1, -0.0034, 0, 0, 0, 0, FASE2-PERM, NO, 0,
0, NO,
   649, BEAM    , UNILOAD, GZ, NO , NO, aDir[1], , , , 0, -0.0034, 1, -0.0034, 0, 0, 0, 0, FASE2-PERM, NO, 0,
0, NO,
   650, BEAM    , UNILOAD, GZ, NO , NO, aDir[1], , , , 0, -0.0034, 1, -0.0034, 0, 0, 0, 0, FASE2-PERM, NO, 0,
0, NO,
   651, BEAM    , UNILOAD, GZ, NO , NO, aDir[1], , , , 0, -0.0034, 1, -0.0034, 0, 0, 0, 0, FASE2-PERM, NO, 0,
0, NO,
   653, BEAM    , UNILOAD, GZ, NO , NO, aDir[1], , , , 0, -0.0034, 1, -0.0034, 0, 0, 0, 0, FASE2-PERM, NO, 0,
0, NO,
   654, BEAM    , UNILOAD, GZ, NO , NO, aDir[1], , , , 0, -0.0034, 1, -0.0034, 0, 0, 0, 0, FASE2-PERM, NO, 0,
0, NO,
   655, BEAM    , UNILOAD, GZ, NO , NO, aDir[1], , , , 0, -0.0034, 1, -0.0034, 0, 0, 0, 0, FASE2-PERM, NO, 0,
0, NO,
   656, BEAM    , UNILOAD, GZ, NO , NO, aDir[1], , , , 0, -0.0034, 1, -0.0034, 0, 0, 0, 0, FASE2-PERM, NO, 0,
0, NO,
   658, BEAM    , UNILOAD, GZ, NO , NO, aDir[1], , , , 0, -0.0034, 1, -0.0034, 0, 0, 0, 0, FASE2-PERM, NO, 0,
0, NO,
   659, BEAM    , UNILOAD, GZ, NO , NO, aDir[1], , , , 0, -0.0034, 1, -0.0034, 0, 0, 0, 0, FASE2-PERM, NO, 0,
0, NO,
   660, BEAM    , UNILOAD, GZ, NO , NO, aDir[1], , , , 0, -0.0034, 1, -0.0034, 0, 0, 0, 0, FASE2-PERM, NO, 0,
0, NO,
   661, BEAM    , UNILOAD, GZ, NO , NO, aDir[1], , , , 0, -0.0034, 1, -0.0034, 0, 0, 0, 0, FASE2-PERM, NO, 0,
0, NO,
   663, BEAM    , UNILOAD, GZ, NO , NO, aDir[1], , , , 0, -0.0034, 1, -0.0034, 0, 0, 0, 0, FASE2-PERM, NO, 0,
0, NO,
   664, BEAM    , UNILOAD, GZ, NO , NO, aDir[1], , , , 0, -0.0034, 1, -0.0034, 0, 0, 0, 0, FASE2-PERM, NO, 0,
0, NO,
   665, BEAM    , UNILOAD, GZ, NO , NO, aDir[1], , , , 0, -0.0034, 1, -0.0034, 0, 0, 0, 0, FASE2-PERM, NO, 0,
0, NO,
   666, BEAM    , UNILOAD, GZ, NO , NO, aDir[1], , , , 0, -0.0034, 1, -0.0034, 0, 0, 0, 0, FASE2-PERM, NO, 0,
0, NO,
   668, BEAM    , UNILOAD, GZ, NO , NO, aDir[1], , , , 0, -0.0034, 1, -0.0034, 0, 0, 0, 0, FASE2-PERM, NO, 0,
0, NO,
   669, BEAM    , UNILOAD, GZ, NO , NO, aDir[1], , , , 0, -0.0034, 1, -0.0034, 0, 0, 0, 0, FASE2-PERM, NO, 0,
0, NO,
   670, BEAM    , UNILOAD, GZ, NO , NO, aDir[1], , , , 0, -0.0034, 1, -0.0034, 0, 0, 0, 0, FASE2-PERM, NO, 0,
```

```
0, NO,
  671, BEAM    , UNILOAD, GZ, NO , NO, aDir[1], , , , 0, -0.0034, 1, -0.0034, 0, 0, 0, 0, FASE2-PERM, NO, 0,
0, NO,
  673, BEAM    , UNILOAD, GZ, NO , NO, aDir[1], , , , 0, -0.0034, 1, -0.0034, 0, 0, 0, 0, FASE2-PERM, NO, 0,
0, NO,
  674, BEAM    , UNILOAD, GZ, NO , NO, aDir[1], , , , 0, -0.0034, 1, -0.0034, 0, 0, 0, 0, FASE2-PERM, NO, 0,
0, NO,
  675, BEAM    , UNILOAD, GZ, NO , NO, aDir[1], , , , 0, -0.0034, 1, -0.0034, 0, 0, 0, 0, FASE2-PERM, NO, 0,
0, NO,
  676, BEAM    , UNILOAD, GZ, NO , NO, aDir[1], , , , 0, -0.0034, 1, -0.0034, 0, 0, 0, 0, FASE2-PERM, NO, 0,
0, NO,
  678, BEAM    , UNILOAD, GZ, NO , NO, aDir[1], , , , 0, -0.0034, 1, -0.0034, 0, 0, 0, 0, FASE2-PERM, NO, 0,
0, NO,
  679, BEAM    , UNILOAD, GZ, NO , NO, aDir[1], , , , 0, -0.0034, 1, -0.0034, 0, 0, 0, 0, FASE2-PERM, NO, 0,
0, NO,
  680, BEAM    , UNILOAD, GZ, NO , NO, aDir[1], , , , 0, -0.0034, 1, -0.0034, 0, 0, 0, 0, FASE2-PERM, NO, 0,
0, NO,
  681, BEAM    , UNILOAD, GZ, NO , NO, aDir[1], , , , 0, -0.0034, 1, -0.0034, 0, 0, 0, 0, FASE2-PERM, NO, 0,
0, NO,
  683, BEAM    , UNILOAD, GZ, NO , NO, aDir[1], , , , 0, -0.0034, 1, -0.0034, 0, 0, 0, 0, FASE2-PERM, NO, 0,
0, NO,
  684, BEAM    , UNILOAD, GZ, NO , NO, aDir[1], , , , 0, -0.0034, 1, -0.0034, 0, 0, 0, 0, FASE2-PERM, NO, 0,
0, NO,
  685, BEAM    , UNILOAD, GZ, NO , NO, aDir[1], , , , 0, -0.0034, 1, -0.0034, 0, 0, 0, 0, FASE2-PERM, NO, 0,
0, NO,
  686, BEAM    , UNILOAD, GZ, NO , NO, aDir[1], , , , 0, -0.0034, 1, -0.0034, 0, 0, 0, 0, FASE2-PERM, NO, 0,
0, NO,
  688, BEAM    , UNILOAD, GZ, NO , NO, aDir[1], , , , 0, -0.0034, 1, -0.0034, 0, 0, 0, 0, FASE2-PERM, NO, 0,
0, NO,
  689, BEAM    , UNILOAD, GZ, NO , NO, aDir[1], , , , 0, -0.0034, 1, -0.0034, 0, 0, 0, 0, FASE2-PERM, NO, 0,
0, NO,
  690, BEAM    , UNILOAD, GZ, NO , NO, aDir[1], , , , 0, -0.0034, 1, -0.0034, 0, 0, 0, 0, FASE2-PERM, NO, 0,
0, NO,
  691, BEAM    , UNILOAD, GZ, NO , NO, aDir[1], , , , 0, -0.0034, 1, -0.0034, 0, 0, 0, 0, FASE2-PERM, NO, 0,
0, NO,
  693, BEAM    , UNILOAD, GZ, NO , NO, aDir[1], , , , 0, -0.0034, 1, -0.0034, 0, 0, 0, 0, FASE2-PERM, NO, 0,
0, NO,
  694, BEAM    , UNILOAD, GZ, NO , NO, aDir[1], , , , 0, -0.0034, 1, -0.0034, 0, 0, 0, 0, FASE2-PERM, NO, 0,
0, NO,
  695, BEAM    , UNILOAD, GZ, NO , NO, aDir[1], , , , 0, -0.0034, 1, -0.0034, 0, 0, 0, 0, FASE2-PERM, NO, 0,
0, NO,
  696, BEAM    , UNILOAD, GZ, NO , NO, aDir[1], , , , 0, -0.0034, 1, -0.0034, 0, 0, 0, 0, FASE2-PERM, NO, 0,
0, NO,
  698, BEAM    , UNILOAD, GZ, NO , NO, aDir[1], , , , 0, -0.0034, 1, -0.0034, 0, 0, 0, 0, FASE2-PERM, NO, 0,
0, NO,
  699, BEAM    , UNILOAD, GZ, NO , NO, aDir[1], , , , 0, -0.0034, 1, -0.0034, 0, 0, 0, 0, FASE2-PERM, NO, 0,
0, NO,
  700, BEAM    , UNILOAD, GZ, NO , NO, aDir[1], , , , 0, -0.0034, 1, -0.0034, 0, 0, 0, 0, FASE2-PERM, NO, 0,
0, NO,
  701, BEAM    , UNILOAD, GZ, NO , NO, aDir[1], , , , 0, -0.0034, 1, -0.0034, 0, 0, 0, 0, FASE2-PERM, NO, 0,
0, NO,
  703, BEAM    , UNILOAD, GZ, NO , NO, aDir[1], , , , 0, -0.0034, 1, -0.0034, 0, 0, 0, 0, FASE2-PERM, NO, 0,
0, NO,
  704, BEAM    , UNILOAD, GZ, NO , NO, aDir[1], , , , 0, -0.0034, 1, -0.0034, 0, 0, 0, 0, FASE2-PERM, NO, 0,
0, NO,
  705, BEAM    , UNILOAD, GZ, NO , NO, aDir[1], , , , 0, -0.0034, 1, -0.0034, 0, 0, 0, 0, FASE2-PERM, NO, 0,
0, NO,
  706, BEAM    , UNILOAD, GZ, NO , NO, aDir[1], , , , 0, -0.0034, 1, -0.0034, 0, 0, 0, 0, FASE2-PERM, NO, 0,
0, NO,
  708, BEAM    , UNILOAD, GZ, NO , NO, aDir[1], , , , 0, -0.0034, 1, -0.0034, 0, 0, 0, 0, FASE2-PERM, NO, 0,
0, NO,
  709, BEAM    , UNILOAD, GZ, NO , NO, aDir[1], , , , 0, -0.0034, 1, -0.0034, 0, 0, 0, 0, FASE2-PERM, NO, 0,
0, NO,
  710, BEAM    , UNILOAD, GZ, NO , NO, aDir[1], , , , 0, -0.0034, 1, -0.0034, 0, 0, 0, 0, FASE2-PERM, NO, 0,
0, NO,
  711, BEAM    , UNILOAD, GZ, NO , NO, aDir[1], , , , 0, -0.0034, 1, -0.0034, 0, 0, 0, 0, FASE2-PERM, NO, 0,
0, NO,
  713, BEAM    , UNILOAD, GZ, NO , NO, aDir[1], , , , 0, -0.0034, 1, -0.0034, 0, 0, 0, 0, FASE2-PERM, NO, 0,
0, NO,
  714, BEAM    , UNILOAD, GZ, NO , NO, aDir[1], , , , 0, -0.0034, 1, -0.0034, 0, 0, 0, 0, FASE2-PERM, NO, 0,
0, NO,
  715, BEAM    , UNILOAD, GZ, NO , NO, aDir[1], , , , 0, -0.0034, 1, -0.0034, 0, 0, 0, 0, FASE2-PERM, NO, 0,
0, NO,
  716, BEAM    , UNILOAD, GZ, NO , NO, aDir[1], , , , 0, -0.0034, 1, -0.0034, 0, 0, 0, 0, FASE2-PERM, NO, 0,
0, NO,
  718, BEAM    , UNILOAD, GZ, NO , NO, aDir[1], , , , 0, -0.0034, 1, -0.0034, 0, 0, 0, 0, FASE2-PERM, NO, 0,
0, NO,
  719, BEAM    , UNILOAD, GZ, NO , NO, aDir[1], , , , 0, -0.0034, 1, -0.0034, 0, 0, 0, 0, FASE2-PERM, NO, 0,
```

```
0, NO,
  720, BEAM    , UNILOAD, GZ, NO , NO, aDir[1], , , , 0, -0.0034, 1, -0.0034, 0, 0, 0, 0, FASE2-PERM, NO, 0,
0, NO,
  721, BEAM    , UNILOAD, GZ, NO , NO, aDir[1], , , , 0, -0.0034, 1, -0.0034, 0, 0, 0, 0, FASE2-PERM, NO, 0,
0, NO,
  723, BEAM    , UNILOAD, GZ, NO , NO, aDir[1], , , , 0, -0.0034, 1, -0.0034, 0, 0, 0, 0, FASE2-PERM, NO, 0,
0, NO,
  724, BEAM    , UNILOAD, GZ, NO , NO, aDir[1], , , , 0, -0.0034, 1, -0.0034, 0, 0, 0, 0, FASE2-PERM, NO, 0,
0, NO,
  725, BEAM    , UNILOAD, GZ, NO , NO, aDir[1], , , , 0, -0.0034, 1, -0.0034, 0, 0, 0, 0, FASE2-PERM, NO, 0,
0, NO,
  726, BEAM    , UNILOAD, GZ, NO , NO, aDir[1], , , , 0, -0.0034, 1, -0.0034, 0, 0, 0, 0, FASE2-PERM, NO, 0,
0, NO,
  728, BEAM    , UNILOAD, GZ, NO , NO, aDir[1], , , , 0, -0.0034, 1, -0.0034, 0, 0, 0, 0, FASE2-PERM, NO, 0,
0, NO,
  729, BEAM    , UNILOAD, GZ, NO , NO, aDir[1], , , , 0, -0.0034, 1, -0.0034, 0, 0, 0, 0, FASE2-PERM, NO, 0,
0, NO,
  730, BEAM    , UNILOAD, GZ, NO , NO, aDir[1], , , , 0, -0.0034, 1, -0.0034, 0, 0, 0, 0, FASE2-PERM, NO, 0,
0, NO,
  731, BEAM    , UNILOAD, GZ, NO , NO, aDir[1], , , , 0, -0.0034, 1, -0.0034, 0, 0, 0, 0, FASE2-PERM, NO, 0,
0, NO,
  733, BEAM    , UNILOAD, GZ, NO , NO, aDir[1], , , , 0, -0.0034, 1, -0.0034, 0, 0, 0, 0, FASE2-PERM, NO, 0,
0, NO,
  734, BEAM    , UNILOAD, GZ, NO , NO, aDir[1], , , , 0, -0.0034, 1, -0.0034, 0, 0, 0, 0, FASE2-PERM, NO, 0,
0, NO,
  735, BEAM    , UNILOAD, GZ, NO , NO, aDir[1], , , , 0, -0.0034, 1, -0.0034, 0, 0, 0, 0, FASE2-PERM, NO, 0,
0, NO,
  736, BEAM    , UNILOAD, GZ, NO , NO, aDir[1], , , , 0, -0.0034, 1, -0.0034, 0, 0, 0, 0, FASE2-PERM, NO, 0,
0, NO,
  738, BEAM    , UNILOAD, GZ, NO , NO, aDir[1], , , , 0, -0.0034, 1, -0.0034, 0, 0, 0, 0, FASE2-PERM, NO, 0,
0, NO,
  739, BEAM    , UNILOAD, GZ, NO , NO, aDir[1], , , , 0, -0.0034, 1, -0.0034, 0, 0, 0, 0, FASE2-PERM, NO, 0,
0, NO,
  740, BEAM    , UNILOAD, GZ, NO , NO, aDir[1], , , , 0, -0.0034, 1, -0.0034, 0, 0, 0, 0, FASE2-PERM, NO, 0,
0, NO,
  741, BEAM    , UNILOAD, GZ, NO , NO, aDir[1], , , , 0, -0.0034, 1, -0.0034, 0, 0, 0, 0, FASE2-PERM, NO, 0,
0, NO,
  743, BEAM    , UNILOAD, GZ, NO , NO, aDir[1], , , , 0, -0.0034, 1, -0.0034, 0, 0, 0, 0, FASE2-PERM, NO, 0,
0, NO,
  744, BEAM    , UNILOAD, GZ, NO , NO, aDir[1], , , , 0, -0.0034, 1, -0.0034, 0, 0, 0, 0, FASE2-PERM, NO, 0,
0, NO,
  745, BEAM    , UNILOAD, GZ, NO , NO, aDir[1], , , , 0, -0.0034, 1, -0.0034, 0, 0, 0, 0, FASE2-PERM, NO, 0,
0, NO,
  746, BEAM    , UNILOAD, GZ, NO , NO, aDir[1], , , , 0, -0.0034, 1, -0.0034, 0, 0, 0, 0, FASE2-PERM, NO, 0,
0, NO,
  748, BEAM    , UNILOAD, GZ, NO , NO, aDir[1], , , , 0, -0.0034, 1, -0.0034, 0, 0, 0, 0, FASE2-PERM, NO, 0,
0, NO,
  749, BEAM    , UNILOAD, GZ, NO , NO, aDir[1], , , , 0, -0.0034, 1, -0.0034, 0, 0, 0, 0, FASE2-PERM, NO, 0,
0, NO,
  750, BEAM    , UNILOAD, GZ, NO , NO, aDir[1], , , , 0, -0.0034, 1, -0.0034, 0, 0, 0, 0, FASE2-PERM, NO, 0,
0, NO,
  751, BEAM    , UNILOAD, GZ, NO , NO, aDir[1], , , , 0, -0.0034, 1, -0.0034, 0, 0, 0, 0, FASE2-PERM, NO, 0,
0, NO,
  753, BEAM    , UNILOAD, GZ, NO , NO, aDir[1], , , , 0, -0.0034, 1, -0.0034, 0, 0, 0, 0, FASE2-PERM, NO, 0,
0, NO,
  754, BEAM    , UNILOAD, GZ, NO , NO, aDir[1], , , , 0, -0.0034, 1, -0.0034, 0, 0, 0, 0, FASE2-PERM, NO, 0,
0, NO,
  755, BEAM    , UNILOAD, GZ, NO , NO, aDir[1], , , , 0, -0.0034, 1, -0.0034, 0, 0, 0, 0, FASE2-PERM, NO, 0,
0, NO,
  756, BEAM    , UNILOAD, GZ, NO , NO, aDir[1], , , , 0, -0.0034, 1, -0.0034, 0, 0, 0, 0, FASE2-PERM, NO, 0,
0, NO,
  758, BEAM    , UNILOAD, GZ, NO , NO, aDir[1], , , , 0, -0.0034, 1, -0.0034, 0, 0, 0, 0, FASE2-PERM, NO, 0,
0, NO,
  759, BEAM    , UNILOAD, GZ, NO , NO, aDir[1], , , , 0, -0.0034, 1, -0.0034, 0, 0, 0, 0, FASE2-PERM, NO, 0,
0, NO,
  760, BEAM    , UNILOAD, GZ, NO , NO, aDir[1], , , , 0, -0.0034, 1, -0.0034, 0, 0, 0, 0, FASE2-PERM, NO, 0,
0, NO,
  761, BEAM    , UNILOAD, GZ, NO , NO, aDir[1], , , , 0, -0.0034, 1, -0.0034, 0, 0, 0, 0, FASE2-PERM, NO, 0,
0, NO,
  763, BEAM    , UNILOAD, GZ, NO , NO, aDir[1], , , , 0, -0.0034, 1, -0.0034, 0, 0, 0, 0, FASE2-PERM, NO, 0,
0, NO,
  764, BEAM    , UNILOAD, GZ, NO , NO, aDir[1], , , , 0, -0.0034, 1, -0.0034, 0, 0, 0, 0, FASE2-PERM, NO, 0,
0, NO,
  765, BEAM    , UNILOAD, GZ, NO , NO, aDir[1], , , , 0, -0.0034, 1, -0.0034, 0, 0, 0, 0, FASE2-PERM, NO, 0,
0, NO,
  766, BEAM    , UNILOAD, GZ, NO , NO, aDir[1], , , , 0, -0.0034, 1, -0.0034, 0, 0, 0, 0, FASE2-PERM, NO, 0,
0, NO,
  768, BEAM    , UNILOAD, GZ, NO , NO, aDir[1], , , , 0, -0.0034, 1, -0.0034, 0, 0, 0, 0, FASE2-PERM, NO, 0,
```

```
0, NO,
  769, BEAM    , UNILOAD, GZ, NO , NO, aDir[1], , , , 0, -0.0034, 1, -0.0034, 0, 0, 0, 0, FASE2-PERM, NO, 0,
0, NO,
  770, BEAM    , UNILOAD, GZ, NO , NO, aDir[1], , , , 0, -0.0034, 1, -0.0034, 0, 0, 0, 0, FASE2-PERM, NO, 0,
0, NO,
  771, BEAM    , UNILOAD, GZ, NO , NO, aDir[1], , , , 0, -0.0034, 1, -0.0034, 0, 0, 0, 0, FASE2-PERM, NO, 0,
0, NO,
  773, BEAM    , UNILOAD, GZ, NO , NO, aDir[1], , , , 0, -0.0034, 1, -0.0034, 0, 0, 0, 0, FASE2-PERM, NO, 0,
0, NO,
  774, BEAM    , UNILOAD, GZ, NO , NO, aDir[1], , , , 0, -0.0034, 1, -0.0034, 0, 0, 0, 0, FASE2-PERM, NO, 0,
0, NO,
  775, BEAM    , UNILOAD, GZ, NO , NO, aDir[1], , , , 0, -0.0034, 1, -0.0034, 0, 0, 0, 0, FASE2-PERM, NO, 0,
0, NO,
  776, BEAM    , UNILOAD, GZ, NO , NO, aDir[1], , , , 0, -0.0034, 1, -0.0034, 0, 0, 0, 0, FASE2-PERM, NO, 0,
0, NO,
  778, BEAM    , UNILOAD, GZ, NO , NO, aDir[1], , , , 0, -0.0034, 1, -0.0034, 0, 0, 0, 0, FASE2-PERM, NO, 0,
0, NO,
  779, BEAM    , UNILOAD, GZ, NO , NO, aDir[1], , , , 0, -0.0034, 1, -0.0034, 0, 0, 0, 0, FASE2-PERM, NO, 0,
0, NO,
  780, BEAM    , UNILOAD, GZ, NO , NO, aDir[1], , , , 0, -0.0034, 1, -0.0034, 0, 0, 0, 0, FASE2-PERM, NO, 0,
0, NO,
  781, BEAM    , UNILOAD, GZ, NO , NO, aDir[1], , , , 0, -0.0034, 1, -0.0034, 0, 0, 0, 0, FASE2-PERM, NO, 0,
0, NO,
  783, BEAM    , UNILOAD, GZ, NO , NO, aDir[1], , , , 0, -0.0034, 1, -0.0034, 0, 0, 0, 0, FASE2-PERM, NO, 0,
0, NO,
  784, BEAM    , UNILOAD, GZ, NO , NO, aDir[1], , , , 0, -0.0034, 1, -0.0034, 0, 0, 0, 0, FASE2-PERM, NO, 0,
0, NO,
  785, BEAM    , UNILOAD, GZ, NO , NO, aDir[1], , , , 0, -0.0034, 1, -0.0034, 0, 0, 0, 0, FASE2-PERM, NO, 0,
0, NO,
  786, BEAM    , UNILOAD, GZ, NO , NO, aDir[1], , , , 0, -0.0034, 1, -0.0034, 0, 0, 0, 0, FASE2-PERM, NO, 0,
0, NO,
  788, BEAM    , UNILOAD, GZ, NO , NO, aDir[1], , , , 0, -0.0034, 1, -0.0034, 0, 0, 0, 0, FASE2-PERM, NO, 0,
0, NO,
  789, BEAM    , UNILOAD, GZ, NO , NO, aDir[1], , , , 0, -0.0034, 1, -0.0034, 0, 0, 0, 0, FASE2-PERM, NO, 0,
0, NO,
  790, BEAM    , UNILOAD, GZ, NO , NO, aDir[1], , , , 0, -0.0034, 1, -0.0034, 0, 0, 0, 0, FASE2-PERM, NO, 0,
0, NO,
  791, BEAM    , UNILOAD, GZ, NO , NO, aDir[1], , , , 0, -0.0034, 1, -0.0034, 0, 0, 0, 0, FASE2-PERM, NO, 0,
0, NO,
  793, BEAM    , UNILOAD, GZ, NO , NO, aDir[1], , , , 0, -0.0034, 1, -0.0034, 0, 0, 0, 0, FASE2-PERM, NO, 0,
0, NO,
  794, BEAM    , UNILOAD, GZ, NO , NO, aDir[1], , , , 0, -0.0034, 1, -0.0034, 0, 0, 0, 0, FASE2-PERM, NO, 0,
0, NO,
  795, BEAM    , UNILOAD, GZ, NO , NO, aDir[1], , , , 0, -0.0034, 1, -0.0034, 0, 0, 0, 0, FASE2-PERM, NO, 0,
0, NO,
  796, BEAM    , UNILOAD, GZ, NO , NO, aDir[1], , , , 0, -0.0034, 1, -0.0034, 0, 0, 0, 0, FASE2-PERM, NO, 0,
0, NO,
  798, BEAM    , UNILOAD, GZ, NO , NO, aDir[1], , , , 0, -0.0034, 1, -0.0034, 0, 0, 0, 0, FASE2-PERM, NO, 0,
0, NO,
  799, BEAM    , UNILOAD, GZ, NO , NO, aDir[1], , , , 0, -0.0034, 1, -0.0034, 0, 0, 0, 0, FASE2-PERM, NO, 0,
0, NO,
  800, BEAM    , UNILOAD, GZ, NO , NO, aDir[1], , , , 0, -0.0034, 1, -0.0034, 0, 0, 0, 0, FASE2-PERM, NO, 0,
0, NO,
  801, BEAM    , UNILOAD, GZ, NO , NO, aDir[1], , , , 0, -0.0034, 1, -0.0034, 0, 0, 0, 0, FASE2-PERM, NO, 0,
0, NO,
  803, BEAM    , UNILOAD, GZ, NO , NO, aDir[1], , , , 0, -0.0034, 1, -0.0034, 0, 0, 0, 0, FASE2-PERM, NO, 0,
0, NO,
  804, BEAM    , UNILOAD, GZ, NO , NO, aDir[1], , , , 0, -0.0034, 1, -0.0034, 0, 0, 0, 0, FASE2-PERM, NO, 0,
0, NO,
  805, BEAM    , UNILOAD, GZ, NO , NO, aDir[1], , , , 0, -0.0034, 1, -0.0034, 0, 0, 0, 0, FASE2-PERM, NO, 0,
0, NO,
  806, BEAM    , UNILOAD, GZ, NO , NO, aDir[1], , , , 0, -0.0034, 1, -0.0034, 0, 0, 0, 0, FASE2-PERM, NO, 0,
0, NO,
  808, BEAM    , UNILOAD, GZ, NO , NO, aDir[1], , , , 0, -0.0034, 1, -0.0034, 0, 0, 0, 0, FASE2-PERM, NO, 0,
0, NO,
  809, BEAM    , UNILOAD, GZ, NO , NO, aDir[1], , , , 0, -0.0034, 1, -0.0034, 0, 0, 0, 0, FASE2-PERM, NO, 0,
0, NO,
  810, BEAM    , UNILOAD, GZ, NO , NO, aDir[1], , , , 0, -0.0034, 1, -0.0034, 0, 0, 0, 0, FASE2-PERM, NO, 0,
0, NO,
  811, BEAM    , UNILOAD, GZ, NO , NO, aDir[1], , , , 0, -0.0034, 1, -0.0034, 0, 0, 0, 0, FASE2-PERM, NO, 0,
0, NO,
  813, BEAM    , UNILOAD, GZ, NO , NO, aDir[1], , , , 0, -0.0034, 1, -0.0034, 0, 0, 0, 0, FASE2-PERM, NO, 0,
0, NO,
  814, BEAM    , UNILOAD, GZ, NO , NO, aDir[1], , , , 0, -0.0034, 1, -0.0034, 0, 0, 0, 0, FASE2-PERM, NO, 0,
0, NO,
  815, BEAM    , UNILOAD, GZ, NO , NO, aDir[1], , , , 0, -0.0034, 1, -0.0034, 0, 0, 0, 0, FASE2-PERM, NO, 0,
0, NO,
  816, BEAM    , UNILOAD, GZ, NO , NO, aDir[1], , , , 0, -0.0034, 1, -0.0034, 0, 0, 0, 0, FASE2-PERM, NO, 0,
```

```
0, NO,
  818, BEAM    , UNILOAD, GZ, NO , NO, aDir[1], , , , 0, -0.0034, 1, -0.0034, 0, 0, 0, 0, FASE2-PERM, NO, 0,
0, NO,
  819, BEAM    , UNILOAD, GZ, NO , NO, aDir[1], , , , 0, -0.0034, 1, -0.0034, 0, 0, 0, 0, FASE2-PERM, NO, 0,
0, NO,
  820, BEAM    , UNILOAD, GZ, NO , NO, aDir[1], , , , 0, -0.0034, 1, -0.0034, 0, 0, 0, 0, FASE2-PERM, NO, 0,
0, NO,
  821, BEAM    , UNILOAD, GZ, NO , NO, aDir[1], , , , 0, -0.0034, 1, -0.0034, 0, 0, 0, 0, FASE2-PERM, NO, 0,
0, NO,
  823, BEAM    , UNILOAD, GZ, NO , NO, aDir[1], , , , 0, -0.0034, 1, -0.0034, 0, 0, 0, 0, FASE2-PERM, NO, 0,
0, NO,
  824, BEAM    , UNILOAD, GZ, NO , NO, aDir[1], , , , 0, -0.0034, 1, -0.0034, 0, 0, 0, 0, FASE2-PERM, NO, 0,
0, NO,
  825, BEAM    , UNILOAD, GZ, NO , NO, aDir[1], , , , 0, -0.0034, 1, -0.0034, 0, 0, 0, 0, FASE2-PERM, NO, 0,
0, NO,
  826, BEAM    , UNILOAD, GZ, NO , NO, aDir[1], , , , 0, -0.0034, 1, -0.0034, 0, 0, 0, 0, FASE2-PERM, NO, 0,
0, NO,
  828, BEAM    , UNILOAD, GZ, NO , NO, aDir[1], , , , 0, -0.0034, 1, -0.0034, 0, 0, 0, 0, FASE2-PERM, NO, 0,
0, NO,
  829, BEAM    , UNILOAD, GZ, NO , NO, aDir[1], , , , 0, -0.0034, 1, -0.0034, 0, 0, 0, 0, FASE2-PERM, NO, 0,
0, NO,
  830, BEAM    , UNILOAD, GZ, NO , NO, aDir[1], , , , 0, -0.0034, 1, -0.0034, 0, 0, 0, 0, FASE2-PERM, NO, 0,
0, NO,
  831, BEAM    , UNILOAD, GZ, NO , NO, aDir[1], , , , 0, -0.0034, 1, -0.0034, 0, 0, 0, 0, FASE2-PERM, NO, 0,
0, NO,
  833, BEAM    , UNILOAD, GZ, NO , NO, aDir[1], , , , 0, -0.0034, 1, -0.0034, 0, 0, 0, 0, FASE2-PERM, NO, 0,
0, NO,
  834, BEAM    , UNILOAD, GZ, NO , NO, aDir[1], , , , 0, -0.0034, 1, -0.0034, 0, 0, 0, 0, FASE2-PERM, NO, 0,
0, NO,
  835, BEAM    , UNILOAD, GZ, NO , NO, aDir[1], , , , 0, -0.0034, 1, -0.0034, 0, 0, 0, 0, FASE2-PERM, NO, 0,
0, NO,
  836, BEAM    , UNILOAD, GZ, NO , NO, aDir[1], , , , 0, -0.0034, 1, -0.0034, 0, 0, 0, 0, FASE2-PERM, NO, 0,
0, NO,
  838, BEAM    , UNILOAD, GZ, NO , NO, aDir[1], , , , 0, -0.0034, 1, -0.0034, 0, 0, 0, 0, FASE2-PERM, NO, 0,
0, NO,
  839, BEAM    , UNILOAD, GZ, NO , NO, aDir[1], , , , 0, -0.0034, 1, -0.0034, 0, 0, 0, 0, FASE2-PERM, NO, 0,
0, NO,
  840, BEAM    , UNILOAD, GZ, NO , NO, aDir[1], , , , 0, -0.0034, 1, -0.0034, 0, 0, 0, 0, FASE2-PERM, NO, 0,
0, NO,
  841, BEAM    , UNILOAD, GZ, NO , NO, aDir[1], , , , 0, -0.0034, 1, -0.0034, 0, 0, 0, 0, FASE2-PERM, NO, 0,
0, NO,
  843, BEAM    , UNILOAD, GZ, NO , NO, aDir[1], , , , 0, -0.0034, 1, -0.0034, 0, 0, 0, 0, FASE2-PERM, NO, 0,
0, NO,
  844, BEAM    , UNILOAD, GZ, NO , NO, aDir[1], , , , 0, -0.0034, 1, -0.0034, 0, 0, 0, 0, FASE2-PERM, NO, 0,
0, NO,
  845, BEAM    , UNILOAD, GZ, NO , NO, aDir[1], , , , 0, -0.0034, 1, -0.0034, 0, 0, 0, 0, FASE2-PERM, NO, 0,
0, NO,
  846, BEAM    , UNILOAD, GZ, NO , NO, aDir[1], , , , 0, -0.0034, 1, -0.0034, 0, 0, 0, 0, FASE2-PERM, NO, 0,
0, NO,
  848, BEAM    , UNILOAD, GZ, NO , NO, aDir[1], , , , 0, -0.0034, 1, -0.0034, 0, 0, 0, 0, FASE2-PERM, NO, 0,
0, NO,
  849, BEAM    , UNILOAD, GZ, NO , NO, aDir[1], , , , 0, -0.0034, 1, -0.0034, 0, 0, 0, 0, FASE2-PERM, NO, 0,
0, NO,
  850, BEAM    , UNILOAD, GZ, NO , NO, aDir[1], , , , 0, -0.0034, 1, -0.0034, 0, 0, 0, 0, FASE2-PERM, NO, 0,
0, NO,
  851, BEAM    , UNILOAD, GZ, NO , NO, aDir[1], , , , 0, -0.0034, 1, -0.0034, 0, 0, 0, 0, FASE2-PERM, NO, 0,
0, NO,
  853, BEAM    , UNILOAD, GZ, NO , NO, aDir[1], , , , 0, -0.0034, 1, -0.0034, 0, 0, 0, 0, FASE2-PERM, NO, 0,
0, NO,
  854, BEAM    , UNILOAD, GZ, NO , NO, aDir[1], , , , 0, -0.0034, 1, -0.0034, 0, 0, 0, 0, FASE2-PERM, NO, 0,
0, NO,
  855, BEAM    , UNILOAD, GZ, NO , NO, aDir[1], , , , 0, -0.0034, 1, -0.0034, 0, 0, 0, 0, FASE2-PERM, NO, 0,
0, NO,
  856, BEAM    , UNILOAD, GZ, NO , NO, aDir[1], , , , 0, -0.0034, 1, -0.0034, 0, 0, 0, 0, FASE2-PERM, NO, 0,
0, NO,
 1519, BEAM    , UNILOAD, GZ, NO , NO, aDir[1], , , , 0, -0.0034, 1, -0.0034, 0, 0, 0, 0, FASE2-PERM, NO, 0,
0, NO,
 1520, BEAM    , UNILOAD, GZ, NO , NO, aDir[1], , , , 0, -0.0034, 1, -0.0034, 0, 0, 0, 0, FASE2-PERM, NO, 0,
0, NO,
 1521, BEAM    , UNILOAD, GZ, NO , NO, aDir[1], , , , 0, -0.0034, 1, -0.0034, 0, 0, 0, 0, FASE2-PERM, NO, 0,
0, NO,
 1522, BEAM    , UNILOAD, GZ, NO , NO, aDir[1], , , , 0, -0.0034, 1, -0.0034, 0, 0, 0, 0, FASE2-PERM, NO, 0,
0, NO,
 1523, BEAM    , UNILOAD, GZ, NO , NO, aDir[1], , , , 0, -0.0034, 1, -0.0034, 0, 0, 0, 0, FASE2-PERM, NO, 0,
0, NO,
 1524, BEAM    , UNILOAD, GZ, NO , NO, aDir[1], , , , 0, -0.0034, 1, -0.0034, 0, 0, 0, 0, FASE2-PERM, NO, 0,
0, NO,
 1525, BEAM    , UNILOAD, GZ, NO , NO, aDir[1], , , , 0, -0.0034, 1, -0.0034, 0, 0, 0, 0, FASE2-PERM, NO, 0,
```

```
0, NO,
 1526, BEAM    , UNILOAD, GZ, NO , NO, aDir[1], , , , 0, -0.0034, 1, -0.0034, 0, 0, 0, 0, FASE2-PERM, NO, 0,
0, NO,
 1527, BEAM    , UNILOAD, GZ, NO , NO, aDir[1], , , , 0, -0.0034, 1, -0.0034, 0, 0, 0, 0, FASE2-PERM, NO, 0,
0, NO,
 1528, BEAM    , UNILOAD, GZ, NO , NO, aDir[1], , , , 0, -0.0034, 1, -0.0034, 0, 0, 0, 0, FASE2-PERM, NO, 0,
0, NO,
 1529, BEAM    , UNILOAD, GZ, NO , NO, aDir[1], , , , 0, -0.0034, 1, -0.0034, 0, 0, 0, 0, FASE2-PERM, NO, 0,
0, NO,
 1530, BEAM    , UNILOAD, GZ, NO , NO, aDir[1], , , , 0, -0.0034, 1, -0.0034, 0, 0, 0, 0, FASE2-PERM, NO, 0,
0, NO,
 1531, BEAM    , UNILOAD, GZ, NO , NO, aDir[1], , , , 0, -0.0034, 1, -0.0034, 0, 0, 0, 0, FASE2-PERM, NO, 0,
0, NO,
 1532, BEAM    , UNILOAD, GZ, NO , NO, aDir[1], , , , 0, -0.0034, 1, -0.0034, 0, 0, 0, 0, FASE2-PERM, NO, 0,
0, NO,
 1533, BEAM    , UNILOAD, GZ, NO , NO, aDir[1], , , , 0, -0.0034, 1, -0.0034, 0, 0, 0, 0, FASE2-PERM, NO, 0,
0, NO,
 1534, BEAM    , UNILOAD, GZ, NO , NO, aDir[1], , , , 0, -0.0034, 1, -0.0034, 0, 0, 0, 0, FASE2-PERM, NO, 0,
0, NO,
 1535, BEAM    , UNILOAD, GZ, NO , NO, aDir[1], , , , 0, -0.0034, 1, -0.0034, 0, 0, 0, 0, FASE2-PERM, NO, 0,
0, NO,
 1536, BEAM    , UNILOAD, GZ, NO , NO, aDir[1], , , , 0, -0.0034, 1, -0.0034, 0, 0, 0, 0, FASE2-PERM, NO, 0,
0, NO,
 1537, BEAM    , UNILOAD, GZ, NO , NO, aDir[1], , , , 0, -0.0034, 1, -0.0034, 0, 0, 0, 0, FASE2-PERM, NO, 0,
0, NO,
 1538, BEAM    , UNILOAD, GZ, NO , NO, aDir[1], , , , 0, -0.0034, 1, -0.0034, 0, 0, 0, 0, FASE2-PERM, NO, 0,
0, NO,
 1539, BEAM    , UNILOAD, GZ, NO , NO, aDir[1], , , , 0, -0.0034, 1, -0.0034, 0, 0, 0, 0, FASE2-PERM, NO, 0,
0, NO,
 1540, BEAM    , UNILOAD, GZ, NO , NO, aDir[1], , , , 0, -0.0034, 1, -0.0034, 0, 0, 0, 0, FASE2-PERM, NO, 0,
0, NO,
 1541, BEAM    , UNILOAD, GZ, NO , NO, aDir[1], , , , 0, -0.0034, 1, -0.0034, 0, 0, 0, 0, FASE2-PERM, NO, 0,
0, NO,
 1542, BEAM    , UNILOAD, GZ, NO , NO, aDir[1], , , , 0, -0.0034, 1, -0.0034, 0, 0, 0, 0, FASE2-PERM, NO, 0,
0, NO,
 1543, BEAM    , UNILOAD, GZ, NO , NO, aDir[1], , , , 0, -0.0034, 1, -0.0034, 0, 0, 0, 0, FASE2-PERM, NO, 0,
0, NO,
 1544, BEAM    , UNILOAD, GZ, NO , NO, aDir[1], , , , 0, -0.0034, 1, -0.0034, 0, 0, 0, 0, FASE2-PERM, NO, 0,
0, NO,
 1545, BEAM    , UNILOAD, GZ, NO , NO, aDir[1], , , , 0, -0.0034, 1, -0.0034, 0, 0, 0, 0, FASE2-PERM, NO, 0,
0, NO,
 1546, BEAM    , UNILOAD, GZ, NO , NO, aDir[1], , , , 0, -0.0034, 1, -0.0034, 0, 0, 0, 0, FASE2-PERM, NO, 0,
0, NO,
 1547, BEAM    , UNILOAD, GZ, NO , NO, aDir[1], , , , 0, -0.0034, 1, -0.0034, 0, 0, 0, 0, FASE2-PERM, NO, 0,
0, NO,
 1548, BEAM    , UNILOAD, GZ, NO , NO, aDir[1], , , , 0, -0.0034, 1, -0.0034, 0, 0, 0, 0, FASE2-PERM, NO, 0,
0, NO,
 1549, BEAM    , UNILOAD, GZ, NO , NO, aDir[1], , , , 0, -0.0034, 1, -0.0034, 0, 0, 0, 0, FASE2-PERM, NO, 0,
0, NO,
 1550, BEAM    , UNILOAD, GZ, NO , NO, aDir[1], , , , 0, -0.0034, 1, -0.0034, 0, 0, 0, 0, FASE2-PERM, NO, 0,
0, NO,
 1551, BEAM    , UNILOAD, GZ, NO , NO, aDir[1], , , , 0, -0.0034, 1, -0.0034, 0, 0, 0, 0, FASE2-PERM, NO, 0,
0, NO,
 1552, BEAM    , UNILOAD, GZ, NO , NO, aDir[1], , , , 0, -0.0034, 1, -0.0034, 0, 0, 0, 0, FASE2-PERM, NO, 0,
0, NO,
 1553, BEAM    , UNILOAD, GZ, NO , NO, aDir[1], , , , 0, -0.0034, 1, -0.0034, 0, 0, 0, 0, FASE2-PERM, NO, 0,
0, NO,
 1554, BEAM    , UNILOAD, GZ, NO , NO, aDir[1], , , , 0, -0.0034, 1, -0.0034, 0, 0, 0, 0, FASE2-PERM, NO, 0,
0, NO,
 1555, BEAM    , UNILOAD, GZ, NO , NO, aDir[1], , , , 0, -0.0034, 1, -0.0034, 0, 0, 0, 0, FASE2-PERM, NO, 0,
0, NO,
 1556, BEAM    , UNILOAD, GZ, NO , NO, aDir[1], , , , 0, -0.0034, 1, -0.0034, 0, 0, 0, 0, FASE2-PERM, NO, 0,
0, NO,
 1557, BEAM    , UNILOAD, GZ, NO , NO, aDir[1], , , , 0, -0.0034, 1, -0.0034, 0, 0, 0, 0, FASE2-PERM, NO, 0,
0, NO,
 1558, BEAM    , UNILOAD, GZ, NO , NO, aDir[1], , , , 0, -0.0034, 1, -0.0034, 0, 0, 0, 0, FASE2-PERM, NO, 0,
0, NO,
 1559, BEAM    , UNILOAD, GZ, NO , NO, aDir[1], , , , 0, -0.0034, 1, -0.0034, 0, 0, 0, 0, FASE2-PERM, NO, 0,
0, NO,
 1560, BEAM    , UNILOAD, GZ, NO , NO, aDir[1], , , , 0, -0.0034, 1, -0.0034, 0, 0, 0, 0, FASE2-PERM, NO, 0,
0, NO,
 1687, BEAM    , UNILOAD, GZ, NO , NO, aDir[1], , , , 0, -0.0034, 1, -0.0034, 0, 0, 0, 0, FASE2-PERM, NO, 0,
0, NO,
 1688, BEAM    , UNILOAD, GZ, NO , NO, aDir[1], , , , 0, -0.0034, 1, -0.0034, 0, 0, 0, 0, FASE2-PERM, NO, 0,
0, NO,
 1689, BEAM    , UNILOAD, GZ, NO , NO, aDir[1], , , , 0, -0.0034, 1, -0.0034, 0, 0, 0, 0, FASE2-PERM, NO, 0,
0, NO,
 1690, BEAM    , UNILOAD, GZ, NO , NO, aDir[1], , , , 0, -0.0034, 1, -0.0034, 0, 0, 0, 0, FASE2-PERM, NO, 0,
```

```
0, NO,
 1691, BEAM    , UNILOAD, GZ, NO , NO, aDir[1], , , , 0, -0.0034, 1, -0.0034, 0, 0, 0, 0, FASE2-PERM, NO, 0,
0, NO,
 1692, BEAM    , UNILOAD, GZ, NO , NO, aDir[1], , , , 0, -0.0034, 1, -0.0034, 0, 0, 0, 0, FASE2-PERM, NO, 0,
0, NO,
 1693, BEAM    , UNILOAD, GZ, NO , NO, aDir[1], , , , 0, -0.0034, 1, -0.0034, 0, 0, 0, 0, FASE2-PERM, NO, 0,
0, NO,
 1694, BEAM    , UNILOAD, GZ, NO , NO, aDir[1], , , , 0, -0.0034, 1, -0.0034, 0, 0, 0, 0, FASE2-PERM, NO, 0,
0, NO,
 1695, BEAM    , UNILOAD, GZ, NO , NO, aDir[1], , , , 0, -0.0034, 1, -0.0034, 0, 0, 0, 0, FASE2-PERM, NO, 0,
0, NO,
 1696, BEAM    , UNILOAD, GZ, NO , NO, aDir[1], , , , 0, -0.0034, 1, -0.0034, 0, 0, 0, 0, FASE2-PERM, NO, 0,
0, NO,
 1697, BEAM    , UNILOAD, GZ, NO , NO, aDir[1], , , , 0, -0.0034, 1, -0.0034, 0, 0, 0, 0, FASE2-PERM, NO, 0,
0, NO,
 1698, BEAM    , UNILOAD, GZ, NO , NO, aDir[1], , , , 0, -0.0034, 1, -0.0034, 0, 0, 0, 0, FASE2-PERM, NO, 0,
0, NO,
 1699, BEAM    , UNILOAD, GZ, NO , NO, aDir[1], , , , 0, -0.0034, 1, -0.0034, 0, 0, 0, 0, FASE2-PERM, NO, 0,
0, NO,
 1700, BEAM    , UNILOAD, GZ, NO , NO, aDir[1], , , , 0, -0.0034, 1, -0.0034, 0, 0, 0, 0, FASE2-PERM, NO, 0,
0, NO,
 1701, BEAM    , UNILOAD, GZ, NO , NO, aDir[1], , , , 0, -0.0034, 1, -0.0034, 0, 0, 0, 0, FASE2-PERM, NO, 0,
0, NO,
 1702, BEAM    , UNILOAD, GZ, NO , NO, aDir[1], , , , 0, -0.0034, 1, -0.0034, 0, 0, 0, 0, FASE2-PERM, NO, 0,
0, NO,
 1703, BEAM    , UNILOAD, GZ, NO , NO, aDir[1], , , , 0, -0.0034, 1, -0.0034, 0, 0, 0, 0, FASE2-PERM, NO, 0,
0, NO,
 1704, BEAM    , UNILOAD, GZ, NO , NO, aDir[1], , , , 0, -0.0034, 1, -0.0034, 0, 0, 0, 0, FASE2-PERM, NO, 0,
0, NO,
 1705, BEAM    , UNILOAD, GZ, NO , NO, aDir[1], , , , 0, -0.0034, 1, -0.0034, 0, 0, 0, 0, FASE2-PERM, NO, 0,
0, NO,
 1706, BEAM    , UNILOAD, GZ, NO , NO, aDir[1], , , , 0, -0.0034, 1, -0.0034, 0, 0, 0, 0, FASE2-PERM, NO, 0,
0, NO,
 1707, BEAM    , UNILOAD, GZ, NO , NO, aDir[1], , , , 0, -0.0034, 1, -0.0034, 0, 0, 0, 0, FASE2-PERM, NO, 0,
0, NO,
 1708, BEAM    , UNILOAD, GZ, NO , NO, aDir[1], , , , 0, -0.0034, 1, -0.0034, 0, 0, 0, 0, FASE2-PERM, NO, 0,
0, NO,
 1709, BEAM    , UNILOAD, GZ, NO , NO, aDir[1], , , , 0, -0.0034, 1, -0.0034, 0, 0, 0, 0, FASE2-PERM, NO, 0,
0, NO,
 1710, BEAM    , UNILOAD, GZ, NO , NO, aDir[1], , , , 0, -0.0034, 1, -0.0034, 0, 0, 0, 0, FASE2-PERM, NO, 0,
0, NO,
 1711, BEAM    , UNILOAD, GZ, NO , NO, aDir[1], , , , 0, -0.0034, 1, -0.0034, 0, 0, 0, 0, FASE2-PERM, NO, 0,
0, NO,
 1712, BEAM    , UNILOAD, GZ, NO , NO, aDir[1], , , , 0, -0.0034, 1, -0.0034, 0, 0, 0, 0, FASE2-PERM, NO, 0,
0, NO,
 1713, BEAM    , UNILOAD, GZ, NO , NO, aDir[1], , , , 0, -0.0034, 1, -0.0034, 0, 0, 0, 0, FASE2-PERM, NO, 0,
0, NO,
 1714, BEAM    , UNILOAD, GZ, NO , NO, aDir[1], , , , 0, -0.0034, 1, -0.0034, 0, 0, 0, 0, FASE2-PERM, NO, 0,
0, NO,
 1715, BEAM    , UNILOAD, GZ, NO , NO, aDir[1], , , , 0, -0.0034, 1, -0.0034, 0, 0, 0, 0, FASE2-PERM, NO, 0,
0, NO,
 1716, BEAM    , UNILOAD, GZ, NO , NO, aDir[1], , , , 0, -0.0034, 1, -0.0034, 0, 0, 0, 0, FASE2-PERM, NO, 0,
0, NO,
 1717, BEAM    , UNILOAD, GZ, NO , NO, aDir[1], , , , 0, -0.0034, 1, -0.0034, 0, 0, 0, 0, FASE2-PERM, NO, 0,
0, NO,
 1718, BEAM    , UNILOAD, GZ, NO , NO, aDir[1], , , , 0, -0.0034, 1, -0.0034, 0, 0, 0, 0, FASE2-PERM, NO, 0,
0, NO,
 1719, BEAM    , UNILOAD, GZ, NO , NO, aDir[1], , , , 0, -0.0034, 1, -0.0034, 0, 0, 0, 0, FASE2-PERM, NO, 0,
0, NO,
 1720, BEAM    , UNILOAD, GZ, NO , NO, aDir[1], , , , 0, -0.0034, 1, -0.0034, 0, 0, 0, 0, FASE2-PERM, NO, 0,
0, NO,
 1721, BEAM    , UNILOAD, GZ, NO , NO, aDir[1], , , , 0, -0.0034, 1, -0.0034, 0, 0, 0, 0, FASE2-PERM, NO, 0,
0, NO,
 1722, BEAM    , UNILOAD, GZ, NO , NO, aDir[1], , , , 0, -0.0034, 1, -0.0034, 0, 0, 0, 0, FASE2-PERM, NO, 0,
0, NO,
 1723, BEAM    , UNILOAD, GZ, NO , NO, aDir[1], , , , 0, -0.0034, 1, -0.0034, 0, 0, 0, 0, FASE2-PERM, NO, 0,
0, NO,
 1724, BEAM    , UNILOAD, GZ, NO , NO, aDir[1], , , , 0, -0.0034, 1, -0.0034, 0, 0, 0, 0, FASE2-PERM, NO, 0,
0, NO,
 1725, BEAM    , UNILOAD, GZ, NO , NO, aDir[1], , , , 0, -0.0034, 1, -0.0034, 0, 0, 0, 0, FASE2-PERM, NO, 0,
0, NO,
 1726, BEAM    , UNILOAD, GZ, NO , NO, aDir[1], , , , 0, -0.0034, 1, -0.0034, 0, 0, 0, 0, FASE2-PERM, NO, 0,
0, NO,
 1727, BEAM    , UNILOAD, GZ, NO , NO, aDir[1], , , , 0, -0.0034, 1, -0.0034, 0, 0, 0, 0, FASE2-PERM, NO, 0,
0, NO,
 1728, BEAM    , UNILOAD, GZ, NO , NO, aDir[1], , , , 0, -0.0034, 1, -0.0034, 0, 0, 0, 0, FASE2-PERM, NO, 0,
0, NO,
 1729, BEAM    , UNILOAD, GZ, NO , NO, aDir[1], , , , 0, -0.0034, 1, -0.0034, 0, 0, 0, 0, FASE2-PERM, NO, 0,
```

```
0, NO,
 1730, BEAM    , UNILOAD, GZ, NO , NO, aDir[1], , , , 0, -0.0034, 1, -0.0034, 0, 0, 0, 0, FASE2-PERM, NO, 0,
0, NO,
 1731, BEAM    , UNILOAD, GZ, NO , NO, aDir[1], , , , 0, -0.0034, 1, -0.0034, 0, 0, 0, 0, FASE2-PERM, NO, 0,
0, NO,
 1732, BEAM    , UNILOAD, GZ, NO , NO, aDir[1], , , , 0, -0.0034, 1, -0.0034, 0, 0, 0, 0, FASE2-PERM, NO, 0,
0, NO,
 1733, BEAM    , UNILOAD, GZ, NO , NO, aDir[1], , , , 0, -0.0034, 1, -0.0034, 0, 0, 0, 0, FASE2-PERM, NO, 0,
0, NO,
 1734, BEAM    , UNILOAD, GZ, NO , NO, aDir[1], , , , 0, -0.0034, 1, -0.0034, 0, 0, 0, 0, FASE2-PERM, NO, 0,
0, NO,
 1735, BEAM    , UNILOAD, GZ, NO , NO, aDir[1], , , , 0, -0.0034, 1, -0.0034, 0, 0, 0, 0, FASE2-PERM, NO, 0,
0, NO,
 1736, BEAM    , UNILOAD, GZ, NO , NO, aDir[1], , , , 0, -0.0034, 1, -0.0034, 0, 0, 0, 0, FASE2-PERM, NO, 0,
0, NO,
 1737, BEAM    , UNILOAD, GZ, NO , NO, aDir[1], , , , 0, -0.0034, 1, -0.0034, 0, 0, 0, 0, FASE2-PERM, NO, 0,
0, NO,
 1738, BEAM    , UNILOAD, GZ, NO , NO, aDir[1], , , , 0, -0.0034, 1, -0.0034, 0, 0, 0, 0, FASE2-PERM, NO, 0,
0, NO,
 1739, BEAM    , UNILOAD, GZ, NO , NO, aDir[1], , , , 0, -0.0034, 1, -0.0034, 0, 0, 0, 0, FASE2-PERM, NO, 0,
0, NO,
 1740, BEAM    , UNILOAD, GZ, NO , NO, aDir[1], , , , 0, -0.0034, 1, -0.0034, 0, 0, 0, 0, FASE2-PERM, NO, 0,
0, NO,
 1741, BEAM    , UNILOAD, GZ, NO , NO, aDir[1], , , , 0, -0.0034, 1, -0.0034, 0, 0, 0, 0, FASE2-PERM, NO, 0,
0, NO,
 1742, BEAM    , UNILOAD, GZ, NO , NO, aDir[1], , , , 0, -0.0034, 1, -0.0034, 0, 0, 0, 0, FASE2-PERM, NO, 0,
0, NO,
 1743, BEAM    , UNILOAD, GZ, NO , NO, aDir[1], , , , 0, -0.0034, 1, -0.0034, 0, 0, 0, 0, FASE2-PERM, NO, 0,
0, NO,
 1744, BEAM    , UNILOAD, GZ, NO , NO, aDir[1], , , , 0, -0.0034, 1, -0.0034, 0, 0, 0, 0, FASE2-PERM, NO, 0,
0, NO,
 1745, BEAM    , UNILOAD, GZ, NO , NO, aDir[1], , , , 0, -0.0034, 1, -0.0034, 0, 0, 0, 0, FASE2-PERM, NO, 0,
0, NO,
 1746, BEAM    , UNILOAD, GZ, NO , NO, aDir[1], , , , 0, -0.0034, 1, -0.0034, 0, 0, 0, 0, FASE2-PERM, NO, 0,
0, NO,
 1747, BEAM    , UNILOAD, GZ, NO , NO, aDir[1], , , , 0, -0.0034, 1, -0.0034, 0, 0, 0, 0, FASE2-PERM, NO, 0,
0, NO,
 1748, BEAM    , UNILOAD, GZ, NO , NO, aDir[1], , , , 0, -0.0034, 1, -0.0034, 0, 0, 0, 0, FASE2-PERM, NO, 0,
0, NO,
 1749, BEAM    , UNILOAD, GZ, NO , NO, aDir[1], , , , 0, -0.0034, 1, -0.0034, 0, 0, 0, 0, FASE2-PERM, NO, 0,
0, NO,
 1750, BEAM    , UNILOAD, GZ, NO , NO, aDir[1], , , , 0, -0.0034, 1, -0.0034, 0, 0, 0, 0, FASE2-PERM, NO, 0,
0, NO,
 1751, BEAM    , UNILOAD, GZ, NO , NO, aDir[1], , , , 0, -0.0034, 1, -0.0034, 0, 0, 0, 0, FASE2-PERM, NO, 0,
0, NO,
 1752, BEAM    , UNILOAD, GZ, NO , NO, aDir[1], , , , 0, -0.0034, 1, -0.0034, 0, 0, 0, 0, FASE2-PERM, NO, 0,
0, NO,
 1753, BEAM    , UNILOAD, GZ, NO , NO, aDir[1], , , , 0, -0.0034, 1, -0.0034, 0, 0, 0, 0, FASE2-PERM, NO, 0,
0, NO,
 1754, BEAM    , UNILOAD, GZ, NO , NO, aDir[1], , , , 0, -0.0034, 1, -0.0034, 0, 0, 0, 0, FASE2-PERM, NO, 0,
0, NO,
 1755, BEAM    , UNILOAD, GZ, NO , NO, aDir[1], , , , 0, -0.0034, 1, -0.0034, 0, 0, 0, 0, FASE2-PERM, NO, 0,
0, NO,
 1756, BEAM    , UNILOAD, GZ, NO , NO, aDir[1], , , , 0, -0.0034, 1, -0.0034, 0, 0, 0, 0, FASE2-PERM, NO, 0,
0, NO,
 1757, BEAM    , UNILOAD, GZ, NO , NO, aDir[1], , , , 0, -0.0034, 1, -0.0034, 0, 0, 0, 0, FASE2-PERM, NO, 0,
0, NO,
 1758, BEAM    , UNILOAD, GZ, NO , NO, aDir[1], , , , 0, -0.0034, 1, -0.0034, 0, 0, 0, 0, FASE2-PERM, NO, 0,
0, NO,
 1759, BEAM    , UNILOAD, GZ, NO , NO, aDir[1], , , , 0, -0.0034, 1, -0.0034, 0, 0, 0, 0, FASE2-PERM, NO, 0,
0, NO,
 1760, BEAM    , UNILOAD, GZ, NO , NO, aDir[1], , , , 0, -0.0034, 1, -0.0034, 0, 0, 0, 0, FASE2-PERM, NO, 0,
0, NO,
 1761, BEAM    , UNILOAD, GZ, NO , NO, aDir[1], , , , 0, -0.0034, 1, -0.0034, 0, 0, 0, 0, FASE2-PERM, NO, 0,
0, NO,
 1762, BEAM    , UNILOAD, GZ, NO , NO, aDir[1], , , , 0, -0.0034, 1, -0.0034, 0, 0, 0, 0, FASE2-PERM, NO, 0,
0, NO,
 1763, BEAM    , UNILOAD, GZ, NO , NO, aDir[1], , , , 0, -0.0034, 1, -0.0034, 0, 0, 0, 0, FASE2-PERM, NO, 0,
0, NO,
 1764, BEAM    , UNILOAD, GZ, NO , NO, aDir[1], , , , 0, -0.0034, 1, -0.0034, 0, 0, 0, 0, FASE2-PERM, NO, 0,
0, NO,
 1765, BEAM    , UNILOAD, GZ, NO , NO, aDir[1], , , , 0, -0.0034, 1, -0.0034, 0, 0, 0, 0, FASE2-PERM, NO, 0,
0, NO,
 1766, BEAM    , UNILOAD, GZ, NO , NO, aDir[1], , , , 0, -0.0034, 1, -0.0034, 0, 0, 0, 0, FASE2-PERM, NO, 0,
0, NO,
 1767, BEAM    , UNILOAD, GZ, NO , NO, aDir[1], , , , 0, -0.0034, 1, -0.0034, 0, 0, 0, 0, FASE2-PERM, NO, 0,
0, NO,
 1768, BEAM    , UNILOAD, GZ, NO , NO, aDir[1], , , , 0, -0.0034, 1, -0.0034, 0, 0, 0, 0, FASE2-PERM, NO, 0,
```

```
0, NO,
 1769, BEAM    , UNILOAD, GZ, NO , NO, aDir[1], , , , 0, -0.0034, 1, -0.0034, 0, 0, 0, 0, FASE2-PERM, NO, 0,
0, NO,
 1770, BEAM    , UNILOAD, GZ, NO , NO, aDir[1], , , , 0, -0.0034, 1, -0.0034, 0, 0, 0, 0, FASE2-PERM, NO, 0,
0, NO,
 1771, BEAM    , UNILOAD, GZ, NO , NO, aDir[1], , , , 0, -0.0034, 1, -0.0034, 0, 0, 0, 0, FASE2-PERM, NO, 0,
0, NO,
 1772, BEAM    , UNILOAD, GZ, NO , NO, aDir[1], , , , 0, -0.0034, 1, -0.0034, 0, 0, 0, 0, FASE2-PERM, NO, 0,
0, NO,
 1773, BEAM    , UNILOAD, GZ, NO , NO, aDir[1], , , , 0, -0.0034, 1, -0.0034, 0, 0, 0, 0, FASE2-PERM, NO, 0,
0, NO,
 1774, BEAM    , UNILOAD, GZ, NO , NO, aDir[1], , , , 0, -0.0034, 1, -0.0034, 0, 0, 0, 0, FASE2-PERM, NO, 0,
0, NO,
 1775, BEAM    , UNILOAD, GZ, NO , NO, aDir[1], , , , 0, -0.0034, 1, -0.0034, 0, 0, 0, 0, FASE2-PERM, NO, 0,
0, NO,
 1776, BEAM    , UNILOAD, GZ, NO , NO, aDir[1], , , , 0, -0.0034, 1, -0.0034, 0, 0, 0, 0, FASE2-PERM, NO, 0,
0, NO,
 1777, BEAM    , UNILOAD, GZ, NO , NO, aDir[1], , , , 0, -0.0034, 1, -0.0034, 0, 0, 0, 0, FASE2-PERM, NO, 0,
0, NO,
 1778, BEAM    , UNILOAD, GZ, NO , NO, aDir[1], , , , 0, -0.0034, 1, -0.0034, 0, 0, 0, 0, FASE2-PERM, NO, 0,
0, NO,
 1779, BEAM    , UNILOAD, GZ, NO , NO, aDir[1], , , , 0, -0.0034, 1, -0.0034, 0, 0, 0, 0, FASE2-PERM, NO, 0,
0, NO,
 1780, BEAM    , UNILOAD, GZ, NO , NO, aDir[1], , , , 0, -0.0034, 1, -0.0034, 0, 0, 0, 0, FASE2-PERM, NO, 0,
0, NO,
 1781, BEAM    , UNILOAD, GZ, NO , NO, aDir[1], , , , 0, -0.0034, 1, -0.0034, 0, 0, 0, 0, FASE2-PERM, NO, 0,
0, NO,
 1782, BEAM    , UNILOAD, GZ, NO , NO, aDir[1], , , , 0, -0.0034, 1, -0.0034, 0, 0, 0, 0, FASE2-PERM, NO, 0,
0, NO,
 1783, BEAM    , UNILOAD, GZ, NO , NO, aDir[1], , , , 0, -0.0034, 1, -0.0034, 0, 0, 0, 0, FASE2-PERM, NO, 0,
0, NO,
 1784, BEAM    , UNILOAD, GZ, NO , NO, aDir[1], , , , 0, -0.0034, 1, -0.0034, 0, 0, 0, 0, FASE2-PERM, NO, 0,
0, NO,
 1785, BEAM    , UNILOAD, GZ, NO , NO, aDir[1], , , , 0, -0.0034, 1, -0.0034, 0, 0, 0, 0, FASE2-PERM, NO, 0,
0, NO,
 1786, BEAM    , UNILOAD, GZ, NO , NO, aDir[1], , , , 0, -0.0034, 1, -0.0034, 0, 0, 0, 0, FASE2-PERM, NO, 0,
0, NO,
 1787, BEAM    , UNILOAD, GZ, NO , NO, aDir[1], , , , 0, -0.0034, 1, -0.0034, 0, 0, 0, 0, FASE2-PERM, NO, 0,
0, NO,
 1788, BEAM    , UNILOAD, GZ, NO , NO, aDir[1], , , , 0, -0.0034, 1, -0.0034, 0, 0, 0, 0, FASE2-PERM, NO, 0,
0, NO,
 1789, BEAM    , UNILOAD, GZ, NO , NO, aDir[1], , , , 0, -0.0034, 1, -0.0034, 0, 0, 0, 0, FASE2-PERM, NO, 0,
0, NO,
 1790, BEAM    , UNILOAD, GZ, NO , NO, aDir[1], , , , 0, -0.0034, 1, -0.0034, 0, 0, 0, 0, FASE2-PERM, NO, 0,
0, NO,
 1791, BEAM    , UNILOAD, GZ, NO , NO, aDir[1], , , , 0, -0.0034, 1, -0.0034, 0, 0, 0, 0, FASE2-PERM, NO, 0,
0, NO,
 1792, BEAM    , UNILOAD, GZ, NO , NO, aDir[1], , , , 0, -0.0034, 1, -0.0034, 0, 0, 0, 0, FASE2-PERM, NO, 0,
0, NO,
 1793, BEAM    , UNILOAD, GZ, NO , NO, aDir[1], , , , 0, -0.0034, 1, -0.0034, 0, 0, 0, 0, FASE2-PERM, NO, 0,
0, NO,
 1794, BEAM    , UNILOAD, GZ, NO , NO, aDir[1], , , , 0, -0.0034, 1, -0.0034, 0, 0, 0, 0, FASE2-PERM, NO, 0,
0, NO,
 1795, BEAM    , UNILOAD, GZ, NO , NO, aDir[1], , , , 0, -0.0034, 1, -0.0034, 0, 0, 0, 0, FASE2-PERM, NO, 0,
0, NO,
 1796, BEAM    , UNILOAD, GZ, NO , NO, aDir[1], , , , 0, -0.0034, 1, -0.0034, 0, 0, 0, 0, FASE2-PERM, NO, 0,
0, NO,
 1797, BEAM    , UNILOAD, GZ, NO , NO, aDir[1], , , , 0, -0.0034, 1, -0.0034, 0, 0, 0, 0, FASE2-PERM, NO, 0,
0, NO,
 1798, BEAM    , UNILOAD, GZ, NO , NO, aDir[1], , , , 0, -0.0034, 1, -0.0034, 0, 0, 0, 0, FASE2-PERM, NO, 0,
0, NO,
 1799, BEAM    , UNILOAD, GZ, NO , NO, aDir[1], , , , 0, -0.0034, 1, -0.0034, 0, 0, 0, 0, FASE2-PERM, NO, 0,
0, NO,
 1800, BEAM    , UNILOAD, GZ, NO , NO, aDir[1], , , , 0, -0.0034, 1, -0.0034, 0, 0, 0, 0, FASE2-PERM, NO, 0,
0, NO,
 1801, BEAM    , UNILOAD, GZ, NO , NO, aDir[1], , , , 0, -0.0034, 1, -0.0034, 0, 0, 0, 0, FASE2-PERM, NO, 0,
0, NO,
 1802, BEAM    , UNILOAD, GZ, NO , NO, aDir[1], , , , 0, -0.0034, 1, -0.0034, 0, 0, 0, 0, FASE2-PERM, NO, 0,
0, NO,
 1803, BEAM    , UNILOAD, GZ, NO , NO, aDir[1], , , , 0, -0.0034, 1, -0.0034, 0, 0, 0, 0, FASE2-PERM, NO, 0,
0, NO,
 1804, BEAM    , UNILOAD, GZ, NO , NO, aDir[1], , , , 0, -0.0034, 1, -0.0034, 0, 0, 0, 0, FASE2-PERM, NO, 0,
0, NO,
 1805, BEAM    , UNILOAD, GZ, NO , NO, aDir[1], , , , 0, -0.0034, 1, -0.0034, 0, 0, 0, 0, FASE2-PERM, NO, 0,
0, NO,
 1806, BEAM    , UNILOAD, GZ, NO , NO, aDir[1], , , , 0, -0.0034, 1, -0.0034, 0, 0, 0, 0, FASE2-PERM, NO, 0,
0, NO,
 1807, BEAM    , UNILOAD, GZ, NO , NO, aDir[1], , , , 0, -0.0034, 1, -0.0034, 0, 0, 0, 0, FASE2-PERM, NO, 0,
```

```
0, NO,
 1808, BEAM    , UNILOAD, GZ, NO , NO, aDir[1], , , , 0, -0.0034, 1, -0.0034, 0, 0, 0, 0, FASE2-PERM, NO, 0,
0, NO,
 1809, BEAM    , UNILOAD, GZ, NO , NO, aDir[1], , , , 0, -0.0034, 1, -0.0034, 0, 0, 0, 0, FASE2-PERM, NO, 0,
0, NO,
 1810, BEAM    , UNILOAD, GZ, NO , NO, aDir[1], , , , 0, -0.0034, 1, -0.0034, 0, 0, 0, 0, FASE2-PERM, NO, 0,
0, NO,
 1811, BEAM    , UNILOAD, GZ, NO , NO, aDir[1], , , , 0, -0.0034, 1, -0.0034, 0, 0, 0, 0, FASE2-PERM, NO, 0,
0, NO,
 1812, BEAM    , UNILOAD, GZ, NO , NO, aDir[1], , , , 0, -0.0034, 1, -0.0034, 0, 0, 0, 0, FASE2-PERM, NO, 0,
0, NO,
 1813, BEAM    , UNILOAD, GZ, NO , NO, aDir[1], , , , 0, -0.0034, 1, -0.0034, 0, 0, 0, 0, FASE2-PERM, NO, 0,
0, NO,
 1814, BEAM    , UNILOAD, GZ, NO , NO, aDir[1], , , , 0, -0.0034, 1, -0.0034, 0, 0, 0, 0, FASE2-PERM, NO, 0,
0, NO,
 1815, BEAM    , UNILOAD, GZ, NO , NO, aDir[1], , , , 0, -0.0034, 1, -0.0034, 0, 0, 0, 0, FASE2-PERM, NO, 0,
0, NO,
 1816, BEAM    , UNILOAD, GZ, NO , NO, aDir[1], , , , 0, -0.0034, 1, -0.0034, 0, 0, 0, 0, FASE2-PERM, NO, 0,
0, NO,
 1817, BEAM    , UNILOAD, GZ, NO , NO, aDir[1], , , , 0, -0.0034, 1, -0.0034, 0, 0, 0, 0, FASE2-PERM, NO, 0,
0, NO,
 1818, BEAM    , UNILOAD, GZ, NO , NO, aDir[1], , , , 0, -0.0034, 1, -0.0034, 0, 0, 0, 0, FASE2-PERM, NO, 0,
0, NO,
 1819, BEAM    , UNILOAD, GZ, NO , NO, aDir[1], , , , 0, -0.0034, 1, -0.0034, 0, 0, 0, 0, FASE2-PERM, NO, 0,
0, NO,
 1820, BEAM    , UNILOAD, GZ, NO , NO, aDir[1], , , , 0, -0.0034, 1, -0.0034, 0, 0, 0, 0, FASE2-PERM, NO, 0,
0, NO,
 1821, BEAM    , UNILOAD, GZ, NO , NO, aDir[1], , , , 0, -0.0034, 1, -0.0034, 0, 0, 0, 0, FASE2-PERM, NO, 0,
0, NO,
 1822, BEAM    , UNILOAD, GZ, NO , NO, aDir[1], , , , 0, -0.0034, 1, -0.0034, 0, 0, 0, 0, FASE2-PERM, NO, 0,
0, NO,
 1823, BEAM    , UNILOAD, GZ, NO , NO, aDir[1], , , , 0, -0.0034, 1, -0.0034, 0, 0, 0, 0, FASE2-PERM, NO, 0,
0, NO,
 1824, BEAM    , UNILOAD, GZ, NO , NO, aDir[1], , , , 0, -0.0034, 1, -0.0034, 0, 0, 0, 0, FASE2-PERM, NO, 0,
0, NO,
 1825, BEAM    , UNILOAD, GZ, NO , NO, aDir[1], , , , 0, -0.0034, 1, -0.0034, 0, 0, 0, 0, FASE2-PERM, NO, 0,
0, NO,
 1826, BEAM    , UNILOAD, GZ, NO , NO, aDir[1], , , , 0, -0.0034, 1, -0.0034, 0, 0, 0, 0, FASE2-PERM, NO, 0,
0, NO,
 1827, BEAM    , UNILOAD, GZ, NO , NO, aDir[1], , , , 0, -0.0034, 1, -0.0034, 0, 0, 0, 0, FASE2-PERM, NO, 0,
0, NO,
 1828, BEAM    , UNILOAD, GZ, NO , NO, aDir[1], , , , 0, -0.0034, 1, -0.0034, 0, 0, 0, 0, FASE2-PERM, NO, 0,
0, NO,
 1829, BEAM    , UNILOAD, GZ, NO , NO, aDir[1], , , , 0, -0.0034, 1, -0.0034, 0, 0, 0, 0, FASE2-PERM, NO, 0,
0, NO,
 1830, BEAM    , UNILOAD, GZ, NO , NO, aDir[1], , , , 0, -0.0034, 1, -0.0034, 0, 0, 0, 0, FASE2-PERM, NO, 0,
0, NO,
 1831, BEAM    , UNILOAD, GZ, NO , NO, aDir[1], , , , 0, -0.0034, 1, -0.0034, 0, 0, 0, 0, FASE2-PERM, NO, 0,
0, NO,
 1832, BEAM    , UNILOAD, GZ, NO , NO, aDir[1], , , , 0, -0.0034, 1, -0.0034, 0, 0, 0, 0, FASE2-PERM, NO, 0,
0, NO,
 1833, BEAM    , UNILOAD, GZ, NO , NO, aDir[1], , , , 0, -0.0034, 1, -0.0034, 0, 0, 0, 0, FASE2-PERM, NO, 0,
0, NO,
 1834, BEAM    , UNILOAD, GZ, NO , NO, aDir[1], , , , 0, -0.0034, 1, -0.0034, 0, 0, 0, 0, FASE2-PERM, NO, 0,
0, NO,
 1835, BEAM    , UNILOAD, GZ, NO , NO, aDir[1], , , , 0, -0.0034, 1, -0.0034, 0, 0, 0, 0, FASE2-PERM, NO, 0,
0, NO,
 1836, BEAM    , UNILOAD, GZ, NO , NO, aDir[1], , , , 0, -0.0034, 1, -0.0034, 0, 0, 0, 0, FASE2-PERM, NO, 0,
0, NO,
 1837, BEAM    , UNILOAD, GZ, NO , NO, aDir[1], , , , 0, -0.0034, 1, -0.0034, 0, 0, 0, 0, FASE2-PERM, NO, 0,
0, NO,
 1838, BEAM    , UNILOAD, GZ, NO , NO, aDir[1], , , , 0, -0.0034, 1, -0.0034, 0, 0, 0, 0, FASE2-PERM, NO, 0,
0, NO,
 1839, BEAM    , UNILOAD, GZ, NO , NO, aDir[1], , , , 0, -0.0034, 1, -0.0034, 0, 0, 0, 0, FASE2-PERM, NO, 0,
0, NO,
 1840, BEAM    , UNILOAD, GZ, NO , NO, aDir[1], , , , 0, -0.0034, 1, -0.0034, 0, 0, 0, 0, FASE2-PERM, NO, 0,
0, NO,
 1841, BEAM    , UNILOAD, GZ, NO , NO, aDir[1], , , , 0, -0.0034, 1, -0.0034, 0, 0, 0, 0, FASE2-PERM, NO, 0,
0, NO,
 1842, BEAM    , UNILOAD, GZ, NO , NO, aDir[1], , , , 0, -0.0034, 1, -0.0034, 0, 0, 0, 0, FASE2-PERM, NO, 0,
0, NO,
 1843, BEAM    , UNILOAD, GZ, NO , NO, aDir[1], , , , 0, -0.0034, 1, -0.0034, 0, 0, 0, 0, FASE2-PERM, NO, 0,
0, NO,
 1844, BEAM    , UNILOAD, GZ, NO , NO, aDir[1], , , , 0, -0.0034, 1, -0.0034, 0, 0, 0, 0, FASE2-PERM, NO, 0,
0, NO,
 1845, BEAM    , UNILOAD, GZ, NO , NO, aDir[1], , , , 0, -0.0034, 1, -0.0034, 0, 0, 0, 0, FASE2-PERM, NO, 0,
0, NO,
 1846, BEAM    , UNILOAD, GZ, NO , NO, aDir[1], , , , 0, -0.0034, 1, -0.0034, 0, 0, 0, 0, FASE2-PERM, NO, 0,
```

```
0, NO,
 1847, BEAM    , UNILOAD, GZ, NO , NO, aDir[1], , , , 0, -0.0034, 1, -0.0034, 0, 0, 0, 0, FASE2-PERM, NO, 0,
0, NO,
 1848, BEAM    , UNILOAD, GZ, NO , NO, aDir[1], , , , 0, -0.0034, 1, -0.0034, 0, 0, 0, 0, FASE2-PERM, NO, 0,
0, NO,
 1849, BEAM    , UNILOAD, GZ, NO , NO, aDir[1], , , , 0, -0.0034, 1, -0.0034, 0, 0, 0, 0, FASE2-PERM, NO, 0,
0, NO,
 1850, BEAM    , UNILOAD, GZ, NO , NO, aDir[1], , , , 0, -0.0034, 1, -0.0034, 0, 0, 0, 0, FASE2-PERM, NO, 0,
0, NO,
 1851, BEAM    , UNILOAD, GZ, NO , NO, aDir[1], , , , 0, -0.0034, 1, -0.0034, 0, 0, 0, 0, FASE2-PERM, NO, 0,
0, NO,
 1852, BEAM    , UNILOAD, GZ, NO , NO, aDir[1], , , , 0, -0.0034, 1, -0.0034, 0, 0, 0, 0, FASE2-PERM, NO, 0,
0, NO,
 1853, BEAM    , UNILOAD, GZ, NO , NO, aDir[1], , , , 0, -0.0034, 1, -0.0034, 0, 0, 0, 0, FASE2-PERM, NO, 0,
0, NO,
 1854, BEAM    , UNILOAD, GZ, NO , NO, aDir[1], , , , 0, -0.0034, 1, -0.0034, 0, 0, 0, 0, FASE2-PERM, NO, 0,
0, NO,
 2019, BEAM    , UNILOAD, GZ, NO , NO, aDir[1], , , , 0, -0.0034, 1, -0.0034, 0, 0, 0, 0, FASE2-PERM, NO, 0,
0, NO,
 2020, BEAM    , UNILOAD, GZ, NO , NO, aDir[1], , , , 0, -0.0034, 1, -0.0034, 0, 0, 0, 0, FASE2-PERM, NO, 0,
0, NO,
 2021, BEAM    , UNILOAD, GZ, NO , NO, aDir[1], , , , 0, -0.0034, 1, -0.0034, 0, 0, 0, 0, FASE2-PERM, NO, 0,
0, NO,
 2022, BEAM    , UNILOAD, GZ, NO , NO, aDir[1], , , , 0, -0.0034, 1, -0.0034, 0, 0, 0, 0, FASE2-PERM, NO, 0,
0, NO,
 2023, BEAM    , UNILOAD, GZ, NO , NO, aDir[1], , , , 0, -0.0034, 1, -0.0034, 0, 0, 0, 0, FASE2-PERM, NO, 0,
0, NO,
 2024, BEAM    , UNILOAD, GZ, NO , NO, aDir[1], , , , 0, -0.0034, 1, -0.0034, 0, 0, 0, 0, FASE2-PERM, NO, 0,
0, NO,
 2025, BEAM    , UNILOAD, GZ, NO , NO, aDir[1], , , , 0, -0.0034, 1, -0.0034, 0, 0, 0, 0, FASE2-PERM, NO, 0,
0, NO,
 2026, BEAM    , UNILOAD, GZ, NO , NO, aDir[1], , , , 0, -0.0034, 1, -0.0034, 0, 0, 0, 0, FASE2-PERM, NO, 0,
0, NO,
 2027, BEAM    , UNILOAD, GZ, NO , NO, aDir[1], , , , 0, -0.0034, 1, -0.0034, 0, 0, 0, 0, FASE2-PERM, NO, 0,
0, NO,
 2028, BEAM    , UNILOAD, GZ, NO , NO, aDir[1], , , , 0, -0.0034, 1, -0.0034, 0, 0, 0, 0, FASE2-PERM, NO, 0,
0, NO,
 2029, BEAM    , UNILOAD, GZ, NO , NO, aDir[1], , , , 0, -0.0034, 1, -0.0034, 0, 0, 0, 0, FASE2-PERM, NO, 0,
0, NO,
 2030, BEAM    , UNILOAD, GZ, NO , NO, aDir[1], , , , 0, -0.0034, 1, -0.0034, 0, 0, 0, 0, FASE2-PERM, NO, 0,
0, NO,
 2031, BEAM    , UNILOAD, GZ, NO , NO, aDir[1], , , , 0, -0.0034, 1, -0.0034, 0, 0, 0, 0, FASE2-PERM, NO, 0,
0, NO,
 2032, BEAM    , UNILOAD, GZ, NO , NO, aDir[1], , , , 0, -0.0034, 1, -0.0034, 0, 0, 0, 0, FASE2-PERM, NO, 0,
0, NO,
 2033, BEAM    , UNILOAD, GZ, NO , NO, aDir[1], , , , 0, -0.0034, 1, -0.0034, 0, 0, 0, 0, FASE2-PERM, NO, 0,
0, NO,
 2034, BEAM    , UNILOAD, GZ, NO , NO, aDir[1], , , , 0, -0.0034, 1, -0.0034, 0, 0, 0, 0, FASE2-PERM, NO, 0,
0, NO,
 2035, BEAM    , UNILOAD, GZ, NO , NO, aDir[1], , , , 0, -0.0034, 1, -0.0034, 0, 0, 0, 0, FASE2-PERM, NO, 0,
0, NO,
 2036, BEAM    , UNILOAD, GZ, NO , NO, aDir[1], , , , 0, -0.0034, 1, -0.0034, 0, 0, 0, 0, FASE2-PERM, NO, 0,
0, NO,
 2037, BEAM    , UNILOAD, GZ, NO , NO, aDir[1], , , , 0, -0.0034, 1, -0.0034, 0, 0, 0, 0, FASE2-PERM, NO, 0,
0, NO,
 2038, BEAM    , UNILOAD, GZ, NO , NO, aDir[1], , , , 0, -0.0034, 1, -0.0034, 0, 0, 0, 0, FASE2-PERM, NO, 0,
0, NO,
 2039, BEAM    , UNILOAD, GZ, NO , NO, aDir[1], , , , 0, -0.0034, 1, -0.0034, 0, 0, 0, 0, FASE2-PERM, NO, 0,
0, NO,
 2040, BEAM    , UNILOAD, GZ, NO , NO, aDir[1], , , , 0, -0.0034, 1, -0.0034, 0, 0, 0, 0, FASE2-PERM, NO, 0,
0, NO,
 2041, BEAM    , UNILOAD, GZ, NO , NO, aDir[1], , , , 0, -0.0034, 1, -0.0034, 0, 0, 0, 0, FASE2-PERM, NO, 0,
0, NO,
 2042, BEAM    , UNILOAD, GZ, NO , NO, aDir[1], , , , 0, -0.0034, 1, -0.0034, 0, 0, 0, 0, FASE2-PERM, NO, 0,
0, NO,
 2043, BEAM    , UNILOAD, GZ, NO , NO, aDir[1], , , , 0, -0.0034, 1, -0.0034, 0, 0, 0, 0, FASE2-PERM, NO, 0,
0, NO,
 2044, BEAM    , UNILOAD, GZ, NO , NO, aDir[1], , , , 0, -0.0034, 1, -0.0034, 0, 0, 0, 0, FASE2-PERM, NO, 0,
0, NO,
 2045, BEAM    , UNILOAD, GZ, NO , NO, aDir[1], , , , 0, -0.0034, 1, -0.0034, 0, 0, 0, 0, FASE2-PERM, NO, 0,
0, NO,
 2046, BEAM    , UNILOAD, GZ, NO , NO, aDir[1], , , , 0, -0.0034, 1, -0.0034, 0, 0, 0, 0, FASE2-PERM, NO, 0,
0, NO,
 2047, BEAM    , UNILOAD, GZ, NO , NO, aDir[1], , , , 0, -0.0034, 1, -0.0034, 0, 0, 0, 0, FASE2-PERM, NO, 0,
0, NO,
 2048, BEAM    , UNILOAD, GZ, NO , NO, aDir[1], , , , 0, -0.0034, 1, -0.0034, 0, 0, 0, 0, FASE2-PERM, NO, 0,
0, NO,
 2049, BEAM    , UNILOAD, GZ, NO , NO, aDir[1], , , , 0, -0.0034, 1, -0.0034, 0, 0, 0, 0, FASE2-PERM, NO, 0,
```

```
0, NO,
 2050, BEAM    , UNILOAD, GZ, NO , NO, aDir[1], , , , 0, -0.0034, 1, -0.0034, 0, 0, 0, 0, FASE2-PERM, NO, 0,
0, NO,
 2051, BEAM    , UNILOAD, GZ, NO , NO, aDir[1], , , , 0, -0.0034, 1, -0.0034, 0, 0, 0, 0, FASE2-PERM, NO, 0,
0, NO,
 2052, BEAM    , UNILOAD, GZ, NO , NO, aDir[1], , , , 0, -0.0034, 1, -0.0034, 0, 0, 0, 0, FASE2-PERM, NO, 0,
0, NO,
 2053, BEAM    , UNILOAD, GZ, NO , NO, aDir[1], , , , 0, -0.0034, 1, -0.0034, 0, 0, 0, 0, FASE2-PERM, NO, 0,
0, NO,
 2054, BEAM    , UNILOAD, GZ, NO , NO, aDir[1], , , , 0, -0.0034, 1, -0.0034, 0, 0, 0, 0, FASE2-PERM, NO, 0,
0, NO,
 2055, BEAM    , UNILOAD, GZ, NO , NO, aDir[1], , , , 0, -0.0034, 1, -0.0034, 0, 0, 0, 0, FASE2-PERM, NO, 0,
0, NO,
 2056, BEAM    , UNILOAD, GZ, NO , NO, aDir[1], , , , 0, -0.0034, 1, -0.0034, 0, 0, 0, 0, FASE2-PERM, NO, 0,
0, NO,
 2057, BEAM    , UNILOAD, GZ, NO , NO, aDir[1], , , , 0, -0.0034, 1, -0.0034, 0, 0, 0, 0, FASE2-PERM, NO, 0,
0, NO,
 2058, BEAM    , UNILOAD, GZ, NO , NO, aDir[1], , , , 0, -0.0034, 1, -0.0034, 0, 0, 0, 0, FASE2-PERM, NO, 0,
0, NO,
 2059, BEAM    , UNILOAD, GZ, NO , NO, aDir[1], , , , 0, -0.0034, 1, -0.0034, 0, 0, 0, 0, FASE2-PERM, NO, 0,
0, NO,
 2060, BEAM    , UNILOAD, GZ, NO , NO, aDir[1], , , , 0, -0.0034, 1, -0.0034, 0, 0, 0, 0, FASE2-PERM, NO, 0,
0, NO,
 2061, BEAM    , UNILOAD, GZ, NO , NO, aDir[1], , , , 0, -0.0034, 1, -0.0034, 0, 0, 0, 0, FASE2-PERM, NO, 0,
0, NO,
 2062, BEAM    , UNILOAD, GZ, NO , NO, aDir[1], , , , 0, -0.0034, 1, -0.0034, 0, 0, 0, 0, FASE2-PERM, NO, 0,
0, NO,
 2063, BEAM    , UNILOAD, GZ, NO , NO, aDir[1], , , , 0, -0.0034, 1, -0.0034, 0, 0, 0, 0, FASE2-PERM, NO, 0,
0, NO,
 2064, BEAM    , UNILOAD, GZ, NO , NO, aDir[1], , , , 0, -0.0034, 1, -0.0034, 0, 0, 0, 0, FASE2-PERM, NO, 0,
0, NO,
 2065, BEAM    , UNILOAD, GZ, NO , NO, aDir[1], , , , 0, -0.0034, 1, -0.0034, 0, 0, 0, 0, FASE2-PERM, NO, 0,
0, NO,
 2066, BEAM    , UNILOAD, GZ, NO , NO, aDir[1], , , , 0, -0.0034, 1, -0.0034, 0, 0, 0, 0, FASE2-PERM, NO, 0,
0, NO,
 2067, BEAM    , UNILOAD, GZ, NO , NO, aDir[1], , , , 0, -0.0034, 1, -0.0034, 0, 0, 0, 0, FASE2-PERM, NO, 0,
0, NO,
 2068, BEAM    , UNILOAD, GZ, NO , NO, aDir[1], , , , 0, -0.0034, 1, -0.0034, 0, 0, 0, 0, FASE2-PERM, NO, 0,
0, NO,
 2069, BEAM    , UNILOAD, GZ, NO , NO, aDir[1], , , , 0, -0.0034, 1, -0.0034, 0, 0, 0, 0, FASE2-PERM, NO, 0,
0, NO,
 2070, BEAM    , UNILOAD, GZ, NO , NO, aDir[1], , , , 0, -0.0034, 1, -0.0034, 0, 0, 0, 0, FASE2-PERM, NO, 0,
0, NO,
 2071, BEAM    , UNILOAD, GZ, NO , NO, aDir[1], , , , 0, -0.0034, 1, -0.0034, 0, 0, 0, 0, FASE2-PERM, NO, 0,
0, NO,
 2072, BEAM    , UNILOAD, GZ, NO , NO, aDir[1], , , , 0, -0.0034, 1, -0.0034, 0, 0, 0, 0, FASE2-PERM, NO, 0,
0, NO,
 2073, BEAM    , UNILOAD, GZ, NO , NO, aDir[1], , , , 0, -0.0034, 1, -0.0034, 0, 0, 0, 0, FASE2-PERM, NO, 0,
0, NO,
 2074, BEAM    , UNILOAD, GZ, NO , NO, aDir[1], , , , 0, -0.0034, 1, -0.0034, 0, 0, 0, 0, FASE2-PERM, NO, 0,
0, NO,
 2075, BEAM    , UNILOAD, GZ, NO , NO, aDir[1], , , , 0, -0.0034, 1, -0.0034, 0, 0, 0, 0, FASE2-PERM, NO, 0,
0, NO,
 2076, BEAM    , UNILOAD, GZ, NO , NO, aDir[1], , , , 0, -0.0034, 1, -0.0034, 0, 0, 0, 0, FASE2-PERM, NO, 0,
0, NO,
 2077, BEAM    , UNILOAD, GZ, NO , NO, aDir[1], , , , 0, -0.0034, 1, -0.0034, 0, 0, 0, 0, FASE2-PERM, NO, 0,
0, NO,
 2078, BEAM    , UNILOAD, GZ, NO , NO, aDir[1], , , , 0, -0.0034, 1, -0.0034, 0, 0, 0, 0, FASE2-PERM, NO, 0,
0, NO,
 2079, BEAM    , UNILOAD, GZ, NO , NO, aDir[1], , , , 0, -0.0034, 1, -0.0034, 0, 0, 0, 0, FASE2-PERM, NO, 0,
0, NO,
 2080, BEAM    , UNILOAD, GZ, NO , NO, aDir[1], , , , 0, -0.0034, 1, -0.0034, 0, 0, 0, 0, FASE2-PERM, NO, 0,
0, NO,
 2081, BEAM    , UNILOAD, GZ, NO , NO, aDir[1], , , , 0, -0.0034, 1, -0.0034, 0, 0, 0, 0, FASE2-PERM, NO, 0,
0, NO,
 2082, BEAM    , UNILOAD, GZ, NO , NO, aDir[1], , , , 0, -0.0034, 1, -0.0034, 0, 0, 0, 0, FASE2-PERM, NO, 0,
0, NO,
 2083, BEAM    , UNILOAD, GZ, NO , NO, aDir[1], , , , 0, -0.0034, 1, -0.0034, 0, 0, 0, 0, FASE2-PERM, NO, 0,
0, NO,
 2084, BEAM    , UNILOAD, GZ, NO , NO, aDir[1], , , , 0, -0.0034, 1, -0.0034, 0, 0, 0, 0, FASE2-PERM, NO, 0,
0, NO,
 2085, BEAM    , UNILOAD, GZ, NO , NO, aDir[1], , , , 0, -0.0034, 1, -0.0034, 0, 0, 0, 0, FASE2-PERM, NO, 0,
0, NO,
 2086, BEAM    , UNILOAD, GZ, NO , NO, aDir[1], , , , 0, -0.0034, 1, -0.0034, 0, 0, 0, 0, FASE2-PERM, NO, 0,
0, NO,
 2087, BEAM    , UNILOAD, GZ, NO , NO, aDir[1], , , , 0, -0.0034, 1, -0.0034, 0, 0, 0, 0, FASE2-PERM, NO, 0,
0, NO,
 2088, BEAM    , UNILOAD, GZ, NO , NO, aDir[1], , , , 0, -0.0034, 1, -0.0034, 0, 0, 0, 0, FASE2-PERM, NO, 0,
```

```
0, NO,
 2089, BEAM    , UNILOAD, GZ, NO , NO, aDir[1], , , , 0, -0.0034, 1, -0.0034, 0, 0, 0, 0, FASE2-PERM, NO, 0,
0, NO,
 2090, BEAM    , UNILOAD, GZ, NO , NO, aDir[1], , , , 0, -0.0034, 1, -0.0034, 0, 0, 0, 0, FASE2-PERM, NO, 0,
0, NO,
 2091, BEAM    , UNILOAD, GZ, NO , NO, aDir[1], , , , 0, -0.0034, 1, -0.0034, 0, 0, 0, 0, FASE2-PERM, NO, 0,
0, NO,
 2092, BEAM    , UNILOAD, GZ, NO , NO, aDir[1], , , , 0, -0.0034, 1, -0.0034, 0, 0, 0, 0, FASE2-PERM, NO, 0,
0, NO,
 2093, BEAM    , UNILOAD, GZ, NO , NO, aDir[1], , , , 0, -0.0034, 1, -0.0034, 0, 0, 0, 0, FASE2-PERM, NO, 0,
0, NO,
 2094, BEAM    , UNILOAD, GZ, NO , NO, aDir[1], , , , 0, -0.0034, 1, -0.0034, 0, 0, 0, 0, FASE2-PERM, NO, 0,
0, NO,
 2095, BEAM    , UNILOAD, GZ, NO , NO, aDir[1], , , , 0, -0.0034, 1, -0.0034, 0, 0, 0, 0, FASE2-PERM, NO, 0,
0, NO,
 2096, BEAM    , UNILOAD, GZ, NO , NO, aDir[1], , , , 0, -0.0034, 1, -0.0034, 0, 0, 0, 0, FASE2-PERM, NO, 0,
0, NO,
 2097, BEAM    , UNILOAD, GZ, NO , NO, aDir[1], , , , 0, -0.0034, 1, -0.0034, 0, 0, 0, 0, FASE2-PERM, NO, 0,
0, NO,
 2098, BEAM    , UNILOAD, GZ, NO , NO, aDir[1], , , , 0, -0.0034, 1, -0.0034, 0, 0, 0, 0, FASE2-PERM, NO, 0,
0, NO,
 2099, BEAM    , UNILOAD, GZ, NO , NO, aDir[1], , , , 0, -0.0034, 1, -0.0034, 0, 0, 0, 0, FASE2-PERM, NO, 0,
0, NO,
 2100, BEAM    , UNILOAD, GZ, NO , NO, aDir[1], , , , 0, -0.0034, 1, -0.0034, 0, 0, 0, 0, FASE2-PERM, NO, 0,
0, NO,
 2101, BEAM    , UNILOAD, GZ, NO , NO, aDir[1], , , , 0, -0.0034, 1, -0.0034, 0, 0, 0, 0, FASE2-PERM, NO, 0,
0, NO,
 2102, BEAM    , UNILOAD, GZ, NO , NO, aDir[1], , , , 0, -0.0034, 1, -0.0034, 0, 0, 0, 0, FASE2-PERM, NO, 0,
0, NO,
 2103, BEAM    , UNILOAD, GZ, NO , NO, aDir[1], , , , 0, -0.0034, 1, -0.0034, 0, 0, 0, 0, FASE2-PERM, NO, 0,
0, NO,
 2104, BEAM    , UNILOAD, GZ, NO , NO, aDir[1], , , , 0, -0.0034, 1, -0.0034, 0, 0, 0, 0, FASE2-PERM, NO, 0,
0, NO,
 2105, BEAM    , UNILOAD, GZ, NO , NO, aDir[1], , , , 0, -0.0034, 1, -0.0034, 0, 0, 0, 0, FASE2-PERM, NO, 0,
0, NO,
 2106, BEAM    , UNILOAD, GZ, NO , NO, aDir[1], , , , 0, -0.0034, 1, -0.0034, 0, 0, 0, 0, FASE2-PERM, NO, 0,
0, NO,
 2107, BEAM    , UNILOAD, GZ, NO , NO, aDir[1], , , , 0, -0.0034, 1, -0.0034, 0, 0, 0, 0, FASE2-PERM, NO, 0,
0, NO,
 2108, BEAM    , UNILOAD, GZ, NO , NO, aDir[1], , , , 0, -0.0034, 1, -0.0034, 0, 0, 0, 0, FASE2-PERM, NO, 0,
0, NO,
 2109, BEAM    , UNILOAD, GZ, NO , NO, aDir[1], , , , 0, -0.0034, 1, -0.0034, 0, 0, 0, 0, FASE2-PERM, NO, 0,
0, NO,
 2110, BEAM    , UNILOAD, GZ, NO , NO, aDir[1], , , , 0, -0.0034, 1, -0.0034, 0, 0, 0, 0, FASE2-PERM, NO, 0,
0, NO,
 2111, BEAM    , UNILOAD, GZ, NO , NO, aDir[1], , , , 0, -0.0034, 1, -0.0034, 0, 0, 0, 0, FASE2-PERM, NO, 0,
0, NO,
 2112, BEAM    , UNILOAD, GZ, NO , NO, aDir[1], , , , 0, -0.0034, 1, -0.0034, 0, 0, 0, 0, FASE2-PERM, NO, 0,
0, NO,
 2113, BEAM    , UNILOAD, GZ, NO , NO, aDir[1], , , , 0, -0.0034, 1, -0.0034, 0, 0, 0, 0, FASE2-PERM, NO, 0,
0, NO,
 2114, BEAM    , UNILOAD, GZ, NO , NO, aDir[1], , , , 0, -0.0034, 1, -0.0034, 0, 0, 0, 0, FASE2-PERM, NO, 0,
0, NO,
 2115, BEAM    , UNILOAD, GZ, NO , NO, aDir[1], , , , 0, -0.0034, 1, -0.0034, 0, 0, 0, 0, FASE2-PERM, NO, 0,
0, NO,
 2116, BEAM    , UNILOAD, GZ, NO , NO, aDir[1], , , , 0, -0.0034, 1, -0.0034, 0, 0, 0, 0, FASE2-PERM, NO, 0,
0, NO,
 2117, BEAM    , UNILOAD, GZ, NO , NO, aDir[1], , , , 0, -0.0034, 1, -0.0034, 0, 0, 0, 0, FASE2-PERM, NO, 0,
0, NO,
 2118, BEAM    , UNILOAD, GZ, NO , NO, aDir[1], , , , 0, -0.0034, 1, -0.0034, 0, 0, 0, 0, FASE2-PERM, NO, 0,
0, NO,
 2119, BEAM    , UNILOAD, GZ, NO , NO, aDir[1], , , , 0, -0.0034, 1, -0.0034, 0, 0, 0, 0, FASE2-PERM, NO, 0,
0, NO,
 2120, BEAM    , UNILOAD, GZ, NO , NO, aDir[1], , , , 0, -0.0034, 1, -0.0034, 0, 0, 0, 0, FASE2-PERM, NO, 0,
0, NO,
 2121, BEAM    , UNILOAD, GZ, NO , NO, aDir[1], , , , 0, -0.0034, 1, -0.0034, 0, 0, 0, 0, FASE2-PERM, NO, 0,
0, NO,
 2122, BEAM    , UNILOAD, GZ, NO , NO, aDir[1], , , , 0, -0.0034, 1, -0.0034, 0, 0, 0, 0, FASE2-PERM, NO, 0,
0, NO,
 2123, BEAM    , UNILOAD, GZ, NO , NO, aDir[1], , , , 0, -0.0034, 1, -0.0034, 0, 0, 0, 0, FASE2-PERM, NO, 0,
0, NO,
 2124, BEAM    , UNILOAD, GZ, NO , NO, aDir[1], , , , 0, -0.0034, 1, -0.0034, 0, 0, 0, 0, FASE2-PERM, NO, 0,
0, NO,
 2125, BEAM    , UNILOAD, GZ, NO , NO, aDir[1], , , , 0, -0.0034, 1, -0.0034, 0, 0, 0, 0, FASE2-PERM, NO, 0,
0, NO,
 2126, BEAM    , UNILOAD, GZ, NO , NO, aDir[1], , , , 0, -0.0034, 1, -0.0034, 0, 0, 0, 0, FASE2-PERM, NO, 0,
0, NO,
 2127, BEAM    , UNILOAD, GZ, NO , NO, aDir[1], , , , 0, -0.0034, 1, -0.0034, 0, 0, 0, 0, FASE2-PERM, NO, 0,
```

```
0, NO,
 2128, BEAM    , UNILOAD, GZ, NO , NO, aDir[1], , , , 0, -0.0034, 1, -0.0034, 0, 0, 0, 0, FASE2-PERM, NO, 0,
0, NO,
 2129, BEAM    , UNILOAD, GZ, NO , NO, aDir[1], , , , 0, -0.0034, 1, -0.0034, 0, 0, 0, 0, FASE2-PERM, NO, 0,
0, NO,
 2130, BEAM    , UNILOAD, GZ, NO , NO, aDir[1], , , , 0, -0.0034, 1, -0.0034, 0, 0, 0, 0, FASE2-PERM, NO, 0,
0, NO,
 2131, BEAM    , UNILOAD, GZ, NO , NO, aDir[1], , , , 0, -0.0034, 1, -0.0034, 0, 0, 0, 0, FASE2-PERM, NO, 0,
0, NO,
 2132, BEAM    , UNILOAD, GZ, NO , NO, aDir[1], , , , 0, -0.0034, 1, -0.0034, 0, 0, 0, 0, FASE2-PERM, NO, 0,
0, NO,
 2133, BEAM    , UNILOAD, GZ, NO , NO, aDir[1], , , , 0, -0.0034, 1, -0.0034, 0, 0, 0, 0, FASE2-PERM, NO, 0,
0, NO,
 2134, BEAM    , UNILOAD, GZ, NO , NO, aDir[1], , , , 0, -0.0034, 1, -0.0034, 0, 0, 0, 0, FASE2-PERM, NO, 0,
0, NO,
 2135, BEAM    , UNILOAD, GZ, NO , NO, aDir[1], , , , 0, -0.0034, 1, -0.0034, 0, 0, 0, 0, FASE2-PERM, NO, 0,
0, NO,
 2136, BEAM    , UNILOAD, GZ, NO , NO, aDir[1], , , , 0, -0.0034, 1, -0.0034, 0, 0, 0, 0, FASE2-PERM, NO, 0,
0, NO,
 2137, BEAM    , UNILOAD, GZ, NO , NO, aDir[1], , , , 0, -0.0034, 1, -0.0034, 0, 0, 0, 0, FASE2-PERM, NO, 0,
0, NO,
 2138, BEAM    , UNILOAD, GZ, NO , NO, aDir[1], , , , 0, -0.0034, 1, -0.0034, 0, 0, 0, 0, FASE2-PERM, NO, 0,
0, NO,
 2139, BEAM    , UNILOAD, GZ, NO , NO, aDir[1], , , , 0, -0.0034, 1, -0.0034, 0, 0, 0, 0, FASE2-PERM, NO, 0,
0, NO,
 2140, BEAM    , UNILOAD, GZ, NO , NO, aDir[1], , , , 0, -0.0034, 1, -0.0034, 0, 0, 0, 0, FASE2-PERM, NO, 0,
0, NO,
 2141, BEAM    , UNILOAD, GZ, NO , NO, aDir[1], , , , 0, -0.0034, 1, -0.0034, 0, 0, 0, 0, FASE2-PERM, NO, 0,
0, NO,
 2142, BEAM    , UNILOAD, GZ, NO , NO, aDir[1], , , , 0, -0.0034, 1, -0.0034, 0, 0, 0, 0, FASE2-PERM, NO, 0,
0, NO,
 2143, BEAM    , UNILOAD, GZ, NO , NO, aDir[1], , , , 0, -0.0034, 1, -0.0034, 0, 0, 0, 0, FASE2-PERM, NO, 0,
0, NO,
 2144, BEAM    , UNILOAD, GZ, NO , NO, aDir[1], , , , 0, -0.0034, 1, -0.0034, 0, 0, 0, 0, FASE2-PERM, NO, 0,
0, NO,
 2145, BEAM    , UNILOAD, GZ, NO , NO, aDir[1], , , , 0, -0.0034, 1, -0.0034, 0, 0, 0, 0, FASE2-PERM, NO, 0,
0, NO,
 2146, BEAM    , UNILOAD, GZ, NO , NO, aDir[1], , , , 0, -0.0034, 1, -0.0034, 0, 0, 0, 0, FASE2-PERM, NO, 0,
0, NO,
 2147, BEAM    , UNILOAD, GZ, NO , NO, aDir[1], , , , 0, -0.0034, 1, -0.0034, 0, 0, 0, 0, FASE2-PERM, NO, 0,
0, NO,
 2148, BEAM    , UNILOAD, GZ, NO , NO, aDir[1], , , , 0, -0.0034, 1, -0.0034, 0, 0, 0, 0, FASE2-PERM, NO, 0,
0, NO,
 2149, BEAM    , UNILOAD, GZ, NO , NO, aDir[1], , , , 0, -0.0034, 1, -0.0034, 0, 0, 0, 0, FASE2-PERM, NO, 0,
0, NO,
 2150, BEAM    , UNILOAD, GZ, NO , NO, aDir[1], , , , 0, -0.0034, 1, -0.0034, 0, 0, 0, 0, FASE2-PERM, NO, 0,
0, NO,
 2151, BEAM    , UNILOAD, GZ, NO , NO, aDir[1], , , , 0, -0.0034, 1, -0.0034, 0, 0, 0, 0, FASE2-PERM, NO, 0,
0, NO,
 2152, BEAM    , UNILOAD, GZ, NO , NO, aDir[1], , , , 0, -0.0034, 1, -0.0034, 0, 0, 0, 0, FASE2-PERM, NO, 0,
0, NO,
 2153, BEAM    , UNILOAD, GZ, NO , NO, aDir[1], , , , 0, -0.0034, 1, -0.0034, 0, 0, 0, 0, FASE2-PERM, NO, 0,
0, NO,
 2154, BEAM    , UNILOAD, GZ, NO , NO, aDir[1], , , , 0, -0.0034, 1, -0.0034, 0, 0, 0, 0, FASE2-PERM, NO, 0,
0, NO,
 2155, BEAM    , UNILOAD, GZ, NO , NO, aDir[1], , , , 0, -0.0034, 1, -0.0034, 0, 0, 0, 0, FASE2-PERM, NO, 0,
0, NO,
 2156, BEAM    , UNILOAD, GZ, NO , NO, aDir[1], , , , 0, -0.0034, 1, -0.0034, 0, 0, 0, 0, FASE2-PERM, NO, 0,
0, NO,
 2157, BEAM    , UNILOAD, GZ, NO , NO, aDir[1], , , , 0, -0.0034, 1, -0.0034, 0, 0, 0, 0, FASE2-PERM, NO, 0,
0, NO,
 2158, BEAM    , UNILOAD, GZ, NO , NO, aDir[1], , , , 0, -0.0034, 1, -0.0034, 0, 0, 0, 0, FASE2-PERM, NO, 0,
0, NO,
 2159, BEAM    , UNILOAD, GZ, NO , NO, aDir[1], , , , 0, -0.0034, 1, -0.0034, 0, 0, 0, 0, FASE2-PERM, NO, 0,
0, NO,
 2160, BEAM    , UNILOAD, GZ, NO , NO, aDir[1], , , , 0, -0.0034, 1, -0.0034, 0, 0, 0, 0, FASE2-PERM, NO, 0,
0, NO,
 2161, BEAM    , UNILOAD, GZ, NO , NO, aDir[1], , , , 0, -0.0034, 1, -0.0034, 0, 0, 0, 0, FASE2-PERM, NO, 0,
0, NO,
 2162, BEAM    , UNILOAD, GZ, NO , NO, aDir[1], , , , 0, -0.0034, 1, -0.0034, 0, 0, 0, 0, FASE2-PERM, NO, 0,
0, NO,
 2163, BEAM    , UNILOAD, GZ, NO , NO, aDir[1], , , , 0, -0.0034, 1, -0.0034, 0, 0, 0, 0, FASE2-PERM, NO, 0,
0, NO,
 2164, BEAM    , UNILOAD, GZ, NO , NO, aDir[1], , , , 0, -0.0034, 1, -0.0034, 0, 0, 0, 0, FASE2-PERM, NO, 0,
0, NO,
 2165, BEAM    , UNILOAD, GZ, NO , NO, aDir[1], , , , 0, -0.0034, 1, -0.0034, 0, 0, 0, 0, FASE2-PERM, NO, 0,
0, NO,
 2166, BEAM    , UNILOAD, GZ, NO , NO, aDir[1], , , , 0, -0.0034, 1, -0.0034, 0, 0, 0, 0, FASE2-PERM, NO, 0,
```

```
0, NO,
 2167, BEAM    , UNILOAD, GZ, NO , NO, aDir[1], , , , 0, -0.0034, 1, -0.0034, 0, 0, 0, 0, FASE2-PERM, NO, 0,
0, NO,
 2168, BEAM    , UNILOAD, GZ, NO , NO, aDir[1], , , , 0, -0.0034, 1, -0.0034, 0, 0, 0, 0, FASE2-PERM, NO, 0,
0, NO,
 2169, BEAM    , UNILOAD, GZ, NO , NO, aDir[1], , , , 0, -0.0034, 1, -0.0034, 0, 0, 0, 0, FASE2-PERM, NO, 0,
0, NO,
 2170, BEAM    , UNILOAD, GZ, NO , NO, aDir[1], , , , 0, -0.0034, 1, -0.0034, 0, 0, 0, 0, FASE2-PERM, NO, 0,
0, NO,
 2171, BEAM    , UNILOAD, GZ, NO , NO, aDir[1], , , , 0, -0.0034, 1, -0.0034, 0, 0, 0, 0, FASE2-PERM, NO, 0,
0, NO,
 2172, BEAM    , UNILOAD, GZ, NO , NO, aDir[1], , , , 0, -0.0034, 1, -0.0034, 0, 0, 0, 0, FASE2-PERM, NO, 0,
0, NO,
 2173, BEAM    , UNILOAD, GZ, NO , NO, aDir[1], , , , 0, -0.0034, 1, -0.0034, 0, 0, 0, 0, FASE2-PERM, NO, 0,
0, NO,
 2174, BEAM    , UNILOAD, GZ, NO , NO, aDir[1], , , , 0, -0.0034, 1, -0.0034, 0, 0, 0, 0, FASE2-PERM, NO, 0,
0, NO,
 2175, BEAM    , UNILOAD, GZ, NO , NO, aDir[1], , , , 0, -0.0034, 1, -0.0034, 0, 0, 0, 0, FASE2-PERM, NO, 0,
0, NO,
 2176, BEAM    , UNILOAD, GZ, NO , NO, aDir[1], , , , 0, -0.0034, 1, -0.0034, 0, 0, 0, 0, FASE2-PERM, NO, 0,
0, NO,
 2177, BEAM    , UNILOAD, GZ, NO , NO, aDir[1], , , , 0, -0.0034, 1, -0.0034, 0, 0, 0, 0, FASE2-PERM, NO, 0,
0, NO,
 2178, BEAM    , UNILOAD, GZ, NO , NO, aDir[1], , , , 0, -0.0034, 1, -0.0034, 0, 0, 0, 0, FASE2-PERM, NO, 0,
0, NO,
 2179, BEAM    , UNILOAD, GZ, NO , NO, aDir[1], , , , 0, -0.0034, 1, -0.0034, 0, 0, 0, 0, FASE2-PERM, NO, 0,
0, NO,
 2180, BEAM    , UNILOAD, GZ, NO , NO, aDir[1], , , , 0, -0.0034, 1, -0.0034, 0, 0, 0, 0, FASE2-PERM, NO, 0,
0, NO,
 2181, BEAM    , UNILOAD, GZ, NO , NO, aDir[1], , , , 0, -0.0034, 1, -0.0034, 0, 0, 0, 0, FASE2-PERM, NO, 0,
0, NO,
 2182, BEAM    , UNILOAD, GZ, NO , NO, aDir[1], , , , 0, -0.0034, 1, -0.0034, 0, 0, 0, 0, FASE2-PERM, NO, 0,
0, NO,
 2183, BEAM    , UNILOAD, GZ, NO , NO, aDir[1], , , , 0, -0.0034, 1, -0.0034, 0, 0, 0, 0, FASE2-PERM, NO, 0,
0, NO,
 2184, BEAM    , UNILOAD, GZ, NO , NO, aDir[1], , , , 0, -0.0034, 1, -0.0034, 0, 0, 0, 0, FASE2-PERM, NO, 0,
0, NO,
 2185, BEAM    , UNILOAD, GZ, NO , NO, aDir[1], , , , 0, -0.0034, 1, -0.0034, 0, 0, 0, 0, FASE2-PERM, NO, 0,
0, NO,
 2186, BEAM    , UNILOAD, GZ, NO , NO, aDir[1], , , , 0, -0.0034, 1, -0.0034, 0, 0, 0, 0, FASE2-PERM, NO, 0,
0, NO,
 2351, BEAM    , UNILOAD, GZ, NO , NO, aDir[1], , , , 0, -0.0034, 1, -0.0034, 0, 0, 0, 0, FASE2-PERM, NO, 0,
0, NO,
 2352, BEAM    , UNILOAD, GZ, NO , NO, aDir[1], , , , 0, -0.0034, 1, -0.0034, 0, 0, 0, 0, FASE2-PERM, NO, 0,
0, NO,
 2353, BEAM    , UNILOAD, GZ, NO , NO, aDir[1], , , , 0, -0.0034, 1, -0.0034, 0, 0, 0, 0, FASE2-PERM, NO, 0,
0, NO,
 2354, BEAM    , UNILOAD, GZ, NO , NO, aDir[1], , , , 0, -0.0034, 1, -0.0034, 0, 0, 0, 0, FASE2-PERM, NO, 0,
0, NO,
 2355, BEAM    , UNILOAD, GZ, NO , NO, aDir[1], , , , 0, -0.0034, 1, -0.0034, 0, 0, 0, 0, FASE2-PERM, NO, 0,
0, NO,
 2356, BEAM    , UNILOAD, GZ, NO , NO, aDir[1], , , , 0, -0.0034, 1, -0.0034, 0, 0, 0, 0, FASE2-PERM, NO, 0,
0, NO,
 2357, BEAM    , UNILOAD, GZ, NO , NO, aDir[1], , , , 0, -0.0034, 1, -0.0034, 0, 0, 0, 0, FASE2-PERM, NO, 0,
0, NO,
 2358, BEAM    , UNILOAD, GZ, NO , NO, aDir[1], , , , 0, -0.0034, 1, -0.0034, 0, 0, 0, 0, FASE2-PERM, NO, 0,
0, NO,
 2359, BEAM    , UNILOAD, GZ, NO , NO, aDir[1], , , , 0, -0.0034, 1, -0.0034, 0, 0, 0, 0, FASE2-PERM, NO, 0,
0, NO,
 2360, BEAM    , UNILOAD, GZ, NO , NO, aDir[1], , , , 0, -0.0034, 1, -0.0034, 0, 0, 0, 0, FASE2-PERM, NO, 0,
0, NO,
 2361, BEAM    , UNILOAD, GZ, NO , NO, aDir[1], , , , 0, -0.0034, 1, -0.0034, 0, 0, 0, 0, FASE2-PERM, NO, 0,
0, NO,
 2362, BEAM    , UNILOAD, GZ, NO , NO, aDir[1], , , , 0, -0.0034, 1, -0.0034, 0, 0, 0, 0, FASE2-PERM, NO, 0,
0, NO,
 2363, BEAM    , UNILOAD, GZ, NO , NO, aDir[1], , , , 0, -0.0034, 1, -0.0034, 0, 0, 0, 0, FASE2-PERM, NO, 0,
0, NO,
 2364, BEAM    , UNILOAD, GZ, NO , NO, aDir[1], , , , 0, -0.0034, 1, -0.0034, 0, 0, 0, 0, FASE2-PERM, NO, 0,
0, NO,
 2365, BEAM    , UNILOAD, GZ, NO , NO, aDir[1], , , , 0, -0.0034, 1, -0.0034, 0, 0, 0, 0, FASE2-PERM, NO, 0,
0, NO,
 2366, BEAM    , UNILOAD, GZ, NO , NO, aDir[1], , , , 0, -0.0034, 1, -0.0034, 0, 0, 0, 0, FASE2-PERM, NO, 0,
0, NO,
 2367, BEAM    , UNILOAD, GZ, NO , NO, aDir[1], , , , 0, -0.0034, 1, -0.0034, 0, 0, 0, 0, FASE2-PERM, NO, 0,
0, NO,
 2368, BEAM    , UNILOAD, GZ, NO , NO, aDir[1], , , , 0, -0.0034, 1, -0.0034, 0, 0, 0, 0, FASE2-PERM, NO, 0,
0, NO,
 2369, BEAM    , UNILOAD, GZ, NO , NO, aDir[1], , , , 0, -0.0034, 1, -0.0034, 0, 0, 0, 0, FASE2-PERM, NO, 0,
```

0, NO,
2370, BEAM , UNILOAD, GZ, NO , NO, aDir[1], , , , 0, -0.0034, 1, -0.0034, 0, 0, 0, 0, FASE2-PERM, NO, 0,
0, NO,
2371, BEAM , UNILOAD, GZ, NO , NO, aDir[1], , , , 0, -0.0034, 1, -0.0034, 0, 0, 0, 0, FASE2-PERM, NO, 0,
0, NO,
2372, BEAM , UNILOAD, GZ, NO , NO, aDir[1], , , , 0, -0.0034, 1, -0.0034, 0, 0, 0, 0, FASE2-PERM, NO, 0,
0, NO,
2373, BEAM , UNILOAD, GZ, NO , NO, aDir[1], , , , 0, -0.0034, 1, -0.0034, 0, 0, 0, 0, FASE2-PERM, NO, 0,
0, NO,
2374, BEAM , UNILOAD, GZ, NO , NO, aDir[1], , , , 0, -0.0034, 1, -0.0034, 0, 0, 0, 0, FASE2-PERM, NO, 0,
0, NO,
2375, BEAM , UNILOAD, GZ, NO , NO, aDir[1], , , , 0, -0.0034, 1, -0.0034, 0, 0, 0, 0, FASE2-PERM, NO, 0,
0, NO,
2376, BEAM , UNILOAD, GZ, NO , NO, aDir[1], , , , 0, -0.0034, 1, -0.0034, 0, 0, 0, 0, FASE2-PERM, NO, 0,
0, NO,
2377, BEAM , UNILOAD, GZ, NO , NO, aDir[1], , , , 0, -0.0034, 1, -0.0034, 0, 0, 0, 0, FASE2-PERM, NO, 0,
0, NO,
2378, BEAM , UNILOAD, GZ, NO , NO, aDir[1], , , , 0, -0.0034, 1, -0.0034, 0, 0, 0, 0, FASE2-PERM, NO, 0,
0, NO,
2379, BEAM , UNILOAD, GZ, NO , NO, aDir[1], , , , 0, -0.0034, 1, -0.0034, 0, 0, 0, 0, FASE2-PERM, NO, 0,
0, NO,
2380, BEAM , UNILOAD, GZ, NO , NO, aDir[1], , , , 0, -0.0034, 1, -0.0034, 0, 0, 0, 0, FASE2-PERM, NO, 0,
0, NO,
2381, BEAM , UNILOAD, GZ, NO , NO, aDir[1], , , , 0, -0.0034, 1, -0.0034, 0, 0, 0, 0, FASE2-PERM, NO, 0,
0, NO,
2382, BEAM , UNILOAD, GZ, NO , NO, aDir[1], , , , 0, -0.0034, 1, -0.0034, 0, 0, 0, 0, FASE2-PERM, NO, 0,
0, NO,
2383, BEAM , UNILOAD, GZ, NO , NO, aDir[1], , , , 0, -0.0034, 1, -0.0034, 0, 0, 0, 0, FASE2-PERM, NO, 0,
0, NO,
2384, BEAM , UNILOAD, GZ, NO , NO, aDir[1], , , , 0, -0.0034, 1, -0.0034, 0, 0, 0, 0, FASE2-PERM, NO, 0,
0, NO,
2385, BEAM , UNILOAD, GZ, NO , NO, aDir[1], , , , 0, -0.0034, 1, -0.0034, 0, 0, 0, 0, FASE2-PERM, NO, 0,
0, NO,
2386, BEAM , UNILOAD, GZ, NO , NO, aDir[1], , , , 0, -0.0034, 1, -0.0034, 0, 0, 0, 0, FASE2-PERM, NO, 0,
0, NO,
2387, BEAM , UNILOAD, GZ, NO , NO, aDir[1], , , , 0, -0.0034, 1, -0.0034, 0, 0, 0, 0, FASE2-PERM, NO, 0,
0, NO,
2388, BEAM , UNILOAD, GZ, NO , NO, aDir[1], , , , 0, -0.0034, 1, -0.0034, 0, 0, 0, 0, FASE2-PERM, NO, 0,
0, NO,
2389, BEAM , UNILOAD, GZ, NO , NO, aDir[1], , , , 0, -0.0034, 1, -0.0034, 0, 0, 0, 0, FASE2-PERM, NO, 0,
0, NO,
2390, BEAM , UNILOAD, GZ, NO , NO, aDir[1], , , , 0, -0.0034, 1, -0.0034, 0, 0, 0, 0, FASE2-PERM, NO, 0,
0, NO,
2391, BEAM , UNILOAD, GZ, NO , NO, aDir[1], , , , 0, -0.0034, 1, -0.0034, 0, 0, 0, 0, FASE2-PERM, NO, 0,
0, NO,
2392, BEAM , UNILOAD, GZ, NO , NO, aDir[1], , , , 0, -0.0034, 1, -0.0034, 0, 0, 0, 0, FASE2-PERM, NO, 0,
0, NO,
2393, BEAM , UNILOAD, GZ, NO , NO, aDir[1], , , , 0, -0.0034, 1, -0.0034, 0, 0, 0, 0, FASE2-PERM, NO, 0,
0, NO,
2394, BEAM , UNILOAD, GZ, NO , NO, aDir[1], , , , 0, -0.0034, 1, -0.0034, 0, 0, 0, 0, FASE2-PERM, NO, 0,
0, NO,
2395, BEAM , UNILOAD, GZ, NO , NO, aDir[1], , , , 0, -0.0034, 1, -0.0034, 0, 0, 0, 0, FASE2-PERM, NO, 0,
0, NO,
2396, BEAM , UNILOAD, GZ, NO , NO, aDir[1], , , , 0, -0.0034, 1, -0.0034, 0, 0, 0, 0, FASE2-PERM, NO, 0,
0, NO,
2397, BEAM , UNILOAD, GZ, NO , NO, aDir[1], , , , 0, -0.0034, 1, -0.0034, 0, 0, 0, 0, FASE2-PERM, NO, 0,
0, NO,
2398, BEAM , UNILOAD, GZ, NO , NO, aDir[1], , , , 0, -0.0034, 1, -0.0034, 0, 0, 0, 0, FASE2-PERM, NO, 0,
0, NO,
2399, BEAM , UNILOAD, GZ, NO , NO, aDir[1], , , , 0, -0.0034, 1, -0.0034, 0, 0, 0, 0, FASE2-PERM, NO, 0,
0, NO,
2400, BEAM , UNILOAD, GZ, NO , NO, aDir[1], , , , 0, -0.0034, 1, -0.0034, 0, 0, 0, 0, FASE2-PERM, NO, 0,
0, NO,
2401, BEAM , UNILOAD, GZ, NO , NO, aDir[1], , , , 0, -0.0034, 1, -0.0034, 0, 0, 0, 0, FASE2-PERM, NO, 0,
0, NO,
2402, BEAM , UNILOAD, GZ, NO , NO, aDir[1], , , , 0, -0.0034, 1, -0.0034, 0, 0, 0, 0, FASE2-PERM, NO, 0,
0, NO,
2403, BEAM , UNILOAD, GZ, NO , NO, aDir[1], , , , 0, -0.0034, 1, -0.0034, 0, 0, 0, 0, FASE2-PERM, NO, 0,
0, NO,
2404, BEAM , UNILOAD, GZ, NO , NO, aDir[1], , , , 0, -0.0034, 1, -0.0034, 0, 0, 0, 0, FASE2-PERM, NO, 0,
0, NO,
2405, BEAM , UNILOAD, GZ, NO , NO, aDir[1], , , , 0, -0.0034, 1, -0.0034, 0, 0, 0, 0, FASE2-PERM, NO, 0,
0, NO,
2406, BEAM , UNILOAD, GZ, NO , NO, aDir[1], , , , 0, -0.0034, 1, -0.0034, 0, 0, 0, 0, FASE2-PERM, NO, 0,
0, NO,
2407, BEAM , UNILOAD, GZ, NO , NO, aDir[1], , , , 0, -0.0034, 1, -0.0034, 0, 0, 0, 0, FASE2-PERM, NO, 0,
0, NO,
2408, BEAM , UNILOAD, GZ, NO , NO, aDir[1], , , , 0, -0.0034, 1, -0.0034, 0, 0, 0, 0, FASE2-PERM, NO, 0,

```
0, NO,
 2409, BEAM    , UNILOAD, GZ, NO , NO, aDir[1], , , , 0, -0.0034, 1, -0.0034, 0, 0, 0, 0, FASE2-PERM, NO, 0,
0, NO,
 2410, BEAM    , UNILOAD, GZ, NO , NO, aDir[1], , , , 0, -0.0034, 1, -0.0034, 0, 0, 0, 0, FASE2-PERM, NO, 0,
0, NO,
 2411, BEAM    , UNILOAD, GZ, NO , NO, aDir[1], , , , 0, -0.0034, 1, -0.0034, 0, 0, 0, 0, FASE2-PERM, NO, 0,
0, NO,
 2412, BEAM    , UNILOAD, GZ, NO , NO, aDir[1], , , , 0, -0.0034, 1, -0.0034, 0, 0, 0, 0, FASE2-PERM, NO, 0,
0, NO,
 2413, BEAM    , UNILOAD, GZ, NO , NO, aDir[1], , , , 0, -0.0034, 1, -0.0034, 0, 0, 0, 0, FASE2-PERM, NO, 0,
0, NO,
 2414, BEAM    , UNILOAD, GZ, NO , NO, aDir[1], , , , 0, -0.0034, 1, -0.0034, 0, 0, 0, 0, FASE2-PERM, NO, 0,
0, NO,
 2415, BEAM    , UNILOAD, GZ, NO , NO, aDir[1], , , , 0, -0.0034, 1, -0.0034, 0, 0, 0, 0, FASE2-PERM, NO, 0,
0, NO,
 2416, BEAM    , UNILOAD, GZ, NO , NO, aDir[1], , , , 0, -0.0034, 1, -0.0034, 0, 0, 0, 0, FASE2-PERM, NO, 0,
0, NO,
 2417, BEAM    , UNILOAD, GZ, NO , NO, aDir[1], , , , 0, -0.0034, 1, -0.0034, 0, 0, 0, 0, FASE2-PERM, NO, 0,
0, NO,
 2418, BEAM    , UNILOAD, GZ, NO , NO, aDir[1], , , , 0, -0.0034, 1, -0.0034, 0, 0, 0, 0, FASE2-PERM, NO, 0,
0, NO,
 2419, BEAM    , UNILOAD, GZ, NO , NO, aDir[1], , , , 0, -0.0034, 1, -0.0034, 0, 0, 0, 0, FASE2-PERM, NO, 0,
0, NO,
 2420, BEAM    , UNILOAD, GZ, NO , NO, aDir[1], , , , 0, -0.0034, 1, -0.0034, 0, 0, 0, 0, FASE2-PERM, NO, 0,
0, NO,
 2421, BEAM    , UNILOAD, GZ, NO , NO, aDir[1], , , , 0, -0.0034, 1, -0.0034, 0, 0, 0, 0, FASE2-PERM, NO, 0,
0, NO,
 2422, BEAM    , UNILOAD, GZ, NO , NO, aDir[1], , , , 0, -0.0034, 1, -0.0034, 0, 0, 0, 0, FASE2-PERM, NO, 0,
0, NO,
 2423, BEAM    , UNILOAD, GZ, NO , NO, aDir[1], , , , 0, -0.0034, 1, -0.0034, 0, 0, 0, 0, FASE2-PERM, NO, 0,
0, NO,
 2424, BEAM    , UNILOAD, GZ, NO , NO, aDir[1], , , , 0, -0.0034, 1, -0.0034, 0, 0, 0, 0, FASE2-PERM, NO, 0,
0, NO,
 2425, BEAM    , UNILOAD, GZ, NO , NO, aDir[1], , , , 0, -0.0034, 1, -0.0034, 0, 0, 0, 0, FASE2-PERM, NO, 0,
0, NO,
 2426, BEAM    , UNILOAD, GZ, NO , NO, aDir[1], , , , 0, -0.0034, 1, -0.0034, 0, 0, 0, 0, FASE2-PERM, NO, 0,
0, NO,
 2427, BEAM    , UNILOAD, GZ, NO , NO, aDir[1], , , , 0, -0.0034, 1, -0.0034, 0, 0, 0, 0, FASE2-PERM, NO, 0,
0, NO,
 2428, BEAM    , UNILOAD, GZ, NO , NO, aDir[1], , , , 0, -0.0034, 1, -0.0034, 0, 0, 0, 0, FASE2-PERM, NO, 0,
0, NO,
 2429, BEAM    , UNILOAD, GZ, NO , NO, aDir[1], , , , 0, -0.0034, 1, -0.0034, 0, 0, 0, 0, FASE2-PERM, NO, 0,
0, NO,
 2430, BEAM    , UNILOAD, GZ, NO , NO, aDir[1], , , , 0, -0.0034, 1, -0.0034, 0, 0, 0, 0, FASE2-PERM, NO, 0,
0, NO,
 2431, BEAM    , UNILOAD, GZ, NO , NO, aDir[1], , , , 0, -0.0034, 1, -0.0034, 0, 0, 0, 0, FASE2-PERM, NO, 0,
0, NO,
 2432, BEAM    , UNILOAD, GZ, NO , NO, aDir[1], , , , 0, -0.0034, 1, -0.0034, 0, 0, 0, 0, FASE2-PERM, NO, 0,
0, NO,
 2433, BEAM    , UNILOAD, GZ, NO , NO, aDir[1], , , , 0, -0.0034, 1, -0.0034, 0, 0, 0, 0, FASE2-PERM, NO, 0,
0, NO,
 2434, BEAM    , UNILOAD, GZ, NO , NO, aDir[1], , , , 0, -0.0034, 1, -0.0034, 0, 0, 0, 0, FASE2-PERM, NO, 0,
0, NO,
 2435, BEAM    , UNILOAD, GZ, NO , NO, aDir[1], , , , 0, -0.0034, 1, -0.0034, 0, 0, 0, 0, FASE2-PERM, NO, 0,
0, NO,
 2436, BEAM    , UNILOAD, GZ, NO , NO, aDir[1], , , , 0, -0.0034, 1, -0.0034, 0, 0, 0, 0, FASE2-PERM, NO, 0,
0, NO,
 2437, BEAM    , UNILOAD, GZ, NO , NO, aDir[1], , , , 0, -0.0034, 1, -0.0034, 0, 0, 0, 0, FASE2-PERM, NO, 0,
0, NO,
 2438, BEAM    , UNILOAD, GZ, NO , NO, aDir[1], , , , 0, -0.0034, 1, -0.0034, 0, 0, 0, 0, FASE2-PERM, NO, 0,
0, NO,
 2439, BEAM    , UNILOAD, GZ, NO , NO, aDir[1], , , , 0, -0.0034, 1, -0.0034, 0, 0, 0, 0, FASE2-PERM, NO, 0,
0, NO,
 2440, BEAM    , UNILOAD, GZ, NO , NO, aDir[1], , , , 0, -0.0034, 1, -0.0034, 0, 0, 0, 0, FASE2-PERM, NO, 0,
0, NO,
 2441, BEAM    , UNILOAD, GZ, NO , NO, aDir[1], , , , 0, -0.0034, 1, -0.0034, 0, 0, 0, 0, FASE2-PERM, NO, 0,
0, NO,
 2442, BEAM    , UNILOAD, GZ, NO , NO, aDir[1], , , , 0, -0.0034, 1, -0.0034, 0, 0, 0, 0, FASE2-PERM, NO, 0,
0, NO,
 2443, BEAM    , UNILOAD, GZ, NO , NO, aDir[1], , , , 0, -0.0034, 1, -0.0034, 0, 0, 0, 0, FASE2-PERM, NO, 0,
0, NO,
 2444, BEAM    , UNILOAD, GZ, NO , NO, aDir[1], , , , 0, -0.0034, 1, -0.0034, 0, 0, 0, 0, FASE2-PERM, NO, 0,
0, NO,
 2445, BEAM    , UNILOAD, GZ, NO , NO, aDir[1], , , , 0, -0.0034, 1, -0.0034, 0, 0, 0, 0, FASE2-PERM, NO, 0,
0, NO,
 2446, BEAM    , UNILOAD, GZ, NO , NO, aDir[1], , , , 0, -0.0034, 1, -0.0034, 0, 0, 0, 0, FASE2-PERM, NO, 0,
0, NO,
 2447, BEAM    , UNILOAD, GZ, NO , NO, aDir[1], , , , 0, -0.0034, 1, -0.0034, 0, 0, 0, 0, FASE2-PERM, NO, 0,
```

```
0, NO,
 2448, BEAM    , UNILOAD, GZ, NO , NO, aDir[1], , , , 0, -0.0034, 1, -0.0034, 0, 0, 0, 0, FASE2-PERM, NO, 0,
0, NO,
 2449, BEAM    , UNILOAD, GZ, NO , NO, aDir[1], , , , 0, -0.0034, 1, -0.0034, 0, 0, 0, 0, FASE2-PERM, NO, 0,
0, NO,
 2450, BEAM    , UNILOAD, GZ, NO , NO, aDir[1], , , , 0, -0.0034, 1, -0.0034, 0, 0, 0, 0, FASE2-PERM, NO, 0,
0, NO,
 2451, BEAM    , UNILOAD, GZ, NO , NO, aDir[1], , , , 0, -0.0034, 1, -0.0034, 0, 0, 0, 0, FASE2-PERM, NO, 0,
0, NO,
 2452, BEAM    , UNILOAD, GZ, NO , NO, aDir[1], , , , 0, -0.0034, 1, -0.0034, 0, 0, 0, 0, FASE2-PERM, NO, 0,
0, NO,
 2453, BEAM    , UNILOAD, GZ, NO , NO, aDir[1], , , , 0, -0.0034, 1, -0.0034, 0, 0, 0, 0, FASE2-PERM, NO, 0,
0, NO,
 2454, BEAM    , UNILOAD, GZ, NO , NO, aDir[1], , , , 0, -0.0034, 1, -0.0034, 0, 0, 0, 0, FASE2-PERM, NO, 0,
0, NO,
 2455, BEAM    , UNILOAD, GZ, NO , NO, aDir[1], , , , 0, -0.0034, 1, -0.0034, 0, 0, 0, 0, FASE2-PERM, NO, 0,
0, NO,
 2456, BEAM    , UNILOAD, GZ, NO , NO, aDir[1], , , , 0, -0.0034, 1, -0.0034, 0, 0, 0, 0, FASE2-PERM, NO, 0,
0, NO,
 2457, BEAM    , UNILOAD, GZ, NO , NO, aDir[1], , , , 0, -0.0034, 1, -0.0034, 0, 0, 0, 0, FASE2-PERM, NO, 0,
0, NO,
 2458, BEAM    , UNILOAD, GZ, NO , NO, aDir[1], , , , 0, -0.0034, 1, -0.0034, 0, 0, 0, 0, FASE2-PERM, NO, 0,
0, NO,
 2459, BEAM    , UNILOAD, GZ, NO , NO, aDir[1], , , , 0, -0.0034, 1, -0.0034, 0, 0, 0, 0, FASE2-PERM, NO, 0,
0, NO,
 2460, BEAM    , UNILOAD, GZ, NO , NO, aDir[1], , , , 0, -0.0034, 1, -0.0034, 0, 0, 0, 0, FASE2-PERM, NO, 0,
0, NO,
 2461, BEAM    , UNILOAD, GZ, NO , NO, aDir[1], , , , 0, -0.0034, 1, -0.0034, 0, 0, 0, 0, FASE2-PERM, NO, 0,
0, NO,
 2462, BEAM    , UNILOAD, GZ, NO , NO, aDir[1], , , , 0, -0.0034, 1, -0.0034, 0, 0, 0, 0, FASE2-PERM, NO, 0,
0, NO,
 2463, BEAM    , UNILOAD, GZ, NO , NO, aDir[1], , , , 0, -0.0034, 1, -0.0034, 0, 0, 0, 0, FASE2-PERM, NO, 0,
0, NO,
 2464, BEAM    , UNILOAD, GZ, NO , NO, aDir[1], , , , 0, -0.0034, 1, -0.0034, 0, 0, 0, 0, FASE2-PERM, NO, 0,
0, NO,
 2465, BEAM    , UNILOAD, GZ, NO , NO, aDir[1], , , , 0, -0.0034, 1, -0.0034, 0, 0, 0, 0, FASE2-PERM, NO, 0,
0, NO,
 2466, BEAM    , UNILOAD, GZ, NO , NO, aDir[1], , , , 0, -0.0034, 1, -0.0034, 0, 0, 0, 0, FASE2-PERM, NO, 0,
0, NO,
 2467, BEAM    , UNILOAD, GZ, NO , NO, aDir[1], , , , 0, -0.0034, 1, -0.0034, 0, 0, 0, 0, FASE2-PERM, NO, 0,
0, NO,
 2468, BEAM    , UNILOAD, GZ, NO , NO, aDir[1], , , , 0, -0.0034, 1, -0.0034, 0, 0, 0, 0, FASE2-PERM, NO, 0,
0, NO,
 2469, BEAM    , UNILOAD, GZ, NO , NO, aDir[1], , , , 0, -0.0034, 1, -0.0034, 0, 0, 0, 0, FASE2-PERM, NO, 0,
0, NO,
 2470, BEAM    , UNILOAD, GZ, NO , NO, aDir[1], , , , 0, -0.0034, 1, -0.0034, 0, 0, 0, 0, FASE2-PERM, NO, 0,
0, NO,
 2471, BEAM    , UNILOAD, GZ, NO , NO, aDir[1], , , , 0, -0.0034, 1, -0.0034, 0, 0, 0, 0, FASE2-PERM, NO, 0,
0, NO,
 2472, BEAM    , UNILOAD, GZ, NO , NO, aDir[1], , , , 0, -0.0034, 1, -0.0034, 0, 0, 0, 0, FASE2-PERM, NO, 0,
0, NO,
 2473, BEAM    , UNILOAD, GZ, NO , NO, aDir[1], , , , 0, -0.0034, 1, -0.0034, 0, 0, 0, 0, FASE2-PERM, NO, 0,
0, NO,
 2474, BEAM    , UNILOAD, GZ, NO , NO, aDir[1], , , , 0, -0.0034, 1, -0.0034, 0, 0, 0, 0, FASE2-PERM, NO, 0,
0, NO,
 2475, BEAM    , UNILOAD, GZ, NO , NO, aDir[1], , , , 0, -0.0034, 1, -0.0034, 0, 0, 0, 0, FASE2-PERM, NO, 0,
0, NO,
 2476, BEAM    , UNILOAD, GZ, NO , NO, aDir[1], , , , 0, -0.0034, 1, -0.0034, 0, 0, 0, 0, FASE2-PERM, NO, 0,
0, NO,
 2477, BEAM    , UNILOAD, GZ, NO , NO, aDir[1], , , , 0, -0.0034, 1, -0.0034, 0, 0, 0, 0, FASE2-PERM, NO, 0,
0, NO,
 2478, BEAM    , UNILOAD, GZ, NO , NO, aDir[1], , , , 0, -0.0034, 1, -0.0034, 0, 0, 0, 0, FASE2-PERM, NO, 0,
0, NO,
 2479, BEAM    , UNILOAD, GZ, NO , NO, aDir[1], , , , 0, -0.0034, 1, -0.0034, 0, 0, 0, 0, FASE2-PERM, NO, 0,
0, NO,
 2480, BEAM    , UNILOAD, GZ, NO , NO, aDir[1], , , , 0, -0.0034, 1, -0.0034, 0, 0, 0, 0, FASE2-PERM, NO, 0,
0, NO,
 2481, BEAM    , UNILOAD, GZ, NO , NO, aDir[1], , , , 0, -0.0034, 1, -0.0034, 0, 0, 0, 0, FASE2-PERM, NO, 0,
0, NO,
 2482, BEAM    , UNILOAD, GZ, NO , NO, aDir[1], , , , 0, -0.0034, 1, -0.0034, 0, 0, 0, 0, FASE2-PERM, NO, 0,
0, NO,
 2483, BEAM    , UNILOAD, GZ, NO , NO, aDir[1], , , , 0, -0.0034, 1, -0.0034, 0, 0, 0, 0, FASE2-PERM, NO, 0,
0, NO,
 2484, BEAM    , UNILOAD, GZ, NO , NO, aDir[1], , , , 0, -0.0034, 1, -0.0034, 0, 0, 0, 0, FASE2-PERM, NO, 0,
0, NO,
 2485, BEAM    , UNILOAD, GZ, NO , NO, aDir[1], , , , 0, -0.0034, 1, -0.0034, 0, 0, 0, 0, FASE2-PERM, NO, 0,
0, NO,
 2486, BEAM    , UNILOAD, GZ, NO , NO, aDir[1], , , , 0, -0.0034, 1, -0.0034, 0, 0, 0, 0, FASE2-PERM, NO, 0,
```

0, NO,
2487, BEAM , UNILOAD, GZ, NO , NO, aDir[1], , , , 0, -0.0034, 1, -0.0034, 0, 0, 0, 0, FASE2-PERM, NO, 0,
0, NO,
2488, BEAM , UNILOAD, GZ, NO , NO, aDir[1], , , , 0, -0.0034, 1, -0.0034, 0, 0, 0, 0, FASE2-PERM, NO, 0,
0, NO,
2489, BEAM , UNILOAD, GZ, NO , NO, aDir[1], , , , 0, -0.0034, 1, -0.0034, 0, 0, 0, 0, FASE2-PERM, NO, 0,
0, NO,
2490, BEAM , UNILOAD, GZ, NO , NO, aDir[1], , , , 0, -0.0034, 1, -0.0034, 0, 0, 0, 0, FASE2-PERM, NO, 0,
0, NO,
2491, BEAM , UNILOAD, GZ, NO , NO, aDir[1], , , , 0, -0.0034, 1, -0.0034, 0, 0, 0, 0, FASE2-PERM, NO, 0,
0, NO,
2492, BEAM , UNILOAD, GZ, NO , NO, aDir[1], , , , 0, -0.0034, 1, -0.0034, 0, 0, 0, 0, FASE2-PERM, NO, 0,
0, NO,
2493, BEAM , UNILOAD, GZ, NO , NO, aDir[1], , , , 0, -0.0034, 1, -0.0034, 0, 0, 0, 0, FASE2-PERM, NO, 0,
0, NO,
2494, BEAM , UNILOAD, GZ, NO , NO, aDir[1], , , , 0, -0.0034, 1, -0.0034, 0, 0, 0, 0, FASE2-PERM, NO, 0,
0, NO,
2495, BEAM , UNILOAD, GZ, NO , NO, aDir[1], , , , 0, -0.0034, 1, -0.0034, 0, 0, 0, 0, FASE2-PERM, NO, 0,
0, NO,
2496, BEAM , UNILOAD, GZ, NO , NO, aDir[1], , , , 0, -0.0034, 1, -0.0034, 0, 0, 0, 0, FASE2-PERM, NO, 0,
0, NO,
2497, BEAM , UNILOAD, GZ, NO , NO, aDir[1], , , , 0, -0.0034, 1, -0.0034, 0, 0, 0, 0, FASE2-PERM, NO, 0,
0, NO,
2498, BEAM , UNILOAD, GZ, NO , NO, aDir[1], , , , 0, -0.0034, 1, -0.0034, 0, 0, 0, 0, FASE2-PERM, NO, 0,
0, NO,
2499, BEAM , UNILOAD, GZ, NO , NO, aDir[1], , , , 0, -0.0034, 1, -0.0034, 0, 0, 0, 0, FASE2-PERM, NO, 0,
0, NO,
2500, BEAM , UNILOAD, GZ, NO , NO, aDir[1], , , , 0, -0.0034, 1, -0.0034, 0, 0, 0, 0, FASE2-PERM, NO, 0,
0, NO,
2501, BEAM , UNILOAD, GZ, NO , NO, aDir[1], , , , 0, -0.0034, 1, -0.0034, 0, 0, 0, 0, FASE2-PERM, NO, 0,
0, NO,
2502, BEAM , UNILOAD, GZ, NO , NO, aDir[1], , , , 0, -0.0034, 1, -0.0034, 0, 0, 0, 0, FASE2-PERM, NO, 0,
0, NO,
2503, BEAM , UNILOAD, GZ, NO , NO, aDir[1], , , , 0, -0.0034, 1, -0.0034, 0, 0, 0, 0, FASE2-PERM, NO, 0,
0, NO,
2504, BEAM , UNILOAD, GZ, NO , NO, aDir[1], , , , 0, -0.0034, 1, -0.0034, 0, 0, 0, 0, FASE2-PERM, NO, 0,
0, NO,
2505, BEAM , UNILOAD, GZ, NO , NO, aDir[1], , , , 0, -0.0034, 1, -0.0034, 0, 0, 0, 0, FASE2-PERM, NO, 0,
0, NO,
2506, BEAM , UNILOAD, GZ, NO , NO, aDir[1], , , , 0, -0.0034, 1, -0.0034, 0, 0, 0, 0, FASE2-PERM, NO, 0,
0, NO,
2507, BEAM , UNILOAD, GZ, NO , NO, aDir[1], , , , 0, -0.0034, 1, -0.0034, 0, 0, 0, 0, FASE2-PERM, NO, 0,
0, NO,
2508, BEAM , UNILOAD, GZ, NO , NO, aDir[1], , , , 0, -0.0034, 1, -0.0034, 0, 0, 0, 0, FASE2-PERM, NO, 0,
0, NO,
2509, BEAM , UNILOAD, GZ, NO , NO, aDir[1], , , , 0, -0.0034, 1, -0.0034, 0, 0, 0, 0, FASE2-PERM, NO, 0,
0, NO,
2510, BEAM , UNILOAD, GZ, NO , NO, aDir[1], , , , 0, -0.0034, 1, -0.0034, 0, 0, 0, 0, FASE2-PERM, NO, 0,
0, NO,
2511, BEAM , UNILOAD, GZ, NO , NO, aDir[1], , , , 0, -0.0034, 1, -0.0034, 0, 0, 0, 0, FASE2-PERM, NO, 0,
0, NO,
2512, BEAM , UNILOAD, GZ, NO , NO, aDir[1], , , , 0, -0.0034, 1, -0.0034, 0, 0, 0, 0, FASE2-PERM, NO, 0,
0, NO,
2513, BEAM , UNILOAD, GZ, NO , NO, aDir[1], , , , 0, -0.0034, 1, -0.0034, 0, 0, 0, 0, FASE2-PERM, NO, 0,
0, NO,
2514, BEAM , UNILOAD, GZ, NO , NO, aDir[1], , , , 0, -0.0034, 1, -0.0034, 0, 0, 0, 0, FASE2-PERM, NO, 0,
0, NO,
2515, BEAM , UNILOAD, GZ, NO , NO, aDir[1], , , , 0, -0.0034, 1, -0.0034, 0, 0, 0, 0, FASE2-PERM, NO, 0,
0, NO,
2516, BEAM , UNILOAD, GZ, NO , NO, aDir[1], , , , 0, -0.0034, 1, -0.0034, 0, 0, 0, 0, FASE2-PERM, NO, 0,
0, NO,
2517, BEAM , UNILOAD, GZ, NO , NO, aDir[1], , , , 0, -0.0034, 1, -0.0034, 0, 0, 0, 0, FASE2-PERM, NO, 0,
0, NO,
2518, BEAM , UNILOAD, GZ, NO , NO, aDir[1], , , , 0, -0.0034, 1, -0.0034, 0, 0, 0, 0, FASE2-PERM, NO, 0,
0, NO,
2724, BEAM , UNILOAD, GZ, NO , NO, aDir[1], , , , 0, -0.0034, 1, -0.0034, 0, 0, 0, 0, FASE2-PERM, NO, 0,
0, NO,
2725, BEAM , UNILOAD, GZ, NO , NO, aDir[1], , , , 0, -0.0034, 1, -0.0034, 0, 0, 0, 0, FASE2-PERM, NO, 0,
0, NO,
2726, BEAM , UNILOAD, GZ, NO , NO, aDir[1], , , , 0, -0.0034, 1, -0.0034, 0, 0, 0, 0, FASE2-PERM, NO, 0,
0, NO,
2727, BEAM , UNILOAD, GZ, NO , NO, aDir[1], , , , 0, -0.0034, 1, -0.0034, 0, 0, 0, 0, FASE2-PERM, NO, 0,
0, NO,
2728, BEAM , UNILOAD, GZ, NO , NO, aDir[1], , , , 0, -0.0034, 1, -0.0034, 0, 0, 0, 0, FASE2-PERM, NO, 0,
0, NO,
2729, BEAM , UNILOAD, GZ, NO , NO, aDir[1], , , , 0, -0.0034, 1, -0.0034, 0, 0, 0, 0, FASE2-PERM, NO, 0,
0, NO,
2730, BEAM , UNILOAD, GZ, NO , NO, aDir[1], , , , 0, -0.0034, 1, -0.0034, 0, 0, 0, 0, FASE2-PERM, NO, 0,

```
0, NO,
 2731, BEAM    , UNILOAD, GZ, NO , NO, aDir[1], , , , 0, -0.0034, 1, -0.0034, 0, 0, 0, 0, FASE2-PERM, NO, 0,
0, NO,
 2732, BEAM    , UNILOAD, GZ, NO , NO, aDir[1], , , , 0, -0.0034, 1, -0.0034, 0, 0, 0, 0, FASE2-PERM, NO, 0,
0, NO,
 2733, BEAM    , UNILOAD, GZ, NO , NO, aDir[1], , , , 0, -0.0034, 1, -0.0034, 0, 0, 0, 0, FASE2-PERM, NO, 0,
0, NO,
 2734, BEAM    , UNILOAD, GZ, NO , NO, aDir[1], , , , 0, -0.0034, 1, -0.0034, 0, 0, 0, 0, FASE2-PERM, NO, 0,
0, NO,
 2735, BEAM    , UNILOAD, GZ, NO , NO, aDir[1], , , , 0, -0.0034, 1, -0.0034, 0, 0, 0, 0, FASE2-PERM, NO, 0,
0, NO,
 2736, BEAM    , UNILOAD, GZ, NO , NO, aDir[1], , , , 0, -0.0034, 1, -0.0034, 0, 0, 0, 0, FASE2-PERM, NO, 0,
0, NO,
 2737, BEAM    , UNILOAD, GZ, NO , NO, aDir[1], , , , 0, -0.0034, 1, -0.0034, 0, 0, 0, 0, FASE2-PERM, NO, 0,
0, NO,
 2738, BEAM    , UNILOAD, GZ, NO , NO, aDir[1], , , , 0, -0.0034, 1, -0.0034, 0, 0, 0, 0, FASE2-PERM, NO, 0,
0, NO,
 2739, BEAM    , UNILOAD, GZ, NO , NO, aDir[1], , , , 0, -0.0034, 1, -0.0034, 0, 0, 0, 0, FASE2-PERM, NO, 0,
0, NO,
 2740, BEAM    , UNILOAD, GZ, NO , NO, aDir[1], , , , 0, -0.0034, 1, -0.0034, 0, 0, 0, 0, FASE2-PERM, NO, 0,
0, NO,
 2741, BEAM    , UNILOAD, GZ, NO , NO, aDir[1], , , , 0, -0.0034, 1, -0.0034, 0, 0, 0, 0, FASE2-PERM, NO, 0,
0, NO,
 2742, BEAM    , UNILOAD, GZ, NO , NO, aDir[1], , , , 0, -0.0034, 1, -0.0034, 0, 0, 0, 0, FASE2-PERM, NO, 0,
0, NO,
 2743, BEAM    , UNILOAD, GZ, NO , NO, aDir[1], , , , 0, -0.0034, 1, -0.0034, 0, 0, 0, 0, FASE2-PERM, NO, 0,
0, NO,
 2744, BEAM    , UNILOAD, GZ, NO , NO, aDir[1], , , , 0, -0.0034, 1, -0.0034, 0, 0, 0, 0, FASE2-PERM, NO, 0,
0, NO,
 2745, BEAM    , UNILOAD, GZ, NO , NO, aDir[1], , , , 0, -0.0034, 1, -0.0034, 0, 0, 0, 0, FASE2-PERM, NO, 0,
0, NO,
 2746, BEAM    , UNILOAD, GZ, NO , NO, aDir[1], , , , 0, -0.0034, 1, -0.0034, 0, 0, 0, 0, FASE2-PERM, NO, 0,
0, NO,
 2747, BEAM    , UNILOAD, GZ, NO , NO, aDir[1], , , , 0, -0.0034, 1, -0.0034, 0, 0, 0, 0, FASE2-PERM, NO, 0,
0, NO,
 2748, BEAM    , UNILOAD, GZ, NO , NO, aDir[1], , , , 0, -0.0034, 1, -0.0034, 0, 0, 0, 0, FASE2-PERM, NO, 0,
0, NO,
 2749, BEAM    , UNILOAD, GZ, NO , NO, aDir[1], , , , 0, -0.0034, 1, -0.0034, 0, 0, 0, 0, FASE2-PERM, NO, 0,
0, NO,
 2750, BEAM    , UNILOAD, GZ, NO , NO, aDir[1], , , , 0, -0.0034, 1, -0.0034, 0, 0, 0, 0, FASE2-PERM, NO, 0,
0, NO,
 2751, BEAM    , UNILOAD, GZ, NO , NO, aDir[1], , , , 0, -0.0034, 1, -0.0034, 0, 0, 0, 0, FASE2-PERM, NO, 0,
0, NO,
 2752, BEAM    , UNILOAD, GZ, NO , NO, aDir[1], , , , 0, -0.0034, 1, -0.0034, 0, 0, 0, 0, FASE2-PERM, NO, 0,
0, NO,
 2753, BEAM    , UNILOAD, GZ, NO , NO, aDir[1], , , , 0, -0.0034, 1, -0.0034, 0, 0, 0, 0, FASE2-PERM, NO, 0,
0, NO,
 2754, BEAM    , UNILOAD, GZ, NO , NO, aDir[1], , , , 0, -0.0034, 1, -0.0034, 0, 0, 0, 0, FASE2-PERM, NO, 0,
0, NO,
 2755, BEAM    , UNILOAD, GZ, NO , NO, aDir[1], , , , 0, -0.0034, 1, -0.0034, 0, 0, 0, 0, FASE2-PERM, NO, 0,
0, NO,
 2756, BEAM    , UNILOAD, GZ, NO , NO, aDir[1], , , , 0, -0.0034, 1, -0.0034, 0, 0, 0, 0, FASE2-PERM, NO, 0,
0, NO,
 2757, BEAM    , UNILOAD, GZ, NO , NO, aDir[1], , , , 0, -0.0034, 1, -0.0034, 0, 0, 0, 0, FASE2-PERM, NO, 0,
0, NO,
 2758, BEAM    , UNILOAD, GZ, NO , NO, aDir[1], , , , 0, -0.0034, 1, -0.0034, 0, 0, 0, 0, FASE2-PERM, NO, 0,
0, NO,
 2759, BEAM    , UNILOAD, GZ, NO , NO, aDir[1], , , , 0, -0.0034, 1, -0.0034, 0, 0, 0, 0, FASE2-PERM, NO, 0,
0, NO,
 2760, BEAM    , UNILOAD, GZ, NO , NO, aDir[1], , , , 0, -0.0034, 1, -0.0034, 0, 0, 0, 0, FASE2-PERM, NO, 0,
0, NO,
 2761, BEAM    , UNILOAD, GZ, NO , NO, aDir[1], , , , 0, -0.0034, 1, -0.0034, 0, 0, 0, 0, FASE2-PERM, NO, 0,
0, NO,
 2762, BEAM    , UNILOAD, GZ, NO , NO, aDir[1], , , , 0, -0.0034, 1, -0.0034, 0, 0, 0, 0, FASE2-PERM, NO, 0,
0, NO,
 2763, BEAM    , UNILOAD, GZ, NO , NO, aDir[1], , , , 0, -0.0034, 1, -0.0034, 0, 0, 0, 0, FASE2-PERM, NO, 0,
0, NO,
 2764, BEAM    , UNILOAD, GZ, NO , NO, aDir[1], , , , 0, -0.0034, 1, -0.0034, 0, 0, 0, 0, FASE2-PERM, NO, 0,
0, NO,
 2765, BEAM    , UNILOAD, GZ, NO , NO, aDir[1], , , , 0, -0.0034, 1, -0.0034, 0, 0, 0, 0, FASE2-PERM, NO, 0,
0, NO,
 2766, BEAM    , UNILOAD, GZ, NO , NO, aDir[1], , , , 0, -0.0034, 1, -0.0034, 0, 0, 0, 0, FASE2-PERM, NO, 0,
0, NO,
 2767, BEAM    , UNILOAD, GZ, NO , NO, aDir[1], , , , 0, -0.0034, 1, -0.0034, 0, 0, 0, 0, FASE2-PERM, NO, 0,
0, NO,
 2768, BEAM    , UNILOAD, GZ, NO , NO, aDir[1], , , , 0, -0.0034, 1, -0.0034, 0, 0, 0, 0, FASE2-PERM, NO, 0,
0, NO,
 2769, BEAM    , UNILOAD, GZ, NO , NO, aDir[1], , , , 0, -0.0034, 1, -0.0034, 0, 0, 0, 0, FASE2-PERM, NO, 0,
```

```
0, NO,
 2770, BEAM    , UNILOAD, GZ, NO , NO, aDir[1], , , , 0, -0.0034, 1, -0.0034, 0, 0, 0, 0, FASE2-PERM, NO, 0,
0, NO,
 2771, BEAM    , UNILOAD, GZ, NO , NO, aDir[1], , , , 0, -0.0034, 1, -0.0034, 0, 0, 0, 0, FASE2-PERM, NO, 0,
0, NO,
 2772, BEAM    , UNILOAD, GZ, NO , NO, aDir[1], , , , 0, -0.0034, 1, -0.0034, 0, 0, 0, 0, FASE2-PERM, NO, 0,
0, NO,
 2773, BEAM    , UNILOAD, GZ, NO , NO, aDir[1], , , , 0, -0.0034, 1, -0.0034, 0, 0, 0, 0, FASE2-PERM, NO, 0,
0, NO,
 2774, BEAM    , UNILOAD, GZ, NO , NO, aDir[1], , , , 0, -0.0034, 1, -0.0034, 0, 0, 0, 0, FASE2-PERM, NO, 0,
0, NO,
 2775, BEAM    , UNILOAD, GZ, NO , NO, aDir[1], , , , 0, -0.0034, 1, -0.0034, 0, 0, 0, 0, FASE2-PERM, NO, 0,
0, NO,
 2776, BEAM    , UNILOAD, GZ, NO , NO, aDir[1], , , , 0, -0.0034, 1, -0.0034, 0, 0, 0, 0, FASE2-PERM, NO, 0,
0, NO,
 2777, BEAM    , UNILOAD, GZ, NO , NO, aDir[1], , , , 0, -0.0034, 1, -0.0034, 0, 0, 0, 0, FASE2-PERM, NO, 0,
0, NO,
 2778, BEAM    , UNILOAD, GZ, NO , NO, aDir[1], , , , 0, -0.0034, 1, -0.0034, 0, 0, 0, 0, FASE2-PERM, NO, 0,
0, NO,
 2779, BEAM    , UNILOAD, GZ, NO , NO, aDir[1], , , , 0, -0.0034, 1, -0.0034, 0, 0, 0, 0, FASE2-PERM, NO, 0,
0, NO,
 2780, BEAM    , UNILOAD, GZ, NO , NO, aDir[1], , , , 0, -0.0034, 1, -0.0034, 0, 0, 0, 0, FASE2-PERM, NO, 0,
0, NO,
 2781, BEAM    , UNILOAD, GZ, NO , NO, aDir[1], , , , 0, -0.0034, 1, -0.0034, 0, 0, 0, 0, FASE2-PERM, NO, 0,
0, NO,
 2782, BEAM    , UNILOAD, GZ, NO , NO, aDir[1], , , , 0, -0.0034, 1, -0.0034, 0, 0, 0, 0, FASE2-PERM, NO, 0,
0, NO,
 2783, BEAM    , UNILOAD, GZ, NO , NO, aDir[1], , , , 0, -0.0034, 1, -0.0034, 0, 0, 0, 0, FASE2-PERM, NO, 0,
0, NO,
 2784, BEAM    , UNILOAD, GZ, NO , NO, aDir[1], , , , 0, -0.0034, 1, -0.0034, 0, 0, 0, 0, FASE2-PERM, NO, 0,
0, NO,
 2785, BEAM    , UNILOAD, GZ, NO , NO, aDir[1], , , , 0, -0.0034, 1, -0.0034, 0, 0, 0, 0, FASE2-PERM, NO, 0,
0, NO,
 2786, BEAM    , UNILOAD, GZ, NO , NO, aDir[1], , , , 0, -0.0034, 1, -0.0034, 0, 0, 0, 0, FASE2-PERM, NO, 0,
0, NO,
 2787, BEAM    , UNILOAD, GZ, NO , NO, aDir[1], , , , 0, -0.0034, 1, -0.0034, 0, 0, 0, 0, FASE2-PERM, NO, 0,
0, NO,
 2788, BEAM    , UNILOAD, GZ, NO , NO, aDir[1], , , , 0, -0.0034, 1, -0.0034, 0, 0, 0, 0, FASE2-PERM, NO, 0,
0, NO,
 2789, BEAM    , UNILOAD, GZ, NO , NO, aDir[1], , , , 0, -0.0034, 1, -0.0034, 0, 0, 0, 0, FASE2-PERM, NO, 0,
0, NO,
 2790, BEAM    , UNILOAD, GZ, NO , NO, aDir[1], , , , 0, -0.0034, 1, -0.0034, 0, 0, 0, 0, FASE2-PERM, NO, 0,
0, NO,
 2791, BEAM    , UNILOAD, GZ, NO , NO, aDir[1], , , , 0, -0.0034, 1, -0.0034, 0, 0, 0, 0, FASE2-PERM, NO, 0,
0, NO,
 2792, BEAM    , UNILOAD, GZ, NO , NO, aDir[1], , , , 0, -0.0034, 1, -0.0034, 0, 0, 0, 0, FASE2-PERM, NO, 0,
0, NO,
 2793, BEAM    , UNILOAD, GZ, NO , NO, aDir[1], , , , 0, -0.0034, 1, -0.0034, 0, 0, 0, 0, FASE2-PERM, NO, 0,
0, NO,
 2794, BEAM    , UNILOAD, GZ, NO , NO, aDir[1], , , , 0, -0.0034, 1, -0.0034, 0, 0, 0, 0, FASE2-PERM, NO, 0,
0, NO,
 2795, BEAM    , UNILOAD, GZ, NO , NO, aDir[1], , , , 0, -0.0034, 1, -0.0034, 0, 0, 0, 0, FASE2-PERM, NO, 0,
0, NO,
 2796, BEAM    , UNILOAD, GZ, NO , NO, aDir[1], , , , 0, -0.0034, 1, -0.0034, 0, 0, 0, 0, FASE2-PERM, NO, 0,
0, NO,
 2797, BEAM    , UNILOAD, GZ, NO , NO, aDir[1], , , , 0, -0.0034, 1, -0.0034, 0, 0, 0, 0, FASE2-PERM, NO, 0,
0, NO,
 2798, BEAM    , UNILOAD, GZ, NO , NO, aDir[1], , , , 0, -0.0034, 1, -0.0034, 0, 0, 0, 0, FASE2-PERM, NO, 0,
0, NO,
 2799, BEAM    , UNILOAD, GZ, NO , NO, aDir[1], , , , 0, -0.0034, 1, -0.0034, 0, 0, 0, 0, FASE2-PERM, NO, 0,
0, NO,
 2800, BEAM    , UNILOAD, GZ, NO , NO, aDir[1], , , , 0, -0.0034, 1, -0.0034, 0, 0, 0, 0, FASE2-PERM, NO, 0,
0, NO,
 2801, BEAM    , UNILOAD, GZ, NO , NO, aDir[1], , , , 0, -0.0034, 1, -0.0034, 0, 0, 0, 0, FASE2-PERM, NO, 0,
0, NO,
 2802, BEAM    , UNILOAD, GZ, NO , NO, aDir[1], , , , 0, -0.0034, 1, -0.0034, 0, 0, 0, 0, FASE2-PERM, NO, 0,
0, NO,
 2803, BEAM    , UNILOAD, GZ, NO , NO, aDir[1], , , , 0, -0.0034, 1, -0.0034, 0, 0, 0, 0, FASE2-PERM, NO, 0,
0, NO,
 2804, BEAM    , UNILOAD, GZ, NO , NO, aDir[1], , , , 0, -0.0034, 1, -0.0034, 0, 0, 0, 0, FASE2-PERM, NO, 0,
0, NO,
 2805, BEAM    , UNILOAD, GZ, NO , NO, aDir[1], , , , 0, -0.0034, 1, -0.0034, 0, 0, 0, 0, FASE2-PERM, NO, 0,
0, NO,
 2806, BEAM    , UNILOAD, GZ, NO , NO, aDir[1], , , , 0, -0.0034, 1, -0.0034, 0, 0, 0, 0, FASE2-PERM, NO, 0,
0, NO,
 2807, BEAM    , UNILOAD, GZ, NO , NO, aDir[1], , , , 0, -0.0034, 1, -0.0034, 0, 0, 0, 0, FASE2-PERM, NO, 0,
0, NO,
 2808, BEAM    , UNILOAD, GZ, NO , NO, aDir[1], , , , 0, -0.0034, 1, -0.0034, 0, 0, 0, 0, FASE2-PERM, NO, 0,
```

```
0, NO,
 2809, BEAM    , UNILOAD, GZ, NO , NO, aDir[1], , , , 0, -0.0034, 1, -0.0034, 0, 0, 0, 0, FASE2-PERM, NO, 0,
0, NO,
 2810, BEAM    , UNILOAD, GZ, NO , NO, aDir[1], , , , 0, -0.0034, 1, -0.0034, 0, 0, 0, 0, FASE2-PERM, NO, 0,
0, NO,
 2811, BEAM    , UNILOAD, GZ, NO , NO, aDir[1], , , , 0, -0.0034, 1, -0.0034, 0, 0, 0, 0, FASE2-PERM, NO, 0,
0, NO,
 2812, BEAM    , UNILOAD, GZ, NO , NO, aDir[1], , , , 0, -0.0034, 1, -0.0034, 0, 0, 0, 0, FASE2-PERM, NO, 0,
0, NO,
 2813, BEAM    , UNILOAD, GZ, NO , NO, aDir[1], , , , 0, -0.0034, 1, -0.0034, 0, 0, 0, 0, FASE2-PERM, NO, 0,
0, NO,
 2814, BEAM    , UNILOAD, GZ, NO , NO, aDir[1], , , , 0, -0.0034, 1, -0.0034, 0, 0, 0, 0, FASE2-PERM, NO, 0,
0, NO,
 2815, BEAM    , UNILOAD, GZ, NO , NO, aDir[1], , , , 0, -0.0034, 1, -0.0034, 0, 0, 0, 0, FASE2-PERM, NO, 0,
0, NO,
 2816, BEAM    , UNILOAD, GZ, NO , NO, aDir[1], , , , 0, -0.0034, 1, -0.0034, 0, 0, 0, 0, FASE2-PERM, NO, 0,
0, NO,
 2817, BEAM    , UNILOAD, GZ, NO , NO, aDir[1], , , , 0, -0.0034, 1, -0.0034, 0, 0, 0, 0, FASE2-PERM, NO, 0,
0, NO,
 2818, BEAM    , UNILOAD, GZ, NO , NO, aDir[1], , , , 0, -0.0034, 1, -0.0034, 0, 0, 0, 0, FASE2-PERM, NO, 0,
0, NO,
 2819, BEAM    , UNILOAD, GZ, NO , NO, aDir[1], , , , 0, -0.0034, 1, -0.0034, 0, 0, 0, 0, FASE2-PERM, NO, 0,
0, NO,
 2820, BEAM    , UNILOAD, GZ, NO , NO, aDir[1], , , , 0, -0.0034, 1, -0.0034, 0, 0, 0, 0, FASE2-PERM, NO, 0,
0, NO,
 2821, BEAM    , UNILOAD, GZ, NO , NO, aDir[1], , , , 0, -0.0034, 1, -0.0034, 0, 0, 0, 0, FASE2-PERM, NO, 0,
0, NO,
 2822, BEAM    , UNILOAD, GZ, NO , NO, aDir[1], , , , 0, -0.0034, 1, -0.0034, 0, 0, 0, 0, FASE2-PERM, NO, 0,
0, NO,
 2823, BEAM    , UNILOAD, GZ, NO , NO, aDir[1], , , , 0, -0.0034, 1, -0.0034, 0, 0, 0, 0, FASE2-PERM, NO, 0,
0, NO,
 2824, BEAM    , UNILOAD, GZ, NO , NO, aDir[1], , , , 0, -0.0034, 1, -0.0034, 0, 0, 0, 0, FASE2-PERM, NO, 0,
0, NO,
 2825, BEAM    , UNILOAD, GZ, NO , NO, aDir[1], , , , 0, -0.0034, 1, -0.0034, 0, 0, 0, 0, FASE2-PERM, NO, 0,
0, NO,
 2826, BEAM    , UNILOAD, GZ, NO , NO, aDir[1], , , , 0, -0.0034, 1, -0.0034, 0, 0, 0, 0, FASE2-PERM, NO, 0,
0, NO,
 2827, BEAM    , UNILOAD, GZ, NO , NO, aDir[1], , , , 0, -0.0034, 1, -0.0034, 0, 0, 0, 0, FASE2-PERM, NO, 0,
0, NO,
 2828, BEAM    , UNILOAD, GZ, NO , NO, aDir[1], , , , 0, -0.0034, 1, -0.0034, 0, 0, 0, 0, FASE2-PERM, NO, 0,
0, NO,
 2829, BEAM    , UNILOAD, GZ, NO , NO, aDir[1], , , , 0, -0.0034, 1, -0.0034, 0, 0, 0, 0, FASE2-PERM, NO, 0,
0, NO,
 2830, BEAM    , UNILOAD, GZ, NO , NO, aDir[1], , , , 0, -0.0034, 1, -0.0034, 0, 0, 0, 0, FASE2-PERM, NO, 0,
0, NO,
 2831, BEAM    , UNILOAD, GZ, NO , NO, aDir[1], , , , 0, -0.0034, 1, -0.0034, 0, 0, 0, 0, FASE2-PERM, NO, 0,
0, NO,
 2832, BEAM    , UNILOAD, GZ, NO , NO, aDir[1], , , , 0, -0.0034, 1, -0.0034, 0, 0, 0, 0, FASE2-PERM, NO, 0,
0, NO,
 2833, BEAM    , UNILOAD, GZ, NO , NO, aDir[1], , , , 0, -0.0034, 1, -0.0034, 0, 0, 0, 0, FASE2-PERM, NO, 0,
0, NO,
 2834, BEAM    , UNILOAD, GZ, NO , NO, aDir[1], , , , 0, -0.0034, 1, -0.0034, 0, 0, 0, 0, FASE2-PERM, NO, 0,
0, NO,
 2835, BEAM    , UNILOAD, GZ, NO , NO, aDir[1], , , , 0, -0.0034, 1, -0.0034, 0, 0, 0, 0, FASE2-PERM, NO, 0,
0, NO,
 2836, BEAM    , UNILOAD, GZ, NO , NO, aDir[1], , , , 0, -0.0034, 1, -0.0034, 0, 0, 0, 0, FASE2-PERM, NO, 0,
0, NO,
 2837, BEAM    , UNILOAD, GZ, NO , NO, aDir[1], , , , 0, -0.0034, 1, -0.0034, 0, 0, 0, 0, FASE2-PERM, NO, 0,
0, NO,
 2838, BEAM    , UNILOAD, GZ, NO , NO, aDir[1], , , , 0, -0.0034, 1, -0.0034, 0, 0, 0, 0, FASE2-PERM, NO, 0,
0, NO,
 2839, BEAM    , UNILOAD, GZ, NO , NO, aDir[1], , , , 0, -0.0034, 1, -0.0034, 0, 0, 0, 0, FASE2-PERM, NO, 0,
0, NO,
 2840, BEAM    , UNILOAD, GZ, NO , NO, aDir[1], , , , 0, -0.0034, 1, -0.0034, 0, 0, 0, 0, FASE2-PERM, NO, 0,
0, NO,
 2841, BEAM    , UNILOAD, GZ, NO , NO, aDir[1], , , , 0, -0.0034, 1, -0.0034, 0, 0, 0, 0, FASE2-PERM, NO, 0,
0, NO,
 2842, BEAM    , UNILOAD, GZ, NO , NO, aDir[1], , , , 0, -0.0034, 1, -0.0034, 0, 0, 0, 0, FASE2-PERM, NO, 0,
0, NO,
 2843, BEAM    , UNILOAD, GZ, NO , NO, aDir[1], , , , 0, -0.0034, 1, -0.0034, 0, 0, 0, 0, FASE2-PERM, NO, 0,
0, NO,
 2844, BEAM    , UNILOAD, GZ, NO , NO, aDir[1], , , , 0, -0.0034, 1, -0.0034, 0, 0, 0, 0, FASE2-PERM, NO, 0,
0, NO,
 2845, BEAM    , UNILOAD, GZ, NO , NO, aDir[1], , , , 0, -0.0034, 1, -0.0034, 0, 0, 0, 0, FASE2-PERM, NO, 0,
0, NO,
 2846, BEAM    , UNILOAD, GZ, NO , NO, aDir[1], , , , 0, -0.0034, 1, -0.0034, 0, 0, 0, 0, FASE2-PERM, NO, 0,
0, NO,
 2847, BEAM    , UNILOAD, GZ, NO , NO, aDir[1], , , , 0, -0.0034, 1, -0.0034, 0, 0, 0, 0, FASE2-PERM, NO, 0,
```

0, NO,
2848, BEAM , UNILOAD, GZ, NO , NO, aDir[1], , , , 0, -0.0034, 1, -0.0034, 0, 0, 0, 0, FASE2-PERM, NO, 0,
0, NO,
2849, BEAM , UNILOAD, GZ, NO , NO, aDir[1], , , , 0, -0.0034, 1, -0.0034, 0, 0, 0, 0, FASE2-PERM, NO, 0,
0, NO,
2850, BEAM , UNILOAD, GZ, NO , NO, aDir[1], , , , 0, -0.0034, 1, -0.0034, 0, 0, 0, 0, FASE2-PERM, NO, 0,
0, NO,
2851, BEAM , UNILOAD, GZ, NO , NO, aDir[1], , , , 0, -0.0034, 1, -0.0034, 0, 0, 0, 0, FASE2-PERM, NO, 0,
0, NO,
2852, BEAM , UNILOAD, GZ, NO , NO, aDir[1], , , , 0, -0.0034, 1, -0.0034, 0, 0, 0, 0, FASE2-PERM, NO, 0,
0, NO,
2853, BEAM , UNILOAD, GZ, NO , NO, aDir[1], , , , 0, -0.0034, 1, -0.0034, 0, 0, 0, 0, FASE2-PERM, NO, 0,
0, NO,
2854, BEAM , UNILOAD, GZ, NO , NO, aDir[1], , , , 0, -0.0034, 1, -0.0034, 0, 0, 0, 0, FASE2-PERM, NO, 0,
0, NO,
2855, BEAM , UNILOAD, GZ, NO , NO, aDir[1], , , , 0, -0.0034, 1, -0.0034, 0, 0, 0, 0, FASE2-PERM, NO, 0,
0, NO,
2856, BEAM , UNILOAD, GZ, NO , NO, aDir[1], , , , 0, -0.0034, 1, -0.0034, 0, 0, 0, 0, FASE2-PERM, NO, 0,
0, NO,
2857, BEAM , UNILOAD, GZ, NO , NO, aDir[1], , , , 0, -0.0034, 1, -0.0034, 0, 0, 0, 0, FASE2-PERM, NO, 0,
0, NO,
2858, BEAM , UNILOAD, GZ, NO , NO, aDir[1], , , , 0, -0.0034, 1, -0.0034, 0, 0, 0, 0, FASE2-PERM, NO, 0,
0, NO,
2859, BEAM , UNILOAD, GZ, NO , NO, aDir[1], , , , 0, -0.0034, 1, -0.0034, 0, 0, 0, 0, FASE2-PERM, NO, 0,
0, NO,
2860, BEAM , UNILOAD, GZ, NO , NO, aDir[1], , , , 0, -0.0034, 1, -0.0034, 0, 0, 0, 0, FASE2-PERM, NO, 0,
0, NO,
2861, BEAM , UNILOAD, GZ, NO , NO, aDir[1], , , , 0, -0.0034, 1, -0.0034, 0, 0, 0, 0, FASE2-PERM, NO, 0,
0, NO,
2862, BEAM , UNILOAD, GZ, NO , NO, aDir[1], , , , 0, -0.0034, 1, -0.0034, 0, 0, 0, 0, FASE2-PERM, NO, 0,
0, NO,
2863, BEAM , UNILOAD, GZ, NO , NO, aDir[1], , , , 0, -0.0034, 1, -0.0034, 0, 0, 0, 0, FASE2-PERM, NO, 0,
0, NO,
2864, BEAM , UNILOAD, GZ, NO , NO, aDir[1], , , , 0, -0.0034, 1, -0.0034, 0, 0, 0, 0, FASE2-PERM, NO, 0,
0, NO,
2865, BEAM , UNILOAD, GZ, NO , NO, aDir[1], , , , 0, -0.0034, 1, -0.0034, 0, 0, 0, 0, FASE2-PERM, NO, 0,
0, NO,
2866, BEAM , UNILOAD, GZ, NO , NO, aDir[1], , , , 0, -0.0034, 1, -0.0034, 0, 0, 0, 0, FASE2-PERM, NO, 0,
0, NO,
2867, BEAM , UNILOAD, GZ, NO , NO, aDir[1], , , , 0, -0.0034, 1, -0.0034, 0, 0, 0, 0, FASE2-PERM, NO, 0,
0, NO,
2868, BEAM , UNILOAD, GZ, NO , NO, aDir[1], , , , 0, -0.0034, 1, -0.0034, 0, 0, 0, 0, FASE2-PERM, NO, 0,
0, NO,
2869, BEAM , UNILOAD, GZ, NO , NO, aDir[1], , , , 0, -0.0034, 1, -0.0034, 0, 0, 0, 0, FASE2-PERM, NO, 0,
0, NO,
2870, BEAM , UNILOAD, GZ, NO , NO, aDir[1], , , , 0, -0.0034, 1, -0.0034, 0, 0, 0, 0, FASE2-PERM, NO, 0,
0, NO,
2871, BEAM , UNILOAD, GZ, NO , NO, aDir[1], , , , 0, -0.0034, 1, -0.0034, 0, 0, 0, 0, FASE2-PERM, NO, 0,
0, NO,
2872, BEAM , UNILOAD, GZ, NO , NO, aDir[1], , , , 0, -0.0034, 1, -0.0034, 0, 0, 0, 0, FASE2-PERM, NO, 0,
0, NO,
2873, BEAM , UNILOAD, GZ, NO , NO, aDir[1], , , , 0, -0.0034, 1, -0.0034, 0, 0, 0, 0, FASE2-PERM, NO, 0,
0, NO,
2874, BEAM , UNILOAD, GZ, NO , NO, aDir[1], , , , 0, -0.0034, 1, -0.0034, 0, 0, 0, 0, FASE2-PERM, NO, 0,
0, NO,
2875, BEAM , UNILOAD, GZ, NO , NO, aDir[1], , , , 0, -0.0034, 1, -0.0034, 0, 0, 0, 0, FASE2-PERM, NO, 0,
0, NO,
2876, BEAM , UNILOAD, GZ, NO , NO, aDir[1], , , , 0, -0.0034, 1, -0.0034, 0, 0, 0, 0, FASE2-PERM, NO, 0,
0, NO,
2877, BEAM , UNILOAD, GZ, NO , NO, aDir[1], , , , 0, -0.0034, 1, -0.0034, 0, 0, 0, 0, FASE2-PERM, NO, 0,
0, NO,
2878, BEAM , UNILOAD, GZ, NO , NO, aDir[1], , , , 0, -0.0034, 1, -0.0034, 0, 0, 0, 0, FASE2-PERM, NO, 0,
0, NO,
2879, BEAM , UNILOAD, GZ, NO , NO, aDir[1], , , , 0, -0.0034, 1, -0.0034, 0, 0, 0, 0, FASE2-PERM, NO, 0,
0, NO,
2880, BEAM , UNILOAD, GZ, NO , NO, aDir[1], , , , 0, -0.0034, 1, -0.0034, 0, 0, 0, 0, FASE2-PERM, NO, 0,
0, NO,
2881, BEAM , UNILOAD, GZ, NO , NO, aDir[1], , , , 0, -0.0034, 1, -0.0034, 0, 0, 0, 0, FASE2-PERM, NO, 0,
0, NO,
2882, BEAM , UNILOAD, GZ, NO , NO, aDir[1], , , , 0, -0.0034, 1, -0.0034, 0, 0, 0, 0, FASE2-PERM, NO, 0,
0, NO,
2883, BEAM , UNILOAD, GZ, NO , NO, aDir[1], , , , 0, -0.0034, 1, -0.0034, 0, 0, 0, 0, FASE2-PERM, NO, 0,
0, NO,
2884, BEAM , UNILOAD, GZ, NO , NO, aDir[1], , , , 0, -0.0034, 1, -0.0034, 0, 0, 0, 0, FASE2-PERM, NO, 0,
0, NO,
2885, BEAM , UNILOAD, GZ, NO , NO, aDir[1], , , , 0, -0.0034, 1, -0.0034, 0, 0, 0, 0, FASE2-PERM, NO, 0,
0, NO,
2886, BEAM , UNILOAD, GZ, NO , NO, aDir[1], , , , 0, -0.0034, 1, -0.0034, 0, 0, 0, 0, FASE2-PERM, NO, 0,

```
0, NO,
 2887, BEAM    , UNILOAD, GZ, NO , NO, aDir[1], , , , 0, -0.0034, 1, -0.0034, 0, 0, 0, 0, FASE2-PERM, NO, 0,
0, NO,
 2888, BEAM    , UNILOAD, GZ, NO , NO, aDir[1], , , , 0, -0.0034, 1, -0.0034, 0, 0, 0, 0, FASE2-PERM, NO, 0,
0, NO,
 2889, BEAM    , UNILOAD, GZ, NO , NO, aDir[1], , , , 0, -0.0034, 1, -0.0034, 0, 0, 0, 0, FASE2-PERM, NO, 0,
0, NO,
 2890, BEAM    , UNILOAD, GZ, NO , NO, aDir[1], , , , 0, -0.0034, 1, -0.0034, 0, 0, 0, 0, FASE2-PERM, NO, 0,
0, NO,
 2891, BEAM    , UNILOAD, GZ, NO , NO, aDir[1], , , , 0, -0.0034, 1, -0.0034, 0, 0, 0, 0, FASE2-PERM, NO, 0,
0, NO,
 3097, BEAM    , UNILOAD, GZ, NO , NO, aDir[1], , , , 0, -0.0034, 1, -0.0034, 0, 0, 0, 0, FASE2-PERM, NO, 0,
0, NO,
 3098, BEAM    , UNILOAD, GZ, NO , NO, aDir[1], , , , 0, -0.0034, 1, -0.0034, 0, 0, 0, 0, FASE2-PERM, NO, 0,
0, NO,
 3099, BEAM    , UNILOAD, GZ, NO , NO, aDir[1], , , , 0, -0.0034, 1, -0.0034, 0, 0, 0, 0, FASE2-PERM, NO, 0,
0, NO,
 3100, BEAM    , UNILOAD, GZ, NO , NO, aDir[1], , , , 0, -0.0034, 1, -0.0034, 0, 0, 0, 0, FASE2-PERM, NO, 0,
0, NO,
 3101, BEAM    , UNILOAD, GZ, NO , NO, aDir[1], , , , 0, -0.0034, 1, -0.0034, 0, 0, 0, 0, FASE2-PERM, NO, 0,
0, NO,
 3102, BEAM    , UNILOAD, GZ, NO , NO, aDir[1], , , , 0, -0.0034, 1, -0.0034, 0, 0, 0, 0, FASE2-PERM, NO, 0,
0, NO,
 3103, BEAM    , UNILOAD, GZ, NO , NO, aDir[1], , , , 0, -0.0034, 1, -0.0034, 0, 0, 0, 0, FASE2-PERM, NO, 0,
0, NO,
 3104, BEAM    , UNILOAD, GZ, NO , NO, aDir[1], , , , 0, -0.0034, 1, -0.0034, 0, 0, 0, 0, FASE2-PERM, NO, 0,
0, NO,
 3105, BEAM    , UNILOAD, GZ, NO , NO, aDir[1], , , , 0, -0.0034, 1, -0.0034, 0, 0, 0, 0, FASE2-PERM, NO, 0,
0, NO,
 3106, BEAM    , UNILOAD, GZ, NO , NO, aDir[1], , , , 0, -0.0034, 1, -0.0034, 0, 0, 0, 0, FASE2-PERM, NO, 0,
0, NO,
 3107, BEAM    , UNILOAD, GZ, NO , NO, aDir[1], , , , 0, -0.0034, 1, -0.0034, 0, 0, 0, 0, FASE2-PERM, NO, 0,
0, NO,
 3108, BEAM    , UNILOAD, GZ, NO , NO, aDir[1], , , , 0, -0.0034, 1, -0.0034, 0, 0, 0, 0, FASE2-PERM, NO, 0,
0, NO,
 3109, BEAM    , UNILOAD, GZ, NO , NO, aDir[1], , , , 0, -0.0034, 1, -0.0034, 0, 0, 0, 0, FASE2-PERM, NO, 0,
0, NO,
 3110, BEAM    , UNILOAD, GZ, NO , NO, aDir[1], , , , 0, -0.0034, 1, -0.0034, 0, 0, 0, 0, FASE2-PERM, NO, 0,
0, NO,
 3111, BEAM    , UNILOAD, GZ, NO , NO, aDir[1], , , , 0, -0.0034, 1, -0.0034, 0, 0, 0, 0, FASE2-PERM, NO, 0,
0, NO,
 3112, BEAM    , UNILOAD, GZ, NO , NO, aDir[1], , , , 0, -0.0034, 1, -0.0034, 0, 0, 0, 0, FASE2-PERM, NO, 0,
0, NO,
 3113, BEAM    , UNILOAD, GZ, NO , NO, aDir[1], , , , 0, -0.0034, 1, -0.0034, 0, 0, 0, 0, FASE2-PERM, NO, 0,
0, NO,
 3114, BEAM    , UNILOAD, GZ, NO , NO, aDir[1], , , , 0, -0.0034, 1, -0.0034, 0, 0, 0, 0, FASE2-PERM, NO, 0,
0, NO,
 3115, BEAM    , UNILOAD, GZ, NO , NO, aDir[1], , , , 0, -0.0034, 1, -0.0034, 0, 0, 0, 0, FASE2-PERM, NO, 0,
0, NO,
 3116, BEAM    , UNILOAD, GZ, NO , NO, aDir[1], , , , 0, -0.0034, 1, -0.0034, 0, 0, 0, 0, FASE2-PERM, NO, 0,
0, NO,
 3117, BEAM    , UNILOAD, GZ, NO , NO, aDir[1], , , , 0, -0.0034, 1, -0.0034, 0, 0, 0, 0, FASE2-PERM, NO, 0,
0, NO,
 3118, BEAM    , UNILOAD, GZ, NO , NO, aDir[1], , , , 0, -0.0034, 1, -0.0034, 0, 0, 0, 0, FASE2-PERM, NO, 0,
0, NO,
 3119, BEAM    , UNILOAD, GZ, NO , NO, aDir[1], , , , 0, -0.0034, 1, -0.0034, 0, 0, 0, 0, FASE2-PERM, NO, 0,
0, NO,
 3120, BEAM    , UNILOAD, GZ, NO , NO, aDir[1], , , , 0, -0.0034, 1, -0.0034, 0, 0, 0, 0, FASE2-PERM, NO, 0,
0, NO,
 3121, BEAM    , UNILOAD, GZ, NO , NO, aDir[1], , , , 0, -0.0034, 1, -0.0034, 0, 0, 0, 0, FASE2-PERM, NO, 0,
0, NO,
 3122, BEAM    , UNILOAD, GZ, NO , NO, aDir[1], , , , 0, -0.0034, 1, -0.0034, 0, 0, 0, 0, FASE2-PERM, NO, 0,
0, NO,
 3123, BEAM    , UNILOAD, GZ, NO , NO, aDir[1], , , , 0, -0.0034, 1, -0.0034, 0, 0, 0, 0, FASE2-PERM, NO, 0,
0, NO,
 3124, BEAM    , UNILOAD, GZ, NO , NO, aDir[1], , , , 0, -0.0034, 1, -0.0034, 0, 0, 0, 0, FASE2-PERM, NO, 0,
0, NO,
 3125, BEAM    , UNILOAD, GZ, NO , NO, aDir[1], , , , 0, -0.0034, 1, -0.0034, 0, 0, 0, 0, FASE2-PERM, NO, 0,
0, NO,
 3126, BEAM    , UNILOAD, GZ, NO , NO, aDir[1], , , , 0, -0.0034, 1, -0.0034, 0, 0, 0, 0, FASE2-PERM, NO, 0,
0, NO,
 3127, BEAM    , UNILOAD, GZ, NO , NO, aDir[1], , , , 0, -0.0034, 1, -0.0034, 0, 0, 0, 0, FASE2-PERM, NO, 0,
0, NO,
 3128, BEAM    , UNILOAD, GZ, NO , NO, aDir[1], , , , 0, -0.0034, 1, -0.0034, 0, 0, 0, 0, FASE2-PERM, NO, 0,
0, NO,
 3129, BEAM    , UNILOAD, GZ, NO , NO, aDir[1], , , , 0, -0.0034, 1, -0.0034, 0, 0, 0, 0, FASE2-PERM, NO, 0,
0, NO,
 3130, BEAM    , UNILOAD, GZ, NO , NO, aDir[1], , , , 0, -0.0034, 1, -0.0034, 0, 0, 0, 0, FASE2-PERM, NO, 0,
```

```
0, NO,
 3131, BEAM    , UNILOAD, GZ, NO , NO, aDir[1], , , , 0, -0.0034, 1, -0.0034, 0, 0, 0, 0, FASE2-PERM, NO, 0,
0, NO,
 3132, BEAM    , UNILOAD, GZ, NO , NO, aDir[1], , , , 0, -0.0034, 1, -0.0034, 0, 0, 0, 0, FASE2-PERM, NO, 0,
0, NO,
 3133, BEAM    , UNILOAD, GZ, NO , NO, aDir[1], , , , 0, -0.0034, 1, -0.0034, 0, 0, 0, 0, FASE2-PERM, NO, 0,
0, NO,
 3134, BEAM    , UNILOAD, GZ, NO , NO, aDir[1], , , , 0, -0.0034, 1, -0.0034, 0, 0, 0, 0, FASE2-PERM, NO, 0,
0, NO,
 3135, BEAM    , UNILOAD, GZ, NO , NO, aDir[1], , , , 0, -0.0034, 1, -0.0034, 0, 0, 0, 0, FASE2-PERM, NO, 0,
0, NO,
 3136, BEAM    , UNILOAD, GZ, NO , NO, aDir[1], , , , 0, -0.0034, 1, -0.0034, 0, 0, 0, 0, FASE2-PERM, NO, 0,
0, NO,
 3137, BEAM    , UNILOAD, GZ, NO , NO, aDir[1], , , , 0, -0.0034, 1, -0.0034, 0, 0, 0, 0, FASE2-PERM, NO, 0,
0, NO,
 3138, BEAM    , UNILOAD, GZ, NO , NO, aDir[1], , , , 0, -0.0034, 1, -0.0034, 0, 0, 0, 0, FASE2-PERM, NO, 0,
0, NO,
 3139, BEAM    , UNILOAD, GZ, NO , NO, aDir[1], , , , 0, -0.0034, 1, -0.0034, 0, 0, 0, 0, FASE2-PERM, NO, 0,
0, NO,
 3140, BEAM    , UNILOAD, GZ, NO , NO, aDir[1], , , , 0, -0.0034, 1, -0.0034, 0, 0, 0, 0, FASE2-PERM, NO, 0,
0, NO,
 3141, BEAM    , UNILOAD, GZ, NO , NO, aDir[1], , , , 0, -0.0034, 1, -0.0034, 0, 0, 0, 0, FASE2-PERM, NO, 0,
0, NO,
 3142, BEAM    , UNILOAD, GZ, NO , NO, aDir[1], , , , 0, -0.0034, 1, -0.0034, 0, 0, 0, 0, FASE2-PERM, NO, 0,
0, NO,
 3143, BEAM    , UNILOAD, GZ, NO , NO, aDir[1], , , , 0, -0.0034, 1, -0.0034, 0, 0, 0, 0, FASE2-PERM, NO, 0,
0, NO,
 3144, BEAM    , UNILOAD, GZ, NO , NO, aDir[1], , , , 0, -0.0034, 1, -0.0034, 0, 0, 0, 0, FASE2-PERM, NO, 0,
0, NO,
 3145, BEAM    , UNILOAD, GZ, NO , NO, aDir[1], , , , 0, -0.0034, 1, -0.0034, 0, 0, 0, 0, FASE2-PERM, NO, 0,
0, NO,
 3146, BEAM    , UNILOAD, GZ, NO , NO, aDir[1], , , , 0, -0.0034, 1, -0.0034, 0, 0, 0, 0, FASE2-PERM, NO, 0,
0, NO,
 3147, BEAM    , UNILOAD, GZ, NO , NO, aDir[1], , , , 0, -0.0034, 1, -0.0034, 0, 0, 0, 0, FASE2-PERM, NO, 0,
0, NO,
 3148, BEAM    , UNILOAD, GZ, NO , NO, aDir[1], , , , 0, -0.0034, 1, -0.0034, 0, 0, 0, 0, FASE2-PERM, NO, 0,
0, NO,
 3149, BEAM    , UNILOAD, GZ, NO , NO, aDir[1], , , , 0, -0.0034, 1, -0.0034, 0, 0, 0, 0, FASE2-PERM, NO, 0,
0, NO,
 3150, BEAM    , UNILOAD, GZ, NO , NO, aDir[1], , , , 0, -0.0034, 1, -0.0034, 0, 0, 0, 0, FASE2-PERM, NO, 0,
0, NO,
 3151, BEAM    , UNILOAD, GZ, NO , NO, aDir[1], , , , 0, -0.0034, 1, -0.0034, 0, 0, 0, 0, FASE2-PERM, NO, 0,
0, NO,
 3152, BEAM    , UNILOAD, GZ, NO , NO, aDir[1], , , , 0, -0.0034, 1, -0.0034, 0, 0, 0, 0, FASE2-PERM, NO, 0,
0, NO,
 3153, BEAM    , UNILOAD, GZ, NO , NO, aDir[1], , , , 0, -0.0034, 1, -0.0034, 0, 0, 0, 0, FASE2-PERM, NO, 0,
0, NO,
 3154, BEAM    , UNILOAD, GZ, NO , NO, aDir[1], , , , 0, -0.0034, 1, -0.0034, 0, 0, 0, 0, FASE2-PERM, NO, 0,
0, NO,
 3155, BEAM    , UNILOAD, GZ, NO , NO, aDir[1], , , , 0, -0.0034, 1, -0.0034, 0, 0, 0, 0, FASE2-PERM, NO, 0,
0, NO,
 3156, BEAM    , UNILOAD, GZ, NO , NO, aDir[1], , , , 0, -0.0034, 1, -0.0034, 0, 0, 0, 0, FASE2-PERM, NO, 0,
0, NO,
 3157, BEAM    , UNILOAD, GZ, NO , NO, aDir[1], , , , 0, -0.0034, 1, -0.0034, 0, 0, 0, 0, FASE2-PERM, NO, 0,
0, NO,
 3158, BEAM    , UNILOAD, GZ, NO , NO, aDir[1], , , , 0, -0.0034, 1, -0.0034, 0, 0, 0, 0, FASE2-PERM, NO, 0,
0, NO,
 3159, BEAM    , UNILOAD, GZ, NO , NO, aDir[1], , , , 0, -0.0034, 1, -0.0034, 0, 0, 0, 0, FASE2-PERM, NO, 0,
0, NO,
 3160, BEAM    , UNILOAD, GZ, NO , NO, aDir[1], , , , 0, -0.0034, 1, -0.0034, 0, 0, 0, 0, FASE2-PERM, NO, 0,
0, NO,
 3161, BEAM    , UNILOAD, GZ, NO , NO, aDir[1], , , , 0, -0.0034, 1, -0.0034, 0, 0, 0, 0, FASE2-PERM, NO, 0,
0, NO,
 3162, BEAM    , UNILOAD, GZ, NO , NO, aDir[1], , , , 0, -0.0034, 1, -0.0034, 0, 0, 0, 0, FASE2-PERM, NO, 0,
0, NO,
 3163, BEAM    , UNILOAD, GZ, NO , NO, aDir[1], , , , 0, -0.0034, 1, -0.0034, 0, 0, 0, 0, FASE2-PERM, NO, 0,
0, NO,
 3164, BEAM    , UNILOAD, GZ, NO , NO, aDir[1], , , , 0, -0.0034, 1, -0.0034, 0, 0, 0, 0, FASE2-PERM, NO, 0,
0, NO,
 3165, BEAM    , UNILOAD, GZ, NO , NO, aDir[1], , , , 0, -0.0034, 1, -0.0034, 0, 0, 0, 0, FASE2-PERM, NO, 0,
0, NO,
 3166, BEAM    , UNILOAD, GZ, NO , NO, aDir[1], , , , 0, -0.0034, 1, -0.0034, 0, 0, 0, 0, FASE2-PERM, NO, 0,
0, NO,
 3167, BEAM    , UNILOAD, GZ, NO , NO, aDir[1], , , , 0, -0.0034, 1, -0.0034, 0, 0, 0, 0, FASE2-PERM, NO, 0,
0, NO,
 3168, BEAM    , UNILOAD, GZ, NO , NO, aDir[1], , , , 0, -0.0034, 1, -0.0034, 0, 0, 0, 0, FASE2-PERM, NO, 0,
0, NO,
 3169, BEAM    , UNILOAD, GZ, NO , NO, aDir[1], , , , 0, -0.0034, 1, -0.0034, 0, 0, 0, 0, FASE2-PERM, NO, 0,
```

```
0, NO,
 3170, BEAM    , UNILOAD, GZ, NO , NO, aDir[1], , , , 0, -0.0034, 1, -0.0034, 0, 0, 0, 0, FASE2-PERM, NO, 0,
0, NO,
 3171, BEAM    , UNILOAD, GZ, NO , NO, aDir[1], , , , 0, -0.0034, 1, -0.0034, 0, 0, 0, 0, FASE2-PERM, NO, 0,
0, NO,
 3172, BEAM    , UNILOAD, GZ, NO , NO, aDir[1], , , , 0, -0.0034, 1, -0.0034, 0, 0, 0, 0, FASE2-PERM, NO, 0,
0, NO,
 3173, BEAM    , UNILOAD, GZ, NO , NO, aDir[1], , , , 0, -0.0034, 1, -0.0034, 0, 0, 0, 0, FASE2-PERM, NO, 0,
0, NO,
 3174, BEAM    , UNILOAD, GZ, NO , NO, aDir[1], , , , 0, -0.0034, 1, -0.0034, 0, 0, 0, 0, FASE2-PERM, NO, 0,
0, NO,
 3175, BEAM    , UNILOAD, GZ, NO , NO, aDir[1], , , , 0, -0.0034, 1, -0.0034, 0, 0, 0, 0, FASE2-PERM, NO, 0,
0, NO,
 3176, BEAM    , UNILOAD, GZ, NO , NO, aDir[1], , , , 0, -0.0034, 1, -0.0034, 0, 0, 0, 0, FASE2-PERM, NO, 0,
0, NO,
 3177, BEAM    , UNILOAD, GZ, NO , NO, aDir[1], , , , 0, -0.0034, 1, -0.0034, 0, 0, 0, 0, FASE2-PERM, NO, 0,
0, NO,
 3178, BEAM    , UNILOAD, GZ, NO , NO, aDir[1], , , , 0, -0.0034, 1, -0.0034, 0, 0, 0, 0, FASE2-PERM, NO, 0,
0, NO,
 3179, BEAM    , UNILOAD, GZ, NO , NO, aDir[1], , , , 0, -0.0034, 1, -0.0034, 0, 0, 0, 0, FASE2-PERM, NO, 0,
0, NO,
 3180, BEAM    , UNILOAD, GZ, NO , NO, aDir[1], , , , 0, -0.0034, 1, -0.0034, 0, 0, 0, 0, FASE2-PERM, NO, 0,
0, NO,
 3181, BEAM    , UNILOAD, GZ, NO , NO, aDir[1], , , , 0, -0.0034, 1, -0.0034, 0, 0, 0, 0, FASE2-PERM, NO, 0,
0, NO,
 3182, BEAM    , UNILOAD, GZ, NO , NO, aDir[1], , , , 0, -0.0034, 1, -0.0034, 0, 0, 0, 0, FASE2-PERM, NO, 0,
0, NO,
 3183, BEAM    , UNILOAD, GZ, NO , NO, aDir[1], , , , 0, -0.0034, 1, -0.0034, 0, 0, 0, 0, FASE2-PERM, NO, 0,
0, NO,
 3184, BEAM    , UNILOAD, GZ, NO , NO, aDir[1], , , , 0, -0.0034, 1, -0.0034, 0, 0, 0, 0, FASE2-PERM, NO, 0,
0, NO,
 3185, BEAM    , UNILOAD, GZ, NO , NO, aDir[1], , , , 0, -0.0034, 1, -0.0034, 0, 0, 0, 0, FASE2-PERM, NO, 0,
0, NO,
 3186, BEAM    , UNILOAD, GZ, NO , NO, aDir[1], , , , 0, -0.0034, 1, -0.0034, 0, 0, 0, 0, FASE2-PERM, NO, 0,
0, NO,
 3187, BEAM    , UNILOAD, GZ, NO , NO, aDir[1], , , , 0, -0.0034, 1, -0.0034, 0, 0, 0, 0, FASE2-PERM, NO, 0,
0, NO,
 3188, BEAM    , UNILOAD, GZ, NO , NO, aDir[1], , , , 0, -0.0034, 1, -0.0034, 0, 0, 0, 0, FASE2-PERM, NO, 0,
0, NO,
 3189, BEAM    , UNILOAD, GZ, NO , NO, aDir[1], , , , 0, -0.0034, 1, -0.0034, 0, 0, 0, 0, FASE2-PERM, NO, 0,
0, NO,
 3190, BEAM    , UNILOAD, GZ, NO , NO, aDir[1], , , , 0, -0.0034, 1, -0.0034, 0, 0, 0, 0, FASE2-PERM, NO, 0,
0, NO,
 3191, BEAM    , UNILOAD, GZ, NO , NO, aDir[1], , , , 0, -0.0034, 1, -0.0034, 0, 0, 0, 0, FASE2-PERM, NO, 0,
0, NO,
 3192, BEAM    , UNILOAD, GZ, NO , NO, aDir[1], , , , 0, -0.0034, 1, -0.0034, 0, 0, 0, 0, FASE2-PERM, NO, 0,
0, NO,
 3193, BEAM    , UNILOAD, GZ, NO , NO, aDir[1], , , , 0, -0.0034, 1, -0.0034, 0, 0, 0, 0, FASE2-PERM, NO, 0,
0, NO,
 3194, BEAM    , UNILOAD, GZ, NO , NO, aDir[1], , , , 0, -0.0034, 1, -0.0034, 0, 0, 0, 0, FASE2-PERM, NO, 0,
0, NO,
 3195, BEAM    , UNILOAD, GZ, NO , NO, aDir[1], , , , 0, -0.0034, 1, -0.0034, 0, 0, 0, 0, FASE2-PERM, NO, 0,
0, NO,
 3196, BEAM    , UNILOAD, GZ, NO , NO, aDir[1], , , , 0, -0.0034, 1, -0.0034, 0, 0, 0, 0, FASE2-PERM, NO, 0,
0, NO,
 3197, BEAM    , UNILOAD, GZ, NO , NO, aDir[1], , , , 0, -0.0034, 1, -0.0034, 0, 0, 0, 0, FASE2-PERM, NO, 0,
0, NO,
 3198, BEAM    , UNILOAD, GZ, NO , NO, aDir[1], , , , 0, -0.0034, 1, -0.0034, 0, 0, 0, 0, FASE2-PERM, NO, 0,
0, NO,
 3199, BEAM    , UNILOAD, GZ, NO , NO, aDir[1], , , , 0, -0.0034, 1, -0.0034, 0, 0, 0, 0, FASE2-PERM, NO, 0,
0, NO,
 3200, BEAM    , UNILOAD, GZ, NO , NO, aDir[1], , , , 0, -0.0034, 1, -0.0034, 0, 0, 0, 0, FASE2-PERM, NO, 0,
0, NO,
 3201, BEAM    , UNILOAD, GZ, NO , NO, aDir[1], , , , 0, -0.0034, 1, -0.0034, 0, 0, 0, 0, FASE2-PERM, NO, 0,
0, NO,
 3202, BEAM    , UNILOAD, GZ, NO , NO, aDir[1], , , , 0, -0.0034, 1, -0.0034, 0, 0, 0, 0, FASE2-PERM, NO, 0,
0, NO,
 3203, BEAM    , UNILOAD, GZ, NO , NO, aDir[1], , , , 0, -0.0034, 1, -0.0034, 0, 0, 0, 0, FASE2-PERM, NO, 0,
0, NO,
 3204, BEAM    , UNILOAD, GZ, NO , NO, aDir[1], , , , 0, -0.0034, 1, -0.0034, 0, 0, 0, 0, FASE2-PERM, NO, 0,
0, NO,
 3205, BEAM    , UNILOAD, GZ, NO , NO, aDir[1], , , , 0, -0.0034, 1, -0.0034, 0, 0, 0, 0, FASE2-PERM, NO, 0,
0, NO,
 3206, BEAM    , UNILOAD, GZ, NO , NO, aDir[1], , , , 0, -0.0034, 1, -0.0034, 0, 0, 0, 0, FASE2-PERM, NO, 0,
0, NO,
 3207, BEAM    , UNILOAD, GZ, NO , NO, aDir[1], , , , 0, -0.0034, 1, -0.0034, 0, 0, 0, 0, FASE2-PERM, NO, 0,
0, NO,
 3208, BEAM    , UNILOAD, GZ, NO , NO, aDir[1], , , , 0, -0.0034, 1, -0.0034, 0, 0, 0, 0, FASE2-PERM, NO, 0,
```

```
0, NO,
 3209, BEAM    , UNILOAD, GZ, NO , NO, aDir[1], , , , 0, -0.0034, 1, -0.0034, 0, 0, 0, 0, FASE2-PERM, NO, 0,
0, NO,
 3210, BEAM    , UNILOAD, GZ, NO , NO, aDir[1], , , , 0, -0.0034, 1, -0.0034, 0, 0, 0, 0, FASE2-PERM, NO, 0,
0, NO,
 3211, BEAM    , UNILOAD, GZ, NO , NO, aDir[1], , , , 0, -0.0034, 1, -0.0034, 0, 0, 0, 0, FASE2-PERM, NO, 0,
0, NO,
 3212, BEAM    , UNILOAD, GZ, NO , NO, aDir[1], , , , 0, -0.0034, 1, -0.0034, 0, 0, 0, 0, FASE2-PERM, NO, 0,
0, NO,
 3213, BEAM    , UNILOAD, GZ, NO , NO, aDir[1], , , , 0, -0.0034, 1, -0.0034, 0, 0, 0, 0, FASE2-PERM, NO, 0,
0, NO,
 3214, BEAM    , UNILOAD, GZ, NO , NO, aDir[1], , , , 0, -0.0034, 1, -0.0034, 0, 0, 0, 0, FASE2-PERM, NO, 0,
0, NO,
 3215, BEAM    , UNILOAD, GZ, NO , NO, aDir[1], , , , 0, -0.0034, 1, -0.0034, 0, 0, 0, 0, FASE2-PERM, NO, 0,
0, NO,
 3216, BEAM    , UNILOAD, GZ, NO , NO, aDir[1], , , , 0, -0.0034, 1, -0.0034, 0, 0, 0, 0, FASE2-PERM, NO, 0,
0, NO,
 3217, BEAM    , UNILOAD, GZ, NO , NO, aDir[1], , , , 0, -0.0034, 1, -0.0034, 0, 0, 0, 0, FASE2-PERM, NO, 0,
0, NO,
 3218, BEAM    , UNILOAD, GZ, NO , NO, aDir[1], , , , 0, -0.0034, 1, -0.0034, 0, 0, 0, 0, FASE2-PERM, NO, 0,
0, NO,
 3219, BEAM    , UNILOAD, GZ, NO , NO, aDir[1], , , , 0, -0.0034, 1, -0.0034, 0, 0, 0, 0, FASE2-PERM, NO, 0,
0, NO,
 3220, BEAM    , UNILOAD, GZ, NO , NO, aDir[1], , , , 0, -0.0034, 1, -0.0034, 0, 0, 0, 0, FASE2-PERM, NO, 0,
0, NO,
 3221, BEAM    , UNILOAD, GZ, NO , NO, aDir[1], , , , 0, -0.0034, 1, -0.0034, 0, 0, 0, 0, FASE2-PERM, NO, 0,
0, NO,
 3222, BEAM    , UNILOAD, GZ, NO , NO, aDir[1], , , , 0, -0.0034, 1, -0.0034, 0, 0, 0, 0, FASE2-PERM, NO, 0,
0, NO,
 3223, BEAM    , UNILOAD, GZ, NO , NO, aDir[1], , , , 0, -0.0034, 1, -0.0034, 0, 0, 0, 0, FASE2-PERM, NO, 0,
0, NO,
 3224, BEAM    , UNILOAD, GZ, NO , NO, aDir[1], , , , 0, -0.0034, 1, -0.0034, 0, 0, 0, 0, FASE2-PERM, NO, 0,
0, NO,
 3225, BEAM    , UNILOAD, GZ, NO , NO, aDir[1], , , , 0, -0.0034, 1, -0.0034, 0, 0, 0, 0, FASE2-PERM, NO, 0,
0, NO,
 3226, BEAM    , UNILOAD, GZ, NO , NO, aDir[1], , , , 0, -0.0034, 1, -0.0034, 0, 0, 0, 0, FASE2-PERM, NO, 0,
0, NO,
 3227, BEAM    , UNILOAD, GZ, NO , NO, aDir[1], , , , 0, -0.0034, 1, -0.0034, 0, 0, 0, 0, FASE2-PERM, NO, 0,
0, NO,
 3228, BEAM    , UNILOAD, GZ, NO , NO, aDir[1], , , , 0, -0.0034, 1, -0.0034, 0, 0, 0, 0, FASE2-PERM, NO, 0,
0, NO,
 3229, BEAM    , UNILOAD, GZ, NO , NO, aDir[1], , , , 0, -0.0034, 1, -0.0034, 0, 0, 0, 0, FASE2-PERM, NO, 0,
0, NO,
 3230, BEAM    , UNILOAD, GZ, NO , NO, aDir[1], , , , 0, -0.0034, 1, -0.0034, 0, 0, 0, 0, FASE2-PERM, NO, 0,
0, NO,
 3231, BEAM    , UNILOAD, GZ, NO , NO, aDir[1], , , , 0, -0.0034, 1, -0.0034, 0, 0, 0, 0, FASE2-PERM, NO, 0,
0, NO,
 3232, BEAM    , UNILOAD, GZ, NO , NO, aDir[1], , , , 0, -0.0034, 1, -0.0034, 0, 0, 0, 0, FASE2-PERM, NO, 0,
0, NO,
 3233, BEAM    , UNILOAD, GZ, NO , NO, aDir[1], , , , 0, -0.0034, 1, -0.0034, 0, 0, 0, 0, FASE2-PERM, NO, 0,
0, NO,
 3234, BEAM    , UNILOAD, GZ, NO , NO, aDir[1], , , , 0, -0.0034, 1, -0.0034, 0, 0, 0, 0, FASE2-PERM, NO, 0,
0, NO,
 3235, BEAM    , UNILOAD, GZ, NO , NO, aDir[1], , , , 0, -0.0034, 1, -0.0034, 0, 0, 0, 0, FASE2-PERM, NO, 0,
0, NO,
 3236, BEAM    , UNILOAD, GZ, NO , NO, aDir[1], , , , 0, -0.0034, 1, -0.0034, 0, 0, 0, 0, FASE2-PERM, NO, 0,
0, NO,
 3237, BEAM    , UNILOAD, GZ, NO , NO, aDir[1], , , , 0, -0.0034, 1, -0.0034, 0, 0, 0, 0, FASE2-PERM, NO, 0,
0, NO,
 3238, BEAM    , UNILOAD, GZ, NO , NO, aDir[1], , , , 0, -0.0034, 1, -0.0034, 0, 0, 0, 0, FASE2-PERM, NO, 0,
0, NO,
 3239, BEAM    , UNILOAD, GZ, NO , NO, aDir[1], , , , 0, -0.0034, 1, -0.0034, 0, 0, 0, 0, FASE2-PERM, NO, 0,
0, NO,
 3240, BEAM    , UNILOAD, GZ, NO , NO, aDir[1], , , , 0, -0.0034, 1, -0.0034, 0, 0, 0, 0, FASE2-PERM, NO, 0,
0, NO,
 3241, BEAM    , UNILOAD, GZ, NO , NO, aDir[1], , , , 0, -0.0034, 1, -0.0034, 0, 0, 0, 0, FASE2-PERM, NO, 0,
0, NO,
 3242, BEAM    , UNILOAD, GZ, NO , NO, aDir[1], , , , 0, -0.0034, 1, -0.0034, 0, 0, 0, 0, FASE2-PERM, NO, 0,
0, NO,
 3243, BEAM    , UNILOAD, GZ, NO , NO, aDir[1], , , , 0, -0.0034, 1, -0.0034, 0, 0, 0, 0, FASE2-PERM, NO, 0,
0, NO,
 3244, BEAM    , UNILOAD, GZ, NO , NO, aDir[1], , , , 0, -0.0034, 1, -0.0034, 0, 0, 0, 0, FASE2-PERM, NO, 0,
0, NO,
 3245, BEAM    , UNILOAD, GZ, NO , NO, aDir[1], , , , 0, -0.0034, 1, -0.0034, 0, 0, 0, 0, FASE2-PERM, NO, 0,
0, NO,
 3246, BEAM    , UNILOAD, GZ, NO , NO, aDir[1], , , , 0, -0.0034, 1, -0.0034, 0, 0, 0, 0, FASE2-PERM, NO, 0,
0, NO,
 3247, BEAM    , UNILOAD, GZ, NO , NO, aDir[1], , , , 0, -0.0034, 1, -0.0034, 0, 0, 0, 0, FASE2-PERM, NO, 0,
```

```
0, NO,
 3248, BEAM    , UNILOAD, GZ, NO , NO, aDir[1], , , , 0, -0.0034, 1, -0.0034, 0, 0, 0, 0, FASE2-PERM, NO, 0,
0, NO,
 3249, BEAM    , UNILOAD, GZ, NO , NO, aDir[1], , , , 0, -0.0034, 1, -0.0034, 0, 0, 0, 0, FASE2-PERM, NO, 0,
0, NO,
 3250, BEAM    , UNILOAD, GZ, NO , NO, aDir[1], , , , 0, -0.0034, 1, -0.0034, 0, 0, 0, 0, FASE2-PERM, NO, 0,
0, NO,
 3251, BEAM    , UNILOAD, GZ, NO , NO, aDir[1], , , , 0, -0.0034, 1, -0.0034, 0, 0, 0, 0, FASE2-PERM, NO, 0,
0, NO,
 3252, BEAM    , UNILOAD, GZ, NO , NO, aDir[1], , , , 0, -0.0034, 1, -0.0034, 0, 0, 0, 0, FASE2-PERM, NO, 0,
0, NO,
 3253, BEAM    , UNILOAD, GZ, NO , NO, aDir[1], , , , 0, -0.0034, 1, -0.0034, 0, 0, 0, 0, FASE2-PERM, NO, 0,
0, NO,
 3254, BEAM    , UNILOAD, GZ, NO , NO, aDir[1], , , , 0, -0.0034, 1, -0.0034, 0, 0, 0, 0, FASE2-PERM, NO, 0,
0, NO,
 3255, BEAM    , UNILOAD, GZ, NO , NO, aDir[1], , , , 0, -0.0034, 1, -0.0034, 0, 0, 0, 0, FASE2-PERM, NO, 0,
0, NO,
 3256, BEAM    , UNILOAD, GZ, NO , NO, aDir[1], , , , 0, -0.0034, 1, -0.0034, 0, 0, 0, 0, FASE2-PERM, NO, 0,
0, NO,
 3257, BEAM    , UNILOAD, GZ, NO , NO, aDir[1], , , , 0, -0.0034, 1, -0.0034, 0, 0, 0, 0, FASE2-PERM, NO, 0,
0, NO,
 3258, BEAM    , UNILOAD, GZ, NO , NO, aDir[1], , , , 0, -0.0034, 1, -0.0034, 0, 0, 0, 0, FASE2-PERM, NO, 0,
0, NO,
 3259, BEAM    , UNILOAD, GZ, NO , NO, aDir[1], , , , 0, -0.0034, 1, -0.0034, 0, 0, 0, 0, FASE2-PERM, NO, 0,
0, NO,
 3260, BEAM    , UNILOAD, GZ, NO , NO, aDir[1], , , , 0, -0.0034, 1, -0.0034, 0, 0, 0, 0, FASE2-PERM, NO, 0,
0, NO,
 3261, BEAM    , UNILOAD, GZ, NO , NO, aDir[1], , , , 0, -0.0034, 1, -0.0034, 0, 0, 0, 0, FASE2-PERM, NO, 0,
0, NO,
 3262, BEAM    , UNILOAD, GZ, NO , NO, aDir[1], , , , 0, -0.0034, 1, -0.0034, 0, 0, 0, 0, FASE2-PERM, NO, 0,
0, NO,
 3263, BEAM    , UNILOAD, GZ, NO , NO, aDir[1], , , , 0, -0.0034, 1, -0.0034, 0, 0, 0, 0, FASE2-PERM, NO, 0,
0, NO,
 3264, BEAM    , UNILOAD, GZ, NO , NO, aDir[1], , , , 0, -0.0034, 1, -0.0034, 0, 0, 0, 0, FASE2-PERM, NO, 0,
0, NO,
 3265, BEAM    , UNILOAD, GZ, NO , NO, aDir[1], , , , 0, -0.0034, 1, -0.0034, 0, 0, 0, 0, FASE2-PERM, NO, 0,
0, NO,
 3266, BEAM    , UNILOAD, GZ, NO , NO, aDir[1], , , , 0, -0.0034, 1, -0.0034, 0, 0, 0, 0, FASE2-PERM, NO, 0,
0, NO,
 3267, BEAM    , UNILOAD, GZ, NO , NO, aDir[1], , , , 0, -0.0034, 1, -0.0034, 0, 0, 0, 0, FASE2-PERM, NO, 0,
0, NO,
 3268, BEAM    , UNILOAD, GZ, NO , NO, aDir[1], , , , 0, -0.0034, 1, -0.0034, 0, 0, 0, 0, FASE2-PERM, NO, 0,
0, NO,
 3269, BEAM    , UNILOAD, GZ, NO , NO, aDir[1], , , , 0, -0.0034, 1, -0.0034, 0, 0, 0, 0, FASE2-PERM, NO, 0,
0, NO,
 3270, BEAM    , UNILOAD, GZ, NO , NO, aDir[1], , , , 0, -0.0034, 1, -0.0034, 0, 0, 0, 0, FASE2-PERM, NO, 0,
0, NO,
 3271, BEAM    , UNILOAD, GZ, NO , NO, aDir[1], , , , 0, -0.0034, 1, -0.0034, 0, 0, 0, 0, FASE2-PERM, NO, 0,
0, NO,
 3272, BEAM    , UNILOAD, GZ, NO , NO, aDir[1], , , , 0, -0.0034, 1, -0.0034, 0, 0, 0, 0, FASE2-PERM, NO, 0,
0, NO,
 3273, BEAM    , UNILOAD, GZ, NO , NO, aDir[1], , , , 0, -0.0034, 1, -0.0034, 0, 0, 0, 0, FASE2-PERM, NO, 0,
0, NO,
 3274, BEAM    , UNILOAD, GZ, NO , NO, aDir[1], , , , 0, -0.0034, 1, -0.0034, 0, 0, 0, 0, FASE2-PERM, NO, 0,
0, NO,
 3275, BEAM    , UNILOAD, GZ, NO , NO, aDir[1], , , , 0, -0.0034, 1, -0.0034, 0, 0, 0, 0, FASE2-PERM, NO, 0,
0, NO,
 3276, BEAM    , UNILOAD, GZ, NO , NO, aDir[1], , , , 0, -0.0034, 1, -0.0034, 0, 0, 0, 0, FASE2-PERM, NO, 0,
0, NO,
 3277, BEAM    , UNILOAD, GZ, NO , NO, aDir[1], , , , 0, -0.0034, 1, -0.0034, 0, 0, 0, 0, FASE2-PERM, NO, 0,
0, NO,
 3278, BEAM    , UNILOAD, GZ, NO , NO, aDir[1], , , , 0, -0.0034, 1, -0.0034, 0, 0, 0, 0, FASE2-PERM, NO, 0,
0, NO,
 3279, BEAM    , UNILOAD, GZ, NO , NO, aDir[1], , , , 0, -0.0034, 1, -0.0034, 0, 0, 0, 0, FASE2-PERM, NO, 0,
0, NO,
 3280, BEAM    , UNILOAD, GZ, NO , NO, aDir[1], , , , 0, -0.0034, 1, -0.0034, 0, 0, 0, 0, FASE2-PERM, NO, 0,
0, NO,
 3281, BEAM    , UNILOAD, GZ, NO , NO, aDir[1], , , , 0, -0.0034, 1, -0.0034, 0, 0, 0, 0, FASE2-PERM, NO, 0,
0, NO,
 3282, BEAM    , UNILOAD, GZ, NO , NO, aDir[1], , , , 0, -0.0034, 1, -0.0034, 0, 0, 0, 0, FASE2-PERM, NO, 0,
0, NO,
 3283, BEAM    , UNILOAD, GZ, NO , NO, aDir[1], , , , 0, -0.0034, 1, -0.0034, 0, 0, 0, 0, FASE2-PERM, NO, 0,
0, NO,
 3284, BEAM    , UNILOAD, GZ, NO , NO, aDir[1], , , , 0, -0.0034, 1, -0.0034, 0, 0, 0, 0, FASE2-PERM, NO, 0,
0, NO,
 3285, BEAM    , UNILOAD, GZ, NO , NO, aDir[1], , , , 0, -0.0034, 1, -0.0034, 0, 0, 0, 0, FASE2-PERM, NO, 0,
0, NO,
 3286, BEAM    , UNILOAD, GZ, NO , NO, aDir[1], , , , 0, -0.0034, 1, -0.0034, 0, 0, 0, 0, FASE2-PERM, NO, 0,
```

```
0, NO,
 3287, BEAM    , UNILOAD, GZ, NO , NO, aDir[1], , , , 0, -0.0034, 1, -0.0034, 0, 0, 0, 0, FASE2-PERM, NO, 0,
0, NO,
 3288, BEAM    , UNILOAD, GZ, NO , NO, aDir[1], , , , 0, -0.0034, 1, -0.0034, 0, 0, 0, 0, FASE2-PERM, NO, 0,
0, NO,
 3289, BEAM    , UNILOAD, GZ, NO , NO, aDir[1], , , , 0, -0.0034, 1, -0.0034, 0, 0, 0, 0, FASE2-PERM, NO, 0,
0, NO,
 3290, BEAM    , UNILOAD, GZ, NO , NO, aDir[1], , , , 0, -0.0034, 1, -0.0034, 0, 0, 0, 0, FASE2-PERM, NO, 0,
0, NO,
 3291, BEAM    , UNILOAD, GZ, NO , NO, aDir[1], , , , 0, -0.0034, 1, -0.0034, 0, 0, 0, 0, FASE2-PERM, NO, 0,
0, NO,
 3292, BEAM    , UNILOAD, GZ, NO , NO, aDir[1], , , , 0, -0.0034, 1, -0.0034, 0, 0, 0, 0, FASE2-PERM, NO, 0,
0, NO,
 3293, BEAM    , UNILOAD, GZ, NO , NO, aDir[1], , , , 0, -0.0034, 1, -0.0034, 0, 0, 0, 0, FASE2-PERM, NO, 0,
0, NO,
 3294, BEAM    , UNILOAD, GZ, NO , NO, aDir[1], , , , 0, -0.0034, 1, -0.0034, 0, 0, 0, 0, FASE2-PERM, NO, 0,
0, NO,
 3295, BEAM    , UNILOAD, GZ, NO , NO, aDir[1], , , , 0, -0.0034, 1, -0.0034, 0, 0, 0, 0, FASE2-PERM, NO, 0,
0, NO,
 3296, BEAM    , UNILOAD, GZ, NO , NO, aDir[1], , , , 0, -0.0034, 1, -0.0034, 0, 0, 0, 0, FASE2-PERM, NO, 0,
0, NO,
 3297, BEAM    , UNILOAD, GZ, NO , NO, aDir[1], , , , 0, -0.0034, 1, -0.0034, 0, 0, 0, 0, FASE2-PERM, NO, 0,
0, NO,
 3298, BEAM    , UNILOAD, GZ, NO , NO, aDir[1], , , , 0, -0.0034, 1, -0.0034, 0, 0, 0, 0, FASE2-PERM, NO, 0,
0, NO,
 3299, BEAM    , UNILOAD, GZ, NO , NO, aDir[1], , , , 0, -0.0034, 1, -0.0034, 0, 0, 0, 0, FASE2-PERM, NO, 0,
0, NO,
 3300, BEAM    , UNILOAD, GZ, NO , NO, aDir[1], , , , 0, -0.0034, 1, -0.0034, 0, 0, 0, 0, FASE2-PERM, NO, 0,
0, NO,
 3301, BEAM    , UNILOAD, GZ, NO , NO, aDir[1], , , , 0, -0.0034, 1, -0.0034, 0, 0, 0, 0, FASE2-PERM, NO, 0,
0, NO,
 3302, BEAM    , UNILOAD, GZ, NO , NO, aDir[1], , , , 0, -0.0034, 1, -0.0034, 0, 0, 0, 0, FASE2-PERM, NO, 0,
0, NO,
 3303, BEAM    , UNILOAD, GZ, NO , NO, aDir[1], , , , 0, -0.0034, 1, -0.0034, 0, 0, 0, 0, FASE2-PERM, NO, 0,
0, NO,
 3304, BEAM    , UNILOAD, GZ, NO , NO, aDir[1], , , , 0, -0.0034, 1, -0.0034, 0, 0, 0, 0, FASE2-PERM, NO, 0,
0, NO,
 3305, BEAM    , UNILOAD, GZ, NO , NO, aDir[1], , , , 0, -0.0034, 1, -0.0034, 0, 0, 0, 0, FASE2-PERM, NO, 0,
0, NO,
 3306, BEAM    , UNILOAD, GZ, NO , NO, aDir[1], , , , 0, -0.0034, 1, -0.0034, 0, 0, 0, 0, FASE2-PERM, NO, 0,
0, NO,
 3512, BEAM    , UNILOAD, GZ, NO , NO, aDir[1], , , , 0, -0.0034, 1, -0.0034, 0, 0, 0, 0, FASE2-PERM, NO, 0,
0, NO,
 3513, BEAM    , UNILOAD, GZ, NO , NO, aDir[1], , , , 0, -0.0034, 1, -0.0034, 0, 0, 0, 0, FASE2-PERM, NO, 0,
0, NO,
 3514, BEAM    , UNILOAD, GZ, NO , NO, aDir[1], , , , 0, -0.0034, 1, -0.0034, 0, 0, 0, 0, FASE2-PERM, NO, 0,
0, NO,
 3515, BEAM    , UNILOAD, GZ, NO , NO, aDir[1], , , , 0, -0.0034, 1, -0.0034, 0, 0, 0, 0, FASE2-PERM, NO, 0,
0, NO,
 3516, BEAM    , UNILOAD, GZ, NO , NO, aDir[1], , , , 0, -0.0034, 1, -0.0034, 0, 0, 0, 0, FASE2-PERM, NO, 0,
0, NO,
 3517, BEAM    , UNILOAD, GZ, NO , NO, aDir[1], , , , 0, -0.0034, 1, -0.0034, 0, 0, 0, 0, FASE2-PERM, NO, 0,
0, NO,
 3518, BEAM    , UNILOAD, GZ, NO , NO, aDir[1], , , , 0, -0.0034, 1, -0.0034, 0, 0, 0, 0, FASE2-PERM, NO, 0,
0, NO,
 3519, BEAM    , UNILOAD, GZ, NO , NO, aDir[1], , , , 0, -0.0034, 1, -0.0034, 0, 0, 0, 0, FASE2-PERM, NO, 0,
0, NO,
 3520, BEAM    , UNILOAD, GZ, NO , NO, aDir[1], , , , 0, -0.0034, 1, -0.0034, 0, 0, 0, 0, FASE2-PERM, NO, 0,
0, NO,
 3521, BEAM    , UNILOAD, GZ, NO , NO, aDir[1], , , , 0, -0.0034, 1, -0.0034, 0, 0, 0, 0, FASE2-PERM, NO, 0,
0, NO,
 3522, BEAM    , UNILOAD, GZ, NO , NO, aDir[1], , , , 0, -0.0034, 1, -0.0034, 0, 0, 0, 0, FASE2-PERM, NO, 0,
0, NO,
 3523, BEAM    , UNILOAD, GZ, NO , NO, aDir[1], , , , 0, -0.0034, 1, -0.0034, 0, 0, 0, 0, FASE2-PERM, NO, 0,
0, NO,
 3524, BEAM    , UNILOAD, GZ, NO , NO, aDir[1], , , , 0, -0.0034, 1, -0.0034, 0, 0, 0, 0, FASE2-PERM, NO, 0,
0, NO,
 3525, BEAM    , UNILOAD, GZ, NO , NO, aDir[1], , , , 0, -0.0034, 1, -0.0034, 0, 0, 0, 0, FASE2-PERM, NO, 0,
0, NO,
 3526, BEAM    , UNILOAD, GZ, NO , NO, aDir[1], , , , 0, -0.0034, 1, -0.0034, 0, 0, 0, 0, FASE2-PERM, NO, 0,
0, NO,
 3527, BEAM    , UNILOAD, GZ, NO , NO, aDir[1], , , , 0, -0.0034, 1, -0.0034, 0, 0, 0, 0, FASE2-PERM, NO, 0,
0, NO,
 3528, BEAM    , UNILOAD, GZ, NO , NO, aDir[1], , , , 0, -0.0034, 1, -0.0034, 0, 0, 0, 0, FASE2-PERM, NO, 0,
0, NO,
 3529, BEAM    , UNILOAD, GZ, NO , NO, aDir[1], , , , 0, -0.0034, 1, -0.0034, 0, 0, 0, 0, FASE2-PERM, NO, 0,
0, NO,
 3530, BEAM    , UNILOAD, GZ, NO , NO, aDir[1], , , , 0, -0.0034, 1, -0.0034, 0, 0, 0, 0, FASE2-PERM, NO, 0,
```

```
0, NO,
 3531, BEAM    , UNILOAD, GZ, NO , NO, aDir[1], , , , 0, -0.0034, 1, -0.0034, 0, 0, 0, 0, FASE2-PERM, NO, 0,
0, NO,
 3532, BEAM    , UNILOAD, GZ, NO , NO, aDir[1], , , , 0, -0.0034, 1, -0.0034, 0, 0, 0, 0, FASE2-PERM, NO, 0,
0, NO,
 3533, BEAM    , UNILOAD, GZ, NO , NO, aDir[1], , , , 0, -0.0034, 1, -0.0034, 0, 0, 0, 0, FASE2-PERM, NO, 0,
0, NO,
 3534, BEAM    , UNILOAD, GZ, NO , NO, aDir[1], , , , 0, -0.0034, 1, -0.0034, 0, 0, 0, 0, FASE2-PERM, NO, 0,
0, NO,
 3535, BEAM    , UNILOAD, GZ, NO , NO, aDir[1], , , , 0, -0.0034, 1, -0.0034, 0, 0, 0, 0, FASE2-PERM, NO, 0,
0, NO,
 3536, BEAM    , UNILOAD, GZ, NO , NO, aDir[1], , , , 0, -0.0034, 1, -0.0034, 0, 0, 0, 0, FASE2-PERM, NO, 0,
0, NO,
 3537, BEAM    , UNILOAD, GZ, NO , NO, aDir[1], , , , 0, -0.0034, 1, -0.0034, 0, 0, 0, 0, FASE2-PERM, NO, 0,
0, NO,
 3538, BEAM    , UNILOAD, GZ, NO , NO, aDir[1], , , , 0, -0.0034, 1, -0.0034, 0, 0, 0, 0, FASE2-PERM, NO, 0,
0, NO,
 3539, BEAM    , UNILOAD, GZ, NO , NO, aDir[1], , , , 0, -0.0034, 1, -0.0034, 0, 0, 0, 0, FASE2-PERM, NO, 0,
0, NO,
 3540, BEAM    , UNILOAD, GZ, NO , NO, aDir[1], , , , 0, -0.0034, 1, -0.0034, 0, 0, 0, 0, FASE2-PERM, NO, 0,
0, NO,
 3541, BEAM    , UNILOAD, GZ, NO , NO, aDir[1], , , , 0, -0.0034, 1, -0.0034, 0, 0, 0, 0, FASE2-PERM, NO, 0,
0, NO,
 3542, BEAM    , UNILOAD, GZ, NO , NO, aDir[1], , , , 0, -0.0034, 1, -0.0034, 0, 0, 0, 0, FASE2-PERM, NO, 0,
0, NO,
 3543, BEAM    , UNILOAD, GZ, NO , NO, aDir[1], , , , 0, -0.0034, 1, -0.0034, 0, 0, 0, 0, FASE2-PERM, NO, 0,
0, NO,
 3544, BEAM    , UNILOAD, GZ, NO , NO, aDir[1], , , , 0, -0.0034, 1, -0.0034, 0, 0, 0, 0, FASE2-PERM, NO, 0,
0, NO,
 3545, BEAM    , UNILOAD, GZ, NO , NO, aDir[1], , , , 0, -0.0034, 1, -0.0034, 0, 0, 0, 0, FASE2-PERM, NO, 0,
0, NO,
 3546, BEAM    , UNILOAD, GZ, NO , NO, aDir[1], , , , 0, -0.0034, 1, -0.0034, 0, 0, 0, 0, FASE2-PERM, NO, 0,
0, NO,
 3547, BEAM    , UNILOAD, GZ, NO , NO, aDir[1], , , , 0, -0.0034, 1, -0.0034, 0, 0, 0, 0, FASE2-PERM, NO, 0,
0, NO,
 3548, BEAM    , UNILOAD, GZ, NO , NO, aDir[1], , , , 0, -0.0034, 1, -0.0034, 0, 0, 0, 0, FASE2-PERM, NO, 0,
0, NO,
 3549, BEAM    , UNILOAD, GZ, NO , NO, aDir[1], , , , 0, -0.0034, 1, -0.0034, 0, 0, 0, 0, FASE2-PERM, NO, 0,
0, NO,
 3550, BEAM    , UNILOAD, GZ, NO , NO, aDir[1], , , , 0, -0.0034, 1, -0.0034, 0, 0, 0, 0, FASE2-PERM, NO, 0,
0, NO,
 3551, BEAM    , UNILOAD, GZ, NO , NO, aDir[1], , , , 0, -0.0034, 1, -0.0034, 0, 0, 0, 0, FASE2-PERM, NO, 0,
0, NO,
 3552, BEAM    , UNILOAD, GZ, NO , NO, aDir[1], , , , 0, -0.0034, 1, -0.0034, 0, 0, 0, 0, FASE2-PERM, NO, 0,
0, NO,
 3553, BEAM    , UNILOAD, GZ, NO , NO, aDir[1], , , , 0, -0.0034, 1, -0.0034, 0, 0, 0, 0, FASE2-PERM, NO, 0,
0, NO,
 3554, BEAM    , UNILOAD, GZ, NO , NO, aDir[1], , , , 0, -0.0034, 1, -0.0034, 0, 0, 0, 0, FASE2-PERM, NO, 0,
0, NO,
 3555, BEAM    , UNILOAD, GZ, NO , NO, aDir[1], , , , 0, -0.0034, 1, -0.0034, 0, 0, 0, 0, FASE2-PERM, NO, 0,
0, NO,
 3556, BEAM    , UNILOAD, GZ, NO , NO, aDir[1], , , , 0, -0.0034, 1, -0.0034, 0, 0, 0, 0, FASE2-PERM, NO, 0,
0, NO,
 3557, BEAM    , UNILOAD, GZ, NO , NO, aDir[1], , , , 0, -0.0034, 1, -0.0034, 0, 0, 0, 0, FASE2-PERM, NO, 0,
0, NO,
 3558, BEAM    , UNILOAD, GZ, NO , NO, aDir[1], , , , 0, -0.0034, 1, -0.0034, 0, 0, 0, 0, FASE2-PERM, NO, 0,
0, NO,
 3559, BEAM    , UNILOAD, GZ, NO , NO, aDir[1], , , , 0, -0.0034, 1, -0.0034, 0, 0, 0, 0, FASE2-PERM, NO, 0,
0, NO,
 3560, BEAM    , UNILOAD, GZ, NO , NO, aDir[1], , , , 0, -0.0034, 1, -0.0034, 0, 0, 0, 0, FASE2-PERM, NO, 0,
0, NO,
 3561, BEAM    , UNILOAD, GZ, NO , NO, aDir[1], , , , 0, -0.0034, 1, -0.0034, 0, 0, 0, 0, FASE2-PERM, NO, 0,
0, NO,
 3562, BEAM    , UNILOAD, GZ, NO , NO, aDir[1], , , , 0, -0.0034, 1, -0.0034, 0, 0, 0, 0, FASE2-PERM, NO, 0,
0, NO,
 3563, BEAM    , UNILOAD, GZ, NO , NO, aDir[1], , , , 0, -0.0034, 1, -0.0034, 0, 0, 0, 0, FASE2-PERM, NO, 0,
0, NO,
 3564, BEAM    , UNILOAD, GZ, NO , NO, aDir[1], , , , 0, -0.0034, 1, -0.0034, 0, 0, 0, 0, FASE2-PERM, NO, 0,
0, NO,
 3565, BEAM    , UNILOAD, GZ, NO , NO, aDir[1], , , , 0, -0.0034, 1, -0.0034, 0, 0, 0, 0, FASE2-PERM, NO, 0,
0, NO,
 3566, BEAM    , UNILOAD, GZ, NO , NO, aDir[1], , , , 0, -0.0034, 1, -0.0034, 0, 0, 0, 0, FASE2-PERM, NO, 0,
0, NO,
 3567, BEAM    , UNILOAD, GZ, NO , NO, aDir[1], , , , 0, -0.0034, 1, -0.0034, 0, 0, 0, 0, FASE2-PERM, NO, 0,
0, NO,
 3568, BEAM    , UNILOAD, GZ, NO , NO, aDir[1], , , , 0, -0.0034, 1, -0.0034, 0, 0, 0, 0, FASE2-PERM, NO, 0,
0, NO,
 3569, BEAM    , UNILOAD, GZ, NO , NO, aDir[1], , , , 0, -0.0034, 1, -0.0034, 0, 0, 0, 0, FASE2-PERM, NO, 0,
```

```
0, NO,
 3570, BEAM    , UNILOAD, GZ, NO , NO, aDir[1], , , , 0, -0.0034, 1, -0.0034, 0, 0, 0, 0, FASE2-PERM, NO, 0,
0, NO,
 3571, BEAM    , UNILOAD, GZ, NO , NO, aDir[1], , , , 0, -0.0034, 1, -0.0034, 0, 0, 0, 0, FASE2-PERM, NO, 0,
0, NO,
 3572, BEAM    , UNILOAD, GZ, NO , NO, aDir[1], , , , 0, -0.0034, 1, -0.0034, 0, 0, 0, 0, FASE2-PERM, NO, 0,
0, NO,
 3573, BEAM    , UNILOAD, GZ, NO , NO, aDir[1], , , , 0, -0.0034, 1, -0.0034, 0, 0, 0, 0, FASE2-PERM, NO, 0,
0, NO,
 3574, BEAM    , UNILOAD, GZ, NO , NO, aDir[1], , , , 0, -0.0034, 1, -0.0034, 0, 0, 0, 0, FASE2-PERM, NO, 0,
0, NO,
 3575, BEAM    , UNILOAD, GZ, NO , NO, aDir[1], , , , 0, -0.0034, 1, -0.0034, 0, 0, 0, 0, FASE2-PERM, NO, 0,
0, NO,
 3576, BEAM    , UNILOAD, GZ, NO , NO, aDir[1], , , , 0, -0.0034, 1, -0.0034, 0, 0, 0, 0, FASE2-PERM, NO, 0,
0, NO,
 3577, BEAM    , UNILOAD, GZ, NO , NO, aDir[1], , , , 0, -0.0034, 1, -0.0034, 0, 0, 0, 0, FASE2-PERM, NO, 0,
0, NO,
 3578, BEAM    , UNILOAD, GZ, NO , NO, aDir[1], , , , 0, -0.0034, 1, -0.0034, 0, 0, 0, 0, FASE2-PERM, NO, 0,
0, NO,
 3579, BEAM    , UNILOAD, GZ, NO , NO, aDir[1], , , , 0, -0.0034, 1, -0.0034, 0, 0, 0, 0, FASE2-PERM, NO, 0,
0, NO,
 3580, BEAM    , UNILOAD, GZ, NO , NO, aDir[1], , , , 0, -0.0034, 1, -0.0034, 0, 0, 0, 0, FASE2-PERM, NO, 0,
0, NO,
 3581, BEAM    , UNILOAD, GZ, NO , NO, aDir[1], , , , 0, -0.0034, 1, -0.0034, 0, 0, 0, 0, FASE2-PERM, NO, 0,
0, NO,
 3582, BEAM    , UNILOAD, GZ, NO , NO, aDir[1], , , , 0, -0.0034, 1, -0.0034, 0, 0, 0, 0, FASE2-PERM, NO, 0,
0, NO,
 3583, BEAM    , UNILOAD, GZ, NO , NO, aDir[1], , , , 0, -0.0034, 1, -0.0034, 0, 0, 0, 0, FASE2-PERM, NO, 0,
0, NO,
 3584, BEAM    , UNILOAD, GZ, NO , NO, aDir[1], , , , 0, -0.0034, 1, -0.0034, 0, 0, 0, 0, FASE2-PERM, NO, 0,
0, NO,
 3585, BEAM    , UNILOAD, GZ, NO , NO, aDir[1], , , , 0, -0.0034, 1, -0.0034, 0, 0, 0, 0, FASE2-PERM, NO, 0,
0, NO,
 3586, BEAM    , UNILOAD, GZ, NO , NO, aDir[1], , , , 0, -0.0034, 1, -0.0034, 0, 0, 0, 0, FASE2-PERM, NO, 0,
0, NO,
 3587, BEAM    , UNILOAD, GZ, NO , NO, aDir[1], , , , 0, -0.0034, 1, -0.0034, 0, 0, 0, 0, FASE2-PERM, NO, 0,
0, NO,
 3588, BEAM    , UNILOAD, GZ, NO , NO, aDir[1], , , , 0, -0.0034, 1, -0.0034, 0, 0, 0, 0, FASE2-PERM, NO, 0,
0, NO,
 3589, BEAM    , UNILOAD, GZ, NO , NO, aDir[1], , , , 0, -0.0034, 1, -0.0034, 0, 0, 0, 0, FASE2-PERM, NO, 0,
0, NO,
 3590, BEAM    , UNILOAD, GZ, NO , NO, aDir[1], , , , 0, -0.0034, 1, -0.0034, 0, 0, 0, 0, FASE2-PERM, NO, 0,
0, NO,
 3591, BEAM    , UNILOAD, GZ, NO , NO, aDir[1], , , , 0, -0.0034, 1, -0.0034, 0, 0, 0, 0, FASE2-PERM, NO, 0,
0, NO,
 3592, BEAM    , UNILOAD, GZ, NO , NO, aDir[1], , , , 0, -0.0034, 1, -0.0034, 0, 0, 0, 0, FASE2-PERM, NO, 0,
0, NO,
 3593, BEAM    , UNILOAD, GZ, NO , NO, aDir[1], , , , 0, -0.0034, 1, -0.0034, 0, 0, 0, 0, FASE2-PERM, NO, 0,
0, NO,
 3594, BEAM    , UNILOAD, GZ, NO , NO, aDir[1], , , , 0, -0.0034, 1, -0.0034, 0, 0, 0, 0, FASE2-PERM, NO, 0,
0, NO,
 3595, BEAM    , UNILOAD, GZ, NO , NO, aDir[1], , , , 0, -0.0034, 1, -0.0034, 0, 0, 0, 0, FASE2-PERM, NO, 0,
0, NO,
 3596, BEAM    , UNILOAD, GZ, NO , NO, aDir[1], , , , 0, -0.0034, 1, -0.0034, 0, 0, 0, 0, FASE2-PERM, NO, 0,
0, NO,
 3597, BEAM    , UNILOAD, GZ, NO , NO, aDir[1], , , , 0, -0.0034, 1, -0.0034, 0, 0, 0, 0, FASE2-PERM, NO, 0,
0, NO,
 3598, BEAM    , UNILOAD, GZ, NO , NO, aDir[1], , , , 0, -0.0034, 1, -0.0034, 0, 0, 0, 0, FASE2-PERM, NO, 0,
0, NO,
 3599, BEAM    , UNILOAD, GZ, NO , NO, aDir[1], , , , 0, -0.0034, 1, -0.0034, 0, 0, 0, 0, FASE2-PERM, NO, 0,
0, NO,
 3600, BEAM    , UNILOAD, GZ, NO , NO, aDir[1], , , , 0, -0.0034, 1, -0.0034, 0, 0, 0, 0, FASE2-PERM, NO, 0,
0, NO,
 3601, BEAM    , UNILOAD, GZ, NO , NO, aDir[1], , , , 0, -0.0034, 1, -0.0034, 0, 0, 0, 0, FASE2-PERM, NO, 0,
0, NO,
 3602, BEAM    , UNILOAD, GZ, NO , NO, aDir[1], , , , 0, -0.0034, 1, -0.0034, 0, 0, 0, 0, FASE2-PERM, NO, 0,
0, NO,
 3603, BEAM    , UNILOAD, GZ, NO , NO, aDir[1], , , , 0, -0.0034, 1, -0.0034, 0, 0, 0, 0, FASE2-PERM, NO, 0,
0, NO,
 3604, BEAM    , UNILOAD, GZ, NO , NO, aDir[1], , , , 0, -0.0034, 1, -0.0034, 0, 0, 0, 0, FASE2-PERM, NO, 0,
0, NO,
 3605, BEAM    , UNILOAD, GZ, NO , NO, aDir[1], , , , 0, -0.0034, 1, -0.0034, 0, 0, 0, 0, FASE2-PERM, NO, 0,
0, NO,
 3606, BEAM    , UNILOAD, GZ, NO , NO, aDir[1], , , , 0, -0.0034, 1, -0.0034, 0, 0, 0, 0, FASE2-PERM, NO, 0,
0, NO,
 3607, BEAM    , UNILOAD, GZ, NO , NO, aDir[1], , , , 0, -0.0034, 1, -0.0034, 0, 0, 0, 0, FASE2-PERM, NO, 0,
0, NO,
 3608, BEAM    , UNILOAD, GZ, NO , NO, aDir[1], , , , 0, -0.0034, 1, -0.0034, 0, 0, 0, 0, FASE2-PERM, NO, 0,
```

```
0, NO,
 3609, BEAM    , UNILOAD, GZ, NO , NO, aDir[1], , , , 0, -0.0034, 1, -0.0034, 0, 0, 0, 0, FASE2-PERM, NO, 0,
0, NO,
 3610, BEAM    , UNILOAD, GZ, NO , NO, aDir[1], , , , 0, -0.0034, 1, -0.0034, 0, 0, 0, 0, FASE2-PERM, NO, 0,
0, NO,
 3611, BEAM    , UNILOAD, GZ, NO , NO, aDir[1], , , , 0, -0.0034, 1, -0.0034, 0, 0, 0, 0, FASE2-PERM, NO, 0,
0, NO,
 3612, BEAM    , UNILOAD, GZ, NO , NO, aDir[1], , , , 0, -0.0034, 1, -0.0034, 0, 0, 0, 0, FASE2-PERM, NO, 0,
0, NO,
 3613, BEAM    , UNILOAD, GZ, NO , NO, aDir[1], , , , 0, -0.0034, 1, -0.0034, 0, 0, 0, 0, FASE2-PERM, NO, 0,
0, NO,
 3614, BEAM    , UNILOAD, GZ, NO , NO, aDir[1], , , , 0, -0.0034, 1, -0.0034, 0, 0, 0, 0, FASE2-PERM, NO, 0,
0, NO,
 3615, BEAM    , UNILOAD, GZ, NO , NO, aDir[1], , , , 0, -0.0034, 1, -0.0034, 0, 0, 0, 0, FASE2-PERM, NO, 0,
0, NO,
 3616, BEAM    , UNILOAD, GZ, NO , NO, aDir[1], , , , 0, -0.0034, 1, -0.0034, 0, 0, 0, 0, FASE2-PERM, NO, 0,
0, NO,
 3617, BEAM    , UNILOAD, GZ, NO , NO, aDir[1], , , , 0, -0.0034, 1, -0.0034, 0, 0, 0, 0, FASE2-PERM, NO, 0,
0, NO,
 3618, BEAM    , UNILOAD, GZ, NO , NO, aDir[1], , , , 0, -0.0034, 1, -0.0034, 0, 0, 0, 0, FASE2-PERM, NO, 0,
0, NO,
 3619, BEAM    , UNILOAD, GZ, NO , NO, aDir[1], , , , 0, -0.0034, 1, -0.0034, 0, 0, 0, 0, FASE2-PERM, NO, 0,
0, NO,
 3620, BEAM    , UNILOAD, GZ, NO , NO, aDir[1], , , , 0, -0.0034, 1, -0.0034, 0, 0, 0, 0, FASE2-PERM, NO, 0,
0, NO,
 3621, BEAM    , UNILOAD, GZ, NO , NO, aDir[1], , , , 0, -0.0034, 1, -0.0034, 0, 0, 0, 0, FASE2-PERM, NO, 0,
0, NO,
 3622, BEAM    , UNILOAD, GZ, NO , NO, aDir[1], , , , 0, -0.0034, 1, -0.0034, 0, 0, 0, 0, FASE2-PERM, NO, 0,
0, NO,
 3623, BEAM    , UNILOAD, GZ, NO , NO, aDir[1], , , , 0, -0.0034, 1, -0.0034, 0, 0, 0, 0, FASE2-PERM, NO, 0,
0, NO,
 3624, BEAM    , UNILOAD, GZ, NO , NO, aDir[1], , , , 0, -0.0034, 1, -0.0034, 0, 0, 0, 0, FASE2-PERM, NO, 0,
0, NO,
 3625, BEAM    , UNILOAD, GZ, NO , NO, aDir[1], , , , 0, -0.0034, 1, -0.0034, 0, 0, 0, 0, FASE2-PERM, NO, 0,
0, NO,
 3626, BEAM    , UNILOAD, GZ, NO , NO, aDir[1], , , , 0, -0.0034, 1, -0.0034, 0, 0, 0, 0, FASE2-PERM, NO, 0,
0, NO,
 3627, BEAM    , UNILOAD, GZ, NO , NO, aDir[1], , , , 0, -0.0034, 1, -0.0034, 0, 0, 0, 0, FASE2-PERM, NO, 0,
0, NO,
 3628, BEAM    , UNILOAD, GZ, NO , NO, aDir[1], , , , 0, -0.0034, 1, -0.0034, 0, 0, 0, 0, FASE2-PERM, NO, 0,
0, NO,
 3629, BEAM    , UNILOAD, GZ, NO , NO, aDir[1], , , , 0, -0.0034, 1, -0.0034, 0, 0, 0, 0, FASE2-PERM, NO, 0,
0, NO,
 3630, BEAM    , UNILOAD, GZ, NO , NO, aDir[1], , , , 0, -0.0034, 1, -0.0034, 0, 0, 0, 0, FASE2-PERM, NO, 0,
0, NO,
 3631, BEAM    , UNILOAD, GZ, NO , NO, aDir[1], , , , 0, -0.0034, 1, -0.0034, 0, 0, 0, 0, FASE2-PERM, NO, 0,
0, NO,
 3632, BEAM    , UNILOAD, GZ, NO , NO, aDir[1], , , , 0, -0.0034, 1, -0.0034, 0, 0, 0, 0, FASE2-PERM, NO, 0,
0, NO,
 3633, BEAM    , UNILOAD, GZ, NO , NO, aDir[1], , , , 0, -0.0034, 1, -0.0034, 0, 0, 0, 0, FASE2-PERM, NO, 0,
0, NO,
 3634, BEAM    , UNILOAD, GZ, NO , NO, aDir[1], , , , 0, -0.0034, 1, -0.0034, 0, 0, 0, 0, FASE2-PERM, NO, 0,
0, NO,
 3635, BEAM    , UNILOAD, GZ, NO , NO, aDir[1], , , , 0, -0.0034, 1, -0.0034, 0, 0, 0, 0, FASE2-PERM, NO, 0,
0, NO,
 3636, BEAM    , UNILOAD, GZ, NO , NO, aDir[1], , , , 0, -0.0034, 1, -0.0034, 0, 0, 0, 0, FASE2-PERM, NO, 0,
0, NO,
 3637, BEAM    , UNILOAD, GZ, NO , NO, aDir[1], , , , 0, -0.0034, 1, -0.0034, 0, 0, 0, 0, FASE2-PERM, NO, 0,
0, NO,
 3638, BEAM    , UNILOAD, GZ, NO , NO, aDir[1], , , , 0, -0.0034, 1, -0.0034, 0, 0, 0, 0, FASE2-PERM, NO, 0,
0, NO,
 3639, BEAM    , UNILOAD, GZ, NO , NO, aDir[1], , , , 0, -0.0034, 1, -0.0034, 0, 0, 0, 0, FASE2-PERM, NO, 0,
0, NO,
 3640, BEAM    , UNILOAD, GZ, NO , NO, aDir[1], , , , 0, -0.0034, 1, -0.0034, 0, 0, 0, 0, FASE2-PERM, NO, 0,
0, NO,
 3641, BEAM    , UNILOAD, GZ, NO , NO, aDir[1], , , , 0, -0.0034, 1, -0.0034, 0, 0, 0, 0, FASE2-PERM, NO, 0,
0, NO,
 3642, BEAM    , UNILOAD, GZ, NO , NO, aDir[1], , , , 0, -0.0034, 1, -0.0034, 0, 0, 0, 0, FASE2-PERM, NO, 0,
0, NO,
 3643, BEAM    , UNILOAD, GZ, NO , NO, aDir[1], , , , 0, -0.0034, 1, -0.0034, 0, 0, 0, 0, FASE2-PERM, NO, 0,
0, NO,
 3644, BEAM    , UNILOAD, GZ, NO , NO, aDir[1], , , , 0, -0.0034, 1, -0.0034, 0, 0, 0, 0, FASE2-PERM, NO, 0,
0, NO,
 3645, BEAM    , UNILOAD, GZ, NO , NO, aDir[1], , , , 0, -0.0034, 1, -0.0034, 0, 0, 0, 0, FASE2-PERM, NO, 0,
0, NO,
 3646, BEAM    , UNILOAD, GZ, NO , NO, aDir[1], , , , 0, -0.0034, 1, -0.0034, 0, 0, 0, 0, FASE2-PERM, NO, 0,
0, NO,
 3647, BEAM    , UNILOAD, GZ, NO , NO, aDir[1], , , , 0, -0.0034, 1, -0.0034, 0, 0, 0, 0, FASE2-PERM, NO, 0,
```

```
0, NO,
 3648, BEAM    , UNILOAD, GZ, NO , NO, aDir[1], , , , 0, -0.0034, 1, -0.0034, 0, 0, 0, 0, FASE2-PERM, NO, 0,
0, NO,
 3649, BEAM    , UNILOAD, GZ, NO , NO, aDir[1], , , , 0, -0.0034, 1, -0.0034, 0, 0, 0, 0, FASE2-PERM, NO, 0,
0, NO,
 3650, BEAM    , UNILOAD, GZ, NO , NO, aDir[1], , , , 0, -0.0034, 1, -0.0034, 0, 0, 0, 0, FASE2-PERM, NO, 0,
0, NO,
 3651, BEAM    , UNILOAD, GZ, NO , NO, aDir[1], , , , 0, -0.0034, 1, -0.0034, 0, 0, 0, 0, FASE2-PERM, NO, 0,
0, NO,
 3652, BEAM    , UNILOAD, GZ, NO , NO, aDir[1], , , , 0, -0.0034, 1, -0.0034, 0, 0, 0, 0, FASE2-PERM, NO, 0,
0, NO,
 3653, BEAM    , UNILOAD, GZ, NO , NO, aDir[1], , , , 0, -0.0034, 1, -0.0034, 0, 0, 0, 0, FASE2-PERM, NO, 0,
0, NO,
 3654, BEAM    , UNILOAD, GZ, NO , NO, aDir[1], , , , 0, -0.0034, 1, -0.0034, 0, 0, 0, 0, FASE2-PERM, NO, 0,
0, NO,
 3655, BEAM    , UNILOAD, GZ, NO , NO, aDir[1], , , , 0, -0.0034, 1, -0.0034, 0, 0, 0, 0, FASE2-PERM, NO, 0,
0, NO,
 3656, BEAM    , UNILOAD, GZ, NO , NO, aDir[1], , , , 0, -0.0034, 1, -0.0034, 0, 0, 0, 0, FASE2-PERM, NO, 0,
0, NO,
 3657, BEAM    , UNILOAD, GZ, NO , NO, aDir[1], , , , 0, -0.0034, 1, -0.0034, 0, 0, 0, 0, FASE2-PERM, NO, 0,
0, NO,
 3658, BEAM    , UNILOAD, GZ, NO , NO, aDir[1], , , , 0, -0.0034, 1, -0.0034, 0, 0, 0, 0, FASE2-PERM, NO, 0,
0, NO,
 3659, BEAM    , UNILOAD, GZ, NO , NO, aDir[1], , , , 0, -0.0034, 1, -0.0034, 0, 0, 0, 0, FASE2-PERM, NO, 0,
0, NO,
 3660, BEAM    , UNILOAD, GZ, NO , NO, aDir[1], , , , 0, -0.0034, 1, -0.0034, 0, 0, 0, 0, FASE2-PERM, NO, 0,
0, NO,
 3661, BEAM    , UNILOAD, GZ, NO , NO, aDir[1], , , , 0, -0.0034, 1, -0.0034, 0, 0, 0, 0, FASE2-PERM, NO, 0,
0, NO,
 3662, BEAM    , UNILOAD, GZ, NO , NO, aDir[1], , , , 0, -0.0034, 1, -0.0034, 0, 0, 0, 0, FASE2-PERM, NO, 0,
0, NO,
 3663, BEAM    , UNILOAD, GZ, NO , NO, aDir[1], , , , 0, -0.0034, 1, -0.0034, 0, 0, 0, 0, FASE2-PERM, NO, 0,
0, NO,
 3664, BEAM    , UNILOAD, GZ, NO , NO, aDir[1], , , , 0, -0.0034, 1, -0.0034, 0, 0, 0, 0, FASE2-PERM, NO, 0,
0, NO,
 3665, BEAM    , UNILOAD, GZ, NO , NO, aDir[1], , , , 0, -0.0034, 1, -0.0034, 0, 0, 0, 0, FASE2-PERM, NO, 0,
0, NO,
 3666, BEAM    , UNILOAD, GZ, NO , NO, aDir[1], , , , 0, -0.0034, 1, -0.0034, 0, 0, 0, 0, FASE2-PERM, NO, 0,
0, NO,
 3667, BEAM    , UNILOAD, GZ, NO , NO, aDir[1], , , , 0, -0.0034, 1, -0.0034, 0, 0, 0, 0, FASE2-PERM, NO, 0,
0, NO,
 3668, BEAM    , UNILOAD, GZ, NO , NO, aDir[1], , , , 0, -0.0034, 1, -0.0034, 0, 0, 0, 0, FASE2-PERM, NO, 0,
0, NO,
 3669, BEAM    , UNILOAD, GZ, NO , NO, aDir[1], , , , 0, -0.0034, 1, -0.0034, 0, 0, 0, 0, FASE2-PERM, NO, 0,
0, NO,
 3670, BEAM    , UNILOAD, GZ, NO , NO, aDir[1], , , , 0, -0.0034, 1, -0.0034, 0, 0, 0, 0, FASE2-PERM, NO, 0,
0, NO,
 3671, BEAM    , UNILOAD, GZ, NO , NO, aDir[1], , , , 0, -0.0034, 1, -0.0034, 0, 0, 0, 0, FASE2-PERM, NO, 0,
0, NO,
 3672, BEAM    , UNILOAD, GZ, NO , NO, aDir[1], , , , 0, -0.0034, 1, -0.0034, 0, 0, 0, 0, FASE2-PERM, NO, 0,
0, NO,
 3673, BEAM    , UNILOAD, GZ, NO , NO, aDir[1], , , , 0, -0.0034, 1, -0.0034, 0, 0, 0, 0, FASE2-PERM, NO, 0,
0, NO,
 3674, BEAM    , UNILOAD, GZ, NO , NO, aDir[1], , , , 0, -0.0034, 1, -0.0034, 0, 0, 0, 0, FASE2-PERM, NO, 0,
0, NO,
 3675, BEAM    , UNILOAD, GZ, NO , NO, aDir[1], , , , 0, -0.0034, 1, -0.0034, 0, 0, 0, 0, FASE2-PERM, NO, 0,
0, NO,
 3676, BEAM    , UNILOAD, GZ, NO , NO, aDir[1], , , , 0, -0.0034, 1, -0.0034, 0, 0, 0, 0, FASE2-PERM, NO, 0,
0, NO,
 3677, BEAM    , UNILOAD, GZ, NO , NO, aDir[1], , , , 0, -0.0034, 1, -0.0034, 0, 0, 0, 0, FASE2-PERM, NO, 0,
0, NO,
 3678, BEAM    , UNILOAD, GZ, NO , NO, aDir[1], , , , 0, -0.0034, 1, -0.0034, 0, 0, 0, 0, FASE2-PERM, NO, 0,
0, NO,
 3679, BEAM    , UNILOAD, GZ, NO , NO, aDir[1], , , , 0, -0.0034, 1, -0.0034, 0, 0, 0, 0, FASE2-PERM, NO, 0,
0, NO,
 3844, BEAM    , UNILOAD, GZ, NO , NO, aDir[1], , , , 0, -0.0034, 1, -0.0034, 0, 0, 0, 0, FASE2-PERM, NO, 0,
0, NO,
 3845, BEAM    , UNILOAD, GZ, NO , NO, aDir[1], , , , 0, -0.0034, 1, -0.0034, 0, 0, 0, 0, FASE2-PERM, NO, 0,
0, NO,
 3846, BEAM    , UNILOAD, GZ, NO , NO, aDir[1], , , , 0, -0.0034, 1, -0.0034, 0, 0, 0, 0, FASE2-PERM, NO, 0,
0, NO,
 3847, BEAM    , UNILOAD, GZ, NO , NO, aDir[1], , , , 0, -0.0034, 1, -0.0034, 0, 0, 0, 0, FASE2-PERM, NO, 0,
0, NO,
 3848, BEAM    , UNILOAD, GZ, NO , NO, aDir[1], , , , 0, -0.0034, 1, -0.0034, 0, 0, 0, 0, FASE2-PERM, NO, 0,
0, NO,
 3849, BEAM    , UNILOAD, GZ, NO , NO, aDir[1], , , , 0, -0.0034, 1, -0.0034, 0, 0, 0, 0, FASE2-PERM, NO, 0,
0, NO,
 3850, BEAM    , UNILOAD, GZ, NO , NO, aDir[1], , , , 0, -0.0034, 1, -0.0034, 0, 0, 0, 0, FASE2-PERM, NO, 0,
```

0, NO,
3851, BEAM , UNILOAD, GZ, NO , NO, aDir[1], , , , 0, -0.0034, 1, -0.0034, 0, 0, 0, 0, FASE2-PERM, NO, 0,
0, NO,
3852, BEAM , UNILOAD, GZ, NO , NO, aDir[1], , , , 0, -0.0034, 1, -0.0034, 0, 0, 0, 0, FASE2-PERM, NO, 0,
0, NO,
3853, BEAM , UNILOAD, GZ, NO , NO, aDir[1], , , , 0, -0.0034, 1, -0.0034, 0, 0, 0, 0, FASE2-PERM, NO, 0,
0, NO,
3854, BEAM , UNILOAD, GZ, NO , NO, aDir[1], , , , 0, -0.0034, 1, -0.0034, 0, 0, 0, 0, FASE2-PERM, NO, 0,
0, NO,
3855, BEAM , UNILOAD, GZ, NO , NO, aDir[1], , , , 0, -0.0034, 1, -0.0034, 0, 0, 0, 0, FASE2-PERM, NO, 0,
0, NO,
3856, BEAM , UNILOAD, GZ, NO , NO, aDir[1], , , , 0, -0.0034, 1, -0.0034, 0, 0, 0, 0, FASE2-PERM, NO, 0,
0, NO,
3857, BEAM , UNILOAD, GZ, NO , NO, aDir[1], , , , 0, -0.0034, 1, -0.0034, 0, 0, 0, 0, FASE2-PERM, NO, 0,
0, NO,
3858, BEAM , UNILOAD, GZ, NO , NO, aDir[1], , , , 0, -0.0034, 1, -0.0034, 0, 0, 0, 0, FASE2-PERM, NO, 0,
0, NO,
3859, BEAM , UNILOAD, GZ, NO , NO, aDir[1], , , , 0, -0.0034, 1, -0.0034, 0, 0, 0, 0, FASE2-PERM, NO, 0,
0, NO,
3860, BEAM , UNILOAD, GZ, NO , NO, aDir[1], , , , 0, -0.0034, 1, -0.0034, 0, 0, 0, 0, FASE2-PERM, NO, 0,
0, NO,
3861, BEAM , UNILOAD, GZ, NO , NO, aDir[1], , , , 0, -0.0034, 1, -0.0034, 0, 0, 0, 0, FASE2-PERM, NO, 0,
0, NO,
3862, BEAM , UNILOAD, GZ, NO , NO, aDir[1], , , , 0, -0.0034, 1, -0.0034, 0, 0, 0, 0, FASE2-PERM, NO, 0,
0, NO,
3863, BEAM , UNILOAD, GZ, NO , NO, aDir[1], , , , 0, -0.0034, 1, -0.0034, 0, 0, 0, 0, FASE2-PERM, NO, 0,
0, NO,
3864, BEAM , UNILOAD, GZ, NO , NO, aDir[1], , , , 0, -0.0034, 1, -0.0034, 0, 0, 0, 0, FASE2-PERM, NO, 0,
0, NO,
3865, BEAM , UNILOAD, GZ, NO , NO, aDir[1], , , , 0, -0.0034, 1, -0.0034, 0, 0, 0, 0, FASE2-PERM, NO, 0,
0, NO,
3866, BEAM , UNILOAD, GZ, NO , NO, aDir[1], , , , 0, -0.0034, 1, -0.0034, 0, 0, 0, 0, FASE2-PERM, NO, 0,
0, NO,
3867, BEAM , UNILOAD, GZ, NO , NO, aDir[1], , , , 0, -0.0034, 1, -0.0034, 0, 0, 0, 0, FASE2-PERM, NO, 0,
0, NO,
3868, BEAM , UNILOAD, GZ, NO , NO, aDir[1], , , , 0, -0.0034, 1, -0.0034, 0, 0, 0, 0, FASE2-PERM, NO, 0,
0, NO,
3869, BEAM , UNILOAD, GZ, NO , NO, aDir[1], , , , 0, -0.0034, 1, -0.0034, 0, 0, 0, 0, FASE2-PERM, NO, 0,
0, NO,
3870, BEAM , UNILOAD, GZ, NO , NO, aDir[1], , , , 0, -0.0034, 1, -0.0034, 0, 0, 0, 0, FASE2-PERM, NO, 0,
0, NO,
3871, BEAM , UNILOAD, GZ, NO , NO, aDir[1], , , , 0, -0.0034, 1, -0.0034, 0, 0, 0, 0, FASE2-PERM, NO, 0,
0, NO,
3872, BEAM , UNILOAD, GZ, NO , NO, aDir[1], , , , 0, -0.0034, 1, -0.0034, 0, 0, 0, 0, FASE2-PERM, NO, 0,
0, NO,
3873, BEAM , UNILOAD, GZ, NO , NO, aDir[1], , , , 0, -0.0034, 1, -0.0034, 0, 0, 0, 0, FASE2-PERM, NO, 0,
0, NO,
3874, BEAM , UNILOAD, GZ, NO , NO, aDir[1], , , , 0, -0.0034, 1, -0.0034, 0, 0, 0, 0, FASE2-PERM, NO, 0,
0, NO,
3875, BEAM , UNILOAD, GZ, NO , NO, aDir[1], , , , 0, -0.0034, 1, -0.0034, 0, 0, 0, 0, FASE2-PERM, NO, 0,
0, NO,
3876, BEAM , UNILOAD, GZ, NO , NO, aDir[1], , , , 0, -0.0034, 1, -0.0034, 0, 0, 0, 0, FASE2-PERM, NO, 0,
0, NO,
3877, BEAM , UNILOAD, GZ, NO , NO, aDir[1], , , , 0, -0.0034, 1, -0.0034, 0, 0, 0, 0, FASE2-PERM, NO, 0,
0, NO,
3878, BEAM , UNILOAD, GZ, NO , NO, aDir[1], , , , 0, -0.0034, 1, -0.0034, 0, 0, 0, 0, FASE2-PERM, NO, 0,
0, NO,
3879, BEAM , UNILOAD, GZ, NO , NO, aDir[1], , , , 0, -0.0034, 1, -0.0034, 0, 0, 0, 0, FASE2-PERM, NO, 0,
0, NO,
3880, BEAM , UNILOAD, GZ, NO , NO, aDir[1], , , , 0, -0.0034, 1, -0.0034, 0, 0, 0, 0, FASE2-PERM, NO, 0,
0, NO,
3881, BEAM , UNILOAD, GZ, NO , NO, aDir[1], , , , 0, -0.0034, 1, -0.0034, 0, 0, 0, 0, FASE2-PERM, NO, 0,
0, NO,
3882, BEAM , UNILOAD, GZ, NO , NO, aDir[1], , , , 0, -0.0034, 1, -0.0034, 0, 0, 0, 0, FASE2-PERM, NO, 0,
0, NO,
3883, BEAM , UNILOAD, GZ, NO , NO, aDir[1], , , , 0, -0.0034, 1, -0.0034, 0, 0, 0, 0, FASE2-PERM, NO, 0,
0, NO,
3884, BEAM , UNILOAD, GZ, NO , NO, aDir[1], , , , 0, -0.0034, 1, -0.0034, 0, 0, 0, 0, FASE2-PERM, NO, 0,
0, NO,
3885, BEAM , UNILOAD, GZ, NO , NO, aDir[1], , , , 0, -0.0034, 1, -0.0034, 0, 0, 0, 0, FASE2-PERM, NO, 0,
0, NO,
3886, BEAM , UNILOAD, GZ, NO , NO, aDir[1], , , , 0, -0.0034, 1, -0.0034, 0, 0, 0, 0, FASE2-PERM, NO, 0,
0, NO,
3887, BEAM , UNILOAD, GZ, NO , NO, aDir[1], , , , 0, -0.0034, 1, -0.0034, 0, 0, 0, 0, FASE2-PERM, NO, 0,
0, NO,
3888, BEAM , UNILOAD, GZ, NO , NO, aDir[1], , , , 0, -0.0034, 1, -0.0034, 0, 0, 0, 0, FASE2-PERM, NO, 0,
0, NO,
3889, BEAM , UNILOAD, GZ, NO , NO, aDir[1], , , , 0, -0.0034, 1, -0.0034, 0, 0, 0, 0, FASE2-PERM, NO, 0,

0, NO,
3890, BEAM , UNILOAD, GZ, NO , NO, aDir[1], , , , 0, -0.0034, 1, -0.0034, 0, 0, 0, 0, FASE2-PERM, NO, 0,
0, NO,
3891, BEAM , UNILOAD, GZ, NO , NO, aDir[1], , , , 0, -0.0034, 1, -0.0034, 0, 0, 0, 0, FASE2-PERM, NO, 0,
0, NO,
3892, BEAM , UNILOAD, GZ, NO , NO, aDir[1], , , , 0, -0.0034, 1, -0.0034, 0, 0, 0, 0, FASE2-PERM, NO, 0,
0, NO,
3893, BEAM , UNILOAD, GZ, NO , NO, aDir[1], , , , 0, -0.0034, 1, -0.0034, 0, 0, 0, 0, FASE2-PERM, NO, 0,
0, NO,
3894, BEAM , UNILOAD, GZ, NO , NO, aDir[1], , , , 0, -0.0034, 1, -0.0034, 0, 0, 0, 0, FASE2-PERM, NO, 0,
0, NO,
3895, BEAM , UNILOAD, GZ, NO , NO, aDir[1], , , , 0, -0.0034, 1, -0.0034, 0, 0, 0, 0, FASE2-PERM, NO, 0,
0, NO,
3896, BEAM , UNILOAD, GZ, NO , NO, aDir[1], , , , 0, -0.0034, 1, -0.0034, 0, 0, 0, 0, FASE2-PERM, NO, 0,
0, NO,
3897, BEAM , UNILOAD, GZ, NO , NO, aDir[1], , , , 0, -0.0034, 1, -0.0034, 0, 0, 0, 0, FASE2-PERM, NO, 0,
0, NO,
3898, BEAM , UNILOAD, GZ, NO , NO, aDir[1], , , , 0, -0.0034, 1, -0.0034, 0, 0, 0, 0, FASE2-PERM, NO, 0,
0, NO,
3899, BEAM , UNILOAD, GZ, NO , NO, aDir[1], , , , 0, -0.0034, 1, -0.0034, 0, 0, 0, 0, FASE2-PERM, NO, 0,
0, NO,
3900, BEAM , UNILOAD, GZ, NO , NO, aDir[1], , , , 0, -0.0034, 1, -0.0034, 0, 0, 0, 0, FASE2-PERM, NO, 0,
0, NO,
3901, BEAM , UNILOAD, GZ, NO , NO, aDir[1], , , , 0, -0.0034, 1, -0.0034, 0, 0, 0, 0, FASE2-PERM, NO, 0,
0, NO,
3902, BEAM , UNILOAD, GZ, NO , NO, aDir[1], , , , 0, -0.0034, 1, -0.0034, 0, 0, 0, 0, FASE2-PERM, NO, 0,
0, NO,
3903, BEAM , UNILOAD, GZ, NO , NO, aDir[1], , , , 0, -0.0034, 1, -0.0034, 0, 0, 0, 0, FASE2-PERM, NO, 0,
0, NO,
3904, BEAM , UNILOAD, GZ, NO , NO, aDir[1], , , , 0, -0.0034, 1, -0.0034, 0, 0, 0, 0, FASE2-PERM, NO, 0,
0, NO,
3905, BEAM , UNILOAD, GZ, NO , NO, aDir[1], , , , 0, -0.0034, 1, -0.0034, 0, 0, 0, 0, FASE2-PERM, NO, 0,
0, NO,
3906, BEAM , UNILOAD, GZ, NO , NO, aDir[1], , , , 0, -0.0034, 1, -0.0034, 0, 0, 0, 0, FASE2-PERM, NO, 0,
0, NO,
3907, BEAM , UNILOAD, GZ, NO , NO, aDir[1], , , , 0, -0.0034, 1, -0.0034, 0, 0, 0, 0, FASE2-PERM, NO, 0,
0, NO,
3908, BEAM , UNILOAD, GZ, NO , NO, aDir[1], , , , 0, -0.0034, 1, -0.0034, 0, 0, 0, 0, FASE2-PERM, NO, 0,
0, NO,
3909, BEAM , UNILOAD, GZ, NO , NO, aDir[1], , , , 0, -0.0034, 1, -0.0034, 0, 0, 0, 0, FASE2-PERM, NO, 0,
0, NO,
3910, BEAM , UNILOAD, GZ, NO , NO, aDir[1], , , , 0, -0.0034, 1, -0.0034, 0, 0, 0, 0, FASE2-PERM, NO, 0,
0, NO,
3911, BEAM , UNILOAD, GZ, NO , NO, aDir[1], , , , 0, -0.0034, 1, -0.0034, 0, 0, 0, 0, FASE2-PERM, NO, 0,
0, NO,
3912, BEAM , UNILOAD, GZ, NO , NO, aDir[1], , , , 0, -0.0034, 1, -0.0034, 0, 0, 0, 0, FASE2-PERM, NO, 0,
0, NO,
3913, BEAM , UNILOAD, GZ, NO , NO, aDir[1], , , , 0, -0.0034, 1, -0.0034, 0, 0, 0, 0, FASE2-PERM, NO, 0,
0, NO,
3914, BEAM , UNILOAD, GZ, NO , NO, aDir[1], , , , 0, -0.0034, 1, -0.0034, 0, 0, 0, 0, FASE2-PERM, NO, 0,
0, NO,
3915, BEAM , UNILOAD, GZ, NO , NO, aDir[1], , , , 0, -0.0034, 1, -0.0034, 0, 0, 0, 0, FASE2-PERM, NO, 0,
0, NO,
3916, BEAM , UNILOAD, GZ, NO , NO, aDir[1], , , , 0, -0.0034, 1, -0.0034, 0, 0, 0, 0, FASE2-PERM, NO, 0,
0, NO,
3917, BEAM , UNILOAD, GZ, NO , NO, aDir[1], , , , 0, -0.0034, 1, -0.0034, 0, 0, 0, 0, FASE2-PERM, NO, 0,
0, NO,
3918, BEAM , UNILOAD, GZ, NO , NO, aDir[1], , , , 0, -0.0034, 1, -0.0034, 0, 0, 0, 0, FASE2-PERM, NO, 0,
0, NO,
3919, BEAM , UNILOAD, GZ, NO , NO, aDir[1], , , , 0, -0.0034, 1, -0.0034, 0, 0, 0, 0, FASE2-PERM, NO, 0,
0, NO,
3920, BEAM , UNILOAD, GZ, NO , NO, aDir[1], , , , 0, -0.0034, 1, -0.0034, 0, 0, 0, 0, FASE2-PERM, NO, 0,
0, NO,
3921, BEAM , UNILOAD, GZ, NO , NO, aDir[1], , , , 0, -0.0034, 1, -0.0034, 0, 0, 0, 0, FASE2-PERM, NO, 0,
0, NO,
3922, BEAM , UNILOAD, GZ, NO , NO, aDir[1], , , , 0, -0.0034, 1, -0.0034, 0, 0, 0, 0, FASE2-PERM, NO, 0,
0, NO,
3923, BEAM , UNILOAD, GZ, NO , NO, aDir[1], , , , 0, -0.0034, 1, -0.0034, 0, 0, 0, 0, FASE2-PERM, NO, 0,
0, NO,
3924, BEAM , UNILOAD, GZ, NO , NO, aDir[1], , , , 0, -0.0034, 1, -0.0034, 0, 0, 0, 0, FASE2-PERM, NO, 0,
0, NO,
3925, BEAM , UNILOAD, GZ, NO , NO, aDir[1], , , , 0, -0.0034, 1, -0.0034, 0, 0, 0, 0, FASE2-PERM, NO, 0,
0, NO,
3926, BEAM , UNILOAD, GZ, NO , NO, aDir[1], , , , 0, -0.0034, 1, -0.0034, 0, 0, 0, 0, FASE2-PERM, NO, 0,
0, NO,
3927, BEAM , UNILOAD, GZ, NO , NO, aDir[1], , , , 0, -0.0034, 1, -0.0034, 0, 0, 0, 0, FASE2-PERM, NO, 0,
0, NO,
3928, BEAM , UNILOAD, GZ, NO , NO, aDir[1], , , , 0, -0.0034, 1, -0.0034, 0, 0, 0, 0, FASE2-PERM, NO, 0,

```
0, NO,
 3929, BEAM    , UNILOAD, GZ, NO , NO, aDir[1], , , , 0, -0.0034, 1, -0.0034, 0, 0, 0, 0, FASE2-PERM, NO, 0,
0, NO,
 3930, BEAM    , UNILOAD, GZ, NO , NO, aDir[1], , , , 0, -0.0034, 1, -0.0034, 0, 0, 0, 0, FASE2-PERM, NO, 0,
0, NO,
 3931, BEAM    , UNILOAD, GZ, NO , NO, aDir[1], , , , 0, -0.0034, 1, -0.0034, 0, 0, 0, 0, FASE2-PERM, NO, 0,
0, NO,
 3932, BEAM    , UNILOAD, GZ, NO , NO, aDir[1], , , , 0, -0.0034, 1, -0.0034, 0, 0, 0, 0, FASE2-PERM, NO, 0,
0, NO,
 3933, BEAM    , UNILOAD, GZ, NO , NO, aDir[1], , , , 0, -0.0034, 1, -0.0034, 0, 0, 0, 0, FASE2-PERM, NO, 0,
0, NO,
 3934, BEAM    , UNILOAD, GZ, NO , NO, aDir[1], , , , 0, -0.0034, 1, -0.0034, 0, 0, 0, 0, FASE2-PERM, NO, 0,
0, NO,
 3935, BEAM    , UNILOAD, GZ, NO , NO, aDir[1], , , , 0, -0.0034, 1, -0.0034, 0, 0, 0, 0, FASE2-PERM, NO, 0,
0, NO,
 3936, BEAM    , UNILOAD, GZ, NO , NO, aDir[1], , , , 0, -0.0034, 1, -0.0034, 0, 0, 0, 0, FASE2-PERM, NO, 0,
0, NO,
 3937, BEAM    , UNILOAD, GZ, NO , NO, aDir[1], , , , 0, -0.0034, 1, -0.0034, 0, 0, 0, 0, FASE2-PERM, NO, 0,
0, NO,
 3938, BEAM    , UNILOAD, GZ, NO , NO, aDir[1], , , , 0, -0.0034, 1, -0.0034, 0, 0, 0, 0, FASE2-PERM, NO, 0,
0, NO,
 3939, BEAM    , UNILOAD, GZ, NO , NO, aDir[1], , , , 0, -0.0034, 1, -0.0034, 0, 0, 0, 0, FASE2-PERM, NO, 0,
0, NO,
 3940, BEAM    , UNILOAD, GZ, NO , NO, aDir[1], , , , 0, -0.0034, 1, -0.0034, 0, 0, 0, 0, FASE2-PERM, NO, 0,
0, NO,
 3941, BEAM    , UNILOAD, GZ, NO , NO, aDir[1], , , , 0, -0.0034, 1, -0.0034, 0, 0, 0, 0, FASE2-PERM, NO, 0,
0, NO,
 3942, BEAM    , UNILOAD, GZ, NO , NO, aDir[1], , , , 0, -0.0034, 1, -0.0034, 0, 0, 0, 0, FASE2-PERM, NO, 0,
0, NO,
 3943, BEAM    , UNILOAD, GZ, NO , NO, aDir[1], , , , 0, -0.0034, 1, -0.0034, 0, 0, 0, 0, FASE2-PERM, NO, 0,
0, NO,
 3944, BEAM    , UNILOAD, GZ, NO , NO, aDir[1], , , , 0, -0.0034, 1, -0.0034, 0, 0, 0, 0, FASE2-PERM, NO, 0,
0, NO,
 3945, BEAM    , UNILOAD, GZ, NO , NO, aDir[1], , , , 0, -0.0034, 1, -0.0034, 0, 0, 0, 0, FASE2-PERM, NO, 0,
0, NO,
 3946, BEAM    , UNILOAD, GZ, NO , NO, aDir[1], , , , 0, -0.0034, 1, -0.0034, 0, 0, 0, 0, FASE2-PERM, NO, 0,
0, NO,
 3947, BEAM    , UNILOAD, GZ, NO , NO, aDir[1], , , , 0, -0.0034, 1, -0.0034, 0, 0, 0, 0, FASE2-PERM, NO, 0,
0, NO,
 3948, BEAM    , UNILOAD, GZ, NO , NO, aDir[1], , , , 0, -0.0034, 1, -0.0034, 0, 0, 0, 0, FASE2-PERM, NO, 0,
0, NO,
 3949, BEAM    , UNILOAD, GZ, NO , NO, aDir[1], , , , 0, -0.0034, 1, -0.0034, 0, 0, 0, 0, FASE2-PERM, NO, 0,
0, NO,
 3950, BEAM    , UNILOAD, GZ, NO , NO, aDir[1], , , , 0, -0.0034, 1, -0.0034, 0, 0, 0, 0, FASE2-PERM, NO, 0,
0, NO,
 3951, BEAM    , UNILOAD, GZ, NO , NO, aDir[1], , , , 0, -0.0034, 1, -0.0034, 0, 0, 0, 0, FASE2-PERM, NO, 0,
0, NO,
 3952, BEAM    , UNILOAD, GZ, NO , NO, aDir[1], , , , 0, -0.0034, 1, -0.0034, 0, 0, 0, 0, FASE2-PERM, NO, 0,
0, NO,
 3953, BEAM    , UNILOAD, GZ, NO , NO, aDir[1], , , , 0, -0.0034, 1, -0.0034, 0, 0, 0, 0, FASE2-PERM, NO, 0,
0, NO,
 3954, BEAM    , UNILOAD, GZ, NO , NO, aDir[1], , , , 0, -0.0034, 1, -0.0034, 0, 0, 0, 0, FASE2-PERM, NO, 0,
0, NO,
 3955, BEAM    , UNILOAD, GZ, NO , NO, aDir[1], , , , 0, -0.0034, 1, -0.0034, 0, 0, 0, 0, FASE2-PERM, NO, 0,
0, NO,
 3956, BEAM    , UNILOAD, GZ, NO , NO, aDir[1], , , , 0, -0.0034, 1, -0.0034, 0, 0, 0, 0, FASE2-PERM, NO, 0,
0, NO,
 3957, BEAM    , UNILOAD, GZ, NO , NO, aDir[1], , , , 0, -0.0034, 1, -0.0034, 0, 0, 0, 0, FASE2-PERM, NO, 0,
0, NO,
 3958, BEAM    , UNILOAD, GZ, NO , NO, aDir[1], , , , 0, -0.0034, 1, -0.0034, 0, 0, 0, 0, FASE2-PERM, NO, 0,
0, NO,
 3959, BEAM    , UNILOAD, GZ, NO , NO, aDir[1], , , , 0, -0.0034, 1, -0.0034, 0, 0, 0, 0, FASE2-PERM, NO, 0,
0, NO,
 3960, BEAM    , UNILOAD, GZ, NO , NO, aDir[1], , , , 0, -0.0034, 1, -0.0034, 0, 0, 0, 0, FASE2-PERM, NO, 0,
0, NO,
 3961, BEAM    , UNILOAD, GZ, NO , NO, aDir[1], , , , 0, -0.0034, 1, -0.0034, 0, 0, 0, 0, FASE2-PERM, NO, 0,
0, NO,
 3962, BEAM    , UNILOAD, GZ, NO , NO, aDir[1], , , , 0, -0.0034, 1, -0.0034, 0, 0, 0, 0, FASE2-PERM, NO, 0,
0, NO,
 3963, BEAM    , UNILOAD, GZ, NO , NO, aDir[1], , , , 0, -0.0034, 1, -0.0034, 0, 0, 0, 0, FASE2-PERM, NO, 0,
0, NO,
 3964, BEAM    , UNILOAD, GZ, NO , NO, aDir[1], , , , 0, -0.0034, 1, -0.0034, 0, 0, 0, 0, FASE2-PERM, NO, 0,
0, NO,
 3965, BEAM    , UNILOAD, GZ, NO , NO, aDir[1], , , , 0, -0.0034, 1, -0.0034, 0, 0, 0, 0, FASE2-PERM, NO, 0,
0, NO,
 3966, BEAM    , UNILOAD, GZ, NO , NO, aDir[1], , , , 0, -0.0034, 1, -0.0034, 0, 0, 0, 0, FASE2-PERM, NO, 0,
0, NO,
 3967, BEAM    , UNILOAD, GZ, NO , NO, aDir[1], , , , 0, -0.0034, 1, -0.0034, 0, 0, 0, 0, FASE2-PERM, NO, 0,
```

```
0, NO,
 3968, BEAM    , UNILOAD, GZ, NO , NO, aDir[1], , , , 0, -0.0034, 1, -0.0034, 0, 0, 0, 0, FASE2-PERM, NO, 0,
0, NO,
 3969, BEAM    , UNILOAD, GZ, NO , NO, aDir[1], , , , 0, -0.0034, 1, -0.0034, 0, 0, 0, 0, FASE2-PERM, NO, 0,
0, NO,
 3970, BEAM    , UNILOAD, GZ, NO , NO, aDir[1], , , , 0, -0.0034, 1, -0.0034, 0, 0, 0, 0, FASE2-PERM, NO, 0,
0, NO,
 3971, BEAM    , UNILOAD, GZ, NO , NO, aDir[1], , , , 0, -0.0034, 1, -0.0034, 0, 0, 0, 0, FASE2-PERM, NO, 0,
0, NO,
 3972, BEAM    , UNILOAD, GZ, NO , NO, aDir[1], , , , 0, -0.0034, 1, -0.0034, 0, 0, 0, 0, FASE2-PERM, NO, 0,
0, NO,
 3973, BEAM    , UNILOAD, GZ, NO , NO, aDir[1], , , , 0, -0.0034, 1, -0.0034, 0, 0, 0, 0, FASE2-PERM, NO, 0,
0, NO,
 3974, BEAM    , UNILOAD, GZ, NO , NO, aDir[1], , , , 0, -0.0034, 1, -0.0034, 0, 0, 0, 0, FASE2-PERM, NO, 0,
0, NO,
 3975, BEAM    , UNILOAD, GZ, NO , NO, aDir[1], , , , 0, -0.0034, 1, -0.0034, 0, 0, 0, 0, FASE2-PERM, NO, 0,
0, NO,
 3976, BEAM    , UNILOAD, GZ, NO , NO, aDir[1], , , , 0, -0.0034, 1, -0.0034, 0, 0, 0, 0, FASE2-PERM, NO, 0,
0, NO,
 3977, BEAM    , UNILOAD, GZ, NO , NO, aDir[1], , , , 0, -0.0034, 1, -0.0034, 0, 0, 0, 0, FASE2-PERM, NO, 0,
0, NO,
 3978, BEAM    , UNILOAD, GZ, NO , NO, aDir[1], , , , 0, -0.0034, 1, -0.0034, 0, 0, 0, 0, FASE2-PERM, NO, 0,
0, NO,
 3979, BEAM    , UNILOAD, GZ, NO , NO, aDir[1], , , , 0, -0.0034, 1, -0.0034, 0, 0, 0, 0, FASE2-PERM, NO, 0,
0, NO,
 3980, BEAM    , UNILOAD, GZ, NO , NO, aDir[1], , , , 0, -0.0034, 1, -0.0034, 0, 0, 0, 0, FASE2-PERM, NO, 0,
0, NO,
 3981, BEAM    , UNILOAD, GZ, NO , NO, aDir[1], , , , 0, -0.0034, 1, -0.0034, 0, 0, 0, 0, FASE2-PERM, NO, 0,
0, NO,
 3982, BEAM    , UNILOAD, GZ, NO , NO, aDir[1], , , , 0, -0.0034, 1, -0.0034, 0, 0, 0, 0, FASE2-PERM, NO, 0,
0, NO,
 3983, BEAM    , UNILOAD, GZ, NO , NO, aDir[1], , , , 0, -0.0034, 1, -0.0034, 0, 0, 0, 0, FASE2-PERM, NO, 0,
0, NO,
 3984, BEAM    , UNILOAD, GZ, NO , NO, aDir[1], , , , 0, -0.0034, 1, -0.0034, 0, 0, 0, 0, FASE2-PERM, NO, 0,
0, NO,
 3985, BEAM    , UNILOAD, GZ, NO , NO, aDir[1], , , , 0, -0.0034, 1, -0.0034, 0, 0, 0, 0, FASE2-PERM, NO, 0,
0, NO,
 3986, BEAM    , UNILOAD, GZ, NO , NO, aDir[1], , , , 0, -0.0034, 1, -0.0034, 0, 0, 0, 0, FASE2-PERM, NO, 0,
0, NO,
 3987, BEAM    , UNILOAD, GZ, NO , NO, aDir[1], , , , 0, -0.0034, 1, -0.0034, 0, 0, 0, 0, FASE2-PERM, NO, 0,
0, NO,
 3988, BEAM    , UNILOAD, GZ, NO , NO, aDir[1], , , , 0, -0.0034, 1, -0.0034, 0, 0, 0, 0, FASE2-PERM, NO, 0,
0, NO,
 3989, BEAM    , UNILOAD, GZ, NO , NO, aDir[1], , , , 0, -0.0034, 1, -0.0034, 0, 0, 0, 0, FASE2-PERM, NO, 0,
0, NO,
 3990, BEAM    , UNILOAD, GZ, NO , NO, aDir[1], , , , 0, -0.0034, 1, -0.0034, 0, 0, 0, 0, FASE2-PERM, NO, 0,
0, NO,
 3991, BEAM    , UNILOAD, GZ, NO , NO, aDir[1], , , , 0, -0.0034, 1, -0.0034, 0, 0, 0, 0, FASE2-PERM, NO, 0,
0, NO,
 3992, BEAM    , UNILOAD, GZ, NO , NO, aDir[1], , , , 0, -0.0034, 1, -0.0034, 0, 0, 0, 0, FASE2-PERM, NO, 0,
0, NO,
 3993, BEAM    , UNILOAD, GZ, NO , NO, aDir[1], , , , 0, -0.0034, 1, -0.0034, 0, 0, 0, 0, FASE2-PERM, NO, 0,
0, NO,
 3994, BEAM    , UNILOAD, GZ, NO , NO, aDir[1], , , , 0, -0.0034, 1, -0.0034, 0, 0, 0, 0, FASE2-PERM, NO, 0,
0, NO,
 3995, BEAM    , UNILOAD, GZ, NO , NO, aDir[1], , , , 0, -0.0034, 1, -0.0034, 0, 0, 0, 0, FASE2-PERM, NO, 0,
0, NO,
 3996, BEAM    , UNILOAD, GZ, NO , NO, aDir[1], , , , 0, -0.0034, 1, -0.0034, 0, 0, 0, 0, FASE2-PERM, NO, 0,
0, NO,
 3997, BEAM    , UNILOAD, GZ, NO , NO, aDir[1], , , , 0, -0.0034, 1, -0.0034, 0, 0, 0, 0, FASE2-PERM, NO, 0,
0, NO,
 3998, BEAM    , UNILOAD, GZ, NO , NO, aDir[1], , , , 0, -0.0034, 1, -0.0034, 0, 0, 0, 0, FASE2-PERM, NO, 0,
0, NO,
 3999, BEAM    , UNILOAD, GZ, NO , NO, aDir[1], , , , 0, -0.0034, 1, -0.0034, 0, 0, 0, 0, FASE2-PERM, NO, 0,
0, NO,
 4000, BEAM    , UNILOAD, GZ, NO , NO, aDir[1], , , , 0, -0.0034, 1, -0.0034, 0, 0, 0, 0, FASE2-PERM, NO, 0,
0, NO,
 4001, BEAM    , UNILOAD, GZ, NO , NO, aDir[1], , , , 0, -0.0034, 1, -0.0034, 0, 0, 0, 0, FASE2-PERM, NO, 0,
0, NO,
 4002, BEAM    , UNILOAD, GZ, NO , NO, aDir[1], , , , 0, -0.0034, 1, -0.0034, 0, 0, 0, 0, FASE2-PERM, NO, 0,
0, NO,
 4003, BEAM    , UNILOAD, GZ, NO , NO, aDir[1], , , , 0, -0.0034, 1, -0.0034, 0, 0, 0, 0, FASE2-PERM, NO, 0,
0, NO,
 4004, BEAM    , UNILOAD, GZ, NO , NO, aDir[1], , , , 0, -0.0034, 1, -0.0034, 0, 0, 0, 0, FASE2-PERM, NO, 0,
0, NO,
 4005, BEAM    , UNILOAD, GZ, NO , NO, aDir[1], , , , 0, -0.0034, 1, -0.0034, 0, 0, 0, 0, FASE2-PERM, NO, 0,
0, NO,
 4006, BEAM    , UNILOAD, GZ, NO , NO, aDir[1], , , , 0, -0.0034, 1, -0.0034, 0, 0, 0, 0, FASE2-PERM, NO, 0,
```

```
0, NO,
 4007, BEAM    , UNILOAD, GZ, NO , NO, aDir[1], , , , 0, -0.0034, 1, -0.0034, 0, 0, 0, 0, FASE2-PERM, NO, 0,
0, NO,
 4008, BEAM    , UNILOAD, GZ, NO , NO, aDir[1], , , , 0, -0.0034, 1, -0.0034, 0, 0, 0, 0, FASE2-PERM, NO, 0,
0, NO,
 4009, BEAM    , UNILOAD, GZ, NO , NO, aDir[1], , , , 0, -0.0034, 1, -0.0034, 0, 0, 0, 0, FASE2-PERM, NO, 0,
0, NO,
 4010, BEAM    , UNILOAD, GZ, NO , NO, aDir[1], , , , 0, -0.0034, 1, -0.0034, 0, 0, 0, 0, FASE2-PERM, NO, 0,
0, NO,
 4011, BEAM    , UNILOAD, GZ, NO , NO, aDir[1], , , , 0, -0.0034, 1, -0.0034, 0, 0, 0, 0, FASE2-PERM, NO, 0,
0, NO,
 4217, BEAM    , UNILOAD, GZ, NO , NO, aDir[1], , , , 0, -0.0034, 1, -0.0034, 0, 0, 0, 0, FASE2-PERM, NO, 0,
0, NO,
 4218, BEAM    , UNILOAD, GZ, NO , NO, aDir[1], , , , 0, -0.0034, 1, -0.0034, 0, 0, 0, 0, FASE2-PERM, NO, 0,
0, NO,
 4219, BEAM    , UNILOAD, GZ, NO , NO, aDir[1], , , , 0, -0.0034, 1, -0.0034, 0, 0, 0, 0, FASE2-PERM, NO, 0,
0, NO,
 4220, BEAM    , UNILOAD, GZ, NO , NO, aDir[1], , , , 0, -0.0034, 1, -0.0034, 0, 0, 0, 0, FASE2-PERM, NO, 0,
0, NO,
 4221, BEAM    , UNILOAD, GZ, NO , NO, aDir[1], , , , 0, -0.0034, 1, -0.0034, 0, 0, 0, 0, FASE2-PERM, NO, 0,
0, NO,
 4222, BEAM    , UNILOAD, GZ, NO , NO, aDir[1], , , , 0, -0.0034, 1, -0.0034, 0, 0, 0, 0, FASE2-PERM, NO, 0,
0, NO,
 4223, BEAM    , UNILOAD, GZ, NO , NO, aDir[1], , , , 0, -0.0034, 1, -0.0034, 0, 0, 0, 0, FASE2-PERM, NO, 0,
0, NO,
 4224, BEAM    , UNILOAD, GZ, NO , NO, aDir[1], , , , 0, -0.0034, 1, -0.0034, 0, 0, 0, 0, FASE2-PERM, NO, 0,
0, NO,
 4225, BEAM    , UNILOAD, GZ, NO , NO, aDir[1], , , , 0, -0.0034, 1, -0.0034, 0, 0, 0, 0, FASE2-PERM, NO, 0,
0, NO,
 4226, BEAM    , UNILOAD, GZ, NO , NO, aDir[1], , , , 0, -0.0034, 1, -0.0034, 0, 0, 0, 0, FASE2-PERM, NO, 0,
0, NO,
 4227, BEAM    , UNILOAD, GZ, NO , NO, aDir[1], , , , 0, -0.0034, 1, -0.0034, 0, 0, 0, 0, FASE2-PERM, NO, 0,
0, NO,
 4228, BEAM    , UNILOAD, GZ, NO , NO, aDir[1], , , , 0, -0.0034, 1, -0.0034, 0, 0, 0, 0, FASE2-PERM, NO, 0,
0, NO,
 4229, BEAM    , UNILOAD, GZ, NO , NO, aDir[1], , , , 0, -0.0034, 1, -0.0034, 0, 0, 0, 0, FASE2-PERM, NO, 0,
0, NO,
 4230, BEAM    , UNILOAD, GZ, NO , NO, aDir[1], , , , 0, -0.0034, 1, -0.0034, 0, 0, 0, 0, FASE2-PERM, NO, 0,
0, NO,
 4231, BEAM    , UNILOAD, GZ, NO , NO, aDir[1], , , , 0, -0.0034, 1, -0.0034, 0, 0, 0, 0, FASE2-PERM, NO, 0,
0, NO,
 4232, BEAM    , UNILOAD, GZ, NO , NO, aDir[1], , , , 0, -0.0034, 1, -0.0034, 0, 0, 0, 0, FASE2-PERM, NO, 0,
0, NO,
 4233, BEAM    , UNILOAD, GZ, NO , NO, aDir[1], , , , 0, -0.0034, 1, -0.0034, 0, 0, 0, 0, FASE2-PERM, NO, 0,
0, NO,
 4234, BEAM    , UNILOAD, GZ, NO , NO, aDir[1], , , , 0, -0.0034, 1, -0.0034, 0, 0, 0, 0, FASE2-PERM, NO, 0,
0, NO,
 4235, BEAM    , UNILOAD, GZ, NO , NO, aDir[1], , , , 0, -0.0034, 1, -0.0034, 0, 0, 0, 0, FASE2-PERM, NO, 0,
0, NO,
 4236, BEAM    , UNILOAD, GZ, NO , NO, aDir[1], , , , 0, -0.0034, 1, -0.0034, 0, 0, 0, 0, FASE2-PERM, NO, 0,
0, NO,
 4237, BEAM    , UNILOAD, GZ, NO , NO, aDir[1], , , , 0, -0.0034, 1, -0.0034, 0, 0, 0, 0, FASE2-PERM, NO, 0,
0, NO,
 4238, BEAM    , UNILOAD, GZ, NO , NO, aDir[1], , , , 0, -0.0034, 1, -0.0034, 0, 0, 0, 0, FASE2-PERM, NO, 0,
0, NO,
 4239, BEAM    , UNILOAD, GZ, NO , NO, aDir[1], , , , 0, -0.0034, 1, -0.0034, 0, 0, 0, 0, FASE2-PERM, NO, 0,
0, NO,
 4240, BEAM    , UNILOAD, GZ, NO , NO, aDir[1], , , , 0, -0.0034, 1, -0.0034, 0, 0, 0, 0, FASE2-PERM, NO, 0,
0, NO,
 4241, BEAM    , UNILOAD, GZ, NO , NO, aDir[1], , , , 0, -0.0034, 1, -0.0034, 0, 0, 0, 0, FASE2-PERM, NO, 0,
0, NO,
 4242, BEAM    , UNILOAD, GZ, NO , NO, aDir[1], , , , 0, -0.0034, 1, -0.0034, 0, 0, 0, 0, FASE2-PERM, NO, 0,
0, NO,
 4243, BEAM    , UNILOAD, GZ, NO , NO, aDir[1], , , , 0, -0.0034, 1, -0.0034, 0, 0, 0, 0, FASE2-PERM, NO, 0,
0, NO,
 4244, BEAM    , UNILOAD, GZ, NO , NO, aDir[1], , , , 0, -0.0034, 1, -0.0034, 0, 0, 0, 0, FASE2-PERM, NO, 0,
0, NO,
 4245, BEAM    , UNILOAD, GZ, NO , NO, aDir[1], , , , 0, -0.0034, 1, -0.0034, 0, 0, 0, 0, FASE2-PERM, NO, 0,
0, NO,
 4246, BEAM    , UNILOAD, GZ, NO , NO, aDir[1], , , , 0, -0.0034, 1, -0.0034, 0, 0, 0, 0, FASE2-PERM, NO, 0,
0, NO,
 4247, BEAM    , UNILOAD, GZ, NO , NO, aDir[1], , , , 0, -0.0034, 1, -0.0034, 0, 0, 0, 0, FASE2-PERM, NO, 0,
0, NO,
 4248, BEAM    , UNILOAD, GZ, NO , NO, aDir[1], , , , 0, -0.0034, 1, -0.0034, 0, 0, 0, 0, FASE2-PERM, NO, 0,
0, NO,
 4249, BEAM    , UNILOAD, GZ, NO , NO, aDir[1], , , , 0, -0.0034, 1, -0.0034, 0, 0, 0, 0, FASE2-PERM, NO, 0,
0, NO,
 4250, BEAM    , UNILOAD, GZ, NO , NO, aDir[1], , , , 0, -0.0034, 1, -0.0034, 0, 0, 0, 0, FASE2-PERM, NO, 0,
```

```
0, NO,
 4251, BEAM    , UNILOAD, GZ, NO , NO, aDir[1], , , , 0, -0.0034, 1, -0.0034, 0, 0, 0, 0, FASE2-PERM, NO, 0,
0, NO,
 4252, BEAM    , UNILOAD, GZ, NO , NO, aDir[1], , , , 0, -0.0034, 1, -0.0034, 0, 0, 0, 0, FASE2-PERM, NO, 0,
0, NO,
 4253, BEAM    , UNILOAD, GZ, NO , NO, aDir[1], , , , 0, -0.0034, 1, -0.0034, 0, 0, 0, 0, FASE2-PERM, NO, 0,
0, NO,
 4254, BEAM    , UNILOAD, GZ, NO , NO, aDir[1], , , , 0, -0.0034, 1, -0.0034, 0, 0, 0, 0, FASE2-PERM, NO, 0,
0, NO,
 4255, BEAM    , UNILOAD, GZ, NO , NO, aDir[1], , , , 0, -0.0034, 1, -0.0034, 0, 0, 0, 0, FASE2-PERM, NO, 0,
0, NO,
 4256, BEAM    , UNILOAD, GZ, NO , NO, aDir[1], , , , 0, -0.0034, 1, -0.0034, 0, 0, 0, 0, FASE2-PERM, NO, 0,
0, NO,
 4257, BEAM    , UNILOAD, GZ, NO , NO, aDir[1], , , , 0, -0.0034, 1, -0.0034, 0, 0, 0, 0, FASE2-PERM, NO, 0,
0, NO,
 4258, BEAM    , UNILOAD, GZ, NO , NO, aDir[1], , , , 0, -0.0034, 1, -0.0034, 0, 0, 0, 0, FASE2-PERM, NO, 0,
0, NO,
 4259, BEAM    , UNILOAD, GZ, NO , NO, aDir[1], , , , 0, -0.0034, 1, -0.0034, 0, 0, 0, 0, FASE2-PERM, NO, 0,
0, NO,
 4260, BEAM    , UNILOAD, GZ, NO , NO, aDir[1], , , , 0, -0.0034, 1, -0.0034, 0, 0, 0, 0, FASE2-PERM, NO, 0,
0, NO,
 4261, BEAM    , UNILOAD, GZ, NO , NO, aDir[1], , , , 0, -0.0034, 1, -0.0034, 0, 0, 0, 0, FASE2-PERM, NO, 0,
0, NO,
 4262, BEAM    , UNILOAD, GZ, NO , NO, aDir[1], , , , 0, -0.0034, 1, -0.0034, 0, 0, 0, 0, FASE2-PERM, NO, 0,
0, NO,
 4263, BEAM    , UNILOAD, GZ, NO , NO, aDir[1], , , , 0, -0.0034, 1, -0.0034, 0, 0, 0, 0, FASE2-PERM, NO, 0,
0, NO,
 4264, BEAM    , UNILOAD, GZ, NO , NO, aDir[1], , , , 0, -0.0034, 1, -0.0034, 0, 0, 0, 0, FASE2-PERM, NO, 0,
0, NO,
 4265, BEAM    , UNILOAD, GZ, NO , NO, aDir[1], , , , 0, -0.0034, 1, -0.0034, 0, 0, 0, 0, FASE2-PERM, NO, 0,
0, NO,
 4266, BEAM    , UNILOAD, GZ, NO , NO, aDir[1], , , , 0, -0.0034, 1, -0.0034, 0, 0, 0, 0, FASE2-PERM, NO, 0,
0, NO,
 4267, BEAM    , UNILOAD, GZ, NO , NO, aDir[1], , , , 0, -0.0034, 1, -0.0034, 0, 0, 0, 0, FASE2-PERM, NO, 0,
0, NO,
 4268, BEAM    , UNILOAD, GZ, NO , NO, aDir[1], , , , 0, -0.0034, 1, -0.0034, 0, 0, 0, 0, FASE2-PERM, NO, 0,
0, NO,
 4269, BEAM    , UNILOAD, GZ, NO , NO, aDir[1], , , , 0, -0.0034, 1, -0.0034, 0, 0, 0, 0, FASE2-PERM, NO, 0,
0, NO,
 4270, BEAM    , UNILOAD, GZ, NO , NO, aDir[1], , , , 0, -0.0034, 1, -0.0034, 0, 0, 0, 0, FASE2-PERM, NO, 0,
0, NO,
 4271, BEAM    , UNILOAD, GZ, NO , NO, aDir[1], , , , 0, -0.0034, 1, -0.0034, 0, 0, 0, 0, FASE2-PERM, NO, 0,
0, NO,
 4272, BEAM    , UNILOAD, GZ, NO , NO, aDir[1], , , , 0, -0.0034, 1, -0.0034, 0, 0, 0, 0, FASE2-PERM, NO, 0,
0, NO,
 4273, BEAM    , UNILOAD, GZ, NO , NO, aDir[1], , , , 0, -0.0034, 1, -0.0034, 0, 0, 0, 0, FASE2-PERM, NO, 0,
0, NO,
 4274, BEAM    , UNILOAD, GZ, NO , NO, aDir[1], , , , 0, -0.0034, 1, -0.0034, 0, 0, 0, 0, FASE2-PERM, NO, 0,
0, NO,
 4275, BEAM    , UNILOAD, GZ, NO , NO, aDir[1], , , , 0, -0.0034, 1, -0.0034, 0, 0, 0, 0, FASE2-PERM, NO, 0,
0, NO,
 4276, BEAM    , UNILOAD, GZ, NO , NO, aDir[1], , , , 0, -0.0034, 1, -0.0034, 0, 0, 0, 0, FASE2-PERM, NO, 0,
0, NO,
 4277, BEAM    , UNILOAD, GZ, NO , NO, aDir[1], , , , 0, -0.0034, 1, -0.0034, 0, 0, 0, 0, FASE2-PERM, NO, 0,
0, NO,
 4278, BEAM    , UNILOAD, GZ, NO , NO, aDir[1], , , , 0, -0.0034, 1, -0.0034, 0, 0, 0, 0, FASE2-PERM, NO, 0,
0, NO,
 4279, BEAM    , UNILOAD, GZ, NO , NO, aDir[1], , , , 0, -0.0034, 1, -0.0034, 0, 0, 0, 0, FASE2-PERM, NO, 0,
0, NO,
 4280, BEAM    , UNILOAD, GZ, NO , NO, aDir[1], , , , 0, -0.0034, 1, -0.0034, 0, 0, 0, 0, FASE2-PERM, NO, 0,
0, NO,
 4281, BEAM    , UNILOAD, GZ, NO , NO, aDir[1], , , , 0, -0.0034, 1, -0.0034, 0, 0, 0, 0, FASE2-PERM, NO, 0,
0, NO,
 4282, BEAM    , UNILOAD, GZ, NO , NO, aDir[1], , , , 0, -0.0034, 1, -0.0034, 0, 0, 0, 0, FASE2-PERM, NO, 0,
0, NO,
 4283, BEAM    , UNILOAD, GZ, NO , NO, aDir[1], , , , 0, -0.0034, 1, -0.0034, 0, 0, 0, 0, FASE2-PERM, NO, 0,
0, NO,
 4284, BEAM    , UNILOAD, GZ, NO , NO, aDir[1], , , , 0, -0.0034, 1, -0.0034, 0, 0, 0, 0, FASE2-PERM, NO, 0,
0, NO,
 4285, BEAM    , UNILOAD, GZ, NO , NO, aDir[1], , , , 0, -0.0034, 1, -0.0034, 0, 0, 0, 0, FASE2-PERM, NO, 0,
0, NO,
 4286, BEAM    , UNILOAD, GZ, NO , NO, aDir[1], , , , 0, -0.0034, 1, -0.0034, 0, 0, 0, 0, FASE2-PERM, NO, 0,
0, NO,
 4287, BEAM    , UNILOAD, GZ, NO , NO, aDir[1], , , , 0, -0.0034, 1, -0.0034, 0, 0, 0, 0, FASE2-PERM, NO, 0,
0, NO,
 4288, BEAM    , UNILOAD, GZ, NO , NO, aDir[1], , , , 0, -0.0034, 1, -0.0034, 0, 0, 0, 0, FASE2-PERM, NO, 0,
0, NO,
 4289, BEAM    , UNILOAD, GZ, NO , NO, aDir[1], , , , 0, -0.0034, 1, -0.0034, 0, 0, 0, 0, FASE2-PERM, NO, 0,
```

```
0, NO,
 4290, BEAM    , UNILOAD, GZ, NO , NO, aDir[1], , , , 0, -0.0034, 1, -0.0034, 0, 0, 0, 0, FASE2-PERM, NO, 0,
0, NO,
 4291, BEAM    , UNILOAD, GZ, NO , NO, aDir[1], , , , 0, -0.0034, 1, -0.0034, 0, 0, 0, 0, FASE2-PERM, NO, 0,
0, NO,
 4292, BEAM    , UNILOAD, GZ, NO , NO, aDir[1], , , , 0, -0.0034, 1, -0.0034, 0, 0, 0, 0, FASE2-PERM, NO, 0,
0, NO,
 4293, BEAM    , UNILOAD, GZ, NO , NO, aDir[1], , , , 0, -0.0034, 1, -0.0034, 0, 0, 0, 0, FASE2-PERM, NO, 0,
0, NO,
 4294, BEAM    , UNILOAD, GZ, NO , NO, aDir[1], , , , 0, -0.0034, 1, -0.0034, 0, 0, 0, 0, FASE2-PERM, NO, 0,
0, NO,
 4295, BEAM    , UNILOAD, GZ, NO , NO, aDir[1], , , , 0, -0.0034, 1, -0.0034, 0, 0, 0, 0, FASE2-PERM, NO, 0,
0, NO,
 4296, BEAM    , UNILOAD, GZ, NO , NO, aDir[1], , , , 0, -0.0034, 1, -0.0034, 0, 0, 0, 0, FASE2-PERM, NO, 0,
0, NO,
 4297, BEAM    , UNILOAD, GZ, NO , NO, aDir[1], , , , 0, -0.0034, 1, -0.0034, 0, 0, 0, 0, FASE2-PERM, NO, 0,
0, NO,
 4298, BEAM    , UNILOAD, GZ, NO , NO, aDir[1], , , , 0, -0.0034, 1, -0.0034, 0, 0, 0, 0, FASE2-PERM, NO, 0,
0, NO,
 4299, BEAM    , UNILOAD, GZ, NO , NO, aDir[1], , , , 0, -0.0034, 1, -0.0034, 0, 0, 0, 0, FASE2-PERM, NO, 0,
0, NO,
 4300, BEAM    , UNILOAD, GZ, NO , NO, aDir[1], , , , 0, -0.0034, 1, -0.0034, 0, 0, 0, 0, FASE2-PERM, NO, 0,
0, NO,
 4301, BEAM    , UNILOAD, GZ, NO , NO, aDir[1], , , , 0, -0.0034, 1, -0.0034, 0, 0, 0, 0, FASE2-PERM, NO, 0,
0, NO,
 4302, BEAM    , UNILOAD, GZ, NO , NO, aDir[1], , , , 0, -0.0034, 1, -0.0034, 0, 0, 0, 0, FASE2-PERM, NO, 0,
0, NO,
 4303, BEAM    , UNILOAD, GZ, NO , NO, aDir[1], , , , 0, -0.0034, 1, -0.0034, 0, 0, 0, 0, FASE2-PERM, NO, 0,
0, NO,
 4304, BEAM    , UNILOAD, GZ, NO , NO, aDir[1], , , , 0, -0.0034, 1, -0.0034, 0, 0, 0, 0, FASE2-PERM, NO, 0,
0, NO,
 4305, BEAM    , UNILOAD, GZ, NO , NO, aDir[1], , , , 0, -0.0034, 1, -0.0034, 0, 0, 0, 0, FASE2-PERM, NO, 0,
0, NO,
 4306, BEAM    , UNILOAD, GZ, NO , NO, aDir[1], , , , 0, -0.0034, 1, -0.0034, 0, 0, 0, 0, FASE2-PERM, NO, 0,
0, NO,
 4307, BEAM    , UNILOAD, GZ, NO , NO, aDir[1], , , , 0, -0.0034, 1, -0.0034, 0, 0, 0, 0, FASE2-PERM, NO, 0,
0, NO,
 4308, BEAM    , UNILOAD, GZ, NO , NO, aDir[1], , , , 0, -0.0034, 1, -0.0034, 0, 0, 0, 0, FASE2-PERM, NO, 0,
0, NO,
 4309, BEAM    , UNILOAD, GZ, NO , NO, aDir[1], , , , 0, -0.0034, 1, -0.0034, 0, 0, 0, 0, FASE2-PERM, NO, 0,
0, NO,
 4310, BEAM    , UNILOAD, GZ, NO , NO, aDir[1], , , , 0, -0.0034, 1, -0.0034, 0, 0, 0, 0, FASE2-PERM, NO, 0,
0, NO,
 4311, BEAM    , UNILOAD, GZ, NO , NO, aDir[1], , , , 0, -0.0034, 1, -0.0034, 0, 0, 0, 0, FASE2-PERM, NO, 0,
0, NO,
 4312, BEAM    , UNILOAD, GZ, NO , NO, aDir[1], , , , 0, -0.0034, 1, -0.0034, 0, 0, 0, 0, FASE2-PERM, NO, 0,
0, NO,
 4313, BEAM    , UNILOAD, GZ, NO , NO, aDir[1], , , , 0, -0.0034, 1, -0.0034, 0, 0, 0, 0, FASE2-PERM, NO, 0,
0, NO,
 4314, BEAM    , UNILOAD, GZ, NO , NO, aDir[1], , , , 0, -0.0034, 1, -0.0034, 0, 0, 0, 0, FASE2-PERM, NO, 0,
0, NO,
 4315, BEAM    , UNILOAD, GZ, NO , NO, aDir[1], , , , 0, -0.0034, 1, -0.0034, 0, 0, 0, 0, FASE2-PERM, NO, 0,
0, NO,
 4316, BEAM    , UNILOAD, GZ, NO , NO, aDir[1], , , , 0, -0.0034, 1, -0.0034, 0, 0, 0, 0, FASE2-PERM, NO, 0,
0, NO,
 4317, BEAM    , UNILOAD, GZ, NO , NO, aDir[1], , , , 0, -0.0034, 1, -0.0034, 0, 0, 0, 0, FASE2-PERM, NO, 0,
0, NO,
 4318, BEAM    , UNILOAD, GZ, NO , NO, aDir[1], , , , 0, -0.0034, 1, -0.0034, 0, 0, 0, 0, FASE2-PERM, NO, 0,
0, NO,
 4319, BEAM    , UNILOAD, GZ, NO , NO, aDir[1], , , , 0, -0.0034, 1, -0.0034, 0, 0, 0, 0, FASE2-PERM, NO, 0,
0, NO,
 4320, BEAM    , UNILOAD, GZ, NO , NO, aDir[1], , , , 0, -0.0034, 1, -0.0034, 0, 0, 0, 0, FASE2-PERM, NO, 0,
0, NO,
 4321, BEAM    , UNILOAD, GZ, NO , NO, aDir[1], , , , 0, -0.0034, 1, -0.0034, 0, 0, 0, 0, FASE2-PERM, NO, 0,
0, NO,
 4322, BEAM    , UNILOAD, GZ, NO , NO, aDir[1], , , , 0, -0.0034, 1, -0.0034, 0, 0, 0, 0, FASE2-PERM, NO, 0,
0, NO,
 4323, BEAM    , UNILOAD, GZ, NO , NO, aDir[1], , , , 0, -0.0034, 1, -0.0034, 0, 0, 0, 0, FASE2-PERM, NO, 0,
0, NO,
 4324, BEAM    , UNILOAD, GZ, NO , NO, aDir[1], , , , 0, -0.0034, 1, -0.0034, 0, 0, 0, 0, FASE2-PERM, NO, 0,
0, NO,
 4325, BEAM    , UNILOAD, GZ, NO , NO, aDir[1], , , , 0, -0.0034, 1, -0.0034, 0, 0, 0, 0, FASE2-PERM, NO, 0,
0, NO,
 4326, BEAM    , UNILOAD, GZ, NO , NO, aDir[1], , , , 0, -0.0034, 1, -0.0034, 0, 0, 0, 0, FASE2-PERM, NO, 0,
0, NO,
 4327, BEAM    , UNILOAD, GZ, NO , NO, aDir[1], , , , 0, -0.0034, 1, -0.0034, 0, 0, 0, 0, FASE2-PERM, NO, 0,
0, NO,
 4328, BEAM    , UNILOAD, GZ, NO , NO, aDir[1], , , , 0, -0.0034, 1, -0.0034, 0, 0, 0, 0, FASE2-PERM, NO, 0,
```

```
 0, NO,
  4329, BEAM    , UNILOAD, GZ, NO , NO, aDir[1], , , , 0, -0.0034, 1, -0.0034, 0, 0, 0, 0, FASE2-PERM, NO, 0,
0, NO,
  4330, BEAM    , UNILOAD, GZ, NO , NO, aDir[1], , , , 0, -0.0034, 1, -0.0034, 0, 0, 0, 0, FASE2-PERM, NO, 0,
0, NO,
  4331, BEAM    , UNILOAD, GZ, NO , NO, aDir[1], , , , 0, -0.0034, 1, -0.0034, 0, 0, 0, 0, FASE2-PERM, NO, 0,
0, NO,
  4332, BEAM    , UNILOAD, GZ, NO , NO, aDir[1], , , , 0, -0.0034, 1, -0.0034, 0, 0, 0, 0, FASE2-PERM, NO, 0,
0, NO,
  4333, BEAM    , UNILOAD, GZ, NO , NO, aDir[1], , , , 0, -0.0034, 1, -0.0034, 0, 0, 0, 0, FASE2-PERM, NO, 0,
0, NO,
  4334, BEAM    , UNILOAD, GZ, NO , NO, aDir[1], , , , 0, -0.0034, 1, -0.0034, 0, 0, 0, 0, FASE2-PERM, NO, 0,
0, NO,
  4335, BEAM    , UNILOAD, GZ, NO , NO, aDir[1], , , , 0, -0.0034, 1, -0.0034, 0, 0, 0, 0, FASE2-PERM, NO, 0,
0, NO,
  4336, BEAM    , UNILOAD, GZ, NO , NO, aDir[1], , , , 0, -0.0034, 1, -0.0034, 0, 0, 0, 0, FASE2-PERM, NO, 0,
0, NO,
  4337, BEAM    , UNILOAD, GZ, NO , NO, aDir[1], , , , 0, -0.0034, 1, -0.0034, 0, 0, 0, 0, FASE2-PERM, NO, 0,
0, NO,
  4338, BEAM    , UNILOAD, GZ, NO , NO, aDir[1], , , , 0, -0.0034, 1, -0.0034, 0, 0, 0, 0, FASE2-PERM, NO, 0,
0, NO,
  4339, BEAM    , UNILOAD, GZ, NO , NO, aDir[1], , , , 0, -0.0034, 1, -0.0034, 0, 0, 0, 0, FASE2-PERM, NO, 0,
0, NO,
  4340, BEAM    , UNILOAD, GZ, NO , NO, aDir[1], , , , 0, -0.0034, 1, -0.0034, 0, 0, 0, 0, FASE2-PERM, NO, 0,
0, NO,
  4341, BEAM    , UNILOAD, GZ, NO , NO, aDir[1], , , , 0, -0.0034, 1, -0.0034, 0, 0, 0, 0, FASE2-PERM, NO, 0,
0, NO,
  4342, BEAM    , UNILOAD, GZ, NO , NO, aDir[1], , , , 0, -0.0034, 1, -0.0034, 0, 0, 0, 0, FASE2-PERM, NO, 0,
0, NO,

; End of data for load case [pavimentazione] -------------------------

*USE-STLD, vento y+

*BEAMLOAD    ; Element Beam Loads
; ELEM_LIST, CMD, TYPE, DIR, bPROJ, [ECCEN], [VALUE], GROUP
; ELEM_LIST, CMD, TYPE, TYPE, DIR, VX, VY, VZ, bPROJ, [ECCEN], [VALUE], GROUP
; [VALUE]       : D1, P1, D2, P2, D3, P3, D4, P4
; [ECCEN]       : bECCEN, ECCDIR, I-END, J-END, bJ-END
; [ADDITIONAL]  : bADDITIONAL, ADDITIONAL_I-END, ADDITIONAL_J-END, bADDITIONAL_J-END
     1, BEAM    , UNILOAD, GY, NO , NO, aDir[1], , , , 0, 0.0004032, 1, 0.0004032, 0, 0, 0, 0, FASE3-VAR, NO,
 0, 0, NO,
     2, BEAM    , UNILOAD, GY, NO , NO, aDir[1], , , , 0, 8.1e-005, 1, 8.1e-005, 0, 0, 0, 0, FASE3-VAR, NO, 0
, 0, NO,
     3, BEAM    , UNILOAD, GY, NO , NO, aDir[1], , , , 0, 0.00156, 1, 0.00156, 0, 0, 0, 0, FASE3-VAR, NO, 0,
0, NO,
     3, BEAM    , UNIMOMENT, GX, NO , NO, aDir[1], , , , 0, -3.18, 1, -3.18, 0, 0, 0, 0, FASE3-VAR, NO, 0, 0,
 NO,
     4, BEAM    , UNIMOMENT, GX, NO , NO, aDir[1], , , , 0, -8.43, 1, -8.43, 0, 0, 0, 0, FASE3-VAR, NO, 0, 0,
 NO,
     4, BEAM    , UNILOAD, GY, NO , NO, aDir[1], , , , 0, 0.00562, 1, 0.00562, 0, 0, 0, 0, FASE3-VAR, NO, 0,
0, NO,
     7, BEAM    , UNILOAD, GY, NO , NO, aDir[1], , , , 0, 0.0015624, 1, 0.0015624, 0, 0, 0, 0, FASE3-VAR, NO,
 0, 0, NO,
     7, BEAM    , UNIMOMENT, GX, NO , NO, aDir[1], , , , 0, -3.18, 1, -3.18, 0, 0, 0, 0, FASE3-VAR, NO, 0, 0,
 NO,
     8, BEAM    , UNIMOMENT, GX, NO , NO, aDir[1], , , , 0, -0.635, 1, -0.635, 0, 0, 0, 0, FASE3-VAR, NO, 0,
0, NO,
     8, BEAM    , UNILOAD, GY, NO , NO, aDir[1], , , , 0, 0.000312, 1, 0.000312, 0, 0, 0, 0, FASE3-VAR, NO, 0
, 0, NO,
     9, BEAM    , UNILOAD, GY, NO , NO, aDir[1], , , , 0, 8.1e-005, 1, 8.1e-005, 0, 0, 0, 0, FASE3-VAR, NO, 0
, 0, NO,
    10, BEAM    , UNILOAD, GY, NO , NO, aDir[1], , , , 0, 0.0004032, 1, 0.0004032, 0, 0, 0, 0, FASE3-VAR, NO,
 0, 0, NO,
    11, BEAM    , UNILOAD, GY, NO , NO, aDir[1], , , , 0, 0.0004032, 1, 0.0004032, 0, 0, 0, 0, FASE3-VAR, NO,
 0, 0, NO,
    12, BEAM    , UNILOAD, GY, NO , NO, aDir[1], , , , 0, 8.1e-005, 1, 8.1e-005, 0, 0, 0, 0, FASE3-VAR, NO, 0
, 0, NO,
    13, BEAM    , UNIMOMENT, GX, NO , NO, aDir[1], , , , 0, -8.43, 1, -8.43, 0, 0, 0, 0, FASE3-VAR, NO, 0, 0,
 NO,
    13, BEAM    , UNILOAD, GY, NO , NO, aDir[1], , , , 0, 0.00562, 1, 0.00562, 0, 0, 0, 0, FASE3-VAR, NO, 0,
0, NO,
    14, BEAM    , UNIMOMENT, GX, NO , NO, aDir[1], , , , 0, -8.43, 1, -8.43, 0, 0, 0, 0, FASE3-VAR, NO, 0, 0,
 NO,
    14, BEAM    , UNILOAD, GY, NO , NO, aDir[1], , , , 0, 0.00562, 1, 0.00562, 0, 0, 0, 0, FASE3-VAR, NO, 0,
0, NO,
    15, BEAM    , UNILOAD, GY, NO , NO, aDir[1], , , , 0, 0.00156, 1, 0.00156, 0, 0, 0, 0, FASE3-VAR, NO, 0,
0, NO,
```

```
    15, BEAM    , UNIMOMENT, GX, NO , NO, aDir[1], , , , 0, -3.18, 1, -3.18, 0, 0, 0, 0, FASE3-VAR, NO, 0, 0,
 NO,
    16, BEAM    , UNILOAD, GY, NO , NO, aDir[1], , , , 0, 0.00156, 1, 0.00156, 0, 0, 0, 0, FASE3-VAR, NO, 0,
0, NO,
    16, BEAM    , UNIMOMENT, GX, NO , NO, aDir[1], , , , 0, -3.18, 1, -3.18, 0, 0, 0, 0, FASE3-VAR, NO, 0, 0,
 NO,
    21, BEAM    , UNIMOMENT, GX, NO , NO, aDir[1], , , , 0, -0.635, 1, -0.635, 0, 0, 0, 0, FASE3-VAR, NO, 0,
0, NO,
    21, BEAM    , UNILOAD, GY, NO , NO, aDir[1], , , , 0, 0.000312, 1, 0.000312, 0, 0, 0, 0, FASE3-VAR, NO, 0
, 0, NO,
    22, BEAM    , UNIMOMENT, GX, NO , NO, aDir[1], , , , 0, -0.635, 1, -0.635, 0, 0, 0, 0, FASE3-VAR, NO, 0,
0, NO,
    22, BEAM    , UNILOAD, GY, NO , NO, aDir[1], , , , 0, 0.000312, 1, 0.000312, 0, 0, 0, 0, FASE3-VAR, NO, 0
, 0, NO,
    23, BEAM    , UNIMOMENT, GX, NO , NO, aDir[1], , , , 0, -3.18, 1, -3.18, 0, 0, 0, 0, FASE3-VAR, NO, 0, 0,
 NO,
    23, BEAM    , UNILOAD, GY, NO , NO, aDir[1], , , , 0, 0.0015624, 1, 0.0015624, 0, 0, 0, 0, FASE3-VAR, NO,
 0, 0, NO,
    24, BEAM    , UNILOAD, GY, NO , NO, aDir[1], , , , 0, 0.0015624, 1, 0.0015624, 0, 0, 0, 0, FASE3-VAR, NO,
 0, 0, NO,
    24, BEAM    , UNIMOMENT, GX, NO , NO, aDir[1], , , , 0, -3.18, 1, -3.18, 0, 0, 0, 0, FASE3-VAR, NO, 0, 0,
 NO,
    25, BEAM    , UNILOAD, GY, NO , NO, aDir[1], , , , 0, 8.1e-005, 1, 8.1e-005, 0, 0, 0, 0, FASE3-VAR, NO, 0
, 0, NO,
    26, BEAM    , UNILOAD, GY, NO , NO, aDir[1], , , , 0, 0.0004032, 1, 0.0004032, 0, 0, 0, 0, FASE3-VAR, NO,
 0, 0, NO,
    27, BEAM    , UNILOAD, GY, NO , NO, aDir[1], , , , 0, 8.1e-005, 1, 8.1e-005, 0, 0, 0, 0, FASE3-VAR, NO, 0
, 0, NO,
    28, BEAM    , UNILOAD, GY, NO , NO, aDir[1], , , , 0, 0.0004032, 1, 0.0004032, 0, 0, 0, 0, FASE3-VAR, NO,
 0, 0, NO,
    29, BEAM    , UNILOAD, GY, NO , NO, aDir[1], , , , 0, 0.00562, 1, 0.00562, 0, 0, 0, 0, FASE3-VAR, NO, 0,
0, NO,
    29, BEAM    , UNIMOMENT, GX, NO , NO, aDir[1], , , , 0, -8.43, 1, -8.43, 0, 0, 0, 0, FASE3-VAR, NO, 0, 0,
 NO,
    30, BEAM    , UNIMOMENT, GX, NO , NO, aDir[1], , , , 0, -3.18, 1, -3.18, 0, 0, 0, 0, FASE3-VAR, NO, 0, 0,
 NO,
    30, BEAM    , UNILOAD, GY, NO , NO, aDir[1], , , , 0, 0.00156, 1, 0.00156, 0, 0, 0, 0, FASE3-VAR, NO, 0,
0, NO,
    31, BEAM    , UNILOAD, GY, NO , NO, aDir[1], , , , 0, 0.00156, 1, 0.00156, 0, 0, 0, 0, FASE3-VAR, NO, 0,
0, NO,
    31, BEAM    , UNIMOMENT, GX, NO , NO, aDir[1], , , , 0, -3.18, 1, -3.18, 0, 0, 0, 0, FASE3-VAR, NO, 0, 0,
 NO,
    32, BEAM    , UNILOAD, GY, NO , NO, aDir[1], , , , 0, 0.00562, 1, 0.00562, 0, 0, 0, 0, FASE3-VAR, NO, 0,
0, NO,
    32, BEAM    , UNIMOMENT, GX, NO , NO, aDir[1], , , , 0, -8.43, 1, -8.43, 0, 0, 0, 0, FASE3-VAR, NO, 0, 0,
 NO,
    37, BEAM    , UNILOAD, GY, NO , NO, aDir[1], , , , 0, 0.0015624, 1, 0.0015624, 0, 0, 0, 0, FASE3-VAR, NO,
 0, 0, NO,
    37, BEAM    , UNIMOMENT, GX, NO , NO, aDir[1], , , , 0, -3.18, 1, -3.18, 0, 0, 0, 0, FASE3-VAR, NO, 0, 0,
 NO,
    38, BEAM    , UNILOAD, GY, NO , NO, aDir[1], , , , 0, 0.0015624, 1, 0.0015624, 0, 0, 0, 0, FASE3-VAR, NO,
 0, 0, NO,
    38, BEAM    , UNIMOMENT, GX, NO , NO, aDir[1], , , , 0, -3.18, 1, -3.18, 0, 0, 0, 0, FASE3-VAR, NO, 0, 0,
 NO,
    39, BEAM    , UNILOAD, GY, NO , NO, aDir[1], , , , 0, 0.000312, 1, 0.000312, 0, 0, 0, 0, FASE3-VAR, NO, 0
, 0, NO,
    39, BEAM    , UNIMOMENT, GX, NO , NO, aDir[1], , , , 0, -0.635, 1, -0.635, 0, 0, 0, 0, FASE3-VAR, NO, 0,
0, NO,
    40, BEAM    , UNIMOMENT, GX, NO , NO, aDir[1], , , , 0, -0.635, 1, -0.635, 0, 0, 0, 0, FASE3-VAR, NO, 0,
0, NO,
    40, BEAM    , UNILOAD, GY, NO , NO, aDir[1], , , , 0, 0.000312, 1, 0.000312, 0, 0, 0, 0, FASE3-VAR, NO, 0
, 0, NO,
    54, BEAM    , UNILOAD, GY, NO , NO, aDir[1], , , , 0, 0.00562, 1, 0.00562, 0, 0, 0, 0, FASE3-VAR, NO, 0,
0, NO,
    54, BEAM    , UNIMOMENT, GX, NO , NO, aDir[1], , , , 0, -8.43, 1, -8.43, 0, 0, 0, 0, FASE3-VAR, NO, 0, 0,
 NO,
    55, BEAM    , UNILOAD, GY, NO , NO, aDir[1], , , , 0, 0.0004032, 1, 0.0004032, 0, 0, 0, 0, FASE3-VAR, NO,
 0, 0, NO,
    57, BEAM    , UNILOAD, GY, NO , NO, aDir[1], , , , 0, 8.1e-005, 1, 8.1e-005, 0, 0, 0, 0, FASE3-VAR, NO, 0
, 0, NO,
    59, BEAM    , UNIMOMENT, GX, NO , NO, aDir[1], , , , 0, -3.18, 1, -3.18, 0, 0, 0, 0, FASE3-VAR, NO, 0, 0,
 NO,
    59, BEAM    , UNILOAD, GY, NO , NO, aDir[1], , , , 0, 0.00156, 1, 0.00156, 0, 0, 0, 0, FASE3-VAR, NO, 0,
0, NO,
    61, BEAM    , UNILOAD, GY, NO , NO, aDir[1], , , , 0, 0.000312, 1, 0.000312, 0, 0, 0, 0, FASE3-VAR, NO, 0
, 0, NO,
    61, BEAM    , UNIMOMENT, GX, NO , NO, aDir[1], , , , 0, -0.635, 1, -0.635, 0, 0, 0, 0, FASE3-VAR, NO, 0,
0, NO,
```

```
    66, BEAM    , UNIMOMENT, GX, NO , NO, aDir[1], , , , 0, -3.18, 1, -3.18, 0, 0, 0, 0, FASE3-VAR, NO, 0, 0,
 NO,
    66, BEAM    , UNILOAD, GY, NO , NO, aDir[1], , , , 0, 0.0015624, 1, 0.0015624, 0, 0, 0, 0, FASE3-VAR, NO,
 0, 0, NO,
    68, BEAM    , UNILOAD, GY, NO , NO, aDir[1], , , , 0, 0.00562, 1, 0.00562, 0, 0, 0, 0, FASE3-VAR, NO, 0,
0, NO,
    68, BEAM    , UNIMOMENT, GX, NO , NO, aDir[1], , , , 0, -8.43, 1, -8.43, 0, 0, 0, 0, FASE3-VAR, NO, 0, 0,
 NO,
    69, BEAM    , UNILOAD, GY, NO , NO, aDir[1], , , , 0, 0.0004032, 1, 0.0004032, 0, 0, 0, 0, FASE3-VAR, NO,
 0, 0, NO,
    71, BEAM    , UNILOAD, GY, NO , NO, aDir[1], , , , 0, 8.1e-005, 1, 8.1e-005, 0, 0, 0, 0, FASE3-VAR, NO, 0
, 0, NO,
    73, BEAM    , UNIMOMENT, GX, NO , NO, aDir[1], , , , 0, -3.18, 1, -3.18, 0, 0, 0, 0, FASE3-VAR, NO, 0, 0,
 NO,
    73, BEAM    , UNILOAD, GY, NO , NO, aDir[1], , , , 0, 0.00156, 1, 0.00156, 0, 0, 0, 0, FASE3-VAR, NO, 0,
0, NO,
    75, BEAM    , UNILOAD, GY, NO , NO, aDir[1], , , , 0, 0.000312, 1, 0.000312, 0, 0, 0, 0, FASE3-VAR, NO, 0
, 0, NO,
    75, BEAM    , UNIMOMENT, GX, NO , NO, aDir[1], , , , 0, -0.635, 1, -0.635, 0, 0, 0, 0, FASE3-VAR, NO, 0,
0, NO,
    80, BEAM    , UNILOAD, GY, NO , NO, aDir[1], , , , 0, 0.0015624, 1, 0.0015624, 0, 0, 0, 0, FASE3-VAR, NO,
 0, 0, NO,
    80, BEAM    , UNIMOMENT, GX, NO , NO, aDir[1], , , , 0, -3.18, 1, -3.18, 0, 0, 0, 0, FASE3-VAR, NO, 0, 0,
 NO,
    82, BEAM    , UNILOAD, GY, NO , NO, aDir[1], , , , 0, 0.00562, 1, 0.00562, 0, 0, 0, 0, FASE3-VAR, NO, 0,
0, NO,
    82, BEAM    , UNIMOMENT, GX, NO , NO, aDir[1], , , , 0, -8.43, 1, -8.43, 0, 0, 0, 0, FASE3-VAR, NO, 0, 0,
 NO,
    83, BEAM    , UNILOAD, GY, NO , NO, aDir[1], , , , 0, 0.0004032, 1, 0.0004032, 0, 0, 0, 0, FASE3-VAR, NO,
 0, 0, NO,
    85, BEAM    , UNILOAD, GY, NO , NO, aDir[1], , , , 0, 8.1e-005, 1, 8.1e-005, 0, 0, 0, 0, FASE3-VAR, NO, 0
, 0, NO,
    87, BEAM    , UNILOAD, GY, NO , NO, aDir[1], , , , 0, 0.00156, 1, 0.00156, 0, 0, 0, 0, FASE3-VAR, NO, 0,
0, NO,
    87, BEAM    , UNIMOMENT, GX, NO , NO, aDir[1], , , , 0, -3.18, 1, -3.18, 0, 0, 0, 0, FASE3-VAR, NO, 0, 0,
 NO,
    89, BEAM    , UNIMOMENT, GX, NO , NO, aDir[1], , , , 0, -0.635, 1, -0.635, 0, 0, 0, 0, FASE3-VAR, NO, 0,
0, NO,
    89, BEAM    , UNILOAD, GY, NO , NO, aDir[1], , , , 0, 0.000312, 1, 0.000312, 0, 0, 0, 0, FASE3-VAR, NO, 0
, 0, NO,
    94, BEAM    , UNILOAD, GY, NO , NO, aDir[1], , , , 0, 0.0015624, 1, 0.0015624, 0, 0, 0, 0, FASE3-VAR, NO,
 0, 0, NO,
    94, BEAM    , UNIMOMENT, GX, NO , NO, aDir[1], , , , 0, -3.18, 1, -3.18, 0, 0, 0, 0, FASE3-VAR, NO, 0, 0,
 NO,
    96, BEAM    , UNILOAD, GY, NO , NO, aDir[1], , , , 0, 0.00562, 1, 0.00562, 0, 0, 0, 0, FASE3-VAR, NO, 0,
0, NO,
    96, BEAM    , UNIMOMENT, GX, NO , NO, aDir[1], , , , 0, -8.43, 1, -8.43, 0, 0, 0, 0, FASE3-VAR, NO, 0, 0,
 NO,
    97, BEAM    , UNILOAD, GY, NO , NO, aDir[1], , , , 0, 0.0004032, 1, 0.0004032, 0, 0, 0, 0, FASE3-VAR, NO,
 0, 0, NO,
    99, BEAM    , UNILOAD, GY, NO , NO, aDir[1], , , , 0, 8.1e-005, 1, 8.1e-005, 0, 0, 0, 0, FASE3-VAR, NO, 0
, 0, NO,
   101, BEAM    , UNIMOMENT, GX, NO , NO, aDir[1], , , , 0, -3.18, 1, -3.18, 0, 0, 0, 0, FASE3-VAR, NO, 0, 0,
 NO,
   101, BEAM    , UNILOAD, GY, NO , NO, aDir[1], , , , 0, 0.00156, 1, 0.00156, 0, 0, 0, 0, FASE3-VAR, NO, 0,
0, NO,
   103, BEAM    , UNILOAD, GY, NO , NO, aDir[1], , , , 0, 0.000312, 1, 0.000312, 0, 0, 0, 0, FASE3-VAR, NO, 0
, 0, NO,
   103, BEAM    , UNIMOMENT, GX, NO , NO, aDir[1], , , , 0, -0.635, 1, -0.635, 0, 0, 0, 0, FASE3-VAR, NO, 0,
0, NO,
   108, BEAM    , UNILOAD, GY, NO , NO, aDir[1], , , , 0, 0.0015624, 1, 0.0015624, 0, 0, 0, 0, FASE3-VAR, NO,
 0, 0, NO,
   108, BEAM    , UNIMOMENT, GX, NO , NO, aDir[1], , , , 0, -3.18, 1, -3.18, 0, 0, 0, 0, FASE3-VAR, NO, 0, 0,
 NO,
   110, BEAM    , UNIMOMENT, GX, NO , NO, aDir[1], , , , 0, -8.43, 1, -8.43, 0, 0, 0, 0, FASE3-VAR, NO, 0, 0,
 NO,
   110, BEAM    , UNILOAD, GY, NO , NO, aDir[1], , , , 0, 0.00562, 1, 0.00562, 0, 0, 0, 0, FASE3-VAR, NO, 0,
0, NO,
   111, BEAM    , UNILOAD, GY, NO , NO, aDir[1], , , , 0, 0.0004032, 1, 0.0004032, 0, 0, 0, 0, FASE3-VAR, NO,
 0, 0, NO,
   113, BEAM    , UNILOAD, GY, NO , NO, aDir[1], , , , 0, 8.1e-005, 1, 8.1e-005, 0, 0, 0, 0, FASE3-VAR, NO, 0
, 0, NO,
   115, BEAM    , UNILOAD, GY, NO , NO, aDir[1], , , , 0, 0.00156, 1, 0.00156, 0, 0, 0, 0, FASE3-VAR, NO, 0,
0, NO,
   115, BEAM    , UNIMOMENT, GX, NO , NO, aDir[1], , , , 0, -3.18, 1, -3.18, 0, 0, 0, 0, FASE3-VAR, NO, 0, 0,
 NO,
   117, BEAM    , UNILOAD, GY, NO , NO, aDir[1], , , , 0, 0.000312, 1, 0.000312, 0, 0, 0, 0, FASE3-VAR, NO, 0
, 0, NO,
```

117, BEAM , UNIMOMENT, GX, NO , NO, aDir[1], , , , 0, -0.635, 1, -0.635, 0, 0, 0, 0, FASE3-VAR, NO, 0, 0, NO,
122, BEAM , UNILOAD, GY, NO , NO, aDir[1], , , , 0, 0.0015624, 1, 0.0015624, 0, 0, 0, 0, FASE3-VAR, NO, 0, 0, NO,
122, BEAM , UNIMOMENT, GX, NO , NO, aDir[1], , , , 0, -3.18, 1, -3.18, 0, 0, 0, 0, FASE3-VAR, NO, 0, 0, NO,
124, BEAM , UNIMOMENT, GX, NO , NO, aDir[1], , , , 0, -8.43, 1, -8.43, 0, 0, 0, 0, FASE3-VAR, NO, 0, 0, NO,
124, BEAM , UNILOAD, GY, NO , NO, aDir[1], , , , 0, 0.00562, 1, 0.00562, 0, 0, 0, 0, FASE3-VAR, NO, 0, 0, NO,
125, BEAM , UNILOAD, GY, NO , NO, aDir[1], , , , 0, 0.0004032, 1, 0.0004032, 0, 0, 0, 0, FASE3-VAR, NO, 0, 0, NO,
127, BEAM , UNILOAD, GY, NO , NO, aDir[1], , , , 0, 8.1e-005, 1, 8.1e-005, 0, 0, 0, 0, FASE3-VAR, NO, 0, 0, NO,
129, BEAM , UNIMOMENT, GX, NO , NO, aDir[1], , , , 0, -3.18, 1, -3.18, 0, 0, 0, 0, FASE3-VAR, NO, 0, 0, NO,
129, BEAM , UNILOAD, GY, NO , NO, aDir[1], , , , 0, 0.00156, 1, 0.00156, 0, 0, 0, 0, FASE3-VAR, NO, 0, 0, NO,
131, BEAM , UNIMOMENT, GX, NO , NO, aDir[1], , , , 0, -0.635, 1, -0.635, 0, 0, 0, 0, FASE3-VAR, NO, 0, 0, NO,
131, BEAM , UNILOAD, GY, NO , NO, aDir[1], , , , 0, 0.000312, 1, 0.000312, 0, 0, 0, 0, FASE3-VAR, NO, 0, 0, NO,
136, BEAM , UNILOAD, GY, NO , NO, aDir[1], , , , 0, 0.0015624, 1, 0.0015624, 0, 0, 0, 0, FASE3-VAR, NO, 0, 0, NO,
136, BEAM , UNIMOMENT, GX, NO , NO, aDir[1], , , , 0, -3.18, 1, -3.18, 0, 0, 0, 0, FASE3-VAR, NO, 0, 0, NO,
138, BEAM , UNIMOMENT, GX, NO , NO, aDir[1], , , , 0, -8.43, 1, -8.43, 0, 0, 0, 0, FASE3-VAR, NO, 0, 0, NO,
138, BEAM , UNILOAD, GY, NO , NO, aDir[1], , , , 0, 0.00562, 1, 0.00562, 0, 0, 0, 0, FASE3-VAR, NO, 0, 0, NO,
139, BEAM , UNILOAD, GY, NO , NO, aDir[1], , , , 0, 0.0004032, 1, 0.0004032, 0, 0, 0, 0, FASE3-VAR, NO, 0, 0, NO,
141, BEAM , UNILOAD, GY, NO , NO, aDir[1], , , , 0, 8.1e-005, 1, 8.1e-005, 0, 0, 0, 0, FASE3-VAR, NO, 0, 0, NO,
143, BEAM , UNIMOMENT, GX, NO , NO, aDir[1], , , , 0, -3.18, 1, -3.18, 0, 0, 0, 0, FASE3-VAR, NO, 0, 0, NO,
143, BEAM , UNILOAD, GY, NO , NO, aDir[1], , , , 0, 0.00156, 1, 0.00156, 0, 0, 0, 0, FASE3-VAR, NO, 0, 0, NO,
145, BEAM , UNIMOMENT, GX, NO , NO, aDir[1], , , , 0, -0.635, 1, -0.635, 0, 0, 0, 0, FASE3-VAR, NO, 0, 0, NO,
145, BEAM , UNILOAD, GY, NO , NO, aDir[1], , , , 0, 0.000312, 1, 0.000312, 0, 0, 0, 0, FASE3-VAR, NO, 0, 0, NO,
150, BEAM , UNILOAD, GY, NO , NO, aDir[1], , , , 0, 0.0015624, 1, 0.0015624, 0, 0, 0, 0, FASE3-VAR, NO, 0, 0, NO,
150, BEAM , UNIMOMENT, GX, NO , NO, aDir[1], , , , 0, -3.18, 1, -3.18, 0, 0, 0, 0, FASE3-VAR, NO, 0, 0, NO,
152, BEAM , UNIMOMENT, GX, NO , NO, aDir[1], , , , 0, -8.43, 1, -8.43, 0, 0, 0, 0, FASE3-VAR, NO, 0, 0, NO,
152, BEAM , UNILOAD, GY, NO , NO, aDir[1], , , , 0, 0.00562, 1, 0.00562, 0, 0, 0, 0, FASE3-VAR, NO, 0, 0, NO,
153, BEAM , UNILOAD, GY, NO , NO, aDir[1], , , , 0, 0.0004032, 1, 0.0004032, 0, 0, 0, 0, FASE3-VAR, NO, 0, 0, NO,
155, BEAM , UNILOAD, GY, NO , NO, aDir[1], , , , 0, 8.1e-005, 1, 8.1e-005, 0, 0, 0, 0, FASE3-VAR, NO, 0, 0, NO,
157, BEAM , UNIMOMENT, GX, NO , NO, aDir[1], , , , 0, -3.18, 1, -3.18, 0, 0, 0, 0, FASE3-VAR, NO, 0, 0, NO,
157, BEAM , UNILOAD, GY, NO , NO, aDir[1], , , , 0, 0.00156, 1, 0.00156, 0, 0, 0, 0, FASE3-VAR, NO, 0, 0, NO,
159, BEAM , UNILOAD, GY, NO , NO, aDir[1], , , , 0, 0.000312, 1, 0.000312, 0, 0, 0, 0, FASE3-VAR, NO, 0, 0, NO,
159, BEAM , UNIMOMENT, GX, NO , NO, aDir[1], , , , 0, -0.635, 1, -0.635, 0, 0, 0, 0, FASE3-VAR, NO, 0, 0, NO,
164, BEAM , UNILOAD, GY, NO , NO, aDir[1], , , , 0, 0.0015624, 1, 0.0015624, 0, 0, 0, 0, FASE3-VAR, NO, 0, 0, NO,
164, BEAM , UNIMOMENT, GX, NO , NO, aDir[1], , , , 0, -3.18, 1, -3.18, 0, 0, 0, 0, FASE3-VAR, NO, 0, 0, NO,
165, BEAM , UNIMOMENT, GX, NO , NO, aDir[1], , , , 0, -8.43, 1, -8.43, 0, 0, 0, 0, FASE3-VAR, NO, 0, 0, NO,
165, BEAM , UNILOAD, GY, NO , NO, aDir[1], , , , 0, 0.00562, 1, 0.00562, 0, 0, 0, 0, FASE3-VAR, NO, 0, 0, NO,
166, BEAM , UNILOAD, GY, NO , NO, aDir[1], , , , 0, 0.0004032, 1, 0.0004032, 0, 0, 0, 0, FASE3-VAR, NO, 0, 0, NO,
167, BEAM , UNILOAD, GY, NO , NO, aDir[1], , , , 0, 8.1e-005, 1, 8.1e-005, 0, 0, 0, 0, FASE3-VAR, NO, 0, 0, NO,
168, BEAM , UNIMOMENT, GX, NO , NO, aDir[1], , , , 0, -3.18, 1, -3.18, 0, 0, 0, 0, FASE3-VAR, NO, 0, 0, NO,
168, BEAM , UNILOAD, GY, NO , NO, aDir[1], , , , 0, 0.00156, 1, 0.00156, 0, 0, 0, 0, FASE3-VAR, NO, 0, 0, NO,

169, BEAM , UNIMOMENT, GX, NO , NO, aDir[1], , , , 0, -0.635, 1, -0.635, 0, 0, 0, 0, FASE3-VAR, NO, 0, 0, NO,
169, BEAM , UNILOAD, GY, NO , NO, aDir[1], , , , 0, 0.000312, 1, 0.000312, 0, 0, 0, 0, FASE3-VAR, NO, 0, 0, NO,
172, BEAM , UNILOAD, GY, NO , NO, aDir[1], , , , 0, 0.0015624, 1, 0.0015624, 0, 0, 0, 0, FASE3-VAR, NO, 0, 0, NO,
172, BEAM , UNIMOMENT, GX, NO , NO, aDir[1], , , , 0, -3.18, 1, -3.18, 0, 0, 0, 0, FASE3-VAR, NO, 0, 0, NO,
173, BEAM , UNILOAD, GY, NO , NO, aDir[1], , , , 0, 0.00562, 1, 0.00562, 0, 0, 0, 0, FASE3-VAR, NO, 0, 0, NO,
173, BEAM , UNIMOMENT, GX, NO , NO, aDir[1], , , , 0, -8.43, 1, -8.43, 0, 0, 0, 0, FASE3-VAR, NO, 0, 0, NO,
174, BEAM , UNILOAD, GY, NO , NO, aDir[1], , , , 0, 0.0004032, 1, 0.0004032, 0, 0, 0, 0, FASE3-VAR, NO, 0, 0, NO,
175, BEAM , UNILOAD, GY, NO , NO, aDir[1], , , , 0, 8.1e-005, 1, 8.1e-005, 0, 0, 0, 0, FASE3-VAR, NO, 0, 0, NO,
176, BEAM , UNILOAD, GY, NO , NO, aDir[1], , , , 0, 0.00156, 1, 0.00156, 0, 0, 0, 0, FASE3-VAR, NO, 0, 0, NO,
176, BEAM , UNIMOMENT, GX, NO , NO, aDir[1], , , , 0, -3.18, 1, -3.18, 0, 0, 0, 0, FASE3-VAR, NO, 0, 0, NO,
177, BEAM , UNILOAD, GY, NO , NO, aDir[1], , , , 0, 0.000312, 1, 0.000312, 0, 0, 0, 0, FASE3-VAR, NO, 0, 0, NO,
177, BEAM , UNIMOMENT, GX, NO , NO, aDir[1], , , , 0, -0.635, 1, -0.635, 0, 0, 0, 0, FASE3-VAR, NO, 0, 0, NO,
180, BEAM , UNILOAD, GY, NO , NO, aDir[1], , , , 0, 0.0015624, 1, 0.0015624, 0, 0, 0, 0, FASE3-VAR, NO, 0, 0, NO,
180, BEAM , UNIMOMENT, GX, NO , NO, aDir[1], , , , 0, -3.18, 1, -3.18, 0, 0, 0, 0, FASE3-VAR, NO, 0, 0, NO,
181, BEAM , UNILOAD, GY, NO , NO, aDir[1], , , , 0, 0.00562, 1, 0.00562, 0, 0, 0, 0, FASE3-VAR, NO, 0, 0, NO,
181, BEAM , UNIMOMENT, GX, NO , NO, aDir[1], , , , 0, -8.43, 1, -8.43, 0, 0, 0, 0, FASE3-VAR, NO, 0, 0, NO,
182, BEAM , UNILOAD, GY, NO , NO, aDir[1], , , , 0, 0.0004032, 1, 0.0004032, 0, 0, 0, 0, FASE3-VAR, NO, 0, 0, NO,
183, BEAM , UNILOAD, GY, NO , NO, aDir[1], , , , 0, 8.1e-005, 1, 8.1e-005, 0, 0, 0, 0, FASE3-VAR, NO, 0, 0, NO,
184, BEAM , UNIMOMENT, GX, NO , NO, aDir[1], , , , 0, -3.18, 1, -3.18, 0, 0, 0, 0, FASE3-VAR, NO, 0, 0, NO,
184, BEAM , UNILOAD, GY, NO , NO, aDir[1], , , , 0, 0.00156, 1, 0.00156, 0, 0, 0, 0, FASE3-VAR, NO, 0, 0, NO,
185, BEAM , UNILOAD, GY, NO , NO, aDir[1], , , , 0, 0.000312, 1, 0.000312, 0, 0, 0, 0, FASE3-VAR, NO, 0, 0, NO,
185, BEAM , UNIMOMENT, GX, NO , NO, aDir[1], , , , 0, -0.635, 1, -0.635, 0, 0, 0, 0, FASE3-VAR, NO, 0, 0, NO,
188, BEAM , UNILOAD, GY, NO , NO, aDir[1], , , , 0, 0.0015624, 1, 0.0015624, 0, 0, 0, 0, FASE3-VAR, NO, 0, 0, NO,
188, BEAM , UNIMOMENT, GX, NO , NO, aDir[1], , , , 0, -3.18, 1, -3.18, 0, 0, 0, 0, FASE3-VAR, NO, 0, 0, NO,
189, BEAM , UNILOAD, GY, NO , NO, aDir[1], , , , 0, 0.00562, 1, 0.00562, 0, 0, 0, 0, FASE3-VAR, NO, 0, 0, NO,
189, BEAM , UNIMOMENT, GX, NO , NO, aDir[1], , , , 0, -8.43, 1, -8.43, 0, 0, 0, 0, FASE3-VAR, NO, 0, 0, NO,
190, BEAM , UNILOAD, GY, NO , NO, aDir[1], , , , 0, 0.0004032, 1, 0.0004032, 0, 0, 0, 0, FASE3-VAR, NO, 0, 0, NO,
191, BEAM , UNILOAD, GY, NO , NO, aDir[1], , , , 0, 8.1e-005, 1, 8.1e-005, 0, 0, 0, 0, FASE3-VAR, NO, 0, 0, NO,
192, BEAM , UNILOAD, GY, NO , NO, aDir[1], , , , 0, 0.00156, 1, 0.00156, 0, 0, 0, 0, FASE3-VAR, NO, 0, 0, NO,
192, BEAM , UNIMOMENT, GX, NO , NO, aDir[1], , , , 0, -3.18, 1, -3.18, 0, 0, 0, 0, FASE3-VAR, NO, 0, 0, NO,
193, BEAM , UNILOAD, GY, NO , NO, aDir[1], , , , 0, 0.000312, 1, 0.000312, 0, 0, 0, 0, FASE3-VAR, NO, 0, 0, NO,
193, BEAM , UNIMOMENT, GX, NO , NO, aDir[1], , , , 0, -0.635, 1, -0.635, 0, 0, 0, 0, FASE3-VAR, NO, 0, 0, NO,
196, BEAM , UNILOAD, GY, NO , NO, aDir[1], , , , 0, 0.0015624, 1, 0.0015624, 0, 0, 0, 0, FASE3-VAR, NO, 0, 0, NO,
196, BEAM , UNIMOMENT, GX, NO , NO, aDir[1], , , , 0, -3.18, 1, -3.18, 0, 0, 0, 0, FASE3-VAR, NO, 0, 0, NO,
197, BEAM , UNILOAD, GY, NO , NO, aDir[1], , , , 0, 0.00562, 1, 0.00562, 0, 0, 0, 0, FASE3-VAR, NO, 0, 0, NO,
197, BEAM , UNIMOMENT, GX, NO , NO, aDir[1], , , , 0, -8.43, 1, -8.43, 0, 0, 0, 0, FASE3-VAR, NO, 0, 0, NO,
198, BEAM , UNILOAD, GY, NO , NO, aDir[1], , , , 0, 0.0004032, 1, 0.0004032, 0, 0, 0, 0, FASE3-VAR, NO, 0, 0, NO,
199, BEAM , UNILOAD, GY, NO , NO, aDir[1], , , , 0, 8.1e-005, 1, 8.1e-005, 0, 0, 0, 0, FASE3-VAR, NO, 0, 0, NO,
200, BEAM , UNIMOMENT, GX, NO , NO, aDir[1], , , , 0, -3.18, 1, -3.18, 0, 0, 0, 0, FASE3-VAR, NO, 0, 0, NO,

200, BEAM , UNILOAD, GY, NO , NO, aDir[1], , , , 0, 0.00156, 1, 0.00156, 0, 0, 0, 0, FASE3-VAR, NO, 0, 0, NO,
201, BEAM , UNIMOMENT, GX, NO , NO, aDir[1], , , , 0, -0.635, 1, -0.635, 0, 0, 0, 0, FASE3-VAR, NO, 0, 0, NO,
201, BEAM , UNILOAD, GY, NO , NO, aDir[1], , , , 0, 0.000312, 1, 0.000312, 0, 0, 0, 0, FASE3-VAR, NO, 0, 0, NO,
204, BEAM , UNILOAD, GY, NO , NO, aDir[1], , , , 0, 0.0015624, 1, 0.0015624, 0, 0, 0, 0, FASE3-VAR, NO, 0, 0, NO,
204, BEAM , UNIMOMENT, GX, NO , NO, aDir[1], , , , 0, -3.18, 1, -3.18, 0, 0, 0, 0, FASE3-VAR, NO, 0, 0, NO,
205, BEAM , UNILOAD, GY, NO , NO, aDir[1], , , , 0, 0.00562, 1, 0.00562, 0, 0, 0, 0, FASE3-VAR, NO, 0, 0, NO,
205, BEAM , UNIMOMENT, GX, NO , NO, aDir[1], , , , 0, -8.43, 1, -8.43, 0, 0, 0, 0, FASE3-VAR, NO, 0, 0, NO,
206, BEAM , UNILOAD, GY, NO , NO, aDir[1], , , , 0, 0.0004032, 1, 0.0004032, 0, 0, 0, 0, FASE3-VAR, NO, 0, 0, NO,
207, BEAM , UNILOAD, GY, NO , NO, aDir[1], , , , 0, 8.1e-005, 1, 8.1e-005, 0, 0, 0, 0, FASE3-VAR, NO, 0, 0, NO,
208, BEAM , UNILOAD, GY, NO , NO, aDir[1], , , , 0, 0.00156, 1, 0.00156, 0, 0, 0, 0, FASE3-VAR, NO, 0, 0, NO,
208, BEAM , UNIMOMENT, GX, NO , NO, aDir[1], , , , 0, -3.18, 1, -3.18, 0, 0, 0, 0, FASE3-VAR, NO, 0, 0, NO,
209, BEAM , UNIMOMENT, GX, NO , NO, aDir[1], , , , 0, -0.635, 1, -0.635, 0, 0, 0, 0, FASE3-VAR, NO, 0, 0, NO,
209, BEAM , UNILOAD, GY, NO , NO, aDir[1], , , , 0, 0.000312, 1, 0.000312, 0, 0, 0, 0, FASE3-VAR, NO, 0, 0, NO,
212, BEAM , UNILOAD, GY, NO , NO, aDir[1], , , , 0, 0.0015624, 1, 0.0015624, 0, 0, 0, 0, FASE3-VAR, NO, 0, 0, NO,
212, BEAM , UNIMOMENT, GX, NO , NO, aDir[1], , , , 0, -3.18, 1, -3.18, 0, 0, 0, 0, FASE3-VAR, NO, 0, 0, NO,
213, BEAM , UNIMOMENT, GX, NO , NO, aDir[1], , , , 0, -8.43, 1, -8.43, 0, 0, 0, 0, FASE3-VAR, NO, 0, 0, NO,
213, BEAM , UNILOAD, GY, NO , NO, aDir[1], , , , 0, 0.00562, 1, 0.00562, 0, 0, 0, 0, FASE3-VAR, NO, 0, 0, NO,
214, BEAM , UNILOAD, GY, NO , NO, aDir[1], , , , 0, 0.0004032, 1, 0.0004032, 0, 0, 0, 0, FASE3-VAR, NO, 0, 0, NO,
215, BEAM , UNILOAD, GY, NO , NO, aDir[1], , , , 0, 8.1e-005, 1, 8.1e-005, 0, 0, 0, 0, FASE3-VAR, NO, 0, 0, NO,
216, BEAM , UNILOAD, GY, NO , NO, aDir[1], , , , 0, 0.00156, 1, 0.00156, 0, 0, 0, 0, FASE3-VAR, NO, 0, 0, NO,
216, BEAM , UNIMOMENT, GX, NO , NO, aDir[1], , , , 0, -3.18, 1, -3.18, 0, 0, 0, 0, FASE3-VAR, NO, 0, 0, NO,
217, BEAM , UNILOAD, GY, NO , NO, aDir[1], , , , 0, 0.000312, 1, 0.000312, 0, 0, 0, 0, FASE3-VAR, NO, 0, 0, NO,
217, BEAM , UNIMOMENT, GX, NO , NO, aDir[1], , , , 0, -0.635, 1, -0.635, 0, 0, 0, 0, FASE3-VAR, NO, 0, 0, NO,
220, BEAM , UNIMOMENT, GX, NO , NO, aDir[1], , , , 0, -3.18, 1, -3.18, 0, 0, 0, 0, FASE3-VAR, NO, 0, 0, NO,
220, BEAM , UNILOAD, GY, NO , NO, aDir[1], , , , 0, 0.0015624, 1, 0.0015624, 0, 0, 0, 0, FASE3-VAR, NO, 0, 0, NO,
221, BEAM , UNIMOMENT, GX, NO , NO, aDir[1], , , , 0, -8.43, 1, -8.43, 0, 0, 0, 0, FASE3-VAR, NO, 0, 0, NO,
221, BEAM , UNILOAD, GY, NO , NO, aDir[1], , , , 0, 0.00562, 1, 0.00562, 0, 0, 0, 0, FASE3-VAR, NO, 0, 0, NO,
222, BEAM , UNILOAD, GY, NO , NO, aDir[1], , , , 0, 0.0004032, 1, 0.0004032, 0, 0, 0, 0, FASE3-VAR, NO, 0, 0, NO,
223, BEAM , UNILOAD, GY, NO , NO, aDir[1], , , , 0, 8.1e-005, 1, 8.1e-005, 0, 0, 0, 0, FASE3-VAR, NO, 0, 0, NO,
224, BEAM , UNILOAD, GY, NO , NO, aDir[1], , , , 0, 0.00156, 1, 0.00156, 0, 0, 0, 0, FASE3-VAR, NO, 0, 0, NO,
224, BEAM , UNIMOMENT, GX, NO , NO, aDir[1], , , , 0, -3.18, 1, -3.18, 0, 0, 0, 0, FASE3-VAR, NO, 0, 0, NO,
225, BEAM , UNILOAD, GY, NO , NO, aDir[1], , , , 0, 0.000312, 1, 0.000312, 0, 0, 0, 0, FASE3-VAR, NO, 0, 0, NO,
225, BEAM , UNIMOMENT, GX, NO , NO, aDir[1], , , , 0, -0.635, 1, -0.635, 0, 0, 0, 0, FASE3-VAR, NO, 0, 0, NO,
228, BEAM , UNILOAD, GY, NO , NO, aDir[1], , , , 0, 0.0015624, 1, 0.0015624, 0, 0, 0, 0, FASE3-VAR, NO, 0, 0, NO,
228, BEAM , UNIMOMENT, GX, NO , NO, aDir[1], , , , 0, -3.18, 1, -3.18, 0, 0, 0, 0, FASE3-VAR, NO, 0, 0, NO,
229, BEAM , UNILOAD, GY, NO , NO, aDir[1], , , , 0, 0.00562, 1, 0.00562, 0, 0, 0, 0, FASE3-VAR, NO, 0, 0, NO,
229, BEAM , UNIMOMENT, GX, NO , NO, aDir[1], , , , 0, -8.43, 1, -8.43, 0, 0, 0, 0, FASE3-VAR, NO, 0, 0, NO,
230, BEAM , UNILOAD, GY, NO , NO, aDir[1], , , , 0, 0.0004032, 1, 0.0004032, 0, 0, 0, 0, FASE3-VAR, NO, 0, 0, NO,
231, BEAM , UNILOAD, GY, NO , NO, aDir[1], , , , 0, 8.1e-005, 1, 8.1e-005, 0, 0, 0, 0, FASE3-VAR, NO, 0, 0, NO,

232, BEAM , UNILOAD, GY, NO , NO, aDir[1], , , , 0, 0.00156, 1, 0.00156, 0, 0, 0, 0, FASE3-VAR, NO, 0, 0, NO,
232, BEAM , UNIMOMENT, GX, NO , NO, aDir[1], , , , 0, -3.18, 1, -3.18, 0, 0, 0, 0, FASE3-VAR, NO, 0, 0, NO,
233, BEAM , UNIMOMENT, GX, NO , NO, aDir[1], , , , 0, -0.635, 1, -0.635, 0, 0, 0, 0, FASE3-VAR, NO, 0, 0, NO,
233, BEAM , UNILOAD, GY, NO , NO, aDir[1], , , , 0, 0.000312, 1, 0.000312, 0, 0, 0, 0, FASE3-VAR, NO, 0, 0, NO,
236, BEAM , UNILOAD, GY, NO , NO, aDir[1], , , , 0, 0.0015624, 1, 0.0015624, 0, 0, 0, 0, FASE3-VAR, NO, 0, 0, NO,
236, BEAM , UNIMOMENT, GX, NO , NO, aDir[1], , , , 0, -3.18, 1, -3.18, 0, 0, 0, 0, FASE3-VAR, NO, 0, 0, NO,
237, BEAM , UNIMOMENT, GX, NO , NO, aDir[1], , , , 0, -8.43, 1, -8.43, 0, 0, 0, 0, FASE3-VAR, NO, 0, 0, NO,
237, BEAM , UNILOAD, GY, NO , NO, aDir[1], , , , 0, 0.00562, 1, 0.00562, 0, 0, 0, 0, FASE3-VAR, NO, 0, 0, NO,
238, BEAM , UNILOAD, GY, NO , NO, aDir[1], , , , 0, 0.0004032, 1, 0.0004032, 0, 0, 0, 0, FASE3-VAR, NO, 0, 0, NO,
239, BEAM , UNILOAD, GY, NO , NO, aDir[1], , , , 0, 8.1e-005, 1, 8.1e-005, 0, 0, 0, 0, FASE3-VAR, NO, 0, 0, NO,
240, BEAM , UNIMOMENT, GX, NO , NO, aDir[1], , , , 0, -3.18, 1, -3.18, 0, 0, 0, 0, FASE3-VAR, NO, 0, 0, NO,
240, BEAM , UNILOAD, GY, NO , NO, aDir[1], , , , 0, 0.00156, 1, 0.00156, 0, 0, 0, 0, FASE3-VAR, NO, 0, 0, NO,
241, BEAM , UNIMOMENT, GX, NO , NO, aDir[1], , , , 0, -0.635, 1, -0.635, 0, 0, 0, 0, FASE3-VAR, NO, 0, 0, NO,
241, BEAM , UNILOAD, GY, NO , NO, aDir[1], , , , 0, 0.000312, 1, 0.000312, 0, 0, 0, 0, FASE3-VAR, NO, 0, 0, NO,
244, BEAM , UNIMOMENT, GX, NO , NO, aDir[1], , , , 0, -3.18, 1, -3.18, 0, 0, 0, 0, FASE3-VAR, NO, 0, 0, NO,
244, BEAM , UNILOAD, GY, NO , NO, aDir[1], , , , 0, 0.0015624, 1, 0.0015624, 0, 0, 0, 0, FASE3-VAR, NO, 0, 0, NO,
245, BEAM , UNILOAD, GY, NO , NO, aDir[1], , , , 0, 0.00562, 1, 0.00562, 0, 0, 0, 0, FASE3-VAR, NO, 0, 0, NO,
245, BEAM , UNIMOMENT, GX, NO , NO, aDir[1], , , , 0, -8.43, 1, -8.43, 0, 0, 0, 0, FASE3-VAR, NO, 0, 0, NO,
246, BEAM , UNILOAD, GY, NO , NO, aDir[1], , , , 0, 0.0004032, 1, 0.0004032, 0, 0, 0, 0, FASE3-VAR, NO, 0, 0, NO,
247, BEAM , UNILOAD, GY, NO , NO, aDir[1], , , , 0, 8.1e-005, 1, 8.1e-005, 0, 0, 0, 0, FASE3-VAR, NO, 0, 0, NO,
248, BEAM , UNILOAD, GY, NO , NO, aDir[1], , , , 0, 0.00156, 1, 0.00156, 0, 0, 0, 0, FASE3-VAR, NO, 0, 0, NO,
248, BEAM , UNIMOMENT, GX, NO , NO, aDir[1], , , , 0, -3.18, 1, -3.18, 0, 0, 0, 0, FASE3-VAR, NO, 0, 0, NO,
249, BEAM , UNIMOMENT, GX, NO , NO, aDir[1], , , , 0, -0.635, 1, -0.635, 0, 0, 0, 0, FASE3-VAR, NO, 0, 0, NO,
249, BEAM , UNILOAD, GY, NO , NO, aDir[1], , , , 0, 0.000312, 1, 0.000312, 0, 0, 0, 0, FASE3-VAR, NO, 0, 0, NO,
252, BEAM , UNIMOMENT, GX, NO , NO, aDir[1], , , , 0, -3.18, 1, -3.18, 0, 0, 0, 0, FASE3-VAR, NO, 0, 0, NO,
252, BEAM , UNILOAD, GY, NO , NO, aDir[1], , , , 0, 0.0015624, 1, 0.0015624, 0, 0, 0, 0, FASE3-VAR, NO, 0, 0, NO,
253, BEAM , UNILOAD, GY, NO , NO, aDir[1], , , , 0, 0.00562, 1, 0.00562, 0, 0, 0, 0, FASE3-VAR, NO, 0, 0, NO,
253, BEAM , UNIMOMENT, GX, NO , NO, aDir[1], , , , 0, -8.43, 1, -8.43, 0, 0, 0, 0, FASE3-VAR, NO, 0, 0, NO,
254, BEAM , UNILOAD, GY, NO , NO, aDir[1], , , , 0, 0.0004032, 1, 0.0004032, 0, 0, 0, 0, FASE3-VAR, NO, 0, 0, NO,
255, BEAM , UNILOAD, GY, NO , NO, aDir[1], , , , 0, 8.1e-005, 1, 8.1e-005, 0, 0, 0, 0, FASE3-VAR, NO, 0, 0, NO,
256, BEAM , UNILOAD, GY, NO , NO, aDir[1], , , , 0, 0.00156, 1, 0.00156, 0, 0, 0, 0, FASE3-VAR, NO, 0, 0, NO,
256, BEAM , UNIMOMENT, GX, NO , NO, aDir[1], , , , 0, -3.18, 1, -3.18, 0, 0, 0, 0, FASE3-VAR, NO, 0, 0, NO,
257, BEAM , UNILOAD, GY, NO , NO, aDir[1], , , , 0, 0.000312, 1, 0.000312, 0, 0, 0, 0, FASE3-VAR, NO, 0, 0, NO,
257, BEAM , UNIMOMENT, GX, NO , NO, aDir[1], , , , 0, -0.635, 1, -0.635, 0, 0, 0, 0, FASE3-VAR, NO, 0, 0, NO,
260, BEAM , UNILOAD, GY, NO , NO, aDir[1], , , , 0, 0.0015624, 1, 0.0015624, 0, 0, 0, 0, FASE3-VAR, NO, 0, 0, NO,
260, BEAM , UNIMOMENT, GX, NO , NO, aDir[1], , , , 0, -3.18, 1, -3.18, 0, 0, 0, 0, FASE3-VAR, NO, 0, 0, NO,
261, BEAM , UNILOAD, GY, NO , NO, aDir[1], , , , 0, 0.00562, 1, 0.00562, 0, 0, 0, 0, FASE3-VAR, NO, 0, 0, NO,
261, BEAM , UNIMOMENT, GX, NO , NO, aDir[1], , , , 0, -8.43, 1, -8.43, 0, 0, 0, 0, FASE3-VAR, NO, 0, 0, NO,
262, BEAM , UNILOAD, GY, NO , NO, aDir[1], , , , 0, 0.0004032, 1, 0.0004032, 0, 0, 0, 0, FASE3-VAR, NO, 0, 0, NO,

263, BEAM , UNILOAD, GY, NO , NO, aDir[1], , , , 0, 8.1e-005, 1, 8.1e-005, 0, 0, 0, 0, FASE3-VAR, NO, 0
, 0, NO,
264, BEAM , UNIMOMENT, GX, NO , NO, aDir[1], , , , 0, -3.18, 1, -3.18, 0, 0, 0, 0, FASE3-VAR, NO, 0, 0,
NO,
264, BEAM , UNILOAD, GY, NO , NO, aDir[1], , , , 0, 0.00156, 1, 0.00156, 0, 0, 0, 0, FASE3-VAR, NO, 0,
0, NO,
265, BEAM , UNIMOMENT, GX, NO , NO, aDir[1], , , , 0, -0.635, 1, -0.635, 0, 0, 0, 0, FASE3-VAR, NO, 0,
0, NO,
265, BEAM , UNILOAD, GY, NO , NO, aDir[1], , , , 0, 0.000312, 1, 0.000312, 0, 0, 0, 0, FASE3-VAR, NO, 0
, 0, NO,
268, BEAM , UNILOAD, GY, NO , NO, aDir[1], , , , 0, 0.0015624, 1, 0.0015624, 0, 0, 0, 0, FASE3-VAR, NO,
0, 0, NO,
268, BEAM , UNIMOMENT, GX, NO , NO, aDir[1], , , , 0, -3.18, 1, -3.18, 0, 0, 0, 0, FASE3-VAR, NO, 0, 0,
NO,
269, BEAM , UNIMOMENT, GX, NO , NO, aDir[1], , , , 0, -8.43, 1, -8.43, 0, 0, 0, 0, FASE3-VAR, NO, 0, 0,
NO,
269, BEAM , UNILOAD, GY, NO , NO, aDir[1], , , , 0, 0.00562, 1, 0.00562, 0, 0, 0, 0, FASE3-VAR, NO, 0,
0, NO,
270, BEAM , UNILOAD, GY, NO , NO, aDir[1], , , , 0, 0.0004032, 1, 0.0004032, 0, 0, 0, 0, FASE3-VAR, NO,
0, 0, NO,
271, BEAM , UNILOAD, GY, NO , NO, aDir[1], , , , 0, 8.1e-005, 1, 8.1e-005, 0, 0, 0, 0, FASE3-VAR, NO, 0
, 0, NO,
272, BEAM , UNIMOMENT, GX, NO , NO, aDir[1], , , , 0, -3.18, 1, -3.18, 0, 0, 0, 0, FASE3-VAR, NO, 0, 0,
NO,
272, BEAM , UNILOAD, GY, NO , NO, aDir[1], , , , 0, 0.00156, 1, 0.00156, 0, 0, 0, 0, FASE3-VAR, NO, 0,
0, NO,
273, BEAM , UNIMOMENT, GX, NO , NO, aDir[1], , , , 0, -0.635, 1, -0.635, 0, 0, 0, 0, FASE3-VAR, NO, 0,
0, NO,
273, BEAM , UNILOAD, GY, NO , NO, aDir[1], , , , 0, 0.000312, 1, 0.000312, 0, 0, 0, 0, FASE3-VAR, NO, 0
, 0, NO,
276, BEAM , UNILOAD, GY, NO , NO, aDir[1], , , , 0, 0.0015624, 1, 0.0015624, 0, 0, 0, 0, FASE3-VAR, NO,
0, 0, NO,
276, BEAM , UNIMOMENT, GX, NO , NO, aDir[1], , , , 0, -3.18, 1, -3.18, 0, 0, 0, 0, FASE3-VAR, NO, 0, 0,
NO,
277, BEAM , UNIMOMENT, GX, NO , NO, aDir[1], , , , 0, -8.43, 1, -8.43, 0, 0, 0, 0, FASE3-VAR, NO, 0, 0,
NO,
277, BEAM , UNILOAD, GY, NO , NO, aDir[1], , , , 0, 0.00562, 1, 0.00562, 0, 0, 0, 0, FASE3-VAR, NO, 0,
0, NO,
278, BEAM , UNILOAD, GY, NO , NO, aDir[1], , , , 0, 0.0004032, 1, 0.0004032, 0, 0, 0, 0, FASE3-VAR, NO,
0, 0, NO,
279, BEAM , UNILOAD, GY, NO , NO, aDir[1], , , , 0, 8.1e-005, 1, 8.1e-005, 0, 0, 0, 0, FASE3-VAR, NO, 0
, 0, NO,
280, BEAM , UNIMOMENT, GX, NO , NO, aDir[1], , , , 0, -3.18, 1, -3.18, 0, 0, 0, 0, FASE3-VAR, NO, 0, 0,
NO,
280, BEAM , UNILOAD, GY, NO , NO, aDir[1], , , , 0, 0.00156, 1, 0.00156, 0, 0, 0, 0, FASE3-VAR, NO, 0,
0, NO,
281, BEAM , UNILOAD, GY, NO , NO, aDir[1], , , , 0, 0.000312, 1, 0.000312, 0, 0, 0, 0, FASE3-VAR, NO, 0
, 0, NO,
281, BEAM , UNIMOMENT, GX, NO , NO, aDir[1], , , , 0, -0.635, 1, -0.635, 0, 0, 0, 0, FASE3-VAR, NO, 0,
0, NO,
284, BEAM , UNILOAD, GY, NO , NO, aDir[1], , , , 0, 0.0015624, 1, 0.0015624, 0, 0, 0, 0, FASE3-VAR, NO,
0, 0, NO,
284, BEAM , UNIMOMENT, GX, NO , NO, aDir[1], , , , 0, -3.18, 1, -3.18, 0, 0, 0, 0, FASE3-VAR, NO, 0, 0,
NO,
285, BEAM , UNILOAD, GY, NO , NO, aDir[1], , , , 0, 0.00562, 1, 0.00562, 0, 0, 0, 0, FASE3-VAR, NO, 0,
0, NO,
285, BEAM , UNIMOMENT, GX, NO , NO, aDir[1], , , , 0, -8.43, 1, -8.43, 0, 0, 0, 0, FASE3-VAR, NO, 0, 0,
NO,
286, BEAM , UNILOAD, GY, NO , NO, aDir[1], , , , 0, 0.0004032, 1, 0.0004032, 0, 0, 0, 0, FASE3-VAR, NO,
0, 0, NO,
287, BEAM , UNILOAD, GY, NO , NO, aDir[1], , , , 0, 8.1e-005, 1, 8.1e-005, 0, 0, 0, 0, FASE3-VAR, NO, 0
, 0, NO,
288, BEAM , UNIMOMENT, GX, NO , NO, aDir[1], , , , 0, -3.18, 1, -3.18, 0, 0, 0, 0, FASE3-VAR, NO, 0, 0,
NO,
288, BEAM , UNILOAD, GY, NO , NO, aDir[1], , , , 0, 0.00156, 1, 0.00156, 0, 0, 0, 0, FASE3-VAR, NO, 0,
0, NO,
289, BEAM , UNIMOMENT, GX, NO , NO, aDir[1], , , , 0, -0.635, 1, -0.635, 0, 0, 0, 0, FASE3-VAR, NO, 0,
0, NO,
289, BEAM , UNILOAD, GY, NO , NO, aDir[1], , , , 0, 0.000312, 1, 0.000312, 0, 0, 0, 0, FASE3-VAR, NO, 0
, 0, NO,
292, BEAM , UNILOAD, GY, NO , NO, aDir[1], , , , 0, 0.0015624, 1, 0.0015624, 0, 0, 0, 0, FASE3-VAR, NO,
0, 0, NO,
292, BEAM , UNIMOMENT, GX, NO , NO, aDir[1], , , , 0, -3.18, 1, -3.18, 0, 0, 0, 0, FASE3-VAR, NO, 0, 0,
NO,
293, BEAM , UNILOAD, GY, NO , NO, aDir[1], , , , 0, 0.00562, 1, 0.00562, 0, 0, 0, 0, FASE3-VAR, NO, 0,
0, NO,
293, BEAM , UNIMOMENT, GX, NO , NO, aDir[1], , , , 0, -8.43, 1, -8.43, 0, 0, 0, 0, FASE3-VAR, NO, 0, 0,
NO,

294, BEAM , UNILOAD, GY, NO , NO, aDir[1], , , , 0, 0.0004032, 1, 0.0004032, 0, 0, 0, 0, FASE3-VAR, NO, 0, 0, NO,
295, BEAM , UNILOAD, GY, NO , NO, aDir[1], , , , 0, 8.1e-005, 1, 8.1e-005, 0, 0, 0, 0, FASE3-VAR, NO, 0, 0, NO,
296, BEAM , UNIMOMENT, GX, NO , NO, aDir[1], , , , 0, -3.18, 1, -3.18, 0, 0, 0, 0, FASE3-VAR, NO, 0, 0, NO,
296, BEAM , UNILOAD, GY, NO , NO, aDir[1], , , , 0, 0.00156, 1, 0.00156, 0, 0, 0, 0, FASE3-VAR, NO, 0, 0, NO,
297, BEAM , UNIMOMENT, GX, NO , NO, aDir[1], , , , 0, -0.635, 1, -0.635, 0, 0, 0, 0, FASE3-VAR, NO, 0, 0, NO,
297, BEAM , UNILOAD, GY, NO , NO, aDir[1], , , , 0, 0.000312, 1, 0.000312, 0, 0, 0, 0, FASE3-VAR, NO, 0, 0, NO,
300, BEAM , UNILOAD, GY, NO , NO, aDir[1], , , , 0, 0.0015624, 1, 0.0015624, 0, 0, 0, 0, FASE3-VAR, NO, 0, 0, NO,
300, BEAM , UNIMOMENT, GX, NO , NO, aDir[1], , , , 0, -3.18, 1, -3.18, 0, 0, 0, 0, FASE3-VAR, NO, 0, 0, NO,
301, BEAM , UNIMOMENT, GX, NO , NO, aDir[1], , , , 0, -8.43, 1, -8.43, 0, 0, 0, 0, FASE3-VAR, NO, 0, 0, NO,
301, BEAM , UNILOAD, GY, NO , NO, aDir[1], , , , 0, 0.00562, 1, 0.00562, 0, 0, 0, 0, FASE3-VAR, NO, 0, 0, NO,
302, BEAM , UNILOAD, GY, NO , NO, aDir[1], , , , 0, 0.0004032, 1, 0.0004032, 0, 0, 0, 0, FASE3-VAR, NO, 0, 0, NO,
303, BEAM , UNILOAD, GY, NO , NO, aDir[1], , , , 0, 8.1e-005, 1, 8.1e-005, 0, 0, 0, 0, FASE3-VAR, NO, 0, 0, NO,
304, BEAM , UNIMOMENT, GX, NO , NO, aDir[1], , , , 0, -3.18, 1, -3.18, 0, 0, 0, 0, FASE3-VAR, NO, 0, 0, NO,
304, BEAM , UNILOAD, GY, NO , NO, aDir[1], , , , 0, 0.00156, 1, 0.00156, 0, 0, 0, 0, FASE3-VAR, NO, 0, 0, NO,
305, BEAM , UNIMOMENT, GX, NO , NO, aDir[1], , , , 0, -0.635, 1, -0.635, 0, 0, 0, 0, FASE3-VAR, NO, 0, 0, NO,
305, BEAM , UNILOAD, GY, NO , NO, aDir[1], , , , 0, 0.000312, 1, 0.000312, 0, 0, 0, 0, FASE3-VAR, NO, 0, 0, NO,
308, BEAM , UNILOAD, GY, NO , NO, aDir[1], , , , 0, 0.0015624, 1, 0.0015624, 0, 0, 0, 0, FASE3-VAR, NO, 0, 0, NO,
308, BEAM , UNIMOMENT, GX, NO , NO, aDir[1], , , , 0, -3.18, 1, -3.18, 0, 0, 0, 0, FASE3-VAR, NO, 0, 0, NO,
309, BEAM , UNIMOMENT, GX, NO , NO, aDir[1], , , , 0, -8.43, 1, -8.43, 0, 0, 0, 0, FASE3-VAR, NO, 0, 0, NO,
309, BEAM , UNILOAD, GY, NO , NO, aDir[1], , , , 0, 0.00562, 1, 0.00562, 0, 0, 0, 0, FASE3-VAR, NO, 0, 0, NO,
310, BEAM , UNILOAD, GY, NO , NO, aDir[1], , , , 0, 0.0004032, 1, 0.0004032, 0, 0, 0, 0, FASE3-VAR, NO, 0, 0, NO,
311, BEAM , UNILOAD, GY, NO , NO, aDir[1], , , , 0, 8.1e-005, 1, 8.1e-005, 0, 0, 0, 0, FASE3-VAR, NO, 0, 0, NO,
312, BEAM , UNIMOMENT, GX, NO , NO, aDir[1], , , , 0, -3.18, 1, -3.18, 0, 0, 0, 0, FASE3-VAR, NO, 0, 0, NO,
312, BEAM , UNILOAD, GY, NO , NO, aDir[1], , , , 0, 0.00156, 1, 0.00156, 0, 0, 0, 0, FASE3-VAR, NO, 0, 0, NO,
313, BEAM , UNILOAD, GY, NO , NO, aDir[1], , , , 0, 0.000312, 1, 0.000312, 0, 0, 0, 0, FASE3-VAR, NO, 0, 0, NO,
313, BEAM , UNIMOMENT, GX, NO , NO, aDir[1], , , , 0, -0.635, 1, -0.635, 0, 0, 0, 0, FASE3-VAR, NO, 0, 0, NO,
316, BEAM , UNIMOMENT, GX, NO , NO, aDir[1], , , , 0, -3.18, 1, -3.18, 0, 0, 0, 0, FASE3-VAR, NO, 0, 0, NO,
316, BEAM , UNILOAD, GY, NO , NO, aDir[1], , , , 0, 0.0015624, 1, 0.0015624, 0, 0, 0, 0, FASE3-VAR, NO, 0, 0, NO,
317, BEAM , UNIMOMENT, GX, NO , NO, aDir[1], , , , 0, -8.43, 1, -8.43, 0, 0, 0, 0, FASE3-VAR, NO, 0, 0, NO,
317, BEAM , UNILOAD, GY, NO , NO, aDir[1], , , , 0, 0.00562, 1, 0.00562, 0, 0, 0, 0, FASE3-VAR, NO, 0, 0, NO,
318, BEAM , UNILOAD, GY, NO , NO, aDir[1], , , , 0, 0.0004032, 1, 0.0004032, 0, 0, 0, 0, FASE3-VAR, NO, 0, 0, NO,
319, BEAM , UNILOAD, GY, NO , NO, aDir[1], , , , 0, 8.1e-005, 1, 8.1e-005, 0, 0, 0, 0, FASE3-VAR, NO, 0, 0, NO,
320, BEAM , UNIMOMENT, GX, NO , NO, aDir[1], , , , 0, -3.18, 1, -3.18, 0, 0, 0, 0, FASE3-VAR, NO, 0, 0, NO,
320, BEAM , UNILOAD, GY, NO , NO, aDir[1], , , , 0, 0.00156, 1, 0.00156, 0, 0, 0, 0, FASE3-VAR, NO, 0, 0, NO,
321, BEAM , UNIMOMENT, GX, NO , NO, aDir[1], , , , 0, -0.635, 1, -0.635, 0, 0, 0, 0, FASE3-VAR, NO, 0, 0, NO,
321, BEAM , UNILOAD, GY, NO , NO, aDir[1], , , , 0, 0.000312, 1, 0.000312, 0, 0, 0, 0, FASE3-VAR, NO, 0, 0, NO,
324, BEAM , UNIMOMENT, GX, NO , NO, aDir[1], , , , 0, -3.18, 1, -3.18, 0, 0, 0, 0, FASE3-VAR, NO, 0, 0, NO,
324, BEAM , UNILOAD, GY, NO , NO, aDir[1], , , , 0, 0.0015624, 1, 0.0015624, 0, 0, 0, 0, FASE3-VAR, NO, 0, 0, NO,
325, BEAM , UNIMOMENT, GX, NO , NO, aDir[1], , , , 0, -8.43, 1, -8.43, 0, 0, 0, 0, FASE3-VAR, NO, 0, 0, NO,

PROJECT TITLE :

	Company		Client	
	Author		File Name	Brembiolo1_08_completo(fasi)DEFINITIVO.mgt

325, BEAM , UNILOAD, GY, NO , NO, aDir[1], , , , 0, 0.00562, 1, 0.00562, 0, 0, 0, 0, FASE3-VAR, NO, 0, 0, NO,
326, BEAM , UNILOAD, GY, NO , NO, aDir[1], , , , 0, 0.0004032, 1, 0.0004032, 0, 0, 0, 0, FASE3-VAR, NO, 0, 0, NO,
327, BEAM , UNILOAD, GY, NO , NO, aDir[1], , , , 0, 8.1e-005, 1, 8.1e-005, 0, 0, 0, 0, FASE3-VAR, NO, 0, 0, NO,
328, BEAM , UNIMOMENT, GX, NO , NO, aDir[1], , , , 0, -3.18, 1, -3.18, 0, 0, 0, 0, FASE3-VAR, NO, 0, 0, NO,
328, BEAM , UNILOAD, GY, NO , NO, aDir[1], , , , 0, 0.00156, 1, 0.00156, 0, 0, 0, 0, FASE3-VAR, NO, 0, 0, NO,
329, BEAM , UNILOAD, GY, NO , NO, aDir[1], , , , 0, 0.000312, 1, 0.000312, 0, 0, 0, 0, FASE3-VAR, NO, 0, 0, NO,
329, BEAM , UNIMOMENT, GX, NO , NO, aDir[1], , , , 0, -0.635, 1, -0.635, 0, 0, 0, 0, FASE3-VAR, NO, 0, 0, NO,
332, BEAM , UNILOAD, GY, NO , NO, aDir[1], , , , 0, 0.0015624, 1, 0.0015624, 0, 0, 0, 0, FASE3-VAR, NO, 0, 0, NO,
332, BEAM , UNIMOMENT, GX, NO , NO, aDir[1], , , , 0, -3.18, 1, -3.18, 0, 0, 0, 0, FASE3-VAR, NO, 0, 0, NO,
333, BEAM , UNILOAD, GY, NO , NO, aDir[1], , , , 0, 0.00562, 1, 0.00562, 0, 0, 0, 0, FASE3-VAR, NO, 0, 0, NO,
333, BEAM , UNIMOMENT, GX, NO , NO, aDir[1], , , , 0, -8.43, 1, -8.43, 0, 0, 0, 0, FASE3-VAR, NO, 0, 0, NO,
334, BEAM , UNILOAD, GY, NO , NO, aDir[1], , , , 0, 0.0004032, 1, 0.0004032, 0, 0, 0, 0, FASE3-VAR, NO, 0, 0, NO,
335, BEAM , UNILOAD, GY, NO , NO, aDir[1], , , , 0, 8.1e-005, 1, 8.1e-005, 0, 0, 0, 0, FASE3-VAR, NO, 0, 0, NO,
336, BEAM , UNILOAD, GY, NO , NO, aDir[1], , , , 0, 0.00156, 1, 0.00156, 0, 0, 0, 0, FASE3-VAR, NO, 0, 0, NO,
336, BEAM , UNIMOMENT, GX, NO , NO, aDir[1], , , , 0, -3.18, 1, -3.18, 0, 0, 0, 0, FASE3-VAR, NO, 0, 0, NO,
337, BEAM , UNILOAD, GY, NO , NO, aDir[1], , , , 0, 0.000312, 1, 0.000312, 0, 0, 0, 0, FASE3-VAR, NO, 0, 0, NO,
337, BEAM , UNIMOMENT, GX, NO , NO, aDir[1], , , , 0, -0.635, 1, -0.635, 0, 0, 0, 0, FASE3-VAR, NO, 0, 0, NO,
340, BEAM , UNILOAD, GY, NO , NO, aDir[1], , , , 0, 0.0015624, 1, 0.0015624, 0, 0, 0, 0, FASE3-VAR, NO, 0, 0, NO,
340, BEAM , UNIMOMENT, GX, NO , NO, aDir[1], , , , 0, -3.18, 1, -3.18, 0, 0, 0, 0, FASE3-VAR, NO, 0, 0, NO,
341, BEAM , UNIMOMENT, GX, NO , NO, aDir[1], , , , 0, -8.43, 1, -8.43, 0, 0, 0, 0, FASE3-VAR, NO, 0, 0, NO,
341, BEAM , UNILOAD, GY, NO , NO, aDir[1], , , , 0, 0.00562, 1, 0.00562, 0, 0, 0, 0, FASE3-VAR, NO, 0, 0, NO,
342, BEAM , UNILOAD, GY, NO , NO, aDir[1], , , , 0, 0.0004032, 1, 0.0004032, 0, 0, 0, 0, FASE3-VAR, NO, 0, 0, NO,
343, BEAM , UNILOAD, GY, NO , NO, aDir[1], , , , 0, 8.1e-005, 1, 8.1e-005, 0, 0, 0, 0, FASE3-VAR, NO, 0, 0, NO,
344, BEAM , UNILOAD, GY, NO , NO, aDir[1], , , , 0, 0.00156, 1, 0.00156, 0, 0, 0, 0, FASE3-VAR, NO, 0, 0, NO,
344, BEAM , UNIMOMENT, GX, NO , NO, aDir[1], , , , 0, -3.18, 1, -3.18, 0, 0, 0, 0, FASE3-VAR, NO, 0, 0, NO,
345, BEAM , UNILOAD, GY, NO , NO, aDir[1], , , , 0, 0.000312, 1, 0.000312, 0, 0, 0, 0, FASE3-VAR, NO, 0, 0, NO,
345, BEAM , UNIMOMENT, GX, NO , NO, aDir[1], , , , 0, -0.635, 1, -0.635, 0, 0, 0, 0, FASE3-VAR, NO, 0, 0, NO,
348, BEAM , UNIMOMENT, GX, NO , NO, aDir[1], , , , 0, -3.18, 1, -3.18, 0, 0, 0, 0, FASE3-VAR, NO, 0, 0, NO,
348, BEAM , UNILOAD, GY, NO , NO, aDir[1], , , , 0, 0.0015624, 1, 0.0015624, 0, 0, 0, 0, FASE3-VAR, NO, 0, 0, NO,
349, BEAM , UNILOAD, GY, NO , NO, aDir[1], , , , 0, 0.00562, 1, 0.00562, 0, 0, 0, 0, FASE3-VAR, NO, 0, 0, NO,
349, BEAM , UNIMOMENT, GX, NO , NO, aDir[1], , , , 0, -8.43, 1, -8.43, 0, 0, 0, 0, FASE3-VAR, NO, 0, 0, NO,
350, BEAM , UNILOAD, GY, NO , NO, aDir[1], , , , 0, 0.0004032, 1, 0.0004032, 0, 0, 0, 0, FASE3-VAR, NO, 0, 0, NO,
351, BEAM , UNILOAD, GY, NO , NO, aDir[1], , , , 0, 8.1e-005, 1, 8.1e-005, 0, 0, 0, 0, FASE3-VAR, NO, 0, 0, NO,
352, BEAM , UNILOAD, GY, NO , NO, aDir[1], , , , 0, 0.00156, 1, 0.00156, 0, 0, 0, 0, FASE3-VAR, NO, 0, 0, NO,
352, BEAM , UNIMOMENT, GX, NO , NO, aDir[1], , , , 0, -3.18, 1, -3.18, 0, 0, 0, 0, FASE3-VAR, NO, 0, 0, NO,
353, BEAM , UNIMOMENT, GX, NO , NO, aDir[1], , , , 0, -0.635, 1, -0.635, 0, 0, 0, 0, FASE3-VAR, NO, 0, 0, NO,
353, BEAM , UNILOAD, GY, NO , NO, aDir[1], , , , 0, 0.000312, 1, 0.000312, 0, 0, 0, 0, FASE3-VAR, NO, 0, 0, NO,
356, BEAM , UNILOAD, GY, NO , NO, aDir[1], , , , 0, 0.0015624, 1, 0.0015624, 0, 0, 0, 0, FASE3-VAR, NO, 0, 0, NO,
356, BEAM , UNIMOMENT, GX, NO , NO, aDir[1], , , , 0, -3.18, 1, -3.18, 0, 0, 0, 0, FASE3-VAR, NO, 0, 0, NO,

357, BEAM , UNILOAD, GY, NO , NO, aDir[1], , , , 0, 0.00562, 1, 0.00562, 0, 0, 0, 0, FASE3-VAR, NO, 0, 0, NO,
357, BEAM , UNIMOMENT, GX, NO , NO, aDir[1], , , , 0, -8.43, 1, -8.43, 0, 0, 0, 0, FASE3-VAR, NO, 0, 0, NO,
358, BEAM , UNILOAD, GY, NO , NO, aDir[1], , , , 0, 0.0004032, 1, 0.0004032, 0, 0, 0, 0, FASE3-VAR, NO, 0, 0, NO,
359, BEAM , UNILOAD, GY, NO , NO, aDir[1], , , , 0, 8.1e-005, 1, 8.1e-005, 0, 0, 0, 0, FASE3-VAR, NO, 0, 0, NO,
360, BEAM , UNILOAD, GY, NO , NO, aDir[1], , , , 0, 0.00156, 1, 0.00156, 0, 0, 0, 0, FASE3-VAR, NO, 0, 0, NO,
360, BEAM , UNIMOMENT, GX, NO , NO, aDir[1], , , , 0, -3.18, 1, -3.18, 0, 0, 0, 0, FASE3-VAR, NO, 0, 0, NO,
361, BEAM , UNILOAD, GY, NO , NO, aDir[1], , , , 0, 0.000312, 1, 0.000312, 0, 0, 0, 0, FASE3-VAR, NO, 0, 0, NO,
361, BEAM , UNIMOMENT, GX, NO , NO, aDir[1], , , , 0, -0.635, 1, -0.635, 0, 0, 0, 0, FASE3-VAR, NO, 0, 0, NO,
364, BEAM , UNIMOMENT, GX, NO , NO, aDir[1], , , , 0, -3.18, 1, -3.18, 0, 0, 0, 0, FASE3-VAR, NO, 0, 0, NO,
364, BEAM , UNILOAD, GY, NO , NO, aDir[1], , , , 0, 0.0015624, 1, 0.0015624, 0, 0, 0, 0, FASE3-VAR, NO, 0, 0, NO,
365, BEAM , UNILOAD, GY, NO , NO, aDir[1], , , , 0, 0.00562, 1, 0.00562, 0, 0, 0, 0, FASE3-VAR, NO, 0, 0, NO,
365, BEAM , UNIMOMENT, GX, NO , NO, aDir[1], , , , 0, -8.43, 1, -8.43, 0, 0, 0, 0, FASE3-VAR, NO, 0, 0, NO,
366, BEAM , UNILOAD, GY, NO , NO, aDir[1], , , , 0, 0.0004032, 1, 0.0004032, 0, 0, 0, 0, FASE3-VAR, NO, 0, 0, NO,
367, BEAM , UNILOAD, GY, NO , NO, aDir[1], , , , 0, 8.1e-005, 1, 8.1e-005, 0, 0, 0, 0, FASE3-VAR, NO, 0, 0, NO,
368, BEAM , UNIMOMENT, GX, NO , NO, aDir[1], , , , 0, -3.18, 1, -3.18, 0, 0, 0, 0, FASE3-VAR, NO, 0, 0, NO,
368, BEAM , UNILOAD, GY, NO , NO, aDir[1], , , , 0, 0.00156, 1, 0.00156, 0, 0, 0, 0, FASE3-VAR, NO, 0, 0, NO,
369, BEAM , UNILOAD, GY, NO , NO, aDir[1], , , , 0, 0.000312, 1, 0.000312, 0, 0, 0, 0, FASE3-VAR, NO, 0, 0, NO,
369, BEAM , UNIMOMENT, GX, NO , NO, aDir[1], , , , 0, -0.635, 1, -0.635, 0, 0, 0, 0, FASE3-VAR, NO, 0, 0, NO,
372, BEAM , UNILOAD, GY, NO , NO, aDir[1], , , , 0, 0.0015624, 1, 0.0015624, 0, 0, 0, 0, FASE3-VAR, NO, 0, 0, NO,
372, BEAM , UNIMOMENT, GX, NO , NO, aDir[1], , , , 0, -3.18, 1, -3.18, 0, 0, 0, 0, FASE3-VAR, NO, 0, 0, NO,
373, BEAM , UNIMOMENT, GX, NO , NO, aDir[1], , , , 0, -8.43, 1, -8.43, 0, 0, 0, 0, FASE3-VAR, NO, 0, 0, NO,
373, BEAM , UNILOAD, GY, NO , NO, aDir[1], , , , 0, 0.00562, 1, 0.00562, 0, 0, 0, 0, FASE3-VAR, NO, 0, 0, NO,
374, BEAM , UNILOAD, GY, NO , NO, aDir[1], , , , 0, 0.0004032, 1, 0.0004032, 0, 0, 0, 0, FASE3-VAR, NO, 0, 0, NO,
375, BEAM , UNILOAD, GY, NO , NO, aDir[1], , , , 0, 8.1e-005, 1, 8.1e-005, 0, 0, 0, 0, FASE3-VAR, NO, 0, 0, NO,
376, BEAM , UNIMOMENT, GX, NO , NO, aDir[1], , , , 0, -3.18, 1, -3.18, 0, 0, 0, 0, FASE3-VAR, NO, 0, 0, NO,
376, BEAM , UNILOAD, GY, NO , NO, aDir[1], , , , 0, 0.00156, 1, 0.00156, 0, 0, 0, 0, FASE3-VAR, NO, 0, 0, NO,
377, BEAM , UNIMOMENT, GX, NO , NO, aDir[1], , , , 0, -0.635, 1, -0.635, 0, 0, 0, 0, FASE3-VAR, NO, 0, 0, NO,
377, BEAM , UNILOAD, GY, NO , NO, aDir[1], , , , 0, 0.000312, 1, 0.000312, 0, 0, 0, 0, FASE3-VAR, NO, 0, 0, NO,
380, BEAM , UNIMOMENT, GX, NO , NO, aDir[1], , , , 0, -3.18, 1, -3.18, 0, 0, 0, 0, FASE3-VAR, NO, 0, 0, NO,
380, BEAM , UNILOAD, GY, NO , NO, aDir[1], , , , 0, 0.0015624, 1, 0.0015624, 0, 0, 0, 0, FASE3-VAR, NO, 0, 0, NO,
381, BEAM , UNIMOMENT, GX, NO , NO, aDir[1], , , , 0, -8.43, 1, -8.43, 0, 0, 0, 0, FASE3-VAR, NO, 0, 0, NO,
381, BEAM , UNILOAD, GY, NO , NO, aDir[1], , , , 0, 0.00562, 1, 0.00562, 0, 0, 0, 0, FASE3-VAR, NO, 0, 0, NO,
382, BEAM , UNILOAD, GY, NO , NO, aDir[1], , , , 0, 0.0004032, 1, 0.0004032, 0, 0, 0, 0, FASE3-VAR, NO, 0, 0, NO,
383, BEAM , UNILOAD, GY, NO , NO, aDir[1], , , , 0, 8.1e-005, 1, 8.1e-005, 0, 0, 0, 0, FASE3-VAR, NO, 0, 0, NO,
384, BEAM , UNIMOMENT, GX, NO , NO, aDir[1], , , , 0, -3.18, 1, -3.18, 0, 0, 0, 0, FASE3-VAR, NO, 0, 0, NO,
384, BEAM , UNILOAD, GY, NO , NO, aDir[1], , , , 0, 0.00156, 1, 0.00156, 0, 0, 0, 0, FASE3-VAR, NO, 0, 0, NO,
385, BEAM , UNILOAD, GY, NO , NO, aDir[1], , , , 0, 0.000312, 1, 0.000312, 0, 0, 0, 0, FASE3-VAR, NO, 0, 0, NO,
385, BEAM , UNIMOMENT, GX, NO , NO, aDir[1], , , , 0, -0.635, 1, -0.635, 0, 0, 0, 0, FASE3-VAR, NO, 0, 0, NO,
388, BEAM , UNILOAD, GY, NO , NO, aDir[1], , , , 0, 0.0015624, 1, 0.0015624, 0, 0, 0, 0, FASE3-VAR, NO, 0, 0, NO,

388, BEAM , UNIMOMENT, GX, NO , NO, aDir[1], , , , 0, -3.18, 1, -3.18, 0, 0, 0, 0, FASE3-VAR, NO, 0, 0, NO,
389, BEAM , UNILOAD, GY, NO , NO, aDir[1], , , , 0, 0.00562, 1, 0.00562, 0, 0, 0, 0, FASE3-VAR, NO, 0, 0, NO,
389, BEAM , UNIMOMENT, GX, NO , NO, aDir[1], , , , 0, -8.43, 1, -8.43, 0, 0, 0, 0, FASE3-VAR, NO, 0, 0, NO,
390, BEAM , UNILOAD, GY, NO , NO, aDir[1], , , , 0, 0.0004032, 1, 0.0004032, 0, 0, 0, 0, FASE3-VAR, NO, 0, 0, NO,
391, BEAM , UNILOAD, GY, NO , NO, aDir[1], , , , 0, 8.1e-005, 1, 8.1e-005, 0, 0, 0, 0, FASE3-VAR, NO, 0, 0, NO,
392, BEAM , UNIMOMENT, GX, NO , NO, aDir[1], , , , 0, -3.18, 1, -3.18, 0, 0, 0, 0, FASE3-VAR, NO, 0, 0, NO,
392, BEAM , UNILOAD, GY, NO , NO, aDir[1], , , , 0, 0.00156, 1, 0.00156, 0, 0, 0, 0, FASE3-VAR, NO, 0, 0, NO,
393, BEAM , UNILOAD, GY, NO , NO, aDir[1], , , , 0, 0.000312, 1, 0.000312, 0, 0, 0, 0, FASE3-VAR, NO, 0, 0, NO,
393, BEAM , UNIMOMENT, GX, NO , NO, aDir[1], , , , 0, -0.635, 1, -0.635, 0, 0, 0, 0, FASE3-VAR, NO, 0, 0, NO,
396, BEAM , UNILOAD, GY, NO , NO, aDir[1], , , , 0, 0.0015624, 1, 0.0015624, 0, 0, 0, 0, FASE3-VAR, NO, 0, 0, NO,
396, BEAM , UNIMOMENT, GX, NO , NO, aDir[1], , , , 0, -3.18, 1, -3.18, 0, 0, 0, 0, FASE3-VAR, NO, 0, 0, NO,
397, BEAM , UNILOAD, GY, NO , NO, aDir[1], , , , 0, 0.00562, 1, 0.00562, 0, 0, 0, 0, FASE3-VAR, NO, 0, 0, NO,
397, BEAM , UNIMOMENT, GX, NO , NO, aDir[1], , , , 0, -8.43, 1, -8.43, 0, 0, 0, 0, FASE3-VAR, NO, 0, 0, NO,
398, BEAM , UNILOAD, GY, NO , NO, aDir[1], , , , 0, 0.0004032, 1, 0.0004032, 0, 0, 0, 0, FASE3-VAR, NO, 0, 0, NO,
399, BEAM , UNILOAD, GY, NO , NO, aDir[1], , , , 0, 8.1e-005, 1, 8.1e-005, 0, 0, 0, 0, FASE3-VAR, NO, 0, 0, NO,
400, BEAM , UNILOAD, GY, NO , NO, aDir[1], , , , 0, 0.00156, 1, 0.00156, 0, 0, 0, 0, FASE3-VAR, NO, 0, 0, NO,
400, BEAM , UNIMOMENT, GX, NO , NO, aDir[1], , , , 0, -3.18, 1, -3.18, 0, 0, 0, 0, FASE3-VAR, NO, 0, 0, NO,
401, BEAM , UNILOAD, GY, NO , NO, aDir[1], , , , 0, 0.000312, 1, 0.000312, 0, 0, 0, 0, FASE3-VAR, NO, 0, 0, NO,
401, BEAM , UNIMOMENT, GX, NO , NO, aDir[1], , , , 0, -0.635, 1, -0.635, 0, 0, 0, 0, FASE3-VAR, NO, 0, 0, NO,
404, BEAM , UNIMOMENT, GX, NO , NO, aDir[1], , , , 0, -3.18, 1, -3.18, 0, 0, 0, 0, FASE3-VAR, NO, 0, 0, NO,
404, BEAM , UNILOAD, GY, NO , NO, aDir[1], , , , 0, 0.0015624, 1, 0.0015624, 0, 0, 0, 0, FASE3-VAR, NO, 0, 0, NO,
405, BEAM , UNILOAD, GY, NO , NO, aDir[1], , , , 0, 0.00562, 1, 0.00562, 0, 0, 0, 0, FASE3-VAR, NO, 0, 0, NO,
405, BEAM , UNIMOMENT, GX, NO , NO, aDir[1], , , , 0, -8.43, 1, -8.43, 0, 0, 0, 0, FASE3-VAR, NO, 0, 0, NO,
406, BEAM , UNILOAD, GY, NO , NO, aDir[1], , , , 0, 0.0004032, 1, 0.0004032, 0, 0, 0, 0, FASE3-VAR, NO, 0, 0, NO,
407, BEAM , UNILOAD, GY, NO , NO, aDir[1], , , , 0, 8.1e-005, 1, 8.1e-005, 0, 0, 0, 0, FASE3-VAR, NO, 0, 0, NO,
408, BEAM , UNILOAD, GY, NO , NO, aDir[1], , , , 0, 0.00156, 1, 0.00156, 0, 0, 0, 0, FASE3-VAR, NO, 0, 0, NO,
408, BEAM , UNIMOMENT, GX, NO , NO, aDir[1], , , , 0, -3.18, 1, -3.18, 0, 0, 0, 0, FASE3-VAR, NO, 0, 0, NO,
409, BEAM , UNIMOMENT, GX, NO , NO, aDir[1], , , , 0, -0.635, 1, -0.635, 0, 0, 0, 0, FASE3-VAR, NO, 0, 0, NO,
409, BEAM , UNILOAD, GY, NO , NO, aDir[1], , , , 0, 0.000312, 1, 0.000312, 0, 0, 0, 0, FASE3-VAR, NO, 0, 0, NO,
412, BEAM , UNILOAD, GY, NO , NO, aDir[1], , , , 0, 0.0015624, 1, 0.0015624, 0, 0, 0, 0, FASE3-VAR, NO, 0, 0, NO,
412, BEAM , UNIMOMENT, GX, NO , NO, aDir[1], , , , 0, -3.18, 1, -3.18, 0, 0, 0, 0, FASE3-VAR, NO, 0, 0, NO,
413, BEAM , UNIMOMENT, GX, NO , NO, aDir[1], , , , 0, -8.43, 1, -8.43, 0, 0, 0, 0, FASE3-VAR, NO, 0, 0, NO,
413, BEAM , UNILOAD, GY, NO , NO, aDir[1], , , , 0, 0.00562, 1, 0.00562, 0, 0, 0, 0, FASE3-VAR, NO, 0, 0, NO,
414, BEAM , UNILOAD, GY, NO , NO, aDir[1], , , , 0, 0.0004032, 1, 0.0004032, 0, 0, 0, 0, FASE3-VAR, NO, 0, 0, NO,
415, BEAM , UNILOAD, GY, NO , NO, aDir[1], , , , 0, 8.1e-005, 1, 8.1e-005, 0, 0, 0, 0, FASE3-VAR, NO, 0, 0, NO,
416, BEAM , UNIMOMENT, GX, NO , NO, aDir[1], , , , 0, -3.18, 1, -3.18, 0, 0, 0, 0, FASE3-VAR, NO, 0, 0, NO,
416, BEAM , UNILOAD, GY, NO , NO, aDir[1], , , , 0, 0.00156, 1, 0.00156, 0, 0, 0, 0, FASE3-VAR, NO, 0, 0, NO,
417, BEAM , UNILOAD, GY, NO , NO, aDir[1], , , , 0, 0.000312, 1, 0.000312, 0, 0, 0, 0, FASE3-VAR, NO, 0, 0, NO,
417, BEAM , UNIMOMENT, GX, NO , NO, aDir[1], , , , 0, -0.635, 1, -0.635, 0, 0, 0, 0, FASE3-VAR, NO, 0, 0, NO,

```
   420, BEAM   , UNIMOMENT, GX, NO , NO, aDir[1], , , , 0, -3.18, 1, -3.18, 0, 0, 0, 0, FASE3-VAR, NO, 0, 0,
 NO,
   420, BEAM   , UNILOAD, GY, NO , NO, aDir[1], , , , 0, 0.0015624, 1, 0.0015624, 0, 0, 0, 0, FASE3-VAR, NO,
 0, 0, NO,
   421, BEAM   , UNIMOMENT, GX, NO , NO, aDir[1], , , , 0, -8.43, 1, -8.43, 0, 0, 0, 0, FASE3-VAR, NO, 0, 0,
 NO,
   421, BEAM   , UNILOAD, GY, NO , NO, aDir[1], , , , 0, 0.00562, 1, 0.00562, 0, 0, 0, 0, FASE3-VAR, NO, 0,
0, NO,
   422, BEAM   , UNILOAD, GY, NO , NO, aDir[1], , , , 0, 0.0004032, 1, 0.0004032, 0, 0, 0, 0, FASE3-VAR, NO,
 0, 0, NO,
   423, BEAM   , UNILOAD, GY, NO , NO, aDir[1], , , , 0, 8.1e-005, 1, 8.1e-005, 0, 0, 0, 0, FASE3-VAR, NO, 0
, 0, NO,
   424, BEAM   , UNIMOMENT, GX, NO , NO, aDir[1], , , , 0, -3.18, 1, -3.18, 0, 0, 0, 0, FASE3-VAR, NO, 0, 0,
 NO,
   424, BEAM   , UNILOAD, GY, NO , NO, aDir[1], , , , 0, 0.00156, 1, 0.00156, 0, 0, 0, 0, FASE3-VAR, NO, 0,
0, NO,
   425, BEAM   , UNIMOMENT, GX, NO , NO, aDir[1], , , , 0, -0.635, 1, -0.635, 0, 0, 0, 0, FASE3-VAR, NO, 0,
0, NO,
   425, BEAM   , UNILOAD, GY, NO , NO, aDir[1], , , , 0, 0.000312, 1, 0.000312, 0, 0, 0, 0, FASE3-VAR, NO, 0
, 0, NO,
   428, BEAM   , UNIMOMENT, GX, NO , NO, aDir[1], , , , 0, -3.18, 1, -3.18, 0, 0, 0, 0, FASE3-VAR, NO, 0, 0,
 NO,
   428, BEAM   , UNILOAD, GY, NO , NO, aDir[1], , , , 0, 0.0015624, 1, 0.0015624, 0, 0, 0, 0, FASE3-VAR, NO,
 0, 0, NO,
   429, BEAM   , UNIMOMENT, GX, NO , NO, aDir[1], , , , 0, -8.43, 1, -8.43, 0, 0, 0, 0, FASE3-VAR, NO, 0, 0,
 NO,
   429, BEAM   , UNILOAD, GY, NO , NO, aDir[1], , , , 0, 0.00562, 1, 0.00562, 0, 0, 0, 0, FASE3-VAR, NO, 0,
0, NO,
   430, BEAM   , UNILOAD, GY, NO , NO, aDir[1], , , , 0, 0.0004032, 1, 0.0004032, 0, 0, 0, 0, FASE3-VAR, NO,
 0, 0, NO,
   431, BEAM   , UNILOAD, GY, NO , NO, aDir[1], , , , 0, 8.1e-005, 1, 8.1e-005, 0, 0, 0, 0, FASE3-VAR, NO, 0
, 0, NO,
   432, BEAM   , UNIMOMENT, GX, NO , NO, aDir[1], , , , 0, -3.18, 1, -3.18, 0, 0, 0, 0, FASE3-VAR, NO, 0, 0,
 NO,
   432, BEAM   , UNILOAD, GY, NO , NO, aDir[1], , , , 0, 0.00156, 1, 0.00156, 0, 0, 0, 0, FASE3-VAR, NO, 0,
0, NO,
   433, BEAM   , UNILOAD, GY, NO , NO, aDir[1], , , , 0, 0.000312, 1, 0.000312, 0, 0, 0, 0, FASE3-VAR, NO, 0
, 0, NO,
   433, BEAM   , UNIMOMENT, GX, NO , NO, aDir[1], , , , 0, -0.635, 1, -0.635, 0, 0, 0, 0, FASE3-VAR, NO, 0,
0, NO,
   436, BEAM   , UNIMOMENT, GX, NO , NO, aDir[1], , , , 0, -3.18, 1, -3.18, 0, 0, 0, 0, FASE3-VAR, NO, 0, 0,
 NO,
   436, BEAM   , UNILOAD, GY, NO , NO, aDir[1], , , , 0, 0.0015624, 1, 0.0015624, 0, 0, 0, 0, FASE3-VAR, NO,
 0, 0, NO,

; End of data for load case [vento y+] -------------------------

*USE-STLD, parapetto

*BEAMLOAD    ; Element Beam Loads
; ELEM_LIST, CMD, TYPE, DIR, bPROJ, [ECCEN], [VALUE], GROUP
; ELEM_LIST, CMD, TYPE, TYPE, DIR, VX, VY, VZ, bPROJ, [ECCEN], [VALUE], GROUP
; [VALUE]       : D1, P1, D2, P2, D3, P3, D4, P4
; [ECCEN]       : bECCEN, ECCDIR, I-END, J-END, bJ-END
; [ADDITIONAL]  : bADDITIONAL, ADDITIONAL_I-END, ADDITIONAL_J-END, bADDITIONAL_J-END
  1105, BEAM   , UNILOAD, GZ, NO , NO, aDir[1], , , , 0, -0.0004, 1, -0.0004, 0, 0, 0, 0, FASE2-PERM, NO, 0,
 0, NO,
  1106, BEAM   , UNILOAD, GZ, NO , NO, aDir[1], , , , 0, -0.0004, 1, -0.0004, 0, 0, 0, 0, FASE2-PERM, NO, 0,
 0, NO,
  1107, BEAM   , UNILOAD, GZ, NO , NO, aDir[1], , , , 0, -0.0004, 1, -0.0004, 0, 0, 0, 0, FASE2-PERM, NO, 0,
 0, NO,
  1108, BEAM   , UNILOAD, GZ, NO , NO, aDir[1], , , , 0, -0.0004, 1, -0.0004, 0, 0, 0, 0, FASE2-PERM, NO, 0,
 0, NO,
  1109, BEAM   , UNILOAD, GZ, NO , NO, aDir[1], , , , 0, -0.0004, 1, -0.0004, 0, 0, 0, 0, FASE2-PERM, NO, 0,
 0, NO,
  1110, BEAM   , UNILOAD, GZ, NO , NO, aDir[1], , , , 0, -0.0004, 1, -0.0004, 0, 0, 0, 0, FASE2-PERM, NO, 0,
 0, NO,
  1111, BEAM   , UNILOAD, GZ, NO , NO, aDir[1], , , , 0, -0.0004, 1, -0.0004, 0, 0, 0, 0, FASE2-PERM, NO, 0,
 0, NO,
  1112, BEAM   , UNILOAD, GZ, NO , NO, aDir[1], , , , 0, -0.0004, 1, -0.0004, 0, 0, 0, 0, FASE2-PERM, NO, 0,
 0, NO,
  1113, BEAM   , UNILOAD, GZ, NO , NO, aDir[1], , , , 0, -0.0004, 1, -0.0004, 0, 0, 0, 0, FASE2-PERM, NO, 0,
 0, NO,
  1114, BEAM   , UNILOAD, GZ, NO , NO, aDir[1], , , , 0, -0.0004, 1, -0.0004, 0, 0, 0, 0, FASE2-PERM, NO, 0,
 0, NO,
  1115, BEAM   , UNILOAD, GZ, NO , NO, aDir[1], , , , 0, -0.0004, 1, -0.0004, 0, 0, 0, 0, FASE2-PERM, NO, 0,
 0, NO,
  1116, BEAM   , UNILOAD, GZ, NO , NO, aDir[1], , , , 0, -0.0004, 1, -0.0004, 0, 0, 0, 0, FASE2-PERM, NO, 0,
```

```
0, NO,
 1117, BEAM    , UNILOAD, GZ, NO , NO, aDir[1], , , , 0, -0.0004, 1, -0.0004, 0, 0, 0, 0, FASE2-PERM, NO, 0,
0, NO,
 1118, BEAM    , UNILOAD, GZ, NO , NO, aDir[1], , , , 0, -0.0004, 1, -0.0004, 0, 0, 0, 0, FASE2-PERM, NO, 0,
0, NO,
 1119, BEAM    , UNILOAD, GZ, NO , NO, aDir[1], , , , 0, -0.0004, 1, -0.0004, 0, 0, 0, 0, FASE2-PERM, NO, 0,
0, NO,
 1120, BEAM    , UNILOAD, GZ, NO , NO, aDir[1], , , , 0, -0.0004, 1, -0.0004, 0, 0, 0, 0, FASE2-PERM, NO, 0,
0, NO,
 1121, BEAM    , UNILOAD, GZ, NO , NO, aDir[1], , , , 0, -0.0004, 1, -0.0004, 0, 0, 0, 0, FASE2-PERM, NO, 0,
0, NO,
 1122, BEAM    , UNILOAD, GZ, NO , NO, aDir[1], , , , 0, -0.0004, 1, -0.0004, 0, 0, 0, 0, FASE2-PERM, NO, 0,
0, NO,
 1123, BEAM    , UNILOAD, GZ, NO , NO, aDir[1], , , , 0, -0.0004, 1, -0.0004, 0, 0, 0, 0, FASE2-PERM, NO, 0,
0, NO,
 1124, BEAM    , UNILOAD, GZ, NO , NO, aDir[1], , , , 0, -0.0004, 1, -0.0004, 0, 0, 0, 0, FASE2-PERM, NO, 0,
0, NO,
 1125, BEAM    , UNILOAD, GZ, NO , NO, aDir[1], , , , 0, -0.0004, 1, -0.0004, 0, 0, 0, 0, FASE2-PERM, NO, 0,
0, NO,
 1126, BEAM    , UNILOAD, GZ, NO , NO, aDir[1], , , , 0, -0.0004, 1, -0.0004, 0, 0, 0, 0, FASE2-PERM, NO, 0,
0, NO,
 1127, BEAM    , UNILOAD, GZ, NO , NO, aDir[1], , , , 0, -0.0004, 1, -0.0004, 0, 0, 0, 0, FASE2-PERM, NO, 0,
0, NO,
 1128, BEAM    , UNILOAD, GZ, NO , NO, aDir[1], , , , 0, -0.0004, 1, -0.0004, 0, 0, 0, 0, FASE2-PERM, NO, 0,
0, NO,
 1129, BEAM    , UNILOAD, GZ, NO , NO, aDir[1], , , , 0, -0.0004, 1, -0.0004, 0, 0, 0, 0, FASE2-PERM, NO, 0,
0, NO,
 1130, BEAM    , UNILOAD, GZ, NO , NO, aDir[1], , , , 0, -0.0004, 1, -0.0004, 0, 0, 0, 0, FASE2-PERM, NO, 0,
0, NO,
 1131, BEAM    , UNILOAD, GZ, NO , NO, aDir[1], , , , 0, -0.0004, 1, -0.0004, 0, 0, 0, 0, FASE2-PERM, NO, 0,
0, NO,
 1132, BEAM    , UNILOAD, GZ, NO , NO, aDir[1], , , , 0, -0.0004, 1, -0.0004, 0, 0, 0, 0, FASE2-PERM, NO, 0,
0, NO,
 1133, BEAM    , UNILOAD, GZ, NO , NO, aDir[1], , , , 0, -0.0004, 1, -0.0004, 0, 0, 0, 0, FASE2-PERM, NO, 0,
0, NO,
 1134, BEAM    , UNILOAD, GZ, NO , NO, aDir[1], , , , 0, -0.0004, 1, -0.0004, 0, 0, 0, 0, FASE2-PERM, NO, 0,
0, NO,
 1135, BEAM    , UNILOAD, GZ, NO , NO, aDir[1], , , , 0, -0.0004, 1, -0.0004, 0, 0, 0, 0, FASE2-PERM, NO, 0,
0, NO,
 1136, BEAM    , UNILOAD, GZ, NO , NO, aDir[1], , , , 0, -0.0004, 1, -0.0004, 0, 0, 0, 0, FASE2-PERM, NO, 0,
0, NO,
 1137, BEAM    , UNILOAD, GZ, NO , NO, aDir[1], , , , 0, -0.0004, 1, -0.0004, 0, 0, 0, 0, FASE2-PERM, NO, 0,
0, NO,
 1138, BEAM    , UNILOAD, GZ, NO , NO, aDir[1], , , , 0, -0.0004, 1, -0.0004, 0, 0, 0, 0, FASE2-PERM, NO, 0,
0, NO,
 1139, BEAM    , UNILOAD, GZ, NO , NO, aDir[1], , , , 0, -0.0004, 1, -0.0004, 0, 0, 0, 0, FASE2-PERM, NO, 0,
0, NO,
 1140, BEAM    , UNILOAD, GZ, NO , NO, aDir[1], , , , 0, -0.0004, 1, -0.0004, 0, 0, 0, 0, FASE2-PERM, NO, 0,
0, NO,
 1141, BEAM    , UNILOAD, GZ, NO , NO, aDir[1], , , , 0, -0.0004, 1, -0.0004, 0, 0, 0, 0, FASE2-PERM, NO, 0,
0, NO,
 1142, BEAM    , UNILOAD, GZ, NO , NO, aDir[1], , , , 0, -0.0004, 1, -0.0004, 0, 0, 0, 0, FASE2-PERM, NO, 0,
0, NO,
 1143, BEAM    , UNILOAD, GZ, NO , NO, aDir[1], , , , 0, -0.0004, 1, -0.0004, 0, 0, 0, 0, FASE2-PERM, NO, 0,
0, NO,
 1144, BEAM    , UNILOAD, GZ, NO , NO, aDir[1], , , , 0, -0.0004, 1, -0.0004, 0, 0, 0, 0, FASE2-PERM, NO, 0,
0, NO,
 1145, BEAM    , UNILOAD, GZ, NO , NO, aDir[1], , , , 0, -0.0004, 1, -0.0004, 0, 0, 0, 0, FASE2-PERM, NO, 0,
0, NO,
 1146, BEAM    , UNILOAD, GZ, NO , NO, aDir[1], , , , 0, -0.0004, 1, -0.0004, 0, 0, 0, 0, FASE2-PERM, NO, 0,
0, NO,
 1147, BEAM    , UNILOAD, GZ, NO , NO, aDir[1], , , , 0, -0.0004, 1, -0.0004, 0, 0, 0, 0, FASE2-PERM, NO, 0,
0, NO,
 1148, BEAM    , UNILOAD, GZ, NO , NO, aDir[1], , , , 0, -0.0004, 1, -0.0004, 0, 0, 0, 0, FASE2-PERM, NO, 0,
0, NO,
 1149, BEAM    , UNILOAD, GZ, NO , NO, aDir[1], , , , 0, -0.0004, 1, -0.0004, 0, 0, 0, 0, FASE2-PERM, NO, 0,
0, NO,
 1150, BEAM    , UNILOAD, GZ, NO , NO, aDir[1], , , , 0, -0.0004, 1, -0.0004, 0, 0, 0, 0, FASE2-PERM, NO, 0,
0, NO,
 1151, BEAM    , UNILOAD, GZ, NO , NO, aDir[1], , , , 0, -0.0004, 1, -0.0004, 0, 0, 0, 0, FASE2-PERM, NO, 0,
0, NO,
 1152, BEAM    , UNILOAD, GZ, NO , NO, aDir[1], , , , 0, -0.0004, 1, -0.0004, 0, 0, 0, 0, FASE2-PERM, NO, 0,
0, NO,
 1153, BEAM    , UNILOAD, GZ, NO , NO, aDir[1], , , , 0, -0.0004, 1, -0.0004, 0, 0, 0, 0, FASE2-PERM, NO, 0,
0, NO,
 1154, BEAM    , UNILOAD, GZ, NO , NO, aDir[1], , , , 0, -0.0004, 1, -0.0004, 0, 0, 0, 0, FASE2-PERM, NO, 0,
0, NO,
 1155, BEAM    , UNILOAD, GZ, NO , NO, aDir[1], , , , 0, -0.0004, 1, -0.0004, 0, 0, 0, 0, FASE2-PERM, NO, 0,
```

PROJECT TITLE :

	Company		Client	
	Author		File Name	Brembiolo1_08_completo(fasi)DEFINITIVO.mgt

```
 0, NO,
  1156, BEAM    , UNILOAD, GZ, NO , NO, aDir[1], , , , 0, -0.0004, 1, -0.0004, 0, 0, 0, 0, FASE2-PERM, NO, 0,
0, NO,
  1157, BEAM    , UNILOAD, GZ, NO , NO, aDir[1], , , , 0, -0.0004, 1, -0.0004, 0, 0, 0, 0, FASE2-PERM, NO, 0,
0, NO,
  1158, BEAM    , UNILOAD, GZ, NO , NO, aDir[1], , , , 0, -0.0004, 1, -0.0004, 0, 0, 0, 0, FASE2-PERM, NO, 0,
0, NO,
  1159, BEAM    , UNILOAD, GZ, NO , NO, aDir[1], , , , 0, -0.0004, 1, -0.0004, 0, 0, 0, 0, FASE2-PERM, NO, 0,
0, NO,
  1160, BEAM    , UNILOAD, GZ, NO , NO, aDir[1], , , , 0, -0.0004, 1, -0.0004, 0, 0, 0, 0, FASE2-PERM, NO, 0,
0, NO,
  1161, BEAM    , UNILOAD, GZ, NO , NO, aDir[1], , , , 0, -0.0004, 1, -0.0004, 0, 0, 0, 0, FASE2-PERM, NO, 0,
0, NO,
  1162, BEAM    , UNILOAD, GZ, NO , NO, aDir[1], , , , 0, -0.0004, 1, -0.0004, 0, 0, 0, 0, FASE2-PERM, NO, 0,
0, NO,
  1163, BEAM    , UNILOAD, GZ, NO , NO, aDir[1], , , , 0, -0.0004, 1, -0.0004, 0, 0, 0, 0, FASE2-PERM, NO, 0,
0, NO,
  1164, BEAM    , UNILOAD, GZ, NO , NO, aDir[1], , , , 0, -0.0004, 1, -0.0004, 0, 0, 0, 0, FASE2-PERM, NO, 0,
0, NO,
  1165, BEAM    , UNILOAD, GZ, NO , NO, aDir[1], , , , 0, -0.0004, 1, -0.0004, 0, 0, 0, 0, FASE2-PERM, NO, 0,
0, NO,
  1166, BEAM    , UNILOAD, GZ, NO , NO, aDir[1], , , , 0, -0.0004, 1, -0.0004, 0, 0, 0, 0, FASE2-PERM, NO, 0,
0, NO,
  1167, BEAM    , UNILOAD, GZ, NO , NO, aDir[1], , , , 0, -0.0004, 1, -0.0004, 0, 0, 0, 0, FASE2-PERM, NO, 0,
0, NO,
  1168, BEAM    , UNILOAD, GZ, NO , NO, aDir[1], , , , 0, -0.0004, 1, -0.0004, 0, 0, 0, 0, FASE2-PERM, NO, 0,
0, NO,
  1169, BEAM    , UNILOAD, GZ, NO , NO, aDir[1], , , , 0, -0.0004, 1, -0.0004, 0, 0, 0, 0, FASE2-PERM, NO, 0,
0, NO,
  1170, BEAM    , UNILOAD, GZ, NO , NO, aDir[1], , , , 0, -0.0004, 1, -0.0004, 0, 0, 0, 0, FASE2-PERM, NO, 0,
0, NO,
  1171, BEAM    , UNILOAD, GZ, NO , NO, aDir[1], , , , 0, -0.0004, 1, -0.0004, 0, 0, 0, 0, FASE2-PERM, NO, 0,
0, NO,
  1172, BEAM    , UNILOAD, GZ, NO , NO, aDir[1], , , , 0, -0.0004, 1, -0.0004, 0, 0, 0, 0, FASE2-PERM, NO, 0,
0, NO,
  1173, BEAM    , UNILOAD, GZ, NO , NO, aDir[1], , , , 0, -0.0004, 1, -0.0004, 0, 0, 0, 0, FASE2-PERM, NO, 0,
0, NO,
  1174, BEAM    , UNILOAD, GZ, NO , NO, aDir[1], , , , 0, -0.0004, 1, -0.0004, 0, 0, 0, 0, FASE2-PERM, NO, 0,
0, NO,
  1175, BEAM    , UNILOAD, GZ, NO , NO, aDir[1], , , , 0, -0.0004, 1, -0.0004, 0, 0, 0, 0, FASE2-PERM, NO, 0,
0, NO,
  1176, BEAM    , UNILOAD, GZ, NO , NO, aDir[1], , , , 0, -0.0004, 1, -0.0004, 0, 0, 0, 0, FASE2-PERM, NO, 0,
0, NO,
  1177, BEAM    , UNILOAD, GZ, NO , NO, aDir[1], , , , 0, -0.0004, 1, -0.0004, 0, 0, 0, 0, FASE2-PERM, NO, 0,
0, NO,
  1178, BEAM    , UNILOAD, GZ, NO , NO, aDir[1], , , , 0, -0.0004, 1, -0.0004, 0, 0, 0, 0, FASE2-PERM, NO, 0,
0, NO,
  1179, BEAM    , UNILOAD, GZ, NO , NO, aDir[1], , , , 0, -0.0004, 1, -0.0004, 0, 0, 0, 0, FASE2-PERM, NO, 0,
0, NO,
  1180, BEAM    , UNILOAD, GZ, NO , NO, aDir[1], , , , 0, -0.0004, 1, -0.0004, 0, 0, 0, 0, FASE2-PERM, NO, 0,
0, NO,
  1181, BEAM    , UNILOAD, GZ, NO , NO, aDir[1], , , , 0, -0.0004, 1, -0.0004, 0, 0, 0, 0, FASE2-PERM, NO, 0,
0, NO,
  1182, BEAM    , UNILOAD, GZ, NO , NO, aDir[1], , , , 0, -0.0004, 1, -0.0004, 0, 0, 0, 0, FASE2-PERM, NO, 0,
0, NO,
  1183, BEAM    , UNILOAD, GZ, NO , NO, aDir[1], , , , 0, -0.0004, 1, -0.0004, 0, 0, 0, 0, FASE2-PERM, NO, 0,
0, NO,
  1184, BEAM    , UNILOAD, GZ, NO , NO, aDir[1], , , , 0, -0.0004, 1, -0.0004, 0, 0, 0, 0, FASE2-PERM, NO, 0,
0, NO,
  1185, BEAM    , UNILOAD, GZ, NO , NO, aDir[1], , , , 0, -0.0004, 1, -0.0004, 0, 0, 0, 0, FASE2-PERM, NO, 0,
0, NO,
  1186, BEAM    , UNILOAD, GZ, NO , NO, aDir[1], , , , 0, -0.0004, 1, -0.0004, 0, 0, 0, 0, FASE2-PERM, NO, 0,
0, NO,

; End of data for load case [parapetto] -------------------------

*USE-STLD, sicurvia

*BEAMLOAD    ; Element Beam Loads
; ELEM_LIST, CMD, TYPE, DIR, bPROJ, [ECCEN], [VALUE], GROUP
; ELEM_LIST, CMD, TYPE, TYPE, DIR, VX, VY, VZ, bPROJ, [ECCEN], [VALUE], GROUP
; [VALUE]       : D1, P1, D2, P2, D3, P3, D4, P4
; [ECCEN]       : bECCEN, ECCDIR, I-END, J-END, bJ-END
; [ADDITIONAL]  : bADDITIONAL, ADDITIONAL_I-END, ADDITIONAL_J-END, bADDITIONAL_J-END
  1355, BEAM    , UNILOAD, GZ, NO , NO, aDir[1], , , , 0, -0.001, 1, -0.001, 0, 0, 0, 0, FASE2-PERM, NO, 0, 0
, NO,
  1356, BEAM    , UNILOAD, GZ, NO , NO, aDir[1], , , , 0, -0.001, 1, -0.001, 0, 0, 0, 0, FASE2-PERM, NO, 0, 0
, NO,
```

```
  1357, BEAM    , UNILOAD, GZ, NO , NO, aDir[1], , , , 0, -0.001, 1, -0.001, 0, 0, 0, 0, FASE2-PERM, NO, 0, 0
, NO,
  1358, BEAM    , UNILOAD, GZ, NO , NO, aDir[1], , , , 0, -0.001, 1, -0.001, 0, 0, 0, 0, FASE2-PERM, NO, 0, 0
, NO,
  1359, BEAM    , UNILOAD, GZ, NO , NO, aDir[1], , , , 0, -0.001, 1, -0.001, 0, 0, 0, 0, FASE2-PERM, NO, 0, 0
, NO,
  1360, BEAM    , UNILOAD, GZ, NO , NO, aDir[1], , , , 0, -0.001, 1, -0.001, 0, 0, 0, 0, FASE2-PERM, NO, 0, 0
, NO,
  1361, BEAM    , UNILOAD, GZ, NO , NO, aDir[1], , , , 0, -0.001, 1, -0.001, 0, 0, 0, 0, FASE2-PERM, NO, 0, 0
, NO,
  1362, BEAM    , UNILOAD, GZ, NO , NO, aDir[1], , , , 0, -0.001, 1, -0.001, 0, 0, 0, 0, FASE2-PERM, NO, 0, 0
, NO,
  1363, BEAM    , UNILOAD, GZ, NO , NO, aDir[1], , , , 0, -0.001, 1, -0.001, 0, 0, 0, 0, FASE2-PERM, NO, 0, 0
, NO,
  1364, BEAM    , UNILOAD, GZ, NO , NO, aDir[1], , , , 0, -0.001, 1, -0.001, 0, 0, 0, 0, FASE2-PERM, NO, 0, 0
, NO,
  1365, BEAM    , UNILOAD, GZ, NO , NO, aDir[1], , , , 0, -0.001, 1, -0.001, 0, 0, 0, 0, FASE2-PERM, NO, 0, 0
, NO,
  1366, BEAM    , UNILOAD, GZ, NO , NO, aDir[1], , , , 0, -0.001, 1, -0.001, 0, 0, 0, 0, FASE2-PERM, NO, 0, 0
, NO,
  1367, BEAM    , UNILOAD, GZ, NO , NO, aDir[1], , , , 0, -0.001, 1, -0.001, 0, 0, 0, 0, FASE2-PERM, NO, 0, 0
, NO,
  1368, BEAM    , UNILOAD, GZ, NO , NO, aDir[1], , , , 0, -0.001, 1, -0.001, 0, 0, 0, 0, FASE2-PERM, NO, 0, 0
, NO,
  1369, BEAM    , UNILOAD, GZ, NO , NO, aDir[1], , , , 0, -0.001, 1, -0.001, 0, 0, 0, 0, FASE2-PERM, NO, 0, 0
, NO,
  1370, BEAM    , UNILOAD, GZ, NO , NO, aDir[1], , , , 0, -0.001, 1, -0.001, 0, 0, 0, 0, FASE2-PERM, NO, 0, 0
, NO,
  1371, BEAM    , UNILOAD, GZ, NO , NO, aDir[1], , , , 0, -0.001, 1, -0.001, 0, 0, 0, 0, FASE2-PERM, NO, 0, 0
, NO,
  1372, BEAM    , UNILOAD, GZ, NO , NO, aDir[1], , , , 0, -0.001, 1, -0.001, 0, 0, 0, 0, FASE2-PERM, NO, 0, 0
, NO,
  1373, BEAM    , UNILOAD, GZ, NO , NO, aDir[1], , , , 0, -0.001, 1, -0.001, 0, 0, 0, 0, FASE2-PERM, NO, 0, 0
, NO,
  1374, BEAM    , UNILOAD, GZ, NO , NO, aDir[1], , , , 0, -0.001, 1, -0.001, 0, 0, 0, 0, FASE2-PERM, NO, 0, 0
, NO,
  1375, BEAM    , UNILOAD, GZ, NO , NO, aDir[1], , , , 0, -0.001, 1, -0.001, 0, 0, 0, 0, FASE2-PERM, NO, 0, 0
, NO,
  1376, BEAM    , UNILOAD, GZ, NO , NO, aDir[1], , , , 0, -0.001, 1, -0.001, 0, 0, 0, 0, FASE2-PERM, NO, 0, 0
, NO,
  1377, BEAM    , UNILOAD, GZ, NO , NO, aDir[1], , , , 0, -0.001, 1, -0.001, 0, 0, 0, 0, FASE2-PERM, NO, 0, 0
, NO,
  1378, BEAM    , UNILOAD, GZ, NO , NO, aDir[1], , , , 0, -0.001, 1, -0.001, 0, 0, 0, 0, FASE2-PERM, NO, 0, 0
, NO,
  1379, BEAM    , UNILOAD, GZ, NO , NO, aDir[1], , , , 0, -0.001, 1, -0.001, 0, 0, 0, 0, FASE2-PERM, NO, 0, 0
, NO,
  1380, BEAM    , UNILOAD, GZ, NO , NO, aDir[1], , , , 0, -0.001, 1, -0.001, 0, 0, 0, 0, FASE2-PERM, NO, 0, 0
, NO,
  1381, BEAM    , UNILOAD, GZ, NO , NO, aDir[1], , , , 0, -0.001, 1, -0.001, 0, 0, 0, 0, FASE2-PERM, NO, 0, 0
, NO,
  1382, BEAM    , UNILOAD, GZ, NO , NO, aDir[1], , , , 0, -0.001, 1, -0.001, 0, 0, 0, 0, FASE2-PERM, NO, 0, 0
, NO,
  1383, BEAM    , UNILOAD, GZ, NO , NO, aDir[1], , , , 0, -0.001, 1, -0.001, 0, 0, 0, 0, FASE2-PERM, NO, 0, 0
, NO,
  1384, BEAM    , UNILOAD, GZ, NO , NO, aDir[1], , , , 0, -0.001, 1, -0.001, 0, 0, 0, 0, FASE2-PERM, NO, 0, 0
, NO,
  1385, BEAM    , UNILOAD, GZ, NO , NO, aDir[1], , , , 0, -0.001, 1, -0.001, 0, 0, 0, 0, FASE2-PERM, NO, 0, 0
, NO,
  1386, BEAM    , UNILOAD, GZ, NO , NO, aDir[1], , , , 0, -0.001, 1, -0.001, 0, 0, 0, 0, FASE2-PERM, NO, 0, 0
, NO,
  1387, BEAM    , UNILOAD, GZ, NO , NO, aDir[1], , , , 0, -0.001, 1, -0.001, 0, 0, 0, 0, FASE2-PERM, NO, 0, 0
, NO,
  1388, BEAM    , UNILOAD, GZ, NO , NO, aDir[1], , , , 0, -0.001, 1, -0.001, 0, 0, 0, 0, FASE2-PERM, NO, 0, 0
, NO,
  1389, BEAM    , UNILOAD, GZ, NO , NO, aDir[1], , , , 0, -0.001, 1, -0.001, 0, 0, 0, 0, FASE2-PERM, NO, 0, 0
, NO,
  1390, BEAM    , UNILOAD, GZ, NO , NO, aDir[1], , , , 0, -0.001, 1, -0.001, 0, 0, 0, 0, FASE2-PERM, NO, 0, 0
, NO,
  1391, BEAM    , UNILOAD, GZ, NO , NO, aDir[1], , , , 0, -0.001, 1, -0.001, 0, 0, 0, 0, FASE2-PERM, NO, 0, 0
, NO,
  1392, BEAM    , UNILOAD, GZ, NO , NO, aDir[1], , , , 0, -0.001, 1, -0.001, 0, 0, 0, 0, FASE2-PERM, NO, 0, 0
, NO,
  1393, BEAM    , UNILOAD, GZ, NO , NO, aDir[1], , , , 0, -0.001, 1, -0.001, 0, 0, 0, 0, FASE2-PERM, NO, 0, 0
, NO,
  1394, BEAM    , UNILOAD, GZ, NO , NO, aDir[1], , , , 0, -0.001, 1, -0.001, 0, 0, 0, 0, FASE2-PERM, NO, 0, 0
, NO,
  1395, BEAM    , UNILOAD, GZ, NO , NO, aDir[1], , , , 0, -0.001, 1, -0.001, 0, 0, 0, 0, FASE2-PERM, NO, 0, 0
, NO,
```

```
  1396, BEAM    , UNILOAD, GZ, NO , NO, aDir[1], , , , 0, -0.001, 1, -0.001, 0, 0, 0, 0, FASE2-PERM, NO, 0, 0
, NO,
  1397, BEAM    , UNILOAD, GZ, NO , NO, aDir[1], , , , 0, -0.001, 1, -0.001, 0, 0, 0, 0, FASE2-PERM, NO, 0, 0
, NO,
  1398, BEAM    , UNILOAD, GZ, NO , NO, aDir[1], , , , 0, -0.001, 1, -0.001, 0, 0, 0, 0, FASE2-PERM, NO, 0, 0
, NO,
  1399, BEAM    , UNILOAD, GZ, NO , NO, aDir[1], , , , 0, -0.001, 1, -0.001, 0, 0, 0, 0, FASE2-PERM, NO, 0, 0
, NO,
  1400, BEAM    , UNILOAD, GZ, NO , NO, aDir[1], , , , 0, -0.001, 1, -0.001, 0, 0, 0, 0, FASE2-PERM, NO, 0, 0
, NO,
  1401, BEAM    , UNILOAD, GZ, NO , NO, aDir[1], , , , 0, -0.001, 1, -0.001, 0, 0, 0, 0, FASE2-PERM, NO, 0, 0
, NO,
  1402, BEAM    , UNILOAD, GZ, NO , NO, aDir[1], , , , 0, -0.001, 1, -0.001, 0, 0, 0, 0, FASE2-PERM, NO, 0, 0
, NO,
  1403, BEAM    , UNILOAD, GZ, NO , NO, aDir[1], , , , 0, -0.001, 1, -0.001, 0, 0, 0, 0, FASE2-PERM, NO, 0, 0
, NO,
  1404, BEAM    , UNILOAD, GZ, NO , NO, aDir[1], , , , 0, -0.001, 1, -0.001, 0, 0, 0, 0, FASE2-PERM, NO, 0, 0
, NO,
  1405, BEAM    , UNILOAD, GZ, NO , NO, aDir[1], , , , 0, -0.001, 1, -0.001, 0, 0, 0, 0, FASE2-PERM, NO, 0, 0
, NO,
  1406, BEAM    , UNILOAD, GZ, NO , NO, aDir[1], , , , 0, -0.001, 1, -0.001, 0, 0, 0, 0, FASE2-PERM, NO, 0, 0
, NO,
  1407, BEAM    , UNILOAD, GZ, NO , NO, aDir[1], , , , 0, -0.001, 1, -0.001, 0, 0, 0, 0, FASE2-PERM, NO, 0, 0
, NO,
  1408, BEAM    , UNILOAD, GZ, NO , NO, aDir[1], , , , 0, -0.001, 1, -0.001, 0, 0, 0, 0, FASE2-PERM, NO, 0, 0
, NO,
  1409, BEAM    , UNILOAD, GZ, NO , NO, aDir[1], , , , 0, -0.001, 1, -0.001, 0, 0, 0, 0, FASE2-PERM, NO, 0, 0
, NO,
  1410, BEAM    , UNILOAD, GZ, NO , NO, aDir[1], , , , 0, -0.001, 1, -0.001, 0, 0, 0, 0, FASE2-PERM, NO, 0, 0
, NO,
  1411, BEAM    , UNILOAD, GZ, NO , NO, aDir[1], , , , 0, -0.001, 1, -0.001, 0, 0, 0, 0, FASE2-PERM, NO, 0, 0
, NO,
  1412, BEAM    , UNILOAD, GZ, NO , NO, aDir[1], , , , 0, -0.001, 1, -0.001, 0, 0, 0, 0, FASE2-PERM, NO, 0, 0
, NO,
  1413, BEAM    , UNILOAD, GZ, NO , NO, aDir[1], , , , 0, -0.001, 1, -0.001, 0, 0, 0, 0, FASE2-PERM, NO, 0, 0
, NO,
  1414, BEAM    , UNILOAD, GZ, NO , NO, aDir[1], , , , 0, -0.001, 1, -0.001, 0, 0, 0, 0, FASE2-PERM, NO, 0, 0
, NO,
  1415, BEAM    , UNILOAD, GZ, NO , NO, aDir[1], , , , 0, -0.001, 1, -0.001, 0, 0, 0, 0, FASE2-PERM, NO, 0, 0
, NO,
  1416, BEAM    , UNILOAD, GZ, NO , NO, aDir[1], , , , 0, -0.001, 1, -0.001, 0, 0, 0, 0, FASE2-PERM, NO, 0, 0
, NO,
  1417, BEAM    , UNILOAD, GZ, NO , NO, aDir[1], , , , 0, -0.001, 1, -0.001, 0, 0, 0, 0, FASE2-PERM, NO, 0, 0
, NO,
  1418, BEAM    , UNILOAD, GZ, NO , NO, aDir[1], , , , 0, -0.001, 1, -0.001, 0, 0, 0, 0, FASE2-PERM, NO, 0, 0
, NO,
  1419, BEAM    , UNILOAD, GZ, NO , NO, aDir[1], , , , 0, -0.001, 1, -0.001, 0, 0, 0, 0, FASE2-PERM, NO, 0, 0
, NO,
  1420, BEAM    , UNILOAD, GZ, NO , NO, aDir[1], , , , 0, -0.001, 1, -0.001, 0, 0, 0, 0, FASE2-PERM, NO, 0, 0
, NO,
  1421, BEAM    , UNILOAD, GZ, NO , NO, aDir[1], , , , 0, -0.001, 1, -0.001, 0, 0, 0, 0, FASE2-PERM, NO, 0, 0
, NO,
  1422, BEAM    , UNILOAD, GZ, NO , NO, aDir[1], , , , 0, -0.001, 1, -0.001, 0, 0, 0, 0, FASE2-PERM, NO, 0, 0
, NO,
  1423, BEAM    , UNILOAD, GZ, NO , NO, aDir[1], , , , 0, -0.001, 1, -0.001, 0, 0, 0, 0, FASE2-PERM, NO, 0, 0
, NO,
  1424, BEAM    , UNILOAD, GZ, NO , NO, aDir[1], , , , 0, -0.001, 1, -0.001, 0, 0, 0, 0, FASE2-PERM, NO, 0, 0
, NO,
  1425, BEAM    , UNILOAD, GZ, NO , NO, aDir[1], , , , 0, -0.001, 1, -0.001, 0, 0, 0, 0, FASE2-PERM, NO, 0, 0
, NO,
  1426, BEAM    , UNILOAD, GZ, NO , NO, aDir[1], , , , 0, -0.001, 1, -0.001, 0, 0, 0, 0, FASE2-PERM, NO, 0, 0
, NO,
  1427, BEAM    , UNILOAD, GZ, NO , NO, aDir[1], , , , 0, -0.001, 1, -0.001, 0, 0, 0, 0, FASE2-PERM, NO, 0, 0
, NO,
  1428, BEAM    , UNILOAD, GZ, NO , NO, aDir[1], , , , 0, -0.001, 1, -0.001, 0, 0, 0, 0, FASE2-PERM, NO, 0, 0
, NO,
  1429, BEAM    , UNILOAD, GZ, NO , NO, aDir[1], , , , 0, -0.001, 1, -0.001, 0, 0, 0, 0, FASE2-PERM, NO, 0, 0
, NO,
  1430, BEAM    , UNILOAD, GZ, NO , NO, aDir[1], , , , 0, -0.001, 1, -0.001, 0, 0, 0, 0, FASE2-PERM, NO, 0, 0
, NO,
  1431, BEAM    , UNILOAD, GZ, NO , NO, aDir[1], , , , 0, -0.001, 1, -0.001, 0, 0, 0, 0, FASE2-PERM, NO, 0, 0
, NO,
  1432, BEAM    , UNILOAD, GZ, NO , NO, aDir[1], , , , 0, -0.001, 1, -0.001, 0, 0, 0, 0, FASE2-PERM, NO, 0, 0
, NO,
  1433, BEAM    , UNILOAD, GZ, NO , NO, aDir[1], , , , 0, -0.001, 1, -0.001, 0, 0, 0, 0, FASE2-PERM, NO, 0, 0
, NO,
  1434, BEAM    , UNILOAD, GZ, NO , NO, aDir[1], , , , 0, -0.001, 1, -0.001, 0, 0, 0, 0, FASE2-PERM, NO, 0, 0
, NO,
```

1435, BEAM , UNILOAD, GZ, NO , NO, aDir[1], , , , 0, -0.001, 1, -0.001, 0, 0, 0, 0, FASE2-PERM, NO, 0, 0
, NO,
1436, BEAM , UNILOAD, GZ, NO , NO, aDir[1], , , , 0, -0.001, 1, -0.001, 0, 0, 0, 0, FASE2-PERM, NO, 0, 0
, NO,
1437, BEAM , UNILOAD, GZ, NO , NO, aDir[1], , , , 0, -0.001, 1, -0.001, 0, 0, 0, 0, FASE2-PERM, NO, 0, 0
, NO,
1438, BEAM , UNILOAD, GZ, NO , NO, aDir[1], , , , 0, -0.001, 1, -0.001, 0, 0, 0, 0, FASE2-PERM, NO, 0, 0
, NO,
1439, BEAM , UNILOAD, GZ, NO , NO, aDir[1], , , , 0, -0.001, 1, -0.001, 0, 0, 0, 0, FASE2-PERM, NO, 0, 0
, NO,
1440, BEAM , UNILOAD, GZ, NO , NO, aDir[1], , , , 0, -0.001, 1, -0.001, 0, 0, 0, 0, FASE2-PERM, NO, 0, 0
, NO,
1441, BEAM , UNILOAD, GZ, NO , NO, aDir[1], , , , 0, -0.001, 1, -0.001, 0, 0, 0, 0, FASE2-PERM, NO, 0, 0
, NO,
1442, BEAM , UNILOAD, GZ, NO , NO, aDir[1], , , , 0, -0.001, 1, -0.001, 0, 0, 0, 0, FASE2-PERM, NO, 0, 0
, NO,
1443, BEAM , UNILOAD, GZ, NO , NO, aDir[1], , , , 0, -0.001, 1, -0.001, 0, 0, 0, 0, FASE2-PERM, NO, 0, 0
, NO,
1444, BEAM , UNILOAD, GZ, NO , NO, aDir[1], , , , 0, -0.001, 1, -0.001, 0, 0, 0, 0, FASE2-PERM, NO, 0, 0
, NO,
1445, BEAM , UNILOAD, GZ, NO , NO, aDir[1], , , , 0, -0.001, 1, -0.001, 0, 0, 0, 0, FASE2-PERM, NO, 0, 0
, NO,
1446, BEAM , UNILOAD, GZ, NO , NO, aDir[1], , , , 0, -0.001, 1, -0.001, 0, 0, 0, 0, FASE2-PERM, NO, 0, 0
, NO,
1447, BEAM , UNILOAD, GZ, NO , NO, aDir[1], , , , 0, -0.001, 1, -0.001, 0, 0, 0, 0, FASE2-PERM, NO, 0, 0
, NO,
1448, BEAM , UNILOAD, GZ, NO , NO, aDir[1], , , , 0, -0.001, 1, -0.001, 0, 0, 0, 0, FASE2-PERM, NO, 0, 0
, NO,
1449, BEAM , UNILOAD, GZ, NO , NO, aDir[1], , , , 0, -0.001, 1, -0.001, 0, 0, 0, 0, FASE2-PERM, NO, 0, 0
, NO,
1450, BEAM , UNILOAD, GZ, NO , NO, aDir[1], , , , 0, -0.001, 1, -0.001, 0, 0, 0, 0, FASE2-PERM, NO, 0, 0
, NO,
1451, BEAM , UNILOAD, GZ, NO , NO, aDir[1], , , , 0, -0.001, 1, -0.001, 0, 0, 0, 0, FASE2-PERM, NO, 0, 0
, NO,
1452, BEAM , UNILOAD, GZ, NO , NO, aDir[1], , , , 0, -0.001, 1, -0.001, 0, 0, 0, 0, FASE2-PERM, NO, 0, 0
, NO,
1453, BEAM , UNILOAD, GZ, NO , NO, aDir[1], , , , 0, -0.001, 1, -0.001, 0, 0, 0, 0, FASE2-PERM, NO, 0, 0
, NO,
1454, BEAM , UNILOAD, GZ, NO , NO, aDir[1], , , , 0, -0.001, 1, -0.001, 0, 0, 0, 0, FASE2-PERM, NO, 0, 0
, NO,
1455, BEAM , UNILOAD, GZ, NO , NO, aDir[1], , , , 0, -0.001, 1, -0.001, 0, 0, 0, 0, FASE2-PERM, NO, 0, 0
, NO,
1456, BEAM , UNILOAD, GZ, NO , NO, aDir[1], , , , 0, -0.001, 1, -0.001, 0, 0, 0, 0, FASE2-PERM, NO, 0, 0
, NO,
1457, BEAM , UNILOAD, GZ, NO , NO, aDir[1], , , , 0, -0.001, 1, -0.001, 0, 0, 0, 0, FASE2-PERM, NO, 0, 0
, NO,
1458, BEAM , UNILOAD, GZ, NO , NO, aDir[1], , , , 0, -0.001, 1, -0.001, 0, 0, 0, 0, FASE2-PERM, NO, 0, 0
, NO,
1459, BEAM , UNILOAD, GZ, NO , NO, aDir[1], , , , 0, -0.001, 1, -0.001, 0, 0, 0, 0, FASE2-PERM, NO, 0, 0
, NO,
1460, BEAM , UNILOAD, GZ, NO , NO, aDir[1], , , , 0, -0.001, 1, -0.001, 0, 0, 0, 0, FASE2-PERM, NO, 0, 0
, NO,
1461, BEAM , UNILOAD, GZ, NO , NO, aDir[1], , , , 0, -0.001, 1, -0.001, 0, 0, 0, 0, FASE2-PERM, NO, 0, 0
, NO,
1462, BEAM , UNILOAD, GZ, NO , NO, aDir[1], , , , 0, -0.001, 1, -0.001, 0, 0, 0, 0, FASE2-PERM, NO, 0, 0
, NO,
1463, BEAM , UNILOAD, GZ, NO , NO, aDir[1], , , , 0, -0.001, 1, -0.001, 0, 0, 0, 0, FASE2-PERM, NO, 0, 0
, NO,
1464, BEAM , UNILOAD, GZ, NO , NO, aDir[1], , , , 0, -0.001, 1, -0.001, 0, 0, 0, 0, FASE2-PERM, NO, 0, 0
, NO,
1465, BEAM , UNILOAD, GZ, NO , NO, aDir[1], , , , 0, -0.001, 1, -0.001, 0, 0, 0, 0, FASE2-PERM, NO, 0, 0
, NO,
1466, BEAM , UNILOAD, GZ, NO , NO, aDir[1], , , , 0, -0.001, 1, -0.001, 0, 0, 0, 0, FASE2-PERM, NO, 0, 0
, NO,
1467, BEAM , UNILOAD, GZ, NO , NO, aDir[1], , , , 0, -0.001, 1, -0.001, 0, 0, 0, 0, FASE2-PERM, NO, 0, 0
, NO,
1468, BEAM , UNILOAD, GZ, NO , NO, aDir[1], , , , 0, -0.001, 1, -0.001, 0, 0, 0, 0, FASE2-PERM, NO, 0, 0
, NO,
1469, BEAM , UNILOAD, GZ, NO , NO, aDir[1], , , , 0, -0.001, 1, -0.001, 0, 0, 0, 0, FASE2-PERM, NO, 0, 0
, NO,
1470, BEAM , UNILOAD, GZ, NO , NO, aDir[1], , , , 0, -0.001, 1, -0.001, 0, 0, 0, 0, FASE2-PERM, NO, 0, 0
, NO,
1471, BEAM , UNILOAD, GZ, NO , NO, aDir[1], , , , 0, -0.001, 1, -0.001, 0, 0, 0, 0, FASE2-PERM, NO, 0, 0
, NO,
1472, BEAM , UNILOAD, GZ, NO , NO, aDir[1], , , , 0, -0.001, 1, -0.001, 0, 0, 0, 0, FASE2-PERM, NO, 0, 0
, NO,
1473, BEAM , UNILOAD, GZ, NO , NO, aDir[1], , , , 0, -0.001, 1, -0.001, 0, 0, 0, 0, FASE2-PERM, NO, 0, 0
, NO,

1474, BEAM , UNILOAD, GZ, NO , NO, aDir[1], , , , 0, -0.001, 1, -0.001, 0, 0, 0, 0, FASE2-PERM, NO, 0, 0
, NO,
1475, BEAM , UNILOAD, GZ, NO , NO, aDir[1], , , , 0, -0.001, 1, -0.001, 0, 0, 0, 0, FASE2-PERM, NO, 0, 0
, NO,
1476, BEAM , UNILOAD, GZ, NO , NO, aDir[1], , , , 0, -0.001, 1, -0.001, 0, 0, 0, 0, FASE2-PERM, NO, 0, 0
, NO,
1477, BEAM , UNILOAD, GZ, NO , NO, aDir[1], , , , 0, -0.001, 1, -0.001, 0, 0, 0, 0, FASE2-PERM, NO, 0, 0
, NO,
1478, BEAM , UNILOAD, GZ, NO , NO, aDir[1], , , , 0, -0.001, 1, -0.001, 0, 0, 0, 0, FASE2-PERM, NO, 0, 0
, NO,
1479, BEAM , UNILOAD, GZ, NO , NO, aDir[1], , , , 0, -0.001, 1, -0.001, 0, 0, 0, 0, FASE2-PERM, NO, 0, 0
, NO,
1480, BEAM , UNILOAD, GZ, NO , NO, aDir[1], , , , 0, -0.001, 1, -0.001, 0, 0, 0, 0, FASE2-PERM, NO, 0, 0
, NO,
1481, BEAM , UNILOAD, GZ, NO , NO, aDir[1], , , , 0, -0.001, 1, -0.001, 0, 0, 0, 0, FASE2-PERM, NO, 0, 0
, NO,
1482, BEAM , UNILOAD, GZ, NO , NO, aDir[1], , , , 0, -0.001, 1, -0.001, 0, 0, 0, 0, FASE2-PERM, NO, 0, 0
, NO,
1483, BEAM , UNILOAD, GZ, NO , NO, aDir[1], , , , 0, -0.001, 1, -0.001, 0, 0, 0, 0, FASE2-PERM, NO, 0, 0
, NO,
1484, BEAM , UNILOAD, GZ, NO , NO, aDir[1], , , , 0, -0.001, 1, -0.001, 0, 0, 0, 0, FASE2-PERM, NO, 0, 0
, NO,
1485, BEAM , UNILOAD, GZ, NO , NO, aDir[1], , , , 0, -0.001, 1, -0.001, 0, 0, 0, 0, FASE2-PERM, NO, 0, 0
, NO,
1486, BEAM , UNILOAD, GZ, NO , NO, aDir[1], , , , 0, -0.001, 1, -0.001, 0, 0, 0, 0, FASE2-PERM, NO, 0, 0
, NO,
1487, BEAM , UNILOAD, GZ, NO , NO, aDir[1], , , , 0, -0.001, 1, -0.001, 0, 0, 0, 0, FASE2-PERM, NO, 0, 0
, NO,
1488, BEAM , UNILOAD, GZ, NO , NO, aDir[1], , , , 0, -0.001, 1, -0.001, 0, 0, 0, 0, FASE2-PERM, NO, 0, 0
, NO,
1489, BEAM , UNILOAD, GZ, NO , NO, aDir[1], , , , 0, -0.001, 1, -0.001, 0, 0, 0, 0, FASE2-PERM, NO, 0, 0
, NO,
1490, BEAM , UNILOAD, GZ, NO , NO, aDir[1], , , , 0, -0.001, 1, -0.001, 0, 0, 0, 0, FASE2-PERM, NO, 0, 0
, NO,
1491, BEAM , UNILOAD, GZ, NO , NO, aDir[1], , , , 0, -0.001, 1, -0.001, 0, 0, 0, 0, FASE2-PERM, NO, 0, 0
, NO,
1492, BEAM , UNILOAD, GZ, NO , NO, aDir[1], , , , 0, -0.001, 1, -0.001, 0, 0, 0, 0, FASE2-PERM, NO, 0, 0
, NO,
1493, BEAM , UNILOAD, GZ, NO , NO, aDir[1], , , , 0, -0.001, 1, -0.001, 0, 0, 0, 0, FASE2-PERM, NO, 0, 0
, NO,
1494, BEAM , UNILOAD, GZ, NO , NO, aDir[1], , , , 0, -0.001, 1, -0.001, 0, 0, 0, 0, FASE2-PERM, NO, 0, 0
, NO,
1495, BEAM , UNILOAD, GZ, NO , NO, aDir[1], , , , 0, -0.001, 1, -0.001, 0, 0, 0, 0, FASE2-PERM, NO, 0, 0
, NO,
1496, BEAM , UNILOAD, GZ, NO , NO, aDir[1], , , , 0, -0.001, 1, -0.001, 0, 0, 0, 0, FASE2-PERM, NO, 0, 0
, NO,
1497, BEAM , UNILOAD, GZ, NO , NO, aDir[1], , , , 0, -0.001, 1, -0.001, 0, 0, 0, 0, FASE2-PERM, NO, 0, 0
, NO,
1498, BEAM , UNILOAD, GZ, NO , NO, aDir[1], , , , 0, -0.001, 1, -0.001, 0, 0, 0, 0, FASE2-PERM, NO, 0, 0
, NO,
1499, BEAM , UNILOAD, GZ, NO , NO, aDir[1], , , , 0, -0.001, 1, -0.001, 0, 0, 0, 0, FASE2-PERM, NO, 0, 0
, NO,
1500, BEAM , UNILOAD, GZ, NO , NO, aDir[1], , , , 0, -0.001, 1, -0.001, 0, 0, 0, 0, FASE2-PERM, NO, 0, 0
, NO,
1501, BEAM , UNILOAD, GZ, NO , NO, aDir[1], , , , 0, -0.001, 1, -0.001, 0, 0, 0, 0, FASE2-PERM, NO, 0, 0
, NO,
1502, BEAM , UNILOAD, GZ, NO , NO, aDir[1], , , , 0, -0.001, 1, -0.001, 0, 0, 0, 0, FASE2-PERM, NO, 0, 0
, NO,
1503, BEAM , UNILOAD, GZ, NO , NO, aDir[1], , , , 0, -0.001, 1, -0.001, 0, 0, 0, 0, FASE2-PERM, NO, 0, 0
, NO,
1504, BEAM , UNILOAD, GZ, NO , NO, aDir[1], , , , 0, -0.001, 1, -0.001, 0, 0, 0, 0, FASE2-PERM, NO, 0, 0
, NO,
1505, BEAM , UNILOAD, GZ, NO , NO, aDir[1], , , , 0, -0.001, 1, -0.001, 0, 0, 0, 0, FASE2-PERM, NO, 0, 0
, NO,
1506, BEAM , UNILOAD, GZ, NO , NO, aDir[1], , , , 0, -0.001, 1, -0.001, 0, 0, 0, 0, FASE2-PERM, NO, 0, 0
, NO,
1507, BEAM , UNILOAD, GZ, NO , NO, aDir[1], , , , 0, -0.001, 1, -0.001, 0, 0, 0, 0, FASE2-PERM, NO, 0, 0
, NO,
1508, BEAM , UNILOAD, GZ, NO , NO, aDir[1], , , , 0, -0.001, 1, -0.001, 0, 0, 0, 0, FASE2-PERM, NO, 0, 0
, NO,
1509, BEAM , UNILOAD, GZ, NO , NO, aDir[1], , , , 0, -0.001, 1, -0.001, 0, 0, 0, 0, FASE2-PERM, NO, 0, 0
, NO,
1510, BEAM , UNILOAD, GZ, NO , NO, aDir[1], , , , 0, -0.001, 1, -0.001, 0, 0, 0, 0, FASE2-PERM, NO, 0, 0
, NO,
1511, BEAM , UNILOAD, GZ, NO , NO, aDir[1], , , , 0, -0.001, 1, -0.001, 0, 0, 0, 0, FASE2-PERM, NO, 0, 0
, NO,
1512, BEAM , UNILOAD, GZ, NO , NO, aDir[1], , , , 0, -0.001, 1, -0.001, 0, 0, 0, 0, FASE2-PERM, NO, 0, 0
, NO,

```
  1513, BEAM   , UNILOAD, GZ, NO , NO, aDir[1], , , , 0, -0.001, 1, -0.001, 0, 0, 0, 0, FASE2-PERM, NO, 0, 0
, NO,
  1514, BEAM   , UNILOAD, GZ, NO , NO, aDir[1], , , , 0, -0.001, 1, -0.001, 0, 0, 0, 0, FASE2-PERM, NO, 0, 0
, NO,
  1515, BEAM   , UNILOAD, GZ, NO , NO, aDir[1], , , , 0, -0.001, 1, -0.001, 0, 0, 0, 0, FASE2-PERM, NO, 0, 0
, NO,
  1516, BEAM   , UNILOAD, GZ, NO , NO, aDir[1], , , , 0, -0.001, 1, -0.001, 0, 0, 0, 0, FASE2-PERM, NO, 0, 0
, NO,
  1517, BEAM   , UNILOAD, GZ, NO , NO, aDir[1], , , , 0, -0.001, 1, -0.001, 0, 0, 0, 0, FASE2-PERM, NO, 0, 0
, NO,
  1518, BEAM   , UNILOAD, GZ, NO , NO, aDir[1], , , , 0, -0.001, 1, -0.001, 0, 0, 0, 0, FASE2-PERM, NO, 0, 0
, NO,

; End of data for load case [sicurvia] -------------------------

*USE-STLD, veletta

*BEAMLOAD    ; Element Beam Loads
; ELEM_LIST, CMD, TYPE, DIR, bPROJ, [ECCEN], [VALUE], GROUP
; ELEM_LIST, CMD, TYPE, TYPE, DIR, VX, VY, VZ, bPROJ, [ECCEN], [VALUE], GROUP
; [VALUE]       : D1, P1, D2, P2, D3, P3, D4, P4
; [ECCEN]       : bECCEN, ECCDIR, I-END, J-END, bJ-END
; [ADDITIONAL]  : bADDITIONAL, ADDITIONAL_I-END, ADDITIONAL_J-END, bADDITIONAL_J-END
   857, BEAM   , UNILOAD, GZ, NO , NO, aDir[1], , , , 0, -0.00213, 1, -0.00213, 0, 0, 0, 0, FASE2-PERM, NO,
0, 0, NO,
   858, BEAM   , UNILOAD, GZ, NO , NO, aDir[1], , , , 0, -0.00213, 1, -0.00213, 0, 0, 0, 0, FASE2-PERM, NO,
0, 0, NO,
   859, BEAM   , UNILOAD, GZ, NO , NO, aDir[1], , , , 0, -0.00213, 1, -0.00213, 0, 0, 0, 0, FASE2-PERM, NO,
0, 0, NO,
   860, BEAM   , UNILOAD, GZ, NO , NO, aDir[1], , , , 0, -0.00213, 1, -0.00213, 0, 0, 0, 0, FASE2-PERM, NO,
0, 0, NO,
   861, BEAM   , UNILOAD, GZ, NO , NO, aDir[1], , , , 0, -0.00213, 1, -0.00213, 0, 0, 0, 0, FASE2-PERM, NO,
0, 0, NO,
   862, BEAM   , UNILOAD, GZ, NO , NO, aDir[1], , , , 0, -0.00213, 1, -0.00213, 0, 0, 0, 0, FASE2-PERM, NO,
0, 0, NO,
   863, BEAM   , UNILOAD, GZ, NO , NO, aDir[1], , , , 0, -0.00213, 1, -0.00213, 0, 0, 0, 0, FASE2-PERM, NO,
0, 0, NO,
   864, BEAM   , UNILOAD, GZ, NO , NO, aDir[1], , , , 0, -0.00213, 1, -0.00213, 0, 0, 0, 0, FASE2-PERM, NO,
0, 0, NO,
   865, BEAM   , UNILOAD, GZ, NO , NO, aDir[1], , , , 0, -0.00213, 1, -0.00213, 0, 0, 0, 0, FASE2-PERM, NO,
0, 0, NO,
   866, BEAM   , UNILOAD, GZ, NO , NO, aDir[1], , , , 0, -0.00213, 1, -0.00213, 0, 0, 0, 0, FASE2-PERM, NO,
0, 0, NO,
   867, BEAM   , UNILOAD, GZ, NO , NO, aDir[1], , , , 0, -0.00213, 1, -0.00213, 0, 0, 0, 0, FASE2-PERM, NO,
0, 0, NO,
   868, BEAM   , UNILOAD, GZ, NO , NO, aDir[1], , , , 0, -0.00213, 1, -0.00213, 0, 0, 0, 0, FASE2-PERM, NO,
0, 0, NO,
   869, BEAM   , UNILOAD, GZ, NO , NO, aDir[1], , , , 0, -0.00213, 1, -0.00213, 0, 0, 0, 0, FASE2-PERM, NO,
0, 0, NO,
   870, BEAM   , UNILOAD, GZ, NO , NO, aDir[1], , , , 0, -0.00213, 1, -0.00213, 0, 0, 0, 0, FASE2-PERM, NO,
0, 0, NO,
   871, BEAM   , UNILOAD, GZ, NO , NO, aDir[1], , , , 0, -0.00213, 1, -0.00213, 0, 0, 0, 0, FASE2-PERM, NO,
0, 0, NO,
   872, BEAM   , UNILOAD, GZ, NO , NO, aDir[1], , , , 0, -0.00213, 1, -0.00213, 0, 0, 0, 0, FASE2-PERM, NO,
0, 0, NO,
   873, BEAM   , UNILOAD, GZ, NO , NO, aDir[1], , , , 0, -0.00213, 1, -0.00213, 0, 0, 0, 0, FASE2-PERM, NO,
0, 0, NO,
   874, BEAM   , UNILOAD, GZ, NO , NO, aDir[1], , , , 0, -0.00213, 1, -0.00213, 0, 0, 0, 0, FASE2-PERM, NO,
0, 0, NO,
   875, BEAM   , UNILOAD, GZ, NO , NO, aDir[1], , , , 0, -0.00213, 1, -0.00213, 0, 0, 0, 0, FASE2-PERM, NO,
0, 0, NO,
   876, BEAM   , UNILOAD, GZ, NO , NO, aDir[1], , , , 0, -0.00213, 1, -0.00213, 0, 0, 0, 0, FASE2-PERM, NO,
0, 0, NO,
   877, BEAM   , UNILOAD, GZ, NO , NO, aDir[1], , , , 0, -0.00213, 1, -0.00213, 0, 0, 0, 0, FASE2-PERM, NO,
0, 0, NO,
   878, BEAM   , UNILOAD, GZ, NO , NO, aDir[1], , , , 0, -0.00213, 1, -0.00213, 0, 0, 0, 0, FASE2-PERM, NO,
0, 0, NO,
   879, BEAM   , UNILOAD, GZ, NO , NO, aDir[1], , , , 0, -0.00213, 1, -0.00213, 0, 0, 0, 0, FASE2-PERM, NO,
0, 0, NO,
   880, BEAM   , UNILOAD, GZ, NO , NO, aDir[1], , , , 0, -0.00213, 1, -0.00213, 0, 0, 0, 0, FASE2-PERM, NO,
0, 0, NO,
   881, BEAM   , UNILOAD, GZ, NO , NO, aDir[1], , , , 0, -0.00213, 1, -0.00213, 0, 0, 0, 0, FASE2-PERM, NO,
0, 0, NO,
   882, BEAM   , UNILOAD, GZ, NO , NO, aDir[1], , , , 0, -0.00213, 1, -0.00213, 0, 0, 0, 0, FASE2-PERM, NO,
0, 0, NO,
   883, BEAM   , UNILOAD, GZ, NO , NO, aDir[1], , , , 0, -0.00213, 1, -0.00213, 0, 0, 0, 0, FASE2-PERM, NO,
0, 0, NO,
   884, BEAM   , UNILOAD, GZ, NO , NO, aDir[1], , , , 0, -0.00213, 1, -0.00213, 0, 0, 0, 0, FASE2-PERM, NO,
```

```
0, 0, NO,
    885, BEAM    , UNILOAD, GZ, NO , NO, aDir[1], , , , 0, -0.00213, 1, -0.00213, 0, 0, 0, 0, FASE2-PERM, NO,
0, 0, NO,
    886, BEAM    , UNILOAD, GZ, NO , NO, aDir[1], , , , 0, -0.00213, 1, -0.00213, 0, 0, 0, 0, FASE2-PERM, NO,
0, 0, NO,
    887, BEAM    , UNILOAD, GZ, NO , NO, aDir[1], , , , 0, -0.00213, 1, -0.00213, 0, 0, 0, 0, FASE2-PERM, NO,
0, 0, NO,
    888, BEAM    , UNILOAD, GZ, NO , NO, aDir[1], , , , 0, -0.00213, 1, -0.00213, 0, 0, 0, 0, FASE2-PERM, NO,
0, 0, NO,
    889, BEAM    , UNILOAD, GZ, NO , NO, aDir[1], , , , 0, -0.00213, 1, -0.00213, 0, 0, 0, 0, FASE2-PERM, NO,
0, 0, NO,
    890, BEAM    , UNILOAD, GZ, NO , NO, aDir[1], , , , 0, -0.00213, 1, -0.00213, 0, 0, 0, 0, FASE2-PERM, NO,
0, 0, NO,
    891, BEAM    , UNILOAD, GZ, NO , NO, aDir[1], , , , 0, -0.00213, 1, -0.00213, 0, 0, 0, 0, FASE2-PERM, NO,
0, 0, NO,
    892, BEAM    , UNILOAD, GZ, NO , NO, aDir[1], , , , 0, -0.00213, 1, -0.00213, 0, 0, 0, 0, FASE2-PERM, NO,
0, 0, NO,
    893, BEAM    , UNILOAD, GZ, NO , NO, aDir[1], , , , 0, -0.00213, 1, -0.00213, 0, 0, 0, 0, FASE2-PERM, NO,
0, 0, NO,
    894, BEAM    , UNILOAD, GZ, NO , NO, aDir[1], , , , 0, -0.00213, 1, -0.00213, 0, 0, 0, 0, FASE2-PERM, NO,
0, 0, NO,
    895, BEAM    , UNILOAD, GZ, NO , NO, aDir[1], , , , 0, -0.00213, 1, -0.00213, 0, 0, 0, 0, FASE2-PERM, NO,
0, 0, NO,
    896, BEAM    , UNILOAD, GZ, NO , NO, aDir[1], , , , 0, -0.00213, 1, -0.00213, 0, 0, 0, 0, FASE2-PERM, NO,
0, 0, NO,
    897, BEAM    , UNILOAD, GZ, NO , NO, aDir[1], , , , 0, -0.00213, 1, -0.00213, 0, 0, 0, 0, FASE2-PERM, NO,
0, 0, NO,
    898, BEAM    , UNILOAD, GZ, NO , NO, aDir[1], , , , 0, -0.00213, 1, -0.00213, 0, 0, 0, 0, FASE2-PERM, NO,
0, 0, NO,
    899, BEAM    , UNILOAD, GZ, NO , NO, aDir[1], , , , 0, -0.00213, 1, -0.00213, 0, 0, 0, 0, FASE2-PERM, NO,
0, 0, NO,
    900, BEAM    , UNILOAD, GZ, NO , NO, aDir[1], , , , 0, -0.00213, 1, -0.00213, 0, 0, 0, 0, FASE2-PERM, NO,
0, 0, NO,
    901, BEAM    , UNILOAD, GZ, NO , NO, aDir[1], , , , 0, -0.00213, 1, -0.00213, 0, 0, 0, 0, FASE2-PERM, NO,
0, 0, NO,
    902, BEAM    , UNILOAD, GZ, NO , NO, aDir[1], , , , 0, -0.00213, 1, -0.00213, 0, 0, 0, 0, FASE2-PERM, NO,
0, 0, NO,
    903, BEAM    , UNILOAD, GZ, NO , NO, aDir[1], , , , 0, -0.00213, 1, -0.00213, 0, 0, 0, 0, FASE2-PERM, NO,
0, 0, NO,
    904, BEAM    , UNILOAD, GZ, NO , NO, aDir[1], , , , 0, -0.00213, 1, -0.00213, 0, 0, 0, 0, FASE2-PERM, NO,
0, 0, NO,
    905, BEAM    , UNILOAD, GZ, NO , NO, aDir[1], , , , 0, -0.00213, 1, -0.00213, 0, 0, 0, 0, FASE2-PERM, NO,
0, 0, NO,
    906, BEAM    , UNILOAD, GZ, NO , NO, aDir[1], , , , 0, -0.00213, 1, -0.00213, 0, 0, 0, 0, FASE2-PERM, NO,
0, 0, NO,
    907, BEAM    , UNILOAD, GZ, NO , NO, aDir[1], , , , 0, -0.00213, 1, -0.00213, 0, 0, 0, 0, FASE2-PERM, NO,
0, 0, NO,
    908, BEAM    , UNILOAD, GZ, NO , NO, aDir[1], , , , 0, -0.00213, 1, -0.00213, 0, 0, 0, 0, FASE2-PERM, NO,
0, 0, NO,
    909, BEAM    , UNILOAD, GZ, NO , NO, aDir[1], , , , 0, -0.00213, 1, -0.00213, 0, 0, 0, 0, FASE2-PERM, NO,
0, 0, NO,
    910, BEAM    , UNILOAD, GZ, NO , NO, aDir[1], , , , 0, -0.00213, 1, -0.00213, 0, 0, 0, 0, FASE2-PERM, NO,
0, 0, NO,
    911, BEAM    , UNILOAD, GZ, NO , NO, aDir[1], , , , 0, -0.00213, 1, -0.00213, 0, 0, 0, 0, FASE2-PERM, NO,
0, 0, NO,
    912, BEAM    , UNILOAD, GZ, NO , NO, aDir[1], , , , 0, -0.00213, 1, -0.00213, 0, 0, 0, 0, FASE2-PERM, NO,
0, 0, NO,
    913, BEAM    , UNILOAD, GZ, NO , NO, aDir[1], , , , 0, -0.00213, 1, -0.00213, 0, 0, 0, 0, FASE2-PERM, NO,
0, 0, NO,
    914, BEAM    , UNILOAD, GZ, NO , NO, aDir[1], , , , 0, -0.00213, 1, -0.00213, 0, 0, 0, 0, FASE2-PERM, NO,
0, 0, NO,
    915, BEAM    , UNILOAD, GZ, NO , NO, aDir[1], , , , 0, -0.00213, 1, -0.00213, 0, 0, 0, 0, FASE2-PERM, NO,
0, 0, NO,
    916, BEAM    , UNILOAD, GZ, NO , NO, aDir[1], , , , 0, -0.00213, 1, -0.00213, 0, 0, 0, 0, FASE2-PERM, NO,
0, 0, NO,
    917, BEAM    , UNILOAD, GZ, NO , NO, aDir[1], , , , 0, -0.00213, 1, -0.00213, 0, 0, 0, 0, FASE2-PERM, NO,
0, 0, NO,
    918, BEAM    , UNILOAD, GZ, NO , NO, aDir[1], , , , 0, -0.00213, 1, -0.00213, 0, 0, 0, 0, FASE2-PERM, NO,
0, 0, NO,
    919, BEAM    , UNILOAD, GZ, NO , NO, aDir[1], , , , 0, -0.00213, 1, -0.00213, 0, 0, 0, 0, FASE2-PERM, NO,
0, 0, NO,
    920, BEAM    , UNILOAD, GZ, NO , NO, aDir[1], , , , 0, -0.00213, 1, -0.00213, 0, 0, 0, 0, FASE2-PERM, NO,
0, 0, NO,
    921, BEAM    , UNILOAD, GZ, NO , NO, aDir[1], , , , 0, -0.00213, 1, -0.00213, 0, 0, 0, 0, FASE2-PERM, NO,
0, 0, NO,
    922, BEAM    , UNILOAD, GZ, NO , NO, aDir[1], , , , 0, -0.00213, 1, -0.00213, 0, 0, 0, 0, FASE2-PERM, NO,
0, 0, NO,
    923, BEAM    , UNILOAD, GZ, NO , NO, aDir[1], , , , 0, -0.00213, 1, -0.00213, 0, 0, 0, 0, FASE2-PERM, NO,
```

```
0, 0, NO,
    924, BEAM    , UNILOAD, GZ, NO , NO, aDir[1], , , , 0, -0.00213, 1, -0.00213, 0, 0, 0, 0, FASE2-PERM, NO,
0, 0, NO,
    925, BEAM    , UNILOAD, GZ, NO , NO, aDir[1], , , , 0, -0.00213, 1, -0.00213, 0, 0, 0, 0, FASE2-PERM, NO,
0, 0, NO,
    926, BEAM    , UNILOAD, GZ, NO , NO, aDir[1], , , , 0, -0.00213, 1, -0.00213, 0, 0, 0, 0, FASE2-PERM, NO,
0, 0, NO,
    927, BEAM    , UNILOAD, GZ, NO , NO, aDir[1], , , , 0, -0.00213, 1, -0.00213, 0, 0, 0, 0, FASE2-PERM, NO,
0, 0, NO,
    928, BEAM    , UNILOAD, GZ, NO , NO, aDir[1], , , , 0, -0.00213, 1, -0.00213, 0, 0, 0, 0, FASE2-PERM, NO,
0, 0, NO,
    929, BEAM    , UNILOAD, GZ, NO , NO, aDir[1], , , , 0, -0.00213, 1, -0.00213, 0, 0, 0, 0, FASE2-PERM, NO,
0, 0, NO,
    930, BEAM    , UNILOAD, GZ, NO , NO, aDir[1], , , , 0, -0.00213, 1, -0.00213, 0, 0, 0, 0, FASE2-PERM, NO,
0, 0, NO,
    931, BEAM    , UNILOAD, GZ, NO , NO, aDir[1], , , , 0, -0.00213, 1, -0.00213, 0, 0, 0, 0, FASE2-PERM, NO,
0, 0, NO,
    932, BEAM    , UNILOAD, GZ, NO , NO, aDir[1], , , , 0, -0.00213, 1, -0.00213, 0, 0, 0, 0, FASE2-PERM, NO,
0, 0, NO,
    933, BEAM    , UNILOAD, GZ, NO , NO, aDir[1], , , , 0, -0.00213, 1, -0.00213, 0, 0, 0, 0, FASE2-PERM, NO,
0, 0, NO,
    934, BEAM    , UNILOAD, GZ, NO , NO, aDir[1], , , , 0, -0.00213, 1, -0.00213, 0, 0, 0, 0, FASE2-PERM, NO,
0, 0, NO,
    935, BEAM    , UNILOAD, GZ, NO , NO, aDir[1], , , , 0, -0.00213, 1, -0.00213, 0, 0, 0, 0, FASE2-PERM, NO,
0, 0, NO,
    936, BEAM    , UNILOAD, GZ, NO , NO, aDir[1], , , , 0, -0.00213, 1, -0.00213, 0, 0, 0, 0, FASE2-PERM, NO,
0, 0, NO,
    937, BEAM    , UNILOAD, GZ, NO , NO, aDir[1], , , , 0, -0.00213, 1, -0.00213, 0, 0, 0, 0, FASE2-PERM, NO,
0, 0, NO,
    938, BEAM    , UNILOAD, GZ, NO , NO, aDir[1], , , , 0, -0.00213, 1, -0.00213, 0, 0, 0, 0, FASE2-PERM, NO,
0, 0, NO,
    939, BEAM    , UNILOAD, GZ, NO , NO, aDir[1], , , , 0, -0.00213, 1, -0.00213, 0, 0, 0, 0, FASE2-PERM, NO,
0, 0, NO,
    940, BEAM    , UNILOAD, GZ, NO , NO, aDir[1], , , , 0, -0.00213, 1, -0.00213, 0, 0, 0, 0, FASE2-PERM, NO,
0, 0, NO,
    941, BEAM    , UNILOAD, GZ, NO , NO, aDir[1], , , , 0, -0.00213, 1, -0.00213, 0, 0, 0, 0, FASE2-PERM, NO,
0, 0, NO,
    942, BEAM    , UNILOAD, GZ, NO , NO, aDir[1], , , , 0, -0.00213, 1, -0.00213, 0, 0, 0, 0, FASE2-PERM, NO,
0, 0, NO,
    943, BEAM    , UNILOAD, GZ, NO , NO, aDir[1], , , , 0, -0.00213, 1, -0.00213, 0, 0, 0, 0, FASE2-PERM, NO,
0, 0, NO,
    944, BEAM    , UNILOAD, GZ, NO , NO, aDir[1], , , , 0, -0.00213, 1, -0.00213, 0, 0, 0, 0, FASE2-PERM, NO,
0, 0, NO,
    945, BEAM    , UNILOAD, GZ, NO , NO, aDir[1], , , , 0, -0.00213, 1, -0.00213, 0, 0, 0, 0, FASE2-PERM, NO,
0, 0, NO,
    946, BEAM    , UNILOAD, GZ, NO , NO, aDir[1], , , , 0, -0.00213, 1, -0.00213, 0, 0, 0, 0, FASE2-PERM, NO,
0, 0, NO,
    947, BEAM    , UNILOAD, GZ, NO , NO, aDir[1], , , , 0, -0.00213, 1, -0.00213, 0, 0, 0, 0, FASE2-PERM, NO,
0, 0, NO,
    948, BEAM    , UNILOAD, GZ, NO , NO, aDir[1], , , , 0, -0.00213, 1, -0.00213, 0, 0, 0, 0, FASE2-PERM, NO,
0, 0, NO,
    949, BEAM    , UNILOAD, GZ, NO , NO, aDir[1], , , , 0, -0.00213, 1, -0.00213, 0, 0, 0, 0, FASE2-PERM, NO,
0, 0, NO,
    950, BEAM    , UNILOAD, GZ, NO , NO, aDir[1], , , , 0, -0.00213, 1, -0.00213, 0, 0, 0, 0, FASE2-PERM, NO,
0, 0, NO,
    951, BEAM    , UNILOAD, GZ, NO , NO, aDir[1], , , , 0, -0.00213, 1, -0.00213, 0, 0, 0, 0, FASE2-PERM, NO,
0, 0, NO,
    952, BEAM    , UNILOAD, GZ, NO , NO, aDir[1], , , , 0, -0.00213, 1, -0.00213, 0, 0, 0, 0, FASE2-PERM, NO,
0, 0, NO,
    953, BEAM    , UNILOAD, GZ, NO , NO, aDir[1], , , , 0, -0.00213, 1, -0.00213, 0, 0, 0, 0, FASE2-PERM, NO,
0, 0, NO,
    954, BEAM    , UNILOAD, GZ, NO , NO, aDir[1], , , , 0, -0.00213, 1, -0.00213, 0, 0, 0, 0, FASE2-PERM, NO,
0, 0, NO,
    955, BEAM    , UNILOAD, GZ, NO , NO, aDir[1], , , , 0, -0.00213, 1, -0.00213, 0, 0, 0, 0, FASE2-PERM, NO,
0, 0, NO,
    956, BEAM    , UNILOAD, GZ, NO , NO, aDir[1], , , , 0, -0.00213, 1, -0.00213, 0, 0, 0, 0, FASE2-PERM, NO,
0, 0, NO,
    957, BEAM    , UNILOAD, GZ, NO , NO, aDir[1], , , , 0, -0.00213, 1, -0.00213, 0, 0, 0, 0, FASE2-PERM, NO,
0, 0, NO,
    958, BEAM    , UNILOAD, GZ, NO , NO, aDir[1], , , , 0, -0.00213, 1, -0.00213, 0, 0, 0, 0, FASE2-PERM, NO,
0, 0, NO,
    959, BEAM    , UNILOAD, GZ, NO , NO, aDir[1], , , , 0, -0.00213, 1, -0.00213, 0, 0, 0, 0, FASE2-PERM, NO,
0, 0, NO,
    960, BEAM    , UNILOAD, GZ, NO , NO, aDir[1], , , , 0, -0.00213, 1, -0.00213, 0, 0, 0, 0, FASE2-PERM, NO,
0, 0, NO,
    961, BEAM    , UNILOAD, GZ, NO , NO, aDir[1], , , , 0, -0.00213, 1, -0.00213, 0, 0, 0, 0, FASE2-PERM, NO,
0, 0, NO,
    962, BEAM    , UNILOAD, GZ, NO , NO, aDir[1], , , , 0, -0.00213, 1, -0.00213, 0, 0, 0, 0, FASE2-PERM, NO,
```

```
0, 0, NO,
   963, BEAM    , UNILOAD, GZ, NO , NO, aDir[1], , , , 0, -0.00213, 1, -0.00213, 0, 0, 0, 0, FASE2-PERM, NO,
0, 0, NO,
   964, BEAM    , UNILOAD, GZ, NO , NO, aDir[1], , , , 0, -0.00213, 1, -0.00213, 0, 0, 0, 0, FASE2-PERM, NO,
0, 0, NO,
   965, BEAM    , UNILOAD, GZ, NO , NO, aDir[1], , , , 0, -0.00213, 1, -0.00213, 0, 0, 0, 0, FASE2-PERM, NO,
0, 0, NO,
   966, BEAM    , UNILOAD, GZ, NO , NO, aDir[1], , , , 0, -0.00213, 1, -0.00213, 0, 0, 0, 0, FASE2-PERM, NO,
0, 0, NO,
   967, BEAM    , UNILOAD, GZ, NO , NO, aDir[1], , , , 0, -0.00213, 1, -0.00213, 0, 0, 0, 0, FASE2-PERM, NO,
0, 0, NO,
   968, BEAM    , UNILOAD, GZ, NO , NO, aDir[1], , , , 0, -0.00213, 1, -0.00213, 0, 0, 0, 0, FASE2-PERM, NO,
0, 0, NO,
   969, BEAM    , UNILOAD, GZ, NO , NO, aDir[1], , , , 0, -0.00213, 1, -0.00213, 0, 0, 0, 0, FASE2-PERM, NO,
0, 0, NO,
   970, BEAM    , UNILOAD, GZ, NO , NO, aDir[1], , , , 0, -0.00213, 1, -0.00213, 0, 0, 0, 0, FASE2-PERM, NO,
0, 0, NO,
   971, BEAM    , UNILOAD, GZ, NO , NO, aDir[1], , , , 0, -0.00213, 1, -0.00213, 0, 0, 0, 0, FASE2-PERM, NO,
0, 0, NO,
   972, BEAM    , UNILOAD, GZ, NO , NO, aDir[1], , , , 0, -0.00213, 1, -0.00213, 0, 0, 0, 0, FASE2-PERM, NO,
0, 0, NO,
   973, BEAM    , UNILOAD, GZ, NO , NO, aDir[1], , , , 0, -0.00213, 1, -0.00213, 0, 0, 0, 0, FASE2-PERM, NO,
0, 0, NO,
   974, BEAM    , UNILOAD, GZ, NO , NO, aDir[1], , , , 0, -0.00213, 1, -0.00213, 0, 0, 0, 0, FASE2-PERM, NO,
0, 0, NO,
   975, BEAM    , UNILOAD, GZ, NO , NO, aDir[1], , , , 0, -0.00213, 1, -0.00213, 0, 0, 0, 0, FASE2-PERM, NO,
0, 0, NO,
   976, BEAM    , UNILOAD, GZ, NO , NO, aDir[1], , , , 0, -0.00213, 1, -0.00213, 0, 0, 0, 0, FASE2-PERM, NO,
0, 0, NO,
   977, BEAM    , UNILOAD, GZ, NO , NO, aDir[1], , , , 0, -0.00213, 1, -0.00213, 0, 0, 0, 0, FASE2-PERM, NO,
0, 0, NO,
   978, BEAM    , UNILOAD, GZ, NO , NO, aDir[1], , , , 0, -0.00213, 1, -0.00213, 0, 0, 0, 0, FASE2-PERM, NO,
0, 0, NO,
   979, BEAM    , UNILOAD, GZ, NO , NO, aDir[1], , , , 0, -0.00213, 1, -0.00213, 0, 0, 0, 0, FASE2-PERM, NO,
0, 0, NO,
   980, BEAM    , UNILOAD, GZ, NO , NO, aDir[1], , , , 0, -0.00213, 1, -0.00213, 0, 0, 0, 0, FASE2-PERM, NO,
0, 0, NO,
   981, BEAM    , UNILOAD, GZ, NO , NO, aDir[1], , , , 0, -0.00213, 1, -0.00213, 0, 0, 0, 0, FASE2-PERM, NO,
0, 0, NO,
   982, BEAM    , UNILOAD, GZ, NO , NO, aDir[1], , , , 0, -0.00213, 1, -0.00213, 0, 0, 0, 0, FASE2-PERM, NO,
0, 0, NO,
   983, BEAM    , UNILOAD, GZ, NO , NO, aDir[1], , , , 0, -0.00213, 1, -0.00213, 0, 0, 0, 0, FASE2-PERM, NO,
0, 0, NO,
   984, BEAM    , UNILOAD, GZ, NO , NO, aDir[1], , , , 0, -0.00213, 1, -0.00213, 0, 0, 0, 0, FASE2-PERM, NO,
0, 0, NO,
   985, BEAM    , UNILOAD, GZ, NO , NO, aDir[1], , , , 0, -0.00213, 1, -0.00213, 0, 0, 0, 0, FASE2-PERM, NO,
0, 0, NO,
   986, BEAM    , UNILOAD, GZ, NO , NO, aDir[1], , , , 0, -0.00213, 1, -0.00213, 0, 0, 0, 0, FASE2-PERM, NO,
0, 0, NO,
   987, BEAM    , UNILOAD, GZ, NO , NO, aDir[1], , , , 0, -0.00213, 1, -0.00213, 0, 0, 0, 0, FASE2-PERM, NO,
0, 0, NO,
   988, BEAM    , UNILOAD, GZ, NO , NO, aDir[1], , , , 0, -0.00213, 1, -0.00213, 0, 0, 0, 0, FASE2-PERM, NO,
0, 0, NO,
   989, BEAM    , UNILOAD, GZ, NO , NO, aDir[1], , , , 0, -0.00213, 1, -0.00213, 0, 0, 0, 0, FASE2-PERM, NO,
0, 0, NO,
   990, BEAM    , UNILOAD, GZ, NO , NO, aDir[1], , , , 0, -0.00213, 1, -0.00213, 0, 0, 0, 0, FASE2-PERM, NO,
0, 0, NO,
   991, BEAM    , UNILOAD, GZ, NO , NO, aDir[1], , , , 0, -0.00213, 1, -0.00213, 0, 0, 0, 0, FASE2-PERM, NO,
0, 0, NO,
   992, BEAM    , UNILOAD, GZ, NO , NO, aDir[1], , , , 0, -0.00213, 1, -0.00213, 0, 0, 0, 0, FASE2-PERM, NO,
0, 0, NO,
   993, BEAM    , UNILOAD, GZ, NO , NO, aDir[1], , , , 0, -0.00213, 1, -0.00213, 0, 0, 0, 0, FASE2-PERM, NO,
0, 0, NO,
   994, BEAM    , UNILOAD, GZ, NO , NO, aDir[1], , , , 0, -0.00213, 1, -0.00213, 0, 0, 0, 0, FASE2-PERM, NO,
0, 0, NO,
   995, BEAM    , UNILOAD, GZ, NO , NO, aDir[1], , , , 0, -0.00213, 1, -0.00213, 0, 0, 0, 0, FASE2-PERM, NO,
0, 0, NO,
   996, BEAM    , UNILOAD, GZ, NO , NO, aDir[1], , , , 0, -0.00213, 1, -0.00213, 0, 0, 0, 0, FASE2-PERM, NO,
0, 0, NO,
   997, BEAM    , UNILOAD, GZ, NO , NO, aDir[1], , , , 0, -0.00213, 1, -0.00213, 0, 0, 0, 0, FASE2-PERM, NO,
0, 0, NO,
   998, BEAM    , UNILOAD, GZ, NO , NO, aDir[1], , , , 0, -0.00213, 1, -0.00213, 0, 0, 0, 0, FASE2-PERM, NO,
0, 0, NO,
   999, BEAM    , UNILOAD, GZ, NO , NO, aDir[1], , , , 0, -0.00213, 1, -0.00213, 0, 0, 0, 0, FASE2-PERM, NO,
0, 0, NO,
  1000, BEAM    , UNILOAD, GZ, NO , NO, aDir[1], , , , 0, -0.00213, 1, -0.00213, 0, 0, 0, 0, FASE2-PERM, NO,
0, 0, NO,
  1001, BEAM    , UNILOAD, GZ, NO , NO, aDir[1], , , , 0, -0.00213, 1, -0.00213, 0, 0, 0, 0, FASE2-PERM, NO,
```

```
0, 0, NO,
  1002, BEAM   , UNILOAD, GZ, NO , NO, aDir[1], , , , 0, -0.00213, 1, -0.00213, 0, 0, 0, 0, FASE2-PERM, NO,
0, 0, NO,
  1003, BEAM   , UNILOAD, GZ, NO , NO, aDir[1], , , , 0, -0.00213, 1, -0.00213, 0, 0, 0, 0, FASE2-PERM, NO,
0, 0, NO,
  1004, BEAM   , UNILOAD, GZ, NO , NO, aDir[1], , , , 0, -0.00213, 1, -0.00213, 0, 0, 0, 0, FASE2-PERM, NO,
0, 0, NO,
  1005, BEAM   , UNILOAD, GZ, NO , NO, aDir[1], , , , 0, -0.00213, 1, -0.00213, 0, 0, 0, 0, FASE2-PERM, NO,
0, 0, NO,
  1006, BEAM   , UNILOAD, GZ, NO , NO, aDir[1], , , , 0, -0.00213, 1, -0.00213, 0, 0, 0, 0, FASE2-PERM, NO,
0, 0, NO,
  1007, BEAM   , UNILOAD, GZ, NO , NO, aDir[1], , , , 0, -0.00213, 1, -0.00213, 0, 0, 0, 0, FASE2-PERM, NO,
0, 0, NO,
  1008, BEAM   , UNILOAD, GZ, NO , NO, aDir[1], , , , 0, -0.00213, 1, -0.00213, 0, 0, 0, 0, FASE2-PERM, NO,
0, 0, NO,
  1009, BEAM   , UNILOAD, GZ, NO , NO, aDir[1], , , , 0, -0.00213, 1, -0.00213, 0, 0, 0, 0, FASE2-PERM, NO,
0, 0, NO,
  1010, BEAM   , UNILOAD, GZ, NO , NO, aDir[1], , , , 0, -0.00213, 1, -0.00213, 0, 0, 0, 0, FASE2-PERM, NO,
0, 0, NO,
  1011, BEAM   , UNILOAD, GZ, NO , NO, aDir[1], , , , 0, -0.00213, 1, -0.00213, 0, 0, 0, 0, FASE2-PERM, NO,
0, 0, NO,
  1012, BEAM   , UNILOAD, GZ, NO , NO, aDir[1], , , , 0, -0.00213, 1, -0.00213, 0, 0, 0, 0, FASE2-PERM, NO,
0, 0, NO,
  1013, BEAM   , UNILOAD, GZ, NO , NO, aDir[1], , , , 0, -0.00213, 1, -0.00213, 0, 0, 0, 0, FASE2-PERM, NO,
0, 0, NO,
  1014, BEAM   , UNILOAD, GZ, NO , NO, aDir[1], , , , 0, -0.00213, 1, -0.00213, 0, 0, 0, 0, FASE2-PERM, NO,
0, 0, NO,
  1015, BEAM   , UNILOAD, GZ, NO , NO, aDir[1], , , , 0, -0.00213, 1, -0.00213, 0, 0, 0, 0, FASE2-PERM, NO,
0, 0, NO,
  1016, BEAM   , UNILOAD, GZ, NO , NO, aDir[1], , , , 0, -0.00213, 1, -0.00213, 0, 0, 0, 0, FASE2-PERM, NO,
0, 0, NO,
  1017, BEAM   , UNILOAD, GZ, NO , NO, aDir[1], , , , 0, -0.00213, 1, -0.00213, 0, 0, 0, 0, FASE2-PERM, NO,
0, 0, NO,
  1018, BEAM   , UNILOAD, GZ, NO , NO, aDir[1], , , , 0, -0.00213, 1, -0.00213, 0, 0, 0, 0, FASE2-PERM, NO,
0, 0, NO,
  1019, BEAM   , UNILOAD, GZ, NO , NO, aDir[1], , , , 0, -0.00213, 1, -0.00213, 0, 0, 0, 0, FASE2-PERM, NO,
0, 0, NO,
  1020, BEAM   , UNILOAD, GZ, NO , NO, aDir[1], , , , 0, -0.00213, 1, -0.00213, 0, 0, 0, 0, FASE2-PERM, NO,
0, 0, NO,

; End of data for load case [veletta] -------------------------

*USE-STLD, centrifuga

*CONLOAD    ; Nodal Loads
; NODE_LIST, FX, FY, FZ, MX, MY, MZ, GROUP
 137, 0, 0.0575964, 0, 0, 0, 0, FASE3-VAR
 138, 0, 0.0575964, 0, 0, 0, 0, FASE3-VAR
 139, 0, 0.0575964, 0, 0, 0, 0, FASE3-VAR
 140, 0, 0.0575964, 0, 0, 0, 0, FASE3-VAR
 141, 0, 0.0575964, 0, 0, 0, 0, FASE3-VAR
 142, 0, 0.0575964, 0, 0, 0, 0, FASE3-VAR
 143, 0, 0.0575964, 0, 0, 0, 0, FASE3-VAR
 153, 0, 0.0575964, 0, 0, 0, 0, FASE3-VAR
 154, 0, 0.0575964, 0, 0, 0, 0, FASE3-VAR
 155, 0, 0.0575964, 0, 0, 0, 0, FASE3-VAR
 156, 0, 0.0575964, 0, 0, 0, 0, FASE3-VAR
 157, 0, 0.0575964, 0, 0, 0, 0, FASE3-VAR
 158, 0, 0.0575964, 0, 0, 0, 0, FASE3-VAR
 159, 0, 0.0575964, 0, 0, 0, 0, FASE3-VAR
 169, 0, 0.0575964, 0, 0, 0, 0, FASE3-VAR
 170, 0, 0.0575964, 0, 0, 0, 0, FASE3-VAR
 171, 0, 0.0575964, 0, 0, 0, 0, FASE3-VAR
 172, 0, 0.0575964, 0, 0, 0, 0, FASE3-VAR
 173, 0, 0.0575964, 0, 0, 0, 0, FASE3-VAR
 174, 0, 0.0575964, 0, 0, 0, 0, FASE3-VAR
 175, 0, 0.0575964, 0, 0, 0, 0, FASE3-VAR
 177, 0, 0.0575964, 0, 0, 0, 0, FASE3-VAR
 178, 0, 0.0575964, 0, 0, 0, 0, FASE3-VAR
 179, 0, 0.0575964, 0, 0, 0, 0, FASE3-VAR
 180, 0, 0.0575964, 0, 0, 0, 0, FASE3-VAR
 181, 0, 0.0575964, 0, 0, 0, 0, FASE3-VAR
 182, 0, 0.0575964, 0, 0, 0, 0, FASE3-VAR
 183, 0, 0.0575964, 0, 0, 0, 0, FASE3-VAR
 193, 0, 0.0575964, 0, 0, 0, 0, FASE3-VAR
 194, 0, 0.0575964, 0, 0, 0, 0, FASE3-VAR
 195, 0, 0.0575964, 0, 0, 0, 0, FASE3-VAR
 196, 0, 0.0575964, 0, 0, 0, 0, FASE3-VAR
```

PROJECT TITLE :

	Company		Client	
	Author		File Name	Brembiolo1_08_completo(fasi)DEFINITIVO.mgt

```
197,  0,  0.0575964,  0,  0,  0,  0,  FASE3-VAR
198,  0,  0.0575964,  0,  0,  0,  0,  FASE3-VAR
199,  0,  0.0575964,  0,  0,  0,  0,  FASE3-VAR
209,  0,  0.0575964,  0,  0,  0,  0,  FASE3-VAR
210,  0,  0.0575964,  0,  0,  0,  0,  FASE3-VAR
211,  0,  0.0575964,  0,  0,  0,  0,  FASE3-VAR
212,  0,  0.0575964,  0,  0,  0,  0,  FASE3-VAR
213,  0,  0.0575964,  0,  0,  0,  0,  FASE3-VAR
214,  0,  0.0575964,  0,  0,  0,  0,  FASE3-VAR
215,  0,  0.0575964,  0,  0,  0,  0,  FASE3-VAR
225,  0,  0.0575964,  0,  0,  0,  0,  FASE3-VAR
226,  0,  0.0575964,  0,  0,  0,  0,  FASE3-VAR
227,  0,  0.0575964,  0,  0,  0,  0,  FASE3-VAR
228,  0,  0.0575964,  0,  0,  0,  0,  FASE3-VAR
229,  0,  0.0575964,  0,  0,  0,  0,  FASE3-VAR
230,  0,  0.0575964,  0,  0,  0,  0,  FASE3-VAR
231,  0,  0.0575964,  0,  0,  0,  0,  FASE3-VAR
241,  0,  0.0575964,  0,  0,  0,  0,  FASE3-VAR
242,  0,  0.0575964,  0,  0,  0,  0,  FASE3-VAR
243,  0,  0.0575964,  0,  0,  0,  0,  FASE3-VAR
244,  0,  0.0575964,  0,  0,  0,  0,  FASE3-VAR
245,  0,  0.0575964,  0,  0,  0,  0,  FASE3-VAR
246,  0,  0.0575964,  0,  0,  0,  0,  FASE3-VAR
247,  0,  0.0575964,  0,  0,  0,  0,  FASE3-VAR
249,  0,  0.0575964,  0,  0,  0,  0,  FASE3-VAR
250,  0,  0.0575964,  0,  0,  0,  0,  FASE3-VAR
251,  0,  0.0575964,  0,  0,  0,  0,  FASE3-VAR
252,  0,  0.0575964,  0,  0,  0,  0,  FASE3-VAR
253,  0,  0.0575964,  0,  0,  0,  0,  FASE3-VAR
254,  0,  0.0575964,  0,  0,  0,  0,  FASE3-VAR
255,  0,  0.0575964,  0,  0,  0,  0,  FASE3-VAR
265,  0,  0.0575964,  0,  0,  0,  0,  FASE3-VAR
266,  0,  0.0575964,  0,  0,  0,  0,  FASE3-VAR
267,  0,  0.0575964,  0,  0,  0,  0,  FASE3-VAR
268,  0,  0.0575964,  0,  0,  0,  0,  FASE3-VAR
269,  0,  0.0575964,  0,  0,  0,  0,  FASE3-VAR
270,  0,  0.0575964,  0,  0,  0,  0,  FASE3-VAR
271,  0,  0.0575964,  0,  0,  0,  0,  FASE3-VAR
281,  0,  0.0575964,  0,  0,  0,  0,  FASE3-VAR
282,  0,  0.0575964,  0,  0,  0,  0,  FASE3-VAR
283,  0,  0.0575964,  0,  0,  0,  0,  FASE3-VAR
284,  0,  0.0575964,  0,  0,  0,  0,  FASE3-VAR
285,  0,  0.0575964,  0,  0,  0,  0,  FASE3-VAR
286,  0,  0.0575964,  0,  0,  0,  0,  FASE3-VAR
287,  0,  0.0575964,  0,  0,  0,  0,  FASE3-VAR
297,  0,  0.0575964,  0,  0,  0,  0,  FASE3-VAR
298,  0,  0.0575964,  0,  0,  0,  0,  FASE3-VAR
299,  0,  0.0575964,  0,  0,  0,  0,  FASE3-VAR
300,  0,  0.0575964,  0,  0,  0,  0,  FASE3-VAR
301,  0,  0.0575964,  0,  0,  0,  0,  FASE3-VAR
302,  0,  0.0575964,  0,  0,  0,  0,  FASE3-VAR
303,  0,  0.0575964,  0,  0,  0,  0,  FASE3-VAR
313,  0,  0.0575964,  0,  0,  0,  0,  FASE3-VAR
314,  0,  0.0575964,  0,  0,  0,  0,  FASE3-VAR
315,  0,  0.0575964,  0,  0,  0,  0,  FASE3-VAR
316,  0,  0.0575964,  0,  0,  0,  0,  FASE3-VAR
317,  0,  0.0575964,  0,  0,  0,  0,  FASE3-VAR
318,  0,  0.0575964,  0,  0,  0,  0,  FASE3-VAR
319,  0,  0.0575964,  0,  0,  0,  0,  FASE3-VAR
321,  0,  0.0575964,  0,  0,  0,  0,  FASE3-VAR
322,  0,  0.0575964,  0,  0,  0,  0,  FASE3-VAR
323,  0,  0.0575964,  0,  0,  0,  0,  FASE3-VAR
324,  0,  0.0575964,  0,  0,  0,  0,  FASE3-VAR
325,  0,  0.0575964,  0,  0,  0,  0,  FASE3-VAR
326,  0,  0.0575964,  0,  0,  0,  0,  FASE3-VAR
327,  0,  0.0575964,  0,  0,  0,  0,  FASE3-VAR
337,  0,  0.0575964,  0,  0,  0,  0,  FASE3-VAR
338,  0,  0.0575964,  0,  0,  0,  0,  FASE3-VAR
339,  0,  0.0575964,  0,  0,  0,  0,  FASE3-VAR
340,  0,  0.0575964,  0,  0,  0,  0,  FASE3-VAR
341,  0,  0.0575964,  0,  0,  0,  0,  FASE3-VAR
342,  0,  0.0575964,  0,  0,  0,  0,  FASE3-VAR
343,  0,  0.0575964,  0,  0,  0,  0,  FASE3-VAR
353,  0,  0.0575964,  0,  0,  0,  0,  FASE3-VAR
354,  0,  0.0575964,  0,  0,  0,  0,  FASE3-VAR
355,  0,  0.0575964,  0,  0,  0,  0,  FASE3-VAR
356,  0,  0.0575964,  0,  0,  0,  0,  FASE3-VAR
357,  0,  0.0575964,  0,  0,  0,  0,  FASE3-VAR
```

PROJECT TITLE :

	Company		Client	
	Author		File Name	Brembiolo1_08_completo(fasi)DEFINITIVO.mgt

```
358,  0,  0.0575964,  0,  0,  0,  0,  FASE3-VAR
359,  0,  0.0575964,  0,  0,  0,  0,  FASE3-VAR
369,  0,  0.0575964,  0,  0,  0,  0,  FASE3-VAR
370,  0,  0.0575964,  0,  0,  0,  0,  FASE3-VAR
371,  0,  0.0575964,  0,  0,  0,  0,  FASE3-VAR
372,  0,  0.0575964,  0,  0,  0,  0,  FASE3-VAR
373,  0,  0.0575964,  0,  0,  0,  0,  FASE3-VAR
374,  0,  0.0575964,  0,  0,  0,  0,  FASE3-VAR
375,  0,  0.0575964,  0,  0,  0,  0,  FASE3-VAR
385,  0,  0.0575964,  0,  0,  0,  0,  FASE3-VAR
386,  0,  0.0575964,  0,  0,  0,  0,  FASE3-VAR
387,  0,  0.0575964,  0,  0,  0,  0,  FASE3-VAR
388,  0,  0.0575964,  0,  0,  0,  0,  FASE3-VAR
389,  0,  0.0575964,  0,  0,  0,  0,  FASE3-VAR
390,  0,  0.0575964,  0,  0,  0,  0,  FASE3-VAR
391,  0,  0.0575964,  0,  0,  0,  0,  FASE3-VAR
393,  0,  0.0575964,  0,  0,  0,  0,  FASE3-VAR
394,  0,  0.0575964,  0,  0,  0,  0,  FASE3-VAR
395,  0,  0.0575964,  0,  0,  0,  0,  FASE3-VAR
396,  0,  0.0575964,  0,  0,  0,  0,  FASE3-VAR
397,  0,  0.0575964,  0,  0,  0,  0,  FASE3-VAR
398,  0,  0.0575964,  0,  0,  0,  0,  FASE3-VAR
399,  0,  0.0575964,  0,  0,  0,  0,  FASE3-VAR
409,  0,  0.0575964,  0,  0,  0,  0,  FASE3-VAR
410,  0,  0.0575964,  0,  0,  0,  0,  FASE3-VAR
411,  0,  0.0575964,  0,  0,  0,  0,  FASE3-VAR
412,  0,  0.0575964,  0,  0,  0,  0,  FASE3-VAR
413,  0,  0.0575964,  0,  0,  0,  0,  FASE3-VAR
414,  0,  0.0575964,  0,  0,  0,  0,  FASE3-VAR
415,  0,  0.0575964,  0,  0,  0,  0,  FASE3-VAR
425,  0,  0.0575964,  0,  0,  0,  0,  FASE3-VAR
426,  0,  0.0575964,  0,  0,  0,  0,  FASE3-VAR
427,  0,  0.0575964,  0,  0,  0,  0,  FASE3-VAR
428,  0,  0.0575964,  0,  0,  0,  0,  FASE3-VAR
429,  0,  0.0575964,  0,  0,  0,  0,  FASE3-VAR
430,  0,  0.0575964,  0,  0,  0,  0,  FASE3-VAR
431,  0,  0.0575964,  0,  0,  0,  0,  FASE3-VAR
441,  0,  0.0575964,  0,  0,  0,  0,  FASE3-VAR
442,  0,  0.0575964,  0,  0,  0,  0,  FASE3-VAR
443,  0,  0.0575964,  0,  0,  0,  0,  FASE3-VAR
444,  0,  0.0575964,  0,  0,  0,  0,  FASE3-VAR
445,  0,  0.0575964,  0,  0,  0,  0,  FASE3-VAR
446,  0,  0.0575964,  0,  0,  0,  0,  FASE3-VAR
447,  0,  0.0575964,  0,  0,  0,  0,  FASE3-VAR
457,  0,  0.0575964,  0,  0,  0,  0,  FASE3-VAR
458,  0,  0.0575964,  0,  0,  0,  0,  FASE3-VAR
459,  0,  0.0575964,  0,  0,  0,  0,  FASE3-VAR
460,  0,  0.0575964,  0,  0,  0,  0,  FASE3-VAR
461,  0,  0.0575964,  0,  0,  0,  0,  FASE3-VAR
462,  0,  0.0575964,  0,  0,  0,  0,  FASE3-VAR
463,  0,  0.0575964,  0,  0,  0,  0,  FASE3-VAR
465,  0,  0.0575964,  0,  0,  0,  0,  FASE3-VAR
466,  0,  0.0575964,  0,  0,  0,  0,  FASE3-VAR
467,  0,  0.0575964,  0,  0,  0,  0,  FASE3-VAR
468,  0,  0.0575964,  0,  0,  0,  0,  FASE3-VAR
469,  0,  0.0575964,  0,  0,  0,  0,  FASE3-VAR
470,  0,  0.0575964,  0,  0,  0,  0,  FASE3-VAR
471,  0,  0.0575964,  0,  0,  0,  0,  FASE3-VAR
481,  0,  0.0575964,  0,  0,  0,  0,  FASE3-VAR
482,  0,  0.0575964,  0,  0,  0,  0,  FASE3-VAR
483,  0,  0.0575964,  0,  0,  0,  0,  FASE3-VAR
484,  0,  0.0575964,  0,  0,  0,  0,  FASE3-VAR
485,  0,  0.0575964,  0,  0,  0,  0,  FASE3-VAR
486,  0,  0.0575964,  0,  0,  0,  0,  FASE3-VAR
487,  0,  0.0575964,  0,  0,  0,  0,  FASE3-VAR
497,  0,  0.0575964,  0,  0,  0,  0,  FASE3-VAR
498,  0,  0.0575964,  0,  0,  0,  0,  FASE3-VAR
499,  0,  0.0575964,  0,  0,  0,  0,  FASE3-VAR
500,  0,  0.0575964,  0,  0,  0,  0,  FASE3-VAR
501,  0,  0.0575964,  0,  0,  0,  0,  FASE3-VAR
502,  0,  0.0575964,  0,  0,  0,  0,  FASE3-VAR
503,  0,  0.0575964,  0,  0,  0,  0,  FASE3-VAR
513,  0,  0.0575964,  0,  0,  0,  0,  FASE3-VAR
514,  0,  0.0575964,  0,  0,  0,  0,  FASE3-VAR
515,  0,  0.0575964,  0,  0,  0,  0,  FASE3-VAR
516,  0,  0.0575964,  0,  0,  0,  0,  FASE3-VAR
517,  0,  0.0575964,  0,  0,  0,  0,  FASE3-VAR
518,  0,  0.0575964,  0,  0,  0,  0,  FASE3-VAR
```

PROJECT TITLE :

	Company		Client	
	Author		File Name	Brembiolo1_08_completo(fasi)DEFINITIVO.mgt

519, 0, 0.0575964, 0, 0, 0, 0, FASE3-VAR
529, 0, 0.0575964, 0, 0, 0, 0, FASE3-VAR
530, 0, 0.0575964, 0, 0, 0, 0, FASE3-VAR
531, 0, 0.0575964, 0, 0, 0, 0, FASE3-VAR
532, 0, 0.0575964, 0, 0, 0, 0, FASE3-VAR
533, 0, 0.0575964, 0, 0, 0, 0, FASE3-VAR
534, 0, 0.0575964, 0, 0, 0, 0, FASE3-VAR
535, 0, 0.0575964, 0, 0, 0, 0, FASE3-VAR
537, 0, 0.0575964, 0, 0, 0, 0, FASE3-VAR
538, 0, 0.0575964, 0, 0, 0, 0, FASE3-VAR
539, 0, 0.0575964, 0, 0, 0, 0, FASE3-VAR
540, 0, 0.0575964, 0, 0, 0, 0, FASE3-VAR
541, 0, 0.0575964, 0, 0, 0, 0, FASE3-VAR
542, 0, 0.0575964, 0, 0, 0, 0, FASE3-VAR
543, 0, 0.0575964, 0, 0, 0, 0, FASE3-VAR
553, 0, 0.0575964, 0, 0, 0, 0, FASE3-VAR
554, 0, 0.0575964, 0, 0, 0, 0, FASE3-VAR
555, 0, 0.0575964, 0, 0, 0, 0, FASE3-VAR
556, 0, 0.0575964, 0, 0, 0, 0, FASE3-VAR
557, 0, 0.0575964, 0, 0, 0, 0, FASE3-VAR
558, 0, 0.0575964, 0, 0, 0, 0, FASE3-VAR
559, 0, 0.0575964, 0, 0, 0, 0, FASE3-VAR
569, 0, 0.0575964, 0, 0, 0, 0, FASE3-VAR
570, 0, 0.0575964, 0, 0, 0, 0, FASE3-VAR
571, 0, 0.0575964, 0, 0, 0, 0, FASE3-VAR
572, 0, 0.0575964, 0, 0, 0, 0, FASE3-VAR
573, 0, 0.0575964, 0, 0, 0, 0, FASE3-VAR
574, 0, 0.0575964, 0, 0, 0, 0, FASE3-VAR
575, 0, 0.0575964, 0, 0, 0, 0, FASE3-VAR
585, 0, 0.0575964, 0, 0, 0, 0, FASE3-VAR
586, 0, 0.0575964, 0, 0, 0, 0, FASE3-VAR
587, 0, 0.0575964, 0, 0, 0, 0, FASE3-VAR
588, 0, 0.0575964, 0, 0, 0, 0, FASE3-VAR
589, 0, 0.0575964, 0, 0, 0, 0, FASE3-VAR
590, 0, 0.0575964, 0, 0, 0, 0, FASE3-VAR
591, 0, 0.0575964, 0, 0, 0, 0, FASE3-VAR
601, 0, 0.0575964, 0, 0, 0, 0, FASE3-VAR
602, 0, 0.0575964, 0, 0, 0, 0, FASE3-VAR
603, 0, 0.0575964, 0, 0, 0, 0, FASE3-VAR
604, 0, 0.0575964, 0, 0, 0, 0, FASE3-VAR
605, 0, 0.0575964, 0, 0, 0, 0, FASE3-VAR
606, 0, 0.0575964, 0, 0, 0, 0, FASE3-VAR
607, 0, 0.0575964, 0, 0, 0, 0, FASE3-VAR
609, 0, 0.0575964, 0, 0, 0, 0, FASE3-VAR
610, 0, 0.0575964, 0, 0, 0, 0, FASE3-VAR
611, 0, 0.0575964, 0, 0, 0, 0, FASE3-VAR
612, 0, 0.0575964, 0, 0, 0, 0, FASE3-VAR
613, 0, 0.0575964, 0, 0, 0, 0, FASE3-VAR
614, 0, 0.0575964, 0, 0, 0, 0, FASE3-VAR
615, 0, 0.0575964, 0, 0, 0, 0, FASE3-VAR
625, 0, 0.0575964, 0, 0, 0, 0, FASE3-VAR
626, 0, 0.0575964, 0, 0, 0, 0, FASE3-VAR
627, 0, 0.0575964, 0, 0, 0, 0, FASE3-VAR
628, 0, 0.0575964, 0, 0, 0, 0, FASE3-VAR
629, 0, 0.0575964, 0, 0, 0, 0, FASE3-VAR
630, 0, 0.0575964, 0, 0, 0, 0, FASE3-VAR
631, 0, 0.0575964, 0, 0, 0, 0, FASE3-VAR
641, 0, 0.0575964, 0, 0, 0, 0, FASE3-VAR
642, 0, 0.0575964, 0, 0, 0, 0, FASE3-VAR
643, 0, 0.0575964, 0, 0, 0, 0, FASE3-VAR
644, 0, 0.0575964, 0, 0, 0, 0, FASE3-VAR
645, 0, 0.0575964, 0, 0, 0, 0, FASE3-VAR
646, 0, 0.0575964, 0, 0, 0, 0, FASE3-VAR
647, 0, 0.0575964, 0, 0, 0, 0, FASE3-VAR
657, 0, 0.0575964, 0, 0, 0, 0, FASE3-VAR
658, 0, 0.0575964, 0, 0, 0, 0, FASE3-VAR
659, 0, 0.0575964, 0, 0, 0, 0, FASE3-VAR
660, 0, 0.0575964, 0, 0, 0, 0, FASE3-VAR
661, 0, 0.0575964, 0, 0, 0, 0, FASE3-VAR
662, 0, 0.0575964, 0, 0, 0, 0, FASE3-VAR
663, 0, 0.0575964, 0, 0, 0, 0, FASE3-VAR
673, 0, 0.0575964, 0, 0, 0, 0, FASE3-VAR
674, 0, 0.0575964, 0, 0, 0, 0, FASE3-VAR
675, 0, 0.0575964, 0, 0, 0, 0, FASE3-VAR
676, 0, 0.0575964, 0, 0, 0, 0, FASE3-VAR
677, 0, 0.0575964, 0, 0, 0, 0, FASE3-VAR
678, 0, 0.0575964, 0, 0, 0, 0, FASE3-VAR
679, 0, 0.0575964, 0, 0, 0, 0, FASE3-VAR

PROJECT TITLE :

	Company		Client	
	Author		File Name	Brembiolo1_08_completo(fasi)DEFINITIVO.mgt

```
681,  0,  0.0575964,  0,  0,  0,  0,  FASE3-VAR
682,  0,  0.0575964,  0,  0,  0,  0,  FASE3-VAR
683,  0,  0.0575964,  0,  0,  0,  0,  FASE3-VAR
684,  0,  0.0575964,  0,  0,  0,  0,  FASE3-VAR
685,  0,  0.0575964,  0,  0,  0,  0,  FASE3-VAR
686,  0,  0.0575964,  0,  0,  0,  0,  FASE3-VAR
687,  0,  0.0575964,  0,  0,  0,  0,  FASE3-VAR
697,  0,  0.0575964,  0,  0,  0,  0,  FASE3-VAR
698,  0,  0.0575964,  0,  0,  0,  0,  FASE3-VAR
699,  0,  0.0575964,  0,  0,  0,  0,  FASE3-VAR
700,  0,  0.0575964,  0,  0,  0,  0,  FASE3-VAR
701,  0,  0.0575964,  0,  0,  0,  0,  FASE3-VAR
702,  0,  0.0575964,  0,  0,  0,  0,  FASE3-VAR
703,  0,  0.0575964,  0,  0,  0,  0,  FASE3-VAR
713,  0,  0.0575964,  0,  0,  0,  0,  FASE3-VAR
714,  0,  0.0575964,  0,  0,  0,  0,  FASE3-VAR
715,  0,  0.0575964,  0,  0,  0,  0,  FASE3-VAR
716,  0,  0.0575964,  0,  0,  0,  0,  FASE3-VAR
717,  0,  0.0575964,  0,  0,  0,  0,  FASE3-VAR
718,  0,  0.0575964,  0,  0,  0,  0,  FASE3-VAR
719,  0,  0.0575964,  0,  0,  0,  0,  FASE3-VAR
729,  0,  0.0575964,  0,  0,  0,  0,  FASE3-VAR
730,  0,  0.0575964,  0,  0,  0,  0,  FASE3-VAR
731,  0,  0.0575964,  0,  0,  0,  0,  FASE3-VAR
732,  0,  0.0575964,  0,  0,  0,  0,  FASE3-VAR
733,  0,  0.0575964,  0,  0,  0,  0,  FASE3-VAR
734,  0,  0.0575964,  0,  0,  0,  0,  FASE3-VAR
735,  0,  0.0575964,  0,  0,  0,  0,  FASE3-VAR
1157,  0,  0.0575964,  0,  0,  0,  0,  FASE3-VAR
1158,  0,  0.0575964,  0,  0,  0,  0,  FASE3-VAR
1159,  0,  0.0575964,  0,  0,  0,  0,  FASE3-VAR
1160,  0,  0.0575964,  0,  0,  0,  0,  FASE3-VAR
1161,  0,  0.0575964,  0,  0,  0,  0,  FASE3-VAR
1162,  0,  0.0575964,  0,  0,  0,  0,  FASE3-VAR
1163,  0,  0.0575964,  0,  0,  0,  0,  FASE3-VAR
1164,  0,  0.0575964,  0,  0,  0,  0,  FASE3-VAR
1165,  0,  0.0575964,  0,  0,  0,  0,  FASE3-VAR
1166,  0,  0.0575964,  0,  0,  0,  0,  FASE3-VAR
1167,  0,  0.0575964,  0,  0,  0,  0,  FASE3-VAR
1168,  0,  0.0575964,  0,  0,  0,  0,  FASE3-VAR
1169,  0,  0.0575964,  0,  0,  0,  0,  FASE3-VAR
1170,  0,  0.0575964,  0,  0,  0,  0,  FASE3-VAR
1171,  0,  0.0575964,  0,  0,  0,  0,  FASE3-VAR
1172,  0,  0.0575964,  0,  0,  0,  0,  FASE3-VAR
1173,  0,  0.0575964,  0,  0,  0,  0,  FASE3-VAR
1174,  0,  0.0575964,  0,  0,  0,  0,  FASE3-VAR
1175,  0,  0.0575964,  0,  0,  0,  0,  FASE3-VAR
1176,  0,  0.0575964,  0,  0,  0,  0,  FASE3-VAR
1177,  0,  0.0575964,  0,  0,  0,  0,  FASE3-VAR
1178,  0,  0.0575964,  0,  0,  0,  0,  FASE3-VAR
1179,  0,  0.0575964,  0,  0,  0,  0,  FASE3-VAR
1180,  0,  0.0575964,  0,  0,  0,  0,  FASE3-VAR
1181,  0,  0.0575964,  0,  0,  0,  0,  FASE3-VAR
1182,  0,  0.0575964,  0,  0,  0,  0,  FASE3-VAR
1183,  0,  0.0575964,  0,  0,  0,  0,  FASE3-VAR
1184,  0,  0.0575964,  0,  0,  0,  0,  FASE3-VAR
1185,  0,  0.0575964,  0,  0,  0,  0,  FASE3-VAR
1186,  0,  0.0575964,  0,  0,  0,  0,  FASE3-VAR
1187,  0,  0.0575964,  0,  0,  0,  0,  FASE3-VAR
1188,  0,  0.0575964,  0,  0,  0,  0,  FASE3-VAR
1189,  0,  0.0575964,  0,  0,  0,  0,  FASE3-VAR
1190,  0,  0.0575964,  0,  0,  0,  0,  FASE3-VAR
1191,  0,  0.0575964,  0,  0,  0,  0,  FASE3-VAR
1192,  0,  0.0575964,  0,  0,  0,  0,  FASE3-VAR
1193,  0,  0.0575964,  0,  0,  0,  0,  FASE3-VAR
1194,  0,  0.0575964,  0,  0,  0,  0,  FASE3-VAR
1195,  0,  0.0575964,  0,  0,  0,  0,  FASE3-VAR
1196,  0,  0.0575964,  0,  0,  0,  0,  FASE3-VAR
1197,  0,  0.0575964,  0,  0,  0,  0,  FASE3-VAR
1198,  0,  0.0575964,  0,  0,  0,  0,  FASE3-VAR
1241,  0,  0.0575964,  0,  0,  0,  0,  FASE3-VAR
1242,  0,  0.0575964,  0,  0,  0,  0,  FASE3-VAR
1243,  0,  0.0575964,  0,  0,  0,  0,  FASE3-VAR
1244,  0,  0.0575964,  0,  0,  0,  0,  FASE3-VAR
1245,  0,  0.0575964,  0,  0,  0,  0,  FASE3-VAR
1246,  0,  0.0575964,  0,  0,  0,  0,  FASE3-VAR
1247,  0,  0.0575964,  0,  0,  0,  0,  FASE3-VAR
1248,  0,  0.0575964,  0,  0,  0,  0,  FASE3-VAR
```

PROJECT TITLE :

	Company		Client	
	Author		File Name	Brembiolo1_08_completo(fasi)DEFINITIVO.mgt

```
1249,  0,  0.0575964,  0,  0,  0,  0,  FASE3-VAR
1250,  0,  0.0575964,  0,  0,  0,  0,  FASE3-VAR
1251,  0,  0.0575964,  0,  0,  0,  0,  FASE3-VAR
1252,  0,  0.0575964,  0,  0,  0,  0,  FASE3-VAR
1253,  0,  0.0575964,  0,  0,  0,  0,  FASE3-VAR
1254,  0,  0.0575964,  0,  0,  0,  0,  FASE3-VAR
1255,  0,  0.0575964,  0,  0,  0,  0,  FASE3-VAR
1256,  0,  0.0575964,  0,  0,  0,  0,  FASE3-VAR
1257,  0,  0.0575964,  0,  0,  0,  0,  FASE3-VAR
1258,  0,  0.0575964,  0,  0,  0,  0,  FASE3-VAR
1259,  0,  0.0575964,  0,  0,  0,  0,  FASE3-VAR
1260,  0,  0.0575964,  0,  0,  0,  0,  FASE3-VAR
1261,  0,  0.0575964,  0,  0,  0,  0,  FASE3-VAR
1262,  0,  0.0575964,  0,  0,  0,  0,  FASE3-VAR
1263,  0,  0.0575964,  0,  0,  0,  0,  FASE3-VAR
1264,  0,  0.0575964,  0,  0,  0,  0,  FASE3-VAR
1265,  0,  0.0575964,  0,  0,  0,  0,  FASE3-VAR
1266,  0,  0.0575964,  0,  0,  0,  0,  FASE3-VAR
1267,  0,  0.0575964,  0,  0,  0,  0,  FASE3-VAR
1268,  0,  0.0575964,  0,  0,  0,  0,  FASE3-VAR
1269,  0,  0.0575964,  0,  0,  0,  0,  FASE3-VAR
1270,  0,  0.0575964,  0,  0,  0,  0,  FASE3-VAR
1271,  0,  0.0575964,  0,  0,  0,  0,  FASE3-VAR
1272,  0,  0.0575964,  0,  0,  0,  0,  FASE3-VAR
1273,  0,  0.0575964,  0,  0,  0,  0,  FASE3-VAR
1274,  0,  0.0575964,  0,  0,  0,  0,  FASE3-VAR
1275,  0,  0.0575964,  0,  0,  0,  0,  FASE3-VAR
1276,  0,  0.0575964,  0,  0,  0,  0,  FASE3-VAR
1277,  0,  0.0575964,  0,  0,  0,  0,  FASE3-VAR
1278,  0,  0.0575964,  0,  0,  0,  0,  FASE3-VAR
1279,  0,  0.0575964,  0,  0,  0,  0,  FASE3-VAR
1280,  0,  0.0575964,  0,  0,  0,  0,  FASE3-VAR
1281,  0,  0.0575964,  0,  0,  0,  0,  FASE3-VAR
1282,  0,  0.0575964,  0,  0,  0,  0,  FASE3-VAR
1283,  0,  0.0575964,  0,  0,  0,  0,  FASE3-VAR
1284,  0,  0.0575964,  0,  0,  0,  0,  FASE3-VAR
1285,  0,  0.0575964,  0,  0,  0,  0,  FASE3-VAR
1286,  0,  0.0575964,  0,  0,  0,  0,  FASE3-VAR
1287,  0,  0.0575964,  0,  0,  0,  0,  FASE3-VAR
1288,  0,  0.0575964,  0,  0,  0,  0,  FASE3-VAR
1289,  0,  0.0575964,  0,  0,  0,  0,  FASE3-VAR
1290,  0,  0.0575964,  0,  0,  0,  0,  FASE3-VAR
1291,  0,  0.0575964,  0,  0,  0,  0,  FASE3-VAR
1292,  0,  0.0575964,  0,  0,  0,  0,  FASE3-VAR
1293,  0,  0.0575964,  0,  0,  0,  0,  FASE3-VAR
1294,  0,  0.0575964,  0,  0,  0,  0,  FASE3-VAR
1295,  0,  0.0575964,  0,  0,  0,  0,  FASE3-VAR
1296,  0,  0.0575964,  0,  0,  0,  0,  FASE3-VAR
1297,  0,  0.0575964,  0,  0,  0,  0,  FASE3-VAR
1298,  0,  0.0575964,  0,  0,  0,  0,  FASE3-VAR
1299,  0,  0.0575964,  0,  0,  0,  0,  FASE3-VAR
1300,  0,  0.0575964,  0,  0,  0,  0,  FASE3-VAR
1301,  0,  0.0575964,  0,  0,  0,  0,  FASE3-VAR
1302,  0,  0.0575964,  0,  0,  0,  0,  FASE3-VAR
1303,  0,  0.0575964,  0,  0,  0,  0,  FASE3-VAR
1304,  0,  0.0575964,  0,  0,  0,  0,  FASE3-VAR
1305,  0,  0.0575964,  0,  0,  0,  0,  FASE3-VAR
1306,  0,  0.0575964,  0,  0,  0,  0,  FASE3-VAR
1307,  0,  0.0575964,  0,  0,  0,  0,  FASE3-VAR
1308,  0,  0.0575964,  0,  0,  0,  0,  FASE3-VAR
1309,  0,  0.0575964,  0,  0,  0,  0,  FASE3-VAR
1310,  0,  0.0575964,  0,  0,  0,  0,  FASE3-VAR
1311,  0,  0.0575964,  0,  0,  0,  0,  FASE3-VAR
1312,  0,  0.0575964,  0,  0,  0,  0,  FASE3-VAR
1313,  0,  0.0575964,  0,  0,  0,  0,  FASE3-VAR
1314,  0,  0.0575964,  0,  0,  0,  0,  FASE3-VAR
1315,  0,  0.0575964,  0,  0,  0,  0,  FASE3-VAR
1316,  0,  0.0575964,  0,  0,  0,  0,  FASE3-VAR
1317,  0,  0.0575964,  0,  0,  0,  0,  FASE3-VAR
1318,  0,  0.0575964,  0,  0,  0,  0,  FASE3-VAR
1319,  0,  0.0575964,  0,  0,  0,  0,  FASE3-VAR
1320,  0,  0.0575964,  0,  0,  0,  0,  FASE3-VAR
1321,  0,  0.0575964,  0,  0,  0,  0,  FASE3-VAR
1322,  0,  0.0575964,  0,  0,  0,  0,  FASE3-VAR
1323,  0,  0.0575964,  0,  0,  0,  0,  FASE3-VAR
1324,  0,  0.0575964,  0,  0,  0,  0,  FASE3-VAR
1325,  0,  0.0575964,  0,  0,  0,  0,  FASE3-VAR
1326,  0,  0.0575964,  0,  0,  0,  0,  FASE3-VAR
```

PROJECT TITLE :

	Company		Client	
	Author		File Name	Brembiolo1_08_completo(fasi)DEFINITIVO.mgt

```
1327,  0,  0.0575964,  0,  0,  0,  0,  FASE3-VAR
1328,  0,  0.0575964,  0,  0,  0,  0,  FASE3-VAR
1329,  0,  0.0575964,  0,  0,  0,  0,  FASE3-VAR
1330,  0,  0.0575964,  0,  0,  0,  0,  FASE3-VAR
1331,  0,  0.0575964,  0,  0,  0,  0,  FASE3-VAR
1332,  0,  0.0575964,  0,  0,  0,  0,  FASE3-VAR
1333,  0,  0.0575964,  0,  0,  0,  0,  FASE3-VAR
1334,  0,  0.0575964,  0,  0,  0,  0,  FASE3-VAR
1335,  0,  0.0575964,  0,  0,  0,  0,  FASE3-VAR
1336,  0,  0.0575964,  0,  0,  0,  0,  FASE3-VAR
1337,  0,  0.0575964,  0,  0,  0,  0,  FASE3-VAR
1338,  0,  0.0575964,  0,  0,  0,  0,  FASE3-VAR
1339,  0,  0.0575964,  0,  0,  0,  0,  FASE3-VAR
1340,  0,  0.0575964,  0,  0,  0,  0,  FASE3-VAR
1341,  0,  0.0575964,  0,  0,  0,  0,  FASE3-VAR
1342,  0,  0.0575964,  0,  0,  0,  0,  FASE3-VAR
1343,  0,  0.0575964,  0,  0,  0,  0,  FASE3-VAR
1344,  0,  0.0575964,  0,  0,  0,  0,  FASE3-VAR
1345,  0,  0.0575964,  0,  0,  0,  0,  FASE3-VAR
1346,  0,  0.0575964,  0,  0,  0,  0,  FASE3-VAR
1347,  0,  0.0575964,  0,  0,  0,  0,  FASE3-VAR
1348,  0,  0.0575964,  0,  0,  0,  0,  FASE3-VAR
1349,  0,  0.0575964,  0,  0,  0,  0,  FASE3-VAR
1350,  0,  0.0575964,  0,  0,  0,  0,  FASE3-VAR
1351,  0,  0.0575964,  0,  0,  0,  0,  FASE3-VAR
1352,  0,  0.0575964,  0,  0,  0,  0,  FASE3-VAR
1353,  0,  0.0575964,  0,  0,  0,  0,  FASE3-VAR
1354,  0,  0.0575964,  0,  0,  0,  0,  FASE3-VAR
1355,  0,  0.0575964,  0,  0,  0,  0,  FASE3-VAR
1356,  0,  0.0575964,  0,  0,  0,  0,  FASE3-VAR
1357,  0,  0.0575964,  0,  0,  0,  0,  FASE3-VAR
1358,  0,  0.0575964,  0,  0,  0,  0,  FASE3-VAR
1359,  0,  0.0575964,  0,  0,  0,  0,  FASE3-VAR
1360,  0,  0.0575964,  0,  0,  0,  0,  FASE3-VAR
1361,  0,  0.0575964,  0,  0,  0,  0,  FASE3-VAR
1362,  0,  0.0575964,  0,  0,  0,  0,  FASE3-VAR
1363,  0,  0.0575964,  0,  0,  0,  0,  FASE3-VAR
1364,  0,  0.0575964,  0,  0,  0,  0,  FASE3-VAR
1365,  0,  0.0575964,  0,  0,  0,  0,  FASE3-VAR
1366,  0,  0.0575964,  0,  0,  0,  0,  FASE3-VAR
1367,  0,  0.0575964,  0,  0,  0,  0,  FASE3-VAR
1368,  0,  0.0575964,  0,  0,  0,  0,  FASE3-VAR
1369,  0,  0.0575964,  0,  0,  0,  0,  FASE3-VAR
1370,  0,  0.0575964,  0,  0,  0,  0,  FASE3-VAR
1371,  0,  0.0575964,  0,  0,  0,  0,  FASE3-VAR
1372,  0,  0.0575964,  0,  0,  0,  0,  FASE3-VAR
1373,  0,  0.0575964,  0,  0,  0,  0,  FASE3-VAR
1374,  0,  0.0575964,  0,  0,  0,  0,  FASE3-VAR
1375,  0,  0.0575964,  0,  0,  0,  0,  FASE3-VAR
1376,  0,  0.0575964,  0,  0,  0,  0,  FASE3-VAR
1377,  0,  0.0575964,  0,  0,  0,  0,  FASE3-VAR
1378,  0,  0.0575964,  0,  0,  0,  0,  FASE3-VAR
1379,  0,  0.0575964,  0,  0,  0,  0,  FASE3-VAR
1380,  0,  0.0575964,  0,  0,  0,  0,  FASE3-VAR
1381,  0,  0.0575964,  0,  0,  0,  0,  FASE3-VAR
1382,  0,  0.0575964,  0,  0,  0,  0,  FASE3-VAR
1383,  0,  0.0575964,  0,  0,  0,  0,  FASE3-VAR
1384,  0,  0.0575964,  0,  0,  0,  0,  FASE3-VAR
1385,  0,  0.0575964,  0,  0,  0,  0,  FASE3-VAR
1386,  0,  0.0575964,  0,  0,  0,  0,  FASE3-VAR
1387,  0,  0.0575964,  0,  0,  0,  0,  FASE3-VAR
1388,  0,  0.0575964,  0,  0,  0,  0,  FASE3-VAR
1389,  0,  0.0575964,  0,  0,  0,  0,  FASE3-VAR
1390,  0,  0.0575964,  0,  0,  0,  0,  FASE3-VAR
1391,  0,  0.0575964,  0,  0,  0,  0,  FASE3-VAR
1392,  0,  0.0575964,  0,  0,  0,  0,  FASE3-VAR
1393,  0,  0.0575964,  0,  0,  0,  0,  FASE3-VAR
1394,  0,  0.0575964,  0,  0,  0,  0,  FASE3-VAR
1395,  0,  0.0575964,  0,  0,  0,  0,  FASE3-VAR
1396,  0,  0.0575964,  0,  0,  0,  0,  FASE3-VAR
1397,  0,  0.0575964,  0,  0,  0,  0,  FASE3-VAR
1398,  0,  0.0575964,  0,  0,  0,  0,  FASE3-VAR
1399,  0,  0.0575964,  0,  0,  0,  0,  FASE3-VAR
1400,  0,  0.0575964,  0,  0,  0,  0,  FASE3-VAR
1401,  0,  0.0575964,  0,  0,  0,  0,  FASE3-VAR
1402,  0,  0.0575964,  0,  0,  0,  0,  FASE3-VAR
1403,  0,  0.0575964,  0,  0,  0,  0,  FASE3-VAR
1404,  0,  0.0575964,  0,  0,  0,  0,  FASE3-VAR
```

PROJECT TITLE :

	Company		Client	
	Author		File Name	Brembiolo1_08_completo(fasi)DEFINITIVO.mgt

```
1405,  0,  0.0575964,  0,  0,  0,  0,  FASE3-VAR
1406,  0,  0.0575964,  0,  0,  0,  0,  FASE3-VAR
1407,  0,  0.0575964,  0,  0,  0,  0,  FASE3-VAR
1408,  0,  0.0575964,  0,  0,  0,  0,  FASE3-VAR
1409,  0,  0.0575964,  0,  0,  0,  0,  FASE3-VAR
1410,  0,  0.0575964,  0,  0,  0,  0,  FASE3-VAR
1411,  0,  0.0575964,  0,  0,  0,  0,  FASE3-VAR
1412,  0,  0.0575964,  0,  0,  0,  0,  FASE3-VAR
1413,  0,  0.0575964,  0,  0,  0,  0,  FASE3-VAR
1414,  0,  0.0575964,  0,  0,  0,  0,  FASE3-VAR
1415,  0,  0.0575964,  0,  0,  0,  0,  FASE3-VAR
1416,  0,  0.0575964,  0,  0,  0,  0,  FASE3-VAR
1417,  0,  0.0575964,  0,  0,  0,  0,  FASE3-VAR
1418,  0,  0.0575964,  0,  0,  0,  0,  FASE3-VAR
1419,  0,  0.0575964,  0,  0,  0,  0,  FASE3-VAR
1420,  0,  0.0575964,  0,  0,  0,  0,  FASE3-VAR
1421,  0,  0.0575964,  0,  0,  0,  0,  FASE3-VAR
1422,  0,  0.0575964,  0,  0,  0,  0,  FASE3-VAR
1423,  0,  0.0575964,  0,  0,  0,  0,  FASE3-VAR
1424,  0,  0.0575964,  0,  0,  0,  0,  FASE3-VAR
1425,  0,  0.0575964,  0,  0,  0,  0,  FASE3-VAR
1426,  0,  0.0575964,  0,  0,  0,  0,  FASE3-VAR
1427,  0,  0.0575964,  0,  0,  0,  0,  FASE3-VAR
1428,  0,  0.0575964,  0,  0,  0,  0,  FASE3-VAR
1429,  0,  0.0575964,  0,  0,  0,  0,  FASE3-VAR
1430,  0,  0.0575964,  0,  0,  0,  0,  FASE3-VAR
1431,  0,  0.0575964,  0,  0,  0,  0,  FASE3-VAR
1432,  0,  0.0575964,  0,  0,  0,  0,  FASE3-VAR
1433,  0,  0.0575964,  0,  0,  0,  0,  FASE3-VAR
1434,  0,  0.0575964,  0,  0,  0,  0,  FASE3-VAR
1435,  0,  0.0575964,  0,  0,  0,  0,  FASE3-VAR
1436,  0,  0.0575964,  0,  0,  0,  0,  FASE3-VAR
1437,  0,  0.0575964,  0,  0,  0,  0,  FASE3-VAR
1438,  0,  0.0575964,  0,  0,  0,  0,  FASE3-VAR
1439,  0,  0.0575964,  0,  0,  0,  0,  FASE3-VAR
1440,  0,  0.0575964,  0,  0,  0,  0,  FASE3-VAR
1441,  0,  0.0575964,  0,  0,  0,  0,  FASE3-VAR
1442,  0,  0.0575964,  0,  0,  0,  0,  FASE3-VAR
1443,  0,  0.0575964,  0,  0,  0,  0,  FASE3-VAR
1444,  0,  0.0575964,  0,  0,  0,  0,  FASE3-VAR
1445,  0,  0.0575964,  0,  0,  0,  0,  FASE3-VAR
1446,  0,  0.0575964,  0,  0,  0,  0,  FASE3-VAR
1447,  0,  0.0575964,  0,  0,  0,  0,  FASE3-VAR
1448,  0,  0.0575964,  0,  0,  0,  0,  FASE3-VAR
1449,  0,  0.0575964,  0,  0,  0,  0,  FASE3-VAR
1450,  0,  0.0575964,  0,  0,  0,  0,  FASE3-VAR
1451,  0,  0.0575964,  0,  0,  0,  0,  FASE3-VAR
1452,  0,  0.0575964,  0,  0,  0,  0,  FASE3-VAR
1453,  0,  0.0575964,  0,  0,  0,  0,  FASE3-VAR
1454,  0,  0.0575964,  0,  0,  0,  0,  FASE3-VAR
1455,  0,  0.0575964,  0,  0,  0,  0,  FASE3-VAR
1456,  0,  0.0575964,  0,  0,  0,  0,  FASE3-VAR
1457,  0,  0.0575964,  0,  0,  0,  0,  FASE3-VAR
1458,  0,  0.0575964,  0,  0,  0,  0,  FASE3-VAR
1459,  0,  0.0575964,  0,  0,  0,  0,  FASE3-VAR
1460,  0,  0.0575964,  0,  0,  0,  0,  FASE3-VAR
1461,  0,  0.0575964,  0,  0,  0,  0,  FASE3-VAR
1462,  0,  0.0575964,  0,  0,  0,  0,  FASE3-VAR
1463,  0,  0.0575964,  0,  0,  0,  0,  FASE3-VAR
1464,  0,  0.0575964,  0,  0,  0,  0,  FASE3-VAR
1465,  0,  0.0575964,  0,  0,  0,  0,  FASE3-VAR
1466,  0,  0.0575964,  0,  0,  0,  0,  FASE3-VAR
1467,  0,  0.0575964,  0,  0,  0,  0,  FASE3-VAR
1468,  0,  0.0575964,  0,  0,  0,  0,  FASE3-VAR
1469,  0,  0.0575964,  0,  0,  0,  0,  FASE3-VAR
1470,  0,  0.0575964,  0,  0,  0,  0,  FASE3-VAR
1471,  0,  0.0575964,  0,  0,  0,  0,  FASE3-VAR
1472,  0,  0.0575964,  0,  0,  0,  0,  FASE3-VAR
1473,  0,  0.0575964,  0,  0,  0,  0,  FASE3-VAR
1474,  0,  0.0575964,  0,  0,  0,  0,  FASE3-VAR
1475,  0,  0.0575964,  0,  0,  0,  0,  FASE3-VAR
1476,  0,  0.0575964,  0,  0,  0,  0,  FASE3-VAR
1477,  0,  0.0575964,  0,  0,  0,  0,  FASE3-VAR
1478,  0,  0.0575964,  0,  0,  0,  0,  FASE3-VAR
1479,  0,  0.0575964,  0,  0,  0,  0,  FASE3-VAR
1480,  0,  0.0575964,  0,  0,  0,  0,  FASE3-VAR
1481,  0,  0.0575964,  0,  0,  0,  0,  FASE3-VAR
1482,  0,  0.0575964,  0,  0,  0,  0,  FASE3-VAR
```

PROJECT TITLE :

	Company		Client	
	Author		File Name	Brembiolo1_08_completo(fasi)DEFINITIVO.mgt

```
1483,  0,  0.0575964,  0,  0,  0,  0,  FASE3-VAR
1484,  0,  0.0575964,  0,  0,  0,  0,  FASE3-VAR
1485,  0,  0.0575964,  0,  0,  0,  0,  FASE3-VAR
1486,  0,  0.0575964,  0,  0,  0,  0,  FASE3-VAR
1487,  0,  0.0575964,  0,  0,  0,  0,  FASE3-VAR
1488,  0,  0.0575964,  0,  0,  0,  0,  FASE3-VAR
1489,  0,  0.0575964,  0,  0,  0,  0,  FASE3-VAR
1490,  0,  0.0575964,  0,  0,  0,  0,  FASE3-VAR
1491,  0,  0.0575964,  0,  0,  0,  0,  FASE3-VAR
1492,  0,  0.0575964,  0,  0,  0,  0,  FASE3-VAR
1493,  0,  0.0575964,  0,  0,  0,  0,  FASE3-VAR
1494,  0,  0.0575964,  0,  0,  0,  0,  FASE3-VAR
1495,  0,  0.0575964,  0,  0,  0,  0,  FASE3-VAR
1496,  0,  0.0575964,  0,  0,  0,  0,  FASE3-VAR
1497,  0,  0.0575964,  0,  0,  0,  0,  FASE3-VAR
1498,  0,  0.0575964,  0,  0,  0,  0,  FASE3-VAR
1499,  0,  0.0575964,  0,  0,  0,  0,  FASE3-VAR
1500,  0,  0.0575964,  0,  0,  0,  0,  FASE3-VAR
1501,  0,  0.0575964,  0,  0,  0,  0,  FASE3-VAR
1502,  0,  0.0575964,  0,  0,  0,  0,  FASE3-VAR
1503,  0,  0.0575964,  0,  0,  0,  0,  FASE3-VAR
1504,  0,  0.0575964,  0,  0,  0,  0,  FASE3-VAR
1505,  0,  0.0575964,  0,  0,  0,  0,  FASE3-VAR
1506,  0,  0.0575964,  0,  0,  0,  0,  FASE3-VAR
1507,  0,  0.0575964,  0,  0,  0,  0,  FASE3-VAR
1508,  0,  0.0575964,  0,  0,  0,  0,  FASE3-VAR
1509,  0,  0.0575964,  0,  0,  0,  0,  FASE3-VAR
1510,  0,  0.0575964,  0,  0,  0,  0,  FASE3-VAR
1511,  0,  0.0575964,  0,  0,  0,  0,  FASE3-VAR
1512,  0,  0.0575964,  0,  0,  0,  0,  FASE3-VAR
1513,  0,  0.0575964,  0,  0,  0,  0,  FASE3-VAR
1514,  0,  0.0575964,  0,  0,  0,  0,  FASE3-VAR
1515,  0,  0.0575964,  0,  0,  0,  0,  FASE3-VAR
1516,  0,  0.0575964,  0,  0,  0,  0,  FASE3-VAR
1517,  0,  0.0575964,  0,  0,  0,  0,  FASE3-VAR
1518,  0,  0.0575964,  0,  0,  0,  0,  FASE3-VAR
1519,  0,  0.0575964,  0,  0,  0,  0,  FASE3-VAR
1520,  0,  0.0575964,  0,  0,  0,  0,  FASE3-VAR
1521,  0,  0.0575964,  0,  0,  0,  0,  FASE3-VAR
1522,  0,  0.0575964,  0,  0,  0,  0,  FASE3-VAR
1523,  0,  0.0575964,  0,  0,  0,  0,  FASE3-VAR
1524,  0,  0.0575964,  0,  0,  0,  0,  FASE3-VAR
1525,  0,  0.0575964,  0,  0,  0,  0,  FASE3-VAR
1526,  0,  0.0575964,  0,  0,  0,  0,  FASE3-VAR
1527,  0,  0.0575964,  0,  0,  0,  0,  FASE3-VAR
1528,  0,  0.0575964,  0,  0,  0,  0,  FASE3-VAR
1529,  0,  0.0575964,  0,  0,  0,  0,  FASE3-VAR
1530,  0,  0.0575964,  0,  0,  0,  0,  FASE3-VAR
1531,  0,  0.0575964,  0,  0,  0,  0,  FASE3-VAR
1532,  0,  0.0575964,  0,  0,  0,  0,  FASE3-VAR
1533,  0,  0.0575964,  0,  0,  0,  0,  FASE3-VAR
1534,  0,  0.0575964,  0,  0,  0,  0,  FASE3-VAR
1535,  0,  0.0575964,  0,  0,  0,  0,  FASE3-VAR
1536,  0,  0.0575964,  0,  0,  0,  0,  FASE3-VAR
1537,  0,  0.0575964,  0,  0,  0,  0,  FASE3-VAR
1538,  0,  0.0575964,  0,  0,  0,  0,  FASE3-VAR
1539,  0,  0.0575964,  0,  0,  0,  0,  FASE3-VAR
1540,  0,  0.0575964,  0,  0,  0,  0,  FASE3-VAR
1541,  0,  0.0575964,  0,  0,  0,  0,  FASE3-VAR
1542,  0,  0.0575964,  0,  0,  0,  0,  FASE3-VAR
1543,  0,  0.0575964,  0,  0,  0,  0,  FASE3-VAR
1544,  0,  0.0575964,  0,  0,  0,  0,  FASE3-VAR
1545,  0,  0.0575964,  0,  0,  0,  0,  FASE3-VAR
1546,  0,  0.0575964,  0,  0,  0,  0,  FASE3-VAR
1547,  0,  0.0575964,  0,  0,  0,  0,  FASE3-VAR
1548,  0,  0.0575964,  0,  0,  0,  0,  FASE3-VAR
1549,  0,  0.0575964,  0,  0,  0,  0,  FASE3-VAR
1550,  0,  0.0575964,  0,  0,  0,  0,  FASE3-VAR
1551,  0,  0.0575964,  0,  0,  0,  0,  FASE3-VAR
1552,  0,  0.0575964,  0,  0,  0,  0,  FASE3-VAR
1553,  0,  0.0575964,  0,  0,  0,  0,  FASE3-VAR
1554,  0,  0.0575964,  0,  0,  0,  0,  FASE3-VAR
1555,  0,  0.0575964,  0,  0,  0,  0,  FASE3-VAR
1556,  0,  0.0575964,  0,  0,  0,  0,  FASE3-VAR
1557,  0,  0.0575964,  0,  0,  0,  0,  FASE3-VAR
1558,  0,  0.0575964,  0,  0,  0,  0,  FASE3-VAR
1559,  0,  0.0575964,  0,  0,  0,  0,  FASE3-VAR
1560,  0,  0.0575964,  0,  0,  0,  0,  FASE3-VAR
```

PROJECT TITLE :

	Company		Client	
	Author		File Name	Brembiolo1_08_completo(fasi)DEFINITIVO.mgt

```
1561,  0,  0.0575964,  0,  0,  0,  0,  FASE3-VAR
1562,  0,  0.0575964,  0,  0,  0,  0,  FASE3-VAR
1563,  0,  0.0575964,  0,  0,  0,  0,  FASE3-VAR
1564,  0,  0.0575964,  0,  0,  0,  0,  FASE3-VAR
1565,  0,  0.0575964,  0,  0,  0,  0,  FASE3-VAR
1566,  0,  0.0575964,  0,  0,  0,  0,  FASE3-VAR
1567,  0,  0.0575964,  0,  0,  0,  0,  FASE3-VAR
1568,  0,  0.0575964,  0,  0,  0,  0,  FASE3-VAR
1569,  0,  0.0575964,  0,  0,  0,  0,  FASE3-VAR
1570,  0,  0.0575964,  0,  0,  0,  0,  FASE3-VAR
1571,  0,  0.0575964,  0,  0,  0,  0,  FASE3-VAR
1572,  0,  0.0575964,  0,  0,  0,  0,  FASE3-VAR
1573,  0,  0.0575964,  0,  0,  0,  0,  FASE3-VAR
1574,  0,  0.0575964,  0,  0,  0,  0,  FASE3-VAR
1575,  0,  0.0575964,  0,  0,  0,  0,  FASE3-VAR
1576,  0,  0.0575964,  0,  0,  0,  0,  FASE3-VAR
1577,  0,  0.0575964,  0,  0,  0,  0,  FASE3-VAR
1578,  0,  0.0575964,  0,  0,  0,  0,  FASE3-VAR
1579,  0,  0.0575964,  0,  0,  0,  0,  FASE3-VAR
1580,  0,  0.0575964,  0,  0,  0,  0,  FASE3-VAR
1581,  0,  0.0575964,  0,  0,  0,  0,  FASE3-VAR
1582,  0,  0.0575964,  0,  0,  0,  0,  FASE3-VAR
1583,  0,  0.0575964,  0,  0,  0,  0,  FASE3-VAR
1584,  0,  0.0575964,  0,  0,  0,  0,  FASE3-VAR
1585,  0,  0.0575964,  0,  0,  0,  0,  FASE3-VAR
1586,  0,  0.0575964,  0,  0,  0,  0,  FASE3-VAR
1587,  0,  0.0575964,  0,  0,  0,  0,  FASE3-VAR
1588,  0,  0.0575964,  0,  0,  0,  0,  FASE3-VAR
1589,  0,  0.0575964,  0,  0,  0,  0,  FASE3-VAR
1590,  0,  0.0575964,  0,  0,  0,  0,  FASE3-VAR
1591,  0,  0.0575964,  0,  0,  0,  0,  FASE3-VAR
1592,  0,  0.0575964,  0,  0,  0,  0,  FASE3-VAR
1593,  0,  0.0575964,  0,  0,  0,  0,  FASE3-VAR
1594,  0,  0.0575964,  0,  0,  0,  0,  FASE3-VAR
1595,  0,  0.0575964,  0,  0,  0,  0,  FASE3-VAR
1596,  0,  0.0575964,  0,  0,  0,  0,  FASE3-VAR
1597,  0,  0.0575964,  0,  0,  0,  0,  FASE3-VAR
1598,  0,  0.0575964,  0,  0,  0,  0,  FASE3-VAR
1599,  0,  0.0575964,  0,  0,  0,  0,  FASE3-VAR
1600,  0,  0.0575964,  0,  0,  0,  0,  FASE3-VAR
1601,  0,  0.0575964,  0,  0,  0,  0,  FASE3-VAR
1602,  0,  0.0575964,  0,  0,  0,  0,  FASE3-VAR
1603,  0,  0.0575964,  0,  0,  0,  0,  FASE3-VAR
1604,  0,  0.0575964,  0,  0,  0,  0,  FASE3-VAR
1605,  0,  0.0575964,  0,  0,  0,  0,  FASE3-VAR
1606,  0,  0.0575964,  0,  0,  0,  0,  FASE3-VAR
1607,  0,  0.0575964,  0,  0,  0,  0,  FASE3-VAR
1608,  0,  0.0575964,  0,  0,  0,  0,  FASE3-VAR
1609,  0,  0.0575964,  0,  0,  0,  0,  FASE3-VAR
1610,  0,  0.0575964,  0,  0,  0,  0,  FASE3-VAR
1611,  0,  0.0575964,  0,  0,  0,  0,  FASE3-VAR
1612,  0,  0.0575964,  0,  0,  0,  0,  FASE3-VAR
1613,  0,  0.0575964,  0,  0,  0,  0,  FASE3-VAR
1614,  0,  0.0575964,  0,  0,  0,  0,  FASE3-VAR
1615,  0,  0.0575964,  0,  0,  0,  0,  FASE3-VAR
1616,  0,  0.0575964,  0,  0,  0,  0,  FASE3-VAR
1617,  0,  0.0575964,  0,  0,  0,  0,  FASE3-VAR
1618,  0,  0.0575964,  0,  0,  0,  0,  FASE3-VAR
1619,  0,  0.0575964,  0,  0,  0,  0,  FASE3-VAR
1620,  0,  0.0575964,  0,  0,  0,  0,  FASE3-VAR
1621,  0,  0.0575964,  0,  0,  0,  0,  FASE3-VAR
1622,  0,  0.0575964,  0,  0,  0,  0,  FASE3-VAR
1623,  0,  0.0575964,  0,  0,  0,  0,  FASE3-VAR
1624,  0,  0.0575964,  0,  0,  0,  0,  FASE3-VAR
1625,  0,  0.0575964,  0,  0,  0,  0,  FASE3-VAR
1626,  0,  0.0575964,  0,  0,  0,  0,  FASE3-VAR
1627,  0,  0.0575964,  0,  0,  0,  0,  FASE3-VAR
1628,  0,  0.0575964,  0,  0,  0,  0,  FASE3-VAR
1629,  0,  0.0575964,  0,  0,  0,  0,  FASE3-VAR
1630,  0,  0.0575964,  0,  0,  0,  0,  FASE3-VAR
1631,  0,  0.0575964,  0,  0,  0,  0,  FASE3-VAR
1632,  0,  0.0575964,  0,  0,  0,  0,  FASE3-VAR
1633,  0,  0.0575964,  0,  0,  0,  0,  FASE3-VAR
1634,  0,  0.0575964,  0,  0,  0,  0,  FASE3-VAR
1635,  0,  0.0575964,  0,  0,  0,  0,  FASE3-VAR
1636,  0,  0.0575964,  0,  0,  0,  0,  FASE3-VAR
1637,  0,  0.0575964,  0,  0,  0,  0,  FASE3-VAR
1638,  0,  0.0575964,  0,  0,  0,  0,  FASE3-VAR
```

PROJECT TITLE :

	Company		Client	
	Author		File Name	Brembiolo1_08_completo(fasi)DEFINITIVO.mgt

```
1639,  0,  0.0575964,  0,  0,  0,  0,  FASE3-VAR
1640,  0,  0.0575964,  0,  0,  0,  0,  FASE3-VAR
1641,  0,  0.0575964,  0,  0,  0,  0,  FASE3-VAR
1642,  0,  0.0575964,  0,  0,  0,  0,  FASE3-VAR
1643,  0,  0.0575964,  0,  0,  0,  0,  FASE3-VAR
1644,  0,  0.0575964,  0,  0,  0,  0,  FASE3-VAR
1645,  0,  0.0575964,  0,  0,  0,  0,  FASE3-VAR
1646,  0,  0.0575964,  0,  0,  0,  0,  FASE3-VAR
1647,  0,  0.0575964,  0,  0,  0,  0,  FASE3-VAR
1648,  0,  0.0575964,  0,  0,  0,  0,  FASE3-VAR
1649,  0,  0.0575964,  0,  0,  0,  0,  FASE3-VAR
1650,  0,  0.0575964,  0,  0,  0,  0,  FASE3-VAR
1651,  0,  0.0575964,  0,  0,  0,  0,  FASE3-VAR
1652,  0,  0.0575964,  0,  0,  0,  0,  FASE3-VAR
1653,  0,  0.0575964,  0,  0,  0,  0,  FASE3-VAR
1654,  0,  0.0575964,  0,  0,  0,  0,  FASE3-VAR
1655,  0,  0.0575964,  0,  0,  0,  0,  FASE3-VAR
1656,  0,  0.0575964,  0,  0,  0,  0,  FASE3-VAR
1657,  0,  0.0575964,  0,  0,  0,  0,  FASE3-VAR
1658,  0,  0.0575964,  0,  0,  0,  0,  FASE3-VAR
1659,  0,  0.0575964,  0,  0,  0,  0,  FASE3-VAR
1660,  0,  0.0575964,  0,  0,  0,  0,  FASE3-VAR
1661,  0,  0.0575964,  0,  0,  0,  0,  FASE3-VAR
1662,  0,  0.0575964,  0,  0,  0,  0,  FASE3-VAR
1663,  0,  0.0575964,  0,  0,  0,  0,  FASE3-VAR
1664,  0,  0.0575964,  0,  0,  0,  0,  FASE3-VAR
1665,  0,  0.0575964,  0,  0,  0,  0,  FASE3-VAR
1666,  0,  0.0575964,  0,  0,  0,  0,  FASE3-VAR
1667,  0,  0.0575964,  0,  0,  0,  0,  FASE3-VAR
1668,  0,  0.0575964,  0,  0,  0,  0,  FASE3-VAR
1669,  0,  0.0575964,  0,  0,  0,  0,  FASE3-VAR
1670,  0,  0.0575964,  0,  0,  0,  0,  FASE3-VAR
1671,  0,  0.0575964,  0,  0,  0,  0,  FASE3-VAR
1672,  0,  0.0575964,  0,  0,  0,  0,  FASE3-VAR
1673,  0,  0.0575964,  0,  0,  0,  0,  FASE3-VAR
1674,  0,  0.0575964,  0,  0,  0,  0,  FASE3-VAR
1675,  0,  0.0575964,  0,  0,  0,  0,  FASE3-VAR
1676,  0,  0.0575964,  0,  0,  0,  0,  FASE3-VAR
1677,  0,  0.0575964,  0,  0,  0,  0,  FASE3-VAR
1678,  0,  0.0575964,  0,  0,  0,  0,  FASE3-VAR
1679,  0,  0.0575964,  0,  0,  0,  0,  FASE3-VAR
1680,  0,  0.0575964,  0,  0,  0,  0,  FASE3-VAR
1681,  0,  0.0575964,  0,  0,  0,  0,  FASE3-VAR
1682,  0,  0.0575964,  0,  0,  0,  0,  FASE3-VAR
1683,  0,  0.0575964,  0,  0,  0,  0,  FASE3-VAR
1684,  0,  0.0575964,  0,  0,  0,  0,  FASE3-VAR
1685,  0,  0.0575964,  0,  0,  0,  0,  FASE3-VAR
1686,  0,  0.0575964,  0,  0,  0,  0,  FASE3-VAR
1687,  0,  0.0575964,  0,  0,  0,  0,  FASE3-VAR
1688,  0,  0.0575964,  0,  0,  0,  0,  FASE3-VAR
1689,  0,  0.0575964,  0,  0,  0,  0,  FASE3-VAR
1690,  0,  0.0575964,  0,  0,  0,  0,  FASE3-VAR
1691,  0,  0.0575964,  0,  0,  0,  0,  FASE3-VAR
1692,  0,  0.0575964,  0,  0,  0,  0,  FASE3-VAR
1693,  0,  0.0575964,  0,  0,  0,  0,  FASE3-VAR
1694,  0,  0.0575964,  0,  0,  0,  0,  FASE3-VAR
1695,  0,  0.0575964,  0,  0,  0,  0,  FASE3-VAR
1696,  0,  0.0575964,  0,  0,  0,  0,  FASE3-VAR
1697,  0,  0.0575964,  0,  0,  0,  0,  FASE3-VAR
1698,  0,  0.0575964,  0,  0,  0,  0,  FASE3-VAR
1699,  0,  0.0575964,  0,  0,  0,  0,  FASE3-VAR
1700,  0,  0.0575964,  0,  0,  0,  0,  FASE3-VAR
1701,  0,  0.0575964,  0,  0,  0,  0,  FASE3-VAR
1702,  0,  0.0575964,  0,  0,  0,  0,  FASE3-VAR
1703,  0,  0.0575964,  0,  0,  0,  0,  FASE3-VAR
1704,  0,  0.0575964,  0,  0,  0,  0,  FASE3-VAR
1705,  0,  0.0575964,  0,  0,  0,  0,  FASE3-VAR
1706,  0,  0.0575964,  0,  0,  0,  0,  FASE3-VAR
1707,  0,  0.0575964,  0,  0,  0,  0,  FASE3-VAR
1708,  0,  0.0575964,  0,  0,  0,  0,  FASE3-VAR
1709,  0,  0.0575964,  0,  0,  0,  0,  FASE3-VAR
1710,  0,  0.0575964,  0,  0,  0,  0,  FASE3-VAR
1711,  0,  0.0575964,  0,  0,  0,  0,  FASE3-VAR
1712,  0,  0.0575964,  0,  0,  0,  0,  FASE3-VAR
1713,  0,  0.0575964,  0,  0,  0,  0,  FASE3-VAR
1714,  0,  0.0575964,  0,  0,  0,  0,  FASE3-VAR
1715,  0,  0.0575964,  0,  0,  0,  0,  FASE3-VAR
1716,  0,  0.0575964,  0,  0,  0,  0,  FASE3-VAR
```

PROJECT TITLE :

	Company		Client	
	Author		File Name	Brembiolo1_08_completo(fasi)DEFINITIVO.mgt

```
1717,  0,  0.0575964,  0,  0,  0,  0,  FASE3-VAR
1718,  0,  0.0575964,  0,  0,  0,  0,  FASE3-VAR
1719,  0,  0.0575964,  0,  0,  0,  0,  FASE3-VAR
1720,  0,  0.0575964,  0,  0,  0,  0,  FASE3-VAR
1721,  0,  0.0575964,  0,  0,  0,  0,  FASE3-VAR
1722,  0,  0.0575964,  0,  0,  0,  0,  FASE3-VAR
1723,  0,  0.0575964,  0,  0,  0,  0,  FASE3-VAR
1724,  0,  0.0575964,  0,  0,  0,  0,  FASE3-VAR
1725,  0,  0.0575964,  0,  0,  0,  0,  FASE3-VAR
1726,  0,  0.0575964,  0,  0,  0,  0,  FASE3-VAR
1727,  0,  0.0575964,  0,  0,  0,  0,  FASE3-VAR
1728,  0,  0.0575964,  0,  0,  0,  0,  FASE3-VAR
1729,  0,  0.0575964,  0,  0,  0,  0,  FASE3-VAR
1730,  0,  0.0575964,  0,  0,  0,  0,  FASE3-VAR
1731,  0,  0.0575964,  0,  0,  0,  0,  FASE3-VAR
1732,  0,  0.0575964,  0,  0,  0,  0,  FASE3-VAR
1733,  0,  0.0575964,  0,  0,  0,  0,  FASE3-VAR
1734,  0,  0.0575964,  0,  0,  0,  0,  FASE3-VAR
1735,  0,  0.0575964,  0,  0,  0,  0,  FASE3-VAR
1736,  0,  0.0575964,  0,  0,  0,  0,  FASE3-VAR
1737,  0,  0.0575964,  0,  0,  0,  0,  FASE3-VAR
1738,  0,  0.0575964,  0,  0,  0,  0,  FASE3-VAR
1739,  0,  0.0575964,  0,  0,  0,  0,  FASE3-VAR
1740,  0,  0.0575964,  0,  0,  0,  0,  FASE3-VAR
1741,  0,  0.0575964,  0,  0,  0,  0,  FASE3-VAR
1742,  0,  0.0575964,  0,  0,  0,  0,  FASE3-VAR
1743,  0,  0.0575964,  0,  0,  0,  0,  FASE3-VAR
1744,  0,  0.0575964,  0,  0,  0,  0,  FASE3-VAR
1745,  0,  0.0575964,  0,  0,  0,  0,  FASE3-VAR
1746,  0,  0.0575964,  0,  0,  0,  0,  FASE3-VAR
1747,  0,  0.0575964,  0,  0,  0,  0,  FASE3-VAR
1748,  0,  0.0575964,  0,  0,  0,  0,  FASE3-VAR
1749,  0,  0.0575964,  0,  0,  0,  0,  FASE3-VAR
1750,  0,  0.0575964,  0,  0,  0,  0,  FASE3-VAR
1751,  0,  0.0575964,  0,  0,  0,  0,  FASE3-VAR
1752,  0,  0.0575964,  0,  0,  0,  0,  FASE3-VAR
1753,  0,  0.0575964,  0,  0,  0,  0,  FASE3-VAR
1754,  0,  0.0575964,  0,  0,  0,  0,  FASE3-VAR
1755,  0,  0.0575964,  0,  0,  0,  0,  FASE3-VAR
1756,  0,  0.0575964,  0,  0,  0,  0,  FASE3-VAR
1757,  0,  0.0575964,  0,  0,  0,  0,  FASE3-VAR
1758,  0,  0.0575964,  0,  0,  0,  0,  FASE3-VAR
1759,  0,  0.0575964,  0,  0,  0,  0,  FASE3-VAR
1760,  0,  0.0575964,  0,  0,  0,  0,  FASE3-VAR
1761,  0,  0.0575964,  0,  0,  0,  0,  FASE3-VAR
1762,  0,  0.0575964,  0,  0,  0,  0,  FASE3-VAR
1763,  0,  0.0575964,  0,  0,  0,  0,  FASE3-VAR
1764,  0,  0.0575964,  0,  0,  0,  0,  FASE3-VAR
1765,  0,  0.0575964,  0,  0,  0,  0,  FASE3-VAR
1766,  0,  0.0575964,  0,  0,  0,  0,  FASE3-VAR
1767,  0,  0.0575964,  0,  0,  0,  0,  FASE3-VAR
1768,  0,  0.0575964,  0,  0,  0,  0,  FASE3-VAR
1769,  0,  0.0575964,  0,  0,  0,  0,  FASE3-VAR
1770,  0,  0.0575964,  0,  0,  0,  0,  FASE3-VAR
1771,  0,  0.0575964,  0,  0,  0,  0,  FASE3-VAR
1772,  0,  0.0575964,  0,  0,  0,  0,  FASE3-VAR
1773,  0,  0.0575964,  0,  0,  0,  0,  FASE3-VAR
1774,  0,  0.0575964,  0,  0,  0,  0,  FASE3-VAR
1775,  0,  0.0575964,  0,  0,  0,  0,  FASE3-VAR
1776,  0,  0.0575964,  0,  0,  0,  0,  FASE3-VAR
1777,  0,  0.0575964,  0,  0,  0,  0,  FASE3-VAR
1778,  0,  0.0575964,  0,  0,  0,  0,  FASE3-VAR
1779,  0,  0.0575964,  0,  0,  0,  0,  FASE3-VAR
1780,  0,  0.0575964,  0,  0,  0,  0,  FASE3-VAR
1781,  0,  0.0575964,  0,  0,  0,  0,  FASE3-VAR
1782,  0,  0.0575964,  0,  0,  0,  0,  FASE3-VAR
1783,  0,  0.0575964,  0,  0,  0,  0,  FASE3-VAR
1784,  0,  0.0575964,  0,  0,  0,  0,  FASE3-VAR
1785,  0,  0.0575964,  0,  0,  0,  0,  FASE3-VAR
1786,  0,  0.0575964,  0,  0,  0,  0,  FASE3-VAR
1787,  0,  0.0575964,  0,  0,  0,  0,  FASE3-VAR
1788,  0,  0.0575964,  0,  0,  0,  0,  FASE3-VAR
1789,  0,  0.0575964,  0,  0,  0,  0,  FASE3-VAR
1790,  0,  0.0575964,  0,  0,  0,  0,  FASE3-VAR
1791,  0,  0.0575964,  0,  0,  0,  0,  FASE3-VAR
1792,  0,  0.0575964,  0,  0,  0,  0,  FASE3-VAR
1793,  0,  0.0575964,  0,  0,  0,  0,  FASE3-VAR
1794,  0,  0.0575964,  0,  0,  0,  0,  FASE3-VAR
```

PROJECT TITLE :

	Company		Client	
	Author		File Name	Brembiolo1_08_completo(fasi)DEFINITIVO.mgt

```
1795,  0,  0.0575964,  0,  0,  0,  0,  FASE3-VAR
1796,  0,  0.0575964,  0,  0,  0,  0,  FASE3-VAR
1797,  0,  0.0575964,  0,  0,  0,  0,  FASE3-VAR
1798,  0,  0.0575964,  0,  0,  0,  0,  FASE3-VAR
1799,  0,  0.0575964,  0,  0,  0,  0,  FASE3-VAR
1800,  0,  0.0575964,  0,  0,  0,  0,  FASE3-VAR
1801,  0,  0.0575964,  0,  0,  0,  0,  FASE3-VAR
1802,  0,  0.0575964,  0,  0,  0,  0,  FASE3-VAR
1803,  0,  0.0575964,  0,  0,  0,  0,  FASE3-VAR
1804,  0,  0.0575964,  0,  0,  0,  0,  FASE3-VAR
1805,  0,  0.0575964,  0,  0,  0,  0,  FASE3-VAR
1806,  0,  0.0575964,  0,  0,  0,  0,  FASE3-VAR
1807,  0,  0.0575964,  0,  0,  0,  0,  FASE3-VAR
1808,  0,  0.0575964,  0,  0,  0,  0,  FASE3-VAR
1809,  0,  0.0575964,  0,  0,  0,  0,  FASE3-VAR
1810,  0,  0.0575964,  0,  0,  0,  0,  FASE3-VAR
1811,  0,  0.0575964,  0,  0,  0,  0,  FASE3-VAR
1812,  0,  0.0575964,  0,  0,  0,  0,  FASE3-VAR
1813,  0,  0.0575964,  0,  0,  0,  0,  FASE3-VAR
1814,  0,  0.0575964,  0,  0,  0,  0,  FASE3-VAR
1815,  0,  0.0575964,  0,  0,  0,  0,  FASE3-VAR
1816,  0,  0.0575964,  0,  0,  0,  0,  FASE3-VAR
1817,  0,  0.0575964,  0,  0,  0,  0,  FASE3-VAR
1818,  0,  0.0575964,  0,  0,  0,  0,  FASE3-VAR
1819,  0,  0.0575964,  0,  0,  0,  0,  FASE3-VAR
1820,  0,  0.0575964,  0,  0,  0,  0,  FASE3-VAR
1821,  0,  0.0575964,  0,  0,  0,  0,  FASE3-VAR
1822,  0,  0.0575964,  0,  0,  0,  0,  FASE3-VAR
1823,  0,  0.0575964,  0,  0,  0,  0,  FASE3-VAR
1824,  0,  0.0575964,  0,  0,  0,  0,  FASE3-VAR
1825,  0,  0.0575964,  0,  0,  0,  0,  FASE3-VAR
1826,  0,  0.0575964,  0,  0,  0,  0,  FASE3-VAR
1827,  0,  0.0575964,  0,  0,  0,  0,  FASE3-VAR
1828,  0,  0.0575964,  0,  0,  0,  0,  FASE3-VAR
1829,  0,  0.0575964,  0,  0,  0,  0,  FASE3-VAR
1830,  0,  0.0575964,  0,  0,  0,  0,  FASE3-VAR
1831,  0,  0.0575964,  0,  0,  0,  0,  FASE3-VAR
1832,  0,  0.0575964,  0,  0,  0,  0,  FASE3-VAR
1833,  0,  0.0575964,  0,  0,  0,  0,  FASE3-VAR
1834,  0,  0.0575964,  0,  0,  0,  0,  FASE3-VAR
1835,  0,  0.0575964,  0,  0,  0,  0,  FASE3-VAR
1836,  0,  0.0575964,  0,  0,  0,  0,  FASE3-VAR
1837,  0,  0.0575964,  0,  0,  0,  0,  FASE3-VAR
1838,  0,  0.0575964,  0,  0,  0,  0,  FASE3-VAR
1839,  0,  0.0575964,  0,  0,  0,  0,  FASE3-VAR
1840,  0,  0.0575964,  0,  0,  0,  0,  FASE3-VAR
1841,  0,  0.0575964,  0,  0,  0,  0,  FASE3-VAR
1842,  0,  0.0575964,  0,  0,  0,  0,  FASE3-VAR
1843,  0,  0.0575964,  0,  0,  0,  0,  FASE3-VAR
1844,  0,  0.0575964,  0,  0,  0,  0,  FASE3-VAR
1845,  0,  0.0575964,  0,  0,  0,  0,  FASE3-VAR
1846,  0,  0.0575964,  0,  0,  0,  0,  FASE3-VAR
1847,  0,  0.0575964,  0,  0,  0,  0,  FASE3-VAR
1848,  0,  0.0575964,  0,  0,  0,  0,  FASE3-VAR
1849,  0,  0.0575964,  0,  0,  0,  0,  FASE3-VAR
1850,  0,  0.0575964,  0,  0,  0,  0,  FASE3-VAR
1851,  0,  0.0575964,  0,  0,  0,  0,  FASE3-VAR
1852,  0,  0.0575964,  0,  0,  0,  0,  FASE3-VAR
1853,  0,  0.0575964,  0,  0,  0,  0,  FASE3-VAR
1854,  0,  0.0575964,  0,  0,  0,  0,  FASE3-VAR
1855,  0,  0.0575964,  0,  0,  0,  0,  FASE3-VAR
1856,  0,  0.0575964,  0,  0,  0,  0,  FASE3-VAR
1857,  0,  0.0575964,  0,  0,  0,  0,  FASE3-VAR
1858,  0,  0.0575964,  0,  0,  0,  0,  FASE3-VAR
1859,  0,  0.0575964,  0,  0,  0,  0,  FASE3-VAR
1860,  0,  0.0575964,  0,  0,  0,  0,  FASE3-VAR
1861,  0,  0.0575964,  0,  0,  0,  0,  FASE3-VAR
1862,  0,  0.0575964,  0,  0,  0,  0,  FASE3-VAR
1863,  0,  0.0575964,  0,  0,  0,  0,  FASE3-VAR
1864,  0,  0.0575964,  0,  0,  0,  0,  FASE3-VAR
1865,  0,  0.0575964,  0,  0,  0,  0,  FASE3-VAR
1866,  0,  0.0575964,  0,  0,  0,  0,  FASE3-VAR
1867,  0,  0.0575964,  0,  0,  0,  0,  FASE3-VAR
1868,  0,  0.0575964,  0,  0,  0,  0,  FASE3-VAR
1869,  0,  0.0575964,  0,  0,  0,  0,  FASE3-VAR
1870,  0,  0.0575964,  0,  0,  0,  0,  FASE3-VAR
1871,  0,  0.0575964,  0,  0,  0,  0,  FASE3-VAR
1872,  0,  0.0575964,  0,  0,  0,  0,  FASE3-VAR
```

PROJECT TITLE :

	Company		Client	
	Author		File Name	Brembiolo1_08_completo(fasi)DEFINITIVO.mgt

```
1873,  0,  0.0575964,  0,  0,  0,  0,  FASE3-VAR
1874,  0,  0.0575964,  0,  0,  0,  0,  FASE3-VAR
1875,  0,  0.0575964,  0,  0,  0,  0,  FASE3-VAR
1876,  0,  0.0575964,  0,  0,  0,  0,  FASE3-VAR
1877,  0,  0.0575964,  0,  0,  0,  0,  FASE3-VAR
1878,  0,  0.0575964,  0,  0,  0,  0,  FASE3-VAR
1879,  0,  0.0575964,  0,  0,  0,  0,  FASE3-VAR
1880,  0,  0.0575964,  0,  0,  0,  0,  FASE3-VAR
1881,  0,  0.0575964,  0,  0,  0,  0,  FASE3-VAR
1882,  0,  0.0575964,  0,  0,  0,  0,  FASE3-VAR
1883,  0,  0.0575964,  0,  0,  0,  0,  FASE3-VAR
1884,  0,  0.0575964,  0,  0,  0,  0,  FASE3-VAR
1885,  0,  0.0575964,  0,  0,  0,  0,  FASE3-VAR
1886,  0,  0.0575964,  0,  0,  0,  0,  FASE3-VAR
1887,  0,  0.0575964,  0,  0,  0,  0,  FASE3-VAR
1888,  0,  0.0575964,  0,  0,  0,  0,  FASE3-VAR
1889,  0,  0.0575964,  0,  0,  0,  0,  FASE3-VAR
1890,  0,  0.0575964,  0,  0,  0,  0,  FASE3-VAR
1891,  0,  0.0575964,  0,  0,  0,  0,  FASE3-VAR
1892,  0,  0.0575964,  0,  0,  0,  0,  FASE3-VAR
1893,  0,  0.0575964,  0,  0,  0,  0,  FASE3-VAR
1894,  0,  0.0575964,  0,  0,  0,  0,  FASE3-VAR
1895,  0,  0.0575964,  0,  0,  0,  0,  FASE3-VAR
1896,  0,  0.0575964,  0,  0,  0,  0,  FASE3-VAR
1897,  0,  0.0575964,  0,  0,  0,  0,  FASE3-VAR
1898,  0,  0.0575964,  0,  0,  0,  0,  FASE3-VAR
1899,  0,  0.0575964,  0,  0,  0,  0,  FASE3-VAR
1900,  0,  0.0575964,  0,  0,  0,  0,  FASE3-VAR
1901,  0,  0.0575964,  0,  0,  0,  0,  FASE3-VAR
1902,  0,  0.0575964,  0,  0,  0,  0,  FASE3-VAR
1903,  0,  0.0575964,  0,  0,  0,  0,  FASE3-VAR
1904,  0,  0.0575964,  0,  0,  0,  0,  FASE3-VAR
1905,  0,  0.0575964,  0,  0,  0,  0,  FASE3-VAR
1906,  0,  0.0575964,  0,  0,  0,  0,  FASE3-VAR
1907,  0,  0.0575964,  0,  0,  0,  0,  FASE3-VAR
1908,  0,  0.0575964,  0,  0,  0,  0,  FASE3-VAR
1909,  0,  0.0575964,  0,  0,  0,  0,  FASE3-VAR
1910,  0,  0.0575964,  0,  0,  0,  0,  FASE3-VAR
1911,  0,  0.0575964,  0,  0,  0,  0,  FASE3-VAR
1912,  0,  0.0575964,  0,  0,  0,  0,  FASE3-VAR
1913,  0,  0.0575964,  0,  0,  0,  0,  FASE3-VAR
1914,  0,  0.0575964,  0,  0,  0,  0,  FASE3-VAR
1915,  0,  0.0575964,  0,  0,  0,  0,  FASE3-VAR
1916,  0,  0.0575964,  0,  0,  0,  0,  FASE3-VAR
1917,  0,  0.0575964,  0,  0,  0,  0,  FASE3-VAR
1918,  0,  0.0575964,  0,  0,  0,  0,  FASE3-VAR
1919,  0,  0.0575964,  0,  0,  0,  0,  FASE3-VAR
1920,  0,  0.0575964,  0,  0,  0,  0,  FASE3-VAR
1921,  0,  0.0575964,  0,  0,  0,  0,  FASE3-VAR
1922,  0,  0.0575964,  0,  0,  0,  0,  FASE3-VAR
1923,  0,  0.0575964,  0,  0,  0,  0,  FASE3-VAR
1924,  0,  0.0575964,  0,  0,  0,  0,  FASE3-VAR
1925,  0,  0.0575964,  0,  0,  0,  0,  FASE3-VAR
1926,  0,  0.0575964,  0,  0,  0,  0,  FASE3-VAR
1927,  0,  0.0575964,  0,  0,  0,  0,  FASE3-VAR
1928,  0,  0.0575964,  0,  0,  0,  0,  FASE3-VAR
1929,  0,  0.0575964,  0,  0,  0,  0,  FASE3-VAR
1930,  0,  0.0575964,  0,  0,  0,  0,  FASE3-VAR
1931,  0,  0.0575964,  0,  0,  0,  0,  FASE3-VAR
1932,  0,  0.0575964,  0,  0,  0,  0,  FASE3-VAR
1933,  0,  0.0575964,  0,  0,  0,  0,  FASE3-VAR
1934,  0,  0.0575964,  0,  0,  0,  0,  FASE3-VAR
1935,  0,  0.0575964,  0,  0,  0,  0,  FASE3-VAR
1936,  0,  0.0575964,  0,  0,  0,  0,  FASE3-VAR
1937,  0,  0.0575964,  0,  0,  0,  0,  FASE3-VAR
1938,  0,  0.0575964,  0,  0,  0,  0,  FASE3-VAR
1939,  0,  0.0575964,  0,  0,  0,  0,  FASE3-VAR
1940,  0,  0.0575964,  0,  0,  0,  0,  FASE3-VAR
1941,  0,  0.0575964,  0,  0,  0,  0,  FASE3-VAR
1942,  0,  0.0575964,  0,  0,  0,  0,  FASE3-VAR
1943,  0,  0.0575964,  0,  0,  0,  0,  FASE3-VAR
1944,  0,  0.0575964,  0,  0,  0,  0,  FASE3-VAR
1945,  0,  0.0575964,  0,  0,  0,  0,  FASE3-VAR
1946,  0,  0.0575964,  0,  0,  0,  0,  FASE3-VAR
1947,  0,  0.0575964,  0,  0,  0,  0,  FASE3-VAR
1948,  0,  0.0575964,  0,  0,  0,  0,  FASE3-VAR
1949,  0,  0.0575964,  0,  0,  0,  0,  FASE3-VAR
1950,  0,  0.0575964,  0,  0,  0,  0,  FASE3-VAR
```

PROJECT TITLE :

	Company		Client	
	Author		File Name	Brembiolo1_08_completo(fasi)DEFINITIVO.mgt

```
1951,  0,  0.0575964,  0,  0,  0,  0,  FASE3-VAR
1952,  0,  0.0575964,  0,  0,  0,  0,  FASE3-VAR
1953,  0,  0.0575964,  0,  0,  0,  0,  FASE3-VAR
1954,  0,  0.0575964,  0,  0,  0,  0,  FASE3-VAR
1955,  0,  0.0575964,  0,  0,  0,  0,  FASE3-VAR
1956,  0,  0.0575964,  0,  0,  0,  0,  FASE3-VAR
1957,  0,  0.0575964,  0,  0,  0,  0,  FASE3-VAR
1958,  0,  0.0575964,  0,  0,  0,  0,  FASE3-VAR
1959,  0,  0.0575964,  0,  0,  0,  0,  FASE3-VAR
1960,  0,  0.0575964,  0,  0,  0,  0,  FASE3-VAR
1961,  0,  0.0575964,  0,  0,  0,  0,  FASE3-VAR
1962,  0,  0.0575964,  0,  0,  0,  0,  FASE3-VAR
1963,  0,  0.0575964,  0,  0,  0,  0,  FASE3-VAR
1964,  0,  0.0575964,  0,  0,  0,  0,  FASE3-VAR
1965,  0,  0.0575964,  0,  0,  0,  0,  FASE3-VAR
1966,  0,  0.0575964,  0,  0,  0,  0,  FASE3-VAR
1967,  0,  0.0575964,  0,  0,  0,  0,  FASE3-VAR
1968,  0,  0.0575964,  0,  0,  0,  0,  FASE3-VAR
1969,  0,  0.0575964,  0,  0,  0,  0,  FASE3-VAR
1970,  0,  0.0575964,  0,  0,  0,  0,  FASE3-VAR
1971,  0,  0.0575964,  0,  0,  0,  0,  FASE3-VAR
1972,  0,  0.0575964,  0,  0,  0,  0,  FASE3-VAR
1973,  0,  0.0575964,  0,  0,  0,  0,  FASE3-VAR
1974,  0,  0.0575964,  0,  0,  0,  0,  FASE3-VAR
1975,  0,  0.0575964,  0,  0,  0,  0,  FASE3-VAR
1976,  0,  0.0575964,  0,  0,  0,  0,  FASE3-VAR
1977,  0,  0.0575964,  0,  0,  0,  0,  FASE3-VAR
1978,  0,  0.0575964,  0,  0,  0,  0,  FASE3-VAR
1979,  0,  0.0575964,  0,  0,  0,  0,  FASE3-VAR
1980,  0,  0.0575964,  0,  0,  0,  0,  FASE3-VAR
1981,  0,  0.0575964,  0,  0,  0,  0,  FASE3-VAR
1982,  0,  0.0575964,  0,  0,  0,  0,  FASE3-VAR
1983,  0,  0.0575964,  0,  0,  0,  0,  FASE3-VAR
1984,  0,  0.0575964,  0,  0,  0,  0,  FASE3-VAR
1985,  0,  0.0575964,  0,  0,  0,  0,  FASE3-VAR
1986,  0,  0.0575964,  0,  0,  0,  0,  FASE3-VAR
1987,  0,  0.0575964,  0,  0,  0,  0,  FASE3-VAR
1988,  0,  0.0575964,  0,  0,  0,  0,  FASE3-VAR
1989,  0,  0.0575964,  0,  0,  0,  0,  FASE3-VAR
1990,  0,  0.0575964,  0,  0,  0,  0,  FASE3-VAR
1991,  0,  0.0575964,  0,  0,  0,  0,  FASE3-VAR
1992,  0,  0.0575964,  0,  0,  0,  0,  FASE3-VAR
1993,  0,  0.0575964,  0,  0,  0,  0,  FASE3-VAR
1994,  0,  0.0575964,  0,  0,  0,  0,  FASE3-VAR
1995,  0,  0.0575964,  0,  0,  0,  0,  FASE3-VAR
1996,  0,  0.0575964,  0,  0,  0,  0,  FASE3-VAR
1997,  0,  0.0575964,  0,  0,  0,  0,  FASE3-VAR
1998,  0,  0.0575964,  0,  0,  0,  0,  FASE3-VAR
1999,  0,  0.0575964,  0,  0,  0,  0,  FASE3-VAR
2000,  0,  0.0575964,  0,  0,  0,  0,  FASE3-VAR
2001,  0,  0.0575964,  0,  0,  0,  0,  FASE3-VAR
2002,  0,  0.0575964,  0,  0,  0,  0,  FASE3-VAR
2003,  0,  0.0575964,  0,  0,  0,  0,  FASE3-VAR
2004,  0,  0.0575964,  0,  0,  0,  0,  FASE3-VAR
2005,  0,  0.0575964,  0,  0,  0,  0,  FASE3-VAR
2006,  0,  0.0575964,  0,  0,  0,  0,  FASE3-VAR
2007,  0,  0.0575964,  0,  0,  0,  0,  FASE3-VAR
2008,  0,  0.0575964,  0,  0,  0,  0,  FASE3-VAR
2009,  0,  0.0575964,  0,  0,  0,  0,  FASE3-VAR
2010,  0,  0.0575964,  0,  0,  0,  0,  FASE3-VAR
2011,  0,  0.0575964,  0,  0,  0,  0,  FASE3-VAR
2012,  0,  0.0575964,  0,  0,  0,  0,  FASE3-VAR
2013,  0,  0.0575964,  0,  0,  0,  0,  FASE3-VAR
2014,  0,  0.0575964,  0,  0,  0,  0,  FASE3-VAR
2015,  0,  0.0575964,  0,  0,  0,  0,  FASE3-VAR
2016,  0,  0.0575964,  0,  0,  0,  0,  FASE3-VAR
2017,  0,  0.0575964,  0,  0,  0,  0,  FASE3-VAR
2018,  0,  0.0575964,  0,  0,  0,  0,  FASE3-VAR
2019,  0,  0.0575964,  0,  0,  0,  0,  FASE3-VAR
2020,  0,  0.0575964,  0,  0,  0,  0,  FASE3-VAR
2021,  0,  0.0575964,  0,  0,  0,  0,  FASE3-VAR
2022,  0,  0.0575964,  0,  0,  0,  0,  FASE3-VAR
2023,  0,  0.0575964,  0,  0,  0,  0,  FASE3-VAR
2024,  0,  0.0575964,  0,  0,  0,  0,  FASE3-VAR
2025,  0,  0.0575964,  0,  0,  0,  0,  FASE3-VAR
2026,  0,  0.0575964,  0,  0,  0,  0,  FASE3-VAR
2027,  0,  0.0575964,  0,  0,  0,  0,  FASE3-VAR
2028,  0,  0.0575964,  0,  0,  0,  0,  FASE3-VAR
```

PROJECT TITLE :

	Company		Client	
	Author		File Name	Brembiolo1_08_completo(fasi)DEFINITIVO.mgt

```
2029,  0,  0.0575964,  0,  0,  0,  0,  FASE3-VAR
2030,  0,  0.0575964,  0,  0,  0,  0,  FASE3-VAR
2031,  0,  0.0575964,  0,  0,  0,  0,  FASE3-VAR
2032,  0,  0.0575964,  0,  0,  0,  0,  FASE3-VAR
2033,  0,  0.0575964,  0,  0,  0,  0,  FASE3-VAR
2034,  0,  0.0575964,  0,  0,  0,  0,  FASE3-VAR
2035,  0,  0.0575964,  0,  0,  0,  0,  FASE3-VAR
2036,  0,  0.0575964,  0,  0,  0,  0,  FASE3-VAR
2037,  0,  0.0575964,  0,  0,  0,  0,  FASE3-VAR
2038,  0,  0.0575964,  0,  0,  0,  0,  FASE3-VAR
2039,  0,  0.0575964,  0,  0,  0,  0,  FASE3-VAR
2040,  0,  0.0575964,  0,  0,  0,  0,  FASE3-VAR
2041,  0,  0.0575964,  0,  0,  0,  0,  FASE3-VAR
2042,  0,  0.0575964,  0,  0,  0,  0,  FASE3-VAR
2043,  0,  0.0575964,  0,  0,  0,  0,  FASE3-VAR
2044,  0,  0.0575964,  0,  0,  0,  0,  FASE3-VAR
2045,  0,  0.0575964,  0,  0,  0,  0,  FASE3-VAR
2046,  0,  0.0575964,  0,  0,  0,  0,  FASE3-VAR
2047,  0,  0.0575964,  0,  0,  0,  0,  FASE3-VAR
2048,  0,  0.0575964,  0,  0,  0,  0,  FASE3-VAR
2049,  0,  0.0575964,  0,  0,  0,  0,  FASE3-VAR
2050,  0,  0.0575964,  0,  0,  0,  0,  FASE3-VAR
2051,  0,  0.0575964,  0,  0,  0,  0,  FASE3-VAR
2052,  0,  0.0575964,  0,  0,  0,  0,  FASE3-VAR
2053,  0,  0.0575964,  0,  0,  0,  0,  FASE3-VAR
2054,  0,  0.0575964,  0,  0,  0,  0,  FASE3-VAR
2055,  0,  0.0575964,  0,  0,  0,  0,  FASE3-VAR
2056,  0,  0.0575964,  0,  0,  0,  0,  FASE3-VAR
2057,  0,  0.0575964,  0,  0,  0,  0,  FASE3-VAR
2058,  0,  0.0575964,  0,  0,  0,  0,  FASE3-VAR
2059,  0,  0.0575964,  0,  0,  0,  0,  FASE3-VAR
2060,  0,  0.0575964,  0,  0,  0,  0,  FASE3-VAR
2061,  0,  0.0575964,  0,  0,  0,  0,  FASE3-VAR
2062,  0,  0.0575964,  0,  0,  0,  0,  FASE3-VAR
2063,  0,  0.0575964,  0,  0,  0,  0,  FASE3-VAR
2064,  0,  0.0575964,  0,  0,  0,  0,  FASE3-VAR
2065,  0,  0.0575964,  0,  0,  0,  0,  FASE3-VAR
2066,  0,  0.0575964,  0,  0,  0,  0,  FASE3-VAR
2067,  0,  0.0575964,  0,  0,  0,  0,  FASE3-VAR
2068,  0,  0.0575964,  0,  0,  0,  0,  FASE3-VAR
2069,  0,  0.0575964,  0,  0,  0,  0,  FASE3-VAR
2070,  0,  0.0575964,  0,  0,  0,  0,  FASE3-VAR
2071,  0,  0.0575964,  0,  0,  0,  0,  FASE3-VAR
2072,  0,  0.0575964,  0,  0,  0,  0,  FASE3-VAR
2073,  0,  0.0575964,  0,  0,  0,  0,  FASE3-VAR
2074,  0,  0.0575964,  0,  0,  0,  0,  FASE3-VAR
2075,  0,  0.0575964,  0,  0,  0,  0,  FASE3-VAR
2076,  0,  0.0575964,  0,  0,  0,  0,  FASE3-VAR
2077,  0,  0.0575964,  0,  0,  0,  0,  FASE3-VAR
2078,  0,  0.0575964,  0,  0,  0,  0,  FASE3-VAR
2079,  0,  0.0575964,  0,  0,  0,  0,  FASE3-VAR
2080,  0,  0.0575964,  0,  0,  0,  0,  FASE3-VAR
2081,  0,  0.0575964,  0,  0,  0,  0,  FASE3-VAR
2082,  0,  0.0575964,  0,  0,  0,  0,  FASE3-VAR
2083,  0,  0.0575964,  0,  0,  0,  0,  FASE3-VAR
2084,  0,  0.0575964,  0,  0,  0,  0,  FASE3-VAR
2085,  0,  0.0575964,  0,  0,  0,  0,  FASE3-VAR
2086,  0,  0.0575964,  0,  0,  0,  0,  FASE3-VAR
2087,  0,  0.0575964,  0,  0,  0,  0,  FASE3-VAR
2088,  0,  0.0575964,  0,  0,  0,  0,  FASE3-VAR
2089,  0,  0.0575964,  0,  0,  0,  0,  FASE3-VAR
2090,  0,  0.0575964,  0,  0,  0,  0,  FASE3-VAR
2091,  0,  0.0575964,  0,  0,  0,  0,  FASE3-VAR
2092,  0,  0.0575964,  0,  0,  0,  0,  FASE3-VAR
2093,  0,  0.0575964,  0,  0,  0,  0,  FASE3-VAR
2094,  0,  0.0575964,  0,  0,  0,  0,  FASE3-VAR
2095,  0,  0.0575964,  0,  0,  0,  0,  FASE3-VAR
2096,  0,  0.0575964,  0,  0,  0,  0,  FASE3-VAR
2097,  0,  0.0575964,  0,  0,  0,  0,  FASE3-VAR
2098,  0,  0.0575964,  0,  0,  0,  0,  FASE3-VAR
2099,  0,  0.0575964,  0,  0,  0,  0,  FASE3-VAR
2100,  0,  0.0575964,  0,  0,  0,  0,  FASE3-VAR
2101,  0,  0.0575964,  0,  0,  0,  0,  FASE3-VAR
2102,  0,  0.0575964,  0,  0,  0,  0,  FASE3-VAR
2103,  0,  0.0575964,  0,  0,  0,  0,  FASE3-VAR
2104,  0,  0.0575964,  0,  0,  0,  0,  FASE3-VAR
2105,  0,  0.0575964,  0,  0,  0,  0,  FASE3-VAR
2106,  0,  0.0575964,  0,  0,  0,  0,  FASE3-VAR
```

```
2107,  0,  0.0575964,  0,  0,  0,  0,  FASE3-VAR
2108,  0,  0.0575964,  0,  0,  0,  0,  FASE3-VAR
2109,  0,  0.0575964,  0,  0,  0,  0,  FASE3-VAR
2110,  0,  0.0575964,  0,  0,  0,  0,  FASE3-VAR
2111,  0,  0.0575964,  0,  0,  0,  0,  FASE3-VAR
2112,  0,  0.0575964,  0,  0,  0,  0,  FASE3-VAR
2113,  0,  0.0575964,  0,  0,  0,  0,  FASE3-VAR
2114,  0,  0.0575964,  0,  0,  0,  0,  FASE3-VAR
2115,  0,  0.0575964,  0,  0,  0,  0,  FASE3-VAR
2116,  0,  0.0575964,  0,  0,  0,  0,  FASE3-VAR
2117,  0,  0.0575964,  0,  0,  0,  0,  FASE3-VAR
2118,  0,  0.0575964,  0,  0,  0,  0,  FASE3-VAR
2119,  0,  0.0575964,  0,  0,  0,  0,  FASE3-VAR
2120,  0,  0.0575964,  0,  0,  0,  0,  FASE3-VAR
2121,  0,  0.0575964,  0,  0,  0,  0,  FASE3-VAR
2122,  0,  0.0575964,  0,  0,  0,  0,  FASE3-VAR
2123,  0,  0.0575964,  0,  0,  0,  0,  FASE3-VAR
2125,  0,  0.0575964,  0,  0,  0,  0,  FASE3-VAR
2127,  0,  0.0575964,  0,  0,  0,  0,  FASE3-VAR
2129,  0,  0.0575964,  0,  0,  0,  0,  FASE3-VAR
2131,  0,  0.0575964,  0,  0,  0,  0,  FASE3-VAR
2133,  0,  0.0575964,  0,  0,  0,  0,  FASE3-VAR
2135,  0,  0.0575964,  0,  0,  0,  0,  FASE3-VAR
2137,  0,  0.0575964,  0,  0,  0,  0,  FASE3-VAR
2139,  0,  0.0575964,  0,  0,  0,  0,  FASE3-VAR
2141,  0,  0.0575964,  0,  0,  0,  0,  FASE3-VAR
2143,  0,  0.0575964,  0,  0,  0,  0,  FASE3-VAR
2145,  0,  0.0575964,  0,  0,  0,  0,  FASE3-VAR
2147,  0,  0.0575964,  0,  0,  0,  0,  FASE3-VAR
2149,  0,  0.0575964,  0,  0,  0,  0,  FASE3-VAR
2151,  0,  0.0575964,  0,  0,  0,  0,  FASE3-VAR
2153,  0,  0.0575964,  0,  0,  0,  0,  FASE3-VAR
2155,  0,  0.0575964,  0,  0,  0,  0,  FASE3-VAR
2157,  0,  0.0575964,  0,  0,  0,  0,  FASE3-VAR
2159,  0,  0.0575964,  0,  0,  0,  0,  FASE3-VAR
2161,  0,  0.0575964,  0,  0,  0,  0,  FASE3-VAR
2163,  0,  0.0575964,  0,  0,  0,  0,  FASE3-VAR
2165,  0,  0.0575964,  0,  0,  0,  0,  FASE3-VAR
2167,  0,  0.0575964,  0,  0,  0,  0,  FASE3-VAR
2169,  0,  0.0575964,  0,  0,  0,  0,  FASE3-VAR
2171,  0,  0.0575964,  0,  0,  0,  0,  FASE3-VAR
2173,  0,  0.0575964,  0,  0,  0,  0,  FASE3-VAR
2175,  0,  0.0575964,  0,  0,  0,  0,  FASE3-VAR
2177,  0,  0.0575964,  0,  0,  0,  0,  FASE3-VAR
2179,  0,  0.0575964,  0,  0,  0,  0,  FASE3-VAR
2181,  0,  0.0575964,  0,  0,  0,  0,  FASE3-VAR
2183,  0,  0.0575964,  0,  0,  0,  0,  FASE3-VAR
2185,  0,  0.0575964,  0,  0,  0,  0,  FASE3-VAR
2187,  0,  0.0575964,  0,  0,  0,  0,  FASE3-VAR
2189,  0,  0.0575964,  0,  0,  0,  0,  FASE3-VAR
2191,  0,  0.0575964,  0,  0,  0,  0,  FASE3-VAR
2193,  0,  0.0575964,  0,  0,  0,  0,  FASE3-VAR
2195,  0,  0.0575964,  0,  0,  0,  0,  FASE3-VAR
2197,  0,  0.0575964,  0,  0,  0,  0,  FASE3-VAR
2199,  0,  0.0575964,  0,  0,  0,  0,  FASE3-VAR
2201,  0,  0.0575964,  0,  0,  0,  0,  FASE3-VAR
2203,  0,  0.0575964,  0,  0,  0,  0,  FASE3-VAR
2205,  0,  0.0575964,  0,  0,  0,  0,  FASE3-VAR
2207,  0,  0.0575964,  0,  0,  0,  0,  FASE3-VAR
2209,  0,  0.0575964,  0,  0,  0,  0,  FASE3-VAR
2211,  0,  0.0575964,  0,  0,  0,  0,  FASE3-VAR
2213,  0,  0.0575964,  0,  0,  0,  0,  FASE3-VAR
2215,  0,  0.0575964,  0,  0,  0,  0,  FASE3-VAR
2217,  0,  0.0575964,  0,  0,  0,  0,  FASE3-VAR
2219,  0,  0.0575964,  0,  0,  0,  0,  FASE3-VAR
2221,  0,  0.0575964,  0,  0,  0,  0,  FASE3-VAR
2223,  0,  0.0575964,  0,  0,  0,  0,  FASE3-VAR
2225,  0,  0.0575964,  0,  0,  0,  0,  FASE3-VAR
2227,  0,  0.0575964,  0,  0,  0,  0,  FASE3-VAR
2229,  0,  0.0575964,  0,  0,  0,  0,  FASE3-VAR
2231,  0,  0.0575964,  0,  0,  0,  0,  FASE3-VAR
2233,  0,  0.0575964,  0,  0,  0,  0,  FASE3-VAR
2235,  0,  0.0575964,  0,  0,  0,  0,  FASE3-VAR
2237,  0,  0.0575964,  0,  0,  0,  0,  FASE3-VAR
2239,  0,  0.0575964,  0,  0,  0,  0,  FASE3-VAR
2241,  0,  0.0575964,  0,  0,  0,  0,  FASE3-VAR
2243,  0,  0.0575964,  0,  0,  0,  0,  FASE3-VAR
2245,  0,  0.0575964,  0,  0,  0,  0,  FASE3-VAR
```

PROJECT TITLE :

	Company		Client	
	Author		File Name	Brembiolo1_08_completo(fasi)DEFINITIVO.mgt

```
2247,  0,  0.0575964,  0,  0,  0,  0,  FASE3-VAR
2249,  0,  0.0575964,  0,  0,  0,  0,  FASE3-VAR
2251,  0,  0.0575964,  0,  0,  0,  0,  FASE3-VAR
2253,  0,  0.0575964,  0,  0,  0,  0,  FASE3-VAR
2255,  0,  0.0575964,  0,  0,  0,  0,  FASE3-VAR
2257,  0,  0.0575964,  0,  0,  0,  0,  FASE3-VAR
2259,  0,  0.0575964,  0,  0,  0,  0,  FASE3-VAR
2261,  0,  0.0575964,  0,  0,  0,  0,  FASE3-VAR
2263,  0,  0.0575964,  0,  0,  0,  0,  FASE3-VAR
2265,  0,  0.0575964,  0,  0,  0,  0,  FASE3-VAR
2267,  0,  0.0575964,  0,  0,  0,  0,  FASE3-VAR
2269,  0,  0.0575964,  0,  0,  0,  0,  FASE3-VAR
2271,  0,  0.0575964,  0,  0,  0,  0,  FASE3-VAR
2273,  0,  0.0575964,  0,  0,  0,  0,  FASE3-VAR
2275,  0,  0.0575964,  0,  0,  0,  0,  FASE3-VAR
2277,  0,  0.0575964,  0,  0,  0,  0,  FASE3-VAR
2279,  0,  0.0575964,  0,  0,  0,  0,  FASE3-VAR
2281,  0,  0.0575964,  0,  0,  0,  0,  FASE3-VAR
2283,  0,  0.0575964,  0,  0,  0,  0,  FASE3-VAR
2285,  0,  0.0575964,  0,  0,  0,  0,  FASE3-VAR
2287,  0,  0.0575964,  0,  0,  0,  0,  FASE3-VAR
2289,  0,  0.0575964,  0,  0,  0,  0,  FASE3-VAR
2291,  0,  0.0575964,  0,  0,  0,  0,  FASE3-VAR
2292,  0,  0.0575964,  0,  0,  0,  0,  FASE3-VAR
2293,  0,  0.0575964,  0,  0,  0,  0,  FASE3-VAR
2294,  0,  0.0575964,  0,  0,  0,  0,  FASE3-VAR
2295,  0,  0.0575964,  0,  0,  0,  0,  FASE3-VAR
2296,  0,  0.0575964,  0,  0,  0,  0,  FASE3-VAR
2297,  0,  0.0575964,  0,  0,  0,  0,  FASE3-VAR
2298,  0,  0.0575964,  0,  0,  0,  0,  FASE3-VAR
2299,  0,  0.0575964,  0,  0,  0,  0,  FASE3-VAR
2300,  0,  0.0575964,  0,  0,  0,  0,  FASE3-VAR
2301,  0,  0.0575964,  0,  0,  0,  0,  FASE3-VAR
2302,  0,  0.0575964,  0,  0,  0,  0,  FASE3-VAR
2303,  0,  0.0575964,  0,  0,  0,  0,  FASE3-VAR
2304,  0,  0.0575964,  0,  0,  0,  0,  FASE3-VAR
2305,  0,  0.0575964,  0,  0,  0,  0,  FASE3-VAR
2306,  0,  0.0575964,  0,  0,  0,  0,  FASE3-VAR
2307,  0,  0.0575964,  0,  0,  0,  0,  FASE3-VAR
2308,  0,  0.0575964,  0,  0,  0,  0,  FASE3-VAR
2309,  0,  0.0575964,  0,  0,  0,  0,  FASE3-VAR
2310,  0,  0.0575964,  0,  0,  0,  0,  FASE3-VAR
2311,  0,  0.0575964,  0,  0,  0,  0,  FASE3-VAR
2312,  0,  0.0575964,  0,  0,  0,  0,  FASE3-VAR
2313,  0,  0.0575964,  0,  0,  0,  0,  FASE3-VAR
2314,  0,  0.0575964,  0,  0,  0,  0,  FASE3-VAR
2315,  0,  0.0575964,  0,  0,  0,  0,  FASE3-VAR
2316,  0,  0.0575964,  0,  0,  0,  0,  FASE3-VAR
2317,  0,  0.0575964,  0,  0,  0,  0,  FASE3-VAR
2318,  0,  0.0575964,  0,  0,  0,  0,  FASE3-VAR
2319,  0,  0.0575964,  0,  0,  0,  0,  FASE3-VAR
2320,  0,  0.0575964,  0,  0,  0,  0,  FASE3-VAR
2321,  0,  0.0575964,  0,  0,  0,  0,  FASE3-VAR
2322,  0,  0.0575964,  0,  0,  0,  0,  FASE3-VAR
2323,  0,  0.0575964,  0,  0,  0,  0,  FASE3-VAR
2324,  0,  0.0575964,  0,  0,  0,  0,  FASE3-VAR
2325,  0,  0.0575964,  0,  0,  0,  0,  FASE3-VAR
2326,  0,  0.0575964,  0,  0,  0,  0,  FASE3-VAR
2327,  0,  0.0575964,  0,  0,  0,  0,  FASE3-VAR
2328,  0,  0.0575964,  0,  0,  0,  0,  FASE3-VAR
2329,  0,  0.0575964,  0,  0,  0,  0,  FASE3-VAR
2330,  0,  0.0575964,  0,  0,  0,  0,  FASE3-VAR
2331,  0,  0.0575964,  0,  0,  0,  0,  FASE3-VAR
2332,  0,  0.0575964,  0,  0,  0,  0,  FASE3-VAR
2333,  0,  0.0575964,  0,  0,  0,  0,  FASE3-VAR
2334,  0,  0.0575964,  0,  0,  0,  0,  FASE3-VAR
2335,  0,  0.0575964,  0,  0,  0,  0,  FASE3-VAR
2336,  0,  0.0575964,  0,  0,  0,  0,  FASE3-VAR
2337,  0,  0.0575964,  0,  0,  0,  0,  FASE3-VAR
2338,  0,  0.0575964,  0,  0,  0,  0,  FASE3-VAR
2339,  0,  0.0575964,  0,  0,  0,  0,  FASE3-VAR
2340,  0,  0.0575964,  0,  0,  0,  0,  FASE3-VAR
2341,  0,  0.0575964,  0,  0,  0,  0,  FASE3-VAR
2342,  0,  0.0575964,  0,  0,  0,  0,  FASE3-VAR
2343,  0,  0.0575964,  0,  0,  0,  0,  FASE3-VAR
2344,  0,  0.0575964,  0,  0,  0,  0,  FASE3-VAR
2345,  0,  0.0575964,  0,  0,  0,  0,  FASE3-VAR
2346,  0,  0.0575964,  0,  0,  0,  0,  FASE3-VAR
```

PROJECT TITLE :

	Company		Client	
	Author		File Name	Brembiolo1_08_completo(fasi)DEFINITIVO.mgt

```
2347,  0,  0.0575964,  0,  0,  0,  0,  FASE3-VAR
2348,  0,  0.0575964,  0,  0,  0,  0,  FASE3-VAR
2349,  0,  0.0575964,  0,  0,  0,  0,  FASE3-VAR
2350,  0,  0.0575964,  0,  0,  0,  0,  FASE3-VAR
2351,  0,  0.0575964,  0,  0,  0,  0,  FASE3-VAR
2352,  0,  0.0575964,  0,  0,  0,  0,  FASE3-VAR
2353,  0,  0.0575964,  0,  0,  0,  0,  FASE3-VAR
2354,  0,  0.0575964,  0,  0,  0,  0,  FASE3-VAR
2355,  0,  0.0575964,  0,  0,  0,  0,  FASE3-VAR
2356,  0,  0.0575964,  0,  0,  0,  0,  FASE3-VAR
2357,  0,  0.0575964,  0,  0,  0,  0,  FASE3-VAR
2358,  0,  0.0575964,  0,  0,  0,  0,  FASE3-VAR
2359,  0,  0.0575964,  0,  0,  0,  0,  FASE3-VAR
2360,  0,  0.0575964,  0,  0,  0,  0,  FASE3-VAR
2361,  0,  0.0575964,  0,  0,  0,  0,  FASE3-VAR
2362,  0,  0.0575964,  0,  0,  0,  0,  FASE3-VAR
2363,  0,  0.0575964,  0,  0,  0,  0,  FASE3-VAR
2364,  0,  0.0575964,  0,  0,  0,  0,  FASE3-VAR
2365,  0,  0.0575964,  0,  0,  0,  0,  FASE3-VAR
2366,  0,  0.0575964,  0,  0,  0,  0,  FASE3-VAR
2367,  0,  0.0575964,  0,  0,  0,  0,  FASE3-VAR
2368,  0,  0.0575964,  0,  0,  0,  0,  FASE3-VAR
2369,  0,  0.0575964,  0,  0,  0,  0,  FASE3-VAR
2370,  0,  0.0575964,  0,  0,  0,  0,  FASE3-VAR
2371,  0,  0.0575964,  0,  0,  0,  0,  FASE3-VAR
2372,  0,  0.0575964,  0,  0,  0,  0,  FASE3-VAR
2373,  0,  0.0575964,  0,  0,  0,  0,  FASE3-VAR
2374,  0,  0.0575964,  0,  0,  0,  0,  FASE3-VAR
2375,  0,  0.0575964,  0,  0,  0,  0,  FASE3-VAR
2376,  0,  0.0575964,  0,  0,  0,  0,  FASE3-VAR
2377,  0,  0.0575964,  0,  0,  0,  0,  FASE3-VAR
2378,  0,  0.0575964,  0,  0,  0,  0,  FASE3-VAR
2379,  0,  0.0575964,  0,  0,  0,  0,  FASE3-VAR
2380,  0,  0.0575964,  0,  0,  0,  0,  FASE3-VAR
2381,  0,  0.0575964,  0,  0,  0,  0,  FASE3-VAR
2382,  0,  0.0575964,  0,  0,  0,  0,  FASE3-VAR
2383,  0,  0.0575964,  0,  0,  0,  0,  FASE3-VAR
2384,  0,  0.0575964,  0,  0,  0,  0,  FASE3-VAR
2385,  0,  0.0575964,  0,  0,  0,  0,  FASE3-VAR
2386,  0,  0.0575964,  0,  0,  0,  0,  FASE3-VAR
2387,  0,  0.0575964,  0,  0,  0,  0,  FASE3-VAR
2388,  0,  0.0575964,  0,  0,  0,  0,  FASE3-VAR
2389,  0,  0.0575964,  0,  0,  0,  0,  FASE3-VAR
2390,  0,  0.0575964,  0,  0,  0,  0,  FASE3-VAR
2391,  0,  0.0575964,  0,  0,  0,  0,  FASE3-VAR
2392,  0,  0.0575964,  0,  0,  0,  0,  FASE3-VAR
2393,  0,  0.0575964,  0,  0,  0,  0,  FASE3-VAR
2394,  0,  0.0575964,  0,  0,  0,  0,  FASE3-VAR
2395,  0,  0.0575964,  0,  0,  0,  0,  FASE3-VAR
2396,  0,  0.0575964,  0,  0,  0,  0,  FASE3-VAR
2397,  0,  0.0575964,  0,  0,  0,  0,  FASE3-VAR
2398,  0,  0.0575964,  0,  0,  0,  0,  FASE3-VAR
2399,  0,  0.0575964,  0,  0,  0,  0,  FASE3-VAR
2400,  0,  0.0575964,  0,  0,  0,  0,  FASE3-VAR
2401,  0,  0.0575964,  0,  0,  0,  0,  FASE3-VAR
2402,  0,  0.0575964,  0,  0,  0,  0,  FASE3-VAR
2403,  0,  0.0575964,  0,  0,  0,  0,  FASE3-VAR
2404,  0,  0.0575964,  0,  0,  0,  0,  FASE3-VAR
2405,  0,  0.0575964,  0,  0,  0,  0,  FASE3-VAR
2406,  0,  0.0575964,  0,  0,  0,  0,  FASE3-VAR
2407,  0,  0.0575964,  0,  0,  0,  0,  FASE3-VAR
2408,  0,  0.0575964,  0,  0,  0,  0,  FASE3-VAR
2409,  0,  0.0575964,  0,  0,  0,  0,  FASE3-VAR
2410,  0,  0.0575964,  0,  0,  0,  0,  FASE3-VAR
2411,  0,  0.0575964,  0,  0,  0,  0,  FASE3-VAR
2412,  0,  0.0575964,  0,  0,  0,  0,  FASE3-VAR
2413,  0,  0.0575964,  0,  0,  0,  0,  FASE3-VAR
2414,  0,  0.0575964,  0,  0,  0,  0,  FASE3-VAR
2415,  0,  0.0575964,  0,  0,  0,  0,  FASE3-VAR
2416,  0,  0.0575964,  0,  0,  0,  0,  FASE3-VAR
2417,  0,  0.0575964,  0,  0,  0,  0,  FASE3-VAR
2418,  0,  0.0575964,  0,  0,  0,  0,  FASE3-VAR
2419,  0,  0.0575964,  0,  0,  0,  0,  FASE3-VAR
2420,  0,  0.0575964,  0,  0,  0,  0,  FASE3-VAR
2421,  0,  0.0575964,  0,  0,  0,  0,  FASE3-VAR
2422,  0,  0.0575964,  0,  0,  0,  0,  FASE3-VAR
2423,  0,  0.0575964,  0,  0,  0,  0,  FASE3-VAR
2424,  0,  0.0575964,  0,  0,  0,  0,  FASE3-VAR
```

PROJECT TITLE :

	Company		Client	
	Author		File Name	Brembiolo1_08_completo(fasi)DEFINITIVO.mgt

```
2425,  0,  0.0575964,  0,  0,  0,  0,  FASE3-VAR
2426,  0,  0.0575964,  0,  0,  0,  0,  FASE3-VAR
2427,  0,  0.0575964,  0,  0,  0,  0,  FASE3-VAR
2428,  0,  0.0575964,  0,  0,  0,  0,  FASE3-VAR
2429,  0,  0.0575964,  0,  0,  0,  0,  FASE3-VAR
2430,  0,  0.0575964,  0,  0,  0,  0,  FASE3-VAR
2431,  0,  0.0575964,  0,  0,  0,  0,  FASE3-VAR
2432,  0,  0.0575964,  0,  0,  0,  0,  FASE3-VAR
2433,  0,  0.0575964,  0,  0,  0,  0,  FASE3-VAR
2434,  0,  0.0575964,  0,  0,  0,  0,  FASE3-VAR
2435,  0,  0.0575964,  0,  0,  0,  0,  FASE3-VAR
2436,  0,  0.0575964,  0,  0,  0,  0,  FASE3-VAR
2437,  0,  0.0575964,  0,  0,  0,  0,  FASE3-VAR
2438,  0,  0.0575964,  0,  0,  0,  0,  FASE3-VAR
2439,  0,  0.0575964,  0,  0,  0,  0,  FASE3-VAR
2440,  0,  0.0575964,  0,  0,  0,  0,  FASE3-VAR
2441,  0,  0.0575964,  0,  0,  0,  0,  FASE3-VAR
2442,  0,  0.0575964,  0,  0,  0,  0,  FASE3-VAR
2443,  0,  0.0575964,  0,  0,  0,  0,  FASE3-VAR
2444,  0,  0.0575964,  0,  0,  0,  0,  FASE3-VAR
2445,  0,  0.0575964,  0,  0,  0,  0,  FASE3-VAR
2446,  0,  0.0575964,  0,  0,  0,  0,  FASE3-VAR
2447,  0,  0.0575964,  0,  0,  0,  0,  FASE3-VAR
2448,  0,  0.0575964,  0,  0,  0,  0,  FASE3-VAR
2449,  0,  0.0575964,  0,  0,  0,  0,  FASE3-VAR
2450,  0,  0.0575964,  0,  0,  0,  0,  FASE3-VAR
2451,  0,  0.0575964,  0,  0,  0,  0,  FASE3-VAR
2452,  0,  0.0575964,  0,  0,  0,  0,  FASE3-VAR
2453,  0,  0.0575964,  0,  0,  0,  0,  FASE3-VAR
2454,  0,  0.0575964,  0,  0,  0,  0,  FASE3-VAR
2455,  0,  0.0575964,  0,  0,  0,  0,  FASE3-VAR
2456,  0,  0.0575964,  0,  0,  0,  0,  FASE3-VAR
2457,  0,  0.0575964,  0,  0,  0,  0,  FASE3-VAR
2458,  0,  0.0575964,  0,  0,  0,  0,  FASE3-VAR
2459,  0,  0.0575964,  0,  0,  0,  0,  FASE3-VAR
2460,  0,  0.0575964,  0,  0,  0,  0,  FASE3-VAR
2461,  0,  0.0575964,  0,  0,  0,  0,  FASE3-VAR
2462,  0,  0.0575964,  0,  0,  0,  0,  FASE3-VAR
2463,  0,  0.0575964,  0,  0,  0,  0,  FASE3-VAR
2464,  0,  0.0575964,  0,  0,  0,  0,  FASE3-VAR
2465,  0,  0.0575964,  0,  0,  0,  0,  FASE3-VAR
2466,  0,  0.0575964,  0,  0,  0,  0,  FASE3-VAR
2467,  0,  0.0575964,  0,  0,  0,  0,  FASE3-VAR
2468,  0,  0.0575964,  0,  0,  0,  0,  FASE3-VAR
2469,  0,  0.0575964,  0,  0,  0,  0,  FASE3-VAR
2470,  0,  0.0575964,  0,  0,  0,  0,  FASE3-VAR
2471,  0,  0.0575964,  0,  0,  0,  0,  FASE3-VAR
2472,  0,  0.0575964,  0,  0,  0,  0,  FASE3-VAR
2473,  0,  0.0575964,  0,  0,  0,  0,  FASE3-VAR
2474,  0,  0.0575964,  0,  0,  0,  0,  FASE3-VAR
2475,  0,  0.0575964,  0,  0,  0,  0,  FASE3-VAR
2476,  0,  0.0575964,  0,  0,  0,  0,  FASE3-VAR
2477,  0,  0.0575964,  0,  0,  0,  0,  FASE3-VAR
2478,  0,  0.0575964,  0,  0,  0,  0,  FASE3-VAR
2479,  0,  0.0575964,  0,  0,  0,  0,  FASE3-VAR
2480,  0,  0.0575964,  0,  0,  0,  0,  FASE3-VAR
2481,  0,  0.0575964,  0,  0,  0,  0,  FASE3-VAR
2482,  0,  0.0575964,  0,  0,  0,  0,  FASE3-VAR
2483,  0,  0.0575964,  0,  0,  0,  0,  FASE3-VAR
2484,  0,  0.0575964,  0,  0,  0,  0,  FASE3-VAR
2485,  0,  0.0575964,  0,  0,  0,  0,  FASE3-VAR
2486,  0,  0.0575964,  0,  0,  0,  0,  FASE3-VAR
2487,  0,  0.0575964,  0,  0,  0,  0,  FASE3-VAR
2488,  0,  0.0575964,  0,  0,  0,  0,  FASE3-VAR
2489,  0,  0.0575964,  0,  0,  0,  0,  FASE3-VAR
2490,  0,  0.0575964,  0,  0,  0,  0,  FASE3-VAR
2491,  0,  0.0575964,  0,  0,  0,  0,  FASE3-VAR
2492,  0,  0.0575964,  0,  0,  0,  0,  FASE3-VAR
2493,  0,  0.0575964,  0,  0,  0,  0,  FASE3-VAR
2494,  0,  0.0575964,  0,  0,  0,  0,  FASE3-VAR
2495,  0,  0.0575964,  0,  0,  0,  0,  FASE3-VAR
2496,  0,  0.0575964,  0,  0,  0,  0,  FASE3-VAR
2497,  0,  0.0575964,  0,  0,  0,  0,  FASE3-VAR
2498,  0,  0.0575964,  0,  0,  0,  0,  FASE3-VAR
2499,  0,  0.0575964,  0,  0,  0,  0,  FASE3-VAR
2500,  0,  0.0575964,  0,  0,  0,  0,  FASE3-VAR
2501,  0,  0.0575964,  0,  0,  0,  0,  FASE3-VAR
2502,  0,  0.0575964,  0,  0,  0,  0,  FASE3-VAR
```

PROJECT TITLE :

	Company		Client	
	Author		File Name	Brembiolo1_08_completo(fasi)DEFINITIVO.mgt

```
2503,  0,  0.0575964,  0,  0,  0,  0,  FASE3-VAR
2504,  0,  0.0575964,  0,  0,  0,  0,  FASE3-VAR
2505,  0,  0.0575964,  0,  0,  0,  0,  FASE3-VAR
2506,  0,  0.0575964,  0,  0,  0,  0,  FASE3-VAR
2507,  0,  0.0575964,  0,  0,  0,  0,  FASE3-VAR
2508,  0,  0.0575964,  0,  0,  0,  0,  FASE3-VAR
2509,  0,  0.0575964,  0,  0,  0,  0,  FASE3-VAR
2510,  0,  0.0575964,  0,  0,  0,  0,  FASE3-VAR
2511,  0,  0.0575964,  0,  0,  0,  0,  FASE3-VAR
2512,  0,  0.0575964,  0,  0,  0,  0,  FASE3-VAR
2513,  0,  0.0575964,  0,  0,  0,  0,  FASE3-VAR
2514,  0,  0.0575964,  0,  0,  0,  0,  FASE3-VAR
2515,  0,  0.0575964,  0,  0,  0,  0,  FASE3-VAR
2516,  0,  0.0575964,  0,  0,  0,  0,  FASE3-VAR
2517,  0,  0.0575964,  0,  0,  0,  0,  FASE3-VAR
2518,  0,  0.0575964,  0,  0,  0,  0,  FASE3-VAR
2519,  0,  0.0575964,  0,  0,  0,  0,  FASE3-VAR
2520,  0,  0.0575964,  0,  0,  0,  0,  FASE3-VAR
2521,  0,  0.0575964,  0,  0,  0,  0,  FASE3-VAR
2522,  0,  0.0575964,  0,  0,  0,  0,  FASE3-VAR
2523,  0,  0.0575964,  0,  0,  0,  0,  FASE3-VAR
2524,  0,  0.0575964,  0,  0,  0,  0,  FASE3-VAR
2525,  0,  0.0575964,  0,  0,  0,  0,  FASE3-VAR
2526,  0,  0.0575964,  0,  0,  0,  0,  FASE3-VAR
2527,  0,  0.0575964,  0,  0,  0,  0,  FASE3-VAR
2528,  0,  0.0575964,  0,  0,  0,  0,  FASE3-VAR
2529,  0,  0.0575964,  0,  0,  0,  0,  FASE3-VAR
2530,  0,  0.0575964,  0,  0,  0,  0,  FASE3-VAR
2531,  0,  0.0575964,  0,  0,  0,  0,  FASE3-VAR
2532,  0,  0.0575964,  0,  0,  0,  0,  FASE3-VAR
2533,  0,  0.0575964,  0,  0,  0,  0,  FASE3-VAR
2534,  0,  0.0575964,  0,  0,  0,  0,  FASE3-VAR
2535,  0,  0.0575964,  0,  0,  0,  0,  FASE3-VAR
2536,  0,  0.0575964,  0,  0,  0,  0,  FASE3-VAR
2537,  0,  0.0575964,  0,  0,  0,  0,  FASE3-VAR
2538,  0,  0.0575964,  0,  0,  0,  0,  FASE3-VAR
2539,  0,  0.0575964,  0,  0,  0,  0,  FASE3-VAR
2540,  0,  0.0575964,  0,  0,  0,  0,  FASE3-VAR
2541,  0,  0.0575964,  0,  0,  0,  0,  FASE3-VAR
2542,  0,  0.0575964,  0,  0,  0,  0,  FASE3-VAR
2543,  0,  0.0575964,  0,  0,  0,  0,  FASE3-VAR
2544,  0,  0.0575964,  0,  0,  0,  0,  FASE3-VAR
2545,  0,  0.0575964,  0,  0,  0,  0,  FASE3-VAR
2546,  0,  0.0575964,  0,  0,  0,  0,  FASE3-VAR
2547,  0,  0.0575964,  0,  0,  0,  0,  FASE3-VAR
2548,  0,  0.0575964,  0,  0,  0,  0,  FASE3-VAR
2549,  0,  0.0575964,  0,  0,  0,  0,  FASE3-VAR
2550,  0,  0.0575964,  0,  0,  0,  0,  FASE3-VAR
2551,  0,  0.0575964,  0,  0,  0,  0,  FASE3-VAR
2552,  0,  0.0575964,  0,  0,  0,  0,  FASE3-VAR
2553,  0,  0.0575964,  0,  0,  0,  0,  FASE3-VAR
2554,  0,  0.0575964,  0,  0,  0,  0,  FASE3-VAR
2555,  0,  0.0575964,  0,  0,  0,  0,  FASE3-VAR
2556,  0,  0.0575964,  0,  0,  0,  0,  FASE3-VAR
2557,  0,  0.0575964,  0,  0,  0,  0,  FASE3-VAR
2558,  0,  0.0575964,  0,  0,  0,  0,  FASE3-VAR
2559,  0,  0.0575964,  0,  0,  0,  0,  FASE3-VAR
2560,  0,  0.0575964,  0,  0,  0,  0,  FASE3-VAR
2561,  0,  0.0575964,  0,  0,  0,  0,  FASE3-VAR
2562,  0,  0.0575964,  0,  0,  0,  0,  FASE3-VAR
2563,  0,  0.0575964,  0,  0,  0,  0,  FASE3-VAR
2564,  0,  0.0575964,  0,  0,  0,  0,  FASE3-VAR
2565,  0,  0.0575964,  0,  0,  0,  0,  FASE3-VAR
2566,  0,  0.0575964,  0,  0,  0,  0,  FASE3-VAR
2567,  0,  0.0575964,  0,  0,  0,  0,  FASE3-VAR
2568,  0,  0.0575964,  0,  0,  0,  0,  FASE3-VAR
2569,  0,  0.0575964,  0,  0,  0,  0,  FASE3-VAR
2570,  0,  0.0575964,  0,  0,  0,  0,  FASE3-VAR
2571,  0,  0.0575964,  0,  0,  0,  0,  FASE3-VAR
2572,  0,  0.0575964,  0,  0,  0,  0,  FASE3-VAR
2573,  0,  0.0575964,  0,  0,  0,  0,  FASE3-VAR
2574,  0,  0.0575964,  0,  0,  0,  0,  FASE3-VAR
2575,  0,  0.0575964,  0,  0,  0,  0,  FASE3-VAR
2576,  0,  0.0575964,  0,  0,  0,  0,  FASE3-VAR
2577,  0,  0.0575964,  0,  0,  0,  0,  FASE3-VAR
2578,  0,  0.0575964,  0,  0,  0,  0,  FASE3-VAR
2579,  0,  0.0575964,  0,  0,  0,  0,  FASE3-VAR
2580,  0,  0.0575964,  0,  0,  0,  0,  FASE3-VAR
```

PROJECT TITLE :

	Company		Client	
	Author		File Name	Brembiolo1_08_completo(fasi)DEFINITIVO.mgt

```
2581,  0,  0.0575964,  0,  0,  0,  0,  FASE3-VAR
2582,  0,  0.0575964,  0,  0,  0,  0,  FASE3-VAR
2583,  0,  0.0575964,  0,  0,  0,  0,  FASE3-VAR
2584,  0,  0.0575964,  0,  0,  0,  0,  FASE3-VAR
2585,  0,  0.0575964,  0,  0,  0,  0,  FASE3-VAR
2586,  0,  0.0575964,  0,  0,  0,  0,  FASE3-VAR
2587,  0,  0.0575964,  0,  0,  0,  0,  FASE3-VAR
2588,  0,  0.0575964,  0,  0,  0,  0,  FASE3-VAR
2589,  0,  0.0575964,  0,  0,  0,  0,  FASE3-VAR
2590,  0,  0.0575964,  0,  0,  0,  0,  FASE3-VAR
2591,  0,  0.0575964,  0,  0,  0,  0,  FASE3-VAR
2592,  0,  0.0575964,  0,  0,  0,  0,  FASE3-VAR
2593,  0,  0.0575964,  0,  0,  0,  0,  FASE3-VAR
2594,  0,  0.0575964,  0,  0,  0,  0,  FASE3-VAR
2595,  0,  0.0575964,  0,  0,  0,  0,  FASE3-VAR
2596,  0,  0.0575964,  0,  0,  0,  0,  FASE3-VAR
2597,  0,  0.0575964,  0,  0,  0,  0,  FASE3-VAR
2598,  0,  0.0575964,  0,  0,  0,  0,  FASE3-VAR
2599,  0,  0.0575964,  0,  0,  0,  0,  FASE3-VAR
2600,  0,  0.0575964,  0,  0,  0,  0,  FASE3-VAR
2601,  0,  0.0575964,  0,  0,  0,  0,  FASE3-VAR
2602,  0,  0.0575964,  0,  0,  0,  0,  FASE3-VAR
2603,  0,  0.0575964,  0,  0,  0,  0,  FASE3-VAR
2604,  0,  0.0575964,  0,  0,  0,  0,  FASE3-VAR
2605,  0,  0.0575964,  0,  0,  0,  0,  FASE3-VAR
2606,  0,  0.0575964,  0,  0,  0,  0,  FASE3-VAR
2607,  0,  0.0575964,  0,  0,  0,  0,  FASE3-VAR
2608,  0,  0.0575964,  0,  0,  0,  0,  FASE3-VAR
2609,  0,  0.0575964,  0,  0,  0,  0,  FASE3-VAR
2610,  0,  0.0575964,  0,  0,  0,  0,  FASE3-VAR
2611,  0,  0.0575964,  0,  0,  0,  0,  FASE3-VAR
2612,  0,  0.0575964,  0,  0,  0,  0,  FASE3-VAR
2613,  0,  0.0575964,  0,  0,  0,  0,  FASE3-VAR
2614,  0,  0.0575964,  0,  0,  0,  0,  FASE3-VAR
2615,  0,  0.0575964,  0,  0,  0,  0,  FASE3-VAR
2616,  0,  0.0575964,  0,  0,  0,  0,  FASE3-VAR
2617,  0,  0.0575964,  0,  0,  0,  0,  FASE3-VAR
2618,  0,  0.0575964,  0,  0,  0,  0,  FASE3-VAR
2619,  0,  0.0575964,  0,  0,  0,  0,  FASE3-VAR
2620,  0,  0.0575964,  0,  0,  0,  0,  FASE3-VAR
2621,  0,  0.0575964,  0,  0,  0,  0,  FASE3-VAR
2622,  0,  0.0575964,  0,  0,  0,  0,  FASE3-VAR
2623,  0,  0.0575964,  0,  0,  0,  0,  FASE3-VAR
2624,  0,  0.0575964,  0,  0,  0,  0,  FASE3-VAR
2625,  0,  0.0575964,  0,  0,  0,  0,  FASE3-VAR
2626,  0,  0.0575964,  0,  0,  0,  0,  FASE3-VAR
2627,  0,  0.0575964,  0,  0,  0,  0,  FASE3-VAR
2628,  0,  0.0575964,  0,  0,  0,  0,  FASE3-VAR
2629,  0,  0.0575964,  0,  0,  0,  0,  FASE3-VAR
2630,  0,  0.0575964,  0,  0,  0,  0,  FASE3-VAR
2631,  0,  0.0575964,  0,  0,  0,  0,  FASE3-VAR
2632,  0,  0.0575964,  0,  0,  0,  0,  FASE3-VAR
2633,  0,  0.0575964,  0,  0,  0,  0,  FASE3-VAR
2634,  0,  0.0575964,  0,  0,  0,  0,  FASE3-VAR
2635,  0,  0.0575964,  0,  0,  0,  0,  FASE3-VAR
2636,  0,  0.0575964,  0,  0,  0,  0,  FASE3-VAR
2637,  0,  0.0575964,  0,  0,  0,  0,  FASE3-VAR
2638,  0,  0.0575964,  0,  0,  0,  0,  FASE3-VAR
2639,  0,  0.0575964,  0,  0,  0,  0,  FASE3-VAR
2640,  0,  0.0575964,  0,  0,  0,  0,  FASE3-VAR
2641,  0,  0.0575964,  0,  0,  0,  0,  FASE3-VAR
2642,  0,  0.0575964,  0,  0,  0,  0,  FASE3-VAR
2643,  0,  0.0575964,  0,  0,  0,  0,  FASE3-VAR
2644,  0,  0.0575964,  0,  0,  0,  0,  FASE3-VAR
2645,  0,  0.0575964,  0,  0,  0,  0,  FASE3-VAR
2646,  0,  0.0575964,  0,  0,  0,  0,  FASE3-VAR
2647,  0,  0.0575964,  0,  0,  0,  0,  FASE3-VAR
2648,  0,  0.0575964,  0,  0,  0,  0,  FASE3-VAR
2649,  0,  0.0575964,  0,  0,  0,  0,  FASE3-VAR
2650,  0,  0.0575964,  0,  0,  0,  0,  FASE3-VAR
2651,  0,  0.0575964,  0,  0,  0,  0,  FASE3-VAR
2652,  0,  0.0575964,  0,  0,  0,  0,  FASE3-VAR
2653,  0,  0.0575964,  0,  0,  0,  0,  FASE3-VAR
2654,  0,  0.0575964,  0,  0,  0,  0,  FASE3-VAR
2655,  0,  0.0575964,  0,  0,  0,  0,  FASE3-VAR
2656,  0,  0.0575964,  0,  0,  0,  0,  FASE3-VAR
2657,  0,  0.0575964,  0,  0,  0,  0,  FASE3-VAR
2658,  0,  0.0575964,  0,  0,  0,  0,  FASE3-VAR
```

PROJECT TITLE :

	Company		Client	
	Author		File Name	Brembiolo1_08_completo(fasi)DEFINITIVO.mgt

```
2659,  0,  0.0575964,  0,  0,  0,  0,  FASE3-VAR
2660,  0,  0.0575964,  0,  0,  0,  0,  FASE3-VAR
2661,  0,  0.0575964,  0,  0,  0,  0,  FASE3-VAR
2662,  0,  0.0575964,  0,  0,  0,  0,  FASE3-VAR
2663,  0,  0.0575964,  0,  0,  0,  0,  FASE3-VAR
2664,  0,  0.0575964,  0,  0,  0,  0,  FASE3-VAR
2665,  0,  0.0575964,  0,  0,  0,  0,  FASE3-VAR
2666,  0,  0.0575964,  0,  0,  0,  0,  FASE3-VAR
2667,  0,  0.0575964,  0,  0,  0,  0,  FASE3-VAR
2668,  0,  0.0575964,  0,  0,  0,  0,  FASE3-VAR
2669,  0,  0.0575964,  0,  0,  0,  0,  FASE3-VAR
2670,  0,  0.0575964,  0,  0,  0,  0,  FASE3-VAR
2671,  0,  0.0575964,  0,  0,  0,  0,  FASE3-VAR
2672,  0,  0.0575964,  0,  0,  0,  0,  FASE3-VAR
2673,  0,  0.0575964,  0,  0,  0,  0,  FASE3-VAR
2674,  0,  0.0575964,  0,  0,  0,  0,  FASE3-VAR
2675,  0,  0.0575964,  0,  0,  0,  0,  FASE3-VAR
2676,  0,  0.0575964,  0,  0,  0,  0,  FASE3-VAR
2677,  0,  0.0575964,  0,  0,  0,  0,  FASE3-VAR
2678,  0,  0.0575964,  0,  0,  0,  0,  FASE3-VAR
2679,  0,  0.0575964,  0,  0,  0,  0,  FASE3-VAR
2680,  0,  0.0575964,  0,  0,  0,  0,  FASE3-VAR
2681,  0,  0.0575964,  0,  0,  0,  0,  FASE3-VAR
2682,  0,  0.0575964,  0,  0,  0,  0,  FASE3-VAR
2683,  0,  0.0575964,  0,  0,  0,  0,  FASE3-VAR
2684,  0,  0.0575964,  0,  0,  0,  0,  FASE3-VAR
2685,  0,  0.0575964,  0,  0,  0,  0,  FASE3-VAR
2686,  0,  0.0575964,  0,  0,  0,  0,  FASE3-VAR
2687,  0,  0.0575964,  0,  0,  0,  0,  FASE3-VAR
2688,  0,  0.0575964,  0,  0,  0,  0,  FASE3-VAR
2689,  0,  0.0575964,  0,  0,  0,  0,  FASE3-VAR
2690,  0,  0.0575964,  0,  0,  0,  0,  FASE3-VAR
2691,  0,  0.0575964,  0,  0,  0,  0,  FASE3-VAR
2692,  0,  0.0575964,  0,  0,  0,  0,  FASE3-VAR
2693,  0,  0.0575964,  0,  0,  0,  0,  FASE3-VAR
2694,  0,  0.0575964,  0,  0,  0,  0,  FASE3-VAR
2695,  0,  0.0575964,  0,  0,  0,  0,  FASE3-VAR
2696,  0,  0.0575964,  0,  0,  0,  0,  FASE3-VAR
2697,  0,  0.0575964,  0,  0,  0,  0,  FASE3-VAR
2698,  0,  0.0575964,  0,  0,  0,  0,  FASE3-VAR
2699,  0,  0.0575964,  0,  0,  0,  0,  FASE3-VAR
2700,  0,  0.0575964,  0,  0,  0,  0,  FASE3-VAR
2701,  0,  0.0575964,  0,  0,  0,  0,  FASE3-VAR
2702,  0,  0.0575964,  0,  0,  0,  0,  FASE3-VAR
2703,  0,  0.0575964,  0,  0,  0,  0,  FASE3-VAR
2704,  0,  0.0575964,  0,  0,  0,  0,  FASE3-VAR
2705,  0,  0.0575964,  0,  0,  0,  0,  FASE3-VAR
2706,  0,  0.0575964,  0,  0,  0,  0,  FASE3-VAR
2707,  0,  0.0575964,  0,  0,  0,  0,  FASE3-VAR
2708,  0,  0.0575964,  0,  0,  0,  0,  FASE3-VAR
2709,  0,  0.0575964,  0,  0,  0,  0,  FASE3-VAR
2710,  0,  0.0575964,  0,  0,  0,  0,  FASE3-VAR
2711,  0,  0.0575964,  0,  0,  0,  0,  FASE3-VAR
2712,  0,  0.0575964,  0,  0,  0,  0,  FASE3-VAR
2713,  0,  0.0575964,  0,  0,  0,  0,  FASE3-VAR
2714,  0,  0.0575964,  0,  0,  0,  0,  FASE3-VAR
2715,  0,  0.0575964,  0,  0,  0,  0,  FASE3-VAR
2716,  0,  0.0575964,  0,  0,  0,  0,  FASE3-VAR
2717,  0,  0.0575964,  0,  0,  0,  0,  FASE3-VAR
2718,  0,  0.0575964,  0,  0,  0,  0,  FASE3-VAR
2719,  0,  0.0575964,  0,  0,  0,  0,  FASE3-VAR
2720,  0,  0.0575964,  0,  0,  0,  0,  FASE3-VAR
2721,  0,  0.0575964,  0,  0,  0,  0,  FASE3-VAR
2722,  0,  0.0575964,  0,  0,  0,  0,  FASE3-VAR
2723,  0,  0.0575964,  0,  0,  0,  0,  FASE3-VAR
2724,  0,  0.0575964,  0,  0,  0,  0,  FASE3-VAR
2725,  0,  0.0575964,  0,  0,  0,  0,  FASE3-VAR
2726,  0,  0.0575964,  0,  0,  0,  0,  FASE3-VAR
2727,  0,  0.0575964,  0,  0,  0,  0,  FASE3-VAR
2728,  0,  0.0575964,  0,  0,  0,  0,  FASE3-VAR
2729,  0,  0.0575964,  0,  0,  0,  0,  FASE3-VAR
2730,  0,  0.0575964,  0,  0,  0,  0,  FASE3-VAR
2731,  0,  0.0575964,  0,  0,  0,  0,  FASE3-VAR
2732,  0,  0.0575964,  0,  0,  0,  0,  FASE3-VAR
2733,  0,  0.0575964,  0,  0,  0,  0,  FASE3-VAR
2734,  0,  0.0575964,  0,  0,  0,  0,  FASE3-VAR
2735,  0,  0.0575964,  0,  0,  0,  0,  FASE3-VAR
2736,  0,  0.0575964,  0,  0,  0,  0,  FASE3-VAR
```

```
 2737,  0,  0.0575964,  0,  0,  0,  0,  FASE3-VAR
 2738,  0,  0.0575964,  0,  0,  0,  0,  FASE3-VAR
 2739,  0,  0.0575964,  0,  0,  0,  0,  FASE3-VAR
 2740,  0,  0.0575964,  0,  0,  0,  0,  FASE3-VAR
 2741,  0,  0.0575964,  0,  0,  0,  0,  FASE3-VAR
 2742,  0,  0.0575964,  0,  0,  0,  0,  FASE3-VAR
 2743,  0,  0.0575964,  0,  0,  0,  0,  FASE3-VAR
 2744,  0,  0.0575964,  0,  0,  0,  0,  FASE3-VAR
 2745,  0,  0.0575964,  0,  0,  0,  0,  FASE3-VAR
 2746,  0,  0.0575964,  0,  0,  0,  0,  FASE3-VAR
 2747,  0,  0.0575964,  0,  0,  0,  0,  FASE3-VAR
 2748,  0,  0.0575964,  0,  0,  0,  0,  FASE3-VAR
 2749,  0,  0.0575964,  0,  0,  0,  0,  FASE3-VAR
 2750,  0,  0.0575964,  0,  0,  0,  0,  FASE3-VAR
 2751,  0,  0.0575964,  0,  0,  0,  0,  FASE3-VAR
 2752,  0,  0.0575964,  0,  0,  0,  0,  FASE3-VAR
 2753,  0,  0.0575964,  0,  0,  0,  0,  FASE3-VAR
 2754,  0,  0.0575964,  0,  0,  0,  0,  FASE3-VAR
 2755,  0,  0.0575964,  0,  0,  0,  0,  FASE3-VAR
 2756,  0,  0.0575964,  0,  0,  0,  0,  FASE3-VAR
 2757,  0,  0.0575964,  0,  0,  0,  0,  FASE3-VAR
 2758,  0,  0.0575964,  0,  0,  0,  0,  FASE3-VAR
 2759,  0,  0.0575964,  0,  0,  0,  0,  FASE3-VAR
 2760,  0,  0.0575964,  0,  0,  0,  0,  FASE3-VAR
 2761,  0,  0.0575964,  0,  0,  0,  0,  FASE3-VAR
 2762,  0,  0.0575964,  0,  0,  0,  0,  FASE3-VAR
 2763,  0,  0.0575964,  0,  0,  0,  0,  FASE3-VAR
 2764,  0,  0.0575964,  0,  0,  0,  0,  FASE3-VAR
 2765,  0,  0.0575964,  0,  0,  0,  0,  FASE3-VAR
 2766,  0,  0.0575964,  0,  0,  0,  0,  FASE3-VAR
 2767,  0,  0.0575964,  0,  0,  0,  0,  FASE3-VAR
 2768,  0,  0.0575964,  0,  0,  0,  0,  FASE3-VAR
 2769,  0,  0.0575964,  0,  0,  0,  0,  FASE3-VAR
 2770,  0,  0.0575964,  0,  0,  0,  0,  FASE3-VAR
 2771,  0,  0.0575964,  0,  0,  0,  0,  FASE3-VAR
 2772,  0,  0.0575964,  0,  0,  0,  0,  FASE3-VAR
 2773,  0,  0.0575964,  0,  0,  0,  0,  FASE3-VAR
 2774,  0,  0.0575964,  0,  0,  0,  0,  FASE3-VAR
 2775,  0,  0.0575964,  0,  0,  0,  0,  FASE3-VAR
 2776,  0,  0.0575964,  0,  0,  0,  0,  FASE3-VAR
 2777,  0,  0.0575964,  0,  0,  0,  0,  FASE3-VAR
 2778,  0,  0.0575964,  0,  0,  0,  0,  FASE3-VAR
 2779,  0,  0.0575964,  0,  0,  0,  0,  FASE3-VAR
 2780,  0,  0.0575964,  0,  0,  0,  0,  FASE3-VAR
 2781,  0,  0.0575964,  0,  0,  0,  0,  FASE3-VAR
 2782,  0,  0.0575964,  0,  0,  0,  0,  FASE3-VAR
 2783,  0,  0.0575964,  0,  0,  0,  0,  FASE3-VAR
 2784,  0,  0.0575964,  0,  0,  0,  0,  FASE3-VAR
 2785,  0,  0.0575964,  0,  0,  0,  0,  FASE3-VAR
 2786,  0,  0.0575964,  0,  0,  0,  0,  FASE3-VAR
 2787,  0,  0.0575964,  0,  0,  0,  0,  FASE3-VAR
 2788,  0,  0.0575964,  0,  0,  0,  0,  FASE3-VAR
 2789,  0,  0.0575964,  0,  0,  0,  0,  FASE3-VAR
 2790,  0,  0.0575964,  0,  0,  0,  0,  FASE3-VAR
 2791,  0,  0.0575964,  0,  0,  0,  0,  FASE3-VAR
 2792,  0,  0.0575964,  0,  0,  0,  0,  FASE3-VAR
 2793,  0,  0.0575964,  0,  0,  0,  0,  FASE3-VAR
 2794,  0,  0.0575964,  0,  0,  0,  0,  FASE3-VAR

; End of data for load case [centrifuga] -------------------------

*USE-STLD, frenatura

*CONLOAD    ; Nodal Loads
; NODE_LIST, FX, FY, FZ, MX, MY, MZ, GROUP
 137,  0.5367,  0,  0,  0,  0,  0,  FASE3-VAR
 138,  0.5367,  0,  0,  0,  0,  0,  FASE3-VAR
 139,  0.5367,  0,  0,  0,  0,  0,  FASE3-VAR
 140,  0.5367,  0,  0,  0,  0,  0,  FASE3-VAR
 141,  0.5367,  0,  0,  0,  0,  0,  FASE3-VAR
 142,  0.5367,  0,  0,  0,  0,  0,  FASE3-VAR
 143,  0.5367,  0,  0,  0,  0,  0,  FASE3-VAR
 153,  0.5367,  0,  0,  0,  0,  0,  FASE3-VAR
 154,  0.5367,  0,  0,  0,  0,  0,  FASE3-VAR
 155,  0.5367,  0,  0,  0,  0,  0,  FASE3-VAR
 156,  0.5367,  0,  0,  0,  0,  0,  FASE3-VAR
 157,  0.5367,  0,  0,  0,  0,  0,  FASE3-VAR
 158,  0.5367,  0,  0,  0,  0,  0,  FASE3-VAR
```

```
159, 0.5367, 0, 0, 0, 0, 0, FASE3-VAR
169, 0.5367, 0, 0, 0, 0, 0, FASE3-VAR
170, 0.5367, 0, 0, 0, 0, 0, FASE3-VAR
171, 0.5367, 0, 0, 0, 0, 0, FASE3-VAR
172, 0.5367, 0, 0, 0, 0, 0, FASE3-VAR
173, 0.5367, 0, 0, 0, 0, 0, FASE3-VAR
174, 0.5367, 0, 0, 0, 0, 0, FASE3-VAR
175, 0.5367, 0, 0, 0, 0, 0, FASE3-VAR
177, 0.5367, 0, 0, 0, 0, 0, FASE3-VAR
178, 0.5367, 0, 0, 0, 0, 0, FASE3-VAR
179, 0.5367, 0, 0, 0, 0, 0, FASE3-VAR
180, 0.5367, 0, 0, 0, 0, 0, FASE3-VAR
181, 0.5367, 0, 0, 0, 0, 0, FASE3-VAR
182, 0.5367, 0, 0, 0, 0, 0, FASE3-VAR
183, 0.5367, 0, 0, 0, 0, 0, FASE3-VAR
193, 0.5367, 0, 0, 0, 0, 0, FASE3-VAR
194, 0.5367, 0, 0, 0, 0, 0, FASE3-VAR
195, 0.5367, 0, 0, 0, 0, 0, FASE3-VAR
196, 0.5367, 0, 0, 0, 0, 0, FASE3-VAR
197, 0.5367, 0, 0, 0, 0, 0, FASE3-VAR
198, 0.5367, 0, 0, 0, 0, 0, FASE3-VAR
199, 0.5367, 0, 0, 0, 0, 0, FASE3-VAR
209, 0.5367, 0, 0, 0, 0, 0, FASE3-VAR
210, 0.5367, 0, 0, 0, 0, 0, FASE3-VAR
211, 0.5367, 0, 0, 0, 0, 0, FASE3-VAR
212, 0.5367, 0, 0, 0, 0, 0, FASE3-VAR
213, 0.5367, 0, 0, 0, 0, 0, FASE3-VAR
214, 0.5367, 0, 0, 0, 0, 0, FASE3-VAR
215, 0.5367, 0, 0, 0, 0, 0, FASE3-VAR
225, 0.5367, 0, 0, 0, 0, 0, FASE3-VAR
226, 0.5367, 0, 0, 0, 0, 0, FASE3-VAR
227, 0.5367, 0, 0, 0, 0, 0, FASE3-VAR
228, 0.5367, 0, 0, 0, 0, 0, FASE3-VAR
229, 0.5367, 0, 0, 0, 0, 0, FASE3-VAR
230, 0.5367, 0, 0, 0, 0, 0, FASE3-VAR
231, 0.5367, 0, 0, 0, 0, 0, FASE3-VAR
241, 0.5367, 0, 0, 0, 0, 0, FASE3-VAR
242, 0.5367, 0, 0, 0, 0, 0, FASE3-VAR
243, 0.5367, 0, 0, 0, 0, 0, FASE3-VAR
244, 0.5367, 0, 0, 0, 0, 0, FASE3-VAR
245, 0.5367, 0, 0, 0, 0, 0, FASE3-VAR
246, 0.5367, 0, 0, 0, 0, 0, FASE3-VAR
247, 0.5367, 0, 0, 0, 0, 0, FASE3-VAR
249, 0.5367, 0, 0, 0, 0, 0, FASE3-VAR
250, 0.5367, 0, 0, 0, 0, 0, FASE3-VAR
251, 0.5367, 0, 0, 0, 0, 0, FASE3-VAR
252, 0.5367, 0, 0, 0, 0, 0, FASE3-VAR
253, 0.5367, 0, 0, 0, 0, 0, FASE3-VAR
254, 0.5367, 0, 0, 0, 0, 0, FASE3-VAR
255, 0.5367, 0, 0, 0, 0, 0, FASE3-VAR
265, 0.5367, 0, 0, 0, 0, 0, FASE3-VAR
266, 0.5367, 0, 0, 0, 0, 0, FASE3-VAR
267, 0.5367, 0, 0, 0, 0, 0, FASE3-VAR
268, 0.5367, 0, 0, 0, 0, 0, FASE3-VAR
269, 0.5367, 0, 0, 0, 0, 0, FASE3-VAR
270, 0.5367, 0, 0, 0, 0, 0, FASE3-VAR
271, 0.5367, 0, 0, 0, 0, 0, FASE3-VAR
281, 0.5367, 0, 0, 0, 0, 0, FASE3-VAR
282, 0.5367, 0, 0, 0, 0, 0, FASE3-VAR
283, 0.5367, 0, 0, 0, 0, 0, FASE3-VAR
284, 0.5367, 0, 0, 0, 0, 0, FASE3-VAR
285, 0.5367, 0, 0, 0, 0, 0, FASE3-VAR
286, 0.5367, 0, 0, 0, 0, 0, FASE3-VAR
287, 0.5367, 0, 0, 0, 0, 0, FASE3-VAR
297, 0.5367, 0, 0, 0, 0, 0, FASE3-VAR
298, 0.5367, 0, 0, 0, 0, 0, FASE3-VAR
299, 0.5367, 0, 0, 0, 0, 0, FASE3-VAR
300, 0.5367, 0, 0, 0, 0, 0, FASE3-VAR
301, 0.5367, 0, 0, 0, 0, 0, FASE3-VAR
302, 0.5367, 0, 0, 0, 0, 0, FASE3-VAR
303, 0.5367, 0, 0, 0, 0, 0, FASE3-VAR
313, 0.5367, 0, 0, 0, 0, 0, FASE3-VAR
314, 0.5367, 0, 0, 0, 0, 0, FASE3-VAR
315, 0.5367, 0, 0, 0, 0, 0, FASE3-VAR
316, 0.5367, 0, 0, 0, 0, 0, FASE3-VAR
317, 0.5367, 0, 0, 0, 0, 0, FASE3-VAR
318, 0.5367, 0, 0, 0, 0, 0, FASE3-VAR
319, 0.5367, 0, 0, 0, 0, 0, FASE3-VAR
```

PROJECT TITLE :

	Company		Client	
	Author		File Name	Brembiolo1_08_completo(fasi)DEFINITIVO.mgt

```
321, 0.5367, 0, 0, 0, 0, 0, FASE3-VAR
322, 0.5367, 0, 0, 0, 0, 0, FASE3-VAR
323, 0.5367, 0, 0, 0, 0, 0, FASE3-VAR
324, 0.5367, 0, 0, 0, 0, 0, FASE3-VAR
325, 0.5367, 0, 0, 0, 0, 0, FASE3-VAR
326, 0.5367, 0, 0, 0, 0, 0, FASE3-VAR
327, 0.5367, 0, 0, 0, 0, 0, FASE3-VAR
337, 0.5367, 0, 0, 0, 0, 0, FASE3-VAR
338, 0.5367, 0, 0, 0, 0, 0, FASE3-VAR
339, 0.5367, 0, 0, 0, 0, 0, FASE3-VAR
340, 0.5367, 0, 0, 0, 0, 0, FASE3-VAR
341, 0.5367, 0, 0, 0, 0, 0, FASE3-VAR
342, 0.5367, 0, 0, 0, 0, 0, FASE3-VAR
343, 0.5367, 0, 0, 0, 0, 0, FASE3-VAR
353, 0.5367, 0, 0, 0, 0, 0, FASE3-VAR
354, 0.5367, 0, 0, 0, 0, 0, FASE3-VAR
355, 0.5367, 0, 0, 0, 0, 0, FASE3-VAR
356, 0.5367, 0, 0, 0, 0, 0, FASE3-VAR
357, 0.5367, 0, 0, 0, 0, 0, FASE3-VAR
358, 0.5367, 0, 0, 0, 0, 0, FASE3-VAR
359, 0.5367, 0, 0, 0, 0, 0, FASE3-VAR
369, 0.5367, 0, 0, 0, 0, 0, FASE3-VAR
370, 0.5367, 0, 0, 0, 0, 0, FASE3-VAR
371, 0.5367, 0, 0, 0, 0, 0, FASE3-VAR
372, 0.5367, 0, 0, 0, 0, 0, FASE3-VAR
373, 0.5367, 0, 0, 0, 0, 0, FASE3-VAR
374, 0.5367, 0, 0, 0, 0, 0, FASE3-VAR
375, 0.5367, 0, 0, 0, 0, 0, FASE3-VAR
385, 0.5367, 0, 0, 0, 0, 0, FASE3-VAR
386, 0.5367, 0, 0, 0, 0, 0, FASE3-VAR
387, 0.5367, 0, 0, 0, 0, 0, FASE3-VAR
388, 0.5367, 0, 0, 0, 0, 0, FASE3-VAR
389, 0.5367, 0, 0, 0, 0, 0, FASE3-VAR
390, 0.5367, 0, 0, 0, 0, 0, FASE3-VAR
391, 0.5367, 0, 0, 0, 0, 0, FASE3-VAR
393, 0.5367, 0, 0, 0, 0, 0, FASE3-VAR
394, 0.5367, 0, 0, 0, 0, 0, FASE3-VAR
395, 0.5367, 0, 0, 0, 0, 0, FASE3-VAR
396, 0.5367, 0, 0, 0, 0, 0, FASE3-VAR
397, 0.5367, 0, 0, 0, 0, 0, FASE3-VAR
398, 0.5367, 0, 0, 0, 0, 0, FASE3-VAR
399, 0.5367, 0, 0, 0, 0, 0, FASE3-VAR
409, 0.5367, 0, 0, 0, 0, 0, FASE3-VAR
410, 0.5367, 0, 0, 0, 0, 0, FASE3-VAR
411, 0.5367, 0, 0, 0, 0, 0, FASE3-VAR
412, 0.5367, 0, 0, 0, 0, 0, FASE3-VAR
413, 0.5367, 0, 0, 0, 0, 0, FASE3-VAR
414, 0.5367, 0, 0, 0, 0, 0, FASE3-VAR
415, 0.5367, 0, 0, 0, 0, 0, FASE3-VAR
425, 0.5367, 0, 0, 0, 0, 0, FASE3-VAR
426, 0.5367, 0, 0, 0, 0, 0, FASE3-VAR
427, 0.5367, 0, 0, 0, 0, 0, FASE3-VAR
428, 0.5367, 0, 0, 0, 0, 0, FASE3-VAR
429, 0.5367, 0, 0, 0, 0, 0, FASE3-VAR
430, 0.5367, 0, 0, 0, 0, 0, FASE3-VAR
431, 0.5367, 0, 0, 0, 0, 0, FASE3-VAR
441, 0.5367, 0, 0, 0, 0, 0, FASE3-VAR
442, 0.5367, 0, 0, 0, 0, 0, FASE3-VAR
443, 0.5367, 0, 0, 0, 0, 0, FASE3-VAR
444, 0.5367, 0, 0, 0, 0, 0, FASE3-VAR
445, 0.5367, 0, 0, 0, 0, 0, FASE3-VAR
446, 0.5367, 0, 0, 0, 0, 0, FASE3-VAR
447, 0.5367, 0, 0, 0, 0, 0, FASE3-VAR
457, 0.5367, 0, 0, 0, 0, 0, FASE3-VAR
458, 0.5367, 0, 0, 0, 0, 0, FASE3-VAR
459, 0.5367, 0, 0, 0, 0, 0, FASE3-VAR
460, 0.5367, 0, 0, 0, 0, 0, FASE3-VAR
461, 0.5367, 0, 0, 0, 0, 0, FASE3-VAR
462, 0.5367, 0, 0, 0, 0, 0, FASE3-VAR
463, 0.5367, 0, 0, 0, 0, 0, FASE3-VAR
465, 0.5367, 0, 0, 0, 0, 0, FASE3-VAR
466, 0.5367, 0, 0, 0, 0, 0, FASE3-VAR
467, 0.5367, 0, 0, 0, 0, 0, FASE3-VAR
468, 0.5367, 0, 0, 0, 0, 0, FASE3-VAR
469, 0.5367, 0, 0, 0, 0, 0, FASE3-VAR
470, 0.5367, 0, 0, 0, 0, 0, FASE3-VAR
471, 0.5367, 0, 0, 0, 0, 0, FASE3-VAR
481, 0.5367, 0, 0, 0, 0, 0, FASE3-VAR
```

PROJECT TITLE :

	Company		Client	
	Author		File Name	Brembiolo1_08_completo(fasi)DEFINITIVO.mgt

```
482, 0.5367, 0, 0, 0, 0, 0, FASE3-VAR
483, 0.5367, 0, 0, 0, 0, 0, FASE3-VAR
484, 0.5367, 0, 0, 0, 0, 0, FASE3-VAR
485, 0.5367, 0, 0, 0, 0, 0, FASE3-VAR
486, 0.5367, 0, 0, 0, 0, 0, FASE3-VAR
487, 0.5367, 0, 0, 0, 0, 0, FASE3-VAR
497, 0.5367, 0, 0, 0, 0, 0, FASE3-VAR
498, 0.5367, 0, 0, 0, 0, 0, FASE3-VAR
499, 0.5367, 0, 0, 0, 0, 0, FASE3-VAR
500, 0.5367, 0, 0, 0, 0, 0, FASE3-VAR
501, 0.5367, 0, 0, 0, 0, 0, FASE3-VAR
502, 0.5367, 0, 0, 0, 0, 0, FASE3-VAR
503, 0.5367, 0, 0, 0, 0, 0, FASE3-VAR
513, 0.5367, 0, 0, 0, 0, 0, FASE3-VAR
514, 0.5367, 0, 0, 0, 0, 0, FASE3-VAR
515, 0.5367, 0, 0, 0, 0, 0, FASE3-VAR
516, 0.5367, 0, 0, 0, 0, 0, FASE3-VAR
517, 0.5367, 0, 0, 0, 0, 0, FASE3-VAR
518, 0.5367, 0, 0, 0, 0, 0, FASE3-VAR
519, 0.5367, 0, 0, 0, 0, 0, FASE3-VAR
529, 0.5367, 0, 0, 0, 0, 0, FASE3-VAR
530, 0.5367, 0, 0, 0, 0, 0, FASE3-VAR
531, 0.5367, 0, 0, 0, 0, 0, FASE3-VAR
532, 0.5367, 0, 0, 0, 0, 0, FASE3-VAR
533, 0.5367, 0, 0, 0, 0, 0, FASE3-VAR
534, 0.5367, 0, 0, 0, 0, 0, FASE3-VAR
535, 0.5367, 0, 0, 0, 0, 0, FASE3-VAR
537, 0.5367, 0, 0, 0, 0, 0, FASE3-VAR
538, 0.5367, 0, 0, 0, 0, 0, FASE3-VAR
539, 0.5367, 0, 0, 0, 0, 0, FASE3-VAR
540, 0.5367, 0, 0, 0, 0, 0, FASE3-VAR
541, 0.5367, 0, 0, 0, 0, 0, FASE3-VAR
542, 0.5367, 0, 0, 0, 0, 0, FASE3-VAR
543, 0.5367, 0, 0, 0, 0, 0, FASE3-VAR
553, 0.5367, 0, 0, 0, 0, 0, FASE3-VAR
554, 0.5367, 0, 0, 0, 0, 0, FASE3-VAR
555, 0.5367, 0, 0, 0, 0, 0, FASE3-VAR
556, 0.5367, 0, 0, 0, 0, 0, FASE3-VAR
557, 0.5367, 0, 0, 0, 0, 0, FASE3-VAR
558, 0.5367, 0, 0, 0, 0, 0, FASE3-VAR
559, 0.5367, 0, 0, 0, 0, 0, FASE3-VAR
569, 0.5367, 0, 0, 0, 0, 0, FASE3-VAR
570, 0.5367, 0, 0, 0, 0, 0, FASE3-VAR
571, 0.5367, 0, 0, 0, 0, 0, FASE3-VAR
572, 0.5367, 0, 0, 0, 0, 0, FASE3-VAR
573, 0.5367, 0, 0, 0, 0, 0, FASE3-VAR
574, 0.5367, 0, 0, 0, 0, 0, FASE3-VAR
575, 0.5367, 0, 0, 0, 0, 0, FASE3-VAR
585, 0.5367, 0, 0, 0, 0, 0, FASE3-VAR
586, 0.5367, 0, 0, 0, 0, 0, FASE3-VAR
587, 0.5367, 0, 0, 0, 0, 0, FASE3-VAR
588, 0.5367, 0, 0, 0, 0, 0, FASE3-VAR
589, 0.5367, 0, 0, 0, 0, 0, FASE3-VAR
590, 0.5367, 0, 0, 0, 0, 0, FASE3-VAR
591, 0.5367, 0, 0, 0, 0, 0, FASE3-VAR
601, 0.5367, 0, 0, 0, 0, 0, FASE3-VAR
602, 0.5367, 0, 0, 0, 0, 0, FASE3-VAR
603, 0.5367, 0, 0, 0, 0, 0, FASE3-VAR
604, 0.5367, 0, 0, 0, 0, 0, FASE3-VAR
605, 0.5367, 0, 0, 0, 0, 0, FASE3-VAR
606, 0.5367, 0, 0, 0, 0, 0, FASE3-VAR
607, 0.5367, 0, 0, 0, 0, 0, FASE3-VAR
609, 0.5367, 0, 0, 0, 0, 0, FASE3-VAR
610, 0.5367, 0, 0, 0, 0, 0, FASE3-VAR
611, 0.5367, 0, 0, 0, 0, 0, FASE3-VAR
612, 0.5367, 0, 0, 0, 0, 0, FASE3-VAR
613, 0.5367, 0, 0, 0, 0, 0, FASE3-VAR
614, 0.5367, 0, 0, 0, 0, 0, FASE3-VAR
615, 0.5367, 0, 0, 0, 0, 0, FASE3-VAR
625, 0.5367, 0, 0, 0, 0, 0, FASE3-VAR
626, 0.5367, 0, 0, 0, 0, 0, FASE3-VAR
627, 0.5367, 0, 0, 0, 0, 0, FASE3-VAR
628, 0.5367, 0, 0, 0, 0, 0, FASE3-VAR
629, 0.5367, 0, 0, 0, 0, 0, FASE3-VAR
630, 0.5367, 0, 0, 0, 0, 0, FASE3-VAR
631, 0.5367, 0, 0, 0, 0, 0, FASE3-VAR
641, 0.5367, 0, 0, 0, 0, 0, FASE3-VAR
642, 0.5367, 0, 0, 0, 0, 0, FASE3-VAR
```

643, 0.5367, 0, 0, 0, 0, 0, FASE3-VAR
644, 0.5367, 0, 0, 0, 0, 0, FASE3-VAR
645, 0.5367, 0, 0, 0, 0, 0, FASE3-VAR
646, 0.5367, 0, 0, 0, 0, 0, FASE3-VAR
647, 0.5367, 0, 0, 0, 0, 0, FASE3-VAR
657, 0.5367, 0, 0, 0, 0, 0, FASE3-VAR
658, 0.5367, 0, 0, 0, 0, 0, FASE3-VAR
659, 0.5367, 0, 0, 0, 0, 0, FASE3-VAR
660, 0.5367, 0, 0, 0, 0, 0, FASE3-VAR
661, 0.5367, 0, 0, 0, 0, 0, FASE3-VAR
662, 0.5367, 0, 0, 0, 0, 0, FASE3-VAR
663, 0.5367, 0, 0, 0, 0, 0, FASE3-VAR
673, 0.5367, 0, 0, 0, 0, 0, FASE3-VAR
674, 0.5367, 0, 0, 0, 0, 0, FASE3-VAR
675, 0.5367, 0, 0, 0, 0, 0, FASE3-VAR
676, 0.5367, 0, 0, 0, 0, 0, FASE3-VAR
677, 0.5367, 0, 0, 0, 0, 0, FASE3-VAR
678, 0.5367, 0, 0, 0, 0, 0, FASE3-VAR
679, 0.5367, 0, 0, 0, 0, 0, FASE3-VAR
681, 0.5367, 0, 0, 0, 0, 0, FASE3-VAR
682, 0.5367, 0, 0, 0, 0, 0, FASE3-VAR
683, 0.5367, 0, 0, 0, 0, 0, FASE3-VAR
684, 0.5367, 0, 0, 0, 0, 0, FASE3-VAR
685, 0.5367, 0, 0, 0, 0, 0, FASE3-VAR
686, 0.5367, 0, 0, 0, 0, 0, FASE3-VAR
687, 0.5367, 0, 0, 0, 0, 0, FASE3-VAR
697, 0.5367, 0, 0, 0, 0, 0, FASE3-VAR
698, 0.5367, 0, 0, 0, 0, 0, FASE3-VAR
699, 0.5367, 0, 0, 0, 0, 0, FASE3-VAR
700, 0.5367, 0, 0, 0, 0, 0, FASE3-VAR
701, 0.5367, 0, 0, 0, 0, 0, FASE3-VAR
702, 0.5367, 0, 0, 0, 0, 0, FASE3-VAR
703, 0.5367, 0, 0, 0, 0, 0, FASE3-VAR
713, 0.5367, 0, 0, 0, 0, 0, FASE3-VAR
714, 0.5367, 0, 0, 0, 0, 0, FASE3-VAR
715, 0.5367, 0, 0, 0, 0, 0, FASE3-VAR
716, 0.5367, 0, 0, 0, 0, 0, FASE3-VAR
717, 0.5367, 0, 0, 0, 0, 0, FASE3-VAR
718, 0.5367, 0, 0, 0, 0, 0, FASE3-VAR
719, 0.5367, 0, 0, 0, 0, 0, FASE3-VAR
729, 0.5367, 0, 0, 0, 0, 0, FASE3-VAR
730, 0.5367, 0, 0, 0, 0, 0, FASE3-VAR
731, 0.5367, 0, 0, 0, 0, 0, FASE3-VAR
732, 0.5367, 0, 0, 0, 0, 0, FASE3-VAR
733, 0.5367, 0, 0, 0, 0, 0, FASE3-VAR
734, 0.5367, 0, 0, 0, 0, 0, FASE3-VAR
735, 0.5367, 0, 0, 0, 0, 0, FASE3-VAR
1157, 0.5367, 0, 0, 0, 0, 0, FASE3-VAR
1158, 0.5367, 0, 0, 0, 0, 0, FASE3-VAR
1159, 0.5367, 0, 0, 0, 0, 0, FASE3-VAR
1160, 0.5367, 0, 0, 0, 0, 0, FASE3-VAR
1161, 0.5367, 0, 0, 0, 0, 0, FASE3-VAR
1162, 0.5367, 0, 0, 0, 0, 0, FASE3-VAR
1163, 0.5367, 0, 0, 0, 0, 0, FASE3-VAR
1164, 0.5367, 0, 0, 0, 0, 0, FASE3-VAR
1165, 0.5367, 0, 0, 0, 0, 0, FASE3-VAR
1166, 0.5367, 0, 0, 0, 0, 0, FASE3-VAR
1167, 0.5367, 0, 0, 0, 0, 0, FASE3-VAR
1168, 0.5367, 0, 0, 0, 0, 0, FASE3-VAR
1169, 0.5367, 0, 0, 0, 0, 0, FASE3-VAR
1170, 0.5367, 0, 0, 0, 0, 0, FASE3-VAR
1171, 0.5367, 0, 0, 0, 0, 0, FASE3-VAR
1172, 0.5367, 0, 0, 0, 0, 0, FASE3-VAR
1173, 0.5367, 0, 0, 0, 0, 0, FASE3-VAR
1174, 0.5367, 0, 0, 0, 0, 0, FASE3-VAR
1175, 0.5367, 0, 0, 0, 0, 0, FASE3-VAR
1176, 0.5367, 0, 0, 0, 0, 0, FASE3-VAR
1177, 0.5367, 0, 0, 0, 0, 0, FASE3-VAR
1178, 0.5367, 0, 0, 0, 0, 0, FASE3-VAR
1179, 0.5367, 0, 0, 0, 0, 0, FASE3-VAR
1180, 0.5367, 0, 0, 0, 0, 0, FASE3-VAR
1181, 0.5367, 0, 0, 0, 0, 0, FASE3-VAR
1182, 0.5367, 0, 0, 0, 0, 0, FASE3-VAR
1183, 0.5367, 0, 0, 0, 0, 0, FASE3-VAR
1184, 0.5367, 0, 0, 0, 0, 0, FASE3-VAR
1185, 0.5367, 0, 0, 0, 0, 0, FASE3-VAR
1186, 0.5367, 0, 0, 0, 0, 0, FASE3-VAR
1187, 0.5367, 0, 0, 0, 0, 0, FASE3-VAR

PROJECT TITLE :

	Company		Client	
	Author		File Name	Brembiolo1_08_completo(fasi)DEFINITIVO.mgt

```
1188, 0.5367, 0, 0, 0, 0, 0, FASE3-VAR
1189, 0.5367, 0, 0, 0, 0, 0, FASE3-VAR
1190, 0.5367, 0, 0, 0, 0, 0, FASE3-VAR
1191, 0.5367, 0, 0, 0, 0, 0, FASE3-VAR
1192, 0.5367, 0, 0, 0, 0, 0, FASE3-VAR
1193, 0.5367, 0, 0, 0, 0, 0, FASE3-VAR
1194, 0.5367, 0, 0, 0, 0, 0, FASE3-VAR
1195, 0.5367, 0, 0, 0, 0, 0, FASE3-VAR
1196, 0.5367, 0, 0, 0, 0, 0, FASE3-VAR
1197, 0.5367, 0, 0, 0, 0, 0, FASE3-VAR
1198, 0.5367, 0, 0, 0, 0, 0, FASE3-VAR
1283, 0.5367, 0, 0, 0, 0, 0, FASE3-VAR
1284, 0.5367, 0, 0, 0, 0, 0, FASE3-VAR
1285, 0.5367, 0, 0, 0, 0, 0, FASE3-VAR
1286, 0.5367, 0, 0, 0, 0, 0, FASE3-VAR
1287, 0.5367, 0, 0, 0, 0, 0, FASE3-VAR
1288, 0.5367, 0, 0, 0, 0, 0, FASE3-VAR
1289, 0.5367, 0, 0, 0, 0, 0, FASE3-VAR
1290, 0.5367, 0, 0, 0, 0, 0, FASE3-VAR
1291, 0.5367, 0, 0, 0, 0, 0, FASE3-VAR
1292, 0.5367, 0, 0, 0, 0, 0, FASE3-VAR
1293, 0.5367, 0, 0, 0, 0, 0, FASE3-VAR
1294, 0.5367, 0, 0, 0, 0, 0, FASE3-VAR
1295, 0.5367, 0, 0, 0, 0, 0, FASE3-VAR
1296, 0.5367, 0, 0, 0, 0, 0, FASE3-VAR
1297, 0.5367, 0, 0, 0, 0, 0, FASE3-VAR
1298, 0.5367, 0, 0, 0, 0, 0, FASE3-VAR
1299, 0.5367, 0, 0, 0, 0, 0, FASE3-VAR
1300, 0.5367, 0, 0, 0, 0, 0, FASE3-VAR
1301, 0.5367, 0, 0, 0, 0, 0, FASE3-VAR
1302, 0.5367, 0, 0, 0, 0, 0, FASE3-VAR
1303, 0.5367, 0, 0, 0, 0, 0, FASE3-VAR
1304, 0.5367, 0, 0, 0, 0, 0, FASE3-VAR
1305, 0.5367, 0, 0, 0, 0, 0, FASE3-VAR
1306, 0.5367, 0, 0, 0, 0, 0, FASE3-VAR
1307, 0.5367, 0, 0, 0, 0, 0, FASE3-VAR
1308, 0.5367, 0, 0, 0, 0, 0, FASE3-VAR
1309, 0.5367, 0, 0, 0, 0, 0, FASE3-VAR
1310, 0.5367, 0, 0, 0, 0, 0, FASE3-VAR
1311, 0.5367, 0, 0, 0, 0, 0, FASE3-VAR
1312, 0.5367, 0, 0, 0, 0, 0, FASE3-VAR
1313, 0.5367, 0, 0, 0, 0, 0, FASE3-VAR
1314, 0.5367, 0, 0, 0, 0, 0, FASE3-VAR
1315, 0.5367, 0, 0, 0, 0, 0, FASE3-VAR
1316, 0.5367, 0, 0, 0, 0, 0, FASE3-VAR
1317, 0.5367, 0, 0, 0, 0, 0, FASE3-VAR
1318, 0.5367, 0, 0, 0, 0, 0, FASE3-VAR
1319, 0.5367, 0, 0, 0, 0, 0, FASE3-VAR
1320, 0.5367, 0, 0, 0, 0, 0, FASE3-VAR
1321, 0.5367, 0, 0, 0, 0, 0, FASE3-VAR
1322, 0.5367, 0, 0, 0, 0, 0, FASE3-VAR
1323, 0.5367, 0, 0, 0, 0, 0, FASE3-VAR
1324, 0.5367, 0, 0, 0, 0, 0, FASE3-VAR
1325, 0.5367, 0, 0, 0, 0, 0, FASE3-VAR
1326, 0.5367, 0, 0, 0, 0, 0, FASE3-VAR
1327, 0.5367, 0, 0, 0, 0, 0, FASE3-VAR
1328, 0.5367, 0, 0, 0, 0, 0, FASE3-VAR
1329, 0.5367, 0, 0, 0, 0, 0, FASE3-VAR
1330, 0.5367, 0, 0, 0, 0, 0, FASE3-VAR
1331, 0.5367, 0, 0, 0, 0, 0, FASE3-VAR
1332, 0.5367, 0, 0, 0, 0, 0, FASE3-VAR
1333, 0.5367, 0, 0, 0, 0, 0, FASE3-VAR
1334, 0.5367, 0, 0, 0, 0, 0, FASE3-VAR
1335, 0.5367, 0, 0, 0, 0, 0, FASE3-VAR
1336, 0.5367, 0, 0, 0, 0, 0, FASE3-VAR
1337, 0.5367, 0, 0, 0, 0, 0, FASE3-VAR
1338, 0.5367, 0, 0, 0, 0, 0, FASE3-VAR
1339, 0.5367, 0, 0, 0, 0, 0, FASE3-VAR
1340, 0.5367, 0, 0, 0, 0, 0, FASE3-VAR
1341, 0.5367, 0, 0, 0, 0, 0, FASE3-VAR
1342, 0.5367, 0, 0, 0, 0, 0, FASE3-VAR
1343, 0.5367, 0, 0, 0, 0, 0, FASE3-VAR
1344, 0.5367, 0, 0, 0, 0, 0, FASE3-VAR
1345, 0.5367, 0, 0, 0, 0, 0, FASE3-VAR
1346, 0.5367, 0, 0, 0, 0, 0, FASE3-VAR
1347, 0.5367, 0, 0, 0, 0, 0, FASE3-VAR
1348, 0.5367, 0, 0, 0, 0, 0, FASE3-VAR
1349, 0.5367, 0, 0, 0, 0, 0, FASE3-VAR
```

PROJECT TITLE :

	Company		Client	
	Author		File Name	Brembiolo1_08_completo(fasi)DEFINITIVO.mgt

```
1350, 0.5367, 0, 0, 0, 0, 0, FASE3-VAR
1351, 0.5367, 0, 0, 0, 0, 0, FASE3-VAR
1352, 0.5367, 0, 0, 0, 0, 0, FASE3-VAR
1353, 0.5367, 0, 0, 0, 0, 0, FASE3-VAR
1354, 0.5367, 0, 0, 0, 0, 0, FASE3-VAR
1355, 0.5367, 0, 0, 0, 0, 0, FASE3-VAR
1356, 0.5367, 0, 0, 0, 0, 0, FASE3-VAR
1357, 0.5367, 0, 0, 0, 0, 0, FASE3-VAR
1358, 0.5367, 0, 0, 0, 0, 0, FASE3-VAR
1359, 0.5367, 0, 0, 0, 0, 0, FASE3-VAR
1360, 0.5367, 0, 0, 0, 0, 0, FASE3-VAR
1361, 0.5367, 0, 0, 0, 0, 0, FASE3-VAR
1362, 0.5367, 0, 0, 0, 0, 0, FASE3-VAR
1363, 0.5367, 0, 0, 0, 0, 0, FASE3-VAR
1364, 0.5367, 0, 0, 0, 0, 0, FASE3-VAR
1365, 0.5367, 0, 0, 0, 0, 0, FASE3-VAR
1366, 0.5367, 0, 0, 0, 0, 0, FASE3-VAR
1367, 0.5367, 0, 0, 0, 0, 0, FASE3-VAR
1368, 0.5367, 0, 0, 0, 0, 0, FASE3-VAR
1369, 0.5367, 0, 0, 0, 0, 0, FASE3-VAR
1370, 0.5367, 0, 0, 0, 0, 0, FASE3-VAR
1371, 0.5367, 0, 0, 0, 0, 0, FASE3-VAR
1372, 0.5367, 0, 0, 0, 0, 0, FASE3-VAR
1373, 0.5367, 0, 0, 0, 0, 0, FASE3-VAR
1374, 0.5367, 0, 0, 0, 0, 0, FASE3-VAR
1375, 0.5367, 0, 0, 0, 0, 0, FASE3-VAR
1376, 0.5367, 0, 0, 0, 0, 0, FASE3-VAR
1377, 0.5367, 0, 0, 0, 0, 0, FASE3-VAR
1378, 0.5367, 0, 0, 0, 0, 0, FASE3-VAR
1379, 0.5367, 0, 0, 0, 0, 0, FASE3-VAR
1380, 0.5367, 0, 0, 0, 0, 0, FASE3-VAR
1381, 0.5367, 0, 0, 0, 0, 0, FASE3-VAR
1382, 0.5367, 0, 0, 0, 0, 0, FASE3-VAR
1383, 0.5367, 0, 0, 0, 0, 0, FASE3-VAR
1384, 0.5367, 0, 0, 0, 0, 0, FASE3-VAR
1385, 0.5367, 0, 0, 0, 0, 0, FASE3-VAR
1386, 0.5367, 0, 0, 0, 0, 0, FASE3-VAR
1387, 0.5367, 0, 0, 0, 0, 0, FASE3-VAR
1388, 0.5367, 0, 0, 0, 0, 0, FASE3-VAR
1389, 0.5367, 0, 0, 0, 0, 0, FASE3-VAR
1390, 0.5367, 0, 0, 0, 0, 0, FASE3-VAR
1391, 0.5367, 0, 0, 0, 0, 0, FASE3-VAR
1392, 0.5367, 0, 0, 0, 0, 0, FASE3-VAR
1393, 0.5367, 0, 0, 0, 0, 0, FASE3-VAR
1394, 0.5367, 0, 0, 0, 0, 0, FASE3-VAR
1395, 0.5367, 0, 0, 0, 0, 0, FASE3-VAR
1396, 0.5367, 0, 0, 0, 0, 0, FASE3-VAR
1397, 0.5367, 0, 0, 0, 0, 0, FASE3-VAR
1398, 0.5367, 0, 0, 0, 0, 0, FASE3-VAR
1399, 0.5367, 0, 0, 0, 0, 0, FASE3-VAR
1400, 0.5367, 0, 0, 0, 0, 0, FASE3-VAR
1401, 0.5367, 0, 0, 0, 0, 0, FASE3-VAR
1402, 0.5367, 0, 0, 0, 0, 0, FASE3-VAR
1403, 0.5367, 0, 0, 0, 0, 0, FASE3-VAR
1404, 0.5367, 0, 0, 0, 0, 0, FASE3-VAR
1405, 0.5367, 0, 0, 0, 0, 0, FASE3-VAR
1406, 0.5367, 0, 0, 0, 0, 0, FASE3-VAR
1407, 0.5367, 0, 0, 0, 0, 0, FASE3-VAR
1408, 0.5367, 0, 0, 0, 0, 0, FASE3-VAR
1409, 0.5367, 0, 0, 0, 0, 0, FASE3-VAR
1410, 0.5367, 0, 0, 0, 0, 0, FASE3-VAR
1411, 0.5367, 0, 0, 0, 0, 0, FASE3-VAR
1412, 0.5367, 0, 0, 0, 0, 0, FASE3-VAR
1413, 0.5367, 0, 0, 0, 0, 0, FASE3-VAR
1414, 0.5367, 0, 0, 0, 0, 0, FASE3-VAR
1415, 0.5367, 0, 0, 0, 0, 0, FASE3-VAR
1416, 0.5367, 0, 0, 0, 0, 0, FASE3-VAR
1417, 0.5367, 0, 0, 0, 0, 0, FASE3-VAR
1418, 0.5367, 0, 0, 0, 0, 0, FASE3-VAR
1419, 0.5367, 0, 0, 0, 0, 0, FASE3-VAR
1420, 0.5367, 0, 0, 0, 0, 0, FASE3-VAR
1421, 0.5367, 0, 0, 0, 0, 0, FASE3-VAR
1422, 0.5367, 0, 0, 0, 0, 0, FASE3-VAR
1423, 0.5367, 0, 0, 0, 0, 0, FASE3-VAR
1424, 0.5367, 0, 0, 0, 0, 0, FASE3-VAR
1425, 0.5367, 0, 0, 0, 0, 0, FASE3-VAR
1426, 0.5367, 0, 0, 0, 0, 0, FASE3-VAR
1427, 0.5367, 0, 0, 0, 0, 0, FASE3-VAR
```

PROJECT TITLE :

	Company		Client	
	Author		File Name	Brembiolo1_08_completo(fasi)DEFINITIVO.mgt

```
1428, 0.5367, 0, 0, 0, 0, 0, FASE3-VAR
1429, 0.5367, 0, 0, 0, 0, 0, FASE3-VAR
1430, 0.5367, 0, 0, 0, 0, 0, FASE3-VAR
1431, 0.5367, 0, 0, 0, 0, 0, FASE3-VAR
1432, 0.5367, 0, 0, 0, 0, 0, FASE3-VAR
1433, 0.5367, 0, 0, 0, 0, 0, FASE3-VAR
1434, 0.5367, 0, 0, 0, 0, 0, FASE3-VAR
1435, 0.5367, 0, 0, 0, 0, 0, FASE3-VAR
1436, 0.5367, 0, 0, 0, 0, 0, FASE3-VAR
1437, 0.5367, 0, 0, 0, 0, 0, FASE3-VAR
1438, 0.5367, 0, 0, 0, 0, 0, FASE3-VAR
1439, 0.5367, 0, 0, 0, 0, 0, FASE3-VAR
1440, 0.5367, 0, 0, 0, 0, 0, FASE3-VAR
1441, 0.5367, 0, 0, 0, 0, 0, FASE3-VAR
1442, 0.5367, 0, 0, 0, 0, 0, FASE3-VAR
1443, 0.5367, 0, 0, 0, 0, 0, FASE3-VAR
1444, 0.5367, 0, 0, 0, 0, 0, FASE3-VAR
1445, 0.5367, 0, 0, 0, 0, 0, FASE3-VAR
1446, 0.5367, 0, 0, 0, 0, 0, FASE3-VAR
1447, 0.5367, 0, 0, 0, 0, 0, FASE3-VAR
1448, 0.5367, 0, 0, 0, 0, 0, FASE3-VAR
1449, 0.5367, 0, 0, 0, 0, 0, FASE3-VAR
1450, 0.5367, 0, 0, 0, 0, 0, FASE3-VAR
1451, 0.5367, 0, 0, 0, 0, 0, FASE3-VAR
1452, 0.5367, 0, 0, 0, 0, 0, FASE3-VAR
1453, 0.5367, 0, 0, 0, 0, 0, FASE3-VAR
1454, 0.5367, 0, 0, 0, 0, 0, FASE3-VAR
1455, 0.5367, 0, 0, 0, 0, 0, FASE3-VAR
1456, 0.5367, 0, 0, 0, 0, 0, FASE3-VAR
1457, 0.5367, 0, 0, 0, 0, 0, FASE3-VAR
1458, 0.5367, 0, 0, 0, 0, 0, FASE3-VAR
1459, 0.5367, 0, 0, 0, 0, 0, FASE3-VAR
1460, 0.5367, 0, 0, 0, 0, 0, FASE3-VAR
1461, 0.5367, 0, 0, 0, 0, 0, FASE3-VAR
1462, 0.5367, 0, 0, 0, 0, 0, FASE3-VAR
1463, 0.5367, 0, 0, 0, 0, 0, FASE3-VAR
1464, 0.5367, 0, 0, 0, 0, 0, FASE3-VAR
1465, 0.5367, 0, 0, 0, 0, 0, FASE3-VAR
1466, 0.5367, 0, 0, 0, 0, 0, FASE3-VAR
1467, 0.5367, 0, 0, 0, 0, 0, FASE3-VAR
1468, 0.5367, 0, 0, 0, 0, 0, FASE3-VAR
1469, 0.5367, 0, 0, 0, 0, 0, FASE3-VAR
1470, 0.5367, 0, 0, 0, 0, 0, FASE3-VAR
1471, 0.5367, 0, 0, 0, 0, 0, FASE3-VAR
1472, 0.5367, 0, 0, 0, 0, 0, FASE3-VAR
1473, 0.5367, 0, 0, 0, 0, 0, FASE3-VAR
1474, 0.5367, 0, 0, 0, 0, 0, FASE3-VAR
1475, 0.5367, 0, 0, 0, 0, 0, FASE3-VAR
1476, 0.5367, 0, 0, 0, 0, 0, FASE3-VAR
1477, 0.5367, 0, 0, 0, 0, 0, FASE3-VAR
1478, 0.5367, 0, 0, 0, 0, 0, FASE3-VAR
1479, 0.5367, 0, 0, 0, 0, 0, FASE3-VAR
1480, 0.5367, 0, 0, 0, 0, 0, FASE3-VAR
1481, 0.5367, 0, 0, 0, 0, 0, FASE3-VAR
1482, 0.5367, 0, 0, 0, 0, 0, FASE3-VAR
1483, 0.5367, 0, 0, 0, 0, 0, FASE3-VAR
1484, 0.5367, 0, 0, 0, 0, 0, FASE3-VAR
1485, 0.5367, 0, 0, 0, 0, 0, FASE3-VAR
1486, 0.5367, 0, 0, 0, 0, 0, FASE3-VAR
1487, 0.5367, 0, 0, 0, 0, 0, FASE3-VAR
1488, 0.5367, 0, 0, 0, 0, 0, FASE3-VAR
1489, 0.5367, 0, 0, 0, 0, 0, FASE3-VAR
1490, 0.5367, 0, 0, 0, 0, 0, FASE3-VAR
1491, 0.5367, 0, 0, 0, 0, 0, FASE3-VAR
1492, 0.5367, 0, 0, 0, 0, 0, FASE3-VAR
1493, 0.5367, 0, 0, 0, 0, 0, FASE3-VAR
1494, 0.5367, 0, 0, 0, 0, 0, FASE3-VAR
1495, 0.5367, 0, 0, 0, 0, 0, FASE3-VAR
1496, 0.5367, 0, 0, 0, 0, 0, FASE3-VAR
1497, 0.5367, 0, 0, 0, 0, 0, FASE3-VAR
1498, 0.5367, 0, 0, 0, 0, 0, FASE3-VAR
1499, 0.5367, 0, 0, 0, 0, 0, FASE3-VAR
1500, 0.5367, 0, 0, 0, 0, 0, FASE3-VAR
1501, 0.5367, 0, 0, 0, 0, 0, FASE3-VAR
1502, 0.5367, 0, 0, 0, 0, 0, FASE3-VAR
1503, 0.5367, 0, 0, 0, 0, 0, FASE3-VAR
1504, 0.5367, 0, 0, 0, 0, 0, FASE3-VAR
1505, 0.5367, 0, 0, 0, 0, 0, FASE3-VAR
```

PROJECT TITLE :

	Company		Client	
	Author		File Name	Brembiolo1_08_completo(fasi)DEFINITIVO.mgt

```
1506, 0.5367, 0, 0, 0, 0, 0, FASE3-VAR
1507, 0.5367, 0, 0, 0, 0, 0, FASE3-VAR
1508, 0.5367, 0, 0, 0, 0, 0, FASE3-VAR
1509, 0.5367, 0, 0, 0, 0, 0, FASE3-VAR
1510, 0.5367, 0, 0, 0, 0, 0, FASE3-VAR
1511, 0.5367, 0, 0, 0, 0, 0, FASE3-VAR
1512, 0.5367, 0, 0, 0, 0, 0, FASE3-VAR
1513, 0.5367, 0, 0, 0, 0, 0, FASE3-VAR
1514, 0.5367, 0, 0, 0, 0, 0, FASE3-VAR
1515, 0.5367, 0, 0, 0, 0, 0, FASE3-VAR
1516, 0.5367, 0, 0, 0, 0, 0, FASE3-VAR
1517, 0.5367, 0, 0, 0, 0, 0, FASE3-VAR
1518, 0.5367, 0, 0, 0, 0, 0, FASE3-VAR
1519, 0.5367, 0, 0, 0, 0, 0, FASE3-VAR
1520, 0.5367, 0, 0, 0, 0, 0, FASE3-VAR
1521, 0.5367, 0, 0, 0, 0, 0, FASE3-VAR
1522, 0.5367, 0, 0, 0, 0, 0, FASE3-VAR
1523, 0.5367, 0, 0, 0, 0, 0, FASE3-VAR
1524, 0.5367, 0, 0, 0, 0, 0, FASE3-VAR
1525, 0.5367, 0, 0, 0, 0, 0, FASE3-VAR
1526, 0.5367, 0, 0, 0, 0, 0, FASE3-VAR
1527, 0.5367, 0, 0, 0, 0, 0, FASE3-VAR
1528, 0.5367, 0, 0, 0, 0, 0, FASE3-VAR
1529, 0.5367, 0, 0, 0, 0, 0, FASE3-VAR
1530, 0.5367, 0, 0, 0, 0, 0, FASE3-VAR
1531, 0.5367, 0, 0, 0, 0, 0, FASE3-VAR
1532, 0.5367, 0, 0, 0, 0, 0, FASE3-VAR
1533, 0.5367, 0, 0, 0, 0, 0, FASE3-VAR
1534, 0.5367, 0, 0, 0, 0, 0, FASE3-VAR
1535, 0.5367, 0, 0, 0, 0, 0, FASE3-VAR
1536, 0.5367, 0, 0, 0, 0, 0, FASE3-VAR
1537, 0.5367, 0, 0, 0, 0, 0, FASE3-VAR
1538, 0.5367, 0, 0, 0, 0, 0, FASE3-VAR
1539, 0.5367, 0, 0, 0, 0, 0, FASE3-VAR
1540, 0.5367, 0, 0, 0, 0, 0, FASE3-VAR
1541, 0.5367, 0, 0, 0, 0, 0, FASE3-VAR
1542, 0.5367, 0, 0, 0, 0, 0, FASE3-VAR
1543, 0.5367, 0, 0, 0, 0, 0, FASE3-VAR
1544, 0.5367, 0, 0, 0, 0, 0, FASE3-VAR
1545, 0.5367, 0, 0, 0, 0, 0, FASE3-VAR
1546, 0.5367, 0, 0, 0, 0, 0, FASE3-VAR
1547, 0.5367, 0, 0, 0, 0, 0, FASE3-VAR
1548, 0.5367, 0, 0, 0, 0, 0, FASE3-VAR
1549, 0.5367, 0, 0, 0, 0, 0, FASE3-VAR
1550, 0.5367, 0, 0, 0, 0, 0, FASE3-VAR
1551, 0.5367, 0, 0, 0, 0, 0, FASE3-VAR
1552, 0.5367, 0, 0, 0, 0, 0, FASE3-VAR
1553, 0.5367, 0, 0, 0, 0, 0, FASE3-VAR
1554, 0.5367, 0, 0, 0, 0, 0, FASE3-VAR
1555, 0.5367, 0, 0, 0, 0, 0, FASE3-VAR
1556, 0.5367, 0, 0, 0, 0, 0, FASE3-VAR
1557, 0.5367, 0, 0, 0, 0, 0, FASE3-VAR
1558, 0.5367, 0, 0, 0, 0, 0, FASE3-VAR
1559, 0.5367, 0, 0, 0, 0, 0, FASE3-VAR
1560, 0.5367, 0, 0, 0, 0, 0, FASE3-VAR
1561, 0.5367, 0, 0, 0, 0, 0, FASE3-VAR
1562, 0.5367, 0, 0, 0, 0, 0, FASE3-VAR
1563, 0.5367, 0, 0, 0, 0, 0, FASE3-VAR
1564, 0.5367, 0, 0, 0, 0, 0, FASE3-VAR
1565, 0.5367, 0, 0, 0, 0, 0, FASE3-VAR
1566, 0.5367, 0, 0, 0, 0, 0, FASE3-VAR
1567, 0.5367, 0, 0, 0, 0, 0, FASE3-VAR
1568, 0.5367, 0, 0, 0, 0, 0, FASE3-VAR
1569, 0.5367, 0, 0, 0, 0, 0, FASE3-VAR
1570, 0.5367, 0, 0, 0, 0, 0, FASE3-VAR
1571, 0.5367, 0, 0, 0, 0, 0, FASE3-VAR
1572, 0.5367, 0, 0, 0, 0, 0, FASE3-VAR
1573, 0.5367, 0, 0, 0, 0, 0, FASE3-VAR
1574, 0.5367, 0, 0, 0, 0, 0, FASE3-VAR
1575, 0.5367, 0, 0, 0, 0, 0, FASE3-VAR
1576, 0.5367, 0, 0, 0, 0, 0, FASE3-VAR
1577, 0.5367, 0, 0, 0, 0, 0, FASE3-VAR
1578, 0.5367, 0, 0, 0, 0, 0, FASE3-VAR
1579, 0.5367, 0, 0, 0, 0, 0, FASE3-VAR
1580, 0.5367, 0, 0, 0, 0, 0, FASE3-VAR
1581, 0.5367, 0, 0, 0, 0, 0, FASE3-VAR
1582, 0.5367, 0, 0, 0, 0, 0, FASE3-VAR
1583, 0.5367, 0, 0, 0, 0, 0, FASE3-VAR
```

PROJECT TITLE :

	Company		Client	
	Author		File Name	Brembiolo1_08_completo(fasi)DEFINITIVO.mgt

```
1584, 0.5367, 0, 0, 0, 0, 0, FASE3-VAR
1585, 0.5367, 0, 0, 0, 0, 0, FASE3-VAR
1586, 0.5367, 0, 0, 0, 0, 0, FASE3-VAR
1587, 0.5367, 0, 0, 0, 0, 0, FASE3-VAR
1588, 0.5367, 0, 0, 0, 0, 0, FASE3-VAR
1589, 0.5367, 0, 0, 0, 0, 0, FASE3-VAR
1590, 0.5367, 0, 0, 0, 0, 0, FASE3-VAR
1591, 0.5367, 0, 0, 0, 0, 0, FASE3-VAR
1592, 0.5367, 0, 0, 0, 0, 0, FASE3-VAR
1593, 0.5367, 0, 0, 0, 0, 0, FASE3-VAR
1594, 0.5367, 0, 0, 0, 0, 0, FASE3-VAR
1595, 0.5367, 0, 0, 0, 0, 0, FASE3-VAR
1596, 0.5367, 0, 0, 0, 0, 0, FASE3-VAR
1597, 0.5367, 0, 0, 0, 0, 0, FASE3-VAR
1598, 0.5367, 0, 0, 0, 0, 0, FASE3-VAR
1599, 0.5367, 0, 0, 0, 0, 0, FASE3-VAR
1600, 0.5367, 0, 0, 0, 0, 0, FASE3-VAR
1601, 0.5367, 0, 0, 0, 0, 0, FASE3-VAR
1602, 0.5367, 0, 0, 0, 0, 0, FASE3-VAR
1603, 0.5367, 0, 0, 0, 0, 0, FASE3-VAR
1604, 0.5367, 0, 0, 0, 0, 0, FASE3-VAR
1605, 0.5367, 0, 0, 0, 0, 0, FASE3-VAR
1606, 0.5367, 0, 0, 0, 0, 0, FASE3-VAR
1607, 0.5367, 0, 0, 0, 0, 0, FASE3-VAR
1608, 0.5367, 0, 0, 0, 0, 0, FASE3-VAR
1609, 0.5367, 0, 0, 0, 0, 0, FASE3-VAR
1610, 0.5367, 0, 0, 0, 0, 0, FASE3-VAR
1611, 0.5367, 0, 0, 0, 0, 0, FASE3-VAR
1612, 0.5367, 0, 0, 0, 0, 0, FASE3-VAR
1613, 0.5367, 0, 0, 0, 0, 0, FASE3-VAR
1614, 0.5367, 0, 0, 0, 0, 0, FASE3-VAR
1615, 0.5367, 0, 0, 0, 0, 0, FASE3-VAR
1616, 0.5367, 0, 0, 0, 0, 0, FASE3-VAR
1617, 0.5367, 0, 0, 0, 0, 0, FASE3-VAR
1618, 0.5367, 0, 0, 0, 0, 0, FASE3-VAR
1619, 0.5367, 0, 0, 0, 0, 0, FASE3-VAR
1620, 0.5367, 0, 0, 0, 0, 0, FASE3-VAR
1621, 0.5367, 0, 0, 0, 0, 0, FASE3-VAR
1622, 0.5367, 0, 0, 0, 0, 0, FASE3-VAR
1623, 0.5367, 0, 0, 0, 0, 0, FASE3-VAR
1624, 0.5367, 0, 0, 0, 0, 0, FASE3-VAR
1625, 0.5367, 0, 0, 0, 0, 0, FASE3-VAR
1626, 0.5367, 0, 0, 0, 0, 0, FASE3-VAR
1627, 0.5367, 0, 0, 0, 0, 0, FASE3-VAR
1628, 0.5367, 0, 0, 0, 0, 0, FASE3-VAR
1629, 0.5367, 0, 0, 0, 0, 0, FASE3-VAR
1630, 0.5367, 0, 0, 0, 0, 0, FASE3-VAR
1631, 0.5367, 0, 0, 0, 0, 0, FASE3-VAR
1632, 0.5367, 0, 0, 0, 0, 0, FASE3-VAR
1633, 0.5367, 0, 0, 0, 0, 0, FASE3-VAR
1634, 0.5367, 0, 0, 0, 0, 0, FASE3-VAR
1635, 0.5367, 0, 0, 0, 0, 0, FASE3-VAR
1636, 0.5367, 0, 0, 0, 0, 0, FASE3-VAR
1637, 0.5367, 0, 0, 0, 0, 0, FASE3-VAR
1638, 0.5367, 0, 0, 0, 0, 0, FASE3-VAR
1639, 0.5367, 0, 0, 0, 0, 0, FASE3-VAR
1640, 0.5367, 0, 0, 0, 0, 0, FASE3-VAR
1641, 0.5367, 0, 0, 0, 0, 0, FASE3-VAR
1642, 0.5367, 0, 0, 0, 0, 0, FASE3-VAR
1643, 0.5367, 0, 0, 0, 0, 0, FASE3-VAR
1644, 0.5367, 0, 0, 0, 0, 0, FASE3-VAR
1645, 0.5367, 0, 0, 0, 0, 0, FASE3-VAR
1646, 0.5367, 0, 0, 0, 0, 0, FASE3-VAR
1647, 0.5367, 0, 0, 0, 0, 0, FASE3-VAR
1648, 0.5367, 0, 0, 0, 0, 0, FASE3-VAR
1649, 0.5367, 0, 0, 0, 0, 0, FASE3-VAR
1650, 0.5367, 0, 0, 0, 0, 0, FASE3-VAR
1651, 0.5367, 0, 0, 0, 0, 0, FASE3-VAR
1652, 0.5367, 0, 0, 0, 0, 0, FASE3-VAR
1653, 0.5367, 0, 0, 0, 0, 0, FASE3-VAR
1654, 0.5367, 0, 0, 0, 0, 0, FASE3-VAR
1655, 0.5367, 0, 0, 0, 0, 0, FASE3-VAR
1656, 0.5367, 0, 0, 0, 0, 0, FASE3-VAR
1657, 0.5367, 0, 0, 0, 0, 0, FASE3-VAR
1658, 0.5367, 0, 0, 0, 0, 0, FASE3-VAR
1659, 0.5367, 0, 0, 0, 0, 0, FASE3-VAR
1660, 0.5367, 0, 0, 0, 0, 0, FASE3-VAR
1661, 0.5367, 0, 0, 0, 0, 0, FASE3-VAR
```

PROJECT TITLE :

	Company		Client	
	Author		File Name	Brembiolo1_08_completo(fasi)DEFINITIVO.mgt

```
1662, 0.5367, 0, 0, 0, 0, 0, FASE3-VAR
1663, 0.5367, 0, 0, 0, 0, 0, FASE3-VAR
1664, 0.5367, 0, 0, 0, 0, 0, FASE3-VAR
1665, 0.5367, 0, 0, 0, 0, 0, FASE3-VAR
1666, 0.5367, 0, 0, 0, 0, 0, FASE3-VAR
1667, 0.5367, 0, 0, 0, 0, 0, FASE3-VAR
1668, 0.5367, 0, 0, 0, 0, 0, FASE3-VAR
1669, 0.5367, 0, 0, 0, 0, 0, FASE3-VAR
1670, 0.5367, 0, 0, 0, 0, 0, FASE3-VAR
1671, 0.5367, 0, 0, 0, 0, 0, FASE3-VAR
1672, 0.5367, 0, 0, 0, 0, 0, FASE3-VAR
1673, 0.5367, 0, 0, 0, 0, 0, FASE3-VAR
1674, 0.5367, 0, 0, 0, 0, 0, FASE3-VAR
1675, 0.5367, 0, 0, 0, 0, 0, FASE3-VAR
1676, 0.5367, 0, 0, 0, 0, 0, FASE3-VAR
1677, 0.5367, 0, 0, 0, 0, 0, FASE3-VAR
1678, 0.5367, 0, 0, 0, 0, 0, FASE3-VAR
1679, 0.5367, 0, 0, 0, 0, 0, FASE3-VAR
1680, 0.5367, 0, 0, 0, 0, 0, FASE3-VAR
1681, 0.5367, 0, 0, 0, 0, 0, FASE3-VAR
1682, 0.5367, 0, 0, 0, 0, 0, FASE3-VAR
1683, 0.5367, 0, 0, 0, 0, 0, FASE3-VAR
1684, 0.5367, 0, 0, 0, 0, 0, FASE3-VAR
1685, 0.5367, 0, 0, 0, 0, 0, FASE3-VAR
1686, 0.5367, 0, 0, 0, 0, 0, FASE3-VAR
1687, 0.5367, 0, 0, 0, 0, 0, FASE3-VAR
1688, 0.5367, 0, 0, 0, 0, 0, FASE3-VAR
1689, 0.5367, 0, 0, 0, 0, 0, FASE3-VAR
1690, 0.5367, 0, 0, 0, 0, 0, FASE3-VAR
1691, 0.5367, 0, 0, 0, 0, 0, FASE3-VAR
1692, 0.5367, 0, 0, 0, 0, 0, FASE3-VAR
1693, 0.5367, 0, 0, 0, 0, 0, FASE3-VAR
1694, 0.5367, 0, 0, 0, 0, 0, FASE3-VAR
1695, 0.5367, 0, 0, 0, 0, 0, FASE3-VAR
1696, 0.5367, 0, 0, 0, 0, 0, FASE3-VAR
1697, 0.5367, 0, 0, 0, 0, 0, FASE3-VAR
1698, 0.5367, 0, 0, 0, 0, 0, FASE3-VAR
1699, 0.5367, 0, 0, 0, 0, 0, FASE3-VAR
1700, 0.5367, 0, 0, 0, 0, 0, FASE3-VAR
1701, 0.5367, 0, 0, 0, 0, 0, FASE3-VAR
1702, 0.5367, 0, 0, 0, 0, 0, FASE3-VAR
1703, 0.5367, 0, 0, 0, 0, 0, FASE3-VAR
1704, 0.5367, 0, 0, 0, 0, 0, FASE3-VAR
1705, 0.5367, 0, 0, 0, 0, 0, FASE3-VAR
1706, 0.5367, 0, 0, 0, 0, 0, FASE3-VAR
1707, 0.5367, 0, 0, 0, 0, 0, FASE3-VAR
1708, 0.5367, 0, 0, 0, 0, 0, FASE3-VAR
1709, 0.5367, 0, 0, 0, 0, 0, FASE3-VAR
1710, 0.5367, 0, 0, 0, 0, 0, FASE3-VAR
1711, 0.5367, 0, 0, 0, 0, 0, FASE3-VAR
1712, 0.5367, 0, 0, 0, 0, 0, FASE3-VAR
1713, 0.5367, 0, 0, 0, 0, 0, FASE3-VAR
1714, 0.5367, 0, 0, 0, 0, 0, FASE3-VAR
1715, 0.5367, 0, 0, 0, 0, 0, FASE3-VAR
1716, 0.5367, 0, 0, 0, 0, 0, FASE3-VAR
1717, 0.5367, 0, 0, 0, 0, 0, FASE3-VAR
1718, 0.5367, 0, 0, 0, 0, 0, FASE3-VAR
1719, 0.5367, 0, 0, 0, 0, 0, FASE3-VAR
1720, 0.5367, 0, 0, 0, 0, 0, FASE3-VAR
1721, 0.5367, 0, 0, 0, 0, 0, FASE3-VAR
1722, 0.5367, 0, 0, 0, 0, 0, FASE3-VAR
1723, 0.5367, 0, 0, 0, 0, 0, FASE3-VAR
1724, 0.5367, 0, 0, 0, 0, 0, FASE3-VAR
1725, 0.5367, 0, 0, 0, 0, 0, FASE3-VAR
1726, 0.5367, 0, 0, 0, 0, 0, FASE3-VAR
1727, 0.5367, 0, 0, 0, 0, 0, FASE3-VAR
1728, 0.5367, 0, 0, 0, 0, 0, FASE3-VAR
1729, 0.5367, 0, 0, 0, 0, 0, FASE3-VAR
1730, 0.5367, 0, 0, 0, 0, 0, FASE3-VAR
1731, 0.5367, 0, 0, 0, 0, 0, FASE3-VAR
1732, 0.5367, 0, 0, 0, 0, 0, FASE3-VAR
1733, 0.5367, 0, 0, 0, 0, 0, FASE3-VAR
1734, 0.5367, 0, 0, 0, 0, 0, FASE3-VAR
1735, 0.5367, 0, 0, 0, 0, 0, FASE3-VAR
1736, 0.5367, 0, 0, 0, 0, 0, FASE3-VAR
1737, 0.5367, 0, 0, 0, 0, 0, FASE3-VAR
1738, 0.5367, 0, 0, 0, 0, 0, FASE3-VAR
1739, 0.5367, 0, 0, 0, 0, 0, FASE3-VAR
```

PROJECT TITLE :

	Company		Client	
	Author		File Name	Brembiolo1_08_completo(fasi)DEFINITIVO.mgt

```
1740, 0.5367, 0, 0, 0, 0, 0, FASE3-VAR
1741, 0.5367, 0, 0, 0, 0, 0, FASE3-VAR
1742, 0.5367, 0, 0, 0, 0, 0, FASE3-VAR
1743, 0.5367, 0, 0, 0, 0, 0, FASE3-VAR
1744, 0.5367, 0, 0, 0, 0, 0, FASE3-VAR
1745, 0.5367, 0, 0, 0, 0, 0, FASE3-VAR
1746, 0.5367, 0, 0, 0, 0, 0, FASE3-VAR
1747, 0.5367, 0, 0, 0, 0, 0, FASE3-VAR
1748, 0.5367, 0, 0, 0, 0, 0, FASE3-VAR
1749, 0.5367, 0, 0, 0, 0, 0, FASE3-VAR
1750, 0.5367, 0, 0, 0, 0, 0, FASE3-VAR
1751, 0.5367, 0, 0, 0, 0, 0, FASE3-VAR
1752, 0.5367, 0, 0, 0, 0, 0, FASE3-VAR
1753, 0.5367, 0, 0, 0, 0, 0, FASE3-VAR
1754, 0.5367, 0, 0, 0, 0, 0, FASE3-VAR
1755, 0.5367, 0, 0, 0, 0, 0, FASE3-VAR
1756, 0.5367, 0, 0, 0, 0, 0, FASE3-VAR
1757, 0.5367, 0, 0, 0, 0, 0, FASE3-VAR
1758, 0.5367, 0, 0, 0, 0, 0, FASE3-VAR
1759, 0.5367, 0, 0, 0, 0, 0, FASE3-VAR
1760, 0.5367, 0, 0, 0, 0, 0, FASE3-VAR
1761, 0.5367, 0, 0, 0, 0, 0, FASE3-VAR
1762, 0.5367, 0, 0, 0, 0, 0, FASE3-VAR
1763, 0.5367, 0, 0, 0, 0, 0, FASE3-VAR
1764, 0.5367, 0, 0, 0, 0, 0, FASE3-VAR
1765, 0.5367, 0, 0, 0, 0, 0, FASE3-VAR
1766, 0.5367, 0, 0, 0, 0, 0, FASE3-VAR
1767, 0.5367, 0, 0, 0, 0, 0, FASE3-VAR
1768, 0.5367, 0, 0, 0, 0, 0, FASE3-VAR
1769, 0.5367, 0, 0, 0, 0, 0, FASE3-VAR
1770, 0.5367, 0, 0, 0, 0, 0, FASE3-VAR
1771, 0.5367, 0, 0, 0, 0, 0, FASE3-VAR
1772, 0.5367, 0, 0, 0, 0, 0, FASE3-VAR
1773, 0.5367, 0, 0, 0, 0, 0, FASE3-VAR
1774, 0.5367, 0, 0, 0, 0, 0, FASE3-VAR
1775, 0.5367, 0, 0, 0, 0, 0, FASE3-VAR
1776, 0.5367, 0, 0, 0, 0, 0, FASE3-VAR
1777, 0.5367, 0, 0, 0, 0, 0, FASE3-VAR
1778, 0.5367, 0, 0, 0, 0, 0, FASE3-VAR
1779, 0.5367, 0, 0, 0, 0, 0, FASE3-VAR
1780, 0.5367, 0, 0, 0, 0, 0, FASE3-VAR
1781, 0.5367, 0, 0, 0, 0, 0, FASE3-VAR
1782, 0.5367, 0, 0, 0, 0, 0, FASE3-VAR
1783, 0.5367, 0, 0, 0, 0, 0, FASE3-VAR
1784, 0.5367, 0, 0, 0, 0, 0, FASE3-VAR
1785, 0.5367, 0, 0, 0, 0, 0, FASE3-VAR
1786, 0.5367, 0, 0, 0, 0, 0, FASE3-VAR
1787, 0.5367, 0, 0, 0, 0, 0, FASE3-VAR
1788, 0.5367, 0, 0, 0, 0, 0, FASE3-VAR
1789, 0.5367, 0, 0, 0, 0, 0, FASE3-VAR
1790, 0.5367, 0, 0, 0, 0, 0, FASE3-VAR
1791, 0.5367, 0, 0, 0, 0, 0, FASE3-VAR
1792, 0.5367, 0, 0, 0, 0, 0, FASE3-VAR
1793, 0.5367, 0, 0, 0, 0, 0, FASE3-VAR
1794, 0.5367, 0, 0, 0, 0, 0, FASE3-VAR
1795, 0.5367, 0, 0, 0, 0, 0, FASE3-VAR
1796, 0.5367, 0, 0, 0, 0, 0, FASE3-VAR
1797, 0.5367, 0, 0, 0, 0, 0, FASE3-VAR
1798, 0.5367, 0, 0, 0, 0, 0, FASE3-VAR
1799, 0.5367, 0, 0, 0, 0, 0, FASE3-VAR
1800, 0.5367, 0, 0, 0, 0, 0, FASE3-VAR
1801, 0.5367, 0, 0, 0, 0, 0, FASE3-VAR
1802, 0.5367, 0, 0, 0, 0, 0, FASE3-VAR
1803, 0.5367, 0, 0, 0, 0, 0, FASE3-VAR
1804, 0.5367, 0, 0, 0, 0, 0, FASE3-VAR
1805, 0.5367, 0, 0, 0, 0, 0, FASE3-VAR
1806, 0.5367, 0, 0, 0, 0, 0, FASE3-VAR
1807, 0.5367, 0, 0, 0, 0, 0, FASE3-VAR
1808, 0.5367, 0, 0, 0, 0, 0, FASE3-VAR
1809, 0.5367, 0, 0, 0, 0, 0, FASE3-VAR
1810, 0.5367, 0, 0, 0, 0, 0, FASE3-VAR
1811, 0.5367, 0, 0, 0, 0, 0, FASE3-VAR
1812, 0.5367, 0, 0, 0, 0, 0, FASE3-VAR
1813, 0.5367, 0, 0, 0, 0, 0, FASE3-VAR
1814, 0.5367, 0, 0, 0, 0, 0, FASE3-VAR
1815, 0.5367, 0, 0, 0, 0, 0, FASE3-VAR
1816, 0.5367, 0, 0, 0, 0, 0, FASE3-VAR
1817, 0.5367, 0, 0, 0, 0, 0, FASE3-VAR
```

PROJECT TITLE :

	Company		Client	
	Author		File Name	Brembiolo1_08_completo(fasi)DEFINITIVO.mgt

```
1818, 0.5367, 0, 0, 0, 0, 0, FASE3-VAR
1819, 0.5367, 0, 0, 0, 0, 0, FASE3-VAR
1820, 0.5367, 0, 0, 0, 0, 0, FASE3-VAR
1821, 0.5367, 0, 0, 0, 0, 0, FASE3-VAR
1822, 0.5367, 0, 0, 0, 0, 0, FASE3-VAR
1823, 0.5367, 0, 0, 0, 0, 0, FASE3-VAR
1824, 0.5367, 0, 0, 0, 0, 0, FASE3-VAR
1825, 0.5367, 0, 0, 0, 0, 0, FASE3-VAR
1826, 0.5367, 0, 0, 0, 0, 0, FASE3-VAR
1827, 0.5367, 0, 0, 0, 0, 0, FASE3-VAR
1828, 0.5367, 0, 0, 0, 0, 0, FASE3-VAR
1829, 0.5367, 0, 0, 0, 0, 0, FASE3-VAR
1830, 0.5367, 0, 0, 0, 0, 0, FASE3-VAR
1831, 0.5367, 0, 0, 0, 0, 0, FASE3-VAR
1832, 0.5367, 0, 0, 0, 0, 0, FASE3-VAR
1833, 0.5367, 0, 0, 0, 0, 0, FASE3-VAR
1834, 0.5367, 0, 0, 0, 0, 0, FASE3-VAR
1835, 0.5367, 0, 0, 0, 0, 0, FASE3-VAR
1836, 0.5367, 0, 0, 0, 0, 0, FASE3-VAR
1837, 0.5367, 0, 0, 0, 0, 0, FASE3-VAR
1838, 0.5367, 0, 0, 0, 0, 0, FASE3-VAR
1839, 0.5367, 0, 0, 0, 0, 0, FASE3-VAR
1840, 0.5367, 0, 0, 0, 0, 0, FASE3-VAR
1841, 0.5367, 0, 0, 0, 0, 0, FASE3-VAR
1842, 0.5367, 0, 0, 0, 0, 0, FASE3-VAR
1843, 0.5367, 0, 0, 0, 0, 0, FASE3-VAR
1844, 0.5367, 0, 0, 0, 0, 0, FASE3-VAR
1845, 0.5367, 0, 0, 0, 0, 0, FASE3-VAR
1846, 0.5367, 0, 0, 0, 0, 0, FASE3-VAR
1847, 0.5367, 0, 0, 0, 0, 0, FASE3-VAR
1848, 0.5367, 0, 0, 0, 0, 0, FASE3-VAR
1849, 0.5367, 0, 0, 0, 0, 0, FASE3-VAR
1850, 0.5367, 0, 0, 0, 0, 0, FASE3-VAR
1851, 0.5367, 0, 0, 0, 0, 0, FASE3-VAR
1852, 0.5367, 0, 0, 0, 0, 0, FASE3-VAR
1853, 0.5367, 0, 0, 0, 0, 0, FASE3-VAR
1854, 0.5367, 0, 0, 0, 0, 0, FASE3-VAR
1855, 0.5367, 0, 0, 0, 0, 0, FASE3-VAR
1856, 0.5367, 0, 0, 0, 0, 0, FASE3-VAR
1857, 0.5367, 0, 0, 0, 0, 0, FASE3-VAR
1858, 0.5367, 0, 0, 0, 0, 0, FASE3-VAR
1859, 0.5367, 0, 0, 0, 0, 0, FASE3-VAR
1860, 0.5367, 0, 0, 0, 0, 0, FASE3-VAR
1861, 0.5367, 0, 0, 0, 0, 0, FASE3-VAR
1862, 0.5367, 0, 0, 0, 0, 0, FASE3-VAR
1863, 0.5367, 0, 0, 0, 0, 0, FASE3-VAR
1864, 0.5367, 0, 0, 0, 0, 0, FASE3-VAR
1865, 0.5367, 0, 0, 0, 0, 0, FASE3-VAR
1866, 0.5367, 0, 0, 0, 0, 0, FASE3-VAR
1867, 0.5367, 0, 0, 0, 0, 0, FASE3-VAR
1868, 0.5367, 0, 0, 0, 0, 0, FASE3-VAR
1869, 0.5367, 0, 0, 0, 0, 0, FASE3-VAR
1870, 0.5367, 0, 0, 0, 0, 0, FASE3-VAR
1871, 0.5367, 0, 0, 0, 0, 0, FASE3-VAR
1872, 0.5367, 0, 0, 0, 0, 0, FASE3-VAR
1873, 0.5367, 0, 0, 0, 0, 0, FASE3-VAR
1874, 0.5367, 0, 0, 0, 0, 0, FASE3-VAR
1875, 0.5367, 0, 0, 0, 0, 0, FASE3-VAR
1876, 0.5367, 0, 0, 0, 0, 0, FASE3-VAR
1877, 0.5367, 0, 0, 0, 0, 0, FASE3-VAR
1878, 0.5367, 0, 0, 0, 0, 0, FASE3-VAR
1879, 0.5367, 0, 0, 0, 0, 0, FASE3-VAR
1880, 0.5367, 0, 0, 0, 0, 0, FASE3-VAR
1881, 0.5367, 0, 0, 0, 0, 0, FASE3-VAR
1882, 0.5367, 0, 0, 0, 0, 0, FASE3-VAR
1883, 0.5367, 0, 0, 0, 0, 0, FASE3-VAR
1884, 0.5367, 0, 0, 0, 0, 0, FASE3-VAR
1885, 0.5367, 0, 0, 0, 0, 0, FASE3-VAR
1886, 0.5367, 0, 0, 0, 0, 0, FASE3-VAR
1887, 0.5367, 0, 0, 0, 0, 0, FASE3-VAR
1888, 0.5367, 0, 0, 0, 0, 0, FASE3-VAR
1889, 0.5367, 0, 0, 0, 0, 0, FASE3-VAR
1890, 0.5367, 0, 0, 0, 0, 0, FASE3-VAR
1891, 0.5367, 0, 0, 0, 0, 0, FASE3-VAR
1892, 0.5367, 0, 0, 0, 0, 0, FASE3-VAR
1893, 0.5367, 0, 0, 0, 0, 0, FASE3-VAR
1894, 0.5367, 0, 0, 0, 0, 0, FASE3-VAR
1895, 0.5367, 0, 0, 0, 0, 0, FASE3-VAR
```

```
1896, 0.5367, 0, 0, 0, 0, 0, FASE3-VAR
1897, 0.5367, 0, 0, 0, 0, 0, FASE3-VAR
1898, 0.5367, 0, 0, 0, 0, 0, FASE3-VAR
1899, 0.5367, 0, 0, 0, 0, 0, FASE3-VAR
1900, 0.5367, 0, 0, 0, 0, 0, FASE3-VAR
1901, 0.5367, 0, 0, 0, 0, 0, FASE3-VAR
1902, 0.5367, 0, 0, 0, 0, 0, FASE3-VAR
1903, 0.5367, 0, 0, 0, 0, 0, FASE3-VAR
1904, 0.5367, 0, 0, 0, 0, 0, FASE3-VAR
1905, 0.5367, 0, 0, 0, 0, 0, FASE3-VAR
1906, 0.5367, 0, 0, 0, 0, 0, FASE3-VAR
1907, 0.5367, 0, 0, 0, 0, 0, FASE3-VAR
1908, 0.5367, 0, 0, 0, 0, 0, FASE3-VAR
1909, 0.5367, 0, 0, 0, 0, 0, FASE3-VAR
1910, 0.5367, 0, 0, 0, 0, 0, FASE3-VAR
1911, 0.5367, 0, 0, 0, 0, 0, FASE3-VAR
1912, 0.5367, 0, 0, 0, 0, 0, FASE3-VAR
1913, 0.5367, 0, 0, 0, 0, 0, FASE3-VAR
1914, 0.5367, 0, 0, 0, 0, 0, FASE3-VAR
1915, 0.5367, 0, 0, 0, 0, 0, FASE3-VAR
1916, 0.5367, 0, 0, 0, 0, 0, FASE3-VAR
1917, 0.5367, 0, 0, 0, 0, 0, FASE3-VAR
1918, 0.5367, 0, 0, 0, 0, 0, FASE3-VAR
1919, 0.5367, 0, 0, 0, 0, 0, FASE3-VAR
1920, 0.5367, 0, 0, 0, 0, 0, FASE3-VAR
1921, 0.5367, 0, 0, 0, 0, 0, FASE3-VAR
1922, 0.5367, 0, 0, 0, 0, 0, FASE3-VAR
1923, 0.5367, 0, 0, 0, 0, 0, FASE3-VAR
1924, 0.5367, 0, 0, 0, 0, 0, FASE3-VAR
1925, 0.5367, 0, 0, 0, 0, 0, FASE3-VAR
1926, 0.5367, 0, 0, 0, 0, 0, FASE3-VAR
1927, 0.5367, 0, 0, 0, 0, 0, FASE3-VAR
1928, 0.5367, 0, 0, 0, 0, 0, FASE3-VAR
1929, 0.5367, 0, 0, 0, 0, 0, FASE3-VAR
1930, 0.5367, 0, 0, 0, 0, 0, FASE3-VAR
1931, 0.5367, 0, 0, 0, 0, 0, FASE3-VAR
1932, 0.5367, 0, 0, 0, 0, 0, FASE3-VAR
1933, 0.5367, 0, 0, 0, 0, 0, FASE3-VAR
1934, 0.5367, 0, 0, 0, 0, 0, FASE3-VAR
1935, 0.5367, 0, 0, 0, 0, 0, FASE3-VAR
1936, 0.5367, 0, 0, 0, 0, 0, FASE3-VAR
1937, 0.5367, 0, 0, 0, 0, 0, FASE3-VAR
1938, 0.5367, 0, 0, 0, 0, 0, FASE3-VAR
1939, 0.5367, 0, 0, 0, 0, 0, FASE3-VAR
1940, 0.5367, 0, 0, 0, 0, 0, FASE3-VAR
1941, 0.5367, 0, 0, 0, 0, 0, FASE3-VAR
1942, 0.5367, 0, 0, 0, 0, 0, FASE3-VAR
1943, 0.5367, 0, 0, 0, 0, 0, FASE3-VAR
1944, 0.5367, 0, 0, 0, 0, 0, FASE3-VAR
1945, 0.5367, 0, 0, 0, 0, 0, FASE3-VAR
1946, 0.5367, 0, 0, 0, 0, 0, FASE3-VAR
1947, 0.5367, 0, 0, 0, 0, 0, FASE3-VAR
1948, 0.5367, 0, 0, 0, 0, 0, FASE3-VAR
1949, 0.5367, 0, 0, 0, 0, 0, FASE3-VAR
1950, 0.5367, 0, 0, 0, 0, 0, FASE3-VAR
1951, 0.5367, 0, 0, 0, 0, 0, FASE3-VAR
1952, 0.5367, 0, 0, 0, 0, 0, FASE3-VAR
1953, 0.5367, 0, 0, 0, 0, 0, FASE3-VAR
1954, 0.5367, 0, 0, 0, 0, 0, FASE3-VAR
1955, 0.5367, 0, 0, 0, 0, 0, FASE3-VAR
1956, 0.5367, 0, 0, 0, 0, 0, FASE3-VAR
1957, 0.5367, 0, 0, 0, 0, 0, FASE3-VAR
1958, 0.5367, 0, 0, 0, 0, 0, FASE3-VAR
1959, 0.5367, 0, 0, 0, 0, 0, FASE3-VAR
1960, 0.5367, 0, 0, 0, 0, 0, FASE3-VAR
1961, 0.5367, 0, 0, 0, 0, 0, FASE3-VAR
1962, 0.5367, 0, 0, 0, 0, 0, FASE3-VAR
1963, 0.5367, 0, 0, 0, 0, 0, FASE3-VAR
1964, 0.5367, 0, 0, 0, 0, 0, FASE3-VAR
1965, 0.5367, 0, 0, 0, 0, 0, FASE3-VAR
1966, 0.5367, 0, 0, 0, 0, 0, FASE3-VAR
1967, 0.5367, 0, 0, 0, 0, 0, FASE3-VAR
1968, 0.5367, 0, 0, 0, 0, 0, FASE3-VAR
1969, 0.5367, 0, 0, 0, 0, 0, FASE3-VAR
1970, 0.5367, 0, 0, 0, 0, 0, FASE3-VAR
1971, 0.5367, 0, 0, 0, 0, 0, FASE3-VAR
1972, 0.5367, 0, 0, 0, 0, 0, FASE3-VAR
1973, 0.5367, 0, 0, 0, 0, 0, FASE3-VAR
```

PROJECT TITLE :

	Company		Client	
	Author		File Name	Brembiolo1_08_completo(fasi)DEFINITIVO.mgt

```
1974, 0.5367, 0, 0, 0, 0, 0, FASE3-VAR
1975, 0.5367, 0, 0, 0, 0, 0, FASE3-VAR
1976, 0.5367, 0, 0, 0, 0, 0, FASE3-VAR
1977, 0.5367, 0, 0, 0, 0, 0, FASE3-VAR
1978, 0.5367, 0, 0, 0, 0, 0, FASE3-VAR
1979, 0.5367, 0, 0, 0, 0, 0, FASE3-VAR
1980, 0.5367, 0, 0, 0, 0, 0, FASE3-VAR
1981, 0.5367, 0, 0, 0, 0, 0, FASE3-VAR
1982, 0.5367, 0, 0, 0, 0, 0, FASE3-VAR
1983, 0.5367, 0, 0, 0, 0, 0, FASE3-VAR
1984, 0.5367, 0, 0, 0, 0, 0, FASE3-VAR
1985, 0.5367, 0, 0, 0, 0, 0, FASE3-VAR
1986, 0.5367, 0, 0, 0, 0, 0, FASE3-VAR
1987, 0.5367, 0, 0, 0, 0, 0, FASE3-VAR
1988, 0.5367, 0, 0, 0, 0, 0, FASE3-VAR
1989, 0.5367, 0, 0, 0, 0, 0, FASE3-VAR
1990, 0.5367, 0, 0, 0, 0, 0, FASE3-VAR
1991, 0.5367, 0, 0, 0, 0, 0, FASE3-VAR
1992, 0.5367, 0, 0, 0, 0, 0, FASE3-VAR
1993, 0.5367, 0, 0, 0, 0, 0, FASE3-VAR
1994, 0.5367, 0, 0, 0, 0, 0, FASE3-VAR
1995, 0.5367, 0, 0, 0, 0, 0, FASE3-VAR
1996, 0.5367, 0, 0, 0, 0, 0, FASE3-VAR
1997, 0.5367, 0, 0, 0, 0, 0, FASE3-VAR
1998, 0.5367, 0, 0, 0, 0, 0, FASE3-VAR
1999, 0.5367, 0, 0, 0, 0, 0, FASE3-VAR
2000, 0.5367, 0, 0, 0, 0, 0, FASE3-VAR
2001, 0.5367, 0, 0, 0, 0, 0, FASE3-VAR
2002, 0.5367, 0, 0, 0, 0, 0, FASE3-VAR
2003, 0.5367, 0, 0, 0, 0, 0, FASE3-VAR
2004, 0.5367, 0, 0, 0, 0, 0, FASE3-VAR
2005, 0.5367, 0, 0, 0, 0, 0, FASE3-VAR
2006, 0.5367, 0, 0, 0, 0, 0, FASE3-VAR
2007, 0.5367, 0, 0, 0, 0, 0, FASE3-VAR
2008, 0.5367, 0, 0, 0, 0, 0, FASE3-VAR
2009, 0.5367, 0, 0, 0, 0, 0, FASE3-VAR
2010, 0.5367, 0, 0, 0, 0, 0, FASE3-VAR
2011, 0.5367, 0, 0, 0, 0, 0, FASE3-VAR
2012, 0.5367, 0, 0, 0, 0, 0, FASE3-VAR
2013, 0.5367, 0, 0, 0, 0, 0, FASE3-VAR
2014, 0.5367, 0, 0, 0, 0, 0, FASE3-VAR
2015, 0.5367, 0, 0, 0, 0, 0, FASE3-VAR
2016, 0.5367, 0, 0, 0, 0, 0, FASE3-VAR
2017, 0.5367, 0, 0, 0, 0, 0, FASE3-VAR
2018, 0.5367, 0, 0, 0, 0, 0, FASE3-VAR
2019, 0.5367, 0, 0, 0, 0, 0, FASE3-VAR
2020, 0.5367, 0, 0, 0, 0, 0, FASE3-VAR
2021, 0.5367, 0, 0, 0, 0, 0, FASE3-VAR
2022, 0.5367, 0, 0, 0, 0, 0, FASE3-VAR
2023, 0.5367, 0, 0, 0, 0, 0, FASE3-VAR
2024, 0.5367, 0, 0, 0, 0, 0, FASE3-VAR
2025, 0.5367, 0, 0, 0, 0, 0, FASE3-VAR
2026, 0.5367, 0, 0, 0, 0, 0, FASE3-VAR
2027, 0.5367, 0, 0, 0, 0, 0, FASE3-VAR
2028, 0.5367, 0, 0, 0, 0, 0, FASE3-VAR
2029, 0.5367, 0, 0, 0, 0, 0, FASE3-VAR
2030, 0.5367, 0, 0, 0, 0, 0, FASE3-VAR
2031, 0.5367, 0, 0, 0, 0, 0, FASE3-VAR
2032, 0.5367, 0, 0, 0, 0, 0, FASE3-VAR
2033, 0.5367, 0, 0, 0, 0, 0, FASE3-VAR
2034, 0.5367, 0, 0, 0, 0, 0, FASE3-VAR
2035, 0.5367, 0, 0, 0, 0, 0, FASE3-VAR
2036, 0.5367, 0, 0, 0, 0, 0, FASE3-VAR
2037, 0.5367, 0, 0, 0, 0, 0, FASE3-VAR
2038, 0.5367, 0, 0, 0, 0, 0, FASE3-VAR
2039, 0.5367, 0, 0, 0, 0, 0, FASE3-VAR
2040, 0.5367, 0, 0, 0, 0, 0, FASE3-VAR
2041, 0.5367, 0, 0, 0, 0, 0, FASE3-VAR
2042, 0.5367, 0, 0, 0, 0, 0, FASE3-VAR
2043, 0.5367, 0, 0, 0, 0, 0, FASE3-VAR
2044, 0.5367, 0, 0, 0, 0, 0, FASE3-VAR
2045, 0.5367, 0, 0, 0, 0, 0, FASE3-VAR
2046, 0.5367, 0, 0, 0, 0, 0, FASE3-VAR
2047, 0.5367, 0, 0, 0, 0, 0, FASE3-VAR
2048, 0.5367, 0, 0, 0, 0, 0, FASE3-VAR
2049, 0.5367, 0, 0, 0, 0, 0, FASE3-VAR
2050, 0.5367, 0, 0, 0, 0, 0, FASE3-VAR
2051, 0.5367, 0, 0, 0, 0, 0, FASE3-VAR
```

PROJECT TITLE :

	Company		Client	
	Author		File Name	Brembiolo1_08_completo(fasi)DEFINITIVO.mgt

```
2052, 0.5367, 0, 0, 0, 0, 0, FASE3-VAR
2053, 0.5367, 0, 0, 0, 0, 0, FASE3-VAR
2054, 0.5367, 0, 0, 0, 0, 0, FASE3-VAR
2055, 0.5367, 0, 0, 0, 0, 0, FASE3-VAR
2056, 0.5367, 0, 0, 0, 0, 0, FASE3-VAR
2057, 0.5367, 0, 0, 0, 0, 0, FASE3-VAR
2058, 0.5367, 0, 0, 0, 0, 0, FASE3-VAR
2059, 0.5367, 0, 0, 0, 0, 0, FASE3-VAR
2060, 0.5367, 0, 0, 0, 0, 0, FASE3-VAR
2061, 0.5367, 0, 0, 0, 0, 0, FASE3-VAR
2062, 0.5367, 0, 0, 0, 0, 0, FASE3-VAR
2063, 0.5367, 0, 0, 0, 0, 0, FASE3-VAR
2064, 0.5367, 0, 0, 0, 0, 0, FASE3-VAR
2065, 0.5367, 0, 0, 0, 0, 0, FASE3-VAR
2066, 0.5367, 0, 0, 0, 0, 0, FASE3-VAR
2067, 0.5367, 0, 0, 0, 0, 0, FASE3-VAR
2068, 0.5367, 0, 0, 0, 0, 0, FASE3-VAR
2069, 0.5367, 0, 0, 0, 0, 0, FASE3-VAR
2070, 0.5367, 0, 0, 0, 0, 0, FASE3-VAR
2071, 0.5367, 0, 0, 0, 0, 0, FASE3-VAR
2072, 0.5367, 0, 0, 0, 0, 0, FASE3-VAR
2073, 0.5367, 0, 0, 0, 0, 0, FASE3-VAR
2074, 0.5367, 0, 0, 0, 0, 0, FASE3-VAR
2075, 0.5367, 0, 0, 0, 0, 0, FASE3-VAR
2076, 0.5367, 0, 0, 0, 0, 0, FASE3-VAR
2077, 0.5367, 0, 0, 0, 0, 0, FASE3-VAR
2078, 0.5367, 0, 0, 0, 0, 0, FASE3-VAR
2079, 0.5367, 0, 0, 0, 0, 0, FASE3-VAR
2080, 0.5367, 0, 0, 0, 0, 0, FASE3-VAR
2081, 0.5367, 0, 0, 0, 0, 0, FASE3-VAR
2082, 0.5367, 0, 0, 0, 0, 0, FASE3-VAR
2083, 0.5367, 0, 0, 0, 0, 0, FASE3-VAR
2084, 0.5367, 0, 0, 0, 0, 0, FASE3-VAR
2085, 0.5367, 0, 0, 0, 0, 0, FASE3-VAR
2086, 0.5367, 0, 0, 0, 0, 0, FASE3-VAR
2087, 0.5367, 0, 0, 0, 0, 0, FASE3-VAR
2088, 0.5367, 0, 0, 0, 0, 0, FASE3-VAR
2089, 0.5367, 0, 0, 0, 0, 0, FASE3-VAR
2090, 0.5367, 0, 0, 0, 0, 0, FASE3-VAR
2091, 0.5367, 0, 0, 0, 0, 0, FASE3-VAR
2092, 0.5367, 0, 0, 0, 0, 0, FASE3-VAR
2093, 0.5367, 0, 0, 0, 0, 0, FASE3-VAR
2094, 0.5367, 0, 0, 0, 0, 0, FASE3-VAR
2095, 0.5367, 0, 0, 0, 0, 0, FASE3-VAR
2096, 0.5367, 0, 0, 0, 0, 0, FASE3-VAR
2097, 0.5367, 0, 0, 0, 0, 0, FASE3-VAR
2098, 0.5367, 0, 0, 0, 0, 0, FASE3-VAR
2099, 0.5367, 0, 0, 0, 0, 0, FASE3-VAR
2100, 0.5367, 0, 0, 0, 0, 0, FASE3-VAR
2101, 0.5367, 0, 0, 0, 0, 0, FASE3-VAR
2102, 0.5367, 0, 0, 0, 0, 0, FASE3-VAR
2103, 0.5367, 0, 0, 0, 0, 0, FASE3-VAR
2104, 0.5367, 0, 0, 0, 0, 0, FASE3-VAR
2105, 0.5367, 0, 0, 0, 0, 0, FASE3-VAR
2106, 0.5367, 0, 0, 0, 0, 0, FASE3-VAR
2107, 0.5367, 0, 0, 0, 0, 0, FASE3-VAR
2108, 0.5367, 0, 0, 0, 0, 0, FASE3-VAR
2109, 0.5367, 0, 0, 0, 0, 0, FASE3-VAR
2110, 0.5367, 0, 0, 0, 0, 0, FASE3-VAR
2111, 0.5367, 0, 0, 0, 0, 0, FASE3-VAR
2112, 0.5367, 0, 0, 0, 0, 0, FASE3-VAR
2113, 0.5367, 0, 0, 0, 0, 0, FASE3-VAR
2114, 0.5367, 0, 0, 0, 0, 0, FASE3-VAR
2115, 0.5367, 0, 0, 0, 0, 0, FASE3-VAR
2116, 0.5367, 0, 0, 0, 0, 0, FASE3-VAR
2117, 0.5367, 0, 0, 0, 0, 0, FASE3-VAR
2118, 0.5367, 0, 0, 0, 0, 0, FASE3-VAR
2119, 0.5367, 0, 0, 0, 0, 0, FASE3-VAR
2120, 0.5367, 0, 0, 0, 0, 0, FASE3-VAR
2121, 0.5367, 0, 0, 0, 0, 0, FASE3-VAR
2122, 0.5367, 0, 0, 0, 0, 0, FASE3-VAR
2123, 0.5367, 0, 0, 0, 0, 0, FASE3-VAR
2125, 0.5367, 0, 0, 0, 0, 0, FASE3-VAR
2127, 0.5367, 0, 0, 0, 0, 0, FASE3-VAR
2129, 0.5367, 0, 0, 0, 0, 0, FASE3-VAR
2131, 0.5367, 0, 0, 0, 0, 0, FASE3-VAR
2133, 0.5367, 0, 0, 0, 0, 0, FASE3-VAR
2135, 0.5367, 0, 0, 0, 0, 0, FASE3-VAR
```

2137, 0.5367, 0, 0, 0, 0, 0, FASE3-VAR
2139, 0.5367, 0, 0, 0, 0, 0, FASE3-VAR
2141, 0.5367, 0, 0, 0, 0, 0, FASE3-VAR
2143, 0.5367, 0, 0, 0, 0, 0, FASE3-VAR
2145, 0.5367, 0, 0, 0, 0, 0, FASE3-VAR
2147, 0.5367, 0, 0, 0, 0, 0, FASE3-VAR
2149, 0.5367, 0, 0, 0, 0, 0, FASE3-VAR
2151, 0.5367, 0, 0, 0, 0, 0, FASE3-VAR
2153, 0.5367, 0, 0, 0, 0, 0, FASE3-VAR
2155, 0.5367, 0, 0, 0, 0, 0, FASE3-VAR
2157, 0.5367, 0, 0, 0, 0, 0, FASE3-VAR
2159, 0.5367, 0, 0, 0, 0, 0, FASE3-VAR
2161, 0.5367, 0, 0, 0, 0, 0, FASE3-VAR
2163, 0.5367, 0, 0, 0, 0, 0, FASE3-VAR
2165, 0.5367, 0, 0, 0, 0, 0, FASE3-VAR
2167, 0.5367, 0, 0, 0, 0, 0, FASE3-VAR
2169, 0.5367, 0, 0, 0, 0, 0, FASE3-VAR
2171, 0.5367, 0, 0, 0, 0, 0, FASE3-VAR
2173, 0.5367, 0, 0, 0, 0, 0, FASE3-VAR
2175, 0.5367, 0, 0, 0, 0, 0, FASE3-VAR
2177, 0.5367, 0, 0, 0, 0, 0, FASE3-VAR
2179, 0.5367, 0, 0, 0, 0, 0, FASE3-VAR
2181, 0.5367, 0, 0, 0, 0, 0, FASE3-VAR
2183, 0.5367, 0, 0, 0, 0, 0, FASE3-VAR
2185, 0.5367, 0, 0, 0, 0, 0, FASE3-VAR
2187, 0.5367, 0, 0, 0, 0, 0, FASE3-VAR
2189, 0.5367, 0, 0, 0, 0, 0, FASE3-VAR
2191, 0.5367, 0, 0, 0, 0, 0, FASE3-VAR
2193, 0.5367, 0, 0, 0, 0, 0, FASE3-VAR
2195, 0.5367, 0, 0, 0, 0, 0, FASE3-VAR
2197, 0.5367, 0, 0, 0, 0, 0, FASE3-VAR
2199, 0.5367, 0, 0, 0, 0, 0, FASE3-VAR
2201, 0.5367, 0, 0, 0, 0, 0, FASE3-VAR
2203, 0.5367, 0, 0, 0, 0, 0, FASE3-VAR
2205, 0.5367, 0, 0, 0, 0, 0, FASE3-VAR
2207, 0.5367, 0, 0, 0, 0, 0, FASE3-VAR
2209, 0.5367, 0, 0, 0, 0, 0, FASE3-VAR
2211, 0.5367, 0, 0, 0, 0, 0, FASE3-VAR
2213, 0.5367, 0, 0, 0, 0, 0, FASE3-VAR
2215, 0.5367, 0, 0, 0, 0, 0, FASE3-VAR
2217, 0.5367, 0, 0, 0, 0, 0, FASE3-VAR
2219, 0.5367, 0, 0, 0, 0, 0, FASE3-VAR
2221, 0.5367, 0, 0, 0, 0, 0, FASE3-VAR
2223, 0.5367, 0, 0, 0, 0, 0, FASE3-VAR
2225, 0.5367, 0, 0, 0, 0, 0, FASE3-VAR
2227, 0.5367, 0, 0, 0, 0, 0, FASE3-VAR
2229, 0.5367, 0, 0, 0, 0, 0, FASE3-VAR
2231, 0.5367, 0, 0, 0, 0, 0, FASE3-VAR
2233, 0.5367, 0, 0, 0, 0, 0, FASE3-VAR
2235, 0.5367, 0, 0, 0, 0, 0, FASE3-VAR
2237, 0.5367, 0, 0, 0, 0, 0, FASE3-VAR
2239, 0.5367, 0, 0, 0, 0, 0, FASE3-VAR
2241, 0.5367, 0, 0, 0, 0, 0, FASE3-VAR
2243, 0.5367, 0, 0, 0, 0, 0, FASE3-VAR
2245, 0.5367, 0, 0, 0, 0, 0, FASE3-VAR
2247, 0.5367, 0, 0, 0, 0, 0, FASE3-VAR
2249, 0.5367, 0, 0, 0, 0, 0, FASE3-VAR
2251, 0.5367, 0, 0, 0, 0, 0, FASE3-VAR
2253, 0.5367, 0, 0, 0, 0, 0, FASE3-VAR
2255, 0.5367, 0, 0, 0, 0, 0, FASE3-VAR
2257, 0.5367, 0, 0, 0, 0, 0, FASE3-VAR
2259, 0.5367, 0, 0, 0, 0, 0, FASE3-VAR
2261, 0.5367, 0, 0, 0, 0, 0, FASE3-VAR
2263, 0.5367, 0, 0, 0, 0, 0, FASE3-VAR
2265, 0.5367, 0, 0, 0, 0, 0, FASE3-VAR
2267, 0.5367, 0, 0, 0, 0, 0, FASE3-VAR
2269, 0.5367, 0, 0, 0, 0, 0, FASE3-VAR
2271, 0.5367, 0, 0, 0, 0, 0, FASE3-VAR
2273, 0.5367, 0, 0, 0, 0, 0, FASE3-VAR
2275, 0.5367, 0, 0, 0, 0, 0, FASE3-VAR
2277, 0.5367, 0, 0, 0, 0, 0, FASE3-VAR
2279, 0.5367, 0, 0, 0, 0, 0, FASE3-VAR
2281, 0.5367, 0, 0, 0, 0, 0, FASE3-VAR
2283, 0.5367, 0, 0, 0, 0, 0, FASE3-VAR
2285, 0.5367, 0, 0, 0, 0, 0, FASE3-VAR
2287, 0.5367, 0, 0, 0, 0, 0, FASE3-VAR
2289, 0.5367, 0, 0, 0, 0, 0, FASE3-VAR
2291, 0.5367, 0, 0, 0, 0, 0, FASE3-VAR

PROJECT TITLE :

	Company		Client	
	Author		File Name	Brembiolo1_08_completo(fasi)DEFINITIVO.mgt

```
2292, 0.5367, 0, 0, 0, 0, 0, FASE3-VAR
2293, 0.5367, 0, 0, 0, 0, 0, FASE3-VAR
2294, 0.5367, 0, 0, 0, 0, 0, FASE3-VAR
2295, 0.5367, 0, 0, 0, 0, 0, FASE3-VAR
2296, 0.5367, 0, 0, 0, 0, 0, FASE3-VAR
2297, 0.5367, 0, 0, 0, 0, 0, FASE3-VAR
2298, 0.5367, 0, 0, 0, 0, 0, FASE3-VAR
2299, 0.5367, 0, 0, 0, 0, 0, FASE3-VAR
2300, 0.5367, 0, 0, 0, 0, 0, FASE3-VAR
2301, 0.5367, 0, 0, 0, 0, 0, FASE3-VAR
2302, 0.5367, 0, 0, 0, 0, 0, FASE3-VAR
2303, 0.5367, 0, 0, 0, 0, 0, FASE3-VAR
2304, 0.5367, 0, 0, 0, 0, 0, FASE3-VAR
2305, 0.5367, 0, 0, 0, 0, 0, FASE3-VAR
2306, 0.5367, 0, 0, 0, 0, 0, FASE3-VAR
2307, 0.5367, 0, 0, 0, 0, 0, FASE3-VAR
2308, 0.5367, 0, 0, 0, 0, 0, FASE3-VAR
2309, 0.5367, 0, 0, 0, 0, 0, FASE3-VAR
2310, 0.5367, 0, 0, 0, 0, 0, FASE3-VAR
2311, 0.5367, 0, 0, 0, 0, 0, FASE3-VAR
2312, 0.5367, 0, 0, 0, 0, 0, FASE3-VAR
2313, 0.5367, 0, 0, 0, 0, 0, FASE3-VAR
2314, 0.5367, 0, 0, 0, 0, 0, FASE3-VAR
2315, 0.5367, 0, 0, 0, 0, 0, FASE3-VAR
2316, 0.5367, 0, 0, 0, 0, 0, FASE3-VAR
2317, 0.5367, 0, 0, 0, 0, 0, FASE3-VAR
2318, 0.5367, 0, 0, 0, 0, 0, FASE3-VAR
2319, 0.5367, 0, 0, 0, 0, 0, FASE3-VAR
2320, 0.5367, 0, 0, 0, 0, 0, FASE3-VAR
2321, 0.5367, 0, 0, 0, 0, 0, FASE3-VAR
2322, 0.5367, 0, 0, 0, 0, 0, FASE3-VAR
2323, 0.5367, 0, 0, 0, 0, 0, FASE3-VAR
2324, 0.5367, 0, 0, 0, 0, 0, FASE3-VAR
2325, 0.5367, 0, 0, 0, 0, 0, FASE3-VAR
2326, 0.5367, 0, 0, 0, 0, 0, FASE3-VAR
2327, 0.5367, 0, 0, 0, 0, 0, FASE3-VAR
2328, 0.5367, 0, 0, 0, 0, 0, FASE3-VAR
2329, 0.5367, 0, 0, 0, 0, 0, FASE3-VAR
2330, 0.5367, 0, 0, 0, 0, 0, FASE3-VAR
2331, 0.5367, 0, 0, 0, 0, 0, FASE3-VAR
2332, 0.5367, 0, 0, 0, 0, 0, FASE3-VAR
2333, 0.5367, 0, 0, 0, 0, 0, FASE3-VAR
2334, 0.5367, 0, 0, 0, 0, 0, FASE3-VAR
2335, 0.5367, 0, 0, 0, 0, 0, FASE3-VAR
2336, 0.5367, 0, 0, 0, 0, 0, FASE3-VAR
2337, 0.5367, 0, 0, 0, 0, 0, FASE3-VAR
2338, 0.5367, 0, 0, 0, 0, 0, FASE3-VAR
2339, 0.5367, 0, 0, 0, 0, 0, FASE3-VAR
2340, 0.5367, 0, 0, 0, 0, 0, FASE3-VAR
2341, 0.5367, 0, 0, 0, 0, 0, FASE3-VAR
2342, 0.5367, 0, 0, 0, 0, 0, FASE3-VAR
2343, 0.5367, 0, 0, 0, 0, 0, FASE3-VAR
2344, 0.5367, 0, 0, 0, 0, 0, FASE3-VAR
2345, 0.5367, 0, 0, 0, 0, 0, FASE3-VAR
2346, 0.5367, 0, 0, 0, 0, 0, FASE3-VAR
2347, 0.5367, 0, 0, 0, 0, 0, FASE3-VAR
2348, 0.5367, 0, 0, 0, 0, 0, FASE3-VAR
2349, 0.5367, 0, 0, 0, 0, 0, FASE3-VAR
2350, 0.5367, 0, 0, 0, 0, 0, FASE3-VAR
2351, 0.5367, 0, 0, 0, 0, 0, FASE3-VAR
2352, 0.5367, 0, 0, 0, 0, 0, FASE3-VAR
2353, 0.5367, 0, 0, 0, 0, 0, FASE3-VAR
2354, 0.5367, 0, 0, 0, 0, 0, FASE3-VAR
2355, 0.5367, 0, 0, 0, 0, 0, FASE3-VAR
2356, 0.5367, 0, 0, 0, 0, 0, FASE3-VAR
2357, 0.5367, 0, 0, 0, 0, 0, FASE3-VAR
2358, 0.5367, 0, 0, 0, 0, 0, FASE3-VAR
2359, 0.5367, 0, 0, 0, 0, 0, FASE3-VAR
2360, 0.5367, 0, 0, 0, 0, 0, FASE3-VAR
2361, 0.5367, 0, 0, 0, 0, 0, FASE3-VAR
2362, 0.5367, 0, 0, 0, 0, 0, FASE3-VAR
2363, 0.5367, 0, 0, 0, 0, 0, FASE3-VAR
2364, 0.5367, 0, 0, 0, 0, 0, FASE3-VAR
2365, 0.5367, 0, 0, 0, 0, 0, FASE3-VAR
2366, 0.5367, 0, 0, 0, 0, 0, FASE3-VAR
2367, 0.5367, 0, 0, 0, 0, 0, FASE3-VAR
2368, 0.5367, 0, 0, 0, 0, 0, FASE3-VAR
2369, 0.5367, 0, 0, 0, 0, 0, FASE3-VAR
```

```
2370,  0.5367,  0,  0,  0,  0,  0,  FASE3-VAR
2371,  0.5367,  0,  0,  0,  0,  0,  FASE3-VAR
2372,  0.5367,  0,  0,  0,  0,  0,  FASE3-VAR
2373,  0.5367,  0,  0,  0,  0,  0,  FASE3-VAR
2374,  0.5367,  0,  0,  0,  0,  0,  FASE3-VAR
2375,  0.5367,  0,  0,  0,  0,  0,  FASE3-VAR
2376,  0.5367,  0,  0,  0,  0,  0,  FASE3-VAR
2377,  0.5367,  0,  0,  0,  0,  0,  FASE3-VAR
2378,  0.5367,  0,  0,  0,  0,  0,  FASE3-VAR
2379,  0.5367,  0,  0,  0,  0,  0,  FASE3-VAR
2380,  0.5367,  0,  0,  0,  0,  0,  FASE3-VAR
2381,  0.5367,  0,  0,  0,  0,  0,  FASE3-VAR
2382,  0.5367,  0,  0,  0,  0,  0,  FASE3-VAR
2383,  0.5367,  0,  0,  0,  0,  0,  FASE3-VAR
2384,  0.5367,  0,  0,  0,  0,  0,  FASE3-VAR
2385,  0.5367,  0,  0,  0,  0,  0,  FASE3-VAR
2386,  0.5367,  0,  0,  0,  0,  0,  FASE3-VAR
2387,  0.5367,  0,  0,  0,  0,  0,  FASE3-VAR
2388,  0.5367,  0,  0,  0,  0,  0,  FASE3-VAR
2389,  0.5367,  0,  0,  0,  0,  0,  FASE3-VAR
2390,  0.5367,  0,  0,  0,  0,  0,  FASE3-VAR
2391,  0.5367,  0,  0,  0,  0,  0,  FASE3-VAR
2392,  0.5367,  0,  0,  0,  0,  0,  FASE3-VAR
2393,  0.5367,  0,  0,  0,  0,  0,  FASE3-VAR
2394,  0.5367,  0,  0,  0,  0,  0,  FASE3-VAR
2395,  0.5367,  0,  0,  0,  0,  0,  FASE3-VAR
2396,  0.5367,  0,  0,  0,  0,  0,  FASE3-VAR
2397,  0.5367,  0,  0,  0,  0,  0,  FASE3-VAR
2398,  0.5367,  0,  0,  0,  0,  0,  FASE3-VAR
2399,  0.5367,  0,  0,  0,  0,  0,  FASE3-VAR
2400,  0.5367,  0,  0,  0,  0,  0,  FASE3-VAR
2401,  0.5367,  0,  0,  0,  0,  0,  FASE3-VAR
2402,  0.5367,  0,  0,  0,  0,  0,  FASE3-VAR
2403,  0.5367,  0,  0,  0,  0,  0,  FASE3-VAR
2404,  0.5367,  0,  0,  0,  0,  0,  FASE3-VAR
2405,  0.5367,  0,  0,  0,  0,  0,  FASE3-VAR
2406,  0.5367,  0,  0,  0,  0,  0,  FASE3-VAR
2407,  0.5367,  0,  0,  0,  0,  0,  FASE3-VAR
2408,  0.5367,  0,  0,  0,  0,  0,  FASE3-VAR
2409,  0.5367,  0,  0,  0,  0,  0,  FASE3-VAR
2410,  0.5367,  0,  0,  0,  0,  0,  FASE3-VAR
2411,  0.5367,  0,  0,  0,  0,  0,  FASE3-VAR
2412,  0.5367,  0,  0,  0,  0,  0,  FASE3-VAR
2413,  0.5367,  0,  0,  0,  0,  0,  FASE3-VAR
2414,  0.5367,  0,  0,  0,  0,  0,  FASE3-VAR
2415,  0.5367,  0,  0,  0,  0,  0,  FASE3-VAR
2416,  0.5367,  0,  0,  0,  0,  0,  FASE3-VAR
2417,  0.5367,  0,  0,  0,  0,  0,  FASE3-VAR
2418,  0.5367,  0,  0,  0,  0,  0,  FASE3-VAR
2419,  0.5367,  0,  0,  0,  0,  0,  FASE3-VAR
2420,  0.5367,  0,  0,  0,  0,  0,  FASE3-VAR
2421,  0.5367,  0,  0,  0,  0,  0,  FASE3-VAR
2422,  0.5367,  0,  0,  0,  0,  0,  FASE3-VAR
2423,  0.5367,  0,  0,  0,  0,  0,  FASE3-VAR
2424,  0.5367,  0,  0,  0,  0,  0,  FASE3-VAR
2425,  0.5367,  0,  0,  0,  0,  0,  FASE3-VAR
2426,  0.5367,  0,  0,  0,  0,  0,  FASE3-VAR
2427,  0.5367,  0,  0,  0,  0,  0,  FASE3-VAR
2428,  0.5367,  0,  0,  0,  0,  0,  FASE3-VAR
2429,  0.5367,  0,  0,  0,  0,  0,  FASE3-VAR
2430,  0.5367,  0,  0,  0,  0,  0,  FASE3-VAR
2431,  0.5367,  0,  0,  0,  0,  0,  FASE3-VAR
2432,  0.5367,  0,  0,  0,  0,  0,  FASE3-VAR
2433,  0.5367,  0,  0,  0,  0,  0,  FASE3-VAR
2434,  0.5367,  0,  0,  0,  0,  0,  FASE3-VAR
2435,  0.5367,  0,  0,  0,  0,  0,  FASE3-VAR
2436,  0.5367,  0,  0,  0,  0,  0,  FASE3-VAR
2437,  0.5367,  0,  0,  0,  0,  0,  FASE3-VAR
2438,  0.5367,  0,  0,  0,  0,  0,  FASE3-VAR
2439,  0.5367,  0,  0,  0,  0,  0,  FASE3-VAR
2440,  0.5367,  0,  0,  0,  0,  0,  FASE3-VAR
2441,  0.5367,  0,  0,  0,  0,  0,  FASE3-VAR
2442,  0.5367,  0,  0,  0,  0,  0,  FASE3-VAR
2443,  0.5367,  0,  0,  0,  0,  0,  FASE3-VAR
2444,  0.5367,  0,  0,  0,  0,  0,  FASE3-VAR
2445,  0.5367,  0,  0,  0,  0,  0,  FASE3-VAR
2446,  0.5367,  0,  0,  0,  0,  0,  FASE3-VAR
2447,  0.5367,  0,  0,  0,  0,  0,  FASE3-VAR
```

```
2448, 0.5367, 0, 0, 0, 0, 0, FASE3-VAR
2449, 0.5367, 0, 0, 0, 0, 0, FASE3-VAR
2450, 0.5367, 0, 0, 0, 0, 0, FASE3-VAR
2451, 0.5367, 0, 0, 0, 0, 0, FASE3-VAR
2452, 0.5367, 0, 0, 0, 0, 0, FASE3-VAR
2453, 0.5367, 0, 0, 0, 0, 0, FASE3-VAR
2454, 0.5367, 0, 0, 0, 0, 0, FASE3-VAR
2455, 0.5367, 0, 0, 0, 0, 0, FASE3-VAR
2456, 0.5367, 0, 0, 0, 0, 0, FASE3-VAR
2457, 0.5367, 0, 0, 0, 0, 0, FASE3-VAR
2458, 0.5367, 0, 0, 0, 0, 0, FASE3-VAR
2459, 0.5367, 0, 0, 0, 0, 0, FASE3-VAR
2460, 0.5367, 0, 0, 0, 0, 0, FASE3-VAR
2461, 0.5367, 0, 0, 0, 0, 0, FASE3-VAR
2462, 0.5367, 0, 0, 0, 0, 0, FASE3-VAR
2463, 0.5367, 0, 0, 0, 0, 0, FASE3-VAR
2464, 0.5367, 0, 0, 0, 0, 0, FASE3-VAR
2465, 0.5367, 0, 0, 0, 0, 0, FASE3-VAR
2466, 0.5367, 0, 0, 0, 0, 0, FASE3-VAR
2467, 0.5367, 0, 0, 0, 0, 0, FASE3-VAR
2468, 0.5367, 0, 0, 0, 0, 0, FASE3-VAR
2469, 0.5367, 0, 0, 0, 0, 0, FASE3-VAR
2470, 0.5367, 0, 0, 0, 0, 0, FASE3-VAR
2471, 0.5367, 0, 0, 0, 0, 0, FASE3-VAR
2472, 0.5367, 0, 0, 0, 0, 0, FASE3-VAR
2473, 0.5367, 0, 0, 0, 0, 0, FASE3-VAR
2474, 0.5367, 0, 0, 0, 0, 0, FASE3-VAR
2475, 0.5367, 0, 0, 0, 0, 0, FASE3-VAR
2476, 0.5367, 0, 0, 0, 0, 0, FASE3-VAR
2477, 0.5367, 0, 0, 0, 0, 0, FASE3-VAR
2478, 0.5367, 0, 0, 0, 0, 0, FASE3-VAR
2479, 0.5367, 0, 0, 0, 0, 0, FASE3-VAR
2480, 0.5367, 0, 0, 0, 0, 0, FASE3-VAR
2481, 0.5367, 0, 0, 0, 0, 0, FASE3-VAR
2482, 0.5367, 0, 0, 0, 0, 0, FASE3-VAR
2483, 0.5367, 0, 0, 0, 0, 0, FASE3-VAR
2484, 0.5367, 0, 0, 0, 0, 0, FASE3-VAR
2485, 0.5367, 0, 0, 0, 0, 0, FASE3-VAR
2486, 0.5367, 0, 0, 0, 0, 0, FASE3-VAR
2487, 0.5367, 0, 0, 0, 0, 0, FASE3-VAR
2488, 0.5367, 0, 0, 0, 0, 0, FASE3-VAR
2489, 0.5367, 0, 0, 0, 0, 0, FASE3-VAR
2490, 0.5367, 0, 0, 0, 0, 0, FASE3-VAR
2491, 0.5367, 0, 0, 0, 0, 0, FASE3-VAR
2492, 0.5367, 0, 0, 0, 0, 0, FASE3-VAR
2493, 0.5367, 0, 0, 0, 0, 0, FASE3-VAR
2494, 0.5367, 0, 0, 0, 0, 0, FASE3-VAR
2495, 0.5367, 0, 0, 0, 0, 0, FASE3-VAR
2496, 0.5367, 0, 0, 0, 0, 0, FASE3-VAR
2497, 0.5367, 0, 0, 0, 0, 0, FASE3-VAR
2498, 0.5367, 0, 0, 0, 0, 0, FASE3-VAR
2499, 0.5367, 0, 0, 0, 0, 0, FASE3-VAR
2500, 0.5367, 0, 0, 0, 0, 0, FASE3-VAR
2501, 0.5367, 0, 0, 0, 0, 0, FASE3-VAR
2502, 0.5367, 0, 0, 0, 0, 0, FASE3-VAR
2503, 0.5367, 0, 0, 0, 0, 0, FASE3-VAR
2504, 0.5367, 0, 0, 0, 0, 0, FASE3-VAR
2505, 0.5367, 0, 0, 0, 0, 0, FASE3-VAR
2506, 0.5367, 0, 0, 0, 0, 0, FASE3-VAR
2507, 0.5367, 0, 0, 0, 0, 0, FASE3-VAR
2508, 0.5367, 0, 0, 0, 0, 0, FASE3-VAR
2509, 0.5367, 0, 0, 0, 0, 0, FASE3-VAR
2510, 0.5367, 0, 0, 0, 0, 0, FASE3-VAR
2511, 0.5367, 0, 0, 0, 0, 0, FASE3-VAR
2512, 0.5367, 0, 0, 0, 0, 0, FASE3-VAR
2513, 0.5367, 0, 0, 0, 0, 0, FASE3-VAR
2514, 0.5367, 0, 0, 0, 0, 0, FASE3-VAR
2515, 0.5367, 0, 0, 0, 0, 0, FASE3-VAR
2516, 0.5367, 0, 0, 0, 0, 0, FASE3-VAR
2517, 0.5367, 0, 0, 0, 0, 0, FASE3-VAR
2518, 0.5367, 0, 0, 0, 0, 0, FASE3-VAR
2519, 0.5367, 0, 0, 0, 0, 0, FASE3-VAR
2520, 0.5367, 0, 0, 0, 0, 0, FASE3-VAR
2521, 0.5367, 0, 0, 0, 0, 0, FASE3-VAR
2522, 0.5367, 0, 0, 0, 0, 0, FASE3-VAR
2523, 0.5367, 0, 0, 0, 0, 0, FASE3-VAR
2524, 0.5367, 0, 0, 0, 0, 0, FASE3-VAR
2525, 0.5367, 0, 0, 0, 0, 0, FASE3-VAR
```

PROJECT TITLE :

	Company		Client	
	Author		File Name	Brembiolo1_08_completo(fasi)DEFINITIVO.mgt

```
2526, 0.5367, 0, 0, 0, 0, 0, FASE3-VAR
2527, 0.5367, 0, 0, 0, 0, 0, FASE3-VAR
2528, 0.5367, 0, 0, 0, 0, 0, FASE3-VAR
2529, 0.5367, 0, 0, 0, 0, 0, FASE3-VAR
2530, 0.5367, 0, 0, 0, 0, 0, FASE3-VAR
2531, 0.5367, 0, 0, 0, 0, 0, FASE3-VAR
2532, 0.5367, 0, 0, 0, 0, 0, FASE3-VAR
2533, 0.5367, 0, 0, 0, 0, 0, FASE3-VAR
2534, 0.5367, 0, 0, 0, 0, 0, FASE3-VAR
2535, 0.5367, 0, 0, 0, 0, 0, FASE3-VAR
2536, 0.5367, 0, 0, 0, 0, 0, FASE3-VAR
2537, 0.5367, 0, 0, 0, 0, 0, FASE3-VAR
2538, 0.5367, 0, 0, 0, 0, 0, FASE3-VAR
2539, 0.5367, 0, 0, 0, 0, 0, FASE3-VAR
2540, 0.5367, 0, 0, 0, 0, 0, FASE3-VAR
2541, 0.5367, 0, 0, 0, 0, 0, FASE3-VAR
2542, 0.5367, 0, 0, 0, 0, 0, FASE3-VAR
2543, 0.5367, 0, 0, 0, 0, 0, FASE3-VAR
2544, 0.5367, 0, 0, 0, 0, 0, FASE3-VAR
2545, 0.5367, 0, 0, 0, 0, 0, FASE3-VAR
2546, 0.5367, 0, 0, 0, 0, 0, FASE3-VAR
2547, 0.5367, 0, 0, 0, 0, 0, FASE3-VAR
2548, 0.5367, 0, 0, 0, 0, 0, FASE3-VAR
2549, 0.5367, 0, 0, 0, 0, 0, FASE3-VAR
2550, 0.5367, 0, 0, 0, 0, 0, FASE3-VAR
2551, 0.5367, 0, 0, 0, 0, 0, FASE3-VAR
2552, 0.5367, 0, 0, 0, 0, 0, FASE3-VAR
2553, 0.5367, 0, 0, 0, 0, 0, FASE3-VAR
2554, 0.5367, 0, 0, 0, 0, 0, FASE3-VAR
2555, 0.5367, 0, 0, 0, 0, 0, FASE3-VAR
2556, 0.5367, 0, 0, 0, 0, 0, FASE3-VAR
2557, 0.5367, 0, 0, 0, 0, 0, FASE3-VAR
2558, 0.5367, 0, 0, 0, 0, 0, FASE3-VAR
2559, 0.5367, 0, 0, 0, 0, 0, FASE3-VAR
2560, 0.5367, 0, 0, 0, 0, 0, FASE3-VAR
2561, 0.5367, 0, 0, 0, 0, 0, FASE3-VAR
2562, 0.5367, 0, 0, 0, 0, 0, FASE3-VAR
2563, 0.5367, 0, 0, 0, 0, 0, FASE3-VAR
2564, 0.5367, 0, 0, 0, 0, 0, FASE3-VAR
2565, 0.5367, 0, 0, 0, 0, 0, FASE3-VAR
2566, 0.5367, 0, 0, 0, 0, 0, FASE3-VAR
2567, 0.5367, 0, 0, 0, 0, 0, FASE3-VAR
2568, 0.5367, 0, 0, 0, 0, 0, FASE3-VAR
2569, 0.5367, 0, 0, 0, 0, 0, FASE3-VAR
2570, 0.5367, 0, 0, 0, 0, 0, FASE3-VAR
2571, 0.5367, 0, 0, 0, 0, 0, FASE3-VAR
2572, 0.5367, 0, 0, 0, 0, 0, FASE3-VAR
2573, 0.5367, 0, 0, 0, 0, 0, FASE3-VAR
2574, 0.5367, 0, 0, 0, 0, 0, FASE3-VAR
2575, 0.5367, 0, 0, 0, 0, 0, FASE3-VAR
2576, 0.5367, 0, 0, 0, 0, 0, FASE3-VAR
2577, 0.5367, 0, 0, 0, 0, 0, FASE3-VAR
2578, 0.5367, 0, 0, 0, 0, 0, FASE3-VAR
2579, 0.5367, 0, 0, 0, 0, 0, FASE3-VAR
2580, 0.5367, 0, 0, 0, 0, 0, FASE3-VAR
2581, 0.5367, 0, 0, 0, 0, 0, FASE3-VAR
2582, 0.5367, 0, 0, 0, 0, 0, FASE3-VAR
2583, 0.5367, 0, 0, 0, 0, 0, FASE3-VAR
2584, 0.5367, 0, 0, 0, 0, 0, FASE3-VAR
2585, 0.5367, 0, 0, 0, 0, 0, FASE3-VAR
2586, 0.5367, 0, 0, 0, 0, 0, FASE3-VAR
2587, 0.5367, 0, 0, 0, 0, 0, FASE3-VAR
2588, 0.5367, 0, 0, 0, 0, 0, FASE3-VAR
2589, 0.5367, 0, 0, 0, 0, 0, FASE3-VAR
2590, 0.5367, 0, 0, 0, 0, 0, FASE3-VAR
2591, 0.5367, 0, 0, 0, 0, 0, FASE3-VAR
2592, 0.5367, 0, 0, 0, 0, 0, FASE3-VAR
2593, 0.5367, 0, 0, 0, 0, 0, FASE3-VAR
2594, 0.5367, 0, 0, 0, 0, 0, FASE3-VAR
2595, 0.5367, 0, 0, 0, 0, 0, FASE3-VAR
2596, 0.5367, 0, 0, 0, 0, 0, FASE3-VAR
2597, 0.5367, 0, 0, 0, 0, 0, FASE3-VAR
2598, 0.5367, 0, 0, 0, 0, 0, FASE3-VAR
2599, 0.5367, 0, 0, 0, 0, 0, FASE3-VAR
2600, 0.5367, 0, 0, 0, 0, 0, FASE3-VAR
2601, 0.5367, 0, 0, 0, 0, 0, FASE3-VAR
2602, 0.5367, 0, 0, 0, 0, 0, FASE3-VAR
2603, 0.5367, 0, 0, 0, 0, 0, FASE3-VAR
```

PROJECT TITLE :

	Company		Client	
	Author		File Name	Brembiolo1_08_completo(fasi)DEFINITIVO.mgt

```
2604, 0.5367, 0, 0, 0, 0, 0, FASE3-VAR
2605, 0.5367, 0, 0, 0, 0, 0, FASE3-VAR
2606, 0.5367, 0, 0, 0, 0, 0, FASE3-VAR
2607, 0.5367, 0, 0, 0, 0, 0, FASE3-VAR
2608, 0.5367, 0, 0, 0, 0, 0, FASE3-VAR
2609, 0.5367, 0, 0, 0, 0, 0, FASE3-VAR
2610, 0.5367, 0, 0, 0, 0, 0, FASE3-VAR
2611, 0.5367, 0, 0, 0, 0, 0, FASE3-VAR
2612, 0.5367, 0, 0, 0, 0, 0, FASE3-VAR
2613, 0.5367, 0, 0, 0, 0, 0, FASE3-VAR
2614, 0.5367, 0, 0, 0, 0, 0, FASE3-VAR
2615, 0.5367, 0, 0, 0, 0, 0, FASE3-VAR
2616, 0.5367, 0, 0, 0, 0, 0, FASE3-VAR
2617, 0.5367, 0, 0, 0, 0, 0, FASE3-VAR
2618, 0.5367, 0, 0, 0, 0, 0, FASE3-VAR
2619, 0.5367, 0, 0, 0, 0, 0, FASE3-VAR
2620, 0.5367, 0, 0, 0, 0, 0, FASE3-VAR
2621, 0.5367, 0, 0, 0, 0, 0, FASE3-VAR
2622, 0.5367, 0, 0, 0, 0, 0, FASE3-VAR
2623, 0.5367, 0, 0, 0, 0, 0, FASE3-VAR
2624, 0.5367, 0, 0, 0, 0, 0, FASE3-VAR
2625, 0.5367, 0, 0, 0, 0, 0, FASE3-VAR
2626, 0.5367, 0, 0, 0, 0, 0, FASE3-VAR
2627, 0.5367, 0, 0, 0, 0, 0, FASE3-VAR
2628, 0.5367, 0, 0, 0, 0, 0, FASE3-VAR
2629, 0.5367, 0, 0, 0, 0, 0, FASE3-VAR
2630, 0.5367, 0, 0, 0, 0, 0, FASE3-VAR
2631, 0.5367, 0, 0, 0, 0, 0, FASE3-VAR
2632, 0.5367, 0, 0, 0, 0, 0, FASE3-VAR
2633, 0.5367, 0, 0, 0, 0, 0, FASE3-VAR
2634, 0.5367, 0, 0, 0, 0, 0, FASE3-VAR
2635, 0.5367, 0, 0, 0, 0, 0, FASE3-VAR
2636, 0.5367, 0, 0, 0, 0, 0, FASE3-VAR
2637, 0.5367, 0, 0, 0, 0, 0, FASE3-VAR
2638, 0.5367, 0, 0, 0, 0, 0, FASE3-VAR
2639, 0.5367, 0, 0, 0, 0, 0, FASE3-VAR
2640, 0.5367, 0, 0, 0, 0, 0, FASE3-VAR
2641, 0.5367, 0, 0, 0, 0, 0, FASE3-VAR
2642, 0.5367, 0, 0, 0, 0, 0, FASE3-VAR
2643, 0.5367, 0, 0, 0, 0, 0, FASE3-VAR
2644, 0.5367, 0, 0, 0, 0, 0, FASE3-VAR
2645, 0.5367, 0, 0, 0, 0, 0, FASE3-VAR
2646, 0.5367, 0, 0, 0, 0, 0, FASE3-VAR
2647, 0.5367, 0, 0, 0, 0, 0, FASE3-VAR
2648, 0.5367, 0, 0, 0, 0, 0, FASE3-VAR
2649, 0.5367, 0, 0, 0, 0, 0, FASE3-VAR
2650, 0.5367, 0, 0, 0, 0, 0, FASE3-VAR
2651, 0.5367, 0, 0, 0, 0, 0, FASE3-VAR
2652, 0.5367, 0, 0, 0, 0, 0, FASE3-VAR
2653, 0.5367, 0, 0, 0, 0, 0, FASE3-VAR
2654, 0.5367, 0, 0, 0, 0, 0, FASE3-VAR
2655, 0.5367, 0, 0, 0, 0, 0, FASE3-VAR
2656, 0.5367, 0, 0, 0, 0, 0, FASE3-VAR
2657, 0.5367, 0, 0, 0, 0, 0, FASE3-VAR
2658, 0.5367, 0, 0, 0, 0, 0, FASE3-VAR
2659, 0.5367, 0, 0, 0, 0, 0, FASE3-VAR
2660, 0.5367, 0, 0, 0, 0, 0, FASE3-VAR
2661, 0.5367, 0, 0, 0, 0, 0, FASE3-VAR
2662, 0.5367, 0, 0, 0, 0, 0, FASE3-VAR
2663, 0.5367, 0, 0, 0, 0, 0, FASE3-VAR
2664, 0.5367, 0, 0, 0, 0, 0, FASE3-VAR
2665, 0.5367, 0, 0, 0, 0, 0, FASE3-VAR
2666, 0.5367, 0, 0, 0, 0, 0, FASE3-VAR
2667, 0.5367, 0, 0, 0, 0, 0, FASE3-VAR
2668, 0.5367, 0, 0, 0, 0, 0, FASE3-VAR
2669, 0.5367, 0, 0, 0, 0, 0, FASE3-VAR
2670, 0.5367, 0, 0, 0, 0, 0, FASE3-VAR
2671, 0.5367, 0, 0, 0, 0, 0, FASE3-VAR
2672, 0.5367, 0, 0, 0, 0, 0, FASE3-VAR
2673, 0.5367, 0, 0, 0, 0, 0, FASE3-VAR
2674, 0.5367, 0, 0, 0, 0, 0, FASE3-VAR
2675, 0.5367, 0, 0, 0, 0, 0, FASE3-VAR
2676, 0.5367, 0, 0, 0, 0, 0, FASE3-VAR
2677, 0.5367, 0, 0, 0, 0, 0, FASE3-VAR
2678, 0.5367, 0, 0, 0, 0, 0, FASE3-VAR
2679, 0.5367, 0, 0, 0, 0, 0, FASE3-VAR
2680, 0.5367, 0, 0, 0, 0, 0, FASE3-VAR
2681, 0.5367, 0, 0, 0, 0, 0, FASE3-VAR
```

PROJECT TITLE :

	Company		Client	
	Author		File Name	Brembiolo1_08_completo(fasi)DEFINITIVO.mgt

```
2682, 0.5367, 0, 0, 0, 0, 0, FASE3-VAR
2683, 0.5367, 0, 0, 0, 0, 0, FASE3-VAR
2684, 0.5367, 0, 0, 0, 0, 0, FASE3-VAR
2685, 0.5367, 0, 0, 0, 0, 0, FASE3-VAR
2686, 0.5367, 0, 0, 0, 0, 0, FASE3-VAR
2687, 0.5367, 0, 0, 0, 0, 0, FASE3-VAR
2688, 0.5367, 0, 0, 0, 0, 0, FASE3-VAR
2689, 0.5367, 0, 0, 0, 0, 0, FASE3-VAR
2690, 0.5367, 0, 0, 0, 0, 0, FASE3-VAR
2691, 0.5367, 0, 0, 0, 0, 0, FASE3-VAR
2692, 0.5367, 0, 0, 0, 0, 0, FASE3-VAR
2693, 0.5367, 0, 0, 0, 0, 0, FASE3-VAR
2694, 0.5367, 0, 0, 0, 0, 0, FASE3-VAR
2695, 0.5367, 0, 0, 0, 0, 0, FASE3-VAR
2696, 0.5367, 0, 0, 0, 0, 0, FASE3-VAR
2697, 0.5367, 0, 0, 0, 0, 0, FASE3-VAR
2698, 0.5367, 0, 0, 0, 0, 0, FASE3-VAR
2699, 0.5367, 0, 0, 0, 0, 0, FASE3-VAR
2700, 0.5367, 0, 0, 0, 0, 0, FASE3-VAR
2701, 0.5367, 0, 0, 0, 0, 0, FASE3-VAR
2702, 0.5367, 0, 0, 0, 0, 0, FASE3-VAR
2703, 0.5367, 0, 0, 0, 0, 0, FASE3-VAR
2704, 0.5367, 0, 0, 0, 0, 0, FASE3-VAR
2705, 0.5367, 0, 0, 0, 0, 0, FASE3-VAR
2706, 0.5367, 0, 0, 0, 0, 0, FASE3-VAR
2707, 0.5367, 0, 0, 0, 0, 0, FASE3-VAR
2708, 0.5367, 0, 0, 0, 0, 0, FASE3-VAR
2709, 0.5367, 0, 0, 0, 0, 0, FASE3-VAR
2710, 0.5367, 0, 0, 0, 0, 0, FASE3-VAR
2711, 0.5367, 0, 0, 0, 0, 0, FASE3-VAR
2712, 0.5367, 0, 0, 0, 0, 0, FASE3-VAR
2713, 0.5367, 0, 0, 0, 0, 0, FASE3-VAR
2714, 0.5367, 0, 0, 0, 0, 0, FASE3-VAR
2715, 0.5367, 0, 0, 0, 0, 0, FASE3-VAR
2716, 0.5367, 0, 0, 0, 0, 0, FASE3-VAR
2717, 0.5367, 0, 0, 0, 0, 0, FASE3-VAR
2718, 0.5367, 0, 0, 0, 0, 0, FASE3-VAR
2719, 0.5367, 0, 0, 0, 0, 0, FASE3-VAR
2720, 0.5367, 0, 0, 0, 0, 0, FASE3-VAR
2721, 0.5367, 0, 0, 0, 0, 0, FASE3-VAR
2722, 0.5367, 0, 0, 0, 0, 0, FASE3-VAR
2723, 0.5367, 0, 0, 0, 0, 0, FASE3-VAR
2724, 0.5367, 0, 0, 0, 0, 0, FASE3-VAR
2725, 0.5367, 0, 0, 0, 0, 0, FASE3-VAR
2726, 0.5367, 0, 0, 0, 0, 0, FASE3-VAR
2727, 0.5367, 0, 0, 0, 0, 0, FASE3-VAR
2728, 0.5367, 0, 0, 0, 0, 0, FASE3-VAR
2729, 0.5367, 0, 0, 0, 0, 0, FASE3-VAR
2730, 0.5367, 0, 0, 0, 0, 0, FASE3-VAR
2731, 0.5367, 0, 0, 0, 0, 0, FASE3-VAR
2732, 0.5367, 0, 0, 0, 0, 0, FASE3-VAR
2733, 0.5367, 0, 0, 0, 0, 0, FASE3-VAR
2734, 0.5367, 0, 0, 0, 0, 0, FASE3-VAR
2735, 0.5367, 0, 0, 0, 0, 0, FASE3-VAR
2736, 0.5367, 0, 0, 0, 0, 0, FASE3-VAR
2737, 0.5367, 0, 0, 0, 0, 0, FASE3-VAR
2738, 0.5367, 0, 0, 0, 0, 0, FASE3-VAR
2739, 0.5367, 0, 0, 0, 0, 0, FASE3-VAR
2740, 0.5367, 0, 0, 0, 0, 0, FASE3-VAR
2741, 0.5367, 0, 0, 0, 0, 0, FASE3-VAR
2742, 0.5367, 0, 0, 0, 0, 0, FASE3-VAR
2743, 0.5367, 0, 0, 0, 0, 0, FASE3-VAR
2744, 0.5367, 0, 0, 0, 0, 0, FASE3-VAR
2745, 0.5367, 0, 0, 0, 0, 0, FASE3-VAR
2746, 0.5367, 0, 0, 0, 0, 0, FASE3-VAR
2747, 0.5367, 0, 0, 0, 0, 0, FASE3-VAR
2748, 0.5367, 0, 0, 0, 0, 0, FASE3-VAR
2749, 0.5367, 0, 0, 0, 0, 0, FASE3-VAR
2750, 0.5367, 0, 0, 0, 0, 0, FASE3-VAR
2751, 0.5367, 0, 0, 0, 0, 0, FASE3-VAR
2752, 0.5367, 0, 0, 0, 0, 0, FASE3-VAR
2753, 0.5367, 0, 0, 0, 0, 0, FASE3-VAR
2754, 0.5367, 0, 0, 0, 0, 0, FASE3-VAR
2755, 0.5367, 0, 0, 0, 0, 0, FASE3-VAR
2756, 0.5367, 0, 0, 0, 0, 0, FASE3-VAR
2757, 0.5367, 0, 0, 0, 0, 0, FASE3-VAR
2758, 0.5367, 0, 0, 0, 0, 0, FASE3-VAR
2759, 0.5367, 0, 0, 0, 0, 0, FASE3-VAR
```

```
 2760, 0.5367, 0, 0, 0, 0, 0, FASE3-VAR
 2761, 0.5367, 0, 0, 0, 0, 0, FASE3-VAR
 2762, 0.5367, 0, 0, 0, 0, 0, FASE3-VAR
 2763, 0.5367, 0, 0, 0, 0, 0, FASE3-VAR
 2764, 0.5367, 0, 0, 0, 0, 0, FASE3-VAR
 2765, 0.5367, 0, 0, 0, 0, 0, FASE3-VAR
 2766, 0.5367, 0, 0, 0, 0, 0, FASE3-VAR
 2767, 0.5367, 0, 0, 0, 0, 0, FASE3-VAR
 2768, 0.5367, 0, 0, 0, 0, 0, FASE3-VAR
 2769, 0.5367, 0, 0, 0, 0, 0, FASE3-VAR
 2770, 0.5367, 0, 0, 0, 0, 0, FASE3-VAR
 2771, 0.5367, 0, 0, 0, 0, 0, FASE3-VAR
 2772, 0.5367, 0, 0, 0, 0, 0, FASE3-VAR
 2773, 0.5367, 0, 0, 0, 0, 0, FASE3-VAR
 2774, 0.5367, 0, 0, 0, 0, 0, FASE3-VAR
 2775, 0.5367, 0, 0, 0, 0, 0, FASE3-VAR
 2776, 0.5367, 0, 0, 0, 0, 0, FASE3-VAR
 2777, 0.5367, 0, 0, 0, 0, 0, FASE3-VAR
 2778, 0.5367, 0, 0, 0, 0, 0, FASE3-VAR
 2779, 0.5367, 0, 0, 0, 0, 0, FASE3-VAR
 2780, 0.5367, 0, 0, 0, 0, 0, FASE3-VAR
 2781, 0.5367, 0, 0, 0, 0, 0, FASE3-VAR
 2782, 0.5367, 0, 0, 0, 0, 0, FASE3-VAR
 2783, 0.5367, 0, 0, 0, 0, 0, FASE3-VAR
 2784, 0.5367, 0, 0, 0, 0, 0, FASE3-VAR
 2785, 0.5367, 0, 0, 0, 0, 0, FASE3-VAR
 2786, 0.5367, 0, 0, 0, 0, 0, FASE3-VAR
 2787, 0.5367, 0, 0, 0, 0, 0, FASE3-VAR
 2788, 0.5367, 0, 0, 0, 0, 0, FASE3-VAR
 2789, 0.5367, 0, 0, 0, 0, 0, FASE3-VAR
 2790, 0.5367, 0, 0, 0, 0, 0, FASE3-VAR
 2791, 0.5367, 0, 0, 0, 0, 0, FASE3-VAR
 2792, 0.5367, 0, 0, 0, 0, 0, FASE3-VAR
 2793, 0.5367, 0, 0, 0, 0, 0, FASE3-VAR
 2794, 0.5367, 0, 0, 0, 0, 0, FASE3-VAR

; End of data for load case [frenatura] -------------------------

*USE-STLD, Termica uniforme +15

*ELTEMPER    ; Element Temperatures
; ELEM_LIST, TEMPER, GROUP
      1, 15, FASE3-VAR
      2, 15, FASE3-VAR
      3, 15, FASE3-VAR
      4, 15, FASE3-VAR
      5, 15, FASE3-VAR
      6, 15, FASE3-VAR
      7, 15, FASE3-VAR
      8, 15, FASE3-VAR
      9, 15, FASE3-VAR
     10, 15, FASE3-VAR
     11, 15, FASE3-VAR
     12, 15, FASE3-VAR
     13, 15, FASE3-VAR
     14, 15, FASE3-VAR
     15, 15, FASE3-VAR
     16, 15, FASE3-VAR
     17, 15, FASE3-VAR
     18, 15, FASE3-VAR
     19, 15, FASE3-VAR
     20, 15, FASE3-VAR
     21, 15, FASE3-VAR
     22, 15, FASE3-VAR
     23, 15, FASE3-VAR
     24, 15, FASE3-VAR
     25, 15, FASE3-VAR
     26, 15, FASE3-VAR
     27, 15, FASE3-VAR
     28, 15, FASE3-VAR
     29, 15, FASE3-VAR
     30, 15, FASE3-VAR
     31, 15, FASE3-VAR
     32, 15, FASE3-VAR
     33, 15, FASE3-VAR
     34, 15, FASE3-VAR
     35, 15, FASE3-VAR
     36, 15, FASE3-VAR
```

PROJECT TITLE :

	Company		Client	
	Author		File Name	Brembiolo1_08_completo(fasi)DEFINITIVO.mgt

```
  37,  15,  FASE3-VAR
  38,  15,  FASE3-VAR
  39,  15,  FASE3-VAR
  40,  15,  FASE3-VAR
  54,  15,  FASE3-VAR
  55,  15,  FASE3-VAR
  57,  15,  FASE3-VAR
  59,  15,  FASE3-VAR
  61,  15,  FASE3-VAR
  62,  15,  FASE3-VAR
  64,  15,  FASE3-VAR
  66,  15,  FASE3-VAR
  68,  15,  FASE3-VAR
  69,  15,  FASE3-VAR
  71,  15,  FASE3-VAR
  73,  15,  FASE3-VAR
  75,  15,  FASE3-VAR
  76,  15,  FASE3-VAR
  78,  15,  FASE3-VAR
  80,  15,  FASE3-VAR
  82,  15,  FASE3-VAR
  83,  15,  FASE3-VAR
  85,  15,  FASE3-VAR
  87,  15,  FASE3-VAR
  89,  15,  FASE3-VAR
  90,  15,  FASE3-VAR
  92,  15,  FASE3-VAR
  94,  15,  FASE3-VAR
  96,  15,  FASE3-VAR
  97,  15,  FASE3-VAR
  99,  15,  FASE3-VAR
 101,  15,  FASE3-VAR
 103,  15,  FASE3-VAR
 104,  15,  FASE3-VAR
 106,  15,  FASE3-VAR
 108,  15,  FASE3-VAR
 110,  15,  FASE3-VAR
 111,  15,  FASE3-VAR
 113,  15,  FASE3-VAR
 115,  15,  FASE3-VAR
 117,  15,  FASE3-VAR
 118,  15,  FASE3-VAR
 120,  15,  FASE3-VAR
 122,  15,  FASE3-VAR
 124,  15,  FASE3-VAR
 125,  15,  FASE3-VAR
 127,  15,  FASE3-VAR
 129,  15,  FASE3-VAR
 131,  15,  FASE3-VAR
 132,  15,  FASE3-VAR
 134,  15,  FASE3-VAR
 136,  15,  FASE3-VAR
 138,  15,  FASE3-VAR
 139,  15,  FASE3-VAR
 141,  15,  FASE3-VAR
 143,  15,  FASE3-VAR
 145,  15,  FASE3-VAR
 146,  15,  FASE3-VAR
 148,  15,  FASE3-VAR
 150,  15,  FASE3-VAR
 152,  15,  FASE3-VAR
 153,  15,  FASE3-VAR
 155,  15,  FASE3-VAR
 157,  15,  FASE3-VAR
 159,  15,  FASE3-VAR
 160,  15,  FASE3-VAR
 162,  15,  FASE3-VAR
 164,  15,  FASE3-VAR
 165,  15,  FASE3-VAR
 166,  15,  FASE3-VAR
 167,  15,  FASE3-VAR
 168,  15,  FASE3-VAR
 169,  15,  FASE3-VAR
 170,  15,  FASE3-VAR
 171,  15,  FASE3-VAR
 172,  15,  FASE3-VAR
 173,  15,  FASE3-VAR
 174,  15,  FASE3-VAR
```

PROJECT TITLE :

	Company		Client	
	Author		File Name	Brembiolo1_08_completo(fasi)DEFINITIVO.mgt

```
175, 15, FASE3-VAR
176, 15, FASE3-VAR
177, 15, FASE3-VAR
178, 15, FASE3-VAR
179, 15, FASE3-VAR
180, 15, FASE3-VAR
181, 15, FASE3-VAR
182, 15, FASE3-VAR
183, 15, FASE3-VAR
184, 15, FASE3-VAR
185, 15, FASE3-VAR
186, 15, FASE3-VAR
187, 15, FASE3-VAR
188, 15, FASE3-VAR
189, 15, FASE3-VAR
190, 15, FASE3-VAR
191, 15, FASE3-VAR
192, 15, FASE3-VAR
193, 15, FASE3-VAR
194, 15, FASE3-VAR
195, 15, FASE3-VAR
196, 15, FASE3-VAR
197, 15, FASE3-VAR
198, 15, FASE3-VAR
199, 15, FASE3-VAR
200, 15, FASE3-VAR
201, 15, FASE3-VAR
202, 15, FASE3-VAR
203, 15, FASE3-VAR
204, 15, FASE3-VAR
205, 15, FASE3-VAR
206, 15, FASE3-VAR
207, 15, FASE3-VAR
208, 15, FASE3-VAR
209, 15, FASE3-VAR
210, 15, FASE3-VAR
211, 15, FASE3-VAR
212, 15, FASE3-VAR
213, 15, FASE3-VAR
214, 15, FASE3-VAR
215, 15, FASE3-VAR
216, 15, FASE3-VAR
217, 15, FASE3-VAR
218, 15, FASE3-VAR
219, 15, FASE3-VAR
220, 15, FASE3-VAR
221, 15, FASE3-VAR
222, 15, FASE3-VAR
223, 15, FASE3-VAR
224, 15, FASE3-VAR
225, 15, FASE3-VAR
226, 15, FASE3-VAR
227, 15, FASE3-VAR
228, 15, FASE3-VAR
229, 15, FASE3-VAR
230, 15, FASE3-VAR
231, 15, FASE3-VAR
232, 15, FASE3-VAR
233, 15, FASE3-VAR
234, 15, FASE3-VAR
235, 15, FASE3-VAR
236, 15, FASE3-VAR
237, 15, FASE3-VAR
238, 15, FASE3-VAR
239, 15, FASE3-VAR
240, 15, FASE3-VAR
241, 15, FASE3-VAR
242, 15, FASE3-VAR
243, 15, FASE3-VAR
244, 15, FASE3-VAR
245, 15, FASE3-VAR
246, 15, FASE3-VAR
247, 15, FASE3-VAR
248, 15, FASE3-VAR
249, 15, FASE3-VAR
250, 15, FASE3-VAR
251, 15, FASE3-VAR
252, 15, FASE3-VAR
```

PROJECT TITLE :

	Company		Client	
	Author		File Name	Brembiolo1_08_completo(fasi)DEFINITIVO.mgt

```
253, 15, FASE3-VAR
254, 15, FASE3-VAR
255, 15, FASE3-VAR
256, 15, FASE3-VAR
257, 15, FASE3-VAR
258, 15, FASE3-VAR
259, 15, FASE3-VAR
260, 15, FASE3-VAR
261, 15, FASE3-VAR
262, 15, FASE3-VAR
263, 15, FASE3-VAR
264, 15, FASE3-VAR
265, 15, FASE3-VAR
266, 15, FASE3-VAR
267, 15, FASE3-VAR
268, 15, FASE3-VAR
269, 15, FASE3-VAR
270, 15, FASE3-VAR
271, 15, FASE3-VAR
272, 15, FASE3-VAR
273, 15, FASE3-VAR
274, 15, FASE3-VAR
275, 15, FASE3-VAR
276, 15, FASE3-VAR
277, 15, FASE3-VAR
278, 15, FASE3-VAR
279, 15, FASE3-VAR
280, 15, FASE3-VAR
281, 15, FASE3-VAR
282, 15, FASE3-VAR
283, 15, FASE3-VAR
284, 15, FASE3-VAR
285, 15, FASE3-VAR
286, 15, FASE3-VAR
287, 15, FASE3-VAR
288, 15, FASE3-VAR
289, 15, FASE3-VAR
290, 15, FASE3-VAR
291, 15, FASE3-VAR
292, 15, FASE3-VAR
293, 15, FASE3-VAR
294, 15, FASE3-VAR
295, 15, FASE3-VAR
296, 15, FASE3-VAR
297, 15, FASE3-VAR
298, 15, FASE3-VAR
299, 15, FASE3-VAR
300, 15, FASE3-VAR
301, 15, FASE3-VAR
302, 15, FASE3-VAR
303, 15, FASE3-VAR
304, 15, FASE3-VAR
305, 15, FASE3-VAR
306, 15, FASE3-VAR
307, 15, FASE3-VAR
308, 15, FASE3-VAR
309, 15, FASE3-VAR
310, 15, FASE3-VAR
311, 15, FASE3-VAR
312, 15, FASE3-VAR
313, 15, FASE3-VAR
314, 15, FASE3-VAR
315, 15, FASE3-VAR
316, 15, FASE3-VAR
317, 15, FASE3-VAR
318, 15, FASE3-VAR
319, 15, FASE3-VAR
320, 15, FASE3-VAR
321, 15, FASE3-VAR
322, 15, FASE3-VAR
323, 15, FASE3-VAR
324, 15, FASE3-VAR
325, 15, FASE3-VAR
326, 15, FASE3-VAR
327, 15, FASE3-VAR
328, 15, FASE3-VAR
329, 15, FASE3-VAR
330, 15, FASE3-VAR
```

PROJECT TITLE :

	Company		Client	
	Author		File Name	Brembiolo1_08_completo(fasi)DEFINITIVO.mgt

```
331, 15, FASE3-VAR
332, 15, FASE3-VAR
333, 15, FASE3-VAR
334, 15, FASE3-VAR
335, 15, FASE3-VAR
336, 15, FASE3-VAR
337, 15, FASE3-VAR
338, 15, FASE3-VAR
339, 15, FASE3-VAR
340, 15, FASE3-VAR
341, 15, FASE3-VAR
342, 15, FASE3-VAR
343, 15, FASE3-VAR
344, 15, FASE3-VAR
345, 15, FASE3-VAR
346, 15, FASE3-VAR
347, 15, FASE3-VAR
348, 15, FASE3-VAR
349, 15, FASE3-VAR
350, 15, FASE3-VAR
351, 15, FASE3-VAR
352, 15, FASE3-VAR
353, 15, FASE3-VAR
354, 15, FASE3-VAR
355, 15, FASE3-VAR
356, 15, FASE3-VAR
357, 15, FASE3-VAR
358, 15, FASE3-VAR
359, 15, FASE3-VAR
360, 15, FASE3-VAR
361, 15, FASE3-VAR
362, 15, FASE3-VAR
363, 15, FASE3-VAR
364, 15, FASE3-VAR
365, 15, FASE3-VAR
366, 15, FASE3-VAR
367, 15, FASE3-VAR
368, 15, FASE3-VAR
369, 15, FASE3-VAR
370, 15, FASE3-VAR
371, 15, FASE3-VAR
372, 15, FASE3-VAR
373, 15, FASE3-VAR
374, 15, FASE3-VAR
375, 15, FASE3-VAR
376, 15, FASE3-VAR
377, 15, FASE3-VAR
378, 15, FASE3-VAR
379, 15, FASE3-VAR
380, 15, FASE3-VAR
381, 15, FASE3-VAR
382, 15, FASE3-VAR
383, 15, FASE3-VAR
384, 15, FASE3-VAR
385, 15, FASE3-VAR
386, 15, FASE3-VAR
387, 15, FASE3-VAR
388, 15, FASE3-VAR
389, 15, FASE3-VAR
390, 15, FASE3-VAR
391, 15, FASE3-VAR
392, 15, FASE3-VAR
393, 15, FASE3-VAR
394, 15, FASE3-VAR
395, 15, FASE3-VAR
396, 15, FASE3-VAR
397, 15, FASE3-VAR
398, 15, FASE3-VAR
399, 15, FASE3-VAR
400, 15, FASE3-VAR
401, 15, FASE3-VAR
402, 15, FASE3-VAR
403, 15, FASE3-VAR
404, 15, FASE3-VAR
405, 15, FASE3-VAR
406, 15, FASE3-VAR
407, 15, FASE3-VAR
408, 15, FASE3-VAR
```

```
   409, 15, FASE3-VAR
   410, 15, FASE3-VAR
   411, 15, FASE3-VAR
   412, 15, FASE3-VAR
   413, 15, FASE3-VAR
   414, 15, FASE3-VAR
   415, 15, FASE3-VAR
   416, 15, FASE3-VAR
   417, 15, FASE3-VAR
   418, 15, FASE3-VAR
   419, 15, FASE3-VAR
   420, 15, FASE3-VAR
   421, 15, FASE3-VAR
   422, 15, FASE3-VAR
   423, 15, FASE3-VAR
   424, 15, FASE3-VAR
   425, 15, FASE3-VAR
   426, 15, FASE3-VAR
   427, 15, FASE3-VAR
   428, 15, FASE3-VAR
   429, 15, FASE3-VAR
   430, 15, FASE3-VAR
   431, 15, FASE3-VAR
   432, 15, FASE3-VAR
   433, 15, FASE3-VAR
   434, 15, FASE3-VAR
   435, 15, FASE3-VAR
   436, 15, FASE3-VAR

; End of data for load case [Termica uniforme +15] --------------------------

*USE-STLD, Termica uniforme -15

*ELTEMPER    ; Element Temperatures
; ELEM_LIST, TEMPER, GROUP
     1, -15, FASE3-VAR
     2, -15, FASE3-VAR
     3, -15, FASE3-VAR
     4, -15, FASE3-VAR
     5, -15, FASE3-VAR
     6, -15, FASE3-VAR
     7, -15, FASE3-VAR
     8, -15, FASE3-VAR
     9, -15, FASE3-VAR
    10, -15, FASE3-VAR
    11, -15, FASE3-VAR
    12, -15, FASE3-VAR
    13, -15, FASE3-VAR
    14, -15, FASE3-VAR
    15, -15, FASE3-VAR
    16, -15, FASE3-VAR
    17, -15, FASE3-VAR
    18, -15, FASE3-VAR
    19, -15, FASE3-VAR
    20, -15, FASE3-VAR
    21, -15, FASE3-VAR
    22, -15, FASE3-VAR
    23, -15, FASE3-VAR
    24, -15, FASE3-VAR
    25, -15, FASE3-VAR
    26, -15, FASE3-VAR
    27, -15, FASE3-VAR
    28, -15, FASE3-VAR
    29, -15, FASE3-VAR
    30, -15, FASE3-VAR
    31, -15, FASE3-VAR
    32, -15, FASE3-VAR
    33, -15, FASE3-VAR
    34, -15, FASE3-VAR
    35, -15, FASE3-VAR
    36, -15, FASE3-VAR
    37, -15, FASE3-VAR
    38, -15, FASE3-VAR
    39, -15, FASE3-VAR
    40, -15, FASE3-VAR
    54, -15, FASE3-VAR
    55, -15, FASE3-VAR
    57, -15, FASE3-VAR
```

PROJECT TITLE :

	Company		Client	
	Author		File Name	Brembiolo1_08_completo(fasi)DEFINITIVO.mgt

```
   59, -15, FASE3-VAR
   61, -15, FASE3-VAR
   62, -15, FASE3-VAR
   64, -15, FASE3-VAR
   66, -15, FASE3-VAR
   68, -15, FASE3-VAR
   69, -15, FASE3-VAR
   71, -15, FASE3-VAR
   73, -15, FASE3-VAR
   75, -15, FASE3-VAR
   76, -15, FASE3-VAR
   78, -15, FASE3-VAR
   80, -15, FASE3-VAR
   82, -15, FASE3-VAR
   83, -15, FASE3-VAR
   85, -15, FASE3-VAR
   87, -15, FASE3-VAR
   89, -15, FASE3-VAR
   90, -15, FASE3-VAR
   92, -15, FASE3-VAR
   94, -15, FASE3-VAR
   96, -15, FASE3-VAR
   97, -15, FASE3-VAR
   99, -15, FASE3-VAR
  101, -15, FASE3-VAR
  103, -15, FASE3-VAR
  104, -15, FASE3-VAR
  106, -15, FASE3-VAR
  108, -15, FASE3-VAR
  110, -15, FASE3-VAR
  111, -15, FASE3-VAR
  113, -15, FASE3-VAR
  115, -15, FASE3-VAR
  117, -15, FASE3-VAR
  118, -15, FASE3-VAR
  120, -15, FASE3-VAR
  122, -15, FASE3-VAR
  124, -15, FASE3-VAR
  125, -15, FASE3-VAR
  127, -15, FASE3-VAR
  129, -15, FASE3-VAR
  131, -15, FASE3-VAR
  132, -15, FASE3-VAR
  134, -15, FASE3-VAR
  136, -15, FASE3-VAR
  138, -15, FASE3-VAR
  139, -15, FASE3-VAR
  141, -15, FASE3-VAR
  143, -15, FASE3-VAR
  145, -15, FASE3-VAR
  146, -15, FASE3-VAR
  148, -15, FASE3-VAR
  150, -15, FASE3-VAR
  152, -15, FASE3-VAR
  153, -15, FASE3-VAR
  155, -15, FASE3-VAR
  157, -15, FASE3-VAR
  159, -15, FASE3-VAR
  160, -15, FASE3-VAR
  162, -15, FASE3-VAR
  164, -15, FASE3-VAR
  165, -15, FASE3-VAR
  166, -15, FASE3-VAR
  167, -15, FASE3-VAR
  168, -15, FASE3-VAR
  169, -15, FASE3-VAR
  170, -15, FASE3-VAR
  171, -15, FASE3-VAR
  172, -15, FASE3-VAR
  173, -15, FASE3-VAR
  174, -15, FASE3-VAR
  175, -15, FASE3-VAR
  176, -15, FASE3-VAR
  177, -15, FASE3-VAR
  178, -15, FASE3-VAR
  179, -15, FASE3-VAR
  180, -15, FASE3-VAR
  181, -15, FASE3-VAR
```

	Company		Client	
	Author		File Name	Brembiolo1_08_completo(fasi)DEFINITIVO.mgt

```
182, -15, FASE3-VAR
183, -15, FASE3-VAR
184, -15, FASE3-VAR
185, -15, FASE3-VAR
186, -15, FASE3-VAR
187, -15, FASE3-VAR
188, -15, FASE3-VAR
189, -15, FASE3-VAR
190, -15, FASE3-VAR
191, -15, FASE3-VAR
192, -15, FASE3-VAR
193, -15, FASE3-VAR
194, -15, FASE3-VAR
195, -15, FASE3-VAR
196, -15, FASE3-VAR
197, -15, FASE3-VAR
198, -15, FASE3-VAR
199, -15, FASE3-VAR
200, -15, FASE3-VAR
201, -15, FASE3-VAR
202, -15, FASE3-VAR
203, -15, FASE3-VAR
204, -15, FASE3-VAR
205, -15, FASE3-VAR
206, -15, FASE3-VAR
207, -15, FASE3-VAR
208, -15, FASE3-VAR
209, -15, FASE3-VAR
210, -15, FASE3-VAR
211, -15, FASE3-VAR
212, -15, FASE3-VAR
213, -15, FASE3-VAR
214, -15, FASE3-VAR
215, -15, FASE3-VAR
216, -15, FASE3-VAR
217, -15, FASE3-VAR
218, -15, FASE3-VAR
219, -15, FASE3-VAR
220, -15, FASE3-VAR
221, -15, FASE3-VAR
222, -15, FASE3-VAR
223, -15, FASE3-VAR
224, -15, FASE3-VAR
225, -15, FASE3-VAR
226, -15, FASE3-VAR
227, -15, FASE3-VAR
228, -15, FASE3-VAR
229, -15, FASE3-VAR
230, -15, FASE3-VAR
231, -15, FASE3-VAR
232, -15, FASE3-VAR
233, -15, FASE3-VAR
234, -15, FASE3-VAR
235, -15, FASE3-VAR
236, -15, FASE3-VAR
237, -15, FASE3-VAR
238, -15, FASE3-VAR
239, -15, FASE3-VAR
240, -15, FASE3-VAR
241, -15, FASE3-VAR
242, -15, FASE3-VAR
243, -15, FASE3-VAR
244, -15, FASE3-VAR
245, -15, FASE3-VAR
246, -15, FASE3-VAR
247, -15, FASE3-VAR
248, -15, FASE3-VAR
249, -15, FASE3-VAR
250, -15, FASE3-VAR
251, -15, FASE3-VAR
252, -15, FASE3-VAR
253, -15, FASE3-VAR
254, -15, FASE3-VAR
255, -15, FASE3-VAR
256, -15, FASE3-VAR
257, -15, FASE3-VAR
258, -15, FASE3-VAR
259, -15, FASE3-VAR
```

	Company		Client	
	Author		File Name	Brembiolo1_08_completo(fasi)DEFINITIVO.mgt

```
260, -15, FASE3-VAR
261, -15, FASE3-VAR
262, -15, FASE3-VAR
263, -15, FASE3-VAR
264, -15, FASE3-VAR
265, -15, FASE3-VAR
266, -15, FASE3-VAR
267, -15, FASE3-VAR
268, -15, FASE3-VAR
269, -15, FASE3-VAR
270, -15, FASE3-VAR
271, -15, FASE3-VAR
272, -15, FASE3-VAR
273, -15, FASE3-VAR
274, -15, FASE3-VAR
275, -15, FASE3-VAR
276, -15, FASE3-VAR
277, -15, FASE3-VAR
278, -15, FASE3-VAR
279, -15, FASE3-VAR
280, -15, FASE3-VAR
281, -15, FASE3-VAR
282, -15, FASE3-VAR
283, -15, FASE3-VAR
284, -15, FASE3-VAR
285, -15, FASE3-VAR
286, -15, FASE3-VAR
287, -15, FASE3-VAR
288, -15, FASE3-VAR
289, -15, FASE3-VAR
290, -15, FASE3-VAR
291, -15, FASE3-VAR
292, -15, FASE3-VAR
293, -15, FASE3-VAR
294, -15, FASE3-VAR
295, -15, FASE3-VAR
296, -15, FASE3-VAR
297, -15, FASE3-VAR
298, -15, FASE3-VAR
299, -15, FASE3-VAR
300, -15, FASE3-VAR
301, -15, FASE3-VAR
302, -15, FASE3-VAR
303, -15, FASE3-VAR
304, -15, FASE3-VAR
305, -15, FASE3-VAR
306, -15, FASE3-VAR
307, -15, FASE3-VAR
308, -15, FASE3-VAR
309, -15, FASE3-VAR
310, -15, FASE3-VAR
311, -15, FASE3-VAR
312, -15, FASE3-VAR
313, -15, FASE3-VAR
314, -15, FASE3-VAR
315, -15, FASE3-VAR
316, -15, FASE3-VAR
317, -15, FASE3-VAR
318, -15, FASE3-VAR
319, -15, FASE3-VAR
320, -15, FASE3-VAR
321, -15, FASE3-VAR
322, -15, FASE3-VAR
323, -15, FASE3-VAR
324, -15, FASE3-VAR
325, -15, FASE3-VAR
326, -15, FASE3-VAR
327, -15, FASE3-VAR
328, -15, FASE3-VAR
329, -15, FASE3-VAR
330, -15, FASE3-VAR
331, -15, FASE3-VAR
332, -15, FASE3-VAR
333, -15, FASE3-VAR
334, -15, FASE3-VAR
335, -15, FASE3-VAR
336, -15, FASE3-VAR
337, -15, FASE3-VAR
```

```
338, -15, FASE3-VAR
339, -15, FASE3-VAR
340, -15, FASE3-VAR
341, -15, FASE3-VAR
342, -15, FASE3-VAR
343, -15, FASE3-VAR
344, -15, FASE3-VAR
345, -15, FASE3-VAR
346, -15, FASE3-VAR
347, -15, FASE3-VAR
348, -15, FASE3-VAR
349, -15, FASE3-VAR
350, -15, FASE3-VAR
351, -15, FASE3-VAR
352, -15, FASE3-VAR
353, -15, FASE3-VAR
354, -15, FASE3-VAR
355, -15, FASE3-VAR
356, -15, FASE3-VAR
357, -15, FASE3-VAR
358, -15, FASE3-VAR
359, -15, FASE3-VAR
360, -15, FASE3-VAR
361, -15, FASE3-VAR
362, -15, FASE3-VAR
363, -15, FASE3-VAR
364, -15, FASE3-VAR
365, -15, FASE3-VAR
366, -15, FASE3-VAR
367, -15, FASE3-VAR
368, -15, FASE3-VAR
369, -15, FASE3-VAR
370, -15, FASE3-VAR
371, -15, FASE3-VAR
372, -15, FASE3-VAR
373, -15, FASE3-VAR
374, -15, FASE3-VAR
375, -15, FASE3-VAR
376, -15, FASE3-VAR
377, -15, FASE3-VAR
378, -15, FASE3-VAR
379, -15, FASE3-VAR
380, -15, FASE3-VAR
381, -15, FASE3-VAR
382, -15, FASE3-VAR
383, -15, FASE3-VAR
384, -15, FASE3-VAR
385, -15, FASE3-VAR
386, -15, FASE3-VAR
387, -15, FASE3-VAR
388, -15, FASE3-VAR
389, -15, FASE3-VAR
390, -15, FASE3-VAR
391, -15, FASE3-VAR
392, -15, FASE3-VAR
393, -15, FASE3-VAR
394, -15, FASE3-VAR
395, -15, FASE3-VAR
396, -15, FASE3-VAR
397, -15, FASE3-VAR
398, -15, FASE3-VAR
399, -15, FASE3-VAR
400, -15, FASE3-VAR
401, -15, FASE3-VAR
402, -15, FASE3-VAR
403, -15, FASE3-VAR
404, -15, FASE3-VAR
405, -15, FASE3-VAR
406, -15, FASE3-VAR
407, -15, FASE3-VAR
408, -15, FASE3-VAR
409, -15, FASE3-VAR
410, -15, FASE3-VAR
411, -15, FASE3-VAR
412, -15, FASE3-VAR
413, -15, FASE3-VAR
414, -15, FASE3-VAR
415, -15, FASE3-VAR
```

```
   416, -15, FASE3-VAR
   417, -15, FASE3-VAR
   418, -15, FASE3-VAR
   419, -15, FASE3-VAR
   420, -15, FASE3-VAR
   421, -15, FASE3-VAR
   422, -15, FASE3-VAR
   423, -15, FASE3-VAR
   424, -15, FASE3-VAR
   425, -15, FASE3-VAR
   426, -15, FASE3-VAR
   427, -15, FASE3-VAR
   428, -15, FASE3-VAR
   429, -15, FASE3-VAR
   430, -15, FASE3-VAR
   431, -15, FASE3-VAR
   432, -15, FASE3-VAR
   433, -15, FASE3-VAR
   434, -15, FASE3-VAR
   435, -15, FASE3-VAR
   436, -15, FASE3-VAR

; End of data for load case [Termica uniforme -15] -------------------------

*USE-STLD, Termica non uniforme

*THERGRAD    ; Temperature Gradient
; ELEM_LIST, iETYP, TZ, bUSEHZ, HZ, TY, bUSEHY, HY, GROUP
; ELEM_LIST, iETYP, TZ, bUSEHZ, HZ, GROUP
     1, 1, 5, YES, 0, 0, YES, 0,
     2, 1, 5, YES, 0, 0, YES, 0,
     3, 1, 5, YES, 0, 0, YES, 0,
     4, 1, 5, YES, 0, 0, YES, 0,
     5, 1, 5, YES, 0, 0, YES, 0,
     6, 1, 5, YES, 0, 0, YES, 0,
     7, 1, 5, YES, 0, 0, YES, 0,
     8, 1, 5, YES, 0, 0, YES, 0,
     9, 1, 5, YES, 0, 0, YES, 0,
    10, 1, 5, YES, 0, 0, YES, 0,
    11, 1, 5, YES, 0, 0, YES, 0,
    12, 1, 5, YES, 0, 0, YES, 0,
    13, 1, 5, YES, 0, 0, YES, 0,
    14, 1, 5, YES, 0, 0, YES, 0,
    15, 1, 5, YES, 0, 0, YES, 0,
    16, 1, 5, YES, 0, 0, YES, 0,
    17, 1, 5, YES, 0, 0, YES, 0,
    18, 1, 5, YES, 0, 0, YES, 0,
    19, 1, 5, YES, 0, 0, YES, 0,
    20, 1, 5, YES, 0, 0, YES, 0,
    21, 1, 5, YES, 0, 0, YES, 0,
    22, 1, 5, YES, 0, 0, YES, 0,
    23, 1, 5, YES, 0, 0, YES, 0,
    24, 1, 5, YES, 0, 0, YES, 0,
    25, 1, 5, YES, 0, 0, YES, 0,
    26, 1, 5, YES, 0, 0, YES, 0,
    27, 1, 5, YES, 0, 0, YES, 0,
    28, 1, 5, YES, 0, 0, YES, 0,
    29, 1, 5, YES, 0, 0, YES, 0,
    30, 1, 5, YES, 0, 0, YES, 0,
    31, 1, 5, YES, 0, 0, YES, 0,
    32, 1, 5, YES, 0, 0, YES, 0,
    33, 1, 5, YES, 0, 0, YES, 0,
    34, 1, 5, YES, 0, 0, YES, 0,
    35, 1, 5, YES, 0, 0, YES, 0,
    36, 1, 5, YES, 0, 0, YES, 0,
    37, 1, 5, YES, 0, 0, YES, 0,
    38, 1, 5, YES, 0, 0, YES, 0,
    39, 1, 5, YES, 0, 0, YES, 0,
    40, 1, 5, YES, 0, 0, YES, 0,
    54, 1, 5, YES, 0, 0, YES, 0,
    55, 1, 5, YES, 0, 0, YES, 0,
    57, 1, 5, YES, 0, 0, YES, 0,
    59, 1, 5, YES, 0, 0, YES, 0,
    61, 1, 5, YES, 0, 0, YES, 0,
    62, 1, 5, YES, 0, 0, YES, 0,
    64, 1, 5, YES, 0, 0, YES, 0,
    66, 1, 5, YES, 0, 0, YES, 0,
    68, 1, 5, YES, 0, 0, YES, 0,
```

```
  69,  1,  5, YES,  0,  0, YES,  0,
  71,  1,  5, YES,  0,  0, YES,  0,
  73,  1,  5, YES,  0,  0, YES,  0,
  75,  1,  5, YES,  0,  0, YES,  0,
  76,  1,  5, YES,  0,  0, YES,  0,
  78,  1,  5, YES,  0,  0, YES,  0,
  80,  1,  5, YES,  0,  0, YES,  0,
  82,  1,  5, YES,  0,  0, YES,  0,
  83,  1,  5, YES,  0,  0, YES,  0,
  85,  1,  5, YES,  0,  0, YES,  0,
  87,  1,  5, YES,  0,  0, YES,  0,
  89,  1,  5, YES,  0,  0, YES,  0,
  90,  1,  5, YES,  0,  0, YES,  0,
  92,  1,  5, YES,  0,  0, YES,  0,
  94,  1,  5, YES,  0,  0, YES,  0,
  96,  1,  5, YES,  0,  0, YES,  0,
  97,  1,  5, YES,  0,  0, YES,  0,
  99,  1,  5, YES,  0,  0, YES,  0,
 101,  1,  5, YES,  0,  0, YES,  0,
 103,  1,  5, YES,  0,  0, YES,  0,
 104,  1,  5, YES,  0,  0, YES,  0,
 106,  1,  5, YES,  0,  0, YES,  0,
 108,  1,  5, YES,  0,  0, YES,  0,
 110,  1,  5, YES,  0,  0, YES,  0,
 111,  1,  5, YES,  0,  0, YES,  0,
 113,  1,  5, YES,  0,  0, YES,  0,
 115,  1,  5, YES,  0,  0, YES,  0,
 117,  1,  5, YES,  0,  0, YES,  0,
 118,  1,  5, YES,  0,  0, YES,  0,
 120,  1,  5, YES,  0,  0, YES,  0,
 122,  1,  5, YES,  0,  0, YES,  0,
 124,  1,  5, YES,  0,  0, YES,  0,
 125,  1,  5, YES,  0,  0, YES,  0,
 127,  1,  5, YES,  0,  0, YES,  0,
 129,  1,  5, YES,  0,  0, YES,  0,
 131,  1,  5, YES,  0,  0, YES,  0,
 132,  1,  5, YES,  0,  0, YES,  0,
 134,  1,  5, YES,  0,  0, YES,  0,
 136,  1,  5, YES,  0,  0, YES,  0,
 138,  1,  5, YES,  0,  0, YES,  0,
 139,  1,  5, YES,  0,  0, YES,  0,
 141,  1,  5, YES,  0,  0, YES,  0,
 143,  1,  5, YES,  0,  0, YES,  0,
 145,  1,  5, YES,  0,  0, YES,  0,
 146,  1,  5, YES,  0,  0, YES,  0,
 148,  1,  5, YES,  0,  0, YES,  0,
 150,  1,  5, YES,  0,  0, YES,  0,
 152,  1,  5, YES,  0,  0, YES,  0,
 153,  1,  5, YES,  0,  0, YES,  0,
 155,  1,  5, YES,  0,  0, YES,  0,
 157,  1,  5, YES,  0,  0, YES,  0,
 159,  1,  5, YES,  0,  0, YES,  0,
 160,  1,  5, YES,  0,  0, YES,  0,
 162,  1,  5, YES,  0,  0, YES,  0,
 164,  1,  5, YES,  0,  0, YES,  0,
 165,  1,  5, YES,  0,  0, YES,  0,
 166,  1,  5, YES,  0,  0, YES,  0,
 167,  1,  5, YES,  0,  0, YES,  0,
 168,  1,  5, YES,  0,  0, YES,  0,
 169,  1,  5, YES,  0,  0, YES,  0,
 170,  1,  5, YES,  0,  0, YES,  0,
 171,  1,  5, YES,  0,  0, YES,  0,
 172,  1,  5, YES,  0,  0, YES,  0,
 173,  1,  5, YES,  0,  0, YES,  0,
 174,  1,  5, YES,  0,  0, YES,  0,
 175,  1,  5, YES,  0,  0, YES,  0,
 176,  1,  5, YES,  0,  0, YES,  0,
 177,  1,  5, YES,  0,  0, YES,  0,
 178,  1,  5, YES,  0,  0, YES,  0,
 179,  1,  5, YES,  0,  0, YES,  0,
 180,  1,  5, YES,  0,  0, YES,  0,
 181,  1,  5, YES,  0,  0, YES,  0,
 182,  1,  5, YES,  0,  0, YES,  0,
 183,  1,  5, YES,  0,  0, YES,  0,
 184,  1,  5, YES,  0,  0, YES,  0,
 185,  1,  5, YES,  0,  0, YES,  0,
 186,  1,  5, YES,  0,  0, YES,  0,
 187,  1,  5, YES,  0,  0, YES,  0,
```

PROJECT TITLE :

	Company		Client	
	Author		File Name	Brembiolo1_08_completo(fasi)DEFINITIVO.mgt

```
188,  1,  5, YES,  0,  0, YES,  0,
189,  1,  5, YES,  0,  0, YES,  0,
190,  1,  5, YES,  0,  0, YES,  0,
191,  1,  5, YES,  0,  0, YES,  0,
192,  1,  5, YES,  0,  0, YES,  0,
193,  1,  5, YES,  0,  0, YES,  0,
194,  1,  5, YES,  0,  0, YES,  0,
195,  1,  5, YES,  0,  0, YES,  0,
196,  1,  5, YES,  0,  0, YES,  0,
197,  1,  5, YES,  0,  0, YES,  0,
198,  1,  5, YES,  0,  0, YES,  0,
199,  1,  5, YES,  0,  0, YES,  0,
200,  1,  5, YES,  0,  0, YES,  0,
201,  1,  5, YES,  0,  0, YES,  0,
202,  1,  5, YES,  0,  0, YES,  0,
203,  1,  5, YES,  0,  0, YES,  0,
204,  1,  5, YES,  0,  0, YES,  0,
205,  1,  5, YES,  0,  0, YES,  0,
206,  1,  5, YES,  0,  0, YES,  0,
207,  1,  5, YES,  0,  0, YES,  0,
208,  1,  5, YES,  0,  0, YES,  0,
209,  1,  5, YES,  0,  0, YES,  0,
210,  1,  5, YES,  0,  0, YES,  0,
211,  1,  5, YES,  0,  0, YES,  0,
212,  1,  5, YES,  0,  0, YES,  0,
213,  1,  5, YES,  0,  0, YES,  0,
214,  1,  5, YES,  0,  0, YES,  0,
215,  1,  5, YES,  0,  0, YES,  0,
216,  1,  5, YES,  0,  0, YES,  0,
217,  1,  5, YES,  0,  0, YES,  0,
218,  1,  5, YES,  0,  0, YES,  0,
219,  1,  5, YES,  0,  0, YES,  0,
220,  1,  5, YES,  0,  0, YES,  0,
221,  1,  5, YES,  0,  0, YES,  0,
222,  1,  5, YES,  0,  0, YES,  0,
223,  1,  5, YES,  0,  0, YES,  0,
224,  1,  5, YES,  0,  0, YES,  0,
225,  1,  5, YES,  0,  0, YES,  0,
226,  1,  5, YES,  0,  0, YES,  0,
227,  1,  5, YES,  0,  0, YES,  0,
228,  1,  5, YES,  0,  0, YES,  0,
229,  1,  5, YES,  0,  0, YES,  0,
230,  1,  5, YES,  0,  0, YES,  0,
231,  1,  5, YES,  0,  0, YES,  0,
232,  1,  5, YES,  0,  0, YES,  0,
233,  1,  5, YES,  0,  0, YES,  0,
234,  1,  5, YES,  0,  0, YES,  0,
235,  1,  5, YES,  0,  0, YES,  0,
236,  1,  5, YES,  0,  0, YES,  0,
237,  1,  5, YES,  0,  0, YES,  0,
238,  1,  5, YES,  0,  0, YES,  0,
239,  1,  5, YES,  0,  0, YES,  0,
240,  1,  5, YES,  0,  0, YES,  0,
241,  1,  5, YES,  0,  0, YES,  0,
242,  1,  5, YES,  0,  0, YES,  0,
243,  1,  5, YES,  0,  0, YES,  0,
244,  1,  5, YES,  0,  0, YES,  0,
245,  1,  5, YES,  0,  0, YES,  0,
246,  1,  5, YES,  0,  0, YES,  0,
247,  1,  5, YES,  0,  0, YES,  0,
248,  1,  5, YES,  0,  0, YES,  0,
249,  1,  5, YES,  0,  0, YES,  0,
250,  1,  5, YES,  0,  0, YES,  0,
251,  1,  5, YES,  0,  0, YES,  0,
252,  1,  5, YES,  0,  0, YES,  0,
253,  1,  5, YES,  0,  0, YES,  0,
254,  1,  5, YES,  0,  0, YES,  0,
255,  1,  5, YES,  0,  0, YES,  0,
256,  1,  5, YES,  0,  0, YES,  0,
257,  1,  5, YES,  0,  0, YES,  0,
258,  1,  5, YES,  0,  0, YES,  0,
259,  1,  5, YES,  0,  0, YES,  0,
260,  1,  5, YES,  0,  0, YES,  0,
261,  1,  5, YES,  0,  0, YES,  0,
262,  1,  5, YES,  0,  0, YES,  0,
263,  1,  5, YES,  0,  0, YES,  0,
264,  1,  5, YES,  0,  0, YES,  0,
265,  1,  5, YES,  0,  0, YES,  0,
```

PROJECT TITLE :

	Company		Client	
	Author		File Name	Brembiolo1_08_completo(fasi)DEFINITIVO.mgt

```
266, 1, 5, YES, 0, 0, YES, 0,
267, 1, 5, YES, 0, 0, YES, 0,
268, 1, 5, YES, 0, 0, YES, 0,
269, 1, 5, YES, 0, 0, YES, 0,
270, 1, 5, YES, 0, 0, YES, 0,
271, 1, 5, YES, 0, 0, YES, 0,
272, 1, 5, YES, 0, 0, YES, 0,
273, 1, 5, YES, 0, 0, YES, 0,
274, 1, 5, YES, 0, 0, YES, 0,
275, 1, 5, YES, 0, 0, YES, 0,
276, 1, 5, YES, 0, 0, YES, 0,
277, 1, 5, YES, 0, 0, YES, 0,
278, 1, 5, YES, 0, 0, YES, 0,
279, 1, 5, YES, 0, 0, YES, 0,
280, 1, 5, YES, 0, 0, YES, 0,
281, 1, 5, YES, 0, 0, YES, 0,
282, 1, 5, YES, 0, 0, YES, 0,
283, 1, 5, YES, 0, 0, YES, 0,
284, 1, 5, YES, 0, 0, YES, 0,
285, 1, 5, YES, 0, 0, YES, 0,
286, 1, 5, YES, 0, 0, YES, 0,
287, 1, 5, YES, 0, 0, YES, 0,
288, 1, 5, YES, 0, 0, YES, 0,
289, 1, 5, YES, 0, 0, YES, 0,
290, 1, 5, YES, 0, 0, YES, 0,
291, 1, 5, YES, 0, 0, YES, 0,
292, 1, 5, YES, 0, 0, YES, 0,
293, 1, 5, YES, 0, 0, YES, 0,
294, 1, 5, YES, 0, 0, YES, 0,
295, 1, 5, YES, 0, 0, YES, 0,
296, 1, 5, YES, 0, 0, YES, 0,
297, 1, 5, YES, 0, 0, YES, 0,
298, 1, 5, YES, 0, 0, YES, 0,
299, 1, 5, YES, 0, 0, YES, 0,
300, 1, 5, YES, 0, 0, YES, 0,
301, 1, 5, YES, 0, 0, YES, 0,
302, 1, 5, YES, 0, 0, YES, 0,
303, 1, 5, YES, 0, 0, YES, 0,
304, 1, 5, YES, 0, 0, YES, 0,
305, 1, 5, YES, 0, 0, YES, 0,
306, 1, 5, YES, 0, 0, YES, 0,
307, 1, 5, YES, 0, 0, YES, 0,
308, 1, 5, YES, 0, 0, YES, 0,
309, 1, 5, YES, 0, 0, YES, 0,
310, 1, 5, YES, 0, 0, YES, 0,
311, 1, 5, YES, 0, 0, YES, 0,
312, 1, 5, YES, 0, 0, YES, 0,
313, 1, 5, YES, 0, 0, YES, 0,
314, 1, 5, YES, 0, 0, YES, 0,
315, 1, 5, YES, 0, 0, YES, 0,
316, 1, 5, YES, 0, 0, YES, 0,
317, 1, 5, YES, 0, 0, YES, 0,
318, 1, 5, YES, 0, 0, YES, 0,
319, 1, 5, YES, 0, 0, YES, 0,
320, 1, 5, YES, 0, 0, YES, 0,
321, 1, 5, YES, 0, 0, YES, 0,
322, 1, 5, YES, 0, 0, YES, 0,
323, 1, 5, YES, 0, 0, YES, 0,
324, 1, 5, YES, 0, 0, YES, 0,
325, 1, 5, YES, 0, 0, YES, 0,
326, 1, 5, YES, 0, 0, YES, 0,
327, 1, 5, YES, 0, 0, YES, 0,
328, 1, 5, YES, 0, 0, YES, 0,
329, 1, 5, YES, 0, 0, YES, 0,
330, 1, 5, YES, 0, 0, YES, 0,
331, 1, 5, YES, 0, 0, YES, 0,
332, 1, 5, YES, 0, 0, YES, 0,
333, 1, 5, YES, 0, 0, YES, 0,
334, 1, 5, YES, 0, 0, YES, 0,
335, 1, 5, YES, 0, 0, YES, 0,
336, 1, 5, YES, 0, 0, YES, 0,
337, 1, 5, YES, 0, 0, YES, 0,
338, 1, 5, YES, 0, 0, YES, 0,
339, 1, 5, YES, 0, 0, YES, 0,
340, 1, 5, YES, 0, 0, YES, 0,
341, 1, 5, YES, 0, 0, YES, 0,
342, 1, 5, YES, 0, 0, YES, 0,
343, 1, 5, YES, 0, 0, YES, 0,
```

PROJECT TITLE :

	Company		Client	
	Author		File Name	Brembiolo1_08_completo(fasi)DEFINITIVO.mgt

```
344, 1, 5, YES, 0, 0, YES, 0,
345, 1, 5, YES, 0, 0, YES, 0,
346, 1, 5, YES, 0, 0, YES, 0,
347, 1, 5, YES, 0, 0, YES, 0,
348, 1, 5, YES, 0, 0, YES, 0,
349, 1, 5, YES, 0, 0, YES, 0,
350, 1, 5, YES, 0, 0, YES, 0,
351, 1, 5, YES, 0, 0, YES, 0,
352, 1, 5, YES, 0, 0, YES, 0,
353, 1, 5, YES, 0, 0, YES, 0,
354, 1, 5, YES, 0, 0, YES, 0,
355, 1, 5, YES, 0, 0, YES, 0,
356, 1, 5, YES, 0, 0, YES, 0,
357, 1, 5, YES, 0, 0, YES, 0,
358, 1, 5, YES, 0, 0, YES, 0,
359, 1, 5, YES, 0, 0, YES, 0,
360, 1, 5, YES, 0, 0, YES, 0,
361, 1, 5, YES, 0, 0, YES, 0,
362, 1, 5, YES, 0, 0, YES, 0,
363, 1, 5, YES, 0, 0, YES, 0,
364, 1, 5, YES, 0, 0, YES, 0,
365, 1, 5, YES, 0, 0, YES, 0,
366, 1, 5, YES, 0, 0, YES, 0,
367, 1, 5, YES, 0, 0, YES, 0,
368, 1, 5, YES, 0, 0, YES, 0,
369, 1, 5, YES, 0, 0, YES, 0,
370, 1, 5, YES, 0, 0, YES, 0,
371, 1, 5, YES, 0, 0, YES, 0,
372, 1, 5, YES, 0, 0, YES, 0,
373, 1, 5, YES, 0, 0, YES, 0,
374, 1, 5, YES, 0, 0, YES, 0,
375, 1, 5, YES, 0, 0, YES, 0,
376, 1, 5, YES, 0, 0, YES, 0,
377, 1, 5, YES, 0, 0, YES, 0,
378, 1, 5, YES, 0, 0, YES, 0,
379, 1, 5, YES, 0, 0, YES, 0,
380, 1, 5, YES, 0, 0, YES, 0,
381, 1, 5, YES, 0, 0, YES, 0,
382, 1, 5, YES, 0, 0, YES, 0,
383, 1, 5, YES, 0, 0, YES, 0,
384, 1, 5, YES, 0, 0, YES, 0,
385, 1, 5, YES, 0, 0, YES, 0,
386, 1, 5, YES, 0, 0, YES, 0,
387, 1, 5, YES, 0, 0, YES, 0,
388, 1, 5, YES, 0, 0, YES, 0,
389, 1, 5, YES, 0, 0, YES, 0,
390, 1, 5, YES, 0, 0, YES, 0,
391, 1, 5, YES, 0, 0, YES, 0,
392, 1, 5, YES, 0, 0, YES, 0,
393, 1, 5, YES, 0, 0, YES, 0,
394, 1, 5, YES, 0, 0, YES, 0,
395, 1, 5, YES, 0, 0, YES, 0,
396, 1, 5, YES, 0, 0, YES, 0,
397, 1, 5, YES, 0, 0, YES, 0,
398, 1, 5, YES, 0, 0, YES, 0,
399, 1, 5, YES, 0, 0, YES, 0,
400, 1, 5, YES, 0, 0, YES, 0,
401, 1, 5, YES, 0, 0, YES, 0,
402, 1, 5, YES, 0, 0, YES, 0,
403, 1, 5, YES, 0, 0, YES, 0,
404, 1, 5, YES, 0, 0, YES, 0,
405, 1, 5, YES, 0, 0, YES, 0,
406, 1, 5, YES, 0, 0, YES, 0,
407, 1, 5, YES, 0, 0, YES, 0,
408, 1, 5, YES, 0, 0, YES, 0,
409, 1, 5, YES, 0, 0, YES, 0,
410, 1, 5, YES, 0, 0, YES, 0,
411, 1, 5, YES, 0, 0, YES, 0,
412, 1, 5, YES, 0, 0, YES, 0,
413, 1, 5, YES, 0, 0, YES, 0,
414, 1, 5, YES, 0, 0, YES, 0,
415, 1, 5, YES, 0, 0, YES, 0,
416, 1, 5, YES, 0, 0, YES, 0,
417, 1, 5, YES, 0, 0, YES, 0,
418, 1, 5, YES, 0, 0, YES, 0,
419, 1, 5, YES, 0, 0, YES, 0,
420, 1, 5, YES, 0, 0, YES, 0,
421, 1, 5, YES, 0, 0, YES, 0,
```

```
   422,  1,  5, YES,  0,  0, YES,  0,
   423,  1,  5, YES,  0,  0, YES,  0,
   424,  1,  5, YES,  0,  0, YES,  0,
   425,  1,  5, YES,  0,  0, YES,  0,
   426,  1,  5, YES,  0,  0, YES,  0,
   427,  1,  5, YES,  0,  0, YES,  0,
   428,  1,  5, YES,  0,  0, YES,  0,
   429,  1,  5, YES,  0,  0, YES,  0,
   430,  1,  5, YES,  0,  0, YES,  0,
   431,  1,  5, YES,  0,  0, YES,  0,
   432,  1,  5, YES,  0,  0, YES,  0,
   433,  1,  5, YES,  0,  0, YES,  0,
   434,  1,  5, YES,  0,  0, YES,  0,
   435,  1,  5, YES,  0,  0, YES,  0,
   436,  1,  5, YES,  0,  0, YES,  0,

; End of data for load case [Termica non uniforme] --------------------------

*USE-STLD, Termica non uniforme

*THERGRAD    ; Temperature Gradient
; ELEM_LIST, iETYP, TZ, bUSEHZ, HZ, TY, bUSEHY, HY, GROUP
; ELEM_LIST, iETYP, TZ, bUSEHZ, HZ, GROUP
     1,  1, -5, YES,  0,  0, YES,  0,
     2,  1, -5, YES,  0,  0, YES,  0,
     3,  1, -5, YES,  0,  0, YES,  0,
     4,  1, -5, YES,  0,  0, YES,  0,
     5,  1, -5, YES,  0,  0, YES,  0,
     6,  1, -5, YES,  0,  0, YES,  0,
     7,  1, -5, YES,  0,  0, YES,  0,
     8,  1, -5, YES,  0,  0, YES,  0,
     9,  1, -5, YES,  0,  0, YES,  0,
    10,  1, -5, YES,  0,  0, YES,  0,
    11,  1, -5, YES,  0,  0, YES,  0,
    12,  1, -5, YES,  0,  0, YES,  0,
    13,  1, -5, YES,  0,  0, YES,  0,
    14,  1, -5, YES,  0,  0, YES,  0,
    15,  1, -5, YES,  0,  0, YES,  0,
    16,  1, -5, YES,  0,  0, YES,  0,
    17,  1, -5, YES,  0,  0, YES,  0,
    18,  1, -5, YES,  0,  0, YES,  0,
    19,  1, -5, YES,  0,  0, YES,  0,
    20,  1, -5, YES,  0,  0, YES,  0,
    21,  1, -5, YES,  0,  0, YES,  0,
    22,  1, -5, YES,  0,  0, YES,  0,
    23,  1, -5, YES,  0,  0, YES,  0,
    24,  1, -5, YES,  0,  0, YES,  0,
    25,  1, -5, YES,  0,  0, YES,  0,
    26,  1, -5, YES,  0,  0, YES,  0,
    27,  1, -5, YES,  0,  0, YES,  0,
    28,  1, -5, YES,  0,  0, YES,  0,
    29,  1, -5, YES,  0,  0, YES,  0,
    30,  1, -5, YES,  0,  0, YES,  0,
    31,  1, -5, YES,  0,  0, YES,  0,
    32,  1, -5, YES,  0,  0, YES,  0,
    33,  1, -5, YES,  0,  0, YES,  0,
    34,  1, -5, YES,  0,  0, YES,  0,
    35,  1, -5, YES,  0,  0, YES,  0,
    36,  1, -5, YES,  0,  0, YES,  0,
    37,  1, -5, YES,  0,  0, YES,  0,
    38,  1, -5, YES,  0,  0, YES,  0,
    39,  1, -5, YES,  0,  0, YES,  0,
    40,  1, -5, YES,  0,  0, YES,  0,
    54,  1, -5, YES,  0,  0, YES,  0,
    55,  1, -5, YES,  0,  0, YES,  0,
    57,  1, -5, YES,  0,  0, YES,  0,
    59,  1, -5, YES,  0,  0, YES,  0,
    61,  1, -5, YES,  0,  0, YES,  0,
    62,  1, -5, YES,  0,  0, YES,  0,
    64,  1, -5, YES,  0,  0, YES,  0,
    66,  1, -5, YES,  0,  0, YES,  0,
    68,  1, -5, YES,  0,  0, YES,  0,
    69,  1, -5, YES,  0,  0, YES,  0,
    71,  1, -5, YES,  0,  0, YES,  0,
    73,  1, -5, YES,  0,  0, YES,  0,
    75,  1, -5, YES,  0,  0, YES,  0,
    76,  1, -5, YES,  0,  0, YES,  0,
    78,  1, -5, YES,  0,  0, YES,  0,
```

PROJECT TITLE :

	Company		Client	
	Author		File Name	Brembiolo1_08_completo(fasi)DEFINITIVO.mgt

```
  80,  1, -5, YES,  0,  0, YES,  0,
  82,  1, -5, YES,  0,  0, YES,  0,
  83,  1, -5, YES,  0,  0, YES,  0,
  85,  1, -5, YES,  0,  0, YES,  0,
  87,  1, -5, YES,  0,  0, YES,  0,
  89,  1, -5, YES,  0,  0, YES,  0,
  90,  1, -5, YES,  0,  0, YES,  0,
  92,  1, -5, YES,  0,  0, YES,  0,
  94,  1, -5, YES,  0,  0, YES,  0,
  96,  1, -5, YES,  0,  0, YES,  0,
  97,  1, -5, YES,  0,  0, YES,  0,
  99,  1, -5, YES,  0,  0, YES,  0,
 101,  1, -5, YES,  0,  0, YES,  0,
 103,  1, -5, YES,  0,  0, YES,  0,
 104,  1, -5, YES,  0,  0, YES,  0,
 106,  1, -5, YES,  0,  0, YES,  0,
 108,  1, -5, YES,  0,  0, YES,  0,
 110,  1, -5, YES,  0,  0, YES,  0,
 111,  1, -5, YES,  0,  0, YES,  0,
 113,  1, -5, YES,  0,  0, YES,  0,
 115,  1, -5, YES,  0,  0, YES,  0,
 117,  1, -5, YES,  0,  0, YES,  0,
 118,  1, -5, YES,  0,  0, YES,  0,
 120,  1, -5, YES,  0,  0, YES,  0,
 122,  1, -5, YES,  0,  0, YES,  0,
 124,  1, -5, YES,  0,  0, YES,  0,
 125,  1, -5, YES,  0,  0, YES,  0,
 127,  1, -5, YES,  0,  0, YES,  0,
 129,  1, -5, YES,  0,  0, YES,  0,
 131,  1, -5, YES,  0,  0, YES,  0,
 132,  1, -5, YES,  0,  0, YES,  0,
 134,  1, -5, YES,  0,  0, YES,  0,
 136,  1, -5, YES,  0,  0, YES,  0,
 138,  1, -5, YES,  0,  0, YES,  0,
 139,  1, -5, YES,  0,  0, YES,  0,
 141,  1, -5, YES,  0,  0, YES,  0,
 143,  1, -5, YES,  0,  0, YES,  0,
 145,  1, -5, YES,  0,  0, YES,  0,
 146,  1, -5, YES,  0,  0, YES,  0,
 148,  1, -5, YES,  0,  0, YES,  0,
 150,  1, -5, YES,  0,  0, YES,  0,
 152,  1, -5, YES,  0,  0, YES,  0,
 153,  1, -5, YES,  0,  0, YES,  0,
 155,  1, -5, YES,  0,  0, YES,  0,
 157,  1, -5, YES,  0,  0, YES,  0,
 159,  1, -5, YES,  0,  0, YES,  0,
 160,  1, -5, YES,  0,  0, YES,  0,
 162,  1, -5, YES,  0,  0, YES,  0,
 164,  1, -5, YES,  0,  0, YES,  0,
 165,  1, -5, YES,  0,  0, YES,  0,
 166,  1, -5, YES,  0,  0, YES,  0,
 167,  1, -5, YES,  0,  0, YES,  0,
 168,  1, -5, YES,  0,  0, YES,  0,
 169,  1, -5, YES,  0,  0, YES,  0,
 170,  1, -5, YES,  0,  0, YES,  0,
 171,  1, -5, YES,  0,  0, YES,  0,
 172,  1, -5, YES,  0,  0, YES,  0,
 173,  1, -5, YES,  0,  0, YES,  0,
 174,  1, -5, YES,  0,  0, YES,  0,
 175,  1, -5, YES,  0,  0, YES,  0,
 176,  1, -5, YES,  0,  0, YES,  0,
 177,  1, -5, YES,  0,  0, YES,  0,
 178,  1, -5, YES,  0,  0, YES,  0,
 179,  1, -5, YES,  0,  0, YES,  0,
 180,  1, -5, YES,  0,  0, YES,  0,
 181,  1, -5, YES,  0,  0, YES,  0,
 182,  1, -5, YES,  0,  0, YES,  0,
 183,  1, -5, YES,  0,  0, YES,  0,
 184,  1, -5, YES,  0,  0, YES,  0,
 185,  1, -5, YES,  0,  0, YES,  0,
 186,  1, -5, YES,  0,  0, YES,  0,
 187,  1, -5, YES,  0,  0, YES,  0,
 188,  1, -5, YES,  0,  0, YES,  0,
 189,  1, -5, YES,  0,  0, YES,  0,
 190,  1, -5, YES,  0,  0, YES,  0,
 191,  1, -5, YES,  0,  0, YES,  0,
 192,  1, -5, YES,  0,  0, YES,  0,
 193,  1, -5, YES,  0,  0, YES,  0,
```

```
194, 1, -5, YES, 0, 0, YES, 0,
195, 1, -5, YES, 0, 0, YES, 0,
196, 1, -5, YES, 0, 0, YES, 0,
197, 1, -5, YES, 0, 0, YES, 0,
198, 1, -5, YES, 0, 0, YES, 0,
199, 1, -5, YES, 0, 0, YES, 0,
200, 1, -5, YES, 0, 0, YES, 0,
201, 1, -5, YES, 0, 0, YES, 0,
202, 1, -5, YES, 0, 0, YES, 0,
203, 1, -5, YES, 0, 0, YES, 0,
204, 1, -5, YES, 0, 0, YES, 0,
205, 1, -5, YES, 0, 0, YES, 0,
206, 1, -5, YES, 0, 0, YES, 0,
207, 1, -5, YES, 0, 0, YES, 0,
208, 1, -5, YES, 0, 0, YES, 0,
209, 1, -5, YES, 0, 0, YES, 0,
210, 1, -5, YES, 0, 0, YES, 0,
211, 1, -5, YES, 0, 0, YES, 0,
212, 1, -5, YES, 0, 0, YES, 0,
213, 1, -5, YES, 0, 0, YES, 0,
214, 1, -5, YES, 0, 0, YES, 0,
215, 1, -5, YES, 0, 0, YES, 0,
216, 1, -5, YES, 0, 0, YES, 0,
217, 1, -5, YES, 0, 0, YES, 0,
218, 1, -5, YES, 0, 0, YES, 0,
219, 1, -5, YES, 0, 0, YES, 0,
220, 1, -5, YES, 0, 0, YES, 0,
221, 1, -5, YES, 0, 0, YES, 0,
222, 1, -5, YES, 0, 0, YES, 0,
223, 1, -5, YES, 0, 0, YES, 0,
224, 1, -5, YES, 0, 0, YES, 0,
225, 1, -5, YES, 0, 0, YES, 0,
226, 1, -5, YES, 0, 0, YES, 0,
227, 1, -5, YES, 0, 0, YES, 0,
228, 1, -5, YES, 0, 0, YES, 0,
229, 1, -5, YES, 0, 0, YES, 0,
230, 1, -5, YES, 0, 0, YES, 0,
231, 1, -5, YES, 0, 0, YES, 0,
232, 1, -5, YES, 0, 0, YES, 0,
233, 1, -5, YES, 0, 0, YES, 0,
234, 1, -5, YES, 0, 0, YES, 0,
235, 1, -5, YES, 0, 0, YES, 0,
236, 1, -5, YES, 0, 0, YES, 0,
237, 1, -5, YES, 0, 0, YES, 0,
238, 1, -5, YES, 0, 0, YES, 0,
239, 1, -5, YES, 0, 0, YES, 0,
240, 1, -5, YES, 0, 0, YES, 0,
241, 1, -5, YES, 0, 0, YES, 0,
242, 1, -5, YES, 0, 0, YES, 0,
243, 1, -5, YES, 0, 0, YES, 0,
244, 1, -5, YES, 0, 0, YES, 0,
245, 1, -5, YES, 0, 0, YES, 0,
246, 1, -5, YES, 0, 0, YES, 0,
247, 1, -5, YES, 0, 0, YES, 0,
248, 1, -5, YES, 0, 0, YES, 0,
249, 1, -5, YES, 0, 0, YES, 0,
250, 1, -5, YES, 0, 0, YES, 0,
251, 1, -5, YES, 0, 0, YES, 0,
252, 1, -5, YES, 0, 0, YES, 0,
253, 1, -5, YES, 0, 0, YES, 0,
254, 1, -5, YES, 0, 0, YES, 0,
255, 1, -5, YES, 0, 0, YES, 0,
256, 1, -5, YES, 0, 0, YES, 0,
257, 1, -5, YES, 0, 0, YES, 0,
258, 1, -5, YES, 0, 0, YES, 0,
259, 1, -5, YES, 0, 0, YES, 0,
260, 1, -5, YES, 0, 0, YES, 0,
261, 1, -5, YES, 0, 0, YES, 0,
262, 1, -5, YES, 0, 0, YES, 0,
263, 1, -5, YES, 0, 0, YES, 0,
264, 1, -5, YES, 0, 0, YES, 0,
265, 1, -5, YES, 0, 0, YES, 0,
266, 1, -5, YES, 0, 0, YES, 0,
267, 1, -5, YES, 0, 0, YES, 0,
268, 1, -5, YES, 0, 0, YES, 0,
269, 1, -5, YES, 0, 0, YES, 0,
270, 1, -5, YES, 0, 0, YES, 0,
271, 1, -5, YES, 0, 0, YES, 0,
```

PROJECT TITLE :

	Company		Client	
	Author		File Name	Brembiolo1_08_completo(fasi)DEFINITIVO.mgt

```
272, 1, -5, YES, 0, 0, YES, 0,
273, 1, -5, YES, 0, 0, YES, 0,
274, 1, -5, YES, 0, 0, YES, 0,
275, 1, -5, YES, 0, 0, YES, 0,
276, 1, -5, YES, 0, 0, YES, 0,
277, 1, -5, YES, 0, 0, YES, 0,
278, 1, -5, YES, 0, 0, YES, 0,
279, 1, -5, YES, 0, 0, YES, 0,
280, 1, -5, YES, 0, 0, YES, 0,
281, 1, -5, YES, 0, 0, YES, 0,
282, 1, -5, YES, 0, 0, YES, 0,
283, 1, -5, YES, 0, 0, YES, 0,
284, 1, -5, YES, 0, 0, YES, 0,
285, 1, -5, YES, 0, 0, YES, 0,
286, 1, -5, YES, 0, 0, YES, 0,
287, 1, -5, YES, 0, 0, YES, 0,
288, 1, -5, YES, 0, 0, YES, 0,
289, 1, -5, YES, 0, 0, YES, 0,
290, 1, -5, YES, 0, 0, YES, 0,
291, 1, -5, YES, 0, 0, YES, 0,
292, 1, -5, YES, 0, 0, YES, 0,
293, 1, -5, YES, 0, 0, YES, 0,
294, 1, -5, YES, 0, 0, YES, 0,
295, 1, -5, YES, 0, 0, YES, 0,
296, 1, -5, YES, 0, 0, YES, 0,
297, 1, -5, YES, 0, 0, YES, 0,
298, 1, -5, YES, 0, 0, YES, 0,
299, 1, -5, YES, 0, 0, YES, 0,
300, 1, -5, YES, 0, 0, YES, 0,
301, 1, -5, YES, 0, 0, YES, 0,
302, 1, -5, YES, 0, 0, YES, 0,
303, 1, -5, YES, 0, 0, YES, 0,
304, 1, -5, YES, 0, 0, YES, 0,
305, 1, -5, YES, 0, 0, YES, 0,
306, 1, -5, YES, 0, 0, YES, 0,
307, 1, -5, YES, 0, 0, YES, 0,
308, 1, -5, YES, 0, 0, YES, 0,
309, 1, -5, YES, 0, 0, YES, 0,
310, 1, -5, YES, 0, 0, YES, 0,
311, 1, -5, YES, 0, 0, YES, 0,
312, 1, -5, YES, 0, 0, YES, 0,
313, 1, -5, YES, 0, 0, YES, 0,
314, 1, -5, YES, 0, 0, YES, 0,
315, 1, -5, YES, 0, 0, YES, 0,
316, 1, -5, YES, 0, 0, YES, 0,
317, 1, -5, YES, 0, 0, YES, 0,
318, 1, -5, YES, 0, 0, YES, 0,
319, 1, -5, YES, 0, 0, YES, 0,
320, 1, -5, YES, 0, 0, YES, 0,
321, 1, -5, YES, 0, 0, YES, 0,
322, 1, -5, YES, 0, 0, YES, 0,
323, 1, -5, YES, 0, 0, YES, 0,
324, 1, -5, YES, 0, 0, YES, 0,
325, 1, -5, YES, 0, 0, YES, 0,
326, 1, -5, YES, 0, 0, YES, 0,
327, 1, -5, YES, 0, 0, YES, 0,
328, 1, -5, YES, 0, 0, YES, 0,
329, 1, -5, YES, 0, 0, YES, 0,
330, 1, -5, YES, 0, 0, YES, 0,
331, 1, -5, YES, 0, 0, YES, 0,
332, 1, -5, YES, 0, 0, YES, 0,
333, 1, -5, YES, 0, 0, YES, 0,
334, 1, -5, YES, 0, 0, YES, 0,
335, 1, -5, YES, 0, 0, YES, 0,
336, 1, -5, YES, 0, 0, YES, 0,
337, 1, -5, YES, 0, 0, YES, 0,
338, 1, -5, YES, 0, 0, YES, 0,
339, 1, -5, YES, 0, 0, YES, 0,
340, 1, -5, YES, 0, 0, YES, 0,
341, 1, -5, YES, 0, 0, YES, 0,
342, 1, -5, YES, 0, 0, YES, 0,
343, 1, -5, YES, 0, 0, YES, 0,
344, 1, -5, YES, 0, 0, YES, 0,
345, 1, -5, YES, 0, 0, YES, 0,
346, 1, -5, YES, 0, 0, YES, 0,
347, 1, -5, YES, 0, 0, YES, 0,
348, 1, -5, YES, 0, 0, YES, 0,
349, 1, -5, YES, 0, 0, YES, 0,
```

PROJECT TITLE :

	Company		Client	
	Author		File Name	Brembiolo1_08_completo(fasi)DEFINITIVO.mgt

```
350, 1, -5, YES, 0, 0, YES, 0,
351, 1, -5, YES, 0, 0, YES, 0,
352, 1, -5, YES, 0, 0, YES, 0,
353, 1, -5, YES, 0, 0, YES, 0,
354, 1, -5, YES, 0, 0, YES, 0,
355, 1, -5, YES, 0, 0, YES, 0,
356, 1, -5, YES, 0, 0, YES, 0,
357, 1, -5, YES, 0, 0, YES, 0,
358, 1, -5, YES, 0, 0, YES, 0,
359, 1, -5, YES, 0, 0, YES, 0,
360, 1, -5, YES, 0, 0, YES, 0,
361, 1, -5, YES, 0, 0, YES, 0,
362, 1, -5, YES, 0, 0, YES, 0,
363, 1, -5, YES, 0, 0, YES, 0,
364, 1, -5, YES, 0, 0, YES, 0,
365, 1, -5, YES, 0, 0, YES, 0,
366, 1, -5, YES, 0, 0, YES, 0,
367, 1, -5, YES, 0, 0, YES, 0,
368, 1, -5, YES, 0, 0, YES, 0,
369, 1, -5, YES, 0, 0, YES, 0,
370, 1, -5, YES, 0, 0, YES, 0,
371, 1, -5, YES, 0, 0, YES, 0,
372, 1, -5, YES, 0, 0, YES, 0,
373, 1, -5, YES, 0, 0, YES, 0,
374, 1, -5, YES, 0, 0, YES, 0,
375, 1, -5, YES, 0, 0, YES, 0,
376, 1, -5, YES, 0, 0, YES, 0,
377, 1, -5, YES, 0, 0, YES, 0,
378, 1, -5, YES, 0, 0, YES, 0,
379, 1, -5, YES, 0, 0, YES, 0,
380, 1, -5, YES, 0, 0, YES, 0,
381, 1, -5, YES, 0, 0, YES, 0,
382, 1, -5, YES, 0, 0, YES, 0,
383, 1, -5, YES, 0, 0, YES, 0,
384, 1, -5, YES, 0, 0, YES, 0,
385, 1, -5, YES, 0, 0, YES, 0,
386, 1, -5, YES, 0, 0, YES, 0,
387, 1, -5, YES, 0, 0, YES, 0,
388, 1, -5, YES, 0, 0, YES, 0,
389, 1, -5, YES, 0, 0, YES, 0,
390, 1, -5, YES, 0, 0, YES, 0,
391, 1, -5, YES, 0, 0, YES, 0,
392, 1, -5, YES, 0, 0, YES, 0,
393, 1, -5, YES, 0, 0, YES, 0,
394, 1, -5, YES, 0, 0, YES, 0,
395, 1, -5, YES, 0, 0, YES, 0,
396, 1, -5, YES, 0, 0, YES, 0,
397, 1, -5, YES, 0, 0, YES, 0,
398, 1, -5, YES, 0, 0, YES, 0,
399, 1, -5, YES, 0, 0, YES, 0,
400, 1, -5, YES, 0, 0, YES, 0,
401, 1, -5, YES, 0, 0, YES, 0,
402, 1, -5, YES, 0, 0, YES, 0,
403, 1, -5, YES, 0, 0, YES, 0,
404, 1, -5, YES, 0, 0, YES, 0,
405, 1, -5, YES, 0, 0, YES, 0,
406, 1, -5, YES, 0, 0, YES, 0,
407, 1, -5, YES, 0, 0, YES, 0,
408, 1, -5, YES, 0, 0, YES, 0,
409, 1, -5, YES, 0, 0, YES, 0,
410, 1, -5, YES, 0, 0, YES, 0,
411, 1, -5, YES, 0, 0, YES, 0,
412, 1, -5, YES, 0, 0, YES, 0,
413, 1, -5, YES, 0, 0, YES, 0,
414, 1, -5, YES, 0, 0, YES, 0,
415, 1, -5, YES, 0, 0, YES, 0,
416, 1, -5, YES, 0, 0, YES, 0,
417, 1, -5, YES, 0, 0, YES, 0,
418, 1, -5, YES, 0, 0, YES, 0,
419, 1, -5, YES, 0, 0, YES, 0,
420, 1, -5, YES, 0, 0, YES, 0,
421, 1, -5, YES, 0, 0, YES, 0,
422, 1, -5, YES, 0, 0, YES, 0,
423, 1, -5, YES, 0, 0, YES, 0,
424, 1, -5, YES, 0, 0, YES, 0,
425, 1, -5, YES, 0, 0, YES, 0,
426, 1, -5, YES, 0, 0, YES, 0,
427, 1, -5, YES, 0, 0, YES, 0,
```

```
   428, 1, -5, YES, 0, 0, YES, 0,
   429, 1, -5, YES, 0, 0, YES, 0,
   430, 1, -5, YES, 0, 0, YES, 0,
   431, 1, -5, YES, 0, 0, YES, 0,
   432, 1, -5, YES, 0, 0, YES, 0,
   433, 1, -5, YES, 0, 0, YES, 0,
   434, 1, -5, YES, 0, 0, YES, 0,
   435, 1, -5, YES, 0, 0, YES, 0,
   436, 1, -5, YES, 0, 0, YES, 0,

; End of data for load case [Termica non uniforme] -------------------------

*USE-STLD, folla su marciapiede

*BEAMLOAD    ; Element Beam Loads
; ELEM_LIST, CMD, TYPE, DIR, bPROJ, [ECCEN], [VALUE], GROUP
; ELEM_LIST, CMD, TYPE, TYPE, DIR, VX, VY, VZ, bPROJ, [ECCEN], [VALUE], GROUP
; [VALUE]       : D1, P1, D2, P2, D3, P3, D4, P4
; [ECCEN]       : bECCEN, ECCDIR, I-END, J-END, bJ-END
; [ADDITIONAL]  : bADDITIONAL, ADDITIONAL_I-END, ADDITIONAL_J-END, bADDITIONAL_J-END
   437, BEAM   , UNILOAD, GZ, NO , NO, aDir[1], , , , 0, -0.005, 1, -0.005, 0, 0, 0, 0, FASE3-VAR, NO, 0, 0,
 NO,
   438, BEAM   , UNILOAD, GZ, NO , NO, aDir[1], , , , 0, -0.005, 1, -0.005, 0, 0, 0, 0, FASE3-VAR, NO, 0, 0,
 NO,
   442, BEAM   , UNILOAD, GZ, NO , NO, aDir[1], , , , 0, -0.005, 1, -0.005, 0, 0, 0, 0, FASE3-VAR, NO, 0, 0,
 NO,
   443, BEAM   , UNILOAD, GZ, NO , NO, aDir[1], , , , 0, -0.005, 1, -0.005, 0, 0, 0, 0, FASE3-VAR, NO, 0, 0,
 NO,
   447, BEAM   , UNILOAD, GZ, NO , NO, aDir[1], , , , 0, -0.005, 1, -0.005, 0, 0, 0, 0, FASE3-VAR, NO, 0, 0,
 NO,
   448, BEAM   , UNILOAD, GZ, NO , NO, aDir[1], , , , 0, -0.005, 1, -0.005, 0, 0, 0, 0, FASE3-VAR, NO, 0, 0,
 NO,
   452, BEAM   , UNILOAD, GZ, NO , NO, aDir[1], , , , 0, -0.005, 1, -0.005, 0, 0, 0, 0, FASE3-VAR, NO, 0, 0,
 NO,
   453, BEAM   , UNILOAD, GZ, NO , NO, aDir[1], , , , 0, -0.005, 1, -0.005, 0, 0, 0, 0, FASE3-VAR, NO, 0, 0,
 NO,
   457, BEAM   , UNILOAD, GZ, NO , NO, aDir[1], , , , 0, -0.005, 1, -0.005, 0, 0, 0, 0, FASE3-VAR, NO, 0, 0,
 NO,
   458, BEAM   , UNILOAD, GZ, NO , NO, aDir[1], , , , 0, -0.005, 1, -0.005, 0, 0, 0, 0, FASE3-VAR, NO, 0, 0,
 NO,
   462, BEAM   , UNILOAD, GZ, NO , NO, aDir[1], , , , 0, -0.005, 1, -0.005, 0, 0, 0, 0, FASE3-VAR, NO, 0, 0,
 NO,
   463, BEAM   , UNILOAD, GZ, NO , NO, aDir[1], , , , 0, -0.005, 1, -0.005, 0, 0, 0, 0, FASE3-VAR, NO, 0, 0,
 NO,
   467, BEAM   , UNILOAD, GZ, NO , NO, aDir[1], , , , 0, -0.005, 1, -0.005, 0, 0, 0, 0, FASE3-VAR, NO, 0, 0,
 NO,
   468, BEAM   , UNILOAD, GZ, NO , NO, aDir[1], , , , 0, -0.005, 1, -0.005, 0, 0, 0, 0, FASE3-VAR, NO, 0, 0,
 NO,
   472, BEAM   , UNILOAD, GZ, NO , NO, aDir[1], , , , 0, -0.005, 1, -0.005, 0, 0, 0, 0, FASE3-VAR, NO, 0, 0,
 NO,
   473, BEAM   , UNILOAD, GZ, NO , NO, aDir[1], , , , 0, -0.005, 1, -0.005, 0, 0, 0, 0, FASE3-VAR, NO, 0, 0,
 NO,
   477, BEAM   , UNILOAD, GZ, NO , NO, aDir[1], , , , 0, -0.005, 1, -0.005, 0, 0, 0, 0, FASE3-VAR, NO, 0, 0,
 NO,
   478, BEAM   , UNILOAD, GZ, NO , NO, aDir[1], , , , 0, -0.005, 1, -0.005, 0, 0, 0, 0, FASE3-VAR, NO, 0, 0,
 NO,
   482, BEAM   , UNILOAD, GZ, NO , NO, aDir[1], , , , 0, -0.005, 1, -0.005, 0, 0, 0, 0, FASE3-VAR, NO, 0, 0,
 NO,
   483, BEAM   , UNILOAD, GZ, NO , NO, aDir[1], , , , 0, -0.005, 1, -0.005, 0, 0, 0, 0, FASE3-VAR, NO, 0, 0,
 NO,
   487, BEAM   , UNILOAD, GZ, NO , NO, aDir[1], , , , 0, -0.005, 1, -0.005, 0, 0, 0, 0, FASE3-VAR, NO, 0, 0,
 NO,
   488, BEAM   , UNILOAD, GZ, NO , NO, aDir[1], , , , 0, -0.005, 1, -0.005, 0, 0, 0, 0, FASE3-VAR, NO, 0, 0,
 NO,
   492, BEAM   , UNILOAD, GZ, NO , NO, aDir[1], , , , 0, -0.005, 1, -0.005, 0, 0, 0, 0, FASE3-VAR, NO, 0, 0,
 NO,
   493, BEAM   , UNILOAD, GZ, NO , NO, aDir[1], , , , 0, -0.005, 1, -0.005, 0, 0, 0, 0, FASE3-VAR, NO, 0, 0,
 NO,
   497, BEAM   , UNILOAD, GZ, NO , NO, aDir[1], , , , 0, -0.005, 1, -0.005, 0, 0, 0, 0, FASE3-VAR, NO, 0, 0,
 NO,
   498, BEAM   , UNILOAD, GZ, NO , NO, aDir[1], , , , 0, -0.005, 1, -0.005, 0, 0, 0, 0, FASE3-VAR, NO, 0, 0,
 NO,
   502, BEAM   , UNILOAD, GZ, NO , NO, aDir[1], , , , 0, -0.005, 1, -0.005, 0, 0, 0, 0, FASE3-VAR, NO, 0, 0,
 NO,
   503, BEAM   , UNILOAD, GZ, NO , NO, aDir[1], , , , 0, -0.005, 1, -0.005, 0, 0, 0, 0, FASE3-VAR, NO, 0, 0,
 NO,
   507, BEAM   , UNILOAD, GZ, NO , NO, aDir[1], , , , 0, -0.005, 1, -0.005, 0, 0, 0, 0, FASE3-VAR, NO, 0, 0,
 NO,
```

508, BEAM , UNILOAD, GZ, NO , NO, aDir[1], , , , 0, -0.005, 1, -0.005, 0, 0, 0, 0, FASE3-VAR, NO, 0, 0, NO,
512, BEAM , UNILOAD, GZ, NO , NO, aDir[1], , , , 0, -0.005, 1, -0.005, 0, 0, 0, 0, FASE3-VAR, NO, 0, 0, NO,
513, BEAM , UNILOAD, GZ, NO , NO, aDir[1], , , , 0, -0.005, 1, -0.005, 0, 0, 0, 0, FASE3-VAR, NO, 0, 0, NO,
517, BEAM , UNILOAD, GZ, NO , NO, aDir[1], , , , 0, -0.005, 1, -0.005, 0, 0, 0, 0, FASE3-VAR, NO, 0, 0, NO,
518, BEAM , UNILOAD, GZ, NO , NO, aDir[1], , , , 0, -0.005, 1, -0.005, 0, 0, 0, 0, FASE3-VAR, NO, 0, 0, NO,
522, BEAM , UNILOAD, GZ, NO , NO, aDir[1], , , , 0, -0.005, 1, -0.005, 0, 0, 0, 0, FASE3-VAR, NO, 0, 0, NO,
523, BEAM , UNILOAD, GZ, NO , NO, aDir[1], , , , 0, -0.005, 1, -0.005, 0, 0, 0, 0, FASE3-VAR, NO, 0, 0, NO,
527, BEAM , UNILOAD, GZ, NO , NO, aDir[1], , , , 0, -0.005, 1, -0.005, 0, 0, 0, 0, FASE3-VAR, NO, 0, 0, NO,
528, BEAM , UNILOAD, GZ, NO , NO, aDir[1], , , , 0, -0.005, 1, -0.005, 0, 0, 0, 0, FASE3-VAR, NO, 0, 0, NO,
532, BEAM , UNILOAD, GZ, NO , NO, aDir[1], , , , 0, -0.005, 1, -0.005, 0, 0, 0, 0, FASE3-VAR, NO, 0, 0, NO,
533, BEAM , UNILOAD, GZ, NO , NO, aDir[1], , , , 0, -0.005, 1, -0.005, 0, 0, 0, 0, FASE3-VAR, NO, 0, 0, NO,
537, BEAM , UNILOAD, GZ, NO , NO, aDir[1], , , , 0, -0.005, 1, -0.005, 0, 0, 0, 0, FASE3-VAR, NO, 0, 0, NO,
538, BEAM , UNILOAD, GZ, NO , NO, aDir[1], , , , 0, -0.005, 1, -0.005, 0, 0, 0, 0, FASE3-VAR, NO, 0, 0, NO,
542, BEAM , UNILOAD, GZ, NO , NO, aDir[1], , , , 0, -0.005, 1, -0.005, 0, 0, 0, 0, FASE3-VAR, NO, 0, 0, NO,
543, BEAM , UNILOAD, GZ, NO , NO, aDir[1], , , , 0, -0.005, 1, -0.005, 0, 0, 0, 0, FASE3-VAR, NO, 0, 0, NO,
547, BEAM , UNILOAD, GZ, NO , NO, aDir[1], , , , 0, -0.005, 1, -0.005, 0, 0, 0, 0, FASE3-VAR, NO, 0, 0, NO,
548, BEAM , UNILOAD, GZ, NO , NO, aDir[1], , , , 0, -0.005, 1, -0.005, 0, 0, 0, 0, FASE3-VAR, NO, 0, 0, NO,
552, BEAM , UNILOAD, GZ, NO , NO, aDir[1], , , , 0, -0.005, 1, -0.005, 0, 0, 0, 0, FASE3-VAR, NO, 0, 0, NO,
553, BEAM , UNILOAD, GZ, NO , NO, aDir[1], , , , 0, -0.005, 1, -0.005, 0, 0, 0, 0, FASE3-VAR, NO, 0, 0, NO,
557, BEAM , UNILOAD, GZ, NO , NO, aDir[1], , , , 0, -0.005, 1, -0.005, 0, 0, 0, 0, FASE3-VAR, NO, 0, 0, NO,
558, BEAM , UNILOAD, GZ, NO , NO, aDir[1], , , , 0, -0.005, 1, -0.005, 0, 0, 0, 0, FASE3-VAR, NO, 0, 0, NO,
562, BEAM , UNILOAD, GZ, NO , NO, aDir[1], , , , 0, -0.005, 1, -0.005, 0, 0, 0, 0, FASE3-VAR, NO, 0, 0, NO,
563, BEAM , UNILOAD, GZ, NO , NO, aDir[1], , , , 0, -0.005, 1, -0.005, 0, 0, 0, 0, FASE3-VAR, NO, 0, 0, NO,
567, BEAM , UNILOAD, GZ, NO , NO, aDir[1], , , , 0, -0.005, 1, -0.005, 0, 0, 0, 0, FASE3-VAR, NO, 0, 0, NO,
568, BEAM , UNILOAD, GZ, NO , NO, aDir[1], , , , 0, -0.005, 1, -0.005, 0, 0, 0, 0, FASE3-VAR, NO, 0, 0, NO,
572, BEAM , UNILOAD, GZ, NO , NO, aDir[1], , , , 0, -0.005, 1, -0.005, 0, 0, 0, 0, FASE3-VAR, NO, 0, 0, NO,
573, BEAM , UNILOAD, GZ, NO , NO, aDir[1], , , , 0, -0.005, 1, -0.005, 0, 0, 0, 0, FASE3-VAR, NO, 0, 0, NO,
577, BEAM , UNILOAD, GZ, NO , NO, aDir[1], , , , 0, -0.005, 1, -0.005, 0, 0, 0, 0, FASE3-VAR, NO, 0, 0, NO,
578, BEAM , UNILOAD, GZ, NO , NO, aDir[1], , , , 0, -0.005, 1, -0.005, 0, 0, 0, 0, FASE3-VAR, NO, 0, 0, NO,
582, BEAM , UNILOAD, GZ, NO , NO, aDir[1], , , , 0, -0.005, 1, -0.005, 0, 0, 0, 0, FASE3-VAR, NO, 0, 0, NO,
583, BEAM , UNILOAD, GZ, NO , NO, aDir[1], , , , 0, -0.005, 1, -0.005, 0, 0, 0, 0, FASE3-VAR, NO, 0, 0, NO,
587, BEAM , UNILOAD, GZ, NO , NO, aDir[1], , , , 0, -0.005, 1, -0.005, 0, 0, 0, 0, FASE3-VAR, NO, 0, 0, NO,
588, BEAM , UNILOAD, GZ, NO , NO, aDir[1], , , , 0, -0.005, 1, -0.005, 0, 0, 0, 0, FASE3-VAR, NO, 0, 0, NO,
592, BEAM , UNILOAD, GZ, NO , NO, aDir[1], , , , 0, -0.005, 1, -0.005, 0, 0, 0, 0, FASE3-VAR, NO, 0, 0, NO,
593, BEAM , UNILOAD, GZ, NO , NO, aDir[1], , , , 0, -0.005, 1, -0.005, 0, 0, 0, 0, FASE3-VAR, NO, 0, 0, NO,
597, BEAM , UNILOAD, GZ, NO , NO, aDir[1], , , , 0, -0.005, 1, -0.005, 0, 0, 0, 0, FASE3-VAR, NO, 0, 0, NO,
598, BEAM , UNILOAD, GZ, NO , NO, aDir[1], , , , 0, -0.005, 1, -0.005, 0, 0, 0, 0, FASE3-VAR, NO, 0, 0, NO,
602, BEAM , UNILOAD, GZ, NO , NO, aDir[1], , , , 0, -0.005, 1, -0.005, 0, 0, 0, 0, FASE3-VAR, NO, 0, 0, NO,
603, BEAM , UNILOAD, GZ, NO , NO, aDir[1], , , , 0, -0.005, 1, -0.005, 0, 0, 0, 0, FASE3-VAR, NO, 0, 0, NO,

607, BEAM , UNILOAD, GZ, NO , NO, aDir[1], , , , 0, -0.005, 1, -0.005, 0, 0, 0, 0, FASE3-VAR, NO, 0, 0, NO,
608, BEAM , UNILOAD, GZ, NO , NO, aDir[1], , , , 0, -0.005, 1, -0.005, 0, 0, 0, 0, FASE3-VAR, NO, 0, 0, NO,
612, BEAM , UNILOAD, GZ, NO , NO, aDir[1], , , , 0, -0.005, 1, -0.005, 0, 0, 0, 0, FASE3-VAR, NO, 0, 0, NO,
613, BEAM , UNILOAD, GZ, NO , NO, aDir[1], , , , 0, -0.005, 1, -0.005, 0, 0, 0, 0, FASE3-VAR, NO, 0, 0, NO,
617, BEAM , UNILOAD, GZ, NO , NO, aDir[1], , , , 0, -0.005, 1, -0.005, 0, 0, 0, 0, FASE3-VAR, NO, 0, 0, NO,
618, BEAM , UNILOAD, GZ, NO , NO, aDir[1], , , , 0, -0.005, 1, -0.005, 0, 0, 0, 0, FASE3-VAR, NO, 0, 0, NO,
622, BEAM , UNILOAD, GZ, NO , NO, aDir[1], , , , 0, -0.005, 1, -0.005, 0, 0, 0, 0, FASE3-VAR, NO, 0, 0, NO,
623, BEAM , UNILOAD, GZ, NO , NO, aDir[1], , , , 0, -0.005, 1, -0.005, 0, 0, 0, 0, FASE3-VAR, NO, 0, 0, NO,
627, BEAM , UNILOAD, GZ, NO , NO, aDir[1], , , , 0, -0.005, 1, -0.005, 0, 0, 0, 0, FASE3-VAR, NO, 0, 0, NO,
628, BEAM , UNILOAD, GZ, NO , NO, aDir[1], , , , 0, -0.005, 1, -0.005, 0, 0, 0, 0, FASE3-VAR, NO, 0, 0, NO,
632, BEAM , UNILOAD, GZ, NO , NO, aDir[1], , , , 0, -0.005, 1, -0.005, 0, 0, 0, 0, FASE3-VAR, NO, 0, 0, NO,
633, BEAM , UNILOAD, GZ, NO , NO, aDir[1], , , , 0, -0.005, 1, -0.005, 0, 0, 0, 0, FASE3-VAR, NO, 0, 0, NO,
637, BEAM , UNILOAD, GZ, NO , NO, aDir[1], , , , 0, -0.005, 1, -0.005, 0, 0, 0, 0, FASE3-VAR, NO, 0, 0, NO,
638, BEAM , UNILOAD, GZ, NO , NO, aDir[1], , , , 0, -0.005, 1, -0.005, 0, 0, 0, 0, FASE3-VAR, NO, 0, 0, NO,
642, BEAM , UNILOAD, GZ, NO , NO, aDir[1], , , , 0, -0.005, 1, -0.005, 0, 0, 0, 0, FASE3-VAR, NO, 0, 0, NO,
643, BEAM , UNILOAD, GZ, NO , NO, aDir[1], , , , 0, -0.005, 1, -0.005, 0, 0, 0, 0, FASE3-VAR, NO, 0, 0, NO,
1021, BEAM , UNILOAD, GZ, NO , NO, aDir[1], , , , 0, -0.005, 1, -0.005, 0, 0, 0, 0, FASE3-VAR, NO, 0, 0, NO,
1022, BEAM , UNILOAD, GZ, NO , NO, aDir[1], , , , 0, -0.005, 1, -0.005, 0, 0, 0, 0, FASE3-VAR, NO, 0, 0, NO,
1023, BEAM , UNILOAD, GZ, NO , NO, aDir[1], , , , 0, -0.005, 1, -0.005, 0, 0, 0, 0, FASE3-VAR, NO, 0, 0, NO,
1024, BEAM , UNILOAD, GZ, NO , NO, aDir[1], , , , 0, -0.005, 1, -0.005, 0, 0, 0, 0, FASE3-VAR, NO, 0, 0, NO,
1025, BEAM , UNILOAD, GZ, NO , NO, aDir[1], , , , 0, -0.005, 1, -0.005, 0, 0, 0, 0, FASE3-VAR, NO, 0, 0, NO,
1026, BEAM , UNILOAD, GZ, NO , NO, aDir[1], , , , 0, -0.005, 1, -0.005, 0, 0, 0, 0, FASE3-VAR, NO, 0, 0, NO,
1027, BEAM , UNILOAD, GZ, NO , NO, aDir[1], , , , 0, -0.005, 1, -0.005, 0, 0, 0, 0, FASE3-VAR, NO, 0, 0, NO,
1028, BEAM , UNILOAD, GZ, NO , NO, aDir[1], , , , 0, -0.005, 1, -0.005, 0, 0, 0, 0, FASE3-VAR, NO, 0, 0, NO,
1029, BEAM , UNILOAD, GZ, NO , NO, aDir[1], , , , 0, -0.005, 1, -0.005, 0, 0, 0, 0, FASE3-VAR, NO, 0, 0, NO,
1030, BEAM , UNILOAD, GZ, NO , NO, aDir[1], , , , 0, -0.005, 1, -0.005, 0, 0, 0, 0, FASE3-VAR, NO, 0, 0, NO,
1031, BEAM , UNILOAD, GZ, NO , NO, aDir[1], , , , 0, -0.005, 1, -0.005, 0, 0, 0, 0, FASE3-VAR, NO, 0, 0, NO,
1032, BEAM , UNILOAD, GZ, NO , NO, aDir[1], , , , 0, -0.005, 1, -0.005, 0, 0, 0, 0, FASE3-VAR, NO, 0, 0, NO,
1033, BEAM , UNILOAD, GZ, NO , NO, aDir[1], , , , 0, -0.005, 1, -0.005, 0, 0, 0, 0, FASE3-VAR, NO, 0, 0, NO,
1034, BEAM , UNILOAD, GZ, NO , NO, aDir[1], , , , 0, -0.005, 1, -0.005, 0, 0, 0, 0, FASE3-VAR, NO, 0, 0, NO,
1035, BEAM , UNILOAD, GZ, NO , NO, aDir[1], , , , 0, -0.005, 1, -0.005, 0, 0, 0, 0, FASE3-VAR, NO, 0, 0, NO,
1036, BEAM , UNILOAD, GZ, NO , NO, aDir[1], , , , 0, -0.005, 1, -0.005, 0, 0, 0, 0, FASE3-VAR, NO, 0, 0, NO,
1037, BEAM , UNILOAD, GZ, NO , NO, aDir[1], , , , 0, -0.005, 1, -0.005, 0, 0, 0, 0, FASE3-VAR, NO, 0, 0, NO,
1038, BEAM , UNILOAD, GZ, NO , NO, aDir[1], , , , 0, -0.005, 1, -0.005, 0, 0, 0, 0, FASE3-VAR, NO, 0, 0, NO,
1039, BEAM , UNILOAD, GZ, NO , NO, aDir[1], , , , 0, -0.005, 1, -0.005, 0, 0, 0, 0, FASE3-VAR, NO, 0, 0, NO,
1040, BEAM , UNILOAD, GZ, NO , NO, aDir[1], , , , 0, -0.005, 1, -0.005, 0, 0, 0, 0, FASE3-VAR, NO, 0, 0, NO,
1041, BEAM , UNILOAD, GZ, NO , NO, aDir[1], , , , 0, -0.005, 1, -0.005, 0, 0, 0, 0, FASE3-VAR, NO, 0, 0, NO,
1042, BEAM , UNILOAD, GZ, NO , NO, aDir[1], , , , 0, -0.005, 1, -0.005, 0, 0, 0, 0, FASE3-VAR, NO, 0, 0, NO,
1043, BEAM , UNILOAD, GZ, NO , NO, aDir[1], , , , 0, -0.005, 1, -0.005, 0, 0, 0, 0, FASE3-VAR, NO, 0, 0, NO,

1044, BEAM , UNILOAD, GZ, NO , NO, aDir[1], , , , 0, -0.005, 1, -0.005, 0, 0, 0, 0, FASE3-VAR, NO, 0, 0, NO,
1045, BEAM , UNILOAD, GZ, NO , NO, aDir[1], , , , 0, -0.005, 1, -0.005, 0, 0, 0, 0, FASE3-VAR, NO, 0, 0, NO,
1046, BEAM , UNILOAD, GZ, NO , NO, aDir[1], , , , 0, -0.005, 1, -0.005, 0, 0, 0, 0, FASE3-VAR, NO, 0, 0, NO,
1047, BEAM , UNILOAD, GZ, NO , NO, aDir[1], , , , 0, -0.005, 1, -0.005, 0, 0, 0, 0, FASE3-VAR, NO, 0, 0, NO,
1048, BEAM , UNILOAD, GZ, NO , NO, aDir[1], , , , 0, -0.005, 1, -0.005, 0, 0, 0, 0, FASE3-VAR, NO, 0, 0, NO,
1049, BEAM , UNILOAD, GZ, NO , NO, aDir[1], , , , 0, -0.005, 1, -0.005, 0, 0, 0, 0, FASE3-VAR, NO, 0, 0, NO,
1050, BEAM , UNILOAD, GZ, NO , NO, aDir[1], , , , 0, -0.005, 1, -0.005, 0, 0, 0, 0, FASE3-VAR, NO, 0, 0, NO,
1051, BEAM , UNILOAD, GZ, NO , NO, aDir[1], , , , 0, -0.005, 1, -0.005, 0, 0, 0, 0, FASE3-VAR, NO, 0, 0, NO,
1052, BEAM , UNILOAD, GZ, NO , NO, aDir[1], , , , 0, -0.005, 1, -0.005, 0, 0, 0, 0, FASE3-VAR, NO, 0, 0, NO,
1053, BEAM , UNILOAD, GZ, NO , NO, aDir[1], , , , 0, -0.005, 1, -0.005, 0, 0, 0, 0, FASE3-VAR, NO, 0, 0, NO,
1054, BEAM , UNILOAD, GZ, NO , NO, aDir[1], , , , 0, -0.005, 1, -0.005, 0, 0, 0, 0, FASE3-VAR, NO, 0, 0, NO,
1055, BEAM , UNILOAD, GZ, NO , NO, aDir[1], , , , 0, -0.005, 1, -0.005, 0, 0, 0, 0, FASE3-VAR, NO, 0, 0, NO,
1056, BEAM , UNILOAD, GZ, NO , NO, aDir[1], , , , 0, -0.005, 1, -0.005, 0, 0, 0, 0, FASE3-VAR, NO, 0, 0, NO,
1057, BEAM , UNILOAD, GZ, NO , NO, aDir[1], , , , 0, -0.005, 1, -0.005, 0, 0, 0, 0, FASE3-VAR, NO, 0, 0, NO,
1058, BEAM , UNILOAD, GZ, NO , NO, aDir[1], , , , 0, -0.005, 1, -0.005, 0, 0, 0, 0, FASE3-VAR, NO, 0, 0, NO,
1059, BEAM , UNILOAD, GZ, NO , NO, aDir[1], , , , 0, -0.005, 1, -0.005, 0, 0, 0, 0, FASE3-VAR, NO, 0, 0, NO,
1060, BEAM , UNILOAD, GZ, NO , NO, aDir[1], , , , 0, -0.005, 1, -0.005, 0, 0, 0, 0, FASE3-VAR, NO, 0, 0, NO,
1061, BEAM , UNILOAD, GZ, NO , NO, aDir[1], , , , 0, -0.005, 1, -0.005, 0, 0, 0, 0, FASE3-VAR, NO, 0, 0, NO,
1062, BEAM , UNILOAD, GZ, NO , NO, aDir[1], , , , 0, -0.005, 1, -0.005, 0, 0, 0, 0, FASE3-VAR, NO, 0, 0, NO,
1063, BEAM , UNILOAD, GZ, NO , NO, aDir[1], , , , 0, -0.005, 1, -0.005, 0, 0, 0, 0, FASE3-VAR, NO, 0, 0, NO,
1064, BEAM , UNILOAD, GZ, NO , NO, aDir[1], , , , 0, -0.005, 1, -0.005, 0, 0, 0, 0, FASE3-VAR, NO, 0, 0, NO,
1065, BEAM , UNILOAD, GZ, NO , NO, aDir[1], , , , 0, -0.005, 1, -0.005, 0, 0, 0, 0, FASE3-VAR, NO, 0, 0, NO,
1066, BEAM , UNILOAD, GZ, NO , NO, aDir[1], , , , 0, -0.005, 1, -0.005, 0, 0, 0, 0, FASE3-VAR, NO, 0, 0, NO,
1067, BEAM , UNILOAD, GZ, NO , NO, aDir[1], , , , 0, -0.005, 1, -0.005, 0, 0, 0, 0, FASE3-VAR, NO, 0, 0, NO,
1068, BEAM , UNILOAD, GZ, NO , NO, aDir[1], , , , 0, -0.005, 1, -0.005, 0, 0, 0, 0, FASE3-VAR, NO, 0, 0, NO,
1069, BEAM , UNILOAD, GZ, NO , NO, aDir[1], , , , 0, -0.005, 1, -0.005, 0, 0, 0, 0, FASE3-VAR, NO, 0, 0, NO,
1070, BEAM , UNILOAD, GZ, NO , NO, aDir[1], , , , 0, -0.005, 1, -0.005, 0, 0, 0, 0, FASE3-VAR, NO, 0, 0, NO,
1071, BEAM , UNILOAD, GZ, NO , NO, aDir[1], , , , 0, -0.005, 1, -0.005, 0, 0, 0, 0, FASE3-VAR, NO, 0, 0, NO,
1072, BEAM , UNILOAD, GZ, NO , NO, aDir[1], , , , 0, -0.005, 1, -0.005, 0, 0, 0, 0, FASE3-VAR, NO, 0, 0, NO,
1073, BEAM , UNILOAD, GZ, NO , NO, aDir[1], , , , 0, -0.005, 1, -0.005, 0, 0, 0, 0, FASE3-VAR, NO, 0, 0, NO,
1074, BEAM , UNILOAD, GZ, NO , NO, aDir[1], , , , 0, -0.005, 1, -0.005, 0, 0, 0, 0, FASE3-VAR, NO, 0, 0, NO,
1075, BEAM , UNILOAD, GZ, NO , NO, aDir[1], , , , 0, -0.005, 1, -0.005, 0, 0, 0, 0, FASE3-VAR, NO, 0, 0, NO,
1076, BEAM , UNILOAD, GZ, NO , NO, aDir[1], , , , 0, -0.005, 1, -0.005, 0, 0, 0, 0, FASE3-VAR, NO, 0, 0, NO,
1077, BEAM , UNILOAD, GZ, NO , NO, aDir[1], , , , 0, -0.005, 1, -0.005, 0, 0, 0, 0, FASE3-VAR, NO, 0, 0, NO,
1078, BEAM , UNILOAD, GZ, NO , NO, aDir[1], , , , 0, -0.005, 1, -0.005, 0, 0, 0, 0, FASE3-VAR, NO, 0, 0, NO,
1079, BEAM , UNILOAD, GZ, NO , NO, aDir[1], , , , 0, -0.005, 1, -0.005, 0, 0, 0, 0, FASE3-VAR, NO, 0, 0, NO,
1080, BEAM , UNILOAD, GZ, NO , NO, aDir[1], , , , 0, -0.005, 1, -0.005, 0, 0, 0, 0, FASE3-VAR, NO, 0, 0, NO,
1081, BEAM , UNILOAD, GZ, NO , NO, aDir[1], , , , 0, -0.005, 1, -0.005, 0, 0, 0, 0, FASE3-VAR, NO, 0, 0, NO,
1082, BEAM , UNILOAD, GZ, NO , NO, aDir[1], , , , 0, -0.005, 1, -0.005, 0, 0, 0, 0, FASE3-VAR, NO, 0, 0, NO,

1083, BEAM , UNILOAD, GZ, NO , NO, aDir[1], , , , 0, -0.005, 1, -0.005, 0, 0, 0, 0, FASE3-VAR, NO, 0, 0, NO,
1084, BEAM , UNILOAD, GZ, NO , NO, aDir[1], , , , 0, -0.005, 1, -0.005, 0, 0, 0, 0, FASE3-VAR, NO, 0, 0, NO,
1085, BEAM , UNILOAD, GZ, NO , NO, aDir[1], , , , 0, -0.005, 1, -0.005, 0, 0, 0, 0, FASE3-VAR, NO, 0, 0, NO,
1086, BEAM , UNILOAD, GZ, NO , NO, aDir[1], , , , 0, -0.005, 1, -0.005, 0, 0, 0, 0, FASE3-VAR, NO, 0, 0, NO,
1087, BEAM , UNILOAD, GZ, NO , NO, aDir[1], , , , 0, -0.005, 1, -0.005, 0, 0, 0, 0, FASE3-VAR, NO, 0, 0, NO,
1088, BEAM , UNILOAD, GZ, NO , NO, aDir[1], , , , 0, -0.005, 1, -0.005, 0, 0, 0, 0, FASE3-VAR, NO, 0, 0, NO,
1089, BEAM , UNILOAD, GZ, NO , NO, aDir[1], , , , 0, -0.005, 1, -0.005, 0, 0, 0, 0, FASE3-VAR, NO, 0, 0, NO,
1090, BEAM , UNILOAD, GZ, NO , NO, aDir[1], , , , 0, -0.005, 1, -0.005, 0, 0, 0, 0, FASE3-VAR, NO, 0, 0, NO,
1091, BEAM , UNILOAD, GZ, NO , NO, aDir[1], , , , 0, -0.005, 1, -0.005, 0, 0, 0, 0, FASE3-VAR, NO, 0, 0, NO,
1092, BEAM , UNILOAD, GZ, NO , NO, aDir[1], , , , 0, -0.005, 1, -0.005, 0, 0, 0, 0, FASE3-VAR, NO, 0, 0, NO,
1093, BEAM , UNILOAD, GZ, NO , NO, aDir[1], , , , 0, -0.005, 1, -0.005, 0, 0, 0, 0, FASE3-VAR, NO, 0, 0, NO,
1094, BEAM , UNILOAD, GZ, NO , NO, aDir[1], , , , 0, -0.005, 1, -0.005, 0, 0, 0, 0, FASE3-VAR, NO, 0, 0, NO,
1095, BEAM , UNILOAD, GZ, NO , NO, aDir[1], , , , 0, -0.005, 1, -0.005, 0, 0, 0, 0, FASE3-VAR, NO, 0, 0, NO,
1096, BEAM , UNILOAD, GZ, NO , NO, aDir[1], , , , 0, -0.005, 1, -0.005, 0, 0, 0, 0, FASE3-VAR, NO, 0, 0, NO,
1097, BEAM , UNILOAD, GZ, NO , NO, aDir[1], , , , 0, -0.005, 1, -0.005, 0, 0, 0, 0, FASE3-VAR, NO, 0, 0, NO,
1098, BEAM , UNILOAD, GZ, NO , NO, aDir[1], , , , 0, -0.005, 1, -0.005, 0, 0, 0, 0, FASE3-VAR, NO, 0, 0, NO,
1099, BEAM , UNILOAD, GZ, NO , NO, aDir[1], , , , 0, -0.005, 1, -0.005, 0, 0, 0, 0, FASE3-VAR, NO, 0, 0, NO,
1100, BEAM , UNILOAD, GZ, NO , NO, aDir[1], , , , 0, -0.005, 1, -0.005, 0, 0, 0, 0, FASE3-VAR, NO, 0, 0, NO,
1101, BEAM , UNILOAD, GZ, NO , NO, aDir[1], , , , 0, -0.005, 1, -0.005, 0, 0, 0, 0, FASE3-VAR, NO, 0, 0, NO,
1102, BEAM , UNILOAD, GZ, NO , NO, aDir[1], , , , 0, -0.005, 1, -0.005, 0, 0, 0, 0, FASE3-VAR, NO, 0, 0, NO,
1103, BEAM , UNILOAD, GZ, NO , NO, aDir[1], , , , 0, -0.005, 1, -0.005, 0, 0, 0, 0, FASE3-VAR, NO, 0, 0, NO,
1104, BEAM , UNILOAD, GZ, NO , NO, aDir[1], , , , 0, -0.005, 1, -0.005, 0, 0, 0, 0, FASE3-VAR, NO, 0, 0, NO,
1187, BEAM , UNILOAD, GZ, NO , NO, aDir[1], , , , 0, -0.005, 1, -0.005, 0, 0, 0, 0, FASE3-VAR, NO, 0, 0, NO,
1188, BEAM , UNILOAD, GZ, NO , NO, aDir[1], , , , 0, -0.005, 1, -0.005, 0, 0, 0, 0, FASE3-VAR, NO, 0, 0, NO,
1189, BEAM , UNILOAD, GZ, NO , NO, aDir[1], , , , 0, -0.005, 1, -0.005, 0, 0, 0, 0, FASE3-VAR, NO, 0, 0, NO,
1190, BEAM , UNILOAD, GZ, NO , NO, aDir[1], , , , 0, -0.005, 1, -0.005, 0, 0, 0, 0, FASE3-VAR, NO, 0, 0, NO,
1191, BEAM , UNILOAD, GZ, NO , NO, aDir[1], , , , 0, -0.005, 1, -0.005, 0, 0, 0, 0, FASE3-VAR, NO, 0, 0, NO,
1192, BEAM , UNILOAD, GZ, NO , NO, aDir[1], , , , 0, -0.005, 1, -0.005, 0, 0, 0, 0, FASE3-VAR, NO, 0, 0, NO,
1193, BEAM , UNILOAD, GZ, NO , NO, aDir[1], , , , 0, -0.005, 1, -0.005, 0, 0, 0, 0, FASE3-VAR, NO, 0, 0, NO,
1194, BEAM , UNILOAD, GZ, NO , NO, aDir[1], , , , 0, -0.005, 1, -0.005, 0, 0, 0, 0, FASE3-VAR, NO, 0, 0, NO,
1195, BEAM , UNILOAD, GZ, NO , NO, aDir[1], , , , 0, -0.005, 1, -0.005, 0, 0, 0, 0, FASE3-VAR, NO, 0, 0, NO,
1196, BEAM , UNILOAD, GZ, NO , NO, aDir[1], , , , 0, -0.005, 1, -0.005, 0, 0, 0, 0, FASE3-VAR, NO, 0, 0, NO,
1197, BEAM , UNILOAD, GZ, NO , NO, aDir[1], , , , 0, -0.005, 1, -0.005, 0, 0, 0, 0, FASE3-VAR, NO, 0, 0, NO,
1198, BEAM , UNILOAD, GZ, NO , NO, aDir[1], , , , 0, -0.005, 1, -0.005, 0, 0, 0, 0, FASE3-VAR, NO, 0, 0, NO,
1199, BEAM , UNILOAD, GZ, NO , NO, aDir[1], , , , 0, -0.005, 1, -0.005, 0, 0, 0, 0, FASE3-VAR, NO, 0, 0, NO,
1200, BEAM , UNILOAD, GZ, NO , NO, aDir[1], , , , 0, -0.005, 1, -0.005, 0, 0, 0, 0, FASE3-VAR, NO, 0, 0, NO,
1201, BEAM , UNILOAD, GZ, NO , NO, aDir[1], , , , 0, -0.005, 1, -0.005, 0, 0, 0, 0, FASE3-VAR, NO, 0, 0, NO,
1202, BEAM , UNILOAD, GZ, NO , NO, aDir[1], , , , 0, -0.005, 1, -0.005, 0, 0, 0, 0, FASE3-VAR, NO, 0, 0, NO,
1203, BEAM , UNILOAD, GZ, NO , NO, aDir[1], , , , 0, -0.005, 1, -0.005, 0, 0, 0, 0, FASE3-VAR, NO, 0, 0, NO,

1204, BEAM , UNILOAD, GZ, NO , NO, aDir[1], , , , 0, -0.005, 1, -0.005, 0, 0, 0, 0, FASE3-VAR, NO, 0, 0, NO,
1205, BEAM , UNILOAD, GZ, NO , NO, aDir[1], , , , 0, -0.005, 1, -0.005, 0, 0, 0, 0, FASE3-VAR, NO, 0, 0, NO,
1206, BEAM , UNILOAD, GZ, NO , NO, aDir[1], , , , 0, -0.005, 1, -0.005, 0, 0, 0, 0, FASE3-VAR, NO, 0, 0, NO,
1207, BEAM , UNILOAD, GZ, NO , NO, aDir[1], , , , 0, -0.005, 1, -0.005, 0, 0, 0, 0, FASE3-VAR, NO, 0, 0, NO,
1208, BEAM , UNILOAD, GZ, NO , NO, aDir[1], , , , 0, -0.005, 1, -0.005, 0, 0, 0, 0, FASE3-VAR, NO, 0, 0, NO,
1209, BEAM , UNILOAD, GZ, NO , NO, aDir[1], , , , 0, -0.005, 1, -0.005, 0, 0, 0, 0, FASE3-VAR, NO, 0, 0, NO,
1210, BEAM , UNILOAD, GZ, NO , NO, aDir[1], , , , 0, -0.005, 1, -0.005, 0, 0, 0, 0, FASE3-VAR, NO, 0, 0, NO,
1211, BEAM , UNILOAD, GZ, NO , NO, aDir[1], , , , 0, -0.005, 1, -0.005, 0, 0, 0, 0, FASE3-VAR, NO, 0, 0, NO,
1212, BEAM , UNILOAD, GZ, NO , NO, aDir[1], , , , 0, -0.005, 1, -0.005, 0, 0, 0, 0, FASE3-VAR, NO, 0, 0, NO,
1213, BEAM , UNILOAD, GZ, NO , NO, aDir[1], , , , 0, -0.005, 1, -0.005, 0, 0, 0, 0, FASE3-VAR, NO, 0, 0, NO,
1214, BEAM , UNILOAD, GZ, NO , NO, aDir[1], , , , 0, -0.005, 1, -0.005, 0, 0, 0, 0, FASE3-VAR, NO, 0, 0, NO,
1215, BEAM , UNILOAD, GZ, NO , NO, aDir[1], , , , 0, -0.005, 1, -0.005, 0, 0, 0, 0, FASE3-VAR, NO, 0, 0, NO,
1216, BEAM , UNILOAD, GZ, NO , NO, aDir[1], , , , 0, -0.005, 1, -0.005, 0, 0, 0, 0, FASE3-VAR, NO, 0, 0, NO,
1217, BEAM , UNILOAD, GZ, NO , NO, aDir[1], , , , 0, -0.005, 1, -0.005, 0, 0, 0, 0, FASE3-VAR, NO, 0, 0, NO,
1218, BEAM , UNILOAD, GZ, NO , NO, aDir[1], , , , 0, -0.005, 1, -0.005, 0, 0, 0, 0, FASE3-VAR, NO, 0, 0, NO,
1219, BEAM , UNILOAD, GZ, NO , NO, aDir[1], , , , 0, -0.005, 1, -0.005, 0, 0, 0, 0, FASE3-VAR, NO, 0, 0, NO,
1220, BEAM , UNILOAD, GZ, NO , NO, aDir[1], , , , 0, -0.005, 1, -0.005, 0, 0, 0, 0, FASE3-VAR, NO, 0, 0, NO,
1221, BEAM , UNILOAD, GZ, NO , NO, aDir[1], , , , 0, -0.005, 1, -0.005, 0, 0, 0, 0, FASE3-VAR, NO, 0, 0, NO,
1222, BEAM , UNILOAD, GZ, NO , NO, aDir[1], , , , 0, -0.005, 1, -0.005, 0, 0, 0, 0, FASE3-VAR, NO, 0, 0, NO,
1223, BEAM , UNILOAD, GZ, NO , NO, aDir[1], , , , 0, -0.005, 1, -0.005, 0, 0, 0, 0, FASE3-VAR, NO, 0, 0, NO,
1224, BEAM , UNILOAD, GZ, NO , NO, aDir[1], , , , 0, -0.005, 1, -0.005, 0, 0, 0, 0, FASE3-VAR, NO, 0, 0, NO,
1225, BEAM , UNILOAD, GZ, NO , NO, aDir[1], , , , 0, -0.005, 1, -0.005, 0, 0, 0, 0, FASE3-VAR, NO, 0, 0, NO,
1226, BEAM , UNILOAD, GZ, NO , NO, aDir[1], , , , 0, -0.005, 1, -0.005, 0, 0, 0, 0, FASE3-VAR, NO, 0, 0, NO,
1227, BEAM , UNILOAD, GZ, NO , NO, aDir[1], , , , 0, -0.005, 1, -0.005, 0, 0, 0, 0, FASE3-VAR, NO, 0, 0, NO,
1228, BEAM , UNILOAD, GZ, NO , NO, aDir[1], , , , 0, -0.005, 1, -0.005, 0, 0, 0, 0, FASE3-VAR, NO, 0, 0, NO,
1313, BEAM , UNILOAD, GZ, NO , NO, aDir[1], , , , 0, -0.005, 1, -0.005, 0, 0, 0, 0, FASE3-VAR, NO, 0, 0, NO,
1314, BEAM , UNILOAD, GZ, NO , NO, aDir[1], , , , 0, -0.005, 1, -0.005, 0, 0, 0, 0, FASE3-VAR, NO, 0, 0, NO,
1315, BEAM , UNILOAD, GZ, NO , NO, aDir[1], , , , 0, -0.005, 1, -0.005, 0, 0, 0, 0, FASE3-VAR, NO, 0, 0, NO,
1316, BEAM , UNILOAD, GZ, NO , NO, aDir[1], , , , 0, -0.005, 1, -0.005, 0, 0, 0, 0, FASE3-VAR, NO, 0, 0, NO,
1317, BEAM , UNILOAD, GZ, NO , NO, aDir[1], , , , 0, -0.005, 1, -0.005, 0, 0, 0, 0, FASE3-VAR, NO, 0, 0, NO,
1318, BEAM , UNILOAD, GZ, NO , NO, aDir[1], , , , 0, -0.005, 1, -0.005, 0, 0, 0, 0, FASE3-VAR, NO, 0, 0, NO,
1319, BEAM , UNILOAD, GZ, NO , NO, aDir[1], , , , 0, -0.005, 1, -0.005, 0, 0, 0, 0, FASE3-VAR, NO, 0, 0, NO,
1320, BEAM , UNILOAD, GZ, NO , NO, aDir[1], , , , 0, -0.005, 1, -0.005, 0, 0, 0, 0, FASE3-VAR, NO, 0, 0, NO,
1321, BEAM , UNILOAD, GZ, NO , NO, aDir[1], , , , 0, -0.005, 1, -0.005, 0, 0, 0, 0, FASE3-VAR, NO, 0, 0, NO,
1322, BEAM , UNILOAD, GZ, NO , NO, aDir[1], , , , 0, -0.005, 1, -0.005, 0, 0, 0, 0, FASE3-VAR, NO, 0, 0, NO,
1323, BEAM , UNILOAD, GZ, NO , NO, aDir[1], , , , 0, -0.005, 1, -0.005, 0, 0, 0, 0, FASE3-VAR, NO, 0, 0, NO,
1324, BEAM , UNILOAD, GZ, NO , NO, aDir[1], , , , 0, -0.005, 1, -0.005, 0, 0, 0, 0, FASE3-VAR, NO, 0, 0, NO,
1325, BEAM , UNILOAD, GZ, NO , NO, aDir[1], , , , 0, -0.005, 1, -0.005, 0, 0, 0, 0, FASE3-VAR, NO, 0, 0, NO,
1326, BEAM , UNILOAD, GZ, NO , NO, aDir[1], , , , 0, -0.005, 1, -0.005, 0, 0, 0, 0, FASE3-VAR, NO, 0, 0, NO,

1327, BEAM , UNILOAD, GZ, NO , NO, aDir[1], , , , 0, -0.005, 1, -0.005, 0, 0, 0, 0, FASE3-VAR, NO, 0, 0, NO,
1328, BEAM , UNILOAD, GZ, NO , NO, aDir[1], , , , 0, -0.005, 1, -0.005, 0, 0, 0, 0, FASE3-VAR, NO, 0, 0, NO,
1329, BEAM , UNILOAD, GZ, NO , NO, aDir[1], , , , 0, -0.005, 1, -0.005, 0, 0, 0, 0, FASE3-VAR, NO, 0, 0, NO,
1330, BEAM , UNILOAD, GZ, NO , NO, aDir[1], , , , 0, -0.005, 1, -0.005, 0, 0, 0, 0, FASE3-VAR, NO, 0, 0, NO,
1331, BEAM , UNILOAD, GZ, NO , NO, aDir[1], , , , 0, -0.005, 1, -0.005, 0, 0, 0, 0, FASE3-VAR, NO, 0, 0, NO,
1332, BEAM , UNILOAD, GZ, NO , NO, aDir[1], , , , 0, -0.005, 1, -0.005, 0, 0, 0, 0, FASE3-VAR, NO, 0, 0, NO,
1333, BEAM , UNILOAD, GZ, NO , NO, aDir[1], , , , 0, -0.005, 1, -0.005, 0, 0, 0, 0, FASE3-VAR, NO, 0, 0, NO,
1334, BEAM , UNILOAD, GZ, NO , NO, aDir[1], , , , 0, -0.005, 1, -0.005, 0, 0, 0, 0, FASE3-VAR, NO, 0, 0, NO,
1335, BEAM , UNILOAD, GZ, NO , NO, aDir[1], , , , 0, -0.005, 1, -0.005, 0, 0, 0, 0, FASE3-VAR, NO, 0, 0, NO,
1336, BEAM , UNILOAD, GZ, NO , NO, aDir[1], , , , 0, -0.005, 1, -0.005, 0, 0, 0, 0, FASE3-VAR, NO, 0, 0, NO,
1337, BEAM , UNILOAD, GZ, NO , NO, aDir[1], , , , 0, -0.005, 1, -0.005, 0, 0, 0, 0, FASE3-VAR, NO, 0, 0, NO,
1338, BEAM , UNILOAD, GZ, NO , NO, aDir[1], , , , 0, -0.005, 1, -0.005, 0, 0, 0, 0, FASE3-VAR, NO, 0, 0, NO,
1339, BEAM , UNILOAD, GZ, NO , NO, aDir[1], , , , 0, -0.005, 1, -0.005, 0, 0, 0, 0, FASE3-VAR, NO, 0, 0, NO,
1340, BEAM , UNILOAD, GZ, NO , NO, aDir[1], , , , 0, -0.005, 1, -0.005, 0, 0, 0, 0, FASE3-VAR, NO, 0, 0, NO,
1341, BEAM , UNILOAD, GZ, NO , NO, aDir[1], , , , 0, -0.005, 1, -0.005, 0, 0, 0, 0, FASE3-VAR, NO, 0, 0, NO,
1342, BEAM , UNILOAD, GZ, NO , NO, aDir[1], , , , 0, -0.005, 1, -0.005, 0, 0, 0, 0, FASE3-VAR, NO, 0, 0, NO,
1343, BEAM , UNILOAD, GZ, NO , NO, aDir[1], , , , 0, -0.005, 1, -0.005, 0, 0, 0, 0, FASE3-VAR, NO, 0, 0, NO,
1344, BEAM , UNILOAD, GZ, NO , NO, aDir[1], , , , 0, -0.005, 1, -0.005, 0, 0, 0, 0, FASE3-VAR, NO, 0, 0, NO,
1345, BEAM , UNILOAD, GZ, NO , NO, aDir[1], , , , 0, -0.005, 1, -0.005, 0, 0, 0, 0, FASE3-VAR, NO, 0, 0, NO,
1346, BEAM , UNILOAD, GZ, NO , NO, aDir[1], , , , 0, -0.005, 1, -0.005, 0, 0, 0, 0, FASE3-VAR, NO, 0, 0, NO,
1347, BEAM , UNILOAD, GZ, NO , NO, aDir[1], , , , 0, -0.005, 1, -0.005, 0, 0, 0, 0, FASE3-VAR, NO, 0, 0, NO,
1348, BEAM , UNILOAD, GZ, NO , NO, aDir[1], , , , 0, -0.005, 1, -0.005, 0, 0, 0, 0, FASE3-VAR, NO, 0, 0, NO,
1349, BEAM , UNILOAD, GZ, NO , NO, aDir[1], , , , 0, -0.005, 1, -0.005, 0, 0, 0, 0, FASE3-VAR, NO, 0, 0, NO,
1350, BEAM , UNILOAD, GZ, NO , NO, aDir[1], , , , 0, -0.005, 1, -0.005, 0, 0, 0, 0, FASE3-VAR, NO, 0, 0, NO,
1351, BEAM , UNILOAD, GZ, NO , NO, aDir[1], , , , 0, -0.005, 1, -0.005, 0, 0, 0, 0, FASE3-VAR, NO, 0, 0, NO,
1352, BEAM , UNILOAD, GZ, NO , NO, aDir[1], , , , 0, -0.005, 1, -0.005, 0, 0, 0, 0, FASE3-VAR, NO, 0, 0, NO,
1353, BEAM , UNILOAD, GZ, NO , NO, aDir[1], , , , 0, -0.005, 1, -0.005, 0, 0, 0, 0, FASE3-VAR, NO, 0, 0, NO,
1354, BEAM , UNILOAD, GZ, NO , NO, aDir[1], , , , 0, -0.005, 1, -0.005, 0, 0, 0, 0, FASE3-VAR, NO, 0, 0, NO,
1645, BEAM , UNILOAD, GZ, NO , NO, aDir[1], , , , 0, -0.005, 1, -0.005, 0, 0, 0, 0, FASE3-VAR, NO, 0, 0, NO,
1646, BEAM , UNILOAD, GZ, NO , NO, aDir[1], , , , 0, -0.005, 1, -0.005, 0, 0, 0, 0, FASE3-VAR, NO, 0, 0, NO,
1647, BEAM , UNILOAD, GZ, NO , NO, aDir[1], , , , 0, -0.005, 1, -0.005, 0, 0, 0, 0, FASE3-VAR, NO, 0, 0, NO,
1648, BEAM , UNILOAD, GZ, NO , NO, aDir[1], , , , 0, -0.005, 1, -0.005, 0, 0, 0, 0, FASE3-VAR, NO, 0, 0, NO,
1649, BEAM , UNILOAD, GZ, NO , NO, aDir[1], , , , 0, -0.005, 1, -0.005, 0, 0, 0, 0, FASE3-VAR, NO, 0, 0, NO,
1650, BEAM , UNILOAD, GZ, NO , NO, aDir[1], , , , 0, -0.005, 1, -0.005, 0, 0, 0, 0, FASE3-VAR, NO, 0, 0, NO,
1651, BEAM , UNILOAD, GZ, NO , NO, aDir[1], , , , 0, -0.005, 1, -0.005, 0, 0, 0, 0, FASE3-VAR, NO, 0, 0, NO,
1652, BEAM , UNILOAD, GZ, NO , NO, aDir[1], , , , 0, -0.005, 1, -0.005, 0, 0, 0, 0, FASE3-VAR, NO, 0, 0, NO,
1653, BEAM , UNILOAD, GZ, NO , NO, aDir[1], , , , 0, -0.005, 1, -0.005, 0, 0, 0, 0, FASE3-VAR, NO, 0, 0, NO,
1654, BEAM , UNILOAD, GZ, NO , NO, aDir[1], , , , 0, -0.005, 1, -0.005, 0, 0, 0, 0, FASE3-VAR, NO, 0, 0, NO,
1655, BEAM , UNILOAD, GZ, NO , NO, aDir[1], , , , 0, -0.005, 1, -0.005, 0, 0, 0, 0, FASE3-VAR, NO, 0, 0, NO,

PROJECT TITLE :

	Company		Client	
	Author		File Name	Brembiolo1_08_completo(fasi)DEFINITIVO.mgt

```
  1656, BEAM   , UNILOAD, GZ, NO , NO, aDir[1], , , , 0, -0.005, 1, -0.005, 0, 0, 0, 0, FASE3-VAR, NO, 0, 0,
NO,
  1657, BEAM   , UNILOAD, GZ, NO , NO, aDir[1], , , , 0, -0.005, 1, -0.005, 0, 0, 0, 0, FASE3-VAR, NO, 0, 0,
NO,
  1658, BEAM   , UNILOAD, GZ, NO , NO, aDir[1], , , , 0, -0.005, 1, -0.005, 0, 0, 0, 0, FASE3-VAR, NO, 0, 0,
NO,
  1659, BEAM   , UNILOAD, GZ, NO , NO, aDir[1], , , , 0, -0.005, 1, -0.005, 0, 0, 0, 0, FASE3-VAR, NO, 0, 0,
NO,
  1660, BEAM   , UNILOAD, GZ, NO , NO, aDir[1], , , , 0, -0.005, 1, -0.005, 0, 0, 0, 0, FASE3-VAR, NO, 0, 0,
NO,
  1661, BEAM   , UNILOAD, GZ, NO , NO, aDir[1], , , , 0, -0.005, 1, -0.005, 0, 0, 0, 0, FASE3-VAR, NO, 0, 0,
NO,
  1662, BEAM   , UNILOAD, GZ, NO , NO, aDir[1], , , , 0, -0.005, 1, -0.005, 0, 0, 0, 0, FASE3-VAR, NO, 0, 0,
NO,
  1663, BEAM   , UNILOAD, GZ, NO , NO, aDir[1], , , , 0, -0.005, 1, -0.005, 0, 0, 0, 0, FASE3-VAR, NO, 0, 0,
NO,
  1664, BEAM   , UNILOAD, GZ, NO , NO, aDir[1], , , , 0, -0.005, 1, -0.005, 0, 0, 0, 0, FASE3-VAR, NO, 0, 0,
NO,
  1665, BEAM   , UNILOAD, GZ, NO , NO, aDir[1], , , , 0, -0.005, 1, -0.005, 0, 0, 0, 0, FASE3-VAR, NO, 0, 0,
NO,
  1666, BEAM   , UNILOAD, GZ, NO , NO, aDir[1], , , , 0, -0.005, 1, -0.005, 0, 0, 0, 0, FASE3-VAR, NO, 0, 0,
NO,
  1667, BEAM   , UNILOAD, GZ, NO , NO, aDir[1], , , , 0, -0.005, 1, -0.005, 0, 0, 0, 0, FASE3-VAR, NO, 0, 0,
NO,
  1668, BEAM   , UNILOAD, GZ, NO , NO, aDir[1], , , , 0, -0.005, 1, -0.005, 0, 0, 0, 0, FASE3-VAR, NO, 0, 0,
NO,
  1669, BEAM   , UNILOAD, GZ, NO , NO, aDir[1], , , , 0, -0.005, 1, -0.005, 0, 0, 0, 0, FASE3-VAR, NO, 0, 0,
NO,
  1670, BEAM   , UNILOAD, GZ, NO , NO, aDir[1], , , , 0, -0.005, 1, -0.005, 0, 0, 0, 0, FASE3-VAR, NO, 0, 0,
NO,
  1671, BEAM   , UNILOAD, GZ, NO , NO, aDir[1], , , , 0, -0.005, 1, -0.005, 0, 0, 0, 0, FASE3-VAR, NO, 0, 0,
NO,
  1672, BEAM   , UNILOAD, GZ, NO , NO, aDir[1], , , , 0, -0.005, 1, -0.005, 0, 0, 0, 0, FASE3-VAR, NO, 0, 0,
NO,
  1673, BEAM   , UNILOAD, GZ, NO , NO, aDir[1], , , , 0, -0.005, 1, -0.005, 0, 0, 0, 0, FASE3-VAR, NO, 0, 0,
NO,
  1674, BEAM   , UNILOAD, GZ, NO , NO, aDir[1], , , , 0, -0.005, 1, -0.005, 0, 0, 0, 0, FASE3-VAR, NO, 0, 0,
NO,
  1675, BEAM   , UNILOAD, GZ, NO , NO, aDir[1], , , , 0, -0.005, 1, -0.005, 0, 0, 0, 0, FASE3-VAR, NO, 0, 0,
NO,
  1676, BEAM   , UNILOAD, GZ, NO , NO, aDir[1], , , , 0, -0.005, 1, -0.005, 0, 0, 0, 0, FASE3-VAR, NO, 0, 0,
NO,
  1677, BEAM   , UNILOAD, GZ, NO , NO, aDir[1], , , , 0, -0.005, 1, -0.005, 0, 0, 0, 0, FASE3-VAR, NO, 0, 0,
NO,
  1678, BEAM   , UNILOAD, GZ, NO , NO, aDir[1], , , , 0, -0.005, 1, -0.005, 0, 0, 0, 0, FASE3-VAR, NO, 0, 0,
NO,
  1679, BEAM   , UNILOAD, GZ, NO , NO, aDir[1], , , , 0, -0.005, 1, -0.005, 0, 0, 0, 0, FASE3-VAR, NO, 0, 0,
NO,
  1680, BEAM   , UNILOAD, GZ, NO , NO, aDir[1], , , , 0, -0.005, 1, -0.005, 0, 0, 0, 0, FASE3-VAR, NO, 0, 0,
NO,
  1681, BEAM   , UNILOAD, GZ, NO , NO, aDir[1], , , , 0, -0.005, 1, -0.005, 0, 0, 0, 0, FASE3-VAR, NO, 0, 0,
NO,
  1682, BEAM   , UNILOAD, GZ, NO , NO, aDir[1], , , , 0, -0.005, 1, -0.005, 0, 0, 0, 0, FASE3-VAR, NO, 0, 0,
NO,
  1683, BEAM   , UNILOAD, GZ, NO , NO, aDir[1], , , , 0, -0.005, 1, -0.005, 0, 0, 0, 0, FASE3-VAR, NO, 0, 0,
NO,
  1684, BEAM   , UNILOAD, GZ, NO , NO, aDir[1], , , , 0, -0.005, 1, -0.005, 0, 0, 0, 0, FASE3-VAR, NO, 0, 0,
NO,
  1685, BEAM   , UNILOAD, GZ, NO , NO, aDir[1], , , , 0, -0.005, 1, -0.005, 0, 0, 0, 0, FASE3-VAR, NO, 0, 0,
NO,
  1686, BEAM   , UNILOAD, GZ, NO , NO, aDir[1], , , , 0, -0.005, 1, -0.005, 0, 0, 0, 0, FASE3-VAR, NO, 0, 0,
NO,

; End of data for load case [folla su marciapiede] --------------------------

*USE-STLD, node 56_max Fz

*BEAMLOAD    ; Element Beam Loads
; ELEM_LIST, CMD, TYPE, DIR, bPROJ, [ECCEN], [VALUE], GROUP
; ELEM_LIST, CMD, TYPE, TYPE, DIR, VX, VY, VZ, bPROJ, [ECCEN], [VALUE], GROUP
; [VALUE]       : D1, P1, D2, P2, D3, P3, D4, P4
; [ECCEN]       : bECCEN, ECCDIR, I-END, J-END, bJ-END
; [ADDITIONAL]  : bADDITIONAL, ADDITIONAL_I-END, ADDITIONAL_J-END, bADDITIONAL_J-END
   440, BEAM   , CONLOAD, GZ, NO , NO, aDir[1], , , , 0.088, -0.217171, 0, 0, 0, 0, 0, 0, , NO, 0, 0, NO,
   445, BEAM   , CONLOAD, GZ, NO , NO, aDir[1], , , , 0.088, -2.93407, 0, 0, 0, 0, 0, 0, , NO, 0, 0, NO,
   450, BEAM   , CONLOAD, GZ, NO , NO, aDir[1], , , , 0.088, -3.75, 0, 0, 0, 0, 0, 0, , NO, 0, 0, NO,
   455, BEAM   , CONLOAD, GZ, NO , NO, aDir[1], , , , 0.088, -3.75, 0, 0, 0, 0, 0, 0, , NO, 0, 0, NO,
   460, BEAM   , CONLOAD, GZ, NO , NO, aDir[1], , , , 0.088, -3.75, 0, 0, 0, 0, 0, 0, , NO, 0, 0, NO,
```

PROJECT TITLE :

	Company		Client	
	Author		File Name	Brembiolo1_08_completo(fasi)DEFINITIVO.mgt

```
  465, BEAM    , CONLOAD, GZ, NO , NO, aDir[1], , , , 0.088, -3.75, 0, 0, 0, 0, 0, 0, , NO, 0, 0, NO,
  470, BEAM    , CONLOAD, GZ, NO , NO, aDir[1], , , , 0.088, -3.75, 0, 0, 0, 0, 0, 0, , NO, 0, 0, NO,
  475, BEAM    , CONLOAD, GZ, NO , NO, aDir[1], , , , 0.088, -3.75, 0, 0, 0, 0, 0, 0, , NO, 0, 0, NO,
  480, BEAM    , CONLOAD, GZ, NO , NO, aDir[1], , , , 0.088, -3.75, 0, 0, 0, 0, 0, 0, , NO, 0, 0, NO,
  485, BEAM    , CONLOAD, GZ, NO , NO, aDir[1], , , , 0.088, -3.75, 0, 0, 0, 0, 0, 0, , NO, 0, 0, NO,
  490, BEAM    , CONLOAD, GZ, NO , NO, aDir[1], , , , 0.088, -3.75, 0, 0, 0, 0, 0, 0, , NO, 0, 0, NO,
  495, BEAM    , CONLOAD, GZ, NO , NO, aDir[1], , , , 0.088, -3.75, 0, 0, 0, 0, 0, 0, , NO, 0, 0, NO,
  500, BEAM    , CONLOAD, GZ, NO , NO, aDir[1], , , , 0.088, -3.75, 0, 0, 0, 0, 0, 0, , NO, 0, 0, NO,
  505, BEAM    , CONLOAD, GZ, NO , NO, aDir[1], , , , 0.088, -3.75, 0, 0, 0, 0, 0, 0, , NO, 0, 0, NO,
  510, BEAM    , CONLOAD, GZ, NO , NO, aDir[1], , , , 0.088, -3.75, 0, 0, 0, 0, 0, 0, , NO, 0, 0, NO,
  515, BEAM    , CONLOAD, GZ, NO , NO, aDir[1], , , , 0.088, -3.75, 0, 0, 0, 0, 0, 0, , NO, 0, 0, NO,
  520, BEAM    , CONLOAD, GZ, NO , NO, aDir[1], , , , 0.088, -3.75, 0, 0, 0, 0, 0, 0, , NO, 0, 0, NO,
  525, BEAM    , CONLOAD, GZ, NO , NO, aDir[1], , , , 0.088, -3.75, 0, 0, 0, 0, 0, 0, , NO, 0, 0, NO,
  530, BEAM    , CONLOAD, GZ, NO , NO, aDir[1], , , , 0.088, -53.75, 0, 0, 0, 0, 0, 0, , NO, 0, 0, NO,
  535, BEAM    , CONLOAD, GZ, NO , NO, aDir[1], , , , 0.088, -43.75, 0, 0, 0, 0, 0, 0, , NO, 0, 0, NO,
  540, BEAM    , CONLOAD, GZ, NO , NO, aDir[1], , , , 0.088, -13.75, 0, 0, 0, 0, 0, 0, , NO, 0, 0, NO,
  545, BEAM    , CONLOAD, GZ, NO , NO, aDir[1], , , , 0.088, -3.75, 0, 0, 0, 0, 0, 0, , NO, 0, 0, NO,
  550, BEAM    , CONLOAD, GZ, NO , NO, aDir[1], , , , 0.088, -3.75, 0, 0, 0, 0, 0, 0, , NO, 0, 0, NO,
  555, BEAM    , CONLOAD, GZ, NO , NO, aDir[1], , , , 0.088, -3.75, 0, 0, 0, 0, 0, 0, , NO, 0, 0, NO,
  560, BEAM    , CONLOAD, GZ, NO , NO, aDir[1], , , , 0.088, -3.75, 0, 0, 0, 0, 0, 0, , NO, 0, 0, NO,
  565, BEAM    , CONLOAD, GZ, NO , NO, aDir[1], , , , 0.088, -3.75, 0, 0, 0, 0, 0, 0, , NO, 0, 0, NO,
  570, BEAM    , CONLOAD, GZ, NO , NO, aDir[1], , , , 0.088, -3.75, 0, 0, 0, 0, 0, 0, , NO, 0, 0, NO,
  575, BEAM    , CONLOAD, GZ, NO , NO, aDir[1], , , , 0.088, -3.75, 0, 0, 0, 0, 0, 0, , NO, 0, 0, NO,
  580, BEAM    , CONLOAD, GZ, NO , NO, aDir[1], , , , 0.088, -3.75, 0, 0, 0, 0, 0, 0, , NO, 0, 0, NO,
  585, BEAM    , CONLOAD, GZ, NO , NO, aDir[1], , , , 0.088, -3.75, 0, 0, 0, 0, 0, 0, , NO, 0, 0, NO,
  590, BEAM    , CONLOAD, GZ, NO , NO, aDir[1], , , , 0.088, -3.75, 0, 0, 0, 0, 0, 0, , NO, 0, 0, NO,
  595, BEAM    , CONLOAD, GZ, NO , NO, aDir[1], , , , 0.088, -3.75, 0, 0, 0, 0, 0, 0, , NO, 0, 0, NO,
  600, BEAM    , CONLOAD, GZ, NO , NO, aDir[1], , , , 0.088, -3.75, 0, 0, 0, 0, 0, 0, , NO, 0, 0, NO,
  605, BEAM    , CONLOAD, GZ, NO , NO, aDir[1], , , , 0.088, -3.75, 0, 0, 0, 0, 0, 0, , NO, 0, 0, NO,
  610, BEAM    , CONLOAD, GZ, NO , NO, aDir[1], , , , 0.088, -3.75, 0, 0, 0, 0, 0, 0, , NO, 0, 0, NO,
  615, BEAM    , CONLOAD, GZ, NO , NO, aDir[1], , , , 0.088, -3.75, 0, 0, 0, 0, 0, 0, , NO, 0, 0, NO,
  620, BEAM    , CONLOAD, GZ, NO , NO, aDir[1], , , , 0.088, -3.75, 0, 0, 0, 0, 0, 0, , NO, 0, 0, NO,
  625, BEAM    , CONLOAD, GZ, NO , NO, aDir[1], , , , 0.088, -3.75, 0, 0, 0, 0, 0, 0, , NO, 0, 0, NO,
  630, BEAM    , CONLOAD, GZ, NO , NO, aDir[1], , , , 0.088, -3.75, 0, 0, 0, 0, 0, 0, , NO, 0, 0, NO,
  635, BEAM    , CONLOAD, GZ, NO , NO, aDir[1], , , , 0.088, -3.75, 0, 0, 0, 0, 0, 0, , NO, 0, 0, NO,
  640, BEAM    , CONLOAD, GZ, NO , NO, aDir[1], , , , 0.088, -3.75, 0, 0, 0, 0, 0, 0, , NO, 0, 0, NO,
  645, BEAM    , CONLOAD, GZ, NO , NO, aDir[1], , , , 0.088, -1.875, 0, 0, 0, 0, 0, 0, , NO, 0, 0, NO,
 1519, BEAM    , CONLOAD, GZ, NO , NO, aDir[1], , , , 0.415, -156.75, 0, 0, 0, 0, 0, 0, , NO, 0, 0, NO,
 1520, BEAM    , CONLOAD, GZ, NO , NO, aDir[1], , , , 0.415, -133.5, 0, 0, 0, 0, 0, 0, , NO, 0, 0, NO,
 1521, BEAM    , CONLOAD, GZ, NO , NO, aDir[1], , , , 0.415, -43.5, 0, 0, 0, 0, 0, 0, , NO, 0, 0, NO,
 1522, BEAM    , CONLOAD, GZ, NO , NO, aDir[1], , , , 0.415, -13.5, 0, 0, 0, 0, 0, 0, , NO, 0, 0, NO,
 1523, BEAM    , CONLOAD, GZ, NO , NO, aDir[1], , , , 0.415, -13.5, 0, 0, 0, 0, 0, 0, , NO, 0, 0, NO,
 1524, BEAM    , CONLOAD, GZ, NO , NO, aDir[1], , , , 0.415, -13.5, 0, 0, 0, 0, 0, 0, , NO, 0, 0, NO,
 1525, BEAM    , CONLOAD, GZ, NO , NO, aDir[1], , , , 0.415, -13.5, 0, 0, 0, 0, 0, 0, , NO, 0, 0, NO,
 1526, BEAM    , CONLOAD, GZ, NO , NO, aDir[1], , , , 0.415, -13.5, 0, 0, 0, 0, 0, 0, , NO, 0, 0, NO,
 1527, BEAM    , CONLOAD, GZ, NO , NO, aDir[1], , , , 0.415, -13.5, 0, 0, 0, 0, 0, 0, , NO, 0, 0, NO,
 1528, BEAM    , CONLOAD, GZ, NO , NO, aDir[1], , , , 0.415, -13.5, 0, 0, 0, 0, 0, 0, , NO, 0, 0, NO,
 1529, BEAM    , CONLOAD, GZ, NO , NO, aDir[1], , , , 0.415, -13.5, 0, 0, 0, 0, 0, 0, , NO, 0, 0, NO,
 1530, BEAM    , CONLOAD, GZ, NO , NO, aDir[1], , , , 0.415, -13.5, 0, 0, 0, 0, 0, 0, , NO, 0, 0, NO,
 1531, BEAM    , CONLOAD, GZ, NO , NO, aDir[1], , , , 0.415, -13.5, 0, 0, 0, 0, 0, 0, , NO, 0, 0, NO,
 1532, BEAM    , CONLOAD, GZ, NO , NO, aDir[1], , , , 0.415, -13.5, 0, 0, 0, 0, 0, 0, , NO, 0, 0, NO,
 1533, BEAM    , CONLOAD, GZ, NO , NO, aDir[1], , , , 0.415, -13.5, 0, 0, 0, 0, 0, 0, , NO, 0, 0, NO,
 1534, BEAM    , CONLOAD, GZ, NO , NO, aDir[1], , , , 0.415, -13.5, 0, 0, 0, 0, 0, 0, , NO, 0, 0, NO,
 1535, BEAM    , CONLOAD, GZ, NO , NO, aDir[1], , , , 0.415, -13.5, 0, 0, 0, 0, 0, 0, , NO, 0, 0, NO,
 1536, BEAM    , CONLOAD, GZ, NO , NO, aDir[1], , , , 0.415, -13.5, 0, 0, 0, 0, 0, 0, , NO, 0, 0, NO,
 1537, BEAM    , CONLOAD, GZ, NO , NO, aDir[1], , , , 0.415, -13.5, 0, 0, 0, 0, 0, 0, , NO, 0, 0, NO,
 1538, BEAM    , CONLOAD, GZ, NO , NO, aDir[1], , , , 0.415, -13.5, 0, 0, 0, 0, 0, 0, , NO, 0, 0, NO,
 1539, BEAM    , CONLOAD, GZ, NO , NO, aDir[1], , , , 0.415, -13.5, 0, 0, 0, 0, 0, 0, , NO, 0, 0, NO,
 1540, BEAM    , CONLOAD, GZ, NO , NO, aDir[1], , , , 0.415, -13.5, 0, 0, 0, 0, 0, 0, , NO, 0, 0, NO,
 1541, BEAM    , CONLOAD, GZ, NO , NO, aDir[1], , , , 0.415, -13.5, 0, 0, 0, 0, 0, 0, , NO, 0, 0, NO,
 1542, BEAM    , CONLOAD, GZ, NO , NO, aDir[1], , , , 0.415, -13.5, 0, 0, 0, 0, 0, 0, , NO, 0, 0, NO,
 1543, BEAM    , CONLOAD, GZ, NO , NO, aDir[1], , , , 0.415, -13.5, 0, 0, 0, 0, 0, 0, , NO, 0, 0, NO,
 1544, BEAM    , CONLOAD, GZ, NO , NO, aDir[1], , , , 0.415, -13.5, 0, 0, 0, 0, 0, 0, , NO, 0, 0, NO,
 1545, BEAM    , CONLOAD, GZ, NO , NO, aDir[1], , , , 0.415, -13.5, 0, 0, 0, 0, 0, 0, , NO, 0, 0, NO,
 1546, BEAM    , CONLOAD, GZ, NO , NO, aDir[1], , , , 0.415, -13.5, 0, 0, 0, 0, 0, 0, , NO, 0, 0, NO,
 1547, BEAM    , CONLOAD, GZ, NO , NO, aDir[1], , , , 0.415, -13.5, 0, 0, 0, 0, 0, 0, , NO, 0, 0, NO,
 1548, BEAM    , CONLOAD, GZ, NO , NO, aDir[1], , , , 0.415, -13.5, 0, 0, 0, 0, 0, 0, , NO, 0, 0, NO,
 1549, BEAM    , CONLOAD, GZ, NO , NO, aDir[1], , , , 0.415, -13.5, 0, 0, 0, 0, 0, 0, , NO, 0, 0, NO,
 1550, BEAM    , CONLOAD, GZ, NO , NO, aDir[1], , , , 0.415, -13.5, 0, 0, 0, 0, 0, 0, , NO, 0, 0, NO,
 1551, BEAM    , CONLOAD, GZ, NO , NO, aDir[1], , , , 0.415, -13.5, 0, 0, 0, 0, 0, 0, , NO, 0, 0, NO,
 1552, BEAM    , CONLOAD, GZ, NO , NO, aDir[1], , , , 0.415, -13.5, 0, 0, 0, 0, 0, 0, , NO, 0, 0, NO,
 1553, BEAM    , CONLOAD, GZ, NO , NO, aDir[1], , , , 0.415, -13.5, 0, 0, 0, 0, 0, 0, , NO, 0, 0, NO,
 1554, BEAM    , CONLOAD, GZ, NO , NO, aDir[1], , , , 0.415, -13.5, 0, 0, 0, 0, 0, 0, , NO, 0, 0, NO,
 1555, BEAM    , CONLOAD, GZ, NO , NO, aDir[1], , , , 0.415, -13.5, 0, 0, 0, 0, 0, 0, , NO, 0, 0, NO,
 1556, BEAM    , CONLOAD, GZ, NO , NO, aDir[1], , , , 0.415, -13.5, 0, 0, 0, 0, 0, 0, , NO, 0, 0, NO,
 1557, BEAM    , CONLOAD, GZ, NO , NO, aDir[1], , , , 0.415, -13.5, 0, 0, 0, 0, 0, 0, , NO, 0, 0, NO,
 1558, BEAM    , CONLOAD, GZ, NO , NO, aDir[1], , , , 0.415, -13.5, 0, 0, 0, 0, 0, 0, , NO, 0, 0, NO,
 1559, BEAM    , CONLOAD, GZ, NO , NO, aDir[1], , , , 0.415, -13.5, 0, 0, 0, 0, 0, 0, , NO, 0, 0, NO,
```

```
1560, BEAM    , CONLOAD, GZ, NO , NO, aDir[1], , , , 0.415, -6.75, 0, 0, 0, 0, 0, 0, , NO, 0, 0, NO,
2103, BEAM    , CONLOAD, GZ, NO , NO, aDir[1], , , , 0.685, -0.217171, 0, 0, 0, 0, 0, 0, , NO, 0, 0, NO,
2104, BEAM    , CONLOAD, GZ, NO , NO, aDir[1], , , , 0.685, -2.93407, 0, 0, 0, 0, 0, 0, , NO, 0, 0, NO,
2105, BEAM    , CONLOAD, GZ, NO , NO, aDir[1], , , , 0.685, -3.75, 0, 0, 0, 0, 0, 0, , NO, 0, 0, NO,
2106, BEAM    , CONLOAD, GZ, NO , NO, aDir[1], , , , 0.685, -3.75, 0, 0, 0, 0, 0, 0, , NO, 0, 0, NO,
2107, BEAM    , CONLOAD, GZ, NO , NO, aDir[1], , , , 0.685, -3.75, 0, 0, 0, 0, 0, 0, , NO, 0, 0, NO,
2108, BEAM    , CONLOAD, GZ, NO , NO, aDir[1], , , , 0.685, -3.75, 0, 0, 0, 0, 0, 0, , NO, 0, 0, NO,
2109, BEAM    , CONLOAD, GZ, NO , NO, aDir[1], , , , 0.685, -3.75, 0, 0, 0, 0, 0, 0, , NO, 0, 0, NO,
2110, BEAM    , CONLOAD, GZ, NO , NO, aDir[1], , , , 0.685, -3.75, 0, 0, 0, 0, 0, 0, , NO, 0, 0, NO,
2111, BEAM    , CONLOAD, GZ, NO , NO, aDir[1], , , , 0.685, -3.75, 0, 0, 0, 0, 0, 0, , NO, 0, 0, NO,
2112, BEAM    , CONLOAD, GZ, NO , NO, aDir[1], , , , 0.685, -3.75, 0, 0, 0, 0, 0, 0, , NO, 0, 0, NO,
2113, BEAM    , CONLOAD, GZ, NO , NO, aDir[1], , , , 0.685, -3.75, 0, 0, 0, 0, 0, 0, , NO, 0, 0, NO,
2114, BEAM    , CONLOAD, GZ, NO , NO, aDir[1], , , , 0.685, -3.75, 0, 0, 0, 0, 0, 0, , NO, 0, 0, NO,
2115, BEAM    , CONLOAD, GZ, NO , NO, aDir[1], , , , 0.685, -3.75, 0, 0, 0, 0, 0, 0, , NO, 0, 0, NO,
2116, BEAM    , CONLOAD, GZ, NO , NO, aDir[1], , , , 0.685, -3.75, 0, 0, 0, 0, 0, 0, , NO, 0, 0, NO,
2117, BEAM    , CONLOAD, GZ, NO , NO, aDir[1], , , , 0.685, -3.75, 0, 0, 0, 0, 0, 0, , NO, 0, 0, NO,
2118, BEAM    , CONLOAD, GZ, NO , NO, aDir[1], , , , 0.685, -3.75, 0, 0, 0, 0, 0, 0, , NO, 0, 0, NO,
2119, BEAM    , CONLOAD, GZ, NO , NO, aDir[1], , , , 0.685, -3.75, 0, 0, 0, 0, 0, 0, , NO, 0, 0, NO,
2120, BEAM    , CONLOAD, GZ, NO , NO, aDir[1], , , , 0.685, -3.75, 0, 0, 0, 0, 0, 0, , NO, 0, 0, NO,
2121, BEAM    , CONLOAD, GZ, NO , NO, aDir[1], , , , 0.685, -53.75, 0, 0, 0, 0, 0, 0, , NO, 0, 0, NO,
2122, BEAM    , CONLOAD, GZ, NO , NO, aDir[1], , , , 0.685, -43.75, 0, 0, 0, 0, 0, 0, , NO, 0, 0, NO,
2123, BEAM    , CONLOAD, GZ, NO , NO, aDir[1], , , , 0.685, -13.75, 0, 0, 0, 0, 0, 0, , NO, 0, 0, NO,
2124, BEAM    , CONLOAD, GZ, NO , NO, aDir[1], , , , 0.685, -3.75, 0, 0, 0, 0, 0, 0, , NO, 0, 0, NO,
2125, BEAM    , CONLOAD, GZ, NO , NO, aDir[1], , , , 0.685, -3.75, 0, 0, 0, 0, 0, 0, , NO, 0, 0, NO,
2126, BEAM    , CONLOAD, GZ, NO , NO, aDir[1], , , , 0.685, -3.75, 0, 0, 0, 0, 0, 0, , NO, 0, 0, NO,
2127, BEAM    , CONLOAD, GZ, NO , NO, aDir[1], , , , 0.685, -3.75, 0, 0, 0, 0, 0, 0, , NO, 0, 0, NO,
2128, BEAM    , CONLOAD, GZ, NO , NO, aDir[1], , , , 0.685, -3.75, 0, 0, 0, 0, 0, 0, , NO, 0, 0, NO,
2129, BEAM    , CONLOAD, GZ, NO , NO, aDir[1], , , , 0.685, -3.75, 0, 0, 0, 0, 0, 0, , NO, 0, 0, NO,
2130, BEAM    , CONLOAD, GZ, NO , NO, aDir[1], , , , 0.685, -3.75, 0, 0, 0, 0, 0, 0, , NO, 0, 0, NO,
2131, BEAM    , CONLOAD, GZ, NO , NO, aDir[1], , , , 0.685, -3.75, 0, 0, 0, 0, 0, 0, , NO, 0, 0, NO,
2132, BEAM    , CONLOAD, GZ, NO , NO, aDir[1], , , , 0.685, -3.75, 0, 0, 0, 0, 0, 0, , NO, 0, 0, NO,
2133, BEAM    , CONLOAD, GZ, NO , NO, aDir[1], , , , 0.685, -3.75, 0, 0, 0, 0, 0, 0, , NO, 0, 0, NO,
2134, BEAM    , CONLOAD, GZ, NO , NO, aDir[1], , , , 0.685, -3.75, 0, 0, 0, 0, 0, 0, , NO, 0, 0, NO,
2135, BEAM    , CONLOAD, GZ, NO , NO, aDir[1], , , , 0.685, -3.75, 0, 0, 0, 0, 0, 0, , NO, 0, 0, NO,
2136, BEAM    , CONLOAD, GZ, NO , NO, aDir[1], , , , 0.685, -3.75, 0, 0, 0, 0, 0, 0, , NO, 0, 0, NO,
2137, BEAM    , CONLOAD, GZ, NO , NO, aDir[1], , , , 0.685, -3.75, 0, 0, 0, 0, 0, 0, , NO, 0, 0, NO,
2138, BEAM    , CONLOAD, GZ, NO , NO, aDir[1], , , , 0.685, -3.75, 0, 0, 0, 0, 0, 0, , NO, 0, 0, NO,
2139, BEAM    , CONLOAD, GZ, NO , NO, aDir[1], , , , 0.685, -3.75, 0, 0, 0, 0, 0, 0, , NO, 0, 0, NO,
2140, BEAM    , CONLOAD, GZ, NO , NO, aDir[1], , , , 0.685, -3.75, 0, 0, 0, 0, 0, 0, , NO, 0, 0, NO,
2141, BEAM    , CONLOAD, GZ, NO , NO, aDir[1], , , , 0.685, -3.75, 0, 0, 0, 0, 0, 0, , NO, 0, 0, NO,
2142, BEAM    , CONLOAD, GZ, NO , NO, aDir[1], , , , 0.685, -3.75, 0, 0, 0, 0, 0, 0, , NO, 0, 0, NO,
2143, BEAM    , CONLOAD, GZ, NO , NO, aDir[1], , , , 0.685, -3.75, 0, 0, 0, 0, 0, 0, , NO, 0, 0, NO,
2144, BEAM    , CONLOAD, GZ, NO , NO, aDir[1], , , , 0.685, -1.875, 0, 0, 0, 0, 0, 0, , NO, 0, 0, NO,
2145, BEAM    , CONLOAD, GZ, NO , NO, aDir[1], , , , 0.143, -156.75, 0, 0, 0, 0, 0, 0, , NO, 0, 0, NO,
2145, BEAM    , CONLOAD, GZ, NO , NO, aDir[1], , , , 0.734, -1.875, 0, 0, 0, 0, 0, 0, , NO, 0, 0, NO,
2146, BEAM    , CONLOAD, GZ, NO , NO, aDir[1], , , , 0.143, -133.5, 0, 0, 0, 0, 0, 0, , NO, 0, 0, NO,
2146, BEAM    , CONLOAD, GZ, NO , NO, aDir[1], , , , 0.734, -3.75, 0, 0, 0, 0, 0, 0, , NO, 0, 0, NO,
2147, BEAM    , CONLOAD, GZ, NO , NO, aDir[1], , , , 0.143, -43.5, 0, 0, 0, 0, 0, 0, , NO, 0, 0, NO,
2147, BEAM    , CONLOAD, GZ, NO , NO, aDir[1], , , , 0.734, -3.75, 0, 0, 0, 0, 0, 0, , NO, 0, 0, NO,
2148, BEAM    , CONLOAD, GZ, NO , NO, aDir[1], , , , 0.143, -13.5, 0, 0, 0, 0, 0, 0, , NO, 0, 0, NO,
2148, BEAM    , CONLOAD, GZ, NO , NO, aDir[1], , , , 0.734, -3.75, 0, 0, 0, 0, 0, 0, , NO, 0, 0, NO,
2149, BEAM    , CONLOAD, GZ, NO , NO, aDir[1], , , , 0.734, -3.75, 0, 0, 0, 0, 0, 0, , NO, 0, 0, NO,
2149, BEAM    , CONLOAD, GZ, NO , NO, aDir[1], , , , 0.143, -13.5, 0, 0, 0, 0, 0, 0, , NO, 0, 0, NO,
2150, BEAM    , CONLOAD, GZ, NO , NO, aDir[1], , , , 0.143, -13.5, 0, 0, 0, 0, 0, 0, , NO, 0, 0, NO,
2150, BEAM    , CONLOAD, GZ, NO , NO, aDir[1], , , , 0.734, -3.75, 0, 0, 0, 0, 0, 0, , NO, 0, 0, NO,
2151, BEAM    , CONLOAD, GZ, NO , NO, aDir[1], , , , 0.143, -13.5, 0, 0, 0, 0, 0, 0, , NO, 0, 0, NO,
2151, BEAM    , CONLOAD, GZ, NO , NO, aDir[1], , , , 0.734, -3.75, 0, 0, 0, 0, 0, 0, , NO, 0, 0, NO,
2152, BEAM    , CONLOAD, GZ, NO , NO, aDir[1], , , , 0.734, -3.75, 0, 0, 0, 0, 0, 0, , NO, 0, 0, NO,
2152, BEAM    , CONLOAD, GZ, NO , NO, aDir[1], , , , 0.143, -13.5, 0, 0, 0, 0, 0, 0, , NO, 0, 0, NO,
2153, BEAM    , CONLOAD, GZ, NO , NO, aDir[1], , , , 0.734, -3.75, 0, 0, 0, 0, 0, 0, , NO, 0, 0, NO,
2153, BEAM    , CONLOAD, GZ, NO , NO, aDir[1], , , , 0.143, -13.5, 0, 0, 0, 0, 0, 0, , NO, 0, 0, NO,
2154, BEAM    , CONLOAD, GZ, NO , NO, aDir[1], , , , 0.143, -13.5, 0, 0, 0, 0, 0, 0, , NO, 0, 0, NO,
2154, BEAM    , CONLOAD, GZ, NO , NO, aDir[1], , , , 0.734, -3.75, 0, 0, 0, 0, 0, 0, , NO, 0, 0, NO,
2155, BEAM    , CONLOAD, GZ, NO , NO, aDir[1], , , , 0.143, -13.5, 0, 0, 0, 0, 0, 0, , NO, 0, 0, NO,
2155, BEAM    , CONLOAD, GZ, NO , NO, aDir[1], , , , 0.734, -3.75, 0, 0, 0, 0, 0, 0, , NO, 0, 0, NO,
2156, BEAM    , CONLOAD, GZ, NO , NO, aDir[1], , , , 0.143, -13.5, 0, 0, 0, 0, 0, 0, , NO, 0, 0, NO,
2156, BEAM    , CONLOAD, GZ, NO , NO, aDir[1], , , , 0.734, -3.75, 0, 0, 0, 0, 0, 0, , NO, 0, 0, NO,
2157, BEAM    , CONLOAD, GZ, NO , NO, aDir[1], , , , 0.734, -3.75, 0, 0, 0, 0, 0, 0, , NO, 0, 0, NO,
2157, BEAM    , CONLOAD, GZ, NO , NO, aDir[1], , , , 0.143, -13.5, 0, 0, 0, 0, 0, 0, , NO, 0, 0, NO,
2158, BEAM    , CONLOAD, GZ, NO , NO, aDir[1], , , , 0.143, -13.5, 0, 0, 0, 0, 0, 0, , NO, 0, 0, NO,
2158, BEAM    , CONLOAD, GZ, NO , NO, aDir[1], , , , 0.734, -3.75, 0, 0, 0, 0, 0, 0, , NO, 0, 0, NO,
2159, BEAM    , CONLOAD, GZ, NO , NO, aDir[1], , , , 0.143, -13.5, 0, 0, 0, 0, 0, 0, , NO, 0, 0, NO,
2159, BEAM    , CONLOAD, GZ, NO , NO, aDir[1], , , , 0.734, -103.75, 0, 0, 0, 0, 0, 0, , NO, 0, 0, NO,
2160, BEAM    , CONLOAD, GZ, NO , NO, aDir[1], , , , 0.734, -83.75, 0, 0, 0, 0, 0, 0, , NO, 0, 0, NO,
2160, BEAM    , CONLOAD, GZ, NO , NO, aDir[1], , , , 0.143, -13.5, 0, 0, 0, 0, 0, 0, , NO, 0, 0, NO,
2161, BEAM    , CONLOAD, GZ, NO , NO, aDir[1], , , , 0.734, -23.75, 0, 0, 0, 0, 0, 0, , NO, 0, 0, NO,
2161, BEAM    , CONLOAD, GZ, NO , NO, aDir[1], , , , 0.143, -13.5, 0, 0, 0, 0, 0, 0, , NO, 0, 0, NO,
2162, BEAM    , CONLOAD, GZ, NO , NO, aDir[1], , , , 0.734, -3.75, 0, 0, 0, 0, 0, 0, , NO, 0, 0, NO,
```

2162,	BEAM	,	CONLOAD,	GZ,	NO	,	NO,	aDir[1],	,	,	,	0.143,	-13.5,	0,	0,	0,	0,	0,	0,	,	NO,	0,	0,	NO,
2163,	BEAM	,	CONLOAD,	GZ,	NO	,	NO,	aDir[1],	,	,	,	0.734,	-3.75,	0,	0,	0,	0,	0,	0,	,	NO,	0,	0,	NO,
2163,	BEAM	,	CONLOAD,	GZ,	NO	,	NO,	aDir[1],	,	,	,	0.143,	-13.5,	0,	0,	0,	0,	0,	0,	,	NO,	0,	0,	NO,
2164,	BEAM	,	CONLOAD,	GZ,	NO	,	NO,	aDir[1],	,	,	,	0.143,	-13.5,	0,	0,	0,	0,	0,	0,	,	NO,	0,	0,	NO,
2164,	BEAM	,	CONLOAD,	GZ,	NO	,	NO,	aDir[1],	,	,	,	0.734,	-3.75,	0,	0,	0,	0,	0,	0,	,	NO,	0,	0,	NO,
2165,	BEAM	,	CONLOAD,	GZ,	NO	,	NO,	aDir[1],	,	,	,	0.734,	-3.75,	0,	0,	0,	0,	0,	0,	,	NO,	0,	0,	NO,
2165,	BEAM	,	CONLOAD,	GZ,	NO	,	NO,	aDir[1],	,	,	,	0.143,	-13.5,	0,	0,	0,	0,	0,	0,	,	NO,	0,	0,	NO,
2166,	BEAM	,	CONLOAD,	GZ,	NO	,	NO,	aDir[1],	,	,	,	0.143,	-13.5,	0,	0,	0,	0,	0,	0,	,	NO,	0,	0,	NO,
2166,	BEAM	,	CONLOAD,	GZ,	NO	,	NO,	aDir[1],	,	,	,	0.734,	-3.75,	0,	0,	0,	0,	0,	0,	,	NO,	0,	0,	NO,
2167,	BEAM	,	CONLOAD,	GZ,	NO	,	NO,	aDir[1],	,	,	,	0.734,	-3.75,	0,	0,	0,	0,	0,	0,	,	NO,	0,	0,	NO,
2167,	BEAM	,	CONLOAD,	GZ,	NO	,	NO,	aDir[1],	,	,	,	0.143,	-13.5,	0,	0,	0,	0,	0,	0,	,	NO,	0,	0,	NO,
2168,	BEAM	,	CONLOAD,	GZ,	NO	,	NO,	aDir[1],	,	,	,	0.143,	-13.5,	0,	0,	0,	0,	0,	0,	,	NO,	0,	0,	NO,
2168,	BEAM	,	CONLOAD,	GZ,	NO	,	NO,	aDir[1],	,	,	,	0.734,	-3.75,	0,	0,	0,	0,	0,	0,	,	NO,	0,	0,	NO,
2169,	BEAM	,	CONLOAD,	GZ,	NO	,	NO,	aDir[1],	,	,	,	0.143,	-13.5,	0,	0,	0,	0,	0,	0,	,	NO,	0,	0,	NO,
2169,	BEAM	,	CONLOAD,	GZ,	NO	,	NO,	aDir[1],	,	,	,	0.734,	-3.75,	0,	0,	0,	0,	0,	0,	,	NO,	0,	0,	NO,
2170,	BEAM	,	CONLOAD,	GZ,	NO	,	NO,	aDir[1],	,	,	,	0.143,	-13.5,	0,	0,	0,	0,	0,	0,	,	NO,	0,	0,	NO,
2170,	BEAM	,	CONLOAD,	GZ,	NO	,	NO,	aDir[1],	,	,	,	0.734,	-3.75,	0,	0,	0,	0,	0,	0,	,	NO,	0,	0,	NO,
2171,	BEAM	,	CONLOAD,	GZ,	NO	,	NO,	aDir[1],	,	,	,	0.734,	-3.75,	0,	0,	0,	0,	0,	0,	,	NO,	0,	0,	NO,
2171,	BEAM	,	CONLOAD,	GZ,	NO	,	NO,	aDir[1],	,	,	,	0.143,	-13.5,	0,	0,	0,	0,	0,	0,	,	NO,	0,	0,	NO,
2172,	BEAM	,	CONLOAD,	GZ,	NO	,	NO,	aDir[1],	,	,	,	0.143,	-13.5,	0,	0,	0,	0,	0,	0,	,	NO,	0,	0,	NO,
2172,	BEAM	,	CONLOAD,	GZ,	NO	,	NO,	aDir[1],	,	,	,	0.734,	-3.75,	0,	0,	0,	0,	0,	0,	,	NO,	0,	0,	NO,
2173,	BEAM	,	CONLOAD,	GZ,	NO	,	NO,	aDir[1],	,	,	,	0.734,	-3.75,	0,	0,	0,	0,	0,	0,	,	NO,	0,	0,	NO,
2173,	BEAM	,	CONLOAD,	GZ,	NO	,	NO,	aDir[1],	,	,	,	0.143,	-13.5,	0,	0,	0,	0,	0,	0,	,	NO,	0,	0,	NO,
2174,	BEAM	,	CONLOAD,	GZ,	NO	,	NO,	aDir[1],	,	,	,	0.734,	-3.75,	0,	0,	0,	0,	0,	0,	,	NO,	0,	0,	NO,
2174,	BEAM	,	CONLOAD,	GZ,	NO	,	NO,	aDir[1],	,	,	,	0.143,	-13.5,	0,	0,	0,	0,	0,	0,	,	NO,	0,	0,	NO,
2175,	BEAM	,	CONLOAD,	GZ,	NO	,	NO,	aDir[1],	,	,	,	0.143,	-13.5,	0,	0,	0,	0,	0,	0,	,	NO,	0,	0,	NO,
2175,	BEAM	,	CONLOAD,	GZ,	NO	,	NO,	aDir[1],	,	,	,	0.734,	-3.75,	0,	0,	0,	0,	0,	0,	,	NO,	0,	0,	NO,
2176,	BEAM	,	CONLOAD,	GZ,	NO	,	NO,	aDir[1],	,	,	,	0.734,	-3.75,	0,	0,	0,	0,	0,	0,	,	NO,	0,	0,	NO,
2176,	BEAM	,	CONLOAD,	GZ,	NO	,	NO,	aDir[1],	,	,	,	0.143,	-13.5,	0,	0,	0,	0,	0,	0,	,	NO,	0,	0,	NO,
2177,	BEAM	,	CONLOAD,	GZ,	NO	,	NO,	aDir[1],	,	,	,	0.143,	-13.5,	0,	0,	0,	0,	0,	0,	,	NO,	0,	0,	NO,
2177,	BEAM	,	CONLOAD,	GZ,	NO	,	NO,	aDir[1],	,	,	,	0.734,	-3.75,	0,	0,	0,	0,	0,	0,	,	NO,	0,	0,	NO,
2178,	BEAM	,	CONLOAD,	GZ,	NO	,	NO,	aDir[1],	,	,	,	0.143,	-13.5,	0,	0,	0,	0,	0,	0,	,	NO,	0,	0,	NO,
2178,	BEAM	,	CONLOAD,	GZ,	NO	,	NO,	aDir[1],	,	,	,	0.734,	-3.75,	0,	0,	0,	0,	0,	0,	,	NO,	0,	0,	NO,
2179,	BEAM	,	CONLOAD,	GZ,	NO	,	NO,	aDir[1],	,	,	,	0.143,	-13.5,	0,	0,	0,	0,	0,	0,	,	NO,	0,	0,	NO,
2179,	BEAM	,	CONLOAD,	GZ,	NO	,	NO,	aDir[1],	,	,	,	0.734,	-3.75,	0,	0,	0,	0,	0,	0,	,	NO,	0,	0,	NO,
2180,	BEAM	,	CONLOAD,	GZ,	NO	,	NO,	aDir[1],	,	,	,	0.734,	-3.75,	0,	0,	0,	0,	0,	0,	,	NO,	0,	0,	NO,
2180,	BEAM	,	CONLOAD,	GZ,	NO	,	NO,	aDir[1],	,	,	,	0.143,	-13.5,	0,	0,	0,	0,	0,	0,	,	NO,	0,	0,	NO,
2181,	BEAM	,	CONLOAD,	GZ,	NO	,	NO,	aDir[1],	,	,	,	0.734,	-3.75,	0,	0,	0,	0,	0,	0,	,	NO,	0,	0,	NO,
2181,	BEAM	,	CONLOAD,	GZ,	NO	,	NO,	aDir[1],	,	,	,	0.143,	-13.5,	0,	0,	0,	0,	0,	0,	,	NO,	0,	0,	NO,
2182,	BEAM	,	CONLOAD,	GZ,	NO	,	NO,	aDir[1],	,	,	,	0.734,	-3.75,	0,	0,	0,	0,	0,	0,	,	NO,	0,	0,	NO,
2182,	BEAM	,	CONLOAD,	GZ,	NO	,	NO,	aDir[1],	,	,	,	0.143,	-13.5,	0,	0,	0,	0,	0,	0,	,	NO,	0,	0,	NO,
2183,	BEAM	,	CONLOAD,	GZ,	NO	,	NO,	aDir[1],	,	,	,	0.734,	-3.75,	0,	0,	0,	0,	0,	0,	,	NO,	0,	0,	NO,
2183,	BEAM	,	CONLOAD,	GZ,	NO	,	NO,	aDir[1],	,	,	,	0.143,	-13.5,	0,	0,	0,	0,	0,	0,	,	NO,	0,	0,	NO,
2184,	BEAM	,	CONLOAD,	GZ,	NO	,	NO,	aDir[1],	,	,	,	0.734,	-3.75,	0,	0,	0,	0,	0,	0,	,	NO,	0,	0,	NO,
2184,	BEAM	,	CONLOAD,	GZ,	NO	,	NO,	aDir[1],	,	,	,	0.143,	-13.5,	0,	0,	0,	0,	0,	0,	,	NO,	0,	0,	NO,
2185,	BEAM	,	CONLOAD,	GZ,	NO	,	NO,	aDir[1],	,	,	,	0.734,	-3.75,	0,	0,	0,	0,	0,	0,	,	NO,	0,	0,	NO,
2185,	BEAM	,	CONLOAD,	GZ,	NO	,	NO,	aDir[1],	,	,	,	0.143,	-13.5,	0,	0,	0,	0,	0,	0,	,	NO,	0,	0,	NO,
2186,	BEAM	,	CONLOAD,	GZ,	NO	,	NO,	aDir[1],	,	,	,	0.734,	-1.875,	0,	0,	0,	0,	0,	0,	,	NO,	0,	0,	NO,
2186,	BEAM	,	CONLOAD,	GZ,	NO	,	NO,	aDir[1],	,	,	,	0.143,	-6.75,	0,	0,	0,	0,	0,	0,	,	NO,	0,	0,	NO,
2724,	BEAM	,	CONLOAD,	GZ,	NO	,	NO,	aDir[1],	,	,	,	0.084,	-1.875,	0,	0,	0,	0,	0,	0,	,	NO,	0,	0,	NO,
2725,	BEAM	,	CONLOAD,	GZ,	NO	,	NO,	aDir[1],	,	,	,	0.084,	-3.75,	0,	0,	0,	0,	0,	0,	,	NO,	0,	0,	NO,
2726,	BEAM	,	CONLOAD,	GZ,	NO	,	NO,	aDir[1],	,	,	,	0.084,	-3.75,	0,	0,	0,	0,	0,	0,	,	NO,	0,	0,	NO,
2727,	BEAM	,	CONLOAD,	GZ,	NO	,	NO,	aDir[1],	,	,	,	0.084,	-3.75,	0,	0,	0,	0,	0,	0,	,	NO,	0,	0,	NO,
2728,	BEAM	,	CONLOAD,	GZ,	NO	,	NO,	aDir[1],	,	,	,	0.084,	-3.75,	0,	0,	0,	0,	0,	0,	,	NO,	0,	0,	NO,
2729,	BEAM	,	CONLOAD,	GZ,	NO	,	NO,	aDir[1],	,	,	,	0.084,	-3.75,	0,	0,	0,	0,	0,	0,	,	NO,	0,	0,	NO,
2730,	BEAM	,	CONLOAD,	GZ,	NO	,	NO,	aDir[1],	,	,	,	0.084,	-3.75,	0,	0,	0,	0,	0,	0,	,	NO,	0,	0,	NO,
2731,	BEAM	,	CONLOAD,	GZ,	NO	,	NO,	aDir[1],	,	,	,	0.084,	-3.75,	0,	0,	0,	0,	0,	0,	,	NO,	0,	0,	NO,
2732,	BEAM	,	CONLOAD,	GZ,	NO	,	NO,	aDir[1],	,	,	,	0.084,	-3.75,	0,	0,	0,	0,	0,	0,	,	NO,	0,	0,	NO,
2733,	BEAM	,	CONLOAD,	GZ,	NO	,	NO,	aDir[1],	,	,	,	0.084,	-3.75,	0,	0,	0,	0,	0,	0,	,	NO,	0,	0,	NO,
2734,	BEAM	,	CONLOAD,	GZ,	NO	,	NO,	aDir[1],	,	,	,	0.084,	-3.75,	0,	0,	0,	0,	0,	0,	,	NO,	0,	0,	NO,
2735,	BEAM	,	CONLOAD,	GZ,	NO	,	NO,	aDir[1],	,	,	,	0.084,	-3.75,	0,	0,	0,	0,	0,	0,	,	NO,	0,	0,	NO,
2736,	BEAM	,	CONLOAD,	GZ,	NO	,	NO,	aDir[1],	,	,	,	0.084,	-3.75,	0,	0,	0,	0,	0,	0,	,	NO,	0,	0,	NO,
2737,	BEAM	,	CONLOAD,	GZ,	NO	,	NO,	aDir[1],	,	,	,	0.084,	-3.75,	0,	0,	0,	0,	0,	0,	,	NO,	0,	0,	NO,
2738,	BEAM	,	CONLOAD,	GZ,	NO	,	NO,	aDir[1],	,	,	,	0.084,	-103.75,	0,	0,	0,	0,	0,	0,	,	NO,	0,	0,	NO,
2739,	BEAM	,	CONLOAD,	GZ,	NO	,	NO,	aDir[1],	,	,	,	0.084,	-83.75,	0,	0,	0,	0,	0,	0,	,	NO,	0,	0,	NO,
2740,	BEAM	,	CONLOAD,	GZ,	NO	,	NO,	aDir[1],	,	,	,	0.084,	-23.75,	0,	0,	0,	0,	0,	0,	,	NO,	0,	0,	NO,
2741,	BEAM	,	CONLOAD,	GZ,	NO	,	NO,	aDir[1],	,	,	,	0.084,	-3.75,	0,	0,	0,	0,	0,	0,	,	NO,	0,	0,	NO,
2742,	BEAM	,	CONLOAD,	GZ,	NO	,	NO,	aDir[1],	,	,	,	0.084,	-3.75,	0,	0,	0,	0,	0,	0,	,	NO,	0,	0,	NO,
2743,	BEAM	,	CONLOAD,	GZ,	NO	,	NO,	aDir[1],	,	,	,	0.084,	-3.75,	0,	0,	0,	0,	0,	0,	,	NO,	0,	0,	NO,
2744,	BEAM	,	CONLOAD,	GZ,	NO	,	NO,	aDir[1],	,	,	,	0.084,	-3.75,	0,	0,	0,	0,	0,	0,	,	NO,	0,	0,	NO,
2745,	BEAM	,	CONLOAD,	GZ,	NO	,	NO,	aDir[1],	,	,	,	0.084,	-3.75,	0,	0,	0,	0,	0,	0,	,	NO,	0,	0,	NO,
2746,	BEAM	,	CONLOAD,	GZ,	NO	,	NO,	aDir[1],	,	,	,	0.084,	-3.75,	0,	0,	0,	0,	0,	0,	,	NO,	0,	0,	NO,
2747,	BEAM	,	CONLOAD,	GZ,	NO	,	NO,	aDir[1],	,	,	,	0.084,	-3.75,	0,	0,	0,	0,	0,	0,	,	NO,	0,	0,	NO,
2748,	BEAM	,	CONLOAD,	GZ,	NO	,	NO,	aDir[1],	,	,	,	0.084,	-3.75,	0,	0,	0,	0,	0,	0,	,	NO,	0,	0,	NO,
2749,	BEAM	,	CONLOAD,	GZ,	NO	,	NO,	aDir[1],	,	,	,	0.084,	-3.75,	0,	0,	0,	0,	0,	0,	,	NO,	0,	0,	NO,
2750,	BEAM	,	CONLOAD,	GZ,	NO	,	NO,	aDir[1],	,	,	,	0.084,	-3.75,	0,	0,	0,	0,	0,	0,	,	NO,	0,	0,	NO,
2751,	BEAM	,	CONLOAD,	GZ,	NO	,	NO,	aDir[1],	,	,	,	0.084,	-3.75,	0,	0,	0,	0,	0,	0,	,	NO,	0,	0,	NO,
2752,	BEAM	,	CONLOAD,	GZ,	NO	,	NO,	aDir[1],	,	,	,	0.084,	-3.75,	0,	0,	0,	0,	0,	0,	,	NO,	0,	0,	NO,

```
  2753, BEAM    , CONLOAD, GZ, NO , NO, aDir[1], , , , 0.084, -3.75, 0, 0, 0, 0, 0, 0, , NO, 0, 0, NO,
  2754, BEAM    , CONLOAD, GZ, NO , NO, aDir[1], , , , 0.084, -3.75, 0, 0, 0, 0, 0, 0, , NO, 0, 0, NO,
  2755, BEAM    , CONLOAD, GZ, NO , NO, aDir[1], , , , 0.084, -3.75, 0, 0, 0, 0, 0, 0, , NO, 0, 0, NO,
  2756, BEAM    , CONLOAD, GZ, NO , NO, aDir[1], , , , 0.084, -3.75, 0, 0, 0, 0, 0, 0, , NO, 0, 0, NO,
  2757, BEAM    , CONLOAD, GZ, NO , NO, aDir[1], , , , 0.084, -3.75, 0, 0, 0, 0, 0, 0, , NO, 0, 0, NO,
  2758, BEAM    , CONLOAD, GZ, NO , NO, aDir[1], , , , 0.084, -3.75, 0, 0, 0, 0, 0, 0, , NO, 0, 0, NO,
  2759, BEAM    , CONLOAD, GZ, NO , NO, aDir[1], , , , 0.084, -3.75, 0, 0, 0, 0, 0, 0, , NO, 0, 0, NO,
  2760, BEAM    , CONLOAD, GZ, NO , NO, aDir[1], , , , 0.084, -3.75, 0, 0, 0, 0, 0, 0, , NO, 0, 0, NO,
  2761, BEAM    , CONLOAD, GZ, NO , NO, aDir[1], , , , 0.084, -3.75, 0, 0, 0, 0, 0, 0, , NO, 0, 0, NO,
  2762, BEAM    , CONLOAD, GZ, NO , NO, aDir[1], , , , 0.084, -3.75, 0, 0, 0, 0, 0, 0, , NO, 0, 0, NO,
  2763, BEAM    , CONLOAD, GZ, NO , NO, aDir[1], , , , 0.084, -3.75, 0, 0, 0, 0, 0, 0, , NO, 0, 0, NO,
  2764, BEAM    , CONLOAD, GZ, NO , NO, aDir[1], , , , 0.084, -3.75, 0, 0, 0, 0, 0, 0, , NO, 0, 0, NO,
  2765, BEAM    , CONLOAD, GZ, NO , NO, aDir[1], , , , 0.084, -1.875, 0, 0, 0, 0, 0, 0, , NO, 0, 0, NO,

; End of data for load case [node 56_max Fz] -------------------------

*USE-STLD, node 55_max Fz

*BEAMLOAD    ; Element Beam Loads
; ELEM_LIST, CMD, TYPE, DIR, bPROJ, [ECCEN], [VALUE], GROUP
; ELEM_LIST, CMD, TYPE, TYPE, DIR, VX, VY, VZ, bPROJ, [ECCEN], [VALUE], GROUP
; [VALUE]       : D1, P1, D2, P2, D3, P3, D4, P4
; [ECCEN]       : bECCEN, ECCDIR, I-END, J-END, bJ-END
; [ADDITIONAL]  : bADDITIONAL, ADDITIONAL_I-END, ADDITIONAL_J-END, bADDITIONAL_J-END
   440, BEAM    , CONLOAD, GZ, NO , NO, aDir[1], , , , 0.088, -1.875, 0, 0, 0, 0, 0, 0, , NO, 0, 0, NO,
   445, BEAM    , CONLOAD, GZ, NO , NO, aDir[1], , , , 0.088, -3.75, 0, 0, 0, 0, 0, 0, , NO, 0, 0, NO,
   450, BEAM    , CONLOAD, GZ, NO , NO, aDir[1], , , , 0.088, -3.7505, 0, 0, 0, 0, 0, 0, , NO, 0, 0, NO,
   455, BEAM    , CONLOAD, GZ, NO , NO, aDir[1], , , , 0.088, -53.7495, 0, 0, 0, 0, 0, 0, , NO, 0, 0, NO,
   460, BEAM    , CONLOAD, GZ, NO , NO, aDir[1], , , , 0.088, -43.7505, 0, 0, 0, 0, 0, 0, , NO, 0, 0, NO,
   465, BEAM    , CONLOAD, GZ, NO , NO, aDir[1], , , , 0.088, -13.7495, 0, 0, 0, 0, 0, 0, , NO, 0, 0, NO,
   470, BEAM    , CONLOAD, GZ, NO , NO, aDir[1], , , , 0.088, -3.75, 0, 0, 0, 0, 0, 0, , NO, 0, 0, NO,
   475, BEAM    , CONLOAD, GZ, NO , NO, aDir[1], , , , 0.088, -3.75, 0, 0, 0, 0, 0, 0, , NO, 0, 0, NO,
   480, BEAM    , CONLOAD, GZ, NO , NO, aDir[1], , , , 0.088, -3.75, 0, 0, 0, 0, 0, 0, , NO, 0, 0, NO,
   485, BEAM    , CONLOAD, GZ, NO , NO, aDir[1], , , , 0.088, -3.75, 0, 0, 0, 0, 0, 0, , NO, 0, 0, NO,
   490, BEAM    , CONLOAD, GZ, NO , NO, aDir[1], , , , 0.088, -3.75, 0, 0, 0, 0, 0, 0, , NO, 0, 0, NO,
   495, BEAM    , CONLOAD, GZ, NO , NO, aDir[1], , , , 0.088, -3.75, 0, 0, 0, 0, 0, 0, , NO, 0, 0, NO,
   500, BEAM    , CONLOAD, GZ, NO , NO, aDir[1], , , , 0.088, -3.75, 0, 0, 0, 0, 0, 0, , NO, 0, 0, NO,
   505, BEAM    , CONLOAD, GZ, NO , NO, aDir[1], , , , 0.088, -3.75, 0, 0, 0, 0, 0, 0, , NO, 0, 0, NO,
   510, BEAM    , CONLOAD, GZ, NO , NO, aDir[1], , , , 0.088, -3.75, 0, 0, 0, 0, 0, 0, , NO, 0, 0, NO,
   515, BEAM    , CONLOAD, GZ, NO , NO, aDir[1], , , , 0.088, -3.75, 0, 0, 0, 0, 0, 0, , NO, 0, 0, NO,
   520, BEAM    , CONLOAD, GZ, NO , NO, aDir[1], , , , 0.088, -3.75, 0, 0, 0, 0, 0, 0, , NO, 0, 0, NO,
   525, BEAM    , CONLOAD, GZ, NO , NO, aDir[1], , , , 0.088, -3.75, 0, 0, 0, 0, 0, 0, , NO, 0, 0, NO,
   530, BEAM    , CONLOAD, GZ, NO , NO, aDir[1], , , , 0.088, -3.75, 0, 0, 0, 0, 0, 0, , NO, 0, 0, NO,
   535, BEAM    , CONLOAD, GZ, NO , NO, aDir[1], , , , 0.088, -3.75, 0, 0, 0, 0, 0, 0, , NO, 0, 0, NO,
   540, BEAM    , CONLOAD, GZ, NO , NO, aDir[1], , , , 0.088, -3.75, 0, 0, 0, 0, 0, 0, , NO, 0, 0, NO,
   545, BEAM    , CONLOAD, GZ, NO , NO, aDir[1], , , , 0.088, -3.75, 0, 0, 0, 0, 0, 0, , NO, 0, 0, NO,
   550, BEAM    , CONLOAD, GZ, NO , NO, aDir[1], , , , 0.088, -3.75, 0, 0, 0, 0, 0, 0, , NO, 0, 0, NO,
   555, BEAM    , CONLOAD, GZ, NO , NO, aDir[1], , , , 0.088, -3.75, 0, 0, 0, 0, 0, 0, , NO, 0, 0, NO,
   560, BEAM    , CONLOAD, GZ, NO , NO, aDir[1], , , , 0.088, -3.75, 0, 0, 0, 0, 0, 0, , NO, 0, 0, NO,
   565, BEAM    , CONLOAD, GZ, NO , NO, aDir[1], , , , 0.088, -3.75, 0, 0, 0, 0, 0, 0, , NO, 0, 0, NO,
   570, BEAM    , CONLOAD, GZ, NO , NO, aDir[1], , , , 0.088, -3.75, 0, 0, 0, 0, 0, 0, , NO, 0, 0, NO,
   575, BEAM    , CONLOAD, GZ, NO , NO, aDir[1], , , , 0.088, -3.75, 0, 0, 0, 0, 0, 0, , NO, 0, 0, NO,
   580, BEAM    , CONLOAD, GZ, NO , NO, aDir[1], , , , 0.088, -3.75, 0, 0, 0, 0, 0, 0, , NO, 0, 0, NO,
   585, BEAM    , CONLOAD, GZ, NO , NO, aDir[1], , , , 0.088, -3.75, 0, 0, 0, 0, 0, 0, , NO, 0, 0, NO,
   590, BEAM    , CONLOAD, GZ, NO , NO, aDir[1], , , , 0.088, -3.75, 0, 0, 0, 0, 0, 0, , NO, 0, 0, NO,
   595, BEAM    , CONLOAD, GZ, NO , NO, aDir[1], , , , 0.088, -3.75, 0, 0, 0, 0, 0, 0, , NO, 0, 0, NO,
   600, BEAM    , CONLOAD, GZ, NO , NO, aDir[1], , , , 0.088, -3.75, 0, 0, 0, 0, 0, 0, , NO, 0, 0, NO,
   605, BEAM    , CONLOAD, GZ, NO , NO, aDir[1], , , , 0.088, -3.75, 0, 0, 0, 0, 0, 0, , NO, 0, 0, NO,
   610, BEAM    , CONLOAD, GZ, NO , NO, aDir[1], , , , 0.088, -3.75, 0, 0, 0, 0, 0, 0, , NO, 0, 0, NO,
   615, BEAM    , CONLOAD, GZ, NO , NO, aDir[1], , , , 0.088, -3.75, 0, 0, 0, 0, 0, 0, , NO, 0, 0, NO,
   620, BEAM    , CONLOAD, GZ, NO , NO, aDir[1], , , , 0.088, -3.75, 0, 0, 0, 0, 0, 0, , NO, 0, 0, NO,
   625, BEAM    , CONLOAD, GZ, NO , NO, aDir[1], , , , 0.088, -3.75, 0, 0, 0, 0, 0, 0, , NO, 0, 0, NO,
   630, BEAM    , CONLOAD, GZ, NO , NO, aDir[1], , , , 0.088, -3.75, 0, 0, 0, 0, 0, 0, , NO, 0, 0, NO,
   635, BEAM    , CONLOAD, GZ, NO , NO, aDir[1], , , , 0.088, -3.75, 0, 0, 0, 0, 0, 0, , NO, 0, 0, NO,
   640, BEAM    , CONLOAD, GZ, NO , NO, aDir[1], , , , 0.088, -3.75, 0, 0, 0, 0, 0, 0, , NO, 0, 0, NO,
   645, BEAM    , CONLOAD, GZ, NO , NO, aDir[1], , , , 0.088, -1.875, 0, 0, 0, 0, 0, 0, , NO, 0, 0, NO,
  1519, BEAM    , CONLOAD, GZ, NO , NO, aDir[1], , , , 0.415, -101.875, 0, 0, 0, 0, 0, 0, , NO, 0, 0, NO,
  1520, BEAM    , CONLOAD, GZ, NO , NO, aDir[1], , , , 0.415, -83.75, 0, 0, 0, 0, 0, 0, , NO, 0, 0, NO,
  1521, BEAM    , CONLOAD, GZ, NO , NO, aDir[1], , , , 0.415, -23.75, 0, 0, 0, 0, 0, 0, , NO, 0, 0, NO,
  1522, BEAM    , CONLOAD, GZ, NO , NO, aDir[1], , , , 0.415, -3.75, 0, 0, 0, 0, 0, 0, , NO, 0, 0, NO,
  1523, BEAM    , CONLOAD, GZ, NO , NO, aDir[1], , , , 0.415, -3.75, 0, 0, 0, 0, 0, 0, , NO, 0, 0, NO,
  1524, BEAM    , CONLOAD, GZ, NO , NO, aDir[1], , , , 0.415, -3.75, 0, 0, 0, 0, 0, 0, , NO, 0, 0, NO,
  1525, BEAM    , CONLOAD, GZ, NO , NO, aDir[1], , , , 0.415, -3.75, 0, 0, 0, 0, 0, 0, , NO, 0, 0, NO,
  1526, BEAM    , CONLOAD, GZ, NO , NO, aDir[1], , , , 0.415, -3.75, 0, 0, 0, 0, 0, 0, , NO, 0, 0, NO,
  1527, BEAM    , CONLOAD, GZ, NO , NO, aDir[1], , , , 0.415, -3.75, 0, 0, 0, 0, 0, 0, , NO, 0, 0, NO,
  1528, BEAM    , CONLOAD, GZ, NO , NO, aDir[1], , , , 0.415, -3.75, 0, 0, 0, 0, 0, 0, , NO, 0, 0, NO,
  1529, BEAM    , CONLOAD, GZ, NO , NO, aDir[1], , , , 0.415, -3.75, 0, 0, 0, 0, 0, 0, , NO, 0, 0, NO,
  1530, BEAM    , CONLOAD, GZ, NO , NO, aDir[1], , , , 0.415, -3.75, 0, 0, 0, 0, 0, 0, , NO, 0, 0, NO,
```

```
1531, BEAM    , CONLOAD, GZ, NO , NO, aDir[1], , , , 0.415, -3.75, 0, 0, 0, 0, 0, 0, , NO, 0, 0, NO,
1532, BEAM    , CONLOAD, GZ, NO , NO, aDir[1], , , , 0.415, -3.75, 0, 0, 0, 0, 0, 0, , NO, 0, 0, NO,
1533, BEAM    , CONLOAD, GZ, NO , NO, aDir[1], , , , 0.415, -3.75, 0, 0, 0, 0, 0, 0, , NO, 0, 0, NO,
1534, BEAM    , CONLOAD, GZ, NO , NO, aDir[1], , , , 0.415, -3.75, 0, 0, 0, 0, 0, 0, , NO, 0, 0, NO,
1535, BEAM    , CONLOAD, GZ, NO , NO, aDir[1], , , , 0.415, -3.75, 0, 0, 0, 0, 0, 0, , NO, 0, 0, NO,
1536, BEAM    , CONLOAD, GZ, NO , NO, aDir[1], , , , 0.415, -3.75, 0, 0, 0, 0, 0, 0, , NO, 0, 0, NO,
1537, BEAM    , CONLOAD, GZ, NO , NO, aDir[1], , , , 0.415, -3.75, 0, 0, 0, 0, 0, 0, , NO, 0, 0, NO,
1538, BEAM    , CONLOAD, GZ, NO , NO, aDir[1], , , , 0.415, -3.75, 0, 0, 0, 0, 0, 0, , NO, 0, 0, NO,
1539, BEAM    , CONLOAD, GZ, NO , NO, aDir[1], , , , 0.415, -3.75, 0, 0, 0, 0, 0, 0, , NO, 0, 0, NO,
1540, BEAM    , CONLOAD, GZ, NO , NO, aDir[1], , , , 0.415, -3.75, 0, 0, 0, 0, 0, 0, , NO, 0, 0, NO,
1541, BEAM    , CONLOAD, GZ, NO , NO, aDir[1], , , , 0.415, -3.75, 0, 0, 0, 0, 0, 0, , NO, 0, 0, NO,
1542, BEAM    , CONLOAD, GZ, NO , NO, aDir[1], , , , 0.415, -3.75, 0, 0, 0, 0, 0, 0, , NO, 0, 0, NO,
1543, BEAM    , CONLOAD, GZ, NO , NO, aDir[1], , , , 0.415, -3.75, 0, 0, 0, 0, 0, 0, , NO, 0, 0, NO,
1544, BEAM    , CONLOAD, GZ, NO , NO, aDir[1], , , , 0.415, -3.75, 0, 0, 0, 0, 0, 0, , NO, 0, 0, NO,
1545, BEAM    , CONLOAD, GZ, NO , NO, aDir[1], , , , 0.415, -3.75, 0, 0, 0, 0, 0, 0, , NO, 0, 0, NO,
1546, BEAM    , CONLOAD, GZ, NO , NO, aDir[1], , , , 0.415, -3.75, 0, 0, 0, 0, 0, 0, , NO, 0, 0, NO,
1547, BEAM    , CONLOAD, GZ, NO , NO, aDir[1], , , , 0.415, -3.75, 0, 0, 0, 0, 0, 0, , NO, 0, 0, NO,
1548, BEAM    , CONLOAD, GZ, NO , NO, aDir[1], , , , 0.415, -3.75, 0, 0, 0, 0, 0, 0, , NO, 0, 0, NO,
1549, BEAM    , CONLOAD, GZ, NO , NO, aDir[1], , , , 0.415, -3.75, 0, 0, 0, 0, 0, 0, , NO, 0, 0, NO,
1550, BEAM    , CONLOAD, GZ, NO , NO, aDir[1], , , , 0.415, -3.75, 0, 0, 0, 0, 0, 0, , NO, 0, 0, NO,
1551, BEAM    , CONLOAD, GZ, NO , NO, aDir[1], , , , 0.415, -3.75, 0, 0, 0, 0, 0, 0, , NO, 0, 0, NO,
1552, BEAM    , CONLOAD, GZ, NO , NO, aDir[1], , , , 0.415, -3.75, 0, 0, 0, 0, 0, 0, , NO, 0, 0, NO,
1553, BEAM    , CONLOAD, GZ, NO , NO, aDir[1], , , , 0.415, -3.75, 0, 0, 0, 0, 0, 0, , NO, 0, 0, NO,
1554, BEAM    , CONLOAD, GZ, NO , NO, aDir[1], , , , 0.415, -3.75, 0, 0, 0, 0, 0, 0, , NO, 0, 0, NO,
1555, BEAM    , CONLOAD, GZ, NO , NO, aDir[1], , , , 0.415, -3.75, 0, 0, 0, 0, 0, 0, , NO, 0, 0, NO,
1556, BEAM    , CONLOAD, GZ, NO , NO, aDir[1], , , , 0.415, -3.75, 0, 0, 0, 0, 0, 0, , NO, 0, 0, NO,
1557, BEAM    , CONLOAD, GZ, NO , NO, aDir[1], , , , 0.415, -3.75, 0, 0, 0, 0, 0, 0, , NO, 0, 0, NO,
1558, BEAM    , CONLOAD, GZ, NO , NO, aDir[1], , , , 0.415, -3.75, 0, 0, 0, 0, 0, 0, , NO, 0, 0, NO,
1559, BEAM    , CONLOAD, GZ, NO , NO, aDir[1], , , , 0.415, -3.75, 0, 0, 0, 0, 0, 0, , NO, 0, 0, NO,
1560, BEAM    , CONLOAD, GZ, NO , NO, aDir[1], , , , 0.415, -1.875, 0, 0, 0, 0, 0, 0, , NO, 0, 0, NO,
2019, BEAM    , CONLOAD, GZ, NO , NO, aDir[1], , , , 0.784, -2.8125, 0, 0, 0, 0, 0, 0, , NO, 0, 0, NO,
2020, BEAM    , CONLOAD, GZ, NO , NO, aDir[1], , , , 0.784, -5.625, 0, 0, 0, 0, 0, 0, , NO, 0, 0, NO,
2021, BEAM    , CONLOAD, GZ, NO , NO, aDir[1], , , , 0.784, -5.625, 0, 0, 0, 0, 0, 0, , NO, 0, 0, NO,
2022, BEAM    , CONLOAD, GZ, NO , NO, aDir[1], , , , 0.784, -5.625, 0, 0, 0, 0, 0, 0, , NO, 0, 0, NO,
2023, BEAM    , CONLOAD, GZ, NO , NO, aDir[1], , , , 0.784, -5.625, 0, 0, 0, 0, 0, 0, , NO, 0, 0, NO,
2024, BEAM    , CONLOAD, GZ, NO , NO, aDir[1], , , , 0.784, -5.625, 0, 0, 0, 0, 0, 0, , NO, 0, 0, NO,
2025, BEAM    , CONLOAD, GZ, NO , NO, aDir[1], , , , 0.784, -5.625, 0, 0, 0, 0, 0, 0, , NO, 0, 0, NO,
2026, BEAM    , CONLOAD, GZ, NO , NO, aDir[1], , , , 0.784, -5.625, 0, 0, 0, 0, 0, 0, , NO, 0, 0, NO,
2027, BEAM    , CONLOAD, GZ, NO , NO, aDir[1], , , , 0.784, -5.625, 0, 0, 0, 0, 0, 0, , NO, 0, 0, NO,
2028, BEAM    , CONLOAD, GZ, NO , NO, aDir[1], , , , 0.784, -5.625, 0, 0, 0, 0, 0, 0, , NO, 0, 0, NO,
2029, BEAM    , CONLOAD, GZ, NO , NO, aDir[1], , , , 0.784, -5.625, 0, 0, 0, 0, 0, 0, , NO, 0, 0, NO,
2030, BEAM    , CONLOAD, GZ, NO , NO, aDir[1], , , , 0.784, -5.625, 0, 0, 0, 0, 0, 0, , NO, 0, 0, NO,
2031, BEAM    , CONLOAD, GZ, NO , NO, aDir[1], , , , 0.784, -5.625, 0, 0, 0, 0, 0, 0, , NO, 0, 0, NO,
2032, BEAM    , CONLOAD, GZ, NO , NO, aDir[1], , , , 0.784, -5.625, 0, 0, 0, 0, 0, 0, , NO, 0, 0, NO,
2033, BEAM    , CONLOAD, GZ, NO , NO, aDir[1], , , , 0.784, -5.625, 0, 0, 0, 0, 0, 0, , NO, 0, 0, NO,
2034, BEAM    , CONLOAD, GZ, NO , NO, aDir[1], , , , 0.784, -5.625, 0, 0, 0, 0, 0, 0, , NO, 0, 0, NO,
2035, BEAM    , CONLOAD, GZ, NO , NO, aDir[1], , , , 0.784, -5.625, 0, 0, 0, 0, 0, 0, , NO, 0, 0, NO,
2036, BEAM    , CONLOAD, GZ, NO , NO, aDir[1], , , , 0.784, -5.625, 0, 0, 0, 0, 0, 0, , NO, 0, 0, NO,
2037, BEAM    , CONLOAD, GZ, NO , NO, aDir[1], , , , 0.784, -5.625, 0, 0, 0, 0, 0, 0, , NO, 0, 0, NO,
2038, BEAM    , CONLOAD, GZ, NO , NO, aDir[1], , , , 0.784, -5.625, 0, 0, 0, 0, 0, 0, , NO, 0, 0, NO,
2039, BEAM    , CONLOAD, GZ, NO , NO, aDir[1], , , , 0.784, -5.625, 0, 0, 0, 0, 0, 0, , NO, 0, 0, NO,
2040, BEAM    , CONLOAD, GZ, NO , NO, aDir[1], , , , 0.784, -5.625, 0, 0, 0, 0, 0, 0, , NO, 0, 0, NO,
2041, BEAM    , CONLOAD, GZ, NO , NO, aDir[1], , , , 0.784, -5.625, 0, 0, 0, 0, 0, 0, , NO, 0, 0, NO,
2042, BEAM    , CONLOAD, GZ, NO , NO, aDir[1], , , , 0.784, -5.625, 0, 0, 0, 0, 0, 0, , NO, 0, 0, NO,
2043, BEAM    , CONLOAD, GZ, NO , NO, aDir[1], , , , 0.784, -5.625, 0, 0, 0, 0, 0, 0, , NO, 0, 0, NO,
2044, BEAM    , CONLOAD, GZ, NO , NO, aDir[1], , , , 0.784, -5.625, 0, 0, 0, 0, 0, 0, , NO, 0, 0, NO,
2045, BEAM    , CONLOAD, GZ, NO , NO, aDir[1], , , , 0.784, -5.625, 0, 0, 0, 0, 0, 0, , NO, 0, 0, NO,
2046, BEAM    , CONLOAD, GZ, NO , NO, aDir[1], , , , 0.784, -5.625, 0, 0, 0, 0, 0, 0, , NO, 0, 0, NO,
2047, BEAM    , CONLOAD, GZ, NO , NO, aDir[1], , , , 0.784, -5.625, 0, 0, 0, 0, 0, 0, , NO, 0, 0, NO,
2048, BEAM    , CONLOAD, GZ, NO , NO, aDir[1], , , , 0.784, -5.625, 0, 0, 0, 0, 0, 0, , NO, 0, 0, NO,
2049, BEAM    , CONLOAD, GZ, NO , NO, aDir[1], , , , 0.784, -5.625, 0, 0, 0, 0, 0, 0, , NO, 0, 0, NO,
2050, BEAM    , CONLOAD, GZ, NO , NO, aDir[1], , , , 0.784, -5.625, 0, 0, 0, 0, 0, 0, , NO, 0, 0, NO,
2051, BEAM    , CONLOAD, GZ, NO , NO, aDir[1], , , , 0.784, -5.625, 0, 0, 0, 0, 0, 0, , NO, 0, 0, NO,
2052, BEAM    , CONLOAD, GZ, NO , NO, aDir[1], , , , 0.784, -5.625, 0, 0, 0, 0, 0, 0, , NO, 0, 0, NO,
2053, BEAM    , CONLOAD, GZ, NO , NO, aDir[1], , , , 0.784, -5.625, 0, 0, 0, 0, 0, 0, , NO, 0, 0, NO,
2054, BEAM    , CONLOAD, GZ, NO , NO, aDir[1], , , , 0.784, -5.625, 0, 0, 0, 0, 0, 0, , NO, 0, 0, NO,
2055, BEAM    , CONLOAD, GZ, NO , NO, aDir[1], , , , 0.784, -5.625, 0, 0, 0, 0, 0, 0, , NO, 0, 0, NO,
2056, BEAM    , CONLOAD, GZ, NO , NO, aDir[1], , , , 0.784, -5.625, 0, 0, 0, 0, 0, 0, , NO, 0, 0, NO,
2057, BEAM    , CONLOAD, GZ, NO , NO, aDir[1], , , , 0.784, -5.625, 0, 0, 0, 0, 0, 0, , NO, 0, 0, NO,
2058, BEAM    , CONLOAD, GZ, NO , NO, aDir[1], , , , 0.784, -5.625, 0, 0, 0, 0, 0, 0, , NO, 0, 0, NO,
2059, BEAM    , CONLOAD, GZ, NO , NO, aDir[1], , , , 0.784, -5.625, 0, 0, 0, 0, 0, 0, , NO, 0, 0, NO,
2060, BEAM    , CONLOAD, GZ, NO , NO, aDir[1], , , , 0.784, -2.8125, 0, 0, 0, 0, 0, 0, , NO, 0, 0, NO,
2103, BEAM    , CONLOAD, GZ, NO , NO, aDir[1], , , , 0.685, -1.875, 0, 0, 0, 0, 0, 0, , NO, 0, 0, NO,
2104, BEAM    , CONLOAD, GZ, NO , NO, aDir[1], , , , 0.685, -3.75, 0, 0, 0, 0, 0, 0, , NO, 0, 0, NO,
2105, BEAM    , CONLOAD, GZ, NO , NO, aDir[1], , , , 0.685, -3.7505, 0, 0, 0, 0, 0, 0, , NO, 0, 0, NO,
2106, BEAM    , CONLOAD, GZ, NO , NO, aDir[1], , , , 0.685, -53.7495, 0, 0, 0, 0, 0, 0, , NO, 0, 0, NO,
2107, BEAM    , CONLOAD, GZ, NO , NO, aDir[1], , , , 0.685, -43.7505, 0, 0, 0, 0, 0, 0, , NO, 0, 0, NO,
2108, BEAM    , CONLOAD, GZ, NO , NO, aDir[1], , , , 0.685, -13.7495, 0, 0, 0, 0, 0, 0, , NO, 0, 0, NO,
```

```
2109, BEAM    , CONLOAD, GZ, NO , NO, aDir[1], , , , 0.685, -3.75, 0, 0, 0, 0, 0, 0, , NO, 0, 0, NO,
2110, BEAM    , CONLOAD, GZ, NO , NO, aDir[1], , , , 0.685, -3.75, 0, 0, 0, 0, 0, 0, , NO, 0, 0, NO,
2111, BEAM    , CONLOAD, GZ, NO , NO, aDir[1], , , , 0.685, -3.75, 0, 0, 0, 0, 0, 0, , NO, 0, 0, NO,
2112, BEAM    , CONLOAD, GZ, NO , NO, aDir[1], , , , 0.685, -3.75, 0, 0, 0, 0, 0, 0, , NO, 0, 0, NO,
2113, BEAM    , CONLOAD, GZ, NO , NO, aDir[1], , , , 0.685, -3.75, 0, 0, 0, 0, 0, 0, , NO, 0, 0, NO,
2114, BEAM    , CONLOAD, GZ, NO , NO, aDir[1], , , , 0.685, -3.75, 0, 0, 0, 0, 0, 0, , NO, 0, 0, NO,
2115, BEAM    , CONLOAD, GZ, NO , NO, aDir[1], , , , 0.685, -3.75, 0, 0, 0, 0, 0, 0, , NO, 0, 0, NO,
2116, BEAM    , CONLOAD, GZ, NO , NO, aDir[1], , , , 0.685, -3.75, 0, 0, 0, 0, 0, 0, , NO, 0, 0, NO,
2117, BEAM    , CONLOAD, GZ, NO , NO, aDir[1], , , , 0.685, -3.75, 0, 0, 0, 0, 0, 0, , NO, 0, 0, NO,
2118, BEAM    , CONLOAD, GZ, NO , NO, aDir[1], , , , 0.685, -3.75, 0, 0, 0, 0, 0, 0, , NO, 0, 0, NO,
2119, BEAM    , CONLOAD, GZ, NO , NO, aDir[1], , , , 0.685, -3.75, 0, 0, 0, 0, 0, 0, , NO, 0, 0, NO,
2120, BEAM    , CONLOAD, GZ, NO , NO, aDir[1], , , , 0.685, -3.75, 0, 0, 0, 0, 0, 0, , NO, 0, 0, NO,
2121, BEAM    , CONLOAD, GZ, NO , NO, aDir[1], , , , 0.685, -3.75, 0, 0, 0, 0, 0, 0, , NO, 0, 0, NO,
2122, BEAM    , CONLOAD, GZ, NO , NO, aDir[1], , , , 0.685, -3.75, 0, 0, 0, 0, 0, 0, , NO, 0, 0, NO,
2123, BEAM    , CONLOAD, GZ, NO , NO, aDir[1], , , , 0.685, -3.75, 0, 0, 0, 0, 0, 0, , NO, 0, 0, NO,
2124, BEAM    , CONLOAD, GZ, NO , NO, aDir[1], , , , 0.685, -3.75, 0, 0, 0, 0, 0, 0, , NO, 0, 0, NO,
2125, BEAM    , CONLOAD, GZ, NO , NO, aDir[1], , , , 0.685, -3.75, 0, 0, 0, 0, 0, 0, , NO, 0, 0, NO,
2126, BEAM    , CONLOAD, GZ, NO , NO, aDir[1], , , , 0.685, -3.75, 0, 0, 0, 0, 0, 0, , NO, 0, 0, NO,
2127, BEAM    , CONLOAD, GZ, NO , NO, aDir[1], , , , 0.685, -3.75, 0, 0, 0, 0, 0, 0, , NO, 0, 0, NO,
2128, BEAM    , CONLOAD, GZ, NO , NO, aDir[1], , , , 0.685, -3.75, 0, 0, 0, 0, 0, 0, , NO, 0, 0, NO,
2129, BEAM    , CONLOAD, GZ, NO , NO, aDir[1], , , , 0.685, -3.75, 0, 0, 0, 0, 0, 0, , NO, 0, 0, NO,
2130, BEAM    , CONLOAD, GZ, NO , NO, aDir[1], , , , 0.685, -3.75, 0, 0, 0, 0, 0, 0, , NO, 0, 0, NO,
2131, BEAM    , CONLOAD, GZ, NO , NO, aDir[1], , , , 0.685, -3.75, 0, 0, 0, 0, 0, 0, , NO, 0, 0, NO,
2132, BEAM    , CONLOAD, GZ, NO , NO, aDir[1], , , , 0.685, -3.75, 0, 0, 0, 0, 0, 0, , NO, 0, 0, NO,
2133, BEAM    , CONLOAD, GZ, NO , NO, aDir[1], , , , 0.685, -3.75, 0, 0, 0, 0, 0, 0, , NO, 0, 0, NO,
2134, BEAM    , CONLOAD, GZ, NO , NO, aDir[1], , , , 0.685, -3.75, 0, 0, 0, 0, 0, 0, , NO, 0, 0, NO,
2135, BEAM    , CONLOAD, GZ, NO , NO, aDir[1], , , , 0.685, -3.75, 0, 0, 0, 0, 0, 0, , NO, 0, 0, NO,
2136, BEAM    , CONLOAD, GZ, NO , NO, aDir[1], , , , 0.685, -3.75, 0, 0, 0, 0, 0, 0, , NO, 0, 0, NO,
2137, BEAM    , CONLOAD, GZ, NO , NO, aDir[1], , , , 0.685, -3.75, 0, 0, 0, 0, 0, 0, , NO, 0, 0, NO,
2138, BEAM    , CONLOAD, GZ, NO , NO, aDir[1], , , , 0.685, -3.75, 0, 0, 0, 0, 0, 0, , NO, 0, 0, NO,
2139, BEAM    , CONLOAD, GZ, NO , NO, aDir[1], , , , 0.685, -3.75, 0, 0, 0, 0, 0, 0, , NO, 0, 0, NO,
2140, BEAM    , CONLOAD, GZ, NO , NO, aDir[1], , , , 0.685, -3.75, 0, 0, 0, 0, 0, 0, , NO, 0, 0, NO,
2141, BEAM    , CONLOAD, GZ, NO , NO, aDir[1], , , , 0.685, -3.75, 0, 0, 0, 0, 0, 0, , NO, 0, 0, NO,
2142, BEAM    , CONLOAD, GZ, NO , NO, aDir[1], , , , 0.685, -3.75, 0, 0, 0, 0, 0, 0, , NO, 0, 0, NO,
2143, BEAM    , CONLOAD, GZ, NO , NO, aDir[1], , , , 0.685, -3.75, 0, 0, 0, 0, 0, 0, , NO, 0, 0, NO,
2144, BEAM    , CONLOAD, GZ, NO , NO, aDir[1], , , , 0.685, -1.875, 0, 0, 0, 0, 0, 0, , NO, 0, 0, NO,
2145, BEAM    , CONLOAD, GZ, NO , NO, aDir[1], , , , 0.734, -156.75, 0, 0, 0, 0, 0, 0, , NO, 0, 0, NO,
2145, BEAM    , CONLOAD, GZ, NO , NO, aDir[1], , , , 0.143, -101.875, 0, 0, 0, 0, 0, 0, , NO, 0, 0, NO,
2146, BEAM    , CONLOAD, GZ, NO , NO, aDir[1], , , , 0.143, -83.75, 0, 0, 0, 0, 0, 0, , NO, 0, 0, NO,
2146, BEAM    , CONLOAD, GZ, NO , NO, aDir[1], , , , 0.734, -133.5, 0, 0, 0, 0, 0, 0, , NO, 0, 0, NO,
2147, BEAM    , CONLOAD, GZ, NO , NO, aDir[1], , , , 0.143, -23.75, 0, 0, 0, 0, 0, 0, , NO, 0, 0, NO,
2147, BEAM    , CONLOAD, GZ, NO , NO, aDir[1], , , , 0.734, -43.5, 0, 0, 0, 0, 0, 0, , NO, 0, 0, NO,
2148, BEAM    , CONLOAD, GZ, NO , NO, aDir[1], , , , 0.143, -3.75, 0, 0, 0, 0, 0, 0, , NO, 0, 0, NO,
2148, BEAM    , CONLOAD, GZ, NO , NO, aDir[1], , , , 0.734, -13.5, 0, 0, 0, 0, 0, 0, , NO, 0, 0, NO,
2149, BEAM    , CONLOAD, GZ, NO , NO, aDir[1], , , , 0.143, -3.75, 0, 0, 0, 0, 0, 0, , NO, 0, 0, NO,
2149, BEAM    , CONLOAD, GZ, NO , NO, aDir[1], , , , 0.734, -13.5, 0, 0, 0, 0, 0, 0, , NO, 0, 0, NO,
2150, BEAM    , CONLOAD, GZ, NO , NO, aDir[1], , , , 0.143, -3.75, 0, 0, 0, 0, 0, 0, , NO, 0, 0, NO,
2150, BEAM    , CONLOAD, GZ, NO , NO, aDir[1], , , , 0.734, -13.5, 0, 0, 0, 0, 0, 0, , NO, 0, 0, NO,
2151, BEAM    , CONLOAD, GZ, NO , NO, aDir[1], , , , 0.143, -3.75, 0, 0, 0, 0, 0, 0, , NO, 0, 0, NO,
2151, BEAM    , CONLOAD, GZ, NO , NO, aDir[1], , , , 0.734, -13.5, 0, 0, 0, 0, 0, 0, , NO, 0, 0, NO,
2152, BEAM    , CONLOAD, GZ, NO , NO, aDir[1], , , , 0.734, -13.5, 0, 0, 0, 0, 0, 0, , NO, 0, 0, NO,
2152, BEAM    , CONLOAD, GZ, NO , NO, aDir[1], , , , 0.143, -3.75, 0, 0, 0, 0, 0, 0, , NO, 0, 0, NO,
2153, BEAM    , CONLOAD, GZ, NO , NO, aDir[1], , , , 0.734, -13.5, 0, 0, 0, 0, 0, 0, , NO, 0, 0, NO,
2153, BEAM    , CONLOAD, GZ, NO , NO, aDir[1], , , , 0.143, -3.75, 0, 0, 0, 0, 0, 0, , NO, 0, 0, NO,
2154, BEAM    , CONLOAD, GZ, NO , NO, aDir[1], , , , 0.143, -3.75, 0, 0, 0, 0, 0, 0, , NO, 0, 0, NO,
2154, BEAM    , CONLOAD, GZ, NO , NO, aDir[1], , , , 0.734, -13.5, 0, 0, 0, 0, 0, 0, , NO, 0, 0, NO,
2155, BEAM    , CONLOAD, GZ, NO , NO, aDir[1], , , , 0.734, -13.5, 0, 0, 0, 0, 0, 0, , NO, 0, 0, NO,
2155, BEAM    , CONLOAD, GZ, NO , NO, aDir[1], , , , 0.143, -3.75, 0, 0, 0, 0, 0, 0, , NO, 0, 0, NO,
2156, BEAM    , CONLOAD, GZ, NO , NO, aDir[1], , , , 0.143, -3.75, 0, 0, 0, 0, 0, 0, , NO, 0, 0, NO,
2156, BEAM    , CONLOAD, GZ, NO , NO, aDir[1], , , , 0.734, -13.5, 0, 0, 0, 0, 0, 0, , NO, 0, 0, NO,
2157, BEAM    , CONLOAD, GZ, NO , NO, aDir[1], , , , 0.734, -13.5, 0, 0, 0, 0, 0, 0, , NO, 0, 0, NO,
2157, BEAM    , CONLOAD, GZ, NO , NO, aDir[1], , , , 0.143, -3.75, 0, 0, 0, 0, 0, 0, , NO, 0, 0, NO,
2158, BEAM    , CONLOAD, GZ, NO , NO, aDir[1], , , , 0.143, -3.75, 0, 0, 0, 0, 0, 0, , NO, 0, 0, NO,
2158, BEAM    , CONLOAD, GZ, NO , NO, aDir[1], , , , 0.734, -13.5, 0, 0, 0, 0, 0, 0, , NO, 0, 0, NO,
2159, BEAM    , CONLOAD, GZ, NO , NO, aDir[1], , , , 0.734, -13.5, 0, 0, 0, 0, 0, 0, , NO, 0, 0, NO,
2159, BEAM    , CONLOAD, GZ, NO , NO, aDir[1], , , , 0.143, -3.75, 0, 0, 0, 0, 0, 0, , NO, 0, 0, NO,
2160, BEAM    , CONLOAD, GZ, NO , NO, aDir[1], , , , 0.734, -13.5, 0, 0, 0, 0, 0, 0, , NO, 0, 0, NO,
2160, BEAM    , CONLOAD, GZ, NO , NO, aDir[1], , , , 0.143, -3.75, 0, 0, 0, 0, 0, 0, , NO, 0, 0, NO,
2161, BEAM    , CONLOAD, GZ, NO , NO, aDir[1], , , , 0.734, -13.5, 0, 0, 0, 0, 0, 0, , NO, 0, 0, NO,
2161, BEAM    , CONLOAD, GZ, NO , NO, aDir[1], , , , 0.143, -3.75, 0, 0, 0, 0, 0, 0, , NO, 0, 0, NO,
2162, BEAM    , CONLOAD, GZ, NO , NO, aDir[1], , , , 0.734, -13.5, 0, 0, 0, 0, 0, 0, , NO, 0, 0, NO,
2162, BEAM    , CONLOAD, GZ, NO , NO, aDir[1], , , , 0.143, -3.75, 0, 0, 0, 0, 0, 0, , NO, 0, 0, NO,
2163, BEAM    , CONLOAD, GZ, NO , NO, aDir[1], , , , 0.143, -3.75, 0, 0, 0, 0, 0, 0, , NO, 0, 0, NO,
2163, BEAM    , CONLOAD, GZ, NO , NO, aDir[1], , , , 0.734, -13.5, 0, 0, 0, 0, 0, 0, , NO, 0, 0, NO,
2164, BEAM    , CONLOAD, GZ, NO , NO, aDir[1], , , , 0.734, -13.5, 0, 0, 0, 0, 0, 0, , NO, 0, 0, NO,
2164, BEAM    , CONLOAD, GZ, NO , NO, aDir[1], , , , 0.143, -3.75, 0, 0, 0, 0, 0, 0, , NO, 0, 0, NO,
2165, BEAM    , CONLOAD, GZ, NO , NO, aDir[1], , , , 0.143, -3.75, 0, 0, 0, 0, 0, 0, , NO, 0, 0, NO,
2165, BEAM    , CONLOAD, GZ, NO , NO, aDir[1], , , , 0.734, -13.5, 0, 0, 0, 0, 0, 0, , NO, 0, 0, NO,
```

```
2166, BEAM    , CONLOAD, GZ, NO , NO, aDir[1], , , , 0.143, -3.75, 0, 0, 0, 0, 0, 0, , NO, 0, 0, NO,
2166, BEAM    , CONLOAD, GZ, NO , NO, aDir[1], , , , 0.734, -13.5, 0, 0, 0, 0, 0, 0, , NO, 0, 0, NO,
2167, BEAM    , CONLOAD, GZ, NO , NO, aDir[1], , , , 0.143, -3.75, 0, 0, 0, 0, 0, 0, , NO, 0, 0, NO,
2167, BEAM    , CONLOAD, GZ, NO , NO, aDir[1], , , , 0.734, -13.5, 0, 0, 0, 0, 0, 0, , NO, 0, 0, NO,
2168, BEAM    , CONLOAD, GZ, NO , NO, aDir[1], , , , 0.734, -13.5, 0, 0, 0, 0, 0, 0, , NO, 0, 0, NO,
2168, BEAM    , CONLOAD, GZ, NO , NO, aDir[1], , , , 0.143, -3.75, 0, 0, 0, 0, 0, 0, , NO, 0, 0, NO,
2169, BEAM    , CONLOAD, GZ, NO , NO, aDir[1], , , , 0.143, -3.75, 0, 0, 0, 0, 0, 0, , NO, 0, 0, NO,
2169, BEAM    , CONLOAD, GZ, NO , NO, aDir[1], , , , 0.734, -13.5, 0, 0, 0, 0, 0, 0, , NO, 0, 0, NO,
2170, BEAM    , CONLOAD, GZ, NO , NO, aDir[1], , , , 0.143, -3.75, 0, 0, 0, 0, 0, 0, , NO, 0, 0, NO,
2170, BEAM    , CONLOAD, GZ, NO , NO, aDir[1], , , , 0.734, -13.5, 0, 0, 0, 0, 0, 0, , NO, 0, 0, NO,
2171, BEAM    , CONLOAD, GZ, NO , NO, aDir[1], , , , 0.734, -13.5, 0, 0, 0, 0, 0, 0, , NO, 0, 0, NO,
2171, BEAM    , CONLOAD, GZ, NO , NO, aDir[1], , , , 0.143, -3.75, 0, 0, 0, 0, 0, 0, , NO, 0, 0, NO,
2172, BEAM    , CONLOAD, GZ, NO , NO, aDir[1], , , , 0.734, -13.5, 0, 0, 0, 0, 0, 0, , NO, 0, 0, NO,
2172, BEAM    , CONLOAD, GZ, NO , NO, aDir[1], , , , 0.143, -3.75, 0, 0, 0, 0, 0, 0, , NO, 0, 0, NO,
2173, BEAM    , CONLOAD, GZ, NO , NO, aDir[1], , , , 0.143, -3.75, 0, 0, 0, 0, 0, 0, , NO, 0, 0, NO,
2173, BEAM    , CONLOAD, GZ, NO , NO, aDir[1], , , , 0.734, -13.5, 0, 0, 0, 0, 0, 0, , NO, 0, 0, NO,
2174, BEAM    , CONLOAD, GZ, NO , NO, aDir[1], , , , 0.143, -3.75, 0, 0, 0, 0, 0, 0, , NO, 0, 0, NO,
2174, BEAM    , CONLOAD, GZ, NO , NO, aDir[1], , , , 0.734, -13.5, 0, 0, 0, 0, 0, 0, , NO, 0, 0, NO,
2175, BEAM    , CONLOAD, GZ, NO , NO, aDir[1], , , , 0.143, -3.75, 0, 0, 0, 0, 0, 0, , NO, 0, 0, NO,
2175, BEAM    , CONLOAD, GZ, NO , NO, aDir[1], , , , 0.734, -13.5, 0, 0, 0, 0, 0, 0, , NO, 0, 0, NO,
2176, BEAM    , CONLOAD, GZ, NO , NO, aDir[1], , , , 0.143, -3.75, 0, 0, 0, 0, 0, 0, , NO, 0, 0, NO,
2176, BEAM    , CONLOAD, GZ, NO , NO, aDir[1], , , , 0.734, -13.5, 0, 0, 0, 0, 0, 0, , NO, 0, 0, NO,
2177, BEAM    , CONLOAD, GZ, NO , NO, aDir[1], , , , 0.734, -13.5, 0, 0, 0, 0, 0, 0, , NO, 0, 0, NO,
2177, BEAM    , CONLOAD, GZ, NO , NO, aDir[1], , , , 0.143, -3.75, 0, 0, 0, 0, 0, 0, , NO, 0, 0, NO,
2178, BEAM    , CONLOAD, GZ, NO , NO, aDir[1], , , , 0.734, -13.5, 0, 0, 0, 0, 0, 0, , NO, 0, 0, NO,
2178, BEAM    , CONLOAD, GZ, NO , NO, aDir[1], , , , 0.143, -3.75, 0, 0, 0, 0, 0, 0, , NO, 0, 0, NO,
2179, BEAM    , CONLOAD, GZ, NO , NO, aDir[1], , , , 0.143, -3.75, 0, 0, 0, 0, 0, 0, , NO, 0, 0, NO,
2179, BEAM    , CONLOAD, GZ, NO , NO, aDir[1], , , , 0.734, -13.5, 0, 0, 0, 0, 0, 0, , NO, 0, 0, NO,
2180, BEAM    , CONLOAD, GZ, NO , NO, aDir[1], , , , 0.143, -3.75, 0, 0, 0, 0, 0, 0, , NO, 0, 0, NO,
2180, BEAM    , CONLOAD, GZ, NO , NO, aDir[1], , , , 0.734, -13.5, 0, 0, 0, 0, 0, 0, , NO, 0, 0, NO,
2181, BEAM    , CONLOAD, GZ, NO , NO, aDir[1], , , , 0.734, -13.5, 0, 0, 0, 0, 0, 0, , NO, 0, 0, NO,
2181, BEAM    , CONLOAD, GZ, NO , NO, aDir[1], , , , 0.143, -3.75, 0, 0, 0, 0, 0, 0, , NO, 0, 0, NO,
2182, BEAM    , CONLOAD, GZ, NO , NO, aDir[1], , , , 0.734, -13.5, 0, 0, 0, 0, 0, 0, , NO, 0, 0, NO,
2182, BEAM    , CONLOAD, GZ, NO , NO, aDir[1], , , , 0.143, -3.75, 0, 0, 0, 0, 0, 0, , NO, 0, 0, NO,
2183, BEAM    , CONLOAD, GZ, NO , NO, aDir[1], , , , 0.143, -3.75, 0, 0, 0, 0, 0, 0, , NO, 0, 0, NO,
2183, BEAM    , CONLOAD, GZ, NO , NO, aDir[1], , , , 0.734, -13.5, 0, 0, 0, 0, 0, 0, , NO, 0, 0, NO,
2184, BEAM    , CONLOAD, GZ, NO , NO, aDir[1], , , , 0.734, -13.5, 0, 0, 0, 0, 0, 0, , NO, 0, 0, NO,
2184, BEAM    , CONLOAD, GZ, NO , NO, aDir[1], , , , 0.143, -3.75, 0, 0, 0, 0, 0, 0, , NO, 0, 0, NO,
2185, BEAM    , CONLOAD, GZ, NO , NO, aDir[1], , , , 0.734, -13.5, 0, 0, 0, 0, 0, 0, , NO, 0, 0, NO,
2185, BEAM    , CONLOAD, GZ, NO , NO, aDir[1], , , , 0.143, -3.75, 0, 0, 0, 0, 0, 0, , NO, 0, 0, NO,
2186, BEAM    , CONLOAD, GZ, NO , NO, aDir[1], , , , 0.734, -6.75, 0, 0, 0, 0, 0, 0, , NO, 0, 0, NO,
2186, BEAM    , CONLOAD, GZ, NO , NO, aDir[1], , , , 0.143, -1.875, 0, 0, 0, 0, 0, 0, , NO, 0, 0, NO,
2435, BEAM    , CONLOAD, GZ, NO , NO, aDir[1], , , , 0.156, -2.8125, 0, 0, 0, 0, 0, 0, , NO, 0, 0, NO,
2436, BEAM    , CONLOAD, GZ, NO , NO, aDir[1], , , , 0.156, -5.625, 0, 0, 0, 0, 0, 0, , NO, 0, 0, NO,
2437, BEAM    , CONLOAD, GZ, NO , NO, aDir[1], , , , 0.156, -5.625, 0, 0, 0, 0, 0, 0, , NO, 0, 0, NO,
2438, BEAM    , CONLOAD, GZ, NO , NO, aDir[1], , , , 0.156, -5.625, 0, 0, 0, 0, 0, 0, , NO, 0, 0, NO,
2439, BEAM    , CONLOAD, GZ, NO , NO, aDir[1], , , , 0.156, -5.625, 0, 0, 0, 0, 0, 0, , NO, 0, 0, NO,
2440, BEAM    , CONLOAD, GZ, NO , NO, aDir[1], , , , 0.156, -5.625, 0, 0, 0, 0, 0, 0, , NO, 0, 0, NO,
2441, BEAM    , CONLOAD, GZ, NO , NO, aDir[1], , , , 0.156, -5.625, 0, 0, 0, 0, 0, 0, , NO, 0, 0, NO,
2442, BEAM    , CONLOAD, GZ, NO , NO, aDir[1], , , , 0.156, -5.625, 0, 0, 0, 0, 0, 0, , NO, 0, 0, NO,
2443, BEAM    , CONLOAD, GZ, NO , NO, aDir[1], , , , 0.156, -5.625, 0, 0, 0, 0, 0, 0, , NO, 0, 0, NO,
2444, BEAM    , CONLOAD, GZ, NO , NO, aDir[1], , , , 0.156, -5.625, 0, 0, 0, 0, 0, 0, , NO, 0, 0, NO,
2445, BEAM    , CONLOAD, GZ, NO , NO, aDir[1], , , , 0.156, -5.625, 0, 0, 0, 0, 0, 0, , NO, 0, 0, NO,
2446, BEAM    , CONLOAD, GZ, NO , NO, aDir[1], , , , 0.156, -5.625, 0, 0, 0, 0, 0, 0, , NO, 0, 0, NO,
2447, BEAM    , CONLOAD, GZ, NO , NO, aDir[1], , , , 0.156, -5.625, 0, 0, 0, 0, 0, 0, , NO, 0, 0, NO,
2448, BEAM    , CONLOAD, GZ, NO , NO, aDir[1], , , , 0.156, -5.625, 0, 0, 0, 0, 0, 0, , NO, 0, 0, NO,
2449, BEAM    , CONLOAD, GZ, NO , NO, aDir[1], , , , 0.156, -5.625, 0, 0, 0, 0, 0, 0, , NO, 0, 0, NO,
2450, BEAM    , CONLOAD, GZ, NO , NO, aDir[1], , , , 0.156, -5.625, 0, 0, 0, 0, 0, 0, , NO, 0, 0, NO,
2451, BEAM    , CONLOAD, GZ, NO , NO, aDir[1], , , , 0.156, -5.625, 0, 0, 0, 0, 0, 0, , NO, 0, 0, NO,
2452, BEAM    , CONLOAD, GZ, NO , NO, aDir[1], , , , 0.156, -5.625, 0, 0, 0, 0, 0, 0, , NO, 0, 0, NO,
2453, BEAM    , CONLOAD, GZ, NO , NO, aDir[1], , , , 0.156, -5.625, 0, 0, 0, 0, 0, 0, , NO, 0, 0, NO,
2454, BEAM    , CONLOAD, GZ, NO , NO, aDir[1], , , , 0.156, -5.625, 0, 0, 0, 0, 0, 0, , NO, 0, 0, NO,
2455, BEAM    , CONLOAD, GZ, NO , NO, aDir[1], , , , 0.156, -5.625, 0, 0, 0, 0, 0, 0, , NO, 0, 0, NO,
2456, BEAM    , CONLOAD, GZ, NO , NO, aDir[1], , , , 0.156, -5.625, 0, 0, 0, 0, 0, 0, , NO, 0, 0, NO,
2457, BEAM    , CONLOAD, GZ, NO , NO, aDir[1], , , , 0.156, -5.625, 0, 0, 0, 0, 0, 0, , NO, 0, 0, NO,
2458, BEAM    , CONLOAD, GZ, NO , NO, aDir[1], , , , 0.156, -5.625, 0, 0, 0, 0, 0, 0, , NO, 0, 0, NO,
2459, BEAM    , CONLOAD, GZ, NO , NO, aDir[1], , , , 0.156, -5.625, 0, 0, 0, 0, 0, 0, , NO, 0, 0, NO,
2460, BEAM    , CONLOAD, GZ, NO , NO, aDir[1], , , , 0.156, -5.625, 0, 0, 0, 0, 0, 0, , NO, 0, 0, NO,
2461, BEAM    , CONLOAD, GZ, NO , NO, aDir[1], , , , 0.156, -5.625, 0, 0, 0, 0, 0, 0, , NO, 0, 0, NO,
2462, BEAM    , CONLOAD, GZ, NO , NO, aDir[1], , , , 0.156, -5.625, 0, 0, 0, 0, 0, 0, , NO, 0, 0, NO,
2463, BEAM    , CONLOAD, GZ, NO , NO, aDir[1], , , , 0.156, -5.625, 0, 0, 0, 0, 0, 0, , NO, 0, 0, NO,
2464, BEAM    , CONLOAD, GZ, NO , NO, aDir[1], , , , 0.156, -5.625, 0, 0, 0, 0, 0, 0, , NO, 0, 0, NO,
2465, BEAM    , CONLOAD, GZ, NO , NO, aDir[1], , , , 0.156, -5.625, 0, 0, 0, 0, 0, 0, , NO, 0, 0, NO,
2466, BEAM    , CONLOAD, GZ, NO , NO, aDir[1], , , , 0.156, -5.625, 0, 0, 0, 0, 0, 0, , NO, 0, 0, NO,
2467, BEAM    , CONLOAD, GZ, NO , NO, aDir[1], , , , 0.156, -5.625, 0, 0, 0, 0, 0, 0, , NO, 0, 0, NO,
2468, BEAM    , CONLOAD, GZ, NO , NO, aDir[1], , , , 0.156, -5.625, 0, 0, 0, 0, 0, 0, , NO, 0, 0, NO,
2469, BEAM    , CONLOAD, GZ, NO , NO, aDir[1], , , , 0.156, -5.625, 0, 0, 0, 0, 0, 0, , NO, 0, 0, NO,
2470, BEAM    , CONLOAD, GZ, NO , NO, aDir[1], , , , 0.156, -5.625, 0, 0, 0, 0, 0, 0, , NO, 0, 0, NO,
```

```
  2471, BEAM    , CONLOAD, GZ, NO , NO, aDir[1], , , , 0.156, -5.625, 0, 0, 0, 0, 0, 0, , NO, 0, 0, NO,
  2472, BEAM    , CONLOAD, GZ, NO , NO, aDir[1], , , , 0.156, -5.625, 0, 0, 0, 0, 0, 0, , NO, 0, 0, NO,
  2473, BEAM    , CONLOAD, GZ, NO , NO, aDir[1], , , , 0.156, -5.625, 0, 0, 0, 0, 0, 0, , NO, 0, 0, NO,
  2474, BEAM    , CONLOAD, GZ, NO , NO, aDir[1], , , , 0.156, -5.625, 0, 0, 0, 0, 0, 0, , NO, 0, 0, NO,
  2475, BEAM    , CONLOAD, GZ, NO , NO, aDir[1], , , , 0.156, -5.625, 0, 0, 0, 0, 0, 0, , NO, 0, 0, NO,
  2476, BEAM    , CONLOAD, GZ, NO , NO, aDir[1], , , , 0.156, -2.8125, 0, 0, 0, 0, 0, 0, , NO, 0, 0, NO,
  2724, BEAM    , CONLOAD, GZ, NO , NO, aDir[1], , , , 0.084, -156.75, 0, 0, 0, 0, 0, 0, , NO, 0, 0, NO,
  2725, BEAM    , CONLOAD, GZ, NO , NO, aDir[1], , , , 0.084, -133.5, 0, 0, 0, 0, 0, 0, , NO, 0, 0, NO,
  2726, BEAM    , CONLOAD, GZ, NO , NO, aDir[1], , , , 0.084, -43.5, 0, 0, 0, 0, 0, 0, , NO, 0, 0, NO,
  2727, BEAM    , CONLOAD, GZ, NO , NO, aDir[1], , , , 0.084, -13.5, 0, 0, 0, 0, 0, 0, , NO, 0, 0, NO,
  2728, BEAM    , CONLOAD, GZ, NO , NO, aDir[1], , , , 0.084, -13.5, 0, 0, 0, 0, 0, 0, , NO, 0, 0, NO,
  2729, BEAM    , CONLOAD, GZ, NO , NO, aDir[1], , , , 0.084, -13.5, 0, 0, 0, 0, 0, 0, , NO, 0, 0, NO,
  2730, BEAM    , CONLOAD, GZ, NO , NO, aDir[1], , , , 0.084, -13.5, 0, 0, 0, 0, 0, 0, , NO, 0, 0, NO,
  2731, BEAM    , CONLOAD, GZ, NO , NO, aDir[1], , , , 0.084, -13.5, 0, 0, 0, 0, 0, 0, , NO, 0, 0, NO,
  2732, BEAM    , CONLOAD, GZ, NO , NO, aDir[1], , , , 0.084, -13.5, 0, 0, 0, 0, 0, 0, , NO, 0, 0, NO,
  2733, BEAM    , CONLOAD, GZ, NO , NO, aDir[1], , , , 0.084, -13.5, 0, 0, 0, 0, 0, 0, , NO, 0, 0, NO,
  2734, BEAM    , CONLOAD, GZ, NO , NO, aDir[1], , , , 0.084, -13.5, 0, 0, 0, 0, 0, 0, , NO, 0, 0, NO,
  2735, BEAM    , CONLOAD, GZ, NO , NO, aDir[1], , , , 0.084, -13.5, 0, 0, 0, 0, 0, 0, , NO, 0, 0, NO,
  2736, BEAM    , CONLOAD, GZ, NO , NO, aDir[1], , , , 0.084, -13.5, 0, 0, 0, 0, 0, 0, , NO, 0, 0, NO,
  2737, BEAM    , CONLOAD, GZ, NO , NO, aDir[1], , , , 0.084, -13.5, 0, 0, 0, 0, 0, 0, , NO, 0, 0, NO,
  2738, BEAM    , CONLOAD, GZ, NO , NO, aDir[1], , , , 0.084, -13.5, 0, 0, 0, 0, 0, 0, , NO, 0, 0, NO,
  2739, BEAM    , CONLOAD, GZ, NO , NO, aDir[1], , , , 0.084, -13.5, 0, 0, 0, 0, 0, 0, , NO, 0, 0, NO,
  2740, BEAM    , CONLOAD, GZ, NO , NO, aDir[1], , , , 0.084, -13.5, 0, 0, 0, 0, 0, 0, , NO, 0, 0, NO,
  2741, BEAM    , CONLOAD, GZ, NO , NO, aDir[1], , , , 0.084, -13.5, 0, 0, 0, 0, 0, 0, , NO, 0, 0, NO,
  2742, BEAM    , CONLOAD, GZ, NO , NO, aDir[1], , , , 0.084, -13.5, 0, 0, 0, 0, 0, 0, , NO, 0, 0, NO,
  2743, BEAM    , CONLOAD, GZ, NO , NO, aDir[1], , , , 0.084, -13.5, 0, 0, 0, 0, 0, 0, , NO, 0, 0, NO,
  2744, BEAM    , CONLOAD, GZ, NO , NO, aDir[1], , , , 0.084, -13.5, 0, 0, 0, 0, 0, 0, , NO, 0, 0, NO,
  2745, BEAM    , CONLOAD, GZ, NO , NO, aDir[1], , , , 0.084, -13.5, 0, 0, 0, 0, 0, 0, , NO, 0, 0, NO,
  2746, BEAM    , CONLOAD, GZ, NO , NO, aDir[1], , , , 0.084, -13.5, 0, 0, 0, 0, 0, 0, , NO, 0, 0, NO,
  2747, BEAM    , CONLOAD, GZ, NO , NO, aDir[1], , , , 0.084, -13.5, 0, 0, 0, 0, 0, 0, , NO, 0, 0, NO,
  2748, BEAM    , CONLOAD, GZ, NO , NO, aDir[1], , , , 0.084, -13.5, 0, 0, 0, 0, 0, 0, , NO, 0, 0, NO,
  2749, BEAM    , CONLOAD, GZ, NO , NO, aDir[1], , , , 0.084, -13.5, 0, 0, 0, 0, 0, 0, , NO, 0, 0, NO,
  2750, BEAM    , CONLOAD, GZ, NO , NO, aDir[1], , , , 0.084, -13.5, 0, 0, 0, 0, 0, 0, , NO, 0, 0, NO,
  2751, BEAM    , CONLOAD, GZ, NO , NO, aDir[1], , , , 0.084, -13.5, 0, 0, 0, 0, 0, 0, , NO, 0, 0, NO,
  2752, BEAM    , CONLOAD, GZ, NO , NO, aDir[1], , , , 0.084, -13.5, 0, 0, 0, 0, 0, 0, , NO, 0, 0, NO,
  2753, BEAM    , CONLOAD, GZ, NO , NO, aDir[1], , , , 0.084, -13.5, 0, 0, 0, 0, 0, 0, , NO, 0, 0, NO,
  2754, BEAM    , CONLOAD, GZ, NO , NO, aDir[1], , , , 0.084, -13.5, 0, 0, 0, 0, 0, 0, , NO, 0, 0, NO,
  2755, BEAM    , CONLOAD, GZ, NO , NO, aDir[1], , , , 0.084, -13.5, 0, 0, 0, 0, 0, 0, , NO, 0, 0, NO,
  2756, BEAM    , CONLOAD, GZ, NO , NO, aDir[1], , , , 0.084, -13.5, 0, 0, 0, 0, 0, 0, , NO, 0, 0, NO,
  2757, BEAM    , CONLOAD, GZ, NO , NO, aDir[1], , , , 0.084, -13.5, 0, 0, 0, 0, 0, 0, , NO, 0, 0, NO,
  2758, BEAM    , CONLOAD, GZ, NO , NO, aDir[1], , , , 0.084, -13.5, 0, 0, 0, 0, 0, 0, , NO, 0, 0, NO,
  2759, BEAM    , CONLOAD, GZ, NO , NO, aDir[1], , , , 0.084, -13.5, 0, 0, 0, 0, 0, 0, , NO, 0, 0, NO,
  2760, BEAM    , CONLOAD, GZ, NO , NO, aDir[1], , , , 0.084, -13.5, 0, 0, 0, 0, 0, 0, , NO, 0, 0, NO,
  2761, BEAM    , CONLOAD, GZ, NO , NO, aDir[1], , , , 0.084, -13.5, 0, 0, 0, 0, 0, 0, , NO, 0, 0, NO,
  2762, BEAM    , CONLOAD, GZ, NO , NO, aDir[1], , , , 0.084, -13.5, 0, 0, 0, 0, 0, 0, , NO, 0, 0, NO,
  2763, BEAM    , CONLOAD, GZ, NO , NO, aDir[1], , , , 0.084, -13.5, 0, 0, 0, 0, 0, 0, , NO, 0, 0, NO,
  2764, BEAM    , CONLOAD, GZ, NO , NO, aDir[1], , , , 0.084, -13.5, 0, 0, 0, 0, 0, 0, , NO, 0, 0, NO,
  2765, BEAM    , CONLOAD, GZ, NO , NO, aDir[1], , , , 0.084, -6.75, 0, 0, 0, 0, 0, 0, , NO, 0, 0, NO,

; End of data for load case [node 55_max Fz] -------------------------

*USE-STLD, node 54_max Fz

*BEAMLOAD    ; Element Beam Loads
; ELEM_LIST, CMD, TYPE, DIR, bPROJ, [ECCEN], [VALUE], GROUP
; ELEM_LIST, CMD, TYPE, TYPE, DIR, VX, VY, VZ, bPROJ, [ECCEN], [VALUE], GROUP
; [VALUE]       : D1, P1, D2, P2, D3, P3, D4, P4
; [ECCEN]       : bECCEN, ECCDIR, I-END, J-END, bJ-END
; [ADDITIONAL]  : bADDITIONAL, ADDITIONAL_I-END, ADDITIONAL_J-END, bADDITIONAL_J-END
   441, BEAM    , CONLOAD, GZ, NO , NO, aDir[1], , , , 0.204, -1.875, 0, 0, 0, 0, 0, 0, , NO, 0, 0, NO,
   446, BEAM    , CONLOAD, GZ, NO , NO, aDir[1], , , , 0.204, -3.75, 0, 0, 0, 0, 0, 0, , NO, 0, 0, NO,
   451, BEAM    , CONLOAD, GZ, NO , NO, aDir[1], , , , 0.204, -3.75, 0, 0, 0, 0, 0, 0, , NO, 0, 0, NO,
   456, BEAM    , CONLOAD, GZ, NO , NO, aDir[1], , , , 0.204, -3.75, 0, 0, 0, 0, 0, 0, , NO, 0, 0, NO,
   461, BEAM    , CONLOAD, GZ, NO , NO, aDir[1], , , , 0.204, -3.75, 0, 0, 0, 0, 0, 0, , NO, 0, 0, NO,
   466, BEAM    , CONLOAD, GZ, NO , NO, aDir[1], , , , 0.204, -3.75, 0, 0, 0, 0, 0, 0, , NO, 0, 0, NO,
   471, BEAM    , CONLOAD, GZ, NO , NO, aDir[1], , , , 0.204, -13.75, 0, 0, 0, 0, 0, 0, , NO, 0, 0, NO,
   476, BEAM    , CONLOAD, GZ, NO , NO, aDir[1], , , , 0.204, -43.75, 0, 0, 0, 0, 0, 0, , NO, 0, 0, NO,
   481, BEAM    , CONLOAD, GZ, NO , NO, aDir[1], , , , 0.204, -53.75, 0, 0, 0, 0, 0, 0, , NO, 0, 0, NO,
   486, BEAM    , CONLOAD, GZ, NO , NO, aDir[1], , , , 0.204, -3.75, 0, 0, 0, 0, 0, 0, , NO, 0, 0, NO,
   491, BEAM    , CONLOAD, GZ, NO , NO, aDir[1], , , , 0.204, -3.75, 0, 0, 0, 0, 0, 0, , NO, 0, 0, NO,
   496, BEAM    , CONLOAD, GZ, NO , NO, aDir[1], , , , 0.204, -3.75, 0, 0, 0, 0, 0, 0, , NO, 0, 0, NO,
   501, BEAM    , CONLOAD, GZ, NO , NO, aDir[1], , , , 0.204, -3.75, 0, 0, 0, 0, 0, 0, , NO, 0, 0, NO,
   506, BEAM    , CONLOAD, GZ, NO , NO, aDir[1], , , , 0.204, -3.75, 0, 0, 0, 0, 0, 0, , NO, 0, 0, NO,
   511, BEAM    , CONLOAD, GZ, NO , NO, aDir[1], , , , 0.204, -3.75, 0, 0, 0, 0, 0, 0, , NO, 0, 0, NO,
   516, BEAM    , CONLOAD, GZ, NO , NO, aDir[1], , , , 0.204, -3.75, 0, 0, 0, 0, 0, 0, , NO, 0, 0, NO,
   521, BEAM    , CONLOAD, GZ, NO , NO, aDir[1], , , , 0.204, -3.75, 0, 0, 0, 0, 0, 0, , NO, 0, 0, NO,
   526, BEAM    , CONLOAD, GZ, NO , NO, aDir[1], , , , 0.204, -3.75, 0, 0, 0, 0, 0, 0, , NO, 0, 0, NO,
   531, BEAM    , CONLOAD, GZ, NO , NO, aDir[1], , , , 0.204, -3.75, 0, 0, 0, 0, 0, 0, , NO, 0, 0, NO,
```

```
  536, BEAM    , CONLOAD, GZ, NO , NO, aDir[1], , , , 0.204, -3.75, 0, 0, 0, 0, 0, 0, , NO, 0, 0, NO,
  541, BEAM    , CONLOAD, GZ, NO , NO, aDir[1], , , , 0.204, -3.75, 0, 0, 0, 0, 0, 0, , NO, 0, 0, NO,
  546, BEAM    , CONLOAD, GZ, NO , NO, aDir[1], , , , 0.204, -3.75, 0, 0, 0, 0, 0, 0, , NO, 0, 0, NO,
  551, BEAM    , CONLOAD, GZ, NO , NO, aDir[1], , , , 0.204, -3.75, 0, 0, 0, 0, 0, 0, , NO, 0, 0, NO,
  556, BEAM    , CONLOAD, GZ, NO , NO, aDir[1], , , , 0.204, -3.75, 0, 0, 0, 0, 0, 0, , NO, 0, 0, NO,
  561, BEAM    , CONLOAD, GZ, NO , NO, aDir[1], , , , 0.204, -3.75, 0, 0, 0, 0, 0, 0, , NO, 0, 0, NO,
  566, BEAM    , CONLOAD, GZ, NO , NO, aDir[1], , , , 0.204, -3.75, 0, 0, 0, 0, 0, 0, , NO, 0, 0, NO,
  571, BEAM    , CONLOAD, GZ, NO , NO, aDir[1], , , , 0.204, -3.75, 0, 0, 0, 0, 0, 0, , NO, 0, 0, NO,
  576, BEAM    , CONLOAD, GZ, NO , NO, aDir[1], , , , 0.204, -3.75, 0, 0, 0, 0, 0, 0, , NO, 0, 0, NO,
  581, BEAM    , CONLOAD, GZ, NO , NO, aDir[1], , , , 0.204, -3.75, 0, 0, 0, 0, 0, 0, , NO, 0, 0, NO,
  586, BEAM    , CONLOAD, GZ, NO , NO, aDir[1], , , , 0.204, -3.75, 0, 0, 0, 0, 0, 0, , NO, 0, 0, NO,
  591, BEAM    , CONLOAD, GZ, NO , NO, aDir[1], , , , 0.204, -3.75, 0, 0, 0, 0, 0, 0, , NO, 0, 0, NO,
  596, BEAM    , CONLOAD, GZ, NO , NO, aDir[1], , , , 0.204, -3.75, 0, 0, 0, 0, 0, 0, , NO, 0, 0, NO,
  601, BEAM    , CONLOAD, GZ, NO , NO, aDir[1], , , , 0.204, -3.75, 0, 0, 0, 0, 0, 0, , NO, 0, 0, NO,
  606, BEAM    , CONLOAD, GZ, NO , NO, aDir[1], , , , 0.204, -3.75, 0, 0, 0, 0, 0, 0, , NO, 0, 0, NO,
  611, BEAM    , CONLOAD, GZ, NO , NO, aDir[1], , , , 0.204, -3.75, 0, 0, 0, 0, 0, 0, , NO, 0, 0, NO,
  616, BEAM    , CONLOAD, GZ, NO , NO, aDir[1], , , , 0.204, -3.75, 0, 0, 0, 0, 0, 0, , NO, 0, 0, NO,
  621, BEAM    , CONLOAD, GZ, NO , NO, aDir[1], , , , 0.204, -3.75, 0, 0, 0, 0, 0, 0, , NO, 0, 0, NO,
  626, BEAM    , CONLOAD, GZ, NO , NO, aDir[1], , , , 0.204, -3.75, 0, 0, 0, 0, 0, 0, , NO, 0, 0, NO,
  631, BEAM    , CONLOAD, GZ, NO , NO, aDir[1], , , , 0.204, -3.75, 0, 0, 0, 0, 0, 0, , NO, 0, 0, NO,
  636, BEAM    , CONLOAD, GZ, NO , NO, aDir[1], , , , 0.204, -3.75, 0, 0, 0, 0, 0, 0, , NO, 0, 0, NO,
  641, BEAM    , CONLOAD, GZ, NO , NO, aDir[1], , , , 0.204, -3.75, 0, 0, 0, 0, 0, 0, , NO, 0, 0, NO,
  646, BEAM    , CONLOAD, GZ, NO , NO, aDir[1], , , , 0.204, -1.875, 0, 0, 0, 0, 0, 0, , NO, 0, 0, NO,
 1519, BEAM    , CONLOAD, GZ, NO , NO, aDir[1], , , , 0.957, -2.8125, 0, 0, 0, 0, 0, 0, , NO, 0, 0, NO,
 1520, BEAM    , CONLOAD, GZ, NO , NO, aDir[1], , , , 0.957, -5.625, 0, 0, 0, 0, 0, 0, , NO, 0, 0, NO,
 1521, BEAM    , CONLOAD, GZ, NO , NO, aDir[1], , , , 0.957, -5.625, 0, 0, 0, 0, 0, 0, , NO, 0, 0, NO,
 1522, BEAM    , CONLOAD, GZ, NO , NO, aDir[1], , , , 0.957, -5.625, 0, 0, 0, 0, 0, 0, , NO, 0, 0, NO,
 1523, BEAM    , CONLOAD, GZ, NO , NO, aDir[1], , , , 0.957, -5.625, 0, 0, 0, 0, 0, 0, , NO, 0, 0, NO,
 1524, BEAM    , CONLOAD, GZ, NO , NO, aDir[1], , , , 0.957, -5.625, 0, 0, 0, 0, 0, 0, , NO, 0, 0, NO,
 1525, BEAM    , CONLOAD, GZ, NO , NO, aDir[1], , , , 0.957, -5.625, 0, 0, 0, 0, 0, 0, , NO, 0, 0, NO,
 1526, BEAM    , CONLOAD, GZ, NO , NO, aDir[1], , , , 0.957, -5.625, 0, 0, 0, 0, 0, 0, , NO, 0, 0, NO,
 1527, BEAM    , CONLOAD, GZ, NO , NO, aDir[1], , , , 0.957, -5.625, 0, 0, 0, 0, 0, 0, , NO, 0, 0, NO,
 1528, BEAM    , CONLOAD, GZ, NO , NO, aDir[1], , , , 0.957, -5.625, 0, 0, 0, 0, 0, 0, , NO, 0, 0, NO,
 1529, BEAM    , CONLOAD, GZ, NO , NO, aDir[1], , , , 0.957, -5.625, 0, 0, 0, 0, 0, 0, , NO, 0, 0, NO,
 1530, BEAM    , CONLOAD, GZ, NO , NO, aDir[1], , , , 0.957, -5.625, 0, 0, 0, 0, 0, 0, , NO, 0, 0, NO,
 1531, BEAM    , CONLOAD, GZ, NO , NO, aDir[1], , , , 0.957, -5.625, 0, 0, 0, 0, 0, 0, , NO, 0, 0, NO,
 1532, BEAM    , CONLOAD, GZ, NO , NO, aDir[1], , , , 0.957, -5.625, 0, 0, 0, 0, 0, 0, , NO, 0, 0, NO,
 1533, BEAM    , CONLOAD, GZ, NO , NO, aDir[1], , , , 0.957, -5.625, 0, 0, 0, 0, 0, 0, , NO, 0, 0, NO,
 1534, BEAM    , CONLOAD, GZ, NO , NO, aDir[1], , , , 0.957, -5.625, 0, 0, 0, 0, 0, 0, , NO, 0, 0, NO,
 1535, BEAM    , CONLOAD, GZ, NO , NO, aDir[1], , , , 0.957, -5.625, 0, 0, 0, 0, 0, 0, , NO, 0, 0, NO,
 1536, BEAM    , CONLOAD, GZ, NO , NO, aDir[1], , , , 0.957, -5.625, 0, 0, 0, 0, 0, 0, , NO, 0, 0, NO,
 1537, BEAM    , CONLOAD, GZ, NO , NO, aDir[1], , , , 0.957, -5.625, 0, 0, 0, 0, 0, 0, , NO, 0, 0, NO,
 1538, BEAM    , CONLOAD, GZ, NO , NO, aDir[1], , , , 0.957, -5.625, 0, 0, 0, 0, 0, 0, , NO, 0, 0, NO,
 1539, BEAM    , CONLOAD, GZ, NO , NO, aDir[1], , , , 0.957, -5.625, 0, 0, 0, 0, 0, 0, , NO, 0, 0, NO,
 1540, BEAM    , CONLOAD, GZ, NO , NO, aDir[1], , , , 0.957, -5.625, 0, 0, 0, 0, 0, 0, , NO, 0, 0, NO,
 1541, BEAM    , CONLOAD, GZ, NO , NO, aDir[1], , , , 0.957, -5.625, 0, 0, 0, 0, 0, 0, , NO, 0, 0, NO,
 1542, BEAM    , CONLOAD, GZ, NO , NO, aDir[1], , , , 0.957, -5.625, 0, 0, 0, 0, 0, 0, , NO, 0, 0, NO,
 1543, BEAM    , CONLOAD, GZ, NO , NO, aDir[1], , , , 0.957, -5.625, 0, 0, 0, 0, 0, 0, , NO, 0, 0, NO,
 1544, BEAM    , CONLOAD, GZ, NO , NO, aDir[1], , , , 0.957, -5.625, 0, 0, 0, 0, 0, 0, , NO, 0, 0, NO,
 1545, BEAM    , CONLOAD, GZ, NO , NO, aDir[1], , , , 0.957, -5.625, 0, 0, 0, 0, 0, 0, , NO, 0, 0, NO,
 1546, BEAM    , CONLOAD, GZ, NO , NO, aDir[1], , , , 0.957, -5.625, 0, 0, 0, 0, 0, 0, , NO, 0, 0, NO,
 1547, BEAM    , CONLOAD, GZ, NO , NO, aDir[1], , , , 0.957, -5.625, 0, 0, 0, 0, 0, 0, , NO, 0, 0, NO,
 1548, BEAM    , CONLOAD, GZ, NO , NO, aDir[1], , , , 0.957, -5.625, 0, 0, 0, 0, 0, 0, , NO, 0, 0, NO,
 1549, BEAM    , CONLOAD, GZ, NO , NO, aDir[1], , , , 0.957, -5.625, 0, 0, 0, 0, 0, 0, , NO, 0, 0, NO,
 1550, BEAM    , CONLOAD, GZ, NO , NO, aDir[1], , , , 0.957, -5.625, 0, 0, 0, 0, 0, 0, , NO, 0, 0, NO,
 1551, BEAM    , CONLOAD, GZ, NO , NO, aDir[1], , , , 0.957, -5.625, 0, 0, 0, 0, 0, 0, , NO, 0, 0, NO,
 1552, BEAM    , CONLOAD, GZ, NO , NO, aDir[1], , , , 0.957, -5.625, 0, 0, 0, 0, 0, 0, , NO, 0, 0, NO,
 1553, BEAM    , CONLOAD, GZ, NO , NO, aDir[1], , , , 0.957, -5.625, 0, 0, 0, 0, 0, 0, , NO, 0, 0, NO,
 1554, BEAM    , CONLOAD, GZ, NO , NO, aDir[1], , , , 0.957, -5.625, 0, 0, 0, 0, 0, 0, , NO, 0, 0, NO,
 1555, BEAM    , CONLOAD, GZ, NO , NO, aDir[1], , , , 0.957, -5.625, 0, 0, 0, 0, 0, 0, , NO, 0, 0, NO,
 1556, BEAM    , CONLOAD, GZ, NO , NO, aDir[1], , , , 0.957, -5.625, 0, 0, 0, 0, 0, 0, , NO, 0, 0, NO,
 1557, BEAM    , CONLOAD, GZ, NO , NO, aDir[1], , , , 0.957, -5.625, 0, 0, 0, 0, 0, 0, , NO, 0, 0, NO,
 1558, BEAM    , CONLOAD, GZ, NO , NO, aDir[1], , , , 0.957, -5.625, 0, 0, 0, 0, 0, 0, , NO, 0, 0, NO,
 1559, BEAM    , CONLOAD, GZ, NO , NO, aDir[1], , , , 0.957, -5.625, 0, 0, 0, 0, 0, 0, , NO, 0, 0, NO,
 1560, BEAM    , CONLOAD, GZ, NO , NO, aDir[1], , , , 0.957, -2.8125, 0, 0, 0, 0, 0, 0, , NO, 0, 0, NO,
 1729, BEAM    , CONLOAD, GZ, NO , NO, aDir[1], , , , 0.528, -101.875, 0, 0, 0, 0, 0, 0, , NO, 0, 0, NO,
 1730, BEAM    , CONLOAD, GZ, NO , NO, aDir[1], , , , 0.528, -83.75, 0, 0, 0, 0, 0, 0, , NO, 0, 0, NO,
 1731, BEAM    , CONLOAD, GZ, NO , NO, aDir[1], , , , 0.528, -23.75, 0, 0, 0, 0, 0, 0, , NO, 0, 0, NO,
 1732, BEAM    , CONLOAD, GZ, NO , NO, aDir[1], , , , 0.528, -3.75, 0, 0, 0, 0, 0, 0, , NO, 0, 0, NO,
 1733, BEAM    , CONLOAD, GZ, NO , NO, aDir[1], , , , 0.528, -3.75, 0, 0, 0, 0, 0, 0, , NO, 0, 0, NO,
 1734, BEAM    , CONLOAD, GZ, NO , NO, aDir[1], , , , 0.528, -3.75, 0, 0, 0, 0, 0, 0, , NO, 0, 0, NO,
 1735, BEAM    , CONLOAD, GZ, NO , NO, aDir[1], , , , 0.528, -3.75, 0, 0, 0, 0, 0, 0, , NO, 0, 0, NO,
 1736, BEAM    , CONLOAD, GZ, NO , NO, aDir[1], , , , 0.528, -3.75, 0, 0, 0, 0, 0, 0, , NO, 0, 0, NO,
 1737, BEAM    , CONLOAD, GZ, NO , NO, aDir[1], , , , 0.528, -3.75, 0, 0, 0, 0, 0, 0, , NO, 0, 0, NO,
 1738, BEAM    , CONLOAD, GZ, NO , NO, aDir[1], , , , 0.528, -3.75, 0, 0, 0, 0, 0, 0, , NO, 0, 0, NO,
 1739, BEAM    , CONLOAD, GZ, NO , NO, aDir[1], , , , 0.528, -3.75, 0, 0, 0, 0, 0, 0, , NO, 0, 0, NO,
 1740, BEAM    , CONLOAD, GZ, NO , NO, aDir[1], , , , 0.528, -3.75, 0, 0, 0, 0, 0, 0, , NO, 0, 0, NO,
 1741, BEAM    , CONLOAD, GZ, NO , NO, aDir[1], , , , 0.528, -3.75, 0, 0, 0, 0, 0, 0, , NO, 0, 0, NO,
```

```
1742, BEAM    , CONLOAD, GZ, NO , NO, aDir[1], , , , 0.528, -3.75, 0, 0, 0, 0, 0, 0, , NO, 0, 0, NO,
1743, BEAM    , CONLOAD, GZ, NO , NO, aDir[1], , , , 0.528, -3.75, 0, 0, 0, 0, 0, 0, , NO, 0, 0, NO,
1744, BEAM    , CONLOAD, GZ, NO , NO, aDir[1], , , , 0.528, -3.75, 0, 0, 0, 0, 0, 0, , NO, 0, 0, NO,
1745, BEAM    , CONLOAD, GZ, NO , NO, aDir[1], , , , 0.528, -3.75, 0, 0, 0, 0, 0, 0, , NO, 0, 0, NO,
1746, BEAM    , CONLOAD, GZ, NO , NO, aDir[1], , , , 0.528, -3.75, 0, 0, 0, 0, 0, 0, , NO, 0, 0, NO,
1747, BEAM    , CONLOAD, GZ, NO , NO, aDir[1], , , , 0.528, -3.75, 0, 0, 0, 0, 0, 0, , NO, 0, 0, NO,
1748, BEAM    , CONLOAD, GZ, NO , NO, aDir[1], , , , 0.528, -3.75, 0, 0, 0, 0, 0, 0, , NO, 0, 0, NO,
1749, BEAM    , CONLOAD, GZ, NO , NO, aDir[1], , , , 0.528, -3.75, 0, 0, 0, 0, 0, 0, , NO, 0, 0, NO,
1750, BEAM    , CONLOAD, GZ, NO , NO, aDir[1], , , , 0.528, -3.75, 0, 0, 0, 0, 0, 0, , NO, 0, 0, NO,
1751, BEAM    , CONLOAD, GZ, NO , NO, aDir[1], , , , 0.528, -3.75, 0, 0, 0, 0, 0, 0, , NO, 0, 0, NO,
1752, BEAM    , CONLOAD, GZ, NO , NO, aDir[1], , , , 0.528, -3.75, 0, 0, 0, 0, 0, 0, , NO, 0, 0, NO,
1753, BEAM    , CONLOAD, GZ, NO , NO, aDir[1], , , , 0.528, -3.75, 0, 0, 0, 0, 0, 0, , NO, 0, 0, NO,
1754, BEAM    , CONLOAD, GZ, NO , NO, aDir[1], , , , 0.528, -3.75, 0, 0, 0, 0, 0, 0, , NO, 0, 0, NO,
1755, BEAM    , CONLOAD, GZ, NO , NO, aDir[1], , , , 0.528, -3.75, 0, 0, 0, 0, 0, 0, , NO, 0, 0, NO,
1756, BEAM    , CONLOAD, GZ, NO , NO, aDir[1], , , , 0.528, -3.75, 0, 0, 0, 0, 0, 0, , NO, 0, 0, NO,
1757, BEAM    , CONLOAD, GZ, NO , NO, aDir[1], , , , 0.528, -3.75, 0, 0, 0, 0, 0, 0, , NO, 0, 0, NO,
1758, BEAM    , CONLOAD, GZ, NO , NO, aDir[1], , , , 0.528, -3.75, 0, 0, 0, 0, 0, 0, , NO, 0, 0, NO,
1759, BEAM    , CONLOAD, GZ, NO , NO, aDir[1], , , , 0.528, -3.75, 0, 0, 0, 0, 0, 0, , NO, 0, 0, NO,
1760, BEAM    , CONLOAD, GZ, NO , NO, aDir[1], , , , 0.528, -3.75, 0, 0, 0, 0, 0, 0, , NO, 0, 0, NO,
1761, BEAM    , CONLOAD, GZ, NO , NO, aDir[1], , , , 0.528, -3.75, 0, 0, 0, 0, 0, 0, , NO, 0, 0, NO,
1762, BEAM    , CONLOAD, GZ, NO , NO, aDir[1], , , , 0.528, -3.75, 0, 0, 0, 0, 0, 0, , NO, 0, 0, NO,
1763, BEAM    , CONLOAD, GZ, NO , NO, aDir[1], , , , 0.528, -3.75, 0, 0, 0, 0, 0, 0, , NO, 0, 0, NO,
1764, BEAM    , CONLOAD, GZ, NO , NO, aDir[1], , , , 0.528, -3.75, 0, 0, 0, 0, 0, 0, , NO, 0, 0, NO,
1765, BEAM    , CONLOAD, GZ, NO , NO, aDir[1], , , , 0.528, -3.75, 0, 0, 0, 0, 0, 0, , NO, 0, 0, NO,
1766, BEAM    , CONLOAD, GZ, NO , NO, aDir[1], , , , 0.528, -3.75, 0, 0, 0, 0, 0, 0, , NO, 0, 0, NO,
1767, BEAM    , CONLOAD, GZ, NO , NO, aDir[1], , , , 0.528, -3.75, 0, 0, 0, 0, 0, 0, , NO, 0, 0, NO,
1768, BEAM    , CONLOAD, GZ, NO , NO, aDir[1], , , , 0.528, -3.75, 0, 0, 0, 0, 0, 0, , NO, 0, 0, NO,
1769, BEAM    , CONLOAD, GZ, NO , NO, aDir[1], , , , 0.528, -3.75, 0, 0, 0, 0, 0, 0, , NO, 0, 0, NO,
1770, BEAM    , CONLOAD, GZ, NO , NO, aDir[1], , , , 0.528, -1.875, 0, 0, 0, 0, 0, 0, , NO, 0, 0, NO,
1771, BEAM    , CONLOAD, GZ, NO , NO, aDir[1], , , , 0.53, -156.75, 0, 0, 0, 0, 0, 0, , NO, 0, 0, NO,
1772, BEAM    , CONLOAD, GZ, NO , NO, aDir[1], , , , 0.53, -133.5, 0, 0, 0, 0, 0, 0, , NO, 0, 0, NO,
1773, BEAM    , CONLOAD, GZ, NO , NO, aDir[1], , , , 0.53, -43.5, 0, 0, 0, 0, 0, 0, , NO, 0, 0, NO,
1774, BEAM    , CONLOAD, GZ, NO , NO, aDir[1], , , , 0.53, -13.5, 0, 0, 0, 0, 0, 0, , NO, 0, 0, NO,
1775, BEAM    , CONLOAD, GZ, NO , NO, aDir[1], , , , 0.53, -13.5, 0, 0, 0, 0, 0, 0, , NO, 0, 0, NO,
1776, BEAM    , CONLOAD, GZ, NO , NO, aDir[1], , , , 0.53, -13.5, 0, 0, 0, 0, 0, 0, , NO, 0, 0, NO,
1777, BEAM    , CONLOAD, GZ, NO , NO, aDir[1], , , , 0.53, -13.5, 0, 0, 0, 0, 0, 0, , NO, 0, 0, NO,
1778, BEAM    , CONLOAD, GZ, NO , NO, aDir[1], , , , 0.53, -13.5, 0, 0, 0, 0, 0, 0, , NO, 0, 0, NO,
1779, BEAM    , CONLOAD, GZ, NO , NO, aDir[1], , , , 0.53, -13.5, 0, 0, 0, 0, 0, 0, , NO, 0, 0, NO,
1780, BEAM    , CONLOAD, GZ, NO , NO, aDir[1], , , , 0.53, -13.5, 0, 0, 0, 0, 0, 0, , NO, 0, 0, NO,
1781, BEAM    , CONLOAD, GZ, NO , NO, aDir[1], , , , 0.53, -13.5, 0, 0, 0, 0, 0, 0, , NO, 0, 0, NO,
1782, BEAM    , CONLOAD, GZ, NO , NO, aDir[1], , , , 0.53, -13.5, 0, 0, 0, 0, 0, 0, , NO, 0, 0, NO,
1783, BEAM    , CONLOAD, GZ, NO , NO, aDir[1], , , , 0.53, -13.5, 0, 0, 0, 0, 0, 0, , NO, 0, 0, NO,
1784, BEAM    , CONLOAD, GZ, NO , NO, aDir[1], , , , 0.53, -13.5, 0, 0, 0, 0, 0, 0, , NO, 0, 0, NO,
1785, BEAM    , CONLOAD, GZ, NO , NO, aDir[1], , , , 0.53, -13.5, 0, 0, 0, 0, 0, 0, , NO, 0, 0, NO,
1786, BEAM    , CONLOAD, GZ, NO , NO, aDir[1], , , , 0.53, -13.5, 0, 0, 0, 0, 0, 0, , NO, 0, 0, NO,
1787, BEAM    , CONLOAD, GZ, NO , NO, aDir[1], , , , 0.53, -13.5, 0, 0, 0, 0, 0, 0, , NO, 0, 0, NO,
1788, BEAM    , CONLOAD, GZ, NO , NO, aDir[1], , , , 0.53, -13.5, 0, 0, 0, 0, 0, 0, , NO, 0, 0, NO,
1789, BEAM    , CONLOAD, GZ, NO , NO, aDir[1], , , , 0.53, -13.5, 0, 0, 0, 0, 0, 0, , NO, 0, 0, NO,
1790, BEAM    , CONLOAD, GZ, NO , NO, aDir[1], , , , 0.53, -13.5, 0, 0, 0, 0, 0, 0, , NO, 0, 0, NO,
1791, BEAM    , CONLOAD, GZ, NO , NO, aDir[1], , , , 0.53, -13.5, 0, 0, 0, 0, 0, 0, , NO, 0, 0, NO,
1792, BEAM    , CONLOAD, GZ, NO , NO, aDir[1], , , , 0.53, -13.5, 0, 0, 0, 0, 0, 0, , NO, 0, 0, NO,
1793, BEAM    , CONLOAD, GZ, NO , NO, aDir[1], , , , 0.53, -13.5, 0, 0, 0, 0, 0, 0, , NO, 0, 0, NO,
1794, BEAM    , CONLOAD, GZ, NO , NO, aDir[1], , , , 0.53, -13.5, 0, 0, 0, 0, 0, 0, , NO, 0, 0, NO,
1795, BEAM    , CONLOAD, GZ, NO , NO, aDir[1], , , , 0.53, -13.5, 0, 0, 0, 0, 0, 0, , NO, 0, 0, NO,
1796, BEAM    , CONLOAD, GZ, NO , NO, aDir[1], , , , 0.53, -13.5, 0, 0, 0, 0, 0, 0, , NO, 0, 0, NO,
1797, BEAM    , CONLOAD, GZ, NO , NO, aDir[1], , , , 0.53, -13.5, 0, 0, 0, 0, 0, 0, , NO, 0, 0, NO,
1798, BEAM    , CONLOAD, GZ, NO , NO, aDir[1], , , , 0.53, -13.5, 0, 0, 0, 0, 0, 0, , NO, 0, 0, NO,
1799, BEAM    , CONLOAD, GZ, NO , NO, aDir[1], , , , 0.53, -13.5, 0, 0, 0, 0, 0, 0, , NO, 0, 0, NO,
1800, BEAM    , CONLOAD, GZ, NO , NO, aDir[1], , , , 0.53, -13.5, 0, 0, 0, 0, 0, 0, , NO, 0, 0, NO,
1801, BEAM    , CONLOAD, GZ, NO , NO, aDir[1], , , , 0.53, -13.5, 0, 0, 0, 0, 0, 0, , NO, 0, 0, NO,
1802, BEAM    , CONLOAD, GZ, NO , NO, aDir[1], , , , 0.53, -13.5, 0, 0, 0, 0, 0, 0, , NO, 0, 0, NO,
1803, BEAM    , CONLOAD, GZ, NO , NO, aDir[1], , , , 0.53, -13.5, 0, 0, 0, 0, 0, 0, , NO, 0, 0, NO,
1804, BEAM    , CONLOAD, GZ, NO , NO, aDir[1], , , , 0.53, -13.5, 0, 0, 0, 0, 0, 0, , NO, 0, 0, NO,
1805, BEAM    , CONLOAD, GZ, NO , NO, aDir[1], , , , 0.53, -13.5, 0, 0, 0, 0, 0, 0, , NO, 0, 0, NO,
1806, BEAM    , CONLOAD, GZ, NO , NO, aDir[1], , , , 0.53, -13.5, 0, 0, 0, 0, 0, 0, , NO, 0, 0, NO,
1807, BEAM    , CONLOAD, GZ, NO , NO, aDir[1], , , , 0.53, -13.5, 0, 0, 0, 0, 0, 0, , NO, 0, 0, NO,
1808, BEAM    , CONLOAD, GZ, NO , NO, aDir[1], , , , 0.53, -13.5, 0, 0, 0, 0, 0, 0, , NO, 0, 0, NO,
1809, BEAM    , CONLOAD, GZ, NO , NO, aDir[1], , , , 0.53, -13.5, 0, 0, 0, 0, 0, 0, , NO, 0, 0, NO,
1810, BEAM    , CONLOAD, GZ, NO , NO, aDir[1], , , , 0.53, -13.5, 0, 0, 0, 0, 0, 0, , NO, 0, 0, NO,
1811, BEAM    , CONLOAD, GZ, NO , NO, aDir[1], , , , 0.53, -13.5, 0, 0, 0, 0, 0, 0, , NO, 0, 0, NO,
1812, BEAM    , CONLOAD, GZ, NO , NO, aDir[1], , , , 0.53, -6.75, 0, 0, 0, 0, 0, 0, , NO, 0, 0, NO,
2145, BEAM    , CONLOAD, GZ, NO , NO, aDir[1], , , , 0.646, -2.8125, 0, 0, 0, 0, 0, 0, , NO, 0, 0, NO,
2146, BEAM    , CONLOAD, GZ, NO , NO, aDir[1], , , , 0.646, -5.625, 0, 0, 0, 0, 0, 0, , NO, 0, 0, NO,
2147, BEAM    , CONLOAD, GZ, NO , NO, aDir[1], , , , 0.646, -5.625, 0, 0, 0, 0, 0, 0, , NO, 0, 0, NO,
2148, BEAM    , CONLOAD, GZ, NO , NO, aDir[1], , , , 0.646, -5.625, 0, 0, 0, 0, 0, 0, , NO, 0, 0, NO,
2149, BEAM    , CONLOAD, GZ, NO , NO, aDir[1], , , , 0.646, -5.625, 0, 0, 0, 0, 0, 0, , NO, 0, 0, NO,
2150, BEAM    , CONLOAD, GZ, NO , NO, aDir[1], , , , 0.646, -5.625, 0, 0, 0, 0, 0, 0, , NO, 0, 0, NO,
2151, BEAM    , CONLOAD, GZ, NO , NO, aDir[1], , , , 0.646, -5.625, 0, 0, 0, 0, 0, 0, , NO, 0, 0, NO,
```

```
2152, BEAM    , CONLOAD, GZ, NO , NO, aDir[1], , , , 0.646, -5.625, 0, 0, 0, 0, 0, 0, , NO, 0, 0, NO,
2153, BEAM    , CONLOAD, GZ, NO , NO, aDir[1], , , , 0.646, -5.625, 0, 0, 0, 0, 0, 0, , NO, 0, 0, NO,
2154, BEAM    , CONLOAD, GZ, NO , NO, aDir[1], , , , 0.646, -5.625, 0, 0, 0, 0, 0, 0, , NO, 0, 0, NO,
2155, BEAM    , CONLOAD, GZ, NO , NO, aDir[1], , , , 0.646, -5.625, 0, 0, 0, 0, 0, 0, , NO, 0, 0, NO,
2156, BEAM    , CONLOAD, GZ, NO , NO, aDir[1], , , , 0.646, -5.625, 0, 0, 0, 0, 0, 0, , NO, 0, 0, NO,
2157, BEAM    , CONLOAD, GZ, NO , NO, aDir[1], , , , 0.646, -5.625, 0, 0, 0, 0, 0, 0, , NO, 0, 0, NO,
2158, BEAM    , CONLOAD, GZ, NO , NO, aDir[1], , , , 0.646, -5.625, 0, 0, 0, 0, 0, 0, , NO, 0, 0, NO,
2159, BEAM    , CONLOAD, GZ, NO , NO, aDir[1], , , , 0.646, -5.625, 0, 0, 0, 0, 0, 0, , NO, 0, 0, NO,
2160, BEAM    , CONLOAD, GZ, NO , NO, aDir[1], , , , 0.646, -5.625, 0, 0, 0, 0, 0, 0, , NO, 0, 0, NO,
2161, BEAM    , CONLOAD, GZ, NO , NO, aDir[1], , , , 0.646, -5.625, 0, 0, 0, 0, 0, 0, , NO, 0, 0, NO,
2162, BEAM    , CONLOAD, GZ, NO , NO, aDir[1], , , , 0.646, -5.625, 0, 0, 0, 0, 0, 0, , NO, 0, 0, NO,
2163, BEAM    , CONLOAD, GZ, NO , NO, aDir[1], , , , 0.646, -5.625, 0, 0, 0, 0, 0, 0, , NO, 0, 0, NO,
2164, BEAM    , CONLOAD, GZ, NO , NO, aDir[1], , , , 0.646, -5.625, 0, 0, 0, 0, 0, 0, , NO, 0, 0, NO,
2165, BEAM    , CONLOAD, GZ, NO , NO, aDir[1], , , , 0.646, -5.625, 0, 0, 0, 0, 0, 0, , NO, 0, 0, NO,
2166, BEAM    , CONLOAD, GZ, NO , NO, aDir[1], , , , 0.646, -5.625, 0, 0, 0, 0, 0, 0, , NO, 0, 0, NO,
2167, BEAM    , CONLOAD, GZ, NO , NO, aDir[1], , , , 0.646, -5.625, 0, 0, 0, 0, 0, 0, , NO, 0, 0, NO,
2168, BEAM    , CONLOAD, GZ, NO , NO, aDir[1], , , , 0.646, -5.625, 0, 0, 0, 0, 0, 0, , NO, 0, 0, NO,
2169, BEAM    , CONLOAD, GZ, NO , NO, aDir[1], , , , 0.646, -5.625, 0, 0, 0, 0, 0, 0, , NO, 0, 0, NO,
2170, BEAM    , CONLOAD, GZ, NO , NO, aDir[1], , , , 0.646, -5.625, 0, 0, 0, 0, 0, 0, , NO, 0, 0, NO,
2171, BEAM    , CONLOAD, GZ, NO , NO, aDir[1], , , , 0.646, -5.625, 0, 0, 0, 0, 0, 0, , NO, 0, 0, NO,
2172, BEAM    , CONLOAD, GZ, NO , NO, aDir[1], , , , 0.646, -5.625, 0, 0, 0, 0, 0, 0, , NO, 0, 0, NO,
2173, BEAM    , CONLOAD, GZ, NO , NO, aDir[1], , , , 0.646, -5.625, 0, 0, 0, 0, 0, 0, , NO, 0, 0, NO,
2174, BEAM    , CONLOAD, GZ, NO , NO, aDir[1], , , , 0.646, -5.625, 0, 0, 0, 0, 0, 0, , NO, 0, 0, NO,
2175, BEAM    , CONLOAD, GZ, NO , NO, aDir[1], , , , 0.646, -5.625, 0, 0, 0, 0, 0, 0, , NO, 0, 0, NO,
2176, BEAM    , CONLOAD, GZ, NO , NO, aDir[1], , , , 0.646, -5.625, 0, 0, 0, 0, 0, 0, , NO, 0, 0, NO,
2177, BEAM    , CONLOAD, GZ, NO , NO, aDir[1], , , , 0.646, -5.625, 0, 0, 0, 0, 0, 0, , NO, 0, 0, NO,
2178, BEAM    , CONLOAD, GZ, NO , NO, aDir[1], , , , 0.646, -5.625, 0, 0, 0, 0, 0, 0, , NO, 0, 0, NO,
2179, BEAM    , CONLOAD, GZ, NO , NO, aDir[1], , , , 0.646, -5.625, 0, 0, 0, 0, 0, 0, , NO, 0, 0, NO,
2180, BEAM    , CONLOAD, GZ, NO , NO, aDir[1], , , , 0.646, -5.625, 0, 0, 0, 0, 0, 0, , NO, 0, 0, NO,
2181, BEAM    , CONLOAD, GZ, NO , NO, aDir[1], , , , 0.646, -5.625, 0, 0, 0, 0, 0, 0, , NO, 0, 0, NO,
2182, BEAM    , CONLOAD, GZ, NO , NO, aDir[1], , , , 0.646, -5.625, 0, 0, 0, 0, 0, 0, , NO, 0, 0, NO,
2183, BEAM    , CONLOAD, GZ, NO , NO, aDir[1], , , , 0.646, -5.625, 0, 0, 0, 0, 0, 0, , NO, 0, 0, NO,
2184, BEAM    , CONLOAD, GZ, NO , NO, aDir[1], , , , 0.646, -5.625, 0, 0, 0, 0, 0, 0, , NO, 0, 0, NO,
2185, BEAM    , CONLOAD, GZ, NO , NO, aDir[1], , , , 0.646, -5.625, 0, 0, 0, 0, 0, 0, , NO, 0, 0, NO,
2186, BEAM    , CONLOAD, GZ, NO , NO, aDir[1], , , , 0.646, -2.8125, 0, 0, 0, 0, 0, 0, , NO, 0, 0, NO,
2393, BEAM    , CONLOAD, GZ, NO , NO, aDir[1], , , , 0.096, -101.875, 0, 0, 0, 0, 0, 0, , NO, 0, 0, NO,
2394, BEAM    , CONLOAD, GZ, NO , NO, aDir[1], , , , 0.096, -83.75, 0, 0, 0, 0, 0, 0, , NO, 0, 0, NO,
2395, BEAM    , CONLOAD, GZ, NO , NO, aDir[1], , , , 0.096, -23.75, 0, 0, 0, 0, 0, 0, , NO, 0, 0, NO,
2396, BEAM    , CONLOAD, GZ, NO , NO, aDir[1], , , , 0.096, -3.75, 0, 0, 0, 0, 0, 0, , NO, 0, 0, NO,
2397, BEAM    , CONLOAD, GZ, NO , NO, aDir[1], , , , 0.096, -3.75, 0, 0, 0, 0, 0, 0, , NO, 0, 0, NO,
2398, BEAM    , CONLOAD, GZ, NO , NO, aDir[1], , , , 0.096, -3.75, 0, 0, 0, 0, 0, 0, , NO, 0, 0, NO,
2399, BEAM    , CONLOAD, GZ, NO , NO, aDir[1], , , , 0.096, -3.75, 0, 0, 0, 0, 0, 0, , NO, 0, 0, NO,
2400, BEAM    , CONLOAD, GZ, NO , NO, aDir[1], , , , 0.096, -3.75, 0, 0, 0, 0, 0, 0, , NO, 0, 0, NO,
2401, BEAM    , CONLOAD, GZ, NO , NO, aDir[1], , , , 0.096, -3.75, 0, 0, 0, 0, 0, 0, , NO, 0, 0, NO,
2402, BEAM    , CONLOAD, GZ, NO , NO, aDir[1], , , , 0.096, -3.75, 0, 0, 0, 0, 0, 0, , NO, 0, 0, NO,
2403, BEAM    , CONLOAD, GZ, NO , NO, aDir[1], , , , 0.096, -3.75, 0, 0, 0, 0, 0, 0, , NO, 0, 0, NO,
2404, BEAM    , CONLOAD, GZ, NO , NO, aDir[1], , , , 0.096, -3.75, 0, 0, 0, 0, 0, 0, , NO, 0, 0, NO,
2405, BEAM    , CONLOAD, GZ, NO , NO, aDir[1], , , , 0.096, -3.75, 0, 0, 0, 0, 0, 0, , NO, 0, 0, NO,
2406, BEAM    , CONLOAD, GZ, NO , NO, aDir[1], , , , 0.096, -3.75, 0, 0, 0, 0, 0, 0, , NO, 0, 0, NO,
2407, BEAM    , CONLOAD, GZ, NO , NO, aDir[1], , , , 0.096, -3.75, 0, 0, 0, 0, 0, 0, , NO, 0, 0, NO,
2408, BEAM    , CONLOAD, GZ, NO , NO, aDir[1], , , , 0.096, -3.75, 0, 0, 0, 0, 0, 0, , NO, 0, 0, NO,
2409, BEAM    , CONLOAD, GZ, NO , NO, aDir[1], , , , 0.096, -3.75, 0, 0, 0, 0, 0, 0, , NO, 0, 0, NO,
2410, BEAM    , CONLOAD, GZ, NO , NO, aDir[1], , , , 0.096, -3.75, 0, 0, 0, 0, 0, 0, , NO, 0, 0, NO,
2411, BEAM    , CONLOAD, GZ, NO , NO, aDir[1], , , , 0.096, -3.75, 0, 0, 0, 0, 0, 0, , NO, 0, 0, NO,
2412, BEAM    , CONLOAD, GZ, NO , NO, aDir[1], , , , 0.096, -3.75, 0, 0, 0, 0, 0, 0, , NO, 0, 0, NO,
2413, BEAM    , CONLOAD, GZ, NO , NO, aDir[1], , , , 0.096, -3.75, 0, 0, 0, 0, 0, 0, , NO, 0, 0, NO,
2414, BEAM    , CONLOAD, GZ, NO , NO, aDir[1], , , , 0.096, -3.75, 0, 0, 0, 0, 0, 0, , NO, 0, 0, NO,
2415, BEAM    , CONLOAD, GZ, NO , NO, aDir[1], , , , 0.096, -3.75, 0, 0, 0, 0, 0, 0, , NO, 0, 0, NO,
2416, BEAM    , CONLOAD, GZ, NO , NO, aDir[1], , , , 0.096, -3.75, 0, 0, 0, 0, 0, 0, , NO, 0, 0, NO,
2417, BEAM    , CONLOAD, GZ, NO , NO, aDir[1], , , , 0.096, -3.75, 0, 0, 0, 0, 0, 0, , NO, 0, 0, NO,
2418, BEAM    , CONLOAD, GZ, NO , NO, aDir[1], , , , 0.096, -3.75, 0, 0, 0, 0, 0, 0, , NO, 0, 0, NO,
2419, BEAM    , CONLOAD, GZ, NO , NO, aDir[1], , , , 0.096, -3.75, 0, 0, 0, 0, 0, 0, , NO, 0, 0, NO,
2420, BEAM    , CONLOAD, GZ, NO , NO, aDir[1], , , , 0.096, -3.75, 0, 0, 0, 0, 0, 0, , NO, 0, 0, NO,
2421, BEAM    , CONLOAD, GZ, NO , NO, aDir[1], , , , 0.096, -3.75, 0, 0, 0, 0, 0, 0, , NO, 0, 0, NO,
2422, BEAM    , CONLOAD, GZ, NO , NO, aDir[1], , , , 0.096, -3.75, 0, 0, 0, 0, 0, 0, , NO, 0, 0, NO,
2423, BEAM    , CONLOAD, GZ, NO , NO, aDir[1], , , , 0.096, -3.75, 0, 0, 0, 0, 0, 0, , NO, 0, 0, NO,
2424, BEAM    , CONLOAD, GZ, NO , NO, aDir[1], , , , 0.096, -3.75, 0, 0, 0, 0, 0, 0, , NO, 0, 0, NO,
2425, BEAM    , CONLOAD, GZ, NO , NO, aDir[1], , , , 0.096, -3.75, 0, 0, 0, 0, 0, 0, , NO, 0, 0, NO,
2426, BEAM    , CONLOAD, GZ, NO , NO, aDir[1], , , , 0.096, -3.75, 0, 0, 0, 0, 0, 0, , NO, 0, 0, NO,
2427, BEAM    , CONLOAD, GZ, NO , NO, aDir[1], , , , 0.096, -3.75, 0, 0, 0, 0, 0, 0, , NO, 0, 0, NO,
2428, BEAM    , CONLOAD, GZ, NO , NO, aDir[1], , , , 0.096, -3.75, 0, 0, 0, 0, 0, 0, , NO, 0, 0, NO,
2429, BEAM    , CONLOAD, GZ, NO , NO, aDir[1], , , , 0.096, -3.75, 0, 0, 0, 0, 0, 0, , NO, 0, 0, NO,
2430, BEAM    , CONLOAD, GZ, NO , NO, aDir[1], , , , 0.096, -3.75, 0, 0, 0, 0, 0, 0, , NO, 0, 0, NO,
2431, BEAM    , CONLOAD, GZ, NO , NO, aDir[1], , , , 0.096, -3.75, 0, 0, 0, 0, 0, 0, , NO, 0, 0, NO,
2432, BEAM    , CONLOAD, GZ, NO , NO, aDir[1], , , , 0.096, -3.75, 0, 0, 0, 0, 0, 0, , NO, 0, 0, NO,
2433, BEAM    , CONLOAD, GZ, NO , NO, aDir[1], , , , 0.096, -3.75, 0, 0, 0, 0, 0, 0, , NO, 0, 0, NO,
2434, BEAM    , CONLOAD, GZ, NO , NO, aDir[1], , , , 0.096, -1.875, 0, 0, 0, 0, 0, 0, , NO, 0, 0, NO,
2435, BEAM    , CONLOAD, GZ, NO , NO, aDir[1], , , , 0.042, -156.75, 0, 0, 0, 0, 0, 0, , NO, 0, 0, NO,
```

PROJECT TITLE :

	Company		Client	
	Author		File Name	Brembiolo1_08_completo(fasi)DEFINITIVO.mgt

```
2435, BEAM    , CONLOAD, GZ, NO , NO, aDir[1], , , , 0.813, -1.875, 0, 0, 0, 0, 0, 0, , NO, 0, 0, NO,
2436, BEAM    , CONLOAD, GZ, NO , NO, aDir[1], , , , 0.813, -3.75, 0, 0, 0, 0, 0, 0, , NO, 0, 0, NO,
2436, BEAM    , CONLOAD, GZ, NO , NO, aDir[1], , , , 0.042, -133.5, 0, 0, 0, 0, 0, 0, , NO, 0, 0, NO,
2437, BEAM    , CONLOAD, GZ, NO , NO, aDir[1], , , , 0.042, -43.5, 0, 0, 0, 0, 0, 0, , NO, 0, 0, NO,
2437, BEAM    , CONLOAD, GZ, NO , NO, aDir[1], , , , 0.813, -3.75, 0, 0, 0, 0, 0, 0, , NO, 0, 0, NO,
2438, BEAM    , CONLOAD, GZ, NO , NO, aDir[1], , , , 0.042, -13.5, 0, 0, 0, 0, 0, 0, , NO, 0, 0, NO,
2438, BEAM    , CONLOAD, GZ, NO , NO, aDir[1], , , , 0.813, -3.75, 0, 0, 0, 0, 0, 0, , NO, 0, 0, NO,
2439, BEAM    , CONLOAD, GZ, NO , NO, aDir[1], , , , 0.042, -13.5, 0, 0, 0, 0, 0, 0, , NO, 0, 0, NO,
2439, BEAM    , CONLOAD, GZ, NO , NO, aDir[1], , , , 0.813, -3.75, 0, 0, 0, 0, 0, 0, , NO, 0, 0, NO,
2440, BEAM    , CONLOAD, GZ, NO , NO, aDir[1], , , , 0.813, -3.75, 0, 0, 0, 0, 0, 0, , NO, 0, 0, NO,
2440, BEAM    , CONLOAD, GZ, NO , NO, aDir[1], , , , 0.042, -13.5, 0, 0, 0, 0, 0, 0, , NO, 0, 0, NO,
2441, BEAM    , CONLOAD, GZ, NO , NO, aDir[1], , , , 0.813, -13.75, 0, 0, 0, 0, 0, 0, , NO, 0, 0, NO,
2441, BEAM    , CONLOAD, GZ, NO , NO, aDir[1], , , , 0.042, -13.5, 0, 0, 0, 0, 0, 0, , NO, 0, 0, NO,
2442, BEAM    , CONLOAD, GZ, NO , NO, aDir[1], , , , 0.813, -43.75, 0, 0, 0, 0, 0, 0, , NO, 0, 0, NO,
2442, BEAM    , CONLOAD, GZ, NO , NO, aDir[1], , , , 0.042, -13.5, 0, 0, 0, 0, 0, 0, , NO, 0, 0, NO,
2443, BEAM    , CONLOAD, GZ, NO , NO, aDir[1], , , , 0.042, -13.5, 0, 0, 0, 0, 0, 0, , NO, 0, 0, NO,
2443, BEAM    , CONLOAD, GZ, NO , NO, aDir[1], , , , 0.813, -53.75, 0, 0, 0, 0, 0, 0, , NO, 0, 0, NO,
2444, BEAM    , CONLOAD, GZ, NO , NO, aDir[1], , , , 0.813, -3.75, 0, 0, 0, 0, 0, 0, , NO, 0, 0, NO,
2444, BEAM    , CONLOAD, GZ, NO , NO, aDir[1], , , , 0.042, -13.5, 0, 0, 0, 0, 0, 0, , NO, 0, 0, NO,
2445, BEAM    , CONLOAD, GZ, NO , NO, aDir[1], , , , 0.042, -13.5, 0, 0, 0, 0, 0, 0, , NO, 0, 0, NO,
2445, BEAM    , CONLOAD, GZ, NO , NO, aDir[1], , , , 0.813, -3.75, 0, 0, 0, 0, 0, 0, , NO, 0, 0, NO,
2446, BEAM    , CONLOAD, GZ, NO , NO, aDir[1], , , , 0.042, -13.5, 0, 0, 0, 0, 0, 0, , NO, 0, 0, NO,
2446, BEAM    , CONLOAD, GZ, NO , NO, aDir[1], , , , 0.813, -3.75, 0, 0, 0, 0, 0, 0, , NO, 0, 0, NO,
2447, BEAM    , CONLOAD, GZ, NO , NO, aDir[1], , , , 0.042, -13.5, 0, 0, 0, 0, 0, 0, , NO, 0, 0, NO,
2447, BEAM    , CONLOAD, GZ, NO , NO, aDir[1], , , , 0.813, -3.75, 0, 0, 0, 0, 0, 0, , NO, 0, 0, NO,
2448, BEAM    , CONLOAD, GZ, NO , NO, aDir[1], , , , 0.813, -3.75, 0, 0, 0, 0, 0, 0, , NO, 0, 0, NO,
2448, BEAM    , CONLOAD, GZ, NO , NO, aDir[1], , , , 0.042, -13.5, 0, 0, 0, 0, 0, 0, , NO, 0, 0, NO,
2449, BEAM    , CONLOAD, GZ, NO , NO, aDir[1], , , , 0.813, -3.75, 0, 0, 0, 0, 0, 0, , NO, 0, 0, NO,
2449, BEAM    , CONLOAD, GZ, NO , NO, aDir[1], , , , 0.042, -13.5, 0, 0, 0, 0, 0, 0, , NO, 0, 0, NO,
2450, BEAM    , CONLOAD, GZ, NO , NO, aDir[1], , , , 0.042, -13.5, 0, 0, 0, 0, 0, 0, , NO, 0, 0, NO,
2450, BEAM    , CONLOAD, GZ, NO , NO, aDir[1], , , , 0.813, -3.75, 0, 0, 0, 0, 0, 0, , NO, 0, 0, NO,
2451, BEAM    , CONLOAD, GZ, NO , NO, aDir[1], , , , 0.042, -13.5, 0, 0, 0, 0, 0, 0, , NO, 0, 0, NO,
2451, BEAM    , CONLOAD, GZ, NO , NO, aDir[1], , , , 0.813, -3.75, 0, 0, 0, 0, 0, 0, , NO, 0, 0, NO,
2452, BEAM    , CONLOAD, GZ, NO , NO, aDir[1], , , , 0.813, -3.75, 0, 0, 0, 0, 0, 0, , NO, 0, 0, NO,
2452, BEAM    , CONLOAD, GZ, NO , NO, aDir[1], , , , 0.042, -13.5, 0, 0, 0, 0, 0, 0, , NO, 0, 0, NO,
2453, BEAM    , CONLOAD, GZ, NO , NO, aDir[1], , , , 0.813, -3.75, 0, 0, 0, 0, 0, 0, , NO, 0, 0, NO,
2453, BEAM    , CONLOAD, GZ, NO , NO, aDir[1], , , , 0.042, -13.5, 0, 0, 0, 0, 0, 0, , NO, 0, 0, NO,
2454, BEAM    , CONLOAD, GZ, NO , NO, aDir[1], , , , 0.042, -13.5, 0, 0, 0, 0, 0, 0, , NO, 0, 0, NO,
2454, BEAM    , CONLOAD, GZ, NO , NO, aDir[1], , , , 0.813, -3.75, 0, 0, 0, 0, 0, 0, , NO, 0, 0, NO,
2455, BEAM    , CONLOAD, GZ, NO , NO, aDir[1], , , , 0.042, -13.5, 0, 0, 0, 0, 0, 0, , NO, 0, 0, NO,
2455, BEAM    , CONLOAD, GZ, NO , NO, aDir[1], , , , 0.813, -3.75, 0, 0, 0, 0, 0, 0, , NO, 0, 0, NO,
2456, BEAM    , CONLOAD, GZ, NO , NO, aDir[1], , , , 0.042, -13.5, 0, 0, 0, 0, 0, 0, , NO, 0, 0, NO,
2456, BEAM    , CONLOAD, GZ, NO , NO, aDir[1], , , , 0.813, -3.75, 0, 0, 0, 0, 0, 0, , NO, 0, 0, NO,
2457, BEAM    , CONLOAD, GZ, NO , NO, aDir[1], , , , 0.042, -13.5, 0, 0, 0, 0, 0, 0, , NO, 0, 0, NO,
2457, BEAM    , CONLOAD, GZ, NO , NO, aDir[1], , , , 0.813, -3.75, 0, 0, 0, 0, 0, 0, , NO, 0, 0, NO,
2458, BEAM    , CONLOAD, GZ, NO , NO, aDir[1], , , , 0.813, -3.75, 0, 0, 0, 0, 0, 0, , NO, 0, 0, NO,
2458, BEAM    , CONLOAD, GZ, NO , NO, aDir[1], , , , 0.042, -13.5, 0, 0, 0, 0, 0, 0, , NO, 0, 0, NO,
2459, BEAM    , CONLOAD, GZ, NO , NO, aDir[1], , , , 0.042, -13.5, 0, 0, 0, 0, 0, 0, , NO, 0, 0, NO,
2459, BEAM    , CONLOAD, GZ, NO , NO, aDir[1], , , , 0.813, -3.75, 0, 0, 0, 0, 0, 0, , NO, 0, 0, NO,
2460, BEAM    , CONLOAD, GZ, NO , NO, aDir[1], , , , 0.813, -3.75, 0, 0, 0, 0, 0, 0, , NO, 0, 0, NO,
2460, BEAM    , CONLOAD, GZ, NO , NO, aDir[1], , , , 0.042, -13.5, 0, 0, 0, 0, 0, 0, , NO, 0, 0, NO,
2461, BEAM    , CONLOAD, GZ, NO , NO, aDir[1], , , , 0.813, -3.75, 0, 0, 0, 0, 0, 0, , NO, 0, 0, NO,
2461, BEAM    , CONLOAD, GZ, NO , NO, aDir[1], , , , 0.042, -13.5, 0, 0, 0, 0, 0, 0, , NO, 0, 0, NO,
2462, BEAM    , CONLOAD, GZ, NO , NO, aDir[1], , , , 0.042, -13.5, 0, 0, 0, 0, 0, 0, , NO, 0, 0, NO,
2462, BEAM    , CONLOAD, GZ, NO , NO, aDir[1], , , , 0.813, -3.75, 0, 0, 0, 0, 0, 0, , NO, 0, 0, NO,
2463, BEAM    , CONLOAD, GZ, NO , NO, aDir[1], , , , 0.813, -3.75, 0, 0, 0, 0, 0, 0, , NO, 0, 0, NO,
2463, BEAM    , CONLOAD, GZ, NO , NO, aDir[1], , , , 0.042, -13.5, 0, 0, 0, 0, 0, 0, , NO, 0, 0, NO,
2464, BEAM    , CONLOAD, GZ, NO , NO, aDir[1], , , , 0.813, -3.75, 0, 0, 0, 0, 0, 0, , NO, 0, 0, NO,
2464, BEAM    , CONLOAD, GZ, NO , NO, aDir[1], , , , 0.042, -13.5, 0, 0, 0, 0, 0, 0, , NO, 0, 0, NO,
2465, BEAM    , CONLOAD, GZ, NO , NO, aDir[1], , , , 0.813, -3.75, 0, 0, 0, 0, 0, 0, , NO, 0, 0, NO,
2465, BEAM    , CONLOAD, GZ, NO , NO, aDir[1], , , , 0.042, -13.5, 0, 0, 0, 0, 0, 0, , NO, 0, 0, NO,
2466, BEAM    , CONLOAD, GZ, NO , NO, aDir[1], , , , 0.813, -3.75, 0, 0, 0, 0, 0, 0, , NO, 0, 0, NO,
2466, BEAM    , CONLOAD, GZ, NO , NO, aDir[1], , , , 0.042, -13.5, 0, 0, 0, 0, 0, 0, , NO, 0, 0, NO,
2467, BEAM    , CONLOAD, GZ, NO , NO, aDir[1], , , , 0.813, -3.75, 0, 0, 0, 0, 0, 0, , NO, 0, 0, NO,
2467, BEAM    , CONLOAD, GZ, NO , NO, aDir[1], , , , 0.042, -13.5, 0, 0, 0, 0, 0, 0, , NO, 0, 0, NO,
2468, BEAM    , CONLOAD, GZ, NO , NO, aDir[1], , , , 0.813, -3.75, 0, 0, 0, 0, 0, 0, , NO, 0, 0, NO,
2468, BEAM    , CONLOAD, GZ, NO , NO, aDir[1], , , , 0.042, -13.5, 0, 0, 0, 0, 0, 0, , NO, 0, 0, NO,
2469, BEAM    , CONLOAD, GZ, NO , NO, aDir[1], , , , 0.813, -3.75, 0, 0, 0, 0, 0, 0, , NO, 0, 0, NO,
2469, BEAM    , CONLOAD, GZ, NO , NO, aDir[1], , , , 0.042, -13.5, 0, 0, 0, 0, 0, 0, , NO, 0, 0, NO,
2470, BEAM    , CONLOAD, GZ, NO , NO, aDir[1], , , , 0.813, -3.75, 0, 0, 0, 0, 0, 0, , NO, 0, 0, NO,
2470, BEAM    , CONLOAD, GZ, NO , NO, aDir[1], , , , 0.042, -13.5, 0, 0, 0, 0, 0, 0, , NO, 0, 0, NO,
2471, BEAM    , CONLOAD, GZ, NO , NO, aDir[1], , , , 0.042, -13.5, 0, 0, 0, 0, 0, 0, , NO, 0, 0, NO,
2471, BEAM    , CONLOAD, GZ, NO , NO, aDir[1], , , , 0.813, -3.75, 0, 0, 0, 0, 0, 0, , NO, 0, 0, NO,
2472, BEAM    , CONLOAD, GZ, NO , NO, aDir[1], , , , 0.042, -13.5, 0, 0, 0, 0, 0, 0, , NO, 0, 0, NO,
2472, BEAM    , CONLOAD, GZ, NO , NO, aDir[1], , , , 0.813, -3.75, 0, 0, 0, 0, 0, 0, , NO, 0, 0, NO,
2473, BEAM    , CONLOAD, GZ, NO , NO, aDir[1], , , , 0.813, -3.75, 0, 0, 0, 0, 0, 0, , NO, 0, 0, NO,
2473, BEAM    , CONLOAD, GZ, NO , NO, aDir[1], , , , 0.042, -13.5, 0, 0, 0, 0, 0, 0, , NO, 0, 0, NO,
2474, BEAM    , CONLOAD, GZ, NO , NO, aDir[1], , , , 0.042, -13.5, 0, 0, 0, 0, 0, 0, , NO, 0, 0, NO,
```

```
  2474, BEAM    , CONLOAD, GZ, NO , NO, aDir[1], , , , 0.813, -3.75, 0, 0, 0, 0, 0, 0, , NO, 0, 0, NO,
  2475, BEAM    , CONLOAD, GZ, NO , NO, aDir[1], , , , 0.813, -3.75, 0, 0, 0, 0, 0, 0, , NO, 0, 0, NO,
  2475, BEAM    , CONLOAD, GZ, NO , NO, aDir[1], , , , 0.042, -13.5, 0, 0, 0, 0, 0, 0, , NO, 0, 0, NO,
  2476, BEAM    , CONLOAD, GZ, NO , NO, aDir[1], , , , 0.042, -6.75, 0, 0, 0, 0, 0, 0, , NO, 0, 0, NO,
  2476, BEAM    , CONLOAD, GZ, NO , NO, aDir[1], , , , 0.813, -1.875, 0, 0, 0, 0, 0, 0, , NO, 0, 0, NO,

; End of data for load case [node 54_max Fz] -------------------------

*USE-STLD, node 53_max Fz

*BEAMLOAD    ; Element Beam Loads
; ELEM_LIST, CMD, TYPE, DIR, bPROJ, [ECCEN], [VALUE], GROUP
; ELEM_LIST, CMD, TYPE, TYPE, DIR, VX, VY, VZ, bPROJ, [ECCEN], [VALUE], GROUP
; [VALUE]       : D1, P1, D2, P2, D3, P3, D4, P4
; [ECCEN]       : bECCEN, ECCDIR, I-END, J-END, bJ-END
; [ADDITIONAL]  : bADDITIONAL, ADDITIONAL_I-END, ADDITIONAL_J-END, bADDITIONAL_J-END
   441, BEAM    , CONLOAD, GZ, NO , NO, aDir[1], , , , 0.204, -156.75, 0, 0, 0, 0, 0, 0, , NO, 0, 0, NO,
   446, BEAM    , CONLOAD, GZ, NO , NO, aDir[1], , , , 0.204, -133.5, 0, 0, 0, 0, 0, 0, , NO, 0, 0, NO,
   451, BEAM    , CONLOAD, GZ, NO , NO, aDir[1], , , , 0.204, -43.5, 0, 0, 0, 0, 0, 0, , NO, 0, 0, NO,
   456, BEAM    , CONLOAD, GZ, NO , NO, aDir[1], , , , 0.204, -13.5, 0, 0, 0, 0, 0, 0, , NO, 0, 0, NO,
   461, BEAM    , CONLOAD, GZ, NO , NO, aDir[1], , , , 0.204, -13.5, 0, 0, 0, 0, 0, 0, , NO, 0, 0, NO,
   466, BEAM    , CONLOAD, GZ, NO , NO, aDir[1], , , , 0.204, -13.5, 0, 0, 0, 0, 0, 0, , NO, 0, 0, NO,
   471, BEAM    , CONLOAD, GZ, NO , NO, aDir[1], , , , 0.204, -13.5, 0, 0, 0, 0, 0, 0, , NO, 0, 0, NO,
   476, BEAM    , CONLOAD, GZ, NO , NO, aDir[1], , , , 0.204, -13.5, 0, 0, 0, 0, 0, 0, , NO, 0, 0, NO,
   481, BEAM    , CONLOAD, GZ, NO , NO, aDir[1], , , , 0.204, -13.5, 0, 0, 0, 0, 0, 0, , NO, 0, 0, NO,
   486, BEAM    , CONLOAD, GZ, NO , NO, aDir[1], , , , 0.204, -13.5, 0, 0, 0, 0, 0, 0, , NO, 0, 0, NO,
   491, BEAM    , CONLOAD, GZ, NO , NO, aDir[1], , , , 0.204, -13.5, 0, 0, 0, 0, 0, 0, , NO, 0, 0, NO,
   496, BEAM    , CONLOAD, GZ, NO , NO, aDir[1], , , , 0.204, -13.5, 0, 0, 0, 0, 0, 0, , NO, 0, 0, NO,
   501, BEAM    , CONLOAD, GZ, NO , NO, aDir[1], , , , 0.204, -13.5, 0, 0, 0, 0, 0, 0, , NO, 0, 0, NO,
   506, BEAM    , CONLOAD, GZ, NO , NO, aDir[1], , , , 0.204, -13.5, 0, 0, 0, 0, 0, 0, , NO, 0, 0, NO,
   511, BEAM    , CONLOAD, GZ, NO , NO, aDir[1], , , , 0.204, -13.5, 0, 0, 0, 0, 0, 0, , NO, 0, 0, NO,
   516, BEAM    , CONLOAD, GZ, NO , NO, aDir[1], , , , 0.204, -13.5, 0, 0, 0, 0, 0, 0, , NO, 0, 0, NO,
   521, BEAM    , CONLOAD, GZ, NO , NO, aDir[1], , , , 0.204, -13.5, 0, 0, 0, 0, 0, 0, , NO, 0, 0, NO,
   526, BEAM    , CONLOAD, GZ, NO , NO, aDir[1], , , , 0.204, -13.5, 0, 0, 0, 0, 0, 0, , NO, 0, 0, NO,
   531, BEAM    , CONLOAD, GZ, NO , NO, aDir[1], , , , 0.204, -13.5, 0, 0, 0, 0, 0, 0, , NO, 0, 0, NO,
   536, BEAM    , CONLOAD, GZ, NO , NO, aDir[1], , , , 0.204, -13.5, 0, 0, 0, 0, 0, 0, , NO, 0, 0, NO,
   541, BEAM    , CONLOAD, GZ, NO , NO, aDir[1], , , , 0.204, -13.5, 0, 0, 0, 0, 0, 0, , NO, 0, 0, NO,
   546, BEAM    , CONLOAD, GZ, NO , NO, aDir[1], , , , 0.204, -13.5, 0, 0, 0, 0, 0, 0, , NO, 0, 0, NO,
   551, BEAM    , CONLOAD, GZ, NO , NO, aDir[1], , , , 0.204, -13.5, 0, 0, 0, 0, 0, 0, , NO, 0, 0, NO,
   556, BEAM    , CONLOAD, GZ, NO , NO, aDir[1], , , , 0.204, -13.5, 0, 0, 0, 0, 0, 0, , NO, 0, 0, NO,
   561, BEAM    , CONLOAD, GZ, NO , NO, aDir[1], , , , 0.204, -13.5, 0, 0, 0, 0, 0, 0, , NO, 0, 0, NO,
   566, BEAM    , CONLOAD, GZ, NO , NO, aDir[1], , , , 0.204, -13.5, 0, 0, 0, 0, 0, 0, , NO, 0, 0, NO,
   571, BEAM    , CONLOAD, GZ, NO , NO, aDir[1], , , , 0.204, -13.5, 0, 0, 0, 0, 0, 0, , NO, 0, 0, NO,
   576, BEAM    , CONLOAD, GZ, NO , NO, aDir[1], , , , 0.204, -13.5, 0, 0, 0, 0, 0, 0, , NO, 0, 0, NO,
   581, BEAM    , CONLOAD, GZ, NO , NO, aDir[1], , , , 0.204, -13.5, 0, 0, 0, 0, 0, 0, , NO, 0, 0, NO,
   586, BEAM    , CONLOAD, GZ, NO , NO, aDir[1], , , , 0.204, -13.5, 0, 0, 0, 0, 0, 0, , NO, 0, 0, NO,
   591, BEAM    , CONLOAD, GZ, NO , NO, aDir[1], , , , 0.204, -13.5, 0, 0, 0, 0, 0, 0, , NO, 0, 0, NO,
   596, BEAM    , CONLOAD, GZ, NO , NO, aDir[1], , , , 0.204, -13.5, 0, 0, 0, 0, 0, 0, , NO, 0, 0, NO,
   601, BEAM    , CONLOAD, GZ, NO , NO, aDir[1], , , , 0.204, -13.5, 0, 0, 0, 0, 0, 0, , NO, 0, 0, NO,
   606, BEAM    , CONLOAD, GZ, NO , NO, aDir[1], , , , 0.204, -13.5, 0, 0, 0, 0, 0, 0, , NO, 0, 0, NO,
   611, BEAM    , CONLOAD, GZ, NO , NO, aDir[1], , , , 0.204, -13.5, 0, 0, 0, 0, 0, 0, , NO, 0, 0, NO,
   616, BEAM    , CONLOAD, GZ, NO , NO, aDir[1], , , , 0.204, -13.5, 0, 0, 0, 0, 0, 0, , NO, 0, 0, NO,
   621, BEAM    , CONLOAD, GZ, NO , NO, aDir[1], , , , 0.204, -13.5, 0, 0, 0, 0, 0, 0, , NO, 0, 0, NO,
   626, BEAM    , CONLOAD, GZ, NO , NO, aDir[1], , , , 0.204, -13.5, 0, 0, 0, 0, 0, 0, , NO, 0, 0, NO,
   631, BEAM    , CONLOAD, GZ, NO , NO, aDir[1], , , , 0.204, -13.5, 0, 0, 0, 0, 0, 0, , NO, 0, 0, NO,
   636, BEAM    , CONLOAD, GZ, NO , NO, aDir[1], , , , 0.204, -13.5, 0, 0, 0, 0, 0, 0, , NO, 0, 0, NO,
   641, BEAM    , CONLOAD, GZ, NO , NO, aDir[1], , , , 0.204, -13.5, 0, 0, 0, 0, 0, 0, , NO, 0, 0, NO,
   646, BEAM    , CONLOAD, GZ, NO , NO, aDir[1], , , , 0.204, -6.75, 0, 0, 0, 0, 0, 0, , NO, 0, 0, NO,
  1729, BEAM    , CONLOAD, GZ, NO , NO, aDir[1], , , , 0.528, -0.618641, 0, 0, 0, 0, 0, 0, , NO, 0, 0, NO,
  1730, BEAM    , CONLOAD, GZ, NO , NO, aDir[1], , , , 0.528, -3.41038, 0, 0, 0, 0, 0, 0, , NO, 0, 0, NO,
  1731, BEAM    , CONLOAD, GZ, NO , NO, aDir[1], , , , 0.528, -3.75, 0, 0, 0, 0, 0, 0, , NO, 0, 0, NO,
  1732, BEAM    , CONLOAD, GZ, NO , NO, aDir[1], , , , 0.528, -3.75, 0, 0, 0, 0, 0, 0, , NO, 0, 0, NO,
  1733, BEAM    , CONLOAD, GZ, NO , NO, aDir[1], , , , 0.528, -3.75, 0, 0, 0, 0, 0, 0, , NO, 0, 0, NO,
  1734, BEAM    , CONLOAD, GZ, NO , NO, aDir[1], , , , 0.528, -3.75, 0, 0, 0, 0, 0, 0, , NO, 0, 0, NO,
  1735, BEAM    , CONLOAD, GZ, NO , NO, aDir[1], , , , 0.528, -3.75, 0, 0, 0, 0, 0, 0, , NO, 0, 0, NO,
  1736, BEAM    , CONLOAD, GZ, NO , NO, aDir[1], , , , 0.528, -3.75, 0, 0, 0, 0, 0, 0, , NO, 0, 0, NO,
  1737, BEAM    , CONLOAD, GZ, NO , NO, aDir[1], , , , 0.528, -3.75, 0, 0, 0, 0, 0, 0, , NO, 0, 0, NO,
  1738, BEAM    , CONLOAD, GZ, NO , NO, aDir[1], , , , 0.528, -3.75, 0, 0, 0, 0, 0, 0, , NO, 0, 0, NO,
  1739, BEAM    , CONLOAD, GZ, NO , NO, aDir[1], , , , 0.528, -3.75, 0, 0, 0, 0, 0, 0, , NO, 0, 0, NO,
  1740, BEAM    , CONLOAD, GZ, NO , NO, aDir[1], , , , 0.528, -3.75, 0, 0, 0, 0, 0, 0, , NO, 0, 0, NO,
  1741, BEAM    , CONLOAD, GZ, NO , NO, aDir[1], , , , 0.528, -3.75, 0, 0, 0, 0, 0, 0, , NO, 0, 0, NO,
  1742, BEAM    , CONLOAD, GZ, NO , NO, aDir[1], , , , 0.528, -3.75, 0, 0, 0, 0, 0, 0, , NO, 0, 0, NO,
  1743, BEAM    , CONLOAD, GZ, NO , NO, aDir[1], , , , 0.528, -3.75, 0, 0, 0, 0, 0, 0, , NO, 0, 0, NO,
  1744, BEAM    , CONLOAD, GZ, NO , NO, aDir[1], , , , 0.528, -3.75, 0, 0, 0, 0, 0, 0, , NO, 0, 0, NO,
  1745, BEAM    , CONLOAD, GZ, NO , NO, aDir[1], , , , 0.528, -53.75, 0, 0, 0, 0, 0, 0, , NO, 0, 0, NO,
  1746, BEAM    , CONLOAD, GZ, NO , NO, aDir[1], , , , 0.528, -43.75, 0, 0, 0, 0, 0, 0, , NO, 0, 0, NO,
  1747, BEAM    , CONLOAD, GZ, NO , NO, aDir[1], , , , 0.528, -13.75, 0, 0, 0, 0, 0, 0, , NO, 0, 0, NO,
  1748, BEAM    , CONLOAD, GZ, NO , NO, aDir[1], , , , 0.528, -3.75, 0, 0, 0, 0, 0, 0, , NO, 0, 0, NO,
```

```
1749, BEAM    , CONLOAD, GZ, NO , NO, aDir[1], , , , 0.528, -3.75, 0, 0, 0, 0, 0, 0, , NO, 0, 0, NO,
1750, BEAM    , CONLOAD, GZ, NO , NO, aDir[1], , , , 0.528, -3.75, 0, 0, 0, 0, 0, 0, , NO, 0, 0, NO,
1751, BEAM    , CONLOAD, GZ, NO , NO, aDir[1], , , , 0.528, -3.75, 0, 0, 0, 0, 0, 0, , NO, 0, 0, NO,
1752, BEAM    , CONLOAD, GZ, NO , NO, aDir[1], , , , 0.528, -3.75, 0, 0, 0, 0, 0, 0, , NO, 0, 0, NO,
1753, BEAM    , CONLOAD, GZ, NO , NO, aDir[1], , , , 0.528, -3.75, 0, 0, 0, 0, 0, 0, , NO, 0, 0, NO,
1754, BEAM    , CONLOAD, GZ, NO , NO, aDir[1], , , , 0.528, -3.75, 0, 0, 0, 0, 0, 0, , NO, 0, 0, NO,
1755, BEAM    , CONLOAD, GZ, NO , NO, aDir[1], , , , 0.528, -3.75, 0, 0, 0, 0, 0, 0, , NO, 0, 0, NO,
1756, BEAM    , CONLOAD, GZ, NO , NO, aDir[1], , , , 0.528, -3.75, 0, 0, 0, 0, 0, 0, , NO, 0, 0, NO,
1757, BEAM    , CONLOAD, GZ, NO , NO, aDir[1], , , , 0.528, -3.75, 0, 0, 0, 0, 0, 0, , NO, 0, 0, NO,
1758, BEAM    , CONLOAD, GZ, NO , NO, aDir[1], , , , 0.528, -3.75, 0, 0, 0, 0, 0, 0, , NO, 0, 0, NO,
1759, BEAM    , CONLOAD, GZ, NO , NO, aDir[1], , , , 0.528, -3.75, 0, 0, 0, 0, 0, 0, , NO, 0, 0, NO,
1760, BEAM    , CONLOAD, GZ, NO , NO, aDir[1], , , , 0.528, -3.75, 0, 0, 0, 0, 0, 0, , NO, 0, 0, NO,
1761, BEAM    , CONLOAD, GZ, NO , NO, aDir[1], , , , 0.528, -3.75, 0, 0, 0, 0, 0, 0, , NO, 0, 0, NO,
1762, BEAM    , CONLOAD, GZ, NO , NO, aDir[1], , , , 0.528, -3.75, 0, 0, 0, 0, 0, 0, , NO, 0, 0, NO,
1763, BEAM    , CONLOAD, GZ, NO , NO, aDir[1], , , , 0.528, -3.75, 0, 0, 0, 0, 0, 0, , NO, 0, 0, NO,
1764, BEAM    , CONLOAD, GZ, NO , NO, aDir[1], , , , 0.528, -3.75, 0, 0, 0, 0, 0, 0, , NO, 0, 0, NO,
1765, BEAM    , CONLOAD, GZ, NO , NO, aDir[1], , , , 0.528, -3.75, 0, 0, 0, 0, 0, 0, , NO, 0, 0, NO,
1766, BEAM    , CONLOAD, GZ, NO , NO, aDir[1], , , , 0.528, -3.75, 0, 0, 0, 0, 0, 0, , NO, 0, 0, NO,
1767, BEAM    , CONLOAD, GZ, NO , NO, aDir[1], , , , 0.528, -3.75, 0, 0, 0, 0, 0, 0, , NO, 0, 0, NO,
1768, BEAM    , CONLOAD, GZ, NO , NO, aDir[1], , , , 0.528, -3.75, 0, 0, 0, 0, 0, 0, , NO, 0, 0, NO,
1769, BEAM    , CONLOAD, GZ, NO , NO, aDir[1], , , , 0.528, -3.75, 0, 0, 0, 0, 0, 0, , NO, 0, 0, NO,
1770, BEAM    , CONLOAD, GZ, NO , NO, aDir[1], , , , 0.528, -1.875, 0, 0, 0, 0, 0, 0, , NO, 0, 0, NO,
1771, BEAM    , CONLOAD, GZ, NO , NO, aDir[1], , , , 0.53, -1.875, 0, 0, 0, 0, 0, 0, , NO, 0, 0, NO,
1772, BEAM    , CONLOAD, GZ, NO , NO, aDir[1], , , , 0.53, -3.75, 0, 0, 0, 0, 0, 0, , NO, 0, 0, NO,
1773, BEAM    , CONLOAD, GZ, NO , NO, aDir[1], , , , 0.53, -3.75, 0, 0, 0, 0, 0, 0, , NO, 0, 0, NO,
1774, BEAM    , CONLOAD, GZ, NO , NO, aDir[1], , , , 0.53, -3.75, 0, 0, 0, 0, 0, 0, , NO, 0, 0, NO,
1775, BEAM    , CONLOAD, GZ, NO , NO, aDir[1], , , , 0.53, -3.75, 0, 0, 0, 0, 0, 0, , NO, 0, 0, NO,
1776, BEAM    , CONLOAD, GZ, NO , NO, aDir[1], , , , 0.53, -3.75, 0, 0, 0, 0, 0, 0, , NO, 0, 0, NO,
1777, BEAM    , CONLOAD, GZ, NO , NO, aDir[1], , , , 0.53, -3.75, 0, 0, 0, 0, 0, 0, , NO, 0, 0, NO,
1778, BEAM    , CONLOAD, GZ, NO , NO, aDir[1], , , , 0.53, -3.75, 0, 0, 0, 0, 0, 0, , NO, 0, 0, NO,
1779, BEAM    , CONLOAD, GZ, NO , NO, aDir[1], , , , 0.53, -3.75, 0, 0, 0, 0, 0, 0, , NO, 0, 0, NO,
1780, BEAM    , CONLOAD, GZ, NO , NO, aDir[1], , , , 0.53, -3.75, 0, 0, 0, 0, 0, 0, , NO, 0, 0, NO,
1781, BEAM    , CONLOAD, GZ, NO , NO, aDir[1], , , , 0.53, -3.75, 0, 0, 0, 0, 0, 0, , NO, 0, 0, NO,
1782, BEAM    , CONLOAD, GZ, NO , NO, aDir[1], , , , 0.53, -103.75, 0, 0, 0, 0, 0, 0, , NO, 0, 0, NO,
1783, BEAM    , CONLOAD, GZ, NO , NO, aDir[1], , , , 0.53, -83.75, 0, 0, 0, 0, 0, 0, , NO, 0, 0, NO,
1784, BEAM    , CONLOAD, GZ, NO , NO, aDir[1], , , , 0.53, -23.75, 0, 0, 0, 0, 0, 0, , NO, 0, 0, NO,
1785, BEAM    , CONLOAD, GZ, NO , NO, aDir[1], , , , 0.53, -3.75, 0, 0, 0, 0, 0, 0, , NO, 0, 0, NO,
1786, BEAM    , CONLOAD, GZ, NO , NO, aDir[1], , , , 0.53, -3.75, 0, 0, 0, 0, 0, 0, , NO, 0, 0, NO,
1787, BEAM    , CONLOAD, GZ, NO , NO, aDir[1], , , , 0.53, -3.75, 0, 0, 0, 0, 0, 0, , NO, 0, 0, NO,
1788, BEAM    , CONLOAD, GZ, NO , NO, aDir[1], , , , 0.53, -3.75, 0, 0, 0, 0, 0, 0, , NO, 0, 0, NO,
1789, BEAM    , CONLOAD, GZ, NO , NO, aDir[1], , , , 0.53, -3.75, 0, 0, 0, 0, 0, 0, , NO, 0, 0, NO,
1790, BEAM    , CONLOAD, GZ, NO , NO, aDir[1], , , , 0.53, -3.75, 0, 0, 0, 0, 0, 0, , NO, 0, 0, NO,
1791, BEAM    , CONLOAD, GZ, NO , NO, aDir[1], , , , 0.53, -3.75, 0, 0, 0, 0, 0, 0, , NO, 0, 0, NO,
1792, BEAM    , CONLOAD, GZ, NO , NO, aDir[1], , , , 0.53, -3.75, 0, 0, 0, 0, 0, 0, , NO, 0, 0, NO,
1793, BEAM    , CONLOAD, GZ, NO , NO, aDir[1], , , , 0.53, -3.75, 0, 0, 0, 0, 0, 0, , NO, 0, 0, NO,
1794, BEAM    , CONLOAD, GZ, NO , NO, aDir[1], , , , 0.53, -3.75, 0, 0, 0, 0, 0, 0, , NO, 0, 0, NO,
1795, BEAM    , CONLOAD, GZ, NO , NO, aDir[1], , , , 0.53, -3.75, 0, 0, 0, 0, 0, 0, , NO, 0, 0, NO,
1796, BEAM    , CONLOAD, GZ, NO , NO, aDir[1], , , , 0.53, -3.75, 0, 0, 0, 0, 0, 0, , NO, 0, 0, NO,
1797, BEAM    , CONLOAD, GZ, NO , NO, aDir[1], , , , 0.53, -3.75, 0, 0, 0, 0, 0, 0, , NO, 0, 0, NO,
1798, BEAM    , CONLOAD, GZ, NO , NO, aDir[1], , , , 0.53, -3.75, 0, 0, 0, 0, 0, 0, , NO, 0, 0, NO,
1799, BEAM    , CONLOAD, GZ, NO , NO, aDir[1], , , , 0.53, -3.75, 0, 0, 0, 0, 0, 0, , NO, 0, 0, NO,
1800, BEAM    , CONLOAD, GZ, NO , NO, aDir[1], , , , 0.53, -3.75, 0, 0, 0, 0, 0, 0, , NO, 0, 0, NO,
1801, BEAM    , CONLOAD, GZ, NO , NO, aDir[1], , , , 0.53, -3.75, 0, 0, 0, 0, 0, 0, , NO, 0, 0, NO,
1802, BEAM    , CONLOAD, GZ, NO , NO, aDir[1], , , , 0.53, -3.75, 0, 0, 0, 0, 0, 0, , NO, 0, 0, NO,
1803, BEAM    , CONLOAD, GZ, NO , NO, aDir[1], , , , 0.53, -3.75, 0, 0, 0, 0, 0, 0, , NO, 0, 0, NO,
1804, BEAM    , CONLOAD, GZ, NO , NO, aDir[1], , , , 0.53, -3.75, 0, 0, 0, 0, 0, 0, , NO, 0, 0, NO,
1805, BEAM    , CONLOAD, GZ, NO , NO, aDir[1], , , , 0.53, -3.75, 0, 0, 0, 0, 0, 0, , NO, 0, 0, NO,
1806, BEAM    , CONLOAD, GZ, NO , NO, aDir[1], , , , 0.53, -3.75, 0, 0, 0, 0, 0, 0, , NO, 0, 0, NO,
1807, BEAM    , CONLOAD, GZ, NO , NO, aDir[1], , , , 0.53, -3.75, 0, 0, 0, 0, 0, 0, , NO, 0, 0, NO,
1808, BEAM    , CONLOAD, GZ, NO , NO, aDir[1], , , , 0.53, -3.75, 0, 0, 0, 0, 0, 0, , NO, 0, 0, NO,
1809, BEAM    , CONLOAD, GZ, NO , NO, aDir[1], , , , 0.53, -3.75, 0, 0, 0, 0, 0, 0, , NO, 0, 0, NO,
1810, BEAM    , CONLOAD, GZ, NO , NO, aDir[1], , , , 0.53, -3.75, 0, 0, 0, 0, 0, 0, , NO, 0, 0, NO,
1811, BEAM    , CONLOAD, GZ, NO , NO, aDir[1], , , , 0.53, -3.75, 0, 0, 0, 0, 0, 0, , NO, 0, 0, NO,
1812, BEAM    , CONLOAD, GZ, NO , NO, aDir[1], , , , 0.53, -1.875, 0, 0, 0, 0, 0, 0, , NO, 0, 0, NO,
2393, BEAM    , CONLOAD, GZ, NO , NO, aDir[1], , , , 0.096, -0.618641, 0, 0, 0, 0, 0, 0, , NO, 0, 0, NO,
2394, BEAM    , CONLOAD, GZ, NO , NO, aDir[1], , , , 0.096, -3.41038, 0, 0, 0, 0, 0, 0, , NO, 0, 0, NO,
2395, BEAM    , CONLOAD, GZ, NO , NO, aDir[1], , , , 0.096, -3.75, 0, 0, 0, 0, 0, 0, , NO, 0, 0, NO,
2396, BEAM    , CONLOAD, GZ, NO , NO, aDir[1], , , , 0.096, -3.75, 0, 0, 0, 0, 0, 0, , NO, 0, 0, NO,
2397, BEAM    , CONLOAD, GZ, NO , NO, aDir[1], , , , 0.096, -3.75, 0, 0, 0, 0, 0, 0, , NO, 0, 0, NO,
2398, BEAM    , CONLOAD, GZ, NO , NO, aDir[1], , , , 0.096, -3.75, 0, 0, 0, 0, 0, 0, , NO, 0, 0, NO,
2399, BEAM    , CONLOAD, GZ, NO , NO, aDir[1], , , , 0.096, -3.75, 0, 0, 0, 0, 0, 0, , NO, 0, 0, NO,
2400, BEAM    , CONLOAD, GZ, NO , NO, aDir[1], , , , 0.096, -3.75, 0, 0, 0, 0, 0, 0, , NO, 0, 0, NO,
2401, BEAM    , CONLOAD, GZ, NO , NO, aDir[1], , , , 0.096, -3.75, 0, 0, 0, 0, 0, 0, , NO, 0, 0, NO,
2402, BEAM    , CONLOAD, GZ, NO , NO, aDir[1], , , , 0.096, -3.75, 0, 0, 0, 0, 0, 0, , NO, 0, 0, NO,
2403, BEAM    , CONLOAD, GZ, NO , NO, aDir[1], , , , 0.096, -3.75, 0, 0, 0, 0, 0, 0, , NO, 0, 0, NO,
2404, BEAM    , CONLOAD, GZ, NO , NO, aDir[1], , , , 0.096, -3.75, 0, 0, 0, 0, 0, 0, , NO, 0, 0, NO,
2405, BEAM    , CONLOAD, GZ, NO , NO, aDir[1], , , , 0.096, -3.75, 0, 0, 0, 0, 0, 0, , NO, 0, 0, NO,
2406, BEAM    , CONLOAD, GZ, NO , NO, aDir[1], , , , 0.096, -3.75, 0, 0, 0, 0, 0, 0, , NO, 0, 0, NO,
```

PROJECT TITLE :

	Company		Client	
	Author		File Name	Brembiolo1_08_completo(fasi)DEFINITIVO.mgt

```
2407, BEAM    , CONLOAD, GZ, NO , NO, aDir[1], , , , 0.096, -3.75, 0, 0, 0, 0, 0, 0, , NO, 0, 0, NO,
2408, BEAM    , CONLOAD, GZ, NO , NO, aDir[1], , , , 0.096, -3.75, 0, 0, 0, 0, 0, 0, , NO, 0, 0, NO,
2409, BEAM    , CONLOAD, GZ, NO , NO, aDir[1], , , , 0.096, -53.75, 0, 0, 0, 0, 0, 0, , NO, 0, 0, NO,
2410, BEAM    , CONLOAD, GZ, NO , NO, aDir[1], , , , 0.096, -43.75, 0, 0, 0, 0, 0, 0, , NO, 0, 0, NO,
2411, BEAM    , CONLOAD, GZ, NO , NO, aDir[1], , , , 0.096, -13.75, 0, 0, 0, 0, 0, 0, , NO, 0, 0, NO,
2412, BEAM    , CONLOAD, GZ, NO , NO, aDir[1], , , , 0.096, -3.75, 0, 0, 0, 0, 0, 0, , NO, 0, 0, NO,
2413, BEAM    , CONLOAD, GZ, NO , NO, aDir[1], , , , 0.096, -3.75, 0, 0, 0, 0, 0, 0, , NO, 0, 0, NO,
2414, BEAM    , CONLOAD, GZ, NO , NO, aDir[1], , , , 0.096, -3.75, 0, 0, 0, 0, 0, 0, , NO, 0, 0, NO,
2415, BEAM    , CONLOAD, GZ, NO , NO, aDir[1], , , , 0.096, -3.75, 0, 0, 0, 0, 0, 0, , NO, 0, 0, NO,
2416, BEAM    , CONLOAD, GZ, NO , NO, aDir[1], , , , 0.096, -3.75, 0, 0, 0, 0, 0, 0, , NO, 0, 0, NO,
2417, BEAM    , CONLOAD, GZ, NO , NO, aDir[1], , , , 0.096, -3.75, 0, 0, 0, 0, 0, 0, , NO, 0, 0, NO,
2418, BEAM    , CONLOAD, GZ, NO , NO, aDir[1], , , , 0.096, -3.75, 0, 0, 0, 0, 0, 0, , NO, 0, 0, NO,
2419, BEAM    , CONLOAD, GZ, NO , NO, aDir[1], , , , 0.096, -3.75, 0, 0, 0, 0, 0, 0, , NO, 0, 0, NO,
2420, BEAM    , CONLOAD, GZ, NO , NO, aDir[1], , , , 0.096, -3.75, 0, 0, 0, 0, 0, 0, , NO, 0, 0, NO,
2421, BEAM    , CONLOAD, GZ, NO , NO, aDir[1], , , , 0.096, -3.75, 0, 0, 0, 0, 0, 0, , NO, 0, 0, NO,
2422, BEAM    , CONLOAD, GZ, NO , NO, aDir[1], , , , 0.096, -3.75, 0, 0, 0, 0, 0, 0, , NO, 0, 0, NO,
2423, BEAM    , CONLOAD, GZ, NO , NO, aDir[1], , , , 0.096, -3.75, 0, 0, 0, 0, 0, 0, , NO, 0, 0, NO,
2424, BEAM    , CONLOAD, GZ, NO , NO, aDir[1], , , , 0.096, -3.75, 0, 0, 0, 0, 0, 0, , NO, 0, 0, NO,
2425, BEAM    , CONLOAD, GZ, NO , NO, aDir[1], , , , 0.096, -3.75, 0, 0, 0, 0, 0, 0, , NO, 0, 0, NO,
2426, BEAM    , CONLOAD, GZ, NO , NO, aDir[1], , , , 0.096, -3.75, 0, 0, 0, 0, 0, 0, , NO, 0, 0, NO,
2427, BEAM    , CONLOAD, GZ, NO , NO, aDir[1], , , , 0.096, -3.75, 0, 0, 0, 0, 0, 0, , NO, 0, 0, NO,
2428, BEAM    , CONLOAD, GZ, NO , NO, aDir[1], , , , 0.096, -3.75, 0, 0, 0, 0, 0, 0, , NO, 0, 0, NO,
2429, BEAM    , CONLOAD, GZ, NO , NO, aDir[1], , , , 0.096, -3.75, 0, 0, 0, 0, 0, 0, , NO, 0, 0, NO,
2430, BEAM    , CONLOAD, GZ, NO , NO, aDir[1], , , , 0.096, -3.75, 0, 0, 0, 0, 0, 0, , NO, 0, 0, NO,
2431, BEAM    , CONLOAD, GZ, NO , NO, aDir[1], , , , 0.096, -3.75, 0, 0, 0, 0, 0, 0, , NO, 0, 0, NO,
2432, BEAM    , CONLOAD, GZ, NO , NO, aDir[1], , , , 0.096, -3.75, 0, 0, 0, 0, 0, 0, , NO, 0, 0, NO,
2433, BEAM    , CONLOAD, GZ, NO , NO, aDir[1], , , , 0.096, -3.75, 0, 0, 0, 0, 0, 0, , NO, 0, 0, NO,
2434, BEAM    , CONLOAD, GZ, NO , NO, aDir[1], , , , 0.096, -1.875, 0, 0, 0, 0, 0, 0, , NO, 0, 0, NO,
2435, BEAM    , CONLOAD, GZ, NO , NO, aDir[1], , , , 0.042, -1.875, 0, 0, 0, 0, 0, 0, , NO, 0, 0, NO,
2435, BEAM    , CONLOAD, GZ, NO , NO, aDir[1], , , , 0.813, -156.75, 0, 0, 0, 0, 0, 0, , NO, 0, 0, NO,
2436, BEAM    , CONLOAD, GZ, NO , NO, aDir[1], , , , 0.042, -3.75, 0, 0, 0, 0, 0, 0, , NO, 0, 0, NO,
2436, BEAM    , CONLOAD, GZ, NO , NO, aDir[1], , , , 0.813, -133.5, 0, 0, 0, 0, 0, 0, , NO, 0, 0, NO,
2437, BEAM    , CONLOAD, GZ, NO , NO, aDir[1], , , , 0.042, -3.75, 0, 0, 0, 0, 0, 0, , NO, 0, 0, NO,
2437, BEAM    , CONLOAD, GZ, NO , NO, aDir[1], , , , 0.813, -43.5, 0, 0, 0, 0, 0, 0, , NO, 0, 0, NO,
2438, BEAM    , CONLOAD, GZ, NO , NO, aDir[1], , , , 0.042, -3.75, 0, 0, 0, 0, 0, 0, , NO, 0, 0, NO,
2438, BEAM    , CONLOAD, GZ, NO , NO, aDir[1], , , , 0.813, -13.5, 0, 0, 0, 0, 0, 0, , NO, 0, 0, NO,
2439, BEAM    , CONLOAD, GZ, NO , NO, aDir[1], , , , 0.042, -3.75, 0, 0, 0, 0, 0, 0, , NO, 0, 0, NO,
2439, BEAM    , CONLOAD, GZ, NO , NO, aDir[1], , , , 0.813, -13.5, 0, 0, 0, 0, 0, 0, , NO, 0, 0, NO,
2440, BEAM    , CONLOAD, GZ, NO , NO, aDir[1], , , , 0.042, -3.75, 0, 0, 0, 0, 0, 0, , NO, 0, 0, NO,
2440, BEAM    , CONLOAD, GZ, NO , NO, aDir[1], , , , 0.813, -13.5, 0, 0, 0, 0, 0, 0, , NO, 0, 0, NO,
2441, BEAM    , CONLOAD, GZ, NO , NO, aDir[1], , , , 0.042, -3.75, 0, 0, 0, 0, 0, 0, , NO, 0, 0, NO,
2441, BEAM    , CONLOAD, GZ, NO , NO, aDir[1], , , , 0.813, -13.5, 0, 0, 0, 0, 0, 0, , NO, 0, 0, NO,
2442, BEAM    , CONLOAD, GZ, NO , NO, aDir[1], , , , 0.813, -13.5, 0, 0, 0, 0, 0, 0, , NO, 0, 0, NO,
2442, BEAM    , CONLOAD, GZ, NO , NO, aDir[1], , , , 0.042, -3.75, 0, 0, 0, 0, 0, 0, , NO, 0, 0, NO,
2443, BEAM    , CONLOAD, GZ, NO , NO, aDir[1], , , , 0.813, -13.5, 0, 0, 0, 0, 0, 0, , NO, 0, 0, NO,
2443, BEAM    , CONLOAD, GZ, NO , NO, aDir[1], , , , 0.042, -3.75, 0, 0, 0, 0, 0, 0, , NO, 0, 0, NO,
2444, BEAM    , CONLOAD, GZ, NO , NO, aDir[1], , , , 0.042, -3.75, 0, 0, 0, 0, 0, 0, , NO, 0, 0, NO,
2444, BEAM    , CONLOAD, GZ, NO , NO, aDir[1], , , , 0.813, -13.5, 0, 0, 0, 0, 0, 0, , NO, 0, 0, NO,
2445, BEAM    , CONLOAD, GZ, NO , NO, aDir[1], , , , 0.042, -3.75, 0, 0, 0, 0, 0, 0, , NO, 0, 0, NO,
2445, BEAM    , CONLOAD, GZ, NO , NO, aDir[1], , , , 0.813, -13.5, 0, 0, 0, 0, 0, 0, , NO, 0, 0, NO,
2446, BEAM    , CONLOAD, GZ, NO , NO, aDir[1], , , , 0.813, -13.5, 0, 0, 0, 0, 0, 0, , NO, 0, 0, NO,
2446, BEAM    , CONLOAD, GZ, NO , NO, aDir[1], , , , 0.042, -103.75, 0, 0, 0, 0, 0, 0, , NO, 0, 0, NO,
2447, BEAM    , CONLOAD, GZ, NO , NO, aDir[1], , , , 0.813, -13.5, 0, 0, 0, 0, 0, 0, , NO, 0, 0, NO,
2447, BEAM    , CONLOAD, GZ, NO , NO, aDir[1], , , , 0.042, -83.75, 0, 0, 0, 0, 0, 0, , NO, 0, 0, NO,
2448, BEAM    , CONLOAD, GZ, NO , NO, aDir[1], , , , 0.813, -13.5, 0, 0, 0, 0, 0, 0, , NO, 0, 0, NO,
2448, BEAM    , CONLOAD, GZ, NO , NO, aDir[1], , , , 0.042, -23.75, 0, 0, 0, 0, 0, 0, , NO, 0, 0, NO,
2449, BEAM    , CONLOAD, GZ, NO , NO, aDir[1], , , , 0.813, -13.5, 0, 0, 0, 0, 0, 0, , NO, 0, 0, NO,
2449, BEAM    , CONLOAD, GZ, NO , NO, aDir[1], , , , 0.042, -3.75, 0, 0, 0, 0, 0, 0, , NO, 0, 0, NO,
2450, BEAM    , CONLOAD, GZ, NO , NO, aDir[1], , , , 0.042, -3.75, 0, 0, 0, 0, 0, 0, , NO, 0, 0, NO,
2450, BEAM    , CONLOAD, GZ, NO , NO, aDir[1], , , , 0.813, -13.5, 0, 0, 0, 0, 0, 0, , NO, 0, 0, NO,
2451, BEAM    , CONLOAD, GZ, NO , NO, aDir[1], , , , 0.042, -3.75, 0, 0, 0, 0, 0, 0, , NO, 0, 0, NO,
2451, BEAM    , CONLOAD, GZ, NO , NO, aDir[1], , , , 0.813, -13.5, 0, 0, 0, 0, 0, 0, , NO, 0, 0, NO,
2452, BEAM    , CONLOAD, GZ, NO , NO, aDir[1], , , , 0.813, -13.5, 0, 0, 0, 0, 0, 0, , NO, 0, 0, NO,
2452, BEAM    , CONLOAD, GZ, NO , NO, aDir[1], , , , 0.042, -3.75, 0, 0, 0, 0, 0, 0, , NO, 0, 0, NO,
2453, BEAM    , CONLOAD, GZ, NO , NO, aDir[1], , , , 0.042, -3.75, 0, 0, 0, 0, 0, 0, , NO, 0, 0, NO,
2453, BEAM    , CONLOAD, GZ, NO , NO, aDir[1], , , , 0.813, -13.5, 0, 0, 0, 0, 0, 0, , NO, 0, 0, NO,
2454, BEAM    , CONLOAD, GZ, NO , NO, aDir[1], , , , 0.042, -3.75, 0, 0, 0, 0, 0, 0, , NO, 0, 0, NO,
2454, BEAM    , CONLOAD, GZ, NO , NO, aDir[1], , , , 0.813, -13.5, 0, 0, 0, 0, 0, 0, , NO, 0, 0, NO,
2455, BEAM    , CONLOAD, GZ, NO , NO, aDir[1], , , , 0.042, -3.75, 0, 0, 0, 0, 0, 0, , NO, 0, 0, NO,
2455, BEAM    , CONLOAD, GZ, NO , NO, aDir[1], , , , 0.813, -13.5, 0, 0, 0, 0, 0, 0, , NO, 0, 0, NO,
2456, BEAM    , CONLOAD, GZ, NO , NO, aDir[1], , , , 0.042, -3.75, 0, 0, 0, 0, 0, 0, , NO, 0, 0, NO,
2456, BEAM    , CONLOAD, GZ, NO , NO, aDir[1], , , , 0.813, -13.5, 0, 0, 0, 0, 0, 0, , NO, 0, 0, NO,
2457, BEAM    , CONLOAD, GZ, NO , NO, aDir[1], , , , 0.813, -13.5, 0, 0, 0, 0, 0, 0, , NO, 0, 0, NO,
2457, BEAM    , CONLOAD, GZ, NO , NO, aDir[1], , , , 0.042, -3.75, 0, 0, 0, 0, 0, 0, , NO, 0, 0, NO,
2458, BEAM    , CONLOAD, GZ, NO , NO, aDir[1], , , , 0.042, -3.75, 0, 0, 0, 0, 0, 0, , NO, 0, 0, NO,
2458, BEAM    , CONLOAD, GZ, NO , NO, aDir[1], , , , 0.813, -13.5, 0, 0, 0, 0, 0, 0, , NO, 0, 0, NO,
2459, BEAM    , CONLOAD, GZ, NO , NO, aDir[1], , , , 0.042, -3.75, 0, 0, 0, 0, 0, 0, , NO, 0, 0, NO,
2459, BEAM    , CONLOAD, GZ, NO , NO, aDir[1], , , , 0.813, -13.5, 0, 0, 0, 0, 0, 0, , NO, 0, 0, NO,
```

```
  2460, BEAM    , CONLOAD, GZ, NO , NO, aDir[1], , , , 0.813, -13.5, 0, 0, 0, 0, 0, 0, , NO, 0, 0, NO,
  2460, BEAM    , CONLOAD, GZ, NO , NO, aDir[1], , , , 0.042, -3.75, 0, 0, 0, 0, 0, 0, , NO, 0, 0, NO,
  2461, BEAM    , CONLOAD, GZ, NO , NO, aDir[1], , , , 0.813, -13.5, 0, 0, 0, 0, 0, 0, , NO, 0, 0, NO,
  2461, BEAM    , CONLOAD, GZ, NO , NO, aDir[1], , , , 0.042, -3.75, 0, 0, 0, 0, 0, 0, , NO, 0, 0, NO,
  2462, BEAM    , CONLOAD, GZ, NO , NO, aDir[1], , , , 0.813, -13.5, 0, 0, 0, 0, 0, 0, , NO, 0, 0, NO,
  2462, BEAM    , CONLOAD, GZ, NO , NO, aDir[1], , , , 0.042, -3.75, 0, 0, 0, 0, 0, 0, , NO, 0, 0, NO,
  2463, BEAM    , CONLOAD, GZ, NO , NO, aDir[1], , , , 0.042, -3.75, 0, 0, 0, 0, 0, 0, , NO, 0, 0, NO,
  2463, BEAM    , CONLOAD, GZ, NO , NO, aDir[1], , , , 0.813, -13.5, 0, 0, 0, 0, 0, 0, , NO, 0, 0, NO,
  2464, BEAM    , CONLOAD, GZ, NO , NO, aDir[1], , , , 0.042, -3.75, 0, 0, 0, 0, 0, 0, , NO, 0, 0, NO,
  2464, BEAM    , CONLOAD, GZ, NO , NO, aDir[1], , , , 0.813, -13.5, 0, 0, 0, 0, 0, 0, , NO, 0, 0, NO,
  2465, BEAM    , CONLOAD, GZ, NO , NO, aDir[1], , , , 0.042, -3.75, 0, 0, 0, 0, 0, 0, , NO, 0, 0, NO,
  2465, BEAM    , CONLOAD, GZ, NO , NO, aDir[1], , , , 0.813, -13.5, 0, 0, 0, 0, 0, 0, , NO, 0, 0, NO,
  2466, BEAM    , CONLOAD, GZ, NO , NO, aDir[1], , , , 0.042, -3.75, 0, 0, 0, 0, 0, 0, , NO, 0, 0, NO,
  2466, BEAM    , CONLOAD, GZ, NO , NO, aDir[1], , , , 0.813, -13.5, 0, 0, 0, 0, 0, 0, , NO, 0, 0, NO,
  2467, BEAM    , CONLOAD, GZ, NO , NO, aDir[1], , , , 0.042, -3.75, 0, 0, 0, 0, 0, 0, , NO, 0, 0, NO,
  2467, BEAM    , CONLOAD, GZ, NO , NO, aDir[1], , , , 0.813, -13.5, 0, 0, 0, 0, 0, 0, , NO, 0, 0, NO,
  2468, BEAM    , CONLOAD, GZ, NO , NO, aDir[1], , , , 0.042, -3.75, 0, 0, 0, 0, 0, 0, , NO, 0, 0, NO,
  2468, BEAM    , CONLOAD, GZ, NO , NO, aDir[1], , , , 0.813, -13.5, 0, 0, 0, 0, 0, 0, , NO, 0, 0, NO,
  2469, BEAM    , CONLOAD, GZ, NO , NO, aDir[1], , , , 0.042, -3.75, 0, 0, 0, 0, 0, 0, , NO, 0, 0, NO,
  2469, BEAM    , CONLOAD, GZ, NO , NO, aDir[1], , , , 0.813, -13.5, 0, 0, 0, 0, 0, 0, , NO, 0, 0, NO,
  2470, BEAM    , CONLOAD, GZ, NO , NO, aDir[1], , , , 0.813, -13.5, 0, 0, 0, 0, 0, 0, , NO, 0, 0, NO,
  2470, BEAM    , CONLOAD, GZ, NO , NO, aDir[1], , , , 0.042, -3.75, 0, 0, 0, 0, 0, 0, , NO, 0, 0, NO,
  2471, BEAM    , CONLOAD, GZ, NO , NO, aDir[1], , , , 0.813, -13.5, 0, 0, 0, 0, 0, 0, , NO, 0, 0, NO,
  2471, BEAM    , CONLOAD, GZ, NO , NO, aDir[1], , , , 0.042, -3.75, 0, 0, 0, 0, 0, 0, , NO, 0, 0, NO,
  2472, BEAM    , CONLOAD, GZ, NO , NO, aDir[1], , , , 0.813, -13.5, 0, 0, 0, 0, 0, 0, , NO, 0, 0, NO,
  2472, BEAM    , CONLOAD, GZ, NO , NO, aDir[1], , , , 0.042, -3.75, 0, 0, 0, 0, 0, 0, , NO, 0, 0, NO,
  2473, BEAM    , CONLOAD, GZ, NO , NO, aDir[1], , , , 0.813, -13.5, 0, 0, 0, 0, 0, 0, , NO, 0, 0, NO,
  2473, BEAM    , CONLOAD, GZ, NO , NO, aDir[1], , , , 0.042, -3.75, 0, 0, 0, 0, 0, 0, , NO, 0, 0, NO,
  2474, BEAM    , CONLOAD, GZ, NO , NO, aDir[1], , , , 0.042, -3.75, 0, 0, 0, 0, 0, 0, , NO, 0, 0, NO,
  2474, BEAM    , CONLOAD, GZ, NO , NO, aDir[1], , , , 0.813, -13.5, 0, 0, 0, 0, 0, 0, , NO, 0, 0, NO,
  2475, BEAM    , CONLOAD, GZ, NO , NO, aDir[1], , , , 0.042, -3.75, 0, 0, 0, 0, 0, 0, , NO, 0, 0, NO,
  2475, BEAM    , CONLOAD, GZ, NO , NO, aDir[1], , , , 0.813, -13.5, 0, 0, 0, 0, 0, 0, , NO, 0, 0, NO,
  2476, BEAM    , CONLOAD, GZ, NO , NO, aDir[1], , , , 0.813, -6.75, 0, 0, 0, 0, 0, 0, , NO, 0, 0, NO,
  2476, BEAM    , CONLOAD, GZ, NO , NO, aDir[1], , , , 0.042, -1.875, 0, 0, 0, 0, 0, 0, , NO, 0, 0, NO,

; End of data for load case [node 53_max Fz] -------------------------

*USE-STLD, node 52_max Fz

*BEAMLOAD    ; Element Beam Loads
; ELEM_LIST, CMD, TYPE, DIR, bPROJ, [ECCEN], [VALUE], GROUP
; ELEM_LIST, CMD, TYPE, TYPE, DIR, VX, VY, VZ, bPROJ, [ECCEN], [VALUE], GROUP
; [VALUE]       : D1, P1, D2, P2, D3, P3, D4, P4
; [ECCEN]       : bECCEN, ECCDIR, I-END, J-END, bJ-END
; [ADDITIONAL]  : bADDITIONAL, ADDITIONAL_I-END, ADDITIONAL_J-END, bADDITIONAL_J-END
   648, BEAM    , CONLOAD, GZ, NO , NO, aDir[1], , , , 0.797, -156.75, 0, 0, 0, 0, 0, 0, , NO, 0, 0, NO,
   649, BEAM    , CONLOAD, GZ, NO , NO, aDir[1], , , , 0.334, -1.07849, 0, 0, 0, 0, 0, 0, , NO, 0, 0, NO,
   653, BEAM    , CONLOAD, GZ, NO , NO, aDir[1], , , , 0.797, -133.5, 0, 0, 0, 0, 0, 0, , NO, 0, 0, NO,
   654, BEAM    , CONLOAD, GZ, NO , NO, aDir[1], , , , 0.334, -3.64057, 0, 0, 0, 0, 0, 0, , NO, 0, 0, NO,
   658, BEAM    , CONLOAD, GZ, NO , NO, aDir[1], , , , 0.797, -43.5, 0, 0, 0, 0, 0, 0, , NO, 0, 0, NO,
   659, BEAM    , CONLOAD, GZ, NO , NO, aDir[1], , , , 0.334, -3.75, 0, 0, 0, 0, 0, 0, , NO, 0, 0, NO,
   663, BEAM    , CONLOAD, GZ, NO , NO, aDir[1], , , , 0.797, -13.5, 0, 0, 0, 0, 0, 0, , NO, 0, 0, NO,
   664, BEAM    , CONLOAD, GZ, NO , NO, aDir[1], , , , 0.334, -3.75, 0, 0, 0, 0, 0, 0, , NO, 0, 0, NO,
   668, BEAM    , CONLOAD, GZ, NO , NO, aDir[1], , , , 0.797, -13.5, 0, 0, 0, 0, 0, 0, , NO, 0, 0, NO,
   669, BEAM    , CONLOAD, GZ, NO , NO, aDir[1], , , , 0.334, -3.75, 0, 0, 0, 0, 0, 0, , NO, 0, 0, NO,
   673, BEAM    , CONLOAD, GZ, NO , NO, aDir[1], , , , 0.797, -13.5, 0, 0, 0, 0, 0, 0, , NO, 0, 0, NO,
   674, BEAM    , CONLOAD, GZ, NO , NO, aDir[1], , , , 0.334, -3.75, 0, 0, 0, 0, 0, 0, , NO, 0, 0, NO,
   678, BEAM    , CONLOAD, GZ, NO , NO, aDir[1], , , , 0.797, -13.5, 0, 0, 0, 0, 0, 0, , NO, 0, 0, NO,
   679, BEAM    , CONLOAD, GZ, NO , NO, aDir[1], , , , 0.334, -3.75, 0, 0, 0, 0, 0, 0, , NO, 0, 0, NO,
   683, BEAM    , CONLOAD, GZ, NO , NO, aDir[1], , , , 0.797, -13.5, 0, 0, 0, 0, 0, 0, , NO, 0, 0, NO,
   684, BEAM    , CONLOAD, GZ, NO , NO, aDir[1], , , , 0.334, -3.75, 0, 0, 0, 0, 0, 0, , NO, 0, 0, NO,
   688, BEAM    , CONLOAD, GZ, NO , NO, aDir[1], , , , 0.797, -13.5, 0, 0, 0, 0, 0, 0, , NO, 0, 0, NO,
   689, BEAM    , CONLOAD, GZ, NO , NO, aDir[1], , , , 0.334, -3.75, 0, 0, 0, 0, 0, 0, , NO, 0, 0, NO,
   693, BEAM    , CONLOAD, GZ, NO , NO, aDir[1], , , , 0.797, -13.5, 0, 0, 0, 0, 0, 0, , NO, 0, 0, NO,
   694, BEAM    , CONLOAD, GZ, NO , NO, aDir[1], , , , 0.334, -3.75, 0, 0, 0, 0, 0, 0, , NO, 0, 0, NO,
   698, BEAM    , CONLOAD, GZ, NO , NO, aDir[1], , , , 0.797, -13.5, 0, 0, 0, 0, 0, 0, , NO, 0, 0, NO,
   699, BEAM    , CONLOAD, GZ, NO , NO, aDir[1], , , , 0.334, -3.75, 0, 0, 0, 0, 0, 0, , NO, 0, 0, NO,
   703, BEAM    , CONLOAD, GZ, NO , NO, aDir[1], , , , 0.797, -13.5, 0, 0, 0, 0, 0, 0, , NO, 0, 0, NO,
   704, BEAM    , CONLOAD, GZ, NO , NO, aDir[1], , , , 0.334, -3.75, 0, 0, 0, 0, 0, 0, , NO, 0, 0, NO,
   708, BEAM    , CONLOAD, GZ, NO , NO, aDir[1], , , , 0.797, -13.5, 0, 0, 0, 0, 0, 0, , NO, 0, 0, NO,
   709, BEAM    , CONLOAD, GZ, NO , NO, aDir[1], , , , 0.334, -3.75, 0, 0, 0, 0, 0, 0, , NO, 0, 0, NO,
   713, BEAM    , CONLOAD, GZ, NO , NO, aDir[1], , , , 0.797, -13.5, 0, 0, 0, 0, 0, 0, , NO, 0, 0, NO,
   714, BEAM    , CONLOAD, GZ, NO , NO, aDir[1], , , , 0.334, -3.75, 0, 0, 0, 0, 0, 0, , NO, 0, 0, NO,
   718, BEAM    , CONLOAD, GZ, NO , NO, aDir[1], , , , 0.797, -13.5, 0, 0, 0, 0, 0, 0, , NO, 0, 0, NO,
   719, BEAM    , CONLOAD, GZ, NO , NO, aDir[1], , , , 0.334, -3.75, 0, 0, 0, 0, 0, 0, , NO, 0, 0, NO,
   723, BEAM    , CONLOAD, GZ, NO , NO, aDir[1], , , , 0.797, -13.5, 0, 0, 0, 0, 0, 0, , NO, 0, 0, NO,
   724, BEAM    , CONLOAD, GZ, NO , NO, aDir[1], , , , 0.334, -13.75, 0, 0, 0, 0, 0, 0, , NO, 0, 0, NO,
   728, BEAM    , CONLOAD, GZ, NO , NO, aDir[1], , , , 0.797, -13.5, 0, 0, 0, 0, 0, 0, , NO, 0, 0, NO,
```

PROJECT TITLE :

	Company		Client	
	Author		File Name	Brembiolo1_08_completo(fasi)DEFINITIVO.mgt

```
  729, BEAM    , CONLOAD, GZ, NO , NO, aDir[1], , , , 0.334, -43.75, 0, 0, 0, 0, 0, 0, , NO, 0, 0, NO,
  733, BEAM    , CONLOAD, GZ, NO , NO, aDir[1], , , , 0.797, -13.5, 0, 0, 0, 0, 0, 0, , NO, 0, 0, NO,
  734, BEAM    , CONLOAD, GZ, NO , NO, aDir[1], , , , 0.334, -53.75, 0, 0, 0, 0, 0, 0, , NO, 0, 0, NO,
  738, BEAM    , CONLOAD, GZ, NO , NO, aDir[1], , , , 0.797, -13.5, 0, 0, 0, 0, 0, 0, , NO, 0, 0, NO,
  739, BEAM    , CONLOAD, GZ, NO , NO, aDir[1], , , , 0.334, -3.75, 0, 0, 0, 0, 0, 0, , NO, 0, 0, NO,
  743, BEAM    , CONLOAD, GZ, NO , NO, aDir[1], , , , 0.797, -13.5, 0, 0, 0, 0, 0, 0, , NO, 0, 0, NO,
  744, BEAM    , CONLOAD, GZ, NO , NO, aDir[1], , , , 0.334, -3.75, 0, 0, 0, 0, 0, 0, , NO, 0, 0, NO,
  748, BEAM    , CONLOAD, GZ, NO , NO, aDir[1], , , , 0.797, -13.5, 0, 0, 0, 0, 0, 0, , NO, 0, 0, NO,
  749, BEAM    , CONLOAD, GZ, NO , NO, aDir[1], , , , 0.334, -3.75, 0, 0, 0, 0, 0, 0, , NO, 0, 0, NO,
  753, BEAM    , CONLOAD, GZ, NO , NO, aDir[1], , , , 0.797, -13.5, 0, 0, 0, 0, 0, 0, , NO, 0, 0, NO,
  754, BEAM    , CONLOAD, GZ, NO , NO, aDir[1], , , , 0.334, -3.75, 0, 0, 0, 0, 0, 0, , NO, 0, 0, NO,
  758, BEAM    , CONLOAD, GZ, NO , NO, aDir[1], , , , 0.797, -13.5, 0, 0, 0, 0, 0, 0, , NO, 0, 0, NO,
  759, BEAM    , CONLOAD, GZ, NO , NO, aDir[1], , , , 0.334, -3.75, 0, 0, 0, 0, 0, 0, , NO, 0, 0, NO,
  763, BEAM    , CONLOAD, GZ, NO , NO, aDir[1], , , , 0.797, -13.5, 0, 0, 0, 0, 0, 0, , NO, 0, 0, NO,
  764, BEAM    , CONLOAD, GZ, NO , NO, aDir[1], , , , 0.334, -3.75, 0, 0, 0, 0, 0, 0, , NO, 0, 0, NO,
  768, BEAM    , CONLOAD, GZ, NO , NO, aDir[1], , , , 0.797, -13.5, 0, 0, 0, 0, 0, 0, , NO, 0, 0, NO,
  769, BEAM    , CONLOAD, GZ, NO , NO, aDir[1], , , , 0.334, -3.75, 0, 0, 0, 0, 0, 0, , NO, 0, 0, NO,
  773, BEAM    , CONLOAD, GZ, NO , NO, aDir[1], , , , 0.797, -13.5, 0, 0, 0, 0, 0, 0, , NO, 0, 0, NO,
  774, BEAM    , CONLOAD, GZ, NO , NO, aDir[1], , , , 0.334, -3.75, 0, 0, 0, 0, 0, 0, , NO, 0, 0, NO,
  778, BEAM    , CONLOAD, GZ, NO , NO, aDir[1], , , , 0.797, -13.5, 0, 0, 0, 0, 0, 0, , NO, 0, 0, NO,
  779, BEAM    , CONLOAD, GZ, NO , NO, aDir[1], , , , 0.334, -3.75, 0, 0, 0, 0, 0, 0, , NO, 0, 0, NO,
  783, BEAM    , CONLOAD, GZ, NO , NO, aDir[1], , , , 0.797, -13.5, 0, 0, 0, 0, 0, 0, , NO, 0, 0, NO,
  784, BEAM    , CONLOAD, GZ, NO , NO, aDir[1], , , , 0.334, -3.75, 0, 0, 0, 0, 0, 0, , NO, 0, 0, NO,
  788, BEAM    , CONLOAD, GZ, NO , NO, aDir[1], , , , 0.797, -13.5, 0, 0, 0, 0, 0, 0, , NO, 0, 0, NO,
  789, BEAM    , CONLOAD, GZ, NO , NO, aDir[1], , , , 0.334, -3.75, 0, 0, 0, 0, 0, 0, , NO, 0, 0, NO,
  793, BEAM    , CONLOAD, GZ, NO , NO, aDir[1], , , , 0.797, -13.5, 0, 0, 0, 0, 0, 0, , NO, 0, 0, NO,
  794, BEAM    , CONLOAD, GZ, NO , NO, aDir[1], , , , 0.334, -3.75, 0, 0, 0, 0, 0, 0, , NO, 0, 0, NO,
  798, BEAM    , CONLOAD, GZ, NO , NO, aDir[1], , , , 0.797, -13.5, 0, 0, 0, 0, 0, 0, , NO, 0, 0, NO,
  799, BEAM    , CONLOAD, GZ, NO , NO, aDir[1], , , , 0.334, -3.75, 0, 0, 0, 0, 0, 0, , NO, 0, 0, NO,
  803, BEAM    , CONLOAD, GZ, NO , NO, aDir[1], , , , 0.797, -13.5, 0, 0, 0, 0, 0, 0, , NO, 0, 0, NO,
  804, BEAM    , CONLOAD, GZ, NO , NO, aDir[1], , , , 0.334, -3.75, 0, 0, 0, 0, 0, 0, , NO, 0, 0, NO,
  808, BEAM    , CONLOAD, GZ, NO , NO, aDir[1], , , , 0.797, -13.5, 0, 0, 0, 0, 0, 0, , NO, 0, 0, NO,
  809, BEAM    , CONLOAD, GZ, NO , NO, aDir[1], , , , 0.334, -3.75, 0, 0, 0, 0, 0, 0, , NO, 0, 0, NO,
  813, BEAM    , CONLOAD, GZ, NO , NO, aDir[1], , , , 0.797, -13.5, 0, 0, 0, 0, 0, 0, , NO, 0, 0, NO,
  814, BEAM    , CONLOAD, GZ, NO , NO, aDir[1], , , , 0.334, -3.75, 0, 0, 0, 0, 0, 0, , NO, 0, 0, NO,
  818, BEAM    , CONLOAD, GZ, NO , NO, aDir[1], , , , 0.797, -13.5, 0, 0, 0, 0, 0, 0, , NO, 0, 0, NO,
  819, BEAM    , CONLOAD, GZ, NO , NO, aDir[1], , , , 0.334, -3.75, 0, 0, 0, 0, 0, 0, , NO, 0, 0, NO,
  823, BEAM    , CONLOAD, GZ, NO , NO, aDir[1], , , , 0.797, -13.5, 0, 0, 0, 0, 0, 0, , NO, 0, 0, NO,
  824, BEAM    , CONLOAD, GZ, NO , NO, aDir[1], , , , 0.334, -3.75, 0, 0, 0, 0, 0, 0, , NO, 0, 0, NO,
  828, BEAM    , CONLOAD, GZ, NO , NO, aDir[1], , , , 0.797, -13.5, 0, 0, 0, 0, 0, 0, , NO, 0, 0, NO,
  829, BEAM    , CONLOAD, GZ, NO , NO, aDir[1], , , , 0.334, -3.75, 0, 0, 0, 0, 0, 0, , NO, 0, 0, NO,
  833, BEAM    , CONLOAD, GZ, NO , NO, aDir[1], , , , 0.797, -13.5, 0, 0, 0, 0, 0, 0, , NO, 0, 0, NO,
  834, BEAM    , CONLOAD, GZ, NO , NO, aDir[1], , , , 0.334, -3.75, 0, 0, 0, 0, 0, 0, , NO, 0, 0, NO,
  838, BEAM    , CONLOAD, GZ, NO , NO, aDir[1], , , , 0.797, -13.5, 0, 0, 0, 0, 0, 0, , NO, 0, 0, NO,
  839, BEAM    , CONLOAD, GZ, NO , NO, aDir[1], , , , 0.334, -3.75, 0, 0, 0, 0, 0, 0, , NO, 0, 0, NO,
  843, BEAM    , CONLOAD, GZ, NO , NO, aDir[1], , , , 0.797, -13.5, 0, 0, 0, 0, 0, 0, , NO, 0, 0, NO,
  844, BEAM    , CONLOAD, GZ, NO , NO, aDir[1], , , , 0.334, -3.75, 0, 0, 0, 0, 0, 0, , NO, 0, 0, NO,
  848, BEAM    , CONLOAD, GZ, NO , NO, aDir[1], , , , 0.797, -13.5, 0, 0, 0, 0, 0, 0, , NO, 0, 0, NO,
  849, BEAM    , CONLOAD, GZ, NO , NO, aDir[1], , , , 0.334, -3.75, 0, 0, 0, 0, 0, 0, , NO, 0, 0, NO,
  853, BEAM    , CONLOAD, GZ, NO , NO, aDir[1], , , , 0.797, -6.75, 0, 0, 0, 0, 0, 0, , NO, 0, 0, NO,
  854, BEAM    , CONLOAD, GZ, NO , NO, aDir[1], , , , 0.334, -1.875, 0, 0, 0, 0, 0, 0, , NO, 0, 0, NO,
 1603, BEAM    , CONLOAD, GZ, NO , NO, aDir[1], , , , 0.108, -0.28125, 0, 0, 0, 0, 0, 0, , NO, 0, 0, NO,
 1604, BEAM    , CONLOAD, GZ, NO , NO, aDir[1], , , , 0.108, -0.5625, 0, 0, 0, 0, 0, 0, , NO, 0, 0, NO,
 1605, BEAM    , CONLOAD, GZ, NO , NO, aDir[1], , , , 0.108, -0.5625, 0, 0, 0, 0, 0, 0, , NO, 0, 0, NO,
 1606, BEAM    , CONLOAD, GZ, NO , NO, aDir[1], , , , 0.108, -0.5625, 0, 0, 0, 0, 0, 0, , NO, 0, 0, NO,
 1607, BEAM    , CONLOAD, GZ, NO , NO, aDir[1], , , , 0.108, -0.5625, 0, 0, 0, 0, 0, 0, , NO, 0, 0, NO,
 1608, BEAM    , CONLOAD, GZ, NO , NO, aDir[1], , , , 0.108, -0.5625, 0, 0, 0, 0, 0, 0, , NO, 0, 0, NO,
 1609, BEAM    , CONLOAD, GZ, NO , NO, aDir[1], , , , 0.108, -0.5625, 0, 0, 0, 0, 0, 0, , NO, 0, 0, NO,
 1610, BEAM    , CONLOAD, GZ, NO , NO, aDir[1], , , , 0.108, -0.5625, 0, 0, 0, 0, 0, 0, , NO, 0, 0, NO,
 1611, BEAM    , CONLOAD, GZ, NO , NO, aDir[1], , , , 0.108, -0.5625, 0, 0, 0, 0, 0, 0, , NO, 0, 0, NO,
 1612, BEAM    , CONLOAD, GZ, NO , NO, aDir[1], , , , 0.108, -0.5625, 0, 0, 0, 0, 0, 0, , NO, 0, 0, NO,
 1613, BEAM    , CONLOAD, GZ, NO , NO, aDir[1], , , , 0.108, -0.5625, 0, 0, 0, 0, 0, 0, , NO, 0, 0, NO,
 1614, BEAM    , CONLOAD, GZ, NO , NO, aDir[1], , , , 0.108, -0.5625, 0, 0, 0, 0, 0, 0, , NO, 0, 0, NO,
 1615, BEAM    , CONLOAD, GZ, NO , NO, aDir[1], , , , 0.108, -0.5625, 0, 0, 0, 0, 0, 0, , NO, 0, 0, NO,
 1616, BEAM    , CONLOAD, GZ, NO , NO, aDir[1], , , , 0.108, -0.5625, 0, 0, 0, 0, 0, 0, , NO, 0, 0, NO,
 1617, BEAM    , CONLOAD, GZ, NO , NO, aDir[1], , , , 0.108, -0.5625, 0, 0, 0, 0, 0, 0, , NO, 0, 0, NO,
 1618, BEAM    , CONLOAD, GZ, NO , NO, aDir[1], , , , 0.108, -0.5625, 0, 0, 0, 0, 0, 0, , NO, 0, 0, NO,
 1619, BEAM    , CONLOAD, GZ, NO , NO, aDir[1], , , , 0.108, -0.5625, 0, 0, 0, 0, 0, 0, , NO, 0, 0, NO,
 1620, BEAM    , CONLOAD, GZ, NO , NO, aDir[1], , , , 0.108, -0.5625, 0, 0, 0, 0, 0, 0, , NO, 0, 0, NO,
 1621, BEAM    , CONLOAD, GZ, NO , NO, aDir[1], , , , 0.108, -0.5625, 0, 0, 0, 0, 0, 0, , NO, 0, 0, NO,
 1622, BEAM    , CONLOAD, GZ, NO , NO, aDir[1], , , , 0.108, -0.5625, 0, 0, 0, 0, 0, 0, , NO, 0, 0, NO,
 1623, BEAM    , CONLOAD, GZ, NO , NO, aDir[1], , , , 0.108, -0.5625, 0, 0, 0, 0, 0, 0, , NO, 0, 0, NO,
 1624, BEAM    , CONLOAD, GZ, NO , NO, aDir[1], , , , 0.108, -0.5625, 0, 0, 0, 0, 0, 0, , NO, 0, 0, NO,
 1625, BEAM    , CONLOAD, GZ, NO , NO, aDir[1], , , , 0.108, -0.5625, 0, 0, 0, 0, 0, 0, , NO, 0, 0, NO,
 1626, BEAM    , CONLOAD, GZ, NO , NO, aDir[1], , , , 0.108, -0.5625, 0, 0, 0, 0, 0, 0, , NO, 0, 0, NO,
 1627, BEAM    , CONLOAD, GZ, NO , NO, aDir[1], , , , 0.108, -0.5625, 0, 0, 0, 0, 0, 0, , NO, 0, 0, NO,
 1628, BEAM    , CONLOAD, GZ, NO , NO, aDir[1], , , , 0.108, -0.5625, 0, 0, 0, 0, 0, 0, , NO, 0, 0, NO,
 1629, BEAM    , CONLOAD, GZ, NO , NO, aDir[1], , , , 0.108, -0.5625, 0, 0, 0, 0, 0, 0, , NO, 0, 0, NO,
```

```
1630, BEAM    , CONLOAD, GZ, NO , NO, aDir[1], , , , 0.108, -0.5625, 0, 0, 0, 0, 0, 0, , NO, 0, 0, NO,
1631, BEAM    , CONLOAD, GZ, NO , NO, aDir[1], , , , 0.108, -0.5625, 0, 0, 0, 0, 0, 0, , NO, 0, 0, NO,
1632, BEAM    , CONLOAD, GZ, NO , NO, aDir[1], , , , 0.108, -0.5625, 0, 0, 0, 0, 0, 0, , NO, 0, 0, NO,
1633, BEAM    , CONLOAD, GZ, NO , NO, aDir[1], , , , 0.108, -0.5625, 0, 0, 0, 0, 0, 0, , NO, 0, 0, NO,
1634, BEAM    , CONLOAD, GZ, NO , NO, aDir[1], , , , 0.108, -0.5625, 0, 0, 0, 0, 0, 0, , NO, 0, 0, NO,
1635, BEAM    , CONLOAD, GZ, NO , NO, aDir[1], , , , 0.108, -0.5625, 0, 0, 0, 0, 0, 0, , NO, 0, 0, NO,
1636, BEAM    , CONLOAD, GZ, NO , NO, aDir[1], , , , 0.108, -0.5625, 0, 0, 0, 0, 0, 0, , NO, 0, 0, NO,
1637, BEAM    , CONLOAD, GZ, NO , NO, aDir[1], , , , 0.108, -0.5625, 0, 0, 0, 0, 0, 0, , NO, 0, 0, NO,
1638, BEAM    , CONLOAD, GZ, NO , NO, aDir[1], , , , 0.108, -0.5625, 0, 0, 0, 0, 0, 0, , NO, 0, 0, NO,
1639, BEAM    , CONLOAD, GZ, NO , NO, aDir[1], , , , 0.108, -0.5625, 0, 0, 0, 0, 0, 0, , NO, 0, 0, NO,
1640, BEAM    , CONLOAD, GZ, NO , NO, aDir[1], , , , 0.108, -0.5625, 0, 0, 0, 0, 0, 0, , NO, 0, 0, NO,
1641, BEAM    , CONLOAD, GZ, NO , NO, aDir[1], , , , 0.108, -0.5625, 0, 0, 0, 0, 0, 0, , NO, 0, 0, NO,
1642, BEAM    , CONLOAD, GZ, NO , NO, aDir[1], , , , 0.108, -0.5625, 0, 0, 0, 0, 0, 0, , NO, 0, 0, NO,
1643, BEAM    , CONLOAD, GZ, NO , NO, aDir[1], , , , 0.108, -0.5625, 0, 0, 0, 0, 0, 0, , NO, 0, 0, NO,
1644, BEAM    , CONLOAD, GZ, NO , NO, aDir[1], , , , 0.108, -0.28125, 0, 0, 0, 0, 0, 0, , NO, 0, 0, NO,
3097, BEAM    , CONLOAD, GZ, NO , NO, aDir[1], , , , 0.264, -0.28125, 0, 0, 0, 0, 0, 0, , NO, 0, 0, NO,
3097, BEAM    , CONLOAD, GZ, NO , NO, aDir[1], , , , 0.962, -156.75, 0, 0, 0, 0, 0, 0, , NO, 0, 0, NO,
3099, BEAM    , CONLOAD, GZ, NO , NO, aDir[1], , , , 0.264, -0.5625, 0, 0, 0, 0, 0, 0, , NO, 0, 0, NO,
3099, BEAM    , CONLOAD, GZ, NO , NO, aDir[1], , , , 0.962, -133.5, 0, 0, 0, 0, 0, 0, , NO, 0, 0, NO,
3101, BEAM    , CONLOAD, GZ, NO , NO, aDir[1], , , , 0.264, -0.5625, 0, 0, 0, 0, 0, 0, , NO, 0, 0, NO,
3101, BEAM    , CONLOAD, GZ, NO , NO, aDir[1], , , , 0.962, -43.5, 0, 0, 0, 0, 0, 0, , NO, 0, 0, NO,
3103, BEAM    , CONLOAD, GZ, NO , NO, aDir[1], , , , 0.962, -13.5, 0, 0, 0, 0, 0, 0, , NO, 0, 0, NO,
3103, BEAM    , CONLOAD, GZ, NO , NO, aDir[1], , , , 0.264, -0.5625, 0, 0, 0, 0, 0, 0, , NO, 0, 0, NO,
3105, BEAM    , CONLOAD, GZ, NO , NO, aDir[1], , , , 0.962, -13.5, 0, 0, 0, 0, 0, 0, , NO, 0, 0, NO,
3105, BEAM    , CONLOAD, GZ, NO , NO, aDir[1], , , , 0.264, -0.5625, 0, 0, 0, 0, 0, 0, , NO, 0, 0, NO,
3107, BEAM    , CONLOAD, GZ, NO , NO, aDir[1], , , , 0.264, -0.5625, 0, 0, 0, 0, 0, 0, , NO, 0, 0, NO,
3107, BEAM    , CONLOAD, GZ, NO , NO, aDir[1], , , , 0.962, -13.5, 0, 0, 0, 0, 0, 0, , NO, 0, 0, NO,
3109, BEAM    , CONLOAD, GZ, NO , NO, aDir[1], , , , 0.264, -0.5625, 0, 0, 0, 0, 0, 0, , NO, 0, 0, NO,
3109, BEAM    , CONLOAD, GZ, NO , NO, aDir[1], , , , 0.962, -13.5, 0, 0, 0, 0, 0, 0, , NO, 0, 0, NO,
3111, BEAM    , CONLOAD, GZ, NO , NO, aDir[1], , , , 0.264, -0.5625, 0, 0, 0, 0, 0, 0, , NO, 0, 0, NO,
3111, BEAM    , CONLOAD, GZ, NO , NO, aDir[1], , , , 0.962, -13.5, 0, 0, 0, 0, 0, 0, , NO, 0, 0, NO,
3113, BEAM    , CONLOAD, GZ, NO , NO, aDir[1], , , , 0.962, -13.5, 0, 0, 0, 0, 0, 0, , NO, 0, 0, NO,
3113, BEAM    , CONLOAD, GZ, NO , NO, aDir[1], , , , 0.264, -0.5625, 0, 0, 0, 0, 0, 0, , NO, 0, 0, NO,
3115, BEAM    , CONLOAD, GZ, NO , NO, aDir[1], , , , 0.264, -0.5625, 0, 0, 0, 0, 0, 0, , NO, 0, 0, NO,
3115, BEAM    , CONLOAD, GZ, NO , NO, aDir[1], , , , 0.962, -13.5, 0, 0, 0, 0, 0, 0, , NO, 0, 0, NO,
3117, BEAM    , CONLOAD, GZ, NO , NO, aDir[1], , , , 0.264, -0.5625, 0, 0, 0, 0, 0, 0, , NO, 0, 0, NO,
3117, BEAM    , CONLOAD, GZ, NO , NO, aDir[1], , , , 0.962, -13.5, 0, 0, 0, 0, 0, 0, , NO, 0, 0, NO,
3119, BEAM    , CONLOAD, GZ, NO , NO, aDir[1], , , , 0.962, -13.5, 0, 0, 0, 0, 0, 0, , NO, 0, 0, NO,
3119, BEAM    , CONLOAD, GZ, NO , NO, aDir[1], , , , 0.264, -0.5625, 0, 0, 0, 0, 0, 0, , NO, 0, 0, NO,
3121, BEAM    , CONLOAD, GZ, NO , NO, aDir[1], , , , 0.962, -13.5, 0, 0, 0, 0, 0, 0, , NO, 0, 0, NO,
3121, BEAM    , CONLOAD, GZ, NO , NO, aDir[1], , , , 0.264, -0.5625, 0, 0, 0, 0, 0, 0, , NO, 0, 0, NO,
3123, BEAM    , CONLOAD, GZ, NO , NO, aDir[1], , , , 0.264, -0.5625, 0, 0, 0, 0, 0, 0, , NO, 0, 0, NO,
3123, BEAM    , CONLOAD, GZ, NO , NO, aDir[1], , , , 0.962, -13.5, 0, 0, 0, 0, 0, 0, , NO, 0, 0, NO,
3125, BEAM    , CONLOAD, GZ, NO , NO, aDir[1], , , , 0.962, -13.5, 0, 0, 0, 0, 0, 0, , NO, 0, 0, NO,
3125, BEAM    , CONLOAD, GZ, NO , NO, aDir[1], , , , 0.264, -0.5625, 0, 0, 0, 0, 0, 0, , NO, 0, 0, NO,
3127, BEAM    , CONLOAD, GZ, NO , NO, aDir[1], , , , 0.962, -13.5, 0, 0, 0, 0, 0, 0, , NO, 0, 0, NO,
3127, BEAM    , CONLOAD, GZ, NO , NO, aDir[1], , , , 0.264, -0.5625, 0, 0, 0, 0, 0, 0, , NO, 0, 0, NO,
3129, BEAM    , CONLOAD, GZ, NO , NO, aDir[1], , , , 0.264, -0.5625, 0, 0, 0, 0, 0, 0, , NO, 0, 0, NO,
3129, BEAM    , CONLOAD, GZ, NO , NO, aDir[1], , , , 0.962, -13.5, 0, 0, 0, 0, 0, 0, , NO, 0, 0, NO,
3131, BEAM    , CONLOAD, GZ, NO , NO, aDir[1], , , , 0.264, -0.5625, 0, 0, 0, 0, 0, 0, , NO, 0, 0, NO,
3131, BEAM    , CONLOAD, GZ, NO , NO, aDir[1], , , , 0.962, -13.5, 0, 0, 0, 0, 0, 0, , NO, 0, 0, NO,
3133, BEAM    , CONLOAD, GZ, NO , NO, aDir[1], , , , 0.264, -0.5625, 0, 0, 0, 0, 0, 0, , NO, 0, 0, NO,
3133, BEAM    , CONLOAD, GZ, NO , NO, aDir[1], , , , 0.962, -13.5, 0, 0, 0, 0, 0, 0, , NO, 0, 0, NO,
3135, BEAM    , CONLOAD, GZ, NO , NO, aDir[1], , , , 0.962, -13.5, 0, 0, 0, 0, 0, 0, , NO, 0, 0, NO,
3135, BEAM    , CONLOAD, GZ, NO , NO, aDir[1], , , , 0.264, -0.5625, 0, 0, 0, 0, 0, 0, , NO, 0, 0, NO,
3137, BEAM    , CONLOAD, GZ, NO , NO, aDir[1], , , , 0.264, -0.5625, 0, 0, 0, 0, 0, 0, , NO, 0, 0, NO,
3137, BEAM    , CONLOAD, GZ, NO , NO, aDir[1], , , , 0.962, -13.5, 0, 0, 0, 0, 0, 0, , NO, 0, 0, NO,
3139, BEAM    , CONLOAD, GZ, NO , NO, aDir[1], , , , 0.962, -13.5, 0, 0, 0, 0, 0, 0, , NO, 0, 0, NO,
3139, BEAM    , CONLOAD, GZ, NO , NO, aDir[1], , , , 0.264, -0.5625, 0, 0, 0, 0, 0, 0, , NO, 0, 0, NO,
3141, BEAM    , CONLOAD, GZ, NO , NO, aDir[1], , , , 0.962, -13.5, 0, 0, 0, 0, 0, 0, , NO, 0, 0, NO,
3141, BEAM    , CONLOAD, GZ, NO , NO, aDir[1], , , , 0.264, -0.5625, 0, 0, 0, 0, 0, 0, , NO, 0, 0, NO,
3143, BEAM    , CONLOAD, GZ, NO , NO, aDir[1], , , , 0.962, -13.5, 0, 0, 0, 0, 0, 0, , NO, 0, 0, NO,
3143, BEAM    , CONLOAD, GZ, NO , NO, aDir[1], , , , 0.264, -0.5625, 0, 0, 0, 0, 0, 0, , NO, 0, 0, NO,
3145, BEAM    , CONLOAD, GZ, NO , NO, aDir[1], , , , 0.962, -13.5, 0, 0, 0, 0, 0, 0, , NO, 0, 0, NO,
3145, BEAM    , CONLOAD, GZ, NO , NO, aDir[1], , , , 0.264, -0.5625, 0, 0, 0, 0, 0, 0, , NO, 0, 0, NO,
3147, BEAM    , CONLOAD, GZ, NO , NO, aDir[1], , , , 0.962, -13.5, 0, 0, 0, 0, 0, 0, , NO, 0, 0, NO,
3147, BEAM    , CONLOAD, GZ, NO , NO, aDir[1], , , , 0.264, -0.5625, 0, 0, 0, 0, 0, 0, , NO, 0, 0, NO,
3149, BEAM    , CONLOAD, GZ, NO , NO, aDir[1], , , , 0.264, -0.5625, 0, 0, 0, 0, 0, 0, , NO, 0, 0, NO,
3149, BEAM    , CONLOAD, GZ, NO , NO, aDir[1], , , , 0.962, -13.5, 0, 0, 0, 0, 0, 0, , NO, 0, 0, NO,
3151, BEAM    , CONLOAD, GZ, NO , NO, aDir[1], , , , 0.962, -13.5, 0, 0, 0, 0, 0, 0, , NO, 0, 0, NO,
3151, BEAM    , CONLOAD, GZ, NO , NO, aDir[1], , , , 0.264, -0.5625, 0, 0, 0, 0, 0, 0, , NO, 0, 0, NO,
3153, BEAM    , CONLOAD, GZ, NO , NO, aDir[1], , , , 0.962, -13.5, 0, 0, 0, 0, 0, 0, , NO, 0, 0, NO,
3153, BEAM    , CONLOAD, GZ, NO , NO, aDir[1], , , , 0.264, -0.5625, 0, 0, 0, 0, 0, 0, , NO, 0, 0, NO,
3155, BEAM    , CONLOAD, GZ, NO , NO, aDir[1], , , , 0.962, -13.5, 0, 0, 0, 0, 0, 0, , NO, 0, 0, NO,
3155, BEAM    , CONLOAD, GZ, NO , NO, aDir[1], , , , 0.264, -0.5625, 0, 0, 0, 0, 0, 0, , NO, 0, 0, NO,
3157, BEAM    , CONLOAD, GZ, NO , NO, aDir[1], , , , 0.962, -13.5, 0, 0, 0, 0, 0, 0, , NO, 0, 0, NO,
3157, BEAM    , CONLOAD, GZ, NO , NO, aDir[1], , , , 0.264, -0.5625, 0, 0, 0, 0, 0, 0, , NO, 0, 0, NO,
3159, BEAM    , CONLOAD, GZ, NO , NO, aDir[1], , , , 0.264, -0.5625, 0, 0, 0, 0, 0, 0, , NO, 0, 0, NO,
```

```
3159, BEAM    , CONLOAD, GZ, NO , NO, aDir[1], , , , 0.962, -13.5, 0, 0, 0, 0, 0, 0, , NO, 0, 0, NO,
3161, BEAM    , CONLOAD, GZ, NO , NO, aDir[1], , , , 0.264, -0.5625, 0, 0, 0, 0, 0, 0, , NO, 0, 0, NO,
3161, BEAM    , CONLOAD, GZ, NO , NO, aDir[1], , , , 0.962, -13.5, 0, 0, 0, 0, 0, 0, , NO, 0, 0, NO,
3163, BEAM    , CONLOAD, GZ, NO , NO, aDir[1], , , , 0.264, -0.5625, 0, 0, 0, 0, 0, 0, , NO, 0, 0, NO,
3163, BEAM    , CONLOAD, GZ, NO , NO, aDir[1], , , , 0.962, -13.5, 0, 0, 0, 0, 0, 0, , NO, 0, 0, NO,
3165, BEAM    , CONLOAD, GZ, NO , NO, aDir[1], , , , 0.264, -0.5625, 0, 0, 0, 0, 0, 0, , NO, 0, 0, NO,
3165, BEAM    , CONLOAD, GZ, NO , NO, aDir[1], , , , 0.962, -13.5, 0, 0, 0, 0, 0, 0, , NO, 0, 0, NO,
3167, BEAM    , CONLOAD, GZ, NO , NO, aDir[1], , , , 0.962, -13.5, 0, 0, 0, 0, 0, 0, , NO, 0, 0, NO,
3167, BEAM    , CONLOAD, GZ, NO , NO, aDir[1], , , , 0.264, -0.5625, 0, 0, 0, 0, 0, 0, , NO, 0, 0, NO,
3169, BEAM    , CONLOAD, GZ, NO , NO, aDir[1], , , , 0.962, -13.5, 0, 0, 0, 0, 0, 0, , NO, 0, 0, NO,
3169, BEAM    , CONLOAD, GZ, NO , NO, aDir[1], , , , 0.264, -0.5625, 0, 0, 0, 0, 0, 0, , NO, 0, 0, NO,
3171, BEAM    , CONLOAD, GZ, NO , NO, aDir[1], , , , 0.264, -0.5625, 0, 0, 0, 0, 0, 0, , NO, 0, 0, NO,
3171, BEAM    , CONLOAD, GZ, NO , NO, aDir[1], , , , 0.962, -13.5, 0, 0, 0, 0, 0, 0, , NO, 0, 0, NO,
3173, BEAM    , CONLOAD, GZ, NO , NO, aDir[1], , , , 0.264, -0.5625, 0, 0, 0, 0, 0, 0, , NO, 0, 0, NO,
3173, BEAM    , CONLOAD, GZ, NO , NO, aDir[1], , , , 0.962, -13.5, 0, 0, 0, 0, 0, 0, , NO, 0, 0, NO,
3175, BEAM    , CONLOAD, GZ, NO , NO, aDir[1], , , , 0.264, -0.5625, 0, 0, 0, 0, 0, 0, , NO, 0, 0, NO,
3175, BEAM    , CONLOAD, GZ, NO , NO, aDir[1], , , , 0.962, -13.5, 0, 0, 0, 0, 0, 0, , NO, 0, 0, NO,
3177, BEAM    , CONLOAD, GZ, NO , NO, aDir[1], , , , 0.264, -0.5625, 0, 0, 0, 0, 0, 0, , NO, 0, 0, NO,
3177, BEAM    , CONLOAD, GZ, NO , NO, aDir[1], , , , 0.962, -13.5, 0, 0, 0, 0, 0, 0, , NO, 0, 0, NO,
3179, BEAM    , CONLOAD, GZ, NO , NO, aDir[1], , , , 0.962, -6.75, 0, 0, 0, 0, 0, 0, , NO, 0, 0, NO,
3179, BEAM    , CONLOAD, GZ, NO , NO, aDir[1], , , , 0.264, -0.28125, 0, 0, 0, 0, 0, 0, , NO, 0, 0, NO,
3181, BEAM    , CONLOAD, GZ, NO , NO, aDir[1], , , , 0.667, -1.875, 0, 0, 0, 0, 0, 0, , NO, 0, 0, NO,
3182, BEAM    , CONLOAD, GZ, NO , NO, aDir[1], , , , 0.667, -3.75, 0, 0, 0, 0, 0, 0, , NO, 0, 0, NO,
3183, BEAM    , CONLOAD, GZ, NO , NO, aDir[1], , , , 0.667, -3.75, 0, 0, 0, 0, 0, 0, , NO, 0, 0, NO,
3184, BEAM    , CONLOAD, GZ, NO , NO, aDir[1], , , , 0.667, -3.75, 0, 0, 0, 0, 0, 0, , NO, 0, 0, NO,
3185, BEAM    , CONLOAD, GZ, NO , NO, aDir[1], , , , 0.667, -3.75, 0, 0, 0, 0, 0, 0, , NO, 0, 0, NO,
3186, BEAM    , CONLOAD, GZ, NO , NO, aDir[1], , , , 0.667, -23.75, 0, 0, 0, 0, 0, 0, , NO, 0, 0, NO,
3187, BEAM    , CONLOAD, GZ, NO , NO, aDir[1], , , , 0.667, -83.75, 0, 0, 0, 0, 0, 0, , NO, 0, 0, NO,
3188, BEAM    , CONLOAD, GZ, NO , NO, aDir[1], , , , 0.667, -103.75, 0, 0, 0, 0, 0, 0, , NO, 0, 0, NO,
3189, BEAM    , CONLOAD, GZ, NO , NO, aDir[1], , , , 0.667, -3.75, 0, 0, 0, 0, 0, 0, , NO, 0, 0, NO,
3190, BEAM    , CONLOAD, GZ, NO , NO, aDir[1], , , , 0.667, -3.75, 0, 0, 0, 0, 0, 0, , NO, 0, 0, NO,
3191, BEAM    , CONLOAD, GZ, NO , NO, aDir[1], , , , 0.667, -3.75, 0, 0, 0, 0, 0, 0, , NO, 0, 0, NO,
3192, BEAM    , CONLOAD, GZ, NO , NO, aDir[1], , , , 0.667, -3.75, 0, 0, 0, 0, 0, 0, , NO, 0, 0, NO,
3193, BEAM    , CONLOAD, GZ, NO , NO, aDir[1], , , , 0.667, -3.75, 0, 0, 0, 0, 0, 0, , NO, 0, 0, NO,
3194, BEAM    , CONLOAD, GZ, NO , NO, aDir[1], , , , 0.667, -3.75, 0, 0, 0, 0, 0, 0, , NO, 0, 0, NO,
3195, BEAM    , CONLOAD, GZ, NO , NO, aDir[1], , , , 0.667, -3.75, 0, 0, 0, 0, 0, 0, , NO, 0, 0, NO,
3196, BEAM    , CONLOAD, GZ, NO , NO, aDir[1], , , , 0.667, -3.75, 0, 0, 0, 0, 0, 0, , NO, 0, 0, NO,
3197, BEAM    , CONLOAD, GZ, NO , NO, aDir[1], , , , 0.667, -3.75, 0, 0, 0, 0, 0, 0, , NO, 0, 0, NO,
3198, BEAM    , CONLOAD, GZ, NO , NO, aDir[1], , , , 0.667, -3.75, 0, 0, 0, 0, 0, 0, , NO, 0, 0, NO,
3199, BEAM    , CONLOAD, GZ, NO , NO, aDir[1], , , , 0.667, -3.75, 0, 0, 0, 0, 0, 0, , NO, 0, 0, NO,
3200, BEAM    , CONLOAD, GZ, NO , NO, aDir[1], , , , 0.667, -3.75, 0, 0, 0, 0, 0, 0, , NO, 0, 0, NO,
3201, BEAM    , CONLOAD, GZ, NO , NO, aDir[1], , , , 0.667, -3.75, 0, 0, 0, 0, 0, 0, , NO, 0, 0, NO,
3202, BEAM    , CONLOAD, GZ, NO , NO, aDir[1], , , , 0.667, -3.75, 0, 0, 0, 0, 0, 0, , NO, 0, 0, NO,
3203, BEAM    , CONLOAD, GZ, NO , NO, aDir[1], , , , 0.667, -3.75, 0, 0, 0, 0, 0, 0, , NO, 0, 0, NO,
3204, BEAM    , CONLOAD, GZ, NO , NO, aDir[1], , , , 0.667, -3.75, 0, 0, 0, 0, 0, 0, , NO, 0, 0, NO,
3205, BEAM    , CONLOAD, GZ, NO , NO, aDir[1], , , , 0.667, -3.75, 0, 0, 0, 0, 0, 0, , NO, 0, 0, NO,
3206, BEAM    , CONLOAD, GZ, NO , NO, aDir[1], , , , 0.667, -3.75, 0, 0, 0, 0, 0, 0, , NO, 0, 0, NO,
3207, BEAM    , CONLOAD, GZ, NO , NO, aDir[1], , , , 0.667, -3.75, 0, 0, 0, 0, 0, 0, , NO, 0, 0, NO,
3208, BEAM    , CONLOAD, GZ, NO , NO, aDir[1], , , , 0.667, -3.75, 0, 0, 0, 0, 0, 0, , NO, 0, 0, NO,
3209, BEAM    , CONLOAD, GZ, NO , NO, aDir[1], , , , 0.667, -3.75, 0, 0, 0, 0, 0, 0, , NO, 0, 0, NO,
3210, BEAM    , CONLOAD, GZ, NO , NO, aDir[1], , , , 0.667, -3.75, 0, 0, 0, 0, 0, 0, , NO, 0, 0, NO,
3211, BEAM    , CONLOAD, GZ, NO , NO, aDir[1], , , , 0.667, -3.75, 0, 0, 0, 0, 0, 0, , NO, 0, 0, NO,
3212, BEAM    , CONLOAD, GZ, NO , NO, aDir[1], , , , 0.667, -3.75, 0, 0, 0, 0, 0, 0, , NO, 0, 0, NO,
3213, BEAM    , CONLOAD, GZ, NO , NO, aDir[1], , , , 0.667, -3.75, 0, 0, 0, 0, 0, 0, , NO, 0, 0, NO,
3214, BEAM    , CONLOAD, GZ, NO , NO, aDir[1], , , , 0.667, -3.75, 0, 0, 0, 0, 0, 0, , NO, 0, 0, NO,
3215, BEAM    , CONLOAD, GZ, NO , NO, aDir[1], , , , 0.667, -3.75, 0, 0, 0, 0, 0, 0, , NO, 0, 0, NO,
3216, BEAM    , CONLOAD, GZ, NO , NO, aDir[1], , , , 0.667, -3.75, 0, 0, 0, 0, 0, 0, , NO, 0, 0, NO,
3217, BEAM    , CONLOAD, GZ, NO , NO, aDir[1], , , , 0.667, -3.75, 0, 0, 0, 0, 0, 0, , NO, 0, 0, NO,
3218, BEAM    , CONLOAD, GZ, NO , NO, aDir[1], , , , 0.667, -3.75, 0, 0, 0, 0, 0, 0, , NO, 0, 0, NO,
3219, BEAM    , CONLOAD, GZ, NO , NO, aDir[1], , , , 0.667, -3.75, 0, 0, 0, 0, 0, 0, , NO, 0, 0, NO,
3220, BEAM    , CONLOAD, GZ, NO , NO, aDir[1], , , , 0.667, -3.75, 0, 0, 0, 0, 0, 0, , NO, 0, 0, NO,
3221, BEAM    , CONLOAD, GZ, NO , NO, aDir[1], , , , 0.667, -3.75, 0, 0, 0, 0, 0, 0, , NO, 0, 0, NO,
3222, BEAM    , CONLOAD, GZ, NO , NO, aDir[1], , , , 0.667, -1.875, 0, 0, 0, 0, 0, 0, , NO, 0, 0, NO,
3512, BEAM    , CONLOAD, GZ, NO , NO, aDir[1], , , , 0.537, -3.00812, 0, 0, 0, 0, 0, 0, , NO, 0, 0, NO,
3513, BEAM    , CONLOAD, GZ, NO , NO, aDir[1], , , , 0.537, -2.30072, 0, 0, 0, 0, 0, 0, , NO, 0, 0, NO,
3596, BEAM    , CONLOAD, GZ, NO , NO, aDir[1], , , , 0.226, -1.07849, 0, 0, 0, 0, 0, 0, , NO, 0, 0, NO,
3597, BEAM    , CONLOAD, GZ, NO , NO, aDir[1], , , , 0.226, -3.64057, 0, 0, 0, 0, 0, 0, , NO, 0, 0, NO,
3598, BEAM    , CONLOAD, GZ, NO , NO, aDir[1], , , , 0.226, -3.75, 0, 0, 0, 0, 0, 0, , NO, 0, 0, NO,
3599, BEAM    , CONLOAD, GZ, NO , NO, aDir[1], , , , 0.226, -3.75, 0, 0, 0, 0, 0, 0, , NO, 0, 0, NO,
3600, BEAM    , CONLOAD, GZ, NO , NO, aDir[1], , , , 0.226, -3.75, 0, 0, 0, 0, 0, 0, , NO, 0, 0, NO,
3601, BEAM    , CONLOAD, GZ, NO , NO, aDir[1], , , , 0.226, -3.75, 0, 0, 0, 0, 0, 0, , NO, 0, 0, NO,
3602, BEAM    , CONLOAD, GZ, NO , NO, aDir[1], , , , 0.226, -3.75, 0, 0, 0, 0, 0, 0, , NO, 0, 0, NO,
3603, BEAM    , CONLOAD, GZ, NO , NO, aDir[1], , , , 0.226, -3.75, 0, 0, 0, 0, 0, 0, , NO, 0, 0, NO,
3604, BEAM    , CONLOAD, GZ, NO , NO, aDir[1], , , , 0.226, -3.75, 0, 0, 0, 0, 0, 0, , NO, 0, 0, NO,
3605, BEAM    , CONLOAD, GZ, NO , NO, aDir[1], , , , 0.226, -3.75, 0, 0, 0, 0, 0, 0, , NO, 0, 0, NO,
3606, BEAM    , CONLOAD, GZ, NO , NO, aDir[1], , , , 0.226, -3.75, 0, 0, 0, 0, 0, 0, , NO, 0, 0, NO,
3607, BEAM    , CONLOAD, GZ, NO , NO, aDir[1], , , , 0.226, -3.75, 0, 0, 0, 0, 0, 0, , NO, 0, 0, NO,
3608, BEAM    , CONLOAD, GZ, NO , NO, aDir[1], , , , 0.226, -3.75, 0, 0, 0, 0, 0, 0, , NO, 0, 0, NO,
```

```
  3609, BEAM    , CONLOAD, GZ, NO , NO, aDir[1], , , , 0.226, -3.75, 0, 0, 0, 0, 0, 0, , NO, 0, 0, NO,
  3610, BEAM    , CONLOAD, GZ, NO , NO, aDir[1], , , , 0.226, -3.75, 0, 0, 0, 0, 0, 0, , NO, 0, 0, NO,
  3611, BEAM    , CONLOAD, GZ, NO , NO, aDir[1], , , , 0.226, -13.75, 0, 0, 0, 0, 0, 0, , NO, 0, 0, NO,
  3612, BEAM    , CONLOAD, GZ, NO , NO, aDir[1], , , , 0.226, -43.75, 0, 0, 0, 0, 0, 0, , NO, 0, 0, NO,
  3613, BEAM    , CONLOAD, GZ, NO , NO, aDir[1], , , , 0.226, -53.75, 0, 0, 0, 0, 0, 0, , NO, 0, 0, NO,
  3614, BEAM    , CONLOAD, GZ, NO , NO, aDir[1], , , , 0.226, -3.75, 0, 0, 0, 0, 0, 0, , NO, 0, 0, NO,
  3615, BEAM    , CONLOAD, GZ, NO , NO, aDir[1], , , , 0.226, -3.75, 0, 0, 0, 0, 0, 0, , NO, 0, 0, NO,
  3616, BEAM    , CONLOAD, GZ, NO , NO, aDir[1], , , , 0.226, -3.75, 0, 0, 0, 0, 0, 0, , NO, 0, 0, NO,
  3617, BEAM    , CONLOAD, GZ, NO , NO, aDir[1], , , , 0.226, -3.75, 0, 0, 0, 0, 0, 0, , NO, 0, 0, NO,
  3618, BEAM    , CONLOAD, GZ, NO , NO, aDir[1], , , , 0.226, -3.75, 0, 0, 0, 0, 0, 0, , NO, 0, 0, NO,
  3619, BEAM    , CONLOAD, GZ, NO , NO, aDir[1], , , , 0.226, -3.75, 0, 0, 0, 0, 0, 0, , NO, 0, 0, NO,
  3620, BEAM    , CONLOAD, GZ, NO , NO, aDir[1], , , , 0.226, -3.75, 0, 0, 0, 0, 0, 0, , NO, 0, 0, NO,
  3621, BEAM    , CONLOAD, GZ, NO , NO, aDir[1], , , , 0.226, -3.75, 0, 0, 0, 0, 0, 0, , NO, 0, 0, NO,
  3622, BEAM    , CONLOAD, GZ, NO , NO, aDir[1], , , , 0.226, -3.75, 0, 0, 0, 0, 0, 0, , NO, 0, 0, NO,
  3623, BEAM    , CONLOAD, GZ, NO , NO, aDir[1], , , , 0.226, -3.75, 0, 0, 0, 0, 0, 0, , NO, 0, 0, NO,
  3624, BEAM    , CONLOAD, GZ, NO , NO, aDir[1], , , , 0.226, -3.75, 0, 0, 0, 0, 0, 0, , NO, 0, 0, NO,
  3625, BEAM    , CONLOAD, GZ, NO , NO, aDir[1], , , , 0.226, -3.75, 0, 0, 0, 0, 0, 0, , NO, 0, 0, NO,
  3626, BEAM    , CONLOAD, GZ, NO , NO, aDir[1], , , , 0.226, -3.75, 0, 0, 0, 0, 0, 0, , NO, 0, 0, NO,
  3627, BEAM    , CONLOAD, GZ, NO , NO, aDir[1], , , , 0.226, -3.75, 0, 0, 0, 0, 0, 0, , NO, 0, 0, NO,
  3628, BEAM    , CONLOAD, GZ, NO , NO, aDir[1], , , , 0.226, -3.75, 0, 0, 0, 0, 0, 0, , NO, 0, 0, NO,
  3629, BEAM    , CONLOAD, GZ, NO , NO, aDir[1], , , , 0.226, -3.75, 0, 0, 0, 0, 0, 0, , NO, 0, 0, NO,
  3630, BEAM    , CONLOAD, GZ, NO , NO, aDir[1], , , , 0.226, -3.75, 0, 0, 0, 0, 0, 0, , NO, 0, 0, NO,
  3631, BEAM    , CONLOAD, GZ, NO , NO, aDir[1], , , , 0.226, -3.75, 0, 0, 0, 0, 0, 0, , NO, 0, 0, NO,
  3632, BEAM    , CONLOAD, GZ, NO , NO, aDir[1], , , , 0.226, -3.75, 0, 0, 0, 0, 0, 0, , NO, 0, 0, NO,
  3633, BEAM    , CONLOAD, GZ, NO , NO, aDir[1], , , , 0.226, -3.75, 0, 0, 0, 0, 0, 0, , NO, 0, 0, NO,
  3634, BEAM    , CONLOAD, GZ, NO , NO, aDir[1], , , , 0.226, -3.75, 0, 0, 0, 0, 0, 0, , NO, 0, 0, NO,
  3635, BEAM    , CONLOAD, GZ, NO , NO, aDir[1], , , , 0.226, -3.75, 0, 0, 0, 0, 0, 0, , NO, 0, 0, NO,
  3636, BEAM    , CONLOAD, GZ, NO , NO, aDir[1], , , , 0.226, -3.75, 0, 0, 0, 0, 0, 0, , NO, 0, 0, NO,
  3637, BEAM    , CONLOAD, GZ, NO , NO, aDir[1], , , , 0.226, -1.875, 0, 0, 0, 0, 0, 0, , NO, 0, 0, NO,
  3638, BEAM    , CONLOAD, GZ, NO , NO, aDir[1], , , , 0.227, -1.875, 0, 0, 0, 0, 0, 0, , NO, 0, 0, NO,
  3639, BEAM    , CONLOAD, GZ, NO , NO, aDir[1], , , , 0.227, -3.75, 0, 0, 0, 0, 0, 0, , NO, 0, 0, NO,
  3640, BEAM    , CONLOAD, GZ, NO , NO, aDir[1], , , , 0.227, -3.75, 0, 0, 0, 0, 0, 0, , NO, 0, 0, NO,
  3641, BEAM    , CONLOAD, GZ, NO , NO, aDir[1], , , , 0.227, -3.75, 0, 0, 0, 0, 0, 0, , NO, 0, 0, NO,
  3642, BEAM    , CONLOAD, GZ, NO , NO, aDir[1], , , , 0.227, -3.75, 0, 0, 0, 0, 0, 0, , NO, 0, 0, NO,
  3643, BEAM    , CONLOAD, GZ, NO , NO, aDir[1], , , , 0.227, -23.75, 0, 0, 0, 0, 0, 0, , NO, 0, 0, NO,
  3644, BEAM    , CONLOAD, GZ, NO , NO, aDir[1], , , , 0.227, -83.75, 0, 0, 0, 0, 0, 0, , NO, 0, 0, NO,
  3645, BEAM    , CONLOAD, GZ, NO , NO, aDir[1], , , , 0.227, -103.75, 0, 0, 0, 0, 0, 0, , NO, 0, 0, NO,
  3646, BEAM    , CONLOAD, GZ, NO , NO, aDir[1], , , , 0.227, -3.75, 0, 0, 0, 0, 0, 0, , NO, 0, 0, NO,
  3647, BEAM    , CONLOAD, GZ, NO , NO, aDir[1], , , , 0.227, -3.75, 0, 0, 0, 0, 0, 0, , NO, 0, 0, NO,
  3648, BEAM    , CONLOAD, GZ, NO , NO, aDir[1], , , , 0.227, -3.75, 0, 0, 0, 0, 0, 0, , NO, 0, 0, NO,
  3649, BEAM    , CONLOAD, GZ, NO , NO, aDir[1], , , , 0.227, -3.75, 0, 0, 0, 0, 0, 0, , NO, 0, 0, NO,
  3650, BEAM    , CONLOAD, GZ, NO , NO, aDir[1], , , , 0.227, -3.75, 0, 0, 0, 0, 0, 0, , NO, 0, 0, NO,
  3651, BEAM    , CONLOAD, GZ, NO , NO, aDir[1], , , , 0.227, -3.75, 0, 0, 0, 0, 0, 0, , NO, 0, 0, NO,
  3652, BEAM    , CONLOAD, GZ, NO , NO, aDir[1], , , , 0.227, -3.75, 0, 0, 0, 0, 0, 0, , NO, 0, 0, NO,
  3653, BEAM    , CONLOAD, GZ, NO , NO, aDir[1], , , , 0.227, -3.75, 0, 0, 0, 0, 0, 0, , NO, 0, 0, NO,
  3654, BEAM    , CONLOAD, GZ, NO , NO, aDir[1], , , , 0.227, -3.75, 0, 0, 0, 0, 0, 0, , NO, 0, 0, NO,
  3655, BEAM    , CONLOAD, GZ, NO , NO, aDir[1], , , , 0.227, -3.75, 0, 0, 0, 0, 0, 0, , NO, 0, 0, NO,
  3656, BEAM    , CONLOAD, GZ, NO , NO, aDir[1], , , , 0.227, -3.75, 0, 0, 0, 0, 0, 0, , NO, 0, 0, NO,
  3657, BEAM    , CONLOAD, GZ, NO , NO, aDir[1], , , , 0.227, -3.75, 0, 0, 0, 0, 0, 0, , NO, 0, 0, NO,
  3658, BEAM    , CONLOAD, GZ, NO , NO, aDir[1], , , , 0.227, -3.75, 0, 0, 0, 0, 0, 0, , NO, 0, 0, NO,
  3659, BEAM    , CONLOAD, GZ, NO , NO, aDir[1], , , , 0.227, -3.75, 0, 0, 0, 0, 0, 0, , NO, 0, 0, NO,
  3660, BEAM    , CONLOAD, GZ, NO , NO, aDir[1], , , , 0.227, -3.75, 0, 0, 0, 0, 0, 0, , NO, 0, 0, NO,
  3661, BEAM    , CONLOAD, GZ, NO , NO, aDir[1], , , , 0.227, -3.75, 0, 0, 0, 0, 0, 0, , NO, 0, 0, NO,
  3662, BEAM    , CONLOAD, GZ, NO , NO, aDir[1], , , , 0.227, -3.75, 0, 0, 0, 0, 0, 0, , NO, 0, 0, NO,
  3663, BEAM    , CONLOAD, GZ, NO , NO, aDir[1], , , , 0.227, -3.75, 0, 0, 0, 0, 0, 0, , NO, 0, 0, NO,
  3664, BEAM    , CONLOAD, GZ, NO , NO, aDir[1], , , , 0.227, -3.75, 0, 0, 0, 0, 0, 0, , NO, 0, 0, NO,
  3665, BEAM    , CONLOAD, GZ, NO , NO, aDir[1], , , , 0.227, -3.75, 0, 0, 0, 0, 0, 0, , NO, 0, 0, NO,
  3666, BEAM    , CONLOAD, GZ, NO , NO, aDir[1], , , , 0.227, -3.75, 0, 0, 0, 0, 0, 0, , NO, 0, 0, NO,
  3667, BEAM    , CONLOAD, GZ, NO , NO, aDir[1], , , , 0.227, -3.75, 0, 0, 0, 0, 0, 0, , NO, 0, 0, NO,
  3668, BEAM    , CONLOAD, GZ, NO , NO, aDir[1], , , , 0.227, -3.75, 0, 0, 0, 0, 0, 0, , NO, 0, 0, NO,
  3669, BEAM    , CONLOAD, GZ, NO , NO, aDir[1], , , , 0.227, -3.75, 0, 0, 0, 0, 0, 0, , NO, 0, 0, NO,
  3670, BEAM    , CONLOAD, GZ, NO , NO, aDir[1], , , , 0.227, -3.75, 0, 0, 0, 0, 0, 0, , NO, 0, 0, NO,
  3671, BEAM    , CONLOAD, GZ, NO , NO, aDir[1], , , , 0.227, -3.75, 0, 0, 0, 0, 0, 0, , NO, 0, 0, NO,
  3672, BEAM    , CONLOAD, GZ, NO , NO, aDir[1], , , , 0.227, -3.75, 0, 0, 0, 0, 0, 0, , NO, 0, 0, NO,
  3673, BEAM    , CONLOAD, GZ, NO , NO, aDir[1], , , , 0.227, -3.75, 0, 0, 0, 0, 0, 0, , NO, 0, 0, NO,
  3674, BEAM    , CONLOAD, GZ, NO , NO, aDir[1], , , , 0.227, -3.75, 0, 0, 0, 0, 0, 0, , NO, 0, 0, NO,
  3675, BEAM    , CONLOAD, GZ, NO , NO, aDir[1], , , , 0.227, -3.75, 0, 0, 0, 0, 0, 0, , NO, 0, 0, NO,
  3676, BEAM    , CONLOAD, GZ, NO , NO, aDir[1], , , , 0.227, -3.75, 0, 0, 0, 0, 0, 0, , NO, 0, 0, NO,
  3677, BEAM    , CONLOAD, GZ, NO , NO, aDir[1], , , , 0.227, -3.75, 0, 0, 0, 0, 0, 0, , NO, 0, 0, NO,
  3678, BEAM    , CONLOAD, GZ, NO , NO, aDir[1], , , , 0.227, -3.75, 0, 0, 0, 0, 0, 0, , NO, 0, 0, NO,
  3679, BEAM    , CONLOAD, GZ, NO , NO, aDir[1], , , , 0.227, -1.875, 0, 0, 0, 0, 0, 0, , NO, 0, 0, NO,
  3928, BEAM    , CONLOAD, GZ, NO , NO, aDir[1], , , , 0.734, -3.00812, 0, 0, 0, 0, 0, 0, , NO, 0, 0, NO,
  3929, BEAM    , CONLOAD, GZ, NO , NO, aDir[1], , , , 0.734, -2.30072, 0, 0, 0, 0, 0, 0, , NO, 0, 0, NO,

; End of data for load case [node 52_max Fz] -------------------------

*USE-STLD, node 51_max Fz
```

PROJECT TITLE :

	Company		Client	
	Author		File Name	Brembiolo1_08_completo(fasi)DEFINITIVO.mgt

```
*BEAMLOAD    ; Element Beam Loads
; ELEM_LIST, CMD, TYPE, DIR, bPROJ, [ECCEN], [VALUE], GROUP
; ELEM_LIST, CMD, TYPE, TYPE, DIR, VX, VY, VZ, bPROJ, [ECCEN], [VALUE], GROUP
; [VALUE]       : D1, P1, D2, P2, D3, P3, D4, P4
; [ECCEN]       : bECCEN, ECCDIR, I-END, J-END, bJ-END
; [ADDITIONAL]  : bADDITIONAL, ADDITIONAL_I-END, ADDITIONAL_J-END, bADDITIONAL_J-END
   649, BEAM   , CONLOAD, GZ, NO , NO, aDir[1], , , , 0.668, -51.875, 0, 0, 0, 0, 0, 0, , NO, 0, 0, NO,
   650, BEAM   , CONLOAD, GZ, NO , NO, aDir[1], , , , 0.03, -3.34375, 0, 0, 0, 0, 0, 0, , NO, 0, 0, NO,
   654, BEAM   , CONLOAD, GZ, NO , NO, aDir[1], , , , 0.668, -43.75, 0, 0, 0, 0, 0, 0, , NO, 0, 0, NO,
   655, BEAM   , CONLOAD, GZ, NO , NO, aDir[1], , , , 0.03, -6.6875, 0, 0, 0, 0, 0, 0, , NO, 0, 0, NO,
   659, BEAM   , CONLOAD, GZ, NO , NO, aDir[1], , , , 0.668, -13.75, 0, 0, 0, 0, 0, 0, , NO, 0, 0, NO,
   660, BEAM   , CONLOAD, GZ, NO , NO, aDir[1], , , , 0.03, -6.6875, 0, 0, 0, 0, 0, 0, , NO, 0, 0, NO,
   664, BEAM   , CONLOAD, GZ, NO , NO, aDir[1], , , , 0.668, -3.75, 0, 0, 0, 0, 0, 0, , NO, 0, 0, NO,
   665, BEAM   , CONLOAD, GZ, NO , NO, aDir[1], , , , 0.03, -6.6875, 0, 0, 0, 0, 0, 0, , NO, 0, 0, NO,
   669, BEAM   , CONLOAD, GZ, NO , NO, aDir[1], , , , 0.668, -3.75, 0, 0, 0, 0, 0, 0, , NO, 0, 0, NO,
   670, BEAM   , CONLOAD, GZ, NO , NO, aDir[1], , , , 0.03, -6.6875, 0, 0, 0, 0, 0, 0, , NO, 0, 0, NO,
   674, BEAM   , CONLOAD, GZ, NO , NO, aDir[1], , , , 0.668, -3.75, 0, 0, 0, 0, 0, 0, , NO, 0, 0, NO,
   675, BEAM   , CONLOAD, GZ, NO , NO, aDir[1], , , , 0.03, -6.6875, 0, 0, 0, 0, 0, 0, , NO, 0, 0, NO,
   679, BEAM   , CONLOAD, GZ, NO , NO, aDir[1], , , , 0.668, -3.75, 0, 0, 0, 0, 0, 0, , NO, 0, 0, NO,
   680, BEAM   , CONLOAD, GZ, NO , NO, aDir[1], , , , 0.03, -6.6875, 0, 0, 0, 0, 0, 0, , NO, 0, 0, NO,
   684, BEAM   , CONLOAD, GZ, NO , NO, aDir[1], , , , 0.668, -3.75, 0, 0, 0, 0, 0, 0, , NO, 0, 0, NO,
   685, BEAM   , CONLOAD, GZ, NO , NO, aDir[1], , , , 0.03, -6.6875, 0, 0, 0, 0, 0, 0, , NO, 0, 0, NO,
   689, BEAM   , CONLOAD, GZ, NO , NO, aDir[1], , , , 0.668, -3.75, 0, 0, 0, 0, 0, 0, , NO, 0, 0, NO,
   690, BEAM   , CONLOAD, GZ, NO , NO, aDir[1], , , , 0.03, -6.6875, 0, 0, 0, 0, 0, 0, , NO, 0, 0, NO,
   694, BEAM   , CONLOAD, GZ, NO , NO, aDir[1], , , , 0.668, -3.75, 0, 0, 0, 0, 0, 0, , NO, 0, 0, NO,
   695, BEAM   , CONLOAD, GZ, NO , NO, aDir[1], , , , 0.03, -6.6875, 0, 0, 0, 0, 0, 0, , NO, 0, 0, NO,
   699, BEAM   , CONLOAD, GZ, NO , NO, aDir[1], , , , 0.668, -3.75, 0, 0, 0, 0, 0, 0, , NO, 0, 0, NO,
   700, BEAM   , CONLOAD, GZ, NO , NO, aDir[1], , , , 0.03, -6.6875, 0, 0, 0, 0, 0, 0, , NO, 0, 0, NO,
   704, BEAM   , CONLOAD, GZ, NO , NO, aDir[1], , , , 0.668, -3.75, 0, 0, 0, 0, 0, 0, , NO, 0, 0, NO,
   705, BEAM   , CONLOAD, GZ, NO , NO, aDir[1], , , , 0.03, -6.6875, 0, 0, 0, 0, 0, 0, , NO, 0, 0, NO,
   709, BEAM   , CONLOAD, GZ, NO , NO, aDir[1], , , , 0.668, -3.75, 0, 0, 0, 0, 0, 0, , NO, 0, 0, NO,
   710, BEAM   , CONLOAD, GZ, NO , NO, aDir[1], , , , 0.03, -6.6875, 0, 0, 0, 0, 0, 0, , NO, 0, 0, NO,
   714, BEAM   , CONLOAD, GZ, NO , NO, aDir[1], , , , 0.668, -3.75, 0, 0, 0, 0, 0, 0, , NO, 0, 0, NO,
   715, BEAM   , CONLOAD, GZ, NO , NO, aDir[1], , , , 0.03, -6.6875, 0, 0, 0, 0, 0, 0, , NO, 0, 0, NO,
   719, BEAM   , CONLOAD, GZ, NO , NO, aDir[1], , , , 0.668, -3.75, 0, 0, 0, 0, 0, 0, , NO, 0, 0, NO,
   720, BEAM   , CONLOAD, GZ, NO , NO, aDir[1], , , , 0.03, -6.6875, 0, 0, 0, 0, 0, 0, , NO, 0, 0, NO,
   724, BEAM   , CONLOAD, GZ, NO , NO, aDir[1], , , , 0.668, -3.75, 0, 0, 0, 0, 0, 0, , NO, 0, 0, NO,
   725, BEAM   , CONLOAD, GZ, NO , NO, aDir[1], , , , 0.03, -6.6875, 0, 0, 0, 0, 0, 0, , NO, 0, 0, NO,
   729, BEAM   , CONLOAD, GZ, NO , NO, aDir[1], , , , 0.668, -3.75, 0, 0, 0, 0, 0, 0, , NO, 0, 0, NO,
   730, BEAM   , CONLOAD, GZ, NO , NO, aDir[1], , , , 0.03, -6.6875, 0, 0, 0, 0, 0, 0, , NO, 0, 0, NO,
   734, BEAM   , CONLOAD, GZ, NO , NO, aDir[1], , , , 0.668, -3.75, 0, 0, 0, 0, 0, 0, , NO, 0, 0, NO,
   735, BEAM   , CONLOAD, GZ, NO , NO, aDir[1], , , , 0.03, -6.6875, 0, 0, 0, 0, 0, 0, , NO, 0, 0, NO,
   739, BEAM   , CONLOAD, GZ, NO , NO, aDir[1], , , , 0.668, -3.75, 0, 0, 0, 0, 0, 0, , NO, 0, 0, NO,
   740, BEAM   , CONLOAD, GZ, NO , NO, aDir[1], , , , 0.03, -6.6875, 0, 0, 0, 0, 0, 0, , NO, 0, 0, NO,
   744, BEAM   , CONLOAD, GZ, NO , NO, aDir[1], , , , 0.668, -3.75, 0, 0, 0, 0, 0, 0, , NO, 0, 0, NO,
   745, BEAM   , CONLOAD, GZ, NO , NO, aDir[1], , , , 0.03, -6.6875, 0, 0, 0, 0, 0, 0, , NO, 0, 0, NO,
   749, BEAM   , CONLOAD, GZ, NO , NO, aDir[1], , , , 0.668, -3.75, 0, 0, 0, 0, 0, 0, , NO, 0, 0, NO,
   750, BEAM   , CONLOAD, GZ, NO , NO, aDir[1], , , , 0.03, -6.6875, 0, 0, 0, 0, 0, 0, , NO, 0, 0, NO,
   754, BEAM   , CONLOAD, GZ, NO , NO, aDir[1], , , , 0.668, -3.75, 0, 0, 0, 0, 0, 0, , NO, 0, 0, NO,
   755, BEAM   , CONLOAD, GZ, NO , NO, aDir[1], , , , 0.03, -6.6875, 0, 0, 0, 0, 0, 0, , NO, 0, 0, NO,
   759, BEAM   , CONLOAD, GZ, NO , NO, aDir[1], , , , 0.668, -3.75, 0, 0, 0, 0, 0, 0, , NO, 0, 0, NO,
   760, BEAM   , CONLOAD, GZ, NO , NO, aDir[1], , , , 0.03, -6.6875, 0, 0, 0, 0, 0, 0, , NO, 0, 0, NO,
   764, BEAM   , CONLOAD, GZ, NO , NO, aDir[1], , , , 0.668, -3.75, 0, 0, 0, 0, 0, 0, , NO, 0, 0, NO,
   765, BEAM   , CONLOAD, GZ, NO , NO, aDir[1], , , , 0.03, -6.6875, 0, 0, 0, 0, 0, 0, , NO, 0, 0, NO,
   769, BEAM   , CONLOAD, GZ, NO , NO, aDir[1], , , , 0.668, -3.75, 0, 0, 0, 0, 0, 0, , NO, 0, 0, NO,
   770, BEAM   , CONLOAD, GZ, NO , NO, aDir[1], , , , 0.03, -6.6875, 0, 0, 0, 0, 0, 0, , NO, 0, 0, NO,
   774, BEAM   , CONLOAD, GZ, NO , NO, aDir[1], , , , 0.668, -3.75, 0, 0, 0, 0, 0, 0, , NO, 0, 0, NO,
   775, BEAM   , CONLOAD, GZ, NO , NO, aDir[1], , , , 0.03, -6.6875, 0, 0, 0, 0, 0, 0, , NO, 0, 0, NO,
   779, BEAM   , CONLOAD, GZ, NO , NO, aDir[1], , , , 0.668, -3.75, 0, 0, 0, 0, 0, 0, , NO, 0, 0, NO,
   780, BEAM   , CONLOAD, GZ, NO , NO, aDir[1], , , , 0.03, -6.6875, 0, 0, 0, 0, 0, 0, , NO, 0, 0, NO,
   784, BEAM   , CONLOAD, GZ, NO , NO, aDir[1], , , , 0.668, -3.75, 0, 0, 0, 0, 0, 0, , NO, 0, 0, NO,
   785, BEAM   , CONLOAD, GZ, NO , NO, aDir[1], , , , 0.03, -6.6875, 0, 0, 0, 0, 0, 0, , NO, 0, 0, NO,
   789, BEAM   , CONLOAD, GZ, NO , NO, aDir[1], , , , 0.668, -3.75, 0, 0, 0, 0, 0, 0, , NO, 0, 0, NO,
   790, BEAM   , CONLOAD, GZ, NO , NO, aDir[1], , , , 0.03, -6.6875, 0, 0, 0, 0, 0, 0, , NO, 0, 0, NO,
   794, BEAM   , CONLOAD, GZ, NO , NO, aDir[1], , , , 0.668, -3.75, 0, 0, 0, 0, 0, 0, , NO, 0, 0, NO,
   795, BEAM   , CONLOAD, GZ, NO , NO, aDir[1], , , , 0.03, -6.6875, 0, 0, 0, 0, 0, 0, , NO, 0, 0, NO,
   799, BEAM   , CONLOAD, GZ, NO , NO, aDir[1], , , , 0.668, -3.75, 0, 0, 0, 0, 0, 0, , NO, 0, 0, NO,
   800, BEAM   , CONLOAD, GZ, NO , NO, aDir[1], , , , 0.03, -6.6875, 0, 0, 0, 0, 0, 0, , NO, 0, 0, NO,
   804, BEAM   , CONLOAD, GZ, NO , NO, aDir[1], , , , 0.668, -3.75, 0, 0, 0, 0, 0, 0, , NO, 0, 0, NO,
   805, BEAM   , CONLOAD, GZ, NO , NO, aDir[1], , , , 0.03, -6.6875, 0, 0, 0, 0, 0, 0, , NO, 0, 0, NO,
   809, BEAM   , CONLOAD, GZ, NO , NO, aDir[1], , , , 0.668, -3.75, 0, 0, 0, 0, 0, 0, , NO, 0, 0, NO,
   810, BEAM   , CONLOAD, GZ, NO , NO, aDir[1], , , , 0.03, -6.6875, 0, 0, 0, 0, 0, 0, , NO, 0, 0, NO,
   814, BEAM   , CONLOAD, GZ, NO , NO, aDir[1], , , , 0.668, -3.75, 0, 0, 0, 0, 0, 0, , NO, 0, 0, NO,
   815, BEAM   , CONLOAD, GZ, NO , NO, aDir[1], , , , 0.03, -6.6875, 0, 0, 0, 0, 0, 0, , NO, 0, 0, NO,
   819, BEAM   , CONLOAD, GZ, NO , NO, aDir[1], , , , 0.668, -3.75, 0, 0, 0, 0, 0, 0, , NO, 0, 0, NO,
   820, BEAM   , CONLOAD, GZ, NO , NO, aDir[1], , , , 0.03, -6.6875, 0, 0, 0, 0, 0, 0, , NO, 0, 0, NO,
   824, BEAM   , CONLOAD, GZ, NO , NO, aDir[1], , , , 0.668, -3.75, 0, 0, 0, 0, 0, 0, , NO, 0, 0, NO,
   825, BEAM   , CONLOAD, GZ, NO , NO, aDir[1], , , , 0.03, -6.6875, 0, 0, 0, 0, 0, 0, , NO, 0, 0, NO,
```

PROJECT TITLE :

	Company		Client	
	Author		File Name	Brembiolo1_08_completo(fasi)DEFINITIVO.mgt

```
  829, BEAM    , CONLOAD, GZ, NO , NO, aDir[1], , , , 0.668, -3.75, 0, 0, 0, 0, 0, 0, , NO, 0, 0, NO,
  830, BEAM    , CONLOAD, GZ, NO , NO, aDir[1], , , , 0.03, -6.6875, 0, 0, 0, 0, 0, 0, , NO, 0, 0, NO,
  834, BEAM    , CONLOAD, GZ, NO , NO, aDir[1], , , , 0.668, -3.75, 0, 0, 0, 0, 0, 0, , NO, 0, 0, NO,
  835, BEAM    , CONLOAD, GZ, NO , NO, aDir[1], , , , 0.03, -6.6875, 0, 0, 0, 0, 0, 0, , NO, 0, 0, NO,
  839, BEAM    , CONLOAD, GZ, NO , NO, aDir[1], , , , 0.668, -3.75, 0, 0, 0, 0, 0, 0, , NO, 0, 0, NO,
  840, BEAM    , CONLOAD, GZ, NO , NO, aDir[1], , , , 0.03, -6.6875, 0, 0, 0, 0, 0, 0, , NO, 0, 0, NO,
  844, BEAM    , CONLOAD, GZ, NO , NO, aDir[1], , , , 0.668, -3.75, 0, 0, 0, 0, 0, 0, , NO, 0, 0, NO,
  845, BEAM    , CONLOAD, GZ, NO , NO, aDir[1], , , , 0.03, -6.6875, 0, 0, 0, 0, 0, 0, , NO, 0, 0, NO,
  849, BEAM    , CONLOAD, GZ, NO , NO, aDir[1], , , , 0.668, -3.75, 0, 0, 0, 0, 0, 0, , NO, 0, 0, NO,
  850, BEAM    , CONLOAD, GZ, NO , NO, aDir[1], , , , 0.03, -6.6875, 0, 0, 0, 0, 0, 0, , NO, 0, 0, NO,
  854, BEAM    , CONLOAD, GZ, NO , NO, aDir[1], , , , 0.668, -1.875, 0, 0, 0, 0, 0, 0, , NO, 0, 0, NO,
  855, BEAM    , CONLOAD, GZ, NO , NO, aDir[1], , , , 0.03, -3.34375, 0, 0, 0, 0, 0, 0, , NO, 0, 0, NO,
 1604, BEAM    , CONLOAD, GZ, NO , NO, aDir[1], , , , 0.109, -0.980317, 0, 0, 0, 0, 0, 0, , NO, 0, 0, NO,
 1605, BEAM    , CONLOAD, GZ, NO , NO, aDir[1], , , , 0.109, -2.42454, 0, 0, 0, 0, 0, 0, , NO, 0, 0, NO,
 1606, BEAM    , CONLOAD, GZ, NO , NO, aDir[1], , , , 0.109, -2.4375, 0, 0, 0, 0, 0, 0, , NO, 0, 0, NO,
 1607, BEAM    , CONLOAD, GZ, NO , NO, aDir[1], , , , 0.109, -2.4375, 0, 0, 0, 0, 0, 0, , NO, 0, 0, NO,
 1608, BEAM    , CONLOAD, GZ, NO , NO, aDir[1], , , , 0.109, -2.4375, 0, 0, 0, 0, 0, 0, , NO, 0, 0, NO,
 1609, BEAM    , CONLOAD, GZ, NO , NO, aDir[1], , , , 0.109, -2.4375, 0, 0, 0, 0, 0, 0, , NO, 0, 0, NO,
 1610, BEAM    , CONLOAD, GZ, NO , NO, aDir[1], , , , 0.109, -2.4375, 0, 0, 0, 0, 0, 0, , NO, 0, 0, NO,
 1611, BEAM    , CONLOAD, GZ, NO , NO, aDir[1], , , , 0.109, -2.4375, 0, 0, 0, 0, 0, 0, , NO, 0, 0, NO,
 1612, BEAM    , CONLOAD, GZ, NO , NO, aDir[1], , , , 0.109, -2.4375, 0, 0, 0, 0, 0, 0, , NO, 0, 0, NO,
 1613, BEAM    , CONLOAD, GZ, NO , NO, aDir[1], , , , 0.109, -2.4375, 0, 0, 0, 0, 0, 0, , NO, 0, 0, NO,
 1614, BEAM    , CONLOAD, GZ, NO , NO, aDir[1], , , , 0.109, -2.4375, 0, 0, 0, 0, 0, 0, , NO, 0, 0, NO,
 1615, BEAM    , CONLOAD, GZ, NO , NO, aDir[1], , , , 0.109, -2.4375, 0, 0, 0, 0, 0, 0, , NO, 0, 0, NO,
 1616, BEAM    , CONLOAD, GZ, NO , NO, aDir[1], , , , 0.109, -2.4375, 0, 0, 0, 0, 0, 0, , NO, 0, 0, NO,
 1617, BEAM    , CONLOAD, GZ, NO , NO, aDir[1], , , , 0.109, -2.4375, 0, 0, 0, 0, 0, 0, , NO, 0, 0, NO,
 1618, BEAM    , CONLOAD, GZ, NO , NO, aDir[1], , , , 0.109, -2.4375, 0, 0, 0, 0, 0, 0, , NO, 0, 0, NO,
 1619, BEAM    , CONLOAD, GZ, NO , NO, aDir[1], , , , 0.109, -2.4375, 0, 0, 0, 0, 0, 0, , NO, 0, 0, NO,
 1620, BEAM    , CONLOAD, GZ, NO , NO, aDir[1], , , , 0.109, -2.4375, 0, 0, 0, 0, 0, 0, , NO, 0, 0, NO,
 1621, BEAM    , CONLOAD, GZ, NO , NO, aDir[1], , , , 0.109, -2.4375, 0, 0, 0, 0, 0, 0, , NO, 0, 0, NO,
 1622, BEAM    , CONLOAD, GZ, NO , NO, aDir[1], , , , 0.109, -2.4375, 0, 0, 0, 0, 0, 0, , NO, 0, 0, NO,
 1623, BEAM    , CONLOAD, GZ, NO , NO, aDir[1], , , , 0.109, -2.4375, 0, 0, 0, 0, 0, 0, , NO, 0, 0, NO,
 1624, BEAM    , CONLOAD, GZ, NO , NO, aDir[1], , , , 0.109, -2.4375, 0, 0, 0, 0, 0, 0, , NO, 0, 0, NO,
 1625, BEAM    , CONLOAD, GZ, NO , NO, aDir[1], , , , 0.109, -2.4375, 0, 0, 0, 0, 0, 0, , NO, 0, 0, NO,
 1626, BEAM    , CONLOAD, GZ, NO , NO, aDir[1], , , , 0.109, -2.4375, 0, 0, 0, 0, 0, 0, , NO, 0, 0, NO,
 1627, BEAM    , CONLOAD, GZ, NO , NO, aDir[1], , , , 0.109, -2.4375, 0, 0, 0, 0, 0, 0, , NO, 0, 0, NO,
 1628, BEAM    , CONLOAD, GZ, NO , NO, aDir[1], , , , 0.109, -2.4375, 0, 0, 0, 0, 0, 0, , NO, 0, 0, NO,
 1629, BEAM    , CONLOAD, GZ, NO , NO, aDir[1], , , , 0.109, -2.4375, 0, 0, 0, 0, 0, 0, , NO, 0, 0, NO,
 1630, BEAM    , CONLOAD, GZ, NO , NO, aDir[1], , , , 0.109, -2.4375, 0, 0, 0, 0, 0, 0, , NO, 0, 0, NO,
 1631, BEAM    , CONLOAD, GZ, NO , NO, aDir[1], , , , 0.109, -2.4375, 0, 0, 0, 0, 0, 0, , NO, 0, 0, NO,
 1632, BEAM    , CONLOAD, GZ, NO , NO, aDir[1], , , , 0.109, -2.4375, 0, 0, 0, 0, 0, 0, , NO, 0, 0, NO,
 1633, BEAM    , CONLOAD, GZ, NO , NO, aDir[1], , , , 0.109, -2.4375, 0, 0, 0, 0, 0, 0, , NO, 0, 0, NO,
 1634, BEAM    , CONLOAD, GZ, NO , NO, aDir[1], , , , 0.109, -2.4375, 0, 0, 0, 0, 0, 0, , NO, 0, 0, NO,
 1635, BEAM    , CONLOAD, GZ, NO , NO, aDir[1], , , , 0.109, -2.4375, 0, 0, 0, 0, 0, 0, , NO, 0, 0, NO,
 1636, BEAM    , CONLOAD, GZ, NO , NO, aDir[1], , , , 0.109, -2.4375, 0, 0, 0, 0, 0, 0, , NO, 0, 0, NO,
 1637, BEAM    , CONLOAD, GZ, NO , NO, aDir[1], , , , 0.109, -2.4375, 0, 0, 0, 0, 0, 0, , NO, 0, 0, NO,
 1638, BEAM    , CONLOAD, GZ, NO , NO, aDir[1], , , , 0.109, -2.4375, 0, 0, 0, 0, 0, 0, , NO, 0, 0, NO,
 1639, BEAM    , CONLOAD, GZ, NO , NO, aDir[1], , , , 0.109, -2.4375, 0, 0, 0, 0, 0, 0, , NO, 0, 0, NO,
 1640, BEAM    , CONLOAD, GZ, NO , NO, aDir[1], , , , 0.109, -2.4375, 0, 0, 0, 0, 0, 0, , NO, 0, 0, NO,
 1641, BEAM    , CONLOAD, GZ, NO , NO, aDir[1], , , , 0.109, -2.4375, 0, 0, 0, 0, 0, 0, , NO, 0, 0, NO,
 1642, BEAM    , CONLOAD, GZ, NO , NO, aDir[1], , , , 0.109, -2.4375, 0, 0, 0, 0, 0, 0, , NO, 0, 0, NO,
 1643, BEAM    , CONLOAD, GZ, NO , NO, aDir[1], , , , 0.109, -2.4375, 0, 0, 0, 0, 0, 0, , NO, 0, 0, NO,
 1644, BEAM    , CONLOAD, GZ, NO , NO, aDir[1], , , , 0.109, -1.21875, 0, 0, 0, 0, 0, 0, , NO, 0, 0, NO,
 3181, BEAM    , CONLOAD, GZ, NO , NO, aDir[1], , , , 0.334, -51.875, 0, 0, 0, 0, 0, 0, , NO, 0, 0, NO,
 3182, BEAM    , CONLOAD, GZ, NO , NO, aDir[1], , , , 0.334, -43.75, 0, 0, 0, 0, 0, 0, , NO, 0, 0, NO,
 3183, BEAM    , CONLOAD, GZ, NO , NO, aDir[1], , , , 0.334, -13.75, 0, 0, 0, 0, 0, 0, , NO, 0, 0, NO,
 3184, BEAM    , CONLOAD, GZ, NO , NO, aDir[1], , , , 0.334, -3.75, 0, 0, 0, 0, 0, 0, , NO, 0, 0, NO,
 3185, BEAM    , CONLOAD, GZ, NO , NO, aDir[1], , , , 0.334, -3.75, 0, 0, 0, 0, 0, 0, , NO, 0, 0, NO,
 3186, BEAM    , CONLOAD, GZ, NO , NO, aDir[1], , , , 0.334, -3.75, 0, 0, 0, 0, 0, 0, , NO, 0, 0, NO,
 3187, BEAM    , CONLOAD, GZ, NO , NO, aDir[1], , , , 0.334, -3.75, 0, 0, 0, 0, 0, 0, , NO, 0, 0, NO,
 3188, BEAM    , CONLOAD, GZ, NO , NO, aDir[1], , , , 0.334, -3.75, 0, 0, 0, 0, 0, 0, , NO, 0, 0, NO,
 3189, BEAM    , CONLOAD, GZ, NO , NO, aDir[1], , , , 0.334, -3.75, 0, 0, 0, 0, 0, 0, , NO, 0, 0, NO,
 3190, BEAM    , CONLOAD, GZ, NO , NO, aDir[1], , , , 0.334, -3.75, 0, 0, 0, 0, 0, 0, , NO, 0, 0, NO,
 3191, BEAM    , CONLOAD, GZ, NO , NO, aDir[1], , , , 0.334, -3.75, 0, 0, 0, 0, 0, 0, , NO, 0, 0, NO,
 3192, BEAM    , CONLOAD, GZ, NO , NO, aDir[1], , , , 0.334, -3.75, 0, 0, 0, 0, 0, 0, , NO, 0, 0, NO,
 3193, BEAM    , CONLOAD, GZ, NO , NO, aDir[1], , , , 0.334, -3.75, 0, 0, 0, 0, 0, 0, , NO, 0, 0, NO,
 3194, BEAM    , CONLOAD, GZ, NO , NO, aDir[1], , , , 0.334, -3.75, 0, 0, 0, 0, 0, 0, , NO, 0, 0, NO,
 3195, BEAM    , CONLOAD, GZ, NO , NO, aDir[1], , , , 0.334, -3.75, 0, 0, 0, 0, 0, 0, , NO, 0, 0, NO,
 3196, BEAM    , CONLOAD, GZ, NO , NO, aDir[1], , , , 0.334, -3.75, 0, 0, 0, 0, 0, 0, , NO, 0, 0, NO,
 3197, BEAM    , CONLOAD, GZ, NO , NO, aDir[1], , , , 0.334, -3.75, 0, 0, 0, 0, 0, 0, , NO, 0, 0, NO,
 3198, BEAM    , CONLOAD, GZ, NO , NO, aDir[1], , , , 0.334, -3.75, 0, 0, 0, 0, 0, 0, , NO, 0, 0, NO,
 3199, BEAM    , CONLOAD, GZ, NO , NO, aDir[1], , , , 0.334, -3.75, 0, 0, 0, 0, 0, 0, , NO, 0, 0, NO,
 3200, BEAM    , CONLOAD, GZ, NO , NO, aDir[1], , , , 0.334, -3.75, 0, 0, 0, 0, 0, 0, , NO, 0, 0, NO,
 3201, BEAM    , CONLOAD, GZ, NO , NO, aDir[1], , , , 0.334, -3.75, 0, 0, 0, 0, 0, 0, , NO, 0, 0, NO,
 3202, BEAM    , CONLOAD, GZ, NO , NO, aDir[1], , , , 0.334, -3.75, 0, 0, 0, 0, 0, 0, , NO, 0, 0, NO,
 3203, BEAM    , CONLOAD, GZ, NO , NO, aDir[1], , , , 0.334, -3.75, 0, 0, 0, 0, 0, 0, , NO, 0, 0, NO,
 3204, BEAM    , CONLOAD, GZ, NO , NO, aDir[1], , , , 0.334, -3.75, 0, 0, 0, 0, 0, 0, , NO, 0, 0, NO,
 3205, BEAM    , CONLOAD, GZ, NO , NO, aDir[1], , , , 0.334, -3.75, 0, 0, 0, 0, 0, 0, , NO, 0, 0, NO,
```

```
3206, BEAM    , CONLOAD, GZ, NO , NO, aDir[1], , , , 0.334, -3.75, 0, 0, 0, 0, 0, 0, , NO, 0, 0, NO,
3207, BEAM    , CONLOAD, GZ, NO , NO, aDir[1], , , , 0.334, -3.75, 0, 0, 0, 0, 0, 0, , NO, 0, 0, NO,
3208, BEAM    , CONLOAD, GZ, NO , NO, aDir[1], , , , 0.334, -3.75, 0, 0, 0, 0, 0, 0, , NO, 0, 0, NO,
3209, BEAM    , CONLOAD, GZ, NO , NO, aDir[1], , , , 0.334, -3.75, 0, 0, 0, 0, 0, 0, , NO, 0, 0, NO,
3210, BEAM    , CONLOAD, GZ, NO , NO, aDir[1], , , , 0.334, -3.75, 0, 0, 0, 0, 0, 0, , NO, 0, 0, NO,
3211, BEAM    , CONLOAD, GZ, NO , NO, aDir[1], , , , 0.334, -3.75, 0, 0, 0, 0, 0, 0, , NO, 0, 0, NO,
3212, BEAM    , CONLOAD, GZ, NO , NO, aDir[1], , , , 0.334, -3.75, 0, 0, 0, 0, 0, 0, , NO, 0, 0, NO,
3213, BEAM    , CONLOAD, GZ, NO , NO, aDir[1], , , , 0.334, -3.75, 0, 0, 0, 0, 0, 0, , NO, 0, 0, NO,
3214, BEAM    , CONLOAD, GZ, NO , NO, aDir[1], , , , 0.334, -3.75, 0, 0, 0, 0, 0, 0, , NO, 0, 0, NO,
3215, BEAM    , CONLOAD, GZ, NO , NO, aDir[1], , , , 0.334, -3.75, 0, 0, 0, 0, 0, 0, , NO, 0, 0, NO,
3216, BEAM    , CONLOAD, GZ, NO , NO, aDir[1], , , , 0.334, -3.75, 0, 0, 0, 0, 0, 0, , NO, 0, 0, NO,
3217, BEAM    , CONLOAD, GZ, NO , NO, aDir[1], , , , 0.334, -3.75, 0, 0, 0, 0, 0, 0, , NO, 0, 0, NO,
3218, BEAM    , CONLOAD, GZ, NO , NO, aDir[1], , , , 0.334, -3.75, 0, 0, 0, 0, 0, 0, , NO, 0, 0, NO,
3219, BEAM    , CONLOAD, GZ, NO , NO, aDir[1], , , , 0.334, -3.75, 0, 0, 0, 0, 0, 0, , NO, 0, 0, NO,
3220, BEAM    , CONLOAD, GZ, NO , NO, aDir[1], , , , 0.334, -3.75, 0, 0, 0, 0, 0, 0, , NO, 0, 0, NO,
3221, BEAM    , CONLOAD, GZ, NO , NO, aDir[1], , , , 0.334, -3.75, 0, 0, 0, 0, 0, 0, , NO, 0, 0, NO,
3222, BEAM    , CONLOAD, GZ, NO , NO, aDir[1], , , , 0.334, -1.875, 0, 0, 0, 0, 0, 0, , NO, 0, 0, NO,
3887, BEAM    , CONLOAD, GZ, NO , NO, aDir[1], , , , 0.974, -0.980317, 0, 0, 0, 0, 0, 0, , NO, 0, 0, NO,
3888, BEAM    , CONLOAD, GZ, NO , NO, aDir[1], , , , 0.974, -2.42454, 0, 0, 0, 0, 0, 0, , NO, 0, 0, NO,
3889, BEAM    , CONLOAD, GZ, NO , NO, aDir[1], , , , 0.974, -2.4375, 0, 0, 0, 0, 0, 0, , NO, 0, 0, NO,
3890, BEAM    , CONLOAD, GZ, NO , NO, aDir[1], , , , 0.974, -2.4375, 0, 0, 0, 0, 0, 0, , NO, 0, 0, NO,
3891, BEAM    , CONLOAD, GZ, NO , NO, aDir[1], , , , 0.974, -2.4375, 0, 0, 0, 0, 0, 0, , NO, 0, 0, NO,
3892, BEAM    , CONLOAD, GZ, NO , NO, aDir[1], , , , 0.974, -2.4375, 0, 0, 0, 0, 0, 0, , NO, 0, 0, NO,
3893, BEAM    , CONLOAD, GZ, NO , NO, aDir[1], , , , 0.974, -2.4375, 0, 0, 0, 0, 0, 0, , NO, 0, 0, NO,
3894, BEAM    , CONLOAD, GZ, NO , NO, aDir[1], , , , 0.974, -2.4375, 0, 0, 0, 0, 0, 0, , NO, 0, 0, NO,
3895, BEAM    , CONLOAD, GZ, NO , NO, aDir[1], , , , 0.974, -2.4375, 0, 0, 0, 0, 0, 0, , NO, 0, 0, NO,
3896, BEAM    , CONLOAD, GZ, NO , NO, aDir[1], , , , 0.974, -2.4375, 0, 0, 0, 0, 0, 0, , NO, 0, 0, NO,
3897, BEAM    , CONLOAD, GZ, NO , NO, aDir[1], , , , 0.974, -2.4375, 0, 0, 0, 0, 0, 0, , NO, 0, 0, NO,
3898, BEAM    , CONLOAD, GZ, NO , NO, aDir[1], , , , 0.974, -2.4375, 0, 0, 0, 0, 0, 0, , NO, 0, 0, NO,
3899, BEAM    , CONLOAD, GZ, NO , NO, aDir[1], , , , 0.974, -2.4375, 0, 0, 0, 0, 0, 0, , NO, 0, 0, NO,
3900, BEAM    , CONLOAD, GZ, NO , NO, aDir[1], , , , 0.974, -2.4375, 0, 0, 0, 0, 0, 0, , NO, 0, 0, NO,
3901, BEAM    , CONLOAD, GZ, NO , NO, aDir[1], , , , 0.974, -2.4375, 0, 0, 0, 0, 0, 0, , NO, 0, 0, NO,
3902, BEAM    , CONLOAD, GZ, NO , NO, aDir[1], , , , 0.974, -2.4375, 0, 0, 0, 0, 0, 0, , NO, 0, 0, NO,
3903, BEAM    , CONLOAD, GZ, NO , NO, aDir[1], , , , 0.974, -2.4375, 0, 0, 0, 0, 0, 0, , NO, 0, 0, NO,
3904, BEAM    , CONLOAD, GZ, NO , NO, aDir[1], , , , 0.974, -2.4375, 0, 0, 0, 0, 0, 0, , NO, 0, 0, NO,
3905, BEAM    , CONLOAD, GZ, NO , NO, aDir[1], , , , 0.974, -2.4375, 0, 0, 0, 0, 0, 0, , NO, 0, 0, NO,
3906, BEAM    , CONLOAD, GZ, NO , NO, aDir[1], , , , 0.974, -2.4375, 0, 0, 0, 0, 0, 0, , NO, 0, 0, NO,
3907, BEAM    , CONLOAD, GZ, NO , NO, aDir[1], , , , 0.974, -2.4375, 0, 0, 0, 0, 0, 0, , NO, 0, 0, NO,
3908, BEAM    , CONLOAD, GZ, NO , NO, aDir[1], , , , 0.974, -2.4375, 0, 0, 0, 0, 0, 0, , NO, 0, 0, NO,
3909, BEAM    , CONLOAD, GZ, NO , NO, aDir[1], , , , 0.974, -2.4375, 0, 0, 0, 0, 0, 0, , NO, 0, 0, NO,
3910, BEAM    , CONLOAD, GZ, NO , NO, aDir[1], , , , 0.974, -2.4375, 0, 0, 0, 0, 0, 0, , NO, 0, 0, NO,
3911, BEAM    , CONLOAD, GZ, NO , NO, aDir[1], , , , 0.974, -2.4375, 0, 0, 0, 0, 0, 0, , NO, 0, 0, NO,
3912, BEAM    , CONLOAD, GZ, NO , NO, aDir[1], , , , 0.974, -2.4375, 0, 0, 0, 0, 0, 0, , NO, 0, 0, NO,
3913, BEAM    , CONLOAD, GZ, NO , NO, aDir[1], , , , 0.974, -2.4375, 0, 0, 0, 0, 0, 0, , NO, 0, 0, NO,
3914, BEAM    , CONLOAD, GZ, NO , NO, aDir[1], , , , 0.974, -2.4375, 0, 0, 0, 0, 0, 0, , NO, 0, 0, NO,
3915, BEAM    , CONLOAD, GZ, NO , NO, aDir[1], , , , 0.974, -2.4375, 0, 0, 0, 0, 0, 0, , NO, 0, 0, NO,
3916, BEAM    , CONLOAD, GZ, NO , NO, aDir[1], , , , 0.974, -2.4375, 0, 0, 0, 0, 0, 0, , NO, 0, 0, NO,
3917, BEAM    , CONLOAD, GZ, NO , NO, aDir[1], , , , 0.974, -2.4375, 0, 0, 0, 0, 0, 0, , NO, 0, 0, NO,
3918, BEAM    , CONLOAD, GZ, NO , NO, aDir[1], , , , 0.974, -2.4375, 0, 0, 0, 0, 0, 0, , NO, 0, 0, NO,
3919, BEAM    , CONLOAD, GZ, NO , NO, aDir[1], , , , 0.974, -2.4375, 0, 0, 0, 0, 0, 0, , NO, 0, 0, NO,
3920, BEAM    , CONLOAD, GZ, NO , NO, aDir[1], , , , 0.974, -2.4375, 0, 0, 0, 0, 0, 0, , NO, 0, 0, NO,
3921, BEAM    , CONLOAD, GZ, NO , NO, aDir[1], , , , 0.974, -2.4375, 0, 0, 0, 0, 0, 0, , NO, 0, 0, NO,
3922, BEAM    , CONLOAD, GZ, NO , NO, aDir[1], , , , 0.974, -2.4375, 0, 0, 0, 0, 0, 0, , NO, 0, 0, NO,
3923, BEAM    , CONLOAD, GZ, NO , NO, aDir[1], , , , 0.974, -2.4375, 0, 0, 0, 0, 0, 0, , NO, 0, 0, NO,
3924, BEAM    , CONLOAD, GZ, NO , NO, aDir[1], , , , 0.974, -2.4375, 0, 0, 0, 0, 0, 0, , NO, 0, 0, NO,
3925, BEAM    , CONLOAD, GZ, NO , NO, aDir[1], , , , 0.974, -2.4375, 0, 0, 0, 0, 0, 0, , NO, 0, 0, NO,
3926, BEAM    , CONLOAD, GZ, NO , NO, aDir[1], , , , 0.974, -2.4375, 0, 0, 0, 0, 0, 0, , NO, 0, 0, NO,
3927, BEAM    , CONLOAD, GZ, NO , NO, aDir[1], , , , 0.974, -1.21875, 0, 0, 0, 0, 0, 0, , NO, 0, 0, NO,
4012, BEAM    , CONMOMENT, LX, NO , NO, aDir[1], , , , 0.75, 29250, 0, 0, 0, 0, 0, 0, , NO, 0, 0, NO,
4012, BEAM    , CONLOAD, GZ, NO , NO, aDir[1], , , , 0.25, -17.25, 0, 0, 0, 0, 0, 0, , NO, 0, 0, NO,
4012, BEAM    , CONMOMENT, LX, NO , NO, aDir[1], , , , 0, 300000, 0, 0, 0, 0, 0, 0, , NO, 0, 0, NO,
4012, BEAM    , CONMOMENT, LX, NO , NO, aDir[1], , , , 0.25, 29250, 0, 0, 0, 0, 0, 0, , NO, 0, 0, NO,
4012, BEAM    , CONLOAD, GZ, NO , NO, aDir[1], , , , 0, -500, 0, 0, 0, 0, 0, 0, , NO, 0, 0, NO,
4012, BEAM    , CONLOAD, GZ, NO , NO, aDir[1], , , , 0.75, -17.25, 0, 0, 0, 0, 0, 0, , NO, 0, 0, NO,
4013, BEAM    , CONMOMENT, LX, NO , NO, aDir[1], , , , 0.2, 300000, 0, 0, 0, 0, 0, 0, , NO, 0, 0, NO,
4013, BEAM    , CONLOAD, GZ, NO , NO, aDir[1], , , , 0.2, -500, 0, 0, 0, 0, 0, 0, , NO, 0, 0, NO,
4013, BEAM    , CONLOAD, GZ, NO , NO, aDir[1], , , , 0.75, -17.25, 0, 0, 0, 0, 0, 0, , NO, 0, 0, NO,
4013, BEAM    , CONMOMENT, LX, NO , NO, aDir[1], , , , 0.25, 29250, 0, 0, 0, 0, 0, 0, , NO, 0, 0, NO,
4013, BEAM    , CONMOMENT, LX, NO , NO, aDir[1], , , , 0.75, 29250, 0, 0, 0, 0, 0, 0, , NO, 0, 0, NO,
4013, BEAM    , CONLOAD, GZ, NO , NO, aDir[1], , , , 0.25, -17.25, 0, 0, 0, 0, 0, 0, , NO, 0, 0, NO,
4014, BEAM    , CONMOMENT, LX, NO , NO, aDir[1], , , , 0.25, 29250, 0, 0, 0, 0, 0, 0, , NO, 0, 0, NO,
4014, BEAM    , CONLOAD, GZ, NO , NO, aDir[1], , , , 0.75, -17.25, 0, 0, 0, 0, 0, 0, , NO, 0, 0, NO,
4014, BEAM    , CONMOMENT, LX, NO , NO, aDir[1], , , , 0.75, 29250, 0, 0, 0, 0, 0, 0, , NO, 0, 0, NO,
4014, BEAM    , CONLOAD, GZ, NO , NO, aDir[1], , , , 0.25, -17.25, 0, 0, 0, 0, 0, 0, , NO, 0, 0, NO,
4015, BEAM    , CONLOAD, GZ, NO , NO, aDir[1], , , , 0.25, -17.25, 0, 0, 0, 0, 0, 0, , NO, 0, 0, NO,
4015, BEAM    , CONMOMENT, LX, NO , NO, aDir[1], , , , 0.75, 29250, 0, 0, 0, 0, 0, 0, , NO, 0, 0, NO,
4015, BEAM    , CONMOMENT, LX, NO , NO, aDir[1], , , , 0.25, 29250, 0, 0, 0, 0, 0, 0, , NO, 0, 0, NO,
4015, BEAM    , CONLOAD, GZ, NO , NO, aDir[1], , , , 0.75, -17.25, 0, 0, 0, 0, 0, 0, , NO, 0, 0, NO,
```

PROJECT TITLE :

	Company		Client	
	Author		File Name	Brembiolo1_08_completo(fasi)DEFINITIVO.mgt

```
4016, BEAM    , CONMOMENT, LX, NO , NO, aDir[1], , , , 0.75, 29250, 0, 0, 0, 0, 0, 0, , NO, 0, 0, NO,
4016, BEAM    , CONLOAD, GZ, NO , NO, aDir[1], , , , 0.25, -17.25, 0, 0, 0, 0, 0, 0, , NO, 0, 0, NO,
4016, BEAM    , CONMOMENT, LX, NO , NO, aDir[1], , , , 0.25, 29250, 0, 0, 0, 0, 0, 0, , NO, 0, 0, NO,
4016, BEAM    , CONLOAD, GZ, NO , NO, aDir[1], , , , 0.75, -17.25, 0, 0, 0, 0, 0, 0, , NO, 0, 0, NO,
4017, BEAM    , CONMOMENT, LX, NO , NO, aDir[1], , , , 0.75, 29250, 0, 0, 0, 0, 0, 0, , NO, 0, 0, NO,
4017, BEAM    , CONLOAD, GZ, NO , NO, aDir[1], , , , 0.75, -17.25, 0, 0, 0, 0, 0, 0, , NO, 0, 0, NO,
4017, BEAM    , CONLOAD, GZ, NO , NO, aDir[1], , , , 0.25, -17.25, 0, 0, 0, 0, 0, 0, , NO, 0, 0, NO,
4017, BEAM    , CONMOMENT, LX, NO , NO, aDir[1], , , , 0.25, 29250, 0, 0, 0, 0, 0, 0, , NO, 0, 0, NO,
4018, BEAM    , CONMOMENT, LX, NO , NO, aDir[1], , , , 0.75, 29250, 0, 0, 0, 0, 0, 0, , NO, 0, 0, NO,
4018, BEAM    , CONLOAD, GZ, NO , NO, aDir[1], , , , 0.75, -17.25, 0, 0, 0, 0, 0, 0, , NO, 0, 0, NO,
4018, BEAM    , CONMOMENT, LX, NO , NO, aDir[1], , , , 0.25, 29250, 0, 0, 0, 0, 0, 0, , NO, 0, 0, NO,
4018, BEAM    , CONLOAD, GZ, NO , NO, aDir[1], , , , 0.25, -17.25, 0, 0, 0, 0, 0, 0, , NO, 0, 0, NO,
4019, BEAM    , CONMOMENT, LX, NO , NO, aDir[1], , , , 0.25, 29250, 0, 0, 0, 0, 0, 0, , NO, 0, 0, NO,
4019, BEAM    , CONMOMENT, LX, NO , NO, aDir[1], , , , 0.75, 29250, 0, 0, 0, 0, 0, 0, , NO, 0, 0, NO,
4019, BEAM    , CONLOAD, GZ, NO , NO, aDir[1], , , , 0.25, -17.25, 0, 0, 0, 0, 0, 0, , NO, 0, 0, NO,
4019, BEAM    , CONLOAD, GZ, NO , NO, aDir[1], , , , 0.75, -17.25, 0, 0, 0, 0, 0, 0, , NO, 0, 0, NO,
4020, BEAM    , CONMOMENT, LX, NO , NO, aDir[1], , , , 0.25, 29250, 0, 0, 0, 0, 0, 0, , NO, 0, 0, NO,
4020, BEAM    , CONLOAD, GZ, NO , NO, aDir[1], , , , 0.25, -17.25, 0, 0, 0, 0, 0, 0, , NO, 0, 0, NO,
4020, BEAM    , CONMOMENT, LX, NO , NO, aDir[1], , , , 0.75, 29250, 0, 0, 0, 0, 0, 0, , NO, 0, 0, NO,
4020, BEAM    , CONLOAD, GZ, NO , NO, aDir[1], , , , 0.75, -17.25, 0, 0, 0, 0, 0, 0, , NO, 0, 0, NO,
4021, BEAM    , CONLOAD, GZ, NO , NO, aDir[1], , , , 0.25, -17.25, 0, 0, 0, 0, 0, 0, , NO, 0, 0, NO,
4021, BEAM    , CONLOAD, GZ, NO , NO, aDir[1], , , , 0.75, -17.25, 0, 0, 0, 0, 0, 0, , NO, 0, 0, NO,
4021, BEAM    , CONMOMENT, LX, NO , NO, aDir[1], , , , 0.75, 29250, 0, 0, 0, 0, 0, 0, , NO, 0, 0, NO,
4021, BEAM    , CONMOMENT, LX, NO , NO, aDir[1], , , , 0.25, 29250, 0, 0, 0, 0, 0, 0, , NO, 0, 0, NO,
4022, BEAM    , CONMOMENT, LX, NO , NO, aDir[1], , , , 0.75, 29250, 0, 0, 0, 0, 0, 0, , NO, 0, 0, NO,
4022, BEAM    , CONMOMENT, LX, NO , NO, aDir[1], , , , 0.25, 29250, 0, 0, 0, 0, 0, 0, , NO, 0, 0, NO,
4022, BEAM    , CONLOAD, GZ, NO , NO, aDir[1], , , , 0.25, -17.25, 0, 0, 0, 0, 0, 0, , NO, 0, 0, NO,
4022, BEAM    , CONLOAD, GZ, NO , NO, aDir[1], , , , 0.75, -17.25, 0, 0, 0, 0, 0, 0, , NO, 0, 0, NO,
4023, BEAM    , CONMOMENT, LX, NO , NO, aDir[1], , , , 0.75, 29250, 0, 0, 0, 0, 0, 0, , NO, 0, 0, NO,
4023, BEAM    , CONLOAD, GZ, NO , NO, aDir[1], , , , 0.25, -17.25, 0, 0, 0, 0, 0, 0, , NO, 0, 0, NO,
4023, BEAM    , CONLOAD, GZ, NO , NO, aDir[1], , , , 0.75, -17.25, 0, 0, 0, 0, 0, 0, , NO, 0, 0, NO,
4023, BEAM    , CONMOMENT, LX, NO , NO, aDir[1], , , , 0.25, 29250, 0, 0, 0, 0, 0, 0, , NO, 0, 0, NO,
4024, BEAM    , CONLOAD, GZ, NO , NO, aDir[1], , , , 0.25, -17.25, 0, 0, 0, 0, 0, 0, , NO, 0, 0, NO,
4024, BEAM    , CONMOMENT, LX, NO , NO, aDir[1], , , , 0.25, 29250, 0, 0, 0, 0, 0, 0, , NO, 0, 0, NO,
4024, BEAM    , CONLOAD, GZ, NO , NO, aDir[1], , , , 0.75, -17.25, 0, 0, 0, 0, 0, 0, , NO, 0, 0, NO,
4024, BEAM    , CONMOMENT, LX, NO , NO, aDir[1], , , , 0.75, 29250, 0, 0, 0, 0, 0, 0, , NO, 0, 0, NO,
4025, BEAM    , CONLOAD, GZ, NO , NO, aDir[1], , , , 0.75, -17.25, 0, 0, 0, 0, 0, 0, , NO, 0, 0, NO,
4025, BEAM    , CONMOMENT, LX, NO , NO, aDir[1], , , , 0.75, 29250, 0, 0, 0, 0, 0, 0, , NO, 0, 0, NO,
4025, BEAM    , CONMOMENT, LX, NO , NO, aDir[1], , , , 0.25, 29250, 0, 0, 0, 0, 0, 0, , NO, 0, 0, NO,
4025, BEAM    , CONLOAD, GZ, NO , NO, aDir[1], , , , 0.25, -17.25, 0, 0, 0, 0, 0, 0, , NO, 0, 0, NO,
4026, BEAM    , CONMOMENT, LX, NO , NO, aDir[1], , , , 0.75, 29250, 0, 0, 0, 0, 0, 0, , NO, 0, 0, NO,
4026, BEAM    , CONLOAD, GZ, NO , NO, aDir[1], , , , 0.25, -17.25, 0, 0, 0, 0, 0, 0, , NO, 0, 0, NO,
4026, BEAM    , CONLOAD, GZ, NO , NO, aDir[1], , , , 0.75, -17.25, 0, 0, 0, 0, 0, 0, , NO, 0, 0, NO,
4026, BEAM    , CONMOMENT, LX, NO , NO, aDir[1], , , , 0.25, 29250, 0, 0, 0, 0, 0, 0, , NO, 0, 0, NO,
4027, BEAM    , CONLOAD, GZ, NO , NO, aDir[1], , , , 0.25, -17.25, 0, 0, 0, 0, 0, 0, , NO, 0, 0, NO,
4027, BEAM    , CONMOMENT, LX, NO , NO, aDir[1], , , , 0.75, 29250, 0, 0, 0, 0, 0, 0, , NO, 0, 0, NO,
4027, BEAM    , CONMOMENT, LX, NO , NO, aDir[1], , , , 0.25, 29250, 0, 0, 0, 0, 0, 0, , NO, 0, 0, NO,
4027, BEAM    , CONLOAD, GZ, NO , NO, aDir[1], , , , 0.75, -17.25, 0, 0, 0, 0, 0, 0, , NO, 0, 0, NO,
4028, BEAM    , CONMOMENT, LX, NO , NO, aDir[1], , , , 0.75, 29250, 0, 0, 0, 0, 0, 0, , NO, 0, 0, NO,
4028, BEAM    , CONLOAD, GZ, NO , NO, aDir[1], , , , 0.25, -17.25, 0, 0, 0, 0, 0, 0, , NO, 0, 0, NO,
4028, BEAM    , CONMOMENT, LX, NO , NO, aDir[1], , , , 0.25, 29250, 0, 0, 0, 0, 0, 0, , NO, 0, 0, NO,
4028, BEAM    , CONLOAD, GZ, NO , NO, aDir[1], , , , 0.75, -17.25, 0, 0, 0, 0, 0, 0, , NO, 0, 0, NO,
4029, BEAM    , CONMOMENT, LX, NO , NO, aDir[1], , , , 0.25, 29250, 0, 0, 0, 0, 0, 0, , NO, 0, 0, NO,
4029, BEAM    , CONLOAD, GZ, NO , NO, aDir[1], , , , 0.25, -17.25, 0, 0, 0, 0, 0, 0, , NO, 0, 0, NO,
4029, BEAM    , CONLOAD, GZ, NO , NO, aDir[1], , , , 0.75, -17.25, 0, 0, 0, 0, 0, 0, , NO, 0, 0, NO,
4029, BEAM    , CONMOMENT, LX, NO , NO, aDir[1], , , , 0.75, 29250, 0, 0, 0, 0, 0, 0, , NO, 0, 0, NO,
4030, BEAM    , CONLOAD, GZ, NO , NO, aDir[1], , , , 0.75, -17.25, 0, 0, 0, 0, 0, 0, , NO, 0, 0, NO,
4030, BEAM    , CONMOMENT, LX, NO , NO, aDir[1], , , , 0.25, 29250, 0, 0, 0, 0, 0, 0, , NO, 0, 0, NO,
4030, BEAM    , CONMOMENT, LX, NO , NO, aDir[1], , , , 0.75, 29250, 0, 0, 0, 0, 0, 0, , NO, 0, 0, NO,
4030, BEAM    , CONLOAD, GZ, NO , NO, aDir[1], , , , 0.25, -17.25, 0, 0, 0, 0, 0, 0, , NO, 0, 0, NO,
4031, BEAM    , CONMOMENT, LX, NO , NO, aDir[1], , , , 0.75, 29250, 0, 0, 0, 0, 0, 0, , NO, 0, 0, NO,
4031, BEAM    , CONLOAD, GZ, NO , NO, aDir[1], , , , 0.75, -17.25, 0, 0, 0, 0, 0, 0, , NO, 0, 0, NO,
4031, BEAM    , CONLOAD, GZ, NO , NO, aDir[1], , , , 0.25, -17.25, 0, 0, 0, 0, 0, 0, , NO, 0, 0, NO,
4031, BEAM    , CONMOMENT, LX, NO , NO, aDir[1], , , , 0.25, 29250, 0, 0, 0, 0, 0, 0, , NO, 0, 0, NO,
4032, BEAM    , CONMOMENT, LX, NO , NO, aDir[1], , , , 0.25, 29250, 0, 0, 0, 0, 0, 0, , NO, 0, 0, NO,
4032, BEAM    , CONLOAD, GZ, NO , NO, aDir[1], , , , 0.25, -17.25, 0, 0, 0, 0, 0, 0, , NO, 0, 0, NO,
4032, BEAM    , CONLOAD, GZ, NO , NO, aDir[1], , , , 0.75, -17.25, 0, 0, 0, 0, 0, 0, , NO, 0, 0, NO,
4032, BEAM    , CONMOMENT, LX, NO , NO, aDir[1], , , , 0.75, 29250, 0, 0, 0, 0, 0, 0, , NO, 0, 0, NO,
4033, BEAM    , CONMOMENT, LX, NO , NO, aDir[1], , , , 0.75, 29250, 0, 0, 0, 0, 0, 0, , NO, 0, 0, NO,
4033, BEAM    , CONLOAD, GZ, NO , NO, aDir[1], , , , 0.25, -17.25, 0, 0, 0, 0, 0, 0, , NO, 0, 0, NO,
4033, BEAM    , CONMOMENT, LX, NO , NO, aDir[1], , , , 0.25, 29250, 0, 0, 0, 0, 0, 0, , NO, 0, 0, NO,
4033, BEAM    , CONLOAD, GZ, NO , NO, aDir[1], , , , 0.75, -17.25, 0, 0, 0, 0, 0, 0, , NO, 0, 0, NO,
4034, BEAM    , CONMOMENT, LX, NO , NO, aDir[1], , , , 0.75, 29250, 0, 0, 0, 0, 0, 0, , NO, 0, 0, NO,
4034, BEAM    , CONLOAD, GZ, NO , NO, aDir[1], , , , 0.75, -17.25, 0, 0, 0, 0, 0, 0, , NO, 0, 0, NO,
4034, BEAM    , CONLOAD, GZ, NO , NO, aDir[1], , , , 0.25, -17.25, 0, 0, 0, 0, 0, 0, , NO, 0, 0, NO,
4034, BEAM    , CONMOMENT, LX, NO , NO, aDir[1], , , , 0.25, 29250, 0, 0, 0, 0, 0, 0, , NO, 0, 0, NO,
4035, BEAM    , CONLOAD, GZ, NO , NO, aDir[1], , , , 0.75, -17.25, 0, 0, 0, 0, 0, 0, , NO, 0, 0, NO,
4035, BEAM    , CONLOAD, GZ, NO , NO, aDir[1], , , , 0.25, -17.25, 0, 0, 0, 0, 0, 0, , NO, 0, 0, NO,
```

PROJECT TITLE :

	Company		Client	
	Author		File Name	Brembiolo1_08_completo(fasi)DEFINITIVO.mgt

```
4035, BEAM    , CONMOMENT, LX, NO , NO, aDir[1], , , , 0.25, 29250, 0, 0, 0, 0, 0, 0, , NO, 0, 0, NO,
4035, BEAM    , CONMOMENT, LX, NO , NO, aDir[1], , , , 0.75, 29250, 0, 0, 0, 0, 0, 0, , NO, 0, 0, NO,
4036, BEAM    , CONLOAD, GZ, NO , NO, aDir[1], , , , 0.25, -17.25, 0, 0, 0, 0, 0, 0, , NO, 0, 0, NO,
4036, BEAM    , CONMOMENT, LX, NO , NO, aDir[1], , , , 0.25, 29250, 0, 0, 0, 0, 0, 0, , NO, 0, 0, NO,
4036, BEAM    , CONLOAD, GZ, NO , NO, aDir[1], , , , 0.75, -17.25, 0, 0, 0, 0, 0, 0, , NO, 0, 0, NO,
4036, BEAM    , CONMOMENT, LX, NO , NO, aDir[1], , , , 0.75, 29250, 0, 0, 0, 0, 0, 0, , NO, 0, 0, NO,
4037, BEAM    , CONLOAD, GZ, NO , NO, aDir[1], , , , 0.75, -17.25, 0, 0, 0, 0, 0, 0, , NO, 0, 0, NO,
4037, BEAM    , CONMOMENT, LX, NO , NO, aDir[1], , , , 0.75, 29250, 0, 0, 0, 0, 0, 0, , NO, 0, 0, NO,
4037, BEAM    , CONLOAD, GZ, NO , NO, aDir[1], , , , 0.25, -17.25, 0, 0, 0, 0, 0, 0, , NO, 0, 0, NO,
4037, BEAM    , CONMOMENT, LX, NO , NO, aDir[1], , , , 0.25, 29250, 0, 0, 0, 0, 0, 0, , NO, 0, 0, NO,
4038, BEAM    , CONMOMENT, LX, NO , NO, aDir[1], , , , 0.75, 29250, 0, 0, 0, 0, 0, 0, , NO, 0, 0, NO,
4038, BEAM    , CONMOMENT, LX, NO , NO, aDir[1], , , , 0.25, 29250, 0, 0, 0, 0, 0, 0, , NO, 0, 0, NO,
4038, BEAM    , CONLOAD, GZ, NO , NO, aDir[1], , , , 0.75, -17.25, 0, 0, 0, 0, 0, 0, , NO, 0, 0, NO,
4038, BEAM    , CONLOAD, GZ, NO , NO, aDir[1], , , , 0.25, -17.25, 0, 0, 0, 0, 0, 0, , NO, 0, 0, NO,
4039, BEAM    , CONMOMENT, LX, NO , NO, aDir[1], , , , 0.75, 29250, 0, 0, 0, 0, 0, 0, , NO, 0, 0, NO,
4039, BEAM    , CONLOAD, GZ, NO , NO, aDir[1], , , , 0.25, -17.25, 0, 0, 0, 0, 0, 0, , NO, 0, 0, NO,
4039, BEAM    , CONLOAD, GZ, NO , NO, aDir[1], , , , 0.75, -17.25, 0, 0, 0, 0, 0, 0, , NO, 0, 0, NO,
4039, BEAM    , CONMOMENT, LX, NO , NO, aDir[1], , , , 0.25, 29250, 0, 0, 0, 0, 0, 0, , NO, 0, 0, NO,
4040, BEAM    , CONLOAD, GZ, NO , NO, aDir[1], , , , 0.25, -17.25, 0, 0, 0, 0, 0, 0, , NO, 0, 0, NO,
4040, BEAM    , CONLOAD, GZ, NO , NO, aDir[1], , , , 0.75, -17.25, 0, 0, 0, 0, 0, 0, , NO, 0, 0, NO,
4040, BEAM    , CONMOMENT, LX, NO , NO, aDir[1], , , , 0.75, 29250, 0, 0, 0, 0, 0, 0, , NO, 0, 0, NO,
4040, BEAM    , CONMOMENT, LX, NO , NO, aDir[1], , , , 0.25, 29250, 0, 0, 0, 0, 0, 0, , NO, 0, 0, NO,
4041, BEAM    , CONLOAD, GZ, NO , NO, aDir[1], , , , 0.25, -17.25, 0, 0, 0, 0, 0, 0, , NO, 0, 0, NO,
4041, BEAM    , CONLOAD, GZ, NO , NO, aDir[1], , , , 0.75, -17.25, 0, 0, 0, 0, 0, 0, , NO, 0, 0, NO,
4041, BEAM    , CONMOMENT, LX, NO , NO, aDir[1], , , , 0.75, 29250, 0, 0, 0, 0, 0, 0, , NO, 0, 0, NO,
4041, BEAM    , CONMOMENT, LX, NO , NO, aDir[1], , , , 0.25, 29250, 0, 0, 0, 0, 0, 0, , NO, 0, 0, NO,
4042, BEAM    , CONLOAD, GZ, NO , NO, aDir[1], , , , 0.75, -17.25, 0, 0, 0, 0, 0, 0, , NO, 0, 0, NO,
4042, BEAM    , CONMOMENT, LX, NO , NO, aDir[1], , , , 0.25, 29250, 0, 0, 0, 0, 0, 0, , NO, 0, 0, NO,
4042, BEAM    , CONLOAD, GZ, NO , NO, aDir[1], , , , 0.25, -17.25, 0, 0, 0, 0, 0, 0, , NO, 0, 0, NO,
4042, BEAM    , CONMOMENT, LX, NO , NO, aDir[1], , , , 0.75, 29250, 0, 0, 0, 0, 0, 0, , NO, 0, 0, NO,
4043, BEAM    , CONMOMENT, LX, NO , NO, aDir[1], , , , 0.75, 29250, 0, 0, 0, 0, 0, 0, , NO, 0, 0, NO,
4043, BEAM    , CONLOAD, GZ, NO , NO, aDir[1], , , , 0.75, -17.25, 0, 0, 0, 0, 0, 0, , NO, 0, 0, NO,
4043, BEAM    , CONMOMENT, LX, NO , NO, aDir[1], , , , 0.25, 29250, 0, 0, 0, 0, 0, 0, , NO, 0, 0, NO,
4043, BEAM    , CONLOAD, GZ, NO , NO, aDir[1], , , , 0.25, -17.25, 0, 0, 0, 0, 0, 0, , NO, 0, 0, NO,
4044, BEAM    , CONMOMENT, LX, NO , NO, aDir[1], , , , 0.75, 29250, 0, 0, 0, 0, 0, 0, , NO, 0, 0, NO,
4044, BEAM    , CONLOAD, GZ, NO , NO, aDir[1], , , , 0.75, -17.25, 0, 0, 0, 0, 0, 0, , NO, 0, 0, NO,
4044, BEAM    , CONLOAD, GZ, NO , NO, aDir[1], , , , 0.25, -17.25, 0, 0, 0, 0, 0, 0, , NO, 0, 0, NO,
4044, BEAM    , CONMOMENT, LX, NO , NO, aDir[1], , , , 0.25, 29250, 0, 0, 0, 0, 0, 0, , NO, 0, 0, NO,
4045, BEAM    , CONMOMENT, LX, NO , NO, aDir[1], , , , 0.75, 29250, 0, 0, 0, 0, 0, 0, , NO, 0, 0, NO,
4045, BEAM    , CONLOAD, GZ, NO , NO, aDir[1], , , , 0.75, -17.25, 0, 0, 0, 0, 0, 0, , NO, 0, 0, NO,
4045, BEAM    , CONMOMENT, LX, NO , NO, aDir[1], , , , 0.25, 29250, 0, 0, 0, 0, 0, 0, , NO, 0, 0, NO,
4045, BEAM    , CONLOAD, GZ, NO , NO, aDir[1], , , , 0.25, -17.25, 0, 0, 0, 0, 0, 0, , NO, 0, 0, NO,
4046, BEAM    , CONLOAD, GZ, NO , NO, aDir[1], , , , 0.75, -17.25, 0, 0, 0, 0, 0, 0, , NO, 0, 0, NO,
4046, BEAM    , CONMOMENT, LX, NO , NO, aDir[1], , , , 0.75, 29250, 0, 0, 0, 0, 0, 0, , NO, 0, 0, NO,
4046, BEAM    , CONMOMENT, LX, NO , NO, aDir[1], , , , 0.25, 29250, 0, 0, 0, 0, 0, 0, , NO, 0, 0, NO,
4046, BEAM    , CONLOAD, GZ, NO , NO, aDir[1], , , , 0.25, -17.25, 0, 0, 0, 0, 0, 0, , NO, 0, 0, NO,
4047, BEAM    , CONLOAD, GZ, NO , NO, aDir[1], , , , 0.75, -17.25, 0, 0, 0, 0, 0, 0, , NO, 0, 0, NO,
4047, BEAM    , CONLOAD, GZ, NO , NO, aDir[1], , , , 0.25, -17.25, 0, 0, 0, 0, 0, 0, , NO, 0, 0, NO,
4047, BEAM    , CONMOMENT, LX, NO , NO, aDir[1], , , , 0.25, 29250, 0, 0, 0, 0, 0, 0, , NO, 0, 0, NO,
4047, BEAM    , CONMOMENT, LX, NO , NO, aDir[1], , , , 0.75, 29250, 0, 0, 0, 0, 0, 0, , NO, 0, 0, NO,
4048, BEAM    , CONMOMENT, LX, NO , NO, aDir[1], , , , 0.25, 29250, 0, 0, 0, 0, 0, 0, , NO, 0, 0, NO,
4048, BEAM    , CONMOMENT, LX, NO , NO, aDir[1], , , , 0.75, 29250, 0, 0, 0, 0, 0, 0, , NO, 0, 0, NO,
4048, BEAM    , CONLOAD, GZ, NO , NO, aDir[1], , , , 0.25, -17.25, 0, 0, 0, 0, 0, 0, , NO, 0, 0, NO,
4048, BEAM    , CONLOAD, GZ, NO , NO, aDir[1], , , , 0.75, -17.25, 0, 0, 0, 0, 0, 0, , NO, 0, 0, NO,
4049, BEAM    , CONMOMENT, LX, NO , NO, aDir[1], , , , 0.25, 29250, 0, 0, 0, 0, 0, 0, , NO, 0, 0, NO,
4049, BEAM    , CONLOAD, GZ, NO , NO, aDir[1], , , , 0.75, -17.25, 0, 0, 0, 0, 0, 0, , NO, 0, 0, NO,
4049, BEAM    , CONLOAD, GZ, NO , NO, aDir[1], , , , 0.25, -17.25, 0, 0, 0, 0, 0, 0, , NO, 0, 0, NO,
4049, BEAM    , CONMOMENT, LX, NO , NO, aDir[1], , , , 0.75, 29250, 0, 0, 0, 0, 0, 0, , NO, 0, 0, NO,
4050, BEAM    , CONLOAD, GZ, NO , NO, aDir[1], , , , 0.75, -17.25, 0, 0, 0, 0, 0, 0, , NO, 0, 0, NO,
4050, BEAM    , CONLOAD, GZ, NO , NO, aDir[1], , , , 0.25, -17.25, 0, 0, 0, 0, 0, 0, , NO, 0, 0, NO,
4050, BEAM    , CONMOMENT, LX, NO , NO, aDir[1], , , , 0.75, 29250, 0, 0, 0, 0, 0, 0, , NO, 0, 0, NO,
4050, BEAM    , CONMOMENT, LX, NO , NO, aDir[1], , , , 0.25, 29250, 0, 0, 0, 0, 0, 0, , NO, 0, 0, NO,
4051, BEAM    , CONMOMENT, LX, NO , NO, aDir[1], , , , 0.25, 29250, 0, 0, 0, 0, 0, 0, , NO, 0, 0, NO,
4051, BEAM    , CONLOAD, GZ, NO , NO, aDir[1], , , , 0.25, -17.25, 0, 0, 0, 0, 0, 0, , NO, 0, 0, NO,
4051, BEAM    , CONMOMENT, LX, NO , NO, aDir[1], , , , 0.75, 29250, 0, 0, 0, 0, 0, 0, , NO, 0, 0, NO,
4051, BEAM    , CONLOAD, GZ, NO , NO, aDir[1], , , , 0.75, -17.25, 0, 0, 0, 0, 0, 0, , NO, 0, 0, NO,
4052, BEAM    , CONLOAD, GZ, NO , NO, aDir[1], , , , 0.75, -17.25, 0, 0, 0, 0, 0, 0, , NO, 0, 0, NO,
4052, BEAM    , CONMOMENT, LX, NO , NO, aDir[1], , , , 0.25, 29250, 0, 0, 0, 0, 0, 0, , NO, 0, 0, NO,
4052, BEAM    , CONLOAD, GZ, NO , NO, aDir[1], , , , 0.25, -17.25, 0, 0, 0, 0, 0, 0, , NO, 0, 0, NO,
4052, BEAM    , CONMOMENT, LX, NO , NO, aDir[1], , , , 0.75, 29250, 0, 0, 0, 0, 0, 0, , NO, 0, 0, NO,
4343, BEAM    , CONLOAD, GZ, NO , NO, aDir[1], , , , 0.945, -3.34375, 0, 0, 0, 0, 0, 0, , NO, 0, 0, NO,
4344, BEAM    , CONLOAD, GZ, NO , NO, aDir[1], , , , 0.945, -6.6875, 0, 0, 0, 0, 0, 0, , NO, 0, 0, NO,
4345, BEAM    , CONLOAD, GZ, NO , NO, aDir[1], , , , 0.945, -6.6875, 0, 0, 0, 0, 0, 0, , NO, 0, 0, NO,
4346, BEAM    , CONLOAD, GZ, NO , NO, aDir[1], , , , 0.945, -6.6875, 0, 0, 0, 0, 0, 0, , NO, 0, 0, NO,
4347, BEAM    , CONLOAD, GZ, NO , NO, aDir[1], , , , 0.945, -6.6875, 0, 0, 0, 0, 0, 0, , NO, 0, 0, NO,
4348, BEAM    , CONLOAD, GZ, NO , NO, aDir[1], , , , 0.945, -6.6875, 0, 0, 0, 0, 0, 0, , NO, 0, 0, NO,
4349, BEAM    , CONLOAD, GZ, NO , NO, aDir[1], , , , 0.945, -6.6875, 0, 0, 0, 0, 0, 0, , NO, 0, 0, NO,
4350, BEAM    , CONLOAD, GZ, NO , NO, aDir[1], , , , 0.945, -6.6875, 0, 0, 0, 0, 0, 0, , NO, 0, 0, NO,
```

```
  4351, BEAM    , CONLOAD, GZ, NO , NO, aDir[1], , , , 0.945, -6.6875, 0, 0, 0, 0, 0, 0, , NO, 0, 0, NO,
  4352, BEAM    , CONLOAD, GZ, NO , NO, aDir[1], , , , 0.945, -6.6875, 0, 0, 0, 0, 0, 0, , NO, 0, 0, NO,
  4353, BEAM    , CONLOAD, GZ, NO , NO, aDir[1], , , , 0.945, -6.6875, 0, 0, 0, 0, 0, 0, , NO, 0, 0, NO,
  4354, BEAM    , CONLOAD, GZ, NO , NO, aDir[1], , , , 0.945, -6.6875, 0, 0, 0, 0, 0, 0, , NO, 0, 0, NO,
  4355, BEAM    , CONLOAD, GZ, NO , NO, aDir[1], , , , 0.945, -6.6875, 0, 0, 0, 0, 0, 0, , NO, 0, 0, NO,
  4356, BEAM    , CONLOAD, GZ, NO , NO, aDir[1], , , , 0.945, -6.6875, 0, 0, 0, 0, 0, 0, , NO, 0, 0, NO,
  4357, BEAM    , CONLOAD, GZ, NO , NO, aDir[1], , , , 0.945, -6.6875, 0, 0, 0, 0, 0, 0, , NO, 0, 0, NO,
  4358, BEAM    , CONLOAD, GZ, NO , NO, aDir[1], , , , 0.945, -6.6875, 0, 0, 0, 0, 0, 0, , NO, 0, 0, NO,
  4359, BEAM    , CONLOAD, GZ, NO , NO, aDir[1], , , , 0.945, -6.6875, 0, 0, 0, 0, 0, 0, , NO, 0, 0, NO,
  4360, BEAM    , CONLOAD, GZ, NO , NO, aDir[1], , , , 0.945, -6.6875, 0, 0, 0, 0, 0, 0, , NO, 0, 0, NO,
  4361, BEAM    , CONLOAD, GZ, NO , NO, aDir[1], , , , 0.945, -6.6875, 0, 0, 0, 0, 0, 0, , NO, 0, 0, NO,
  4362, BEAM    , CONLOAD, GZ, NO , NO, aDir[1], , , , 0.945, -6.6875, 0, 0, 0, 0, 0, 0, , NO, 0, 0, NO,
  4363, BEAM    , CONLOAD, GZ, NO , NO, aDir[1], , , , 0.945, -6.6875, 0, 0, 0, 0, 0, 0, , NO, 0, 0, NO,
  4364, BEAM    , CONLOAD, GZ, NO , NO, aDir[1], , , , 0.945, -6.6875, 0, 0, 0, 0, 0, 0, , NO, 0, 0, NO,
  4365, BEAM    , CONLOAD, GZ, NO , NO, aDir[1], , , , 0.945, -6.6875, 0, 0, 0, 0, 0, 0, , NO, 0, 0, NO,
  4366, BEAM    , CONLOAD, GZ, NO , NO, aDir[1], , , , 0.945, -6.6875, 0, 0, 0, 0, 0, 0, , NO, 0, 0, NO,
  4367, BEAM    , CONLOAD, GZ, NO , NO, aDir[1], , , , 0.945, -6.6875, 0, 0, 0, 0, 0, 0, , NO, 0, 0, NO,
  4368, BEAM    , CONLOAD, GZ, NO , NO, aDir[1], , , , 0.945, -6.6875, 0, 0, 0, 0, 0, 0, , NO, 0, 0, NO,
  4369, BEAM    , CONLOAD, GZ, NO , NO, aDir[1], , , , 0.945, -6.6875, 0, 0, 0, 0, 0, 0, , NO, 0, 0, NO,
  4370, BEAM    , CONLOAD, GZ, NO , NO, aDir[1], , , , 0.945, -6.6875, 0, 0, 0, 0, 0, 0, , NO, 0, 0, NO,
  4371, BEAM    , CONLOAD, GZ, NO , NO, aDir[1], , , , 0.945, -6.6875, 0, 0, 0, 0, 0, 0, , NO, 0, 0, NO,
  4372, BEAM    , CONLOAD, GZ, NO , NO, aDir[1], , , , 0.945, -6.6875, 0, 0, 0, 0, 0, 0, , NO, 0, 0, NO,
  4373, BEAM    , CONLOAD, GZ, NO , NO, aDir[1], , , , 0.945, -6.6875, 0, 0, 0, 0, 0, 0, , NO, 0, 0, NO,
  4374, BEAM    , CONLOAD, GZ, NO , NO, aDir[1], , , , 0.945, -6.6875, 0, 0, 0, 0, 0, 0, , NO, 0, 0, NO,
  4375, BEAM    , CONLOAD, GZ, NO , NO, aDir[1], , , , 0.945, -6.6875, 0, 0, 0, 0, 0, 0, , NO, 0, 0, NO,
  4376, BEAM    , CONLOAD, GZ, NO , NO, aDir[1], , , , 0.945, -6.6875, 0, 0, 0, 0, 0, 0, , NO, 0, 0, NO,
  4377, BEAM    , CONLOAD, GZ, NO , NO, aDir[1], , , , 0.945, -6.6875, 0, 0, 0, 0, 0, 0, , NO, 0, 0, NO,
  4378, BEAM    , CONLOAD, GZ, NO , NO, aDir[1], , , , 0.945, -6.6875, 0, 0, 0, 0, 0, 0, , NO, 0, 0, NO,
  4379, BEAM    , CONLOAD, GZ, NO , NO, aDir[1], , , , 0.945, -6.6875, 0, 0, 0, 0, 0, 0, , NO, 0, 0, NO,
  4380, BEAM    , CONLOAD, GZ, NO , NO, aDir[1], , , , 0.945, -6.6875, 0, 0, 0, 0, 0, 0, , NO, 0, 0, NO,
  4381, BEAM    , CONLOAD, GZ, NO , NO, aDir[1], , , , 0.945, -6.6875, 0, 0, 0, 0, 0, 0, , NO, 0, 0, NO,
  4382, BEAM    , CONLOAD, GZ, NO , NO, aDir[1], , , , 0.945, -6.6875, 0, 0, 0, 0, 0, 0, , NO, 0, 0, NO,
  4383, BEAM    , CONLOAD, GZ, NO , NO, aDir[1], , , , 0.945, -6.6875, 0, 0, 0, 0, 0, 0, , NO, 0, 0, NO,
  4384, BEAM    , CONLOAD, GZ, NO , NO, aDir[1], , , , 0.945, -3.34375, 0, 0, 0, 0, 0, 0, , NO, 0, 0, NO,

; End of data for load case [node 51_max Fz] -------------------------

*USE-STLD, node 50_max Fz

*BEAMLOAD    ; Element Beam Loads
; ELEM_LIST, CMD, TYPE, DIR, bPROJ, [ECCEN], [VALUE], GROUP
; ELEM_LIST, CMD, TYPE, TYPE, DIR, VX, VY, VZ, bPROJ, [ECCEN], [VALUE], GROUP
; [VALUE]       : D1, P1, D2, P2, D3, P3, D4, P4
; [ECCEN]       : bECCEN, ECCDIR, I-END, J-END, bJ-END
; [ADDITIONAL]  : bADDITIONAL, ADDITIONAL_I-END, ADDITIONAL_J-END, bADDITIONAL_J-END
   649, BEAM    , CONLOAD, GZ, NO , NO, aDir[1], , , , 0.903, -101.875, 0, 0, 0, 0, 0, 0, , NO, 0, 0, NO,
   651, BEAM    , CONLOAD, GZ, NO , NO, aDir[1], , , , 0.882, -1.875, 0, 0, 0, 0, 0, 0, , NO, 0, 0, NO,
   654, BEAM    , CONLOAD, GZ, NO , NO, aDir[1], , , , 0.903, -83.75, 0, 0, 0, 0, 0, 0, , NO, 0, 0, NO,
   656, BEAM    , CONLOAD, GZ, NO , NO, aDir[1], , , , 0.882, -3.75, 0, 0, 0, 0, 0, 0, , NO, 0, 0, NO,
   659, BEAM    , CONLOAD, GZ, NO , NO, aDir[1], , , , 0.903, -23.75, 0, 0, 0, 0, 0, 0, , NO, 0, 0, NO,
   661, BEAM    , CONLOAD, GZ, NO , NO, aDir[1], , , , 0.882, -3.75, 0, 0, 0, 0, 0, 0, , NO, 0, 0, NO,
   664, BEAM    , CONLOAD, GZ, NO , NO, aDir[1], , , , 0.903, -3.75, 0, 0, 0, 0, 0, 0, , NO, 0, 0, NO,
   666, BEAM    , CONLOAD, GZ, NO , NO, aDir[1], , , , 0.882, -3.75, 0, 0, 0, 0, 0, 0, , NO, 0, 0, NO,
   669, BEAM    , CONLOAD, GZ, NO , NO, aDir[1], , , , 0.903, -3.75, 0, 0, 0, 0, 0, 0, , NO, 0, 0, NO,
   671, BEAM    , CONLOAD, GZ, NO , NO, aDir[1], , , , 0.882, -3.75, 0, 0, 0, 0, 0, 0, , NO, 0, 0, NO,
   674, BEAM    , CONLOAD, GZ, NO , NO, aDir[1], , , , 0.903, -3.75, 0, 0, 0, 0, 0, 0, , NO, 0, 0, NO,
   676, BEAM    , CONLOAD, GZ, NO , NO, aDir[1], , , , 0.882, -3.75, 0, 0, 0, 0, 0, 0, , NO, 0, 0, NO,
   679, BEAM    , CONLOAD, GZ, NO , NO, aDir[1], , , , 0.903, -3.75, 0, 0, 0, 0, 0, 0, , NO, 0, 0, NO,
   681, BEAM    , CONLOAD, GZ, NO , NO, aDir[1], , , , 0.882, -3.75, 0, 0, 0, 0, 0, 0, , NO, 0, 0, NO,
   684, BEAM    , CONLOAD, GZ, NO , NO, aDir[1], , , , 0.903, -3.75, 0, 0, 0, 0, 0, 0, , NO, 0, 0, NO,
   686, BEAM    , CONLOAD, GZ, NO , NO, aDir[1], , , , 0.882, -3.75, 0, 0, 0, 0, 0, 0, , NO, 0, 0, NO,
   689, BEAM    , CONLOAD, GZ, NO , NO, aDir[1], , , , 0.903, -3.75, 0, 0, 0, 0, 0, 0, , NO, 0, 0, NO,
   691, BEAM    , CONLOAD, GZ, NO , NO, aDir[1], , , , 0.882, -3.75, 0, 0, 0, 0, 0, 0, , NO, 0, 0, NO,
   694, BEAM    , CONLOAD, GZ, NO , NO, aDir[1], , , , 0.903, -3.75, 0, 0, 0, 0, 0, 0, , NO, 0, 0, NO,
   696, BEAM    , CONLOAD, GZ, NO , NO, aDir[1], , , , 0.882, -13.75, 0, 0, 0, 0, 0, 0, , NO, 0, 0, NO,
   699, BEAM    , CONLOAD, GZ, NO , NO, aDir[1], , , , 0.903, -3.75, 0, 0, 0, 0, 0, 0, , NO, 0, 0, NO,
   701, BEAM    , CONLOAD, GZ, NO , NO, aDir[1], , , , 0.882, -43.75, 0, 0, 0, 0, 0, 0, , NO, 0, 0, NO,
   704, BEAM    , CONLOAD, GZ, NO , NO, aDir[1], , , , 0.903, -3.75, 0, 0, 0, 0, 0, 0, , NO, 0, 0, NO,
   706, BEAM    , CONLOAD, GZ, NO , NO, aDir[1], , , , 0.882, -53.75, 0, 0, 0, 0, 0, 0, , NO, 0, 0, NO,
   709, BEAM    , CONLOAD, GZ, NO , NO, aDir[1], , , , 0.903, -3.75, 0, 0, 0, 0, 0, 0, , NO, 0, 0, NO,
   711, BEAM    , CONLOAD, GZ, NO , NO, aDir[1], , , , 0.882, -3.75, 0, 0, 0, 0, 0, 0, , NO, 0, 0, NO,
   714, BEAM    , CONLOAD, GZ, NO , NO, aDir[1], , , , 0.903, -3.75, 0, 0, 0, 0, 0, 0, , NO, 0, 0, NO,
   716, BEAM    , CONLOAD, GZ, NO , NO, aDir[1], , , , 0.882, -3.75, 0, 0, 0, 0, 0, 0, , NO, 0, 0, NO,
   719, BEAM    , CONLOAD, GZ, NO , NO, aDir[1], , , , 0.903, -3.75, 0, 0, 0, 0, 0, 0, , NO, 0, 0, NO,
   721, BEAM    , CONLOAD, GZ, NO , NO, aDir[1], , , , 0.882, -3.75, 0, 0, 0, 0, 0, 0, , NO, 0, 0, NO,
   724, BEAM    , CONLOAD, GZ, NO , NO, aDir[1], , , , 0.903, -3.75, 0, 0, 0, 0, 0, 0, , NO, 0, 0, NO,
   726, BEAM    , CONLOAD, GZ, NO , NO, aDir[1], , , , 0.882, -3.75, 0, 0, 0, 0, 0, 0, , NO, 0, 0, NO,
   729, BEAM    , CONLOAD, GZ, NO , NO, aDir[1], , , , 0.903, -3.75, 0, 0, 0, 0, 0, 0, , NO, 0, 0, NO,
```

PROJECT TITLE :

	Company		Client	
	Author		File Name	Brembiolo1_08_completo(fasi)DEFINITIVO.mgt

```
  731, BEAM    , CONLOAD, GZ, NO , NO, aDir[1], , , , 0.882, -3.75, 0, 0, 0, 0, 0, 0, , NO, 0, 0, NO,
  734, BEAM    , CONLOAD, GZ, NO , NO, aDir[1], , , , 0.903, -3.75, 0, 0, 0, 0, 0, 0, , NO, 0, 0, NO,
  736, BEAM    , CONLOAD, GZ, NO , NO, aDir[1], , , , 0.882, -3.75, 0, 0, 0, 0, 0, 0, , NO, 0, 0, NO,
  739, BEAM    , CONLOAD, GZ, NO , NO, aDir[1], , , , 0.903, -3.75, 0, 0, 0, 0, 0, 0, , NO, 0, 0, NO,
  741, BEAM    , CONLOAD, GZ, NO , NO, aDir[1], , , , 0.882, -3.75, 0, 0, 0, 0, 0, 0, , NO, 0, 0, NO,
  744, BEAM    , CONLOAD, GZ, NO , NO, aDir[1], , , , 0.903, -3.75, 0, 0, 0, 0, 0, 0, , NO, 0, 0, NO,
  746, BEAM    , CONLOAD, GZ, NO , NO, aDir[1], , , , 0.882, -3.75, 0, 0, 0, 0, 0, 0, , NO, 0, 0, NO,
  749, BEAM    , CONLOAD, GZ, NO , NO, aDir[1], , , , 0.903, -3.75, 0, 0, 0, 0, 0, 0, , NO, 0, 0, NO,
  751, BEAM    , CONLOAD, GZ, NO , NO, aDir[1], , , , 0.882, -3.75, 0, 0, 0, 0, 0, 0, , NO, 0, 0, NO,
  754, BEAM    , CONLOAD, GZ, NO , NO, aDir[1], , , , 0.903, -3.75, 0, 0, 0, 0, 0, 0, , NO, 0, 0, NO,
  756, BEAM    , CONLOAD, GZ, NO , NO, aDir[1], , , , 0.882, -3.75, 0, 0, 0, 0, 0, 0, , NO, 0, 0, NO,
  759, BEAM    , CONLOAD, GZ, NO , NO, aDir[1], , , , 0.903, -3.75, 0, 0, 0, 0, 0, 0, , NO, 0, 0, NO,
  761, BEAM    , CONLOAD, GZ, NO , NO, aDir[1], , , , 0.882, -3.75, 0, 0, 0, 0, 0, 0, , NO, 0, 0, NO,
  764, BEAM    , CONLOAD, GZ, NO , NO, aDir[1], , , , 0.903, -3.75, 0, 0, 0, 0, 0, 0, , NO, 0, 0, NO,
  766, BEAM    , CONLOAD, GZ, NO , NO, aDir[1], , , , 0.882, -3.75, 0, 0, 0, 0, 0, 0, , NO, 0, 0, NO,
  769, BEAM    , CONLOAD, GZ, NO , NO, aDir[1], , , , 0.903, -3.75, 0, 0, 0, 0, 0, 0, , NO, 0, 0, NO,
  771, BEAM    , CONLOAD, GZ, NO , NO, aDir[1], , , , 0.882, -3.75, 0, 0, 0, 0, 0, 0, , NO, 0, 0, NO,
  774, BEAM    , CONLOAD, GZ, NO , NO, aDir[1], , , , 0.903, -3.75, 0, 0, 0, 0, 0, 0, , NO, 0, 0, NO,
  776, BEAM    , CONLOAD, GZ, NO , NO, aDir[1], , , , 0.882, -3.75, 0, 0, 0, 0, 0, 0, , NO, 0, 0, NO,
  779, BEAM    , CONLOAD, GZ, NO , NO, aDir[1], , , , 0.903, -3.75, 0, 0, 0, 0, 0, 0, , NO, 0, 0, NO,
  781, BEAM    , CONLOAD, GZ, NO , NO, aDir[1], , , , 0.882, -3.75, 0, 0, 0, 0, 0, 0, , NO, 0, 0, NO,
  784, BEAM    , CONLOAD, GZ, NO , NO, aDir[1], , , , 0.903, -3.75, 0, 0, 0, 0, 0, 0, , NO, 0, 0, NO,
  786, BEAM    , CONLOAD, GZ, NO , NO, aDir[1], , , , 0.882, -3.75, 0, 0, 0, 0, 0, 0, , NO, 0, 0, NO,
  789, BEAM    , CONLOAD, GZ, NO , NO, aDir[1], , , , 0.903, -3.75, 0, 0, 0, 0, 0, 0, , NO, 0, 0, NO,
  791, BEAM    , CONLOAD, GZ, NO , NO, aDir[1], , , , 0.882, -3.75, 0, 0, 0, 0, 0, 0, , NO, 0, 0, NO,
  794, BEAM    , CONLOAD, GZ, NO , NO, aDir[1], , , , 0.903, -3.75, 0, 0, 0, 0, 0, 0, , NO, 0, 0, NO,
  796, BEAM    , CONLOAD, GZ, NO , NO, aDir[1], , , , 0.882, -3.75, 0, 0, 0, 0, 0, 0, , NO, 0, 0, NO,
  799, BEAM    , CONLOAD, GZ, NO , NO, aDir[1], , , , 0.903, -3.75, 0, 0, 0, 0, 0, 0, , NO, 0, 0, NO,
  801, BEAM    , CONLOAD, GZ, NO , NO, aDir[1], , , , 0.882, -3.75, 0, 0, 0, 0, 0, 0, , NO, 0, 0, NO,
  804, BEAM    , CONLOAD, GZ, NO , NO, aDir[1], , , , 0.903, -3.75, 0, 0, 0, 0, 0, 0, , NO, 0, 0, NO,
  806, BEAM    , CONLOAD, GZ, NO , NO, aDir[1], , , , 0.882, -3.75, 0, 0, 0, 0, 0, 0, , NO, 0, 0, NO,
  809, BEAM    , CONLOAD, GZ, NO , NO, aDir[1], , , , 0.903, -3.75, 0, 0, 0, 0, 0, 0, , NO, 0, 0, NO,
  811, BEAM    , CONLOAD, GZ, NO , NO, aDir[1], , , , 0.882, -3.75, 0, 0, 0, 0, 0, 0, , NO, 0, 0, NO,
  814, BEAM    , CONLOAD, GZ, NO , NO, aDir[1], , , , 0.903, -3.75, 0, 0, 0, 0, 0, 0, , NO, 0, 0, NO,
  816, BEAM    , CONLOAD, GZ, NO , NO, aDir[1], , , , 0.882, -3.75, 0, 0, 0, 0, 0, 0, , NO, 0, 0, NO,
  819, BEAM    , CONLOAD, GZ, NO , NO, aDir[1], , , , 0.903, -3.75, 0, 0, 0, 0, 0, 0, , NO, 0, 0, NO,
  821, BEAM    , CONLOAD, GZ, NO , NO, aDir[1], , , , 0.882, -3.75, 0, 0, 0, 0, 0, 0, , NO, 0, 0, NO,
  824, BEAM    , CONLOAD, GZ, NO , NO, aDir[1], , , , 0.903, -3.75, 0, 0, 0, 0, 0, 0, , NO, 0, 0, NO,
  826, BEAM    , CONLOAD, GZ, NO , NO, aDir[1], , , , 0.882, -3.75, 0, 0, 0, 0, 0, 0, , NO, 0, 0, NO,
  829, BEAM    , CONLOAD, GZ, NO , NO, aDir[1], , , , 0.903, -3.75, 0, 0, 0, 0, 0, 0, , NO, 0, 0, NO,
  831, BEAM    , CONLOAD, GZ, NO , NO, aDir[1], , , , 0.882, -3.75, 0, 0, 0, 0, 0, 0, , NO, 0, 0, NO,
  834, BEAM    , CONLOAD, GZ, NO , NO, aDir[1], , , , 0.903, -3.75, 0, 0, 0, 0, 0, 0, , NO, 0, 0, NO,
  836, BEAM    , CONLOAD, GZ, NO , NO, aDir[1], , , , 0.882, -3.75, 0, 0, 0, 0, 0, 0, , NO, 0, 0, NO,
  839, BEAM    , CONLOAD, GZ, NO , NO, aDir[1], , , , 0.903, -3.75, 0, 0, 0, 0, 0, 0, , NO, 0, 0, NO,
  841, BEAM    , CONLOAD, GZ, NO , NO, aDir[1], , , , 0.882, -3.75, 0, 0, 0, 0, 0, 0, , NO, 0, 0, NO,
  844, BEAM    , CONLOAD, GZ, NO , NO, aDir[1], , , , 0.903, -3.75, 0, 0, 0, 0, 0, 0, , NO, 0, 0, NO,
  846, BEAM    , CONLOAD, GZ, NO , NO, aDir[1], , , , 0.882, -3.75, 0, 0, 0, 0, 0, 0, , NO, 0, 0, NO,
  849, BEAM    , CONLOAD, GZ, NO , NO, aDir[1], , , , 0.903, -3.75, 0, 0, 0, 0, 0, 0, , NO, 0, 0, NO,
  851, BEAM    , CONLOAD, GZ, NO , NO, aDir[1], , , , 0.882, -3.75, 0, 0, 0, 0, 0, 0, , NO, 0, 0, NO,
  854, BEAM    , CONLOAD, GZ, NO , NO, aDir[1], , , , 0.903, -1.875, 0, 0, 0, 0, 0, 0, , NO, 0, 0, NO,
  856, BEAM    , CONLOAD, GZ, NO , NO, aDir[1], , , , 0.882, -1.875, 0, 0, 0, 0, 0, 0, , NO, 0, 0, NO,
 3181, BEAM    , CONLOAD, GZ, NO , NO, aDir[1], , , , 0.8, -3.21875, 0, 0, 0, 0, 0, 0, , NO, 0, 0, NO,
 3182, BEAM    , CONLOAD, GZ, NO , NO, aDir[1], , , , 0.8, -6.4375, 0, 0, 0, 0, 0, 0, , NO, 0, 0, NO,
 3183, BEAM    , CONLOAD, GZ, NO , NO, aDir[1], , , , 0.8, -6.4375, 0, 0, 0, 0, 0, 0, , NO, 0, 0, NO,
 3184, BEAM    , CONLOAD, GZ, NO , NO, aDir[1], , , , 0.8, -6.4375, 0, 0, 0, 0, 0, 0, , NO, 0, 0, NO,
 3185, BEAM    , CONLOAD, GZ, NO , NO, aDir[1], , , , 0.8, -6.4375, 0, 0, 0, 0, 0, 0, , NO, 0, 0, NO,
 3186, BEAM    , CONLOAD, GZ, NO , NO, aDir[1], , , , 0.8, -6.4375, 0, 0, 0, 0, 0, 0, , NO, 0, 0, NO,
 3187, BEAM    , CONLOAD, GZ, NO , NO, aDir[1], , , , 0.8, -6.4375, 0, 0, 0, 0, 0, 0, , NO, 0, 0, NO,
 3188, BEAM    , CONLOAD, GZ, NO , NO, aDir[1], , , , 0.8, -6.4375, 0, 0, 0, 0, 0, 0, , NO, 0, 0, NO,
 3189, BEAM    , CONLOAD, GZ, NO , NO, aDir[1], , , , 0.8, -6.4375, 0, 0, 0, 0, 0, 0, , NO, 0, 0, NO,
 3190, BEAM    , CONLOAD, GZ, NO , NO, aDir[1], , , , 0.8, -6.4375, 0, 0, 0, 0, 0, 0, , NO, 0, 0, NO,
 3191, BEAM    , CONLOAD, GZ, NO , NO, aDir[1], , , , 0.8, -6.4375, 0, 0, 0, 0, 0, 0, , NO, 0, 0, NO,
 3192, BEAM    , CONLOAD, GZ, NO , NO, aDir[1], , , , 0.8, -6.4375, 0, 0, 0, 0, 0, 0, , NO, 0, 0, NO,
 3193, BEAM    , CONLOAD, GZ, NO , NO, aDir[1], , , , 0.8, -6.4375, 0, 0, 0, 0, 0, 0, , NO, 0, 0, NO,
 3194, BEAM    , CONLOAD, GZ, NO , NO, aDir[1], , , , 0.8, -6.4375, 0, 0, 0, 0, 0, 0, , NO, 0, 0, NO,
 3195, BEAM    , CONLOAD, GZ, NO , NO, aDir[1], , , , 0.8, -6.4375, 0, 0, 0, 0, 0, 0, , NO, 0, 0, NO,
 3196, BEAM    , CONLOAD, GZ, NO , NO, aDir[1], , , , 0.8, -6.4375, 0, 0, 0, 0, 0, 0, , NO, 0, 0, NO,
 3197, BEAM    , CONLOAD, GZ, NO , NO, aDir[1], , , , 0.8, -6.4375, 0, 0, 0, 0, 0, 0, , NO, 0, 0, NO,
 3198, BEAM    , CONLOAD, GZ, NO , NO, aDir[1], , , , 0.8, -6.4375, 0, 0, 0, 0, 0, 0, , NO, 0, 0, NO,
 3199, BEAM    , CONLOAD, GZ, NO , NO, aDir[1], , , , 0.8, -6.4375, 0, 0, 0, 0, 0, 0, , NO, 0, 0, NO,
 3200, BEAM    , CONLOAD, GZ, NO , NO, aDir[1], , , , 0.8, -6.4375, 0, 0, 0, 0, 0, 0, , NO, 0, 0, NO,
 3201, BEAM    , CONLOAD, GZ, NO , NO, aDir[1], , , , 0.8, -6.4375, 0, 0, 0, 0, 0, 0, , NO, 0, 0, NO,
 3202, BEAM    , CONLOAD, GZ, NO , NO, aDir[1], , , , 0.8, -6.4375, 0, 0, 0, 0, 0, 0, , NO, 0, 0, NO,
 3203, BEAM    , CONLOAD, GZ, NO , NO, aDir[1], , , , 0.8, -6.4375, 0, 0, 0, 0, 0, 0, , NO, 0, 0, NO,
 3204, BEAM    , CONLOAD, GZ, NO , NO, aDir[1], , , , 0.8, -6.4375, 0, 0, 0, 0, 0, 0, , NO, 0, 0, NO,
 3205, BEAM    , CONLOAD, GZ, NO , NO, aDir[1], , , , 0.8, -6.4375, 0, 0, 0, 0, 0, 0, , NO, 0, 0, NO,
 3206, BEAM    , CONLOAD, GZ, NO , NO, aDir[1], , , , 0.8, -6.4375, 0, 0, 0, 0, 0, 0, , NO, 0, 0, NO,
 3207, BEAM    , CONLOAD, GZ, NO , NO, aDir[1], , , , 0.8, -6.4375, 0, 0, 0, 0, 0, 0, , NO, 0, 0, NO,
```

PROJECT TITLE :

	Company		Client	
	Author		File Name	Brembiolo1_08_completo(fasi)DEFINITIVO.mgt

```
3208, BEAM    , CONLOAD, GZ, NO , NO, aDir[1], , , , 0.8, -6.4375, 0, 0, 0, 0, 0, 0, , NO, 0, 0, NO,
3209, BEAM    , CONLOAD, GZ, NO , NO, aDir[1], , , , 0.8, -6.4375, 0, 0, 0, 0, 0, 0, , NO, 0, 0, NO,
3210, BEAM    , CONLOAD, GZ, NO , NO, aDir[1], , , , 0.8, -6.4375, 0, 0, 0, 0, 0, 0, , NO, 0, 0, NO,
3211, BEAM    , CONLOAD, GZ, NO , NO, aDir[1], , , , 0.8, -6.4375, 0, 0, 0, 0, 0, 0, , NO, 0, 0, NO,
3212, BEAM    , CONLOAD, GZ, NO , NO, aDir[1], , , , 0.8, -6.4375, 0, 0, 0, 0, 0, 0, , NO, 0, 0, NO,
3213, BEAM    , CONLOAD, GZ, NO , NO, aDir[1], , , , 0.8, -6.4375, 0, 0, 0, 0, 0, 0, , NO, 0, 0, NO,
3214, BEAM    , CONLOAD, GZ, NO , NO, aDir[1], , , , 0.8, -6.4375, 0, 0, 0, 0, 0, 0, , NO, 0, 0, NO,
3215, BEAM    , CONLOAD, GZ, NO , NO, aDir[1], , , , 0.8, -6.4375, 0, 0, 0, 0, 0, 0, , NO, 0, 0, NO,
3216, BEAM    , CONLOAD, GZ, NO , NO, aDir[1], , , , 0.8, -6.4375, 0, 0, 0, 0, 0, 0, , NO, 0, 0, NO,
3217, BEAM    , CONLOAD, GZ, NO , NO, aDir[1], , , , 0.8, -6.4375, 0, 0, 0, 0, 0, 0, , NO, 0, 0, NO,
3218, BEAM    , CONLOAD, GZ, NO , NO, aDir[1], , , , 0.8, -6.4375, 0, 0, 0, 0, 0, 0, , NO, 0, 0, NO,
3219, BEAM    , CONLOAD, GZ, NO , NO, aDir[1], , , , 0.8, -6.4375, 0, 0, 0, 0, 0, 0, , NO, 0, 0, NO,
3220, BEAM    , CONLOAD, GZ, NO , NO, aDir[1], , , , 0.8, -6.4375, 0, 0, 0, 0, 0, 0, , NO, 0, 0, NO,
3221, BEAM    , CONLOAD, GZ, NO , NO, aDir[1], , , , 0.8, -6.4375, 0, 0, 0, 0, 0, 0, , NO, 0, 0, NO,
3222, BEAM    , CONLOAD, GZ, NO , NO, aDir[1], , , , 0.8, -3.21875, 0, 0, 0, 0, 0, 0, , NO, 0, 0, NO,
3554, BEAM    , CONLOAD, GZ, NO , NO, aDir[1], , , , 0.959, -156.75, 0, 0, 0, 0, 0, 0, , NO, 0, 0, NO,
3555, BEAM    , CONLOAD, GZ, NO , NO, aDir[1], , , , 0.959, -133.5, 0, 0, 0, 0, 0, 0, , NO, 0, 0, NO,
3556, BEAM    , CONLOAD, GZ, NO , NO, aDir[1], , , , 0.959, -43.5, 0, 0, 0, 0, 0, 0, , NO, 0, 0, NO,
3557, BEAM    , CONLOAD, GZ, NO , NO, aDir[1], , , , 0.959, -13.5, 0, 0, 0, 0, 0, 0, , NO, 0, 0, NO,
3558, BEAM    , CONLOAD, GZ, NO , NO, aDir[1], , , , 0.959, -13.5, 0, 0, 0, 0, 0, 0, , NO, 0, 0, NO,
3559, BEAM    , CONLOAD, GZ, NO , NO, aDir[1], , , , 0.959, -13.5, 0, 0, 0, 0, 0, 0, , NO, 0, 0, NO,
3560, BEAM    , CONLOAD, GZ, NO , NO, aDir[1], , , , 0.959, -13.5, 0, 0, 0, 0, 0, 0, , NO, 0, 0, NO,
3561, BEAM    , CONLOAD, GZ, NO , NO, aDir[1], , , , 0.959, -13.5, 0, 0, 0, 0, 0, 0, , NO, 0, 0, NO,
3562, BEAM    , CONLOAD, GZ, NO , NO, aDir[1], , , , 0.959, -13.5, 0, 0, 0, 0, 0, 0, , NO, 0, 0, NO,
3563, BEAM    , CONLOAD, GZ, NO , NO, aDir[1], , , , 0.959, -13.5, 0, 0, 0, 0, 0, 0, , NO, 0, 0, NO,
3564, BEAM    , CONLOAD, GZ, NO , NO, aDir[1], , , , 0.959, -13.5, 0, 0, 0, 0, 0, 0, , NO, 0, 0, NO,
3565, BEAM    , CONLOAD, GZ, NO , NO, aDir[1], , , , 0.959, -13.5, 0, 0, 0, 0, 0, 0, , NO, 0, 0, NO,
3566, BEAM    , CONLOAD, GZ, NO , NO, aDir[1], , , , 0.959, -13.5, 0, 0, 0, 0, 0, 0, , NO, 0, 0, NO,
3567, BEAM    , CONLOAD, GZ, NO , NO, aDir[1], , , , 0.959, -13.5, 0, 0, 0, 0, 0, 0, , NO, 0, 0, NO,
3568, BEAM    , CONLOAD, GZ, NO , NO, aDir[1], , , , 0.959, -13.5, 0, 0, 0, 0, 0, 0, , NO, 0, 0, NO,
3569, BEAM    , CONLOAD, GZ, NO , NO, aDir[1], , , , 0.959, -13.5, 0, 0, 0, 0, 0, 0, , NO, 0, 0, NO,
3570, BEAM    , CONLOAD, GZ, NO , NO, aDir[1], , , , 0.959, -13.5, 0, 0, 0, 0, 0, 0, , NO, 0, 0, NO,
3571, BEAM    , CONLOAD, GZ, NO , NO, aDir[1], , , , 0.959, -13.5, 0, 0, 0, 0, 0, 0, , NO, 0, 0, NO,
3572, BEAM    , CONLOAD, GZ, NO , NO, aDir[1], , , , 0.959, -13.5, 0, 0, 0, 0, 0, 0, , NO, 0, 0, NO,
3573, BEAM    , CONLOAD, GZ, NO , NO, aDir[1], , , , 0.959, -13.5, 0, 0, 0, 0, 0, 0, , NO, 0, 0, NO,
3574, BEAM    , CONLOAD, GZ, NO , NO, aDir[1], , , , 0.959, -13.5, 0, 0, 0, 0, 0, 0, , NO, 0, 0, NO,
3575, BEAM    , CONLOAD, GZ, NO , NO, aDir[1], , , , 0.959, -13.5, 0, 0, 0, 0, 0, 0, , NO, 0, 0, NO,
3576, BEAM    , CONLOAD, GZ, NO , NO, aDir[1], , , , 0.959, -13.5, 0, 0, 0, 0, 0, 0, , NO, 0, 0, NO,
3577, BEAM    , CONLOAD, GZ, NO , NO, aDir[1], , , , 0.959, -13.5, 0, 0, 0, 0, 0, 0, , NO, 0, 0, NO,
3578, BEAM    , CONLOAD, GZ, NO , NO, aDir[1], , , , 0.959, -13.5, 0, 0, 0, 0, 0, 0, , NO, 0, 0, NO,
3579, BEAM    , CONLOAD, GZ, NO , NO, aDir[1], , , , 0.959, -13.5, 0, 0, 0, 0, 0, 0, , NO, 0, 0, NO,
3580, BEAM    , CONLOAD, GZ, NO , NO, aDir[1], , , , 0.959, -13.5, 0, 0, 0, 0, 0, 0, , NO, 0, 0, NO,
3581, BEAM    , CONLOAD, GZ, NO , NO, aDir[1], , , , 0.959, -13.5, 0, 0, 0, 0, 0, 0, , NO, 0, 0, NO,
3582, BEAM    , CONLOAD, GZ, NO , NO, aDir[1], , , , 0.959, -13.5, 0, 0, 0, 0, 0, 0, , NO, 0, 0, NO,
3583, BEAM    , CONLOAD, GZ, NO , NO, aDir[1], , , , 0.959, -13.5, 0, 0, 0, 0, 0, 0, , NO, 0, 0, NO,
3584, BEAM    , CONLOAD, GZ, NO , NO, aDir[1], , , , 0.959, -13.5, 0, 0, 0, 0, 0, 0, , NO, 0, 0, NO,
3585, BEAM    , CONLOAD, GZ, NO , NO, aDir[1], , , , 0.959, -13.5, 0, 0, 0, 0, 0, 0, , NO, 0, 0, NO,
3586, BEAM    , CONLOAD, GZ, NO , NO, aDir[1], , , , 0.959, -13.5, 0, 0, 0, 0, 0, 0, , NO, 0, 0, NO,
3587, BEAM    , CONLOAD, GZ, NO , NO, aDir[1], , , , 0.959, -13.5, 0, 0, 0, 0, 0, 0, , NO, 0, 0, NO,
3588, BEAM    , CONLOAD, GZ, NO , NO, aDir[1], , , , 0.959, -13.5, 0, 0, 0, 0, 0, 0, , NO, 0, 0, NO,
3589, BEAM    , CONLOAD, GZ, NO , NO, aDir[1], , , , 0.959, -13.5, 0, 0, 0, 0, 0, 0, , NO, 0, 0, NO,
3590, BEAM    , CONLOAD, GZ, NO , NO, aDir[1], , , , 0.959, -13.5, 0, 0, 0, 0, 0, 0, , NO, 0, 0, NO,
3591, BEAM    , CONLOAD, GZ, NO , NO, aDir[1], , , , 0.959, -13.5, 0, 0, 0, 0, 0, 0, , NO, 0, 0, NO,
3592, BEAM    , CONLOAD, GZ, NO , NO, aDir[1], , , , 0.959, -13.5, 0, 0, 0, 0, 0, 0, , NO, 0, 0, NO,
3593, BEAM    , CONLOAD, GZ, NO , NO, aDir[1], , , , 0.959, -13.5, 0, 0, 0, 0, 0, 0, , NO, 0, 0, NO,
3594, BEAM    , CONLOAD, GZ, NO , NO, aDir[1], , , , 0.959, -13.5, 0, 0, 0, 0, 0, 0, , NO, 0, 0, NO,
3595, BEAM    , CONLOAD, GZ, NO , NO, aDir[1], , , , 0.959, -6.75, 0, 0, 0, 0, 0, 0, , NO, 0, 0, NO,
3886, BEAM    , CONLOAD, GZ, NO , NO, aDir[1], , , , 0.177, -3.21875, 0, 0, 0, 0, 0, 0, , NO, 0, 0, NO,
3887, BEAM    , CONLOAD, GZ, NO , NO, aDir[1], , , , 0.177, -6.4375, 0, 0, 0, 0, 0, 0, , NO, 0, 0, NO,
3888, BEAM    , CONLOAD, GZ, NO , NO, aDir[1], , , , 0.177, -6.4375, 0, 0, 0, 0, 0, 0, , NO, 0, 0, NO,
3889, BEAM    , CONLOAD, GZ, NO , NO, aDir[1], , , , 0.177, -6.4375, 0, 0, 0, 0, 0, 0, , NO, 0, 0, NO,
3890, BEAM    , CONLOAD, GZ, NO , NO, aDir[1], , , , 0.177, -6.4375, 0, 0, 0, 0, 0, 0, , NO, 0, 0, NO,
3891, BEAM    , CONLOAD, GZ, NO , NO, aDir[1], , , , 0.177, -6.4375, 0, 0, 0, 0, 0, 0, , NO, 0, 0, NO,
3892, BEAM    , CONLOAD, GZ, NO , NO, aDir[1], , , , 0.177, -6.4375, 0, 0, 0, 0, 0, 0, , NO, 0, 0, NO,
3893, BEAM    , CONLOAD, GZ, NO , NO, aDir[1], , , , 0.177, -6.4375, 0, 0, 0, 0, 0, 0, , NO, 0, 0, NO,
3894, BEAM    , CONLOAD, GZ, NO , NO, aDir[1], , , , 0.177, -6.4375, 0, 0, 0, 0, 0, 0, , NO, 0, 0, NO,
3895, BEAM    , CONLOAD, GZ, NO , NO, aDir[1], , , , 0.177, -6.4375, 0, 0, 0, 0, 0, 0, , NO, 0, 0, NO,
3896, BEAM    , CONLOAD, GZ, NO , NO, aDir[1], , , , 0.177, -6.4375, 0, 0, 0, 0, 0, 0, , NO, 0, 0, NO,
3897, BEAM    , CONLOAD, GZ, NO , NO, aDir[1], , , , 0.177, -6.4375, 0, 0, 0, 0, 0, 0, , NO, 0, 0, NO,
3898, BEAM    , CONLOAD, GZ, NO , NO, aDir[1], , , , 0.177, -6.4375, 0, 0, 0, 0, 0, 0, , NO, 0, 0, NO,
3899, BEAM    , CONLOAD, GZ, NO , NO, aDir[1], , , , 0.177, -6.4375, 0, 0, 0, 0, 0, 0, , NO, 0, 0, NO,
3900, BEAM    , CONLOAD, GZ, NO , NO, aDir[1], , , , 0.177, -6.4375, 0, 0, 0, 0, 0, 0, , NO, 0, 0, NO,
3901, BEAM    , CONLOAD, GZ, NO , NO, aDir[1], , , , 0.177, -6.4375, 0, 0, 0, 0, 0, 0, , NO, 0, 0, NO,
3902, BEAM    , CONLOAD, GZ, NO , NO, aDir[1], , , , 0.177, -6.4375, 0, 0, 0, 0, 0, 0, , NO, 0, 0, NO,
3903, BEAM    , CONLOAD, GZ, NO , NO, aDir[1], , , , 0.177, -6.4375, 0, 0, 0, 0, 0, 0, , NO, 0, 0, NO,
3904, BEAM    , CONLOAD, GZ, NO , NO, aDir[1], , , , 0.177, -6.4375, 0, 0, 0, 0, 0, 0, , NO, 0, 0, NO,
3905, BEAM    , CONLOAD, GZ, NO , NO, aDir[1], , , , 0.177, -6.4375, 0, 0, 0, 0, 0, 0, , NO, 0, 0, NO,
3906, BEAM    , CONLOAD, GZ, NO , NO, aDir[1], , , , 0.177, -6.4375, 0, 0, 0, 0, 0, 0, , NO, 0, 0, NO,
```

```
3907, BEAM    , CONLOAD, GZ, NO , NO, aDir[1], , , , 0.177, -6.4375, 0, 0, 0, 0, 0, 0, , NO, 0, 0, NO,
3908, BEAM    , CONLOAD, GZ, NO , NO, aDir[1], , , , 0.177, -6.4375, 0, 0, 0, 0, 0, 0, , NO, 0, 0, NO,
3909, BEAM    , CONLOAD, GZ, NO , NO, aDir[1], , , , 0.177, -6.4375, 0, 0, 0, 0, 0, 0, , NO, 0, 0, NO,
3910, BEAM    , CONLOAD, GZ, NO , NO, aDir[1], , , , 0.177, -6.4375, 0, 0, 0, 0, 0, 0, , NO, 0, 0, NO,
3911, BEAM    , CONLOAD, GZ, NO , NO, aDir[1], , , , 0.177, -6.4375, 0, 0, 0, 0, 0, 0, , NO, 0, 0, NO,
3912, BEAM    , CONLOAD, GZ, NO , NO, aDir[1], , , , 0.177, -6.4375, 0, 0, 0, 0, 0, 0, , NO, 0, 0, NO,
3913, BEAM    , CONLOAD, GZ, NO , NO, aDir[1], , , , 0.177, -6.4375, 0, 0, 0, 0, 0, 0, , NO, 0, 0, NO,
3914, BEAM    , CONLOAD, GZ, NO , NO, aDir[1], , , , 0.177, -6.4375, 0, 0, 0, 0, 0, 0, , NO, 0, 0, NO,
3915, BEAM    , CONLOAD, GZ, NO , NO, aDir[1], , , , 0.177, -6.4375, 0, 0, 0, 0, 0, 0, , NO, 0, 0, NO,
3916, BEAM    , CONLOAD, GZ, NO , NO, aDir[1], , , , 0.177, -6.4375, 0, 0, 0, 0, 0, 0, , NO, 0, 0, NO,
3917, BEAM    , CONLOAD, GZ, NO , NO, aDir[1], , , , 0.177, -6.4375, 0, 0, 0, 0, 0, 0, , NO, 0, 0, NO,
3918, BEAM    , CONLOAD, GZ, NO , NO, aDir[1], , , , 0.177, -6.4375, 0, 0, 0, 0, 0, 0, , NO, 0, 0, NO,
3919, BEAM    , CONLOAD, GZ, NO , NO, aDir[1], , , , 0.177, -6.4375, 0, 0, 0, 0, 0, 0, , NO, 0, 0, NO,
3920, BEAM    , CONLOAD, GZ, NO , NO, aDir[1], , , , 0.177, -6.4375, 0, 0, 0, 0, 0, 0, , NO, 0, 0, NO,
3921, BEAM    , CONLOAD, GZ, NO , NO, aDir[1], , , , 0.177, -6.4375, 0, 0, 0, 0, 0, 0, , NO, 0, 0, NO,
3922, BEAM    , CONLOAD, GZ, NO , NO, aDir[1], , , , 0.177, -6.4375, 0, 0, 0, 0, 0, 0, , NO, 0, 0, NO,
3923, BEAM    , CONLOAD, GZ, NO , NO, aDir[1], , , , 0.177, -6.4375, 0, 0, 0, 0, 0, 0, , NO, 0, 0, NO,
3924, BEAM    , CONLOAD, GZ, NO , NO, aDir[1], , , , 0.177, -6.4375, 0, 0, 0, 0, 0, 0, , NO, 0, 0, NO,
3925, BEAM    , CONLOAD, GZ, NO , NO, aDir[1], , , , 0.177, -6.4375, 0, 0, 0, 0, 0, 0, , NO, 0, 0, NO,
3926, BEAM    , CONLOAD, GZ, NO , NO, aDir[1], , , , 0.177, -6.4375, 0, 0, 0, 0, 0, 0, , NO, 0, 0, NO,
3927, BEAM    , CONLOAD, GZ, NO , NO, aDir[1], , , , 0.177, -3.21875, 0, 0, 0, 0, 0, 0, , NO, 0, 0, NO,
3928, BEAM    , CONLOAD, GZ, NO , NO, aDir[1], , , , 0.901, -156.75, 0, 0, 0, 0, 0, 0, , NO, 0, 0, NO,
3928, BEAM    , CONLOAD, GZ, NO , NO, aDir[1], , , , 0.234, -101.875, 0, 0, 0, 0, 0, 0, , NO, 0, 0, NO,
3929, BEAM    , CONLOAD, GZ, NO , NO, aDir[1], , , , 0.234, -83.75, 0, 0, 0, 0, 0, 0, , NO, 0, 0, NO,
3929, BEAM    , CONLOAD, GZ, NO , NO, aDir[1], , , , 0.901, -133.5, 0, 0, 0, 0, 0, 0, , NO, 0, 0, NO,
3930, BEAM    , CONLOAD, GZ, NO , NO, aDir[1], , , , 0.901, -43.5, 0, 0, 0, 0, 0, 0, , NO, 0, 0, NO,
3930, BEAM    , CONLOAD, GZ, NO , NO, aDir[1], , , , 0.234, -23.75, 0, 0, 0, 0, 0, 0, , NO, 0, 0, NO,
3931, BEAM    , CONLOAD, GZ, NO , NO, aDir[1], , , , 0.901, -13.5, 0, 0, 0, 0, 0, 0, , NO, 0, 0, NO,
3931, BEAM    , CONLOAD, GZ, NO , NO, aDir[1], , , , 0.234, -3.75, 0, 0, 0, 0, 0, 0, , NO, 0, 0, NO,
3932, BEAM    , CONLOAD, GZ, NO , NO, aDir[1], , , , 0.234, -3.75, 0, 0, 0, 0, 0, 0, , NO, 0, 0, NO,
3932, BEAM    , CONLOAD, GZ, NO , NO, aDir[1], , , , 0.901, -13.5, 0, 0, 0, 0, 0, 0, , NO, 0, 0, NO,
3933, BEAM    , CONLOAD, GZ, NO , NO, aDir[1], , , , 0.901, -13.5, 0, 0, 0, 0, 0, 0, , NO, 0, 0, NO,
3933, BEAM    , CONLOAD, GZ, NO , NO, aDir[1], , , , 0.234, -3.75, 0, 0, 0, 0, 0, 0, , NO, 0, 0, NO,
3934, BEAM    , CONLOAD, GZ, NO , NO, aDir[1], , , , 0.901, -13.5, 0, 0, 0, 0, 0, 0, , NO, 0, 0, NO,
3934, BEAM    , CONLOAD, GZ, NO , NO, aDir[1], , , , 0.234, -3.75, 0, 0, 0, 0, 0, 0, , NO, 0, 0, NO,
3935, BEAM    , CONLOAD, GZ, NO , NO, aDir[1], , , , 0.901, -13.5, 0, 0, 0, 0, 0, 0, , NO, 0, 0, NO,
3935, BEAM    , CONLOAD, GZ, NO , NO, aDir[1], , , , 0.234, -3.75, 0, 0, 0, 0, 0, 0, , NO, 0, 0, NO,
3936, BEAM    , CONLOAD, GZ, NO , NO, aDir[1], , , , 0.234, -3.75, 0, 0, 0, 0, 0, 0, , NO, 0, 0, NO,
3936, BEAM    , CONLOAD, GZ, NO , NO, aDir[1], , , , 0.901, -13.5, 0, 0, 0, 0, 0, 0, , NO, 0, 0, NO,
3937, BEAM    , CONLOAD, GZ, NO , NO, aDir[1], , , , 0.234, -3.75, 0, 0, 0, 0, 0, 0, , NO, 0, 0, NO,
3937, BEAM    , CONLOAD, GZ, NO , NO, aDir[1], , , , 0.901, -13.5, 0, 0, 0, 0, 0, 0, , NO, 0, 0, NO,
3938, BEAM    , CONLOAD, GZ, NO , NO, aDir[1], , , , 0.901, -13.5, 0, 0, 0, 0, 0, 0, , NO, 0, 0, NO,
3938, BEAM    , CONLOAD, GZ, NO , NO, aDir[1], , , , 0.234, -3.75, 0, 0, 0, 0, 0, 0, , NO, 0, 0, NO,
3939, BEAM    , CONLOAD, GZ, NO , NO, aDir[1], , , , 0.901, -13.5, 0, 0, 0, 0, 0, 0, , NO, 0, 0, NO,
3939, BEAM    , CONLOAD, GZ, NO , NO, aDir[1], , , , 0.234, -3.75, 0, 0, 0, 0, 0, 0, , NO, 0, 0, NO,
3940, BEAM    , CONLOAD, GZ, NO , NO, aDir[1], , , , 0.901, -13.5, 0, 0, 0, 0, 0, 0, , NO, 0, 0, NO,
3940, BEAM    , CONLOAD, GZ, NO , NO, aDir[1], , , , 0.234, -3.75, 0, 0, 0, 0, 0, 0, , NO, 0, 0, NO,
3941, BEAM    , CONLOAD, GZ, NO , NO, aDir[1], , , , 0.234, -3.75, 0, 0, 0, 0, 0, 0, , NO, 0, 0, NO,
3941, BEAM    , CONLOAD, GZ, NO , NO, aDir[1], , , , 0.901, -13.5, 0, 0, 0, 0, 0, 0, , NO, 0, 0, NO,
3942, BEAM    , CONLOAD, GZ, NO , NO, aDir[1], , , , 0.234, -3.75, 0, 0, 0, 0, 0, 0, , NO, 0, 0, NO,
3942, BEAM    , CONLOAD, GZ, NO , NO, aDir[1], , , , 0.901, -13.5, 0, 0, 0, 0, 0, 0, , NO, 0, 0, NO,
3943, BEAM    , CONLOAD, GZ, NO , NO, aDir[1], , , , 0.234, -3.75, 0, 0, 0, 0, 0, 0, , NO, 0, 0, NO,
3943, BEAM    , CONLOAD, GZ, NO , NO, aDir[1], , , , 0.901, -13.5, 0, 0, 0, 0, 0, 0, , NO, 0, 0, NO,
3944, BEAM    , CONLOAD, GZ, NO , NO, aDir[1], , , , 0.901, -13.5, 0, 0, 0, 0, 0, 0, , NO, 0, 0, NO,
3944, BEAM    , CONLOAD, GZ, NO , NO, aDir[1], , , , 0.234, -3.75, 0, 0, 0, 0, 0, 0, , NO, 0, 0, NO,
3945, BEAM    , CONLOAD, GZ, NO , NO, aDir[1], , , , 0.234, -3.75, 0, 0, 0, 0, 0, 0, , NO, 0, 0, NO,
3945, BEAM    , CONLOAD, GZ, NO , NO, aDir[1], , , , 0.901, -13.5, 0, 0, 0, 0, 0, 0, , NO, 0, 0, NO,
3946, BEAM    , CONLOAD, GZ, NO , NO, aDir[1], , , , 0.901, -13.5, 0, 0, 0, 0, 0, 0, , NO, 0, 0, NO,
3946, BEAM    , CONLOAD, GZ, NO , NO, aDir[1], , , , 0.234, -3.75, 0, 0, 0, 0, 0, 0, , NO, 0, 0, NO,
3947, BEAM    , CONLOAD, GZ, NO , NO, aDir[1], , , , 0.234, -3.75, 0, 0, 0, 0, 0, 0, , NO, 0, 0, NO,
3947, BEAM    , CONLOAD, GZ, NO , NO, aDir[1], , , , 0.901, -13.5, 0, 0, 0, 0, 0, 0, , NO, 0, 0, NO,
3948, BEAM    , CONLOAD, GZ, NO , NO, aDir[1], , , , 0.234, -3.75, 0, 0, 0, 0, 0, 0, , NO, 0, 0, NO,
3948, BEAM    , CONLOAD, GZ, NO , NO, aDir[1], , , , 0.901, -13.5, 0, 0, 0, 0, 0, 0, , NO, 0, 0, NO,
3949, BEAM    , CONLOAD, GZ, NO , NO, aDir[1], , , , 0.901, -13.5, 0, 0, 0, 0, 0, 0, , NO, 0, 0, NO,
3949, BEAM    , CONLOAD, GZ, NO , NO, aDir[1], , , , 0.234, -3.75, 0, 0, 0, 0, 0, 0, , NO, 0, 0, NO,
3950, BEAM    , CONLOAD, GZ, NO , NO, aDir[1], , , , 0.234, -3.75, 0, 0, 0, 0, 0, 0, , NO, 0, 0, NO,
3950, BEAM    , CONLOAD, GZ, NO , NO, aDir[1], , , , 0.901, -13.5, 0, 0, 0, 0, 0, 0, , NO, 0, 0, NO,
3951, BEAM    , CONLOAD, GZ, NO , NO, aDir[1], , , , 0.901, -13.5, 0, 0, 0, 0, 0, 0, , NO, 0, 0, NO,
3951, BEAM    , CONLOAD, GZ, NO , NO, aDir[1], , , , 0.234, -3.75, 0, 0, 0, 0, 0, 0, , NO, 0, 0, NO,
3952, BEAM    , CONLOAD, GZ, NO , NO, aDir[1], , , , 0.901, -13.5, 0, 0, 0, 0, 0, 0, , NO, 0, 0, NO,
3952, BEAM    , CONLOAD, GZ, NO , NO, aDir[1], , , , 0.234, -3.75, 0, 0, 0, 0, 0, 0, , NO, 0, 0, NO,
3953, BEAM    , CONLOAD, GZ, NO , NO, aDir[1], , , , 0.901, -13.5, 0, 0, 0, 0, 0, 0, , NO, 0, 0, NO,
3953, BEAM    , CONLOAD, GZ, NO , NO, aDir[1], , , , 0.234, -3.75, 0, 0, 0, 0, 0, 0, , NO, 0, 0, NO,
3954, BEAM    , CONLOAD, GZ, NO , NO, aDir[1], , , , 0.234, -3.75, 0, 0, 0, 0, 0, 0, , NO, 0, 0, NO,
3954, BEAM    , CONLOAD, GZ, NO , NO, aDir[1], , , , 0.901, -13.5, 0, 0, 0, 0, 0, 0, , NO, 0, 0, NO,
3955, BEAM    , CONLOAD, GZ, NO , NO, aDir[1], , , , 0.234, -3.75, 0, 0, 0, 0, 0, 0, , NO, 0, 0, NO,
3955, BEAM    , CONLOAD, GZ, NO , NO, aDir[1], , , , 0.901, -13.5, 0, 0, 0, 0, 0, 0, , NO, 0, 0, NO,
3956, BEAM    , CONLOAD, GZ, NO , NO, aDir[1], , , , 0.901, -13.5, 0, 0, 0, 0, 0, 0, , NO, 0, 0, NO,
```

```
  3956, BEAM    , CONLOAD, GZ, NO , NO, aDir[1], , , , 0.234, -3.75, 0, 0, 0, 0, 0, 0, , NO, 0, 0, NO,
  3957, BEAM    , CONLOAD, GZ, NO , NO, aDir[1], , , , 0.901, -13.5, 0, 0, 0, 0, 0, 0, , NO, 0, 0, NO,
  3957, BEAM    , CONLOAD, GZ, NO , NO, aDir[1], , , , 0.234, -3.75, 0, 0, 0, 0, 0, 0, , NO, 0, 0, NO,
  3958, BEAM    , CONLOAD, GZ, NO , NO, aDir[1], , , , 0.901, -13.5, 0, 0, 0, 0, 0, 0, , NO, 0, 0, NO,
  3958, BEAM    , CONLOAD, GZ, NO , NO, aDir[1], , , , 0.234, -3.75, 0, 0, 0, 0, 0, 0, , NO, 0, 0, NO,
  3959, BEAM    , CONLOAD, GZ, NO , NO, aDir[1], , , , 0.234, -3.75, 0, 0, 0, 0, 0, 0, , NO, 0, 0, NO,
  3959, BEAM    , CONLOAD, GZ, NO , NO, aDir[1], , , , 0.901, -13.5, 0, 0, 0, 0, 0, 0, , NO, 0, 0, NO,
  3960, BEAM    , CONLOAD, GZ, NO , NO, aDir[1], , , , 0.234, -3.75, 0, 0, 0, 0, 0, 0, , NO, 0, 0, NO,
  3960, BEAM    , CONLOAD, GZ, NO , NO, aDir[1], , , , 0.901, -13.5, 0, 0, 0, 0, 0, 0, , NO, 0, 0, NO,
  3961, BEAM    , CONLOAD, GZ, NO , NO, aDir[1], , , , 0.901, -13.5, 0, 0, 0, 0, 0, 0, , NO, 0, 0, NO,
  3961, BEAM    , CONLOAD, GZ, NO , NO, aDir[1], , , , 0.234, -3.75, 0, 0, 0, 0, 0, 0, , NO, 0, 0, NO,
  3962, BEAM    , CONLOAD, GZ, NO , NO, aDir[1], , , , 0.901, -13.5, 0, 0, 0, 0, 0, 0, , NO, 0, 0, NO,
  3962, BEAM    , CONLOAD, GZ, NO , NO, aDir[1], , , , 0.234, -3.75, 0, 0, 0, 0, 0, 0, , NO, 0, 0, NO,
  3963, BEAM    , CONLOAD, GZ, NO , NO, aDir[1], , , , 0.901, -13.5, 0, 0, 0, 0, 0, 0, , NO, 0, 0, NO,
  3963, BEAM    , CONLOAD, GZ, NO , NO, aDir[1], , , , 0.234, -3.75, 0, 0, 0, 0, 0, 0, , NO, 0, 0, NO,
  3964, BEAM    , CONLOAD, GZ, NO , NO, aDir[1], , , , 0.234, -3.75, 0, 0, 0, 0, 0, 0, , NO, 0, 0, NO,
  3964, BEAM    , CONLOAD, GZ, NO , NO, aDir[1], , , , 0.901, -13.5, 0, 0, 0, 0, 0, 0, , NO, 0, 0, NO,
  3965, BEAM    , CONLOAD, GZ, NO , NO, aDir[1], , , , 0.234, -3.75, 0, 0, 0, 0, 0, 0, , NO, 0, 0, NO,
  3965, BEAM    , CONLOAD, GZ, NO , NO, aDir[1], , , , 0.901, -13.5, 0, 0, 0, 0, 0, 0, , NO, 0, 0, NO,
  3966, BEAM    , CONLOAD, GZ, NO , NO, aDir[1], , , , 0.901, -13.5, 0, 0, 0, 0, 0, 0, , NO, 0, 0, NO,
  3966, BEAM    , CONLOAD, GZ, NO , NO, aDir[1], , , , 0.234, -3.75, 0, 0, 0, 0, 0, 0, , NO, 0, 0, NO,
  3967, BEAM    , CONLOAD, GZ, NO , NO, aDir[1], , , , 0.901, -13.5, 0, 0, 0, 0, 0, 0, , NO, 0, 0, NO,
  3967, BEAM    , CONLOAD, GZ, NO , NO, aDir[1], , , , 0.234, -3.75, 0, 0, 0, 0, 0, 0, , NO, 0, 0, NO,
  3968, BEAM    , CONLOAD, GZ, NO , NO, aDir[1], , , , 0.901, -13.5, 0, 0, 0, 0, 0, 0, , NO, 0, 0, NO,
  3968, BEAM    , CONLOAD, GZ, NO , NO, aDir[1], , , , 0.234, -3.75, 0, 0, 0, 0, 0, 0, , NO, 0, 0, NO,
  3969, BEAM    , CONLOAD, GZ, NO , NO, aDir[1], , , , 0.234, -1.875, 0, 0, 0, 0, 0, 0, , NO, 0, 0, NO,
  3969, BEAM    , CONLOAD, GZ, NO , NO, aDir[1], , , , 0.901, -6.75, 0, 0, 0, 0, 0, 0, , NO, 0, 0, NO,
  3970, BEAM    , CONLOAD, GZ, NO , NO, aDir[1], , , , 0.55, -1.875, 0, 0, 0, 0, 0, 0, , NO, 0, 0, NO,
  3971, BEAM    , CONLOAD, GZ, NO , NO, aDir[1], , , , 0.55, -3.75, 0, 0, 0, 0, 0, 0, , NO, 0, 0, NO,
  3972, BEAM    , CONLOAD, GZ, NO , NO, aDir[1], , , , 0.55, -3.75, 0, 0, 0, 0, 0, 0, , NO, 0, 0, NO,
  3973, BEAM    , CONLOAD, GZ, NO , NO, aDir[1], , , , 0.55, -3.75, 0, 0, 0, 0, 0, 0, , NO, 0, 0, NO,
  3974, BEAM    , CONLOAD, GZ, NO , NO, aDir[1], , , , 0.55, -3.75, 0, 0, 0, 0, 0, 0, , NO, 0, 0, NO,
  3975, BEAM    , CONLOAD, GZ, NO , NO, aDir[1], , , , 0.55, -3.75, 0, 0, 0, 0, 0, 0, , NO, 0, 0, NO,
  3976, BEAM    , CONLOAD, GZ, NO , NO, aDir[1], , , , 0.55, -3.75, 0, 0, 0, 0, 0, 0, , NO, 0, 0, NO,
  3977, BEAM    , CONLOAD, GZ, NO , NO, aDir[1], , , , 0.55, -3.75, 0, 0, 0, 0, 0, 0, , NO, 0, 0, NO,
  3978, BEAM    , CONLOAD, GZ, NO , NO, aDir[1], , , , 0.55, -3.75, 0, 0, 0, 0, 0, 0, , NO, 0, 0, NO,
  3979, BEAM    , CONLOAD, GZ, NO , NO, aDir[1], , , , 0.55, -13.75, 0, 0, 0, 0, 0, 0, , NO, 0, 0, NO,
  3980, BEAM    , CONLOAD, GZ, NO , NO, aDir[1], , , , 0.55, -43.75, 0, 0, 0, 0, 0, 0, , NO, 0, 0, NO,
  3981, BEAM    , CONLOAD, GZ, NO , NO, aDir[1], , , , 0.55, -53.75, 0, 0, 0, 0, 0, 0, , NO, 0, 0, NO,
  3982, BEAM    , CONLOAD, GZ, NO , NO, aDir[1], , , , 0.55, -3.75, 0, 0, 0, 0, 0, 0, , NO, 0, 0, NO,
  3983, BEAM    , CONLOAD, GZ, NO , NO, aDir[1], , , , 0.55, -3.75, 0, 0, 0, 0, 0, 0, , NO, 0, 0, NO,
  3984, BEAM    , CONLOAD, GZ, NO , NO, aDir[1], , , , 0.55, -3.75, 0, 0, 0, 0, 0, 0, , NO, 0, 0, NO,
  3985, BEAM    , CONLOAD, GZ, NO , NO, aDir[1], , , , 0.55, -3.75, 0, 0, 0, 0, 0, 0, , NO, 0, 0, NO,
  3986, BEAM    , CONLOAD, GZ, NO , NO, aDir[1], , , , 0.55, -3.75, 0, 0, 0, 0, 0, 0, , NO, 0, 0, NO,
  3987, BEAM    , CONLOAD, GZ, NO , NO, aDir[1], , , , 0.55, -3.75, 0, 0, 0, 0, 0, 0, , NO, 0, 0, NO,
  3988, BEAM    , CONLOAD, GZ, NO , NO, aDir[1], , , , 0.55, -3.75, 0, 0, 0, 0, 0, 0, , NO, 0, 0, NO,
  3989, BEAM    , CONLOAD, GZ, NO , NO, aDir[1], , , , 0.55, -3.75, 0, 0, 0, 0, 0, 0, , NO, 0, 0, NO,
  3990, BEAM    , CONLOAD, GZ, NO , NO, aDir[1], , , , 0.55, -3.75, 0, 0, 0, 0, 0, 0, , NO, 0, 0, NO,
  3991, BEAM    , CONLOAD, GZ, NO , NO, aDir[1], , , , 0.55, -3.75, 0, 0, 0, 0, 0, 0, , NO, 0, 0, NO,
  3992, BEAM    , CONLOAD, GZ, NO , NO, aDir[1], , , , 0.55, -3.75, 0, 0, 0, 0, 0, 0, , NO, 0, 0, NO,
  3993, BEAM    , CONLOAD, GZ, NO , NO, aDir[1], , , , 0.55, -3.75, 0, 0, 0, 0, 0, 0, , NO, 0, 0, NO,
  3994, BEAM    , CONLOAD, GZ, NO , NO, aDir[1], , , , 0.55, -3.75, 0, 0, 0, 0, 0, 0, , NO, 0, 0, NO,
  3995, BEAM    , CONLOAD, GZ, NO , NO, aDir[1], , , , 0.55, -3.75, 0, 0, 0, 0, 0, 0, , NO, 0, 0, NO,
  3996, BEAM    , CONLOAD, GZ, NO , NO, aDir[1], , , , 0.55, -3.75, 0, 0, 0, 0, 0, 0, , NO, 0, 0, NO,
  3997, BEAM    , CONLOAD, GZ, NO , NO, aDir[1], , , , 0.55, -3.75, 0, 0, 0, 0, 0, 0, , NO, 0, 0, NO,
  3998, BEAM    , CONLOAD, GZ, NO , NO, aDir[1], , , , 0.55, -3.75, 0, 0, 0, 0, 0, 0, , NO, 0, 0, NO,
  3999, BEAM    , CONLOAD, GZ, NO , NO, aDir[1], , , , 0.55, -3.75, 0, 0, 0, 0, 0, 0, , NO, 0, 0, NO,
  4000, BEAM    , CONLOAD, GZ, NO , NO, aDir[1], , , , 0.55, -3.75, 0, 0, 0, 0, 0, 0, , NO, 0, 0, NO,
  4001, BEAM    , CONLOAD, GZ, NO , NO, aDir[1], , , , 0.55, -3.75, 0, 0, 0, 0, 0, 0, , NO, 0, 0, NO,
  4002, BEAM    , CONLOAD, GZ, NO , NO, aDir[1], , , , 0.55, -3.75, 0, 0, 0, 0, 0, 0, , NO, 0, 0, NO,
  4003, BEAM    , CONLOAD, GZ, NO , NO, aDir[1], , , , 0.55, -3.75, 0, 0, 0, 0, 0, 0, , NO, 0, 0, NO,
  4004, BEAM    , CONLOAD, GZ, NO , NO, aDir[1], , , , 0.55, -3.75, 0, 0, 0, 0, 0, 0, , NO, 0, 0, NO,
  4005, BEAM    , CONLOAD, GZ, NO , NO, aDir[1], , , , 0.55, -3.75, 0, 0, 0, 0, 0, 0, , NO, 0, 0, NO,
  4006, BEAM    , CONLOAD, GZ, NO , NO, aDir[1], , , , 0.55, -3.75, 0, 0, 0, 0, 0, 0, , NO, 0, 0, NO,
  4007, BEAM    , CONLOAD, GZ, NO , NO, aDir[1], , , , 0.55, -3.75, 0, 0, 0, 0, 0, 0, , NO, 0, 0, NO,
  4008, BEAM    , CONLOAD, GZ, NO , NO, aDir[1], , , , 0.55, -3.75, 0, 0, 0, 0, 0, 0, , NO, 0, 0, NO,
  4009, BEAM    , CONLOAD, GZ, NO , NO, aDir[1], , , , 0.55, -3.75, 0, 0, 0, 0, 0, 0, , NO, 0, 0, NO,
  4010, BEAM    , CONLOAD, GZ, NO , NO, aDir[1], , , , 0.55, -3.75, 0, 0, 0, 0, 0, 0, , NO, 0, 0, NO,
  4011, BEAM    , CONLOAD, GZ, NO , NO, aDir[1], , , , 0.55, -1.875, 0, 0, 0, 0, 0, 0, , NO, 0, 0, NO,

; End of data for load case [node 50_max Fz] -------------------------

*USE-STLD, node 49_max Fz

*BEAMLOAD    ; Element Beam Loads
; ELEM_LIST, CMD, TYPE, DIR, bPROJ, [ECCEN], [VALUE], GROUP
; ELEM_LIST, CMD, TYPE, TYPE, DIR, VX, VY, VZ, bPROJ, [ECCEN], [VALUE], GROUP
; [VALUE]       : D1, P1, D2, P2, D3, P3, D4, P4
```

PROJECT TITLE :

	Company		Client	
	Author		File Name	Brembiolo1_08_completo(fasi)DEFINITIVO.mgt

```
; [ECCEN]        : bECCEN, ECCDIR, I-END, J-END, bJ-END
; [ADDITIONAL]   : bADDITIONAL, ADDITIONAL_I-END, ADDITIONAL_J-END, bADDITIONAL_J-END
   649, BEAM    , CONLOAD, GZ, NO , NO, aDir[1], , , , 0.903, -0.543407, 0, 0, 0, 0, 0, 0, , NO, 0, 0, NO,
   651, BEAM    , CONLOAD, GZ, NO , NO, aDir[1], , , , 0.882, -156.75, 0, 0, 0, 0, 0, 0, , NO, 0, 0, NO,
   654, BEAM    , CONLOAD, GZ, NO , NO, aDir[1], , , , 0.903, -3.35039, 0, 0, 0, 0, 0, 0, , NO, 0, 0, NO,
   656, BEAM    , CONLOAD, GZ, NO , NO, aDir[1], , , , 0.882, -133.5, 0, 0, 0, 0, 0, 0, , NO, 0, 0, NO,
   659, BEAM    , CONLOAD, GZ, NO , NO, aDir[1], , , , 0.903, -3.75, 0, 0, 0, 0, 0, 0, , NO, 0, 0, NO,
   661, BEAM    , CONLOAD, GZ, NO , NO, aDir[1], , , , 0.882, -43.5, 0, 0, 0, 0, 0, 0, , NO, 0, 0, NO,
   664, BEAM    , CONLOAD, GZ, NO , NO, aDir[1], , , , 0.903, -3.75, 0, 0, 0, 0, 0, 0, , NO, 0, 0, NO,
   666, BEAM    , CONLOAD, GZ, NO , NO, aDir[1], , , , 0.882, -13.5, 0, 0, 0, 0, 0, 0, , NO, 0, 0, NO,
   669, BEAM    , CONLOAD, GZ, NO , NO, aDir[1], , , , 0.903, -3.75, 0, 0, 0, 0, 0, 0, , NO, 0, 0, NO,
   671, BEAM    , CONLOAD, GZ, NO , NO, aDir[1], , , , 0.882, -13.5, 0, 0, 0, 0, 0, 0, , NO, 0, 0, NO,
   674, BEAM    , CONLOAD, GZ, NO , NO, aDir[1], , , , 0.903, -3.75, 0, 0, 0, 0, 0, 0, , NO, 0, 0, NO,
   676, BEAM    , CONLOAD, GZ, NO , NO, aDir[1], , , , 0.882, -13.5, 0, 0, 0, 0, 0, 0, , NO, 0, 0, NO,
   679, BEAM    , CONLOAD, GZ, NO , NO, aDir[1], , , , 0.903, -3.75, 0, 0, 0, 0, 0, 0, , NO, 0, 0, NO,
   681, BEAM    , CONLOAD, GZ, NO , NO, aDir[1], , , , 0.882, -13.5, 0, 0, 0, 0, 0, 0, , NO, 0, 0, NO,
   684, BEAM    , CONLOAD, GZ, NO , NO, aDir[1], , , , 0.903, -3.75, 0, 0, 0, 0, 0, 0, , NO, 0, 0, NO,
   686, BEAM    , CONLOAD, GZ, NO , NO, aDir[1], , , , 0.882, -13.5, 0, 0, 0, 0, 0, 0, , NO, 0, 0, NO,
   689, BEAM    , CONLOAD, GZ, NO , NO, aDir[1], , , , 0.903, -3.75, 0, 0, 0, 0, 0, 0, , NO, 0, 0, NO,
   691, BEAM    , CONLOAD, GZ, NO , NO, aDir[1], , , , 0.882, -13.5, 0, 0, 0, 0, 0, 0, , NO, 0, 0, NO,
   694, BEAM    , CONLOAD, GZ, NO , NO, aDir[1], , , , 0.903, -3.75, 0, 0, 0, 0, 0, 0, , NO, 0, 0, NO,
   696, BEAM    , CONLOAD, GZ, NO , NO, aDir[1], , , , 0.882, -13.5, 0, 0, 0, 0, 0, 0, , NO, 0, 0, NO,
   699, BEAM    , CONLOAD, GZ, NO , NO, aDir[1], , , , 0.903, -3.75, 0, 0, 0, 0, 0, 0, , NO, 0, 0, NO,
   701, BEAM    , CONLOAD, GZ, NO , NO, aDir[1], , , , 0.882, -13.5, 0, 0, 0, 0, 0, 0, , NO, 0, 0, NO,
   704, BEAM    , CONLOAD, GZ, NO , NO, aDir[1], , , , 0.903, -3.75, 0, 0, 0, 0, 0, 0, , NO, 0, 0, NO,
   706, BEAM    , CONLOAD, GZ, NO , NO, aDir[1], , , , 0.882, -13.5, 0, 0, 0, 0, 0, 0, , NO, 0, 0, NO,
   709, BEAM    , CONLOAD, GZ, NO , NO, aDir[1], , , , 0.903, -3.75, 0, 0, 0, 0, 0, 0, , NO, 0, 0, NO,
   711, BEAM    , CONLOAD, GZ, NO , NO, aDir[1], , , , 0.882, -13.5, 0, 0, 0, 0, 0, 0, , NO, 0, 0, NO,
   714, BEAM    , CONLOAD, GZ, NO , NO, aDir[1], , , , 0.903, -3.75, 0, 0, 0, 0, 0, 0, , NO, 0, 0, NO,
   716, BEAM    , CONLOAD, GZ, NO , NO, aDir[1], , , , 0.882, -13.5, 0, 0, 0, 0, 0, 0, , NO, 0, 0, NO,
   719, BEAM    , CONLOAD, GZ, NO , NO, aDir[1], , , , 0.903, -3.75, 0, 0, 0, 0, 0, 0, , NO, 0, 0, NO,
   721, BEAM    , CONLOAD, GZ, NO , NO, aDir[1], , , , 0.882, -13.5, 0, 0, 0, 0, 0, 0, , NO, 0, 0, NO,
   724, BEAM    , CONLOAD, GZ, NO , NO, aDir[1], , , , 0.903, -3.75, 0, 0, 0, 0, 0, 0, , NO, 0, 0, NO,
   726, BEAM    , CONLOAD, GZ, NO , NO, aDir[1], , , , 0.882, -13.5, 0, 0, 0, 0, 0, 0, , NO, 0, 0, NO,
   729, BEAM    , CONLOAD, GZ, NO , NO, aDir[1], , , , 0.903, -53.75, 0, 0, 0, 0, 0, 0, , NO, 0, 0, NO,
   731, BEAM    , CONLOAD, GZ, NO , NO, aDir[1], , , , 0.882, -13.5, 0, 0, 0, 0, 0, 0, , NO, 0, 0, NO,
   734, BEAM    , CONLOAD, GZ, NO , NO, aDir[1], , , , 0.903, -43.75, 0, 0, 0, 0, 0, 0, , NO, 0, 0, NO,
   736, BEAM    , CONLOAD, GZ, NO , NO, aDir[1], , , , 0.882, -13.5, 0, 0, 0, 0, 0, 0, , NO, 0, 0, NO,
   739, BEAM    , CONLOAD, GZ, NO , NO, aDir[1], , , , 0.903, -13.75, 0, 0, 0, 0, 0, 0, , NO, 0, 0, NO,
   741, BEAM    , CONLOAD, GZ, NO , NO, aDir[1], , , , 0.882, -13.5, 0, 0, 0, 0, 0, 0, , NO, 0, 0, NO,
   744, BEAM    , CONLOAD, GZ, NO , NO, aDir[1], , , , 0.903, -3.75, 0, 0, 0, 0, 0, 0, , NO, 0, 0, NO,
   746, BEAM    , CONLOAD, GZ, NO , NO, aDir[1], , , , 0.882, -13.5, 0, 0, 0, 0, 0, 0, , NO, 0, 0, NO,
   749, BEAM    , CONLOAD, GZ, NO , NO, aDir[1], , , , 0.903, -3.75, 0, 0, 0, 0, 0, 0, , NO, 0, 0, NO,
   751, BEAM    , CONLOAD, GZ, NO , NO, aDir[1], , , , 0.882, -13.5, 0, 0, 0, 0, 0, 0, , NO, 0, 0, NO,
   754, BEAM    , CONLOAD, GZ, NO , NO, aDir[1], , , , 0.903, -3.75, 0, 0, 0, 0, 0, 0, , NO, 0, 0, NO,
   756, BEAM    , CONLOAD, GZ, NO , NO, aDir[1], , , , 0.882, -13.5, 0, 0, 0, 0, 0, 0, , NO, 0, 0, NO,
   759, BEAM    , CONLOAD, GZ, NO , NO, aDir[1], , , , 0.903, -3.75, 0, 0, 0, 0, 0, 0, , NO, 0, 0, NO,
   761, BEAM    , CONLOAD, GZ, NO , NO, aDir[1], , , , 0.882, -13.5, 0, 0, 0, 0, 0, 0, , NO, 0, 0, NO,
   764, BEAM    , CONLOAD, GZ, NO , NO, aDir[1], , , , 0.903, -3.75, 0, 0, 0, 0, 0, 0, , NO, 0, 0, NO,
   766, BEAM    , CONLOAD, GZ, NO , NO, aDir[1], , , , 0.882, -13.5, 0, 0, 0, 0, 0, 0, , NO, 0, 0, NO,
   769, BEAM    , CONLOAD, GZ, NO , NO, aDir[1], , , , 0.903, -3.75, 0, 0, 0, 0, 0, 0, , NO, 0, 0, NO,
   771, BEAM    , CONLOAD, GZ, NO , NO, aDir[1], , , , 0.882, -13.5, 0, 0, 0, 0, 0, 0, , NO, 0, 0, NO,
   774, BEAM    , CONLOAD, GZ, NO , NO, aDir[1], , , , 0.903, -3.75, 0, 0, 0, 0, 0, 0, , NO, 0, 0, NO,
   776, BEAM    , CONLOAD, GZ, NO , NO, aDir[1], , , , 0.882, -13.5, 0, 0, 0, 0, 0, 0, , NO, 0, 0, NO,
   779, BEAM    , CONLOAD, GZ, NO , NO, aDir[1], , , , 0.903, -3.75, 0, 0, 0, 0, 0, 0, , NO, 0, 0, NO,
   781, BEAM    , CONLOAD, GZ, NO , NO, aDir[1], , , , 0.882, -13.5, 0, 0, 0, 0, 0, 0, , NO, 0, 0, NO,
   784, BEAM    , CONLOAD, GZ, NO , NO, aDir[1], , , , 0.903, -3.75, 0, 0, 0, 0, 0, 0, , NO, 0, 0, NO,
   786, BEAM    , CONLOAD, GZ, NO , NO, aDir[1], , , , 0.882, -13.5, 0, 0, 0, 0, 0, 0, , NO, 0, 0, NO,
   789, BEAM    , CONLOAD, GZ, NO , NO, aDir[1], , , , 0.903, -3.75, 0, 0, 0, 0, 0, 0, , NO, 0, 0, NO,
   791, BEAM    , CONLOAD, GZ, NO , NO, aDir[1], , , , 0.882, -13.5, 0, 0, 0, 0, 0, 0, , NO, 0, 0, NO,
   794, BEAM    , CONLOAD, GZ, NO , NO, aDir[1], , , , 0.903, -3.75, 0, 0, 0, 0, 0, 0, , NO, 0, 0, NO,
   796, BEAM    , CONLOAD, GZ, NO , NO, aDir[1], , , , 0.882, -13.5, 0, 0, 0, 0, 0, 0, , NO, 0, 0, NO,
   799, BEAM    , CONLOAD, GZ, NO , NO, aDir[1], , , , 0.903, -3.75, 0, 0, 0, 0, 0, 0, , NO, 0, 0, NO,
   801, BEAM    , CONLOAD, GZ, NO , NO, aDir[1], , , , 0.882, -13.5, 0, 0, 0, 0, 0, 0, , NO, 0, 0, NO,
   804, BEAM    , CONLOAD, GZ, NO , NO, aDir[1], , , , 0.903, -3.75, 0, 0, 0, 0, 0, 0, , NO, 0, 0, NO,
   806, BEAM    , CONLOAD, GZ, NO , NO, aDir[1], , , , 0.882, -13.5, 0, 0, 0, 0, 0, 0, , NO, 0, 0, NO,
   809, BEAM    , CONLOAD, GZ, NO , NO, aDir[1], , , , 0.903, -3.75, 0, 0, 0, 0, 0, 0, , NO, 0, 0, NO,
   811, BEAM    , CONLOAD, GZ, NO , NO, aDir[1], , , , 0.882, -13.5, 0, 0, 0, 0, 0, 0, , NO, 0, 0, NO,
   814, BEAM    , CONLOAD, GZ, NO , NO, aDir[1], , , , 0.903, -3.75, 0, 0, 0, 0, 0, 0, , NO, 0, 0, NO,
   816, BEAM    , CONLOAD, GZ, NO , NO, aDir[1], , , , 0.882, -13.5, 0, 0, 0, 0, 0, 0, , NO, 0, 0, NO,
   819, BEAM    , CONLOAD, GZ, NO , NO, aDir[1], , , , 0.903, -3.75, 0, 0, 0, 0, 0, 0, , NO, 0, 0, NO,
   821, BEAM    , CONLOAD, GZ, NO , NO, aDir[1], , , , 0.882, -13.5, 0, 0, 0, 0, 0, 0, , NO, 0, 0, NO,
   824, BEAM    , CONLOAD, GZ, NO , NO, aDir[1], , , , 0.903, -3.75, 0, 0, 0, 0, 0, 0, , NO, 0, 0, NO,
   826, BEAM    , CONLOAD, GZ, NO , NO, aDir[1], , , , 0.882, -13.5, 0, 0, 0, 0, 0, 0, , NO, 0, 0, NO,
   829, BEAM    , CONLOAD, GZ, NO , NO, aDir[1], , , , 0.903, -3.75, 0, 0, 0, 0, 0, 0, , NO, 0, 0, NO,
   831, BEAM    , CONLOAD, GZ, NO , NO, aDir[1], , , , 0.882, -13.5, 0, 0, 0, 0, 0, 0, , NO, 0, 0, NO,
   834, BEAM    , CONLOAD, GZ, NO , NO, aDir[1], , , , 0.903, -3.75, 0, 0, 0, 0, 0, 0, , NO, 0, 0, NO,
   836, BEAM    , CONLOAD, GZ, NO , NO, aDir[1], , , , 0.882, -13.5, 0, 0, 0, 0, 0, 0, , NO, 0, 0, NO,
```

```
  839, BEAM    , CONLOAD, GZ, NO , NO, aDir[1], , , , 0.903, -3.75, 0, 0, 0, 0, 0, 0, , NO, 0, 0, NO,
  841, BEAM    , CONLOAD, GZ, NO , NO, aDir[1], , , , 0.882, -13.5, 0, 0, 0, 0, 0, 0, , NO, 0, 0, NO,
  844, BEAM    , CONLOAD, GZ, NO , NO, aDir[1], , , , 0.903, -3.75, 0, 0, 0, 0, 0, 0, , NO, 0, 0, NO,
  846, BEAM    , CONLOAD, GZ, NO , NO, aDir[1], , , , 0.882, -13.5, 0, 0, 0, 0, 0, 0, , NO, 0, 0, NO,
  849, BEAM    , CONLOAD, GZ, NO , NO, aDir[1], , , , 0.903, -3.75, 0, 0, 0, 0, 0, 0, , NO, 0, 0, NO,
  851, BEAM    , CONLOAD, GZ, NO , NO, aDir[1], , , , 0.882, -13.5, 0, 0, 0, 0, 0, 0, , NO, 0, 0, NO,
  854, BEAM    , CONLOAD, GZ, NO , NO, aDir[1], , , , 0.903, -1.875, 0, 0, 0, 0, 0, 0, , NO, 0, 0, NO,
  856, BEAM    , CONLOAD, GZ, NO , NO, aDir[1], , , , 0.882, -6.75, 0, 0, 0, 0, 0, 0, , NO, 0, 0, NO,
 3554, BEAM    , CONLOAD, GZ, NO , NO, aDir[1], , , , 0.959, -1.875, 0, 0, 0, 0, 0, 0, , NO, 0, 0, NO,
 3555, BEAM    , CONLOAD, GZ, NO , NO, aDir[1], , , , 0.959, -3.75, 0, 0, 0, 0, 0, 0, , NO, 0, 0, NO,
 3556, BEAM    , CONLOAD, GZ, NO , NO, aDir[1], , , , 0.959, -3.75, 0, 0, 0, 0, 0, 0, , NO, 0, 0, NO,
 3557, BEAM    , CONLOAD, GZ, NO , NO, aDir[1], , , , 0.959, -3.75, 0, 0, 0, 0, 0, 0, , NO, 0, 0, NO,
 3558, BEAM    , CONLOAD, GZ, NO , NO, aDir[1], , , , 0.959, -3.75, 0, 0, 0, 0, 0, 0, , NO, 0, 0, NO,
 3559, BEAM    , CONLOAD, GZ, NO , NO, aDir[1], , , , 0.959, -3.75, 0, 0, 0, 0, 0, 0, , NO, 0, 0, NO,
 3560, BEAM    , CONLOAD, GZ, NO , NO, aDir[1], , , , 0.959, -3.75, 0, 0, 0, 0, 0, 0, , NO, 0, 0, NO,
 3561, BEAM    , CONLOAD, GZ, NO , NO, aDir[1], , , , 0.959, -3.75, 0, 0, 0, 0, 0, 0, , NO, 0, 0, NO,
 3562, BEAM    , CONLOAD, GZ, NO , NO, aDir[1], , , , 0.959, -3.75, 0, 0, 0, 0, 0, 0, , NO, 0, 0, NO,
 3563, BEAM    , CONLOAD, GZ, NO , NO, aDir[1], , , , 0.959, -3.75, 0, 0, 0, 0, 0, 0, , NO, 0, 0, NO,
 3564, BEAM    , CONLOAD, GZ, NO , NO, aDir[1], , , , 0.959, -103.75, 0, 0, 0, 0, 0, 0, , NO, 0, 0, NO,
 3565, BEAM    , CONLOAD, GZ, NO , NO, aDir[1], , , , 0.959, -83.75, 0, 0, 0, 0, 0, 0, , NO, 0, 0, NO,
 3566, BEAM    , CONLOAD, GZ, NO , NO, aDir[1], , , , 0.959, -23.75, 0, 0, 0, 0, 0, 0, , NO, 0, 0, NO,
 3567, BEAM    , CONLOAD, GZ, NO , NO, aDir[1], , , , 0.959, -3.75, 0, 0, 0, 0, 0, 0, , NO, 0, 0, NO,
 3568, BEAM    , CONLOAD, GZ, NO , NO, aDir[1], , , , 0.959, -3.75, 0, 0, 0, 0, 0, 0, , NO, 0, 0, NO,
 3569, BEAM    , CONLOAD, GZ, NO , NO, aDir[1], , , , 0.959, -3.75, 0, 0, 0, 0, 0, 0, , NO, 0, 0, NO,
 3570, BEAM    , CONLOAD, GZ, NO , NO, aDir[1], , , , 0.959, -3.75, 0, 0, 0, 0, 0, 0, , NO, 0, 0, NO,
 3571, BEAM    , CONLOAD, GZ, NO , NO, aDir[1], , , , 0.959, -3.75, 0, 0, 0, 0, 0, 0, , NO, 0, 0, NO,
 3572, BEAM    , CONLOAD, GZ, NO , NO, aDir[1], , , , 0.959, -3.75, 0, 0, 0, 0, 0, 0, , NO, 0, 0, NO,
 3573, BEAM    , CONLOAD, GZ, NO , NO, aDir[1], , , , 0.959, -3.75, 0, 0, 0, 0, 0, 0, , NO, 0, 0, NO,
 3574, BEAM    , CONLOAD, GZ, NO , NO, aDir[1], , , , 0.959, -3.75, 0, 0, 0, 0, 0, 0, , NO, 0, 0, NO,
 3575, BEAM    , CONLOAD, GZ, NO , NO, aDir[1], , , , 0.959, -3.75, 0, 0, 0, 0, 0, 0, , NO, 0, 0, NO,
 3576, BEAM    , CONLOAD, GZ, NO , NO, aDir[1], , , , 0.959, -3.75, 0, 0, 0, 0, 0, 0, , NO, 0, 0, NO,
 3577, BEAM    , CONLOAD, GZ, NO , NO, aDir[1], , , , 0.959, -3.75, 0, 0, 0, 0, 0, 0, , NO, 0, 0, NO,
 3578, BEAM    , CONLOAD, GZ, NO , NO, aDir[1], , , , 0.959, -3.75, 0, 0, 0, 0, 0, 0, , NO, 0, 0, NO,
 3579, BEAM    , CONLOAD, GZ, NO , NO, aDir[1], , , , 0.959, -3.75, 0, 0, 0, 0, 0, 0, , NO, 0, 0, NO,
 3580, BEAM    , CONLOAD, GZ, NO , NO, aDir[1], , , , 0.959, -3.75, 0, 0, 0, 0, 0, 0, , NO, 0, 0, NO,
 3581, BEAM    , CONLOAD, GZ, NO , NO, aDir[1], , , , 0.959, -3.75, 0, 0, 0, 0, 0, 0, , NO, 0, 0, NO,
 3582, BEAM    , CONLOAD, GZ, NO , NO, aDir[1], , , , 0.959, -3.75, 0, 0, 0, 0, 0, 0, , NO, 0, 0, NO,
 3583, BEAM    , CONLOAD, GZ, NO , NO, aDir[1], , , , 0.959, -3.75, 0, 0, 0, 0, 0, 0, , NO, 0, 0, NO,
 3584, BEAM    , CONLOAD, GZ, NO , NO, aDir[1], , , , 0.959, -3.75, 0, 0, 0, 0, 0, 0, , NO, 0, 0, NO,
 3585, BEAM    , CONLOAD, GZ, NO , NO, aDir[1], , , , 0.959, -3.75, 0, 0, 0, 0, 0, 0, , NO, 0, 0, NO,
 3586, BEAM    , CONLOAD, GZ, NO , NO, aDir[1], , , , 0.959, -3.75, 0, 0, 0, 0, 0, 0, , NO, 0, 0, NO,
 3587, BEAM    , CONLOAD, GZ, NO , NO, aDir[1], , , , 0.959, -3.75, 0, 0, 0, 0, 0, 0, , NO, 0, 0, NO,
 3588, BEAM    , CONLOAD, GZ, NO , NO, aDir[1], , , , 0.959, -3.75, 0, 0, 0, 0, 0, 0, , NO, 0, 0, NO,
 3589, BEAM    , CONLOAD, GZ, NO , NO, aDir[1], , , , 0.959, -3.75, 0, 0, 0, 0, 0, 0, , NO, 0, 0, NO,
 3590, BEAM    , CONLOAD, GZ, NO , NO, aDir[1], , , , 0.959, -3.75, 0, 0, 0, 0, 0, 0, , NO, 0, 0, NO,
 3591, BEAM    , CONLOAD, GZ, NO , NO, aDir[1], , , , 0.959, -3.75, 0, 0, 0, 0, 0, 0, , NO, 0, 0, NO,
 3592, BEAM    , CONLOAD, GZ, NO , NO, aDir[1], , , , 0.959, -3.75, 0, 0, 0, 0, 0, 0, , NO, 0, 0, NO,
 3593, BEAM    , CONLOAD, GZ, NO , NO, aDir[1], , , , 0.959, -3.75, 0, 0, 0, 0, 0, 0, , NO, 0, 0, NO,
 3594, BEAM    , CONLOAD, GZ, NO , NO, aDir[1], , , , 0.959, -3.75, 0, 0, 0, 0, 0, 0, , NO, 0, 0, NO,
 3595, BEAM    , CONLOAD, GZ, NO , NO, aDir[1], , , , 0.959, -1.875, 0, 0, 0, 0, 0, 0, , NO, 0, 0, NO,
 3928, BEAM    , CONLOAD, GZ, NO , NO, aDir[1], , , , 0.234, -0.543407, 0, 0, 0, 0, 0, 0, , NO, 0, 0, NO,
 3928, BEAM    , CONLOAD, GZ, NO , NO, aDir[1], , , , 0.901, -1.875, 0, 0, 0, 0, 0, 0, , NO, 0, 0, NO,
 3929, BEAM    , CONLOAD, GZ, NO , NO, aDir[1], , , , 0.901, -3.75, 0, 0, 0, 0, 0, 0, , NO, 0, 0, NO,
 3929, BEAM    , CONLOAD, GZ, NO , NO, aDir[1], , , , 0.234, -3.35039, 0, 0, 0, 0, 0, 0, , NO, 0, 0, NO,
 3930, BEAM    , CONLOAD, GZ, NO , NO, aDir[1], , , , 0.901, -3.75, 0, 0, 0, 0, 0, 0, , NO, 0, 0, NO,
 3930, BEAM    , CONLOAD, GZ, NO , NO, aDir[1], , , , 0.234, -3.75, 0, 0, 0, 0, 0, 0, , NO, 0, 0, NO,
 3931, BEAM    , CONLOAD, GZ, NO , NO, aDir[1], , , , 0.234, -3.75, 0, 0, 0, 0, 0, 0, , NO, 0, 0, NO,
 3931, BEAM    , CONLOAD, GZ, NO , NO, aDir[1], , , , 0.901, -3.75, 0, 0, 0, 0, 0, 0, , NO, 0, 0, NO,
 3932, BEAM    , CONLOAD, GZ, NO , NO, aDir[1], , , , 0.901, -3.75, 0, 0, 0, 0, 0, 0, , NO, 0, 0, NO,
 3932, BEAM    , CONLOAD, GZ, NO , NO, aDir[1], , , , 0.234, -3.75, 0, 0, 0, 0, 0, 0, , NO, 0, 0, NO,
 3933, BEAM    , CONLOAD, GZ, NO , NO, aDir[1], , , , 0.234, -3.75, 0, 0, 0, 0, 0, 0, , NO, 0, 0, NO,
 3933, BEAM    , CONLOAD, GZ, NO , NO, aDir[1], , , , 0.901, -3.75, 0, 0, 0, 0, 0, 0, , NO, 0, 0, NO,
 3934, BEAM    , CONLOAD, GZ, NO , NO, aDir[1], , , , 0.234, -3.75, 0, 0, 0, 0, 0, 0, , NO, 0, 0, NO,
 3934, BEAM    , CONLOAD, GZ, NO , NO, aDir[1], , , , 0.901, -3.75, 0, 0, 0, 0, 0, 0, , NO, 0, 0, NO,
 3935, BEAM    , CONLOAD, GZ, NO , NO, aDir[1], , , , 0.234, -3.75, 0, 0, 0, 0, 0, 0, , NO, 0, 0, NO,
 3935, BEAM    , CONLOAD, GZ, NO , NO, aDir[1], , , , 0.901, -3.75, 0, 0, 0, 0, 0, 0, , NO, 0, 0, NO,
 3936, BEAM    , CONLOAD, GZ, NO , NO, aDir[1], , , , 0.234, -3.75, 0, 0, 0, 0, 0, 0, , NO, 0, 0, NO,
 3936, BEAM    , CONLOAD, GZ, NO , NO, aDir[1], , , , 0.901, -3.75, 0, 0, 0, 0, 0, 0, , NO, 0, 0, NO,
 3937, BEAM    , CONLOAD, GZ, NO , NO, aDir[1], , , , 0.234, -3.75, 0, 0, 0, 0, 0, 0, , NO, 0, 0, NO,
 3937, BEAM    , CONLOAD, GZ, NO , NO, aDir[1], , , , 0.901, -3.75, 0, 0, 0, 0, 0, 0, , NO, 0, 0, NO,
 3938, BEAM    , CONLOAD, GZ, NO , NO, aDir[1], , , , 0.234, -3.75, 0, 0, 0, 0, 0, 0, , NO, 0, 0, NO,
 3938, BEAM    , CONLOAD, GZ, NO , NO, aDir[1], , , , 0.901, -103.75, 0, 0, 0, 0, 0, 0, , NO, 0, 0, NO,
 3939, BEAM    , CONLOAD, GZ, NO , NO, aDir[1], , , , 0.234, -3.75, 0, 0, 0, 0, 0, 0, , NO, 0, 0, NO,
 3939, BEAM    , CONLOAD, GZ, NO , NO, aDir[1], , , , 0.901, -83.75, 0, 0, 0, 0, 0, 0, , NO, 0, 0, NO,
 3940, BEAM    , CONLOAD, GZ, NO , NO, aDir[1], , , , 0.234, -3.75, 0, 0, 0, 0, 0, 0, , NO, 0, 0, NO,
 3940, BEAM    , CONLOAD, GZ, NO , NO, aDir[1], , , , 0.901, -23.75, 0, 0, 0, 0, 0, 0, , NO, 0, 0, NO,
 3941, BEAM    , CONLOAD, GZ, NO , NO, aDir[1], , , , 0.901, -3.75, 0, 0, 0, 0, 0, 0, , NO, 0, 0, NO,
 3941, BEAM    , CONLOAD, GZ, NO , NO, aDir[1], , , , 0.234, -3.75, 0, 0, 0, 0, 0, 0, , NO, 0, 0, NO,
```

PROJECT TITLE :

	Company		Client	
	Author		File Name	Brembiolo1_08_completo(fasi)DEFINITIVO.mgt

```
3942, BEAM    , CONLOAD, GZ, NO , NO, aDir[1], , , , 0.901, -3.75, 0, 0, 0, 0, 0, 0, , NO, 0, 0, NO,
3942, BEAM    , CONLOAD, GZ, NO , NO, aDir[1], , , , 0.234, -3.75, 0, 0, 0, 0, 0, 0, , NO, 0, 0, NO,
3943, BEAM    , CONLOAD, GZ, NO , NO, aDir[1], , , , 0.901, -3.75, 0, 0, 0, 0, 0, 0, , NO, 0, 0, NO,
3943, BEAM    , CONLOAD, GZ, NO , NO, aDir[1], , , , 0.234, -3.75, 0, 0, 0, 0, 0, 0, , NO, 0, 0, NO,
3944, BEAM    , CONLOAD, GZ, NO , NO, aDir[1], , , , 0.901, -3.75, 0, 0, 0, 0, 0, 0, , NO, 0, 0, NO,
3944, BEAM    , CONLOAD, GZ, NO , NO, aDir[1], , , , 0.234, -53.75, 0, 0, 0, 0, 0, 0, , NO, 0, 0, NO,
3945, BEAM    , CONLOAD, GZ, NO , NO, aDir[1], , , , 0.901, -3.75, 0, 0, 0, 0, 0, 0, , NO, 0, 0, NO,
3945, BEAM    , CONLOAD, GZ, NO , NO, aDir[1], , , , 0.234, -43.75, 0, 0, 0, 0, 0, 0, , NO, 0, 0, NO,
3946, BEAM    , CONLOAD, GZ, NO , NO, aDir[1], , , , 0.234, -13.75, 0, 0, 0, 0, 0, 0, , NO, 0, 0, NO,
3946, BEAM    , CONLOAD, GZ, NO , NO, aDir[1], , , , 0.901, -3.75, 0, 0, 0, 0, 0, 0, , NO, 0, 0, NO,
3947, BEAM    , CONLOAD, GZ, NO , NO, aDir[1], , , , 0.234, -3.75, 0, 0, 0, 0, 0, 0, , NO, 0, 0, NO,
3947, BEAM    , CONLOAD, GZ, NO , NO, aDir[1], , , , 0.901, -3.75, 0, 0, 0, 0, 0, 0, , NO, 0, 0, NO,
3948, BEAM    , CONLOAD, GZ, NO , NO, aDir[1], , , , 0.901, -3.75, 0, 0, 0, 0, 0, 0, , NO, 0, 0, NO,
3948, BEAM    , CONLOAD, GZ, NO , NO, aDir[1], , , , 0.234, -3.75, 0, 0, 0, 0, 0, 0, , NO, 0, 0, NO,
3949, BEAM    , CONLOAD, GZ, NO , NO, aDir[1], , , , 0.901, -3.75, 0, 0, 0, 0, 0, 0, , NO, 0, 0, NO,
3949, BEAM    , CONLOAD, GZ, NO , NO, aDir[1], , , , 0.234, -3.75, 0, 0, 0, 0, 0, 0, , NO, 0, 0, NO,
3950, BEAM    , CONLOAD, GZ, NO , NO, aDir[1], , , , 0.234, -3.75, 0, 0, 0, 0, 0, 0, , NO, 0, 0, NO,
3950, BEAM    , CONLOAD, GZ, NO , NO, aDir[1], , , , 0.901, -3.75, 0, 0, 0, 0, 0, 0, , NO, 0, 0, NO,
3951, BEAM    , CONLOAD, GZ, NO , NO, aDir[1], , , , 0.901, -3.75, 0, 0, 0, 0, 0, 0, , NO, 0, 0, NO,
3951, BEAM    , CONLOAD, GZ, NO , NO, aDir[1], , , , 0.234, -3.75, 0, 0, 0, 0, 0, 0, , NO, 0, 0, NO,
3952, BEAM    , CONLOAD, GZ, NO , NO, aDir[1], , , , 0.234, -3.75, 0, 0, 0, 0, 0, 0, , NO, 0, 0, NO,
3952, BEAM    , CONLOAD, GZ, NO , NO, aDir[1], , , , 0.901, -3.75, 0, 0, 0, 0, 0, 0, , NO, 0, 0, NO,
3953, BEAM    , CONLOAD, GZ, NO , NO, aDir[1], , , , 0.901, -3.75, 0, 0, 0, 0, 0, 0, , NO, 0, 0, NO,
3953, BEAM    , CONLOAD, GZ, NO , NO, aDir[1], , , , 0.234, -3.75, 0, 0, 0, 0, 0, 0, , NO, 0, 0, NO,
3954, BEAM    , CONLOAD, GZ, NO , NO, aDir[1], , , , 0.901, -3.75, 0, 0, 0, 0, 0, 0, , NO, 0, 0, NO,
3954, BEAM    , CONLOAD, GZ, NO , NO, aDir[1], , , , 0.234, -3.75, 0, 0, 0, 0, 0, 0, , NO, 0, 0, NO,
3955, BEAM    , CONLOAD, GZ, NO , NO, aDir[1], , , , 0.234, -3.75, 0, 0, 0, 0, 0, 0, , NO, 0, 0, NO,
3955, BEAM    , CONLOAD, GZ, NO , NO, aDir[1], , , , 0.901, -3.75, 0, 0, 0, 0, 0, 0, , NO, 0, 0, NO,
3956, BEAM    , CONLOAD, GZ, NO , NO, aDir[1], , , , 0.901, -3.75, 0, 0, 0, 0, 0, 0, , NO, 0, 0, NO,
3956, BEAM    , CONLOAD, GZ, NO , NO, aDir[1], , , , 0.234, -3.75, 0, 0, 0, 0, 0, 0, , NO, 0, 0, NO,
3957, BEAM    , CONLOAD, GZ, NO , NO, aDir[1], , , , 0.234, -3.75, 0, 0, 0, 0, 0, 0, , NO, 0, 0, NO,
3957, BEAM    , CONLOAD, GZ, NO , NO, aDir[1], , , , 0.901, -3.75, 0, 0, 0, 0, 0, 0, , NO, 0, 0, NO,
3958, BEAM    , CONLOAD, GZ, NO , NO, aDir[1], , , , 0.234, -3.75, 0, 0, 0, 0, 0, 0, , NO, 0, 0, NO,
3958, BEAM    , CONLOAD, GZ, NO , NO, aDir[1], , , , 0.901, -3.75, 0, 0, 0, 0, 0, 0, , NO, 0, 0, NO,
3959, BEAM    , CONLOAD, GZ, NO , NO, aDir[1], , , , 0.901, -3.75, 0, 0, 0, 0, 0, 0, , NO, 0, 0, NO,
3959, BEAM    , CONLOAD, GZ, NO , NO, aDir[1], , , , 0.234, -3.75, 0, 0, 0, 0, 0, 0, , NO, 0, 0, NO,
3960, BEAM    , CONLOAD, GZ, NO , NO, aDir[1], , , , 0.901, -3.75, 0, 0, 0, 0, 0, 0, , NO, 0, 0, NO,
3960, BEAM    , CONLOAD, GZ, NO , NO, aDir[1], , , , 0.234, -3.75, 0, 0, 0, 0, 0, 0, , NO, 0, 0, NO,
3961, BEAM    , CONLOAD, GZ, NO , NO, aDir[1], , , , 0.234, -3.75, 0, 0, 0, 0, 0, 0, , NO, 0, 0, NO,
3961, BEAM    , CONLOAD, GZ, NO , NO, aDir[1], , , , 0.901, -3.75, 0, 0, 0, 0, 0, 0, , NO, 0, 0, NO,
3962, BEAM    , CONLOAD, GZ, NO , NO, aDir[1], , , , 0.901, -3.75, 0, 0, 0, 0, 0, 0, , NO, 0, 0, NO,
3962, BEAM    , CONLOAD, GZ, NO , NO, aDir[1], , , , 0.234, -3.75, 0, 0, 0, 0, 0, 0, , NO, 0, 0, NO,
3963, BEAM    , CONLOAD, GZ, NO , NO, aDir[1], , , , 0.234, -3.75, 0, 0, 0, 0, 0, 0, , NO, 0, 0, NO,
3963, BEAM    , CONLOAD, GZ, NO , NO, aDir[1], , , , 0.901, -3.75, 0, 0, 0, 0, 0, 0, , NO, 0, 0, NO,
3964, BEAM    , CONLOAD, GZ, NO , NO, aDir[1], , , , 0.234, -3.75, 0, 0, 0, 0, 0, 0, , NO, 0, 0, NO,
3964, BEAM    , CONLOAD, GZ, NO , NO, aDir[1], , , , 0.901, -3.75, 0, 0, 0, 0, 0, 0, , NO, 0, 0, NO,
3965, BEAM    , CONLOAD, GZ, NO , NO, aDir[1], , , , 0.901, -3.75, 0, 0, 0, 0, 0, 0, , NO, 0, 0, NO,
3965, BEAM    , CONLOAD, GZ, NO , NO, aDir[1], , , , 0.234, -3.75, 0, 0, 0, 0, 0, 0, , NO, 0, 0, NO,
3966, BEAM    , CONLOAD, GZ, NO , NO, aDir[1], , , , 0.901, -3.75, 0, 0, 0, 0, 0, 0, , NO, 0, 0, NO,
3966, BEAM    , CONLOAD, GZ, NO , NO, aDir[1], , , , 0.234, -3.75, 0, 0, 0, 0, 0, 0, , NO, 0, 0, NO,
3967, BEAM    , CONLOAD, GZ, NO , NO, aDir[1], , , , 0.901, -3.75, 0, 0, 0, 0, 0, 0, , NO, 0, 0, NO,
3967, BEAM    , CONLOAD, GZ, NO , NO, aDir[1], , , , 0.234, -3.75, 0, 0, 0, 0, 0, 0, , NO, 0, 0, NO,
3968, BEAM    , CONLOAD, GZ, NO , NO, aDir[1], , , , 0.901, -3.75, 0, 0, 0, 0, 0, 0, , NO, 0, 0, NO,
3968, BEAM    , CONLOAD, GZ, NO , NO, aDir[1], , , , 0.234, -3.75, 0, 0, 0, 0, 0, 0, , NO, 0, 0, NO,
3969, BEAM    , CONLOAD, GZ, NO , NO, aDir[1], , , , 0.901, -1.875, 0, 0, 0, 0, 0, 0, , NO, 0, 0, NO,
3969, BEAM    , CONLOAD, GZ, NO , NO, aDir[1], , , , 0.234, -1.875, 0, 0, 0, 0, 0, 0, , NO, 0, 0, NO,
3970, BEAM    , CONLOAD, GZ, NO , NO, aDir[1], , , , 0.55, -156.75, 0, 0, 0, 0, 0, 0, , NO, 0, 0, NO,
3971, BEAM    , CONLOAD, GZ, NO , NO, aDir[1], , , , 0.55, -133.5, 0, 0, 0, 0, 0, 0, , NO, 0, 0, NO,
3972, BEAM    , CONLOAD, GZ, NO , NO, aDir[1], , , , 0.55, -43.5, 0, 0, 0, 0, 0, 0, , NO, 0, 0, NO,
3973, BEAM    , CONLOAD, GZ, NO , NO, aDir[1], , , , 0.55, -13.5, 0, 0, 0, 0, 0, 0, , NO, 0, 0, NO,
3974, BEAM    , CONLOAD, GZ, NO , NO, aDir[1], , , , 0.55, -13.5, 0, 0, 0, 0, 0, 0, , NO, 0, 0, NO,
3975, BEAM    , CONLOAD, GZ, NO , NO, aDir[1], , , , 0.55, -13.5, 0, 0, 0, 0, 0, 0, , NO, 0, 0, NO,
3976, BEAM    , CONLOAD, GZ, NO , NO, aDir[1], , , , 0.55, -13.5, 0, 0, 0, 0, 0, 0, , NO, 0, 0, NO,
3977, BEAM    , CONLOAD, GZ, NO , NO, aDir[1], , , , 0.55, -13.5, 0, 0, 0, 0, 0, 0, , NO, 0, 0, NO,
3978, BEAM    , CONLOAD, GZ, NO , NO, aDir[1], , , , 0.55, -13.5, 0, 0, 0, 0, 0, 0, , NO, 0, 0, NO,
3979, BEAM    , CONLOAD, GZ, NO , NO, aDir[1], , , , 0.55, -13.5, 0, 0, 0, 0, 0, 0, , NO, 0, 0, NO,
3980, BEAM    , CONLOAD, GZ, NO , NO, aDir[1], , , , 0.55, -13.5, 0, 0, 0, 0, 0, 0, , NO, 0, 0, NO,
3981, BEAM    , CONLOAD, GZ, NO , NO, aDir[1], , , , 0.55, -13.5, 0, 0, 0, 0, 0, 0, , NO, 0, 0, NO,
3982, BEAM    , CONLOAD, GZ, NO , NO, aDir[1], , , , 0.55, -13.5, 0, 0, 0, 0, 0, 0, , NO, 0, 0, NO,
3983, BEAM    , CONLOAD, GZ, NO , NO, aDir[1], , , , 0.55, -13.5, 0, 0, 0, 0, 0, 0, , NO, 0, 0, NO,
3984, BEAM    , CONLOAD, GZ, NO , NO, aDir[1], , , , 0.55, -13.5, 0, 0, 0, 0, 0, 0, , NO, 0, 0, NO,
3985, BEAM    , CONLOAD, GZ, NO , NO, aDir[1], , , , 0.55, -13.5, 0, 0, 0, 0, 0, 0, , NO, 0, 0, NO,
3986, BEAM    , CONLOAD, GZ, NO , NO, aDir[1], , , , 0.55, -13.5, 0, 0, 0, 0, 0, 0, , NO, 0, 0, NO,
3987, BEAM    , CONLOAD, GZ, NO , NO, aDir[1], , , , 0.55, -13.5, 0, 0, 0, 0, 0, 0, , NO, 0, 0, NO,
3988, BEAM    , CONLOAD, GZ, NO , NO, aDir[1], , , , 0.55, -13.5, 0, 0, 0, 0, 0, 0, , NO, 0, 0, NO,
3989, BEAM    , CONLOAD, GZ, NO , NO, aDir[1], , , , 0.55, -13.5, 0, 0, 0, 0, 0, 0, , NO, 0, 0, NO,
3990, BEAM    , CONLOAD, GZ, NO , NO, aDir[1], , , , 0.55, -13.5, 0, 0, 0, 0, 0, 0, , NO, 0, 0, NO,
3991, BEAM    , CONLOAD, GZ, NO , NO, aDir[1], , , , 0.55, -13.5, 0, 0, 0, 0, 0, 0, , NO, 0, 0, NO,
```

```
  3992, BEAM    , CONLOAD, GZ, NO , NO, aDir[1], , , , 0.55, -13.5, 0, 0, 0, 0, 0, 0, , NO, 0, 0, NO,
  3993, BEAM    , CONLOAD, GZ, NO , NO, aDir[1], , , , 0.55, -13.5, 0, 0, 0, 0, 0, 0, , NO, 0, 0, NO,
  3994, BEAM    , CONLOAD, GZ, NO , NO, aDir[1], , , , 0.55, -13.5, 0, 0, 0, 0, 0, 0, , NO, 0, 0, NO,
  3995, BEAM    , CONLOAD, GZ, NO , NO, aDir[1], , , , 0.55, -13.5, 0, 0, 0, 0, 0, 0, , NO, 0, 0, NO,
  3996, BEAM    , CONLOAD, GZ, NO , NO, aDir[1], , , , 0.55, -13.5, 0, 0, 0, 0, 0, 0, , NO, 0, 0, NO,
  3997, BEAM    , CONLOAD, GZ, NO , NO, aDir[1], , , , 0.55, -13.5, 0, 0, 0, 0, 0, 0, , NO, 0, 0, NO,
  3998, BEAM    , CONLOAD, GZ, NO , NO, aDir[1], , , , 0.55, -13.5, 0, 0, 0, 0, 0, 0, , NO, 0, 0, NO,
  3999, BEAM    , CONLOAD, GZ, NO , NO, aDir[1], , , , 0.55, -13.5, 0, 0, 0, 0, 0, 0, , NO, 0, 0, NO,
  4000, BEAM    , CONLOAD, GZ, NO , NO, aDir[1], , , , 0.55, -13.5, 0, 0, 0, 0, 0, 0, , NO, 0, 0, NO,
  4001, BEAM    , CONLOAD, GZ, NO , NO, aDir[1], , , , 0.55, -13.5, 0, 0, 0, 0, 0, 0, , NO, 0, 0, NO,
  4002, BEAM    , CONLOAD, GZ, NO , NO, aDir[1], , , , 0.55, -13.5, 0, 0, 0, 0, 0, 0, , NO, 0, 0, NO,
  4003, BEAM    , CONLOAD, GZ, NO , NO, aDir[1], , , , 0.55, -13.5, 0, 0, 0, 0, 0, 0, , NO, 0, 0, NO,
  4004, BEAM    , CONLOAD, GZ, NO , NO, aDir[1], , , , 0.55, -13.5, 0, 0, 0, 0, 0, 0, , NO, 0, 0, NO,
  4005, BEAM    , CONLOAD, GZ, NO , NO, aDir[1], , , , 0.55, -13.5, 0, 0, 0, 0, 0, 0, , NO, 0, 0, NO,
  4006, BEAM    , CONLOAD, GZ, NO , NO, aDir[1], , , , 0.55, -13.5, 0, 0, 0, 0, 0, 0, , NO, 0, 0, NO,
  4007, BEAM    , CONLOAD, GZ, NO , NO, aDir[1], , , , 0.55, -13.5, 0, 0, 0, 0, 0, 0, , NO, 0, 0, NO,
  4008, BEAM    , CONLOAD, GZ, NO , NO, aDir[1], , , , 0.55, -13.5, 0, 0, 0, 0, 0, 0, , NO, 0, 0, NO,
  4009, BEAM    , CONLOAD, GZ, NO , NO, aDir[1], , , , 0.55, -13.5, 0, 0, 0, 0, 0, 0, , NO, 0, 0, NO,
  4010, BEAM    , CONLOAD, GZ, NO , NO, aDir[1], , , , 0.55, -13.5, 0, 0, 0, 0, 0, 0, , NO, 0, 0, NO,
  4011, BEAM    , CONLOAD, GZ, NO , NO, aDir[1], , , , 0.55, -6.75, 0, 0, 0, 0, 0, 0, , NO, 0, 0, NO,

; End of data for load case [node 49_max Fz] -------------------------

*USE-STLD, soletta non reagente

*BEAMLOAD    ; Element Beam Loads
; ELEM_LIST, CMD, TYPE, DIR, bPROJ, [ECCEN], [VALUE], GROUP
; ELEM_LIST, CMD, TYPE, TYPE, DIR, VX, VY, VZ, bPROJ, [ECCEN], [VALUE], GROUP
; [VALUE]       : D1, P1, D2, P2, D3, P3, D4, P4
; [ECCEN]       : bECCEN, ECCDIR, I-END, J-END, bJ-END
; [ADDITIONAL]  : bADDITIONAL, ADDITIONAL_I-END, ADDITIONAL_J-END, bADDITIONAL_J-END
     1, BEAM    , UNILOAD, GZ, NO , NO, aDir[1], , , , 0, -0.0338, 1, -0.0338, 0, 0, 0, 0, FASE1-CLS, NO, 0,
0, NO,
     2, BEAM    , UNILOAD, GZ, NO , NO, aDir[1], , , , 0, -0.0338, 1, -0.0338, 0, 0, 0, 0, FASE1-CLS, NO, 0,
0, NO,
     3, BEAM    , UNILOAD, GZ, NO , NO, aDir[1], , , , 0, -0.0375, 1, -0.0375, 0, 0, 0, 0, FASE1-CLS, NO, 0,
0, NO,
     4, BEAM    , UNILOAD, GZ, NO , NO, aDir[1], , , , 0, -0.0375, 1, -0.0375, 0, 0, 0, 0, FASE1-CLS, NO, 0,
0, NO,
     5, BEAM    , UNILOAD, GZ, NO , NO, aDir[1], , , , 0, -0.0338, 1, -0.0338, 0, 0, 0, 0, FASE1-CLS, NO, 0,
0, NO,
     6, BEAM    , UNILOAD, GZ, NO , NO, aDir[1], , , , 0, -0.0338, 1, -0.0338, 0, 0, 0, 0, FASE1-CLS, NO, 0,
0, NO,
     7, BEAM    , UNILOAD, GZ, NO , NO, aDir[1], , , , 0, -0.0263, 1, -0.0263, 0, 0, 0, 0, FASE1-CLS, NO, 0,
0, NO,
     8, BEAM    , UNILOAD, GZ, NO , NO, aDir[1], , , , 0, -0.0263, 1, -0.0263, 0, 0, 0, 0, FASE1-CLS, NO, 0,
0, NO,
     9, BEAM    , UNILOAD, GZ, NO , NO, aDir[1], , , , 0, -0.0338, 1, -0.0338, 0, 0, 0, 0, FASE1-CLS, NO, 0,
0, NO,
    10, BEAM    , UNILOAD, GZ, NO , NO, aDir[1], , , , 0, -0.0338, 1, -0.0338, 0, 0, 0, 0, FASE1-CLS, NO, 0,
0, NO,
    11, BEAM    , UNILOAD, GZ, NO , NO, aDir[1], , , , 0, -0.0338, 1, -0.0338, 0, 0, 0, 0, FASE1-CLS, NO, 0,
0, NO,
    12, BEAM    , UNILOAD, GZ, NO , NO, aDir[1], , , , 0, -0.0338, 1, -0.0338, 0, 0, 0, 0, FASE1-CLS, NO, 0,
0, NO,
    13, BEAM    , UNILOAD, GZ, NO , NO, aDir[1], , , , 0, -0.0375, 1, -0.0375, 0, 0, 0, 0, FASE1-CLS, NO, 0,
0, NO,
    14, BEAM    , UNILOAD, GZ, NO , NO, aDir[1], , , , 0, -0.0375, 1, -0.0375, 0, 0, 0, 0, FASE1-CLS, NO, 0,
0, NO,
    15, BEAM    , UNILOAD, GZ, NO , NO, aDir[1], , , , 0, -0.0375, 1, -0.0375, 0, 0, 0, 0, FASE1-CLS, NO, 0,
0, NO,
    16, BEAM    , UNILOAD, GZ, NO , NO, aDir[1], , , , 0, -0.0375, 1, -0.0375, 0, 0, 0, 0, FASE1-CLS, NO, 0,
0, NO,
    17, BEAM    , UNILOAD, GZ, NO , NO, aDir[1], , , , 0, -0.0338, 1, -0.0338, 0, 0, 0, 0, FASE1-CLS, NO, 0,
0, NO,
    18, BEAM    , UNILOAD, GZ, NO , NO, aDir[1], , , , 0, -0.0338, 1, -0.0338, 0, 0, 0, 0, FASE1-CLS, NO, 0,
0, NO,
    19, BEAM    , UNILOAD, GZ, NO , NO, aDir[1], , , , 0, -0.0338, 1, -0.0338, 0, 0, 0, 0, FASE1-CLS, NO, 0,
0, NO,
    20, BEAM    , UNILOAD, GZ, NO , NO, aDir[1], , , , 0, -0.0338, 1, -0.0338, 0, 0, 0, 0, FASE1-CLS, NO, 0,
0, NO,
    21, BEAM    , UNILOAD, GZ, NO , NO, aDir[1], , , , 0, -0.0263, 1, -0.0263, 0, 0, 0, 0, FASE1-CLS, NO, 0,
0, NO,
    22, BEAM    , UNILOAD, GZ, NO , NO, aDir[1], , , , 0, -0.0263, 1, -0.0263, 0, 0, 0, 0, FASE1-CLS, NO, 0,
0, NO,
    23, BEAM    , UNILOAD, GZ, NO , NO, aDir[1], , , , 0, -0.0263, 1, -0.0263, 0, 0, 0, 0, FASE1-CLS, NO, 0,
0, NO,
    24, BEAM    , UNILOAD, GZ, NO , NO, aDir[1], , , , 0, -0.0263, 1, -0.0263, 0, 0, 0, 0, FASE1-CLS, NO, 0,
```

```
0, NO,
    25, BEAM    , UNILOAD, GZ, NO , NO, aDir[1], , , , 0, -0.0338, 1, -0.0338, 0, 0, 0, 0, FASE1-CLS, NO, 0,
0, NO,
    26, BEAM    , UNILOAD, GZ, NO , NO, aDir[1], , , , 0, -0.0338, 1, -0.0338, 0, 0, 0, 0, FASE1-CLS, NO, 0,
0, NO,
    27, BEAM    , UNILOAD, GZ, NO , NO, aDir[1], , , , 0, -0.0338, 1, -0.0338, 0, 0, 0, 0, FASE1-CLS, NO, 0,
0, NO,
    28, BEAM    , UNILOAD, GZ, NO , NO, aDir[1], , , , 0, -0.0338, 1, -0.0338, 0, 0, 0, 0, FASE1-CLS, NO, 0,
0, NO,
    29, BEAM    , UNILOAD, GZ, NO , NO, aDir[1], , , , 0, -0.0375, 1, -0.0375, 0, 0, 0, 0, FASE1-CLS, NO, 0,
0, NO,
    30, BEAM    , UNILOAD, GZ, NO , NO, aDir[1], , , , 0, -0.0375, 1, -0.0375, 0, 0, 0, 0, FASE1-CLS, NO, 0,
0, NO,
    31, BEAM    , UNILOAD, GZ, NO , NO, aDir[1], , , , 0, -0.0375, 1, -0.0375, 0, 0, 0, 0, FASE1-CLS, NO, 0,
0, NO,
    32, BEAM    , UNILOAD, GZ, NO , NO, aDir[1], , , , 0, -0.0375, 1, -0.0375, 0, 0, 0, 0, FASE1-CLS, NO, 0,
0, NO,
    33, BEAM    , UNILOAD, GZ, NO , NO, aDir[1], , , , 0, -0.0338, 1, -0.0338, 0, 0, 0, 0, FASE1-CLS, NO, 0,
0, NO,
    34, BEAM    , UNILOAD, GZ, NO , NO, aDir[1], , , , 0, -0.0338, 1, -0.0338, 0, 0, 0, 0, FASE1-CLS, NO, 0,
0, NO,
    35, BEAM    , UNILOAD, GZ, NO , NO, aDir[1], , , , 0, -0.0338, 1, -0.0338, 0, 0, 0, 0, FASE1-CLS, NO, 0,
0, NO,
    36, BEAM    , UNILOAD, GZ, NO , NO, aDir[1], , , , 0, -0.0338, 1, -0.0338, 0, 0, 0, 0, FASE1-CLS, NO, 0,
0, NO,
    37, BEAM    , UNILOAD, GZ, NO , NO, aDir[1], , , , 0, -0.0263, 1, -0.0263, 0, 0, 0, 0, FASE1-CLS, NO, 0,
0, NO,
    38, BEAM    , UNILOAD, GZ, NO , NO, aDir[1], , , , 0, -0.0263, 1, -0.0263, 0, 0, 0, 0, FASE1-CLS, NO, 0,
0, NO,
    39, BEAM    , UNILOAD, GZ, NO , NO, aDir[1], , , , 0, -0.0263, 1, -0.0263, 0, 0, 0, 0, FASE1-CLS, NO, 0,
0, NO,
    40, BEAM    , UNILOAD, GZ, NO , NO, aDir[1], , , , 0, -0.0263, 1, -0.0263, 0, 0, 0, 0, FASE1-CLS, NO, 0,
0, NO,
    54, BEAM    , UNILOAD, GZ, NO , NO, aDir[1], , , , 0, -0.0375, 1, -0.0375, 0, 0, 0, 0, FASE1-CLS, NO, 0,
0, NO,
    55, BEAM    , UNILOAD, GZ, NO , NO, aDir[1], , , , 0, -0.0338, 1, -0.0338, 0, 0, 0, 0, FASE1-CLS, NO, 0,
0, NO,
    57, BEAM    , UNILOAD, GZ, NO , NO, aDir[1], , , , 0, -0.0338, 1, -0.0338, 0, 0, 0, 0, FASE1-CLS, NO, 0,
0, NO,
    59, BEAM    , UNILOAD, GZ, NO , NO, aDir[1], , , , 0, -0.0375, 1, -0.0375, 0, 0, 0, 0, FASE1-CLS, NO, 0,
0, NO,
    61, BEAM    , UNILOAD, GZ, NO , NO, aDir[1], , , , 0, -0.0263, 1, -0.0263, 0, 0, 0, 0, FASE1-CLS, NO, 0,
0, NO,
    62, BEAM    , UNILOAD, GZ, NO , NO, aDir[1], , , , 0, -0.0338, 1, -0.0338, 0, 0, 0, 0, FASE1-CLS, NO, 0,
0, NO,
    64, BEAM    , UNILOAD, GZ, NO , NO, aDir[1], , , , 0, -0.0338, 1, -0.0338, 0, 0, 0, 0, FASE1-CLS, NO, 0,
0, NO,
    66, BEAM    , UNILOAD, GZ, NO , NO, aDir[1], , , , 0, -0.0263, 1, -0.0263, 0, 0, 0, 0, FASE1-CLS, NO, 0,
0, NO,
    68, BEAM    , UNILOAD, GZ, NO , NO, aDir[1], , , , 0, -0.0375, 1, -0.0375, 0, 0, 0, 0, FASE1-CLS, NO, 0,
0, NO,
    69, BEAM    , UNILOAD, GZ, NO , NO, aDir[1], , , , 0, -0.0338, 1, -0.0338, 0, 0, 0, 0, FASE1-CLS, NO, 0,
0, NO,
    71, BEAM    , UNILOAD, GZ, NO , NO, aDir[1], , , , 0, -0.0338, 1, -0.0338, 0, 0, 0, 0, FASE1-CLS, NO, 0,
0, NO,
    73, BEAM    , UNILOAD, GZ, NO , NO, aDir[1], , , , 0, -0.0375, 1, -0.0375, 0, 0, 0, 0, FASE1-CLS, NO, 0,
0, NO,
    75, BEAM    , UNILOAD, GZ, NO , NO, aDir[1], , , , 0, -0.0263, 1, -0.0263, 0, 0, 0, 0, FASE1-CLS, NO, 0,
0, NO,
    76, BEAM    , UNILOAD, GZ, NO , NO, aDir[1], , , , 0, -0.0338, 1, -0.0338, 0, 0, 0, 0, FASE1-CLS, NO, 0,
0, NO,
    78, BEAM    , UNILOAD, GZ, NO , NO, aDir[1], , , , 0, -0.0338, 1, -0.0338, 0, 0, 0, 0, FASE1-CLS, NO, 0,
0, NO,
    80, BEAM    , UNILOAD, GZ, NO , NO, aDir[1], , , , 0, -0.0263, 1, -0.0263, 0, 0, 0, 0, FASE1-CLS, NO, 0,
0, NO,
    82, BEAM    , UNILOAD, GZ, NO , NO, aDir[1], , , , 0, -0.0375, 1, -0.0375, 0, 0, 0, 0, FASE1-CLS, NO, 0,
0, NO,
    83, BEAM    , UNILOAD, GZ, NO , NO, aDir[1], , , , 0, -0.0338, 1, -0.0338, 0, 0, 0, 0, FASE1-CLS, NO, 0,
0, NO,
    85, BEAM    , UNILOAD, GZ, NO , NO, aDir[1], , , , 0, -0.0338, 1, -0.0338, 0, 0, 0, 0, FASE1-CLS, NO, 0,
0, NO,
    87, BEAM    , UNILOAD, GZ, NO , NO, aDir[1], , , , 0, -0.0375, 1, -0.0375, 0, 0, 0, 0, FASE1-CLS, NO, 0,
0, NO,
    89, BEAM    , UNILOAD, GZ, NO , NO, aDir[1], , , , 0, -0.0263, 1, -0.0263, 0, 0, 0, 0, FASE1-CLS, NO, 0,
0, NO,
    90, BEAM    , UNILOAD, GZ, NO , NO, aDir[1], , , , 0, -0.0338, 1, -0.0338, 0, 0, 0, 0, FASE1-CLS, NO, 0,
0, NO,
    92, BEAM    , UNILOAD, GZ, NO , NO, aDir[1], , , , 0, -0.0338, 1, -0.0338, 0, 0, 0, 0, FASE1-CLS, NO, 0,
```

```
0, NO,
    94, BEAM    , UNILOAD, GZ, NO , NO, aDir[1], , , , 0, -0.0263, 1, -0.0263, 0, 0, 0, 0, FASE1-CLS, NO, 0,
0, NO,
    96, BEAM    , UNILOAD, GZ, NO , NO, aDir[1], , , , 0, -0.0375, 1, -0.0375, 0, 0, 0, 0, FASE1-CLS, NO, 0,
0, NO,
    97, BEAM    , UNILOAD, GZ, NO , NO, aDir[1], , , , 0, -0.0338, 1, -0.0338, 0, 0, 0, 0, FASE1-CLS, NO, 0,
0, NO,
    99, BEAM    , UNILOAD, GZ, NO , NO, aDir[1], , , , 0, -0.0338, 1, -0.0338, 0, 0, 0, 0, FASE1-CLS, NO, 0,
0, NO,
   101, BEAM    , UNILOAD, GZ, NO , NO, aDir[1], , , , 0, -0.0375, 1, -0.0375, 0, 0, 0, 0, FASE1-CLS, NO, 0,
0, NO,
   103, BEAM    , UNILOAD, GZ, NO , NO, aDir[1], , , , 0, -0.0263, 1, -0.0263, 0, 0, 0, 0, FASE1-CLS, NO, 0,
0, NO,
   104, BEAM    , UNILOAD, GZ, NO , NO, aDir[1], , , , 0, -0.0338, 1, -0.0338, 0, 0, 0, 0, FASE1-CLS, NO, 0,
0, NO,
   106, BEAM    , UNILOAD, GZ, NO , NO, aDir[1], , , , 0, -0.0338, 1, -0.0338, 0, 0, 0, 0, FASE1-CLS, NO, 0,
0, NO,
   108, BEAM    , UNILOAD, GZ, NO , NO, aDir[1], , , , 0, -0.0263, 1, -0.0263, 0, 0, 0, 0, FASE1-CLS, NO, 0,
0, NO,
   110, BEAM    , UNILOAD, GZ, NO , NO, aDir[1], , , , 0, -0.0375, 1, -0.0375, 0, 0, 0, 0, FASE1-CLS, NO, 0,
0, NO,
   111, BEAM    , UNILOAD, GZ, NO , NO, aDir[1], , , , 0, -0.0338, 1, -0.0338, 0, 0, 0, 0, FASE1-CLS, NO, 0,
0, NO,
   113, BEAM    , UNILOAD, GZ, NO , NO, aDir[1], , , , 0, -0.0338, 1, -0.0338, 0, 0, 0, 0, FASE1-CLS, NO, 0,
0, NO,
   115, BEAM    , UNILOAD, GZ, NO , NO, aDir[1], , , , 0, -0.0375, 1, -0.0375, 0, 0, 0, 0, FASE1-CLS, NO, 0,
0, NO,
   117, BEAM    , UNILOAD, GZ, NO , NO, aDir[1], , , , 0, -0.0263, 1, -0.0263, 0, 0, 0, 0, FASE1-CLS, NO, 0,
0, NO,
   118, BEAM    , UNILOAD, GZ, NO , NO, aDir[1], , , , 0, -0.0338, 1, -0.0338, 0, 0, 0, 0, FASE1-CLS, NO, 0,
0, NO,
   120, BEAM    , UNILOAD, GZ, NO , NO, aDir[1], , , , 0, -0.0338, 1, -0.0338, 0, 0, 0, 0, FASE1-CLS, NO, 0,
0, NO,
   122, BEAM    , UNILOAD, GZ, NO , NO, aDir[1], , , , 0, -0.0263, 1, -0.0263, 0, 0, 0, 0, FASE1-CLS, NO, 0,
0, NO,
   124, BEAM    , UNILOAD, GZ, NO , NO, aDir[1], , , , 0, -0.0375, 1, -0.0375, 0, 0, 0, 0, FASE1-CLS, NO, 0,
0, NO,
   125, BEAM    , UNILOAD, GZ, NO , NO, aDir[1], , , , 0, -0.0338, 1, -0.0338, 0, 0, 0, 0, FASE1-CLS, NO, 0,
0, NO,
   127, BEAM    , UNILOAD, GZ, NO , NO, aDir[1], , , , 0, -0.0338, 1, -0.0338, 0, 0, 0, 0, FASE1-CLS, NO, 0,
0, NO,
   129, BEAM    , UNILOAD, GZ, NO , NO, aDir[1], , , , 0, -0.0375, 1, -0.0375, 0, 0, 0, 0, FASE1-CLS, NO, 0,
0, NO,
   131, BEAM    , UNILOAD, GZ, NO , NO, aDir[1], , , , 0, -0.0263, 1, -0.0263, 0, 0, 0, 0, FASE1-CLS, NO, 0,
0, NO,
   132, BEAM    , UNILOAD, GZ, NO , NO, aDir[1], , , , 0, -0.0338, 1, -0.0338, 0, 0, 0, 0, FASE1-CLS, NO, 0,
0, NO,
   134, BEAM    , UNILOAD, GZ, NO , NO, aDir[1], , , , 0, -0.0338, 1, -0.0338, 0, 0, 0, 0, FASE1-CLS, NO, 0,
0, NO,
   136, BEAM    , UNILOAD, GZ, NO , NO, aDir[1], , , , 0, -0.0263, 1, -0.0263, 0, 0, 0, 0, FASE1-CLS, NO, 0,
0, NO,
   138, BEAM    , UNILOAD, GZ, NO , NO, aDir[1], , , , 0, -0.0375, 1, -0.0375, 0, 0, 0, 0, FASE1-CLS, NO, 0,
0, NO,
   139, BEAM    , UNILOAD, GZ, NO , NO, aDir[1], , , , 0, -0.0338, 1, -0.0338, 0, 0, 0, 0, FASE1-CLS, NO, 0,
0, NO,
   141, BEAM    , UNILOAD, GZ, NO , NO, aDir[1], , , , 0, -0.0338, 1, -0.0338, 0, 0, 0, 0, FASE1-CLS, NO, 0,
0, NO,
   143, BEAM    , UNILOAD, GZ, NO , NO, aDir[1], , , , 0, -0.0375, 1, -0.0375, 0, 0, 0, 0, FASE1-CLS, NO, 0,
0, NO,
   145, BEAM    , UNILOAD, GZ, NO , NO, aDir[1], , , , 0, -0.0263, 1, -0.0263, 0, 0, 0, 0, FASE1-CLS, NO, 0,
0, NO,
   146, BEAM    , UNILOAD, GZ, NO , NO, aDir[1], , , , 0, -0.0338, 1, -0.0338, 0, 0, 0, 0, FASE1-CLS, NO, 0,
0, NO,
   148, BEAM    , UNILOAD, GZ, NO , NO, aDir[1], , , , 0, -0.0338, 1, -0.0338, 0, 0, 0, 0, FASE1-CLS, NO, 0,
0, NO,
   150, BEAM    , UNILOAD, GZ, NO , NO, aDir[1], , , , 0, -0.0263, 1, -0.0263, 0, 0, 0, 0, FASE1-CLS, NO, 0,
0, NO,
   152, BEAM    , UNILOAD, GZ, NO , NO, aDir[1], , , , 0, -0.0375, 1, -0.0375, 0, 0, 0, 0, FASE1-CLS, NO, 0,
0, NO,
   153, BEAM    , UNILOAD, GZ, NO , NO, aDir[1], , , , 0, -0.0338, 1, -0.0338, 0, 0, 0, 0, FASE1-CLS, NO, 0,
0, NO,
   155, BEAM    , UNILOAD, GZ, NO , NO, aDir[1], , , , 0, -0.0338, 1, -0.0338, 0, 0, 0, 0, FASE1-CLS, NO, 0,
0, NO,
   157, BEAM    , UNILOAD, GZ, NO , NO, aDir[1], , , , 0, -0.0375, 1, -0.0375, 0, 0, 0, 0, FASE1-CLS, NO, 0,
0, NO,
   159, BEAM    , UNILOAD, GZ, NO , NO, aDir[1], , , , 0, -0.0263, 1, -0.0263, 0, 0, 0, 0, FASE1-CLS, NO, 0,
0, NO,
   160, BEAM    , UNILOAD, GZ, NO , NO, aDir[1], , , , 0, -0.0338, 1, -0.0338, 0, 0, 0, 0, FASE1-CLS, NO, 0,
```

```
0, NO,
   162, BEAM    , UNILOAD, GZ, NO , NO, aDir[1], , , , 0, -0.0338, 1, -0.0338, 0, 0, 0, 0, FASE1-CLS, NO, 0,
0, NO,
   164, BEAM    , UNILOAD, GZ, NO , NO, aDir[1], , , , 0, -0.0263, 1, -0.0263, 0, 0, 0, 0, FASE1-CLS, NO, 0,
0, NO,
   165, BEAM    , UNILOAD, GZ, NO , NO, aDir[1], , , , 0, -0.0375, 1, -0.0375, 0, 0, 0, 0, FASE1-CLS, NO, 0,
0, NO,
   166, BEAM    , UNILOAD, GZ, NO , NO, aDir[1], , , , 0, -0.0338, 1, -0.0338, 0, 0, 0, 0, FASE1-CLS, NO, 0,
0, NO,
   167, BEAM    , UNILOAD, GZ, NO , NO, aDir[1], , , , 0, -0.0338, 1, -0.0338, 0, 0, 0, 0, FASE1-CLS, NO, 0,
0, NO,
   168, BEAM    , UNILOAD, GZ, NO , NO, aDir[1], , , , 0, -0.0375, 1, -0.0375, 0, 0, 0, 0, FASE1-CLS, NO, 0,
0, NO,
   169, BEAM    , UNILOAD, GZ, NO , NO, aDir[1], , , , 0, -0.0263, 1, -0.0263, 0, 0, 0, 0, FASE1-CLS, NO, 0,
0, NO,
   170, BEAM    , UNILOAD, GZ, NO , NO, aDir[1], , , , 0, -0.0338, 1, -0.0338, 0, 0, 0, 0, FASE1-CLS, NO, 0,
0, NO,
   171, BEAM    , UNILOAD, GZ, NO , NO, aDir[1], , , , 0, -0.0338, 1, -0.0338, 0, 0, 0, 0, FASE1-CLS, NO, 0,
0, NO,
   172, BEAM    , UNILOAD, GZ, NO , NO, aDir[1], , , , 0, -0.0263, 1, -0.0263, 0, 0, 0, 0, FASE1-CLS, NO, 0,
0, NO,
   173, BEAM    , UNILOAD, GZ, NO , NO, aDir[1], , , , 0, -0.0375, 1, -0.0375, 0, 0, 0, 0, FASE1-CLS, NO, 0,
0, NO,
   174, BEAM    , UNILOAD, GZ, NO , NO, aDir[1], , , , 0, -0.0338, 1, -0.0338, 0, 0, 0, 0, FASE1-CLS, NO, 0,
0, NO,
   175, BEAM    , UNILOAD, GZ, NO , NO, aDir[1], , , , 0, -0.0338, 1, -0.0338, 0, 0, 0, 0, FASE1-CLS, NO, 0,
0, NO,
   176, BEAM    , UNILOAD, GZ, NO , NO, aDir[1], , , , 0, -0.0375, 1, -0.0375, 0, 0, 0, 0, FASE1-CLS, NO, 0,
0, NO,
   177, BEAM    , UNILOAD, GZ, NO , NO, aDir[1], , , , 0, -0.0263, 1, -0.0263, 0, 0, 0, 0, FASE1-CLS, NO, 0,
0, NO,
   178, BEAM    , UNILOAD, GZ, NO , NO, aDir[1], , , , 0, -0.0338, 1, -0.0338, 0, 0, 0, 0, FASE1-CLS, NO, 0,
0, NO,
   179, BEAM    , UNILOAD, GZ, NO , NO, aDir[1], , , , 0, -0.0338, 1, -0.0338, 0, 0, 0, 0, FASE1-CLS, NO, 0,
0, NO,
   180, BEAM    , UNILOAD, GZ, NO , NO, aDir[1], , , , 0, -0.0263, 1, -0.0263, 0, 0, 0, 0, FASE1-CLS, NO, 0,
0, NO,
   181, BEAM    , UNILOAD, GZ, NO , NO, aDir[1], , , , 0, -0.0375, 1, -0.0375, 0, 0, 0, 0, FASE1-CLS, NO, 0,
0, NO,
   182, BEAM    , UNILOAD, GZ, NO , NO, aDir[1], , , , 0, -0.0338, 1, -0.0338, 0, 0, 0, 0, FASE1-CLS, NO, 0,
0, NO,
   183, BEAM    , UNILOAD, GZ, NO , NO, aDir[1], , , , 0, -0.0338, 1, -0.0338, 0, 0, 0, 0, FASE1-CLS, NO, 0,
0, NO,
   184, BEAM    , UNILOAD, GZ, NO , NO, aDir[1], , , , 0, -0.0375, 1, -0.0375, 0, 0, 0, 0, FASE1-CLS, NO, 0,
0, NO,
   185, BEAM    , UNILOAD, GZ, NO , NO, aDir[1], , , , 0, -0.0263, 1, -0.0263, 0, 0, 0, 0, FASE1-CLS, NO, 0,
0, NO,
   186, BEAM    , UNILOAD, GZ, NO , NO, aDir[1], , , , 0, -0.0338, 1, -0.0338, 0, 0, 0, 0, FASE1-CLS, NO, 0,
0, NO,
   187, BEAM    , UNILOAD, GZ, NO , NO, aDir[1], , , , 0, -0.0338, 1, -0.0338, 0, 0, 0, 0, FASE1-CLS, NO, 0,
0, NO,
   188, BEAM    , UNILOAD, GZ, NO , NO, aDir[1], , , , 0, -0.0263, 1, -0.0263, 0, 0, 0, 0, FASE1-CLS, NO, 0,
0, NO,
   189, BEAM    , UNILOAD, GZ, NO , NO, aDir[1], , , , 0, -0.0375, 1, -0.0375, 0, 0, 0, 0, FASE1-CLS, NO, 0,
0, NO,
   190, BEAM    , UNILOAD, GZ, NO , NO, aDir[1], , , , 0, -0.0338, 1, -0.0338, 0, 0, 0, 0, FASE1-CLS, NO, 0,
0, NO,
   191, BEAM    , UNILOAD, GZ, NO , NO, aDir[1], , , , 0, -0.0338, 1, -0.0338, 0, 0, 0, 0, FASE1-CLS, NO, 0,
0, NO,
   192, BEAM    , UNILOAD, GZ, NO , NO, aDir[1], , , , 0, -0.0375, 1, -0.0375, 0, 0, 0, 0, FASE1-CLS, NO, 0,
0, NO,
   193, BEAM    , UNILOAD, GZ, NO , NO, aDir[1], , , , 0, -0.0263, 1, -0.0263, 0, 0, 0, 0, FASE1-CLS, NO, 0,
0, NO,
   194, BEAM    , UNILOAD, GZ, NO , NO, aDir[1], , , , 0, -0.0338, 1, -0.0338, 0, 0, 0, 0, FASE1-CLS, NO, 0,
0, NO,
   195, BEAM    , UNILOAD, GZ, NO , NO, aDir[1], , , , 0, -0.0338, 1, -0.0338, 0, 0, 0, 0, FASE1-CLS, NO, 0,
0, NO,
   196, BEAM    , UNILOAD, GZ, NO , NO, aDir[1], , , , 0, -0.0263, 1, -0.0263, 0, 0, 0, 0, FASE1-CLS, NO, 0,
0, NO,
   197, BEAM    , UNILOAD, GZ, NO , NO, aDir[1], , , , 0, -0.0375, 1, -0.0375, 0, 0, 0, 0, FASE1-CLS, NO, 0,
0, NO,
   198, BEAM    , UNILOAD, GZ, NO , NO, aDir[1], , , , 0, -0.0338, 1, -0.0338, 0, 0, 0, 0, FASE1-CLS, NO, 0,
0, NO,
   199, BEAM    , UNILOAD, GZ, NO , NO, aDir[1], , , , 0, -0.0338, 1, -0.0338, 0, 0, 0, 0, FASE1-CLS, NO, 0,
0, NO,
   200, BEAM    , UNILOAD, GZ, NO , NO, aDir[1], , , , 0, -0.0375, 1, -0.0375, 0, 0, 0, 0, FASE1-CLS, NO, 0,
0, NO,
   201, BEAM    , UNILOAD, GZ, NO , NO, aDir[1], , , , 0, -0.0263, 1, -0.0263, 0, 0, 0, 0, FASE1-CLS, NO, 0,
```

```
0, NO,
   202, BEAM    , UNILOAD, GZ, NO , NO, aDir[1], , , , 0, -0.0338, 1, -0.0338, 0, 0, 0, 0, FASE1-CLS, NO, 0,
0, NO,
   203, BEAM    , UNILOAD, GZ, NO , NO, aDir[1], , , , 0, -0.0338, 1, -0.0338, 0, 0, 0, 0, FASE1-CLS, NO, 0,
0, NO,
   204, BEAM    , UNILOAD, GZ, NO , NO, aDir[1], , , , 0, -0.0263, 1, -0.0263, 0, 0, 0, 0, FASE1-CLS, NO, 0,
0, NO,
   205, BEAM    , UNILOAD, GZ, NO , NO, aDir[1], , , , 0, -0.0375, 1, -0.0375, 0, 0, 0, 0, FASE1-CLS, NO, 0,
0, NO,
   206, BEAM    , UNILOAD, GZ, NO , NO, aDir[1], , , , 0, -0.0338, 1, -0.0338, 0, 0, 0, 0, FASE1-CLS, NO, 0,
0, NO,
   207, BEAM    , UNILOAD, GZ, NO , NO, aDir[1], , , , 0, -0.0338, 1, -0.0338, 0, 0, 0, 0, FASE1-CLS, NO, 0,
0, NO,
   208, BEAM    , UNILOAD, GZ, NO , NO, aDir[1], , , , 0, -0.0375, 1, -0.0375, 0, 0, 0, 0, FASE1-CLS, NO, 0,
0, NO,
   209, BEAM    , UNILOAD, GZ, NO , NO, aDir[1], , , , 0, -0.0263, 1, -0.0263, 0, 0, 0, 0, FASE1-CLS, NO, 0,
0, NO,
   210, BEAM    , UNILOAD, GZ, NO , NO, aDir[1], , , , 0, -0.0338, 1, -0.0338, 0, 0, 0, 0, FASE1-CLS, NO, 0,
0, NO,
   211, BEAM    , UNILOAD, GZ, NO , NO, aDir[1], , , , 0, -0.0338, 1, -0.0338, 0, 0, 0, 0, FASE1-CLS, NO, 0,
0, NO,
   212, BEAM    , UNILOAD, GZ, NO , NO, aDir[1], , , , 0, -0.0263, 1, -0.0263, 0, 0, 0, 0, FASE1-CLS, NO, 0,
0, NO,
   213, BEAM    , UNILOAD, GZ, NO , NO, aDir[1], , , , 0, -0.0375, 1, -0.0375, 0, 0, 0, 0, FASE1-CLS, NO, 0,
0, NO,
   214, BEAM    , UNILOAD, GZ, NO , NO, aDir[1], , , , 0, -0.0338, 1, -0.0338, 0, 0, 0, 0, FASE1-CLS, NO, 0,
0, NO,
   215, BEAM    , UNILOAD, GZ, NO , NO, aDir[1], , , , 0, -0.0338, 1, -0.0338, 0, 0, 0, 0, FASE1-CLS, NO, 0,
0, NO,
   216, BEAM    , UNILOAD, GZ, NO , NO, aDir[1], , , , 0, -0.0375, 1, -0.0375, 0, 0, 0, 0, FASE1-CLS, NO, 0,
0, NO,
   217, BEAM    , UNILOAD, GZ, NO , NO, aDir[1], , , , 0, -0.0263, 1, -0.0263, 0, 0, 0, 0, FASE1-CLS, NO, 0,
0, NO,
   218, BEAM    , UNILOAD, GZ, NO , NO, aDir[1], , , , 0, -0.0338, 1, -0.0338, 0, 0, 0, 0, FASE1-CLS, NO, 0,
0, NO,
   219, BEAM    , UNILOAD, GZ, NO , NO, aDir[1], , , , 0, -0.0338, 1, -0.0338, 0, 0, 0, 0, FASE1-CLS, NO, 0,
0, NO,
   220, BEAM    , UNILOAD, GZ, NO , NO, aDir[1], , , , 0, -0.0263, 1, -0.0263, 0, 0, 0, 0, FASE1-CLS, NO, 0,
0, NO,
   221, BEAM    , UNILOAD, GZ, NO , NO, aDir[1], , , , 0, -0.0375, 1, -0.0375, 0, 0, 0, 0, FASE1-CLS, NO, 0,
0, NO,
   222, BEAM    , UNILOAD, GZ, NO , NO, aDir[1], , , , 0, -0.0338, 1, -0.0338, 0, 0, 0, 0, FASE1-CLS, NO, 0,
0, NO,
   223, BEAM    , UNILOAD, GZ, NO , NO, aDir[1], , , , 0, -0.0338, 1, -0.0338, 0, 0, 0, 0, FASE1-CLS, NO, 0,
0, NO,
   224, BEAM    , UNILOAD, GZ, NO , NO, aDir[1], , , , 0, -0.0375, 1, -0.0375, 0, 0, 0, 0, FASE1-CLS, NO, 0,
0, NO,
   225, BEAM    , UNILOAD, GZ, NO , NO, aDir[1], , , , 0, -0.0263, 1, -0.0263, 0, 0, 0, 0, FASE1-CLS, NO, 0,
0, NO,
   226, BEAM    , UNILOAD, GZ, NO , NO, aDir[1], , , , 0, -0.0338, 1, -0.0338, 0, 0, 0, 0, FASE1-CLS, NO, 0,
0, NO,
   227, BEAM    , UNILOAD, GZ, NO , NO, aDir[1], , , , 0, -0.0338, 1, -0.0338, 0, 0, 0, 0, FASE1-CLS, NO, 0,
0, NO,
   228, BEAM    , UNILOAD, GZ, NO , NO, aDir[1], , , , 0, -0.0263, 1, -0.0263, 0, 0, 0, 0, FASE1-CLS, NO, 0,
0, NO,
   229, BEAM    , UNILOAD, GZ, NO , NO, aDir[1], , , , 0, -0.0375, 1, -0.0375, 0, 0, 0, 0, FASE1-CLS, NO, 0,
0, NO,
   230, BEAM    , UNILOAD, GZ, NO , NO, aDir[1], , , , 0, -0.0338, 1, -0.0338, 0, 0, 0, 0, FASE1-CLS, NO, 0,
0, NO,
   231, BEAM    , UNILOAD, GZ, NO , NO, aDir[1], , , , 0, -0.0338, 1, -0.0338, 0, 0, 0, 0, FASE1-CLS, NO, 0,
0, NO,
   232, BEAM    , UNILOAD, GZ, NO , NO, aDir[1], , , , 0, -0.0375, 1, -0.0375, 0, 0, 0, 0, FASE1-CLS, NO, 0,
0, NO,
   233, BEAM    , UNILOAD, GZ, NO , NO, aDir[1], , , , 0, -0.0263, 1, -0.0263, 0, 0, 0, 0, FASE1-CLS, NO, 0,
0, NO,
   234, BEAM    , UNILOAD, GZ, NO , NO, aDir[1], , , , 0, -0.0338, 1, -0.0338, 0, 0, 0, 0, FASE1-CLS, NO, 0,
0, NO,
   235, BEAM    , UNILOAD, GZ, NO , NO, aDir[1], , , , 0, -0.0338, 1, -0.0338, 0, 0, 0, 0, FASE1-CLS, NO, 0,
0, NO,
   236, BEAM    , UNILOAD, GZ, NO , NO, aDir[1], , , , 0, -0.0263, 1, -0.0263, 0, 0, 0, 0, FASE1-CLS, NO, 0,
0, NO,
   237, BEAM    , UNILOAD, GZ, NO , NO, aDir[1], , , , 0, -0.0375, 1, -0.0375, 0, 0, 0, 0, FASE1-CLS, NO, 0,
0, NO,
   238, BEAM    , UNILOAD, GZ, NO , NO, aDir[1], , , , 0, -0.0338, 1, -0.0338, 0, 0, 0, 0, FASE1-CLS, NO, 0,
0, NO,
   239, BEAM    , UNILOAD, GZ, NO , NO, aDir[1], , , , 0, -0.0338, 1, -0.0338, 0, 0, 0, 0, FASE1-CLS, NO, 0,
0, NO,
   240, BEAM    , UNILOAD, GZ, NO , NO, aDir[1], , , , 0, -0.0375, 1, -0.0375, 0, 0, 0, 0, FASE1-CLS, NO, 0,
```

```
0, NO,
    241, BEAM    , UNILOAD, GZ, NO , NO, aDir[1], , , , 0, -0.0263, 1, -0.0263, 0, 0, 0, 0, FASE1-CLS, NO, 0,
0, NO,
    242, BEAM    , UNILOAD, GZ, NO , NO, aDir[1], , , , 0, -0.0338, 1, -0.0338, 0, 0, 0, 0, FASE1-CLS, NO, 0,
0, NO,
    243, BEAM    , UNILOAD, GZ, NO , NO, aDir[1], , , , 0, -0.0338, 1, -0.0338, 0, 0, 0, 0, FASE1-CLS, NO, 0,
0, NO,
    244, BEAM    , UNILOAD, GZ, NO , NO, aDir[1], , , , 0, -0.0263, 1, -0.0263, 0, 0, 0, 0, FASE1-CLS, NO, 0,
0, NO,
    245, BEAM    , UNILOAD, GZ, NO , NO, aDir[1], , , , 0, -0.0375, 1, -0.0375, 0, 0, 0, 0, FASE1-CLS, NO, 0,
0, NO,
    246, BEAM    , UNILOAD, GZ, NO , NO, aDir[1], , , , 0, -0.0338, 1, -0.0338, 0, 0, 0, 0, FASE1-CLS, NO, 0,
0, NO,
    247, BEAM    , UNILOAD, GZ, NO , NO, aDir[1], , , , 0, -0.0338, 1, -0.0338, 0, 0, 0, 0, FASE1-CLS, NO, 0,
0, NO,
    248, BEAM    , UNILOAD, GZ, NO , NO, aDir[1], , , , 0, -0.0375, 1, -0.0375, 0, 0, 0, 0, FASE1-CLS, NO, 0,
0, NO,
    249, BEAM    , UNILOAD, GZ, NO , NO, aDir[1], , , , 0, -0.0263, 1, -0.0263, 0, 0, 0, 0, FASE1-CLS, NO, 0,
0, NO,
    250, BEAM    , UNILOAD, GZ, NO , NO, aDir[1], , , , 0, -0.0338, 1, -0.0338, 0, 0, 0, 0, FASE1-CLS, NO, 0,
0, NO,
    251, BEAM    , UNILOAD, GZ, NO , NO, aDir[1], , , , 0, -0.0338, 1, -0.0338, 0, 0, 0, 0, FASE1-CLS, NO, 0,
0, NO,
    252, BEAM    , UNILOAD, GZ, NO , NO, aDir[1], , , , 0, -0.0263, 1, -0.0263, 0, 0, 0, 0, FASE1-CLS, NO, 0,
0, NO,
    253, BEAM    , UNILOAD, GZ, NO , NO, aDir[1], , , , 0, -0.0375, 1, -0.0375, 0, 0, 0, 0, FASE1-CLS, NO, 0,
0, NO,
    254, BEAM    , UNILOAD, GZ, NO , NO, aDir[1], , , , 0, -0.0338, 1, -0.0338, 0, 0, 0, 0, FASE1-CLS, NO, 0,
0, NO,
    255, BEAM    , UNILOAD, GZ, NO , NO, aDir[1], , , , 0, -0.0338, 1, -0.0338, 0, 0, 0, 0, FASE1-CLS, NO, 0,
0, NO,
    256, BEAM    , UNILOAD, GZ, NO , NO, aDir[1], , , , 0, -0.0375, 1, -0.0375, 0, 0, 0, 0, FASE1-CLS, NO, 0,
0, NO,
    257, BEAM    , UNILOAD, GZ, NO , NO, aDir[1], , , , 0, -0.0263, 1, -0.0263, 0, 0, 0, 0, FASE1-CLS, NO, 0,
0, NO,
    258, BEAM    , UNILOAD, GZ, NO , NO, aDir[1], , , , 0, -0.0338, 1, -0.0338, 0, 0, 0, 0, FASE1-CLS, NO, 0,
0, NO,
    259, BEAM    , UNILOAD, GZ, NO , NO, aDir[1], , , , 0, -0.0338, 1, -0.0338, 0, 0, 0, 0, FASE1-CLS, NO, 0,
0, NO,
    260, BEAM    , UNILOAD, GZ, NO , NO, aDir[1], , , , 0, -0.0263, 1, -0.0263, 0, 0, 0, 0, FASE1-CLS, NO, 0,
0, NO,
    261, BEAM    , UNILOAD, GZ, NO , NO, aDir[1], , , , 0, -0.0375, 1, -0.0375, 0, 0, 0, 0, FASE1-CLS, NO, 0,
0, NO,
    262, BEAM    , UNILOAD, GZ, NO , NO, aDir[1], , , , 0, -0.0338, 1, -0.0338, 0, 0, 0, 0, FASE1-CLS, NO, 0,
0, NO,
    263, BEAM    , UNILOAD, GZ, NO , NO, aDir[1], , , , 0, -0.0338, 1, -0.0338, 0, 0, 0, 0, FASE1-CLS, NO, 0,
0, NO,
    264, BEAM    , UNILOAD, GZ, NO , NO, aDir[1], , , , 0, -0.0375, 1, -0.0375, 0, 0, 0, 0, FASE1-CLS, NO, 0,
0, NO,
    265, BEAM    , UNILOAD, GZ, NO , NO, aDir[1], , , , 0, -0.0263, 1, -0.0263, 0, 0, 0, 0, FASE1-CLS, NO, 0,
0, NO,
    266, BEAM    , UNILOAD, GZ, NO , NO, aDir[1], , , , 0, -0.0338, 1, -0.0338, 0, 0, 0, 0, FASE1-CLS, NO, 0,
0, NO,
    267, BEAM    , UNILOAD, GZ, NO , NO, aDir[1], , , , 0, -0.0338, 1, -0.0338, 0, 0, 0, 0, FASE1-CLS, NO, 0,
0, NO,
    268, BEAM    , UNILOAD, GZ, NO , NO, aDir[1], , , , 0, -0.0263, 1, -0.0263, 0, 0, 0, 0, FASE1-CLS, NO, 0,
0, NO,
    269, BEAM    , UNILOAD, GZ, NO , NO, aDir[1], , , , 0, -0.0375, 1, -0.0375, 0, 0, 0, 0, FASE1-CLS, NO, 0,
0, NO,
    270, BEAM    , UNILOAD, GZ, NO , NO, aDir[1], , , , 0, -0.0338, 1, -0.0338, 0, 0, 0, 0, FASE1-CLS, NO, 0,
0, NO,
    271, BEAM    , UNILOAD, GZ, NO , NO, aDir[1], , , , 0, -0.0338, 1, -0.0338, 0, 0, 0, 0, FASE1-CLS, NO, 0,
0, NO,
    272, BEAM    , UNILOAD, GZ, NO , NO, aDir[1], , , , 0, -0.0375, 1, -0.0375, 0, 0, 0, 0, FASE1-CLS, NO, 0,
0, NO,
    273, BEAM    , UNILOAD, GZ, NO , NO, aDir[1], , , , 0, -0.0263, 1, -0.0263, 0, 0, 0, 0, FASE1-CLS, NO, 0,
0, NO,
    274, BEAM    , UNILOAD, GZ, NO , NO, aDir[1], , , , 0, -0.0338, 1, -0.0338, 0, 0, 0, 0, FASE1-CLS, NO, 0,
0, NO,
    275, BEAM    , UNILOAD, GZ, NO , NO, aDir[1], , , , 0, -0.0338, 1, -0.0338, 0, 0, 0, 0, FASE1-CLS, NO, 0,
0, NO,
    276, BEAM    , UNILOAD, GZ, NO , NO, aDir[1], , , , 0, -0.0263, 1, -0.0263, 0, 0, 0, 0, FASE1-CLS, NO, 0,
0, NO,
    277, BEAM    , UNILOAD, GZ, NO , NO, aDir[1], , , , 0, -0.0375, 1, -0.0375, 0, 0, 0, 0, FASE1-CLS, NO, 0,
0, NO,
    278, BEAM    , UNILOAD, GZ, NO , NO, aDir[1], , , , 0, -0.0338, 1, -0.0338, 0, 0, 0, 0, FASE1-CLS, NO, 0,
0, NO,
    279, BEAM    , UNILOAD, GZ, NO , NO, aDir[1], , , , 0, -0.0338, 1, -0.0338, 0, 0, 0, 0, FASE1-CLS, NO, 0,
```

```
0, NO,
    280, BEAM    , UNILOAD, GZ, NO , NO, aDir[1], , , , 0, -0.0375, 1, -0.0375, 0, 0, 0, 0, FASE1-CLS, NO, 0,
0, NO,
    281, BEAM    , UNILOAD, GZ, NO , NO, aDir[1], , , , 0, -0.0263, 1, -0.0263, 0, 0, 0, 0, FASE1-CLS, NO, 0,
0, NO,
    282, BEAM    , UNILOAD, GZ, NO , NO, aDir[1], , , , 0, -0.0338, 1, -0.0338, 0, 0, 0, 0, FASE1-CLS, NO, 0,
0, NO,
    283, BEAM    , UNILOAD, GZ, NO , NO, aDir[1], , , , 0, -0.0338, 1, -0.0338, 0, 0, 0, 0, FASE1-CLS, NO, 0,
0, NO,
    284, BEAM    , UNILOAD, GZ, NO , NO, aDir[1], , , , 0, -0.0263, 1, -0.0263, 0, 0, 0, 0, FASE1-CLS, NO, 0,
0, NO,
    285, BEAM    , UNILOAD, GZ, NO , NO, aDir[1], , , , 0, -0.0375, 1, -0.0375, 0, 0, 0, 0, FASE1-CLS, NO, 0,
0, NO,
    286, BEAM    , UNILOAD, GZ, NO , NO, aDir[1], , , , 0, -0.0338, 1, -0.0338, 0, 0, 0, 0, FASE1-CLS, NO, 0,
0, NO,
    287, BEAM    , UNILOAD, GZ, NO , NO, aDir[1], , , , 0, -0.0338, 1, -0.0338, 0, 0, 0, 0, FASE1-CLS, NO, 0,
0, NO,
    288, BEAM    , UNILOAD, GZ, NO , NO, aDir[1], , , , 0, -0.0375, 1, -0.0375, 0, 0, 0, 0, FASE1-CLS, NO, 0,
0, NO,
    289, BEAM    , UNILOAD, GZ, NO , NO, aDir[1], , , , 0, -0.0263, 1, -0.0263, 0, 0, 0, 0, FASE1-CLS, NO, 0,
0, NO,
    290, BEAM    , UNILOAD, GZ, NO , NO, aDir[1], , , , 0, -0.0338, 1, -0.0338, 0, 0, 0, 0, FASE1-CLS, NO, 0,
0, NO,
    291, BEAM    , UNILOAD, GZ, NO , NO, aDir[1], , , , 0, -0.0338, 1, -0.0338, 0, 0, 0, 0, FASE1-CLS, NO, 0,
0, NO,
    292, BEAM    , UNILOAD, GZ, NO , NO, aDir[1], , , , 0, -0.0263, 1, -0.0263, 0, 0, 0, 0, FASE1-CLS, NO, 0,
0, NO,
    293, BEAM    , UNILOAD, GZ, NO , NO, aDir[1], , , , 0, -0.0375, 1, -0.0375, 0, 0, 0, 0, FASE1-CLS, NO, 0,
0, NO,
    294, BEAM    , UNILOAD, GZ, NO , NO, aDir[1], , , , 0, -0.0338, 1, -0.0338, 0, 0, 0, 0, FASE1-CLS, NO, 0,
0, NO,
    295, BEAM    , UNILOAD, GZ, NO , NO, aDir[1], , , , 0, -0.0338, 1, -0.0338, 0, 0, 0, 0, FASE1-CLS, NO, 0,
0, NO,
    296, BEAM    , UNILOAD, GZ, NO , NO, aDir[1], , , , 0, -0.0375, 1, -0.0375, 0, 0, 0, 0, FASE1-CLS, NO, 0,
0, NO,
    297, BEAM    , UNILOAD, GZ, NO , NO, aDir[1], , , , 0, -0.0263, 1, -0.0263, 0, 0, 0, 0, FASE1-CLS, NO, 0,
0, NO,
    298, BEAM    , UNILOAD, GZ, NO , NO, aDir[1], , , , 0, -0.0338, 1, -0.0338, 0, 0, 0, 0, FASE1-CLS, NO, 0,
0, NO,
    299, BEAM    , UNILOAD, GZ, NO , NO, aDir[1], , , , 0, -0.0338, 1, -0.0338, 0, 0, 0, 0, FASE1-CLS, NO, 0,
0, NO,
    300, BEAM    , UNILOAD, GZ, NO , NO, aDir[1], , , , 0, -0.0263, 1, -0.0263, 0, 0, 0, 0, FASE1-CLS, NO, 0,
0, NO,
    301, BEAM    , UNILOAD, GZ, NO , NO, aDir[1], , , , 0, -0.0375, 1, -0.0375, 0, 0, 0, 0, FASE1-CLS, NO, 0,
0, NO,
    302, BEAM    , UNILOAD, GZ, NO , NO, aDir[1], , , , 0, -0.0338, 1, -0.0338, 0, 0, 0, 0, FASE1-CLS, NO, 0,
0, NO,
    303, BEAM    , UNILOAD, GZ, NO , NO, aDir[1], , , , 0, -0.0338, 1, -0.0338, 0, 0, 0, 0, FASE1-CLS, NO, 0,
0, NO,
    304, BEAM    , UNILOAD, GZ, NO , NO, aDir[1], , , , 0, -0.0375, 1, -0.0375, 0, 0, 0, 0, FASE1-CLS, NO, 0,
0, NO,
    305, BEAM    , UNILOAD, GZ, NO , NO, aDir[1], , , , 0, -0.0263, 1, -0.0263, 0, 0, 0, 0, FASE1-CLS, NO, 0,
0, NO,
    306, BEAM    , UNILOAD, GZ, NO , NO, aDir[1], , , , 0, -0.0338, 1, -0.0338, 0, 0, 0, 0, FASE1-CLS, NO, 0,
0, NO,
    307, BEAM    , UNILOAD, GZ, NO , NO, aDir[1], , , , 0, -0.0338, 1, -0.0338, 0, 0, 0, 0, FASE1-CLS, NO, 0,
0, NO,
    308, BEAM    , UNILOAD, GZ, NO , NO, aDir[1], , , , 0, -0.0263, 1, -0.0263, 0, 0, 0, 0, FASE1-CLS, NO, 0,
0, NO,
    309, BEAM    , UNILOAD, GZ, NO , NO, aDir[1], , , , 0, -0.0375, 1, -0.0375, 0, 0, 0, 0, FASE1-CLS, NO, 0,
0, NO,
    310, BEAM    , UNILOAD, GZ, NO , NO, aDir[1], , , , 0, -0.0338, 1, -0.0338, 0, 0, 0, 0, FASE1-CLS, NO, 0,
0, NO,
    311, BEAM    , UNILOAD, GZ, NO , NO, aDir[1], , , , 0, -0.0338, 1, -0.0338, 0, 0, 0, 0, FASE1-CLS, NO, 0,
0, NO,
    312, BEAM    , UNILOAD, GZ, NO , NO, aDir[1], , , , 0, -0.0375, 1, -0.0375, 0, 0, 0, 0, FASE1-CLS, NO, 0,
0, NO,
    313, BEAM    , UNILOAD, GZ, NO , NO, aDir[1], , , , 0, -0.0263, 1, -0.0263, 0, 0, 0, 0, FASE1-CLS, NO, 0,
0, NO,
    314, BEAM    , UNILOAD, GZ, NO , NO, aDir[1], , , , 0, -0.0338, 1, -0.0338, 0, 0, 0, 0, FASE1-CLS, NO, 0,
0, NO,
    315, BEAM    , UNILOAD, GZ, NO , NO, aDir[1], , , , 0, -0.0338, 1, -0.0338, 0, 0, 0, 0, FASE1-CLS, NO, 0,
0, NO,
    316, BEAM    , UNILOAD, GZ, NO , NO, aDir[1], , , , 0, -0.0263, 1, -0.0263, 0, 0, 0, 0, FASE1-CLS, NO, 0,
0, NO,
    317, BEAM    , UNILOAD, GZ, NO , NO, aDir[1], , , , 0, -0.0375, 1, -0.0375, 0, 0, 0, 0, FASE1-CLS, NO, 0,
0, NO,
    318, BEAM    , UNILOAD, GZ, NO , NO, aDir[1], , , , 0, -0.0338, 1, -0.0338, 0, 0, 0, 0, FASE1-CLS, NO, 0,
```

```
0, NO,
    319, BEAM    , UNILOAD, GZ, NO , NO, aDir[1], , , , 0, -0.0338, 1, -0.0338, 0, 0, 0, 0, FASE1-CLS, NO, 0,
0, NO,
    320, BEAM    , UNILOAD, GZ, NO , NO, aDir[1], , , , 0, -0.0375, 1, -0.0375, 0, 0, 0, 0, FASE1-CLS, NO, 0,
0, NO,
    321, BEAM    , UNILOAD, GZ, NO , NO, aDir[1], , , , 0, -0.0263, 1, -0.0263, 0, 0, 0, 0, FASE1-CLS, NO, 0,
0, NO,
    322, BEAM    , UNILOAD, GZ, NO , NO, aDir[1], , , , 0, -0.0338, 1, -0.0338, 0, 0, 0, 0, FASE1-CLS, NO, 0,
0, NO,
    323, BEAM    , UNILOAD, GZ, NO , NO, aDir[1], , , , 0, -0.0338, 1, -0.0338, 0, 0, 0, 0, FASE1-CLS, NO, 0,
0, NO,
    324, BEAM    , UNILOAD, GZ, NO , NO, aDir[1], , , , 0, -0.0263, 1, -0.0263, 0, 0, 0, 0, FASE1-CLS, NO, 0,
0, NO,
    325, BEAM    , UNILOAD, GZ, NO , NO, aDir[1], , , , 0, -0.0375, 1, -0.0375, 0, 0, 0, 0, FASE1-CLS, NO, 0,
0, NO,
    326, BEAM    , UNILOAD, GZ, NO , NO, aDir[1], , , , 0, -0.0338, 1, -0.0338, 0, 0, 0, 0, FASE1-CLS, NO, 0,
0, NO,
    327, BEAM    , UNILOAD, GZ, NO , NO, aDir[1], , , , 0, -0.0338, 1, -0.0338, 0, 0, 0, 0, FASE1-CLS, NO, 0,
0, NO,
    328, BEAM    , UNILOAD, GZ, NO , NO, aDir[1], , , , 0, -0.0375, 1, -0.0375, 0, 0, 0, 0, FASE1-CLS, NO, 0,
0, NO,
    329, BEAM    , UNILOAD, GZ, NO , NO, aDir[1], , , , 0, -0.0263, 1, -0.0263, 0, 0, 0, 0, FASE1-CLS, NO, 0,
0, NO,
    330, BEAM    , UNILOAD, GZ, NO , NO, aDir[1], , , , 0, -0.0338, 1, -0.0338, 0, 0, 0, 0, FASE1-CLS, NO, 0,
0, NO,
    331, BEAM    , UNILOAD, GZ, NO , NO, aDir[1], , , , 0, -0.0338, 1, -0.0338, 0, 0, 0, 0, FASE1-CLS, NO, 0,
0, NO,
    332, BEAM    , UNILOAD, GZ, NO , NO, aDir[1], , , , 0, -0.0263, 1, -0.0263, 0, 0, 0, 0, FASE1-CLS, NO, 0,
0, NO,
    333, BEAM    , UNILOAD, GZ, NO , NO, aDir[1], , , , 0, -0.0375, 1, -0.0375, 0, 0, 0, 0, FASE1-CLS, NO, 0,
0, NO,
    334, BEAM    , UNILOAD, GZ, NO , NO, aDir[1], , , , 0, -0.0338, 1, -0.0338, 0, 0, 0, 0, FASE1-CLS, NO, 0,
0, NO,
    335, BEAM    , UNILOAD, GZ, NO , NO, aDir[1], , , , 0, -0.0338, 1, -0.0338, 0, 0, 0, 0, FASE1-CLS, NO, 0,
0, NO,
    336, BEAM    , UNILOAD, GZ, NO , NO, aDir[1], , , , 0, -0.0375, 1, -0.0375, 0, 0, 0, 0, FASE1-CLS, NO, 0,
0, NO,
    337, BEAM    , UNILOAD, GZ, NO , NO, aDir[1], , , , 0, -0.0263, 1, -0.0263, 0, 0, 0, 0, FASE1-CLS, NO, 0,
0, NO,
    338, BEAM    , UNILOAD, GZ, NO , NO, aDir[1], , , , 0, -0.0338, 1, -0.0338, 0, 0, 0, 0, FASE1-CLS, NO, 0,
0, NO,
    339, BEAM    , UNILOAD, GZ, NO , NO, aDir[1], , , , 0, -0.0338, 1, -0.0338, 0, 0, 0, 0, FASE1-CLS, NO, 0,
0, NO,
    340, BEAM    , UNILOAD, GZ, NO , NO, aDir[1], , , , 0, -0.0263, 1, -0.0263, 0, 0, 0, 0, FASE1-CLS, NO, 0,
0, NO,
    341, BEAM    , UNILOAD, GZ, NO , NO, aDir[1], , , , 0, -0.0375, 1, -0.0375, 0, 0, 0, 0, FASE1-CLS, NO, 0,
0, NO,
    342, BEAM    , UNILOAD, GZ, NO , NO, aDir[1], , , , 0, -0.0338, 1, -0.0338, 0, 0, 0, 0, FASE1-CLS, NO, 0,
0, NO,
    343, BEAM    , UNILOAD, GZ, NO , NO, aDir[1], , , , 0, -0.0338, 1, -0.0338, 0, 0, 0, 0, FASE1-CLS, NO, 0,
0, NO,
    344, BEAM    , UNILOAD, GZ, NO , NO, aDir[1], , , , 0, -0.0375, 1, -0.0375, 0, 0, 0, 0, FASE1-CLS, NO, 0,
0, NO,
    345, BEAM    , UNILOAD, GZ, NO , NO, aDir[1], , , , 0, -0.0263, 1, -0.0263, 0, 0, 0, 0, FASE1-CLS, NO, 0,
0, NO,
    346, BEAM    , UNILOAD, GZ, NO , NO, aDir[1], , , , 0, -0.0338, 1, -0.0338, 0, 0, 0, 0, FASE1-CLS, NO, 0,
0, NO,
    347, BEAM    , UNILOAD, GZ, NO , NO, aDir[1], , , , 0, -0.0338, 1, -0.0338, 0, 0, 0, 0, FASE1-CLS, NO, 0,
0, NO,
    348, BEAM    , UNILOAD, GZ, NO , NO, aDir[1], , , , 0, -0.0263, 1, -0.0263, 0, 0, 0, 0, FASE1-CLS, NO, 0,
0, NO,
    349, BEAM    , UNILOAD, GZ, NO , NO, aDir[1], , , , 0, -0.0375, 1, -0.0375, 0, 0, 0, 0, FASE1-CLS, NO, 0,
0, NO,
    350, BEAM    , UNILOAD, GZ, NO , NO, aDir[1], , , , 0, -0.0338, 1, -0.0338, 0, 0, 0, 0, FASE1-CLS, NO, 0,
0, NO,
    351, BEAM    , UNILOAD, GZ, NO , NO, aDir[1], , , , 0, -0.0338, 1, -0.0338, 0, 0, 0, 0, FASE1-CLS, NO, 0,
0, NO,
    352, BEAM    , UNILOAD, GZ, NO , NO, aDir[1], , , , 0, -0.0375, 1, -0.0375, 0, 0, 0, 0, FASE1-CLS, NO, 0,
0, NO,
    353, BEAM    , UNILOAD, GZ, NO , NO, aDir[1], , , , 0, -0.0263, 1, -0.0263, 0, 0, 0, 0, FASE1-CLS, NO, 0,
0, NO,
    354, BEAM    , UNILOAD, GZ, NO , NO, aDir[1], , , , 0, -0.0338, 1, -0.0338, 0, 0, 0, 0, FASE1-CLS, NO, 0,
0, NO,
    355, BEAM    , UNILOAD, GZ, NO , NO, aDir[1], , , , 0, -0.0338, 1, -0.0338, 0, 0, 0, 0, FASE1-CLS, NO, 0,
0, NO,
    356, BEAM    , UNILOAD, GZ, NO , NO, aDir[1], , , , 0, -0.0263, 1, -0.0263, 0, 0, 0, 0, FASE1-CLS, NO, 0,
0, NO,
    357, BEAM    , UNILOAD, GZ, NO , NO, aDir[1], , , , 0, -0.0375, 1, -0.0375, 0, 0, 0, 0, FASE1-CLS, NO, 0,
```

```
0, NO,
    358, BEAM    , UNILOAD, GZ, NO , NO, aDir[1], , , , 0, -0.0338, 1, -0.0338, 0, 0, 0, 0, FASE1-CLS, NO, 0,
0, NO,
    359, BEAM    , UNILOAD, GZ, NO , NO, aDir[1], , , , 0, -0.0338, 1, -0.0338, 0, 0, 0, 0, FASE1-CLS, NO, 0,
0, NO,
    360, BEAM    , UNILOAD, GZ, NO , NO, aDir[1], , , , 0, -0.0375, 1, -0.0375, 0, 0, 0, 0, FASE1-CLS, NO, 0,
0, NO,
    361, BEAM    , UNILOAD, GZ, NO , NO, aDir[1], , , , 0, -0.0263, 1, -0.0263, 0, 0, 0, 0, FASE1-CLS, NO, 0,
0, NO,
    362, BEAM    , UNILOAD, GZ, NO , NO, aDir[1], , , , 0, -0.0338, 1, -0.0338, 0, 0, 0, 0, FASE1-CLS, NO, 0,
0, NO,
    363, BEAM    , UNILOAD, GZ, NO , NO, aDir[1], , , , 0, -0.0338, 1, -0.0338, 0, 0, 0, 0, FASE1-CLS, NO, 0,
0, NO,
    364, BEAM    , UNILOAD, GZ, NO , NO, aDir[1], , , , 0, -0.0263, 1, -0.0263, 0, 0, 0, 0, FASE1-CLS, NO, 0,
0, NO,
    365, BEAM    , UNILOAD, GZ, NO , NO, aDir[1], , , , 0, -0.0375, 1, -0.0375, 0, 0, 0, 0, FASE1-CLS, NO, 0,
0, NO,
    366, BEAM    , UNILOAD, GZ, NO , NO, aDir[1], , , , 0, -0.0338, 1, -0.0338, 0, 0, 0, 0, FASE1-CLS, NO, 0,
0, NO,
    367, BEAM    , UNILOAD, GZ, NO , NO, aDir[1], , , , 0, -0.0338, 1, -0.0338, 0, 0, 0, 0, FASE1-CLS, NO, 0,
0, NO,
    368, BEAM    , UNILOAD, GZ, NO , NO, aDir[1], , , , 0, -0.0375, 1, -0.0375, 0, 0, 0, 0, FASE1-CLS, NO, 0,
0, NO,
    369, BEAM    , UNILOAD, GZ, NO , NO, aDir[1], , , , 0, -0.0263, 1, -0.0263, 0, 0, 0, 0, FASE1-CLS, NO, 0,
0, NO,
    370, BEAM    , UNILOAD, GZ, NO , NO, aDir[1], , , , 0, -0.0338, 1, -0.0338, 0, 0, 0, 0, FASE1-CLS, NO, 0,
0, NO,
    371, BEAM    , UNILOAD, GZ, NO , NO, aDir[1], , , , 0, -0.0338, 1, -0.0338, 0, 0, 0, 0, FASE1-CLS, NO, 0,
0, NO,
    372, BEAM    , UNILOAD, GZ, NO , NO, aDir[1], , , , 0, -0.0263, 1, -0.0263, 0, 0, 0, 0, FASE1-CLS, NO, 0,
0, NO,
    373, BEAM    , UNILOAD, GZ, NO , NO, aDir[1], , , , 0, -0.0375, 1, -0.0375, 0, 0, 0, 0, FASE1-CLS, NO, 0,
0, NO,
    374, BEAM    , UNILOAD, GZ, NO , NO, aDir[1], , , , 0, -0.0338, 1, -0.0338, 0, 0, 0, 0, FASE1-CLS, NO, 0,
0, NO,
    375, BEAM    , UNILOAD, GZ, NO , NO, aDir[1], , , , 0, -0.0338, 1, -0.0338, 0, 0, 0, 0, FASE1-CLS, NO, 0,
0, NO,
    376, BEAM    , UNILOAD, GZ, NO , NO, aDir[1], , , , 0, -0.0375, 1, -0.0375, 0, 0, 0, 0, FASE1-CLS, NO, 0,
0, NO,
    377, BEAM    , UNILOAD, GZ, NO , NO, aDir[1], , , , 0, -0.0263, 1, -0.0263, 0, 0, 0, 0, FASE1-CLS, NO, 0,
0, NO,
    378, BEAM    , UNILOAD, GZ, NO , NO, aDir[1], , , , 0, -0.0338, 1, -0.0338, 0, 0, 0, 0, FASE1-CLS, NO, 0,
0, NO,
    379, BEAM    , UNILOAD, GZ, NO , NO, aDir[1], , , , 0, -0.0338, 1, -0.0338, 0, 0, 0, 0, FASE1-CLS, NO, 0,
0, NO,
    380, BEAM    , UNILOAD, GZ, NO , NO, aDir[1], , , , 0, -0.0263, 1, -0.0263, 0, 0, 0, 0, FASE1-CLS, NO, 0,
0, NO,
    381, BEAM    , UNILOAD, GZ, NO , NO, aDir[1], , , , 0, -0.0375, 1, -0.0375, 0, 0, 0, 0, FASE1-CLS, NO, 0,
0, NO,
    382, BEAM    , UNILOAD, GZ, NO , NO, aDir[1], , , , 0, -0.0338, 1, -0.0338, 0, 0, 0, 0, FASE1-CLS, NO, 0,
0, NO,
    383, BEAM    , UNILOAD, GZ, NO , NO, aDir[1], , , , 0, -0.0338, 1, -0.0338, 0, 0, 0, 0, FASE1-CLS, NO, 0,
0, NO,
    384, BEAM    , UNILOAD, GZ, NO , NO, aDir[1], , , , 0, -0.0375, 1, -0.0375, 0, 0, 0, 0, FASE1-CLS, NO, 0,
0, NO,
    385, BEAM    , UNILOAD, GZ, NO , NO, aDir[1], , , , 0, -0.0263, 1, -0.0263, 0, 0, 0, 0, FASE1-CLS, NO, 0,
0, NO,
    386, BEAM    , UNILOAD, GZ, NO , NO, aDir[1], , , , 0, -0.0338, 1, -0.0338, 0, 0, 0, 0, FASE1-CLS, NO, 0,
0, NO,
    387, BEAM    , UNILOAD, GZ, NO , NO, aDir[1], , , , 0, -0.0338, 1, -0.0338, 0, 0, 0, 0, FASE1-CLS, NO, 0,
0, NO,
    388, BEAM    , UNILOAD, GZ, NO , NO, aDir[1], , , , 0, -0.0263, 1, -0.0263, 0, 0, 0, 0, FASE1-CLS, NO, 0,
0, NO,
    389, BEAM    , UNILOAD, GZ, NO , NO, aDir[1], , , , 0, -0.0375, 1, -0.0375, 0, 0, 0, 0, FASE1-CLS, NO, 0,
0, NO,
    390, BEAM    , UNILOAD, GZ, NO , NO, aDir[1], , , , 0, -0.0338, 1, -0.0338, 0, 0, 0, 0, FASE1-CLS, NO, 0,
0, NO,
    391, BEAM    , UNILOAD, GZ, NO , NO, aDir[1], , , , 0, -0.0338, 1, -0.0338, 0, 0, 0, 0, FASE1-CLS, NO, 0,
0, NO,
    392, BEAM    , UNILOAD, GZ, NO , NO, aDir[1], , , , 0, -0.0375, 1, -0.0375, 0, 0, 0, 0, FASE1-CLS, NO, 0,
0, NO,
    393, BEAM    , UNILOAD, GZ, NO , NO, aDir[1], , , , 0, -0.0263, 1, -0.0263, 0, 0, 0, 0, FASE1-CLS, NO, 0,
0, NO,
    394, BEAM    , UNILOAD, GZ, NO , NO, aDir[1], , , , 0, -0.0338, 1, -0.0338, 0, 0, 0, 0, FASE1-CLS, NO, 0,
0, NO,
    395, BEAM    , UNILOAD, GZ, NO , NO, aDir[1], , , , 0, -0.0338, 1, -0.0338, 0, 0, 0, 0, FASE1-CLS, NO, 0,
0, NO,
    396, BEAM    , UNILOAD, GZ, NO , NO, aDir[1], , , , 0, -0.0263, 1, -0.0263, 0, 0, 0, 0, FASE1-CLS, NO, 0,
```

```
0, NO,
   397, BEAM    , UNILOAD, GZ, NO , NO, aDir[1], , , , 0, -0.0375, 1, -0.0375, 0, 0, 0, 0, FASE1-CLS, NO, 0,
0, NO,
   398, BEAM    , UNILOAD, GZ, NO , NO, aDir[1], , , , 0, -0.0338, 1, -0.0338, 0, 0, 0, 0, FASE1-CLS, NO, 0,
0, NO,
   399, BEAM    , UNILOAD, GZ, NO , NO, aDir[1], , , , 0, -0.0338, 1, -0.0338, 0, 0, 0, 0, FASE1-CLS, NO, 0,
0, NO,
   400, BEAM    , UNILOAD, GZ, NO , NO, aDir[1], , , , 0, -0.0375, 1, -0.0375, 0, 0, 0, 0, FASE1-CLS, NO, 0,
0, NO,
   401, BEAM    , UNILOAD, GZ, NO , NO, aDir[1], , , , 0, -0.0263, 1, -0.0263, 0, 0, 0, 0, FASE1-CLS, NO, 0,
0, NO,
   402, BEAM    , UNILOAD, GZ, NO , NO, aDir[1], , , , 0, -0.0338, 1, -0.0338, 0, 0, 0, 0, FASE1-CLS, NO, 0,
0, NO,
   403, BEAM    , UNILOAD, GZ, NO , NO, aDir[1], , , , 0, -0.0338, 1, -0.0338, 0, 0, 0, 0, FASE1-CLS, NO, 0,
0, NO,
   404, BEAM    , UNILOAD, GZ, NO , NO, aDir[1], , , , 0, -0.0263, 1, -0.0263, 0, 0, 0, 0, FASE1-CLS, NO, 0,
0, NO,
   405, BEAM    , UNILOAD, GZ, NO , NO, aDir[1], , , , 0, -0.0375, 1, -0.0375, 0, 0, 0, 0, FASE1-CLS, NO, 0,
0, NO,
   406, BEAM    , UNILOAD, GZ, NO , NO, aDir[1], , , , 0, -0.0338, 1, -0.0338, 0, 0, 0, 0, FASE1-CLS, NO, 0,
0, NO,
   407, BEAM    , UNILOAD, GZ, NO , NO, aDir[1], , , , 0, -0.0338, 1, -0.0338, 0, 0, 0, 0, FASE1-CLS, NO, 0,
0, NO,
   408, BEAM    , UNILOAD, GZ, NO , NO, aDir[1], , , , 0, -0.0375, 1, -0.0375, 0, 0, 0, 0, FASE1-CLS, NO, 0,
0, NO,
   409, BEAM    , UNILOAD, GZ, NO , NO, aDir[1], , , , 0, -0.0263, 1, -0.0263, 0, 0, 0, 0, FASE1-CLS, NO, 0,
0, NO,
   410, BEAM    , UNILOAD, GZ, NO , NO, aDir[1], , , , 0, -0.0338, 1, -0.0338, 0, 0, 0, 0, FASE1-CLS, NO, 0,
0, NO,
   411, BEAM    , UNILOAD, GZ, NO , NO, aDir[1], , , , 0, -0.0338, 1, -0.0338, 0, 0, 0, 0, FASE1-CLS, NO, 0,
0, NO,
   412, BEAM    , UNILOAD, GZ, NO , NO, aDir[1], , , , 0, -0.0263, 1, -0.0263, 0, 0, 0, 0, FASE1-CLS, NO, 0,
0, NO,
   413, BEAM    , UNILOAD, GZ, NO , NO, aDir[1], , , , 0, -0.0375, 1, -0.0375, 0, 0, 0, 0, FASE1-CLS, NO, 0,
0, NO,
   414, BEAM    , UNILOAD, GZ, NO , NO, aDir[1], , , , 0, -0.0338, 1, -0.0338, 0, 0, 0, 0, FASE1-CLS, NO, 0,
0, NO,
   415, BEAM    , UNILOAD, GZ, NO , NO, aDir[1], , , , 0, -0.0338, 1, -0.0338, 0, 0, 0, 0, FASE1-CLS, NO, 0,
0, NO,
   416, BEAM    , UNILOAD, GZ, NO , NO, aDir[1], , , , 0, -0.0375, 1, -0.0375, 0, 0, 0, 0, FASE1-CLS, NO, 0,
0, NO,
   417, BEAM    , UNILOAD, GZ, NO , NO, aDir[1], , , , 0, -0.0263, 1, -0.0263, 0, 0, 0, 0, FASE1-CLS, NO, 0,
0, NO,
   418, BEAM    , UNILOAD, GZ, NO , NO, aDir[1], , , , 0, -0.0338, 1, -0.0338, 0, 0, 0, 0, FASE1-CLS, NO, 0,
0, NO,
   419, BEAM    , UNILOAD, GZ, NO , NO, aDir[1], , , , 0, -0.0338, 1, -0.0338, 0, 0, 0, 0, FASE1-CLS, NO, 0,
0, NO,
   420, BEAM    , UNILOAD, GZ, NO , NO, aDir[1], , , , 0, -0.0263, 1, -0.0263, 0, 0, 0, 0, FASE1-CLS, NO, 0,
0, NO,
   421, BEAM    , UNILOAD, GZ, NO , NO, aDir[1], , , , 0, -0.0375, 1, -0.0375, 0, 0, 0, 0, FASE1-CLS, NO, 0,
0, NO,
   422, BEAM    , UNILOAD, GZ, NO , NO, aDir[1], , , , 0, -0.0338, 1, -0.0338, 0, 0, 0, 0, FASE1-CLS, NO, 0,
0, NO,
   423, BEAM    , UNILOAD, GZ, NO , NO, aDir[1], , , , 0, -0.0338, 1, -0.0338, 0, 0, 0, 0, FASE1-CLS, NO, 0,
0, NO,
   424, BEAM    , UNILOAD, GZ, NO , NO, aDir[1], , , , 0, -0.0375, 1, -0.0375, 0, 0, 0, 0, FASE1-CLS, NO, 0,
0, NO,
   425, BEAM    , UNILOAD, GZ, NO , NO, aDir[1], , , , 0, -0.0263, 1, -0.0263, 0, 0, 0, 0, FASE1-CLS, NO, 0,
0, NO,
   426, BEAM    , UNILOAD, GZ, NO , NO, aDir[1], , , , 0, -0.0338, 1, -0.0338, 0, 0, 0, 0, FASE1-CLS, NO, 0,
0, NO,
   427, BEAM    , UNILOAD, GZ, NO , NO, aDir[1], , , , 0, -0.0338, 1, -0.0338, 0, 0, 0, 0, FASE1-CLS, NO, 0,
0, NO,
   428, BEAM    , UNILOAD, GZ, NO , NO, aDir[1], , , , 0, -0.0263, 1, -0.0263, 0, 0, 0, 0, FASE1-CLS, NO, 0,
0, NO,
   429, BEAM    , UNILOAD, GZ, NO , NO, aDir[1], , , , 0, -0.0375, 1, -0.0375, 0, 0, 0, 0, FASE1-CLS, NO, 0,
0, NO,
   430, BEAM    , UNILOAD, GZ, NO , NO, aDir[1], , , , 0, -0.0338, 1, -0.0338, 0, 0, 0, 0, FASE1-CLS, NO, 0,
0, NO,
   431, BEAM    , UNILOAD, GZ, NO , NO, aDir[1], , , , 0, -0.0338, 1, -0.0338, 0, 0, 0, 0, FASE1-CLS, NO, 0,
0, NO,
   432, BEAM    , UNILOAD, GZ, NO , NO, aDir[1], , , , 0, -0.0375, 1, -0.0375, 0, 0, 0, 0, FASE1-CLS, NO, 0,
0, NO,
   433, BEAM    , UNILOAD, GZ, NO , NO, aDir[1], , , , 0, -0.0263, 1, -0.0263, 0, 0, 0, 0, FASE1-CLS, NO, 0,
0, NO,
   434, BEAM    , UNILOAD, GZ, NO , NO, aDir[1], , , , 0, -0.0338, 1, -0.0338, 0, 0, 0, 0, FASE1-CLS, NO, 0,
0, NO,
   435, BEAM    , UNILOAD, GZ, NO , NO, aDir[1], , , , 0, -0.0338, 1, -0.0338, 0, 0, 0, 0, FASE1-CLS, NO, 0,
```

PROJECT TITLE :

	Company		Client	
	Author		File Name	Brembiolo1_08_completo(fasi)DEFINITIVO.mgt

```
0, NO,
   436, BEAM   , UNILOAD, GZ, NO , NO, aDir[1], , , , 0, -0.0263, 1, -0.0263, 0, 0, 0, 0, FASE1-CLS, NO, 0,
0, NO,

; End of data for load case [soletta non reagente] -------------------------

*STAGE    ; Define Construction Stage
; NAME=NAME, DURATION, bSAVESTAGE, bSAVESTEP  ; line 1
; STEP=DAY1, DAY2, ...                        ; line 2
; AELEM=GROUP1, AGE1, GROUP2, AGE2, ...       ; line 3
; DELEM=GROUP1, REDIST1, GROUP2, REDIST2, ... ; line 4
; ABNDR=BGROUP1, POS1, BGROUP2, POS2, ...     ; line 5
; DBNDR=BGROUP1, BGROUP2, ...                 ; line 6
; ALOAD=LGROUP1, DAY1, LGROUP2, DAY2, ...     ; line 7
; DLOAD=LGROUP1, DAY1, LGROUP2, DAY2, ...     ; line 8
  NAME=FASE1 - acciaio, 1, YES, NO
  AELEM=ACCIAIO, 0
  ABNDR=APPOGGI, DEFORMED
  ALOAD=FASE1-ACCIAIO, FIRST, FASE1-CLS, FIRST
  NAME=FASE2 - n=21.56, 28, YES, NO
  AELEM=SOLETTA, 0
  ABNDR=PIOLI, DEFORMED
  ALOAD=FASE2-PERM, FIRST
  DLOAD=FASE1-CLS, FIRST
  NAME=FASE3 - n=6.30, 36471, YES, NO
  ALOAD=FASE3-VAR, FIRST

*SFUNCTION    ; Spectrum Function
; FUNC=NAME, iTYPE, iMETHOD, SCALE/MAX, GRAV, DRATIO, DESC, RMF      ; line 1
;   SPEC_CODE, [CODE_DATA]                                          ; line 2
;      PERIOD1, VALUE1, PERIOD2, VALUE2, ...                        ; from line 3
;[CODE_DATA] : NSC, SFI, SC, EQ, TG, DP, MaxEQ                                          ; CH2001
;[CODE_DATA] : NSC, SFI, SC, EQ, TG, DP, MaxEQ, nLForce             ; CH2010
;[CODE_DATA] : SFI, SC, EQ, TG, DP, MaxEQ                           ; CHSH2003
;[CODE_DATA] : DIV, SC, SFI, EQ, TG, G                              ; GB50111_2006
;[CODE_DATA] : BT, ZM, ST, SI, SC, TG, CI, CS, CD, EPA, SMAX, PERIOD ; JTG/T B02-01-2008
   FUNC=SLV_ORIZZ_rid, 1, 0, 1, 9806, 0, , 1.000000
   USER
          0.000000,         0.147,   0.155000,         0.374
          0.466000,         0.374,   0.538000,         0.324
          0.611000,         0.285,   0.684000,         0.255
          0.756000,         0.231,   0.829000,          0.21
          0.902000,         0.193,   0.974000,         0.179
          1.047000,         0.167,   1.120000,         0.156
          1.192000,         0.146,   1.265000,         0.138
          1.337000,          0.13,   1.410000,         0.124
          1.483000,         0.096,   1.555000,         0.092
          1.628000,         0.087,   1.701000,         0.084
          1.773000,          0.08,   1.846000,         0.077
          1.919000,         0.074,   1.991000,         0.072
          2.087000,         0.065,   2.183000,          0.06
          2.278000,         0.055,   2.374000,          0.05
          2.470000,         0.046,   2.565000,         0.043
          2.661000,          0.04,   2.756000,         0.037
          2.852000,         0.035,   2.948000,         0.033
          3.043000,         0.031,   3.139000,         0.029
          3.235000,         0.027,   3.330000,         0.026
          3.426000,         0.024,   3.522000,         0.023
          3.617000,         0.022,   3.713000,         0.021
          3.809000,          0.02,   3.904000,         0.019
          4.000000,         0.018
   FUNC=SLC_ORIZZ_rid, 1, 0, 1, 9806, 0, , 1.000000
   USER
          0.000000,         0.186,   0.158000,         0.472
          0.474000,         0.472,   0.551000,         0.406
          0.628000,         0.356,   0.706000,         0.317
          0.783000,         0.286,   0.860000,          0.26
          0.937000,         0.239,   1.014000,          0.22
          1.091000,         0.205,   1.169000,         0.191
          1.246000,         0.179,   1.323000,         0.169
          1.400000,          0.16,   1.477000,         0.124
          1.555000,         0.117,   1.632000,         0.112
          1.709000,         0.107,   1.786000,         0.102
          1.863000,         0.098,   1.940000,         0.094
          2.018000,          0.09,   2.095000,         0.087
          2.185000,          0.08,   2.276000,         0.074
          2.367000,         0.068,   2.458000,         0.063
          2.548000,         0.059,   2.639000,         0.055
```

```
         2.730000,          0.051,   2.821000,          0.048
         2.911000,          0.045,   3.002000,          0.042
         3.093000,           0.04,   3.183000,          0.038
         3.274000,          0.036,   3.365000,          0.034
         3.456000,          0.032,   3.546000,           0.03
         3.637000,          0.029,   3.728000,          0.028
         3.819000,          0.026,   3.909000,          0.025
         4.000000,          0.024
   FUNC=SLV_VERT, 1, 0, 1, 9806, 0, , 1.000000
   USER
         0.000000,          0.041,   0.050000,          0.105
         0.150000,          0.105,   0.235000,          0.067
         0.320000,          0.049,   0.405000,          0.039
         0.490000,          0.032,   0.575000,          0.027
         0.660000,          0.024,   0.745000,          0.021
         0.830000,          0.019,   0.915000,          0.017
         1.000000,          0.016,   1.094000,          0.013
         1.188000,          0.011,   1.281000,           0.01
         1.375000,          0.008,   1.469000,          0.007
         1.563000,          0.006,   1.656000,          0.006
         1.750000,          0.005,   1.844000,          0.005
         1.938000,          0.004,   2.031000,          0.004
         2.125000,          0.004,   2.219000,          0.003
         2.313000,          0.003,   2.406000,          0.003
         2.500000,          0.003,   2.594000,          0.002
         2.688000,          0.002,   2.781000,          0.002
         2.875000,          0.002,   2.969000,          0.002
         3.063000,          0.002,   3.156000,          0.002
         3.250000,          0.001,   3.344000,          0.001
         3.438000,          0.001,   3.531000,          0.001
         3.625000,          0.001,   3.719000,          0.001
         3.813000,          0.001,   3.906000,          0.001
         4.000000,          0.001
   FUNC=SLC_VERT, 1, 0, 1, 9806, 0, , 1.000000
   USER
         0.000000,          0.368,   0.050000,           0.61
         0.150000,           0.61,   0.235000,          0.389
         0.320000,          0.286,   0.405000,          0.226
         0.490000,          0.187,   0.575000,          0.159
         0.660000,          0.139,   0.745000,          0.123
         0.830000,           0.11,   0.915000,            0.1
         1.000000,          0.092,   1.094000,          0.077
         1.188000,          0.065,   1.281000,          0.056
         1.375000,          0.048,   1.469000,          0.042
         1.563000,          0.037,   1.656000,          0.033
         1.750000,           0.03,   1.844000,          0.027
         1.938000,          0.024,   2.031000,          0.022
         2.125000,           0.02,   2.219000,          0.019
         2.313000,          0.017,   2.406000,          0.016
         2.500000,          0.015,   2.594000,          0.014
         2.688000,          0.013,   2.781000,          0.012
         2.875000,          0.011,   2.969000,           0.01
         3.063000,           0.01,   3.156000,          0.009
         3.250000,          0.009,   3.344000,          0.008
         3.438000,          0.008,   3.531000,          0.007
         3.625000,          0.007,   3.719000,          0.007
         3.813000,          0.006,   3.906000,          0.006
         4.000000,          0.006

*SPLDCASE    ; Spectrum Load Cases
; TYPE, bADDSIGN, iSIGNTYPE
; NAME=NAME, DIR, ANGLE, SCALE, PMFT, bDAMP, bECC, INTERP, DESC,       ; line 1
;      COMTYPE, bADDSIGN, iSIGNTYPE, bMODE, bASA, iMAJ                 ; line 2
;      FUNC1, FUNC2, FUNC3, ...                                        ; line 3
;      bUSE1, dFACTOR1, bUSE2, dFACTOR2, ..., bUSEn, dFACTORn          ; line 4      (bMODE=YES)
;      bCDR, [DR-DC]                                                   ; line 5      (bDAMP=YES)
;      SMETHOD, bAUTO, ECC, bCONSGL                                    ; line 6      (bECC=YES)
;      STORY1, ECC1, STORY2, ECC2, ..., STORYn, ECCn                   ; from line 7 (bECC=YES)
; [DR-DC] : iMDTYPE, DALL, iMODE1, DAMPING1, iMODE2, DAMPING2, ...     ; iMDTYPE=1
;         : iMDTYPE, iCOEF, bMASSP, MASSC, bSTIFFP, STIFFC             ; iMDTYPE=2, iCOEF=1
;         : iMDTYPE, iCOEF, iCALC, bMASSP, FP1, DR1, bSTIFFP, FP2, DR2 ; iMDTYPE=2, iCOEF=2
   NAME=SLV(X), XY, 0, 1, 1, NO, NO, LOG,
        CQC, NO, 0, YES, NO, 0
        SLV_ORIZZ_rid
        YES, 1,YES, 1,YES, 1,YES, 1,YES, 1,YES, 1,YES, 1,YES, 1,YES, 1,YES, 1,YES, 1,YES, 1,YES, 1,YES, 1,YE
S, 1,YES, 1,YES, 1,YES, 1,YES, 1,YES, 1,YES, 1,YES, 1,YES, 1,YES, 1,YES, 1,YES, 1,YES, 1,YES, 1,YES, 1,YES,
1
   NAME=SLV(Y), XY, 90, 1, 1, NO, NO, LOG,
```

```
        CQC, NO, 0, YES, NO, 0
        SLV_ORIZZ_rid
        YES, 1,YES, 1,YES, 1,YES, 1,YES, 1,YES, 1,YES, 1,YES, 1,YES, 1,YES, 1,YES, 1,YES, 1,YES, 1,YES, 1,YE
S, 1,YES, 1,YES, 1,YES, 1,YES, 1,YES, 1,YES, 1,YES, 1,YES, 1,YES, 1,YES, 1,YES, 1,YES, 1,YES, 1,YES, 1,YES,
1
   NAME=SLV(vert), Z, 0, 1, 1, NO, NO, LOG,
        CQC, NO, 0, YES, NO, 0
        SLV_VERT
        YES, 1,YES, 1,YES, 1,YES, 1,YES, 1,YES, 1,YES, 1,YES, 1,YES, 1,YES, 1,YES, 1,YES, 1,YES, 1,YES, 1,YE
S, 1,YES, 1,YES, 1,YES, 1,YES, 1,YES, 1,YES, 1,YES, 1,YES, 1,YES, 1,YES, 1,YES, 1,YES, 1,YES, 1,YES, 1,YES,
1
   NAME=SLC(X), XY, 0, 1, 1, NO, NO, LOG,
        CQC, NO, 0, YES, NO, 0
        SLC_ORIZZ_rid
        YES, 1,YES, 1,YES, 1,YES, 1,YES, 1,YES, 1,YES, 1,YES, 1,YES, 1,YES, 1,YES, 1,YES, 1,YES, 1,YES, 1,YE
S, 1,YES, 1,YES, 1,YES, 1,YES, 1,YES, 1,YES, 1,YES, 1,YES, 1,YES, 1,YES, 1,YES, 1,YES, 1,YES, 1,YES, 1,YES,
1
   NAME=SLC(Y), XY, 90, 1, 1, NO, NO, LOG,
        CQC, NO, 0, YES, NO, 0
        SLC_ORIZZ_rid
        YES, 1,YES, 1,YES, 1,YES, 1,YES, 1,YES, 1,YES, 1,YES, 1,YES, 1,YES, 1,YES, 1,YES, 1,YES, 1,YES, 1,YE
S, 1,YES, 1,YES, 1,YES, 1,YES, 1,YES, 1,YES, 1,YES, 1,YES, 1,YES, 1,YES, 1,YES, 1,YES, 1,YES, 1,YES, 1,YES,
1
   NAME=SLC(vert), Z, 0, 1, 1, NO, NO, LOG,
        CQC, NO, 0, YES, NO, 0
        SLC_VERT
        YES, 1,YES, 1,YES, 1,YES, 1,YES, 1,YES, 1,YES, 1,YES, 1,YES, 1,YES, 1,YES, 1,YES, 1,YES, 1,YES, 1,YE
S, 1,YES, 1,YES, 1,YES, 1,YES, 1,YES, 1,YES, 1,YES, 1,YES, 1,YES, 1,YES, 1,YES, 1,YES, 1,YES, 1,YES, 1,YES,
1

*MVLDCODE    ; Moving Load Code
; CODE=CODE
   CODE=EUROCODE

*LINELANE    ; Traffic Line Lanes
; NAME=NAME, LDIST, GROUP, SKEWS, SKEWE, MOVING, LW, WS, bLANEOPT  ; line 1
;      iELEM1, ECC1, FACT1, bSPAN1, ECCVL...                       ; from line 2
   NAME=10_impsx_centrosx_lane2, CROSS, cross-beam, 0, 0, BOTH, 3000, 2000, NO
         2519, 3000, 0, NO, 0,  2520, 3000, 0, NO, 0,  2521, 3000, 0, NO, 0
         2522, 3000, 0, NO, 0,  2523, 3000, 0, NO, 0,  2524, 3000, 0, NO, 0
         2525, 3000, 0, NO, 0,  2526, 3000, 0, NO, 0,  2527, 3000, 0, NO, 0
         2528, 3000, 0, NO, 0,  2529, 3000, 0, NO, 0,  2530, 3000, 0, NO, 0
         2531, 3000, 0, NO, 0,  2532, 3000, 0, NO, 0,  2533, 3000, 0, NO, 0
         2534, 3000, 0, NO, 0,  2535, 3000, 0, NO, 0,  2536, 3000, 0, NO, 0
         2537, 3000, 0, NO, 0,  2538, 3000, 0, NO, 0,  2539, 3000, 0, NO, 0
         2540, 3000, 0, NO, 0,  2541, 3000, 0, NO, 0,  2542, 3000, 0, NO, 0
         2543, 3000, 0, NO, 0,  2544, 3000, 0, NO, 0,  2545, 3000, 0, NO, 0
         2546, 3000, 0, NO, 0,  2547, 3000, 0, NO, 0,  2548, 3000, 0, NO, 0
         2549, 3000, 0, NO, 0,  2550, 3000, 0, NO, 0,  2551, 3000, 0, NO, 0
         2552, 3000, 0, NO, 0,  2553, 3000, 0, NO, 0,  2554, 3000, 0, NO, 0
         2555, 3000, 0, NO, 0,  2556, 3000, 0, NO, 0,  2557, 3000, 0, NO, 0
         2558, 3000, 0, NO, 0,  2559, 3000, 0, NO, 0
   NAME=11_impsx_centrosx_lane3, CROSS, cross-beam, 0, 0, BOTH, 3000, 2000, NO
         2519, 6000, 0, NO, 0,  2520, 6000, 0, NO, 0,  2521, 6000, 0, NO, 0
         2522, 6000, 0, NO, 0,  2523, 6000, 0, NO, 0,  2524, 6000, 0, NO, 0
         2525, 6000, 0, NO, 0,  2526, 6000, 0, NO, 0,  2527, 6000, 0, NO, 0
         2528, 6000, 0, NO, 0,  2529, 6000, 0, NO, 0,  2530, 6000, 0, NO, 0
         2531, 6000, 0, NO, 0,  2532, 6000, 0, NO, 0,  2533, 6000, 0, NO, 0
         2534, 6000, 0, NO, 0,  2535, 6000, 0, NO, 0,  2536, 6000, 0, NO, 0
         2537, 6000, 0, NO, 0,  2538, 6000, 0, NO, 0,  2539, 6000, 0, NO, 0
         2540, 6000, 0, NO, 0,  2541, 6000, 0, NO, 0,  2542, 6000, 0, NO, 0
         2543, 6000, 0, NO, 0,  2544, 6000, 0, NO, 0,  2545, 6000, 0, NO, 0
         2546, 6000, 0, NO, 0,  2547, 6000, 0, NO, 0,  2548, 6000, 0, NO, 0
         2549, 6000, 0, NO, 0,  2550, 6000, 0, NO, 0,  2551, 6000, 0, NO, 0
         2552, 6000, 0, NO, 0,  2553, 6000, 0, NO, 0,  2554, 6000, 0, NO, 0
         2555, 6000, 0, NO, 0,  2556, 6000, 0, NO, 0,  2557, 6000, 0, NO, 0
         2558, 6000, 0, NO, 0,  2559, 6000, 0, NO, 0
   NAME=12_impsx_centrosx_lane4, CROSS, cross-beam, 0, 0, BOTH, 2000, 1800, NO
         2519, 8500, 0, NO, 0,  2520, 8500, 0, NO, 0,  2521, 8500, 0, NO, 0
         2522, 8500, 0, NO, 0,  2523, 8500, 0, NO, 0,  2524, 8500, 0, NO, 0
         2525, 8500, 0, NO, 0,  2526, 8500, 0, NO, 0,  2527, 8500, 0, NO, 0
         2528, 8500, 0, NO, 0,  2529, 8500, 0, NO, 0,  2530, 8500, 0, NO, 0
         2531, 8500, 0, NO, 0,  2532, 8500, 0, NO, 0,  2533, 8500, 0, NO, 0
         2534, 8500, 0, NO, 0,  2535, 8500, 0, NO, 0,  2536, 8500, 0, NO, 0
         2537, 8500, 0, NO, 0,  2538, 8500, 0, NO, 0,  2539, 8500, 0, NO, 0
         2540, 8500, 0, NO, 0,  2541, 8500, 0, NO, 0,  2542, 8500, 0, NO, 0
         2543, 8500, 0, NO, 0,  2544, 8500, 0, NO, 0,  2545, 8500, 0, NO, 0
         2546, 8500, 0, NO, 0,  2547, 8500, 0, NO, 0,  2548, 8500, 0, NO, 0
```

```
       2549, 8500, 0, NO, 0,  2550, 8500, 0, NO, 0,  2551, 8500, 0, NO, 0
       2552, 8500, 0, NO, 0,  2553, 8500, 0, NO, 0,  2554, 8500, 0, NO, 0
       2555, 8500, 0, NO, 0,  2556, 8500, 0, NO, 0,  2557, 8500, 0, NO, 0
       2558, 8500, 0, NO, 0,  2559, 8500, 0, NO, 0
  NAME=13_impsx_centrosx_lane5, CROSS, cross-beam, 0, 0, BOTH, 2500, 2200, NO
       2519, -2750, 0, NO, 0,  2520, -2750, 0, NO, 0,  2521, -2750, 0, NO, 0
       2522, -2750, 0, NO, 0,  2523, -2750, 0, NO, 0,  2524, -2750, 0, NO, 0
       2525, -2750, 0, NO, 0,  2526, -2750, 0, NO, 0,  2527, -2750, 0, NO, 0
       2528, -2750, 0, NO, 0,  2529, -2750, 0, NO, 0,  2530, -2750, 0, NO, 0
       2531, -2750, 0, NO, 0,  2532, -2750, 0, NO, 0,  2533, -2750, 0, NO, 0
       2534, -2750, 0, NO, 0,  2535, -2750, 0, NO, 0,  2536, -2750, 0, NO, 0
       2537, -2750, 0, NO, 0,  2538, -2750, 0, NO, 0,  2539, -2750, 0, NO, 0
       2540, -2750, 0, NO, 0,  2541, -2750, 0, NO, 0,  2542, -2750, 0, NO, 0
       2543, -2750, 0, NO, 0,  2544, -2750, 0, NO, 0,  2545, -2750, 0, NO, 0
       2546, -2750, 0, NO, 0,  2547, -2750, 0, NO, 0,  2548, -2750, 0, NO, 0
       2549, -2750, 0, NO, 0,  2550, -2750, 0, NO, 0,  2551, -2750, 0, NO, 0
       2552, -2750, 0, NO, 0,  2553, -2750, 0, NO, 0,  2554, -2750, 0, NO, 0
       2555, -2750, 0, NO, 0,  2556, -2750, 0, NO, 0,  2557, -2750, 0, NO, 0
       2558, -2750, 0, NO, 0,  2559, -2750, 0, NO, 0
  NAME=14_impsx_centrodx_lane1, CROSS, cross-beam, 0, 0, BOTH, 3000, 2000, NO
       2892, 0, 0, NO, 0,  2893, 0, 0, NO, 0,  2894, 0, 0, NO, 0
       2895, 0, 0, NO, 0,  2896, 0, 0, NO, 0,  2897, 0, 0, NO, 0
       2898, 0, 0, NO, 0,  2899, 0, 0, NO, 0,  2900, 0, 0, NO, 0
       2901, 0, 0, NO, 0,  2902, 0, 0, NO, 0,  2903, 0, 0, NO, 0
       2904, 0, 0, NO, 0,  2905, 0, 0, NO, 0,  2906, 0, 0, NO, 0
       2907, 0, 0, NO, 0,  2908, 0, 0, NO, 0,  2909, 0, 0, NO, 0
       2910, 0, 0, NO, 0,  2911, 0, 0, NO, 0,  2912, 0, 0, NO, 0
       2913, 0, 0, NO, 0,  2914, 0, 0, NO, 0,  2915, 0, 0, NO, 0
       2916, 0, 0, NO, 0,  2917, 0, 0, NO, 0,  2918, 0, 0, NO, 0
       2919, 0, 0, NO, 0,  2920, 0, 0, NO, 0,  2921, 0, 0, NO, 0
       2922, 0, 0, NO, 0,  2923, 0, 0, NO, 0,  2924, 0, 0, NO, 0
       2925, 0, 0, NO, 0,  2926, 0, 0, NO, 0,  2927, 0, 0, NO, 0
       2928, 0, 0, NO, 0,  2929, 0, 0, NO, 0,  2930, 0, 0, NO, 0
       2931, 0, 0, NO, 0,  2932, 0, 0, NO, 0
  NAME=15_impsx_centrodx_lane2, CROSS, cross-beam, 0, 0, BOTH, 3000, 2000, NO
       2892, -3000, 0, NO, 0,  2893, -3000, 0, NO, 0,  2894, -3000, 0, NO, 0
       2895, -3000, 0, NO, 0,  2896, -3000, 0, NO, 0,  2897, -3000, 0, NO, 0
       2898, -3000, 0, NO, 0,  2899, -3000, 0, NO, 0,  2900, -3000, 0, NO, 0
       2901, -3000, 0, NO, 0,  2902, -3000, 0, NO, 0,  2903, -3000, 0, NO, 0
       2904, -3000, 0, NO, 0,  2905, -3000, 0, NO, 0,  2906, -3000, 0, NO, 0
       2907, -3000, 0, NO, 0,  2908, -3000, 0, NO, 0,  2909, -3000, 0, NO, 0
       2910, -3000, 0, NO, 0,  2911, -3000, 0, NO, 0,  2912, -3000, 0, NO, 0
       2913, -3000, 0, NO, 0,  2914, -3000, 0, NO, 0,  2915, -3000, 0, NO, 0
       2916, -3000, 0, NO, 0,  2917, -3000, 0, NO, 0,  2918, -3000, 0, NO, 0
       2919, -3000, 0, NO, 0,  2920, -3000, 0, NO, 0,  2921, -3000, 0, NO, 0
       2922, -3000, 0, NO, 0,  2923, -3000, 0, NO, 0,  2924, -3000, 0, NO, 0
       2925, -3000, 0, NO, 0,  2926, -3000, 0, NO, 0,  2927, -3000, 0, NO, 0
       2928, -3000, 0, NO, 0,  2929, -3000, 0, NO, 0,  2930, -3000, 0, NO, 0
       2931, -3000, 0, NO, 0,  2932, -3000, 0, NO, 0
  NAME=16_impsx_centrodx_lane3, CROSS, cross-beam, 0, 0, BOTH, 3000, 2000, NO
       2892, 3000, 0, NO, 0,  2893, 3000, 0, NO, 0,  2894, 3000, 0, NO, 0
       2895, 3000, 0, NO, 0,  2896, 3000, 0, NO, 0,  2897, 3000, 0, NO, 0
       2898, 3000, 0, NO, 0,  2899, 3000, 0, NO, 0,  2900, 3000, 0, NO, 0
       2901, 3000, 0, NO, 0,  2902, 3000, 0, NO, 0,  2903, 3000, 0, NO, 0
       2904, 3000, 0, NO, 0,  2905, 3000, 0, NO, 0,  2906, 3000, 0, NO, 0
       2907, 3000, 0, NO, 0,  2908, 3000, 0, NO, 0,  2909, 3000, 0, NO, 0
       2910, 3000, 0, NO, 0,  2911, 3000, 0, NO, 0,  2912, 3000, 0, NO, 0
       2913, 3000, 0, NO, 0,  2914, 3000, 0, NO, 0,  2915, 3000, 0, NO, 0
       2916, 3000, 0, NO, 0,  2917, 3000, 0, NO, 0,  2918, 3000, 0, NO, 0
       2919, 3000, 0, NO, 0,  2920, 3000, 0, NO, 0,  2921, 3000, 0, NO, 0
       2922, 3000, 0, NO, 0,  2923, 3000, 0, NO, 0,  2924, 3000, 0, NO, 0
       2925, 3000, 0, NO, 0,  2926, 3000, 0, NO, 0,  2927, 3000, 0, NO, 0
       2928, 3000, 0, NO, 0,  2929, 3000, 0, NO, 0,  2930, 3000, 0, NO, 0
       2931, 3000, 0, NO, 0,  2932, 3000, 0, NO, 0
  NAME=17_impsx_centrodx_lane4, CROSS, cross-beam, 0, 0, BOTH, 4000, 2000, NO
       2892, -6500, 0, NO, 0,  2893, -6500, 0, NO, 0,  2894, -6500, 0, NO, 0
       2895, -6500, 0, NO, 0,  2896, -6500, 0, NO, 0,  2897, -6500, 0, NO, 0
       2898, -6500, 0, NO, 0,  2899, -6500, 0, NO, 0,  2900, -6500, 0, NO, 0
       2901, -6500, 0, NO, 0,  2902, -6500, 0, NO, 0,  2903, -6500, 0, NO, 0
       2904, -6500, 0, NO, 0,  2905, -6500, 0, NO, 0,  2906, -6500, 0, NO, 0
       2907, -6500, 0, NO, 0,  2908, -6500, 0, NO, 0,  2909, -6500, 0, NO, 0
       2910, -6500, 0, NO, 0,  2911, -6500, 0, NO, 0,  2912, -6500, 0, NO, 0
       2913, -6500, 0, NO, 0,  2914, -6500, 0, NO, 0,  2915, -6500, 0, NO, 0
       2916, -6500, 0, NO, 0,  2917, -6500, 0, NO, 0,  2918, -6500, 0, NO, 0
       2919, -6500, 0, NO, 0,  2920, -6500, 0, NO, 0,  2921, -6500, 0, NO, 0
       2922, -6500, 0, NO, 0,  2923, -6500, 0, NO, 0,  2924, -6500, 0, NO, 0
       2925, -6500, 0, NO, 0,  2926, -6500, 0, NO, 0,  2927, -6500, 0, NO, 0
       2928, -6500, 0, NO, 0,  2929, -6500, 0, NO, 0,  2930, -6500, 0, NO, 0
```

```
      2931, -6500, 0, NO, 0,  2932, -6500, 0, NO, 0
NAME=18_impsx_centrodx_lane5, CROSS, cross-beam, 0, 0, BOTH, 500, 400, NO
      2892, 4750, 0, NO, 0,  2893, 4750, 0, NO, 0,  2894, 4750, 0, NO, 0
      2895, 4750, 0, NO, 0,  2896, 4750, 0, NO, 0,  2897, 4750, 0, NO, 0
      2898, 4750, 0, NO, 0,  2899, 4750, 0, NO, 0,  2900, 4750, 0, NO, 0
      2901, 4750, 0, NO, 0,  2902, 4750, 0, NO, 0,  2903, 4750, 0, NO, 0
      2904, 4750, 0, NO, 0,  2905, 4750, 0, NO, 0,  2906, 4750, 0, NO, 0
      2907, 4750, 0, NO, 0,  2908, 4750, 0, NO, 0,  2909, 4750, 0, NO, 0
      2910, 4750, 0, NO, 0,  2911, 4750, 0, NO, 0,  2912, 4750, 0, NO, 0
      2913, 4750, 0, NO, 0,  2914, 4750, 0, NO, 0,  2915, 4750, 0, NO, 0
      2916, 4750, 0, NO, 0,  2917, 4750, 0, NO, 0,  2918, 4750, 0, NO, 0
      2919, 4750, 0, NO, 0,  2920, 4750, 0, NO, 0,  2921, 4750, 0, NO, 0
      2922, 4750, 0, NO, 0,  2923, 4750, 0, NO, 0,  2924, 4750, 0, NO, 0
      2925, 4750, 0, NO, 0,  2926, 4750, 0, NO, 0,  2927, 4750, 0, NO, 0
      2928, 4750, 0, NO, 0,  2929, 4750, 0, NO, 0,  2930, 4750, 0, NO, 0
      2931, 4750, 0, NO, 0,  2932, 4750, 0, NO, 0
NAME=19_impdx_tuttosx_lane1, CROSS, cross-beam, 0, 0, BOTH, 3000, 2000, NO
      3307, 0, 0, NO, 0,  3308, 0, 0, NO, 0,  3309, 0, 0, NO, 0
      3310, 0, 0, NO, 0,  3311, 0, 0, NO, 0,  3312, 0, 0, NO, 0
      3313, 0, 0, NO, 0,  3314, 0, 0, NO, 0,  3315, 0, 0, NO, 0
      3316, 0, 0, NO, 0,  3317, 0, 0, NO, 0,  3318, 0, 0, NO, 0
      3319, 0, 0, NO, 0,  3320, 0, 0, NO, 0,  3321, 0, 0, NO, 0
      3322, 0, 0, NO, 0,  3323, 0, 0, NO, 0,  3324, 0, 0, NO, 0
      3325, 0, 0, NO, 0,  3326, 0, 0, NO, 0,  3327, 0, 0, NO, 0
      3328, 0, 0, NO, 0,  3329, 0, 0, NO, 0,  3330, 0, 0, NO, 0
      3331, 0, 0, NO, 0,  3332, 0, 0, NO, 0,  3333, 0, 0, NO, 0
      3334, 0, 0, NO, 0,  3335, 0, 0, NO, 0,  3336, 0, 0, NO, 0
      3337, 0, 0, NO, 0,  3338, 0, 0, NO, 0,  3339, 0, 0, NO, 0
      3340, 0, 0, NO, 0,  3341, 0, 0, NO, 0,  3342, 0, 0, NO, 0
      3343, 0, 0, NO, 0,  3344, 0, 0, NO, 0,  3345, 0, 0, NO, 0
      3346, 0, 0, NO, 0,  3347, 0, 0, NO, 0
NAME=1_impsx_tuttosx_lane1, CROSS, cross-beam, 0, 0, BOTH, 3000, 2000, NO
      1855, 0, 0, NO, 0,  1856, 0, 0, NO, 0,  1857, 0, 0, NO, 0
      1858, 0, 0, NO, 0,  1859, 0, 0, NO, 0,  1860, 0, 0, NO, 0
      1861, 0, 0, NO, 0,  1862, 0, 0, NO, 0,  1863, 0, 0, NO, 0
      1864, 0, 0, NO, 0,  1865, 0, 0, NO, 0,  1866, 0, 0, NO, 0
      1867, 0, 0, NO, 0,  1868, 0, 0, NO, 0,  1869, 0, 0, NO, 0
      1870, 0, 0, NO, 0,  1871, 0, 0, NO, 0,  1872, 0, 0, NO, 0
      1873, 0, 0, NO, 0,  1874, 0, 0, NO, 0,  1875, 0, 0, NO, 0
      1876, 0, 0, NO, 0,  1877, 0, 0, NO, 0,  1878, 0, 0, NO, 0
      1879, 0, 0, NO, 0,  1880, 0, 0, NO, 0,  1881, 0, 0, NO, 0
      1882, 0, 0, NO, 0,  1883, 0, 0, NO, 0,  1884, 0, 0, NO, 0
      1885, 0, 0, NO, 0,  1886, 0, 0, NO, 0,  1887, 0, 0, NO, 0
      1888, 0, 0, NO, 0,  1889, 0, 0, NO, 0,  1890, 0, 0, NO, 0
      1891, 0, 0, NO, 0,  1892, 0, 0, NO, 0,  1893, 0, 0, NO, 0
      1894, 0, 0, NO, 0,  1895, 0, 0, NO, 0
NAME=20_impdx_tuttosx_lane2, CROSS, cross-beam, 0, 0, BOTH, 3000, 2000, NO
      3307, 3000, 0, NO, 0,  3308, 3000, 0, NO, 0,  3309, 3000, 0, NO, 0
      3310, 3000, 0, NO, 0,  3311, 3000, 0, NO, 0,  3312, 3000, 0, NO, 0
      3313, 3000, 0, NO, 0,  3314, 3000, 0, NO, 0,  3315, 3000, 0, NO, 0
      3316, 3000, 0, NO, 0,  3317, 3000, 0, NO, 0,  3318, 3000, 0, NO, 0
      3319, 3000, 0, NO, 0,  3320, 3000, 0, NO, 0,  3321, 3000, 0, NO, 0
      3322, 3000, 0, NO, 0,  3323, 3000, 0, NO, 0,  3324, 3000, 0, NO, 0
      3325, 3000, 0, NO, 0,  3326, 3000, 0, NO, 0,  3327, 3000, 0, NO, 0
      3328, 3000, 0, NO, 0,  3329, 3000, 0, NO, 0,  3330, 3000, 0, NO, 0
      3331, 3000, 0, NO, 0,  3332, 3000, 0, NO, 0,  3333, 3000, 0, NO, 0
      3334, 3000, 0, NO, 0,  3335, 3000, 0, NO, 0,  3336, 3000, 0, NO, 0
      3337, 3000, 0, NO, 0,  3338, 3000, 0, NO, 0,  3339, 3000, 0, NO, 0
      3340, 3000, 0, NO, 0,  3341, 3000, 0, NO, 0,  3342, 3000, 0, NO, 0
      3343, 3000, 0, NO, 0,  3344, 3000, 0, NO, 0,  3345, 3000, 0, NO, 0
      3346, 3000, 0, NO, 0,  3347, 3000, 0, NO, 0
NAME=21_impdx_tuttosx_lane3, CROSS, cross-beam, 0, 0, BOTH, 3000, 2000, NO
      3307, 6000, 0, NO, 0,  3308, 6000, 0, NO, 0,  3309, 6000, 0, NO, 0
      3310, 6000, 0, NO, 0,  3311, 6000, 0, NO, 0,  3312, 6000, 0, NO, 0
      3313, 6000, 0, NO, 0,  3314, 6000, 0, NO, 0,  3315, 6000, 0, NO, 0
      3316, 6000, 0, NO, 0,  3317, 6000, 0, NO, 0,  3318, 6000, 0, NO, 0
      3319, 6000, 0, NO, 0,  3320, 6000, 0, NO, 0,  3321, 6000, 0, NO, 0
      3322, 6000, 0, NO, 0,  3323, 6000, 0, NO, 0,  3324, 6000, 0, NO, 0
      3325, 6000, 0, NO, 0,  3326, 6000, 0, NO, 0,  3327, 6000, 0, NO, 0
      3328, 6000, 0, NO, 0,  3329, 6000, 0, NO, 0,  3330, 6000, 0, NO, 0
      3331, 6000, 0, NO, 0,  3332, 6000, 0, NO, 0,  3333, 6000, 0, NO, 0
      3334, 6000, 0, NO, 0,  3335, 6000, 0, NO, 0,  3336, 6000, 0, NO, 0
      3337, 6000, 0, NO, 0,  3338, 6000, 0, NO, 0,  3339, 6000, 0, NO, 0
      3340, 6000, 0, NO, 0,  3341, 6000, 0, NO, 0,  3342, 6000, 0, NO, 0
      3343, 6000, 0, NO, 0,  3344, 6000, 0, NO, 0,  3345, 6000, 0, NO, 0
      3346, 6000, 0, NO, 0,  3347, 6000, 0, NO, 0
NAME=22_impdx_tuttosx_lane4, CROSS, cross-beam, 0, 0, BOTH, 450, 400, NO
      3307, -1725, 0, NO, 0,  3308, -1725, 0, NO, 0,  3309, -1725, 0, NO, 0
```

```
       3310, -1725, 0, NO, 0,  3311, -1725, 0, NO, 0,  3312, -1725, 0, NO, 0
       3313, -1725, 0, NO, 0,  3314, -1725, 0, NO, 0,  3315, -1725, 0, NO, 0
       3316, -1725, 0, NO, 0,  3317, -1725, 0, NO, 0,  3318, -1725, 0, NO, 0
       3319, -1725, 0, NO, 0,  3320, -1725, 0, NO, 0,  3321, -1725, 0, NO, 0
       3322, -1725, 0, NO, 0,  3323, -1725, 0, NO, 0,  3324, -1725, 0, NO, 0
       3325, -1725, 0, NO, 0,  3326, -1725, 0, NO, 0,  3327, -1725, 0, NO, 0
       3328, -1725, 0, NO, 0,  3329, -1725, 0, NO, 0,  3330, -1725, 0, NO, 0
       3331, -1725, 0, NO, 0,  3332, -1725, 0, NO, 0,  3333, -1725, 0, NO, 0
       3334, -1725, 0, NO, 0,  3335, -1725, 0, NO, 0,  3336, -1725, 0, NO, 0
       3337, -1725, 0, NO, 0,  3338, -1725, 0, NO, 0,  3339, -1725, 0, NO, 0
       3340, -1725, 0, NO, 0,  3341, -1725, 0, NO, 0,  3342, -1725, 0, NO, 0
       3343, -1725, 0, NO, 0,  3344, -1725, 0, NO, 0,  3345, -1725, 0, NO, 0
       3346, -1725, 0, NO, 0,  3347, -1725, 0, NO, 0
NAME=23_impdx_tuttosx_lane5, CROSS, cross-beam, 0, 0, BOTH, 4900, 4600, NO
       3307, 10900, 0, NO, 0,  3308, 10900, 0, NO, 0,  3309, 10900, 0, NO, 0
       3310, 10900, 0, NO, 0,  3311, 10900, 0, NO, 0,  3312, 10900, 0, NO, 0
       3313, 10900, 0, NO, 0,  3314, 10900, 0, NO, 0,  3315, 10900, 0, NO, 0
       3316, 10900, 0, NO, 0,  3317, 10900, 0, NO, 0,  3318, 10900, 0, NO, 0
       3319, 10900, 0, NO, 0,  3320, 10900, 0, NO, 0,  3321, 10900, 0, NO, 0
       3322, 10900, 0, NO, 0,  3323, 10900, 0, NO, 0,  3324, 10900, 0, NO, 0
       3325, 10900, 0, NO, 0,  3326, 10900, 0, NO, 0,  3327, 10900, 0, NO, 0
       3328, 10900, 0, NO, 0,  3329, 10900, 0, NO, 0,  3330, 10900, 0, NO, 0
       3331, 10900, 0, NO, 0,  3332, 10900, 0, NO, 0,  3333, 10900, 0, NO, 0
       3334, 10900, 0, NO, 0,  3335, 10900, 0, NO, 0,  3336, 10900, 0, NO, 0
       3337, 10900, 0, NO, 0,  3338, 10900, 0, NO, 0,  3339, 10900, 0, NO, 0
       3340, 10900, 0, NO, 0,  3341, 10900, 0, NO, 0,  3342, 10900, 0, NO, 0
       3343, 10900, 0, NO, 0,  3344, 10900, 0, NO, 0,  3345, 10900, 0, NO, 0
       3346, 10900, 0, NO, 0,  3347, 10900, 0, NO, 0
NAME=24_impdx_tuttodx_lane1, CROSS, cross-beam, 0, 0, BOTH, 3000, 2000, NO
       3680, 0, 0, NO, 0,  3681, 0, 0, NO, 0,  3682, 0, 0, NO, 0
       3683, 0, 0, NO, 0,  3684, 0, 0, NO, 0,  3685, 0, 0, NO, 0
       3686, 0, 0, NO, 0,  3687, 0, 0, NO, 0,  3688, 0, 0, NO, 0
       3689, 0, 0, NO, 0,  3690, 0, 0, NO, 0,  3691, 0, 0, NO, 0
       3692, 0, 0, NO, 0,  3693, 0, 0, NO, 0,  3694, 0, 0, NO, 0
       3695, 0, 0, NO, 0,  3696, 0, 0, NO, 0,  3697, 0, 0, NO, 0
       3698, 0, 0, NO, 0,  3699, 0, 0, NO, 0,  3700, 0, 0, NO, 0
       3701, 0, 0, NO, 0,  3702, 0, 0, NO, 0,  3703, 0, 0, NO, 0
       3704, 0, 0, NO, 0,  3705, 0, 0, NO, 0,  3706, 0, 0, NO, 0
       3707, 0, 0, NO, 0,  3708, 0, 0, NO, 0,  3709, 0, 0, NO, 0
       3710, 0, 0, NO, 0,  3711, 0, 0, NO, 0,  3712, 0, 0, NO, 0
       3713, 0, 0, NO, 0,  3714, 0, 0, NO, 0,  3715, 0, 0, NO, 0
       3716, 0, 0, NO, 0,  3717, 0, 0, NO, 0,  3718, 0, 0, NO, 0
       3719, 0, 0, NO, 0,  3720, 0, 0, NO, 0
NAME=25_impdx_tuttodx_lane2, CROSS, cross-beam, 0, 0, BOTH, 3000, 2000, NO
       3680, -3000, 0, NO, 0,  3681, -3000, 0, NO, 0,  3682, -3000, 0, NO, 0
       3683, -3000, 0, NO, 0,  3684, -3000, 0, NO, 0,  3685, -3000, 0, NO, 0
       3686, -3000, 0, NO, 0,  3687, -3000, 0, NO, 0,  3688, -3000, 0, NO, 0
       3689, -3000, 0, NO, 0,  3690, -3000, 0, NO, 0,  3691, -3000, 0, NO, 0
       3692, -3000, 0, NO, 0,  3693, -3000, 0, NO, 0,  3694, -3000, 0, NO, 0
       3695, -3000, 0, NO, 0,  3696, -3000, 0, NO, 0,  3697, -3000, 0, NO, 0
       3698, -3000, 0, NO, 0,  3699, -3000, 0, NO, 0,  3700, -3000, 0, NO, 0
       3701, -3000, 0, NO, 0,  3702, -3000, 0, NO, 0,  3703, -3000, 0, NO, 0
       3704, -3000, 0, NO, 0,  3705, -3000, 0, NO, 0,  3706, -3000, 0, NO, 0
       3707, -3000, 0, NO, 0,  3708, -3000, 0, NO, 0,  3709, -3000, 0, NO, 0
       3710, -3000, 0, NO, 0,  3711, -3000, 0, NO, 0,  3712, -3000, 0, NO, 0
       3713, -3000, 0, NO, 0,  3714, -3000, 0, NO, 0,  3715, -3000, 0, NO, 0
       3716, -3000, 0, NO, 0,  3717, -3000, 0, NO, 0,  3718, -3000, 0, NO, 0
       3719, -3000, 0, NO, 0,  3720, -3000, 0, NO, 0
NAME=26_impdx_tuttodx_lane3, CROSS, cross-beam, 0, 0, BOTH, 3000, 2000, NO
       3680, -6000, 0, NO, 0,  3681, -6000, 0, NO, 0,  3682, -6000, 0, NO, 0
       3683, -6000, 0, NO, 0,  3684, -6000, 0, NO, 0,  3685, -6000, 0, NO, 0
       3686, -6000, 0, NO, 0,  3687, -6000, 0, NO, 0,  3688, -6000, 0, NO, 0
       3689, -6000, 0, NO, 0,  3690, -6000, 0, NO, 0,  3691, -6000, 0, NO, 0
       3692, -6000, 0, NO, 0,  3693, -6000, 0, NO, 0,  3694, -6000, 0, NO, 0
       3695, -6000, 0, NO, 0,  3696, -6000, 0, NO, 0,  3697, -6000, 0, NO, 0
       3698, -6000, 0, NO, 0,  3699, -6000, 0, NO, 0,  3700, -6000, 0, NO, 0
       3701, -6000, 0, NO, 0,  3702, -6000, 0, NO, 0,  3703, -6000, 0, NO, 0
       3704, -6000, 0, NO, 0,  3705, -6000, 0, NO, 0,  3706, -6000, 0, NO, 0
       3707, -6000, 0, NO, 0,  3708, -6000, 0, NO, 0,  3709, -6000, 0, NO, 0
       3710, -6000, 0, NO, 0,  3711, -6000, 0, NO, 0,  3712, -6000, 0, NO, 0
       3713, -6000, 0, NO, 0,  3714, -6000, 0, NO, 0,  3715, -6000, 0, NO, 0
       3716, -6000, 0, NO, 0,  3717, -6000, 0, NO, 0,  3718, -6000, 0, NO, 0
       3719, -6000, 0, NO, 0,  3720, -6000, 0, NO, 0
NAME=27_impdx_tuttodx_lane4, CROSS, cross-beam, 0, 0, BOTH, 5150, 5000, NO
       3680, -11150, 0, NO, 0,  3681, -11150, 0, NO, 0
       3682, -11150, 0, NO, 0,  3683, -11150, 0, NO, 0
       3684, -11150, 0, NO, 0,  3685, -11150, 0, NO, 0
       3686, -11150, 0, NO, 0,  3687, -11150, 0, NO, 0
```

```
        3688, -11150, 0, NO, 0,  3689, -11150, 0, NO, 0
        3690, -11150, 0, NO, 0,  3691, -11150, 0, NO, 0
        3692, -11150, 0, NO, 0,  3693, -11150, 0, NO, 0
        3694, -11150, 0, NO, 0,  3695, -11150, 0, NO, 0
        3696, -11150, 0, NO, 0,  3697, -11150, 0, NO, 0
        3698, -11150, 0, NO, 0,  3699, -11150, 0, NO, 0
        3700, -11150, 0, NO, 0,  3701, -11150, 0, NO, 0
        3702, -11150, 0, NO, 0,  3703, -11150, 0, NO, 0
        3704, -11150, 0, NO, 0,  3705, -11150, 0, NO, 0
        3706, -11150, 0, NO, 0,  3707, -11150, 0, NO, 0
        3708, -11150, 0, NO, 0,  3709, -11150, 0, NO, 0
        3710, -11150, 0, NO, 0,  3711, -11150, 0, NO, 0
        3712, -11150, 0, NO, 0,  3713, -11150, 0, NO, 0
        3714, -11150, 0, NO, 0,  3715, -11150, 0, NO, 0
        3716, -11150, 0, NO, 0,  3717, -11150, 0, NO, 0
        3718, -11150, 0, NO, 0,  3719, -11150, 0, NO, 0
        3720, -11150, 0, NO, 0
   NAME=28_impdx_centrosx_lane1, CROSS, cross-beam, 0, 0, BOTH, 3000, 2000, NO
        4012, 0, 0, NO, 0,  4013, 0, 0, NO, 0,  4014, 0, 0, NO, 0
        4015, 0, 0, NO, 0,  4016, 0, 0, NO, 0,  4017, 0, 0, NO, 0
        4018, 0, 0, NO, 0,  4019, 0, 0, NO, 0,  4020, 0, 0, NO, 0
        4021, 0, 0, NO, 0,  4022, 0, 0, NO, 0,  4023, 0, 0, NO, 0
        4024, 0, 0, NO, 0,  4025, 0, 0, NO, 0,  4026, 0, 0, NO, 0
        4027, 0, 0, NO, 0,  4028, 0, 0, NO, 0,  4029, 0, 0, NO, 0
        4030, 0, 0, NO, 0,  4031, 0, 0, NO, 0,  4032, 0, 0, NO, 0
        4033, 0, 0, NO, 0,  4034, 0, 0, NO, 0,  4035, 0, 0, NO, 0
        4036, 0, 0, NO, 0,  4037, 0, 0, NO, 0,  4038, 0, 0, NO, 0
        4039, 0, 0, NO, 0,  4040, 0, 0, NO, 0,  4041, 0, 0, NO, 0
        4042, 0, 0, NO, 0,  4043, 0, 0, NO, 0,  4044, 0, 0, NO, 0
        4045, 0, 0, NO, 0,  4046, 0, 0, NO, 0,  4047, 0, 0, NO, 0
        4048, 0, 0, NO, 0,  4049, 0, 0, NO, 0,  4050, 0, 0, NO, 0
        4051, 0, 0, NO, 0,  4052, 0, 0, NO, 0
   NAME=29_impdx_centrosx_lane2, CROSS, cross-beam, 0, 0, BOTH, 3000, 2000, NO
        4012, -3000, 0, NO, 0,  4013, -3000, 0, NO, 0,  4014, -3000, 0, NO, 0
        4015, -3000, 0, NO, 0,  4016, -3000, 0, NO, 0,  4017, -3000, 0, NO, 0
        4018, -3000, 0, NO, 0,  4019, -3000, 0, NO, 0,  4020, -3000, 0, NO, 0
        4021, -3000, 0, NO, 0,  4022, -3000, 0, NO, 0,  4023, -3000, 0, NO, 0
        4024, -3000, 0, NO, 0,  4025, -3000, 0, NO, 0,  4026, -3000, 0, NO, 0
        4027, -3000, 0, NO, 0,  4028, -3000, 0, NO, 0,  4029, -3000, 0, NO, 0
        4030, -3000, 0, NO, 0,  4031, -3000, 0, NO, 0,  4032, -3000, 0, NO, 0
        4033, -3000, 0, NO, 0,  4034, -3000, 0, NO, 0,  4035, -3000, 0, NO, 0
        4036, -3000, 0, NO, 0,  4037, -3000, 0, NO, 0,  4038, -3000, 0, NO, 0
        4039, -3000, 0, NO, 0,  4040, -3000, 0, NO, 0,  4041, -3000, 0, NO, 0
        4042, -3000, 0, NO, 0,  4043, -3000, 0, NO, 0,  4044, -3000, 0, NO, 0
        4045, -3000, 0, NO, 0,  4046, -3000, 0, NO, 0,  4047, -3000, 0, NO, 0
        4048, -3000, 0, NO, 0,  4049, -3000, 0, NO, 0,  4050, -3000, 0, NO, 0
        4051, -3000, 0, NO, 0,  4052, -3000, 0, NO, 0
   NAME=2_impsx_tuttosx_lane2, CROSS, cross-beam, 0, 0, BOTH, 3000, 2000, NO
        1855, 3000, 0, NO, 0,  1856, 3000, 0, NO, 0,  1857, 3000, 0, NO, 0
        1858, 3000, 0, NO, 0,  1859, 3000, 0, NO, 0,  1860, 3000, 0, NO, 0
        1861, 3000, 0, NO, 0,  1862, 3000, 0, NO, 0,  1863, 3000, 0, NO, 0
        1864, 3000, 0, NO, 0,  1865, 3000, 0, NO, 0,  1866, 3000, 0, NO, 0
        1867, 3000, 0, NO, 0,  1868, 3000, 0, NO, 0,  1869, 3000, 0, NO, 0
        1870, 3000, 0, NO, 0,  1871, 3000, 0, NO, 0,  1872, 3000, 0, NO, 0
        1873, 3000, 0, NO, 0,  1874, 3000, 0, NO, 0,  1875, 3000, 0, NO, 0
        1876, 3000, 0, NO, 0,  1877, 3000, 0, NO, 0,  1878, 3000, 0, NO, 0
        1879, 3000, 0, NO, 0,  1880, 3000, 0, NO, 0,  1881, 3000, 0, NO, 0
        1882, 3000, 0, NO, 0,  1883, 3000, 0, NO, 0,  1884, 3000, 0, NO, 0
        1885, 3000, 0, NO, 0,  1886, 3000, 0, NO, 0,  1887, 3000, 0, NO, 0
        1888, 3000, 0, NO, 0,  1889, 3000, 0, NO, 0,  1890, 3000, 0, NO, 0
        1891, 3000, 0, NO, 0,  1892, 3000, 0, NO, 0,  1893, 3000, 0, NO, 0
        1894, 3000, 0, NO, 0,  1895, 3000, 0, NO, 0
   NAME=30_impdx_centrosx_lane3, CROSS, cross-beam, 0, 0, BOTH, 3000, 2000, NO
        4012, 3000, 0, NO, 0,  4013, 3000, 0, NO, 0,  4014, 3000, 0, NO, 0
        4015, 3000, 0, NO, 0,  4016, 3000, 0, NO, 0,  4017, 3000, 0, NO, 0
        4018, 3000, 0, NO, 0,  4019, 3000, 0, NO, 0,  4020, 3000, 0, NO, 0
        4021, 3000, 0, NO, 0,  4022, 3000, 0, NO, 0,  4023, 3000, 0, NO, 0
        4024, 3000, 0, NO, 0,  4025, 3000, 0, NO, 0,  4026, 3000, 0, NO, 0
        4027, 3000, 0, NO, 0,  4028, 3000, 0, NO, 0,  4029, 3000, 0, NO, 0
        4030, 3000, 0, NO, 0,  4031, 3000, 0, NO, 0,  4032, 3000, 0, NO, 0
        4033, 3000, 0, NO, 0,  4034, 3000, 0, NO, 0,  4035, 3000, 0, NO, 0
        4036, 3000, 0, NO, 0,  4037, 3000, 0, NO, 0,  4038, 3000, 0, NO, 0
        4039, 3000, 0, NO, 0,  4040, 3000, 0, NO, 0,  4041, 3000, 0, NO, 0
        4042, 3000, 0, NO, 0,  4043, 3000, 0, NO, 0,  4044, 3000, 0, NO, 0
        4045, 3000, 0, NO, 0,  4046, 3000, 0, NO, 0,  4047, 3000, 0, NO, 0
        4048, 3000, 0, NO, 0,  4049, 3000, 0, NO, 0,  4050, 3000, 0, NO, 0
        4051, 3000, 0, NO, 0,  4052, 3000, 0, NO, 0
   NAME=31_impdx_centrosx_lane4, CROSS, cross-beam, 0, 0, BOTH, 1950, 1900, NO
```

```
        4012, -5475, 0, NO, 0,   4013, -5475, 0, NO, 0,   4014, -5475, 0, NO, 0
        4015, -5475, 0, NO, 0,   4016, -5475, 0, NO, 0,   4017, -5475, 0, NO, 0
        4018, -5475, 0, NO, 0,   4019, -5475, 0, NO, 0,   4020, -5475, 0, NO, 0
        4021, -5475, 0, NO, 0,   4022, -5475, 0, NO, 0,   4023, -5475, 0, NO, 0
        4024, -5475, 0, NO, 0,   4025, -5475, 0, NO, 0,   4026, -5475, 0, NO, 0
        4027, -5475, 0, NO, 0,   4028, -5475, 0, NO, 0,   4029, -5475, 0, NO, 0
        4030, -5475, 0, NO, 0,   4031, -5475, 0, NO, 0,   4032, -5475, 0, NO, 0
        4033, -5475, 0, NO, 0,   4034, -5475, 0, NO, 0,   4035, -5475, 0, NO, 0
        4036, -5475, 0, NO, 0,   4037, -5475, 0, NO, 0,   4038, -5475, 0, NO, 0
        4039, -5475, 0, NO, 0,   4040, -5475, 0, NO, 0,   4041, -5475, 0, NO, 0
        4042, -5475, 0, NO, 0,   4043, -5475, 0, NO, 0,   4044, -5475, 0, NO, 0
        4045, -5475, 0, NO, 0,   4046, -5475, 0, NO, 0,   4047, -5475, 0, NO, 0
        4048, -5475, 0, NO, 0,   4049, -5475, 0, NO, 0,   4050, -5475, 0, NO, 0
        4051, -5475, 0, NO, 0,   4052, -5475, 0, NO, 0
   NAME=32_impdx_centrosx_lane5, CROSS, cross-beam, 0, 0, BOTH, 5350, 5300, NO
        4012, 7175, 0, NO, 0,   4013, 7175, 0, NO, 0,   4014, 7175, 0, NO, 0
        4015, 7175, 0, NO, 0,   4016, 7175, 0, NO, 0,   4017, 7175, 0, NO, 0
        4018, 7175, 0, NO, 0,   4019, 7175, 0, NO, 0,   4020, 7175, 0, NO, 0
        4021, 7175, 0, NO, 0,   4022, 7175, 0, NO, 0,   4023, 7175, 0, NO, 0
        4024, 7175, 0, NO, 0,   4025, 7175, 0, NO, 0,   4026, 7175, 0, NO, 0
        4027, 7175, 0, NO, 0,   4028, 7175, 0, NO, 0,   4029, 7175, 0, NO, 0
        4030, 7175, 0, NO, 0,   4031, 7175, 0, NO, 0,   4032, 7175, 0, NO, 0
        4033, 7175, 0, NO, 0,   4034, 7175, 0, NO, 0,   4035, 7175, 0, NO, 0
        4036, 7175, 0, NO, 0,   4037, 7175, 0, NO, 0,   4038, 7175, 0, NO, 0
        4039, 7175, 0, NO, 0,   4040, 7175, 0, NO, 0,   4041, 7175, 0, NO, 0
        4042, 7175, 0, NO, 0,   4043, 7175, 0, NO, 0,   4044, 7175, 0, NO, 0
        4045, 7175, 0, NO, 0,   4046, 7175, 0, NO, 0,   4047, 7175, 0, NO, 0
        4048, 7175, 0, NO, 0,   4049, 7175, 0, NO, 0,   4050, 7175, 0, NO, 0
        4051, 7175, 0, NO, 0,   4052, 7175, 0, NO, 0
   NAME=33_impdx_centrodx_lane1, CROSS, cross-beam, 0, 0, BOTH, 3000, 2000, NO
        4385, 0, 0, NO, 0,   4386, 0, 0, NO, 0,   4387, 0, 0, NO, 0
        4388, 0, 0, NO, 0,   4389, 0, 0, NO, 0,   4390, 0, 0, NO, 0
        4391, 0, 0, NO, 0,   4392, 0, 0, NO, 0,   4393, 0, 0, NO, 0
        4394, 0, 0, NO, 0,   4395, 0, 0, NO, 0,   4396, 0, 0, NO, 0
        4397, 0, 0, NO, 0,   4398, 0, 0, NO, 0,   4399, 0, 0, NO, 0
        4400, 0, 0, NO, 0,   4401, 0, 0, NO, 0,   4402, 0, 0, NO, 0
        4403, 0, 0, NO, 0,   4404, 0, 0, NO, 0,   4405, 0, 0, NO, 0
        4406, 0, 0, NO, 0,   4407, 0, 0, NO, 0,   4408, 0, 0, NO, 0
        4409, 0, 0, NO, 0,   4410, 0, 0, NO, 0,   4411, 0, 0, NO, 0
        4412, 0, 0, NO, 0,   4413, 0, 0, NO, 0,   4414, 0, 0, NO, 0
        4415, 0, 0, NO, 0,   4416, 0, 0, NO, 0,   4417, 0, 0, NO, 0
        4418, 0, 0, NO, 0,   4419, 0, 0, NO, 0,   4420, 0, 0, NO, 0
        4421, 0, 0, NO, 0,   4422, 0, 0, NO, 0,   4423, 0, 0, NO, 0
        4424, 0, 0, NO, 0,   4425, 0, 0, NO, 0
   NAME=34_impdx_centrodx_lane2, CROSS, cross-beam, 0, 0, BOTH, 3000, 2000, NO
        4385, -3000, 0, NO, 0,   4386, -3000, 0, NO, 0,   4387, -3000, 0, NO, 0
        4388, -3000, 0, NO, 0,   4389, -3000, 0, NO, 0,   4390, -3000, 0, NO, 0
        4391, -3000, 0, NO, 0,   4392, -3000, 0, NO, 0,   4393, -3000, 0, NO, 0
        4394, -3000, 0, NO, 0,   4395, -3000, 0, NO, 0,   4396, -3000, 0, NO, 0
        4397, -3000, 0, NO, 0,   4398, -3000, 0, NO, 0,   4399, -3000, 0, NO, 0
        4400, -3000, 0, NO, 0,   4401, -3000, 0, NO, 0,   4402, -3000, 0, NO, 0
        4403, -3000, 0, NO, 0,   4404, -3000, 0, NO, 0,   4405, -3000, 0, NO, 0
        4406, -3000, 0, NO, 0,   4407, -3000, 0, NO, 0,   4408, -3000, 0, NO, 0
        4409, -3000, 0, NO, 0,   4410, -3000, 0, NO, 0,   4411, -3000, 0, NO, 0
        4412, -3000, 0, NO, 0,   4413, -3000, 0, NO, 0,   4414, -3000, 0, NO, 0
        4415, -3000, 0, NO, 0,   4416, -3000, 0, NO, 0,   4417, -3000, 0, NO, 0
        4418, -3000, 0, NO, 0,   4419, -3000, 0, NO, 0,   4420, -3000, 0, NO, 0
        4421, -3000, 0, NO, 0,   4422, -3000, 0, NO, 0,   4423, -3000, 0, NO, 0
        4424, -3000, 0, NO, 0,   4425, -3000, 0, NO, 0
   NAME=35_impdx_centrodx_lane3, CROSS, cross-beam, 0, 0, BOTH, 3000, 2000, NO
        4385, 3000, 0, NO, 0,   4386, 3000, 0, NO, 0,   4387, 3000, 0, NO, 0
        4388, 3000, 0, NO, 0,   4389, 3000, 0, NO, 0,   4390, 3000, 0, NO, 0
        4391, 3000, 0, NO, 0,   4392, 3000, 0, NO, 0,   4393, 3000, 0, NO, 0
        4394, 3000, 0, NO, 0,   4395, 3000, 0, NO, 0,   4396, 3000, 0, NO, 0
        4397, 3000, 0, NO, 0,   4398, 3000, 0, NO, 0,   4399, 3000, 0, NO, 0
        4400, 3000, 0, NO, 0,   4401, 3000, 0, NO, 0,   4402, 3000, 0, NO, 0
        4403, 3000, 0, NO, 0,   4404, 3000, 0, NO, 0,   4405, 3000, 0, NO, 0
        4406, 3000, 0, NO, 0,   4407, 3000, 0, NO, 0,   4408, 3000, 0, NO, 0
        4409, 3000, 0, NO, 0,   4410, 3000, 0, NO, 0,   4411, 3000, 0, NO, 0
        4412, 3000, 0, NO, 0,   4413, 3000, 0, NO, 0,   4414, 3000, 0, NO, 0
        4415, 3000, 0, NO, 0,   4416, 3000, 0, NO, 0,   4417, 3000, 0, NO, 0
        4418, 3000, 0, NO, 0,   4419, 3000, 0, NO, 0,   4420, 3000, 0, NO, 0
        4421, 3000, 0, NO, 0,   4422, 3000, 0, NO, 0,   4423, 3000, 0, NO, 0
        4424, 3000, 0, NO, 0,   4425, 3000, 0, NO, 0
   NAME=36_impdx_centrodx_lane4, CROSS, cross-beam, 0, 0, BOTH, 800, 700, NO
        4385, 4900, 0, NO, 0,   4386, 4900, 0, NO, 0,   4387, 4900, 0, NO, 0
        4388, 4900, 0, NO, 0,   4389, 4900, 0, NO, 0,   4390, 4900, 0, NO, 0
        4391, 4900, 0, NO, 0,   4392, 4900, 0, NO, 0,   4393, 4900, 0, NO, 0
```

```
        4394, 4900, 0, NO, 0,   4395, 4900, 0, NO, 0,   4396, 4900, 0, NO, 0
        4397, 4900, 0, NO, 0,   4398, 4900, 0, NO, 0,   4399, 4900, 0, NO, 0
        4400, 4900, 0, NO, 0,   4401, 4900, 0, NO, 0,   4402, 4900, 0, NO, 0
        4403, 4900, 0, NO, 0,   4404, 4900, 0, NO, 0,   4405, 4900, 0, NO, 0
        4406, 4900, 0, NO, 0,   4407, 4900, 0, NO, 0,   4408, 4900, 0, NO, 0
        4409, 4900, 0, NO, 0,   4410, 4900, 0, NO, 0,   4411, 4900, 0, NO, 0
        4412, 4900, 0, NO, 0,   4413, 4900, 0, NO, 0,   4414, 4900, 0, NO, 0
        4415, 4900, 0, NO, 0,   4416, 4900, 0, NO, 0,   4417, 4900, 0, NO, 0
        4418, 4900, 0, NO, 0,   4419, 4900, 0, NO, 0,   4420, 4900, 0, NO, 0
        4421, 4900, 0, NO, 0,   4422, 4900, 0, NO, 0,   4423, 4900, 0, NO, 0
        4424, 4900, 0, NO, 0,   4425, 4900, 0, NO, 0
   NAME=37_impdx_centrodx_lane5, CROSS, cross-beam, 0, 0, BOTH, 6500, 6400, NO
        4385, -7750, 0, NO, 0,   4386, -7750, 0, NO, 0,   4387, -7750, 0, NO, 0
        4388, -7750, 0, NO, 0,   4389, -7750, 0, NO, 0,   4390, -7750, 0, NO, 0
        4391, -7750, 0, NO, 0,   4392, -7750, 0, NO, 0,   4393, -7750, 0, NO, 0
        4394, -7750, 0, NO, 0,   4395, -7750, 0, NO, 0,   4396, -7750, 0, NO, 0
        4397, -7750, 0, NO, 0,   4398, -7750, 0, NO, 0,   4399, -7750, 0, NO, 0
        4400, -7750, 0, NO, 0,   4401, -7750, 0, NO, 0,   4402, -7750, 0, NO, 0
        4403, -7750, 0, NO, 0,   4404, -7750, 0, NO, 0,   4405, -7750, 0, NO, 0
        4406, -7750, 0, NO, 0,   4407, -7750, 0, NO, 0,   4408, -7750, 0, NO, 0
        4409, -7750, 0, NO, 0,   4410, -7750, 0, NO, 0,   4411, -7750, 0, NO, 0
        4412, -7750, 0, NO, 0,   4413, -7750, 0, NO, 0,   4414, -7750, 0, NO, 0
        4415, -7750, 0, NO, 0,   4416, -7750, 0, NO, 0,   4417, -7750, 0, NO, 0
        4418, -7750, 0, NO, 0,   4419, -7750, 0, NO, 0,   4420, -7750, 0, NO, 0
        4421, -7750, 0, NO, 0,   4422, -7750, 0, NO, 0,   4423, -7750, 0, NO, 0
        4424, -7750, 0, NO, 0,   4425, -7750, 0, NO, 0
   NAME=3_impsx_tuttosx_lane3, CROSS, cross-beam, 0, 0, BOTH, 3000, 2000, NO
        1855, 6000, 0, NO, 0,   1856, 6000, 0, NO, 0,   1857, 6000, 0, NO, 0
        1858, 6000, 0, NO, 0,   1859, 6000, 0, NO, 0,   1860, 6000, 0, NO, 0
        1861, 6000, 0, NO, 0,   1862, 6000, 0, NO, 0,   1863, 6000, 0, NO, 0
        1864, 6000, 0, NO, 0,   1865, 6000, 0, NO, 0,   1866, 6000, 0, NO, 0
        1867, 6000, 0, NO, 0,   1868, 6000, 0, NO, 0,   1869, 6000, 0, NO, 0
        1870, 6000, 0, NO, 0,   1871, 6000, 0, NO, 0,   1872, 6000, 0, NO, 0
        1873, 6000, 0, NO, 0,   1874, 6000, 0, NO, 0,   1875, 6000, 0, NO, 0
        1876, 6000, 0, NO, 0,   1877, 6000, 0, NO, 0,   1878, 6000, 0, NO, 0
        1879, 6000, 0, NO, 0,   1880, 6000, 0, NO, 0,   1881, 6000, 0, NO, 0
        1882, 6000, 0, NO, 0,   1883, 6000, 0, NO, 0,   1884, 6000, 0, NO, 0
        1885, 6000, 0, NO, 0,   1886, 6000, 0, NO, 0,   1887, 6000, 0, NO, 0
        1888, 6000, 0, NO, 0,   1889, 6000, 0, NO, 0,   1890, 6000, 0, NO, 0
        1891, 6000, 0, NO, 0,   1892, 6000, 0, NO, 0,   1893, 6000, 0, NO, 0
        1894, 6000, 0, NO, 0,   1895, 6000, 0, NO, 0
   NAME=4_impsx_tuttosx_lane4, CROSS, cross-beam, 0, 0, BOTH, 4500, 2200, NO
        1855, 9750, 0, NO, 0,   1856, 9750, 0, NO, 0,   1857, 9750, 0, NO, 0
        1858, 9750, 0, NO, 0,   1859, 9750, 0, NO, 0,   1860, 9750, 0, NO, 0
        1861, 9750, 0, NO, 0,   1862, 9750, 0, NO, 0,   1863, 9750, 0, NO, 0
        1864, 9750, 0, NO, 0,   1865, 9750, 0, NO, 0,   1866, 9750, 0, NO, 0
        1867, 9750, 0, NO, 0,   1868, 9750, 0, NO, 0,   1869, 9750, 0, NO, 0
        1870, 9750, 0, NO, 0,   1871, 9750, 0, NO, 0,   1872, 9750, 0, NO, 0
        1873, 9750, 0, NO, 0,   1874, 9750, 0, NO, 0,   1875, 9750, 0, NO, 0
        1876, 9750, 0, NO, 0,   1877, 9750, 0, NO, 0,   1878, 9750, 0, NO, 0
        1879, 9750, 0, NO, 0,   1880, 9750, 0, NO, 0,   1881, 9750, 0, NO, 0
        1882, 9750, 0, NO, 0,   1883, 9750, 0, NO, 0,   1884, 9750, 0, NO, 0
        1885, 9750, 0, NO, 0,   1886, 9750, 0, NO, 0,   1887, 9750, 0, NO, 0
        1888, 9750, 0, NO, 0,   1889, 9750, 0, NO, 0,   1890, 9750, 0, NO, 0
        1891, 9750, 0, NO, 0,   1892, 9750, 0, NO, 0,   1893, 9750, 0, NO, 0
        1894, 9750, 0, NO, 0,   1895, 9750, 0, NO, 0
   NAME=5_impsx_tuttodx_lane1, CROSS, cross-beam, 0, 0, BOTH, 3000, 2000, NO
        2187, 0, 0, NO, 0,  2188, 0, 0, NO, 0,  2189, 0, 0, NO, 0
        2190, 0, 0, NO, 0,  2191, 0, 0, NO, 0,  2192, 0, 0, NO, 0
        2193, 0, 0, NO, 0,  2194, 0, 0, NO, 0,  2195, 0, 0, NO, 0
        2196, 0, 0, NO, 0,  2197, 0, 0, NO, 0,  2198, 0, 0, NO, 0
        2199, 0, 0, NO, 0,  2200, 0, 0, NO, 0,  2201, 0, 0, NO, 0
        2202, 0, 0, NO, 0,  2203, 0, 0, NO, 0,  2204, 0, 0, NO, 0
        2205, 0, 0, NO, 0,  2206, 0, 0, NO, 0,  2207, 0, 0, NO, 0
        2208, 0, 0, NO, 0,  2209, 0, 0, NO, 0,  2210, 0, 0, NO, 0
        2211, 0, 0, NO, 0,  2212, 0, 0, NO, 0,  2213, 0, 0, NO, 0
        2214, 0, 0, NO, 0,  2215, 0, 0, NO, 0,  2216, 0, 0, NO, 0
        2217, 0, 0, NO, 0,  2218, 0, 0, NO, 0,  2219, 0, 0, NO, 0
        2220, 0, 0, NO, 0,  2221, 0, 0, NO, 0,  2222, 0, 0, NO, 0
        2223, 0, 0, NO, 0,  2224, 0, 0, NO, 0,  2225, 0, 0, NO, 0
        2226, 0, 0, NO, 0,  2227, 0, 0, NO, 0
   NAME=6_impsx_tuttodx_lane2, CROSS, cross-beam, 0, 0, BOTH, 3000, 2000, NO
        2187, -3000, 0, NO, 0,  2188, -3000, 0, NO, 0,  2189, -3000, 0, NO, 0
        2190, -3000, 0, NO, 0,  2191, -3000, 0, NO, 0,  2192, -3000, 0, NO, 0
        2193, -3000, 0, NO, 0,  2194, -3000, 0, NO, 0,  2195, -3000, 0, NO, 0
        2196, -3000, 0, NO, 0,  2197, -3000, 0, NO, 0,  2198, -3000, 0, NO, 0
        2199, -3000, 0, NO, 0,  2200, -3000, 0, NO, 0,  2201, -3000, 0, NO, 0
        2202, -3000, 0, NO, 0,  2203, -3000, 0, NO, 0,  2204, -3000, 0, NO, 0
```

```
         2205, -3000, 0, NO, 0,  2206, -3000, 0, NO, 0,  2207, -3000, 0, NO, 0
         2208, -3000, 0, NO, 0,  2209, -3000, 0, NO, 0,  2210, -3000, 0, NO, 0
         2211, -3000, 0, NO, 0,  2212, -3000, 0, NO, 0,  2213, -3000, 0, NO, 0
         2214, -3000, 0, NO, 0,  2215, -3000, 0, NO, 0,  2216, -3000, 0, NO, 0
         2217, -3000, 0, NO, 0,  2218, -3000, 0, NO, 0,  2219, -3000, 0, NO, 0
         2220, -3000, 0, NO, 0,  2221, -3000, 0, NO, 0,  2222, -3000, 0, NO, 0
         2223, -3000, 0, NO, 0,  2224, -3000, 0, NO, 0,  2225, -3000, 0, NO, 0
         2226, -3000, 0, NO, 0,  2227, -3000, 0, NO, 0
   NAME=7_impsx_tuttodx_lane3, CROSS, cross-beam, 0, 0, BOTH, 3000, 2000, NO
         2187, -6000, 0, NO, 0,  2188, -6000, 0, NO, 0,  2189, -6000, 0, NO, 0
         2190, -6000, 0, NO, 0,  2191, -6000, 0, NO, 0,  2192, -6000, 0, NO, 0
         2193, -6000, 0, NO, 0,  2194, -6000, 0, NO, 0,  2195, -6000, 0, NO, 0
         2196, -6000, 0, NO, 0,  2197, -6000, 0, NO, 0,  2198, -6000, 0, NO, 0
         2199, -6000, 0, NO, 0,  2200, -6000, 0, NO, 0,  2201, -6000, 0, NO, 0
         2202, -6000, 0, NO, 0,  2203, -6000, 0, NO, 0,  2204, -6000, 0, NO, 0
         2205, -6000, 0, NO, 0,  2206, -6000, 0, NO, 0,  2207, -6000, 0, NO, 0
         2208, -6000, 0, NO, 0,  2209, -6000, 0, NO, 0,  2210, -6000, 0, NO, 0
         2211, -6000, 0, NO, 0,  2212, -6000, 0, NO, 0,  2213, -6000, 0, NO, 0
         2214, -6000, 0, NO, 0,  2215, -6000, 0, NO, 0,  2216, -6000, 0, NO, 0
         2217, -6000, 0, NO, 0,  2218, -6000, 0, NO, 0,  2219, -6000, 0, NO, 0
         2220, -6000, 0, NO, 0,  2221, -6000, 0, NO, 0,  2222, -6000, 0, NO, 0
         2223, -6000, 0, NO, 0,  2224, -6000, 0, NO, 0,  2225, -6000, 0, NO, 0
         2226, -6000, 0, NO, 0,  2227, -6000, 0, NO, 0
   NAME=8_impsx_tuttodx_lane4, CROSS, cross-beam, 0, 0, BOTH, 4500, 2200, NO
         2187, -9750, 0, NO, 0,  2188, -9750, 0, NO, 0,  2189, -9750, 0, NO, 0
         2190, -9750, 0, NO, 0,  2191, -9750, 0, NO, 0,  2192, -9750, 0, NO, 0
         2193, -9750, 0, NO, 0,  2194, -9750, 0, NO, 0,  2195, -9750, 0, NO, 0
         2196, -9750, 0, NO, 0,  2197, -9750, 0, NO, 0,  2198, -9750, 0, NO, 0
         2199, -9750, 0, NO, 0,  2200, -9750, 0, NO, 0,  2201, -9750, 0, NO, 0
         2202, -9750, 0, NO, 0,  2203, -9750, 0, NO, 0,  2204, -9750, 0, NO, 0
         2205, -9750, 0, NO, 0,  2206, -9750, 0, NO, 0,  2207, -9750, 0, NO, 0
         2208, -9750, 0, NO, 0,  2209, -9750, 0, NO, 0,  2210, -9750, 0, NO, 0
         2211, -9750, 0, NO, 0,  2212, -9750, 0, NO, 0,  2213, -9750, 0, NO, 0
         2214, -9750, 0, NO, 0,  2215, -9750, 0, NO, 0,  2216, -9750, 0, NO, 0
         2217, -9750, 0, NO, 0,  2218, -9750, 0, NO, 0,  2219, -9750, 0, NO, 0
         2220, -9750, 0, NO, 0,  2221, -9750, 0, NO, 0,  2222, -9750, 0, NO, 0
         2223, -9750, 0, NO, 0,  2224, -9750, 0, NO, 0,  2225, -9750, 0, NO, 0
         2226, -9750, 0, NO, 0,  2227, -9750, 0, NO, 0
   NAME=9_impsx_centrosx_lane1, CROSS, cross-beam, 0, 0, BOTH, 3000, 2000, NO
         2519, 0, 0, NO, 0,  2520, 0, 0, NO, 0,  2521, 0, 0, NO, 0
         2522, 0, 0, NO, 0,  2523, 0, 0, NO, 0,  2524, 0, 0, NO, 0
         2525, 0, 0, NO, 0,  2526, 0, 0, NO, 0,  2527, 0, 0, NO, 0
         2528, 0, 0, NO, 0,  2529, 0, 0, NO, 0,  2530, 0, 0, NO, 0
         2531, 0, 0, NO, 0,  2532, 0, 0, NO, 0,  2533, 0, 0, NO, 0
         2534, 0, 0, NO, 0,  2535, 0, 0, NO, 0,  2536, 0, 0, NO, 0
         2537, 0, 0, NO, 0,  2538, 0, 0, NO, 0,  2539, 0, 0, NO, 0
         2540, 0, 0, NO, 0,  2541, 0, 0, NO, 0,  2542, 0, 0, NO, 0
         2543, 0, 0, NO, 0,  2544, 0, 0, NO, 0,  2545, 0, 0, NO, 0
         2546, 0, 0, NO, 0,  2547, 0, 0, NO, 0,  2548, 0, 0, NO, 0
         2549, 0, 0, NO, 0,  2550, 0, 0, NO, 0,  2551, 0, 0, NO, 0
         2552, 0, 0, NO, 0,  2553, 0, 0, NO, 0,  2554, 0, 0, NO, 0
         2555, 0, 0, NO, 0,  2556, 0, 0, NO, 0,  2557, 0, 0, NO, 0
         2558, 0, 0, NO, 0,  2559, 0, 0, NO, 0

*VEHICLE    ; Vehicles
; if Moving Load Code is China
; NAME=NAME, 1, TYPE-NAME, CODE                                          ; standard
; NAME=NAME, 2, LTYPE, [TRUCK/LANE] or [TRAIN/SUBWAY] or [CROWD]         ; user: line 1
;      LOAD1, DIST1, LOAD2, DIST2, ...                                   ; user: from line 2
; [TRUCK/LANE] : 1, P, Qm, Qq                                            ; truck(JTG)
; [TRUCK/LANE] : 2, P, Qm, Qq                                            ; lane load1
; [TRUCK/LANE] : 3, Qk, Pk1, L1, Pk2, L2                                 ; lane load2
; [TRUCK/LANE] : 4, dW, dD                                               ; crawler type
; [TRUCK/LANE] : 5                                                       ; GC type load
; [TRAIN/SUBWAY] : iTYPE, W1, D1, W2, D2                                 ; train-type1,3
; [TRAIN/SUBWAY] : iTYPE, DD, FD, BD, MAINCOUNT                          ; train-type2
; [TRAIN/SUBWAY] : 4, P1, D1, P2, D2, P3, D3, P4, dD, Po, n, IFR         ; subway
; [CROWD] : 1, dW1                                                       ; crowd-type1
; [CROWD] : 2, dW1, dL1, dW2, dL2, WIDTH                                 ; crowd-type2
; if Moving Load Type is India
; NAME=NAME, 1, TYPE-NAME, CODE                                          ; standard
; NAME=NAME, 2, bWTB, P, D, Pb, Db, dD1, dD2, NDIST                      ; user: line 1
; NAME=NAME, 2, bWTB, dD1, dD2, NDIST                                    ; user: line 1
;      LOAD1, DIST1, LOAD2, DIST2, ...                                   ; user: from line 2
; if Moving Load Code is CANADA
; NAME=NAME, 1, TYPE-NAME, DLA, CODE, [DYNA]                             ; standard
; NAME=NAME, 2, bTRAIN, W(W1), PL(D1), PLM(W2), PLV(D2), NDIST, [DYNA]   ; user: line 1
;      LOAD1, DIST1, LOAD2, DIST2, ...                                   ; user: from line 2
```

PROJECT TITLE :

	Company		Client	
	Author		File Name	Brembiolo1_08_completo(fasi)DEFINITIVO.mgt

```
; [DYNA] : nDYNA, FACT1AXLE, FACT2AXLE, FACT3AXLE                                  ; Dynamic Load Allowance
; if Moving Load Code is BS
; NAME=NAME, 1, TYPE-NAME, CODE, UNITNUM                                          ; standard
; NAME=nLane, FACTOR1, FACTOR2, FACTOR3, FACTOR4, ADDDATA, AL, CA, LL             ; HA, HA & HB, HA & HB(Auto)
; NAME=NAME, 2, iSTYPE, W1, W2, W3, L, Pa, Pb, D1, D2, d, UNITNUM                 ; user(BS 5400)
; NAME=NAME, 2, iSTYPE, [BD37/01-HA], [BS-DATA-LF]                                ; user(HA)
; NAME=NAME, 2, iSTYPE, [BS-DATA-HB]                                              ; user(HB)
; NAME=NAME, 2, iSTYPE, [BD37/01-HA2], [BS-DATA-HB2], [BS-DATA-LF]                ; user(HA&HB)
; NAME=NAME, 2, iSTYPE, [BD37/01-HA], [BD37/01-HB], [BS-DATA-LF]                  ; user(HA&HB(AUTO))
; NAME=NAME, 2, iSTYPE, W, L                                                      ; user(Pedestrian)
; NAME=NAME, 2, iSTYPE, V, AN, MINS, MAXS, P1, D1, P2, D2, ...                    ; user(Special Vehicle)
; [BS-DATA-HA]  : W1, W2, W3, EXP, EXP2, L1, L2, Pa
; [BS-DATA-HA2] : W1, W2, W3, EXP, EXP2, L1, L2
; [BS-DATA-HB]  : Pb, D1, D2, d, UNITNUM
; [BS-DATA-HB2] : Pb, D1, D2, d, dd, UNITNUM
; [BS-DATA-LF] : nLT, LF1, LF2, LF3, LF4
; if Moving Load Code is EUROCODE
; NAME=NAME, 1, iTYPE, TYPE-NAME, PSY1, PSY2, PHI, [AF7]                          ; standard (LM1, FLM1)
; NAME=NAME, 1, iTYPE, TYPE-NAME, bDF, bU, PHI, PSY, ADJ, IN                      ; standard (others)
; NAME=NAME, 2, 1, [AF7]                                                          ; user(Type 1)
;       [LOAD7], D, PHI, TPSY, UPSY                                               ; user(Type 1): line 2
; NAME=NAME, 2, 2, ALP, TPSY, W, BET, LPSY, P1, D1, P2, D2, ...                   ; user(Type 2)
; NAME=NAME, 2, 3                                                                 ; user(Type 3)
;       [LOADCASE1]                                                               ; user(Type 3): line 2
;       [LOADCASE2]                                                               ; user(Type 3): line 3
;       [LOADCASE3]                                                               ; user(Type 3): line 4
; NAME=NAME, 2, 4, WS, V, AN, MINS, MAXS, DYF, UI, F, P1, D1, P2, D2, ...         ; user(Type 4)
; NAME=NAME, 2, 5, INT, bPHI1, PHI1, bPHI2, PHI2                                  ; user(Type 5)
;       [VEHICLE1]                                                                ; user(Type 5): line 2
;       [VEHICLE2]                                                                ; user(Type 5): line 3
;       [VEHICLE3]                                                                ; user(Type 5): line 4
; [AF7] : TF1, TF2, TF3, UF1, UF2, UF3, UF4                                       ; adjustment factor
; [LOAD7] : TL1, TL2, TL3, UL1, UL2, UL3, UL4                                     ; tandem/udl loads
; [LOADCASE] : bUSE, N, bDF, bUI, PHI, P1, L1, P2, L2, ...                        ; load case
; [VEHICLE] : bUSE, N, P1, L1, P2, L2, ...                                        ; vehicle
; if Moving Load Code is RUSSIA
; NAME=NAME, 1, iTYPE, K, nDYNAFAC, dDYNAFAC, bFATI, nLOADFAC, dLOADFAC           ; standard (SK)
; NAME=NAME, 1, iTYPE, K, nDYNAFAC, dDYNAFAC, bFATI, nLOADFAC, dLOADFAC           ; standard (SK FATIGUE)
; NAME=NAME, 1, iTYPE, K, nDYNAFAC, dDYNAFAC, dDYNAFAC_UDL
;                  bFATI, nLOADFAC, dLOADFAC, dLOADFAC_UDL, s1[3], s1_UDL[3]      ; standard (AK)
; NAME=NAME, 1, iTYPE, K, nDYNAFAC, dDYNAFAC, nLOADFAC, dLOADFAC,
;                  bTWOVEHI, TWOVEHI_FACT, b2NDREDUC, 2NDREDUC_FACT               ; standard (N14)
; NAME=NAME, 1, iTYPE, K, nDYNAFAC, dDYNAFAC, nLOADFAC, dLOADFAC,
;                  bTWOVEHI, TWOVEHI_FACT, b2NDREDUC, 2NDREDUC_FACT               ; standard (N11)
; NAME=NAME, 1, iTYPE, nDYNAFAC, dDYNAFAC, dEMPTYCAR
;                bFATI, nLOADFAC, dLOADFAC,                                       ; standard (SUBWAY TRAINS)
; NAME=NAME, 1, iTYPE, VARIABLE, nDYNAFAC, dDYNAFAC, dEMPTYCAR
;                          bFATI, nLOADFAC, dLOADFAC,                             ; standard (TRAMCARS)
; NAME=NAME, 1, iTYPE, nDYNAFAC, dDYNAFAC, bFATI, nLOADFAC, dLOADFAC              ; standard (NK-80)
; NAME=NAME, 1, iTYPE, W, D, nDYNAFAC, dDYNAFAC, bFATI, nLOADFAC, dLOADFAC        ; standard (NG-60)
; NAME=NAME, 1, iTYPE, BRIDGETYPE, W, bFATI, nLOADFAC, dLOADFAC                   ; standard (UNIFORM LOAD)
; NAME=NAME, 1, iTYPE, BRIDGETYPE, W, bFATI, nLOADFAC, dLOADFAC                   ; standard (UNIFORM LOAD(W/O OT
HER LOADS))
; NAME=NAME, 1, iTYPE, BRIDGETYPE, P                                              ; standard (CONCENTRATED LOAD (
W/O OTHER LOADS))
; NAME=NAME, 2, iTYPE, W, nDYNAFAC, dDYNAFAC, dDYNAFAC_UDL
;                  bFATI, nLOADFAC, dLOADFAC, dLOADFAC_UDL, s1[3], s1_UDL[3]      ; user (Type 1)
; NAME=NAME, 2, iTYPE, nDYNAFAC, dDYNAFAC, dEMPTYCAR
;                bFATI, nLOADFAC, dLOADFAC,                                       ; user (Type 2)
; NAME=NAME, 2, iTYPE, Variable, nDYNAFAC, dDYNAFAC, dEMPTYCAR
;                          bFATI, nLOADFAC, dLOADFAC,                             ; user (Type 3)
; NAME=NAME, 2, iTYPE, nDYNAFAC, dDYNAFAC, nLOADFAC, dLOADFAC

;                          bTWOVEHI, TWOVEHI_FACT, b2NDREDUC, 2NDREDUC_FACT       ; user (Type 4)
; NAME=NAME, 2, iTYPE, nDYNAFAC, dDYNAFAC, nLOADFAC, dLOADFAC

;                          bTWOVEHI, TWOVEHI_FACT, b2NDREDUC, 2NDREDUC_FACT       ; user (Type 5)
; NAME=NAME, 2, iTYPE, W, D, nDYNAFAC, dDYNAFAC, bFATI, nLOADFAC, dLOADFAC        ; user (Type 6)
; NAME=NAME, 2, iTYPE, P, W, bFATI, nLOADFAC, dLOADFAC                            ; user (Type 7)
; if Moving Load Code is KSCE-LSD15
; NAME=NAME, 1, TYPE-NAME, nLANETYPE, dDYNAFAC,  CODE, nLANELOAD, L               ; standard
; NAME=NAME, 2, 8, L1, W1, W2, EXP, dDYNAFAC, nLANELOAD, L                        ; user: line 1 (Type 1)
; NAME=NAME, 2, 1, W1, W2, D1, D2, 0, 0, 0                                        ; user: line 1 (Type 2)
; NAME=NAME, 2, 6, LOADNUM, DIST, W, L, 0, 0, 0                                   ; user: line 1 (Type 3)
;       LOAD1, DIST1, LOAD2, DIST2, ...                                           ; user: from line 2
; if Moving Load Code is AASHTO LRFD, CANADA and Load Type is Permit Truck
; NAME=NAME, 3, AXLE-TYPE-NUM, IMP-FACTOR                                         ; user(Permit Truck)
;       AXLE-TYPE-NAME1, bEDWL1, bSV1, P1, D1, P2, D2, ..., Pn, Dn               ; user(from line 2)
```

PROJECT TITLE :

	Company		Client	
	Author		File Name	Brembiolo1_08_completo(fasi)DEFINITIVO.mgt

```
;       ...
;       AXLE-TYPE-NAMEn, bEDWLn, bSVn, P1, D1, P2, D2, ..., Pn, Dn
;       AXLE-TYPE1, SPACING1, bVS1, AXLE-TYPE2, SPACING2, bVS2 ...              ; line 2+AXLE-TYPE-NUM
; if Moving Load Code is not one of those specified above.
; NAME=NAME, 1, TYPE-NAME, DLA, CODE                                            ; standard
; NAME=NAME, 2, bTRAIN, W(W1), PL(D1), PLM(W2), PLV(D2), NDIST                  ; user: line 1
;       LOAD1, DIST1, LOAD2, DIST2, ...                                         ; user: from line 2
  NAME=veicolo, 2, 1, 1, 1, 1, 1, 1, 1, 1
       300, 200, 100, 9e-006, 2.5e-006, 2.5e-006, 2.5e-006, 1200, 1, 0.75, 0.4

*MVLDCASE(EURO)    ; Moving Load Cases
; NAME=NAME, bOPTIM, iTYPE, DESC, VHL1, VHL2, bLEAD, SERIAL
           ; type 1, 3
;       nType, SLN1, SLN2, SLN3, ...
           ;   line 2   (nType=1)
;       nType, SRA1, SRA2, SRA3, ...
           ;   line 2/3 (nType=2)
;       nType, FLN1, FLN2, FLN3, ...
           ;   line 4   (nType=3)
; NAME=NAME, bOPTIM, iTYPE, DESC, iOPT, bLEAD, SERIAL
           ; type 2
;       [SUB1]
           ;   line 2
;       ...
           ;   ...
;       [SUBn]
           ;   line n+1
; [SUB] : VCLA, SCA, MIN, MAX, SLN1, SLN2, ...
           ; sub-loadcase
; NAME=NAME, bOPTIM, iTYPE, DESC, iOPT, bLEAD, SERIAL
           ; type 4
;       0, SLN1, SLN2, SLN3, ...
           ;   line 2
;       1, SRA1, SRA2, SRA3, ...
           ;   line 3
;       2, STradd1, STradd2, STradd3, ...
           ;   line 4
; NAME=NAME, bOPTIM, iTYPE, DESC, iOPT, SF1, SF2, SF3, bPSI1, MULF1, MULF2, MULF3, SERIAL
           ; type 5
;       [SUB1]
           ;   line 2
;       ...
           ;   ...
;       [SUBn]
           ;   line n+1
; ////////////////////////////////////////////////////////////////////////////////////////////////////////////
//////////;
; Moving Load Optimization
           ;
; NAME=NAME, bOPTIM, iTYPE, DESC, VHL1, VHL2, bLEAD, MINVEHL, LANEOP, LOADEDLANE, SERIAL
           ; type 1, 3
;       nType, SRA1, SRA2, SRA3, ...
           ;   line 2 (nType=2)
;       nType, FLN1, FLN2, FLN3, ...
           ;   line 3 (nType=3)
; NAME=NAME, bOPTIM, iTYPE, DESC, iOPT, bLEAD, MINVEHL, LANEOP, MIN, MAX, SERIAL
           ; type 2
;       [ASSGNVEHL1]
           ;   line 2
;       ...
           ;   ...
;       [ASSGNVEHLn]
           ;   line n+1
; [ASSGNVEHL] : VC, VCLA, SCA ...
           ; Assignment-Vehicle
; NAME=NAME, bOPTIM, iTYPE, DESC, iOPT, bLEAD, MINVEHL, LANEOP, LOADEDLANE, SERIAL
           ; type 4
;       1, SRA1, SRA2, SRA3, ...
           ;   line 3
; NAME=NAME, bOPTIM, iTYPE, DESC, iOPT, SF1, SF2, SF3, bPSI1, MULF1, MULF2, MULF3, MINVEHL, LANEOP, MIN, MAX
, SERIAL  ; type 5
;       [ASSGNVEHL1]
           ;   line 2
;       ...
           ;   ...
;       [ASSGNVEHLn]
           ;   line n+1
   NAME=impsx_tuttosx, NO, 1, , veicolo, , YES, 0
```

```
        1, 1_impsx_tuttosx_lane1, 2_impsx_tuttosx_lane2, 3_impsx_tuttosx_lane3
        2, 4_impsx_tuttosx_lane4
   NAME=impsx_tuttodx, NO, 1, , veicolo, , YES, 0
        1, 5_impsx_tuttodx_lane1, 6_impsx_tuttodx_lane2, 7_impsx_tuttodx_lane3
        2, 8_impsx_tuttodx_lane4
   NAME=impsx_centrosx, NO, 1, , veicolo, , YES, 0
        1, 10_impsx_centrosx_lane2, 11_impsx_centrosx_lane3, 9_impsx_centrosx_lane1
        2, 12_impsx_centrosx_lane4, 13_impsx_centrosx_lane5
   NAME=impsx_centrodx, NO, 1, , veicolo, , YES, 0
        1, 14_impsx_centrodx_lane1, 15_impsx_centrodx_lane2, 16_impsx_centrodx_lane3
        2, 17_impsx_centrodx_lane4, 18_impsx_centrodx_lane5
   NAME=impdx_tuttosx, NO, 1, , veicolo, , YES, 0
        1, 19_impdx_tuttosx_lane1, 20_impdx_tuttosx_lane2, 21_impdx_tuttosx_lane3
        2, 22_impdx_tuttosx_lane4, 23_impdx_tuttosx_lane5
   NAME=impdx_tuttodx, NO, 1, , veicolo, , YES, 0
        1, 24_impdx_tuttodx_lane1, 25_impdx_tuttodx_lane2, 26_impdx_tuttodx_lane3
        2, 27_impdx_tuttodx_lane4
   NAME=impdx_centrosx, NO, 1, , veicolo, , YES, 0
        1, 28_impdx_centrosx_lane1, 29_impdx_centrosx_lane2, 30_impdx_centrosx_lane3
        2, 31_impdx_centrosx_lane4, 32_impdx_centrosx_lane5
   NAME=impdx_centrodx, NO, 1, , veicolo, , YES, 0
        1, 33_impdx_centrodx_lane1, 34_impdx_centrodx_lane2, 35_impdx_centrodx_lane3
        2, 36_impdx_centrodx_lane4, 37_impdx_centrodx_lane5

*CPOSECT4CS    ; Composite Section for Construction Stage
; SEC=SEC, ASTAGE, TYPE, bTAP                                                    // line 1
;     [PART-INFO]-1                                                              // from line 2
;     ...
;     [PART-INFO]-n
; [PART-INFO] : [COMMON], [SCALE], H, VS                                         // TYPE=A,B,NORMAL
;               [COMMON], [SCALE], CY, CZ, [STIFF], H, VS                        // TYPE=USER
;               [COMMON], [SCALE], CYI, CZI, CYJ, CZJ, [STIFF]-I, [STIFF]-J, H, VS // TYPE=USER, bTAP=YES
; [COMMON]: PART, MTYPE, MAT, CSTAGE, AGE
; [SCALE] : AREA, ASY, ASZ, IXX, IYY, IZZ, WAREA
; [STIFF] : AREA, ASY, ASZ, IXX, IYY, CYP, CYM, CZP, CZM, QYB, QZB, \
;           X1, X2, X3, X4, Y1, Y2, Y3, Y4
   SEC=5, FASE1 - acciaio, NORMAL, NO
        1, ELEM, , , 0, 1, 1, 1, 1, 1, 1, 1, 25.3659, 0
        2, ELEM, , FASE2 - n=21.56, 0, 1, 1, 1, 1, 1, 1, 0, 227.848, 0
   SEC=10, FASE1 - acciaio, NORMAL, NO
        1, ELEM, , , 0, 1, 1, 1, 1, 1, 1, 1, 28.168, 0
        2, ELEM, , FASE2 - n=21.56, 0, 1, 1, 1, 1, 1, 1, 0, 225, 0
   SEC=7, FASE1 - acciaio, NORMAL, NO
        1, ELEM, , , 0, 1, 1, 1, 1, 1, 1, 1, 30.3857, 0
        2, ELEM, , FASE2 - n=21.56, 0, 1, 1, 1, 1, 1, 1, 0, 227.848, 0
   SEC=2, FASE1 - acciaio, NORMAL, NO
        1, ELEM, , , 0, 1, 1, 1, 1, 1, 1, 1, 33.8843, 0
        2, ELEM, , FASE2 - n=21.56, 0, 1, 1, 1, 1, 1, 1, 0, 228.944, 0
   SEC=3, FASE1 - acciaio, NORMAL, NO
        1, ELEM, , , 0, 1, 1, 1, 1, 1, 1, 1, 32.6033, 0
        2, ELEM, , FASE2 - n=21.56, 0, 1, 1, 1, 1, 1, 1, 0, 227.848, 0
   SEC=8, FASE1 - acciaio, NORMAL, NO
        1, ELEM, , , 0, 1, 1, 1, 1, 1, 1, 1, 30.3857, 0
        2, ELEM, , FASE2 - n=21.56, 0, 1, 1, 1, 1, 1, 1, 0, 225, 0
   SEC=9, FASE1 - acciaio, NORMAL, NO
        1, ELEM, , , 0, 1, 1, 1, 1, 1, 1, 1, 28.168, 0
        2, ELEM, , FASE2 - n=21.56, 0, 1, 1, 1, 1, 1, 1, 0, 227.848, 0
   SEC=4, FASE1 - acciaio, NORMAL, NO
        1, ELEM, , , 0, 1, 1, 1, 1, 1, 1, 1, 32.6033, 0
        2, ELEM, , FASE2 - n=21.56, 0, 1, 1, 1, 1, 1, 1, 0, 228.944, 0
   SEC=11, FASE1 - acciaio, NORMAL, NO
        1, ELEM, , , 0, 1, 1, 1, 1, 1, 1, 1, 23.0866, 0
        2, ELEM, , FASE2 - n=21.56, 0, 1, 1, 1, 1, 1, 1, 0, 227.848, 0
   SEC=1, FASE1 - acciaio, NORMAL, NO
        1, ELEM, , , 0, 1, 1, 1, 1, 1, 1, 1, 33.8843, 0
        2, ELEM, , FASE2 - n=21.56, 0, 1, 1, 1, 1, 1, 1, 0, 227.848, 0
   SEC=6, FASE1 - acciaio, NORMAL, NO
        1, ELEM, , , 0, 1, 1, 1, 1, 1, 1, 1, 25.3659, 0
        2, ELEM, , FASE2 - n=21.56, 0, 1, 1, 1, 1, 1, 1, 0, 228.944, 0
   SEC=12, FASE1 - acciaio, NORMAL, NO
        1, ELEM, , , 0, 1, 1, 1, 1, 1, 1, 1, 23.0866, 0
        2, ELEM, , FASE2 - n=21.56, 0, 1, 1, 1, 1, 1, 1, 0, 225, 0
   SEC=4, FASE2 - n=21.56, NORMAL, NO
        1, ELEM, , , 0, 1, 1, 1, 1, 1, 1, 1, 32.6033, 0
        2, ELEM, , FASE3 - n=6.30, 0, 1, 1, 1, 1, 1, 1, 0, 228.944, 0
   SEC=9, FASE2 - n=21.56, NORMAL, NO
        1, ELEM, , , 0, 1, 1, 1, 1, 1, 1, 1, 28.168, 0
        2, ELEM, , FASE3 - n=6.30, 0, 1, 1, 1, 1, 1, 1, 0, 227.848, 0
```

```
   SEC=6, FASE2 - n=21.56, NORMAL, NO
       1, ELEM, , , 0, 1, 1, 1, 1, 1, 1, 1, 25.3659, 0
       2, ELEM, , FASE3 - n=6.30, 0, 1, 1, 1, 1, 1, 1, 0, 228.944, 0
   SEC=1, FASE2 - n=21.56, NORMAL, NO
       1, ELEM, , , 0, 1, 1, 1, 1, 1, 1, 1, 33.8843, 0
       2, ELEM, , FASE3 - n=6.30, 0, 1, 1, 1, 1, 1, 1, 0, 227.848, 0
   SEC=2, FASE2 - n=21.56, NORMAL, NO
       1, ELEM, , , 0, 1, 1, 1, 1, 1, 1, 1, 33.8843, 0
       2, ELEM, , FASE3 - n=6.30, 0, 1, 1, 1, 1, 1, 1, 0, 228.944, 0
   SEC=7, FASE2 - n=21.56, NORMAL, NO
       1, ELEM, , , 0, 1, 1, 1, 1, 1, 1, 1, 30.3857, 0
       2, ELEM, , FASE3 - n=6.30, 0, 1, 1, 1, 1, 1, 1, 0, 227.848, 0
   SEC=12, FASE2 - n=21.56, NORMAL, NO
       1, ELEM, , , 0, 1, 1, 1, 1, 1, 1, 1, 23.0866, 0
       2, ELEM, , FASE3 - n=6.30, 0, 1, 1, 1, 1, 1, 1, 0, 225, 0
   SEC=8, FASE2 - n=21.56, NORMAL, NO
       1, ELEM, , , 0, 1, 1, 1, 1, 1, 1, 1, 30.3857, 0
       2, ELEM, , FASE3 - n=6.30, 0, 1, 1, 1, 1, 1, 1, 0, 225, 0
   SEC=3, FASE2 - n=21.56, NORMAL, NO
       1, ELEM, , , 0, 1, 1, 1, 1, 1, 1, 1, 32.6033, 0
       2, ELEM, , FASE3 - n=6.30, 0, 1, 1, 1, 1, 1, 1, 0, 227.848, 0
   SEC=11, FASE2 - n=21.56, NORMAL, NO
       1, ELEM, , , 0, 1, 1, 1, 1, 1, 1, 1, 23.0866, 0
       2, ELEM, , FASE3 - n=6.30, 0, 1, 1, 1, 1, 1, 1, 0, 227.848, 0
   SEC=5, FASE2 - n=21.56, NORMAL, NO
       1, ELEM, , , 0, 1, 1, 1, 1, 1, 1, 1, 25.3659, 0
       2, ELEM, , FASE3 - n=6.30, 0, 1, 1, 1, 1, 1, 1, 0, 227.848, 0
   SEC=10, FASE2 - n=21.56, NORMAL, NO
       1, ELEM, , , 0, 1, 1, 1, 1, 1, 1, 1, 28.168, 0
       2, ELEM, , FASE3 - n=6.30, 0, 1, 1, 1, 1, 1, 1, 0, 225, 0

*STAGE-COLOR    ; Diagram Color for Construction Stage
; STAGENAME, iR(COLOR), iG(COLOR), iB(COLOR)
 FASE1 - acciaio, 192, 0, 192

*STAGE-CTRL    ; Construction Stage Analysis Control Data
; bLAST-FINAL, FINAL-STAGE, CPFC, bEXT_REPL, bCALC-CSP                    ; line 1
; bINC-NLA, iMAXITER, bENEG, EV, bDISP, DV, bFORC, FV                     ; line 2
; bINC-TDE, bCNS, TYPE, iITER, TOL, bTTLE_CS, bVAR, bTTLE_ES, bAPPLY-ELA ; line 3
; bOUCC, bITS, iITS, bATS, iT10, iT100, iT1K, iT5K, iT10K                 ; line 4
; LCNAME1, LCNAME2, LCNAME3, ...                                          ; from line 5
  YES, , INTERNAL, YES, NO, NO, ,
  NO
  YES, NO, , , , NO, YES, YES, 0, NO
  NO, NO, , NO
  peso proprio acciaio, soletta cls

*LC-COLOR    ; Diagram Color for Load Case
; ANAL, LCNAME, iR1(ALL), iG1(ALL), iB1(ALL), iR2(MIN), iG2(MIN), iB2(MIN), iR3(MAX), iG2(MAX), iB2(MAX)
 ST, peso proprio acciaio, 146, 0, 255, 163, 255, 160, 163, 160, 255
 ST, soletta cls, 255, 0, 192, 0, 128, 255, 0, 128, 57
 ST, marciapiede, 160, 255, 255, 255, 87, 87, 146, 0, 255
 ST, pavimentazione, 255, 87, 128, 0, 128, 128, 0, 157, 192
 ST, vento y+, 192, 192, 192, 192, 192, 0, 0, 192, 192
 ST, parapetto, 255, 87, 128, 0, 128, 128, 255, 192, 87
 ST, sicurvia, 192, 0, 128, 212, 160, 255, 0, 128, 192
 ST, veletta, 148, 87, 255, 148, 87, 255, 192, 0, 128
 ST, centrifuga, 78, 0, 255, 255, 160, 255, 160, 255, 255
 ST, frenatura, 255, 160, 255, 78, 0, 255, 0, 192, 192
 ST, Termica uniforme +15, 93, 255, 87, 128, 192, 0, 255, 192, 160
 ST, Termica uniforme -15, 0, 192, 128, 0, 192, 128, 255, 0, 192
 ST, Termica non uniforme, 148, 87, 255, 192, 0, 192, 255, 192, 160
 ST, Termica non uniforme, 192, 72, 0, 0, 128, 192, 255, 87, 87
 MV, impsx_tuttosx, 255, 192, 160, 255, 160, 255, 93, 255, 87
 MV, impsx_tuttodx, 255, 0, 192, 255, 255, 255, 0, 128, 255
 MV, impsx_centrosx, 0, 192, 192, 255, 255, 87, 146, 0, 255
 MV, impsx_centrodx, 0, 128, 255, 255, 87, 128, 160, 192, 255
 MV, impdx_tuttosx, 85, 192, 0, 192, 192, 0, 192, 72, 0
 MV, impdx_tuttodx, 255, 87, 87, 0, 128, 57, 85, 0, 192
 MV, impdx_centrosx, 85, 192, 0, 255, 192, 160, 192, 0, 128
 MV, impdx_centrodx, 255, 0, 192, 192, 192, 192, 255, 255, 255
 ST, folla su marciapiede, 255, 192, 160, 255, 160, 255, 192, 0, 128
 ST, node 56_max Fz, 255, 192, 160, 85, 0, 192, 192, 128, 0
 ST, node 55_max Fz, 210, 210, 210, 163, 255, 160, 192, 192, 192
 ST, node 54_max Fz, 192, 128, 0, 192, 128, 0, 255, 160, 255
 ST, node 53_max Fz, 0, 192, 192, 255, 255, 255, 146, 0, 255
 ST, node 52_max Fz, 160, 255, 255, 0, 192, 128, 0, 128, 57
 ST, node 51_max Fz, 255, 0, 128, 0, 128, 128, 85, 0, 192
```

```
 ST, node 50_max Fz, 255, 0, 128, 0, 128, 192, 85, 0, 192
 ST, node 49_max Fz, 160, 192, 255, 255, 160, 255, 255, 87, 128
 RS, SLV(X), 255, 0, 128, 255, 192, 87, 148, 87, 255
 ES, SLV(X), 212, 160, 255, 160, 255, 255, 192, 192, 192
 RS, SLV(Y), 255, 0, 128, 0, 128, 57, 146, 0, 255
 ES, SLV(Y), 212, 160, 255, 255, 87, 128, 0, 128, 255
 RS, SLV(vert), 192, 0, 128, 192, 0, 128, 160, 255, 255
 ES, SLV(vert), 160, 255, 255, 255, 87, 128, 0, 128, 255
 RS, SLC(X), 255, 0, 128, 0, 128, 255, 163, 160, 255
 ES, SLC(X), 160, 255, 255, 192, 192, 192, 160, 255, 255
 RS, SLC(Y), 148, 87, 255, 255, 160, 255, 255, 255, 87
 ES, SLC(Y), 0, 128, 255, 146, 0, 255, 255, 255, 255
 RS, SLC(vert), 146, 0, 255, 255, 128, 0, 78, 0, 255
 ES, SLC(vert), 255, 0, 128, 128, 192, 0, 255, 192, 87
 ST, soletta non reagente, 0, 128, 192, 255, 0, 128, 0, 128, 57
 CS, Dead Load, 255, 128, 0, 0, 128, 255, 146, 0, 255
 CS, Live Load, 0, 157, 192, 255, 255, 87, 255, 255, 255
 CS, Tendon Primary, 255, 128, 0, 85, 0, 192, 160, 255, 255
 CS, Tendon Secondary, 146, 0, 255, 192, 192, 0, 163, 255, 160
 CS, Creep, 255, 192, 87, 163, 255, 160, 255, 87, 87
 CS, Shrinkage, 85, 0, 192, 93, 255, 87, 192, 72, 0
 CS, Summation, 192, 0, 192, 192, 128, 0, 192, 192, 192

*EIGEN-CTRL    ; Eigenvalue Analysis Control
; TYPE, iFREQ, iITER, iDIM, TOL, bMINMAX, FRMIN, FRMAX, bSTRUM   ; TYPE=EIGEN
; TYPE, bINCNL, iGNUM                                           ; TYPE=RITZ(line 1)
;       KIND1, CASE1/GROUND1, iNOG1, ...                        ; TYPE=RITZ(from line2)
   RITZ, NO, 0
   GROUND, ACCX, 10, GROUND, ACCY, 10, GROUND, ACCZ, 10

*DGN-MATL    ; Modify Steel(Concrete) Material
; iMAT, TYPE, MNAME, [DATA1]                                    ; STEEL
; iMAT, TYPE, MNAME, [DATA2], [R-DATA], FCI, bSERV, SHORT, LONG ; CONC
; iMAT, TYPE, MNAME, [DATA3], [DATA2], [R-DATA]                 ; SRC
; iMAT, TYPE, MNAME, [DATA5]                                    ; STEEL(None) & KSCE-ASD05
; [DATA1] : 1, DB, CODE, NAME or 2, ELAST, POISN, FU, FY1, FY2, FY3, FY4
;           FY5, FY6, AFT, AFT2, AFT3, FY, AFV, AFV2, AFV3
; [DATA2] : 1, DB, CODE, NAME or 2, FC, CHK, LAMBDA
; [DATA3] : 1, DB, CODE, NAME or 2, ELAST, FU, FY1, FY2, FY3, FY4
;             FY5, FY6, AFT, AFT2, AFT3, FY, AFV, AFV2, AFV3
; [DATA4] : 1, DB, CODE, NAME or 2, FC
; [DATA5] : 3, ELAST, POISN, AL1, AL2, AL3, AL4, AL5, AL6, AL7, AL8, AL9, AL10
;             MIN1, MIN2, MIN3
; [R-DATA]: RBCODE, RBMAIN, RBSUB, FY(R), FYS
    1, STEEL, S355              , 1, EN05(S)    ,            ,S355          , 2, 0, , , , 0, 0,NO,0.0000e+00
0,     0,, 0, 0,0, 0, 0,0, 0, 0,0, 0, 0,0, 0, 0,0.0000e+000,     0,, 0, 0,0, 0, 0,0, 0, 0,0, 0, 0,0, 0, 0,0.
0000e+000,     0,, 0, 0,0, 0, 0,0, 0, 0,0, 0, 0,0, 0, 0,
    2, CONC , C32/40_no peso    , 2, 0, NO, 1, , , , 0, 0, 0, NO, 0, 0,             ,             ,
   , 0, NO, 1, , , , 0, 0, 0
    3, STEEL, S275              , 1, EN05(S)    ,            ,S275          , 2, 0, , , , 0, 0,NO,0.0000e+00
0,     0,, 0, 0,0, 0, 0,0, 0, 0,0, 0, 0,0, 0, 0,0.0000e+000,     0,, 0, 0,0, 0, 0,0, 0, 0,0, 0, 0,0, 0, 0,0.
0000e+000,     0,, 0, 0,0, 0, 0,0, 0, 0,0, 0, 0,0, 0, 0,
    4, STEEL, fittizzio         , 2, 2.1000e-001,   0.3, 0, 0, 0, 0, 0, 0, 0, 0, 0, 0, 0, 0, 0, 0, 0, 0, 2, 0,
, , , 0, 0,NO,0.0000e+000,     0,, 0, 0,0, 0, 0,0, 0, 0,0, 0, 0,0, 0, 0,0.0000e+000,     0,, 0, 0,0, 0, 0,0,
 0, 0,0, 0, 0,0, 0, 0,0.0000e+000,     0,, 0, 0,0, 0, 0,0, 0, 0,0, 0, 0,0, 0, 0,

*SECTION MANAGER-GROUP & PART    ; Section Manager - Group & Part
; SECT = NO, bSAMEJ                                                  ; line 1
;        GRPDISIZE, GRPDJSIZE, PARTISIZE, PARTJSIZE                  ; line 2
; ..................................................................  ;
;        LOOP UTIL (GRPDISIZE, GRPDJSIZE)                            ;
;        GROUPID, GROUPNAME, GROUPTYPE                               ; line n
; ..................................................................  ;
;        LOOP UTIL (PARTISIZE, PARTJSIZE)                            ;
;        PARTTYPE, GROUPID, PARTNAME, PARTSHAPE, bSTIFFENER          ; line n
;        LINESIZE, LINEINDEX[i]......                                ; line n
; ..................................................................  ;
   SECT=1, YES
 0, 0, 0, 0
   SECT=2, YES
 0, 0, 0, 0
   SECT=3, YES
 0, 0, 0, 0
   SECT=4, YES
 0, 0, 0, 0
   SECT=5, YES
 0, 0, 0, 0
   SECT=6, YES
```

```
 0,  0,  0,  0
   SECT=7, YES
 0,  0,  0,  0
   SECT=8, YES
 0,  0,  0,  0
   SECT=9, YES
 0,  0,  0,  0
   SECT=10, YES
 0,  0,  0,  0
   SECT=11, YES
 0,  0,  0,  0
   SECT=12, YES
 0,  0,  0,  0
   SECT=18, YES
 0,  0,  0,  0

*SECTION MANAGER-STIFFENER    ; Section Manager - Stiffener
; SECT = NO, bSAMEJ                                                    ; line 1
;        STFNISIZE, STFNJSIZE                                         ; line 2
; ..................................................................  ;
;        LOOP UTIL (STFNISIZE, STFNJSIZE)                             ;
;        TYPE, Z, STANDREF, POSLINE, STANDREFL, NUM, CTC              ; line n
;        STIFFTYPE, dSIZE(0 ~ 20)                                     ; line n
;        LINESIZE, LINEINDEX[i]......                                 ; line n
; ..................................................................  ;
   SECT=1, YES
 0,  0
   SECT=2, YES
 0,  0
   SECT=3, YES
 0,  0
   SECT=4, YES
 0,  0
   SECT=5, YES
 0,  0
   SECT=6, YES
 0,  0
   SECT=7, YES
 0,  0
   SECT=8, YES
 0,  0
   SECT=9, YES
 0,  0
   SECT=10, YES
 0,  0
   SECT=11, YES
 0,  0
   SECT=12, YES
 0,  0
   SECT=18, YES
 0,  0

*ENDDATA
```